

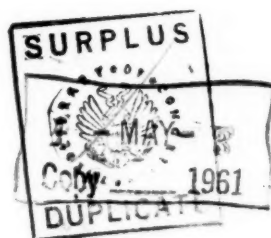
2 5000  
АКАДЕМИЯ НАУК СССР  
ИНСТИТУТ НАУЧНОЙ ИНФОРМАЦИИ

# РЕФЕРАТИВНЫЙ ЖУРНАЛ

ХИМИЯ

СВОДНЫЙ ТОМ

\*



2 з

№ 6

1961

ИЗДАТЕЛЬСТВО АКАДЕМИИ НАУК СССР  
МОСКВА



# РЕФЕРАТИВНЫЙ ЖУРНАЛ

ЗАВЕДУЮЩИЙ ОТДЕЛОМ ХИМИИ проф. **В. В. Кафаров**

ГЛАВНЫЙ РЕДАКТОР **В. В. Серпинский**

ЧЛЕНЫ РЕДКОЛЛЕГИИ: проф. **Д. А. Бочвар**, проф. **В. В. Кафаров**,

проф. **В. Л. Кретович**, чл.-корр. АН СССР **Д. Н. Курбанов**,

докт. хим. наук **К. С. Топчиев**, докт. хим. наук **Н. А. Фукс**

УЧЕНЫЙ СЕКРЕТАРЬ канд. хим. наук **М. А. Атабекова**

## СОДЕРЖАНИЕ

|  |       |
|--|-------|
| <b>А. ОБЩИЙ ОТДЕЛ</b> . . . . .  | 6A1   |
| <b>В. ФИЗИЧЕСКАЯ ХИМИЯ</b>   |       |
| Общие вопросы . . . . .  | 6B1   |
| Некоторые вопросы субатомного строения вещества. Превращения ядер . . . . .                    | 6B2   |
| Атом . . . . .   | 6B52  |
| Молекула. Химическая связь. Молекулярные спектры . . . . .                                     | 6B65  |
| Кристаллы . . . . .  | 6B172 |
| Газы. Жидкости. Аморфные тела . . . . .  | 6B323 |
| Радиохимия. Изотопы . . . . .  | 6B335 |
| Термодинамика. Термохимия. Равновесия. Фазовые переходы. Физико-химический анализ . . . . .    | 6B363 |
| Кинетика. Горение. Взрывы. Топохимия. Катализ . . . . .  | 6B454 |
| Радиационная химия. Фотохимия. Теория фотографического процесса . . . . .                      | 6B570 |
| Растворы. Теория кислот и оснований . . . . .  | 6B595 |
| Электрохимия . . . . .   | 6B619 |
| Поверхностные явления. Адсорбция. Хроматография. Ионный обмен . . . . .                        | 6B673 |
| Химия коллоидов. Дисперсные системы . . . . .  | 6B709 |
| <b>В. НЕОРГАНИЧЕСКАЯ ХИМИЯ. КОМПЛЕКСНЫЕ СОЕДИНЕНИЯ</b> . . . . .                               | 6B1   |
| <b>Г. КОСМОХИМИЯ. ГЕОХИМИЯ. ГИДРОХИМИЯ</b> . . . . .   | 6Г1   |
| <b>Д. АНАЛИТИЧЕСКАЯ ХИМИЯ</b>  |       |
| Общие вопросы . . . . .  | 6Д1   |
| Анализ неорганических веществ . . . . .  | 6Д47  |
| Анализ органических веществ . . . . .  | 6Д192 |
| <b>Е. ОБОРУДОВАНИЕ ЛАБОРАТОРИИ. ПРИБОРЫ</b> . . . . .  | 6Е1   |
| <b>Ж. ОРГАНИЧЕСКАЯ ХИМИЯ</b>   |       |
| Общие и теоретические вопросы . . . . .  | 6Ж1   |
| Синтетическая органическая химия . . . . .   | 6Ж40  |
| Природные вещества и их синтетические аналоги . . . . .  | 6Ж300 |
| <b>И. ОБЩИЕ ВОПРОСЫ ХИМИЧЕСКОЙ ТЕХНОЛОГИИ</b>  |       |
| Общие вопросы . . . . .  | 6И1   |
| Процессы и аппараты химической технологии . . . . .  | 6И13  |
| Контрольно-измерительные приборы. Автоматическое регулирование . . . . .                       | 6И86  |
| Коррозия. Защита от коррозии . . . . .   | 6И114 |
| Подготовка воды. Сточные воды . . . . .  | 6И257 |
| Техника безопасности. Санитарная техника . . . . .   | 6И335 |
| <b>К. ТЕХНОЛОГИЯ НЕОРГАНИЧЕСКИХ ВЕЩЕСТВ</b>  |       |
| Химико-технологические вопросы ядерной техники . . . . .                                       | 6К10  |
| Элементы. Окислы. Минеральные кислоты, основания, соли. Получение и разделение газов . . . . . | 6К1   |

|  |         |
|--|---------|
| Удобрения . . . . .  | 6К30    |
| Люминесцентные материалы . . . . .   | 6К112   |
| Производство катализаторов и сорбентов . . . . .   | 6К13    |
| Электрохимические производства. Электроосаждение. Химические источники тока . . . . .                      | 6К212   |
| Керамика. Стекло. Вязущие вещества. Бетоны . . . . .   | 6К212   |
| <b>Л. ТЕХНОЛОГИЯ ОРГАНИЧЕСКИХ ВЕЩЕСТВ</b>  |         |
| Промышленный органический синтез . . . . .   | 6Л1     |
| Промышленный синтез красителей . . . . .   | 6Л209   |
| Синтетические и природные лекарственные вещества. Галеновые препараты и лекарственные формы . . . . .      | 6Л243   |
| Пестициды . . . . .  | 6Л438   |
| Фотографические материалы . . . . .  | 6Л543   |
| Взрывчатые вещества. Пиротехнические составы. Средства химической защиты . . . . .                         | 6Л575   |
| <b>М. ХИМИЯ И ПЕРЕРАБОТКА ДРЕВЕСИНЫ, ТВЕРДЫХ ГОРЮЧИХ ИСКОПАЕМЫХ, ПРИРОДНЫХ ГАЗОВ И НЕФТИ</b>               |         |
| Лесохимические производства. Гидролизная промышленность . . . . .  | 6М1     |
| Переработка твердых горючих ископаемых . . . . .   | 6М37    |
| Переработка природных газов и нефти. Моторное и ракетное топливо. Смазки . . . . .                         | 6М160   |
| <b>Н. ХИМИЯ И ТЕХНОЛОГИЯ ПИЩЕВЫХ ПРОИЗВОДСТВ, ЖИРОВ, МОЮЩИХ СРЕДСТВ, ФЛОТОРЕАГЕНТОВ И ДУШИСТЫХ ВЕЩЕСТВ</b> |         |
| Пищевая промышленность . . . . .   | 6Н1     |
| Бродильная промышленность . . . . .  | 6Н20    |
| Углеводы и их переработка . . . . .  | 6Н300   |
| Жиры и масла. Воски. Мыла. Моющие средства. Флотореагенты . . . . .  | 6Н40    |
| Душистые вещества. Эфирные масла. Парфюмерия и косметика . . . . .   | 6Н40    |
| <b>П. ТЕХНОЛОГИЯ ВЫСОКОМОЛЕКУЛЯРНЫХ СОЕДИНЕНИЙ</b>   |         |
| Синтетические полимеры. Пластмассы . . . . .   | 6П1     |
| Лаки. Краски. Лакокрасочные покрытия . . . . .   | 6П21    |
| Каучук натуральный и синтетический. Резина . . . . .   | 6П30    |
| Искусственные и синтетические волокна . . . . .  | 6П30    |
| Целлюлоза и ее производные. Бумага . . . . .   | 6П40    |
| Крашение и химическая обработка текстильных материалов . . . . .   | 6П50    |
| Кожа. Мех. Йелатина. Дубители. Технические белки . . . . .   | 6П60    |
| <b>Р. ХИМИЯ ВЫСОКОМОЛЕКУЛЯРНЫХ СОЕДИНЕНИЙ. СИСТЕМА НУМЕРАЦИИ РЕФЕРАТОВ</b> . . . . .                       | стр. 71 |
| <b>УКАЗАТЕЛИ</b> . . . . .   | 71      |

Рефе

|         |      |        |
|---------|------|--------|
| с-ж-    | 6K13 | По     |
| оны     | 6K21 | каза 2 |
|         | 6L11 | ных 1  |
|         | 6L26 | ского  |
| е ве-   | 6L26 | рала   |
| вен-    | 6L26 | 5 фев  |
|         | 6L26 |        |
|         | 6L26 |        |
|         | 6L26 |        |
| со-     | 6L26 |        |
|         | 6L26 |        |
| ДЫХ     | 6L26 |        |
| ЗОВ     | 6L26 |        |
|         | 6L26 |        |
| пай     | 6M   |        |
|         | 6M37 | 6А     |
| гор-    | 6M64 | Гофо   |
| СТВ.    |      | mist   |
| ЕН-     |      | 6А     |
|         | 6H   | мил    |
|         | 6H26 | (603   |
|         | 6H30 | 6А     |
|         |      | Ri c   |
|         |      | Schu   |
|         |      | жиз    |
|         |      | 6А     |
| тва.    | 6H46 | Avr    |
| рю-     | 6H46 | Bele   |
|         | 6H46 | № 8    |
| НЕ-     | 6H46 | теп    |
|         |      | дея    |
|         |      | РК     |
|         |      | 6      |
|         | 6H   | О. 1   |
|         | 6H26 | К с    |
|         | 6H30 | № 5    |
| на      | 6H30 | 6      |
|         | 6H30 | раб    |
|         | 6H46 | Ва     |
|         | 6H46 | К с    |
| ых      | 6H46 | 6      |
|         | 6H46 | Amo    |
| пе      | 6H46 | Aus    |
|         | 6H46 | Ins    |
|         | 6H46 | См     |
| стр. 70 | 6H46 | обс    |
| 70      | 6H46 | ска    |
|         | 6H46 | ред    |
|         | 6H46 | 6      |
|         | 6H46 | D c    |
|         | 6H46 | ci     |
|         | 6H46 | ob     |

Р И

# Рефер

Полное  
каза для  
ных про  
ского хо  
раля 194  
5 февр.,

ОБЩЕ  
НАУЧ  
ПРЕД

6A1.  
Гофф (G  
mistry  
6A2.  
мня и

(болг.).  
6A3.

Richa  
Schule»

жизни  
6A4.

Август  
Belgique

№ 8, 91  
тельнос

дателя  
РЖХи

6A5.  
О. Е. «

К стол  
№ 5, 5

6A6.  
работ

Валя  
К стол

6A7.  
Австра

Austra  
Inst.»

Смит  
област

стр. 7  
с 7  
сних р

6A8.  
Dora  
ciecl  
Jobędz

# РЕФЕРАТИВНЫЙ ЖУРНАЛ ХИМИЯ

## I

Рефераты 6A1—6B52

№ 6

25 марта 1961 г.

Полнее использовать возможности Северного Кавказа для увеличения производства сельскохозяйственных продуктов. Речь на Совещании передовиков сельского хозяйства районов Северного Кавказа 1 февраля 1961 года. Хрущев Н. С. Газ. «Правда», 1961, 5 февр., № 36, стр. 1—2

В крепкой и нерушимой дружбе народов — наша сила, залог грядущих побед коммунизма. Речь на Совещании передовиков сельского хозяйства республик Закавказья 7 февраля 1961 года в г. Тбилиси. Хрущев Н. С. Газ. «Правда», 1961, 12 февр., № 43, стр. 1—3

### А. ОБЩИЙ ОТДЕЛ

#### ОБЩИЕ ВОПРОСЫ. МЕТОДОЛОГИЯ. ИСТОРИЯ. НАУЧНЫЕ УЧРЕЖДЕНИЯ И КОНФЕРЕНЦИИ. ПРЕПОДАВАНИЕ. ВОПРОСЫ БИБЛИОГРАФИИ И НАУЧНОЙ ДОКУМЕНТАЦИИ

6A1. Основоположники химии. Якоб Гендрик Вант-Гофф (1852—1911). Танака Макого. «Kagaku, Chemistry Japan», 1960, 15, № 15, 418—420 (японск.)

6A2. Марселен Бертло. Шаров Любомир. «Химия и индустрия» (Булг.), 1960, 32, № 3, 89—91 (болг.).—Краткий очерк жизни и деятельности. Д. Т.

6A3. Марселен Бертло (1827—1907). Gruneberg Richard. Marcelin Berthelot (1827—1907). «Chem. Schule», 1960, 7, № 10, 553—555 (нем.).—Краткий очерк жизни и деятельности.

6A4. Видный иностранный ученый в Бельгии. Август Кекуле. Gillis J. Un grand savant étranger en Belgique: «August Kekulé». «Ind. chim. belge», 1960, 25, № 8, 919—936 (франц.).—Очерк жизни и научной деятельности А. Кекуле. Подробно освещен период его деятельности в Генте (1858—1867 гг.). См. также РЖХим, 1960, № 23, 91155, 91156. Д. Т.

6A5. Николай Семенович Курнаков. Звягинцев О. Е. «Ж. прикл. химии», 1960, 33, № 11, 2385—2389.—К столетию со дня рождения. См. также РЖХим, 1961, № 5, 5A33. Д. Т.

6A6. Николай Семенович Курнаков и значение его работ для геохимии. (К 100-летию со дня рождения). Валяшко М. Г. «Геохимия», 1960, № 7, 653—660.—К столетию со дня рождения. Приведен портрет. Д. Т.

6A7. Г. Дж. Смит — пионер в области фитохимии в Австралии. Mellor D. P. H. G. Smith — a pioneer in Australian phytochemistry. «Proc. Roy. Austral. Chem. Inst.», 1960, 27, № 7, 309—316 (англ.).—Генри Джордж Смит (1852—1924) — автор обширных исследований в области, главным образом, эфирных масел австралийских растений. В статье — очерк жизни и научной деятельности, портрет. Д. Т.

6A8. Памяти профессора Тадеуша Милобендзкого. Dorabalska Alicja, Swietoslowski Wojciech, Górski Andrzej. Profesor dr Tadeusz Miłobędzki (1873—1959). Wspomnienia pozgonne. «Wiadom.

chem.», 1960, 14, № 8, 487—499 (польск.).—Три заметки о жизни и деятельности Т. Милобендзкого (1873—1959) и воспоминания о нем. Приведена библиография научных публикаций его и сотрудников. См. также РЖХим, 1960, № 13, 50711. Д. Т.

6A9. Профессор Тадеуш Милобендзкий. Некролог. Wawrzyszek Wiktor. Prof. Tadeusz Miłobędzki. Obituary. «Nature» (Engl.) 1960, 187, № 4742, 991 (англ.).

6A10. Анатолий Федорович Капустинский (29.XII.1906—26.VIII.1960). Яцимирский К. «Изв. высш. учебн. заведений. Химия и хим. технол.», 1960, 3, № 5, 779—782.—Некролог. Приведен портрет. См. также РЖХим, 1961, № 4, 4A12. Д. Т.

6A11. Александр Абрамович Ельников [Некролог].—«Заводск. лаборатория», 1960, 26, № 11, перед стр. 1199.—А. А. Ельников (1902—1960) — руководитель сектора научных связей Центр. н.-и. ин-та черной металлургии, заместитель ответственного редактора журнала «Заводская лаборатория». Приведен портрет. Д. Т.

6A12. Густав Пистор. Lang H. Gustav Pistor (1872—1960). «Z. Elektrochem.», 1960, 64, № 7, 877—979 (нем.).—Некролог. Приведен портрет. См. также РЖХим, 1960, № 21, 83609. Д. Т.

6A13. С. В. Рушковский [Некролог].—«Маслоб.-жир. пром-сть», 1960, № 11, 48.—Сергей Владимирович Рушковский (1886—1960) — биохимик, специалист по растительным маслам, автор ряда исследований в области биохимии масляных культур. Приведен портрет. Д. Т.

6A14. О научной деятельности профессора Михаила Павловича Воляровича в связи с шестидесятилетием со дня его рождения.—«Коллоид. ж.», 1960, 22, № 5, 513—523.—М. П. Волярович — ученый физик, автор обширных исследований в области физ.-хим. свойств высоковязких жидкостей и дисперсных систем, в частности расплавленных стекол и горных пород, торфа, смазочных масел, лакокрасочных материалов и др. Приведен портрет и библиография научных работ. Д. Т.

6A15. 60-летие Курта Мотеса.—Kurt Mothes 60 Jahre. «Chem. Techn.», 1960, 12, № 10, 619 (нем.).—Краткий биографич. очерк; портрет. Проф. К. Мотес (род. 1900) — видный исследователь в области биохимии и физиологии растений. Д. Т.

6A16. К 60-летию профессора Вацлава Говорки. Šýkora V. K šedesátým narozeninám prof. inž. dr. Václava Hovorky. «Chem. listy», 1960, 54, № 4, 411—412 (чешск.).—См. также РЖХим, 1961, № 3, 3A34. Д. Т.

6A17. Роль инженера-химика в создании новых промышленных процессов. Gardy M. H. Papel de la ingeniería química en la creación de nuevos procesos industriales. «Afinidad», 1960, 17, № 207, 130—133 (исп.; рез. франц., англ.).—Рассматривается вопрос квалификации и профиля специалиста ниж.-хим. дела. Д. Т.

6A18. Проблема химической аппаратуры и роль инженера-механика в ее проектировании. Dyduzyński Jan. Zagadnienie aparatury chemicznej i rola inżyniera-mechanika w jej projektowaniu. Przegl. mech., 1960, 19, № 9, 237—241 (польск.).—Рассматривается специфика химико-технологич. процессов и аппаратуры, характер соответствующей научно-технич. дисциплины, роль и задачи проектировщика, подготовка специалистов. Д. Т.

6A19. Программа развития химической промышленности Советского Союза. Lingelbach Alfons. Das Chemieprogramm der Sowjetunion. «Chem. Schule», 1960, 7, № 10, 534—542 (нем.).—Статья для учителей. Дан очерк достигнутых успехов и перспектив дальнейшего развития по семилетнему плану 1959—1965 гг. Д. Т.

6A20. Стандартизация в химической промышленности. К одной из проблем IX пленума ЦК СЕПГ. Pitelkau Kurt. Standardisierung in der chemischen Industrie. Zu einem Problem des 9. Plenums. «Chem. Schule», 1960, 7, № 10, 505—510 (нем.).—Статья для учителей химии. Очерк основ, состояния и задач стандартизации в хим. пром-сти ГДР. Д. Т.

6A21. О теплопереносе в химико-технических реакционных аппаратах. Wirthgen Walter. Bemerkungen zum Wärmetransport in chemisch-technischen Reaktionsapparaten. «Chem. Schule», 1960, 7, № 10, 542—552 (нем.).—Статья для учителей химии. Теоретич. основы и их применение в курсе химии в общеобразовательной политехнич. школе. Д. Т.

6A22. Развитие химико-фармацевтического анализа в России (XIX век). Берштейн В. Н., Фортунатов С. П. «Уч. зап. Пятигорский фармацевт. ин-т», 1959, 4, 214—227

6A23. Из истории введения лабораторного практикума в преподавании химии. Tommila Eero. Kemian laboratorio-opetuksen varhaishistoriaa. «Suomen kem.», 1960, 33, № 10, A199—A201 (финск.; рез. англ.).—В связи с 200-летием со дня рождения Юхана Гадolina (см. также РЖХим, 1961, № 4, 4A2) дан краткий общий очерк истории введения лабор. практикума в разных странах. Д. Т.

6A24. Краткие лабораторные курсы для операторов станций очистки сточных вод. Shapiro M. A., Weisberg E. Laboratory short course for treatment plant operators. «J. Water Pollution Control Federat.», 1960, 32, № 3, Part 1, 328—330 (англ.).—Сведения об организации, учебной программе и практике проведения курсов, организованных при Питсбургском ун-те (шт. Пенсильвания, США). Д. Т.

6A25. Метод проведения курса гальванотехники. Cook A. Everett. A method for conducting an electroplating course. «Platings», 1960, 47, № 7, 814—818 (англ.).—Приведены сведения об организации, учебной программе и практике проведения курсов, организованных Америк. об-вом гальванотехников в г. Портланде, шт. Орегон (ноябрь 1959 г.—февраль 1960 г.). Д. Т.

6A26. Некоторые важные проблемы в области преподавания химии. Rossa Eberhard. Einige wichtige Probleme auf dem Gebiet des Chemieunterrichts. «Chem. Schule», 1960, 7, № 10, 510—520 (нем.).—Обстоятельная статья, в которой на основе работы конференции школьных учителей химии, работников методич. учреждений и педагогич. ин-тов (Берлин, июль

1960 г.), посвященной годовичным итогам преподавания по новому учебному плану, рассматривается ряд методич. вопросов (хим. символика, стехиометрия, хим. технологич. процессы, демонстрационные и учебные опыты, устойчивость и практичность знаний, повышение самостоятельности учащихся, проведение практикумов), а также вопросы о материальном обеспечении школьных учебных экспериментов и о связи преподавания химии с основными идеологич. и политич. вопросами. Д. Т.

6A27. Формирование понятий о строении вещества при начальном изучении химии. Ходаков Ю. В., Дризовская Т. М. «Докл. Акад. пед. наук РСФСР», 1960, № 4, 33—34.—Исходя из положения, что учащиеся VII и VIII классов средней школы закон постоянного состава хим. соединений воспринимают с трудом, авторы провели в трех школах спец. сравнительный эксперимент, показавший нецелесообразность изучения этого закона в 8-летней школе. При исключении его из программы следует увеличить число расчетных и эксперим. задач, разъясняющих колич. смысл хим. ф-л и ур-ний. Д. Т.

6A28. Многообразные формы самостоятельности [учащихся в процессе школьного обучения]. Scherzer Manfred. Vielseitige Formen der Selbsttätigkeit. «Chem. Schule», 1960, 7, № 10, 520—526 (нем.).—Автор излагает конкретно свой опыт стимулирования активности учащихся в процессе изучения школьного курса химии (контроль успеваемости; упражнения; активное участие в уроках; работа с наглядными пособиями; работа с учебником). Д. Т.

6A29. Контрольно-лабораторные упражнения по химии. Малчева З., Кисова Д. Контрольно-лаборатория упражнения по химии. «Биол. и химия» (Бълг.), 1960, 3, № 4, 19—23 (болг.).—Подробно изложен опыт проведения в VIII—XI классах средней школы контрольных эксперим. работ. Д. Т.

6A30. Производственная практика для приобретения химической профессии. Димова Мария, Попов Георги. Производствена практика за овладяване на химична професия. «Биол. и химия» (Бълг.), 1960, 3, № 3, 30—32 (болг.).—Из опыта подготовки учащихся XI класса средней школы (Болгария) к профессии химика-лаборанта. Д. Т.

6A31. Ознакомление учащихся с электрохимическим производством. Тимофеева Н. И. «Химия в школе», 1960, № 5, 35—40.—Приводятся подробные методики 8 уроков (включая экскурсию на цинковый завод) в IX классе средней общеобразовательной политехнич. школы с производственным обучением. Д. Т.

6A32. Экскурсия на сахарный завод. Пенева Нина. Една екскурзия до захарния завод в Горна Оряховица. «Биол. и химия» (Бълг.), 1960, 3, № 4, 41—43 (болг.).—Из опыта проведения экскурсии учащихся X класса средней школы. Д. Т.

6A33. Внеклассная работа по химии, связанная с жизнью. Голобородько М. Я. «Химия в школе», 1960, № 5, 72—79.—Подробно излагается положительный опыт автора по организации и проведению в VII классах средней школы внеклассной работы по темам «Вода», «Горение» и «Воздух». Д. Т.

6A34. Рабочие ящики и рабочие доски в преподавании химии. Eisenhuth Wolfgang. Arbeitskästen und Arbeitsbretter im Chemieunterricht. «Chem. Schule», 1960, 7, № 10, 526—534 (нем.).—В последние годы в ГДР в связи с широким введением лабор. практикума в школьное преподавание химии и недостаточной пока обеспеченностью школ спец. хим. лабораториями разработано значительное число приспособлений в виде ящиков (для учебного комплекта принадлежностей и реактивов) и рабочих досок (помещаемых на столы в обычных классных комнатах). В статье дан систематизированный обзор ряда типов этих приспособлений. Д. Т.

6A35. Опыт. ler für S. 552—553. U-brain и тверд. атом ст. 6A36. муче. демонстр. (Бълг.), яшной д.

6A37. реакци. 62—64.—NH<sub>4</sub>Cl = 6A38. ципа ре. серной 1960, №

6A39. гревани. Разлага. тричен 54—55 монстра.

6A40. Несте. 56—61. станов. BaFeO<sub>4</sub>. етвие R.

6A41. опыте н. в школ. рались. ного о. извест. лись м. дит бы. гоприн. катали.

6A42. фиксац. в школ. рядка. свойст. дяного.

6A43. практи. вание. в прак. 53—57. по а. школь.

6A44. Бо н ч. изкуст. № 4, иряде. 6A45. Изуча. мия» метод. 6A46.

Ще р. 71.—О. тилме. + акт.



6A35. Прибор для получения газов в школьных опытах. Hanf Winfried. Ein einfacher Gasentwickler für Schülerversuche. «Chem. Schule», 1960, 7, № 10, 552—553 (нем.).—Прибор представляет собой обычную U-образную трубку с кранами на шлифах. Жидкий и твердый реагенты (напр.,  $H_2SO_4$  и  $Zn$ ) разделяются слоем стеклянной ваты.

6A36. Аппарат для получения и демонстрации греющего газа. Митков Ив. Аппарат за получаване и демонстриране на гръмящ газ. «Биол. и химия» (Бълг.), 1960, 3, № 4, 57—58 (болг.).—Описание постоянной лабор. установки для школьного преподавания.

6A37. Опыты по смещению обратимых химических реакций. Полосин В. С. «Химия в школе», 1960, № 5, 62—64.—Описаны демонстрационные опыты для р-ции  $NH_4Cl \rightleftharpoons NH_3 + HCl$ .

6A38. Действующая схема для демонстрации принципа работы контактного аппарата при производстве серной кислоты. Бондарева К. Г. «Химия в школе», 1960, № 5, 64—65.—Описание установки, изготовленной в школьном хим. кружке.

6A39. Разложение углекислого кальция путем нагревания электрическим током. Николова Рада. Разлагане на калциев карбонат чрез нагряване с електричен ток. «Биол. и химия» (Бълг.), 1960, 3, № 4, 54—55 (болг.).—Описание установки для школьных демонстрационных опытов.

6A40. Опыты по теме «Железо». Вальков Ф. А., Нестеренко Л. А. «Химия в школе», 1960, № 5, 56—61.—Подробное описание школьных опытов (восстановление  $Fe_2O_3$  окисью углерода, сжигание  $Fe$ , самовозгорание  $Fe$  на воздухе, получение  $K_2FeO_4$  и  $BaFeO_4$ , опыты по коррозии  $Fe$ , обратимое взаимодействие  $Fe$  с водным паром).

6A41. Применение катализаторов в лабораторном опыте получения метана. Гапоненко И. М. «Химия в школе», 1960, № 5, 65—66.—Экспериментально подобраны катализаторы для улучшения условий школьного опыта получения  $CH_4$  из  $CH_3COONa$  и натронной извести. Найдено, что наиболее подходящими оказались металлич.  $Fe$  и  $Zn$ . С катализатором р-ция проходит быстрее и состав выделяющегося газа более благоприятный для демонстрации свойств  $CH_4$ , чем без катализатора.

6A42. Установка для демонстрации опытов по газификации твердого топлива. Черняк И. А. «Химия в школе», 1960, № 5, 67—69.—Описание установки и порядка проведения опытов (получение и изучение свойств  $CO$ , получение воздушного газа, получение водяного газа).

6A43. Исследование природной воды в связи с ее практическим использованием. Бончева Б. Исследване на природна вода във връзка с приложението ѝ в практиката. «Биол. и химия» (Бълг.), 1960, 3, № 1, 53—57 (болг.).—Подробно описано проведение работы по анализу воды в хим. кружке IX класса средней школы.

6A44. Изготовление нити искусственного шелка. Бончева Б., Влаевски Г. Получаване нишки от изкуствена коприна. «Биол. и химия» (Бълг.), 1960, 3, № 4, 55—56 (болг.).—Описан демонстрационный опыт прядения медноаммиачного искусств. шелка.

6A45. Изучение темы «Глюкоза». Малчева З. Изучаване на темата «Гроздена захар». «Биол. и химия» (Бълг.), 1960, 3, № 4, 17—19 (болг.).—Подробная методика двух уроков в средней школе.

6A46. Полиметилметакрилат. Загудаев Д. С., Щербинин В. А. «Химия в школе», 1960, № 5, 69—71.—Описаны два школьных опыта полимеризации метилметакрилата с инициатором  $(C_6H_5COO)_2$  или  $H_2O_2$  + активатор.

6A47. Д. И. Менделеев. Научный архив. Растворы. Сост. Добротин Р. Б. (Ин-т истории естествозн. и техн. АН СССР. Комис. по разработке научн. наследия и изд. тр. Д. И. Менделеева. Музей-архив Д. И. Менделеева при Ленингр. ун-те). М.—Л., АН СССР, 1960, 179 стр., илл., 10 р.

6A48. Начала общей химии. Young Jay A. Elements of general chemistry. Englewood Cliffs. N. J.—London, Prentice—Hall, 1960, VIII, 466 pp., ill., 63 sh. (англ.)

6A49. Введение в химию. Bishop Arthur Henry Burdwick, Locket George Hazlewood. Introduction to chemistry. 2nd. ed. Oxford, Clarendon Press, 1960, 326 pp., ill., 12 sh. 6 d. (англ.)

6A50. Опыты по общей химии. Drago Russell S., Brown Theodore L. Experiments in general chemistry. Boston, Allyn and Bacon, 1960, IX, 236 pp., ill., 3.95 doll. (англ.)

6A51. Химия для колледжей. Изд. 7-е. Smith Alexander. College chemistry. 7th ed. Ehret William F. New York, Appleton—Century—Crofts, 1960, VIII, 947 pp., XIII pp., 7.75 doll. (англ.)

6A52. Практическая школьная химия. Pollock James Richard Allen. A practical school chemistry. London, Christophers. S. L., 1960, 256 pp., ill., 10 sh. 6 d. (англ.)

6A53. Уроки по химии в VIII классе средней школы. Из опыта работы, Савицкий С. Н. Ташкент, Учпедгиз УзССР, 1960, 146 стр., илл., 2 р. 65 к.

## НОВЫЕ ЖУРНАЛЫ

6A54. Pure and Applied Chemistry (Чистая и прикладная химия). Internat. Union Pure and Appl. Chem., London, Butterworth and Co.—(Журнал Международного союза чистой и прикладной химии. Выходит с 1960 г., четыре выпуска в каждом томе. Подписная цена 6 ф. ст. или 18 долл. Задача журнала — сосредоточить в одном издании все научные и информационные публикации органов Союза (комиссий, секций, отделений), ранее выпускавшиеся раздельно в форме брошюр, проспектов и т. п. изданий. В журнале будут также помещаться материалы соответствующих конгрессов и симпозиумов, организуемых в рамках Международного совета научных союзов (I.C.S.U.). (Сокращенное название в РЖ — «Pure and Appl. Chem.»).

6A55. Journal of the Portland Cement Association Research and Development Laboratories (Журнал Исследовательских лабораторий Ассоциации по порланд-цементу). Portland Cement Assoc. Skokie, Ill.—Выходит с 1959 г., три выпуска в год. В соответствии с задачами и характером деятельности Исследовательских лабораторий Ассоциации журнал посвящен узкой области — цементам и бетонам, — но притом с самым широким охватом тематики в этой области — от физ. и физ.-хим. проблем до вопросов технологии и применения. Намечается помещать оригинальные эксперим. работы, выполненные как в своих лабораториях, так и в других местах, а также обзорные, дискуссионные и теоретич. статьи. (Сокращенное название в РЖ — «J. Portland Cement Assoc. Res. and Developm. Labs»).

6A56. Cryogenics. An international journal of low temperature engineering and research (Криогеника. Международный журнал по низкотемпературной технике и исследованиям). London—New York, Heywood and Co. Ltd.—Ежеквартальный журнал. Выходит с сентября 1960 г. Подписная цена 5 ф. ст. или 15 долл. или 90 франц. франков (новых) в год. Помещает: оригинальные статьи (на англ. яз. с резюме, на англ. франц., нем. и русск. яз.) по всем теоретич. и прикладным аспектам исследований и инженерной тех-

ники в области низких температур; краткие технич. заметки; рецензии на новые книги; текущую библиографию статей, опубликованных в других журналах; обзорные статьи (в каждом номере), написанные по заказу редакции авторитетными специалистами. Кроме того, помещаются в форме писем в редакцию краткие предварительные сообщения о важных результатах проводимых исследований (для публикации в ближайшем номере должны поступать в редакцию не позднее 6 недель до даты выпуска номера). Адреса для направления рукописей: из европейских стран — Prof. L. Weil, Institut Fourier, Place du Doyen-Gosse, Grenoble, Франция; из стран Дальнего Востока — Dr. K. Mendelsson, F.R.S., The Clarendon Laboratory, Parks Road, Oxford, Англия. (Название в РЖ — «Cryogenics»).

6A57. World Neurology. (Мировая неврология). World Federat. Neurol. Minneapolis, Minn., Saneet Pubs, Inc.—Официальный журнал Мировой неврологич. федерации. Выходит ежемесячно с июля 1960 г. Подпис-

ная цена 15 долл. в год. Помещаются оригинальные работы и обзорные статьи по широкой тематике, охватывающей различные разделы и аспекты неврологии и смежные области науки; в частности, помещаются материалы, представляющие интерес для биохимиков. Статьи печатаются на англ., франц., нем. или исп. языке и снабжаются резюме на остальных трех языках. (Сокращенное название в РЖ — «World Neurology»).

6A58. Acta Medica Polona. (Польский медицинский журнал). Litterae fac. scient. med. Acad. scient. polona. Varsoviae.—Журнал выходит с 1960 г. Издаётся Отделением мед. наук Польской АН. Предназначен для публикации польских работ в порядке международного научного общения и в целях его развития. Материалы печатаются на английском и других языках, принятых в качестве официальных на международных научных конгрессах и встречах. Многие статьи в журнале представляют интерес для биохимиков. (Сокращенное название в РЖ — «Acta med. polona»).

## Б. ФИЗИЧЕСКАЯ ХИМИЯ

### ОБЩИЕ ВОПРОСЫ

Редактор А. Б. Нейдина

6B1. Элементы теории рассеяния света. I. Рассеяние света в газах, жидкостях, растворах и дисперсия малых частиц. Heller Wilfried. Elements of the theory of light scattering. I. Scattering in gases, liquids, solutions, and dispersions of small particles. «Rec. Chem. Progr.», 1959, 20, № 4, 209—233 (англ.).—Систематическое изложение теории рассеяния света.

### НЕКОТОРЫЕ ВОПРОСЫ СУБАТОМНОГО СТРОЕНИЯ ВЕЩЕСТВА. ПРЕВРАЩЕНИЯ ЯДЕР

Редактор А. Б. Алмазов

6B2. Современное положение в области ядерных реакций при средних энергиях. Colli L. La situazione attuale nel campo delle reazioni nucleari alle energie intermedie. «Nuovo cimento», 1960, 16, № 1, Suppl., 67—75 (итал.).—Дан краткий обзор эксперим. работ по изучению прямых взаимодействий в ядерных р-циях при средних энергиях. Рассмотрены р-ции срыва ( $d, p$ ) и р-ции подхвата ( $n, d$ ) и ( $p, d$ ). Ядерные р-ции при средних энергиях являются хорошим средством изучения ядер, характеристик ядерных уровней и параметров ядерного потенциала.

6B3. Вибрационное возбуждение четно-четных ядер. Jean Maurice. Les excitations vibrationnelles des noyaux pair-pair. «J. phys. et radium», 1960, 21, № 5, 416—423 (франц.; рез. англ.).—Обзор.

6B4. Исследование реакций ( $\text{He}^3, p$ ), ( $\text{He}^3, d$ ) и ( $\text{He}^3, \alpha$ ) на  $\text{C}^{12}$  при энергиях [ионов  $\text{He}^3$ ] 6—10 Мэв. Hinds S., Middleton R. An investigation of the ( $^3\text{He}, p$ ), ( $^3\text{He}, d$ ) and ( $^3\text{He}, \alpha$ ) reactions with  $^{12}\text{C}$  at bombarding energies between 6 and 10 MeV. «Proc. Phys. Soc.», 1960, 75, № 5, 745—753 (англ.).—Измерялись угловые распределения для некоторых групп протонов, дейтронов и  $\alpha$ -частиц, возникающих при облучении  $\text{C}^{12}$  ядрами  $\text{He}^3$  с энергией 5,98, 8,83, 9,37 и 10,14 Мэв. Измерены также функции возбуждения при энергиях 5,7—10,23 Мэв для угла  $10^\circ$  (J-система). Характер углового распределения указывает на преобладание прямых процессов в р-циях ( $\text{He}^3, d$ ) и ( $\text{He}^3, \alpha$ ).

Угловое распределение протонов указывает на характер срыва как на основной только при образовании ядра  $\text{N}^{14}$  в основном и первом возбужденном состояниях (2,31 Мэв) по р-ции ( $\text{He}^3, p$ ). В случае возбуждения других состояний имеется существенный вклад составного ядра. Обсуждаются возможные причины этого в связи с тем, что р-ции  $\text{Be}^9(\text{He}^3, p)\text{B}^{11}$  и  $\text{O}^{16}(\text{He}^3, p)\text{F}^{18}$  имеют характер срыва.

6B5. Угловые распределения продуктов реакции  $\text{Li}^6(p, \alpha)\text{He}^3$  при энергиях 100—300 кэв. Bouchez R., Delorme C., Fleury J., Krafft J., Perrin P., Goldman L., Mlle, Boge M., Dudek B. La distribution angulaire de la réaction  $\text{Li}(p, \alpha)\text{He}$  de 100 à 300 keV. «J. phys. et radium», 1960, 21, № 5, 346—348 (франц.; рез. англ.).—Р-ция  $\text{Li}^6(p, \alpha)\text{He}^3$  изучалась в интервале энергий протонов 100—300 кэв.  $\text{He}^3$  и  $\alpha$ -частицы регистрировались под углами  $30^\circ$ — $150^\circ$ . Показано, что частицы  $\text{He}^3$  испускаются преимущественно в направлении вперед при низких энергиях порядка 100 кэв. Угловые распределения  $\text{He}^3$ , полученные для  $E_p = 200, 230, 270$  и 300 кэв, не могут быть объяснены с помощью только s- и p-волн и указывают на наличие процесса прямого взаимодействия при таких низких энергиях.

6B6. Изучение реакций  $\text{Be}^9(\text{He}^3, p)\text{B}^{11}$  и  $\text{Be}^9(\text{He}^3, d)\text{B}^{10}$  в области энергий  $\text{He}^3$  5,7—10,2 Мэв. Hinds S., Middleton R. A study of the  $^9\text{Be}(^3\text{He}, p)^{11}\text{B}$  and the  $^9\text{Be}(^3\text{He}, d)^{10}\text{B}$  reactions in the energy range 5.7 to 10.2 MeV. «Proc. Phys. Soc.», 1960, 75, № 5, 754—761 (англ.).—Измерены угловые распределения в функции возбуждения для десяти групп протонов и пяти групп дейтронов, возникающих при облучении  $\text{Be}^9$  ионами  $\text{He}^3$ . Угловое распределение большинства протонных групп имеет направленность вперед, что указывает на преобладающий вклад прямого взаимодействия. Функции возбуждения, снятые для угла  $10^\circ$  (в J-системе), имеют плавный вид. Угловые распределения всех групп дейтронов имеют вид, типичный для р-ций срыва. Функции возбуждения и угловые распределения для р-ций ( $\text{He}^3, d$ ) удовлетворительно согласуются с расчетами по теории срыва в борновском приближении.

6B7. Реакция  $\text{B}^{11}(t, p_0)\text{B}^{13}$  и дефект масс  $\text{B}^{13}$ . Muto J., Barrios F. de S., Jaffe A. A. The reaction  $^{11}\text{B}(t, p_0)^{13}\text{B}$  and the mass excess of  $^{13}\text{B}$ . «Proc. Phys. Soc.», 1960, 75, № 6, 929—931 (англ.).—Предлагается метод изучения ядра  $\text{B}^{13}$  с помощью р-ции  $\text{B}^{11}(t, p_0)\text{B}^{13}$ . Наблюдалась только одна группа протонов из р-ции

$B^{11}(t, p)B^{13}$ , соответствующая основному состоянию  $B^{13}$ . Установлено, что  $Q$  р-ции равно  $0,233 \pm 0,004$  Мэв. Рассчитано, что дефект масс  $B^{13}$  равен  $20,397 \pm 0,009$  Мэв. Угловое распределение протонов удовлетворительно описывается квадратом сферич. функции Бесселя  $j^2(kr)$  при  $r = 4,7$  ферми и  $l = 0$ . Предполагается, что ядро  $B^{11}$  захватывает пару нейтронов с антипараллельными спинами в состоянии  $p_{1/2}$ ; следовательно, спин и четность основного состояния  $B^{13}$   $3/2^-$ . В. Карнаухов

6Б8. Сечение реакции  $Ne^{20}(p, \gamma)Na^{21}$ . Thomas G. C., Tanner N. W. The cross section of  $^{20}Ne(p, \gamma)^{21}Na$ . «Proc. Phys. Soc.», 1960, 75, № 4, 498—501 (англ.).—Изучалось сечение  $\sigma$  резонансного захвата протона ядром неона  $Ne^{20}(p, \gamma)Na^{21}$ . Выход р-ции оказался равным  $(6,5 \pm 0,3) \cdot 10^{-10}$  атомов  $Na^{21}$  на один протон. Сечение представлено в виде  $\sigma = SE^{-1} \cdot \exp(-2\alpha Z_1 Z_2 e^2 / h\nu)$ , где  $Z_1$  и  $Z_2$  — заряды протона и ядра мишени. В предположении  $G_p \gg G_\gamma$  получено:  $\sigma G_\gamma = 1,13 \pm 0,07$  эв. Учет этого результата при расчете сечения нерезонансного захвата протона в р-ции  $Ne^{20}(p, \gamma)Na^{21}$  (РИХХим, 1960, № 7, 25363) приводит к значению параметра  $S$ , равному  $10,4 \pm 1,7$  кэв барн. При энергиях  $\sim 25$  кэв, характерных для протонов в звездах, это соответствует значению  $S = 40$  кэв барн.

Из резюме авторов

6Б9. Обменная реакция переноса  $Al^{27}(N^{14}, Mg^{27})O^{14}$ . Pinajian J. J. The exchange transfer reaction  $Al^{27}(N^{14}, Mg^{27})O^{14}$ . «Nucl. Phys.», 1960, 17, № 1, 44—53 (англ.).—Измерился выход для р-ции  $Al^{27}(N^{14}, Mg^{27})O^{14}$ , которая может быть описана как р-ция одновременного переноса нейтрона из одного ядра и протона из другого.  $Mg^{27}$  выделялся химически. Выход р-ции определялся с помощью абс. счета  $\gamma$ -излучения. За мишенью помещалась вторая алюминиевая фольга для определения кол-ва  $Mg^{27}$ , который образуется из  $Al^{27}$  под действием нейтронов. Отношение выходов из первой и второй фольг равно  $1,54 \pm 1,00$ . Для определения выхода р-ции  $O^{16}(N^{14}, 3p)Mg^{27}$  использована толстая мишень  $ZnO$ . Для энергии 27,6 Мэв сечение оказалось равным 110 мбарн, выход  $Mg^{27}$  составляет 1,5% от полного выхода. Выход  $Mg^{27}$  ( $T_{1/2} = 9,45$  мин.) из толстой мишени алюминия для ионов азота с энергией 27,6 Мэв составляет  $13,6 \cdot 10^{-12}$  ядра на ион. Сечение равно  $2,2 \pm 1,0$  мбарн.  $Mg^{27}$  не может быть образован путем таких р-ций с испарением легких частиц, как  $Al^{27}(N^{14}, 3\alpha p)Mg^{27}$ . Обсуждаются другие возможные механизмы образования  $Mg^{27}$ . Р. Ф.

6Б10. Исследование реакции подхвата на ядрах  $P^{31}$  и  $S^{32}$ . Colli L., Marcuzzan M. G., Merzari F., Sona P. G., Tonolini F. Measurements on pick-up reactions in  $^{31}P$  and  $^{32}S$ . «Nuovo cimento», 1960, 16, № 6, 991—996 (англ.; рез. итал.).—Измерены угловые распределения дейтронов в р-циях  $P^{31}(n, d)Si^{30}$  и  $S^{32}(n, d)P^{31}$  с образованием остаточных ядер в основных состояниях. Энергия нейтронов 14,1 Мэв. В обеих р-циях изотропная часть углового распределения имеет небольшую интенсивность, что свидетельствует о том, что вклад процесса испарения мал. Величины дифференциальных сечений в максимуме, полученные после вычитания изотропной компоненты, равны  $14,5 \pm 3$  мбарн/стерадиан для р-ции  $P^{31}(n, d)Si^{30}$  и  $14,4 \pm 4$  мбарн/стерадиан для р-ции  $S^{32}(n, d)P^{31}$ . Сечения обеих р-ций оказались одинаковыми, хотя  $P^{31}$  содержит один протон во внешней s-оболочке, а  $S^{32}$  — два.

А. Оглоблин

6Б11. Реакция  $Cu^{65}(\gamma, 3n)$  и ее влияние на использование реакции  $Cu^{63}(\gamma, n)$  для контрольного измерения тормозного излучения. Aitken M. J., Middlemas N.  $Cu^{65}(\gamma, 3n)$  reaction and its bearing on the use of the  $Cu^{63}(\gamma, n)Cu^{62}$  reaction for bremsstrahlung monitoring. «Phys. Rev.», 1960, 117, № 4, 1111—1112 (англ.).—Путем регистрации  $\beta^+$ -активности  $Cu^{62}$  определен выход

р-ции  $Cu^{65}(\gamma, 3n)$  для нескольких значений максим. энергии тормозного излучения от порога до 110 Мэв. Облучению подвергались образцы, обогащенный  $Cu^{65}$ , и образец из естеств. меди. Отношение активностей  $Cu^{62}$ , возникающих при облучении обоих образцов, при 28,8 Мэв равно  $0,0017 \pm 0,0021$ , при 38,2 Мэв  $0,0285 \pm 0,0017$ , при 70 Мэв  $0,0411 \pm 0,0007$  и при 110 Мэв  $0,0444 \pm 0,0007$ . Интегральное сечение  $(\gamma, 3n)$  равно  $0,037 \pm 0,004$  Мэв мбарн, причем  $\sim 90\%$  его величины приходится на интервал энергии от порога до 70 Мэв. Б. Юрьев

6Б12. Изучение тяжелых изотопов In с нечетными массовыми числами путем наблюдения  $(\gamma, p)$ -реакции на Sn. Yuta H., Morinaga H. Study of heavy odd-mass indium isotopes from the  $(\gamma, p)$  reaction on tin. «Nucl. Phys.», 1960, 16, № 1, 119—137 (англ.).—В результате облучения окиси олова, обогащенной изотопами  $Sn^{129}$ ,  $Sn^{121}$  и  $Sn^{124}$ , и природного олова тормозным излучением с максим. энергией 25 Мэв открыты новые изотопы —  $In^{121}$ ,  $In^{123}$  и их изомеры. Активность  $In^{119}$ , о которой сообщалось ранее, приписана  $In^{119g}$ . При изучении свойств новых изотопов получены следующие  $T_{1/2}$  (первые числа),  $E_\beta$  (в Мэв — вторые числа),  $E_\gamma$  (в Мэв — третьи числа):  $In^{119g}$  2,3 мин.; 1,6; 0,77,  $In^{121g}$  30 сек.; —; 0,94;  $In^{123g}$  10 сек.; —; 1,40,  $In^{121m}$  3,1 мин.; 3,7; —;  $In^{123m}$  36 сек.; 4,6; —. Предложены схемы распада и высказаны предположения о характеристиках уровней. Все характеристики распада согласуются с систематикой модели оболочек. Определены также относительные выходы  $(\gamma, p)$ -реакции на Sn. Р. Ф.

6Б13. Реакции  $(n, 2n)$  и  $(\gamma, n)$  на  $Au^{197}$ . Бак М. А., Петряк К. А., Чэн-Тя-мэй. «Изв. АН СССР. Сер. физ.», 1960, 24, № 7, 818—819.—Изучалась р-ция  $(n, 2n)$  при энергии нейтронов 14 Мэв и  $(\gamma, n)$  при максим. энергии  $\gamma$ -квантов  $\sim 14$  Мэв на ядрах  $Au^{197}$ . В обоих случаях образуется ядро  $Au^{196}$ . Исследование  $\beta$ -активности образцов  $Au^{197}$  показало, что при нейтронном облучении появляются две активности с  $T_{1/2}$   $9,7 \pm 0,3$  часа и  $5,6 \pm 0,1$  дня, а при фотонейтронном процессе присутствует лишь долгоживущая активность. Верхняя граница  $\beta$ -спектра равна 250 кэв. Р. Ф.

6Б14. Энергетические уровни  $Li^6$  и  $He^6$  согласно реакциям  $Li^7(He^3, \alpha)Li^6$  и  $Li^7(t, \alpha)He^6$ . Allen K. W., Almqvist E., Bigham C. B. Energy levels of  $^6Li$  and  $^6He$  from a study of the  $^7Li(^3He, \alpha)^6Li$  and  $^7Li(t, \alpha)^6He$  reactions. «Proc. Phys. Soc.», 1960, 75, № 6, 913—928 (англ.).—Измерены спектры  $\alpha$ -частиц из р-ций  $Li^7(He^3, \alpha)Li^6$  и  $Li^7(t, \alpha)He^6$ . Наблюдались уровни  $He^6$  с энергиями 1,71 и 3,4 Мэв и уровни  $Li^6$  2,19; 3,56; 5,35; 5,6; 6,63; 7,4; 8,37 и 9,3 Мэв. Эти состояния классифицируются по изотопич. спину с использованием предположения о зарядовой независимости ядерных сил в сохранении изотопич. спина. Положение, спин и четность уровней удовлетворительно описываются с помощью модели промежуточной связи Инглеса при параметре  $a/K = 1,3$ . В. Карнаухов

6Б15. Уровни  $N^{16}$  по данным о рассеянии быстрых нейтронов на  $N^{15}$ . Sikkema C. P. Levels in  $^{16}N$  from scattering of fast neutrons by  $^{15}N$ . «Physica», 1960, 26, № 6, 379—380 (англ.).

6Б16. Уровни энергии ядра  $Si^{28}$  согласно реакции  $Al^{27}(p, \gamma)Si^{28}$ . Endt P. M., Heyligers A. Energy levels in  $^{28}Si$  from the  $^{27}Al(p, \gamma)^{28}Si$  reaction. «Physica», 1960, 26, № 4, 230—254 (англ.).—Исследованы спектры  $\gamma$ -лучей 12 резонансов р-ции  $Al^{27}(p, \gamma)Si^{28}$  при энергиях протонов 500—800 кэв. Определены соотношения вероятностей различных переходов с резонансных уровней и более низколежащих уровней с энергией 1,783; 4,623; 6,28; 6,88; 7,37; 7,42; 7,93; 8,32; 8,41; 8,59; 8,92; 9,31; 9,38; 9,49; 9,76 и 10,71 Мэв. Уровни с энергией 9,31; 9,38 и 10,71 Мэв, по всей вероятности, характеризуются  $T = 1$ . Они должны соответствовать основ-



ному состоянию и уровням с энергией 0,03 и 1,37 Мэв ядра  $Al^{28}$  с характеристиками 3+, 2+ и 1+ соответственно.

**6Б17. Уровни энергии  $P^{29}$ ,  $Cl^{33}$  и  $Sc^{41}$  согласно реакции  $(d, n)$ .** Macfield B. E. F., Towle J. H. Energy levels of  $^{29}P$ ,  $^{33}Cl$  and  $^{41}Sc$  from  $(d, n)$  reactions. «Proc. Phys. Soc.», 1960, 76, № 1, 56—64 (англ.).—Методом времени пролета изучался спектр нейтронов из р-ций  $Si^{28}(d, n)^{29}P$ ,  $S^{32}(d, n)^{33}Cl$  и  $Ca^{40}(d, n)^{41}Sc$ . Разрешены группы нейтронов, соответствующие уровням  $2,42 \pm 0,04$  и  $3,13 \pm 0,03$  Мэв в  $P^{29}$ ,  $2,11 \pm 0,06$  и  $2,53 \pm 0,06$  Мэв в  $Cl^{33}$ . Только одна группа нейтронов отнесена к р-ции  $Ca^{40}(d, n)^{41}Sc$  ( $Q = -2,86 \pm 0,02$  Мэв).

**6Б18. Исследование уровней ядра  $Cl^{35}$ .** Антуфьев Ю. П., Вальтер А. К., Гончар В. Ю., Копанец Е. Г., Львов А. Н., Цытко С. П. «Изв. АН СССР. Сер. физ.», 1960, 24, № 7, 877—883.—С целью изучения уровней ядра  $Cl^{35}$  исследована р-ция  $S^{34}(p, \gamma)Cl^{35}$  с использованием моноэнергетич. пучка протонов от электростатич. генератора на 4 Мэв.  $\gamma$ -лучи регистрировались кристаллом  $CsI(Tl)$ . Измерялись функция возбуждения, спектры и угловые распределения  $\gamma$ -лучей для данной р-ции. Наблюдено 44 узких резонанса в интервале энергий 0,6—1,9 Мэв, которые приписаны из-за отсутствия наведенной  $\beta$ -активности изучаемой р-ции. Анализ полученных спектров и угловых распределений позволяет сделать выводы о значениях спина и четности резонансных и первого низколежащего уровня ядра  $Cl^{35}$ , а также о схеме  $\gamma$ -переходов между этими уровнями.

**6Б19. Изучение энергетических уровней  $Sc^{43}$ ,  $Ti^{45}$ ,  $V^{47}$ ,  $V^{49}$ ,  $V^{50}$ ,  $Zn^{65}$ .** McCallum G. J., Ferguson A. T. G., Mani G. S. A study of energy levels in  $Sc^{43}$ ,  $Ti^{45}$ ,  $V^{47}$ ,  $V^{49}$ ,  $V^{50}$  and  $Zn^{65}$ . «Nucl. Phys.», 1960, 17, № 1, 116—128 (англ.).—Изучались р-ции  $(p, n)$  на  $Ca^{43}$ ,  $Ca^{44}$ ,  $Sc^{45}$ ,  $Ti^{47}$ ,  $^{49,50}V$  и  $Cu^{65}$ . Измерены положения следующих уровней (кэв): для  $Sc^{43}$  138, 456, 874,  $Ti^{45}$  25, 740, (786), 850, 1232, 1332, 1445,  $V^{47}$  93, 155, 276, 693,  $V^{49}$  85, 150, 758, (835), 1029, (1099), 1150, 1178, 1521, 1620, 1702, 2041, 2194, 2233, 2382, 2441, 1797,  $V^{50}$  95, 160, 379, 1310, 1486,  $Zn^{65}$  49, 127, 198, 776, 893, 919, 1041, 1273, 1362, 1583, 1963. Сравнение с результатами расчетов по модели оболочек в предположении  $j$ -связи обнаруживает сильное расхождение теории с экспериментом.

**6Б20. Спины и способы распада некоторых нейтропдефицитных изотопов серебра.** Ames O., Bernstein A. M., Brennan M. H., Haberstroh R. A., Hamilton D. R. Spins and decay modes of certain neutron-deficient silver isotopes. «Phys. Rev.», 1960, 118, № 6, 1599—1604 (англ.).—Произведено исследование нейтропдефицитных изотопов серебра  $Ag^{102}$  и  $Ag^{104}$  по р-ции  $(p, n)$  и  $Ag^{103}$  по р-ции  $(p, 2n)$ . Идентификация производилась на основе различного изотопного обогащения мишеней стабилными изотопами Pd. Доказано существование  $Ag^{102}$  с  $T_{1/2} = 15 \pm 2$  мин.  $Ag^{103}$  имеет  $T_{1/2} = 59$  мин. и  $\gamma$ -лучи с энергией 120, 150 и, возможно, 260 кэв. Для  $Ag^{104}$   $T_{1/2} = 69 \pm 3$  мин., энергии наиболее интенсивных  $\gamma$ -лучей 550, 760 и 920 кэв. Основному состоянию  $Ag^{104}$  приписан спин 5 и  $T_{1/2} = 69 \pm 3$  мин., а изомерному состоянию спин 2 и  $T_{1/2} = 27$  мин.

**6Б21. Среднее время жизни уровня 595 кэв в  $In^{115}$ .** Gorodetzky S., Manquenouille R., Richert R., Knipper A. Vie moyenne du niveau excité a 595 KeV de  $In^{115}$ . «J. phys. et radium», 1960, 21, № 5, 439—442 (франц.; рез. англ.).—Измерено время жизни уровня  $In^{115}$  с энергией 595 кэв ( $5/2^-$ ). Исследуемый переход имел очень слабую интенсивность и не был выделен.  $\gamma$ -Излучение (соответствующее переходу 595—335 кэв) 260 кэв регистрировалось кристаллом

$NaJ(Tl)$  в совпадении с частью  $\beta$ -спектра. В результате ряда измерений период полураспада уровня 595 кэв определен равным  $(5,9 \pm 0,3) \cdot 10^{-9}$  сек. Сравнение с теоретич. расчетами показывает, что вероятность перехода с уровня 595 кэв в  $\sim 2$  раза больше, чем это следует из одночастичных оценок. Сделан вывод, что результат не противоречит взаимодействию коллективного характера.

**6Б22. Уровни энергии ядра  $Cs^{133}$ .** Stewart M. G., Lu D. C. Nuclear levels of  $Cs^{133}$ . «Phys. Rev.», 1960, 117, № 4, 1044—1051 (англ.).—Исследованы  $\gamma$ -лучи, испускаемые при переходах между уровнями ядра  $Cs^{133}$  (продукт распада ядра  $Ba^{133}$ ) путем электронного захвата. Наблюдены  $\gamma$ -лучи с энергиями 386, 356, 301, 276, (220), 162, 82, 80 и 54 кэв. Энергии (в кэв) и характеристики уровней ядра  $Cs^{133}$  равны соответственно: основное состояние (7/2+), 82 (5/2+), 162 (3/2+), 383 (3/2+) и 438 (1/2+). Переходы с захватом орбитального электрона и их относительные интенсивности найдены следующими: на уровень 438 кэв 76%; на уровень 383 кэв 11% и на уровень 162 кэв 13%. При распаде  $Xe^{133}$  ( $1,5 \pm 1,0$ ) %  $\beta$ -переходов, как показывают наблюдения, ведут на уровень 162 кэв, а остальные — на уровень 82 кэв ядра  $Cs^{133}$ .

**6Б23. О переходе с энергией 106 кэв в ядре  $Tu^{167}$ .** Басина А. С., Морозов В. А. «Изв. АН СССР. Сер. физ.», 1960, 24, № 7, 847.—Измерялась интенсивность (в процентах на распад)  $\gamma$ -перехода с энергией 106 кэв в  $Tu^{167}$  ( $5/2+ \rightarrow 3/2+$ ,  $E2 + M1$ ) относительно линий 208 кэв дочернего  $Er^{167}$  (с интенсивностью 29% на распад). Вычисления дают величину  $\sim 59\%$  в предположении, что переход 208 кэв — чистый  $M1$ .

**6Б24. Изомерный уровень ядра  $Pb^{205}$ , образующийся при распаде  $Bi^{205}$ .** Vegors Stanley H., Jr., Heath R. L. Isomeris level in  $Pb^{205}$  formed in the decay of  $Bi^{205}$ . «Phys. Rev.», 1960, 118, № 2, 547—553 (англ.).—При исследовании распада 14,5-дневного  $Bi^{205}$  путем электронного захвата наблюдалась активность с  $T_{1/2} = 4,8$  мсек, приписанная  $Pb^{205m}$ . Распад ядра в этом изомерном состоянии происходит с испусканием  $\gamma$ -лучей с энергиями 987,8; 703,3 и 284,4 кэв и относительными интенсивностями соответственно 100, 10 и 10. Других  $\gamma$ -лучей с энергией больше 10 кэв при изучении распада этого изомера не обнаружено.  $\gamma$ -Лучи с энергией 284,4 и 703,3 кэв находятся в совпадении, ни одно из этих излучений не находится в совпадении с переходом 987,8 кэв. Эти данные указывают на то, что переход с уровня 987,8 кэв в основное состояние происходит путем испускания каскадных  $\gamma$ -лучей с энергией 284,4 и 703,3 кэв, наряду с прямым переходом 987,8 кэв. Имеются некоторые предварительные данные, указывающие, что сам уровень 987,8 кэв может не быть изомерным.

**6Б25. Кривые возбуждения  $\gamma$ -излучения реакций  $F^{19}(p, \alpha)O^{16}$  и  $Ca^{40}(p, p')Ca^{40}$  и пары внутренней конверсии.** Gorodetzky Serge, Suttor Gilbert, Chevallier Pierre, Scheibling Fernand, Armbruster Raymond. Sur les courbes d'excitation des réactions  $^{19}F(p, \alpha)^{16}O$  et  $^{40}Ca(p, p')^{40}Ca$  et rayonnements  $\gamma$  et en paires de conversion interne. «C. r. Acad. sci.», 1960, 250, № 6, 1028—1030 (франц.).—Измерены кривые возбуждения р-ции  $F^{19}(p, \alpha)O^{16}$  и выходу  $\gamma$ -излучения и  $ee$ -пар для углов 25° и 65° при двух значениях энергии протонов 842 и 1830 кэв. Найдено, что для  $E_p = 1830$  кэв и для углов  $< 10^\circ$   $ee$ -пары от  $E0$ -перехода с уровня 6,05 Мэв составляют 94%, остальные 6% пар обусловлены немонаполярным переходом 6,13 Мэв.

**6Б26. Спектр  $\gamma$ -лучей из реакции  $Cl^{35}(n, \gamma)Cl^{36}$ .** Грошев Л. В., Демидов А. М., Луценко В. Н. «Изв. АН СССР. Сер. физ.», 1960, 24, № 7, 833—838.—Получены новые данные о спектре  $\gamma$ -лучей  $Cl^{35}$ , образующегося тепловыми нейтронами. Измерения провод-

В резуль-  
да уровня  
сек. Срав-  
то вероят-  
за больше.  
Сделан вы-  
действия  
Г. Петров  
art M. G.,  
1960, 117,  
учи, испу-  
ядра  $\text{Cs}^{134}$   
онного за-  
356, 301,  
кэв) и ха-  
ответствен-  
162 (3/2+),  
том орби-  
интенсивно-  
8 кэв 76%;  
2 кэв 13%;  
как пока-  
162 кэв, а  
Р. Ф.  
ядра  $\text{Ti}^{62}$   
СССР. Сер.  
интенсив-  
тей 106 кэв  
но линий  
0% на рас-  
предполо-  
Р. Ф.  
разрушай-  
у Н. Jr.,  
the decay  
(англ.),  
1965, 13,  
путем  
с  
дра в это  
ним  $\gamma$ -  
относитель-  
10 и 10,  
три изуче-  
 $\gamma$ -лучи с  
адения, на  
опавании  
ют на то,  
состоянии  
 $\gamma$ -лучей с  
м пере-  
нительные  
8 кэв мо-  
Р. Ф.  
я реакци  
енной кон-  
Gilbert,  
ernand  
es d'excita-  
) $^{90}\text{Ca}$  en  
n interne  
(франц.).  
а)  $0^{+}$  на  
и 65° при  
кэв. Най-  
0° ее-пар-  
ают 94%.  
ним пере-  
Р. Ф.  
(n,  $\gamma$ ) $\text{Cs}^{137}$   
ико В. Н.  
333—338—  
 $\text{Cs}^{135}$  обл-  
провод-

лись в диапазоне энергий 0,3—9 Мэв. Составлена и обоснована возможная схема  $\gamma$ -переходов в ядре  $\text{Cs}^{136}$ . Г. К.

6Б27. Угловая корреляция каскадных  $\gamma$ -лучей 1,07 и 1,24 Мэв, испускаемых при распаде  $\text{Ga}^{68}$ . Ramaswamy M. K., Jastram P. S. Angular correlation of the 1.07—1.24 MeV gamma cascade in the decay of  $\text{Ga}^{68}$ . «Nucl. Phys.», 1960, 16, № 1, 113—118 (англ.).—Измерена угловая корреляция каскадных  $\gamma$ -лучей 1,07 и 1,24 Мэв, испускаемых при переходах  $\text{Zn}^{68}$ —продукта распада 68-мин.  $\text{Ga}^{68}$ . Измеренная корреляция соответствует последовательности спинов уровней 2; 2; 0 при коэф. смешения  $E2$  и  $M1$  для  $\gamma$ -лучей 1,24 Мэв, равном  $1,8 \pm 0,2$ . Р. Ф.

6Б28. Исследование  $\gamma$ -излучения  $\text{As}^{110}$  в области энергии 0,2—2,0 MeV. Воинова Н. А., Джелепов Б. С., Жуковский Н. Н. «Изв. АН СССР. Сер. физ.», 1960, 24, № 3, 291—299.—С целью подтверждения существования слабых  $\gamma$ -линий в области энергий 400—600 кэв и  $\geq 1600$  кэв и уточнения относительной интенсивности  $\gamma$ -линий исследован  $\gamma$ -спектр  $\text{Ag}^{110}$ . Уточнены относительные интенсивности 12  $\gamma$ -линий: 656, 680, 706, 642, 764, 818, 835, 936, 1385, 1476, 1506, 1565 кэв, а также  $\gamma$ -линии 447 и 620 кэв. Для области  $< 600$ , 950—1350 и  $\geq 1600$  кэв дана верхняя граница относительной интенсивности  $\gamma$ -линий. Р. Ф.

6Б29.  $\gamma$ -Излучение при распаде  $\text{Ag}^{113}$ . Kjelberg A., Taniguchi H., Yaffe L. Gamma radiation in the decay of  $\text{Ag}^{113}$ . «Canad. J. Phys.», 1960, 38, № 6, 866—868 (англ.).—Источник  $\text{Ag}^{113}$  был получен как продукт деления при облучении металл. Th в синхротроне протонами с энергией 45 Мэв.  $\gamma$ -Спектр  $\text{Ag}^{113}$  ( $T_{1/2} = 5,3$  час.) изучался с помощью сцинтилляционного спектрометра с кристаллом NaI (Tl). Измерены  $\gamma$ -линии  $120 \pm 30$ ,  $300 \pm 10$ ,  $580 \pm 20$ ,  $670 \pm 10$ ,  $880 \pm 20$ ,  $980 \pm 20$ ,  $1180 \pm 20$  кэв с интенсивностями  $10 + 3$ , 100,  $5 + 1$ ,  $17 + 1$ ,  $4 + 1$ ,  $5 + 1$ ,  $4 + 1$  соответственно. Приводится возможная схема уровней  $\text{Cd}^{113}$ . И. К.

6Б30. Сверхтонкая структура  $\gamma$ -лучей, обусловленная квадрупольным взаимодействием в кристаллической решетке. Делягин Н. Н., Шпиль В. С., Бурханов В. А., Звенглинский Б., «Ж. эксперим. и теор. физ.», 1960, 39, № 1, 220—222.—Изучалось сверхтонкое расщепление уровня 23,8 кэв ядра  $\text{Sn}^{119}$  при взаимодействии квадрупольного момента возбужденного ядра с электрич. полем кристалла олова. На опыте измерялось резонансное поглощение  $\gamma$ -лучей как функция их энергии. Анализ кривых поглощения в металл.  $\text{Sn}^{119}$  указывает на сверхтонкое расщепление возбужденного уровня 23,8 кэв (спин 3/2) на две компоненты (с абс. значениями проекции спина 1/2 и 3/2), расстояние между которыми  $\Delta = (1,15 \pm 0,25) \cdot 10^{-7}$  эв. В  $\text{SbNb}_3$  сверхтонкое расщепление уровня 28,3 кэв не наблюдалось, что, по-видимому, объясняется типом решетки этого кристалла, весьма близкой к кубической. О. Брилли

6Б31.  $\gamma$ -Спектр  $\text{Eu}^{152,154}$  в интервале энергий 245—500 и 1450—2000 keV. Джелепов Б. С., Хольнов Ю. В. «Изв. АН СССР. Сер. физ.», 1960, 24, № 3, 300—303.—Исследован спектр  $\gamma$ -лучей смеси изотопов  $\text{Eu}^{152}$  и  $\text{Eu}^{154}$  при энергиях 245—500 и 1450—2000 кэв. Относительные интенсивности  $\gamma$ -лучей с энергиями 245, 344, 415, 450, 496, 1526 и 1610 кэв равны 35, 100, 10, 11,4, 2,6, 1,2 и 1,6.  $\gamma$ -Лучи 496 и 1526 кэв наблюдались впервые; получены указания на наличие  $\gamma$ -лучей  $\sim 1480$  кэв. Р. Ф.

6Б32. Конверсионные электроны и  $\gamma$ -лучи  $\text{Ti}^{65}$ . Громов К. Я., Джелепов Б. С., Дмитриев А. Г., Морозов В. А., Яковлев К. И. «Изв. АН СССР. Сер. физ.», 1960, 24, № 3, 272—277.—Изучалось  $\gamma$ -излучение  $\text{Ti}^{65}$  в области энергий  $> 350$  кэв. Идентифицировано несколько новых  $\gamma$ -переходов, не входящих в известную схему распада  $\text{Ti}^{65}$ . Р. Ф.

6Б33. Вероятности переходов при электронном захвате и отношения  $K/\beta^+$ . Depommier P., Nguyen-Khac U., Bouchez R. Probabilités de transition pour la capture d'électron orbital et rapports  $K/\beta^+$ . «J. phys. et radium», 1960, 21, № 5, 456—460 (франц.; реф. англ.).—Выведены общие ф-лы вероятностей переходов при электронном захвате для пяти вариантов взаимодействия. Приводятся эти ф-лы для  $V-A$ -взаимодействия. Рассмотрен захват электронов с  $K$ -,  $L$ -,  $L_{II}$ -оболочек, захват с  $L_{III}$ -оболочки и позитронный распад. При вычислении отношения  $K/\beta^+$  для разрешенных переходов и переходов 1-го порядка запрещения учтены поправки на конечные размеры ядра и экранирование. Приводятся численные результаты для ядер с различными  $Z$ . Для разрешенных переходов наблюдается согласие с опытом в пределах 5%, кроме  $\text{Co}^{58}$  и  $\text{Sc}^{44}$ ; вычисления для «уникального» перехода в  $\text{Sb}^{122}$  также согласуются с опытом. Е. Григорьев

6Б34. Излучение  $\text{Ga}^{64}$ . Jacobi Thomas H., Howe H. A., Richardson J. R. Radiation from  $\text{Ga}^{64}$ . «Phys. Rev.», 1960, 117, № 4, 1086—1090.—(англ.).—Изучен  $\beta^+$ -распад  $\text{Ga}^{64}$  и спектр  $\gamma$ -лучей, испускаемых при переходах ядра-продукта  $\text{Zn}^{64}$  в основное состояние.  $\beta^+$ -Переход в основное состояние  $\text{Zn}^{64}$  имеет максим. энергию  $6,05 \pm 0,03$  Мэв и  $lg ft = 6,6$ . Другая группа (или группы)  $\beta^+$ -частиц имеет максим. энергию  $2,79 \pm 0,08$  Мэв при  $lg ft = 4,6$ .  $\beta^+$ -Переход в первое возбужденное состояние ядра  $\text{Zn}(2^+)$  не наблюдался; показано, что  $lg ft$ , соответствующий этому переходу,  $> 7,7$ . Наблюдаемые  $\gamma$ -лучи (0,80; 0,99; 1,25; 1,38; 1,56; 1,78; 1,95; 2,18; 2,34; 2,99 и 3,32 Мэв) указывают на возбужденные состояния с энергиями и характеристиками соответственно 0,99( $2^+$ ); 1,78( $2^+$ ) и 3,32( $1^+$ ) Мэв. Характеристика основного состояния ядра  $\text{Ga}^{64+}$ . Р. Ф.

6Б35. Отношения вероятностей  $K$ -захвата и позитронного распада в неуникальных однократно запрещенных  $\beta$ -переходах типа  $2^- \rightarrow 2^+$ . Konijn J., Nooijen B. van, Wapstra A. H. Branching ratios of  $K$  capture to positron emission in non-unique first forbidden  $2^- \rightarrow 2^+$  beta transitions. «Nucl. Phys.», 1960, 16, № 4, 683—689 (англ.).—Экспериментальные значения отношений вероятностей  $K$ -захвата и позитронного распада ( $K/\beta^+$ ) в  $\beta$ -переходах  $2^- \rightarrow 2^+$  не могут быть во всех случаях объяснены предположением Перламана и др. (РЖФиз, 1959, № 3, 5169). Из четырех случаев переходов  $2^- \rightarrow 2^+$  ( $\text{As}^{74}$ ,  $\text{Rb}^{84}$ ,  $\text{J}^{126}$ ,  $\text{Ti}^{200}$ ) расчет Перламана дает удовлетворительное согласие с экспериментом только для первых двух. Авторами показано, что нет необходимости предполагать необычно большую вероятность переходов с  $|\Delta J| = 2$  для объяснения величины  $K/\beta^+$  в переходах  $2^- \rightarrow 2^+$  и что нормальная теория переходов с  $|\Delta J| = 1$  дает для четырех упомянутых элементов отношение  $K/\beta^+$  в пределах 10%, совпадающее с эксперим. результатами. И. Кондуров

6Б36. О  $\beta^-$ -распаде  $\text{La}^{140}$ . Джелепов Б. С., Емельянов Б. А., Куприянов К. П., Подкопаев Ю. Н. «Изв. АН СССР. Сер. физ.», 1960, 24, № 3, 288—290.—Исследовано электронное излучение  $\text{La}^{140}$  в области энергий 1800—4000 кэв. Обнаружен  $\beta$ -переход между основными состояниями ядер  $\text{La}^{140}$  и  $\text{Ce}^{140}$  с энергией 3850 кэв и интенсивностью  $(8 \pm 2) \cdot 10^{-4}\%$  распадов ( $lg ft = 14,2$ ). Найден  $\gamma$ -переходы с энергиями 2530, 2920 и 3140 кэв. В области энергий 2300—3900 кэв  $\gamma$ -спектра  $\text{La}^{140}$  обнаружены  $\gamma$ -лучи с энергиями 2530, 2915, 3110 и 3380 кэв. Р. Ф.

6Б37. Спектр конверсионных электронов при распаде  $\text{Ce}^{144}$ . Geiger J. S., Graham R. L., Ewan G. T. Conversion electron spectrum from  $\text{Ce}^{144}$  decay. «Nucl. Phys.», 1960, 16, № 1, 1—26 (англ.).—В спектре конверсионных электронов, сопровождающих распад  $\text{Ce}^{144}$ , наблюдается 30 конверсионных линий, идентифицированных с 7  $\gamma$ -переходами. Построена схема рас-





фракция нейтронов энергии 0,07 эв на обогащенных изотопах  $TiO_2$  и вычислены амплитуды когерентного рассеяния. Для изотопов Ti с  $A = 46, 47, 48, 49$  и 50 приведены амплитуды рассеяния. Аномальная амплитуда рассеяния для естествен. Ti ( $-0,34 \cdot 10^{-12}$  см) обусловлена изотопом  $Ti^{46}$ . Р. Ф.

6Б50. Угловая  $p, p'$ -корреляция при низких энергиях. Hausman H. J., Dell G. F., Bowsher H. F. ( $p, p'$ ) angular correlations at low energy. «Phys. Rev.», 1960, 118, № 5, 1237—1246 (англ.).—При энергии протонов 6,5 Мэв изучена угловая корреляция неупруго рассеянных протонов  $\gamma$ -квантами, излучаемыми ядрами-рассеивателями  $Li^7$  (уровень 0,48 Мэв),  $Si^{28}$  (4,4 Мэв),  $Ne^{20}$  (1,63 Мэв),  $Si^{28}$  (1,78 Мэв),  $S^{32}$  (22,5 Мэв) и  $Cr^{52}$  (1,45 Мэв). Протоны детектировались под углом  $90^\circ$  в случае  $Li^7$  и  $Cr^{52}$  и под углами  $60^\circ, 90^\circ$  и  $120^\circ$  в остальных случаях. Для  $Li^7$  и  $Cr^{52}$  угловая корреляция изотропна. Для остальных ядер она имеет вид:  $A + B \sin^2(\theta - \theta_0)$ , где  $\theta_0$  — ось симметрии. В случае  $Si^{28}$  функция корреляции симметрична относительно угла  $90^\circ$ . Результаты измерений угловой корреляции свидетельствуют о прямых процессах при неупругом рассеянии, причем скорее коллективного, чем нуклон-нуклонного характера. О. Немец

6Б51. Достижения физики деления. Kraut A. Ergebnisse der Physik der Kernspaltung. «Nukleonik», 1960, 2, № 3, 105—128 (нем.).—Обзор.

См. также: Радиоактивные изотопы 6Б336, 6Б337

## АТОМ

Редактор Н. М. Яшин

6Б52. Приближенные аналитические волновые функции для  $1sns^1S$ -состояний He и He-подобных ионов. Ritter Z., Pauncz R. Approximate analytical wave functions for the  $1sns^1S$  states of He and He-like ions. «J. Chem. Phys.», 1960, 32, № 6, 1820—1825 (англ.).—Несколько модифицированным вариационным методом определены собственные значения и волновые функции синглетных  $S$ -состояний двухэлектронных конфигураций  $1sns$  атома He и He-подобных ионов  $Li^+, Be^{2+}, B^{3+}$  и  $C^{4+}$ . Координатная волновая функция двухэлектронной системы берется в форме  $\psi(1,2) = \phi_1(1)\phi_2(2) + \phi_1(2)\phi_2(1)$ , где  $\phi_i$  принята в виде  $\phi_i = N \exp(-ar)$ ;  $N^2 = (2a)^3/\pi$ , а функция  $\phi_2$  разлагается в ряд по обобщенным нормированным полиномам Лагерра  $Z_n(ra) = N \exp(-ar/2) L_n(ra)$ , который обрывается в данном случае на четырех членах. Параметры  $a$  и  $\alpha$  рассматриваются как вариационные. Коэф. разложения функции  $\phi_2$  и собственные значения энергии системы как функции параметров  $a$  и  $\alpha$  определяются путем диагонализации обрезанной матрицы энергии, после чего производится минимизация по параметрам  $a$  и  $\alpha$  каждого термина независимо. Полученные таким путем функции не являются взаимно ортогональными, однако проведенная проверка для иона  $Li^{2+}$  показала, что интегралы перекрытия функций состояний  $1sns^1S$  ( $n = 2, 3, 4$ ) малы (порядка 0,02—0,006). Результаты расчета: коэф. разложения, величины энергий, термов и оптимальные значения вариационных параметров  $a$  и  $\alpha$  для всех состояний  $1sns^1S$  при  $n = 2, 3, 4$  атома He и ионов  $Li^+, Be^{2+}, B^{3+}$  и  $C^{4+}$  приведены в форме таблиц. Из сравнения с данными опыта для He,  $Li^+$  и  $Be^{2+}$  авторы оценили точность расчета: для  $1sns^1S$ -термов  $\approx 1\%$  и для  $1sns^1S$ -термов  $\approx 0,5\%$ . Д. Гречухин

6Б53. Волновые функции простого конфигурационного приближения. III. Трехэлектронные атомные системы; аналитическое изучение. Machacek Milos, Scherr Charles W. Simple configuration interaction wave functions. III. Three-electron atomic system:

an analytic study. «J. Chem. Phys.», 1960, 33, № 1, 242—247 (англ.).—Прямым вариационным методом произведен расчет энергии основного состояния ионов, подобных атому Li. В качестве пробных функций взяты дублетные  $2S$ -функции смеси конфигураций  $(1s1s^2s) + \lambda(1s)(2p)^2$  и  $(1s1s^2s) + \lambda(2s)(2p)^2$  с водородоподобными радикальными компонентами одноэлектронных функций, содержащими несколько вариационных параметров. Минимизация проведена для обочеток  $(1s)^22s$ , где  $\lambda = 0$  и  $1s \equiv 1s'$ ;  $1s1s^2s + 1s'1s2s$ , где  $\lambda = 0$ , а также для конфигураций с примесью  $(2p)^2$ -состояний. Результаты расчета минимизирующих значений параметров и энергии иона для  $Z = 3, 4, 5, 10, 50, \infty$  сведены в таблицу. Часть II см. РЖХим, 3Б74.

Д. Гречухин

6Б54. Релятивистские самосогласованные решения для атомов с большим атомным номером. Cohen Stanley. Relativistic self-consistent solutions for atoms of large atomic number. «Phys. Rev.», 1960, 118, № 2, 489—494 (англ.).—Описывается схема численного расчета на быстродействующей электронной вычислительной машине IBM-704 волновых функций и собственных значений энергии тяжелых атомов. В основу расчета положен метод конфигурационного взаимодействия. Программа составлена таким образом, чтобы обеспечить максим. универсальность. В качестве исходных одноэлектронных волновых функций берутся релятивистские волновые функции электрона в поле ядра. Сначала берется волновая функция одного электрона, к ней добавляется функция второго электрона, производится самосогласование и определяется самосогласованное поле. Затем определяется волновая функция электрона в этом поле, добавляется еще один электрон и т. д. Вычисленные таким образом волновые функции являются наилучшими волновыми функциями, минимизирующими энергию атома, если предположить, что волновая функция представляется в виде произведения волновых функций отдельных электронов. Обменные члены в энергии при этом не учитываются. В. Струтинский

6Б55.  $Q$ -поправка в спектрах атомов группы железа. Racah Giulio, Shadmi Yehuda.  $Q$  correction in the spectra of the iron group. «Phys. Rev.», 1960, 119, № 1, 156—158 (англ.).—Рассматривается эффект малого остаточного взаимодействия электронов на величину энергии термов  $3d^n4s^k$  атомов V, Cr, Fe. Поправка к энергии термов обобщается за счет остаточного парного взаимодействия и может быть записана в общем виде как  $\delta W(dn) = \alpha L(L+1) - 6n + \beta Q$ , где  $Q$  есть оператор «старшинства» для электронов. Для определения эффекта члена, пропорционального  $\beta$  ( $Q$ -поправка), используется вариант вариационного метода. Наряду с  $\beta$  варьируются также и другие параметры. Были рассчитаны энергии 71 уровня (37 термов) V II (конфигурация  $(3d+4s)^4$ ), 119 уровней (48 термов) Cr II  $((3d+4s)^5)$ , 119 уровней (48 термов) Fe II  $((3d+4s)^7)$ . Введение  $Q$ -поправки приводит к уменьшению среднего отклонения рассчитанных значений термов от экспериментальных в среднем на 20%. Абс. величина ошибки составляет  $\sim 200\text{--}300 \text{ см}^{-1}$ . В. С.

6Б56. Эффективные сечения возбуждения некоторых спектральных линий криптона и ксенона. Волкова Л. М., Девятых А. М., Куралова А. В. «Изв. АН СССР. Сер. физ.», 1960, 24, № 8, 950—952.—Абсолютные значения эффективных сечений возбуждения 5 линий Kr и 10 линий Xe в области спектра 4200—5050 Å измерены с ошибкой  $\pm 30\%$  путем сравнения интенсивностей исследуемых линий с интенсивностью участка сплошного спектра W-ленточной лампы с известной яркостью т-рой. Проведены измерения по определению хода функции возбуждения 4 линий Kr II (4065, 4088, 4098 и 4109 Å) и 2 линий Kr I (4318/19 и 4351 Å). Функция возбуждения линии Kr I 4318/19 Å была построена также методом задержки

вающего поля. Кривые функции возбуждения указанной линии, построенные обоими методами, совпадают в пределах точности измерений.

Ю. Коровин

6Б57. Экспериментальное изучение функций возбуждения спектральных линий атомов. Богданова И. П. «Изв. АН СССР. Сер. физ.», 1960, 24, № 8, 956—959. — Рассмотрена возможность использования задерживающего электрич. поля для получения достаточно интенсивных электронных пучков малых скоростей, необходимых при изучении функции возбуждения спектральных линий с потенциалами возбуждения 1,5—3 в. Измерение известных функций возбуждения линий Hg 5461 Å и 5791 Å и сравнение полученных результатов с имеющимися данными показало применимость проведенных расчетов и несущественность мешающих факторов. Произведены измерения относительного хода функций возбуждения компонент второго дублета главной серии Cs 4555 и 4593 Å. Сравнение интенсивностей производилось фотографич. способом. Точность измерения относительного хода интенсивностей для дублета составляет 5%. При учете реабсорбции отношение интенсивностей линий 4555/4593 Å при скорости электронов, соответствующей 14 в, равно 8 + 1.

Ю. Коровин

6Б58. Сверхтонкая структура основного состояния стабильных изотопов европия. Sandars P. G. H., Woodgate G. K. Hyperfine structure in the ground state of the stable isotopes of europium. «Proc. Roy. Soc.», 1960, A257, № 1289, 269—276 (англ.). — Методом магнитного резонанса в атомном пучке измерена сверхтонкая структура основного состояния  $^8S_{1/2}$  атомов  $\text{Eu}^{151}$  и  $\text{Eu}^{153}$ . Измерены следующие интервалы (в Мгц): для  $\text{Eu}^{151}$   $\Delta\nu(F=5, m=2 \rightarrow F=6, m=2) = 120,675$ ;  $\Delta\nu(4,1 \leftrightarrow 5,1) = 100,286$ ;  $\Delta\nu(3,0 \leftrightarrow 4,0) = 80,049$ ; для  $\text{Eu}^{153}$   $\Delta\nu(5,2 \leftrightarrow 6,2) = 54,038$ ;  $\Delta\nu(4,1 \leftrightarrow 5,1) = 44,329$ ;  $\Delta\nu(3,0 \leftrightarrow 4,0) = 35,004$ . Ошибка измерения  $\pm 0,001$  Мгц. Определены постоянные магнитного дипольного (A), электрич. квадрупольного (B) и магнитного октупольного взаимодействий ядра с электронной оболочкой в основном состоянии (C). Для  $\text{Eu}^{151}$   $A = -20,0523 \pm 0,002$ ;  $B = -0,7012 \pm 0,0035$ ;  $C = -0,00005 \pm 0,0003$ ; для  $\text{Eu}^{153}$   $A = -8,9532 \pm 0,0002$ ;  $B = 1,7852 \pm 0,0035$ ;  $C = -0,0002 \pm 0,0003$  (значения постоянных в Мгц). Отношения постоянных для двух атомов:  $A(\text{Eu}^{151})/A(\text{Eu}^{153}) = 2,26498 \pm 0,0008$ ,  $B(\text{Eu}^{151})/B(\text{Eu}^{153}) = 0,393 \pm 0,003$ . Определена величина g-фактора для состояния  $^8S_{1/2}$ ,  $g_I = 1,9935 \pm 0,0003$ . Для чистого  $^8S_{1/2}$ -состояния  $A = B = 0$  и  $g_I = g_S = 2,00232$ . Примесь к основному состоянию  $^6P_{1/2}$ -состояния можно объяснить полученное значение  $g_I$ . Однако примесь высоких состояний нельзя объяснить величины постоянных A и B.

Н. Яшин

6Б59. Сверхтонкая структура  $6^3P_2$ -состояния атомов Hg<sup>199</sup> и Hg<sup>201</sup>. Свойства метастабильных состояний ртути. McDermott Mark N., Lichten. Hyperfine structure of the  $6^3P_2$  state of  $^{199}\text{Hg}$  and  $^{201}\text{Hg}$ . Properties of metastable states of mercury. «Phys. Rev.», 1960, 119, № 1, 134—143 (англ.). — Методом магнитного резонанса в атомном пучке исследована сверхтонкая структура метастабильного состояния  $6^3P_2$  атомов Hg<sup>199</sup> и Hg<sup>201</sup>. Перевод атомов Hg из основного состояния в метастабильное осуществлялся электронной бомбардировкой. Определены отношения g<sub>I</sub>-факторов:  $g_I(^3P_2, \text{Hg})/(g_I(^3P_2, \text{Ar}))$  и  $g_I(^3D_3, \text{Hg})/g_I(^3P_2, \text{Hg})$ ;  $g_I(^3P_2, \text{Hg}) = 1,50099 \pm 0,00010$ ,  $g_I(^3D_3) = 1,0867 \pm 0,0005$  (для  $g_I(^3P_2, \text{Ar})$  использована величина  $1,500964 \pm 0,000008$ ). Измерены величины интервалов  $\Delta\nu$  между подуровнями сверхтонкой структуры (в Мгц):  $\Delta\nu(\text{Hg}^{199}, 3/2 \leftrightarrow 3/2) = 22666,559$ ;  $\Delta\nu(\text{Hg}^{201}, 1/2 \leftrightarrow 3/2) = 11382,6288$ ;  $\Delta\nu(\text{Hg}^{201}, 5/2 \leftrightarrow 3/2) = 8629,5218$ ;  $\Delta\nu(\text{Hg}^{201}, 3/2 \leftrightarrow 1/2) = 5377,4918$ . Определены постоянные магнитного дипольного взаимодействия для s- и p<sub>1/2</sub>-электронов

(в Мгц):  $a_s(\text{Hg}^{199}) = 35110 \pm 80$ ,  $a_{p_{1/2}}(\text{Hg}^{199}) = 385 \pm 26$ ,  $a_s(\text{Hg}^{201}) = 12980 \pm 30$ ,  $a_{p_{1/2}}(\text{Hg}^{201}) = 142 \pm 16$ . На основе эксперим. данных произведен расчет электрич. квадрупольного и магнитного октупольного моментов ядра Hg<sup>201</sup>:  $Q = (0,50 \pm 0,04) \cdot 10^{-24} \text{ см}^2$ ,  $\Omega = (0,130 \pm 0,013) (eh/2Mc) \cdot 10^{-24} \text{ см}^2$ . Поляризационные поправки не учитывались. Определена величина (в %) аномалии сверхтонкой структуры для s<sub>1/2</sub>-электрона:  $\Delta(s_{1/2}) = -0,1728 \pm 0,0012$ . Теоретич. величина аномалии согласно одночастичной модели ядра равна 1,1%. Н. Я.

6Б60. Ядерные магнитные дипольные моменты стабильных изотопов европия и аномалия сверхтонкой структуры. Pichanick F. M., Sandars P. G. H., Woodgate G. K. The nuclear magnetic dipole moments of the stable isotopes of europium and the hyperfine structure anomaly. «Proc. Roy. Soc.», 1960, A257, № 1289, 277—282 (англ.). — Методом магнитного резонанса в коротком атомном пучке (установка с тремя радиочастотными петлями) измерен ядерный g-фактор  $\text{Eu}^{151}$ :  $g_I = (-7,396 \pm 0,010) \cdot 10^{-4}$  магнетонов Бора. Магнитный дипольный момент ядра  $\text{Eu}^{151}$   $\mu = (3,419 \pm 0,004) \mu_{\text{яд}}$  (с диамагнитной поправкой). Найдено отношение  $g_I$ -факторов для ядер  $\text{Eu}^{151}$  и  $\text{Eu}^{153}$ ,  $g_I(\text{Eu}^{151})/g_I(\text{Eu}^{153}) = 2,2688 \pm 0,0015$ , откуда следует, что  $\mu(\text{Eu}^{153}) = 1,507 \mu_{\text{яд}}$ . Определена эксперим. величина сверхтонкой аномалии и произведена грубая теоретич. оценка этой величины.

Н. Яшин

6Б61. Сверхтонкая структура и изотопический сдвиг в спектре TI I. Одинцов А. И. «Оптика и спектроскопия», 1960, 9, № 2, 142—146. — Изучены линии 5110, 5350, 5528, 5584, 6550 и 6714 Å в спектре TI I. В качестве источника света использовался атомный пучок с электронным возбуждением свечения. Прибором высокой разрешающей силы служил интерферометр Фабри — Перо с диалектр. покрытиями. Измерены величины сверхтонких расщеплений и изотопич. сдвигов уровней  $6^2P_{1/2}$ ,  $8^2P_{1/2}$ ,  $8^2P_{3/2}$ ,  $9^2P_{1/2}$ ,  $9^2P_{3/2}$ ,  $10^2P_{1/2}$ ,  $7^2S_{1/2}$ . Точный промер относительных сдвигов уровней позволил установить правильную нормировку изотопич. сдвига. На основе анализа сверхтонкой структуры сделаны выводы относительно взаимодействия электронных конфигураций в атоме TI.

А. Головин

6Б62. Парциальные сечения возбуждения атома водорода. Петеркоп Р. К. «Изв. АН СССР. Сер. физ.», 1960, 24, № 8, 946—949. — В борновском приближении вычислены сечения возбуждения непрерывного и дискретного спектра атома H из основного состояния электроном с энергией 19,6 эв. Вычислены следующие сечения:  $\sigma_{000}$ ,  $\sigma_{010}$ ,  $\sigma_0$ ,  $\sigma_1$ ,  $\sigma$ , где  $\sigma = \Sigma \sigma_i$ ,  $\sigma_i = \Sigma_l \sigma_{il}$ ,  $L$  и  $l$  — моменты налетающего электрона,  $l$  — момент атомного электрона. Вблизи порога (импульс рассеянного электрона  $s \rightarrow 0$ )  $\sigma_i \approx a_{i0l}(q)^2$ , так что главный вклад в сечение дает s-рассеяние. Сечения ионизации  $\sigma^{ion} \approx (8^{1/2}/3) \Sigma a_{i0l}(1) E^{-1.5}$ . Эксперимент дает примерно линейную зависимость сечения ионизации от энергии с таким же коэф. Расчеты Гельмгольца (РЖФиз, 1956, № 12, 35150) при использовании кулоновской функции вместо плоской волны дают  $\sigma^{ion} \sim E$  однако с неправильным коэф. Классич. метод дает степени 1,13.

А. Зимин

6Б63. Борновское поперечное сечение для неупругого рассеяния электроном атомом водорода. I. 3s-, 3p-, 3d-состояния. II. 4s-, 4p-, 4d-, 4f-состояния. Born cross sections for inelastic scattering of electrons by hydrogen atoms. I. McCoyd Gerard C., Milford S. N., Wahl John J. 3s, 3p, 3d states. II. Fisher Leonard, Milford S. N., Pomilla Frank R. 4s, 4p, 4d, 4f states «Phys. Rev.», 1960, 119, № 1, 149—153; 153—155 (англ.). — I. В борновском приближении найдены дифференциальное и полное сечение неупругого рас

$= 385 \pm 26$ ,  
 на основе  
 трих. квад-  
 ратов адри  
 $130 \pm 0,013$   
 опираясь на  
 аномалии  
 $\Delta(s_{ij}) =$   
 аномалия со-  
 1%.  
 Н. Я.  
 оменты ста-  
 сверхтоной  
 s P. G. H.  
 dipole mo-  
 the hyper-  
 1960, A257,  
 тного reso-  
 ка с тремя  
 й g-фактор  
 в Бора. Маг-  
 = (3,419  $\pm$   
 Найдено от-  
 $g_1(E_{111})$   
 дует, что  
 е. величины  
 а теоретич  
 Н. Я. Яши  
 отонический  
 «Оптика и  
 чены линии  
 TI I. В на-  
 мный пучок  
 выбором в  
 ометр Фаб-  
 ерены вели-  
 чины, сдвиги  
 $2P_{1/2}$ ,  $7S_{1/2}$   
 вившей позво-  
 отич. смес-  
 уктурь сдв-  
 я электро-  
 А. Головин  
 ния атомов  
 СССР. Сер-  
 овском пра-  
 ния непре-  
 з основно  
 Вычислен  
 $\sigma = \Sigma_i \sigma_i$   
 электро-  
 торога (м-  
 ol (g)  $e^2$ , тн  
 ие. Сечени  
 Эксперимен-  
 ния понизи-  
 Гельмголь-  
 зании куло-  
 от  $\sigma^{ion} \sim E$   
 метод дает  
 А. Зимин  
 для неупру-  
 I. 3s-, 3p-,  
 Born cross  
 by hydrogen  
 ord S. K.  
 sher Lee  
 k R. 4s, 4p  
 —153; 153-  
 ии найдены  
 другого рас

сечения электрона атомом Н с возбуждением перехода атомного электрона  $n'l \rightarrow n'l'$ . Как дифференциальное, так и полное сечение оказалось возможным представить в форме полинома. Для всех возможных переходов  $n'l \rightarrow n'l'$  между оболочками  $n = 3$  и  $n' = 4$  и для трех наиболее интенсивных  $E1$ -переходов  $n = 3$ ,  $n' = 5$  табулированы коэф. сечений. Численный расчет полного сечения сделан для всех переходов  $n = 3 \rightarrow n' = 4$  при 10 значениях энергии электрона (0,67—1400 эв) и трех переходов  $n = 3 \rightarrow n' = 5$  для 5 значений энергии падающего электрона (1—10 000 эв). Результаты вычислений табулированы и представлены также графически. Отмечается, что приближенная ф-ла Бете для возбуждения  $E1$ -переходов хорошо согласуется с сечением, полученным в борновском приближении.

II. Произведен численный расчет коэф., определяющих угловую и энергетич. зависимость сечения неупругого рассеяния для всех  $E1$ -переходов электрона между состояниями  $n = 4$  и  $n' = 5$  для 5 значений энергии падающего электрона (0,546—1361 эв). Полученные значения сечений даны как в таблице (для всего интервала), так и графически для  $4s \rightarrow 5p$ ;  $4p \rightarrow 5d$ ;  $4d \rightarrow 5f$ ;  $4f \rightarrow 5g$  в интервале от 0,5 до 40 эв и для  $4s \rightarrow 6p$ ;  $4f \rightarrow 6g$  в интервале от 0,7 до 10 эв. Проведено сравнение с приближенной оценкой Бете, получившего сечения возбуждения в дипольном приближении.

Д. Гречухин  
 6Б64. Магнитный резонанс атомных уровней  $He^4$ , возбужденных электронным ударом. Decomps Bernard, Pebay-Peyroula, Brossel Jean. Résonance magnétique de niveaux atomiques de l'hélium 4 excités par bombardement électronique. «C. r. Acad. sci.», 1960, 251, № 7, 941—943 (франц.).—Методом, описанным ранее (РЖХим, 1960, № 12, 45560), исследован магнитный резонанс между зеемановскими подуровнями и определены g-факторы для следующих термов  $He^4$ :  $3D_2(1,006 \pm 0,002)$ ;  $4D_2(1,0012 \pm 0,002)$ ;  $5D_2(1,0006 \pm 0,002)$ ;  $3P_1(1,500 \pm 0,005)$ . Исследована также зависимость поляризации различных линий от энергии возбуждающих электронов. Результаты хорошо согласуются с результатами Долгова (РЖХим, 1960, № 1, 97).

Т. Ребане

См. также: Изотопия 6Б338. Ат. спектры 6Б286, 6Б358

## МОЛЕКУЛА. ХИМИЧЕСКАЯ СВЯЗЬ. МОЛЕКУЛЯРНЫЕ СПЕКТРЫ

Редакторы В. Т. Алексанян, А. А. Мамычев,  
Т. К. Ребане

6Б65. Теорема разделимости электронных пар Arai Tadaashi. Theorem on separability of electron pairs. «J. Chem. Phys.», 1960, 33, № 1, 95—98 (англ.).—Доказана следующая теорема о зависящих от спино-вых и пространственных координат двух электронов функциях  $\Lambda_I(1,2)$  (где  $I = A, B, \dots, N$ ), предназначенных для описания электронных пар, осуществляющих хим. связи. Пусть выполняется условие ортогональности  $\int \Lambda_I^*(1,2) \Lambda_k(1,3) d\tau_1 = 0$  между любой парой из антисимметричных функций  $\Lambda_A(1,2), \Lambda_B(1,2), \dots, \Lambda_N(1,2)$ . Тогда все пространство  $R$  одноэлектронных спин-орбитальных функций  $\psi_k(1) k = 1, 2, \dots$  можно разложить на  $N$  взаимно ортогональных подпространств  $R_A, R_B, \dots, R_N$  таким образом, что каждая из функций  $\Lambda_I(1,2)$  локализована в соответствующем подпространстве и независима от других:  $\Lambda_I(1,2) = \sum_k a_{ki} \psi_k(1) \psi_i(2)$ . Суммирование распространено только на функции  $\psi_k$ , образующие базис в  $R_I$ .

М. Местечкин

6Б66. Теоремы разложения полной волновой функции и обобщенные схемы Хартри—Фока. Löwdin Per-Olov. Expansion theorems for the total wave function and extended Hartree—Fock schemes. «Revs Mod. Phys.», 1960, 32, № 2, 328—334 (англ.).—Рассмотрены различные способы учета корреляции между электронами при построении волновых функций (ВФ) атомов и молекул: взаимодействие конфигураций, метод открытых оболочек и введение корреляционного множителя (КМ). Указано, что сходимость разложения полной ВФ по ВФ отдельных конфигураций может быть существенно улучшена при использовании натуральных спин-орбит, т. е. одночастичных ВФ, диагонализующих матрицу плотности первого порядка. Исследованы общие свойства оператора проектирования. Использование этого оператора позволяет получить обобщенные ур-ния Хартри—Фока, однако их практич. решение возможно лишь для атомов легких элементов. Наиболее эффективным методом учета отталкивания между электронами является введение КМ, но и этот путь практически осуществлен лишь для двухэлектронных задач. Результаты расчета атома Не показывают, что ошибка  $\Delta E$  в энергии составляет 26,3 (в ккал/моль) для обычного метода Хартри—Фока и 2,3 при введении КМ. При использовании натуральных спин-орбит  $\Delta E = 16,0$ , а введением КМ снижается  $\Delta E$  до 1,2.

Е. Никитин

6Б67. Вывод приближенных двухэлектронных орбит. Karuy E. Derivation of approximate two-electron orbitals. «Acta phys. Acad. scient. hung.», 1960, 11, № 4, 409—415 (англ.).—В общем виде рассмотрена схема построения двухэлектронных орбит путем построения соответствующих двойных рядов по одноэлектронным орбитам. Приведены выражения для матричных элементов оператора энергии и составлены ур-ния для определения коэф. указанных рядов. Отмечается, что более быстрая сходимость рядов может быть достигнута при использовании в качестве одноэлектронных орбит так называемых натуральных орбит, приводящих матрицу коэф. ряда к диагональному виду.

Т. Ребане

6Б68. О вычислении кулоновских интегралов в теории молекулярных орбит. Salvetti Orio. Osservazioni sul calcolo degli integrali coulombiani nella teoria degli orbitali molecolari. «Boll. scient. Fac. chim. industr. Bologna», 1960, 18, № 2, 84—87 (итал.; рез. англ.).—В рамках метода самосогласованных МО ЛКАО Рутана показано, что основное приближение теории Паризера и Парра (пренебрежение обменными интегралами электронов, АО которых относятся к разным атомам) позволяет выразить эффективные кулоновские интегралы матрицы самосогласованного поля через заряды атомов. В этом же приближении резонансные интегралы выражаются через порядки связей.

Е. Никитин

6Б69. О проблеме неортогональности в полумпирическом методе МО ЛКАО. Del Re G. On the non-orthogonality problem in the semi-empirical MO-LCAO method. «Nuovo cimento», 1960, 17, № 5, 644—664 (англ.; рез. итал.).—В общем виде сопоставлен формализм простого метода МО ЛКАО с формализмом метода МО ЛКАО, где интеграл неортогональности АО  $m$ -го и  $n$ -го атома  $S_{mn}$  предполагается пропорциональным резонансному интегралу соответствующей связи  $\beta_{mn} : S_{mn} = \lambda \beta_{mn}$ . Показано, что такой учет неортогональности АО практически не влияет на распределение  $\pi$ -электронного заряда в молекуле, но может значительно изменить другие характеристики молекулы (энергии МО, мол. диаграммы, индексы реакционной способности). Результаты иллюстрированы на примере нескольких простых молекул.

Т. Ребане

6Б70. Полумпирический метод определения энергии связи в основном состоянии молекулы водорода



на основе метода молекулярных орбит. Ladik J. A half-empirical method for the determination of the bond energy of the hydrogen molecule's ground state on the basis of the molecular orbital method. «Acta phys. Acad. scient. hung.», 1960, 11, № 4, 405—408 (англ.).—Проведен расчет энергии основного состояния молекулы  $H_2$  при эксперим. равновесном межъядерном расстоянии (1,40 ат. ед.) с волновой функцией, в которой 2 электрона занимают МО, соответствующую точному решению затем для мол. иона  $H_2^+$ . Для энергии связи получено значение 5,3 эв (превышение эксперим. значения 4,74 эв обусловлено приближенным расчетом интеграла кулоновского взаимодействия электронов; значение этого интеграла рассчитано не с точными МО  $H_2^+$ , а с самосогласованными МО  $H_2$ ). Т. Ребане

6Б71. Дальнейшее изучение теории возмущений в простом методе МО ЛКАО для сопряженных молекул. Fukui Kenichi, Morokuma Keiji, Yonezawa Teiichi, Nagata Chikayoshi. A further study of simple LCAO MO perturbation treatment of conjugated molecules. «Bull. Chem. Soc. Japan», 1960, 33, № 7, 933—973 (англ.).—Развит метод возмущенного векового детерминанта, предложенный авторами ранее (РЖХим, 1960, № 12, 41571), в применении к следующим случаям: 1) возмущение кулоновского интеграла, 2) возмущение резонансного интеграла, 3) слабая связь между 2 сопряженными системами. Устранен ряд неточностей цитированной работы. Исследованы следующие комбинации возмущений 1 и 1; 1 и 2; 3 и 3. Приведены ф-лы для энергий МО, полной энергии, порядков связей орбитальных коэф. с точностью до членов второго порядка. Подчеркивается, что в первом приближении теории возмущений для поправок ко всем перечисленным величинам выполняется эмпирич. правило аддитивности для комбинированных возмущений. М. Местечкин

6Б72. Электронное строение и постоянные сверхтонкой структуры молекулы NO. Lin Chun C., Hijikata Katsunori, Sakamoto Michiko. Electronic structure and hyperfine structure constants of NO molecule. «J. Chem. Phys.», 1960, 33, № 3, 878—881 (англ.).—Рассчитан ряд постоянных сверхтонкой структуры вращательного спектра молекулы NO. С помощью волновых функций метода самосогласованных МО ЛКАО (РЖХим, 1959, № 21, 73793) получены следующие значения (первые цифры — для спин-орбитальных  $2p\pi$ -АО N, вторые — для  $2p\pi$ -АО метода самосогласованного поля с обменом; в скобках — эксперим. значения) в  $10^4$  см $^{-1}$ :  $\langle 1/r^3 \rangle$  11,6; 12,6 (14,9);  $\langle \sin^2 \chi / r^3 \rangle$  9,33; 10,3 (13,4);  $\langle (3 \cos^2 \chi - 1) / r^3 \rangle$  4,71; -5,72;  $\langle -10,4 \rangle$ ;  $|\psi(0)|^2 \approx 0,001$  (0,85). Обозначения:  $r$  — расстояние от неспаренного электрона до ядра N;  $\chi$  — угол между радиус-вектором неспаренного электрона и осью молекулы;  $|\psi(0)|^2$  — неспаренная спиновая плотность у ядра N;  $\langle \rangle$  — символ квантовой механич. усреднения. Теоретич. значение  $|\psi(0)|^2$  существенно изменяется при учете взаимодействия конфигураций с неспаренными электронами на  $\sigma$ -МО; таким путем получено улучшенное теоретич. значение  $|\psi(0)|^2 = 0,804 \cdot 10^{-4}$  см $^{-3}$ . Расчет постоянной ядерной квадрупольной связи произведен: 1) по методу суперпозиции валентных структур; 2) с помощью самосогласованных МО, указанных выше. В случае 1 результаты существенно зависят от параметра гибридизации АО азота и от относительного веса структур  $N=O$  и  $N=O^+$ , а в случае 2 получено значение  $eQq = 0,79$  Мгц (эксперимент 2 Мгц). Значение постоянной спин-орбитальной связи, рассчитанное с самосогласованными МО (146 см $^{-1}$ ), хорошо согласуется с опытом (122,094 см $^{-1}$ ). Т. Ребане

6Б73. Сверхсопряжение первого порядка в цианамиде, диазометане и кетене. Orville-Thomas W. J., Jones W. J. First-order hyperconjugation in cyanamide, diazomethane and ketene. «Z. Elektrochem.», 1960, 64, № 5, 714—717 (англ.).—По методу МО ЛКАО

рассчитаны молекулы цианамид  $H_2NCN$  (I), диазометана  $H_2CNN$  (II) и кетена  $H_2CCO$  (III), имеющие строение типа  $H_2 = X - Y - Z$ . Расчеты проведены в  $\pi$ -электронном приближении с учетом и без учета сверхсопряжения с группой  $H_2$  с использованием метода приближенного самосогласования. Табулированы порядки связей. Учет сверхсопряжения позволяет объяснить наблюдаемое из спектральных данных ослабление связей  $H-X$  и упрочнение связей  $X-Y$ , а также предсказать длины связей в хорошем согласии с опытом (без учета сверхсопряжения этого сделать не удается). Рассчитана также энергия делокализации, равная 14, 14 и 12 ккал/моль для I, II и III соответственно. Опытное (термохимическое) значение известно только для I и равно 27,8 ккал/моль. Столь большое отличие авторы объясняют тем, что «опытные» энергии связей NH и CN, используемые для нахождения эксперим. значения, определены для аминов, где атомы N и C находятся в состоянии гибридизации  $sp^3$ . В то же время в I атом N имеет  $sp^2$ , а атом C —  $sp$ -гибридизацию. Поэтому связи NH и CN в I должны быть прочнее, чем в соответствующих аминах. Е. Шусторович

6Б74. Энергетические уровни и дипольный момент цианитоводородной кислоты. Salvetti Oriano. Livelli energetici e momento dipolare dell'acido cianidrico. «Boll. scient. Fac. chim. industr. Bologna», 1960, 18, № 2, 88—90 (итал., рез. англ.).—По упрощенному методу самосогласованных МО, близкому к методу Паризера и Парра, рассчитаны уровни энергии и дипольный момент молекулы HCN. МО построены из  $1s$ -АО N и  $2s$ -,  $2p_x$ -,  $2p_y$ -АО C и N.  $1s$ -АО C и N считаются полностью локализованными. Используются спинтермические АО с эффективными зарядами  $z = 3,18$  и  $3,9$  для атомов C и N соответственно;  $2s$ -АО ортогонализированы к  $1s$ -АО. Расчет произведен для межъядерных расстояний  $r(C-H) = 1,06$  А и  $r(C \equiv N) = 1,15$  А. Рассчитанное значение дипольного момента равно 2,52 Д, что находится в хорошем согласии с опытом. Указано, что связь C—H, подобно H—F, имеет заметно ионный характер, в отличие от связи H—Cl. Е. Шусторович

6Б75. Влияние взаимного искажения на смещение фаз сталкивающихся систем. Percival Ian C. Effect of mutual distortion on phase shifts of colliding systems. «Phys. Rev.», 1960, 119, № 1, 159—164 (англ.).—Предложен вариационный принцип для расчета фаз парц. волн, описывающих упругое столкновение двух сложных систем. Пределы изменения фаз могут быть получены из граничных условий для рассеянной волновой функции системы, помещенной в потенциальный ящик с бесконечными стенками. При этом непрерывный спектр заменяется дискретным и фазы выражаются через разрешенные волновые числа. Поскольку приближенные значения последних, рассчитанные вариационным методом, лишь уменьшаются при учете в пробных волновых функциях искажения, обусловленного взаимодействием систем, соответствующие фазовые сдвиги увеличиваются. Показано, что учет нескольких состояний (суперпозиция искаженных функций) улучшает приближенное значение фазы. В качестве примера рассмотрены оценки фаз в рамках метода искаженных волн. Е. Никитин

6Б76. Расчет поляризуемости отрицательного иона водорода. Веселов М. Г., Лабзовский Л. Н. «Вестн. Ленингр. ун-та», 1960, № 16, 5—6 (рез. англ.).—Вариационным методом произведен расчет поляризуемости отрицательного иона водорода с функцией основного состояния вида  $\psi_0 = \{\exp(-\alpha r_1 - \beta r_2) + \exp(-\alpha r_1 - \beta r_2)\} P_n(r_1, r_2, r_{12})$ , где один из двух параметров  $\alpha$  и  $\beta$  близок к заряду ядра Z, а другой равен экранированному заряду  $Z - \sigma$ ;  $P_n(r_1, r_2, r_{12})$  — в общем случае некоторый полином с варьируемым коэф., для которого в данном случае принята простая форма  $P_n = 1 + c r_{12}$ . Варьируемые параметры оказались равными  $\alpha = 1,074$ ,  $\beta = 0,478$ ,  $c = 0,312$ . Для энергии средства

атома водорода к электрону получена величина  $0,0259$  ат. ед., а для поляризуемости  $\alpha = 21,5 \cdot 10^{-24}$  см<sup>3</sup>. Авторы полагают, что их результат является наиболее точным из числа теоретич. расчетов поляризуемости Н<sup>+</sup>. Е. Шусторович

6Б77. Молекулярные константы двухатомных молекул с одинаковыми ядрами. I. Равновесное межъядерное расстояние. Clementi Enrico. Costanti molecolari per molecole biatomiche omonucleari. Nota I. Distanza internucleare d'equilibrio. «Ann. chimica», 1960, 50, № 3—4, 548—555 (итал.).—По аналогии с ф-лой для среднего расстояния электрона от ядра в атомах, выраженного через эффективный заряд и квантовые числа слейтеровской АО, предложена эмпирич. ф-ла для равновесных межъядерных расстояний двухатомных молекул с одинаковыми ядрами, обеспечивающая точность до 3%. Сформулированы правила для определения эффективных зарядов. Е. Никитин

6Б78. Потенциальные кривые для N<sub>2</sub>, NO и O<sub>2</sub>. Vanderslice Joseph T., Mason Edward A., Maisch William G., Lippincott Ellis R. Potential curves for N<sub>2</sub>, NO, and O<sub>2</sub>. «J. Chem. Phys.», 1960, 33, № 2, 614—615 (англ.).—Указывается, что в ф-лах ранее опубликованной работы (РЖХим, 1959, № 17, 39710) содержится ошибка. Ее устранение приводит к измененному ходу потенциальных кривых N<sub>2</sub>, NO и O<sub>2</sub>. Максим. изменение результатов, имеющее место в случае термов  $A^3\Sigma_u^+$  и  $B^3\Sigma_u^-$  молекулы O<sub>2</sub>, составляет ~1%. Табулированы вновь рассчитанные потенциальные кривые для указанных термов. Е. Никитин

6Б79. Несколько замечаний об электронном спектре боразола. Patel Jashbhai Chandubhai, Basu Sadhan. Some notes on the electronic spectra of borazol. «Naturwissenschaften», 1960, 47, № 13, 302—303 (англ.).—Полумэмпирическим методом Паризера и Парра рассчитаны уровни энергии молекулы боразола. Двухцентровые интегралы вычислены с использованием модели равномерно заряженных сфер. Удовлетворительное согласие с эксперим. частотами электронных переходов достигнуто путем эмпирич. подбора значений одноцентровых интегралов кулоновского взаимодействия электронов. Эмпирич. значения этих интегралов оказались примерно на 2 эв меньше рассчитанных со слейтеровскими АО. М. Местечкин

6Б80. Одноцентровая волновая функция молекулы метана. Saturno Antony F., Parr Robert G. A one-center wave function for the methane molecule. «J. Chem. Phys.», 1960, 33, № 1, 22—27 (англ.).—Варируемая волновая функция молекулы метана построена в виде  $\psi = C_1(s^2s^2p^6) + C_2(s^2s^2p^5d) + C_3(s^2s^*fp^6) + C_4(s^2s^*2p^5f) + C_5(s^2s^*2p^2g)$ . Здесь  $s, p, d, f, g$  — одноэлектронные функции слейтеровского типа с варьируемым главным квантовым числом и эффективным зарядом с центром у ядра углерода;  $s^*$  и  $s^-$  — две ортогональные  $s$ -функции;  $(s^2s^*2p^6)$  — определитель из спин-орбит,  $(s^2s^*2p^5d)$  — комбинация таких определителей, отличающихся заполненными  $p$ - и  $d$ -АО, имеющими тетраэдрич. симметрию;  $(s^2s^*fp^6)$  — такая же комбинация определителей, отличающихся заполненными  $s^*$ - и  $f$ -АО и т. д. В наиболее полном из вариантов расчета имелось 18 варьируемых параметров; 7 орбитальных экспонент, 7 главных квантовых чисел, 4 независимых коэф.  $C_i$ . Получено перелативистское значение полной энергии (при  $R(\text{CH}) = 2$  ат. ед.) — 39,80 ат. ед. (эксперим. значение — 40,51 ат. ед.). Сравнение с аналогичным расчетом изоэлектронного атома неона показало, что различие в основном обусловлено неучетом энергии корреляции. В другом варианте расчета, когда главные квантовые числа принимались целыми, энергия равна — 39,74 ат. ед. При упрощенном расчете, когда ограничивались только первым сферически симметричным членом и варировались только орбитальные экспоненты при различных расстояниях  $R(\text{CH})$  (1,90;

2,00; 2,0665; 2,10 ат. ед.), наиболее низкое значение энергии (—39,47 ат. ед.) получено при  $R(\text{CH}) = 2,0665$  ат. ед. Произведено сопоставление результатов с расчетом молекулы CH<sub>4</sub> по методу Хартри — Фока (РЖХим, 1958, № 23, 76254). Отмечается возможность ошибки в последней работе. М. Местечкин

6Б81. Квантово-механические приближения к химическим системам. Glick R. E., Kates D. F. Quantum-mechanical approximations to chemical systems. «J. Chem. Phys.», 1960, 33, № 1, 308 (англ.).—Предлагается использовать эксперим. значения диамагнитной восприимчивости  $\chi_A$  инертных газов для определения эффективного главного квантового числа  $n^*$  и константы экранирования  $s$ -безузловых слейтеровских АО. Полученные таким образом АО можно применить для расчета  $\chi_A$  изоэлектронных систем. Найденным этим способом АО углерода использованы для расчета  $\chi$  этилена в приближении эквивалентных орбит (вместо обычных 2рл-АО и гибридной  $sp^2$ -АО углерода рассмотрено по 2 эквивалентные гибридные  $sp^3$ -АО от каждого из атомов углерода). Рассчитанное с указанными АО вариационным методом значение для этилена  $\chi = -20,48 \cdot 10^{-6}$  удовлетворительно согласуется с экспериментом. М. Адамов

6Б82. Теоретические и численные результаты анализа вклада  $\pi$ -электронов в дипольный момент сопряженной молекулы. Sparatore Elio. Elementi teorici e numerici per un'analisi del contributo degli elettroni  $\pi$  al momento dipolare di molecole coniugate. «Gazz. chim. ital.», 1960, 90, № 2—3, 196—211 (итал.).—В рамках предложенного автором ранее (РЖХим, 1958, № 24, 80239) полумэмпирич. метода самосогласованного поля для расчета сопряженных молекул вводятся понятия взаимной поляризуемости атомов  $\pi$ , отличающейся от поляризуемости Коулсона и Лонге — Хитгинса  $\pi_{rs}$  наличием дополнительных диагональных членов, которые определяют изменение заряда атома  $dq_i$  при изменении его кулоновского интеграла  $da_i$ . Соотношение  $da_i = -K\beta dq_i$  является добавочным условием, определяющим самосогласованное поле молекулы. Величина  $\pi_{rs}$  в этом случае теряет свой первоначальный смысл, поскольку изменение одного кулоновского интеграла изменяет все остальные в результате самосогласования. Взаимная поляризуемость атомов тогда может описываться величинами  $\pi_{rs} = \beta dq_i/da_s$ , где  $da_s = da_s + K\beta dq_s$  (т. е. при  $K = 0$   $\pi_{rs} = \pi_{rs}$ ). Свойства симметрии, справедливые для  $\pi_{rs}$ , остаются верными и для  $\pi_{rs}$ ; однако альтернирование знака при движении вдоль цепи в молекулах альтернирующих углеводородов для  $\pi_{rs}$  не выполняется. Поскольку альтернирование знака  $\pi_{rs}$ , по мнению автора, не имеет физ. смысла, то из условия постоянства знака  $\pi_{rs}$  можно определить нижнюю границу  $K$ , что дает  $K = 1,67$ . Оценка другими методами приводит к величинам  $K = 1,5—1,8$ . Для бутадиена, бензола, нафталина, антрацена и фенантрена вычислены поляризуемости  $\pi_{rs}$  и вклады  $\pi$ -электронов в дипольные моменты, индуцированные изменением кулоновского интеграла. Во всех случаях самосогласование существенно уменьшает эти дипольные моменты. Е. Никитин

6Б83. К теории температурной функции Грина. Bonch-Bruевич V. L., Kogan Sh. M. On the theory of the temperature Green's functions. «Ann. Phys. (USA)», 1960, 9, № 1, 125—138 (англ.).—Развита общая теория температурной функции Грина для термодинамич. систем. Доказана спектральная теорема и установлена связь функций Грина с уровнями энергии и термодинамич. свойствами системы. В качестве примера рассчитан спектр и ширина уровней энергии электронов в невырожденном электронном газе с учетом поляризации. Е. Никитин

6Б84. Влияние оптических колебаний на парамагнитную спин-решеточную релаксацию в ионных кри-



сталлах. Кочелав Б. И. В сб. «Материалы 1-й конференции молодых научн. работн. г. Казань, Физ.-техн. и матем. секция». Казань, 1959, 63—67.—Теоретически рассмотрено влияние оптич. колебаний на процессы установления равновесия между системой электронных спинов и кристаллич. решеткой. Исследован случай одномерного кристалла, содержащего в ячейке два атома разной массы. Получена ф-ла для вероятности релаксационного перехода, из которой следует, что вклады оптич. и акустич. колебаний в релаксацию имеют одинаковый порядок величины. Отмечается, что приближение Дебая для высоких т-р (порядка комнатной) при рассмотрении процесса релаксации недостаточно.

Н. Померанцев

6Б85. «Запрещенная» часть разрешенных электронных переходов. Albrecht Andreas C. «Forbidden character in allowed electronic transitions». *J. Chem. Phys.*, 1960, 33, № 1, 156—169 (англ.).—Развивается теория интенсивностей «запрещенной» части (ИЗЧ) разрешенных электронных переходов в рамках теории электронноколебательных переходов в многоатомных молекулах (Herzberg G., Teller E. «Z. phys. Chem.», 1933, B21, 410). Под ИЗЧ понимается часть интенсивности перехода, происходящая от взаимодействия электронного и ядерного движений, которое считается малым возмущением в электронном у-нии адиабатич. приближения. В первом приближении теории возмущений получена ф-ла для отношения ИЗЧ к интенсивности чисто электронного перехода. Выясняется, что наличие смешанной поляризации (СП) в наблюдаемой полосе поглощения является признаком существования отличной от нуля ИЗЧ, однако обратное утверждение не имеет места. Показано, что в ИЗЧ могут вносить вклады как полностью симметричные, так и несимметричные колебания. Получены ф-лы для температурной зависимости ИЗЧ. В качестве примера рассмотрены пара-дизамещенные производные бензола. Расчет содержит параметры, которые определяются выбором электронных функций нулевого приближения и очень чувствительны к положению узлов этих функций. Для получения численных результатов для *p*-диметоксибензола (I) и *N,N,N',N'*-тетраметил-*p*-фенилендиамина (II) (для которых наблюдается СП) используются различные пробные функции. По крайней мере, в случае II наблюдаемая СП полос может быть объяснена вкладом ИЗЧ. Кратко обсуждается значение ИЗЧ переходов для безызлучательных переходов. И. В.

6Б86. Структура  $[\text{Mo}(\text{CN})_8]^{4-}$ . Orgel L. E. The  $[\text{Mo}(\text{CN})_8]^{4-}$  structure. *J. Inorg. and Nucl. Chem.*, 1960, 14, № 1—2, 136—138 (англ.).—Структура иона  $[\text{Mo}(\text{CN})_8]^{4-}$  (I) рассматривается как искаженная кубическая, в которой одна четверка связей, образующих тетраэдр, вытянута вдоль оси 4-го порядка, а вторая — сплюснута вдоль той же оси. По электростатич. модели наиболее стабильной при указанной конфигурации является орбита  $d_{xy}$ : у иона  $\text{Mo}^{4+}$  ( $d^2$ ) оба  $d$ -электрона находятся на орбите  $d_{xy}$ , что и объясняет диамагнетизм I. Однако при этом следовало бы ожидать вытягивания обоих тетраэдров. Аналогично должно влиять образование  $\pi$ -связей. Для объяснения различного искажения двух тетраэдров предполагается, что это искажение связано с отталкиванием лигандов друг от друга. Структура I в виде искаженного куба, а не в виде более стабильной (с электростатич. точки зрения) антипризмы, определяется, по мнению автора, тем, что при искаженной куб. конфигурации возможно образование  $\pi$ -связей (причем возможны 4 такие связи в сплюснутом тетраэдре). Предсказывается, что в I и его аналогах следует ожидать легкого замещения четырех (но не более) групп CN на лиганды, не образующие  $\pi$ -связей (как в  $[\text{Mo}(\text{CN})_4(\text{OH})_4]^{4-}$ ). Вообще, структура рассматриваемого типа должна появляться при наличии 4 лигандов, образующих, и 4 лигандов, не образующих  $\pi$ -связей. М. Дяткина

6Б87. Компоненты поляризуемости связей. Chantry George W., Plane Robert A. Bond polarizability components. *J. Chem. Phys.*, 1960, 33, № 2, 634—635 (англ.).—В сл. ч. тетраэдрич. молекула типа  $\text{XY}_4$  (имеющих анизотропию поляризуемости, равную нулю) нельзя определить обычным путем (из данных по деполаризации света, явлению Керра и т. д.) компоненты поляризуемости связей, а можно определить только комбинацию  $\alpha_1 + 2\alpha_p$ , где  $\alpha_1$  и  $\alpha_p$  — соответственно поляризуемости вдоль связи и перпендикулярно к ней. Трудность может быть преодолена, если использовать данные по интенсивностям линий комб. расс. с учетом теории (Волькенштейн М. В. «Изв. АН СССР», 1941, 32, 185). Получены значения компонент поляризуемости связей и производных от них по межатомному расстоянию для молекул четыреххлористого углерода ( $\alpha_1 = 3,76\text{Å}^3$ ,  $\alpha_p = 2,04\text{Å}^3$ ,  $\alpha'_1 = 4,49\text{Å}^3$  и  $\alpha'_p = 0,76\text{Å}^3$ ) и метана ( $\alpha_1 = 0,858\text{Å}^3$ ,  $\alpha_p = 0,546\text{Å}^3$ ,  $\alpha'_1 = 2,441\text{Å}^3$  и  $\alpha'_p = 0,34\text{Å}^3$ ). Результаты хорошо совпадают с имеющимися в литературе. Авторы считают, что величины производных от поляризуемости по длинам связей являются более ценной характеристикой молекулы, чем сами поляризуемости, так как отражают в основном поведение валентных электронов, образующих хим. связь. В случае цилиндрич. симметрии связей (ординарные связи;  $\sigma$ -,  $p_\pi$ — $p_\pi$ -тройные связи и некоторые  $d_\pi$ — $p_\pi$ -двойные связи) отношение  $\alpha'_p/\alpha'_1$  может служить мерой кратности связи, которая меньше для простых связей и больше для кратных. Если цилиндрич. симметрия отсутствует, указанное отношение может превышать величину, характерную для кратных связей с цилиндрич. симметрией. Б. Локшин

6Б88. Влияние замещения на потенциалы ионизации свободных радикалов и молекул. I. Новый набор констант значений  $\delta_K$ . Kaufman Joyce J., Koski W. S. (The effect of substitution on the ionization potentials of free radicals and molecules. I. A new set of constants, the  $\delta_K$  values. *J. Amer. Chem. Soc.*, 1960, 82, № 13, 3262—3268 (англ.).—Рассмотрена связь между потенциалами ионизации (ПИ) молекул и их физ.-хим. свойствами. Найдено, что ПИ замещ. аминов могут служить мерой «абсолютной» силы люисовского основания. Для алкильных заместителей ( $\text{R} = \text{C}_2\text{H}_5$ ,  $\text{C}_3\text{H}_7$ , *изоп*- $\text{C}_3\text{H}_7$ , *n*- $\text{C}_4\text{H}_9$ ) рассчитан новый набор констант  $\delta_K^{(1)}$ ,  $\delta_K^{(2)}$  и  $\delta_K^{(3)}$ , которые количественно передают изменения ПИ молекул при замещении соответственно одного, двух или трех атомов водорода группой (или группами) рассматриваемого типа (K). Показано, что понижение ПИ при переходе от  $\text{RNH}_2$  к  $\text{RNH}$  всегда больше, чем при переходе от  $\text{RNH}$  к  $\text{R}_2\text{N}$ . В этом авторы видят подтверждение эффекта «насыщения» в алифатич. ряду. Вычислен также другой ряд констант  $\delta_{K-M}$ , которые представляют собой изменения ПИ при замещении групп  $\text{CN}$  другими группами. В то время как значения  $\delta_K$  зависят как от индуктивного эффекта, так и от сопряжения, значения  $\delta_{K-M}$  зависят только от индуктивного эффекта. Показано, что между значениями  $\delta_{K-M}$  и  $\sigma^+$ -постоянными Тафта существует линейная зависимость. Найдено также, что использование констант  $\delta_K$  для вычисления ПИ ряда алкильных радикалов приводит к хорошему согласию с опытом. Е. Шусторович

6Б89. Простые уравнения для расчета энергий диссоциации связей. Erre de L. A. Simple equations for calculating bond dissociation energies. *J. Phys. Chem.*, 1960, 64, № 8, 1031—1034 (англ.).—На основе эксперим. значений энергии диссоциации связей (D), взятых из

литературы D:  $D(R' - R) = D(R - R') + D(R' - R)$ . Если  $R' = \text{CN}$ , а  $R = \text{H}$ , то  $\lambda = 1$  и  $\epsilon_1$  и  $\epsilon_2$  могут быть определены из уравнения  $\epsilon_1 + \epsilon_2 = 1$  и  $\epsilon_1 - \epsilon_2 = 1$  (взятых из гл. 1—2 кал.).

6Б90. Bond lengths of  $\text{CH}_4$  and  $\text{CF}_4$  from spectroscopic data. (англ.).—Получены значения длин связей  $\text{CH}_4$  и  $\text{CF}_4$  из спектроскопических данных. Для  $\text{CH}_4$  получены значения  $r_{\text{CH}}$  и  $r_{\text{CH}_2}$  (взятые из гл. 1—2 кал.).

6Б91. The effect of substitution on the ionization potentials of free radicals and molecules. I. A new set of constants, the  $\delta_K$  values. (англ.).—Рассмотрена связь между потенциалами ионизации (ПИ) молекул и их физ.-хим. свойствами. Найдено, что ПИ замещ. аминов могут служить мерой «абсолютной» силы люисовского основания. Для алкильных заместителей ( $\text{R} = \text{C}_2\text{H}_5$ ,  $\text{C}_3\text{H}_7$ , *изоп*- $\text{C}_3\text{H}_7$ , *n*- $\text{C}_4\text{H}_9$ ) рассчитан новый набор констант  $\delta_K^{(1)}$ ,  $\delta_K^{(2)}$  и  $\delta_K^{(3)}$ , которые количественно передают изменения ПИ молекул при замещении соответственно одного, двух или трех атомов водорода группой (или группами) рассматриваемого типа (K). Показано, что понижение ПИ при переходе от  $\text{RNH}_2$  к  $\text{RNH}$  всегда больше, чем при переходе от  $\text{RNH}$  к  $\text{R}_2\text{N}$ . В этом авторы видят подтверждение эффекта «насыщения» в алифатич. ряду. Вычислен также другой ряд констант  $\delta_{K-M}$ , которые представляют собой изменения ПИ при замещении групп  $\text{CN}$  другими группами. В то время как значения  $\delta_K$  зависят как от индуктивного эффекта, так и от сопряжения, значения  $\delta_{K-M}$  зависят только от индуктивного эффекта. Показано, что между значениями  $\delta_{K-M}$  и  $\sigma^+$ -постоянными Тафта существует линейная зависимость. Найдено также, что использование констант  $\delta_K$  для вычисления ПИ ряда алкильных радикалов приводит к хорошему согласию с опытом. Е. Шусторович

6Б92. The effect of substitution on the ionization potentials of free radicals and molecules. I. A new set of constants, the  $\delta_K$  values. (англ.).—Рассмотрена связь между потенциалами ионизации (ПИ) молекул и их физ.-хим. свойствами. Найдено, что ПИ замещ. аминов могут служить мерой «абсолютной» силы люисовского основания. Для алкильных заместителей ( $\text{R} = \text{C}_2\text{H}_5$ ,  $\text{C}_3\text{H}_7$ , *изоп*- $\text{C}_3\text{H}_7$ , *n*- $\text{C}_4\text{H}_9$ ) рассчитан новый набор констант  $\delta_K^{(1)}$ ,  $\delta_K^{(2)}$  и  $\delta_K^{(3)}$ , которые количественно передают изменения ПИ молекул при замещении соответственно одного, двух или трех атомов водорода группой (или группами) рассматриваемого типа (K). Показано, что понижение ПИ при переходе от  $\text{RNH}_2$  к  $\text{RNH}$  всегда больше, чем при переходе от  $\text{RNH}$  к  $\text{R}_2\text{N}$ . В этом авторы видят подтверждение эффекта «насыщения» в алифатич. ряду. Вычислен также другой ряд констант  $\delta_{K-M}$ , которые представляют собой изменения ПИ при замещении групп  $\text{CN}$  другими группами. В то время как значения  $\delta_K$  зависят как от индуктивного эффекта, так и от сопряжения, значения  $\delta_{K-M}$  зависят только от индуктивного эффекта. Показано, что между значениями  $\delta_{K-M}$  и  $\sigma^+$ -постоянными Тафта существует линейная зависимость. Найдено также, что использование констант  $\delta_K$  для вычисления ПИ ряда алкильных радикалов приводит к хорошему согласию с опытом. Е. Шусторович

литературы, выведены эмпирич. ур-ния для расчета  $D(R' - R'') = \lambda \cdot \epsilon_1 \cdot \epsilon_2$ , где  $\lambda$ ,  $\epsilon_1$  и  $\epsilon_2$  — постоянные. Если  $R' = \text{CH}_3$ ,  $\text{CX}_3$ ,  $\text{C}_6\text{H}_5$ ,  $\text{RC} \equiv \text{C}$ ,  $\text{R}''\text{C} = \text{CR}$ ,  $\text{RCO}$  или  $\text{CN}$ , а  $\text{R}'' = \text{H}$ ,  $\text{X}$ ,  $\text{OH}$ ,  $\text{OR}$ ,  $\text{NR}'$ ,  $\text{NO}$ ,  $\text{NO}_2$ ,  $\text{SR}$  или  $\text{R}'$ , то  $\lambda = 71$  ккал/моль ( $\text{X} = \text{J}$ ,  $\text{Br}$ ,  $\text{Cl}$  или  $\text{F}$ ). Постоянные  $\epsilon_1$  и  $\epsilon_2$  характеризуют группы  $\text{R}'$  и  $\text{R}''$  и могут быть определены как угловые коэф. из линейных зависимостей  $D(R' - \text{X})$  и  $D(R'' - \text{X})$  от  $\text{X}$ . Для вычисления  $\epsilon$  группы  $\text{R}$  типа  $-\text{CA}^1\text{A}^2\text{A}^3$  ( $\epsilon(\text{gr.})$ ) предложено ур-ние:  $\epsilon(\text{gr.}) = 0,43 + 0,162 \sum \epsilon_i$ , где  $\epsilon_i$  — значения  $\epsilon$  отдельных связей  $\text{C}-\text{A}$ . Рассчитанные по предложенным ур-ниям значения в большинстве (свыше 80%) случаев согласуются с экспериментальными в пределах 1–2 ккал.

**6Б90. Объяснение неаддитивности длин связей.** Bent Henry A. Explanation of the nonadditivity of bond lengths. *J. Chem. Phys.*, 1960, 33, № 1, 304–305 (англ.). Показана неприменимость эмпирич. правила (Schomaker V., Stevenson D. P. *J. Amer. Chem. Soc.*, 1941, 63, 37) для предсказания длины связи  $\text{C}-\text{F}$  в  $\text{CH}_3\text{F}$  и  $\text{CF}_4$ . Поскольку разница в эффективной электроотрицательности между  $\text{CH}_3$  и  $\text{F}$  больше, чем между  $\text{CF}_3$  и  $\text{F}$ , то, по указанному правилу, длина связи  $\text{C}-\text{F}$  в  $\text{CF}_4$  должна быть больше, чем в  $\text{CH}_3\text{F}$ , что противоречит опыту (1,32 и 1,39 Å для  $\text{CF}_4$  и  $\text{CH}_3\text{F}$  соответственно). Этот результат, а также значительное отклонение длин связей  $\text{C}-\text{F}$  от суммы ковалентных радиусов (1,49 Å) автор объясняет изменениями в состояниях гибридизации атомов. При переходе от  $\text{F}_2$  к  $\text{CF}_4$  атом  $\text{F}$  изменяет свою гибридизацию, что приводит к увеличению  $s$ -характера связывающей орбиты и, следовательно, к уменьшению эффективного ковалентного радиуса атома  $\text{F}$ .

**6Б91. Масс-спектры циклических кетонов.** Beu-pon J. H., Saunders R. A., Williams A. E. The mass spectra of cyclic ketones. *Appl. Spectroscopy*, 1960, 14, № 4, 95–97 (англ.). На масс-спектрометре с двойной фокусировкой, обладающем высокой разрешающей силой, зарегистрированы масс-спектры следующих циклич. кетонов: циклопентанона, циклогексанона, циклогептанона, *цис*- $\beta$ -декалона и *транс*- $\beta$ -декалона. Точное определение массы каждого иона позволило установить их эмпирич. ф-лы. Наибольшим пиком в масс-спектрах соединений с одним кольцом соответствуют ионы  $\text{C}_5\text{H}_8\text{O}^+$ . Отмечено, что в исследованных в-вах имеется тенденция под действием электронной бомбардировки образовывать ионы, соответствующие потере мол. ионами групп  $\text{C}_2\text{H}_4$ ,  $\text{C}_2\text{H}_5$  и  $\text{C}_2\text{H}_6$ . До  $m/e = 29$  в масс-спектрах преобладают углеводородные ионы. Показано, что масс-спектры *цис*- $\beta$  и *транс*- $\beta$ -декалона отличаются друг от друга.

**6Б92. Ионы кислорода с высокой энергией в масс-спектрах двуокиси углерода.** Hall R. M. S. High-energy oxygen ions in carbon dioxide mass spectra. *Nature* (Engl.), 1960, 187, № 4738, 683 (англ.). Использование пониженного ускоряющего напряжения ионов позволило различить в масс-спектре  $\text{CO}_2$  ионы одной массы, но обладающие начальной кинетич. энергией, от ионов с тепловой энергией. Показано, что начальной кинетич. энергией, равной 3,5 эв, обладают ионы  $\text{O}^+$ . Зависимость относительного кол-ва этих ионов от выходящего напряжения (или, что то же, от времени жизни ионов в камере полного источника) показала, что ионы образуются в процессе распада. Сравнение потенциалов появления ионов приводит к выводу, что наиболее вероятно образование быстрых ионов  $\text{O}^+$  в процессе  $\text{CO}_2^{2+} \rightarrow \text{CO}^+ + \text{O}^+$ .

**6Б93. Фотоионизация паров соединений, молекулы которых содержат карбонильную группу.** Вилсон Ф. И. *Докл. АН СССР*, 1960, 132, № 6, 1332–1334. На установке, описанной ранее (РЖХим, 1959, № 9, 3128), измерены методом фотоионизации первые потенциалы ионизации (ПИ) следующих соединений (в эв): формальдегид 10,90; ацетальдегид 10,20; диме-

тил-9,71; метилэтил-9,54; метилпропил-9,47; метилбутил-9,44; метилгексил-9,40; диэтил-9,12; пропилбутил-9,10; диизобутилкетоны 9,04; циклопентанон 9,42; циклогексанон 9,14; пинаколин 9,18; пивалон 8,65; камфора 8,76; хлорацетон 9,91; дихлорацетон 10,12; формальдегид 10,16; ацетамид 9,65; муравьиная к-та 11,05; уксусная к-та 10,38. Точность измерений  $\pm 0,03$  эв. Изменение ПИ в ряду альдегидов и кетонов является линейной функцией индукционного эффекта, связанного с удлинением углеводородной цепи. ПИ членов такого ряда подчиняются приближенному соотношению  $\Delta I_p \approx \text{const}/l(n+1)^2$ , где  $\Delta I_p$  — разность ПИ двух соседних членов ряда,  $l(n+1)$  — относительное расстояние между карбонильной группой и атомом  $\text{H}$ , который замещается на группу  $\text{CH}_3$  с образованием  $(n+1)$ -го члена ряда. Показано, что наряду с индукционным эффектом в случаях амидов и к-т имеет место эффект сопряжения, действие которого может быть противоположным индукционному эффекту.

**6Б94. Об экстраполяции экспериментального распределения интенсивности рассеяния электронов молекулами при использовании метода радиального распределения.** Рамбиди Н. Г., Акиншин П. А. *Вестн. Моск. ун-та, Химия*, 1960, № 3, 18–21. В работе оценивается вклад, вносимый в функцию радиального распределения экстраполяцией эксперим. распределения интенсивности рассеяния электронов молекулами, необходимой из-за ограниченности области углов рассеяния, регистрируемой на опыте. Авторами выведены приближенные ф-лы для вычисления вклада, вносимого экстраполяцией в области больших и малых углов рассеяния, и приведены таблицы для его оценки в зависимости от максим. или миним. угла рассеяния и среднеквадратичных амплитуд колебаний атомов, обычно встречающихся на практике. В. Спиридонов

**6Б95. Роль спин-спинового взаимодействия в мультиплетном расщеплении состояния  $^1\Pi$  молекулы  $\text{O}_2^+$ .** Kovács I. The role of the spin-spin interaction in the multiplet splitting of the  $^1\Pi$  state of the  $\text{O}_2^+$  molecule. *Acta phys. Acad. scient. hung.*, 1959, 10, № 3, 255–258 (англ.; рез. русск.). Показано, что спин-спиновое взаимодействие вызывает в ионе  $\text{O}_2^+$  те же самые отклонения от обычного мультиплетного расщепления состояния  $^1\Pi$ , что и спин-орбитальное взаимодействие, которым первоначально и объяснялись наблюдаемые отклонения. Таким образом эти отклонения можно объяснить обоими типами взаимодействий. А. Мальцев

**6Б96. О заселенности колебательных уровней возбужденных молекул  $\text{CS}$  в высокочастотном безэлектродном разряде.** Попова Т. П. *Изв. высш. учебн. заведений. Физика*, 1960, № 1, 124–127. На основании измерений интенсивностей ряда полос секвенций  $\Delta v = 0$  и 1 системы  $^1\Pi - ^1\Sigma$  молекулы  $\text{CS}$ , возбужденных в безэлектродном ВЧ-разряде, вычислена заселенность колебательных уровней состояния  $^1\Pi$  и показано, что она подчиняется экспоненциальному закону при  $t$ -ре 1300–1400° К. Полученные данные свидетельствуют о неравновесности процесса излучения в ВЧ-разряде в условиях опыта. В. Юнгман

**6Б97. О сложной структуре функций возбуждения полос молекулярных ионов  $\text{N}_2^+$ ,  $\text{CO}^+$  и  $\text{NO}^+$ .** Запечный И. П., Китко С. М. *Докл. АН СССР*, 1960, 134, № 2, 311–313. Для уточнения характера оптич. функций возбуждения (ФВ) двухатомных молекул исследованы полосатые спектры  $\text{N}_2$ ,  $\text{CO}$ ,  $\text{NO}$ ,  $\text{N}_2^+$ ,  $\text{CO}^+$ ,  $\text{NO}^+$ , возбужденных электронными соударениями. Предполагается, что обнаруженная сложная структура ФВ полос, излучаемых ионами  $\text{N}_2^+$ ,  $\text{CO}^+$ ,  $\text{NO}^+$ , обусловлена различными элементарными процессами, протекающими в разряде. Отмечено, что ФВ полос, принадлежащих определенной системе данного иона, совершенно одинаковы. В противоположность мол. ионам, ФВ нейтр. молекул не имеют вторичных максимумов. В. Матрюков

6Б98. Вращательно-колебательное взаимодействие при электронных переходах. Применение к измерениям вращательной «температуры». James Thomas C. Rotation-vibration interaction in electronic transitions. Application to rotational «temperature» measurements. «J. Chem. Phys.», 1960, 32, № 6, 1770—1775 (англ.).—Теоретически исследовано влияние взаимодействия вращения и колебаний на интенсивность линий электронного перехода двухатомной молекулы и показано, что оно наиболее существенно для молекул с большими значениями  $\gamma = 2B_e/\omega_e$ , где  $B_e$  — вращательная постоянная и  $\omega_e$  — частота колебания, т. е. для большинства гидридов. Отмечается связь между исследуемым явлением и зависимостью момента электронного перехода от межъядерного расстояния. В качестве примера рассмотрены вращательные линии полос 0—0, 0—1 и 1—0 перехода  ${}^2\Sigma - {}^2\Pi$  молекулы OH. Сделан вывод, что пренебрежение взаимодействием вращения и колебаний при определении вращательной температуры приводит к неверным результатам. В. Юнгман

6Б99. Кривые потенциальной энергии фтористого водорода. Fallon Robert J., Vanderslice Joseph T., Mason Edward A. Potential energy curves of hydrogen fluoride. «J. Chem. Phys.», 1961, 32, № 3, 698—700 (англ.).—По методу Ридберга — Клейна — Риса рассчитаны кривые потенциальной энергии для состояний  $X^1\Sigma^+$  и  $V^1\Sigma^+$  молекул HF и DF. Результаты расчетов хорошо согласуются с эксперим. кривыми потенциальной энергии, найденными из спектроскопич. измерений (РЖХим, 1960, № 5, 16565). Сопоставление с результатами расчета HF по методу самосогласованных МО с учетом конфигурационного взаимодействия (РЖХим, 1960, № 10, 37652) показало, что теоретич. кривая потенциальной энергии состояния  $X^1\Sigma^+$  плохо согласуется с опытом. Е. Шусторович

6Б100. О функциях возбуждения молекул азота и окиси углерода при столкновении с электронами. Записочный И. П., Кишко С. М., «Изв. АН СССР. Сер. физ.», 1960, 24, № 8, 953—955.—Определены функции возбуждения (ФВ) полос второй положительной системы  $N_2$  и полос системы Ангстрема CO при электронном ударе в условиях отсутствия многократных столкновений. Во всех случаях порог возбуждения совпадает с потенциалом возбуждения, энергии максимумов различных полос данной системы совпадают, а за максимумом ФВ монотонно убывают (в исследуемом интервале энергий до  $\sim 200$  эв). Последнее существенно отличает ФВ нейтр. молекул от ФВ соответствующих ионов, для которых ранее была обнаружена тонкая структура ФВ. Е. Накитин

6Б101. Корреляция экспериментальных результатов для колебательной релаксации окиси азота. Robert Frank, Monson Philip R., Allport John J. Correlation of experimental results for the vibrational relaxation of nitric oxide. «J. Chem. Phys.», 1960, 33, № 2, 630 (англ.).—По ИК-спектру испускания определена вероятность  $P_{1-0}$  дезактивации первого колебательного уровня молекулы NO в слабых ударных волнах (500—1500° K) в чистой окиси азота. Величины  $P_{1-0}$  в среднем изменяются от  $3 \cdot 10^{-4}$  (500° K) до  $2 \cdot 10^{-3}$  (1500° K) и удовлетворительно коррелируют с данными по дисперсии ультразвука и по оптич. измерению поглощения в полосе 0—1  $\gamma$ -системы NO. Е. Накитин

6Б102. Относительно механизма люминесценции послеосвещения азота. Bayes K. D., Kistiakowsky G. B. On the mechanism of the Lewis-Rayleigh nitrogen afterglow. «J. Chem. Phys.», 1960, 32, № 4, 992—1000 (англ.).—В спектре послеосвещения активного азота в области 5000—11000 Å исследовалась зависимость относительной интенсивности полос систем  $Y^3\Sigma_u^- - B^3\Pi_g$  и  $B^3\Pi_g - A^3\Sigma_u^+$  молекулы  $N_2$  от температуры (77—370° K) и наличия постороннего газа (Ar, He,  $H_2$ ,  $CO_2$ ,  $NH_3$ , CO

и  $N_2O$ ). На основании полученных данных вычислена относительная заселенность колебательных уровней состояний  $B^3\Pi_g$  и  $Y^3\Sigma_u^-$  и найдено, что в непосредственной близости (ниже) диссоциационного предела (79 900  $cm^{-1}$ ) она практически равна нулю, в то время как максимум ее при 0° K расположен на 850  $cm^{-1}$  ниже этого предела, что равно, по-видимому, энергии диссоциации состояния  ${}^5\Sigma_g^+$  молекулы  $N_2$ . Для объяснения эксперим. данных по распределению заселенности колебательных уровней предложен новый механизм послеосвещения активного азота, являющийся развитием предложенного ранее механизма (РЖХим, 1957, № 12, 40633). Согласно этому механизму, распределение заселенности состояний  $B^3\Pi_g$  и  $Y^3\Sigma_u^-$  обусловлено безызлучательными переходами в результате столкновений из состояния  ${}^5\Sigma_g^+$ , образуемого при рекомбинации атомов  $N(^4S)$ , и последующими переходами с излучением. Предложенный механизм удовлетворительно объясняет данные, полученные в случае чистого азота, но не в состоянии описать некоторые явления, наблюдаемые при добавлении посторонних газов к азоту, в частности, тушение в ряде случаев излучения, связанного с низкими колебательными уровнями состояния  $B^3\Pi_g$ . В. Юнгман

6Б103. Новое в анализе вращательной структуры полосы 1—0 перехода  $A^3\Pi_i - X^3\Sigma^-$  молекулы NH. Guenebault Henri, Pannetier Guy. Contribution nouvelle à l'analyse de la structure rotationnelle de la bande (1, 0) de la transition  $A^3\Pi_i - X^3\Sigma^-$  de NH. «C. r. Acad. sci.», 1960, 250, № 22, 3613—3615 (франц.).—Исследована тонкая структура полосы 1—0 (3051 Å) перехода  $A^3\Pi_i - X^3\Sigma^-$  молекулы NH. Источником спектра служило атомное пламя  $N_2H + H$ . Наблюдались линии  $R_1$ ,  $R_2$ ,  $R_3$  и  $Q_1$ ,  $Q_2$ ,  $Q_3$ -ветвей, развитые до  $K = 11$  и 13 соответственно. Вычисленные значения постоянных  $B$ ,  $D$ ,  $AG_v$  и  $e$  совпадают с найденными в других работах (РЖХим, 1960, № 16, 64248). В. Юнгман

6Б104. О частоте колебаний молекулы  $TiH$ . Краев К. С. «Оптика и спектроскопия», 1959, 7, № 6, 843—844.—Основываясь на коэф. отталкивания  $e$  для ионных молекул (Rittner E. S. «J. Chem. Phys.», 1951, 19, 1030) и эмпирич. закономерности  $\omega_e = 58,17 + 7147,22/\mu$  ( $\mu$  — приведенная масса) для галогенидов Ti, сделан вывод, что для  $TiH$  колебательная частота  $\omega_e = 150$   $cm^{-1}$ , а не 120  $cm^{-1}$ , как принято в книге Герцберга («Спектры и строение двухатомных молекул», М., 1949). А. Мальцев

6Б105. Колебательные постоянные и энергии диссоциации молекулы BeCl. Новиков М. М., Тунякий Л. Н. «Оптика и спектроскопия», 1960, 8, № 752—760.—Измерены кванты  $Q_1$ ,  $R_1$  и  $R_2$ -ветвей 40 полос  $BeCl^{35}$  и 26 полос  $BeCl^{37}$  с  $v'$  и  $v'' \leq 10$ , сфотографированных в испускании на приборе ДФС с дисперсией 2 Å/мм в области 3468—3686 Å и принадлежащих электронному переходу  $A^2\Pi - X^2\Sigma^+$ . Расчет колебательных постоянных в обоих состояниях производился на основании значений  $\Delta G(v)$ , вычисленных по квантам  $Q_1$ -ветвей полос различных секвенций. При предположении, что колебательная энергия описывается двухлучевым уравнением, для волновых чисел квантов было получено выражение  $\nu_{Q_1} = 27959,5 + (817,28 v' - 5,497 v'^2) - (840,46 v'' - 4,831 v''^2)$   $cm^{-1}$ . Однако, если по аналогии с BeF (РЖХим, 1959, № 8, 26114) предположить, что состояния  $A^2\Pi$  и  $X^2\Sigma^+$  молекулы BeCl имеют общий диссоциационный предел, полученное выражение для  $\nu_{Q_1}$  не будет соответствовать такой корреляции. Поэтому в уравнении для колебательной энергии были учтены члены с более высокой степенью  $v$  и в соответствии с принятой корреляцией окончательно получено  $\nu_{Q_1} = 27960,1 + (816,0 v' - 5,06 v'^2 - 0,0368 v'^3) - (841,3 v'' - 5,11 v''^2 + 0,0205 v''^3 - 0,000058 v''^4)$   $cm^{-1}$ . Учитывая возможность наличия максимумов

на потен для энерг значения +4000 с 2620 Å об отнесенн 6Б106.

SiCl. Ов тин В. 746—751. 1—0, 0— сфотогра в 3-м по нплоть д  $I = 70,5$ . состоян численн  $X^1\Pi_1$ ,  $X$  0,2556 и 1,2355 и 1 лос  ${}^2\Sigma^- \rightarrow$  (0—1), 3 Найдена  $\pm 0,001$  ошибк

6Б107. дення. Transfer Spiers п № 27, 7.

6Б108. новного Andrz dimers: «J. Chem лучено в состоян лекул, в Приним рам до электр ламы с состоян по сравн тия моле связаны личные денном зуетс и при пре положен

6Б109. энергия later O Elektro (франц.) многочи зриван рассмат ной эне в течен электр ми при Количе передач новесия водитс Теория р-ры для что с дить ст

2 Хими



на потенциальных кривых состояний  $X^2\Sigma^+$  и  $A^2\Pi$ , для энергий диссоциации этих состояний рекомендуют значения  $D_0 = 47\,500 \pm 4000 \text{ см}^{-1}$  ( $5,9 \pm 0,5 \text{ эв}$ ) и  $19\,500 \pm 4000 \text{ см}^{-1}$  ( $2,4 \pm 0,5 \text{ эв}$ ) соответственно. В области  $2620 \text{ Å}$  обнаружены новые полосы, предположительно относящиеся также к молекуле  $\text{BeCl}$ .

В. Юнгман 6Б106. Анализ тонкой структуры полос молекулы  $\text{SiCl}$ . Овчаренко И. Е., Туницкий Л. Н., Якутин В. И. «Оптика и спектроскопия», 1960, 8, № 6, 746–751. — Выполнен вращательный анализ полос  $1-0$ ,  $0-0$  и  $0-1$  системы  $B^2\Sigma - X^2\Pi$  молекулы  $\text{SiCl}$ , сфотографированных в испускании на приборе ДФС-3 в 3-м порядке с дисперсией  $0,57 \text{ Å/мм}$  и развитых вплоть до значения вращательного квантового числа  $J = 70,5$ . В предположении, что тип связи в основном состоянии  $X^2\Pi$  относится к случаю Гунда а, были вычислены вращательные постоянные в состоянии  $X^2\Pi_{1/2}$ ,  $X^2\Pi_{3/2}$  и  $B^2\Sigma$  соответственно (в  $\text{см}^{-1}$ ):  $B_0$  0,2550, 0,2556 и 0,2782;  $\alpha$  0,0016, 0,0016 и 0,0015;  $D_e \cdot 10^7$  2,341, 2,355 и 1,752, а также частоты нулевых линий подполос  $2\Sigma - 2\Pi_{1/2}$  и  $2\Sigma - 2\Pi_{3/2}$  (в  $\text{см}^{-1}$ ): 33662,0 и 33455,7 ( $0-1$ ), 34193,6 и 33987,1 ( $0-0$ ), 34892,2 и 34685,8 ( $1-0$ ). Найдена также константа  $\Lambda$ -удвоения  $a$   $0,004 \pm \pm 0,001 \text{ см}^{-1}$  в состоянии  $2\Pi_{1/2}$ . Среднеквадратичная ошибка в определении  $B$  равна  $0,0001 \text{ см}^{-1}$ . В. Юнгман 6Б107. Механизмы переноса электронного возбуждения. 10-я лекция памяти Спирса. Förster Th. Transfer mechanisms of electronic excitation. 10th Spiers memorial lecture. «Disc. Faraday Soc.», 1959, № 27, 7–17 (англ.). — Обзор. Библ. 63 назв.

В. Ермолаев 6Б108. Электронные спектры димеров. Вывод основного колебательного уравнения. Witkowski Andrzej, Moffitt William. Electronic spectra of dimers: derivation of the fundamental vibronic equation. «J. Chem. Phys.», 1960, 33, № 3, 872–875 (англ.). — Получено выражение для гамма-функции колебательного состояния димера, состоящего из двух идентичных молекул, взаимное расположение которых фиксировано. Принимается, что взаимное расстояние между димерами достаточно велико, чтобы не происходило обмена электронами. Энергия взаимодействия между молекулами считается зависящей только от их электронных состояний и межмолекулярного расстояния и малой, по сравнению с расстояниями между уровнями, энергии молекул. Предполагается также, что молекулы связаны только резонансными силами и имеют различные равновесные положения в основном и возбужденном состояниях. Показано, что сильная связь образуется при преобладании резонансных сил, а слабая — при преобладании эффекта изменения равновесных положений.

Л. Грибов 6Б109. Межмолекулярный переход электронно-ионной энергии возбуждения. Förster Th. Zwischenmolekularer Übergang von Elektronenanregungsenergie. «Z. Elektrochem.», 1960, 64, № 1, 157–165 (нем.; рез. англ., франц.). Diskuss., 194–204 (англ. и нем.). — Используя многочисленные литературные данные по сенсibilизированной флуоресценции в парах и р-рах, автор рассматривает безызлучательный переход электронной энергии возбуждения, который может происходить в течение короткого времени жизни возбужденных электронных состояний. Расстояния между молекулами при этом могут достигать нескольких десятков Å. Количественно рассматривается элементарный процесс передачи энергии между молекулами при термич. равновесии для диполь-дипольного взаимодействия. Проводится также качествен. рассмотрение других случаев. Теория элементарного процесса распространяется на р-ры со статич. распределением молекул. Показано, что для одинаковых молекул переходы могут происходить ступенчато. Такие последовательные переходы,

по-видимому, имеют место при сенсibilизации флуоресценции посторонних молекул в органич. мол. кристаллах.

В. Коряжкин 6Б110. Влияние растворителей и концентрации на спектры поглощения  $\text{CuCl}_2$ . Павлюченко М. М., Лазерко Г. А. «Тр. Хим. фак. Белорусск. ун-та. Минск, 1960, 13–20. — Измерены спектры поглощения в видимой и ближней УФ-области р-ров  $\text{CuCl}_2$  в ацетоне, этаноле, водно-аммиачной среде и в воде, содержащей  $\text{HCl}$ . Найдены максимумы поглощения при длинах волн (в  $\text{мк}$ ): ацетоновые р-ры 295, 475 и 840; этанольные р-ры 287 и 870; водно-аммиачные р-ры 600–640; водн. р-ры, содержащие  $\text{HCl}$ , 250 и 840. Максимум при 250  $\text{мк}$  в спектрах солянокислых водн. р-ров  $\text{CuCl}_2$  отнесен к поглощению комплекса  $\text{CuCl}_4$ , образующегося в системе. Р-ры  $\text{CuCl}_2$  при конц-ях  $0,004$ – $0,1 \text{ M}$  и  $0,0004$ – $0,1 \text{ M}$  не подчиняются закону Бера.

Ю. Харитонов 6Б111. Спектры люминесценции при высокочастотном возбуждении. I. Спектры некоторых неорганических газов. Given Thomas, Magee Robert J., Wilson Cecil L. Luminescence spectra from high-frequency excitation — I. The spectra of some inorganic gases. Talanta, 1959, 3, № 2, 191–199 (англ.; рез. нем., франц.). — С целью использовать в дальнейшем для аналитич. целей свечение газов и паров в ВЧ-разряде исследованы спектры воздуха,  $\text{O}_2$ ,  $\text{CO}_2$ ,  $\text{SO}_2$ ,  $\text{N}_2$  и  $\text{Ar}$ . Описаны ВЧ-генератор и разрядная трубка новой конструкции.

А. Мальцев 6Б112. Ультрафиолетовые спектры поглощения изомерных фтортолуолов в жидком и твердом состояниях. Sen S. K. Ultraviolet absorption spectra of isomeric fluorotoluenes in the liquid and solid states. «Indian J. Phys.», 1960, 34, № 5, 237–246 (англ.). — Исследованы УФ-спектры поглощения *o*-(I), *m*-(II) и *p*-фтортолуола (III) в жидком при  $30^\circ$  и твердом при  $-180^\circ$  состояниях. Спектр I (жидк.) состоит из 4 широких полос, из которых полоса  $37\,246 \text{ см}^{-1}$  отнесена к переходу  $0-0$ . В спектре I (тв.) полосы становятся более резкими и их число возрастает до 13, причем полоса  $0-0$  смещается к  $37\,400 \text{ см}^{-1}$ . Остальные полосы интерпретированы с помощью частот колебаний в возбужденном состоянии (в  $\text{см}^{-1}$ ) 496, 707, 924 и 1230. Спектр II (жидк.) состоит из двух серий широких полос с интервалом  $247 \text{ см}^{-1}$ , отнесенных к мономерным и димерным молекулам соответственно. В спектре II (тв.) наблюдается лишь одна система, что объясняется существованием в твердом состоянии только димерных молекул. Полоса  $37\,239 \text{ см}^{-1}$  в этой системе отнесена к переходу  $0-0$ , а остальные полосы интерпретированы с помощью частот колебаний в возбужденном состоянии (в  $\text{см}^{-1}$ ) 685, 924, 1246. В спектре III (жидк.) наблюдавшиеся полосы образуют систему с полосой  $36\,517 \text{ см}^{-1}$ , отнесенной к переходу  $0-0$ , и остальными полосами, интерпретированными с помощью частот колебаний в возбужденном состоянии 843 и  $1230 \text{ см}^{-1}$ . В спектре III (тв.) каждая полоса состоит из двух компонентов с расстоянием между ними  $188 \text{ см}^{-1}$ , что объясняется расщеплением возбужденного электронного состояния. Проводится сравнение полученных результатов с данными, найденными для аналогичных соединений хлора и брома, а также для исследованных молекул в газообразном состоянии (Cave W. T., Thompson H. W., «Discuss. Faraday Soc.», 1950, 9, 41).

В. Юнгман 6Б113. Спектр поглощения фторксилолов в ближней ультрафиолетовой области. Padhye M. R., Vadarajan T. S. The near ultraviolet absorption spectra of fluoroxylenes. «Current Sci.», 1960, 29, № 4, 129 (англ.). — Исследованы спектры поглощения паров 1-фтор-2,3-, 1-фтор-2,6-, 1-фтор-2,4-, 1-фтор-2,5-, и 1-фтор-3,4-диметилбензолов в ближней УФ-области. Во всех спектрах обнаружены системы полос, соответствующие переходу  $A_{1g} - B_{2u}$  в молекуле бензола. Выпол-

нен колебательный анализ этих систем. Волновые числа полос  $O-H$  равны (в  $cm^{-1}$ ) 37 397, 37 358, 36 610, 36 919 и 36 892 соответственно.

**6Б114.** Спектрофотометрическое изучение образования кремниймолибденовой кислоты в растворе. Kęstula Wiktor, Rosolowski Szczesny. Spektrofotometryczne badania heteropolikwasow molibdeni-pokrzemowych w roztworze. «Roczn. chem.», 1960, 34, № 1, 3—15 (польск.; рез. русск., англ.).—Спектрофотометрическим методом изучены состав и устойчивость гетерополикислот, образующихся в кислых водах. р-рах при р-ции  $(NH_4)_2MoO_4$  с  $Na_2SiO_3$ . Установлено, что при рН р-ров 4,6—4,0 и 2,5—1,2 в р-рах  $HNO_3$  и 2,5—1,5 в р-рах  $H_2SO_4$  присутствуют соответственно  $\alpha$ - и  $\beta$ -кремниймолибденовые к-ты с отношением Si:Mo = 1:8. С учетом координационного числа 4 для Si предполагается, что состав  $\alpha$ - и  $\beta$ -кремниймолибденовых к-т соответствует ф-ле  $H_4[Si(MoO_7)_4] \cdot nH_2O$ . Оценена кажущаяся константа нестойкости к-т, равная в обоих случаях  $1,6 \cdot 10^{-12}$ . При нагревании р-ров до 100° в течение 30 мин. необратимо образуется соединение с отношением Si:Mo = 1:12 (рН р-ров 0—4,0) —  $\gamma$ -кремниймолибденовая к-та, для которой предложена ф-ла  $H_4[Si(Mo_3O_{10})_4] \cdot nH_2O$  с учетом координационного числа 4 для Si. Кажущаяся константа нестойкости  $\gamma$ -кислоты найдена равной  $2,0 \cdot 10^{-14}$  при комнатной т-ре.

**Ю. Харитонов**  
**6Б115.** О молекулярных комплексах йода с многоядерными ароматическими углеводородами. Chowdhury Mihir, Basu Sadhan. Some notes on molecular complexes between iodine and polynuclear aromatic hydrocarbons. «J. Chem. Phys.», 1960, 32, № 5, 1450—1452 (англ.).—Спектрофотометрическим методом (в области 340—430 мμ) изучено комплексообразование  $J_2$  в  $CCl_4$  с нафталином (I), антраценом (II), пиреном (III), фенантроном (IV), хризеном (V) и стилибеном (VI) при больших конц-ях  $J_2$  и малых конц-ях углеводородов. Установлено, что в р-рах образуются комплексы с отношением  $J_2$ : углеводород = 2:1. Определены константы образования комплексов  $K$  и мол. коэф. поглощения  $\epsilon$ . Найдено (1-я цифра —  $K \cdot 10^2$ , 2-я —  $\epsilon$ , в скобках — длина волны, в мμ): I 3,82, 181 (363), II 4,10, 227 (430), III 4,00, 200 (425), IV 5,48, 175 (367), V 4,00 185 (388), VI 4,70, 238 (372). Положение максимумов в спектрах поглощения комплексов с отношением  $J_2$ : углеводород = 2:1 практически совпадает с положением максимумов в спектрах поглощения комплексов с отношением  $J_2$ : углеводород = 1:1 (РЖХим, 1959, № 5, 14299). Величина  $K$  для всех комплексов 2:1 с изученными углеводородами практически не зависит от природы углеводорода, но сильно превышает величину  $K$  для комплексов 1:1. Предполагается, что при больших конц-ях  $J_2$  перенос заряда  $J_2$  — углеводород происходит преимущественно за счет контакта молекулы углеводорода с несколькими молекулами  $J_2$ , а при малых конц-ях  $J_2$  — преимущественно за счет образования комплексов 1:1.

**Ю. Харитонов**  
**6Б116.** Изучение производных мекеновой кислоты. VII. Связь между строением и стабильностью ультрафиолетовых спектров соединений, родственных мекеновой кислоте. Fukushima Hiroyuki. «Якугаку дзасси, Yakugaku zasshi, J. Pharmac. Soc. Japan», 1960, 80, № 1, 72—78 (японск., рез. англ.).—Получены УФ-спектры водн. р-ров соединений с различной устойчивостью, родственных мекеновой к-те (I). Для определения зависимости стабильности УФ-спектров от строения измерены изменения в молярных конц-ях свыше 20 типов соединений, родственных I, в р-ре воды, 0,05 н. соляной к-те и 0,05 н. гидроокиси натрия после выстаивания в течение 24 час. УФ-спектр водн. р-ров чрезвычайно неустойчив для соединений с гидроксиком в положении 5, которые легко принимают кето-форму. Однако даже эти со-

единения становятся стабильными в 0,05 н. р-ре соляной к-ты, где  $\gamma$ -пироновое кольцо с трудом подвергается разрыву. Соединение полностью стабилизировалось переводом в енольную форму с образованием внутреннего комплекса с металлом. Соединения с устойчивым УФ-спектром в водн. р-ре становятся неустойчивыми в 0,05 н. р-ре гидроокиси натрия, где их  $\gamma$ -пироновое кольцо раскрывается. Посредством этого было показано, что в 0,05 н. р-ре NaOH не только происходит раскрытие кольца, но также последующее разложение  $\beta$ -дикетонных соединений. На основании этих фактов удалось объяснить чрезвычайную неустойчивость УФ-спектров для водн. р-ров соединений, в которых гидроксильная группа в положении 5 легко переходит в кето-форму. Скорость разложения этих соединений в 0,05 н. р-ре NaOH была измерена с помощью УФ-спектров, полученных после выдерживания р-ра в течение 24 час. и подкисления соляной к-той до образования циклов. Таким же образом было исследовано влияние групп 5-OH, 5-CH<sub>3</sub> и 2-COOH на стабильность  $\gamma$ -пиронного кольца производных I. В этом случае  $\gamma$ -пироновое кольцо становилось еще более неустойчивым при действии на него щелочи вследствие нарушения симметрии около кетонной группы в положении 4 $\gamma$ -пиронного кольца. Сообщение VI см. РЖХим, 1959, № 19, 67676.

**Резюме автора**  
**6Б117.** Спектральное исследование системы нитробензол — бензидин. Гольцев В. Д. «Изв. высш. учебн. заведений. Физика», 1960, № 2, 21—25.—Спектрофотометрическим методом изучено взаимодействие между нитробензолом (I) и бензидином (II) в спир. р-рах. Установлено, что в р-рах образуются комплексы с отношением I:II = 1:1 и 1:2. Для комплекса 1:1 определена кажущаяся константа равновесия р-ции комплексообразования, равная 0,1, и энергия связи I—II, равная 1,2 ккал/моль и имеющая тот же порядок, что и энергия связи в комплексе анилин—I. Оценено значение кажущейся константы равновесия р-ции образования комплекса 1:2, равное 0,015. Приведены спектры поглощения (~420—490 мμ) комплексов и ход коэф. экстинкции с изменением длины волны. Поглощение комплексов 1:1 растет с уменьшением длины волны; поглощение комплексов 1:2 достигает максимума при 440 мμ.

**Ю. Харитонов**  
**6Б118.** Бензильденанилин. I. Структура и ультрафиолетовый спектр поглощения бензильденанилина. Ebaga Nozomu. Benzylideneaniline. I. Structure and ultraviolet absorption spectrum of benzylideneaniline. «Bull. Chem. Soc. Japan», 1960, 33, № 4, 534—539 (англ.).—Сопоставление УФ-спектров поглощения бензильденанилина (I) и его производных, азо- и азоксibenзола и их сопряженных к-т, а также некоторых других ароматич. соединений позволяет сделать вывод, что в молекуле I плоскость бензольного кольца у атома N почти перпендикулярна к плоскости остальной части молекулы. Такая структура удовлетворительно объясняет ряд эксперим. фактов, которые не согласуются с плоской моделью. Приведены спектры (200—500 мμ) р-ров в  $C_2H_5OH$ :  $RC_6H_4N=CHC_6H_5$  с  $R = H$ ,  $n$ - и  $m$ -NO<sub>2</sub>,  $n$ - и  $o$ -OCH<sub>3</sub>,  $n$ -,  $m$ - и  $o$ -Cl, стилибена,  $n$ -метоксистилябена, азо- и азоксibenзола и их сопряженных к-т.

**В. Коряжнев**  
**6Б119.** Место протонирования карбоксильной группы. Stewart Ross, Yates K. The position of protonation of the carboxyl group. «J. Amer. Chem. Soc.», 1960, 82, № 15, 4059—4061 (англ.).—Определены основности 22 мета- и пара-замещ. бензойных к-т и установлено наличие линейной корреляции между  $pK(BH^+)$  замещ. бензойных к-т с  $pK_a$  замещ. бензойных к-т, а также с  $pK(BH^+)$  соответствующих замещ. ацетофенонов. С помощью УФ- и ИК-спектров изучено влияние заместителей на частоты вал. кол. C=O карбоксильной группы в бензойных к-тах. На основании анализа опытных данных авторы приходят к

выводу о преобладании симметричной протонированной формы карбоксильной группы  $-C(=O+H)_2$  над несимметричной формой  $-C(=O)-O+H_2$ .

**6Б120.** К вопросу связи химического строения и сцинтилляционной эффективности производных 1,3,4-оксадиазола. Швайка О. П., Греков А. П. «Оптика и спектроскопия», 1959, 7, № 6, 824—826. — Изучено влияние широкого круга пара-заместителей на сцинтилляционную эффективность 2-фенил- и 2,5-дифенил-1,3,4-оксадиазолов. Показано, что электронодонорные заместители повышают, а электроноакцепторные понижают или сводят к нулю сцинтилляционную эффективность.

**6Б121.** Поправки третьего порядка к колебательно-вращательной энергии многоатомных молекул. Maes Serge. Les corrections du troisième ordre à l'énergie de vibration-rotation des molécules polyatomiques. «Cahiers phys.», 1960, 14, № 116—117, 125—208 (франц.; рез. англ.).

**6Б122.** Исследование эффекта Яна — Теллера  $IrF_6$ . Claassen Howard H., Weinstock Bernard. Search for a Jahn — Teller effect in  $IrF_6$ . «J. Chem. Phys.», 1960, 33, № 2, 436—437 (англ.). — Проведено исследование колебательного спектра  $IrF_6$  с целью обнаружить аномалии в поведении частоты  $\sigma_2$ , которых можно ожидать по аналогии с аномалиями, обнаруженными ранее у  $OsF_6$  и  $ReF_6$  (эффект Яна — Теллера). Симметрия основного состояния у этих гексафторидов считается одинаковой — типа  $G_8$ . Измерены частоты ИК-поглощения (в области призм  $NaCl$ ) и дана их интерпретация. Форма сложной полосы  $\delta_2 + \sigma_3$  у  $IrF_6$  аналогична форме полосы  $\sigma_1 + \sigma_3$ . Это отличается от случаев  $OsF_6$  и  $ReF_6$ , для которых эти две сложные полосы существенно различны, но аналогично случаю  $PtF_6$  и 9 других гексафторидов, у которых эффект Яна — Теллера не имеет места. Измерены спектры комб. расс., из которых также явствует, что  $IrF_6$  (в отличие от  $OsF_6$ ) обнаруживает колебание  $\sigma_2$ . Предполагается, что отсутствие эффекта Яна — Теллера в случае  $IrF_6$  связано с чисто спиновым характером 4-кратного вырождения основного состояния.

**6Б123.** Силовые постоянные и коэффициенты влияния пирамидальных гидридов. Рыбакова Г. И., Ковальчук Д. С., Морозов В. П. «Оптика и спектроскопия», 1960, 9, № 1, 34—39. — На основании новых значений нулевых частот изучены силовые поля пирамидальных гидридов типа  $RH_3$  ( $R = N, P, As, Sb$ ). Потенциальная функция принята в форме:  $2V = K_1 \sum q_i^2 + h \sum q_i q_j + 2ar \sum q_i q_j + br \sum q_i q_j + 1/2 K_2 \sum \alpha_{ij}^2 + 1/2 K_3 \sum \alpha_{ij} \alpha_{jk}$  ( $i, j, k = 1, 2, 3$ ;  $i \neq j \neq k$ ), где  $q_i$  — изменение длин валентных связей, равновесное значение которых равно  $r$ ;  $\alpha_{ij}$  — изменение углов  $H-R-H$ ;  $K_1, K_2, K_3, a, b, h, l$  — искомые неприведенные силовые постоянные. Выведены ф-лы, выражающие в явном виде приведенные по симметрии силовые постоянные через массы атомов, валентный угол и квадраты нулевых частот. Ф-лы применимы для любых молекул аналогичной структуры и позволяют находить силовые постоянные без составления вековых ур-ний. Обнаружено незначительное расхождение между значениями силовых постоянных, полученных ранее другим методом (РЖХим, 1959, № 12, 41336). Вычислены значения коэф. влияния и исследован вопрос о влиянии на точность определения силовых постоянных погрешностей в величинах исходных параметров. Обнаружено, что между коэф. влияния растяжения связи и равновесным расстоянием  $r = R-H$ ; между коэф. влияния деформации угла  $H-R-H$  и равновесным расстоянием  $H-N-H$ , а также между логарифмом силовых постоянных растяжения связи и деформации угла существуют зависимости, близкие к линейным. Л. Гривов

**6Б124.** Исследование соединений селена с кислотой. IV. О состоянии водных растворов кислот селенитов и пироселенитов щелочных металлов. Simon A., Paetzold R. Untersuchungen an Selen — Sauerstoff — Verbindungen. IV. Über den Zustand wässriger Alkalihydrogen- und Alkalipyroselenitlösungen. «Z. anorgan. und allgem. Chem.», 1960, 303, № 1—2, 46—52 (нем.; рез. англ.). — Измерены спектры комб. расс. кристаллич.  $NaHSeO_3$ ,  $KHSeO_3$ ,  $Na_2Se_2O_5$ ,  $K_2Se_2O_5$ ,  $(NH_4)_2Se_2O_5$  и  $NaDSeO_3$  (I), а также их водн. р-ров при различных конц-ях (в случае I исследовались р-ры в  $D_2O$ ). Найдено, что спектры р-ров не зависят от природы катиона. В спектрах конц. р-ров кислот селенитов наряду с линиями иона  $HSeO_3^-$  присутствуют также линии иона  $Se_2O_5^{2-}$ . Наличие в спектрах линий обоих ионов объясняется равновесием  $O_2SeOSeO_2^{2-} + H_2O \rightleftharpoons 2HSeO_3^-$ . Частоты вал. кол. группы  $SeO_2$  иона  $Se_2O_5^{2-}$  выше, а частота деф. кол. ниже соответствующих величин для иона  $HSeO_3^-$ . При переходе от р-ра к кристаллам наблюдается увеличение частот вал. кол. группы  $SeO_2$  иона  $Se_2O_5^{2-}$  и понижение частот деф. кол. Для иона  $HSeO_3^-$  имеет место обратная картина. Наблюдаемые особенности объясняются наличием сильных водородных связей в кристаллах кислот селенитов, частично разрушающихся при растворении. В случае пироселенитов растворение в воде приводит к образованию слабых водородных связей с молекулами р-рителя. Полоса  $OH$  в спектре р-ров  $KHSeO_3$  расщеплена, как и в случае кристалла, на две компоненты, по предположению, из-за образования ассоциатов ионов  $HSeO_3^-$ . Сообщение III см. РЖХим, 1961, 5Б164.

**6Б125.** Инфракрасный спектр кристаллического трехфтористого бора. Dows David A. Infrared spectrum of crystalline boron trifluoride. «J. Chem. Phys.», 1959, 31, № 6, 1637—1639 (англ.). — Изучены ИК-спектры поглощения твердых пленок  $BF_3$  при  $t = 83^\circ K$  в области основных колебательных частот. В работе использовался  $BF_3$  естественного изотопного состава и обогащенный  $B^{10}F_3$  до 52 и до 95%. Мультиплетная структура полос  $\nu_1$  и  $\nu_4$  и смещение полос  $\nu_2$  и  $\nu_3$  показывают, что кристаллич. структура  $BF_3$  не изоморфна структуре  $BCl_3$  и  $BBr_3$  и что в данном случае имеет место гораздо более сильное межмолекулярное взаимодействие. Предполагается, что образуется связь  $B-F-B$ .

**6Б126.** Инфракрасные спектры алкилдиборанов. I. Монометилдибораны. Lehmann Walter J., Wilson Charles O., Jr., Shapiro I. Infrared spectra of alkylboranes. I. Monomethyldiboranes. «J. Chem. Phys.», 1960, 32, № 4, 1088—1093 (англ.). — Исследованы спектры поглощения пяти изотопич. производных монометилборана  $B_2^{10}H_5CH_3$ ,  $B_2H_5CH_3$ ,  $B_2D_5CH_3$ ,  $B_2H_5CD_3$  и  $B_2D_5CD_3$  в газообразном состоянии в области  $650-5000\text{ см}^{-1}$  и дано отношение наблюдавшихся полос.

**6Б127.** Корреляция частоты валентных колебаний фосфорильной группы для производных фосфоновой кислоты. Griffin C. E. Phosphoryl stretching frequency correlation for phosphonic acid derivatives. «Chemistry and Industry», 1960, № 33, 1058—1059 (англ.). — Приведены частоты вал. кол.  $\nu$  (PO) фосфорильной группы в 19 производных фосфоновой к-ты типа  $AP(O)XY$ , где при  $X$  и  $Y = O_2C_2H_5$ ,  $A = CH_3$ ,  $C_2H_5$ ,  $n-C_3H_7$ ,  $n-C_4H_9$ ,  $n-C_6H_{13}$ ,  $CH_2=CH$ ,  $CH_2=CHCH_2-$ ,  $C_6H_5$ ,  $CH_2$ ,  $C_6H_5$ ,  $ClCH_2$ ,  $Cl_2CH$ ,  $CCl_3$ ,  $BrCH_2$ ,  $HOCH_2$ ,  $CH_3COCH_2$ ; при  $A = CH_3$   $X$  и  $Y$  равны соответственно  $OCH_3$  и  $OSCH_3$ ,  $O_2C_2H_5$  и  $N(CH_3)_2$ ,  $N(CH_3)_2$  и  $N(CH_3)_2$ ; при  $A = C_6H_5$   $X$  и  $Y = H$  и  $O_2C_2H_5$ . Обнаружена линейная зависимость частоты от величины  $\Sigma \sigma^*$  (сумма постоянных Тафта для всех заместителей при группе  $P=O$ ), выражающаяся ур-нием  $\nu(PO) = 1168 + 16,80 \Sigma \sigma^*$   $\text{см}^{-1}$ . Расхождение вычисленных и опытных значений частоты не превышает  $4\text{ см}^{-1}$ . Определены величины  $\sigma^*$



для групп  $(\text{CH}_2)_2\text{CO}_2\text{C}_2\text{H}_5$ ,  $(\text{CH}_2)_3\text{CO}_2\text{C}_2\text{H}_5$  и  $\text{N}(\text{CH}_3)_2$ , составляющие соответственно 0,39; 0,39 и 0,68.

Б. Локшин

**6Б128. Инфракрасные спектры и общие свойства неорганических роданидов.** Mitchell P. C. H., Williams R. J. P. The infrared spectra and general properties of inorganic thiocyanates. «J. Chem. Soc.», 1960, Apr., 1912—1918 (англ.).—Получены ИК спектры поглощения твердых неорганич. роданидов и изороданидов, а также комплексных роданидов и изороданидов в области вал. кол.  $\nu(\text{CN})$  (2000—2200  $\text{cm}^{-1}$ ). Величина  $\nu(\text{CN})$  в общем увеличивается, в зависимости от характера связи группы  $\text{SCN}$  с атомом  $\text{M}$  металла, в ряду  $\text{M}-\text{NCS} \leq \text{M}-\text{SCN} < \text{M}'-\text{SCN}-\text{M}$ , где  $\text{M}'$  может быть также внешнесферным катионом в случае комплексных соединений.  $\nu(\text{CN})$  также увеличивается с увеличением заряда и уменьшением ионного радиуса  $\text{M}$ . На величину  $\nu(\text{CN})$  оказывают влияние характер связи (ионная, ковалентная) группы  $\text{SCN}$  с  $\text{M}$ , природа и координационное число  $\text{M}$ , природа внешнесферного катиона, величина угла  $\text{MSC}$ , число групп  $\text{SCN}$ , присутствующих в соединении. Критикуется применение спектрохим. ряда лигандов в качестве критерия силы поля лигандов.

Ю. Харитонов

**6Б129. Инфракрасные спектры органических соединений титана, содержащих алкоксильные и внутримолекулярные группы.** Yamamoto Akio, Kambara Shu. «Нихон кагаку дзасси, Nippon Kagaku Zasshi, J. Chem. Soc. Japan. Pure Chem. Sec.», 1959, 80, № 11, 1239—1243, A 97 (японск.; рез. англ.).—Получены ИК-спектры соединений, образующихся при р-циях тетраалкоксититана с ацетилацетоном, этилацетилацетоном, салициловым альдегидом и метилсалицилатом. Продукты р-ций имеют как алкоксильные, так и внутримолекулярные группы, и отнесение часто проведено в связи с обсуждением структуры полученных соединений. Сильные эффекты комплексообразования наблюдались в сдвигах двух групп  $\text{CO}$  этих внутримолекулярных групп. В ИК-спектре  $\{\text{TiO}(\text{CH}_3\text{COCN}(\text{CH}_3)_2)_2\}$ , полученного гидролизом  $\text{Ti}(\text{OR})_2(\text{CH}_3\text{COCN}(\text{CH}_3)_2)_2$ , найдены две полосы, которые могут быть отнесены к колебанию  $\text{Ti}-\text{O}-\text{Ti}$ .

Реэюме автора

**6Б130. Неплоские колебания связей  $\text{CH}$  в некоторых многоядерных ароматических углеводородах.** Randić Milan. Out-of-plane  $\text{CH}$  vibrations in some polynuclear aromatic hydrocarbons. «J. Chem. Phys.», 1960, 33, № 3, 710—713 (англ.).—Неплоские колебания связей  $\text{CH}$  в 1-метил-1,2-бензантрацене рассматриваются как колебания связанных осцилляторов. Взаимодействие несоседних связей  $\text{CH}$  не учитывается. Векторной определитель, содержащий только силовую постоянную связь  $\text{CH}$  и силовую постоянную ее взаимодействия с соседней связью  $\text{CH}$ , распадается на субопределители, число и порядки которых зависят от положения метильной группы в молекуле. Наибольшей интенсивностью обладают полосы, частоты которых соответствуют максим. корню каждого субопределителя. Интенсивности остальных полос очень малы. 12 возможным положениям метильной группы соответствуют спектры четырех типов, содержащие в области 900—650  $\text{cm}^{-1}$  по 4, 3, 2 и 3 интенсивные полосы. По опытным значениям частот этих полос, равным 880, 820, 780, 750  $\text{cm}^{-1}$ , вычислены силовые постоянные:  $0,468 \cdot 10^5$  и  $-0,080 \cdot 10^5$   $\text{дин см}^{-1}$ . По описанному методу определено число интенсивных полос в ИК-спектрах нафталена, антрацена, фенантрена и бензантрацена. Частоты этих полос равны 830; 720, 880; 730, 810 и 740, 800, 880  $\text{cm}^{-1}$  соответственно.

М. Ковнер

**6Б131. Инфракрасные спектры в поляризованном свете этилендиамина и этилендиамина- $d_4$ .** Sabatini A., Califano S. Infra-red spectra in polarized light of ethylenediamine and ethylenediamine- $d_4$ . «Spectro-

chim. acta», 1960, 16, № 6, 677—688 (англ.).—Исследованы ИК-спектры  $\text{NH}_2\text{CH}_2\text{CH}_2\text{NH}_2$  (I) и  $\text{ND}_2\text{CH}_2\text{CH}_2\text{ND}_2$  (II) в газообразном (при  $t$ -рах 50, 100 и 150°) жидком и твердом (при  $t$ -ре сухого льда) состояниях. В последнем случае исследовались ориентированные поликристаллич. пластинки в поляризованном ИК-излучении. Замечены значительные отличия спектров различных фаз, объясняемые изменением характера межмолекулярного взаимодействия. Во всех агрегатных состояниях присутствует лишь один поворотный изомер, так как интенсивность полос, а также дипольный момент не меняются с  $t$ -рой, а в спектре твердой фазы исчезает лишь одна полоса, общее же число пиков даже увеличивается по сравнению с другими фазами. Из-за ряда трудностей однозначного заключения о структуре молекул I и II не дано. Проведено отнесение частот I и II в предположении точечной группы симметрии  $C_{2v}$ .

Ю. Пентия

**6Б132. Алкалоиды Colanum. Часть XIV. Интенсивности валентных колебаний N—H соласодина, томатидина и некоторых их производных.** Briggs L. H., Colebrook L. D., Miller H. K., Sato Y. Solanum alkaloids. Part XIV. The NH stretching intensities of solasodine, tomatidine, and some derivatives. «J. Chem. Soc.», 1960, Aug., 3417—3418 (англ.).—На примере ИК-спектров соласодина (I), томатидина (II), дигидротоматидина, соласо-3,5-диена,  $\alpha$ - и  $\beta$ -соласоданов показано, что полосы вал. кол. N—H вторичной аминогруппы в алкалоидах соланума не проявляются в ИК-спектре в обычных условиях (таблетки из KBr, вазелиновое масло или р-ры в  $\text{CCl}_4$ ). Очень слабые полосы поглощения в области 3334—3373  $\text{cm}^{-1}$  удалось получить, снимая спектры насыщ. р-ров в  $\text{CCl}_4$  и  $\text{CS}_2$  в кюветах толщиной до 20 мм. Принадлежность указанных полос к вал. кол. N—H доказана сравнением с полученными в аналогичных условиях спектрами алкалоидов, в которых атом водорода аминной группы замещен: N-метил-II, ацетил N-метил-I, ди-ацетил-I, триацетилдигидросоласоданола, 30,N-диацетилдигидросоласоданола. В спектрах всех этих соединений отсутствует поглощение в области 3373—3334  $\text{cm}^{-1}$ , кроме последнего соединения, имеющего интенсивную полосу связанного гидроксидила при 3366  $\text{cm}^{-1}$ . Часть XIII см. РЖХим, 1958, № 22, 74160.

Б. Локшин

**6Б133. Наперстянка X. Инфракрасные спектры некоторых соединений наперстянки глюкозидов и агликонов.** Bell Frederick K. Digitalis X. The infrared absorption spectra of some digitalis glycosides and aglycones. «J. Amer. Pharmac. Assoc. Scient. Ed.», 1960, 49, № 5, 277—280 (англ.).—Исследовались ИК-спектры трех образцов технических лантазидов (A, B и C), трех промежуточных гликозидов (дигитоксин, гитоксин и дигоксин) и их агликонов в области 2,5—15  $\mu$  в дисках из KBr. Отмечается, что некоторые полосы поглощения в этих спектрах могут оказаться полезными для целей идентификации.

Э. Мистрюков

**6Б134. Наблюдение  $\pi$ -компонент штарковского расщепления в микроволновой спектроскопии. Прецизионные измерения для HCN.** Bhattacharya Brojo N., Gordy Walter. Observation of a  $\pi$  Stark components in microwave spectroscopy: precision measurements on HCN. «Phys. Rev.», 1960, 119, № 1, 144—149 (англ.).—Исследован эффект Штарка переходов  $J = 0 \rightarrow 1$  ( $\lambda \approx 3$  мм) вращательного спектра молекулы HCN для случая параллельных и перпендикулярных полей и определен дипольный момент ( $\mu$ )  $2,985 \pm 0,005 D$  в основном колебательном состоянии. Измерялась зависимость сдвига частот ( $\nu - \nu_0$ ) от напряженности электрич. поля для  $\sigma$ -компонент ( $\Delta M_J = 0$ ) в случае промежуточного и сильного поля и для  $\pi$ -компонент ( $\Delta M_J = \pm 1$ ) в случае сильного поля. Расчет  $\mu$  производился с учетом квадрупольного и

Исследо-  
H<sub>2</sub>CN<sub>2</sub>  
) жидком  
ях. В по-  
ные пол-  
ИК-излуче-  
тров раз-  
тера меж-  
тегратных  
тний изо-  
е диполь-  
е твердой  
число пи-  
угими фа-  
заключе-  
Тронеде-  
точечной  
О. Пен-  
Интенси-  
на, тома-  
gs L. H.,  
Solana-  
nsities of  
J. Chem.  
примере  
II), ди-  
ласоданов  
ой амина-  
ются в  
из КВг,  
слабые  
см<sup>-1</sup> уда-  
в СС<sub>4</sub> и  
дежность  
а сравне-  
ях спек-  
аминной  
ил-1, ди-  
0, N-диале-  
их соеди-  
3373-  
ощего ви-  
ла при  
22. 74160.  
Локши-  
спектры  
озидов и  
Х. The  
glycosides  
ient. Ed.,  
лись ИК-  
антазидов  
ов (диги-  
ов в обла-  
е некото-  
огут ока-  
истриков  
ровского  
и. Пре-  
charya  
of stark  
sion mea-  
1, 144-  
переход-  
молекулы  
кулярных  
) 2,985 ±  
ания. Из-  
о) от на-  
т (ΔM)  
оля и для  
ого поля  
льного и

магнитного взаимодействия ядра азота. Необходимые постоянные получены из измерений частот перехода  $I = 0 \rightarrow 1$  в отсутствие электрич. поля и равны (в Мгц)  $\nu_0 = 88631,623$ ,  $eqQ = -4,714$ ,  $C = 0,013$ . Для исследован- ный применялся видео-спектроскоп с поглощающей ячейкой в виде двух параллельных пластин, в кото- рой возбуждалась волна ТЕМ при наблюдении  $\sigma$ - и  $TE_1$  при наблюдении  $\pi$ -компонент. Г. Шипуло

6Б135. Теория постоянных спин-спиновой связи протонов в ненасыщенных молекулах. K a) plus Mar- tin. Theory of proton coupling constants in unsatura- ted molecules. «J. Amer. Chem. Soc.», 1960, 82, № 16, 4431—4432 (англ.). — Предложено теоретич. объяснение наблюдаемым высоким (1,5—7 гц) значениям постоян- ных спин-спиновой связи (PCCC) протонов в ненасыщ. соединениях, находящихся у атомов C, отстоящих друг от друга на 2 или 3 связи C—C (или C=C). Показа- но, что существенный вклад в PCCC протонов вно- сит обменное взаимодействие  $\pi$ - и  $\sigma$ -электронов (в то время как вклад  $\sigma$ -электронов составляет только ~0,5 гц), причем этот вклад выражается ф-лой (вывод которой не приводится):  $A_{HH'}(\pi) = K \Sigma_T a_H(T) a_{H'} \times \times (T) / A_\pi(T)$ . Обозначения: H и H' — атомы водорода, спин-спиновое взаимодействие которых рассмат- ривается;  $K = 2,1 \cdot 10^{-16}$ ;  $a_H(T)$  и  $a_{H'}(T)$  — постоянные сверхтонной структуры (в гц) для протонов H и H' в фрагментах  $\pi$ -электронного бирадикала, соответст- вующего возбужденному триплетному (T) состоянию рассматриваемой молекулы;  $A_\pi(T)$  — энергия возбуж- дения триплетного состояния (в эв); суммирование по T — по всем возбужденным триплетным состояниям  $\pi$ -электронов (из которых практически учитывается только низшее). С помощью полученной ф-лы, с исполь- зованием экспери- м. значений  $a_H$  и  $A_\pi$ , произведен расчет величин  $A_{HH'}(\pi)$  (первые цифры, в гц) для следующих пар протонов: H—C=C—C—N—1,7 (—1,4——1,8); H—C=C=C—N—6,7 (6,1—7,0, знак неизвестен); H—C=C=C—C—N + 2,0 (1,2—1,5, знак неизвестен); H—C=C=C=C—N + 7,8 (нет данных). В скобках — имеющиеся экспери- м. данные. Т. Ребан.

6Б136. Спектр ядерного магнитного резонанса метилацетилена при высокой разрешающей способно- сти. Shooley J. N., Johnson L. F., Anderson W. A. The high resolution nmr spectrum of methyl acetylene. «J. Molec. Spectrosc.», 1960, 5, № 2, 110—117 (англ.). — Исследован спектр ядерного магнитного ре- зонанса чистого жидкого метилацетилена в сильном магнитном поле (14 092 гс) для следующих изотопич. комбинаций:  $C^{12}H_3-C^{12} \equiv C^{12}H$  (I),  $C^{13}H_3-C^{12} \equiv C^{12}H$  (II),  $C^{12}H_3-C^{13} \equiv C^{12}H$  (III) и  $C^{12}H_3-C^{12} \equiv C^{13}H$  (IV). Спектр протонного магнитного резонанса I соответствует схе- ме АВ<sub>3</sub>, причем постоянная спин-спиновой связи  $J(HH) = 2,93$  гц превосходит относительное хим. смещение метильных и ацетиленовых протонов,  $\delta_H = -2,2$  гц (при резонансной частоте 60 Мгц). Спектры II, III и IV отличаются от спектра I благодаря дублет- ному расщеплению линий протонного резонанса (обусловленному спином  $s = 1/2$  ядра  $C^{13}$ ), причем по- стоянная спин-спиновой связи  $J(C^{13}H)$  сильно зависит от расстояния  $C^{13}$ —H. Так, для метильных протонов в II, III и IV соответственно  $J(C^{13}H)$  равна 131,4; 10,6 и 4,8 гц, а для ацетиленового протона в II, III и IV соот- ветственно 3,6; 50,8 и 247,6 гц. В то же время наличие  $C^{13}$  в II, III и IV увеличивает неэквивалентность про- тонов по сравнению с I и (благодаря спин-спиновой связи протонов) усложняет спектр. Так, в II, III и IV спектр группы  $CH_3$  состоит из пары дублетов, а спектр группы  $\equiv CH$  — из пары квадруплетов (с от- ношением интенсивностей 1:3:3:1). Т. Ребане

6Б137. Качественные аспекты спектров протонного магнитного резонанса высокого разрешения некоторых соединений циклогексана. Musher J. I. High-reso-

lution hydrogen magnetic resonance spectra of some cyclohexane compounds-qualitative aspects. «Spectro- chim. acta», 1960, 16, № 7, 835—839 (англ.). — Получены спектры протонного магнитного резонанса цис- и транс-изомеров 1,2-; 1,3- и 1,4-диметилциклогексанов и некоторых других соединений циклогексана в CS<sub>2</sub>. На основе значений хим. смещений частота инверсии кольца молекулы оценена > 10 гц. Отмечается замет- ное различие констант спин-спиновой связи протонов кольца и метильных групп для различных положений заместителя относительно кольца. Спин-спиновое взаимодействие заместитель — экваториальный про- тон не обнаружено в транс-1-метил-2-этилциклогекса- не, метилциклогексане и в некоторых других алкил- циклогексанах. Л. Сумин

6Б138. Исследование переноса протона методом ядерного магнитного резонанса. I. Диффузионная ки- нетика реакций аммонийного иона в водных кислотах. II. Константы скорости и механизм реакции  $CH_3NH_3^+ + OH_2 + NH_2CH_3$  в водных растворах. Proton-transfer studies by nuclear magnetic resonance. I. Emerson Merle T., Grunwald Ernest, Kromhout Robert A. Diffusion control in the reaction of ammo- nium ion in aqueous acid. II. Grunwald Ernest, Karabatsos Photios J., Kromhout Ro- bert A., Purlee E. Lee. Rate constants and mechanism for the reaction  $CH_3NH_3^+ + OH_2 + NH_2CH_3$  in aqueous acid. «J. Chem. Phys.», 1960, 33, № 2, 547—555; 556—563 (англ.). — I. Прецизионной техникой ядер- ного магнитного резонанса на частоте 40 Мгц при  $t = 25 \pm 0,5^\circ$  в водн. р-рах измерены константы ско- рости р-ций:  $NH_4^+ + H_2O \xrightarrow{k_1} NH_3 + H_3O^+$  (1),  $NH_3 + H_2O \xrightarrow{k_2} NH_4^+ + OH^-$  (2),  $NH_4^+ + NH_3 \xrightarrow{k_3} NH_3 + NH_4^+$  (3). В интервале конц-ий  $NH_4Cl$  0,25—3,00 M  $k_1 = 4,3 \cdot 10^{10}$ , а  $k_2 = 1,17 \cdot 10^9$  сек<sup>-1</sup> моль<sup>-1</sup>. При конной силе  $\mu = 0$   $k_3 = 24,6$  сек<sup>-1</sup> и резко уменьшается с уве- личением конц-ии  $NH_4Cl$ . Определены константы ки- слотной диссоциации  $K_A$  р-ров. Р-ция (1) изучалась также в смесях  $H_2SO_4$ —H<sub>2</sub>O (обмен с  $(ND_4)_2SO_4$ ; 50—60 вес. %  $H_2SO_4$ ), где полупериод изотопного об- мена порядка 2—20 мин., а константа скорости ( $\tau_D^{-1} + \tau_R^{-1}$ ) для разрыва водородной связи  $H_3N \dots NOH$  вследствие диффузии (D) или вращения (R) порядка  $51 \cdot 10^{10}$  сек<sup>-1</sup>. Используя теорию броуновской диффу- зии Эйнштейна, авторы оценили  $\tau_D^{-1} = 34 \cdot 10^{10}$  сек<sup>-1</sup>, так что  $\tau_R^{-1} = 17 \cdot 10^{10}$  сек<sup>-1</sup> (вклады от вращения H<sub>2</sub>O и NH<sub>3</sub> равны соответственно  $12 \cdot 10^{10}$  и  $5 \cdot 10^{10}$  сек<sup>-1</sup>) и сделали вывод о малой вероятности вращения NH<sub>3</sub> в промежуточном комплексе. Из порядков величин  $k_4$  и  $k_5$  сделан вывод о диффузионном контроле кинети- ки соответствующих р-ций. Расчетом частоты столкно- вений показано, что  $k_4$  согласуется с такой структу- рой переходного состояния, где H<sub>2</sub>O<sup>+</sup> и NH<sub>3</sub> являются соседями, следующими за ближайшими соседями, причем стерич. фактор равен единице. Анализируя результаты измерений в сильных к-тах, авторы при- ходят к заключению об отсутствии вращения молекул в промежуточном комплексе и допускают такую ориен- тацию реагентов, когда неподеленная пара N обращена к кислотному протону. Для интерпретации  $k_5$  допус- каются механизм, в котором NH<sub>3</sub> и NH<sub>4</sub><sup>+</sup> становятся соседями, следующими за ближайшими, в результате диффузии, так как скачок в положение ближайших соседей потребовал бы большой энергии активации, связанной с замещением прочно связанной молекулы воды. Р-ция (1), по-видимому, контролируется актива- цией, причем отрицательный солевой эффект предпо- лагает рассредоточение заряда в переходном состоянии.

II. Техნი- кой ядерного магнитного резонанса изме- рены константы скорости р-ций  $CH_3NH_3^+ + NH_2CH_3 \xrightarrow{k_6} CH_3NH_2 + NH_4^+ + CH_3NH_3^+$  и  $CH_3NH_3^+ + OH_2 \xrightarrow{k_7} CH_3NH_2 +$



$\text{HN}^+\text{H}_2\text{CH}_3$  в водн. р-рах при 25°. Показано, что отношение  $k_6/k_7$  постоянно в области конц-ий  $\text{CH}_3\text{NH}_2\text{Cl}$  (I) 1,7–8,1 M. Величины  $k_6$  и  $k_7$  обратно пропорциональны вязкости р-ра. Экстраполирование к бесконечному разбавлению значения при 25° равны  $k_6^0=4,0 \cdot 10^8$  и  $k_7^0=5,3 \cdot 10^8 \text{ сек}^{-1} \text{ моль}^{-1}$ . Определены также  $K_A$ , плотности и вязкости водн. р-ров I (1,7–9,0 M). Измерение активности воды в этих р-рах показало, что коэф. ионной моляльной активности I почти постоянны во всей исследуемой области конц-ий. На основании значения  $k_7$  и факта постоянства  $k_7/k_6$  сделан вывод, что наиболее вероятной и иницирующей стадией р-ции с константой  $k_7$  является перенос протона от молекулы воды в сольватную оболочку иона  $\text{CH}_3\text{NH}_2^+$  с образованием «тройного» иона  $\text{CH}_3\text{NH}_2^+ \times \text{OHNNH}_2^+ \text{CH}_3$ . В. Быховский

6Б139. Анализ спектра ядерного магнитного резонанса групп типа  $\text{A}_3\text{B}_2\text{X}_2$ . Глазков В. И. «Оптика и спектроскопия», 1960, 9, № 3, 417–418. — Произведен общий анализ спектра ядерного магнитного резонанса системы ядер типа  $\text{A}_3\text{B}_2\text{X}_2$ . Вычислены волновые функции системы и приведены ф-лы для расчета частот переходов и интенсивностей линий. С помощью полученных результатов расшифрованы спектры протонного магнитного резонанса  $\text{CH}_3\text{CH}_2\text{CH}_2\text{Br}$  (I) и  $(\text{CH}_3\text{CH}_2\text{CH}_2)_2\text{O}$  (II). Определены следующие параметры этих спектров (первые цифры — для I, вторые — для II):  $\nu^6(\text{CH}_3-\text{CH}_2)$  25,1  $\pm$  1,5; 18,6  $\pm$  1,5,  $J(\text{CH}_3-\text{CH}_2)$  7  $\pm$  0,5; 7  $\pm$  0,5;  $\nu^6(\text{CH}_2-\text{CH}_2)$  45,7; 53,3;  $J(\text{CH}_2-\text{CH}_2)$  6,26; 5,8. Величины хим. сдвигов  $\nu^6$  и постоянных спин-спиновой связи протонов  $J$  даны в гц. Л. Сумин

6Б140. Анализ спектров ядерного магнитного резонанса некоторых групп насыщенных и ненасыщенных углеводородов. Banwell C. N., Sheppard N., Turner J. J. The analysis of the nuclear magnetic resonance spectra of some saturated and unsaturated hydrocarbon groupings. «Spectrochim. acta», 1960, 16, № 7, 794–798 (англ.). — Изучены спектры протонного магнитного резонанса ряда ненасыщ. и насыщ. углеводородов (замещенных этилена и этана). Найдены константы спин-спиновой связи (KCC) протон — протон, протон — фтор и протон —  $\text{C}^{13}$ . Наблюдается корреляция между KCC и значениями электроотрицательности атомов (или групп атомов), присоединенных к двойному радикалу. Для замещ. этанов в случае симметрии и эквивалентности всех протонов наблюдались слабые линии-спутники, обусловленные взаимодействием протонов с ядрами  $\text{C}^{13}$ . Отношение KCC транс- и гаус-конфигураций (в случае взаимодействия Н с  $\text{C}^{13}$ ) в среднем равно 6, что согласуется с теоретич. оценками. Н. Померанцев

6Б141. Получение новых бисциклопентильных производных циклопентадиена. Изучение структуры при помощи протонной магнитной резонансной спектроскопии. Blakely C. F., Gillespie R. J., Roubinek L., Wassermann A., White R. F. M. Conversion of cyclopentadiene into new bicyclopentyl derivatives. Structure determination with the help of proton magnetic resonance spectroscopy. «Nature» (Engl.), 1960, 187, № 4738, 662 (англ.). — Описаны получение и свойства трех новых бисциклопентильных производных циклопентадиена: трихлоруксусного эфира  $\text{C}_{12}\text{H}_{13}\text{O}_3\text{Cl}_3$  (I), спирта  $\text{C}_{10}\text{H}_{14}\text{O}$  (II) и насыщ. спирта  $\text{C}_{10}\text{H}_{18}\text{O}$  (III). Исследованы спектры протонного магнитного резонанса I, II и III. Подробно обсужден спектр II, состоящий из 4 линий, обусловленных: водородом ненасыщ. атомов углерода; гидроксильными водородами; водородом, присоединенными вместе с гидроксильным к насыщ. атому углерода, и водородом у других насыщ. атомов углерода. На основании полученных данных установлено, что II является 3-(циклопента-2',4'-диенил)-циклопентанолом. Н. Померанцев

6Б142. Протонирование амидов. Fraenkel Gordon, Francis Cafiero. Protonation of amides. «J. Amer. Chem. Soc.», 1960, 82, № 17, 4478–4483 (англ.). — Исследованы спектры протонного магнитного резонанса ряда амидов как в чистом виде, так и в виде р-ров в 100%-ной  $\text{H}_2\text{SO}_4$  (и  $\text{D}_2\text{SO}_4$ ), а также в водн. р-рах других к-т ( $\text{HCl}$ ,  $\text{HBr}$ ,  $\text{HClO}_4$ ). Показано, что протонирование всех исследованных амидов происходит преимущественно у атома О (а не у атома N), что согласуется с большей стабилизацией структуры  $\text{HO}^{\text{---}}\text{C}(\text{R})^{\text{---}}\text{N}^+ <$  (благодаря сопряжению) по сравнению со структурой  $\text{O}=\text{C}(\text{R})-\text{N}^+ \leftarrow \text{H}$ . В кислых водн. р-рах обнаружен протонный обмен между атомами О и N, но конц-ия формы, протонированной у атома N, слишком мала для ее колич. определения. Описан уточненный метод определения барьера внутреннего вращения в N,N-диметилформамиде (I). Для I и протонированной формы I соответственно определены барьеры 9,6  $\pm$  1,5 и 12,7  $\pm$  1,5 ккал/моль. Определены константы скорости ( $400 \text{ моль}^{-1} \text{ сек}^{-1}$ ) и энергия активации (7  $\pm$  0,5 ккал/моль) процесса обменного протолиза N,N-диметилацетамида (II) (0,4 M) в водн. р-ре  $\text{NCl}$  (6 M). Крискоскопич. измерениями показано, что I, II, N-метилацетамид и ацетамид в 100%-ной  $\text{H}_2\text{SO}_4$  неоднократно протонированы. Т. Ребане

6Б143. Спинное взаимодействие ядер  $\text{H}^1-\text{P}^{31}$  в фосфатных эфирах. Dudek Gerald O.  $\text{H}^1-\text{P}^{31}$  spin coupling in phosphate esters. «J. Chem. Phys.», 1960, 33, № 2, 624–625 (англ.). — Измерены константы спин-спинового взаимодействия ( $J$ )  $\text{H}^1-\text{P}^{31}$  для ряда фосфатных эфиров. Изменения  $J$  предполагаются обусловленными двумя факторами: изменением окружения метиловых групп заместителя и изменением электронного окружения вблизи ядер фосфора, вызванного заместителем. Эксперим. данные для небольшого числа несимметричных соединений показывают, что влияние второго фактора мало. И. Померанцев

6Б144. Протонный магнитный резонанс замещенных пропен. II. 2,3-дизамещенные пропены. Whipple E. B., Goldstein J. H., McClure G. R. Proton magnetic resonance in substituted propenes. II. 2,3-disubstituted propenes. «J. Amer. Chem. Soc.», 1960, 82, № 15, 3811–3813 (англ.). — Измерены хим. сдвиги линий протонного магнитного резонанса и вычислены константы спин-спиновой связи ( $K$ ) 2,3-дизамещенных пропена, где заместителями в положении 2 были J, Br, Cl, OH, а в положении 3 — Cl, Br и  $\text{CH}_3$ . Отмечается более сильное влияние заместителя в положении 2 по сравнению с положением 3. Повышение полярности р-рителя привело к уменьшению  $K$  для далеких протонов в молекулах дигалогенпропенов. Обсуждаются возможные различия в строении растворенных молекул в р-рителях с различной диэлектрич. проницаемостью, связанные с заторможенным вращением вокруг связи  $\text{C}-\text{C}$  в фрагменте  $=\text{C}-\text{CH}_2-$ . Результаты сравниваются с данными для 2-замещенных пропана (сообщение I, РЖХим, 1961, 2Б101). Л. Сумин

6Б145. Спектр магнитного резонанса ядер фтора в перхлориде фторида. Brownstein S. The fluorine resonance spectrum of perchloryl fluoride. «Canad. J. Chem.», 1960, 38, № 9, 1597–1599 (англ.). — На частоте 56,4 Мгц при высокой разрешающей способности исследован спектр магнитного резонанса ядер фтора в перхлориде фторида (I). Спектр состоит из двух перекрывающихся линий, смещенных друг относительно друга на 310 гц и имеющих ширину (на уровне интенсивности, составляющей 50% от максимальной) 430 гц. Относительное хим. сдвигание (ХС) спектра в сторону слабого магнитного поля (по сравнению с трифторуксусной к-той (II)) составляет  $320 \cdot 10^{-6}$ , а интенсивность спектра I в 40 раз меньше, чем у II. Высокое значение ХС I (близкое к максим. значению ХС у соединений фтора — к  $\text{XC F}_2$ ) приписано высокой электроотрицательности группы  $\text{ClO}_2$  (отсутствие диполь-

el Gi-  
amides,  
78—4483  
гнитног)  
и в виде  
в воды.  
что про-  
исходит  
N), что  
структуры  
по срав-  
кислых  
у атома  
у ато-  
и. Опи-  
виутрен-  
Для I и  
делены  
делены  
и акти-  
о прото-  
оди. p-ре  
о, что I,  
2SO<sub>4</sub> од-  
Ребане  
I—ри в  
—ри spin  
1960, 33,  
спин-спи-  
фосфат-  
связлен-  
ия мети-  
электро-  
занного  
ного чис-  
а влияние  
меранец  
замеще-  
пропенн.  
e G. R.  
enes. II.  
с.), 1960,  
с. смеще-  
и вычис-  
3-лизаме-  
жения 2  
gr и CH<sub>3</sub>  
я в поло-  
вление  
о K для  
енов. Об-  
свернен-  
рич. про-  
ращением  
Результ-  
ных про-  
П. Сумп-  
ер фтора  
е fluorine  
Canad. I.  
а частоте  
ности не-  
фтора в  
вух пере-  
исательно  
не интен-  
и) 430 гц  
в сторо-  
трифтор-  
интенсив-  
Высокое  
ХС у се-  
кой эле-  
диполь

ного момента у I указывает на близость электроотрицательностей атома F к группе ClO<sub>3</sub>). Дана качественная интерпретация расщепления линий спектра на основе учета спин-спинового взаимодействия ядер F и <sup>35</sup>Cl. Значительное уширение линий в спектре I по сравнению со спектром II приписано быстрой релаксации спинов ядер хлора.

Т. Ребане  
6Б146. Строение катионов пиридола. Katritzky A. R., Jones Richard A. Y. The structure of pyridol cations. «Proc. Chem. Soc.», 1960, Sept., 313—314 (англ.).—Исследованы спектры протонного магнитного резонанса пиридола (I), гидрохлорида I, гидрохлорида 2,6-дигидрола, 1-метилпиридола и 4-этоксипиридола в SO<sub>2</sub>. В спектрах отсутствуют линии N-протонов. Интерпретация спектров дана на основе предположения о присоединении протона к атому O в I. Высказано мнение, что и в других р-рителях O-протонированная форма I преобладает над N-протонированной формой.

Т. Ребане  
6Б147. Исследование межмолекулярных связей, образуемых этанолом и хлорэтанолами в различных растворителях, методом ядерного магнитного резонанса. Cantacuzène Jean, Gassier Jacqueline, Lhermitte Yvonne, Martin Maryvonne. Etude par résonance magnétique nucléaire de liaisons intermoléculaires de l'éthanol et des éthanols chlorés dans différents solvants. «C. r. Acad. sci.», 1960, 251, № 6, 866—868 (франц.).—Исследована концентрационная зависимость магнитного экранирования O—H-протонов этанола, 2-хлорэтанола, 2,2-дихлорэтанола и 2,2,2-трихлорэтанола (I) в р-рах CCl<sub>4</sub>, хлороформа, тетрагидрофурана, пиридина и триэтиламина. В инертном р-рителе (CCl<sub>4</sub>) наибольшую ассоциацию обнаруживает I. В полярных р-рителях имеет место дессоциация молекул этанолов и комплексобразование с молекулами основных р-рителей, причем с увеличением числа атомов хлора в молекуле этанола понижается основность атома O (и повышается кислотность атома H) группы O—H.

Т. Ребане  
6Б148. Температурная зависимость частот квадрупольного резонанса при постоянном давлении. Brown R. J. C. Temperature dependence of quadrupole resonance frequencies under constant pressure. «J. Chem. Phys.», 1960, 32, № 1, 116—118 (англ.).—При т-ре 5—45° измерена частота квадрупольного резонанса (ν) α-фазы п-дихлорбензола (I), приблизительно линейно убывающая от 34,3372 Мгц при 5° до 34,1939 Мгц при 45°. Методом наименьших квадратов получена следующая зависимость ν в I от т-ры: ν = (34 261,5 ± 0,1) — (3,62 ± 0,01)t — (0,0074 ± 0,0006) t<sup>2</sup> кгц; t = T — 300°; T — абс. т-ра. Теоретич. рассмотрение зависимости ν(t) проведено в предположении, что константа квадрупольного взаимодействия не зависит от объема и что частоты колебаний решетки являются линейными функциями т-ры.

Э. Федин  
6Б149. Зеемановское расщепление ядерных квадрупольных уровней в куприте. Cox Henry L., Jr., Williams Dudley. Zeeman splitting of nuclear quadrupole levels in cuprite. «J. Chem. Phys.», 1960, 32, № 2, 633—634 (англ.).—Исследовано зеемановское расщепление линий квадрупольного резонанса (KP) <sup>63</sup>Cu и <sup>65</sup>Cu в куприте. Использовалось магнитное поле от 500 до 3000 гс. По измеренным расщеплениям сигналов KP вычислены магнитные моменты ядер <sup>63</sup>Cu и <sup>65</sup>Cu: μ<sup>63</sup>Cu = 2,2261 ± 0,007; μ<sup>65</sup>Cu = 2,3765 ± 0,007 μ<sub>яд</sub>, а также соответствующие константы квадрупольного взаимодействия eQq для <sup>63</sup>Cu = 51,956 ± 0,04 Мгц и eQq для <sup>65</sup>Cu = 48,065 ± 0,04 Мгц (при 28°). Найдена верхняя граница параметра асимметрии градиента электрич. поля η < 0,0012. Ширина линии KP в куприте равна ~15 кгц.

Э. Федин  
6Б150. Температурная зависимость частоты чисто квадрупольного резонанса хлора в молекулярных кристаллах. Gutowsky H. S., McCall D. W. Tempera-

ture dependence of the chlorine pure quadrupole resonance frequency in molecular crystals. «J. Chem. Phys.», 1960, 32, № 2, 548—552 (англ.).—Изучена температурная зависимость частоты ν<sub>T</sub> квадрупольного резонанса (KP) <sup>35</sup>Cl в CCl<sub>4</sub>, CHCl<sub>3</sub> (I), CH<sub>2</sub>Cl<sub>2</sub> (II), CH<sub>3</sub>CCl<sub>3</sub> и (CH<sub>3</sub>)<sub>3</sub>CCl. Результаты лишь полуколичественно описываются теорией Байера (Bayer H., Z. Phys., 1951, 130, 227). Между 77 и 154° K эксперим. точки ложатся выше теоретич. кривых зависимости (ν<sub>T</sub> - ν<sub>0</sub>)/ν<sub>0</sub> от T. При более высоких т-рах T расхождение меняет знак. Сделан вывод, что уточнение теории Байера возможно путем учета кристаллич. структуры. Отмечается, что влияние межмолекулярного взаимодействия на температурную зависимость градиента электрич. поля имеет тот же порядок величины, что и температурная зависимость частот крутильных колебаний молекул. Только в I и II удалось проследить температурную зависимость ν<sub>T</sub> вплоть до т-ры плавления. В остальных исследованных в-вах сигнал KP исчезает задолго до плавления. Это явление объяснено возможным уширением линии KP за счет теплового движения.

Э. Федин  
6Б151. Спектр квадрупольного резонанса хлоранила и его комплексного соединения с гексаметиленбензолом. Douglass Dean C. Quadrupole resonance spectrum of chloranil and its hexamethylbenzene complex. «J. Chem. Phys.», 1960, 32, № 6, 1882—1883 (англ.).—Изучен спектр квадрупольного резонанса (KP) ядер Cl в хлораниле (I). При 77° K спектр состоит из 4 линий с частотами 37,5851; 37,5148; 37,4698; 37,4417 Мгц. При комнатной т-ре наблюдаются только 2 линии: 36,7885 и 36,8596 Мгц. В комплексном соединении (KC) I с гексаметиленбензолом (II) частоты KP при 77° равны 37,5042 и 37,7161 Мгц. При комнатной т-ре в этом KC сигнал KP обнаружить не удалось. Указано, что наблюдаемые сдвиги частоты KP в KC по отношению к чистому I могут быть целиком обусловлены кристаллич. эффектами. Максим. оценка доли заряда электрона, переносимого в KC от I к II, не превышает 5—10%. В KC хлористого пикрила с II и п-хлоранилина с сим-тринитробензолом KP не обнаружен, что объяснено неупорядоченностью структуры этих KC.

Э. Федин  
6Б152. Чисто квадрупольный резонанс молекул N<sub>2</sub> в β-хинольных клатратах. Meyer Horst, Scott Thomas A. Pure quadrupole resonance of N<sub>2</sub> in β-quinol clathrates. «J. Phys. and Chem. Solids», 1959, 11, № 4, 215—219 (англ.).—Измерены частоты квадрупольного резонанса (KP) ядер N<sup>14</sup> в молекулах N<sub>2</sub>, введенных в пустоты решетки клатратного соединения 3C<sub>6</sub>H<sub>6</sub>(OH)<sub>2</sub>. В интервале т-р 1,5—4,2° K частоты KP постоянны и равны 3580,2; 3581,8; 3585,0; 3586,8; 3588,4; 3592,3; 3594,0 кгц. Интенсивности различных линий этого 7-компонентного спектра сложным образом менялись в зависимости от конц-ии N<sub>2</sub> в клатратных соединениях (KC). После 275-часового выдерживания при 65° две высокочастотные линии почти полностью исчезли, что, вероятно, связано с удалением молекул N<sub>2</sub> из KC через вакантные пустоты и дефекты решетки. Исследование зеемановского расщепления всех компонент спектра при 1,5° K показало, что параметр асимметрии η = 0 и что ось симметрии градиента электрич. поля параллельна кристаллич. оси KC. При наложении на образец гидростатич. давления 1100 кг/см<sup>2</sup> частота KP повышается примерно на 2 кгц. При нагревании образца выше 10° K частота KP начинает обычным образом зависеть от т-ры. По этой зависимости найдена частота колебаний молекул N<sub>2</sub> в пустотах KC ν<sub>0</sub> = 1,55 · 10<sup>12</sup> сек<sup>-1</sup>. Вычислена частота KP молекулы N<sub>2</sub> при условии ее неподвижности в пустотах KC, усредненная по всем 7 компонентам (4,04 Мгц).

Э. Федин  
6Б153. Диэлектрическая релаксация изоамлового бромиды. Glarum Sivert H. Dielectric relaxation of isoamyl bromide. «J. Chem. Phys.», 1960, 33, № 3, 639—

643 (англ.).—Измерена комплексная диэлектрич. проницаемость изоамилового бромида при 1,3 и 9  $\mu\text{M}$  в интервале  $t$ -ры от  $-75^\circ$  до  $+25^\circ$ . График зависимости величины  $\epsilon''/(\epsilon_0 - \epsilon_\infty)$  от величины  $(\epsilon' - \epsilon_\infty)/(\epsilon_0 - \epsilon_\infty)$  имеет вид слегка искаженной полуокружности одинаковой во всем исследованном интервале  $t$ -р. Формально такая зависимость соответствует непрерывному распределению частот релаксации с функцией распределения вида  $F(\alpha) = \text{const}(\alpha - \alpha_0)^{-0,7} (\alpha > \alpha_0)$  и  $F(\alpha) = 0 (\alpha < \alpha_0)$ . Для объяснения этой зависимости сделано предположение, что она обусловлена кооперативным релаксационным процессом (а не разбросом параметров, характеризующих вращательную релаксацию отдельных молекул). Авторы исходят из модели диффундирующих дефектов; дефект (дырка в решетке), достигая молекулы, вызывает ее реориентацию. Допуская, что дефект имеет мол. размеры, кажущаяся энергия его образования найдена равной 1,7  $\text{kcal/mol}$ . На основе описанной модели получена теоретич. кривая, хорошо совпадающая с экспериментальной. М. Лиферова

6Б154. О неорганических соединениях окиси азота. XI. Дипольные моменты соединений железа и кобальта  $[\text{M}(\text{NO})_2\text{X}_2]$  ( $\text{M} = \text{Fe}$ ;  $\text{X} = \text{SC}_2\text{H}_5$ ,  $\text{SeC}_2\text{H}_5$ ;  $\text{M} = \text{Co}$ ;  $\text{X} = \text{Cl}$ ,  $\text{Br}$ ). Hieber W., Beck W. Über anorganische Verbindungen des Stickoxyds. XI. Dipolmomente von Dinotrosyleisen und -kobaltverbindungen  $[\text{Me}(\text{NO})_2\text{X}_2]$  ( $\text{Me} = \text{Fe}$ ;  $\text{X} = \text{SC}_2\text{H}_5$ ,  $\text{SeC}_2\text{H}_5$ ;  $\text{Me} = \text{Co}$ ;  $\text{X} = \text{Cl}$ ;  $\text{Br}$ ). «Z. anorgan. und allgem. Chem.», 1960, 305, № 5—6, 274—278 (нем.; рез. англ.).—Измерены дипольные моменты (в  $D$ ) следующих соединений в бензоле.  $[\text{Fe}(\text{NO})_2\text{SC}_2\text{H}_5]$  (I)  $1,88 \pm 0,05$  и в циклогексане  $1,85 \pm 0,07$ ;  $[\text{Fe}(\text{NO})_2\text{SeC}_2\text{H}_5]$  (II)  $0,92 \pm 0,2$ ;  $[\text{Co}(\text{NO})_2\text{Cl}_2]$  (III)  $1,04 \pm 0,1$ ;  $[\text{Co}(\text{NO})_2\text{Br}_2]$  (IV)  $1,02 \pm 0,1$ . Для I и II предложена структура, в которой 2 атома Fe и два атома S образуют ромб, каждый атом Fe с двумя атомами S и двумя нитрозильными группами — тетраэдр, а каждый атом S с двумя атомами Fe и одной  $\text{C}_2\text{H}_5$ -группой — пирамиду. Для III и IV следует принять структуру с галогенными мостиками и с тетраэдрич. расположением атомов Co. Сообщение X см. РЖХим, 1960, № 13, 50848. М. Лиферова

6Б155. Дипольный момент  $\text{OF}_2$ . Bransford J. W., Kunkle A. C., Jache A. W. The dipole moment of  $\text{OF}_2$ . «J. Inorg. and Nucl. Chem.», 1960, 14, № 3—4, 159—160 (англ.).—Из эффекта Штарка для двух вращательных переходов дипольный момент ( $\mu$ )  $\text{OF}_2$  найден равным  $0,1759 \pm 0,001 D$ . Эта величина составляет 2,1% от  $\mu$ , рассчитанного для простой поппой модели.

Резюме авторов

6Б156. Дипольный момент и конформация 2-хлорциклогексана. Yaroslavsky Samuel, Bergmann Ernst D. Dipole moment and conformation of 2-chlorocyclohexanone. «J. Chem. Phys.», 1960, 33, № 2, 635.—Определены дипольные моменты ( $\mu$ , в  $D$ ) 2-хлорциклогексана в бензоле при  $t$ -рах 27,4 и 52,0°, составляющие соответственно 3,96 и 3,66. Сравнение с теоретически вычисленными  $\mu$  для экваториальной (4,49) и аксиальной (2,91) конформаций показывает, что с ростом  $t$ -ры наблюдается сдвиг конформационного равновесия от более устойчивой экваториальной к менее устойчивой аксиальной форме. Процент экваториальной формы падает от 61 до 41% в указанном интервале  $t$ -р. Выводы подтверждаются литературными данными по ИК-спектрам поглощения. Б. Локшин

6Б157. Спин-спиновая релаксация дифенилпикрильгидразила в параллельных полях. Verstelle J. C., Drewes G. W. J., Gorter C. J. The spin-spin relaxation of DPPH in parallel fields. «Physica», 1960, 26, № 7, 520—528 (англ.).—Методом двойного Т-образного моста измерены действительная и мнимая части комплексной магнитной восприимчивости дифенилпикрильгидразила. Найденное время релаксации существенно зависит от

статич. поля. Автор полагает, что эта зависимость связана в основном с механизмом спин-спиновой релаксации Кронига (Kronig R., Bouwkamp C. J. «Physica», 1939, 6, 290). Е. Никитин

6Б158. Молекулярная поляризуемость. Молярные постоянные Керра моно- и диметокс-, -ацетокс-, и -этоксикарбонилбензолов. Aroney M., Le Fèvre R. J. W., Chang Shu-Sing. Molecular polarisability: the molar Kerr constants of mono- and di-methoxy-, -acetoxy-, and ethoxycarbonyl-benzenes. «J. Chem. Soc.», 1960, Aug., 3173—3181 (англ.).—Определены дипольные моменты и мол. постоянные Керра для анизол (I),  $o$ -,  $m$ - и  $p$ -диметоксикарбонилбензолов, этилбензоата (II),  $o$ -,  $m$ - и  $p$ -дизтилбензоатов, фенилацетата (III),  $o$ - и  $p$ -фенилдиацидатов и поли-(этилен- $o$ -фталата) в  $p$ -ре четыреххлористого углерода при 25°. Сравнение эксперим. данных с вычисленными для различных конформаций показывает, что свойства перечисленных соединений можно объяснить только в том случае, если предположить, что заместители не лежат в плоскости бензольного кольца. Для I удовлетворительной является форма, в которой плоскость треугольника  $\text{C}-\text{O}-\text{CH}_3$  повернута на  $18^\circ$  относительно плоскости кольца. Для II соответствующий угол близок к  $23^\circ$ , а для III к  $90^\circ$ . В случае дигризованных заместителей могут располагаться как по одну, так и по разные стороны кольца, причем для объяснения эксперим. данных необходимо предположить наличие в  $p$ -ре смеси обеих форм. Б. Локшин

6Б159. Дисперсия оптического вращения некоторых аминокислот. Billardon Michel. Dispersion rotatoire optique de quelques acides aminés. «C. r. Acad. sci.», 1960, 251, № 4, 535—537 (франц.).—С помощью чувствительного спектрополяриметра получены кривые дисперсии (КД) вращательной способности (ВС) водн.  $p$ -ров 6 аминокислот в области 2400—6000 Å. Для  $\alpha$ -аминопропионовой к-ты D (—) (pH 1) обнаружен минимум ВС при 2380 Å. Для фениламинпропионовой к-ты L (—) (pH 1,1) КД указывает на наличие положительного эффекта Коттона в области 2700 Å и изменение знака эффекта при 3400 Å. Оксифениламинпропионовая к-та L (—) обнаруживает сильное поглощение вблизи 2950 Å и положительный эффект Коттона при 2880 Å. Для аспарагиновой к-ты L (+) наблюдаются два близко расположенных минимума ВС вблизи 2380 Å. Изолейцин и орнитин имеют идентичные КД с экстремальными значениями ВС при 2380 Å. Характер КД сопоставляется с наличием функциональных групп и объясняется наложением эффектов Коттона разных знаков. М. Куцаков

6Б160. Среднеквадратичная длина молекулы алкана с заторможенным вращением. Smith Richard P. Mean square length of a hindered alkane chain. «J. Chem. Phys.», 1960, 33, № 3, 876—878 (англ.).—Введена следующая ф-ла среднеквадратичной длины  $\langle L^2 \rangle$  цепи с  $n$  звеньями длины  $l_0$  и с постоянным углом  $\theta$  между звеньями  $\langle L^2 \rangle = [nl_0^2/(1 - \cos^2\theta)](1 + \alpha) \{ (1 + \cos\theta) \times (1 - \alpha) + [4\alpha - 2(1 - \alpha^2)\cos^2\theta] + G/\alpha \}$   $n(1 - \cos\theta)(1 + \alpha)$ . Обозначения:  $\alpha = 1/2 - 3/4(1 + 2\exp(-E/RT))$ ;  $G = (\alpha - r_1)^2(1 + A(1 - \alpha)/\sigma) \times (1 + \alpha)r_1^{n-1} + (\alpha - r_2)^2(1 - A(1 - \alpha)/\sigma(1 + \alpha))r_2^{n-1}$ ;  $r_1 = (A + \alpha)/2$ ;  $r_2 = (A - \alpha)/2$ ;  $\sigma = (A^2 - 4\alpha)^{1/2}$ ;  $A = (1 + \alpha)\cos\theta$ . При этом предполагалось, что три последние звена цепи могут образовывать только *транс*- или *гош*-конфигурации; *транс*-конфигурация на  $E$  стабильнее *гош*-конфигурации. В случае достаточно большого  $n$  и тетраэдрич. угла между звеньями цепи получается ф-ла Тобольского (РЖХим, 1960, № 10, 41341).

В. Матрюков

6Б161. Поворотная изомерия и колебательные спектры дибутылхлорида олова. Tobin Marvin. Rotational isomerism and the vibrational spectra of dibutyl tin dichloride. «J. Molec. Spectrosc.», 1960, 5, № 1, 65—71



(англ.).—Получены ИК-спектры и спектры комб. расщ.  $(\text{C}_2\text{H}_5)_2\text{SnCl}_2$  (I) в расплаве и в кристаллич. состоянии и проведено частичное отнесение частот. В области выше  $800 \text{ см}^{-1}$  спектры I сходны со спектрами *n*-бутана и бромистого бутила. Идентифицирован ряд частот колебаний скелета  $\text{C}_2\text{SnCl}_2$  в низкочастотной области и обнаружено значительное взаимодействие колебаний скелета и бутильных радикалов. По изменениям спектров при переходе от жидкого к кристаллич. состоянию установлен факт наличия нескольких поворотных изомеров в расплаве I. Строение поворотных изомеров не определено.

Ю. Пентин  
6Б162. Поворотная изомерия относительно углерод-углеродной связи 2—3 в 1-алкенах. Nagrah L. A., Mayo D. W. Rotational isomerism involving the 2—3 carbon-carbon bond of the 1-alkenes. «J. Chem. Phys.», 1960, 33, № 1, 298—299 (англ.).—С целью изучения поворотной изомерии в 1-алкенах исследованы ИК-спектры всех 1-алкенов от пропена до 1-гексадецена включительно. Все 1-алкены, кроме пропена, имеют 2 полосы средней интенсивности при  $632\text{—}636$  и  $551\text{—}552 \text{ см}^{-1}$ , а пропен — одну интенсивную полосу при  $578 \text{ см}^{-1}$ . Сравнение зависимости интенсивности полос  $\sim 630$  и  $\sim 550 \text{ см}^{-1}$  от длины цепи с аналогичной зависимостью для полосы  $730 \text{ см}^{-1}$  метиленовой группы показывает, что первые полосы относятся к колебаниям конечной группы. Так как другие колебания конечной группы не могут дать полос в этой области спектра, наличие двух полос указывает на существование 2 поворотных изомеров (ПИ). Это подтверждается исчезновением полосы  $\sim 550 \text{ см}^{-1}$  и ростом интенсивности полосы  $\sim 630 \text{ см}^{-1}$  при кристаллизации 1-алкенов. При быстром охлаждении 1-алкенов может наступать не кристаллизация, а стеклование, когда обе полосы сохраняются. Интенсивность обеих полос поглощения слегка увеличивается при охлаждении, но отношение интенсивностей остается постоянным, что указывает на близкую к нулю разность энергий между ПИ. Полосы  $\sim 630$  и  $\sim 550 \text{ см}^{-1}$  предварительно отнесены к этиловым крутильным колебаниям двух ПИ, отличающихся поворотом винильной группы вокруг углерод-углеродной связи 2—3. Исследование моделей показывает, что этим ПИ соответствуют углы поворота  $\pm 30^\circ$  и  $\pm 90^\circ$  по отношению к *транс*-конфигурации, причем изомер  $\pm 90^\circ$  сохраняется при кристаллизации.

О. Птицын  
6Б163. Второй минимум потенциальной кривой для систем с водородными связями. Bagrow Gordon M. The second potential minimum in hydrogen-bonded systems. «Spectrochim. acta», 1960, 16, № 7, 799—806 (англ.).—Систематизированы и обсуждены спектроскопич. доказательства существования второго минимума на кривой потенциальной энергии в системах с водородными связями. Автор считает, что наиболее удобной характеристикой протонодонорной и протонакцепторной способности, которая может быть связана с формой потенциальной кривой, являются константы диссоциации  $K_a$  в водн. р-рах. На основании литературных данных автором построена диаграмма, позволяющая определять относительное расположение минимумов на потенциальной кривой. В частности, при  $r_1$  (основание)  $-\text{p}K_a$  ( $k_a$ ) = 3 оба минимума на потенциальной кривой лежат приблизительно на одинаковом уровне. Косвенные сведения о форме потенциальной кривой могут быть получены из величин длинноволновых сдвигов в электронных спектрах, связанных с ионным характером связей.

В. Матрюков  
6Б164. Колебательные переходы и межмолекулярный потенциал. Amme Robert C., Legvold Sam. Vibrational transitions and the intermolecular potential. «J. Chem. Phys.», 1960, 33, № 1, 91—95 (англ.).—Методом дисперсии ультразвука определено время колебательной релаксации  $\text{CHClF}_2$  (I) при  $300^\circ \text{K}$  в смесях I

с Ar и с Ne. Среднее число столкновений  $Z$ , эффективных в дезактивации первого колебательного кванта I, равно 675 и 75 соответственно. Обработка эксперим. данных в соответствии с теорией колебательной релаксации Шварца — Герцфельда показывает, что время релаксации определяется не только массой партнера по столкновению (Ne или Ar), но существенно зависит от потенциала межмолекулярного взаимодействия. Если учесть небольшое различие в потенциалах взаимодействия I с Ne и Ar и использовать обычный метод усреднения потенциалов для получения потенциала Ne, Ar—I, то наблюдаемое различие во временах релаксации можно получить в модели потенциала  $28:7$  (типа потенциала Леннарда-Джонса):  $V = 4\epsilon[(r_0/r)^{12} - (r_0/r)^7]$ . Характеристич. длина короткодействующих сил  $s$  получается для этой модели примерно равной  $r_0/34$ , вместо  $r_0/17,5$ , вычисленной ранее в рамках потенциала Леннарда-Джонса (12:6). Для галогензамещ. метанов это дает  $s \approx 0,1\text{—}0,16 \text{ \AA}$ , что удовлетворительно согласуется с экспериментом.

Е. Никитин  
6Б165. Колебательные спектры кристаллизационной воды в монокристаллах  $\text{NiSO}_4 \cdot 7\text{H}_2\text{O}$ ,  $\text{NiSO}_4 \cdot 6\text{H}_2\text{O}$ ,  $\text{CaSO}_4 \cdot 2\text{H}_2\text{O}$  в области основного тона валентных колебаний O—H. Андреев С. Н., Щукарев С. А., Балачева Т. Г. «Ж. структурн. химии», 1960, 1, № 2, 183—188.—В области  $2500\text{—}3700 \text{ см}^{-1}$  изучены ИК-спектры поглощения пластинок, вырезанных из монокристаллов  $\text{CaSO}_4 \cdot 2\text{H}_2\text{O}$  (I),  $\text{NiSO}_4 \cdot 6\text{H}_2\text{O}$  (II),  $\text{NiSO}_4 \cdot 7\text{H}_2\text{O}$  (III). На основе структурных данных о расстояниях  $\text{H}_2\text{O} \cdots \text{OSO}_2^-$  можно ожидать более прочной водородной связи (BC) в I, чем в II и III. Спектроскопически получен противоположный результат, который заставляет предположить, что энергия BC зависит не только от расстояния от молекулы воды до аниона, но и от хим. природы катиона. Этот вывод согласуется с теорией Н. Д. Соколова (Докл. АН СССР, 1952, 82, 369): донорно-акцепторная связь катиона с координированными молекулами  $\text{H}_2\text{O}$  может изменить остаточный заряд атомов водорода.

В. Матрюков  
6Б166. К вопросу о проявлении короткой водородной связи в спектрах кристаллов. Стеханов А. И., Ключихин А. А. «Вестн. Ленингр. ун-та», 1960, № 16, 145—148 (рез. англ.).—Исследованы спектры комб. расщ. кристаллов  $(\text{NH}_4)_2\text{H}_2\text{PO}_4$ ,  $\text{NaH}_2\text{PO}_4 \cdot 2\text{H}_2\text{O}$  и  $\text{NH}_4\text{Cl}$  в области  $2000\text{—}3000 \text{ см}^{-1}$ . Обычно полосы в спектрах кристаллов дигидрофосфатов (а также дигидроарсенатов) в изучаемой области приписываются короткой водородной связи. Авторы считают, что правильное их отождествить с составными частотами иона  $\text{H}_2\text{PO}_4^-$  (соответственно  $\text{H}_2\text{AsO}_4^-$ ). Вычисленные в этом предположении частоты солей  $\text{KH}_2\text{PO}_4$ ,  $(\text{NH}_4)_2\text{H}_2\text{PO}_4$ ,  $\text{NaH}_2\text{PO}_4 \cdot 2\text{H}_2\text{O}$ ,  $\text{KH}_2\text{AsO}_4$  хорошо согласуются с эксперим. данными. Утверждается, что наличие короткой водородной связи вообще не обнаруживается в колебательных спектрах кристаллов.

В. Матрюков  
6Б167. Связь между длиной коротких водородных связей, потенциальной кривой и частотой валентного колебания гидроксильной группы. Blinc R., Hadži D., Novak A. The relation between the bridge length of short hydrogen bonds, the potential curve, and the hydroxyl stretching frequency. «Z. Elektrochem.», 1960, 64, № 5, 567—571 (англ.).—На основании анализа эксперим. данных о длинах  $R$  коротких водородных связей (BC) ( $2,41 \leq R \leq 2,61 \text{ \AA}$ ) в различных в-вах и о типах потенциальных кривых для протона в BC, установленных спектроскопически или методом магнитного резонанса, показано, что нет определенной корреляции между  $R$  и двумя качествами. типами потенциала (одна или две потенциальные ямы для протона). Имеется, однако, связь между средними частотами  $\nu$  вал. кол. гидроксильной группы 4 групп в-в и длиной мостика  $R$ . Эти четыре группы, дающие четыре точки кривой  $\nu = \nu(R)$ , соответствуют в-вам с симметричной ямой с одним минимумом, симметричной потенциальной кривой с двойным миниму-

мом и малым барьером, симметричному потенциалу с двойным минимумом и большим барьером и асимметричному потенциалу с одним минимумом. Е. Никитин 6Б168. Определение энергии водородных связей в парах уксусной и *n*-масляной кислот методом инфракрасной спектроскопии. Pross A. W., Zeggeren F. van. Hydrogenbond energies of acetic and *n*-butyric acids in the vapour phase by infra-red spectroscopy. «Spectrochim. acta», 1960, 16, № 5, 563—569 (англ.).—Спектроскопически определены теплоты димеризации  $\Delta H$  уксусной (I) и *n*-масляной к-т (II) в газовой фазе (давл. 1—3 мм рт. ст.,  $t$  ра 300—350° K). Измерения, проведенные по полосам  $\nu(\text{OH})$  и  $\nu(\text{C}=\text{O})$ , находятся в хорошем согласии. Энергии водородных связей  $E = \Delta H/2$ , усредненные по обоим измерениям, для I и II равны соответственно  $8,5 \pm 0,4$  и  $8,6 \pm 0,4$  ккал/моль.

В. Матрюков

6Б169. Межмолекулярная и внутримолекулярная водородная связь в анилинах. Farmer V. C., Thompson R. H. Inter- and intra-molecular hydrogen bonding in anilines. «Spectrochim. acta», 1960, 16, № 5, 559—562 (англ.).—Исследованы ИК-спектры пиридиновых  $\rho$ -ров некоторых производных анилина в области основного тона вал. кол. NH. В подтверждение более ранних данных (РЖХим, 1960, № 11, 41665) по диазоаминобензолам найдено, что внутримолекулярная водородная связь (BC) с *o*-карбоксогруппой сильнее, чем с *o*-нитрогруппой. Указывается, что первичные амины — анилин и *o*-нитроанилин — не образуют комплексов типа  $\text{AR}_2$  (A — амин, R — пиридин) с двумя BC одновременно. Имеющиеся в их спектрах две полосы, смещенные в сторону низких частот относительно полосы свободной группы NH, приписаны резонансу Ферми между частотой вал. кол. группы NH, участвующей в связи с пиридином, и оборотом ее деф. колебаний. Авторы предполагают, что таким же образом следует объяснить ИК-спектры многих других первичных ароматич. аминов.

В. Матрюков

6Б170. Исследование водородной связи в растворах. Katiyar S. S., Agrawal H. P. «Виджняна паринад апусадхан патрика, Vijnana parishad anusandhan patrika, Res. J. Hindi Sci. Acad.», 1959, 2, № 1, 55—60 (хинди; рез. англ.).—Обширный материал по изучению  $\rho$ -ров (и смесей) убедительно свидетельствует об уменьшении паравора смеси при условии, если разница в значении поверхностного натяжения компонентов превышает 7 дин/см. Понижение паравора может быть обусловлено как образованием водородной связи (BC)  $\rho$ -рителем — растворенное в-во, так и мол. ассоциацией неполярной жидкости в  $\rho$ -рителе. Это ограничивает применимость метода паравора для определения BC.

Из резюме авторов

6Б171. Конформационные переходы в полипептидах. II. Критический предел для образования внутримолекулярной водородной связи. Goodman Murray, Schmitt Edward E., Yphantis David. Conformational aspects of synthetic polypeptides. II. Critical range for intramolecular hydrogen bonding. «J. Amer. Chem. Soc.», 1960, 82, № 13, 3483—3484 (англ.).—Изучена оптич. активность олигомерных соединений, полученных из  $\gamma$ -метил-L-глутаминовой к-ты: три-, тетра-, пента-, гекса-, гепта-, нона-, ундекапептидов и нескольких полипептидов с разным мол. весом в  $\rho$ -рах диметилформамида и *m*-крезола (в которых не имеет место ассоциация) при 25°. Для пептидов, содержащих от 3 до 7 мономерных звеньев, величина вращения остается практически постоянной, а для более длинных цепей начинает расти и меняет знак с отрицательного на положительный. По мнению авторов, это объясняется превращением линейных молекул полипептида в спиральные за счет образования внутримолекулярных водородных связей с участием карбоксильной и аминной групп. Предел, при котором начинает образовываться спиральная структура, зави-

сит от природы пептида,  $\rho$ -рителя и  $t$ -ры. В данном случае он лежит между гепта- и нона-пептидами. В дихлоруксусной к-те молекулы полипептидов не образуют спиралей. Сообщение I см. РЖХим, 1960, № 13, 50905.

Б. Локшин

См. также: Структура молекул: органич. 6Б208, 6Б208, 6Б208, 6Б208. Комплексные соединения 6Б26, 6Б36, 6Б37. Спектры 6Б241, 6Б252, 6Б254, 6Б287, 6Б139. Дипольные моменты и диэлектрич. свойства 6Б377, 6Б392, 6Б393, 6Б394. Магнитные свойства 6Б239, 6Б241, 6Б243, 6Б259, 6Б272, 6Б282, 6Б284, 6Б290, 6Б291, 6Б334, 6Б395. Реакционная способность 6Б10. Межмолекулярное взаимодействие и водородная связь 6Б253, 6Б455, 6Б149. Приборы для исследования строения молекул 6Б1—6Б5, 6Б13. Квантовая химия 6Б261

## КРИСТАЛЛЫ

Редакторы Д. К. Белащенко, Э. А. Гилинская, А. Б. Нейдинг, А. Б. Шехтер, А. Н. Штейнберг

6Б172. Пути развития химии твердого тела. Nowotny H. Entwicklungsrichtungen in der Festkörperchemie. «Anz. Österr. Akad. Wiss. Math.-naturwiss. Kl.», 1959, 96, № 1—15, 265—284 (нем.).

6Б173. Нейтронграфическое исследование структуры. Lutz Gernot. Strukturforschung mit Hilfe der Neutronenbeugung. «Kerntechnik», 1960, 2, № 9, 271—275 (нем.).—Краткий обзор.

6Б174. Структурное исследование с помощью дифракции нейтронов. Balke Siegfried, Lutz Gernot. Strukturforschung mit Hilfe von Neutronenbeugung. «Chem.-Ing.-Techn.», 1960, 32, № 10, 651—656 (нем.; рез. англ., франц.).

6Б175. Структура нормальных парафинов и их твердых растворов. Мнюх Ю. В. «Ж. структур. химии», 1960, 1, № 3, 370—388.—Обзор кристаллической и фазового поведения нормальных парафинов и их твердых  $\rho$ -ров, являющихся удобной моделью для изучения строения высокополимеров. Экспериментальные результаты рассмотрены на основе теории плотной упаковки цепочечных молекул. Библ. 62 назв.

Резюме авторов

6Б176. Кристаллохимия амфиболов. Whittaker E. J. W. The crystal chemistry of the amphiboles. «Acta crystallogr.», 1960, 13, № 4, 291—298 (англ.).—Описывается, что структура амфиболов  $\text{X}_{2-3}\text{Y}_5\text{Z}_6\text{O}_{22}(\text{OH}, \text{F})$ , где X — одно-двухвалентный катион радиуса  $r_X$  (Mg) — 1.33 (Å), Y — двух-трехвалентный катион радиуса  $r_Y$  (Al) — 0.91 (Å), Z — преимущественно  $\text{Si}$ , замещаемый до 25% трехвалентными ионами радиуса до 0.67 Å (Fe), построена из бесконечных цепочек анионов состава  $\text{Si}_4\text{O}_{11}$ , соединенных между собой катионами (главным образом X). Поскольку характер цепочечных изменений, свойства амфиболов, по мнению авторов, определяются размерами катионов. С этой точки зрения объясняются следующие данные: возможность замещения одних катионов другими, наличие непрерывных областей изоморфного замещения в одних случаях и ограниченных — в других, существование моноклинных амфиболов, зависимость параметров ячейки от ионного радиуса. Дана графич. иллюстрация обсуждаемых вопросов.

Э. Арутюнян

6Б177. О единстве строения структурных типов. Смирнова Н. Л. «Ж. структур. химии», 1960, 1, № 3, 342—345.—Ряд структурных типов рассмотрен как результат замещения атомов в тетраэдрич. пустотах структурного типа  $\beta$ -W.

Резюме авторов

6Б178. Возможные изменения симметрии  $O_h^2$  при фазовом переходе второго рода. Ковалев О. В. «Физ. твердого тела», 1960, 2, № 6, 1220—1221 — Метод

В данном случае теория представлений найдены возможные пространственные группы симметрии кристалла, обладающего до перехода симметрией  $O_h^7$  (решетка Бравэ  $G_c^1$ ). Для каждой группы указан тип решетки Бравэ, относительное изменение объема элементарной ячейки и новые основные векторы. Переходы  $O_h^7 \rightarrow D_{2h}^{28}$ ,  $1G_m^b$  и  $O_h^7 \rightarrow 1G_{ph}$  (число перед символом типа решетки означает относительное изменение объема ячейки) обнаружены при низких  $T$ -рах в магнетите (РЖХим, 1953, № 2, 1392). Переходы  $O_h^7 \rightarrow D_{2h}^{28}$ ,  $1G_m^b$  и  $O_h^7 \rightarrow D_{3d}^5$ ,  $1G_{ph}$  связаны с одним неприводимым представлением группы  $O_h^7$ ; это означает, что на диаграмме ( $p$ ,  $T$ ) состояния с симметрией  $O_h^7$  и с симметрией  $D_{2h}^{28}$  или  $D_{3d}^5$  находятся по разные стороны от линии фазовых переходов второго рода.

А. Левин 6Б179. Точность измерения интенсивности, необходимая при структурном анализе монокристаллов. Cruickshank D. W. J. The required precision of intensity measurements for single-crystal analysis. «Acta crystallogr.», 1960, 13, № 10, 774—777 (англ.).—Выведена упрощенная ф-ла для вероятной погрешности в координатах атомов:  $\sigma(x) \cong RN^{1/2}/s$  (макс.)  $(8p)^{1/2}$ , где  $R$ —коэф. сходимости,  $s$  (макс.)—среднеквадратичный радиус области обратного пространства для наблюдаемых отражений,  $p$ —разность между независимыми отражениями и кол-вом параметров структуры,  $N \cong \sum f_i^2$ . Для уверенного суждения о расстояниях с точностью до 0,01 Å их вероятная погрешность не должна превышать 0,003 Å (для координат 0,0015 Å). Это требует снижения  $T$ -ры  $< 100^\circ K$ , понижения  $R$  до 0,036 в структурах с одинаковыми атомами и до 0,01 в структурах типа комплексных соединений платины, если  $s$  (макс.) = 1,30—1,35 Å<sup>-1</sup> (AuCl). Вероятная погрешность в амплитудах тепловых колебаний определяется ф-лой  $\sigma(U) \cong RN^{1/2}/s^2$  (макс.)  $(320p)^{1/2}$ . Для антрацена это дает 0,001 Å<sup>2</sup>, тогда как  $\bar{U} = 0,04 \text{ Å}^2$ . Такое различие недостаточно для изучения зависимости колебаний от  $T$ -ры. Использование структурных данных для оценки числа электронов на заданной орбите или отделения валентных электронов требует трехмерных данных  $s$  (макс.) = 1,8 Å<sup>-1</sup> в экспериментально определенной абс. шкале и при отсутствии систематич. погрешности в  $|F|$  с изменением  $s$ .

М. Порай-Кошиц 6Б180. Метод наименьших квадратов и выбор начала координат в полярных пространственных группах. Templeton David H. Least squares and choice of origin in polar space groups. «Z. Kristallogr.», 1960, 113, 234—240 (англ.; рез. нем.).—Отмечается, что при определении структуры кристаллов методом наименьших квадратов необходимо учитывать симметрию (для математич. формы структурного фактора). В 162 полярных пространственных группах вид структурного фактора определяется выбором начала координат относительно элементов симметрии. Однако в 68 полярных группах смещение начала вдоль полярного направления не меняет вида структурного фактора. Табулировано число полярных направлений для каждой пространственной группы. Даны ковариантные преобразования координат и связанные с ними упрощения матрицы наименьших квадратов при выборе начала координат в одном из  $n$  одинаковых атомов, в центре тяжести группы  $n$  одинаковых атомов и в тяжелом атоме (для случая неравных атомов).

В. Илюхин 6Б181. Спектрография флуоресцентных рентгеновских лучей. Caticha Ellis S. Espectrografia de rayos X fluorescentes. «Bol. Fac. ingr. u agrimens. Montevideo», 1959, 7, № 3, 43—96 (исп.). 6Б182. Измерение на дифрактометре линий рентгенограмм порошка в области небольших углов отражения. Wolff P. M. de. Diffractometer measurement of

low-order powder reflexions. «Acta crystallogr.», 1960, 13, № 10, 835—837 (англ.).—Отмечается, что дифрактометр, работающий на прохождение, с фокусирующим монохроматором между образцом и счетчиком по сравнению с обычным (отражающим) дифрактометром имеет геометрию, более пригодную для измерения линий в области небольших углов ( $2\theta$  0—45°), поскольку это касается смещения и расширения линий по разным причинам. Кроме того, он позволяет полностью исключить ошибку из-за смещения образца путем измерения профиля линии при 2 положениях образца, отличающихся на 180°. Эксперим. результаты показывают, что поправка на этот эффект может быть сделана с точностью до 0,001° для обычного коммерческого оборудования. Предлагается производить быстрые прецизионные измерения в области небольших углов с применением в качестве базовой точки измерения точки на профиле линии (напр., точки на крутом парабол. склоне на половине высоты максимума) вместо центра тяжести. Указывается, что этот метод с применением эталонного образца должен дать надежные результаты, причем особое внимание должно быть уделено исключению влияния толщины образца.

Л. Бутман 6Б183. О применении метода моментов к анализу рентгеновских дифракционных линий. Fingerland A. Method of moments in analysis of g-ray diffraction lines. «Чехосл. физ. ж.», 1960, B10, № 3, 233—239 (англ.; рез. русск.).—Отмечается, что определить поправку на искажение дифракционных линий прибором и разделить компоненты дублета—это две проблемы, решить которые часто позволяет измерение распределения интенсивности рентгеновских линий. Предлагаемый метод моментов дает те же сведения о линии, что и метод фурье-анализа. На основе соотношения между моментами функций  $f$ ,  $g$ ,  $h$  ( $h(x) = \int_{-\infty}^{\infty} f(y)g(x-y)dy$ ) можно найти любой момент неизвестной функции  $f$  по моментам функций  $g$  и  $h$ . Метод моментов дает общее решение первой проблемы; в частном случае, при некоторых предположениях (одинаковый профиль компонентов и др.) и известных моментах общего профиля линии, получается ф-ла для расчета моментов составляющих дублета. При анализе дифракционных линий обычным характеристикам (положению, ширине и индексу антисимметрии линии) в методе моментов соответствуют статистич. характеристики: «центр тяжести»  $\sigma$  и искажение симметрии, которые более точно устанавливают связь формы линии с физ. свойствами.

В. Илюхин 6Б184. Измерение интенсивностей рентгеновских рефлексов на обратных пленках. Macintyre Walter M., Thomson George. Measurement of X-ray intensities from reversed films. «Z. Kristallogr.», 1960, 113, 466—474 (англ.; рез. нем.).—Описан метод измерения интенсивностей на обратной пленке (Ilford Fast Blue-Sensitive X-ray Film), которую авторы выбрали в результате эксперим. исследования многих пленок. Дана краткая характеристика химикатов, способ приготовления  $p$ -ров и указано время протекания каждой стадии обработки пленки. Интенсивности на позитивной пленке измерялись непосредственно фотометром; точность измерения интенсивностей оказалась такой же, как и при работе с негативной рентгеновской пленкой. Из сравнения с данными, полученными для антрацена в позитивной камере (Robertson G. M., «Proc. Roy. Soc.», 1933, A140, 79), значение фактора сходимости  $\sum |F_0^1| - |F_0| / \sum |F_0|$  от 7,7% до 8,6% (для разных типов пленки), где  $F_0^1$ —структурный фактор, полученный из обратной пленки, а  $F_0$ —структурный фактор по данным Робертсона. Главным преимуществом измерения интенсивности по обратным пленкам авторы считают высокую скорость оценки интенсивности:



120 рефлексов проиндифицированы и оценены (с помощью фотометра) за 3 часа, в то время как на негативной пленке аналогичный процесс занял 35 часов.

**6Б185. Динамическая теория дифракции сферических рентгеновских волн.** Kato N. Dynamical X-ray diffraction theory of spherical waves. «Z. Naturforsch.», 1960, 15a, № 4, 369—370 (англ.).—Показано, что в случае рентгеновских лучей имеет место дифракция сферических, но не плоских (как обычно предполагалось в теории дифракции рентгеновских лучей) волн, так как выполняется условие  $\Delta\theta \leq \Omega_0$ , где  $\Delta\theta$  — угловая ширина отражения от монокристалла (в предположении плоской волны),  $\Omega_0$  — угол в R-пространстве (для сферич. волны с волновым числом  $K$  угол  $\Omega_0$  не может быть меньше чем  $(KL)^{-1/2}$  на расстоянии  $L$  от источника). Обычно для рентгеновских волн:  $\Delta\theta \approx 10^{-5}$ ,  $K \approx 2\pi \cdot 10^8 \text{ см}^{-1}$ ,  $L \approx 10 \text{ см}$  и  $\Delta\theta \leq \Omega_0$ . Выражая сферич. волну как суперпозицию плоских волн, автор дает ф-лы для проходящей и отраженной волн. Указывается, что новая теория объясняет ряд явлений, которые не смогла объяснить теория плоских волн.

**6Б186. Когерентное рассеяние рентгеновских лучей в направлении первичного пучка.** Нувärinen L. P. The coherent scattering of X-rays in the direction of the primary beam. «Suomalais. tiedekat. toimituks.», 1960, Sar. AVI, № 45, 10 pp. (англ.).—Рассматривается рассеяние рентгеновских лучей на однородных поликристаллич. (с малой величиной зерна) и аморфных в-вах. Использование классич. амплитуды рассеяния для свободного электрона (ф-ла Томсона) и построения Френеля позволяют получить приемлемые результаты. Показано, что первичный и рассеянный лучи сохраняют соотношение фаз; многократное рассеяние учитывается путем введения спец. фактора; дается добавочный член в ф-ле зависимости отношения интенсивности первичного и проходящего лучей от толщины слоя кристалла. Второй подход основан на предположении о случайном распределении электронов в в-ве и представлении в-в прозрачными для первичного пучка рентгеновских лучей и полупрозрачными для рассеянного пучка рентгеновских лучей. На основе распределения Пуассона получены ф-лы для коэф. поглощения и интенсивности рентгеновских лучей. Последние результаты не применимы к идеальным кристаллам с аномальным поглощением; в случае же поликристаллич. образцов, где зерна очень малы по сравнению с размерами зон Френеля, «случайность» хорошо выполняется и аномальных эффектов не наблюдается.

**6Б187. Методика регистрации рассеяния рентгеновских лучей под малыми углами в случае, когда интенсивность рассеяния образца быстро меняется со временем.** Teague P. W. Method of recording low-angle X-ray scattering when intensity scattered by specimen changes rapidly with time. «Brit. J. Appl. Phys.», 1960, 11, № 7, 287—289 (англ.).—Предложен метод измерения интенсивности рассеяния рентгеновских лучей под малыми углами при изучении быстро протекающих процессов, когда применение обычной методики, требующей для построения кривой рассеяния длительных измерений, исключается. Сущность метода показана на примере исследования процесса старения сплава  $\text{Al} + 15\% \text{ Zn}$ . Образец после термич. обработки и закаливания помещается в камеру; определяется интенсивность рассеяния под углом  $\phi_1$ . Время отсчета 30 сек. Второе измерение проводится при повороте счетчика на угол  $\phi_2$ . Затем вновь повторяется установка счетчика в положении  $\phi_1$  и  $\phi_2$  и так до тех пор, пока интенсивность, соответствующая каждому положению, не стабилизируется (в сплаве  $\text{Al} + 15\% \text{ Zn}$  стабилизация наступает через 15 мин.). Та же операция (термообработка и закаливание образца) повторяется для опреде-

ления интенсивности рассеяния под углами  $\phi_2$  и  $\phi_1$ .  $\phi_3$  и  $\phi_4$ ,  $\phi_4$  и  $\phi_1$  (в данном случае для построения кривой находились 4 точки). Таким образом, может быть построена кривая рассеяния для каждого момента времени. Обсуждается целесообразность применения пропорциональных счетчиков.

**6Б188. Итоги выполнения плана прецизионных измерений параметров решетки Международного союза кристаллографов.** Parrish William. Results of the I. U. Cr. precision lattice-parameter project. «Acta crystallogr.», 1960, 13, № 10, 838—850 (англ.).—Приводятся параметры алмаза (в  $\text{\AA}$ ), Si и W, усредненные по результатам прецизионной съемки одинаковых образцов в 16 лабораториях 9 стран в порядке выполнения плана Международного союза кристаллографов для получения эталонных параметров: алмаз  $3.56703 \pm 0.00010$ , Si  $3.56704 \pm 0.00017$ , W  $3.16522 \pm 0.00009$ . Параметры приведены для  $\theta$ -ры  $25^\circ$  и исправлены на преломление. Расхождение результатов  $\leq 0.01\%$ . Отмечается, что такая точность превышает обычно получаемую.

**6Б189. Прецизионное определение параметра решетки.** Bond W. L. Precision lattice constant determination. «Acta crystallogr.», 1960, 13, № 10, 814—818 (англ.).—Представлен метод определения параметра решетки монокристалла путем измерения угла между двумя отражающими положениями, в котором исключаются ошибки, связанные с эксцентриситетом и поглощением кристалла, и вычисляются поправки на расхождение первичного пучка, преломление, поляризацию и дисперсию. Теоретически рассмотрены и указаны необходимые эксперим. условия для достижения высокой точности. Прибор измеряет угол между двумя положениями кристалла с точностью до нескольких дуговых секунд. При наличии почти идеального кристалла параметры решетки могут быть измерены с точностью до нескольких миллионных долей. Л. Бутман

**6Б190. Некоторые источники ошибок в прецизионных определениях параметров решетки.** Strainanis M. T. Some sources of error in precision determination of lattice parameters. «Acta crystallogr.», 1960, 13, № 10, 818—821 (англ.).—Указывается, что для достижения высокой точности ( $\sim 5 \cdot 10^{-6}$ ) при измерении параметров решетки кристаллов необходимо использовать очень тонкие (диам. 0.12—0.17 мм) полупрозрачные образцы, в которых можно пренебречь абсорбционным смещением линий на рентгенограмме. В области больших значений  $\theta$  для таких образцов экстраполяция кривые становятся почти горизонтальными. Измерение углов  $4\theta$  или  $4\phi$ , а не  $2\theta$  исключает влияние смещения линий за счет неоднородности в распределении интенсивности в первичном пучке. Кроме того, камеры для прецизионной съемки должны позволять постоянную проверку совпадения осей образцов с осью камеры. Для исключения возникновения напряжений или деформаций в зернах образцов необходимо при их приготовлении пользоваться невысыхающим клеем. Чтобы исключить неравномерность усадки пленки в процессе ее обработки отверстия в ней следует просверливать, а не пробивать.

**6Б191. Метод отношений для абсолютных измерений параметров решетки при помощи цилиндрических камер.** Cernohorský Martin. The ratio method for absolute measurements of lattice parameters with cylindrical cameras. «Acta crystallogr.», 1960, 13, № 10, 823—826 (англ.).—Описан метод априорного определения точности вычислений параметров по методу отношений для плоских и цилиндрич. камер с помощью функции точности, которая может быть вычислена и табулирована заранее. Это позволяет быстро подбирать пары и четверки дифракционных линий для определения параметров куб., гексагон. и тетрагон. решеток с максимальной точностью. Метод применен для определения параметров Ru и Rh: Ru  $(21.8^\circ)$   $a$   $2.7058 \pm 0.0001 \text{ \AA}$ ,  $a$

ми  $\Phi_2$  и  $\Phi_3$  в  $\Phi_1$  соотношения кристаллической решетки. Такая точность достигнута при простой методике без экстраполяции или внесения поправок в измеренные величины.

**6Б192.** Фотографический способ быстрого относительного измерения параметров решетки. Wilkens Manfred. Eine Filmethode zur raschen Relativmessung von Gitterkonstanten. «Z. Metallkunde», 1960, 51, № 9, 536—540 (нем.; рез. англ.).—Описывается камера для съемки рентгенограмм под большими углами, которая позволяет точное определение параметров решетки различных куб. в-в с подобными параметрами решетки. Точность  $\Delta a/a$  этого метода  $\sim 10^{-5}$ .

**6Б193.** Определение размеров элементарной ячейки глинистых минералов по рентгенограммам порошков (дебаегграммам). Елисеев Э. Н. «Минералог. сб. Львовск. геол. о-во при ун-те», 1959, № 13, 246—256 (рез. англ.).—Предлагается определять углы  $\beta(\alpha)$  глинистых минералов из квадратичной ф-лы с использованием заимствуемых из литературы индексов отражений рентгенограмм порошка. Различие электронографич. и рентгенографич. данных по размерам ячеек глинистых минералов объяснено нарушением структуры при электронографии. Съемке образцов. Б. Звягин

**6Б194.** Атомное строение некоторых соединений висмута и сурьмы. Журавлев Н. Н., Жданов Г. С., Кузьмин Р. Н. «Кристаллография», 1960, 5, № 4, 553—562 (рез. англ.).—С целью установления корреляции между структурой и полупроводниковыми свойствами проведено рентгенографич. исследование и изучены диаграммы состояния ряда соединений Bi и Sb со щел., щел.-зем. и переходными металлами VIII группы. Приведены данные о числе фаз и их структуре для систем Bi—Rb, Cs, K, Sr, Ba, Rh, Pd, Pt, Sb—Rb, Co, Rh, Ir, Fe, Ru, Os. Проведен анализ кристаллохим. данных для сверхпроводящих соединений Bi; охарактеризованы структурные типы, изучена зависимость т-ры перехода от величины кратчайших расстояний Bi—Bi.

**6Б195.** Рентгенографическое определение дефектов решетки на порошках карбонила железа. Kochen-dörfer Albert, Trimborn Friedrich. Röntgenographische Ermittlung von Gitterstörungen an Karbo-n-eisenpulvern. «Arch. Eisenhüttenwesen», 1960, 31, № 8, 97—502 (нем.).—Определение размеров частиц и дефектов решетки производится по профилю линий рентгенограмм порошка. Профиль линий определяется путем измерения интенсивности отраженных лучей по точкам на дифрактометре со синхронизационным счетчиком. Измерения производились на излучении  $\text{Mo-K}\alpha$  с 3 образцами карбонила железа: 1) с размером частиц  $0,8-2 \mu$ , 2) с размером частиц  $2-7 \mu$ , 3) с размером частиц  $2-7 \mu$ , но отожженным при  $500^\circ$  в течение 24 час. в вакууме для ликвидации дефектов. По полу- ширине линий и разложению их в ряд Фурье определялись средние размеры частиц, распределение их по размерам и средний размер дефектов.

**6Б196.** Рентгенографическое изучение превращений оксидов серебра. Vlach J., Stehlik B. Röntgenometrische Studie der Umwandlungen der Oxyde des Silbers. «Collect. Czechosl. Chem. Commun», 1960, 25, № 3, 676—681 (нем.; рез. русск.).—Ранее (РЖХим, 1960, № 4, 12362; № 5, 16670) было показано, что как  $\text{Ag}_2\text{O}$ , так и  $\text{Ag}_2\text{O}_2$  всегда содержат определенное количество  $\text{Ag}_2\text{O}$  и оксид серебра с параметром куб. решетки, равным  $4,55 \text{ \AA}$ . На основании рентгенографич. исследования разложения  $\text{Ag}_2\text{O}_2$ , восстановления и разложения  $\text{Ag}_2\text{O}$ , окисления  $\text{Ag}_2\text{O}$  и  $\text{Ag}^+$ , дисмутации  $\text{Ag}^{2+}$ , а также с помощью геометрич. анализа авторы установили, что состав этого оксида  $\text{Ag}_2\text{O}_3$ .

**6Б197.** Экспериментальные структурные амплитуды тригонального нитрата натрия и атомные факторы его ионов натрия. Inkinen Osmo. Die experimentel-

len Strukturamplituden des trigonalen Natriumnitrats und die Atomformamplituden seiner Natriumionen. «Suomalais. tiedekat. toimituks.», 1960, Sar. AVI, № 55, 45 S., ill. (нем.).—Проведено прецизионное определение интенсивностей дифракционных линий (метод порошка, дифрактометр типа Брегга—Брентано, регистрация с использованием фотоумножителя,  $\lambda \text{Cu-K}\alpha$ ) для  $\text{NaNO}_3$  при  $25^\circ$  в интервале  $\sin \theta/\lambda$   $0,0-0,62$ . Точность рассчитанных по сильным и средним интенсивностям структурных амплитуд, по оценке автора, достигает  $0,6-1,0\%$ . Для координат атома O и меж- атомных расстояний N—O в  $\text{NO}_3$ -группах получены соответственно значения  $0,242$  и  $1,224 \text{ \AA}$ . Методом разностных рядов для отражений типов  $(hhh)$ ,  $(h00)$ ,  $(hh0)$  и  $(hh\bar{h})$  получены значения атомных факторов ионов Na. Установлено, что тепловое движение ионов Na носит анизотропный характер с наибольшей осью тепловых колебаний в направлении оси Z и наименьшей — в перпендикулярной плоскости. Для анизотропного температурного фактора получено выражение  $\exp[-(1,35 \cos^2 \epsilon + 1,27 \sin^2 \epsilon)(\sin \theta/\lambda)^2]$ , где  $\epsilon$  — угол между отражающей плоскостью и тригон. осью. В пределах точности измерений деформация электронного облака ионов Na не обнаружено.

**6Б198.** Новое определение кристаллической структуры трикальцийсиликата ( $\text{Ca}_3\text{SiO}_5$ ). Hahn Th. Neubestimmung der Kristallstruktur von Trikalziumsilikat ( $\text{Ca}_3\text{SiO}_5$ ). «Silikat-Technik», 1960, 11, № 8, 396—397 (нем.).—Повторное определение структуры  $\text{Ca}_3\text{SiO}_5$  проведено на основе прежних эксперим. данных (Jeffery, 1950 г.). Структура уточнена сечениями трехмерного ряда электронной плотности и трехмерным разностным синтезом. В новом варианте структуры позиции ряда атомов изменены, что приводит к сильному искажению  $\text{SiO}_4$ -тетраэдров. Вычисления проведены на электронной машине IBM-650. Параллельно выполнено уточнение методом наименьших квадратов (на IBM-704).

**6Б199.** Химическое и кристаллографическое исследование щелочно-земельных хлоритов. Res Garrini Erminia, Riganti Vincenzo. Ricerche chimiche e cristallografiche sui cloriti alcalino-terrosi. «Gazz. chim. ital.», 1960, 90, № 2-3, 321—327 (итал.).—Проведены синтез и рентгенографич. исследование (метод порошка) некоторых хлоритов щел.-зем. металлов. Соединение  $\text{Ba}(\text{ClO}_2)_2 \cdot 5\text{Ba}(\text{NO}_3)_2 \cdot 12\text{H}_2\text{O}$  (I) получено медленным испарением насыщ. р-ра  $\text{Ba}(\text{ClO}_2)_2$  ( $50-55^\circ$ ) при добавлении к нему  $\text{Ba}(\text{NO}_3)_2$  в отношении хлорит : нитрат = 1 : 2. Параметры решетки куб. кристаллов I:  $a$   $26,46 \text{ \AA}$ ,  $q(\text{изм.})$   $2,65$ ,  $q(\text{рент.})$   $2,575$ , вероятная ф. гр.  $F\bar{4}3c$ . Повторно (см. Levi G. R., Z. kristallogr., 1931, 76, 431) определены параметры куб. решетки для  $\text{Ca}(\text{ClO}_2)_2$ :  $a$   $5,80 \text{ \AA}$ ,  $q(\text{изм.})$   $2,78$ ,  $\text{Sr}(\text{ClO}_2)_2$  образует также куб. кристаллы,  $a$   $5,97 \text{ \AA}$ ,  $q(\text{изм.})$   $3,23$ . Для  $\text{Ba}(\text{ClO}_2)_2$  установлено отсутствие изоморфизма с  $\text{Ca}(\text{ClO}_2)_2$  и  $\text{Sr}(\text{ClO}_2)_2$ . Изоморфизм хлоритов Ca и Sr и отсутствие изоморфизма с Ba-солью показывает, что хлориты в этом отношении подобны нитратам. Аналогия в поведении распространяется также и на образование гидратированных соединений. Напр., известны соли  $\text{Ba}(\text{ClO}_2)_2 \cdot 3,5\text{H}_2\text{O}$  и I, тогда как хлориты Ca и Sr не имеют тенденции образовывать гидратированные соли.

**6Б200.** Кристаллическая структура германата стронция  $\text{SrGeO}_3$ . Hilmer W. Die Kristallstruktur von Strontiumgermanat  $\text{SrGeO}_3$ . «Silikat-Technik», 1960, 11, № 8, 397—398 (нем.).—С целью установления структуры изоморфных псевдоволластонита  $\alpha\text{-CaSiO}_3$ ,  $\text{SrSiO}_3$ ,  $\text{SrGeO}_3$  и низкотемпературных модификаций  $\text{BaSiO}_3$  и  $\text{BaGeO}_3$  проведено исследование  $\text{SrGeO}_3$ . Показано, что для структуры  $\text{SrGeO}_3$  характерны анионы  $[\text{GeO}_3]^{2-}$  в форме замкнутых колец, ранее обнаруженные в структурах бенитоита  $\text{BaTi}[\text{Si}_2\text{O}_6]$  и



вадента  $K_2Zr(Si_3O_9)$  (Zachariasen W. H., Z. Kristallorg., 1930, 74, 139; РИХим, 1956, № 11, 31742). Кольца образуют слои, перемежающиеся со слоями из атомов Sr. Установлено наличие другой модификации  $SrGeO_3$ , отличающейся от первой характером укладки слоев анионов, которая в первой модификации имеет вид  $ABCA'B'C'$ .

6Б201. Структура некоторых безводных квасцов и ее связь со структурной соответствующих гидратированных солей. Cola Mario. Struttura di alcuni allumi anidri in relazione ai corrispondenti sali idrati. «Gazz. chim. ital.», 1960, 90, № 2-3, 220—228 (итал.).—Исследование предпринято в связи с изучением каталитич. р-ции  $C_2H_5OH \rightarrow (C_2H_5)_2O$ . Рентгенографич. исследование проведено методом порошка. Ромбич. кристаллы  $NaAl(SO_4)_2$  получены: а) дегидратацией  $NaAl(SO_4)_2 \cdot 12H_2O$  при  $400^\circ$  и б) осаждением с помощью конц.  $H_2SO_4$  из р-ра сульфата Na и Al при  $180-200^\circ$ . Параметры решетки:  $a$  5,38,  $b$  12,35,  $c$  8,46 Å,  $Z = 4$ . Ромбич. кристаллы  $NaCr(SO_4)_2$  получены дегидратацией  $NaCr(SO_4)_2 \cdot 12H_2O$  при  $400^\circ$ ;  $a$  5,42,  $b$  12,42,  $c$  8,56 Å,  $Z = 4$ . Безводн. квасцы Cs и Al, Cs и Cr, Rb и Cr, Rb и Al, полученные путем прокалывания соответствующих гидратированных солей  $M^{(1+)}M^{(3+)}(SO_4)_2 \cdot 12H_2O$ , при  $400-500^\circ$  образуют гексагон. кристаллы:  $CsAl(SO_4)_2$   $a$  4,78,  $c$  8,81 Å,  $c/a$  1,846;  $CsCr(SO_4)_2$  4,81, 8,83 Å, 1,833;  $RbCr(SO_4)_2$  4,79, 8,35 Å, 1,744;  $RbAl(SO_4)_2$  4,75, 8,31 Å, 1,750. Два последних соединения можно рассматривать и как тетрагональные с  $a \sim 8,30$  и  $c \sim 4,79$  и  $a \sim 8,31$  и  $c \sim 4,75$  Å. Из приведенных данных следует, что водн. квасцы со структурой  $\alpha$  и  $\beta$  дают безводн. продукты с гексагон. симметрией, тогда как  $\gamma$ -квасцы образуют дегидратированные соединения ромбич. симметрии.

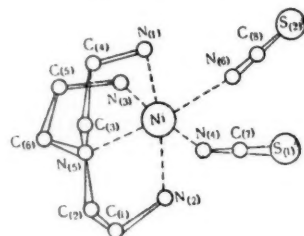
6Б202. Критические замечания к статье Тредголда «Гидромусковит со структурой  $2M_2$ ». Radoslovich E. W. «Hydromuscovite with the  $2M_2$  structure». A criticism. «Amer. Mineralogist», 1960, 45, № 7-8, 894—898 (англ.).—В ранее опубликованной работе (РИХим, 1960, № 6, 21903) доказывалось, что гидромусковит из Тасмании имеет структуру  $2M_2$ . В свете теоретич. соображений автора (РИХим, 1959, № 22, 77480) для мусковита это маловероятно. В связи с этим проведено тщательное сопоставление дебаграмм  $1M$ -мусковита,  $2M_1$ -мусковита,  $2M_2$ -лепидолита с дебаграммой гидромусковита из Тасмании. Сделан вывод, что этот гидромусковит состоит из смеси  $1M$  и  $2M_1$  полиморфов мусковита в соотношении примерно 2:1 и не содержит полиморфа  $2M_2$ .

6Б203. Кристалл мелилита в шлаковой усадочной раковине доменной печи. Minato Hideo. Melilite crystal in the cavity of blast-furnace slag. «Mineral. J.», 1959, 2, № 6, 422—426 (англ.).—Проведено хим. и рентгенографич. (метод порошка) исследование кристаллов мелилита (I), найденных в шлаке доменной печи; хим. состав I хорошо согласуется с ф-лой  $Ca_2(Mg, Fe, Ti, Al, Si)_3O_7$ . Данные порошковых соответств. результатам хим. анализа; имеющиеся дублиеты и триплеты слоев линий указывают на наличие зональной структуры, которая хорошо видна под микроскопом. Обсуждаются некоторые предположения об условиях кристаллизации I в шлаковой впадине. С. Рыкова

6Б204. Изменения в решетке плагиоклазов при термической обработке. Существование мональбита при комнатной температуре. Brown William L. Lattice changes in heat-treated plagioclases. The existence of monalbite at room temperature. «Z. Kristallogr.», 1960, 113, 297—329 (англ.; рез. нем.).—Изучено изменение параметров решетки и оптич. констант с хим. составом плагиоклазов. Отмечено, что неупорядоченность в расположении атомов Si и Al оказывает то же влияние, что и аномальные замещения. В плагиоклазах при низких  $t$ -рах при составах от  $Ap_0$  до  $Ap_{100}$  существует простое соответствие между составом и углами

в обратной решетке; приведены (для низкотемпературных форм) графики зависимости угла  $\gamma^*$  от содержания аномалита и отношения Al:Si. Нагревание плагиоклазов вызывает такие же изменения в параметрах решетки, как и увеличение содержания аномалита. Для нагретых образцов даны графики изменения угла  $\alpha^*$  от весового содержания аномалита ( $t$ -ра  $1140^\circ$ , 20 дней) и графики зависимости  $\alpha^*$  от времени выдержки при разных  $t$ -рах (альбит  $1050^\circ$ , олигоклаз  $1100^\circ$ ). Приведена таблица изменения параметров решетки от продолжительности нагревания. Отмечается двойникование плагиоклазов (при нагревании). Структурные исследования показали, что высокотемпературный альбит характеризуется полным разупорядочением (в отношении Al:Si), низкотемпературный альбит — полным упорядочением. Даны постоянные решетки мональбита при комнатной  $t$ -ре. В. Илюхин

6Б205. Кристаллическая и молекулярная структура  $2,2',2''$ -триаминотриэтиланилиндидроанида никеля. Rasmussen Svend Erik. The crystal and molecular structure of  $2,2',2''$ -triaminotriethyl-amine-Ni(II)-dithiocyanate. «Acta chem. scand.», 1959, 13, № 10, 2008—2022 (англ.).—С целью определения координационного многогранника атома Ni рентгенографически (метод порошка и Вейсберга,  $\lambda Cu$ ) изучены кристаллы  $Ni(H_2NC_2H_4)_3N(SCN)_2$ . Параметры ромбич. решетки:  $a$  10,821,  $b$  14,719,  $c$  8,620 Å,  $Z = 4$ , ф. гр.  $P2_12_12_1$ . Для определения структуры использовались проекции Паттерсона, разрезы Харкера, неравенства Харкера—Каспера, проекции Фурье и 3-мерный ряд Паттерсона.

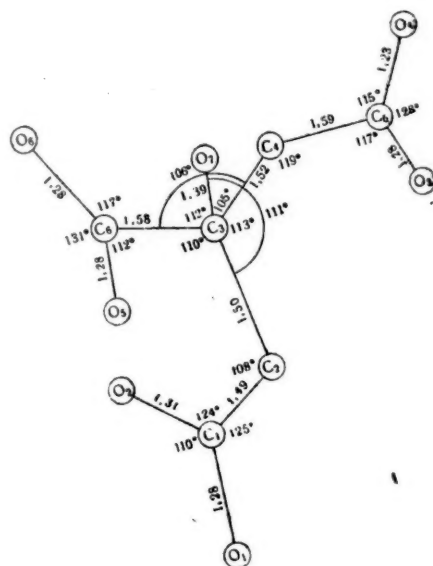


последний был обработан методом суперпозиции относительно атома Ni и двух атомов S. Уточнение проводилось с помощью проекций различного ряда методом наименьших квадратов с использованием 3-мерных данных. Фактор достоверности  $R = 13,6\%$ . Структура молекулярная. 4 атома N амина и 2 атома роданогруппы окружают атом Ni по искаженному октаэдру, причем группы NCS находятся в  $trans$ -положении. Присутствующие в молекуле металлоиды имеют неплоское строение. Два из них имеют одинаковую конформацию, третий металлоидикл энантиоморфен по отношению к двум первым. Межатомные расстояния (в Å):  $N(5)-C(2)$  1,527,  $C(2)-C(1)$  1,561,  $C(1)-N(2)$  1,482,  $N(5)-C(3)$  1,675,  $C(3)-C(4)$  1,574,  $C(4)-N(1)$  1,525,  $N(5)-C(6)$  1,452,  $C(6)-C(5)$  1,538,  $C(5)-N(3)$  1,489,  $N(4)-C(7)$  1,164,  $C(7)-S(1)$  1,633,  $N(6)-C(8)$  1,218,  $C(8)-S(2)$  1,607,  $N(1)-N(2)$  2,195,  $N(2)-N(3)$  2,166,  $N(1)-N(4)$  2,242,  $N(1)-N(5)$  2,104,  $N(1)-N(6)$  2,127,  $N(1)-N(6)$  2,020. Валентные углы:  $C(2)-N(5)-C(3)$   $99^\circ 55'$ ,  $C(6)-N(5)-C(2)$   $120^\circ 14'$ ,  $C(6)-N(5)-C(3)$   $115^\circ 28'$ ,  $C(5)-C(6)-N(5)$   $115^\circ 19'$ ,  $N(3)-C(5)-C(6)$   $108^\circ 21'$ ,  $N(1)-C(4)-C(3)$   $108^\circ 48'$ ,  $N(2)-C(1)-C(2)$   $103^\circ 42'$ ,  $C(4)-C(3)-N(5)$   $102^\circ 35'$ ,  $C(1)-C(2)-N(5)$   $99^\circ 59'$ ,  $N(4)-C(7)-S(1)$   $170^\circ 6'$ ,  $N(6)-C(8)-S(2)$   $172^\circ 48'$ ,  $N(1)-Ni-N(2)$   $152^\circ 29'$ ,  $N(5)-Ni-N(6)$   $168^\circ 51'$ ,  $N(3)-Ni-N(4)$   $173,1^\circ$ ,  $N(1)-Ni-N(6)$   $163^\circ 28'$ ,  $N(1)-Ni-N(4)$   $156^\circ 21'$ .

6Б206. Характер лигандов в дибензолхроме. Jellinek F. Character of the ligands in dibenzene chromium. «Nature (Engl.)», 1960, 187, № 4740, 871—872 (англ.).

Проведено рентгенографич. уточнение кристаллич. структуры  $(C_6H_6)_2Cr$  с помощью трехмерных данных и разностных синтезов до  $R = 0,063$ . Подтверждена найденная ранее ф. гр.  $Ra\bar{3}$  с  $a = 9,667$  Å, но симметрия молекулы оказалась ниже, чем  $D_{3h}$ . В циклах  $C_6H_6$  чередуются связи с длиной 1,353 и 1,439 Å (стандартное отклонение 0,014 Å), так что молекула имеет симметрию  $D_{3h}$ . Циклы  $C_6H_6$  (в пределах ошибки опыта 0,007 Å) плоские, с углами  $C-C-C$  118,9° и 121,0° ( $\pm 1^\circ$ ). Расстояния  $Cr-C$  2,135 и 2,132 Å ( $\pm 0,010$  Å). Атомы H обнаружены на ожидаемых расстояниях от атомов C. Термич. движение анизотропно и соответствует либрации колец относительно осей  $C_3$ , но не свободному вращению. На основании найденных расстояний  $C-C$ , близких к расстояниям ординарной и двойной связи при  $sp^2$ -гибридизации (1,46 и 1,34 Å), автор делает вывод, что в бензольных кольцах в  $(C_6H_6)_2Cr$  нет делокализации  $\pi$ -электронов. Утверждается, что катион  $[(C_6H_6)_2Cr]^+$  имеет симметрию  $D_{3h}$ . М. Дяткина 6Б207. Строение мономерных арсеносоединений. Крафт М. Я., Бородин Г. М., Стрельцова Л. Н., Стручков Ю. Т. «Докл. АН СССР», 1960, 131, № 5, 1074—1076. Рентгенографически (метод колебаний) изучено строение арсенобензола (I) (т. пл. 210—212°), полученного восстановлением  $C_6H_5AsO$  фосфорноватистой к-той. Параметры монокл. решетки:  $a$  11,93,  $b$  6,11,  $c$  23,57 Å,  $\beta$  1,758,  $Z = 12$  ( $C_6H_5As$ ), ф. гр.  $P2_1/c$ . Проекция электронной плотности показывает, что I имеет строение шестичленного цикла с элементом  $C_6H_5As$ . Цикл имеет конфигурацию кресла с углами  $As-As-As$   $93 \pm 2^\circ$  и  $As-As-C$   $99 \pm 3^\circ$ . Длина связей  $As-As$  2,44 Å и  $C-As$  1,96 Å. Ф. Величко 6Б208. Рентгеноструктурный анализ субстратов аконитазы. I. Моноцитрат рубидия. II. Безводная лимонная кислота. III. Кристаллизация, константы ячейки и пространственные группы некоторых щелочных цитратов. X-ray crystal analysis of the substrates of aconitase. I. Nordman Christer E., Weldon Alice S., Patterson A. L. Rubidium dihydrogen citrate. II. Nordman Christer E., Weldon Alice S., Patterson A. L. Anhydrous citric acid. III. Lowe Warner E., Patterson A. L. Crystallization cell constants, and space groups of some alkali citrates. «Acta crystallogr.», 1960, 13, № 5, 414—417; № 418—426; 426—428 (англ.).—I. Рентгенографич. исследование (методы прецессии и Вейсберга; интегрирование прецессионной и Вейсберговской камеры, микрофотометрич. оценка интенсивностей,  $\lambda Cu$ , Mo) проведено с целью изучения стереохимии пинов лимонной, цис-аконитовой и d-изолимонной к-т, равновесие между которыми, достигаемое при каталитич. участии ферментов группы аконитазы, играет существенную роль в цикле Кребса (Ochoa S. Fumarase and aconitase in Sumner I. B. and Myrback K. The enzymes, 1951. Vol. I. Part 2, pp. 1217—1236, New York, Acad. Press). Параметры монокл. решетки моноцитрата Rb (I):  $a$  14,924,  $b$  9,710,  $c$  19,145 Å,  $\beta$  108,63°,  $Z = 12$ , ф. гр.  $P2_1/a$  (относительное усиление рефлексов с  $l = 3n$  по сравнению с остальными указывает на наличие псевдодейки с псевдопериодом с 6,382 Å на 4). Структура найдена методом тяжелого атома из проекций  $xy$  и  $xz$  электронной плотности и уточнена до  $R(hk0) = 0,10$ ,  $R(h0l) = 0,13$  последовательностью разностных синтезов (с промежуточными пересчетами константы приведения и температурных факторов методом наименьших квадратов). Для атомных факторов атомов O и C использованы новые значения (McWeeny R., Acta crystallogr., 1951, 4, 513). Статистич. оценка точности атомных координат приводит к значению вероятной погрешности 0,02 для Rb и 0,07 для O и C. Атомы  $C(1)$ ,  $C(2)$ ,  $C(3)$ ,  $C(4)$  главной углеродной цепи лежат приблизительно в одной плоскости с карбоксильной группой  $O(1)C(1)O(2)$ , в то время как группа  $O(3)C(5)O(4)$  отклоняется от этой

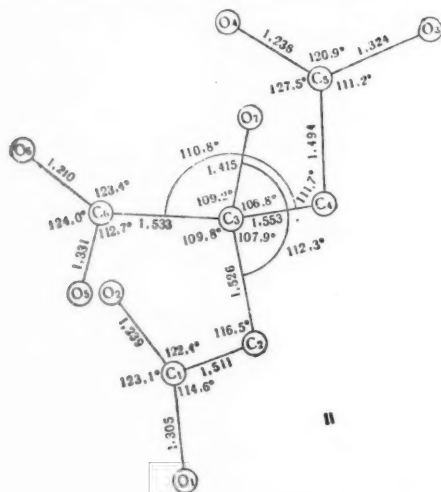
плоскости. Несмотря на близость (2,70 Å) друг к другу атомов  $O(6)$  и  $O(7)$ , центральная карбоксильная группа почти копланарна (угол между  $O(5)C(6)O(6)$  и  $C(6)C(3)O(7) \approx 15^\circ$ ) с  $\alpha$ -гидроксильной, что соответствует конфигурации, найденной для ряда оксалатов, тар-



тратов и соответствующих к-т (РЖХим, 1955, № 17, 36728). В пределах ошибки опыта карбоксильные группы копланарны со своими  $\alpha$ -атомами C. Линия  $O(2)-C(6)$  приблизительно перпендикулярна плоскости  $O(5)O(6)C(6)C(3)$  при расстоянии  $O(2)-C(6)$  2,63 Å. Расстояние  $O(2)-C(3)$  2,72 Å. Ион Rb находится в окружении 9 атомов O на расстояниях 2,90—3,25 Å (согласующихся с суммой ионных радиусов), с ближайшим следующим атомом O, отстоящим на 3,83 Å. Соответственные координационные сферы разбиваются на пары с центром инверсии между ними при расстоянии Rb—Rb 4,21 Å; каждые четыре атома  $O(4)$ ,  $O(7)$  и им эквивалентные принадлежат одновременно двум сферам. Атомы  $O(3)$  одной молекулы и  $O(6)$  другой, относящейся к ней как скользящее отражение, связаны водородной связью длиной 2,48 Å. Другие две водородные связи с длинами 2,53 Å и 2,74 Å образованы атомами карбоксильных групп  $O(6)$  и  $O(1)$  молекул, связанных винтовой осью, и атомами гидроксильной и карбоксильной групп  $O(7)$  и  $O(4)$  молекул, отстоящих на период с. Четвертая водородная связь длиной 2,84 Å образована атомами  $O(2)$  и  $O(1)$  тех же карбоксильных групп, что и связь 2,53 Å. Следующее кратчайшее межмолекулярное расстояние составляет 3,16 Å.

II. Параметры монокл. решетки безвод. лимонной к-ты (II):  $a$  12,821,  $b$  5,622,  $c$  11,545 Å,  $\beta$  111,17°,  $Z = 4$ , ф. гр.  $P2_1/a$ . Структура найдена из трехмерного синтеза Паттерсона, вычисленного на машине Пенн-ского XRC с применением обостряющего множителя и прямыми методами (Gillis J., Acta crystallogr., 1948, 1, 174; Zachariasen W. H., Acta crystallogr., 1952, 5, 68) в  $(xy)$ ,  $(xz)$ -проекциях с последующим разностным синтезом. Уточнение до  $R = 0,14$  проведено трехмерным методом наименьших квадратов и дифференциальным синтезом при среднеквадратичных отклонениях в атомных координатах 0,0025 Å для O и 0,0028 Å для C. Длины связей C—C атома  $C(3)$  (рис.) примерно равны между собой и не отклоняются существенно от нормального для ординарной связи значения. Рас-

стояние  $C(3) - O(7)$  также хорошо согласуется с обычным значением длины связи  $C-OH$ . Соответствующие расстояния для атомов  $O(1)$ ,  $O(3)$ ,  $O(5)$  гидроксильных групп, однако, несколько превышают принимаемые значения величин «длинные» карбоксильных связей. Аليفатич. цепь  $C(1) - C(5)$  расположена приблизительно в одной плоскости (наибольшее отклонение составляет 0,12 Å). Все карбоксильные группы копланарны со своими  $\alpha$ -атомами  $C$ ; карбоксил  $O(1)C(1)O(2)$  образует с плоскостью цепи угол  $3,3^\circ$ , карбоксил  $O(3)C(3)O(4)$  — прямой угол. Как и в структуре I, карбоксильная группа  $O(5)C(5)O(6)$  и плоскость  $C(6)C(3)O(7)$  почти параллельны. Общая конфигурация молекулы

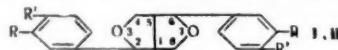


также аналогична конфигурации I, за исключением карбоксильной группы  $O(3)C(5)O(4)$ , атом  $C(5)$  которой в последнем случае отклоняется от алифатич. цепи. Группа  $O(1)C(1)O(2)$  образует 2 эквивалентные водородные связи с такой же группой, связанной с первой центром инверсии при соответствующем расстоянии 2,63 Å, характерном для подобного «димерного» типа связей (РЖХим, 1957, № 24, 6450). Две другие карбоксильные группы образуют участок в непрерывной спиральной цепи водородных связей вдоль винтовых осей. Длины соответствующих неэквивалентных связей 2,65 и 2,73 Å. Четвертая водородная связь длиной 2,84 Å связывает атом  $O(7)$  одной молекулы с атомом  $O(1)$  молекулы, отстоящей на трансляцию  $b$ . Все водородные связи разбиваются на 2 системы спиральных цепей вдоль винтовых осей  $(1/4, y, 0)$ ,  $(3/4, y, 0)$  и  $(1/4, y, 1/2)$ ,  $(3/4, y, 1/2)$ , из которых первая включает по 2 связи каждой из групп  $O(3)C(5)O(4)$  и  $O(5)C(6)O(6)$ , а вторая — связи  $O(3) - O(6)$  вместе с «димерными» связями  $O(1) - O(2)$ . Эквивалентные пары спиральной первой системы соединены в направлении  $a$  парами centrosymmetrically связанных молекул; последовательные витки спиральной второй типа скрепляются водородными связями  $O(1) - O(7)$ . Свободные от водородных связей межмолекулярные контакты находятся в хорошем согласии с суммами ван-дер-ваальсовых радиусов для соединений подобного рода.

III. Приведены параметры решетки и Федоровские группы шел. цитратов вида  $M_nH_3 - nCit \cdot mH_2O$ , где  $M = Li, Na, K, Rb, NH_4, (NH_4)_xRb_{1-x}, Li(NH_4), LiRb, a$  Cit — трехзарядный цитрат-ион  $-OOCCH_2C(OH) \cdot (COO^-)CH_2COO^-$ . Обнаружен изоморфизм  $LiH_3Cit$  и  $NaH_3Cit$ ,  $Li(NH_4)HCit \cdot H_2O$  и  $LiRbHCit \cdot H_2O$ ,  $K_3Cit \cdot H_2O$  и  $Rb_3Cit \cdot H_2O$ ,  $(NH_4)_2HCit$  и  $(NH_4)_2 - xRb_xHCit$  ( $x \approx 3/4$ )

имеют близкие значения параметров решетки, но разные пространственные группы.

6Б209. Кристаллографические данные для двух производных пинорезинола. Lund Einar Wang. Crystallographic data of two pinoresinol derivatives. «Acta chem. scand.», 1960, 14, № 2, 496—497 (англ.). Рентгенографические исследования 2 производных пинорезинола с  $R = R' = OCH_3$  и атомом Br (I) или I (II) в пара-положении к  $R$  с целью определить, в каком положении (*цис* или *транс*) находятся фенильные



кольца по отношению к атомам водорода у мостиков 1—5. Параметры решетки: I  $a$  8,25,  $b$  26,7,  $c$  4,83,  $\beta$  103,3°,  $Z = 2$ , ф. гр.  $P2_1$ ; II  $a$  21,3,  $c$  4,86 Å,  $Z = 4$ , ф. гр.  $P4_2$ . На основании геометрич. соображений относительно упаковки молекул в ячейках с короткой осью 4,8 Å автор приходит к выводу, что фенильные кольца находятся в *цис*-положении относительно атомов H. Плоскости двух конденсированных 5-членных колец находятся под углом  $120^\circ$  друг к другу. Е. Шутак

6Б210. Уточнение структуры комплексов йода с 1,4-дигидраном  $C_4H_8S_2 \cdot 2I_2$ . Chao George Y., McCullough J. D. The refinement of the structure of the complex of iodine with 1,4 dithiane,  $C_4H_8S_2 \cdot 2I_2$ . «Acta crystallogr.», 1960, 13, № 9, 727—732 (англ.). Проведено дальнейшее (РЖХим, 1956, № 12, 3508) рентгенографич. (методы вращения, прецессии и Вейсберга,  $\lambda Mo-K_\alpha$ ) уточнение структуры  $C_4H_8S_2 \cdot 2I_2$ . Параметры монокл. решетки:  $a$  6,838,  $b$  6,393,  $c$  16,775 Å,  $\beta$  114°30',  $Z = 2$ , ф. гр.  $P2_1/c$ . Структура найдена методом тяжелого атома из  $xx$ - и  $yz$ -проекций электронной плотности. Уточнение произведено на электронной машине SWAC методом наименьших квадратов в трехмерном варианте (5 циклов) с использованием полной матрицы (РЖХим, 1959, № 6, 18284);  $R = 0,081$ . Для атомных факторов использованы новые значения при введении индивидуального анизотропного температурного фактора. Окончательные координаты атомов:  $J(1)$   $x$  0,8228;  $y$  0,8163;  $z$  0,1840;  $J(2)$  0,5229; 0,1389; 0,1460;  $S$  0,2030; 0,4611; 0,1021;  $C(1)$  0,2342; 0,5853; 0,0122;  $C(2)$  0,9723; 0,2911; 0,0449. В противоположность ранее исследованным соединениям  $R_2SeX_2$ ,  $R_2TeX_2$  ( $X = Cl, Br$ )  $C_4H_8S_2 \cdot 2I_2$  представляет собой мол. комплекс, подобно  $(C_2H_5CH_2)_2S \cdot J_2$  (РЖХим, 1958, № 7, 20457). Присутствие  $J$  не изменяет общей конфигурации 1,4-дигидранового цикла, в плоскости которого располагаются оба галогенных атома. Длина связи  $J-J$  по 0,11 Å больше, чем в твердом состоянии  $J_2$ . Аномально большая величина температурных поправок для атомов  $J$ , особенно для  $J(1)$ , по сравнению с атомами  $S$  объясняется связанностью  $S$  в жестком 6-членном кольце при значительной свободе теплового движения атомов  $J$ . Последнее является также причиной высокой лучистости соединения в твердом состоянии. А. Левин

6Б211. Рентгенографическое изучение колебаний органических молекул. Lonsdale Dame Kathleen, Milledge H. Judith. An X-ray study of rigid-body and internal vibrations of organic molecules. «Nature (Engl.)», 1959, 184, № 4698, 1545—1548, 1550 (англ.). — Показано, что принятое ранее (РЖХим, 1957, № 4, 10917; № 18, 60000) предположение о незначительных внутренних колебаниях молекул по сравнению с их колебаниями в решетке не всегда правильно. Авторы считают, что если фактор достоверности структурного определения  $R \ll 10\%$ , то можно получить сведения не только об амплитудах трансляционных и либрационных колебаний, но и об амплитудах внутримолекулярных колебаний. На примере кристаллов ди- $n$ -скиллана ( $C_{16}H_{16}$ ) дана схема простого расчета, позволяющего найти вероятные среднеквадратичные амплитуды (с точностью до постоянного слагаемого). А. Левин



А. Левин. Исследование колебаний в структурах  $C_{16}H_{16}$  и  $C_6H_5Cl_3$  (при 293 К),  $C_6H_5Br_3$  и  $B_3N_3H_3Cl_3$  (при комнатной t-ре) и нитратона (при 290 и 95° К).

6Б212. Систематические эффекты при уточнении структуры хлоргидрата диглицина. Hahn Theo. Systematische Einflüsse bei Verfeinerung der Kristallstruktur von Diglycinhydrochlorid. «Z. Kristallogr.», 1960, 113, 403—429 (нем.; рез. англ.).—Исследовано влияние поглощения, экстинкции и статистич. весов структурных факторов на результаты уточнения структуры хлоргидрата диглицина методом наименьших квадратов. Применен новый метод учета поглощения для кристаллов удлиненной формы при съемке на сканирующем рентгенонометре. Циклы уточнения методом наименьших квадратов просчитаны на электронной машине IBM 704 последовательно, после очередного изменения любого из указанных факторов. Во время как поправка на поглощение мало изменяет параметры структуры, влияние статистич. весов очень велико. Замещение индивидуальных весов на дисперсионные для всех веса вызвало сдвиг атомов на 0,1 и 0,02 Å. Исключение интенсивностей восьми рефлексов, ослабленных экстинкцией, вызвало смещение координат атомов на 0,01 Å. Новые расстояния и углы интерпретированы кристаллохимически.

Резюме автора  
6Б213. Электронографическое уточнение структуры мусковита. Звягин Б. Б., Мищенко К. С. «Кристаллография», 1960, 5, № 4, 600—604 (рез. англ.).—Достоинство определена структура мусковита-серпичита  $Al_2[Al_2Si_4O_{10}(OH)_2]$ . Найденные по электронограммам структурные параметры монокл. решетки ( $a$  5,18,  $b$  8,96,  $c$  11,1 Å,  $\beta$  95°40') хорошо согласуются с рентгенографич. данными (Jackson W. W., West J., Z. Kristallogr., 1933, 85, 1—2, 160),  $Z = 1$ , ф. гр.  $C2/c$ . Структура найдена на обычных и разностных  $xx'$ - и  $yz$ -проекциях с учетом ранее полученных данных (РЖХим, 1955, № 3, 3345).  $d(001)$  и  $R(0kl)$  равны 0,23 при точности атомных позиций по Вайнштейну 0,02, 0,03 и 0,04 Å соответственно для K, Si—Al и O. Структура характеризуется слоистыми слоями, в которых плоскости симметрии верхних и нижних тетраэдрич. сеток (Si, Al) — O помещены по у относительно плоскостей симметрии тетраэдрич. сетки (Al—O, OH) соответственно на  $(1/3)$ ,  $(-1/3)$  для одних слоев и на  $(-1/3)$ ,  $(1/3)$  для других, смежных с ними. Грани октаэдров развернуты друг относительно друга вокруг своих нормалей на  $\sim 3^\circ$ , грани тетраэдров — на  $\sim 11^\circ$ . Al-тетраэдры примыкают только к тем атомам O, которые расположены вблизи от плоскостей скользящего отражения октаэдрич. сетки, тогда как к атомам O, лежащим на зеркальных плоскостях этой сетки, примыкают только  $yt$ -тетраэдры. Атомы K расположены в межслоевых промежутках. Характер статистики в размещении атомов Al(тетр.) согласуется с разнорядностью смежных тетраэдров (РЖХим, 1955, № 15, 31470). Предложенная структура объясняет механизм замещения Si на Al. Размещение Al в тетраэдре сказывается на позициях атомов O, что, в свою очередь, приводит к смещению атомов K и обуславливает дополнительный скос K-октаэдра и некоторое увеличение монокл. угла  $\beta$  против теоретич. значения (Белов Н. В. Структура ионных кристаллов и металлических фаз. 1947).

А. Левин  
6Б214. Некоторые новые результаты электронно-микроскопических исследований поверхности NaCl. Bethge H. Einige neuere Ergebnisse der elektronenmikroskopischen Untersuchungen an NaCl-Oberflächen. Phys. Bl., 1960, 16, № 4, 223—227 (нем.).—Предлагается способ приготовления образца NaCl, позволяющий обнаружить с помощью электронного микроскопа элементы структуры поверхности NaCl, высота которых имеет атомарный размер. На нагретую поверх-

ность скола NaCl в вакууме наносят испарением слой NaCl. Вследствие поверхностной миграции дефекты структуры атомарного размера на поверхности кристалла NaCl усиливаются и их можно увидеть в электронном микроскопе с помощью подтененных реплик.

И. Стоянова  
6Б215. Электронномикроскопическое наблюдение дислокаций в электролитически осажденных слоях никеля. Reimer Ludwig. Elektronenmikroskopische Beobachtung von Versetzungen in elektrolytisch niedergeschlagenen Nickelschichten. «Naturwissenschaften», 1960, 47, № 17, 394—395 (нем.).

6Б216. Электронномикроскопическое исследование кристаллов льда. Schmidt K.-H. Untersuchung von Eiskristallen mit dem Elektronenmikroskop. «Exptl. Techn. Phys.», 1960, 8, № 1, 9—13 (нем.).—Описан метод препарирования реплик с поверхности кристаллов льда, позволяющий избежать искажений структуры при высушивании. Применение этого метода демонстрируется на нескольких примерах.

И. Стоянова  
6Б217. К геометрической теории муаровых картин на электронном изображении лежащих друг над другом монокристаллов. Rang Otto. Zur geometrischen Theorie der Moiré-Muster auf Elektronenbildern übereinander liegender Einkristalle. «Z. Kristallogr.», 1960, 114, № 1-2, 98—119 (нем.; рез. англ.).—Предлагается геометрич. теория формирования электроноптич. изображения интерференционных картин от лежащих друг над другом монокристаллов. Рассматривается механизм образования муаровых картин при параллельном смещении и вращении кристаллов. Указано, что период повторяемости на муаровых картинах не зависит от длины волны и природы образующего их излучения, а зависит только от чисто геометрич. параметров. Рассматривается возможность применения интерференционных муаровых картин для наблюдения дефектов кристаллич. решетки и измерения когерентной длины электронов.

И. Стоянова  
6Б218. Изменение органических кристаллов в электронном микроскопе при облучении их электронами со скоростью 60 кв. Reimer Ludwig. Veränderungen organischer Kristalle unter Beschuss mit 60 kv-Elektronen im Elektronenmikroskop. «Z. Naturforsch.», 1960, 15a, № 5-6, 405—411 (нем.).—На испаренных слоях органич. в-в изучалось разрушение кристаллич. структур при облучении электронами, причем повышение т-ры объекта в процессе облучения  $< 10^\circ$ . Найдено, что превращение кристаллич. структуры в аморфную наступает для в-в с алифатич. связями (парафины, стеариновая к-та, аминокислоты) при дозе облучения  $10^{-3}$  а сек/см<sup>2</sup>, для в-в с ароматич. связями (фталонитрил, антрацен, индиго) при дозах  $10^{-2}$ — $10^{-1}$  а сек/см<sup>2</sup>, для фталонитриана Si при дозе 3 а сек/см<sup>2</sup>. Предполагается, что устойчивость фталонитриана Si к воздействию пучка обусловлена стабилизирующим действием атомов Si.

И. Стоянова  
6Б219. Идентификация включений в сплавах Cu—Cr—Ti методом реплик с извлечением. Katagiri S., Doe T., Hayashi A. «Дэнси кэмбикэ, Electron Microscopy», 1959, 8, № 2-3, 164—166. Discuss., 166 (японск.).

6Б220. Темнопольная электронная микроскопия и ее применение. Hibi Tadatosi, Takahashi Shoichi. Dark-field electron microscopy and its application. «Sci. Repts Res. Insts Tohoku Univ.», 1959, A11, № 6, 490—507 (англ.).—Разработаны различные методы получения темнопольного электронномикроскопич. изображения. Найдено, что наилучшие результаты дает получение темнопольного изображения наклонном осветительной системы. Метод темнопольного изображения позволяет получить новые сведения о структуре многих объектов.

И. Стоянова  
6Б221. Угловое распределение электронов средних скоростей при многократном рассеянии в тонких слоях углерода. Haefler R. A. Die Richtungsverteilung

bei der Mehrfachstreuung mittelschneller Elektronen in dünnen Kohlenstoffschichten. «Optik», 1960, 17, № 4, 213—227 (нем.; рез. англ., франц.).—Рассчитаны пропускательность и угловое распределение электронов, проходящих через тонкие пленки углерода с  $0 < p < 1$ , где  $p$  — отношение толщины слоя поглощения  $(\sigma/\text{см}^2)$  к расчетной толщине слоя, внутри которого все первичные электроны испытывают в среднем однократное упругое рассеяние. Л. Андреев

6Б222. Новый эффективный метод расчета одномерных констант Маделунга. Parthé Erwin. A new powerful method for calculating one-dimensional Madelung constants. «Z. Kristallogr.», 1960, 113, 251—264 (англ.; рез. нем.).—Предложен метод расчета констант Маделунга для линейных структур. Структура, элементарная ячейка которой содержит несколько ионов, может быть разбита на ряд базовых структур с такой же элементарной ячейкой, содержащей два иона. Базовая структура состоит из двух подрешеток, занятых ионами разного знака и смещенных относительно друг друга. Константа Маделунга для сложной структуры получается суммированием констант Маделунга базовых структур. Последние зависят только от величины смещения подрешеток, занятых противоположно заряженными ионами, и величины заряда ионов.

Из резюме автора  
6Б223. Вычисление потенциальной энергии кристалла из термодинамических данных. Dayal B. Derivation of potential energy of crystals from thermodynamic data. «Proc. Nat. Inst. India», 1959, A 25, № 4, 206—209 (англ.).—Выведено простое соотношение между статич. ( $p_s$ ) и термич. ( $p_t$ ) давлением в кристалле, объемом ( $V$ ), тепловой энергией ( $E$ ) и постоянной, Грюнайзена ( $\gamma$ ) в виде  $p_s = -p_t = -\gamma E/V$  (при атмосферном давлении). Значения  $p_s$  рассчитаны для металлов W, Al, Li и Na и ионных кристаллов NaCl и KCl. В. Нешпор

6Б224. Энергетические расчеты решеток с гомеоплярной связью с помощью векторов периодических цепочек связи. Lachmann R. Energetische Berechnungen an homopolaren Gittern unter Verwendung von PVC-Vektoren. «Acta crystallogr.», 1960, 13, № 8, 606—608 (нем.; рез. англ.).—При учете взаимодействия ближайших и следующих за ближайшими соседями методом рассмотрения векторов периодич. цепочек связи произведен расчет свободной уд. поверхностной энергии гомеоплярных кристаллов и исследования ориентировка граней, образующих равновесную форму зародыша при кристаллизации его из р-ра. Е. Жураковский

6Б225. Связь между энергией кристаллической решетки и поляризацией ионов в гетероплярных соединениях. Guerdjikov D. Cht. Relations entre l'énergie du réseau cristallin et la polarisation des ions dans les composés hétéropolaires. «Acta chim. Acad. scient. hung.», 1960, 22, № 2, 153—157 (франц.; рез. англ., русск.).—Получено эмпирич. ур-ние, выражающее зависимость энергии кристаллич. решеток ( $U$ ) подобных соединений от коэф. поляризации соответствующих ионов:  $U_n = A + B \lg(\alpha_n/\alpha_0)$ , где  $A$  и  $B$  — константы данной группы подобных соединений, (соединения, у которых один ион одинаков, а другие ионы принадлежат к одной группе периодической системы и имеют одинаковую валентность),  $\alpha_n$  и  $\alpha_0$  — коэф. поляризации катиона данного соединения и соединения с наименьшей величиной энергии кристаллич. решетки группы подобных соединений. Вычисленные значения энергии решетки обнаруживают хорошее согласие с опытными данными, в частности для щел. и щел.-зем. металлов и галогенидов. В. Гугля

6Б226. Валентная структура высших боридов. Lipscomb William N., Britton Doyle. Valen-

ce structure of the higher borides. «J. Chem. Phys.», 1960, 33, № 1, 275—280 (англ.).—Сделана попытка систематизации электронной структуры решеток и атомов бора в боридов типа  $\text{MB}_2$ ,  $\text{MB}_4$ ,  $\text{MB}_6$ ,  $\text{MB}_{12}$  и в элементарном В. В основу положена следующая схема: решетка, состоящая из атомов бора, разбивается на отдельные полиэдры, связанные локализованными связями; исследуются свойства МО отдельных полиэдров; предполагается, что электроны атомов более электроположительных элементов переносятся на МО полиэдров из атомов В до заполнения всех связывающих МО; избыточные валентные электроны атомов металлов обуславливают металлич. электрич. и оптич. свойства кристаллов. Подробно рассмотрены свойства симметрии и связывающие свойства МО в полидрах  $\text{B}_{12}$  ( $\text{ZrB}_{12}$ ) и электронная структура тетрагон. бора. Г. Ребан

6Б227. Двухзначные представления пространственной группы кристаллов типа закиси меди. Жилин А. Г. «Вести. Ленингр. ун-та», 1960, № 10, 5—15 (рез. англ.).—С целью описания состояний электронов в кристалле типа  $\text{Cu}_2\text{O}$  с учетом спин-орбитальной связи построены двухзначные неприводимые представления группы волнового вектора во всех симметричных точках зоны Бриллюэна. Для построения применены метод нагруженных представлений (РЖХим, 1958, № 3, 80477). В симметричных точках зоны рассмотрен вопрос о дополнительном вырождении из-за симметрии относительно инверсии времени. Выведены условия устанавливающие связь между представлениями в различных симметричных точках зоны. Построены термич. графики энергетич. контуров валентных зон и низших зон проводимости кристалла  $\text{Cu}_2\text{O}$  с учетом спин-орбитальной связи. А. Левин

6Б228. К дефектной структуре сульфида серебра. Rickert E. Zur Fehlordnung in Silbersulfid. «Z. phys. Chem. (BRD)», 1960, 24, № 5-6, 418—421 (нем.). Фактор корреляции  $f = 0.3-0.4$  для диффузии  $\text{Ag}$  в  $\alpha\text{-Ag}_2\text{S}$  при 200—400° может означать, что возможные для ионов  $\text{Ag}$  места в решетке, определенные рентгеновским методом (Rahls P. «Z. phys. Chem. Abt.», 1935, B31, 157) (на каждые 4 иона  $\text{Ag}^+$  в элементарной ячейке приходится 42 места) не могут быть замещены независимо друг от друга. Несколько возможных мест можно объединить в элементарные области, каждая из которых занимает только один ион  $\text{Ag}^+$ . Элементарная ячейка содержит 6 таких элементарных областей, из которых в среднем 4 заняты одним ионом  $\text{Ag}^+$ . В таком случае диффузия ионов  $\text{Ag}^+$  можно рассматривать как перемещение между этими элементарными областями по вакансному механизму. Резюме автора

6Б229. Некоторые исследования твердого  $\text{WO}_3$  с примесью серебра. Sienko M. J., Mazumder B. Some solid state studies of silver-doped  $\text{WO}_3$ . «J. Am. Chem. Soc.», 1960, 82, № 14, 3508—3510 (англ.).—Описаны методы приготовления (термич., электролитич. и из газовой фазы) и свойства  $\text{WO}_3$  с примесью серебра. Состав  $\text{Ag}_{0.01}\text{WO}_3$  (I). I имеет орторомбич. структуру и обладает при 25—600° металлич. проводимостью. Подвижность электронов равна при 25°  $0.44 \text{ см}^2/\text{сек}$ . Предполагено, что I обладает дефектной структурой причём 5d-зона  $\text{WO}_3$  является акцептором валентных электронов серебра. Из резюме автора

6Б230. Теория металлического состояния. Call J. A. Theory of the metallic state. «J. Roy. Soc. (London)», 1960, 84, Sept., 311—320 (англ.).—Обзор. 9 назв.

6Б231. Диффузия водорода в торий. Peters D. T., Westlake D. G. Diffusion of hydrogen in thorium. «J. Phys. Chem.», 1960, 64, № 5, 649—651 (англ.). Диффузия водорода в Th исследована при 300—600° методами насыщения Th водородом и удаления водорода в вакууме из предварительно насыщенного

образц  
коэф. д  
·exp (—  
образу  
фузия  
однако  
зерна  
6Б23  
Самс  
1729—1  
род пр  
( $D = 1$   
коэф. д  
по сре  
делен т  
ного х  
дается  
его по  
6Б23  
рах и  
Li in S  
1960, 1  
диффу  
диффу  
перату  
= (2,5-  
наво в  
Показа  
няется  
из мас  
Li<sup>+</sup>. О  
Si в ра  
6Б23  
миде  
and io  
iodide.  
Измер  
одноос  
изучал  
в J<sub>111</sub>  
состав  
E йод  
300—4  
—обла  
ции ц  
ласти  
в обла  
н. Зам  
Йингт  
мость.  
в CsBr  
вадии  
и 0,3 а  
6Б23  
меди,  
шуде  
Влад  
тико  
№ 4, 1  
реция  
аа фро  
состав  
гому и  
танн  
пич. м  
·10<sup>6</sup> ат  
оцене  
сжатия  
6Б23  
R. S.  
Elastic  
India»

Chem. Phys., 1960, 33, 656—657 (англ.).—Идда Юшио, Озаки Шунро, Шимада Кензо. Temperature dependence of the formation of NiO—Li<sub>2</sub>O solid solution. «Rull. Chem. Soc. Japan», 1960, 33, № 5, 656—657 (англ.).—Методами хим. анализа и измерения электросопротивления установлено, что Li<sub>2</sub>O начинает растворяться в NiO при t-рах >300°, однако достаточно интенсивно этот процесс проходит при 800—1000°. Выше 1000° преобладающим становится процесс испарения Li<sub>2</sub>O.

В. Нешпор  
6Б232. Диффузия бора в углерод. Кислый П. С., Самсонов Г. В. «Физ. твердого тела», 1960, 2, № 8, 1729—1732. Определены коэф. диффузии бора в углерод при 1940° ( $D = 6,2 \cdot 10^{-6} \text{ см}^2/\text{сек}$ ) и углерода в бор ( $D = 1,8 \cdot 10^{-6} \text{ см}^2/\text{сек}$ ) и температурная зависимость коэф. диффузии бора в углерод методом послойного хим. анализа ( $D = 49,8 \cdot 10^{-6} \text{ см}^2/\text{сек}$ ). Обсуждается связь между большей подвижностью бора и его потенциалом ионизации.

Г. Григорьев  
6Б233. Диффузия Li в Si при высоких температурах и изотопический эффект. Pell E. M. Diffusion of Li in Si at high T and the isotope effect. «Phys. Rev.», 1960, 119, № 3, 1014—1021 (англ.).—Измерены коэф. диффузии  $D \text{ Li}^7$  и  $\text{Li}^6$  в Si при 800—1350° методом диффузии из образца прямоугольного сечения. Температурная зависимость  $D$  выражается ф-лой  $D = (2,5 \pm 0,2) \cdot 10^{-3} \exp \{-(0,655 \pm 0,01)(\text{эв})/kT\}$ . Исследовано влияние массы диффундирующего элемента на  $D$ . Показано, что  $D(\text{Li}^6)/D(\text{Li}^7) = 1,07 \pm 0,02$ , т. е. изменяется обратно пропорционально корню квадратному из масс. Сделан вывод, что Li находится в Si в виде  $\text{Li}^+$ . Обсуждается механизм диффузии  $\text{Li}^+$  в решетке Si в рамках теории Верта—Зинера.

И. Светлов  
6Б234. Диффузия и ионная проводимость в бромиде и йодиде цезия. Lynch David W. Diffusion and ionic conductivity in cesium bromide and cesium iodide. «Phys. Rev.», 1960, 118, № 2, 468—473 (англ.).—Измерены коэф. диффузии компонентов и электропроводность ( $\sigma$ ) в CsBr и CsI при 300—500°. Диффузию изучали с помощью радиоактивных изотопов  $\text{Br}^{82}$ ,  $\text{Cs}^{134}$  и  $\text{I}^{131}$ . Энергия активации диффузии  $E$  брома в CsBr составляет 1,42 эв при 415—530° и 1,29 при 330—415°.  $E$  йода в CsI равна 1,37 при 410—540° и 1,28 при 300—410°.  $E$  цезия в CsBr и  $E$  цезия в CsI во всей области t-р составляют 1,54 и 1,53 эв. Энергия активации проводимости для обоих в-в равна 1,43 эв в области собственной проводимости и 1,28—1,25 эв в области примесной проводимости. Для исследованных в-в хорошо выполняется ур-ние Нернста—Эйнштейна, что указывает на чистоионную проводимость. Энтальпия образования дефектов Шоттки в CsBr и CsI составляет 2,0 и 1,9 эв; энтальпия активации перемещения галогидных вакансий равна 0,27 и 0,3 эв, а катионных вакансий в обоих в-вах 0,58 эв.

В. Нешпор  
6Б235. Изотропическая сжимаемость алюминия, меди, свинца и железа при высоких давлениях. Алтшулер Л. В., Кормер С. Б., Бранжик М. И., Владимиров Л. А., Сперанский М. П., Фунтиков А. И. «Ж. эксперим. и теор. физ.», 1960, 38, № 4, 1061—1073 (рез. англ.).—Описана методика измерения скорости распространения слабых возмущений на фронте мощных ударных волн. Обнаружено существование двух состояний звука, отвечающих упругому и пластич. состояниям в-ва. С помощью разработанных методов определены скорости звука и изотропич. модули сжатия Al, Cu, Fe и Pb при  $(0,4—3,5) \cdot 10^4 \text{ ат}$ . На основе полученных эксперим. данных оценены значения тепловых энергий, t-р ударного сжатия и коэф. Грюнайзена.

Резюме авторов  
6Б236. Упругое поведение алмаза. Krishnan R. S., Chandrasekharan V., Rajagopal E. S. Elastic behaviour of diamond. «Proc. Nat. Inst. Sci. India», 1960, A26, № 3, 311—319 (англ.).

6Б237. Температурная зависимость образования твердого раствора NiO—Li<sub>2</sub>O. Iida Yoshio, Ozaki Shunro, Shimada Kenzo. Temperature dependence of the formation of NiO—Li<sub>2</sub>O solid solution. «Rull. Chem. Soc. Japan», 1960, 33, № 5, 656—657 (англ.).—Методами хим. анализа и измерения электросопротивления установлено, что Li<sub>2</sub>O начинает растворяться в NiO при t-рах >300°, однако достаточно интенсивно этот процесс проходит при 800—1000°. Выше 1000° преобладающим становится процесс испарения Li<sub>2</sub>O.

В. Нешпор  
6Б238. Оптические свойства синтетической шпинели. Wickersheim K. A., Lefever R. A. Optical properties of synthetic spinel. «J. Opt. Soc. America», 1960, 50, № 8, 831—832 (англ.).—Установлено, что полосы поглощения шпинели при 3 м обусловлены наличием примеси OH<sup>-</sup> или H<sub>2</sub>O. Полоса поглощения при 12 м в случае кристалла стехиометрич. состава (MgO·Al<sub>2</sub>O<sub>3</sub>) оказалась менее интенсивной, чем в случае нестехиометрического. Показатели преломления кристаллов различного состава измерялись иммерсионным методом. Для технич. шпинели получены значения 1,720—1,717. Показатель преломления постепенно убывает при приближении к стехиометрич. составу. Кристаллы стехиометрич. состава обладают показателем преломления, равным 1,708.

А. Штейнберг

6Б239. Оптическое поглощение MnCl<sub>2</sub> и MnBr<sub>2</sub>. Pappalardo R. Note on the optical absorption of MnCl<sub>2</sub> and MnBr<sub>2</sub>. «J. Chem. Phys.», 1960, 33, № 2, 613—614 (англ.).—Спектры поглощения тонких пластинок MnCl<sub>2</sub> и MnBr<sub>2</sub> измерялись при комнатной t-ре и 78° K. В случае MnCl<sub>2</sub> в УФ-области обнаружены 4 дополнительные полосы, налагающиеся на более сильный непрерывный фон, который был очень интенсивным даже для пластинок толщиной ~0,13 мм. Эти 4 полосы расположены при 36 500, 38 400, 40 650 и 42 370 см<sup>-1</sup>. В случае MnBr<sub>2</sub> найдены полосы колокообразной формы при 18 450 см<sup>-1</sup> и 4 полосы при 29 950, 34 800, 37 400 и 38 750 см<sup>-1</sup>. А. Штейнберг

6Б240. Исправление к статье Мертена «Феноменологическое описание длинноволновых оптических колебаний решетки в двухатомных полярных кристаллах тригональной, тетрагональной и гексагональной систем (на электростатической основе). Berichtigung. «Z. Naturforsch.», 1960, 15a, № 7, 650 (нем.).—K PJKXim, 1960, № 23, 91409.

6Б241. К теории инфракрасного поглощения кристаллов. Гуревич Л. Э., Урицкий З. И. «Физ. твердого тела», 1960, 2, № 6, 1239—1249. Исследовано поглощение длинноволнового излучения в кристалле при частотах  $\omega < \omega_0$  ( $\omega_0$  — порог фотоэффекта), а также в области собственного поглощения. В первом случае исследовано фононное поглощение посредством возбуждения светом виртуальных возбуждений в кристалле, антигиперполяризуемых с образованием фононов. Показано, что как в области плавного поглощения, так и в линиях наиболее существенным оказывается поглощение с образованием двух фононов. Рассмотрено также поглощение свободными носителями в магнитном поле. Получены осцилляционные коэф. поглощения при наличии вырождения, а также в отсутствие вырождения — моровая частота,  $T$  — t-ра в энергетич. единицах. Для  $\Omega$ , но в сильном магнитном поле  $\hbar\Omega \gg T$  ( $\Omega$  — ларс-собственного поглощения в магнитном поле) получены осцилляционные коэф. поглощения в функции от  $(\omega - \omega_0)/\Omega$  с периодом, равным единице. В случае вырождения край поглощения смещается и будет осциллировать вследствие осцилляций уровня Ферми.

Резюме авторов  
6Б242. К вопросу о возбуждении фосфоресценции инфракрасным излучением. Curie Germaine. Contribution à l'étude de la stimulation de la phosphores-



sence par l'infra-rouge. «Ann. phys.», 1960, 5, № 3-4, 365—408 (франц.).

6Б243. Исследования некоторых фосфатных минералов в инфракрасной области. Omori Keiichi, Seki Toshikazu. Infrared studies of some phosphate minerals. «Sci. Repts Tohoku Univ.», 1960, Ser. 3, 6, № 3, 397—403 (англ.).—Изучены ИК-спектры ксеноти-ма, монацита, апатита, пироморфита, вивинита и ау-гунита. Установлено, что полосы поглощения в обла-сти 3—6  $\mu$  в спектрах этих фосфатов обусловлены по-глощением молекул  $H_2O$ . Широкая полоса поглощения при 10  $\mu$  обусловлена группой  $PO_4^{3-}$ , а ряд полос в области 13—16  $\mu$  — группой  $UO_2^{2+}$ . Показано, что фор-ма и положение ИК-полос поглощения могут быть ис-пользованы для различения силикатных, фосфатных и сульфатных минералов.

А. Штейнберг  
6Б244. Исследования кристаллического бензола в инфракрасной области. II. Относительные интенсивно-сти. Swenson Charles A., Person Willis B. Infrared studies of crystal benzene. II. Relative intensities. «J. Chem. Phys.», 1960, 33, № 1, 56—64 (англ.).—Интенсивности полос поглощения тонких пленок по-ликристаллич. бензола измерялись и сравнивались с поглощением  $\nu_{20}$  при 1036  $cm^{-1}$ . Наиболее сильными полосами спектра поглощения являются те, которые соответствуют разрешенным в газовой фазе перехо-дам. Относительные интенсивности этих полос суще-ственно отличаются от соответствующих относитель-ных интенсивностей в газовой и жидкой фазах. Сооб-щение I см. РЖХим, 1960, № 13, 50990. Резюме авторов

6Б245. Спектры комбинационного рассеяния поли-кристаллических твердых веществ. Krishna murti D. The Raman spectra of polycrystalline solids. «Proc. Indian Acad. Sci.», 1960, A52, № 1, 20—26 (англ.).—Рассмотрены эксперим. методы получения спектров комб. расс. поликристаллич. твердых в-в. Исследова-ния, выполненные с поликристаллич. гипсом и каль-цитом в виде тонкоизмельченных порошков, показа-ли, что метод Разетти, основанный на использовании линии 2536,5 Å и подавлении паразитного излучения с помощью фильтра из паров ртути, может приме-няться для получения четких спектров комб. расс. по-добных в-в. Поликристаллич. характер изученных в-в не оказывает заметного влияния на их спектры комб. расс.

А. Штейнберг  
6Б246. Интенсивность комбинационного поглоще-ния в твердых телах. Vratny F., Fischer R. B. The effect of absorbance on Raman intensities in solids. «Appl. Spectroscopy», 1960, 14, № 3, 76—78 (англ.).—Для  $Ca_3(PO_4)_2$ ,  $Na_2CO_3$ ,  $CaCO_3$ ,  $KClO_3$ ,  $K_2SO_4$ ,  $SiO_2$  и их бинарных смесей показано, что интенсивность комби-национного поглощения является сложной функцией толщины образца, кон-ции и размера частиц в-ва из-лучающего спектр комб. расс. Интенсивность претер-певает ослабление вследствие комбинированного про-цесса поглощения и рассеяния.

Е. Жураковский  
6Б247. О съемке спектров комбинационного рассе-яния с кристаллических порошков. Moser Heribert, Stieler Dieter. Über die Aufnahme der Raman-Spektren von Kristallpulvern. «Z. angew. Phys.», 1960, 12, № 6, 280—288 (нем.).—Обсуждаются вопросы мето-дики и эксперим. техники съемки спектров комб. расс. с кристаллич. порошков. Сконструирована спец. уста-новка (ртутная дуга низкого давления, интерферен-ционный фильтр, ионизационная регистрация спектров и др.), на которой различными методами снят спектр нафталина.

Е. Жураковский  
6Б248. Некоторые новые наблюдения спектров по-глощения, отражения и фотолуминесценции монокри-сталлов  $PbI_2$  при 4° K. Nikitine Serge, Burckel Jacqueline, Biellmann Joseph, Reiss René. Sur quelques observations nouvelles concernant les spectres d'absorption, réflexion et photoluminescence de monocristaux de  $PbI_2$  à 4° K. «C. r. Acad. sci.», 1960, 251,

№ 7, 935—937 (франц.).—Для монокристаллич. пла-стинки  $PbI_2$  толщиной 0,04  $\mu$  обнаружены две полосы поглощения: 494В и 4897 Å; каждой из этих полос со-ответствует селективное отражение. В спектре фото-луминесценции этой пластинки наблюдались три по-лосы излучения: 4956, 5030 и 6700 Å. В спектре по-глощения пластинки толщиной 0,37  $\mu$  обнаружены по-лосы 4945, 4898 и 4859,5 Å. Им также соответствовало се-лективное отражение. В спектре излучения этой пла-стинки имеются полосы 4960,5; 4976; 5010; 5076 и 6700 Å. Показано, что спектры поглощения  $PbI_2$  при 4° K соответствуют обычному спектру этого кристалла.

А. Штейнберг  
6Б249. Спектры поглощения анодных пленок окис-ниобия. Graven W. M., Salomon R. E., Adams G. B., Jr. Absorption spectra of anodic niobium oxide films. «J. Chem. Phys.», 1960, 33, № 3, 954—956 (англ.).—В области длин волн 2000—7000 Å изучены спектры поглощения пленок  $Nb_2O_5$  толщиной 0,075—0,75  $\mu$ . Длинноволновая граница поглощения найдена при 3500 Å. Установлено, что в интервале длин волн 2750—3450 Å закон Ламберта для пленок указанных толщин соблюдается.

А. Штейнберг  
6Б250. Спектры поглощения метана и аммиака в твердом состоянии и льда в вакуумной ультрафиоле-товой области. Dressler K., Schnerr O. Absorption spectra of solid methane, ammonia, and ice in the vacuum ultraviolet. «J. Chem. Phys.», 1960, 33, № 1, 270—274 (англ.).—Установлено, что спектры поглоще-ния твердого аммиака и льда в вакуумной УФ-области смещены в сторону более высоких частот на 7000  $cm^{-1}$  по сравнению со спектрами соответствующих газоб-разных в-в. Обсуждаются эффекты водородной связи в основных состояниях этих твердых в-в, а также при-рода возможных сил отталкивания в возбужденных состояниях. Спектры поглощения метана в газоб-разном и твердом состояниях оказались весьма сход-ными друг с другом.

Резюме авторов  
6Б251. Спектры поглощения в вакуумной ультра-фиолетовой области ксенона, криптона и аргона в твер-дом состоянии. Schnerr O., Dressler K. Absorption spectra of solid xenon, krypton, and argon in the vacuum ultraviolet. «J. Chem. Phys.», 1960, 33, № 1, 42—55 (англ.).—Спектры поглощения Xe, Kr и Ar при 4,2° K исследованы в области 1200—3500 Å. В области 1510—1200 Å твердый Xe имеет 4 полосы поглощения, три из которых отстоят менее чем на 800  $cm^{-1}$  от атомных переходов. Твердый Kr имеет две полосы в области 1250—1200 Å, отстоящих менее чем на 900  $cm^{-1}$  от атомных переходов. Поглощение твердого Ar при длинах волн, больших 1200 Å, не обнаружено. Экспе-рим. результаты интерпретируются и обсуждаются на основе межатомных взаимодействий валентного типа в возбужденных состояниях. Сделан вывод, что спек-тры флуоресценции этих твердых в-в должны быть смещены в сторону меньших энергий на  $\sim 1$  эв.

Резюме авторов  
6Б252. Возбуждение и высокотемпературное по-глощение  $KCl(Tl)$ . Patterson David A. Excitation and high-temperature absorption of  $KCl:Tl$ . «Phys. Rev.», 1960, 119, № 3, 962—967 (англ.).—Оптические измерения проводились с кристаллами KCl, содержа-щими различные кон-ции Tl. Измерения поглощения проводилось вплоть до 560°, а спектры возбуждения люминесценции исследовались начиная от т-ры жидко-го азота до 100°. На основании измерений сделан вы-вод, что у  $KCl(Tl)$  существуют по крайней мере 7 по-лос: три в области «А»-полосы и по две в областях «В»- и «С»-полос. Отмечается, что введение в KCl не-больших кол-в Sr приводит к сдвигу границы собст-венного поглощения в сторону коротких длин волн.

Резюме автора  
6Б253. Влияние колебаний на поляризацию флю-ресценции молекулярных кристаллов. McRae E. G.

A vib  
crystal  
932—9  
теорет  
декуп  
ленн  
котора  
состо  
чения  
степен  
данн  
куляри  
ления  
6Б25  
ния. K  
miniz  
Chem.  
русск.  
мине  
симум  
CdWO  
ния (с  
ность  
лажде  
нонов  
ходит  
рода в  
ях. М  
тов, С  
6Б25  
и обу  
нидов  
Yozo  
induce  
Theor  
экспе  
эксит  
крист  
тон с  
чение  
давлен  
препр  
эффек  
велик  
даемой  
погло  
крист  
приме  
6Б2  
при у  
J. M  
by irr  
31, №  
облуч  
ленни  
мерен  
F-цент  
На ос  
F-цент  
дисло  
всех  
6Б2  
лах г  
Dric  
in alk  
290—2  
до 52  
и KJ,  
ния м  
сожн  
к обь

A vibrational effect on the polarization of molecular crystal fluorescence. *J. Chem. Phys.*, 1960, 33, № 3, 932—933 (англ.).—На примере кристаллич. антрацена теоретически показано, что в случае слабого межмолекулярного взаимодействия в верхнем состоянии степень поляризации в той части спектра флуоресценции, которая отстоит на один соответствующий основному состоянию колебательный интервал от границы излучения, должна быть независимой от т-ры и равной степени поляризации соответствующей полосы поглощения. Хорошее соответствие теоретич. и эксперим. данных, по-видимому, указывает на то, что межмолекулярные колебания играют важную роль в определении поляризации флуоресценции. А. Штейнберг

6Б254. Люминесценция вольфрамвоксислого кадмия. Kličorka J., Horák J., Gelikovsky A. *Luminiszenz des Cadmiumwolframat. Collect. Czechosl. Chem. Commun.*, 1960, 25, № 2, 388—393 (нем.; русск.).—Наблюдается зависимость интенсивности люминесценции (Л) от длины волны и положения максимума интенсивности Л различных препаратов  $\text{CdWO}_4$ . Препараты отличались способом приготовления (сухим и мокрым путем), т-рой, продолжительностью и атмосферой прокалывания и скоростью охлаждения. Кроме того, наблюдалось влияние примеси ионов  $\text{Mn}^{2+}$  и  $\text{Cu}^{2+}$ . Л изученных кристаллов происходит вследствие отсутствия некоторых атомов кислорода в решетке или наличия ионов  $\text{Cd}^{2+}$  в междоузлиях.  $\text{Mn}^{2+}$  стабилизирует центры Л изученных препаратов,  $\text{Cu}^{2+}$  понижает интенсивность Л. Ivo Frič

6Б255. Люминесценция локализованных экситонов и обусловленная экситонами люминесценция галогенидов щелочных металлов. Tomura Masao, Kaifu Yozo. *Luminescence of localized excitons and exciton induced luminescence in alkali halides. Suppl. Progr. Theoret. Phys.*, 1959, № 12, 141—159 (англ.).—Анализ эксперим. результатов, относящихся к обусловленной экситонами люминесценции ионов  $\text{Ti}^{3+}$  в смешанных кристаллах  $\text{KJ} - \text{TiJ}$ , показал, что в чистом  $\text{KJ}$  экситон свободно мигрирует через кристалл. Однако изучение люминесценции  $\text{KBr} - \text{KJ}$  показало, что при давлении  $\sim 15\%$   $\text{KBr}$  к  $\text{KJ}$  экситон из мигрирующего превращается в локализованный. Сделан вывод, что эффективная масса экситона в случае  $\text{KJ}$  должна быть велика. Изучение люминесценции чистого  $\text{KJ}$ , возбуждаемой облучением УФ-светом в области собственного поглощения, показало, что экситон мигрирует через кристаллич. решетку до тех пор, пока он не встречает примеси, которые возбуждаются и люминесцируют.

А. Штейнберг  
6Б256. Механизм образования F-центров в NaCl при  $\gamma$ -облучении. Crawford J. H., Jr, Young F. W., Jr. *Mechanism for the production of F centers in NaCl by irradiation with gamma rays. J. Appl. Phys.*, 1960, 31, № 9, 1688—1689 (англ.).—Тонкие пластинки NaCl облучались  $\gamma$ -лучами  $\text{Co}^{60}$  и затем подвергались травлению р-ром  $\text{HgCl}_2$  в спирте ( $3\text{ g/l}$ ). Затем путем измерений с оптич. микроскопом высчитывалась концентрация F-центров и устанавливалось положение дислокаций. На основании полученных данных сделан вывод, что F-центры, образующиеся путем испарения вакансий из дислокаций, составляют лишь незначительную часть всех возникающих при  $\gamma$ -облучении F-центров.

А. Штейнберг  
6Б257. Влияние давления на M-центры в кристаллах галогенидов щелочных металлов. Minomura S., Drickamer H. G. *Effect of pressure on the M center in alkali halide crystals. J. Chem. Phys.*, 1960, 33, № 1, 200—203 (англ.).—Изучено влияние давлений вплоть до 52800 атм на M-полосы кристаллов NaCl, KCl, KBr и KJ, а также на  $P_2$ - и N-полосы KCl. С ростом давления максимумы полос смещаются в сторону более высоких частот. При фазовом переходе от гранецентр. к объемноцентр. структуре в случае KCl наблюдается

синее смещение, а в случае KBr и KJ — красное. Предполагается, что это смещение обусловлено взаимным наложением эффектов сжатия и поляризуемости. Показано, что M-центр является несколько менее сжимаемым, чем F-центр. При указанном фазовом переходе наблюдается заметное увеличение интенсивности M-полосы в случае галогенидов калия.

Из резюме авторов  
6Б258. Активаторные центры в фосфорах на основе фторгерманата магния. Kemeny G., Haake C. H. *Activator center in magnesium fluorogermanate phosphors. J. Chem. Phys.*, 1960, 33, № 3, 783—789 (англ.).—Исследованы  $\text{Mn}^{4+}$ -центры октаэдрич. симметрии в фосфорах на основе фторгерманата Mg. Определены спектры поглощения и излучения, а также температурная зависимость различных параметров. Поглощение обусловлено переходами с основного состояния  $^4A_2$  на уровне  $^4F_2$ ,  $^4F_1$  и более высокие возбужденные состояния; в то же время обе полосы излучения, лежащие в красной области спектра, соответствуют переходам с расщепленного состояния  $^4F_2$  в основное состояние. Электронная и колебательная структуры, температурная зависимость и кинетика излучения могут быть объяснены с помощью конфигурационной (нормальной) координатной схемы. Координата при этом связана с отклонениями от октаэдрич. симметрии.

Из резюме авторов  
6Б259. Электролюминофоры (Zn, Hg)S и (Zn, Cd, Hg)S. Wachtel A. (Zn, Hg)S and (Zn, Cd, Hg)S electroluminescent phosphors. *J. Electrochem. Soc.*, 1960, 107, № 8, 682—688 (англ.).—Твердые р-ры (Zn, Hg)S, приготовленные путем обжига в трубках из плавленого кварца, обладают куб. структурой. При введении соответствующих кол-в Cu и коактиватора наблюдаются явления фото- и электролюминесценции. В качестве коактиваторов использовались галогены, Ga и In. В красной области спектра наблюдаются две полосы электролюминесценции, которые имеют иное происхождение, чем голубая и зеленая полосы излучения Cu, Cl в ZnS. Квантовый выход при этом такого же порядка, как и в случае ZnS(Cu, Cl), однако ширина полосы излучения примерно вдвое больше; красная электролюминесценция в основном приходится на ИК-область. HgS способствует сохранению куб. структуры тройных систем (Zn, Cd, Hg)S при условии, если отношение Cd:Hg не превышает некоторых пределов; при этом введение Cd вызывает усиление электролюминесценции.

Резюме автора  
6Б260. Электролюминесценция сульфида цинка, активированного медью. I. Wendel G., Richter G. *Zur Elektrolumineszenz der kupferaktivierten Zinksulfide. I. Z. phys. Chem. (DDR)*, 1960, 214, № 6-4, 253—260 (нем.).—Образцы ZnS покрывались слоем Cu и отжигались в течение 1 часа при разных т-рах. При т-рах отжига  $\leq 200^\circ$  наблюдалась слабая электролюминесценция, обусловленная поверхностным слоем CuS; при т-рах  $\sim 600^\circ$  наблюдалась зеленая люминесценция, отнесенная к ZnO. При  $300^\circ$  Cu диффундирует в ZnS, что приводит к возникновению интенсивной голубой электролюминесценции, которая при  $500 - 600^\circ$  и определенной конц-ии смещается в зеленую. Сделан вывод, что Cu диффундирует в ZnS на катионные вакансии, проходя через междоузлия решетки.

Из резюме авторов  
6Б261. Рассмотрение экситонной структуры кристаллов галогенидов щелочных металлов методом ЛКАО. Rappert R. A. *LCAO treatment of exciton structure in alkali halide crystals. Phys. Rev.*, 1960, 119, № 2, 525—532 (англ.).—Обсуждаются две модели, применяемые для описания поглощения света кристаллами галогенидов щел. металлов: «модель переноса заряда», в которой первичный процесс поглощения света сводится к переносу электрона от аниона галогена к катиону щел. металла, и модель «возбужде-

ния», в которой возбужденный  $s$ -электрон локализован у того же аниона, что и  $p$ -электронная дырка. В приближении Гайтлера — Лондона произведен расчет модели переноса заряда для кристалла NaCl. На основе полукристаллической структуры полос поглощения хлорида, бромида и йодида Na (в котором учитывается обмен только между возбужденным электроном и  $p$ -оболочкой соседних ионов) показано, что экситонная модель Оверхаузера (РйХим, 1957, № 12, 40442) правильно описывает дублетную структуру полосы поглощения (если принять для интеграла перекрытия возбужденного электрона и дырки значение 0,1). Для силы осциллятора оптич. перехода в NaCl при этом получено значение 0,8. Т. Ребане

6Б262. Экситоны и граница поглощения сульфида кадмия. Thomas D. G., Hopfield J. J., Power M. Excitons and the absorption edge of cadmium sulfide, «Phys. Rev.», 1960, 119, № 2, 570—574 (англ.).—При  $t$ -рах 20—300° К выполнены измерения в поляризованном свете при длинах волн вблизи 5900 Å коэф. поглощения кристаллов CdS в области 10—300 см<sup>-1</sup>. Изучение результатов, полученных при различных  $t$ -рах вблизи 70° К, показывает, что эксперим. значения поглощения согласуются с теоретическими, полученными в предположении об одновременном образовании экситона и поглощения фонона, когда обе частицы обладают небольшим волновым вектором. Это свидетельствует о том, что минимум зоны проводимости и максимум валентной зоны CdS расположены в центре зоны Бриллюэна. Из резюме авторов

6Б263. Температурная зависимость уровней энергии экситона в Cu<sub>2</sub>O. Hrivnák L. Temperature dependence of energy levels of exciton in Cu<sub>2</sub>O. «Чехосл. физ. ж.», 1960, В10, № 2, 160—161 (англ.).—Обнаружено, что первый терм желтой серии экситона в Cu<sub>2</sub>O существенно зависит от  $t$ -ры. Эту зависимость можно объяснить, принимая, что частота оптич. колебаний решетки  $\omega = \omega_0(1 - \alpha T)$ , где  $\omega_0$  — частота оптич. колебаний при абс. нуле,  $T$  —  $t$ -ра и  $\alpha$  — постоянная. Расчет приводит к хорошему совпадению теории и эксперимента при  $\alpha = 5,85 \cdot 10^{-4}$  град<sup>-1</sup>. Зависимость  $\omega$  от  $T$  обусловлена зависимостью от  $T$  постоянной решетки  $a$  и упругих постоянных  $c$ . Теоретич. расчет  $a$  для KCl, для которого известна зависимость  $a$  и  $c$  от  $T$ , дал величину  $10^{-4}$  град<sup>-1</sup>, т. е. того же порядка, что и для Cu<sub>2</sub>O. В. Нешпор

6Б264. Об использовании данных рентгеновской спектроскопии при изучении энергетической структуры твердых тел. Авербух Е. Д. «Вестн. Ленингр. ун-та», 1960, № 16, 36—41 (рез. англ.).—Рассмотрены поляризационные эффекты, наблюдающиеся в решетке в момент, непосредственно предшествующий акту излучения, и в процессе излучения кванта рентгеновских лучей ионным кристаллом. Показано, что эти эффекты играют важную роль в определении относительных положений верхнего и нижнего уровней, принадлежащих различным ионам. А. Штейнберг

6Б265. Теория рассеяния рентгеновских лучей многокомпонентными упорядоченными растворами. Кривоглаз М. О., Тихонова О. О. Теория рассеяния рентгеновских лучей частично упорядоченными многокомпонентными твердыми  $r$ -рами от параметров распределения компонентов по различным узлам решетки. Более подробно рассмотрены решетки типа  $\beta$ -латуня, для которых интенсивность диффузного рассеяния выражена через степень дальнего порядка и энергию упорядочения. Специально рассматривается случай кристаллов, в которых одна подрешетка занята одинаковыми атомами, а другая занята атомами двух сортов (типа Fe<sub>3</sub>Al, NaKCl). В. Нешпор

6Б266. Удельное электрическое сопротивление монокристаллического и жидкого висмута. Hurlé D. T. J., Weintraub S. The electrical resistivity of monocrystalline and liquid bismuth. «Proc. Phys. Soc.», 1960, 76, № 1, 163—165 (англ.).—При 20—300° измерено уд. электрич. сопротивление  $\rho$  Bi высокой чистоты. Уд. сопротивление монокристаллич. Bi  $\rho$ (кр.) при постоянной  $t$ -ре линейно зависит от  $\cos^2 \psi$  ( $\psi$  — ориентация кристаллов, угол между направлением измерения и тригон. осью). При 100°  $\rho$ (кр.) равно  $186,1 \pm 2,0$  для  $\psi = 0$  и  $144,6 \pm 1,7$  мом.см для  $\psi = 90^\circ$ . Температурный коэф. при 0—100° для  $\psi = 0$  равен  $4,8 \cdot 10^{-5}$  град<sup>-1</sup>, для  $\psi = 90^\circ$   $4,68 \cdot 10^{-5}$  град<sup>-1</sup>. Найдено, что при 271°  $\rho$  жидкого Bi равно  $128,05 \pm 0,80$  мом.см. Изменение  $\rho$  при плавлении  $\rho$ (жидк.)/ $\rho$ (крст.) для  $\psi = 0$  равно  $0,349 \pm 0,005$ , для  $\psi = 90^\circ$   $0,467 \pm 0,007$  мом.см. В. Штерн

6Б267. Вклад оптического рассеяния в электрическое сопротивление гидрида циркония. Bickel Paul W., Berlincourt Ted G. Optical mode scattering contribution to electrical resistivity in zirconium hydride. «Phys. Rev.», 1960, 119, № 5, 1603—1604 (англ.).—Измерено электросопротивление двух гидридов циркония: граноцентр. куб. ZrH<sub>1,4</sub> и тетраэдрич. ZrH<sub>1,6</sub> при  $t$ -рах 1,2—400° К. Обнаружено значительное рассеяние электронов проводимости на оптич. фононах при  $t$ -рах выше ~200° К. Проводимости гидридов выше, чем у чистого циркония, и тем больше, чем состав его ближе к стехиометрич. ZrH<sub>2</sub>. Е. Журавковский

6Б268. Замечание об электромагнитных свойствах обычных металлов. Nakajima Sadao. A note on the electromagnetic response of normal metals. «Progr. Theoret. Phys.», 1960, 23, № 4, 694—699 (англ.).—Формализм поперечной проводимости применен к простейшему случаю — к газу свободных электронов. Показано, что применяемая теория предсказывает такой же крайний аномальный скин-эффект, как и обычный метод (Reuter G. E. H., Sondheimer E. H., Proc. Roy. Soc., 1948, A195, 336). Показано также, что отклонение от правила оптич. суммы в этом случае сводится к диамагнетизму по Ландау. Резюме автора

6Б269. Полупроводники и инфракрасная спектроскопия. Smith R. A. Semiconductors and infrared spectroscopy. «Optica acta», 1960, 7, № 2, 137—157 (англ.; рез. франц., нем.).—Обзор. Библ. 53 назв.

6Б270. К вопросу об изучении взаимодействия меди и сурьмы в германии. Потемкин А. Я., Потапов В. И. «Физ. твердого тела», 1960, 2, № 8, 1846—1848.—Методом измерения подвижности ионов примесей изучали поведение меди в чистом и легированном сурьмой Ge. Исследование проводили на монокристаллах чистого Ge  $n$ -типа с конц-ией носителей тока  $10^{14}$  см<sup>-3</sup> и монокристаллах Ge, легированного сурьмой ( $10^{17}$  атом/см<sup>3</sup>). Вычислены подвижность ионов меди, а также коэф. диффузии меди в Ge. Атомы меди в Ge заряжены отрицательно. Легирование сурьмой понижает подвижность меди при  $t$ -рах < 600°. Предполагается, что при  $t$ -рах < 600° возможно хим. взаимодействие между медью и сурьмой в монокристаллах Ge при их конц-иях, меньших предела растворимости. Б. Туровский

6Б271. Изменение работы выхода окисных полупроводников при введении добавок. Еникеев Э. Х., Марголис Л. Я., Рогинский С. З. «Докл. АН СССР», 1960, 130, № 4, 807—809.—Исследовано влияние модифицирующих добавок на работу выхода электронов ( $\phi$ ) из окисных полупроводников NiO, CuO и ZnO.  $\phi$  определяли при помощи измерений контактной разности потенциалов методом вибрирующего конденсатора с использованием ячейки, обеспечивающей жесткие условия тренировки и измерений для сравниваемых образцов. Введение LiO<sub>2</sub> в NiO, CuO и ZnO приводит к значительному уменьшению  $\phi$ . Осо-



бенно резкие изменения  $\phi$  наблюдаются при малых концентрациях добавки. На основании сопоставления результатов измерения  $\phi$  с литературными данными по изменению электропроводности этих же оксидов при введении в них  $\text{Li}_2\text{O}$  авторы приходят к выводу, что катион  $\text{Li}^+$  на поверхности изученных полупроводников является донором, а в объеме — акцептором электронов. Для  $\text{ZnO}$  найдены еще более резкие изменения  $\phi$  при введении  $\text{Na}_2\text{O}$  и  $\text{Cs}_2\text{O}$ . Установлено, что введение  $\text{Fe}_2\text{O}_3$  и  $\text{Cr}_2\text{O}_3$  в  $\text{CuO}$  вызывает уменьшение  $\phi$ , а введение  $\text{ThO}_2$  и  $\text{ZnSO}_4$  в  $\text{ZnO}$  и  $\text{MgO}$  и  $\text{Fe}_2\text{O}_3$  в  $\text{CuO}$  приводит к увеличению  $\phi$  соответствующих полупроводников. Авторы считают, что для изученных систем между объемными и поверхностными электр. свойствами модифицированных полупроводников нет простой зависимости.

М. Сахаров  
6Б272. Инфракрасное поглощение и валентная полоса антимонида индия. Gobeli G. W., Fan H. Y. Infrared absorption and valence band in indium antimonide, «Phys. Rev.», 1960, 119, № 2, 613—620 (англ.). — При  $t$ -рах, близких к  $t$ -ре жидкого гелия, изучено ИК-поглощение вырожденных образцов  $\text{InSb}$   $n$ - и  $p$ -типа при различных концентрациях носителей. Установлено, что поглощение образцов  $p$ -типа при энергиях фотонов, больших ширины запрещенной зоны, зависит от концентрации дырок. Полученные результаты показывают, что валентная полоса искривлена и что энергия при  $k = 0$  очень близка к максимуму энергии дырок. Отмечен скачок поглощения образцов  $n$ -типа, исходя из которого получена оценка эффективной массы легких дырок в  $\sim 0,012 m$ . Длина волнового поглощения образцов  $p$ -типа обусловлено переходами между валентными полосами.

Резюме авторов  
6Б273. Влияние отжига в вакууме и парах серы на структуру монокристаллов  $\text{CdS}$ . Böger K. W., Gutjahr H., Hornung H. Zum Einfluß einer Temperierung im Vakuum und Schwefeldampf auf die Realstruktur von  $\text{CdS}$ -Einkristallen, «Z. Phys.», 1960, 159, № 5, 495—504 (нем.). — Исследована спектральная кривая фотопроводимости монокристаллов  $\text{CdS}$ , освещавшихся естественным светом при комнатной  $t$ -ре и при  $-180^\circ$ , а также температурный ход кривой фотопроводимости весьма чистых монокристаллов  $\text{CdS}$  в зависимости от предварительной обработки (отжиг в вакууме при  $300$ — $350^\circ$  или в парах серы при  $700$ — $750^\circ$  и давл.  $6$ — $8$  атм.). После отжига в вакууме в  $\text{CdS}$  образуются 3 группы уровней захвата, которые отстоят от зоны проводимости на  $0,35$ ;  $0,45$  и  $0,55$  эв. Резюме авторов

6Б274. Исследования на пленках  $\text{Cs-Sb}$ . Kunze Claus. Untersuchungen an  $\text{Cs-Sb-Schichten}$ . «Ann. Phys. (DDR)», 1960, 6, № 1-2, 89—106 (нем.). — Проведены измерения электропроводности  $\sigma$ , пропускания  $D$ , коэф. преломления  $n$ , поглощения  $\alpha$ , внешнего и внутреннего фотоэффектов на пленках  $\text{CsSb}$  и  $\text{Cs}_2\text{Sb}$  в зависимости от  $t$ -ры и адсорбции кислорода при вакууме  $10^{-6}$  мм рт. ст. Определены значения энергетич. скачков между возбужденными уровнями и зоны проводимости для  $\text{CsSb}$  и  $\text{Cs}_2\text{Sb}$  (соответственно  $0,63$ ;  $0,53$  и  $0,98$ ;  $0,3$  эв).  $D$  изучено для фотонов с энергией ( $\epsilon$ )  $0,5$ — $2,0$  эв при  $200$  и  $290^\circ \text{K}$ . Для  $\text{Cs}_2\text{Sb}$   $D$  возрастает с уменьшением  $\epsilon$ , обнаруживая несколько максимумов в длинноволновой области спектра. Температурная зависимость  $D$  для  $\text{CsSb}$  примерно такая же, как для  $\text{Cs}_2\text{Sb}$ . Исследовано влияние адсорбции кислорода в процессе формирования пленок  $\text{Cs}_2\text{Sb}$  на внутренний фотоэффект.

Л. Андреев  
6Б275. Влияние распада раствора на электропроводность сплавов. Harrison W. A. The effect of solute precipitation on the resistivity of alloys. «Acta metallurg.», 1960, 8, № 3, 168—171 (англ.; реф. франц., нем.). — В приближении свободных электронов найдено выражение для изменения электропроводности  $\sigma$  на начальных стадиях распада твердого  $p$ -ра ( $TP$ ) в зависимости от числа атомов растворенного метал-

ла в скоплении. Уменьшение  $\sigma$  при распаде  $TP$  обусловлено уменьшением поперечного сечения рассеяния на каждый растворенный атом. Внутренние напряжения, возникающие при распаде  $TP$ , влияют на эффективную валентность атомов в решетке  $TP$  и могут приводить вначале к повышению  $\sigma$  и появлению максимума на кривой электропроводности.

В. Нешпор  
6Б276. К вопросу об изучении диэлектрических свойств систем  $\text{BaO-TiO}_2$ . Schwarzbach Jiří. Příspěvek ke studiu dielektrických vlastností soustavy  $\text{BaO-TiO}_2$ . «Silikáty», 1960, 4, № 3, 218—225 (чешск.; реф. русск., нем.). — Описано исследование системы  $\text{BaO-TiO}_2$ , содержащей  $66,7$ — $85,5$  мол. %  $\text{TiO}_2$ ; приведена методика приготовления образцов керамич. материалов и кривые диэлектрич. проницаемости, температурного коэф. ёмкости и тангенса угла диэлектрич. потерь в зависимости от состава материала. Показано присутствие  $\text{BaTi}_2\text{O}_7$  и  $\text{BaTi}_3\text{O}_7$ . Подтверждено, что в керамич. материалах системы  $\text{BaO-TiO}_2$ , обжигаемых при  $1300^\circ$ , соединение  $\text{Ba}_2\text{Ti}_2\text{O}_7$  не образуется.

Из резюме автора  
6Б277. Диэлектрические постоянные кристаллических порошков на микроволновых частотах. Pradhan B. P., Gupta R. C. Dielectric constants of crystalline powders at microwave frequencies, «J. Scient. and Industr. Res.», 1960, BC19, № 7, B229—B232 (англ.). — Методом стоячей волны измерены в области волн  $10$  см диэлектрич. постоянные  $\text{NaCl}$ ,  $\text{NaBr}$ ,  $\text{NaI}$ ,  $\text{KCl}$ ,  $\text{KBr}$ ,  $\text{KI}$ . Оценена роль электронного, ионного и ориентационного факторов в поляризуемости. Е. Журавковский

6Б278. О характере частотной и температурной зависимости  $\epsilon$  и  $\text{tg } \delta$  поликристаллических образцов в системе  $\text{ZnO-TiO}_2$ . Кузнецов А. А. «Ж. техн. физ.», 1960, 30, № 9, 1087—1094. — В работе анализируются зависимость диэлектрич. проницаемости и тангенса угла диэлектрич. потерь от частоты и  $t$ -ры поликристаллич. образцов в системе  $\text{ZnO-TiO}_2$  при различных соотношениях входящих в систему компонентов. Приводится оценка величины энергии активации для ионов, участвующих в электропроводности и релаксационных процессах.

Резюме автора  
6Б279. Диэлектрические потери в  $\text{NiSO}_4 \cdot 6\text{H}_2\text{O}$ . Родионова Н. А. В сб. «Физика диэлектриков». М., АН СССР, 1960, 203—210. — На основании данных исследований кристаллографов гипса ( $\text{CaSO}_4 \cdot 2\text{H}_2\text{O}$  и  $\text{CaSO}_4 \cdot \frac{1}{2}\text{H}_2\text{O}$ ) и  $\text{NiSO}_4 \cdot 6\text{H}_2\text{O}$  установлено наличие тепловой ориентационной поляризации в этих кристаллах. Существование двух максимумов в температурной зависимости  $\text{tg } \delta$  для  $\text{NiSO}_4 \cdot 6\text{H}_2\text{O}$  связано с наличием двух различно закрепленных групп молекул воды в структуре этого кристалла. Расчет процента релаксирующих молекул воды показал, что релаксация возможна только в местах разрыхления решетки. Кроме того, обнаружено значительное различие в абс. величине  $\text{tg } \delta$  и  $\epsilon$  для образцов, перпендикулярных и параллельных главной оси кристалла; последнее обстоятельство может быть следствием проявления анизотропии кристаллов  $\text{NiSO}_4 \cdot 6\text{H}_2\text{O}$ .

Из резюме автора  
6Б280. Пьезоэлектрические свойства кристаллов канкринита. Копчик В. А. В сб. «Физика диэлектриков». М., АН СССР, 1960, 211—214. — Обзорный доклад. Библ. 40 назв.

6Б281. Образование домена и движение доменной стенки в сегнетоэлектрических монокристаллах. Мерц В. В сб. «Физика диэлектриков». М., АН СССР, 1960, 286—289. Дискус., 307—313. — Перевод. см. РЖХим, 1956, № 15, 46223.

6Б282. Исследование магнитной восприимчивости некоторых ванадиевых и титано-ванадиевых квасцов в интервале температур  $300$ — $100^\circ \text{K}$ . Dutta-Roy S. K., Chakravarty A. S., Bose A. Studies on the magnetic susceptibility of some  $\text{V}^{3+}$  alums and  $\text{Ti}^{3+}$  caesium

alum in the range 300° K to 100° K. «Indian J. Phys.», 1959, 33, № 41, 483—497 (англ.).—С применением усовершенствованных весов Кюри исследованы магнитные восприимчивости четырех видов квасцов  $V(3+)$  и одного вида квасцов  $Ti(3+)$  — Cs в интервале т-р 300—100° K. Составы исследованных квасцов:  $VNH_4(SO_4)_2 \cdot 12H_2O$ ,  $VRb(SO_4)_2 \cdot 12H_2O$ ,  $VTi(SO_4)_2 \cdot 12H_2O$ ,  $VCs(SO_4)_2 \cdot 12H_2O$  и  $CsTi(SO_4)_2 \cdot 12H_2O$ . Все исследованные образцы следуют закону Кюри в форме  $P^2 = AT + B$ , где  $P^2$  — квадрат эффективного момента. Величина  $P^2$  во всех случаях квасцов  $V(3+)$  несколько меньше чисто спинового значения (на 8—12%). У квасцов  $Ti(3+)$  — Cs величина  $P^2$  на 5% при комнатной т-ре и на 9% при 100° K меньше чисто спинового значения. Анализ полученных данных и сравнение с прежними измерениями показывает, что на температурные изменения  $P^2$  должны влиять температурные изменения расщепления уровней под действием кристаллич. электр. поля куб. симметрии, а также изменение распределения заполненности близко лежащих уровней. В исследованном интервале т-р эти факторы, однако, не могут нарушить линейной зависимости  $P^2$  от  $T$ . А. Кыкоин

6Б283. Изучение дефектов в окиси магния методом спинового резонанса. Wertz John E., Auzins Peteris, Griffiths J. H. E., Orton John. Spin resonance studies of defects in magnesium oxide. «Disc. Faraday Soc.», 1959, № 28, 136—141. Discuss., 207—222 (англ.).—При изучении электронного резонанса на кристаллах MgO после облучения УФ-светом или рентгеновскими лучами при различных т-рах обнаружены новые виды дефектов. Один из них представляет собой ион  $X_2^-$  с осью вдоль направления  $[110]$ ; он возникает при удалении электрона из галогенид-иона на оставшейся в этом месте дырке. Эти центры, названные авторами  $H$ -центрами, не являются  $F$ - или  $V$ -центрами. Предложены модели для двух типов  $H$ -центров. М. Зарипов

6Б284. Парамагнитный резонанс иона  $Gd^{3+}$  во фторидах при тетрагональной симметрии кристаллического поля. Sierro Jérôme, Lacroix Roger. Résonance paramagnétique dans des fluorures de l'ion  $Gd^{3+}$  soumis à un champ cristallin tétragonal. «C. r. Acad. sci.», 1960, 250, № 15, 2686—2687 (франц.).—Окружение ионов металла в  $CaF_2$  имеет куб. симметрию; однако при внедрении на место ионов  $Ca^{2+}$  ионов  $Gd^{3+}$  вблизи части ионов  $Gd^{3+}$  в междоузлии кристалла появляется дополнительный ион  $F^-$ , компенсирующий заряд иона  $Gd^{3+}$ . Поле кристалла на таких ионах приобретает тетрагон. симметрию, с осью вдоль одной из куб. осей кристалла. На частоте 9200 Мгц изучен спектр ионов  $Gd^{3+}$  в таком окружении. Уровень  $^8S$  ионов  $Gd^{3+}$  в тетрагон. поле расщепляется на 4 крамеровских дублета; интервалы между ними определены по наблюдавшимся спектрам:  $E_{1/2} - E_{1/2} = 0,270$ ,  $E_{3/2} - E_{1/2} = 0,572$ ,  $E_{5/2} - E_{3/2} = 0,939$  см $^{-1}$ . Судя по интенсивности спектров, до термообработки 80% ионов имели кубическое, 40% — тетрагон. окружение; после 4-часового прогрева кристалла при 1000° уже 90% ионов имели тетрагон. окружение за счет миграции ионов  $F^-$  к ионам  $Gd^{3+}$ . К. Валиев

6Б285. Анизотропия фактора Ланде иттербия в галлате типа граната. Ayant Yves, Thomas Jean. Anisotropie du facteur de Landé de l'ytterbium dans un gallate du type grenat. «C. r. Acad. sci.», 1960, 250, № 15, 2688—2690 (франц.).—Ближайшее окружение ионов  $Yb^{3+}$  в галлате типа граната, состоящее из восьми атомов O, имеет приблизительно куб. симметрию, но определенный по спектрам парамагнитного резонанса  $g$ -фактор анизотропен:  $g_x = 3,60$ ,  $g_y = 2,85$ ,  $g_z = 3,73$ . Рассчитаны  $g$ -факторы с учетом отклонений симметрии окружения от кубической (4 атома O расположе-

ны ближе других четырех). Рассчитанные  $g$ -факторы ( $g_x = 3,62$ ,  $g_y = 2,86$ ,  $g_z = 3,78$ ) близки к определенным из опыта. К. Валиев

6Б286. Парамагнитный резонанс четырехвалентного  $Pa^{3+}$ . Axe John D., Kyi Ruta, Stapleton H. J. Paramagnetic resonance in tetravalent  $Pa^{3+}$ . «J. Chem. Phys.», 1960, 32, № 4, 1261 (англ.).—При 4,2° K на частоте 9457 Мгц обнаружен изотропный спектр ионов  $(Pa^{231})^{4+}$ , входивших в качестве примеси в  $Cs_2ZrCl_6$ . Спектр состоит из четырех сверхтонких компонент ( $S = 1/2$ ,  $I = 3/2$ ). Судя по положению линий,  $|g| = 1,14$ ,  $|A| = 0,0529$  см $^{-1}$ . При 77° K спектр не обнаруживается. Парамагнетизм иона  $Pa^{4+}$  обусловлен одним 5f-электроном. К. Валиев

6Б287. Интенсивность электронного спинового резонанса в анизотропных веществах. Bleaney R. Electron spin resonance intensity in anisotropic substances. «Proc. Phys. Soc.», 1960, 75, № 4, 621—623 (англ.).—При наблюдении резонанса на порошках анизотропных кристаллов на форму линии, кроме анизотропии  $g$ -фактора, влияет зависимость вероятностей дипольных переходов от ориентации переменного поля относительно осей кристалла. С целью учета этого эффекта теоретически вычислены вероятности дипольных переходов для кристалла осевой симметрии ( $g_x = g_y \neq g_z$ ), без тонких и сверхтонких расщеплений, при произвольной ориентации постоянного и переменного полей. Рассматриваются переменные поля линейной и круговой поляризации. При анализе полученных ф-л выяснен характер анизотропии вероятностей дипольных переходов. К. Валиев

6Б288. Антиферромагнитная структура  $CrN$ . Colliss L. M., Elliott N., Hastings J. M. Antiferromagnetic structure of  $CrN$ . «Phys. Rev.», 1960, 117, № 4, 929—935 (англ.).—Выбор  $CrN$  (структура типа NaCl) обусловлен сильным ковалентным взаимодействием  $Cr-N$ . Соединение  $CrN$  получено азотированием порошка  $Cr$  в токе  $NH_3$  при 1400°. Измерением магнитной восприимчивости установлено наличие точки Неэля при 0°. На основании анализа порошковых нейтронграмм, полученных при т-рах комнатной и низких азота и водорода, а также рентгеновского анализа образцов установлено, что в парамагнитном состоянии  $CrN$  обладает структурой типа NaCl с  $a$  4,13 Å; переход в антиферромагнитное состояние сопровождается ромбиз. искажением решетки (при т-ре жидкого азота  $a$  5,757,  $b$  2,964,  $c$  4,131 Å); расположение спинов в антиферромагнитном состоянии характеризуется магнитным упорядочением 4-го рода (коллинеарный антиферромагнетизм; из 12 спинов, ближайших к данному, 6 параллельны и 6 антипараллельны последнему, а из 6 во 2-й координационной сфере 4 антипараллельны и 2 параллельны; спины образуют смежные ферромагнитные полоски, параллельные  $(110)$  по направлению спинов  $[110]_{\text{куб}}$ ); искажение структуры выражается в смещении атомов  $Cr$  вдоль оси  $z$  на величину  $\Delta z = 0,073$  Å и атомов  $N$  на  $\Delta z = -0,134$  Å; это смещение приводит к увеличению расстояния между смежными ферромагнитными плоскостями на 10% и к такому же уменьшению расстояния между антиферромагнитными плоскостями; магнитный момент атома  $Cr$  2,36  $\mu_B$ . Развивается представление о магнитных пространственных группах, которые сводятся к 1651 субгруппой группе антисимметрии. Р. О.

6Б289. Сверхпарамагнетизм микрокристаллов  $\gamma-Fe_2O_3$ . Knappwost A., Stein H.-D. Der Kollektive paramagnetismus von mikrokristallinem  $\gamma-Fe_2O_3$ . «Z. Elektrochem.», 1960, 64, № 2, 321—326 (нем.).—Исследованы магнитные свойства мелких частиц с линейными размерами  $\sim 50$  Å. Описаны установка и методика получения частиц путем окисления порошка  $Fe(CO)_5$  при т-рах 280—600°. Измерение восприимчивости этих частиц в широком температурном интер-

6Б304. Рост монокристаллов титаната бария по методу сплавления с хлоридом бария в качестве флю-



са. Ваку Сигэру. «Кэнкю дзицүёка хококу, Electr. Commun. Lab. Techn. J.», 1959, 8, № 6, 940—945 (японск.)

6Б305. Рост арсенида галлия с помощью горизонтальной зонной плавки. Richards J. L. Growth of gallium arsenide by horizontal zone melting. «J. Appl. Phys.», 1960, 31, № 3, 600—603 (англ.).—Подробно описана печь, предназначенная для выращивания кристаллов AsGa размером 1,5 см в поперечнике и длиной 23 см. Скорость зонного прохода была постоянной для каждого кристалла и менялась от опыта к опыту от 1,25 до 5 см/час. Выращивание кристаллов производилось как с зародышем, ориентированным по {111}, так и без него. По данным изучения краевых дислокаций и с помощью оптич. метода определены совершенство и полярность выращенных кристаллов. Контроль термич. условий производился по просмотру декантированной поверхности раздела жидкость—твердая фаза. Ямки травления обнаруживались на гранях {111}. Не обнаружена связь между легкостью роста, кристаллич. совершенством и предпочтительным ростом в направлении {111}. При тщательном контроле и регулировании термич. условий плотность дислокаций может быть уменьшена до очень низкого порядка ( $10 \times 10^2$  дислокаций на  $1 \text{ см}^2$ ) по сравнению с плотностью дислокаций в Ge.

А. Кралина  
6Б306. Гидротермальный рост кристаллов кварца и образование тяжелой спекшейся массы. Taki Sadao. «Koré kagaku zasshi, Kogyo kagaku zasshi, J. Chem. Soc. Japan. Industr. Chem. Sec.», 1960, 63, № 1, 60—63, A2 (японск.; рез. англ.)

6Б307. Кристаллография превращения кубической формы в ромбическую для сплава AuCu. Smith R., Bowles J. S. The crystallography of the cubic to orthorhombic transformation in the alloy AuCu. «Acta metallurg.», 1960, 8, № 7, 405—415 (англ.; рез. франц., нем.)

6Б308. Иницирование скольжения в сплаве кремний—железо. Holden J. The initiation of slip in silicon—iron. «Acta metallurg.», 1960, 8, № 7, 424—430 (англ.; рез. франц., нем.)

6Б309. Многократные двойники роста в монокристаллах BaTiO<sub>3</sub>. De Vries R. C. Multiple growth twinning in BaTiO<sub>3</sub> single crystals. «Amer. Mineralogist», 1960, 45, № 7-8, 852—861 (англ.)

6Б310. Спайность двуокиси урана. Rabins R. G., Baldock P. J. Uranium oxide cleavage. «J. Amer. Ceram. Soc.», 1960, 43, № 4, 228 (англ.).—Ранее отмечалось (РЖХим, 1960, № 5, 18665), что кристаллы синтезированной UO<sub>2</sub> спайностью не обладают, а имеют раковистый и иногда плоскостной излом. Однако исследование авторов показало, что наряду с иногда встречающимся раковистым изломом кристаллы UO<sub>2</sub> имеют общую тенденцию к плоскостной спайности. Расщепление по спайности достигалось механич. путем или в результате самораспада при контролируемом окислении от UO<sub>2</sub> до UO<sub>2.05</sub>. Рентгенографич. изучение (метод Лауэ, обратная съемка) поверхностей плоскостной спайности показало, что во всех случаях эти поверхности были плоскостями {111}. Микроскопич. исследование плоскости {111}, образованной в результате самораспада, показало наличие в кристалле трех рядов трещин, ориентированных друг к другу под углом 60°. Отмечается, что спайность UO<sub>2</sub> по {111} не является неопределенной, поскольку UO<sub>2</sub> имеет границентр. куб. решетку типа CaF<sub>2</sub>, которой свойственна спайность по {111}.

А. Черепанов

6Б311. Некоторые свойства кристаллов сульфида цинка, выращенных из расплава. Addamiano Arigo, Aven Manuel. Some properties of zinc sulfide crystals grown from the melt. «J. Appl. Phys.», 1960, 31, № 1, 36—39 (англ.).—Проведено рентгенографич. исследование кристаллов гексагон. ZnS (I), полученных охлаждением расплава ZnS в атмосфере Ar. Уста-

новлено, что кристаллы I, выращенные из расплава обладают большой устойчивостью: при длительном нагревании от 700 до 1500° они не переходят в куб. форму, как это наблюдалось для природных кристаллов I и для кристаллов, выращенных при выпаривании. Найдено, что для кристаллов, полученных из расплава, точка превращения находится при  $> 1150^\circ$ . Подобная устойчивость полученных кристаллов объясняется, по-видимому, их высокой чистотой. С. Рыкова

6Б312. Микромозаичная картина в монокристаллах хлорида калия, содержащего хлорид бария. Ewles J., Dawson J. B. Micromosaic patterns in single crystals of potassium chloride containing barium chloride. «Nature (Engl.)», 1960, 186, № 4722, 381—382 (англ.).—Монокристаллы KCl, содержащие BaCl<sub>2</sub> в конц-ии  $5 \cdot 10^{-5}$ — $10^{-2}$  атомов Ba на 1 атом K, выращены по методу Киропулоса. Микрофотографич. с кристаллов с конц-ией  $5 \cdot 10^{-4}$  атомов Ba на 1 атом K показывают сетки линий длиной 5—10  $\mu$ . Чистые кристаллы не показывают такой картины. Предложены два возможных объяснения микрокартин: либо это дислокационная сетка, производимая добавлением BaCl<sub>2</sub>, либо в чистом кристалле также есть сетка дислокационных линий, но она обнаруживается только после декорирования примесью. Иногда микрофотографич. показывают отпечаток пустот глубиной  $< 5 \mu$  и длиной в несколько сотен  $\mu$ . Полагают, что эти пустоты зарождаются из-за уменьшения термич. напряжений или напряжений, вызванных относительно высоким содержанием примеси. Пустоты не исчезают при продолжительном отжиге. А. Кралина

6Б313. Двойникование и излом монокристаллов железа с 3%-ным содержанием кремния. Hull D. Twinning and fracture of single crystals of 3% silicon iron. «Acta metallurg.», 1960, 8, № 1, 11—18 (англ.; рез. франц., нем.).—Тонкие, вытянутые по [001] монокристаллы Fe, содержащие 3% Si, подвергались напряжению при  $-196^\circ$ ; при этом образовывались двойники по четырем основным направлениям: {121}, {121} и {121}. Изучаются морфология двойников и их свойства; установлено, что свободная поверхность одного из двойниковых индивидуумов всегда гладкая, поверхность другого имеет характерные зигзагообразные следы, которые являются, очевидно, результатом процесса скольжения. Опыты по разному кристаллов показали, что трещины появляются в основном по направлению спайности {010} и двойниковым плоскостям. С. Рыкова

6Б314. Влияние атомов примеси на энергетические соотношения поверхностей {100} и {110} в сплаве кремний—железо высокой чистоты. Walter J. L., Dunn C. G. An effect of impurity atoms on the energy relationship of {100} and {110} surfaces in high purity silicon iron. «Acta metallurg.», 1960, 8, № 8, 497—506 (англ.; рез. франц., нем.)

6Б315. Исследование методом меченых атомов введения йода в выращенные из паров кристаллы германия. Beker W. E., Compton D. M. J. Radiotracer studies of the incorporation of iodine into vapor-grown Ge. «IBM J. Res. and Developm.», 1960, 4, № 3, 269—274 (англ.).—Проведена оценка кол-ва примеси J в выращенных путем диспронорционирования GeJ<sub>2</sub> монокристаллах Ge с использованием J<sup>131</sup> в качестве индикатора. Радиоактивный J<sup>131</sup> получен из облученного р-ра NaJ путем выпаривания с последующим прибавлением к остатку чистого сухого J и многократной сублимации. Идентификация радиоактивного J<sup>131</sup> произведена на сцинтилляционном  $\gamma$ -спектрометре по энергии  $\gamma$ -лучей и периоду полураспада. Конц-ия J в осажденном Ge составляет  $10^{14}$ — $10^{15}$  атом/см<sup>3</sup> с неравномерным распределением по толщине осадка. Найдено, что конц-ия примеси J не зависит от скорости роста при ориентации затравки {111} и сильно изменя-

расплава  
ельном на-  
в куб. фор-  
мисталлов I  
паривания.  
из распла-  
50°. Подоб-  
объясняет  
С. Рыкова  
нонкристал-  
ид бария.  
patterns in  
ing barium  
2, 381—382  
BaCl<sub>2</sub> в  
X, выраже-  
ий с кри-  
агом К по-  
истые кри-  
олены два  
это дисло-  
BaCl<sub>2</sub> ли-  
слокацион-  
осле деко-  
фия пока-  
длинной в  
ты зарож-  
дений или  
ким содер-  
продолжи-  
Кральной  
ристаллов  
Hull D.  
3% silicon  
англ.; рез.  
монокри-  
натряже-  
двойники  
(21), (121)  
ов и их  
хность од-  
гладкая,  
газообраз-  
зультатом  
ристаллов  
по на-  
м плоско-  
С. Рыкова  
етические  
в сплаве  
er J. L.  
he energy  
gh purity  
497—506

к атомов  
галлы гер-  
radiotracer  
or-grown  
3, 269—  
меси J в  
Ge<sub>2</sub> мо-  
есть ин-  
тученного  
м прибо-  
ократной  
131 про-  
метре по  
нция J в  
с нерав-  
Найде-  
рости ро-  
пменя-

ется при изменении ориентации. С уменьшением т-ры роста концы J увеличивается. Исследована зависи-мость концы от типа (n или p) проводимости за-травки при различных условиях. Исследования диф-фузии J в кристаллах Ge показывают низкое значение коэф. диффузии, что свидетельствует о прочности свя-зывания J в решетке. Рассмотрение энергии связей по-зволяет предположить, что J включается в решетку в виде Ge<sub>2</sub>. По мнению авторов, процесс включения ана-логичен образованию примеси при росте кристаллов из расплава, в котором достигнута «равновесная» рас-творимость J. Как считают авторы, описанный процесс может быть использован с целью получения кристал-лов с желаемыми примесями.

А. Левин  
6Б316. Введение As в выращенные из паров кри-сталлы германия. Baker W. E., Compton D. M. J. Incorporation of As into vapor-grown Ge. «IBM J. Res. and Developm.», 1960, 4, № 3, 275—279 (англ.).—Введе-ние As в монокристаллы Ge, полученные путем дис-пропорционирования Ge<sub>2</sub>, исследовано радиохи-м. ме-тодами с использованием As<sup>76</sup> в качестве индикатора и путем измерения эффекта Холла. Найдено, что весь введенный As электрически активен, особенно при ориентации затравки (211). Небольшие расхождения между данными электр. измерений и измерений γ-активности для затравок с ориентациями (110) и (111) объясняются experim. ошибками в регистрации эффекта Холла. Концы As в кристалле распределе-на равномерно по толщине, за исключением поверхности раздела затравки и осадочного слоя, и сильно ме-няется в зависимости от ориентации затравки. Иссле-дование распределения концы As в кристалле и в па-рах показывает, что отношение концы изменяется от 0,3 для ориентации (211) до 0,03 для ориентации (110). Установлено, что введение As в монокристаллы Ge может быть осуществлено методом «непрерывного потока». Обнаружено, что концы As в осадке мень-ше, чем в источнике. Одной из возможных причин этого является задержка в источнике некоторого кол-ва As.

А. Левин  
6Б317. Введение Au в выращенные из паров кри-сталлы Ge. Baker W. E., Compton D. M. J. Incorporation of Au into vapor-grown Ge. «IBM J. Res. and Developm.», 1960, 4, № 3, 296—298 (англ.).—Исследовано введение в монокристаллы Ge золота. В качестве ин-дикатора использован γ-активный изотоп Au<sup>198</sup>, полу-ченный облучением в реакторе при потоке 1,6 · 10<sup>13</sup> нейтрон/см<sup>2</sup> в сек. Процесс осаждения Ge осуще-ствлен «методом запаянной трубки». Найдено, что рас-пределение Au в осадке не является однородным, причем большая концы достигается в местах боль-шей толщины осадка. Результаты электр. измере-ний показывают, что электрически активной является только часть примеси. Оценка отношения концы Au в кристаллич. осадке и в парах дает значение ~10<sup>-4</sup> для всего Au и 10<sup>-6</sup> для электрически активного.

А. Левин  
6Б318. О существовании двойниковых кристаллов галогенидов серебра. Cugnac A. de, Chateau H. Sur l'existence de macles dans les cristaux d'halogénures d'argent. «Bull. Soc. franç. minéral. et cristallogr.», 1960, 83, № 4-6, 143—144 (франц.).

6Б319. Выпаривание и термическое травление. Hondros E. D., Moore A. J. W. Evaporation and thermal etching. «Acta metallurg.», 1960, 8, № 9, 647—653 (англ.; рез. франц., нем.).

6Б320. Электролитическое травление многофазных сплавов железо — хром — никель раствором едкого на-тра. Schaarwächter Werner, Lüdering Hans, Naumann Friedrich Karl. Die elektrolytische Ätzung mehrphasiger Eisen-Chrom-Nickel-Legierungen in Natronlauge. «Arch. Eisenhüttenwesen», 1960, 31, № 6, 385—391 (нем.).

6Б321. Травление в газовой фазе и его действие на поверхность полупроводников. Gualtieri J. G., Katz M. J., Wolff G. A. Gas etching and its effect on semiconductor surfaces. «Z. Kristallogr.», 1960, 114, № 1-2, 9—22 (англ.; рез. нем.).

6Б322. О монокристаллах якобита из Саи-но-тейк (префектура Фукуока) и их окислении при нагревании. Shibuya Goro. «Кобунгатаку дзасси, J. Mineral. Soc. Japan», 1959, 4, № 3, 157—176 (японск.).

См. также: Рентгенографич. исследования 6Б409. Электронографич. исследования 6С130. Магнитный резонанс 6Б592. Фазовые превращения, полиморфизм 6Б447. Термодинамика 6Б376, 6Б385. Спектры и другие оптич. свойства 6Б84, 6Б125, 6Б128, 6Б165, 6Б166. Рост 6Б448, 6Б450. Кристаллохимия 6Б449, 6Б452; 6Б683, 6Б21, 6Б26, 6К240, 6К306. Приборы и оборудование 6Е1, 6Е21. Икунолит, новый висмутовый минерал из рудника Икунэ, Японии 6Г22

## ГАЗЫ. ЖИДКОСТИ. АМОРФНЫЕ ТЕЛА

Редактор А. Б. Алмазов

6Б323. Теоретическое исследование сильной сфе-рически симметричной сходящейся ударной волны в газообразном дейтерии. Völcker H. Theoretische Untersuchungen an starken kugelsymmetrischen konvergenten Verdichtungsstößen in gasförmigem Deuterium. «Atomkern-Energie», 1960, 5, № 6, 209—217 (нем.; рез. англ.).—Расчет нагрева газа, рассматриваемого как идеальный, за фронтом ударной волны не совпадает с результатами измерений т-ры. Проведено вычисление т-ры за фронтом сильной сферически симметричной ударной волны в газообразном дейтерии. При этом учитываются эффекты диссоциации молекул и ионизации атомов. Теплоемкость считается зависящей от т-ры. Учтены поступление теплоты от термоядерной р-ции и потери на излучение. Задача сводится к решению системы ур-ний в частных производных гипер-болич. типа с начальными значениями. В качестве на-чальных значений взято решение соответствующей плоской задачи. Численное решение ур-ний показы-вает, что если газ при атмосферном давлении до обра-зования ударной волны подогрет до 1500° К и началь-ное значение давления равно 1000 атм за поверхно-стью ударной волны, представляющей сферу диам. 1 м, то на расстоянии 1 см от центра сферы т-ра до-стигает значения, при которой возможна термоядерная р-ция.

С. Шушурин  
6Б324. Многократная колебательная релаксация в газообразном дибромметане. Meyer Norman J. Multiple vibrational relaxation in gaseous dibromomethane. «J. Chem. Phys.», 1960, 33, № 2, 487—492 (англ.).—Экспериментально определены скорости и коэф. по-глощения звука в газообразном дибромметане при 296° К и давлениях (p) 0,5—15 мм рт. ст., частотах (f) 13—80 кгц. Преобразователь — конденсаторный микро-фон с твердым диэлектриком — допускал плавное из-менение частоты. Обнаружены три независимых ре-лаксационных процесса, два при значениях парамет-ра f/p, равных 7,0 и 125 мей/атм, характеризующих вре-мешами релаксации 3,02 · 10<sup>-8</sup> и 0,146 · 10<sup>-8</sup> сек. и трет-ий при f/p < 0,1 мей/атм со временем релаксации > 1,8 · 10<sup>-6</sup> сек. На основании оценки доли, вносимой отдельными нормальными колебаниями молекулы ди-бромметана в величину теплоемкости, находятся нор-мальные колебания, задержкой возбуждения которых обусловлены обнаруженные релаксационные процессы.

Б. Кудрявцев  
6Б325. Обнаружение молекулярных комплексов в газах ультразвуковым методом. Deshpande D. D. Detection of molecular complexes in gases by ultrasonic

method. «Current Sci.», 1960, 29, № 6, 224—225 (англ.).— При интерферометрич. исследовании скорости и поглощения ультразвука при 455 кг/см<sup>2</sup> в смесях CO<sub>2</sub> с кислородом или воздухом обнаружено, что наблюдаемые скорость и поглощение не совпадают со значениями для чистых компонентов. Наибольшая разница в поглощении приходится на мол. соотношения CO<sub>2</sub>:X = 1:3; 1:2; 1:1; 3:1 и 4:1, где X — кислород или воздух. Наличие этих максимумов приписано образованию мол. комплексов CO<sub>2</sub> и O<sub>2</sub> соответствующего состава. Отмечено, что метод ультразвуковой абсорбции может быть использован для чувствительного обнаружения мол. соединений в газовой фазе. В. Лебедев

6Б326. Соотношение между молекулярным давлением и внутренним давлением. Brin André, Mérigoux Roger. Relation entre pression moléculaire et pression interne. «C. r. Acad. sci.», 1960, 251, № 4, 521—522 (франц.).—Выведено термодинамич. соотношение между мол. давлением и внутренним давлением, соответствующим внутренней энергии. Внутреннее давление можно выразить через коэф. расширения и адиабатич. сжатия. Получены выражения для производных от мол. давления по т-ре и давлению. Соотношение конкретизировано для центрального взаимодействия между частицами. С. Шушурин

6Б327. Времена магнитной релаксации ядер T<sub>1</sub> и T<sub>2</sub> в некоторых жидкостях. Bonera G., Chioldi L., Lanzi G., Rigamonti A. Nuclear magnetic relaxation times T<sub>1</sub> and T<sub>2</sub> in some liquids. «Nuovo cimento», 1960, 17, № 2, 198—204 (англ.; рез. итал.).—Измерены времена релаксации T<sub>1</sub> и T<sub>2</sub> протонов в невязких чистых жидкостях (первые цифры — T<sub>1</sub> и T<sub>2</sub> в сек., третья — т-ра в °C): в воде (3,2, 3,1, 23°), в циклопентане (12,8, 10,5, 20°), циклогексане (6,2, 5,5, 23°), циклогептане (4,4, 4,4, 21°), метиловом спирте (7,5, 6,5, 22°), этиловом спирте (3, 3, 1, 22°), пропиловом спирте (1,1, 1,1, 23°), бутиловом спирте (0,6, 0,6, 19°). Измерения делались в поле 1650 э. В пределах ошибок опыта T<sub>1</sub> = T<sub>2</sub>, как это и предсказывается существующими теориями. Сделана попытка выяснить, различаются ли времена T<sub>1</sub>, относящиеся к химически неэквивалентным протонам в молекуле. В первичных спиртах указанные времена T<sub>1</sub> оказались близкими и их не удалось различить. Однако в случае толуола получено заметное различие T<sub>1</sub>(CH<sub>3</sub>) = 8 сек., T<sub>1</sub>(C<sub>6</sub>H<sub>5</sub>) = 16 сек. К. Валиев

6Б328. О величинах A и E, входящих в уточненную формулу для расчета вязкости жидкостей Г. М. Панченкова. Торопов А. П., Бродская Г. А. «Ж. физ. химии», 1960, 34, № 8, 1879—1882.—Дискуссионная статья (Г. М. Панченков. «Ж. физ. химии», 1950, 24, 1390).

6Б329. О статье А. П. Торопова и Г. А. Бродской «Об уточненной формуле расчета вязкости жидкостей Панченкова Г. М.». Панченков Г. М. «Ж. физ. химии», 1960, 34, № 8, 1883—1884.— К реф. 6Б328.

6Б330. Измерение скорости звука в воде как функции температуры до 300° и давления до 150 кг/см<sup>2</sup>. Elberg Salomon. Mesure de la vitesse du son dans l'eau en fonction de la température jusqu'à 300°C et de la pression jusqu'à 150 kg/cm<sup>2</sup>. «C. r. Acad. sci.», 1960, 251, № 5, 654—656 (франц.).—Скорость звука измерялась как отношение удвоенной длины трубы к средней разности времени между последовательными эхо от стенки трубы. Точность измерений 5·10<sup>-4</sup>. Полученные результаты для скорости представлены в виде полинома четвертой степени по т-ре, причем его коэф. являются квадратными трехчленами по давлению. Из результатов вычислены величины адиабатич. сжимаемости, которая оказывается слабо зависящей от давления. С. Шушурин

6Б331. Поглощение и скорость ультразвука в расплавленных солях. Higgs R. W., Litovitz T. A. Ultrasonic absorption and velocity in molten salts.

«J. Acoust. Soc. America.», 1960, 32, № 9, 1108—1115 (англ.).—Импульсным методом измерены и табулированы коэф. поглощения (ошибка ± 5%) и скорости (ошибка ± 0,3%) ультразвука в расплавленных солях KNO<sub>3</sub>, NaNO<sub>3</sub>, AgNO<sub>3</sub>, LiNO<sub>3</sub>, CdCl<sub>2</sub> и в смеси NaNO<sub>3</sub>—KNO<sub>3</sub>. В расплавленных солях отношение температурного коэф. скорости звука к температурному коэф. плотности приблизительно 1,5, а не 3, как для обычных жидкостей (правило Пао). При расчете поглощения звука в расплавленных солях и их смесях необходимо учитывать наряду со сдвиговой вязкостью (η<sub>S</sub>) объемную вязкость (η<sub>B</sub>), обусловленную структурной релаксацией, так же как в ассоциированных огранич. жидкостях. Отношение η<sub>B</sub>/η<sub>S</sub> изменяется от 9,5 в KNO<sub>3</sub> до 1,7 в CdCl<sub>2</sub>. В расплавах нитратов η<sub>B</sub>/η<sub>S</sub> прямо пропорционально объему катодона, ln η<sub>B</sub>/η<sub>S</sub> — линейная функция энтропии плавления. Для одноатомных спиртов, по литературным данным, обнаружена линейная зависимость ln η<sub>B</sub>/η<sub>S</sub> от энтропии плавления. Предполагается, что структурная релаксация как в ионных, так и в органич. жидкостях включает разупорядочение квази-кристаллич. решетки жидкостей. Б. Кудрявцев

6Б332. Коэффициент самодиффузии и ядерная восприимчивость жидкого He<sup>3</sup>. Anderson A. C., Hart H. R., Jr., Wheatley J. C. Self-diffusion coefficient and nuclear susceptibility of liquid He<sup>3</sup>. «Phys. Rev. Letters», 1960, 5, № 4, 133—135 (англ.).—Методом спинового эхо (последовательность импульсов 90°—180°—180°) измерен коэф. самодиффузии D в чистом He<sup>3</sup> (примесь He<sup>4</sup> 2·10<sup>6</sup>) и в He<sup>3</sup> с примесью 1,2% He<sup>4</sup> при давл. 5—9 см рт. ст. и т-рах 0,15—0,032°K. При T = 0,034°K T<sub>2</sub> = 0,74 сек.; поэтому влиянием поперечной релаксации можно пренебречь, считая уменьшение амплитуды спинового эхо обусловленным лишь самодиффузией. Восприимчивость спинов χ<sub>r</sub> считалась пропорциональной сигналу эхо. Добавление 1,2% He<sup>4</sup> к чистому He<sup>3</sup> не изменяет D и χ<sub>r</sub>. При 0,1—0,03°K D ~ T<sup>-n</sup>, где n = 1,55 ± 0,05 для чистого He<sup>3</sup> и 1,56 для He<sup>3</sup> + 1,2% He<sup>4</sup>. При 0,1—0,04°K χ<sub>r</sub> остается постоянным. При более высоких т-рах χ<sub>r</sub> начинает уменьшаться. Никаких признаков перехода в коллективное состояние не наблюдается. Полученные данные сравниваются с имеющимися результатами. К. Валиев

6Б333. Эффект Холла в стеклообразных материалах системы Tl<sub>2</sub>Se—As<sub>2</sub>(Se, Te)<sub>3</sub>. Коломиец Б. Т., Назарова Т. Ф. «Физ. твердого тела», 1960, 2, № 3, 395—396.—Исследован эффект Холла в стеклообразных материалах системы Tl<sub>2</sub>Se—As<sub>2</sub>(Se, Te)<sub>3</sub>. Показано, что с увеличением содержания теллура концентрации носителей тока монотонно растут, изменяясь от 5·10<sup>11</sup> до 6·10<sup>17</sup> см<sup>-3</sup>, и ход концентрации соответствует изменению проводимости. Установлена неизменность подвижности носителей тока с составом. Значения носителей тока, определенные по знаку термо-э. д. с. и по знаку эффекта Холла, не совпадают. Предыдущее сообщение см. РЖХим, 1961, 5Б316. К. Евстропьев

6Б334. Об интерпретации инфракрасных спектров поглощения стеклообразных SiO<sub>2</sub>, GeO<sub>2</sub> и BeF<sub>2</sub> и стеклов SiO<sub>2</sub>—X<sub>2</sub>O, GeO<sub>2</sub>—X<sub>2</sub>O и BeF<sub>2</sub>—XF. Zarzycki J., Naudin F. Sur l'interprétation des spectres d'absorption infrarouge de SiO<sub>2</sub>, GeO<sub>2</sub> et BeF<sub>2</sub> vitreux et des verres SiO<sub>2</sub>—X<sub>2</sub>O, GeO<sub>2</sub>—X<sub>2</sub>O et BeF<sub>2</sub>—XF. «Verres et réfract.», 1960, 14, № 3, 113—123 (франц.).—Составляются инфракрасные спектры ряда простых стекол со спектрами, вычисленными на основе теории (РЖХим, 1959, № 3, 7233; № 10, 34129). Спектры инфракрасного поглощения снимались на спектрографе Перкина—Эльмера, модель 112 с призмами из NaCl и KBr и модель 137. Образец имел вид либо тонкого порошка в пасте KBr, либо (для стекол) в виде тонких стенок пузыри толщиной в несколько микронов. Сравнение с теорией спектров кристаллитов и стек-



лообразных  $\text{SiO}_2$  и  $\text{GeO}_2$  показывает, что расчетов Степанова и Прима недостаточно для учета промежуточных частот или низких частот спектра. Ослабление решеток  $\text{GeO}_2$  и  $\text{BeF}_2$  по сравнению с решеткой  $\text{SiO}_2$  описывается теорией Степанова и Прима удовлетворительно. Изучение спектров стекол  $2\text{SiO}_2\text{—X}_2\text{O}$  ( $\text{X} = \text{Li, Na, K, Rb}$ )  $2\text{GeO}_2\text{—X}_2\text{O}$  ( $\text{X} = \text{Li, Na, K, Rb, Cs}$ ),  $2\text{BeF}_2\text{—XF}$  ( $\text{X} = \text{Li, Na, K}$ ) обнаруживает асимметричную деформацию тетраэдров, составляющих решетки, и уменьшение межатомного расстояния связи  $\text{Si—O}$ , когда  $\text{O}$  является мостиком, по сравнению со случаем, когда  $\text{O}$  не является мостиком. С. Пшурин

См. также: Термодинамика и статистич. физика 6Б363, 6Б364, 6Б366, 6Б369, 6Б371. Строение и физ. характеристики 6И14, 6И15, 6К289, 6К290, 6К297, 6К298. Приборы: 6Е18, 6Е25—6Е29

## РАДИОХИМИЯ. ИЗОТОПЫ

Редактор В. П. Левин

6Б335. О распаде  $\text{Rh}^{106}$ . Segaert O. J., Demuyck J., Hoogenboom A. M., Bold H. Van Den. On the decay of  $^{106}\text{Rh}$ . «Nucl. Phys.», 1960, 16, № 1, 138—152 (англ.).—С помощью  $\beta$ -спектрометра с двойной фокусировкой,  $\gamma$ -спектрометра с одним кристаллом,  $\gamma$ -спектрометра на совпадениях и суммирующего  $\gamma$ -спектрометра на совпадениях исследованы  $\beta$ - $\gamma$ -излучение, испускаемые при распаде  $\text{Rh}^{106}$  ( $T_{1/2} = 30$  сек.). Наблюдалось  $\gamma$ -лучи с энергиями 0,513; 0,624; 0,87; 0,89; 1,045; 1,14; 1,31; 1,51; 1,55; 1,76; 1,93; 2,13; 2,30; 2,37; 2,44; 2,63 и 2,88 Мэв. Приведены относительные интенсивности  $\beta$ - и  $\gamma$ -лучей; предложена схема уровней  $\text{Pd}^{106}$ . Добавлены два новых уровня с энергией 2,02 и 2,88 Мэв. В результате измерения интенсивности линий  $K$ - и  $L$ -конверсии перехода с энергией 0,513 Мэв отношение  $K/L$  определено равным 6,45  $\pm$  0,62.

6Б336. Легкие изотопы йода. Зайцева Н. Г., Кузнецова М. Я., Левенберг И. Ю., Халкин В. А. «Радиохимия», 1960, 2, № 4, 451—457.—По накоплению дочерних изотопов  $\text{Sb}^{117}$ ,  $\text{Te}^{118}$ ,  $\text{Sb}^{119}$  и  $\text{Te}^{121}$  идентифицированы изотопы  $\text{I}^{117}$ ,  $\text{I}^{118}$ ,  $\text{I}^{119}$  и  $\text{I}^{121}$  с  $T_{1/2}$ , равными соответственно  $\sim 10$  мин., 17 мин., 21 мин. и 4,25 дня. Последний не образуется из  $\text{I}^{119}$  и обнаружен среди продуктов р-ции глубокого расщепления  $\text{U}$ . 2,1 часа, у  $\text{Te}^{119}$  найдено два изомера с  $T_{1/2}$  12 час. и Изотопы получали, бомбардируя пластинки  $\text{KJ}$  протоны с энергией  $\sim 200$  Мэв. Мишень растворяли в горячей 1 М  $\text{HNO}_3$ , окисляли  $\text{NaNO}_2$  до элементарного  $\text{I}$ , который отгоняли и поглощали 3 М р-ром  $\text{NaOH}$  с 10 мг  $\text{Te}$ . Выделение  $\text{I}$  занимало 15 мин. Потери  $\text{I}$  учитывали. В течение 2 час. периодически выделяли дочерний  $\text{Te}$ , подкисляли р-р  $\text{HNO}_3$  и повторяя процедуру отделения  $\text{I}$ .  $\text{Te}$  выделяли двойным переосаждением при помощи  $\text{SnCl}_2$  из щел. и кислого р-ров. Через 30 мин. после разделения начиналось накопление  $\text{Sb}$ , продолжавшееся 2 часа. Элементарный  $\text{I}$  растворяли в 5 мл 8 М  $\text{HCl}$ , насыщенной  $\text{Br}_2$  и содержащей 10 мг  $\text{Sb}$ . Последнюю экстрагировали диизопропиловым эфиром; экстракт промывали 8 М  $\text{HCl}$ .  $\text{I}$  осаждали  $\text{SnCl}_2$ , а  $\text{Sb}$  рекстрагировали равным объемом 20%-ного р-ра  $\text{NH}_2\text{OH}$  в 3 М  $\text{HCl}$  и восстанавливали  $\text{CrCl}_2$  до металла. Активность осадков  $\text{Te}$  и  $\text{Sb}$  на  $\text{Al}$ -фольге измеряли торцевым счетчиком МСТ-17;  $\beta$ - и рентгеновское излучения разделяли поглотителем из  $\text{Be}$ .

И. Кеирим-Маркус 6Б337. Легкие изотопы тербия. Изучение периодов полураспада и  $\gamma$ -спектров на образцах с разделенными изотопами. Toth K. S., Bjørnholm S., Jørgensen M. H., Nielsen O. B., Skilbreid O., Svan-

heden A. The light terbium isotopes. A survey of half-lives and  $\gamma$ -ray spectra with the use of mass-separated samples. «Inorg. and Nucl. Chem.», 1960, 14, № 1-2, 1—7 (англ.).—Окись  $\text{Gd}$  облучали протонами с энергией 65 Мэв в течение 4 час. Часть облученной окиси разделяли по массам на электромагнитном сепараторе сразу после облучения, а остальное предварительно очищали ионным обменом.  $\gamma$ -Спектры изучали на 100-канальном сцинтиляционном спектрометре с кристаллом  $\text{NaJ-Tl}$ . Кривые распада для образцов с разными массами получены с одноканальным сцинтиляционным спектрометром и с безыонным проточным пропорциональным счетчиком.  $\alpha$ -Активность образцов измеряли также проточным счетчиком. Только в образце с массой 149 получена значительная  $\alpha$ -активность. Получены следующие средние взвешенные значения  $T_{1/2}$ :  $\text{Tb}^{149}$   $4,10 \pm 0,05$  часа,  $\text{Tb}^{150}$   $3,1 \pm 0,2$  часа,  $\text{Tb}^{151}$   $17,5 \pm 0,7$  часа,  $\text{Tb}^{152}$   $17,4 \pm 0,3$  часа,  $\text{Tb}^{153}$   $2,30 \pm 0,05$  дня,  $\text{Tb}^{154m}$   $8,5 \pm 0,2$  часа,  $\text{Tb}^{154}$   $21,0 \pm 0,5$  часа,  $\text{Tb}^{155}$   $5,4 \pm 0,2$  дня,  $\text{Tb}^{156}$   $5,1 \pm 0,1$  дня. Приведена таблица энергий и относительных интенсивностей  $\gamma$ -лучей перечисленных изотопов  $\text{Tb}$ . Изотоп  $\text{Tb}^{150}$  обнаружен и изучен впервые. Е. Тихомирова

6Б338. О распаде  $\text{Er}^{161}$ . Днепровский И. С., Намет Л., Некер Л. К. «Ж. эксперим. и теор. физ.», 1960, 39, № 1, 13—15 (рез. англ.).—На сцинтиляционном спектрометре и  $\beta$ -спектрометре с двойной фокусировкой исследовалось излучение, сопровождающее распад  $\text{Er}^{161}$ .  $T_{1/2}$  ядра относительно перехода  $826,5 \pm 1,5$  кэв равен  $190 \pm 10$  мин.; коэф. конверсии  $\alpha_k$  этого перехода равен  $0,008 \pm 0,002$  и  $K/L = 7,0 \pm 0,8$ , что соответствует переходу типа  $M1$ . На основании всех имеющихся данных построена схема распада  $\text{Er}^{161}$ .

Е. Комиссарова 6Б339. О схеме распада  $\text{AcB}(\text{Pb}^{211})$ . Pötzberger Thorgerd. Zum Zerfallschema des  $\text{AcB}(\text{Pb}^{211})$ . «Anz. Österr. Akad. Wiss. Math.-naturwiss. Kl.», 1959, 96, № 1-15, 284—300 (нем.).—Предложена новая схема распада  $\text{AcB}$ , отличающаяся тем, что помимо известного  $\beta$ -спектра с максим. энергией 1330 кэв найдены парц.  $\beta$ -спектры 920 кэв ( $\sim 2\%$ ) и 500 кэв ( $\sim 7\%$ ), дающие  $\beta$ - $\gamma$ -совпадения со следующими каскадом двумя  $\gamma$ -линиями близких энергий  $\sim 410$  кэв. На акт распада испускается  $4,6 \cdot 10^{-2}$  квантов с энергией 830 кэв и  $5,4 \cdot 10^{-2}$ —410 кэв, в том числе в совпадении с  $\beta$ -спектром 920 кэв  $1,8 \cdot 10^{-2}$ . При распаде  $\text{AcC}$  испускается  $\beta$ -спектр с максим. энергией 1470 кэв, дающий совпадения с  $\gamma$ -линией 890 кэв ( $0,4 \cdot 10^{-2}$  квантов на распад). Измерения проводили по схеме быстрых совпадений с двумя сцинтиляционными счетчиками на кристаллах  $\text{NaJ-Tl}$ ,  $38 \times 25$  мм, и антрацена,  $25 \times 5$  мм. Источник  $\text{AcB}$  получали на 10-м  $\text{Al}$ -фольге, на которую подавали потенциал и вводили в атмосферу  $\text{An}$ . Из полученных спектров вычитали спектры  $\text{AcC}$ —по литературным данным, и спектры  $\text{AcC}$ \*, полученные экспериментально на препаратах, которые выделяли методом ядер отдачи из активного осадка  $\text{An}$ .

И. Кеирим-Маркус 6Б340. Период полураспада  $\text{Th}^{232}$ . Farley Thomas A. Half-period of  $\text{Th}^{232}$ . «Canad. J. Phys.», 1960, 38, № 8, 1059—1068 (англ.).— $T_{1/2}$   $\text{Th}^{232}$ , измеренный с точностью 1%, равен  $1,41 \cdot 10^{10}$  лет, а константа распада равна  $1,55 \cdot 10^{-18}$  сек $^{-1}$ . Образцы для измерений готовили, распыляя в вакууме на стеклянную подложку диам. 6,1 см 1 мг металлич.  $\text{Th}$ , содержащего  $<0,05\%$  примесей. Кол-во  $\text{Th}$  определяли спектрофотометрически с точностью  $>0,5\%$ . Для этого после измерения слой  $\text{Th}$  соскабливали и смыли  $\text{HCl}$  и разб.  $\text{HCl} + \text{H}_2\text{SO}_4$ , р-р выпаривали 8 раз до паров  $\text{H}_2\text{SO}_4$  и остаток растворяли в разб.  $\text{HCl}$ . Определение  $\text{Th}$  производили по ранее описанному методу (РЖХим, 1957, № 2, 4755) при помощи двойной натриевой соли 2-(2-оксис-3,6-дисульфо-1-нафтилазо)-бензоларсониевой

к-ты. Активность образцов Th измеряли плоско-параллельной позитивной 2л-камерой с сеткой, заполнявшейся 90% Ag + 10% CH<sub>3</sub>, под давл. 2,8 атм. Тщательно проанализированы поправки на поглощение, обратное рассеяние  $\alpha$ -частиц и на фон от дочерних продуктов Th.

**6Б341.** Определение периода полураспада  $U^{238}$  посредством абсолютного счета  $\alpha$ -частиц в жидкостном сцинтилляционном счетчике 4л. Steyn J., Strelow F. W. E. The determination of the half-life of  $U^{238}$  by absolute counting of  $\alpha$  particles in a 4л-liquid scintillation counter. «Metrol. Radionuclides». Vienna Internat. Atomic Energy Agency, 1960, 155—161. Discuss., 336—342 (англ.; реф. франц., русск., исп.).—Удельная активность естественного урана была определена с помощью жидкостного сцинтилляционного счетчика  $\alpha$ -частиц. Уран был отделен от продуктов его распада экстракцией метилизобутилкетона. Пробы полученного экстракта были добавлены непосредственно в жидкий сцинтиллятор. Исследован процесс отделения урана от тория с помощью экстракции. Предположив, что  $U^{238}$  и  $U^{234}$  находятся в равновесии, и сделав поправку на присутствие  $U^{235}$ , авторы подсчитали уд. активность изотопа  $U^{238}$  (747 распадов/мин на 1 мг) и его  $T_{1/2}$  ( $4,46 \pm 0,01$ )  $\cdot 10^9$  лет. В. Комиссарова

**6Б342.** Реакции атомов отдачи  $C^{14}$  в твердых растворах азобензола в стилибене. Yang John Y., Wolf Alfred P. Carbon-14 recoil in azobenzene-stilbene solid solutions. «J. Amer. Chem. Soc.», 1960, 82, № 13, 3315—3318 (англ.).—Изучено поведение атомов  $C^{14}$ , образованных по р-ции  $N^{14}(n, p)C^{14}$ , в твердых р-рах азобензола (I) и стилибена (II) при облучении нейтронами. Найден выход  $C^{14}$  в  $\mu$ мори, распределенного между I, II и бензальдегидом (III) в зависимости от состава исходного р-ра. Определено также распределение  $C^{14}$  между кольцами и боковыми цепями данного соединения. Обнаружено, что выходы меченых продуктов линейно зависят от состава р-ра. Распределение  $C^{14}$  внутри молекул отличается от статистического.

**6Б343.** Полный разрыв связей при захвате теплового нейтрона газообразным триметилфосфином. Halman M. Completeness of bond rupture in thermal neutron capture of gaseous trimethylphosphine. «Proc. Chem. Soc.», 1960, Aug., 289—290 (англ.).—Кварцевые ампулы, наполненные в отсутствие воздуха различными кол-вами газообразного триметилфосфина (ТМФ), облучались потоком тепловых нейтронов от 2,7  $\cdot 10^9$  до 7  $\cdot 10^{12}$  нейтронов/см<sup>2</sup> сек в течение 1—24 час. ТМФ отделялся от фосфина и других метилфосфинов методом газовой хроматографии. Показано, что выход активного ТМФ падает с 3,8 до 0,4% от общей активности с уменьшением начального давления ТМФ от 155 до 1,8 мм рт. ст. Это может быть объяснено либо 1) полным разрывом связи ядра отдачи  $P^{32}$  с материнской молекулой и уменьшением вероятности вторичной р-ции с другими молекулами ТМФ, либо 2) уменьшением истинного удержания — образования активного ТМФ путем потери избытка энергии «горячей» молекулой ТМФ при столкновениях с другими молекулами. Для выяснения механизма процесса были облучены ампулы с ТМФ, разбавленным (1:50) чистым аргоном. При этом выход активного ТМФ составил всего 0,04%. Этот результат противоречит протеканию процесса по механизму 2, который должен был в этом случае привести к увеличению удержания, и может быть объяснен лишь полным разрывом связей при радиационном захвате теплового нейтрона газообразным ТМФ. Л. Бурцева

**6Б344.** Образование хлор- и бромацетатных ионов при процессах отдачи в твердых телах. Vlatković M., Ateñ A. H. W., Jr. Formation of chloroacetate and bromoacetate ions by recoil processes in solids. «J.

Inorg. and Nucl. Chem.», 1960, 14, № 1-2, 134—135 (англ.).—Изучен выход органич. соединений, содержащих радиоактивный галоген при облучении ацетатов K и Rb быстрыми нейтронами (протекают р-ции  $K^{41}(n, \alpha)Cl^{38}$  и  $Rb(n, \alpha)Br$ ), а также Na-соль бром-хлоруксусной к-т медленными нейтронами (протекают р-ции  $Br^{79}(n, \gamma)Br^{80}$  и  $Br^{81}(n, \gamma)Br^{82}$ ). В виде галогенацетата найдено для мишеней  $CH_3COOK$ ,  $CH_3COORb$ ,  $CH_2ClCOONa$ ,  $CH_2BrCOONa$  и  $CH_2BrCOOH$  значение активности галогена-1,7; ~0,7; 15; 26; 56% соответственно (активность брома взята для  $Br^{80}$  (4,4 часа)). Результаты обсуждаются с точки зрения теории упругих соударений. Е. Борисов

**6Б345.** Реакция Сциларда — Чалмерса во фталоцианинах металлов. H. Cook G. B. Szilard — Chalmers reaction in metal phthalocyanines. II. «J. Inorg. and Nucl. Chem.», 1960, 14, № 3-4, 301—303 (англ.).—Изучено влияние нагревания в процессе экстракции атомов отдачи  $Zn^{65}$  действием  $H_2SO_4$  из облученных нейтронами мишеней Zn-фталоцианинов (I) на удержание ( $R$ )  $Zn^{65}$  в I. Облученные мишени I кипятили с разб.  $H_2SO_4$  в течение 2 час., полученный р-р, содержащий  $ZnSO_4$ , фильтровали и определяли активность  $Zn^{65}$  в р-ре и в твердом остатке при помощи  $\gamma$ -спектрометра в области энергий 1,17 Мэв. В некоторых опытах применяли конц.  $H_2SO_4$ . I употребляли в  $\alpha$ - и  $\beta$ -формах, определенных по ИК-спектру.  $\beta$ -Форму I получали кипячением  $\alpha$ -формы в ацетоне в течение 8 час. При растворении I в  $\alpha$ -форме в разб. или конц.  $H_2SO_4$   $R$   $Zn^{65}$  в I составляет соответственно 57,6 и 10,2; в  $\beta$ -форме — 97,6 и 12,1. Увеличение  $R$   $Zn^{65}$  в I наблюдали при нагревании (150°, 4 часа) р-ров I в  $\beta$ -форме в  $H_2SO_4$  любой конц-ии и для р-ров I в  $\alpha$ -форме в конц.  $H_2SO_4$ . При растворении I в  $\alpha$ -форме в разб.  $H_2SO_4$  по последующем нагреванию обнаружено уменьшение  $R$   $Zn^{65}$  в I. Отмечается различие в  $R$   $Zn^{65}$  в  $\alpha$ - и  $\beta$ -формах I при экстракции атомов отдачи  $Zn^{65}$  в разб.  $H_2SO_4$ . В опытах с Cu-фталоцианинами в  $\alpha$ - и  $\beta$ -формах наблюдали увеличение  $R$  при нагревании после облучения. Сообщение I см. РЖХим, 1959, № 17, 59970. Г. Анорова

**6Б346.** Валентность  $Tl^{208}$ , образовавшегося при  $\alpha$ -распаде в водном растворе. Ateñ A. H. W., Jr., Heer tje I., Polak P. The valency of  $^{208}Tl$  formed by  $\alpha$ -decay in aqueous solution. «J. Inorg. and Nucl. Chem.», 1960, 14, № 1-2, 132—133 (англ.).—Изучены степени окисления в водн. р-ре  $Tl^{208}$  ( $ThC''$ ), полученного при распаде  $Bi^{212}$  ( $ThC$ ).  $Tl$  отделялся от  $Bi$  осаждением в виде  $TlBr$  и  $Tl(OH)_3$ . По другой методике  $Tl^{208}$  экстрагировался из солинокислого р-ра эфиром. Активность  $Tl^{208}$  измерялась затем и в исходной водной, и в органич. фракции. Найдено, что от 65 до 75%  $Tl^{208}$  находится в виде  $Tl^+$ . Е. Борисов

**6Б347.** Изучение химических форм RaE, образующегося при  $\beta$ -распаде RaD, методом бумажной хроматографии. Нефедов В. Д., Грачев С. А. «Радиохимия», 1960, 2, № 4, 464—469.—Изучены хим. формы RaE, образующегося при  $\beta$ -распаде  $RaDPh_3$  и  $RaDPh_3Cl$  ( $Ph = C_6H_5$ ). Разделение хим. форм  $Bi$  проводилось методом восходящей хроматографии на бумаге (р-тели — бензол и петр. эфир) в присутствии носителей  $BiPh_3$  и  $BiPh_3Cl_2$  и без них. Обнаружена новая хим. форма RaE. Показана возможность эволюции радиоформ радиовисмута в зависимости от присутствия или отсутствия носителей, от полноты и т-ры удаления р-рителя. Найдено, что метод изотопных носителей в ряде случаев дает результаты, не соответствующие первоначальному распределению RaE между различными формами. Уточнена классификация хим. форм дочернего элемента. Л. Бурцева

**6Б348.** Тяжелая вода. Sekowski Stefan. Woda ciężka. «Chemik», 1960, 13, № 7-8, 306—308 (польск.).—Популярное рассмотрение свойств дейтерия и тяже-

дой во  
приме  
6Б34  
ществ  
Ishii  
Na k  
the sy  
chloric  
636—6  
ния ( $\alpha$   
Cs<sup>137</sup>,  
Ti<sup>51</sup>, H  
Mn(2+  
1, 189, 19  
Cd<sup>115</sup>,  
Sn(2+  
Br—80,  
и 1—1  
фическ  
[HCl]  
номер  
с анализ  
обмене  
новани  
ционны  
свобод  
Th<sup>234</sup>

6Б3  
уран  
урана  
осущес  
zuch  
ska)  
Разра  
UO<sub>2</sub>(N  
(гидр  
содер  
HNO<sub>3</sub>  
экстр  
этого  
UO<sub>2</sub>(N  
истер  
до об  
5 мн  
пром  
экстр  
урана  
осадо  
Коэф  
UO<sub>2</sub>(N  
и  $\gamma$ -  
р-ра  
с 50  
ризуе  
фект

6Б3  
проц  
чески  
дов  
АН С  
чески  
при  
Bi(Ra  
фика  
метод  
В кат  
ченны  
метри  
Прин  
тому

лой воды, а также методов их получения и областей применения.

Б. Каплан

**6Б349.** Изучение экстракции неорганических веществ в системе три-*n*-бутилфосфат — соляная кислота. Ishimori Tomitago, Watanade Kenju, Nakamura Eiko. Inorganic extraction studies on the system between tri-*n*-butyl phosphate and hydrochloric acid. «Bull. Chem. Soc. Japan», 1960, 33, № 5, 636—644 (англ.). — Обзор. Измерены коэф. распределения ( $\alpha$ ) микроконцентраций хлоридов  $\text{Na}^{24}$ ,  $\text{K}^{42}$ ,  $\text{Rb}^{86,88}$ ,  $\text{Cs}^{137}$ ,  $\text{Mg}^{27}$ ,  $\text{Ca}^{45}$ ,  $\text{Sr}^{90}$ ,  $\text{Ba}^{130}$ ,  $\text{Ra}^{224}$ ,  $\text{Y}^{90}$ ,  $\text{La}^{140}$ ,  $\text{Ce}^{144}$ ,  $\text{Ti}^{51}$ ,  $\text{Hf}^{181}$ ,  $\text{V}^{52}$ ,  $\text{Nb}^{95}$ ,  $\text{Ta}^{182}$ ,  $\text{Cr}(+3)^{51}$ ,  $\text{Mo}(+6)^{99}$ ,  $\text{W}^{185,187}$ ,  $\text{Mn}(+2)^{56}$ ,  $\text{Tc}(+6)^{99}$ ,  $\text{Re}^{186,188}$ ,  $\text{Fe}(+3)^{59}$ ,  $\text{Os}^{191,193}$ ,  $\text{Co}^{60}$ ,  $\text{Ir}^{192,194}$ ,  $\text{Ni}^{65}$ ,  $\text{Pd}^{109}$ ,  $\text{Pt}^{193,197}$ ,  $\text{Cu}^{64}$ ,  $\text{Ag}^{108}$ ,  $\text{Au}^{198}$ ,  $\text{Zn}^{65}$ ,  $\text{Cd}^{115}$ ,  $\text{Hg}^{203}$ ,  $\text{Al}^{28}$ ,  $\text{Ga}^{72}$ ,  $\text{In}^{116}$ ,  $\text{Tl}(+1)^{204}$ ,  $\text{Tl}(+3)^{204}$ ,  $\text{Sn}(+2)^{121}$ ,  $\text{P}(+5)^{32}$ ,  $\text{As}(+3)^{76}$ ,  $\text{Sb}(+3)^{123}$ ,  $\text{S}(+6)^{35}$ ,  $\text{Cl}^{-38}$ ,  $\text{Br}^{-80,82}$ ,  $\text{J}^{-131}$  между 100%-ным три-*n*-бутилфосфатом и 1—12 *n*. HCl. Эксперим. данные представлены графически в виде зависимостей:  $\alpha = f[\text{HCl}]$  (вод.) и для  $[\text{HCl}]$  (вод.)  $= 12$  моль/л  $\alpha = f(Z)$ , где  $Z$  — порядковый номер элемента. Зависимости  $\alpha$  от  $Z$  сопоставлены с аналогичными зависимостями  $\alpha$  от  $Z$  при анионном обмене. Обе зависимости близки друг к другу. На основании данных по распределению предложены экстракционные методы получения радиохимически чистых свободных от носителя  $\text{Y}^{90}$ ,  $\text{La}^{140}$ ,  $\text{Pt}^{197}$  и отделения  $\text{Th}^{234}$  от  $\text{U}^{238}$  и  $\text{Ra}^{224}$  от  $\text{Th}^{232}$ . Библ. 17 назв.

А. Соловкин

**6Б350.** Экстракционный метод очистки нитрата уранила от  $\beta$ - и  $\gamma$ -радиоактивных продуктов распада урана. Urbański Tadeusz. Ekstrakcyjna metoda oczyszczania azotanów od beta- i gamma-promieniotwórczych pochodnych rozpadu uranu. «Chem. analit.» (Polska), 1960, 5, № 2, 283—288 (польск.; рез. англ.). — Разработан метод, основанный на экстрагировании  $\text{UO}_2(\text{NO}_3)_2$  *p*-ром трибутилфосфата (I) в молясине (гидрированная высококипящая фракция нефти, не содержащая ароматич. углеводородов) из *p*-ра 4 *M* по  $\text{HNO}_3$  и 3 *M* по HF.  $\beta$ - и  $\gamma$ -активные продукты перед экстрагированием U осаждают с фторидом Th. Для этого к анализируемому *p*-ру, содержащему 300—360 г/л  $\text{UO}_2(\text{NO}_3)_2$  и 4 моль/л  $\text{HNO}_3$ , прибавляют сухой мелкозернистый  $\text{Th}(\text{NO}_3)_4$  (0,5 г на 50 мл *p*-ра) и конц. HF до общей ее конц-ии  $\sim 3 M$ . Затем прибавляют равный объем 40%-ного *p*-ра I в молясине, встряхивают 5 мин. и после отделения водн. фазы органич. слой промывают равным объемом 4 *M*  $\text{HNO}_3$ . Из промытого экстракта U осаждают 5%-ным *p*-ром  $\text{NH}_3$  в виде диурата аммония, декантируют *p*-р и выделенный осадок растворяют в рассчитанном кол-ве  $\text{HNO}_3$ . Коэф. очистки составляет  $\sim 3000$ . При хранении очищ.  $\text{UO}_2(\text{NO}_3)_2$  в нем снова наблюдается повышение  $\beta$ - и  $\gamma$ -активности (в течение 24 час. активность 20 мл *p*-ра  $\text{UO}_2(\text{NO}_3)_2$ , содержащего 120 г/л U, возрастает с 50 до 850 имп/мин). Предложенный метод характеризуется малой продолжительностью и высокой эффективностью очистки.

А. Немодрук

**6Б351.** Использование химических изменений при процессах  $\beta$ -распада RaE для синтеза элементоорганических соединений ионона. Мушин А. Н., Нефедов В. Д., Зайцев В. М., Грачев С. А. «Докл. АН СССР», 1960, 133, № 1, 123—125. — Элементоорганические соединения (ЭОС) ионона (RaF) возникают при  $\beta$ -распаде RaE в кристаллах  $\text{Bi}(\text{RaE})\text{Ph}_3$  и  $\text{Bi}(\text{RaE})\text{Ph}_3\text{Cl}_2$  ( $\text{Ph} = \text{C}_6\text{H}_5$ ). Для выделения и идентификации дочерних соединений Po использовался метод хроматографии на бумаге в восходящем потоке. В качестве «свидетелей» использовались ЭОС Te, меченные  $\text{Te}^{127}$ . Анализ хроматограмм проводился радиометрически по  $\alpha$ -активности  $\text{Po}^{210}$  и  $\beta$ -активности  $\text{Te}^{127}$ . Принадлежность  $\alpha$ -активного пика на хроматограмме тому или иному ЭОС Po устанавливалась сравнением

с положением пика аналогичного производного Te. Наиболее подходящими для разделения *p*-рителями оказались этилацетат (после предварительной обработки бумаги 25%-ным спирт. *p*-ром диметилформамида), четыреххлористый углерод, петр. эфир. Распределение Po между различными хим. формами при накоплении в кристаллах  $\text{Bi}(\text{RaE})\text{Ph}_3$  характеризуется следующими данными:  $\text{PoPh}_2\text{Cl}_2$  15—49%,  $\text{PoPh}_2$  18—24%, сумма остальных производных 61—63%. При накоплении Po в кристаллах  $\text{Bi}(\text{RaE})\text{Ph}_3\text{Cl}_2$  92% Po находится в форме  $\text{PoPh}_2\text{Cl}_2$ ;  $\text{PoPh}_2$  не было обнаружено. Хим. состояние RaE оказывает сильное влияние на выход различных форм RaF, что делает возможным использование хим. изменений при процессах  $\beta$ -распада для синтеза определенных ЭОС Po. Л. Бурцева

**6Б352.** Изучение изотопных эффектов при  $\beta$ -распаде естественных изотопов свинца. Нефедов В. Д., Рюхин Ю. А., Торопова М. А. «Радиохимия», 1960, 2, № 4, 458—463. — Обнаружен изотопный эффект при  $\beta$ -распаде естественных изотопов свинца (RaD и ThB), входящих в состав  $\text{Pb}^*(\text{C}_6\text{H}_5)_3\text{Cl}$  путем изучения распределения RaE и ThC между  $\text{Bi}^{3+}$  и  $\text{BiPh}_3\text{Cl}_2$  ( $\text{Ph} = \text{C}_6\text{H}_5$ ), накапливающихся в кристаллах материнского соединения. Опыты проводились с  $\text{PbPh}_3\text{Cl}$  раздельно и одновременно меченым ThB и RaD. Доли изотопов висмута, находящихся в виде  $\text{BiPh}_3\text{Cl}_2$  и неорганич. форме, определялась путем выделения на изотопных носителях. Найдено, что распределение ThC и RaE неодинаково:  $\text{BiPh}_3\text{Cl}_2$  относительно обогащается ThC, неорганич. форма — RaE. Показано, что изотопный эффект является результатом различий в схемах радиоактивного распада RaD и ThB, причем величина эффекта определяется значениями коэф. внутренней конверсии. Л. Бурцева

**6Б353.** Получение веществ, меченных изотопами, и иницирование химических реакций посредством электрического разряда. Westermarck Torbjörn. Om isotopmärkning och initiering av kemiska reaktioner i elektriska urladdningar. «Medd. forskarnas kontaktorgan IVA», 1960, № 33, 92—95. Diskuss., 95—98 (шведск.). — См. РЖХим, 1961, 2Б298.

**6Б354.** Получение соединений, произвольно меченных тритием, ускоренное при помощи электрического разряда микроволнового, переменного и постоянного тока и ультрафиолетового облучения. Ghanem Nadim A., Westermarck Torbjörn. Unspecific tritium labelling accelerated by microwave, alternating current and direct current electrical discharges and by ultraviolet radiation. «J. Amer. Chem. Soc.», 1960, 82, № 16, 4432—4433 (англ.). — При помощи микроволнового электрич. разряда, тлеющего разряда и УФ-облучения получены следующие органич. в-ва, меченные T: полистирол (I), полиметилметакрилат (II), альбумин кровяной сыворотки (III), бензол (IV) и др. Меченный I активностью ( $a$ ) 100 мкюри/г получали при пропускании через систему I (200 мг) — T (50—100 мкюри) микроволнового разряда с энергией 5000 вт-сек. При пропускании через систему III (180 мг) — T (51 мкюри) микроволнового разряда с энергией 110 вт в течение 90 сек. получали меченый III с  $a = 5$  мкюри/мг. Меченный IV  $a = 218$  мкюри/г получали при действии на систему IV (188 мг) — T (76 мкюри) микроволнового разряда с энергией 40 вт в течение 2 мин. Взаимодействие T с I ускоряется в электрич. разряде (мощность 1—5 вт) постоянного и переменного тока (частота 50 гц). При УФ-облучении (длина волны 2537 Å) мощностью 50 вт систем I (300 мг) — T (100 мкюри) или II — T в течение 24 час. получали меченные I  $a = 20$  мкюри/г и II  $a = 31,1$  мкюри/г. Авторы предполагают, что образование меченых соединений в описанных системах происходит за счет взаимодействия атомов T с органич. в-вом. Подобные же опыты проведены с этиленгликолем и окисью этилена.

Г. Аюрова



6Б355. Влияние инертного газа на реакцию трития с *n*-гексаном. Mottlau A. Y. Effect of a noble gas on the labeling of *n*-hexane by exposure to tritium. «J. Phys. Chem.», 1960, 64, № 7, 931—933 (англ.).—Обнаружено, что добавление аргона к Т при взаимодействии Т с жидкими *n*-гексаном изменяет состав тритированных продуктов. Уд. активность тритированных соединений растёт от 71 до 92 мкюри/мл при давлении Ar 150 мм рт. ст. При давлении Ar 300 мм рт. ст. уд. активность уменьшается до 53 мкюри/мл. В присутствии Ar наблюдается существенный рост выхода продуктов C<sub>6</sub> по сравнению с C<sub>5</sub>. Полученные результаты связываются с повышением роли переноса заряда в системе, содержащей аргон, и протеканием ионномолекулярных р-ций  $Ar^{+} + T_2 \rightarrow ArT^{+} + T$ .

Е. Борисов

6Б356. Нейтронное облучение органических молекул, содержащих три атома азота. Tanaka Yutaka G., Asami Yoshiyuki. Neutron irradiation of organic molecule containing three nitrogen atoms. «Scient. Papers Inst. Phys. and Chem. Res.», 1960, 54, № 1, 150—154 (англ.).—Изучены органич. продукты, меченные C<sup>14</sup>, образующиеся при облучении нейтронами изопириновой к-ты (I). Пробы I облучали потоком тепловых нейтронов интенсивностью 10 нейтрон/см<sup>2</sup> сек в течение 20 недель. Продукты разделяли экстракцией соответствующими р-рителями (CH<sub>3</sub>OH, C<sub>2</sub>H<sub>5</sub>OH или (C<sub>2</sub>H<sub>5</sub>)<sub>2</sub>O) с добавлением носителя и определяли чистоту полученного в-ва методом хроматографии на бумаге в восходящем потоке р-рителя: *n*-бутанол—1 н. HCl (5:1). Положительные метки определяли хим. путем. Приведены методы синтеза. В результате облучения I найдены следующие соединения, меченные C<sup>14</sup> (приводится выход в %): барбитуровая к-та-(5-C<sup>14</sup>) 6,2; триоксипиридин-(3,5-C<sup>14</sup>) 2,68; фтороглюцин-(1,3,5-C<sup>14</sup>) 1,16. На основании полученных результатов авторы заключают, что р-ции горячих атомов C<sup>14</sup> с образованием указанных продуктов происходит последовательно по положениям 2, 4 и 6 атомов азота в молекулах изопириновой кислоты.

Г. Анорова

6Б357. Введение меченых атомов в органические соединения путем обмена с тритийсодержащей водой. Сообщение I. Aliprandi Bianca, Casace Fulvio. Marcatura di composti organici mediante scambio con acqua tritiata. Nota II. «Ann. chimica», 1960, 50, № 6-7, 931—934 (итал.).—Ранее предложенный метод изотопного обмена в НТО в присутствии HClO<sub>4</sub> (сообщение I, РЖХИМ, 1960, № 21, 83870) использовался для введения трития в ацетофенон (91,5), нафталин (48,3), 1,2-бензантрацен (14,5), хлорбензол (1,42), *n*-цимол (64,8), салициловую к-ту (0,26) и бензойную к-ту (0,09). В скобках приведены уд. активности (мкюри/г), которые могут быть для соответствующих в-в получены по данному методу, если использовать для обмена воду с уд. активностью 5 мкюри/г. Во всех перечисленных в-вах (кроме ацетофенона) образовалась не лабильная, а стабильная связь трития с органич. ядром молекулы. При очистки меченых в-в использовался метод распределительной газо-жидкостной хроматографии.

Б. Каплан

6Б358. Масс-спектрофотометрическое определение изотопного состава бора в трифториде бора и измерение природной концентрации бора-10. Bentley P. G. Isotopic analysis of boron in boron trifluoride by mass spectrometry, and measurement of natural boron 10 concentration. «J. Scient. Instrum.», 1960, 37, № 9, 323—328 (англ.).—Для масс-спектрометрич. определения изотопного состава В использованы пробы BF<sub>3</sub>. Измерения проводились по пику BF<sub>2</sub><sup>+</sup>. Попадание в ионный источник продуктов р-ции BF<sub>3</sub> со следовыми кол-вами воды и стеклом, в результате которой образуются ионы BFH<sub>2</sub>O<sup>+</sup>, BF<sub>2</sub>NH<sup>+</sup>, SiF<sup>+</sup>, предотвращалось охлаждение проб твердой углекислотой. Величина адсорбции BF<sub>3</sub> на стенках системы напуска к из меди и никеля

оценивается как  $7 \cdot 10^{-8}$  моль/см<sup>2</sup>. Для удаления адсорбированного BF<sub>3</sub> не рекомендуется применять NH<sub>3</sub>. В случае металлич. систем напуска без стекла для этой цели можно применять F<sub>2</sub> или ClF<sub>3</sub>. Эффект «памяти» в системе напуска был снижен уменьшением отношения площади поверхности к объему и работой с повышенными давлениями BF<sub>3</sub>. Конец стеклянной трубки с отверстием для напуска пробы вводили непосредственно в конную коробочку. Система прогревалась до 300°. На основании результатов измерений сделано заключение, что BF<sub>3</sub> ведет себя так, как если бы он адсорбировался в виде трех различных слоев приблизительно одинаковой величины. Первый слой удалялся нагреванием до 300°. Второй слой не удалялся при таком прогреве и обменивался с газообразным BF<sub>3</sub> за ~40 мин. при комнатной т-ре и очень быстро при 300°. Третий слой нельзя было удалить прогревом; его обмен протекал ~24 часа при комнатной т-ре и ~30 мин. при 300°. Описана методика подготовки системы напуска, при которой эффекты «памяти» становятся незаметными. Приведена методика приготовления эталонных смесей изотопов В для калибровки масс-спектрометра. Обнаружено, что истинное и измеренное изотопное отношение B<sup>11</sup>:B<sup>10</sup> могут отличаться на несколько процентов, что объясняется дискриминацией по массе в ионном источнике. С учетом этого эффекта конц-ия изотопа B<sup>10</sup> в природном боре найдена равной  $19,27 \pm 0,13\%$ .

В. Васильев

6Б359. Определение состава смесей β-излучателей по поглощению в слоях алюминия. Анохин В. Л. «Радиохимия», 1960, 2, № 4, 479—484.—В предлагаемом методе определения состава смесей β-излучателей (A + B + C...) по поглощению в слоях алюминия измеряют на торцовом счетчике активность (A) препаратов чистых компонентов анализируемой смеси сначала без наложения поглотителей, а затем при последовательном наложении нескольких калиброванных Al-пластинок. Измеренная A для каждого поглотителя выражается в процентах от A, измеренной без поглотителя (a; b; c...). После этого на том же счетчике в тех же геометрии, условиях и с теми же поглотителями измеряют A анализируемой пробы (n), состоящей из i-компонентов. Для анализа необходимо провести измерения с минимум i—1 разными Al-поглотителями и решить систему ур-ний:  $aA + bB + \dots + cC + \dots = n/n_0 \cdot 100$ . Точность определений тем выше, чем больше различаются между собой спектрально-энергетич. характеристики компонентов смеси. Метод применен для анализа смесей Cs<sup>134</sup>—(Sr + Y)<sup>90</sup>, Cs<sup>134</sup>—(Cl + Pr)<sup>144</sup> и (Cl + Pr)<sup>144</sup>—(Sr + Y)<sup>90</sup>.

Э. Чудинов

6Б360. Радиохимический метод изучения зависимости пробег — энергия для тяжелых ионов с энергией порядка килоэлектронвольта в алюминии. Davies J. A., Friesen J., McIntyre J. D. A radiochemical technique for studying range-energy relationships for heavy ions of kev energies in aluminum. «Canad. J. Chem.», 1960, 38, № 9, 1526—1534 (англ.).—Описывается метод изучения пробегов тяжелых ионов в Al-фольге путем измерения активности последовательно снимаемых тонких однородных слоев с поверхности Al. Процесс протекает в две стадии. Вначале ведется электрохим. окисление Al-фольги в водн. р-ре лимоннокислого аммония, причем зависимость толщины окисной пленки W от напряжения на аноде V описывается ф-лой:  $W = 0,25(V + 1,8) \gamma$  Al на 1 см<sup>2</sup>, где V — в в. Окисная пленка снимается горячим водн. р-ром H<sub>2</sub>PO<sub>4</sub> (50 г/л) + CrO<sub>3</sub> (30 г/л). Снимались однородные поверхностные слои до 1 мкм<sup>2</sup> (37 Å). Область изменения напряжения 0—150 в. Получены приближенные величины для пробегов атомов отдачи Na<sup>24</sup> в р-ции Al<sup>27</sup>(n, α). Метод достаточно чувствителен для изуче-

См. т.  
6Б60. И.  
Изотоп-  
тивных  
6Д119.  
р-ций (с  
единиц  
6Б317.  
6С78, 6  
6С137.  
6С259.  
6С341.  
6С587.  
6С660.  
6С775.  
6С810.  
6С863.  
6С931.  
6С997.  
6С1028.  
6С1053.  
6С1349.  
6С1545;  
6Д89, 6  
ной те-  
геохим.  
от изл-  
Аппара-  
Сверхт-  
ных из-  
4 Хим.

ния пробегов радиоактивных ионов с кинетич. энергиями в области 0—100 кэв.

6Б361. Влияние влажности на эмансирование. Баранов В. И., Новицкая А. П. «Радиохимия», 1960, 2, № 4, 485—490.—Изучено влияние влажности на эмансирование (Э) ряда природных материалов: уранинита, ашинита, ксенотима, а также искусственно приготовленных препаратов. Предварительные опыты показали отсутствие существенного влияния температуры от 20 до 200° и изменения давления от 1 атм до 1 мм рт. ст. на Э. При исследовании образцов природных материалов и солей Ra и Th, выпаренных на поверхности стекла или пемзы, обнаружено значительное увеличение Э во влажном воздухе по сравнению с сухим. Э возрастает приблизительно пропорционально относительной влажности, что указывает на отсутствие влияния естественной структуры минерала на Э. Явление «смывания» в процессе изменения влажности, вероятно, объясняется образованием жидкой пленки на поверхности эмансирующего тела, в которой растворена соль радиоизотопов Ra, находящихся на поверхности.

Р. Аистова  
6Б362. Результаты трехлетнего систематического измерения ядерных осадков. Santholzer V. Results of three-year systematic measurement of nuclear fall-out. «Чехосл. физ. ж.», 1960, B10, № 8, 595—602 (англ., рез. русск.).—Приведены результаты систематич. измерений радиоактивности дождевых осадков (с 1 ноября 1956—1 февраля 1959) и ядерных осадков (1 ноября 1958—1 февраля 1960 г.). Показано, что после прекращения ядерных испытаний (1 ноября 1958) наблюдается уменьшение накопления активности, особенно резкое с июля 1959 г. Показано также, что образцы осадков с большой активностью содержат сравнительно незначительную дополнительную активность от более ранних ядерных испытаний. Показатель  $\lambda$  в у-р-нии спада активности осадков:  $A = A_0 e^{-\lambda t}$  равен в течение первых 4 месяцев после испытаний 1,2, позднее — 1,5. Проведено измерение энергии  $\beta$ - и  $\gamma$ -лучей и показано, что характер  $\gamma$ -излучения изменяется в зависимости от возраста образцов.

Из резюме авторов

См. также: Ядерные свойства 6Б4—6Б45, 6Б48, 6Б50, 6Б60. Изотопные эффекты 6Б136, 6Б380, 6Б460, 6Б586. Изотопный обмен 6Б555, 6Б705, 6Б89. Химия радиоактивных элементов 6Б710, 6Б754, 6Б755, 6Б91, 6Д117—6Д119. В исследовании: кинетики и механизма р-ций 6Б545, 6Б547, 6Б548, 6Б551; строения хим. соединений 6Б56; в физ.-хим. исследованиях 6Б315—6Б317, 6Б570, 6Б701, 6Б13; в биохимии 6Б15, 6Б16, 6Б78, 6Б79, 6Б82, 6Б111, 6Б114, 6Б121, 6Б125, 6Б127, 6Б137, 6Б144, 6Б145, 6Б158, 6Б167, 6Б218, 6Б237, 6Б239, 6Б259, 6Б264, 6Б265, 6Б269, 6Б282, 6Б296, 6Б316, 6Б339, 6Б341, 6Б373, 6Б379, 6Б407, 6Б440, 6Б452, 6Б483, 6Б500, 6Б587, 6Б588, 6Б595, 6Б616, 6Б622, 6Б624, 6Б647, 6Б658, 6Б660, 6Б662, 6Б682, 6Б688, 6Б689, 6Б738, 6Б771—6Б773, 6Б775, 6Б778, 6Б783, 6Б786—6Б790, 6Б794—6Б796, 6Б810, 6Б819, 6Б827, 6Б830, 6Б836, 6Б842, 6Б849, 6Б858, 6Б863, 6Б864, 6Б872, 6Б884, 6Б905, 6Б907—6Б909, 6Б927, 6Б931, 6Б933, 6Б934, 6Б945, 6Б946, 6Б960, 6Б979, 6Б982, 6Б997, 6Б998, 6Б1002, 6Б1010, 6Б1012, 6Б1019, 6Б1023, 6Б1028, 6Б1030, 6Б1035, 6Б1037, 6Б1042, 6Б1043, 6Б1052, 6Б1053, 6Б1100, 6Б1132, 6Б1170, 6Б1172, 6Б1302, 6Б1320, 6Б1349, 6Б1380, 6Б1384, 6Б1413, 6Б1441, 6Б1492, 6Б1528, 6Б1545; в промышленности 6К12, 6К175; в аналитич. химии 6Д89, 6Д100, 6Д140. Хим.-технологич. вопросы ядерной техники 6К1, 6К3, 6К4, 6К6, 6К7, 6К9. Изотопы в геохимии и космохимии 6Г39, 6Г103—6Г116. Защита от излучений 6И375. Радиоактивные отходы 6И280. Аппаратура для работы с изотопами 6И374, 6И376. Сверхтонкая структура основного состояния стабильных изотопов европия 6Б58; рисунки 6Б59

4 Химия, № 6

# ТЕРМОДИНАМИКА. ТЕРМОХИМИЯ. РАВНОВЕСИЯ. ФАЗОВЫЕ ПЕРЕХОДЫ. ФИЗИКО-ХИМИЧЕСКИЙ АНАЛИЗ

Редакторы Д. Л. Агеева, В. А. Соколов

6Б363. О статистической механике неравновесных процессов. Uhlhorn U. On statistical mechanics of non-equilibrium phenomena. «Arkiv fys.», 1960, 17, № 3-4, 193—232 (англ.).—Структурная функция для энергии (energy-structure funktion) определяется как число уровней энергии системы, расположенных ниже некоторого значения энергии; она зависит от этого значения и, кроме того, является функционалом гамильтониана. Для систем в нестационарном состоянии вводится представление об обобщенной структурной функции. Она определяется путем разбиения области изменения макроскопических наблюдаемых на интервалы, которые в совокупности образуют некоторое конечномерное евклидово пространство; обобщенная структурная функция представляет собой меру в этом пространстве. Исследуются некоторые свойства обобщенной структурной функции, главным образом те, которые связаны с точечными преобразованиями, сохраняющими инвариантную меру (напр., у-р-ния движения, отражения времени и т. п.), в классическом и квантовом случаях. Рассматривается обобщение на случай бесконечного числа наблюдаемых. Подробно исследуется представление о несжимаемом «течении» совокупности изображающих точек в фазовом пространстве, а также вопросы эргодичности и необратимости.

А. Алмазов

6Б364. Макроскопические наблюдаемые и обобщенные канонические ансамбли. Uhlhorn Ulf. Macroscopic observables and generalized canonical ensembles. «Arkiv fys.», 1960, 17, № 3-4, 233—255 (англ.).—Рассматривается система, совокупность фазовых переменных  $\xi$  которой произвольна во всех отношениях. Для точек этого пространства определена мера  $\mu(d\xi)$ ,  $\mu$  — непрерывная вероятностная мера, которая имеет вид:  $\exp[-(1/\kappa) \sigma(\xi)] \mu(d\xi)$ , где  $\kappa$  — постоянная Больцмана. Макроскопич. состояние системы характеризуется набором  $A = \alpha \equiv (\alpha^1, \alpha^2, \dots, \alpha^n)$  экстенсивных переменных, каждому из которых соответствует функция  $a^k(\xi)$  (случайная переменная). Вводятся  $\lambda$  связей, ограничивающих изменение экстенсивных переменных  $B = \beta \equiv (\beta_1, \beta_2, \dots, \beta_n)$ . Формулируются следующие постулаты: а) функции  $\sigma_\beta(\xi)$  должны удовлетворять условиям нормировки:  $\int \exp[-\beta_\mu a^\mu(\xi)/\kappa] \mu(d\xi) < +\infty$  б) для произвольных постоянных  $\lambda_1, \lambda_2, \dots, \lambda_n$ ,

$$\int \lambda_\mu a^\mu(\xi) \exp[-\beta_\mu a^\mu(\xi)/\kappa] \mu(d\xi) < +\infty,$$

с) случайные переменные  $a^k(\xi)$  линейно независимы. Распределения, удовлетворяющие этим постулатам, названы обобщенными канонич. распределениями. Подробно рассматриваются свойства таких распределений. Выведены обобщенные термодинамич. соотношения. Сформулированы условия устойчивости. Обсуждаются асимптотич. свойства обобщенных распределений в связи с предельными теоремами. Выяснена связь таких распределений с классич. случаем. В приложениях рассматривается математич. структура обобщенных канонич. распределений.

А. Алмазов

6Б365. К основанию линейной теории необратимых процессов. I, II. Uhlhorn U. On the foundations of the linear theory of irreversible processes. I, II. «Arkiv fys.», 1960, 17, № 3-4, 257—272; 273—314 (англ.).—I. На основе изложенных ранее представлений (см. реф. 6Б364) рассматривается система, которую можно характеризовать конечным числом тер-

модинамич. координат. Основное внимание уделяется логич. обоснованию линейной термодинамики необратимых процессов. Отмечается, что любой процесс в системе рассматриваемого типа можно представить как наложение двух процессов, один из которых является строго обратимым, а другой — строго необратимым. Такое разложение однозначно: оно близко связано с теоретико-вероятностной интерпретацией теории. Для открытых систем, на которые наложены внешние связи, зависящие, возможно, от времени, вводится диссипативная функция, которая зависит только от состояния системы. Эта функция монотонно убывает со временем и характеризует приближение системы к состоянию (вообще говоря, зависящему от времени), которое определяется внешними связями и не зависит от начального состояния системы. В частности, при независимости связей от времени это конечное состояние является стационарным. Для систем, удовлетворяющих принципу детального равновесия, т. е. описываемых термодинамич. координатами, инвариантными по отношению к обращению времени, одна из возможных диссипативных функций представляет собой возникновение энтропии.

II. Дается теоретико-вероятностная интерпретация линейной теории необратимых процессов. Изложение ведется на основе теории стационарных стохастич. процессов в надлежащим образом определенном гильбертовом пространстве. Формальная структура этого пространства сходна с той, которая используется в квантовой механике, и эта аналогия в ряде случаев используется. Разделение стационарных стохастич. процессов на детерминистические и недетерминистические (Wold N. A study in the analysis of stationary time series, 1938) соответствует разделению физ. явлений на необратимые и обратимые. При этом можно необратимый процесс всегда считать порожденным «полностью случайным» механизмом. Связь между стохастич. процессом и порождающим его механизмом высечена в форме «каузального представления» стохастич. процесса. Рассматривается приложение линейной теории стохастич. процессов к статистич. механике.

Б6366. Статистико-механический подход к неравновесной термодинамике. Uhlhorn Ulf. Statistical mechanical approach to non equilibrium thermodynamics. «Arkiv fys.», 1960, 17, № 3-4, 343—360 (англ.). — В применении к неравновесной термодинамике развиваются идеи автора, изложенные в других работах (см. реф. Б6364). Соотношения Онзагера доказываются на основе представления о гильбертовом пространстве, в котором задана вероятностная мера (см. реф. Б6363). В связи с вопросами обоснования неравновесной термодинамики обсуждается принцип микроскопич. обратимости (симметрия по отношению к обращению времени), теория флуктуаций и предположение о том, что макроскопич. ур-ния движения (напр., соотношение между градиентом т-ры и потоком тепла или между градиентом конц-ии и потоком массы) применимы к флуктуациям. Показано, что для вывода соотношений Онзагера нет необходимости использовать спец. модели, описанные ранее (РЖХим, 1956, № 20, 64423). Общий подход, предлагаемый автором, можно использовать и в квантовомеханич. случае.

А. Алмазов  
Б6367. Соотношения взаимности Онзагера для нелинейных систем. Uhlhorn U. Onsager's reciprocal relations for non linear systems. «Arkiv fys.», 1960, 17, № 3-4, 361—368 (англ.). — В линейном приближении термодинамики необратимых процессов потоки линейно выражаются через силы:  $dx^i/dt = L^{ij}x_j$  (по дважды повторяющимся индексам — суммирование). При этом справедливы соотношения взаимности Онзагера:

$T_{\mu}^{\alpha} T_{\nu}^{\beta} L^{\mu\nu} = L^{\nu\mu}$ , где  $T_{\mu}^{\alpha}$  — оператор обращения времени;  $T_{\mu}^{\alpha} T_{\nu}^{\beta} = \delta_{\nu}^{\alpha}$ . Показано, что в нелинейном

случае, когда правая часть соотношения  $dx^i/dt = f^i$  не выражается линейно через силы, следствием инвариантности ур-ний движения по отношению к обращению времени является соотношение:  $dx^i/dt = f^i(x)^{-1} \times \partial [L^{\mu\nu}(x) f(x)] / \partial x^{\nu} = L^{\mu\nu}(x) \partial \lg f(x) / \partial x^{\nu} + \partial L^{\mu\nu}(x) / \partial x^{\nu}$ . Здесь  $f(x)$  — плотность распределения величин  $x$  при термодинамич. равновесии, и величины  $L^{\mu\nu}(x)$  удовлетворяют ур-нию:  $T_{\mu}^{\alpha} T_{\nu}^{\beta} L^{\mu\nu} = L^{\nu\mu}(x)$ . В частности, когда равновесное распределение — гауссово, эти соотношения превращаются в соответствующие выражения линейной термодинамики. При доказательстве используются, в частности, условия Колмогорова (Гнеденко Б. В. Курс теории вероятностей), но не предполагается, что рассматриваемый необратимый процесс является процессом Маркова.

А. Алмазов  
Б6368. Возникновение энтропии и волны сжатия. Rosen Gerald. Entropy production and pressure waves. «Phys. Fluids», 1960, 3, № 2, 188—190 (англ.). — На основе гидродинамич. теории волн сжатия с конечной амплитудой (Lamb H. Hydrodynamics, Cambridge, 1924, p. 456) рассматривается одномерное пространство такой волны с целью введения в ур-ния гидродинамики величины, характеризующей возникновение энтропии. Вводится массовая координата  $\phi$  согласно соотношениям:  $\rho = \partial \phi / \partial x$ ,  $\rho u = -\partial \phi / \partial t$  ( $\rho$  — плотность,  $u$  — скорость потока), и выводится волновое ур-ние для давления, имеющее вид:  $A \partial^2 P / \partial t^2 - \partial^2 P / \partial \phi^2 = C (\partial P / \partial t)^2 + D (\partial P / \partial t) + E$ , где  $A = A(P, S) \equiv (1/\rho^2) \cdot (\partial \rho / \partial P)_S > 0$ ,  $B = B(P, S) \equiv -(1/\rho^2) (\partial \rho / \partial S)_P > 0$ ,  $C = C(P, S) \equiv -(\partial A / \partial P)_S$ ,  $D = D(P, S) \equiv (1/B) \cdot [\partial (B^2 Q) / \partial P]_S$ ,  $E = E(P, S) \equiv Q [\partial (BQ) / \partial S]_P$ ,  $Q(P, S) \equiv \partial S / \partial t$  и остальные обозначения имеют обычный смысл. Правую часть волнового ур-ния для давления можно рассматривать как источник, порождающий волны сжатия. Силой (strength) волны названа величина:  $\Sigma = (1/2) \int_{-\infty}^{\infty} [A (\partial P / \partial t)^2 + (\partial P / \partial \phi)^2 - \int_0^t C (\partial P / \partial t) dt] d\phi$ .

Показано, что величина сохраняется, когда энтропия каждой частицы среды не меняется со временем. На примере идеального газа показано, что увеличение или уменьшение силы волны связано с соответствующим изменением энтропии.

А. Алмазов  
Б6369. Квантовая статистика неидеальных систем. Stillingner Frank H., Jr, Kirkwood John G. Quantum statistics of nonideal systems. «Phys. Rev.», 1960, 118, № 2, 361—369 (англ.). — Предложено новое разложение по группам логарифма большой статистич. суммы для системы взаимодействующих частиц. В разложении не используется предположение о слабости взаимодействия частиц, и результаты применимы к системам со сколь угодно сильным взаимодействием. Идея разложения состоит во введении наряду с гамильтонианом системы видоизмененного гамильтониана, с тем чтобы отделить эффекты квантовой статистики (т. е. симметрии волновых функций) от эффектов межчастичных взаимодействий; разложение производится на основе теоремы о возможности разделения всех возможных перестановок на группы несвязанных циклич. перестановок. Такое разложение выполнено для идеальных газов фермионов и бозонов. В общем случае квантовомеханич. групповые интегралы определяются так же, как и в классич. статистике, через формальное разложение активности в ряд по групповым интегралам. Однако квантовомеханич. групповые интегралы не полностью аналогичны классическим. Существенную роль играет неразличимость частиц. Ур-ние состояния, выраженное через групповые интегралы, имеет параметрич. форму.

А. Алмазов



ценения вре-  
еллинейном  
 $1/dt = d^2$   
нием пива-  
к обраше-  
 $= f(\alpha)^{-1} \times$   
 $f(\alpha)/d\alpha$ .  
ины  $\alpha$  при  
 $(\alpha)$  удов-  
). В част-  
сгово, эти  
щие выра-  
зательстве  
многобро-  
вой), но не  
имый про-  
Алмазов  
сжатия.  
pressure  
(англ.).—  
тия с ко-  
с. Сам-  
ерное рас-  
в ур-ния  
возника-  
та  $\psi$  со-  
 $\partial/\partial t$  ( $\rho$ —  
волновое  
 $\partial^2 P/\partial \rho^2$ )  
 $= (1/\rho^2)$ .  
 $(\partial S/\partial \rho) > 0$ .  
 $= (1/V)$ .  
 $Q(P, S) =$   
обычный  
давления  
ный волны  
величина:  
 $(\partial/\partial t) d\ln \rho$ .  
энтропия  
менем. На  
величине  
ствующим  
. Алмазов  
ных сг-  
rkwood  
ms. «Phys.  
едложено  
большой  
ствующих  
едположе-  
езультаты  
сильным  
т во ве-  
видоизме-  
эффект  
волновых  
имедейст-  
теоремы о  
перестано-  
установок.  
ных газов  
товомеха-  
же, как  
разложе-  
интегралам  
гралы по  
ественные  
е состоя-  
ны, имеет  
. Алмазов

6Б370. Принцип аддитивности применительно к термодинамическим функциям. Крупковский Александр, Szpunar Kazimierz. Zasada addytywności w zastosowaniu do funkcji termodynamicznych. «Arch. hutn.», 1959, 4, № 2, 123—131 (польск.; русск., англ.).—Используя свойства однородных функций первого порядка, авторы в дополнение к ур-ниям Гиббса и Гиббса—Дюгема приводят выражения для  $d \ln \Phi$  и  $\sum_i n_i d \ln (\Phi_i/\Phi_0)$ , где  $\Phi$ —заместительное давление (заместительное давление  $\Phi$  определяется из  $RT \ln \Phi = \int_1^P V dP$ ; понятие это введено Крупковским (РЖХим, 1957, № 8, 26066). В. С.

6Б371. Вариационные принципы для химического равновесия. Dorn W. S. Variational principles for chemical equilibrium. «J. Chem. Phys.», 1960, 32, № 5, 1490—1492 (англ.).—Рассматривается задача расчета равновесия для смеси идеальных газов, находящихся при постоянном внешнем давлении и т-ре. Указывается, что при программировании машинных вычислений, полезны следующие вариационные принципы. 1. Принцип минимальности безразмерной свободной энергии:  $F/RT = \sum_j c_j x_j + \sum_j x_j \lg (x_j/x^*)$ , где  $\sum_{j=1}^n a_{ij} = b_i$ ,  $i=1, 2, \dots$

$\dots$ ,  $m_i$  и  $x^* = \sum_{j=1}^n x_j$ ;  $x_j \geq 0$ —мол доли компонент смеси,  $c_j = (F_j^0/RT) + \lg P$ ,  $F_j^0$ —свободная энергия моля  $j$ -го газа при т-ре  $T$  и давл. 1 атм,  $a_{ij}$ —число атомов элемента  $i$  в молекуле газа  $j$ ,  $b_i$ —число молей  $i$ -го элемента во всей смеси, через  $n$  обозначено число реагирующих газов, через  $m$ —число элементов. 2. Принцип максим. вклада в энергию формулируется как необходимость максим. выражения  $\sum_{i=1}^m b_i u_i$  при условии  $\sum_{i=1}^m a_{ij} u_i \leq \lg (x_j/x^*) + c_j$ ,  $j=1, 2, \dots, n$ , где  $u_i$ —энергия, вносимая в р-цию  $i$ -м элементом. Количеств. расчеты выполнены для р-ции, рассматривавшейся ранее (РЖХим, 1958, № 23, 76625). А. Алмазов

6Б372. О природе внутреннего давления в металлах. Borelius G. On the origin of the internal pressure in metals. «Arkiv fys.», 1960, 16, № 5, 413—416 (англ.).—Рассмотрен смысл параметра  $\alpha$  в предложении автором ур-ния состояния твердых тел  $(\alpha + \Delta P)(\beta + \Delta V) = \alpha\beta$ , где  $\Delta P$ —внешнее давление,  $\Delta V$ —соответствующее изменение объема,  $\alpha$  и  $\beta$ —константы. В предположении, что  $\alpha$  обусловлен силами сцепления, получено, что  $\alpha = (2/3)E/V$ , где  $E$ —кинетич. энергия электронов в металле, а  $V$ —объем. Для  $E$  получено соотношение  $E/v^2 = (3\pi^2/10)N^2 k^2/\gamma$ , где  $v$ —заряд иона в металле,  $N$ —число Авогадро,  $k$ —постоянная Больцмана,  $\gamma$ —коэф. зависимости электронной теплоемкости от т-ры. Проведено вычисление величин  $E$  и  $v$  для большого числа металлов. Для Li, Na, K, Cu, Ag, Au  $v = 1$ . Однако все элементы второй группы периодической системы, кроме Ca, имеют  $v = 1$ . Л. Миркин

6Б373. Тепловые эффекты при быстрых изменениях давления в вакуумных системах. Nordon P., Watt I. C. Heat effects on rapid pressure changes in vacuum systems. «J. Polymer Sci.», 1960, 43, № 141, 267—268 (англ.).—Экспериментально наблюдался тепловой эффект, связанный с резким изменением кол-ва пара или газа в некотором объеме при адиабатич. условиях. Измерения производились медь-константановой термопарой, помещенной в центр 1-л колбы. Найдена величина и длительность температурных изменений для водяного пара. Так, при изменении давления от 33,6 до 34,4 и 42 мм рт. ст. повышение т-ры и длительность эффекта составили 0,7° и 13,8° и соответственно 0,8 и 2 сек. (начальная т-ра 35°). Уменьшение давления (быстрая откачка) ведет к аналогичному эффекту, но противоположному по знаку. Эффект уменьшается с уменьшением объема. Указа-

что подобные температурные изменения могут существенно влиять на кинетику процессов сорбции. В. К.

6Б374. Некоторые замечания о добавочной теплоемкости сосуда, содержащего жидкий гелий и парамагнитную соль. Reynolds J. M., Bots G. J. C., Coremans M. J. F. J. Some remarks on the extra heat capacity of a vessel containing liquid helium and a paramagnetic salt. «Physica», 1960, 26, № 5, 348—350 (англ.).—Между 0,4 и 1° K измерена теплоемкость калориметра, содержащего 20,7 г медно-калиевого сульфата (I) и 1,27 г жидкого гелия; объем паров гелия  $\sim 2$  см<sup>3</sup>. Измеренные значения были больше величин, подсчитанных из теплоемкостей соли и жидкости, полученных другими авторами. Дополнительное поглощение теплоты, того же порядка величины, было обнаружено ранее (РЖФиз 1959, № 7, 15218; 1960, № 12, 32544) в экспериментах по механо-калорич. эффекту. Добавление 14 г стеклянного порошка с зернами размером от 0,07 до 0,1 мм не изменило величины этого эффекта, что не позволяет его связать с адсорбцией He. Измерения с другим калориметром с применением перекристаллизованного I совпали с расчетом. Анализ первого образца I показал излишек меди. Уд. теплоемкость  $\text{CuSO}_4 \cdot 5\text{H}_2\text{O}$  при 0,7° K в 100 раз больше, чем теплоемкость I; таким образом эффект может быть объяснен небольшой примесью этого в-ва в I. В ранее опубликованные работы (Kramers H. C. и др., «Physica», 1952, 18, 329; DeKlerk D. «Physica», 1946, 12, 513), выполненные с применением того же образца I, вкралась та же погрешность. И. Калинин

6Б375. Применение дифференциального криометра в термометрии. Plebański T. Application of differential cryometer in thermometry. «Bull. Acad. polon. sci. Sér. sci. chim.», 1960, 8, № 4, 181—184 (англ.; русск.).—Проведены определения т-ры тройной точки воды в двух дифференциальных криометрах Светославского (Swietoslawski W. «J. Phys. Chem.», 1943, 47, 590), изготовленных из различных сортов стекла. Использовалась дважды перегнанная, освобожденная от газов вода. В криометрах замораживали 10% воды так, что получался тонкий слой льда на пробирке для термометра или на внутренней стенке криометра. При измерениях криометры находились в сосудах Дьюара, установленных в ледяном термостате. Т-ру измеряли Pt-термометром сопротивления и мостом Мюллера. Отмечено понижение тройной точки на 0,0003—0,0005° при хранении воды в криометрах в течение 1 месяца, что, по-видимому, обусловлено частичным растворением стекла в воде. После 3- и 5-кратной перекристаллизации воды, проводившейся в самих криометрах, начальное значение т-ры тройной точки восстанавливалось. Воспроизводимость результатов  $\pm 0,0002^\circ$ . Г. Гальченко

6Б376. Термические свойства кристаллов галогенидов щелочных металлов. III. Данные о спектрах на основании теплоемкости. Barron T. H. K., Morrison J. A. The thermal properties of alkali halide crystals. III. The inversion of the heat capacity. «Proc. Roy. Soc.», 1960, A256, № 1286, 427—439 (англ.).—Продолжение (сообщение II, РЖХим, 1958, № 19, 63654) обсуждения вопроса о том, какую информацию о спектрах можно получить из эксперим. данных по теплоемкости кристалла. Наиболее подробно рассмотрен NaCl. Моменты частотного спектра (момент  $n$ -го порядка определяется как среднее значение  $n$ -й степени частоты:  $\mu_n = \overline{\nu^n}$ ) и разложение по степеням частоты  $\alpha \nu^2 + \beta \nu^4 + \dots$  не дают полной информации о спектре, содержащейся в эксперим. теплоемкости. Однако они существенны для определения спектра в целом. Особенно важны отрицательные моменты, которые табулированы для NaCl, NaJ, KCl, KBr и KI. Детальная форма низкочастотного разложения спек-

ра может быть определена по эксперим. теплоемкости. Кроме того, можно получить некоторые данные о средних частотах. Более или менее подробной информации о высокочастотной части спектра получить нельзя. Данные о теплоемкости NaCl подтверждают в общих чертах теоретич. расчеты (Kellerman E. W. «Philos. Trans.», 1940, 238A, 513; «Proc. Roy. Soc.», 1941, 178A, 17; РЖХим, 1960, № 18, 72458; № 20, 80083). При тщательных измерениях по теплоемкости можно судить и об агармонич. эффектах.

А. Алмазов

**65377.** Влияние диполь-дипольного взаимодействия на удельную теплоемкость парамагнитной соли. Joseph R. I., Van Vleck J. H. Influence of dipole-dipole coupling on specific heat of a paramagnetic salt. «J. Chem. Phys.», 1960, 32, № 5, 1573—1574 (англ.).—С целью учета членов, пропорциональных  $T^{-4}$ , в теплоемкости решетки, между узлами которой существует диполь-дипольное взаимодействие, рассматривается гамильтониан (Van Vleck J. H., «J. Chem. Phys.», 1937, 5, 322):  $H = P - \alpha Q$ , где  $P = \sum_{i,j} w_{ij}$ ,  $Q = \sum_{i,j} J_{ij}$ ,  $\alpha = g\beta H_0$ ,  $w_{ij} = g^2 \beta^2 r_{ij}^{-3} [(1 + v_{ij}) J_i J_j - 3 r_{ij}^{-2} (J_i r_{ij})(J_j r_{ij})]$ . Описанным ранее методом (РЖХим, 1959, № 7, 22404) с учетом обмена только между ближайшими соседями для простой куб. решетки найдено:  $C_v = Nk [2,8(\tau/T)^3 - 3,7(\tau/T)^3 + 0,9(\tau/T)^4 + \dots]$ , где  $\tau$  — характеристич. т-ра, определяемая соотношением:  $\tau = g^2 \beta^2 N J(J+1)/k$ . С целью сопоставления с экспериментом рассмотрен случай гранич. решетки с  $J = S = 1/2$ . Получено:  $C_v = R [2,4(\tau/T)^3 - 4,4(\tau/T)^3 - 5,8(\tau/T)^4 + \dots]$ , что хорошо согласуется с опытом (Hebb M. H., Purcell E. M. «J. Chem. Phys.», 1937, 5, 338).

А. Алмазов

**65378.** Ядерная квадрупольная и электронная теплоемкости висмута. Phillips Norman E. Nuclear quadrupole and electronic heat capacities of bismuth. «Phys. Rev.», 1960, 118, № 3, 644—647 (англ.).—Описанным ранее методом (РЖХим, 1960, № 11, 41835) измерена в интервале т-р 0,1—2° К теплоемкость с полукристаллич. Bi (размер зерна ~1 см) чистой 99,999%. Зависимость с от т-ры (T) выражается ф-лой:  $c = 2,8 \cdot 10^{-7} T^{-2} + 2,1 \cdot 10^{-5} T + 1944 (T/\theta)^3$  дж/моль град, причём характеристич. т-ра  $\theta = 120,4 - 0,6 T^2$ . Первый член в выражении для с обусловлен упорядочением ядерных электрич. квадрупольных моментов в градиентах электрич. поля решеткой; для константы квадрупольного взаимодействия получено значение 25 Мэв. Второй член описывает электронную теплоемкость. С использованием зонной схемы Джонса для Bi получено, что средняя эффективная масса дырок в валентной зоне составляет 0,9 массы электрона. Т-ра максимума с, обусловленного упорядочением квадрупольных моментов, составляет по порядку величины 10—3° К. Результаты сопоставлены с литературными данными.

По резюме автора

**65379.** Постоянные потенциальной энергии, постоянные возмущения вращения и термодинамические свойства  $H_2C=C=O$  и  $D_2C=C=O$ . Sundaram S., Cleveland Forrest F. Potential energy constants, rotational distortion constants, and thermodynamic properties of  $H_2C=C=O$  and  $D_2C=C=O$ . «J. Chem. Phys.», 1960, 32, № 5, 1554—1556 (англ.).—На основании колебательных спектров методом подбора вычислены 24 силовых постоянные потенциальной энергии кетена, представленной общей квадратичной функцией. Авторы задавались значениями силовых постоянных, соответствующих растяжениям связей (испытывался ряд вариантов), и вычисляли остальные, добываясь лучшего совпадения. Значения подобранных силовых постоянных растяжения связей C=O и C=C значительно отличаются от данных Арендейла и Флетчера (РЖХим, 1957, № 24, 76429). По силовым постоянным были рассчитаны частоты кетена (I) и дейтерокетена (II) и

сравнены с наблюдаемыми. Результаты работы были использованы также для вычисления постоянных возмущения I и II по методу Кивельсона и Вильсона (Kivelson D., Wilson E. B. «J. Chem. Phys.», 1952, 20, 1575; 1953, 21, 1229; РЖХим, 1955, № 17, 36678). Табулированы  $D_j$ ,  $D_{jk}$ ,  $D_k$ ,  $R_5$ ,  $R_6$  и  $\delta_j$ . Частоты колебаний (в случае II рассчитанные) были применены для вычисления термодинамич. функций I и II (гармонич. колебания, жесткое вращение). Табулированы  $(H^0 - E_0^0)/T$ ,  $-(F - H_0^0)/T$ ,  $S^0$  и  $c_p^0$  для идеального газового состояния в интервале 100—1000° К (ср. Drayton L. G., Thompson H. W. «J. Chem. Soc.», 1948, 1416).

И. Годнев

**65380.** Изотопный эффект в термодинамических функциях некоторых органических дейтеросоединений в идеальном газовом состоянии. Журавлев Е. З., Рабинович И. Б. «Тр. по химии и хим. технол.» [Горький], 1959, вып. 3, 475—485.—На основании литературных данных по частотам колебаний, атомным расстояниям и барьерам внутреннего вращения для интервала 100—1000° К выполнено вычисление в идеальном газовом состоянии термодинамич. функций изобутанов  $HC(CH_3)_3$ ,  $DC(CH_3)_3$ ,  $HC(CD_3)_3$ ,  $DC(CD_3)_3$ ; нитрометанов  $CH_3NO_2$  и  $CD_3NO_2$ ; метанолов  $CH_3OH$ ,  $CD_3OH$ ,  $CD_2OH$ ; этанолов  $C_2H_5OH$  и  $C_2D_5OH$ ; нормальных пропиловых спиртов  $C_3H_7OH$  и  $C_3D_7OH$ ; изопрпиловых спиртов  $C_3H_7OH$  и  $C_3D_7OH$ ; формальдегидов  $HCHO$  и  $DCDO$ , ацетальдегидов  $CH_3CHO$ ,  $CD_3CHO$  и  $CD_3CDO$  и кетонов  $H_2C=O$ ,  $HD_2C=O$  и  $D_2C=O$  (ср. реф. 65379). В указанном интервале т-р через 100° табулированы  $H^0 - E_0^0/T$ ,  $-(F^0 - E_0^0)/T$ ,  $S^0$  и  $c_p^0$ . В конце статьи обсуждены качеств. закономерности изменения термодинамич. функций при замене H на D. Почти во всех таблицах сумма  $(H^0 - E_0^0)/T$  и  $-(F^0 - E_0^0)/T$ , которая должна быть равна  $S^0$ , отличается от последней на 0,1—3,5 энтр. ед.

И. Годнев

**65381.** Термодинамические функции воздуха при высоких температурах. Ступоченко Е. В., Самуйлов Е. В., Плешанов А. С., Рождественский И. Б. «Ж. физ. химии», 1960, 34, № 6, 1265—1274 (рез. англ.).—Обсуждена методика вычисления термодинамич. свойств воздуха в интервале т-р 12 000—20 000° К и давлений от 0,001 до 1000 атм (ср. Ступоченко Е. В. и др. Сб. работ ЛФГ ЭНИН АН СССР: «Физическая газодинамика и некоторые вопросы горения»). При нормальных условиях был принят следующий исходный состав воздуха (об. %):  $N_2$  78,08,  $O_2$  20,95, Ar 0,97; допускалось, что влиянием других примесей можно пренебречь. В указанном выше интервале т-р при давлениях 0,001—1 атм принимались во внимание следующие составные части: N, O, Ar, электроны и ионизированные и двухзарядные ионы N, O, Ar; при давлениях 1—1000 атм —  $N_2$ ,  $O_2$ , NO, N, O, Ar,  $N^+$ ,  $O^+$ ,  $Ar^+$  и электроны. Сходимость статистич. сумм составных частей обеспечивалась путем рассмотрения каждого возбужденного состояния как отдельного сорта частиц с учетом размеров каждого сорта (см. Fermi E. «Z. Phys.», 1924, 26). Взаимодействие заряженных частиц учитывалось по методу Дебая и Хюккеля. На основании термодинамич. функций составных частей и констант равновесия р-ций диссоциации и ионизации вычислялся состав воздуха при различных т-рах и давлениях, а затем термодинамич. свойства воздуха. Результаты расчетов приведены в виде шести чертежей, на которых построена сетка изобар, передающих температурную зависимость уд. энтальпии, уд. энтропии,  $c_p$ ,  $c_v$ , кажущегося мол. веса и скорости звука. Седьмой чертеж передает состав воздуха при  $p = 1$  атм. Максим. ошибка при вычислении термодинамич. функций воздуха при  $p = 1000$  атм и  $T = 20 000^\circ$  составляет, по оценке авторов, ~1%.

**65382.** Теплоемкость нитробензола в дисперсной системе нитробензол-стекло. Поповский Ю. М. Тр. Одесск. гидрометеорол. ин-та, 1959, вып. 20, 21—25—

Измерен интервалный вакуумный рошка свой сме током (кал/г сг ± 0,015 ботки).

И. Годнев  
в диспер, больше, ла по с ности. I проку.

65383  
кана (С Кар а АзэрбС № 3, 24, ие мее м дукции 99,11 м булзирон емкости ной точ ± 50 к ная заи ном Де перехо, структу 460,7 к числен ± 0,6 антр. е

6538  
некотор Па и н «Изв. 121—12 15,9 ат точнос рывнои ми. Вс возрас няется летсяя сти; с выше те. Пр кости слика предп с обра ни.

6538  
галоге илавле dele fusion entre «Ann. цип в делен приме работ ний те ны те

работы были  
янных воз-  
и Вильсона  
», 1952, 20,  
5678). Табу-  
колебаний  
ны для вы-  
(гармонич.  
ваны ( $D^0$  —  
льного газо-  
(ср. Drayton  
8, 1416).  
И. Годнев  
динамический  
соединений  
лев Е. Э.,  
м. технологи-  
вания литей-  
ей, атомных  
ищения для  
ение в плас-  
м. функций  
DC(CD<sub>3</sub>)<sub>2</sub>;  
ов CH<sub>3</sub>OH,  
и C<sub>2</sub>H<sub>5</sub>OH,  
и C<sub>2</sub>H<sub>5</sub>OD;  
формальде-  
HO, CD<sub>3</sub>CNO  
O (ср. реф.  
100° табули-  
р. В конце  
изменения  
D. Почти во  
—  $E^0/2$ ), ко-  
т последней  
И. Годнев  
воздуха при  
Е. В., Са-  
дествен-  
3, 1265—1274  
ения термо-  
т-р 12 000—  
р. Ступочен-  
ССР: «Физи-  
горения»)  
дующий и-  
O<sub>2</sub> 20,95, ат-  
имесей мож-  
але т-р при  
имание сле-  
опы и одно-  
при давле-  
+, O<sup>+</sup>, Ar<sup>+</sup>  
и составны  
ия каждого  
орта частиц  
Fermi E.  
женных ча-  
юккеля. На  
ых частей  
ионизации  
ых т-рах в  
ва воздуха  
ности чере-  
передающих  
уд. энтро-  
удия звуку  
а при р-  
термодина-  
T = 20 000°  
И. Годнев  
дисперсий  
Ю. М. Тр  
20, 24—25—

Измерена средняя теплоемкость нитробензола (I) в интервале т-р 20—46° в дисперсной системе I + стеклянный порошок. Препарат I очищался трехкратной вакуумной перегонкой. Поверхность стеклянного порошка обрабатывалась различными методами (хромовой смесью (1), плавиковой к-той (2), электрическим током (3), пламенем (4)). В зависимости от метода обработки получены следующие значения  $\bar{C}_p$  для I (кал/г град): 0,335 ± 0,009 (1); 0,378 ± 0,017 (2); 0,301 ± 0,015 (3); 0,391 ± 0,09 (4); 0,384 ± 0,011 (без обработки).  $\bar{C}_p$  свободного I найдена равной 0,369 ± 0,002 кал/г град. Разность между значениями  $\bar{C}_p$  для I в дисперсной системе и  $\bar{C}_p$  свободного I в общем тем больше, чем выше величина коэф. трения покоя стекла по стеклу для соответствующей обработки поверхности. Приведены теоретич. соображения по этому вопросу.

В. Леонидов  
6Б383. Термодинамические свойства дифенилдодекана (C<sub>24</sub>H<sub>34</sub>) в области температур от 13,3° до 298,18° К. Карашарли К. А., Стрелков П. Г. «Мэрузэлэр, АзәрбәССР елмәр. акад., Докл. АН АзәрбәССР», 1960, 16, № 3, 249—253 (рез. азерб.). — С помощью описанной ранее методики (РЖХим, 1955, № 1, 204) измерены следующие свойства дифенилдодекана (чистота образца 99,14 мол.%): теплоемкость в интервале 13—298° К (табулированы эксперим., и выравненные значения теплоемкости); т-ра плавления 281,25 ± 0,02° К; т-ра тройной точки 281,4 ± 0,02° К и теплота плавления 9234 ± ± 50 кал/моль. В интервале 13,3—15,8° К температурная зависимость теплоемкости описывается куб. законом Дебая. В области 181—199° К обнаружен пик кривой теплоемкости, вероятно обусловленный фазовым переходом, связанным с изменением кристаллич. структуры. Интегральная теплота фазового перехода 460,7 кал/моль. На основании измеренных величин вычислены: энтропия дифенилдодекана  $S^0_{298,16} = 163,7 \pm \pm 0,6$  энтр. ед., энтропия плавления  $\Delta S(\text{пл.}) = 33,0$  энтр. ед. и  $H^0_{298,16} - H^0_0 = 28 672 \pm 100$  кал/моль.

И. Годнев  
6Б384. Температурная зависимость теплоемкости некоторых сплавов твердых растворов на основе меди. Панин В. Е., Грибанов С. А., Зилинг К. К., Изв. высш. учебн. заведений. Физика, 1960, № 2, 121—126. — Теплоемкость  $c_p$  ряда сплавов твердых р-ров меди с цинком (5 ат.% Zn), алюминий (5, 10 и 15 ат.% Al) и никелем (5 и 10 ат.% Ni) измерена с точностью ~1% до 600°. Кратко описан метод непрерывного нагрева и аппаратура, разработанная авторами. Все сплавы, кроме одного, показывают монотонное возрастание  $c_p$  с повышением т-ры, причем выполняется закон аддитивности. Сплав с 15 ат.% Al является твердым р-ром, близким к границе растворимости;  $c_p$ , измеренное после предварительного отжига, выше аддитивного значения в области от ~300° и выше. При закалке сплава максимум на кривой теплоемкости сменяется минимумом, причем т-ра экстремума снижается с повышением т-ры закалки. Выказано предположение, что обнаруженная аномалия связана с образованием в сплаве сверхструктуры при нагревании.

А. Грановская  
6Б385. Определение теплот плавления некоторых галогенидов металлов. Соотношение между энтропией плавления и кристаллической структурой. Blanc M. Contribution à l'établissement des chaleurs de fusion de quelques halogénures métalliques. Relation entre l'entropie de fusion et la structure cristalline. «Ann. phys.», 1960, 615—653 (франц.). — Изложен принцип высокотемпературного калориметрич. метода определения теплот плавления и обсуждены условия его применения. Описаны эксперим. установка и методика работы; достижимая на установке точность определения теплоты плавления оценена равной 4%. Определены теплоты плавления (кал/моль; в скобках — т-ра

в °К) 14 галогенидов металлов: NaBr 5520 ± 220 (1014); KBr 5930 ± 240 (1005); NaJ 5300 ± 210 (926); KJ 6000 ± 240 (952); LiCl 3850 ± 150 (876); LiBr 3020 ± 120 (819); SrCl<sub>2</sub> 4050 ± 160 (1143); BaCl<sub>2</sub> 5400 ± 270 (1229); BaBr<sub>2</sub> 7000 ± 350 (1126); AgCl 2900 ± 120 (725); AgBr 2100 ± 100 (691); PbCl<sub>2</sub> 5700 ± 280 (768); PbBr<sub>2</sub> 5000 ± 300 (640); PbJ<sub>2</sub> 3900 ± 240 (678). Отмечено, что для галогенидов щелочных металлов, являющихся ионными соединениями с однотипной кристаллич. структурой, энтропия плавления  $S_F$  постоянна и близка к 6 кал/град моль, если отношение радиусов катиона и аниона  $r^+/r^- > 0,414$ ; при  $r^+/r^- < 0,414$  (LiCl; LiBr)  $S_F < 6$  и убывает с уменьшением отношения  $r^+/r^-$ . Низкие значения  $S_F$  для LiCl и LiBr объясняются изменением энергии колебания ионов Li<sup>+</sup> при плавлении этих солей. Значения  $S_F$  для галогенидов щел.-зем. металлов различаются между собой ввиду различия их кристаллич. структур и (предполагаемого) наличия в расплавах не только простых ионов, но и недиссоциированных молекул и комплексных ионов. Для солей, не являющихся чисто ионными соединениями, значения  $S_F$  совпадают при одинаковой кристаллич. структуре (PbCl<sub>2</sub>; PbBr<sub>2</sub>), но  $S_F \neq 6$  энтр. ед. Низкие значения  $S_F$  для AgCl и AgBr объясняются изменением состава комплексов при плавлении и наличием дефектов кристаллич. решетки.

Г. Гальченко  
6Б386. Теплота реакции перехода σ-фазы в α-твердый раствор в системе железо-хром. Корнилов И. И., Матвеева Н. М., «Ж неорган. химии», 1960, 5, № 6, 1387—1388. — Величины тепловых эффектов перехода σ-фазы (на основе соединения FeCr) в α-твердый р-р системы Fe—Cr определены термографич. методом. Сплавы подвергались гомогенизирующему отжигу и длительному изотермич. отжигу. Теплоты превращения для сплавов с содержанием от 45,8 до 50,8 ат.% Cr меняются, в зависимости от состава, от 1,06 до 0,78 ккал/г-атом. Наибольшая теплота превращения отвечает наивысшей т-ре превращения. Сплавы с большей скоростью превращения имеют большую теплоту превращения и наоборот.

А. Грановская  
6Б387. Теплоты смещения в бинарных системах ртути с цинком, кадмием, индием, таллием, оловом, свинцом и висмутом. Wittig Franz Eberhard, Scheidt Peter. Die Mischungswärmen in den binären Systemen des Quecksilbers mit Zink, Cadmium, Indium, Thallium, Zinn, Blei und Wismut. «Naturwissenschaften», 1960, 47, № 11, 250—251 (нем.). — В высокотемпературном калориметре измерены теплоты смещения в жидких бинарных системах на основе ртути с кадмием, индием, таллием, оловом, свинцом и висмутом при т-рах 200—335° в полном диапазоне конц-ий. Система Hg—Zn вследствие высокой т-ры плавления сплавов исследована до 50 ат.% Zn. Выведенные авторами закономерности зависимости теплот смещения в бинарных сплавах на основе цинка и кадмия от положения второго компонента в периодической системе не выполняются в системах на основе ртути.

А. Грановская  
6Б388. Теплоты гидролиза фенилацетата и фенилтиоацетата. Wadsö Ingemar. Heats of hydrolysis of phenyl acetate and phenyl thioacetate. «Acta chem. scand.», 1960, 14, № 3, 561—565 (англ.). — В ранее описанном калориметре (РЖХим, 1959, № 20, 71320) определены при 25°  $\Delta H^0$  (кал/моль) гидролиза жидких C<sub>6</sub>H<sub>5</sub>OCOCCH<sub>3</sub> — 20,92 ± 0,02 и C<sub>6</sub>H<sub>5</sub>SCOCCH<sub>3</sub> — 21,49 ± 0,03;  $\Delta H^0$  (кал/моль) растворения в водно-спирт. (2:3) р-ре 0,8 н. NaOH (копечные конц-ии в-в — 3,45 ммоль в 100 мл р-ра) твердого C<sub>6</sub>H<sub>5</sub>OH — 2,64 ± 0,02; жидких C<sub>6</sub>H<sub>5</sub>SCOCCH<sub>3</sub> — 7,10 ± 0,04, CH<sub>3</sub>COOH — 11,62 ± 0,02 и H<sub>2</sub>O — 0,20 ± 0,01. С использованием полученных данных вычислены  $\Delta H^0$  (кал/моль) р-ций



$C_6H_5OOSCH_3$  (жидк.) +  $H_2O$  (жидк.)  $\rightarrow$   $C_6H_5OH$  (тв.) +  $CH_3COOH$  (жидк.)  $-6,86 \pm 0,06$  и  $C_6H_5SCOOH$  (жидк.) +  $H_2O$  (жидк.)  $\rightarrow$   $C_6H_5SH$  (жидк.) +  $CH_3COOH$  (жидк.),  $-2,97 \pm 0,08$ . На основании оценки  $\Delta H$  и  $\Delta Z$  указано, что фенилтиолацетат не может являться активным ацилирующим агентом для алкилтиолов.

Б. Тимофеев

**6Б389.** Теплоты присоединения анилина и его производных к хлористому кобальту. Аблов А. В., Копунова-Фрид Ц. Б., Палкин В. А. «Ж. неорганической химии», 1960, 5, № 7, 1544—1550. На основании измерений теплот растворения при 25° в 2 н. HCl определены теплоты (ккал/моль) присоединения анилина и его производных к  $CoCl_2$  для:  $CoCl_2 \cdot 2H_2NC_6H_5$  18,66;  $CoCl_2 \cdot 2n-H_2NC_6H_4CH_3$  12,40;  $CoCl_2 \cdot 2n-H_2NC_6H_4Cl$  9,26;  $CoCl_2 \cdot 2n-H_2NC_6H_4Br$  9,71. Из полученных данных рассчитаны значения теплот присоединения (ккал/моль) газообразных аминов в решетку  $CoCl_2$ , расширенную до объема, занимаемого продуктом присоединения (мол. решетка) для:  $CoCl_2 \cdot 2C_6H_5N$  43,2;  $CoCl_2 \cdot 2n-H_2NC_6H_4CH_3$  45,9;  $CoCl_2 \cdot 2n-H_2NC_6H_4Cl$  45,2;  $CoCl_2 \cdot 2n-H_2NC_6H_4Br$  44,8. Полученные данные указывают на то, что связь  $Co-N$  в продуктах присоединения скорее ковалентная, чем ионно-дипольная. Л. Сторожко

**6Б390.** Относительная акцепторная сила  $GaCl_3$  и  $GaBr_3$  по отношению к пиридину как стандартному лиганду и термодинамика комплексов соединений  $GaCl_3$  с пиперидином. Greenwood N. N., Perkins P. G. The relative acceptor strength of gallium trichloride and tribromide towards pyridine as a reference ligand, and the thermochemistry of complexes of gallium trichloride with piperidine. «J. Chem. Soc.», 1960, March, 1145—1151 (англ.).—Определены теплоты образования  $\Delta H^\circ$  (обр.), ккал/моль, (из кристаллич.  $GaCl_3$ ,  $GaBr_3$  и жидких пиридина и пиперидина) в кристаллич. состоянии:  $GaCl_3 \cdot C_5H_5N$  ( $29,8 \pm 0,1$ );  $GaCl_3 \cdot 2C_5H_5N$  (I) ( $41,5 \pm 0,1$ );  $GaBr_3 \cdot C_5H_5N$  ( $34,5 \pm 0,4$ );  $GaCl_3 \cdot C_5H_{11}N$  ( $33,7 \pm 2,7$ ) и  $GaCl_3 \cdot 2C_5H_{11}N$  ( $52,1 \pm 2,0$ ). Значение  $\Delta H^\circ$  (обр.) I проверено измерением давления диссоциации I как функции  $t$ -ры. Результаты сравнены с аналогичными данными для комплексов соединений  $BG_3$  (РЖХим, 1960, № 20, 80200) и  $AlG_3$  (где G — галоген) с пиридином и пиперидином. Отмечается, что, за некоторым исключением, относительная акцепторная сила тригалогенидов III-й группы в конденсированной фазе возрастает в ряду  $Cl < Br < I$ . Та же зависимость сохраняется для  $BG_3$  и  $Ga_3$  (где G — всегда) в случае комплексобразования в газовой фазе.

В. Леонидов

**6Б391.** О влиянии скорости потока на определение равновесных давлений пара методом переноса. Hofmeister H. K., Haeseler R. V., Glemser O. Zum Einfluß der Strömungsgeschwindigkeit auf die Ermittlung von Gleichgewichtsdampfdrücken mit der Mitführungsmethode. «Z. Elektrochem.», 1960, 64, № 513—517 (не.).—Путем переноса йода азотом изучена зависимость кол-ва  $n$ , захваченного током инертного газа, от скорости потока  $v$ . При этом необходимая для прямого определения равновесного давления пара пропорциональность кол-ва перенесенного в-ва кол-ву газа переносчика имеет место лишь в определенной области — области насыщения. В случае слишком малых скоростей потока наблюдается кажущееся пересыщение вследствие добавочной диффузии; в случае слишком больших скоростей потока обнаруживается ненасыщенность вследствие медленного поступления в-ва в газовую струю. При наличии диффузии истинное равновесное давление пара рассчитывается по следующей ф-ле:  $p_4 = (n/v)RT[1 - \exp(-v \cdot l/F_2 \cdot D)]$ , где  $F_2$  — диаметр трубки прибора,  $D$  — коэф. диффузии,  $l$  — длина трубки. Данные, относящиеся к области ненасыщенности, обрабатываются с помощью приближения Кармана аналогично расчету теплопередачи в ламинарном потоке. Для перенесенного кол-ва в-ва  $n$  в зависимости

от  $v$ , кинематич. вязкости  $\nu$  и поверхности  $F$  пробы получено следующее выражение  $n = (0,662 bD/RT$

$\sqrt{wsx})/\sqrt{\nu} \cdot \sqrt{v/D(p_0 - p_s)}$ , где  $ws$  — линейная скорость газа, соответствующая насыщ. пару в-ва,  $x$  — длина пробы,  $b$  — ширина пробы. Указанные ф-лы, справедливые для небольших парц. давлений, проверены в области ненасыщенности, т. е. больших скоростей потока газа-носителя. Эксперим. данные сведены в таблицу и представлены графически.

В. Василевский

**6Б392.** Упругость пара йодистого кадмия и бромистого кадмия. Толмачева Т. А., Андриповская Т. Л. «Вестн. Ленингр. ун-та», 1960, № 10, 131—136 (рез. англ.).—Методом потока (газ-носитель — азот) определено давление паров: 1)  $CdJ_2$  (выше  $t$ -ры плавления)  $\lg P$  ( $CdJ_2$ , атм) =  $-13870,2 \cdot 1/T + 43,4 \lg T + 0,0603 T - 0,0000337 T^2 - 171,7$  ( $727-873^\circ K$ ); ввиду того, что для  $CdJ_2$  зависимость  $\lg P - 1/T$  нелинейна, энтальпия и энтропия испарения  $CdJ_2$  рассчитаны для трех отдельных участков кривой и данные сведены в таблицу. 2)  $CdBr_2$  (до и выше  $t$ -ры плавления)  $\lg P$  ( $CdBr_2$ , атм) =  $5,45 - 6191/T$  ( $735-841^\circ K$ ) и  $\lg P$  ( $CdBr_2$ , атм) =  $4,25 - 5168/T$  ( $841-897^\circ K$ ); из этих данных для  $CdBr_2$  вычислены значения энтальпии и энтропии испарения и сублимации  $CdBr_2$ , а также значения теплоты плавления  $CdBr_2$ , которые равны, соответственно  $\Delta H$  (исп.) =  $24 \pm 1$ ;  $\Delta H$  (субл.) =  $29 \pm 2$  ккал/моль,  $\Delta S$  (исп.) =  $20 \pm 2$  и  $\Delta S$  (субл.) =  $26 \pm 2$  энтр. ед.,  $\Delta H$  (пл.) =  $5$  ккал/моль. В исследованной области  $t$ -р заметная термич. диссоциация  $CdBr_2$  и  $CdJ_2$  не наблюдалась. Разработана методика анализа  $J$ - и  $J_2$  при их совместном присутствии. В. Карелин

**6Б393.** Измерение давления насыщенного пара окиси свинца. Несмеянов А. П., Фирсова Л. П., Исакова Е. П. «Ж. физ. химии», 1960, 34, № 6, 1200—1204 (рез. англ.).—Давление пара твердой окиси свинца измерено эффузионным методом и методом испарения с открытой поверхности. Использовался образец ромбич. модификации  $PbO$  чистоты 99,95%. Результаты, полученные методом Ленгмюра, переданы ур-нием:  $\lg P$  (атм) =  $7,8339 - 1,332/T$  ( $887-1043^\circ K$ ), которое, по-видимому, описывает поведение насыщ. пара  $PbO$ , так как совпадение результатов измерений по методам Кнудсена и Ленгмюра свидетельствует о близости к единице коэф. конденсации  $PbO$ . Рассчитаны теплоты сублимации (ккал/моль)  $PbO$ :  $62,18$  при  $950^\circ K$  и  $63,984 \pm 0,512$  при  $0^\circ K$ . В. Карелин

**6Б394.** Исследование зависимости давления пара сульфидов олова от температуры. Клущин Д. Н., Черных В. Я. «Ж. неорганической химии», 1960, 5, № 7, 1409—1412.—Изучена в интервале  $815-1100^\circ$  по точкам кипения (определялись Pt-PtRh-термопарой  $\pm 5^\circ$ , при пониженных давлениях в атмосфере  $N_2$ ) зависимость давления пара  $SnS$  (78,8% Sn, 20,9% S) от  $T$ . Описана установка,  $\lg p$  (мм рт. ст.) =  $-9980/T \pm 9,551$ , что согласуется с результатами, рассчитанными по ранее указанному ур-нию (РЖХим, 1956, № 14, 42585).  $\lambda$  (исп.) =  $45,66 \pm 1,0$  ккал/моль.  $T$ -ра плавления  $SnS$  в атмосфере  $N_2$   $880 \pm 5^\circ$ ;  $t$ -ра кипения при атмосферном давлении, определенная методом экстраполяции,  $1230 \pm 5^\circ$ , что совпадает с ранними данными (Biltz W. Meklenburg A., «Z. anorgan. Chem.», 1909, 64, 228).

**6Б395.** Инфракрасные спектры алкилдиборанов. II. Моноэтилдибораны. Lehmann Walter J., Wilson Charles O., Jr., Shapiro I. Infrared spectra of alkylidiboranes. II. Monoethylidiboranes. «J. Chem. Phys.», 1960, 32, № 6, 1786—1790 (англ.).—Исследованы спектры поглощения 5 изотопич. производных моноэтилдиборана  $C_2H_5B_2^{10}H_5$ ,  $C_2H_5B_2H_5$ ,  $C_2H_5B_2D_5$ ,  $C_2D_5B_2H_5$  и  $C_2D_5B_2D_5$  в газообразном состоянии в области  $650-5000$   $cm^{-1}$  и дано отнесение наблюдавшихся полос. Выполнено измерение давления паров  $C_2H_5B_2H_5$  и найдено, что в интервале от  $-110$  до  $-58^\circ$  оно описывает

ся ур-нием  $\lg p$  (мм рт. ст.) =  $-883,25/T + 0,011376 \cdot T + 3,2343$ , где  $T$  выражено в °K. Сообщение I см. реф. 6Б126. В. Юнгман

6Б396. Давление паров циклогексанола и циклогексиланина. Novák J., Matouš J., Pick J. Dampdruck des Cyclohexanols und des Cyclohexylamins. «Collect. Czechosl. Chem. Commun», 1960, 25, № 2, 583—585 (нем.; рез. русск.).—С помощью абсорбиметра Свентославского определено давление пара циклогексанола,  $\lg p$  (мм рт. ст.) =  $6,5562 - 1067,8/(t + 129,2)$  для области  $t$ -р 93,7 ≤  $t$  ≤ 160,7 и циклогексиланина  $\lg p$  (мм рт. ст.) =  $6,6272 - 1203,2/(t + 186,7)$  для области  $t$ -р 60,7 ≤  $t$  ≤ 128,4. V. Knesslová

6Б397. Некоторые свойства втор-бутилбензола и  $n$ -ди-втор-бутилбензола. Tsunoda Yasugoro, Takasaki Nobuo, Yasuda Sadao. «Токай дэнкёку гихо, Tokai Technol. J.», 1959, 20, № 1, 22—25 (японск.; рез. англ.).—Измерена плотность смесей бензол-втор-бутилбензол (I) и I- $n$ -ди-втор-бутилбензол; плотность в этих системах аддитивна. Изучение равновесия пар-жидкость показало, что первая система следует законам идеальных р-ров, в системе I-фенол образуется азеотропная смесь, содержащая 40 мол.% фенола. Резюме авторов

6Б398. Равновесные состояния в системах Ti—H и Zr—H при низких давлениях. Софьяна В. В., Павловская Н. Г. «Ж. физ. химии», 1960, 34, № 5, 1104—1109 (рез. англ.).—Исследованы равновесия в системах Ti—H и Zr—H при давлениях в интервале  $10^{-3}$ — $10^{-7}$  мм рт. ст. при  $t$ -рах 100—550° и конц-ях, близких к составу  $MH_2$ . Измерения давления производились ионизационным и термопарным манометрами в отпаянной аппаратуре. В обеих системах обнаружены двухфазные области, где  $\alpha$ -фаза (металл или твердый р-р водорода в металле) переходит в гидридную  $\beta$ -фазу и поглощение  $H_2$  идет при постоянных значениях  $t$ -ры и давления. Равновесное давление при заданной  $t$ -ре в системе Ti—H выше, чем в системе Zr—H. Вычислены теплоты образования гидридов титана и циркония в зависимости от содержания водорода. Теплота образования не постоянна и имеет различную зависимость от  $t$ -ры и давления при разных конц-ях водорода. Предположено, что при повышении конц-и водорода теплота  $r$ -ции отвечает трем последовательным процессам: 1) растворению водорода в  $\alpha$ -фазе металла, 2) переходу  $\alpha$ -фазы в  $\beta$ -фазу (гидрид), 3) растворению водорода в  $\beta$ -фазе.

А. Грановская  
6Б399. Равновесие жидкость—пар в системе диэтиламин—вода. III. Влияние неорганических солей на равновесие жидкость—пар. Ishiguro Takeo, Yagyu Masami, Takagi Kaname. «Якугаку дзаси, Yakugaku zasshi, J. Pharm. Soc. Japan», 1960, 80, № 3, 311—314 (японск.; рез. англ.).—Изучено влияние добавок NaCl, KCl и  $Na_2SO_4$  на равновесие жидкость—пар в системе диэтиламин—вода (I). Построены равновесные диаграммы систем: I—NaCl, I—KCl, I— $Na_2SO_4$ ; измерена взаимная растворимость диэтиламина и воды, насыщенной неорганич. солями, и построены равновесные диаграммы жидкость—жидкость. Отмечено, что наибольшее влияние на равновесие оказывает NaCl, затем KCl и  $Na_2SO_4$ . Сообщение II см. РЖХим, 1960, № 24, 95589. Резюме авторов

6Б400. Теоретическое рассмотрение равновесия пар-жидкость в трехкомпонентных системах при постоянной  $t$ -ре. Ikari Atsushi. «Koré karaku дзаси, Kogyo kagaku zasshi, J. Chem. Soc. Japan. Industr. Chem. Sec.», 1960, 63, № 1, 52—56, A2 (японск.; рез. англ.).—Ранее опубликованный автором (РЖХим, 1958, № 11, 35362) приближенный метод для расчета равновесия жидкость-пар в двойных системах применен для определения активности компонентов тройных систем. Р-ры рассматриваются как квазикристаллич. структуры. Квазирешетка разбивается на ком-

бинации из трех молекул, образующих равносторонний треугольник; образуется 10 сортов таких триплетов (AAA, AAB, AAC и т. д.). Рассчитано их число и энергия. В предположении, что триплеты не взаимодействуют, рассчитана конфигурационная свободная энергия активности и парц. давления для каждого компонента тройной системы. Расчет для системы  $C_6H_6$ — $CH_3OH$ — $CCl_4$  хорошо согласуется с эксперим. значениями активности при 55°. Для численного расчета этой системы значения шести параметров определены из эксперим. данных для трех составляющих ее двойных систем. Расчет сводится к решению семи ур-ний методом проб и ошибок при выборе такого значения седьмого параметра, которое приводит к согласованию с эксперим. данными для тройной системы.

Резюме автора  
6Б401. Фазовые равновесия в системах  $H_2$ — $n$ -гептан,  $H_2$ —метилциклогексан и  $H_2$ —2,2,4-триметилпентан при высоких давлениях и температуре. Peter S., Reinhartz K. Das Phasengleichgewicht in den Systemen  $H_2$ — $n$ -Heptan,  $H_2$ —Methylcyclohexan und  $H_2$ —2,2,4-Trimethylpentan bei höheren Drucken und Temperaturen. «Z. phys. Chem. (BRD)», 1960, 24, № 1-2, 193—118 (нем.).—Исследуется влияние на термодинамич. свойства двойных смесей (имеющих общий компонент) мол. структуры компонентов, близких по физ. свойствам, но отличающихся по структуре молекул. Для этой цели изучен состав ( $x$ ) сосуществующих жидкой и газообразной фаз в системах:  $H_2$ — $n$ -гептан (I),  $H_2$ —метилциклогексан (II) и  $H_2$ —2,2,4-триметилпентан (III) при давлениях ( $P$ ) до  $1000 \text{ кг/см}^2$  и  $t$ -рах:  $\sim 150$ ,  $\sim 198$  и  $\sim 225^\circ$ . Диаграммы  $P$ — $x$  для систем  $H_2$ —I и  $H_2$ —III практически совпадают, показывая крит. давление при  $225^\circ$ , равное  $400 \text{ кг/см}^2$  и при  $198^\circ$ — $730 \text{ кг/см}^2$ . На диаграмме для системы  $H_2$ —II интерполяцией найдено крит. давление, равное  $980 \text{ кг/см}^2$  при  $225^\circ$ . По полученным данным рассчитаны константы Генри, коэф. растворимости и теплоты растворения  $H_2$  в I и II (3000 кал/моль) и в III (2980 кал/моль). Показано, что с повышением мол. веса второго компонента теплота растворения в нем  $H_2$  уменьшается.

А. Стрельников  
6Б402. Соотношение между некоторыми физическими свойствами и химическим составом твердых растворов. Fujii Nakashi. Correlation of some physical properties and chemical composition of solid solution. «Amer. Mineralogists», 1960, 45, № 3-4, 370—382 (англ.).—Рассмотрено соотношение между хим. составом и плотностью, коэф. термич. расширения, сжимаемостью, мол. теплоемкостью и коэф. преломления. Отмечено, что в случае идеальных р-ров плотность, коэф. термич. расширения, сжимаемость и коэф. преломления будут линейно зависеть от состава, если он выражен в объемных долях; если же состав выражен в мольных долях, линейная зависимость будет иметь место только при равенстве мол. объемов компонентов. Показано, что мол. теплоемкость является линейной функцией состава, выраженного в мол. долях.

А. Никеров  
6Б403. Исследование кривой взаимной растворимости в двойных жидких системах. II. Функция асимметричности кривой растворимости. III. Уравнение кривой взаимной растворимости. Malesińska B., Malesiński W. Studies of the mutual solubility curve in binary liquid systems. II. A function of the solubility curve asymmetry. III. Equation of the mutual solubility curve. «Bull. Acad. polon. sci. Sér. sci. chim.», 1960, 8, № 2, 61—66; 67—73 (англ.; рез. русск.).—II. Кривая взаимной растворимости (КВР) двух жидких фаз при выражении конц-и в мольных долях ( $x$ ) в большинстве случаев является несимметричной. Ранее (сообщение I, РЖХим, 1961, 2Б396) было показано, что если изобразить состав в гипотетич. обобщенно-объемных долях ( $z$ ) так, чтобы для компонентов 1 и 2

$z_1 = x_1 q_1 / (x_1 q_1 + x_2 q_2)$  и  $z_2 = x_2 q_2 / (x_1 q_1 + x_2 q_2)$ , где  $q_1$  и  $q_2$  — постоянные коэф., то КВР становится симметричной. В настоящей работе показано, что получение симметричной КВР возможно только тогда, когда функция асимметричности  $q_2/q_1$  не зависит от т-ры. Это условие выполняется для серии систем нитрометан — *n*-парафины (см. ссылку выше),  $\text{SO}_2$  — *n*-парафины, ацетонитрил — *n*-парафины, анилин — *n*-гексан, вода — анилин и вода — фенол (по литературным данным). Для этих систем можно получить симметричную КВР и, следовательно, вычислить состав одной из сосуществующих фаз, зная состав другой и величину  $q_2/q_1$ , которая находится из опытных данных. Указывается, что абс. величина  $q_2/q_1$  связана с относительными размерами молекул компонентов.

III. Обосновывается предположение, что активности компонентов ( $a$ ) в момент расслоения системы выражаются соответственно:  $\ln a_1 = \ln z_1 + [A(T)/RT]z_1^2$  и  $\ln a_2 = \ln z_2 + [A(T)/RT]z_2^2$ , где  $A(T)$  — константа. Выведено общее ур-ние КВР:  $\ln[(1-z)/z] = [A(T)/RT] \cdot (1-2z)$  (1). Если  $A(T)$  не зависит от т-ры, то ур-ние (1) переходит в  $T/T_c = 2(1-2z)/\ln[(1-z)/z]$ , а если  $A(T)$  зависит от т-ры, то имеем  $T/T_c = [2R(1-2z) - 2\alpha_0]/[R\ln[(1-z)/z] - 2\alpha_0]$  (2), где  $T_c$  — крит. т-ра расслоения и  $\alpha_0$  — константа, не зависящая от т-ры и определяемая из опытных данных. Ур-ние (2) проверено по ранее полученным данным для серии систем нитрометан — *n*-парафины и получено хорошее согласие опыта с теорией. А. Стрельников

6Б404. Применение матричной алгебры для расчета многокомпонентных смесей. Ordway Fred. Matrix algebra for calculating multicomponent mixtures. «J. Portland Cement Assoc. Res. and Developm. Labs», 1960, 2, № 1, 28—36 (англ.).—Предложено применение матричной алгебры для расчета смесей при наличии нескольких переменных. Дано элементарное изложение основ матричной алгебры и разбор примеров, относящихся к технологии цемента.

Из резюме автора  
6Б405. К вопросу изучения равновесных систем с пятью и более компонентами. Очеретный В. А. «Ж. неорганической химии», 1960, 5, № 7, 1588—1597.—Дан оригинальный способ изображения пятикомпонентной системы в виде пятиугольника, на плоскости которого проведена сетка из пяти рядов параллельных линий, отвечающих одинаковым конц-ям каждого из компонентов. Найдено, что сумма расстояний из любой точки многоугольника до его сторон равна постоянной величине, что позволяет использовать многоугольники для изображения составов многокомпонентных систем или их сечений. С помощью подобных диаграмм легко решается вопрос о получении желаемого состава системы, путем смешения соответствующих кол-в каких-либо трех ее составов. Показана возможность изучения многокомпонентных систем при помощи квазидвойных разрезов, составляющих квазитройное сечение многокомпонентной системы. Ф. Перельман

6Б406. Ускоренный метод термического анализа. Кожевников С. П. «Вестн. Ленингр. ун-та», 1960, № 10, 144—151 (рез. англ.).—Предлагается усовершенствование метода нагревательной скани для исследования диаграмм состояния органич. систем (Kofler L., Kofler A. Thermo-Methoden zur Kennzeichnung organischer Stoffe und Stoffgenische. Weinheim, 1954). В отличие от прежней методики исследуемое в-во не расплавляется по металлич. пластинке (скамье), помещается в капилляр, который вставляется в выточку, сделанную в пластинке. Метод позволяет определять т-ры плавления летучих в-в. В качестве примера приводятся диаграмма плавления тройной системы антипин — гидрохинон — *n*-нитрофенол, исследованной данным способом. Ф. Перельман

6Б407. Применение дифференциального термического анализа. Otsubo Yoshio. «Kagaku to kōgō,

Chem. and Chem. Ind.», 1960, 13, № 6, 576—584 (японск.)

6Б408. Выявление структуры с помощью интерферирующих пленок, полученных «напылением». Perperhoff W. Sichtbarmachung von Gefügestrukturen durch Interferenz-Aufdampfschichten. «Naturwissenschaften», 1960, 47, № 16, 375—376 (нем.).—Разработан метод, дающий возможность наблюдать структуру сплавов и неметаллич. образцов, не прибегая к хим. травлению. На полированную поверхность образца напыливается пленка, обладающая повышенной преломляющей способностью (обычно  $\text{TiO}_2$ ) и усиливающая разницу в отражениях отдельных структурных составляющих. Толщина слоя подбирается таким образом, чтобы ослабленные интерференцией волны соответствовали желто-зеленой области спектра, что создает благоприятные условия для наблюдения. Метод позволяет наблюдать структуры, где разность отражательных способностей отдельных составляющих всего 2%. Л. Шведов

6Б409. Кристаллизация бинарных сплавов при больших переохлаждениях. Салли И. В. В сб. «Кристаллизация металлов». М., АН СССР, 1960, 69—75.—С помощью металлографии и рентгенографии. Методом анализа исследованы структуры и фазовый состав сплавов сталей, чугунов, силумина и сплавов  $\text{Al-Zn}$ ,  $\text{Pb-Sn}$  и  $\text{Sn-Bi}$ , затвердевших при большом переохлаждении. Пленки получены путем распыливания между двумя медными пластинами летящей капли расплава. На основании опытных данных сделан вывод, что при больших скоростях охлаждения расплава бинарной системы, с неограниченной растворимостью в жидком состоянии и ограниченной в твердом, в формировании структуры сплава основную роль играет скорость роста кристаллизующихся фаз. Если один из компонентов обладает большей склонностью к пересыщению, то в сплаве эвтектич. состава можно получить однофазную структуру: сильно пересыщенный твердый р-р. Фазовый состав сплава, кристаллизующегося при большом переохлаждении, можно приблизительно установить с помощью продолженных в субкрит. область линий равновесия. Л. Шведов

6Б410. Растворимость водорода в сплавах  $\text{Fe-Ni}$  и  $\text{Fe-Cr}$  при 1400 и 1600°. Kazinczy F. de, Lindberg O. Solubility of hydrogen in  $\text{Fe-Ni}$  and  $\text{Fe-Cr}$  alloys at 1400° and 1600° C. «Jernkontorets ann.», 1960, 144, № 4, 288—296 (англ.; рез. шведск.).—При 1400 и 1600° определена растворимость  $\text{H}_2$  в сплавах систем  $\text{Fe-Ni}$  (0—100%  $\text{Ni}$ ) и  $\text{Fe-Cr}$  (0—50%  $\text{Cr}$ ). Описана примененная аппаратура. Результаты приведены в форме графиков. Растворимость увеличивается с повышением содержания  $\text{Ni}$  и уменьшается при увеличении содержания  $\text{Cr}$ . Из полученных данных рассчитаны коэф. активности водорода в сплавах этих систем. А. Никеро

6Б411. Диаграмма состояния золото — стронций. Feller-Knipmeier Monika, Heumann Theodor. Das Zustandsbild Gold-Strontium. «Z. Metallkunde», 1960, 51, № 7, 404—408 (нем.; рез. англ.).—С помощью термич., микроструктурного и рентгенографич. методов анализа, а также измерения плотности, микротвердости и уд. электросопротивления изучена система  $\text{Au-Sr}$ . Сплавы с высоким содержанием  $\text{Sr}$  готовились, во избежание испарения  $\text{Sr}$ , в спец. высокотемпературной печи с графитовым нагревателем при давлении аргона 10—20 ат. Установлено существование семи промежуточных фаз:  $\text{Au}_5\text{Sr}$ ,  $\text{Au}_2\text{Sr}$ ,  $\alpha$ , плавящихся конгруэнтно, и  $\beta$ ,  $\gamma$ ,  $\text{AuSr}_3$  и  $\text{AuSr}_2$ , образующихся перитектич. р-ции. Область гомогенности  $\text{Au}_5\text{Sr}$  составляет 1,5 ат.%,  $\alpha$ -фазы (51,5 ат.%  $\text{Sr}$ ) — 2 ат.%. Фаза  $\gamma$  (58,5 ат.%  $\text{Sr}$ ) образуется при 770 по р-ции  $L + \alpha$  и существует до 725°, где разлагается по эвтектич. р-ции  $\beta \rightarrow \alpha + \gamma$ . Ширина области гомогенности  $\beta$ -фазы 1 ат.%. Фаза  $\gamma$  образуется при 750° по р-ции  $L +$

+  $\beta \rightarrow \gamma$  и 500°, 58,5% в  $\gamma$ -фазе. В другой др. ценного т.  $\text{Au}_5\text{Sr}$  им. 5,61 и др. структура 6Б412. родий. A. equilibrium dium. «J. (англ.).—Rh), полу исследова геновский дности др. > 1500°. богатых печь с н. нуую скор. 1500—2200 ~43—82 (а 2,754) 100% — т. двухфаз. 2075 ± 10 держани перитект на осно е-фазы и конц-ни ятся, по 75%. Т-р

6Б413. рений. вицки 1907—19 плавлен. V-Re. фазы  $\sigma$  (Re, по и (ве Re) и с 4,86 тоидной Вторая 2290 ± 2

6Б414. рений. кий Е. 1907.—С го мето определ стояния термиче р-ции Л. кующей  $\alpha$ -фаза, 2680 ± много  $\alpha$ -Mn (  $\alpha$ -фаза с 4,928 в Re < 6Б415. Gross decomp chromi 36—41



$\beta \rightarrow \gamma$  и имеет широкую область гомогенности (при  $590^\circ$ , 58,5–71,5 ат. % Sr). Ниже  $590^\circ$  растворимость Sr в  $\gamma$ -фазе понижается. Фазы  $\text{Au}_2\text{Sr}$ ,  $\text{AuSr}_2$  и  $\text{AuSr}_3$  образуют друг в друге не растворяются. Т-ра плавления Sr, очищенного тройной дистилляцией,  $758^\circ$ . Установлено, что  $\text{Au}_2\text{Sr}$  имеет структуру типа  $\text{Cu}_2\text{Sr}$  с параметрами  $a$  5,61 и  $c$  4,60 кХ. Предположение, что  $\text{Au}_2\text{Sr}$  имеет структуру фазы Лавеса, не подтвердилось. Л. Шведов

**6Б412.** Диаграмма равновесия системы молибден — рений. Anderson E., Hume-Rothery W. The equilibrium diagram of the system molybdenum — rhodium. «J. Less-Common Metals», 1960, 2, № 1, 19–28 (англ.). — На образцах сплавов Mo — Rh (40–100 ат. % Rh), полученных методами порошковой металлургии, исследована с помощью термич., микроскопич. и рентгеновских методов анализа, а также измерения твердости диаграмма равновесия Mo — Rh при  $t$ -рах  $> 1500^\circ$ . Для исследования линии ликвидуса сплавов, богатых Rb, сконструирована высокотемпературная печь с нагревателем из Ta, обеспечивающая постоянную скорость нагрева и охлаждения в интервале  $1500$ – $2200^\circ$ . В исследованной части системы область  $\sim 43$ – $82\%$  при  $1500^\circ$  занимает гексагон.  $\epsilon$ -фаза ( $a$  2,7541,  $c$  4,4258 кХ при 45,2% Rh), область 87–100% — твердый  $p$ -р Mo в Rh. Промежуточная область двухфазная. Линия ликвидуса  $\epsilon$ -фазы имеет максимум  $2075 \pm 10^\circ$  при  $\sim 66,6\%$ , после чего с увеличением содержания Rh снижается до  $2000 \pm 10^\circ$ , где имеет место перитектич. р-ция  $L$  (92%) +  $\epsilon$  (81%)  $\rightarrow$  твердый  $p$ -р на основе Rh (85%). Интервалы кристаллизации  $\epsilon$ -фазы и твердого  $p$ -ра очень узки. С увеличением концентрации Rh оба параметра решетки  $\epsilon$ -фазы уменьшаются, но отношение  $c/a$  проходит через минимум при  $75\%$ . Т-ра плавления Rh найдена равной  $1966^\circ$ .

Л. Шведов

**6Б413.** Диаграмма состояния системы ванадий — рений. Тылкина М. А., Поварова К. Б., Савицкий Е. М. «Ж. неорганической химии», 1960, 5, № 8, 1907–1910. — Методами микроструктурного и рентгеновского анализа, а также измерения твердости и т-ры плавления сплавов построена диаграмма состояния V — Re. Установлено наличие высокотемпературной фазы  $\sigma$  (VRe), образующейся при  $2490 \pm 25^\circ$  и 91,5% Re, по перитектич. р-ции  $L + \beta$  (твердый  $p$ -р на основе Re)  $\rightleftharpoons \sigma$ . Решетка  $\sigma$ -фазы — тетрагональная с  $a$  9,36 и  $c$  4,86 Å. При  $\sim 1500^\circ$   $\sigma$ -фаза распадается по эвтектоидной р-ции  $\sigma \rightleftharpoons \alpha$  (твердый  $p$ -р на основе V) +  $\beta$ . Вторая перитектич. р-ция  $L + \sigma \rightleftharpoons \alpha$  протекает при  $2290 \pm 25^\circ$ . Растворимость Re в V 87%, V в Re 1,5%.

Л. Шведов

**6Б414.** Диаграмма состояния системы тантал — рений. Тылкина М. А., Цыганова И. А., Савицкий Е. М. «Ж. неорганической химии», 1960, 5, № 8, 1905–1907. — С помощью микроструктурного и рентгеновского методов анализа, а также измерения твердости и определения т-р плавления построена диаграмма состояния Ta — Re. В системе Ta — Re образуется 2 интерметаллич. соединения:  $\chi$ -фаза — по перитектич. р-ции  $L + \beta$  (твердый  $p$ -р на основе Re)  $\rightleftharpoons \chi$ , протекающей в интервале  $64$ – $84,8\%$  Re при  $2830 \pm 25^\circ$ ,  $\sigma$ -фаза, образующаяся в интервале  $54$ – $60\%$  Re при  $2680 \pm 25^\circ$  по перитектич. р-ции  $L + \chi \rightleftharpoons \sigma$ . Фаза переменного состава  $\chi$  имеет сложную куб. решетку типа  $\alpha$ -Mn ( $a$  9,62 Å при 82,5% Re и 9,65 Å при 64,4% Re).  $\sigma$ -Фаза имеет тетрагон. решетку с параметрами  $a$  9,63,  $c$  4,928 Å. Та растворяет до 49% Re, растворимость Ta в Re  $< 5\%$ .

Л. Шведов

**6Б415.** Некоторые наблюдения над разложением метастабильной  $\beta$ -фазы в сплавах титан — хром. Gross K. A., Lamborn I. R. Some observations on decomposition of metastable beta-phase in titanium — chromium alloys. «J. Less-Common Metals», 1960, 2, № 1, 36–41 (англ.). — С помощью металлографич. и рентге-

новских методов анализа, а также механич. испытаний исследован процесс разложения  $\beta$ -фазы в сплавах Ti — Cr (3,87 и 7,26% Cr) в ходе старения при  $420$  и  $500^\circ$ . Установлено, что эвтектоидное разложение  $\beta$ -фазы протекает с образованием  $\alpha$ -фазы и промежуточной фазы  $\gamma'$ , из которой и образуется TiCr<sub>2</sub> при длительном нагреве.

Л. Шведов

**6Б416.** Система W — WS<sub>2</sub>. Шукарев С. А., Морозова М. П., Дамен Х. «Ж. общ. химии», 1960, 30, № 7, 2102–2104. — С помощью рентгенографич. исследования и изопиестич. опытов на образцах, полученных длительной гомогенизирующей смесей порошков W и S при  $600$  и  $800^\circ$ , изучены фазовые соотношения в системе W — S. Установлено наличие только одного соединения WS<sub>2</sub>, не имеющего области гомогенности. На основании полученных результатов и литературных данных сделан вывод, что движение в дополнительных подгруппах периодической системы в направлении увеличения порядкового номера элементов ведет к сужению и исчезновению областей гомогенности у сульфидов и окислов.

Л. Шведов

**6Б417.** О совместной растворимости цинка и лития в  $\beta$ -фазе системы Mg — Zn — Li в твердом состоянии. Шамрай Ф. И., Крылова Е. Я. «Тр. Ин-та металлургии. АН СССР», 1960, вып. 4, 200–207. — С помощью закалики образцов сплавов системы Mg — Zn — Li и последующих изучения микроструктуры и измерения твердости исследована совместная растворимость Zn и Li в  $\beta$ -фазе в твердом состоянии. Установлено, что растворимость Zn и Li в Mg достигает максимума (19,27% Zn и 12,62% Li) при  $t$ -ре  $385^\circ$ . При понижении т-ры растворимость резко уменьшается.

Л. Шведов

**6Б418.** Исследование превращений в твердом состоянии у сплавов Co — Cr — Fe. Свечников В. Н., Спектор А. Ц., Майстренко Е. Е., «Сб. научн. работ Ин-та металлофиз. АН УССР», 1959, № 10, 168–181. — С помощью dilatометрич., диорометрич. (микротвердость и горячая твердость) и микроструктурного методов анализа на образцах, выплавленных в вакуумной ВЧ-печи, исследованы фазовые превращения в системе Co — Cr — Fe в твердом состоянии. Построены вертикальные разрезы тройной системы ( $0^\circ$ – $1200^\circ$ ) при 10, 30 и 50% Fe и изотермич. разрезы при комнатной  $t$ -ре,  $600$  и  $1000^\circ$  ( $0$ – $50\%$  Fe). Установлено, что добавка 10% Fe к сплавам Co — Cr сужает  $\alpha$ -область и смещает область  $\sigma$  в сторону меньшего содержания Cr. Линия  $\sigma + \alpha \rightleftharpoons \beta + \gamma$  смещается с  $930$  до  $800^\circ$ . Добавление 30% Fe вызывает появление областей  $\alpha_{Fe}$  и  $\alpha_{Fe} + \beta$ . Области  $\sigma + \epsilon$  и  $\sigma$  сужаются. Линия  $\sigma + \alpha \rightleftharpoons \sigma + \beta$  снижается до  $700^\circ$ . Разрез при 50% Fe аналогичен описанному ранее (Köster W. «Arch. Eisenhüttenwesen», 1932, 113, № 3) за исключением наличия фазы  $\sigma$ . В низкотемпературной области (до  $300^\circ$ ) с ростом содержания Cr существуют фазы  $\alpha_{Fe}$ ,  $\alpha_{Fe} + \alpha$ ,  $\alpha + \sigma$ ,  $\alpha_{Fe} + \alpha + \sigma$ ,  $\alpha_{Fe} + \sigma$ . Выше  $300^\circ$   $\alpha_{Fe}$ ,  $\alpha_{Fe} + \beta$ ,  $\beta$ ,  $\sigma + \beta$ ,  $\alpha_{Fe} + \beta + \sigma$ ,  $\alpha_{Fe} + \sigma$ . В разрезе при комнатной  $t$ -ре установлено наличие полосы твердых  $p$ -ров  $\sigma$ , идущей от  $\sigma$  (Co<sub>2</sub>Cr<sub>3</sub>) системы Co — Cr к  $\sigma$ -фазе системы Fe — Cr и областей твердых  $p$ -ров  $\alpha$  (на основе Co),  $\epsilon$  ( $\alpha_{Cr}$ )  $\alpha_{Fe}$  и  $\beta$ , а также целый ряд 2- и 3-фазных областей. При  $600^\circ$  происходит сужение области  $\sigma$  и расширение  $\beta$ . При  $1000^\circ$  исчезают  $\alpha_{Fe}$  и  $\alpha$ -фазы и расширяется значительно область  $\beta$ -фазы. Область  $\sigma$  сокращается и выклинивается в точке 45% Fe, 17% Co и 38% Cr.

Л. Шведов

**6Б419.** Структура сплавов торий — цирконий, содержащих более 15% циркония, и влияние третьего элемента на стабильность объемноцентрированной кубической фазы этих сплавов. Murray J. R. The constitution of thorium — zirconium alloys containing more than 15% zirconium and the effect of some third elements on the stability of the body-centred cubic phase

in these alloys. «J. Less-Common Metals», 1960, 2, № 1, 4—10 (англ.).—Проведено металлографич. исследование структуры сплавов Th—Zr, выплавленных на основе Th различной чистоты и содержащих > 15 ат.% Zr. Распад высокотемпературного твердого р-р  $\beta$  с объемноцентр. куб. структурой зависит от чистоты исходных материалов. В сплавах, изготовленных на основе Th технич. чистоты,  $\beta$ -фаза распадается с образованием твердых р-ров  $\beta_1$  и  $\beta_2$ . Максимум на соответствующей кривой диаграммы равновесия лежит при 52,5 ат.% Zr и  $950 \pm 10^\circ$ . Добавки In, Ti и U увеличивают разрыв растворимости в системе, причем наименьшее влияние оказывает In, наибольшее Ti. Введение Ce и Hf приводит к исчезновению разрыва растворимости. В сплавах, изготовленных из йодидного Th, разрыва растворимости не наблюдается.

Резюме автора

6Б420. Приготовление и свойства твердых р-ров AlSb—GaSb. Miller J. F., Goering H. L., Himes R. C. Preparation and properties of AlSb—GaSb solid solution alloys. «J. Electrochem. Soc.», 1960, 107, № 6, 527—533 (англ.).—Проведено исследование квазибинарной системы GaSb—AlSb, в которой, за возможным исключением неисследованной узкой области между 10 и 30 мол.% AlSb, наблюдается неограниченная растворимость. Однофазные сплавы нужного состава могут быть получены последовательной кристаллизацией или зонной плавкой (один проход) предварительно отлитых слитков или смеси порошков GaSb и AlSb при линейной скорости кристаллизации 1,25 мм/час. При скорости 6—32 мм/час характерно получение двухфазной неравновесной смеси. Установлена почти линейная зависимость между составом однофазного сплава, постоянной решетки и шириной запрещенной зоны. Закон Вегарда в данной системе выполняется лишь весьма приближенно. Путем термич. анализа определено положение линии ликвидуса квазибинарной системы.

И. Магилсон

6Б421. О некоторых свойствах системы CdSb—ZnSb. Пилат И. М., Бородинец Г. С., Косяченко Л. А., Майко В. И. «Физ. твердого тела», 1960, 2, № 7, 1522—1525.—С помощью измерения электропроводности, термо-э. д. с., константы Холла, коэф. теплопроводности, а также изучения микроструктуры и микротвердости сплавов системы CdSb—SbZn установлено, что вблизи состава 1:1 образуется упорядоченный твердый р-р или соединение состава ZnCdSb.

Л. Шведов

6Б422. Физико-химическое исследование разреза SiC—B<sub>4</sub>C системы Si—B—C. Калинина А. А., Шамрай Ф. И. «Тр. Ин-та металлургии АН СССР», 1960, вып. 5, 151—155.—С помощью термич., микроскопич., рентгеновских и хим. методов анализа, а также измерения электросопротивления исследован квазибинарный разрез SiC—B<sub>4</sub>C системы Si—B—C и построена диаграмма состояния. В системе SiC—B<sub>4</sub>C  $\alpha$ -твердый р-р на основе SiC и  $\beta$ -твердый р-р на основе B<sub>4</sub>C образуют между собой эвтектику при 35—36% SiC с т-рой плавления  $2070 \pm 20^\circ$ . При  $2070^\circ$   $\alpha$ -твердый р-р растворяет 4—5% B<sub>4</sub>C, а  $\beta$ -твердый р-р 15—17% SiC.

Л. Шведов

6Б423. О строении четверной системы серебро—кадмий—олово. IV. Gebhardt Erich, Petzow Günter. Über den Aufbau des Vierstoffsystems Silber-Kupfer-Kadmium-Zinn. IV. «Z. Metallkunde», 1960, 51, № 6, 368—375 (нем.; рез. англ.).—Работа является продолжением ранее опубликованных исследований системы Ag—Cu—Cd—Sn (сообщение III, РЖХим, 1961, 2Б363). Даны пять изотермич. разрезов и пространственное изображение изотермич. тетраэдра при  $600^\circ$ . В системе найдено 31 пятифазное равновесие, в 23 из которых участвует жидкая фаза. Графически представлены 3 невариантных равновесия с участием 5 фаз при 518, 522 и  $580^\circ$ .

Из резюме авторов

6Б424. Пятерная система висмут—кадмий—свинец—олово—цинк и ее значение для переработки отходов низкотемпературных сплавов. Spengler H. Das quinäre System Wismut—Kadmium—Blei—Zinn—Zink und seine Bedeutung für die Aufarbeitung von Abfällen niedrigschmelzender Legierungen durch Fraktionierung. «Metall», 1960, 14, № 8, 789—791 (нем.).—На основании неопубликованных работ автора и литературных данных рассмотрены невариантные превращения, протекающие в пятерной системе Bi—Cd—Pb—Sn—Zn и исходных двойных системах. Всего установлено 43 равновесия, из них 26 эвтектических. Предложено использовать эти превращения для разделения путем фракционирования различных сплавов на основе системы Bi—Cd—Pb—Sn—Zn.

Л. Шведов

6Б425. Влияние углерода и кислорода на поведение некоторых примесей в расплавленном железе при высоком вакууме. Fischer Wilhelm Anton, Hoffmann Alfred. Einfluß von Kohlenstoff und Sauerstoff auf das Verhalten einiger Begleitelemente in Eisenschmelzen unter Hochvakuum. «Arch. Eisenhüttenwesen», 1960, 31, № 7, 411—417 (нем.).—Исследовано влияние углерода и кислорода на поведение Cu, S, P, As и N в расплавленном железе с исходным содержанием C 0,001—3% и O 0,001—0,25% при выдержке расплава в течение 7 час. в индукционной вакуумной печи под вакуумом  $10^{-3}$ — $10^{-5}$  мм рт. ст. Установлено, что кол-во Cu и As вне зависимости от C, O и материала тигля, уменьшается с увеличением времени выдержки, за счет испарения их из расплава. Кол-во S также снижается в ходе выдержки в вакууме, причем степень обессеривания зависит от C. Удаление S протекает как за счет испарения, так и за счет взаимодействия с материалом тигля, в котором происходит выдержка (MgO, Al<sub>2</sub>O<sub>3</sub>, MgO·CaO). Поведение P определяется конц-цией O, растворенного в Fe. При [O] < 0,009% кол-во P с увеличением времени выдержки растет, при [O] > 0,025% — падает. Скорость удаления N резко уменьшается с увеличением конц-ции O. Скорость удаления N подчиняется первому закону Фика и определяется диффузией. На основании опытных данных определены величины коэф. распределения  $k = y/z$ , где  $y$  — конц-ция элемента в расплаве, а  $z$  — в парах над расплавом.  $K(\text{Cu}) = 0,03$ ;  $K(\text{As}) = 0,31$ ;  $K(\text{P})$  и  $K(\text{N})$  соответственно для железа с небольшим содержанием O 2,1 и 0,015 и  $K(\text{N}) = 0,25$  для повышенного содержания O.  $K(\text{S}) = 0,05$  для 0,11—3,5% C и 0,26 для 0,001—0,008% C.

Л. Шведов

6Б426. Термомангнитное исследование системы CoO—NiO. Serres A., M-11e. Etude thermomagnétique du système CoO—NiO. «J. phys. et radium», 1960, 21, № 6, 551—554 (франц.; рез. англ.).—Проведено термомангнитное изучение системы CoO—NiO, компоненты которой дают непрерывный ряд твердых р-ров. Характер изменения магнитной восприимчивости  $\chi$  с т-рой в твердых р-рах аналогичен характеру ее изменения в чистой CoO. При высокой т-ре изменение значений  $\chi$  следует закону Вейсса и выражается ф-лой  $\chi(T - \theta) = 3,25$ , где  $\theta$  — точка Кюри. При изменении конц-ции окислов в твердом р-ре значения точек Кюри и точек перехода изменяются практически линейно.

Из резюме автора

6Б427. Фазовые равновесия в тройной системе BaO—SrO—TiO<sub>2</sub>. Dryś M., Trzebiatowski W. Some phase equilibria in the ternary system BaO—SrO—TiO<sub>2</sub>. «Bull. Acad. polon. sci. Ser. sci. chim.», 1960, 8, № 4, 173—176 (англ.; рез. русск.).—Методами термич., рентгеновского и микроструктурного анализа изучена при 1300—1600° часть тройной системы BaO—SrO—TiO<sub>2</sub>, ограниченная разрезами BaTiO<sub>3</sub>—SrTiO<sub>3</sub> и Ba<sub>2</sub>TiO<sub>4</sub>—Sr<sub>2</sub>TiO<sub>4</sub>. Поверхность ликвидуса состоит из поверхности первичной кристаллизации твердого р-ра (Sr, Ba)TiO<sub>3</sub> и поверхности первичной

кристаллизации окислов, в которых с увеличением содержания SrO в смеси (куб. → гекс.) растворимость в расплаве повышается, что приводит к образованию керамики. В р-ров BaTiO<sub>3</sub> и SrTiO<sub>3</sub> в них происходит спекание твердых тел, что приводит к снижению сегнетоэлектрических свойств.

6Б429.

IV. Об исследовании системы Li<sub>2</sub>CO<sub>3</sub>—Na<sub>2</sub>CO<sub>3</sub>—K<sub>2</sub>CO<sub>3</sub>—CaCO<sub>3</sub>—BaCO<sub>3</sub>—SrCO<sub>3</sub>—MgCO<sub>3</sub>—ZnCO<sub>3</sub>—NiCO<sub>3</sub>—CuCO<sub>3</sub>—FeCO<sub>3</sub>—MnCO<sub>3</sub>—CoCO<sub>3</sub>—NiO—FeO—MnO—CuO—ZnO—NiO—CoO—SrO—BaO—CaO—MgO—K<sub>2</sub>O—Na<sub>2</sub>O—Li<sub>2</sub>O—H<sub>2</sub>O—CO<sub>2</sub>—SiO<sub>2</sub>—Al<sub>2</sub>O<sub>3</sub>—Fe<sub>2</sub>O<sub>3</sub>—Mn<sub>2</sub>O<sub>3</sub>—Ni<sub>2</sub>O<sub>3</sub>—Cu<sub>2</sub>O—Fe<sub>3</sub>O<sub>4</sub>—Mn<sub>3</sub>O<sub>4</sub>—Ni<sub>3</sub>O<sub>4</sub>—Co<sub>3</sub>O<sub>4</sub>—SrO—BaO—CaO—MgO—K<sub>2</sub>O—Na<sub>2</sub>O—Li<sub>2</sub>O—H<sub>2</sub>O—CO<sub>2</sub>—SiO<sub>2</sub>—Al<sub>2</sub>O<sub>3</sub>—Fe<sub>2</sub>O<sub>3</sub>—Mn<sub>2</sub>O<sub>3</sub>—Ni<sub>2</sub>O<sub>3</sub>—Cu<sub>2</sub>O—Fe<sub>3</sub>O<sub>4</sub>—Mn<sub>3</sub>O<sub>4</sub>—Ni<sub>3</sub>O<sub>4</sub>—Co<sub>3</sub>O<sub>4</sub>—SrO—BaO—CaO—MgO—K<sub>2</sub>O—Na<sub>2</sub>O—Li<sub>2</sub>O—H<sub>2</sub>O—CO<sub>2</sub>—SiO<sub>2</sub>—Al<sub>2</sub>O<sub>3</sub>—Fe<sub>2</sub>O<sub>3</sub>—Mn<sub>2</sub>O<sub>3</sub>—Ni<sub>2</sub>O<sub>3</sub>—Cu<sub>2</sub>O—Fe<sub>3</sub>O<sub>4</sub>—Mn<sub>3</sub>O<sub>4</sub>—Ni<sub>3</sub>O<sub>4</sub>—Co<sub>3</sub>O<sub>4</sub>—SrO—BaO—CaO—MgO—K<sub>2</sub>O—Na<sub>2</sub>O—Li<sub>2</sub>O—H<sub>2</sub>O—CO<sub>2</sub>—SiO<sub>2</sub>—Al<sub>2</sub>O<sub>3</sub>—Fe<sub>2</sub>O<sub>3</sub>—Mn<sub>2</sub>O<sub>3</sub>—Ni<sub>2</sub>O<sub>3</sub>—Cu<sub>2</sub>O—Fe<sub>3</sub>O<sub>4</sub>—Mn<sub>3</sub>O<sub>4</sub>—Ni<sub>3</sub>O<sub>4</sub>—Co<sub>3</sub>O<sub>4</sub>—SrO—BaO—CaO—MgO—K<sub>2</sub>O—Na<sub>2</sub>O—Li<sub>2</sub>O—H<sub>2</sub>O—CO<sub>2</sub>—SiO<sub>2</sub>—Al<sub>2</sub>O<sub>3</sub>—Fe<sub>2</sub>O<sub>3</sub>—Mn<sub>2</sub>O<sub>3</sub>—Ni<sub>2</sub>O<sub>3</sub>—Cu<sub>2</sub>O—Fe<sub>3</sub>O<sub>4</sub>—Mn<sub>3</sub>O<sub>4</sub>—Ni<sub>3</sub>O<sub>4</sub>—Co<sub>3</sub>O<sub>4</sub>—SrO—BaO—CaO—MgO—K<sub>2</sub>O—Na<sub>2</sub>O—Li<sub>2</sub>O—H<sub>2</sub>O—CO<sub>2</sub>—SiO<sub>2</sub>—Al<sub>2</sub>O<sub>3</sub>—Fe<sub>2</sub>O<sub>3</sub>—Mn<sub>2</sub>O<sub>3</sub>—Ni<sub>2</sub>O<sub>3</sub>—Cu<sub>2</sub>O—Fe<sub>3</sub>O<sub>4</sub>—Mn<sub>3</sub>O<sub>4</sub>—Ni<sub>3</sub>O<sub>4</sub>—Co<sub>3</sub>O<sub>4</sub>—SrO—BaO—CaO—MgO—K<sub>2</sub>O—Na<sub>2</sub>O—Li<sub>2</sub>O—H<sub>2</sub>O—CO<sub>2</sub>—SiO<sub>2</sub>—Al<sub>2</sub>O<sub>3</sub>—Fe<sub>2</sub>O<sub>3</sub>—Mn<sub>2</sub>O<sub>3</sub>—Ni<sub>2</sub>O<sub>3</sub>—Cu<sub>2</sub>O—Fe<sub>3</sub>O<sub>4</sub>—Mn<sub>3</sub>O<sub>4</sub>—Ni<sub>3</sub>O<sub>4</sub>—Co<sub>3</sub>O<sub>4</sub>—SrO—BaO—CaO—MgO—K<sub>2</sub>O—Na<sub>2</sub>O—Li<sub>2</sub>O—H<sub>2</sub>O—CO<sub>2</sub>—SiO<sub>2</sub>—Al<sub>2</sub>O<sub>3</sub>—Fe<sub>2</sub>O<sub>3</sub>—Mn<sub>2</sub>O<sub>3</sub>—Ni<sub>2</sub>O<sub>3</sub>—Cu<sub>2</sub>O—Fe<sub>3</sub>O<sub>4</sub>—Mn<sub>3</sub>O<sub>4</sub>—Ni<sub>3</sub>O<sub>4</sub>—Co<sub>3</sub>O<sub>4</sub>—SrO—BaO—CaO—MgO—K<sub>2</sub>O—Na<sub>2</sub>O—Li<sub>2</sub>O—H<sub>2</sub>O—CO<sub>2</sub>—SiO<sub>2</sub>—Al<sub>2</sub>O<sub>3</sub>—Fe<sub>2</sub>O<sub>3</sub>—Mn<sub>2</sub>O<sub>3</sub>—Ni<sub>2</sub>O<sub>3</sub>—Cu<sub>2</sub>O—Fe<sub>3</sub>O<sub>4</sub>—Mn<sub>3</sub>O<sub>4</sub>—Ni<sub>3</sub>O<sub>4</sub>—Co<sub>3</sub>O<sub>4</sub>—SrO—BaO—CaO—MgO—K<sub>2</sub>O—Na<sub>2</sub>O—Li<sub>2</sub>O—H<sub>2</sub>O—CO<sub>2</sub>—SiO<sub>2</sub>—Al<sub>2</sub>O<sub>3</sub>—Fe<sub>2</sub>O<sub>3</sub>—Mn<sub>2</sub>O<sub>3</sub>—Ni<sub>2</sub>O<sub>3</sub>—Cu<sub>2</sub>O—Fe<sub>3</sub>O<sub>4</sub>—Mn<sub>3</sub>O<sub>4</sub>—Ni<sub>3</sub>O<sub>4</sub>—Co<sub>3</sub>O<sub>4</sub>—SrO—BaO—CaO—MgO—K<sub>2</sub>O—Na<sub>2</sub>O—Li<sub>2</sub>O—H<sub>2</sub>O—CO<sub>2</sub>—SiO<sub>2</sub>—Al<sub>2</sub>O<sub>3</sub>—Fe<sub>2</sub>O<sub>3</sub>—Mn<sub>2</sub>O<sub>3</sub>—Ni<sub>2</sub>O<sub>3</sub>—Cu<sub>2</sub>O—Fe<sub>3</sub>O<sub>4</sub>—Mn<sub>3</sub>O<sub>4</sub>—Ni<sub>3</sub>O<sub>4</sub>—Co<sub>3</sub>O<sub>4</sub>—SrO—BaO—CaO—MgO—K<sub>2</sub>O—Na<sub>2</sub>O—Li<sub>2</sub>O—H<sub>2</sub>O—CO<sub>2</sub>—SiO<sub>2</sub>—Al<sub>2</sub>O<sub>3</sub>—Fe<sub>2</sub>O<sub>3</sub>—Mn<sub>2</sub>O<sub>3</sub>—Ni<sub>2</sub>O<sub>3</sub>—Cu<sub>2</sub>O—Fe<sub>3</sub>O<sub>4</sub>—Mn<sub>3</sub>O<sub>4</sub>—Ni<sub>3</sub>O<sub>4</sub>—Co<sub>3</sub>O<sub>4</sub>—SrO—BaO—CaO—MgO—K<sub>2</sub>O—Na<sub>2</sub>O—Li<sub>2</sub>O—H<sub>2</sub>O—CO<sub>2</sub>—SiO<sub>2</sub>—Al<sub>2</sub>O<sub>3</sub>—Fe<sub>2</sub>O<sub>3</sub>—Mn<sub>2</sub>O<sub>3</sub>—Ni<sub>2</sub>O<sub>3</sub>—Cu<sub>2</sub>O—Fe<sub>3</sub>O<sub>4</sub>—Mn<sub>3</sub>O<sub>4</sub>—Ni<sub>3</sub>O<sub>4</sub>—Co<sub>3</sub>O<sub>4</sub>—SrO—BaO—CaO—MgO—K<sub>2</sub>O—Na<sub>2</sub>O—Li<sub>2</sub>O—H<sub>2</sub>O—CO<sub>2</sub>—SiO<sub>2</sub>—Al<sub>2</sub>O<sub>3</sub>—Fe<sub>2</sub>O<sub>3</sub>—Mn<sub>2</sub>O<sub>3</sub>—Ni<sub>2</sub>O<sub>3</sub>—Cu<sub>2</sub>O—Fe<sub>3</sub>O<sub>4</sub>—Mn<sub>3</sub>O<sub>4</sub>—Ni<sub>3</sub>O<sub>4</sub>—Co<sub>3</sub>O<sub>4</sub>—SrO—BaO—CaO—MgO—K<sub>2</sub>O—Na<sub>2</sub>O—Li<sub>2</sub>O—H<sub>2</sub>O—CO<sub>2</sub>—SiO<sub>2</sub>—Al<sub>2</sub>O<sub>3</sub>—Fe<sub>2</sub>O<sub>3</sub>—Mn<sub>2</sub>O<sub>3</sub>—Ni<sub>2</sub>O<sub>3</sub>—Cu<sub>2</sub>O—Fe<sub>3</sub>O<sub>4</sub>—Mn<sub>3</sub>O<sub>4</sub>—Ni<sub>3</sub>O<sub>4</sub>—Co<sub>3</sub>O<sub>4</sub>—SrO—BaO—CaO—MgO—K<sub>2</sub>O—Na<sub>2</sub>O—Li<sub>2</sub>O—H<sub>2</sub>O—CO<sub>2</sub>—SiO<sub>2</sub>—Al<sub>2</sub>O<sub>3</sub>—Fe<sub>2</sub>O<sub>3</sub>—Mn<sub>2</sub>O<sub>3</sub>—Ni<sub>2</sub>O<sub>3</sub>—Cu<sub>2</sub>O—Fe<sub>3</sub>O<sub>4</sub>—Mn<sub>3</sub>O<sub>4</sub>—Ni<sub>3</sub>O<sub>4</sub>—Co<sub>3</sub>O<sub>4</sub>—SrO—BaO—CaO—MgO—K<sub>2</sub>O—Na<sub>2</sub>O—Li<sub>2</sub>O—H<sub>2</sub>O—CO<sub>2</sub>—SiO<sub>2</sub>—Al<sub>2</sub>O<sub>3</sub>—Fe<sub>2</sub>O<sub>3</sub>—Mn<sub>2</sub>O<sub>3</sub>—Ni<sub>2</sub>O<sub>3</sub>—Cu<sub>2</sub>O—Fe<sub>3</sub>O<sub>4</sub>—Mn<sub>3</sub>O<sub>4</sub>—Ni<sub>3</sub>O<sub>4</sub>—Co<sub>3</sub>O<sub>4</sub>—SrO—BaO—CaO—MgO—K<sub>2</sub>O—Na<sub>2</sub>O—Li<sub>2</sub>O—H<sub>2</sub>O—CO<sub>2</sub>—SiO<sub>2</sub>—Al<sub>2</sub>O<sub>3</sub>—Fe<sub>2</sub>O<sub>3</sub>—Mn<sub>2</sub>O<sub>3</sub>—Ni<sub>2</sub>O<sub>3</sub>—Cu<sub>2</sub>O—Fe<sub>3</sub>O<sub>4</sub>—Mn<sub>3</sub>O<sub>4</sub>—Ni<sub>3</sub>O<sub>4</sub>—Co<sub>3</sub>O<sub>4</sub>—SrO—BaO—CaO—MgO—K<sub>2</sub>O—Na<sub>2</sub>O—Li<sub>2</sub>O—H<sub>2</sub>O—CO<sub>2</sub>—SiO<sub>2</sub>—Al<sub>2</sub>O<sub>3</sub>—Fe<sub>2</sub>O<sub>3</sub>—Mn<sub>2</sub>O<sub>3</sub>—Ni<sub>2</sub>O<sub>3</sub>—Cu<sub>2</sub>O—Fe<sub>3</sub>O<sub>4</sub>—Mn<sub>3</sub>O<sub>4</sub>—Ni<sub>3</sub>O<sub>4</sub>—Co<sub>3</sub>O<sub>4</sub>—SrO—BaO—CaO—MgO—K<sub>2</sub>O—Na<sub>2</sub>O—Li<sub>2</sub>O—H<sub>2</sub>O—CO<sub>2</sub>—SiO<sub>2</sub>—Al<sub>2</sub>O<sub>3</sub>—Fe<sub>2</sub>O<sub>3</sub>—Mn<sub>2</sub>O<sub>3</sub>—Ni<sub>2</sub>O<sub>3</sub>—Cu<sub>2</sub>O—Fe<sub>3</sub>O<sub>4</sub>—Mn<sub>3</sub>O<sub>4</sub>—Ni<sub>3</sub>O<sub>4</sub>—Co<sub>3</sub>O<sub>4</sub>—SrO—BaO—CaO—MgO—K<sub>2</sub>O—Na<sub>2</sub>O—Li<sub>2</sub>O—H<sub>2</sub>O—CO<sub>2</sub>—SiO<sub>2</sub>—Al<sub>2</sub>O<sub>3</sub>—Fe<sub>2</sub>O<sub>3</sub>—Mn<sub>2</sub>O<sub>3</sub>—Ni<sub>2</sub>O<sub>3</sub>—Cu<sub>2</sub>O—Fe<sub>3</sub>O<sub>4</sub>—Mn<sub>3</sub>O<sub>4</sub>—Ni<sub>3</sub>O<sub>4</sub>—Co<sub>3</sub>O<sub>4</sub>—SrO—BaO—CaO—MgO—K<sub>2</sub>O—Na<sub>2</sub>O—Li<sub>2</sub>O—H<sub>2</sub>O—CO<sub>2</sub>—SiO<sub>2</sub>—Al<sub>2</sub>O<sub>3</sub>—Fe<sub>2</sub>O<sub>3</sub>—Mn<sub>2</sub>O<sub>3</sub>—Ni<sub>2</sub>O<sub>3</sub>—Cu<sub>2</sub>O—Fe<sub>3</sub>O<sub>4</sub>—Mn<sub>3</sub>O<sub>4</sub>—Ni<sub>3</sub>O<sub>4</sub>—Co<sub>3</sub>O<sub>4</sub>—SrO—BaO—CaO—MgO—K<sub>2</sub>O—Na<sub>2</sub>O—Li<sub>2</sub>O—H<sub>2</sub>O—CO<sub>2</sub>—SiO<sub>2</sub>—Al<sub>2</sub>O<sub>3</sub>—Fe<sub>2</sub>O<sub>3</sub>—Mn<sub>2</sub>O<sub>3</sub>—Ni<sub>2</sub>O<sub>3</sub>—Cu<sub>2</sub>O—Fe<sub>3</sub>O<sub>4</sub>—Mn<sub>3</sub>O<sub>4</sub>—Ni<sub>3</sub>O<sub>4</sub>—Co<sub>3</sub>O<sub>4</sub>—SrO—BaO—CaO—MgO—K<sub>2</sub>O—Na<sub>2</sub>O—Li<sub>2</sub>O—H<sub>2</sub>O—CO<sub>2</sub>—SiO<sub>2</sub>—Al<sub>2</sub>O<sub>3</sub>—Fe<sub>2</sub>O<sub>3</sub>—Mn<sub>2</sub>O<sub>3</sub>—Ni<sub>2</sub>O<sub>3</sub>—Cu<sub>2</sub>O—Fe<sub>3</sub>O<sub>4</sub>—Mn<sub>3</sub>O<sub>4</sub>—Ni<sub>3</sub>O<sub>4</sub>—Co<sub>3</sub>O<sub>4</sub>—SrO—BaO—CaO—MgO—K<sub>2</sub>O—Na<sub>2</sub>O—Li<sub>2</sub>O—H<sub>2</sub>O—CO<sub>2</sub>—SiO<sub>2</sub>—Al<sub>2</sub>O<sub>3</sub>—Fe<sub>2</sub>O<sub>3</sub>—Mn<sub>2</sub>O<sub>3</sub>—Ni<sub>2</sub>O<sub>3</sub>—Cu<sub>2</sub>O—Fe<sub>3</sub>O<sub>4</sub>—Mn<sub>3</sub>O<sub>4</sub>—Ni<sub>3</sub>O<sub>4</sub>—Co<sub>3</sub>O<sub>4</sub>—SrO—BaO—CaO—MgO—K<sub>2</sub>O—Na<sub>2</sub>O—Li<sub>2</sub>O—H<sub>2</sub>O—CO<sub>2</sub>—SiO<sub>2</sub>—Al<sub>2</sub>O<sub>3</sub>—Fe<sub>2</sub>O<sub>3</sub>—Mn<sub>2</sub>O<sub>3</sub>—Ni<sub>2</sub>O<sub>3</sub>—Cu<sub>2</sub>O—Fe<sub>3</sub>O<sub>4</sub>—Mn<sub>3</sub>O<sub>4</sub>—Ni<sub>3</sub>O<sub>4</sub>—Co<sub>3</sub>O<sub>4</sub>—SrO—BaO—CaO—MgO—K<sub>2</sub>O—Na<sub>2</sub>O—Li<sub>2</sub>O—H<sub>2</sub>O—CO<sub>2</sub>—SiO<sub>2</sub>—Al<sub>2</sub>O<sub>3</sub>—Fe<sub>2</sub>O<sub>3</sub>—Mn<sub>2</sub>O<sub>3</sub>—Ni<sub>2</sub>O<sub>3</sub>—Cu<sub>2</sub>O—Fe<sub>3</sub>O<sub>4</sub>—Mn<sub>3</sub>O<sub>4</sub>—Ni<sub>3</sub>O<sub>4</sub>—Co<sub>3</sub>O<sub>4</sub>—SrO—BaO—CaO—MgO—K<sub>2</sub>O—Na<sub>2</sub>O—Li<sub>2</sub>O—H<sub>2</sub>O—CO<sub>2</sub>—SiO<sub>2</sub>—Al<sub>2</sub>O<sub>3</sub>—Fe<sub>2</sub>O<sub>3</sub>—Mn<sub>2</sub>O<sub>3</sub>—Ni<sub>2</sub>O<sub>3</sub>—Cu<sub>2</sub>O—Fe<sub>3</sub>O<sub>4</sub>—Mn<sub>3</sub>O<sub>4</sub>—Ni<sub>3</sub>O<sub>4</sub>—Co<sub>3</sub>O<sub>4</sub>—SrO—BaO—CaO—MgO—K<sub>2</sub>O—Na<sub>2</sub>O—Li<sub>2</sub>O—H<sub>2</sub>O—CO<sub>2</sub>—SiO<sub>2</sub>—Al<sub>2</sub>O<sub>3</sub>—Fe<sub>2</sub>O<sub>3</sub>—Mn<sub>2</sub>O<sub>3</sub>—Ni<sub>2</sub>O<sub>3</sub>—Cu<sub>2</sub>O—Fe<sub>3</sub>O<sub>4</sub>—Mn<sub>3</sub>O<sub>4</sub>—Ni<sub>3</sub>O<sub>4</sub>—Co<sub>3</sub>O<sub>4</sub>—SrO—BaO—CaO—MgO—K<sub>2</sub>O—Na<sub>2</sub>O—Li<sub>2</sub>O—H<sub>2</sub>O—CO<sub>2</sub>—SiO<sub>2</sub>—Al<sub>2</sub>O<sub>3</sub>—Fe<sub>2</sub>O<sub>3</sub>—Mn<sub>2</sub>O<sub>3</sub>—Ni<sub>2</sub>O<sub>3</sub>—Cu<sub>2</sub>O—Fe<sub>3</sub>O<sub>4</sub>—Mn<sub>3</sub>O<sub>4</sub>—Ni<sub>3</sub>O<sub>4</sub>—Co<sub>3</sub>O<sub>4</sub>—SrO—BaO—CaO—MgO—K<sub>2</sub>O—Na<sub>2</sub>O—Li<sub>2</sub>O—H<sub>2</sub>O—CO<sub>2</sub>—SiO<sub>2</sub>—Al<sub>2</sub>O<sub>3</sub>—Fe<sub>2</sub>O<sub>3</sub>—Mn<sub>2</sub>O<sub>3</sub>—Ni<sub>2</sub>O<sub>3</sub>—Cu<sub>2</sub>O—Fe<sub>3</sub>O<sub>4</sub>—Mn<sub>3</sub>O<sub>4</sub>—Ni<sub>3</sub>O<sub>4</sub>—Co<sub>3</sub>O<sub>4</sub>—SrO—BaO—CaO—MgO—K<sub>2</sub>O—Na<sub>2</sub>O—Li<sub>2</sub>O—H<sub>2</sub>O—CO<sub>2</sub>—SiO<sub>2</sub>—Al<sub>2</sub>O<sub>3</sub>—Fe<sub>2</sub>O<sub>3</sub>—Mn<sub>2</sub>O<sub>3</sub>—Ni<sub>2</sub>O<sub>3</sub>—Cu<sub>2</sub>O—Fe<sub>3</sub>O<sub>4</sub>—Mn<sub>3</sub>O<sub>4</sub>—Ni<sub>3</sub>O<sub>4</sub>—Co<sub>3</sub>O<sub>4</sub>—SrO—BaO—CaO—MgO—K<sub>2</sub>O—Na<sub>2</sub>O—Li<sub>2</sub>O—H<sub>2</sub>O—CO<sub>2</sub>—SiO<sub>2</sub>—Al<sub>2</sub>O<sub>3</sub>—Fe<sub>2</sub>O<sub>3</sub>—Mn<sub>2</sub>O<sub>3</sub>—Ni<sub>2</sub>O<sub>3</sub>—Cu<sub>2</sub>O—Fe<sub>3</sub>O<sub>4</sub>—Mn<sub>3</sub>O<sub>4</sub>—Ni<sub>3</sub>O<sub>4</sub>—Co<sub>3</sub>O<sub>4</sub>—SrO—BaO—CaO—MgO—K<sub>2</sub>O—Na<sub>2</sub>O—Li<sub>2</sub>O—H<sub>2</sub>O—CO<sub>2</sub>—SiO<sub>2</sub>—Al<sub>2</sub>O<sub>3</sub>—Fe<sub>2</sub>O<sub>3</sub>—Mn<sub>2</sub>O<sub>3</sub>—Ni<sub>2</sub>O<sub>3</sub>—Cu<sub>2</sub>O—Fe<sub>3</sub>O<sub>4</sub>—Mn<sub>3</sub>O<sub>4</sub>—Ni<sub>3</sub>O<sub>4</sub>—Co<sub>3</sub>O<sub>4</sub>—SrO—BaO—CaO—MgO—K<sub>2</sub>O—Na<sub>2</sub>O—Li<sub>2</sub>O—H<sub>2</sub>O—CO<sub>2</sub>—SiO<sub>2</sub>—Al<sub>2</sub>O<sub>3</sub>—Fe<sub>2</sub>O<sub>3</sub>—Mn<sub>2</sub>O<sub>3</sub>—Ni<sub>2</sub>O<sub>3</sub>—Cu<sub>2</sub>O—Fe<sub>3</sub>O<sub>4</sub>—Mn<sub>3</sub>O<sub>4</sub>—Ni<sub>3</sub>O<sub>4</sub>—Co<sub>3</sub>O<sub>4</sub>—SrO—BaO—CaO—MgO—K<sub>2</sub>O—Na<sub>2</sub>O—Li<sub>2</sub>O—H<sub>2</sub>O—CO<sub>2</sub>—SiO<sub>2</sub>—Al<sub>2</sub>O<sub>3</sub>—Fe<sub>2</sub>O<sub>3</sub>—Mn<sub>2</sub>O<sub>3</sub>—Ni<sub>2</sub>O<sub>3</sub>—Cu<sub>2</sub>O—Fe<sub>3</sub>O<sub>4</sub>—Mn<sub>3</sub>O<sub>4</sub>—Ni<sub>3</sub>O<sub>4</sub>—Co<sub>3</sub>O<sub>4</sub>—SrO—BaO—CaO—MgO—K<sub>2</sub>O—Na<sub>2</sub>O—Li<sub>2</sub>O—H<sub>2</sub>O—CO<sub>2</sub>—SiO<sub>2</sub>—Al<sub>2</sub>O<sub>3</sub>—Fe<sub>2</sub>O<sub>3</sub>—Mn<sub>2</sub>O<sub>3</sub>—Ni<sub>2</sub>O<sub>3</sub>—Cu<sub>2</sub>O—Fe<sub>3</sub>O<sub>4</sub>—Mn<sub>3</sub>O<sub>4</sub>—Ni<sub>3</sub>O<sub>4</sub>—Co<sub>3</sub>O<sub>4</sub>—SrO—BaO—CaO—MgO—K<sub>2</sub>O—Na<sub>2</sub>O—Li<sub>2</sub>O—H<sub>2</sub>O—CO<sub>2</sub>—SiO<sub>2</sub>—Al<sub>2</sub>O<sub>3</sub>—Fe<sub>2</sub>O<sub>3</sub>—Mn<sub>2</sub>O<sub>3</sub>—Ni<sub>2</sub>O<sub>3</sub>—Cu<sub>2</sub>O—Fe<sub>3</sub>O<sub>4</sub>—Mn<sub>3</sub>O<sub>4</sub>—Ni<sub>3</sub>O<sub>4</sub>—Co<sub>3</sub>O<sub>4</sub>—SrO—BaO—CaO—MgO—K<sub>2</sub>O—Na<sub>2</sub>O—Li<sub>2</sub>O—H<sub>2</sub>O—CO<sub>2</sub>—SiO<sub>2</sub>—Al<sub>2</sub>O<sub>3</sub>—Fe<sub>2</sub>O<sub>3</sub>—Mn<sub>2</sub>O<sub>3</sub>—Ni<sub>2</sub>O<sub>3</sub>—Cu<sub>2</sub>O—Fe<sub>3</sub>O<sub>4</sub>—Mn<sub>3</sub>O<sub>4</sub>—Ni<sub>3</sub>O<sub>4</sub>—Co<sub>3</sub>O<sub>4</sub>—SrO—BaO—CaO—MgO—K<sub>2</sub>O—Na<sub>2</sub>O—Li<sub>2</sub>O—H<sub>2</sub>O—CO<sub>2</sub>—SiO<sub>2</sub>—Al<sub>2</sub>O<sub>3</sub>—Fe<sub>2</sub>O<sub>3</sub>—Mn<sub>2</sub>O<sub>3</sub>—Ni<sub>2</sub>O<sub>3</sub>—Cu<sub>2</sub>O—Fe<sub>3</sub>O<sub>4</sub>—Mn<sub>3</sub>O<sub>4</sub>—Ni<sub>3</sub>O<sub>4</sub>—Co<sub>3</sub>O<sub>4</sub>—SrO—BaO—CaO—MgO—K<sub>2</sub>O—Na<sub>2</sub>O—Li<sub>2</sub>O—H<sub>2</sub>O—CO<sub>2</sub>—SiO<sub>2</sub>—Al<sub>2</sub>O<sub>3</sub>—Fe<sub>2</sub>O<sub>3</sub>—Mn<sub>2</sub>O<sub>3</sub>—Ni<sub>2</sub>O<sub>3</sub>—Cu<sub>2</sub>O—Fe<sub>3</sub>O<sub>4</sub>—Mn<sub>3</sub>O<sub>4</sub>—Ni<sub>3</sub>O<sub>4</sub>—Co<sub>3</sub>O<sub>4</sub>—SrO—BaO—CaO—MgO—K<sub>2</sub>O—Na<sub>2</sub>O—Li<sub>2</sub>O—H<sub>2</sub>O—CO<sub>2</sub>—SiO<sub>2</sub>

кристаллизации твердого р-ра  $(\text{Sr}, \text{Ba})_2\text{TiO}_4$ , пересекающихся вдоль эвтектич. кривой. Тройных соединений в исследованной области системы не найдено. С увеличением конц-ии  $\text{BaO}$  в системе т-ры фазового перехода  $\alpha \rightarrow \beta$  для  $\text{Sr}_2\text{TiO}_4$  и распада для  $\text{Sr}_3\text{Ti}_2\text{O}_7$  снижаются. Незначительное увеличение содержания  $\text{SrO}$  в системе резко повышает т-ру фазового перехода (куб.  $\rightarrow$  гексагон.)  $\text{BaTiO}_3$ . Из резюме авторов

6Б428. Сегнетоэлектрические свойства твердых растворов в тройной системе  $\text{Ba}(\text{Ti}, \text{Zr}, \text{Sn})\text{O}_3$ . Непрерывно М. М. Поплавко Ю. М., «Физ. твердого тела», 1960, 2, № 8, 1681—1684. — Сегнетоэлектрические керамич. материалы получены на основе твердых р-ров  $\text{Ba}(\text{Ti}, \text{Zr}, \text{Sn})\text{O}_3$ . Приготовленные при 1200° порошки  $\text{BaTiO}_3$ ,  $\text{BaZrO}_3$  и  $\text{BaSnO}_3$  смешивали в различных пропорциях, прессовали под давл. 1200  $\text{kg/cm}^2$  и спекали при 1400—1500°. Исследование получаемых твердых р-ров показало, что  $\text{Zr}$  и  $\text{Sn}$  аддитивно влияют на снижение точки Кюри. Оптимальный состав керамич. сегнетоэлектрика  $\text{Ba}(\text{Ti}_{0,85}\text{Zr}_{0,11}\text{Sn}_{0,04})\text{O}_3$ .

6Б429. Химия и строение солей борной кислоты. IV. Об изоморфизме между карбонатами и боратами. Системы  $\text{Li}_2\text{CO}_3 - \text{Li}_3\text{BO}_3$  и  $\text{Na}_2\text{CO}_3 - \text{CaNaBO}_3$ . Lehmann Hans-Albert, Wöckel Heinz. Zur Chemie und Konstitution borsaurer Salze. IV. Zur Isomorphie zwischen Carbonaten und Boraten. Die Systeme  $\text{Li}_2\text{CO}_3 - \text{Li}_3\text{BO}_3$  und  $\text{Na}_2\text{CO}_3 - \text{CaNaBO}_3$ . «Z. anorgan. und allgem. Chem.», 1960, 304, № 3—4, 121—125 (нем.; рез. англ.). — Термическим и рентгенографич. методами исследованы две системы, включающие бораты. Установлено, что в системе  $\text{Li}_2\text{CO}_3 - \text{Li}_3\text{BO}_3$  образуются непрерывные ряды твердых р-ров с минимумом. Этот минимум отвечает конц-ии 55 мол.%  $\text{Li}_3\text{BO}_3$  и ~700°. В системе  $\text{Na}_2\text{CO}_3 - \text{CaNaBO}_3$  взаимная растворимость ограничена. Максим. растворимость  $\text{CaNaBO}_3$  в  $\text{Na}_2\text{CO}_3$  достигает 10 мол.%. Сообщение III см. РЖХим, 1960, № 10, 38218.

6Б430. Комплексообразование, обменное равновесие и гомеоморфизм в расплавах хлоридов и сульфатов. Бергман А. Г., Бакумская Е. Л. «Тр. Ростовск.-И.Д. инж.-строит. ин-та», 1960, вып. 10, 33—40. — Рассмотрены литературные данные по диаграммам ликвидуса тройных и двойных систем из хлоридов и сульфатов одно- и двухвалентных металлов ( $\text{Li}$ ,  $\text{K}$ ,  $\text{Na}$ ,  $\text{Cd}$ ,  $\text{Ca}$ ,  $\text{Mg}$ ,  $\text{Ag}$  и др.). Отмечена следующая закономерность: хлориды и сульфаты одного и того же металла соединений не дают, исключением является система  $\text{AgCl} - \text{Ag}_2\text{SO}_4$ . Хлориды и сульфаты разных металлов образуют значительное число гетероонных соединений, напр.  $\text{KCl} - \text{MgSO}_4$ ,  $2\text{KCl} - \text{CaSO}_4$  и др. Сложностью строения сульфатов по сравнению с хлоридами обуславливается наличие многочисленных соединений, а также гетероморфных и гомеоморфных форм.

6Б431. Исследование взаимодействия хлоридов щелочных и щелочноземельных элементов в расплавах. V. Ликвидус тройной системы: хлорид натрия — хлорид калия — хлорид кальция. Плющев В. Е., Ковалев Ф. В. «Изв. высш. учебн. заведений. Химия и хим. технол.», 1960, 3, № 4, 575—579. — Визуально-полюметрическим методом изучен ликвидус системы  $\text{NaCl} - \text{KCl} - \text{CaCl}_2$ . Установлено существование в системе четырех областей первичной кристаллизации —  $\text{NaCl}$ ,  $\text{KCl}$ ,  $\text{CaCl}_2$  и соединения  $\text{KCl} - \text{CaCl}_2$ . Определены составы и т-ры кристаллизации двух тройных эвтектик. Сообщение IV см. РЖХим, 1957, № 13, 44025.

6Б432. Изучение растворимости пирофосфата тория в кислотах и исследование равновесий твердого фазы — раствор в системах  $\text{ThP}_2\text{O}_7 - \text{Na}_2\text{P}_2\text{O}_7 - \text{H}_2\text{O}$  и  $\text{ThP}_2\text{O}_7 - \text{Th}(\text{NO}_3)_4 - \text{H}_2\text{O}$ . Филинов Ф. М., Текстер Е. П., Колпакова А. А., Пантелеева Е. П. «Ж. неорг. химии», 1960, 5, № 5, 1149—1156. — С помощью радиоактивного индикатора  $\text{UX}_1$  изучалась

растворимость  $\text{ThP}_2\text{O}_7$  в  $\text{HCl}$ ,  $\text{HNO}_3$  и  $\text{H}_2\text{SO}_4$  (0,1—0,5 н.) в р-рах  $\text{Na}_4\text{P}_2\text{O}_7$  (I) (0,02—0,2 М) и  $\text{Th}(\text{NO}_3)_4$  (II) (0,04—0,01 М) при 20°. Выделено соединение состава  $\text{Na}_4(\text{Th}(\text{P}_2\text{O}_7)_2)$ . Изучена его растворимость в воде, измерены электропроводность и рН водн. р-ров. При изучении системы I—II методом кондуктометрич. титрования получены отчетливые и хорошо воспроизводимые перегибы при отношении  $[\text{P}_2\text{O}_4] - [\text{Th}^{4+}] = 2$ ; 1 и 0,7—0,8. Обнаружена повышенная растворимость  $\text{ThP}_2\text{O}_7$  в р-рах II.

Из резюме авторов 6Б433. Исследование некоторых тройных систем из хлоридов и сульфатов щелочных и щелочноземельных металлов методом рефрактометрии. Немировский Я. М. «Тр. Новочерк. политех. ин-та», 1950, 98, 59—79. — Исследованы показатели преломления  $n_D$  разб. водн. р-ров ряда тройных систем при 30° и при суммарной конц-ии солей 1 М. Выражая графически зависимость от состава дифференциальных значений  $n_D$ , автор приходит к выводу о применимости рефрактометрии для установления наличия комплексных соединений в р-рах. Так, им найдены максимумы на указанных кривых в системах  $\text{KCl} - \text{CaCl}_2 - \text{H}_2\text{O}$ ,  $\text{KCl} - \text{SrCl}_2 - \text{H}_2\text{O}$  и  $\text{K}_2\text{SO}_4 - \text{MgSO}_4 - \text{H}_2\text{O}$  в точках состава, отвечающих соединениям  $\text{K}[\text{CaCl}_3]$ ,  $\text{K}[\text{SrCl}_3]$ ,  $\text{K}_2[\text{Mg}(\text{SO}_4)_2]$ . Напротив, в системах  $\text{LiCl} - \text{SrCl}_2 - \text{H}_2\text{O}$ ,  $\text{NaCl} - \text{CrCl}_2 - \text{H}_2\text{O}$  и  $\text{Na}_2\text{SO}_4 - \text{MgSO}_4 - \text{H}_2\text{O}$  отклонения данного свойства от аддитивности незначительны, что указывает на отсутствие каких-либо сложных хим. соединений. Наконец, в системе  $\text{KCl} - \text{SrCl}_2 - \text{H}_2\text{O}$  на кривой наблюдается сглаженный максимум, что можно объяснить неустойчивостью образующегося в системе комплексного соединения при значительном разбавлении р-ра.

Ф. Перельман 6Б434. К исследованию двойных галогенидов — фосфатов кальция (хлоридов, бромидов и йодидов). Vincent Jean-Pierre. Contribution à l'étude des chloro, bromo et iodophosphates de calcium. «Ann. chim.», 1960, 5, № 5—6, 579—599 (франц.). — Методами хим. и рентгенографич. фазового анализа исследованы системы типа галогенид кальция — ортофосфорная к-та — вода и галогенид кальция — фосфат кальция — вода с участием одно-, двух- и трехзамещ. солей в интервале т-р 25—175° (при т-рах, превышающих 100°, использовалась стальная бомба). Кроме известных вагнерита  $\text{CaCl}_2 \cdot \text{Ca}_3(\text{PO}_4)_2$  (I), апатита  $\text{CaCl}_2 \cdot 3\text{Ca}_3(\text{PO}_4)_2$  (II),  $\text{CaCl}_2 \cdot \text{Ca}(\text{H}_2\text{PO}_4)_2 \cdot 2\text{H}_2\text{O}$  (III), обнаружены 4 новых соединения:  $\text{CaBr}_2 \cdot \text{Ca}(\text{H}_2\text{PO}_4)_2$  (IV),  $\text{CaBr}_2 \cdot \text{Ca}(\text{H}_2\text{PO}_4)_2 \cdot 2\text{H}_2\text{O}$  (V),  $\text{CaBr}_2 \cdot \text{Ca}(\text{H}_2\text{PO}_4)_2 \cdot 8\text{H}_2\text{O}$  (VI) и  $\text{CaI}_2 \cdot \text{Ca}(\text{H}_2\text{PO}_4)_2 \cdot 8\text{H}_2\text{O}$  (VII). Приведены микрофотографии кристаллов. III и V кристаллизуются в виде прозрачных пластинок — параллелепипедов; VI и VII образуют иглы длиной до 1 см и до 2 мм соответственно. Рентгеновским исследованием обнаружен изоморфизм III и V (монокл.) и VI и VII (ромбич.). Гравиметрич. методом исследовано термич. разложение I, II, III, V, VI и VII. Разложение I и II начинается при 900°. Остатки представляют собой  $\text{CaO} \cdot \text{Ca}_3(\text{PO}_4)_2$  и  $\text{CaO} \cdot 3\text{Ca}_3(\text{PO}_4)_2$  соответственно. В остальных случаях отмечено ступенчатое разложение, завершающееся образованием пирофосфата. Приведены данные по устойчивости полученных солей по отношению к атмосфере, высушиванию над  $\text{P}_2\text{O}_5$ , действию воды и спирта.

Ю. Варнавский 6Б435. Исследование системы  $\text{Ti}(\text{SO}_4)_2 - \text{H}_2\text{SO}_4 - \text{NaOH} - \text{H}_2\text{O}$  (20 и 25°) методами растворимости и кажущегося объема осадка. Ульянов А. И. «Изв. АН СССР. Отд. хим. н.», 1960, № 4, 580—587. — При исследовании изотерм системы  $\text{Ti}(\text{SO}_4)_2 - \text{H}_2\text{SO}_4 - \text{NaOH} - \text{H}_2\text{O}$  (20 и 25°) одновременно методами растворимости и кажущегося объема осадка при пользовании одним и тем же сосудом показано, что в разб. р-рах процесс образования осадка по мере увеличения кол-ва щелочи состоит из 3 стадий: 1) соосаждения  $\text{H}_2\text{SO}_4$  с  $\text{H}_2\text{TiO}_3$ ,



2) нейтр-ции в осадке  $H_2SO_4$  р-ром NaOH до образования свободной  $H_2TiO_3$ , 3) ссаждения NaOH с  $H_2TiO_3$ .

Из резюме автора

**6Б436. Термогравиметрические исследования. III. Термическое разложение оксалатов никеля и магния и смешанных никель-магнелиевых оксалатов в различных газовых средах.** Wiedemann H. G., Nehring D. Thermogravimetrische Untersuchungen. III. Der thermische Zerfall von Nickel- und Magnesiumoxalat und von Nickel-Magnesium-Mischoxalaten in verschiedenen Gasatmosphären. «Z. anorgan. und allgem. Chem.», 1960, 304, № 3—4, 137—146 (нем.; рез. англ.).—С помощью специально сконструированных термовесов снимались кривые разложения (КР)  $MgC_2O_4 \cdot 2H_2O$ ,  $NiC_2O_4 \cdot 2H_2O$ , их смесей и некоторых двойных Ni—Mg-оксалатов в  $H_2$ ,  $N_2$ , воздухе и вакууме. Разложение чистых оксалатов происходит в соответствии с уравнениями  $NiC_2O_4 \cdot 2H_2O \rightarrow NiC_2O_4 \rightarrow Ni + 2CO_2$ ,  $MgC_2O_4 \cdot 2H_2O \rightarrow MgC_2O_4 \rightarrow MgO + CO + CO_2$ . КР механически приготовленных смесей оксалатов обнаруживают две ступени разложения и могут быть получены по правилу аддитивности из КР индивидуальных солей. КР двойных оксалатов имеют только одну ступень. Их разложение происходит по схеме  $Ni_xMg_{(1-x)}C_2O_4 \rightarrow xNi + (1-x)MgO + (x+1)CO_2 + (1-x)CO$ . Тра разложения двойных оксалатов в атмосфере инертных газов является приблизительно линейной функцией состава. В атмосфере воздуха и особенно в  $H_2$  она значительно ниже соответствующих значений в инертном газе. Сообщение II см. РЖХим, 1960, № 2, 3982.

**6Б437. Равновесия в системах: насыщенные гетерополиоксиды — органические растворители.** Никитина Е. А., Прыткова Е. В. «Ж. общ. химии», 1960, 30, № 5, 1410—1417.—Определена растворимость безводных фосфорновольфрамовой (I) и кремневольфрамовой гетерополиоксидов (II) в этиловом спирте при 20° и необводненных I, II, фосфоромолибденовой и кремнемольбденовой к-ты в этиловом и пропиловом спиртах в интервале 0°—40°. Выделены твердые фазы — гидратоалкоголяты, содержащие различные кол-ва воды и 1—2 молекулы спирта. Определена растворимость I и II в изоамиловом спирте 0°—80°. С. Р.

**6Б438. Исследование молибдатов некоторых аминов. I. Изучение системы  $MoO_3 - C_5H_5N - H_2O$ . II. Изучение системы  $MoO_3 - C_5H_5N - H_2O$ .** Weil Marie-José. Etude des molybdates de quelques amines. I. Etude de système  $MoO_3 - C_5H_5N - H_2O$ . II. Etude du système  $MoO_3 - C_5H_5N - H_2O$ . «Bull. Soc. chim. France», 1960, № 6, 1133—1135; 1136—1138 (франц.).—I. При 25° исследовалась изотерма растворимости системы  $MoO_3$  — пиридин (I) — вода. Установлено образование двух соединений  $Mo_4O_{13}(C_5H_5N)_2$  (II) и метастабильного  $Mo_3O_{10}(C_5H_5N)_2$  (III), превращающегося в II при гидролизе. Оба соединения синтезированы различными методами и исследованы рентгенографически. II термически устойчив при 120°, III теряет 2% I за 3 часа при 70°. Растворимость II в воде 0,024 г/л при 25°, растворимость III (до начала заметного гидролиза) 3,6 г/л. Растворимость II и III увеличивается при повышении содержания до 13—15%, а затем уменьшается и достигает нуля при 75—80% I. Предполагается, что при малых конц-ях I на растворимость II и III влияет основной характер I, а при больших конц-ях I проявляет себя как органич. р-ритель.

II. Изучена изотерма растворимости при 25° системы  $MoO_3$  — пиридин — вода. Установлено образование 5 соединений:  $Mo_4O_{13}(C_5H_5N)_2$  (IV) и  $MoO_4(C_5H_5N)_2$  (V) с конгруэнтной растворимостью, а также  $Mo_3O_{10}(C_5H_5N)_2 \cdot 2H_2O$  (VI),  $Mo_7O_{24}(C_5H_5N)_6 \cdot 6H_2O$  (VII) и  $Mo_2O_7(C_5H_5N)_2 \cdot H_2O$  (VIII) с инконгруэнтной растворимостью. Растворимость всех этих соединений тем больше, чем выше их основность. При содержании  $C_5H_5N > 53,5\%$  система расслаивается. В нижнем слое конц-ия  $MoO_3$  колеблется в пределах от 10 до 31,8%,

а в верхнем — от 0 до 10%. Описаны методы синтеза и свойства IV, VI, VII и VIII. Соединения V выделить не удалось.

Б. Кацпан

**6Б439. Изучение системы три-н-бутилфосфат —  $HClO_4 - H_2O$ .** Siekierski Sławomir, Gwóździ Rajmund. Studies on the system TBP —  $HClO_4 - H_2O$ . Nukleonika, 1960, 5, № 4, 205—217 (англ.; рез. польск., русск.).—Изучено распределение  $HClO_4$  между водн. и органич. фазой при  $21 \pm 1^\circ$  и ее ионизация и гидратация в органич. фазе. Измерены вязкость ( $\eta$ ) и электропроводность ( $\lambda$ ) органич. р-ров, приведенных в равновесие с водн. фазой различных конц-ий по  $HClO_4$ , и вычислена степень ионизации ( $\alpha$ )  $HClO_4$  в интервалах конц-ий к-ты в органич. фазе 0,00021—2,08 M и три-н-бутилфосфата (ТБФ) в бензоле 10—100 об. % ( $\alpha = \eta\lambda/60$ ). Из кривой распределения  $[HClO_4](орг.) = f[HClO_4](водн.)$  рассчитано изменение коэф. активности ( $\gamma$ )  $HClO_4$  в зависимости от молярной конц-ии к-ты в органич. р-ре ( $m_0$ ). Вычислены эмпирич. коэф.  $a$  в уравн.  $\lg \gamma/K = a \cdot m_0$ , где  $K$  — термодинамич. константа равновесия р-ции распределения:  $H^+(водн.) + ClO_4^-(водн.) \rightleftharpoons HClO_4 \cdot nH_2O(орг.)$ . Для разб. р-ров  $HClO_4$  в ТБФ и его р-рах в бензоле величина  $n = 4$ . С ростом  $m_0$  значение  $n$  уменьшается. Отмечено, что  $\alpha$  зависит от содержания  $H_2O$  в органич. фазе. Установлено, что тангенс угла наклона ( $\lg \beta$ ) логарифмич. зависимости коэф. распределения  $HClO_4$  от [ТБФ](орг.) зависит от ионной силы водн. фазы и уменьшается от 3 до 1 при снижении равновесной конц-ии к-ты в воде от 11 до 1 M, если [ТБФ](орг.)  $\leq 20$  об. %. При [ТБФ](орг.)  $> 20$  об. %  $\lg \beta < 3$ . Эти результаты обсуждены с точки зрения образования в органич. фазе ионной пары  $[H_3O_4(ТБФ)_m] + ClO_4^-$ , где  $m \geq 1$ , и неидеальности р-ров  $HClO_4$  в смесях ТБФ — бензол.

А. Соловьев

**6Б440. Влияние гидролиза на экстракцию сурьмы диизоамиловым эфиром и изоамиловым спиртом.** Привалова М. М., Рябчиков Д. И. «Ж. неорг. химии», 1960, 5, № 7, 1605—1611.—Установлено, что экстракция хлорокомплексов  $Sb(5+)$  и  $Sb(3+)$  диизоамиловым эфиром (I) и изоамиловым спиртом может быть осуществлена при низких конц-ях ионов  $H^+$ , если только приняты меры к предотвращению гидролиза комплексных хлорсодержащих ионов  $Sb$  в водн. р-рах главным образом путем создания высокой конц-ии ионов  $Cl^-$ . Из графика логарифмич. зависимости коэф. распределения  $Sb(5+)$  (между I и водн. р-рами  $HCl + LiCl$ ) от  $[H^+]$  найдено, что при ионной силе водн. фазы, равной 7, гидролиз  $Sb(5+)$  протекает с образованием гидроксо-иона  $[SbCl_5(OH)]^-$ . Отмечено, что экстракция  $Sb$  органич. кислородсодержащими р-рителями из среды  $HCl$  может происходить без образования замещенных оксониевых солей, по крайней мере, при низких  $[H^+]$ .

А. Соловьев

**6Б441. Экстракция азотной кислоты диизоамиловым эфиром метилфосфоновой кислоты.** Соловьев А. С. «Ж. неорг. химии», 1960, 5, № 6, 1345—1357.—Изучена совместная экстракция воды и  $HNO_3$  диизоамиловым эфиром метилфосфоновой к-ты (R) и его р-рами в  $CCl_4$ , «керосине», бензоле и дибутиловом эфире в зависимости от конц-ий  $HNO_3$  в водн. фазе ( $C_H$ ) и R в органич. фазе, при комнатной т-ре. Установлено, что с увеличением  $C_H$  содержание воды в органич. фазе вначале резко возрастает, после чего проходит через максимум и затем падает. Однако при  $C_H > 10 M$  вновь наблюдается значительное возрастание содержания воды в R. Из этих данных, а также из данных по измерению спектров поглощения органич. р-ров, приведенных в равновесие с водн. фазой различных конц-ий по  $HNO_3$ , найдено, что  $HNO_3$  образует в органич. фазе комплекс состава  $(HNO_3 \cdot nH_2O)_mR$ , где  $n = 3$  и 1 при  $m = 1$  и  $n = 0,5$  при  $m = 2$  и 3. Образо-

вание ком-  
дено граф-  
саливател-  
но подлож-  
казано, что  
по р-ции  
•  $nH_2O$  / m R  
р-ции как  
CCl<sub>4</sub>, «кер-  
вая взаим-  
Сходные  
фата.

6Б442.

нитратов  
фосфата.  
нов Ю.  
1366—1374  
месей при  
измерены  
ду водн.  
р-рами тр-  
сино, пр-  
экстракци-  
чением к-  
С увелич-  
конц-иях  
р-ре  $UO_2$   
увелич-  
[H<sup>+</sup>] до 1  
самости  
конц-ия  
мум при  
после че-  
мость  $a$   
≈ 5 г/л и  
20 до 60  
наклона  
возраста-  
условлен-  
Для р-ро-  
данных,  
ной раст-  
р-рах в  
ТБФ — б-  
соответст-  
ТБФ — к-  
•  $2H_2O$ , по  
и при т-  
14,6—78%  
расп-лен

6Б443.

витель  
tufa C  
dilucent  
№ 1—2,  
распреде-  
в меази-  
интервал-  
при 18 ±  
 $HNO_3$  в  
при  $C_H$   
образова-  
обнаруж-  
третьей  
няется с  
мого в  
от  $C_H$ ,  
шения R  
заклуча-  
проявля-  
вых со-

вание комплекса с отношением  $R/HNO_3 = 1$  подтверждено графич. методом. С применением в качестве выдвигателей  $LiNO_3$  и  $KNO_3$ , обладающих соответственно положительной и отрицательной гидратацией, показано, что экстракция  $HNO_3$  с помощью  $R$  происходит по р-ции  $m(HNO_3 \cdot nH_2O) (водн.) + R(орг.) \rightleftharpoons HNO_3 \cdot nH_2O + mR(орг.)$ . Определены константы равновесия р-ции как в случае чистого  $R$ , так и для его р-ров в  $CCl_4$ , «керосине» и бензоле. Обнаружена неограниченная взаимная растворимость  $R$  и 95–99 вес. %  $HNO_3$ . Сходные результаты получены для три-*n*-бутилфосфата.

А. Соловкин

6Б442. Поведение нитрата меди при экстракции нитратов уранила и плутония растворами трибутилфосфата. Шевченко В. Б., Шилин И. В., Жданов Ю. В. «Ж. неорганич. химии», 1960, 5, № 6, 1366–1374. В связи с изучением поведения макропримесей при экстракции нитратов уранила и плутония измерены коэф. распределения ( $\alpha$ )  $Cu(NO_3)_2$  (I) между водн. р-рами  $HNO_3 + NaNO_3$  и  $HNO_3 + LiNO_3$  и р-рами три-*n*-бутилфосфата (ТБФ) в бензоле и керосине, при комнатной т-ре. Установлено, что при экстракции I р-рами ТБФ в бензоле  $\alpha$  растет с увеличением конц-ий ТБФ и ионной силы ( $\mu$ ) водн. р-ра. С увеличением конц-ий I в водн. р-ре при неизменных конц-иях ТБФ и  $\mu = 5$   $\alpha$  падает. Присутствие в водн. р-ре  $UO_2(NO_3)_2$  снижает  $\alpha$ , а присутствие  $Al(NO_3)_3$  его увеличивает. Изменение  $[H^+]$  в водн. р-ре в интервале  $[H^+] \text{ от } 1,5 \cdot 10^{-4} \text{ до } 1,5 \cdot 10^{-2}$  не влияет на величину  $\alpha$ . В зависимости от конц-ий  $HNO_3$  в водн. р-ре ( $C$ )  $\alpha$  (исходная конц-ия I равна 5 г/л) сначала проходит через максимум при  $C = 2,5$  М, затем через минимум при  $C = 3$  М, после чего медленно возрастает. Логарифмич. зависимость  $\alpha$  от  $[TBF]$  в бензоле при исходной конц-ии I  $\sim 5$  г/л и  $\mu = \text{const} = 1$ ; 3 или 5, в интервале  $[TBF]$  от 20 до 60 об. % выражается прямыми с тангенсом угла наклона ( $\text{tg } \beta$ ), равным  $\sim 2$ . При  $[TBF] > 60$  об. %  $\text{tg } \beta$  возрастает до 5, что, согласно мнению авторов, обусловлено неидеальностью системы ТБФ–бензол. Для р-ров ТБФ в керосине при  $\mu = 5$   $\text{tg } \beta \approx 3$ . Из этих данных, а также на основании определения совместной растворимости I и воды в 100%-ном ТБФ и его р-рах в бензоле и керосине найдено, что в системе ТБФ–бензол состав экстрагируемого соединения соответствует ф-ле  $Cu(NO_3)_2 \cdot 2TBF \cdot H_2O$ , а в системе ТБФ–керосин и в 100%-ном ТБФ– $Cu(NO_3)_2 \cdot 3TBF \cdot 2H_2O$ , причем соединения являются неустойчивыми, и при т-ре ниже  $-10^\circ$  разлагаются. При насыщении 14,6–78%-ных р-ров ТБФ в керосине I происходит расщепление р-ра на две фазы.

А. Соловкин

6Б443. Система три-*n*-бутилфосфат (ТБФ)–разбавитель– $HNO_3$ – $H_2O$ . Korpak Wincenty, Derputa Czesław. The tri-*n*-butyl phosphate (TBP)–diluent– $HNO_3$ – $H_2O$  system. «Nukleonika», 1960, 5, № 1–2, 63–71 (англ.; рез. польск., руск.). Изучено распределение  $HNO_3$  между водой и 5 об. % р-ром ТБФ в мезазине (гидрированная фракция синтия) (I) в интервале конц-ий  $HNO_3$  в водн. фазе ( $C_v$ ) 0,49–23 М при  $18 \pm 2^\circ$ . Установлено, что с ростом  $C_v$  конц-ия  $HNO_3$  в органич. фазе ( $C_o$ ) проходит через максимум при  $C_v = 16,6$  М, после чего резко падает вследствие образования третьей фазы, существование которой обнаружено в интервале  $C_v$  17,1–19,8 М. Объем третьей фазы уменьшается с ростом  $C_v$ , что объясняется образованием солята ТБФ·4 $HNO_3$ , растворимого в водн. фазе. Из рассмотрения зависимости  $C_o$  от  $C_v$ , а также на основании определения мол. отношения  $HNO_3$ : ТБФ в третьей фазе, равного 2,8, авторы заключают, что экстракция  $HNO_3$  с помощью ТБФ сопровождается образованием в органич. фазе окисных солей ТБФ· $HNO_3$ , ТБФ·2 $HNO_3$  и ТБФ·3 $HNO_3$ ,

выделяющихся в третью фазу ввиду их ограниченной растворимости в I. Отмечена неограниченная смешиваемость ТБФ и 95 вес. %  $HNO_3$ . На основании этого разработана быстрая колич. метод определения ТБФ, растворенного в I.

А. Соловкин

6Б444. О полиморфизме и термических превращениях оксидов алюминия. Калинина А. М. В сб. «Материалы Всес. совещаний по химии и технол. глинозема, 1958». Новосибирск, Сиб. отд. АН СССР, 1960, 5–14. С целью установления условий образования переходных модификаций  $Al_2O_3$  и их природы изучалось термич. разложение гидраталита,  $Al(NO_3)_3$  и  $Al_2(SO_4)_3$ . Исследования проводились с помощью термоанализа и рентгеновского фазового анализа. Установлено, что  $\alpha$ ,  $\gamma_H$ ,  $\kappa$  и  $\theta$  являются полиморфными модификациями,  $\beta$  и  $\eta$  являются твердыми р-рами.

В. Тарасов

6Б445. Оптическое исследование полиморфного превращения медного блеска. Schubert Enno. Optische Untersuchung der Modifikationsänderung des Kupferglanzes. «Neues Jahrb. Mineral. Monatsh.», 1959, № 10, 215–231 (нем.). Кристаллооптическим методом с помощью специально сконструированного нагревательного столика к микроскопу изучено явление полиморфного превращения медного блеска. Установлено, что ромбич. низкотемпературная модификация устойчива до  $60^\circ$ . Первые признаки изменения наблюдаются на образцах параморфизованного медного блеска при  $62$ – $70^\circ$ . Превращение ромбич. модификации в гексагональную происходит в температурном интервале  $86$ – $100^\circ$  и связано со значительным изменением объема ( $\sim 3,5\%$ ), наблюдаемым под микроскопом как изменение рельефа шлифа. Процесс обратим, и при охлаждении ниже  $90^\circ$  заметно обратное изменение объема.

В. Чурбаков

6Б446. Влияние химического состава на форму кривой мартенситного превращения. Brook R., Entwistle A. R., Ibrahim E. F. The effect of chemical composition on the shape of martensite transformation curves. «J. Iron and Steel Inst.», 1960, 195, № 3, 292–298 (англ.). С помощью металлографич. и dilatометрич. методов анализа исследовано влияние C, Cr и Ni на образование мартенсита (М) в легированных сталях (Ni 19,76–4,79%, Cr 4–15,5%). Установлено, что зависимость степени превращения М от т-ры выражается прямой линией в пределах 5–50% превращения. Наклон линии превращения является выражением зависимости от термодинамич. функции  $\Delta F^{\alpha \rightarrow \gamma} / \Delta T$ , где

$\Delta F^{\alpha \rightarrow \gamma}$  — разность свободных энергий аустенита и М.

Л. Шведов

6Б447. Мезоморфизм и полиморфизм простых производных *n*-трифенила. Culling P., Gray G. W., Lewis D. Mesomorphism and polymorphism in simple derivatives of *p*-terphenyl. «J. Chem. Soc.», 1960, June, 2699–2704 (англ.). Проверено предположение, что простые дипольные заместители в положении 4 и 4' у *n*-трифенила (I) могут создать межмолекулярные силы притяжения, способные параллельно ориентировать молекулы в жидком состоянии, т. е. что такие производные могут образовывать жидко-кристаллич. фазы (ЖКФ). Описана методика синтеза 4,4'-производных I. Обнаружено, что 4-метокси-4'-нитро-*n*-трифенил (т. пл.  $210$ – $212^\circ$ ) и 4-циано-4'-нитро-*n*-трифенил (т. пл.  $232^\circ$ ) образуют нематич. ЖКФ вплоть до  $259$  и  $275^\circ$  соответственно, а 4-хлор-4'-нитро-*n*-трифенил (т. пл.  $258^\circ$ ), 4-амино-4'-нитро-*n*-трифенил (т. пл.  $300$ – $301^\circ$ ) и 4-ацетамид-4'-нитро-*n*-трифенил (т. пл.  $332$ – $333^\circ$ ) не образуют ЖКФ, так как для них кинетич. энергия броуновского движения выше межмолекулярной энергии ориентации. 4-ацетамид-3,4'-динитро-*n*-трифенил и 4-амино-3,4'-динитро-*n*-трифенил имеют по 2 модификации в твердом состоянии, первые, плавящиеся соответственно при  $225$  и  $200$ – $206^\circ$ , обра-





Chem., 1960, 64, № 3, 323—327 (англ.).—Рассчитана скорость мономолекулярного распада сложных молекул в области больших и малых давлений при учете внутримолекулярного обмена энергий для модели, в которой распадающаяся молекула аппроксимируется системой слабо связанных квантовых осцилляторов. Взаимодействие между осцилляторами (вследствие ангармоничности) приводит в первом приближении теории возмущений к одноквантовым переходам. Вероятность одноквантового перехода предполагается пропорциональной числу возможных путей активации  $k$ -го осциллятора с данной колебательной энергией. Общие кинетич. ур-ние включает эти внутримолекулярные процессы, а также взаимодействие молекулы с тепловым резервуаром и спонтанную диссоциацию при достаточно высоких энергиях. Полученное выражение для константы скорости распада описывает кинетику распада 1-го и 2-го порядка, причем характер области перехода от 1-го типа кинетики ко 2-му зависит от параметров внутримолекулярного взаимодействия колебаний. Для рассмотренного случая слабого взаимодействия между осцилляторами переходная область оказывается шире области, которая получается в предположении очень сильного взаимодействия. Возможно, что с этим связаны наблюдаемые особенности зависимости скоростей распада  $N_2O$  и *цис-транс*-изомеризации циклопропана от давления.

Е. Никитин  
6Б456. Метод определения кинетических констант в областях протекания химических реакций, осуществляемых в потоке. Панченков Г. М., Жоров Ю. М. «Докл. АН СССР», 1960, 130, № 6, 1280—1283.— В результате интегрирования общего ур-ния кинетики проточных р-ций для гетерогенно-каталитич. процессов авторы получили выражение  $W_s = -n_0^2/S_0 l \cdot dz/dn_0$  (1), где  $W_s$  — скорость р-ции,  $n_0$  — скорость подачи в-ва,  $S_0$  — поверхность катализатора на единицу длины реакционного пространства,  $l$  — длина реакционного пространства и  $z$  — степень превращения в-ва. Соотношение (1) позволяет определить скорость р-ции непосредственно из эксперим. кривых зависимости  $z$  от  $n_0$ . Авторами изучена константа крекинга кумола в широком интервале  $t$ -р и объемных скоростей на промывленном алюмосиликатном катализаторе. Соотношение (1) использовано для определения энергий активации крекинга кумола в диффузионной, кинетической и промежуточной областях. Выражение, аналогичное (1), получено также для гомог. проточных р-ций.

В. Веденеев  
6Б457. Отрыв атома водорода от аминов и аминокислотных соединений. Brinton R. K. The abstraction of hydrogen atoms from amines and related compounds. «Canad. J. Chem.», 1960, 38, № 8, 1339—1345 (англ.).—Исследованы р-ции метильных радикалов, образующихся при распаде ди-*трет*-бутилперекиси, с метил- и этиламино, диметил-, диэтил- и диизопропиламино, этиленимином, *трет*-бутилэтиламином, *трет*-бутилацетиламино и ацетилазином при 125 и 157°. Приводятся энергии активации и предэкспоненциальные множители р-ций отрыва атома Н метильными радикалами. Делается вывод, что атом Н, связанный с азотом, легче отрывается метильным радикалом, чем связанный с углеродом.  
А. Чайкин  
6Б458. Замечания, касающиеся гомогенной реакции обмена между водородом и дейтерием. Cimino A., Molinari E., Volpi G. G. Comment of the homogeneous exchange reaction between hydrogen and deuterium. «J. Chem. Phys.», 1960, 33, № 2, 616—617 (англ.).—Обсуждаются результаты, полученные авторами ранее (РЖХим, 1957, № 14, 47407) при исследовании р-ции изотопного обмена между  $H_2$  и  $D_2$ . Подчеркивается, что  $O_2$ , диффундирующий через стенки реакционного сосуда, влияет на скорость обмена, катализируя гетерог. р-цию. Исключение влияния  $O_2$ ,

адсорбированного на стенках, приводит к уменьшению суммарной константы скорости р-ции в интервале  $t$ -р 910—1010°K в 2 раза. Этим объясняется отличие результатов авторов от литературных данных (Farkas A., Farkas L., «Proc. Roy. Soc. (London)», 1935, A152, 152; Van Meersche M., «Bull. Soc. chim. Belg.», 1951, 60, 99).

В. Скурат  
6Б459. О кинетике реакции окиси хлора с двуокисью азота в газовой фазе и в жидком конденсате. Martin H., Meise W., Engelmann E. Über die Kinetik der Reaktion des Dichlormonoxids mit Stickstoffdioxid in der Gasphase und im flüssigen Kondensat. «Z. phys. Chem. (BRD)», 1960, 24, № 5-6, 285—299 (нем.).—Изучалась кинетика изменения давления в смеси  $NO_2$  (с  $N_2O_4$ ) с  $Cl_2O$  при начальном давл. 150—200 мм рт. ст. и  $t$ -ре 20—60° в кварцевой колбе, пустой и заполненной насадкой из кварцевых шариков. Продукты р-ции определялись с помощью спектров поглощения. Проводилась также разгонка прореагировавшей смеси на две фракции, которые анализировались затем по давлению и плотности паров. Р-ция протекает по ур-нию  $2NO_2 + Cl_2O = NO_2Cl + NO_2Cl$ . Скорость р-ции описывается ур-нием  $-dp(Cl_2O)/dt = kp(Cl_2O)p(NO_2)$ , где  $k = 4,35 \cdot 10^{10} \exp(-11600/RT) \text{ см}^3 \cdot \text{моль}^{-1} \cdot \text{сек}^{-1}$ . Лимитирующей стадией является процесс  $NO_2 + Cl_2O \rightarrow NO_2Cl + OCl$ , а процесс  $NO_2 + OCl \rightarrow NO_2Cl$  протекает быстро. Изучалась также р-ция в конденсате  $N_2O_4 + Cl_2O$  при  $t$ -ре -25°. В этом случае р-ция протекает по ур-нию  $2Cl_2O + N_2O_4 = 2NO_2Cl + Cl_2$ . Р-ция имеет по крайней мере две стадии и протекает с промежуточным образованием  $N_2O_5$ :  $Cl_2O + N_2O_4 \rightarrow N_2O_5 + Cl_2$ ,  $Cl_2O + N_2O_5 \rightarrow 2NO_2Cl$ . В газовой фазе эти процессы не идут.

В. Скурат  
6Б460. Изотопный эффект в процессе пиролиза  $C^{14}H_3COONa$ . Zlotowski Ignacy, Zieliński Mieczysław. Efekt izotopowy w procesie pirolizy  $^{14}CH_3COONa$ . «Nukleonika», 1960, 5, № 1—2, 27—32 (польск.; рез. русск., англ.).—Изотопный эффект  $C^{14}$  при пиролизе  $C^{14}H_3COONa$  при 450° равен  $3,4 \pm 0,4\%$ . Сравнение эксперим. изотопного эффекта с теоретическим, рассчитанным на основании модели «трех центров» Бигелейзена, привело авторов к выводу, что скорость р-ции определяется разрывом связи между метильной и карбоксильной группами. Масс-спектрометрич. анализ показал, что газовые продукты пиролиза не содержат этана. Не найдено  $C^{14}$  в полученном  $Na_2CO_3$ . Эти факты указывают на гетеролитич. механизм пиролиза.  
Резюме авторов  
6Б461. Опыты по пиролизу этана в ударных трубах. Skinner Gordon B., Ball William E. Shock tube experiments on the pyrolysis of ethane. «J. Phys. Chem.», 1960, 64, № 8, 1025—1028 (англ.).—Кинетика пиролиза  $C_2H_6$  (0,5 и 6% в смеси с Ar) в ударных трубах изучалась при 1057—1418°K и общем давл. 5 атм. Исследовано влияние  $H_2$ ,  $C_2H_4$  и  $CH_4$  на кинетику р-ции. Показано, что р-ция может быть описана усовершенствованным механизмом Райса — Герцфельда, а полученные константы скоростей р-ций хорошо согласуются с константами, известными для более низких  $t$ -р.

А. Чайкин  
6Б462. Пиролиз органических соединений. I. Кинетическое изучение пиролиза толуола. Takahasi Makoto. Pyrolysis of organic compounds. I. Kinetic study of the pyrolysis of toluene. «Bull. Chem. Soc. Japan», 1960, 33, № 6, 801—808 (англ.).—Изучен пиролиз толуола при  $T$  737—953° в струевых условиях, временах контакта 0,02—0,3 сек. и давл. 5—10 мм рт. ст. Основные продукты распада: дибензил, диметилдифенил,  $H_2$  и  $CH_4$ . Зависимость  $\lg k$  от  $1/T$  не является строго линейной, энергия активации распада растет с  $t$ -рой: от 73,7 в интервале 738—849° до 103,5 ккал/моль в интервале 903—956°. Автор предполагает, что наряду с разрывом связи C—H в группе  $CH_3$  может идти от-

рыв атома Н из бензольного кольца, что приводит к изменению энергии активации.

С. Поляк  
6Б463. О высокотемпературном дегидрировании этилбензола. Бродский А. М., Лавровский К. П., Филатова Е. Д. «Изв. АН СССР. Отд. хим. н.», 1960, № 8, 1490—1494.—Кинетика термич. дегидрирования этилбензола (I) изучалась в кипящем слое теплоносителя в условиях идеального перемешивания при  $t$ -рах 660—740°. Р-ция следует 1-му порядку. Энергия активации  $44 \pm 2$  ккал/моль, предэкспоненциальный фактор  $\sim 10^{10}$ . Выход стирола на превращенный I достигает 58% при 660° и 70—75% при 690—740°.

А. Ревзин  
6Б464. Изучение механизма некоторых окислительно-восстановительных реакций изотопными методами. Бродский А. И. «Kernenergie», 1960, 3, № 9, 827—833 (рез. нем., англ.).—Обзор. Библ. 27 назв. О. Г.

6Б465. Кинетика окисления метана. II. Зависимость от концентрации метана. Magee Ellington M. Kinetics of methane oxidation. II. The dependence on methane concentration. «J. Amer. Chem. Soc.», 1960, 82, № 14, 3553—3557 (англ.).—См. РЖХим, 1961, 2Б427. Сообщение I см. РЖХим 1959, № 15, 52674.

Э. Б.  
6Б466. Влияние покрытия стенок сосуда хлористым магнием на процесс окисления метана. Корниенко Т. П., Поляков М. В. «Укр. хим. ж.», 1960, 26, № 4, 440—445.—Изучено влияние покрытия поверхности кварцевого реакционного сосуда  $MgCl_2$  на объемную стадию окисления  $CH_4$ . Опыты проводились при 600° и давлении смеси 15%  $CH_4$ —воздух 500 мм рт. ст. Доля покрытой части составляла  $1/4$ ,  $1/2$ ,  $3/4$  и 1 от общей поверхности сосуда. В начале р-ции расход  $O_2$  немного превышает расход  $CH_4$  как в присутствии, так и в отсутствие  $MgCl_2$ , в связи с чем допускается возможность адсорбции  $O_2$  на поверхности. С увеличением степени покрытия уменьшается скорости накопления  $H_2$ ,  $CO$  и  $CO_2$ , но их концентрации к концу р-ции остаются неизменными. Содержание  $CH_2O$  в конце р-ции сильно уменьшается в присутствии  $MgCl_2$ . Поскольку при давл. 500 мм рт. ст. превалирующая роль обрыва цепей на поверхности исключается, то влияние  $MgCl_2$  на выход  $CH_2O$  объясняется иницированием поверхности вторичной р-ции окисления  $CH_2O$  в  $CO$ . Так как покрытие поверхности влияет на р-цию в течение всего времени ее протекания, то р-ция является гетерогенно-гомогенной.

В. Азатян  
6Б467. Реакция твердое тело — жидкость. Часть I. Определение механизма реакции твердое тело — жидкость. Kelly Roger. Solid—liquid reactions. Part I. The determination of solid-liquid reaction mechanisms. «Canad. J. Chem.», 1960, 38, № 7, 1209—1217 (англ.).—Сделана попытка разработки теории метода изучения механизма р-ции твердого тела (ТТ) с жидкостью (Ж) с помощью меченых атомов (РЖХим, 1955, № 21, 48526) с целью распространения его на более разнообразные эксперим. условия. Не накладываются ограничений на состав реагирующих и получающихся ТТ, а также на начальное расположение меченых атомов. Учитывается влияние обмена между Ж и обоими ТТ. Рассматриваются две разные системы механизмов. В одной, более распространенной системе, поскольку в ней принимается быстрый «внешний» обмен во многих направлениях, механизмы классифицируются в зависимости от того, протекает ли р-ция на поверхностях ТТ. В другой системе, применимой в отсутствие «внешнего» обмена или при медленном обмене, механизмы классифицируются в соответствии со степенью перемешивания с Ж последовательно реагирующих порций ТТ. По резюме автора

6Б468. Кинетика реакции изотопного обмена между аквоионами  $Co(2+)$  и  $Co(3+)$ . Bonner N. A., Hunt J. P. Kinetics of the  $Co(III) aq. - Co(III) aq.$

isotopic exchange reaction. «J. Amer. Chem. Soc.», 1960, 82, № 15, 3826—3828 (англ.).—Продолжено исследование р-ции переноса электронов (ПЭ) между аквоионами  $Co(2+)$  и  $Co(3+)$  (Bonner N. A., Hunt J. P. «J. Amer. Chem. Soc.», 1952, 74, 1866). Определена энергия активации (13,2 ккал/моль) и энтропия активации ПЭ ( $-13$  энтр. ед.). Блестящая Pt-фольга и удаление  $O_2$  из р-ра не влияют на скорость ПЭ. В  $D_2O$  ( $> 95\%$ ) ПЭ замедляется в 2 раза. В р-рах  $0,85 f HNO_3 + 0,15 f HClO_4$  и  $0,85 n. H_2SO_4 + 0,15 f HClO_4$  ПЭ ускоряется соответственно в 1,25 и 8,5 раза по сравнению с р-ром  $1 f HClO_4$ . Следы  $Cl^-$  не влияют на ПЭ. При постоянной ионной силе р-ра и скорости р-ции ( $v$ ) подчиняется уравнению  $v = [Co(2+)] [Co(3+)] \cdot [k + k_2/(H^+)]$ . В р-рах  $HClO_4 + NaClO_4$  найдена линейная зависимость между логарифмом функции каталитичности и отношением  $(HClO_4)/[HClO_4 + (NaClO_4)]$ .

Б. Каплан  
6Б469. Перекисные соединения в системе  $Na_2MoO_4 - CoSO_4 - H_2O_2 - H_2O$ . Перельман Ф. М., Верховская А. К., «Кинетика и катализ». М. АН СССР, 1960, 75—80.—Исследовано изменение каталитич. активности системы из солей кобальта и молибдена в р-ции разложения перекиси водорода в зависимости от соотношения компонентов катализатора и pH среды. Параллельно изучен состав перекисных соединений, образующихся в данной системе. Найдено, что при pH 5,0 максимально активные составы образуются при соотношении  $Co^{2+} : MoO_4^{2-} = 9:1$ , в то время как один  $MoO_4^{2-}$  в этих условиях не производит каталитич. действия, а активность одного лишь  $Co^{2+}$  в 1,5 раза меньше. Установлено, что в ходе катализа возможно образование ряда неустойчивых смешанных пермолибдатов переменного состава. При этом повышению каталитич. активности составов соответствует образование пермолибдатов с более высоким содержанием активного кислорода.

Ф. Перельман  
6Б470. Абсорбция и химическая реакция. Система  $CO_2 - H_2O - NH_2CH_2CH_2OH$ . Astarita Gianni. Assorbimento e reazione chimica simultanei: il sistema:  $CO_2 - H_2O - NH_2CH_2CH_2OH$ . «Ricerca scient.», 1960, 30, № 5, 658—666 (итал.; рез. франц., англ., нем.).—Измерена скорость абсорбции  $CO_2$  при 21,5° водн. р-ра моноэтаноламина (I) с начальной конц-ией 0,25, 0,50 и 1,0 моль/л при времени контакта 0,02—0,07 сек. Соотношение между коэф. хим. сорбции ( $k_{ch}$ ) и физ. сорбции ( $k_{ph}$ ) выражается эмпирич. ур-нием вида  $I = k_{ch} \cdot k_{ph}^{-0.18} = 7,15 (B_0 t)^{1/2} t^{-0.18}$ , где  $B_0$  — начальная конц-ия I в  $t$  — время контакта в  $10^{-2}$  сек. Среднее отклонение эксперим. данных от этого ур-ния  $\sim 4\%$ . Указанные ур-ние и эксперим. данные соответствуют ур-ниям, введенным на основе теоретич. представлений о скорости абсорбции при одновременно протекающей хим. р-ции 2-го порядка, и подтверждают предполагаемый механизм процесса, согласно которому имеет место непосредственное взаимодействие  $CO_2$  с аминной группой, так и взаимодействие  $CO_2$  с продуктами гидролиза аминной и спирт. групп. Медленными стадиями эти р-ций являются соответственно р-ции  $CO_2 + OH^- = HCO_3^-$  и  $CO_2 + NH_2RO^- = NH_2ROCOO^-$ .

В. Щеня  
6Б471. Исследование первичного кинетического солевого эффекта. Сообщение VII. Изменение солевого эффекта в зависимости от диэлектрической постоянной растворителя. Сообщение VIII. Солевой эффект в ряду солей с одинаковыми катионами в смеси вода — диоксан. Carassiti Vittorio, Dejak Carmillo, Mazzei Ileana. Ricerche sull'effetto cinetico primario di sale. Nota VII. Variazione dell'effetto in dipendenza della costante dielettrica del solvente. Nota VIII. Confronto dell'influenza di una serie di elettroliti a uguale catione in miscele di acqua e diossano. «Ann. chimica», 1960, 50, № 6-7, 979—987; 988—996 (итал.).—VII. Исследован первичный солевой эффект в р-ции переноса электронов (ПЭ) между аквоионами  $Co(2+)$  и  $Co(3+)$  (Bonner N. A., Hunt J. P. «J. Amer. Chem. Soc.», 1952, 74, 1866). Определена энергия активации (13,2 ккал/моль) и энтропия активации ПЭ ( $-13$  энтр. ед.). Блестящая Pt-фольга и удаление  $O_2$  из р-ра не влияют на скорость ПЭ. В  $D_2O$  ( $> 95\%$ ) ПЭ замедляется в 2 раза. В р-рах  $0,85 f HNO_3 + 0,15 f HClO_4$  и  $0,85 n. H_2SO_4 + 0,15 f HClO_4$  ПЭ ускоряется соответственно в 1,25 и 8,5 раза по сравнению с р-ром  $1 f HClO_4$ . Следы  $Cl^-$  не влияют на ПЭ. При постоянной ионной силе р-ра и скорости р-ции ( $v$ ) подчиняется уравнению  $v = [Co(2+)] [Co(3+)] \cdot [k + k_2/(H^+)]$ . В р-рах  $HClO_4 + NaClO_4$  найдена линейная зависимость между логарифмом функции каталитичности и отношением  $(HClO_4)/[HClO_4 + (NaClO_4)]$ .

фект в р-ции переноса электронов (ПЭ) между аквоионами  $Co(2+)$  и  $Co(3+)$  (Bonner N. A., Hunt J. P. «J. Amer. Chem. Soc.», 1952, 74, 1866). Определена энергия активации (13,2 ккал/моль) и энтропия активации ПЭ ( $-13$  энтр. ед.). Блестящая Pt-фольга и удаление  $O_2$  из р-ра не влияют на скорость ПЭ. В  $D_2O$  ( $> 95\%$ ) ПЭ замедляется в 2 раза. В р-рах  $0,85 f HNO_3 + 0,15 f HClO_4$  и  $0,85 n. H_2SO_4 + 0,15 f HClO_4$  ПЭ ускоряется соответственно в 1,25 и 8,5 раза по сравнению с р-ром  $1 f HClO_4$ . Следы  $Cl^-$  не влияют на ПЭ. При постоянной ионной силе р-ра и скорости р-ции ( $v$ ) подчиняется уравнению  $v = [Co(2+)] [Co(3+)] \cdot [k + k_2/(H^+)]$ . В р-рах  $HClO_4 + NaClO_4$  найдена линейная зависимость между логарифмом функции каталитичности и отношением  $(HClO_4)/[HClO_4 + (NaClO_4)]$ .

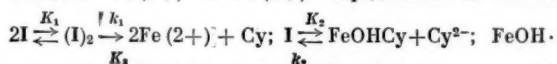
6Б476. Исследования по кинетике окисления железа в водных растворах перманганата калия. В. В. Зайков, 1960, Журнал физической химии, 34, № 1, с. 1-5. Исследования по кинетике окисления железа в водных растворах перманганата калия. В. В. Зайков, 1960, Журнал физической химии, 34, № 1, с. 1-5. Исследования по кинетике окисления железа в водных растворах перманганата калия. В. В. Зайков, 1960, Журнал физической химии, 34, № 1, с. 1-5.

фет в р-ции  $2\text{KJ} + \text{K}_2\text{S}_2\text{O}_8 = 2\text{K}_2\text{SO}_4 + \text{J}_2$  при постоянной концентрации обоих реагентов  $[\text{KJ}] = 0,01667 \text{ M}$ ,  $[\text{K}_2\text{S}_2\text{O}_8] = 0,008333 \text{ M}$  в смесях диоксана — вода разного состава с диэлектрич. постоянной ( $D$ ) от 53,5 до 75,8. Солевой эффект характеризовался значением  $\lg(K/K_0)$ , где  $K$  и  $K_0$  — константы скорости р-ции соответственно до и после прибавления соли. При равной концентрации прибавленной соли величины  $K$  и  $K_0$  от прибавления диоксана значительно изменяются в одном и том же направлении, поэтому  $\lg(K/K_0)$  изменяется незначительно. Вид кривых зависимости  $\lg(K/K_0)$  от ионной силы  $\mu$  ров ( $\mu$ ) одинаков с аналогичными кривыми для той же р-ции в водн. р-рах, приведенными ранее (сообщение VI, РЖХим, 1960, № 22, 87776), также как и относительное расположение кривых для различных хлоридов. Линейное возрастание  $\lg(K/K_0)$  с увеличением  $1/D$  приблизительно соблюдается только для мало гидратированных ионов ( $\text{K}$ ,  $\text{Ba}$ ); для ионов более гидратированных, напр. для  $\text{Li}$  и в меньшей степени для  $\text{Na}$  и  $\text{Ca}$ , наблюдается первоначальное уменьшение  $\lg(K/K_0)$  при возрастании  $1/D$ . Отклонения от обычно наблюдаемой в других р-рителях зависимости  $\lg(K/K_0)$  от  $1/D$  объясняются сольватацией ионов с диоксаном.

VIII. Исследования первичный солевой эффект в указанной выше р-ции для ряда солей  $\text{Na}$ : хлорида, бромиды, фторида, нитрата, сульфата, тартрата и цитрата. Кривые зависимости  $\lg(K/K_0)$  от  $1/D$ , также как и в водн. р-рах, располагаются раздельно для одно-, двух- и трехвалентных анионов. При увеличении содержания диоксана в смеси эти кривые несколько сближаются. Изображение зависимости  $\lg(K/K_0)$  только от  $\sqrt{\mu_K}$  ( $\mu_K$  — катионная ионная сила) ведет к еще большей дифференциации кривых для анионов различной валентности, тогда как в водн. р-рах зависимость  $\lg(K/K_0)$  от  $\sqrt{\mu_K}$  приводит к сближению кривых. Кривые зависимости  $\lg(K/K_0)$  от  $1/D$  показывают, что чем больше валентность и размеры аниона, тем более резко выражено вначале уменьшение  $\lg(K/K_0)$  при возрастании  $1/D$ . При более высоких значениях  $1/D$  кривые приближаются к теоретическим, полученным для других р-рителей. Считается доказанным, что показанная в предыдущих работах специфичность взаимодействия между ионами противоположного заряда не может быть отнесена только за счет явления, преобладающих в р-рах с низкой величиной  $D$ , напр. за счет ассоциации ионов, и механизм солевого эффекта можно полнее объяснить с точки зрения теории Брэнстеда — Кристьянсена. В. Щекин

6Б472. Механизм пероксидазной активности комплекса  $\text{Fe}(3+)$  с ЭДТА в катализированной реакции перекиси водорода с  $n$ -амино- $N,N$ -диэтиланилином. Mader Paul M. Mechanism of the peroxidatic activity of iron (III) — EDTA in the catalyzed reaction of hydrogen peroxide with  $n$ -amino- $N,N$ -diethylaniline. (J. Amer. Chem. Soc., 1960, 82, № 11, 2956—2961 (англ.).) — Кинетика взаимодействия  $\text{H}_2\text{O}_2$  с  $n$ -амино- $N,N$ -диэтиланилином (I) в присутствии комплекса  $\text{Fe}^{3+}$  с этилендиаминтетрауксусной к-той (II) изучалась в водн. р-ре при 25°, pH 9,67—10,54 и ионной силе 0,38. За ходом р-ции следили по убыли конц-ии  $\text{H}_2\text{O}_2$ , которую определяли полярографически. Продуктом окисления является хинондимин ( $\text{C}_6\text{H}_5\text{N}^+\text{C}_6\text{H}_4\text{NH}$  (III)). Во избежание вторичных р-ций с участием III последний связывали, добавляя к системе 4-хлор-1-нафтол, образующий с III нерастворимый индоанилиновый краситель. Скорость р-ции как функция  $\text{H}_2\text{O}_2$  имеет максимум, положение которого зависит от pH, и пропорциональна конц-ии I и II. Предполагается механизм р-ции, согласно которому I окисляется III с образованием комплекса  $\text{Fe}^{2+}$  — II, а затем III реагирует с  $\text{H}_2\text{O}_2$  с регенерацией  $\text{Fe}^{3+}$  — II комплекса. В. К.

6Б473. Спектрофотометрическое изучение обесцвечивания цистеината трехвалентного железа. Leussing D. L., Mislan J. P., Goll R. J. A spectrophotometric study of the bleaching of ferric cysteinylate. (J. Phys. Chem., 1960, 64, № 8, 1070—1073 (англ.).) — Кинетика обесцвечивания  $\text{FeOH}(\text{Cy})_2^{2-}$  (I), где  $\text{Cy}$  — цистин и его ионы, изучалась в интервале pH 8,8—10,1 при ионной силе  $\mu$  0,1 и  $t$ -ре 25° спектрофотометрически при 580 мμ. Скорость р-ции следует 2-му порядку и не зависит от начальных конц-ий  $\text{Fe}(3+)$  и  $\text{Fe}(2+)$ . Предложен механизм



$\cdot \text{Cy} + \text{I} \xrightleftharpoons{K_4} \text{Fe}_2(\text{OH})_2 \cdot \text{Cy}_2^{2-} \rightarrow 2\text{Fe}(2+) + \text{Cy}$ , который согласуется с формой кинетич. кривой и аналогичен механизму для р-ции меркаптоацетата  $\text{Fe}(3+)$  (II) (РЖХим, 1957, № 12, 40705). Найдено  $k_1K_1 = 2 \text{ л/моль сек}$ ,  $k_2K_2K_3 = 0,105 \text{ сек}^{-1}$ . По-видимому, окисление I протекает аналогично II через координацию двух меркапидных групп вокруг одного атома Fe. I окисляется быстрее II за счет разницы в энергии переноса электрона от S к Fe. А. Ревзин

6Б474. О некоторых принципах подбора катализаторов для жидкофазной гидратации ацетилен в ацетальдегид. Флид Р. М. «Тр. Ин-та хим. наук. АН КазССР», 1959, 5, 81—91. — Рассмотрены основные особенности механизма каталитич. гидратации  $\text{C}_2\text{H}_2$  и влияние на активность катализатора таких параметров, как радиус катодона, его потенциал ионизации и сродство к электрону, нормальный электродный потенциал катодона и хим. природа аниона. Автор приходит к выводу, что перспективными нертуными катализаторами жидкофазной гидратации  $\text{C}_2\text{H}_2$  могут быть соли  $\text{Cu}$  и, возможно,  $\text{Ag}$ . Предложенный автором в качестве катализатора р-р  $\text{CuCl}$  в 82%-ном р-ре  $\text{ZnCl}_2$  в лабор. условиях при проведении процесса при 170—175° не уступает в активности и селективности ртутному катализатору Кучерова. М. Сахаров.

6Б475. Окисление пинакона хромовой кислотой. Chang Y. W., Westheimer F. H. The chromic acid oxidation of pinacol. (J. Amer. Chem. Soc., 1960, 82, № 6, 1401—1405 (англ.).) — Водный р-р хромовой к-ты окисляет пинакон количественно в ацетон. Скорость окисления пропорциональна конц-ии пинакона, ионов  $\text{H}^+$  и ионов  $\text{HCrO}_4^-$ . Скорость р-ции в  $\text{D}_2\text{O}$  в 2,7 раза больше, чем в  $\text{H}_2\text{O}$ . Скорость окисления монометилового эфира пинакона хромовой к-той мала по сравнению со скоростью окисления пинакона и имеет нулевой порядок по к-те в водн. р-ре  $n$ -толуолсульфокислоты. Окисление пинакона в присутствии  $\text{Mn}^{2+}$ , превращающегося в  $\text{Mn}^{4+}$ , идет с малым индукционным фактором. Механизм р-ции включает стадию образования эфира хромовой к-ты и пинакона как промежуточного соединения. Г. Зайков

6Б476. Влияние температуры и солевого эффекта на скорость деполимеризации триоксана в концентрированных растворах хлористоводородной кислоты. Brice L. K., Lindsay L. P. Temperature and salt effects on the rate of depolymerization of trioxane in concentrated hydrochloric acid solutions. (J. Amer. Chem. Soc., 1960, 82, № 14, 3538—3540 (англ.).) — Дилатометрически изучена кинетика деполимеризации триоксана в водн. р-ре  $\text{HCl}$  (1—9 M) при  $t$ -ре 30—60°. Для константы скорости 1-ого порядка получено уравнение  $k = 3,6 \cdot 10^{13} h_0^{1,18} \exp(-28700/RT)$ , где  $h_0$  — функция кислотности Гаммета. Влияние соли (1 моль/л) на  $k$  при 40° и при 4 M  $\text{HCl}$  характеризуется отношением  $k_s/k$ , где  $k_s$  константа скорости в присутствии соли. Значение  $k_s/k$  для  $\text{LiCl}$  2,12,  $\text{NaCl}$  1,87,  $\text{KCl}$  1,50,  $\text{NH}_4\text{Cl}$  1,50,  $\text{N}(\text{CH}_3)_4\text{Cl}$  1,23 и  $\text{C}_6\text{H}_5\text{NHCl}$  1,47. Влияние  $\text{LiCl}$  при 45° выражается ф-лой  $\lg k = -1,16 H_0 + 0,320 \cdot$



$\cdot s - 6,318$ , где  $H_0$  — функция кислотности р-ра без соли при 25° и  $s$  — молярная конц-ия соли. А. Реканд

6Б477. Кислотно-катализированный гидролиз ангидридов карбоновых кислот. Buntton C. A., Perry S. G. The acidcatalysed hydrolysis of carboxylic anhydrides. *J. Chem. Soc.*, 1960, July, 3070—3079 (англ.).— Кинетика гидролиза уксусного (I), уксуснобензойного (II), бензойного (III), уксусномезитилового (IV) и мезитилового ангидрида (V) изучалась в водн. р-ре (для I) и в смесях ацетон—вода (A—B) в присутствии  $HClO_4$  при разных т-рах. Энтропия активации (энтр. ед.) для I в водн. р-ре +2,2, для смесей A—B разного состава от -16,1 до -19,3, для II -22,4; III -18,9; IV -3,8; V -8,6. Скорость гидролиза I (в водн. р-ре) и IV линейно зависит от кислотной функции Гаммета  $H_0$ , в то время как для I в AB, II и III линейно зависит от конц-ии  $HClO_4$ . В опытах с  $H_2O^{18}$  установлено, что в II, а также в *n*-нитробензойном ангидриде рвется связь ацетил—O, в IV — преимущественно связь мезитил—O. Для I в AB, II и III р-ция протекает по механизму A-2, а для I в водн. р-ре, IV и V по механизму A-1. Основным путем р-ции для IV является образование пона мезитилина из сопряженной к-ты IV. Кинетика р-ций рассмотрена с точки зрения гипотезы Цуккера — Гамметта. Зависимость  $\lg k$  от  $-(3/4)H_0 + (1/4) \lg [HClO_4]$  для I и II линейна в разных р-рителях с наклоном 0,8 и 0,75 соответственно. Авторы считают, что молекула  $H_2O$  не связана непосредственно с реакционным центром (PC) переходного состояния. Реакционная способность растет с увеличением расстояния от PC до атома O в переходном состоянии. Наряду с этим меняется характер зависимости от  $H_0$  и конц-ии к-ты. А. Ревзин

6Б478. Применение газо-жидкостной распределительной хроматографии к проблемам химической кинетики кислотного метанолиза энольных ацетатов. Kring E. V., Jenkins G. I., Bacchetta V. L. The application of gas—liquid partition chromatography to problems in chemical kinetics acid—catalyzed methanolysis of enol acetates. *J. Phys. Chem.*, 1960, 64, № 7, 947—949 (англ.).—Методом газо-жидкостной хроматографии исследована кинетика кислотного метанолиза винилацетата (I) и изопропилацетата (II) в присутствии  $H_2SO_4$  (0,245—0,980 мэкв  $H^+$  на 1 г эфира) при 30—60°. Установлены у-рия констант скоростей для I:  $\ln k = 14,51431 + 0,85014 \ln [H^+] - 6334,929/T$  и для II:  $\ln k = 16,33806 + 1,03410 \ln [H^+] - 6960,318/T$ . А. Реканд

6Б479. Кинетика разложения соляной кислотой продуктов присоединения этилена к солям  $Hg(2+)$ . Ichikawa Katsuhiko, Ouchi Hajime, Araki Shigemitsu. The kinetics of the decompositions of ethylene—mercuric salt addition compounds with hydrochloric acid. *J. Amer. Chem. Soc.*, 1960, 82, № 15, 3880—3883 (англ.).—Кинетика разложения  $HCl$  соединений  $ROCH_2CH_2HgCl$  (I), где  $R = CH_3CO$ ,  $CH_3$ ,  $C_2H_5$ ,  $iso-C_3H_7$  и  $H$ , изучалась в 75%-ном этаноле при 0,3 и 25°. Р-ция следует 1-му порядку по конц-иям I, иона гидрония и  $Cl^-$ . Добавление  $NaCl$  не влияет на скорость р-ции,  $HgCl_2$  снижает ее. В присутствии  $HClO_4$  происходит замещение  $R$  в I на  $R$ -р-тителя (т. е. на  $C_2H_5$ ) без разложения. Авторы считают, что р-ция происходит через образование  $\pi$ -комплекса, разложение которого лимитирует скорость р-ции. Разница в скоростях разложения  $CH_3CH(OR)CH_2HgI$  (РЖХим, 1959, № 16, 64516) и I объясняется разным средством  $Hg$  к  $Cl$  и  $J$ . А. Ревзин

6Б480. Реакции окисления воздухом в жидкой фазе. Mashio Fujio. «Kōrō kagaku dzasshi, Kōgyō kagaku zasshi, J. Chem. Soc. Japan. Industr. Chem. Sec.», 1960, 63, № 5, 699—703 (японск.)

6Б481. Влияние некоторых добавок на скорость окисления циклопентана. Horscroft R. C. The effect of some additives on the oxidation rate of cyclopentane. *J. Chem. Soc.*, 1960, July, 3102—3106

(англ.).—Изучено влияние добавок солей:  $KF$ ,  $K_2MgSO_4$ ,  $LiCl$ ,  $KBr$ ,  $KCl$ ,  $K_2SO_4$ ,  $Al_2(SO_4)_3$ ,  $LiBr$ ,  $LiI$ ,  $MgCl_2$ ,  $CsCl$  и металлов  $Ag$ ,  $Pt$  на скорость окисления циклопентана и выход перекисей при т-рах 250—400°. Опыты проводились либо путем покрытия поверхности пирексового реакционного сосуда солями, либо путем введения на дно сосуда нескольких грамм соли ( $LiBr$  или  $LiCl$ ), либо путем введения проволоки ( $Ag$  и  $Pt$ ). При 250° добавки солей уменьшают выход перекисей и снижают скорость р-ции. При 400° влияние добавок очень мало. Предполагается, что соли разрушают перекиси, являющиеся разветвляющимися агентами при низких т-рах. При ~400° перекиси не влияют на развитие цепей. С. Позан

6Б482. Кинетика гидролиза N-замещенных амидов. Сообщение I. Гидролиз N-метил и N,N'-диметилацетамидов и ацетанилидов. Сообщение II. Гидролиз фталимида и его N-фенилпроизводных. Cinetica di idrolisi di amidi n-sostituite. Nota I. Mazzucato Ugo, Foffani Antonio, Cauzzo Giulio. N-metil-e N,N'-dimetil-acetamide, acetanilide. Nota II. Papoff Paolo. Mazzucato Ugo, Foffani Antonio, Piazza Giuseppe. Ftalimide e suoi N-arilderivati. *Ann. chimica*, 1960, 50, № 3—4, 521—529; 530—542 (итал.).—I. Путем потенциометрич. титрования исследована кинетика гидролиза N-метил-(I) и N,N'-диметилацетамидов (II) при 55—90° в щел. и кислой средах, и в спиртовой (40%  $C_2H_5OH$ ) щелочи. Энергии активации ( $E$ , ккал/моль) и энтропии активации (энтр. ед.) равны: для I при щел. гидролизе 16,4, -21,5, в кислой среде 20,5, -14,1; для II в щелочи 15,4, -23,7. Скорость р-ции значительно выше в щел. среде и замедляется от прибавления спирта. Полученные результаты рассмотрены с точки зрения теории Лейдлера и Лендскрона (РЖХим, 1957, № 1, 399). Требуемая теорией линейная зависимость между  $k(OH^-)$  и обратной величиной диэлектрич. константы среды удовлетворительно соблюдается для II и ацетанилида. Сопоставление данных для метил-, фенил- и незамещенного амидов показало, что введение метильной и фенильной групп замедляет скорость гидролиза и в кислой и в щел. средах. В кислой среде величины  $k$  располагаются в ряд  $k(N-H) > k(N-C_6H_5) > k(N-CH_3)$ , а в щел. среде  $k(N-H) > k(N-CH_3) > k(N-C_6H_5)$ .

II. Полирографически и спектрофотометрически исследовано влияние природы р-рителя и т-ры на скорость гидролиза фталимида (III). При постоянном pH гидролиз протекает по 1-му порядку по III. Константы скорости ( $k_1$ ) не являются линейной функцией pH в определенном интервале pH не зависит от  $[OH^-]$  (кин. кинетич. область).  $k_1$  является сложной величиной, в которую входят константы скорости гидролиза молекулы ( $k_2'$ ) и аниона ( $k_2''$ ) и константа диссоциации III ( $K$ ). Для изокинетич. области, где  $[H^+] \ll K$  и  $k_2'' \ll k_2'$ , константы скорости убывают с повышением конц-ии спирта (10—50%), величины  $K$  изменяются от  $1,6 \cdot 10^{-10}$  до  $4,8 \cdot 10^{-11}$ ; убывают также и величины  $k_2'$ . Значения  $E$  падают с возрастанием конц-ии спирта и лежат в пределах 7,1—9,2 ккал/моль. Скорость гидролиза зам. фталимидов выше, причем порядок констант скорости ( $k(N-C_6H_5) > k(N-CH_3) > k(N-H)$  здесь обратный, чем у замещ. ацетамидов. Предполагается, что это связано с отсутствием менее реакционных способных таутомерных форм у замещ. фталимидов. С возрастанием конц-ии спирта скорость гидролиза падает. Изменение ионной силы не сказывается на скорости гидролиза. По скорости гидролиза N-фенилфталимида, замещенные в ядре в пара-положении группы  $CH_3O$ ,  $C_2H_5O$  и  $CH_3$ , атомы хлора и брома, различаются друг от друга. Величины  $E$  для всех соединений лежат в интервале 7,3—9,1 ккал/моль. В. Шен

6Б483. К вопросу о механизме изомеризации дейтеробмена нафтеннов в жидком  $HBr$ . Шат

штейн А. И., Жданова К. И., Басманова В. М. Докл. АН СССР, 1960, 133, № 5, 1117—1120.—Реакция изомеризации метилциклопентана (I) в циклогексан (II) в жидком HBr при 25° катализируется AlBr<sub>3</sub> в  $\approx 6$  раз сильнее, чем GaBr<sub>3</sub>. Скорость дейтеробмена с DBr циклопентана, равновесной смеси I и II и метилциклогексана пропорциональна конц-ции AlBr<sub>3</sub> и ускоряется при добавке соответственно циклопентилбромида или циклопентена, циклогексилбромида или циклогексена. Эти добавки усиливают также окраску р-ра и благоприятствуют выпадению масла. Скорость обмена в I на 2 порядка ниже скорости изомеризации. Авторы считают, что изученные р-ции могут проходить через образование карбониевых ионов или поляризации связи C—Br.

А. Ревзин  
6Б484. Кинетика *cis-trans*-изомеризации в растворителе, молекулы которого содержат тяжелые атомы. McCoy E. F., Parfitt S. S. G., Ross I. G. Kinetics of a *cis-trans* isomerization in a heavy-atom solvent. J. Phys. Chem., 1960, 64, № 8, 1079—1080 (англ.).—Изучалась кинетика р-ции термич. изомеризации диметилмалеата (I) в р-ре йодбензола (конц-ия I 10%) при 217—232° в отсутствие воздуха. При охлаждении до 0° продукт р-ции — диметилфумарат выпадает в осадок, степень превращения определялась по показателю р-ра. Р-ция 1-го порядка, предэкспонент  $6 \cdot 10^6$  сек.<sup>-1</sup>, энергия активации  $28,5 \pm 3$  ккал/моль. Сравнение со скоростью р-ции изомеризации I в р-ре в анизоле (РЖХим, 1956, № 21, 67902) показывает, что присутствие тяжелого атома J в молекуле р-рителя не меняет константы скорости р-ции, как это следует из теории (Maree J. L. и др., J. Amer. Chem. Soc., 1941, 63, 677) согласно которой малое значение предэкспонента связано с триплетностью промежуточного в-ва при р-ции *cis-trans*-изомеризации.

В. Скурат  
6Б485. Скорость реакции 1-алкенилизацианатов с метанолом. Sato Masao. The rates of reaction of 1-alkenyl isocyanates with methanol. J. Amer. Chem. Soc., 1960, 82, № 15, 3893—3897 (англ.).—Кинетика р-ции 1-алкенилизацианатов (I) с CH<sub>3</sub>OH (II) с образованием карбаматов (III) и катализ ее триэтиламин (IV) изучалась в р-ре ди-*n*-бутилового эфира при 25°. Скорость р-ции следует ур-нию  $dx/dt = k_1(a-x) \cdot (b-x)^2 + k_2(a-x)(b-x) + k_3(IV)(a-x) \cdot (b-x)$ , где  $a$  и  $b$  — начальные конц-ии I и II,  $x$  — конц-ия III. По величине  $k_1$  разные изоцианаты располагаются в ряд: этил- (V) <  $\alpha$ -тетралинил- (VI) < изопропенил- (VII) < фенил- (VIII) < пропенил- (IX) <  $\beta$ -пропенил- (X) < винил- (XI). Отношение  $k_2/k_1$  изменяется от 0,7 до 39. Величина  $k_3$  изменяется в ряду  $\beta$ -фенилвинил- > XI  $\approx$  VIII > IX  $\approx$  X > VII >  $\alpha$ -бутилвинил- (XII) > V. Сопряженные группы NCO с двойной связью или ароматич. кольцом увеличивает реакционную способность (PC) I. Малая PC VI и XII объясняется стерич. препятствиями. По-видимому, замещение в  $\alpha$ -положении также влияет на PC группы NCO.

А. Ревзин  
6Б486. Каталитическое галоидирование в концентрированных средах. IV. Хлорирование ароматических углеводородов, активированное хлорным оловом. Le Page Jean, Jungers Joseph-Charles. L'halogénéation catalytique en milieu concentré. IV. La chloration des hydrocarbures aromatiques activée par le chlorure d'étain. Bull. Soc. chim. France, 1960, № 3, 525—533 (франц.).—Хлорирование ароматич. соединений, активированное хлорным оловом, протекает по 1-му порядку по хлору, углеводороду и катализатору и благодаря простоте кинетики является особенно пригодным для объяснения ассоциаций, образующихся в реакционной среде. Кинетич. анализ явления показывает, в согласии с результатами спектрофотометрич. опытов, что хлор в значительной мере ассоциирован с углеводородом, в то время как SnCl<sub>4</sub> практически целиком находится в свободном состоянии. Эти

данные позволяют исследовать относительную реакционную способность углеводородов путем проведения р-ции при слабом разведении, либо в смеси двух углеводородов в той же среде, либо изолированно в чистом виде. Часть III см. РЖХим, 1960, № 10, 38000.

Резюме авторов  
6Б487. Реакция окиси азота с триэтилфосфитом. Kuhn Lester P., Doali J. Omar, Wellman Carl. The reaction of nitric oxide with triethyl phosphite. J. Amer. Chem. Soc., 1960, 82, № 18, 4792—4794 (англ.).—Впервые описана жидкофазная р-ция NO с (C<sub>2</sub>H<sub>5</sub>O)<sub>3</sub>P с образованием N<sub>2</sub>O и (C<sub>2</sub>H<sub>5</sub>O)<sub>3</sub>PO. Р-ция проводилась путем энергичного перемешивания р-ра (C<sub>2</sub>H<sub>5</sub>O)<sub>3</sub>P в атмосфере NO при 0°. Инфракрасным и масс-спектрометрич. анализом установлено, что при избытке (C<sub>2</sub>H<sub>5</sub>O)<sub>3</sub>P получается 99%-ная N<sub>2</sub>O. Скорость р-ции определялась манометрически. Р-ция следует 1-му порядку по конц-ии обоих исходных в-в. От природы р-рителя скорость р-ции зависит слабо, причем корреляция между диэлектрич. постоянной р-рителя и скоростью р-ции отсутствует. Сделан вывод, что р-ция идет в две стадии через промежуточный продукт (III) радикального характера, возможно, (C<sub>2</sub>H<sub>5</sub>O)<sub>3</sub>P—N=O или (C<sub>2</sub>H<sub>5</sub>O)<sub>3</sub>PON. Сделана попытка доказать радикальный характер III путем инициирования полимеризации при проведении р-ции в стироле. Полимеризация не наблюдалась. Это объясняется тем, что III реагирует с NO быстрее, чем со стиролом. Описанная р-ция предлагается в качестве удобного метода получения очень чистой N<sub>2</sub>O.

И. Баркалов  
6Б488. Сравнительное исследование ионизации в пламенах ацетилена с кислородом и ацетилена с закисью азота. Poncelet J., Berendsen R., Van Tiggelen A. Comparative study of ionization in acetylene-oxygen and acetylene-nitrous oxide flames. 7th Sympos. Combust., London—Oxford 1958. London, 1959, 256—262. Discuss., 283—286 (англ.).—Для определения уд. сопротивления зоны р-ции пламени использован метод, предложенный авторами (РЖХим, 1959, № 9, 30539) и основанный на измерении сопротивления пламени, образованного на кольцевом зазоре между двумя изолированными концентрич. трубками толщиной 1 мм. Определяя уд. сопротивление по изменению силы тока с напряжением, авторы вычисляют конц-ию ионов в зоне р-ции ( $n$ ). Эта величина используется для определения энергий активации р-ции продолжения цепи ( $E_p$ ) и разветвления цепи ( $E$ ) с помощью полуэмпирич. ур-ний:  $\lg(nT/T_0) = K + \lg T + 2 \lg V_0 + 0,43E_p/RT$  и  $\lg n + \lg T - i \lg Y = K - 0,434(E - E_p)/RT$ , где  $V_0$  — скорость распространения пламени,  $T$  — средняя т-ра в зоне р-ции,  $Y$  — конц-ия реагирующей смеси,  $i$  — брутто-порядок р-ции разветвления минус единица. Вычисленные таким способом значения  $E$  равны для смеси C<sub>2</sub>H<sub>2</sub>—O<sub>2</sub>—N<sub>2</sub> 39,6—49 ккал/моль, для смесей C<sub>2</sub>H<sub>2</sub>—N<sub>2</sub>O—N<sub>2</sub> 52—77 ккал/моль.

А. Соколик  
6Б489. Исследование структуры пламени. IV. Сравнение предварительно перемешанных смесей окиси углерода. Friedman R., Nugent R. G. Flame structure studies. IV. Pre-mixed carbon monoxide combustion. 7th Sympos. Combust., London—Oxford 1958. London, 1959, 311—316. Discuss., 409—414 (англ.).—В связи с замедлением сгорания CO в пламенах углеводородов даже при наличии избытка O<sub>2</sub> исследовалась структура зоны р-ции плоских пламен бедных смесей CO—O<sub>2</sub>—H<sub>2</sub>(H<sub>2</sub>O) при 30 мм рт. ст. По распределению т-ры, измеряемой Pt-Pt-Rh-термопарой, определялись скорости объемного тепловыделения, а по профилям конц-ий продуктов (по данным масс-спектрометрич. анализа) — локальные значения скорости р-ции. Скорости тепловыделения пропорциональны локальным конц-иям CO. Скорость горения пламен с H<sub>2</sub> превышает скорость пламен с H<sub>2</sub>O даже при более высокой т-ре последних, напр. 1732 и 1780° К соот-

ветственно. Для получения (исходя из ф-лы Зельдовича, Франк-Каменецкого и Семенова) величины константы скорости  $r$ -ции в пламени, близкой к непосредственно измеренной ( $\sim 200 \text{ сек}^{-1}$ ), необходимо принять эффективную энергию активации  $\sim 5 \text{ ккал/моль}$ , либо предположить качеств. различие процессов в зоне интенсивного свечения, которой определяется распространение пламени, и в хвосте зоны  $r$ -ции. Часть III см. РЖХим, 1956, № 18, 57555. А. Соколик

6Б490. Порядок реакции в пламенах водорода с бромом, определенный из зависимости тушащего диаметра от давления. Potter A. E., Jr, Anagnostou E. Reaction order in the hydrogen-bromine flame from the pressure dependence of quenching diameter. «7th Sympos. Combust., London — Oxford 1958. London, 1959, 347—351. Discuss., 409—414 (англ.).—Для сопоставления порядка грубо-реакции в пламени с порядком низкотемпературной  $r$ -ции  $\text{H}_2 + \text{Br}_2$  исследовалась зависимость тушащего диаметра (ТД) — кольцевого зазора между концентрич. трубами, в котором угасает пламя, — от давления. Измерения проводились при  $25\text{—}30^\circ$  и давл.  $> 1 \text{ атм}$ . При распространении пламени в вертикальной трубе снизу вверх в смесях, бедных  $\text{Br}_2$ , ТД линейно растет с понижением давления, но для стехиометрич. и особенно богатой смеси зависимость ТД от давления нелинейна; начиная с некоторого минимума давления — предела распространения пламени, ТД возрастает с повышением давления. Эта особенность богатых смесей объясняется действием конвекции; при распространении пламени в горизонтальной трубе для всех смесей наблюдается линейная зависимость ТД от давления, из которой получен порядок  $r$ -ции, равный для смесей с  $44,4\% \text{ Br}_2$  1,47, с  $46,4\% \text{ Br}_2$  1,64 и близкий к порядку  $r$ -ции 1,5, вытекающему из цепной схемы процесса. А. Соколик

6Б491. Исследование кинетики пламени циана. Scheller K., McKnight W. E. A study of the kinetics of cyanogen flames. «7th Sympos. Combust., London — Oxford 1958». London, 1959, 369—376. Discuss., 409—414 (англ.).—Низкая скорость горения ( $v$ ) воздушных смесей  $\text{C}_2\text{N}_2$  (10 см/сек) по сравнению с углеводородными пламенами (несмотря на более высокую  $t$ -тру для  $\text{C}_2\text{N}_2$ ) приводит к выводу о двустадийности процесса сгорания  $\text{C}_2\text{N}_2$  в пламени — до СО в основной зоне  $r$ -ции с последующим замедленным сгоранием СО в  $\text{CO}_2$ . Это подтверждается измерением (методом бомбы постоянного давления) степени расширения, которая возрастает с увеличением содержания  $\text{C}_2\text{N}_2$  от 11 до 20%. При этом  $t$ -тра полного сгорания изменяется мало, а  $t$ -тра горения, вычисленная исходя из сгорания до СО, возрастает. В тех же пределах содержания  $\text{C}_2\text{N}_2$   $v$  остается неизменной, но при замене  $1/3 \text{ N}_2$  на СО она возрастает и появляется резкий максимум  $v$  для смеси, содержащей 13%  $\text{C}_2\text{N}_2$ . Эти наблюдения объясняются ускорением окисления СО, образующегося в 1-й стадии горения  $\text{C}_2\text{N}_2$ , добавкой СО к исходной смеси. А. Соколик

6Б492. Измерение скорости горения методом бомбы постоянного давления. Strauss W. A., Edse R. Burning velocity measurements by the constant-pressure bomb method. «7th Sympos. Combust., London — Oxford 1958». London, 1959, 377—385. Discuss., 409—414 (англ.).—Скорость горения ( $v$ ) газовых смесей исследовалась методом бомбы постоянного давления при давлениях ( $p$ ) до 90 атм. В смесях  $\text{CO} - \text{O}_2$  при высоких  $p$  в конечной фазе горения фотографии, развертка следа пламени становится волнообразной. Для этих смесей  $v$  уменьшается с ростом  $p$  в начальной фазе и увеличивается с ростом  $p$  в конечной фазе. В энергично горящих смесях  $\text{CH}_4$  и  $\text{H}_2$  с  $\text{O}_2$  или с  $\text{NO}$   $v$  увеличивается с повышением  $p$ , в медленно горящих воздушных смесях  $\text{CO}$  и  $\text{CH}_4$  понижается с ростом  $p$ . В метано-воздушных смесях при высоких  $p$  наблюдаются два максимума  $v$  — вблизи стехиометрич. сме-

си и в сильно обогащенных смесях. Максим.  $v$  в бомбе постоянного давления на 50—75% выше  $v$ , измеренных в пламени горелки. А. Соколик

6Б493. Вертикальный трубчатый реактор-прибор для исследования пламенных процессов. Williams K. G., Johnson J. E., Carhart H. W. The vertical tube reactor — a tool for study of flame processes. «7th Sympos. Combust., London — Oxford 1958». London, 1959, 392—398. Discuss., 407—409 (англ.).—См. РЖХим, 1959, № 17, 60685. О. Г.

6Б494. Некоторые факторы, определяющие задержку воспламенения газового топлива. Miller R. E. Some factors governing the ignition delay of a gaseous fuel. «7th Sympos. Combust., London — Oxford 1958». London, 1959, 417—424. Discuss., 488—494 (англ.).—Самовоспламенение при смешении нагретых потоков горючего газа, состоящего в основном из пропана и воздуха, исследовалось при атмосферном давлении и  $t$ -тре воздуха  $\sim 900^\circ$ . В опытах независимо изменялись: конц-ия  $\text{O}_2$ , путем добавки к воздуху  $\text{O}_2$ , так называемый кислородный индекс  $a$ , соотношение горючее:  $\text{O}_2$  и объемная конц-ия специально добавляемого к потоку водяного пара  $c$ . С учетом изменения  $t$ -тры смеси при изменении конц-ий горючего отмечается независимость задержки от соотношения горючее:  $\text{O}_2$ . Измерения, проведенные при различных  $t$ -трах и различных значениях  $a$  и  $c$ , описываются ф-лой  $(\tau a / 8,5 + 1) = 4,88 \cdot 10^{-18} \exp(32400/T)$ . А. Соколик

6Б495. Тепловая теория периодов индукции и задержки воспламенения. Gray P., Hager M. J. The thermal theory of induction periods and ignition delays. «7th Sympos. Combust., London — Oxford 1958». London, 1959, 425—430. Discuss., 488—494 (англ.).—Исследуется степень точности приближенного решения ур-ния теплового взрыва методом Франк-Каменецкого с заменой экспоненциального члена скорости  $r$ -ции двумя членами разложения в ряд и методом авторов — с заменой экспоненциального члена квадратичным выражением относительно безразмерной  $t$ -тры  $\theta = (T - T_0) \cdot E/RT^2$ . Применение этих двух методов приближенного решения к нестационарной задаче определения периода индукции теплового взрыва приводит к близким результатам в пределах  $0 < \theta < 2$ , но значительно отличным от результатов, полученных при решении ур-ния методом Тодеса. А. Соколик

6Б496. Задержка воспламенения пропана в воздухе при  $725\text{—}800^\circ$  в изотермических условиях. Chang C. J., Thompson A. L., Winship R. D. Ignition delay of propane in air between  $725\text{—}880^\circ \text{C}$  under isothermal conditions. «7th Sympos. Combust., London — Oxford 1958». London, 1959, 431—435. Discuss., 488—494 (англ.).—Исследовалось воспламенение при впрыске пропана в турбулизированный поток нагретого воздуха с добавками  $\text{N}_2$  и  $\text{O}_2$ , изменяющими конц-ию  $\text{O}_2$  в атмосфере. Задержка воспламенения (ЗВ) определялась по расстоянию от места впрыска горючего до места возникновения фронта пламени и по величине массовой скорости потока. Величина ЗВ не изменяется с изменением числа  $Re$  от 2000 до 14 000 как в результате установки турбулизирующих решеток, так и при увеличении диаметра трубы от 25 до 54 мм. Вплоть до обратного проскака пламени ЗВ не изменяется с составом до конц-ий горючего  $< 1/2$  от стехиометрической и слабо сокращается при дальнейшем повышении конц-ий. Изменение ЗВ с  $t$ -трой и конц-ией  $\text{O}_2$  в атмосфере описывается ф-лой  $\gamma = (\text{const}/[\text{O}_2]^n) \exp(E/RT)$ , где  $n = 0,74$  и  $E$  изменяется от  $47 \text{ ккал/моль}$  для  $[\text{O}_2] = 30 \text{ вес. \%}$  до  $50 \text{ ккал}$  для  $[\text{O}_2] = 12,5 \text{ вес. \%}$ . А. Соколик

6Б497. Явления зажигания водородо-воздушных смесей. Rose H. E., Friede T. Ignition phenomena in hydrogen-air mixtures. «7th Sympos. Combust., London — Oxford 1958». London, 1959, 436—445. Discuss., 488—494 (англ.).—Исследовалось влияние конфигурации и материала электродов и характеристики эле-



трич. цепи на миним. энергию зажигания (МЭЗ) смесей  $H_2$  — воздух от конденсаторного разряда. Основные опыты, проведенные с 50%-ной смесью, показывают уменьшение МЭЗ с уменьшением размера полусферич. электродов. Изменение формы электродов, с заменой полусферич. электродов плоскими, не влияет на МЭЗ, когда искровой промежуток превышает тушащий, но влияет на самую величину тушащего промежутка. Для ряда электродов — Pt, Al, Ag, Cd — МЭЗ изменяется параллельно изменению  $t$ -ры кипения материала и минимальна для Cd. По мере увеличения сопротивления, вводимого в электрич. цепь конденсатора, возрастает энергия, запасаемая в конденсаторе, но уменьшается МЭЗ, выделяемая в разряде. Полученные результаты объясняются на основе тепловой теории искрового зажигания.

А. Соколик  
6Б498. Воспламенение топливно-воздушных смесей горючими газами и его связь со взрывами рудничного газа. Wolfhard H. G., Vanpée M. Ignition of fuel — air mixtures by hot gases and its relationship to firedamp explosions. 7th Sympos. Combust., London — Oxford 1958. London, 1959, 446—453. Discuss., 488—494 (англ.). — Для выяснения возможного влияния различных факторов на воспламенение рудничного газа от струи горячих газов, образующейся при взрыве детонаторов, исследовалось воспламенение ряда газообразных горючих при выпуске в них струи горячего воздуха. При данной массовой скорости воздушной струи  $t$ -ра воздуха ( $T$ ), необходимая для воспламенения, возрастает в ряду:  $H_2$  670,  $C_2H_2$  755, CO 765,  $C_2H_4$  875,  $C_2H_6$  945,  $CH_4$  1190°. В опытах с  $C_2H_4$  наблюдалась независимость  $T$  от массовой скорости воздуха, равной 20—150  $cm^3/sec$ . При воспламенении смесей горючих газов не соблюдается линейная зависимость  $T$  от содержания компонентов. Особенно велико отклонение от линейности для смесей  $H_2$  —  $CH_4$ . Величина  $T$  мало изменяется с изменением отношения  $O_2$ : ( $O_2 + N_2$ ), за исключением  $CH_4$ , для которого  $T$  линейно снижается с увеличением содержания  $O_2$ . Наличие  $H_2$  значительно облегчает воспламенение  $CH_4$ . При воспламенении бедной метано-воздушной смеси от струи горячего воздуха  $T = 1400^\circ$ , а при добавке к ней 10%  $H_2$   $T = 900^\circ$ . Увеличение конц-ии  $CH_4$  до стехиометрической тормозит воспламенение.

А. Соколик  
6Б499. Попытка измерения гомогенной температуры воспламенения. Sage J. A., Weinberg F. J. An attempt at measuring homogeneous ignition temperatures. 7th Sympos. Combust., London — Oxford 1958. London, 1959, 464—469. Discuss., 488—494 (англ.). —  $T$ -ра, при которой возникающее воспламенение охватывает весь объем реагирующего газа, так называемая «гомогенная  $t$ -ра воспламенения», определяется экстраполяцией к нулю значений дополнительной энергии, необходимой для достижения  $t$ -ры воспламенения газа, предварительно нагретого до более низкой  $t$ -ры. Опыты проводились в потоке этилено-воздушной смеси, проходящей через кварцевую трубу, состоящую из двух частей — предварительного подогрева и подогрева до воспламенения. Конечные  $t$ -ры на  $\sim 150^\circ$  превышают принятые  $t$ -ры самовоспламенения, а в пределе приближаются к  $t$ -рам пламени.

А. Соколик  
6Б500. О некоторых выводах тепловой теории воспламенения в быстром потоке. Khitrin L. N. (Хитрин Л. Н.). On some consequences of the thermal theory of ignition in a fast flow. 7th Sympos. Combust., London — Oxford 1958. London, 1959, 470—474. Discuss., 483—494 (англ.). — Рассматриваются критич. условия воспламенения горючей смеси, обтекающей нагретые тела различной формы, в условиях неоднородной теплоотдачи по всей поверхности нагретого тела. Задача решается для воспламенения от плоской бесконечно тонкой пластины, бесконечного цилиндра и эллипсоида в условиях ламинарного и турбулентного режима течения.

А. Соколик

6Б501. Пределы воспламенения. Dixon-Lewis G., Isles G. L. Limits of inflammability. 7th Sympos. Combust., London — Oxford 1958. London, 1959, 475—483. Discuss., 488—494 (англ.). — В связи с проблемой существования фундаментальных, зависящих только от физ.-хим. свойств смеси пределов воспламенения последние исследовались для этилено-воздушных смесей в горелке плоского пламени, в которой при фиксированной  $t$ -ре матрицы можно было регулировать  $t$ -ру стабилизирующей пластины (СП). При  $t$ -ре СП  $> 870^\circ$  она утрачивает тушащее действие, а с повышением ее  $t$ -ры до  $905^\circ$  пламя устанавливается в непосредственной близости от СП в смеси с 1,43%  $C_2H_4$  при адиабатич.  $t$ -ре пламени  $954^\circ$  и скорости горения  $\sim 1,5$   $cm/sec$ . Это значительно ниже наблюдавшихся ранее пределов воспламенения для таких смесей. Опыты приводят к выводу о зависимости пределов воспламенения от условий опыта, т. е. об отсутствии фундаментальных пределов.

А. Соколик  
6Б502. Температуры пламени в предельных смесях. Zabetakis M. G., Lambiris S., Scott G. S. Flame temperatures of limit mixtures. 7th Sympos. Combust., London — Oxford 1958. London, 1959, 484—487. Discuss., 488—494 (англ.). — Определяя экспериментально в вертикальной трубе диам. 5 см нижний предел распространения пламени для воздушных смесей парафиновых углеводородов при различных давлениях, начальных  $t$ -рах, а также при замене  $N_2$  другими инертными разбавителями, авторы вычисляли соответствующую данному пределу адиабатич.  $t$ -ру пламени (ТП). Она практически не изменяется с мол. весом углеводорода (от гексана до декана) и остается постоянной при подогреве смеси от 27 до  $200^\circ$ . Для воздушных смесей  $CH_4$ ,  $C_2H_6$ ,  $C_3H_8$  и  $C_4H_{10}$  нижний предел понижается с повышением давления, соответственно понижается и ТП. Напр., для  $CH_4$  с повышением давления до 130 атм ТП падает от  $1390$  до  $980^\circ$ . Еще резче снижается ТП для верхнего предела,  $< 400^\circ$ . Наблюдается зависимость ТП от теплоемкости и теплопроводности инертного разбавителя.

А. Соколик  
6Б503. Гашение пламени проволочными сетками. Palmer K. N. The quenching of flame by wire gauzes. 7th Sympos. Combust., London — Oxford 1958. London, 1959, 497—503. Discuss., 570—572 (англ.). — Экспериментально определяется связь между скоростью пламени и гасящим размером ячеек сетки. Установка представляла собой вертикальную трубу с одним открытым концом, разделенную сеткой или набором сеток на две секции. Скорость пламени вблизи сетки определялась фоторазверткой. Исследовались смеси городского газа, пропана и этилена с воздухом и при добавках  $O_2$ . Между скоростью пламени при гашении и размером ячеек существует степенная зависимость, слабо меняющаяся от направления распространения пламени и материала сетки. Приравнивая кол-во тепла, отводимое от пламени в сетку, к известному значению теплоотдачи от плоского пламени на пределе распространения, автор удовлетворительно предвычисляет скорости пламени, при которых происходит гашение.

В. Басевич  
6Б504. Гашение взрывных волн в газовых смесях с помощью мелкодисперсных порошков. Laffitte P., Bouchet R. Suppression of explosion waves in gaseous mixtures by means of fine powders. 7th Sympos. Combust., London — Oxford 1958. London, 1959, 504—508. Discuss., 570—572 (англ.). — Исследуется гасящее действие мелкодисперсных порошков (10—20  $\mu$ ) в условиях нормального горения, преддетонационного ускорения пламени и детонации. Опыты проводились на горизонтальных и вертикальных трубках диам. 1,2—3 см. По фоторазвертке пламени определялись скорость и характер процесса. Исследовались кислородные и азотно-кислородные смеси водорода, углеводородов и эфира. Определяющей оказалась уд. поверхность порошков: с ее увеличением возрастает их

гасящее действие. Лучший гасящий эффект дают в условиях дефлации  $\text{KHSO}_4$ , детонации  $\text{SiO}_2$ . Наибольшая концентрация порошков требуется для гашения богатых смесей.

**6Б505.** Горение газа, впрыскиваемого в гиперзвуковой пограничный слой. Sutton G. W. Combustion of a gas injected into a hypersonic boundary layer. «7th Sympos. Combust., London—Oxford 1958». London, 1959, 539—545. Discuss., 570—572 (англ.).—Теоретически исследуется горение в условиях гиперзвукового потока газа, поступающего в пограничный слой через пористую стенку для внутреннего охлаждения стенок ракеты. Совместно решаются вопросы гидродинамики пограничного слоя и скорости мономолекулярной расщепления в предположениях, обычных для задачи диффузионного горения. Возможны два случая: 1) реакционная зона стабилизируется в пограничном слое и 2) срыв пламени с поверхности. Решение позволяет оценить влияние энергии активации и других хим. характеристик на охлаждение и требуемую скорость продавливания газа. Горючий газ для получения того же эффекта охлаждения должен прокачиваться с большей скоростью, чем негорючий газ. В. Б. Басевич

**6Б506.** Образование диспергированного углерода при термическом разложении углеводородов. Tesner P. A. (Теснер П. А.). Formation of dispersed carbon by thermal decomposition of hydrocarbons. «7th Sympos. Combust., London—Oxford 1958». London, 1959, 546—553. Discuss., 570—572 (англ.).—Процесс сажеобразования при термич. разложении углеводородов (метан, бензол, циклогексан) рассматривается с точки зрения его физ. механизма: образования ядер конденсации и их роста. Исследование проводилось с помощью электронного микроскопа и весового метода. При объемном сажеобразовании для зарождения ядер требуется перегрев на 150—200° по сравнению с т-рой, при которой начинается сажеобразование на поверхности. Этот процесс ускоряется при увеличении скорости потока и уменьшении диаметра трубки. Образующиеся ядра катализируют разложение углеводорода и служат центрами конденсации. Скорость роста частиц пропорциональна скорости потока, т-ре и обратно пропорциональна концентрации водорода, образующегося на поверхности и препятствующего диффузии углеводорода. Оценено влияние твердой поверхности. Скорость отложения углерода уменьшается в ряду сажа, платина и окись алюминия.

**6Б507.** Образование и газификация углерода в атмосфере продуктов горения. Held E. F. M. van der. Formation and gasification of carbon in an atmosphere of combustion products. «7th Sympos. Combust., London—Oxford 1958». London, 1959, 554—558. Discuss., 570—572 (англ.).—Пользуясь константами равновесия реакции  $\text{C} + \text{CO}_2 \rightleftharpoons 2\text{CO}$ ,  $\text{C} + \text{H}_2\text{O} \rightleftharpoons \text{CO} + \text{H}_2$  и значением давления пара углерода, автор дает методику расчета равновесной концентрации углерода в газовой фазе для различных составов продуктов горения. Из сопоставления результатов расчета с известными эксперим. данными сделан вывод о сверхравновесной концентрации свободного углерода в продуктах сгорания. Это может иметь место, если углерод образуется вблизи первичной зоны горения или непосредственно за ней. Наблюдаемая в некоторых случаях прозрачность продуктов после первичной зоны и последующее свечение сажи объясняются или как следствие процесса конденсации свободного углерода, или как следствие проскока части непрореагировавшего углеводорода и его последующего крекингования.

**6Б508.** Образование углерода в очень богатых углеводородо-воздушных пламенах. I. Изучение химического состава, температуры, ионизации и материала частичек. Singer J. M., Grumer J. Carbon formation in very rich hydrocarbon-air flames I. Studies of chemical content, temperature, ionization and particulate mat-

ter. «7th Sympos. Combust., London—Oxford 1958». London, 1959, 559—569. Discuss., 570—572 (англ.).—Проведен ряд измерений в связи с проблемой сажеобразования в богатых пламенах смесей  $\text{C}_3\text{H}_8$  и  $\text{C}_4\text{H}_{10}$  с воздухом. Используются гомог. смеси на бузеновской и плоской горелках и диффузионные пламена. Продукты горения в разных точках пламени анализировались на  $\text{O}_2$ ,  $\text{CO}_2$ ,  $\text{CO}$ ,  $\text{H}_2$ , углеводороды, перекиси и альдегиды. Состав продуктов р-ции отличается от равновесного: имеет место недостаток  $\text{H}_2$  и  $\text{CO}$ . В диффузионных пламенах отношение  $\text{CO}_2/\text{CO}$  больше, чем в пламенах гомог. смесей. Измерены т-ра пламени и степень ионизации. Максимум ионизации соответствует светящейся зоне. Фотографии частиц сажи с помощью электронного микроскопа показывают, что они имеют нитевидную и сферич. структуру в пламени  $\text{C}_3\text{H}_8$  и сферическую в пламени  $\text{C}_4\text{H}_{10}$ . Диаметр нитей и сфер 83—5000 Å, длина нитей 1,52—100 м. В. Басевич

**6Б509.** Турбулентность пламени. Prudnikov A. G. (Прудников А. Г.). Flame turbulence. «7th Sympos. Combust., London—Oxford 1958». London, 1959, 575—582. Discuss., 633—635 (англ.).—См. РЖХим, 1960, № 17, 68664.

**6Б510.** Расчет скорости пламени в турбулентном потоке. Shetnikov E. S. (Щетников Е. С.). Calculation of flame velocity in turbulent stream. «7th Sympos. Combust., London—Oxford 1958». London, 1959, 583—589. Discuss., 633—635 (англ.).—См. РЖХим, 1960, № 17, 68662.

**6Б511.** Влияние давления на скорость распространения пламени в турбулентном потоке. Goldenberg S. A., Pelevin V. S. (Гольденберг С. А., Пелевин В. С.). Influence of pressure on rate of flame propagation in turbulent flow. «7th Sympos. Combust., London—Oxford 1958». London, 1959, 590—594. Discuss., 633—635 (англ.).—Исследовалось влияние давления  $P$  в пределах 100—760 мм рт. ст. на скорость распространения турбулентного пламени ( $u_T$ ) в однородной бензино-воздушной смеси. Для скорости ламинарных пламен получена зависимость  $u \sim P^{-0,25}$ . В условиях турбулентности при постоянном числе  $Re$ , т. е. при постоянной массовой скорости газа, получена зависимость  $u_{\lambda} \sim P^{-0,25}$ , идентичная зависимости для ламинарных пламен. В условиях постоянной скорости течения (1960 см/сек) и  $u_T \sim P^{0,45}$ . А. С.

**6Б512.** Теория скорости расширения турбулентного пламени предварительно перемешанных газов в условиях камеры. Spalding D. B. Theory of rate of spread of confined turbulent pre-mixed flames. «7th Sympos. Combust., London—Oxford 1958». London, 1959, 595—603. Discuss., 633—635 (англ.).—Расширение коуса турбулентного пламени в предварительно перемешанных газах до соприкосновения со стенками камеры рассматривается как процесс расширения свободной струи горячих газов, увлекающей окружающую холодную газовую смесь. Основанием для применения свойств свободной струи является образование при сгорании в камере профиля скоростей с острым максимумом по оси камеры. При этом принимается, что скорость сгорания определяется только скоростью захвата свежего газа струей пламенных газов. Рассчитанное исходя из этой схемы изменение ширины коуса пламени по длине камеры совпадает с наблюдаемым, за исключением начальной стадии. Автор объясняет это равенством скоростей холодного и горячего газов и отсутствием захвата холодного газа в начальной стадии горения.

**6Б513.** Рост и уменьшение поверхности пламени в турбулентном потоке. Karlovitz B. The growth and burn-out of flame surface in a turbulent stream. «7th Sympos. Combust., London—Oxford 1958». London, 1959, 604—608. Discuss., 633—635 (англ.).—На основе общей концепции поверхность-ламинарной модели выводят-

ord 1958).  
(англ.) —  
и  $\text{C}_2\text{H}_4$  с  
изменениями  
Пропан-  
лизиро-  
ерекиси и  
ся от рав-  
В диффу-  
е, чем в  
ени и сте-  
ветствует  
помощью  
ни имеют  
и  $\text{C}_2\text{H}_4$  и  
ий и сфер  
Басевич  
dnikov  
ence. 7th  
London,  
РЖХим,

6Б514. Исследование влияния давления на пара-  
метры турбулентности и турбулентного горения.  
Khrantsov V. A. (Храмцов В. А.) Investigation  
of pressure effect on the parameters of turbulence  
and on turbulent burning. 7th Sympos. Combust.,  
London—Oxford 1958. London, 1959, 609—614. Discuss.,  
633—635 (англ.). — В турбулентном пламени горелки  
в пропан-воздушной смеси, стабилизированном за  
турбулизирующими решетками, определялись скорость  
турбулентного горения по внутренней поверхности  
турбулентного конуса и ширина зоны турбулентного  
пламени по расстоянию вдоль оси пламени, на кото-  
ром т-ра возрастает от начальной до максимальной.  
В тех же условиях в холодном потоке с помощью  
оптико-диффузионного метода (реф. 6Б509) определя-  
лись дисперсия турбулентного переноса ( $U$ ), а по  
ней — относительная интенсивность турбулентности  
 $\epsilon = U'/W$ , коэф. турбулентной диффузии  $D$  и лагран-  
жиан масштаб турбулентности  $l$ . При постоянной ско-  
рости потока  $W = 40$  м/сек в пределах субатмосферных  
давлений  $\epsilon$  и  $D$  возрастают с давлением  $\sim p^{0.34}$ , а  $l$  не  
меняется с давлением. При той же величине  $W$   
скорость турбулентного горения  $u_t$  растет с давлением

турбулентно  
C). Cal-  
7th Sym-  
on, 1959,  
им, 1960,

спростра-  
enberg  
A., Пе-  
rate of  
Sympos.  
59, 590—  
сь влия-  
на ско-  
ни ( $U$ )

скорости  
 $\sim p^{-0.25}$   
стоянном  
сти газа,  
ная завя-  
постояль-  
А. С.

уленито-  
газов в  
f rate of  
7th Sym-  
on, 1959,  
ие кону-  
переме-  
каме-  
свобод-  
кающую  
менения

ние при  
ым мак-  
ется, что  
стью за-  
Рассчи-  
ны кону-  
блюдае-  
объяс-  
горячего  
началь-  
Соколик

амени в  
with and  
m. 7th  
on, 1959,  
общей  
выводат-

ся ф-лы для расчета скорости турбулентного сгорания  
и объемной скорости тепловыделения в камере, исхо-  
дя из изменения во времени поверхности сгорания на  
единицу объема камеры. А. Соколик

6Б515. Распространение турбулентного пламени  
через крупномасштабные искривления ламинарного  
пламени. Richmond J. K., Grumer J., Burgess  
D. S. Turbulent flame propagation by largescale wrink-  
ling of a laminar flame front. 7th Sympos. Combust.,  
London—Oxford 1958. London, 1959, 615—620. Discuss.,  
633—635 (англ.). — Анализ структуры турбулентного  
пламени бунзеновской горелки проводится на основе  
поверхности ламинарной модели. Главные особен-  
ности турбулентного пламени: колебания интенсивности  
свечения всегда расположены выше уровня интенсив-  
ности свечения ламинарного пламени; интенсивность  
свечения растет с удалением от края горелки, при не-  
изменной скорости горения, вычисленной по наклону  
поверхности пламени. Отмечается определяющая роль  
масштаба турбулентности в величине скорости турбу-  
лентности горения. А. Соколик

6Б516. Стабильность по срыву турбулентного пла-  
мени. Эффект добавки вспомогательного газа в зону  
раздела. Fetting F., Choudhury A. P. R., Wil-  
helm R. N. Turbulent flame blow-off stability. Effect  
of auxiliary gas addition into separation zone. 7th Sym-  
pos. Combust., London—Oxford 1958. London, 1959,  
621—632. Discuss., 633—635 (англ.). — См. РЖХим, 1959,  
№ 20, 70780.

6Б517. Моделирование горения при низком давле-  
нии посредством впрыска воды. Lefebvre A. H.,  
Halls G. A. Simulation of low combustion pressures  
by water injection. 7th Sympos. Combust., London—  
Oxford 1958. London, 1959, 654—658. Discuss., 725—737  
(англ.). — Экспериментально исследуется предложен-  
ный ранее метод (РЖХим, 1959, № 4, 11104) мо-  
делирования протекания различных процессов горения  
в условиях низких давлений: стабилизация, за-  
жигание и др. Сущность метода состоит во впрыске

воды или пара в поток нагретого воздуха до места  
ввода топлива или вместе с топливом и определении  
того понижения давления, которое приводит к такому  
же уменьшению скорости р-ции, которое получается  
при впрыске воды за счет понижения кон-ции реаги-  
рующих компонентов и снижения т-ры. Приводятся  
теоретич. соотношения между кол-вом впрыскиваемой  
воды и эквивалентным ему снижением давления, по-  
лученное из кинетич. зависимости, снятой в условиях  
гомог. реактора. Процессы перемешивания и распыле-  
ния этим методом моделироваться не могут. В. Б.

6Б518. Неакустическая теория колебаний в закры-  
тых камерах горения со струйным горением жидкого  
топлива. Thring M. W. A non-acoustic theory of  
oscillations in pressure-jet oil-fired combustion cham-  
bers. 7th Sympos. Combust., London—Oxford 1958.  
London, 1959, 659—663. Discuss., 737—742 (англ.). —  
Развивается теория колебаний в промышленных за-  
крытых печах. Колебания могут быть следствием:  
1) инерции столба воздуха во впускной системе  
и влияния скорости потока на среднюю т-ру в камере  
горения и 2) воздействия небольших колебаний в ка-  
мере горения на скорость поступления воздуха. Соот-  
ветствующие исходные ур-ния записываются в виде:

$T - \bar{T} = k_1(\dot{m}_a - \bar{m}_a)$  и  $dT/dt = k_2(\dot{m}_a - \bar{m}_a)$ , где  $T$  и  
 $\bar{T}$  — мгновенная и средняя т-ра в камере горения,  
 $t$  — время,  $\dot{m}_a$  и  $\bar{m}_a$  — мгновенная и средняя скорость  
подачи воздуха,  $k_i$  — коэф., при определенных значе-  
ниях которого, как это следует из решения системы  
гидродинамич. ур-ний, наступают колебания. Полу-  
чены ф-лы, связывающие  $k_i$  и период колебаний с гео-  
метрич. размерами печи и режимом работы. Проведены  
числовые расчеты. В. Басевич

6Б519. Способность к детонации и химическая кинетика.  
Предвычисление пределов детонации для водо-  
рода. Belles F. E. Detonability and chemical kinetics:  
prediction of limits of detonability of hydrogen. 7th  
Sympos. Combust., London—Oxford 1958. London,  
1959, 745—751. Discuss., 876—878 (англ.). — Возможность  
распространения детонации в смесях  $\text{H}_2$  определяется  
как возможность цепного воспламенения в условиях  
давления  $P$  и т-ры ( $T$ ) ударной волны. Совместное  
решение ур-ний для предела цепного воспламенения  
(скорость р-ции разветвления цепи равна половине  
скорости р-ции обрыва) с переменными  $P$  и  $T$  для  
 $P$  и  $T$  в функции числа Маха ( $M$ ) дает ур-ние для  
числа  $M$  в зависимости от начальных условий  $P_0$ ,  $T_0$ ,  
 $\gamma = cp/cv$  и эмпирич. величины  $f_x$ , определяющей эф-  
фективную кон-цию молекул, участвующих в р-ции  
обрыва цепи. Решение этого ур-ния дает для данных  
значений  $P_0$ ,  $T_0$ ,  $\gamma$  и  $f_x$  крит. число  $M$ , при котором,  
по условию, возможно распространение детонации в сме-  
сях  $\text{H}_2$ . Возможность перехода от дефлаграционного  
горения к детонации определяется следующим усло-  
вием: повышение энтальпии  $\Delta h_s$  в ударной волне с  
крит. числом  $M$  не должно превышать теплоту сгора-  
ния смеси  $\Delta h_c$ . С увеличением кон-ции  $\text{H}_2$  величина  
 $\Delta h_s$  растет, а  $\Delta h_c$  проходит через максимум у стехио-  
метрич. смеси. Пересечение этих двух кривых дает  
два предела по составу смеси, при которых возможно  
возникновение детонации. Вычисленные таким спосо-  
бом пределы детонации, а также их зависимость от  $P$   
и  $T$  сопоставляются с известными данными для сме-  
сей  $\text{H}_2$  с  $\text{O}_2$  и с воздухом. А. Соколик

6Б520. Пределы детонации и детонационный спин  
в смесях водорода с кислородом. Gordon W. E., Mo-  
oradian A. J., Harper S. A. Limit and spin effects in  
hydrogen-oxygen detonations. 7th Sympos. Combust.,  
London—Oxford 1958. London, 1959, 752—759. Discuss.,  
876—878 (англ.). — Приводятся диаграммы пределов де-  
тонации для смесей  $\text{H}_2$  с воздухом,  $\text{O}_2$ ,  $\text{O}_2 + \text{Ar}$  или  $\text{He}$



в координатах: начальное давление — %  $H_2$  или %  $O_2$ . Детонация в смесях  $H_2$  с воздухом на нижнем пределе сильно затруднена при небольших добавках  $H_2O$ , что объясняется удлинением периода индукции воспламенения в ударной волне. При сопоставлении пределов воспламенения и детонации для смесей  $H_2$  — воздух отмечается, что на верхнем пределе воспламенения (93,9%  $H_2$ ) теплоты сгорания в 3 раза больше, чем на нижнем (4%  $H_2$ ). Это объясняется затруднением воспламенения вследствие повышенной теплопроводности  $H_2$ . На верхнем и нижнем пределах детонации (93,5 и 15%  $H_2$ ) теплоты сгорания приблизительно равны, что указывает на независимость пределов детонации от явлений переноса. Значительно большая степень взрывобезопасности смесей с избытком  $H_2$  связана с затруднением возникновения детонации и обычного воспламенения в этих смесях. По колебаниям давления, регистрируемым при спиновой детонации, вычислены отношения шага спина к диаметру трубы, которые сопоставлены с величинами, вычисленными по теории Фей. Несовпадение отмечается только для стехиометрической и разбавленных  $He$  смесей.

А. Соколик

6Б521. К вопросу о детонационном спине. Predvoditelev A. S. (Предводителев А. С.). Concerning spin detonation. «7th Sympos. Combust., London — Oxford 1958». London, 1959, 760—765. Discuss., 876—878 (англ.). — Излагается гидродинамич. анализ явления детонационного спина, основанный на представлении о совместном существовании ударной волны и винтового движения газа.

А. С.

6Б522. Исследование стабилизированных детонационных волн. Nicholls J. A., Dabora E. K., Gealer R. L. Studies in connection with stabilized gaseous detonation waves. «7th Sympos. Combust., London — Oxford 1958». London, 1959, 766—772. Discuss., 876—878 (англ.). — Исследование стабилизированной детонационной волны производилось в смеси  $H_2$  — воздух, для которой скорость детонации соответствует наименьшему значению числа Маха ( $M$ ). Поток нагретого до  $1100^\circ$  воздуха смешивался с потоком холодного  $H_2$  в осесимметричном конфузorno-диффузornом сопле с максим. диам. 9 мм, в котором образуется сверхзвуковое течение и ударная волна, воспламеняющая газ. Однородная смесь образуется вблизи диска Маха с коницей  $H_2$ , в 2—3 раза превышающей среднюю, вычисленную по расходу  $H_2$  и воздуха. Воспламенение возникает на небольшом расстоянии от диска Маха, соответствующем периоду индукции 25 мсек. при давл. 1,5 атм и  $M = 4,7$ . При повышении т-ры смеси в результате частичного сгорания на выходе из сопла период индукции сокращается до неизмеримо малой величины.

А. Соколик

6Б523. Об автомодельных процессах в химически активных средах. Predvoditelev A. S. (Предводителев А. С.). On automodelling processes in chemically active media. «7th Sympos. Combust., London — Oxford 1958». London, 1959, 773—778. Discuss., 876—878 (англ.). — Излагается математич. метод описания физ. явлений, связанных с процессами, которые выражаются не зависящими от времени функциями. Приводится применение метода к явлениям испарения и горения капель.

А. Соколик

6Б524. Теоретическое исследование вибрационного распространения фронта пламени в закрытых сосудах. Predvoditelev A. S. (Предводителев А. С.). Theoretical examination of vibratory movement of the flame front in closed vessels. «7th Sympos. Combust., London — Oxford 1958». London, 1959, 779—782. Discuss., 876—878 (англ.). — Возникновение искривленной поверхности фронта пламени, наблюдаемой при вибрационном распространении пламени в трубах, объясняется взаимодействием фронта пламени с полем скоростей, создаваемым акустич. волной, с направлением

потока у стенок трубы по движению пламени, а у стенок — против движения. Приводится ф-ла для расчета частоты вибраций в случае возникновения волны конечной амплитуды при интенсивном горении в закрытых трубах.

А. Соколик

6Б525. Скорости детонации в смеси паров жидкого топлива с кислородом при  $100^\circ$  и атмосферном давлении. Fraser R. P. Detonation velocities in liquid fuel vapours with air or oxygen at  $100^\circ C$  and atmospheric pressure. «7th Sympos. Combust., London — Oxford 1958». London, 1959, 783—788. Discuss., 876—878 (англ.). — В трубе, окруженной паровой рубашкой ( $100^\circ$ ), методом непрерывной фотографич. развертки измерялись скорости детонационной волны. В кислородных смесях октана миним. скорость детонации у предела 1660 м/сек соответствует смеси с 1,55% октана, максим. скорость 2540 м/сек — смеси с 17,5% октана. В кислородных смесях бензола миним. скорость у предела детонации с 2% бензола 1570 м/сек, максимальная — у смеси с 21,3% бензола. Применяя для воспламенения детонационную волну бутано-кислородной смеси, автор измерил скорости детонации в воздушных смесях при конц-ях 1,45 и 2,85% октана, 3,1—9,8% этилового спирта и 1,6 и 5,55% бензола. При 4,1—5,25% бензола детонация не возникала. Отмечается выпадение свободного углерода при детонации даже бедных смесей углеводородов.

А. Соколик

6Б526. Обобщенная кривая адиабаты Гюгонио. Troshin Ya. K. The generalized hugoniot adiabetic curve. «7th Sympos. Combust., London — Oxford 1958». London, 1959, 789—798. Discuss., 878—880 (англ.). — Различные виды дефлаграционного горения — ламинарного и турбулентного пламен, рассматриваются в соответствии с различными участками кривой адиабаты Гюгонио. Объясняя турбулентным ускорением горения рождение ударной волны в преддетонационном периоде, автор рассматривает последний как распространение нестационарного двойного разрыва, соответствующего точкам обобщенной адиабаты Гюгонио. На ее основе описываются различные виды дефлаграционного горения, в том числе распространение пламени от открытого или закрытого конца трубы, с критич. или докрит. скоростями истечения продуктов сгорания. А. С.

6Б527. О переходе от дефлаграции к детонации. Brinkley S. R., Jr, Lewis B. On the transition from deflagration to detonation. «7th Sympos. Combust., London — Oxford 1958». London, 1959, 807—811. Discuss., 878—880 (англ.). — Рассматриваются два вида ускорения дефлаграционного горения: 1) для быстрогорящих смесей через ускорение ламинарного пламени в результате повышения т-ры и давления и 2) для всех смесей турбулентным ускорением горения на основе поверхностно-ламинарной модели. При сильном развитии поверхности горения, когда интервалы между ее элементами сравнимы с пириной зоны подгоревшего ламинарного пламени, турбулентное горение приближается к условиям постоянного объема с возникновением волн сжатия конечной амплитуды. Преддетонационное ускорение пламени объясняется в начальной фазе ускорением ламинарного горения вследствие повышения т-ры и давления свежего газа, в основной фазе — как непосредственной турбулизацией пламени, так и взаимодействием между пламенем и отраженными волнами сжатия.

А. Соколик

6Б528. О развитии газовой детонации. Анализ волновых явлений. Oppenheim A. K., Stern R. A. On the development of gaseous detonation. Analysis of wave phenomena. «7th Sympos. Combust., London — Oxford 1958». London, 1959, 837—850. Discuss., 878—880 (англ.). — Используя шпирен-регистрацию распространения волн сжатия и пламени в преддетонационном периоде в смеси  $C_2H_2$  —  $O_2$  —  $N_2$ , авторы анализируют изменение термодинамич. состояния газа и его движения по мере ускорения пламени. Для расчета использо-

зуются  
от  
ско  
став  
рез ф  
нию ск  
опред  
(30—66  
6Б529  
цессе  
Bazhe  
Г. Д.,  
of deto  
tion tul  
1958».  
(англ.).  
простра  
исследо  
зажиган  
нием и  
< 0,5  
структу  
сей по  
стание  
жего га  
под де  
возникн  
плоский  
ной вол  
6Б530  
ционны  
tion ap  
Sympos  
856—86  
аульта  
распро  
ционны  
смеси  
посвящ  
по рег  
ференц  
ниже ф  
ру. На  
торы с

6Б531  
Bazhe  
T. B.,  
shock v  
1958».  
(англ.).  
ние см  
высоко  
ния ре  
разверт  
лограм  
пламен  
да вид  
стью о  
тете во  
нейшем  
тонаци  
детона  
меры п  
6Б532  
ав. Н  
tinuous  
Sympos  
923—92  
парату  
тов гор  
руются  
6Б533  
камер

и, а у оск  
для рас  
ения вол  
ния в за  
А. Соколик  
ов жидко  
in liquid  
atmosphe  
— Oxford  
(англ.).—  
(00°), мето  
измерялис  
ых смесей  
1660 м/сек  
и. скорость  
одных сме  
тонация с  
смеси с  
ия детона  
— автор из  
смесей при  
этилового  
% бензола  
ление сво  
ых смесей  
А. Соколик  
Гюгоныс  
adiabatic  
ford 1958»,  
гл.).—Рез  
аминантно  
в в соот  
адиабаты  
м горения  
ном перво  
простран  
ответствую  
На ее ос  
ационного  
мен от от  
т. или до  
ния. А. С.  
детонации.  
sition from  
bust., Lon  
Discuss.,  
да ускоре  
рогорании  
ени в ре  
для всех  
на основе  
льном раз  
ты между  
подогрев  
е прибли  
зникнове  
детонаци  
начальной  
ствие пе  
основной  
пламени  
отражает  
А. Соколик  
нализ вол  
n R. A. O  
sis of wav  
— Oxford  
878—88  
асиростре  
онном пе  
вируют пе  
го движе  
та неспол

зуются зависимости повышения давления (или функции от скорости пламени) от приращения относительной скорости частиц. В итоге получается график, представляющий изменение массы газа, проходящего через фронт пламени по мере его ускорения. По изменению скорости сгорания, давления и т-ры газа они определили 1-й порядок р-ции и энергию активации (30—66 ккал/моль) для преддетонационного периода. А. С.

**6Б529. Формирование детонационной волны в процессе сгорания газа в трубе.** Salamandra G. D., Bazhenova T. V., Naboko I. M. (Саламандра Г. Д., Баженова Т. В., Набоко И. М.). Formation of detonation wave during combustion of gas in combustion tube. «7th Sympos. Combust., London—Oxford 1958». London, 1959, 851—855. Discuss., 878—880 (англ.).—Преддетонационное ускорение пламени и распространение сопровождающих его ударных волн исследовались в трубе в смеси  $2H_2 + O_2$  при искровом зажигании методом шпирен-фотографии с использованием импульсной лампы с длительностью вспышки < 0,5 мсек. В начальной стадии возникает ячеистая структура, а затем наблюдается сильное искривление всей поверхности пламени. Прогрессирующее возрастание скорости горения приписывается подогреву свежего газа, а также увеличению скорости его течения под действием ударных волн. Непосредственно перед возникновением детонации фронт пламени становится плоским и распространяется как часть общего с ударной волной комплекса. А. С.

**6Б530. Формирование и структура газовых детонационных волн.** Martin F. J., White D. R. The formation and structure of gaseous detonation waves. «7th Sympos. Combust., London—Oxford 1958». London, 1959, 856—865. Discuss., 878—880 (англ.).—Изагаются результаты исследования структуры фронта пламени и распространения волн сжатия в процессе преддетонационного ускорения пламени в ацетилено-кислородной смеси (РЖХим, 1959, № 16, 56427). Вторая часть статьи посвящена исследованию детонации в смесях  $H_2 + O_2$  по регистрации изменения плотности методом интерференционных диаграмм. При давл. 150 мм рт. ст. и ниже фронт детонации имеет иррегулярную структуру. Наличие завитков интерференционных полос авторы связывают со спиновой структурой детонации. А. Соколик

**6Б531. Воспламенение газа за ударной волной.** Bazhenova T. V., Soloukhin R. I. (Баженова Т. В., Солоухин Р. И.). Gas ignition behind the shock wave. «7th Sympos. Combust., London—Oxford 1958». London, 1959, 866—875. Discuss., 878—880 (англ.).—В ударной трубе исследовалось воспламенение смесей  $CH_4$  и  $H_2$  с  $O_2$  при заполнении камеры высокого давления  $H_2$ . Возникновение воспламенения регистрировалось шпирен-методом непрерывной развертки и искровой фотографии, а также по осциллограммам давления, с помощью пьезодатчика. Фронт пламени, возникающий в ударной волне после периода индукции, распространяется с дозвуковой скоростью относительно частиц газа. Создаваемые в результате воспламенения ударные волны приводят к дальнейшему ускорению пламени, которое завершается детонацией. Приводятся также фотографии, регистрации детонационного воспламенения в месте сужения камеры низкого давления ударной трубы. А. Соколик

**6Б532. Непрерывный анализ потока пламенных газов.** Holderness F. H., Macfarlane J. J. The continuous flow instrumental analysis of flame gases. «7th Sympos. Combust., London—Oxford 1958». London, 1959, 923—928. Discuss., 958—959 (англ.).—Описывается аппаратура для непрерывного газового анализа продуктов горения. Основные продукты ( $CO$  и  $CO_2$ ) анализируются методом ИК-спектроскопии. В. Басевич

**6Б533. Применение газового анализа для доводки камер сгорания.** Toone B., Arkless F. The applica-

tion of gas analysis to combustion chamber development. «7th Sympos. Combust., London—Oxford 1958». London, 1959, 929—937. Discuss., 958—959 (англ.).—Подробно описывается методика газового анализа для определения полноты сгорания топлива в камере газотурбинного двигателя.  $CO$  и  $CO_2$  определяются по ИК-спектрам,  $H_2$  — по теплопроводности,  $O_2$  — по измерениям магнитной восприимчивости. Приводятся методы калибровки аппаратуры, оценки ошибок и некоторые результаты измерений. В. Басевич

**6Б534. Применение фазово-дискриминационного метода для исследования спектра радикала OH в ацетилено-кислородном пламени.** Dickey F. P., Hoffmann J. M. Application of phase-discrimination method of detection to the study of the spectrum of the OH radical in an oxyacetylene flame. «7th Sympos. Combust., London—Oxford 1958». London, 1959, 938—941. Discuss., 958—959 (англ.).—Применение метода РЖХим, 1957, № 10, 34842) позволяет наблюдать ИК-спектр радикала OH без наложения на него спектра испускания водяного пара. Сопоставлены спектры OH ацетилено-кислородного пламени в области длин волн 11—21  $\mu$ , полученные обычным путем и указанным методом, в том числе при сильном разрешении. Описана необходимая аппаратура, в частности приспособления для прерывания потока газа. В. Басевич

**6Б535. Измерения флуктуирующей температуры пламени.** Kunugi Masanaga, Jinno Hiroshi. Measurements of fluctuating flame temperature. «7th Sympos. Combust., London—Oxford 1958. London», 1959, 942—948. Discuss., 958—959 (англ.).—С помощью термопары Pt—Pt—Rh diam. 0,06 мм, без покрытия, с электронной компенсацией измерялись флуктуации т-ры в диффузионном пламени городского газа при Re 8000. На различных расстояниях от оси флуктуации т-р достигают сотен градусов и увеличиваются с высотой. Получены спектральные характеристики флуктуаций (от 2 до 1000 гц). Флуктуации т-р объясняются процессом турбулентного смещения. Приведены шпирен-регистрации пламени. В. Басевич

**6Б536. Исследование распада ацетилена методом ударной трубы.** Hooker W. J. Shock tube studies of acetylene decomposition. «7th Sympos. Combust., London—Oxford 1958. London», 1959, 949—952. Discuss., 958—959 (англ.).—Методика ударной трубы используется для определения эффективной энергии активации  $E$  и порядка р-ции  $n$  распада ацетилена в смесях 2—5%  $C_2H_2$  с 98—95% Ar. Давление и т-ра подсчитываются по скорости ударной волны (УВ), измеряемой спец. проволочным датчиком. Одновременно получается осциллографич. регистрация свечения ацетилена за УВ в ИК-области спектра на частоте  $\nu = 3287$  см<sup>-1</sup> и интегрального свечения и поглощения видимого света, объясненного частицам углерода. Полагая, что скорость изменения поглощения света после прохода УВ пропорциональна концентрации свободного углерода, авторы связывают эту величину с кинетич. ур-нием скорости р-ции. Получено  $E = 26$  и 33 ккал/моль для  $n = 1$  и 2 соответственно. Определенное по задержке воспламенения значение  $E = 10, 13$  и 16 ккал/моль для  $n = 1, 1.5$  и 2. В. Басевич

**6Б537. Горение струи n-гептана в продуктах распада концентрированной перекиси водорода.** Lewis J. D., Merrington A. C. Combustion of n-heptane spray in the decomposition products of concentrated hydrogen peroxide. «7th Sympos. Combust., London—Oxford 1958. London», 1959, 953—957. Discuss., 958—959 (англ.).—Описывается специально сконструированный ракетный двигатель diam. 76,2 мм, позволяющий производить газовый анализ в разных точках камеры горения, а также фотографирование струи топлива и пламени. Топливо — n-гептан, окислитель — продукты каталитич. разложения 85—87%-ной  $H_2O_2$ . Рабочее давление 17 атм. В. Басевич

6Б538. Влияние давления на верхний предел воспламенения кислородных смесей парафиновых углеводородов и олефинов с числом атомов  $C_1 - C_4$ . Németh András. A nyomás hatása 1—4 szénatomszámú paraffin és olefin szénhidrogének oxigénnel alkotott elegyének felső éghetőségi határára. «Magyar kém. folyóirat», 1960, 66, № 1, 25—30 (венг.; рез. нем.).—Величина верхнего предела воспламенения  $CH_4$ ,  $C_2H_6$ ,  $C_3H_8$ ,  $C_4H_{10}$ ,  $C_2H_4$ ,  $C_3H_6$  и  $C_4H_8$  увеличивается с ростом давления. Эта зависимость описывается эмпирич. степенной функцией, причем величина показателя степени зависит от строения и числа атомов  $C$  в молекуле углеводорода.

По резюме автора  
6Б539. Изучение термического разложения форматов и оксалатов металлов. Dorémieux Jean-Louis, Boullé André. Etude de la décomposition thermique de formiates et d'oxalates métalliques. С. г. Acad. sci., 1960, 250, № 19, 3184—3186 (франц.).—В продолжение более ранней работы (РЖХим, 1959, № 22, 78124) изучалось влияние состава окружающего газа (воздуха,  $N_2$ ,  $O_2$ ,  $CO_2$ ) на термич. разложение оксалатов и форматов  $Fe$ ,  $Co$ ,  $Ni$ ,  $Mn$ ,  $Cu$  и  $Zn$ . Найдено, что термич. разложение оксалатов и форматов  $Fe$ ,  $Co$  и  $Mn$  ускоряется в присутствии  $O_2$ . Резюме авторов

6Б540. Окисление циркония и его сплавов. Porte H. A., Schnitzlein J. G., Vogel R. C., Fischer D. F. Oxidation of zirconium and zirconium alloys. «J. Electrochem. Soc.», 1960, 107, № 6, 506—515 (англ.).—Найдено, что окисление чистого  $Zr$  при 400—900° и давлениях  $O_2$  50—800 мм рт. ст. следует куб. временно-му закону. При 700° и давл. 200 мм рт. ст. исследовано окисление ряда бинарных сплавов  $Zr$ , содержащих 1, 2 и 4 ат. % легирующего элемента. Из 20 легирующих элементов только  $Cu$ ,  $Ni$ ,  $Be$  и  $Hf$  заметно повышают жаростойкость  $Zr$ . Окисление всех сплавов подчиняется степенному временному закону, причем показатель степени  $n$  для разных сплавов и на разных этапах окисления изменяется от  $\sim 1$  до  $\sim 3$ . Сплавы  $Zr$  с 1%  $Pt$ ,  $Mo$ ,  $Cu$  и  $Si$ , с 1—2%  $W$  и  $U$ , 1, 2 и 4%  $Cu$ ,  $Ni$ ,  $Be$ ,  $Hf$ ,  $Cr$ ,  $Co$  и  $Fe$  окисляются подобно чистому  $Zr$ . Для сплавов с 1 и 2%  $Ta$  и 4%  $V$   $n = 2,6 - 3,2$ . Окисление сплавов с 1%  $V$ , 1 и 2%  $Ti$ , 1 и 4%  $Nb$ , 1, 2 и 4%  $Sn$ ,  $Pb$  и  $Al$ , 2 и 4%  $Pt$  и  $Mo$ , 4%  $U$  и  $Si$  в первый период происходит по куб. закону, затем окалина внезапно теряет защитные свойства и далее окисление следует линейному закону. Для сплавов с 2%  $Si$ ,  $V$  и  $Nb$ , 2 и 4%  $Cu$ , 4%  $Ta$  и  $Nb$  вначале  $n = 1,7 - 2,5$ , а затем  $n = 1$ . Потери окисной пленкой защитных свойств на определенном этапе окисления наблюдали у сплавов, у которых ионный радиус легирующего элемента отличается на  $\geq 15\%$  от ионного радиуса  $Zr^{4+}$ . Рентгенографич. и электронографич. анализы окисных пленок на сплавах показали, что до утраты защитных свойств окисные пленки состоят в большинстве случаев из  $ZrO_2$  (куб.), а после этого — из  $ZrO_2$  (монокл.).

Ю. Козманов  
6Б541. Кинетика окисления вольфрама при 500—1300°. Gulbransen E. A., Andrew K. F. Kinetics of the oxidation of pure tungsten from 500° to 1300° C. «J. Electrochem. Soc.», 1960, 107, № 7, 619—628 (англ.).—При 500—1300°, давлении  $O_2$  0,00132—0,1 атм и продолжительности окисления до 6 час. исследована кинетика окисления  $W$  высокой чистоты. При 500—600° окисление  $W$  подчиняется параболич. закону (т. е. скорость окисления определяется скоростью диффузионных процессов), а в окалине рентгенографически обнаружена только  $WO_3$ . При более высоких т-рах основная масса окалины состоит из  $WO_3$ , а слой, прилегающий к металлу, — из  $W_2O_{11}$ . При 650—950° окисление  $W$  подчиняется параболич. временному закону до тех пор, пока пленка окисла не достигнет некоторой предельной величины и не начнется ее растрескивание; на этом этапе наблюдается резкое увеличение скорости окисления. При 1000—1300° окалина имеет

заметную летучесть и скорость окисления  $W$  зависит от скорости испарения окисла с поверхности и от скорости доставки молекул  $O_2$  к поверхности окисной пленки. Способ приготовления поверхности мало влияет на скорость окисления  $W$ .

Ю. Козманов  
6Б542. Окисление тантала при 400—530°. Cathcart J. V., Bakish R., Norton D. R. Oxidation properties of tantalum between 400° and 530° C. «J. Electrochem. Soc.», 1960, 107, № 8, 668—670 (англ.).—Исследование кинетики окисления  $Ta$  манометрич. методом показало, что при 400—530° и давлении  $O_2$ , равном 1 атм, в начальном периоде окисления (равном  $\sim 2$  час. при 530° и 10 час. при 475°) образуется защитная окисная пленка; затем скорость окисления возрастает и постепенно окисление начинает следовать линейному закону. На основании сохранения характера рельефа поверхности  $Ta$  при окислении сделано предположение, что в изученных условиях при окислении  $Ta$  преимущественное значение имеет диффузия кислорода. Электронономикроскопич. исследования показали, что потеря защитных свойств окалины связана с образованием в окисной пленке микротрещин. Растрескивание окалины обусловлено внутренними напряжениями, возникающими на границе металл—окалина вследствие значительной величины объемных изменений (2,5 раза) при образовании  $Ta_2O_5$ , из которой состоит пленка.

Ю. Козманов  
6Б543. Об окислении карбида титана. Nikolaiski E. Über die Oxydation von Titancarbid. «Z. phys. Chem. (BRD)», 1960, 24, № 5-6, 404—417 (нем.).—Показано, что в струе  $O_2$  при 600—950° окисление пленки  $TiC$ , нанесенной на поверхность пластинки из  $Al_2O_3$ , подчиняется параболич. временному закону. Лимитирующей стадией процесса, по-видимому, является диффузия ионов кислорода через слой окисла. Величина параболич. константы скорости экспоненциально зависит от т-ры; рассчитана энергия активации  $r$ -ции (46,1 ккал/моль). Рентгенографич. методом в окисной пленке образующейся на  $TiC$ , обнаружена только  $TiO_2$ . С помощью масс-спектрографа установлено некоторое повышение содержания  $CO$  в газообразных продуктах  $r$ -ции при т-рах  $> 900^\circ$ .

Ю. Козманов  
6Б544. Проблема изотермичности при последовательной кинетике окисления металлов. Czerski Lucjan, Mrowiec Stanisław, Werber Teodor. Zagadnienie izotermiczności w badaniach kinetyki utleniania metali. «Arch. hutn.», 1960, 5, № 1, 105—115 (польск.; русск., англ.).—Найдено, что при сульфидировании в жидкой сере образцов  $Cu$  и  $Ag$ , нагретых до т-ры реакционной среды, на начальной стадии процесса происходит их перегрев, вызванный экзотермич. характером  $r$ -ции. Измерения показали, что т-ра образцов  $Ag$  ( $3 \times 4 \times 0,4$  см) повышается в течение первых 2 сек.  $r$ -ции с 444 до 490°, а т-ра образцов  $Cu$  — до 550°. Эти данные хорошо согласуются с соответствующими теоретич. расчетами.

Ю. Козманов  
6Б545. Изучение механизма окисления меди жидкой серой при помощи изотопа  $S^{35}$ . Покровский И. И., Павлюченко М. М. «Докл. АН СССР», 1960, 134, № 2, 391—393.—Путем установления локализации изотопа  $S^{35}$  в слое окалины методами автордиографии и послынного радиометрич. анализа изучен механизм взаимодействия металлик.  $Cu$  с расплавленной серой меченой радиоизотопом  $S^{35}$ . Авторы указывают, что образование сульфидной окалины на  $Cu$  осуществляется за счет диффузии обоих реагентов.

В. Болдырев  
6Б546. Внутреннее окисление серебра и его сплавов. II. Внутреннее окисление сплавов серебра с некоторыми металлами, не образующими с серебром твердых растворов. Spengler H. Die innere Oxidation von Silber und Silberlegierungen. II. Innere Oxidation von Silberlegierungen mit Unedelmetallen, die mit Silber keine Mischkristalle bilden. «Metall», 1960, 14, № 7, 685—686 (нем.).—Изучено внутреннее окисление



В зависимости от скорости окислительной реакции, влияющей на характер протекания процесса, различают три типа реакций: 1. Реакции, протекающие с образованием оксидов металлов. 2. Реакции, протекающие с образованием оксидов неметаллов. 3. Реакции, протекающие с образованием оксидов металлов и неметаллов.

(ВО) бинарных сплавов Ag с Cr и Ti. При окислении сплава Ag + 0,27% Cr в атмосфере O<sub>2</sub> при 600, 700 и 800° образуется зона ВО, ширина которой в течение первого часа растет по параболич. временному закону, а позднее — по линейному. В таких же условиях исследовано ВО сплава Ag + 0,71% Ti. Найдено, что ВО сплава Ag—Ti подчиняется тем же законам, что и окисление сплава Ag—Cr. Сообщение I см. РЖХим, 1960, № 9, 34080.

Ю. Козманов 6Б547. Исследование механизма сульфирования сплавов серебра с цинком с применением радиоактивного изотопа серы S<sup>35</sup>. Mikulski J., Mrowec S., Werber T. Untersuchungen des Mechanismus der Schwefelung von Ag-Zn-Legierungen unter Verwendung des radioaktiven Isotopes <sup>35</sup>S. «Bull. Acad. polon. sci. Sér. sci. math., astron. et phys.», 1960, 8, № 3, 179—182 (нем.; рез. русск.).—Исследования сульфирования сплавов Ag—Zn проведены при помощи изотопа S<sup>35</sup> по описанному ранее методу (РЖХим, 1960, № 16, 64840). Изучены сплавы Ag—Zn, содержащие 6,4; 11,0; 16,0; и 23,5 ат.% Zn. Полученные результаты показывают, что для всех исследованных сплавов во время процесса сульфирования в жидкой сере происходит диффузия серы, направленная к металлич. сердечнику. Сделан вывод, что внутренний слой сернистой окислы на сплавах Ag—Zn образуется за счет серы, продиффундировавшей внутрь через наружный слой окислы.

Из резюме авторов 6Б548. О механизме сульфирования сплавов меди с золотом. Mikulski J., Mrowec S., Strofski I., Werber T. Über den Mechanismus der Schwefelung von Cu-Au-Legierungen. «Bull. Acad. polon. sci. Sér. sci. math., astron. et phys.», 1960, 8, № 3, 183—186 (нем.; рез. русск.).—С помощью S<sup>35</sup> исследовано сульфирование сплава Cu—Au (14% Au) в кипящей сере. Полученные результаты показывают, что происходит диффузия серы через наружный слой окислы.

В. Штерн 6Б549. Исследование процесса окисления селенида цинка и кадмия кислородом. Корнеева И. В., Новоселова А. В. «Ж. неорг. химии», 1960, 5, № 10, 2265—2268.—Изучен процесс окисления CdSe в интервале т-р 650—800°. Показано, что окисление происходит с образованием CdSeO<sub>3</sub> по ур-нию  $CdSe + \frac{1}{2}O_2 = CdSeO_3$  с последующим термич. разложением образовавшегося соединения  $CdSeO_3 \rightarrow CdO + SeO_2$ . Конечным продуктом окисления (в зависимости от т-ры опыта) является либо чистая CdO, либо смесь CdO + CdSeO<sub>3</sub>. Такой механизм окисления CdSe хорошо согласуется с имеющимися литературными данными по окислению сульфида кадмия (Чижиков Д. Н. и др. «Изв. АН СССР. Отд. техн. н.», 1950, 12, 1815). Изучено окисление селенида цинка при 520—710°. Установлено, что окисление селенида цинка идет до ZnO без образования каких-либо промежуточных продуктов.

Резюме авторов 6Б550. Реакции титана и циркония с O<sub>2</sub>, воздухом, N<sub>2</sub> и CO<sub>2</sub>. Someno Ma y u m i. «Синку. J. Vacuum Soc. Japan.», 1960, 3, № 2, 55—62 (японск.; рез. англ.).—При помощи вакуумных весов измерены скорости взаимодействия чистых Ti и Zr с O<sub>2</sub>, воздухом, N<sub>2</sub> и CO<sub>2</sub>. Продукты р-ции изучали рентгенографически. Показано, что скорости р-ции подчиняются параболич. закону. Рассчитаны энергии активации (в кал/моль) для систем: Zr—O<sub>2</sub> 34 200, Zr—воздух 42 200, Zr—N<sub>2</sub> 35 000, Zr—CO<sub>2</sub> 65 000, Ti—O<sub>2</sub> 39 600, Ti—N<sub>2</sub> 35 000, Ti—CO<sub>2</sub> 90 000.

Резюме автора 6Б551. Взаимодействие окислов карбидообразующих металлов с твердым углеродом. Павлов Ю. А. «Сб. Моск. ин-т стали», 1960, 39, 16—22.—С использованием радиоактивного C<sup>14</sup> изучена кинетика и определены т-ры начала восстановления окислов ряда карбидообразующих металлов твердым С. Полученные т-ры начала восстановления (T<sub>н</sub>) для V<sub>2</sub>O<sub>5</sub>, MoO<sub>3</sub>, Fe<sub>2</sub>O<sub>3</sub>,

Nb<sub>2</sub>O<sub>5</sub>, WO<sub>3</sub> и TiO<sub>2</sub> соответственно: ~438, ~475, ~485, ~675, ~782, ~935°С. Для окислов V, Mo, W, Ti, Cr, Zr, Th выведена линейная зависимость между T<sub>н</sub> и т-рой плавления (T<sub>п</sub>):  $T_n = (0,46 T_p + 250) (^{\circ}K)$ . Рассчитаны энергии активации для V<sub>2</sub>O<sub>5</sub>, MoO<sub>3</sub>, Fe<sub>2</sub>O<sub>3</sub> и WO<sub>3</sub>, равные (в ккал/моль) соответственно 2,0; 14,0; 12,0 и 18,0.

И. Магидсон

6Б552. К исследованию катализаторов, полученных разложением смешанных солей. II. Катализаторы, полученные разложением оксалатов меди и щелочноземельных металлов. III. Получение смешанных оксалатов никеля—магния. Zapletal V., Růžicka V., Bauer J., Soukup J. Beiträge zum Studium der durch Zersetzung von Mischsalzen hergestellten Katalysatoren. II. Durch Zersetzung von Kupfer- und Erdalkalioxalaten dargestellte Katalysatoren. III. Bemerkung zur Darstellung von Nickelmagnesiumoxalat. «Collect. Czechosl. Chem. Commun.», 1960, 25, № 2, 349—353; 354—357 (нем.; рез. русск.).—II. Установлено, что при осаждении смешанных оксалатов Cu—Ca, Cu—Sr и Cu—Ba не происходит образования смешанных солей и что поэтому катализаторы, полученные из этих солей, быстро теряют свою активность.

III. Установлено, что при осаждении смешанных оксалатов никеля—магния образуется изоморфный ряд смешанных кристаллов. Сообщение I см. РЖХим, 1960, № 15, 60622.

Резюме авторов

6Б553. Приготовление сорбентов и катализаторов. III. Термическое разложение смешанных оксалатов никеля—магния. Popes V., Daneš V. Über die Bildung von Sorbenten und Katalysatoren. III. Thermische Zersetzung von Nickel-Magnesium-Mischoxalaten. «Collect. Czechosl. Chem. Commun.», 1960, 25, № 3, 820—828 (нем.; рез. русск.).—Гравиметрически при помощи кварцевой спирали при 265—400° исследовано термич. разложение смешанных оксалатов Ni—Mg с различным отношением ионов Mg:Ni. Образцы, содержащие 25 мол.% оксалата Mg, разлагаются так же, как чистый оксалат Ni; образцы с более высоким содержанием оксалата Mg разлагаются, как чистый оксалат Mg. Влияние O<sub>2</sub> и газообразных продуктов разложения на ход разложения изменяется с возрастанием кол-ва ионов Mg в образце. Авторы считают, что механизмы разложения чистых оксалатов Mg и Ni различны. При содержании в смешанном оксалате Ni—Mg 25% оксалата Mg, по-видимому, происходит изменение механизма разложения. Сообщение II см. РЖХим, 4Б486.

Karel Setínek

6Б554. Зависимость между размером гранул катализатора и областью протекания реакции. Коров Ю. М., Панченков Г. М. «Изв. высш. учебн. заведений. Нефть и газ», 1960, № 7, 65—69.—Найдена связь между т-рой, при которой начинается переход в диффузионную область, и размерами гранул катализатора. Опыты, проведенные с крупнозернистым и измельченным катализаторами, подтверждают возможность расчетов по найденной зависимости.

Резюме авторов

6Б555. Изотопный обмен кислорода на окислительных катализаторах. Марголис Л. Я., Киселев В. А. «Докл. АН СССР», 1960, 130, № 5, 1071—1073.—Масс-спектрометрическим анализом изотопного состава кислорода, обогащенного O<sup>18</sup>, установлено, что константа скорости (K) изотопного кислородного обмена, определяемая из ур-ния  $1 - F = -kt$  (где F — относительный обмен, a t — время), уменьшается с ростом содержания добавки AgCl в металл. Ag. Введение AgI в металл. Ag почти не изменяет k, но резко повышает константу скорости гомолинич. обмена  $O_2^{18} + O_2^{16} \rightleftharpoons 2O_2^{18}$ . Обнаруженное действие добавок AgCl и AgI на скорость обмена авторы связывают с изменением заряжения поверхности Ag. Скорость изотопного кислородного обмена на CuO почти не пз-



РАДИАЦИОННАЯ ХИМИЯ. ФОТОХИМИЯ.  
ТЕОРИЯ ФОТОГРАФИЧЕСКОГО ПРОЦЕССА

Редактор Х. С. Баздасарьян

6Б566. О корреляции между активностью и некоторыми физическими свойствами катализатора платформинга. Nicolescu I. V., Popescu A. I., Fordea C., Rapia A., Bally I. Sur la corrélation entre l'activité du catalyseur de platelage et certaines propriétés physiques. «J. chim. phys. et phys.-chim. biol.», 1960, 57, № 5, 409—415 (франц.).—Активные и дезактивированные катализаторы платформинга (Ka) изучались рентгенографич. методом; определены электропроводность и энергия активации электропроводности. Показано, что уменьшение активности Ka при нагревании связано с уменьшением степени дисперсности Pt, а также с некоторым смещением атомов Pt в кристаллич. решетке Pt (среднеквадратичное смещение  $\sim 0,45$  Å). Уд. электропроводность активного Ka в воздухе и в  $H_2$  при 429—500° выше, чем дезактивированного Ka. Энергия активации электропроводности у активного Ka меньше, чем у дезактивированного Ka.

Из резюме авторов  
6Б567. Исследование окислительного расщепления синтетической гуминовой кислоты в присутствии аморфной кремневой кислоты и кварца. Scheffer F., Kroll W. Untersuchungen über den oxydativen Abbau einer synthetischen Huminsäure in Gegenwart von amorpher Kieselsäure und Quarz. «Kolloid-Z.», 1960, 172, № 1, 55—63 (нем.).—Показано, что в присутствии аморфной кремневой к-ты и кварца скорость расщепления гуминовых к-т в окислительной среде ( $H_2O_2$ ) повышается. Такое расщепление можно осуществить и с помощью кислорода воздуха, но скорость расщепления при этом значительно меньше.

Р. А.  
6Б568. Взаимодействие фенолов с минералами. Окисление пирогаллола и других о-дифенолов на силикагеле. Siegel S. M. Phenol-mineral interactions: the oxidation of pyrogallol and other o-diphenols on silica gel. «Experientia», 1960, 16, № 8, 358—359 (англ.; рез. нем.).—Изучено каталитич. окисление (KO) пирогаллола, катехина, галловой к-ты и диоксифенилаланина на поверхности силикагеля (I), а также зависимость каталитич. активности (KA) I от структуры и заряда поверхности. KO на I наблюдалось как в водных, так и в спирто-водн. р-рах и в хлороформе. Установлено, что β-кварц KA не обладает. Нагревание I до 500° приводит к уничтожению KA I, а введение ионов  $Mg^{2+}$ ,  $Ca^{2+}$  и  $Al^{3+}$  — к ее заметному снижению. В отличие от о-дифенолов фенол, гидрохинон, резорцин, кофейная к-та и хлорпроизводные фенолов не окисляются на I и, присутствуя в р-ре, препятствуют KO о-дифенолов. Аналогичным свойством обладает метиленовый голубой, сильно адсорбирующий на поверхности I. На основе полученных данных обсужден механизм KO, включающий образование комплексов о-дифенолов с  $Si^{4+}$ . Отмечена роль комплексобразования при взаимодействии фенолов с минералами в процессах образования гуминовых в-в в почве.

А. Русанов  
6Б569. Исследование химизма окисления сульфидов тяжелых цветных металлов. Маргулис Е. В. Автореф. дисс. канд. техн. н., Казахск. политехн. ин-т, Алма-Ата. 1960

См. также раздел Производство катализаторов и сорбентов и рефераты: Реакционная способность и строение 6Б116, 6Б110. Кинетика и механизмы р-ций 6Б102, 6Б109, 6Б138, 6Б570, 6Б572, 6Б575, 6Б579, 6Б603, 6Б628, 6Б652, 6Б659, 6Б690, 6Б12, 6Б56, 6Б58, 6Б12—6Б138, 6Б120—122, 6Б291, 6Б244, 6Б28, 6Б79, 6Б82, 6Б108. Горение и взрывы 6Б224, 6Б240, 6Б247, 6Б249, 6Б250. Гетерогенный катализ органич. 6Б132, 6Б133. Топохимия 6Б120, 6Б121, 6Б126. Произ-во и свойства катализаторов 6Б186, 6Б192, 6Б283, 6Б286, 6Б315, 6Б35, 6Б38. Катализич. процессы 6Б191, 6Б194, 6Б199, 6Б225, 6Б245, 6Б275—2М282, 6Б10, 6Б29. Приборы и методы 6Б13, 6Б14. Адсорбция 6Б682—6Б684

6Б570. Относительные сечения тушения при реакции атомов  $Hg(6^3P_1)$  с изотопными молекулами  $N_2O$ . Hoffman Morton Z., Bernstein Richard B. Relative quenching cross sections in the reaction of  $Hg(6^3P_1)$  atoms with isotopic  $N_2O$  molecules. «J. Chem. Phys.», 1960, 33, № 2, 526—529 (англ.).—Сенсибилизированный ртутью фотолит смесей  $N^{14}N^{14}O^{16}(NNO)$ ,  $N^{14}N^{14}O^{18}(NNO^*)$ ,  $N^{15}N^{14}O^{16}(N^*NO)$  и  $N^{14}N^{15}O^{16}(NN^*O)$  проводился в реакторе из викорного стекла на циркуляционной установке при облучении светом  $Hg$ -дути низкого давления. Образующаяся смесь  $N_2O$ ,  $N_2$ ,  $O_2$  и следов высших окислов азота разделялась при  $-78$  и  $-196^\circ$ .  $O_2$  р-щей с  $H_2$  превращался в  $H_2O$ , откуда затем переводился в  $CO_2$ . Изотопный анализ  $N_2$  и  $CO_2$  проводили на масс-спектрометре. Исходя из того, что при р-ции первичным актом является процесс  $Hg(6^3P_1) + N_2O \rightarrow Hg(6^1S_0) + N_2 + O$  (РЖХим, 1956, № 14, 42737), авторы определили отношения констант скоростей р-ции  $Hg' + NNO \rightarrow N_2 + O + Hg(1)$ ,  $Hg' + N^*NO \rightarrow N^*N + O + Hg(2)$ ,  $Hg' + NN^*O \rightarrow NN^* + O + Hg(3)$ ,  $Hg' + NNO^* \rightarrow N_2 + O^* + Hg(4)$ , ( $Hg'$  и  $Hg$  — атомы  $Hg(6^3P_1)$  и  $Hg(6^1S_0)$  соответственно), равные  $k_1/k_4 = 1,0195 \pm 0,008$ ;  $k_1/k_2 = 1,0191$ ,  $k_1/k_3 = 1,0136$ . Вычислены относительные величины соответствующих сечений тушения атомов  $Hg(6^3P_1)$ .

В. Скурат  
6Б571. Импульсный фотолит диэтилкетона. Farrier Noel J. Flash photolysis of diethyl ketone. «Carnegie Techn.», 1960, 24, № 3, 39—41, 59 (англ.).—Описана установка, на которой предполагается проведение исследований импульсного фотолита паров диэтилкетона (I). Р-ция проводится в кварцевом реакционном сосуде, снаружи которого расположена спиральная импульсная лампа, заполненная  $He$  и  $Kr$ . При вспышке длительностью  $\sim 10^{-4}$  сек. освобождается энергия  $\sim 10^6$  Дж. Предполагается изучить зависимость выхода и распределения продуктов от кол-ва вспышек, давления I, добавок инертных газов, добавок паров йода. Продукты р-ции будут анализироваться методом газовой хроматографии.

В. Скурат  
6Б572. Температурная зависимость равновесия фотозомеризации. Часть I. Азобензол и азонфталенин. Fischer Ernst. Temperature dependence of photoisomerization equilibria. Part I. Azobenzene and the azonaphthalenes. «J. Amer. Chem. Soc.», 1960, 82, № 13, 3249—3252 (англ.).—Исследована *цис-транс*-изомеризация азобензола, 1,1-азонафталина и 2,2-азонафталина (I) в пропанол-1, метилциклопентане и тетрагидрофуране под действием света с  $\lambda$  313, 365, 405, 436, 546 и 578 мμ при т-рах от  $-140$  до  $0^\circ$ . Соотношение между *цис*- и *транс*-изомерами в фоторавновесном состоянии сдвигается в сторону *транс*-формы с понижением т-ры, хотя в указанном температурном интервале термич. изомеризация не протекает. Так при  $-20^\circ$  фоторавновесному состоянию I при  $\lambda$  365 мμ соответствует 20% *транс*-формы, при  $-125^\circ \sim 82\%$ , а при  $-140^\circ$  почти 100% (поглощение *транс*-формой света с  $\lambda$  365 мμ почти в 20 раз выше, чем *цис*-формой). Скорость *цис*→*транс*-фотозомеризации не зависит от т-ры, а *транс*→*цис* понижается с т-рой. Анализ результатов показывает, что смещение фоторавновесия при понижении т-ры в сторону большего содержания *транс*-изомеров связано, по-видимому, с уменьшением квантового выхода *транс*→*цис*-превращения при постоянном квантовом выходе р-ции *цис*→*транс*. Автор считает, что *транс*→*цис*-переход осуществляется через соответствующие возбужденные *транс*\*- и *цис*\*-состояния. При этом переход *транс*\*→*цис*\* связан с преодолением термич. барьера, для I он составляет  $\sim 2$  ккал/моль.

В. Кронгауз





до 426°, выше которой сама термич. р-ция протекает чрезвычайно быстро. Предложен механизм термич. инициирования.

В. Шубин  
6Б583. Определение величины  $G$  для реакций, вызванных  $\gamma$ -излучением, с помощью полярографического электролиза при постоянном потенциале. Zagórski Zbigniew Paweł. The determination of the  $G$ -value of  $\gamma$ -radiation-induced reactions by polarographic electrolysis at constant potential. «Nucleonika», 1960, 5, № 5, 253—260 (англ.; рез. польск., русск.).—Описан метод определения радиационно-химического выхода  $G$  при облучении  $p$ -ров  $\gamma$ -лучами  $Co^{60}$  (мощности дозы 120 рентген/сек) с помощью полярографич. электролиза при постоянном потенциале (в условиях предельного диффузионного тока). Полярографич. наблюдения во время облучения дают возможность легко различать индукционный период и эффекты последействия, а также две последовательные стадии р-ции с различным выходом. Указанный метод был применен к изучению радиационно-хим. окисления  $Na_2SO_3$  кислородом в щел.  $p$ -ре и окисления  $Fe^{2+}$  в кислом  $p$ -ре.

Д. Кокоулина  
6Б584. Радиоллиз растворов иона  $Fe^{2+}$  в тяжелой воде под действием  $\alpha$ -частиц и  $\gamma$ -лучей. Trumbore Conrad N. Radiolysis of ferrous ion solutions in heavy water with alpha particles and gamma radiation. «J. Phys. Chem.», 1960, 64, № 8, 1087—1088 (англ.).—Определены выходы окисления  $Fe^{2+}$  под действием  $\gamma$ -лучей  $Co^{60}$  и  $\alpha$ -лучей  $Po^{210}$  в тяжелой воде. В случае  $\gamma$ -лучей для воды, содержащей 99% D,  $G(Fe^{3+}) = 17.1 \pm 0.3$ , а для воды, содержащей 50% D,  $G(Fe^{3+}) = 16.1 \pm 0.2$ . Для  $\alpha$ -лучей (3.4 Мэв) в воде, содержащей 99% D,  $G(Fe^{3+})$  равно 5.3 на воздухе и 3.9 в вакууме. Выведено выражение для величины отношения  $G(H)/G(D)$ . Для обоих типов излучения эта величина равна 0.93.

В. Шубин  
6Б585. Радиоллиз тяжелой и тритированной воды под действием  $\gamma$ -излучения в присутствии метилметакрилата. Обсуждение элементарных реакций диссоциации возбужденной и ионизированной воды. Fiquet-Fayard Florence. Radiolyse de l'eau légère et de l'eau tritiée par les rayons  $\gamma$  en présence du méthacrylate de méthyle. Discussion des réactions élémentaires de la dissociation de l'eau excitée et ionisée. «J. chim. phys. et phys.-chim. biol.», 1960, 57, № 6, 453—466 (франц.).—Обсуждаются вопросы диссоциации и возбуждения  $H_2O$  под действием  $\gamma$ -излучения. Рассматриваются 3 случая:  $H_2O$  в газовой фазе при давл.  $< 10^{-4}$  мм рт. ст., когда отсутствует взаимное влияние молекул и вторичные р-ции;  $H_2O$  в газовой фазе при больших давлениях;  $H_2O$  в жидкой фазе. Рассматриваются возможности диссоциации и возбуждения молекулы  $H_2O$ , исходя из кривых потенциальной энергии молекул. Обсуждаются возможные вторичные р-ции в газовой фазе и оцениваются вероятности соответствующих процессов. Специально рассмотрены вопросы о влиянии сольватации на процессы диссоциации и вторичные р-ции в жидкой фазе. При рассмотрении процессов в жидкой фазе учитывается эффект ячейки.

Е. Борисов  
6Б586. Радиоллиз тяжелой и тритированной воды под действием  $\gamma$ -излучения в присутствии метилметакрилата. Изотопные эффекты в образовании радикалов H и T для жидкой тритированной воды. Fiquet-Fayard Florence. Radiolyse de l'eau légère et de l'eau tritiée par les rayons  $\gamma$  en présence de méthacrylate de méthyle. Effet isotopique dans la formation des radicaux H et T par radiolyse de l'eau tritiée liquide. «J. chim. phys. et phys.-chim. biol.», 1960, 57, № 6, 467—478 (франц.).—Определены выходы первичных радикалов H и T при радиоллизе тритированной воды под действием  $\gamma$ -излучения. Найден коэф. обогащения ( $S_A$ ) радикалов H легким водородом по сравнению с исходной водой.  $S_A = 4.5 \pm 0.5$ . Полученные результаты сравнива-

ются с литературными. Отмеченный изотопный эффект объясняется с точки зрения времени диффузии радикалов, начального времени их образования и возможности диссоциации. Процессы диссоциации рассматриваются для молекулы HOD. Выводы и результаты оцениваются с точки зрения ранее опубликованных теорий.

Е. Борисов  
6Б587. Влияние  $\gamma$ -излучения на абсорбцию водорода в металлах. Yokogawa Kazuko, Sugeno Takesi «Нихон киндзоку гаккайси, J. Japan Inst. Metals», 1960, 24, № 2, 113—117 (японск.; рез. англ.).—Исследовалось влияние  $\gamma$ -излучения на абсорбцию  $H_2$  палладием в кислых и щел.  $p$ -рах. Содержание  $H_2$  определялось по изменению электрич. проводимости. Если окисная пленка на Pd получена нагреванием на воздухе, абсорбция не протекает. Если окисная пленка получена анодной поляризацией или предварительным облучением в аэрированной воде,  $p$ -ре  $H_2O_2$  и на воздухе, то в кислых  $p$ -рах Pd поглощает значительное кол-во  $H_2$ . При длительном облучении достигается предел насыщения.

В. Шубин  
6Б588. Радиоллиз циклогексана. I. Чистый жидкий циклогексан и растворы циклогексан-бензол. II. Растворы циклогексан-циклогексен и чистый циклогексен. Freeman G. R. Radiolysis of cyclohexane. I. Pure liquid cyclohexane and cyclohexane-benzene solutions. II. Cyclohexane-cyclohexene solutions and pure cyclohexene. «J. Chem. Phys.», 1960, 33, № 1, 71—78; 38, № 7, 1043—1052 (англ.).—I. Продукты радиоллиза циклогексана (I) летучие при  $-196^\circ$ , содержат 99.6%  $H_2$  и 0.4%  $CH_4$ . Зависимость выхода  $H_2$  от дозы ( $D$ ) определяется выражением  $G(H_2) = 5.37 - 8.2 \cdot 10^{-3} D$ , где 5.37 — выход  $H_2$  ( $G_i$ ) при  $D \rightarrow 0$ . Уменьшение  $G(H_2)$  с дозой автор объясняет взаимодействием атомов H с oleфинами, образующимися при радиоллизе. Продукты летучие при  $-112^\circ$ , образуются с выходом 0.18 и содержат в основном  $C_2H_4$ . Газхроматографич. анализ показывает, что жидкая фракция состоит из циклогексена (II) (2.28), углеводородов  $C_9$  ( $\sim 0.1$ ), дициклогексила (1.24), циклогексилциклогексена (0.23) и циклогексилциклогексена (0.1—0.2) (в скобках приведены  $G_i$ ). При радиоллизе смесей I — бензол (III)  $G(H_2)$ , а также выходы перечисленных углеводородов снижаются с увеличением электронной доли III значительно быстрее, чем это следует из аддитивной схемы. В присутствии III в жидких продуктах радиоллиза, кроме продуктов, перечисленных выше, образуются также циклогексилциклогексидиен (IV) и дициклогексидиен (V). Выходы этих продуктов, а также фракции, летучей при  $-112^\circ$ , уменьшаются линейно при увеличении электронной доли III. При облучении чистого III  $G$  ( $-195^\circ$ ) = 0.038 и  $G$  ( $-112^\circ$ ) = 0.033. Предполагая, что на каждую молекулу  $H_2$  должно образовываться не меньше одной молекулы углеводородных продуктов, автор отмечает отсутствие баланса. Возможно, что это связано с образованием неопределявшихся полимерных продуктов. Защитное действие III вызвано, по-видимому, переносом энергии от возбужденных молекул I. Соблюдение линейной зависимости для выходов IV и V объясняется автором наличием еще одного вида возбужденных молекул I, распад которых протекает значительно быстрее, чем их дезактивация молекулами III. Предложена кинетич. схема образования продуктов радиоллиза I и его смесей с III. Отношение константы скорости переноса энергии от I к III к константе распада I составляет 0.78 л/моль.

II. При радиоллизе II  $G(H_2) = 1.2$ ,  $G(I) = 1.0$ ,  $G$  (дициклогексил) = 1.36,  $G$  (циклогексилциклогексен) = 0.22,  $G$  (дициклогексил) = 0.11,  $G(C_2H_4) = 0.16$ ,  $G(C_2H_6) = 0.022$ ,  $G$  (углеводороды  $C_4$ ) = 0.1,  $G$  (полимер) = 8 единиц II. При радиоллизе смесей I—II (см. сообщение I) выходы  $H_2$ , дициклогексила и циклогексилциклогексена уменьшаются с увеличением электронной доли II, а  $G$  дициклогексена увеличивается. Для пер-

вых трех в-в кривые выход — состав смеси отклоняются в отрицательную сторону от линейной зависимости, а для последнего соединения — в положительную. Это объясняется автором переносом энергии от I к II. В. Кронгауз

**6Б589.** Косвенное химическое действие излучения высокой энергии на органические растворы. Mac Lachlan Alexander. Indirect chemical effects of high-energy radiation in organic solutions. «J. Amer. Chem. Soc.», 1960, 82, № 13, 3309—3314 (англ.). — Изучен радиолитический разрыв в циклогексане бензиловых производных  $C_6H_5CH_2X$ , где  $X = Cl, OH, HCOO, CH_3COO, H$  и  $C_6H_5CH_2$ , под действием электронов 2 Мэв. За исключением толуола и дибензила все исследованные в-ва распадаются в 0,1 М р-рах с радиационным выходом  $G(-C_6H_5CH_2-X) \approx 4$ . Это значительно превышает максимально возможный выход при прямом действии излучения. Толуол и дибензил практически не распадаются. Выход разложения  $C_6H_5CH_2Cl$  (I) остается постоянным при изменении концентрации р-ра от 0,05 до 0,5 М и мощности дозы от 0,35 до  $10,4 \cdot 10^{18}$  эв/мл сек. Это указывает на то, что разложение I протекает не по цепному механизму. Выходы образования фенилциклогексилметана и дибензила приводят к значениям  $G(C_6H_5CH_2)$  = 1,79, что составляет лишь 46% от  $G(-I)$ . Присутствие  $O_2$  не влияет на  $G(-I)$ . Облучение р-ра I в замороженном состоянии при  $-78^\circ$  не приводит к заметному разложению I. Добавка 0,13 М циклогексена не влияет на  $G(-I)$ , а в насыщ.  $J_2$  р-ре  $G(-I)$  снижается на 25%, т. е. высокий выход разложения I не может быть объяснен взаимодействием с радикалами, образующимися при радиолитическом разрыве. Автор считает, что радиолитическое разложение изученных р-ров связано главным образом с переносом энергии от циклогексана к растворенным в-вам. То, что толуол и дибензил практически не распадаются в р-ре, объясняется, по мнению автора, большей вероятностью дезактивации возбужденных молекул этих в-в. В. Кронгауз

**6Б590.** Радиолитическое разложение четыреххлористого углерода. Chen T. H., Wong K. Y., Johnston F. J. Radiolysis of chloroform and carbon tetrachloride. «J. Phys. Chem.», 1960, 64, № 8, 1023—1025 (англ.). — При радиолитическом разложении  $CHCl_3$  (I)  $G(HCl) = 11,4$ ;  $H_2$  и  $Cl_2$  практически не образуются. При радиолитическом разложении  $CCl_4$  (II)  $G(Cl_2) = 0,66$ . Добавки I к II резко снижают выход  $Cl_2$  и при молярной доле I  $\sim 0,008$   $G(Cl_2) = 0$ , что объясняется, по-видимому, протеканием р-ции  $CHCl_3 + Cl \rightarrow CCl_3 + HCl$  (1). Принимая, что I является 100%-ным акцептором  $Cl$ , авторы получают  $G(Cl) \approx 3,0$ . В смесях I и II с большим содержанием II  $G(HCl)$  выше, чем это следует из аддитивной схемы. Это указывает, по мнению авторов, на то, что атомы  $Cl$ , образующиеся при распаде II, реагируют по р-ции (1). При малых концентрациях II  $G(HCl)$  ниже, чем это следует из правила аддитивности, что объясняется переносом энергии от I к II. В. Кронгауз

**6Б591.** Об улавливании радикалов акридином, антраценом и их производными при радиолитическом разложении четыреххлористого углерода. Laplane J., Mille, Ivanoff N., Mille. Sur l'interception de radicaux par l'acridine, l'anthracène et leurs dérivés dans la radiolyse du tétrachlorure de carbone. «J. chim. phys. et phys.-chim. Biol.», 1960, 57, № 7—8, 675—676 (франц.). — При радиолитическом разложении акридина (A) в  $CCl_4$  радиационный выход разложения растворенного в-ва  $G(-A)$  достигает предельного значения  $\sim 8$ —11 молекул при концентрации  $\geq 10^{-3}$  М (критич. конц-ия). Для метилакридина, антрацена и бенз-1,2-антрацена критич. конц-ии равны  $1,2 \cdot 10^{-3}$ ,  $(0,3$ — $0,4) \cdot 10^{-3}$  и  $0,7 \cdot 10^{-3}$  М.  $G(-A)$  равны соответственно  $\sim 9$ ;  $\sim 5$ —6 и 5,5—6. Радиолитическое разложение растворенных в-в вызвано, по-видимому, взаимодействием с радикалами, образующимися при радиолитическом разложении  $CCl_4$ . В. Кронгауз

**6Б592.** Исследование электронного парамагнитного резонанса в облученных кристаллах  $AgCl$  с примесью  $CuCl$ . Ciccarello I. S., Palma-Vittorelli M. B., Palma M. U. An electron spin resonance investigation of photographic processes in crystals of  $AgCl$  containing traces of  $CuCl$ . «Philos. Mag.», 1960, 5, № 55, 723—727 (англ.). — Исследован электронный парамагнитный резонанс (ЭПР) монокристаллов  $AgCl$  с примесью  $\sim 0,1$  мол.%  $CuCl$ , отожженных при  $420^\circ$  в атмосфере  $N_2$ . ЭПР наблюдается только для кристаллов, облученных при комнатной т-ре  $Hg$ -лампой, и затем быстро охлажденных до  $-183^\circ$ . ЭПР приписан ионам  $Cu^{2+}$ , образовавшимся в результате захвата фотодырок узловыми ионами  $Cu^+$ . Спектр ЭПР быстро исчезает, если после облучения выдерживать кристалл при т-ре  $> -130^\circ$ , но не исчезает при т-ре  $< -145^\circ$ , когда ионы  $Ag^+$  малоподвижны. Исчезновение ЭПР объяснено уходом одного из 12 ионов  $Ag^+$ , окружающих ион  $Cu^{2+}$ , и образованием комплекса между ионом  $Cu^{2+}$  и вакантным  $Ag^+$ -узлом, причем дырка поделена между ионом  $Cu^+$  и 6 ионами  $Cl^-$ , окружающими вакантный  $Ag^+$ -узел. А. Хейман

**6Б593.** Связь между химическим строением и фотографическим действием некоторых триазолопиримидинов. Chambers Vaughan C. A correlation of the chemical structures of some triazolopyrimidines with their photographic effects. «Photogr. Sci. and Engng», 1959, 3, № 6, 268—271 (англ.). — Исследовано антигалогенирующее и десенсибилизирующее действие (АД и ДД) ряда производных 1,3,3а,7-тетразапиридина (I) (иначе триазолопиримидина или триазанидопиримидина), а также 6-метил-4-окс-2,3,7,7а-тетразапиридина (II) и установлено, что для проявления АД и ДД существенным является наличие оксигруппы в положении 4 и стабилизации ионной формы благодаря смещению отрицательного заряда на атомы N кольца. Так 6-метил-4-окс-I (III) обладает хорошим АД и заметным ДД, тогда как изомерный ему II обладает очень малым АД и совсем не дает ДД. Введение в III низкомолекулярных алколов в 2- и 5-положениях, а также замена 6- $CH_3$  на 5- $COOC_2H_5$  не изменяет заметно АД и ДД, тогда как замена 4-ОН на 4- $CH_3$  или 6- $CH_3$  на 6-ОН приводит к уничтожению АД и ДД. Неактивны также основания четвертичных солей III, в которых атом О находится в кетонной форме, а также 2-(4-оксифенил)-производное III. Наоборот, замена 6- $CH_3$  на 6- $C_6H_{13}$  или 6- $C_6H_{13}$  приводит к резкому усилению АД и ДД. Эти данные показывают, что для проявления АД и ДД необходима способность к образованию труднорастворимых  $Ag$ -солей адсорбирующихся вблизи центров чувствительности не дающих им перерастать в центры вуали, что обеспечивает АД. В то же время эти адсорбированные  $Ag$ -соли I являются ловушками для фотоэлектронов и концентрируются с центрами чувствительности, что и обуславливает ДД. Это подтверждается тем, что наибольшее ДД проявляется при экспозиции светом малой интенсивности, действующим преимущественно на поверхностные центры чувствительности, а также ростом ДД с уменьшением растворимости  $Ag$ -солей I. Возможно также, что ДД в известной мере обусловлено замедлением действия проявителя в результате блокирования поверхности  $AgHal$ , адсорбированными  $Ag$ -солями I. И. Спасокукоцкий

**6Б594.** Ультразвуковое окисление и восстановление ферро-феррицианидов в водных растворах. Haissinsky M., Julien R., Mille. Oxydo-réduction ultrasonique du ferroferriicyanure en solution aqueuse. «J. chim. phys. et phys.-chim. Biol.», 1960, 57, № 7—8, 666—672 (франц.). — Исследовано окисление ферроцианида (I) и восстановление феррицианида (II) под действием ультразвука (частота 960 кГц) в водн. р-рах при  $\sim 17^\circ$ . Окисление I зависит от pH р-ра, наименьший выход наблюдается в нейтр. р-рах. Влияние конц-ии р-ра на выход окисленного продукта аналогично «эффекту раз-

ведения»  
ших конц-  
 $O_2$  в  $\sim 2$   
личие ис-  
конц-иях  
 $H_2O_2$  как  
в кислых  
ферриак-  
тивании  
ленного п-  
Первично-  
на радиа-

См. такж-  
химия 6Б  
6Р34, 6Р7  
6Б670, 6Б  
6Б621. При-

РАСТВО-

6Б595.

Agar J. M.  
«Trans. Fa-  
Рассмотр-  
в одном па-  
мещенном  
форму пра-  
нии посто-  
торцовых  
«диффузия»  
и скорости  
в Я скорос-  
=  $u' + u''$   
соответств-  
доженной  
ывающее  
( $\partial I / \partial x$ ) —  
«средняя»  
сительного  
данных с  
делать изо-  
е оценки  
случая ма-  
конц-ии в  
на послед-

6Б596.

теплоемко-  
тов. Руд-  
№ 4, 734-  
статки и  
жущихся  
нии к теп-  
новым, по  
выражении  
электролит-  
емкость р-  
которых С  
рассматри-  
конц-ии,  
электролит-  
Величина  
ния  $C_p$  =  
теплового  
версальная  
 $H^+$ -ионов,  
метанрих  
 $NH_4^+$   $\eta$  =

Знака 14



ведения» известному в радиационной химии. При больших конц-ях выход р-ции окисления в присутствии  $O_2$  в  $\sim 2$  раза больше, чем в присутствии  $Ag$ , это различие исчезает при уменьшении конц-ии. При больших конц-ях при озвучивании не наблюдается образования  $H_2O_2$  как в присутствии  $O_2$ , так и  $Ag$ . Озвучивание II в кислых р-рах приводит к возникновению ферро- и ферриаквонепентацианидов. Восстановление II при озвучивании наблюдается при  $pH > 11$ , выход восстановленного продукта больше в присутствии  $Ag$ , чем  $O_2$ . Первичной звукохим. р-цией принимается распад воды на радикалы  $H_2O \rightarrow H + OH$ . Б. Кудрявцев

См. также: Фотохимия 6Б109, 6И74. Радиационная химия 6Б218, 6Б256, 6Б356, 6Ж37, 6И122, 6Р5, 6Р28, 6Р34, 6Р78—6Р80, 6Р102, 6Р105, 6Р115—6Р117. Разряд 6Б670, 6Б671. Теория фотографияч. процесса 6Б256, 6Б261. Приборы и методы 6Е34, 6Е35, 6Е50, 6К302

# РАСТВОРЫ. ТЕОРИЯ КИСЛОТ И ОСНОВАНИЙ

Редактор Д. Л. Агеева

6Б595. Скорость достижения равновесия *Sorel*. Agar J. N. The rate of attainment of Soret equilibrium. (Trans. Faraday Soc., 1960, 56, № 6, 776—787 (англ.).— Рассмотрен процесс диффузии, происходящей только в одном направлении ( $x$ ) в двухкомпонентном р-ре, помещенном в непроницаемую ячейку (Я), имеющую форму правильного цилиндра или призмы. При создании постоянной или переменной разности  $t-p$  ( $\Delta T$ ) на торцевых стенках Я возникает диффузионный поток (диффузия *Sorel*), имеющий некоторую плотность ( $I$ ) и скорость ( $v$ ). При учете термич. расширения р-ра в Я скорость потока становится равной  $v + u$ , где  $u = u' + u''$  ( $u'$  и  $u''$  — изменения в скорости, вызванные соответственно постоянной и переменной  $\Delta T$ ). Из предложенной модели записывается ур-ние диффузии, связывающее конц-ию с временем ( $t$ ):  $\partial h / \partial t = (-1/c < c >) \cdot [\partial I / \partial x] - [\partial (u''h) / \partial x + h(\partial \ln < c > / \partial t)]$  (1), где  $< c >$  — «средняя» конц-ия, а  $h$  — безразмерная функция относительного изменения конц-ии. Обработка эксперим. данных с помощью решений ур-ния (1) позволяет определять изотермич. коэф. диффузии и коэф. *Sorel*, а также оценивать конвекцию в Я. Ур-ние (1) решено для случая малой и постоянной  $\Delta T$ . Показано, что «скачок» конц-ии в момент наложения  $\Delta T$  может сказываться на последующем изменении концентрации.

А. Стрельников  
6Б596. К вопросу о рациональных путях изучения теплоемкостных свойств водных растворов электролитов. Рудков А. П., «Ж. физ. химии», 1960, 34, № 4, 734—741 (рез. англ.).— Указывается на недостатки и на ограниченные возможности методов кажущихся величин и парц. мол. величин в применении к теплоемкости р-ров электролитов. Предлагается новый, по мнению автора, более рациональный метод выражения опытных величин теплоемкостей р-ров электролитов. Предлагаемый метод расчленяет теплоемкость р-ра электролита на два слагаемых, одно из которых  $C_p$ , отождествляемое с теплоемкостью ионов, рассматривается как величина, не зависящая от конц-ии, а другое слагаемое, зависящее от конц-ии электролита, отождествляется с теплоемкостью воды. Величина  $C_p$  рассчитывается при помощи соотношения  $C_p = \Sigma n \cdot R/2$ , где  $\Sigma n$  — число степеней свободы теплового движения у ионов электролита,  $R$  — универсальная газовая постоянная. Предполагается у  $H^+$ -ионов, атомов водорода и кислорода  $n = 3$ , у элементарных ионов и у  $OH^-$   $n = 6$ , у  $ClO_3^-$ ,  $JO_3^-$ ,  $NO_3^-$ ,  $NH_4^+$   $n = 15$ , у  $HNO_3$ ,  $SO_4^{2-}$ ,  $PO_4^{3-}$   $n = 18$ . Вычислены

и сопоставлены с опытными значениями величины  $C_p$  для 44 электролитов, включающих галогениды, нитраты, сульфаты, фосфаты, карбонаты и ацетаты различных металлов и аммония. Для 38 электролитов найдено совпадение мол.  $C_p$ . Для характеристики влияния электролита на теплоемкость воды автор вводит величину «интегральная теплоемкостная депрессия воды»  $\Delta C_p$ , которая вычисляется из соотношения  $\Delta C_p = C_p - \Phi_{C_p}$  ( $\Phi_{C_p}$  — кажущаяся мол. теплоемкость электролита,  $C_p$  — теплоемкость воды). На основе анализа новым методом влияния электролита на теплоемкость и объем  $V_0$  воды автор приходит к заключению о более сильной депрессии теплоемкости (в 3—4 раза) по сравнению с депрессией объема, вызываемой растворенным электролитом. По мнению автора, в бесконечно разб. р-рах ионные силы вызывают депрессию теплоемкости у прилегающих молекул воды, включая пятую гидратную сферу, а депрессию  $V_0$  включая лишь четвертую гидратную сферу. Автор также подразделяет ионы на действующие симбатно на  $V_0$  и  $C_p$  и на действующие антибатно на эти свойства, что особенно резко выражено у ионов  $Cs^+$ ,  $NH_4^+$ ,  $Li^+$ ,  $H^+$ ,  $Br^-$  и  $J^-$  (усиливают депрессию  $\Delta C_p$  и ослабляют депрессию  $\Delta V_0$ ). Н. Хомутов

6Б597. Взаимодействие между электролитом и растворителем. Полярные свойства электролитов в растворителях с низкой диэлектрической постоянной. Richardson Edwin A., Stern Kurt H. Electrolyte-solvent interactions. Polar properties of electrolytes in low dielectric solvents. «J. Amer. Chem. Soc.», 1960, 82, № 6, 1296—1302 (англ.).— Из диэлектрич. измерений определены расстояния максим. сближения ионов в ионных парах пикратов и бромида тетрабутиламмония в бензоле, диоксане, толуоле, а также в бензольно-нитробензольных смесях. Критически рассмотрены различные методы расчета. Исследован эффект различных р-рителей на межмолекулярное расстояние. Показано, что число ионных пар в смесях неполярного р-рителя с полярным зависит от конц-ии полярного компонента и не зависит от диэлектрич. постоянной среды. Ю. Ершов

6Б598. Исследование диэлектрических свойств жидких смесей. Часть I. Системы *n*-октиловый спирт — диэтиленгликоль и *n*-пропиловый спирт — глицерин. Исследование диэлектрических свойств жидких смесей. Часть II. Системы этиловый спирт — *o*-крезол. Sarojini V., Miss. Study of the dielectric behaviour of liquid mixtures. Part I. *n*-Octyl alcohol-diethylene glycol & *n*-propyl alcohol-glycerol mixtures. Part II. Ethyl alcohol — bromonaphthalene and ethyl alcohol — *o*-cresol. «J. Scient. and Industr. Res.», 1960, BC19, № 2, B52—B54; № 3, B91—B93 (англ.).— I. Исследована зависимость диэлектрич. постоянной ( $\epsilon'$ ) и диэлектрич. потерь ( $\epsilon''$ ) смесей *n*-октилового спирта с диэтиленгликолем (1:1) и *n*-пропилового спирта с глицерином (1:1) от  $t$ -ры и частоты в области 250—500  $M\epsilon$  и  $0^\circ$ — $80^\circ$ . Ранее высказанное положение (Schallamach A. «Trans. Faraday Soc.», 1946, 42A, 180), что процессы диэлектрич. релаксации в жидкостях связаны с нарушениями в значительных районах, в исследованных системах не подтверждается. Качеств. образом показано, что каждый из компонентов смеси сохраняет в большой мере свои диэлектрич. свойства. В то же время наблюдаемое смещение пиков характеризует взаимодействие компонентов. Ю. Ершов

II. Произведены измерения  $\epsilon'$  и  $\epsilon''$  в системах этанол (I) — *o*-бромнафталин (1:1 и 2:1) и I — *o*-крезол (II) (1:1, 2:1 и 1:2) в интервале частот ( $f$ ) 900—2000  $M\epsilon$  и  $t$ -р  $0^\circ$ — $75^\circ$ . Полученные результаты представлены в виде графиков. На кривых  $\epsilon'' - f$  во всех

изученных случаях (в том числе и для системы I—II, где оба компонента находятся в ассоциированном состоянии) наблюдаются два максимума. Характер полученных кривых подтверждает сделанные ранее (часть I) выводы о природе процессов диэлектрич. релаксации в жидких смесях. А. Шейнин

**6Б599. Диэлектрические свойства тройной жидкой смеси этилового спирта, о-крезола и α-бромнафталина.** Sarojini V., Miss. Dielectric behaviour of a tertiary liquid mixture of ethyl alcohol, o-cresol and α-bromonaphthalene. *J. Scient. and Industr. Res.*, 1960, BC19, № 3, B115 (англ.).—Приводятся результаты измерения диэлектрич. постоянной и диэлектрич. потерь двух смесей этанола, о-крезола и α-бромнафталина в соотношениях 1:1:1 и 2:2:1 при различных т-рах (20—75°) и частотах (500—2000 Мгц). На каждой кривой зависимости диэлектрич. константы или диэлектрич. потерь от частоты колебаний или т-ры обнаруживаются три пика. Этот результат согласуется с выводом, полученным ранее (см. реф. 6Б598) при изучении бинарных систем, что в смеси каждый компонент сохраняет свои индивидуальные диэлектрич. характеристики. В. Коган

**6Б600. Термодинамические свойства электролитов в неводных растворах. IX. Растворы уксуснокислого и бензойнокислого калия в этаноле.** Иванова Е. Ф., Измайлов Н. А. *«Ж. физ. химии»*, 1960, 34, № 5, 1021—1026 (рез. англ.).—Измерены э. д. с. и определены нормальные потенциалы щелей без переноса  $K(Hg)_x | KA | Ag-Ag$ , где  $A = CH_3COO^-$  или  $C_6H_5COO^-$  в воде и этаноле при 25°. Получены значения  $lg \gamma_\pm$  и концентрационных коэф. активности  $\gamma^*$  для  $CH_3COOK$  и для  $C_6H_5COOK$  в этаноле. Сообщение VIII см. РЖХим, 1961, 4Б600. Из резюме авторов

**6Б601. Электрометрическое исследование образования ионов гетерополиоксидов в водных системах.** Cannon P. Some electrometric measurements of heteropoly ion formation in aqueous systems. *J. Inorg. and Nucl. Chem.*, 1960, 13, № 3-4, 261—268 (англ.).—Проведено потенциометрич. титрование HCl водн. р-ров  $Na_2MoO_4$  (I),  $Na_2WO_4$  (II),  $Na_2HPO_4$  (III) и  $Na_2AsO_4$  (IV), а также смешанных р-ров I + III, I + IV, II + III, и II + IV; результаты приведены в форме графиков. В каждой серии определений конц-ия I и II была постоянной, а конц-ия III и IV менялась. Разность между кол-вом HCl, необходимым для доведения смешанного р-ра до pH 3,45 и суммарным кол-вом HCl, необходимым для доведения до того же pH соответствующих однокислотных р-ров, принималась за меру воздействия между компонентами смешанного р-ра. На основании полученных данных сделаны выводы об устойчивости и условиях образования фосфоромолибдатных, арсеномолибдатных, фосфоромолибдатных и арсеномолибдатных комплексов в р-рах. Проведены некоторые кондуктометрич. измерения, результаты которых согласуются с данными потенциометрич. титрования. В. Рабинович

**6Б602. Свойства азотнокислых растворов плутония. III. Устойчивость плутония в азотнокислых растворах.** Никольский В. Д., Пожарская М. Е., Пожарский Б. Г. *«Радиохимия»*, 1960, 2, № 3, 320—329.—Спектрофотометрическим методом исследовались 0,00185 М р-ры плутония (I) в 0,0024—8 н.  $HNO_3$  при их хранении в течение двух месяцев. Показано, что при этом происходит радиолитич. восстановление Pu, скорость которого уменьшается с увеличением конц-ии к-ты и возрастает с увеличением конц-ии I. В разб. р-рах I (рН 2,15—3,55) идет р-ция  $PuO_2OH^+ + H^+ \rightleftharpoons PuO_2^+ + H_2O$ . Восстановление I сопровождается увеличением конц-ии водородных ионов, образующихся при радиолитич. воды, а также при ионизации водорода, образующегося при радиолитизе, под действием собственного α-излучения Pu. Накопление ионов водорода может приводить к обра-

зованию  $Pu(4+)$  по р-ции  $2PuO_2^+ + 4H^+ \rightleftharpoons PuO_2^{2+} + Pu^{4+} + 2H_2O$ . Высказано предположение, что в слабых р-рах Pu восстанавливающимися формами являются гидроксисоединения, а р-ция диспропорционирования  $Pu(4+)$  протекает по схеме  $3PuOH^{2+} \rightleftharpoons PuO_2^{2+} + 2Pu^{3+} + H^+ + H_2O$ . Сообщение II см. РЖХим, 1960, № 14, 56502. Из резюме авторов

**6Б603. Явления ассоциации. I. Специфическое влияние катиона на гидролиз и глицинолиз ацетилфосфата.** Kurz Joseph L., Gutsche C. David. Association phenomena. I. Specific cation effects on the hydrolysis and glycinolysis of acetyl phosphate. *J. Amer. Chem. Soc.*, 1960, 82, № 9, 2175—2181 (англ.).—Изучалась кинетика гидролиза и глицинолиза ацетилфосфата лития или тетраметиламмония в буферных смесях из N,N-диметилглицина (HГ) и его соли, растворенных в  $H_2O$  или 50%-ном водн. диоксана. Для обработки данных применялись ур-ние:  $d[CH_3COPO_4^{2-}]/dt = (k_w[H_2O] + k_{OH}a'_{OH} + k_{HГ}[HГ] + k_T[Г^-])[CH_3COPO_4^{2-}]$ , где  $a'_{OH}$  — активность монов  $OH^-$ , полученная из электрометрич. определений pH; величины в квадратных скобках — конц-ии соответствующих в-в, определившиеся спектрофотометрич. методом;  $k_w$ ,  $k_{OH}$ ,  $k_{HГ}$  и  $k_T$  — константы скорости, значения которых изучались как функции природы катиона, его конц-ии, т-ры и состава р-риталя. Обсуждение результатов проведено на основе предположения об образовании комплексов между катионом и одним или более из присутствующих в реакционной смеси анионов. На основании эксперим. данных предложена следующая картина явлений ассоциации в изученной системе. В водн. р-рах катионы лишь слабо ассоциированы с анионами — участниками р-ции, но заметно ассоциированы с трехзарядными переходными комплексами, которые могут иметь структуру квазихемициклического кольца. В 50%-ном водн. диоксане катионы ассоциированы с анионами тем сильнее, чем выше заряд и поляризуемость аниона. При этом  $(CH_3)_4N^+$  менее чем ион  $Li^+$ , способен поляризовать ассоциированный с ним анион. Вычислены активационные характеристики для  $k_w$ ,  $k_{OH}$ ,  $k_{HГ}$ ,  $k_T$  и  $k_{OH}$ . А. Штейн

**6Б604. Потенциометрическое исследование диссоциации галловой кислоты.** Ramaiah N. A., Chaturvedi R. K. Potentiometric studies on the dissociation of gallic acid. *«Proc. Indian Acad. Sci.»*, 1960, A51, № 4, 177—188 (англ.).—Потенциометрически определены константы ионизации и рассчитаны соответствующие теплоты и энтропии для водн. р-ров галловой к-ты при т-рах 30—80°. При 30°  $pK = 4,38$ ,  $\Delta H = 10,2$  кдж/моль,  $\Delta S = -0,1185$  кдж/моль. Радиус аниона к-ты, рассчитанный по  $\Delta H$ , равен 0,78 А. Ю. Е.

**6Б605.  $pK_A$ -величины и их структурная зависимость.** Götz Hansmerten.  $pK_A$ -Werte und ihre Strukturabhängigkeit. *«Arch. Pharmazie»*, 1960, 293, № 5, Mitt. Dtsch. pharmaz. Ges., 1960, 30, № 5, 81—89 (нем.).—Кратко изложена теория к-т и основаны Лаури — Бренстеда, дана характеристика нескольких способов определения величин  $pK_A$  и обсуждена связь величин  $pK_A$  со строением органич. к-т. Отмечены особенности влияния структурных факторов (полярные группы, мезомерия, стерич. фактор, водородные мостики) на величины  $pK_A$ . Н. Хомутов

**6Б606. Хлористый бензоил как полярный растворитель. Часть V. Кондуктометрическое титрование хлористом бензоиле.** Paul Ram Chand, Johi Joginder Singh, Singh Gurdev. Benzoyl chloride as a polar solvent. Part V. Conductometric titrations in benzoyl chloride. *«J. Indian Chem. Soc.»*, 1960, 37, № 4, 195—205 (англ.).—Методом кондуктометрич. титрования исследованы р-ции нейтр-ции между со-

воксислоронном, о-гой, водностнейтр-цравнове+ Cl<sup>-</sup>.

6Б607. неорганические водные и ре (англ.).

6Б608. ров хлор. О. К., ин-та, вой пол. «Изв. К. путем водноством спл. электро. ваются измене. нации I. ванием соедине. 6Б609. хлорист. О. К., ин-та, предыд. р-ры (О. различ. отличав. сом спл. плексоот. вее трех. разным. 6Б610. ров хлор. ра О. М. техн. н. н. 6Б608, с. изоамил. ренциро. три на. можно. второе. присоед. 6Б611. ров элек. Mitsui. rap. Pu. (японск. р-ров эл. т-рах 25. центрац. z<sub>0</sub> — мол. соответс. р-ра. Не. ается с. яне сост. мененно. с замен. К (К — рмента. 6Б612. теплота. не. Yu. acti.

$\text{PuO}_2^{2+} +$   
что в сла-  
формам  
пропорции  
 $\text{ZrPuOH}^{2+} +$   
е П см.  
ме авторов  
физическое  
из ацетат-  
C. David  
ffects on the  
phosphate.  
2175-2181  
глицил-  
аммония в  
(НГ) него  
ди. диокса-  
сь ур-пне:  
НГ [НГ] +  
ость новов-  
делений рН;  
соответст-  
метрич. ме-  
и скорости,  
и природу  
ителя. Об-  
ве предпу-  
катиона  
реакцион-  
м, данных  
ассоциаци-  
юны лишь  
частичными  
кзарядными  
огут иметь  
В 50%-ном  
е анионах  
мость анио-  
т, способе-  
он. Вычис-  
к<sub>с</sub>, k<sub>он</sub>, k<sub>п</sub>  
А. Штейн-  
вание дис-  
N. A., Cha-  
the dissoci-  
», 1960, ASI,  
ски опреде-  
соответст-  
ов галлоид-  
4,38,  $\Delta H =$   
Радиус ани-  
А. Ю. Е.  
ная завис-  
te und ihm  
1960, 293, 65  
№ 5, 81-83  
основали  
несколько  
ждена связь  
с. Отмечено  
ров (поляр-  
водородные  
Н. Хомут-  
ный раство-  
итрование  
n d, John  
Benzoyl chlo-  
metric titra-  
Soc., 1960  
дуктометри-  
между сол-

вокислотами:  $\text{TiCl}_4$ ,  $\text{SnCl}_4$ ,  $\text{ZrCl}_4$ ,  $\text{TeCl}_4$ ,  $\text{SbCl}_5$ , с одной стороны, и сольвооснованиями: пиридином, хинолином,  $\alpha$ -,  $\beta$ -,  $\gamma$ -пикколинами и диметиланилином — с другой, в хлористом бензоиле как р-рителе. Электропроводность р-ров сольвокислот и сольвооснований и их нейтр-ция объясняются на основе неонизационного равновесия хлористого бензоила  $\text{C}_6\text{H}_5\text{COCl} \rightleftharpoons \text{C}_6\text{H}_5\text{CO}^+ + \text{Cl}^-$ . Часть IV см. РЖХим, 1960, № 9, 34143.

Из резюме авторов  
**6Б607. Применение неводных растворителей в неорганической химии.** Addison C. C. Use of non-aqueous solvents in inorganic chemistry. «Lect., Monogr. and Repts. Roy. Inst. Chem.», 1960, № 2, 25 pp., ill. (англ.).—Обзорный доклад. Библи. 71 назв.

**6Б608. Физико-химическое исследование растворов хлористого водорода в этиловом спирте.** Кудра О. К., Дорофеева Н. Г. «Изв. Киевск. политехн. ин-та», 1960, 29, 10—22.—Методом дифференцированной полярографии на твердых электродах (Кудра О. К. «Изв. Киевск. политехн. ин-та», 1952, 15, 189), а также путем измерений вязкости, плотности и электропроводности изучены  $\sim 0,01$ — $4,00$  М р-ры  $\text{HCl}$  в этиловом спирте. Полученные данные показывают, что уд. электропроводность  $\kappa$ , плотность и вязкость увеличиваются с повышением конц-ии р-ров. По характеру изменения  $\kappa$  система отнесена к IV типу классификации Ключко — иррациональным системам с образованием частично диссоциирующего на компоненты соединения. Исследовано влияние т-ры на  $\kappa$ . Д. А.

**6Б609. Физико-химическое исследование растворов хлористого водорода в изобутиловом спирте.** Кудра О. К., Дорофеева Н. Г. «Изв. Киевск. политехн. ин-та», 1960, 29, 23—33.—Методами, примененными в предыдущей работе (см. реф. 6Б608), исследованы р-ры (0,02—6,82 М)  $\text{HCl}$  в изобутиловом спирте. Полученные кривые уд. электропроводности и вязкости отличаются большей кривизной, чем кривые в этиловом спирте, что указывает на большую степень комплексообразования в этих р-рах. Установлено наличие трех напряжений разложения, связанных с тремя разными катодными процессами. Д. А.

**6Б610. Физико-химическое исследование растворов хлористого водорода в изоамиловом спирте.** Кудра О. К., Дорофеева Н. Г. «Изв. Киевск. политехн. ин-та», 1960, 29, 34—42.—Методами, примененными в двух предыдущих сообщениях (см. реф. 6Б608, 6Б609), исследованы 0,05—2,70 М р-ры  $\text{HCl}$  в изоамиловом спирте. На полученных методом дифференцированной полярографии I—V-кривых отмечено три напряжения разложения, третье напряжение можно отнести к разложению самого спирта, тогда второе будет характеризовать разложение продуктов присоединения  $\text{HCl}$  к р-рителю. Д. А.

**6Б611. Исследования концентрированных растворов электролитов.** Вязкость. Kume Taizo, Tanaka Mitsuru. Нихон кагаку дзасси, «J. Chem. Soc. Japan. Pure Chem. Sec.», 1960, 81, № 4, 534—539, A38 (японск., рез. англ.).—Измерены вязкости  $\eta$  ряда р-ров электролитов конц-ий 0,1 М до насыщения при т-рах 25—60°. Дан график  $\lg \eta / \lg \eta^s - s$ , где  $s$  — концентрационный параметр, равный  $x/x_s$  ( $x$  и  $x_s$  — молярности исследуемого и насыщенного р-ров соответственно),  $\eta^s$  — относительная вязкость насыщ. р-ра. Найдено, что каждый электролит характеризуется своей кривой, независимой от т-ры, исключение составляют 1,1-валентные соли К. Дано видоизмененное ур-ние вязкости Джонса, где мол. конц-ия  $s$  заменена  $K^1 s$ , где  $K^1$  — фактор, пропорциональный  $K$  ( $K$  — концентрационный эффект, найденный экспериментально). Из резюме авторов

**6Б612. Растворимость, коэффициент активности и теплота растворения твердого ксенона в жидком аргоне.** Yunker W. H., Halsey G. D., Jr. The solubility, activity coefficient and heat of solution of solid

xenon in liquid argon. «J. Phys. Chem.», 1960, 64, № 4, 484—486 (англ.).—Путем определения давления насыщ. паров над системой исследованы жидкие р-ры Хе и Кг в Аг, а также твердый р-р Аг в Хе в температурном интервале 84,0—87,5°K. Найдено, что растворимость Хе в Аг равна  $4,14$ — $5,01 \pm 0,03$  мольных долей Хе, а парц. мол. теплота растворения Хе при бесконечном разбавлении равна  $632 + 70$  кал/моль. Хим. потенциал  $\mu_{\text{Хе}} = \mu^0 + RT \ln n_{\text{Хе}} + \alpha(1 - n_{\text{Хе}})^2$ , где  $\alpha = 535 \pm 58$  кал/моль. Насыщ. р-ров Кг в Аг в области до 4,7% получить не удалось,  $\alpha = 146 \pm 30$  кал/моль. Растворимость Аг в твердом Хе  $< 0,5\%$ .

Резюме авторов

**6Б613. О растворимости хлора в водных растворах хлоридов некоторых металлов.** Карапыш В. В., Семченко Д. П. «Тр. Новочерк. политехн. ин-та», 1960, 98, 173—182.—С помощью примененной ранее методики (РЖХим, 1957, № 8, 26161) определена растворимость хлора ( $S$ ) в водн. р-рах  $\text{LiCl}$ ,  $\text{SrCl}_2$  и  $\text{BaCl}_2$  при т-ре 10, 25, 35 и 50° и различных конц-иях (с) электролита. Величины  $S$  уменьшаются с ростом  $s$  и т-ры; при этом  $S$  весьма слабо зависит от природы катиона соли, особенно в области малых  $s$ . Вычислены также значения фактора растворимости  $f = S/S_0$ , где  $S_0$  — растворимость в чистой  $\text{H}_2\text{O}$  при тех же условиях. Во всех случаях  $f < 1$ . А. Шейнин

**6Б614. Растворимость  $\text{Cs}_2\text{UO}_2\text{Cl}_6$ ,  $\text{Cs}_2\text{UO}_2\text{Cl}_4$  и  $\text{Cs}_2\text{PuCl}_6$  в соляной кислоте.** Kooi J., Weisskopf E., Gruen D. M. Solubilities of  $\text{Cs}_2\text{UO}_2\text{Cl}_6$ ,  $\text{Cs}_2\text{UO}_2\text{Cl}_4$  and  $\text{Cs}_2\text{PuCl}_6$  in hydrochloric acid. «J. Inorg. and Nucl. Chem.», 1960, 13, № 3-4, 310—312 (англ.).—Определена при комнатной т-ре растворимость  $\text{Cs}_2\text{UO}_2\text{Cl}_6$  и  $\text{Cs}_2\text{UO}_2\text{Cl}_4$  в  $\text{HCl}$  (1,0—12 М); при т-ре 25° определена растворимость в  $\text{HCl}$  (5,80—12,08 М)  $\text{Cs}_2\text{PuCl}_6$ . Конц-ия равновесных р-ров определялась хим. анализом (U, Cl) или путем измерения активности (Pu). Результаты приведены в таблицах. Обсуждена возможность использования  $\text{Cs}_2\text{UO}_2\text{Cl}_6$  и  $\text{Cs}_2\text{PuCl}_6$  в качестве исходных материалов для получения металлич. U и Pu.

В. Рабинович

**6Б615. Определение растворимости двойных сульфатов циркония и плутония в насыщенных растворах сульфата калия с применением радиоактивных индикаторов.** Боброва В. Н. «Радиохимия», 1960, 2, № 3, 364—368.—Двойные сульфаты К и Pu и К и Zr выделялись из р-ров нитратов Pu или Zr и  $\text{K}_2\text{SO}_4$ . Состав комплексов отвечает ф-лам в случае Pu —  $\text{K}_4\text{Pu}(\text{SO}_4)_4$  (I), в случае Zr через 52 часа после осаждения (при перемешивании) —  $\text{K}_2\text{Zr}(\text{SO}_4)_3$  (II). Величина растворимости определялась измерением  $\alpha$ -активности единицы объема насыщ. р-ра двойной соли; для определения растворимости II применялся  $\text{Zr}^{90}$ . Растворимость II определялась также весовым методом. Равновесие между твердой фазой I и насыщ. р-ром в  $\text{K}_2\text{SO}_4$  в 0,5 н.  $\text{HNO}_3$  устанавливается за 10 час. и величина растворимости (в М) составляет  $1,9 \cdot 10^{-5}$ . Равновесие между твердым II и его насыщ. р-ром в  $\text{K}_2\text{SO}_4$  в 0,5 н.  $\text{HNO}_3$  устанавливается за 7 час. и величина растворимости равна  $1,2 \cdot 10^{-3}$  моль/л. Н. Рябцев

**6Б616. Состав и растворимость оксинатов церия.** Коренман И. М., Туманов А. А., Сорокина В. М. «Изв. высш. учебн. заведений. Химия и хим. технол.», 1960, 3, № 4, 580—582.—Исследован состав оксинатов  $\text{Ce}^{3+}$  и  $\text{Ce}^{4+}$ . Показано, что  $\text{Ce}(\text{C}_9\text{H}_6\text{ON})_3$  легко окисляется в  $\text{Ce}(\text{C}_9\text{H}_6\text{ON})_4$ . Определена растворимость  $\text{Ce}(\text{C}_9\text{H}_6\text{ON})_3$  в ацетатных буферных смесях с различными значениями рН. Вычислено произведение растворимости этого соединения ( $9 \pm 6 \cdot 10^{-31}$ ).

Резюме авторов

**6Б617. Определение растворимости и молекулярного состояния хлористого алюминия в бензоле.** Nagy Ferenc, Dobis Ottó, Litván Gábor, Tóth István. Vizmentes aluminiumklorid oldhatóságának



és molekuláris állapotának meghatározása benzolban. «Magyar kém. folyóirat», 1960, 66, № 4, 134—137 (венг.; рез. нем.).—Методом изотермич. дистилляции проведено определение мол. веса хлористого алюминия в безводн. бензоле и показано, что состав изученного соединения отвечает ф-ле  $Al_2Cl_6$ . Полученные результаты хорошо согласуются с данными, полученными другими методами (РЖХим, 1957, № 2, 3753).

Резюме авторов

6Б618. Об ионной структуре чистого расплавленного криолита. II. Исследование диаграммы равновесия двойной системы криолит —  $AlF_3$ . III. Несоответствие различных схем возможной диссоциации (кроме одной) диаграмме равновесия. IV. Соответствие схемы  $AlF_3 \rightleftharpoons AlF_4^- + 2F^-$  опытной диаграмме. Rolin Maurice. Sur la structure ionique de la cryolithe pure fondue. II. Détermination expérimentale du diagramme binaire cryolithe,  $AlF_3$ . III. Incompatibilité des différents schémas de dissociation possibles (sauf un) avec le diagramme expérimental. IV. Compatibilité du schéma  $AlF_3 \rightleftharpoons AlF_4^- + 2F^-$  avec le diagramme expérimental. «Bull. Soc. chim. France», 1960, № 4, 671—677; 677—681; 681—685 (франц.).—II. Методами термич. анализа и рентгенографическим изучена диаграмма плавления системы  $AlF_3$  — криолит (синтетич.  $Na_3AlF_6$  (I), т. пл. 1009°, или природный, т. пл. 1006°; в последнем случае вносились поправки на влияние примесей). Перитетиче хлорит — I отвечает 30,25%  $AlF_3$  и т-ра 729,5°; эвтектике I —  $AlF_3$  соответствует 38,5%  $AlF_3$  и 684°. Образование  $NaAlF_4$  не обнаружено.

III. Дан обзор теорий диссоциации расплавленного I. Пользуясь теорией ионных р-ров Темкина, автор показывает, что гипотезы о диссоциации по ур-ниям  $AlF_3 \rightleftharpoons Al^{3+} + 6F^-$ ,  $2AlF_3 \rightleftharpoons Al_2F_{11}^{5-} + F^-$  и  $2I + 5F^- \rightarrow Al_2F_{11}^{5-}$ , а также  $AlF_3 \rightleftharpoons AlF_2^+ + F^-$  и  $AlF_3 + 2F^- \rightarrow AlF_5^{3-}$  не соответствуют установленному экспериментально действию  $AlF_3$  на т-ру плавления I.

IV. Экспериментально исследованная диаграмма состояния системы  $AlF_3$  — I согласуется с р-циями  $Na_3AlF_6 \rightarrow 3Na^+ + AlF_6^{3-}$  и  $AlF_3 \rightleftharpoons AlF_4^- + 2F^-$ , предложенными Грейтхеймом (Grotjthelm K. Contribution to the theory of aluminium electrolysis. Thèse. Trondheim, 1956; РЖХим, 1960, № 9, 33986. Степень диссоциации  $AlF_3$  в чистом I равна ~0,44, константа диссоциации ~0,177; гипотетич. т-ра плавления I без его диссоциации  $T_0 \sim 1575^\circ K$ . Сообщение I см. РЖХим, 1960, № 20, 80510.

II. Рис

См. также: Растворимость 6Б403, 6Б410, 6Б432, 6Б437, 6Б43, 6Б44. Термодинамика р-ров 6Б388. Дипольные моменты 6Б154, 6Б156, 6Ж3, 6Ж4. Структура р-ров 6Б124, 6Б147, 6Б158, 6Б169, 6Б170. Электропроводность р-ров 6Б439. Кислотно-основные равновесия 6Б64. Сольволиз 6Б440, 6Б477, 6Б478, 6Б482, 6Ж10, 6Ж17—6Ж19.

## ЭЛЕКТРОХИМИЯ

Редакторы О. А. Есин, В. В. Лосев

6Б619. Плотность и электропроводность расплавов.  $Ce - CeCl_3$ . Mellors G. W., Senderoff S. The density and electric conductance of the molten system cerium — cerium chloride. «J. Phys. Chem.», 1960, 64, № 3, 294—300 (англ.).—В продолжение работы (РЖХим, 1958, № 23, 76802) измерялись плотность  $\rho$  и электропроводность ( $\sigma$ ) в системе  $Ce - CeCl_3$  во всем интервале составов от чистой соли до почти насыщ. р-ра (8 мол. %  $Ce$ ) при т-рах от т-ры плавления  $CeCl_3$  до 950°. Для чистого  $CeCl_3$   $\rho = 3,216 \text{ г/см}^3$  при 850°. При добавлении 0,3 мол. %  $Ce$   $\rho$  уменьшается на 1,5%, после чего наблюдается почти линейное возрастание  $\rho$

до 3,287 (при 8 мол. %  $Ce$ ). Уд. и эквивалентная  $\sigma$   $CeCl_3$  при 850° составляет  $0,96 \text{ ом}^{-1}\text{см}^{-1}$  и  $24,54 \text{ ом}^{-1}\text{см}^{-1}$ . При добавлении 0,63 мол. %  $Ce$  происходит резкое увеличение  $\sigma$ , а далее значительно более медленное возрастание  $\sigma$ . Существенное увеличение  $\rho$  и  $\sigma$  при небольших добавках  $Ce$  объяснено наличием свободных электронов, образующихся по р-ции  $Ce \rightarrow Ce^{+} + e$ . С увеличением конц-ии  $Ce$  подвижность электронов быстро уменьшается.

Из резюме авторов

6Б620. Оценка стандартных окислительных потенциалов. Csányi László. Estimating standard oxidation potentials. «J. Chem. Educ.», 1960, 37, № 3, 147—148 (англ.).—Предложен графич. метод определения стандартных потенциалов ( $E^0$ ), отвечающих различным степеням окисления данного элемента, основанный на линейной зависимости между  $E^0$  и суммой степеней окисления этого элемента, принимающих участие в равновесии.

Г. Тедораде

6Б621. Сравнение рядов напряжений в различных растворителях. II. Koerp H.-M., Wendt H., Strehlow H. Der Vergleich der Spannungsreihen in verschiedenen Solventen. II. «Z. Elektrochem.», 1960, 64, № 4, 483—491 (нем.).—Рассматриваются свойства ряда окислительно-восстановительных систем с точки зрения возможности их использования в качестве стандартной системы в различных р-рителях. Практически не зависящими от свойств р-рителя оказались потенциалы  $E$  системы ферроцен — ион ферроциния и аналогичной системы для  $Co$ . Различные  $E$  этих систем в ряде р-рителей ( $H_2O$ ,  $CH_3OH$ , ацетонитрил, формамид), а также различие  $E$  этих систем и исправленных  $E$  рубидия, предложенных ранее в качестве стандарта потенциала (Плесков В. А. «Успехи химии», 1947, 16, 254), находятся в пределах ошибок опыта. Определение  $E$   $Ag^+$  в смесях  $H_2O$  — ацетонитрил, относительно принятого за стандартный окислительно-восстановительного  $E$  ферроцена показало, что, в соответствии с ранее полученными результатами потенциометрич. титрования (РЖХим, 1958, № 22, 73384),  $Ag^+$  преимущественно сольватируется ацетонитрилом. Сообщение I см. Strehlow H., Elektrochem., 1952, 56, 827.

Б. Каплан

6Б622. Влияние поляризующей способности катионов цезия, магния, кальция, стронция и лантана на их специфическую адсорбцию в плотной части двойного электрического слоя. Minc Stefan, Brzostowska Maria. Wplyw zdolności polaryzującej kationów cezu, magnezu, wapnia, strontu i lantanu na możliwość ich adsorpcji specyficznej w wewnętrzny obszarze podwójnej warstwy elektrycznej. «Roczn. chem.», 1960, 34, № 3-4, 1109—1117 (польск.; рез. русск., англ., нем.).—Измерена дифференциальная емкость ( $c$ ) на  $Hg$ -электроде при 1000  $\mu c$  и 25° в 0,1 и 0,05 н. р-рах хлоридов  $Cs$ ,  $Mg$ ,  $Ca$ ,  $Sr$  и  $La$  в воде и  $CH_3OH$ . Из сопоставлений с при постоянной катодной поляризации для р-ров 0,05 н. и 0,1 н. авторы заключают, что из исследуемых катионов специфич. адсорбцией обладает катион  $Cs^+$ . Специфич. адсорбция соответствует малой поляризующей способности катиона и отчетливее проявляется в р-рах  $CH_3OH$ , чем в воде.

Б. Дамаскин

6Б623. Определение точек нулевого заряда на амальгаме таллия методом измерения дифференциальной емкости. Богуславский Л. И., Дамаскин Б. Б. «Ж. физ. химии», 1960, 34, № 9, 2099—2109 (рез. англ.).—Описана методика измерения емкости двойного слоя ( $C$ ) на капельном электроде из амальгамы  $Tl$ . Приведена схема электронного реле для автоматич. регистрации времени от момента отрыва капли до момента баланса моста. Определены  $C$  для амальгам  $Tl$  (с содержанием  $Tl$  от 0,01 до 40%) в 0,9; 0,1; 0,01 и 0,002 н. р-рах  $NaF$  и  $KCl$  при 50—10 000  $\mu c$ . Минимум  $C$  в разб. р-рах  $NaF$  совпадает с точкой нулевого заряда ( $\Pi Z$ ) для 400%-ной амальгамы и лежит

отрицательнее ТНЗ для более разб. амальгам, что объяснено маскирующим влиянием псевдоёмкости. Показано, что теория двойного электрич. слоя при отсутствии специфич. адсорбции (РЖХим, 1956, № 6, 15706) применима к электродам из 40%-ной амальгамы Тl. Б. Дамаскин

**6Б624.** Взаимодействие между медью и раствором додецилсульфата натрия в присутствии воздуха. Cumming B. D., Schulman J. H. The interaction between copper and sodium dodecyl sulphate solutions in the presence of air. «Austral. J. Chem.», 1960, 13, № 2, 236—243 (англ.).—Измерялось кол-во додецилсульфата Na (I), извлекаемого из р-ра при взаимодействии с тонким порошковым воздушно-окисленной Cu при различных рН. Мономолекулярная ёмкость Cu-порошка определялась по величине адсорбции K<sub>2</sub>Cr<sub>2</sub>O<sub>7</sub> (—195°) и стеариновой к-ты. Методика описана ранее (РЖХим, 1960, № 12, 46487). При рН < 4 в присутствии O<sub>2</sub> окисная пленка (Cu<sub>2</sub>O) растворяется с образованием ионов Cu<sup>2+</sup>; одновременно происходит осаждение I, возможно, в виде основной соли Cu(2+). При рН > 4 наблюдается также адсорбция I. В интервале рН 6—8,5 осаждение мало, а адсорбция значительна (условие, благоприятное для проведения флотации). При дальнейшем увеличении рН адсорбция падает. А. Чемоданов

**6Б625.** Влияние ингибиторов на электрокристаллизацию. Fischer H. Wirkungen der Inhibitoren bei der Elektrokristallisation. «Electrochim. acta», 1960, 2, № 1-3, 50—91. Discuss., 91—96 (нем.; рез. англ.).—Обзор. Библ. 56 назв.

**6Б626.** Поведение хлоридов меди на ее амальгамах при электролизе. Драчевская Р. К., Лукина А. Г. «КазССР Ғылым Акад. хабарлары, Изв. АН КазССР. Сер. хим.», 1959, вып. 2(16), 75—80 (рез. каз.).—Изучалась катодная поляризация Cu-амальгам (1; 2 и 4 М Cu) в р-рах CuSO<sub>4</sub> и CuCl<sub>2</sub> (0,01 М при 20, 40 и 65°; 0,02 и 0,05 М при 20°), содержащих соответственно 1 н. H<sub>2</sub>SO<sub>4</sub> или 1 н. HCl при перемешивании амальгамы и р-ра в атмосфере CO<sub>2</sub>. Потенциал разряда ионов Cu<sup>2+</sup> в хлоридных р-рах отрицательнее, чем в сульфатных, а предельный ток в р-рах CuCl<sub>2</sub> значительно больше, чем в р-рах CuSO<sub>4</sub>. Полученные данные подтверждены полярографически с амальгамным капельным электродом. Различные предельные токи в изученных электролитах объяснено более высоким коэф. диффузии Cu<sup>2+</sup> в хлоридных р-рах и различной концентрационно-диффузионной поляризацией для разных комплексно-гидратированных ионов. В. Штерн

**6Б627.** Поляризация при электроосаждении никеля, кобальта и железа на твердом и жидком катоде. Попков А. П., Климасенко Н. Л., Ваграмян А. Т. «Ж. физ. химии», 1960, 34, № 8, 1741—1744 (рез. англ.).—Изучено изменение потенциала выделения Ni, Co и Fe из р-ров их сульфатов при переходе от твердой поверхности одноименного электрода к жидкой поверхности Hg-электрода. Показано, что на Hg-электроде потенциал выделения Ni, Co и Fe значительно увеличивается по сравнению с потенциалом выделения их на одноименных твердых электродах. По степени затруднения выделения на Hg-электроде металлы располагаются в ряд: Ni < Co < Fe. Увеличение потенциала выделения на Hg-электроде объясняется выделением металлов на чужеродной подложке, требующим дополнительной затраты энергии. Показано, что задержку разряда ионов Ni, Co и Fe нельзя объяснить на основании представлений о величине и знаке заряда поверхности катода (РЖХим, 1957, № 11, 37281). З. Соловьева

**6Б628.** К механизму электроосаждения хрома. Памфилов А. В., Лопушанская А. И. «Укр. хим. ж.», 1960, 26, № 4, 461—465.—Для выяснения условий образования и роли катодной пленки при

электровосстановлении CrO<sub>3</sub> применен метод измерения ёмкости C электрода (при 10<sup>-5</sup> эд) и метод меченых атомов. При наложении отрицательного потенциала φ в р-рах 1 М CrO<sub>3</sub> C для Pt-, Cr- и Hg-электродов снижается примерно до +0,2 в; при более отрицательных φ (до -0,6 в) C почти не изменяется и составляет 8—9 мф/см<sup>2</sup>. Это значение C не изменяется при введении в р-р добавок H<sub>2</sub>SO<sub>4</sub> (2 г/л), что указывает, по мнению авторов, на наличие поверхностной пленки на катоде как в присутствии, так и в отсутствии H<sub>2</sub>SO<sub>4</sub>. Низкие значения C наблюдаются и при тех φ, при которых в присутствии H<sub>2</sub>SO<sub>4</sub> происходит восстановление CrO<sub>3</sub>. При замене постоянного поляризующего тока на ток переменного направления, когда анодная составляющая должна разрушать катодную пленку, C остается низкой в том случае, если режим тока переменного направления способствует увеличению выхода по току Cr (РЖХим, 1960, № 24, 97227). При условиях же, способствующих уменьшению выхода по току, C увеличивается. На этом основании высказывается мнение, что пленка на поверхности катода не препятствует процессу электроосаждения Cr, а может способствовать ему. На основании опытов с Cr(6+) сделан вывод, что металл. Cr образуется, по-видимому, при участии ионов Cr, входящих в состав пленки. З. Соловьева

**6Б629.** К методике исследований внутренних напряжений в гальванических покрытиях. Санжаровский А. Т. «Ж. физ. химии», 1960, 34, № 9, 2115—2118 (рез. англ.).—Обсуждается влияние наводороживания катода, вызывающего его искривление вследствие неравномерного распределения концентрации водорода по толщине катода, на результаты измерения внутренних напряжений (ВН) электролитич. осадков методом гибкого катода (РЖХим, 1960, № 19, 76631). Рассматриваются возможные случаи искривления плоского катода, обусловленные совместным действием наводороживания и ВН. Для определения ВН методом гибкого катода рекомендуется производить предварительное насыщение его водородом. З. Соловьева

**6Б630.** Анодное окисление цинка и кадмия в водных растворах. Sorensen D. T., Davidson A. W., Kleinberg J. The anodic oxidation of zinc and cadmium in aqueous solution. «J. Inorg. and Nucl. Chem.», 1960, 13, № 1-2, 64—72 (англ.).—Результаты изучения анодного окисления Zn и Cd в атмосфере N<sub>2</sub> в р-рах NaCl, KCN, Na<sub>2</sub>SO<sub>4</sub>, K<sub>2</sub>CrO<sub>4</sub>, KClO<sub>3</sub> и NaNO<sub>3</sub> и некоторых смешанных р-рах выражены в виде значений начальной средней валентности V<sub>i</sub> ионов, переходящих в р-р (РЖХим, 1955, № 3, 3512; 1956, № 23, 74526, 74527). В большинстве экспериментов кол-во пропущенного электричества составляло примерно 0,001 faraday, для Zn плотность тока была 0,1 а/см<sup>2</sup>, для Cd 0,05 а/см<sup>2</sup>. Для Zn V<sub>i</sub> как при обычной т-ре, так и при 90° равно или очень близко к 2 в 0,2 М р-рах NaCl, KCN, Na<sub>2</sub>SO<sub>4</sub>, K<sub>2</sub>CrO<sub>4</sub> и в 5 М NaCl, для Cd — также в 0,2 М KClO<sub>3</sub>. В р-рах NaNO<sub>3</sub> для Zn и Cd и в 0,2 М KClO<sub>3</sub> для Zn V<sub>i</sub> заметно меньше двух. Для Cd при увеличении концентрации (с) NaNO<sub>3</sub> V<sub>i</sub> уменьшается от 1,55 при с = 0,2 М, до 1,37 при с = 5 М. В 0,2 М NaNO<sub>3</sub> для Zn V<sub>i</sub> уменьшается от 1,94 до 1,3 при увеличении т-ры от 30 до 90°, для Cd это изменение меньше. Высказано предположение о двухступенчатом механизме анодного окисления двухвалентных металлов, с возможностью протекания второй стадии — окисления однозарядного иона металла — по двум конкурирующим р-циям: M<sup>+</sup> → M<sup>2+</sup> + e (на аноде) и M<sup>+</sup> + окислитель → M<sup>2+</sup> (в р-ре); этот вывод подтверждается удовлетворительным совпадением значений V<sub>i</sub>, определенных из потери веса анода и из кол-ва восстановленного в-ва в анолите в опытах с 0,2 М NaNO<sub>3</sub> для Zn и Cd и с 0,2 М KClO<sub>3</sub> для Zn. Г. Будов

**6Б631.** Об электродных реакциях на активном, пассивном и транспассивном хроме. Weidinger H., Lange E. Über Elektrodenreaktionen am aktiven, passiven und transpassiven Chrom. «Z. Elektrochem.», 1960, 64, № 4, 468—477 (нем.).—Исследовалось электрохим. поведение термич. Cr в р-рах  $H_2SO_4$ , KOH и  $H_2SO_4 + NaClO_4$  при pH 0—14 и 25° путем снятия стационарных потенциостатич. и прерывистых гальваностатич. кривых. Приводятся теплоты образования и стандартные потенциалы ( $\varphi^0$ ) для электродных р-ций (ЭР), возможных в системе Cr—води. электролит, а также зависимость равновесных потенциалов наиболее важных ЭР от активности потенциалопределяющих ионов. Сопоставление этих данных с полученными результатами приводит авторов к выводу, что на активном Cr протекают ЭР:  $H^+ + e \rightarrow T^{1/2}H_2$  ( $\varphi^0 = 0$  в);  $ICr^{2+} \rightarrow IICr^{2+}$  ( $\varphi^0 = -0,91$  в);  $ICr^{2+} + 2H_2O \rightarrow Cr(OH)_2 + 2H^+$  ( $\varphi^0 = -0,59$  в), где I — металл, II — р-р. Для стационарного  $\varphi$  получено соотношение  $\varphi = -0,4$  до  $-0,06$  pH. Показано, что образование  $Cr(OH)_2$  на поверхности электрода возможно без насыщения приэлектродного слоя ионами Cr. Пассивация Cr наступает при  $\varphi = -0,31$ — $-0,06$  pH в и обусловлена протекающим ЭР  $Cr(OH)_2 + H_2O \rightarrow Cr(OH)_3 + H^+ + e$  ( $\varphi^0 = -0,36$  в). Показано, что в некоторых случаях пассивации Cr по этой ЭР может предшествовать самопроизвольная пассивация:  $Cr(OH)_2 + H_2O \rightarrow Cr(OH)_3 + \frac{1}{2}H_2$ . Пассивирующая пленка представляет собой двойной гидроокисный слой  $Cr(OH)_2 \cdot Cr(OH)_3$ . Нарушение пассивного состояния при высоких положительных  $\varphi$  (транспассивация) объяснено хорошей растворимостью в водн. р-рах  $CrO_3$ , образующейся в результате окисления пассивирующей пленки по ЭР  $Cr(OH)_3 \rightarrow CrO_3 + 3H^+ + 3e$  ( $\varphi^0 = +1,24$  в).

**6Б632.** Электрохимическое поведение никеля в серной кислоте в присутствии различных окислителей. Kolotykin Ja. M., Bune N. Ja. Das elektrochemische Verhalten von Nickel in Schwefelsäure in Anwesenheit verschiedener Oxydationsmittel. «Z. phys. Chem. (DDR)», 1960, 214, № 5-6, 264—279 (нем.).—Исследована зависимость скорости растворения  $V$  и потенциала  $\varphi$  Ni-электрода от конц-н  $C$  различных окислителей ( $Fe^{3+}$ ,  $Ce^{4+}$ ,  $MnO_4^-$ ,  $Cr_2O_7^{2-}$ ,  $H_2O_2$ ) в 1,0 н.  $H_2SO_4$ . Увеличение  $C$  сопровождается возрастанием  $V$  по линейному закону, причем данные для всех исследованных окислителей хорошо укладываются на одну и ту же прямую. Одновременно наблюдается смещение  $\varphi$  в положительную сторону ( $(d\varphi/dlg C) = 0,040$  в). Эти линейные соотношения сохраняются до некоторой критич. конц-н  $C_K$  ( $0,01$  экв/л) и, следовательно, до некоторого  $V_K$  ( $+0,120$  в по н. в. э.) и  $V_K$  ( $6 \cdot 10^{-3}$  г/см<sup>2</sup> час). Дальнейшее увеличение  $C_K$  ( $C > C_K$ ) сопровождается уменьшением  $V$  и более значительным смещением  $\varphi$  в положительную сторону. В этом случае ход кривых  $lg V$ ,  $lg C$  и ( $\varphi$ ,  $lg C$ ) зависит от природы окислителя. Сопоставлены зависимости ( $lg V$ ,  $\varphi$ ), найденные в р-рах различных окислителей ( $\varphi$  задавался путем изменения  $C$ ) с потенциостатич. поляризационной кривой, полученной при анодной поляризации Ni в чистой 1,0 н.  $H_2SO_4$ . Обнаружено хорошее соответствие результатов, рассмотрение которых показывает, что при  $C < C_K$  растворение осуществляется в активном состоянии, причем процесс лимитируется диффузией окислителя к поверхности Ni; при  $C > C_K$  скорость восстановления окислителя лимитируется истинной кинетикой р-ции, в этом случае в зависимости от  $\varphi^0$  окислительно-восстановительной системы, ее тока обмена и характера зависимости скорости восстановления окислительной компоненты от  $\varphi$ , Ni принимает значения  $\varphi$ , соответствующие либо области максим. запассивированности ( $Fe^{3+}$ ,  $Cr_2O_7^{2-}$ ,  $H_2O_2$ ), либо об-

ласти перепассивации ( $MnO_4^-$ ,  $Ce^{4+}$ ). Показано, что исследованные окислители не принимают непосредственного участия в образовании пассивирующего слоя. Роль окислителя сводится к деполаризации электрода и изменению  $\varphi$ .  $V$  определяется величиной  $\varphi$  и не зависит от способа, которым он реализуется. Сделаны выводы относительно эффективности пассивирующего действия окислителей различной природы.

**6Б633.** Значение потенциала для анодного образования окисных пленок на никеле. Сообщение I. К вопросу о потенциале электрода Ni/NiO в водном растворе. Okamoto G., Sato Norio. «Нихон киндоку гаккайси, J. Japan Inst. Metals», 1960, 24, № 3, 179—183 (японск.; рез. англ.).—Теоретически рассмотрены вопросы о хим. и электрохим. потенциалах электронов и ионов на границах и в объеме фаз для электрода Ni|NiO|H<sub>2</sub>O. Равновесный потенциал  $E_a$  р-ции  $Ni + H_2O \rightarrow NiO + 2e + 2H^+$  определяется суммой равновесных гальванических потенциалов на границах фаз Ni|NiO и NiO|H<sub>2</sub>O. В случае компактной пленки NiO при постоянной силе анодного тока происходит движение ионов  $Ni^{2+}$  через пленку вследствие выравнивания разности потенциалов между границами фаз Ni|NiO и NiO|H<sub>2</sub>O.

**6Б634.** Анодное окисление циркония. Розенфельд И. Л., Ланцева Е. Н., Калинина Е. И. «Ж. физ. химии», 1960, 34, № 5, 995—1003 (рез. англ.).—Исследовано анодное окисление Zr различной степени чистоты в р-рах боратов ( $(NH_4)_2B_4O_7$ ,  $Na_2B_4O_7 \cdot 10H_2O$ ), карбонатов ( $Na_2CO_3$ ,  $(NH_4)_2CO_3$ ),  $Na_3PO_4$ , а также  $HNO_3$ ,  $H_2SO_4$ ,  $H_3PO_4$ ,  $H_3BO_3$ . О характере и свойствах образующихся пленок авторы судят по изменению во времени напряжения на клеммах ванны ( $V$ ) при прохождении через нее тока постоянной плотности ( $0,5$ — $3$  ма/см<sup>2</sup>). Вскоре после начала анодирования (20—30 мин.)  $V$  достигает максим. значения, которое затем несколько снижается (пробой пленки, свечение) или остается постоянным. Толщина толстых пленок определялась весовым методом, тонких — по цветам интерференции, в некоторых случаях использован металлография. метод. Оценена пористость пленки. Толщина пленки зависит от продолжительности анодирования, состава среды, чистоты металла и составляет при  $V$ (макс.) в р-рах  $H_3PO_4$ ,  $0,4$ — $0,5$ ,  $H_2SO_4$ ,  $0,25$  и в конц.  $HNO_3$   $15$  м. В р-рах солей, особенно боратов и карбонатов, обнаружена высокая (80—90%) эффективность тока (отношение тока, идущего непосредственно на образование окисла, ко всему току, прошедшему через ячейку). Предложены составы электролитов и режимы анодного окисления Zr для получения окисных пленок, обладающих высокой эластичностью и хорошим сцеплением с металлом.

**6Б635.** Электролитическое образование и растворение окисных слоев на платине. Laitinen H. A., Eke C. G. The electrolytic formation and dissolution of oxide films on platinum. «J. Electrochem. Soc.», 1960, 107, № 9, 773—781 (англ.).—Потенциостатически изучалась кинетика накопления поверхностных окислов (ПО) на гладком Pt-электроде в 1 н.  $HClO_4$  в атмосфере  $N_2$  при анодной поляризации при различных потенциалах  $\varphi$  от 1,15 до 1,65 в (н. в. э.). Кол-во ПО определялось методом кривых зарядки. Вначале наблюдается быстрый рост ПО; замедление скорости накопления ПО после начального периода приписывается протеканию дополнительных медленных процессов на электроде. После выключения потенциостата во всех случаях наблюдается спад потенциала до 0,85—0,95 в независимо от значения  $\varphi$ ; за первую минуту кол-во ПО почти не меняется, в то время как за это же время  $\varphi$  падает от 0,2 до 0,3 в. Предполагается, что  $\varphi$  контролируется не ПО, а процессом выделения  $O_2$ , причем замедленный спад  $\varphi$  обусловлен медленной диффузией атмосферного кислорода от поверхности внутрь электрода. К такому же выводу авторы приходят, исходя из анализа ха-

рактера кривых зависимости  $\varphi$  от времени, который зависит от 20 до с увеличением  $\varphi$  от кол-ва с от  $\varphi$  (1 р-ра обь группы (д Предложн ния  $O_2$ , адсорбци дается р зующихс  
6Б636. свое пов С. У. Б. АН СССР электрох предвари (HF + H<sub>2</sub> 0,01—10 цнала ф однокотроа в в —300 — ние во о до 1—10 вх (АГ вих ст мый для для свеа одинак однове практич 420 ма крашает тодная и —0,6 токи на и соизм В проц ном тра -Si — к конц-н растет. ным рас При об  $H_2SO_4$  не про

6Б637. ские пр тодной Алад АН СССР электро с разл делени бliche блюда фузион ная (ч форма поверх чия ок накоп кой по восход сниже



рактора кривой зависимости кол-ва ПО от  $\phi$ . На кривых зависимости тока от времени  $t$  поляризации при различных  $\phi$  вначале наблюдается быстрый спад, который затем переходит в медленный. На кривой зависимости емкости электрода  $c$  от  $\phi$  наблюдается рост  $c$  от 20 до 60  $\mu\text{f}/\text{cm}^2$  при  $\phi = 1,25$  в. с линейно растет с увеличением кол-ва ПО от 20 до 60  $\mu\text{f}/\text{cm}^2$ . При дальнейшем увеличении ПО  $c$  не меняется. Зависимость  $c$  от кол-ва ПО, завышенные значения  $c$  и независимость  $c$  от  $\phi$  (при изменении на 200 мв) и от ионной силы р-ра объясняется наличием на поверхности полярных групп (диполей) типа  $\text{Pt}+\dots\text{O}-$ ,  $\text{Pt}+\dots\text{OH}$  или  $\text{Pt}+\dots\text{OH}_2$ . Предложен механизм образования ПО и р-ции выделения  $\text{O}_2$ , согласно которому первой стадией является адсорбция ОН-радикалов, а лимитирующей стадией является разряд кислородсодержащих радикалов, образовавшихся на поверхности электрода.

Г. Гочалиев  
6Б636. Электрохимическое и фотоэлектрохимическое поведение кремниевых электродов. Изидинов С. У., Борисова Т. И., Веселовский В. И. «Докл. АН СССР», 1960, 133, № 2, 392—395.—Исследовались электрохим. и фотоэлектрохим. поведение  $n$ - и  $p$ -Si, предварительно обработанных в горячей КОН, смеси ( $\text{HF} + \text{HNO}_3$ ) (а) или механич. шлифованием (б), в 0,01—10 н. КОН. Для  $n$ - и  $p$ -Si ход изменения потенциала  $\phi$  со временем для случаев а и б в 10 н. КОН одинаков. Через 3—3,5 часа после погружения электрода в р-р  $\phi$  принимает стационарное значение  $\phi_{\text{ст}}$  в —300 — —350 мв. В случае б наблюдается уменьшение во времени тока саморастворения от  $(5-6) \cdot 10^{-3}$  до  $1 \cdot 10^{-3}$   $\text{a}/\text{cm}^2$ . На анодных поляризационных кривых (АПК) для случая б имеется максимум. В условиях стационарного травления максим. ток, необходимый для пассивации электрода, значительно ниже, чем для свежепогруженного электрода. АПК для  $n$ - и  $p$ -Si одинаковы. Измерения скорости выделения  $\text{H}_2$  (V) одновременно со снятием АПК показывают, что на V практически не влияет сдвиг  $\phi$  на 230 мв ( $n$ -Si) и 420 мв ( $p$ -Si) в анодную сторону. Выделение  $\text{H}_2$  прекращается в области  $\phi$  максимума АПК. Катодная поляризация (КП) до —1,0 и —1,5 в ( $p$ -Si) и —0,6 в ( $n$ -Si) почти не влияет на V; при КП  $n$ -Si ток на один — полтора порядка больше, чем для  $p$ -Si, и соизмеримы с токами саморастворения ( $10^{-3}$   $\text{a}/\text{cm}^2$ ). В процессе травления меняется фототалантич. активность  $\Delta V_c$  системы. Для  $p$ -Si в случае б при стационарном травлении  $\Delta V_c$  растет от нуля до +600 мв, а для  $n$ -Si — не превышает 10—15 мв. При уменьшении конц-ии КОН  $\Delta V_c$  для  $p$ -Si уменьшается, а для  $n$ -Si растет. Различия в  $\Delta V_c$  для  $n$ - и  $p$ -Si связано с различным распределением скачка  $\phi$  на границе Si — раствор. При облучении V практически не меняется. В р-рах  $\text{H}_2\text{SO}_4$  практически отсутствует саморастворение, АПК не проходит через максимум и  $\phi_{\text{ст}}$  положительны.

Г. Гочалиев  
6Б637. Электрохимические и фотоэлектрохимические процессы на германии  $p$ - и  $n$ -типа в области катодной поляризации. Лазоренко М. А., Маневич Р. М., Аладжолова Н. А., Веселовский В. И. «Докл. АН СССР», 1960, 133, № 3, 620—623.—Исследовались электрохим. и фотоэлектрохим. параметры  $p$ - и  $n$ -Ge с различными уд. сопротивлениями при катодном выделении  $\text{H}_2$  в 1 н. р-рах КОН и  $\text{H}_2\text{SO}_4$ . Для  $p$ -Ge (в отличие от  $n$ -Ge) при больших плотностях тока  $i$  наблюдается изгиб на кривой ( $\eta$ ,  $\lg i$ ), связанный с диффузионной задержкой по электронам. Для  $p$ -Ge кривая ( $\eta$ ,  $i$ ), снятая при  $i = 10$   $\text{ma}/\text{cm}^2$ , имеет максимум, форма и высота которого сильно зависят от состояния поверхности электрода; максимум исчезает при наличии окисной пленки. Появление максимума объяснено накоплением водорода на поверхности  $p$ -Ge при катодной поляризации. При действии оптич. излучения на восходящей ветви кривой ( $\eta$ ,  $i$ ) наблюдается резкое снижение  $\eta$ , а на нисходящей ветви — рост  $\eta$ ; эти явления

объяснены фотодесорбцией водорода при действии света. После кратковременной катодной поляризации фотоэффект на  $p$ -Ge почти исчезает или даже меняет знак, а на  $n$ -Ge резко увеличивается. Эти эффекты также связываются с наличием водорода на поверхности электрода.

Г. Гочалиев  
6Б638. Влияние некоторых сульфоксидов на перенапряжение водорода на Hg-электроде. Ostrowski Zbigniew. Der Einfluß einiger Sulfoxide auf die Wasserstoffüberspannung an der Hg-Elektrode. «Werkstoffe und Korrosion», 1960, 11, № 7, 417—420 (нем.; рез. англ., франц.).—При 25° в р-рах чистой 1 н.  $\text{H}_2\text{SO}_4$  и с добавками различных диалкил-, алкилбензил и дибензил-сульфоксидов ( $1-3 \cdot 10^{-4}$  M) сняты поляризационные кривые на стационарном Hg-катоде в интервале потенциалов  $\phi$  от —0,4 до —1,2 в (н. в. а.). Зависимости ( $\phi$ ,  $\lg i$ ) состоят для симметричных сульфоксидов из трех и для несимметричных сульфоксидов — из четырех линейных участков, отделенных зонами резкого изменения  $\phi$ . Нижний участок кривой ( $\phi$ ,  $\lg i$ ) в р-рах, содержащих сульфоксид, лежит ниже соответствующей кривой для чистой  $\text{H}_2\text{SO}_4$ . Величина снижения перенапряжения водорода, отвечающего этому участку, зависит от природы сульфоксида и находится в определенном соответствии с ранее установленным ингибирующим действием данного сульфоксида на коррозию Fe (РЖХим, 1960, № 15, 61784). Второй участок кривой ( $\phi$ ,  $\lg i$ ) для всех сульфоксидов совпадает с кривой ( $\phi$ ,  $\lg i$ ) для чистой  $\text{H}_2\text{SO}_4$ . Третий (верхний) участок в р-рах симметричных сульфоксидов и четвертый (верхний) участок в р-рах несимметричных сульфоксидов лежат выше кривой ( $\phi$ ,  $\lg i$ ) для р-ра  $\text{H}_2\text{SO}_4$ . Не обнаружено какой-либо связи между  $\phi$  этих участков и величиной ингибиторного действия сульфоксидов.

Н. Хомутов  
6Б639. Исследование зависимости перенапряжения водорода на алюминии от состояния его поверхности и концентрации кислоты. Дьяков А. А., Костусова Т. И. «Ж. физ. химии», 1960, 34, № 7, 1610—1615 (рез. англ.).—Исследовано влияние на перенапряжение ( $\eta$ ) выделения  $\text{H}_2$  на Al состояния поверхности электрода (активное и пассивное), характера атмосферы над электролитом и конц-ии (с) HCl (0,05—6,0 н.). Поляризационные кривые снимались от высоких плотностей тока  $i$  к низким. При  $i = 10^{-2}$   $\text{a}/\text{cm}^2$  при изменении  $c$  от 0,05 до 0,5 н.  $\eta$  уменьшается на 0,09 в, а с изменением  $c$  от 0,5 до 5,0 н. — на 0,45 в. Стационарный потенциал ( $E$ ) с ростом  $c$  смещается в отрицательную сторону, ток саморастворения Al возрастает. В 0,5 н. HCl коэф. наклона графика ( $\eta$ ,  $\lg i$ ) составляет  $b = 0,27$  в.  $\eta$  на незачищенной поверхности в атмосфере воздуха ниже, чем на зачищенном электроде, а  $E$  сдвигнут в положительную сторону.

Г. Тедорадзе  
6Б640. О процессе выделения водорода на хромовом катоде. Вишомирский Р. М., Дериш Л. Х. В сб. «Вопр. теории хромия. Вильнюс, Госполитиздат ЛитССР», 1959, 81—90. Дискус., 177—191.—Изучался процесс разряда ионов  $\text{H}^+$  на Cr-катоде в р-рах, содержащих различные кол-ва  $\text{H}_2\text{SO}_4$ , HCl, KJ, HBr и  $\text{H}_3\text{PO}_4$ . Установлено, что перенапряжение водорода в 0,5 н. HCl несколько выше, чем в 0,5 н.  $\text{H}_2\text{SO}_4$ , что объяснено десорбцией ионов  $\text{Cl}^-$ , связывающих энергию адсорбции водорода. На осциллографии кривых изменения потенциала Cr-электрода во времени при включении катодного тока ( $i = 10$   $\text{ma}/\text{cm}^2$ ) в р-рах HCl, HBr и  $\text{H}_2\text{SO}_4$  наблюдается максимум, высота которого зависит от величины  $i$  и от времени, в течение которого электрод находился в р-ре без тока. Этот эффект объяснен активирующим действием выделяющегося водорода на пассивированную поверхность Cr-катада. Н. М.

6Б641. Перенапряжение водорода на монокристаллическом кадмии. Piontelli Roberto, Peraldo Biccini Luisa, La Vecchia Aurelio. Sovratensione di idrogeno su monocristalli di cadmio. «Atti. naz.



отношение (H/Pd) составляло 0,3—0,6 (B) и 0,9 (C). Среднее  $\phi$  (ст.) 0,726 в (A) и 0,707 в (BC). Сделан вывод, что насыщение Pd водородом и последующее его обезводороживание повышает свободную энергию металла на 900 кал/моль.

6Б646. Палладиевая мембрана как водородный диффузионный анод. Küssner A., Wicke E. Eine Palladium-Membran als Wasserstoff-Diffusionsanode. *Z. phys. Chem. (BRD)*, 1960, 24, № 1-2, 152—162 (нем.). Предложена конструкция водородного диффузионного электрода, основанная на использовании ранее обнаруженной способности некоторых металлоподобных гидридов (UH<sub>3</sub>, гидриды Ta и Ti) поглощать H<sub>2</sub> из газовой фазы и передавать его металлу, способному к гидридообразованию, и на применении Pd в качестве электрода. Предусматривается автоматич. регулировка давления H<sub>2</sub> и автоматич. запись его расхода в анодном процессе. Для электрода в виде Pd-мембраны, покрытой со стороны газовой фазы порошком UH<sub>3</sub>, и включенного в цепь с Fe-электродом в 1 н. NaOH изучалось анодное растворение водорода; предельный ток при давлении H<sub>2</sub> 1 ат составлял 70 мА/см<sup>2</sup>. Полученные результаты обсуждены с использованием теории равновесия газобразного H<sub>2</sub> с  $\alpha$ - и  $\beta$ -фазами Pd, а также с учетом вычисленных значений диффузионного тока через Pd.

Н. Хомутов  
6Б647. Структура богатой водородом фазы, возникающей в никеле при электролитическом восстановлении водорода. Janko A. Struktur der im Nickel bei elektrolytischer Beladung entstehenden wasserstoffreichen Phase. *Naturwissenschaften*, 1960, 47, № 10, 225 (нем.).—См. РЖХим, 1961, 2Б138.

6Б648. Металлические «туманы» и потери алюминия в процессе Холла. Haupin Warren E. Metal mists and aluminum losses in the Hall process. *J. Electrochem. Soc.*, 1960, 107, № 3, 232—236 (англ.).—При контакте расплавленной ванны Холла (87% NaF + AlF<sub>3</sub>, 8% CaF<sub>2</sub>, 5% Al<sub>2</sub>O<sub>3</sub>) с металлич. Al образуются AlF и Na, сообщающие электролиту восстановительную способность, эквивалентную 0,1% «свободного» Al. «Туман» в ванне возникает при р-ции влаги с Al. Он состоит из пузырьков водорода, в которых имеются также небольшие парц. давления AlF, Na и NaAlF<sub>4</sub>. Уменьшение отношения NaF/AlF<sub>3</sub> увеличивает потери Al вследствие испарения AlF. Снижение выхода Al по току происходит также за счет окисления Al двуокисью углерода и вследствие образования карбида Al. Окисление Al обусловлено его диффузией и конвекционным переносом от катода к аноду. Потери от окисления могут быть уменьшены путем увеличения расстояния между электродами.

Б. Каплан  
6Б649. Новый химический источник тока для низких температур. Цюй Сун-шэнь. «Хуасюэ тунбао, Huaxue tongbao», 1960, № 4, 30—34 (кит.).—Краткий обзор свойств низкотемпературных (от —16 до —78°) гальванич. элементов с жидкой SO<sub>2</sub> в качестве р-нителя. Библ. 6 назв.

В. Л. И  
6Б650. Полярография за последние 35 лет. Tachi Isami. «Бунсэки какаку, Japan Analyst», 1960, 9, № 7, 635—638 (японск.).—Обзор.

6Б651. Влияние флуктуаций напряжения в сети на квадратно-волновую полярографию. Itsuki Kamibiko, Hashitani Hiroshi, Katsuyama Kazuo. Бунсэки какаку, Japan Analyst 1960, 9, № 6, 521—522 (японск.).

РЖХим.  
6Б652. Изучение кинетики электродных процессов при помощи электролиза с постоянной силой тока. III. Обратимая мономеризация и обратимое диспропорционирование. IV. Теория измерения последующей реакции первого порядка путем изменения направления тока. Studium der Kinetik von Elektrodenvorgängen mit Hilfe der Elektrolyse bei konstantem Strom. III. Förscher O., Dračka O., Fischerová E. Reversible Monomerisierung und reversible Disproportionierung.

IV. Dračka O. Theorie der Messung einer Folgereaktion erster Ordnung durch Umkehrung der Stromrichtung. *Collect. Czechosl. Chem. Commun.*, 1960, 25, № 2, 323—337; 338—348 (нем.; рез. русск.).—III. Выведены теоретич. соотношения для случаев, когда деполаризатор образуется в результате предшествующего обратимого диспропорционирования или обратимой мономеризации. Полученные ур-ния проверены на примере катодного восстановления и анодного окисления Na<sub>2</sub>S<sub>2</sub>O<sub>4</sub> в буферных р-рах при различных pH и вычислены соответствующие константы скоростей р-ций. Полученные результаты сопоставлены с данными, найденными полярографич. методом.

IV. Для измерения кинетич. констант р-ций, следующих за электродным процессом, предложен метод вторичного электрохим. окисления продуктов деполаризации первоначального электролиза путем изменения направления постоянного тока. Выведены теоретич. соотношения для конц-ии продуктов деполаризации, вступающих в р-цию 1-го порядка, на поверхности электрода. Измеряется переходное время вторичного окисления как функция времени изменения направления тока. Предлагаемый метод особенно пригоден для измерения очень быстрых последующих р-ций. Сообщение II см. РЖХим, 1961, 2Б570.

J. Frič.  
6Б653. Простая микрокулонометрическая ячейка с тремя электродами для полярографических целей. Mašek J. A simple microcoulometric arrangement for polarographic purposes using the three-electrode system. *J. Electroanal. Chem.*, 1960, 1, № 5, 416—421 (англ.; рез. франц., нем.).—Ячейка содержит капельный Hg-катод, графитовый анод и электрод сравнения в виде Hg на дне. В процессе электролиза, который производится с целью определения числа электронов, участвующих в р-ции, потенциал катода измеряется относительно электрода сравнения и корректируется. Обсуждаются возможные источники ошибок при микрокулонометрич. измерениях.

С. Жданов  
6Б654. Полярографическое изучение неорганических окислительно-восстановительных систем. I. Влияние характеристики капилляра на анодно-катодную волну в системе Ti(4+)—Ti(3+). Стромберг А. Г., Картушинская А. И. «Ж. физ. химии», 1960, 34, № 8, 1684—1690 (рез. англ.).—С целью проверки полученного ранее соотношения (РЖХим, 1960, № 1, 618), согласно которому при увеличении периода капания (т)  $\phi_{1/2}$  катодной и анодной волн необратимых процессов должны сближаться, измерены полярограммы смесей Ti<sup>4+</sup> и Ti<sup>3+</sup> в 0,23 н. HCl. При изменении т от 1 до 4 сек.  $\phi_{1/2}$  анодной и катодной волн сближаются в соответствии с теоретич. ур-нием, однако при т > 4 (до 21 сек.)  $\phi_{1/2}$  расходятся. Высказано предположение, что в этих условиях не являются справедливыми упрощения, сделанные при выводе ур-ний. Из угловых коэф. логарифмич. графиков катодной и анодной волн вычислены коэф. переноса  $\alpha = 0,427$  и  $\beta = 0,558$ .

С. Ж.  
6Б655. Полярографическое исследование сернокислых растворов шестивалентного урана. Каневский Е. А., Павловская Г. Р. «Ж. неорг. химии», 1960, 5, № 8, 1738—1742.—Полярографическим методом исследовано восстановление UO<sub>2</sub>SO<sub>4</sub> и диспропорционирование U(5+) в р-рах H<sub>2</sub>SO<sub>4</sub> (0,02—4,0 н.). С ростом конц-ии H<sub>2</sub>SO<sub>4</sub> (с) предельный ток  $i$  (пред.) первой волны, соответствующей р-ции U(6+) → U(5+), падает, а  $i$  (пред.) волны U(5+) → U(4+) растет, однако сумма этих  $i$  (пред.) остается постоянной,  $i$  (пред.) третьей волны, соответствующей р-ции U(4+) → U(3+), с ростом с падает.  $E_{1/2}$  первой и третьей волн не зависит от с, а  $E_{1/2}$  второй волны сдвигается в отрицательную сторону с ростом с.  $E_{1/2}$  второй волны линейно зависит от средней активности H<sub>2</sub>SO<sub>4</sub>.

Г. Тедорадзе





для пер-  
второго  
ного по-  
как на  
 $E_{1/2}$  от  
определе-  
тродного  
милекса.  
примере  
М КОН  
форме  
в р-рах  
тается пре-  
одолихся  
эти дан-  
насытуются  
ым мето-  
817). См.  
ановский  
фические  
J., Ro-  
halfwave  
№ 7, 656  
(РЖХим,  
ия л-ди-  
тельную  
словлено  
загрязне-  
Птифана  
— напри-  
уферной  
anungs-  
geruf-  
as», 1960,  
вано по-  
р-рах с  
х (i, E).  
угольные  
исследова-  
на фор-  
предель-  
импульса  
Н анал-  
токов от  
ом коэф.  
кинетич.  
опреде-  
гитологии.  
опорцио-  
рмальде-  
елена из  
и тех же  
ую кон-  
Наряду  
ся также  
ит от E,  
ения по-  
радика-  
ого элек-  
пирт) не  
с 2 до 10  
E анод-  
от —0,9  
ено, по-  
радика-  
Р. 3.  
е амид-  
е polaro-  
«Collect.  
451—455  
двуэлек-  
7 в фор-  
льных E

наблюдается еще одна волна, совпадающая с катали-  
тич. волной. На основании того, что излом на кривых  
( $E_{1/2}$ , pH) согласуется с потенциометрически опреде-  
ленными значениями  $pK_a$ , авторы приходят к заклю-  
чению, что при низких pH восстанавливается протони-  
рованная форма I, а при более высоких pH — конъюги-  
рованная к-та, образующаяся путем рекомбинации у  
поверхности электрода. При pH 6, когда коэф. наклона  
графика ( $E_{1/2}$ , pH) для всех исследованных в-в состав-  
ляет  $\sim 70$  мВ, получены следующие  $E_{1/2}$  (насыщ. к. э.):  
бензамидоксим —1,332 в; п-толамидоксим —1,346 в;  
л-нитробензамидоксим —1,444 в; м-нитробензамидоксим  
—1,414 в; м-аминобензамидоксим —1,318; салициламид-  
оксим —1,396 в (экстрапол.). Р. Zuman

6Б663. Образование и ионизация радикала при по-  
лярнографическом восстановлении фталимида. Ry-  
lová A. Bildung und Ionisierung des Radikals bei der  
polarographischen Reduktion des Phthalimids. «Collect.  
Czechosl. Chem. Commun», 1960, 25, № 2, 420—426  
(нем.; рез. русск.). Фталимид (I) дает в буферных  
р-рах с pH 2—4 одну двухэлектронную волну. При  
рН 4,5—8 высота этой волны снижается до 50% и одно-  
временно появляется более отрицательная (на 0,2 в)  
волна. Сумма высот обеих волн постоянна. Снижение  
высоты первой волны имеет форму кривой диссоциа-  
ции; ее форма и  $pK$  зависят от конц-ии I. При  $pH \geq 8$   
наблюдаются две одноэлектронные волны; при  $pH \sim 11$   
обе волны сливаются. Снижение высоты волны объяс-  
нено присоединением протона к радикалу, возникше-  
му из I в результате присоединения электрона и про-  
тона. В кислой среде, где скорость протонирования ра-  
дикала велика, восстановление I протекает через про-  
тонированный радикал; при этом потенциалы E при-  
соединения первого и второго электронов настолько  
близки, что возникает одна волна. При более высоких  
pH в электродном процессе участвует непротонирован-  
ный радикал, восстанавливающийся при более отри-  
цательных E, чем I, и наблюдаются две одноэлектрон-  
ные волны. Влияние конц-ии I объяснено димериза-  
цией радикала.

Р. Zuman  
6Б664. Полярнография ароматических гетероцик-  
лических соединений. VI. Восстановление альдоксима-  
пиридинарбоновых кислот. Volke J., Kubíček R.,  
Santavý F. Polarographie aromatischer heterocycli-  
scher Verbindungen. VI. Reduktion der Aldoxime der Py-  
ridincarbonsäuren. «Collect. Czechosl. Chem. Commun»,  
1960, 25, № 3, 871—877 (нем.; рез. русск.). Все три изо-  
мерных альдоксима пиридинарбоновых к-т дают  
одну четырехэлектронную волну. При  $pH < 10$  восста-  
навливается протонированная форма, образующаяся  
у поверхности электрода. Уменьшение скорости про-  
тонизации проявляется в снижении высоты волны с  
ростом pH. Альдоксима изоникотиновой и никотиновой  
к-т при более отрицательных E и  $pH > 10$  дают также  
волну непротонированной формы альдоксима и двух-  
электронную волну, подобную волне восстановления  
аминометилпиридина (АМП). Это доказано путем срав-  
нения с волнами соответствующих АМП и с помощью  
электролиза при заданном E. Волны изомерных АМП  
также уменьшаются с ростом pH. Волны АМП прибли-  
зительно на 40 мВ положительнее, чем волны АМП,  
образующихся при восстановлении альдоксима. На  
осциллограммах кривых  $[(dV/dt), V]$  имеются зубцы, от-  
вечающие соответствующим полярнографич. волнам.  
При pH 4,7 можно различить все три изомерных аль-  
доксима на основании зубца, соответствующего четы-  
рехэлектронному процессу восстановления. Сообще-  
ние V см. РЖХим, 1958, № 22, 73423; 1959; № 9, 30676.

Р. Zuman  
6Б665. Полярнографическое поведение 2,4,6-триод-  
3-аминобензойной к-ты и ее ацетильного производного.  
Wagner J., Capek R., Dlabáček A. Polarographisches  
Verhalten der 2,4,6-Triiod-3-aminobenzoessäure und ihres

Acetylderivates. «Collect. Czechosl. Chem. Commun»,  
1960, 25, № 3, 682—690 (нем.; рез. русск.).—2,4,6-три-  
йод-3-аминобензойная к-та (I) дает в кислой среде  
6-электронную волну, высота которой постепенно па-  
дает с ростом pH, пока при  $pH \sim 7,5$  не достигнет вы-  
соты, отвечающей 2-электронному восстановлению од-  
ного атома йода. За счет этой волны при более высо-  
ких pH появляется сначала одна, потом две более от-  
рицательные волны. При  $pH > 8$  восстановлению трех  
атомов йода I отвечают и отдельные волны. В кислой  
среде влияние группы  $NH_3^+$  превосходит влияние груп-  
пы  $COO^-$  и взаимное влияние атомов J. В щел. среде,  
наоборот, взаимное влияние атомов J превосходит  
влияние групп  $COO^-$  и  $NH_2^-$ . Ацетильные производ-  
ные [2,4,6-трийод-3-ацетиламинобензойная к-та (II)]  
восстанавливаются при более низких pH, давая одну  
4-электронную и одну 2-электронную волны; восста-  
новление одного атома йода (по всей вероятности в  
положении 6) затруднено по сравнению с двумя дру-  
гими. Высота 4-электронной волны падает с ростом pH,  
и в щел. средах заметны три волны.  $E_{1/2}$  отдельных  
волн последовательного восстановления атомов йода  
II, практически независимые от pH, равны —1,0 в;  
—1,3 в; —1,7 в. Р. Zuman

6Б666. Полярнография галоген- и цианопиридинов.  
Laviron Etienne. Polarographie des halogéné et cy-  
anopyridines. «C. r. Acad. sci.», 1960, 250, № 22, 3671—  
3673 (франц.).—В продолжение работ, опубликован-  
ных ранее (РЖХим, 1959, № 22, 77891), изучена зави-  
симость  $E_{1/2}$  трех бромпиридинов, хлор-4-пиридина и  
цианопиридинов от pH буферных водн. и водно-спир-  
товых р-ров. В кислых р-рах  $E_{1/2}$  двухэлектронного  
процесса не зависит от pH. При pH выше  $pK$  соответ-  
ствующего пиридина  $E_{1/2}$  линейно растет с pH. Начи-  
ная с pH 8 высота волн указанных в-в уменьшается и  
они полностью исчезают при pH 10. Учитывая, что при  
метилировании азота гетероцикла исчезает зависи-  
мость высоты волны и  $E_{1/2}$  от pH, автор делает вы-  
вод, что восстановление галогена происходит только  
в том случае, когда гетероцикл несет положительный  
заряд. Волны, получающиеся при  $pH > pK$  соответст-  
вующего пиридина, являются кинетич. волнами все-  
ма быстрых р-ций рекомбинации основания с прото-  
ном. Высота волн. циано-2- и циано-4-пиридинов при  
 $pH > 5$  уменьшается с ростом pH. Для  $2 < pH < 8$   $E_{1/2}$   
линейно зависит от pH. Изучен процесс щел. гидроли-  
за этих цианопиридинов.

Г. Тедорадзе  
6Б667. Хроматополярнография в растворителях, не  
содержащих индифферентный электролит. Berg Her-  
man, Triebel Hans. Zur Chromatopolarographie in  
leitsalzfreien Lösungsmitteln. «Chem. Techn.», 1960, 12,  
№ 7, 429—430 (нем.).—На основании изучения кривых  
ток — напряжение и ток — конц-ия для ряда органич.  
деполяризаторов в неводн. р-рах в отсутствие инди-  
ферентного электролита делается вывод, что в таких  
р-рителях (в первую очередь в полярных или в сме-  
сях полярных с неполярными) возможно определение  
конц-ии деполяризатора. Предыдущее сообщение см.  
РЖХим, 1960, № 12, 47393.

Г. Тедорадзе  
6Б668. Особенности диффузионной кинетики на  
амальгамированном серебряном электроде. Шапо-  
вал В. И., Скобець С. М. Особенности диффузионной кинетики  
на амальгамованом срібному електроді. «До-  
повіді АН УРСР», 1960, № 7, 932—935 (укр.; рез. русск.,  
англ.).—Полярнограмма обратимого выделения метал-  
лов на амальгамированном (стационарном и вращаю-  
щемся) Ag-электроде с образованием сплава не может  
быть, как правило, описана одним ур-нием: одна ее  
часть описывается ур-нием Гейровского — Ильковича,  
другая часть — ур-нием Колтъгофа — Линггейна. Ана-  
лиз полярнограмм восстановления  $Cd^{2+}$ ,  $Cu^{2+}$ ,  $Pb^{2+}$  и  
 $Tl^+$  в 1 н. р-рах HCl, KOH, KCl и 1 н.  $NH_4Cl$  + 1 н.

NH<sub>4</sub>OH показал возможность образования новой фазы на электроде при достаточно высокой плотности тока.

Ю. Плесков

**6Б669.** Полярграфия в проточном электролите. I. Stráfelda F. Polarographie im durchfließenden Elektrolyt. I. «Collect. Czechosl. Chem. Commun», 1960, 25, № 3, 862—870 (нем.; рез. русск.).—Исследовалось влияние скорости движения электролита на предельный ток восстановления O<sub>2</sub> на шарообразном стационарном, вращающемся и вибрирующем Pt-электродах. Для стационарного электрода предложено соотношение  $i_D = k \cdot v^{1/2} + i_0$ , где  $i_D$  предельный диффузионный ток,  $k$  — константа,  $v$  — поступательная скорость движения электролита,  $i_0$  — ток, протекающий в неподвижном электролите. Для тока в неподвижном электролите справедливо уравнение  $i_0 = nFACD/r_0$ , где  $A$  — площадь электрода, доступная для диффузии,  $C$  — концентрация деполаризатора,  $D$  — коэф. диффузии,  $r_0$  — радиус электрода. В случае вращающегося и вибрирующего электродов движение электролита не влияет на величину  $i$  (пред.) вплоть до скорости движения электролита, сравнимой со скоростью движения электрода.

Р. Zuman

**6Б670.** Конденсация тетраалкилсиланов в высоковольтном тихом разряде звуковой частоты. Андреев Д. П., Кухарская Э. В. «Докл. АН СССР», 1960, 134, № 1, 89—92.—В продолжение ранее опубликованных работ (РЖХим, 1955, № 18, 40188; 1958, № 12, 39702; 1960, № 21, 84842) изучалась конденсация (К) триметилэтилсилана (I) и диметилдиэтилсилана (II) в высоковольтном тихом электрич. разряде. Пары соответствующего кремнеуглерода в смеси с N<sub>2</sub> неоднократно пропускались через зону тихого разряда при частоте 4000 гц. При К I выход продуктов К составил 41%. В отходящих газах обнаружены ацетилен, этилен и тетраметилсилан. Среди продуктов К идентифицированы гексаметилдисулфид; 3,3,5,5-тетраметил-3,5-дисульфид; 3,3,4,5,5-пентаметил-3,5-дисульфид. При К II выход продуктов К составил 22%; в отходящих газах присутствовал ацетилен. Выделять индивидуальные соединения из продуктов К не удалось; в отдельных фракциях установлено присутствие полимерных кремнеуглеродов состава C<sub>10</sub>H<sub>26</sub>Si<sub>2</sub>, C<sub>11</sub>H<sub>28</sub>Si<sub>2</sub>, C<sub>14</sub>H<sub>34</sub>Si<sub>3</sub>, C<sub>19</sub>H<sub>48</sub>Si<sub>4</sub> и высококипящие полимеры (т. кип. > 210° C / 3 мм рт. ст.) состава (C<sub>4</sub>H<sub>11</sub>Si)<sub>x</sub> со средним мол. весом 1050. Рассматривается возможный механизм р-ций, протекающих под действием разряда и приводящих к образованию полученных продуктов К. Ю. Емельянов

**6Б671.** Электролиз растворов йодистого калия в тлеющем разряде. Sastri B. S. R. Glow discharge electrolysis of potassium iodide. «J. Scient. and Industr. Res.», 1960, BC19, № 8, B317—B318 (англ.).—Исследован электролиз водн. р-ров KI (0,2—2,5 M) в тлеющем разряде постоянного тока при напряжении на разрядном промежутке 750—800 в и  $i$  50, 70 и 90 ма. Расстояние между Pt-анодом и поверхностью р-ра 0,5 см. Продуктами электролиза являются J<sub>2</sub> и H<sub>2</sub>, а при высоких концентрациях образуется также H<sub>2</sub>O<sub>2</sub>. С увеличением концентрации KI растет выход J<sub>2</sub>.

Ю. Емельянов

**6Б672.** Новое объяснение выделения газа в пропитанной маслом бумажной изоляции под действием электрического напряжения. Krasucki Z., Church H. F., Garton C. G. A new explanation of gas evolution in electrically stressed oil-impregnated paper insulation. «J. Electrochem. Soc.», 1960, 107, № 7, 598—602 (англ.).—Под действием постоянного или переменного (50 гц) электрич. напряжения в промасленной бумаге наблюдается газовыделение, интенсивность которого зависит от влажности масла. На основании визуальных наблюдений и исследования зависимости напряжения между электродами, при котором начинается газовыделение в твердом диэлектрике (полиэтилен, полистирол, тефлон, слюда; стекло, бумажный конденсатор, целлофан, желатина, триацетат целлюлозы

и т. д.), от природы диэлектрика, его влажности и сопротивления, а также определения состава газовой смеси сделан вывод, что это явление связано с эмиссией электронов в точках локального повышения напряжения и диссоциацией H<sub>2</sub>O, содержащейся в целлюлозе.

А. Чемоданов

См. также: Электроосаждение металлов 6К147—6К149, 6К154. Коррозия 6И120—6И126, 6И135, 6Е43. Полярграфия 6Б605, 6Д92, 6Д130. Хим. источники тока 6К130, 6К132, 6К139. Электропроводность 6Б439. Методика электрохим. измерений 6И101, 6Б600, 6Е44—6Е48

## ПОВЕРХНОСТНЫЕ ЯВЛЕНИЯ. АДСОРБЦИЯ. ХРОМАТОГРАФИЯ. ИОННЫЙ ОБМЕН

Редактор Н. А. Фукс

**6Б673.** О химии поверхностей германия и кремния. Green M. Some aspects of the chemistry of germanium and silicon surfaces. «J. Phys. and Chem. Solids», 1960, 14, 77—81 (англ.).—Обзор. Библ. 50 назв.

**6Б674.** Поверхностные явления в процессах деформации и разрушения металлов. Лихтман В. И., Шуккин Е. Д. «Успехи химии», 1960, 29, № 10, 1260—1284.—Обзор. Библ. 68 назв.

**6Б675.** Поверхностное натяжение перфторметилциклогексана. Griffin James B., Clever H., Lawrence. Surface tension of perfluoromethylcyclohexane. «J. Chem. and Engng Data», 1960, 5, № 3, 390 (англ.).—Методом максим. давления в пузырьках определено  $\sigma$  перфторметилциклогексана (I) в интервале 0—50° (через каждые 10°). Полученные данные подчиняются уравнению:  $\sigma = 17,69 - 0,0973 t$  ( $t$  — t-ра). Приведены также термодинамич. характеристики образования поверхности I, причем полученные значения свободной поверхностной энергии, энтропии, скрытой теплоты и энтальпии заметно ниже соответствующих значений для метилциклогексана. Найденное для I очень высокое значение констант Этвенса (2,75) также указывает на сравнительно слабые межмолекулярные силы в I.

И. Гуревич

**6Б676.** Об использовании формы свободной поверхности жидкости, находящейся на несмачиваемой горизонтальной плоскости. Золотов К. Д. «Уч. зап. Бурят-Монг. гос. пед. ин-та», 1957, вып. 12, 197—199.—Рассмотрено равновесие слоя жидкости на несмачиваемой поверхности, линейные размеры которого в горизонтальном направлении много больше его толщины. Показано, что кривизна в любой точке свободной поверхности пропорциональна глубине. Предлагается использовать это свойство для изготовления чертежных лекал и для измерения поверхностного натяжения жидкостей.

С. Задумкин

**6Б677.** Капиллярный подъем жидкости в пористых средах и капиллярный гистерезис. Некрасов Д. Н., Кусаков М. М. «Докл. АН СССР», 1960, 133, № 6, 1379—1380.—Используя представление об эквивалентном капилляре, теория, развитая одним из авторов (РЖХим, 1958, № 23, 76839), распространена на капиллярный подъем жидкости в пористых средах. Показано, что капиллярный гистерезис в них выражается в существовании бесконечного числа равновесных высот подъема жидкости, заключенных между миним. и максим. значениями. Произведена эксперим. проверка метода на капиллярном подъеме воды в кварцевом песке с размером зерен 0,075—0,45 мм.

С. Задумкин

**6Б678.** Статистический обобщенный момент В. К. Семенченко и поверхностная активность металлов. Задумкин С. Н. «Ж. неорг. химия», 1960, 5, № 8, 1892—1893.—Потенциал нейтр. атома на расстоянии атомного радиуса по Гольдшмидту (статистический обобщенный момент — COM), вычисленный на основе статистич. теории Томаса — Ферми, предложен в ра-



ности и со-  
ва газовой  
но с эмис-  
пешения на-  
ейся в цел-  
Чемоданов  
ов 6К147-  
5, 6Е43. По-  
чники тока  
6439. Мето-  
6Е44—6Е48

РБЦИЯ.  
ЕН

и к крем-  
chemistry of  
d Chem. Sol.  
л. 50 назв.  
сах дефор-  
ан В. И.  
е 10, 1260—

фторметил-  
Н. L. a w.  
улоhexane.  
0 (англ.).—  
определено  
але 0—50°  
дчинаются  
едены та-  
вания по-  
свободной  
теплоты в  
значении

чень высо-  
указывает  
силы в I.  
И. Гуревич  
ой поверх-  
емой гор-  
ч. зап. Бу-  
—199.—Рас-  
тачиваемой  
в горнораз-  
вности. По-  
ой поверх-  
ся исполь-  
ежных ле-  
ения жид-  
Задумкин  
пористых  
сов Д. Н.  
133, № 6.  
квивалент-  
из авторов  
на на ве-  
рехах. По-  
выражает  
вновесии  
ду миним.  
м. провер-  
кварцевой  
Задумкин  
момент  
сть метал-  
», 1960, 5,  
а рассто-  
статистич-  
на основе  
кен в №

чество критерия для оценки поверхностной актив-  
ности малых добавок вместо потенциала точного заря-  
да иона на расстоянии ионного радиуса (обобщенного  
момента по В. К. Семенченко). Если  $m > 0$ , то до-  
бавка понижает поверхностное натяжение чистого  
р-рителя (и наоборот), где  $m^{(c)}_p$  и  $m^{(c)}_g$  — СОМ р-ри-  
теля и добавки. Показано, что разность атомных объ-  
ёмов добавки и р-рителя, как критерий поверхностной  
активности, является следствием теории СОМ. С. З.

6Б679. О механизме устойчивости свободных плен-  
ок растворов поверхностно-активных веществ. Дер-  
ягин Б. В., Титневская А. С., Выборнова В. Х.  
«Коллоиды. ж.», 1960, 22, № 4, 398—402 (рез. англ.).—  
Изучена устойчивость свободных пленок (из р-ров  
олеата Na, аэрозоля ОП-10 и др.), образующихся  
между двумя прижатыми друг к другу пузырьками.  
Проведена микросъемка процесса утоньшения пленки.  
При увеличении конц-ии добавляемого электролита  
толщина пленки  $h$  стремится к предельному значе-  
нию  $\sim 120 \text{ \AA}$ , не зависящему от давления. Для олеата  
Na с добавкой 0,001 н. NaCl повышение т-ры до 45—  
50° снижает  $h$ , однако устойчивость не нарушается  
даже при 80°. В р-рах смачивателя ДБ  $h$  не зависит  
от т-ры до 70°, в р-рах ОП-10 — до 80°. Авторы считают  
единственной причиной устойчивости пленок и рас-  
клинивающего давления, препятствующего дальней-  
шему утоньшению пленки, взаимодействие адсорбци-  
онных монослоев с прилегающими слоями воды тол-  
щиной 10—20 мол. слоев за счет сил, мало чувстви-  
тельных к т-ре. При этом пограничные слои воды тол-  
щиной  $\sim 30$ —40  $\text{\AA}$ , расположенные у поверхности  
адсорбционных монослоев, имеют структуру, отличную  
от объемной, и резко отделены от последней. Расчеты  
показывают, что предельное напряжение сдвига, необ-  
ходимое для интерпретации наблюдаемых  $h$  в отсутст-  
вие сил отталкивания, на несколько порядков пре-  
вышает допустимые значения. С. Баканов

6Б680. Исследование двусторонних жидких пленок  
из растворов масляной кислоты в воде. Шелудко А.,  
Ексерова Д. Исследован на пенициппи от раство-  
ра на масляна киселина във вода. «Изв. Хим. ин-т.  
Бълг. АН», 1960, 7, 105—113 (болг.; рез. русск., англ.).—  
Исследовано влияние конц-ии  $C$  на время жизни дву-  
сторонних пленок, образованных р-рами масляной  
к-ты в воде, а также процесс утоньшения этих пленок.  
Устойчивость пленок из р-ров с конц-ией  $\leq 2 M$  может  
быть объяснена проявлением взаимодействия диффуз-  
ных частей электрич. слоев на поверхности раздела  
пленка — воздух. В этом случае утоньшение пленок  
происходит обычным путем: сначала быстро, а затем  
замедленно до вполне определенной толщины, при ко-  
торой происходит разрыв пленки. При дальнейшем  
увеличении  $C$  сверх  $2 M$  устойчивость пен возрастает.  
При этом наблюдается аномальное утоньшение плен-  
ок, протекающее с почти постоянной скоростью. Рас-  
счет расклинивающего давления в случае пленок, об-  
разованных конц. р-рами, показывает, что устойчи-  
вость этих пленок не может быть объяснена только  
наличием диффузного взаимодействия электрич.  
слоев. Применяя кинетич. теорию жидкостей Френк-  
ля, авторы приходят к предположению, что в этом  
случае на стабильность пленок оказывает влияние дис-  
персионная составляющая сил Ван-дер-Ваальса. В. М.

6Б681. Процессы физической адсорбции и их отно-  
шение к теории порядка — беспорядка. Honig J. M.  
Physical adsorption processes and their relation to or-  
der — disorder theory. «Trans. N. Y. Acad. Sci.», 1960, 22,  
№ 5, 313—322 (англ.).—Метод Хийманса и де-Бура  
(РЖХим, 1957, № 8, 2612) использован для вывода  
УР-ный изотерм физ. Ад газом. Поверхность твердого  
тела рассматривается как совокупность правильно рас-  
положенных мест. Каждое место служит центром ло-

кализованной Ад, ограниченной монослоем, и характе-  
ризуется определенной энергией Ад. Для упрощения  
математич. аппарата метода в расчет берется не вся  
совокупность мест, а отдельные их группы — незави-  
симые ячейки. В нулевом приближении (Пр) ячейкой  
является каждое место поверхности (элементарная  
фигура (ЭФ) — точка), в первом Пр — 2 соседних мес-  
та (ЭФ — черточка), во втором Пр — 3 соседних мес-  
та (ЭФ — треугольник), в третьем Пр — 4 соседних мес-  
та (ЭФ — ромб). Взаимодействие ад-молекул рассматри-  
вается вдоль сторон ЭФ, а в случае ромба — и по его  
диагонали. Для каждого из Пр статистико-термодина-  
мич. методом через энергию и энтропию системы вы-  
числено адсорбционное равновесие, т. е. получены  
ур-ния изотермы Ад. Нулевое Пр означает отсутствие  
взаимодействия и для него получено ур-ние изотермы  
Ленгмюра. Для остальных Пр рассчитаны как притя-  
жение, так и отталкивание адмолекул в пределах каж-  
дой ячейки. В случае притяжения первое Пр дает  
ур-ние изотермы Фаулера — Гугенгейма, для второго  
и третьего Пр приведены лишь качеств. результаты.  
В случае отталкивания получаются изотермы Ад Ленг-  
мюра, форма которых зависит от порядка Пр и от со-  
отношения адсорбционных коэф. и коэф. отталкива-  
ния. А. Карнаузов

6Б682. Калориметрическое определение теплот ад-  
сорбции кислорода на сублимированных металличе-  
ских пленках. Brennan D., Hayward D. O.,  
Trappnell B. M. W. The calorimetric determination of  
the heats of adsorption of oxygen on evaporated metal  
films. «Proc. Roy. Soc.», 1960, A256, № 1284, 81—105  
(англ.).—В калориметре типа Бика определены инте-  
гральные теплоты  $Q$  адсорбции (Ад)  $O_2$  на пленках  
Ti, Cr, Mn, Fe, Co, Ni, Nb, Mo, Rh, Pt, Ta, W, Pt и Al  
с точностью  $\pm 5 \text{ ккал/моль}$ . Определена зависимость  $Q$   
от величины Ад для всех металлов (М) кроме Pd, Pt и  
Al, на которых  $Q$  невелика. До 50—75% (для Cr  
 $\sim 20\%$ ) от полного насыщения поверхности пленки  $Q$   
не зависит от степени насыщения, а затем резко па-  
дает. Для Rh  $Q$  уменьшается в течение всего процесса  
Ад. Определение величины поверхности пленок до и  
после Ад позволило рассчитать число  $N$  атомов О,  
приходящихся на один поверхностный атом М. Для  
большинства М найдено хорошее совпадение  $Q$  с те-  
плотами образования  $q$  их стабильных оксидов и числа  
 $N$  с отношением числа атомов О и М в этих оксидах.  
Во всех этих случаях, очевидно, происходит окисление  
поверхности пленки с образованием одного или более  
слоев оксида. У Rh, Pt и Pd, для которых  $N < 1$ , а  $Q \gg q$ ,  
имеет место хемосорбция. Найденные значения  $Q$  со-  
ставлены с величинами атомных радиусов металлов.  
Б. Тимофеев

6Б683. Адсорбция и связи атомов на плоскостях  
спайности теллурида висмута. Naeeman D. Adsorption  
and bonding properties of cleavage surfaces of bis-  
muth telluride. «Phys. Rev.», 1960, 119, № 2, 567—569  
(англ.).—С целью эксперим. проверки теоретич. моде-  
ли кристаллохим. строения теллурида висмута (I)  
(РЖХим, 1959, № 4, 10723) изучена адсорбция (Ад)  
 $O_2$ ,  $O_3$ , CO,  $N_2$  и  $H_2O$  при комнатной т-ре на плоскости  
спайности (ПС) (0001). Заметной Ад  $O_2$ ,  $O_3$ , CO и  $N_2$   
не обнаружено, что, по мнению автора, указывает на  
насыщенность связей поверхностных атомов на ПС I.  
Это находится в соответствии с указанной моделью, по  
которой ПС I составлена из атомов Те, все связи ко-  
торых направлены внутрь данного слоя толщиной в  
5 атомов, а соседние слои связаны ван-дер-ваальсовыми  
силами и легко отделяются один от другого при рас-  
калывании. Найденная автором значительная Ад  $H_2O$   
объяснена наличием сил притяжения между молеку-  
лой  $H_2O$  и поверхностными атомами Те, аналогичных  
силам, действующим между двумя молекулами  $H_2O$ .  
Эти силы должны быть дополнительно изучены. А. К.

**6Б684.** Влияние адсорбции на полупроводимость и связанные с этим свойства поверхности. Gray Thomas J., Savage Stanley D. Adsorption in relation to semiconductivity and associated properties of surfaces. «Disc. Faraday Soc.», 1959, № 28, 159—167. Discuss., 207—222 (англ.).—Изучена кинетика изменения электропроводности  $\lambda$  тонкой пленки CuO при адсорбции (Ад) на ней O<sub>2</sub> при 174 и 200°. После каждого впуска O<sub>2</sub> при давл.  $10^{-4}$ — $10^{-2}$  мм рт. ст.  $\lambda$  растет и достигает равновесного значения. При давлении  $>10^{-2}$  мм рт. ст. изменение  $\lambda$  прекращается. При откачке  $\lambda$  снова уменьшается, но не достигает первоначального значения. Вычислены изотермы и кинетич. кривые Ад в предположении, что число адсорбированных молекул пропорционально  $\lambda^2$ . Подсчитано, что после откачки до  $10^{-5}$  мм рт. ст. ~35% поверхности еще покрыто атомами O. Ад описывается ур-нием Ленгмюра и соответствующим ему кинетич. ур-нием. Кинетич. ур-ние Зельдовича — Рогинского опытным данным не удовлетворяет. Сделан вывод, что диссоциация не является стадией, контролирующей скорость Ад, что подтверждается также измерениями магнитной восприимчивости. Полученные результаты могут служить основой для создания более строгой теории электронных переходов при хемосорбции и катализе на полупроводниках.

**6Б685.** Теплоты адсорбции и изотермы адсорбции низкокипящих газов на графоне. Pacey E. L., Siebert A. R. Heats of adsorption and adsorption isotherms for low boiling gases adsorbed on graphon. «J. Phys. Chem.», 1960, 64, № 8, 961—963 (англ.).—Изучена адсорбция (Ад) Ar, N<sub>2</sub>, Ne, ортодейтерия, параводорода и изотопа Ne вблизи их т-р кипения на саже графон с высокой однородностью поверхности. Получены также калориметрич. и изостерич. теплоты Ад для этих систем. Вычисленная по БЭТ уд. поверхность изученного образца графона варьировала от 86 до 266 м<sup>2</sup>/г в зависимости от природы газа. Кривые дифференциальных теплот Ад в функции от адсорбированного кол-ва имеют в области монослоя характерные максимумы для Ar, N<sub>2</sub>, Ne, плоские ступени — для D<sub>2</sub>, H<sub>2</sub>, значительное снижение — для He. А. Карнаухов

**6Б686.** О низкотемпературном окислении органических материалов. Леонтьев А. К., Померанцев В. В. «Ж. прикл. химии», 1960, 33, № 4, 940—946.—Самовозгорание органич. материалов обусловлено их низкотемпературным окислением, которое в свою очередь связано с адсорбцией и десорбцией (Дс) продуктов р-ции адсорбированного кислорода. Исследование процессов сорбции и Дс производилось на каменном угле, газовом угле, крахмале и свекловичном сахаре в интервале т-р 40—140°. Показано, что среди продуктов Дс основное место занимает CO<sub>2</sub>; при т-ре  $>100^\circ$  начинается Дс CO и CH<sub>4</sub>. С увеличением кол-ва поглощенного O<sub>2</sub> энергия активации сорбции O<sub>2</sub> увеличивается, а энергия активации Дс CO<sub>2</sub> — уменьшается. И. Гуревич

**6Б687.** Адсорбция на поверхности раздела растворов ионных поверхностно-активных веществ и твердых тел. Тамаки К. «Абура какаку, Yukagaku, J. Japan Oil Chemists Soc.», 1960, 9, № 6, 283—288 (японск.).

**6Б688.** Исследование процесса сорбции катионов и воды в бентонитовых глинах. II. Две фракции сорбированных катионов. Эйриш М. В. «Изв. высш. учебн. заведений. Химия и хим. технол.», 1960, 3, № 4, 657—662.—Методом кондуктометрич. титрования суспензии кислот (КБ) и бариевых (ББ) бентонитов исследуется строение двойного электрич. слоя. При титровании КБ основаниями наблюдаются 2 стадии: титрование H<sup>+</sup> диффузионного слоя и титрование Al<sup>3+</sup> в слое Штерна. Первая стадия не зависит от катиона основания, вторая — зависит; полнота титрования возрастает в лиотропном ряду. При титровании ББ сульфатами электропроводность почти не изменяется вплоть до

эквивалентной точки, что говорит о малой подвижности катионов металлов в диффузной части слоя. Сообщение I см. РЖХим, 1960, № 15, 60784.

**6Б689.** К вопросу о связи структуры минералов с их флотационными свойствами. Бакакин В. В. «Ж. структурн. химии», 1960, 4, № 2, 162—169.—Показана роль структурных представлений в решении некоторых вопросов флотационных свойств на примере ряда окисленных минералов свинца, для которых гидратированность поверхности и отношение к сернистому натрию и ксантогенату связаны с величиной некомпенсированного электростатич. заряда поверхности и с характером расположения ионов в поверхностном слое. Резюме автора

**6Б690.** Кинетика сорбции флотационных реагентов. Bogdanov O. S., Podnek A. K., Hainman V. J., Mikhailova N. S. Kinetics of flotation reagent sorption. «Preprint. Internat. Mineral Process. Congr.», (1960), № 11, 12 pp., ill. (англ.; реза. франц., нем., русск.).—Методом адсорбционной колонки с использованием радиоактивного трассирования установлено, что начальная сорбция ксантогената (К), CuSO<sub>4</sub> и др. реагентов на минералах при степени покрытия менее мономолекулярной подчиняется ур-нию Фрейндлиха. Рассматривается монообменная сорбция реагентов на минералах. При сорбции I на частично окисленном галените Pb<sup>2+</sup> связывается одной валентностью с решеткой, а другой — с I. Г. Либинсон

**6Б691.** Влияние pH на адсорбцию тридециламина на минералах. Митрофанов С. И., Кушников В. Г. «Цветн. металлы», 1960, № 10, 1—4.—Определена неравновесная адсорбция (Ад) тридециламина на пирите, галените, сфалерите, халькопирите, смитсоните, каламине, кальците, доломите, барите, магнетите, гематите, кварце и хризоколле в зависимости от pH. Максимум Ад амина для большинства минералов с различными анионами и катионами наблюдается при pH ~10; исключениями являются магнетит и хризоколла. Формы полученных изотерм Ад в зависимости от pH указывают на то, что основную роль играет Ад иона RNH<sub>3</sub><sup>+</sup>. Однако резкое возрастание Ад на большинство минералов после перелома кривых при pH 7—8 указывает на наличие коадсорбции RNH<sub>3</sub><sup>+</sup> и RNH<sub>2</sub>. Пики на адсорбционных кривых при pH ~10 наблюдаются как при мономолекулярной, так и при средней плотности адсорбционных пленок выше монослоя. Резюме авторов

**6Б692.** Сето Геттер — его химическая структура и водородно-геттерные свойства. Vucht J. H. N. van. The Ceto Getter-its chemical structure and hydrogen gettering properties. «Vacuum», 1960, 10, № 1-2, 170—177 (англ.).—Четвертичный сплав Th—Ce—La—Al, носящий название Сето, применяется в качестве неиспаряющегося геттера. При изучении тройной системы Th—Ce—Al найдено, что она обладает кристаллич. структурой типа CuAl<sub>2</sub> весьма близкой к структуре бинарного соединения Th<sub>2</sub>Al. Изучены свойства Th<sub>2</sub>Al. Сето и промежуточных соединений по отношению к H<sub>2</sub>. Структура продуктов р-ции исследована при комнатной т-ре и т-ре жидкого N<sub>2</sub> рентгенографич. и нейтронографич. методами и дополнительными измерениями ядерного магнитного резонанса. Из измерений равновесного давления H<sub>2</sub> в интервале 250—700° выведены некоторые термодинамич. характеристики, а также вычислены равновесные давления при более низких т-рах. На основе простой модели проведено кинетич. исследование процесса автокаталитич. сорбции. Р. А.

**6Б693.** О силикагеле. Kohlschütter H. W. Über Silicagel. «Chimia», 1960, 14, № 8, 285—286 (нем.).—Силикагель (СГ) рассматривается с двух точек зрения: как высокомолекулярное в-во и как высокодисперсное в-во. Рассматривается также хим. строение поверхности СГ, наличие на ней гидроксильных

групп, другим ланом. адсорб. 6Б69. гелей. разных оным «Колл. С дел номик. бы по рами ч гидрог на воз кууме исклю ного и исслед что их вичны структ объём детал у СГ. зема и индив в. СГ. Э для адсорб. 6Б69. минер ионов Влия и мет Diet leinwi fläche Methy die An «Zieg» чена каоли (БМ) мелчч личи ствие ко ум мелчч дельн Погло измен Часть 6Б69. Взаим изопр какак 1960, В инт р-ций си бе вин у хара ного сущст I, в с Эти у т-рах видич изопр зован 1961, 6Б69.

групп, и обсуждаются возможности их замещения другими хим. группами, в частности триметилхлорсиланом. Обращается внимание на роль ОН-групп при адсорбции на поверхности СГ катионов. А. Карнаухов 6Б694.

К теории корпускулярного строения ксерогелей. I. Получение силикагелей из больших глобул с разным числом касаний и их исследование адсорбционным методом. Киселев А. В., Погосян Т. А. «Коллоидн. ж.», 1960, 22, № 3, 314—322 (рез. англ.).— С целью колич. изучения адсорбционным и электрономикроскопич. методами генезиса силикагелей (СГ) был получен золь кремневой к-ты с большими размерами частиц (~300 А), а из него — гидрогель. СГ из гидрогеля получен двумя способами: обычной сушкой на воздухе (СГ1) и замораживанием гидрогеля в вакууме с последующей сублимацией воды (СГ2) (для исключения стягивающих скелет геля сил поверхностного натяжения среды). Структура обоих образцов исследовалась по адсорбции паров бензола. Найдено, что их уд. поверхность и, следовательно, размеры первичных частиц (согласно теории корпускулярной структуры СГ, РЖХим, 1955, № 6, 20890) одинаковы, а объем пор резко различен. Он больше у СГ2, что свидетельствует о более рыхлой упаковке его частиц, чем у СГ1. Сделан вывод, что первичные частицы кремнезема при переходе из гидрогеля в СГ не теряют своей индивидуальности, но могут упаковываться с различной плотностью в зависимости от условий получения СГ. Это обуславливает различие изотерм адсорбции для этих образцов на стадиях полимолекулярной адсорбции и капиллярной конденсации. А. К.

6Б695. О действии размалывания на глинистые минералы и влиянии поверхности на поглощение ионов аммония и метиленового голубого. Часть II. Влияние поверхности на поглощение ионов аммония и метиленового голубого. Bartholomä Hans-Dieter, Schwiete Hans-Ernst. Über die Mahleinwirkung auf Tonminerale und den Einfluß der Oberfläche auf die Anlagerung von Ammoniumionen und Methylenblau. II. Teil. Der Einfluß der Oberfläche auf die Anlagerung von Ammoniumionen und Methylenblau. «Ziegelindustries», 1960, 13, № 12, 421—427 (нем.).—Изучена зависимость свойств глинистых минералов — каолина из Цеттлица (КЦ), бентонита из Майбурга (БМ) и хлорита из Арендала (ХА) — от степени измельчения. Величина уд. поверхности  $S$  вначале увеличивается с измельчением КЦ, затем падает вследствие слипания частичек глины. В БМ отмечено только уменьшение  $S$  с измельчением. Параллельно с измельчением происходит повышение растворимости отдельных составных частей КЦ, БМ и ХА в р-ре HCl. Поглощение  $\text{NH}_4^+$ -ионов и метиленового голубого изменяется симбатно с изменением  $S$  для КЦ и БМ. Часть I см. РЖХим, 1961, 1Б717.

6Б696. Пористая структура активных углей. IX. Взаимодействие между углем и перекисью бензола в изопропиловом спирте. Tugizumi Akie. «Нихон катэку дайсин, J. Chem. Soc. Japan. Pure Chem. Sci.», 1960, 81, № 7, 1007—1011, A72 (японск.; рез. англ.).— В интервале 0—40° путем изучения адсорбции и хим. р-ций исследована скорость р-ции разложения перекиси бензола (I) в изопропиловом спирте в присутствии углей с различной структурой, полученных из сахара (SZ, S<sub>4</sub>, SA<sub>4</sub>) и технич. угля УГ, активированного водяным паром. Только в одном случае — в присутствии угля S<sub>4</sub> — имеет место чисто физ. адсорбция I, в остальных случаях происходит также хим. р-ция. Эти угли обладают большей уд. поверхностью, и при  $t$ -рах выше 40° I превращается в бензойную к-ту. По-видимому, угли сначала каталитически разлагают изопропиловый спирт, а затем реагируют с I с образованием бензойной к-ты. Сообщение VIII см. РЖХим, 1961, 5Б807.

И. Гуревич 6Б697. Успехи в способах разделения смесей ме-

тодами дифференциальной миграции. Mistretta A. G. Progress in fractionation procedures. Differential migration methods: 1959. «Microchem. J.», 1960, 4, № 3, 289—305 (англ.).—Обзор работ за 1959 год. Библ. 112 назв.

6Б698. Теория и экспериментальная проверка роли различных факторов в газовой хроматографии. Туркельтауб Н. М., Жуховицкий А. А. В сб. «Хроматография, ее теория и применение». М., АН СССР, 1960, 291—299.—Пользуясь предложенными ранее (РЖХим, 1958, № 7, 20818) критериями разделения, связывающими разделительную способность колонки с расстоянием между максимумами пиков на хроматограмме и шириной пиков  $\mu$ , авторы исследовали влияние различных факторов на разделение. При выборе адсорбента главную роль играет разность теплот адсорбции компонентов. Исследование влияния природы газа-носителя ( $\text{H}_2$ ,  $\text{CO}_2$ , воздух) на разделение смеси  $\text{He} - \text{CO} - \text{CH}_4$  на угле показывает, что, в соответствии с теорией, зависимость  $\mu$  от мол. веса газа-носителя различна при разной линейной скорости потока  $\alpha$ . Исследовано влияние  $\alpha$  на  $\mu$  для этана при различном зернении силикагеля, влияние длины слоя сорбента ( $L$ ) на разделение и роль детектора. Рассмотрены особенности газожидкостной хроматографии, где, кроме природы неподвижной фазы и твердого носителя, важную роль играет соотношение между их кол-вами, имеющее оптимальное значение для каждой пары  $\rho$ -ритель — носитель, и соотношение между  $L$  и диаметром колонки. Исследована зависимость  $\mu \sqrt{L}$  от  $\alpha$  при различном сечении колонки. График показывает наличие трех областей, соответствующих молекулярной диффузии, гидродинамич. перемешиванию и внешедиффузионной кинетике.  $\mu \sqrt{L}$  не зависит от сечения в пределах 0,11—0,71 см<sup>2</sup>.

Б. Анвар 6Б699. Противоточный электрофорез на бумаге. IV. Определение пористости и коэффициента извилистости хроматографических бумаг. V. Геометрическое строение хроматографической бумаги. Gegenstromelektrophorese auf Papier. IV. Vacik J., Cabicar J. Bestimmung der Porosität und des Tortuositätskoeffizienten von Chromatographiepapieren. V. Vacik J., Grubner O., Dvorak J. Geometrische Struktur von chromatographischem Papier. «Collect. Czechosl. Chem. Commun.», 1960, 25, № 2, 404—409; № 3, 625—635 (нем.; рез. русск.).—IV. Разработан новый метод определения пористости влажной хроматографич. бумаги по кинетике испарения воды из бумаги. Для измерения электропроводности бумаги разработан метод определения электропроводности пористой среды наполненной р-ром электролита. Расчет коэф. извилистости проведен комбинированием обоих методов.

V. У нескольких сортов хроматографич. бумаги исследованы структурные параметры, а именно пористость, коэф. извилистости, уд. поверхность, уд. проницаемость и величина пор. Геометрич. строение бумаги как пористого носителя исчерпывающе характеризуется этими параметрами. Для их определения авторы использовали метод протекания, гравиметрич. и кондуктометрич. методы. Сообщение III см. РЖХим, 1957, № 1, 595.

V. Knesslová 6Б700. Методы электромиграции. II. Связь между строением производных антрахинона и их подвижностью при электрофорезе на бумаге. III. Подвижность некоторых азокрасителей I- и  $\gamma$ -кислот. Franc J., Wurst M. Elektromigrationsmethoden. II. Beziehung zwischen der Struktur der Anthrachinonderivate und ihrer Beweglichkeit bei der Papierelektrophorese. III. Beweglichkeit einiger Azofarbstoffe der I- und  $\gamma$ -Säure. «Collect. Czechosl. Chem. Commun.», 1960, 25, № 3, 657—662, 663—667 (нем.; рез. русск.).—II. Описанным в предыдущем сообщении (РЖХим, 1959, № 18, 63879) методом изучено влияние пространственного располо-





См. также: Адсорбция 6Б450, 6Б565, 6Б622, 6К120, 6К121, 6М4, 6М28, 6М209, 6М213, 6П458. Поверхностное натяжение, смачивание 6П522. Исследование поверхностей 6Б556, 6Р69. Хроматография 6Б347, 6Д47, 6Д48, 6Д52, 6Д54, 6Д56, 6Д57, 6Д128, 6Д166, 6Д193, 6Д199, 6Д200, 6Д202—6Д206, 6Д208, 6Д209, 6Д212, 6Д217—6Д219, 6Д229, 6Д230, 6Д232, 6Д233, 6Д234, 6Е58—6Е65, 6Е67, 6И314, 6Л5, 6Л308, 6Л312, 6М14, 6М270, 6С12, 6С25. Электрофорез 6Д25, 6Е68, 6С17, 6С31, 6С83, 6С84. Монослой 6С133. Ионный обмен 6Д424, 6Д50, 6Д54, 6К36, 6Л439, 6С35, 6П84, 6П192, 6П193—6П198

## ХИМИЯ КОЛЛОИДОВ. ДИСПЕРСНЫЕ СИСТЕМЫ

Редактор Н. А. Фукс

6Б709. Исследование свойств торфа и процессов, в нем протекающих, при помощи радиоактивных изотопов. Волярович М. П. «Коллоиды. ж.», 1960, 22, № 5, 524—534 (рез. англ.).—Обзор работ лаборатории автора. Библ. 59 назв.

6Б710. Метод приготовления коллоидного  $Au^{198}$ . Del Turco A. M., Pietra R. Su un metodo di preparazione di  $Au^{198}$  colloidale. «Minerva nucl.», 1960, 4, № 7-8, 189—193 (итал.; рез. англ.).—Для приготовления колл. р-ра  $Au^{198}$  с активностью 1 мк/мг р-р  $H_2AuCl_4$  (содержащий 300 мг  $Au^{198}$ ) в 30 мл бидистиллята восстанавливают р-ром 16,8 г глюкозы в 30 мл воды и 12 мл 20%-ной желатины, к которому за 10 мин. до операции прибавлено 3 мл 5 н. NaOH. Полученный зародышевый р-р содержит частицы размером 40—50 Å. К новой тождественной порции р-ра  $H_2AuCl_4$  добавляют 1 н. р-р соды до pH 9, фильтруют и в течение 20 мин. вливают его в р-р 12 мл 20%-ного р-ра желатины, 0,5 мл зародышевого р-ра и 26 мл бидистиллята при 80°; размер частиц золя  $250 \pm 50$  Å. В. Шеккин

6Б711. Определение диаметра частиц микродисперсной фазы посредством ступенчатой автоматической записи изменения веса. Kassner B. Die Bestimmung von Korndurchmessern mikroskopisch-disperser Phasen durch stufenweise automatische Aufzeichnung von Gewichtsänderungen. «Glas-Instrum.-Techn.», 1960, 4, № 7, 274—280 (нем.).—Приведены физ. и математич. основы расчета распределения размеров частиц по экспериментально определенным седиментационным кривым (СК). Описано устройство седиментационных весов для автоматич. определения СК. Рассмотрены важнейшие возможные случаи распределения размеров частиц в дисперсных системах. В. Шокин

6Б712. Однотрубный аппарат для измерения распределения частиц по размеру. Kobak J., Loveridge D. J. Single tube sedimentation apparatus for the measurement of particle size distribution. «J. Scient. Instrum.», 1960, 37, № 8, 266—269 (англ.).—Описан однотрубный седиментометр (ОТС) для определения распределения частиц по размеру в суспензиях с кон-лей твердой фазы  $\leq 0,05$  вес.%. Экспериментально показано, что при достаточно точном изготовлении ОТС результаты измерений в разных экземплярах ОТС совпадают. Данные, полученные на ОТС и другими методами, удовлетворительно согласуются между собой. Ф. Мурашкиевич

6Б713. Различие между электропроводностью анионных и катионных поверхностно-активных веществ. Kondo Tamotsu, Meguro Kenjiro. «Нихон кагаку дзасси. J. Chem. Soc. Japan. Pure Chem. Sci.», 1960, 81, № 7, 1047—1049, А74 (японск.; рез. англ.).—При величине их электропроводности  $\lambda$  ниже и выше крит. кон-ции мицеллообразования, анионактивные в-ва с различными противоионами располагаются в одинаковом порядке, катионактивные — в обратном порядке. Это можно объяснить, если принять во внимание подвижность и кол-во противоионов, фиксированных

на поверхности мицеллы. Определение кол-ва фиксированных ионов произведено с учетом взаимодействия между ионами мицеллы и диполями, индуцированными ими в противоионах, и кулоновых сил. Найдено, что в случае катионактивных в-в нельзя пренебрегать взаимодействием между ионами мицеллы и диполями (вследствие большой поляризуемости, противоионов) и что кол-во закрепленных противоионов увеличивается с усилением взаимодействия между ионом и диполем. Отсюда сделан вывод, что  $\lambda$  анионактивных в-в с одним и тем же поверхностно-активным ионом определяется главным образом подвижностью противоионов, а  $\lambda$  катионактивных в-в — кол-вом противоионов, не связанных с мицеллой.

Резюме авторов  
6Б714. Зависимость флотиремости антимонита от величины дзета-потенциала. Дерягин Б. В., Шукатидзе Н. Д. «Докл. АН СССР», 1960, 134, № 2, 376—379.—Рассмотрен вопрос о прорыве смачивающей пленки при «элементарном акте» флотации — прилипании минер. частицы к пузырьку воздуха. Объяснение такого прилипания дается на основе теории гетерокоагуляции в р-рах электролитов (РЖХим, 1955, № 19, 42730). Сила отталкивания  $P$ , препятствующая утоньшению пленки толщиной  $h$ , складывается из электростатич. и ван-дер-ваальсовой слагающей. Положив  $P = 0$  и  $dP/dh = 0$ , авторы получают ур-ние для нахождения величины  $h$ , при которой исчезает силовой барьер, т. е. происходит беспрепятственная флотиримость. Для достаточно разб. р-ров электролитов и малых значений потенциала поверхности выведен критерий флотиремости:  $m = aD\xi^2/A < C$ , где  $d$  — толщина ионной атмосферы,  $D$  — диэлектрич. проницаемость воды,  $A \approx 3 \cdot 10^{-13}$  эрг,  $C \approx 3$ . Этот критерий позволяет определить значение  $\xi$ -потенциала частиц данного материала, при котором возможно его наиболее полное извлечение. Экспериментально исследовалась флотиримость антимонита крупностью 0,15—0,043 мм в среде с pH 3—9 с  $n$ -гексильным спиртом в качестве пенообразователя. pH сильно влияет на величину и на флотиримость, вспениватель же почти не влияет на  $\xi$ . Показано, что при  $m < 3$  извлечение в согласии с теорией превышает 90%, а при  $m > 3$  — 4 сильно падает. С. Баканов

6Б715. О механизмах действия нейтральных электролитов на связь частиц в коагуляционной структуре. Фукс Г. И. «Докл. АН СССР», 1960, 132, № 1, 164—167.—Исследовано влияние электролитов на элементарный акт взаимодействия частиц. С этой целью применялась разработанная ранее методика (РЖХим, 1959, № 5, 14814; № 12, 41785; 1960, № 20, 80448). В приборе с дисками расстояние между поверхностями менялось от 3—5 до 0,02 м, контактное давление  $P$  — от 0,04 до 10 кг/см<sup>2</sup>, в трибометре  $P$  было 50—550 кг/мм<sup>2</sup>. Результаты опытов показывают, что кинетич. связь плоских частиц, выраженная временем их отлипания, существенно зависит от состава окружающего их р-ра, определяющего и толщину остаточного слоя  $h$  (мин.), т. е. зазор между поверхностями, устанавливающийся при заданном не слишком большом  $P$ .  $h$  (мин.) определяется кон-цией р-ра  $C$ , числом зарядов противоионов и их радиусом. С повышением  $P$  и, соответственно, убыванием  $h$  роль радиусов ионов уменьшается, а при высоких  $C$  уменьшается и влияние числа зарядов ионов. Сопротивление утоньшению остаточного слоя с ростом  $C$  до 5—10 мг-экв/л растет, а затем почти не меняется. Результаты измерения силы отталкивания, препятствующей сближению поверхностей, совпадают с теорией при  $C$  8—10 мг-экв/л. Изменение трения в зависимости от состава р-ра не соответствует выражению для силы отталкивания диффузных слоев, и коэф. трения определяется числом зарядов противоионов, что, по мнению автора, свидетельствует о механизме действия ионов, не связанном с зарядом поверхности. С. Баканов

6Б716. Процесс очистки золя гидроокиси железа смешанными понитами. Sierocka Michalina, Rutkówna Elżbieta. Przebieg oczyszczania zolu uwodnionego tlenku żelazowego na jonitach mieszanym. «Росп. chem.», 1960, 34, № 2, 697—706 (польск.; рез. русск., англ.).—Исследована очистка свежеприготовленного гидролизом  $\text{FeCl}_3$  золя гидроокиси Fe с помощью смешанных понитов. Ход очистки, производившейся динамик. способом, контролировался измерением pH и уд. электропроводности золя до и после очистки. В алюате определялось содержание железа и  $\text{Cl}^-$ . Применение смешанных понитов препятствует коагуляции золя в колонке. Изменение соотношения анионита и катионита в смеси не влияет заметно, а увеличение высоты колонки ускоряет очистку. Рекомендуется применять слабоосновной анионит в смеси с любым катионитом. Наилучшие результаты получены для смеси (1:1) анионита Леватит-МН с катионитом Имак С-12. При очистке золя ионы  $\text{Cl}^-$  адсорбируются быстрее, чем ионы  $\text{Fe}^{3+}$ .

Г. Васильев  
6Б717. Определение размера частиц по светорассеянию. Номограммы для определения размера стержневидных частиц. Слоним И. Я. «Оптика и спектроскопия», 1960, 9, № 2, 244—247.—Построены номограммы для расчета длины  $L$  и толщины  $d$  стержневидных частиц по светорассеянию их суспензий. Для определения  $L$  и  $d$  по измерениям в проходящем свете требуется знать величину мутности при двух длинах волн  $\lambda$ ; для расчета размера частиц по измерениям в рассеянном свете нужно измерить интенсивность рассеяния под углом  $90^\circ$  и отношение интенсивностей рассеяния под углами  $45^\circ$  и  $135^\circ$  к падающему пучку. Пределы шкал номограмм  $L$  500—6000 Å,  $d$  4—400 Å,  $\lambda$  3000—8000, относительный показатель преломления 1,10—1,50.

И. Слоним  
6Б718. Некоторые свойства катионных поверхностно-активных веществ, полученных из высших глицидиловых эфиров. Kuwamura Tsunehiko. «Korē kagaku zasshi, Kogyo kagaku zasshi, J. Chem. Soc. Japan. Industr. Chem. Sec.», 1960, 63, № 6, 980—983, A 53—A 54 (японск.; рез. англ.).—Методом цветного индикатора определена критич. конц-ия мицеллообразования  $C(\text{кр.})$  ряда новых катионных соединений  $\text{ROCH}_2\text{—CH}(\text{OH})\text{—CH}_2\text{—N}^+(\text{R}')\text{X}^-$  (I), полученных из глицидиловых эфиров и стандартных катионных соединений  $\text{RN}^+(\text{R}')_2\text{X}^-$  (II).  $C(\text{кр.})$  I почти эквивалентна  $C(\text{кр.})$  II, содержащего в прямой цепи (R) на 2—3 больше метиленовых групп;  $\lg C(\text{кр.})$  I — линейная функция числа углеродов в алкильной группе I. ИК-спектр твердого или растворенного I показывает, что OH-группа образует сильную интермолекулярную водородную связь типа А. На основе этих данных сделано предположение, что соединительный ра-



дикал в I из-за внутренней компенсации ее полярности проявляет себя не как гидрофильная, а как липофильная группа, эквивалентная ди- или триметиленовой цепи.

Резюме автора

6Б719. Соотношение между диспергирующей способностью водных растворов ряда неионогенных поверхностно-активных веществ в отношении порошка карбоната кальция и гидрофильно-липофильное равновесие этих веществ. Matsumura Tetsuo, Iwasaki Koichiro. «Korē kagaku zasshi, Kogyo kagaku zasshi, J. Chem. Soc. Japan. Industr. Chem. Sec.», 1960, 63, № 6, 970—973, A 53 (японск.; рез. англ.).—На основе данных по распределению размеров суспендированных частиц произведена оценка диспергирующей способности водн. р-ров ряда неионогенных ПАВ по отношению к порошку  $\text{CaCO}_3$ . Между диспергирующей

способностью и гидрофильными свойствами ПАВ найдены следующие соотношения. ПАВ, отличающиеся высокой диспергирующей способностью, обладают умеренными гидрофильными свойствами. Значения гидрофильно-липофильного равновесия (ГЛР) этих ПАВ укладываются в интервал 9—14, а процентное содержание гидрофильных групп в них находится в интервале 45—70%. По диспергирующей способности эти ПАВ могут быть приравнены к пирофосфату Na. ПАВ, обладающие сильными гидрофильными свойствами, характеризуются слабой диспергирующей способностью. Значения ГЛР у них превышают 15, а процентное содержание гидрофильных групп > 75%.

Резюме авторов

6Б720. Структура и старение гелей желатины. Theimer Walter. Struktur und Alterung von Galatine-Gelen. «Z. Naturforsch.», 1960, 15b, № 6, 346—350 (нем.).—Структура гелей желатины (с начальной конц-ией  $C$  1—8%) и ее изменение при старении исследовались с помощью электронного микроскопа. Гели имеют сетчатую структуру, плотность которой увеличивается при возрастании  $C$  и старении гелей, протекающем за 10 суток. Расстояния между фибриллами (Ф), образующими сетку, велики по сравнению с их диаметром  $d$ , равным 40—160 Å. В свежеприготовленных гелях преобладают Ф с  $d$  100 Å, при старении же наблюдается увеличение содержания Ф с меньшим  $d$ . Эти результаты противоречат «гистерезисной теории» старения, согласно которой при старении происходит объединение Ф, приводящее к образованию Ф с большим  $d$ . На основе полученных данных предложен механизм старения, заключающийся в постепенном переходе золя желатины, находящегося в ячейках сетчатой структуры, в состояние геля.

Г. Васильев

6Б721. Исследование взаимодействий между частицами и средой в суспензиях. Haddad-Louis W. A., Lemberger A. P. An investigation of particle-medium interactions in suspensions. «J. Amer. Pharm. Assoc. Scient. Ed.», 1960, 49, № 7, 463—466 (англ.).—На реометре Драга исследованы реологич. свойства ньютоновских и неньютоновских суспензий (Сп) стеклянных шариков в 10—80%-ных р-рах метилцеллюлозы и других жидкостей. Обработка результатов велась при помощи ур-ния Робинсона  $\eta_{sp} = KV(1 - S'V)$  (РКХХМ, 1958, № 9, 28123), где  $\eta_{sp}$  — уд. вязкость Сп,  $V$  — объемная конц-ия твердой фазы,  $S'$  — относительный седиментационный объем,  $K$  — коэф. трения частиц, связанных с шероховатостью их поверхности, их формой, наличием или отсутствием слоя жидкости вокруг частиц и др. Установлено, что  $K$  и  $S'$  существенно не изменяются для различных Сп и не зависят от плотности и вязкости жидкой фазы. В то же время эмпирич. ф-ла Оливера для вязкости Сп при условии  $k_1 = 0$  может приводиться к виду ур-ния Робинсона, поэтому делается вывод, что параметры  $K$  и  $S'$  в ур-нии Робинсона имеют физ. смысл. У. Андреас

6Б722. Развитие импульсной теории вязкости Гудина применительно к псевдопластичным системам. Gillespie Thomas. An extension of Goodeve's impulse theory of viscosity to pseudoplastic systems. «J. Colloid Sci.», 1960, 15, № 3, 219—231 (англ.).—Сделана попытка объяснить результаты реологич. исследований полистиролового латекса в 0,15%-ном р-ре метилцеллюлозы, представляющего собой псевдопластич. систему, на основе импульсной гипотезы Гудина, рассматривающей реологич. явления в дисперсных системах с точки зрения возникновения и разрушения связей между частицами. Экспериментально определены константы скорости флокуляции и дефлокуляции латексов. Ур-ние, выведенное из анализа элементарного акта взаимодействия двух частиц латекса, покрытых пленкой метилцеллюлозы, согласуется с эксперим. данными.

У. Андреас

6Б723. ной магн art P., S havior of Scient. E метре Др реологич. зий магн течения и ности во фиками д Установл следовани му возвр кой тип д сорпные тродности 6Б724. рам и об ванных г Munga distribut fractionat 1959, 11, шем рео (Сп) при гелей Na Установл сти части части, п сти Сп н этой фраз прочност

6Б725. рам и к Keith C ticle size smoke by 340—356 распреде (ПД) с и шия, при получении конфигу с  $d = 0,03$  ставляет стие коэ ского. Ра одностипн максимум с с поз табака и прошедш частиц с 6Б726. Тивдала sum p. M tyndall s № 4, 287 шивается частиц г жения 0 высшего автором с теории (в  $\mu$ ), со отклонен  $\theta$  (в гра для люб няя кром 6Б727. гразиени phens i



**6Б723.** Антитиксотропное поведение магнезиальной магмы. Chong Clifford W., Eriksen Stuart P., Swintosky Joseph V. *Antithixotropic behavior of magnesia magma*. «J. Amer. Pharm. Assoc. Sci. Ed.», 1960, 49, № 8, 547—552 (англ.).—На реометре Драга и вискозиметре Штормера исследованы реологич. свойства и тиксотропное поведение суспензий магнезиальной магмы в воде. Полученные кривые течения и тиксотропного изменения сдвиговой прочности во времени сопоставлялись с аналогичными графиками для геля гидроксидов Al и висмутитовой магмы. Установлено необычное тиксотропное поведение исследованных систем, сводящееся к самопроизвольному возврату из состояния геля к состоянию золя. Такой тип дисперсных систем назван авторами антитиксотропными, т. е. обладающим отрицательной тиксотропностью. У. Андрес

**6Б724.** Влияние распределения частиц по размерам и обменного катиона на свойства фракционированных гелей бентонитовых суспензий. Jensen F. W., Mungan Nesmettin. The effect of particle size distribution and exchange cation on gel properties of fractionated bentonite suspensions. «J. Petrol. Technol.», 1959, 11, № 12, 74—75 (англ.).—В связи с исследованием реологич. свойств глинистых буровых суспензий (Сп) проведены измерения пластич. вязкости водн. гелей Na-монтмориллонита с частицами 40—0,0025  $\mu$ . Установлено, что произведение суммарной поверхности частиц на вязкость геля, образованного из этих частиц, пропорционально сумме произведений вязкости Сп каждой фракции на суммарную поверхность этой фракции. Существенное влияние на вязкость и прочность гелей оказывает наличие ионов  $Ca^{2+}$  и  $Na^{+}$ . У. Андрес

**6Б725.** Измерение распределения частиц по размерам и концентрации папирозного дыма конифу.ой. Keith C. H., Derrick J. C. Measurement of the particle size distribution and concentration of cigarette smoke by the «Conifuge». «J. Colloid Sci.», 1960, 15, № 4, 340—356 (англ.).—Измерена конция и исследовано распределение размеров  $d$ -частиц папирозного дыма (ПД) с помощью конифу.и. Приведена ее конструкция, принцип работы, методика калибровки, методика получения препарата и его обработки. Конструкция конифу.и позволяет эффективно собирать частицы ПД с  $d = 0,05$ —40  $\mu$ . Начальная исходная конция ПД составляет  $\sim 3 \cdot 10^3$  см<sup>3</sup> и уменьшается во времени вследствие коагуляции в соответствии с ур-нием Смолуховского. Распределение  $d$  успешно воспроизводится для однотипных папироз и лежит в интервале 0,1—1  $\mu$  с максимумом между 0,2—0,25  $\mu$ . Распределение меняется с возрастом ПД и при фильтрации его через слой табака или табачный фильтр. Распределение в ПД, не прошедшем слой табака, сдвинуто в сторону мелких частиц с максимумом при 0,15  $\mu$ . В. Шокни

**6Б726.** Измерение величины частиц по спектрам Тиндаля высшего порядка ( $\theta$ -методом). Kitani Sumu. Measurement of particles sizes by higher order tyndall spectra ( $\theta$ , method). «J. Colloid Sci.», 1960, 15, № 4, 287—293 (англ.).—С теоретич. точки зрения оценивается возможность определения среднего размера частиц  $\bar{r}$  в аэрозоле путем измерения углового положения  $\theta$  первой красной линии в спектрах Тиндаля высшего порядка. Сопоставлением полученных ранее автором (РЖХим, 1958, № 7, 20851) эксперим. данных с теорией показано, что  $\bar{r}$  монодисперсного аэрозоля (в  $\mu$ ), состоящего из сферич. частиц, со стандартным отклонением не более 0,12  $\mu$  может быть вычислен по  $\theta_1$  (в градусах) из ур-ния  $\lg(\theta_1/40) + 1,43 \lg(10\bar{r}) = 1,43$  для любых значений относительного коэф. преломления  $k$  кроме 2,0. В. Шокни

**6Б727.** Образование аэрозолей из газообразных загрязнений воздуха. Prager Manfred J., Stephens Edgar R., Scott William E. Aerosol for-

mation from gaseous air pollutants. «Industr. and Engng Chem.», 1960, 52, № 6, 521—524 (англ.).—Для изучения механизма образования раздражающего тумана в Лос-Анжелесе исследовано титаллиметрия. методом образование аэрозоля в камере из смесей  $NO_2$  с различными газообразными углеводородами (иногда в присутствии  $SO_2$ ) при освещении камеры ртутной лампой. В отсутствие  $SO_2$  все испытывавшиеся углеводороды, за исключением циклических и диолефинов, почти не образуют аэрозолей. При добавлении  $SO_2$  все типы углеводородов за короткий период облучения образуют устойчивые аэрозоли. Ю. Скоренский

**6Б728.** Применение паутины в аэрозольных исследованиях. Cogswell Richard V., Lewis Helen M., Kracke Robert D. Use of spider silk in aerosol research. «Amer. Industr. Hyg. Assoc. J.», 1960, 24, № 3, 263—264 (англ.).—Описан метод изучения различных свойств капелек жидкостей (напр., скорости испарения) путем подвешивания их на паутинках diam. <0,2  $\mu$ . В. Шокни

**6Б729.** Изучение рассеяния дыма йодистого серебра в замкнутом сосуде. Жигаловская Т. Н., Балабанова В. Н. «Изв. АН СССР. Сер. геофиз.», 1960, № 6, 903—905.—Измерено осаждение дыма  $AgI$  на стенках вертикальной цилиндрич. камеры емк. 13 м<sup>3</sup> при наличии направленного вверх температурного градиента  $\sim 0,5$  град/м. Плотность осадка на вертикальных и горизонтальных стенках — одного порядка величины. В теоретич. расчете осаждения принималось, что диффузия аэрозоля к стенкам осуществляется за счет «местной» турбулентности и что перемешивания всего объема воздуха в камере не происходит, т. е. использована классич. теория диффузии с формальной заменой  $D$  (мол.) на  $D$  (турб.). Для  $D$  (турб.) получено значение  $1,1 \cdot 10^{-2}$  см<sup>2</sup>/сек. Н. Фуко

**6Б730.** Испускание химически активных частиц при окислении алюминия. Ген М. Я., Петров Ю. Н. «Докл. АН СССР», 1960, 133, № 6, 1361—1363.—Описан эффект почернения рентгеновской пленки при контактировании ее в атмосферных условиях со свежеприготовленной в вакууме поверхностью Al (осадком аэрозоля Al). Авторы показали, что этот эффект обусловлен хим. действием весьма активного агента (возможно озона), выделяемого при окислении Al. Н. Борнсов

**6Б731.** Сдувание осажденной пыли. Bagnold R. A. The re-entrainment of settled dusts. «Internat. J. Air Pollut.», 1960, 2, № 4, 357—363 (англ.).—Сдувание зависит от ряда факторов, связанных как с составом и структурой осадка, так и характером сдуваемого потока. Показано, что при установившемся режиме потока процесс сдувания можно характеризовать градиентом скорости течения ( $\Gamma$ ). Значение  $\Gamma$ , при котором начинается сдувание, убывает с уменьшением размера частиц  $d$ , проходя через минимум при  $d \sim 100 \mu$ . Последующее увеличение крит. значения  $\Gamma$  с уменьшением  $d$  обусловлено вязким характером потока и возрастающими силами когезии. Сдувание более тонких порошков может, однако, происходить при баллистич. ударе частиц с  $d > 100 \mu$  о поверхность осадка или при наличии неровностей на этой поверхности. Ф. Мурашкивич

**6Б732.** О распределении размеров капель, полученных диспергированием. Steidl H., Vlček J. Zur Frage der Verteilung der charakteristischen Dimension dispergierter Tropfen. «Collect. Czechosl. Chem. Commun.», 1960, 25, № 1, 291—293 (нем.; рез. русск.).—Проведена эксперим. проверка высказанного авторами предположения, что при диспергировании жидкости в жидкости путем механич. перемешивания схема распада диспергируемой жидкости аналогична с предложенной Колмогоровым для процесса измельчения твердых тел. В этом случае кривая распределения диаметров капель эмульсии должна подчиняться логарифмически нормальному закону (если не имеет места какой-либо вто-

ричный процесс). Чтобы избежать искажений, связанных со взятием пробы, проверка производилась на эмульсиях, капли которых удавалось переводить путем конденсации в твердое состояние, не нарушая при этом характера распределения размеров. Полученная на основании микроскопич. измерений кривая распределения почти совпадает с теоретической. И. Гуревич 6Б733. Аномальное поведение аэрозоля, полученного распылением монодисперсного полистирольного латекса. Langer G., Lieberman A. Anomalous behavior of aerosol produced by atomization of monodisperse polystyrene latex. «J. Colloid Sci.», 1960, 15, № 4, 357—360 (англ.).—При изучении распределения размеров аэрозольных частиц, полученных путем распыления монодисперсного полистирольного латекса, обнаружена значительная полидисперсность частиц. Причиной этого является содержащийся в латексе стабилизатор, образующий весьма прочное соединение с водой, разрушаемое лишь нагреванием до  $\sim 350^\circ$ ; но при этом происходит также частичное разложение полистирола. В. Шокин

6Б734. Сила, действующая на малую аэрозольную частицу (большие числа Кнудсена) в поле температур при бесконечно малом градиенте температуры. Hughes William H. Thermal force on particulate material at high Knudsen numbers in the absence of a thermal gradient. «J. Colloid Sci.», 1960, 15, № 4, 307—312 (англ.).—Рассмотрена задача о движении абсолютно черной сферы. частицы с радиусом  $r \ll \lambda$  (длины пробега газовых молекул) между двумя бесконечными плоскостями, имеющими разную т-ру. Предполагается, что теплопроводность материала частицы много меньше теплопроводности окружающего газа и что зоны поверхности частицы находятся в тепловом равновесии с плоскостями и имеют таким образом разную т-ру. Молекулы газа, испаряясь с поверхности частицы после удара и адсорбции, передают частице им-

пульс отдачи, неодинаковый для обеих полусфер. Зависимость плотности газа от т-ры не учитывается, т.е. принимается, что градиент т-ры пренебрежимо мал и изменение т-ры в газе на расстоянии  $2r$  равно нулю. Обычным методом проведен приближенный расчет результирующей силы воздействия окружающих газовых молекул на частицу. Приравнявая ее силе сопротивления, автор находит скорость движения частицы в таком тепловом поле. При сделанных предположениях эта скорость не зависит от размера частицы, давления и т-ры газа, а лишь от его состава и т-ры плоскостей. С. Баканов

6Б735. Исследование активности ядер конденсации различной природы. Михельсон М. Л. «Коллоидн. ж.», 1960, 22, № 4, 423—428 (рез. англ.).—Путем сравнения характера протекания объемной конденсации на ядрах конденсации (ЯК) размером 0,1—1 м, состоящих из железорудной смачиваемой пыли, плохо смачиваемой угольной пыли и частиц табачного дыма в диффузионной конденсационной камере поточного типа, была исследована их активность. Теоретически показано, что при наличии в воздухе ЯК различной активности, при достаточной концентрации активной компоненты, происходит избирательная конденсация на ней. Степень активности ЯК убывает в порядке: рудничная пыль — угольная пыль — дымовые частицы — атмосферные ядра. Определение доли активных ЯК проводилось путем сравнительного подсчета в ультрамикроскопе числа укрупненных частиц. Для предотвращения конденсации на атмосферных ЯК в длинноканальной разнотемпературной конденсационной камере (РЖХИМ, 1956, № 12, 38367) достаточно концентрация пыли  $\geq 10^4 \text{ см}^{-3}$ . В. Шокин

См. также раздел Химия высокомолекулярных соединений и рефераты: Дисперсионные системы жидкостей 6И29. Эмульсии 6П103

## В. НЕОРГАНИЧЕСКАЯ ХИМИЯ. КОМПЛЕКСНЫЕ СОЕДИНЕНИЯ

Редактор А. Б. Нейдинг

6Б1. Редкоземельные элементы и возможности их получения. Рябчиков Д. И., Скляренко Ю. С. В сб. «Редк. металлы и сплавы». М., Металлургиздат, 1960, 171—179.—Обзор. Библ. 32 назв.

6Б2. Новый способ выделения лантана из смеси редкоземельных элементов. Hubicki Włodzimierz, Wiściek Kazimierz, Wysocka Janina. Nowa metoda wydzielenia lantanu z mieszaniny pierwiastków ziem rzadkich. «Przem. chem.», 1960, 39, № 8, 507—509 (польск.; рез. русск., англ.).—Предложен простой способ выделения La из смеси редкоземельных элементов, заключающийся в последовательном вытравливании р-ром  $\text{NH}_4\text{NO}_3$  свободных от окиси Ce лантанидов. Уже третье вытравливание дает  $\text{La}_2\text{O}_3$  99%-ной чистоты. Повторение процесса вытравливания оставшихся окислов ведет к более полному выделению La. Резюме авторов

6Б3. Новые исследования по химии протактиния. Михайлов В. А. Успехи химии, 1960, 29, № 7, 882—893.—Обзор. Библ. 97 назв.

6Б4. К вопросу о получении серы высокой чистоты. Пашковский М. В., Лудів Р. В., Савицкий И. В. До питання про одержання сірки високої чистоти. «Укр. фіз. ж.», 1960, 5, № 3, 418—420 (укр.; рез. русск.).—Описана методика очистки технич. S с помощью вакуумной дистилляции с последующей зонной плавкой. Резюме авторов

6Б5. Очистка теллура. Forner Hans-Gert. Reinigung von Tellur. «Wiss. Z. Martin-Luther-Univ. Hal-

le — Wittenberg. Math.-naturwiss. Reihe», 1959, 8, № 45, 727—729 (нем.).—Для получения чистого Te использовано термич. разложение  $\text{H}_2\text{Te}$ , образующегося при электролизе Te. Электролиз производился в 15%-ном р-ре  $\text{H}_2\text{SO}_4$  при  $0^\circ$  в U-образном сосуде с Pt-анодом и катодом из Te, наплавленного на Pt-проволоку. Выделяющийся  $\text{H}_2\text{Te}$  в смеси с  $\text{H}_2$  пропусклся через вертикальную кварцевую трубку с внешним обогревом. Образующийся при  $400\text{—}410^\circ$  Te ссыпался со стенок трубки в приемник в виде мелкокристаллич. порошка. Выход 30%. Конц-ия носителей тока в полученном продукте  $4 \cdot 10^{15} \text{ см}^{-3}$ . В. Росоловский

6Б6. Синтез и изучение свойств динпергидрата перекиси лития. Макаров С. З., Добрынина Т. А. «Изв. АН СССР. Отд. хим. н.», 1960, № 8, 1321—1324.—Динпергидрат перекиси лития  $\text{Li}_2\text{O}_2 \cdot 2\text{H}_2\text{O}_2$  может быть получен действием конц.  $\text{H}_2\text{O}_2$  на  $\text{Li}_2\text{O} \cdot \text{H}_2\text{O} \cdot 2\text{H}_2\text{O}$  при пониженных т-рах. Препараты  $\text{Li}_2\text{O}_2 \cdot 2\text{H}_2\text{O}_2$  стабильны только в том случае, если они полностью освобождены от маточного р-ра. Удаление маточного р-ра из препаратов  $\text{Li}_2\text{O}_2 \cdot 2\text{H}_2\text{O}_2$  может быть проведено в вакууме при пониженной т-ре. Индивидуальность соединения  $\text{Li}_2\text{O}_2 \cdot 2\text{H}_2\text{O}_2$  подтверждена методами дифференциального термич. и качеств. рентгенофазового анализа. Резюме авторов

6Б7. Изыскание путей получения гидрометалликата натрия с пятью молекулами воды. Манвелян М. Г., Бабаян Г. Г., Едоян Р. С., Восканян

С. С. «Анн. хим. физ.», 1960, 13, 17 мм рт.ст., 50°, духа, рап. кристалл. условия. Из р. 6Б8.

ди. Del microcris 1, 74, № 1, полученн SnCl<sub>2</sub> ил. позволяя I получе глюкозой CuSO<sub>4</sub>, 5 ем II до зультат Ш и 5 г р-ра II, медленн Na<sub>2</sub>B<sub>4</sub>O<sub>7</sub> до тех цвета; д отфильт раз пром выход 9 6Б9.

алюминий, 19 Ga при шего Al. является (галлия достиже ления G основе карбона не мене вия кар 6Б10. моносу: ска я Предло: вакуум: дин (1-: 1500—4: бавкой (1700°) л: тиркой: хометр: 6Б11.

да неос: со н о Иссед: ния ге: ных об: свойст: с элект: 6Б12.

ме Ti: Kiich: сл, Ко: Chem. (англ.): различ: сел Ti:

С. С. «Айканан ССР Гитутюннери Академиаи тегека-гир. Камиканан гитутюннер, Изв. АН АрмССР. Хим. н.», 1960, 13, № 2-3, 111-116 (рез. арм.).—Изучен процесс обезвоживания  $\text{Na}_2\text{SiO}_3 \cdot 9\text{H}_2\text{O}$  до  $\text{Na}_2\text{SiO}_3 \cdot 5\text{H}_2\text{O}$  в вакууме; показано, что в статич. условиях удается получить  $\text{Na}_2\text{SiO}_3 \cdot 5\text{H}_2\text{O}$  в кристаллич. состоянии только при 17 мм рт. ст. и 85-90°; при интенсивном перемешивании, 50°, давл. 75 мм рт. ст. и кол-ве проходящего воздуха, равном 0,15 л/мин, через 45-50 мин. получается кристаллич. гидрометасиликат натрия. Разработаны условия получения  $\text{Na}_2\text{SiO}_3 \cdot 5\text{H}_2\text{O}$  путем кристаллизации из расплава.

**Резюме авторов**  
**6В8.** Получение микрокристаллической закиси меди. Delhez Robert. Préparation d'oxyde cuivreux microcristallin. «Ann. Soc. scient. Bruxelles», 1960, Sér. I, 74, № 2, 129-133 (франц.).—Испытан ряд методов получения  $\text{Cu}_2\text{O}$  (I). Восстановление  $\text{CuSO}_4$  действием  $\text{SnCl}_2$  или  $\text{NH}_2\text{OH} \cdot \text{HCl}$  и анодное окисление  $\text{Cu}$  не позволяют получить чистую I. Чистая и неизменяемая I получается восстановлением феллиговой жидкости глюкозой, действием  $\text{NaOCl}$  или  $\text{K}_2\text{S}_2\text{O}_8$  на щел. р-р  $\text{CuSO}_4 \cdot 5\text{H}_2\text{O}$  (II) и глицерина, а также восстановлением II действием  $\text{Na}_2\text{SO}_3 \cdot 7\text{H}_2\text{O}$  (III). Найдущие результаты дает последний метод. К кипящему р-ру 10 г III и 5 г  $\text{NaCl}$  в 50 мл  $\text{H}_2\text{O}$  прибавляют 25 мл 9,1%-ного р-ра II, быстро охлаждают прозрачную жидкость и медленно прибавляют ее к кипящему р-ру 10 г  $\text{Na}_2\text{B}_4\text{O}_7 \cdot 10\text{H}_2\text{O}$  в 200 мл воды; продолжают кипячение до тех пор, пока I не становится темно-коричневого цвета; дают осесть, промывают декантацией водой, отфильтровывают на стеклянном фильтре, несколько раз промывают ацетоном и сушат в вакууме над  $\text{CaCl}_2$ ; выход 98%.

**И. Рысс**  
**6В9.** Осаждение галлия с основным карбонатом алюминия и натрия. Яценко С. П. «Ж. неорган. химии», 1960, 5, № 8, 1882-1885.—Исследовано поведение Ga при карбонизации щелочно-содового р-ра, содержащего Al. Состав осадка галлиевого концентрата приближается к ф-ле двойного основного карбоната алюминия (галлия) и натрия  $\text{Na}_2\text{O}(\text{Al}, \text{Ga})_2\text{O}_3 \cdot 2\text{CO}_2 \cdot n\text{H}_2\text{O}$ . Для достижения практически полного (до 95-97%) выделения Ga из р-ра в исследованной области конц-й на основе принципа соосаждения с двойным основным карбонатом алюминия и натрия необходимо наличие не менее 20-кратного избытка Al. Предлагаются условия карбонизации для извлечения галлиевого концентрата из щелочно-содового р-ра.

**Резюме автора**  
**6В10.** Вакуумтермический способ приготовления моносulfидов церия. Самсонов Г. В., Радзиковская С. В. «Укр. хим. ж.», 1960, 26, № 4, 412-417.—Предложен способ приготовления  $\text{CeS}$  проведением в вакууме р-ции  $\text{Ce}_2\text{S}_3 + \text{CeO}_2 + 2\text{C} = 3\text{CeS} + 2\text{CO}$  в 2 стадии (1-я с нагревом шихты стехиометрич. состава при 1500-1600°, 2-я с нагревом продукта 1-й стадии с добавкой 70%  $\text{Ce}_2\text{S}_3$  от стехиометрич. кол-ва при 1650-1700°) либо нагревом в 2 стадии (с промежуточной протиркой) шихты с 70%-ным избытком  $\text{Ce}_2\text{S}_3$  против стехиометрического при 1650°.

**Резюме авторов**  
**6В11.** Получение и некоторые свойства гексаборида неодима. Падерно Ю. Б., Фоменко В. С., Самсонов Г. В. «Укр. хим. ж.», 1960, 26, № 4, 409-411.—Исследованы методы и установлены режимы получения гексаборида неодима в виде порошка и компактных образцов. Проведено исследование ряда физ. свойств полученного продукта и установлена их связь с электронным строением гексаборидов.

**Р. А.**  
**6В12.** Синтез карбида титана. IV. Реакции в системе  $\text{TiC}-\text{TiO}_2$ . Kubo Teruichiro, Shinriki Kiichi, Hanasawa Takashi. «Kōgei kakaku zasshi, Kogyo kakaku zasshi, J. Chem. Soc. Japan. Industr. Chem. Sec.», 1960, 63, № 4, 575-578, A30 (японск.; рез. англ.).—Изучено получение низших окислов титана с различным содержанием  $\text{O}_2$  по р-ции  $\text{TiC}$  с  $\text{TiO}_2$ . Окисел  $\text{TiO}$  бронзового цвета получен нагреванием смеси

1 моля  $\text{TiC}$  и 2 молей  $\text{TiO}_2$  при  $\sim 1800^\circ$ .  $\text{Ti}_2\text{O}_3$  темнопурпурного цвета получен нагреванием смеси 1 моля  $\text{TiC}$  и 4 молей  $\text{TiO}_2$  при  $\sim 1500^\circ$ . Образование  $\text{TiO}$  из  $\text{TiO}_2$  и  $\text{TiC}$  идет в 4 стадии. Сообщение III см. РЖХим, 1961, 4Б492.

**Из резюме авторов**  
**6В13.** Определение состава фосфата циркония радиометрическим методом. Коршунов И. А., Шафиев А. И. «Тр. по химии и хим. технот. (Горький)», 1960, вып. I, 51-52.—Изучен состав фосфата циркония (I), осаждаемого из кислой среды (до 1,0 н.), методом радиометрич. титрования с применением  $\text{Zr}^{95}$  и  $\text{P}^{32}$ . Установлено, что состав I зависит от кислотности среды и от осадителя. При осаждении I трех- и двузамещенным фосфатом  $\text{Na}$  в 0,1-0,8 н. сернокислой среде наблюдалось соотношение для ионов циркония и фосфата, равное 2:3.

**Резюме авторов**  
**6В14.** Безводный перхлорат свинца. Зинovieв А. А., Кривцов Н. В. «Ж. неорган. химии», 1960, 5, № 7, 1418-1422.—Разработан метод получения безвод. перхлората свинца (I). Определены уд. вес и теплота растворения I:  $d_4^{25} = 4,84$  и  $L_{2500}^{250} = 1,04$  ккал/моль. Термографич. методом изучено поведение I при нагревании. Термич. разложение I происходит экзотермически. Получено указание на наличие фазового перехода у I при 228°.

**Резюме авторов**  
**6В15.** Образование триметафосфата при дегидратации первичных ортофосфатов щелочных металлов. Porthault Maurice, Merlin Jean-Claude. Formation de trimetaphosphate au cours de la déshydratation des orthophosphates monovalents. «C. r. Acad. sci.», 1960, 250, № 20, 3332-3333 (франц.).—Изучено образование триметафосфатов (ТМФ) при дегидратации безвод.  $\text{MH}_2\text{PO}_4$ , где  $\text{M} = \text{Na}$  (I),  $\text{K}$  (II),  $\text{Li}$  (III),  $\text{Rb}$  (IV) или  $\text{Cs}$  (V). В токе сухого  $\text{HCl}$  при 300° из I (но не из II-V) образуются значительные кол-ва ТМФ; в продукте содержится немного  $\text{Cl}^-$ . При нагревании смесей  $\text{MH}_2\text{PO}_4$  и  $\text{NH}_4\text{NO}_3$  до 300° со скоростью 90 град/час I полностью превращается в ТМФ, для очистки которого достаточно 2 перекристаллизации, II превращается в ТМФ (на  $\sim 50\%$ ) и смесь нерастворимых линейных полифосфатов, а III-V не образует ТМФ. I нерастворим в расплавленном  $\text{NaNO}_3$  при 340°, но растворяется по мере дегидратации; образуется ТМФ со следами тяжелых полифосфатов, растворимых в воде. II растворяется в расплавленном  $\text{KNO}_3$  при 370° в кол-ве 20%; образуется ТМФ с выходом меньшим, чем в смесях с нитратом аммония. IV растворяется в расплавленном  $\text{RbNO}_3$  при 340° в кол-ве до 15%; выход ТМФ количественный. V полностью растворим в расплавленном  $\text{CsNO}_3$  при 430°; образуется ТМФ в смеси с малым кол-вом перастворимых полифосфатов. III образует только линейные полифосфаты Li.

**И. Рысс**  
**6В16.** Изучение условий получения карбида ванадия в вакууме. Меерсон Г. А., Крейн О. Е. «Ж. неорган. химии», 1960, 5, № 9, 1924-1930.—Исследование условий получения карбида ванадия в вакууме позволяет установить, что в процессе взаимодействия  $\text{V}_2\text{O}_5$  с  $\text{C}$  (ламповая сажа) при 1500-1800 и давл. 0,1-1,0 мм рт. ст. получается карбид ванадия, не содержащий  $\text{O}_2$ . Содержание связанного  $\text{C}$  в карбиде колеблется от 15,5 до 17,8% (в зависимости от условий его получения) вместо 19,05%, отвечающих теоретич. составу  $\text{VC}$ , что объясняется наличием твердого р-ра  $\text{VC}-\text{V}$  типа вычитания. Установлено, что при 1700-1800° и давл. 1-10 мм рт. ст. за 2 часа достигается определенное, максимально возможное при этих условиях насыщение карбида углеродом независимо от наличия свободного  $\text{C}$  в продукте р-ции (в пределах 1-5%). Однако это максим. значение связанного  $\text{C}$  не превышает 17,6-17,8% вместо 19,05% в карбиде, отвечающем ф-ле  $\text{VC}$ .

**Резюме авторов**  
**6В17.** Изучение устойчивости иона  $\text{SeCN}^-$ . Łódziska Alicja. Badania trwałości jonu selenocyananowego. «Roczn. chem.», 1960, 34, № 3-4, 825-



834 (польск.; рез. русск., англ., франц.).—Теоретически обоснован вопрос о неустойчивости иона  $\text{SeCN}^-$ . Определено значение рН, при котором начинается распад этого иона. Исследовано влияние некоторых катионов на стойкость иона  $\text{SeCN}^-$ . Резюме автора

6B18. Осаждение солей уранила ароматическими аминами. Drăgulescu C., Julean I. Precipitarea sărurilor de uraniu cu amine aromatice. «Studii și cercetări. Acad. RPR. Baza Timișoara. Științe chim.», 1959, 6, № 1-2, 51—57 (рум.; рез. русск., франц.).—Изучены р-ции между нитратом и йодидом уранила в водн. р-ре и органич. аминами (пиридин, хинодин, анлиин и п-толуидин). Во всех случаях полученный продукт имеет состав  $\text{UO}_2 \cdot 2\text{H}_2\text{O}$ . Значительная растворимость осадка не позволяет использовать его в аналитич. целях.

Из резюме авторов  
6B19. Фториды бериллия. Часть II. Образование фторидов бериллия в растворе. Sengupta Apurba K. Beryllium fluorides. Part II. Formation of beryllium fluorides in solution. «J. Indian Chem. Soc.», 1960, 37, № 5, 291—294 (англ.).—На кривых термометрич. и кондуктометрич. титрования HF-ром  $\text{BeF}_2$  проявляется только образование  $\text{H}_2\text{BeF}_4$ , являющегося более сильной к-той, чем HF. Кривые кондуктометрич. титрования р-ров  $\text{Be}(\text{NO}_3)_2$  р-ром KF и р-ров KF р-ром  $\text{BeF}_2$  подтверждают образование  $\text{BeF}^+$ , слабодиссоциированного  $\text{BeF}_2$  и  $\text{BeF}_2^{2-}$ . Не получено указаний на образование  $\text{BeF}_3^-$ ,  $\text{BeF}_4^{2-}$ ,  $\text{BeF}_5^{3-}$  и  $\text{HBeF}_3$ . Попытки применения метода непрерывных изменений (с использованием электропроводности как измеряемого свойства) для изучения систем, содержащих  $\text{F}^-$  и  $\text{BeF}_2$  или  $\text{BeF}_2^{2-}$ , не привели к успеху, так как электропроводность не является линейно изменяющимся свойством. Ч. I см. РЖХим, 1957, № 5, 15067.

И. Рысс  
6B20. О новой боридной фазе в системе бериллий—бор. Маркевич Г. С., Кондрашев Ю. Д., Марковский Л. Я. «Ж. неорг. химии», 1960, 5, № 8, 1783—1787.—Исследована структура нового борид-бериллия состава  $\text{Be}_3\text{B}$ . Показано, что этот борид относится к тетрагон. системе с параметрами ячейки:  $a$   $3,362 \pm 0,002$ ,  $c$   $7,036 \pm 0,005$  кХ. Исследованы некоторые физ. и хим. свойства  $\text{Be}_3\text{B}$  и, в частности, р-ция его гидролитич. разложения в к-тах. Показано, что при гидролизе  $\text{Be}_3\text{B}$  образуются субокисные соединения, соответствующие окислу  $\text{BO}$ . На основании полученных эксперим. данных предложено ур-ние для р-ции гидролиза  $\text{Be}_3\text{B}$ . Показано, что  $\text{Be}_3\text{B}$  при разложении  $\text{HCl}$  дает выход бороводородов до 8% от общего кол-ва  $\text{B}$ .

Резюме авторов  
6B21. О фазах, образующихся в системе хром—бор в области, богатой бором. Эпельбаум В. А., Севастьянов Н. Г., Гуревич М. А., Жданов Г. С. «Ж. структур. химии», 1960, 1, № 1, 64—65.—Установлено наличие в системе  $\text{Cr}—\text{B}$  фазы, отвечающей составу  $\text{CrB}_6$ . Определены параметры решетчатой этой фазы (тетрагон. сингония):  $a$  5,458,  $c$  7,138 кХ,  $Z$  = 4.

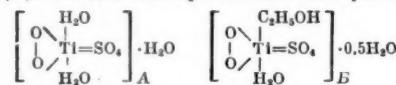
Из резюме авторов  
6B22. О гидридах редкоземельных металлов и возможности их практического применения. Михеева В. И., Кост М. Е. В сб. «Редк. металлы и сплавы». М., Металлургиздат, 1960, 202—208.—Изложены некоторые результаты работ авторов по синтезу и изучению свойств гидридов Се. До 200° гидрирование Се идет с кинудционным периодом, при увеличении т-ры скорость гидрирования возрастает, достигает максимума при 250—300°, уменьшается с повышением т-ры до 700° и при дальнейшем росте т-ры вновь увеличивается. На кривой т-ра—состав гидроида имеются площадки, отвечающие соединениям  $\text{CeH}_2$  и  $\text{CeH}_3$ . При нагревании  $\text{CeH}_3$  теряет 1-й атом H при 150—800° и остальные 2 при 1050—1150°. Плотность в системе  $\text{Ce}—\text{CeH}_3$  имеет минимум при составе  $\text{CeH}_2$ . Гидрид  $\text{CeH}_3$  весьма химически активен, его полный гидролиз протекает за 40—50 мин.; гидролиз  $\text{CeH}_2$  длится 20—30 час. Авторы счи-

тают, что в  $\text{CeH}_2$  проявляется металлич. характер связи  $\text{Ce}—\text{H}$ , а  $\text{CeH}_3$  имеет свойства солеобразного гидроида.

В. Росоловский  
6B23. Термическое разложение нитрата празеодима. Vratny F., Honig J. M. The thermal decomposition of praseodymium nitrate. «Trans. Faraday Soc.», 1960, 56, № 7, 1051—1058 (англ.).—Изучено термич. разложение безводн.  $\text{Pr}(\text{NO}_3)_3$  при 285, 350, 390, 435 и 485° и сняты ИК-спектры поглощения ( $\sim 2—15$  м) твердых промежуточных и конечных продуктов разложения  $\text{Pr}(\text{NO}_3)_3$ . Показано, что разложение идет через промежуточное образование соединения, содержащего мостиковую группу  $\text{NO}_2$  (появление в ИК-спектрах полос поглощения мостиковой группы  $\text{NO}_2$ ). Состав конечного окисла  $\text{PrO}_x$  зависит от т-ры разложения;  $x$  достигает максим. значения 1,822, по-видимому, в том случае, когда разложение проводят при 385°. Присутствие влаги в  $\text{Pr}(\text{NO}_3)_3$  катализирует разложение. Ю. Х.

6B24. Амфотерные свойства гидроокисей титербия и лютеция. Иванов-Эмин Б. Н., Нисельсон Л. А. «Ж. неорг. химии», 1960, 5, № 9, 1921—1923.—Синтезом гексагидроксокомплексов титербия и лютеция  $\text{Na}_3\text{Yb}(\text{OH})_6$  и  $\text{Na}_3\text{Lu}(\text{OH})_6$  показана амфотерность гидроокисей тяжелых лантанидов. Гексагидроксоиттербиат Na и гексагидроксолутиат Na могут быть синтезированы путем нагревания гидроокиси лантанида с конц. р-ром NaOH при 180—200° в автоклаве. Описаны главнейшие свойства соединений. Металлитербиат натрия  $\text{NaYbO}_2$  и металлутиат натрия  $\text{NaLuO}_2$  образуются при нагревании эквивалентной смеси окиси лантанида и соды при 900°. Резюме авторов

6B25. Природа образующих окраску форм в пероксосульфате титана. Patel C. C., Mohan M. S. Nature of the colour-forming species in peroxo titanium sulphate. «Nature (Engl.)», 1960, 186, № 4727, 803—804 (англ.).—Упариванием при 25° р-ра свежеосажденного  $\text{Ti}(\text{OH})_4$  в рассчитанном кол-ве  $\text{H}_2\text{SO}_4$  и избытке  $\text{H}_2\text{O}_2$  получено красное в-во состава  $\text{TiO}_2\text{SO}_4 \cdot 3\text{H}_2\text{O}$  (I), содержащее пероксигруппу. Аморфный, хорошо растворимый в воде и абс. спирте I гидролизуетс при разбавлении р-ра водой; гидролиз водн. р-ра I подавляется в присутствии разб.  $\text{H}_2\text{SO}_4$ . Для твердого I установлена структурная ф-ла (A). Максимум поглощения р-ра I в разб.  $\text{H}_2\text{SO}_4$  лежит при 410 мμ, в абс. спирте—при 390 мμ; строение I в р-ре в абс. спирте описывается ф-лой (B). По данным криоскопич. измерений диссо-



циация I в 1 н.  $\text{H}_2\text{SO}_4$  при  $-2^\circ$  достигает 28%. Измерением электромиграции и кондуктометрич. методом показано, что I в р-ре практически электронейтрален, его диссоциация подчиняется ур-нию  $\text{TiO}_2\text{SO}_4 + \text{H}_2\text{O} = \text{TiOSO}_4 + \text{H}_2\text{O}_2$ ; в соответствии с этим спектрофотометрически найдено, что при конц-ии  $0,325 \cdot 10^{-3}$  М и 1,6 н.  $\text{H}_2\text{SO}_4$  диссоциация I составляет 40%, в 6,8 н.  $\text{H}_2\text{SO}_4$ —33% при 25°. Из I две молекулы  $\text{H}_2\text{O}$  удаляются труднее, чем 3-я; при хранении I разлагается с выделением  $\text{O}_3$  и  $\text{O}_2$ , что подтверждает вхождение воды во внутреннюю сферу комплекса и наличие в нем трехчленного цикла пероксогруппы; легкая гидролизуемость I в водн. р-ре определяется, по-видимому, тем, что  $\text{SO}_4^{2-}$ -группа занимает в соединении 2 координационных места.

Р. Щелюков  
6B26. Производные фосфонитрилхлорида. Часть I. Получение циклических и линейных фосфонитрилхлоридов. Lund L. G., Paddock N. L., Proctor J. E., Searle H. T. Phosphonitrilic derivatives. Part I. The preparation of cyclic and linear phosphonitrilic chlorides. «J. Chem. Soc.», 1960, June, 2542—2547 (англ.).—При кипячении 3 молей  $\text{PCl}_5$  (I) и 3,3 моля  $\text{NH}_4\text{Cl}$  (II) в 1 л  $\text{CHCl}_2\text{CHCl}_2$  (III) образуется смесь циклич. поли-

меров  $(\text{PNCI}_2)_n$  (III) и смесь линейных полимеров  $(\text{PNCI}_2)_n\text{PCL}_5$  (ЛП). При постепенном прибавлении I к избытку взвеси II в кипящем III растет выход ЦП, главным образом тримера, а выход ЛП приближается к нулю. Применение избытка I приводит к увеличению выхода ЛП за счет уменьшения выхода ЦП. В случаях прекращения р-ции при выделении только 0,5 теоретич. кол-ва HCl в основном образуются ЛП. Петр. эфир извлекает из смеси ЦП и ЛП маслянистую кристаллич. массу, содержащую только ЦП. Комбинированием фракционирования экстрагирования, фракционированной перегонки в вакууме и фракционированной кристаллизации из смеси ЦП выделены индивидуальные ЦП с  $n = 3, 4, 5, 6, 7$  и  $8$ ; остаток представляет собой светло-желтое масло со средним  $n = 12-13$ , содержащее полимеры до  $n \geq 17$ . Цикличность ЦП подтверждена наличием только одного пика в спектре ядерного магнитного резонанса. Определены следующие свойства ЦП (приведены  $n$ , т. пл., уд. вес при  $20^\circ$ , ф. гр., Z, параметры элементарной ячейки  $a, b$  и  $c$  (в Å), частота вал. кол. P—N в  $\text{см}^{-1}$ ): 3;  $112,8^\circ$ ; 1,99;  $Pnam$ ; Z = 4; 14,15; 6,20 и 13,07; 1248; 4;  $122,8^\circ$ ; 2,18;  $P_4/n$ ; Z = 2; 10,82; —; и 5,95; 1310; 5;  $41,3^\circ$ ; 2,02;  $P_2,2,2$ ; Z = 4; 19,37; 15,42 и 6,23; 1355; 6;  $92,3^\circ$ ; 1,96; (трикл. сингония); Z = 2; 10,6; 10,7 и 11,4 ( $\alpha$   $93,5^\circ$ ,  $\beta$   $90^\circ$ ,  $\gamma$   $117^\circ$ ); 1325; 7; 8—12; 1,890; ф. гр. и параметры не определены; 1310; 8; 57—58; 1,99;  $C_2/c$  или  $Cs$ ; Z = 4; 24,7; 6,2 и 20,4 ( $\beta$   $111^\circ$ ); 1305. При  $t_{\text{ре}} > 60^\circ$  ЦП с  $n = 4$  необратимо превращается в другую форму с ф. гр.  $P_4/n$ ,  $a$  10,82  $\sqrt{2}$ ,  $c$  5,95 Å, которая образуется и при кристаллизации сплава. Получены также трикл. форма пентамера и вторая трикл. форма гексамера. Определены также УФ-спектры поглощения ЦП. Диелектрич. проницаемость пентамера равна 3,48 ( $45^\circ$ ), смеси с  $n = 12-13$  равна 3,63 ( $20^\circ$ ), а смеси ЛП 14,3. Спектр ядерного магнитного резонанса ЛП показывает отсутствие свободного I. В кипящем III ЛП превращаются в резиноподобный высший полимер. В присутствии II этот процесс протекает быстрее; при этом происходит также выделение HCl и образование ЦП; ЛП гидролизуются легче, чем ЦП.

И. Рыс

6B27. О ванадатах. I. Колориметрическое исследование оранжевых ванадатов. Gupta Apurba Kumar Sen. On vanadates. I. Colorimetric studies on orange vanadates. «Z. anorgan. und allgem. Chem.», 1960, 304, № 5-6, 328—336 (англ.; рез. нем.).—Колориметрически исследованы р-ции иона  $\text{V}_3\text{O}_3^{3-}$  (I) в р-рах метаванадатов K и  $\text{NH}_4$  с р-рами  $\text{HX}$ , где  $\text{X} = \text{ClO}_4$  (II), F (III),  $\text{CH}_3\text{COO}$  (IV) или  $\text{CH}_3\text{ClCOO}$ . Зависимость опт. плотности  $D$  от отношения  $z = \text{HX} : \text{I}$  показывает, что максимум оранжевой окраски во всех случаях достигается при  $z = 3$ , т. е. в результате р-ции  $2 \text{ I} + 3 \text{ HX} = [\text{HV}_6\text{O}_{17}]^{3-} \text{ (V)} + 3 \text{ X}^- + \text{H}_2\text{O}$ ; дальнейшее увеличение  $z$  во всех случаях, кроме применения IV, снижает  $D$  в результате образования менее конденсированных ванадатов. Из р-ров I и III с  $z > 3$  выделены  $\text{K}_2[\text{VO}_2\text{F}_3]$ ,  $\text{K}_2[\text{V}_2\text{O}_4\text{F}_5]$  и другие фторованадаты. Спектрофотометрич. исследование подтверждает образование различных окрашенных образцов в р-ре I и IV и в сильнокислом р-ре I и II. Состав иона V подтвержден применением метода непрерывных изменений; константа равновесия гидролитич. диссоциации  $\text{V} + \text{H}_2\text{O} = 2 \text{ I} + 3 \text{ H}^+$  в среднем равна  $4,26 \cdot 10^{-17}$ . Окраска оранжевого ванадата (в р-рах в IV) приблизительно подчиняется закону Бера только в области низких конц-ий ( $10-45$  ч. на 1 млн.).

И. Рыс

6B28. Промежуточные продукты восстановления  $\text{V}_2\text{O}_5$  водородом. Гельд П. В., Алямовский С. И., Матвеев И. И. «Ж. неорг. химии», 1960, 5, № 8, 1678—1687.—Исследование промежуточных продуктов восстановления  $\text{V}_2\text{O}_5$  водородом, полученных при  $200-1200^\circ$ , показало присутствие в них  $\text{V}_6\text{O}_{13}$ ,  $\text{V}_2\text{O}_4$  и  $\text{V}_2\text{O}_3$ . Ни в одной из проб не удалось устано-

вить наличия  $\text{VO}_{1.75}$ ,  $\text{VO}_{1.80}$ ,  $\text{VO}_{1.84}$  и  $\text{VO}_{1.86}$ . Фазы  $\text{VO}_{1.67}$  и  $\text{VO}_{1.87}$ , если и присутствуют, то лишь в небольших кол-вах, не позволяющих их надежно идентифицировать. Установлено, что восстановлением  $\text{V}_2\text{O}_5$  водородом нельзя получить однофазные препараты окислов, промежуточных по составу между  $\text{V}_2\text{O}_3$  и  $\text{V}_2\text{O}_5$ . Высказаны соображения о том, что принцип последовательности превращений А. А. Байкова выполнен в случае относительно медленных взаимодействий, протекающих в системах, характеризующихся существенным различием составов и структур промежуточных фаз. При быстром развитии процесса в системах, содержащих близкие по составу и структуре фазовые составляющие, некоторые из них могут не возникнуть.

Резюме авторов

6B29. Взаимодействие  $\text{Nb}_2\text{O}_5$  с хлоридами щелочных и щелочноземельных металлов. Воскресенская Н. К., Будова Г. П. «Ж. неорг. химии», 1960, 5, № 9, 2051—2055.—Изучено методом изотермич. насыщения (в токе  $\text{N}_2$ ) взаимодействие  $\text{Nb}_2\text{O}_5$  с хлоридами Li, Na, K, Cs, Ca. Ва при продолжительности опытов 1—5 час. По кол-ву перешедшего при  $1000-1200^\circ$  в расплав  $\text{Nb}_2\text{O}_5$  определенного колориметрич. путем, соли располагаются в ряд, отвечающий уменьшению  $\text{Nb}_2\text{O}_5$ :  $\text{CaCl}_2$ ,  $\text{BaCl}_2$ ,  $\text{KCl}$ ,  $\text{NaCl}$  (взаимодействие с  $\text{LiCl}$  и  $\text{CsCl}$  при этих  $t$ -рах не изучалось). При  $700-900^\circ$   $\text{Nb}_2\text{O}_5$  переходит только в расплав  $\text{CaCl}_2$ . Полученные в результате взаимодействия с солями твердые фазы после удаления водой избытка соли, как показали рентгенограммы, ни в одном р-рителе не являлись  $\text{Nb}_2\text{O}_5$ . Взаимодействие с  $\text{NaCl}$  привело к образованию  $\text{NaNbO}_3$  и  $\text{Na}_3\text{NbO}_4$ .

Резюме авторов

6B30. Исследование осаждения уранатов аммония. I. Реакция нитрата уранила с аммиаком. Dăgulescu C., Julean I. Studii asupra precipităților uranilor de amoniu. I. Reacția între azotatul de uranil și amoniac. «Studii și cercetări. Acad. RPR. Baza Timișoara. Științe chim.», 1959, 6, № 1-2, 41—50 (рум.; рез. русск., франц.).—Потенциометрическим, кондуктометрич. и аналитич. путем изучен механизм осаждения и состав осадка, образующегося при р-ции  $\text{UO}_2(\text{NO}_3)_2$  с  $\text{NH}_3$ . Вначале получается осадок состава  $(\text{NH}_4)_2\text{UO}_2$ , а после полного осаждения U в присутствии избытка  $\text{NH}_3$  этот осадок превращается в  $(\text{NH}_4)_2\text{UO}_4$ .

Из резюме авторов

6B31. Некоторые новые гидриды железа и осмия. Chatt J., Hart F. A., Hayter R. G. Some new hydrides of iron and osmium. «Nature (Engl.)», 1960, 187, № 4731, 55 (англ.).—Растворением тонкоизмельченного Fe в  $\text{o-C}_6\text{H}_4\text{P}(\text{C}_2\text{H}_5)_2$  при  $190^\circ$  в атмосфере  $\text{H}_2$  или восстановлением  $\text{транс-FeCl}_2 \cdot \text{o-C}_6\text{H}_4\text{P}(\text{C}_2\text{H}_5)_2$  или  $\text{FeCl}_2 \cdot \text{o-C}_6\text{H}_4\text{P}(\text{C}_2\text{H}_5)_2$  (FeCl<sub>4</sub>) избытком  $\text{LiAlH}_4$  получен  $\text{транс-FeH}_2 \cdot \text{o-C}_6\text{H}_4\text{P}(\text{C}_2\text{H}_5)_2$  (I), т. пл.  $248-252^\circ$  (разл.), термически устойчивое, но разлагающееся на воздухе оранжевое в-во, мономерное в бензоле. При взаимодействии I с одним эквивалентом HCl в сухом эфире один атом H заменяется на Cl с образованием  $\text{транс-FeHCl} \cdot \text{o-C}_6\text{H}_4\text{P}(\text{C}_2\text{H}_5)_2$  (II), т. разл.  $\sim 220^\circ$ , а при действии  $\text{LiAlH}_4$  на  $\text{транс-FeCl}_2 \cdot \text{o-C}_6\text{H}_4\text{P}(\text{C}_2\text{H}_5)_2$  получен  $\text{транс-FeHCl} \cdot \text{o-C}_6\text{H}_4\text{P}(\text{C}_2\text{H}_5)_2$  (III), т. пл.  $154-155,5^\circ$  и из соответствующего метильного производного —  $\text{транс-FeHCl} \cdot \text{C}_2\text{H}_4\text{P}(\text{CH}_3)_2$  (IV), т. пл.  $180^\circ$  (разл.). Получен также  $\text{транс-OsHCl} \cdot \text{o-C}_6\text{H}_4\text{P}(\text{C}_2\text{H}_5)_2$  (V), т. пл.  $174,5-176^\circ$ . Измерены частоты вал. кол. Fe—H ( $\text{см}^{-1}$ ): I 1726, II 1870, III 1849, IV 1810, V (Os—H) 2051; хим. сдвиги H относительно  $\text{H}_2\text{O}$  ( $\cdot 10^{-6}$ ): I 18,4, II 36,0, III 39,1, V 31,3. Дипольные моменты III 4,25 и V 4,6 D. Увеличение  $v(\text{H} - \text{H})$  при переходе от Fe к Os (для Ru  $v = 1944 \text{ см}^{-1}$ ) указывает на повышение прочности связи (увеличение силовой постоянной на 24%). Найденный хим. сдвиг в III является наибольшим из известных до сих пор.

М. Дяткина

6В32. Количественная шкала кислотности и основности силикатов и окислов и ее применение. Görlich Edward. Szilikátok és oxidok savanyúságának, bázisosságának mennyiségi skálája és felhasználása. «Erdőanyag», 1960, 12, № 2, 50—53 (венг.; рез. русск., нем.). Показано, что ионный потенциал, являющийся функцией валентности и радиуса катиона, может служить мерой кислотности (или основности) окислов; предложена колич. шкала кислотности чистых окислов. Метод строго применим лишь для однофазных систем; для многофазных систем может быть рассчитана лишь средняя величина кислотности. Из резюме автора

6В33. Физико-химические свойства окислов переходных металлов. Brenet J. P. Considérations sur les propriétés physico-chimiques d'oxydes de métaux de transition. «Silicates industr.», 1960, 25, № 4, 165—170, A, B (франц.; рез. англ., нем.). Приведены результаты исследований физ.-хим. свойств различных модификаций  $MnO_2$ ; эти свойства изучены в связи с электронной конфигурацией атома Mn и влиянием ее на электрохим. и каталитич. свойства этих модификаций.

Из резюме автора  
6В34. Селеноцианаты меди. Голуб А. М., Скопченко В. В. «Ж. неорг. химии», 1960, 5, № 9, 1973—1976. Изучено взаимодействие ионов  $Cu^{+}$  с  $CNSe$ -методом растворимости и спектрофотометрически. Показано, что образование селеноцианатных комплексов  $Cu$  лучше всего происходит в ацетоне. Установлен состав комплекса, образующегося в р-ре  $KCNSe$  при его насыщении хлоридом меди. Рассчитана константа равновесия  $CuCl + KCNSe \rightleftharpoons KCuCl(CNSe)$ , равная 0,24. Выделены мол. соединения  $KCu(CNSe)Cl$  и простой селеноцианат  $Cu(I+)$  и изучены их свойства. Произведение растворимости  $CuCNSe$  при  $20^\circ$  равно  $1,82 \cdot 10^{-10}$ .

Резюме авторов  
6В35. Влияние тиомочевинны на координированный хлор в комплексе двухвалентной меди. Gažo J., Serátorová K., Kováčová J., Serátor M. Vplyv tiomochoviny na koordinovaný chlór v mednatom komplexu. «Chem. zvesti», 1960, 14, № 7, 497—500 (словацк.; рез. русск., нем.). Исследовались изменения, происходящие в системе  $Cu^{2+} - Cl^- - CH_3COCH_3$  (в которой доминировал  $[CuCl_4]^{2-}$  после прибавления р-ра тиомочевинны в ацетоне). Показано, что вследствие взаимного влияния тиомочевинны и хлора в комплексе  $Cu(2+)$  связанный хлор окисляется и образуется элементарный хлор.

Из резюме авторов  
6В36. Комплексные соединения меди, серебра, золота и таллия с тиосульфатами. Сильниченко В. Г. «Уч. зап. Моск. обл. пед. ин-та», 1959, 84, 119—168. Изучено взаимодействие солей  $Cu$ ,  $Ag$ ,  $Au$  и  $Tl$  с  $S_2O_3^{2-}$ . Показано, что при взаимодействии  $Cu(2+)$ ,  $Au(3+)$  и  $Tl(3+)$  с  $S_2O_3^{2-}$  они восстанавливаются до одновалентного состояния.  $Cu(1+)$ ,  $Ag(1+)$  и  $Au(1+)$  образуют с  $S_2O_3^{2-}$  прочные комплексы, в которых координационное число центрального атома металла равно 2. При недостатке  $S_2O_3^{2-}$  эта группа занимает 2 координационных места, присоединяясь к металлу через атомы O и S; при избытке  $S_2O_3^{2-}$  занимает одно координационное место, присоединяясь через атом S. При отношении  $M(1+): S_2O_3^{2-} = 2:3$  образуются 2-ядерные комплексы за счет связей 2 атомов металла с атомами S и O группы  $S_2O_3$ . Выделены  $Na[Cu(S_2O_3)]$  (I),  $K[Cu(S_2O_3)]$  (II),  $Na_4[Cu_2(S_2O_3)_3]$  (III),  $K_4[Cu_2(S_2O_3)_3]$  (IV),  $Na_3[Cu(S_2O_3)_2] \cdot 3H_2O$  (V),  $K_3[Cu(S_2O_3)_2]$  (VI),  $CuNa[Cu(S_2O_3)_2]$  (VII),  $CuNa_2[Cu(S_2O_3)_2]$  (VIII),  $Na[Cu(S_2O_3)_2]$  (IX),  $Na[Ag(S_2O_3)]$  (X),  $Na_3[Ag(S_2O_3)_2] \cdot 3H_2O$  (XI),  $Na_4[Ag_2(S_2O_3)_3] \cdot 5H_2O$  (XII),  $AgNa[Ag(S_2O_3)_2]$  (XIII),  $[Ag(S_2O_3)_2][Ag(NH_3)_3]$  (XIV),  $Na_3[Au(S_2O_3)_2] \cdot 3H_2O$  (XV),  $[Au(S_2O_3)_2][Au(SCN_2H_4)_2]$  (XVI),  $Tl_2S_2O_3$  (XVII),  $NaTlS_2O_3 \cdot H_2O$  (XVIII). Соединения I, II и X получены взаимодействием соответственно  $Na_2S_2O_3$  и  $K_2S_2O_3$  с солями  $Cu$  и  $Ag$  без избытка  $S_2O_3^{2-}$ ; III, IV и XII — при отношении  $M:S_2O_3^{2-} = 2:3$ ; V, VI, XI,

XV — при избытке  $S_2O_3^{2-}$ ; VII, VIII — добавлением солей  $Cu(2+)$  и  $Cu(1+)$  к р-ру V; XIII — добавлением солей  $Ag$  к р-ру XI; XIV и IX соответственно добавлением соли  $[Ag(NH_3)_4]^+$  к р-ру XI и соли  $[Cu(NH_3)_4]^{2+}$  к р-ру V; XVI получен взаимодействием  $[Au(SCN_2H_4)_2]Cl_3$  с XV. Комплексы XVIII получен действием избытка  $S_2O_3^{2-}$  на  $TlNO_3$ ; при избытке  $TlNO_3$  образуется XVII. Плохо растворимые кристаллы II, VII, VIII, IX, X и XVII, а также относительно слабо растворимые IV, VI и XVI легко выделялись из р-ров при образовании соответствующих соединений. Хорошо растворимые в воде кристаллы V, XI, XII, XVIII выделялись при добавлении  $C_2H_5OH$ . Кристаллы V, X, XI, XVI, XVII и XVIII — бесцветные или белые, кристаллы II — белые, зеленеют при стоянии в воде, VI — белые, желтеют при стоянии в воде, IX — синие, IV и VIII — желтые. Определены электропроводности водн. р-ров III, V и XI, причем получены величины, характерные соответственно для 5-ионного, 4-ионного и 4-ионного электролитов, что подтверждает правильность предложенных для этих соединений ф-л.

В. Шмидт  
6В37. Устойчивость и строение комплексов цинка с производными гистидина. Weitzel Günther, Schaeg Werner, Schneider Friedhelm. Stabilität und Struktur der Zink-Komplexe von Histidin-Derivaten. «Liebigs Ann. Chem.», 1960, 632, № 1-3, 124—133 (нем.). Потенциометрическим методом определены при  $25^\circ$  константы устойчивости комплексов  $Zn^{2+}$  лигандами (L): гистамином (I), 4-аминометилимидазолом (II), гистидином (III), имидазол-4-глицином (IV), гистидином (V), метиловым эфиром гистидина (VI), 1-бензилгистидином (VII), гистидингидразидом (VIII), l-гистидил-l-аспарагиновой к-той (IX), l-гистидил-l-глутаминовой к-той (X), l-гистидил-l-метиловым эфиром лейцина (XI). Для I—III и V—XI значения  $lg K_1$  (отвечающие образованию комплексов типа 1:1 из  $Zn^{2+}$  и L) равны соответственно 5,45; 5,04; 6,61; 5,56; 5,02; 6,32; 5,03; 5,31; 5,30; 5,31; значения  $lg K_2$  (отвечающие образованию комплексов типа 1:2 из  $Zn^{2+}$  и L) для тех же лигандов равны соответственно: 4,50; 3,74; 5,34; 4,78; 4,35; 5,41; 4,52; 4,44; 4,18; 4,19. Для комплекса с IV определено только значение  $lg K_1 K_2 = 11,42$ . Для всех L определены при  $25^\circ$  значения  $pK$  кислотных свойств следующих функциональных групп:  $-COOH$ ,  $\alpha$ -аминогрупп ( $-NH_3^+$ ), пиридинового азота ( $\geq NH^+$ ) и групп  $-NH-$  имидазольного кольца. Комплексы с I и III содержат 6-членные циклы (связь  $Zn^{2+}$  с  $-NH_2$  и  $\geq N$ ). Комплексы с II и IV, отличающиеся соответственно от I и III укороченной боковой цепью, формально должны содержать 5-членные циклы. Однако комплексы с II менее устойчивы, чем комплексы с I, и комплексы с IV менее устойчивы, чем комплексы с III; эти факты приводят авторов к выводу, что II и IV не образуют или лишь частично образуют 5-членные циклы с  $Zn^{2+}$ . Комплексы с V—VIII рассматриваются как содержащие 6-членные циклы (те же связи, что и в комплексах с I и III). Устойчивость комплексов с VII и III почти одинакова; это подтверждает, что при образовании комплексов  $Zn^{2+}$  с III и всеми остальными L (все они, кроме VII, содержат в имидазольном кольце группу  $-NH-$ ) не происходит отрыва  $H^+$  от  $-NH-$  и не возникает связь  $Zn^{2+}$  с атомом N этой группы. Комплексы с V, VI и VIII менее устойчивы, чем комплексы с VII и III; авторы считают причиной большей устойчивости комплексов с VII и III наличие в них групп  $COO^-$ , отсутствующих в комплексах с V, VI и VIII. Устойчивость комплексов с VI (содержит группу  $-COOCH_3$ ) и с VIII почти одинакова; следовательно, в комплексах с VIII не возникает дополнительной связи  $Zn^{2+}$  с атомами N группы  $-CO-NH-NH_2$ . В комплексах с IX—XI предполагается наличие 6-членных циклов с теми же связями, как в комплексах с III. Устойчивость комплексов с IX, X и XI мало отличается, хотя в IX

и X имеют XI карбо...

6В39. Фат-анио...

6В40. Лом н...



и X имеются свободные карбоксильные группы, а в XI карбоксильная группа этерифицирована; авторы считают, что наличие групп  $\text{COO}^-$  в комплексах с IX и X не увеличивает устойчивости ввиду удаленности этих групп от  $\text{Zn}^{2+}$ . Авторы ввели понятие «физиологич. константы образования» (ФКО) комплексов (величины которых зависят от pH p-ров) и вычислили значения ФКО при pH 7,2, для комплексов  $\text{Zn}^{2+}$  со всеми L. Обсуждены закономерности изменения значений ФКО в зависимости от кислотных свойств и строения L.

Л. Волштейн  
6В38. Исследование некоторых физико-химических свойств динитрида и динитрида кадмия, Авакия С. Н. «Айканак ССР Гитутюнери Академийи тегекагир. Кимиякан гитутюнгер, Изв. АН АрмССР. Хим. н.э., 1960, 13, № 2-3, 107-109 (рез. арм.). — Определены ряд физ.-хим. констант  $\text{Cd}(\text{C}_2\text{H}_5\text{N})_2\text{Cl}_2$  и  $\text{Cd}(\text{C}_6\text{H}_5\text{NH}_2)_2\text{Cl}_2$ : показатели преломления, плотность кристаллов, мол. рефракция, электропроводность водн. p-ров, кривые нагревания. Оба соединения при нагревании разлагаются ступенчато и до достижения их t-р плавления. Т-ра 1-го термич. эффекта на кривых нагревания изученных соединений является началом их термич. диссоциации. Оба исследованных соединения в воде диссоциируют на 3 иона.

Резюме автора  
6В39. Комплексы одновалентной ртути с полифосфат-анионами и анионами дикарбоновых кислот и пирофосфатные комплексы двухвалентной ртути. Yamaoka Tetsuo, Davidson Norman. Complexes of mercury (I) with polyphosphate and dicarboxylate anions and mercury (II) pyrophosphate complexes. «J. Amer. Soc.», 1960, 82, № 9, 2123-2129 Chem. (англ.). — Изучено комплексообразование в p-рах  $\text{Hg}(1+)$  с  $\text{P}_2\text{O}_7^{4-}$  (I),  $\text{P}_3\text{O}_{10}^{5-}$  (II), оксалатом (III),  $\alpha$ -диметилмалонат-ионом (IV) и анионом интарной к-ты (V), а также комплексообразование  $\text{Hg}(2+)$  с  $\text{P}_2\text{O}_7^{4-}$ . Показано, что с этими лигандами  $\text{Hg}(1+)$  образует устойчивые комплексы типа  $\text{Hg}_2\text{L}^{2-2q+2}$  и  $\text{Hg}_2\text{L}(\text{OH})^{-q+1}$ , где  $L-q$  — соответствующий анион, а  $\text{Hg}(2+)$  образует комплекс  $\text{Hg}(\text{OH})_2(\text{P}_2\text{O}_7)^{3-}$  (pH p-ров 7-10). Потенциметрич. методом определены константы образования комплексов при  $27 \pm 0,1^\circ$  и ионной силе p-ров 0,75; в случаях III и V ионная сила p-ров составляла 2,5. Найдено (1-я и 2-я цифры — константы образования комплексов  $\text{Hg}_2\text{L}^{2-2q+2}$  и  $\text{Hg}_2(\text{OH})\text{L}^{-q+1}$  соответственно): I ( $2,4 \pm 0,6$ )  $\cdot 10^{12}$  и ( $4,4 \pm 0,6$ )  $\cdot 10^{15}$ , II ( $1,7 \pm 0,3$ )  $\cdot 10^{11}$  и ( $1,0 \pm 0,2$ )  $\cdot 10^{15}$ , III ( $9,5 \pm 0,2$ )  $\cdot 10^6$  и ( $1,1 \pm 0,2$ )  $\cdot 10^{13}$ , IV ( $3,3 \pm 0,6$ )  $\cdot 10^{17}$  и ( $3,8 \pm 0,5$ )  $\cdot 10^{13}$ , V ( $1,9 \pm 0,3$ )  $\cdot 10^7$  и ( $2,8 \pm 0,6$ )  $\cdot 10^{13}$ . Для комплекса  $\text{Hg}(\text{OH})_2(\text{P}_2\text{O}_7)^{3-}$  константа образования равна ( $2,8 \pm 0,6$ )  $\cdot 10^{17}$ .

Ю. Харитонов  
6В40. Комплексы двухвалентной ртути с имидазолом и гистидином. Brooks Philip, Davidson Norman. Mercury (II) complexes of imidazole and histidine. «J. Amer. Chem. Soc.», 1960, 82, № 9, 2118-2123 (англ.). — Измерением потенциалов электрода  $\text{Hg}$ ,  $\text{Hg}^{2+}$  в p-рах  $\text{Hg}(\text{ClO}_4)_2$ , содержащих имидазол (Im) или гистидин (I.H), определены при  $27^\circ$  и постоянной ионной силе  $\mu = 0,15$  ( $\text{NaClO}_4$ ) константы образования комплексов  $\text{Hg}^{2+}$  с Im и I.H. Равновесие  $\text{Hg}^{2+} + 2\text{ImH}^+ \rightleftharpoons \text{HgIm}_2^{2+} + 2\text{H}^+$  значительно смещено вправо даже при pH  $\leq 2$ ; исследование производилось в области pH 2-4. Определена константа кислотной диссоциации  $\text{ImH}^+$ ;  $pK = 7,12$  ( $27^\circ$ ,  $\mu = 0,15$ ). Равновесию  $\text{Hg}^{2+} + 2\text{Im} \rightleftharpoons \text{HgIm}_2^{2+}$  отвечает  $\lg K_1K_2 = 16,74$  (образование комплексов  $\text{HgIm}_x^{2+}$ , где  $x > 2$ , не обнаружено). При pH  $> 4$  выпадает осадок белого цвета, состав которого близок к ф-ле  $\text{Hg}(\text{C}_3\text{H}_3\text{N}_3)\text{ClO}_4 \cdot \text{H}_2\text{O}$  (I) ( $\text{C}_3\text{H}_3\text{N}_3$  — образуется из молекулы Im в результате отрыва  $\text{H}^+$  от группы  $-\text{NH}-$ ). Определены константы диссоциации, отвечающие равновесиям  $\text{LH}_2^+ \rightleftharpoons \text{H}^+ + \text{LH}^+$  (отрыв  $\text{H}^+$  от  $\geq \text{NH}^+$ ) и  $\text{LH}^+ \rightleftharpoons \text{H}^+ + \text{L}^-$  (отрыв  $\text{H}^+$  от  $-\text{NH}_2^+$ ); значения  $pK$  равны соответственно 6,08 и 9,12 ( $27^\circ$ ,

$\mu = 0,15$ ). Комплексообразование с LH изучалось в области pH 3-9;  $\text{Hg}^{2+}$  образует комплексы как с  $\text{L}^-$ , так и с LH. Равновесиям  $\text{Hg}^{2+} + 2\text{L}^- \rightleftharpoons \text{HgL}_2$ ;  $\text{Hg}^{2+} + \text{L}^- + \text{LH} \rightleftharpoons \text{HgL}(\text{LH})^+$  и  $\text{Hg}^{2+} + 2\text{LH} \rightleftharpoons \text{Hg}(\text{LH})_2^{2+}$  отвечают значения  $\lg K$ , равные соответственно 21,22; 18,40 и 14,99. Сравнивается устойчивость комплексов, образованных равными  $\text{M}^{2+}$  ( $\text{M} = \text{Zn}, \text{Cd}, \text{Ni}, \text{Cu}$ ) и ионами  $\text{Hg}^{2+}$  с Im и  $\text{L}^-$ . Устойчивость циклич. комплексов типа  $\text{ML}_2$  (связи  $\text{M}^{2+}$  с  $\geq \text{N}$  и  $-\text{NH}_2$ ) значительно превышает устойчивость комплексов типа  $\text{MIm}_2^{2+}$  (связи  $\text{M}^{2+}$  с  $\geq \text{N}$ ). Однако устойчивость комплекса  $\text{HgL}_2$  сравнительно немного превосходит устойчивость комплекса  $\text{HgIm}_2^{2+}$ ; авторы связывают это с преимущественной тенденцией ионов  $\text{Hg}^{2+}$  к образованию комплексов линейной конфигурации и малой тенденцией к образованию 3-й и 4-й координационных связей. Устойчивость возрастает от  $\text{Hg}(\text{LH})_2^{2+}$  к  $\text{HgIm}_2^{2+}$  (в обоих комплексах ион  $\text{Hg}^{2+}$  связан только с  $\geq \text{N}$ ), что объясняется увеличением основных свойств группы  $\geq \text{N}$  соответствующих лигандов. Рассматривается предполагаемое строение комплекса I; это полимер, содержащий бесконечную цепь  $(\text{C}_3\text{H}_3\text{N}_3\text{Hg}-)_n^{n+}$  (аналогично строению  $\text{HgNH}_2\text{X}$ , где  $\text{X} = \text{Cl}, \text{Br}$ ).

Л. Волштейн

6В41. Реакция тетраборана с пиридином и триметиламином. Михеева В. И., Маркина В. Ю. «Ж. неорган. химии», 1960, 5, № 9, 1977-1980. — Реакцией тетраборана с пиридином получают пиридинборин  $\text{BH}_3 \cdot \text{NC}_5\text{H}_5$  и соединение  $\text{B}_2\text{H}_4 \cdot \text{NC}_5\text{H}_5$ . Изучение p-ции тетраборана с триметиламином подтвердило данные об отщеплении от тетраборана трех групп бора в виде  $\text{BH}_3 \cdot \text{N}(\text{CH}_3)_3$  и образовании твердого полимерного в-ва  $[\text{BH} \cdot \text{N}(\text{CH}_3)_3]_n$ . Образование соединения производного радикала  $\text{B}_3\text{H}_7$  при p-ции тетраборана с пиридином и триметиламином не установлено.

Из резюме авторов

6В42. Аминокислоты гидрида алюминия. I. Ruff John K., Hawthorne M. Frederick. The amine complexes of aluminum hydride. I. «J. Amer. Chem. Soc.», 1960, 82, № 9, 2141-2144 (англ.). — Установлено, что  $\text{LiAlH}_4$  реагирует с  $\text{R}_3\text{NHCl}$ , где R — алкил, в эфире при t-рах от  $-30$  до  $25^\circ$  с образованием триалкиламиналанов  $\text{R}_3\text{N} \cdot \text{AlH}_3$ . В аналогичных условиях p-ция  $\text{LiAlH}_4$  с  $\text{R}_2\text{NH}_2\text{Cl}$  приводит к образованию диалкиламиналанов  $\text{R}_2\text{NAlH}_2$ , причем при t-ре около  $-40^\circ$  образуются  $\text{NHR}_2 \cdot \text{AlH}_3$ , которые при нагревании до  $-10^\circ$  переходят в  $\text{R}_2\text{NAlH}_2$ . Для получения  $\text{R}_3\text{N} \cdot \text{AlH}_3$  или  $\text{R}_2\text{NAlH}_2$  по 1-му способу прибавляли соответствующий хлорид алкиламмония к эфирному p-ру, содержащему небольшой избыток (по сравнению со стехиометрич.)  $\text{LiAlH}_4$ . По 2-му способу соответствующий хлорид алкиламмония смешивали с небольшим избытком твердого  $\text{LiAlH}_4$  и в смесь конденсировали эфир при t-ре жидкого азота. Затем в обоих случаях по окончании p-ции отгоняли в вакууме p-ритель и сублимировали образовавшийся  $\text{R}_3\text{N} \cdot \text{AlH}_3$  или  $\text{R}_2\text{NAlH}_2$  в вакууме. Таким путем получены с 56-93%-ным выходом следующие соединения (1-я цифра в скобках т. пл., 2-я — степень ассоциации в бензоле, определенная криоскопически):  $(\text{CH}_3)_3\text{NAlH}_3$  76; 1,40),  $(\text{CH}_3)_2\text{NAlH}_2$  (77-78; 1,43),  $(\text{CH}_3)_2\text{NAlH}_2$  (80-90; 2,99),  $\text{CH}_3\text{N}(\text{C}_2\text{H}_5)_2\text{AlH}_3$  (—, 1,33),  $(\text{C}_2\text{H}_5)_3\text{NAlH}_3$  (18-19; 1,10),  $(\text{C}_2\text{H}_5)_2\text{NAlH}_2$  (42; 2,12),  $(\text{C}_3\text{H}_7)_3\text{NAlH}_3$  (80-81; 1,05) и  $(\text{CH}_3)_2(\text{CH}_2\text{CHCH}_2)\text{NAlH}_3$  (I) (42; 1,37). Предполагается, что ассоциация молекул  $\text{R}_3\text{N} \cdot \text{AlH}_3$  происходит вследствие образования водородных связей; при этом возникает соединение  $\text{R}_3\text{NH}_2\text{Al}(\text{H})_2\text{AlH}_2\text{NR}_3$ , в котором атом Al имеет координационное число 5. В ИК-спектрах поглощения  $(\text{CH}_3)_3\text{NAlH}_3$  и  $(\text{CH}_3)_2\text{NAlH}_2$  полосы поглощения, относящиеся к вал. кол. Al—H и Al—D, лежат около 5,65 и 7,72  $\mu$  соответственно. При нагревании I происходит его полимеризация. На основании сравнения спектров ядерного магнитного резонанса I до и после нагревания и определения отношения активного водорода к

Al в полимере сделан вывод, что полимеризация I происходит по схеме  $2I \rightarrow [-AlH_2-NCH_2CH_2CH_2-]_n$ .

Ю. Харитонов

**6В43.** Состав и растворимость некоторых комплексных соединений индия. Коренман И. М., Туманов А. А., Янаева В. Я. «Тр. по химии и хим. технол. (Горький)», 1960, вып. 1, 86—90.—Выделены комплексные соединения In и SCN с антипирином, пирамидоном и диантипирилметаном. Их состав может быть выражен ф-лами  $[In(C_{11}H_{12}ON_2)_3](SCN)_3$ ,  $[In_2(C_{13}H_{17}ON_3)_3](SCN)_6$ ,  $[In_2(C_{23}H_{24}O_2N_4)_3](SCN)_6$ . Определена растворимость исследованных комплексных соединений в воде, серной и уксусной к-тах различных конц-ий и некоторых органич. р-рителях. Образование  $[In_2(C_{23}H_{24}O_2N_4)_3](SCN)_6$  применено для определения малых кол-в In.

Резюме авторов

**6В44.** Произведения растворимости оксалатов редкоземельных элементов и константы нестойкости их комплексных оксалатов. Коренман И. М., Соколов Д. Н. «Тр. по химии и хим. технол. (Горький)», 1959, вып. 3, 530—537.—Исследована растворимость оксалатов редкоземельных элементов (РЗЭ) и Y в HCl различных конц-ий при  $\mu = 0,5$  и  $25^\circ$ . Установлено, что в р-рах оксалатов РЗЭ и Y присутствуют комплексные ионы  $MC_2O_4^+$ . Вычислены произведения растворимости оксалатов РЗЭ и Y и константы нестойкости комплексов  $MC_2O_4^+$  при  $\mu = 0,5$  и  $25^\circ$ . Установлена периодич. зависимость произведения растворимости оксалатов РЗЭ и констант нестойкости  $MC_2O_4^+$  от порядкового номера элемента.

Резюме авторов

**6В45.** О взаимодействии солей трехвалентного церия с солями винной кислоты. Золотухин В. К., Ощеповский В. В. «Укр. хим. ж.», 1960, 26, № 4, 510—513.—Препаративным методом и методом кислотно-основного титрования (с индикатором и потенциометрически) изучено взаимодействие солей  $Ce(3+)$  с солями винной к-ты. Определено отношение церий-тарtratных соединений к действию некоторых реактивов и нагреванию. Препаративным методом установлено, что при pH 3—5,5  $Ce^{3+}$  образует с  $C_4H_4O_6^{2-}$  соль  $Ce_2(C_4H_4O_6)_3 \cdot 2H_2O$ . При титровании щелочью до pH 6,3 эта соль превращается в  $CeC_4H_3O_6$  или  $CeONC_4H_4O_6$ . При pH 6,8—10,7 эти соединения превращаются в  $CeC_4H_2O_6^-$  или  $Ce(OH)_2C_4H_4O_6^-$ . При еще более высоких значениях pH возможно превращение последних в еще более основные соединения. Р-ры церий-тарtratных соединений (при pH ~9) неустойчивы к  $K_2C_2O_4$ ,  $KF$ ,  $K_4[Fe(CN)_6]$ , избытку щелочи и нагреванию и выделяют осадки.

Резюме авторов

**6В46.** Изучение комплексообразования между нитратом трехвалентного церия и салицилатом калия. Bhattacharya A. K., Saxena M. C. A study on the complex formation between cerous nitrate and potassium salicylate. «Current Sci.», 1960, 29, № 4, 128 (англ.).—Кондуктометрическим и потенциометрич. методами исследовано взаимодействие  $Ce(NO_3)_3$  с  $C_7H_5O_3K$  в водн. р-ре. Показано образование комплекса с отношением  $Ce^{3+} : C_7H_5O_3^- = 1:3$ . Методом непрерывных изменений подтверждено протекание р-ции  $Ce(NO_3)_3 + 3C_7H_5O_3K \rightarrow Ce(C_7H_5O_3)_3 + 3KNO_3$  и определена константа нестойкости комплекса, равная  $2,463 \cdot 10^{-8}$  при  $29^\circ$ .

Р. Щелоков

**6В47.** Исследование взаимодействия хлористого церия с некоторыми оксикислотами. Мироненко Н. Н., Мазин А. И. «Тр. по химии и хим. технол. (Горький)», 1960, вып. 1, 53—55.—Получены и частично исследованы продукты взаимодействия  $CsCl$  с виннокислым К, лимоннокислым Li, салициловокислым Na и галловой к-той. Проведены качеств. и колич. анализ и другие исследования, на основании которых даны эмпирич. ф-лы полученных соединений.

Резюме авторов

**6В48.** Абсорбционно-спектрометрическое исследование германолибденовой кислоты. Kemula Wiktor, Rozowski Szczesny. Absorpcyjometryczne badania

kwasu molibdenianogermanowego. «Roczn. chem.», 1960, 34, № 3-4, 835—842 (польск.; рез. русск., англ.).—На основании измерения поглощения света изучены время установления равновесия при образовании германолибденовой к-ты (I), зависимость поглощения от pH, колич. состав компонентов, образующих молекулу, влияние цитрат-ионов на разложение гетерополиоксидов, а также найдена константа нестойкости I и координационное число в I.

Резюме авторов

**6В49.** Щавелевокислые комплексы циркония. Бабако А. К., Дубовенко Л. И. «Изв. высш. учебн. заведений. Химия и хим. технол.», 1960, 3, № 2, 226—234.—Измерены спектры поглощения смесей р-ров цирконилхлорида (I) со щавелевой к-той (II) при различных конц-ях  $HClO_4$ . Отличия между спектрами поглощения комплекса и свободной II наблюдаются только в ближней УФ-области; дальнейшие измерения велись при 217 мμ. Равновесие образования комплекса устанавливается только через 10—24 часа. На основании оптич. плотности изомольярной серии (сумма конц-ий I и II равна  $5 \cdot 10^{-4} M$ ) сделан вывод, что при  $[H^+] = 1$  образуется комплекс с отношением I:II = 1, а при  $[H^+] = 0,5$  отношение I:II = 1:2. Опыты по электромиграции при  $[H^+] = 1$  и отношении I:II от 1:1 до 1:6 показали, что цирконий и II движутся к катоду; сделан вывод, что состав этого комплекса  $ZrC_2O_4^{2+}$ , а не  $ZrOC_2O_4$ . При  $[H^+] = 0,5$  движение к катоду наблюдается только при малых кол-вах II, а при отношении I:II = 1:2 электромиграции не наблюдается; сделан вывод, что при этой кислотности образуется  $Zr(C_2O_4)_2$ . При большем избытке II цирконий найден только в анодном пространстве. Изомольярные серии при меньших конц-ях  $HClO_4$  показали, что при  $[H^+] = 0,1$  образуется комплекс с отношением I:II = 1:2, но при дальнейшем уменьшении  $[H^+]$  снова уменьшается содержание II в комплексе. На основании сопоставления с опытами по электромиграции сделан вывод, что при pH 2 и 3 образуется  $ZrOC_2O_4$ . Для определения констант диссоциации комплексов изучено светопоглощение в УФ-области при постоянной конц-ии I и переменной конц-ии II (в 1 н.  $HClO_4$ ), а также изменение оптич. плотности в видимой част. спектра для системы  $Fe^{3+}-SCN^- - C_2O_4^{2-} - Zr^{4+}$ . По первому методу найдено значение  $K_1 = [Zr^{4+}][C_2O_4^{2-}]/[ZrC_2O_4^{2+}] = 1,6 \cdot 10^{-10}$ . На основании опытов при pH 3 рассчитана константа диссоциации оксалатного комплекса цирконий-иона:  $K'_1 = [ZrO^{2+}][C_2O_4^{2-}]/[ZrOC_2O_4] = 2,1 \cdot 10^{-7}$ . Теоретически рассчитаны также другие ступенчатые константы. На основании этих данных составлена номограмма, показывающая распределение циркония (при pH 0) или цирконата (при pH 2) между различными формами комплексов, а также конц-ии ионов циркония в зависимости от pH р-ра и конц-ии II.

А. Бабако

**6В50.** Спектрофотометрическое исследование реакции комплексообразования тория с бензол-2-арсеновой кислотой-(1-азо-2)-1,8-диоксинафталин-3,6-диэфокислотой (арсеназо). Клыгин А. Е., Павлов В. К. «Ж. неорг. химии», 1960, 5, № 7, 1516—1521.—Спектрофотометрическим исследованием системы  $ThCl_4 - H_6R - HCl - H_2O$  установлено, что Th с арсеназо реагирует по схеме  $Th^{4+} + H_6R^2 = ThH_6R^{2+}$ . Образующееся соединение имеет pH максим. выхода 1,1 константу образования  $7,0 \cdot 10^6$  и мол. коэф. светопоглощения  $\epsilon(590 \text{ мμ}) = 2,26 \cdot 10^4$ ,  $\epsilon(600 \text{ мμ}) = 1,92 \cdot 10^4$ . Полученные данные позволили рекомендовать арсеназо в качестве металл-индикатора для комплексометрич. определения Th и рассчитать оптимальные условия фотометрирования Th с арсеназо, по которым конц-ия арсеназо при pH 1—2 должна быть  $1 \cdot 10^{-4} M$ .

Резюме авторов

**6В51.** Роданидные комплексы свинца. 3. Анионные комплексы свинца с координационным числом 6. Гелуб А. М., Романенко Л. И. «Укр. хим. ж.», 1960,

26, № образон констан анионное зия силе 6, раство .10-7, устано РЖХИИ 6В52. Тетраакс с е г tenkon enul-val 1006—1 тадени жет бы AlCl3 в в тех ях реак = 1:1, ста 5, дали 5, воздух обичн Поэтом водили щено м кууме, твердн ния пр CsH5-ко

6В53. надила Вапел ween v 1960, 29 измеен образуе имеющ

6В54. Shaга Sulphur Sci, 19 ления (CsH5N лалден насыще дейст CsH5N цутем ные со при на

6В55. чевиной mit Thi 1960, 25 иденти тых вр литичес Состав Te[CS (где X = 6В56. ний при ние уст кремне хромото го обме м. Ri lajilor

26, № 4, 418—422.—Потенциометрически установлено образование нитратного комплекса свинца  $PbNO_3^+$  с константой диссоциации 0,16. Доказано образование анионного комплекса  $Pb(CNS)_6^{4-}$  и рассчитано истинное значение его константы диссоциации при ионной силе 6,5, равное  $1,83 \cdot 10^{-2}$ . Рассчитано произведение растворимости  $Pb(CNS)_2$ , оказавшееся равным  $1,36 \cdot 10^{-7}$ . Выделено мол. соединение роданида свинца и установлена его ф-ла  $K_2Pb(CNS)_6$ . Сообщение 2 см. РЖХим, 1959, № 22, 78082. Резюме авторов

6B52. Ароматические комплексы металлов. XXXVI. Тетракарбонил ацилциклопентадиенилванадия. Fischer Ernst Otto, Plesske Klaus. Über Aromatenkomplexe von Metallen. XXXVI. Acetyl-cyclopentadienyl-vanadin-tetracarbonyl. «Chem. Ber.», 1960, 93, № 4, 1006—1008 (нем.).—Показана ароматичность циклопентадиенильного кольца в  $C_5H_5V(CO)_4$  (I), которое может быть ацилировано или  $CH_3COCl$  (II) с безвод.  $AlCl_3$  в  $CH_2Cl_2$ , насыщенном  $N_2$ , или  $(CH_3CO)_2O$  (III) в тех же условиях. При оптимальных мол. соотношениях реагентов (I : II :  $AlCl_3 = 1 : 1,5 : 2$  и I : III :  $AlCl_3 = 1 : 1,2 : 3$ ) получен  $CH_3COC_5H_4V(CO)_4$  (IV) с выходами 56 и 65% соответственно. В то время как кристаллич. IV (красные монокл. призм., т. пл. 98°) на воздухе более устойчив, чем исходный I, р-ры IV в обычных органич. р-рителях очень легко окисляются. Поэтому все работы по синтезу и выделению IV проводились при тщательном исключении  $O_2$ . В-во очищено многократной возгонкой (80—90°) в высоком вакууме. Вхождение ацетильной группы в ядро подтверждено ИК-спектром (отсутствие полосы поглощения при  $4000\text{ см}^{-1}$ , характерной для незамещенного  $C_5H_5$ -кольца). Сообщение XXXV см. РЖХим, 1960, 4B25.

Ю. Сорокин

6B53. Исследование реакции между сульфатом ванадила и малоновой кислотой. Bhattacharya P. K., Banerji S. N. An investigation on the reaction between vanadyl sulphate and malonic acid. «Current Sci.», 1960, 29, № 4, 147—148 (англ.).—Методом непрерывных изменений показано, что  $VOSO_4$  в разб. к-слых р-рах образует с малоновой к-той комплекс  $[VO(C_2H_2O_4)]^+$ , имеющий константу нестойкости  $1,6 \cdot 10^{-4}$  при 20°.

В. Росоловский

6B54. Комплексы двуокиси серы с пиперидином. Sharada K., Miss, Murthy A. R., Vasudeva. Sulphur dioxide and piperidine complexes. «Current Sci.», 1960, 29, № 4, 130—131 (англ.).—Получены соединения  $SO_2$  с  $C_5H_{10}NH$  состава  $C_5H_{10}NH \cdot SO_2$  (I) и  $(C_5H_{10}NH)_2SO_2$  (II). Желтый осадок I выделен из охлажденного льдом р-ра  $C_5H_{10}NH$  в петр. эфире при насыщении сухим  $SO_2$ . Белый осадок II получен при действии на этот р-р 0,045 моля  $SO_2$  на 0,12 моля  $C_5H_{10}NH$ . Состав полученных соединений подтвержден путем титрования р-рами  $J_2$  и хлорамина Т. Выделенные соединения устойчивы при 25°, но разлагаются при нагревании.

В. Шмидт

6B55. Комплексные соединения теллура с тиомочевинной. Vřešál J. Komplexverbindungen des Tellurs mit Thioharnstoff. «Collect. Czechosl. Chem. Commun.», 1960, 25, № 2, 443—450 (нем.; рез. русск.).—Получены, идентифицированы и исследованы некоторые из желтых кристаллич. соединений, образующихся при аналитически важных р-циях солей  $Te(4+)$  с  $CS(NH_2)_2$ . Состав выделенных соединений отвечает ф-лам  $Te[CS(NH_2)_2]_2X_2 \cdot 2H_2O$ ,  $Te[CS(NH_2)_2]_2X_2$ ,  $Te[CS(NH_2)_2]X_2$ , где  $X = Cl, Br, NO_3, H_2SO_4, \frac{1}{2}SO_4$ .

К. Кámen

6B56. Изучение строения неорганических соединений при помощи радиоактивных изотопов. VI. Изучение устойчивости фосфорновольфрамовой ( $P:12W$ ) и кремневольфрамовой ( $Si:12W$ ) кислот электроадиохроматографическим методом. VII. Изучение изотопного обмена между вольфраматами и поливольфраматами. Ripan R., Marcu Gh. Studiul structurii combinațiilor anorganice cu ajutorul izotopilor radioactivi. VI.

Studiul stabilității acidului fosfowolframic ( $P:12W$ ) și a acidului silicowolframic ( $Si:12W$ ) prin metoda electroadiocromatografică. VII. Studiul schimbului izotopic între wolframati și poliwolframati. «Studii și cercetări chim. Acad. RPR Fil. Cluj», 1959, 10, № 2, 201—208; 209—216 (рум.; рез. русск., франц.).—VI. Электроадиохроматографическим методом изучена устойчивость фосфорновольфрамовой ( $P:12W$ ) (I) и кремневольфрамовой ( $Si:12W$ ) (II) к-т. Показано, что область устойчивости I лежит в пределах pH 0,0—3,0, а область устойчивости II в пределах pH 0,0—6,0 (для форм, полученных при растворении кристаллов).

VII. Изучен изотопный обмен между I и II, метавольфрамовой к-той (III) и  $Na_2WO_4$  при pH 1 и показано, что для I имеет место быстрый изотопный обмен, для II обмен незначительный и для III совсем отсутствует. Установлена связь между устойчивостью и скоростью изотопного обмена изученных соединений. Сообщение V см. РЖХим, 1960, № 16, 64867.

Из резюме автора

6B57. Изучение экстракции комплекса шестивалентного урана бензоилацетоном. Starý J. Untersuchungen über die Extraktion des U(VI)-Komplexes mit Benzoylaceton. «Collect. Czechosl. Chem. Commun.», 1960, 25, № 3, 890—896 (нем.; рез. русск.).—Экстракция  $U(6+)$  р-рами бензоилацетона (НА) в трех органич. р-рителях ( $CHCl_3$ ,  $C_6H_6$  и  $CCl_4$ ) изучена в зависимости от pH, конц-ии  $U(6+)$  и НА в водн. фазе. На основании этих опытов установлено, что в водн. р-ре образуются комплексы типа  $UO_2A_n(OH)_p(NA)_r$ , где  $n + p = 0...3$ ,  $r = 0$  или 1. Вычислены константы устойчивости некоторых из этих комплексов. Экстракция  $U(6+)$  р-рами НА протекает по ур-нию  $UO_2^{2+} + 3(NA) \rightleftharpoons [UO_2A_2(NA)]^{10}(opr.) + 2H^+$ . Константа равновесия этой р-ции равна  $8,75 \cdot 10^{-6}$  для  $CCl_4$ ,  $2,1 \cdot 10^{-5}$  для  $C_6H_6$  и  $3,6 \cdot 10^{-5}$  для  $CHCl_3$ .

V. Růžicka

6B58. Полимеризация внутрикомплексных соединений уранила с тироном. Gustafson Richard L., Richard Claudette, Martell Arthur E. Polymerization of uranyl-tiron chelates. «J. Amer. Chem. Soc.», 1960, 82, № 7, 1526—1534 (англ.).—Взаимодействие  $UO_2^{2+}$  с тироном (пирокатехин-3,5-динатрийсульфонат,  $H_2A$ ) изучено потенциометрически и спектрофотометрически в области pH 2—11. Ниже pH 3,5 в р-ре существует преимущественно  $UO_2A$  (I), но, по-видимому, могут присутствовать также и полимерные формы негидролизированных соединений, в частности димер I. Дальнейшая р-ция I с  $OH^-$  приводит к  $UO_2A$  ( $[OH]UO_2A$ )<sub>2</sub> (II), образование которого заканчивается при pH 5,3. Эти р-ции не зависят от избытка  $H_2A$ . При взаимодействии  $H_2A$  с II в области pH 5,3—8,5 образуется комплекс, содержащий  $2\frac{1}{2}$  моля  $A^{2-}$  на 1 моль  $UO_2^{2+}$ . Рассчитаны константы равновесия р-ций:  $UO_2^{2+} + H_2A \rightleftharpoons I + 2H^+$  ( $pK_1$  (ср.) =  $4,20 \pm 0,08$ );  $2UO_2^{2+} + 2H_2A \rightleftharpoons (UO_2A)_2 + 4H^+$  ( $pK_2 = 5,72$  при  $pK_1 = 4,38$ );  $3I \rightleftharpoons II + 2H^+$  ( $pK_3$  (ср.) =  $3,05 \pm 0,04$  при конц-ии  $UO_2^{2+} 5 \cdot 10^{-3} M$  и  $2,55 \pm 0,05$  при конц-ии  $UO_2^{2+} 2 \cdot 10^{-8} M$ );  $II + H_2A \rightleftharpoons UO_2A_2(UO_2[OH]A)_2 + 2H^+$  ( $pK = 11,12 \pm 0,06$ ). Исследован гидролиз  $UO_2^{2+}$  в области pH 2,5—5,5. Доказано существование  $UO_2(OH)^+$  и рассчитаны константы равновесия р-ций:  $UO_2^{2+} \rightleftharpoons UO_2(OH)^+ + H^+$  ( $pK = 6,10$ ),  $2UO_2^{2+} \rightleftharpoons UO_2(OH)_2UO_2 + 2H^+$  ( $pK = 5,84$ ),  $2UO_2(OH)^+ \rightleftharpoons UO_2(OH)_2UO_2$  ( $lg K = 6,36$ ). Высказаны некоторые предположения относительно механизма образования и строения многоядерных комплексов уранила с  $H_2A$ .

Р. Щелоков

6B59. Синтез карбониллов металлов путем восстановления карбонилирования. II. Синтез карбонилла марганца и карбониллов металлов побочной группы VI методом, основанным на применении алкилалюминия. Podall Harold E., Dunn James H., Shapiro Hymen. Reductive carbonylation synthesis of metal carbonyls. II. Synthesis of manganese carbonyl



and group VI-B metal carbonyls by the alkylaluminum method. (J. Amer. Chem. Soc., 1960, 82, № 6, 1325—1330 (англ.).) — Методом восстановительного карбонилирования солей металлов с применением алкилалюминия, в основном  $\text{Al}(\text{C}_2\text{H}_5)_3$ , в качестве восстановителя получены карбонилы марганца (I), хрома (II), молибдена (III) и вольфрама (IV). Выход I достигал 55—60% при отношении  $\text{Al}(\text{C}_2\text{H}_5)_3 : \text{Mn}(\text{CH}_3\text{COO})_2 = 4 : 1$  в изопропиловом эфире при 80—100° и давления  $\text{CO}$  205 атм; II, III и IV легко получаются из хлоридов соответствующих металлов с выходами до 90%. Исследовано влияние условий проведения р-ций (способ контактирования реагентов, влияние аниона исходного соединения металла, природы р-рителя, величины мол. отношения алкилалюминия к соли металла в реакционной смеси, природы алкильной группы в восстановителе, т-ры и давления) на величину выхода I—IV. Показана большая селективность алкилалюминиевых соединений по сравнению с реактивом Гриньяра в р-циях восстановительного карбонилирования солей переходных металлов; предложен механизм этих р-ций, включающий промежуточное образование алкилов переходных металлов. Р. Шелоков

6В60. Исследование термического разложения гексааниоферрата аммония. Wolski Włodzimierz. O termicznym rozkładzie żelazocyjanku amonu. (Roczn. chem., 1960, 34, № 3-4, 799—809 (польск.; рез. русск., англ.).) — Исследовано термич. разложение  $(\text{NH}_4)_4[\text{Fe}(\text{CN})_6]$  (I) в воздухе и  $\text{O}_2$ . Установлено, что главными фазами разложения I являются ферроцианид  $\text{Fe}(3+)$  и  $\gamma\text{-Fe}_2\text{O}_3$ , превращающийся в  $\alpha\text{-Fe}_2\text{O}_3$ . В токе  $\text{O}_2$  получаются твердые р-ры  $\text{Fe}_3\text{O}_4\text{—Fe}_2\text{O}_3$ . Р. А.

6В61. Кобальтаминные производные йодной кислоты. III. Изучение некоторых физико-химических и кристаллографических свойств. Várhelyi Cs., Kékedy E., Götz A. Derivații cobalt (III)-aminici ai acidului periodic. III. Studii unor proprietăți fizico-chimice și cristalografice. «Studii și cercetări chim. Acad. RPR Fil. Cluj», 1959, 10, № 2, 251—268 (рум.; рез. русск., англ.). — Изучены физ.-хим. и кристаллографич. свойства 18 кобальтаминных производных йодной к-ты: измерена растворимость и уд. вес, сняты термодинамич. и термодифференциальные кривые. Описано получение  $\text{trans}[\text{CoEn}_2(\text{NO}_2)_2]\text{JO}_4$ ,  $\text{trans}[\text{CoEn}_2\text{Br}_2]\text{JO}_4$ ,  $\text{trans}[\text{Co}(\text{NH}_3)_4\text{Cl}_2]\text{JO}_4 \cdot \text{H}_2\text{O}$  и  $\text{trans}[\text{CoPy}_2\text{Cl}_2]\text{JO}_4$ . Сообщение II см. РЖХим, 1960, № 17, 68897.

Из резюме авторов 6В62. Спектрофотометрическое исследование комплексообразования хлористого кобальта с анабазинном, N-ацетиланабазинном и  $\alpha,\beta$ -дипиридиллом. Дулова В. И. Султанов А. С., Муфтахов А. Г. «Узб. химия ж., Узб. хим. ж.», 1960, № 3, 36—42 (рез. узб.). — Изучены системы  $\text{CoCl}_2$  (I) — анабазин (II), I — N-ацетиланабазин (III) и I —  $\alpha,\beta$ -дипиридил (IV) в ацетоне. Определены составы и константы нестойкости соединений. Исследованы системы I—II и I—III в этиловом спирте и в водн. среде. Сделана попытка объяснить малую устойчивость соединений, образующихся в системах I—II и I—IV в ацетоне, пространственными затруднениями. Предположено, что вероятность образования донорной  $\pi$ -связи в системе I—II меньше, чем в системе I—IV в ацетоне. Резюме авторов

6В63. Некоторые исследования неорганических комплексов. VI. Комплексы двухвалентного никеля с 2-пиколиламином. Sutton G. J. Some studies in inorganic complexes. VI. Nickel(II) with 2-picolylamine. «Austral. J. Chem.», 1960, 13, № 1, 74—79 (англ.). — Синтезированы кристаллич. комплексные соединения  $\text{NiL}_2\text{X}_2 \cdot n\text{H}_2\text{O}$  ( $\text{X} = \text{Cl}, \text{Br}, \text{I}, \text{L} = 2$  пиколиламин,  $n = 2, 2$  и 0 в случае  $\text{Cl}, \text{Br}$  и  $\text{I}$  соответственно), а также комплекс  $\text{NiL}_3(\text{ClO}_4)_2 \cdot \text{H}_2\text{O}$ . Соединения  $\text{NiL}_2\text{X}_2$  и  $\text{NiL}_3\text{X}_2 \cdot n\text{H}_2\text{O}$  образуются при прибавлении L к водн. р-рам  $\text{NiX}_2$  в мол. отношении  $\text{L} : \text{Ni} = 2$  и 3 соответственно. Комплекс  $\text{NiL}_3(\text{ClO}_4)_2 \cdot \text{H}_2\text{O}$  получен при об-

работке водн. р-ром  $\text{NaClO}_4$  водн. р-ра, содержащего  $\text{Ni}(\text{NO}_3)_2$  и L в мол. отношении 1 : 3.  $\text{NiL}_2\text{Cl}_2$  и  $\text{NiL}_2\text{Br}_2$  — ярко-голубого,  $\text{NiL}_2\text{I}_2$  — желтоватого (цвета охры),  $\text{NiL}_3\text{X}_2 \cdot n\text{H}_2\text{O}$  ( $\text{X} = \text{Cl}, \text{I}$ ) — пурпурно-розового,  $\text{NiL}_3(\text{ClO}_4)_2 \cdot \text{H}_2\text{O}$  — фиолетово-розового и  $\text{NiL}_3(\text{ClO}_4)_2 \cdot \text{H}_2\text{O}$  — розового цвета. Полученные комплексы плохо растворяются в обычных органич. р-рителях.  $\text{NiL}_2\text{X}_2$  диссоциирует в нитробензоле, нитрометане, метаноле и воде с замещением X на молекулы р-рителя; устойчив при нагревании до  $\sim 300^\circ$ . Комплексы, содержащие  $\text{NiL}_3^{2+}$ , разлагаются при 255—300°, их электропроводность соответствует трехионным электролитам. Все синтезированные комплексы парамагнитны и имеют магнитный момент, равный  $\sim 3 \mu_B$ . Спектры поглощения водн. р-ров  $\text{NiL}_2\text{X}_2$  одинаковы, что соответствует присутствию в р-рах ионов  $\text{NiL}_2(\text{H}_2\text{O})_2^{2+}$ . Сообщение V см. РЖХим, 1960, № 22, 87917.

Ю. Харитонов 6В64. Исследование комплексов металлов с аминокислотами. I. Исследование комплексов валина с ионом  $\text{Ni}^{2+}$ . II. Определение констант образования комплексов  $\text{Ni}^{2+}$  с валином при разных температурах. Применение нового косвенного электрометрического метода. III. Определение констант образования комплексов  $\text{Ni}^{2+}$  с метионином и серином при разных температурах. IV. Оценка эффекта внутривещного комплексобразования и исследование влияния кристаллического поля, создаваемого аминокислотами, на различные уровни энергии иона  $\text{Ni}^{2+}$ . V. Влияние растворителя при разных температурах на константы диссоциации метионина, валина и их комплексов с ионом  $\text{Ni}^{2+}$ . VI. Определение при разных температурах констант диссоциации аргинина и его комплексов с некоторыми ионами металлов. Pelletier Simonne. Contribution à l'étude des complexes métalliques des amino-acides. I. Étude des complexes de la valine et de l'ion  $\text{Ni}^{2+}$ . II. Détermination des constantes de formation des complexes  $\text{Ni}^{2+}$ -valine à différentes températures. Mise en oeuvre d'une nouvelle méthode électrométrique indirecte. III. Détermination des constantes de formation des complexes  $\text{Ni}^{2+}$ -méthionine et  $\text{Ni}^{2+}$ -sérine à différentes températures. IV. Évaluation de l'effet de chélation et du champ cristallin créé par les acides aminés sur les différents niveaux d'énergie de l'ion  $\text{Ni}^{2+}$ . V. Influence du solvant, à différentes températures sur les constantes de dissociation de la méthionine et de la valine et sur celles de leurs complexes avec l'ion  $\text{Ni}^{2+}$ . VI. Détermination, à différentes températures, des constantes de dissociation le l'arginine et de celles de ses complexes avec certains ions métalliques. «J. chim. phys. et phys. chim. biol.», 1950, 57, № 4, 287—294; 295—300; 301—305; 306—310; 311—317; 318—322 (франц.)

I. Кондуктометрическим методом и исследованием электрофореза на бумаге установлено образование комплексов  $\text{Ni}(2+)$  с валином (VH) состава  $\text{NiV}^+$ ,  $\text{NiV}_2$ ,  $\text{NiV}_3^-$ . Спектрофотометрич. методом подтверждено образование комплексов  $\text{NiV}^+$  и  $\text{NiV}_2$  и определена константа образования  $K_1$ , отвечающая равновесию  $\text{Ni}^{2+} + \text{V} \rightleftharpoons \text{NiV}^+$ ;  $\lg K_1 = 5,16$  при  $20^\circ$  и ионной силе  $\mu = 4$ . Установлено, что при  $\text{pH} < 4,45$  комплексообразование не имеет места; при  $\text{pH} 5,42$  обнаружен комплекс  $\text{NiV}^+$ ; при  $\text{pH} 6,42$  наряду с  $\text{NiV}^+$  в небольшом кол-ве образуется комплекс  $\text{NiV}_2$ ; при  $\text{pH} > 9$  начинается осаждение  $\text{Ni}(\text{OH})_2$ . Во всех комплексах V- является бидентатным лигандом.

II. Методом функции образования Бьеррума определены константы образования  $K_1$ ,  $K_2$  и  $K_3$  ( $K_2$  и  $K_3$  отвечают равновесиям  $\text{Ni}^{2+} + 2\text{V} \rightleftharpoons \text{NiV}_2$  и  $\text{Ni}^{2+} + 3\text{V} \rightleftharpoons \text{NiV}_3^-$ ) комплексов  $\text{Ni}(2+)$  с VH при разных т-рах. Значения  $\lg K_1$ ,  $\lg K_2$  и  $\lg K_3$  равны 5,62; 10,10 и 12,70 ( $10^\circ$ ); 5,53; 9,88 и 12,71 ( $18^\circ$ ); 5,45; 9,72 и 12,20 ( $25^\circ$ ); 5,37; 9,53 и 11,96 ( $30^\circ$ ); 5,31; 9,39 и 11,71 ( $40^\circ$ ). Вычислены изменения энтальпии  $\Delta H$ , свободной энергии  $\Delta F$  и энтропии  $\Delta S$ , отвечающие образованию тех же комплексов из  $\text{Ni}^{2+}$  и V-. Так как непосредственное электро-

метрич.  $\text{Ni}(2+)$  да), автоэлектр. рении олов эс тельно о и  $\text{CdV}_2$ ; показан  $K_1$  и  $K_2$   $\text{Zn}$ -элек  $\mu = 4$  и 9,06 п  $\text{KEM}$  на при  $25^\circ$  III. ванне R-отп и серин констан  $\lg K_1$ , и 13,44 12,82 (2 (40°); в и 13,20 (30°); 5  $\Delta F$  и  $\Delta$  сов из чающие (диссо социаци и равни 2,125 м исполь  $\Delta F$  и социаци близки амином VI. образо гандам лиганд внутре мые по акта, и 3,59  $K_n$  — с R- и вания R- ср они эи Еп; эт —  $\text{COO}$  вания плекса (с — атомы с  $\text{Ni}$  (возра Иссле на ра волпл компл Изуче (ArgH  $\text{Ni}(2+$  сходн с Arg ходят

ержащего  
 $\text{NiL}_2\text{Br}_2$ —  
 а (охла),  
 $\text{NiL}_2\text{Br}_2$ —  
 $\text{H}_2\text{O}$  — ро  
 раство  
 $\text{X}_2$  диссо  
 ле в воде  
 ийчив при  
 ле  $\text{NiL}_2^{2+}$ ,  
 ность со  
 литепро  
 агнитный  
 ния воды.  
 е присутс  
 тве V см.  
 Каритонов  
 с амино  
 а с ионом  
 комплек  
 с. Приме  
 с метода  
 комплек  
 емперату  
 тексообра  
 лического  
 различные  
 творителя  
 ссоциации  
 ом  $\text{Ni}^{2+}$ ,  
 констант  
 котомы  
 Contribu  
 amino-aci  
 ion  $\text{Ni}^{2+}$ ,  
 des com  
 Mise en  
 indirecte  
 des com  
 Différent  
 élation et  
 s sur les  
 Influence  
 constantes  
 ne et sur  
 Détermi  
 nantes de  
 complexes  
 et phys.  
 301—305;  
 едованием  
 разовани  
 $\text{NiV}^{2+}$ ,  $\text{NiV}_2$   
 ено обра  
 константа  
 $\text{Ni}^{2+} + \text{V}^{2+} \rightleftharpoons$   
 ле  $\mu = 4$ ,  
 разовани  
 екс  $\text{NiV}^{2+}$ ,  
 и-ве обра  
 сажении  
 центатны

метрич. определение констант образования комплексов  $\text{Ni}(2+)$  невозможно (ввиду необратимости  $\text{Ni}$ -электрода), автор разработал метод, названный им косвенным электрометрич. методом (КЭМ); метод состоит в измерении потенциалов  $\text{Cd}$ -электрода в р-рах, содержащих одновременно соли  $\text{Cd}(2+)$ ,  $\text{Ni}(2+)$  и  $\text{VH}$ . Предварительно определены значения  $K_1$  и  $K_2$  комплексов  $\text{CdV}^{+}$  и  $\text{CdV}_2$ ;  $\lg K_1 = 3,80$  и  $\lg K_2 = 7,13$ . При применимости КЭМ показана на примере  $\text{Zn}(2+)$ ; для этого значения  $K_1$  и  $K_2$  комплексов  $\text{ZnV}^{+}$  и  $\text{ZnV}_2$  определены с помощью  $\text{Zn}$ -электрода ( $\lg K_1$  и  $\lg K_2$  равны 4,67 и 8,97 при 25° и  $\mu = 4$ ) с использованием КЭМ ( $\lg K_1$  и  $\lg K_2 = 4,60$  и 9,06 при тех же условиях). Для  $\text{Ni}(2+)$  применением КЭМ найдены значения  $\lg K_1$  и  $\lg K_2$  равные 4,50 и 9,23 при 25° и  $\mu = 4$ .

III. Кондуктометрич. методом установлено образование комплексов типов  $\text{NiR}^{+}$ ,  $\text{NiR}_2$  и  $\text{NiR}_3^{-}$ , где  $\text{R}$  — отрицательные ионы валина ( $\text{VH}$ ), метионина ( $\text{MetH}$ ) и серина ( $\text{SerH}$ ). Методом функции образования найдены константы образования этих комплексов. Значения  $\lg K_1$ ,  $\lg K_2$  и  $\lg K_3$  в случае  $\text{Met}^{-}$  равны 5,77; 10,64 и 13,44 (10°); 5,71; 10,36 и 13,03 (18,5°); 5,67; 10,26 и 12,82 (22°); 5,46; 10,05 и 12,50 (30°); 5,39; 9,87 и 12,24 (40°); в случае  $\text{Ser}^{-}$  5,66; 10,37 и 13,68 (10°); 5,58; 10,12 и 13,20 (19,5°); 5,48; 9,94 и 12,97 (25°); 5,43; 9,82 и 12,79 (30°); 5,27; 9,57 и 12,34 (40°). Вычислены величины  $\Delta H$ ,  $\Delta F$  и  $\Delta S$ , отвечающие образованию всех шести комплексов из  $\text{Ni}^{2+}$  и  $\text{R}^{-}$ . Значения  $pK_A$  и  $pK_B$  лигандов, отвечающие соответственно равновесиям  $\text{RH}_2^{+} \rightleftharpoons \text{H}^{+} + \text{RH}^{+}$  (диссоциация групп  $-\text{COOH}$ ) и  $\text{RH}^{+} \rightleftharpoons \text{H}^{+} + \text{R}^{-}$  (диссоциация групп  $-\text{NH}_3^{+}$ ), определены в случае  $\text{R} = \text{Met}$  и равны соответственно 2,13 и 9,73 (10°); 2,125 и 9,28 (25°); 2,125 и 9,15 (30°); 2,12 и 8,92 (40°); для остальных  $\text{R}$  использованы литературные данные. Вычислены  $\Delta H$ ,  $\Delta F$  и  $\Delta S$ , отвечающие обеим стадиям кислотной диссоциации  $\text{MetH}_2^{+}$ , и отмечено, что найденные величины близки к соответствующим величинам для других аминокислот (гликоля,  $\text{VH}$ ,  $\text{SerH}$ ).

VI. Сопоставляя значения ступенчатых констант образования комплексов  $\text{Ni}(2+)$  с бидентатными лигандами  $\text{R}^{-}$  и  $\text{En}$ , с одной стороны, и монодентатным лигандом  $\text{NH}_3^{-}$  с другой, автор вычислил эффекты внутреннего комплексобразования (ЭВК), определяемые по Шварценбаху (Schwarzenbach G., *Helv. chim. acta*, 1952, 35, 2344). Для последовательно образующихся комплексов с  $\text{V}^{2+}$ ,  $\text{Ser}^{-}$ ,  $\text{Met}^{-}$  и  $\text{En}$  величины ЭВК равны соответственно:  $\lg K_1 - \lg K_1'K_2' = 0,58$ ; 0,57; 0,69 и 2,64;  $\lg K_2 - \lg K_2'K_3' = 1,51$ ; 1,74; 1,87 и 3,59;  $\lg K_3 - \lg K_3'K_4' = 1,86$ ; 2,41; 2,01 и 3,80, где  $K_n$  — ступенчатые константы образования комплексов с  $\text{R}^{-}$  или  $\text{En}$ , а  $K_n'$  — ступенчатые константы образования комплексов с  $\text{NH}_3$ . Величины ЭВК для различных  $\text{R}^{-}$  сравнительно мало отличаются друг от друга, но они значительно меньше соответствующих величин для  $\text{En}$ ; это определяется тем, что связь  $\text{Ni}(2+)$  с группой  $-\text{COO}^{-}$  слабее, чем связь с аминогруппой. На основании ряда сопоставлений установлено, что в комплексах  $\text{Ni}(2+)$  с  $\text{V}^{2+}$ ,  $\text{Ser}^{-}$  и  $\text{Met}^{-}$  связи одни и те же (с  $-\text{COO}^{-}$  и  $-\text{NH}_2$ ), т. е. группы  $-\text{OH}$  в  $\text{Ser}^{-}$  и атомы  $-\text{S}-$  в  $\text{Met}^{-}$  не участвуют в образовании связей с  $\text{Ni}(2+)$ . Показано, что ЭВК обусловлен в основном возрастанием величин  $\Delta S$  при образовании циклов. Исследовано влияние кристаллич. поля лигандов  $\text{R}^{-}$  на различные уровни энергии ионов  $\text{Ni}^{2+}$ , что позволило объяснить сходство спектров поглощения комплексов  $\text{Ni}(2+)$  с различными изученными  $\text{R}^{-}$ . Научен спектр поглощения смеси  $\text{Ni}(\text{NO}_3)_2$  с аргинином ( $\text{ArgH}$ ) при pH 10. Спектры поглощения комплексов  $\text{Ni}(2+)$  с  $\text{Arg}^{-}$ ,  $\text{V}^{2+}$ ,  $\text{Met}^{-}$  и гликолем оказались очень сходными. На этом основании принято, что в комплексе с  $\text{Arg}$  ион  $\text{Ni}(2+)$  связан с группой  $-\text{COO}^{-}$  и находящейся в  $\alpha$ -положении к ней группой  $-\text{NH}_2$ , в то

время как гуанидиновая к-та  $\text{Arg}^{-}$  не связывается с  $\text{Ni}(2+)$ .

V. При t-рах 10, 15, 25, 30 и 40° определены значения  $pK_A$  и  $pK_B$  для  $\text{VH}$  и  $\text{MetH}$  в водно-диоксидных смесях ( $\text{VDC}$ ), содержащих 0; 44,6; 59,7 и 69 вес. % диоксида (I); величины  $pK_A$  и  $pK_B$  значительно возрастают с увеличением содержания I. При тех же t-рах и в тех же ВДС определены ступенчатые константы образования комплексов  $\text{Ni}(2+)$  с  $\text{V}^{-}$  и  $\text{Met}^{-}$ ; величины  $\lg K_n$  значительно возрастают с увеличением содержания I, напр.  $\lg K_1$  для  $\text{NiV}^{+}$  при 25° увеличивается от 5,45 (в воде) до 8,40 (69% I). Вычислены значения  $\Delta H$  и  $\Delta S$ , отвечающие образованию комплексов  $\text{Ni}(2+)$  и  $\text{V}^{-}$  и  $\text{Met}^{-}$ ; отмечается возрастание  $\Delta S$  с увеличением содержания I. Увеличиваются также значения  $\Delta S$ , соответствующие присоединению  $\text{H}^{+}$  к группам  $-\text{COO}^{-}$  и  $-\text{NH}_2$  лигандов. Определены при 25° значения  $pK_A$  и  $pK_B$  для  $\text{VH}$  и значения ступенчатых констант образования комплексов  $\text{Ni}(2+)$  с  $\text{V}^{-}$  в смесях вода — метанол (II), содержащих 0; 39,1; 70; 90 и 100 вес. % II. Значения  $pK_A$  и  $pK_B$  возрастают с увеличением содержания II, особенно резко в интервале 90—100% II; значения  $\lg K_n$  комплексов  $\text{Ni}(2+)$  с  $\text{V}^{-}$  возрастают с увеличением содержания II от 0 до 70%. При содержании 90 и 100% II найденные значения  $\lg K_n$  нельзя даже сопоставить с соответствующими значениями  $\lg K_n$  при меньшем содержании II. Автор считает, что при содержании II 90% и более внутрикомплексные соединения с аминокислотами уже не могут образовываться. В таких средах аминокислоты, вероятно, находятся не в виде биполярных ионов, а в виде нейтр. молекул, которые могли бы связываться с  $\text{Ni}(2+)$  только через группу  $-\text{NH}_2$ ; возможно, что в таких средах аминокислоты подвергаются внутреннему циклообразованию и совсем не связываются с металлами.

VI. При t-рах 17—40° определены значения  $pK_A$  и  $pK_B$  для  $\text{ArgH}$  и значения последовательных констант образования комплексов ряда металлов (M) с  $\text{Arg}^{-}$  (значения  $K_n$  отвечают равновесиям  $\text{MArg}_{n-1} + \text{Arg}^{-} \rightleftharpoons \text{MArg}_n$ ). Значения  $pK_A$  и  $pK_B$  лиганда равны 1,98 и 9,27 (17°) и 1,96 и 8,67 (40°). Значения  $\lg K_1$  и  $\lg K_2$  комплексов с M равны соответственно при 17°: 4,12 и 3,95 ( $\text{Ag}^{+}$ ); 7,53 и 6,54 ( $\text{Cu}^{2+}$ ); 3,31 и 3,30 ( $\text{Cd}^{2+}$ ); 4,20 и 3,99 ( $\text{Zn}^{2+}$ ); 4,65 и 4,03 ( $\text{Pb}^{2+}$ ); 3,79 и 3,10 ( $\text{Co}^{2+}$ ); 4,98 и 4,32 ( $\text{Ni}^{2+}$ ); 6,67 и 6,38 ( $\text{Al}^{3+}$ ); при 25°: 7,67 и 7,53 ( $\text{Fe}^{2+}$ ); при 35°: 2,64 и 1,94 ( $\text{Mn}^{2+}$ ). Значения  $\lg K_2$  при 17° равны: 2,10 ( $\text{Co}^{2+}$ ); 3,21 ( $\text{Ni}^{2+}$ ). Для  $\text{Mg}^{2+}$  и  $\text{Fe}^{2+}$  определены только значения  $\lg K_1$ , равные при 25° соответственно 1,30 и 2,86. Катионы M располагаются в ряд в порядке уменьшения устойчивости комплексов с  $\text{Arg}^{-}$ :  $\text{Fe}^{2+} > \text{Cu}^{2+} > \text{Al}^{3+} > \text{Ni}^{2+} > \text{Pb}^{2+} > \text{Zn}^{2+} > \text{Ag}^{+} > \text{Co}^{2+} > \text{Cd}^{2+} > \text{Fe}^{2+} > \text{Mn}^{2+} > \text{Mg}^{2+}$ . Этот ряд согласуется с рядом, установленным в работе Меллора и Мэли (Malley L. E., Mellor D. P., *Austral. J. Sci. Res.* A2, 1949, 4, 578) для комплексов M с гликолем. Значения pH, при которых начинается образование комплексов M с  $\text{Arg}^{-}$ , равны: 2 ( $\text{Fe}^{2+}$ ); 2,4 ( $\text{Cu}^{2+}$ ); 3 ( $\text{Al}^{3+}$ ); 4 ( $\text{Mn}^{2+}$ ); 4,5 ( $\text{Ni}^{2+}$ ); 5 ( $\text{Pb}^{2+}$ ); 5,5 ( $\text{Zn}^{2+}$ );  $\text{Co}^{2+}$ ,  $\text{Cd}^{2+}$ ,  $\text{Fe}^{2+}$ ,  $\text{Ag}^{+}$ ; в случае  $\text{Mg}^{2+}$  комплексобразование с трудом обнаруживается при pH 10. Р-ры комплексов  $\text{Co}^{2+}$  в щел. среде становятся темно-красными в присутствии  $\text{O}_2$ , что, вероятно, связано с окислением  $\text{Co}^{2+}$  в  $\text{Co}^{3+}$  и образованием 2-ядерных комплексов с пероксомо-стиком. Вычислены значения  $\Delta H$ ,  $\Delta F$  и  $\Delta S$ , отвечающие образованию комплексов  $\text{Cu}^{2+}$ ,  $\text{Ni}^{2+}$ ,  $\text{Zn}^{2+}$  и  $\text{Cd}^{2+}$  с  $\text{Arg}^{-}$  и отрыву  $\text{H}^{+}$  от групп  $-\text{COOH}$  и  $-\text{NH}_3^{+}$  лиганда.

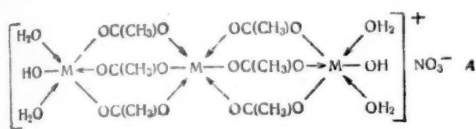
Л. Волштейн

6В65. Строение некоторых комплексных соединений ряда ди-(3-метил-1,5-диарилформазин)-никеля (2+). Irving H., Gill J. B., Cross W. R. The struc-

ХИН-3,5-  
ВАЛЕНТИ  
studies  
complex  
1960, 33  
СКИМ М  
1 M p-р  
вой к-т  
Опреде  
устойчи  
станта  
ствую  
lg  $K_1$ , 2  
6.34 и  
Pb 11.9  
компле  
компле  
Вильям  
илексо  
6B73.  
Нильи  
моно-,  
тов Cu  
G h.,  
derivat  
di-, tri  
Hg, Pb  
RPR



восстановителя нитрат-иона. В случае  $\text{Fe}(3+)$  осаждается красное в-во состава  $[\text{Fe}_3(\text{CH}_3\text{COO})_7\text{OH} \cdot 2\text{H}_2\text{O}] \cdot \text{NO}_3$  (II), переходящее при перекристаллизации в  $[\text{Fe}_3(\text{CH}_3\text{COO})_7\text{OH} \cdot 3\text{H}_2\text{O}] \cdot \text{NO}_3$  (III); из фильтрата от III при избытке I выделяется кирпично-красный, не растворимый в органич. р-рителях  $\text{Fe}_3(\text{CH}_3\text{COO})_8\text{OH}$  (IV). Р-ция  $\text{Cr}(\text{NO}_3)_3 \cdot 9\text{H}_2\text{O}$  с I приводит к образованию зеленых кристаллов  $[\text{Cr}_3(\text{CH}_3\text{COO})_7\text{OH} \cdot 2\text{H}_2\text{O}] \cdot \text{NO}_3$  (V), не изменяющих свой состав при перекристаллизации; из фильтрата от перекристаллизации V при кипячении в



присутствии I осаждается нерастворимый в органич. р-рителях  $\text{Cr}_3(\text{CH}_3\text{COO})_8\text{OH}$  (VI); из маточного р-ра от V выделен бледно-фиолетовый  $[\text{Cr}_6(\text{CH}_3\text{COO})_{14}(\text{OH})_3 \cdot 2\text{H}_2\text{O}] \cdot \text{NO}_3$  (VII), нагревание фильтрата от перекристаллизации которого в избытке I приводит к VI. Взаимодействием  $\text{Al}(\text{NO}_3)_3 \cdot 9\text{H}_2\text{O}$  с I получены  $[\text{Al}_3(\text{CH}_3\text{COO})_7\text{OH}] \cdot \text{NO}_3$  (VIII) и  $[\text{Al}_6(\text{CH}_3\text{COO})_{15}(\text{OH})_4 \cdot 2\text{H}_2\text{O}] \cdot \text{NO}_3$  (IX); показано также, что из фильтрата от IX при нагревании в присутствии I осаждается нерастворимый в органич. р-рителях  $\text{Al}_6(\text{CH}_3\text{COO})_{15}(\text{OH})_3$  (X). Соединения II, III, V, VII, IX растворимы в воде, метанол и этиловом спирте, ацетонитриле и лед.  $\text{CH}_3\text{COOH}$ , а II, III и V также и в ацетоне. Состав 3-ядерных ацетатокомплексов II, III, V, VIII, являющихся промежуточными продуктами р-ции нитратов Fe, Cr и Al с I, передается общей ф-лой  $[\text{M}_3(\text{CH}_3\text{COO})_7\text{OH} \cdot n\text{H}_2\text{O}] \cdot \text{NO}_3$  ( $n = 0-4$ ); предложенная структурная ф-ла (A) включает 6 мостиков из ацетатогрупп. Al-комплекс этого типа (соединение VIII) наименее устойчив и получается лишь в условиях, исключающих возможность гидролиза. Р-ции нитратов 3-валентных Fe, Cr, Al с I нельзя использовать для получения триацетатов соответствующих металлов, как это предполагалось ранее (Späth E., Monatsh., 1912, 33, 242), так как конечным продуктом их являются многоядерные гидроксоацетаты IV, V, X.

6В72. Изучение комплексобразования пирокатехин-3,5-дисульфоновой кислоты с некоторыми двухвалентными металлами. Näsänen Reino. Further studies on the formation of catechol-3,5-disulphonic acid complexes of some divalent metals. (Suomen kem., 1960, 33, № 4, B111-B114 (англ.).—Потенциометрическим методом изучено комплексобразование в водн. 1М р-рах  $\text{NaClO}_4$  между пирокатехин-3,5-дисульфоновой к-той ( $\text{H}_4\text{L}$ ) и 2-валентными Co, Ni, Zn, Cd и Pb. Определены полные концентрационные константы устойчивости  $K_1$  и  $K_2$  комплексов  $\text{ML}^{2-}$  и  $\text{ML}_2^{4-}$  и константа  $K_3 = [\text{ML}_2^{4-}][\text{ML}^{2-}][\text{L}^{4-}]$ , где M — атом соответствующего металла. Найдено при 25° (1-я цифра lg  $K_1$ , 2-я lg  $K_2$ , 3-я lg  $K_3$ ): Co 8,19; 6,22 и 14,41; Ni 8,56; 6,34 и 14,90; Zn 9,00; 7,91 и 16,91; Cd 7,69; 5,60 и 13,29; Pb 11,95; 6,33 и 18,28. Не подтверждено образование комплексов  $\text{MHL}^-$ . Полученный ряд устойчивости комплексов следует ряду устойчивости Ирвинга — Вильямса, причем комплексы  $\text{Zn}(2+)$  устойчивее комплексов  $\text{Ni}(2+)$ .

6В73. Изучение комплексных соединений с дифенильными производными. II. Комплексные соединения моно-, ди- и трихлорацетатов, пропаноатов и бутиратов Cu, Hg и Pb с бензидином. Macarovici Const. G.h., Schmidt G. Studiul combinațiilor complexe cu derivați difenilici. II. Cominațiile complexe ale mono, di-, trichloracetatilor, propionatilor și butiratoilor de Cu, Hg, Pb cu benzidină. «Studii și cercetări chim. Acad. RPR Fil. Cluj», 1959, 10, № 2, 245-250 (рум.; рез. русск.,

франц.).—Описано получение комплексных соединений:  $[\text{CuBzd}](\text{CHCl}_2\text{COO})_2$ ,  $[\text{CuBzd}](\text{CCl}_3\text{COO})_2$ ,  $[\text{HgBzd}](\text{CH}_2\text{ClCOO})_2$ ,  $[\text{HgBzd}](\text{CHCl}_2\text{COO})_2$ ,  $[\text{HgBzd}](\text{CCl}_3\text{COO})_2$ ,  $[\text{CuBzd}](\text{CH}_3\text{CH}_2\text{COO})_2$ ,  $[\text{CuBzd}](\text{H}_2\text{O})_2(\text{CH}_3\text{CH}_2\text{COO})_2$ ,  $[\text{HgBzd}](\text{CH}_3\text{CH}_2\text{COO})_2$ ,  $[\text{H}_2\text{Bzd}][\text{Pb}(\text{CHCl}_2\text{COO})_4]$ ,  $[\text{CuBzd}][\text{Cu}(\text{CH}_3\text{CH}_2\text{COO})_4]$ ,  $[\text{H}_2\text{Bzd}][\text{Hg}(\text{CH}_3\text{CH}_2\text{COO})_4]$ ,  $[\text{H}_2\text{Bzd}][\text{Cu}(\text{CH}_3\text{CH}_2\text{CH}_2\text{COO})_4]$ , где Bzd — бензидин. Сообщение 1 см. РЖХим, 1960, № 18, 72813.

6В74. Комплексы окисей фосфинов. Часть III. Бис-(трифенилфосфиноксид)-динитратокомплексы двухвалентных кобальта, никеля, меди и цинка. Bannister E., Cotton F. A. Phosphine oxide complexes. Part III. Bis(triphenylphosphine oxide)dinitrate-complexes of cobalt(II), nickel(II), copper(II), and zinc(II). «J. Chem. Soc.», 1960, May, 2276-2280 (англ.).—Смешиванием спирт. р-ров нитратов  $\text{Co}(2+)$ ,  $\text{Ni}(2+)$ ,  $\text{Cu}(2+)$  и  $\text{Zn}(2+)$  с избытком трифенилфосфиноксида ( $\text{Ph}_3\text{PO}$ ) получены соединения типа  $(\text{Ph}_3\text{PO})_2\text{M}(\text{NO}_3)_2$ . Соединения отличаются большой термич. устойчивостью, в нитрометане и нитробензоле — неэлектролиты. Физ. хим. свойства (приводятся цвет, т. пл., магнитный момент, в  $\mu_B$ ):  $\text{Co}(\text{Ph}_3\text{PO})_2(\text{NO}_3)_2$  (I) — пурпурно-голубой, 246°, 4,69 (твердый), 4,52 (р-р в  $\text{CH}_2\text{Cl}_2$ );  $\text{Ni}(\text{Ph}_3\text{PO})_2(\text{NO}_3)_2$  (II) — желтый, 266°, 3,45 (твердый);  $\text{Cu}(\text{Ph}_3\text{PO})_2(\text{NO}_3)_2$  (III) — бледно-голубой, 209°, 1,97 (твердый);  $\text{Zn}(\text{Ph}_3\text{PO})_2(\text{NO}_3)_2$  (IV) — белый, 226°, диамагнитный. Измерениями мол. электропроводности соединений и мол. веса III (криоскопически в нитробензоле) показано, что координационное число иона металла в I-IV равно четырем. ИК — спектры твердых и растворенных в  $\text{CH}_2\text{Cl}_2$  I-IV указывают на координацию  $\text{NO}_3$ -групп посредством одного атома O каждой группы; конфигурация соединений в р-рах не установлена; для твердого I определено тетраэдрич. расположение лигандов. Часть II см. РЖХим, 1961, 4В37.

6В75. Об образовании аммиакатов в неводных средах. II. Prasad Sarju, Raghvendra Rao P. V. On the formation of ammines in nonaqueous media. II. «J. and Proc. Instn Chemists (India)», 1960, 32, № 2, 67-69 (англ.).—Пропусканием сухого  $\text{NH}_3$  через р-ры или суспензии хлоридов  $\text{Cu}(1+)$ ,  $\text{Cu}(2+)$ ,  $\text{Zn}$ ,  $\text{Cd}$ ,  $\text{Hg}$  и Al в органич. р-рителях ( $\text{C}_2\text{H}_5\text{OH}$ ,  $\text{C}_6\text{H}_6$  и  $\text{C}_2\text{H}_5\text{O}$ ) получены аммиакаты этих элементов, выделявшиеся в виде осадков. При проведении р-ций в среде  $\text{C}_2\text{H}_5\text{OH}$  получены  $\text{Cu}_2(\text{NH}_3)_2\text{Cl}_2 \cdot \text{C}_2\text{H}_5\text{OH}$  (I),  $\text{Cu}(\text{NH}_3)_4\text{Cl}_2$  (II),  $\text{Zn}(\text{NH}_3)_4\text{Cl}_2$ ,  $\text{Cd}(\text{NH}_3)_4\text{Cl}_2$  (III),  $\text{Hg}(\text{NH}_3)_2\text{Cl}_2$  (IV). В  $\text{C}_6\text{H}_6$  получены осадки II, III, IV и  $\text{Hg}_2(\text{NH}_3)_2\text{Cl}_2$  (V). В  $\text{C}_2\text{H}_5\text{O}$  получен  $\text{Al}(\text{NH}_3)_3\text{Cl}_3 \cdot (\text{C}_2\text{H}_5)_2\text{O}$  (VI). Осадки I, II и V окрашены соответственно в темно-зеленый, синий и темно-серый цвета; остальные полученные соединения имеют белый цвет. Все соединения, кроме V, растворяются в разб.  $\text{HCl}$  и  $\text{HNO}_3$ ; разложение с выделением  $\text{NH}_3$  происходит при взаимодействии с разб. р-ром  $\text{NaOH}$ . При нагревании все полученные соединения разлагаются. Наличие в молекуле VI только одной группы  $\text{NH}_3$ , по предположению авторов, объясняется трудностью замещения молекулы  $(\text{C}_2\text{H}_5)_2\text{O}$ , очень прочно связанной в этом соединении. В других выделенных соединениях природа р-рителя не влияет на число координированных металлом молекул  $\text{NH}_3$ .

6В76. Смешанные комплексы, образуемые внутрикомплексными соединениями металлов с тетрациклином. II. Комплексы пенициллина G с внутрикомплексными соединениями металлов с хлортетрациклином. III. Комплексы изониазида с внутрикомплексными соединениями металлов с хлортетрациклином. IV. Комплекс 4,4'-бис-(диметиламино)-тиобензофенона (тиокетона Михлера) с внутрикомплексным соединением двухвалентной меди с хлортетрациклином. Taguchi Kiyomi. The mixed complex of tetracycline-metal-chelates. II. Chlorotetracycline-metal chelates with penicillin G. III. Chlorotetracycline-metal chelates with iso-

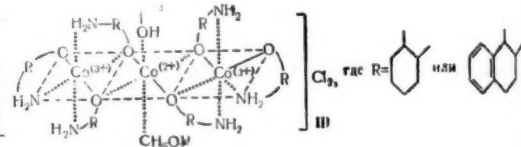
niazid. IV. Chlorotetracycline-copper (II) chelate with 4,4-bis-(dimethylamino)-thiobenzophenone (thio-Michler's ketone). «Chem. and Pharmac. Bull.», 1960, 8, № 3, 205—211; 212—217; 217—221 (англ.).—II. Изучено комплексобразование пенициллина G (HL) с  $\text{Th}^{4+}$ ,  $\text{Fe}^{3+}$ ,  $\text{Co}^{3+}$  и  $\text{Cu}^{2+}$ , а также образование смешанных комплексов, содержащих L и хлортетрациклин (R). Найдено, что при прибавлении воды к р-рам KL в этаноле, содержащим соль соответствующего металла, образуются в случае Th, Co и Fe комплексы с отношением L:металл = 1:1, 2:1 и 2:1 соответственно. В случае Cu комплекс не образуется вследствие разложения лиганда при р-ции. Комплекс с Th — белое в-во, растворимое в воде и обычных органич. р-рителях, нерастворимое в диметилформамиде (I), разб. неорганич. к-тах при pH < 2. Комплексы с Co (розового цвета) и Fe (светло-коричневого цвета) растворимы в этаноле, метаноле, диоксане, I, нерастворимы в воде и эфире, не осаждаются из водн. р-ров при pH 4—6. Метилловый эфир бензилпенициллина не образует комплексов с солями  $\text{Th}^{4+}$  и  $\text{Fe}^{3+}$  в эфирно-спирт. среде, но образует с солями  $\text{Co}(2+)$  комплекс розоватого цвета. Смешанные комплексы с R и L образуются при прибавлении воды к метанолным р-рам KL и комплекса R с соответствующим металлом, а также (в случае Co и Fe) при р-ции R·HCl с комплексами Co и Fe с L, хотя в аналогичных условиях комплекс Th с L не реагирует с R·HCl. Комплексы Th и Fe с L и R отвечают составу R:L:металл = 1:1:1. Смешанные комплексы с Co и Cu не имеют определенного состава. Смешанные комплексы растворимы в метаноле, этаноле, диоксане, I и разб. р-рах HCl и NaOH, нерастворимы в воде, эфире, ацетоне и бензоле. Внутриклеточное соединение Th с десдиметиламинохлортетрациклином, полученное аналогично комплексам с L и имеющее состав, соответствующий отношению Th:лиганд = 1:1, также образует смешанный комплекс с L. Синтезированные соединения являются истинными комплексными соединениями, а не солями.

III. Изучено комплексобразование изониазида ( $\text{L}'$ ) с  $\text{Th}^{4+}$ ,  $\text{Fe}^{3+}$ ,  $\text{Cu}^{2+}$  и  $\text{Co}^{2+}$  и образование смешанных комплексов перечисленных металлов с  $\text{L}'$  и R. Комплекс Cu с  $\text{L}'$  получен прибавлением этанола к водн. р-ру  $\text{Cu}(\text{NO}_3)_2$  и  $\text{L}'$  при pH ~4. При этом вначале выделяется растворимый в воде комплекс, быстро превращающийся в нерастворимую форму. Состав комплекса соответствует отношению Cu:лиганд = 1:1. Со образует с  $\text{L}'$  комплексы с отношением Cu:лиганд = 1:2 и 1:1 в водн. метаноле при pH р-ров соответственно 4,5 и 6,0. Комплекс с Fe не образуется вследствие разложения  $\text{L}'$  при р-ции; Th и  $\text{Zr}^{4+}$  не образуют комплексов с  $\text{L}'$ . Комплекс Cu с  $\text{L}'$  нерастворим в воде, спиртах, эфире и бензоле. Комплекс Co типа 1:2 растворим в воде, хуже — в метаноле. Комплекс Co типа 1:1, полученный из  $\text{Co}(\text{NO}_3)_2$ , лучше растворим в воде, чем комплекс, полученный из  $\text{CoCl}_2$ . Полученные соединения разлагаются со взрывом при ~160°. Смешанные комплексы Cu, Co и Fe получены в виде кристаллич. порошков при прибавлении небольших кол-в эфира к почти нейтр. (слабокислым) р-рам водн. метанола, содержащим  $\text{L}'$  и комплекс соответствующего металла с R. Комплекс Th с R не образует смешанного комплекса. Состав образующихся смешанных комплексов Cu зависит от pH р-ров: при pH 5 образуется комплекс с отношением R:Cu: $\text{L}'$  = 1:1:2, а при pH 4 — комплекс с отношением 1:1:1. В случае Fe и Co образуются комплексы с отношением 1:1:1 как при pH 4, так и при pH 5. Смешанный комплекс Co образуется также при р-ции R·HCl с Co-комплексом  $\text{L}'$ , тогда как Cu в аналогичных условиях образует соединения неопределенного состава. Смешанные комплексы растворимы в горячих воде и метаноле, хуже — в холодных воде и метаноле, нерастворимы в эфире, ацетоне, бензоле, разлагаются со взрывом при ~170°. В синтезированных соедине-

ниях  $\text{L}'$  является истинным лигандом, а не примесью к другим комплексам.

IV. Установлено, что комплекс  $\text{Cu}^{2+}$  с R образует с тиокетонем Михлера (A) смешанный комплекс с отношением Cu:R:A = 1:1:1, а  $\text{Cu}(\text{NO}_3)_2$  с A образует комплекс с отношением Cu:A = 1:2. Комплекс Cu с A выделен в виде перхлората при прибавлении р-ра  $\text{NaClO}_4$  к р-ру A +  $\text{Cu}(\text{NO}_3)_2$  в смеси ацетона с метанолом. Комплекс Cu с A — в-во темно-коричневого цвета. Смешанный комплекс Cu образуется при прибавлении эфира к р-ру, содержащему A и комплекс Cu с R в смеси ацетона с метанолом. Смешанный комплекс растворим в метаноле, этаноле, хуже — в ацетоне, нерастворим в эфире и  $\text{CHCl}_3$ . В присутствии ионов  $\text{Cl}^-$  в р-рах, содержащих  $\text{Cu}^{2+}$  и A, образуется комплекс голубого цвета с отношением Cu:лиганд = 1:2; при этом A окисляется хлором, возникающим при восстановлении  $\text{CuCl}_2$  во время р-ции  $\text{CuCl}_2$  с A. Смешанный комплекс Cu, образующийся в присутствии ионов  $\text{Cl}^-$ , также имеет голубую окраску и соответствует отношению Cu:R:A = 1:1:1. То что синтезированные соединения являются истинными комплексами, а не смесью исходных компонентов, подтверждено изучением р-ций с помощью хроматографии на бумаге.

Ю. Харитонов  
6В77. Аминоспирты. VII. Влияние пространственного фактора на комплексобразование 2-аминоциклогексанолов. Drefahl Günther, Zimmermann Heinz, Gehrke Klaus. Aminoalkohole. VII. Sterische Verhältnisse bei der Komplexbildung mit 2-Amino-cyclohexanol. «Chem. Ber.», 1960, 93, № 2, 509—513 (нем.).—Cис-2-аминоциклогексанол (цис-1) при действии  $\text{CoCl}_2$  в абс.  $\text{CH}_3\text{OH}$  образует с выходом 80% комплекс состава  $(\text{NH}_2\text{C}_6\text{H}_{10}\text{O})_6\text{Co}_3\text{Cl}_2 \cdot 2\text{CH}_3\text{OH}$ , постепенно разлагающийся при действии воды и быстро при действии NaOH. Транс-1 при аналогичной обработке образует с выходом 50% комплекс состава  $(\text{NH}_2\text{C}_6\text{H}_{10}\text{O})_6\text{Co}_3\text{Cl}_2 \cdot \text{CH}_3\text{OH} \cdot 2\text{H}_2\text{O}$ , более устойчивый к действию щелочи. В этих комплексах не проявляется характерного различия, свойственного комплексам



цис- и транс-2-аминоциклопентанолов (РЖХим, 1958, № 17, 57297). Меньшая устойчивость комплекса, образуемого цис-1, по сравнению с комплексом, образуемым транс-1, аналогична меньшей устойчивости комплекса цис-1,2-диаминоциклогексана по сравнению с комплексом, образуемым транс-изомером (РЖХим, 1957, № 3, 7793). Цис-1-амино-2-оксистералин (цис-III) с  $\text{CoCl}_2$  образует комплексы  $(\text{NH}_2\text{C}_6\text{H}_{10}\text{O})_6\text{CoCl}_2$  (выход 34%) и  $(\text{NH}_2\text{C}_6\text{H}_{10}\text{O})_6\text{Co}_3\text{Cl}_2 \cdot 2\text{CH}_3\text{OH}$  (выход 48%), которые также менее устойчивы, чем комплекс транс-II состава  $(\text{NH}_2\text{C}_6\text{H}_{10}\text{O})_6\text{Co}_3\text{Cl}_2 \cdot 3\text{CH}_3\text{OH}$  (выход 34%). Полученным комплексам приписывается строение (III), подтверждающееся их магнитными свойствами и аналогией в строении комплексов  $(\text{NH}_2\text{C}_6\text{H}_{10}\text{O})_6\text{CoCl}_2$ . 1-Фенил-транс-2-аминоциклогексанол (транс-IV) постепенно образует комплекс  $(\text{NH}_2\text{C}_6\text{H}_{10}\text{O})_6\text{Co}_3\text{Cl}_2$ , выход 17%, т. пл. 213° (разл.); цис-IV образует изомерный комплекс с выходом 82%, т. пл. 133° (разл.). Более быстрое и более полное образование комплекса цис-IV по сравнению с транс-IV объясняется тем, что в транс-IV объемистая  $\text{C}_6\text{H}_5$ -группа занимает Э-положение, благодаря чему  $\text{NH}_2$  и  $\text{OH}$ -группы занимают Л-положение, затрудняющее образование комплекса. Само наличие  $\text{C}_6\text{H}_5$ -группы как в цис-, так

е примесью  
Р образует  
плекс с от-  
А образует  
плекс Си с  
еления р-ра  
она с мета-  
ического цв-  
ри прибав-  
плекс Си с  
ей комплекс-  
цетоне, не-  
ионов Cl-  
и комплекс  
= 1:2; при  
при восте-  
Смешанный  
ионов Cl-  
ет отноше-  
валыне со-  
ам, а не  
бумо изуче-  
бумаге.  
Харитонов  
странствен-  
миноинко-  
не гма п  
VII. Ste-  
mit 2-Ami-  
№ 2, 509—  
cis-1) при  
ходом 80%  
ОН, посте-  
и быстро-  
ной обра-  
е состава  
устойчивый  
проявляет  
комплексам



Хим, 1953,  
екса, обра-  
е, образу-  
ности ком-  
аппению с  
(РЖХим)  
и (cis-III  
CoCl (вы-  
ход 48%),  
комплекс  
ОН (выхо-  
д стро-  
ыми свой-  
(NH<sub>2</sub>CH<sub>2</sub>)<sub>2</sub>  
ол (транс-  
I<sub>10</sub>O)<sub>8</sub>·CO<sub>2</sub>  
образует  
пл. 137°  
образование  
объясняет  
упа зант  
ОН-группы  
образование  
в cis-, та

и в транс-III также затрудняет образование комплекса, что подтверждается отсутствием миграции C<sub>6</sub>H<sub>5</sub>-CO-группы от N к O-атому в N-бензоил-цис-III и N-бензоил-транс-III в присутствии HCl, в то время как в ряду N-ацил-цис-I и N-ацил-транс-I эта миграция протекает. Сообщение VI см. РЖХим, 1958, № 24, 81690.

В. Дашунин

**6В78. Определение констант устойчивости при ступенчатом комплексообразовании.** Комарь Н. П. «Ж. аналит. химии», 1960, 15, № 3, 260—263 (рез. англ.). Рассмотрен в общем виде вопрос об определении полных констант устойчивости  $\beta_n$  комплексов  $BA_n$ , образующихся в р-рах при ступенчатом комплексообразовании ( $n = 1, 2, \dots$ ), с учетом  $\mu$  равновесий  $B^{n+} + i H_2O \rightleftharpoons B(OH)_i^{(n-i)+} + iH$  (1),  $\mu$  равновесий образования ядро-звеньевых гидроксокомплексов  $(q+1)B^{n+} + q\mu H_2O \rightleftharpoons B[(OH)_{\mu}B]_q^{(q+1)\mu - q\mu} + q\mu H$  (2),  $\nu$  равновесий  $A^{n-} + iH^+ \rightleftharpoons H_i A^{(n-i)-}$  (3) и  $N$  равновесий  $B^{n+} + nA^{m-} \rightleftharpoons BA_n^{(n-m)+}$ . В этом случае расчетные ф-лы Ледена (Leden I. «Z. phys. Chem.», 1941, 188, 160) и Бьеррума (Bjerrum J., Metal ammine formation in aqueous solution. Copenhagen, 1941) принимают соответственно вид:  $[\Phi - \Phi_1 - f(b)] a^{-1} = \sum_{n=1}^N \beta_n a^{n-1}$  (4) и  $\bar{n}_0 [\Phi_1 + f(b)] / (1 - \bar{n}_0) a = \sum_{n=1}^N \times (n - \bar{n}_0) a^{n-1} \beta_n / (1 - \bar{n}_0)$  (5), где  $\Phi = C_B/b$ ,  $b = [B]$ ,  $a = [A]$ ,  $\Phi_1 = 1 + \sum_{i=1}^{\mu} \eta_i [H^+]^{-i}$ ,  $\eta_i$  — константы равновесий (1),  $f(b) = k_0 \sum_{q=1}^Q (q+1) k^{q\mu} [H^+]^{-q\mu}$ ,  $k_0 k^{q\mu}$  — константа  $q$ -й степени многозвеньевых гидролиза (2),  $\bar{n}_0 = [C_A - a(1 + \sum_{j=1}^{\nu} \sigma_j [H^+]^j)] C_B^{-1}$ ,  $C_A$  и  $C_B$  — соответственно общие конц-ии А и В в р-ре,  $\sigma_j$  — константы равновесий (3). Для вычисления  $\beta_n$  при наличии в р-ре равновесий (2) должны быть известны  $a$  и  $b$ . При пренебрежении равновесиями (2) для вычисления  $\beta_n$  по ур-нию (4) нужно знать  $a$  и  $b$ , а при вычислении  $\beta_n$  по ур-нию (5) достаточно знать  $a$ . В общем случае необходимо измерять равновесные конц-ии  $a$  и  $b$ . При учете равновесий (2) следует измерять  $b$  и вычислять  $a$  для случаев прибавления в систему к-ты HR или MON соответственно по ф-лам  $a = (\psi_1 b + k_0 \sum_{q=1}^Q q k^{q\mu} b^{q+1} [H^+]^{-q\mu} + c_R + [OH^-] - [H^+]) \psi_2^{-1}$  и  $a = (\psi_1 b + k_0 \sum_{q=1}^Q q k^{q\mu} b^{q+1} [H^+]^{-q\mu} - c_M + [OH^-] - [H^+]) \psi_2^{-1}$ , где  $c_R$  и  $c_M$  — общие конц-ии соответственно R и M,  $\psi_1 = \sum_{i=1}^{\mu} \eta_i [H^+]^{-i}$ ,  $\psi_2 = \sum_{j=1}^{\nu} \sigma_j [H^+]^j$ . При пренебрежении равновесиями (2)  $a$  и  $b$  можно вычислять для случаев прибавления в систему HR или MON соответственно по ф-лам  $a = (\psi_1 b + c_R + [OH^-] - [H^+]) \psi_2^{-1}$ ,  $b = (\psi_2 a - c_R - [OH^-] + [H^+]) \psi_2^{-1}$  и  $a = (\psi_1 b - c_M + [OH^-] - [H^+]) \psi_2^{-1}$ ,  $b = (\psi_2 a + c_M - [OH^-] + [H^+]) \psi_2^{-1}$ . При гидролизе только  $A^{n-}$  ионов  $a$  вычисляется по ф-лам  $a = (c_R + [OH^-] - [H^+]) \psi_2^{-1}$  или  $a = ([OH^-] - c_M - [H^+]) \psi_2^{-1}$ , а  $\beta_n$  следует определять по ур-нию Бьеррума. При гидролизе только  $B^{n+}$  ионов  $b$  вычисляется по ф-лам  $b = ([H^+] - c_R - [OH^-]) \psi_1^{-1}$  или  $b = ([H^+] + c_M - [OH^-]) \psi_1^{-1}$ , а значения  $a$  следует измерять. Отмечается, что единственным рациональным методом решения (4) и (5) является вариант способа наименьших квадратов, приспособленный к получению наиболее вероятных значений физ. констант.

Ю. Харитонов

**6В79. Графическое определение формул и констант равновесия комплексных соединений, примененное к случаю двух комплексов.** Wormser Yvette. Détermination graphique de la formule et des constantes d'équilibre de complexes imparfaits appli-

quée au cas de deux complexes. «C. r. Acad. sci.», 1960, 250, № 22, 3647—3649 (франц.). Предложен способ графич. анализа кривых зависимости функции образования Бьеррума от логарифма конц-ии свободного лиганда для случая сосуществования равновесий  $M + nA \rightleftharpoons MA_n$  и  $MA_n + (n_1 - n)A \rightleftharpoons MA_{n_1}$ . Используются заранее изготовленные сетки кривых, вычерченные для  $n = 1$  и  $n_1 = 2$  или 3 и  $n = 2$  и  $n_1 = 3$  или 4, произвольно выбранного значения константы равновесия  $K_1$  и ряда значений  $K_2 = rK_1$ , где  $r$  — целое положительное число. Смещая сетки вдоль оси абсцисс, добиваются совпадения опытной кривой с одной из кривых сеток и таким образом находят  $n$  и  $n_1$ ; константы равновесия вычисляются из величины смещения,  $r$ ,  $n$  и  $n_1$ . Выпедены расчетные ф-лы.

И. Рысс

**6В80. Использование комплексов типа взаимопроникновения для препаративного и аналитического исследования стереоизомерии.** Daescke H. Ein Durchdringungskomplex als Beispiel für die präparative und analytische Behandlung der Stereoisomerie, «Math. und naturwiss. Unterr.», 1960, 13, № 4, 160—168 (нем.). Обзор. Обсуждаются вопросы стереоизомерии комплексов типа взаимопроникновения (в отличие от «нормальных» комплексов автор называет комплексами типа взаимопроникновения такие комплексы, в которых координационная связь включает ковалентность). Библ. 18 назв.

А. Н.

**6В81. Исследование взаимодействия перекиси лития с водяным паром и углекислым газом.** Селезнева К. И. «Ж. неорган. химии», 1960, 5, № 8, 1688—1695. — Исследованием взаимодействия  $Li_2O_2$  с водяным паром в интервале 23—300° показано, что до 200°  $Li_2O_2$  водяным паром практически не разлагается. При 23° взаимодействие  $Li_2O_2$  с водяным паром сопровождается гидратацией с образованием  $Li_2O_2 \cdot H_2O$  и частичным образованием  $LiOH \cdot H_2O$  за счет незначительного выделения  $O_2$ . Выше 200°  $Li_2O_2$  заметно реагирует с водяным паром с образованием  $LiOH$  с эквивалентным выделением  $O_2$ . При 300° и выше наряду с хим. разложением  $Li_2O_2$  водяным паром происходит термич. разложение  $Li_2O_2$ . Исследованием взаимодействия  $Li_2O_2$  с сухой  $CO_2$  установлено, что процесс карбонизации начинает заметно протекать при  $t$ -ре  $> 200^\circ$  с постепенным затуханием. За 60 мин. карбонируется только  $1/3 Li_2O_2$ , так как возрастает диффузионное сопротивление. Исследованием взаимодействия  $Li_2O_2$  с  $CO_2$  в присутствии водяного пара показано, что поглощение  $CO_2$  начинает активно протекать при 200°.

Из резюме автора

**6В82. Об обратимости реакции взаимодействия бета-сподумена с сульфатом калия.** Плющев В. Е. «Докл. АН СССР», 1960, 131, № 3, 584—586. — Для выяснения характера извлечения Li и Na при сульфатной обработке  $\beta$ -сподумена (I) изучены продукты, образующиеся при спекании I, содержащего 5,44%  $Li_2O$  и 3,20%  $Na_2O$ , с различными кол-вами  $K_2SO_4$  при  $t$ -рах 700—1100°. В результате спекания Li и Na переходят в растворимое состояние (в виде сульфатов), причем относительное кол-во перешедшего в растворимую фазу Na всегда ниже, чем Li. Доля перешедших в растворимую фазу Li и Na растет с увеличением  $t$ -ры спекания и избытка  $K_2SO_4$ . Обнаружено, что при спекании природного лейцитита с  $Li_2SO_4$  (1:1 и 1:2) при 800, 900 и 1000° образуется I, чем доказана обратимость основной р-ции сульфатного способа переработки I:  $2\beta - Li[AlSi_2O_6] + K_2SO_4 \rightleftharpoons 2\alpha [KAlSi_2O_6] + Li_2SO_4$ .

В. Росоловский

**6В83. Исследование взаимодействия хромового ангидрида с хроматом калия.** Спицын Викт. И., Афонский Н. С., Цирельников В. И. «Ж. неорган. химии», 1960, 5, № 9, 1970—1972. — Расплавленный  $CrO_3$  при 208—220° взаимодействует с  $K_2CrO_4$ , образуя  $K_2Cr_2O_7$ . Однако р-ция происходит неполно, по-видимому, вследствие ее гетерог. характера. При 270—280°



имеет место обменная р-ция  $K_2CrO_4$  с продуктом разложения  $CrO_3$  — бихроматом 3-валентного хрома:  $3K_2CrO_4 + Cr_2(Cr_2O_7)_3 = 3K_2Cr_2O_7 + Cr_2(CrO_4)_3$ . Обе р-ции дают выход  $K_2Cr_2O_7$ , равный 80—85%. Применение смесей  $K_2CrO_4$  и  $CrO_3$ , более богатых  $CrO_3$ , чем эквивалентная, позволяет превратить весь  $K_2CrO_4$  в бихромат. Наличие изотопного обмена Cr между р-ром  $K_2CrO_4$  и твердым  $Cr_2^{*}O_3$  препятствует изучению р-ций между  $K_2CrO_4$  и  $CrO_3$  в твердом состоянии методом изотопного обмена.

Резюме авторов

6В84. Химические факторы, влияющие на разложение пикрата калия. Szabó Zoltán, Száva József. A káliumpikrát termikus bomlását befolyásoló tényezők. «Magyar kém. folyóirat», 1960, 66, № 6, 227—234 (венг.; рез. нем.). — Изучено разложение пикрата калия в различных условиях и показано, что наряду с физ. параметрами на кинетику разложения пикрата калия влияют и хим. факторы.

А. Р.

6В85. Дополнительные данные о химизме взаимодействия сернистого цинка с раствором селенистой кислоты. Марковский Л. Я., Смирнова Р. И. «Сб. тр. Гос. ин-та прикл. химии», 1960, вып. 43, 128—134. — Приведены дополнительные данные по химизму первичных р-ций при взаимодействии  $ZnS$  с селенистой к-той. Показано, что образование селенита Zn проходит через промежуточную стадию образования кислого селенита Zn. Дана новая уточненная схема первичных р-ций. Приведены предварительные данные по теплотам взаимодействия  $ZnS$  с селенистой к-той.

Резюме авторов

6В86. Взаимодействие урансодержащих расплавленных солей с висмутом. Ничков И. Ф., Распосин С. П., Бажков Ю. В. «Ж. прикл. химии», 1960, 33, № 9, 2136—2139. — При изучении взаимодействия расплава галогенидов щел. металлов, содержащих некоторое кол-во  $UCl_4$ , с Bi установлено, что  $U^{3+}$ , образующийся за счет перезарядки ионов  $U^{4+}$  по р-ции  $3U^{4+} + Bi \rightarrow 3U^{3+} + Bi^{3+}$ , полностью связывается в соединении, нерастворимое ни в солевом расплаве, ни в Bi.

Резюме авторов

6В87. О взаимодействии  $NbCl_5$  и  $TaCl_5$  с  $PSCl_3$ . Нисельсон Л. А. «Ж. неорг. химии», 1960, 5, № 7, 1634. — Изучены растворимости  $TaCl_5$  и  $NbCl_5$  в  $PSCl_3$ . Установлено, что в отличие от аналогичных систем, образующих пентахлориды Ta и Nb с  $POCl_3$ , в данном случае заметное хим. взаимодействие между  $Ta(Nb)Cl_5$  и  $PSCl_3$  отсутствует. Высказано предположение, что в соединениях  $Ta(Nb)Cl_5 \cdot POCl_3$  хим. связь металла с P осуществляется через кислород.

А. Р.

6В88. Выделение очень малых количеств фторида соосаждением с сульфатом бария. Münze R. Die Isolierung kleinster Fluoridmengen durch Mitfällung mit Bariumsulfat. «Kernenergie», 1960, 3, № 5, 429—434 (нем.). — Изучено соосаждение  $F^-$  с  $BaSO_4$  (I) при введении р-ра  $BaCl_2$  в р-р  $(NH_4)_2SO_4$ , содержащий  $F^-$ . При очень малых конц-ях  $F^-$  в качестве индикатора применялся  $(F^{18})^-$ , полученный облучением  $LiNO_3$  по р-циям  $Li^6(n, \alpha)H^3$  и  $O^{16}(t, n)F^{18}$ ; водн. р-р мишени отделялся от посторонней активности действием Na-формы катионита KPS-200. Изучение влияния длительности контакта р-ра с осадком не дало воспроизводимых результатов.  $NH_4^+$  включается в решетку в значительно меньших кол-вах, чем  $F^-$ ; при pH < 2 соосаждение  $F^-$  не происходит, а при pH 2—4 оно пропорционально pH. Эти данные показывают, что F содержится в решетке I в виде  $F^-$ , а не  $HF_2^-$ , т. е. не образуются смешанные кристаллы типа I —  $NH_4HF_2$ . Коэф. распределения  $F^-$  между р-ром и I мало зависят от т-ры; характер зависимости его от конц-и соответствует гомог. распределению  $F^-$  в решетке I. Соосаждение  $F^-$  с  $BaSO_4$  при pH < 3 может быть применено для выделения микроколичеств фтора. И. Рыск

6В89. Изучение реакций обмена йода в системах, содержащих треххлористый йод. Фялков Ю. Я.

«Ж. неорг. химии», 1960, 5, № 7, 1567—1571. — Изучен обмен  $JCl_3$  с  $JCl$ ,  $KJO_3$  и  $NaJO_4$  в солянокислой среде при т-ре  $20,0 \pm 0,2^\circ$  с применением радиоактивного индикатора  $J^{131}$ . Во всех случаях радиоактивным йодом метился  $JCl_3$ . В системе  $JCl_3 - JCl$  в 0,8 н. HCl найден полный обмен за время, меньшее времени разделения (3 мин. — время от начала приливания р-ра  $JCl$  к р-ру  $JCl_3$  и до конца приливания р-ра NaOH; обменом между  $NaJ$  и  $NaJO_3$  в щел. среде при комнатной т-ре можно пренебречь). В системах  $JCl_3 - KJO_3$  и  $JCl_3 - NaJO_4$  обмен не обнаружен. Не обнаружен обмен также в системе  $NaJ - NaJO_4$  (радиоактивным йодом метился  $NaJ$ ) в 0,1 н. NaOH.

Ю. Муромский

6В90. О карбонизации растворов алюмината натрия, содержащих небольшую примесь галлата натрия. Пермякова Т. В., Лилеев И. С. «Ж. неорг. химии», 1960, 5, № 9, 1999—2006. — Показана большая устойчивость р-ров галлата Na (I) по сравнению с р-рами алюмината Na. Получены р-ры I, которые не разлагались в течение очень большого периода времени. Изучен процесс карбонизации р-ров I при 20 и  $90^\circ$ . Установлено, что Ga начинает выделяться в осадок лишь при отсутствии в р-ре едкой щелочи и может быть выделен из р-ра практически полностью. При помощи хим. и рентгеновского анализов установлено, что основным продуктом карбонизации при  $90^\circ$  является гидрат окиси галлия, а при  $20^\circ$  сначала в осадок выделяется гидрат окиси галлия, а затем смесь его с галлокарбонатом Na. При изучении с помощью  $Ca^{42}$  процесса карбонизации р-ров алюмината Na, содержащих небольшую примесь I, подтверждено, что при этом процессе Ga может быть выделен из р-ра полностью, но выделение его происходит в конце процесса. А. Р.

6В91. Осаждение никеля и кобальта из раствора хлористого железа. Крюкова В. Н., Цефт А. Л., Сериков А. П. «Тр. Вост.-Сиб. фил. Сиб. отд. АН СССР», 1960, вып. 25, 76—82. — Показана возможность осаждения Ni и Co из р-ра  $FeCl_2$  с помощью никелевого штейна, металлич. Fe в совместном действии элементарной S и Fe. Повышение т-ры и увеличение избытка осадителей благоприятствуют течению процесса осаждения. Установлено, что наиболее эффективными осадителями являются металлич. Fe и элементарная S при их совместном действии. Двухстадийная противоточная система осаждения позволяет выделить Ni и Co из р-ра с получением чистых осадков их сульфидов и р-ра  $FeCl_2$ , практически свободного от примесей.

Резюме авторов

6В92. Исследование восстановительного действия некоторых органических соединений на некоторые ионы. I. Действие криогеннина и изониазида на ионы  $Fe^{3+}$ ,  $Sb^{3+}$ ,  $Bi^{3+}$ ,  $Cu^{2+}$ ,  $Hg_2^{2+}$ ,  $Hg^{2+}$ ,  $Ce^{4+}$ ,  $Au^{3+}$  и  $Ag^+$ . Grecu I., Handelsmann V., Cureau E. Contribuții la studiul acțiunii reducătoare a unor compuși organici asupra unor ioni. I. Acțiunea criogeninei și a izoniiazidei asupra ionilor  $Fe^{3+}$ ,  $Sb^{3+}$ ,  $Bi^{3+}$ ,  $Cu^{2+}$ ,  $Hg_2^{2+}$ ,  $Hg^{2+}$ ,  $Ce^{4+}$ ,  $Au^{3+}$ , și  $Ag^+$ . «Studii și cercetări chim. Acad. RPR Fil. Cluj», 1959, 10, № 2, 299—304 (рум.; рез. русск., франц.). — Изучено восстановительное действие фенилсемикарбазида и гидрозида изоникотиновой к-ты (изониазида) на ионы  $Fe^{3+}$ ,  $Sb^{3+}$ ,  $Bi^{3+}$ ,  $Cu^{2+}$ ,  $Hg_2^{2+}$ ,  $Ag^+$ ,  $Hg^{2+}$ ,  $Ce^{4+}$ ,  $Au^{3+}$ , в зависимости от среды. Предложены быстрые весовые методы определения серебра и ртути в отсутствие других ионов или в присутствии ионов  $Pb^{2+}$ ,  $Cu^{2+}$ ,  $Bi^{3+}$ ,  $Al^{3+}$ ,  $Fe^{3+}$ , основанные на восстановлении до металлич. Ag или до металлич. Hg.

Из резюме авторов

См. также: раздел *Остальные элементы, окислительно-восстановительные реакции, свойства молекул и кристаллов* 6В198—6В201, 6В207. Кинетика и механизм неорганических р-ций 6В459, 6В468, 6В539—6В544. Комплексные соединения 6В205, 6В208, 6В390, 6В440, 6В659

# РЕФЕРАТИВНЫЙ ЖУРНАЛ ХИМИЯ

## II

Рефераты 6Г1—6Е88

№ 6

25 марта 1961 г.

### Г. КОСМОХИМИЯ. ГЕОХИМИЯ. ГИДРОХИМИЯ

Редакторы Г. Г. Воробьев, В. Д. Коншин

6Г1. Происхождение метеоритов. Mason Brian. The origin of meteorites. «J. Geophys. Res.», 1960, 65, № 9, 2965—2970 (англ.).

6Г2. Каменный метеорит Тэуци (1937). Savu H. Meteoritul pietros de la Tăuți (1937). «Studii și cercetări geol. Acad. RPR», 1959, 4, № 2, 273—280 (рум.; рез. русск., франц.).—Метеорит упал в 1937 г. в июле или августе в общине Тэуци (область Оради). Падению предшествовал болид. Обнаружено два индивидуальных экземпляра: один весом 20 кг, второй — 0,5 кг, найденный в 6 км к югу от первого. Метеорит относится к перекристаллизованным бронзито-оливиновым хондритам. Хим. состав (в %):  $\text{SiO}_2$  39,77,  $\text{Al}_2\text{O}_3$  3,10,  $\text{Fe}_2\text{O}_3$  5,80,  $\text{FeO}$  15,43,  $\text{MgO}$  22,00,  $\text{CaO}$  2,00,  $\text{Na}_2\text{O}$  1,52,  $\text{K}_2\text{O}$  0,15,  $\text{TiO}_2$  0,10,  $\text{P}_2\text{O}_5$  0,24,  $\text{MnO}$  0,72,  $\text{S}$  0,265,  $\text{Fe}$  5,37,  $\text{Ni}$  0,95,  $\text{Cr}$  0,17,  $\text{Co}$  0,017,  $\text{H}_2\text{O} + ^{105}\text{O}$  0,50, сумма 100,447. Спектральный анализом качественно определены  $\text{Cu}$  и  $\text{Sr}$ . Содержание  $\text{U} < 0,00060\%$  (определено радиометрически). Л. Кваша

6Г3. Аэролит Tarquimpol (департамент Мозель). Maubeuge Pierre L. L'aérolithe de Tarquimpol (Moselle). «Bull. Soc. sci. Nancy», 1959, 18, № 4, 334—338 (франц.).—Под этим названием автор описывает кусочек, отбитый от образца весом 425 г, извлеченного из земли на гл. 1 м и на основании микроскопич. и хим. исследований принимаемого за метеорит. Л. Кваша

6Г4. Законы геохимического распределения [элементов]. Heier Knut S. Geokjemiske fordelingslover. «Tidsskr. kjemi, bergvesen og metallurgi», 1960, 20, № 7, 176—183 (норв.; рез. англ.).

6Г5. Изучение распределения некоторых геохимических данных. Tennant C. B., White M. L. Study of the distribution of some geochemical data. «Econ. Geol.», 1959, 54, № 7, 1281—1290 (англ.).—Показано, что об аномалиях в распределении минералов можно судить по диаграммам, построенным на логарифмич. вероятностной бумаге. Если вместо ожидаемой прямой линии получается ломаная линия, то это свидетельствует о наличии смешанного распределения, образованного в результате смешивания двух или нескольких статистич. совокупностей, одна из которых может относиться к зоне рудообразования. Приводятся два геохим. и один биогеохим. примеры с четкими интерпретациями излома прямых. Утверждается, что метод имеет практич. значение при решении поисковых задач и что может оказаться полезным дополнительным изучение с помощью этого метода ранее накопленных данных. В. Налимов

6Г6. 15 лет чехословацкой геохимии. Vtělenský Jiří. 15 let československé geochemie. «Věstn. Ústřed. ústavu geol.», 1960, 35, № 5, 345—349 (чешск.).

6Г7. Обзор по теории теоретических тарелок в хроматографии и связь ее с прохождением жидкостей в породах и осадках. Nagy Bartholomew. Review of the chromatographic «plate» theory with reference to fluid flow in rocks and sediments. «Geochim. et cosmochim. acta», 1960, 19, № 4, 289—296 (англ.).—С целью углубления данных о происхождении и миграции нефти рассмотрена возможность хроматографич. разделения органич. в-в при прохождении их через осадочные породы. Показано, что обычный компонент осадочных пород — кварцевый песок — может способствовать хроматографич. разделению в присутствии воды. При этом растворенное в-во адсорбируется на зернах песка из воды. Коэф. распределения равен нулю, если растворенное в-во: 1) не адсорбируется на поверхности частичек минерала, 2) растворяется в органич. в-ве породы, 3) не занимает место обмениваемого иона в глинистых минералах. Р. Хмельницкий

6Г8. Химический анализ гранита и диабазы Stevens Rollin E., Niles William W. Chemical analyses of the granite and the diabase. «Geol. Surv. Bull.», 1960, № 1113, 3—43 (англ.).—Сообщаются новые результаты более 30 полных или частичных анализов двух стандартных силикатных проб — гранита G-1 и диабазы W-1, выполненных в лабораториях разных стран (результаты первой серии анализов этих проб см. «Geol. Surv. Bull.», 1951, № 980, 1—69). Кратко описана принятая методика анализа и обсуждаются источники возможных ошибок. Результаты анализов представлены: 1) таблицами, в которых приведены средние значения  $\bar{x}$ , квадратичные отклонения  $s$ , коэф. вариации  $C$ , медианы  $M$  и доверительные границы  $\bar{x} + s$  и  $\bar{x} - s$ ; 2) S-образными диаграммами распределений, на которых по оси ординат нанесены номера проб, расположенные в порядке возрастания конц-ни, по оси абсцисс — соответствующие им значения конц-ни; на диаграммах нанесены также значения  $\bar{x}$ ,  $M$  и  $s \pm x$ . Анализ этих диаграмм показал, что имеет место отрицательное смещение для результатов по  $\text{SiO}_2$  и  $\text{K}_2\text{O}$  и положительное смещение по  $\text{Al}_2\text{O}_3$ . Для  $\bar{x}$  от 2 до 0,03 % величины  $C$  колеблются от 5,36 до 91,82 %, причем большинство значений  $C$  лежит в пределах 18—45 %. Рассмотрены результаты анализов, выпол-

ненные методами, отличными от стандартного (ускоренные фотокориметрич. методы, прямое определение  $Al_2O_3$ , пламеннофотометрич. определение щелочей и т. д.). Показано, что, пользуясь результатами этой серии анализов, можно с достаточной степенью надежности установить состав проб. Расхождение в способах представления результатов анализа ( $\bar{x}$  или  $M$ ), различие в способах подсчетов (сохранение или отбрасывание проб, лежащих вне интервала  $\bar{x} \pm s$ ), а также расхождение с результатами предыдущей серии анализов в большинстве случаев не выходят за пределы сотых долей процента. В. Налимов

6Г9. Определение абсолютного возраста осадочных и вулканических формаций. Полевая Н. И., Мурина Г. А., Спрингсон В. Д., Казаков Г. А. В сб. «Определение абсолютн. возраста дочетвертич. геол. формаций». М., АН СССР, 1960, 32—54 (рез. англ.).—На основании эксперим. работ и литературных данных рассмотрена возможность применения сильвинов (I), глауконитов (II) и эффузивных пород (III) для определения абс. возраста по Ag-методу. Приведены результаты определения возраста многочисленных образцов II и III Дальнего Востока, Русской платформы, Урала, Сибири и Китайской платформы. Возраст вычислен с использованием следующих значений констант:  $\lambda_k = 5,57 \cdot 10^{-11}$  лет<sup>-1</sup>,  $\lambda = 4,72 \cdot 10^{-10}$  лет<sup>-1</sup>. Авторы считают, что основным фактором, приводящим к занижению данных Ag-метода для I, является их перекристаллизация. Это чрезвычайно затрудняет подбор образцов, пригодных для абс. датирования. Сравнение абс. и относительной геохронологии путем использования для первой II и III показывает, что данные по мезо-кайнозую и нижнему палеозою — верхнему протерозою достаточно надежны и свидетельствуют о больших возможностях Ag-метода. Впервые получены значения возраста в интервале 500—1300 млн. лет для древнейших осадочных образований Русской платформы, Урала и Вост. Сибири. Значительно слабее освещены верхний и средний палеозой — из-за недостатка надежно датированного материала. Ввиду возникшего несогласия с существующей шкалой абс. геохронологии для интервала времени нижняя пермь — девон, авторы считают необходимым получить эти данные по ряду районов. Используемый метод окажет реальную помощь при уточнении границ геологич. подразделений, а также при корреляции немых осадочно-вулканических образований. Р. Хмельницкий

6Г10. Результаты определения аргоновым методом возраста эталонных проб мусковита, биотита и микроклина. Афанасьев Г. Д., Кожина Т. К., Старик И. Е. В сб. «Определение абсолютн. возраста дочетвертич. геол. формаций». М., АН СССР, 1960, 9—14 (рез. англ.).—Эталонные пробы микроклина (I), биотита (II) и мусковита (III) исследовались в 6 лабораториях СССР. Результаты определения (для I, II и III соответственно):  $K$   $10,98 \pm 0,10$ ;  $7,78 \pm 0,31$ ;  $8,67 \pm 0,27\%$ ,  $Ar$   $0,930 \pm 0,053$ ;  $0,890 \pm 0,050$ ;  $0,991 \pm 0,044$  мм<sup>3</sup>/г.  $K$  определялся различными методами: диликриламновым, перхлоратным, ускоренным, хлоридатным. Результаты определения возраста (в млн. лет):  $1478 \pm 68$ ,  $1814 \pm 26$ ,  $1816 \pm 29$ . При вычислении возраста использованы следующие значения констант:  $\lambda_k = 5,57 \cdot 10^{-11}$  год<sup>-1</sup>,  $\lambda = 4,72 \cdot 10^{-10}$  год<sup>-1</sup>. Проведенная сверка результатов определений показала надежность применяемых методов и высокий класс аналитич. работы в лабораториях. Р. Хмельницкий

6Г11. Значение миграции радиоэлементов из минералов для определения их возраста свинцовым методом. Старик И. Е., Старик Ф. Е., Петряев Е. П., Лазарев К. Ф., Елизарова А. Н. В сб. «Определение абсолютн. возраста дочетвертич. геол. формаций». М., АН СССР, 1960, 15—31 (рез. англ.).—На основании эксперим. и литературных данных рассмотрены

следующие вопросы: 1) нарушение кристаллич. решетки минерала, 2) радиоактивная отдача образующихся ядер, 3) диффузия радиоэлементов из кристаллич. решетки. Показано, что причиной несовпадения вычисленных возрастов по разным отношениям  $Pb$  следует считать прежде всего плохую сохранность образца минерала, вследствие чего происходит миграция радиоэлементов, различная для каждого из них. Определяемые коэф. эманирования и проценты выщелачиваемости не могут количественно характеризовать миграцию радиоэлементов в природных условиях, так как в настоящее время невозможно учесть все факторы, влияющие на эти процессы. Для оценки вероятности значений возраста, вычисленных по тому или иному отношению, необходимо изучить предельную выщелачиваемость основных элементов радиоактивных рядов. Чем больше атомов радиоэлементов данного ряда находится в капиллярах и нарушениях минерала, тем менее правилен возраст, вычисленный по элементам этого ряда. Р. Хмельницкий

6Г12. Проблема абсолютного возраста докембрия Балтийского щита. Герлинг Э. К., Полканов А. А. В сб. «Магматизм и связь с ним полезн. ископаемых». М., Госгеолтехиздат, 1960, 52—53. Дискус. 154—162.—См. РГХИМ, 1959, № 18, 63975.

6Г13. Геохронология докембрия Балтийского щита. Полканов А. А., Герлинг Э. К. В сб. «Определение абсолютн. возраста дочетвертич. геол. формаций». М., АН СССР, 1960, 57—82 (рез. англ.).—Приведен обзор работ, основанный на 450 определениях абс. возраста интрузивных и метаморфич. формаций докембрия щита. Преобладающая часть определений выведена Ag-методом по слудам в Лаборатория геологии докембрия АН СССР в сотрудничестве с Геологич. ин-том Финляндии. Р. Хмельницкий

6Г14. Абсолютный возраст пород Центрального Тянь-Шаня и применение аргонового метода к метаморфическим и осадочным породам. Крылов А. Я. В сб. «Определение абсолютн. возраста дочетвертич. геол. формаций». М., АН СССР, 1960, 222—244 (рез. англ.).—На примере геологически однородной центральной части сев. зоны Тянь-Шаня и некоторых других районов рассмотрены: 1) стабильность отношения  $Ar:K$  в однообразных гранитоидах; 2) возраст магматич. пород; 3) отношение  $Ar:K$  в метаморфич. породах; 4) применение Ag-метода для решения вопросов палеотектоники; 5) изменение отношения  $Ar:K$  в процессе разрушения гранитов и миграции продуктов распада; 6) определение возраста галек, песков и песчаников; 7) отношение  $Ar:K$  в глинах и илах, сохранность в них радиогенного  $Ar$  и некоторые вопросы вещественного состава; 8) возможность применения радиоактивных методов определения возраста для палеогеогр. построений. Отмечено, что в метаморфич. породах хорошо сохраняется отношение  $Ar:K$  соответствующее времени их метаморфизма. Оно сохраняется по площади и по разрезу и совпадает с этим временем для интрузий, сопутствующих метаморфизму. Это дает возможность использовать Ag-метод для уязвки единых тектоно-магматич. циклов и для палеотектонич. построений. При выветривании гранитоидов намечаются два этапа в изменении отношения  $Ar:K$ . Вначале потеря  $Ar$  опережает потерю  $K$ . В конечных продуктах выветривания эта разница исчезает и восстанавливается отношение  $Ar^{40}:K^{40}$ , характерное для свежих пород. Максим. величина потери  $Ar$  при выветривании  $\leq 30\%$ , но обычно значительно меньше. При изъятии полезного шпата существенной потери  $Ar$  не наблюдается. В гранитных гальках, песках, песчаниках, терригенных глинах и илах сохраняется отношение  $Ar:K$ , соответствующее возрасту исходного материала. Это открывает новый дополнительный путь для решения вопросов литологии, морской геологии и палеогеографии. Р. Х

6Г15. Центрический абсолютный возраст, деления и титанитовые главные для значений  $10^{-10}$  на по матитов растительных интрузивных палеозоо характерных Холмских следующих лет): вие — среднее 6Г16. ских в л в а дочетвертич. 245—246 деления следуют. И возрастков авториграфия на осн 6Г17. ваний Г а р р ста до 1960, 1 в ых ш ралов лит) д ых об чений для э образо Для р чения  $10^{-10}$  ний п место между проведен выделе метам среднее палеозо ский, сторои биотиты соверш между ствуют пертит 6Г18. классический (в по логия 6Г19. Р а д к гения Рудон



6Г15. Абсолютный возраст гранитных интрузий Центрального и Северного Казахстана и шкалы геологического времени. Комлев Л. В. В сб. «Определение абсолютного возраста дочетвертичных геол. формаций». М., АН СССР, 1960, 208—221 (рез. англ.).—Для определения абс. возраста герцинских и каледонских гранитных интрузий изучены 52 пробы, представленные главным образом слюдами из гранитов и пегматитов. Для расчета  $Ar$ -возраста использованы следующие значения констант:  $\lambda_K = 5,57 \cdot 10^{-11} \text{ год}^{-1}$ ,  $\lambda_R = 4,72 \cdot 10^{-10} \text{ год}^{-1}$ . Серия определений Рb-методом выподнена по радиоактивным акцессорным минералам из пегматитовых жил, связанных с гранитами. Точность возрастных данных оценена в  $\pm 5\%$ . Установленное несоответствие этих и геологич. данных для гранитных интрузий указывает на весьма значительные дефекты палеозойской геологич. шкалы; отмечен систематич. характер отклонений от старого варианта шкалы Холмса и более позднего варианта Кея. Приведены следующие полученные значения возраста (в млн. лет): конец палеозоя 260, пермо-карбон 300, конец визе — средний карбон 360, нижний девон 420, конец среднего ордовика 500. Р. Хмельницкий

6Г16. Абсолютный возраст некоторых магматических пород Дальнего Востока. Красный Л. И., Полевая Н. И. В сб. «Определение абсолютного возраста дочетвертичных геол. формаций». М., АН СССР, 1960, 245—251 (рез. англ.).—Рассмотрены результаты определения возраста по  $Ar$ -методу свыше 200 образцов слюд и пород палеозоя (табличные данные отсутствуют). Полученные данные в целом хорошо отражают возрастную последовательность магматич. пород. Однако авторы считают преждевременным уточнение стратиграфич. позиции палеозойских комплексов только на основании данных  $Ar$ -метода. Р. Хмельницкий

6Г17. Абсолютный возраст геологических образований Урала и Приуралья. Овчинников Л. П., Гаррис М. А. В сб. «Определение абсолютного возраста дочетвертичных геол. формаций». М., АН СССР, 1960, 195—207 (рез. англ.).—На материале слюд, полевых шпатов и некоторых других  $K$ -содержащих минералов (глаукозит, нефелин, роговая обманка, скаполит) для различных магматич., метаморфич. и осадочных образований  $Ar$ -методом получено свыше 250 значений абс. возраста. Небольшое кол-во определений для эффузивных и мелкозернистых гипабиссальных образований произведено на материале самих пород. Для расчета возраста использованы следующие значения констант:  $\lambda_K = 5,57 \cdot 10^{-11} \text{ год}^{-1}$ ,  $\lambda_R = 4,72 \cdot 10^{-10} \text{ год}^{-1}$ ,  $K^{40} = K \cdot 4,22 \cdot 10^{-4}$ . Несколько определений проведено по Рb- $\alpha$ -методу. Как правило, имеет место хорошее согласование значений абс. возраста между собой и с геологич. данными. На основании проведенных исследований в докембрии и палеозое выделено 7 крупных этапов проявления магматизма и метаморфизма: архейский, нижнепротерозойский, среднепротерозойский, верхнепротерозойский, нижнепалеозойский, среднепалеозойский и верхнепалеозойский. В частности, на примере слюд Буздымского месторождения вермикулита выяснено, что гидратация биотита с выносом  $K$  и замещением его оксидом совершенно не влияет на радиоактивное равновесие между  $K^{40}$  и  $Ar^{40}$ . Получены также данные, свидетельствующие об отсутствии связи между потерей  $Ar$  и пертитизацией. Р. Хмельницкий

6Г18. Обзор представлений о металлогенической классификации складчатых областей и платформ (В порядке дискуссии). Харкевич Д. С. «Узб. геология ж.», «Узб. геол. ж.», 1960, № 4, 48—57 (рез. узб.).

6Г19. К вопросу о типах рудоносных территорий. Радкевич Е. А. В сб. «Прикл. геол. Вопр. металлогении». М., Госгеолтехиздат, 1960, 32—43 (рез. англ.).—Рудоносные территории разделяются на классы по их

принадлежности к крупным тектонич. элементам — платформам и линейным геосинклинальным областям, а также областям блоково-мульдовых или омоложенных платформ, которые являются промежуточными между ними и характеризуются особыми металлогенич. чертами. По геохим. признаку области развития эндогенных месторождений, связанных с магматизмом, подразделяются на два типа — фемический (развитие основных и ультраосновных пород) и сиалический (развитие кислых пород). Металлогенич. специфика более дробных подразделений характеризуется с учетом химизма пород, слагающих различные структурные элементы, тектонич. особенностей и степени влияния глубинных магматич. очагов на формирование рудоносных р-ров. А. Попов

6Г20. Месторождения тантала и ниобия и их использование. Charrin V. Les gisements et les applications du tantale et du niobium. «Génie civil», 1960, 137, № 12, 274—277 (франц.).—Краткий обзор месторождений и пород, содержащих  $Ta$  и  $Nb$ . Приведены хим. и физ. характеристики этих металлов, а также современные способы их получения и разделения и производственном масштабе. Освещаются перспективы увеличения масштабов их добычи. Р. Шерешевская

6Г21. Минералогическое изучение некоторых никелевых руд — так называемого «шоколадного никеля». Caillere S., M-lle, Henin M. S. Etude minéralogique de certains minerais de nickel dits «nickel chocolat». «Silicates industr.», 1960, 25, № 6, 293—296 (франц.).—Приведены результаты термич., рентгенографич. и хим. исследования 12 образцов (10 из Новой Каледонии и 2 из Греции) темноокрашенных (так называемых «шоколадных»)  $Ni$ -руд. Дифференциальный термич. анализ показал присутствие в них гётита, антитерита, талька и монтмориллонита. Fe присутствует в виде гётита и другого неидентифицированного минерала. Происхождение  $Al$ , кол-во которого в некоторых образцах значительно, осталось невыясненным. Большая часть  $Ni$  входит в решетку антитерита. Р. Шерешевская

6Г22. Икунолит, новый висмутовый минерал из рудника Икуно, Японии. Kato Akira. Ikonolite, a new bismuth mineral from the Ikuno mine, Japan. «Mineral. J.», 1959, 2, № 6, 397—407 (англ.).—Минерал обнаружен в ферберит-висмут-висмутинит-кварцевых жилах, секущих миоценовые вулканич. отложения. Месторождение описано ранее (Kato T. «Jap. Jour. of Geol. and Geogr.», 1928, 5, 126—133). Цвет свинцово-серый, блеск металлический, спайность совершенная параллельно {0001}, твердость 2, черта темно-серая, уд. вес определенный 7,8, вычисленный 7,97, анизотропный. Отнесен к ромбоэдрич. системе,  $a$  13,28 Å,  $\alpha$  18°00'.  $Z = 1$  (или  $a$  4,15,  $c$  39,19 Å,  $Z = 3$  в гексагон. ячейке), пространственная группа  $D_{3d}^5 - R\bar{3}m$ . Результат хим. анализа (в %):  $Bi$  76,69,  $S$  8,89,  $Se$  1,98, остаток (ферберит и кварц) [9,44], сумма [100,00]. Ф-ла по данным хим. анализа  $Bi_{3,76}(Se_{2,76}Se_{0,24})_{3,00}$  близка к  $Bi_4(S, Se)_3$  с  $S:Se = 92:8$  или  $Bi_{4,00}(S_{2,76}Se_{0,24})_{3,00}$ , установленной по данным рентгеноструктурного анализа. Минерал сходен с дижасейтом  $A$  по структурным, кристаллографич. и оптич. свойствам и относится к той же группе минералов с  $Bi$ : ( $S, Se, Te$ ) = 4:3. Является продуктом высокотемпературной минерализации. Р. Хмельницкий

6Г23. Повторное изучение пилинита и установление его идентичности с бавенитом. Switzer George, Reichen Laura E. Re-examination of pilinite and its identification with bavenite. «Amer. Mineralogist», 1960, 45, № 7-8, 757—762 (англ.).—С помощью оптич., хим. и рентгеноскопич. методов изучен образец пилинита из Шлезвиг. Хим. состав (в %):  $BeO$  5,52,  $Fe_2O_3$  0,60,  $Al_2O_3$  9,62,  $CaO$  23,44,  $SiO_2$  57,04,  $H_2O$  2,86,  $H_2O$  0,14,  $MgO$  0,22, сумма 99,44. Сравнение получен-

ных данных с литературными, а также идентичность порошковым пиллинита и бавенита приводит к выводу, что оба эти названия относятся к одному минералу с ф-лой  $(\text{Be}, \text{Al})_4 \cdot \text{Ca}_4(\text{SiO}_3)_8 \cdot x\text{H}_2\text{O}$ . Предложено исключить из употребления название «пиллинит».

Р. Хмельницкий  
6Г24. Развитие колумбита и ферсмита по пироксору. Гайдукова В. С. «Зап. Всес. минералог. о-ва», 1960, 89, № 4, 460—464. — На одном из карбонатитовых массивов Вост. Сибири наблюдались широко развитые процессы «колумбитизации» пироксора (I) и менее распространенное замещение I ферсмитом (II). I, как правило, сопровождается флюоритом, сульфидом, крокидолитом, реже красным флогопитом, эпидотом, альбитом. Рентгометрич. анализ II показывает идентичность его с эталонными рентгенограммами этого минерала. При сравнении хим. анализ колумбита и исходного I отмечено возрастание кол-ва  $\text{SiO}_2$  ( $\text{SrO}$ ,  $\Sigma \text{TR}$ ,  $\text{ZrO}_2$ , F и  $\text{H}_2\text{O}$  не определялись). Отмечено, что гатчетолит и коптит (из Норвегии) тоже замещаются колумбитом. Подобно копшиту, I из сибирских карбонатитов после прокалывания иногда обнаруживают на рентгенограммах присутствие «промежуточной ферсмитовой фазы». В известной мере можно считать II промежуточным продуктом процесса колумбитизации I: II развивается по I, колумбит — по II.

Н. Берлиг  
6Г25. Критерии для классификации минералов группы серпентина при помощи дифференциального термического анализа. Крэйтнер Г. «Rev. géol. et géogr. (RPR)», 1959, 3, № 2, 265—277. — Проведен анализ литературных и эксперим. данных о дифференциальном термич. анализе минералов группы серпентина. Предложена новая классификация, которая позволяет интерпретировать все известные до настоящего времени кривые термограмм. Автор считает, что дифференциальный термич. метод определения минералов группы серпентина проще рентгенографич. анализа и может быть применен в тех случаях, когда оптич. и макроскопич. исследование не обеспечивает необходимых данных.

Р. Хмельницкий  
6Г26. О корреляционной связи между компонентами в магнетитовых рудах месторождений Горной Шории. Райский П. И. «Изв. высш. учебн. заведений. Горн. ж.», 1959, № 9, 55—63. — Произведено изучение статистич. связи между компонентами магнетитовых руд Горной Шории ( $\text{SiO}_2$ ,  $\text{CaO}$ ,  $\text{Fe}$ ,  $\text{S}$ ,  $\text{Zn}$ ,  $\text{Al}_2\text{O}_3$ ). Даны интерполяционные ф-лы, позволяющие находить содержание одного компонента по заданным значениям другого.

В. Налимов  
6Г27. Перспективы развития методов петрографического исследования. Петров В. П. В сб. «Магматизм и связь с ним полезн. ископаемых». М., Гостеолтехиздат, 1960, 53—62. Дискус., 154—162.

6Г28. Метод количественного минералогического анализа с помощью рентгеновских порошковых диаграмм. Mitchell W. A. A method for quantitative mineralogical analysis by X-ray powder diffraction. «Mineral Mag.», 1960, 32, № 249, 492—499 (англ.). — Описан метод анализа с применением разбавления и внутреннего стандарта. Для обычных определений составлена шкала интенсивностей (первичный внутренний стандарт KCl).

Р. Хмельницкий  
6Г29. К изучению некоторых двойных оксидов, которые образует тантал с оловом, ураном и кальцием (применительно к касситериту и бетафиту). Gasparin M. Contribution à l'étude de quelques oxydes doubles que forme le tantale avec l'étain, l'uranium et le calcium. Application à la cassitérite et à la bétafite. «Bull. Soc. franç. minéral. et cristallogr.», 1960, 83, № 1-3, 1—21 (франц.). — Приведены результаты рентгеноспектроскопич. исследования касситерита (I) и бетафита (II). В I найдены примеси Fe, Nb, Ta, W, Mn, Ti, Zn, Zr, Ge, Ir, In, V. Для выяснения, может ли

$\text{Ta}^{5+}$  замещать  $\text{Sn}^{4+}$  в решетке  $\text{SnO}_2$  и чем обусловлено это замещение, были проведены синтезы I сплавлением аморфной  $\text{SnO}_2$  с  $\text{Ta}_2\text{O}_5$  (5—75%). При этом одновременно с I происходило образование новых соединений, состав которых выражается ф-лами  $\text{Sn}_2\text{Ta}_2\text{O}_7$  — типа пироксора (III) и  $\text{SnTa}_4\text{O}_{12}$  — со структурой перовскита. Автор полагает, что в виду подобия  $R/\text{Sn}^{4+}$ ,  $\text{Ta}^{5+}$ ,  $\text{Nb}^{5+}$  и  $\text{Fe}^{3+}$  (0,67—0,74 Å), Ta и Nb, как и Fe, могут замещать Sn в решетке  $\text{SnO}_2$ . В исследованных 4 образцах II (из Мадагаскара) найдены Nb (28—41,9%  $\text{Nb}_2\text{O}_5$ ), Ta (2,27—5,28%  $\text{Ta}_2\text{O}_5$ ), U, Fe, Ti, следы Th, Pb, Mn, иногда TR. II синтезировались сплавлением смеси  $\text{UO}_2$  +  $\text{Ta}_2\text{O}_5$  (из предположения, что роль Nb и Ta одинакова и что синтез U — Ta равноценен синтезу U — Nb — Ta). В зависимости от колич. соотношений  $\text{UO}_2$  и  $\text{Ta}_2\text{O}_5$  получены соединения  $\text{U}_3\text{O}_8$ ,  $\text{UTa}_2\text{O}_7$  (типа III),  $\text{UTa}_2\text{O}_8$ . Опыты по перекристаллизации II показали, что можно получать минералы  $(\text{U}, \text{Ca})_2(\text{Ta}, \text{Nb}, \text{Ti})_2\text{O}_7$  (тип III),  $(\text{Fe}, \text{Nb}, \text{Ta}, \text{Ti})_2\text{O}_8$  (тип рутила),  $(\text{U}, \text{Ca})(\text{Ta}, \text{Nb}, \text{Ti})_2\text{O}_8$  (тип  $\text{UTa}_2\text{O}_8$ ) и что многие элементы могут мигрировать из одного минерала в другой в зависимости от природы минералов и условий кристаллизации. При сплавлении II с CaO и  $\text{CaCO}_3$  в различных колич. соотношениях происходит превращение II—III. Автор полагает, что II произошел из III, который содержит U и Ti и потерял большую часть Ca.

Р. Шерешевская  
6Г30. Соотношение стабильностей гроссулара и гидрогроссулара при высоких температурах и давлениях. Pistorius Carl W. F. T., Kennedy George C. Stability relations of grossularite and hydrogrossularite at high temperatures and pressures. «Amer. J. Sci.», 1960, 258, № 4, 247—257 (англ.). — Изучены системы гидрогроссулар + кварц и анортит + воластонит + вода при 15 500 б и 810°. Отмечено наличие непрерывного ряда твердых р-ров от гроссулара, через гидрогроссулар до гиббита. Состав гидрогроссулара > 500° и в равновесии с кварцем определяется почти полностью т-рой. Гроссулар стабилен при > 780° и давлении  $\text{H}_2\text{O}$  15 кб в присутствии кварца.

Р. Хмельницкий  
6Г31. Оптические методы изучения структурных превращений в полевых шпатах. Марфунин А. С. В сб. «Магматизм и связь с ним полезн. ископаемых». М., Гостеолтехиздат, 1960, 735—740.

6Г32. Синтез никель-оливины. Hayashi Hiroshi, Naka Shigeharu. «Harora kore gidzoku sikkansé xokoqu», «Repts Govt Industr. Res. Inst., Nagoya», 1960, 9, № 4, 196—201 (японск.; рез. англ.). — Описаны условия синтеза и свойства ортосиликата Ni, обладающего оливиновой структурой и, подобно файалиту, образующего в любых соотношениях твердый р-р с форстеритом. При избытке NiO или  $\text{SiO}_2$  ортосиликат отделяется от обычного ортосиликата, и метасиликат в этом случае не образуется. Если оливин содержит NiO, то  $\text{Mg}^{2+}$  может быть замещен  $\text{Ni}^{2+}$ , аналогично замещению  $\text{Fe}^{2+}$  (при наличии FeO в оливине).

Р. Хмельницкий  
6Г33. Кислотная активация монтмориллонита. Heyding R. D., Ironside R., Norris A. R., Pryszniuk R. Y. Acid activation of montmorillonite. «Canad. J. Chem.», 1960, 38, № 6, 1003—1016 (англ.). — Описаны опыты по активации монтмориллонита серной к-той («мокрым» (I) и «сухим» (II) методами). Приведены данные по хим. составу исходных и обработанных образцов и изменению их адсорбционной способности. Показано, что при активации ионы металлов, расположенные в октаэдрич. решетке, удаляются непропорционально их первоначальному соотношению. Для I и II скорости удаления изменяются в ряду  $\text{Fe} > \text{Mg} > \text{Al}$ . При любых кол-вах  $\text{H}_2\text{SO}_4$  величина удаления ионов и общее изменение решетки больше при II, чем при I. Монтмориллонитовая решетка практически не изменяется после удаления даже 25%

обусловле-  
н сплавлени-  
ем. При этом  
и новых  
и ф-ламин  
Ga<sub>2</sub>O<sub>3</sub> — со-  
го в виде  
7—0,74 А),  
етке SnO<sub>2</sub>  
(кара) най-  
Ta<sub>2</sub>O<sub>5</sub>), U,  
нтезирова-  
еодоложе-  
еа U — Та  
ности от  
единения  
перекри-  
ать мине-  
е, Nb, Та,  
O<sub>2</sub> (тип  
рывать из  
природы  
сплавле-  
ношениях  
агает, что  
Г и поте-  
евская  
сулара и  
и давле-  
у Geol-  
ydrogros-  
«Amer. J.  
ны систе-  
стоит +  
не непре-  
а, через  
сулара  
е почти  
> 780° и

пильный  
структур-  
ны и А. С.  
паемых».

Ного-  
ую св-  
Nagoya»,  
Описаны  
обладаю-  
айялиту,  
й р-р с  
исликат  
исликат  
одержи-  
лочно  
е).

ильный  
плонита.  
т. Ргу-  
illinite.  
(англ.).  
та сер-  
ти. При  
обрабо-  
ой спю-  
сталлов,  
яются  
шению  
в ряду  
личина  
больше  
а прак-  
е 25%

ионов металлов; при дальнейшем уменьшении ионов она разрушается, а после удаления > 50% ионов образец перестает вести себя как монтмориллонит по отношению к парам воды и азоту. Р. Хмельницкий 6Г34. Заметки о химии глин и сходных материалов. Chatterjee S. K. Notes on the chemistry of clays & allied materials. «Indian Ceram.», 1960, 6, № 10, 245—248 (англ.).—Обзор работ по разжижению глин и приготовлению литейных шликеров. Предыдущее сообщение см. РЖХим, 1960, № 22, 88117. С. Туманов 6Г35. О механизме депрессии галенита и пирита хромовыми солями. Плаксин И. Н., Мясников Г. А. В сб. «Обогащение полезных ископаемых». М., АН СССР, 1960, 71—78.—Проведены флотационные опыты с галенитом (I) Березовского и пиритом (II) Калангуйского месторождений. Для изучения распределения хроматов (III) по поверхности флотационных продуктов применялась методика следовой микроавтордиографии. Показано, что адсорбция III на I и II в достаточной степени определяется ур-нием Фрейндлиха. Извлечение I и II находится в обратной зависимости от адсорбции III на их поверхности. Состояние депрессии минералов соответствует максим. адсорбция, которая до значения pH 6 увеличивается с увеличением концентрации в р-ре, а при значении pH > 6 и в области щел. р-ров остается почти постоянной. Установлено, что III адсорбируются на поверхности и по граням I и II неравномерно. Р. Хмельницкий 6Г36. Кривые дифференциального термического анализа некоторых стандартных глинистых минералов, полученные на переносном аппарате. Kilpady Sripradho, Bhusari A. G. Differential thermal analysis curves for some standard clay minerals, obtained with a portable D. T. A. Unit. «J. Univ. Geol. Soc., Nagpur», 1956—1958, 1, № 4-5, 1—4 (англ.).—Кратко описана методика и приведены кривые для каолинита, монтмориллонита, галлаузита и др. из различных штатов США и Мексики. Применение описанного аппарата позволяет проводить 1 определение за 20—25 мин.

Р. Хмельницкий 6Г37. Стабильность минералов группы эпидота. Pyfe W. S. Stability of epidote minerals. «Nature (Engl.)», 1960, 187, № 4736, 497 (англ.).—Смесь клиноцизита и продуктов его высокотемпературного разложения в течение 30—80 дней выдерживалась в капсулах с водой под давл. 2000 б; аналогично была обработана смесь эпидота и продуктов его высокотемпературного разложения. На основании рентгеноскопии, и микроскопич. исследования сделан вывод, что в первом случае при 605° образуется клиноцизит, а при 740° — анортит и грапат. Во втором случае эпидот образуется при 505 и 630°, в то время как при 715° преобладающими продуктами являются анортит, грапат и магнетит.

Р. Хмельницкий 6Г38. Проблема генетической классификации гранитоидов. Смуликовский Казимир. В сб. «Магматизм и связь с ним полез. ископаемых». М., Госгеолтехиздат, 1960, 62—67. Дискус., 154—162

6Г39. О радиоактивном равновесии в гранитах Центрального Тянь-Шаня. Старик И. Е., Атрашевич Л. Я., Крылов А. Я. «Докл. АН СССР», 1960, 132, № 1, 195—198.—Для изучения радиоактивного равновесия в гранитоидах Центрального Тянь-Шаня применялся люминесцентный метод определения урана (содержание U ~ 10<sup>-3</sup>%). Интенсивность люминесценции урансодержащих перлов измерялась на фотометре. Выделение U из образцов осуществлялось методом экстракции диэтиловым эфиром. Полнота выделения U контролировалась с помощью U<sup>233</sup>. На определялся по известной методике переведения породы в р-р и содержания Ra и ThX в виде сульфата с Ba. Приведены результаты определения U люминесцентным и радиохим. методами в 22 образцах гранитов и 10 образцах акцессорных минералов. Этими исследованиями

установлено, что в гранитах Центрального Тянь-Шаня, не измененных постмагматич. процессами, радиоактивное равновесие в ряду U — Ra существенно не нарушено. В некоторых разновидностях пород оно сдвинуто на 10%, что находится в пределах точности определения метода.

И. Липова

6Г40. Взаимоотношения гранитоидов Каркаралинской интрузии в Центральном Казахстане. Аникиев Н. Ф. «Гр. Ин-та геол. рудн. месторожд., петрогр., минералогии и геохимии». АН СССР, 1960, вып. 27, 148—159.—В Каркаралинской гранитоидной интрузии выделяется три комплекса пород. Наиболее ранними являются гранодиориты, кварцевые диориты и диориты; позже внедрялись порфировидные биотитовые граниты и их дайковые производные — граносенит-порфиры и кварцевые сенит-порфиры; самыми молодыми считаются аляскитовые граниты. Последние обогащены SiO<sub>2</sub> и содержат незначительные кол-ва щелочей и Fe. Приведены результаты хим. анализов. Г. Белоусов

6Г41. Интрузия рудных перовскитовых пироксенитов в Восточном Саяне. Конев А. А. «Докл. АН СССР», 1960, 133, № 4, 935—938.—Пироксенитовый массив обнаружен среди докембрийских гнейсов. Здесь отмечаются породы: рудные пироксениты (90% площади), ийолиты, нефелиновые сипситы и карбонаты. Первые сложены пироксеном (пикжонт-авгит), титаномагнетитом, перовскитом, апатитом, роговой обманкой, биотитом и сфеном. Содержание перовскита достигает 6,5 об.%. Приводятся хим. анализы рудного перовскитового пироксенита, и йолита и трехитовидного нефелинового сениита. Интрузия относится к типу щел. ультраосновных комплексов, известных на севере Сибирской платформы и на Кольском п-ове. Г. Белоусов

6Г42. Гранитный интрузив Айртау (Центральный Казахстан). Бураков М. И. «Уч. зап. ЛГУ», 1960, № 291, 122—150.—Массив сложен гранитами аляскитового типа однообразного минералогич. состава. По химизму они сходны с типичными пермскими гранитами Казахстана. Спектральный анализ устанавливает в них повышенное содержание W, Sn, Mo, Zr, Nb, Ba, Be, Sr.

Г. Белоусов

6Г43. Кимберлиты северной части Сибирской платформы (бассейн р. Оленек) и вопросы их генезиса. Рабкин М. И. В сб. «Магматизм и связь с ним полез. ископаемых». М., Госгеолтехиздат, 1960, 420—423. Дискус., 424—427

6Г44. Присутствие трахитов в лавах, ассоциирующихся с красными слоями пермо-триаса в Восточном Марокко и в верхнем течении р. Уэд-Мулуя. Jougausky G. Présence de trachytes dans les laves associées aux couches rouges du Permo-Trias dans le Maroc oriental et la Haute Moulouya. «Notes et mém. Serv. géol. Maroc», 1959, № 144, 51—54 (франц.).—Описаны условия залегания, петрография и химизм трех массивов. Поверхностные изменения этих пород выразились в избирательном замещении первичных минералов кальцитом, доломитом, монтмориллонитом, серицитом, селадонитом, кварцем (редко) и в одном случае — манганином. Состав соответствует трахиту с повышенным содержанием K, что, по мнению автора, может сделать эксплуатацию пород экономически выгодной.

Р. Шершевская

6Г45. Закономерности распределения акцессорных минералов в гранитоидах различных металогеогенных зон. Рабинович А. В. В сб. «Магматизм и связь с ним полез. ископаемых». М., Госгеолтехиздат, 1960, 361—363. Дискус., 364—388

6Г46. Вариации состава щелочных полевых шпатов в некоторых интрузивных породах около Глоба-Майами, Аризона. Kuellmer Frederick J. Compositional variation of alkali feldspars in some intrusive rocks near Globe-Miami, Arizona. «Econ. Geol.», 1960, 55, № 3, 557—562 (англ.).—Изучен мол. состав 32 образцов полевых шпатов из кварцевых монзонитов. Отмечен-



ные вариации связаны с генетич. особенностями пород (магматич. кристаллизация и рудные изменения).

Г. Воробьев

6Г47. О связи оловорудных, олово-полиметаллических и полиметаллических месторождений с магматизмом. Радкевич Е. А. В сб. «Магматизм и связь с ним полезн. ископаемых». М., Госгеолтехиздат, 1960, 307—311. Дискус., 364—388

6Г48. Вопросы связи оруденения с гранитами. Судовиков Н. Г. В сб. «Магматизм и связь с ним полезн. ископаемых». М., Госгеолтехиздат, 1960, 195—204. Дискус., 364—388

6Г49. К вопросу о взаимоотношении эндогенного оруденения с эффузивными формациями. Фаворская М. А. В сб. «Магматизм и связь с ним полезн. ископаемых». М., Госгеолтехиздат, 1960, 221—229. Дискус., 364—388

6Г50. О связи оруденения с интрузивными породами (на примере Приханкайского района). Руб М. Г., Готман Я. Д. В сб. «Магматизм и связь с ним полезн. ископаемых». М., Госгеолтехиздат, 1960, 322—328. Дискус., 364—388

6Г51. О роли эффузивного вулканизма в образовании месторождений полезных ископаемых (на примере Грузии). Дзоденидзе Г. С. В сб. «Магматизм и связь с ним полезн. ископаемых». М., Госгеолтехиздат, 1960, 229—238. Дискус., 364—388

6Г52. Связь эндогенной минерализации с магматизмом (на примере некоторых месторождений Северо-Востока). Грачева О. С. В сб. «Магматизм и связь с ним полезн. ископаемых». М., Госгеолтехиздат, 1960, 315—317. Дискус., 364—388

6Г53. Генетическая связь оруденения с магматизмом (на примере Малого Кавказа). Магакьян И. Г., Мкртчян С. С. В сб. «Магматизм и связь с ним полезн. ископаемых». М., Госгеолтехиздат, 1960, 238—248. Дискус., 364—388

6Г54. Особенности магматизма и металлогении Центрального Таджикистана. Баратов Р. Б. В сб. «Магматизм и связь с ним полезн. ископаемых». М., Госгеолтехиздат, 1960, 272—284. Дискус., 364—388

6Г55. Магматизм и металлогения Азербайджана. Абдуллаев Р. Н., Азизбеков Ш. А., Кашкай М. А., Мустафабейли М. А., Шихалибейли Э. Ш. В сб. «Магматизм и связь с ним полезн. ископаемых». М., Госгеолтехиздат, 1960, 291—302. Дискус., 364—388

6Г56. Магматизм и металлогения Урала. Сергиевский В. М. В сб. «Магматизм и связь с ним полезн. ископаемых». М., Госгеолтехиздат, 1960, 672—679. Дискус., 724—732

6Г57. Магматизм и металлогения Рудного Алтая и Калбы. Иванкин П. Ф. В сб. «Магматизм и связь с ним полезн. ископаемых». М., Госгеолтехиздат, 1960, 343—349. Дискус., 364—388

6Г58. Закономерность проявления магматических и рудных формаций в различных стадиях магматических циклов Кавказа. Твалчредидзе Г. А. В сб. «Магматизм и связь с ним полезн. ископаемых». М., Госгеолтехиздат, 1960, 303—307. Дискус., 364—388

6Г59. Некоторые петрогенетические особенности золотосодержащих магматических формаций и типы связанных с ними золоторудных месторождений СССР. Бородаевская М. Б. В сб. «Магматизм и связь с ним полезн. ископаемых». М., Госгеолтехиздат, 1960, 211—220. Дискус., 364—388

6Г60. О пермском субсеквентном магматизме и связанном с ним образовании месторождений цветных металлов в Германской Демократической Республике. Кауч Э. В сб. «Магматизм и связь с ним полезн. ископаемых». М., Госгеолтехиздат, 1960, 248—251. Дискус., 364—388

6Г61. О генетической связи молибденового месторождения Шалгия с гранитами массива Мунглю.

Ежов А. И. В сб. «Магматизм и связь с ним полезн. ископаемых». М., Госгеолтехиздат, 1960, 337—340. Дискус., 364—388

6Г62. Связь нерудных ископаемых с магматизмом и ее значение для теории и практики. Петров В. П. В сб. «Магматизм и связь с ним полезн. ископаемых». М., Госгеолтехиздат, 1960, 204—211. Дискус., 364—388

6Г63. О генетической связи оловянного оруденения с вулканическими породами (на примере месторождений Малого Хингана). Каллик А. М. В сб. «Магматизм и связь с ним полезн. ископаемых». М., Госгеолтехиздат, 1960, 328—332. Дискус., 364—388

6Г64. Типы ассоциации контактовых месторождений магнетита с интрузивными комплексами в Средней Азии. Баталов А. Б. В сб. «Магматизм и связь с ним полезн. ископаемых». М., Госгеолтехиздат, 1960, 285—287. Дискус., 364—388

6Г65. Магматизм и связанные с ним металлогенетические процессы Средней Азии. Абдуллаев Х. М. В сб. «Магматизм и связь с ним полезн. ископаемых». М., Госгеолтехиздат, 1960, 11—20. Дискус., 154—162

6Г66. О некоторых различиях в формах связи касситерито-сульфидных месторождений с интрузиями (на примере Приморья). Материков М. П. В сб. «Магматизм и связь с ним полезн. ископаемых». М., Госгеолтехиздат, 1960, 311—314. Дискус., 364—388

6Г67. О гранитоидных интрузиях Урала, сопровождающихся контактово-метасоматическим оруденением. Овчинников Л. Н., Знаменский И. Д. В сб. «Магматизм и связь с ним полезн. ископаемых». М., Госгеолтехиздат, 1960, 340—343. Дискус., 364—388

6Г68. Некоторые особенности гранитных пегматитов Средней Азии. Бабаев К. Л. В сб. «Магматизм и связь с ним полезн. ископаемых». М., Госгеолтехиздат, 1960, 701—706. Дискус., 724—732

6Г69. Псевдоморфозы серпидита по топазу из пегматитовых жил в Режевском районе на Урале. Яром П. Я., Соколов Ю. А. «Тр. Горно-геол. ин-та. Уральский фил. АН СССР», 1960, вып. 35, 309—311.—В полевом пласте пегматитовой зоны встречаются округлые или неправильной формы выделения топаза, замещенного наполовину или целиком серпидитом, достигающие 5—7 см в поперечнике. Макроскопически резкая граница серпидита и топаза под микроскопом обнаруживает частые и тонкие ответвления первого во второй. Чешуйки серпидита иногда ориентированы перпендикулярно границе. Хим. состав топаза (в %): SiO<sub>2</sub> 31,44, Fe<sub>2</sub>O<sub>3</sub> 0,13, Al<sub>2</sub>O<sub>3</sub> 61,47, CaO 0,10, MgO 0,27, H<sub>2</sub>O 0,12, F 15,04, Cl 0,01, п. п. 0,54; состав серпидита: SiO<sub>2</sub> 44,04, Fe<sub>2</sub>O<sub>3</sub> 2,58, Al<sub>2</sub>O<sub>3</sub> 35,44, CaO 0,58, MgO 0,16, K<sub>2</sub>O 11,38, Na<sub>2</sub>O 1,86, F 0,38, п. п. 4,00.

А. Попов  
6Г70. Процессы альбитизации в пегматитах Шроша (Дзиркульский кристаллический массив). Одиладзе Г. Л. «Сообщ. АН ГрузССР», 1960, 24, № 4, 435—442.—В пегматитовых жилах выделены 3 генерации альбита: 1) крупнозернистая, 2) пластинчатая и 3) тонкозернистая сахаровидная. Первые две генерации локализованы в пределах высоких горизонтов пегматитовых жил. Очевидно, в начале Na-метасоматоза закончилось выпадение основной массы редкометаллических минералов. В дальнейшем, к началу второй стадии, в альбитизирующих р-рах оказывалось недостаточно редких элементов (РЭ) для образования собственных минералов. Состав этих р-ров благоприятствовал коррозированию ранее выделенных минералов и рассеиванию РЭ. Альбит III генерации пересекает все ранние парагенетич. комплексы и интенсивно корродирует все минералы пегматитов. Этот альбит наблюдается во всех горизонтах пегматитового тела и наиболее широко развит в жилах, удаленных от контакта габбро-диоритов с розовыми гранитами. Редкометаллическое оруденение отсутствует. Вероятно, альбитизирующие р-ры этой стадии, гидротермальные и низкотемпературные по своей природе, поступали в трещины и полости пегма-

титов пос-  
щения ав-  
Обедине-  
матитовы  
являющис  
массу РЭ  
Na-метас-  
анализа  
BeO и Li  
гранодио-  
Аляски  
жанием I

6Г71.  
и-ов). Со-  
о-во при-  
следовал  
них кри-  
чено к а-  
нат пред-  
ми, реке-  
радий. И-  
по деба-  
Приведе-  
генераци-  
носятся  
ние гла-  
мандин  
щающих  
тельным  
компон-  
6Г72.

ском ру-  
рудн. м-  
шом уд-  
ванных  
поподоб-  
из гран-  
рабьот  
содерж-  
видимо

6Г73.  
нов. Б-  
404 (ре-  
пералог-  
р-ров  
смотр-  
сильная  
Si). В  
сильна-  
одинак-  
рушен-  
Благо-  
сильна-  
сильна-  
малы-  
[BO<sub>2</sub>O]  
замещ-  
минер-  
осид-  
гранат-  
минер-  
данно-  
че п-  
и могу-

6Г77.  
ность  
Zde  
the K  
Moray  
№ 9,  
няти:

им полезна. —340. Дис-  
метаматизм  
ро в В. П.  
сопаяемых.  
364—388  
рудения  
есторожде-  
Магматизм  
лтехиздат,  
есторожде-  
и в Сред-  
м и связь  
здат, 1960,  
галогени-  
ев Х. М.  
опаемых». 54—162  
связи кас-  
трузизма  
П. В сб.  
мных». М., —388  
сопрово-  
ждением.  
Д. В сб.  
мных». М., —388  
их пегма-  
Магматизм  
геолтехиз-  
у из пег-  
а. Ураль-  
—В поле-  
округлые  
замещаю-  
гигающие  
зкая гра-  
обнаружи-  
о второй  
перпенди-  
SiO<sub>2</sub> 31,44,  
eO 0,12, F  
SiO<sub>2</sub> 44,04,  
K<sub>2</sub>O 11,33,  
А. Попов  
к Шроша  
и ка дзе  
35—442—  
альбита;  
нкозерни-  
локализу-  
атитовых  
гончилов  
инералов.  
льбитиза-  
иких эле-  
инералов.  
вранению  
ию РЭ.  
парагене-  
е мине-  
е всех го-  
ооко раз-  
диоритов  
уденение  
ры этой  
рные по-  
и пегма-

титов после окончательного их формирования и завершения автометасоматич. стадий цел. метасоматоза. Обедненность этих р-ров РЭ объясняется тем, что пегматитовый расплав-раствор был обогащен летучими, являющимися хорошими экстракторами РЭ. Покидая магматич. очаг, этот раствор-расплав увлекал и всю массу РЭ, выделившуюся затем в начальную стадию анализа всех трех генераций альбита и определенных BeO и Li<sub>2</sub>O в гранитоидах Шроша (кварцевом диорите, гранодиорите, порфировидном граните и аляските). Аляскистые граниты отличаются наименьшим содержанием РЭ.

Т. Козинцева

6Г71. Гранат из пегматитов Колмозера [Кольский п-ов]. Соболев Н. В. «Минералог. сб. Львовск. геол. о-во при ун-те», 1959, № 13, 380—383 (рез. англ.).—Исследовался гранат из пегматитов, залегающих в древних кристаллич. сланцах. Максим. его кол-во приурочено к альбитизированным участкам пегматитов. Гранат представлен неправильными по форме выделениями, реже кристаллами красно-бурого цвета двух генераций. Размеры элементарной ячейки, рассчитанные по дебаграммам, одинаковы для обеих генераций. Приведены результаты хим. анализа граната первой генерации, рассчитана кристаллохим. ф-ла. Гранат относится к альмандин-спессартиновому ряду. Содержатся главных компонентов (в %): спессартин 63,0, альмандин 34,1, пироп 1,9,grossуляр 1,0. Гранат из вмещающих амфиболитов является альмандином со значительным содержанием пиропового и grossулярового компонентов.

И. Липова

6Г72. О скарноподобных образованиях в Зырянском рудном поле на Алтае. Ван Лян-гуй. «Геол. рудн. месторожд.», 1960, № 4, 114—116.—На небольшом удалении от гранитного интрузива в орговикованных туфах около кварцевых жил обнаружены скарноподобные образования, состоящие преимущественно из граната. По данным приближенного колич. спектрального анализа этот гранат, кроме Ca, Fe, Al и Si, содержит Mn, Mg, Ti, Pb, Zn, Y, S, Ba, Cu, Ag. Видимому, по составу он близок к андрадиту.

Т. Козинцева

6Г73. О минералах-индикаторах боросодности скарнов. Барсуков В. Л. «Геохимия», 1960, № 5, 399—404 (рез. англ.).—В связи с поисками скарных минералов, концентрирующихся В из рудообразующих р-ров послемагматич. стадий скарнообразования, рассмотрена возможность изоморфизма В в некоторых силикатах с учетом характера связи элементов (В, Al, Si). В щелочных и некоторых ленточных и каркасных силикатах изоморфизм В с Al возникает благодаря их одинаковому валентному состоянию и может быть нарушен под действием легкоионизируемых катионов. Благодаря различию валентных состояний в слоистых силикатах изоморфизм В и Al отсутствует. В ортосиликатах, кристаллизующихся в слабощел. гидротермальных р-вах, в результате образования тетраэдра [BO<sub>3</sub>OH]<sup>4-</sup> с полноквалентными связями наблюдается замещение кремнекислородных тетраэдров. Некоторые минералы скарнов содержат В в среднем (в %): диопсиды 0,027, гиперстены 0,015, роговые обманки 0,020, гранаты 0,040; эти данные в сочетании с геологич. и минералого-геохим. анализами условий формирования данного скарного поля служат указанием на наличие повышенных конц-й боратов или боросиликатов и могут свидетельствовать о наличии В-руднения.

Т. Козинцева

6Г74. Метасоматическая гранитизация и ее зональность (Северная Моравия, Чехословакия). Misař Zdeněk. Metasomatic granitization and its zonality in the Kepník dome in the hrubý jeseník mts. (Northern Moravia, Czechoslovakia). «Rožpr. ČSAV», 1960, MPV 70, № 9, 54 s., 10 pl. (англ.; рез. чешск.).—Процессы гранитизации захватывают гнейсы, слюдяные сланцы и

зеленые сланцы. Зона первичных пород сменяется зоной диффузной метасоматич. гранитизации, далее располагается зона начальной гомогенизации, затем — зона промежуточной и, наконец, окончательной гомогенизации. Во всех зонах важнейшими новообразующимися минералами являются микроклин и альбит. Данные анализов 5 образцов показывают, что гранитизация происходила с изменением хим. состава исходных пород. Во всех зонах увеличение кол-ва K<sub>2</sub>O сопровождается уменьшением Na<sub>2</sub>O — CaO и наоборот. Установлено, что Na-метасоматоз предшествовал K-метасоматозу. Линия мигматитового фронта (и соответственно, граница между гранито-гнейсами и парасланцами) определялась не только конц-ей гранитизирующих р-ров, но и температурным градиентом.

Т. Козинцева

6Г75. Магнезиальный метасоматоз в контактовых железорудных месторождениях Западной Сибири. Корель В. Г., Русанов М. Г. «Геология и геофизика», 1960, № 7, 91—104 (рез. англ.).—Рассмотрены общие геологич. черты месторождений, содержащих высокий процент MgO, и наиболее распространенные Mg-содержащие минералы и породы (доломит, флогопит, серпентин, людвигит). Отмечается серпентин двух типов: 1) замещающий доломиты и доломитизированные известняки по схеме с привносом SiO<sub>2</sub> и H<sub>2</sub>O: 3CaMg[CO<sub>3</sub>]<sub>2</sub> + 2SiO<sub>2</sub> + H<sub>2</sub>O → Mg<sub>2</sub>[Si<sub>2</sub>O<sub>6</sub>]·[OH]<sub>2</sub> + 3CaCO<sub>3</sub> + 3CO<sub>2</sub>; 2) образующийся при разложении диопсида и форстерита скарнов и гибридных ультраосновных пород контактовых зон гранитных интрузив. Разложение диопсида предполагается по схеме: 6CaMg[Si<sub>2</sub>O<sub>6</sub>] + 6CO<sub>2</sub> + 4H<sub>2</sub>O → Mg<sub>2</sub>[Si<sub>2</sub>O<sub>6</sub>]·[OH]<sub>2</sub> + 6CaCO<sub>3</sub> + 8SiO<sub>2</sub>. Автор считает, что Mg и Fe привносились «сквозь магматическими растворами», вызывающими гранитизацию основных пород. Эти р-ры, промывая контактированные контактовые зоны гранитных интрузив, растворяли Mg и Fe и вместе с другими элементами «основного фронта» выносили их в верхние слои земной коры. Mg, обладая большей подвижностью, опережал Fe, вызывая доломитизацию карбонатных пород, и лишь затем происходило замещение пород скарнами и рудой. В связи с увеличением спроса на Mg обращается внимание на использование серпентина и других магнезиальных силикатов железорудных месторождений как полезного сырья.

Т. Козинцева

6Г76. Цопский метасоматический серпентин. Макашвили Р. И. Сообщ. АН ГрузССР, 1960, 24, № 4, 423—428.—Изученный участок (Марнеульский р-н) представлен пластовой жилой роговообманкового порфирита, залегающей в толще сеноманских известняков. Последние доломитизированы, и местами доломит переходит в офио-кальцит. Между пластами офио-кальцита и в трещинах встречаются серпентиновые, кальцит-серпентиновые, серпентин-гранат-магнетитовые, кальцитовые и хризотил-асбестовые жилы. По контакту роговообманкового порфирита располагается полоса альбита. Приводятся микроскопич. описание и данные хим. анализа пород. Характеристика пород дает основание считать Цопский серпентин гидротермально-метасоматич. образованием на основе сеноманских известняков. Возможно, что источником Mg и Fe являлись ферро-магнезиальные минералы порфиритовой породы, которые разлагались гидротермальными р-рами. Альбитовая жила появилась в результате действия кислых р-ров.

Т. Козинцева

6Г77. О калишпатизации вулканогенных пород, вмещающих Теченское скарное месторождение. Дунаев В. А. «Тр. Горно-геол. ин-та. Уральский фил. АН СССР», 1960, вып. 35, 317—323.—Калишпатизация подверглись все породы, вмещающие скарно-рудные залежи, за исключением таких осадочных, как известняки и глиняные сланцы. Особенно отчетливо этот процесс проявился в плагиоклазовых порфиритах андезитового состава. Он охватил вкрапленники плаги-

оклазов, базис породы и особенно мелкие зоны сжатия и трещины в непосредственной близости к скарпам. По оптич. данным К-полевой шпат относится к водно-прозрачной разновидности ортоклаза — адуляру. Хим. анализы устанавливают высокое содержание  $K_2O$  (7,13—9,48%) и пониженное (по сравнению с другими породами) Mg, Fe и иногда Ca.

А. Попов  
6Г78. Классификация железистых кварцитов КМА и химический метод их корреляции. Плаксенко Н. А. В сб. «Материалы по геол. и полезн. ископаемым центр. р-нов Европ. части СССР». Вып. 2. Калуга, 1959, 140—160. — Даны номограммы, позволяющие по хим. анализу определить: 1) относительное содержание рудных минералов (магнетита и гематита) в данной пробе, горизонте, блоке рудного тела и по месторождению в целом; 2) производить классификацию кварцитов.

В. Налимов

6Г79. Гранитизация железистых кварцитов из восточной контактной зоны Уфалейского гранитного массива. Вертушков Г. Н. В сб. «Магматизм и связь с ним полезн. ископаемых». М., Госгеолтехиздат, 1960, 562—564. Дискус., 587—599

6Г80. Богатый железом мусковит из горы Гранд-фатер, Северная Каролина. Foster Margaret D., Bryant Bruce, Hathaway John. Iron-rich muscovitic mica from the Grandfather Mountain area, North Carolina, «Amer. Mineralogist», 1960, 45, № 7-8, 839—851 (англ.). — В метаморфич. аркозах и аркозовых кварцитах, слагающих этот район, обнаружена зеленая слюда типа мусковита. Приведены результаты его рентгенометрич., оптич. и хим. изучения. Хим. состав (в %):  $SiO_2$  47,28,  $TiO_2$  0,30,  $Al_2O_3$  24,46,  $Fe_2O_3$  8,02,  $FeO$  2,52,  $MgO$  1,86,  $MnO$  0,08,  $CaO$  0,14,  $Na_2O$  0,11,  $K_2O$  10,6,  $H_2O$  4,00, F 0,14, сумма ( $-O = F$ ) 99,45. После вычета компонентов примесей получена ф-ла  $[(Al_{1,27}Fe_{0,43}^{3+}Fe_{0,15}^{2+}Mg_{0,19})(Si_{3,27}Al_{0,73}O_{10}(OH)_2](K_{0,94}Na_{0,02})_{0,96}$ . По своему хим. составу минерал отвечает промежуточному члену ряда мусковит — фенгит, в котором  $R^{2+}$  целиком представлен  $Fe^{2+}$  и Mg. Одновременное присутствие в минерале  $Fe^{2+}$  и  $Fe^{3+}$  придает ему зеленую окраску.

Г. Волков

6Г81. Парагонит из кварцево-серпичитовых сланцев Красноуральских месторождений. Курицина Г. А. «Тр. Горно-геол. ин-та. Уральский фил. АН СССР», 1960, вып. 35, 129—132. — Парагонит обнаружен в кварцево-серпичитовых и серпичитовых сланцах, вмещающих медноколчеданное оруденение в Красноуральском р-не (месторождения Заводское, Красногвардейское и Чернушинское). Проведено оптич., термич., рентгенометрич. и хим. изучение этого минерала. Хим. состав (в %):  $SiO_2$  47,20,  $TiO_2$  1,04,  $Al_2O_3$  37,86,  $FeO$  0,36,  $MgO$  0,25,  $CaO$  0,23,  $Na_2O$  4,42,  $K_2O$  1,84,  $H_2O$  7,40, сумма 100,60. Упрощенная кристаллохим. ф-ла:  $[OH]_2Na_{0,6}K_{0,1}Al_2[Al_{0,9}Si_{3,1}O_{10} \cdot 2,8H_2O]$ .

А. Попов

6Г82. Микроэлементы в кyanите, силлиманите и андалузите. Pearson G. R., Shaw D. M. Trace elements in kyanite, sillimanite and andalusite. «Amer. Mineralogist», 1960, 45, № 7-8, 808—817 (англ.). — С помощью описанного авторами спектрографич. метода исследованы 12 образцов кyanита (I), 3 силлиманита (II) и 7 андалузита (III) из различных частей света (приведены также данные хим. анализов по одному образцу каждого вида). Пределы содержания (в %): В до  $1,7 \cdot 10^{-2}$ , Ве до  $2,5 \cdot 10^{-3}$ , Ga  $1,2 \cdot 10^{-3}$ — $2,1 \cdot 10^{-2}$ , Cr  $9 \cdot 10^{-4}$ — $1,9 \cdot 10^{-2}$ , Mg следы— $1,9 \cdot 10^{-1}$ , Ti  $3,3 \cdot 10^{-3}$ — $3,2 \cdot 10^{-1}$ , Li до  $5,8 \cdot 10^{-2}$ , Cu  $1 \cdot 10^{-5}$ — $1,3 \cdot 10^{-3}$ , V  $5 \cdot 10^{-4}$ — $1,5 \cdot 10^{-2}$ , Zr следы— $2,8 \cdot 10^{-2}$ , Mn  $4 \cdot 10^{-4}$ — $4,9 \cdot 10^{-3}$ , Sr до  $1,3 \cdot 10^{-2}$ , Ba до  $5,8 \cdot 10^{-3}$ . Показано, что III содержит относительно меньше Cr, тогда как В, Ве и Ba иногда концентрируются в II. В ряде образцов содержание Li и В слишком велико для минералов, образованных в пневматолитовых или грейзеновых

условиях; возможно, что эти элементы были поставлены из вмещающих осадочных пород.

Р. Х.

6Г83. Сопоставление по проблеме «Гидротермальные процессы и минералообразование в областях активного вулканизма», 14—15 марта 1960 г. Набоко С. И. «Геол. рудн. месторожд.», 1960, № 4, 123—126. — Рассмотрены общие вопросы магматогенных процессов, особенности послемагматич. процессов в вулканич. комплексах в зависимости от глубинности, характеристика гидротерм, генетически связанных с различными источниками. Вопросы современной гидротермальной деятельности (гидротермальный метаморфизм, гидрогеол. условия, состав вулканич. экзальций и их изменение, современное минералообразование) освещены на примерах Камчатки и др.

А. Попов

6Г84. Микроэлементы в сфалерите из ксенотермальных отложений. Muta Kunihiko. «Гансэки кобуцу кося гаккайси, J. Japan. Assoc. Mineral., Petrol. and Econ. Geologists», 1960, 44, № 1, 34—43 (японск.). — Изучено влияние специфич. условий образования ксенотермальных отложений (сравнительно высокая температура — 300—500° при неглубоком залегании) на распределение микроэлементов в сфалерите (I). Образцы руды взяты из 120 действующих и закрытых рудников Японии в восьми геологич. районах. Из всех известных в I микроэлементов более чем в 20% проб обнаружены Ag, As, Bi, Cu, Cd, Fe, Mn, Co, Ga, Ge, In, Si, Mg, Al, Ca; менее чем в 20% или в незначительном числе проб — Hg, Au, Mo, (Te), Cr, W, Ni, P, Ba, Ce, Pt, Pd, Li, Rb, Y, Th, Zr, Sr и др. По сравнению с другими, ксенотермальными I отмечается значительно большее число проб с Sn, Bi, частое нахождение Co, As, In, Mn; между тем Ge, Ga, Te, Sb обнаруживаются гораздо реже, чем в низкотемпературных рудах. Содержание часто встречающихся элементов: Ag — содержание невелико (так же как и в обычных I), в 70% случаев  $< 0,005\%$ ; Bi обнаружен в 33 рудниках из 120, максим. содержание на руднике Окума 0,31%, но в 73% случаев  $n \cdot 10^{-3}\%$  — значительно меньше, чем в ассоциирующем галените ( $n \cdot 10^{-2}\%$  и нередко  $n \cdot 10^{-1}\%$ ); Cd — около 62% проб содержит 0,1—0,49% Cd и 28% проб — 0,5% Cd; большая часть проб содержит 10% Fe, иногда его кол-во достигает 15%; содержание Ga и Ge иногда достигает  $n \cdot 10^{-2}\%$ , но обычно  $< n \cdot 10^{-3}\%$ ; Mn — 80% проб содержит  $> 0,1\%$  — значительно выше, чем в эпитермальных месторождениях; Sb содержит 54% проб, из них 60% проб  $n \cdot 10^{-2}\%$  — выше чем в месторождениях иного типа; Sn содержит 92% проб, в том числе 45% проб  $> 0,01\%$ , 24% —  $n \cdot 10^{-3}\%$ . Частое нахождение Sn в ксенотермальных породах и его высокое содержание являются отличительной чертой этих пород. Отмеченное сочетание микроэлементов близко к высокотемпературным отложениям, но кол-во Ge и Ga иногда достигает довольно большой величины. Таким образом, главной особенностью I из ксенотермальных пород является сочетание признаков высокотемпературных и низкотемпературных пород. Ксенотермальные I, сопровождающие глубинные породы, обычно имеют меньшее содержание Ga, Ge и большее In, (Sn), Co, Fe, Mn, чем те, которые сопровождают вулканич. породы.

Л. Левин

6Г85. Особенности формирования свинцово-цинковых руд в туфо-карбонатных отложениях (на примере отложений верхнего девона — нижнего карбона Центрального Казахстана). Островская Г. А. В сб. «Прикл. геол. Всп. металлогении». М., Госгеолтехиздат, 1960, 110—119 (рез. англ.). — Разновозрастные типы руд связаны с различными фациями, что определяется особенностями геол. развития района и наличием нескольких рудных источников. Основным рудным минералом I типа оруденения является галенит, ассоциирующий с пиритом, сфалеритом, иногда халькопиритом. В зоне окисления встречаются церуссит и

англезит. являлись рудные залежи денений Sb и интоментов в по рудн денит, пи не встре тов служ элементо ции, т. е. ротермал таллов в

6Г86.

ские горн его гене ка К се kich на I «Arch. п (польск.; произвед лено, что гина вм кристалл ием гре куляции связь ме щимися В проце два тип ией, ко сланда зация гл этот проп он являя Перекри морфизм после кр что т-ра 400°. Вес ствию к нерализа следстви

6Г87.

свинцово-ро-Восто Бреск № 4, 11 хожден хорошо колч. из изучени ием ко мере пр зилось верхние глезитов а в глу зис — ки

6Г88.

гвардей А. В. СССР, микрок руд ме мельни свидетел ности д на I в путем с



англезит. Предполагается, что источником металлов являлись размываемые на суше породы, содержавшие рудные элементы в кол-вах выше кларковых. Для оруженений II типа характерны: связь с Fe-Mn-мгнотермитами; содержание в рудах (выше кларков) Ag, Mo, Sb и иногда As, Cd; отсутствие этого комплекса элементов в размываемых на суше породах и др. Основной рудный минерал — галенит, сопутствующие — сфалерит, пирит, иногда арсенипирит. Халькопирит почти не встречается. Вероятно, источником рудных элементов служили гидротермы. Однако распределение этих элементов подчинено законам осадочной седиментации, т. е. предполагается подводное просачивание гидротермальных р-ров вдоль зон разломов с выносом металлов в морской бассейн.

Т. Козинцева  
6Г86. Оловянное месторождение в Герци (Изерские горы, Нижняя Силезия) и попытка установления его генезиса. Jaskólski Stanisław, Mochnacka Ksenia. Złoże cyny w Gierczyńcu w Górach Izerskich na Dolnym Śląsku i próba wyjaśnienia jego genezy. «Arch. mineralog.», 1958 (1959), 22, № 1, 17—106 (польск.; рез. англ.).—В связи с геологич. описанием произведено микроскопич. исследование руд. Установлено, что Sn-сульфидная минерализация не зависит от типа вмещающих пород и генетически не связана с кристаллич. серией. Однако зоны с большим содержанием граната создают необходимые условия для циркуляции р-ров. Обнаружена тесная генетич. взаимосвязь между Sn-минерализацией и хлоритами, являющимися продуктами гидротермальных превращений. В процессе образования месторождения различаются два типа хлоритизации: 1) хлоритизация с серитизацией, которая охватывает большую область слюдяного сланца (процесс не очень интенсивный); 2) хлоритизация гидротермального типа (несмотря на то, что этот процесс протекал лишь в немногих сериях пород, он является более интенсивным, чем предыдущий). Перекристаллизация рудного в-ва, вызванная метаморфизмом, изменила исходное состояние минералов после кристаллизации. Ряд факторов указывает на то, что т-ра кристаллизации сульфидных руд была 350—400°. Весь комплекс пород подвергся сильному воздействию каледонского диастрофизма, однако рудная минерализация произошла гораздо позже и является следствием гидротермальных излияний.

Р. Хмельницкий  
6Г87. Англезитсодержащие первичные руды из свинцово-цинкового месторождения Маджарово (Северо-Восточные Родопы, Болгария). Атапасов А. П., Бресковска В. В. «Геол. руд. месторожд.», 1960, № 4, 110—113.—Описан англезит гипогенного происхождения в виде двух разновидностей: мелкозернистой и хорошо оформленной в кристаллы. Проведено полуконич. спектральное гониометрич. и рентгенографич. изучение. Генезис англезита связывается с увеличением конц-ии свободного  $O_2$  во вмещающих породах по мере приближения к земной поверхности, что отразилось на вертикальной зональности месторождения: верхние части жил сложены галенитом, баритом, англезитом и в меньшей степени другими минералами, а в глубине наблюдается более обычный парагенезис — кварц, галенит, сфалерит, халькопирит и др.

А. Попов  
6Г88. Метакolloидные колчеданные руды Красногвардейского месторождения (Средний Урал). Горох А. В. «Тр. Горно-геол. ин-та. Уральский фкл. АН СССР», 1959, вып. 42, 67—82.—Проведено детальное микроскопич. исследование структуры колломорфных руд месторождения. Руды образованы пиритом (I), мельникитом, мельникит-I, кварцем. Структура I свидетельствует об образовании его из метаколл. разности дисульфида Fe при его рекристаллизации. Зерна I в массивных колчеданных рудах образовались путем обособления в-ва в процессе собирательной кри-

сталлизации, сопровождавшейся синерезисом. Зональность возникла благодаря перераспределению в-ва внутри обособившихся зерен. Установлено, что в процессе становления рудного в-ва мельникит (сжигая разность дисульфида Fe) преобразуется в более плотную зернистую разность — мельникит-I, а последняя — в I.

И. Липова  
6Г89. Использование химического состава для установления масштабов урановых месторождений песчаникового типа в формации Моррисон, плато Колорадо. Miesch A. T., Shoemaker E. M., Newman W. L., Finch W. I. Chemical composition as a guide to the size of sandstone-type uranium deposits in the Morrison formation on the Colorado Plateau. «Geol. Surv. Bull.», 1960, № 1112-B, pp. I—IV, 17—61, ill. (англ.).—С помощью полуконич. спектрографич. анализа определено содержание U, Y, Na, Fe, Zr, Mn, Ca, Ni в образцах из 75 U-месторождений. Предложено 3 метода приближенного определения размера месторождения: первые два основаны на корреляции данных по содержанию вышеуказанных элементов; в третьем используются только данные по определению U и Y.

Р. Хмельницкий  
6Г90. Деклуазито-молттрамитовая серия ванадатов из рудника Минаж-ду-Луэка, Ангола. Millman Anthony P. The descloizite-mottramite series of vanadates from Minas do Luca, Angola. «Amer. Mineralogist», 1960, 45, № 7-8, 763—773 (англ.).—Месторождение приурочено к известково-терригенной толще докембрия, значительно измененной процессами выветривания. Первичные неизмененные руды не сохранились. Обнаружены реликты пирита и сфалерита в кварц-халцедоновых жилах. В зоне окисления широко развиты гидроокислы Fe и Mn. Обнаружены также ванадинит, тарбутит, фольбортит, а также минералы серии деклуазит — молттрамит. Приведены результаты хим., микр., качеств. спектральной и рентгенографич. изучения V-минералов. Источником V были красные сланцы серии Пиока. Возникающие при окислении сульфидов кислые природные р-ры в значительной степени обогащались V, Pb, Zn, Cu, и при нейтр-ции из них высаживались ванадаты Zn и Cu. Этот процесс экспериментально доказан ранее (РЖХим, 1957, № 7, 22683).

Г. Волков  
6Г91. О формах проявления ярозита на Карагайлинском полиметаллическом месторождении Центрального Казахстана. Фурсова М. З. «КазССР Ғылым Акад. хабарлары, Изв. АН КазССР. Сер. геол.», 1960, вып. 1 (38), 111—117.—Установлен и исследован ярозит двух генераций: образующий тонкокристаллич. скопления (I) и хорошо ограниченные кристаллы (II). Приводятся микроскопич. описания кристаллов, термодиаграммы и рентгенограммы. Полярнографич. анализом в ярозите I определены: 0,55—2,49 % Pb, 0,02—0,06 % Zn, 0,01—0,04 % Cu. В одной пробе (из 5) хим. анализом установлено присутствие 0,008 % Se. Спектральным анализом обнаружены (в %): ярозит I — Pb 0,3, Ba 0,3, As 0,05, Ti < 0,03, Sr 0,001, Ga 0,001 %; ярозит II — Pb > 1,0, Mn < 0,03, Zn 0,05, Ti 0,001, V < 0,001, Ag 0,0005, Mo следы, Cu 0,003. Результаты полного хим. анализа показали, что минерал I представляет кали-натрийярозит  $(Na, K, Pb)(Fe^{3+}, Al)_{3,4} \times [SO_4]_{4,7}(OH)_{6,3}$ , а II, содержащий в большом кол-ве Pb, — промежуточную разность между ярозитом и плюмбоярозитом  $(K, Pb)Fe_{4,1}^{3+}[SO_4]_{4,2}(OH)_{7,1}$ . Отмечено, что с уменьшением содержания Na происходит увеличение Pb. Отсутствие в исследуемом ярозите механич. примесей других минералов свидетельствует об изоморфном замещении K ← Pb. Очевидно, ярозит I высаживался из обильных и конц. р-ров в период ранней (сульфатной) стадии развития зоны окисления. Ярозит II отлагался позже лимонита и пироморфита, образующихся в позднюю стадию. Предполагается, что

после завершения развития этой достаточно длительной стадии произошло заболачивание, т. е. была вновь создана восстановительная и кислая среда, и произошло повторное образование ярозита, но из разб. р-ров.

Т. Козинцева  
6Г92. О распределении некоторых вторичных минералов в осадочных и остаточных богатых железных рудах Яковлевского месторождения КМА. Рахманов В. П. В сб. «Материалы по геол. и полез. ископаемым центр. р-нов Европ. части СССР». Вып. 2. Калуга, 1959, 113—126.—При рассмотрении вторичных гипергенных процессов, которые обусловили появление в Fe-рудах таких минералов, как сидерит, пирит, марказит, хлорит, был произведен пересчет хим. анализов образцов более чем на 300 м по вертикали, сопоставлявшийся построением диаграмм изменения процента  $\text{FeS}_2$ ,  $\text{FeCO}_3$  и  $\text{CaCO}_3$ . Из надрудной толщи вниз проникали грунтовые воды, обогащенные  $\text{CO}_2$ ,  $\text{CaO}$  и  $\text{H}_2\text{S}$ . В зоне остаточных руд из р-ров выпадали  $\text{CaCO}_3$ ,  $\text{FeCO}_3$ ,  $\text{FeS}_2$  и пр. Они цементировали руды, выполняя пустоты от выщелачивания  $\text{SiO}_2$  в Fe-кварцитах. Поэтому наиболее интенсивно сидеритизации подвергались верхние горизонты Fe-руд под перестроенными. Распределение сидерита и пирита зависит от физ.-хим. условий среды; при высоком pH Fe нерастворимо и реагирует с  $\text{H}_2$ , образуя сульфиды; при низком pH Fe становится растворимым, мигрирует и взаимодействует с  $\text{CO}_2$ . При дальнейших процессах окисления и выщелачивания в виде остаточных продуктов образуются окислы и гидроокислы Fe, а также гиббсит; последний, по-видимому, — при разложении Al-содержащих силикатов — пропластков сланцев среды Fe-кварцитов.

Н. Берлинг  
6Г93. Пористость, вызываемая доломитизацией, — условие сохранения массы. Weyl Peter K. Porosity through dolomitization: conservation of mass requirements. «J. Sediment. Petrol.», 1960, 30, № 1, 85—90 (англ.).—Подземные воды обычно содержат очень мало суммарной  $\text{CO}_2$ , по сравнению с кол-вом Mg и Ca, и доломитизация протекает путем простого замещения молекул Ca молекулами Mg без привноса  $\text{CO}_2$  по ф-ле  $\text{Mg}^{2+} + 2\text{CaCO}_3 \rightarrow \text{MgCa}(\text{CO}_3)_2 + \text{Ca}^{2+}$ . Первоначально доломитизация известкового ила вызывает сокращение объема и уменьшение пористости. Когда растущие кристаллы доломита достигают состояния устойчивого каркаса, степень уплотнения пород уменьшается в связи с крупными размерами доломитовых кристаллов (по сравнению с величиной листовых частиц). Дальнейшая доломитизация влечет за собой увеличение пористости и заметное возрастание проницаемости.

Н. Берлинг  
6Г94. Петрографические характеристики и реологические отношения пермских каменных углей, в основном гондванской формации. III. Гондванские угли Южной Африки. Hoffmann H., Hoehne K. Petrographische Eigenschaften und rheologisches Verhalten von permischen Steinkohlen, insbesondere der Gondwanaformation. III. Die Gondwanakohlen von Südafrika. «Brennstoff-Chemie», 1960, 41, № 5, 142—150 (нем.).—В продолжение ранее опубликованной работы (сообщение II, РЖХим, 1961, 4Г112) исследовано большое число образцов, в основном из Трансвааля и Наталья. Приведены результаты определения элементарного состава 2 образцов.

Р. Хмельницкий  
6Г95. Свойства органического вещества осадочных пород и проблема региональной нефтеносности. Андреев П. Ф. «Тр. Всес. нефт. и-и. геологоразвед. ин-та», 1959, вып. 134, 132 стр., илл.—Изложены некоторые вопросы теории превращения органич. в-ва (I), причем особое внимание уделено внутренним движущим силам процесса. На примере исследования I Кендерлыкского сланцево-угольного месторождения установлено, что с повышением содержания I в породе степень превращенности его при прочих равных усло-

виях уменьшается. Полученные эксперим. данные подтверждают теоретически выведенную закономерность, по которой развитие поверхности I приводит к интенсификации термодинамически возможных процессов его изменения в сторону обособления С от сопутствовавших ему в живом организме элементов — O, H, S и N. Рассматривая выход и свойства «битумов» (II) в зависимости от степени превращенности I, литологии и др. факторов, автору удалось установить, что часть II подверглась миграционным процессам. Наиболее подвижная, восстановленная часть II покинула ранее материнскую систему, а на месте осталась та часть его, которая в силу повышенного содержания гетероэлементов и полярности оказалась связанной в материнской системе. Установлено, что массивные разности аргиллитов дают II с меньшим содержанием гетероэлементов, чем листовые разности. Это может служить дополнительным доказательством миграционных процессов, развивающихся там, где имеется большая возможность к этому за счет меньшего пути от материнских пород до проницаемых коллекторов. В работе приводятся выводы, согласно которым концентрированные разности I вряд ли могли дать начало нефтяным залежкам. Автор считает, что положительный прогноз нефтеносности не должен связываться именно с этим типом отложений, а большее внимание должно быть обращено на породы с относительно малым содержанием I. Предложено несколько новых методов исследования I осадочных пород, и рассмотрен вопрос о его комплексном изучении.

Р. Хмельницкий  
6Г96. Липидолиз и бактериальный синтез нефтей. Prévot André. Lipidolysis y síntesis bacteriana de los petróleos. «Bol. inform. petrol.», 1959, № 320, 835—841 (исп.).—Первой стадией процесса образования нефти является липидолиз, вызываемый бактериальными липазами и анаэробными бактериями. Далее происходит восстановление жирных к-т до углеводородов; источником водорода служат водородосильные или глициды растительного или животного происхождения, подвергающиеся метаболизму под действием бактериальных дегидрогеназ. Высокомолекулярные углеводороды превращаются в углеводороды более низкого молекулярного веса; вязкость образующихся нефтей снижается вследствие воздействия поверхности  $\text{CO}_2$ .

Т. Левин  
6Г97. О некоторых критериях первичности или вторичности битумов. Холодов В. Н. «Изв. АН СССР. Сер. геол.», 1960, № 4, 76—88.—Изложены результаты микроскопич. изучения форм нахождения битума в оолитах, доломитах и доломитовых породах Ферганы. Предложена схема образования кристаллов кварца в ядре известковых оолитов. Выделены три этапа формирования доломитов и доломитовых пород в алаеких отложениях: 1) раздельное осаднение карбонатов Ca и магниевых соединений из вод палеобассейна, 2) кристаллизация хемогенного  $\text{CaCO}_3$  и, вероятно, образование оолитов в карбонатных ялах, 3) замещение фаунистич. остатков и оолитов, сложенных  $\text{CaCO}_3$ , доломитом и образование зональных кристаллов  $\text{CaMg}(\text{CO}_3)_2$ , в основном происходящее в водах палеобассейна. По мнению автора, при решении вопроса о первичности или вторичности битума, кроме петрографич. критериев, необходимо принимать во внимание пространственное положение битуминозных участков в геологич. разрезе и на площади.

И. Лейфман  
6Г98. Метаморфизация химического состава плавных вод Черного моря. Шипкина О. В. В сб. «К познанию диагенеза осадков». М., АН СССР, 1959, 29—50.—Исследован солевой состав плавных вод (ИБ) из колонок донных отложений длиной до 10 м и более, собранных в 1956 г. Приведены данные по влажности, механич. составу, содержанию органич. С, С карбонатов,  $\text{Cl}^-$ ,  $\text{Br}^-$ ,  $\text{SO}_4^{2-}$ ,  $\text{Na}^+$ ,  $\text{K}^+$ ,  $\text{Ca}^{2+}$ ,  $\text{Mg}^{2+}$ ,  $\text{NH}_4^+$ , pH, щелочности. Во всех ИБ всех колонок отмечено пони-

жение с постепенным до-  
сего до-  
цесс вос-  
протекат-  
тате дей-  
рий) и те-  
пределен-  
к увелич-  
рому сдв-  
MgCO<sub>3</sub> и  
ния глини-  
к в ИБ, имен-  
ное солей  
ые ИБ,  
али Са,  
сорбции  
типах ИБ  
ридно-ще-  
ридно-ще-  
6Г99.  
и их зна-  
В сб. «К  
1959, 92—  
авторов  
тельный  
зоне оса-  
доем к  
тому ти-  
воды; Е  
жидкой  
ности ко-  
а-ва. М  
морских  
Кавказа  
на коло-  
нениях  
фидного  
ности ле-  
ное Fe,  
симум л-  
же толь-  
в НСl,  
осущест-  
способн-  
в речны-  
при зна-  
ществую-  
раствору  
илитное  
ные про-  
римоге-  
жаанием  
Fe. Пар  
в надло-  
неза ос-  
редукци-  
6Г100  
товых р-  
ного мо-  
неза ос-  
распред-  
и грун-  
тральной  
ные по-  
ности  
содерж-  
в 1,2, S  
верхней  
NH<sub>4</sub> до-

жение с глубиной содержания  $\text{Cl}^-$ , что указывает на постепенное осолощение Черного моря от новоевексинского до настоящего времени и накопление  $\text{Bg}^-$ . Процесс восстановления сульфатов наиболее интенсивно протекает в ИВ осадков верхних 3 метров (в результате деятельности сульфатвосстанавливающих бактерий) и только в самых общих чертах зависит от распределения органич. С. Понижение сульфатов ведет к увеличению карбонатов и гидрокарбонатов, некоторому сдвигу pH в щел. сторону, осаждению  $\text{CaCO}_3$  и  $\text{MgCO}_3$  и извлечению Mg из ИВ в процессе образования глинистых минералов. В результате этого образуются в осадках хлоридно-щелочные, бессульфатные ИВ, имеющие по сравнению с морской водой пониженное содержание Са и Mg, и хлоридно-натрий-кальциевые ИВ, в которых происходит накопление по вертикали Са и понижение Mg, Na и особенно K вследствие сорбции и обмена. Отмечено накопление  $\text{NH}_4^+$  в обоих типах ИВ в результате распада органич. в-ва. pH хлоридно-щелочных, бессульфатных ИВ 8,0—8,6; хлоридно-натрий-кальциевых 7,4—8,0.

С. Сачков  
6Г99. Формы железа в отложениях Черного моря и их значение для теории диагенеза. Страхов Н. М. В сб. «К познанию диагенеза осадков». М., АН СССР, 1959, 92—119. — Из многочисленных данных различных авторов установлено, что окислительно-восстановительный и кислотно-щел. режимы в восстановительной зоне осадков не зависят от того, принадлежит ли водоему к нормальному аэрируемому типу или к аномальному типу с сероводородным заражением придонной воды; Eh и pH в осадках отражают состав твердой, жидкой и газообразной фаз самих осадков и в особенности кол-во и качество захороненного в них органич. в-ва. Материал для определения форм Fe в черноморских осадках был получен по 4 профилям близ Кавказского побережья с глубиной от 21 до 1920 м; для колонков 3—4, иногда 8 м. Установлено, что в отложениях глубоководи. сероводородной зоны, кооме сульфидного Fe, присутствуют и др. его формы, в частности легкорастворимое в HCl лепторитово-карбонатное Fe, а иногда и окисное; сульфиды Fe слагают максимум лишь 47% от реакционноспособного Fe, порой же только немногие проценты; Fe, легкорастворимое в HCl, всегда оказывается главенствующим. В осадках осуществляется полная перестройка форм реакционноспособного Fe сравнительно с исходными его формами в речных взвешях. В первые моменты диагенеза, даже при значительном кол-ве органич. в-ва, в осадках существуют различные минералогич. формы Fe: легкорастворимое в HCl,  $\text{Fe}^{3+}$  и  $\text{Fe}^{2+}$ , пиритное, гидротроллитное и гидроокисное Fe. В дальнейшем редукционные процессы приводят к исчезновению  $\text{Fe}^{3+}$ , растворимого в HCl, из осадков с высоким (> 0,5%) содержанием органич. С и увеличению в них сульфидного Fe. Парагенезис железистых минералов возникает не в наддонной воде, зараженной  $\text{H}_2\text{S}$ , а в процессе диагенеза осадков. В новоевексинских отложениях процесс редукции Fe достиг наиболее высокой стадии.

С. Сачков

6Г100. Щелочность и биогенные элементы в грунтовых растворах осадков северо-восточной части Черного моря. Зайцева Е. Д. В сб. «К познанию диагенеза осадков». М., АН СССР, 1959, 51—71. — Изучалось распределение  $\text{NH}_4^+$ , P, Si и щелочности в придонных и грунтовых водах осадков Черного (сев.-вост. и центральная часть) и Азовского морей. Приведены данные по гранулометрич. составу, влажности, карбонатности и органич. С осадков. Величина щелочности и содержание биогенных элементов в придонной воде увеличивается с глубиной, значительно превосходя содержание их в поверхностной воде (щелочность в 1,2, Si в 10, P в 24,  $\text{NH}_4^+$  в 76 раз). В грунтовых р-рах верхнего слоя наблюдалось увеличение щелочности и  $\text{NH}_4^+$  до глубины 200—400 м вследствие более интенсив-

ного вымывания биогенных элементов из осадка на меньших глубинах; содержание P в 2 раза ниже содержания его в придонной воде (адсорбция) и с глубиной моря уменьшается; содержание Si с глубиной моря увеличивается. По вертикали осадка щелочность увеличивается в верхнем 1,5—2-метровом слое, понижаясь далее в глубь осадка;  $\text{NH}_4^+$  в глубь осадка увеличивается, Si уменьшается; накопления P в толще осадка не происходит. Для Азовского моря содержание биогенных элементов в грунтовых р-рах осадков значительно, но меньше, чем для Черного моря.

С. Сачков

6Г101. Органическое вещество в жидкой фазе осадков Черного моря. Старикова Н. Д. В сб. «К познанию диагенеза осадков». М., АН СССР, 1959, 72—91. — Дается колич. оценка органич. в-ва в иловых водах Черного и Азовского морей по содержанию органич. С и органич. N и распределение их по вертикали осадков. Содержание и распределение органич. С в грунтовых р-рах зависит от типа осадков: в жидкой фазе глинистых осадков происходит накопление органич. С по вертикали, в грунтовых р-рах алевроитовых отложений, где содержание органич. С в поверхностном слое понижено (7,9—11,8 мг/л) по сравнению с глинистыми осадками, оно уменьшается с глубиной. Отмечена связь между степенью восстановления сульфатов и накоплением органич. С. Содержание органич. С в грунтовых р-рах составляет в среднем 0,2% (Черное море) и 0,4% (Азовское море) от кол-ва органич. С, находящегося в осадке. Содержание органич. N в грунтовых р-рах в общем зависит от содержания его в твердой фазе и выше для осадков Азовского, чем для Черного моря; по вертикали накопления его не происходит.

С. Сачков

6Г102. Химия внешней атмосферы. Johnson Francis S. Chemistry of the outer atmosphere. «Trans. Amer. Geophys. Union», 1960, 41, № 2, 244—246 (англ.). — Наличие диффузионного переноса на высотах более 100—120 км не позволяет вывести степень диссоциации и относительной концентрации  $\text{O}$  и  $\text{N}_2$  по измерениям  $\text{O}_2$  и плотности атмосферы. Для суждения о хим. составе внешней атмосферы необходимы непосредственные измерения  $\text{O}_2$ ,  $\text{O}$ ,  $\text{N}_2$  и N. Принято, что  $\text{N}_2$  весьма слабо диссоциирован во всей области ионосферы. Обнаружение обменных р-ций типа  $\text{O} + \text{N}_2 \rightarrow \text{NO} + \text{N}$  с высоким выходом N не вносит существенного изменения ввиду наличия р-ций, приводящих к быстрому истощению N. Свободный N, являющийся продуктом диссоциации водяных паров на высоте ~80 км, улетучивается со скоростью ~ $10^8$  атом на  $1 \text{ см}^2$  в 1 сек. и образует водородную атмосферу, вызывающую водородное свечение ночного неба. Обменная р-ция  $\text{O} + \text{H} \rightleftharpoons \text{p} + \text{O}$  приводит к накоплению тепловых протонов и образованию протонной сферы, простирающейся до значительных высот.

И. Задорожный

6Г103. Концентрация и изотопный состав  $\text{CO}_2$  в атмосфере. Keeling Charles D. The concentration and isotopic abundances of carbon dioxide in the atmosphere. «Tellus», 1960, 12, № 2, 200—203 (англ.). — В течение 1957 г. и в начале 1960 г. проводились непрерывные измерения концентрации  $\text{CO}_2$  в атмосфере на трех станциях в Антарктике, на Гавайях и в Калифорнии и единичные измерения в различных местах Тихого океана, в том числе на высоте 5—6 км с самолетов. В сев. полушарии наблюдаются систематич. сезонные вариации концентрации  $\text{CO}_2$  и отношения в ней изотопов, связанные с вегетационным периодом. Макс. конц-ия  $\text{CO}_2$  наблюдается весной и в начале лета ( $315 \cdot 10^{-4}\%$ ) и минимальная осенью ( $310 \cdot 10^{-4}\%$ ). В южн. полушарии сезонные вариации конц-ии  $\text{CO}_2$  отсутствуют. Обнаружен годовой прирост конц-ии  $\text{CO}_2$  на Южн. полюсе на  $1,3 \cdot 10^{-4}\%$  и в сев. части Тихого океана от 0,5 до  $1,2 \cdot 10^{-4}\%$ , который численно равен



годовому приросту  $\text{CO}_2$  при полном сжигании топлива и в отсутствие поглощения ее океаном.

**6Г104. Результаты наблюдения радиоактивной пыли в Дуйсбурге.** Altwater W. Ergebnisse der Partikelbeobachtungen in Duisburg. «Schriftenr. Bundesministers Atomkernenergie und Wasserwirtsch. Strahlenschutz», 1959, № 12, 25—36. Diskuss., 37—38 (нем.).—Для изучения степени загрязненности и распределения радиоактивной пыли в воздухе был использован метод авторадииграфии в сочетании с физ. методами измерения. Радиоактивная пыль из воздуха в течение нескольких дней свободно осаждалась на фильтр, покрытый вазелином. Затем методом контактной печати на рентгеновской пленке получали авторадииграфич. снимок распределения осаждавшихся на фольге радиоактивных пылинкок. Измерения, выполненные в период 1957—58 гг., показали резкое повышение кол-ва и интенсивности радиоактивной пыли в воздухе через определенное время после проводившихся атомных взрывов.

**6Г105. Распространенность радиоактивных частиц в 1957—1958 гг. и ее зависимость от происхождения воздушных масс.** Becker F. Partikelhäufigkeit in den Jahren 1957 und 1958 und ihre Luftkörperabhängigkeit. «Schriftenr. Bundesministers Atomkernenergie und Wasserwirtsch. Strahlenschutz», 1959, № 12, 39—44. Diskuss., 44—46 (нем.).—Обнаружение и изучение «горячих частиц» показало, что во многих случаях они состоят не из одиночных частиц, а из сгустка многих радиоактивных пылинкок, разделить которые не удается. Условия и причины возникновения таких сгустков остаются невыясненными. С апреля 1957 г. по январь 1959 г. было зарегистрировано 73 частицы, большая часть из которых, вероятно, представляет такие сгустки. С октября 1958 г. по январь 1959 г., после прекращения взрывов, число регистрируемых частиц не уменьшилось, а их интенсивность даже возросла вдвое. Вероятно, они поступали из стратосферы. Конц-ция радиоактивных частиц распределена равномерно в полярных, тропич. и морских массах воздуха и несколько понижается в континентальном воздухе; она возрастает при наступлении холодного фронта воздуха и уменьшается с наступлением теплого воздуха.

**6Г106. Измерение активности горячих частиц из воздушной пыли.** Hauer F., Keck G. Bericht über Messungen der Aktivität der heißen Körnchen im Luftstaub. «Schriftenr. Bundesministers Atomkernenergie und Wasserwirtsch. Strahlenschutz», 1959, № 12, 53—55. Diskuss., 55—56 (нем.).—С апреля 1958 г. в г. Вене проводились измерения радиоактивности воздушной пыли. В течение 10 час. ежесуточно через бумажный фильтр (Ватман 501) профильтровывалось 8—25 м<sup>3</sup> воздуха. С фильтра снимались авторадииграфии при экспозиции 1—2 дня. Затем измерялась полная ( $\beta + \gamma$ ) активность и энергетич. спектр ( $\beta$ -излучение) отдельных частиц. Как правило, на горячих частицах концентрируется практически вся радиоактивность, осаждаемая на фильтре. В период с 16.I по 16.II 1959 г. было профильтровано 350 м<sup>3</sup> воздуха и обнаружено 28 горячих частиц с активностью от  $10^{-11}$  до  $10^{-10}$  мююри, что соответствует  $\sim 10^{-15}$  г активного в-ва. На 13 м<sup>3</sup> воздуха в среднем наблюдается одна горячая частица. В согласии с наблюдениями других авторов, число обнаруживаемых горячих частиц сильно возросло, начиная с лета 1958 г. Анализ энергетич. спектра позволяет заключить, что они содержат преимущественно  $\text{Nb}^{95}$  и  $\text{Zr}^{95}$  и, возможно,  $\text{Sr}^{90}$  и  $\text{Ce}^{141}$ .

**6Г107. Распределение воздушной активности в пространстве и времени (измерение воздуха и авторадииграфия) и ее значение для фотопромышленности.** Mergler H. Zur räumlichen und zeitlichen Verteilung

der Luftaktivität (Luftmessung und Autoradiographie) und ihre Bedeutung für die Photoindustrie. «Schriftenr. Bundesministers Atomkernenergie und Wasserwirtsch. Strahlenschutz», 1959, № 12, 57—63. Diskuss., 63—65 (нем.).—В целях выяснения степени вредного влияния радиоактивности воздуха для фотопромышленности, проведено изучение распределения радиоактивности воздуха во времени и пространстве. Ежесуточно через фильтр сечением 6,5 см<sup>2</sup> профильтровывалось 50 м<sup>3</sup> воздуха, при этом измерялась его уд. активность, а с фильтра снималась авторадииграфия и считывалось число радиоактивных пылинкок. Изменение уд. активности и числа пылинкок носило случайный характер, не всегда совпадало и часто имело противоположное направление. Знание только величины уд. активности недостаточно для суждения о степени опасности имеющейся в воздухе радиоактивности. Особенно неравномерное распределение активности наблюдалось осенью 1958 г. 20.XI.1958 г. обнаружена частица с активностью 2,6  $\cdot 10^{-9}$  мююри, которая при 2-часовой экспозиции создала на пленке видимое поперечное размером  $> 1$  мм. По кривой затухания ее активности определено время взрыва — 25.X.1958 г. Энергетич. спектр этой частицы показал присутствие в ней смеси продуктов расщепления ( $\text{Zr}^{95}$ ,  $\text{Nb}^{95}$ ,  $\text{La}^{140}$ ,  $\text{Ce}^{141}$ ). И. З.

**6Г108. Существование радиоактивных частиц и исследование их гамма-спектра.** May R., Schneider H. Nachweis radioaktiver Partikel und Untersuchung ihrer Gamma-Spektren. «Schriftenr. Bundesministers Atomkernenergie und Wasserwirtsch. Strahlenschutz», 1959, № 12, 72—82. Diskuss., 83 (нем.).—В течение 2 лет в Университете в Гиссене (ФРГ) проводилось изучение искусств. радиоактивности в сухом остатке дождевой воды и в атмосферной пыли. Частица, обнаруженная в сухом остатке дождевой воды, имеющая возраст 25—35 дней, прошедших с момента взрыва, по данным  $\gamma$ -спектра имеет следующий состав в-ва: фотолиния с максимумом 145 кэв соответствует  $\text{Ce}^{141}$  и  $\text{Ce}^{144}$ , 360 кэв —  $\text{J}^{131}$ , 520 кэв —  $\text{Nd}^{147}$ ,  $\text{Ba}^{140}$ ,  $\text{Ru}^{106}$ , 770 кэв —  $\text{Zr}^{95}$  и  $\text{Nb}^{95}$ . Другие максимумы не идентифицированы. Активность, обнаруженная в пылинках осаждаемых из воздуха, показывает два четких максимума, соответствующих 145 и 770 кэв. Их относительная высота может меняться. Для этих частиц характерно отсутствие максимума 520 кэв. В некоторых случаях частицы, обнаруживаемые в сухом остатке дождевой воды, также не имеют максимума 520 кэв или он сильно занижен. Объяснить это можно, предположив, что произошло перемешивание частиц обоих типов.

**6Г109. О радиоактивных пылинках ненормального состава.** Schulz H. D., Kolb W. Über radioaktive Staubeilchen abnormer Zusammensetzung. «Schriftenr. Bundesministers Atomkernenergie und Wasserwirtsch. Strahlenschutz», 1959, № 12, 91—98. Diskuss., 96 (нем.).—В декабре 1958 г. на территории Физ.-технич. ин-та (ФРГ) было собрано 17 высокоактивных пылинкок, часть из которых исследовалась на  $\gamma$ -спектрометре. Были обнаружены существенные различия в спектре. В дальнейшем рассматриваются 2 предельных случая. Пылинки Т-1 и Т-3 были обнаружены 1 и 15 декабря, имели активность 2,2 и  $1,2 \cdot 10^{-10}$  мююри соответственно. В  $\gamma$ -спектре обеих пылинкок преобладает максимум 750 кэв, принадлежащий  $\text{Zr}^{95}$  и  $\text{Nb}^{95}$ . В случае Т-3 ему принадлежит 80% активности. В спектре этой пылинки отсутствует максимум 140 кэв, принадлежащий  $\text{Ce}^{141}$  и  $\text{Ce}^{144}$ , и жесткое  $\beta$ -излучение, принадлежащее  $\text{Sr}^{89}$ ,  $\text{Y}^{90}$  и  $\text{Pr}^{144}$ . В-во пылинки Т-3 состоит из 80% изотопа  $\text{Zr}^{95}$  и находящегося в равновесии с ним  $\text{Nb}^{95}$ , что не соответствует нормальной смеси продуктов расщепления известных материнских элементов. Другие изученные пылинки содержали как нормальную смесь продуктов расщепления, так и более или менее ярко выраженный избыток  $\text{Zr}^{95}$  и  $\text{Nb}^{95}$ . Во-



ных водоисточников в шт. Канзас, Колорадо, Новая Мексика и Оклахома. Содержание U (в ч. на 1 млрд.) в среднем: в колодцах 9,5, в источниках 11,3, в реках 7,2, в водопроводах 7,1, в водохранилищах 20,9, в озерах 8,8, для всех проб 9,7 с колебаниями в отдельных пробах 4—400. Среднее содержание U для вод территории туффов 6,7, территории песчаников 10,2, сланцев 20,4. М. Яншина

6Г117. Органические соединения в природных водах. Коуама Тадаширо. «Кагаку то когё», «Chem. and Chem. Ind.», 1960, 13, № 4, 391—398 (японск.)—Обзор. Библ. 58 назв.

6Г118. Гидрохимическая характеристика залива Куршю марес. Юревичус Р. В сб. «Куршю марес». Вильнюс, 1960, 69—108 (рез. лит., нем.).—Гидрохимические исследования производились в 1956—1957 гг. Вследствие небольших (до 7 м) глубин вся толща воды залива хорошо перемешивается, и вертикальный стратификации почти не наблюдается. Прозрачность воды < 1,6 м, pH 8,0—8,9, св. CO<sub>2</sub> отсутствует. Содержание O<sub>2</sub> 8,5—11,5 мг/л; весной и осенью 80,0—98,5, летом в поверхностном слое до 160% насыщения. Окисляемость 8,5—18,0 мг O<sub>2</sub>. Содержание биогенных элементов (в мг/л): P—PO<sub>4</sub><sup>3-</sup>—0,025—0,036; N—NO<sub>3</sub><sup>-</sup>—0,01—0,1, Fe 0,35—0,40; в летнее время в поверхностных слоях биогенных элементов меньше, чем в придонных. Вода залива среднеминерализованная (220—300 мг/л). Минерализация воды в центральной и южн. частях залива мало изменяется в течение года; индекс по классификации Алекина СII. В сев. части залива при нагонных ветрах вода из Балтийского моря поступает через пролив и продвигается далеко на юг. При этом резко повышается минерализация воды (до 7,0—7,5 г/л), ее индекс становится CIII<sup>Na+K</sup>. Наиболее благоприятные условия для возникновения нагонов создаются летом (VII—VIII) и зимой (XII—II), когда уменьшается речной сток в залив. При отсутствии нагонов минерализация воды (245—350 мг/л) и соотношения между ионами солевого состава (CII) в сев. части не отличаются от таковых в остальной части залива. Из резюме автора

6Г119. Изменение солёности глубинных вод бассейна Белого моря. Надежин В. М. «Изв. АН СССР. Сер. геогр.» 1960, № 3, 79—84.—Сравнением данным, полученных автором в 1955—1958 гг., с данными К. М. Дерюгина (В сб. «Исследования морей СССР». Л.—М., Гидрометеиздат, 1928, вып. 7—8), Кандакшской станции ВНИРО (1933—1940) и Умбской гидрометеорологич. станции (1933—1955) установлено, что в современный период происходит постепенное уменьшение S‰ глубинных вод Белого моря (на 0,02‰ в год), ведущее к полному его опреснению. Это явление вызвано геологич. факторами, уменьшающими водообмен Белого моря с Баренцевым. При сохранении направления этого процесса Белое море может отделиться и превратиться в пресноводн. озеро. С. Сачков

6Г120. Некоторые задачи гидрохимии морских устьевых областей. Блинов Л. К. «Тр. Гос. океанограф. ин-та», 1960, вып. 52, 5—26.—Кратко рассмотрены вещественный состав морских и речных вод и физ.-хим. процессы, протекающие в устьевых областях. На первом этапе изучения морских устьевых областей можно ограничиться изучением процессов смешения (вторжение морских вод в реку и распространение речных вод на взморье) при различных гидрометеорологич. и климатич. условиях, суточных и сезонных изменений содержания растворенных газов, сезонных изменений содержания биогенных элементов, изменения содержания и хим. природы взвешенных частиц при смешении морских и речных вод. Указывается на необходимость разработки некоторых особых методов гидрохим. исследований. С. Сачков

6Г121. Качество поверхностных вод Соединенных Штатов Америки в 1956 г. Части 7—8. Бассейн нижней части р. Миссисипи и бассейны западной части Мексиканского залива. Части 9—14. Бассейн р. Колорадо, бассейны Тихоокеанского склона в Орегоне и бассейны нижней части р. Колумбия. Love S. K. Quality of surface waters of the United States, 1956. Parts 7—8. Lower Mississippi River basin and Western Gulf of Mexico basins. Parts 9—14. Colorado River basin to Pacific slope basins in Oregon and Lower Columbia River basin. «Geol. Surv. Water-Supply Paper», 1960, № 1452, XII, 469 pp.; № 1453, XIV, 447 pp. (англ.).—Части 5—6 см. РИХИМ, 1961, 5Г159.

6Г122. Циклическое движение соленой воды в водоносном слое у залива Бискейн в юго-восточной Флориде. Kohout F. A. Cyclic flow of salt water in the Biscayne aquifer of southeastern Florida. «J. Geophys. Res.», 1960, 65, № 7, 2133—2141 (англ.).—В результате 20-летних наблюдений над содержанием Cl<sup>-</sup> в водоносном слое у залива Бискейн было установлено, что морская вода, поступающая из бухты в основание водоносного слоя, движется в сторону суши на некоторое расстояние, постепенно разбавляясь пресными водами, после чего поднимается вверх и возвращается к морю. М. Яншина

6Г123. Условия залегания и химизм вод карбонатных отложений зоны Койбынских структур. Чакабаев С. Е., Ли А. Б., Филиппов Г. П. «КазССР Ғылым Акад. хабаршысы, Вестн. АН КазССР», 1960, № 7, 51—58 (рез. каз.).—На изученной территории в двух структурах гидрогеологич. условия различны. В Джамбыл-Бастауской структуре глубинные разломы надвигового типа исключают инфильтрацию, благодаря чему в нижних водоносных горизонтах воды имеют застойный характер с минерализацией (М) до 36,7 г/л, содержанием J 9 мг/л и Br 100 мг/л, хлоридно-натриевого типа. В Койбынской структуре развиты зоны трещиноватости, воды более пресные (до 4,7 мг/л) сульфатно-натриевого типа. М. Яншина

6Г124. Современные изменения в содержании хлоридов и дебита источников в гейзерной долине Уапакей. Thompson G. E. K. Recent variations of chloride content and spring activity at Wairakei Geyser Valley. «N. Z. J. Geol. and Geophys.», 1960, 3, № 2, 265—270 (англ.).—В источниках систематически в течение 1951—1959 гг. определялись pH, электропроводность, содержание хлоридов и дебит источников. За эти годы произошло уменьшение содержания хлоридов, pH в основном стал более щелочным, т-ра несколько увеличилась. Это сопровождается уменьшением дебита источников, что объясняется большим расходом горячих вод скважинами. М. Яншина

6Г125. Химические исследования горячих источников Мисаса, префектура Тоттори, Япония. V. Изменения в содержании силикатов. VI. Изменения в содержании сульфидов. VII. Изменения в дебите источников и в уровнях поверхностных и подземных вод в районе горячих источников Мисаса. VIII. Изменения в химическом содержании вновь открытого источника в Мисаса IX. Соотношения между уровнем грунтовых вод, уровнем воды в реке Мисаса и количеством дождевых осадков в районе горячих источников Мисаса. X. Соотношения между содержанием радона и дебитом источников, содержанием хлор-иона и температурой воздуха в районе горячих источников Мисаса. XI. Соотношения между температурой воды источников и дебитом их, содержанием в них хлор-иона и температурой воздуха в районе горячих источников Мисаса. XII. Влияние приращивания вод, снега и дождя на горячие источники. Sugihara Takeshi. «Nihon Kagaku Zasshi», «Nippon Kagaku zasshi», «J. Chem. Soc. Japan. Pure Chem. Sec.», 1960, 81, № 5, 703—713, A5t; № 6, 884—891, A64; № 7, 1055—1063, A75; № 8, 1221—1232, A85—A86 (японск.; рез. англ.).—V. Среднегодовые

содержа-  
ка 58,  
шем со-  
зимой.  
имеет  
лика-  
чением  
являет  
тов. О-  
нием с-  
и pH.  
VI. С-  
чих во-  
ных во-  
больше  
выше.  
содерж-  
ношен-  
источн-  
ставля-  
также  
содерж-  
VII.  
повыш-  
жание  
и в ос-  
также  
т-рой  
уровне  
уровне  
VIII.  
доходи-  
жания  
атим  
между  
ными  
между  
реляци-  
IX. У-  
уровне  
считат-  
вых д-  
источн-  
ника I-  
ды в  
X. У-  
находи-  
т-рой  
XI.  
источн-  
и деби-  
XII.

6Д1  
спект-  
ности  
cadru-  
specti-  
(рум.).  
6Г12  
тодов.  
chemi-  
№ 33,  
обзор  
9 За



содержание (в мг/л) силикатов в 30 горячих источниках 58,5, в колодцах 29,8, в речных водах 23,3. В общем содержание силикатов больше летом и меньше зимой. Между содержанием силикатов и хлоридов имеется положительная корреляция, но отношение силикатов к хлоридам изменяется, понижаясь с увеличением содержания хлоридов; одной из причин этого является изменение в растворенном состоянии силикатов. Отмечаются также корреляции между содержанием силикатов и содержанием Mg, Fe, Rn,  $\text{HCO}_3$  и pH.

VI. Среднегодовое содержание сульфидов в 30 горячих источниках 0,37, в речных водах 0,16, в подземных водах 0,09 мг/л. Содержание сульфидов в общем больше летом, когда т-ра воздуха и воды источников выше. Корреляция между изменениями в течение года содержания сульфидов и  $\text{Cl}^-$  не найдено. Так как отношение сульфидов к хлоридам изменяется в каждом источнике, следует думать, что часть сульфидов представляется иными водами, чем хлориды. Рассмотрены также корреляции между содержанием сульфидов и содержанием Mg, Fe и силикатов.

VII. Установлено, что дебит источников в общем повышается летом; влияет на него, как и на содержание  $\text{Cl}^-$  в воде источников, уровень воды в реке и в особенности уровень подземных вод. Указываются также соотношения между дебитом источников и их т-рой и содержанием в них силикатов и Rn; между уровнем воды в реке и содержанием силикатов и Mg; уровнем подземных вод и содержанием Mg.

VIII. В источнике Мадубара максим. содержание Rn доходит до  $3960 \cdot 10^{-10}$  кюри/л. По изменению содержания  $\text{Cl}^-$  имеется положительная корреляция между этим источником и 6 другими из 8 исследованных; между среднемесячным содержанием  $\text{Cl}^-$  и дождевыми осадками имеется положительная корреляция, между содержаниями  $\text{Cl}^-$  и Rn — отрицательная корреляция.

IX. Корреляция между уровнем воды в реке Мисаса, уровнем грунтовых вод и кол-вом осадков позволяет считать, что последнее является главной причиной переломов. Выведены ф-лы зависимости дебита (для источника Хисун-но-ю) и содержания  $\text{Cl}^-$  (для источника Бун-абур-но-ю) от кол-ва осадков, уровня воды в реке и уровня подземных вод.

X. Установлено, что содержание Rn в источниках находится в большей корреляции с дебитом, чем с т-рой воздуха и содержанием  $\text{Cl}^-$ .

XI. Приведены ф-лы для вычисления в некоторых источниках т-ры воды по т-ре воздуха, содержанию  $\text{Cl}^-$  и дебиту.

XII. Для источника Хисун-но-ю в 1955—1957 гг. ис-

следована зависимость величины дебита от ирригационных вод, снега и дождя. Часть IV см. РЖХим, 1960, № 20, 80689.

По резюме автора  
6Г126. Характеристика минеральных вод курорта Усть-Качка. Абрисимова Е. К. В сб. «25 лет курорту Усть-Качка» (Тр. Пермск. мед. ин-та, спец. вып.). Пермь, 1960, 9—13. — В Усть-Качке с глубин 200—900 м выведена вода, содержащая (в г/л): Na 27,8; Mg 0,9; Ca 1,7; Cl 43,7;  $\text{SO}_4$  6,05;  $\text{HCO}_3$  0,41;  $\text{H}_2\text{S}$  0,35; св.  $\text{CO}_2$  0,13; сумма солей 85. С глубины 1360 м выведены рассолы с минерализацией 264 г/л; содержание Br 623 мг/л.

M. Яншина  
6Г127. Минеральные воды Махачкалы. Соколов П. Т. «Сб. научн. тр. Дагестанск. мед. ин-та», 1959, 7, № 1, 175—177. — Предлагаются для лечебного использования воды, выведенные на поверхность в Махачкале нефтяными скважинами с глубин 823—977 м с дебитом до 1 млн. л в сутки. Ф-ла Курлова воды одной из скважин (№ 160):  $\text{HBO}_2$  0,023  $\text{M}_4(\text{SO}_4 \cdot 50 \text{HCO}_3 \cdot 32/\text{Na} \cdot 98)$ , вода содержит Cu 0,08 мг/л, Fe < 1 мг/л.

M. Яншина  
6Г128. Сероводородные воды курорта Талги (результаты гидрохимических и гидрогеологических работ 1950—1957 гг.). Соколов П. Т., Зенин Н. О. «Сб. научн. тр. Дагестанск. мед. ин-та», 1959, 7, № 1, 167—174. — Многолетними наблюдениями за хим. составом Талгинских минер. вод установлены изменения в содержании отдельных компонентов ( $\text{H}_2\text{S}$ , Cl,  $\text{SO}_4$  и др.), происходившие в связи с бурением новых скважин или закрытием действующих; имели значения также климатич. колебания.

M. Яншина  
6Г129. Наличие и возможности использования йод-бромных вод в Остравско-Карвинском районе. Реха Ladislav. Występowanie i możliwości wykorzystania wód jodowo-bromowych okręgu ostrowsko-karwińskiego. «Przegl. geol.», 1960, 8, № 6, 329—331 (польск.). — Приводятся данные по ионному составу (в том числе по  $\text{J}^- + \text{Br}^-$ ): вод из различных скважин. Выясняется экономич. целесообразность использования их как йодо-бромных вод.

T. Леви  
6Г130. Основы метеоритики. Krinov E. L. Principles of meteoritics. Transl. from the Russ. Oxford — London — New York — Paris, Pergamon Press, 1960, XI, 535 pp., ill. 70 sh. (англ.)

См. также: Физ.-хим. методы анализа минералов, почв, руд, вод, пород и т. д. 6Д68, 6Д76, 6Д88, 6Д91, 6Д92, 6Д108, 6Д131, 6Д156, 6Д176, 6И261, 6И265, 6И294, 6И322, 6И355. Структура, состав и свойства минералов 6Б193, 6Б213, 6Б236, 6Б243, 6Б303. Состав и свойства углей 6М39, 6М45

## Д. АНАЛИТИЧЕСКАЯ ХИМИЯ

### ОБЩИЕ ВОПРОСЫ

Редакторы Г. И. Кибисов, А. А. Немодрук,  
Н. Н. Чудинова

6Д1. Задачи аналитической химии в свете перспективного плана развития румынской промышленности. Drăgulescu C. Sarcinile chimiei analitice în cadrul dezvoltării industriei noastre în planul de perspectivă. «Rev. chim.» (RPR), 1960, 11, № 7, 381—384 (рум.)

6Д2. Точность и правильность аналитических методов. Maurice M. J. Nauwkeurigheid en juistheid van chemische analyse-methodes. «Chem. weekbl.», 1960, 56, № 33, 478—485. Diskuss., 485 (гол.; реэ. англ.). — Дан обзор некоторых приемов оценки точности и правиль-

ности аналитич. методов, основанных на применении статистич. критериев. Точность оценивается с помощью дисперсии. Рассматриваются два случая — когда дисперсия постоянна и когда она возрастает при увеличении содержания определяемого компонента. Обсуждается вопрос о подсчете дисперсии для случая, когда при выполнении анализа требуется производить определение контрольной пробы. Вопрос об определении правильности анализа рассматривается как для случая, когда полученные данные сопоставляются с известным содержанием в-ва в пробе, так и для случая, когда сравнение производится с данными других, независимых методов анализа. В обоих случаях используется  $t$ -критерий.

Резюме автора  
6Д3. Расчет результатов анализа при помощи графиков. У Би-д-у. «Хуасюэ тунбао, Huaxue tongbao».

1960, № 6, 1—2 (кит.).—В титриметрич. анализе расчет производят по ф-ле  $C(\%) = N \cdot V \cdot M/n \cdot 1000 \cdot G$ , где  $G$ ,  $M$  и  $n$  — процентное содержание, атомный вес и валентность определяемого элемента,  $N$  и  $V$  — нормальность и объем титранта,  $G$  — навеска. Если брать всегда одинаковую навеску для определения одного элемента, то переменной величиной будет только  $V$ . Тогда по графику в координатах  $C(\%)$  —  $V$ , зная  $V$ , легко найти  $C$ . М. Богачихин

6Д4. Соосаждение непутия с трифторидом лантана. Nakamura Eiko. Coprecipitation of neptunium with lanthanum trifluoride. «Bull. Chem. Soc. Japan», 1960, 33, № 5, 702—704 (англ.).—Исследованы условия соосаждения  $Np^{4+}$ ,  $Np^{5+}$  и  $Np^{6+}$  с  $LaF_3$  и  $Zr(HPO_4)_2$  с применением  $Np^{239}$  в качестве индикатора. Установлено, что изменение конц-ии  $HNO_3$  в пределах 0,5—5 н. не оказывает заметного влияния на соосаждение.  $Np^{4+}$  и  $Np^{5+}$  соосаждаются с  $LaF_3$  почти количественно (98—99%) из азотнокислых и солянокислых р-ров;  $Np^{6+}$  соосаждается на 97% из хлорнокислых р-ров.  $Np^{6+}$  в значительной части остается в р-ре, содержащем  $HNO_3$ ,  $HCl$  или  $HClO_4$ . С  $Zr(HPO_4)_2$  только  $Np^{4+}$  осаждается почти количественно (92—98%) из азотнокислых и солянокислых р-ров, в остальных валентных состояниях  $Np$  осаждается только частично. В. Л.

6Д5. Новый восстановитель. Восстановление четырехвалентного ванадия и шестивалентного урана двухвалентным железом в присутствии пирокатехина. Miller John W. A new reducing agent: reduction of vanadium and uranium with ferrous ion in catechol solutions. «Talanta», 1960, 4, № 4, 292—293 (англ.).—Предложен новый сильный восстановитель —  $Fe^{2+}$  в р-рах пирокатехина (I). Исследовано его применение для титрования  $V(5+)$  и  $U(6+)$ . Титрование проводят в присутствии буферного р-ра (смесь 1 М  $NH_4Cl$ , 1 М  $NH_4OH$  и 0,1 М  $Na_2SO_3$ ). Потенциометрич. и амперометрич. методом установлено, что р-ция близка к стехиометрической. При рН 9,5 потенциал пары  $Fe^{2+} - I/Fe^{3+} - I$  (относительно хлорсеребряного электрода) найден равным 0,97 в. Сильные восстановительные свойства  $Fe^{2+}$  в присутствии I объясняются высокой прочностью комплекса  $Fe^{3+}$  с I. Л. Быкова

6Д6. Применение мanganата калия в количественном анализе. V. Устойчивость растворов мanganата калия при высоких температурах. Polak H. L., Boef G. den. Die Anwendung von Kaliummanganat in der quantitativen Analyse. V. Die Stabilität von Kaliummanganatlösungen bei höheren Temperaturen. «Z. analyt. Chem.», 1960, 175, № 4, 265—272 (нем.).—Изучена устойчивость р-ров  $K_2MnO_4$  (I) при повышенных т-рах и в присутствии  $H_2TeO_4$ ,  $MnO_2$  и  $KMnO_4$ . Содержание I в р-рах определялось йодометрически. Установлено, что 0,03 М I в 1—3 М КОН совершенно устойчив при нагревании до 60° в течение 12 час. В р-ре NaOH происходит некоторое разложение I с потерей кислорода, что авторы объясняют наличием примесей в NaOH. В присутствии 100 мг  $H_2TeO_4$  I в вышеописанных условиях частично диспропорционирует на  $MnO_2$  и  $KMnO_4$ , окрашивая р-р в синий цвет, однако потеря  $O_2$  не происходит.  $MnO_2$  не ухудшает устойчивости I.  $KMnO_4$  (0,01 М) также не уменьшает устойчивости I, если конц-ия I > 0,015 М. Более разб. р-ры I (0,004 М) в обычной дистил. воде неустойчивы, однако в воде, очищенной повторной перегонкой с  $KMnO_4$  и NaOH, они так же устойчивы, как и 0,03 М р-р I. Предполагается, что I и его смесь с  $KMnO_4$  являются лучшими окислителями для ряда неорганич. и органич. в-в в щел. р-рах, чем, например,  $KMnO_4$ . Сообщение IV см. РЖ-Хим, 1960, № 16, 65408. В. Лукьянов

6Д7. К индикации конечной точки в йодометрии. Erdey L., Pólos L. Beiträge zur iodometrischen Endpunkt — Indikation. «Period. polytechn. Chem. Engng», 1960, 4, № 2, 157—162 (нем.).—Установлено, что при йодометрич. титровании с использованием в качестве

индикатора амилозы (I) резкое изменение окраски в конечной точке наблюдается при конц-ии  $KJ < 0,1$  моле/л. При использовании 1 г КJ объем р-ра в конечной точке должен составлять по крайней мере 100 мл. Для приготовления I крахмал экстрагируют метанолом, к остатку прибавляют воду и бутанол и нагревают в автоклаве при 109°. По охлаждении I (в виде кашицы в бутанол) отделяют от амилопектина, содержащегося в воде. В качестве индикатора применяют 1%-ный водн. р-р I (прозрачную часть р-ра). Небольшие кол-ва бутанола, необходимые для стабилизации I, не мешают при дальнейших титрованиях с использованием I. Методика йодометрич. титрования с применением I в качестве индикатора не отличается от общепринятой методики с использованием крахмала. В. Иванов

6Д8. Стабилизирование крахмального индикатора, употребляемого при йодометрических определениях. Van Landingham John W. A note on a stabilized starch indicator for use in iodometric and iodimetric determinations. «Limnol. and Oceanogr.», 1960, 5, № 3, 343—345 (англ.).—Описан способ приготовления крахмального индикатора, устойчивого в течение > 8 месяцев, несмотря на действие света, воздуха и других факторов: к 3 г порошкообразного растворимого крахмала прибавляют 100 мл глицерина, нагревают до 190° и охлаждают до комнатной т-ры. Помутнение р-ра не ухудшает свойств индикатора. В случае застудневания р-р вновь нагревают до 190° и разбавляют небольшим кол-вом глицерина. Одна капля индикатора окрашивает р-р йода в интенсивно синий цвет и делает отчетливой конечную точку титрования. На 100 мл пробы обычно применяют 1—2 капли индикатора. Е. Кондратьев

6Д9. Новые достижения в комплексометрии. Пршибил Р. «Тр. Комис. по аналит. химии. АН СССР», 1960, 11, 341—345.—Обзорная статья.

6Д10. Комплексометрическое титрование. Bladh Einar. Komplexometrisk titring. «Elementa», 1960, 43, № 3, 153—166 (шведск.).—Обзор. Библ. 8 назв.

6Д11. Новые комплексоны. Сообщ. 4. Синтез и изучение комплексонов триазинового ряда. Ластовский Р. П., Колпакова И. Д., Дятлова Н. М. «Ж. аналит. химии», 1960, 15, № 4, 419—423 (рез. англ.).—Синтезированы 2-окси-4,6-диамино-1,3,5-триазин- $N,N,N',N'$ -тетрауксусная к-та (I) и 2,4,6-триамино-1,3,5-триазин- $N,N,N',N'$ -гексауксусная к-та (II). Полярмографич. методом изучено комплексообразование I и II с некоторыми катионами. Установлено, что при рН 2,5 I образует комплексы с  $Pb^{2+}$ ,  $Cu^{2+}$ ,  $Bi^{3+}$ ,  $Cd^{2+}$ ,  $Ni^{2+}$ ,  $Mo^{6+}$  и  $Ti^{4+}$ , при рН 4,4 — также с  $As^{3+}$  и  $Mn^{2+}$ ; при рН 9,35 образуются комплексы с  $Pb^{2+}$ ,  $Cu^{2+}$ ,  $Cd^{2+}$ ,  $As^{3+}$ ,  $Co^{2+}$  и  $Mo^{6+}$ ; при рН 12 — с  $Cu^{2+}$ ,  $Cd^{2+}$ ,  $Zn^{2+}$ ,  $Ni^{2+}$  и  $Bi^{3+}$ . II образует комплексы при рН 4,4 с  $Pb^{2+}$ ,  $Cu^{2+}$ ,  $Mn^{2+}$ ,  $Mo^{6+}$  и  $Ti^{4+}$ , а при рН 2,5 — также с  $La^{3+}$ ,  $Tl^{+}$  и  $Zn^{2+}$ ; при рН 9,3 — с  $Pb^{2+}$ ,  $Cu^{2+}$ ,  $As^{3+}$ ,  $Mn^{2+}$ ,  $Mo^{6+}$ ,  $La^{3+}$ ; при рН 12 — с  $Cu^{2+}$ ,  $Cd^{2+}$ ,  $Ni^{2+}$  и  $Mo^{6+}$ . Вычислены константы нестойкости комплексов. Показано, что комплексы с  $\alpha$ -фенилендиамин- $N,N,N',N'$ -тетрауксусной к-той менее прочны, чем с I и II. Это согласуется с предположением авторов о том, что атом азота триазинового цикла участвует в комплексообразовании. Сообщение 3 см. РЖХим, 1958, № 16, 53356. В. Лукьянов

6Д12. Гематоксилин как индикатор при комплексометрическом титровании металлов. Spinola Costa Antonio Celso. Hematoxylin as indicator in the chelatometric titration of metals. «Anal. chim. acta», 1960, 23, № 2, 127—130 (англ.; рез. франц., нем.).—Описано применение гематоксилина (I) в качестве комплексометрич. индикатора при титровании  $Bi$  и  $Zn$ . Для приготовления индикатора 0,2 г I растворяют в 1 мл аммиака и 20 мл воды и через 10 мин. подкисляют 5 мл уксусной к-ты; р-р устойчив ~3 месяца.  $Bi^{3+}$

титруе  
до пер  
титруе  
Больш  
в р-т  
вост  
готовл  
обесц  
титру  
2—3 к  
ке экв  
рват  
индик

6Д13  
анализ  
приме  
АН Л  
6Д14  
ской  
tanu  
360—3  
6Д15  
Мага  
Forma  
lit» (с  
англ.).  
(I) с  
Pr, N  
Nb, T  
Pd, P  
Pb, S  
за ис  
1 до  
среде  
проч  
мне с  
и гл  
более  
эleme  
нее п  
устан  
вание  
в 3-в  
образ  
после  
4-вал  
со вл  
ласте  
что р  
ложе  
по с  
6Д16  
общ.  
ста  
Е. А.  
14, 87  
водн  
нон,  
зем.  
ловы  
водн  
ния»  
пока  
лича  
сам  
мол.  
р-ра,  
реин  
6Д17  
По д  
АН С  
санн  
зона

титруют при pH 1—2 0,025 M р-ром комплексона III до перехода красной окраски в желтую. На ~150 мл титруемого р-ра применяют 10 капель индикатора. Большинство ионов не мешает. В присутствии  $Fe^{3+}$  в р-р вводят несколько капель 5%-ного р-ра KSCN и восстанавливают  $Fe^{3+}$  до  $Fe^{2+}$  при pH 1—2 свежеприготовленным 10%-ным р-ром аскорбиновой к-ты (до обесцвечивания), добавляя 3—4 капли избытка  $Zr^{4+}$  титруют при pH 1,0—1,5 с добавлением к индикатору 2—3 капли 1%-ного р-ра метиленового голубого. В точке эквивалентности пурпурная окраска переходит в серовато-зеленую. Титрование Pb, Cu, Cd, Co и Ni с этим индикатором не дает удовлетворительных результатов.

В. Лукьянов

6Д13. Применение 8-оксихинолина в химическом анализе. Тинювская Е. С. В сб. «Химия, техн. и применение производ. пиридина и хинолина. Рига, АН ЛатвССР», 1960, 253—269. —Обзор. Библ. 56 назв.

6Д14. Тетрафенилборные соединения в аналитической химии. Neuyrovský Antonín. Tetrafenylboritany v analytické chemii. «Chem. listy», 1960, 54, № 4, 360—369 (чешск.). —Обзор. Библ. 158 назв.

6Д15. Формальдоксим как аналитический реактив. Marzenko Zygmunt, Minczewski Jerzy. Formaldoksym jako odczynnik analityczny. «Chem. analit.» (Polska), 1960, 5, № 3, 515—517 (польск.; рез. англ.). —Исследовано взаимодействие формальдоксима (I) с 54 металлами (Be, Mg, Ca, Sr, Ba, Sc, Y, La, Ce, Pr, Nd, Sm, Gd, Dy, Er, Tu, Yb, Th, U, Ti, Zr, Hf, V, Nb, Ta, Cr, Mo, W, Mn, Re, Fe, Ru, Os, Co, Rh, Ir, Ni, Pd, Pt, Cu, Ag, Au, Zn, Cd, Hg, Al, Ga, In, Tl, Ge, Sn, Pb, Sb и Bi). Установлено, что все указанные металлы, за исключением Ag, Au и Hg (восстанавливающих I до элементарного состояния), образуют с I в щел среде растворимые комплексы. Вследствие высокой прочности образующихся комплексов труднорастворимые соединения этих металлов (в том числе сульфиды и гидроксиды) при добавлении I переходят в р-р. Наиболее прочные комплексы образуют легкие переходные элементы, в то время как комплексы Be являются наименее прочными. Волнометрич. и фотометрич. методами установлено, что  $Fe^{2+}$  и  $Co^{2+}$  реагируют с I с образованием комплексов, в которых эти элементы находятся в 3-валентном состоянии, а  $Mn^{2+}$ ,  $Ni^{2+}$ ,  $Ce^{3+}$  и  $Sn^{2+}$  образуют с I комплексы, в которых они (вследствие последующего окисления избытком I) находятся в 4-валентном состоянии. Для комплексов, образуемых I со всеми исследованными металлами, характерным является координационное число, равное 6. Показано, что р-ры I подвергаются частичному гидролизу, разложению, вследствие которого конц-я I соответственно снижается.

А. Немодрук

6Д16. Аналитические свойства оксихинонов. Сообщ. 1. Производные 2,5-диоксibenзохинона-1,4. Муштафин И. С., Матвеев Л. О., Кашковская Е. А. «Тр. Комис. по аналит. химии. АН СССР», 1960, 11, 87—96. —Определена чувствительность р-ций производных диокси-*n*-бензохинона (2,5-диокси-*n*-бензохинон, хлор-, бром-, йод- и нитроанилиновые к-ты) с целым. элементами. Установлено, что в ряду галогенанилиновых к-т, а также в р-циях одного и того же производного с различными катионами «эффект утяжеления» наблюдается не всегда. Количественно, методом показано, что галогенанилиновые к-ты по силе мало отличаются друг от друга. Изучено светопоглощение как самих к-т, так и их Na-солей. Установлена зависимость мол. коэф. поглощения галогенанилиновых к-т от конц-и р-ра, объясняемая на основе представлений о внутр. водородных связях.

В. Типцова

6Д17. Аналитическое применение дитиокарбаматов. Подчайнова В. Н. «Тр. Комис. по аналит. химии. АН СССР», 1960, 11, 146—164 —Дан краткий обзор описанных в литературе дитиокарбаматов и их использования в аналитич. химии (библ. 83 назв.). Оптич.

и потенциометрич. методами установлено, что дитиокарбаминат образует с Cu соединение с соотношением компонентов 2:1. Разработаны различные варианты (фотометрический бесстружковый, фотометрический, колориметрический) метода определения Cu в в сталях, металлич. никеле, кадмии и Mn-рудах, основанные на измерении интенсивности окраски экстракта дитиокарбамината Cu в  $CCl_4$ . Мешающие ионы маскируют пирофосфатом Na и комплексомом III в аммиачной среде. Продолжительность одного определения 30—35 мин.

В. Типцова

6Д18. О некоторых свойствах дифенилкарбазона как аналитического реактива. Minczewski Jerzy, Zmijewska Wanda. Uwagi o zachowaniu się dwufenylokarbazonu jako odczynnika analitycznego. «Chem. analit.» (Polska), 1960, 5, № 3, 429—433 (польск.; рез. англ.). —Установлено, что дифенилкарбазон (I) в этанольных р-рах в результате р-ции диспропорционирования постепенно превращается в дифенилкарбазид (II) и дифенилкарбодиазон. При хранении этанольных р-ров I в течение нескольких месяцев конц-я I падает практически до нуля. Вследствие этого при применении I в аналитич. целях рекомендуется пользоваться только свежеприготовленными р-рами I. На том основании, что спектры светопоглощения р-ров I в  $CH_3COOH$ ,  $HCOOH$  и  $C_2H_5COOH$  оказались идентичными спектрам светопоглощения водн. р-ров II после прибавления к ним  $Cr(6+)$ , сделано предположение, что в последнем случае возникновение краснофиолетовой окраски обусловлено не образованием комплекса  $Cr^{3+}$  с I, присутствие которого в р-ре является результатом окисления II посредством  $Cr(6+)$ , а вследствие возникновения окрашенной таутомерной формы I, стабилизируемой в водн. р-рах ионами  $Cr^{3+}$  и в отсутствие воды протонами в р-рах к-т.

А. Немодрук

6Д19. Диалкил- и диарилдитиофосфорные кислоты как аналитические реактивы. Сообщ. 8. Взаимодействие диалкил- и диарилдитиофосфорных кислот с ионами элементов. Бусев А. И., Иванютина М. П. «Тр. Комис. по аналит. химии. АН СССР», 1960, 11, 172—191. —Описаны р-ции взаимодействия диалкил- и диарилдитиофосфорных к-т с ионами большого числа элементов. Указаны свойства и возможность использования в аналитич. химии (для гравиметрич., титриметрич. и фотометрич. определений) их соединений с Cu, Ag, Cd,  $Hg^{2+}$ , In, Tl<sup>+</sup>,  $Sn^{2+}$ , Pb, As, Sb, Bi, Mo(6+), Se(4+), Te(4+), Fe, Ni, Co, Ru, Rh, Pd, Pt, Os и Ir. Установлен ряд растворимости дитиофосфатов в основном совпадающий с рядом растворимости сульфидов и ксантогенатов. Библ. 32 назв. Сообщение 7 см. РЖХим, 1959, № 14, 49231.

В. Типцова

6Д20. Влияние растворителей на состав экстрагируемых неорганических соединений. Specker H., Jackwerth E., Hövermann G. Über den Einfluß der Lösungsmittel auf die Zusammensetzung extrahierter anorganischer Verbindungen. «Z. analyt. Chem.», 1960, 177, № 1, 10—14 (нем.). —Установлено, что состав соединений, экстрагируемых различными органич. р-рителями (трибутилфосфат, циклогексанон, диэтиловый эфир, 2-пропиленгликолькарбонат и амилвый спирт) из водн. фазы, содержащей  $Fe^{3+} + SCN^-$ ,  $Zn^{2+} + SCN^-$ ,  $Bi^{3+} + J^-$  или  $Cd^{2+} + J^-$ , определяется величиной соответствующего коэф. распределения, причем чем выше последний, тем меньше число координированных  $SCN^-$  или  $J^-$  в соединении, переходящем в органич. фазу. Например, трибутилфосфат экстрагирует  $Fe(SCN)_3$ ,  $Zn(SCN)_2$ ,  $BiJ_3$ ,  $CdJ_2$  (и  $CdJ_3^-$ ), а диэтиловый эфир и 2-пропиленгликолькарбонат экстрагируют только  $Fe(SCN)_4^-$ ,  $Zn(SCN)_3^-$  и  $BiJ_4^-$ .

В. Типцова

6Д21. Некоторые количественные характеристики экстракционных равновесий. IV. Oosting M. Some quantitative remarks on extraction equilibria IV. «Recueil trav. chim.», 1960, 79, № 6, 627—634 (англ.). —



В развитие прежних работ (сообщение III, РЖХим, 1960, № 12, 46982) рассмотрен случай, когда ион  $M^{n+}$ , экстрагирующийся в виде соединения  $MR_n$ , находится в водн. фазе не в свободном виде, а связан в нерастворимое соединение или в комплекс  $MX_n$  вследствие действия аниона  $X^-$  ( $X^-$  может быть  $OH^-$ ). В частности, рассмотрены случаи, когда при повышении pH степень экстрагирования (Э) уменьшается, что обусловлено конкурирующей р-цией  $M^{n+} + nX^-$  с образованием гидроокиси или комплекса. Случай А: соединение  $MX_n$  нерастворимо ни в воде, ни в органич. р-рителе. Если известны значения произведения растворимости обоих осадков  $L_{MX_n}$  и  $L_{MR_n}$ , а также растворимость  $MR_n$  в органич. р-рителе:  $MR_n$  (0, насыщ.), можно рассчитать степень Э из ур-ния:  $[MR_n]_{0, \text{насыщ.}} / a = V_0 \cdot L_{MX_n} [R^n] \cdot MR_n$  (0, насыщ.) /  $a [X^-]^n \cdot L_{MR_n}$  (1), где  $[MR_n]_{0, \text{насыщ.}}$  — кол-во экстрагированного металла, а — общее кол-во металла,  $V_0$  — объем органич. фазы. Случай Б: образование растворимого в воде комплекса  $MX_p$  —

с константой диссоциации  $k$  компл.  $= [M^{n+}][X^{m-}]^p / [MX_p]^{-(pm-n)}$ . Для этого случая относительное кол-во экстрагированного остатка металла в водн. фазе рассчитывают по ур-нию:  $M^{n+} (\text{ост.}) / a = f L_{MR_n} \times [K (\text{компл.}) + (X^{m-})^p] / (R^n \cdot K (\text{компл.}) \cdot MR_n$  (0, насыщ.) +  $f L_{MR_n} [K (\text{компл.}) + (X^{m-})^p]$  (2), где  $f$  — отношение объема водн. и органич. фаз. Необходимо принимать во внимание, что  $(X^{m-})$  может также быть функцией pH р-ра, поэтому конц-ию ионов  $X^{m-}$  необходимо рассчитывать отдельно, из общей конц-ии реактива  $H_nX$  и соответствующих констант его кислотной диссоциации. Экспериментально изучено Э  $UO_2^{2+}$  р-ром оксихинолина в  $CHCl_3$  при pH 8,8–12. Ввиду отсутствия надежных данных для произведения растворимости  $UO_2(OH)_2$  в этом случае ур-ние 1 использовано для расчета  $L_{UO_2(OH)_2}$ , которое оказалось равным  $1,8 \cdot 10^{-24}$ . Удовлетворительное постоянство этого значения при различных pH подтверждает правильность ур-ния (1). Проверка ур-ния (2) затруднительна из-за малого кол-ва надежных данных для констант диссоциации комплексов. Приведены эксперим. данные и некоторые расчеты для Э оксихинолината уранила в присутствии оксалатов и цитратов. Предполагая, что цитрат (Ц) реагирует как трехзарядный ион, с применением ур-ния (2) рассчитана константа  $K$  (компл.)  $= [UO_2^{2+}][C^{3-}]^2 / [UO_2(C_2O_4)_4^{4-}]$ , найденная равной  $1,7 \cdot 10^{-11}$ . А. Бабко

6Д22. Новые каталитические реакции, изучение их механизмов и применение в анализе следов. Gognár János. Új katalitikus reakciók, mechanizmusaik vizsgálata és alkalmazásuk a nyomelemzésben. «Magyar kém. folyóirat», 1960, 66, № 8, 331–332 (венг.; рез. нем.). — Установлено, что  $Co^{2+}$  оказывает исключительно сильное каталитич. действие на ряд окислительно-восстановительных процессов (напр., окисление ализарина и его производных, тайрона, пирокатехина и других диоксисоединений перекисью водорода или перборатом). С помощью этих р-ций, сопровождающихся изменением окраски, можно открывать до  $10^{-6}$  у  $Co^{2+}$  в 5 мл р-ра. Механизм действия во всех случаях связан с комплексобразованием  $Co^{2+}$  с диоксисоединениями и молекулами окислителей. Образование координационных связей  $Co^{2+}$  (напр., с пирокатехином) сильно повышает его каталитич. активность (напр., при окислении *n*-толуидина, *n*-анизида и др.) перборатом. Максимум каталитич. действие проявляется при определенных соотношениях конц-ии и pH среды (при полной диссоциации диоксисоединений). Ряд в-в (цианид, пиридин, аммиак и др.), образующих комплексы с диоксисоединениями, являются каталитич.

ядами. Автор сообщает также о новых каталитич. р-циях, пригодных для открытия микроколичеств Os.

И. Крипторфи

6Д23. Капиллярный метод аналитического разделения и открытия при анализе катионов. Grüne A. Kapillare Methoden als analytische Trenn- und Nachweisverfahren in der Kationen-Analyse. «Lab.-Prax.», 1960, 12, № 9, 129–135; № 10, 145–147 (нем.). — Изложено применение метода хроматографии на бумаге, электрофореза и направленного ионного обмена для разделения и открытия неорганич. катионов. Библ. 41 назв. Н. Ч.

6Д24. Понообменное поведение элементов присутствующих в микроконцентрациях. I. Влияние количества сорбированных смолкой ионов на положение максимума кривой элюирования. Gainar I., Gainar E. Comportarea elementelor în microcantități în schimbul ionic. I. Influența cantității de ioni absorbiți pe rășina asupra poziției maximului curbei de eluție. «Studii și cercetări fiz. Acad. RPR», 1960, 11, № 2, 407–422 (рум.; рез. русск., франц.). — Положенное максимума кривой элюирования (ПМКЭ)  $10^{-9}$ – $10^{-3}$  г Na, а также  $Na^{2+}$  без носителя, сорбированного катионитом в H-форме, при использовании 0,1–0,5 н. HCl в качестве элюирующего р-ра (ЭР) не зависит от кол-ва Na. То же постоянство ПМКЭ установлено при элюировании  $<10^{-5}$  г Na с применением 2%-ного р-ра нитрилотриуксусной к-ты в качестве ЭР. Однако при элюировании  $10^{-5}$ – $10^{-3}$  г Na тем же ЭР ПМКЭ с увеличением кол-ва десорбируемого катиона смещается в направлении большего расхода ЭР. Гораздо более оптимум смещение ПМКЭ при элюировании Zn р-рами комплексобразующих реактивов (цитрат или лактат аммония). Н. Полянский

6Д25. Электроды для непрерывного электрофореза. Savoia Franco. Elettrodi per elettroforesi continua. «Ann. chimica», 1960, 50, № 6–7, 952–955 (итал.). — Описан простой удобный электрод, пригодный для осуществления процесса непрерывного электрофореза на бумаге. Внутри электродной камеры из плексигласа (внутренние размеры  $28 \times 1,5 \times 1,8$  см) циркулирует буферный р-р, благодаря чему электрод из Pt-провода все время омывается свежим электролитом, протекающим с регулируемой скоростью. Полоску бумаги прикрепляют при помощи плексигласовой пластины ( $30 \times 3 \times 0,3$  см). Циркуляция электролита, находящегося в небольшом приемнике, соединенном трубкой с отверстием в нижней части камеры, осуществляется по принципу сообщающихся сосудов и регулируется краном. Электрод может быть также изготовлен из трех цилиндров, графитовых или угольных блоков (диам. 5 мм, длина 3 см). Применение комплекта из описанных электродов создает однородное электрич. поле, устраняет диффузию продуктов электролиза (благодаря устойчивости величины pH) и снижает возможность повышения т-ры во всем приборе. Электрод использован в лаборатории эксперим. терапии в Генуе для разделения смесей аминокислот, красящих в-в, гидролизатов белков, неорганич. ионов и белков сыровотки. Т. Левин

6Д26. Радиочастотные методы в аналитической химии. Ladd M. F. C., Lee W. H. Radio-frequency methods in analytical chemistry. «Talanta», 1960, 4, № 4, 274–291 (англ.; рез. нем., франц.). — Изложена теория радиочастотных измерений и рассмотрена зависимость кривых радиочастотного титрования от периода колебаний, сопротивления и емкости ячейки и от диэлектрич. постоянной среды. Описана наиболее приемлемая аппаратура, и указана область использования этого метода в аналитич. химии. Библ. 166 назв.

Э. Чудинов

6Д27. Применение органических реагентов в полиграфии. Сняжкова С. И. «Тр. Комис. по аналит. химии. АН СССР», 1960, 11, 361–388. — Обзор работ по применению органич. реактивов в полиграфии для

опреде-  
ния их

6Д28.  
через  
m o n d  
agents  
Chem.»

метод  
которо  
ломо  
кооб  
либо д  
торной

В яче  
электро  
генера  
нообме  
диффу  
электро  
шей ч

разом,  
через  
контро  
предге  
пила  
звень  
сон П

$NaClO_4$   
и стан  
ные р  
10<sup>-4</sup>

копеч  
пила  
продол  
фонате  
няется

ния в  
жении  
польз  
97,3–

ионам  
но ху  
провод  
ВТ соо  
ясняет

1-  
станд  
конц-  
ся в п  
брана  
дено

водно  
получ  
ионом  
полз  
0,5 М

ассоци  
ричес  
проти  
брану  
что об

Изуче  
ми и  
Устан  
связк  
бране  
приме

перем  
увели  
ранта  
стей  
ния и

определения одного или нескольких ионов без отделения их от сопутствующих элементов. Библ. 95 назв.

Г. Прохорова

**6Д28. Кулонометрическое пропускание реактивов через ионообменные мембраны.** Hanselman Raymond B., Rogers L. B. Coulometric passage of reagents through ion exchange membranes. «Analyst. Chem.», 1960, 32, № 10, 1240—1245 (англ.).—Разработан метод кулонометрич. генерирования титрантов, при котором ячейка для генерирования и ячейка для кулонометрич. титрования (КТ) разделены мембраной из ионообменной смолы, проницаемой либо для анионов, либо для катионов. Вспомогательный электрод генераторной цепи отделен от ячейки пористой перегородкой. В ячейке для генерирования находится посторонний электролит и р-р титранта. При пропускании тока в генераторной цепи ионы титранта проходят через ионообменную мембрану в ячейку для КТ. Кол-во продиффундировавшего титранта пропорционально кол-ву электричества, протекающего в цепи, и является функцией числа переноса иона через мембрану. Таким образом, р-цией генерирования является переход ионов через мембрану. КТ проводилось с потенциометрич. контролем конечной точки. Перед КТ производилось предгенерирование до достижения заданного «потенциала конечной точки». В качестве титрантов использованы  $\text{Cl}^-$ ,  $\text{Br}^-$ ,  $\text{Ag}^+$ ,  $\text{J}^-$ ,  $\text{OH}^-$ ,  $\text{H}^+$ ,  $\text{Pb}^{2+}$  и комплекс III (I). Установлено, что КТ ионом  $\text{Cl}^-$  в 0,5 М  $\text{NaClO}_4$  происходит с выходом по току (ВТ) 96—97,6% и стандартным отклонением  $<1,08\%$ . Удовлетворительные результаты получены при конц-ях  $\text{Ag} < 0,5 \cdot 10^{-4}$  ммоль на 20 мл. При меньших конц-ях вблизи конечной точки не наблюдается резкого скачка потенциала (вследствие растворимости  $\text{AgCl}$ ). КТ ионами  $\text{J}^-$  проводилось в 0,5 М  $\text{NaClO}_4$  и 0,005 М нафталин-2-сульфонате Na (II). В р-ре  $\text{NaClO}_4$  ВТ 50—62%, что объясняется дезактивацией мембраны вследствие образования в ней ионных пар и противодиффузии. При снижении конц-й  $\text{J}^-$  в ячейке для генерирования и использовании нафталин-2-сульфоната Na ВТ достигает 97,3—101%. При конц-ях  $\text{Ag}^+$   $1-10 \cdot 10^{-7}$  ммоль/л КТ ионами  $\text{Br}^-$  дает лучшие результаты чем ионами  $\text{Cl}^-$ , но худшие, чем ионами  $\text{J}^-$ . КТ р-ром  $\text{J}^-$  ионом  $\text{Ag}^+$  проводилось в 0,01 М нитрате тетра-н-бутиламония. ВТ составляет 97,5—107%. Завышенный результат объясняется противодиффузией в случае малых конц-й  $\text{J}^-$ . При КТ ионами  $\text{OH}^-$  р-ром  $\text{HClO}_4$  в 0,1 М  $\text{NaClO}_4$  стандартное отклонение  $<1\%$ , ВТ равен 95—96% при конц-ях к-ты  $19,6-0,49 \cdot 10^{-5}$  ммоль/л и не изменяется в широких пределах плотностей тока, так как мембрана деполяризуется за счет разложения  $\text{H}_2\text{O}$ . Проведено также КТ р-ром 0,1 М  $\text{NaOH}$  + 0,1 М  $\text{NaClO}_4$  в водно-этанольной среде. Результаты не отличаются от полученных в водн. р-рах. Аналогично изучено КТ ионом  $\text{H}^+$ . В этом случае максим. ВТ получен при использовании в качестве постороннего электролита 0,5 М нитрата тетра-н-бутиламония, что объясняется ассоциацией катионов электролита со смолкой или стерическим блокированием ими мембраны, мешающим противодиффузии. Ионы  $\text{Pb}^{2+}$  и  $\text{I}^-$  проходят через мембрану с высоким ВТ. Для  $\text{I}^-$  ВТ составляет 81—85%, что объясняется меньшей подвижностью этих анионов. Изучено влияние ассоциации между различными ионами и смолкой на диффузию этих ионов через мембрану. Установлено, что противодиффузию можно уменьшить, снижая конц-ию электролита с внешней стороны мембраны и уменьшая площадь самой мембраны. Максим. применимая для КТ плотность тока повышается при перемешивании раствора в ячейке для генерирования, увеличении площади мембраны и концентрации титранта в ячейке. При использовании больших плотностей тока следует учитывать возможность накопления в ячейке продуктов электродной реакции.

В. Миркин

**6Д29. Изучение процессов обесквививания при спектральном анализе.** V. Zimmer K., Török T. Über den Abfunkeffekt. V. «Acta chim. Acad. scient. hung.», 1960, 22, № 4, 373—382 (нем.; рез. англ., русск.).—См. РЖХим, 1960, № 16, 65027.

**6Д30. Причины и контроль влияния состава веществ при возбуждении спектров в разрядах.** Frisquie A. J. Causes and control of matrix effects in spectrographic discharges. «Analyst. Chem.», 1960, 32, № 11, 1484—1488 (англ.).—Показано, что можно значительно уменьшить влияние состава в-в на результаты спектральных определений для идеальных источников возбуждения, которые можно считать замкнутыми равновесными системами с одной и той же т-рой. Для таких источников возбуждения по законам Больцмана и Клаузиуса — Клапейрона относительная интенсивность пары линий связана с кол-вом анализируемого элемента  $W_a$  соотношением

$$I_a/I_{cp} = K_1 W_a \exp -[(\Delta H_a - \Delta H_{cp}) + (E_a + E_{cp})/kT] \dots \quad (1)$$

где  $E_a$  и  $E_{cp}$  — энергии возбуждения линий,  $\Delta H$  — теплоты сублимации,  $K_1$  — коэф. пропорциональности. Т-ру источника возбуждения  $T$  можно выразить через относительную интенсивность линий  $I_2/I_1$  для одного и того же элемента. Тогда соотношение (1) после логарифмирования будет равно

$$\lg I_a/I_{cp} = \lg K_1 + \lg W_a + K_d \lg I_2/I_1 \dots \quad (2)$$

Это ур-ние отличается от обычного эмпирич. ур-ния  $I_a/I_{cp} = K W_a \dots$  (3) последним членом  $K_d \lg I_2/I_1$ . Коэф.  $K_d$ , зависящий от разности энергий сублимации и возбуждения для определяемого и сравниваемого элементов, является мерой правильного выбора аналитич. линий. Величина  $I_2/I_1$  выражает изменения  $T$  в зависимости от состава образца. Эксперим. проверку ур-ния (2) произвели на синтетич. смесях из графита, основны переменного состава ( $\text{K}_2\text{CO}_3$ ,  $\text{NaCl}$ ,  $\text{CaCO}_3$ ,  $\text{ZnO}$ ,  $\text{Al}_2\text{O}_3$ ,  $\text{Sb}_2\text{O}_3$ ,  $\text{SiO}_2$ ,  $\text{Pb}(\text{NO}_3)_2$ ,  $\text{PbO}$ ,  $\text{Na}_2\text{CO}_3$ ,  $\text{Co}_3\text{O}_4$ ,  $\text{MgO}$ ,  $\text{Li}_2\text{CO}_3$ ,  $\text{Fe}_2\text{O}_3$ ,  $\text{SnO}_2$ ) и определяемого элемента, взятых в отношении 3:2:1. В качестве определяемых элементов брали  $\text{V}$ ,  $\text{Fe}$ ,  $\text{Mn}$ ,  $\text{Mo}$ ,  $\text{Ti}$ ,  $\text{Si}$ ,  $\text{Mg}$ ,  $\text{P}$ ,  $\text{Ba}$ ,  $\text{Sn}$ ,  $\text{Zn}$ ,  $\text{Al}$  с внутренними стандартами  $\text{Ge}$  и  $\text{Sr}$ . Спектры возбуждали в разряде от генератора Multisource (300 в, 14 а, 60 мф, 480 мв, 18 см) и фотографировали в течение 120 сек. Величину  $K_d$  для различных аналитич. пар линий определяли по наклону графиков  $I_a/I_{cp} = f(I_2/I_1)$ , полученных для в-в разного состава. Для аналитич. пар  $\text{Ca II 3179} - \text{Sr II 3465}$  и  $\text{Cu 2961} - \text{Ge 2589A}$  значения  $K_d = 0$ , т. е. эти пары не зависят от т-ры источника возбуждения, определяемой составом в-в, взятых в качестве основы. В остальных исследованных случаях  $K_d \neq 0$ . При определении конц-й элементов в различных основах с учетом значения  $K_d$  (ур-ние 2) результаты анализа отклоняются от среднего на 11%, без учета  $K_d$  (ур-ние 3) — на 59%.

Б. Львов

**6Д31. Пламенная фотометрия. Новое в теории и технике измерения.** Pungor Ernő. Lángfotometria. Az alapelvek és a mérőtechnika újabb alakulása. «Magyar tud. akad. Kém. tud. oszt. közl.», 1959, 12, № 2, 225—240 (венг.).—Обзор работ по теории и практике метода. Сделан вывод, что т-ра пламени (ТП) может быть рассчитана из соотношения между интенсивностью линии  $\text{Ca}$  в излучающем пламени и стандартном водородно-кислородном пламени с известной т-рой с учетом энергии диссоциации  $\text{CaO}$ ; при этом получено удовлетворительное совпадение между рассчитанными и экспериментально определенными величинами ТП для ряда пламен. Взаимное влияние  $\text{K}$ ,  $\text{Rb}$  и  $\text{Cs}$

может быть устранено снижением ТП до 2100—2200°. Форма кривых зависимости между интенсивностью излучения и конц-ей для атомных линий щел.-зем. металлов зависит от скорости поступления р-ра в пламя и т. д. (РЖХим, 1960, № 20, 80734). Библ. 27 назв.

Н. Криштофори  
6Д32. Влияние органических веществ на пламеннотометрическое определение металлов. Dvořák Josef. Vliv organických látek při plamenové fotometrických stanoveních. «Chem. listy», 1960, 54, № 1, 28—33 (чешск.).—Обзор. Библ. 28 назв.

6Д33. О взаимном влиянии элементов на интенсивность излучения в пламени. Сообщение 2. Соединения, образующиеся при гашении излучения кальция и стронция солями алюминия, циркония и урана. Полужков Н. С., Попова С. Е. «Ж. аналит. химии», 1960, 15, № 4, 437—442 (рез. англ.).—С помощью спектрофотометра на основе монохроматора УМ-2, снабженного двумя распылителями с камерами распыления и горелками для пламени (смесь с воздухом ацетилена (I) и пропанбутана (II)), изучен механизм гашения излучения Ca и Sr солями Al, Zr и U. Конц-я солей металлов в р-ре составляла  $10^{-2}$ — $10^{-3}$  моль/л. Установлено, что соли Zr и U снижают интенсивность излучения (ИИ) Ca и Sr лишь находясь в одном р-ре с ними и не оказывают действия при введении их р-ров в пламя через другой распылитель, что делает вероятной причиной гашения образование труднотлетучих соединений Ca и Sr с Zr и U. Аналогичное действие Al было показано ранее (сообщение 1, РЖХим, 1959, № 11, 38264). Для определения состава образующихся соединений использован модифицированный метод изомольярных серий (МИС), в котором величина, характеризующая степень образования соединения, служит разность между ИИ в отсутствие и в присутствии соли постороннего металла. Найдено, что при использовании р-ров нитратов Ca и Sr образуют с Al как в пламени I, так и в пламени II соединения с соотношением Ca(Sr) : Al = 1 : 2, т. е. вероятный состав труднотлетучих соединений Ca(Sr)Al<sub>2</sub>O<sub>4</sub>. В пламени II Ca с Al образует еще одно, более летучее соединение с соотношением Ca : Al = 3 : 1. С Zr при использовании р-ров нитратов Ca и Sr в обоих пламенах образуют соединения с соотношением Ca(Sr) : Zr = 1 : 1 (вероятно, состава CaZrO<sub>3</sub> и SrZrO<sub>3</sub>); при использовании солянокислых р-ров и пламени II Ca с Zr образует соединения с соотношением Ca : Zr = 3 : 2 (вероятно, Ca<sub>3</sub>Zr<sub>2</sub>O<sub>7</sub>), а в пламени I не получено данных об образовании соединений определенного состава. U с Ca образуют смеси соединений различного состава; U с Sr, вероятно, образуют соединения с соотношением Sr : U = 3 : 2.

Н. Полужков  
6Д34. Точность спектрофотометрических методов анализа. Dahlgren Sven-Eric. Precisionen vid absorptionsspektrofotometrisk analys. «Tekn. tidskr.», 1960, 90, № 37, 983—988 (шведск.).—Обзор. Библ. 7 назв.

6Д35. Анализ абсорбционных спектров многокомпонентных систем. Wallace Richard M. Analysis of absorption spectra of multicomponent systems. «J. Phys. Chem.», 1960, 64, № 7, 899—901 (англ.).—Обсуждены общие вопросы спектрофотометрич. анализа смеси нескольких окрашенных компонентов при условии, что светопоглощение аддитивно и закон Бера соблюдается. Рассмотрены причины отклонений при измерениях. Экспериментально изучены смеси метилового оранжевого с метиловым красным.

А. Бабко  
6Д36. Спектр поглощения воды, хранившейся в полиэтиленовых сосудах, в ультрафиолетовой области. Delhez Robert. Ultraviolet absorption spectrum of water stored in polyethylene bottles. «Chemist—Analyst», 1960, 49, № 1, 20—21 (англ.).—Обнаружено, что вода, содержавшаяся в полиэтиленовых сосудах, может служить возможным источником ошибок при использовании ее для определения следовых кол-в в-в

спектрофотометрич. методом вследствие собственного светопоглощения (максимум при 270 мμ), что может быть обусловлено переходом в раствор органич. в-в (возможно, в колл. форме и окисленным состоянием, напр., в виде карбонила). Введение H<sub>2</sub>O<sub>2</sub> (0,6 ч. на 1 мл.) сглаживает максимум.

Ю. Буслаев  
6Д37. Учет примесей в реактивах при определении следов фотометрическими методами. Бланк А. Б. «Ж. аналит. химии», 1960, 15, № 3, 359—361 (рез. англ.).—Для устранения влияния примесей определяемого элемента в реактивах и буферных р-рах, применяемых в спектрофотометрич. анализе, предлагается вести два параллельных опыта с различными навесками анализируемого материала. Истинное содержание определяемого элемента рассчитывают из результатов этих двух опытов. Автор считает, что постановка контрольного (холостого) опыта не всегда целесообразна. А. Бабко

6Д38. Фотометрическое определение pH при помощи смешанного индикатора. Селезнев К. А., Шаталина Г. А. «Тр. по химии и хим. технол. (Горький)», 1960, вып. 2, 288—291.—Метод состоит в добавлении этанольного р-ра смешанного индикатора к анализируемому р-ру, фотометрировании полученной окраски и определении pH по предварительно построенному калибровочному графику. Для его построения р-р индикатора (0,04 г метилового оранжевого, 0,02 г метилового красного, 0,12 г о-нафтолфталеина и 0,08 г фенолфталеина в 100 мл 70%-ного C<sub>2</sub>H<sub>5</sub>OH) смешивают с буферными р-рами, составленными с возрастающим pH (через каждые 0,4 ед.) в интервале pH 3—11 смешением титрованных р-ров CH<sub>3</sub>COOH и NH<sub>4</sub>OH, фотометрируют полученные р-ры при 574 мμ в 1-см кювете на универсальном фотометре ФМ и строят график зависимости светопоглощения от pH (кривая имеет нисходящую и восходящую ветви). Для определения pH в анализируемом р-ре используют 5 мл последнего и 0,25 мл р-ра индикатора. Если после добавления индикатора анализируемый р-р приобретает желтую или красную окраску, то для определения pH пользуются нисходящей частью кривой, в случае синей или зеленой — восходящей частью. Ошибка определения ≤ 0,4 ед. pH.

А. Зозуля  
6Д39. Люминесцентный анализ и пути его развития. Константинова-Шлезингер М. А. В сб. «Методы люминесцент. анализа». Минск, АН БССР, 1960, 8—26.—Обзор. Библ. 154 назв.

6Д40. Цветные и флуоресцентные реакции с кверцетином. Корепман И. М., Шеянова Ф. Р., Щербаклова З. Ф. «Тр. по химии и хим. технол. (Горький)», 1960, вып. 2, 303—306.—Определена чувствительность флуоресцентных р-ций кверцетина с Be<sup>2+</sup>, Al<sup>3+</sup>, Ga<sup>3+</sup>, In<sup>3+</sup>, Y<sup>3+</sup>, La<sup>3+</sup>, Zn<sup>2+</sup> и Mg<sup>2+</sup>. В каждом случае установлена оптимальная область pH. Наибольшей чувствительностью обладает р-ция с Be<sup>2+</sup>, протекающая при pH 4—10. Из анионов флуоресцентную р-цию дают лишь BO<sub>3</sub><sup>3-</sup> и B<sub>4</sub>O<sub>7</sub><sup>2-</sup> при pH 7—11. С Ti<sup>3+</sup> кверцетин образует фиолетовое соединение, экстрагирующееся хлороформом, пригодное для открытия Ti. Окраска экстракта устойчива 30 мин. Оптимальный pH 3—6. Предельная конц-я 1 : 100 000. Открываемый м-дм 0,01 мкг/мл. Ti<sup>3+</sup> предварительно окисляют до Ti<sup>4+</sup> бромной водой, избыток которой удаляют кипячением. Другие окислители (MnO<sub>4</sub><sup>-</sup>, Cr<sub>2</sub>O<sub>7</sub><sup>2-</sup> и S<sub>2</sub>O<sub>8</sub><sup>2-</sup>) в этих условиях дают слабую розовую окраску только при конц-и 1 мг/мл. С использованием Ti<sup>2+</sup> установлено, что в хлороформный слой переходит ~50% Ti.

В. Типцова  
6Д41. N : N : N' : N' - тетракарбоксиметилпроизводные бензидина как металлофлуоресцентные индикаторы. Belchez R., Ress D. J., Stephen W. J. N : N : N' : N'-tetracarboxymethyl derivatives of some benzidines as metallofluorescent indicators. «Talanta», 1960, 4, № 1, 78—79 (англ.; рез. нем., франц.).—Найдено, что при конденсации 3,3'-дизамещенных бензидина с хлор-ацетатами образуются соединения общего строения





растворяют в HCl, отделяют редкоземельные элементы (РЗЭ) осаждением посредством  $\text{H}_2\text{C}_2\text{O}_4$  в кислом р-ре и прокалывают их до окислов. Полученный остаток растворяют в HCl и р-р пропускают через катионообменную колонку высотой 59 см и диам. 4 см, заполненную смолой Дауакс 50 × 4 с размером зерен 50—100 меш. Сорбированные смолой РЗЭ вымывают 0,1 М р-рами лимонной к-ты (по 1 л), нейтрализованными посредством  $\text{NH}_4\text{OH}$  до pH 3,4 и 3,3. Полученные фракции нейтрализуют р-ром HCl, осаждают РЗЭ в виде оксалатов, прокалывают и взвешивают в виде окислов. Данным методом РЗЭ вымываются в последовательности: Yb, Tu, Er, Ho, Dy, Y, причем полученные окислы РЗЭ не являются спектрально чистыми и содержат окислы других РЗЭ Y-группы. Сообщение III см. РЖХим, 1960, № 13, 51637. А. Петренко

6Д51. Применение органических растворителей в качестве элюентов при катионном обмене. II. О возможности селективного элюирования лантанидов. Dema I., Dumitru M., Gird E., Gainar E., Rusi A., Spiridon St., Sabau C., Constantinescu O., Ionescu S. Contributii la utilizarea solventilor organici ca agenti eluanti in schimb cationic. II. Asupra posibilitatii tilor de elutie selectiva a lantanidelor. «Studii si cercetari fiz. Acad. RPR», 1960, 11, № 2, 397—405 (рум.; рез. русск., франц.).—Для разделения редкоземельных элементов в качестве элюирующего р-ра использованы смеси HCl и ацетона; после отгонки органич. р-рителя остаются водн. р-ры хлоридов десорбированных элементов. Метод использован для разделения смесей La—Ce—Pr—Nd, Sm—Eu—Gd, Tb—Dy—Ho—Er и Yb—Lu при комнатной т-ре. Предлагаемый метод не требует строгого контроля pH и т-ры. Н. Полянский

6Д52. Применение уксусной кислоты при хроматографическом разделении иттрия в церия. Субботина А. И. «Тр. по химии и хим. технол. (Горький)», 1960, вып. 1, 30—32.—Метод основан на поглощении разделяемой смеси Н-формой смолы КУ-2 из солянокислых р-ров и последующем элюировании компонентов ацетатными буферными смесями (АБС). Анализируемый р-р с pH 2,0 вводят в колонку (КЛ), заполненную смолой КУ-2 диам. 15 мм и длиной 220 мм. После промывания КЛ водой до отрицательной р-ции на Cl<sup>-</sup> пропускают элюирующие АБС с конц-ей  $\text{CH}_3\text{COOH}$  (I) 1,0—1,5 моль/л и pH 4—5. При конц-и I 1,5 моль/л и pH 4,4 разделение не наблюдается, а при pH 4,1 и 4,2 имеет место перекрытие кривых элюирования. При промывании КЛ 1,0 н. р-ром I с pH 4,4 происходит довольно четкое разделение смеси, но с повышением pH до 4,6—4,8 четкость уменьшается. При использовании 1,25 н. I раздельное вымывание компонентов наблюдается при pH 4,3. При изменении конц-и I от 1,5 до 1,0 н. объем АБС, необходимый для осуществления десорбции Y и Ce, увеличивается в ~ раза. Во всех случаях вымывается сначала Y, а затем Ce. Н. Полянский

6Д53. Разделение и определение ниобия и тантала при помощи акридина. Wakamatsu Shigeo. «Бусеки кагаку, Japan Analyst», 1960, 9, № 6, 507—511 (японск.; рез. англ.).—К р-ру, содержащему Nb, добавляют 25 мл конц. HCl, 25 мл 50%-ного  $\text{NH}_4\text{SCN}$ , разбавляют водой до конц-и HCl 2 моль/л, вводят 10 мл 5%-ного этанольного р-ра акридина (I) и выдерживают 30 мин. при т-ре < 30° (для полного осаждения Nb). Осадок фильтруют, промывают р-ром, содержащим на 1 л разб. HCl (1:9) 100 мл 50%-ного  $\text{NH}_4\text{SCN}$ , и прокалывают при 900°. Аналогичным путем количественно осаждают Ta. Такая же обработка р-ра, содержащего Nb и Ta, после добавления 15 мл насыщ. р-ра  $(\text{NH}_4)_2\text{C}_2\text{O}_4$  приводит к колич. осаждению Ta; Nb остается в р-ре. Таким образом, однократным осаждением достигается почти полное отделение Ta от Nb. Для более полного отделения производят

перееосаждение. Для этого акридинат Ta растворяют в смеси 25 мл конц. HCl, 5 мл 3%-ной  $\text{H}_2\text{O}_2$  и 80 мл воды, при нагревании до < 60°. К р-ру добавляют 15 мл насыщ. р-ра  $(\text{NH}_4)_2\text{C}_2\text{O}_4$ , охлаждают до 30°, вводят 25 мл 50%-ного р-ра  $\text{NH}_4\text{SCN}$  и 10 мл р-ра I. Полученный осадок отделяют и промывают как указано выше. Не мешают:  $\text{Fe}^{2+}$ ,  $\text{V}(4+)$ ,  $\text{Cr}^{3+}$ ,  $\text{Mn}^{2+}$ ,  $\text{Ni}^{2+}$ ,  $\text{Al}^{3+}$ ,  $\text{Bi}^{3+}$ ,  $\text{Ca}^{2+}$ ,  $\text{Mg}^{2+}$ ,  $\text{Pb}^{2+}$ ,  $\text{Sb}^{5+}$ ,  $\text{Sn}^{4+}$ ,  $\text{Ti}^{4+}$  и др. Мешают:  $\text{Fe}^{3+}$ ,  $\text{Zn}^{2+}$ ,  $\text{Co}^{2+}$ ,  $\text{V}(5+)$ ,  $\text{Mo}(5+)$ ,  $\text{Mo}(6+)$ ,  $\text{Cr}(6+)$ ,  $\text{W}(6+)$  и  $\text{Cu}^{2+}$ . В. Лукьянов

6Д54. Разделение урана и тория на хроматографической колонке. Петров А. М., Коршунов И. А., Сидоров В. А. «Тр. по химии и хим. технол. (Горький)», 1960, вып. 1, 24—29.—Метод основан на избирательном извлечении одного из компонентов анализируемой смеси катионитом КУ-1 или анионитом АВ-16 и последующем вымывании поглощенного иона соответствующими р-рами. Cl-формы анионитов ЭДЭ-10П и АВ-16 практически не поглощают Th из сернокислых р-ров с конц-ей  $\text{H}_2\text{SO}_4$  0,005—0,2 М, но количественно извлекают U; емкость поглощения U анионитом АВ-16 больше, чем смолой ЭДЭ-10П. Для выполнения разделения анализируемый р-р (0,01 М по  $\text{H}_2\text{SO}_4$ ) пропускают со скоростью 0,5 мл/мин через колонку (КЛ) с 0,5 г АВ-16, контролируя содержание Th в фильтрате по активности  $\text{UX}_1$ . Для вымывания сорбированного U на 99% достаточно пропустить через КЛ 55 мл 0,8 н. HCl, которая одновременно переводит АВ-16 в Cl-форму, подготавливая КЛ к дальнейшей работе. Катиониты КУ-1 и КУ-2 в Н-форме избирательно поглощают Th из ацетатных буферных смесей (АБС), причем емкость поглощения изменяется с pH АБС по кривой с максимумом, находящимся при pH 4,2. Из АБС с pH 4,2 почти не сорбируется КУ-1. Для выполнения разделения АБС, содержащую U и Th, с pH 4,2 пропускают через КЛ со скоростью 0,5 мл/мин с 0,5 г КУ-1. Поглощенное смолой небольшое кол-во U вымывается пропускаяем 35 мл АБС с pH 5,37. Затем десорбируют Th, пропуская через КЛ 4 н. HCl со скоростью 0,3 мл/мин. Для определения U используют метод, основанный на колориметрировании р-ров  $(\text{UO}_2)_2[\text{Fe}(\text{CN})_6]$  при pH 1,24—1,42. Н. Полянский

6Д55. Отделение радиокобальта от никеля. Mills R., Vernon M. J. Separation of radiocobalt from nickel. «Analyst. chim. acta», 1960, 23, № 4, 388—390 (англ.; рез. франц., нем.).—Проверен классич. метод отделения Co от Ni осаждением Co в виде кобальтнитрита. Установлено, что если отделение проводить при комнатной т-ре, то для полного осаждения Co (> 99%) достаточно р-р с осадком выдержать в течение 45 мин. Метод применен для выделения некоторых короткоживущих изотопов Co. Э. Чудинов

6Д56. Разделение ксенона и криптона с помощью газовой хроматографии. Koch R. C., Grandy G. L. Xenon—krypton separation by gas chromatography. «Nucleonics», 1960, 18, № 7, 76, 78, 80 (англ.).—Для разделения смесей радиоактивных Xe и Kr использован метод газовой хроматографии при т-рах 0° и 21° на колонках длиной 15 и 40 см и диам. 1 см, заполненных активированным углем (АУ) (40—50 меш), с предварительным улавливанием (или без улавливания) Xe и Kr из потока газа на АУ при —80°. Газ-носитель не пропускают со скоростью 0,6 или 1,6 л/мин (соответственно т-рам 0° и 21°) под дав. 1,06 атм. Установлено, что степень разделения Xe и Kr возрастает с уменьшением т-ры колонки, скорости потока He и увеличением длины колонки. Б. Колоколов

6Д57. Новый метод качественного анализа катионов при помощи хроматографии на бумаге. Белап Миленко Б., Радивојевић Живот М., Новачић за квалитативну анализу катјона помоћу хроматографије на хартији. «Гласник хем. друштва»,

1958—1959, 23—24, № 3—4, 179—183 (серб.-хорв.; рез. англ.).—При открытии катионов сначала проводят разделение их обычным способом на 5 аналитич. групп. Хлориды 1-й группы (Ag, Pb, Hg и Tl) восстанавливают Zn-пылью, растворяют в  $\text{HNO}_3$  и хроматографируют, используя в качестве р-теля смесь 60 мл  $\text{CH}_3\text{OH}$  с 40 мл 11 н.  $\text{HNO}_3$ ; хроматограммы проявляют р-ром  $(\text{NH}_4)_2\text{S}$ . Сульфиды 2-й группы (Cu, Bi, Cd, Hg, Pb, As, Sn и Sb) растворяют в царской водке и получают двумерные хроматограммы, используя в качестве р-телей сначала смесь 82 мл изобутилового спирта, 3 мл конц.  $\text{HCl}$  и 15 мл воды, а затем смесь 60 мл пиридина и 40 мл воды; хроматограммы проявляют газообразным  $\text{H}_2\text{S}$  и р-ром  $\text{AgNO}_3$ . Аналогично разделяют элементы 3-й группы (Fe, Al, Cr, Ni, Co, Mn, U и Zn), используя в качестве р-телей сначала смесь 90 мл ацетона с 10 мл 6 н.  $\text{HCl}$ , а затем смесь 75 мл  $\text{CH}_3\text{COOH}$  с 25 мл метанола; хроматограммы проявляют салицилальдоксимом, диметилглиоксимом, дитизоном и ализарином. При анализе катионов 4-й и 5-й групп (Ba, Sr, Ca, Mg, Li, Na, K, Rb и Cs) удаляют  $\text{NH}_4^+$  прокаливанием, остаток растворяют в  $\text{HCl}$  и хроматографируют, применяя сначала смесь 87 мл этанола с 13 мл воды, а затем фенол, насыщенный водой ( $\text{SO}_4^{2-}$  удаляют прибавлением 1%-ного р-ра  $\text{BaCl}_2$ ). Хроматограммы проявляют р-рами  $\text{AgNO}_3$  и  $(\text{NH}_4)_2\text{S}$ . Н. Туркевич

6Д58. Определение небольших количеств серебра и ртути при помощи тифлофлуоресценции. Wroński Mieczysław. Oznaczenie małych ilości srebra i rtęci za pomocą tinfofluoresceiny. «Chem. analit. (Polska)», 1960, 5, № 2, 289—291 (польск.; рез. нем.).—Описано определение  $\text{Ag}^+$  и  $\text{Hg}^{2+}$  титрованием  $\sim 10^{-4}$  н. р-ром тифлофлуоресценции (I) ( $\sim 5$  мг I в 100 мл 2%-ного р-ра этилоламина). Маскирование  $\text{Hg}^{2+}$  производят аллиловым спиртом и комплексом III. К пробе, содержащей по 0,005—0,2 мг  $\text{Ag}^+$  и  $\text{Hg}^{2+}$ , прибавляют 5 мл 1 н.  $\text{NH}_4\text{OH}$ , разбавляют водой до 50 мл и титруют р-ром I до появления синей окраски. Ко второй пробе прибавляют 0,3 мл аллилового спирта, затем через 5 мин. 1 мл 0,1 н. р-ра комплексона III и 5 мл 1 н.  $\text{NH}_4\text{OH}$ , разбавляют водой до 50 мл и титруют  $\text{Ag}^+$  р-ром I. Ошибка составляет  $\sim 3\%$ . Определению мешают  $\text{Au}^{3+}$ ,  $\text{Au}^+$ ,  $\text{Cu}^{2+}$ ,  $\text{Cu}^+$  и  $\text{Tl}^+$ . Н. Туркевич

6Д59. Спектрофотометрическое определение бериллия и циркония с применением хромотропа-2С. Majumdar A. K., Savariar C. P. Spectrophotometric determination of beryllium and zirconium using chromotrope-2C. «Z. analyt. Chem.», 1960, 176, № 3, 170—174 (англ.).—o-Карбоксифенилазохромотроповая к-та (хромотроп-2С) (I) реагирует с  $\text{Be}^{2+}$  или  $\text{Zr}^{4+}$  с образованием красновато-фиолетовых комплексов с мол. отношением I:Be (Zr) = 1:1. Оптимальный pH для развития окраски комплекса Be равен 6 (уротропиновый буферный р-р), а комплекса Zr — 1,5. Максимум светопоглощения обоих комплексов лежит при 590 мμ, но фотометрировать лучше при 590 мμ, где разность поглощений комплекса и реагента больше. Мол. коэф. светопоглощения комплексов Be и Zr равны 13 480 и 3363 соответственно. Р-ры подчиняются закону Бера в пределах конц-ий для Be 0,025—0,375, для Zr 2—12 г/мл. Оптимальные пределы конц-ий для фотометрирования составляют: Be 0,125—0,375, Zr 4—12 г/мл. Р-р комплекса Be устойчив  $\sim 15$  мин., а комплекса Zr — 4 часа. Zr фотометрируют с добавлением желатинизатора. I применяют в виде 0,05%-ного р-ра в би-дистилляте с добавлением нескольких мл метанола (против запыления). Определению Be и Zr мешают:  $\text{TiO}^{2+}$ ,  $\text{Th}^{4+}$ ,  $\text{Co}^{3+}$ ,  $\text{Ce}^{4+}$ ,  $\text{Sn}^{4+}$ ,  $\text{UO}_2^{2+}$ ,  $\text{Fe}^{3+}$ ,  $\text{Ni}^{2+}$ ,  $\text{Co}^{2+}$ ,  $\text{Bi}^{3+}$ ,  $\text{PO}_4^{3-}$ ,  $\text{F}^-$ ,  $\text{C}_2\text{O}_4^{2-}$ ,  $\text{C}_6\text{H}_5\text{O}_3^{3-}$ ,  $\text{S}_2\text{O}_3^{2-}$ ,  $\text{VO}_3^-$ ,  $\text{MoO}_4^{2-}$ ,  $\text{WO}_4^{2-}$  и  $\text{CH}_3\text{COO}^-$ . В. Лукьянов

6Д60. Определение свинца и цинка в свинцово-оловянных сплавах электролизом при контролируемом потенциале. Alfonsi B. Determination of lead and

tin in lead-tin solderalloys by controlled-potential electrolysis. «Anal. chim. acta», 1960, 23, № 4, 375—380 (англ.; рез. франц.).—Метод основан на выделении Pb на омедненных Pt-электродах при  $-0,65$  в (относительно насыщ. к. э.) из р-ра, содержащего  $\text{HCl}$  и винную к-ту (при pH 7,2—8,5 в начале электролиза и 4,8—5,3 в конце его). Sn выделяют при том же потенциале после определения Pb из того же р-ра, подкисленного  $\text{HCl}$ . Следовые кол-ва Cu, Ag и Bi следует удалять. К пробе (1 г) прибавляют 2 г  $\text{K}_2\text{S}_2\text{O}_7$  и 15 мл конц.  $\text{H}_2\text{SO}_4$ , упаривают до 6—8 мл, охлаждают, медленно вводят 25 мл  $\text{HCl}$  (1:3), 10—12 капель 5%-ного р-ра  $\text{KMnO}_4$ , р-р 8 г винной к-ты в 25 мл воды, конц.  $\text{NH}_4\text{OH}$  до полного растворения  $\text{PbSO}_4$  и сверх этого еще небольшой избыток, после чего прибавляют 2 г янтарной к-ты и 1 г  $\text{N}_2\text{H}_4 \cdot 2\text{HCl}$ . В случае появления осадка вновь прибавляют  $\text{NH}_4\text{OH}$  до растворения осадка, устанавливают необходимое значение pH и подвергают р-р электролизу, задавая вначале потенциал, при котором сила тока  $i$  составляет 0,3—0,4 а, а затем увеличивая его до  $-0,65$  в. Электролиз ведут до  $i < 0,01$  а, затем прибавляют к р-ру  $\text{HCl}$  (1:1) до pH 5 (по индикаторной бумаге), если при этом  $i$  возрастает, ее уменьшают, устанавливая более положительный потенциал, затем снова увеличивают потенциал катода до  $-0,65$  в и ведут электролиз до  $i = 0,01$  а. Электрод выдерживают при миним. значении  $i$  15—20 мин., промывают водой (содержащей 1 каплю  $\text{NH}_4\text{OH}$ ), высушивают и взвешивают. К р-ру, оставшемуся после выделения Pb, прибавляют 30 мл конц.  $\text{HCl}$ , 0,2 г  $\text{N}_2\text{H}_4 \cdot 2\text{HCl}$  и ведут электролиз, регулируя потенциал так, чтобы  $i$  была  $< 1$  а. После того как ток начнет падать, устанавливают потенциал катода  $-0,65$  в, продолжают электролиз до  $i$ , равного 0,06—0,03 а, выжидают еще 15 мин., промывают осадок Sn так же, как и Pb, высушивают и взвешивают. Продолжительность определения  $\sim 3$  час. Метод пригоден для определения Pb в любых сплавах на основе Pb, при этом содержание Cu + Bi + Ag определяют отдельно (РЖХим, 1960, № 18, 73044) и вычитают из результатов, полученных для Pb. В. Миркин

6Д61. Последовательное комплексонометрическое определение тория и суммы редких земель. Черников Ю. А., Трамм Р. С., Певзнер К. С. «Заводск. лаборатория», 1960, 26, № 8, 921—924.—Изучено применение трех индикаторов — скинелового оранжевого (I), ализарина S (II) и арсената (III) — для последовательного комплексонометрич. определения Th и суммы окислов редкоземельных элементов (РЗЭ). Найдшие результаты получены при использовании I. Титрование Th в присутствии РЗЭ следует проводить при pH  $\leq 2,2$  (при этом pH РЗЭ не титруются). Определению Th при pH 1,5—1,6 не мешает десятикратный избыток РЗЭ, но мешают даже микроколичества  $\text{Fe}^{3+}$  (мешающее влияние устраняют прибавлением аскорбиновой к-ты),  $\text{Fe}^{2+}$  ( $> 10$  мг) и  $\text{PO}_4^{3-}$ . РЗЭ титруют в горячем ацетатном буферном р-ре при pH 4,5, восстановив предварительно  $\text{Ce}^{4+}$  аскорбиновой к-той и прибавив сульфосалициловую к-ту для предотвращения гидролиза Th. Четкость перехода окраски индикатора улучшается при добавлении метиленового голубого. Th не мешает определению РЗЭ при содержании его  $< 70$  мг на 150 мл. Мешают  $\text{Mn}^{2+}$ , Al ( $> 3$  мг),  $\text{Fe}^{3+}$ ,  $\text{Fe}^{2+}$ ,  $\text{Nb}^{5+}$  и  $\text{Ti}^{4+}$ . Титрование Th с II менее удобно. Определению Th с этим индикатором мешают даже следовые кол-ва Fe и Al (в р-ре, содержащем сульфосалициловую к-ту, допустимо присутствие 2 мг Al),  $\text{Fe}^{2+}$  ( $> 10$  мг),  $\text{Mn}^{2+}$  ( $> 3$  мг) и Nb. При титровании РЗЭ с II в присутствии  $> 30$  мг Th переход окраски индикатора резко ухудшается. Титрование Th с III при pH 1,6 (в присутствии аскорбиновой и сульфосалициловой к-ты) дает хорошие результаты как в отсутствие, так и при наличии РЗЭ. При титровании РЗЭ с III в присутствии Th не получено



удовлетворительных результатов ни при каком значении pH (в интервале 4,5—5,5) вследствие блокирования индикатора торием. Выполнять последовательное титрование Th и PЗЗ, используя III, нельзя.

В. Лукьянов

6Д62. Титрование солей ртути и никеля раствором цистеина. Wroński Mięczyński. Miareczkowanie soli rtęci i niklu roztworem cysteiny. «Chem. analit.» (Polska), 1960, 5, № 3, 511—512 (польск.).—Описан новый титриметрич. метод определения цистеина (I) солями  $Hg^{2+}$ , а также методы определения  $Hg^{2+}$  и  $Ni^{2+}$  титрованием р-рами I. Для определения I к анализируемому р-ру (содержащему 1—70 мг I) прибавляют 5 мл 1 н. NaOH, 0,2 мл 0,1%-ного этанольного р-ра дитизона (индикатор), разбавляют водой до ~100 мл и титруют 0,005—0,05 М р-ром о-оксибензоата  $Hg^{2+}$  или  $Hg(NO_3)_2$  до перехода желтой окраски р-ра в красную. Ошибка определения (в зависимости от кол-ва I) составляет 0,2—1,0%. Для определения  $Hg^{2+}$  анализируемый р-р (содержащий ≤ 50 мг Hg) разбавляют водой до ~100 мл, прибавляют 5 мл 1 н.  $NH_4OH$ , 5 мл 3%-ного р-ра  $Na_2S$ , 1 мл 0,1%-ного р-ра тиофлуоресцеина (индикатор), в 0,2 н.  $NH_4OH$  и титруют 0,03 н. р-ром I в 0,1 н.  $H_2SO_4$  до появления устойчивой голубой окраски. Определение Ni проводят в тех же условиях, применяя в качестве индикатора р-р тиофлуоресцеина, предварительно обесцвеченный р-ром о-оксибензоата  $Hg^{2+}$ . Ошибка определения Hg и Ni составляет ~0,2%. Присутствие NaCl и  $Na_2SO_4$  даже в больших конц-ях определению не мешает.

А. Немодрук

6Д63. Спектры поглощения никеля и кобальта в ближней инфракрасной области. Mamiya Masato. «Бунсэки кагакү, Japan Analyst», 1960, 9, № 7, 609—612 (японск.; рез. англ.).—Описаны спектры поглощения в области 1000—1380 мк водн. р-ров (или р-ров в  $D_2O$ )  $MX_2$ , где M = Ni и Co, X = Cl,  $NO_3$ ,  $1/2 SO_4$  и  $ClO_4$ . В отличие от солей других металлов, в спектрах р-ров солей M обнаружены полосы поглощения. В указанной области спектра для всех  $MX_2$  удовлетворительно соблюдается закон Бера, что может быть использовано для спектрофотометрич. определения M. Приведены спектрофотометрич. характеристики (положение максимумов светопоглощения, мол. коэф. поглощения) для р-ров солей  $MX_2$ , полученные на спектрофотометре типа Cary 14-M при толщине поглощающего слоя 10 мм. Миним. определяемые кол-ва M в указанной выше последовательности X составляют (г на 100 мл р-ра): Ni 0,135, 0,136, 0,138 и 0,135, Co 0,212, 0,227, 0,238 и 0,245.

Ю. Харитонов

6Д64. Микрогетерометрическое определение платины, палладия и золота посредством папаверина. Bobtelsky Mordechai (Max), Cohen Maurice Mosche. The micro-heterometric determination of platinum, palladium and gold with papaverine. «Anal. chim. acta», 1960, 23, № 1, 42—56 (англ.; рез. франц., нем.).—Изучено изменение светопоглощения при р-циях образования труднорастворимых соединений папаверина (I) с галогенокислотами, образуемыми  $Pt^{4+}$ ,  $Pd^{2+}$  и  $Au^{3+}$ . Показано, что р-ции с I более чувствительны, чем р-ции с фенантролином. Высказано предположение, что это обусловлено наличием только одного пиридинового азота в I. Приведены кривые и таблицы гетерометрич. (турбидиметрич.) титрования посредством I р-ров  $H_2PtCl_6$ ,  $PdCl_2$  и  $H_2AuCl_4$  в присутствии различных добавок к-т и солей. Кривые характеризуются несколькими изломами; для расчетов рекомендуется пользоваться последним перегибом. Обсуждена возможность определения Pt, Pd и Au при их совместном присутствии. Предложены различные возможные структуры образующихся при титровании соединений; в конечной точке титрования образуются соединения с соотношением M:I = 1:2. Описаны различные варианты титрования 0,3—0,5 мг металлов.

Титрование Pt рекомендуется проводить в азотной среде в присутствии  $SCN^-$ , Pd — в присутствии  $SCN^-$  как в азотнокислой среде, так и в ацетатном буферном р-ре; Au — в азотнокислой среде в присутствии  $Br^-$  или  $J^-$ , а также при pH 7 в присутствии  $J^-$ . Описан ряд вариантов анализа смесей с применением условий, когда титруется только один или два компонента. Возможно также обратное определение — титрование I р-рами Pd или Au в азотнокислой среде в присутствии роданидов.

А. Бабин

6Д65. Улучшенный пламеннофотометрический метод определения бария и сульфата. Cullum D. C., Thomas D. B. The flamephotometric determination of barium and sulphate: an improved technique. «Analyst», 1960, 85, № 1014, 688—689 (англ.).—При определении  $SO_4^{2-}$  ранее описанным методом (РЖХим 1959, № 15, 53192) целесообразно суспендировать осадка  $BaSO_4$  в р-ре крахмала перед фотометрированием заменить раствором его в р-ре этилендиаминтетраацетата аммония (I). Для получения 1,5 этилендиаминтетраацетатной к-ты растворяют в 100 мл воды, прибавляют 50 мл р-ра  $NH_4OH$  (уд. в. 0,88) и разбавляют водой до 500 мл. Осадок  $BaSO_4$ , полученный осаждением 5—10 мг  $SO_4^{2-}$  1%-ным р-ром  $BaCl_2$  (5 мл), после отделения центрифугированием промывают водой растворяют в 10 мл р-ра I и фотометрируют.

Н. Полуко

6Д66. Косвенный фотометрический метод определения сульфидов и цианидов с помощью тиофлуоресцеина. Wroński Mięczyński. Pośrednie kolorymetryczne oznaczanie siarczków i cyjanów za pomocą tiofluoresceiny. «Chem. analit.» (Polska), 1960, 5, № 3, 457—460 (польск.; рез. англ.).—Разработан косвенный фотометрич. метод определения малых кол-в сульфидов и цианидов, основанный на применении в качестве реагента тиофлуоресцеинового комплекса Ag, р-ры которого в присутствии  $H_2S$  или HCN из бесцветных становятся голубыми (в результате образования  $Ag_2S$  и  $AgCN$  и свободного тиофлуоресцеина, обладающего интенсивной голубой окраской). К 5 мл анализируемого р-ра (содержащего 0,2—2 мкг  $H_2S$  или 1—7 мкг HCN) прибавляют 5 мл р-ра тиофлуоресцеинового комплекса Ag (для его приготовления к 50 мл 2·10<sup>-4</sup> М  $AgNO_3$  прибавляют 0,1%-ный р-р тиофлуоресцеина 0,1 н.  $NH_4OH$  до появления слабой голубой окраски), вводят 20 мл 1 н.  $NH_4OH$  и разбавляют водой до 500 мл, воду до 12—25 мл и через 2 мин. фотометрируют, применяя контрольный р-р в качестве сравнения. Содержание  $H_2S$  или HCN находят по соответствующему калибровочному графику. В случае одновременного присутствия  $H_2S$  и HCN к окрашенному р-ру после фотометрирования прибавляют 1 каплю 37%-ного р-ра формальдегида (для связывания HCN) и через 10 мин. снова фотометрируют. Последнее значение оптич. плотности соответствует содержанию  $H_2S$ , а их разность — содержанию HCN. При определении 0,2—0,5 мкг  $H_2S$  или 1—2 мкг HCN ошибка ≤ 25%, для больших кол-в она < 10%.

6Д67. Новая цветная реакция на ионы щелочных металлов. Critchfield F. E., Johnson J. B. A new colour reaction for alkali metal ions. «Talanta», 1960, 5, № 1, 58—61 (англ.; рез. нем., франц.).—Установлено, что как лимонная к-та, так и цис-акриловый ангидрид при нагревании в уксусном ангидриде реагируют с ионами щел. металлов, образуя окрашенные комплексы (максимум светопоглощения при 560 мμ), пригодные для спектрофотометрич. определения K и Na. Р-ция с Li не доходит до конца, а Бера не соблюдается. Ca,  $Hg^{2+}$ ,  $Cu^{2+}$ ,  $Fe^{2+}$ ,  $Fe^{3+}$  р-цию не вступают:  $Fe^{3+}$  препятствует развитию окраски и его влияние устраняют путем связывания в комплекс с ацетилацетоном. При определении щел. металлов в три цилиндра на 25 мл с притертыми пробками вводят по 0,3 мл 2,5%-ного р-ра лимонной к-

азотоксины присутствуют в ацетатоне. Один цилиндр используют в качестве р-ра сравнения, а в два других вводят р-р пробы с содержанием  $< 0,5$  м моля иона щел. металла) в искусственном ангидриде. Содержимое каждого цилиндра разбавляют до 5 мл искусственным ангидридом, прибавляют по 5 мл толуола, перемешивают, нагревают на паровой бане при  $98^\circ$  в течение 25 мин. по охлаждению до комнатной т-ры спектрофотометрируют при  $560$  мμ в 1-см кюветках. Мешают: вода ( $> 0,03$  г), искусственная к-та ( $> 0,1$  г), метанол ( $> 0,05$  г), фосфорная к-та ( $> 40$  γ) и третичные амины ( $> 1$  γ).

В. Лукьянов

6Д68. Плазменноспектрофотометрическое определение лития в литиевых минералах. Kassner James L., Benson Virgil M., Creitz Ellis E. Flame spectrophotometric determination of lithium in lithium minerals. *Analyst. Chem.*, 1960, **32**, № 9, 1151—1153 (англ.).—Пробу минерала, содержащую 10—20 мг  $\text{Li}_2\text{O}$ , обрабатывают смесью 10 мл конц.  $\text{HNO}_3$ , 10 мл  $\text{HF}$  и 5 мл 62%-ного р-ра  $\text{HClO}_4$ , выпаривают до появления дыма  $\text{HClO}_4$ , добавляют 5 мл  $\text{HF}$  и снова выпаривают (добавление  $\text{HF}$  и выпаривание повторяют еще 3 раза). Остаток раствора при нагревании в 30—40 мл воды, прибавляют 25 мл буферного р-ра с рН 3,68 (1 М по лимонной к-те и цитрату аммония), разбавляют водой до 250 мл и фотометрируют с помощью спектрофотометра для пламени Бекман DU (водородно-кислородное пламя) при 671 мμ. Стандартные р-ры содержат 0,5—50 γ/мл  $\text{Li}$  и 10 об.% буферной смеси. Большинство металлов, присутствующих в минералах ( $\text{Na}$ ,  $\text{K}$ ,  $\text{Ba}$ ,  $\text{Ca}$ ,  $\text{Mn}$ ,  $\text{Mg}$ ,  $\text{Al}$ ,  $\text{Fe}$ ,  $\text{Cr}$ ), не влияет на точность определения  $\text{Li}$  (коэф. вариации 0,5—2,2%). В присутствии  $\text{Be}^{2+}$  (1 мг/мл) результаты определения  $\text{Li}$  (30 γ/мл) завышены на 14%.

Н. Подуэкто́в

6Д69. Определение малых количеств натрия и калия методом нейтронной активации. Adamski Lesław, Boużyk Jacek, Józefowicz Krystyna. Oznaczanie małych ilości sodu i potasu metodą aktywacji neutronowej. «Nukleonika». 1960, 5, № 6, 317—327 (польск.; рез. русск., англ.).—Для определения малых кол-в Na и K применен метод, основанный на облучении анализируемой пробы тепловыми нейтронами, в результате которого по р-ции ( $n, \gamma$ ) из  $Na^{23}$  и  $K^{41}$  образуются радиоактивные  $Na^{24}$  и  $K^{42}$ . Измерением интенсивности  $\beta$ -излучения образовавшихся радиоактивных изотопов и по  $\gamma$ -спектрам рассчитывают содержание Na и K в анализируемой пробе. Метод применен для определения примесей Na и K в соляной к-те, полученной из KCl методом ионного обмена. Анализируемую пробу к-ты и набор соответствующих эталонов (по 0,4—0,5 г) помещают в полиэтиленовые ампулы (диам. 5 мм, высота 50 мм) и облучают в реакторе потоком тепловых нейтронов ( $10^{12}$  нейтрон/см<sup>2</sup>сек) в течение 10 час., после чего оставляют на 10 час. (для устранения активности, обусловленной присутствием короткоживущих изотопов). Для получения более точных данных одновременно облучают пустую ампулу, активность которой принимают за качество фона. Облученные образцы непосредственно в ампулах помещают в камеру сцинтилляционного счетчика. Измерения проводились на установке типа ЛАС (советского произ-ва) с одноканальным амплитудным анализатором. Энергию  $\beta$ -излучения измеряют по поглощению  $\beta$ -частиц. Для расчета содержания Na и K используют линии  $\gamma$ -спектра с энергией 1,38 и 1,53 Мэв соответственно. Чувствительность определения Na составляет  $10^{-7}$  г, для K  $10^{-8}$  г. Средняя ошибка определения  $< 20\%$ .

А. Немодру

А. Немодрун

6Д70. Быстрый пламеннофотометрический метод определения окислов натрия и калия в различных огнеупорах. Konopiecky K., Schmidt W. Ein flammenphotometrisches Schnellverfahren zur Bestimmung von Na<sub>2</sub>O und K<sub>2</sub>O in verschiedenen feuerfesten

Materialien. «Ber. Dtsch. keram. Ges.», 1960, 37, № 8, 368—371 (нем.; рез. англ., франц.).—Метод основан на быстром (1—14 мин.) извлечении  $\text{Na}_2\text{O}$  и  $\text{K}_2\text{O}$  из огнеупоров (за исключением корунда) 40%-ной HF. Полученный р-р фотометрируют без отделения осадка при использовании комбинированной горелки расплывателя для водородно-кислородного пламени с широким просветом капилляра (0,5 мм). Добавление 4%-ного *n*-бутанола (I) устраняет мешающее влияние ряда посторонних элементов, однако при этом необходима подача в горелку 4-кратного избытка  $\text{H}_2$ . При уменьшении подачи  $\text{H}_2$  до соотношения  $\text{H}_2 : \text{O}_2 = 2 : 1$  влияние посторонних элементов увеличивается. Описанный метод извлечения применим также для определения  $\text{Na}_2\text{O}$  и  $\text{K}_2\text{O}$  в Cr-, Fe- и Mn-рудах. К 250 мг пробы в Pt-чашке или стакане из пластмассы прибавляют 20 мл 40%-ной HF и выдерживают 20 мин. при периодич. помешивании (трудно разлагаемые пробы нагревают до 60°). Смесь переносят в мерный пластмассовый цилиндр емк. 100 мл, прибавляют 4 мл 4%-ного I, разбавляют водой до 100 мл и фотометрируют, используя спектрофотометр для пламени Бекман DU (возможно использование фотометра со светофильтрами). Стандартные р-ры содержат HF и I в тех же конц-ях, что и анализируемый р-р; конц-ии K и Na (в пересчете на  $\text{K}_2\text{O}$  и  $\text{Na}_2\text{O}$ ) составляют до 125 и 25  $\mu\text{M}$  соответственно (при определении до 5%  $\text{K}_2\text{O}$  и 1%  $\text{Na}_2\text{O}$ ). 15 определений K и Na можно произвести в течение 35 мин. Полученные результаты хорошо согласуются с данными других методов.

Н. Полужков

6Д71. Быстрый метод определения калия в виде кобальтинитрита. Ким Хен Нак, Ли Хен Нам. «Хвахак как хвахак коноп, Ж. химии и хим. пром-сти», 1960, 4, № 3, 34—38 (кор.)

6Д72. Применение радиометрического метода определения калия в производственном контроле. Martinek Karel, Gottfried Jaroslav. Radiometrické stanovení draslíku v provozní kontrole. «Chem. průmysl», 1960, 10, № 10, 529—530 (чешск.; рез. русск., англ.). — Описано практич. использование радиометрич. метода определения К, в частности, в произ-ве контактной ванадиевой массы и перманганата калия.

### Резюме авторов

6Д73. **Определение ионов металлов в растворах с помощью тиаоацетамид и этилендиамингетрауксусной кислоты. II. Определение меди.** Krijn G. C., Rouws C. J. J., Boef G. Den. Determination of metal ions by means of TAA and EDTA. II. Determination of copper. «*Anal. chim. acta*», 1960, 23, № 2, 186—188 (англ.; рез. франц., нем.).—Разработан спектрофотометрич. метод определения Cu в виде комплекса с аминокислотой к-той после отделения ее от элементов 1-й и 2-й аналитич. групп осаждением тиаоацетамидом (I). К нейтр. или слабосиловому р-ру пробы (4—8 мл), содержащему > 2,5 мг Cu, прибавляют 1—2 мл 4 н. HCl, 1 мл 6%-ного водн. р-ра I, нагревают 20 мин. на водяной бане при 90° и центрифугируют. Р-р отсасывают через стеклянную трубку с пористым фильтром G-4. Осадок трижды промывают водой (по 1—2 мл) и растворяют в нескольких каплях 60%-ной HNO<sub>3</sub>. К полученному р-ру прибавляют 25 мл реактива (10 г аминокислотной к-ты и 4 г цитрата Na в 100 мл воды), устанавливают pH 2,9—4,1, разбавляют водой до 50 мл и спектрофотометрируют при 735 мμ в 4-см кюветках. Если р-р получается мутный, то перед спектрофотометрированием его центрифугируют. Ошибка определения 2,5 мг Cu < 2%. Элементы группы сернистого аммония определению Cu не мешают. Из элементов группы сероводорода мешают только Bi. Сообщение I см. РЖХим, 1960, № 24, 96123. В. Лукьянов

В. Лукьянов

6Д74. Турбидиметрическое определение серебра при помощи рубановодородной кислоты. Левитман Х. Я., Горская Е. В. «Сб. научн. тр. Белорусск. по-

лптехн. ин-т», 1959, вып. 87, 55—65.—Методом физ.-хим. анализа по измерению светопоглощения в системе  $\text{AgNO}_3$  — рубановодородная к-та — вода установлено, что в системе образуется соединение состава  $\text{C}_2\text{S}_2(\text{NH})_2\text{Ag}_2$ . В присутствии  $\text{NH}_4\text{OH}$  выделяется  $\text{Ag}_2\text{S}$ . Разработан метод турбидиметрич. определения Ag, основанный на фотометрировании суспензии его рубаната или сульфида (в присутствии  $\text{NH}_4\text{OH}$ ). К анализируемому р-ру прибавляют 2 мл 0,5%-ного р-ра желатин, 1 мл 1 М  $\text{NH}_4\text{OH}$  (если Ag определяют в виде  $\text{Ag}_2\text{S}$ ), вводят 3 мл 0,01 М этанольного р-ра рубановодородной к-ты, разбавляют водой до 50 мл и фотометрируют с синим светофильтром в 15-мм кюветах. Ошибка при определении  $\leq 5$  мг Ag на 50 мл составляет  $\leq 8\%$ . Определение можно проводить также по методу добавок. В. Тишова

6Д75. Определение золота и серебра. Faucou-nier P. Les essais d'or et d'argent. «Chem. analyt.», 1960, 42, № 9, 426—432 (франц.).—Описан метод определения Ag осаждением р-ром  $\text{NaCl}$ , добавляемым из автоматич. пипетки с точностью 0,25—0,50 мл. Конечную точку титрования определяют нефелометрически. Определение Au производят методом капелирования, нагревая анализируемую пробу в муфеле до  $1200^\circ$ , с последующим отделением окислившихся примесей и анализом золы методом, обычно применяемым для анализа благородных металлов. Чувствительность определения 0,05—0,025 мг. Приведен электролитический способ выделения Ag из отработанных растворов. Е. Кондратьев

6Д76. Фотометрическое определение золота в рудах и концентратах. Jankovský Josef. Fotometrické stanovení zlata v rudách a koncentrátech. «Hutn. listy», 1960, 15, № 9, 725—726 (чешск.).—Разработан фотометрич. метод определения Au в рудах и концентратах, после предварительного выделения Au, экстрагированием  $\text{AuBr}_4^-$  эфиром. Пробу (10—25 г) разлагают кипячением в течение 3—4 час. с 50—120 мл конц.  $\text{H}_2\text{SO}_4$ , прибавляя во время нагревания еще 10—30 мл  $\text{H}_2\text{SO}_4$ . Р-р вливают в воду (300—600 мл), кипятят 10—15 мин. до растворения сульфатов и фильтруют. Осадок промывают горячей водой, прибавляют к нему 10 мл царской водки (I) и 3 капли 20%-ного р-ра  $\text{NaCl}$ , нагревают  $\sim 10$  мин. на водяной бане, разбавляют водой ( $\sim 10$  мл), фильтруют и промывают фильтр р-ром  $\text{HCl}$  (1:3). Фильтрат выпаривают досуха, остаток растворяют в 10 мл  $\text{HCl}$  (1:1), прибавляют 5 г  $\text{KBr}$ , разбавляют водой до 50 мл и экстрагируют эфиром (3 раза порциями по 15, 10 и 5 мл). Органич. фазу выпаривают, прибавив 3 капли 20%-ного р-ра  $\text{NaCl}$ . Остаток выпаривают досуха сначала с 3—4 мл I, а затем с 1 мл  $\text{HCl}$  (1:1), после чего растворяют в 5 мл 1 н.  $\text{HCl}$ , прибавляют 1 мл  $\text{H}_3\text{PO}_4$  (1:3) и 1 мл азеотропного р-ра  $\text{HBr}$ , разбавляют водой до 25—50 мл и фотометрируют, применяя фиолетовый светофильтр S-42. В присутствии большого кол-ва  $\text{SiO}_2$  пробу разлагают смесью  $\text{H}_2\text{SO}_4$  и  $\text{HF}$ ; при наличии большого кол-ва  $\text{Sb}$  р-р пробы вливают в р-р  $\text{HCl}$  (1:4), а не в воду. Н. Туркевич

6Д77. Гравиметрическое определение бериллия коричной кислотой. Dema I. Determinarea gravimetrică a beriliului cu acid cinamic. «Rev. chim.» (RPR), 1960, 11, № 8, 485—486 (рум.).—В качестве реактива для гравиметрич. определения Be использована аммониевая соль коричной к-ты (I). 5—50 мл анализируемого р-ра, содержащего 0,0017—0,0290 г Be, подкисляют до pH 5,6—6,5, прибавляют 0,5—2 г  $\text{NH}_4\text{Cl}$  и 10%-ный р-р I до полного осаждения Be. Осадок отфильтровывают через фильтр с синей лентой, промывают 2%-ным р-ром I и прокалывают до  $\text{BeO}$ . Li, Na, K, Ca, Sr, Ba, Mg, Mn, Ni и Ti+ определению не мешают;  $\text{Fe}^{3+}$  и  $\text{Al}^{3+}$  необходимо предварительно отделить осаждением р-ром  $(\text{NH}_4)_2\text{CO}_3$ . Ошибка определения  $\pm 0,1$  мг Be. Б. Маполе

6Д78. Определение бериллия методом флуоресцентной рентгеновской спектроскопии. Campbell J. T., Shalgosky H. I. The analysis of beryllium by fluorescent X-ray spectroscopy. «Atomic Energy Res. Establ.», 1960, № R3335, ii, 6 pp. (англ.).—Метод рентгеновской флуоресцентной спектроскопии применен для определения примесей ( $< 0,3\%$ ) в металлах. Be. Пробу анализируют в виде порошка или таблеток, спрессованных из порошка при фиксированном давлении (спрессование увеличивает относительную интенсивность линий примесей). Вследствие малого поглощения в образце интенсивность линий зависит от веса пробы. Для уменьшения этой зависимости в качестве относительного стандарта используют интенсивность когерентно рассеянной линии WL, входящей в состав первичного излучения. Приведены пределы открытия (в ч. на 1 млн.): Ti 200, V 70, Zn 7, As 20, Br 15, Sr 30, Zr 30, Mo 60, Ag 180, Sn 250, Sb 500, Gd 25, Pb 80, Bi 70, Th 70, U 120. Для трех элементов (Cr, Mn и Ni) концы, близкие к предельным (Cr  $\sim 2$ , Mn  $\sim 100$ , Ni  $\sim 50$ ), определены также хим. и спектр. графич. способами; результаты совпадают в пределах 10—20%. При больших концах примесей средняя относительная ошибка равна 4,7%. Л. Смирнов

6Д79. Определение бериллия  $\gamma$ -n-методом. Iredale P. The detection of beryllium by the  $\gamma$ -n method. «Atomic Energy Res. Establ.», 1960, N EL/M 108, ii, 11 pp. (англ.).—Изучены условия достижения максим. чувствительности определения Be по  $\gamma$ -n р-ции. В качестве  $\gamma$ -источника использована  $\text{Sh}^{124}$  с активностью 1,5 кюри, запрессованная в Al-контейнер (длина 3,6, diam. 2,6 см) с толщиной стенок 1 мм. По оси контейнера расположена Al-трубка diam. 0,7 см, в которую помещают пробу. Источник окружен полиэтиленовым поглотителем. Нейтронный поток измеряют 12 счетчиками, заполненными  $\text{BF}_3$  до давл. 200 мм рт. ст. При анализе измеряют как активность пробы, так и фона источника без пробы. При этих условиях и при продолжительности каждого измерения 1 час миним. кол-во Be, определяемое этим методом, равно  $\sim 4$  г. Метод применен для определения Be в мазках пыли, снятых с лабор. оборудования. Мазки снимают фильтровальной бумагой, которую перед измерением спрессовывают до объема  $< 0,5$  см<sup>3</sup>. З. Чудинков

6Д80. Фотометрическое определение бериллия в бронзах. Матвеев Л. О., Мустафин И. С. «Тр. Комис. по аналит. химии. АН СССР», 1960, 11, 217—222.—Установлено, что 1,4-диоксинафтахинон-2,6-ди-сульфокислота (хинназариндисульфокислота) (I) при рН 6,5—8 образует окрашенные комплексы с  $\text{Be}^{2+}$  (максимум светопоглощения при 530 мμ) и рядом других ионов. Al мало влияет на определение Be; Si маскируют р-ром  $\text{Na}_2\text{S}_2\text{O}_3$ , который уменьшает также и влияние Fe. Образец (0,1—0,15 г) растворяют в 10 мл  $\text{HNO}_3$  (1:1), р-р выпаривают на водяной бане досуха, прибавляют 2—3 мл  $\text{HCl}$  (1:1), снова выпаривают досуха, остаток растворяют в 40—50 мл воды (если в р-ре остается муть, ее растворяют в нескольких каплях  $\text{HCl}$ ) и разбавляют водой до 100 мл. К 0,5 мл полученного р-ра, прибавляют 0,5 мл 7%-ного р-ра  $\text{Na}_2\text{S}_2\text{O}_3$ , 3 мл буферного р-ра с рН 6,96—7,03 (р-р, содержащий 8,24 г медиалла в 1 л, смешивают с 177 мл 0,2 н.  $\text{HCl}$  для стабилизации р-ра прибавляют кристаллик тимола) и 1 мл 0,08%-ного р-ра I. Смесью нагревают на водяной бане до 60—70° в течение 5 мин., охлаждают и спектрофотометрируют при 530 мμ в 0,5-см кюветках. Метод применен для определения Be в бронзах. При определении 2,12—2,57% Be ошибка колеблется от +0,40 до +3,77%. В. Лукьянов

6Д81. Повышение чувствительности некоторых цветных реакций на магний. Кореньман Я. И. «Тр. по химии и хим. технол. (Горький)», 1960, вып. 2, 307—313.—Изучены пути повышения чувствительности (Ч) р-ций открытия очень малых кол-в  $\text{Mg}^{2+}$  с помощью

магнетон  
зарина, э  
синего п  
к-ты (маг  
жидания  
вышает  
го дня ц  
зона III  
1000 раз.  
не приво  
р-ции не  
пропилов  
броматил  
бензолом  
Ч р-ции.  
лей (аце  
могеном  
приводит  
док. В с  
дается. К  
и соотве  
 $\text{H}_2\text{O}_2$  и  
не повы  
6Д82.  
спирта  
ния по  
verschied  
auf die  
Magnesi  
93—96  
торговле  
W 28/20  
определ  
довлено  
вязкост  
плотност  
ковости  
мых р-ра  
та не вл  
руемый  
графика  
тивном  
спирта  
V 03/20.  
6Д8  
хлориде  
дарт. С  
лидион  
Kei  
Osaka  
(японск  
определ  
синего  
лидо)-н  
хлорист  
избыток  
ределен  
тельную  
жестко  
Для оп  
линейн  
пробы.  
тем мас  
ци ком  
зультат  
6Д84.  
ния рас  
ление  
конку,  
8, №  
пламен  
ротке  
Бекман  
вводят



магнезона I, магнезона II, титанового желтого, хинализарина, эриохрома черного Т, кислотного хрома темно-синего и 4'-нитробензолазоаминобензол-2'-карбоновой к-ты (магнезон III). Установлено, что длительное выжидание после добавления реактивов значительно повышает Ч р-ции, причем выдерживание в течение одного дня повышает Ч на два порядка, а в случае магнезона III выжидание в течение 8 дней повышает Ч в 1000 раз. Нагревание в кипящей водяной бане (15 мин.) не приводит к повышению Ч. Флотация продуктов р-ции не смешивающимися с водой р-рителями (изопрпиловым эфиром, толуолом, циклогексаном, СНСл<sub>3</sub>, бромтилом, бромбензолом, дибутилфталатом, нитробензолом, анилином и др.) не приводит к повышению Ч р-ции. Добавление смешивающихся с водой р-рителей (ацетон, изопрпиловый спирт) при р-циях с хромогенным черным, хинализарином и титановым желтым приводит к повышению Ч открытия Mg на один порядок. В случае остальных реактивов этого не наблюдается. Исследование отношения указанных реактивов и соответствующих продуктов р-ции в щел. среде к H<sub>2</sub>O<sub>2</sub> и бромю показало, что применение окислителей не повышает Ч р-ции на Mg.

А. Зозуля  
6Д82. Влияние различных марок поливинилового спирта (поливиол) на результаты определения магния по методу Шахтшабеля. Brugger G. Der Einfluss verschiedener Typen von Polyvinylalkohol (Polyviol) auf die nach der Methode Schachtschabel bestimmten Magnesiumwerte. «Landwirtsch. Forsch.», 1960, 13, № 2, 93—96 (нем.; рез. англ., франц.).—Изучено влияние торговых марок поливинилового спирта (W 48/20, W 28/20, M 13/140, M 0.5/140, V 03/20) на фотометрич. определение Mg при помощи титанового желтого. Установлено, что ход калибровочного графика зависит от вязкости спирта: с уменьшением последней оптич. плотность возрастает, т. е. калибровочный график становится круче. Устойчивость окраски фотометрируемых р-ров не зависит от вязкости спирта. Марка спирта не влияет на точность результатов, если в анализируемый р-р и в р-ры для построения калибровочного графика вводят спирт одной и той же марки, в противном случае ошибка может достигать 20%. Вместо спирта W 28/20 лучше пользоваться спиртом марки V 03/20.

В. Лукьянов  
6Д83. Определение следовых количеств магния в хлориде натрия, имеющем чистоту первичного стандарта. Фотометрический метод с использованием ксилитидового синего. Sato Kiyoshi, Takauchi Keiichi. «Осака когё гиндоуцу сикансё кихо, Bull. Osaka Industr. Res. Inst.», 1959, 10, № 4, 293—300 (японск.; рез. англ.).—Разработан метод фотометрич. определения ~0,0002% Mg при помощи ксилитидового синего (Na-соль 1-азо-2-окси-3-(2,4-диметилкарбоксамидо)-нафталин-1'- (2-оксисбензол-5-сульфокислоты)) в хлористом натрии высокой чистоты. Установлено, что избыток NaCl вызывает положительную ошибку в определении Mg при малых содержаниях Mg и отрицательную — при больших; однако наличие NaCl не отражается на прямолинейности калибровочного графика. Для определения следовых кол-в Mg разработан метод линейной экстраполяции без удаления NaCl из р-ра пробы. Начальную точку рабочей кривой получают путем маскирования Mg в анализируемом р-ре при помощи комплексона III. Получены удовлетворительные результаты.

В. Лукьянов  
6Д84. Пламеннофотометрическое определение магния разнотипным методом. Сообщение I. Прямое определение магния в сыворотке. Suzuki Miekо. «Бунко кэнкю, Bunko Kenkyu, J. Spectroscop. Soc. Japan», 1960, 8, № 3, 134—140 (японск.; рез. англ.).—Разработан пламеннофотометрич. метод определения Mg в сыворотке крови (СК) с использованием спектрофотометра Бекман DU (водородно-кислородное пламя). В пламя вводят СК, разбавленную водой в 10 раз, и изменяют

интенсивность излучения (ИИ) при 371, 367 и 374 мμ. Из отсчетов при последних двух длинах волны вычисляют фон при 371 мμ и с помощью его и отсчета для р-ра образца при 371 мμ — графически находят истинную ИИ MgO при этой длине волны. Отсчеты для р-ра образца сравнивают с отсчетами для серии стандартных р-ров, содержащих KCl, NaCl, Ca<sup>2+</sup>, глюкозу, глицин и различные добавки Mg<sup>2+</sup>. Среднее содержание Mg<sup>2+</sup> в 36 образцах СК найдено равным 15,7 γ/мл.

Резюме автора

6Д85. Арсенатный метод йодометрического определения магния и перманганатометрическое определение кальция в присутствии железа, алюминия и титана. Шахтактинский Г. Б., Асланов Г. А. Азерб. хим. ж., Азерб. хим. ж., 1960, № 3, 133—138 (рез. азерб.).—Для определения Ca к анализируемому р-ру прибавляют 10 мл 10%-ного р-ра лимонной к-ты, 2—3 капли фенолфталеина, нейтрализуют аммиаком, подкисляют 1,6—2 мл конц. CH<sub>3</sub>COOH, разбавляют до 100 мл, нагревают до 70—80°, осаждают Ca нагретым р-ром (NH<sub>4</sub>)<sub>2</sub>C<sub>2</sub>O<sub>4</sub> (15 мл 4%-ного р-ра разбавляют до 50 мл), нагревают 30 мин. и заканчивают определение перманганатометрически. При определении Mg кальций осаждают, как описано выше, и, не отфильтровывая осадка CaC<sub>2</sub>O<sub>4</sub>, осаждают Mg арсенатом. Смешанные осадки отфильтровывают, растворяют в H<sub>2</sub>SO<sub>4</sub> и йодометрически (с индикатором бензолом) определяют AsO<sub>4</sub><sup>3-</sup>, связанный с Mg.

С. Гусинская

6Д86. Пламеннофотометрическое определение кальция в растениях. Bogan J. C. Flame-photometric determination of calcium in plants. «J. Sci. Food and Agric.», 1960, 11, № 8, 446—449 (англ.).—С помощью пламенного фотометра Ланге, модель 3, с интерференционным светофильтром для выделения мол. полосы CaO при 622 мμ изучено гашение излучения Ca в пламени (смесь пропанбутана с воздухом) в присутствии PO<sub>4</sub><sup>3-</sup>, SO<sub>4</sub><sup>2-</sup> и Al<sup>3+</sup>. Р-ры содержали 100, 200 и 300 γ/мл Ca<sup>2+</sup> (в виде CaCl<sub>2</sub>), а также PO<sub>4</sub><sup>3-</sup>, SO<sub>4</sub><sup>2-</sup> и Al<sup>3+</sup> в конц-ии 0—360 γ/мл. Установлено, что максимум снижение интенсивности излучения (ИИ) CaO наблюдается при соотношениях Ca : P = 3 : 2, Ca : S = 1 : 1 и Ca : Al = 1 : 1, что делает вероятным предположение об образовании в пламени соединений Ca<sub>3</sub>(PO<sub>4</sub>)<sub>2</sub>, CaSO<sub>4</sub> и соединений Ca с Al неизвестного состава. В присутствии избытка PO<sub>4</sub><sup>3-</sup> или SO<sub>4</sub><sup>2-</sup> (1 мг/мл P или S) ИИ CaO не зависит от изменения конц-ии другого аниона (SO<sub>4</sub><sup>2-</sup> или PO<sub>4</sub><sup>3-</sup> соответственно), однако добавление Al<sup>3+</sup> вызывает дополнительное снижение ИИ CaO. В большинстве растений (за исключением табака) Al находится в небольших конц-иях (до 0,02%) и поэтому не вызывает заметной ошибки при определении Ca. Для исключения влияния переменных кол-в PO<sub>4</sub><sup>3-</sup> и SO<sub>4</sub><sup>2-</sup>, содержащихся в пробе, рекомендуется производить фотометрирование в присутствии избытка SO<sub>4</sub><sup>2-</sup>. 0,5 г сухого растительного материала нагревают 30 мин. в колбе Кельдыала с 5 мл смеси (10 : 6 : 3) конц. HNO<sub>3</sub>, конц. H<sub>2</sub>SO<sub>4</sub> и 60%-ной HClO<sub>4</sub>, охлаждают, разбавляют водой до 50 мл и фотометрируют. Аналогично готовят стандартные р-ры, содержащие 0—15 мг Ca в виде CaCl<sub>2</sub>. Изменение конц-ии H<sub>2</sub>SO<sub>4</sub> в конечном р-ре от 2,5 до 3,5% не влияет на точность анализа. Результаты определения 0,6—2,4% Ca хорошо согласуются с данными комплексометрич. определения.

Н. Полуэктов

6Д87. Фотометрическое определение стронция. Карнаухова А. С., Мизера М., Палауш Р. «Ж. аналит. химии», 1960, 15, № 4, 502 (рез. англ.).—Разработан косвенный спектрофотометрич. метод определения Sr, основанный на уменьшении интенсивности желтой окраски дилитуровой к-ты (I) в присутствии Sr вследствие осаждения труднорастворимого дилитурата Sr. К пробе (5 мл), содержащей < 1,75 мг/мл Sr, прибавляют 5 мл 0,05 н. р-ра I, насыщенный дилитуратом Sr, перемешивают, выдерживают 15 мин., затем

фильтруют и спектрофотометрируют при 420 мμ. Если конц-ия Sr > 1,75 мг/мл, то I прибавляют больше. Максимум ошибки определения Sr < 0,02 мг/мл; воспроизводимость ± 0,006 мг/мл. Мешают: NH<sub>4</sub><sup>+</sup>, K, Sn, Fe, Cr, Cd, Cu, Ca, Ba, Zn, Co, Ni, Hg, Ag, Pb.

**6Д88. Пламеннотометрическое определение стронция в силикатах.** Содержание стронция в граните G-1 и диабазе W-1. Fornaseri M., Grandi L. Flame photometric determination of strontium in silicates. Strontium content of the granite G-1 and the diabase W-1. «Geochim. et cosmochim. acta», 1960, 19, № 3, 218—221 (англ.).—Образец (1 г) растворяют в смеси 5 мл HClO<sub>4</sub> и 20 мл HF при нагревании на водяной бане в течение 2 час. и выпаривают досуха на песчаной бане. К остатку прибавляют 3 мл HClO<sub>4</sub> и повторяют выпаривание. При малом содержании Ca в образце к остатку прибавляют 10 мл р-ра CaCl<sub>2</sub>, содержащего 10 мг Ca в 1 мл (для исключения гасящего действия Al на интенсивность излучения Sr), и разбавляют водой до 50 мл. К 25 мл полученного р-ра прибавляют 10 мл р-ра SrCl<sub>2</sub> (25 γ/мл SrO) и разбавляют водой до 50 мл (р-р образца с добавлением 5 γ/мл SrO). Оставшиеся 25 мл р-ра также разбавляют водой до 50 мл (р-р образца). Оба р-ра фотометрируют при 461 мμ с помощью спектрофотометра Бекман DU (водородно-кислородное пламя). Из отсчетов для Sr вычитают средние значения отсчетов для фона при 454 и 463 мμ. При содержании Sr 0,01—0,14% относительная ошибка определения 2—3%. В граните G-1 найдено 0,0258, в диабазе W-1 — 0,0151 % Sr.

**6Д89. Радиохимический метод определения стронция-89 и стронция-90 в производственных растворах.** Analytical method for the radiochemical determination of strontium-89 and strontium-90 in plant solutions. Product. Group. P. K. Atomic Energy Author., 1960, № 84, 14 pp. (англ.).—Пробу водн. р-ра с активностью 1·10<sup>3</sup>—2·10<sup>4</sup> распадов/мин упаривают до 4 мл и прибавляют 2 мл р-ра SrCl<sub>2</sub> в качестве носителя (10 мг Sr на 1 мл). Если анализируют органич. р-р, то к пробе прибавляют равный объем 0,1 М р-ра HNO<sub>3</sub>, 2 мл CCl<sub>4</sub> и 2 мл р-ра носителя, перемешивают 10 мин., отстаивают, отделяют водн. фазу и упаривают ее до 4 мл. Полученный р-р охлаждают, вводят 30 мл дымящей HNO<sub>3</sub>, перемешивают и центрифугируют. Осадок Sr(NO<sub>3</sub>)<sub>2</sub> растворяют в 2 мл воды и пересаживают Sr(NO<sub>3</sub>)<sub>2</sub>. Полученный осадок растворяют в 10 мл воды, вводят 0,5 мл р-ра FeCl<sub>3</sub> (10 мг Fe на 1 мл), нагревают до кипения и прибавляют 1 мл конц. NH<sub>4</sub>OH (дальнейшие операции проводят максимально быстро во избежание накопления Y<sup>90</sup>). После отделения осадка Fe(OH)<sub>3</sub> к р-ру прибавляют еще 2 мл конц. NH<sub>4</sub>OH, нагревают, вводят 5 мл насыщ. р-ра (NH<sub>4</sub>)<sub>2</sub>C<sub>2</sub>O<sub>4</sub> и через 1 мин. центрифугируют. Осадок промывают сначала водой (2 раза по 40 мл), затем ацетоном (2 раза по 40 мл), взвесь SrC<sub>2</sub>O<sub>4</sub> в ацетоне переносят на счетную тарелочку, высушивают при 20°, взвешивают и рассчитывают хим. выход. Активность Sr<sup>89</sup> измеряют на торцовом счетчике, поглощая β-активность Sr<sup>90</sup> Al-поглотителем (131 мг/см<sup>2</sup>). Осадок SrC<sub>2</sub>O<sub>4</sub> прокалывают при 800°, растворяют в 1 мл воды и несколькими каплями 2 М HNO<sub>3</sub>, прибавляют 2 мл р-ра Y(NO<sub>3</sub>)<sub>3</sub> в качестве носителя (10 мг Y на 1 мл), 2 мл конц. HNO<sub>3</sub> и ~10 мл воды и выдерживают 3 дня для установления равновесия Sr<sup>90</sup>—Y<sup>90</sup>. Затем р-р нагревают и прибавляют избыток 6 М р-ра NH<sub>4</sub>OH, не содержащего карбоната (все дальнейшие операции проводят максимально быстро). Осадок промывают 5 мл 1 М р-ра NH<sub>4</sub>OH, растворяют в 6 М HNO<sub>3</sub> и пересаживают гидроокись Y; последнюю растворяют в 6 М HNO<sub>3</sub>, вводят 20 мл 8%-ного р-ра H<sub>2</sub>C<sub>2</sub>O<sub>4</sub>, нагревают и центрифугируют. Осадок промывают водой (2 раза по 40 мл) и метанолом, переносят взвесь в метаноле на счетную тарелочку и измеряют активность Y<sup>90</sup> на торцовом счетчике. После измерения активности осадок Y<sub>2</sub>(C<sub>2</sub>O<sub>4</sub>)<sub>3</sub> прокалывают при 800—

900°, взвешивают и определяют хим. выход. Перед измерением калибруют счетную установку по чистым препаратам Sr<sup>89</sup> и Sr<sup>90</sup>.

**6Д90. Аналитическое применение хелонов.** XXVII. Определение тяжелых металлов в пробах меласе из сахарного тростника и свеклы при помощи динатриевых солей 1,2-диаминциклогексантетрауксусной кислоты и этиленгликоль-бис-β-аминоэтилового эфира N,N'-тетрауксусной кислоты. XXVIII. Открытие меди (2+) с 1,2-диаминциклогексантетрауксусной кислотой. Aplicaciones analíticas de los quelones. XXVII. Bermejo Martínez F., Paz Castro M., Rey Mendoza R. Determinación de metales pesados en muestras de melazas de caña y de remolacha con ADCT y AEGT. XXVIII. Martínez Francisco Bermejo, Abel la Miguel Guerrero. Nachweis von Kupfer (II) mit 1,2-Diaminocyclohexantetraessigsäure. «Inform. quim. analit.», 1960, 14, № 3, 61—63, 80 (исп.); «Z. analyt. Chem.», 1960, 174, № 6, 411—413 (нем.).—XXVII. Разработан метод определения Fe<sup>3+</sup>, Al<sup>3+</sup>, Cu<sup>2+</sup> и Zn<sup>2+</sup> в меласе. Пробу (~0,5 г) сжигают в фарфоровом тигле, обрабатывают смесью 8 мл 3 М H<sub>2</sub>SO<sub>4</sub> и 4 мл 15 М HNO<sub>3</sub>, выпаривают досуха, прокалывают и остаток растворяют в 250 мл 2 н. HCl. К 25 мл полученного р-ра прибавляют 5 мл 0,01 М р-ра динатриевой соли 1,2-диаминциклогексантетрауксусной к-ты (I), разбавляют водой до 150 мл, устанавливают pH 11—12 при помощи конц. NH<sub>4</sub>OH, определяют сумму Fe<sup>3+</sup>, Al<sup>3+</sup>, Cu<sup>2+</sup> и Zn<sup>2+</sup> титрованием 0,01 М р-ром I в присутствии мурексида. В отдельной пробе титруют сумму Cu<sup>2+</sup> и Zn<sup>2+</sup> при помощи динатриевой соли этиленгликоль-бис-β-аминоэтилового эфира N,N'-тетрауксусной к-ты.

**XXIX.** Установлено, что при взаимодействии I с Cu<sup>2+</sup> при pH 4,5—12 образуется комплексная соль, окрашивающая р-р в голубой цвет, устойчивый в течение 24 час. Открываемый минимум 2,4 γ/мл Cu. Мешают Ni<sup>2+</sup> и VO<sup>2+</sup>. Другие окрашенные ионы понижают чувствительность р-ции. При молярном отношении Fe<sup>3+</sup>:Cu<sup>2+</sup> = 1:1 получается зеленая окраска (на голубую окраску Cu-комплекса накладывается желтая окраска Fe-комплекса); NaF не устраняет влияния Fe<sup>3+</sup>. Для открытия Cu<sup>2+</sup> к анализируемому р-ру прибавляют NH<sub>4</sub>OH в избытке, отделяют осадок, фильтрат подкисляют уксовой к-той по фенолфталеину и вводят 0,01 М водн. р-р I. Большие кол-ва Cd<sup>2+</sup> не мешают. Сообщение XXVI см. РЖХим, 1961, 4Д28.

**6Д91. Метод определения радия в урановой смоляной руде и в барийсульфатном концентрате.** Analytical method for the determination of radium in pitchblende ore and barium sulphate concentrates. Product. Group. U. K. Atomic Energy Author., 1960, № 33, 17 pp. (англ.).—Разработан метод определения Ra в руде и концентратах, основанный на измерении γ-активности пробы, находящейся в равновесии с Rn и продуктами его распада. Пробу загружают в Al-цилиндр (диам. 2,5 см, длина 10 см) со стенками толщиной не < 0,05 см, ее уплотняют, высушивают, взвешивают, затем цилиндр закрывают пробкой, пробу заливают смолой, добиваясь полного отсутствия утечки Rn, выдерживают в течение 30 дней и измеряют γ-активность пробы на Г.—М.-счетчике. В том же геометрич. положении измеряют активность Ra-стандарта с известным содержанием Ra. Желательно, чтобы активность стандарта и пробы были близкими. При расчетах вводят поправки на поглощение γ-лучей стенками цилиндра, на геометрич. размеры цилиндра и стандарта и на поглощение γ-лучей пробой. В случае измерения содержания Ra в урановой смоляной руде дополнительно вводят поправку на активность UX<sub>1</sub> и UX<sub>2</sub>.

**6Д92. Полярографическое определение цинка в марганце, ферромарганце и в марганцевых рудах.**

д. Перед из- по чистым Э. Чудини- нов. XXVII мелассы и динатрие- ной кисло- эфира  $\text{N}_2\text{O}$  и меди (2+) фильтрат пропускают через катионит, предварительно промытый  $\text{HCl}$  (1:1).  $\text{Mn}$ ,  $\text{Fe}$ ,  $\text{Co}$ ,  $\text{Ni}$  и  $\text{Cu}$  элюируют 0,5  $\text{M}$   $\text{p}$ -ром  $\text{HCl}$ . Оставшийся  $\text{Zn}$  вымывают 0,05  $\text{M}$   $\text{p}$ -ром  $\text{HCl}$  и полученный элюат выпаривается досуха. Остаток растворяют в  $\text{HCl}$  (1:2), прибавляют  $\text{NH}_4\text{OH}$  (1:1), насыщенный раствор  $\text{Na}_2\text{SO}_3$  и желатину, разбавляют водой до 50 мл и полярографируют. Полученные результаты хорошо воспроизводимы.

В. Талалаев  
6Д93. Косвенное титриметрическое определение небольших количеств кадмия в присутствии цинка. Drabent Zygmont, Wawrzeczek Wiktor. Oznaczanie małych ilości kadmu wobec cynku pośrednią metodą objętościową. «Chem. analit.» (Polska), 1960, 5, № 2, 201—205 (польск.; рез. англ.).—Разработан косвенный титриметрич. метод определения  $\text{Cd}^{2+}$  в присутствии ~90-кратного избытка  $\text{Zn}^{2+}$ , основанный на осаждении  $\text{Cd}^{2+}$  солью Рейнке (I), разложении осадка  $\text{Cd}[\text{Cr}(\text{NH}_3)_2(\text{SCN})_2]$  или избытка I щелочью и последующим argentометрич. титрованием  $\text{SCN}^-$ . Пробу содержащую < 30 мг  $\text{Cd}^{2+}$ , нейтрализуют 0,01 н.  $\text{p}$ -ром  $\text{NaOH}$  до pH 4—6, прибавляют избыток (> 0,24%)  $\text{p}$ -ра I, выдерживают ~30 мин. и фильтруют. Осадок промывают водой (1—2 мл), кипятят 15 мин. с разб.  $\text{p}$ -ром  $\text{NaOH}$ , охлаждают, прибавляют 2 капли насыщ.  $\text{p}$ -ра  $\text{FeNH}_4(\text{SO}_4)_2$ , подкисляют 2 н.  $\text{p}$ -ром  $\text{HNO}_3$  и титруют  $\text{p}$ -ром  $\text{AgNO}_3$  по Фольгарду. При отсутствии в пробе ионов, реагирующих с  $\text{AgNO}_3$ ,  $\text{p}$ -р с выделившимся осадком разбавляют водой до определенного объема, фильтруют, часть фильтрата обрабатывают щелочью и титруют по Фольгарду. Определению мешают  $\text{Ag}^+$ ,  $\text{Hg}_2^{2+}$ ,  $\text{Hg}^{2+}$ ,  $\text{Pb}^{2+}$ ,  $\text{Ti}^{3+}$ ,  $\text{Cu}^+$ ,  $\text{Sn}^{2+}$ ,  $\text{Au}^{3+}$  и  $\text{Pd}^{2+}$ .

Н. Туркевич  
6Д94. Определение следовых количеств кадмия в лигнате уранила. Gólikowska Anna. Oznaczanie śladów kadmu w azotanie uranylu. «Chem. analit.» (Polska), 1960, 5, № 3, 389—394 (польск.; рез. англ.).—Разработан фотометрич. метод определения малых кол-в  $\text{Cd}$  в лигнате уранила (I), включающий экстрагирование  $\text{Cd}$   $\text{p}$ -ром дитизона (II) в  $\text{CCl}_4$ , реэкстрагирование его 0,01 н.  $\text{p}$ -ром  $\text{HCl}$  в водн. фазу и повторное экстрагирование  $\text{Cd}$   $\text{p}$ -ром II в  $\text{CCl}_4$  с последующим фотометрированием экстракта. Пробу I (0,2—1 г) помещают в делительную воронку и прибавляют 5—20 мл воды. После растворения I вносят 2 мл 17%-ного  $\text{p}$ -ра  $(\text{NH}_4)_2\text{CO}_3$ , хорошо перемешивают, добавляют 1 мл конц.  $\text{NH}_4\text{OH}$ , 10 мл 0,002%-ного  $\text{p}$ -ра II в  $\text{CCl}_4$  и встряхивают в течение 1 мин. Слой  $\text{CCl}_4$  переводят в другую делительную воронку и оставшийся водн. слой еще раз экстрагируют посредством 10 мл 0,002%-ного  $\text{p}$ -ра II в  $\text{CCl}_4$ . Экстрагирование повторяют (по 5 мл  $\text{p}$ -ра II в  $\text{CCl}_4$ ) до получения экстракта зеленого цвета. Объединенные экстракты промывают водой (20 мл), органич. слой отделяют и реэкстрагируют  $\text{Cd}$  0,01 н.  $\text{p}$ -ром  $\text{HCl}$  (10 мл). Реэкстракцию  $\text{Cd}$  из органич. слоя повторяют еще раз, используя 5 мл 0,01 н.  $\text{HCl}$ , реэкстракты объединяют и промывают последовательно 3 мл 0,002%-ного  $\text{p}$ -ра II в  $\text{CCl}_4$  (для удаления следовых кол-в  $\text{Cu}$  и других тяжелых металлов) и 5 мл  $\text{CCl}_4$  (для удаления II). К промытому реэкстракту прибавляют 5 мл 10%-ного  $\text{p}$ -ра лимонной к-ты, 5 мл 0,005%-ного  $\text{p}$ -ра II в  $\text{CCl}_4$ , 5 мл 20%-ного  $\text{p}$ -ра  $\text{NaOH}$  и встряхивают ~2 мин. После разделения слоев нижний органич. слой фильтруют через вату в 1-см ковету и спектрофотометрируют при 520 мμ, применяя  $\text{p}$ -р, полученный при проведении контрольного опыта (без I) в качестве  $\text{p}$ -ра срав-

нения. Метод позволяет определять  $\text{Cd}$  в I при его содержании  $\geq 0,1 \text{ } \mu\text{g/g}$ .

А. Немодрук  
6Д95. Определение закисной ртути титрованием растворами ферроцианидов щелочных металлов с применением бромфенолового синего в качестве индикатора. Basińska Halina, Bukowska Alina. Miareczkowe oznaczanie jonów rtęciowych za pomocą żelazocyjanów alkalicznych wobec błękitu bromofenolowego. «Chem. analit.» (Polska), 1960, 5, № 3, 355—360 (польск.; рез. англ.).—Показана возможность титрования  $\text{Hg}_2^{2+}$   $\text{p}$ -рами  $\text{K}_4[\text{Fe}(\text{CN})_6]$ ,  $\text{Na}_4[\text{Fe}(\text{CN})_6]$  и  $\text{Li}_4[\text{Fe}(\text{CN})_6]$  с применением бромфенолового синего в качестве адсорбционного индикатора. Анализируемый  $\text{p}$ -р (содержащий 0,025—0,5 г  $\text{Hg}$ ) разбавляют водой до конц-н  $\text{Hg}_2^{2+}$  0,0125—0,025 моль/л, прибавляют  $\text{p}$ -р I (по 1 капле 0,1%-ного  $\text{p}$ -ра I на каждые 5 мл титруемого  $\text{p}$ -ра), устанавливают pH ~1 (добавлением  $\text{HNO}_3$ ) и при энергичном перемешивании титруют ~0,05  $\text{M}$   $\text{p}$ -ром  $\text{K}_4[\text{Fe}(\text{CN})_6]$ . В конечной точке, соответствующей полному осаждению  $\text{Hg}_2^{2+}$  в виде  $\text{Hg}_2[\text{Fe}(\text{CN})_6]$ , фиолетово-розовая окраска осадка становится серовато-зеленой (при стоянии в течение ~1 мин. окраска переходит в зеленую). Ошибка определения составляет 0,1—0,5%. Присутствие элементов, образующих малорастворимые ферроцианиды (в том числе  $\text{Zn}$ ,  $\text{Pb}$ ,  $\text{Cu}$  и др.), мешает определению. Продолжительность анализа ~15 мин.

А. Немодрук  
6Д96. Определение алюминия люминесцентным методом в веществах высокой степени чистоты. Божевольнов Е. А., Янишевская В. М. В сб. «Методы люминесценции, анализ». Минск, АН БССР, 1960, 59—64.—Описан метод определения  $\text{Al}$ , основанный на измерении при 520—530 мμ флуоресценции его внутрикомплексного соединения с салицилаль-о-аминофенолом (с соотношением компонентов 1:1), образующегося в буферном  $\text{p}$ -ре при pH 5,6—6,0. Последний подвергают очистке на анионите ЭДЭ-10 с применением в качестве комплексобразователя 2,2',4'-триоксис-5-хлор-1,4'-азобензол-3-сульфофоскислоты. При использовании очищ. буферного  $\text{p}$ -ра, содержащего  $5 \cdot 10^{-8} \text{ } \mu\text{g}$   $\text{Al}$ , чувствительность  $\text{p}$ -ции 0,0025  $\mu\text{g}$   $\text{Al}$  в 5 мл. В присутствии  $\text{Fe}$  и  $\text{Cu}$  (> 0,1  $\mu\text{g}$  в 5 мл), гасящих флуоресценцию  $\text{Al}$ , определение  $\text{Al}$  проводят по методу добавок. Проведено определение  $\text{Al}$  в ацетате натрия, азотной, соляной, фтористоводородной к-тах и перекиси водорода. Для выпаривания анализируемого  $\text{p}$ -ра применена спец. аппаратура. Ошибка определения  $\leq 20\%$ . В виде таблицы приведены условия люминесцентного определения  $\text{Al}$  при помощи 6 наиболее распространенных реактивов.

В. Типцова  
6Д97. О флуориметрическом определении галлия. Landi M. F. Contributo alla determinazione fluorimetrica del gallio. «Metallurgia ital.», 1960, 52, № 6, 366—371 (итал.; рез. франц., англ., нем.).—Проверен ранее описанный метод (Lecroix. «Anal. chim. acta», 1948, 2, 167) определения  $\text{Ga}^{3+}$  в бокситов. Показано, что на кривой зависимости интенсивности флуоресценции комплекса  $\text{Ga}^{3+}$  с оксикинолином от конц-н  $\text{Ga}^{3+}$  имеется максимум при конц-н  $\text{Ga}^{3+}$  0,011 мг/мл.

Н. Туркевич  
6Д98. Фотометрическое определение галлия с применением солянокислого трифенилтетразола. Pukas Tadeusz. Spektrofotometryczne oznaczanie galu chlorkiem trójfenylotetrazoliowym. «Chem. analit.» (Polska), 1960, 5, № 3, 513 (польск.; рез. англ.).—Установлено, что  $\text{Ga}^{3+}$  в  $\text{p}$ -рах  $\text{HCl}$  (~6  $\text{M}$ ) взаимодействует в виде  $\text{GaCl}^{2+}$  с солянокислым трифенилтетразолом с образованием осадка, хорошо экстрагирующегося рядом органич.  $\text{p}$ -рителей. Светопоглощение бензольных экстрактов характеризуется максимумом при 278 мμ. Для экстрактов с конц-ней  $\text{Ga}$  в пределах 0,1—1  $\mu\text{g}/\text{мл}$  закон Бера соблюдается. В указанных условиях  $\text{Al}$ ,  $\text{Zn}$ ,  $\text{Sb}$  и  $\text{Sn}$  фотометрич. определению  $\text{Ga}$  не мешают.

А. Немодрук



6Д99. Спектрофотометрическое определение индия при помощи 1-(2-пиридилазо)-2-нафтола. Shibata Shozo. Spectrophotometric determination of indium with 1-(2-pyridylazo)-2-naphthol. «Anal. chim. acta», 1960, 23, № 5, 434—438 (англ.; рез. франц., нем.).—Описан спектрофотометрич. метод определения микрограммовых кол-в In с применением 1-(2-пиридилазо)-2-нафтола (I), образующего с In в оптимальной области pH (5,3—6,7) красный комплекс (максимумы светопоглощения в  $\text{CHCl}_3$  при 530 и 560 мμ). Окраска полностью развивается за 5 мин. и устойчива в течение нескольких часов. Закон Бера соблюдается для конц-ий In (в хлороформных р-рах) в пределах 0—5 γ/мл. Мол. коэф. светопоглощения составляет 19 600, чувствительность р-ции 0,0058 γ/см<sup>2</sup>. Методом изомольярных серий установлено, что In и I входят в состав комплекса в соотношении 1:2. К аликвотной порции слабокислого или нейтр. р-ра, содержащей ≤ 50 γ In (в ~20 мл), добавляют 5 мл ацетатного буферного р-ра, 1 мл 0,1%-ного р-ра I, выдерживают 5 мин. и встряхивают 1—2 мин. с 10 мл  $\text{CHCl}_3$ . Экстракт центрифугируют и измеряют светопоглощение при 560 мμ, применяя р-р I в качестве р-ра сравнения. Определению не мешают  $\text{Cl}^-$ ,  $\text{Br}^-$ ,  $\text{J}^-$ ,  $\text{SO}_4^{2-}$ ,  $\text{NO}_3^-$ ,  $\text{CO}_3^{2-}$ ,  $\text{CH}_3\text{COO}^-$ ,  $\text{Al}^{3+}$ ,  $\text{Be}^{2+}$ ,  $\text{Mn}^{2+}$ ,  $\text{Pb}^{2+}$ ,  $\text{Ti}^{4+}$  и малые кол-ва  $\text{Bi}^{3+}$ ,  $\text{Sn}^{4+}$  и  $\text{Cd}^{2+}$ . Лимонная и винная к-ты маскируют In.  $\text{Fe}^{3+}$ ,  $\text{Zn}^{2+}$ ,  $\text{Cu}^{2+}$  и  $\text{Ga}^{3+}$  сильно мешают. Комплекс  $\text{Fe}^{3+}$  с I имеет два максимума светопоглощения при 525 и 775 мμ, в то же время комплекс In с I совсем не поглощает при 775 мμ, что позволяет одновременно определять In и Fe. Суммарное светопоглощение комплексов In и Fe измеряют при 560 мμ, а светопоглощение комплекса Fe — при 775 мμ. Содержание In и Fe находят соответствующим вычислением. Метод применен для определения In в Zn-хвостах. Результаты анализа идентичны данным, полученным полярографич. методом и фотометрич. определением с применением арсеназо. Н. Б.

6Д100. Радиоактивное определение индия с использованием радий-бериллевого нейтронного источника. II. Изучение метода нейтронного облучения образцов в водных растворах. Kusaka Yuzuru, Tsuji Naoto. «Нихон кагаку дзасси, J. Chem. Soc. Japan. Pure Chem. Sci.», 1960, 81, № 7, 1087—1090, A77 (японск., рез. англ.).—Изучено активационное определение In при облучении водн. р-ра пробы. Показано, что максим. поток тепловых нейтронов наблюдается на расстоянии 0,5 или 1 см от Ra-Be-источника, когда в качестве замедлителя используют соответственно парафин или воду. На расстоянии < 5 см от источника поток тепловых нейтронов в парафине примерно на 20% выше, чем в воде. В предлагаемом методе облученный водн. р-р находится в сферич. колбе из мягкого стекла, окруженной парафином или водой, отражающими нейтроны, а источник нейтронов помещают в центр колбы. Максим. активация определенного кол-ва In достигается при объеме р-ра 100 мл; при применении парафинового отражателя она примерно на 8% больше, чем для водного. Для колбы емк. 115 мл наведенная активность возрастает пропорционально увеличению содержания In (до ~600 мкг In). Для колбы емк. 5 мл эффект самопоглощения нейтронов в пробе заметно больше, чем для 115 мл. Мешающее влияние других элементов на определение In оценивают на основании величин сечений поглощения нейтронов. Сообщение I см. РЖХим, 1960, № 20, 80769. Э. Чудинов

6Д101. Исследования в области аналитической химии таллия. Сообщ. 5. Изучение комплексонометрических индикаторов для трехвалентного таллия. Бусев А. И., Типцова В. Г. «Ж. аналит. химии», 1960, 15, № 5, 573—580 (рез. англ.).—Установлено, что в слабокислом р-ре  $\text{Tl}^{3+}$  образует с 1-(2-пиридилазо)-2-нафтолом (I), 1-(2-пиридилазо)-резорцином (II) и ксиленоловым оранжевым (III) окрашенные комплексы состава 1:1 с максимумами светопоглощения при 560,

520 и 580 мμ и мол. коэф. экстинкции 2,47·10<sup>4</sup>, 1,80·10<sup>4</sup> и 1,98·10<sup>4</sup> соответственно. Спектрофотометрич. методом определены константы равновесия описанных р-ций комплексобразования для I (в среде 50%-ного метанола), II и III, равные 1,93·10<sup>2</sup>, 0,80·10<sup>4</sup> и 7,7·10<sup>4</sup> соответственно. Закон Бера соблюдается для р-ров комплекса  $\text{Tl}^{3+}$  с II при конц-ии  $\text{Tl}$  1—10 γ/мл. Изучена зависимость интенсивности светопоглощения образующихся комплексов от pH, конц-ии  $\text{Cl}^-$  и  $\text{Br}^-$ . Установлена зависимость «кажущейся» константы устойчивости комплексов от pH  $K' = K(\text{равн.})/[\text{H}^+]$  (справедливо, если кислотная константа диссоциации реактива  $\ll [\text{H}^+]$ ), и показано, что миним. pH, начиная с которого можно применять I, II и III в качестве комплексонометрич. индикаторов, составляет 1,8 (при начальной конц-ии титруемого р-ра 0,01 M), 1,7 и 2,0 соответственно. Проведен расчет теоретич. ошибки титрования  $\text{Tl}^{3+}$  с данными индикаторами с использованием известных констант устойчивости моногидроксидных комплексов ( $\text{TiOH}^{2+}$ ), комплексоната ( $\text{TiY}^-$ , где  $\text{Y}^-$  — этилендиаминтетраацетат), гидроксидного комплексоната ( $\text{HTiY}$ ) и найденных констант устойчивости комплексов  $\text{Tl}^{3+}$  с I, II и III. Сообщение 4 см. РЖХим, 1961, 2Д53. В. Типцова

6Д102. Определение лантана, церия, празеодима и неодима как основных компонентов методом рентгеновской эмиссионной спектроскопии. Maneval David R., Lovall Harold L. Determination of lanthanum, cerium, praseodymium, and neodymium as major components by X-ray emission spectroscopy. «Anal. Chem.», 1960, 32, № 10, 1289—1292 (англ.).—При анализе редкоземельных элементов методом рентгеновской флуоресцентной спектроскопии рекомендуется образцы для анализа готовить в виде плавящихся дисков. 0,1 г образца и 10,0 г буры смешивают в Pt-чашечке и нагревают 8—15 мин. до полного растворения. Расплавы быстро выливают в предварительно нагретую Al-форму и закрывают асбестом для более равномерного охлаждения (остаток буры из Pt-чашечки удаляют нагреванием с  $\text{K}_2\text{S}_2\text{O}_7$  и последующим вымыванием горячей водой). Образцы стандартов готовят тем же способом, с предварительным прокаливанием окислов редкоземельных элементов (вследствие их гигроскопичности). Метод применен для определения La, Ce, Pr и Nd по аналитич. линиям  $\text{LaL}_{\alpha 1}$ ,  $\text{CeL}_{\alpha 1}$ ,  $\text{PrL}_{\alpha 1}$  и  $\text{NdL}_{\alpha 1}$ . Ti, Hf и Zr предварительно отделяют хим. методом. При определении Pr вводят поправки на содержание Ce. Установлено, что каждые 10%  $\text{CeO}_2$  повышают найденное значение  $\text{Pr}_2\text{O}_3$  на 0,10% (от общего веса образца). Определение выполняют на установке XRD-5 флуоресцентным методом. Метод пригоден для промышленного контроля, но не для точных аналитич. работ. Л. Смирнов

6Д103. Фотометрическое определение церия при помощи о-толидина. Йорданов Н., Данев Хр. «Ж. аналит. химии», 1960, 15, № 4, 443—445 (рез. англ.).—Для фотометрич. определения Ce использован цветная р-ция с о-толидином (I). Установлено, что закон Бера соблюдается при конц-ии  $\text{Ce} < 3$  γ/мл. Окраска устойчива 20 мин. Мол. коэф. экстинкции равен ~9500. Р-ция  $\text{Ce}$  с I в 20 раз чувствительнее, чем р-ция с  $\text{H}_2\text{O}_2$ . Изменение pH р-ра в пределах 0—4 не влияет на чувствительность р-ции.  $\text{Ce}$  выделяет с осаждением с оксалатом La (12 мкг  $\text{La}^{3+}$  достаточно для колич. выделения 10—200 γ  $\text{Ce}$ ), осадок оксалатов прокаливают, смесь окислов, содержащую  $\text{CeO}_2$ , обрабатывают 10—12 каплями горячей конц.  $\text{H}_2\text{SO}_4$ , не содержащей восстановителей (при этом  $\text{CeO}_2$  переходит в  $\text{Ce}(\text{SO}_4)_2$ , прибавляют 1 мл 0,05%-ного р-ра I в 10%-ной  $\text{H}_2\text{SO}_4$ , разбавляют водой до 100 мл и фотометрируют с синим светофильтром. При анализе материалов, содержащих Fe, Al, Ti и Mn, перед осаждением оксалатов производят осаждение гидроксидов аммиаком в присутствии  $\text{H}_2\text{O}_2$  (для удаления Ti), а

тем пересаждают гидроокиси в присутствии  $\text{NH}_4\text{OH} \cdot \text{HCl}$  (для удаления Mn), после чего осаждают оксалаты, в присутствии 36 мг  $\text{La}(\text{NO}_3)_3$  (коллектор). Th, Y, Nd, Pr, Yb, Tb и Sm не мешают. Метод применен для определения Ce в апатите, титаните и монцитите.

В. Лукьянов

6Д104. Исследования в области эмиссионного спектрального анализа. IV. Спектральное определение гафния в окиси циркония. 2. Исследование искрового возбуждения с ситообразным электродом. Sakai Shoushiro. «Tokai kōgei sikkenshō hokoku, Repts Govt Chem. Industr. Res. Inst., Tokyo», 1960, 55, № 7, 241—246, 26 (японск.; рез. англ.).—Для спектрального определения Hf в реакторном  $\text{ZrO}_2$  применяют ситообразный электрод (РЖХим, 1957, № 9, 31014). Мелко измельченные образцы смешивают с равным кол-вом графитового порошка и помещают в полный графитовый электрод с ситообразным дном. Диаметр канала электрода 3 мм, толщина дна 1 мм, диаметр 4-х отверстий по 0,7 мм. Спектры возбуждают в разряде от генератора Multisource (940 в, 360 мк, 5 мф, 0 ом) и фотграфируют спектрографом QL-170 в течение 60 сек. Анализ производят по линиям Hf 2641,4—Zr 2665,2 Å. Воспроизводимость результатов определений 4,3% при конц-ии Hf  $1 \cdot 10^{-1}\%$ ; чувствительность  $\sim 1 \cdot 10^{-2}\%$ . Сообщение III см. РЖХим, 1960, № 21, 84364.

Б. Львов

6Д105. Потенциометрическое определение плутония. Fudge A. J., Wood A. J., Banham M. F. The potentiometric determination of plutonium. «Atomic Energy Res. Establ.», 1960, № R3264, 17 pp., ill. (англ.).—Описан простой и надежный метод потенциометрич. титрования  $1\text{—}10$  мг Pu в сернокислой среде после восстановления его до  $\text{Pu}^{3+}$  р-ром  $\text{CrSO}_4$  в 1 M  $\text{H}_2\text{SO}_4$ . Избыток  $\text{Cr}^{2+}$  окисляют воздухом до достижения устойчивого потенциала, регистрируемого с помощью Pt- и Hg-Cl<sub>2</sub>-электрода.  $\text{Pu}^{3+}$  титруют стандартным р-ром  $\text{Ce}(\text{SO}_4)_2$  из микрометрич. бюретки. Приведен способ отделения Pu от элементов, мешающих титрованию. Относительная ошибка метода при определении  $2\text{—}10$  мг Pu составляет  $\pm 0,2\%$ .

Резюме авторов

6Д106. Спектрофотометрическое определение германия с помощью фенилфлуорона в среде соляной и фосфорной кислот. Фань Чун-и-мин, Цюй Чан-чунь. «Сябай дасюэ сюэбао (цзякань ксюэ)», Xibei daxue xuebao. Ziran kexue, 1959, № 4, 73—79 (кит.).—Изучена зависимость оптич. плотности комплексов Ge с фенилфлуороном (I) в среде HCl и  $\text{H}_3\text{PO}_4$  от длины волны, pH, кол-ва I и времени. Установлено, что закон Бера (при 505—510 мμ) соблюдается при конц-ии Ge до  $2,5$  γ/мл в присутствии 10 мл 0,03%-ного р-ра I (0,015 г I растворяют в 200 мл этанола, прибавляют 25 мл  $\text{H}_2\text{SO}_4$  (1:6) и разбавляют этанолом до 500 мл) и р-ра гуммиарабика. В среде  $\text{H}_3\text{PO}_4$  окраска р-ра I и комплекса Ge с I более устойчива, чем в среде HCl. Закон Бера соблюдается в среде  $\text{H}_3\text{PO}_4$  и не соблюдается в среде HCl. Изменения оптич. плотности при взаимодействии одинаковых кол-в Ge с разными кол-вами р-ра I обусловлено диссоциацией и изменением состояния реактива в р-ре.

А. Петренко

6Д107. Комплексометрическое титрование (хелатометрия). XLVI. Прямое определение двувалентного олова. Дубский И. «Collect. Czechosl. Chem. Commun.», 1959, 24, № 12, 4045—4048 (рез. нем.).—Описан метод комплексометрич. титрования  $\text{Sn}^{2+}$  в среде пиридин-ацетатного буферного р-ра (pH 5,5—6) с применением метилтиолового синего в качестве индикатора.  $\text{Sn}^{4+}$  маскируют р-ром  $\text{NH}_4\text{F}$ , а  $\text{Sb}^{3+}$  — винной к-той. К пробе, содержащей  $< 50$  мг  $\text{Sn}^{2+}$ ,  $< 50$  мг  $\text{Sn}^{4+}$  и  $< 10$  мг  $\text{Sb}^{3+}$ , прибавляют 10 мл 1%-ного р-ра  $\text{NH}_4\text{F}$  и 2 мл 1%-ной винной к-ты (только в присутствии  $\text{Sb}^{3+}$ ). Кислый р-р предварительно нейтрализуют пиридином, а затем устанавливают pH 5,5—6 пиридин-ацетатным буферным р-ром (40 мл лед. уксусной

к-ты и 160 мл пиридина смешивают и разбавляют водой до 1 л), прибавляют индикатор (смесь метилтиолового синего с  $\text{KNO}_3$  в отношении 1:100) и титруют 0,05 M р-ром комплексона III до перехода синей окраски через фиолетовую и розовую в ярко-желтую. В присутствии избытка  $\text{NH}_4\text{F}$  или винной к-ты переход окраски менее четкий и результаты получаются заниженными. Щел. и щел.-зем. элементы титрованию не мешают, оксалаты и цитраты мешают. При определении  $27\text{—}53$  мг  $\text{Sn}^{2+}$  в присутствии равных кол-в  $\text{Sn}^{4+}$  (или  $10\text{—}20$  мг  $\text{Sb}^{3+}$ ) относительная ошибка определения колеблется от  $-0,2$  до  $-1,6\%$ . Сообщение XLV см. РЖХим, 1961, 1Д73.

В. Лукьянов

6Д108. Определение свинца в свинцовых рудах методом комплексонометрического титрования. Гуань Синь-юань. «Хуасюэ тунбао, Huaxue tongbao», 1960, № 7, 43—45 (кит.).—Описан метод комплексонометрич. определения Pb в Pb-рудах с использованием кислородного оранжевого (I) в качестве индикатора в среде ацетатного буферного р-ра (pH 5,4—5,9), служащего одновременно р-рителем для  $\text{PbSO}_4$ .  $0,2\text{—}0,5$  г пробы нагревают с 15 мл конц. HCl в течение 10 мин., затем прибавляют 5 мл конц.  $\text{HNO}_3$  и нагревают до полного растворения пробы. К полученному р-ру прибавляют 10 мл  $\text{H}_2\text{SO}_4$  (1:1) и выпаривают до появления обильных белых паров  $\text{H}_2\text{SO}_4$ . К охлажд. остатку прибавляют 50 мл воды и кипятят несколько минут. По охлаждении осадок отфильтровывают через плотный фильтр, промывают 2%-ным р-ром  $\text{H}_2\text{SO}_4$  (до отрицательной р-ции на  $\text{Fe}^{3+}$ ), смывают водой в стакан, в котором проводилось осаждение, и растворяют при нагревании в течение 40 мин. в  $\sim 30$  мл буферного р-ра ( $30$  г  $\text{CH}_3\text{COONH}_4$  растворяют в 70 мл воды, содержащей 1 мл лед.  $\text{CH}_3\text{COOH}$ ; перед употреблением р-р разбавляют в 2 раза водой). Полученный р-р охлаждают, разбавляют водой до  $\sim 100$  мл, прибавляют 0,1 г I (смесь I:  $\text{KNO}_3 = 1:100$ ) и титруют 0,025 M р-ром комплексона III до перехода красно-фиолетовой окраски в желтую. Метод пригоден для определения  $12,76\text{—}85,84\%$  Pb с высокой точностью. Присутствие Са не мешает определению Pb.

А. Петренко

6Д109. Кислотный хром чистоголубой В, как реактив на титан, цирконий, гафний и торий. Шеянова Ф. Р., Ганина В. И. «Тр. по химии и хим. технол. (Горький)», 1960, вып. 1, 101—105.—Установлено, что кислотный хром чисто-голубой В (I) при pH 2—5 образует с  $\text{Ti}^{4+}$ , Zr, Hf и Th комплексы преимущественно фиолетового цвета. Zr реагирует с I также и в среде 1—2 н.  $\text{HNO}_3$  при нагревании. Открываемый минимум каждого элемента  $2\text{—}2,5$  γ/мл. В состав комплексов металл и I входят в соотношении 1:2. При определении Zr к подкисленному р-ру, содержащему  $2\text{—}10$  γ Zr в виде нитрата (в небольшой мерной колбе), прибавляют 4 мл буферного р-ра с pH 5, вводят 0,2 мл 0,05%-ного водн. р-ра I, разбавляют водой, перемешивают и фотометрируют с зеленым светофильтром в 2-см кюветах. При определении Zr в Mg-сплавах образец (20—30 мг) растворяют в  $\text{HNO}_3$  (1:1), упаривают, разбавляют 0,001 н. р-ром  $\text{HNO}_3$  до 50 мл и фотометрируют. При содержании Zr 0,3—0,5% относительная ошибка определения составляет 2,1—5,9%.

В. Лукьянов

6Д110. Аналитическая химия циркония. I. Применение о-крезотиновой и 4-аминосалициловой кислот для определения циркония. Subbanna V. V., Bhattacharya A. K. Analytical chemistry of zirconium. 1. O-cresotic acid and 4-aminosalicylic acid in the determination of zirconium. «Analyt. chim. acta», 1960, 23, № 2, 145—146 (англ.; рез. франц., нем.).—О-Крезотиновая (I) и 4-аминосалициловая (II) к-ты осаждают Zr и могут быть применены для гравиметрич. определения. К горячему (80°) р-ру пробы, содержащему  $2,5\text{—}250$  мг  $\text{ZrO}_2$ , и имеющему pH 1,4—5,4 (при осаж-

дении с помощью I) или 1,4—3,3 (при осаждении р-ром II), прибавляют 1%-ный р-р I или II до полного осаждения Zr, выдерживают 10 мин., фильтруют через бумажный фильтр, осадок промывают горячей водой, высушивают, прокаливают и взвешивают в виде  $ZrO_2$ . I более чувствителен и образует легче фильтрующийся осадок, чем II. Определению не мешают  $Bi^{3+}$ ,  $Cr^{3+}$ ,  $Ce^{4+}$ ,  $Mn^{2+}$ ,  $Mo^{6+}$  и  $V^{4+}$ . Мешает Th. В присутствии  $Fe^{3+}$ ,  $Cu^{2+}$  и  $UO_2^{2+}$  необходимо пересаживание.

В. Лукьянов

**6Д111. Определение циркония комплексометрическим методом после отделения в виде циркониево-магниево-молбденовой соли.** Endo Coshihide, Takagi Hajime. «Бунсэки кагаку, Japan Analyst», 1960, 9, № 6, 503—507 (японск.; рез. англ.).—Кислый р-р, содержащий  $Zr^{4+}$ , обрабатывают комплексом III (для маскирования посторонних элементов), прибавляют 10 мл 10%-ной  $H_2O_2$  и избыток соли Mg, перемешивают при комнатной т-ре, устанавливают pH 8,8 и выдерживают 10—15 мин. для выделения осадка. Осадок фильтруют, промывают холодной водой, прокаливают, сдвигают с  $KHSO_4$  и выплавляют плав 100 мл  $H_2SO_4$  (1:10). К р-ру прибавляют 10 мл 50%-ного р-ра ацетата аммония и избыток комплексона III, устанавливают pH 5—6, нагревают (для образования комплексона Zr (и избыток комплексона III оттитровывают при pH 3 р-ром  $Cu^{2+}$  по 1-(2-пиридилазо)-2-нафтолу. Определению мешают Al и редкоземельные элементы.

В. Лукьянов

**6Д112. Фотоколориметрическое определение циркония в виде фосфорно-молибдено-циркониевого комплекса.** Вейцман Р. М. «Заводск. лаборатория», 1960, 26, № 8, 927—929.—Установлены оптимальные условия фотометрич. определения Zr в виде фосфорно-молибдено-циркониевого комплекса (I), восстанавливаемого р-ром  $SnCl_2$  с образованием синей окраски. I образуется в сернокислой или уксуснокислой среде при pH 3; оптимальная конц-я  $(NH_4)_2HPO_4$  — 0,004 М. Избыток молибдата аммония не должен превышать 0,005 моль/л во избежание образования фосфорномолибденовой к-ты. Восстановление р-ром  $SnCl_2$  производят в 2 н.  $H_2SO_4$  в присутствии цитрата K (для предотвращения гидролиза Zr). Интенсивность синей окраски увеличивается в присутствии комплексона III и при уменьшении кислотности р-ра; при конц-ях к-ты < 1 н. наблюдается резкое увеличение оптич. плотности р-ра, по-видимому, вследствие восстановления избыточного Mo. Интенсивность синей окраски зависит также от продолжительности действия к-ты на I. Закон Бера соблюдается при конц-ях Zr 20—500 γ на 100 мл. Определению Zr не мешают W, Co, Ta, Fe (5-кратное кол-во) и Nb при соотношении Zr:Nb > 10:1. При соотношении Zr:Nb < 5:1 результаты могут быть завышены на > 10%. Ti мешает при содержании 2 мг на 200 мл. На основе полученных данных разработана методика определения Zr. К 20 мл р-ра сульфата Zr (1—25 мг Zr) прибавляют 10 мл 10%-ного р-ра тартрата K, нейтрализуют аммиаком по конго и разбавляют водой до 200 мл. К 20 мл полученного р-ра прибавляют 20 мл воды, 0,5 мл 5%-ного р-ра  $(NH_4)_2HPO_4$  и 3 мл 10%-ного р-ра молибдата аммония, осторожно нейтрализуют р-ром  $H_2SO_4$  (1:4) до синей окраски бумаги конго и разбавляют водой до 100 мл. Через 10—15 мин. к 20 мл полученного желтого р-ра прибавляют 15 мл 4%-ного р-ра комплексона III, немедленно вводят 10 мл  $H_2SO_4$  (1:4) (начало прибавления  $H_2SO_4$  фиксируют по секундомеру), через 30 сек. прибавляют 1 мл 0,1%-ного р-ра  $SnCl_2$ , перемешивают 2—5 сек., разбавляют водой до 100 мл и фотометрируют с красным светофильтром в 20-см кюветках.

В. Лукьянов

**6Д113. Спектрофотометрическое определение циркония в сплаве на основе магния.** Shibata Shozo, Ishiguro Yoshio, Matsumae Teiichi. Spectro-

photometric determination of zirconium in magnesium-base alloy. «Analyst. chim. acta», 1960, 23, № 4, 384—387 (англ.; рез. франц., нем.).—Неотерон (I) при pH 1,6—2,0 образует с Zr синий комплекс с максимумом светопоглощения при 578 мμ (светопоглощение I в этой области незначительно), пригодный для спектрофотометрич. определения Zr. Установлено, что в состав комплекса Zr и I входят в соотношении 2:1. Мол. коэф. светопоглощения комплекса равен 2400. Окраска развивается в течение 1 часа и при комнатной т-ре устойчива по крайней мере 4 часа. Закон Бера соблюдается при конц-ях Zr < 500 γ на 25 мл. Определению Zr мешают Th, Nb, Ta,  $PO_4^{3-}$ ,  $ClO_4^-$ ,  $C_2O_4^{2-}$ , цитрат и тартрат. Не мешают Al, Mg, Cu, Fe, Ce, Ti, U,  $CH_3COO^-$ ,  $SO_4^{2-}$ ,  $Cl^-$  и  $NO_3^-$ . 1 г сплава растворяют при нагревании в 20 мл HCl (1:1), охлаждают, нейтрализуют аммиаком и разбавляют водой до 200 мл. 10 мл р-ра переносят в мерную колбу на 25 мл, содержащую 2 мл 0,1%-ного водн. р-ра I и 5 мл буферного р-ра с pH 1,6—2,0 (готовят смешением 0,2 н. KCl и 0,2 н. HCl), разбавляют водой до метки, перемешивают, выдерживают 1 час и спектрофотометрируют при 578 мμ, применяя в качестве р-ра сравнения р-р образца Mg-сплава без Zr.

В. Лукьянов

**6Д114. 2,5-диоксип-н-бензохинон как аналитический реактив для гравиметрического определения тория и циркония.** Jain B. D., Singhal S. P. 2:5-dihydroxy-p-benzoquinone as an analytical reagent for the gravimetric determination of thorium and zirconium. «Talanta», 1960, 4, № 3, 178—181 (англ.; рез. нем., франц.).—Установлено, что 2,5-диоксип-н-бензохинон (I) из 1 н. HCl количественно осаждает Th в присутствии ≤ 15-кратных весовых кол-в La,  $Ce^{4+}$ ,  $Ce^{3+}$ , U, а также осаждает Zr в присутствии ≤ 10-кратных кол-в Ti (Th и Zr в отсутствие посторонних элементов количественно осаждаются также из 2 н. HCl).  $Ce^{4+}$  осаждается количественно лишь при pH 3. Выделяющиеся фиолетовые осадки (при pH > 0,5 студенистые, а в более кислых р-рах — кристаллические) слабо растворимы в воде, разб. этаноле и разб.  $CH_3COOH$ . На основе полученных данных разработаны методы определения Th и Zr. Для определения Th к анализируемому р-ру (1 н. по HCl), содержащему ~50 мг  $ThO_2$  и < 15-кратные весовые кол-ва  $La_2O_3$ ,  $CeO_2$ ,  $Ce_2O_3$  и  $U_3O_8$ , прибавляют ~0,4 г твердого I или его водн. р-ра, кипятят 1—2 мин. и охлаждают до комнатной т-ры. Осадок отфильтровывают через бумажный фильтр, промывают 200 мл 0,2%-ного р-ра I в 1 н. HCl, высушивают и прокаливают до  $ThO_2$ . При определении 48,6 мг  $ThO_2$  в присутствии 50—750 мг окислов вышеуказанных элементов абс. ошибка не превышает ± 0,2 мг  $ThO_2$ . Осаждение Zr в присутствии Ti производят аналогично.  $Fe^{3+}$  мешает определению Zr. При определении 35,0 мг  $ZrO_2$  в присутствии 21,6—324,0 мг  $TiO_2$  абс. ошибка определения не превышает —0,2 мг  $ZrO_2$ .

В. Лукьянов

**6Д115. Комплексометрический метод определения тория и циркония в магниевых сплавах.** Володарская Р. С. «Заводск. лаборатория», 1960, 26, № 8, 925—927.—Разработаны комплексометрич. метод определения Th (< 4%) и Zr (< 1%) в Mg-сплавах. Определению Th мешают Zr и  $Ce^{4+}$ ; первый отделяют осадком фениларсоновой к-той, второй — восстанавливают аскорбиновой к-той. При определении Th в сплавах, не содержащих Zr, образец (1 г) растворяют в 30 мл HCl (1:1), нейтрализуют аммиаком по конго, прибавляют 1 мл 0,1%-ного р-ра арсената и титруют 0,025 н. р-ром комплексона III до перехода синешлизовой окраски в розовую. Определению не мешают Mg, Zn, Al, Mn, Cd,  $Ce^{3+}$ , Nd, Pr и La, а также Cu, Ni и Pb (< 0,02, 0,5 и 0,1% соответственно). При определении Th в сплавах, содержащих Zr, последний осаждают из сернохлористого р-ра прибавлением 2—3 мл 1%-ного р-ра фениларсоновой к-ты, осадок отфильтровывают и в



magnesium-  
 384—387  
 pH 1,8—  
 ом свето-  
 I в этой  
 электрофо-  
 в состав  
 2:1. Мол.  
 Окраска  
 тной т-ре  
 ра соблю-  
 делению  
 цитрат и  
 i, U, CH<sub>3</sub>  
 рияют при  
 г, нейтра-  
 200 мл.  
 мл, содер-  
 буферного  
 н. KCl и  
 мешивают,  
 дуют при  
 р-р образ-  
 Лукьянов  
 тический  
 тория и  
 Dihydroxy-  
 the gravi-  
 (Talan-  
 франц.).—  
 из 1 п.  
 исустеств  
 U, а так-  
 жие кол-  
 втов кол-  
 е<sup>4+</sup> оса-  
 жения  
 стые, а в  
 бо раство-  
 На осно-  
 опреде-  
 ирующему  
 ThO<sub>2</sub> и  
 O<sub>2</sub> и U<sub>2</sub>O<sub>5</sub>  
 дн. р-ра,  
 кой т-ры.  
 фильтр  
 Cl, высу-  
 делении  
 ов выше-  
 равывает  
 Ti про-  
 Zr. При  
 —324,0 мг  
 —0,2 мг  
 Лукьянов  
 опреде-  
 е. Воло-  
 26, № 8,  
 год опре-  
 жают оса-  
 жения  
 а в спла-  
 вляют в  
 ко конго,  
 титруют  
 не-лизо-  
 лают Mg,  
 Ni и Pb  
 делении  
 дают 12  
 го р-ра  
 ют и в

аликвотной порции фильтрата определяют Th. При определении Zr в сплавах, не содержащих Th, в сильно солянокислый р-р (~20%-ный по HCl) вводят 0,025 п. р-р комплексона III с избытком в 4—5 мл, кипятят 2—3 мин., охлаждают до 40—50°, нейтрализуют аммиаком по конго (pH 2,0—2,5), прибавляют 2 мл 10%-ного р-ра сульфосалициловой к-ты и избыток комплексона III оттитровывают 0,025 п. р-ром FeCl<sub>3</sub> до перехода желтой окраски в розоватую. Не мешают Mg, Ag, Cd, Zn, Al, Mn, Nd, Pr и La. Th мешают, и в его присутствии Zr предварительные выделения осаждением феноларсоновой к-той из р-ра 10%-ного по HCl, осадок переводят в р-р сплавлением и далее титруют Zr как описано выше.

В. Лукьянов  
6Д116. Аналитическая химия тория. Сообщ. 2. Комплексонометрическое определение тория в монацитовых концентратах после отделения его на катионите КУ-2. Черников Ю. А., Лукьянов В. Ф., Козлова А. Б. «Ж. аналит. химии», 1960, 15, № 4, 452—454 (рез. англ.).—Разработан метод комплексонометрич. определения Th в монацитах после выделения из солянокислого р-ра сорбцией на катионите КУ-2. Для предотвращения сорбции Zr его связывают в анионный комплекс винной или триоксиглutarовой к-той. Значительная часть фосфата отделяется при разложении пробы сплавлением с Na<sub>2</sub>O<sub>2</sub> и выщелачивании плава водой; оставшийся фосфат сорбции Th не мешает. Th десорбируют карбонатом аммония, р-р подкисляют и титруют комплексом III при pH 2,4—2,6 по ксиленовому оранжевому. 2 г монацитового концентрата сплавляют с 10—12 г Na<sub>2</sub>O<sub>2</sub> при 600—650° в корундовом или Fe-тигле, плава выщелачивают горячей водой, осадок отфильтровывают, промывают 5%-ным р-ром NaOH и растворяют в горячей HCl (1:1). Р-р выпаривают почти досуха, прибавляют 20 мл конц. HCl и 20 мл воды и отфильтровывают осадок, содержащий фосфат Zr. К р-ру и промывным водам прибавляют 5 мл 20%-ного р-ра триоксиглutarовой или винной к-ты и разбавляют водой до 100 мл. 25 мл р-ра пропускают со скоростью 1 мл/мин через колонку (длина 24, диам. 1,5 см), заполненную 20—25 мл катионита КУ-2 с размером зерен 0,16—0,3 мм (катионит предварительно промывают 20%-ной HCl до отрицательной р-ции на Fe<sup>3+</sup> с роданидом). Колонку промывают 70 мл 20%-ной HCl (порциями по 10—15 мл) и 50 мл 20%-ного р-ра NH<sub>4</sub>Cl. Th элюируют 50 мл 20%-ного р-ра (NH<sub>4</sub>)<sub>2</sub>CO<sub>3</sub> (порциями по 5—7 мл) и 20—30 мл воды. Карбонат разрушают р-ром HCl (1:1), полученный р-р (130—150 мл) кипятят 2—3 мин., прибавляют р-р NH<sub>4</sub>OH (1:1) до pH 2,4—2,6 по α-динитрофенолу, вводят 1—2 капли HCl (1:1), 2 капли 0,5%-ного водн. р-ра ксиленового оранжевого и титруют ~0,02 M р-ром комплексона III до перехода малиново-красной окраски в лимонно-желтую. Сообщение 1 см. РЖХим, 1960, № 7, 26266.

В. Лукьянов  
6Д117. Определение тория при помощи оксинальдина. Corsini A., Graham R. P. Thorium determinations with 8-hydroxyquinoline. «Analyst. chim. acta», 1960, 23, № 3, 248—256 (англ.; рез. франц., нем.).—Установлено, что при pH 6,1—11 оксинальдин (I) количественно осаждает Th (при содержании Th > 0,012 мг/мл) в виде комплекса с соотношением Th:I = 1:4. Для осаждения необходим ~70%-ный избыток I. С комплексом соосаждается некоторая часть реактива, который во время высушивания при 110° улетучивается. На основе полученных данных разработан гравиметрич. метод определения Th. Пробу (50 мл р-ра Th с конц-ей < 0,7 мг/мл) нагревают до ~70°, медленно прибавляют 8,0 мл р-ра I (2 г I растворяют в 6,3 мл лед. CH<sub>3</sub>COOH и разбавляют водой до 100 мл), вводят 2,0 г CH<sub>3</sub>COONH<sub>4</sub>, растворенного в 10 мл горячей (70°) воды, прибавляют 1 M NH<sub>4</sub>OH до pH 8—9 и выдерживают 1 час при ~70°. Не обмывая часового стекла (содержащего часть возогнанного I), стакан

несколько охлаждают, осадок отфильтровывают через стеклянный фильтр средней плотности, промывают ~75 мл горячего 0,15 M р-ра NH<sub>4</sub>OH, сушат 1 час при 110 ± 5° и взвешивают в виде Th(C<sub>10</sub>H<sub>5</sub>ON)<sub>4</sub>. Определение также можно заканчивать бромометрич. методом.

В. Лукьянов

6Д118. Проверка определения тория при помощи 2-н-сульфопенилазо-1,8-диоксинафталин-3,6-дисульфокислоты. Cooper J. A., Vernon M. J. A reinvestigation of the determination of thorium with spadns. «Analyst. chim. acta», 1960, 23, № 4, 351—354 (англ.; рез. франц., нем.).—В ранее опубликованной работе по фотометрич. определению Th при помощи 2-н-сульфопенилазо-1,8-диоксинафталин-3,6-дисульфокислоты (I) (РЖХим, 1957, № 18, 60846) отмечалась высокая чувствительность р-ции: определяемый минимум 0,04 γ Th в ацетатном буферном р-ре. Точное совпадение положений максимумов и минимумов спектров поглощения синтезированного реактива и его комплекса с Th с данными предыдущей работы (см. ссылку) подтвердило идентичность синтезированного I с используемым в вышеуказанной работе, однако р-ция оказалась значительно менее чувствительной: определяемый минимум 10 γ Th (при pH 3,1). Кроме того, выяснилось, что ацетат сильно маскирует р-цию, вследствие чего применять его в качестве буферного р-ра не рекомендуется. В состав комплекса Th и I входят в соотношении 1:1.

В. Лукьянов

6Д119. Кондуктометрическое определение тория в разбавленных растворах хлорида тория. Menon P. G. Conductometric estimation of thorium in dilute thorium chloride. «Z. analyt. Chem.», 1960, 176, № 4, 264—269 (англ.).—Изучено кондуктометрич. титрование разб. р-ров ThCl<sub>4</sub> (0,001, 0,0005 и 0,00033 M) р-рами H<sub>2</sub>C<sub>2</sub>O<sub>4</sub>, (NH<sub>4</sub>)<sub>2</sub>C<sub>2</sub>O<sub>4</sub> и AgNO<sub>3</sub>. Установлено, что наилучшим титрантом для быстрого определения Th является H<sub>2</sub>C<sub>2</sub>O<sub>4</sub> (миним. ошибка определения ± 0,5%). Титрование р-рами (NH<sub>4</sub>)<sub>2</sub>C<sub>2</sub>O<sub>4</sub> и AgNO<sub>3</sub> не дает удовлетворительных результатов. При титровании ThCl<sub>4</sub> р-ром (NH<sub>4</sub>)<sub>2</sub>C<sub>2</sub>O<sub>4</sub> обнаружена ступенчатая диссоциация ThCl<sub>4</sub> на ThCl<sub>2</sub><sup>2+</sup>, ThCl<sup>3+</sup> и Th<sup>4+</sup>. На кривой титрования смеси ThCl<sub>4</sub> и CeCl<sub>3</sub> обнаружен один перегиб, соответствующий полному осаждению Th и Ce (миним. ошибка ± 1,43%).

Ф. Трахтенберг

6Д120. Экстрагирование и пламениоспектрофотометрическое определение ванадия. Stander Cornelius M. Extraction and flame spectrophotometric determination of vanadium. «Analyst. Chem.», 1960, 32, № 10, 1296—1299 (англ.).—Разработаны условия определения V с помощью спектрофотометра Бекман DU с фотоумножителем и горелкой для ацетиленово-кислородного пламени при введении V в пламя в виде ацетилацетатного р-ра купфероната V<sup>4+</sup>. Определение производится по пику мол. полосы (МП) VO при 550 мμ. Интенсивность МП возрастает с увеличением давления C<sub>2</sub>H<sub>2</sub> в горелке (0,07—0,56 кг/см<sup>2</sup>) и мало зависит от изменения давления O<sub>2</sub> (0,35—0,56 кг/см<sup>2</sup>). Чувствительность определения V равна 1 γ/мл. Калибровочный график прямолинеен в области конц-й V 1—100 γ/мл. Ce, Ta, Sn, Th, W и U не мешают определению V при конц-й до 200—400 γ/мл. Ряд других элементов мешают определению, давая в спектре пламени МП или сплошное излучение. При определении 100 γ/мл V допустимо наличие в р-ре элементов в конц-й (в γ/мл): Cu < 50, Fe < 10, Nb < 20, Ti < 10 и Zr < 40. Разработаны методики определения V в сталях, феррохроме и магнетитильмените. После переведения образца в р-р (стали растворяют в H<sub>2</sub>SO<sub>4</sub>, феррохром и магнетитильменит — сплавливают с Na<sub>2</sub>O<sub>2</sub> и отделяют гидроксиды Fe, Cu, Nb, Ti и Zr) производят электролиз с Hg-катодом для удаления Fe, а также Cu, Sn и Mo. Полученный р-р нейтрализуют аммиаком, подкисляют р-ром H<sub>2</sub>SO<sub>4</sub> до конц-й ее 0,5 н и экстрагируют 3 раза ацетилацетатом, добавляя каждый раз по

0,025—0,05 г купферона. Экстракт разбавляют ацетил-ацетатом до 25—50 мл и фотометрируют. Метод дает хорошие результаты при содержании V 0,15—1,1%.

Н. Полуэктов

6Д121. Комплексонометрический метод определения ниобия в железе и стали. Wakamatsu Shigeo. «Бунсэки кагаку, Japan Analyst», 1960, 9, № 7, 587—591 (японск.; рез. англ.).—К образцу (2—12 мг Nb) прибавляют конц. HCl, конц. H<sub>2</sub>SO<sub>4</sub> р-р соли Zn (~0,2 M), ацетон и 1 мл 30%-ного р-ра H<sub>2</sub>O<sub>2</sub>, разбавляют водой до 70 мл и нейтрализуют р-ром NH<sub>4</sub>OH до pH 6,0—6,5 (при этом Nb(5+) соосаждается с Zn<sup>2+</sup>, образуя соединение, в которое Nb и Zn входят в соотношении 2,63). Через 2 часа осадок отфильтровывают, промывают 3—4 раза промывным р-ром (смешивают 800 мл воды, 10 мл конц. H<sub>2</sub>SO<sub>4</sub> и 200 мл ацетона) и нейтрализуют р-ром NH<sub>4</sub>OH до pH 6,0 и растворяют в 20 мл HCl (1:3). К полученному р-ру прибавляют комплексон III (I) в небольшом избытке по отношению к Zn и 5 мл 50%-ного р-ра CH<sub>3</sub>COONH<sub>4</sub>, вводят NH<sub>4</sub>OH до pH 5—6, и избыток I оттитровывают р-ром CuSO<sub>4</sub> с использованием 1-(2-пиридилазо)-2-нафтола в качестве индикатора. Кол-во Nb рассчитывают по ф-ле: 1 мл 0,01 M р-ра I = 0,00172 г Nb. В присутствии Ta определяется Nb + Ta. Определению не мешают небольшие кол-ва Fe, Ti, W и Mo.

В. Иванов

6Д122. Рентгенографическое определение продуктов химических реакций при спектральном определении тантала. Тарасевич Н. И., Семенов К. А., Семенов К. Н. «Вестн. Моск. ун-та. Химия», 1960, № 3, 37—39.—При спектральном определении Ta в результате хим. р-ций, протекающих в кратере угольного электрода, образуется ряд соединений Ta (РЖХим, 1959, № 12, 42083). Ta<sub>2</sub>O<sub>5</sub> при взаимодействии с угольным электродом образует главным образом тетрагон. фазу, в которой  $a = 4,73 \pm 0,01$  Å и  $c = 3,05 \pm 0,001$  Å. Эта фаза, по-видимому, представляет собой TiO<sub>2</sub> (РЖХим, 1955, № 10, 18192). В исследуемой смеси обнаружено также две модификации Ta<sub>2</sub>O<sub>5</sub>, высокотемпературная α-Ta<sub>2</sub>O<sub>5</sub>, имеющая тетрагон. решетку с  $a = 3,80$  Å и  $c = 35,60$  Å, и модификация, впервые обнаруженная Ю. П. Симановым (РЖХим, 1955, № 15, 31425). Изучение продуктов р-ций Ta<sub>2</sub>O<sub>5</sub> + C; Ta<sub>2</sub>O<sub>5</sub> + SiO<sub>2</sub> + C и Ta<sub>2</sub>O<sub>5</sub> + Si + C показало, что восстановление Ta<sub>2</sub>O<sub>5</sub> полнее всего происходит в присутствии свободного Si. В этом случае в продуктах восстановления обнаружен TaO.

С. Гусинская

6Д123. Фотометрическое определение хрома в сталях и алюминиевых сплавах. Nordling Walter D. Photometric determination of chromium in steels and aluminum alloys. «Chemists — Analyst», 1960, 49, № 3, 78—79, 88 (англ.).—Описан метод фотометрич. определения Cr с применением комплексона III (I) в качестве реактива. Метод исключает предварительное отделение многих элементов (Fe, Cu, Ni, Co, W, Mo). Использование высокой кислотности (pH 0,6—0,8) и аскорбиновой к-ты (II) обеспечивает избирательность р-ции. Определение Cr проводят непосредственно после растворения образца. При анализе стальной образец растворяют в смеси HCl и HNO<sub>3</sub>. Избыток к-т удаляют упариванием с H<sub>2</sub>SO<sub>4</sub> (1:1), р-р разбавляют и фильтруют для отделения W и Mo. Аликвотную порцию р-ра (5 мл) разбавляют до 30 мл водой, нагревают до кипения, добавляют 20%-ный р-р NaOH до появления осадка, подкисляют 4—5 каплями H<sub>2</sub>SO<sub>4</sub> (1:1) и сверх этого прибавляют 8 мл H<sub>2</sub>SO<sub>4</sub> (1:4), вводят 0,15 г II и нагревают до кипения. По охлаждению прибавляют горячий 9%-ный р-р I, разбавляют горячей водой до 80 мл и помещают в кипящую водяную баню на 30 мин. Затем вводят 10 мл 3%-ной H<sub>2</sub>SO<sub>4</sub>, охлаждают до комнатной т-ры, разбавляют 30%-ной H<sub>2</sub>SO<sub>4</sub> до 100 мл, перемешивают и измеряют светопоглощение р-ра при 538 мμ. Cr с I образует интенсивно окрашен-

ный комплекс с окраской устойчивой в течение 2 час. При анализе алюминиевых сплавов 2,5 г образца растворяют в 50 мл 30%-ной HBF<sub>4</sub>. При этом Si не растворяется и определению не мешает. Дальнейший ход определения аналогичен выше описанному, за исключением того, что кол-ва I и II составляют 0,5 и 0,2 г соответственно, а в анализируемый р-р вводят 2%-ную H<sub>2</sub>SO<sub>4</sub>. При определении Cr в стандартных образцах стальной и Al-сплавов с содержанием до 14% Ni и 2,9% Co получены удовлетворительные результаты.

Н. Басаргин

6Д124. Спектрофотометрическое определение малых количеств урана при помощи оксихинолина. Motojima Kenji, Yoshida Hiroyuki, Izawa Kmie. Spectrophotometric determination of small amounts of uranium with 8-quinolinol. «Analyst. Chem.», 1960, 32, № 9, 1083—1085 (англ.).—Разработан спектрофотометрич. метод определения U, основанный на экстрагировании оксихинолината UO<sub>2</sub><sup>2+</sup> при pH 6,5—9 и измерении светопоглощения органич. фазы при 380 мμ. Окраска р-ра устойчива по меньшей мере 72 часа. Закон Бера соблюдается при конц-ии U 10—40 γ/мл (при использовании 1-см кювет). Определению U мешают F<sup>-</sup>, CO<sub>3</sub><sup>2-</sup> и PO<sub>4</sub><sup>3-</sup>. При определении U в присутствии посторонних катионов полученный экстракт делят на две порции и из одной из них U реэкстрагируют р-ром (NH<sub>4</sub>)<sub>2</sub>CO<sub>3</sub>; затем измеряют светопоглощение каждой порции и по разности вычисляют содержание U. При таком способе определения мешают элементы, также образующие карбонатные комплексы, однако добавлением комплексона III можно устранить влияние многих из них, в том числе Th и редкоземельных элементов. При введении в анализируемый р-р 5 мл 5%-ного р-ра комплексона III (конечный объем р-ра 50 мл) можно определять 50—500 γ U в присутствии 5 мл Th и 200 γ U в присутствии 10 мг La, Y или Sm.

В. Лукьянов

6Д125. Спектрофотометрическое определение урана с применением раствора бензогидроксамовой кислоты в гексанол-1. Meloan Clifton E., Holkeboer Paul, Brandt Warren W. Spectrophotometric determination of uranium with benzohydroxamic acid in 1-hexanol. «Analyst. Chem.», 1960, 32, № 7, 791—793 (англ.).—UO<sub>2</sub><sup>2+</sup> реагирует с бензогидроксамовой к-той (I) с образованием комплексов 1:1 и 1:2. В кислых р-рах образуется преимущественно комплекс 1:1, в щелочных — комплекс 1:2. При конц-ии UO<sub>2</sub><sup>2+</sup> > 1,6 · 10<sup>-3</sup> M и pH ~6 большой избыток реактива способствует осаждению UO<sub>2</sub><sup>2+</sup> в форме UO<sub>2</sub>(C<sub>6</sub>H<sub>5</sub>CONHO)<sub>2</sub> · H<sub>2</sub>O. Гексанол-1 при pH 6,2 ± 0,1 экстрагирует этот комплекс и, экстракт имеет максимум поглощения при 380 мμ. Необходимо применять свежеперегнаный экстрагент, так как уже через несколько дней после его очистки U извлекается не полностью вследствие образования H<sub>2</sub>O<sub>2</sub>. Проверка устойчивости р-ра I показала, что при pH 2,2 0,01 M р-р I более устойчив, чем при pH 6,7. Для определения U к анализируемому р-ру UO<sub>2</sub><sup>2+</sup> (конц-ия UO<sub>2</sub><sup>2+</sup> ≤ 5 · 10<sup>-5</sup> M) добавляют 10 мл 0,1 M I, разбавляют водой до 50—100 мл, с помощью 0,3 M р-ра NaOH устанавливают pH 6,2 ± 0,1 и экстрагируют образовавшийся комплекс 25 мл гексанол-1. Экстракт спектрофотометрируют при 380 мμ с применением гексанол-1 в качестве р-ра сравнения. Мешают сильные окислители и восстановители, а также Al<sup>3+</sup>, Sn<sup>4+</sup>, Zr<sup>4+</sup> и Ti<sup>4+</sup>.

В. Лукьянов

6Д126. Прямое определение урана в концентратах спектрофотометрическим титрованием сульфатом трехвалентного железа. Florence T. M. The direct determination of uranium in concentrates by spectrophotometric titration with ferric sulphate. «Analyst. chim. acta», 1960, 23, № 3, 282—288 (англ.; рез. франц., нем.).—Разработан метод спектрофотометрич. титрования U р-ром Fe<sup>3+</sup> после восстановления UO<sub>2</sub><sup>2+</sup> до U<sup>4+</sup> амальгамой Bi. Пробу, содержащую 50—100 мг U<sub>2</sub>O<sub>5</sub>, раство-

ряют в 1 дьма HCl белого фильтру, разбавляют, добавляют станабли в токе отбирают титруют N<sub>2</sub>. В по разбавлен Ti и W. по отно. мешают. Больши в этом

6Д127

V. Не «Микроско франц.) в пород экстраги логеска послед варите: инокси реакстр ют азо талфос реакстр ют (для смеси по окл. HNO<sub>3</sub> и U, про литич. 6Д128 для ф. А. И., 1960, J. разует Zn<sup>2+</sup>, имею ность 0,02 γ UO<sub>2</sub><sup>2+</sup> условн шения конц-и органи р эк опред Sb<sup>3+</sup>, Ni<sup>2+</sup>, плеск HNO<sub>3</sub>, CO<sub>2</sub>, и HNO<sub>3</sub> прибав и спек приме

6Д129

ния i spectr. Ser. № 5, (по спект проб лени в ма

ение 2 час.  
г образца  
том Си не  
альнейший  
иную, за  
ляют 0,5 и  
р-р вводят  
артных об-  
до 14% и  
результаты.  
Басаргин  
ление ма-  
олина. Мо-  
zawa Ki-  
all amounts  
, 1960, 32,  
рофотомет-  
экстрагиро-  
и измере-  
и 380 мл.  
2 часа. За-  
у/мл (при  
У мешают  
присутствия  
т делат на  
руют р-ром  
не каждой  
не U. При  
ты, также  
го добавле-  
яние мно-  
ых элемен-  
мл 5%-ного  
ра 50 мл)  
и 5 мл Th  
а.

В. Лукьянов  
6Д127. К вопросу об экстракции урана. Pfeifer V., Hecht F. Ein Beitrag zur Extraktion des Urans. «Mikrochim. acta», 1960, № 3, 378—389 (нем.; рез. англ., франц.).—Описан метод определения малых кол-в U в породах и различных материалах, основанный на экстрагировании  $UO_2(NO_3)_2$  трибутилфосфатом (в циклогексане) из азотнокислых р-ров. W и Mo, мешающие последующему полярографич. определению U, предварительно удаляют экстрагированием р-ром бензонитрикса в  $CHCl_3$ . Из трибутилфосфатного р-ра U реактригируют р-ром  $(NH_4)_2CO_3$ , реактрат подкисляют азотной кислотой и снова экстрагируют U трибутилфосфатом. Затем U реактригируют р-ром  $H_2C_2O_4$ , реактрат упаривают досуха и осторожно прокалывают (для разрушения  $H_2C_2O_4$ ). Остаток растворяют в смеси конц. HCl и  $HNO_3$  и снова выпаривают досуха. По охлаждении осадок растворяют в 10 мл 0,01 н.  $HNO_3$  и в аликвотной порции р-ра, содержащей < 5  $\mu$  U, производят полярографич. определение U по каталит. волне нитрата.

В. Лукьянов  
6Д128. Пиридил-(2-азо-4)-резорцин как реагент для фотометрического определения урана. Бусев А. И., Иванов В. М. «Вести. Моск. ун-та». Химия, 1960, № 3, 52—60.—Пиридил-(2-азо-4)-резорцин (I) образует с рядом катионов ( $Ni^{2+}$ ,  $Mn^{2+}$ ,  $Fe^{3+}$ ,  $Pb^{2+}$ ,  $Zn^{2+}$ ,  $Zr^{4+}$ ,  $Th^{4+}$ ,  $UO_2^{2+}$ ) при pH 7—8 комплексы преимущественно с малиновой окраской. Чувствительность р-ции с  $UO_2^{2+}$  наиболее высока и составляет 0,02  $\mu$ /мл. Максимум светопоглощения комплекса I с  $UO_2^{2+}$  находится при 510 м $\mu$ , а реактива в тех же условиях — при 410 м $\mu$ . I и U взаимодействуют в отношении 1:1. Закон Бера соблюдается для р-ров с конц-ией U  $\leq 16$   $\mu$ /мл. Комплекс экстрагируется рядом органич. р-рителей, из которых спирты и сложные эфиры экстрагируют более полно (66—92%). Фотометрич. определению U мешают  $Cu^{2+}$ ,  $Cr^{3+}$ ,  $Pb^{2+}$ ,  $Bi^{3+}$ ,  $Hg^{2+}$ ,  $Sb^{3+}$ ,  $Sb^{5+}$ ,  $Fe^{2+}$ ,  $Fe^{3+}$ ,  $La^{3+}$  (образуют осадки),  $Co^{2+}$ ,  $Ni^{2+}$ ,  $Mn^{2+}$ ,  $Zn^{2+}$ ,  $Th^{4+}$  (образуют окрашенные комплексы. Для определения U в минералах их разлагают  $HNO_3$ , U отделяют от Al и Fe с применением  $(NH_4)_2CO_3$ , к полученному фильтрату (после подкисления его  $HNO_3$  для разрушения карбонатного комплекса урана) прибавляют боратный буферный р-р (pH 7,53), р-р I и спектрофотометрируют при 510 м $\mu$  в 1-см кюветках, применяя в качестве р-ра сравнения р-р I.

В. Лукьянов  
6Д129. Масс-спектрометрический метод определения изотопного состава урана. Tabot C. D. Mass spectrometry for uranium isotopic measurements. «Rev. Ser. Developm. Peaceful Applic. Nucl. Energy», 1960, № 5, 47 pp. (англ.; рез. франц., русск., исп.).—Обзор (по материалам атомных предприятий США) масс-спектрометрич. аппаратуры, способов приготовления проб и обработки результатов измерений при определении изотопного состава U. Описана система напуска в масс-спектрометр паров  $UF_6$  с пневматически управ-

ляемым дозирующим устройством (скорость  $\sim 0,5$  мг  $UF_6$  в час). Анализ производится как на образцах  $UF_6$  при помощи ионного источника с электронной бомбардировкой, так и на твердых образцах  $U_3O_8$  при помощи источника с поверхностной ионизацией. Описаны основные методы приготовления  $UF_6$  и  $U_3O_8$ . Образцы урана для анализа методом поверхностной ионизации получают упариванием р-ра  $UO_2(NO_3)_2$  на W-ленте. Приведена методика составления смесей с заданным изотопным составом на основе  $UF_6$  и  $U_3O_8$ . В случае  $UF_6$  вычисленные кол-ва  $UF_6$  из двух эталонных материалов в вакууме переводят в общий контейнер. Смесью сжимают и тщательно перемешивают. Очистка  $UF_6$  производится дистилляцией; летучие примеси удаляют эвакуированием при 0°. Метод с  $U_3O_8$  является более точным и позволяет готовить смеси в кол-ве 2—50 г. Взвешенные кол-ва двух эталонных образцов  $U_3O_8$  разного изотопного состава растворяют в  $HNO_3$ , снова выделяют гидроокись, осадок заливают 48%-ной HF, выпаривают в Pt-чашках и прокалывают при 850° в атмосфере водяного пара  $\sim 1$  час, после чего прокалывают еще 15 час. без пара до постоянного веса и обрабатывают 8 н. р-ром  $HNO_3$ . Полученный р-р упаривают под инфракрасной лампой и осадок прокалывают при 800° в атмосфере, обогащенной  $O_2$  до почернения остатка. Все операции, начиная с обработки окисла р-ром HF, повторяют дважды. Описаны методики абс. измерения изотопного состава, относительно измерения с применением U-эталонных и определения U методом изотопного разбавления. Методику масс-спектрометрич. анализа U, принятую на атомных предприятиях Англии, см. РЖХим, 1960, № 24, 95536.

В. Васильев  
6Д130. Полярографическое определение марганца. Sympton R. F., Caldwell V. E. Polarographic determination of manganese. «Chemist-Analyst», 1960, 49, № 1, 19—20 (англ.).—Разработан полярографич. метод определения Mn, основанный на восстановлении на Hg-катоде комплекса  $Mn^{3+}$  с этилендиаминди-(о-оксифенилуксусной) к-той (I) на фоне NaOH (pH 12,2—12,8). Образующаяся четкая волна пригодна для аналитич. целей. K анализируемому р-ру (5—25 мг  $Mn^{2+}$  в 25—40 мл р-ра) прибавляют 10 мл 0,5 M р-ра I, 5 мл 2 M  $CH_3COONa$ , 1 г  $PbO_2$  (для окисления  $Mn^{2+}$ ) и перемешивают 10 мин. Р-р фильтруют через стеклянный фильтр, осадок промывают 0,15 M р-ром NaOH (4 раза по 10 мл), фильтрат и промывную жидкость разбавляют водой до определенного объема, отбирают аликвотную порцию, удаляют растворенный  $O_2$  и полярографируют от —0,2 до —0,45 в (относительно насыщ. к. э.). Определению Mn не мешают Pb, Al, Zn, Cd,  $Cu^{2+}$ , Ni,  $Fe^{3+}$ ,  $Cr^{3+}$ , Mg, Ca, Sr и Ba, если их конц-ии не превышают конц-ию избыточного I; мешает  $Co^{2+}$ .

Г. Прохорова  
6Д131. Быстрое определение марганца в марганцевых рудах. Лю Юй-фэн, Лю Го-шэн, «Хуасюэ тунбао. Huaxue tongbao», 1960, № 7, 39 (кит.).—Описан метод определения Mn в Mn-рудах, основанный на осаждении  $MnO_2$  обработкой анализируемого р-ра посредством  $KClO_3$  и на растворении осадка в избытке  $H_2O_2$ , который оттитровывают затем р-ром  $KMnO_4$ . К 0,5 г пробы прибавляют 10 мл конц. HCl, упаривают до  $\sim 3$  мл, вводят 15 мл конц.  $HNO_3$  и 2—3 г  $KClO_3$  и после выделения  $MnO_2$  кипятят  $\sim 10$  мин. до прекращения выделения  $Cl_2$ . По охлаждении смесь разбавляют водой до 150 мл, прибавляют из микробюретки р-р  $H_2O_2$  (смешивают 85 мл воды, 5 мл  $H_2SO_4$  и 10 мл 30%-ной  $H_2O_2$ ; полученный р-р стандартизируют по 0,1 н.  $KMnO_4$ ) до полного растворения осадка и сверх этого еще 0,5—1 мл  $H_2O_2$  и оттитровывают избыток  $H_2O_2$  0,1 н. р-ром  $KMnO_4$ . Одновременно проводят контрольный опыт. При определении 4,87—43,15% Mn ошибка колеблется от —0,14 до +0,17%.

А. Петренко



**6Д132.** Экстракционно-фотометрическое определение следов железа с 1-нитрозо-2-нафтолом. Бланк А. Б., Булгакова А. М. «Ж. аналит. химии», 1960, 15, № 5, 605—609 (рез. англ.).—Разработан метод определения Fe в в-вах высокой степени чистоты, основанный на экстрагировании изоамиловым спиртом комплекса  $Fe^{2+}$  с 1-нитрозо-2-нафтолом и последующем фотометрировании зеленого экстракта.  $Fe^{3+}$  восстанавливают до  $Fe^{2+}$  аскорбиновой к-той при pH  $7.5 \pm 0.5$ . Закон Бера соблюдается при содержании Fe  $0.5-20 \gamma$  на 25 мл. Не мешают  $Al^{3+}$ ,  $Cd^{2+}$ ,  $Mn^{2+}$ ,  $MoO_4^{2-}$ ,  $Pb^{2+}$ ,  $Tl^{+}$ ,  $UO_2^{2+}$ ,  $Zn^{2+}$ ,  $Zr(4+)$ , 4-кратные кол-ва Co, 5-кратные кол-ва Na и даже очень большие кол-ва цитрата, фосфата и тартрата. Мешают большие кол-ва  $Ag^{+}$  и  $Cu^{2+}$ . Метод применен для определения  $\geq 5 \cdot 10^{-6}\%$  Fe в йодиде натрия «особой чистоты» и  $\geq 1.25 \cdot 10^{-5}\%$  Fe в винной к-те. 10 г йодида натрия растворяют в 25 мл р-ра тартрата аммония (7,5 г винной к-ты растворяют в небольшом кол-ве воды, прибавляют 2—3 капли р-ра фенолового красного, нейтрализуют р-ром  $NH_4OH$ , добавляют еще 15—18 капель индикатора и разбавляют водой до 1 л; перед употреблением добавляют на каждые 100 мл р-ра по 2 мл 3%-ного р-ра  $Na_2S_2O_3$ ), вводят 15 мл 10%-ного р-ра аскорбиновой к-ты, нейтрализуют по феноловому красному р-ром  $NH_4OH$ , вводят 5 мл 1-нитрозо-2-нафтола (1 г/л) и разбавляют водой до ~150 мл. Через 40—50 мин. комплекс экстрагируют дважды изоамиловым спиртом, насыщенным  $CO_2$  (порциями по 15 и 10 мл). Экстракт фотометрируют в 5-см кюветах с красным светофильтром. Р-ром сравнения служит контрольный р-р, содержащий те же кол-ва реактивов. Определение Fe в винной к-те аналогично выше описанному с той разницей, что экстракт, полученный из большей навески (4,5 г), фотометрируют, используя в качестве р-ра сравнения экстракт, полученный из меньшей навески (0,5 г). В полученный результат вносят поправку на содержание Fe в р-ре  $NH_4OH$ , затраченном на нейтр-цию винной к-ты. В. Типцова

**6Д133.** Фотометрическое определение железа в виде азидного комплекса. Kapitańczyk Kazimierz, Kurzawa Zbigniew, Prymiński Zygmunt. Fotokolorymetryczne oznaczanie żelaza jako kompleksu żelazowoozydowego. «Chem. analit. (Polska)», 1960, 5, № 3, 413—417 (польск.; рез. англ.).—Реакция  $Fe^{3+}$  с  $NaN_3$ , протекающая с образованием азидов железа (I), сообщающего р-рам интенсивную красную окраску, подробно изучена с целью ее применения для фотометрич. определения  $Fe^{3+}$ . Установлено, что оптимальным для образования I является pH 4,5—5,5 (в этих условиях интенсивность окраски достигает максим. значения и остается постоянной в течение  $> 10$  час.). При pH  $> 5,8$  р-ры I становятся мутными в результате выделения основного азидов железа, а при pH  $< 4,0$  (вследствие разложения I) окраска исчезает. Для определения  $Fe^{3+}$  аликвотную порцию анализируемого р-ра (содержащую 0,05—4 мг  $Fe^{3+}$ ) разбавляют водой до ~50 мл, прибавляют 30 мл 0,1 н. HCl, 5 мл 10%-ного р-ра  $NaN_3$  дополняют водой до 10 мл и фотометрируют (фотокolorиметр Ланге с зеленым светофильтром). Если анализируемый р-р содержит  $Fe^{2+}$ , то его предварительно окисляют конц. р-ром  $HNO_3$  при нагревании. Чувствительность и точность определения  $Fe^{3+}$  с применением  $NaN_3$  такие же, как и при определении  $Fe^{3+}$  в виде роданида. Определению  $Fe^{3+}$  в виде I мешают  $Cu^{2+}$  ( $> 2$  мг/л), реагирующая с  $NaN_3$  с образованием желто-зеленой окраски, а также  $Ni^{2+}$ ,  $Co^{2+}$ ,  $Cr^{3+}$  (в кол-вах  $> 50$  мг/л) вследствие собственной окраски и  $Bi^{3+}$ ,  $Sn^{4+}$  и  $Ti^{4+}$ , гидролизующиеся в условиях проведения определения. Разработанный метод успешно применен для определения Fe в бронзах и сточных водах. А. Немодрук

**6Д134.** Новый метод определения металлического, двух- и трехвалентного железа в железосодержащих

материалах. Stoll Norbert, Wagner Armand. Nouvelle méthode de détermination du fer métallique, bivalent et trivalent dans les matières ferrifères. «Rev. univers. mines», 1960, 16, № 10, 436—443 (франц.).—Описан метод определения металлич. Fe, FeO и  $Fe_2O_3$  при их совместном присутствии. Для определения металлич. Fe пробу растворяют в кислотной смеси (в инертной атмосфере) и измеряют кол-во выделившегося  $H_2$  методом газо-жидкостной хроматографии. Сумму Fe и FeO определяют перманганатометрич. титрованием; кол-во FeO находят по разности. Содержание  $Fe_2O_3$  определяют по разности между общим содержанием Fe и суммой металлич. Fe и FeO. Растворение пробы ведут в аппарате, состоящем из колбы емк. 250 мл, капельной воронки, вводной трубки, капиллярной выводной трубки и газовой пипетки, соединенной резиновой трубкой со склянкой, наполненной подкисленной водой, содержащей несколько капель 0,1%-ного р-ра метилового оранжевого. Пробу (250 мл) вводят в колбу для растворения, предварительно промытую азотом, прибавляют из воронки 200 мл 0,5%-ной  $H_3PO_4$ , открывают краны у газовой пипетки, заполненной подкисленной водой, нагревают ~1 час (до окисления выделения  $H_2$ ) и прибавляют из воронки 30 мл конц. HCl. Нагревание продолжают еще ~30 мин. для растворения окислов Fe,  $H_2$  вытесняют из колбы и капиллярной трубки водой и полученный  $H_2$  хроматографируют на газо-жидкостном хроматографе типа Бекман GG-1. Для определения суммы металлич. Fe и FeO р-р из колбы для растворения и капиллярной трубки переносят в фарфоровую чашку с 1 л воды, прибавляют 50 мл реактива Циммерманна—Рейнхардта и титруют 0,1 н. р-ром  $KMnO_4$ . Для определения общего содержания Fe к 0,5 г пробы прибавляют 50 мл воды и 30 мл конц. HCl, окисляют  $Fe^{2+}$  до  $Fe^{3+}$  при помощи 1 г  $KClO_3$ ,  $Cl_2$  удаляют кипячением.  $Fe^{3+}$  снова восстанавливают до  $Fe^{2+}$  при нагревании с  $SnCl_2$ , прибавляют 20 мл 5%-ного р-ра  $HgCl_2$  и титруют  $Fe^{2+}$  р-ром  $KMnO_4$ , как указано выше. Метод применен для анализа пыли, агглюмератов и различных материалов, содержащих 0—70% Fe. Т. Левя

**6Д135.** Изонитрозотиокамфора как колориметрический реактив. Колориметрическое определение в-бальта. Dutt Nihar Kumar, Bhattacharyya Himansu. Ise-nitroso-thio-camphor as a colorimetric reagent: colorimetric determination of cobalt. «Sci. and Cult.», 1960, 25, № 12, 694 (англ.).—Окрашенный в интенсивно красный цвет осадок соединения Co с изонитрозотиокамфорой растворяется в 50%-ном этаноле с образованием окрашенных р-ров, что может быть использовано для спектрофотометрич. определения Co. Полнота осаждения Co достигается при pH  $\geq 7$ . Максимум светопоглощения комплекса лежит при 510 мμ, где поглощение реактива незначительно. Окраска р-ров устойчива ~20 час. Закон Бера соблюдается при конц-ии Co 1—15 γ/мл. В. Лукьянов

**6Д136.** Новые окислительно-восстановительные системы. II. Окисление двухвалентного кобальта хлоридом трехвалентного железа в растворах 1,10-фенантролина. Vydra František, Příbil Rudolf. New redox systems. II. Oxidation of cobalt<sup>II</sup> with iron<sup>III</sup> chloride in 1:10-phenanthroline solutions. «Talanta», 1960, 5, № 1, 44—52 (англ.; рез. нем., франц.).—Потенциометрич. и фотометрич. методами изучено окисление  $Co^{2+}$  до  $Co^{3+}$  р-рами  $Fe^{3+}$  в присутствии 1,10-фенантролина (Phen). На основании полученных результатов сделан вывод, что указанная р-ция протекает в соответствии с ур-нием  $[Fe_2(Phen)_4(OH)_2]^{4+} + 2Co(Phen)_3^{2+} + 2H^+ \rightleftharpoons 2Fe(Phen)_3^{3+} + 2Co(Phen)_3^{3+} + 2H_2O$ . Для определения Co потенциометрич. титрованием 0,01 М р-ром  $FeCl_3$  необходим  $\geq 7,5$ -кратный избыток Phen (по отношению к Co). Оптимальный pH 2,0—4,0. Для фотометрич. определения  $Co^{2+}$  к анализируемому р-ру (содержащему ~120 γ Co) прибавляют 10 мл

Armand  
er métallique  
trifères. «Rev.  
3 (франц.).—  
FeO и Fe<sub>2</sub>O<sub>3</sub>  
определения  
отной смеси  
-во выделя-  
оматографии.  
ометрич. тит-  
ти. Содержи-  
у общим со-  
FeO. Раство-  
ом из колбы  
убки, капил-  
ки, соедине-  
енной под-  
ько капель-  
обу (250 мл)  
ительно про-  
ки 200 мл  
вой пипетки,  
ают ~1 час  
ляют из во-  
олажают еще  
2 вытесняют  
полученный  
ом хромато-  
с суммы ме-  
рения и па-  
ую чашку с  
мерманна—  
р. Для опре-  
обы прибав-  
ют Fe<sup>2+</sup> до  
кипания, на-  
гревания  
gCl<sub>2</sub> и тит-  
Метод при-  
различных  
Т. Левин  
олориметри-  
деление ко-  
с chargeu  
colorimetric  
«Sci. and  
инный в ш-  
Со с изом-  
этанолом  
ожет быть  
деления Co.  
≥ 7. Мак-  
при 510 м.  
Окраска  
дается при  
Лукьянов  
ельные св-  
а хлори-  
фенантро-  
olf. New  
gon ph-  
nta», 1960,  
енциомет-  
ление Co<sup>2+</sup>  
антролина  
гов сделав  
ответствии  
hen)<sup>2+</sup> +  
+ 2H<sub>2</sub>O.  
трованием  
й избыток  
Н 2,0—4,0  
вируемому  
ют 10 мл

хлорацетатной или формиатной буферной смеси с pH 2—5, вводят 3—5 мл 0,001 M FeCl<sub>3</sub>, 3—4 мл 0,005 M p-ра Phen, разбавляют водой до 25 мл и через 20 мин. фотометрируют красную окраску, обусловленную образованием комплекса Fe(Phen)<sub>3</sub><sup>2+</sup> в кол-ве, эквивалентном содержанию Co<sup>2+</sup>. Описаны также другие возможные варианты применения вышеуказанной окислительно-восстановительной системы, в том числе для оксидиметрич. титрования Co<sup>2+</sup> p-рами Ce(SO<sub>4</sub>)<sub>2</sub> после предварительного добавления FeCl<sub>3</sub> и Phen. Высокая избирательность цветной p-ции Fe<sup>2+</sup> с Phen обеспечивает возможность определения Co в присутствии многих других элементов, в том числе больших кол-в Fe<sup>3+</sup>. Сообщение I см. РЖХим, 1960, № 10, 38419.

А. Немодрук

6Д137. Новый метод определения малых количеств кобальта в присутствии железа. Икрамов Л. Т. «Тр. Ташкентск. фармацевт. ин-та», 1960, 2, 341—344.—Изучена экстрагируемость купферонатов Со и Fe хлорформом при различных значениях pH. На основании полученных данных разработан колориметрич. метод определения Fe экстрагированием купфероната Fe при pH < 1. Пробу выпаривают досуха, к сухому остатку прибавляют HCl до конц-ии ~1 моль/л (объем p-ра должен составлять 10—15 мл), вводят 7 мл 6%-ного p-ра купферона (I), перемешивают и взбалтывают с 10 мл CHCl<sub>3</sub>. Для повторного экстрагирования используют 3 мл I и 5—7 мл CHCl<sub>3</sub>. Операции повторяют до полного обесцвечивания органич. слоя. Водн. слой выпаривают досуха на водяной бане, остаток I разрушают нагреванием со смесью (3:1) HNO<sub>3</sub> и H<sub>2</sub>O<sub>2</sub>, к сухому остатку прибавляют 10 мл смеси к-т (10 мл конц. HCl и 100 мл конц. HNO<sub>3</sub> разбавляют водой до 400 мл), нагревают до кипения и прибавляют 7 мл реактива (смешивают 20 мл 0,1%-ного p-ра нитрозо-R-соли и 50 мл 50%-ного p-ра CH<sub>3</sub>COONa·3H<sub>2</sub>O), кипятят 1 мин., прибавляют 3 мл конц. HNO<sub>3</sub>, вновь кипятят 1 мин., разбавляют водой до 25 мл и колориметрируют. Относит. ошибка определения 2—5% при соотношении Со: Fe = 1:5000.

В. Иванов

6Д138. Фотоколориметрическое определение никеля в легированной меди без ее отделения. Калинин И. И., Князева А. А., «Изв. высш. учебн. заведений. Химия и хим. технол.», 1960, 3, № 3, 418—421.—При колориметрич. определении Ni в Cu-сплавах (3,5—5,0% Ni) при помощи диметилглиоксима (I) в присутствии окислителей мешающее влияние Cu предложено устранять введением комплексона III. Окрашенный в буро-зеленый цвет диметилглиоксимат Cu не полностью разрушается комплексом III в щел. среде, но полностью — в аммиачной. Метод дает надежные результаты при соотношении Ni: Cu ≥ 1:40. Образец (0,1 г) растворяют в 5—6 мл HNO<sub>3</sub> (1:3), кипятят до удаления окислов азота и разбавляют водой до 250 мл. К 10 мл полученного p-ра прибавляют 2 мл 10%-ного p-ра тартрата Na—K, 5 мл 10%-ного свежеприготовленного p-ра (NH<sub>4</sub>)<sub>2</sub>S<sub>2</sub>O<sub>8</sub>, 5 мл 4%-ного NaOH и 5 мл 1%-ного p-ра I в 4%-ном NaOH, перемешивают, через 3—5 мин. прибавляют 5 мл 0,1 н. p-ра комплексона III и 5 мл 5%-ного p-ра NH<sub>4</sub>Cl, разбавляют водой до 100 мл, перемешивают и фотометрируют в 1-см кюветах. Для приготовления p-ра сравнения 10 мл p-ра пробы, обрабатывают также, как описано выше, только вместо I берут NaOH. Расхождение с данными гравиметрич. определения Ni составляет 0,3—2,5%. Продолжительность определения 30—35 мин.

В. Лукьянов

6Д139. Экстракционно-фотометрическое определение следовых количеств никеля при помощи диметилглиоксима натрия и устранение мешающего влияния меди. Suzuki Masami, Takeuchi Tsugio. «Бунсеки кагаку, Japan Analyst», 1960, 9, № 8, 708—709 (японск.).—Предложен метод определения микроколи-

честв Ni в металлич. уране, основанный на экстрагировании Ni в форме диметилглиоксимата посредством CHCl<sub>3</sub> с последующим фотометрированием в органич. слое. Мешающее влияние Cu устраняют прибавлением в p-р избытка диметилглиоксимата Na (I) и промыванием хлороформного экстракта p-ром NH<sub>2</sub>OH и цитрата аммония (II). 1 г пробы растворяют в 10 мл 6 н. HCl, прибавляют по каплям 30%-ную H<sub>2</sub>O<sub>2</sub>, упаривают, вводят 10 мл p-ра II (150 г II в 1 л воды), устанавливают хлороформного экстракта p-ром NH<sub>2</sub>OH и цитрата аммония pH ~9, переносят p-р в делительную воронку емк. 100 мл, разбавляют водой до ~30 мл, прибавляют 2 мл свежеприготовленного 0,5%-ного водн. p-ра I (при наличии в p-ре 2000 γ Cu прибавляют 4 мл p-ра I), выдерживают 5 мин., вводят 10 мл CHCl<sub>3</sub> и встряхивают ~1 мин. Органич. слой промывают смесью NH<sub>2</sub>OH с II (смешивают 1 мл 5%-ного p-ра NH<sub>2</sub>OH и 10 мл 15%-ного p-ра II, разбавляют водой до ~20 мл, подщелачивают аммиаком до pH ~9, встряхивают с небольшим кол-вом CHCl<sub>3</sub> и после отделения органич. слоя фильтруют), фильтруют через сухой фильтр и фотометрируют при 375 мμ в 1-см кюветах. Метод применен для определения Ni (19,5 ч. на 1 млн.) в металлич. уране, содержащем до 1000 γ Cu, а также Fe, Cr и Co (66, 9 и 1,6 ч. на 1 млн. соответственно).

А. Петренко

6Д140. Радиохимическое определение рутения-103 и рутения-106 в процессе переработки ядерного горючего и производственных растворов.—The radiochemical determination of ruthenium-103 and 106 in reactor fuel processing and plant solutions. Product. Group. U. K. Atomic Energy Author., 1960, № 78, 11 pp. (англ.).—Разработан радиохим. метод определения Ru<sup>106</sup> и Ru<sup>103</sup> после предварительного выделения RuO<sub>4</sub> экстрагированием с помощью CCl<sub>4</sub>. К 0,02—5 мл анализируемого p-ра (активность пробы ~2·10<sup>4</sup> имп./мин., содержание NH<sub>4</sub>NO<sub>3</sub> ≥ 0,5 г) прибавляют p-р соли Ru в качестве носителя, затем по каплям вводят 40%-ный p-р KOH до щел. p-ции, добавляют еще ~1 г KOH и ~1 г K<sub>2</sub>S<sub>2</sub>O<sub>8</sub>, перемешивают, кипятят для разрушения солей аммония, восстановителей и комплексов Ru, вводят 5 мл p-ра смеси KJO<sub>3</sub> и KOH (50 г KOH и 25 г KJO<sub>3</sub> в 500 мл воды), затем 20 мл CCl<sub>4</sub>, перемешивают, прибавляют 16 M HNO<sub>3</sub> до кислой p-ции и сверх этого еще 0,2 мл избытка и экстрагируют RuO<sub>4</sub>. Из органич. фазы RuO<sub>4</sub> реэкстрагируют водой (10—15 мл), к водн. фазе прибавляют 0,2 мл метанола, центрифугируют и отделяют осадок RuO<sub>2</sub>. Осадок взмучивают в ацетоне, переносят на счетную тарелочку и измеряют β-активность на торцовом счетчике через Al-поглотитель (40 мг/см<sup>2</sup>) и γ-активность на сцинтилляционном счетчике через Pb-поглотитель (2 г/см<sup>2</sup>), находящийся между двумя Al-поглотителями (0,2 и 1,75 г/см<sup>2</sup>). Для определения хим. выхода Ru осадок RuO<sub>2</sub>, после измерения активности растворяют в 5 мл p-ра, содержащего KJO<sub>3</sub> и KOH, p-р разбавляют водой до 50 мл и фотометрируют. При анализе органич. производственных p-ров (трибутилфосфат) в керосине и β,β'-дибутоксидиловый эфир) пробу перемешивают с кипящим водн. щел. p-ром, содержащим Ru (в качестве носителя), удаляют органич. фазу и продолжают анализ как описано выше. Содержание Ru<sup>103</sup> и Ru<sup>106</sup> находят сравнением γ- и β-активностей пробы с активностями стандартных p-ров Ru<sup>103</sup> и Ru<sup>106</sup> соответственно.

Э. Чудинов

6Д141. Спектрофотометрическое определение родия при помощи симметричного дифенилкарбазона. Ayres Gilbert H., Johnson Fred L., Jr. Spectrophotometric determination of rhodium with sym-diphenylcarbazone. «Analyst. chim. acta», 1960, 23, № 5, 448—457 (англ.; рез. франц., нем.).—Установлено, что при pH 3 Rh образует с симметричным дифенилкарбазоном (I) комплекс (с соотношением I: Rh = 2:1), растворимый в диметилформамиде и метаноле с образованием пурпурных p-ров (максимум светопоглощения при

565 мμ), пригодных для спектрофотометрич. определения Rh. Закон Бера соблюдается при конц-ии Rh 0,3—1,5 ч. на 1 млн. (миним. определяемая конц-ия Rh 0,05 ч. на 1 млн.). Окраска развивается при нагревании р-ра в течение 30 мин. При определении Rh необходимо строго поддерживать pH р-ра на уровне 3. К анализируемому р-ру прибавляют 10 мл 70%-ного р-ра  $\text{HClO}_4$ , упаривают до 1—2 мл (при этом удаляются  $\text{Cl}^-$ ,  $\text{NO}_3^-$ ,  $\text{OsO}_4$  и  $\text{RuO}_4$ , а Au и Pt осаждаются), разбавляют водой, устанавливают pH 3 (pH-метром) и разбавляют водой до определенного объема. К 5 мл монохлоруксусного буферного р-ра (pH 3) прибавляют 0,1 M  $\text{NaClO}_4$  (с pH 3; объем р-ра  $\text{NaClO}_4$  + объем р-ра пробы должен составлять 10 мл), вводят р-р пробы и 1 мл 0,025 M ацетового р-ра I (на 1 л р-ра I прибавляют 1 мл лед.  $\text{CH}_3\text{COOH}$ ), смачивают стенки колбы ацетоном, нагревают 30 мин. на кипящей водяной бане, охлаждают, переносят в мерную колбу (стенки реакционной колбы тщательно обмывают диметилформамидом и метанолом), разбавляют метанолом до 50 мл и спектрофотометрируют при 565 мμ в 1-см кюветках, используя в качестве р-ра сравнения контрольный р-р. При содержании Rh 0,851 ч. на 1 млн. стандартное отклонение ~1%. Определению мешают (в ч. на 1 млн.)  $\text{Pd}^{2+} > 1,5$ ,  $\text{Pt}^{4+} 10$ ,  $\text{Ir}^{4+} 5$ ,  $\text{Au}^{3+} 10$ ,  $\text{Fe}^{3+} 9$ ,  $\text{Co}^{2+} 2$ ,  $\text{Ni}^{2+} 0,5$ ,  $\text{Ag}^+ 12$ ,  $\text{Zn}^{2+} 4$ ,  $\text{Pb}^{2+} 5$ . Cu мешает во всех конц-иях. Для удаления Cr и Hg используют дистилляцию  $\text{CrOCl}_2$  и  $\text{HgCl}_2$ . С. Зеличенко

6Д142. Спектрофотометрическое определение и фотометрическое титрование палладия 2-нитрозо-1-нафтол-4-сульфокислотой. Komatsu Sumio, Kamiyama Seiji. «Нихон кагаку дзасси, J. Chem. Soc. Japan. Pure Chem. Sci.», 1960, 81, № 7, 1094—1097, A78 (японск.; рез. англ.).—Установлено, что  $\text{Pd}^{2+}$  образует с 2-нитрозо-1-нафтол-4-сульфокислотой (I) растворимый красный комплекс (максимум светопоглощения при 532 мμ) с соотношением  $\text{Pd}:\text{I} = 1:2$ , пригодный для спектрофотометрич. определения Pd. К пробе прибавляют р-р I, выдерживают 10 мин., вводят  $\text{CH}_3\text{COOH}$  до конц-ии 7 моль/л и спектрофотометрируют при 532 мμ. Окраска устойчива в течение длительного времени. Закон Бера соблюдается при конц-ии Pd 0,6—18,7 γ/мл. Определению мешают  $\text{Ni}^{2+}$ ,  $\text{Co}^{2+}$ , J-, CN- и др. В больших кол-вах мешают также Pt-металлы и Au, которые рекомендуется удалять экстрагированием изоамиловым спиртом из 2,8 н.  $\text{HNO}_3$  и 6 н.  $\text{H}_2\text{SO}_4$ . При фотометрич. титровании конечная точка, определяемая по пересечению двух прямых, соответствует стехиометрич. соотношению. Метод позволяет определять Pd при содержании 0,2—0,8 мг в 50 мл р-ра с относительной ошибкой ±2%. Э. Чудинов

6Д143. Спектрофотометрическое определение платины с применением о-фенилендиамина в качестве реактива. Gupta J. G. Sen. Spectrophotometric determination of platinum o-phenylenediamine as a reagent. «Analyst. chim. acta», 1960, 23, № 5, 462—466 (англ.; рез. франц., нем.).—Изучена цветная р-ция  $\text{Pt}^{4+}$  с о-фенилендиаминном (I) с целью использования ее для спектрофотометрич. определения микрограммовых кол-в Pt. В оптимальной области pH (3—4)  $\text{Pt}^{4+}$  с I образует оранжевый комплекс с максимумом светопоглощения при 450 мμ. Окраска полностью развивается за 25 мин. и устойчива ~1 часа. Закон Бера соблюдается для конц-ий Pt 1—12 γ/мл. Чувствительность цветной р-ции составляет 0,003 γ/см<sup>2</sup>. Методами непрерывных изменений и молярных отношений установлено, что при pH ~3,4  $\text{Pt}^{4+}$  взаимодействует с I в отношении 1:2. Среднее значение константы нестойкости комплекса равно  $2,3 \cdot 10^{-8}$ . При недостатке I образуется комплекс состава 1:1. Изучено мешающее влияние большинства обычных катионов и определены максимально допустимые их кол-ва. Найдено, что определению Pt мешают равные кол-ва  $\text{Ru}^{3+}$ ,  $\text{Rh}^{3+}$

и  $\text{Zr}^{4+}$ . Мешающее влияние Os устраняют отделением его от Pt в виде осмиевой к-ты. Н. Басаргина

6Д144. Определение водорода в металлах. Метод с применением газа-носителя. Coe F. R. Determination of hydrogen in metals: a carrier gas method. «Research», 1960, 13, № 8, 323—327 (англ.).—Определение  $\text{H}_2$  основано на десорбции его из нагретого образца металла в токе инертного газа (аргона) с последующим измерением теплопроводности получившейся газовой смеси с помощью катарометра. Ar из баллона с игольчатым вентилем пропускают через ртутный реометр, откалиброванный на расход 0—20 мл/мин, и поступают в печь с анализируемым образцом, нагретую до 650°. Газ, выходящий из печи, осушают и пропускают через кювету катарометра. Для калибровки катарометра в систему после реометра включают ртутную газозонную бюретку, которая позволяет дозировать 0,005—0,5 мл  $\text{H}_2$  (при нормальных условиях) с точностью ±0,002 мл. Площадь полученных пиков измерялась описанным ранее способом (Lingane J. J., Jones S. L. «Anal. Chem.», 1950, 22, 1220). Чувствительность катарометра регулируют в пределах 0,02—0,001 мл  $\text{H}_2$  на 1 см<sup>2</sup> площади пика. В связи с тем, что следовые кол-ва воздуха дают пики, аналогичные вызванным  $\text{H}_2$ , для ввода образца в систему предложено специальное устройство, расположенное перед печью, позволяющее вводить образец в токе Ar. Операция ввода образца в систему занимает ~20 сек. До анализа готовые образцы хранят в твердом  $\text{CO}_2$ ; перед анализом образец обмывают ацетоном, а затем эфиром и ~5 сек. откачивают форвакуумным насосом для удаления следовых кол-в р-рителей. Для применения в цилиндрических образцах (длина 25,4 и diam. 6,35 мм, вес ~5 г), определение занимает ~15 мин. Сразу после окончания анализа установка готова для производства следующего анализа.

В. Лазарев

6Д145. Метод «первого пузырька» для определения содержания водорода в расплавленных алюминидных сплавах. Neil D. J., Burr A. C. Méthode de la première bulle pour la détermination de la teneur en hydrogène des alliages d'aluminium fondus. «Rev. métallurgie» (France), 1960, 57, № 8, 735—741. Discuss., 741 (франц.; рез. нем., англ., исп.).—Ранее разработанный метод (Dardel Y., Metals technology, 1948, 15, 1), основанный на измерении разрежения, при котором в расплаве появляются первые пузырьки, применен для определения содержания  $\text{H}_2$  в Al-сплавах. Рассмотрена теория метода и способ расчета содержания газа из величин давления P и t-ры. Прибор состоит из небольшой электропечи, в которую помещают тигель с пробой. Печь устанавливают на платформе, соединенной с вакуум-насосом, под стеклянным колоколом. Применяемый манометр позволяет измерять P от 0 до 200 мм рт. ст. Для измерения t-ры (60—800°) служит хромель-алюмелевая термопара. Величину P снижают со скоростью 5—10 мм рт. ст. в 1 сек.; при этом t-ра понижается лишь на 10—20°. Продолжительность анализа ~1 мин. Результаты определения  $\text{H}_2$  в Al-сплавах, содержащих Cu, Fe, Mg, Mn, Si, Zn, Ti и Cr, по точности не уступают данным, полученным при помощи прибора Telegas. Приведена номограмма для расчета содержания  $\text{H}_2$ . Б. Анвар

6Д146. Выделение и определение водорода в уране и цирконии. Champeix L., Coblenz G., Dargatzis R. Extraction et dosage de l'hydrogène dans l'uranium et le zirconium. «Mém. scient. rev. métallurgie», 1960, 57, № 7, 502—509. Discuss., 510 (франц.; рез. англ., нем.).—Для выделения и определения H в уране и цирконии предложен метод вакуумной десорбции из твердой фазы, дающий достаточно точные результаты при правильно выбранной t-ре десорбции. Для проведения определения предложена соответствующая аппаратура; диффузионный Hg-насос помещали между экстрактором и насосом Тейлора. Давление десорбции поддер-



отделен  
Басарг  
х. Метод  
termination  
Research  
е Н<sub>2</sub> осно  
да металл  
чим изме  
вой сме  
е игольча  
ометр, от  
поступает  
до 650°  
ают через  
тарометра  
о газую  
—0,5 мл Н<sub>2</sub>  
±0,002 мл.  
al. Chem.,  
ра регул  
площад  
духа даю  
да обраба  
но, распо  
образе  
занимает  
ит в твер  
ацетонем  
аккум  
елей. Для  
длина 25,4  
занимает  
установка  
за.  
Лазарев  
ределения  
минимум  
и première  
hydrogène  
thalurgie  
(франц;  
ий метод  
повышен  
расплаве  
распреде  
лена теор  
за из ве  
а неболь  
сь с про  
цинной  
и. Приме  
до 200 мл  
хромель  
го ско  
ра пони  
анализа  
авах, со  
отности  
чи при  
счета со  
Анвер  
в уране  
Dağas  
uranium  
е. 1960,  
з. англ.  
де и цир  
из твер  
аты при  
ведения  
апарату  
экстрак  
поддер

живали на уровне  $5 \cdot 10^{-5}$ — $10^{-5}$  мм рт. ст. Пробу урана обезжиривали, обрабатывали наждачной бумагой, декапировали в ванне с  $\text{H}_2\text{SO}_4$  и  $\text{H}_3\text{PO}_4$  и обмывали водой. Пробу помещали в кварцевый экстрактор и обезжиривали в течение 3 час. Результат контрольного опыта составлял 0,05 мл/час  $\text{H}_2$  при навеске 20 г. Установлено, что при анализе урана объем собранного газа практически одинаков при 800, 720, 650 и 600°, но продолжительность экстракции быстро увеличивается при  $t < 650^\circ$ . Оптимальной оказалась  $t$ -ра 650°, так как продолжительность десорбции мало уменьшается при дальнейшем повышении  $t$ -ры. В указанных условиях определяемый минимум составляет 0,013 мл  $\text{H}_2$  на 100 г. При анализе циркония пользовались той же аппаратурой; пробу опилок декапировали в ванне с  $\text{CH}_3\text{COOH}$  и  $\text{HClO}_4$ . Установлено, что для полноты выделения  $\text{H}$  десорбцию следует вести при 1050°.

Т. Леви

6Д147. Спектроаналитическое определение бора как легкого летучего элемента в графите. Schroll E., Brandenstein M., Janda I. Spektralanalytische Bestimmung des Bors als leichtflüchtiges Element in Graphiten. «Anz. Österr. Akad. Wiss. Math.-naturwiss. Kl.», 1959, 96, № 1—15, 60—64 (нем.).—Исследовано действие  $\text{HF}$ ,  $\text{KHSO}_4$ ,  $\text{LiF}$ ,  $\text{KHSO}_4 + \text{LiF}$ ,  $\text{KHSO}_4 + \text{CaF}_2$ ,  $\text{KNO}_3$ ,  $\text{LiF} + \text{Ba}(\text{OH})_2$ ,  $\text{NaF}$ ,  $\text{AlF}_3$ ,  $\text{AlF}_3 + \text{NaF}$  на летучесть  $\text{B}$  в угольном дуге. Для изучения скорости испарения  $\text{B}$  в угольный безборный порошок вводили 0,03%  $\text{B}_4\text{C}$ . Смесь растирали в агатовой ступке в течение 20 мин. и добавляли перечисленные выше в-ва. Спектры возбуждали в дуге постоянного тока при 10 а. В-во испаряли из канала угольного электрода — анода диаметром и глубиной 3 мм и фотографировали кварцевым спектрографом средней дисперсии при щели 15 м и дуговом промежутке 3 мм. Линия  $\text{B}$  2497 А служила в качестве аналитической. Наибольшая скорость испарения получена при введении в пробу смеси  $\text{AlF}_3$  и  $\text{NaF}$  (1:1) (при этом летучесть  $\text{B}$  близка к летучести  $\text{Hg}$ ). При испарении 20 мг пробы из канала диам. 4 мм в течение 45 сек. граница обнаружения оказалась равной  $2 \cdot 10^{-5}$ %  $\text{B}$ .

В. Мосичев

6Д148. К вопросу об определении окиси бора модифицированным методом Верри. Bennett H., Hawley W. G. A note on the determination of boric oxide by the modified Wherry's method. «Trans. Brit. Ceram. Soc.», 1960, 59, № 8, 315—322 (англ.).—Установлено, что значительные ошибки при определении  $\text{B}_2\text{O}_3$  методом Верри связаны с повышенным, по сравнению с теоретическим значением  $\text{pH}$   $\text{p}$ -ра перед прибавлением к нему маннитолола и титрованием  $\text{p}$ -ром  $\text{NaOH}$ . Указанные ошибки легко могут быть устранены, если анализируемый  $\text{p}$ -р вначале нейтрализовать 0,1 н.  $\text{p}$ -ром  $\text{HCl}$  по метиловому красному ( $\text{pH} \sim 5,3$ ). При определении  $\text{B}$   $\text{p}$ -р пробы нейтрализуют с помощью  $\text{CaCO}_3$ , удаляют кипячением  $\text{CO}_2$  и отфильтровывают осадок. К фильтрату прибавляют несколько капель 0,1%-ного  $\text{p}$ -ра метилового красного, нейтрализуют 0,1 н.  $\text{p}$ -ром  $\text{HCl}$  до появления розовой окраски, вводят 10—20 г маннитолола, 20—30 капель 1%-ного  $\text{p}$ -ра фенолфталеина и титруют 0,1 н.  $\text{p}$ -ром  $\text{NaOH}$  до перехода окраски сначала в желтую, а затем до появления устойчивого розового оттенка ( $\text{pH} \sim 7,4$ ).

В. Типцова

6Д149. Улучшенный метод определения  $\text{CO}_2$ . Yoshimura Shinji. «Kōgō kagaku zasshi, J. Chem. Soc. Japan. Industr. Chem. Sec.», 1960, 63, № 2, 252—254, A14 (японск.; рез. англ.).—Предложена модификация volumетрич. метода определения  $\text{CO}_2$  в жидкостях, состоящая в нагревании пробы до 100° и извлечении  $\text{CO}_2$  током воздуха. Продолжительность определения 5—10 мин.; точность модифицированного метода не уступает гравиметрич. методу.

По резюме авторов

6Д150. Титриметрическое определение связанной двуокиси углерода в безводном аммиаке. Adam A. R., Syputa Raymond, Stephenson W. E. Titrimet-

ric determination of combined carbon dioxide in anhydrous ammonia. «Analyst. Chem.», 1960, 32, № 10, 1319—1320 (англ.).—Модифицирован ранее описанный метод (Pieters H. A. «Analyst. Chim. Acta», 1948, 2, 263) определения связанного  $\text{CO}_2$  в жидком аммиаке. Метод основан на испарении  $\text{NH}_3$  при комнатной  $t$ -ре, разрушении оставшегося карбамината аммония 2 н.  $\text{p}$ -ром  $\text{H}_2\text{SO}_4$ , поглощения выделяющегося  $\text{CO}_2$  0,01 н.  $\text{p}$ -ром  $\text{Ba}(\text{OH})_2$  и титровании избытка  $\text{Ba}(\text{OH})_2$  0,009 н.  $\text{p}$ -ром  $\text{H}_2\text{C}_2\text{O}_4$  по фенолфталеину. При содержании  $\text{CO}_2 < 50$  ч. на 1 млн. воспроизводимость определения  $\pm 1,5$  ч. на 1 млн. Приведено описание аппаратуры.

Ф. Т.

6Д151. Фотометрическое определение кремния в виде  $\gamma$ -кремнемолибденовой кислоты. Kemula Wiktor, Rosolowski Szczesny. Fotometryczne oznaczanie krzem w postaci kwasu  $\gamma$ -molibdenianokrzemowego. «Chem. analit.» (Polska), 1960, 5, № 3, 419—428 (польск.; рез. англ.).—Установлено, что при взаимодействии кремневой  $\text{k}$ -ты с избытком молибдата аммония, кроме  $\alpha$ - и  $\beta$ -кремнемолибденовой (I)  $\text{k}$ -т, в определенных условиях ( $\text{pH}$  0—4,0, нагревание при 100° в течение 30 мин.) образуется еще одна гетерополиоксикислота (обладающая интенсивной желтой окраской), названная авторами  $\gamma$ -кремнемолибденовой  $\text{k}$ -той (II). Состав II соответствует ф-ле  $\text{H}_4[\text{Si}(\text{Mo}_2\text{O}_{10})_4] \cdot n\text{H}_2\text{O}$ , константа нестойкости найдена равной  $2,0 \cdot 10^{-14}$ . Светопоглощение  $\text{p}$ -ров II в видимой части спектра незначительно, а при переходе в УФ-область (400—300 м $\mu$ ) оно резко возрастает, затем в пределах 300—285 м $\mu$  остается постоянным и далее снова растет. Оптик. плотность  $\text{p}$ -ров II не изменяется во времени и остается постоянной при изменении  $\text{pH}$  от 0 до 4,6. Вследствие этого фотометрич. определение Si в виде II отличается высокой точностью (ошибка  $< 4\%$ ) и хорошей воспроизводимостью. Значительно большая прочность II по сравнению с I дает возможность проводить определение Si в присутствии фосфатов. К анализируемому  $\text{p}$ -ру (содержащему 0,07—0,98 мг Si) прибавляют 10 мл 0,1 М  $\text{p}$ -ра молибдата аммония, 1 М  $\text{p}$ -р  $\text{H}_2\text{SO}_4$  для установления необходимого  $\text{pH}$   $\text{p}$ -ра (в пределах 0—4), разбавляют водой до  $\sim 45$  мл, нагревают 30 мин. при 100° и по охлаждению прибавляют 0,1—1 М  $\text{p}$ -р лимонной  $\text{k}$ -ты с таким расчетом, чтобы ее конц-ция в  $\text{p}$ -ре была в пределах  $2,5 \cdot 10^{-3}$ — $1 \cdot 10^{-2}$  М (в зависимости от содержания фосфатов). После разбавления водой до 50 мл измеряют оптич. плотность (фотокolorиметр со светофильтром с эффективной длиной волны 420 м $\mu$ ) в 3-см кюветках.

А. Немодрук

6Д152. Быстрое определение азота в сплавной стали  $\text{Cr18Mn8Ni5N2}$ . Šícha Miroslav, Rychlé stanovení dusíku ve slitinové oceli  $\text{Cr18Mn8Ni5N2}$ . «Hutn. listy», 1960, 15, № 9, 729—730 (чешск.).—Описано титриметрич. и фотометрич. определение  $\text{N}$  в стали  $\text{Cr18Mn8Ni5N2}$ . 1 г пробы растворяют в 25 мл  $\text{HClO}_4$  (1:1) с добавлением 10 капель  $\text{H}_2\text{SO}_4$  (1:1) и упаривают до выделения кристаллов. Остаток растворяют при кипячении в  $\sim 30$  мл воды, кипятят 8—10 мин. в токе воздуха с 80 мл 50%-ного  $\text{p}$ -ра  $\text{KOH}$ , поглощают выделяющийся  $\text{NH}_3$  водой (100 мл) и титруют его 0,01 н.  $\text{p}$ -ром  $\text{H}_2\text{SO}_4$  в присутствии индикатора Таширо (смесь 100 мл 0,03%-ного этанольного  $\text{p}$ -ра метилового красного с 15 мл 0,1%-ного водн.  $\text{p}$ -ра метилового синего). При фотометрич. определении 0,5 г пробы растворяют в смеси 20 мл  $\text{HClO}_4$  (1:1) и 10 капель  $\text{H}_2\text{SO}_4$  (1:1), упаривают до кристаллизации, разбавляют водой (30 мл), прибавляют 15 мл 10%-ного  $\text{p}$ -ра  $\text{FeSO}_4$  (для восстановления  $\text{CrO}_4^{2-}$ ), 15 мл  $\text{p}$ -ра  $\text{KOH}$  (500 г  $\text{KOH}$  в 1 л воды), воду до 100 мл и фильтруют. К 10 мл фильтрата прибавляют  $\sim 30$  мл воды, 2 мл реактива Несслера, разбавляют водой до 100 мл и фотометрируют в 40-мм кюветках с фильтром Кодак I или Илфорд 601. При содержании  $\text{N}$  в стали в пределах 0,01—0,2% интенсивность окраски остается постоянной в течение 2—8 мин.

Н. Турквич

6Д153. Прямое определение аммиака методом нейтрализации при определении азота по Кьельдалю. Schulek Elemér, Burger Kálmán, Fehér Magda. Az ammónia közvetlen alkalimetriás mérése a Kjeldahl-féle eljárásban. «Magyar kém. folyóirat», 1960, 66, № 7, 250—251 (венг.; рез. нем.).—На основании измерений парц. давления  $\text{NH}_3$ , равновесного с его р-рами при разных т-рах, сделан вывод, что при определении N по Кьельдалю выделяющийся  $\text{NH}_3$  можно поглощать свежепрокипяченной и охлажд. водой, вместо р-ра к-ты. При этом ошибка, обусловленная улетучиванием  $\text{NH}_3$  из полученного водн. р-ра, составляет 0,05—0,08%. Конец отводной трубки из холодильника необходимо погружать до дна приемника. Поглощение  $\text{NH}_3$  водой позволяет непосредственно титровать его к-той в присутствии метилового красного.

И. Криштофори  
6Д154. О реакции 2-тиобарбитуровой кислоты с нитритом натрия. Дроздов Н. С., Крылов В. П. «Изв. высш. учебн. заведений. Химия и хим. технол.», 1960, 3, № 3, 476—479.—С целью разработки метода фотометрич. определения  $\text{NO}_2^-$  или 2-тиобарбитуровой к-ты (I) изучена р-ция I с  $\text{NaNO}_2$  в 0,01—0,001 M р-рах как при избытке I, так и при избытке  $\text{NaNO}_2$  и при разных значениях pH. Установлено, что в обоих случаях появление окраски обусловлено образованием 2-тиовиолурата Na (максимум светопоглощения при 570 мμ). Интенсивность окраски зависит от pH р-ра. Оптимальный pH 4,7—4,9. При более низких значениях pH (3,8—4,5) окраска развивается быстро, но затем ослабевает, а при более высоких pH (5,0—6,0) окраска развивается медленно в результате торможения р-ции. Избыток  $\text{NaNO}_2$  способствует быстрому разрушению окраски вследствие окисления виолуровой к-ты.

Б. Маноло  
6Д155. Фотометрическое определение фосфора. Zsakó János, Fülöp Erzsébet. Kolorimetriás foszformeghatározási eljárás. «Studia Univ. Babeş — Bolyai. Chem.», 1960, 3, № 4, 125—132 (венг.; рез. русск., франц.).—Изучены условия фотометрич. определения P в виде желтой фосфоромолибденовой гетерополиоксидной кислоты. Установлено, что максим. оптич. плотность р-ров достигается в присутствии 0,4 M так называемой свободной  $\text{H}_2\text{SO}_4$  (разность между общим содержанием  $\text{H}_2\text{SO}_4$  и кол-вом  $\text{H}_2\text{SO}_4$ , эквивалентным содержанию Na в молибдате Na) и при соотношении Mo : P > 30 : 1. Пробу, содержащую 7—35 мг P и не содержащую силикатов и аммониевых солей, нейтрализуют по фенолфталеину, прибавляют 15 мл реактива (121 г молибдата Na растворяют в воде, прибавляют 65 мл конц.  $\text{H}_2\text{SO}_4$  и доводят водой до 500 мл), разбавляют водой до 50 мл и фотометрируют с синим светофильтром. Закон Бера соблюдается. Метод быстрый и позволяет определять большие кол-ва P.

И. Криштофори  
6Д156. Спектрофотометрическое определение фосфора в сталях, чугунах и железных рудах. Picasso G. Determinazione spettrofotometrica del fosforo negli acciai, ghise e minerali di ferro. «Metallurgia ital.», 1960, 52, № 6, 358—365 (итал.; рез. франц., англ., нем.).—Разработан спектрофотометрич. метод определения P в Fe сплавах и рудах в виде синего фосфоро-молибденового комплекса. При анализе стали образец (1 г) растворяют в 20 мл  $\text{HNO}_3$  (1:2), прибавляют 12 мл 72%-ной  $\text{HClO}_4$  и нагревают до появления белого дыма. Остаток кипятят 2 мин. с ~40 мл воды, охлаждают и разбавляют водой до 100 мл. К 50 мл полученного р-ра прибавляют 10 мл р-ра молибдата аммония (50 г  $(\text{NH}_4)_2\text{MoO}_4 \cdot 4\text{H}_2\text{O}$  и 115 мл конц.  $\text{H}_2\text{SO}_4$  разбавляют водой до 1 л) и экстрагируют изобутанолом (20 мл). Органич. фазу взбалтывают 30 сек. с 15 мл р-ра  $\text{SnCl}_2$  (10 г  $\text{SnCl}_2 \cdot 2\text{H}_2\text{O}$  растворяют в 25 мл конц.  $\text{HCl}$  и 1 мл полученного р-ра разбавляют до 200 мл 1 н. р-ром  $\text{H}_2\text{SO}_4$ ), затем разбавляют до 50 мл изобутанолом и спектрофотометрируют при 725 мμ в 1-см кюветах.

Закон Бера соблюдается при содержании P 5—80 γ. При анализе чугуна образец (0,5 г) растворяют в 25 мл  $\text{HNO}_3$  с добавкой 2 капель  $\text{HF}$ , разбавляют водой до 200 мл и фильтруют. К 10 мл фильтрата прибавляют 10 мл  $\text{HClO}_4$ , нагревают до появления белого дыма и анализируют как указано выше. При анализе минералов пробу (0,25 г) растворяют в 15 мл конц.  $\text{HCl}$  (если необходимо, прибавляют 5 мл конц.  $\text{HNO}_3$ ), нагревают с 10 мл  $\text{HClO}_4$  до появления белого дыма и далее анализируют, как указано выше. В присутствии >0,04% As р-р пробы следует нагревать с 20 мл разб. р-ра  $\text{HBr}$  и  $\text{HClO}_4$  до появления белого дыма. Н. Туркевич

6Д157. Определение свободной фосфорной кислоты в суперфосфате. Yamazoe Fumio. Determination of free phosphoric acid in superphosphate. «Soil and Plant Food», 1960, 5, № 4, 161—166 (англ.).—К 2 г первичного или вторичного фосфата Ca, измельченного до 32 меш, прибавляют 100 мл смеси (1:1) ацетона с эфиром, взбалтывают 30 мин. и фильтруют через сухой бумажный фильтр. 50 мл экстракта выпаривают на водяной бане досуха, к остатку прибавляют 50 мл горячей воды, перемешивают и титруют 0,1 н. р-ром  $\text{NaOH}$  по метиловому оранжевому или диметиловому желтому (оттитровывается первый ион водорода). Затем, не доливая бюретки, продолжают титрование, прибавив 5 капель р-ра фенолфталеина (оттитровывается второй ион водорода). Данные, полученные при титровании по фенолфталеину, хорошо согласуются с результатами определения P в виде фосфоромолибдата. Установлено, что высушивание пробы перед анализом понижает точность определения. Приведены результаты определения растворимости фосфатов Ca в органич. р-рителях: эфир < смесь ацетона с эфиром < ацетон < этанол < метанол. Е. Кондратьев

6Д158. Новый метод фотометрического определения висмута. Popper E., Junie V., Popa L., Roman L. O nouă metodă de dozare colorimetrică a bismutului. Rev. chim. (RPR), 1960, 11, № 6, 341—343 (рум.; рез. русск., нем., франц., англ.).—Предложен фотометрич. метод определения  $\text{Bi}^{3+}$  при помощи 2-меркапто-5-анилино-1,3,4-тиодиазола (I) (РЖХим, 1960, № 6, 22073; № 16, 65071), образующего с  $\text{Bi}^{3+}$  в нейтр. среде аморфный осадок красно-оранжевого цвета, растворимый в избытке I. Интенсивность желтой окраски полученного р-ра медленно возрастает с увеличением конц-ии  $\text{Bi}$ , но при добавлении KI окраска становится пригодной для фотометрич. измерений. К 0,005—2 мл солянокислого р-ра, содержащего 0,012—1,76 мг  $\text{Bi}$ , прибавляют 6 мл 1%-ного этанольного р-ра I и 2 мл 25%-ного р-ра KI, разбавляют 96%-ным этанолом до 10 мл, перемешивают и фотометрируют. Чувствительность определения 0,6 γ  $\text{Bi}$  на 1 мл. Абс. ошибка определения колеблется от +0,003 до -0,00008 мг; продолжительность определения ~30 мин. Определению  $\text{Bi}$  мешают  $\text{NO}_3^-$  и другие окислители. Б. Маноло

6Д159. Титриметрическое определение висмута при помощи дальцина. Dutt Nihar Kumar. Volumetric determination of bismuth with dalzin. Sci. and Cult. 1960, 25, № 12, 695 (англ.).—Дальцин (диалкилдитиокарбамидогидразин) образует с  $\text{Bi}$  интенсивно окрашенный оранжевый осадок, частично растворимый в воде, полностью экстрагирующийся хлороформом при pH 1,5—2,0 и хорошо растворимый в ацетоне с образованием интенсивно окрашенного оранжевого р-ра. В ацетоновом р-ре можно оттитровать 10—50 мг  $\text{Bi}$  0,01 M р-ром комплексона III. Конечная точка устанавливается по исчезновению желтой окраски р-ра. В. Лукьянов

6Д160. Потенциометрическое титрование висмута ферроцианидами натрия и лития. Basińska Halina, Orylski Zenon. O potencjometrycznym miarekowaniu bizmutu żelazocyjankiem sodowym i litowym. «Chem. analit. (Polska)», 1960, 5, № 2, 187—191 (польск.; рез. англ.).—Разработан метод потенциометрич. титро-

вания В  
ный на  
Bi с со  
содерж  
разбав  
чески  
Li<sub>2</sub>Fe(CN)  
равен 90  
тельная  
6Д161.

в меди  
С. А. «1  
142—145  
сплывах  
ной р-ц  
Лунку  
р-ром Н  
ной бум  
HNO<sub>3</sub> (1  
перенос  
мываю  
Получе  
прибав  
ный р-р  
и сверх  
ный р-р  
и сверх  
вводят  
ния всп  
2—3 ка  
переме  
ную т  
10—15  
вается  
очень  
дення  
вают с  
и орган  
открыт  
ность с  
6Д162.

мы в  
spettrof  
«Metal  
франц.  
Sb<sup>3+</sup> о  
и опре  
пробы  
с при  
р-ра F  
и филь  
раствор  
до 100  
H<sub>2</sub>SO<sub>4</sub>  
80%-н  
р-ра K  
разбав  
425 мг  
Бера

6Д16  
фата и  
ция. I  
minati  
lene b  
lanta»  
франц  
видим  
образ  
мая д  
восст  
р-цию  
тяжел  
а так

Р 5—80 у.  
ют в 25 мл  
водой до  
прибавляют  
го дыма и  
зе минера  
HCl (если  
нагревают  
далее ана  
> 0,04%  
р-ра HBr  
Туркевич  
и кислот  
mination of  
and Plant  
первично  
ного до  
она с эф  
рез сухой  
ивают на  
50 мл то  
н. р-ром  
етиловому  
рода). За  
ание, при  
овывается  
при тит  
с ре  
полбдта  
анализом  
результ  
в органи  
ацетон <  
ондратке  
определе  
А. Л. Ро  
а бисми  
343 (рум;  
фотомет  
меркапто  
960, № 6  
ейтр. сре  
а, раство  
окраски  
личением  
гановится  
005—2 мл  
76 мг Bi  
I и 2 мл  
нолом до  
ствитель  
бка опре  
; продол  
лению Bi  
Мавоз  
мута при  
olumetric  
and Cult.  
гидлитно  
окре  
римый в  
ом при  
е с обра  
ого р-ра  
50 мг Bi  
ика уста  
ски р-ра  
Пукьяне  
висмут  
a Hali  
miarec  
litowu  
(польск;  
ч. титро

вания Bi р-рами  $\text{Na}_4\text{Fe}(\text{CN})_6$  или  $\text{Li}_4\text{Fe}(\text{CN})_6$ , основанный на колич. выделении (при  $\text{pH} < 2$ ) ферроцианида Bi с соотношением  $\text{Bi}^{3+} : [\text{Fe}(\text{CN})_6]^{4-} = 1,742$ . Пробу, содержащую 0,05—0,38 г  $\text{Bi}^{3+}$ , растворяют в 2 н.  $\text{HNO}_3$ , разбавляют водой до 40 мл и титруют потенциометрически  $\sim 0,2 \text{ M}$  р-ром  $\text{Na}_4\text{Fe}(\text{CN})_6$  или  $\sim 0,1 \text{ M}$  р-ром  $\text{Li}_4\text{Fe}(\text{CN})_6$ . Скачок потенциала вблизи конечной точки равен 90—180 мВ на каждые 0,2 мл реактива. Относительная ошибка определения  $< 1\%$ . Н. Туркевич

6Д161. Бесстружковый метод открытия сурьмы в медных сплавах. Ховякова Р. Ф., Ломоносов С. А. «Тр. Уральского политех. ин-та», 1960, сб. 96, 142—145. Разработана методика открытия Sb в Cu-сплавах бесстружковым методом, основанная на цветной р-ции метилового фиолетового с анионом  $\text{SbCl}_6^-$ . Лунку на поверхности Cu-сплава тщательно очищают р-ром  $\text{HNO}_3$ , промывают водой и сушат фильтровальной бумагой. На очищ. поверхность помещают 2 капли  $\text{HNO}_3$  (1:1). После прекращения р-ции р-р с осадком переносят в мерный цилиндр, емк. 10 мл, лунку промывают 5—6 раз водой и 2—3 каплями  $\text{HCl}$  (1:1). Полученный р-р в цилиндре разбавляют водой до 1 мл, прибавляют 1,5 мл конц.  $\text{HCl}$ , вводят по каплям 10%-ный р-р  $\text{SnCl}_2$  до исчезновения зеленой окраски р-ра и сверх этого еще 1—2 капли, затем прибавляют 10%-ный р-р  $\text{NaNO}_2$  до возвращения зеленой окраски и сверх этого еще 1—2 капли, выдерживают 3—5 мин., вводят по каплям насыщ. р-р мочевины до прекращения вспенивания, разбавляют водой до 8 мл, добавляют 2—3 капли 0,2%-ного р-ра метилового фиолетового, перемешивают продуванием воздуха через капиллярную трубку, вводят 0,5 мл толуола и взбалтывают 10—15 сек. В присутствии Sb органич. слой окрашивается в синий цвет с фиолетовым оттенком. При очень малых кол-вах Sb окраска голубая. Для проведения проверочной р-ции часть экстракта взбалтывают с р-ром  $\text{SnCl}_2$ . При этом  $\text{Sb}^{3+}$  восстанавливается и органич. слой обесцвечивается. Метод пригоден для открытия 7—0,009% Sb в Cu-сплавах. Продолжительность определения 30—40 мин. Е. Богомилская

6Д162. Спектрофотометрическое определение сурьмы в сплавах меди. Foglino M. L. Determinazione spettrofotometrica dell'antimonio nelle leghe di rame. «Metallurgia ital.», 1960, 52, № 6, 355—357 (итал.; рез. франц., англ. нем.). Для определения Sb в Cu-сплавах  $\text{Sb}^{3+}$  осаждают совместно с  $\text{Fe}^{3+}$  действием  $\text{NH}_4\text{OH}$  и определяют фотометрич. методом в виде  $\text{SbI}_4^-$ . 2 г пробы растворяют на холоду в 25 мл разб.  $\text{HCl}$  (1:1) с прибавлением  $\text{H}_2\text{O}_2$ . Р-р кипятят, добавляют 5 мл р-ра  $\text{FeCl}_3 \cdot 6\text{H}_2\text{O}$  (200 г в 1 л), 50 мл  $\text{NH}_4\text{OH}$  (1:1) и фильтруют. Осадок промывают 1%-ным р-ром  $\text{NH}_4\text{Cl}$ , растворяют в 60 мл  $\text{H}_2\text{SO}_4$  (1:2) и разбавляют водой до 100 мл. К 25 мл полученного р-ра прибавляют 10 мл  $\text{H}_2\text{SO}_4$  (1:2), 4 мл р-ра тиогликолевой к-ты (10 мл 80%-ной тиогликолевой к-ты в 250 мл воды), 20 мл р-ра KJ (400 г KJ и 50 г аскорбиновой к-ты в 1 л), разбавляют водой до 100 мл и фотометрируют при 425 мμ. Окраска устойчива в течение 30 мин. Закон Бера соблюдается при конц-ии Sb  $< 28 \text{ мкг/мл}$ .

Н. Туркевич  
6Д163. Определение ультрамикрочислеств сульфата в виде метилового голубого. I. Цветная реакция. II. Восстановление. Gustafsson Lilly. Determination of ultramicro amounts of sulphate as methylene blue. I. The colour reaction. II. The reduction. «Talanta», 1960, 4, № 4, 227—235; 236—243 (англ.; рез. франц., нем.). I. Изучена цветная р-ция  $\text{S}^{2-}$  с п-аминодиметиланилином в присутствии  $\text{Fe}^{3+}$ , ведущая к образованию метилового голубого (I) и используемая для фотометрич. определения  $\text{SO}_4^{2-}$  после его восстановления до  $\text{S}^{2-}$ . Установлено, что на цветную р-цию влияют конц-ия к-ты, т-ра, время, присутствие тяжелых металлов, окисление кислородом воздуха, а также потери  $\text{H}_2\text{S}$ . Подтверждены отмеченные ранее

(С. М. Johnson, Н. Nishita «Anal. Chem.», 1952, 24, 736) отклонения от закона Бера. Определен выход I, составляющий  $66,7 \pm 0,5\%$ . На основе полученных данных уточнены условия развития окраски и спектрофотометрирования.

II. Изучен процесс восстановления  $\text{SO}_4^{2-}$  до  $\text{S}^{2-}$ . В качестве восстановителя использована смесь  $\text{HJ}$  и  $\text{H}_3\text{PO}_2$  в р-ре  $\text{CH}_3\text{COOH}$ . Установлено, что восстановление зависит от состава восстановителя, состава газа-носителя и жидкости, используемой для промывания газа, т-ры восстановления и времени. Выход составляет 100%. Восстановление производят в атмосфере  $\text{N}_2$  в круглодонной колбе, из которой газы поступают в промывную колонку с 10—15 мл воды (для поглощения  $\text{HJ}$  и  $\text{CH}_3\text{COOH}$ ) и далее по газоотводной трубке проходят в мерную колбу с р-ром  $\text{Zn}(\text{CH}_3\text{COO})_2$ , используемым для поглощения  $\text{H}_2\text{S}$ . Пробу, содержащую  $< 100 \text{ мкг S}$ , помещают в круглодонную колбу (если анализируют р-р, то его предварительно выпаривают в сушильном шкафу при  $130^\circ$  и смывают 4 M р-ром  $\text{KOH}$  на дно колбы), прибавляют 3 мл р-ра восстановителя ( $\text{NaH}_2\text{PO}_2 \cdot \text{H}_2\text{O}$ ) растворяют в 25 мл лед.  $\text{CH}_3\text{COOH}$ , прибавляют 100 мл конц.  $\text{KJ}$ , кипятят 1 час с обратным холодильником, пропускают ток  $\text{N}_2$ , охлаждают в токе  $\text{N}_2$  плотно закупоривают и хранят в темноте) и пропускают через р-р  $\text{N}_2$  (предварительно очищенный пропусканием через 2%-ный р-р  $\text{KMnO}_4$ , насыщенный  $\text{HgCl}_2$ ) со скоростью 150—200 мл. Содержимое колбы быстро ( $\sim 60$  сек.) доводят до кипения и кипятят 10 мин. Образующийся  $\text{H}_2\text{S}$  поглощает 0,25 M р-ром  $\text{Zn}(\text{CH}_3\text{COO})_2$  в 0,1 M  $\text{CH}_3\text{COONa}$  (для удаления следовых кол-в тяжелых металлов к 1 л этого р-ра прибавляют 2 мл 0,05 M  $\text{Na}_2\text{S}$ , выдерживают 12 час. и фильтруют; для поглощения  $\text{H}_2\text{S}$  используют 10 мл полученного р-ра + 68 мл воды). Приемник (вместе с газоотводной трубкой) отсоединяют и выдерживают в термостате при  $20^\circ \geq 10$  мин. Затем из быстро стекающих пипеток прибавляют реактивы, также выдержанные при  $20^\circ$ : 10 мл 0,005 M р-ра I в 3,5 M  $\text{H}_2\text{SO}_4$  (р-р должен стекать по стенкам, образуя слой на дне колбы; перемешивают вращением) и 2 мл 0,25 M  $\text{NH}_4\text{Fe}(\text{SO}_4)_2$  в 0,5 M  $\text{H}_2\text{SO}_4$ . Колбу закупоривают и сильно встряхивают 0,5 мин., р-р разбавляют водой до 100 мл, перемешивают, выдерживают  $> 15$  мин. в темноте при  $20^\circ$  и спектрофотометрируют при 667 мμ (отделение для кювет термостатируют), используя в качестве р-ра сравнения воду. Вводят поправку на контрольный опыт. Используемую в анализе воду очищают на ионообменных смолах. При определении 100 мкг S стандартное отклонение составляет 0,14 мкг, а при определении 2 мкг S — 0,05 мкг. Метод применен для анализа воды и биохим. препаратов. Определению не мешают умеренные кол-ва щел. и щел.-зем. металлов и  $< 20 \text{ мкг Fe}^{3+}$ . Мешают окислители ( $\text{NO}_3^-$ ) и азотсодержащие органич. в-ва. В. Звенигородская

6Д164. К вопросу об определении селена тиосульфатным и теллуром йодидными методами. Машук А. Я., Гладышева К. Ф. «Сб. тр. Всес. н.-и. горнометаллург. ин-т цветн. мет.», 1959, № 5, 56—64. Изучены методы растворения Se и Te в  $\text{HCl}$  с добавками  $\text{HNO}_3$  и жидкого  $\text{Br}_2$ . Показано, что растворение во втором случае протекает в течение 2—3 мин. Для удаления избытка  $\text{Br}_2$  рекомендовано применение фенола или салицилата Na, продукты бромирования которых не мешают йодометрич. определениям Se и Te. Осаждение Se проводят из  $\text{HCl}$ -среды гидразином, осаждение Te — из фильтрата после отделения Se р-ром  $\text{SnCl}_2$ . Осадок Se на фильтре растворяют в 10 мл  $\text{HCl}$  (уд. в. 1,19), добавляют 3—4 капли  $\text{Br}_2$ , вводят 15—20 мл воды и, по каплям, 5%-ный р-р фенола (или при нагревании на водяной бане 10%-ный р-р салицилата Na) до обесцвечивания, разбавляют до 100 мл, вводят 10—20 мл 0,02 н. р-ра  $\text{Na}_2\text{S}_2\text{O}_3$  и оттитровывают избыток последнего р-ром  $\text{J}_2$ . Аналогично растворяют



осадок Fe, разбавляют до 100 мл, вводят 10 мл 30%-ного р-ра KJ и титруют 0,02 н. р-ром  $\text{Na}_2\text{S}_2\text{O}_3$ . Описаны также методы йодометрич. определений Se и Te после растворения их в  $\text{HCl} + \text{HNO}_3$ . Приведены методики приготовления стандартных р-ров Se и Te и установки титра р-ра  $\text{Na}_2\text{S}_2\text{O}_3$ . С. Гусинская

6Д165. Спектрофотометрическое определение четырехвалентного теллура при помощи 1,1'-диантримиды. Skaar O. B., Langmyhr F. J. Spectrophotometric determination of tellurium(IV) with 1,1'-dianthrimeide. «Analyst. chim. acta», 1960, 23, № 2, 175—177 (англ.; реф. франц., нем.).—Установлено, что комплекс  $\text{Te}^{4+}$  с 1,1'-диантримидом (I) в конц.  $\text{H}_2\text{SO}_4$  имеет 2 максимума светопоглощения: при 550 и 600 мμ (максимумы светопоглощения комплексов В и Ge с I лежат при 630 и 660 мμ соответственно). В пределах конц-ии  $\text{H}_2\text{SO}_4$  96,12—98,75% оптич. плотность комплекса  $\text{Te}^{4+}$  с I остается практически постоянной. Окраска развивается очень медленно, и для полного ее развития необходимо нагревание при 70° в течение 16 час. Закон Бера не соблюдается. На основе полученных данных разработан спектрофотометрич. метод определения Te (0,1—0,6 мг Te в 25 мл р-ра). Определению мешают В, Ge, Br и F. В. Лукьянов

6Д166. Применение метода хроматографии на бумаге для изучения процесса получения соединений шестивалентного теллура. Ördögh Mária, Schneer Anna. Papirkromatográfiás vizsgálatok tellur(VI) vegyületek előállításával kapcsolatosan. «Magyar tud. akad. Közép. fiz. kutató int. közl.», 1960, 8, № 1, 39—40, IV, X (венг.; реф. русск., англ.).—Для изучения образования и устойчивости соединений  $\text{Te}^{6+}$ , получающихся при хлорировании р-ров  $\text{Te}^{4+}$  (солянокислых, щелочных и нейтральных), применен метод хроматографии на бумаге. Установлено, что методом восходящей хроматографии с использованием в качестве р-рителя *n*-бутанола, насыщенного 3 н. р-ром  $\text{HCl}$ , а в качестве проявителя — р-ра  $\text{SnCl}_2$ , можно открывать  $>2 \gamma \text{ Te}^{6+}$  в присутствии избытка  $\text{Te}^{4+}$  и  $<1 \gamma \text{ Te}^{4+}$  в избытке  $\text{Te}^{6+}$ . В щел. среде значения  $R_f$  для  $\text{Te}^{6+}$  равно 0,08—0,15, а для  $\text{Te}^{4+}$  — 0,51—0,61 и уменьшается с увеличением конц-ии щелочи.  $\text{Te}^{6+}$  восстанавливается до  $\text{Te}^{4+}$  не только при кипячении, но и при высушивании капли на фильтровальной бумаге теплым воздухом. И. Криштофори

6Д167. Спектрофотометрическое определение фторида при помощи хлорантата тория. Hensley A. L., Barney J. E. II. Spectrophotometric determination of fluoride with thorium chloranilate. «Analyst. Chem.», 1960, 32, № 7, 828—831 (англ.).—Разработан фотометрич. метод определения F, основанный на ослаблении окраски хлорантата Th (I) ионами  $\text{F}^-$  в присутствии метилцеллюлозы (II) при pH 4,5. При высоких конц-иях F спектрофотометрирование производит при 540 мμ в смеси II — вода (1:3), при низких конц-иях F — при 330 мμ в смеси II — вода (1:9). Для определения  $<10 \text{ мкг F}$  в 60 мл воды необходимо построить два калибровочных графика: для 0,2—10 мкг и для  $<0,2 \text{ мкг F}$ . В первом случае к стандартному р-ру NaF прибавляют 25 мл II, 10 мл буферного р-ра (0,1 M  $\text{CH}_3\text{COONa} + 0,1 \text{ M CH}_3\text{COOH}$ ), разбавляют водой до 100 мл, вводят  $\sim 50 \text{ мкг I}$ , выдерживают 30 мин. при периодич. взбалтывании, фильтруют через фильтр ватман № 42 и фотометрируют при 540 мμ в 1-см кюветках, применяя в качестве р-ра сравнения контрольный (холостой) р-р. Калибровочный график при содержании  $\text{F}^- < 0,2 \text{ мкг}$  строят таким же образом, только берут 10 мл II и спектрофотометрируют при 330 мμ в 1-см кварцевых кюветках. При анализе проб предварительно грубо устанавливают pH 4—7 с помощью NaOH или  $\text{HNO}_3$ . Мешают катионы многих элементов, некоторые из них отделили на катионите, а от Al, Zr, фосфата, молибдата, цитрата и тартрата фтор можно отделить только перегонкой. Метод применен для ана-

лиза природных вод, содержащих 0,5—1 ч. F на 1 млн. и катализаторов типа  $\text{SiO}_2 - \text{Al}_2\text{O}_3$  и  $\text{Al}_2\text{O}_3$  (0,3—4% F). В. Лукьянов

6Д168. Спектрофотометрическое определение фторида в воде. Brownley Floyd I., Jr., Howle Charles W., Jr. Spectrophotometric determination of fluoride in water. «Analyst. Chem.», 1960, 32, № 10, 1330—1332 (англ.).—Разработан спектрофотометрич. метод определения  $\text{F}^-$ , основанный на обесцвечивании лака Th с фенилфлуороном (I) в присутствии  $\text{F}^-$  при pH 3,2—4,6. Смешивают 5 мл р-ра желатинны (2,5 г на 250 мл), 10 мл буферного р-ра (94,5 г  $\text{CH}_3\text{COONa}$  и 108,9 г  $\text{CH}_3\text{COOH} \cdot 3\text{H}_2\text{O}$  в 1 л), 25 мл этанола, 2 мл р-ра I (к 0,125 г I прибавляют 200 мл этанола, 2 мл конц.  $\text{H}_2\text{SO}_4$  и разбавляют этанолом до 250 мл) и 2 мл р-ра  $\text{Th}(\text{NO}_3)_4$  (1,190 г  $\text{Th}(\text{NO}_3)_4 \cdot 4\text{H}_2\text{O}$  на 500 мл), вводят 50 мл анализируемого р-ра, пропущенного через катионит (для отделения Fe, Ca, Mg, Al, Mn), разбавляют водой до 100 мл и через 25 мин. спектрофотометрируют при 530 мμ. Закон Бера соблюдается при содержании  $\text{F}^- < 5 \text{ ч. на } 1 \text{ млн.}$  Определению не мешают  $\text{Cl}^- (<100 \text{ ч. на } 1 \text{ млн.})$  и  $\text{PO}_4^{3-} (<1 \text{ ч. на } 1 \text{ млн.})$ . Ю. Буслаев

6Д169. Влияние трис-(оксиметил)-аминометана и монометил-бис-(оксиметил)-аминометана на меркурометрическое определение хлоридов. Björk Walter, Svensson Ingvar. The influence of tris(hydroxymethyl) aminomethane and of monomethyl bis(hydroxymethyl) aminomethane on mercurimetric chloride determinations. «J. Chromatogr.», 1960, 4, № 1, 88—91 (англ.).—Для изучения наблюдавшегося ранее (РЖХим, 1960, № 9, 34231) влияния трис-(оксиметил)-аминометана (I) и монометил-бис-(оксиметил)-аминометана (II) на меркурометрич. определение  $\text{Cl}^-$  проведено титрование I и II, а также смесей I с  $\text{Cl}^-$  и II с  $\text{Cl}^-$ , 0,007 н. р-ром  $\text{Hg}(\text{NO}_3)_2$  при разных значениях pH. Установлено, что при pH  $>2,3$  результаты титрования  $\text{Cl}^-$  в присутствии I или II завышены, причем с увеличением pH завышение возрастает. Зависимость между кол-вом  $\text{Hg}(\text{NO}_3)_2$  и конц-иями I или II нелинейна; отклонение от линейности возрастает с увеличением pH. Предложено использовать взаимодействие I с  $\text{Cl}^-$  и  $\text{Hg}^{2+}$  для определения конц-ии I. С. Зеличев

6Д170. Кулонометрическое определение малых количеств йодида путем внутреннего электролиза. Kis J., Schejtanow Chr. Coulombmetrische Bestimmung geringer Jodidmengen durch innere Elektrolyse. «Period. polytechn. Chem. Engng», 1960, 4, № 2, 163—170 (нем.).—Описан кулонометрич. метод определения малых кол-в  $\text{J}^-$  путем внутреннего электролиза в ячейке, состоящей из Pt-электрода Винклера (анод) и пасты из  $\text{PbO}_2 + \text{H}_2\text{SO}_4$  (катод). Electroды разделены коллоидной диафрагмой, нанесенной на стеклянную гильзу экстракционного аппарата Сокслета, служащую катодной камерой. Катод включается в цепь с помощью угольного стержня, погруженного в пасту. В качестве постоянного электролита использованы р-ры  $\text{KNO}_3$ ,  $\text{NH}_4\text{NO}_3$  и  $\text{H}_2\text{SO}_4$ , наилучшим из них является 2%-ный р-р  $\text{KNO}_3$ . Для измерения кол-ва протекающего в цепи электричества использован газовый (водородный) микрокулометр. Перемешивание р-ра током  $\text{N}_2$  сокращает продолжительность определения в 2—3 раза. Перед началом определения производят электролитич. окисление примесей в постороннем электролите (о наличии примесей можно судить по форме графика зависимости  $i$  от  $t$ ). По окончании предэлектролиза ( $\sim 10 \text{ мин.}$ ) в анодную камеру вводят аликвотную порцию анализируемого р-ра  $\text{J}^-$  и замыкают цепь. Через 20 мин. измеряют объем газа в кулонометре и продолжают электролиз до тех пор, пока объем газа не останется постоянным в течение 5 мин. (остаточный ток составляет 1 мкА). При конц-ии  $\text{J}^- 30\text{—}100 \gamma$  относительная ошибка определения  $<3\%$

на 1 мл.  
0,3—4% F).  
Лукьянов  
ение фото-  
S. Howle  
ination of  
32, № 10,  
отометрич.  
свечивании  
ни F при  
а (2,5 г на  
SiCl<sub>4</sub>OH и  
пола, 2 мл  
пола, 2 мл  
мл) и 2 мл  
500 мл),  
ищенного  
Al, Mn),  
и, спектро-  
облюдается  
делению  
( $<1$  ч.  
О. Буслаев  
ометана и  
меркуры  
Walter,  
s(hydroxy-  
ois (hydro-  
chloride de-  
1, 88—91  
я ранее  
ксиметил-  
ил)-амино-  
Cl- прове-  
Cl- и П  
значения  
титры  
ы, причём  
висимость  
ли П не  
ает с уве-  
заимодей-  
ли I.  
Зелёного  
малых ко-  
а. Kis J.  
stimulung  
e. Period.  
163—170  
редления  
лектролиз  
ра (анод)  
ды разде-  
а стеклян-  
ета, слу-  
я в пещь  
о в пасту.  
ользованы  
в них яв-  
л-ва про-  
газовый  
ание р-ра  
редления  
производит  
тороннем  
удить по  
кончании  
ру вводят  
и замы-  
а в коло-  
тор, пока  
не 5 мин.  
иц-ии J-  
ия  $<3\%$

при меньших конц-ях ошибка возрастала до 10% ввиду недостаточной точности кулонометра. В. Миркин

6Д171. Аргентометрическое определение цианидов в присутствии тиофлуоресцина. Wroński Mieczysław. Argentometryczne oznaczenie cyanków wobec tiofluoresceiny. «Chem. analit. (Polska)», 1960, 5, № 2, 293—296 (польск.; рез. англ.).—Для аргентометрич. определения CN<sup>-</sup> в качестве индикатора применяют тиофлуоресцин (I). К пробе (0,3—50 мг HCN) прибавляют 5 мл 1 н. NaOH и 2—5 мл 0,02%-ного р-ра I, разбавляют водой до 50—100 мл и титруют 0,01—0,1 н. AgNO<sub>3</sub> до исчезновения синей окраски. Ошибка составляет 0,2—0,4%. Ионы Zn<sup>2+</sup>, Cd<sup>2+</sup>, Cl<sup>-</sup>, SCN<sup>-</sup>, J<sup>-</sup>, SO<sub>3</sub><sup>2-</sup>, Fe<sup>3+</sup>, Pb<sup>2+</sup>, а также комплексон III не мешают. Mn<sup>2+</sup> маскируют прибавлением комплексона III. Для маскирования Hg<sup>2+</sup> прибавляют тиогликолят Na (кол-во которого устанавливают титрованием отдельной пробы тем же р-ром тиогликолята Na в присутствии 5 мл 1 н. NaOH, 5 мл 37%-ного р-ра CH<sub>2</sub>O и 1 мл 0,02%-ного р-ра I в 0,1 н. NH<sub>4</sub>OH до появления синей окраски). В присутствии S<sup>2-</sup> отдельную пробу титруют 0,05 н. о-оксимеркурибензоатом Na в присутствии 5 мл 1 н. NaOH и 5 мл CH<sub>2</sub>O с применением дитизона в качестве индикатора. Затем ко второй пробе прибавляют избыток 4%-ного р-ра о-оксимеркурибензоата Na, 10 мл буферного р-ра (20 г NH<sub>3</sub> и 20 г NH<sub>4</sub>Cl в 1 л) и титруют CN<sup>-</sup> с помощью 0,1 н. NiSO<sub>4</sub> в присутствии мурексида. Ошибка  $<0,2\%$  CN<sup>-</sup>. Н. Туркевич

6Д172. Применение хлорангидридов замещенных янтарной и глутаровой кислот в качестве гидролизующих реактивов для определения воды. Belcher R., Ottendorfer L., West T. S. Acid chlorides of substituted succinic and glutaric acids as hydrolytic reagents for the determination of water. «Talanta», 1960, 4, № 3, 166—173 (англ.; рез. нем., франц.).—Описан метод определения кристаллизационной воды в ряде в-в (BaCl<sub>2</sub>·2H<sub>2</sub>O, CH<sub>3</sub>COONa·3H<sub>2</sub>O, CuSO<sub>4</sub>·5H<sub>2</sub>O, CdCl<sub>2</sub>·2,5H<sub>2</sub>O) при помощи хлорангидридов (ХА) β,β-диметил-(I) или β-метил-β-этилглутаровой к-ты (II). В-во, содержащее H<sub>2</sub>O, нагревают в токе сухого N<sub>2</sub>. Увлажненный N<sub>2</sub> пропускают затем со скоростью 18—22 мл/мин через сосуд, содержащий ХА. Образующаяся при гидролизе HCl уносится азотом в абсорбер, содержащий 6 мл воды. Через 25—30 мин. пропускание N<sub>2</sub> прекращают и содержащее абсорбера титруют 0,05 н. р-ром NaOH в присутствии нейтрального красного. Для учета летучести реактива параллельно проводят контрольный опыт. Испытанные в качестве реактивов ХА янтарной, α,α-диметил- и α,α-диэтил-янтарной к-т, глутаровой и β,β-диэтилглутаровой к-т непригодны ввиду высокой летучести их. Ошибка определения воды при помощи I  $\pm 1\%$ , при помощи II  $\pm 2\%$ . Ю. Л.

6Д173. Технический анализ. Части 1 и 2. Stephen William I. Analysis for industry. Parts 1, 2. «Industr. Chemist», 1960, 36, № 426, 408—410; № 427, 459—461 (англ.).—Обзор по применению метода кольцевой воздушной бани для микрохим. разделений. Библ. 20 назв.

6Д174. Спектрохимический анализ следов редких земель в тяжелом шпате. Zaki M. R., Schroll E. Spektrochemische Spurenanalyse auf Seltene Erden in wiss. Kl., 1959, 96, № 1—15, 162—165 (нем.).—Определение редкоземельных элементов в BaSO<sub>4</sub> производят на трехпризмном стеклянном спектрографе с дисперсией 2,6 Å/мм в области 4000 Å и целью пиприной 3 м. Спектры возбуждают при испарении образца из канала угольного электрода — анода — диам. 3 и глубиной 2 мм в дуге постоянного тока при 7 а. Спектры фотографируют в течение 45 сек. с дутовым промежуток 5 мм и предварительным обжигом 15 сек. Эталоны готовят смешиванием BaSO<sub>4</sub> с окислами редкоземельных элементов. Анализ производят по линиям (в Å): La 3949,11; Ce 4186,59; Pr 4222,78; Nd 4012,25; Sm 4296,75; Eu 3907, 11; Gd 4251,76; Yb 3987,99. Линия Ba

4132 Å служит внутренним стандартом. Средняя ошибка определения относительной интенсивности линий составляет  $\pm 10\%$  при содержании примесей 0,01%. Нижняя граница обнаружения колеблется в пределах  $5 \cdot 10^{-4}$ — $8 \cdot 10^{-3}\%$ . При анализе 28 природных образцов BaSO<sub>4</sub> присутствия редкоземельных элементов не обнаружено. В. Мосичев

6Д175. Анализ небольших образцов монацита с помощью гамма-сцинтилляционного спектрометра. Couwenberg G. H. M., Kooy C. L. D., Miss, Korveze A. E., Miss. Analyses of small samples of monazites with a gamma scintillation spectrometer. «Recueil trav. chim.», 1960, 79, № 8, 895—909 (англ.).—Разработан γ-спектрометрич. метод определения U и Th в небольших (~50 мг) образцах монацитовых песков. В связи с тем, что в небольших образцах самопоглощение невелико, возможно надежное измерение γ-излучения низкой энергии. Измерение проводят в трех областях энергий: 0,062—0,108, 0,174—0,200 и 0,219—0,259 Мэв. При содержании только одного радиоактивного компонента (U или Th) стандартное отклонение  $<0,1$  мг для U и  $<0,06$  мг для Th при продолжительности определения 30 мин. В случае монацита, содержащего и U и Th, точность метода не уступает точности хим. анализа. В случае породы, подвергшейся выщелачиванию, можно определить отношение U:Th и приблизительное содержание Ra. Метод позволяет определять  $\geq 0,02\%$  U и  $\geq 0,04\%$  Th, причем увеличение продолжительности измерения почти не влияет на чувствительность метода. Э. Чудинов

6Д176. Современное состояние методов рационального анализа вольфрамовых руд. Христофоров Б. С. «Сб. тр. Всес. н.-и. горно-металлург. ин-т цветн. мет.», 1959, № 5, 133—142.—Обзор. Библ. 12 назв.

6Д177. Химический анализ ванадиевого концентрата. Král Stanislav. Chemický rozbor vanadového koncentrátu. «Hutn. listy», 1960, 15, № 9, 727—728 (чешск.).—Описан метод анализа V-концентрата. Влагу определяют высушиванием 10 г пробы при 105°. Для определения Al, Fe, Ti и V 5 г высушенной пробы растворяют в смеси H<sub>2</sub>SO<sub>4</sub> и HNO<sub>3</sub>, р-р упаривают до появления белого дыма, остаток разбавляют водой и кипятят для растворения выпавших солей. Выделившийся осадок SiO<sub>2</sub> отфильтровывают и, после обработки его в Pt-тигле смесью конц. H<sub>2</sub>SO<sub>4</sub> и HF, сплавляют с KHSO<sub>4</sub>, выщелачивают, полученный р-р прибавляют к основному фильтрату и разбавляют водой до 1000 мл (р-р А). К 100 мл р-ра А прибавляют (NH<sub>4</sub>)<sub>2</sub>S<sub>2</sub>O<sub>8</sub> и H<sub>2</sub>SO<sub>4</sub> (1:1), кипятят и титруют VO<sub>3</sub><sup>-</sup> р-ром FeSO<sub>4</sub>; конечную точку устанавливают потенциометрич. методом. В 400 мл р-ра А окисляют V<sup>4+</sup> до V(5+) с помощью (NH<sub>4</sub>)<sub>2</sub>S<sub>2</sub>O<sub>8</sub> и AgNO<sub>3</sub> и выделяют гидроокиси Al, Fe и Ti. Al(OH)<sub>3</sub> отделяют растворением его в 10%-ном р-ре NaOH и определяют Al гравиметрически в виде Al<sub>2</sub>O<sub>3</sub>. Fe<sup>3+</sup> определяют фотометрированием в виде комплекса с KSCN, а Ti<sup>4+</sup> в 50 мл р-ра А в виде комплекса с H<sub>2</sub>O<sub>2</sub> (Fe<sup>3+</sup> маскируют с помощью H<sub>3</sub>PO<sub>4</sub>). Для определения Cr и P<sub>2</sub>O<sub>5</sub> 4 г пробы сплавляют в Ag-тигле с Na<sub>2</sub>O<sub>2</sub>, плав выщелачивают водой, разбавляют до 500 мл и фильтруют. В 100 мл фильтрата определяют CrO<sub>4</sub><sup>2-</sup> оксидиметрич. или фотометрич. методом. Из других 150 мл фильтрата осаждают PO<sub>4</sub><sup>3-</sup> в виде AlPO<sub>4</sub>, затем переводят его в фосфоромолибдат аммония и определяют гравиметрич. или титриметрич. методом. Осадок после отделения CrO<sub>4</sub><sup>2-</sup> и PO<sub>4</sub><sup>3-</sup> растворяют в разб. HNO<sub>3</sub> (1:1) и дополняют водой до 500 мл (р-р Б). В 100 мл р-ра Б определяют Mn<sup>2+</sup> (после окисления его до MnO<sub>4</sub><sup>-</sup>) фотометрич. или титриметрич. методом с Na<sub>2</sub>AsO<sub>4</sub>. Из 200 мл р-ра Б выделяют Ag<sup>+</sup> в виде AgCl, фильтрат упаривают до 20 мл и определяют в нем Ni<sup>2+</sup> и Cu<sup>2+</sup> полярографированием в присутствии NH<sub>4</sub>Cl, NH<sub>4</sub>OH, Na<sub>2</sub>SO<sub>3</sub> и желатин. Из 200 мл р-ра Б осаждают гидроокиси Fe и Ti, которые отфильтровывают;

в фильтрате осаждают  $\text{Ca}^{2+}$  в виде  $\text{CaC}_2\text{O}_4$ , кол-во которого устанавливают титрованием р-ром  $\text{KMnO}_4$ . Затем выделяют  $\text{Mg}^{2+}$  в виде  $\text{MgNH}_4\text{PO}_4$ , осадок прокалывают и взвешивают. Для определения  $\text{As}_2\text{O}_3$  10 г пробы растворяют в царской водке, р-р упаривают с  $\text{H}_2\text{SO}_4$  до белого дыма, разбавляют водой и отгоняют  $\text{AsCl}_3$  после прибавления  $\text{KBr}$ ,  $\text{N}_2\text{H}_4 \cdot \text{H}_2\text{SO}_4$  и конц.  $\text{HCl}$ . В дистилляте определяют  $\text{As}(3+)$  йодометрич. или броматометрич. титрованием. Для определения  $\text{S}^{2-}$  1 г пробы прокалывают в токе  $\text{O}_2$  при  $1300^\circ\text{C}$  с последующим йодометрич. титрованием выделенного  $\text{SO}_2$ . Для определения общей S сплавляют 2,5 г пробы в Нитигле с  $\text{Na}_2\text{O}_2$ , плав выщелачивают водой, фильтруют и выделяют  $\text{SO}_4^{2-}$  в виде  $\text{BaSO}_4$ . С определяют сложением пробы в токе  $\text{O}_2$  при  $1200^\circ\text{C}$  с последующим поглощением  $\text{CO}_2$  натронной известью или титрованием по Штрелейну. Н. Туркевич

6Д178. Новый метод определения карбида в стали. Brháček Lubomír, Golonka Antonín, Kurzová Květuše. Nový způsob karbidické analýzy oceli. «Hutn. listy», 1960, 15, № 9, 679—686 (чешск.; рез. русск., нем., англ., франц.).—Для выделения карбидов  $\geq 20$  мг стали подвергают электролитич. растворению при плотности тока  $0,1\text{--}0,2 \text{ а/см}^2$  в течение 1—2 мин. в смеси 5%-ного р-ра цитрата Na и 2,5%-ного р-ра  $\text{NaCl}$ . Для растворения пробы стали можно применять также 5%-ный р-р  $\text{HCl}$  (продолжительность 2 мин., плотность тока  $0,2 \text{ а/см}^2$ ) или 10%-ный р-р  $\text{NaOH}$  (плотность тока  $0,15 \text{ а/см}^2$ , продолжительность 2—5 мин.). Выделенные карбиды промывают смесью р-ров  $\text{NaCl}$  и цитрата Na, затем водой, растворяют в 5 мл  $\text{H}_2\text{SO}_4$  (1:9) с прибавлением нескольких капель  $\text{HNO}_3$ , упаривают до выделения белого дыма и разбавляют водой до 25 мл (р-р А). 10 мл р-ра А кипятят с  $(\text{NH}_4)_2\text{S}_2\text{O}_8$  и  $\text{AgNO}_3$ , охлаждают и титруют  $\text{MnO}_4^- + \text{CrO}_4^{2-} + \text{VO}_3^-$  с помощью 0,0004 н.  $(\text{NH}_4)_2\text{Fe}(\text{SO}_4)_2$  (I). Затем 10 мл р-ра А снова кипятят с  $(\text{NH}_4)_2\text{S}_2\text{O}_8$ , образовавшийся  $\text{MnO}_4^-$  обеспечивают 2 каплями конц.  $\text{HCl}$  и титруют  $\text{CrO}_4^{2-} + \text{VO}_3^-$  р-ром I. К оттитрованному р-ру прибавляют 0,004 н.  $\text{KMnO}_4$  до розового окрашивания, удаляют его избыток 0,004 н. р-ром  $\text{NaNO}_2$  и титруют  $\text{VO}_3^-$  р-ром I. В случае фотометрич. определения Mn 5 мл р-ра А кипятят с  $\text{KJO}_4$  в присутствии  $\text{H}_2\text{SO}_4$  и  $\text{H}_3\text{PO}_4$  и фотометрируют (фотометр Спеккера, фильтр № 604). Для амперометрич. определения Fe восстанавливают  $\text{Fe}^{3+}$  в 5 мл р-ра А до  $\text{Fe}^{2+}$  в  $\text{Ag}$ -редукторе в  $\text{H}_2\text{SO}_4$  (1:1), прибавляют 0,0004 н.  $\text{K}_2\text{Cr}_2\text{O}_7$  и его избыток оттитровывают р-ром I. При фотометрич. определении Fe к 5 мл р-ра А прибавляют р-р, содержащий о-фенантролин,  $\text{NH}_2\text{OH} \cdot \text{HCl}$ ,  $\text{CH}_3\text{COONa}$  и  $\text{CH}_3\text{COOH}$  и фотометрируют (фильтр № 603). Для определения Mo пробу в виде валика (диам. 6—12 мм, длина 50—100 мм) подвергают электролитич. обработке в течение 1—2 мин. электрич. током в  $0,2\text{--}0,4 \text{ а/см}^2$  в смеси, состоящей из 225 мл  $\text{CH}_3\text{COOH}$ , 20 мл конц.  $\text{HClO}_4$  и 5 мл воды при  $25^\circ$ . Затем прибавляют цитрат Na и продолжают обработку еще 1—2 мин. Выделенные карбиды отфильтровывают, промывают и переводят в р-р (аналогично приготовлению р-ра А). К 5 мл полученного р-ра прибавляют  $\text{NH}_4\text{SCN}$ ,  $\text{SnCl}_2$ ,  $\text{H}_2\text{SO}_4$ ,  $\text{H}_3\text{PO}_4$ ,  $\text{HNO}_3$ , разбавляют водой до 100 мл и через 10—60 мин. фотометрируют (фильтр № 603). Н. Туркевич

6Д179. Поправки на взаимное влияние линий при рентгеновском спектрографическом определении ванадия, хрома и марганца в низколегированных сталях. Zemaný P. D. Line interference corrections for X-ray spectrographic determination of vanadium, chromium and manganese in low-alloy steels. «Spectrochim. acta», 1960, 16 № 6, 736—741 (англ.).—Описан рентгеновский флуоресцентный метод определения в сталях небольших кол-в V, Cr и Mn при приблизительно постоянном содержании Ni и Mo. Если разрешение

спектрометра невелико, то  $\text{VK}_\beta$  перекрывается  $\text{CrK}_\alpha$ , а  $\text{CrK}_\beta - \text{MnK}_\alpha$ . При анализе измеряют интенсивность  $\text{VK}_\alpha$  и суммарную интенсивность  $\text{VK}_\beta + \text{CrK}_\alpha$  и  $\text{CrK}_\beta + \text{MnK}_\alpha$ , затем, используя в качестве образцов  $\text{V}_2\text{O}_5$  и  $\text{K}_2\text{Cr}_2\text{O}_7$ , измеряют соответственно отношения интенсивностей  $\text{VK}_\alpha/\text{VK}_\beta$  и  $\text{CrK}_\alpha/\text{CrK}_\beta$ . Решая полученные ур-ния, определяют  $\text{CrK}_\alpha$  и  $\text{MnK}_\alpha$ , по которым, с помощью графиков построенных обычным способом, определяют содержание V, Cr и Mn. При определении интенсивностей линий вводят поправку на фон. Л. Смирнов

6Д180. Определение некоторых металлов на рентгеновском флуоресцентном спектрометре. I. Флуоресцентный рентгеновский анализ медно-алюминиевых и серебряно-алюминиевых сплавов. Goto Hidehiro, Ikeda Shigero, Sudo Emiko. Determination of some metals by X-ray fluorescence apparatus. I. Determination of copper and silver in aluminium alloys. «Sci. Repts. Res. Insts. Iohoku Univ.», 1959, A11, № 6, 451—457 (англ.); «Бунсэки кагаку, Japan Analyst», 1959, 8, № 8, 518—522 (японск.; рез. англ.).—Изучено рентгеновское флуоресцентное излучение Cu в Cu—Al-сплавах и Ag в Ag—Al-сплавах. Показано, что интенсивность линий  $\text{CuK}_\alpha$  и  $\text{CuK}_\beta$  пропорциональна конц-ции Cu в Cu—Al-сплавах, а интенсивность линий  $\text{AgK}_\alpha$  — конц-ции Ag в Ag—Al-сплавах. Интенсивности  $\text{CuK}_\alpha$  при анализе порошкообразного и плоского металлич. образцов совпадают при условии, что порошкообразная проба измельчена до 200 меш. Метод применен для изучения сегрегации Cu в цилиндрич. образце Cu—Al-сплава. И. Лапутина

6Д181. Анализ бериллия и окиси бериллия. I. Определение железа. II. Определение меди. III. Определение молибдена. The analysis of beryllium and beryllium oxide. I. Hibbits J. O., Davis W. F., Menke M. R. The determination of iron. II. Hibbits J. O., Davis W. F., Menke M. R. The determination of copper. III. Hibbits J. O., Davis W. F., Menke M. R., Kallmann S. The determination of molybdenum. «Talanta», 1960, 4, № 1, 61—66; № 2, 101—103; 104—107 (англ.; рез. нем., франц.).—I. Описан фотометрич. метод определения Fe в виде комплекса с о-фенантролином после экстракционного выделения  $\text{Fe}^{3+}$  при помощи триоктилфосфиноксида (I). Окись бериллия растворяют в 6 M  $\text{H}_2\text{SO}_4$ , металлич. Be — в 6 M  $\text{HCl}$  (нерастворимый остаток прокалывают, сплавляют с  $\text{KHSO}_4$ , отдымляют с  $\text{HF} + \text{HCl} + \text{H}_2\text{SO}_4$  и присоединяют к основному р-ру) и экстрагируют  $\text{Fe}^{3+}$  0,01 M р-ром I в циклогексане из 6 M  $\text{HCl}$ . Экстракт промывают р-ром  $\text{HCl}$  и  $\text{Fe}^{3+}$  реэкстрагируют 3 M р-ром  $\text{H}_2\text{SO}_4$ . К реэкстракту добавляют  $\text{HCl}$  и снова экстрагируют  $\text{Fe}^{3+}$  0,01 M р-ром I в циклогексане. Аликвотную порцию экстракта разбавляют изопропиловым спиртом, восстанавливают гидрохиноном  $\text{Fe}^{3+}$  до  $\text{Fe}^{2+}$ , прибавляют о-фенантролин и через 2 часа спектрофотометрируют при 510 мμ. Контрольный опыт проводят через все стадии метода. Исследовано влияние 68 элементов. Мешают: Ga, Te и Si. Ошибка определения  $\pm 3\%$ .

II. Метод основан на фотометрировании комплекса  $\text{Cu}^{+}$  с неокупроном (2,9-диметил-1,10-фенантролином) в метилизобутилкетоне (II). Пробу ( $\sim 50 \text{ γ Cu}$ ) растворяют, как описано выше при определении Fe прибавляют 5 мл конц.  $\text{HCl}$ , 10 мл конц.  $\text{H}_2\text{SO}_4$ , 10 мл 50%-ной лимонной к-ты, 5 мл 10%-ного р-ра  $\text{NH}_2\text{OH} \cdot \text{HCl}$ , разбавляют водой до  $\sim 100$  мл, охлаждают льдом, вводят 50%-ный р-р  $\text{NaOH}$  до pH  $5,0 \pm 0,1$ , поддерживая льдом комнатную т-ру р-ра, прибавляют 10 мл 0,1%-ного р-ра неокупрона, выдерживают 2 часа и затем экстрагируют посредством II (10 мл). Органич. слой отделяют, центрифугируют и спектро-



ается  $\text{SrK}_2$ ,  
т интенсив-  
 $\text{VK}_2 + \text{SrK}_2$   
веществе обра-  
отношения  
ешая полу-  
 $\text{K}_2$ , по но-  
ых обычным  
и Mn. При  
поправку  
Л. Смирнов  
на репу-  
Флуорес-  
минных и  
dehydro-  
termination  
atus. I. De-  
ium alloys.  
All, № 6,  
Analyst»,  
— Изучено  
Cu в Cu =  
но, что пи-  
риональна  
тенсивность  
аве. Интен-  
ого и плос-  
условия,  
до 200 меш,  
и в цилин-  
Лапутина  
бериллия,  
е меди.  
f beryllium  
vis W. F.  
Hibbitts  
termination  
C. Menke  
f molybde-  
101—103;  
сан фото-  
милекса с  
выделения  
(I). Окисл-  
гч. Be — в  
работанная  
H<sub>2</sub>SO<sub>4</sub> и  
трагируют  
HCl. Экст-  
трагируют  
от HCl и  
иклогекса-  
няют изо-  
охиновом  
и через  
Контроль-  
а. Иссле-  
Те и Si.  
омплекса  
нантроли-  
50 γ Cu)  
еления Fe  
SO<sub>4</sub>, 10 мл  
ого р-ра  
охлаж-  
5,0 ± 0,1,  
прибавля-  
ерживают  
Г (10 мл).  
спектро-

фотометрируют при 457 мμ, применяя II в качестве р-ра сравнения. Параллельно через все стадии анализа проводят контрольный опыт. Cr и Hf замедляют развитие окраски. Ошибка определения ±5%.

III. Метод основан на фотометрировании роданидного комплекса, Mo в II. Пробу (~75 γ Mo) растворяют как описано ранее, р-р переносят в делительную воронку, добавляют 1 г лимонной к-ты, 1 мл р-ра FeCl<sub>3</sub> (1 мг Fe/мл), 5 мл конц. HCl или 10 мл конц. H<sub>2</sub>SO<sub>4</sub> и разбавляют водой до 70 мл. Охлаждают до комнатной т-ры, добавляют 2 мл бромной воды, 10 мл 25%-ного р-ра KSCN, 5 мл 25%-ного р-ра SnCl<sub>2</sub> в конц. HCl и через 10 мин. экстрагируют посредством II (10 мл) в течение 1,5 мин. Водн. фазу отбрасывают, к экстракту добавляют 35 мл 2%-ного р-ра H<sub>2</sub>C<sub>2</sub>O<sub>4</sub> и взбалтывают 1 мин. К органич. фазе прибавляют 35 мл 2,4 M HCl, взбалтывают 1 мин., и отбрасывают водн. фазу. Экстракт выдерживают >2 час. в плотно закрытой делительной воронке, затем центрифугируют 1 мин. и спектрофотометрируют при 500 мμ в 2-см кюветах, применяя II в качестве р-ра сравнения. Контрольный опыт проводят через все стадии анализа. Определения мешают Pt, Pd, Rh, V, Te при содержании 10 мг. Be мешает в значительно меньших кол-вах. Ошибка определения ±4%. В. Лукьянов

6Д182. Комбинированный метод анализа алюминий-бронзы. Freegarde M., Allen B., Mrs. A composite procedure for the analysis of aluminium bronze alloys. «Analyst», 1960, 85, № 1015, 731—735 (англ.).—Описан метод анализа бронз, содержащих Cu, Al, Fe, Ni, ≤2,5% Mn, ≤0,5 Zn, ≤0,5 Pb, 0,1% Si и ≤0,5% Sn. Образец обрабатывают смесью HCl, HNO<sub>3</sub> и H<sub>2</sub>SO<sub>4</sub>, отфильтровывают PbSO<sub>4</sub> и кремнекислоту и в полученном фильтрате определяют Cu путем электролитич. осаждения ее на сетчатом Pt-катоде. PbSO<sub>4</sub> растворяют на фильтре в р-ре CH<sub>3</sub>COONH<sub>4</sub>. К полученному р-ру прибавляют NH<sub>4</sub>OH до щел. р-ции по тимололовому синему, Pb экстрагируют в виде дитизоната хлороформом и фотометрируют хлороформный р-р. Фильтр с остатком кремнекислоты прокалывают и гравиметрически определяют Si в виде SiO<sub>2</sub>. Остальные элементы определяют, используя аликвотные порции электролита, оставшегося после электроосаждения Cu. Fe определяют спектрофотометрически, обрабатывая аликвотную порцию электролита комплексом III (I) в присутствии H<sub>2</sub>O<sub>2</sub> (мешающее действие Al устраняют добавлением винной к-ты; р-р сравнения — аналогично обработанная порция электролита, но без введения H<sub>2</sub>O<sub>2</sub>). Ni фотометрируют в виде комплекса с циклогексанондиоксидом, применяя р-ры гуммиарабика и Теорол для стабилизации окраски р-ра. Для определения Al к порции электролита добавляют р-р I, избыток последнего связывают добавлением Cu<sup>2+</sup>, вводят NaF и выделившийся I (в кол-ве, эквивалентном содержанию Al) оттитровывают стандартным р-ром Cu<sup>2+</sup>. При определении Zn в аликвотной порции электролита предварительно выделяют следовые кол-ва Cu, извлекая последнюю хлороформом в виде комплекса с неокупроном, затем в водн. слой добавляют р-ры KCN и CH<sub>2</sub>O, экстрагируют Zn р-ром дитизона в CCl<sub>4</sub> и полученный экстракт фотометрируют. Mn окисляют до HMnO<sub>4</sub> с помощью KJO<sub>4</sub> и полученный р-р фотометрируют. Sn определяют полярнографически. Полный анализ одной пробы занимает ~3,5 часа. Результаты, полученные с помощью описанных методов, удовлетворительно согласуются с данными обычных методов определения перечисленных элементов. А. Зозуля

6Д183. Анализ некоторых сплавов на основе циркония. Елинсон С. В., Победина Л. И., Мирзоян Н. А. «Ж. аналит. химии», 1960, 15, № 3, 334—338 (рез. англ.).—Разработан метод определения Al, Be, Mg, U и Zn в сплавах на основе Zr, после

предварительного удаления Zr экстрагированием хлороформным р-ром нитрозофенилгидроксиламиновой к-ты. К 15 мл 1,5 н. H<sub>2</sub>SO<sub>4</sub> прибавляют 5 мл 5%-ного водн. р-ра купферона (I) и 10 мл CHCl<sub>3</sub>, встряхивают 2 мин., отделяют органич. фазу и прибавляют ее к р-ру пробы, содержащей ~20 мл Zr, в 1 н. H<sub>2</sub>SO<sub>4</sub>. После экстрагирования Zr, к водн. фазе прибавляют вторую порцию экстрагента, приготовленного из 15 мл 1 н. H<sub>2</sub>SO<sub>4</sub>, 1 мл 5%-ного I и 10 мл CHCl<sub>3</sub>. Третью экстракцию проводят чистым CHCl<sub>3</sub> (5 мл). Для отделения 100 мг Zr применяют 20 мл 5%-ного I при первой экстракции и до 5 мл — при второй. В водн. фазе Al определяют при помощи алюминона, Mg — титанового желтого, Be — бериллона, U — H<sub>2</sub>O<sub>2</sub>, Zn (в отсутствие Mg) — комплексометрически.

В. Лукьянов

6Д184. Новый метод анализа свинцовых и свинцовооловянных бронз. Mohr Eberhard. Neue Verfahren zur Untersuchung von Bleibronzen und Bleizinnbronzen. «Chem. Techn.», 1960, 12, № 5, 280—284 (нем.).—Описаны усовершенствованные методики определения Cu, Pb, Ni и Fe в бронзах. Cu определяют по известной р-ции с NH<sub>4</sub>SCN и KJ. Предлагаемый вариант отличается тем, что выделяющийся J<sub>2</sub> постепенно вводится в р-цию с Na<sub>2</sub>S<sub>2</sub>O<sub>3</sub>, р-р которого прибавляют равномерной медленной струей. Избыток Na<sub>2</sub>S<sub>2</sub>O<sub>3</sub> оттитровывают разбавленным р-ром J<sub>2</sub>. Этим достигается обратимость конечной точки и большая точность. Определение можно выполнять и потенциометрически. Средняя ошибка определения Cu составляет ±0,21%. Для определения Pb р-р после титрования Cu подщелачивают и добавляют KCN, причем роданид меди растворяется, а Pb осаждается в виде Pb(OH)<sub>2</sub>. Осадок растворяют в избытке комплексона III, который затем оттитровывают при pH = 10 р-ром Mn<sup>2+</sup> по эриохрому черному Т. При определении Ni его экстрагируют хлороформом в виде диметилглюксимата и экстракт фотометрируют на фотометре Пуульфриха со светофильтром S 47. В водн. фазе фотометрически определяют Fe в виде комплекса с сульфосалициловой к-той с тем же светофильтром.

В. Лукьянов

6Д185. Полярнографическое определение примесей свинца и сурьмы в металлическом олове. Kádárné Pauncz Judit. Az ólom-és antimon-szenyvezés polarográfiás meghatározása fémolmban. «Magyar kém. lapja», 1960, 15, № 7, 330—331 (венг.).—Описан метод определения Pb, Sb и Cu в олове без предварительного их выделения. К 0,1 г образца прибавляют 5 мл 10%-ного р-ра винной к-ты, упаривают, вводят 5 мл 20%-ной HCl, небольшими порциями прибавляют 6 г KClO<sub>3</sub> и нагревают на водяной бане с обратным холодильником до полного растворения металла. Полученный р-р выпаривают, остаток растворяют в 4 мл конц. HCl, обрабатывают двумя порциями (с промежуток в 10 мин.) твердого Na<sub>2</sub>SO<sub>3</sub> (всего 1 г) и нагревают 30 мин. Р-р выпаривают, остаток растворяют в 20%-ном р-ре NaOH, прибавляют 5 мл 10%-ного р-ра KCN, пропускают 8—10 мин. N<sub>2</sub> и полярнографируют. В этих условиях Pb<sup>2+</sup> и Sb<sup>3+</sup> дают хорошо выраженные волны (E<sup>1/2</sup>—0,85 и —1,37 в соответственно) даже в присутствии больших кол-в Cu. Для определения Cu избыток HCl (после растворения образца) отгоняют, к остатку прибавляют 1 н. р-р NH<sub>4</sub>OH — NH<sub>4</sub>Cl (содержащий 0,1 г желатин) и полярнографируют. Содержание каждого металла определяют методом добавок. Нижний предел определения 0,01%, ошибка ±5%.

И. Криштофори

6Д186. Фазовый анализ сплавов на никелевой основе. Клячко Ю. А., Шапиро М. М. «Тр. Комис. по аналит. химии. АН СССР», 1960, 12, 383—392.—Разработан метод фазового анализа жаропрочных сплавов на Ni-основе, состоящий в разделении фаз электролизом при анодной плотности тока 0,025 а/см<sup>2</sup> и т-ре

7—9° с использованием в качестве электролита, р-ра, содержащего (в %)  $\text{FeSO}_4 \cdot 7\text{H}_2\text{O}$  3,  $\text{NaCl}$  3,5 и  $\text{H}_2\text{SO}_4$  5%. В этих условиях достигается полное выделение интерметаллической фазы (ИФ). Определение ИФ и карбидов проводят из одной пробы. Осадок после электролиза счищают с образца, промывают водой и этанолом, высушивают и подвергают электронномикроскопич. и рентгеноструктурному анализу. Для отделения ИФ от карбидной фазы промытый водой осадок обрабатывают 10%-ной  $\text{H}_2\text{SO}_4$  сначала на холоду, а затем при нагревании в течение 30 мин. до 90°. При этом ИФ переходит в р-р, который анализируют обычными методами. Нерастворимый остаток исследуют электронномикроскопич. и рентгеноструктурными методами на содержание карбидов. Для определения карбидов остаток, промытый водой, переносят в воронку со свежепрокаленным асбестом, высушивают в токе  $\text{H}_2$  и определяют С сжиганием в печи Марса при 1300°. Для определения неметаллич. включений отдельный образец металла растворяют в течение 24 час. Осадок обрабатывают кислотноокислительными смесями по методу, принятому при анализе неметаллич. включений в стали. Метод рекомендуется для фазового анализа сплавов на Ni-основе с различными легирующими элементами. Е. Богомилская

6Д187. Пример спектрального анализа проводников с применением статистики. Часть II. Метод спектрального анализа никелевых катодов (электровакуумных приборов) и исследование точности определений. Otsuka Shigeru, Uemura Noboru. «Nat. Techn. Rept.», 1959, 5, № 4, 377—394 (японск.)

6Д188. Полярграфическое определение меди, цинка и хрома в катализаторе. Саранча Е. Т., Дзюбенко М. Г. «Заводск. лаборатория», 1960, 26, № 9, 1077—1078. —0,1—0,15 г катализатора растворяют в 2—3 мл 35%-ной  $\text{HNO}_3$  и выпаривают досуха (при этом Cr окисляется до  $\text{Cr}(6+)$ ). По охлаждению осадок растворяют в 10 мл воды и 0,5 мл 35%-ной  $\text{HNO}_3$ , р-р слегка упаривают и фильтруют. Осадок промывают несколько раз водой, и фильтрат разбавляют водой до 100 мл. В ячейку с Hg-анодом вводят 1 мл полученного р-ра, прибавляют 2 мл 1 н.  $\text{NaOH}$  и 1 мл 0,01%-ного р-ра желатин, пропускают  $\text{H}_2$  (5 мин.) и полярграфируют. Для Cu, Cr и Zn  $E_{1/2}$  равны —0,3, —0,8 и —1,35 в соответственно. Ю. Буслаев

6Д189. Спектральный метод определения примесей в сере высокой чистоты. Рудневский Н. К., Малкова О. П. «Тр. по химии и хим. технол. (Горный)», 1960, вып. 2, 367—368. —В кварцевом стаканчике смешивают 4 г анализируемой серы с 20 мг угольного порошка, затем S сжигают, а угольный порошок помещают в отверстие графитового электрода. Спектр возбуждают в дуге постоянного тока при 10 а и фотографируют на кварцевом среднем спектрографе. Градуировочные графики строят в координатах  $\Delta S$ ,  $\lg C$  или  $S$ ,  $\lg C$  по линиям: Ni 3050,8, Co 3412,6, Ag 3280,7, Cu 3274, Cr 4254,3 и Mn 2801,1 Å. Для сравнения иногда используют фон около аналитич. линий. Положение графиков зависит от мол. состава эталонов, поэтому для создания равных условий в эталоны вносят сульфиды металлов. Чувствительность анализа  $10^{-6}$ — $10^{-8}$ %. Величина потерь элементов при сжигании хорошо воспроизводится. Г. Кибисов

6Д190. Определение качества сульфаминовой кислоты. —Analytical methods for the inspection of sulphamic acid. Product. Group. U. K. Atomic Energy Author., 1960, № 80, 15 pp. (англ.). —В технич. сульфаминовой к-те определяют: общую кислотность — (алкалометрически в присутствии тимолового синего), содержание аминогруппы (титрованием р-ром  $\text{NaNO}_2$ ), содержание примеси В (фотометрически в виде соединения с куркумином), содержание Cl— (турбидиметрически в виде  $\text{AgCl}$ ), содержание Р

(визуальной колориметрией в виде фосформолибденового комплекса), содержание зола (прокаливанием при 600°), содержание  $\text{SO}_4^{2-}$  (гравиметрич. методом), общее содержание S (также гравиметрически после окисления р-ром  $\text{NaNO}_2$ ), содержание летучих в-в (по потере в весе после двухчасового нагревания при 110°), и содержание нерастворимых в воде в-в (гравиметрически). Ю. Лянде

6Д191. Анализ эмалей, содержащих цирконий, сурьму или кобальт. Debras—Guédon Jeanne, Voinovitch I. A., Lancelot M. Analyse d'émaux contenant de la zircone, de l'antimoine ou du cobalt. «Chim. analyt.», 1960, 42, № 9, 437—447 (франц.). —Приведены 3 схемы анализа эмалей, содержащих в качестве основных элементов Zr, Sb и Co. Описаны способы определения Sb, Zr, Co, Pb, Sn, Ti, V, Al, Fe, Ca, Mg, Zn, B, K, Na, Li, Ba, Si и Mn. Е. К.

См. также: Определение: Na 6И257, 6Н389; K 6И257, 6Н389, 6С70; Cu 6К112, 6К156, 6Н35, 6П342; Mg 6Л317, 6С71, 6С72; Ca 6С72—6С74; Pb 6И343, 6И344, 6Н16; 6Л317, Co 6П341; Ni 6К160, 6С77; Fe 6И35,  $\text{FeO} + \text{Fe}_2\text{O}_3$  6П340; B 6Е36; CO 6И377;  $\text{CO}_2$  6С81; Si 6К112; N 6Е78, 6Е79, 6Н197, 6С86; P 6Н35; As 6С78; S 6Е77,  $\text{H}_2\text{S}$  6М133;  $\text{SO}_2$  6М133;  $\text{SO}_3$  6М133; Fe— 6Н77, Cl 6Е74; J<sub>2</sub> 6К53; OH— 6Е534. Анализ: воды 6И260, 6И261, 6И322, 6И332; сточных вод 6И262, 6И322; минералов 6Е243, 6Г28, 6Г36; силикатов 6К297—6К299, 6К354; удобрений 6К96; электролитов 6К172, 6К174.

## АНАЛИЗ ОРГАНИЧЕСКИХ ВЕЩЕСТВ

Редактор А. А. Черкасский

6Д192. Определение растворителя окклюдированного органическими веществами. Childs C. E., Hopper E. B. Determination of occluded solvent in organic compounds. «Chemist-Analyst», 1960, 49, № 1, 26 (англ.). —Предложен способ удаления и определения р-рителя, окклюдированного органич. в-вами, плавящимися и кипящими при высоких т-рах, и остающегося в них после обычного высушивания. Образец в-ва нагревают в пробирке в токе воздуха (60 мл/мин) электрич. печью, р-ритель отгоняют и собирают в U-образной ловушке, охлаждаемой твердой углекислотой. Затем ловушку нагревают до комнатной т-ры, прибавляют к конденсату в ней 5—10 мл жидкости, не мешающей хроматографич. анализу р-рителя, и вводят пробу полученной смеси в газовой хроматограф. Применение диметилового эфира тетраэтиленгликоля в качестве стационарной фазы обеспечивает хорошее разделение спиртов и воды; для определения других р-рителей рекомендуется диноилфталат. И. Вых

6Д193. Расплавленные смеси солей как жидкие фазы в газо-жидкостной хроматографии. Hannon Walter W., Spencer Charles F., Johnson Julian F. Molten salt mixtures as liquid phases in gas chromatography. «Analyst. Chem.», 1960, 32, № 11, 1386—1388 (англ.). —Для газо-жидкостной хроматографии при т-рах 150—400° применены колонки, заполненные эвтектич. смесями неорганич. солей на огнеупорном кирпиче в качестве носителя. Плавящуюся при ~150° смесь  $\text{NaNO}_3$ — $\text{KNO}_3$ — $\text{LiNO}_3$  (18,2:54,5:27,3) растворяют в воде, добавляют огнеупорный кирпич (71,4% к весу смеси), выпаривают досуха и полученной смесью наполняют колонку. Приведены значения времени удерживания нормальных парафинов ( $\text{C}_{15}$ — $\text{C}_{28}$ ) при 300°, полифенильных соединений при 250—400°, а также некоторых пиридинов, хинолинов, сульфидов, ароматич. и алифатически-ароматич. эфиров, фуранов, кетонов, изотиоцианатов, аминов, тиазолов, олефинов, терпеноидных соединений и

полибдене-  
нием при  
одом), об-  
ки после  
х в-н (по  
при 140°),  
авиметри-  
Ю. Лянде-  
цирконий,  
n Jean-  
I. Analyse  
line ou du  
437—447  
газей, со-  
r, Sb и Co,  
b, Sn, Ti,  
In. E. K.

K 6И257,  
Mg 6И317,  
444, 6И16;  
35. FeO +  
Si 6И112;  
8. S 6И77,  
Cl 6И74;  
30, 6И261,  
минералов  
9, 6И354;

ГВ

юдирован-  
Е. Неп-  
in organic  
№ 1, 26  
разделения  
ци, плавя-  
остающе-  
образец в-ва  
(м/мин) эле-  
т в U-об-  
екислотой.  
-ры, при-  
кости, не  
и, вводят  
граф. При-  
ликоля в  
хорошее  
ия других  
И. Виха  
к жидкие  
Hanne-  
F., John-  
fluid phases  
32, № 11,  
роматогра-  
ки, запол-  
на огне-  
авяющуюся  
18,2:54,5:  
неупорный  
досуа и  
Приведены  
их парафи-  
оединений  
нов, хино-  
ски-ароме-  
атов, ами-  
циниев и

полиароматич. углеводородов при хроматографировании на описанной колонке и применении в качестве газа-носителя He (35 мл/мин). Разделяющая способность указанной смеси солей ниже, чем у обычных органич. стационарных фаз. Э. Усова

6Д194. Изучение экстракционной перегонки с помощью циркуляционной газовой хроматографии. Porter Roger S., Johnson Julian F. *Extraction distillation by circular gas chromatography*. «Indust. and Engng. Chem.», 1960, 52, № 8, 691—694 (англ.).—См. РЖХим, 1960, № 16, 65166

6Д195. Данные инфракрасного количественного анализа.—*Infrared quantitative analysis data*. «Anal. Chem.», 1960, 32, № 9, 1211—1212 (англ.).—Приведены условия и результаты ИК-определения *m*-толуидина в *N*-этил-*m*-толуидине и 1,2-диметил-4-этил-, 1,3-диметил-2-этил-, 1,2-диметил-3-этил-, 1,4-диметил-2-этил-, 1,3-диметил-4-этил-, 1,2,4,5-тетраметил-, 1,2,3,5-тетраметил-, 1-метил-3-трет-бутил-, 1-метил-3-*n*-пропил-, 1-метил-4-*n*-пропил-, 1,2-диэтил-, 1,3-диэтил-, трет-бутил-*n*-бутил-, изопропил-, *n*-пропил-, 1-метил-3-этил-, 1-метил-4-этил-, 1-метил-2-этил-, 1,3,5-триметил-, 1,2,4-триметил- и 1,2,3-триметилбензолов. В. Маноло

6Д196. Обработка спектрометрических данных по методу наименьших квадратов. Barnett H. A., Bartoli A. *A Least-squares treatment of spectrometric data*. «Anal. Chem.», 1960, 32, № 9, 1153—1156 (англ.).—Подробно изложено применение метода наименьших квадратов (МНК) для вывода расчетных ур-ний при кол-ч. ИК-анализе. Метод применим также для обработки масс-спектрометрич. данных. При анализе *n*-компонентной системы снимают спектры *m* искусств. смесей ( $m > n$ ) и для каждой смеси определяют оптич. плотности (ОП) при аналитич. длинах волн. Данные обрабатывают по МНК и получают *n* ур-ний, выражающих зависимость конц-ий каждого из *n* компонентов анализируемой смеси от ОП при аналитич. длинах волн. Рассмотрен также случай, когда у одного или нескольких компонентов смеси отсутствует линейная зависимость между конц-ией и ОП. Описанный способ использован при разработке метода ИК-анализа различных фракций каменноугольной смолы. В частности, при анализе 8-компонентных искусств. смесей, соответствующих по составу высококипящей ксилольной фракции, относительная ошибка составила 0,17—1,05%; пробы растворяли в  $CS_2$ , ОП измеряли по методу базисной линии. В. Плахов

6Д197. Изучение окислительных процессов в элементарном анализе. Сообщение III. Активирование и дезактивирование окислительных слоев, используемых при работе в атмосфере двуокиси углерода. Сообщение IV. Влияние толщины слоя и скорости движения газа при анализе методом сжигания. Kainz Gerald, Horwatitsch Heinz. *Zur Kenntnis der Oxydationsvorgänge bei der Elementaranalyse*. III. Mitt. Aktivierung und Desaktivierung von Oxydationsschichten, die in Kohlendioxidatmosphäre verwendet werden. IV. Mitt. Über den Einfluß der Schichtlänge und der Strömungsgeschwindigkeit bei der Verbrennungsanalyse. «Z. analyt. Chem.», 1960, 176, № 1, 17—27; № 3, 175—185 (нем.).—III. Изучены процессы активирования и дезактивирования, происходящие в окислительном слое (ОС) в условиях определения азота по способу Дюма—Прегля. В качестве ОС испытаны ряд препаратов  $CuO$  различной степени дисперсности, смеси  $CuO-Pb(CrO_4)_2$ ,  $CuO-Ag$  и др. Показано, что нагревание в токе  $CO_2$  приводит к дезактивированию ОС вследствие уменьшения поверхности  $CuO$  (спекание и диссоциация  $CuO$  с образованием  $Cu_2O$ ). При нагревании в токе  $O_2$  активность ОС частично (на 12—25%) восстанавливается. При  $t$ -рах  $\geq 500^\circ$  дезактивирование ОС компенсируется увеличением скорости р-ции между

$CuO$  и  $CH_4$  и мало сказывается на результатах анализа.

IV. На примере окисления  $CH_4$  с использованием различных препаратов  $CuO$  (РЖХим, 1957, №7, 2513) изучена зависимость их окислительного действия (ОД) от *t*-ры, толщины слоя, скорости тока газа-носителя (ГН) и от характера препарата (величины его поверхности и парциального давления  $O_2$  над ним). Показано, что ОД прямо пропорционально *t*-ре слоя, т. е. скорости р-ции  $CH_4$  с  $CuO$ , времени контакта, и, соответственно толщине слоя и обратно пропорционально скорости тока ГН, а также величине поверхности окисла и парциальному давлению  $O_2$  над ним. Сообщение II см. РЖХим, 1961, 3Д176. Г. Анисимова

6Д198. Определение органического азота по микрометоду Кьельдыя в водах, содержащих большое количество минерального азота. Дудова М. Я. «Гидрохим. материалы», 1960, 30, 164—169.—Установлено, что для точного определения органич. N в природных водах необходимо предварительно удалить из них ионы  $NH_4^+$ ,  $NO_3^-$  и  $NO_2^-$ . Ионы  $NH_4^+$  удаляют отгонкой аммиака после прибавления боратного буферного р-ра (рН 7,4), ионы  $NO_3^-$  и  $NO_2^-$  восстанавливают затем в кислой среде с помощью  $FeSO_4$  до NO, которую удаляют кипячением. К 100—500 мл анализируемой воды в круглодонной колбе прибавляют 10 мл буферного р-ра, приготовленного из 54 мл 0,1 н. р-ра  $Na_2B_4O_7$  и 446 мл 0,2 M р-ра  $H_3BO_3$ , отгоняют ~70% жидкости, остаток переносят в колбу Кьельдыя емк. 100 мл, прибавляют 1 мл конц.  $H_2SO_4$  и  $FeSO_4 \cdot 7H_2O$  (из расчета 80 мг  $FeSO_4 \cdot 7H_2O$  на 1 мг нитратного или нитритного N), упаривают р-р до 3—5 мл и определяют органич. N по методу Кьельдыя. Разложение проводят в присутствии  $CuSO_4$ , аммиак отгоняют в приборе Парнаса, улавливают его 5 мл 0,01 н. р-ра бихдата калия, избыток которого определяют йодометрически. Ошибка определения 5—10%. В. Григорьев

6Д199. Газо-жидкостная хроматография. Программированный температурный контроль работы капиллярной колонки. Teranishi Roy, Nimmo C. C., Corse Joseph. *Gas-liquid chromatography. Programmed temperature control of the capillary column*. «Anal. Chem.», 1960, 32, № 11, 1384—1386 (англ.).—Для разделения сложных искусственных и природных смесей углеводородов применена капиллярная колонка из нержавеющей стали, содержащая Твин-20 в качестве стационарной фазы, с программированным температурным режимом и аргонным ионизационным детектором (РЖХим, 1961, 2Е31). Программирование *t*-ры расширяет возможности анализа смесей и сокращает время анализа. Приведены выходные кривые анализов смеси ксилолов и масла, обуславливающего запах земляники (интервал *t*-р кипения компонентов 80—200°). Э. Усова

6Д200. Определение следов примесей в газах методом «газо-жидкостной хроматографии». Kent T. B. *The determination of trace impurities in gases by gas chromatography*. «Chemistry and Industry», 1960, № 41, 1260—1261 (англ.).—Описан метод определения следов примесей в газах методом газо-жидкостной хроматографии (без выделения основного компонента и без концентрирования примесей) с помощью аргонного ионизационного детектора. Определены примеси  $5 \cdot 10^{-4}\%$   $C_2H_2$  в  $N_2$  в присутствии 10—2%  $C_3H_8$ ,  $5 \cdot 10^{-4}\%$   $C_2H_2$  в  $C_2H_6$  и  $10^{-2}\%$   $C_2H_2$  в  $C_3H_8$ . Применялись колонки с диметилсульфолоном на огнеупорном кирпиче (30—40 меш) при 10—20°. Э. Усова

6Д201. Определение хлороформа в водном растворе. Robinson E. A. *The determination of chloroform in aqueous solution*. «Anal. chim. acta», 1960, 23, № 4, 305—308 (англ.; реф. франц., нем.).—Найдены условия, при которых  $CHCl_3$  в водн. р-ре полностью гидролизуются щелочью при комнатной *t*-ре. В колбу емк. 30 мл наливают ~15 мл 7 н. р-ра KOH, колбу взвешивают



вают. Р-ром  $\text{CHCl}_3$ , содержащим 0,2—3 мг  $\text{CHCl}_3$  в 1 мл, наполняют колбу до метки, оставляя пространство  $\leq 1$  мл, колбу быстро закрывают и взвешивают. Р-р  $\text{CHCl}_3$  вводят под поверхность жидкости (во избежание испарения  $\text{CHCl}_3$ ) и лишь последние капли выливают на ее поверхность. Жидкость перемешивают, оставляют на 6 час. при 20°, вливают р-р в 25 мл 4 н.  $\text{HNO}_3$ , титруют в присутствии фенолфталеина 4 н.  $\text{HNO}_3$  до обесцвечивания р-ра, прибавляют еще 1 мл  $\text{HNO}_3$  и определяют  $\text{Cl}^-$  по методу Фольгарда.

И. Виха

**6Д202. Применение пламенного детектора с пламенем окиси углерода в газовой хроматографии.** Ваддиел С. В., Куллис С. Ф. The use of a carbon monoxide flame detector in gas chromatography. «Chemistry and Industry», 1960, № 37, 1154—1155 (англ.).—Для того, чтобы преодолеть обычный недостаток пламенных детекторов (ПД) с водородным пламенем (высокий коэф. диффузии  $\text{H}_2$ ) и недостаток, сопутствующий хроматографич. разделению галогенсодержащих в-в (образование корродирующих галогеноводородов и паров воды), предложено применять ПД с пламенем окиси углерода. В качестве примера приведена полученная с помощью ПД с пламенем окиси углерода хроматограмма смеси фтор- и фторхлорметанов, разделенных при 26° на колонке длиной 360 и диам. 0,4 см, заполненной динонилфталатом (20%) на промытом к-той огнеупорном кирпиче. СО и воздух пропускают со скоростями 35 и 400 мл/мин соответственно. Площади пиков на хроматограмме прямо пропорциональны кол-вам соответствующих компонентов в смеси. Колич. определение  $\text{CFCl}_3$  в смеси невозможно, так как это в-во дает на хроматограмме 2 положительных пика и между ними один отрицательный. Это вызвано, по-видимому, чередующимся ускорением и замедлением горения СО при сгорании разных частей органич. молекул.

Б. Колоколов

**6Д203. Анализ разбавленных водных растворов методом газ-жидкостной хроматографии.** Swoboda P. A. T. The analysis of dilute aqueous solutions by gas chromatography. «Chemistry and Industry», 1960, № 41, 1262—1263 (англ.).—Для устранения влияния воды при хроматографировании разб. (до 0,1%) р-ров низших спиртов применена газ-жидкостная хроматография на двойной колонке. В первой части, заполненной смесью диглицерин—целит (2:8), спирты отделяют от воды, во второй части, заполненной смесью полиэтиленгликоль 400—целит (1:9), происходит разделение спиртов. Применялись газ-проявитель  $\text{Ag}$ , колонка, нагретая до 75°, и аргонный ионизационный детектор. Разделена смесь нормальных спиртов  $\text{C}_3$ — $\text{C}_6$  в виде 0,1%-ного водн. р-ра.

Э. Усова

**6Д204. Разделение изомерных спиртов методом газ-жидкостной хроматографии.** Сообщ. 2. Разделение насыщенных спиртов С. Kallina Dorothea, Kuffner Friedrich. Trennung isomerer Alkohole mittels der Gas-Flüssig-Chromatographie. 2. Mitt. Trennung gesättigter C<sub>8</sub>—Alkohole. «Monatsh. Chem.», 1960, 91, № 2, 289—293 (нем.).—Исследовано разделение 15 изомерных насыщ. октиловых спиртов (ОС) на колонках длиной 182 и диам. 0,8 см, заполненных целитом, с нанесенными на него полиэтиленгликолем (I) (рабочая т-ра 163°), касторовым маслом (т-ра 163 и 145°) или ланолином (т-ра 162°). Газ-проявитель  $\text{N}_2$  пропускают со скоростью 1—1,3 л/час. Наилучшее разделение достигнуто на I, хотя полное разделение всех изомеров не удалось ни на одной из примененных колонок. Приведены величины времени удерживания для изученных изомеров ОС на указанных выше неподвижных фазах. Сообщение 1 см. РЖХим, 1960, № 12, 47217.

Б. Колоколов

**6Д205. Идентификация органических соединений.** Сообщение XXXVII. Хроматографическое разделение на бумаге спиртов в виде соответствующих ксантоге-

натов. Gaspariĉ Jiři, Borecký Jiři. Identifikace organických sloučenin. XXXVII. Mitt. Ein Beitrag zur papierchromatographischen Trennung der Alkohole als Xanthogenate. «J. Chromatogr.», 1960, 4, № 2, 138—143 (нем., рез. англ.).—Изучено поведение алкилксантогенатов (АК), получаемых из спиртов (Сп), при хроматографировании на бумаге. Для получения АК смешивали каплю исследуемого Сп в пробирке с ~0,1 г порошкообразного КОН, нагревали, прибавляли 0,5 мл  $\text{CS}_2$ , перемешивали в течение нескольких минут стеклянной палочкой, (погрузив пробирку в теплую воду) испаряли избыток  $\text{CS}_2$ , и остаток растворяли в нескольких каплях воды при умеренном нагревании. Полученный р-р хроматографировали на бумаге Ватман № 1, 2, 3 или WF I методом восходящей или нисходящей хроматографии, применяя в качестве элюента 2%-ный р-р КОН, 5%-ный р-р  $\text{NaHCO}_3$ , конц. р-ры  $\text{NH}_4\text{Cl}$ ,  $\text{Na}_2\text{CO}_3$ , воду или 30%-ный р-р  $\text{K}_2\text{CO}_3$ . Хроматографич. бумагу предварительно пропитывали 5%-ным р-ром  $\text{KCl}$ ,  $\text{Na}_2\text{CO}_3$  или  $\text{K}_2\text{CO}_3$ . Найдено, что лучше всего открывать АК на проявленных хроматограммах обрызгиванием 10%-ным р-ром  $\text{NiSO}_4$  или смесью 9 ч. 5%-ного р-ра  $\text{AgNO}_3$  и 1 ч. конц. р-ра  $\text{NH}_3$ . Установлено, что в ряду АК  $\text{C}_1$ — $\text{C}_{12}$  значения  $R_f$  возрастают с увеличением числа С-атомов, что АК следует хроматографировать с помощью сильно щел. элюентов, т. е. иначе они разлагаются или дают двойные и размытые пятна на хроматограммах и, что хроматографич. бумага не должна содержать следов тяжелых металлов, образующих соли с АК. Вследствие неустойчивости АК они не являются лучшими производными Сп для их хроматографич. определения. Сообщение XXXI. РЖХим, 1960, № 11, 42490.

Б. Колоколов

**6Д206. Разделение низших алифатических альдегидов и кетонов методом хроматографии на бумаге и их количественное определение.** Заиков Г. Е. «Изв. аналит. химии», 1960, 15, № 5, 639—642 (рез. англ.).—Для качеств. и колич. определения карбонильных соединений, образующихся при окислении  $n$ - $\text{C}_4\text{H}_{10}$ , применена хроматография 2,4-динитрофенилтиразоном (ДНФТ) на ацетилованной бумаге (АБ). Для приготовления АБ в мерный цилиндр емк. 2 л наливается 1700 мл  $\text{C}_6\text{H}_5\text{CH}_3$ , 300 мл  $(\text{CH}_3\text{CO})_2\text{O}$ , 3 капли конц.  $\text{H}_2\text{SO}_4$ , помещают листы бумаги «Ленинградская быстрая», намотанные на тефлоновую спираль, и цилиндр выдерживают 8—10 час. в термостате при 65—70° (р-ция считается законченной, если кусочек бумаги растворяется в  $\text{CHCl}_3$ ). Бумагу промывают  $\text{CH}_3\text{OH}$ , высушивают на воздухе и за 4—5 мин. до нанесения пробы обрабатывают  $\text{CH}_3\text{OH}$ . Для получения ДНФТ исследуемую смесь нагревают с 2,4-динитрофенилтиразином (I) в  $\text{CH}_3\text{OH}$  в слабосиловой среде (60°, 1 час.), после чего реакционную смесь наносят на бумагу (~10—6 моля ДНФТ) и хроматографируют с помощью  $\text{C}_6\text{H}_{14}$ ,  $\text{C}_7\text{H}_{16}$  или  $\text{C}_8\text{H}_{18}$ , насыщ.  $\text{CH}_3\text{OH}$ . Разделение ДНФТ не мешают I ( $R_f$  0,00) и присутствующие в пробе другие продукты окисления углеводородов. Пятна на хроматограммах открывают с помощью 5%-ного этанольного р-ра КОН. Для колич. определения пятна ДНФТ вырезают, элюируют 5 мл 5%-ного р-ра КОН и  $\text{CH}_3\text{OH}$  и измеряют оптич. плотность при 480 м. Ошибка определения  $\pm 6\%$  для альдегидов и  $\pm 10\%$  для метилэтилкетона.

Э. Усова

**6Д207. Анализ 1,2-гликолей и полиоксисоединений V. Определение глицеринового альдегида посредством определения формальдегида, образующегося при окислении йодной кислотой.** Maros László, Perlai Molnár Ibolya, Schulek Elemér. Adatok a 1,2-glikolok és polioxivgyűletek analitikájához. V. A glicerinaldehid meghatározása a peroxidációs oxidáció sorkeletkező formaldehidben keresztül. «Magyar kém. folyóirat», 1960, 66, № 8, 319—321 (венг.; рез. нем.); «Acta chim. Acad. scient. hung.», 1960, 24, № 1, 67—72 (нем.; рез. русск., англ.).—При окислении глицеринового ал-

дегида (I) периодатом образуется 1 моль формальдегида, который может быть определен йодометрически сульфитно-цианидным методом (РЖХим, 1960, № 12, 47224). 0,4—0,5 г I растворяют в воде, доводят объем р-ра до 100 мл и 10 мл р-ра смешивают с 5 мл 0,3 М р-ра йодной к-ты. Через 1 час по каплям приливают 1,5 М р-р  $\text{Na}_2\text{SO}_3$  до исчезновения окраски йода и еще 0,5 мл этого р-ра. Смесь нейтрализуют по метиловому красному, прибавляют 1 мл 10%-ной  $\text{CH}_3\text{COOH}$ , взбалтывают и наливают сверху 5 мл пентана. Через 30 мин. окислитель избыток  $\text{Na}_2\text{SO}_3$  5%-ным р-ром  $\text{I}_2$ , приливают 3 мл 20%-ного р-ра  $\text{NaOH}$ , прибавляют 0,2—0,3 г  $\text{KCN}$ , через 2—3 мин. нейтрализуют р-р соляной к-той, прибавляют еще немного  $\text{HCl}$  и титруют 0,1 н. р-ром  $\text{I}_2$  1 мл 0,1 н. р-ра  $\text{I}_2$  соответствует 4,504 мг I. Ошибка анализа 0,5%. Непосредственное йодометрич. определение бисульфитного соединения дает заниженные результаты. Часть IV см. РЖХим, 1961, 3Д209.

И. Криштофори

6Д208. Хроматография слабых органических кислот и оснований на забуференный бумаге. Ваксман Э. А., Сочевинский Э. В. сб. «Хроматография, ее теория и применение». М., АН СССР, 1960, 454—459. —См. РЖХим, 1960, № 18, 72735.

6Д209. Упрощенный метод хроматографического разделения и анализа двухосновных кислот  $\text{C}_4$ — $\text{C}_{12}$ . Smith Edgar D. Simplified chromatographic separation and analysis of  $\text{C}_4$  through  $\text{C}_{12}$  dibasic acids. «Analyt. Chem.», 1960, 32, № 10, 1301—1304 (англ.). Упрощен описанный ранее метод анализа двухосновных к-т (ДК)  $\text{C}_4$ — $\text{C}_{12}$  (Higuchi Т. и др., «Analyt. Chem.», 1952, 24, 491). Для приготовления наполнения хроматографич. колонок ~400 г кремнекислоты (I) (100 меш) суспендируют в дистил. воде, отстаивают 15 мин., сливают воду с мелкими частицами, повторяют процедуру еще дважды, остаток сушат 24 часа при 110°, смешивают с водой или 1 М цитратным буферным р-ром (ЦБР) в соотношении 400 г:64 мл и перемешивают 30 мин. Колонку заполняют под вакуумом (30—40 мм рт. ст.) 25 г полученной смеси. Исследуемый образец смеси ДК растворяют в 40 мл  $\text{CHCl}_3$  или, если он плохо растворим, в 1 мл трет-амилового спирта с последующим разбавлением  $\text{CHCl}_3$  до 10 мл. Полученный р-р помещают в колонку и проявляют хроматограмму со скоростью 2 мл/мин смесью  $\text{CHCl}_3$ — $\text{C}_4\text{H}_9\text{OH}$ , постепенно увеличивая конц-ию  $\text{C}_4\text{H}_9\text{OH}$  от 0 до 40% и собирая фракции по 40 мл. Фракции элюата переносят в Алчашечки, помещаемые под вытяжной колпак и испаряют р-ритель в токе воздуха в течение 2 час. при обычных условиях, после чего определяют содержание ДК во фракции взвешиванием. ДК  $\text{C}_4$ — $\text{C}_7$  разделяют на I, пропитанной водой (если присутствуют  $\text{C}_8$  и выше ДК, то они не разделяются и вымываются в нескольких первых фракциях). ДК  $\text{C}_7$ — $\text{C}_{10}$  разделяют на I, пропитанной ЦБР (рН 5,4), а ДК  $\text{C}_9$ — $\text{C}_{12}$  — на I, пропитанной ЦБР (рН 7,8). Погрешность определения  $\pm 5\%$ .

Б. Колоколов

6Д210. Определение молочной, яблочной и винной кислот методом окисления перманганатом или бихроматом в присутствии серной кислоты и определение яблочной кислоты методом окисления сульфатом церия в присутствии серной кислоты. Courtoisier A. J. Etude du dosage des acides lactique, malique et tartrique par oxydation permanganique et sulfo—chromique, et du dosage de l'acide malique par oxydation cérique. «Ann. Ecole nat. agric. Alger», 1959, 1, № 3, 40 р., ill. (Франц.). Исследована пригодность различных окислительных систем для окисления молочной (I), яблочной (II) и винной (III) к-т, и показано, что р-р  $\text{KMnO}_4$  в присутствии  $\text{H}_2\text{SO}_4$  при т-ре 30° недостаточно устойчив и поэтому не пригоден для анализа органич. к-т, способных окисляться до различных продуктов. Для определения I и III рекомендуется пользоваться р-ром  $\text{K}_2\text{Cr}_2\text{O}_7$  в присутствии  $\text{H}_2\text{SO}_4$  при 100°,

легко и количественно окисляющим эти к-ты. II целесообразно окислять при помощи  $\text{Ce}(\text{SO}_4)_2$  в присутствии  $\text{H}_2\text{SO}_4$  при 100°. Для определения I к пробе прибавляют избыток 0,1 н. р-ра  $\text{K}_2\text{Cr}_2\text{O}_7$  в среде 4 н.  $\text{H}_2\text{SO}_4$ , смесь нагревают в течение 1 часа на водяной бане в колбе с обратным холодильником, охлаждают и избыток окислителя титруют р-ром соли Мора в присутствии ферроина. Средняя относительная погрешность 1,5%. Для определения III к пробе прибавляют избыток 0,1 н. р-ра  $\text{K}_2\text{Cr}_2\text{O}_7$  в 7 н.  $\text{H}_2\text{SO}_4$ ; после нагревания на водяной бане избыток окислителя определяют, как указано выше. Средняя погрешность 1%. Для определения II к пробе прибавляют избыток 0,1 н. р-ра  $\text{Ce}(\text{SO}_4)_2$  в 11 н.  $\text{H}_2\text{SO}_4$  в присутствии катализатора  $\text{Cr}_2(\text{SO}_4)_3$ . После нагревания в течение 1,5 час. на водяной бане избыток окислителя определяют, как указано выше. Средняя погрешность 1%. Т. Леви

6Д211. Определение общего количества винной кислоты в в-вах, содержащих винную кислоту. Giuffrè Luigi, Castoldi Aldo. Dosaggio dell'acido tartarico totale nelle materie tartariche. «Chimica e industria», 1960, 42, № 9, 964—967 (итал.; рез. франц., англ., нем.). —Для определения свободной винной к-ты и тартратов в в-вах, содержащих указанные компоненты, предложен метод, основанный на фильтровании солинокислого р-ра пробы через катионит и последующем колориметрич. определении аниона тартрата (АТ) в форме фиолетового комплекса, получаемого в щел. среде с  $\text{FeSO}_4$  и  $\text{H}_2\text{O}_2$ , или потенциометрич. титрованием АТ р-ром  $\text{NaOH}$ . К 5—10 г анализируемого материала прибавляют 20 мл  $\text{HCl}$  (уд. в. 1,12), через 4 часа жидкость фильтруют, фильтр промывают водой до нейтр. р-ции промывных вод и фильтр разбавляют до 1 л. 50 мл р-ра разбавляют до ~200 мл, р-р пропускают через колонку с 50 мл Катионита IR 120 и элюируют АТ р-ром  $\text{HCl}$  с рН 2. Элюат выпаривают на водяной бане до небольшого объема, фильтруют, фильтрат выпаривают досуха, остаток растворяют в горячей воде и р-р употребляют для анализа. Для колориметрич. анализа к р-ру прибавляют по каплям 1 н. р-р  $\text{NaOH}$  до рН  $6,2 \pm 0,5$ , приливают 0,4 мл 4%-ного р-ра  $\text{FeSO}_4$  и 0,4 мл 3%-ного р-ра  $\text{H}_2\text{O}_2$ . После развития коричневой окраски р-р охлаждают при 0° до появления розовато-желтой окраски, прибавляют 10 мл 1 н. р-ра  $\text{NaOH}$ , разбавляют до 50 мл, выдерживают 10 мин. при 0° и колориметрируют с помощью колориметра Дюбоска. Для потенциометрич. анализа р-р разбавляют до ~200 мл и титруют потенциометрически 0,05 н. р-ром  $\text{NaOH}$ . Потенциометрич. метод несколько точнее, чем колориметрический. Т. Леви

6Д212. Открытие азотистого ниприта методом хроматографии на бумаге. Sakurai Yoshio, Ito Keiichi. Paper chromatographic detection of nitrogen mustard. «Chem. and Pharmac. Bull.», 1960, 8, № 7, 655—656 (англ.). —Предложен метод определения аналогов азотистого ниприта, основанный на р-ции с соединениями, содержащими меркаптогруппу. На бумагу Тойо Роши № 50 помещают каплю исследуемого р-ра хлоргидрата N-метил-бис-(2-хлорэтил)-амин (I), высушивают, на то же место дважды наносят щел. р-р 1,0 г реактива Зелигмана (РЗ) в 10 мл 10%-ного р-ра  $\text{NaOH}$  (р-р А) и хроматографируют с помощью системы р-рителей  $\text{C}_4\text{H}_9\text{OH}$ — $\text{CH}_3\text{COOH}$ — $\text{H}_2\text{O}$  (8:2:10). Пятна открывают 0,5%-ным р-ром n-диазобензолсульфонокислоты в 50%-ном  $\text{C}_4\text{H}_9\text{OH}$  (р-р Б), после чего хроматограмму помещают в атмосферу  $\text{NH}_3$ . Получают 4 пятна розового или оранжевого цвета со значениями  $R_f$  0,28 (I), 0,47 (II), 0,58 (III) и 0,90 (IV). На основании данных, полученных при обрызгивании хроматограммы р-ром Б, реактивом Драгендорфа и нитропруссидным реактивом, показано, что пятно I соответствует 6-меркапто-2-нафтолу, полученному в результате щел. гидролиза р-ра А, пятно II соответствует продукту р-ции I с тио-лом, пятно III — вероятному продукту окисления тио-

ла, пятно IV — избытку PЗ. Метод дает возможность определения до 1 γ I.

З. Усова

**6Д213. Определение сероуглерода в реакционной массе синтеза ксантогената.** Идельсон Е. М. «Заводск. лаборатория», 1960, 26, № 8, 947—948. — Описаны йодометрич. и колориметрич. методы определения CS<sub>2</sub> в водн. р-ре ксантогената (I) после извлечения CS<sub>2</sub> бензолом. Для йодометрич. определения к ~5 г реакционной массы синтеза I прибавляют 5 мл воды, экстрагируют CS<sub>2</sub> бензолом (3 × 10 мл) в делительной воронке, бензольный р-р промывают водой (2 × 20 мл), встряхивают его 5 мин. с 40 мл 10%-ного р-ра KOH в C<sub>2</sub>H<sub>5</sub>OH, через 15 мин. извлекают образовавшийся I 50 мл воды, промывают бензольный слой водой (2 × 50 мл), смешивают промывную воду с водн. экстрактом, нейтрализуют смесь CH<sub>3</sub>COOH по фенолфталеину и титруют 0,05 н. р-ром J<sub>2</sub> в присутствии крахмала. Для колориметрич. определения, основанного на образовании окрашенного продукта р-ции диэтилдитиокарбамата с Cu<sup>2+</sup>-ионами, ~2 г реакционной массы экстрагируют бензолом, как описано выше, экстракт разбавляют бензолом до 30 мл, аликвотные пробы р-ра, содержащие 0,02—0,08 мг CS<sub>2</sub>, вносят в колориметрич. пробирки, содержащие по 1—2 мл 1%-ного р-ра (C<sub>2</sub>H<sub>5</sub>)<sub>2</sub>NH в C<sub>2</sub>H<sub>5</sub>OH, прибавляют по 1 мл 0,05%-ного р-ра (CH<sub>3</sub>COO)<sub>2</sub>Cu или Cu(NO<sub>3</sub>)<sub>2</sub> в C<sub>2</sub>H<sub>5</sub>OH, доливают р-ром (C<sub>2</sub>H<sub>5</sub>)<sub>2</sub>NH до объема 5 мл и сравнивают окраску со стандартной шкалой, приготовленной из этанольного р-ра чистого CS<sub>2</sub> или из имитирующих р-ров красителей. Колориметрич. метод менее точен.

А. Черкасский

**6Д214. Определение сероуглерода в растворах при помощи использования реакции азида натрия с йодом.** Kurzawa Zbigniew, Meybaum Zbigniew. Oznaczenie dwusiarczku węgla w roztworach za pomocą reakcji azydki sodu z jodem. «Chem. analit.», (Polska), 1960, 5, № 2, 333—334 (польск.; рез. англ.). — Описано определение небольших кол-в CS<sub>2</sub> (0,05—1 мг) в сточных водах, основанное на индуцировании им р-ции NaN<sub>3</sub> с J<sub>2</sub> (Feigl F., Chargraff Z. «Z. analyt. Chem.», 1928, 74, 376). К пробе прибавляют 2 г NaN<sub>3</sub>, 6 мл 0,1 н. HCl, воду до объема 100 мл и 10 мл 0,04 н. р-ра J<sub>2</sub>. Через 30 мин. избыток йода титруют 0,04 н. р-ром Na<sub>2</sub>AsO<sub>3</sub>. Одновременно титруются ксантогенаты. Мешают ионы S<sup>2-</sup>, S<sub>2</sub>O<sub>3</sub><sup>2-</sup> и SCN<sup>-</sup>. Погрешность ±5%.

Н. Туркевич

**6Д215. Новое фотометрическое применение реактива хромат-о-дианизидин. II. Косвенное фотометрическое определение некоторых меркаптосоединений: тиогликолевой, тиомоловой и тиоблочной кислот.** Buscaróns F., Artigas J., Rodríguez-Roda C. New colorimetric applications of the chromate-o-dianisidine system. II. Indirect colorimetric determination of some mercapto compounds: thioglycolic acid, thiolic acid and thiomalic acid. «Anal. chim. acta», 1960, 23, № 3, 217—218 (англ., рез. франц., нем.). — Описанный ранее (сообщение I, РЖХим, 1961, 4Д36) фотометрич. метод определения неорганич. восстановителей применен к определению меркаптосоединений (МС). Метод основан на окислении МС известным кол-вом K<sub>2</sub>CrO<sub>4</sub> и фотометрич. определении его избытка в виде красного продукта р-ции с о-дианизидином (I) в кислой среде (РЖХим, 1958, № 3, 7599). МС определяются при конц-ях 0,1—5 γ/мл. К 2 мл р-ра K<sub>2</sub>CrO<sub>4</sub> (200 мг CrO<sub>4</sub><sup>2-</sup> в 1 л р-ра) прибавляют р-р МС, 2—3 мл 5 н. H<sub>2</sub>SO<sub>4</sub>, через 5—10 мин. вливают 0,5 мл р-ра I (0,5 г I в 50 мл ацетона) и через 25 мин. фотометрируют при 470 мμ. Р-цию проводят в атмосфере инертного газа. Метод неприменим для тиоглицерина.

И. Титова

**6Д216. Комплексометрия в органическом анализе. VIII. Определение некоторых производных тиомочевны (определение сульфидов).** Buděšínský B., Vaníčková E. V., Kőbl J. Komplexometrie in der organischen Analyse. VIII. Bestimmung einiger Derivate

des Thioharnstoffs (Bestimmung von Sulfiden). «Collect. Czechoslov. Chem. Commun.», 1960, 25, № 2, 456—460 (нем., рез. русск.). — Взаимодействие избытка комплексоната Cd (I) с растворимыми сульфидами (РС), протекающее в щел. среде при повышенной т-ре и приводящее к колич. образованию CdS и выделению эквивалентного кол-ва комплексона (II), использовано для косвенного комплексометрич. определения РС, основанного на титровании выделившегося II в профилированном реакционном р-ре 0,05 М р-ром CaCl<sub>2</sub> в присутствии метилтиомолового синего (III). Этот способ пригоден для определения тиомочевны (IV) и некоторых ее производных. Для приготовления ~0,25 М р-ра I 93 г комплексона III растворяют в 400 мл дистил. воды, прибавляют 70 г кристаллич. CdSO<sub>4</sub> и через 5 мин. 34 г безводн. Na<sub>2</sub>CO<sub>3</sub>; через 2—3 часа р-р фильтруют и фильтрат дополняют дистил. водой до 1 л. IV и ее производные — ацетилмочевина (V), 5-этил-5-(1-метилбутил)-2-тиобарбитуровая к-та (VI), хлоргидрат никотинальдегидтиосеминарбазона (VII), N-ацетаминобензальдегидтиосеминарбазон (VIII) — взаимодействуют с I медленно. Р-цию можно ускорить прибавлением нуклеофильных в-в, в частности гидразина (IX), к щелочи до сильнойщел. р-ции. Пробу, содержащую ~0,8 мг-экв IV, V, VI, VII или VIII, растворяют в 40 мл 1,25 М р-ра NaOH, прибавляют 5 мл 7 М р-ра IX и 10 мл р-ра I и нагревают на водяной бане 30 мин. (IV—VI) или 3 часа (VII, VIII). Смесь охлаждают, фильтруют, остаток на фильтре промывают водой, фильтрат разбавляют до 150 мл водой, прибавляют 5 мл буферного р-ра Шварценбаха и III и титруют р-ром CaCl<sub>2</sub> до чисто синей окраски. Получают результаты, заниженные на 0,1—1,4%. Сообщение VII см. РЖХим, 1961, 4Д121.

К. Кápen

**6Д217. Анализ сульфокислот и их солей методом газо-жидкостной хроматографии летучих производных.** Kirkland J. J. Analysis of sulfonic acids and salts by gas chromatography of volatile derivatives. «Anal. Chem.», 1960, 32, № 11, 1388—1393 (англ.). — Сульфокислоты (СК) и их соли предложено разделять методом газо-жидкостной хроматографии их производных — сульфохлоридов (СХ) и метиловых эфиров (МЭ). Для изотермич. разделения СХ применяют колонку со смесью хромосорб — высоковакуумная силиконовая смазка (8:2) (колонка А); при программированном температурном режиме применяют колонку со смесью Целит 445 — силиконовый каучук SE-70 (8:2) (колонка Б); для анализа МЭ применяют при пониженном давлении колонку со смесью Апезон L — хромосорб (2:8) (колонка В). Для получения СХ к 0,5 г СК или ее соли прибавляют 0,5 мл диметилформамида, 20 мл SOCl<sub>2</sub> и кипятят в колбе с обратным холодильником до прекращения выделения газа. В случае солей СК осадок хлорида отфильтровывают через стеклянный фильтр после разбавления р-ра равным объемом CH<sub>2</sub>Cl<sub>2</sub>. Избыток SOCl<sub>2</sub> и р-рителя удаляют в вакууме, остаток растворяют в CCl<sub>4</sub> и полученный р-р СХ используют для хроматографирования. Вместо SOCl<sub>2</sub> можно применять фосген. Для получения МЭ 0,5 г СК растворяют в миним. объеме эфира, прибавляют эфирный р-р CH<sub>2</sub>N<sub>2</sub> до появления устойчивой желтой окраски, затем прибавляют 15—20%-ный избыток CH<sub>2</sub>N<sub>2</sub>, через 10 мин. р-ритель отгоняют на водяной бане или в токе N<sub>2</sub> и остаток растворяют в CCl<sub>4</sub> или C<sub>6</sub>H<sub>6</sub>. Приведены выходные кривые анализа смесей СХ 1-бутан- и 3-метил-1-бутан-сульфокислот (колонка Б; начальная т-ра 50°; повышение т-ры 6,4° в 1 мин.; скорость газа-протекателя Не 44 мл/мин), СХ бензол-п-толуол- и 2,5-диметилбензолсульфокислот (колонка А; т-ра 165°; скорость Не 65 мл/мин), СХ бензол-п-толуол- и 2-нафталинсульфокислот (колонка А; т-ра 165°; скорость Не 80 мл/мин), СХ п-н-бутилбензол- и п-роденилсульфокислот (колонка А; т-ра 180°; скорость Не 83 мл/мин), МЭ п-толуол- и 2,5-диметилбензолсульфо-

165 (54)

кислот  
445 мм

6Д218

нода и

Gascrom

lesanol

(итал.).

матограф

CO<sub>2</sub> и оп

Хим, 195

пиклоген

фаза — А

т-ра кол

на — 2,5

ду взять

ставляет

кента от

6Д219.

костной

J. F. An

J. Chro

дом газ

320° на

и диам.

из кото

320° уда

лича (4

алканов

пу и из

проявит

зависим

в каждо

величин

указан

6Д220

природ

выше. I

санитар

под фо

нот м

ность м

шанное

каждые

H<sub>2</sub>SO<sub>4</sub>

звания

для уд

водой д

стиляя

буферн

NH<sub>4</sub>OH

(80 г/л

8 мл с

фильтр

ним св

ним.

≤ ±10

6Д222

методо

област

Determ

spectro

1287—

гидов

исполь

мерах

меток

(II), 3

гида,

полосе

связей

венно)

жени

полия



кислот (колонка В; т-ра 180°; давление на входе 445 мм, на выходе 150 мм; скорость He 48 мл/мин).

Э. Усова

**6Д218. Газовая хроматография смесей циклогексанола и метилциклогексанола.** Pilleri Rosanna. Gaschromatografia di miscele di cicloesanol e metilcicloesanol. «Rassegna chim.», 1960, 12, № 3, 34—35 (итал.).—Описанный ранее метод газо-жидкостной хроматографии с применением сожжения компонентов до CO<sub>2</sub> и определения CO<sub>2</sub> посредством катарометра (РЖ-Хим, 1955, № 20, 46110) применен для анализа смесей циклогексанола и метилциклогексанола. Неподвижная фаза — Аниезон L, твердый носитель — Целит С 22, т-ра колонки 100°, газ-носитель — N<sub>2</sub>, скорость потока — 2,5 л/час, объем пробы 0,01 см<sup>3</sup>. Расхождение между взятым и найденным содержанием компонентов составляет 1—2 абс. % при содержании каждого компонента от 33 до 67 %.

Б. Аппаер

**6Д219. Анализ фенилалканов методом газо-жидкостной хроматографии.** Spencer C. F., Johnson I. F. Analysis of phenylalkanes by gas chromatography. J. Chromatogr., 1960, 4, № 3, 244—248 (англ.).—Методом газо-жидкостной хроматографии при 240, 270 и 320° на колонках из нержавеющей стали длиной 366 см и diam. 0,6 см, заполненных 42 г смеси 40 ч. асфальта, из которого продвинутой азотом в течение 24 час. при 320° удалены летучие в-ва, и 100 ч. огнеупорного кирпича (42—60 меш), исследовано разделение фенилалканов C<sub>12</sub>—C<sub>26</sub>, содержащих одну фенильную группу и имеющих неразветвленную цепь С-атомов. Газ-проникатель He пропускали со скоростью 35 мл/мин. Зависимость времени удерживания от числа С-атомов в каждом гомологич. ряду прямолинейна. Приведены величины времени удерживания исследованных в-в и указаны возможности их разделения.

Б. Колоколов

**6Д220. Количественное определение фенолов в природных водоемах при их содержании 0,001 мг/л и выше.** Каплин В. Т., Фесенко Н. Г. «Гигиена и санитария», 1960, № 8, 41—43.—Усовершенствован метод фотометрич. определения фенолов (Ф), основанный на р-ции с 4-аминоантипирином (I). Чувствительность метода повышена в результате применения смешанного экстрагента — смеси CHCl<sub>3</sub>-изо-C<sub>8</sub>H<sub>17</sub>OH. На каждые 100 мл пробы воды прибавляют по 1 мл конц. H<sub>2</sub>SO<sub>4</sub> и р-ра 100 г CuSO<sub>4</sub>·5H<sub>2</sub>O в 1 л H<sub>2</sub>O (для связывания сульфидов) и отгоняют 90% объема пробы для удаления летучих Ф. Объем дистиллата доводят водой до первоначального объема пробы. К 100 мл дистиллата в делительной воронке прибавляют 0,5 мл буферного р-ра pH 9,8 (20 г NH<sub>4</sub>Cl в 100 мл 25%-ного NH<sub>4</sub>OH), 1 мл 0,2%-ного р-ра I и 1 мл р-ра K<sub>2</sub>Fe(CN)<sub>6</sub> (80 г/л) и через 15 мин. экстрагируют посредством 8 мл смеси CHCl<sub>3</sub> — изо-C<sub>8</sub>H<sub>17</sub>OH (1:2). Нижний слой фильтруют и фотометрируют на приборе ФЭК-М с синим светофильтром. Окраска устойчива 4—5 час. Миним. определяемая конц-ия Ф 0,001 мг/л; ошибка ≤ ±10 %.

В. Плахов

**6Д221. Определение ароматических альдегидов методом спектрофотометрии в ближней инфракрасной области.** Powers R. M., Harper J. L., Tai Han. Determination of aromatic aldehydes by near-infrared spectrophotometry. «Analyst. Chem.», 1960, 32, № 10, 1287—1289 (англ.).—Для определения ароматич. альдегидов в присутствии ароматич. кетонов предложено использовать сильную полосу в области 2,2 м. На примере бензальдегида (I), 2-хлор-5-окси-I, 2-окси-I, 2-метокси-I, 4-метокси-I, 3-метил-I, 4-метил-I, 2-нитро-I (II), 3-нитро-I (III), 4-нитро-I (IV), 2,2'-бифенальдегида, пиперонала и 1-нафталальдегида показано, что эта полоса является составной (колебания С—Н и С=О связей СНО-группы при 2820 и 1710 см<sup>-1</sup> соответственно). Спектр дейтеро-I подтверждает это предположение. Для р-ров I в CCl<sub>4</sub> при λ 2,21 м закон Бера выполняется при конц-иях I 0,006—0,600 моль/л. I в при-

сутствии ацетофенона (1:1) или бензофенона (1:2) определен с ошибкой 7,7 и 3,3% соответственно. II имеет полосу при 2,176 м, по которой его можно определять в смеси с III и IV (имеют полосу при 2,203 м). III и IV можно идентифицировать по слабым полосам при 2,474 и 2,266 м соответственно.

В. Плахов

**6Д222. Количественное определение цис- и транс-бутен-(2)-диол-1,4-дibenзоатов.** Riemschneider R., Pauling G., Ernst W. Über die quantitative Bestimmung von cis- und trans-Buten-(2)-diol-1,4-dibenzoat. «Z. analyt. Chem.», 1960, 177, № 1, 35—36 (нем.).—Изучены ИК-спектры цис- и транс-бутен-2-диол-1,4-дibenзоатов. Предложен метод анализа их смеси, основанный на том, что для цис-изомера характерна полоса поглощения при 7,45 м, которой нет в спектре транс-изомера. Для построения калибровочной кривой измеряют поглощение р-ров 50 мг смесей изомеров различного состава (от 0 до 100% каждого компонента) в 5 мл CS<sub>2</sub> при 7,45 м в кювете из NaCl, при толщине слоя 1 мм. Содержание цис-изомера вычисляют по величине поглощения испытуемой смеси при 7,45 м.

Ю. Лянде

**6Д223. Влияние концентрации и растворителя на N—H-полосы первичных ароматических аминов в ближней инфракрасной области.** Whetsel Kermit B., Roberson William E., Krell Max W. Solvent and concentration effects of the near-infrared N—H bands of primary aromatic amines. «Analyst. Chem.», 1960, 32, № 10, 1281—1286 (англ.).—Для четырех первичных ароматич. аминов (анилин, м-толуидин, о- и м-хлоранилины) исследовано влияние природы р-рителя (CCl<sub>4</sub>, CS<sub>2</sub>, C<sub>6</sub>H<sub>6</sub>, CHCl<sub>3</sub>, ацетонитрил (I) и циклогексан (II)) и конц-ии (0,5—100%) на значения λ(макс.) и ε полос, отвечающих составным частотам и первому обертому симметричного N—H-колебания (для последней полосы измерена также интегральная интенсивность (A)). Оптич. плотность измеряли по методу базисной линии (БЛ). Для оберточных полос БЛ проводили через точки ~1,420 и 1,585 м, для составных частот БЛ проводили параллельно оси λ через точку 1,920 м (в случае I через точку 1,933 м). Значения A получали методом графич. интегрирования. Средняя ошибка: для значений λ ±0,0002 м, ε ±1,2%, A ±2,0%. При качеств. анализе можно сравнивать лишь спектры, снятые в одном р-рителе; при этом различиями конц-ий <0,5 моль/л можно пренебречь. Конц-ия анализ лучше проводить при конц-ии ~0,1 моль/л и толщине слоя 10 см. В этих условиях для всех исследованных р-рителей, кроме II, выполняется закон Бера. В области составных частот при толщине слоя 10 см в качестве р-рителей пригодны только CCl<sub>4</sub>, CS<sub>2</sub> и CHCl<sub>3</sub> (остальные р-рители сильно поглощают). При конц-иях до 1 моль/л наиболее подходят C<sub>6</sub>H<sub>6</sub>, CHCl<sub>3</sub> и I. Измерение A целесообразно, когда необходимо сравнивать спектры, снятые в разных р-рителях или при разных конц-иях.

В. Плахов

**6Д224. Титрование 1-нафтола азотистокислым натрием.** Матржа М. «Collect. Czechosl. Chem. Commun.», 1960, 25, № 3, 964—965 (рез. нем.).—Разработан метод потенциометрич. титрования 1-нафтола (I) р-ром NaNO<sub>2</sub> в среде р-ра м-кислосульффоната Na (II). Р-ция нитрозирования идет количественно; наряду с 2-нитрозо-1-нафтолом образуется немного 4-нитрозо-1-нафтола. Около 1,5 г I растворяют в 50 мл 1 н. р-ра NaOH, доводят объем р-ра водой до 100 мл, к 10 мл р-ра прибавляют 50 мл 20%-ного водн. р-ра II и 15 мл HCl и титруют потенциометрически 0,1 н. р-ром NaNO<sub>2</sub>. Ошибка метода ±0,4%.

Н. Виха

**6Д225. Термические свойства некоторых тетрафенилборных солей аминов.** 8-оксихинолин и его производные. Wendlandt Wesley W., Tassel James H., van, Horton G. Robert. The thermal properties of some amine tetraphenylboron salts. 8-quinolinol and its derivatives. «Analyst. chim. acta», 1960, 23, № 4, 332—

336 (англ.; рез. франц., нем.).—Методом дифференциального термич. анализа (ДТА) (РЖХим, 1960, № 13, 50759) и с помощью термовесов (РЖХим, 1957, № 19, 63831) изучено поведение при нагревании 8-оксихинолина (I), 2-метил-8-оксихинолина (II), 5,7-дихлор-(III), дибром-(IV) и диод-(V)-8-оксихинолинов и соответствующих тетрафенилборатов. Для определения методом ДТА применяют 90–120 мг пробы в-ва при скорости нагрева 8° в 1 мин.; в-во для сравнения — прокаленная  $Al_2O_3$ . Для определения с помощью термовесов берут 90–100 мг пробы (скорость нагревания 6,6° в 1 мин.). Приведены кривые термич. устойчивости и кривые ДТА указанных соединений. На основании кривых термич. разложения сделан вывод, что указанные соли с соотношением тетрафенилбор-оксихинолин 1:1 не существуют. Тетрафенилбораты I и II начинают сублимироваться при значительно более низких т-рах, чем соли III, IV и V. Большая термич. устойчивость тетрафенилборатов III, IV и V позволяет использовать их для гравиметрич. определения соответствующих аминов. Б. Колоколов

6Д226. Полярографическое изучение гетероциклических соединений. Сообщение V. Полярография фталязина. Furlani Claudio, Bertola Silvio, Morpurgo Giorgio. Ricerche polarografiche su sostanze eterocicliche. Nota V. Polarografia della ftalazina. «Ann. chimica», 1960, 50, № 6—7, 858—874 (итал.).—Для изучения полярографич. поведения фталязина (I) и 1-фенилфталязина (II) пользовались водн. р-ром хлоргидрата I, водно-этанольным р-ром II и боратными и фосфатными шел. буферными р-рами. Установлено, что в кислой среде I восстанавливается, образуя одну волну и превращаясь, вероятно, в о-аминометилбензиламин; р-ция протекает с участием 6 электронов. При  $pH > 10$  указанная волна исчезает и появляется вторая волна с более отрицательным потенциалом восстановления, соответствующая двухэлектронному процессу. Высоты обеих волн пропорциональны конц-ии I и могут быть использованы для колич. определения I. II ведет себя аналогично. Измерены также УФ-спектры поглощения I и II. Сообщение III см. РЖХим, 1956, № 22, 71320. Т. Леви

6Д227. Титриметрический метод микроопределения ацетата фенилтрети при помощи диэтилдитиокарбамата меди. Iritani Nobuhiko, Ozawa Keiko, Hoshida Haruhiko. «Якугаку засси, Yakugaku zasshi, J. Pharm. Soc. Japan», 1960, 80, № 7, 1008—1009 (японск.; рез. англ.).—Ацетат фенилтрети (~1 мг) титруют в подкисленном водн. р-ре ( $pH \approx 2-2,5$ )  $1,5 \cdot 10^{-4} M$  р-ром диэтилдитиокарбамата Cu в  $CCl_4$  до появления слабой желто-коричневой окраски слоя  $CCl_4$ . Средняя ошибка определения менее —0,5%; стандартное отклонение 0,5%. И. Н.

6Д228. Анализ разбавленных растворов триэтилалюминия. Лиознова Р. З., Генусов М. Л. «Защит. лаборатория», 1960, 26, № 8, 945—947.—Для определения конц-ии триэтилалюминия (I) в его разб. р-ре в бензине (II) предложен метод, основанный на разложении I водой и определении объема выделившегося  $C_2H_6$ . Найдена поправка на растворимость  $C_2H_6$  в II — 3,8 мл  $C_2H_6$  в 1 мл II или 7,9 мл  $C_2H_6$  в 1 г II. Сосуд Петри с навеской р-ра I в II, соединенный с ловушками, содержащими по 20–30 мл воды, погружают в холодную воду, медленно вливают через воронку воду и собирают выделяющийся  $C_2H_6$  в газовую бюретку над конц. р-ром NaCl. Измеряют объем выделившегося  $C_2H_6$ , приводят его к нормальным условиям и вычисляют содержание  $C_2H_6$ -групп, учитывая приведенные выше поправки. И. Виха

6Д229. Хроматография органических соединений. V. Определение фенилхлорсиланов методом газожидкостной хроматографии. Franc J., Wurst M. Chromatographie organischer Verbindungen. V. Bestimmung der Phenylchlorosilane mittels der Gaschromatographie

«Collect. Czechosl. Chem. Commun», 1960, 25, № 3, 701—705 (нем.; рез. русск.).—Разработан новый метод анализа технич. смеси, образующейся при производстве фенилхлорсиланов и содержащей бензол, хлорбензол, фенилдихлорсилан, дифенил и дифенилдихлорсилан. Использована методика разделения высококипящих соединений (РЖХим, 1961, 3Д195). Смесь разделяют при 240° в колонке, заполненной хромосорбом, смешанным с силиконалостомером (20% по весу) с помощью газа-проявителя  $N_2$ . Для детектирования разделенных компонентов их сжигают в кварцевой трубке, присоединенной к колонке, нагретой до 480–620° и содержащей  $SiO_2$  для окисления органич. в-ва, Ag на пемзе для улавливания хлора и Fe-стружку для превращения  $H_2O$  в  $H_2$ .  $CO_2$  абсорбируют, а  $H_2$  определяют при 20° при помощи катарометра. Площади пиков для  $H_2$  пропорциональны числу H-атомов в молекуле соединения. Содержание отдельных компонентов определяют при помощи эмпирич. ур-ния. Описанный метод удобен для анализа других смесей органич. соединений, детектирование которых затруднительно. Приведены значения объемов удерживания для фенилхлорсиланов и других хлорпроизводных. Стандартное отклонение результатов  $\pm 5\%$ . Б. Костка

6Д230. Парофазная хроматография металлоорганических соединений. Алкилпроизводные металлов группы «В» IV группы. Abel E. W., Nickless G., Pollard F. H. Vapour-phase chromatography of organometallic compounds: alkyl derivatives of the group IVB metals. «Proc. Chem. Soc.», 1960, Aug., 288 (англ.).—Методом газо-жидкостной хроматографии при 80° на колонке длиной 244 см, заполненной Аписилоном L (20%) на Силоцелле C22 (36–60 мкм), при скорости потока газа-проявителя  $N_2$  50 мл/мин полностью разделены  $(CH_3)_4Si$ ,  $(CH_3)_4Ge$ ,  $(CH_3)_4Sn$  и  $(CH_3)_4Pb$ . Кривые зависимости времени удерживания этих в-в от мол. веса или от т-ры кипения прямолинейны. При определении этих соединений катарометр отличается очень высокой чувствительностью. Б. Колоколов

6Д231. Разделение кислых эфиров фосфорной кислоты методом ионного вытеснения. I. Разделение моно- и дибутилфосфатов. Cesarano C., Lepsky C. Separation of acidic esters of phosphoric acid by ion exclusion. I. The separation of mono- and dibutylphosphate. «J. Inorg. and Nucl. Chem.», 1960, 14, № 3-4, 276—282 (англ.).—Методом ионного вытеснения на колонках длиной 180 см и диам. 1,15 см, заполненных кислотной формой ионита Дауэкс 50  $\times$  8 (I) с величиной частиц 50–100 меш, разделена смесь моно-*n*-бутилфосфата (II) и ди-*n*-бутилфосфата (III) и проведено отделение их от  $H_3PO_4$  и симм-ди-*n*-бутилфосфата (IV). При применении воды в качестве элюента первыми вымываются  $H_3PO_4$  и IV, затем II и последним III. На 100 мл I можно разделить 5 г смеси с выходом 85% и чистотой выделенных фракций 99%. На основании полученных результатов вычислены число и высота теоретич. тарелок, коэф. распределения и факторы разделения для применявшейся при разделении колонки. Установлено, что III адсорбируется на I сильнее, чем II, и приведены доказательства образования комплексной связи между сульфогруппой I и двумя молекулами III. Б. Колоколов

6Д232. Количественное определение углеводов методом распределительной хроматографии на бумаге. Misra S. B., Mohan Rao V. K. Quantitative estimation of carbohydrates by paper partition chromatography. «J. Scient. and Industr. Res.», 1960, BC19, № 7, C173—C176 (англ.).—Стандартизован метод определения углеводов (УВ) с помощью распределительной хроматографии на бумаге. 10–100  $\mu$  D-глюкозы, D-лактозы, D-арабинозы, L-рамнозы и D-глюкуроновой к-ты в 0,02 мл р-ра хроматографируют на бумаге Ватман № 1 с помощью одной из следующих систем р-р-телей:  $n-C_4H_9OH-CH_3COOH-H_2O$  (4:1:1); фенол, не-

сущенный водой;  $\text{H-C}_4\text{H}_9\text{OH}-\text{C}_6\text{H}_5\text{N}-\text{C}_6\text{H}_5-\text{H}_2\text{O}$  (5:3:1:3). Хроматограмму обрызгивают с обеих сторон р-ром бифталата анилина (Patridge S. M. «Nature», 1949, 164, 443), нагревают 15 мин. при 105°, вырезают участки, соответствующие отдельным УВ, элюируют УВ с бумаги и измеряют оптич. плотность элюатов при 420 мμ. Показано, что наиболее подходящими р-рителями для элюирования пятен являются 50–80%-ные р-ры  $\text{CH}_3\text{COOH}$ ,  $\text{CH}_3\text{COSCH}_3$ ,  $\text{C}_2\text{H}_5\text{OH}$  и  $\text{CH}_3\text{OH}$  и что для полного элюирования требуется 30 мин. Ошибка определения  $\leq \pm 6\%$ . Э. Усова

6Д233. Хроматографическое фракционирование полисахаридов почвы на анионообменной целлюлозе. Сообщение 14. Об ионообменниках. Müller Max, Mehta N. C., Deuel H. Chromatographische Fraktionierung von Bodenpolysacchariden an Cellulose—Anionenaustauschern. 14. Mitt. über Ionenaustauscher. (19). «Z. Pflanzenernähr., Düng., Bodenkunde», 1960, 90, № 1-2, 139–145 (нем.).—Водн. р-р (2%-ный) суммы полисахаридов (СПС), выделенных из образцов почвы, подвергают диализу против воды в течение 8 дней; 81% СПС остается недиализованной. Содержание сахаров и уронеовых к-т в диализованной части значительно меньше, чем в недиализованной. Недиализованную часть СПС очищают от белков по способу Севага (Sevag M. G. «Biochem. Z.», 1934, 273, 419), 1%-ный водн. р-р СПС обрабатывают катионитом Дажэ-50-W-X 12, фильтрат упаривают досуха и остаток подвергают гидролизу 0,5 н. р-ром  $\text{HNO}_3$  в течение 4 час. при 100°. При хроматографировании гидролизата на бумаге Ватман № 4 с помощью системы р-рителей (СР)  $\text{CH}_3\text{COOC}_2\text{H}_5-\text{C}_2\text{H}_5\text{N}-\text{H}_2\text{O}$  (8:2:1) (А) открываются глюкоза, галактоза, манноза, ксилоза и рамноза (пятна арабинозы и рибозы неотчетливы). Препарат, кроме того, содержит гексозамины и белки. После гидролиза конц. р-ром  $\text{HCl}$  (РЖХимБх, 1957, № 22, 24983) и двумерного хроматографирования гидролизата на бумаге Ватман 3ММ в СР  $\text{C}_4\text{H}_9\text{OH}-\text{CH}_3\text{COOC}_2\text{H}_5-\text{NH}_4\text{OH}-\text{H}_2\text{O}$  (5:3:1:4) и  $\text{C}_4\text{H}_9\text{OH}-\text{CH}_3\text{COOH}-\text{H}_2\text{O}$  (5:1:4) открываются аминокислоты: глицин, аланин, валин, тирозин, цистин, лизин, аспарагиновая и глутаминовая к-ты. Очищенную СПС фракционируют на диэтиламинотилцеллюлозе. 200 мг СПС растворяют в 10 мл 0,01 н. р-ра  $\text{KH}_2\text{PO}_4$  и  $\text{Na}_2\text{HPO}_4$  (рН 5,8), переносят на колонку с 33 г целлюлозы и последовательно элюируют 0,01 н. р-ром  $\text{KH}_2\text{PO}_4$  и  $\text{Na}_2\text{HPO}_4$  (рН 5,8), 0,1 н. р-ром  $\text{KH}_2\text{PO}_4$  и  $\text{Na}_2\text{HPO}_4$  (рН 5,8) и 0,1 н. р-ром  $\text{NaOH}$  и 0,5 н. р-ром  $\text{NaOH}$  (градиентное элюирование). Фракции подвергают диализу, гидролизуют 0,5 н. р-ром  $\text{HNO}_3$  и хроматографируют на бумаге Ватман № 4 в системе р-рителей А; пятна открывают с помощью анилина, дифениламина и  $\text{H}_3\text{PO}_4$ . Выделено 5 фракций, отличающихся содержанием уронеовых к-т. Сообщение 13 см. РЖХим, 1960, № 16, 65198. Э. Усова

6Д234. Хроматографическое фракционирование высокомолекулярных полистиролов. Schneider N. S., Locanti J. D., Holmes J. C. Chromatographic fractionation of high molecular weight polystyrenes. «J. Appl. Polymer Sci.», 1960, 3, № 8, 251 (англ.; рез. франц., нем.).—Исследовано влияние высокомолекулярных полистиролов (ПС) в элюате на их фракционирование хроматографич. методом, описанном ранее (РЖХим, 1960, № 8, 33485; № 10, 41355). Установлено, что объем элюента, необходимый для успешного фракционирования, зависит от распределения ПС в смеси по мол. весам, а также от среднего мол. веса исследуемой пробы. Разделение ПС с близкими мол. весами требует увеличения объема элюента. Б. Колоколов

6Д235. Определение альдегидных групп в целлюлозе методом окисления перманганатом калия. Усманов Х. У., Перлина Р. В. «Узб. химия ж., Узб. хим. ж.», 1960, № 3, 20–28.—На основании изучения кинетики р-ции окисления целлюлозы (Ц) р-ром  $\text{KMnO}_4$ , а также действия  $\text{KMnO}_4$  на образцы Ц, предварительно обработанные  $\text{NaClO}$ , высказано предположение о наличии внутри макромолекул Ц некоторого кол-ва альдегидных групп (АГ). Приведена методика определения числа АГ, основанная на р-ции окисления перманганатом. К смеси 0,5 г Ц и 50 мл охлажденной до 0° 0,25 н.  $\text{H}_2\text{SO}_4$  прибавляют 5 мл 0,05 н. р-ра  $\text{KMnO}_4$ , смесь выдерживают на холоду 30 мин., прибавляют 4 мл 0,05 н. р-ра соли Мора и избыток ее титруют 0,05 н. р-ром  $\text{KMnO}_4$ . Найдено различное кол-во АГ у разных сортов Ц, изменение их числа с возрастом Ц, а также до и после гидролиза Ц. И. Виха

6Д236. Исследование методов анализа поверхностно-активных веществ. IX. Объемное полумикроопределение анионоактивных веществ методом обратного титрования в присутствии метиленового голубого. Izawa Yasuji, Kimura Wasaburo. «Абура какаку, Yukagaku, J. Japan Oil Chemists Soc.», 1960, 9, № 3, 124–128 (японск.).—Для точного, быстрого и простого полумикроопределения анионоактивных в-в (ААВ) предложена модификация ранее описанного метода (Epton S. R. «Trans. Faraday Soc.», 1948, A44, 226). К 5 мл 0,004 М р-ра катионоактивного в-ва (КАВ) (напр., р-ра 0,7 г хлорида лаурилпиридина, трижды перекристаллизованного из ацетона, в 500 мл воды), помещенного в склянку с притертой пробкой, прибавляют 5 мл ~0,002 М р-ра анализируемого ААВ. Смесь встряхивают в течение 1 мин., прибавляют 10 мл  $\text{CHCl}_3$  (предварительно  $\text{CHCl}_3$  промывают 2 раза 1%-ным р-ром  $\text{Na}_2\text{CO}_3$ , затем водой и перегоняют при 61–62°), 1 мл 0,02%-ного р-ра метиленового голубого, содержащего 1,2%  $\text{H}_2\text{SO}_4$  и 5%  $\text{Na}_2\text{SO}_4$ , и избыток КАВ титруют стандартным р-ром ААВ. (3 г лаурилбензолсульфоната Na, содержащего 42% основного в-ва, растворяют в 500 мл воды; полученный р-р стандартизуют по 0,002 М р-ру Na-соли лаурилсульфокислоты (I), содержащему 0,1442 г I в 250 мл водн. р-ра) до перехода окраски слоя  $\text{CHCl}_3$  из розовой в синюю. Одновременно проводят контрольный опыт. Часть VII см. РЖХим, 1961, 1Д210. А. Петренко

См. также раздел Общие вопросы. Методы биохимических исследований (выпуск Биологическая химия) и рефераты: Элементарный анализ 6Е78, 6Е79. Определение: углеводов 6М267, 6М270, 6М365; галондопроизводных 6Л299; спиртов 6Н289; альдегидов 6Л114; фенолов 6И258, 6Л21; органических кислот 6Н124; 6Н430–6Н432; элементоорганических соединений 6Л104; боранов 6И76; таннидов 6П695; углеводов 6Н386, 6Н387, 6Н389; целлюлозы 6П466, 6П469;  $\text{H}_2\text{O}$  6И314; ферроцианидов 6К173. Анализ: лекарственных в-в 6Л249, 6Л264, 6Л299, 6Л300, 6Л302, 6Л304–6Л316; пищевых продуктов 6Н11–6Н14, 6Н30, 6Н77, 6Н124, 6Н187, 6Н197, 6Н247, 6Н248, 6Н289, 6Н290, 6Н325–6Н327, 6Н336, 6Н344, 6Н346; нефтепродуктов 6Е77, 6М211, 6М215, 6М266, 6М267, 6М269, 6М317, 6Н205, 6Н300; лесохим. продуктов 6М14, 6М19, 6М28, 6М141; пестицидов 6Л470–6Л475; твердых горючих ископаемых 6М39, 6М83, 6М101, 6М103, 6М139, 6М146; полимеров 6Л5, 6П337, 6П338; жиров, масел, мыл 6Н423, 6Н426, 6Н429, 6Н430, 6Н432, 6Н439, 6Н450, 6Н453; душистых в-в 6Н495, 6Н496, 6Н500; красителей 6Л125, 6Л228, 6Л229, 6Н205; взрывчатых в-в 6Л576



## Е. ОБОРУДОВАНИЕ ЛАБОРАТОРИЙ. ПРИБОРЫ, ИХ ТЕОРИЯ, КОНСТРУКЦИЯ, ПРИМЕНЕНИЕ

Редактор А. И. Саразов

**6Е1. Описание установки для изучения ядерного магнитного резонанса в твердых телах.** Capart J. J., Loosen P., Van Meerse M. Description d'un appareil pour l'étude de la résonance magnétique nucléaire dans les solides. «Bull. Soc. chim. belg.», 1960, 69, № 5-6, 292—302 (франц.).—Спектроскопы для ядерного магнитного резонанса бывают двух типов. В одних приемная и передающая радио-частотную энергию катушки располагаются вблизи поглощающего образца отдельно, перпендикулярно друг к другу; благодаря этому во второй катушке ЭДС индуцируется только прецессирующим магнитным моментом образца, а не первой (передающей) катушкой. В спектроскопах второго типа передающая и приемная катушки входят в состав плеч высокочастотного моста; наличие резонансного поглощения образца устанавливается по разбалансировке моста. Авторы описали сконструированный ими спектрометр второго типа. Электромагнит питался от аккумуляторов и давал поле  $\sim 5000$  э с неоднородностью  $\sim 0,5$  э; такая неоднородность позволяет вести наблюдение резонанса в твердых телах (где линии имеют ширину 5—10 э). Дана блок-схема установки и схемы ее электронной части: генератора, усилителя, приемника (моста) и др. Показана линия  $F^{19}$  в  $Na_2SiF_6$ , полученная на описанной установке. К. Валиев

**6Е2. Описание установки для квадрупольного резонанса.** Degerre J. M., Van Meerse M. Description d'un appareil de résonance quadrupolaire. «Bull. Soc. chim. belg.», 1960, 69, № 3-4, 194—203 (франц.).—Описаны 2 установки для наблюдения квадрупольного резонанса на частотах 20—50 Мгц; первая служит для быстрого поиска резонансной линии, но искажает форму линии; вторая предназначена для надежного исследования формы резонансной линии. К. Валиев

**6Е3. Новый спектрограф с плоской решеткой.** Kröplin Peter. Nouveau spectrographe à réseau plan. «Chim. analyt.», 1960, 42, № 9, 448—453 (франц.).—См. РЖХим, 1960, № 1, 930; 1961, 5Е4.

**6Е4. Автоматический спектрограф на базе монохроматора УМ-2.** Кийс В. И., Нымм У. Х., Паэ А. Я., Реэбен В. А. «Приборы и техн. эксперимент», 1960, № 4, 145—146.—На базе монохроматора УМ-2 и электронного потенциометра ПСР-1 создан чувствительный фотоэлектрич. спектрометр для регистрации спектров излучения в области 400—1000 мμ. Отличительной чертой прибора является приспособление для автоматич. компенсации неравномерности спектральной чувствительности ФЭУ. На выход ФЭУ включается в качестве нагрузочного сопротивления фотосопротивление ФСК-М1, которое подвешивается от дополнительной лампы по заданной программе. Изменение сопротивления ФСК регулирует усиление ФЭУ. Л. Грибов

**6Е5. О градуировке незаписывающих спектрофотометров по длинам волн и фотометрическим шкалам.** Menzies A. C. Report on calibration of wavelength and photometric scales of non-recording spectrophotometers. «Pure and Appl. Chem.», 1960, 1, № 1, 147—162 (англ.).—Обзор. Библ. 28 назв. Л. Грибов

**6Е6. Наблюдения на пламенном спектрофотометре.** Cheyne G. A. Observations on the flame spectrophotometer. «J. Med. Lab. Technol.», 1960, 17, № 3, 149—155 (англ.).—Описание конструкции и особенностей эксплуатации пламенного спектрофотометра Уникум SP900. Л. Грибов

**6Е7. Использование различных капиллярных материалов в лаймановском разряде.** Warsaw P. A. The

use of various capillary materials in the Lyman discharge. «Spectrochim. acta», 1960, 16, № 5, 575—581 (англ.).—Исследованы спектральные свойства лаймановского разряда в капиллярных трубках из пирекса, силикатных и Na-, Al-, Zr-, В-стекло, а также из тефлона. Отмечено, что эффективные условия получения непрерывного спектра зависят от т-ры плавления материала, электрич. сопротивления и наличия примесей. Л. Грибов

**6Е8. Инфракрасная спектрофотометрия. Полумикроматрица для приготовления продолговатых таблеток из КВг.** Möhl Fredrik. Infrared spectrophotometry: a semi-micro die for oblong KBr-pellets. «Acta chem. scand.», 1960, 14, № 6, 1221—1222 (англ.).—Описана конструкция пуансона и матрицы для получения продолговатых таблеток размером  $2,5 \times 0,3$  мм из КВг. Внутри разрезанного по вертикали цилиндра вырезана полость, в которой перемещается толкатель и пуансон, входящий при сдавливании в форму с образцом. Приведены образцы спектрограмм. Л. Грибов

**6Е9. К использованию метода просыпки — воздушного дутья при полукристаллическом спектральном анализе.** Конторович А. Э., Антаков Р. М. «Тр. Сибирск. н.-и. ин-та геол., геофиз. и минеральн. сырья», 1960, вып. 10, 60—62.—Описано приспособление для равномерной подачи порошков в зону разряда независимо от их сыпучести. Проба весом 300—500 мг из окисляющейся мерочки равномерно сыпается в вибрирующую воронку и через нее поступает в зону разряда. Вибрация создается электромагнитом. Электрич. схема предусматривает возможность одновременного и независимого включения дутья и просыпки. Метод упрощает технику анализа при сохранении обычной чувствительности. Л. Грибов

**6Е10. Уменьшение флуктуаций токов в спектрофотометре Фарранда.** Mahler Delmar J., Humoller Fred L. Reduction of current fluctuations in the Farrand spectrofluorometer. «Analyt. Chem.», 1960, 32, № 10, 1374 (англ.).

**6Е11. Фотоэлектрический метод измерения спектра источников света с быстро меняющейся интенсивностью.** Seliger H. H. A photoelectric method for the measurement of spectra of light sources of rapidly varying intensities. «Analyt. Biochem.», 1960, 1, № 1, 60—65 (англ.).—Для измерения спектров биоломинесценции и хемилюминесценции во время р-ций предложен метод, основанный на сравнении токов двух фотоумножителей: на первый попадает свет от выходной щели спектрометра, а на второй — неразложенный свет от источника. Таким образом удается скомпенсировать изменения яркости самого источника света. Приведены результаты измерений хемилюминесценции  $H_2O_2$  в присутствии  $NaOCl$ . Л. Грибов

**6Е12. Источники нестабильностей в никелевой дуге, стабилизированной с помощью воздушного потока.** Sinclair D. A., Beale H. J., Sharkey E. S. Sources of variation in the nickel airstream-stabilized arc. «Spectrochim. acta», 1960, 16, № 6, 709—714 (англ.).—Для стабилизированной Ni-дути исследовано влияние используемого участка дуги, силы тока, скорости воздушного потока, геометрии расположения и толщины электродов, примесей в Ni-электродах и атмосферных условий на интенсивность десяти линий Ni, используемых в качестве стандартных. Установлено, что наибольшее влияние оказывают расположение используемого участка дуги, сила тока дуги и толщина электродов. Первые 2 фактора являются относительно трудно контролируемыми в практич. работе и лимитируют повышение стабильности дуги, так как смеще-

ние используемого участка на 0,2 м и изменение тока на 0,05 а приводят к изменению интенсивности линий на 3%.

Ю. Коровин

**6E13. Светосильные источники света для вакуумной ультрафиолетовой области.** II. Schlag E. W., Comes F. J. Intense light sources for the vacuum ultraviolet. II. «J. Opt. Soc. America», 1960, 50, № 9, 866—867 (англ.).—Проведена модификация описанного ранее (предыдущее сообщение, РЖХим, 1960, № 6, 22170) источника света для шумановской области. Источник состоит из двух кварцевых трубок, разделенных окном из LiF. Одна трубка заполнена Xe или Kr, возбуждаемым полем высокой частоты (2450 МГц). Вторая представляет собой ионизационную камеру, наполненную NO, и служит для непрерывного контроля квантового выхода излучения. Мощность излучения составляет  $\sim 10^{16}$  квант/сек.

Л. Грибов

**6E14. Теория точности фотометрического секторного логарифмического клина-ослабителя.** Green Milton. Theory of the accuracy of wedge density matching of logarithmically sectored spectra. «Appl. Spectroscopy», 1960, 14, № 4, 91—94 (англ.).—Элементарная теория вращающегося перед входной щелью фотометрич. секторного логарифмич. клина, служащего для получения логарифмич. изменения экспозиции по высоте щели. Показано, что точность измерения интенсивностей аналитич. пар мало зависит от  $\gamma$ -фотоэлектрич. и не зависит от параметров спектра и клина.

Л. Г.

**6E15. Радиометрический прибор для измерения лучистых потоков.** Адрианов В. Н. В сб. «Конвективн. и лучистый теплообмен». М., АН СССР, 1960, 145—149.—Прибор для измерения лучистых потоков представляет собой замкнутую полость, внутренняя полированная поверхность которой имеет форму эллипсоида (Э). В одном из фокусов Э помещен сферич. терморезистор (ТП), напр. спай терморезистора, термистор и т. п., а в другой фокальной плоскости — плоская диафрагма (Д) с отверстием по оси Э. Э заключен в водяную рубашку. Через полость Э продувается очищенный охлажденный воздух, препятствующий попаданию в нее посторонних частиц, пыли и т. д. Все лучи, проходящие через Д внутрь Э, фокусируются на ТП, являющийся датчиком измерительного устройства. Погрешность измерений не превышает нескольких процентов.

Э. Финкель

**6E16. Оптические системы с повышенной разрешающей способностью.** Карташев А. И. «Оптика и спектроскопия», 1960, 9, № 3, 394—398.—Описаны два новых способа получения оптич. изображения, основанных на освещении объекта с помощью интерференционной или дисперсионной систем, придающих каждому элементу объекта особое значение  $\lambda$  или фазы. При некоторых условиях удается достичь более высокой разрешающей способности, чем при обычных условиях оптич. изображения.

Л. Грибов

**6E17. Упрощенный флуорометр с фотоумножителем ФЭУ-19.** Щербов Д. П., Пономаренко А. И. «Зап. лав. лаборатория», 1960, 26, № 9, 1143—1145.—Сконструирован упрощенный флуорометр для объективного измерения суммарной интенсивности флуоресценции жидкостей. Конструкция держателя образца позволяет исследовать свечение разных слоев жидкостей в пробирке, что особенно важно при экстракционных исследованиях. Воспроизводимость результатов составляет 5—10%, средняя относительная погрешность  $\sim 5\%$ .

Л. Грибов

**6E18. Жидкостный рефрактограф EF.** Höger J., Karalínová refraktograf EF. «Jemná mech. a opt.», 1960, 5, № 7, 240—245 (чешск.; рез. русск., нем., англ.).—Приводится описание жидкостного рефрактографа EF прок-ва Меопта (Братислава), предназначенного для регистрации коэф. преломления  $n$ -ров в зависимости от конц-ии. Описываются конструкции обычных и двойных кювет, устройство для их заполнения, конструк-

ции наборов для диффузионных измерений и электрофореза. Фотографирование можно производить без применения щелей и цилиндрич. объектива. Рефрактограф пригоден также для исследования оптич. однородности твердых тел.

Я. Сатуновский

**6E19. Возможности применения высокотемпературного микроскопа. Часть I. Общие исследования.** Gugel E., Czedik-Eysenberg F. Aussagen und Anwendungsmöglichkeiten des Erhitzungsmikroskopes. Teil I. Allgemeine Untersuchungen. «Berg- und Hüttenmänn. Monatsh.», 1960, 105, № 7, 165—175 (нем.).—Исследованы возможности применения высокотемпературного микроскопа Leitz для изучения процессов окисления, образования и плавления на основе наблюдения видимых изменений пробы. Образцы помещаются внутрь трубки-печи на предметной Pt-пластинке, напаянной на керамику, и освещаются лампой накаливания или дуговой лампой. Максим. скорость нагревания  $20^\circ$  в мин. Трубка с кварцевыми окошками находится на оптич. оси горизонтально расположенного микроскопа, приспособленного для визуального и фотографич. наблюдения. Подробно описано изучение процесса плавления различных в-в и их смесей (шлаки, огнеупоры, их смеси, смеси солей, зол и др.), определение т-ры плавления у которых весьма затруднительно. Авторы различают 3 точки в процессе плавления — точку размягчения, точку полусферы и точку текучести — и приводят соответствующие фотографии для названных выше систем. Исследовано также влияние ряда факторов (т-ра плавления компонентов, рекристаллизация, газы, выделение, вязкость, поверхностное натяжение, величина зерен пробы, скорость нагревания, состав окружающей атмосферы) на ход процесса плавления.

Г. Шейнина

**6E20. Автоматическая монокристаллическая диффрактометрия. I. Кинематика.** Ladell J., Lowitzsch K. Automatic single crystal diffractometry. I. The kinematic problem. «Acta crystallogr.», 1960, 13, № 3, 205—245 (англ.).—Анализируются кинематич. схемы автоматич. монокристаллических диффрактометров, в которых счетчик и кристалл связаны соответственно с механич. моделями радиуса круга отражения и прямой обратной решетки. Движение кристалла и счетчика связано таким образом, что в отражающем положении оказываются лишь точки, лежащие на прямой обратной решетки. Описывается автоматич. диффрактометр, в котором контакты, расположенные на модели узловой прямой в точках, соответствующих узлам, позволяют проводить измерения интенсивности лишь в узлах обратной решетки. Переход от одной прямой к другой в пределах плоскости обратной решетки производится автоматически. Движение счетчика между узлами происходит со скоростью  $20^\circ$  в 1 мин. Интегральная интенсивность измеряется при скорости вращения кристалла  $0,5^\circ$  в 1 мин. в неподвижном счетчике. Около каждого пика промеряется фон. Результаты измерения интегральной интенсивности и фона одновременно печатаются и наносятся на перфоленту для дальнейшей обработки в вычислительных машинах.

Д. Хейкер

**6E21. Анализ точности показаний двухкристаллического спектрометра.** Шмидт В. В. «Тр. Ин-та металлургии. АН СССР», 1960, вып. 6, 109—116.—Произведен анализ точности показаний двухкристаллического рентгеновского спектрометра в зависимости от точности его юстировки. Рассмотрены 2 случая: ось вращения второго кристалла не лежит в его отражающей плоскости а образует с ней некоторый угол; ось вращения второго кристалла не параллельна отражающей плоскости первого кристалла. Результаты расчетов применены к анализу работы установки УРС-50И.

А. Бабад-Захряпин

**6E22. Автоматическая дифракционная камера для рентгеновской установки микромет.** Kozler Milan.

Automatická difrakčná komôrka k mikroröntgenmu mikrometa. «Chem. zvesti», 1960, 14, № 8, 626—630 (словацк.; реф. русск., нем.).—Разработана конструкция рентгеновской камеры для изучения искусств. высокомолекулярных веществ. Камера позволяет производить одновременное изучение 8 образцов при постоянных условиях съемки, что достигается ежеминутной автоматич. сменой облучаемого образца и участка пленки. Приведена схема, используемая для автоматич. поворота диска с отверстиями, на которых укреплены образцы, и плоской кассеты с фотопленкой.

А. Бабад-Захрияни  
6Е23. К вопросу методики измерения вязкости. Peter S. Zur Methodik der Viskositätsmessung. «Chem.-Ingr.-Techn.», 1960, 32, № 7, 437—447 (нем.; реф. англ., франц.).—Библиограф. А. Кислянский

6Е24. Вискозиметр для измерения пены. French R. J. Foam viscometer. «J. Scient. Instrum.», 1960, 37, № 8, 307—308 (англ.).—Кратко описан торсионный прибор для быстрого измерения критич. напряжения сдвига пены. Прибор в основном состоит из длинной торсионной проволоки, имеющей на нижнем конце лопасть, которая погружается в неподвижный сосуд с исследуемой жидкостью. Верхний конец проволоки через коробку передач соединен с осью мотора, укрепленного на колонке с амортизирующей пружиной. Проволока проходит внутри металлической трубки, имеющей на нижнем конце круглую шкалу, указывающую угол закручивания торсионной системы.

А. К.  
6Е25. Микровискозиметр. Складенко С. И., Смирнов И. В., Беляева Л. Б., Малышева Е. А. «Ж. физ. химии», 1960, 34, № 4, 921—924 (рез. англ.).—Описывается капиллярный прибор для определения динамич. вязкости весьма малых (до 0,1 мл) кол-в маловязких и летучих жидкостей. Вискозиметр представляет собой U-образную стеклянную трубку с двумя шариками, верхним и нижним, и спиральным капилляром, находящимся под верхним шариком. Метки нанесены на концах трубки у верхнего шарика, а также на витках капилляра. Для наполнения прибора жидкостью на концах трубки вискозиметра имеются 2 полых шара, соединенных с прибором кранами. Для уравнивания давления в приборе оба его колена также соединены между собой краном. Прибор требует предварительной калибровки. Если кол-во измеряемой жидкости достаточно для заполнения верхнего шарика, то прибор применяется как вискозиметр Оствальда. В противном случае отсчеты делаются по меткам на витках капилляра, а вязкость  $\eta$  вычисляется по ф-ле:  $\eta = t(Ad - B\sigma)$ , где  $t$  — время протекания между 2 метками,  $d$  — плотность,  $\sigma$  — поверхностное натяжение,  $A$ ,  $B$  — константы. Приводятся результаты определения  $\eta$  для 3 жидкостей. А. Кислянский

6Е26. Полукапиллярный вискозиметр для разбавленных растворов. Lorant Michael. Semi-micro dilution viscometer. «Chem. Rundschau», 1960, 13, № 17, 435 (англ.).—Описано устройство капиллярного вискозиметра для небольших ( $\sim 1$  мл) кол-в жидкости. Концы исследуемого р-ра могут быть изменены без предварительного опорожнения прибора. Трижды изогнутый капилляр соединен с резервуаром для исследования жидкости. С помощью 2 шаровых шлифов капилляр соединяется с распределительным устройством, содержащим резервуар с р-рителем, резиновую группу для продувания воздуха и 2 трехходовых крана. Поворотом одного из кранов жидкость прогоняется в соответствующее колено прибора и затем протекает сквозь капилляр под действием силы тяжести. Испарение р-ра предотвращено тем, что полость прибора заполняется воздухом, насыщенным парами р-рителя. Прибор пригоден для определения мол. веса полимеров.

А. Кислянский  
6Е27. Измерения диэлектрической проницаемости в химической лаборатории. Oehme F. DK-Messungen im chemischen Laboratorium. «Chem. Labor und Bet-

rieb», 1960, 11, № 9, 372—376 (нем.).—Кратко изложены теоретич. и методич. основы техники измерения диэлектрич. проницаемости в органич. и неорганич. в-в. Приведены схемы, иллюстрирующие устройство прибора для измерения  $\epsilon$ . На многочисленных примерах показаны возможности применения измерений  $\epsilon$  для аналитич. и структурных исследований жидких, твердых и порошкообразных тел.

Л. Бобров  
6Е28. Методы определения погрешностей при измерении ареометрами плотности сжиженных газов. Schoeneck Hans, Wanninger Wolfgang. Verfahren zur Bestimmung der Fehler von Druckräumetern. «Z. Instrumentenkunde», 1960, 68, № 6, 125—129 (нем.; реф. англ., франц., исп.).—Описано устройство прибора для измерения плотности сжиженных газов (бутана, пропана, их смесей и т. п.). Исследуемая жидкость с погруженным в нее ареометром помещается в герметичный цилиндр, сосуд, изготовляемый из прозрачной пластмассы и способный выдержать внутреннее давление до 10 кг/см<sup>2</sup>. Сосуд термостатирован при  $20 \pm 0,02^\circ$ . Давление внутри сосуда измеряется манометром с точностью до 0,02 кг/см<sup>2</sup>. Разобраны 2 основных метода проверки точности ареометров описанного типа: путем сравнения с результатами измерения плотности пикнометрич. методом и путем гидростатич. взвешивания ареометра. Разработано оборудование для проведения контрольных измерений обоими методами. Приведены расчетные ф-лы для нахождения величин погрешностей. Предлагаемые методы, аппаратура и ф-лы опробованы на сжиженных газах с плотностями в диапазоне 0,5—0,6 г/см<sup>3</sup>. Дана краткая характеристика так называемым термоареометрам (ареометры с вмонтированным в них термометром).

Л. Бобров  
6Е29. Гидростатическое взвешивание жидкостей в резервуарах сложной формы. Степанов Л. П. «Измерит. техника», 1960, № 9, 12—13.—Разработан способ гидростатич. взвешивания жидкостей в резервуарах сложной формы, основанный на измерении гидростатич. силы (ГС), действующей на погруженное тело (ПТ) спец. формы, площади сечения которого горизонтальными плоскостями пропорциональны площадям сечения жидкости теми же плоскостями. Показано, что в этом случае вес жидкости в резервуаре пропорционален ГС, действующей на ПТ. Измерение ГС можно проводить различными методами, напр., подвесив ПТ к коромыслу весов. Измерение массы жидкости таким способом не требует определения ее объема и плотности, причем неоднородность продукта по высоте резервуара не искажает получаемых результатов. Способ особенно удобен для учета кол-ва нефтепродуктов в железнодорожных цистернах.

З. Финкель  
6Е30. Питание жидким азотом ловушки масс-спектрометра. Seris G., Vernotte Ph. Alimentation en azote liquide du piège d'un spectrographe de masse. «Vide», 1960, 15, № 86, 109—111 (франц., англ.).—Описано автоматич. устройство для пополнения убыли жидкого азота (ЖА) в ловушке масс-спектрометра. При снижении уровня ЖА в ловушке до определенной отметки в результате испарения в сосуде Дьюара, в котором хранится ЖА, при помощи небольшого компрессора создается избыточное давление, в результате чего ЖА начинает перетекать по соединительной трубке в ловушку. После наполнения ловушки компрессор останавливается, и открывается электромагнитный клапан, через который сравливается избыточное давление из сосуда Дьюара. Двигатель компрессора и клапан управляются системой реле. Чувствительными элементами схемы служат три термосопротивления; 2 из них находятся в ловушке (в верхней части и на половине высоты) и одно — в сосуде Дьюара с запасом ЖА у входа в соединительную трубку.

В. Васильев



**6Е31. Компактный натекатель для водорода с использованием диффузии через палладий.** Noble Lowell A., Sain William H., Waits Robert K. Compact palladium diffusion leak for hydrogen. «Rev. Scient. Instrum.», 1960, 31, № 7, 789—790 (англ.).—Натекатель представляет собой Pd-пробирку (диам. 6,3 и толщиной стенок 0,127 мм), введенную в вакуумную систему. Внутренняя полость натекателя сообщается с объемом, где хранится  $H_2$ . Нагревателем для Pd служит W-спираль, помещенная во внутренней полости натекателя. Нагреватель обеспечивает достаточный нагрев Pd для получения потока  $H_2$  от 16 до 21 атм см<sup>3</sup>/мин в зависимости от мощности нагревателя. Указано, что материал натекателя может служить и Ni. Натекатель может быть применен для очистки  $O_2$ , если пробирку изготовить из Ag.

**6Е32. «Гелистест» — гелиевый теческатель. Описание. Применения.** Chatel J., Moreau J. L'hélistest-détecteur de fuites à hélium. Description. Utilisations. «Rev. Soc. roy. belge ingrs et industriels», 1960, № 7-8, 382—390 (франц.).—Подробно описан промышленный прибор «гелистест» — не-теческатель для контроля вакуумных и иных герметич. систем. Прибор работает по принципу масс-спектрометра; минимально определяемая скорость истечения He из системы  $\sim 2 \cdot 10^{-10}$  атм см<sup>3</sup>/сек; минимально определяемая конц-ия He в воздухе  $\sim 5 \cdot 10^{-4}$  %.

**6Е33. Спектрометр для определения ядер с позитронным и гамма излучением.** Ljunggren K. Spectrometer for the determination of positron and gamma-ray cascade-emitting nuclides. «Pure and Appl. Chem.», 1960, 1, № 1, 31—34 (англ.; рез. франц.).—Кратко описана блок-схема спектрометра, выполненного по схеме совпадений и предназначенного для определения элементов методом актиационного анализа. Приведены предварительные данные по одновременному измерению  $Co^{60}$  ( $\gamma$ -эмиттер) и  $Cu^{64}$  (позитронный эмиттер), а также измерению указанных элементов в присутствии  $Na^{24}$ ,  $Fe^{59}$  и  $Cs^{137}$ . При измерениях сравнивались двух- и трехканальные системы с разрешением 100 и 28 мксек соответственно. Приведены значения чувствительности при раздельном определении указанных элементов, а также их отношений —  $Cu^{64}/Na^{24}$ ,  $Cu^{64}/Cs^{137}$ ,  $Co^{60}/Fe^{59}$  — с использованием двух- и трехканальных систем.

**6Е34. Описание второй радиационной лаборатории и результаты дозиметрических измерений.** Tomoda Yoshitada, Hamashima Motome, Takehisa Masaaki. «Tokai kogei sikonisei hokoku, Repts Govt Chem. Industr. Res. Inst., Tokyo», 1960, 55, № 7, 250—259, 27 (японск.; рез. англ.).—Описана планировка и устройство радиационной лаборатории с  $Co^{60}$ -источником на 2000 кюри. В камере облучения диам. 100 и длиной 200 мм достигнута доза 105 рентген/час. В рабочем помещении доза не превосходит 0,1 мрентген/час. При определении дозы использовались электрич., хим. и фотографич. дозиметры. Предполагаемая тематика лаборатории — изучение влияния радиации на органич. р-ции, также, как полимеризация олефинов, хлорирование и т. п., а также на катализ, р-ции.

**6Е35. Сравнительные измерения высокоэнергетического тормозного излучения со стандартом интенсивности.** Pruitt J. S., Pohlit W. Vergleichsmessungen mit Intensitätsstandards für energiereiche Bremsstrahlung. «Z. Naturforsch.», 1960, 15b, № 9, 617—619 (нем.).—Показана возможность измерения интенсивности тормозного излучения с абс. ошибкой 1% при помощи ионизационных камер, включенных по компенсационной схеме. Приведена конструкция этих камер и схема включения.

**6Е36. Нейтронный абсорбциометр для определения бора в потоках жидкости.** Pleasance Carroll L.

A neutron absorptiometer for the on-stream analysis of boron. «Trend Engng Univ. Wash.», 1960, 12, № 2, 2—3, 31—32 (англ.).—Созданный абсорбциометр предназначен для определения содержания  $B^{10}$  в потоках  $> 190$  л/мин р-ров 60%-ной  $HNO_3$ , 50%-ной  $NaOH$ , 38%-ной  $NaNO_3$  или воды, которые используются в процессе регенерации ядерного горючего с большим содержанием  $U^{235}$ . В приборе использовано большое поперечное сечение захвата  $B^{10}$  по отношению к тепловым нейтронам. Чувствительная ячейка — абсорбциометра представляет собой систему с цилиндрич. пропорциональным счетчиком тепловых нейтронов. Импульсы со счетчика после усиления поступают на самописец с круговой диаграммой и блок световой сигнализации. Измерительная ячейка включена в магистраль и снабжена гидравлич. затвором, что позволяет работать при давлениях выше атмосферного. Чувствительность абсорбциометра 10%, пределы измерения от 0 до 2 г/л  $B^{10}$ .

**6Е37. Автоматическое компенсирование мертвого времени в импульсном анализаторе.** Govell D. F., Sandomire M. M., Eichen M. S. Automatic compensation of dead time in pulse analysis equipment. «Anal. Chem.», 1960, 32, № 9, 1086—1090 (англ.).—Сконструирована приставка к импульсному анализатору, позволяющая автоматически вводить поправку на мертвое время, в основу которой положено то, что мертвое время установки зависит не только от скорости счета, но и от распределения импульсов по амплитудам. Прибор позволяет измерять до  $1 \cdot 10^6$  импульс/мин. без дополнительных поправок на мертвое время.

**6Е38. Фторопластовые изоляторы для ионизационных камер и счетчиков.** Дмитриев В. Н., Драпчинский Л. В., Романов Ю. Ф. «Приборы и техн. эксперимента», 1960, № 4, 135.—Описана простая конструкция проходных изоляторов из фторопласта для ионизационных камер и счетчиков. При размерах  $40 \times 10$  мм изоляторы выдерживают напряжение  $> 10$  кв. Уплотнения выдерживают давление до 4 атм.

**6Е39. Измерение малых различий во втором виральном коэффициенте для газов при температуре ниже 0° C.** Thomaes G., Van Steenwinkel R. Measurement of small differences in the second virial coefficient of gases at temperature below 0° C. «Rev. Scient. Instrum.», 1960, 31, № 8, 825—827 (англ.).—Сконструирована аппаратура для измерения малых различий в значениях вирального коэф. у двух газов с близким составом (напр., газов с различным изотопным составом —  $CH_4$ ,  $CD_4$  или  $^{13}CH_4$ ). Принцип измерений состоит в эксперим. определении разности увеличения объемов сравниваемых газов при одновременном и одинаковом измерении их давления. Газы помещаются в 2 камеры, в которых при помощи резервуаров с Hg может изменяться давление. Камеры помещаются в криостат, где поддерживается т-ра 90—300° K, а резервуары с Hg — в термостат. Измерение давлений в камерах производится дифференциальным манометром чувствительностью  $3 \cdot 10^{-3}$  мм рт. ст. Подробно описана конструкция криостата и дифманометра.

**6Е40. Калориметр с устанавливающимся тепловым потоком и автоматический компенсатор.** Бакаев В. А. «Ж. физ. химии», 1960, 34, № 8, 1875—1878 (рез. англ.).—Описан калориметр для непрерывного измерения и записи зависимости теплоемкости от т-ры в интервале от  $-150$  до  $+100^\circ$ , включающем фазовые переходы в исследуемой системе. Предложен способ расчета установившегося температурного поля в теле, нагреваемом с постоянной скоростью, без решения ур-ния теплопроводности. Показано, что в таком режиме тепловой поток через цилиндрич. слой теплоизолятора, окружающий исследуемый образец, установит-

ся автоматически так, что разность  $t$ -р на этом слое будет пропорциональна теплоемкости исследуемого образца независимо от его теплопроводности. Для непрерывной записи малой разности  $t$ -р предложен автоматич. компенсатор на основе гальванометра М 21/5, ЭПП-09, и фотореле с матовым стеклом. Чувствительность системы  $2 \cdot 10^{-9}$  в, время установления 2—5 сек., сползание нуля  $\leq 5 \cdot 10^{-8}$  в/час. В. Бакаев

**6E41. Автоматический регистрирующий прибор для калориметра.** Kästner G. Automatisches Registriergerät für ein Kalorimeter. «Chemiker-Ztg», 1960, 84, № 15, 497—499 (нем.).—Приводятся описание и принцип действия прибора, предназначенного для автоматич. проведения калориметрич. опыта по определению теплот горения твердых и жидких в-в в калориметрич. бомбе Берто. Прибор состоит из устройства для автоматич. проведения калориметрич. опыта, термочувствительного элемента (Pt-термометра сопротивления) и измерительного устройства с самописцем. По точности в измерении  $t$ -ры прибор, по мнению автора, не уступает термометру Бекмана (ошибка отдельного измерения в самом неблагоприятном случае составляет  $\pm 2,5 \cdot 10^{-3}$  град. К его преимуществам автор относит наличие объективной записи  $t$ -ры в течение опыта и экономию времени. Э. Серегин

**6E42. Исправление и дополнение к статье «Температурные весы, нормальный термометр системы единицы MKSA».** Bodea E. Die Temperaturwaage, ein MKSA-Normthermometer. Berichtigung und Nachtrag. «Acta phys. austriaca», 1960, 13, № 1, 144—146 (нем.).—Исправлена ошибка в опубликованной ранее работе (РЖХим, 1959, № 24, 86382). В дополнение к предложенной в этой работе новой единице  $t$ -ры подробно рассмотрено значение  $z$ в как единицы энергии, которая может быть связана с 4 константами: элементарным зарядом, скоростью света в вакууме, магнитным квантом Дирака и частотой Комптона. Даны ур-ния пересчета единиц, связанных с  $z$ в, в единицы  $t$ -ры. Величина вероятнейшей энергии отдельной частицы, известная из теории реакторов, подтверждает правильность выведенных ур-ний. Б. Анваер

**6E43. Дифференциальный электронный полярограф.** Горелкинский Ю. В., Гринман И. Г., Козлов Г. С. «Заводск. лаборатория», 1960, 26, № 9, 1141—1143.—Описан простой 4-ламповый электронный полярограф, предназначенный для серийных анализов в заводских лабораториях. Необходимое для достижения достаточно высокой чувствительности (концы 10<sup>-5</sup> н.) разделение емкостного и фарадеевского тока достигается применением фазочувствительного моста. Допустимое сопротивление электролизера 1000 ом. Ток регистрируется стрелочным гальванометром, напряжение меняется ступенями (через 0,1 или 0,01 в) в интервале 0—2,6 в. Ю. Плесков

**6E44. Прибор для электрохимического фторирования с применением пористого угольного анода.** Allen Donald R. Electrochemical fluorinator uses porous carbon anode. «Chem. Engng», 1960, 67, № 19, 216 (англ.).—Ячейка содержит анод и катод, разделенные колоколом; электролитом служит расплавленный KF·2HF,  $t$ -ра которого (100°) поддерживается горячей водой, пропускаемой в двойные стенки ячейки. Анод представляет собой цилиндр из пористого угля, навинченный на Ni-трубку. Газообразный реагент под давлением поступает сквозь поры электрода в электролит; продукты фторирования отводятся из анодного пространства через спец. трубку. Ячейка пригодна для непрерывного фторирования с весьма высоким выходом по току; с ее помощью можно получить SF<sub>6</sub> из H<sub>2</sub>S, SO<sub>2</sub>F<sub>2</sub> из SO<sub>2</sub>, NF<sub>3</sub> из NH<sub>3</sub>, OF<sub>2</sub> из H<sub>2</sub>O, фторировать ацетон и другие органич. соединения. Ю. Плесков

**6E45. Применение неподвижного ртутного электрода для микроаналитических определений.** Каргин

Ю. М., Бердников Е. А. «Заводск. лаборатория», 1960, 26, № 9, 1078—1079.—Метод разностной осциллографии, полярографии в сочетании с методом полярографии с предварительным электролизом («висящая капля») может быть использован для определения металлов (напр., Cd) при содержании их в  $r$ -ре 0,001  $\mu$ /мл. Определение проводится на неподвижных Pt-электродах, покрытых Hg электролитич. способом. Высота водн.  $h$  окисления амальгамы Cd, полученной предварительным электролизом исследуемого  $r$ -ра, пропорциональна концентрации Cd<sup>2+</sup> в  $r$ -ре (в пределах  $10^{-6}$ — $10^{-4}$   $\mu$ ион/л) и силе тока предварительного электролиза. С увеличением толщины слоя Hg на электроде  $h$  уменьшается; присутствие Cu<sup>2+</sup> в  $r$ -ре (в 200-кратном избытке) не влияет на  $h$ . Ю. Плесков

**6E46. Стекланный электрод в качестве индикаторного электрода при потенциометрических титрованиях в неводных растворах.** Frind H., Busch A. Die Glaselektrode als Induktorelektrode bei potentiometrischen Titrationen in nichtwässrigen Lösungen. «Chemiker-Ztg», 1960, 84, № 17, 568 (нем.).—Популярная статья.

**6E47. Хранение, эксплуатация и калибровка pH-метров.** Цуцуи Сэйдзи. «Кэйрё канри, J. Instrum. Control Assoc. (Japan)», 1960, 9, № 5, 166—171 (японск.).

**6E48. Индикаторная бумага «Рифан» для определения pH.** Кошелева Г. Н., Брусилковский П. И. «Заводск. лаборатория», 1960, 26, № 9, 1163.—Бумага «Рифан» пригодна для определения pH в интервале 0,3—13,6 с точностью 0,15—0,2 ед. pH. Полоска бумаги снабжена цветной шкалой, которая облегчает определение pH. Солевая и белковая ошибки незначительны; при 70—80° ошибка составляет 0,5—0,6 ед. pH. Ю. Плесков

**6E49. Исследование высокочастотного разряда с гидродинамическим сжатием.** Жеенбаев Ж. «Оптика и спектроскопия», 1960, 9, № 3, 288—294.—Исследованы температурные характеристики высокочастотного разряда с гидродинамич. сжатием. Приведены результаты изучения  $t$ -ры в зависимости от различных факторов разряда, а также изменение интенсивности спектральных линий в зависимости от режима горения разряда. По линиям Fe и Cu измерены  $t$ -ры разряда, оказавшиеся равными ~6800° К. Резюме автора

**6E50. Фотолит нитрозилхлорида в солнечной печи.** Marcus Rudolph J., Wohlers Henry C. Photolysis of nitrosyl chloride in the solar furnace. «Solar Energy», 1960, 4, № 2, 1—8 (англ.).—Для изучения  $r$ -ции фоторазложения NOCl использована солнечная печь с зеркалом диам. 60 см наружного серебрения.  $R$ -р NOCl в CCl<sub>4</sub> охлаждается H<sub>2</sub>O с помощью змеевика. Реакционный сосуд соединен с манометром и газоотборной колбой. Исследования проводились в статич. условиях и в потоке жидкости. Л. Грибов

**6E51. Адиабатический перегонный аппарат для точного изучения фазового равновесия.** Othmer Donald F., Gilmont Roger, Conti James J. An adiabatic equilibrium still. For more accurate vapor-liquid equilibrium data. «Industr. and Engng Chem.» 1960, 52, № 7, 625—628 (англ.).—Создана установка для изучения фазового равновесия при адиабатич. перегонке жидких смесей. Предложены 3 типа перегонных аппаратов (ПА), взаимозаменяемых при монтаже установки и соответствующих трем различным механизмам дистилляции. С помощью дополнительных приспособлений установка может быть переоборудована применительно к исследованию частично смешивающихся жидкостей. Адиабатич. режим достигается теплоизоляцией ПА вакуумной оболочкой, электрокипятильником, погружаемым непосредственно в жидкость, а также (в случае частично смешивающихся жидкостей) тщательным перемешиванием конденсата 4-лопастной мешалкой (скорость вращения 4000 об/мин.).

Регуляция исследуемой жидкости в герметичной системе ПА происходит практически без потерь тепла и массы. Т-ра измеряется термометром. Контроль давления, поддерживаемого в системе ПА на уровне  $760 \pm 1$  мм рт. ст., осуществляется спец. маностатом с чувствительными водяными и Hg-манометрами. Были исследованы гетерогенные азотронные смеси: толуол — вода (водный слой снизу) и хлороформ — вода (водный слой сверху). Л. Бобров

**6E52. Применение теневого метода определения оптической неоднородности в исследовании процессов переноса вещества через поверхность раздела фаз.** Липде Хартмут. «Коллоидн. ж.», 1960, 22, № 3, 323—333 (рез. англ.).—Предложена простая теневая проекционная установка с легкой и быстрой заменой деталей аппаратуры, позволяющая применять различные варианты теневого метода: метод полного гашения, метод отклоненного света, метод с решеткой и метод с наклонным растром. Рассмотрена применимость этих вариантов к исследованию процессов переноса в-ва как в случае ненарушенной диффузии без перехода через фазовую границу, так и при переносе в-ва через поверхность раздела двух жидких фаз. Исследовано влияние на скорость переноса в двухфазной системе поверхностноактивных в-в, самопроизвольной поверхностной конвекции и направления переноса. Г. Васильев

**6E53. Определение равновесия пар — жидкость для бинарных смесей.** Heertjes P. M. Determination of vapour-liquid equilibria of binary mixtures. «Chem. and Process Engng», 1960, 41, № 9, 385—386 (англ.).—Принцип предлагаемого метода заключается в том, что насыщ. пар исследуемой смеси охлаждается в дефлегматоре, образующаяся жидкость и пар поддерживаются в адиабатич. и изобарич. условиях до тех пор, пока не установится равновесие, затем измеряют т-ру и анализируют жидкость и газ после их разделения. Путем изменения состава исходной смеси можно определить полную диаграмму т-ра — состав при постоянном давлении. Прибор состоит из круглодонной колбы емк 1 л, в которой исследуемая жидкость нагревается; выделяющийся пар проходит через изолированную асбестом трубку в сосуд для определения равновесия, состоящий из 2 частей: верхней неизолированной трубки, в которой происходит частичная конденсация, и нижней трубки, изолированной вакуумной рубашкой и заполненной стеклянными кольцами Рашига. Пар попадает в холодильник, откуда конденсат возвращается в колбу. Приведены результаты исследования системы бензол — толуол. Из полученных данных видно, что эта смесь подчиняется закону Рауля. Б. Анвар

**6E54. Диффузионная ячейка для получения очень резких границ.** Elworthy P. H. A diffusion cell for the production of very sharp boundaries. «J. Pharmacy and Pharmacol», 1960, 12, № 9, 571—575 (англ.).—Разработана ячейка (Я) для изучения диффузии в водн. р-рах. Я изготовлена из бруска латуни, в котором вырезаны 2 сообщающихся канала. Один из каналов с двух противоположных сторон закрыт окнами из стекла. На середине высоты этого канала в бруске имеется тонкая щель, перпендикулярная оси канала. Через канал без щели Я заполняется р-ром и помещается в термостат. Р-тель или более разведенный р-р подается пипеткой в канал со щелью. После этого граница раздела поднимается до уровня щели добавлением р-ра в первый канал. При этом происходит равномерное стекание жидкости через щель с регулируемой скоростью. Для измерения стекания приостанавливается спец. устройством. Время остановки стекания (измеряется с точностью  $\pm 1$  сек.) принимается за начало отсчета. При помощи линии 5461 Hg регистрируют интерференционную картину, вызываемую диффузией. Картина снимается через определенные интервалы

времени. Приведены примеры изучения диффузии в р-рах хлорида бария, цетомакрогила и др. в-вах.

А. Бабад-Захряпин  
**6E55. Простой диализатор.** Wolfgang H. Pawlitschek W. Eine einfache Dialysezeile. «Pharmazie», 1960, 15, № 7, 389—390 (нем.).—Описан диализатор (Д) из полиметакрилата и поливинилхлорида с мембраной из пористого стекла. Собственно Д состоит из двух кольцевых камер с электродами (анод из Pt-проволоки и катод из Ag-спирали), внешний диаметр камер 11 см, внутренний 9 см. Между электродными камерами помещены камеры для исследуемых р-ров. Вся ячейка стянута болтами при помощи дисков. Все соединения уплотнены резиной. Ячейка Д рассчитана на 60—150 мл жидкости. Приведен пример диализа р-ра NaCl по отношению к водопроводной воде. А. Лошманов

**6E56. Новый метод измерения низких концентраций растворенного в воде воздуха.** Manley D. M. J. P. New technique for measurement of low dissolved-air content of water. «Brit. J. Appl. Phys.», 1960, 11, № 6, 228—229 (англ.).—Предлагаемый метод обеспечивает большую точность при давлении насыщающего газа  $< 100$  мм рт. ст. Прибор состоит из стеклянной камеры объемом 70 мл с сильфоном. Камера и сильфон наполняются испытуемой водой, после чего растяжением сильфона в камере создается пузырек газа, диаметр которого, после того как он перестает увеличиваться, измеряется с помощью микроскопа со шкалой. Затем сильфон сжимается до получения давления 1 ат и измеряется новый, меньший, диаметр. Показано, что парц. давление газа в пузырьке при первом измерении  $P_1$ , равное насыщающему давлению в окружающей воде, равно кубу отношения меньшего диаметра к большому, а содержание растворенного газа равно  $S_0 P_1$ , где  $S_0$  — растворимость газа в воде. В. Ремнев

**6E57. Радиохроматографический прибор для анализа смесей радиоактивных углеводородов РХ-1.** Яновский М. И., Газиев Г. А., Корняков В. С., Гаврилов В. И., Типтова Н. Я. В сб. «Хроматография, ее теория и применение», М., АН СССР, 1960, 308—316.—Прибор представляет собой комбинацию газо-жидкостного хроматографа с устройством для непрерывной регистрации радиоактивности и теплопроводности газового потока после колонки. Радиометрич. ячейка представляет собой комбинацию четырех торцевых счетчиков (БФЛ-25 для низких и МТС-17 для высоких т-р), включенных параллельно, чем достигается большая эффективность счета при малом объеме кюветы. Детально описано устройство всех других узлов прибора и колонки, представляющей собой набор из отдельных секций нужной длины (одна секция имеет U-образную форму и длину 3 м, диам. 4 мм). Приведен пример разделения смеси радиоактивных и обычных в-в; продолжительность анализа 1,5—3 часа. Л. Дмитренко

**6E58. Стеклянный прибор для газовой хроматографии, собранный из набора стандартных деталей.** Otto Karel, Doubek Mojmir. Skleněný stavebnicový přístroj pro plynovou chromatografii. «Chem. průmysl», 1960, 10, № 9, 476—478 (чешск.; рез. русск., англ.).—Описан простой тип газового хроматографа, выполненного полностью из стекла. Колонка имеет несколько W-образных изгибов и затем изогнута так, что входит в бак обычного термостата типа Генслера вместе с теплопроводящей ячейкой. Такой хроматограф дешев, легко собирается и может иметь многие различные модификации в зависимости от назначения или имеющихся деталей. Л. Дмитренко

**6E59. Лабораторный хроматографический газоанализатор.** Тарасов А. И., Лулова Н. И., Кудрявцева Н. А., Земскова Е. И. «Измерит. техника», 1960, № 8, 47—49.—В приборе используется 4 U-образных колонки (длиной по 80 см, диам. 8—10 мм), 2 из



которых заполнены разработанным авторами активным крупнопористым силикагелем (АСК), смоченным диметилформамидом, одна — активированным углем марки КАД и четвертая — отмытым от к-ты и высушенным силикагелем МСМ. Сочетание четырех колонок, где используется распределительная и адсорбционная хроматография, позволяет производить разделение смесей из  $\text{CO}_2$ ,  $\text{O}_2$ ,  $\text{H}_2$ ,  $\text{N}_2$ , метана, этана, этилена, пропана, пропилена, бутана, изобутана, суммы бутенов, изо- и нормального пентана, суммы амиленов. Разделение проводится при комнатной т-ре, газ-носитель  $\text{CO}_2$ , получаемый испарением твердой  $\text{CO}_2$ . Регистрация компонентов производится по объему в бюретке со щелочью, где  $\text{CO}_2$  поглощается, а объем компонента регистрируется либо визуально, либо автоматически устройством с записью ( $\text{CO}_2$  и  $\text{O}_2$  предварительно определяются в спец. поглотительных бюретках, а оставшаяся часть пробы затем уже подается в колонку для разделения).

Л. Дмитренко  
**6Е60. Автоматическое измерение объема и запись фракций газа, полученных хроматографией по методу Янака.** Wetzel H., Beer E., Kassner B. Automatisierte Volumenmessung und Aufzeichnung von chromatographisch nach Janak erhaltenen Gasfraktionen. «Erdoel-Z. Bohr- und Fördertechn.», 1960, 76, № 7, 233—237 (нем.).—Описано автоматич. следящее устройство уровня жидкости в измерительной бюретке при газовой хроматографии с использованием  $\text{CO}_2$  в качестве газа-носителя. Следящее устройство представляет собой источник света и фотоэлемент (укрепленные на подвижной каретке), между которыми расположен мениск так, что при смещении мениска увеличивается или уменьшается сигнал на фотоэлементе, включенном в компенсационную схему усиления, на выходе которой включается реверсивный двигатель для передвижения каретки. Каретка механически соединена с пером самописца, фиксирующим изменением объема разделяемых газов. Точность измерения 0,1%.

Л. Дмитренко  
**6Е61. Кран для ввода образцов в газовом хроматографическом анализе продуктов реакций в газе.** Pratt G. L., Purnell J. H. Sampling valve for use in gas chromatographic analysis of the products of gaseous reactions. «Analyst. Chem.», 1960, 32, № 9, 1213 (англ.).—Простой кран из нержавеющей стали представляет собой цилиндрич. пробку с наклонными (по отношению к оси) кольцевыми узкими пазами, куда укладываются кольцевые уплотнения из силиконовой резины. Пробка вставляется в корпус из нержавеющей стали, который имеет 6 сверлений с отводами, соединенными с вакуумной системой, реакционным сосудом, источником газа-носителя, хроматографич. колонкой, а 2 из них служат дозирующим объемом. При повороте кран может иметь 6 положений, при 3 из которых просто подается газ-носитель в колонку, при одном — дозирующий объем соединен с вакуумом, при другом — с реакционным сосудом, при третьем — с колонкой. Кран может быть использован при высокой т-ре, большом давлении, для ввода малых кол-в образца. Кроме того, кран не требует смазки. Л. Дмитренко

**6Е62. Улучшенный стеклянный пульверизатор для хроматографии на бумаге.** Bose S., Mukherjee S., Sharma J. N. An improved glass atomizer for paper chromatography. «Sci. and Cult.», 1960, 26, № 1, 44 (англ.).—Предложена компактная конструкция пульверизатора, уместающегося в одной руке. Пуск и остановка распыления производится большим пальцем той же руки, которым закрывается или открывается отверстие для избытка воздуха.

Л. Дмитренко  
**6Е63. Простое устройство для автоматического уравнивания хроматографической бумаги с парами растворителя.** Krabisch Lennart, Sjövall Jan. A simple device for automatic equilibration of paper chromatograms. «Acta chem. scand.», 1960, 14, № 5,

1223—1224 (англ.).—Предложенное устройство состоит из обычного будильника, в котором к заводной ручке пружины звонка прикреплена длинная латунная трубка с маленькими шпильками. В случае восходящей хроматографии полосы бумаги удерживаются над проявителем (~1 см) с помощью металлич. пипы, закрепленной на шпильке. Будильник устанавливается на нужное время. После срабатывания звонка латунная трубка поворачивается, пипы соскакивают со шпильки и конец листа опускается в проявитель. При пlexодящем методе на нить подвешивается стеклянный груз, который после срабатывания будильника опускается в сифон. При этом проявитель из сифона сливается в кювету и начинается проявление. Достоинством устройства, кроме простоты и надежности, является возможность запуска нескольких хроматограмм одновременно, что определяется лишь длиной латунной трубки и кол-вом шпилек.

Л. Дмитренко  
**6Е64. Запись газообразных хроматографических фракций при помощи потенциометра с ртутной каплей.** Surovy Julius. Zaznam plynných chromatografických frakcí pomocí potenciometru s ortuťovou kvapkou. «Chem. listy», 1960, 54, № 3, 263—268 (словацк.; рез. русск., нем.).—Для целей хроматографии, анализа газов сконструирован новый тип автоматич. детектора, регистрирующего изменения объема газов при постоянном давлении при использовании  $\text{CO}_2$  как газа-носителя. Детектор состоит из стеклянной трубки диам. 2,5—3 мм, присоединенной к концу бюретки азотометра; в трубку натянуты две тонкие Pt-проволоки и помещена капля Hg длиной 2—5 мм. На одну проволоку подается постоянное напряжение, вторая включена в цепь самописца, капля Hg служит движком такого потенциометра и приводится в движение фракциями газа. Объемная ошибка детектора составляет  $\pm 0,01$  мл.

М. Рыба  
**6Е65. Новые детектирующие устройства для автоматических хроматографических газоанализаторов.** Калмановский В. И., Фикс М. М., Яшин И. И. «Тр. по химии и хим. технол. [Горький]», 1960, вып. 2, 366.—Разработано и исследовано несколько вариантов конструкций ионизационно-пламенных детекторов для газовой хроматографии. Показано, что чувствительность детектора зависит от расстояния между электродами и от скорости потока  $\text{H}_2$ . Чувствительность детектора позволяет определять миним. кол-во в-ва —  $2 \cdot 10^{-9}$  мг/мл. Для питания детектора может быть использовано переменное напряжение звуковой частоты с последующим усилением переменного сигнала, что позволяет значительно повышать стабильность нулевой линии.

Из резюме авторов  
**6Е66. Калибровка аргонного детектора для летучих растворителей.** Scott R. R., Stannard B. W. Calibration of the argon detector for volatile solvents. «Chemistry and Industry», 1960, № 41, 1259—1260 (англ.).—Растворитель, выбранный для калибровки, в частности хлорметил, помещают в маленьком сосуде — барботере — в охлаждающую смесь эфир-твердая  $\text{CO}_2$  ( $-78 \pm 1^\circ$ ). Через барботер пропускается сухой воздух, проба которого (0,1 мл) подается затем на хроматограф с Ag-детектором. Кол-во паров р-рителя в воздухе, не зависит от скорости пропускания последнего и высоты слоя р-рителя. Это позволяет по убыли р-рителя (взвешиванием до и после 4—5 час. пропускания) и кол-ву прошедшего воздуха определить конц-ию паров, а следовательно, и их кол-во в хроматографич. пике.

Л. Дмитренко  
**6Е67. Монтаж катарометра с вольфрамовой нитью для колонок в газовой хроматографии.** Kreyenbuhl A. Montage de catharomètres à fil de tungstène pour colonnes de chromatographie gazeuse. «J. Chromatogr.», 1960, 4, № 2, 130—137 (франц.; рез. англ.).—Детально описан способ изготовления катарометра

для стеклянной колонки обычных размеров и цельнометаллич. катарометра для больших металлич. колонн.

Л. Дмитренко

**6Е68. Модифицированная камера для электрофореза на бумаге.** Osborn D. A. A modified tank for paper electrophoresis. «Lab. Pract.», 1960, 9, № 8, 595—596 (англ.).—Камера изготавливается из органич. стекла (со стеклянной крышкой из двух половин), в которой расстояние между крышкой и дном сведено до минимума. Благодаря этому, а также двум влажным фильтрам на дне и крышке в камере быстро достигается насыщение парами р-рителя. Концы полосок бумаги скрепляются с фитильками при помощи зажимов; фитильки опущены в электродные сосуды. Один из зажимов прикреплен к стенке, второй — ниткой с небольшим (60 г) грузом вне камеры. Бумага покоится на нескольких ножкообразных подпорках. Сухую бумагу закрепляют в зажимах, помещают в камеру и выдерживают ~2 часа, после чего в электродные сосуды подается буферный р-р до погружения фитильки. После 3 час., достаточных для полного смачивания бумаги, раздвигают немного крышку и напоят образец и далее поступают обычным образом. В такой камере исключается провисание бумаги и испарение р-рителя (при смачивании бумаги), которое могло бы вызвать концентрирование буфера в местах испарения.

Л. Дмитренко

**6Е69. Ионообменная техника.** Salmon J. E. Ion exchange techniques. «Lab. Pract.», 1960, 9, № 8, 571—576 (англ.).—Обзор, посвященный 25-летию открытия синтетич. ионообменных смол. Библ. 11 назв.

Л. Дмитренко

**6Е70. Новые приборы и методика для изучения механизма сушки коллоидных капиллярно-пористых материалов.** Морачевский И. И., Ангеницкая Р. Б., Чумакова Е. А., Бушев И. Г. «Инж.-физ. ж.», 1960, 3, № 8, 13—18 (рез. англ.).—Описываются новые методы исследований закономерностей процессов сушки влажных материалов. В качестве примера рассмотрен механизм изотермич. сушки образцов из глины различного минер. состава и даны некоторые обобщающие выводы.

Резюме авторов

**6Е71. Гравиметрические приборы для измерения запыленности воздуха.** Gast Theodor. Staubmeßgeräte mit massenproportionaler Anzeige oder Registrierung. «Staub», 1960, 20, № 8, 266—272. Diskuss., 273—274 (нем.; рез. англ., франц.).—Разработаны гравиметрич. приборы для измерения запыленности воздуха, действующие посредством электростатич. осаждения пыли из определенного объема воздуха и взвешивания осадка. Для взвешивания применяются электронные микровесы, у которых вес груза уравнивается силой, действующей на катушку электромагнита при пропускании через нее тока; сила уравнивающего микротока измеряется при помощи электронного устройства. Приведены различные варианты электро-схемы микровесов с автоматич. регистрацией. При взвешивании груза весом 1 г достигнута точность 0,1 у. Аппаратура обеспечивает автоматич. регистрацию изменения запыленности воздуха по времени. При измерениях запыленности горячих промышленных газов электронная часть прибора отделена от остальных частей, которые выполнены из жаростойких материалов и действуют при повышенной температуре для устранения конденсации влаги.

В. Дунский

**6Е72. Автоматический титратор для химических анализов.** Векслер М. А. «Заводск. лаборатория», 1960, 26, № 9, 1146—1148.—Описан автоматич. анализатор жидкостей, состоящий из трех частей: блока физ.-хим. анализа, электронного рН-метра типа ЭР-рН-7р и командного электронневатич. прибора типа КЭП-10 или КЭП-12. Анализатор автоматически выполняет отбор пробы анализируемой жидкости, добавление к

ней 2—3 реактивов, перемешивание, выдерживание при постоянной т-ре и титрование. Приведены схема и технич. характеристики прибора. Относительная ошибка  $\pm 10\%$ .

З. Соколова

**6Е73. Измерительный прибор для потенциометрического и dead-stop титрований с полупроводниковым усилителем.** Kerényi István. Transzistores erősítésű működőpotenciometrikus és dead-stop mérőműszer. «Magyar kém. lapja», 1960, 15, № 7, 329 (венг.).—Описана работа и дана схема усилителя на двух полупроводниковых триодах. Прибор может служить как для потенциометрич. титрований окислительно-восстановительных систем, так и для титрований по методу dead-stop этих же систем в водн. р-рах.

И. Криштофори

**6Е74. Автоматический фотоколориметрический газоанализатор для определения микропримесей хлора в ацетилене.** Второв В. Г., Калмановский В. И. «Тр. по химии и хим. технол. [Горький]», 1960, вып. 2, 366.—Разработан газоанализатор, в котором используется селективная цветная р-ция между  $\text{Cl}_2$  и индикаторным р-ром метилового красного с последующим измерением светопропускания последнего. Шкала прибора 0—0,001 об. %  $\text{Cl}_2$ , максим. время запаздывания показаний < 5 мин. В фотоколориметре использована спец. схема фотоэлектрич. регистрации на двух Se-фотоэлементах, включенных по схеме компенсации фото-э. д. с., что обеспечивает линейность шкалы прибора и значительно упрощает его конструкцию. Газоанализатор выполнен во взрывобезопасном исполнении на ацетилен (ВТГ).

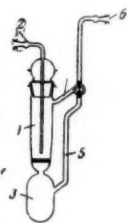
Резюме авторов

**6Е75. Аппаратура для очистки и разделения неорганических соединений при помощи жидкого аммиака.** Scherhauser A. M. Eine Apparatur zur Reinigung und Trennung anorganischer Verbindungen mittels flüssigen Ammoniaks. «Österr. Chem.-Ztg.», 1960, 64, № 8, 228 (нем.).—Стеклянный прибор, предназначенный для экстракции посредством жидкого  $\text{NH}_3$ , состоит из сосуда с сужением; верхняя цилиндрич. часть 1 закрывается припаянной пробкой, в которую впаивается трубка 2 для подвода газа ( $\text{N}_2$  для создания инертной атмосферы и  $\text{NH}_3$ ); фильтр из пористого стекла расположен внизу верхней части. Нижняя круглодонная часть 3 и верхняя часть соединены боковыми трубками 4, 5 с трехходовым краном, который позволяет откачивать как верхнюю, так и нижнюю часть. Этот кран присоединен трубкой 6 к конденсационному сосуду. При охлаждении прибора смесью сухого льда со спиртом  $\text{NH}_3$  сжижается; жидкий  $\text{NH}_3$  экстрагирует примеси, и полученный р-р проходит через пористый фильтр в нижнюю часть.

Б. Анваер

**6Е76. Кулонометрический анализатор боранов.** Braman Robert S., DeFord Donald D., Johnston Thomas N., Kuhns Laurence J. A coulometric borane monitor. «Anal. Chem.», 1960, 32, № 10, 1258—1262 (англ.).—Описан автоматич. прибор для непрерывного определения боранов в воздухе. Исследуемый газ продувается через р-р  $\text{NaHCO}_3 + \text{KJ}$  в ячейке объемом 150—250 мл, снабженной Pt-электродами и магнитной мешалкой. Содержание боранов определяется кулонометрич. титрованием с помощью генерируемого электролитически J. Конец титрования устанавливается амперометрич. методом. Генерация J (титрование) и определение конц-ии оставшихся боранов проводится последовательно (циклами). Миним. конц-ия диборана и декаборана, поддающаяся определению,  $2 \cdot 10^{-5}$  об. %. Обсуждается влияние условий электролиза и скорости продувания газа, а также присутствия различных в-в в исследуемом воздухе на точность измерений.

Ю. Плесков



**6Е77. Горелка типа сопла Вентури (распылитель) для определения серы в легких нефтепродуктах.** Brown C. W. Venturi jet (atomizer)-type burner for determining sulfur in light petroleum products. «Analyst. Chem.», 1960, 32, № 3, 442—443 (англ.).—При определении содержания S в нефтепродуктах по методу ASTM иногда не удается сжечь пробу полностью за непродолжительное время. Для усовершенствования метода предложено устройство, основанное на применении горелки в виде сопла Вентури, которая обогревается снаружи электрич. путем и помещается в стеклянном сосуде, соединенном посредством трубки и крана с плоской колбой, содержащей пробу. Сверху сосуд соединен с абсорбером, заполненным 3%-ным р-ром  $H_2O_2$  и снабженным электродом для измерения электропроводности р-ра. Если исследуемый продукт содержит элементарную S, то т-ра подводимого к горелке воздуха должна быть  $< 180^\circ$ .

**6Е78. Микроаналитическое определение азота по Дюма; градуировка прибора.** Stehr Ervin. Dumas microdetermination of nitrogen; calibration of nitrometer. «Microchem. J.», 1960, 4, № 2, 207—212 (англ.).—Предложен усовершенствованный метод градуировки прибора для микроанализа, определения  $N_2$  по Дюма. Метод устраняет необходимость внесения поправок на высоту мениска и величину адгезии КОН на стенках прибора.

**6Е79. Установка для сжигания органических веществ при определении азота по Кьельдалю.** Purš Jiří, Špidla Josef. Makrozařízení pro spalování organických látek při stanovení dusíku podle Kjeldahla. «Kvasný průmysl», 1960, 6, № 7, 159—160 (чешск.).—Описана легкая переносная установка для сжигания органич. в-в при определении  $N_2$  по Кьельдалю. Устройство для сжигания изготовлено из полихлорвинила, имеет водяное охлаждение и газовое отопление. Продукты сгорания отводятся с помощью водоструйного насоса.

**6Е80. Образование тонких полимерных пленок под действием электронной бомбардировки.** Christy Robert W. Formation of thin polymer films by electron bombardment. «J. Appl. Phys.», 1960, 31, № 9, 1680—1683 (англ.).—Изучены различные факторы, определяющие скорость роста полимерных пленок в вакуумной аппаратуре, образующихся в результате взаимодействия электронного пучка с парами силиконового масла. Использовались электронные пучки; ускоренные до 225 в. Развита феноменология, теория образования пленок. Эксперим. данные сопоставлены с расчетными. Отмечается, что электрич. сопротивление полученных пленок толщиной 200 Å составляет  $10^{14}$  ом см и носит неомич. характер.

**6Е81. Приспособление для промывания пипеток.** Richerzhagen M. Apparat zum Reinigen von Pipetten. «Röntgen- und Laboratoriumsprax.», 1960, 13, № 8, L 150 (нем.).—Приспособление представляет собой трубку с отверстиями, в которые вставляются носики пипеток или бюреток. Трубка соединена с водоструйным насосом, быстро отсасывающим промывную жидкость, непрерывно подаваемую в бюретки.

**6Е82. Микроприбор для выпаривания растворов в две стадии.** Clarke E. G. C., Hawkins T. E. A two-stage micro-evaporator. «J. Pharmacy and Pharmacol.», 1960, 12, № 8, 509—511 (англ.).—Описаны 2 прибора для концентрирования р-ра при микроанализе: в первом приборе р-р медленно вытекает по каплям из пипетки в конич. пробирку, установленную в горлышке плоской колбы, служащей в качестве водяной бани ( $65^\circ$ ). В пробирку подают сверху струю воздуха или  $N_2$ . Скорость подачи капель регулируют таким образом, что каждая капля испаряется полностью ранее, чем в пробирку попадает следующая. Остаток после испарения р-ра в этом приборе разбавляют р-рителем до 0,05 мл. Для дальнейшего выпаривания

до объема нескольких мл служит другой прибор, состоящий из склянки, закрытой пробкой с 2 отверстиями, через одно из которых вводится трубка, соединенная с резиновой грушей, через другое — трубка, соединенная с капилляром. У выхода из капилляра р-р нагревается током горячего воздуха, причем металл. экран предохраняет жидкость от перегрева, а сетка устраняет возможность сдувания капель с кончика капилляра. Метод позволяет определять, напр., 1 ч. стрихнина на  $10^6$  ч. этилового спирта, 1 ч. глюкозы на  $10^6$  ч. воды, а также может служить для микрохроматографии на бумаге.

**6Е83. Охлаждение быстроходной центрифуги.** Dejmek Jan. Adaptace rychloběžné centrifugy na chlazenou. «Chem. listy», 1960, 54, № 2, 148—150 (чешск.; рез. русск., нем.).—Предлагается ротор центрифуги окружить кожухом с двойными стенками, а через полость кожуха прокачивать жидкость, охлаждаемую в змеевике, погруженным в холодильную смесь. М. Рыба

**6Е84. Индукционный уровнемер.** Horski Jerzy. Poziomowskaz indukcyjny. «Chemik», 1960, 13, № 7-8, 335—336 (польск.).—Описывается уровнемер с индуктивным датчиком, закрепленным на поплавке, поддерживаемом пружинной.

**6Е85. Регулирование уровня жидкого азота.** Schupbach V. E. Liquid nitrogen level filler control. «Analyst. Chem.», 1960, 32, № 11, 1536 (англ.).—Изготовлено приспособление для регулирования уровня жидкого азота в ловушке масс-спектрометра. В металл. пробирку помещается 2 г пропана. Пробирка соединяется с сильфонным клапаном. Низ пробирки помещается в ловушку до контакта с требуемым уровнем жидкого азота. В результате конденсации пропана давление в пробирке падает, клапан отпирается и соединяет испаряющийся азот в расходном сосуде Дьюара с атмосферой. Понижение уровня жидкого азота в ловушке приводит к повышению давления пропана, что вызывает перекрытие клапана и прекращение выхода газообразного азота из сосуда Дьюара, что приводит к вытеснению жидкого азота в ловушку до его контакта с дном пробирки. Это вызывает конденсацию пропана, отпирание клапана и т. д.

**6Е86. Новый прибор для отбора минералов.** Savolanti A. O. M., Tyni M. H. A new mineral-picking apparatus. «Amer. Mineralogist», 1960, 45, № 7-8, 901—903 (англ.).

**6Е87. Некоторые области применения термисторов в измерительной технике.** Horváth Vladimír. Niektoré použitia termistorov v meracej technike. «Elektrotechn. časop.», 1960, 11, № 3, 147—153 (словацк.; рез. русск., нем.).—Описывается применение термистора типа 42 NR 11 чехословацкого произ-ва для измерения кон-ции газа. Схема прибора аналогична схемам обычных катарометров.

**6Е88. Лед в качестве наполнителя при изгибании металлических трубок.** Coale Franklin S. Ice as a «filler» in the bending of metal tubing. «Chemist-Analyst», 1960, 49, № 1, 27—28 (англ.).—При изгибании тонкостенных металл. трубок малого диаметра рекомендуется в качестве наполнителя использовать воду, замороженную непосредственно в изгибаемом месте трубки при помощи жидкого азота или твердой  $CO_2$ .

**См. также раздел Контрольно-измерительные приборы. Автоматическое регулирование и рефераты:** Вертикальный трубчатый реактор 6Б493. Аппаратура для облучения органич. в-в электронными 6М272. Прибор для измерения соотношения C:H в ароматич. углеводородах с помощью  $\beta$ -лучей 6М365. Вискозиметр АКВ-2 6П385. Контрольно-регулирующие приборы 6П451, 6П506

Реферат

ОБЩЕ  
Ред

**6Ж1.** Тау-  
бензолье  
фе С. Т.  
1960, 30,  
(RO)<sub>2</sub>PSO  
(RO)<sub>2</sub>POC  
саметокс  
протолиз  
где f — м  
h — исхо  
ответстве  
степени  
дене для

А. Бабад-Захряпин  
—1,69, —  
—1,87; т  
—0,62, —  
C<sub>4</sub>H<sub>6</sub>, —  
—1,40, —  
рК<sub>AB</sub> в  
—0,87,  
«C<sub>4</sub>H<sub>6</sub>, —  
—1,66, —  
рК<sub>AB</sub> в  
одной ст  
разделен  
Точки, с  
ки опыт  
Отсюда  
и П в С  
SH (16),  
тионных  
рК<sub>AB</sub> в  
случаях  
Для I  
равнове  
и П с  
смещен  
чними  
ной сто  
облада  
C=O,  
перехо  
молеку

12 Зана



# РЕФЕРАТИВНЫЙ ЖУРНАЛ ХИМИЯ

## III

Рефераты 6Ж1—6Ж394

№ 6

25 марта 1961 г.

### Ж. ОРГАНИЧЕСКАЯ ХИМИЯ

#### ОБЩИЕ И ТЕОРЕТИЧЕСКИЕ ВОПРОСЫ

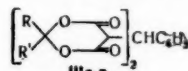
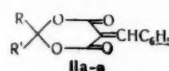
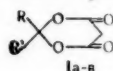
Редакторы М. Е. Вольпин, И. Д. Цветкова

**6Ж1.** К изучению таутомерии в апротонных средах. Таутомерное равновесие тиокислот фосфора в бензоле и хлорбензоле. Кабачник М. И., Иоффе С. Т., Мاستрюкова Т. А. «Ж. общ. химии», 1960, 30, № 8, 2763—2767. — Исследован протолиз  $(RO)_2PSO$  (I),  $R'(RO)PSO$  (II),  $(RO)_2PSSH$  (III),  $(RO)_2POOH$  (IV) и  $R'(RO)POOH$  (V) индикатором гексаметоксикарасим в  $C_6H_6$  и  $C_6H_5Cl$ . Значения констант протолиза вычислялись по ф-ле  $K_{AB} = f^n / (a_0 - f)(b_0 - f)$ , где  $f$  — конц-ия окрашенной формы индикатора,  $a_0$  и  $b_0$  — исходные конц-ии к-ты и индикатора, равные соответственно  $10^{-3}$  и  $10^{-4}$  моль/л. Значения показателя степени  $n$  в пределах ошибки опыта равны 1. Приведены для I R,  $pK_{AB}$  в  $C_6H_6$ ,  $pK_{AB}$  в  $C_6H_5Cl$ :  $C_2H_5$ , —1,69, —2,13;  $C_3H_7$ , —1,52, —1,84;  $iso-C_4H_9$ , —1,46, —1,87; то же для III:  $C_2H_5$ , —0,89, —1,73;  $n-C_4H_9$ , —0,62, —1,45;  $iso-C_4H_9$ , —0,74, 1,66; то же для IV:  $C_2H_5$ , —0,17, —0,43;  $C_6H_5$ , —2,09, —2,57;  $n-CH_3C_6H_4$ , —1,40, —1,65. Для II приведены R', R,  $pK_{AB}$  в  $C_6H_6$ ,  $pK_{AB}$  в  $C_6H_5Cl$ :  $CH_3$ ,  $C_2H_5$ , —1,01, —1,28;  $CH_3$ ,  $C_3H_7$ , —0,87, —1,12;  $CH_3$ ,  $C_4H_9$ , —0,67, —1,12;  $iso-C_4H_9$ ,  $n-C_4H_9$ , —0,39, —0,73; то же для V:  $ClCH_2$ ,  $n-CH_3C_6H_4$ , —1,66, —2,20. При нанесении на график в координатах  $pK_{AB}$   $C_6H_6$  и  $pK_{AB}$   $C_6H_5Cl$  точки, отвечающие III, с одной стороны, и IV и V, с другой, образуют две параллельные прямые с углом наклона, близким к  $45^\circ$ . Точки, отвечающие I и II, ложатся в пределах ошибки опыта на прямую, проходящую через точки IV и V. Отсюда следует вывод, что таутомерное равновесие I и II в  $C_6H_6$  и  $C_6H_5Cl$ :  $(RO)_2P(S)OH$  (Ia)  $\rightleftharpoons$   $(RO)_2P(O)SH$  (Ib), практически полностью смещено в сторону таутомера Iа. При нанесении на график значений  $pK_{AB}$  и  $\Sigma \sigma$  Гаммета для I—V в  $C_6H_6$  и  $C_6H_5Cl$  во всех случаях соблюдается хорошая линейная зависимость. Для I и II это подтверждает смещение таутомерного равновесия полностью в сторону формы Iа. Различия I и II от тиокарбоновых к-т  $RCOSH$ , где равновесие смещено в сторону тиольных форм, связано с различиями восновности группировок  $P=O$  и  $P=S$ , с одной стороны, и  $C=O$  и  $C=S$ , с другой стороны.  $P=O$  обладает более сильными основными свойствами, чем  $C=O$ . В комбинации атомов  $HS-P=O$  протон легко переходит от S к O, как наиболее основному месту молекулы, образуя устойчивую комбинацию  $S=P-OH$ .

Основные свойства  $C=O$ -группы не достаточны для прочного связывания протона в форме  $S=C-OH$ .

С. Иоффе

**6Ж2.** К вопросу о циклических ацилалах. I. Swoboda J., Derkosch J., Wessely F. Zur Kenntnis cyclischer Acylale. I. Mitt. «Monatsh. Chem.», 1960, 91, № 1, 188—201 (нем.). — Показано, что соединения, считавшиеся ранее 3-алкил(или арил)замещ.  $\beta$ -лактонами 3-окси-2-карбоксипропионовой к-ты, в действительности являются циклич. ацилалами малоновой к-ты общей ф-лы (Ia—v, здесь и далее  $a R = R' = CH_3$ ,  $b R = C_6H_5$ ,  $R' = H$ ; в  $R = C_6H_5$ ,  $R' = CH_3$ ). Так, при взаимодействии эквимолярных кол-в Ia—v с  $C_6H_5CHO$  по-



лучают бензилиденмалонацилалы общей ф-лы (IIa—v). Взаимодействием эквимолярных кол-в I и II при  $\sim 20^\circ$  в  $CH_3OH$  или в тетрагидрофуране в присутствии пиридина получают бензилидендималонадиацилалы (IIIa—v). Перечислены в-во, т. пл. в  $^\circ C$ : IIa, 85; b, 145—146; v, 119—120; IIIa, 164; b, 78; v, 118. Строение II доказано получением из них каталитич. гидрированием в мягких условиях бензилмалоновой к-ты, а III — омылением при кипячении с  $H_2SO_4$  в  $CH_3OH$  до тетраметилового эфира бензилидендималоновой к-ты. При взаимодействии р-ра I в  $CH_3OH$  с  $CH_2N_2$  происходит бурное выделение газа и образуются диметилы эфира малоновой к-ты и соответствующие кетоны или альдегиды. I и II — одноосновные к-ты, а III — двухосновные. Все они очень устойчивы к действию щелочи. Судя по положению ИК-частот карбоксильной группы, в них отсутствуют лактонные группировки и они не енолизированы ни в твердом состоянии, ни в р-ре. В ИК-спектрах поглощения дейтерированных производных I отсутствуют полосы связи  $O-D$ , но есть полосы связи  $C-D$ , что показывает подвижность водорода в связи  $C-H$ . Однако замена H на D идет только в цел. р-рах, что говорит против чистой  $C-H$  кислотности. Предположено, что сначала образуется комплекс I с ионом  $OD^-$ , от которого отщепляется  $HOD$ , а образующийся ион I- присоединяет  $D^+$ .

Н. Спасокукоцкий

**6Ж3.** Конформационный анализ. VII. Дипольный момент 2-бромциклооктанона. Allinger Janet, Allinger Norman L. Conformational analysis. VII. The dipole moment of 2-bromocyclooctanone. «J. Organ. Chem.», 1960, 25, № 2, 262—263 (англ.). — В развитии V

сообщения (см. РЖХим, 1960, № 18, 73270) дипольный момент (ДМ) 2-бромциклооктанона (I) определен в *n*-гептане (3,29 D) и в диоксане (3,42 D). Показано, что найденные величины хорошо совпадают с вычисленными (соответственно 3,13 D и 3,41 D). Так как вычисленные величины были получены из теоретически найденного конформационного состава I (см. ссылку выше) совпадение эксперим. и вычисленных ДМ служит подтверждением произведенного ранее конформационного анализа. Близкие значения ДМ в *n*-гептане, диоксане и  $C_6H_6$  (3,36 D) подтверждают предположение о том, что конформационное равновесие I мало зависит от эффективной диэлектрич. константы  $\epsilon$ -р-и-теля. ДМ определены при 25°. Сообщение VI см. РЖХим, 1961, 5Ж7. Н. Волькену

**6Ж4. Конформационный анализ. VIII. Дипольные моменты *цис*- и *транс*-2-бром-4-трет-бутилциклогексана.** Allinger Norman L., Allinger Janet, LeBel Norman A. Conformational analysis. VIII. The dipole moments of *cis*- and *trans*-2-bromo-4-*t*-butylcyclohexanone. «J. Amer. Chem. Soc.», 1960, 82, № 11, 2926—2927 (англ.).—Определены в  $C_6H_6$  дипольные моменты (ДМ) двух стереоизомерных 2-бром-4-трет-бутилциклогексанов (*цис*-I и *транс*-I), равные соответственно 3,2 и 4,27 D. Хорошее совпадение с вычисленными величинами (2,82 для *транс*-I и 4,34 D для *цис*-I) подтверждает прежнее спектральное отнесение конфигураций. Приведено объяснение несколько большого расхождения в случае *транс*-I. Известно, что в *цис*-I бром экваториален, а в *транс*-I — аксиален. Результаты настоящей работы подтверждают правомерность спектральных выводов о конформации атома галогена в простых галогенциклогексанах. Авторами определен также ДМ 2-бромциклогексана (II), равный 3,49 D (в бал.). Исходя из этого значения ДМ, а также из прежних данных в других  $\epsilon$ -р-и-телях вычислен состав конформационной смеси II: в  $C_6H_6$  76% А-2-бромциклогексана; в *n*-гептане 85%; в диоксане 62%. Полученные данные хорошо совпадают с величинами, вычисленными с помощью ИК-спектров. ДМ определены при 25°. Н. Волькену

**6Ж5. Конформационный анализ. IX. Гем-диметильный эффект.** Allinger Norman L., Zalkow Vera. Conformational analysis. IX. The *gem*-dimethyl effect. «J. Organ. Chem.», 1960, 25, № 5, 701—704 (англ.).—Работа посвящена так называемому *гем*-диметильному эффекту (ГДЭ), т. е. благоприятному влиянию алкильных заместителей на переход от соединения с открытой цепью к соответствующему циклич. соединению. Рассмотрены только циклогексановые производные. Выказано и доказано предположение, что в основе ГДЭ лежат термодинамич. факторы (энтальпийный и энтропийный). Влияние алкильных групп на энтальпию процесса объяснено изменением числа «скошенных» взаимодействий при переходе от открытой формы к циклической. Влияние на энтропию объяснено повышением барьеров внутреннего вращения с увеличением числа заместителей в открытой форме. Исходя из этих соображений вычислены (упрощенно)  $\Delta H$ ,  $\Delta S$  и из них  $\Delta F$  циклизации для ряда метил-, диметил- и этилгексанов. Полученные величины удовлетворительно совпадают с эксперим. (взяты из литературы), что подтверждает высказанное авторами предположение. Значение энтропийного и энтальпийного факторов для ГДЭ примерно одинаково. Алкильные заместители не только сдвигают равновесие в сторону циклич. формы, но и повышают скорость циклизации. Последнее объяснено геометрич. сходством переходного состояния с конечным продуктом циклизации и вытекающим отсюда соответствием между  $\Delta H$ ,  $\Delta S$  и  $\Delta F$  с одной стороны и  $\Delta H$ (акт.)  $\Delta S$ (акт.) и  $\Delta F$ (акт.) с другой. Приведенные рассуждения неприменимы к  $\rho$ -циям раскрытия цикла. Авторы

считают, что их метод рассуждения применим и к другим циклич. системам. Н. Волькену

**6Ж6. Конформационный анализ. X. Энергия формы ванна циклогексанового кольца.** Allinger Norman L., Freiberg Leslie A. Conformational analysis. X. The energy of the boat form of the cyclohexane ring. «J. Amer. Chem. Soc.», 1960, 82, № 9, 2393—2394 (англ.).—Экспериментально определена энергетич. разность между кресловидной и ваннообразной конформациями циклогексанового кольца. Для этого исследовано равновесие между *цис*- и *транс*-1,3-ди-(трет-бутил)-циклогексанами (*цис*-I, *транс*-I). Так как в кресловидной форме *транс*-I пространственные затруднения очень велики (одна А-трет- $C_6H_5$ -группа), а в ваннообразном *транс*-I они ниже, авторы рассматривают равновесие *цис*  $\rightleftharpoons$  *транс*-I, как равновесие между кресловидной и ваннообразной формами циклогексанового кольца. Равновесие между стереоизомерными формами I устанавливалось нагреванием в-ва с Pd/C. Полученные смеси анализировались с помощью газовой хроматографии. При различных  $t$ -рах найдены (в  $^\circ K$ ; процент *транс*-формы): 492,6, 2,69; 522, 3,61; 555, 5,09; 580, 6,42; 613, 8,23. Найдены  $\Delta H$ , равная  $+5,9 \pm 0,6$  ккал/моль, и  $\Delta S$ , равная  $4,9 \pm 1$  энтр. ед. Значение  $\Delta S$  подтверждает, что *транс*-I не имеет форму кресла. Отмечено, что найденное значение  $\Delta H$  возможно и для других простых циклогексановых систем, так как присутствие трет- $C_6H_5$ -групп на него не влияет. 2,4-ди-трет-бутилфенол был восстановлен (скелетный Ni, 180°) до смеси стереоизомерных 2,4-ди-трет-бутилциклогексанолов. Последние были окислены ( $CrO_3$ ) до смеси кетонов. Кетоны восстановлены до смеси стереоизомерных I, которые разделены перегонкой (или хроматографически): *цис*-I, т. кип. 223,2—223,5°,  $n_D^{20}$  1,4531; *транс*-I, т. кип. 229,8—230°,  $n_D^{20}$  1,4563. *Цис*-конфигурация приписана изомеру с более низкой энтальпией и физ. константами. Н. Волькену

**6Ж7. Конформация циклооктанона.** Chiurdoglu Grégoire, Doehaerd Théo, Goldenberg Charles. Conformation of the cyclooctanone. «C. r. Acad. sci.», 1960, 250, № 21, 3495—3496 (франц.).—Чтобы выяснить, существуют ли циклооктан и циклооктанон (I) в одной или двух конформациях, авторы изучали влияние  $t$ -ры на кривую поглощения группы  $C=O$  в ИК-спектре I. При  $t$ -рах больших 20° появился дополнительный пик 1730  $cm^{-1}$ , в то время как пик 1701—1689  $cm^{-1}$ , существующий при более низких  $t$ -рах, остался неизменным. Частоту 1730  $cm^{-1}$  авторы приписали появлению новой конформации I с более высокой энергией. А. Клятина

**6Ж8. Конформационный эффект в дебромировании сим-тетрабромэтана цинком.** Lee Warren G., Miller Sidney I. Conformational effect in the zinc debromination of *sym*-tetrabromoethane. «J. Amer. Chem. Soc.», 1960, 82, № 10, 2463—2466 (англ.).—Изучено с точки зрения конформационного эффекта (КЭ) дебромирование *сим*-тетрабромэтана (I) цинком в  $CH_3OH$ . I представляет собой смесь конформеров скошенного ( $I_c$ ) и *транс*-конформера ( $I_t$ ). Авторы рассматривают изученную  $\rho$ -цию, как стереоспецифич. *транс*-отщепление, при котором  $I_t$  приводит к *транс*-1,2-дибромэтену (*транс*-II), а  $I_c$  — к *цис*-II. Дебромирование привело к смеси стереоизомерных II. При 64,5° отношение *цис*/*транс* равно  $1,27 \pm 0,04$ , при 25°  $1,49 \pm 0,04$ . Изучено также в пределах 25—118° равновесие *цис*-II  $\rightleftharpoons$  *транс*-II в  $CH_3OH$ ; причем найдено (в  $^\circ C$ , *цис*-II): 36, 1,8; 64,5, 1,69; 100, 1,53. Из эксперим. данных вычислены следующие величины: характеризующие КЭ в изученной  $\rho$ -ции (кал/моль) при 64,5° [ $\Delta F_t$ (акт.) —  $\Delta F_c$ (акт.)]  $-750 \pm 70$ ; ( $F_t - F_c$ )  $910 \pm 50$ , [ $F_t$ (акт.) —  $F_c$ (акт.)]  $160 \pm 20$ , [ $F$ (*транс*-II) —  $F$ (*цис*-II)]  $25 \pm 5$ . Числа  $I_t$  и  $I_c$  в  $CH_3OH$  при 25° равны 1,0 и 0,0. Авторы считают, что найденные значения  $\Delta F_t$  и  $\Delta F_c$  являются хорошими оценками для  $\rho$ -ции дебромирования *сим*-тетрабромэтана. Н. Волькену





НСЮ<sub>4</sub> в смеси СН<sub>3</sub>СООН + диоксан найдено  $k_{\text{Тк/Н}} = \sim 0,1$ . В указанных условиях бромирование I сопровождается отщеплением одной из алкильных групп. Выходы 1-бром-2,4,6-три-*трет*-бутилбензола и 1-бром-2,5-ди-*трет*-бутилбензола (II) определены методом ИК-спектроскопии. Данные о выходах II учтены при вычислениях ИЭ по эксперим. Полученные данные рассмотрены с точки зрения общепринятого механизма р-ций электрофильного замещения (см. схему), исходя из положения о том, что ИЭ обнаруживается экспериментально в тех случаях, когда  $k_{-1}/k_2$  велико. Отсутствие ИЭ при нитровании I автор объясняет существованием энергетич. факторов, влияние которых превосходит влияние стерич. фактора в определении величины  $k_{-1}/k_2$ . Большой ИЭ при бромировании I, найденный автором, а также данные о ИЭ для других р-ций бромирования ароматич. систем приводят автора к выводу о том, что стерич. препятствия при бромировании способны сильно влиять на отношение скоростей  $k_{-1}/k_2$ .

**6Ж12.** Применение радиоактивных изотопов в исследовании механизмов реакций в органической химии. Schmid H. Anwendung radioaktiver Isotope zum Studium von Reaktionsmechanismen in der organischen Chemie. «Chimia», 1960, 14, № 7, 248—261 (нем.). Обзор, в котором на ряде примеров использования  $\text{C}^{14}$ ,  $\text{Br}^{82}$  и  $\text{T}$  показаны возможности и преимущества метода меченых атомов и кинетич. изотопного эффекта  $\text{C}^{14}$  и  $\text{T}$  в применении к изучению механизма р-ций отщепления, перегруппировок и замещения. Рассмотрены также примеры синтеза меченых соединений и определения положения изотопа в них. Автор считает, что несмотря на широкое применение изотопного метода, используются еще не все его возможности. Этот метод будет играть важную роль и в будущем, как допускающий динамику, подход в решении ряда проблем органич. химии.

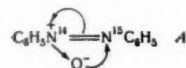
**6Ж13.** К вопросу о водородном изотопном эффекте при галогенировании ароматических соединений. Вайштейн Ф. М., Шилов Е. А., Гришин О. М. «Ж. Всес. хим. о-ва (бывш. Хим. наука и пром-сть)», 1960, 5, № 1, 119—120. Сравнение скоростей йодирования м-фенолсульфонилсоединения натрия (I) и его 2,4,6-тридейтероналога при pH 6,4 в фосфатном буферном р-ре при 30° показало, что изотопный эффект (ИЭ) для этой р-ции 3,44, что близко к ИЭ при йодировании фенола (II) (3,97). Скорость йодирования I обратно пропорциональна  $[J^-]$ , из чего авторы делают вывод о том, что йодирующим агентом является  $J^+$ . Напротив, при бромировании II в водн. р-ре смеси бромной воды и HBr ИЭ отсутствует. Последнее было установлено путем бромирования смеси II и 2,4,6-тридейтеро-II (IIa) (II : IIa = 1 : 1). Р-цию проводили на 50% и определяли изотопный состав непрореагировавшего остатка. Совокупность данных об ИЭ при р-циях электрофильного замещения в ароматич. системах говорит о том, что наличие или отсутствие ИЭ зависит не только от строения промежуточного комплекса, как полагают Гроувштейн и Кильби (см. РЖХим, 1958, № 4, 446), но и от природы и структурных особенностей реагентов. При йодировании ИЭ проявляется легче, чем при бромировании. А. Рекашева

**6Ж14.** Сопряженное декарбоксилирование при аутоокислении изопропилбензола в смеси с масляной (1- $\text{C}^{14}$ ) кислотой. Ерофеев В. В., Мицкевич Н. И., Усков И. И. «Докл. АН БССР», 1960, 4, № 4, 160—163. Изучено аутоокисление изопропилбензола (I) в смеси с масляной (1- $\text{C}^{14}$ ) к-той (II) в присутствии в качестве инициатора стеарата Со. Опыты проводились в статич. установке при 80,5°. При повышении конц-ии II кол-во  $\text{CO}_2$  растет, а кол-во СО остается постоянным. СО не обладает радиоактивностью, т. е. образуется не за счет  $\text{COOH}$ -группы I. Между кол-вом II и  $\text{C}^{14}\text{O}_2$  наблюдается прямая пропорциональность,

однако кол-во  $\text{C}^{14}\text{O}_2$  составляет только часть всей  $\text{CO}_2$ . Кол-во поглощенного  $\text{O}_2$  мало меняется в зависимости от конц-ии II и составляет 0,35—0,44 моля. Фактор выдукции Шилова, представляющий собой отношение кол-ва  $\text{CO}_2$  к кол-ву поглощенного  $\text{O}_2$ , увеличивается с ростом конц-ии II в смеси, достигая 0,006 при 75,3 мол. % II. В отсутствие  $\text{O}_2$  (в среде  $\text{N}_2$ ), а также в опытах по окислению II без I  $\text{CO}_2$  и СО не образуются. Полученные данные подтверждают тот факт, что декарбоксилирование II является процессом, сопряженным с аутоокислением I.

**6Ж15.** Об образовании фенилацетона. I. Исследование обмена при пиролизе смеси ацетата (1- $\text{C}^{14}$ ) лития и фенилацетата лития. Bühler Mauricio F., Castrillon Jose P. A., Mitta Aldo E. A. Sobre la formación de la fenilacetona. I. Comprobación de una reacción de intercambio en la pirolisis de mezclas de acetato de litio-1- $\text{C}^{14}$  con fenilacetato de litio. «An. Asoc. quim. argent.», 1959, 47, № 2, 113—117 (исп.; реангл.). В продуктах пиролиза (при 300—500°) эквимолярных кол-в  $\text{CH}_3\text{C}^{14}\text{OOLi}$  и  $\text{C}_6\text{H}_5\text{CH}_2\text{COOLi}$  образуется активный дибензилкетон, что является доказательством происходящей р-ции обмена с разрывом C—C связей.

**6Ж16.** Исследования в области соединений, меченых  $\text{C}^{14}$  и  $\text{N}^{15}$ . Сообщение 10. Изучение реакций изомеризации азоксисоединений при помощи  $\text{N}^{15}$ . Шемякин М. М., Майминд В. И., Вайчуняйте Б. К. «Изв. АН СССР. Отд. хим. н.», 1960, № 5, 866—871. С помощью  $\text{N}^{15}$  изучен механизм изомеризации азоксисоединения (I) в о- и п-оксизобензолы (о-II и п-II) в различных условиях. При действии на  $\text{C}_6\text{H}_4\text{N}(\text{O})=\text{N}^{15}\text{C}_6\text{H}_4$  (I- $\text{N}^{15}$ ) 83%-ной  $\text{H}_2\text{SO}_4$  (8,5 суток при 22—24°, 8 мин. при 90° или 8 мин. при 150°) или  $\text{HNO}_3\text{Cl}$  (в условиях, описанных ранее — В. О. Лукашевич, Т. Н. Курдюмова, Ж. общ. химии, 1948, 18, 1963) получен п-II, у которого изотопный состав (ИС) обоих N-атомов оказался полностью выравненным. Это выравнивание происходит в самом процессе изомеризации (а не до нее), так как ИС не вошедшего в р-цию I- $\text{N}^{15}$  не изменился, и не связано с предварительным превращением I в азобензол (III), так как добавление в реакционную среду немеченого III не приводит к уменьшению содержания  $\text{N}^{15}$  в п-II. Таким образом, прои-



ходящее в одинаковой степени гидроксилирование обоих бензольных колец вызвано симметризацией исходной молекулы на одном из промежуточных этапов перегруппировки, возможно, напр., в результате образования промежуточного кислородсодержащего соединения оксидного характера (А). При изомеризации I- $\text{N}^{15}$  под влиянием УФ-света (облучение в 85%-ном спирте в течение 65 час.) или при нагревании с  $(\text{CH}_3\text{CO})_2\text{O}$  (4 часа при 230—240°) не происходит выравнивания ИС ни в непрореагировавшем I- $\text{N}^{15}$ , ни в образовавшемся о-II, причем в последнем повышенное содержание  $\text{N}^{15}$  было обнаружено у N-атома, связанного с гидроксильным бензольным кольцом. Следовательно, в этих условиях изомеризация не протекает через стадию образования промежуточного симметричного соединения, а гидроксيليруется только бензольное кольцо, удаленное от N → O-группы. Исходный I- $\text{N}^{15}$  синтезирован аналогично известному методу (см. РЖХим, 1955, № 11, 21183) из  $\text{C}_6\text{H}_5\text{N}^{15}\text{H}_2$ , который конденсацией с о- $\text{NO}_2\text{C}_6\text{H}_4\text{CHO}$  и присоединением HCN к образовавшемуся азометину был превращен в (о-нитрофенил)-(N<sup>15</sup>-анилино)-ацетонитрил, выход 82%, и далее через 2-фенил-3-цианоиндазол-1-оксид (2- $\text{N}^{15}$ ), выход 98%, был переведен в о-карбоксиазоксисоединение I- $\text{N}^{15}$  (IV), выход 80%. При декарбокси-

ровании I- $\text{N}^{15}$  с  $\text{CH}_3\text{COOH}$  выход 15%  $\text{C}_6\text{H}_5\text{COOH}$  и 85%  $\text{C}_6\text{H}_5\text{COOH}$  с  $\text{N}^{15}$ . Исходный I- $\text{N}^{15}$  был получен из о-нитрофенилазидина и о-нитрофенилазидина. Исходный I- $\text{N}^{15}$  был получен из о-нитрофенилазидина и о-нитрофенилазидина. Исходный I- $\text{N}^{15}$  был получен из о-нитрофенилазидина и о-нитрофенилазидина.

**6Ж17.** Изучение механизмов реакций в органической химии. С. А. Жданов. «Ж. Всес. хим. о-ва (бывш. Хим. наука и пром-сть)», 1960, 5, № 1, 119—120. Сравнение скоростей йодирования м-фенолсульфонилсоединения натрия (I) и его 2,4,6-тридейтероналога при pH 6,4 в фосфатном буферном р-ре при 30° показало, что изотопный эффект (ИЭ) для этой р-ции 3,44, что близко к ИЭ при йодировании фенола (II) (3,97). Скорость йодирования I обратно пропорциональна  $[J^-]$ , из чего авторы делают вывод о том, что йодирующим агентом является  $J^+$ . Напротив, при бромировании II в водн. р-ре смеси бромной воды и HBr ИЭ отсутствует. Последнее было установлено путем бромирования смеси II и 2,4,6-тридейтеро-II (IIa) (II : IIa = 1 : 1). Р-цию проводили на 50% и определяли изотопный состав непрореагировавшего остатка. Совокупность данных об ИЭ при р-циях электрофильного замещения в ароматич. системах говорит о том, что наличие или отсутствие ИЭ зависит не только от строения промежуточного комплекса, как полагают Гроувштейн и Кильби (см. РЖХим, 1958, № 4, 446), но и от природы и структурных особенностей реагентов. При йодировании ИЭ проявляется легче, чем при бромировании. А. Рекашева

**6Ж18.** Изучение механизмов реакций в органической химии. С. А. Жданов. «Ж. Всес. хим. о-ва (бывш. Хим. наука и пром-сть)», 1960, 5, № 1, 119—120. Сравнение скоростей йодирования м-фенолсульфонилсоединения натрия (I) и его 2,4,6-тридейтероналога при pH 6,4 в фосфатном буферном р-ре при 30° показало, что изотопный эффект (ИЭ) для этой р-ции 3,44, что близко к ИЭ при йодировании фенола (II) (3,97). Скорость йодирования I обратно пропорциональна  $[J^-]$ , из чего авторы делают вывод о том, что йодирующим агентом является  $J^+$ . Напротив, при бромировании II в водн. р-ре смеси бромной воды и HBr ИЭ отсутствует. Последнее было установлено путем бромирования смеси II и 2,4,6-тридейтеро-II (IIa) (II : IIa = 1 : 1). Р-цию проводили на 50% и определяли изотопный состав непрореагировавшего остатка. Совокупность данных об ИЭ при р-циях электрофильного замещения в ароматич. системах говорит о том, что наличие или отсутствие ИЭ зависит не только от строения промежуточного комплекса, как полагают Гроувштейн и Кильби (см. РЖХим, 1958, № 4, 446), но и от природы и структурных особенностей реагентов. При йодировании ИЭ проявляется легче, чем при бромировании. А. Рекашева

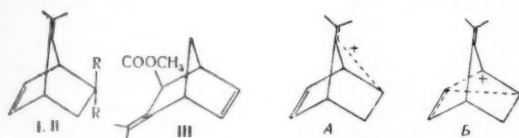
**6Ж19.** Изучение механизмов реакций в органической химии. С. А. Жданов. «Ж. Всес. хим. о-ва (бывш. Хим. наука и пром-сть)», 1960, 5, № 1, 119—120. Сравнение скоростей йодирования м-фенолсульфонилсоединения натрия (I) и его 2,4,6-тридейтероналога при pH 6,4 в фосфатном буферном р-ре при 30° показало, что изотопный эффект (ИЭ) для этой р-ции 3,44, что близко к ИЭ при йодировании фенола (II) (3,97). Скорость йодирования I обратно пропорциональна  $[J^-]$ , из чего авторы делают вывод о том, что йодирующим агентом является  $J^+$ . Напротив, при бромировании II в водн. р-ре смеси бромной воды и HBr ИЭ отсутствует. Последнее было установлено путем бромирования смеси II и 2,4,6-тридейтеро-II (IIa) (II : IIa = 1 : 1). Р-цию проводили на 50% и определяли изотопный состав непрореагировавшего остатка. Совокупность данных об ИЭ при р-циях электрофильного замещения в ароматич. системах говорит о том, что наличие или отсутствие ИЭ зависит не только от строения промежуточного комплекса, как полагают Гроувштейн и Кильби (см. РЖХим, 1958, № 4, 446), но и от природы и структурных особенностей реагентов. При йодировании ИЭ проявляется легче, чем при бромировании. А. Рекашева

чаях им на  $\text{C}(2)$ , от только продукт катионной аллильной. **6Ж19.** Изучение механизмов реакций в органической химии. С. А. Жданов. «Ж. Всес. хим. о-ва (бывш. Хим. наука и пром-сть)», 1960, 5, № 1, 119—120. Сравнение скоростей йодирования м-фенолсульфонилсоединения натрия (I) и его 2,4,6-тридейтероналога при pH 6,4 в фосфатном буферном р-ре при 30° показало, что изотопный эффект (ИЭ) для этой р-ции 3,44, что близко к ИЭ при йодировании фенола (II) (3,97). Скорость йодирования I обратно пропорциональна  $[J^-]$ , из чего авторы делают вывод о том, что йодирующим агентом является  $J^+$ . Напротив, при бромировании II в водн. р-ре смеси бромной воды и HBr ИЭ отсутствует. Последнее было установлено путем бромирования смеси II и 2,4,6-тридейтеро-II (IIa) (II : IIa = 1 : 1). Р-цию проводили на 50% и определяли изотопный состав непрореагировавшего остатка. Совокупность данных об ИЭ при р-циях электрофильного замещения в ароматич. системах говорит о том, что наличие или отсутствие ИЭ зависит не только от строения промежуточного комплекса, как полагают Гроувштейн и Кильби (см. РЖХим, 1958, № 4, 446), но и от природы и структурных особенностей реагентов. При йодировании ИЭ проявляется легче, чем при бромировании. А. Рекашева

ровании IV (нагревание 6,8 г IV с 40 г Si-стружки и 1,5 г  $\text{CH}_3\text{COOSi}$  при 120–130° в 50 мл хинолина) происходит небольшое (на 9%) выравнивание ИС N-атомов образующегося I-N<sup>15</sup>. Для определения ИС I-N<sup>16</sup> подвергали бромированию и последующему восстановительному расщеплению ( $\text{Sn} + \text{HCl}$ ) до анилина (V) и п-броманилина, о-П и п-П — восстановительному расщеплению до V и соответственно о- и п-аминофенола, а IV — восстановительному расщеплению до V и антракиновой к-ты. Ароматич. амины выделяли в виде ацетильных производных и ИС N-атомов в последних определяли обычным путем (см. РЖХим, 1958, № 6, 17756). Сообщение 9 см. РЖХим, 1959, № 4, 11924.

Л. Нейман  
6Ж17. Изучение гидролиза сложных эфиров с помощью меченых атомов. Часть VIII. Кислородный обмен между водой и карбоновыми кислотами. Buntun C. A., James D. H., Senior J. B. Tracer studies in ester hydrolysis. Part VIII. The oxygen exchange between water and carboxylic acids. *J. Chem. Soc.*, 1960, Aug., 3364–3367 (англ.). — Скорость обмена атомов кислорода между  $\text{H}_2\text{O}^{18}$  и  $\text{C}_6\text{H}_5\text{COOH}$  (I) в присутствии  $\text{H}_2\text{SO}_4$  и  $\text{HClO}_4$  пропорциональна концентрации водородных ионов.  $\Delta S(\text{акт.}) \sim -30$  энтр. ед. Скорость обмена триметилбензойной к-ты (II) в водн. диоксиде при катализе  $\text{HClO}_4$  пропорциональна функции кислотности Гаммета, а  $\Delta S(\text{акт.}) \sim +9$  энтр. ед. Эти результаты указывают, что I обменивается по бимолекулярному механизму, а II — по мономолекулярному.

Часть VII см. РЖХим, 1959, № 12, 42275. Р. Кудрявцев  
6Ж18. Сольволиз экзо- и эндо-7-изопропилидендегидроборнитозилатов. De Puy C. H., Ogawa I. A., McDaniel J. C. The solvolysis of *exo* and *endo*-7-isopropylidenedehydronorbornyl tosylates. *J. Amer. Chem. Soc.*, 1960, 82, № 9, 2397–2398 (англ.). — Ацетоллиз *эндо*- и *экзо*-7-изопропилидендегидроборнитозилатов (I и II) легко протекает при 30°;  $k(\text{I}) = 7 \cdot 10^{-6}$  сек<sup>-1</sup>,  $k(\text{II}) = 6 \cdot 10^{-5}$  сек<sup>-1</sup>. Хотя в обоих слу-



I R=OTs, R'=H; II R=H, R'=OTs

чаях имеет место образование положительного заряда на  $\text{C}(2)$ , р-ция полностью стереоспецифична: I образует только *эндо*-ацетат, в то время как II дает только продукт перегруппировки (III). Отсюда следует, что катионный центр на  $\text{C}(2)$  не имеет классич. характера и что не существует равновесия между двумя гомааллильными ионами (A) и (B).

Г. Балуева  
6Ж19. Реакции органических фосфатов. Часть III. Гидролиз диметилфосфата. Buntun C. A., Mhala M., Oldham K. G., Vernon C. A. The reactions of organic phosphates. Part III. The hydrolysis of dimethyl phosphate. *J. Chem. Soc.*, 1960, Aug., 3293–3301 (англ.). — Измерена скорость гидролиза диметилфосфата (I) в присутствии  $\text{HClO}_4$  при 100° в широком интервале кислотности (от pH 5 до 5 M p-ра  $\text{HClO}_4$ ). В отличие от ранее исследованного монометилфосфата, реагирующего главным образом в виде моноаниона (см. часть II, РЖХим, 1959, № 11, 38501), I, в p-рах с pH > 0,72, гидролизуетеся в виде нейтр. частицы. Опыты с  $\text{H}_2\text{O}^{18}$  показали, что р-ция проходит в основном (на 78%) с расщеплением связи C—O и только на 20% с разрывом связи P—O, причем в обоих случаях наиболее вероятен бимолекулярный механизм р-ции. В сильно кислых p-рах (1–5 M  $\text{HClO}_4$ ), в условиях постоянства ионной силы p-ра, скорость гидролиза линейно возрастает с возрастанием конц-ии к-ты.

Опытами с  $\text{H}_2\text{O}^{18}$  установлено, что в 5 M  $\text{HClO}_4$  гидролиз I протекает с разрывом связей C—O и P—O в отношении 0,86:0,14. Механизм гидролиза I в сильно-кислых средах, по-видимому, заключается в нуклеофильной атаке молекулы воды на C- или P-атом сопряженной с I к-ты. Найдены следующие значения рK I при указанных t-рах: 0°, 0,62; 25°, 0,76; 50°, 1,00; 100° (экстраполяция), 1,60.

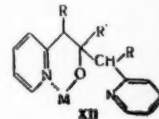
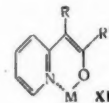
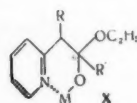
Г. Балуева  
6Ж20. Алкилирование конечных метильных групп ацетилацетона и других β-дикетонных групп через дикарбанионы. Meyer Robert B., Hauser Charles R. Alkylations of acetylacetone and certain other β-diketones at the terminal methyl group through dicarbanions. *J. Organ. Chem.*, 1960, 25, № 2, 158–163 (англ.). — Изучена следующая р-ция:  $\text{CH}_3\text{COCCH}_2\text{COCCH}_3$  (I) + (2KNH<sub>2</sub> в жидком NH<sub>3</sub>) →  $\text{CH}_3\text{COC}-\text{HCOC}-\text{H}_2$  (A); A + RX (+ NH<sub>4</sub>Cl) →  $\text{CH}_3\text{COCCH}_2\text{COCCH}_2\text{R}$  (Ia). В качестве RX изучены  $\text{C}_6\text{H}_5\text{CH}_2\text{Cl}$  (II),  $\text{CH}_2=\text{CHCH}_2\text{Br}$ ,  $n\text{-C}_4\text{H}_9\text{Br}$ ,  $n\text{-C}_7\text{H}_{15}\text{Br}$ ,  $n\text{-C}_8\text{H}_{17}\text{Br}$  (III) и *изо*- $\text{C}_3\text{H}_7\text{Br}$ . Выходы соответствующих Ia 60–77%, за исключением Ia (R = *изо*- $\text{C}_3\text{H}_7$ ) (27%). Р-ция с *трет*- $\text{C}_4\text{H}_9\text{Cl}$  не идет. Структура Ia (R =  $\text{CH}_2\text{CH}=\text{CH}_2$ ) подтверждена встречным синтезом из аллилацетона и этилацетата. При алкилировании I действием II промежуточный дикарбанион образуется также в случае замены KNH<sub>2</sub> на NaNH<sub>2</sub>, но не на LiNH<sub>2</sub>. При проведении р-ции в кипящем эфире выходы Ia существенно снижаются. При алкилировании Ia образуется  $\text{RCH}_2\text{COCCH}_2\text{COCCH}_2\text{R}'$  (IV), вероятно, через  $\text{RCH}_2\text{COC}-\text{HCOC}-\text{H}_2$ . Синтезированы IV (R =  $\text{C}_6\text{H}_5\text{CH}_2$ , R' =  $n\text{-C}_4\text{H}_9$ ) (IVa) и IV (R = R' =  $n\text{-C}_8\text{H}_{17}$ ) (IVb). Последний получен также наряду с Ia (R =  $n\text{-C}_8\text{H}_{17}$ ) из I и III при сокращении времени прибавления III в 25 раз. IVb при щел. расщеплении превращается в смесь  $\text{CH}_3(\text{CH}_2)_8\text{COOH}$  и  $\text{CH}_3\text{CO}(\text{CH}_2)_8\text{CH}_3$ . Структура IVa подтверждена встречным синтезом:  $\text{CH}_3(\text{CH}_2)_8\text{CO}-\text{CH}_3 + \text{NaNH}_2 \rightarrow \text{CH}_3(\text{CH}_2)_8\text{COCCH}_2\text{Na}$  и р-цией последнего с  $\text{C}_6\text{H}_5\text{CH}_2\text{CH}_2\text{COOCH}_3$ . В указанных условиях  $\text{C}_6\text{H}_5\text{CH}_2\text{CH}_2\text{Cl}$  и  $(\text{C}_6\text{H}_5)_2\text{CHCl}$  не алкилируют I. Первый превращается в стирол в результате отщепления HCl под действием карбаниона; второй претерпевает аутоконденсацию, сопровождающуюся β-отщеплением HCl:  $\text{CH}_3\text{COC}-\text{HCOC}-\text{H}_2 + (\text{C}_6\text{H}_5)_2\text{CHCl} \rightarrow \text{CH}_3\text{COC}-\text{HCO}-\text{CH}_3 + (\text{C}_6\text{H}_5)_2\text{C}=\text{CH}_2$ ;  $(\text{C}_6\text{H}_5)_2\text{C}=\text{CH}_2 + (\text{C}_6\text{H}_5)_2\text{CHCl} \rightarrow (\text{C}_6\text{H}_5)_2\text{CHCHCl}(\text{C}_6\text{H}_5)_2 \rightarrow (\text{C}_6\text{H}_5)_2\text{C}=\text{CH}_2 + \text{C}(\text{C}_6\text{H}_5)_3$ . При взаимодействии *о*- $\text{CH}_3\text{COCCH}_2\text{CH}_2\text{OH}$  с I *экз* II в указанных условиях вместо ожидаемого монопроизводного образуется *о*- $\text{HOCCH}_2\text{CH}_2\text{COCCH}_2\text{CH}_2\text{CH}_2\text{OH}$  (V), выход 70%, т. пл. 73–73,5°, вероятно, с возникновением промежуточного *о*- $\text{C}(\text{H}_5)\text{COCCH}_2\text{H}_2\text{O}$ . Использование 2 *экз* II снижает выход V до 23%. Структура V подтверждена превращением его в *о*-метильное производное, которое синтезировано также по схеме:  $(\text{C}_6\text{H}_5\text{OCH}_2)_2\text{Cd} + (\text{C}_6\text{H}_5\text{CH}_2)_2\text{CHCOCl} \rightarrow \text{о-CH}_3\text{OCCH}_2\text{COCCH}_2\text{CH}_2\text{OCCH}_2\text{CH}_3$ , выход 79%, т. кип. 193–195°/0,2 мм,  $n_D^{20}$  1,4900. Сняты ИК-спектры полученных в-в. При р-ции 0,1 моля динатрий-I в 300 мл жидкого NH<sub>3</sub> с 0,1 моля III (в 20 мл абс. эфира, 1 час.), получены Ia [(R =  $n\text{-C}_8\text{H}_{17}$ ), выход 49%, т. кип. 155–160°/16 мм, Cu-соль Ia (R =  $\text{CH}_2\text{CH}=\text{CH}_2$ ), т. пл. 163–163,5° (из  $\text{CH}_3\text{OH}$ )] и IVb, выход 27%, т. пл. 39–39,5° (из бzl.-литр.); Cu-соль, т. пл. 109,5–110°. Р-цией 0,05 моля Ia (R =  $\text{C}_6\text{H}_5\text{CH}_2$ ) в p-ре 0,1 моля KNH<sub>2</sub> в 300 мл жидкого NH<sub>3</sub> с 0,05 моля  $n\text{-C}_4\text{H}_9\text{Br}$  получен IVa, выход 67%, т. кип. 146°/1 мм; Cu-соль, т. пл. 124–124,5° (из  $\text{CH}_3\text{OH}$ ).

К. Вацуро  
6Ж21. Сравнительное кинетическое исследование активирования метиленовых групп кислород- и серо-содержащими группировками. Кинетика присоединения по Михаэлю. Schmidt Ulrich, Kubitzek Harry. Vergleichende kinetische Untersuchungen zur Aktivierung der Methylengruppe durch sauerstoff- und schwefelhaltige Gruppen. Die Kinetik der Michael-Addition. *Chem. Ber.*, 1960, 93, № 4, 866–872 (нем.). — Для выяснения влияния эфирных и тиоэфирных группировок на соседние метиленовые группы изучена

кинетика цианэтилирования акрилонитрилом (I) замещ. малонового и тиомалонового эфиров в присутствии катализит. кол-в  $n\text{-C}_4\text{H}_9\text{OK}$  (II) в смеси  $\text{трет-С}_4\text{H}_9\text{ОН/диоксан}$  (10:1) при 15–30°. Отсутствие влаги устраняло возможное омыление эфиров и уменьшение конц-ии катализатора. Чтобы исключить побочные р-ции моноцианэтилированного продукта со второй молекулой I, использовали диэтиловый эфир *n*-бутилмалоновой к-ты (III), диэтиловый эфир *n*-бутилтиомалоновой к-ты (IV), диэтиловый эфир *n*-бутилдитиомалоновой к-ты (V), а также динитрил *n*-бутилмалоновой к-ты (VI), *n*-бутилдициануксусный эфир (VII) и *n*-бутилацетоуксусный эфир (VIII). При низкой конц-ии II ( $3 \cdot 10^{-4} \text{ M}$ ) I взаимодействует с  $\text{трет-С}_4\text{H}_9\text{ОН}$  значительно медленнее, чем с эфирами VI, III и VII, тогда как при высокой конц-ии II ( $2 \cdot 10^{-2} \text{ M}$ ) I присоединяется быстрее к  $\text{С}_4\text{H}_9\text{ОН}$  чем к метиленовому компоненту (напр., V). На примере цианэтилирования III (конц-ия II постоянна) показано, что скорость его взаимодействия с I зависит только от конц-ии I и не зависит от концентрации III, т. е. р-ция является псевдомолекулярной и ее скорость выражается ур-нием:  $v = k_1[\text{I}]$ , где  $k_1 = k_2[\text{III}]$  (эфф.), причем  $[\text{III}]$  (эфф.)  $< [\text{III}]$  (стех.), где  $[\text{III}]$  (эфф.) и  $[\text{III}]$  (стех.) — эффективная и стехиометрич. конц-ия катализатора. Авторы считают, что либо часть II расходуется в побочных р-циях, либо цианэтилирование требует различных миним. конц-ий катализатора в зависимости от заместителей в метиленовых соединениях.  $E$  (акт.) цианэтилирования для всех исследованных соединений одинакова ( $10 \pm 0,7 \text{ ккал/моль}$ ) (без учета зависимости  $[\text{III}]$  (эфф.) от  $\text{r-ты}$ ). Поэтому различие в реакционной способности III–VIII, по мнению авторов, связаны с изменениями в энтропийном члене выражения для свободной энергии. Постоянство  $E$  (акт.) авторы связывают с протеканием одного, общего для всех случаев, процесса активирования I. Это согласуется с общепринятой схемой р-ции цианэтилирования, по которой скорость р-ции определяется взаимодействием I — электрофильного компонента, с карбанионом, образовавшимся путем отщепления протона от метиленового компонента. Значения  $k_2$ , определенные при стехиометрич. конц-иях II, дают следующий ряд активности изученных соединений в р-ции цианэтилирования: VI  $>$  III  $>$  VII  $>$  IV  $>$  VIII  $>$  V. Уменьшение реакционной способности в приведенном ряду (и, следовательно, уменьшение в той же последовательности нуклеофильного характера образующихся в р-ции карбанионов) не полностью соответствует ряду возрастания кислотности (VI  $<$  VIII  $<$  VII), но хорошо согласуется с рядом возрастания кислотности в эфирах (III  $<$  IV  $<$  V). Р-цией 48 г амида  $\alpha$ -цианкапроновой к-ты с 29 г  $\text{PCl}_5$  при  $> 100^\circ$  получен VI, выход 62%, т. кип.  $46\text{--}48^\circ/0,01 \text{ мм}$ ,  $n_D^{20} 1,4292$ . Р-цией моноэтилового эфира бутилмалоновой к-ты с  $\text{PCl}_5$  и затем с  $\text{С}_4\text{H}_9\text{SH}$  в присутствии пиридина получен IV, выход 77%, т. кип.  $90\text{--}91^\circ/0,8 \text{ мм}$ ,  $n_D^{20} 1,4608$ . Р-цией бутилмалонилхлорида с  $\text{С}_4\text{H}_9\text{SH}$  получен V, выход 38%, т. кип.  $97\text{--}98^\circ/0,05 \text{ мм}$ ,  $n_D^{21} 1,5010$ . При цианэтилировании III–VIII выделены следующие продукты [приведены в-во, выход в %, т. кип. в  $^\circ\text{C/мм}$ ,  $n_D$  (т-ра в  $^\circ\text{C}$ ): *n*-бутил-(2-цианэтил)-циануксусный эфир, 70,  $114\text{--}116/0,02$ , 1,4488 (22);  $\alpha$ -*n*-бутил- $\alpha$ -(2-цианэтил)-ацетоуксусный эфир, 62,  $138\text{--}140/0,2$ , 1,4530 (20); диэтиловый эфир *n*-бутил-(2-цианэтил)-монотиомалоновой к-ты, 84,  $125\text{--}128/0,02$ , 1,4760 (23); диэтиловый эфир *n*-бутил-(2-цианэтил)-дитиомалоновой к-ты, 60,  $166\text{--}168/0,1$ , 1,5159 (17,5); динитрил *n*-бутил-(2-цианэтил)-малоновой к-ты, 65, —, т. пл.  $55,5^\circ$  (из сп.). С. Бесс

6Ж22. Синтез азотсодержащих кетонов. X. Механизм ацилирования пиридиновых производных. Levine Robert, Reynolds Stuart. The synthesis of nitrogen-containing ketones. X. The mechanism of the acylation of pyridine derivatives. «J. Organ. Chem.», 1960,

25, № 4, 530–537 (англ.). Предложен механизм ацилирования 2- $\text{C}_6\text{H}_4\text{NCH}_2\text{R}$  (Ia, б, где  $\text{R} = \text{H}$  и б  $\text{C}_6\text{H}_5$ ) посредством  $\text{R}'\text{COOCC}_2\text{H}_5$  (IIa–г, где  $\text{R}' = \text{CH}_3$ , б  $\text{C}_6\text{H}_5$  в *изо*- $\text{C}_3\text{H}_7$  и г  $\text{C}_6\text{H}_5$ ) в присутствии щел. конденсирующего агента (BM). В качестве BM использованы  $\text{C}_6\text{H}_5\text{Na}$  (III),  $\text{C}_6\text{H}_5\text{Li}$  (IV), (*изо*- $\text{C}_3\text{H}_7$ ) $_2\text{NNa}$  (V) и (*изо*- $\text{C}_3\text{H}_7$ ) $_2\text{NLi}$  (VI). Конечными продуктами р-ции являются кетон 2- $\text{C}_6\text{H}_4\text{NCH(R)COR}'$  (VII) и карбинол (2- $\text{C}_6\text{H}_4\text{NCH(R)C(OH)R}'$ ) (VIII). На первой стадии р-ции I + BM образуется (2- $\text{C}_6\text{H}_4\text{NCH(R)M}^+$  (IX) + HB. При взаимо-



действию IX и II образуется аддукт (X), который с анионом IX реагирует в двух направлениях: либо отщепляет спирт с образованием енольного производного (XI), либо замещает этоксидный ион на анион IX с образованием металлч. производного (XII). Из XI получается VII, а из XII образуется VIII. При р-ции VII ( $\text{R}' = \text{C}_6\text{H}_5$ ) с I в присутствии III или IV получены VIII ( $\text{R}' = \text{C}_6\text{H}_5$ ). Приведены R в VII, BM, молярные соотношения III или IV к I и к VII, р-ritель, т-ра р-ции в  $^\circ\text{C}$ , выход VIII в %, процент возвращенного VII: H, III, 1:1:1,  $\text{C}_6\text{H}_5$ , 5, 13, 81; H, III, 2:2:1,  $\text{C}_6\text{H}_5$ , 5, 23, 73;  $\text{C}_6\text{H}_5$ , IV, 1:1:1, эфир, 35, 0, 73;  $\text{C}_6\text{H}_5$ , IV, 2:2:1, эфир, 35, 3, 94. Низкий выход VIII указывает на то, что его образование в р-ции I и II не происходит непосредственно из VII. Соотношение VII/VIII увеличивается с увеличением стерич. препятствий у R'. Изучено также влияние заместителей в кольце пиридина, молярного соотношения реагентов, влияние р-рителей, влияние перехода от IIa к IIг и типа BM. Для образования VIII необходимо, чтобы анион IX обладал достаточной нуклеофильностью для преодоления энергетич. барьера в р-ции замещения. Этому может способствовать подбор р-рителя. Необходимо, чтобы р-ция образования VII была достаточно медленной и чтобы внутренний комплекс X не был слишком стабилен для последующей атаки аниона IX. Для р-ции I с II приведены I, II, BM, р-ritель, т-ра р-ции в  $^\circ\text{C}$ , выход VIII в %, т. кип.  $^\circ\text{C/мм}$  (использовано соотношение I:BM:II = 2:2:1), выход в %, т. кип. в  $^\circ\text{C/мм}$  для пикрата: а, а, III,  $\text{C}_6\text{H}_5$ , 5, 59, 75–78/2, 28, 148–152/2, 134–135, диникрат, т. пл. 213–214°; а, б, III,  $\text{C}_6\text{H}_5$ , 5, 55, 83–86/2, 33, 153–156/1, т. пл. 143,2–143,6, диникрат, т. пл. 193,5–195°; а, б, V,  $\text{C}_6\text{H}_5$ , 5, 48, 73–75/0,77, 22, 135–140/0,68; а, б, IV, эфир, 35, 62, —, 12, —; а, б, VI, эфир, 35, 62, —, 2, —; а, б, IV,  $\text{C}_6\text{H}_5$ , 5, 64, —, 4, —; а, б, III, эфир, 35, 34, —, 24, —; а, г, III,  $\text{C}_6\text{H}_5$ , 5, 80, 148–155/2, 0, —; а, г, IV, эфир, 35, 80, —, 0, —; б, а, IV, эфир, 35, 93, 145–150/2, 74, —, т. пл. 133,8–134,5°, 0, —; б, IV, эфир, 35, 22, 128–132/0,28, т. пл. 76–78° (сп.), 60, —, т. пл. 117,5–119,2°, т. пл. 146–147° (из сп.), пикрат, т. пл. 133–133,5° (из сп.); б, б, V,  $\text{C}_6\text{H}_5$ , 5, 82, —, 0, —; б, б, III,  $\text{C}_6\text{H}_5$ , 5, 81, —, 0, —; б, б, VI, эфир, 35, 54, —, 37, —; б, б, IV,  $\text{C}_6\text{H}_5$ , 5, 64, —, 0, —; б, б, III, эфир, 35, 68, —, 0, —; б, а, IV, эфир, 35, 81, 133–135/0,30, 0, —; б, г, IV, эфир, 35, 60, 190–195/0,5, т. пл. 125–125,7° (из петр. эф.), 16, —, т. пл. 137,8–138,8°; б, г, III,  $\text{C}_6\text{H}_5$ , 5, 62, 180–185/0,25, 0, —; б, г, V,  $\text{C}_6\text{H}_5$ , 5, 82, —, 0, —. Сообщение IX см. РЯХЖМ, 1961, 5Ж196.

6Ж23. О механизме действия тиамина. VI. 2-ацетилтиазолиевые соли в качестве «активных ацетатов». Breslow Ronald, McNelis Edward. On the mechanism of thiamine action. VI. 2-acetylthiazolium salts as «active acetates». «J. Amer. Chem. Soc.», 1960, 82, № 9, 2394–2395 (англ.). Для подтверждения пред-



нхэм апи-  
и 6  $C_6H_5$   
 $CH_2$ , 6  $C_6H_5$   
денсиро-  
ваны  $C_6H_5$   
изо- $C_6H_5$ ;  
яются ре-  
- $C_6H_5NCH_2$   
I + BM  
ри взаимо-



который с  
либо от-  
производ-  
ион на  
изводного  
ется VIII.  
и III или  
R в VII,  
и к VII,  
процент  
13, 84; H,  
эфир, 35,  
выход  
р-ции I  
Соотно-  
стерич.  
аместите-  
ния реа-  
и Па-в  
обходимо,  
офильно-  
р-ция за-  
р-рите-  
VII была  
комплек-  
ей атаки  
BM, p-ри-  
п.  $^{\circ}C/мин$   
1), вы-  
III,  $C_6H_5$   
ат, т. пл.  
13—156/ $^{\circ}$   
а, б, V,  
V, эфир,  
—, а, б,  
—, 24,  
V, эфир,  
2, 74, —  
22, 128—  
—119,2,  
33,5° (из  
1, 5, 81,  
IV,  $C_6H_5$   
б, н, IV,  
35, 60,  
16, —,  
185/0,25,  
IX см.  
Иоффе  
I. 2-аце-  
етатов.  
On the  
azolium  
», 1960,  
пред-

ловенного ранее механизма биохимического действия  
тмина (РЖХим, 1959, № 16, 57044), согласно кото-  
рому 2-ацетилтиамин способен ацетилировать  $H_2PO_4$ ,  
приведены доказательства кинетич. лабильности  
2-ацетилтиазолевых солей и их производных. Так,  
2-( $\alpha$ -этилендиоксэтил)-4-метилтиазол (I) (т. кип. 64/  
0,15 мм,  $n_D^{25}$  1,5170), полученный из 2-ацетил-4-метил-  
тиазола (II) и этиленгликоля, реагирует с алкилбро-  
мидами. Четвертичная бензилбромидная соль I (выход  
80%, т. пл. 166—167°) получена при р-ции (2 дня,  
~20°) в р-ре 47%-ного HBr. Вторым продуктом р-ции  
оказался бромид 3-бензил-4-метилтиазоля. По-види-  
мому, промежуточная 2-ацетилтиазолевая соль этого  
кетала дезацетируется средней. Еще менее стабиль-  
ным оказался нитрат 3,4-диметил-2-( $\alpha$ -оксэтилтиазо-  
ля) (III), т. пл. 133—134°. При окислении III трет-  
бутилгидрохлоритом в  $CH_3NO_2$  с последующим осажде-  
нием тиазолевой соли эфиром получена смесь, ИК- и  
УФ-спектр которой (в диметоксизане) указывает на  
присутствие соответствующей 2-ацетилтиазолевой  
соли (IV). Линия (около 300 м $\mu$ ), характерная для IV,  
отсутствует, если спектр снимать в воде или  $CH_3OH$ .  
На основании изменения ИК-спектра сделан вывод,  
что в  $CH_3OH$  происходит отщепление  $CH_3CO$ -группы от  
образовавшегося IV и ацетилирование  $CH_3OH$ . Преды-  
дущее сообщение см. РЖХим, 1960, № 4, 13279.

В. Райгородская  
6Ж24. Исследование реакций простых арилгли-  
цидных эфиров с ароматическими аминами. Соро-  
кин М. Ф., Лялюшко К. А. «Изв. высш. учебн. за-  
ведений. Химия и хим. технол.», 1960, 3, № 1, 115—  
118.—Изучена кинетика р-ции между глицидами  
эфрами (ГЭ) фенолов и ароматич. аминами (АРА).  
Модельные соединения ГЭ фенола (I),  $\alpha$ -экс-(димети-  
лфенил)- $\alpha$ -крезола,  $\alpha$ -трет-бутилфенола и  $\alpha$ -крезола,  
вводились в р-цию с АРА в различных р-рителях при  
различных молярных соотношениях, конц-ях и т-рах.  
Порядок р-ции I с АРА близок ко второму; темпера-  
турный коэф. составляет 1,6—2;  $E$  (акт.) сравнительно  
невысока (от 8000 до 16700 кал/моль). На скорость  
р-ции существенное значение оказывает величина  
константы диссоциации АРА: при  $K < 7,5 \cdot 10^{-11}$   
р-ция не идет. На скорость р-ции влияет также за-  
меститель в ядре АРА и его расположение. При р-ции  
амина с различными ГЭ скорость р-ции и  $E$  (акт.)  
примерно одинаковы и несколько повышаются для I.  
Большое влияние на скорость р-ции имеет характер  
р-рителя. Продуктами р-ции (ПР) в молярном от-  
ношении ГЭ: АРА = 1:1 оказываются  $ArNHR$  или  $ArNR'$   
[везде  $R = CH_2CH_2ONHCH_2OC_6H_5$ ,  $R' = CH_2CH_2ONHCH_2O$ -  
 $C_6H_4C(CH_3)_2C_6H_5$ ]; при отношении 2:1 ПР являются  
 $ArNR_2$  или  $ArNR_2'$ . Приводятся ПР при отношении 1:1,  
его т. пл. в  $^{\circ}C$ , ПР при отношении 2:1, его т. пл. в  $^{\circ}C$ :  
 $C_6H_5NHR$ , 54—55,  $C_6H_5NR_2$ , 81,2—81,3; 2- $CH_3C_6H_4NHR$ ,  
51—52, 2- $CH_3C_6H_4NR_2$ , — (смола); 4- $CH_3C_6H_4NHR$ , 91—  
91,2, 4- $CH_3C_6H_4NR_2$ , 99,7—99,8; 4- $CH_3OC_6H_4NHR$ , 72—72,5,  
4- $CH_3OC_6H_4NR_2$ , 73;  $C_6H_5NHR'$ , 121—121,5,  $C_6H_5NR_2'$ ,  
120,5—121; 4- $CH_3C_6H_4NHR'$ , 102,5—103, 4- $CH_3C_6H_4NR_2'$ ,  
100,5—101; 4- $CH_3OC_6H_4NHR'$ , 74, 4- $CH_3OC_6H_4NR_2'$ , 114;  
2- $CH_3OC_6H_4NHR'$ , —, 2- $CH_3OC_6H_4NR_2'$ , 101. При р-ции  
 $m-C_6H_4(NH_2)_2$  с I при отношении 4:1 получается  
 $m-C_6H_4(NR_2)_2$ , т. пл. 126—127°.

В. Скородумов  
6Ж25. К механизму реакции конденсации форм-  
альдегида. Breslow Ronald. On the mechanism of  
the formose reaction. «Tetrahedron Letters», 1959, № 21,  
22—26 (англ.).—Предложен механизм образования са-  
харов из  $CH_2O$  под действием слабых щелочей. В соот-  
ветствии с кинетич. данными, указывающими на  
аутокаталитич. характер этой р-ции предполагается,  
что имеют место два процесса: 1) медленная конден-  
сация молекул  $CH_2O$ , приводящая к  $HOCH_2CHO$  (I) и  
2) быстрая р-ция, катализируемая I, при которой  
 $CH_2O$  конденсируется со второй молекулой I. Послед-  
ний процесс состоит из следующих стадий:  $CH_2O +$

$+ I \rightarrow HOCH_2CH(OH)CHO$  (II);  $II \neq HOCH_2COCH_2OH$   
(III);  $CH_2O + III \rightarrow HOCH_2CH(OH)COCH_2OH \neq HO$   
 $CH_2CH(OH)CH(OH)CHO \rightarrow 2I$ . Таутомерное превра-  
щение II в III протекает через соответствующий енол.  
Определяющей является стадия таутомеризации кето-  
тетрозы в альдотетрозу. Предложенный механизм со-  
гласуется с тем, что добавки I, II или III приводят к  
исчезновению индукционного периода р-ции, но не  
влияют на скорость быстрого процесса. Прибавление  
каталитич. кол-в  $C_6H_5COCH_2OH$  (IV) не только унич-  
тожает индукционный период, но и убыстряет про-  
цесс в целом, так как IV заменяет I в р-ции конденса-  
ции, а последняя с IV идет быстрее, чем с I. Другие  
катализаторы, напр., бензоин, не функционируют  
вместо I, а лишь ускоряют возникновение первой мо-  
лекулы I. Зависимость скорости изученной р-ции от  
иона металла объясняется стимулирующим эффектом  
образования внутрикомплексных циклов ионами енди-  
олов, которые промежуточно образуются в процессе  
таутомеризации. Функция I в рассматриваемом случае  
аналогична таковой  $CN^-$  в бензоиновой конденсации.

К. Вацуро  
6Ж26. Конденсация дифенилкетимина с амини-  
фенолами. Сообщение 2. Кинетическое изучение. Souil  
François. Condensation de la diphenylcétimine et des  
aminophénols. Deuxième mémoire. étude cinétique.  
«Bull. Soc. chim. France», 1960, № 4, 614—617  
(франц.).—Изучена кинетика конденсации дифенил-  
кетимина (I) с  $o$ -,  $m$ - и  $p$ -аминофенолом (II) при 70—  
140°. За течением р-ции следили по выделению  $NH_3$ ,  
который нейтрализовали  $K$ -той. Показано, что конденса-  
ция является р-цией нулевого порядка.  $E$  (акт.) в  
ккал/моль равны: для  $o$ -II 17,4,  $m$ -II 15,6,  $p$ -II 13,6.  
Реакционная способность группы  $NH_2$  возрастает в  
присутствии группы  $OH$  и тем больше, чем ближе рас-  
положены эти две группы. Сообщение 1 см. РЖХим,  
1960, № 18, 73381.

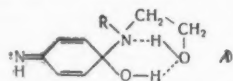
Т. Мелентьева  
6Ж27. Кинетика нитрования фенола в этилнитра-  
те. Славинская Р. А. «Уч. зап. Казахск. ун-та»,  
1958, 44, 47—50.—При нитровании фенола (I) безводн.  
 $HNO_3$  в этилнитрате (II) при конц-и  $HNO_3$  от 8,6 до  
0,9% выход  $o$ -нитро-I (III) почти постоянный, выход  
 $p$ -нитро-I (IV) растет при уменьшении конц-и до  
0,9%, потом падает, выход 2,4-динитро-I (V) умень-  
шается сначала медленно, потом быстро. Для под-  
тверждения последовательного механизма р-ции обра-  
зования V из IV изучена кинетика этой р-ции при  
конц-и  $HNO_3$  8,2%. Кинетич. кривые подтверждают,  
что в условиях р-ции образование V происходит толь-  
ко за счет нитрования IV, а III в р-цию не вступает.

А. Высоковос  
6Ж28. Механизм нитрования ароматических соеди-  
нений с помощью эфиров азотной кислоты и много-  
атомных спиртов. II. Нитрование бензола нитрогли-  
церинном в кислой среде. Ropuszyński Stanisław.  
Mechanizm nitrowania związków aromatycznych  
za pomocą estrów kwasu azotowego i wielowodorotleno-  
wych alkoholi. II. Nitrowanie benzenu za pomocą nitro-  
gliceryny w środowisku kwaśnym. «Roczn. chem.», 1960,  
34, № 1, 133—139 (польск.; рез. русск., англ.).—Прове-  
дено нитрование  $C_6H_6$  нитроглицерином при 20° в сре-  
де разб.  $H_2SO_4$ , 60%-ной  $HClO_4$ ,  $H_3PO_4$  (при 40°—90°),  
лед.  $CH_3COOH$  и  $(CH_3CO)_2O$ . Показано, что выход  
 $C_6H_5NO_2$  (I) понижается с понижением силы  $K$ -ты (для  
разных  $K$ -т) и повышается с повышением конц-и  
 $K$ -ты (для данной  $K$ -ты — на примере  $H_2SO_4$ ). Ниже  
перечислены:  $K$ -та, выход I в %:  $H_2SO_4$ , 20—86 (в за-  
висимости от конц-и  $K$ -ты);  $HClO_4$ , 73,2;  $H_3PO_4$ , 10,7;  
 $CH_3COOH$ , 0;  $(CH_3CO)_2O$ , 0. На основании этих данных,  
а также опираясь на отрицательные результаты опы-  
тов перэтерификации  $CH_3OH$  и  $C_2H_5OH$  нитроглице-  
рином автор делает вывод о том, что  $NO^+$  отщепляет-  
ся от самой молекулы нитроглицерина, а не от  $HNO_3$ ,

образующейся в результате гидролиза последнего. Сообщение I см. реф. 5Ж22.

6Ж29. Механизм реакции азид — нитрит. Часть IV. Steadman G. Mechanism of the azide — nitrite reaction. Part IV. *J. Chem. Soc.*, 1960, Apr., 1702—1709 (англ.). — Изучена кинетика р-ции  $\text{HNO}_2$  с  $\text{HN}_3$  в ацетатном буфере. Скорость р-ции пропорциональна конц-ии ионов  $\text{NO}_2^-$ , квадрату конц-ии ионов  $\text{H}^+$  и конц-ии ионов  $\text{N}_3^-$  в степени  $x$ , где  $0 < x < 1$ , а также приблизительно пропорциональна конц-ии ионов  $\text{CH}_3\text{COO}^-$ . Эти результаты интерпретированы с точки зрения промежуточного образования  $\text{CH}_3\text{COONO}$  (I) по схеме:  $\text{CH}_3\text{COO}^- + \text{H}_2\text{NO}_2^+ \rightleftharpoons \text{H}_2\text{O} + \text{I}$ ;  $\text{I} + \text{N}_3^- \rightarrow \text{CH}_3\text{COO}^- + \text{N}_2\text{O} \rightarrow \text{N}_2 + \text{N}_2\text{O}$ . В более шел. буфере, где конц-ия  $\text{N}_3^-$  велика, равновесие сдвинуто вправо и скорость р-ции равна скорости образования I, то есть  $x = 0$ . В более кислом буфере конц-ия  $\text{N}_3^-$  недостаточна и  $x$  приближается к 1. Образовавшийся I реагирует, кроме того, и с  $\text{NO}_2^-$  по схеме:  $\text{I} + \text{NO}_2^- \rightarrow \text{CH}_3\text{COO}^- + \text{N}_2\text{O}_3$ ;  $\text{N}_2\text{O}_3 + \text{N}_3^- \rightarrow \text{NO}_2^- + \text{N}_2\text{NO} \rightarrow \text{N}_2 + \text{N}_2\text{O}$ , причем скорость образования  $\text{N}_2\text{O}_3$  в зависимости от условий составляет от 15 до 50% от общей скорости р-ции  $\text{HNO}_2$  с  $\text{HN}_3$ . Небольшое отклонение скорости р-ции от пропорциональности конц-ии  $\text{CH}_3\text{COO}^-$  — объяснено тем, что в незначительной степени имеют место еще 2 процесса (ср. часть I—III РЖХим, 1960, № 12, 46184): 1)  $\text{N}_3^- + \text{H}_2\text{NO}_2^+ \rightarrow \text{H}_2\text{O} + \text{N}_2\text{NO} \rightarrow \text{N}_2 + \text{N}_2\text{O}$  и 2)  $\text{NO}_2^- + \text{H}_2\text{NO}_2^+ \rightarrow \text{H}_2\text{O} + \text{N}_2\text{O}_3$ ;  $\text{N}_2\text{O}_3 + \text{N}_3^- \rightarrow \text{NO}_2^- + \text{N}_2\text{NO} \rightarrow \text{N}_2 + \text{N}_2\text{O}$ . Константа скорости ( $k$ ) образования I при 0°, вычисленная экстраполированием значений  $k$ , полученных при более низких конц-иях  $\text{N}_3^-$ , составляет  $\sim 2,2 \cdot 10^3 \text{ л}^2 \text{ моль}^{-2} \text{ сек}^{-1}$ ; эта величина согласуется со значениями  $k$  для других случаев атаки нуклеофильными анионами иона  $\text{H}_2\text{NO}_2^+$ . Изучена также кинетика диазотирования анилина в ацетатном буфере при 0° (ср. РЖХим, 1958, № 24, 81486; 1959, № 22, 78505); при конц-ях 0,0005—0,0016 моля эта р-ция является р-цией второго порядка по  $\text{NO}_2^-$ .

6Ж30. Механизм образования красителей в цветной фотографии. VII. Промежуточные основания при дезаминировании хинондиминов. Tong L. K. J., Glesmann M. Carolyn, Bent R. L. The mechanism of dye formation in color photography. VII. Intermediate bases in the deamination of quinonediimines. *J. Amer. Chem. Soc.*, 1960, 82, № 8, 1988—1996 (англ.). — В аппарате с форсуночными смесителями в непрерывном потоке исследованы скорости р-ции дезаминирования (РД) при различных рН ряда цветных проявляющих в-в производных N,N-диалкил-п-фенилендиамин (I) общей ф-лы  $\text{H}_2\text{N}-\text{C}_6\text{H}_4-\text{NR}'\text{R}''$ , где  $\text{R} = \text{H}$ ,  $\text{CH}_3$ ,  $\text{C}_2\text{H}_5\text{OH}$ ,  $\text{OCH}_3$ ,  $\text{Cl}$ ,  $\text{R}'$  и  $\text{R}'' = \text{H}$ ,  $\text{C}_2\text{H}_5$ ,  $\text{C}_2\text{H}_5\text{OH}$ ,  $\text{C}_2\text{H}_5\text{OCH}_3$ ,  $\text{C}_2\text{H}_5\text{COO}^-$ ,  $\text{C}_2\text{H}_5\text{SO}_3^-$ ,  $\text{C}_2\text{H}_5\text{NHCOCH}_3$ ,  $\text{C}_2\text{H}_5\text{NHSO}_2\text{CH}_3$ ,



имеющей место при окислении I с  $\text{K}_2\text{F}(\text{CN})_6$  до стадии хинондиминов (II) (Методику см. сообщение VI, РЖХим, 1958, № 22, 75154). В некоторых случаях измеряли УФ-спектр поглощения смеси через 0,8 сек. после смешения, т. е. измеряли спектры мгновенно образующихся II,  $\lambda(\text{макс.})$  300 мμ в шел. р-рах, находящегося в равновесии с основанием II ( $\text{II} \cdot \text{OH}^-$ ), образующимся из II путем присоединения  $\text{OH}^-$  (поглощает короче 275 мμ). Кинетич. данные показывают, что РД протекает как р-ция 1-го порядка и стадий, определяющей скорость процесса, является диспропорционирование  $\text{II} \cdot \text{OH}^- \rightarrow \text{I} + \text{хинономоноимин}$  ( $\text{o}-\text{C}_6\text{H}_4=\text{NH}$ ). Для большинства I скорость РД прямо

пропорциональна конц-ии  $\text{OH}^-$ , но в случае I, в которых  $\text{R}'$  или  $\text{R}''$  и  $\text{R}'' = \text{C}_2\text{H}_5\text{OH}$ , с повышением рН достигается некоторая предельная скорость. Этот факт объясняется образованием внутримолекулярных водородных связей, дающих кольцевые системы типа (A), стабилизирующие  $\text{II} \cdot \text{OH}^-$ . В р-ции сочетания с цветными компонентами участвует только II;  $\text{II} \cdot \text{OH}^-$  не участвует. Из соответствующих производных анилина получены некоторые новые I (в дальнейшем последовательно указываются значения  $\text{R}$ ,  $\text{R}'$  и  $\text{R}''$ ). 100 г 3-метил-N-этил-N-β-хлорэтилаанилина и 500 мл сухого пиридина кипятят 70 час. и осаждают ацетоном, затем смесью ацетона с эфиром и, наконец, эфиром осаждают хлорид 3-метил-N-этил-N-(β-этилпиридиний)-анилина (III), выход 94%, т. пл. 72—73° (из сл.). К охлажденному р-ру 75 г III в смеси 128 мл конц.  $\text{HCl}$  и 120 мл воды прибавляют 19,5 г  $\text{NaNO}_2$  в 75 мл воды. Через 15 мин. прибавляют 1,5 л спирта фильтрат упаривают в вакууме и снова осаждают  $\text{NaCl}$  800 мл спирта. Прибавлением 800 мл ацетона осаждают хлоргидрат 3-метил-4-нитрозо-N-этил-N-(β-этилпиридинийхлорид)-анилина (IV), выход 67%, т. разл. > 140° (из сл. + ацетон + конц.  $\text{HCl}$ ). 10 г IV в 150 мл абс. спирта и 2 мл конц.  $\text{HCl}$  гидрируют на  $\text{Pd/C}$ , прибавляют 50 мл воды, фильтруют, упаривают в вакууме, и вновь упаривают со спиртом, выход хлоргидрата I ( $\text{R} = \text{CH}_3$ ,  $\text{R}' = \text{C}_2\text{H}_5$ ,  $\text{R}'' = \text{C}_2\text{H}_5 + \text{NC}_2\text{H}_5$ ) 70% (из сл. эф.). Аналогично из 4-нитрозо-N-этил-N-(γ-сульфэтил)-анилина получают I ( $\text{R} = \text{H}$ ,  $\text{R}' = \text{C}_2\text{H}_5$ ,  $\text{R}'' = \beta\text{-C}_2\text{H}_5\text{SO}_3^-$ ), т. пл. 268—269° (погружение при 260°). Смесь 3,93 г 3-метил-N-этилаанилина и 3,55 г сульфата 3-оксипропансульфокислоты в 50 мл абс.  $\text{C}_2\text{H}_5$  кипятят 8 час., выход 3-метил-N-этил-N-(γ-сульфэтил)-анилина (V) 70%. В нитрозируют, р-р нейтрализуют  $\text{NaOH}$  и гидрируют на  $\text{Pd/C}$ , полученный I ( $\text{R} = \text{CH}_3$ ,  $\text{R}' = \text{C}_2\text{H}_5$ ,  $\text{R}'' = \gamma\text{-C}_2\text{H}_5\text{SO}_3^-$ ) нагреванием с 50 мл конц.  $\text{HCl}$  переводят в хлоргидрат, выход 45%. Сочетанием 3-метил-N-этил-N-карботоксиметиланилином с диазотированным 2,5-дихлоранилином получают 3-метил-4-(2',5'-дихлорфенилазо)-N-этил-N-карботоксиметиланилин (VI), выход 78,5%, т. пл. 152,5—153,5°. 7,88 г VI в 200 мл безводн. спирта гидрируют над скелетным  $\text{Ni}$ , к фильтрату добавляют 1 г-эке конц.  $\text{HCl}$ , упаривают досуха, остаток растворяют в горячем ацетоне и эфиром осаждают I ( $\text{R} = \text{CH}_3$ ,  $\text{R}' = \text{C}_2\text{H}_5$ ,  $\text{R}'' = \text{CH}_2\text{COOC}_2\text{H}_5$ ) (Ia), выход 70%, т. пл. 171,5—173,5° (разл.; погружение при 160°). При гидролизе Ia кипячением 7 час. с 20 мл конц.  $\text{HCl}$  и 55 мл воды образуется смесь моно- и дихлоргидратов I ( $\text{R} = \text{CH}_3$ ,  $\text{R}' = \text{C}_2\text{H}_5$ ,  $\text{R}'' = \text{COOH}$ ), т. пл. 150°, выход 82%. 107 г м-толуидина, 334 г  $\text{CH}_3\text{Br}$ ,  $\text{COOC}_2\text{H}_5$ , 184,5 г  $\text{NaHCO}_3$  в 1,2 л спирта и 500 мл воды кипятят 60 час., отгоняют спирт и масло экстрагируют эфиром, выход 3-метил-N,N-бис-(карботоксиметил)-анилина (VII) 27,5%, т. кип. 135—143°/1 мм. Сочетанием с диазотированным 2,5-дихлоранилином получают 3-метил-4-(2',5'-дихлорфенилазо)-N,N-бис-(карботоксиметил)-анилин (VIII), выход 32,5%, т. пл. 118—119,5°. Гидрированием VIII получают смесь моно- и дихлоргидратов I ( $\text{R} = \text{CH}_3$ ,  $\text{R}' = \text{CH}_2\text{COOC}_2\text{H}_5$ ,  $\text{R}'' = \text{CH}_2\text{COOC}_2\text{H}_5$ ) (Ib), т. пл. 162—166°. Гидролизом Ib получают смесь моно- и дихлоргидратов I ( $\text{R} = \text{CH}_3$ ,  $\text{R}' = \text{CH}_2\text{COOH}$ ,  $\text{R}'' = \text{CH}_2\text{COOH}$ ), т. разл. 135°. N,N-бис-(β-оксипропил)-4-нитроанилин гидрируют над  $\text{Pd/C}$  до I ( $\text{R} = \text{H}$ ,  $\text{R}' = \text{C}_2\text{H}_5\text{OH}$ ,  $\text{R}'' = \text{C}_2\text{H}_5\text{OH}$ ), выход 76%, т. кип. 201—205°/1 мм, т. пл. 87—88°; сульфат, т. пл. 172—173°. Гидрированием 3-метил-4-нитрозо-N,N-бис-(β-оксипропил)-анилина (т. пл. 109—110°) над  $\text{Pd/C}$  получают I ( $\text{R} = \text{CH}_3$ ,  $\text{R}' = \text{C}_2\text{H}_5\text{OH}$ ,  $\text{R}'' = \text{C}_2\text{H}_5\text{OH}$ ), выход 56%, т. пл. 113—114° (из  $\text{CH}_3\text{CN}$  затем из сл.). 100 г 3,5-диметиланилина и 88,1 г окиси этилена нагревают 16 час. при 150° и экстрагируют спиртом 3,5-диметил-N,N-бис-(β-оксипропил)-анилин (IX), выход 56%, т. пл. 103—104° (из бэл.-баз.), т. кип. 160—172°/3 мм. Нитрозированием IX получают 3,5-диметил-4-

I, в кото-  
ем pH до-  
Этот факт  
ных подо-  
тина (A),  
ия с цвет-  
I-OH- не  
х анилина  
м последо-  
R'). 100 г  
мл сухого  
ном, затем  
ром оса-  
градийной-  
(из сл.),  
3 мл конц.  
O<sub>2</sub> в 75 мл  
эта филь-  
дают NaCl  
на оса-  
(β-этилпи-  
т. разд.  
V в 150 мл  
Pd/C, при-  
в вакууме,  
огидрата I  
(из сл.),  
(γ-сульфо-  
H<sub>2</sub>S, R' =  
при 260°),  
с сульфата  
C<sub>6</sub> кипятят  
онил)-ани-  
лины NaOH  
CH<sub>3</sub>, R' =  
0 мл конц.  
Сочетанием  
с диазоти-  
тил-4-(2'-  
тиланилин  
VI в 200 мл  
Ni, к филь-  
трату досу-  
хают, затем  
ром оса-  
C<sub>2</sub>H<sub>5</sub>) (Ia),  
жение при  
с 20 мл  
тоно- и ди-  
= COOH),  
34 г CH<sub>3</sub>Br  
00 мл воды  
экстраг-  
обтоксиме-  
2/1 мм. Се-  
глином по-  
-бис-(карб-  
%, т. пл.  
месь моно-  
H<sub>2</sub>COOC<sub>2</sub>H<sub>5</sub>  
гидролизом  
(R = CH<sub>3</sub>,  
N,N-бис-  
Pd/C до I  
ход 76%,  
ват, т. пл.  
зо-N,N-бис-  
до Pd/C по-  
(OH), вы-  
м из сл.),  
тилена на-  
т спиртом  
(X), выход  
160—172°  
диметил-4-

нитрозо-N,N-бис-(β-оксипропил)-анилин (X), т. пл. 150—152°. Восстановлением X над Pd/C получают 4-амино-N,N-бис-(β-оксипропил)-3,5-диметилаанилин, выход 78%, т. пл. 110—112° (из воды). Смесь 135 г N-этил-м-толуидина и 139 г BrCH<sub>2</sub>CH<sub>2</sub>CH<sub>2</sub>OH в 800 мл спирта и 250 мл воды кипятят 60 час., упаривают и получают N-этил-N-(γ-оксипропил)-м-толуидин (XI), выход 67%, т. кип. 176—180°/15 мм. Сочетанием XI с диазотированным 2,5-дихлоранилином получают 3-метил-4-(2'-5'-дихлорфенилазо)-N-этил-N-(γ-оксипропил)-анилин (XII), выход 50,5%, т. пл. 92—94° (из CH<sub>3</sub>CN). Восстановлением XII над скелетным Ni получают I (R = CH<sub>3</sub>, R' = C<sub>2</sub>H<sub>5</sub>, R'' = γ-C<sub>3</sub>H<sub>6</sub>OH), выход 56%, т. кип. 149—152°/1 мм; сульфат т. пл. 155—156°. 50 г 3-оксипиридина и 39,8 г п-нитрохлорбензола нагревают 5,5 часа при ~100°, выход N-(4-нитрофенил)-3-оксипиридина (XIII) 45%, т. пл. 126,5—128,5° (из сл.). Гидрированием XIII над Pd/C с последующей нейтр-цией фильтрата H<sub>2</sub>SO<sub>4</sub> получают гемисульфат N-(4-аминофенил)-3-оксипиридина, выход 38%, т. пл. >240° (разл.; из сл.). Н. Спасокукоцкий

6Ж31. Пиразолины. IV. Механизм разложения и конформационный анализ 2-пиразолинов. Jones W. M. Pyrazolines. IV. On the mechanism of decomposition and conformational analyses of 2-pyrazolines. *J. Amer. Chem. Soc.*, 1960, 82, № 12, 3136—3137 (англ.). — При термич. разложении 4-фенил-3-карбометокси-5-карботокси-2-пиразолина (I) и 4-фенил-3-карботокси-5-карбометокси-2-пиразолина (II) образуется 1-карбометокси-2-карботокси-3-фенилциклопропан. Р-ция протекает, по-видимому, через таутомерное превращение I и II в 4-фенил-3-карбометокси-5-карботокси-1-пиразолин. Отсутствие заметной таутомеризации при частичном разложении I и II свидетельствует о малой скорости этого превращения. Полное разложение I и II с последующим гидролизом и обработкой CH<sub>2</sub>N<sub>2</sub> приводит к смеси *цис*- и *транс*-изомеров 1,2-дикарбометокси-3-фенилциклопропана (III) (65 и 62% *цис*-изомера соответственно). Преобладание *цис*-III свидетельствует о том, что используемые I и II также обладали *цис*-конфигурацией. Термич. разложением масла, полученного из реакционной смеси после выделения I и II, получена смесь, содержащая преимущественно *транс*-III (~69 и 59% соответственно). Приведенный результат также подтверждает медленность процесса таутомеризации. К. Вацуро

6Ж32. К вопросу о механизме реакции присоединения кремнийгидридов к ненасыщенным соединениям в присутствии платинированного угля и платинохлористоводородной кислоты. Пономаренко В. А., Одабашиян Г. В., Петров А. Д. *Докл. АН СССР*, 1960, 131, № 2, 321—324. — Изучен механизм р-ции присоединения кремнийгидридов (КГ) к ненасыщ. соединениям в присутствии Pt/C. Подтвержден сделанный ранее вывод (см. РЖХим, 1959, № 11, 38722; № 21, 74986) о том, что эта р-ция гомолитич., протекающая на поверхности гетерог. катализатора. Показано, что гомолитич. разрыв связи Si—H облегчается в присутствии Pt/C, скорость его зависит от структуры КГ и уменьшается с ростом числа радикалов у Si. В (C<sub>6</sub>H<sub>5</sub>)<sub>3</sub>SiH разрыв Si—H не наблюдается. Для обнаружения H•, образующегося при разрыве Si—H, прибавляют (C<sub>6</sub>H<sub>5</sub>)<sub>2</sub>NNC<sub>6</sub>H<sub>4</sub>(NO<sub>2</sub>)<sub>2</sub> (I), который присоединяет H•, давая (C<sub>6</sub>H<sub>5</sub>)<sub>2</sub>NNHC<sub>6</sub>H<sub>4</sub>(NO<sub>2</sub>)<sub>2</sub> (II). Действием PbO<sub>2</sub> II переводят в I и тем самым доказывают, что не происходит восстановления NO<sub>2</sub>-групп. Присоединение (CH<sub>3</sub>)<sub>2</sub>(C<sub>6</sub>H<sub>5</sub>)<sub>2</sub>SiH (III) к ненасыщ. соединениям облегчается при добавлении C<sub>2</sub>H<sub>5</sub>SiHCl<sub>2</sub> (IV). Предложена следующая схема р-ции: 1) возникновение радикала C<sub>2</sub>H<sub>5</sub>SiCl<sub>2</sub> (IVa) на поверхности Pt/C, 2) взаимодействие IVa с III и образование (CH<sub>3</sub>)<sub>2</sub>(C<sub>6</sub>H<sub>5</sub>)<sub>2</sub>Si (IIIa), 3) присоединение IIIa к кратной связи и образование (C<sub>2</sub>H<sub>5</sub>)<sub>2</sub>(CH<sub>3</sub>)SiCH<sub>2</sub>CHR, 4) вовлечение в р-цию новой молекулы III или обрыв цепи при присоединении H•.

Эта схема подтверждена исследованием дейтеробомбе-на между IV и (CH<sub>3</sub>)<sub>2</sub>(C<sub>2</sub>H<sub>5</sub>)<sub>2</sub>SiD (V) в присутствии 1%-ного Pt/C, который протекает на 50%. Проведено присоединение Cl<sub>3</sub>SiH (VI) к CH<sub>2</sub>=CHCN (VII) под влиянием диметилцианамиды (VIII), который является новым катализатором присоединения КГ к ненасыщ. соединениям. Присоединение КГ в присутствии H<sub>2</sub>PtCl<sub>6</sub> протекает сложнее. Смесь 0,58 моля (CH<sub>3</sub>)<sub>2</sub>(C<sub>2</sub>H<sub>5</sub>)<sub>2</sub>SiCl<sub>2</sub>, 4,4 моля LiD и 105 мл абс. C<sub>6</sub>H<sub>5</sub>OC<sub>2</sub>H<sub>5</sub> кипятят 20 час., получают смесь V и III (24% III, по данным спектров комб. расс.), выход 50%, т. кип. 76,8°/735 мм, d<sub>4</sub><sup>20</sup> 0,7102, n<sub>D</sub><sup>20</sup> 1,3975. Смесь 0,3 моля VI, 0,3 моля VII и 0,043 моля VIII нагревают 2 часа в автоклаве до 168° и 8 ат, выделяют Cl<sub>3</sub>SiCH<sub>2</sub>CH<sub>2</sub>CN, выход 37%, т. кип. 92—94°/15 мм, т. пл. 34—35°.

Т. Мелентьева

6Ж33. Кинетика реакций гидробессеривания. Оболенцев Р. Д., Машкина А. В. *Докл. АН СССР*, 1960, 131, № 5, 1092—1095. — В присутствии алюмокобальтмолибденового катализатора при 325—425° и давлении H<sub>2</sub> 9,4—33,3 ата исследована кинетика гидрогенолиза (I) дибензотиофена (I), октагидри-бензотиофена (II), 2,5-дибутилтиофена (III), 2-октилтиофена (IV), 2,5-диэтилтиофена, дифенилсульфида (V), тиантрена (VI), α-пропилтиофена (VII), 2,8-диметил-5-тианонана (VIII), дибензилсульфида (IX), тианфена, 2,4,6,8-тетраметил-5-тианонана, 1,3-диметил-1-(фенилтио)-бутана и α-(1-фенил)-пропилтиофена. Р-ция хорошо описывается уравнениями Фроста и Казеева. Ниже приведены соединения, кажущаяся E(акт.) по данным уравнения Фроста и E(акт.) по данным уравнения Казеева в ккал/моль: I, 10,8, 4,6; II, 8,9, 4,4; III, 7,6, 4,8; IV, 0,8, 6,9; V, 8,6, 5,4; VI, 8,3, 4,9; VII, 8,5, 4,0; VIII, 11,0, 5,8; IX, 11,3, 2,7. Измельчение катализаторов сдвигает р-цию в интрадиффузионной в переходную область, при этом E(акт.) повышается, напр. для I до 16,6 ккал/моль. Скорость Г смеси сероорганич. соединений подчиняется правилу аддитивности. Показано, что предельная глубина и скорость Г резко снижаются при добавлении дифенила к р-ру I, но не зависят от добавок H<sub>2</sub>S. Основными продуктами Г являются H<sub>2</sub>S и соответствующий углеводород.

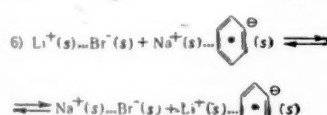
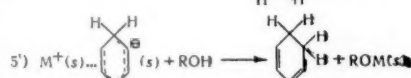
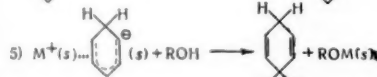
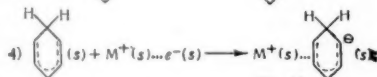
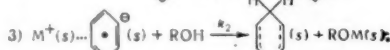
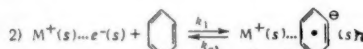
В. Якерсон

6Ж34. Озонирование двойных связей углерод-азот. I. Нуклеофильная атака озона. Riebel Alexander H., Erickson Ronald E., Abshire Claude J., Bailey Philip S. Ozonation of carbon-nitrogen double bonds. I. Nucleophilic attack of ozone. *J. Amer. Chem. Soc.*, 1960, 82, № 7, 1801—1807 (англ.). — В противоположность литературным данным найдено, что двойная связь углерод-азот в шиффовых основаниях и нитро-нах способна озонироваться. Озонирование N-бензилиден-трет-бутиламина (I) в этилацетате, CH<sub>2</sub>Cl<sub>2</sub> и CCl<sub>4</sub> при 0° приводит к N-трет-бутилбензамиду, выход 24%, 2-трет-бутил-3-фенилоксазирану, выход 15%, и бензойной к-те, выход 40%; при уменьшении кол-ва O<sub>3</sub> вместо бензойной к-ты получают бензальдегид. В тех случаях, когда реакционную смесь не подвергали обработке NaOH, удавалось выделить соль трет-бутиламина и бензойной к-ты (р-ция в этилацетате), трет-бутиламмонийхлорид, выход 28%, и трет-бутиламмонийбензоат, выход 5% (р-ция в CH<sub>2</sub>Cl<sub>2</sub>). Поглощение 1 моля O<sub>3</sub> в случае N-циклогексидибензобутиламины (II) и 2 молей O<sub>3</sub> в случае I, N-бензилиденамилина (III), N-бензилиден-м-нитроанилина (IV), отсутствие влияния на результаты изменения состава смеси газов с O<sub>3</sub> + He на O<sub>3</sub> + O<sub>2</sub>, отсутствие р-ции с O<sub>2</sub> указывают на то, что O<sub>3</sub>, а не O<sub>2</sub> является окислителем. Последнее обстоятельство, а также данные ИК-спектров исключают возможность гидролиза. II—IV при обработке O<sub>3</sub> в этилацетате и CH<sub>3</sub>COOH претерпевают главным образом расщепление. N-фенилбензальдоксим и N-трет-бутилбензальдоксим с O<sub>3</sub> реагируют быстро и до конца даже при —78° с образованием бензальде-





лом); I, 4,37, 7,77, 2,58 ± 0,50; III, 1,95, 4,60, 7,62 ± 0,69; III, 3,16, 8,87, 2,04 ± 0,33. Эти данные показывают отсутствие стерич. влияния на электронный обмен кетона с кетилем, так как III обменивает электрон быстрее незамещ. I. Авторы обсуждают возможность протекания этой р-ции по механизму передачи атома и (или) электрона. Методом конкурирующих р-ций изучена относительная реакционная способность замещ. бензолов (Ar) в р-ции (в жидком NH<sub>3</sub>): (a) Ar + 2RON + 2M → ArH<sub>2</sub> + 2(M<sup>+</sup>, RO<sup>-</sup>). Ниже перечислены Ar, относительная скорость р-ции (скорость для C<sub>6</sub>H<sub>6</sub> принята за 1): *n*-ди-*tert*-бутилбензол, 0,005; мезитилен, 0,017; *tert*-бутилбензол, 0,050; *o*-ксилол, 0,050; изопропилбензол, 0,10; анилин, 0,10; *n*-бутилбензол, 0,21; этилбензол, 0,25; *m*-ксилол, 0,28; *n*-ксилол, 0,30; диметиланилин, 0,30; тетралин, 0,38; толуол, 0,65; пидан, 0,94; бензол, 1,00; анизол, 3,28; бензоат натрия, > 200. Определен выход основных и побочных продуктов при восстановлении вышеперечисленных углеводородов в этаноле и приводятся значения констант скорости третьего порядка для восстановления бензола в р-ции (a) при -34° в этаноле (перечисляются щел. металлы, добавляемая соль и *k* в л<sup>2</sup> моль<sup>-2</sup> сек<sup>-1</sup>): Li, —, 1,40; Li, —, 0,40 (при -76°); Li, —, 0,10 (в *tert*-C<sub>4</sub>H<sub>9</sub>OH); Li, —, 0,015 (при -74° в *tert*-C<sub>4</sub>H<sub>9</sub>OH); Na, —, 0,0064; K, —, 0,0015; Li, 2 M NaCl, 0,33; Li, 4 M NaCl, 0,34; Li, 2 M NaBr, 0,56; Na, 1,9 M LiBr, 0,41; Na, 2 M NaBr, 0,0067. Авторы предлагают следующий механизм р-ции (a) (*s* — обозначает сольватацию) (см. схему). Стадия (1) предполагает обратимую диссоциацию на катион металла и сольватированный электрон, слабо связанный с сольватированным катионом.



Стадия (2) описывает обратимую ассоциацию с образованием пары катион — анион-радикал. В стадии (3), определяющей скорость р-ции, анион-радикал реагирует с донором протона с образованием нейтр. радикала и алкоксид-иона. Последующие быстрые р-ции присоединения второго электрона и второго протона приводят к циклогексадиену-1,4 или циклогексену в зависимости от места присоединения второго протона. Авторы объясняют солевой эффект р-ции (a) обменом между ионными парами по схеме (6). По подсчетам авторов энергия активации при восстановлении бензола Li в жидком NH<sub>3</sub> составляет 2,7 ккал/моль, в то время как соответствующее значение энергии активации для восстановления литием в *tert*-бутаноле равно 4,4 ккал/моль, Ю. Корешков

6Ж39. Учебник по химии. Часть 2. Органическая химия. Holleman A. F. 18 изд. Leerboek der chemie. Deel 2. Leerboek der organische chemie. 18e dr. Wibaut J. P., Wibaut-Van Gastel A. J. P. Groningen, J. B. Wolters, 1960, XXXX, 976 blz., 29,50 fl. (гол.)

См. также: Реакционная способность 6Ж265. Механизмы и кинетика р-ций см. раздел Кинетика и рефераты: 6Б576, 6Ж77; 6Ж320, 6С451

## СИНТЕТИЧЕСКАЯ ОРГАНИЧЕСКАЯ ХИМИЯ

Редакторы М. А. Атабекова, В. М. Великве, Н. С. Вульфсон, Б. М. Дубинин, В. А. Загоревский, Я. Ф. Комиссаров, Г. Я. Кондратьева, Г. П. Крупина, Е. С. Тарасевич, Л. А. Хейфиц

6Ж40. Окисление органических соединений с помощью перекиси водорода. Ogata Yoshio, Tabushi Iwao. «Юки госай какаку кёкайси, J. Soc. Organ. Synth. Chem., Japan», 1960, 18, № 6, 368—387 (японск.).—Обзор. Библ. 182 назв.

6Ж41. Новый синтез гексатриена-1,3,5 и выделение его геометрических изомеров. Hwa Jesse C. H., Benneville Peter L. de, Sims Homer J. A new preparation of 1,3,5-hexatriene and the separation of its geometrical isomers. «J. Amer. Chem. Soc.», 1960, 82, № 10, 2537—2540 (англ.).—Описан новый путь синтеза гексатриена-1,3,5 (I) в мягких условиях, приводящий в противоположность прежним методам, не к *транс*-I, а к смеси *цис*-I и *транс*-I, из которой выделены чистые изомеры. Ранее сообщенное о синтезе *цис*-I (Farmer E., Lagoia B., Switz T., Thorpe J., J. Chem. Soc., 1927, 2937) оказалось ошибочным. К 138 г PBr<sub>3</sub>, содержащего 3 капли 48%-ной HBr, при 10—15° за 3 часа прибавляют 120 г гексадиен-1,5-ола-3 (II), выдерживают ~12 час. при ~20° и получают 92% смеси (в соотношении 3:2) 1-бромгексадиена-2,5 (III) и 3-бромгексадиена-1,5 (IV), фракционированной перегонкой которой выделяют чистые IV (т. кип. 52—56°/35 мм, *n*<sub>D</sub><sup>25</sup> 1,4828) и III, т. кип. 68—70°/35 мм, *n*<sub>D</sub><sup>25</sup> 1,4960. Р-р 81 г неочищ. смеси III и IV, 82 г бензилдиметил-аминна (V) и 0,2 г гидрохинона (VI) в 900 мл сухого толуола нагревают 3 часа при 55° в N<sub>2</sub>, выдерживают несколько часов при ~20° и получают бромистый бензилдиметилгексадиен-2,5-иламмоний (VII), выход 56%, т. пл. 124—125° (из сп.-этилацетата). Аналогично получают VII из III (выход 90%) и из IV (в результате аллильной перегруппировки, выход 66%). К р-ру 81 г VII в 500 мл воды порциями прибавляют Ag<sub>2</sub>O до прекращения ее обесцвечивания, к фильтрату прибавляют 0,2 г VI и отгоняют смесь изомерных I, выход 73%, т. кип. 81,5—82°, *n*<sub>D</sub><sup>25</sup> 1,5073. К р-ру 27 г V и 0,04 г VI в 150 мл воды, нагретому до 50°, за 1,5 часа прибавляют 32,2 г IV, образовавшийся р-р за 3 часа прибавляют к кипящему р-ру 32 г NaOH в 160 мл воды и отгоняют I (выход 58%), который по данным УФ-спектров и газовой хроматографии (ГХ) состоит из смеси *цис*-I и *транс*-I в отношении 3:7, а по рефрактометрич. данным — из 32,6% *цис*-I и 67,4% *транс*-I. Аналогично синтезируют смесь *цис*-I и *транс*-I из III (выход 87%) и из неочищ. смеси III и IV, выход 64%. Синтез *транс*-I (выход 5%) осуществлен, кроме того, из бромистого сорбила, причем р-ция проходит путем 1,6-элиминирования. Для получения III можно исходить также из биаллила, bromируя его N-бромсукцинимидом. Многократным вымораживанием при т-ре от -15 до -40° из смеси изомерных I (8 г) выделяют чистый *транс*-I, выход 2 г, т. кип. 80—80,5°, *n*<sub>D</sub><sup>25</sup> 1,5088; при обработке Br<sub>2</sub> в CCl<sub>4</sub> дает 1,6-дибромгексадиен-2,4 (VIII), т. пл. 85—87° (из петр. эф.). К 16 г смеси изо-

мерных I за 2 часа прибавляют 30 г малеинового ангидрида, выдерживают 48 час. при  $\sim 20^\circ$ , отделяют аддукт диевенового синтеза с *транс*-I и получают *цис*-I, выход 1,4 г, т. кип.  $82-83^\circ$ ,  $n_D^{25} 1,5042$ ; при действии  $Br_2$  образует VIII. Чистота выделенных *цис*-I и *транс*-I подтверждена данными ГХ. В присутствии небольшого кол-ва  $J_2$  в эфире *цис*-I нацело изомеризуется в *транс*-I за 24 часа. При хранении при  $\sim 20^\circ$  оба изомера (*цис*-I намного быстрее, чем *транс*-I) полимеризуются в воскоподобные полимеры. При пиролизе II пропусканием при  $325-350^\circ$  над  $Al_2O_3$  получают смесь *цис*-I, *транс*-I и циклогексадена. Приведены УФ-спектры *цис*-I и *транс*-I и ИК-спектры *цис*-I, *транс*-I, смеси изомеров I, III, IV и VII.

**6Ж42.** О присоединении четыреххлористого углерода к дивинилу и пиперилу. Арбузов Б. А., Никитина В. И. «Изв. АН СССР. Отд. хим. н.», 1960, № 6, 1131-1133. — Присоединение  $CCl_4$  к дивинилу (I) и пиперилу (II) (смеси *цис*- и *транс*-) происходит в положениях 1,4. Взаимодействием 100 мл I, 400 мл  $CCl_4$  и 3 г  $(C_6H_5CO)_2O_2$  (III) ( $120-130^\circ$ , 11 час.) и разгонкой выделены в-во с т. кип.  $61-63^\circ/7$  мм,  $n_D^{20} 1,4874$ ,  $d_4^{20} 1,2110$ ; 1,1,1,5-тетрахлорпентен-3, выход  $\sim 15\%$ , т. кип.  $83-84^\circ/7$  мм,  $n_D^{20} 1,5068$ ,  $d_4^{20} 1,3769$ , и 1,1,1,9-тетрахлорнонадиен-3,7, выход 6,4%, т. кип.  $132-134^\circ/7$  мм,  $n_D^{20} 1,5111$ ,  $d_4^{20} 1,2480$ . Предложена схема образования. Из 120 мл II, 500 мл  $CCl_4$ , 1 г III ( $90-100^\circ$ , 8 час.) образуется 1-хлор-4-метил-5,5,5-трихлорпентен-2, выход 12,5%, т. кип.  $103-105^\circ/15$  мм,  $n_D^{20} 1,4960$ ,  $d_4^{20} 1,3086$ . Строение продуктов р-ции установлено путем окисления  $KMnO_4$ .

**6Ж43.** О гексахлорпропиловом спирте и изомерных тетрахлорпропиловых спиртах. Neunhoffer Otto, Spange Arno. Über Hexachlor-isopropylalkohol und die isomeren Tetrachlor-isopropylalkohole. «Liebigs Ann. Chem.», 1960, 632, № 1-3, 22-27 (нем.). — Синтезирован  $(CCl_3)_2CHON$  (I) и изучены некоторые его физ. и хим. свойства. К суспензии 10 г тоноконцентрированного сухого  $K_2CO_3$  в 30 мл метилалла за 30 мин. прибавляют смесь 21,5 г хлорала и 10 мл метилалла, выдерживают 6 час. при  $\sim 20^\circ$ , причем образуется кристаллич. продукт присоединения  $K_2CO_3$  к хлоралу, затем кипятят 7 час., причем выделяется  $CO_2$ , обрабатывают водой в эфиром, перегоняют с паром и получают I, выход 20%, т. пл.  $84,5-85,5^\circ$  (из *n*-гексана); *n*-нитробензоат, т. пл.  $113-113,5^\circ$  (из сп.); 3,5-динитробензоат, т. пл.  $148-149^\circ$  (из сп. и из  $CCl_4$ ); *n*-нитрофенилуретан, т. пл.  $156,5-157,5^\circ$  (из бзн. и из бэл.). Р-ция протекает, по-видимому, путем расщепления хлорала с образованием аниона  $Cl_3C^-$  и последующего присоединения этого аниона к еще не измененному хлоралу. Побочными продуктами процесса являются  $HCOOK$  и  $CCl_3COOK$ ; последний, вероятно, образуется в результате присоединения  $Cl_3C^-$  к  $CO_2$ . Добавка к реакционной смеси  $CHCl_3$ , предполагаемого источника анионов  $Cl_3C^-$ , понижает выход I. При применении  $KHCO_3$ ,  $KOH$ ,  $Na_2CO_3$  или  $Li_2CO_3$  вместо  $K_2CO_3$ , I не образуется. Измерение мол. веса I и сравнение его т-ры кипения с т-рами кипения производных показывают, что его молекулы не ассоциированы. Благодаря склонности к переэтерификации под влиянием хлорангидридов к-т в присутствии  $ZnCl_2$  или  $C_6H_5N$ , а также способности к метилированию I занимает среднее место между алифатич. спиртами и фенолами. Р-ция I с  $CH_2N_2$  в эфире протекает медленно, но в циклогексане или в *n*-гексане гораздо быстрее и приводит к гексахлорпропилометиловому эфиру (II), т. кип.  $105-106/10$  мм, т. пл.  $24,5^\circ$ . К смеси 13,4 г I, 30 г  $CH_3I$  и 25 мл  $C_6H_6$  при охлаждении и встряхивании прибавляют 24 г сухой  $Ag_2O$  и получают II, выход 92,5%. Подобно фенолам I не реагирует с галоидоводородами, а при действии фосфоралогенидов дает эфиры  $H_3PO_4$ . Фенольный характер I проявляется также и в том, что при попытке замены OH-группы в I

(10 г) на Н-атом кипячением (7 час.) с 34 г  $Hg$  ( $d$  1,7) и 1,5 г красного Р образовался 1,1,3,3-тетрахлорпропиловый спирт (III) [т. кип.  $94-96^\circ/12$  мм, т. пл.  $34,5-35,5^\circ$ ; *n*-нитробензоат, т. пл.  $106,5^\circ$  (из сп.)], полученный ранее (Meerwein H. и др., J. prakt. Chem., 1937, 147, [2], 211) в неочищ. состоянии. Строение III вытекает из того, что он отличается от известных 1,1,1,3-тетрахлорпропилового спирта (даст изонитрильную пробу с анилином, а III — не дает) и 2,3,3,3-тетрахлор-*n*-пропилового спирта (IV), строение которого подтверждено окислением (к р-ру 6 г  $CrO_3$  в 80 мл лед.  $CH_3COOH$  и 12 г конц.  $H_2SO_4$  при  $60^\circ$  прибавляют р-р 6 г IV в 20 мл лед.  $CH_3COOH$  и перемешивают 1 час при  $70^\circ$ ) в 2,3,3,3-тетрахлорпропиловую к-ту, т. пл.  $79-80^\circ$ ; S-бензилэтионитрионевая соль, т. разл.  $138^\circ$  (из 70%-ного сп.). Обработка I  $NaOH$  (р-р 13,55 г I в 25 мл 2 н.  $NaOH$  выдерживают 48 час.) приводит к окиси пентахлорпропилену (V), выход 9,3 г, т. кип.  $179,5-182,5^\circ$ ,  $60,2-60,9^\circ/12$  мм, т. пл.  $-26-(-25,5^\circ)$ ,  $n_D^{18} 1,4953$ ,  $n_D^{21} 1,4937$ ,  $d_4^{18} 1,6599$ . Из подкисленного водн. маточного р-ра выделяют дихлоруксусную к-ту. При осторожном нагревании 1,5 г V с 5 мл конц.  $H_2SO_4$  до  $50^\circ$  выделяется  $HCl$  и после охлаждения и обработки водой получают трихлоруксусную к-ту (VI), т. пл.  $120,5-121^\circ$ ; S-бензилэтионитрионевая соль, т. разл.  $119-120^\circ$ . При более длительном нагревании V с  $H_2SO_4$  образуется хлоралид, циклич. продукт присоединения хлорала к VI (Wallach O., Liebigs Ann. Chem., 1878, 193, 1; 1880, 203, 83).

**6Ж44.** Синтез и физические свойства нормальных высших спиртов. II. Синтез нормальных высших первичных спиртов с нечетным числом углеродных атомов от гептакозаноло до гептатриаконтанола. Watanabe Akira. Synthesis and physical properties of normal higher alcohols. II. Synthesis of normal higher primary alcohols of odd carbon numbers from heptacosanol to heptatriacontanol. «Bull. Chem. Soc. Japan», 1960, 33, № 4, 531-534 (англ.). — По описанному ранее методу (см. часть I РЖХим, 1961, 5Ж40) синтезированы нормальные первичные спирты (НПС) с нечетным числом С-атомов от  $C_{27}$  до  $C_{37}$ . 85 г  $Ag$ -соли моноэтилового эфира себадиновой к-ты прибавляют к 60 г  $Br_2$  в  $CCl_4$  в отсутствие влаги, из фильтрата выделяют этиловый эфир (ЭЭ)  $\omega$ -бромостеариновой к-ты, выход 80%. Аналогично получены ЭЭ [приведены к-та, т. кип. в  $^\circ C/мм$ ,  $n_D$  (т-ра)]:  $\omega$ -бромкапроновая,  $118/14$  (98%, 4,5 мм), 1,4561 (32);  $\omega$ -бромундекановая,  $148-150/5$  (т. пл.  $11,5-13,5^\circ$ ), 1,4651 (20). Конденсация ЭЭ  $\omega$ -бромостеариновой с Na-малонового эфирами получены  $C_{27}H_{54}O_2(C_2H_5)_2$ ,  $CH(CO_2C_2H_5)_2$  (приведены  $n$ , т. кип. в  $^\circ C/мм$ ,  $n_D^{25}$ ): 5, 150-151/1, 1,4360; 7, 170-172/1,5, 1,4380; 10 (I), 187/11, 1,4435. Синтезированы эйкозановая, тетракозановая и пентакозановая (II) к-ты с выходами (на исходные бромиды) 75, 50, 42% соответственно. Выделены промежуточные продукты синтеза НПС (перечислены в-во, т. пл. в  $^\circ C$ ):  $CH_3(C_2H_5)_{18}CO(C_2H_5)_2CO_2H$ , 99,5; гептакозановая к-та, 86,6;  $CH_3(C_2H_5)_{20}CO(C_2H_5)_2CO_2H$ , 101; новакозановая к-та, 98,7;  $CH_3(C_2H_5)_{22}CO(C_2H_5)_2CO_2H$ , 105; гентриаконтановая к-та, 92,5;  $CH_3(C_2H_5)_{24}CO(C_2H_5)_2CO_2H$ , 107; триаконтановая к-та, 96;  $CH_3(C_2H_5)_{26}CO(C_2H_5)_2CO_2H$ , 109; пентатриаконтановая к-та, 98;  $CH_3(C_2H_5)_{28}CO(C_2H_5)_{11}CO_2H$  (III), 110; гентатриаконтановая к-та (IV), 98,7. К  $C_2H_5ONa$  (из 0,38 г Na и 10 мл абс. сп.) в  $C_6H_6$  прибавляют 6,45 г I, затем 5,35 г  $C_6H_5CH_2ON$ , отгоняют до  $80^\circ$ , к остатку прибавляют 6 г пентакозановых хлоридов (из 5,8 г II и 7,5 г  $(COCl)_2$ ) в  $C_6H_6$ , смесь кипятят 1 час, отмыывают водой, упаривают в вакууме до  $50^\circ$  (т-ра бани), остаток (20 г) гидрируют (3 часа) в 60 мл этилацетата над 5 г  $Pd/C$  и 5 г  $Pd/SrCO_3$ , фильтрат кипятят 1 час, выделяют III, выход 37%, т. пл.  $108-109^\circ$  (из бэл.), возврат II 2,5 г. Смесь 3 г III, 3 г  $KOH$ , 3 мл 85%-ного  $N_2H_4 \cdot H_2O$  и 25 мл диэтиленгликоля кипятят 1 час, удаляют воду и кипятят 6 час. при  $200^\circ$ , при  $80^\circ$  выливают в 100 мл воды, содержащей 15 мл  $HCl$ -к-ты,



34 г НГ  
3,3-тетра-  
96°/12 мм.  
пл. 106,5°  
и др.  
состоя-  
телен от  
спирта  
III — не  
та (IV),  
к р-ру  
2SO, при  
ОН и пе-  
пропио-  
рониевая  
работка I  
ржируют  
ена (V),  
мм, т. пл.  
6599. Из  
дихлор-  
1,5 г V с  
е охлаж-  
олочную  
рониевая  
нагрева-  
продукт  
bigs App.  
Андреев  
мальных  
ших пер-  
ных ато-  
Wata-  
e por-  
gher pri-  
tacosanol  
1960, 33,  
е методу  
аны нор-  
м числом  
ого эфи-  
в CCl<sub>4</sub>, в  
этиловый  
Анало-  
в °C/мм,  
4,5 мм),  
пл. 11,5°  
ислоты с  
CH(CO<sub>2</sub>-  
5, 150-  
1, 14435.  
пентако-  
ромиды)  
межточ-  
но, т. пл.  
озановая  
озановая  
триако-  
107; три-  
а) CO<sub>2</sub>H,  
CH<sub>2</sub>)<sub>2</sub>CO  
та (IV),  
в C<sub>2</sub>H<sub>5</sub>  
отгоняют  
илхлор-  
кипятят  
е до 50°  
в 60 мл  
трат кв-  
08—109°  
ОН, 3 мл  
кипятят  
при 80°  
Cl-к-ты,

выход (неочищ.) IV ~ 100%. 2,5 г ЭЭ IV восстанавливают LiAlH<sub>4</sub> в эфире, продукт перегоняют в вакууме (2·10<sup>-3</sup> мм), выход C<sub>27</sub>H<sub>55</sub>OH 1,8 г, т. пл. 92,7°, т. зам. 91,6°. Аналогично синтезированы НПС (перечислены в-во, т-ра перехода из воскообразного в кристаллич. состояние): C<sub>27</sub>H<sub>55</sub>OH, 7,25; C<sub>29</sub>H<sub>59</sub>OH, 75; C<sub>31</sub>H<sub>63</sub>OH, 78,5; C<sub>33</sub>H<sub>67</sub>OH.

6Ж45. Гидрирование диэтилвинилацетиленилкарбинола на платиновом и палладиевом катализаторах. Борода Т. А. «Укр. хим. ж.», 1960, 26, № 3, 334—340. Диэтилвинилацетиленилкарбинол (I) гидрируется в присутствии Рт-черни (II) в диэтилбутилкарбинол (III), а в присутствии коллоидального Pd (IV) — только до этиленового спирта. В последнем случае первые два атома Н присоединяются по месту тройной связи с образованием карбинола с конъюгированными двойными связями, а вторые два атома Н присоединяются изолированно к каждой двойной связи. 1,014 г I в присутствии 0,311 г II гидрируют 40 мин. при 20°, получают III, т. кип. 178—179°/752,5 мм, n<sub>D</sub><sup>20</sup> 1,4352, d<sub>4</sub><sup>20</sup> 0,8312. 3,1 г I в присутствии 5,6 мл IV при 15° за 22 мин. присоединяет два атома Н, получают (C<sub>2</sub>H<sub>5</sub>)<sub>2</sub>CONCH=CHCH=CH<sub>2</sub>, т. кип. 59—61°/6 мм, n<sub>D</sub><sup>20</sup> 1,4647, d<sub>4</sub><sup>20</sup> 0,8684; после присоединения еще двух атомов Н получают C<sub>8</sub>H<sub>18</sub>O, т. кип. 54—55°/5 мм, n<sub>D</sub><sup>20</sup> 1,4497, d<sub>4</sub><sup>20</sup> 0,8495. Окисление последнего перманганатом дает пропионовую (V), муравьиную (VI), α-окси-α-этилмасляную (VII) и немного щавелевой к-ты, диэтилкетон и лактон γ-окси-γ-этилкапроновой к-ты (VIII к-та), а при озонировании получают V—VIII. К. Пузичкий

6Ж46. Синтез и превращение α-гликолей этиленового ряда. VIII. Превращение 2,3-диметилпентен-4-диола-2,3. Челпанова Л. Ф., Кормер В. А., Немировский В. Д. «Ж. общ. химии», 1960, 30, № 5, 1476—1479. Дегидратация 2,3-диметилпентен-4-диола-2,3 (I) действием 10%-ной H<sub>2</sub>SO<sub>4</sub> сопровождается пикировкой перегруппировкой и приводит к образованию 3,3-диметилпентен-4-ола-2 (II). К смеси 8 г H<sub>2</sub>SO<sub>4</sub>, 125 мл H<sub>2</sub>O и 2 г HgO прибавляют при перемешивании 105 г (CH<sub>3</sub>)<sub>2</sub>CONC≡CH, отгоняя с паром диметилацетиленкарбинол (III), который высаливают из отгона K<sub>2</sub>CO<sub>3</sub>; выход 75%, т. кип. 140—141°. Взаимодействием 92 г III с HC≡CNa (из 23 г Na) в жидком NH<sub>3</sub> получают 2,3-диметилпентен-4-диол-2,3 (IV), выход 50%, т. кип. 178—180°, n<sub>D</sub><sup>20</sup> 1,4638; d<sub>4</sub><sup>20</sup> 1,103. 18,1 г IV гидрируют 1 мольем H<sub>2</sub> в спирт. р-ре над коллоид. Pd; выход I, 82%, т. кип. 89—90°/15 мм, n<sub>D</sub><sup>20</sup> 1,4600, d<sub>4</sub><sup>20</sup> 0,9660. 43 г I нагревают 4 часа при 100° с 0,3 л 10%-ной H<sub>2</sub>SO<sub>4</sub>, затем экстрагируют эфиром смесь II и в-ва C<sub>14</sub>H<sub>22</sub>O<sub>4</sub> (т. кип. 120—122°/4 мм, n<sub>D</sub><sup>20</sup> 1,4875, d<sub>4</sub><sup>20</sup> 0,9910). Выход II 8 г, т. кип. 107—110°/4 мм, n<sub>D</sub><sup>20</sup> 1,4921, d<sub>4</sub><sup>20</sup> 0,9270; 2,4-динитрофенилгидразон т. пл. 85—87°. II гидрируется над Pd в 3,3-диметилпентанон-2 (V), т. кип. 132—133°, семикарбазон т. пл. 137—138°. Сообщение VII см. РЖХим, 1960, № 3, 9191.

Л. Нахпетян

6Ж47. Действие хлорной извести на винил-этиловый и винил-изопропиловый эфиры. Мовсумзаде М. М., Шихзамаганова С. Г. Азерб. хим. ж. Азерб. хим. ж., 1960, № 1, 17—24 (рез. азерб.). Показано, что действие водн. р-ра CaOCl<sub>2</sub> при 0° на CH<sub>2</sub>=CHOR, где R = C<sub>2</sub>H<sub>5</sub> (I) и изо-C<sub>3</sub>H<sub>7</sub> (II), не приводит к соответствующим оксиям; продуктами р-ции являются CHCl<sub>3</sub>, HCOOH, CH<sub>3</sub>COOH и спирты: C<sub>2</sub>H<sub>5</sub>OH (в случае I) и изо-C<sub>3</sub>H<sub>7</sub>OH (в случае II).

Л. Нахпетян

6Ж48. Алкилирование нитрилов. Получение кетениминов. Newman Melvin S., Fukunaga T., Miwa T. Alkylation of nitriles: ketenimine formation. «J. Amer. Chem. Soc.», 1960, 82, № 4, 873—875 (англ.). Алкилированием RR'CHCN (Ia—г, где R = C<sub>2</sub>H<sub>5</sub>, R' = H; б R = R' = изо-C<sub>3</sub>H<sub>7</sub>; в R = трет-C<sub>4</sub>H<sub>9</sub>, R' = H; г R = трет-C<sub>4</sub>H<sub>9</sub>, R' = изо-C<sub>3</sub>H<sub>7</sub>) в присутствии амда Na, K или Li с помощью R<sup>x</sup>X (II) получены RR'R''CCN

(IIIa—и, где а R = R' = R'' = C<sub>2</sub>H<sub>5</sub>; б R = R' = изо-C<sub>3</sub>H<sub>7</sub>, R'' = CH<sub>3</sub>; в R = R' = изо-C<sub>3</sub>H<sub>7</sub>, R'' = C<sub>2</sub>H<sub>5</sub>; г R = R' = R'' = изо-C<sub>3</sub>H<sub>7</sub>; д R = R' = изо-C<sub>3</sub>H<sub>7</sub>, R'' = изо-C<sub>4</sub>H<sub>9</sub>; е R = трет-C<sub>4</sub>H<sub>9</sub>, R' = R'' = CH<sub>3</sub>; ж R = трет-C<sub>4</sub>H<sub>9</sub>, R' = R'' = C<sub>2</sub>H<sub>5</sub>; з R = трет-C<sub>4</sub>H<sub>9</sub>, R' = изо-C<sub>3</sub>H<sub>7</sub>, R'' = C<sub>2</sub>H<sub>5</sub>; и R = трет-C<sub>4</sub>H<sub>9</sub>, R' = изо-C<sub>3</sub>H<sub>7</sub>, R'' = изо-C<sub>4</sub>H<sub>9</sub>), а также RR'CHCONHR'' (IV а, б) (где а R = R' = R'' = изо-C<sub>3</sub>H<sub>7</sub>, б R = трет-C<sub>4</sub>H<sub>9</sub>, R' = R'' = изо-C<sub>3</sub>H<sub>7</sub>) или RR'C=C=NR'' (Va, б), где а R = трет-C<sub>4</sub>H<sub>9</sub>, R' = R'' = изо-C<sub>3</sub>H<sub>7</sub>; б R = трет-C<sub>4</sub>H<sub>9</sub>, R' = изо-C<sub>3</sub>H<sub>7</sub>, R'' = изо-C<sub>4</sub>H<sub>9</sub>). Алкилированием 226 г NCCN<sub>2</sub>COOC<sub>2</sub>H<sub>5</sub> получают 84% (изо-C<sub>3</sub>H<sub>7</sub>)<sub>2</sub>C(CN)COOC<sub>2</sub>H<sub>5</sub>, из 334,5 г которого кипячением 26 час. со 100 мл спирта и 1,2 кг 35%-ного KOH получают 98% (изо-C<sub>3</sub>H<sub>7</sub>)<sub>2</sub>C(CN)COOH, 282 г последней нагревают до 180—200° с 2 г Cu-порошка и получают 85% Ib, т. кип. 168—169°, n<sub>D</sub><sup>20</sup> 1,4167. Аналогично получают Iv, выход 72%, т. кип. 135—137°. Добавляют I и II к амиду Na, K или Li в жидком NH<sub>3</sub>, удаляют NH<sub>3</sub>, добавляют воду, эфирно-бензольный экстракт обрабатывают 2 н. HCl, выделяют III или IVa, (IVb и Va—б выделяют без обработки к-той; р-р IVb в петр. эфире обрабатывают 6 н. HCl при 0°). Перечислены I, II, молярное отношение II:I, время р-ции в часах, III, выход его в %, т. кип. в °C, n<sub>D</sub><sup>20</sup>, IV или V, их выход в %: Ia, C<sub>2</sub>H<sub>5</sub>SO<sub>4</sub>, 2,4, 24, IIIa, 63, —, —, —; Ib, C<sub>2</sub>H<sub>5</sub>Br (IIa), 4,4, 30, IIIb, 84, 186—187, 1,4288, —; Ic, C<sub>2</sub>H<sub>5</sub>Br (IIb), 1,5, 30, IIIв, 78, 80—81/10, 1,4386, —; Id, изо-C<sub>3</sub>H<sub>7</sub> (IIв), 1,3, 18, IIIг, 50, 220—221, 1,4491, IVa, 25 [т. пл. 168,8—169,4° (из бал.-петр. эф.)]; Ib, изо-C<sub>3</sub>H<sub>7</sub>Br (IIг), 1,1, 15, IIIд, 84, 82—83/3, 1,4443, IV, следы; Iv, IIa, 4,4, 35, IIIе, 78, 168—169 (т. пл. 133,6—134,2°), —, —; Iv, IIб, 2,2, 40, IIIж, 65, 198—200, 1,4350, —; Iv, IIв, 2,4, 30, —, —, —, IVб, 56 [т. пл. 150,3—150,8° (из бал.-петр. эф.)]; Iv, IIв, 3,6, 30, —, —, —, Va, 28 (т. кип. 73—74°/14 мм, n<sub>D</sub><sup>20</sup> 1,4481, d<sub>4</sub><sup>20</sup> 0,7958); Ig, IIб, 1,2, 24, IIIз, 56, 223—224, 1,4497, V, следы; Ig, IIг, 1,1, 24, IIIи, 39, 89—89,5, 1,4490, Vб, 12 (т. кип. 90,5—91,8°/14 мм, n<sub>D</sub><sup>20</sup> 1,4480, d<sub>4</sub><sup>20</sup> 0,7960). А. Волков

6Ж49. Об алифатических нитросоединениях. XIX. Восстановление нитроэфиров хлористым цинком. Dornow Alfred, Müller Arno. Über aliphatische Nitroverbindungen. XIX. Über die Reduktion von Nitroolefinen mit Zinn (II)-chlorid. «Chem. Ber.», 1960, 93, № 1, 32—40 (нем.). При медленном прибавлении р-ра ZnCl<sub>2</sub> в CH<sub>3</sub>OH и HCl-к-ты к охлажд. суспензии RCH=CH(R') (Ia—е здесь и далее а R = C<sub>2</sub>H<sub>5</sub>, R' = CH<sub>3</sub>; б R = C<sub>2</sub>H<sub>5</sub>, R' = C<sub>2</sub>H<sub>5</sub>; в R = C<sub>2</sub>H<sub>5</sub>, R' = H; г R = C<sub>4</sub>H<sub>9</sub>, R' = C<sub>2</sub>H<sub>5</sub>; д R = CH(C<sub>2</sub>H<sub>5</sub>)<sub>2</sub>, R' = H; е R = CCl<sub>3</sub>, R' = H) в водн. CH<sub>3</sub>OH образуются с хорошими выходами CH<sub>3</sub>OCHRCR' (=NOH) (II). При проведении этой р-ции в этаноле получают α-токси-оксиями. Из II действием формальдегида в кислой среде получены CH<sub>3</sub>OCHRCOR' (III). Приведено в-во, выход в %, т. кип. в °C/мм или т. пл. в °C: IIa, 66, 59—61 (из петр. эф.); IIб, 71, 112—114/12; IIв, 71, 108/1; IIг, 67, 85—86/0,3; IIд, 75, 105/12; IIа, 87, 107—108/15; IIб, 83, 71/12 (семикарбазон, т. пл. 134—135°); IIв, 33, 119—120/12. При проведении р-ции прибавлением р-ра I к восстанавливающей смеси образуются смеси RCH<sub>2</sub>CH(NO<sub>2</sub>)R' (IV) и RCH<sub>2</sub>C(=NOH)R' (V), которую разделяют выделением V в виде солей HCl. Действием формальдегида на IV получены RCH<sub>2</sub>C(NO<sub>2</sub>)(CH<sub>2</sub>OH)R (VI). Приведены в-во, выход в %, т. кип. в °C/мм или т. пл. в °C: IVa, 46, 106—108/4; IVб, 12, 82—84/12; IVв, 24, 108/1; IVд, 75, 99—100/12; IVе, 63, 98—101/12; Va, 20, 68—69 (из эф.); Vб, 79, 112—113/12; Vв, —, 103—104 (из эф.); Vг, 58, 96—98/1; VIa, 68, 113—114/0,8; VIв, 44, 134/1,4; VIд, 79, 76—79/1. Вероятно, при восстановлении I в качестве промежуточных продуктов образуются аци-формы нитросоединений. Бромированием I синтезированы RCHBrCBr(NO<sub>2</sub>)R' (VII), при восстановлении которых образуются те же самые продукты, что и в случае I. Вероятно, р-ция идет по схеме: VII → [I] → II + IV. Получены: II (R = C<sub>2</sub>H<sub>5</sub>, NO<sub>2</sub> = n, R' =

= Н), 82, 145—147 (из бал.-пепт. эф.); IV (R = CCl<sub>2</sub>F, R' = Н), 68, 87—89/12; VIe, —, — (не перегоняется); VII (R = CCl<sub>2</sub>F, R' = Н), 40, 113—115/13. Из Ia в этаноле получен C<sub>6</sub>H<sub>5</sub>CH(OC<sub>2</sub>H<sub>5</sub>)C(=NOH)CH<sub>3</sub>, выход 42%, т. кип. 117°/0,7 мм. Сообщение XVIII см. РЖХим, 1961, 4Ж110. Г. Коричев

**6Ж50.** Исследование янтарных кислот. 5. Получение и свойства диастереоизомеров тетраалкилянтарных кислот. Eberson Lennart. Studies on succinic acids. 5. The preparation and properties of diastereoisomers of tetraalkylsuccinic acids. «Acta chem. scand.», 1960, 14, № 3, 641—649 (англ.).—Получены диастереоизомеры тетраалкилянтарных к-т: α,α'-диметил-α,α'-диэтил (I)-, α,α'-диметил-α, α'-дипропил (II) и α,α'-диметил-α,α'-диизопропилянтарной (III). Измерены их K<sub>1</sub> и K<sub>2</sub>; предположено, что для каждой пары стереоизомера с меньшим отношением K<sub>1</sub>/K<sub>2</sub> представляет собой мезо-форму. К 96 г NH<sub>2</sub>NH<sub>2</sub> · H<sub>2</sub>SO<sub>4</sub> и 75 г NaCN в 1,5 л воды прибавляют 96 г CH<sub>3</sub>COC<sub>2</sub>H<sub>5</sub> и взбалтывают 48 час., эфирный экстракт испаряют (вакуум), остаток растворяют в 200 мл CH<sub>3</sub>COOH + 100 мл конц. HCl; при 5° за 2 мин. прибавляют эквимолярное кол-во Br<sub>2</sub> в 400 мл 70%-ной CH<sub>3</sub>COOH, через 0,5 часа выливают в воду (0°), выделяют бисазонитрил (IV), выход 80 г (из пепт. эф.). IV кипятят 20 час. с 500 мл CCl<sub>4</sub>, упаривают, фракционированной кристаллизацией остатка из лигрина выделяют высокоплавкий (ВП) α,α'-диметил-α,α'-диэтилсукцинонитрил (V), выход 22%, т. пл. 99—101° и низкоплавкий (НП) V, выход 17%, т. пл. 44—45°. 10 г ВП V кипятят 20 час. с 50 мл конц. H<sub>2</sub>SO<sub>4</sub>, 20 мл воды и 60 мл CH<sub>3</sub>COOH, выливают в воду, эфиром извлекают НП ангидрид I, т. пл. 32—33° (из пепт. эф.). Кипячением ангидрида с 10%-ным КОН и подкислением получают ВП I, т. пл. 189—192° (из этилацетата). ВП V (48 час. кипения с 30%-ным КОН) превращают в α,α'-диметил-α,α'-диэтилсукцинимид (VI) с т. пл. 97—99°. Кислотный гидролиз ВП VI приводит к НП ангидриду I. 10 г НП V гидролизуют аналогично ВП V, выделяют 9 г (неочищ.) ВП ангидрида I, т. кип. 124—126°/12 мм, т. пл. 40—42° (из пепт. эф.). Гидролиз дает НП I, т. пл. 182—184° (из этилацетата). Щел. гидролиз НП V приводит к НП VI, т. пл. 92—95° (из лиг.); кислый гидролиз НП VI дает ВП ангидрид I. Аналогично IV синтезируют бисазонитрил, исходя из CH<sub>3</sub>COC<sub>2</sub>H<sub>5</sub>, выход смеси нитрилов после кипячения с CCl<sub>4</sub>, 21%; фракционированной кристаллизацией из лигрина выделяют только ВП α,α'-диметил-α,α'-дипропилсукцинонитрил (VII), т. пл. 83—85°. 10 г смеси нитрилов гидролизуют H<sub>2</sub>SO<sub>4</sub> + H<sub>2</sub>O + HC<sub>3</sub>COOH и неочищ. ангидрид гидролизуют, как описано выше, выделяют 1,9 г ВП III, т. пл. 173—175° (из этилацетата). Из III и CH<sub>3</sub>COSiCl<sub>3</sub> получают ангидрид III, т. кип. 114—116°/12 мм. Из маточного р-ра после ВП III бензином осаждают 1,1 г НП II, т. пл. 166—167° (из CH<sub>3</sub>COOH + лигр.); ангидрид, т. кип. 115—118°/14 мм; ВП VII соответствует ВП II. Электролизом моноэтилового эфира метилпропилмалоновой к-ты получают диэтиловый эфир II, выход 35%, т. кип. 119—120°/2 мм, n<sub>D</sub><sup>20</sup> 1,4468, d<sub>4</sub><sup>20</sup> 0,9704. Кислый гидролиз эфира приводит к ВП и НП I. Исходя из CH<sub>3</sub>COC<sub>2</sub>H<sub>5</sub> изо получают (после действия CCl<sub>4</sub>) смесь нитрилов, выход 13%, из которой выделяют ВП α,α'-диметил-α,α'-диизопропилсукцинонитрил, т. пл. 67—68° (из бен.). Гидролизом 10 г смеси нитрилов выделяют 1 г ВП III, т. пл. 169—172° (из этилацетата), ангидрид, т. пл. 65—66° (из бен.). Из маточного р-ра после ВП III выделяют 0,7 г НП III, т. пл. 131—132° (из этилацетата + бен.), ангидрид, т. пл. 78—79° (из бен.). ВП нитрил отвечает ВП III. Электролизом моноэтилового эфира метилизопропилянтарной к-ты получают соответствующий диметиловый эфир C<sub>4</sub>H<sub>10</sub>O<sub>4</sub>, выход 24%, т. кип. 125—130°/4 мм, n<sub>D</sub><sup>20</sup> 1,4558, d<sub>4</sub><sup>20</sup> 1,0035, который дает ВП и НП III. После разложения и гидролиза бисазонитрила, полученного из

пинаколлона, выделяют метил-(трет-бутил)-уксусную к-ту. Часть IV см. РЖХим, 1960, № 16, 64320.

**6Ж51.** О простом методе производства β-бромпропионовой кислоты. Voigtländer Wolfgang. Über ein vereinfachtes Verfahren zur Herstellung von β-Brompropionsäure. «Chem. Techn.», 1960, 12, № 6, 343 (нем.).—Разработан метод получения β-бромпропионовой к-ты (I). Водн. р-р NaCN при 70—90° добавляют к этиленхлоргидрину (II), сырой водн. этилендиангидрин (III) после отделения NaCl переводят в 1 40—60%-ной HBr. Этот метод не требует точной регулировки т-ры, более высокая т-ра примерно наполнения сокращает время процесса, отпадает промежуточная перегонка III, повышается выход I. К 500 г II при ~60° добавляют 305 г NaCN в 500 мл воды, поддерживают 70—90°, перемешивают 30 мин. при 90°, добавляют 2,2 л 40%-ной HBr, кипятят 2 часа, отгоняют воду и HBr, остаток экстрагируют CCl<sub>4</sub> или CHCl<sub>3</sub>, получают 590—600 г I, т. пл. 59—61°.

**6Ж52.** Исследование восстановления некоторых эпосиксидов с длинными цепями. Julietti F. J., Mc Ghee J. F., Rao B. L., Ross W. A. Studies in the reduction of some long chain epoxy acids. «Chemistry and Industry», 1960, № 27, 874 (англ.).—При восстановлении LiAlH<sub>4</sub> в эфире *цис*-эпоксид к-ты с длинными цепями дают диолы, *транс*-кислоты — эпоскиспирты; в тетрагидрофуране же из обоих стереоизомеров образуются диолы. *Цис*- и *транс*-9,10-эпосиктадекановые к-ты (I) с LiAlH<sub>4</sub> в эфире дают смесь 9- и 10-оксиктадеканолов-1 с т. пл. 70°, а *транс*-I дает *транс*-9,10-эпосиктадеканол-1, т. пл. 49—50°. Восстановление LiAlH<sub>4</sub> в тетрагидрофуране как из *цис*-, так и из *транс*-I дает смесь 9- и 10-оксиктадеканолов-1. Показано, что в отличие от данных (РЖХим, 1954, № 8, 23370) и при каталитич. восстановлении *цис*- и *транс*-I разрыв окисранового кольца происходит не по одному, а по двум направлениям.

**6Ж53.** Синтез этилового эфира 4,6,9,11,14-пентакетопентадекановой кислоты и этилового эфира 4,6,9,11,14,16,19-гептакетойкозановой кислоты. Зотчик Н. В., Евстигнеева Р. П., Преображенский Н. А. «Ж. общ. химии», 1960, 30, № 7, 2259—2261.—В ходе исследования кляйзеновской конденсации этилового эфира (ЭЭ) левулиновой к-ты (I) (РЖХим, 1961, 3Ж63) и ЭЭ 4,6,9-трикетокпропионовой к-ты (II) получены соответственно ЭЭ 4,6,9,11,14-пентакетопентадекановой к-ты (III, IV к-та), IV и ЭЭ 4,6,9,11,14,16,19-гептакетойкозановой к-ты (V). В качестве побочного соединения в первом случае выделен эфир II. Полученные β-дикетоны дают красное окрашивание со спирт. р-ром FeCl<sub>3</sub>, титруются NaOH и образуют Су-производные. Разделение и очистку II—V проводят через медные енولاتы (МЕ) (РЖХим, 1958, № 5, 14361), которые, согласно данным ИК-спектров, имеют хелатную структуру. Линейное строение II—V подтверждено результатами определения кол-ва СН-групп, связанных с С. К 5,65 г Na в виде проволоки в 100 мл эфира прибавляют 35,3 г I и оставляют на 5—6 час. при ~20°, Na-енولات отделили, промывают эфиром и растворяют в 450 мл ледяной воды; р-р подкисляют 60 мл HCl (1:1), извлекают эфиром и экстракт упаривают в вакууме, остаток (14 г) растворяют в 250 мл CH<sub>3</sub>OH и прибавляют 100 мл насыщ. р-ра (CH<sub>3</sub>COO)<sub>2</sub>Cu, отделили МЕ, промывают CH<sub>3</sub>OH и эфиром (по 20 мл), выход 7,5 г. Далее суспендируют МЕ в 30 мл сухого CH<sub>3</sub>OH и обрабатывают H<sub>2</sub>S, упариванием филтраты получают III, выход 17,08%. Метанольный маточный р-р после отделения МЕ упаривают в вакууме и остаток обрабатывают 50 мл эфира. Затвердевший МЕ отфильтровывают, промывают 20 мл безводн. эфира и высушивают на воздухе, выход 8,3 г. МЕ разлагают H<sub>2</sub>S, получают IV, выход 18,4%. Из

)-уксусную  
20.

Карнаулова  
β-бромпро-  
oif ang.  
tellung von  
12, № 6,  
β-бромпро-  
-90° добав-  
ци. этилен-  
еводит в 1  
чной регу-  
наполно-  
промежу-  
K 500 г II  
воды, под-  
и при 90°  
часа, отго-  
CCl<sub>4</sub> или

Б. Руденко  
некоторых  
tti F. J.,  
Studies in  
is. «Chemi-  
— При вве-  
с длин-  
— эпокси-  
стереоизо-  
поксиакто-  
с смесь 9- и  
анс-I дает  
°. Восста-  
чис, так  
канолов-I  
Ким, 1954,  
ни час- и  
дит не по  
Карнаулова  
1,44-пента-  
эфира 4,6,9,  
Зотчий  
енский  
9—2261.—  
сация эти-  
(РЖХим,  
к-ты (II)  
пентакето-  
Э 4,6,9,11,  
качестве  
элен эфир  
окрашива-  
и образу-  
I—V пре-  
Ким, 1953,  
спектров,  
ние II—V  
л-ва СН<sub>3</sub>-  
проволонки  
аляют на  
омаывают  
р-р под-  
ом и экс-  
створяют  
ищ. р-ра  
и эфир-  
нунт ME  
упарива-  
%. Мета-  
упарива-  
л эфира.  
ют 20 мл  
ход 8,3 г,  
8,4%. И

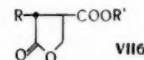
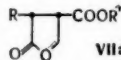
эфирного маточного р-ра после удаления р-рителя выделяют 2,1 г II. К 1,9 г мелко раздробленного Na в 50 мл безводн. кислоты прибавляют 10 г II и нагревают 5—6 час., через 12 час. отделили Na-енолят, выход 12,1 г. Енолят растворяют в 100 мл ледяной воды, извлекают эфиром, подкисляют 20 мл разб. HCl (1:1) и выделившееся масло извлекают 150 мл эфира и сушат Na<sub>2</sub>SO<sub>4</sub>. После удаления р-рителя в вакууме получают 4,8 г технич. V, из которого выделяют аналогично предыдущему опыту 2,7 г ME. Из метанольного маточного р-ра после растирания с эфиром выделяют 1,9 г ME. После разложения енолята H<sub>2</sub>S получают V в виде аморфного в-ва, выход 27,54%. Из эфирного маточного р-ра выделяют 0,8 г II. Г. Серебренникова

**6Ж54.** Кляйзеневская конденсация эфиров β-метиллевулиновой кислоты. Евстигнеева Р. П., Глыбина В. А., Окарт Е. В., Преображенский Н. А., «Ж. общ. химии», 1960, 30, № 7, 2261—2263.—При сложной эфирной конденсации этилового эфира (ЭЭ) и метилового эфира (МЭ) β-метиллевулиновой к-ты (Ia, б) получены соответствующие эфиры 3,8-диметил-4,6,9-трикетоксапропиновой к-ты (IIa, б). Конденсация между Ia и Ib протекает с образованием IIб. Личейное строение IIa, б доказано окислением по Купу—Роту. Омыление IIa и IIб приводит к соответствующей к-те (III), идентифицированной через моносимкарбазон (МСК). Ia—б синтезированы из α-карбоксии-Ia (IV), полученной при взаимодействии α-бромэтилметилкетона с CHNa(COOR)<sub>2</sub>. IV подвергли избирательному омылению и декарбоксилированию. К C<sub>2</sub>H<sub>5</sub>ONa (из 4 г Na в 100 мл спирта) прибавляют 40 г IV, т. кип. 118—120°/3 мм, и 3 мл воды, через 12 час. нагревают 1 час, упаривают в вакууме, остаток растворяют в 100 мл воды и извлекают эфиром. Водн. р-р подкисляют HCl-к-той, извлекают 200 мл эфира, остаток после удаления р-рителя нагревают 3 часа при 150—160°, перегонкой получают Ia, выход 10,1 г, т. кип. 99—110°/14 мм, β-метиллевулиновую к-ту, выход 4,9 г, т. кип. 115—116°/3 мм и 5,5 г IV. К 1,68 г Na в виде проволоки в 100 мл сухого эфира прибавляют постепенно 23 г Ia, через 12 час. эфир декантируют, осадок промывают эфиром, растворяют в ледяной воде, подкисляют HCl-к-той, эфиром извлекают IIa, выход 30,6% (с учетом возврата енолята Ia), т. кип. 160—162°/0,35 мм, *n*<sub>D</sub><sup>20</sup> 1,4870, *d*<sub>4</sub><sup>20</sup> 1,1180, К р-ру 1 г Ia в 2,5 мл СН<sub>3</sub>ОН прибавляют 20 мл HCl (1:2) и нагревают 24 часа, горячий гидролизат обрабатывают 0,2 г активированного С, выделяют 50% III. МСК, т. пл. 180—181°. Аналогично из 7 г Ib и 0,56 г Na в 100 мл сухого эфира получают IIб, выход 37,5%, т. кип. 174—176°/0,5 мм. При взаимодействии эквивалентных кол-в Ia и Ib получают IIб, выход 30,4%, т. кип. 174—176°/0,5 мм. Г. Серебренникова

**6Ж55.** Окисление надбензойной кислотой кротонных и винилуксусных производных. Rambaud R., Vessière M., Mme Oxydation perbenzoïque de dérivés crotoniques et vinyliacétiques. «Bull. Soc. chim. France», 1960, № 6, 1114—1116 (франц.).—При действии надбензойной к-ты (I) на сложные эфиры олефиновых к-т получают α-эпоксины с небольшими выходами, действие I на олефиновые к-ты приводит к α-диолам (р-ция усложняется в случае самопроизвольной дегидратации). Нитрилы не чувствительны к действию I. 35 г винилуксусной к-ты взаимодействуют с 56 г I в СНCl<sub>3</sub> (20°, 5 дней), отгоняют р-ритель, добавляют воду, нейтрализуют NaHCO<sub>3</sub>, эфиром извлекают этиловый эфир 3,4-эпоксимасляной к-ты (II), выход 35%, т. кип. 71,5—72,5°/13 мм, *n*<sub>D</sub><sup>19</sup> 1,425, *d*<sub>19</sub> 1,063; щел. гидролиз которого приводит к транс-γ-оксикротоновой к-те, т. пл. 107°, а кислотный гидролиз — к 3-оксипропанолу; фенилгидразон, т. пл. 101°. Аналогичное действие I (10 дней) на эфиры кротоновой к-ты получают эфиры 2,3-II [приведены эфир, выход в %, т. кип. в °C/мм, *n*<sub>D</sub>, *d* (т-ра)]: метиловый, 10,

85—86/48, 1,421, 1,091 (20); этиловый, 20, 93,5—94/45, 1,421, 1,039 (20); пропиловый, 10, 82—82,5/15, 1,430, 1,023 (18,5). Кислый гидролиз дает смесь 2,3-диоксимасляных к-т, т. пл. 74 и 81,5°, гидразиды, т. пл. 129,5 и 109°. Приведены спектры комб. расс. света эпокси-эфиров.

Ф. Псалты  
**6Ж56.** Синтез рацемических стереоизомерных α-алкилпараоксеновых кислот. Преображенский Н. А., Маурит М. Е., Базилевская Г. И., Смирнова Г. В., Эльманович М. М., Валаханович А. И., Персиянова Э., «Ж. общ. химии», 1960, 30, № 7, 2250—2256.—Синтезированы рац. стереоизомерные α-метил-, α-этил-, α-пропил-, α-изопропилпараоксеновые к-ты (Ia, б, в, г). Из 217 г масляной к-ты при действии 253 г SOCl<sub>2</sub> (65—70°, 4 часа) получают хлорангидрид, который переводят при действии 434 г Br<sub>2</sub> (60—65°, 20—24 часа) в соответствующее α-бромпроизводное, а затем при добавлении 156 г спирта — в этиловый эфир (ЭЭ) α-броммасляной к-ты (II), выход 77,8%, т. кип. 69—71°/17 мм. Аналогично синтезируют RCHBrCOOR' (здесь и далее приведены R, R', выход в %, т. кип. в °C/мм): CH<sub>3</sub>, C<sub>2</sub>H<sub>5</sub>, 64,6, 53—54/17; *n*-C<sub>3</sub>H<sub>7</sub>, C<sub>2</sub>H<sub>5</sub>, 75, 84—85/10; *изо*-C<sub>3</sub>H<sub>7</sub>, CH<sub>3</sub>, 71,6, 64—65/13. При кипячении (3—4 часа) 374 г II со спирт. р-ром



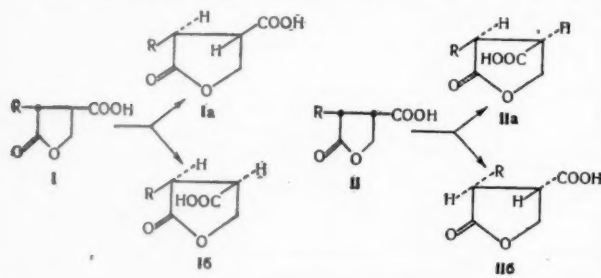
CHNa(COOC<sub>2</sub>H<sub>5</sub>)<sub>2</sub> (из 337 г маленового эфира и 750 г 17,35%-ного спирт. р-ра C<sub>2</sub>H<sub>5</sub>ONa) получают α,α,β-бутантикарбонный эфир (III), выход 93,1%, т. кип. 160—167°/18 мм. Аналогично синтезируют RCH(COOR')CH(COOC<sub>2</sub>H<sub>5</sub>)<sub>2</sub>: CH<sub>3</sub>, C<sub>2</sub>H<sub>5</sub>, 82,8, 136—138/7; *n*-C<sub>3</sub>H<sub>7</sub>, C<sub>2</sub>H<sub>5</sub>, 70,2, 144—148/11; *изо*-C<sub>3</sub>H<sub>7</sub>, CH<sub>3</sub>, 79,3, 151—156/13. 490 г III кипятят 10—12 час. с 1,96 л 18%-ной HCl до исчезновения слоев и упаривают досуха, выход этиллярной к-ты (IV) 99,6%. Омылением соответствующих α,α,β-алкилтрикарбонных эфиров получены алкиллярные к-ты (приведены R, т. пл. в °C): CH<sub>3</sub>, 110—111 (из воды); C<sub>2</sub>H<sub>5</sub>, 96—97 (из хлф.); *n*-C<sub>3</sub>H<sub>7</sub>, 93—94 (из бэл.); *изо*-C<sub>3</sub>H<sub>7</sub>, 116,5—117 (из сп.); 260 г IV кипятят с 1,04 л безводн. спирта в присутствии 20,8 мл конц. H<sub>2</sub>SO<sub>4</sub>, получают диэтиловый эфир IV (V), выход 77,6%. Аналогично получены ди-ЭЭ алкиллярных к-т (приведены R, выход в %, т. кип. в °C/мм, *n*<sub>D</sub><sup>20</sup>, *d*<sub>4</sub><sup>20</sup>): CH<sub>3</sub>, 78,4, 102/15, 1,4231, 1,0244; C<sub>2</sub>H<sub>5</sub>, 77,6, 117/17, 1,4240, 0,9992; *n*-C<sub>3</sub>H<sub>7</sub>, 78,2, 107/9; *изо*-C<sub>3</sub>H<sub>7</sub>, 87,5, 114/7, 1,4296, 0,9970. К суспензии 93,3 г СН<sub>3</sub>ONa в 650 мл сухого толуола прибавляют 279 г V и 166 г HCOOC<sub>2</sub>H<sub>5</sub>. Через 48 час. (10—15°) приливают 426 мл ледяной воды, из органич. слоя выделяют 85 г V. Водн. слой нейтрализуют 20%-ной H<sub>2</sub>SO<sub>4</sub>, масло отделяют, водн. слой экстрагируют толуолом, из объединенного экстракта получают ди-ЭЭ α-этил-α'-формиллярной к-ты (VI), выход 90,2%, т. кип. 117—119°/7, *n*<sub>D</sub><sup>20</sup> 1,4496, *d*<sub>4</sub><sup>20</sup> 1,0860. Аналогично получены ди-ЭЭ α-алкил-α'-формиллярных к-т (приведены R, выход в %, т. кип. в °C/мм, *n*<sub>D</sub><sup>20</sup>, *d*<sub>4</sub><sup>20</sup>): CH<sub>3</sub>, 86,7, 121—127/9, 1,4530, 1,1440; *n*-C<sub>3</sub>H<sub>7</sub>, 86,1, 167—172/15, 1,4490, 1,0677; *изо*-C<sub>3</sub>H<sub>7</sub>, 79,1, 141—147/6, 1,4512, 1,0561. 199,2 г технич. VI восстанавливают (80—100 ат, 110—120°, 3—4 часа) в присутствии 20 г скелетного Ni и 200 мл безводн. спирта, фильтрат упаривают, перегонкой остатка в вакууме при 10 мм получают фракции: до 140°, 140—144° и 145—148°. Последние охлаждают до (15—12°) и кристаллы отделяют. Фильтрат вновь подвергают разгонке и вымораживанию. Получают 80 г жидкого стабильного (С) α-этилпараоксенового эфира (VIIa) и 76 г кристаллич. лабильной (Л) формы (VIIб). Общий выход VIIa и VIIб 96,8%, перекристаллизовывают из толуола и эфира. Синтезированы также ЭЭ α-Р-параоксеновых к-т (приведены R, форма Л или С, т. кип. в °C/мм для



всех в-в, т. пл. в °C,  $n_D^{20}$ ,  $d_4^{20}$ :  $\text{CH}_3$ , С, 138—140/11, —, 1,4486, 1,4470;  $\text{C}_2\text{H}_5$ , Л, 148—150/11, —, 1,4511, 1,1545;  $\text{C}_3\text{H}_7$ , С, 140—141/10, —, 1,4475, 1,1076;  $\text{C}_2\text{H}_5$ , Л, 148/10, 48—49, —, —;  $n\text{-C}_3\text{H}_7$ , С, 143—145/10, —, —, —;  $n\text{-C}_3\text{H}_7$ , Л, 150—151/10, 52—53, —, —;  $\text{изо-C}_3\text{H}_7$ , С, 148—150/8, —, 1,4478, 1,0832;  $\text{изо-C}_3\text{H}_7$ , Л, 154—155/8, 54—55, —, —. 59 г VIIб кипятят 4 часа с 177 мл 10%-ной  $\text{HCl}$ , упаривают в вакууме, остаток сушат и перекристаллизовывают из толуола. VIIа омыляют при нагревании 8—10 час. Так же получают Ia, г (приведены I, для формы С и Л выход в %, т. пл. в °C, т. пл. смешанной пробы С и Л): а, 52,1, 58,3, 94—94,5 (из  $\text{C}_4\text{H}_9\text{OH}$ ), 128,5—130 (из  $\text{C}_4\text{H}_9\text{OH}$ ), 79—80,5; б, 70, 79,6, 87,5—88 (из сп.), 89—90 (из толуола), 64—67; в, 70,3, 81,1, 82—83 (из бэл.), 155—156 (из бэл.), 69—72; г, 66, 69,7, 94—95 (из бэл.), 161—162 (из воды), 76—78.

Г. Серебрянникова

**6Ж57. Синтез оптически активных  $\alpha$ -алкил- $\gamma$ -бутиролактон- $\beta$ -карбоновых ( $\alpha$ -алкилпараконовых)-кислот.** Маурит М. Е., Штернберг Р. П., Пахомов А. М., Базилевская Г. И., Смирнова Г. В., Преображенский Н. А. «Ж. общ. химии», 1960, 30, № 7, 2256—2259.—Осуществлено расщепление стабильных рац.  $\alpha$ -R-параконовых к-т (I) с помощью стрихнина и лабильных рац.  $\alpha$ -R-параконовых к-т (II) с помощью бруцина на оптически активные изомеры. R-р-у 5 г I (R =  $\text{изо-C}_3\text{H}_7$ ) (т. пл. 94—95°) в 12 мл воды прибавляют при 80° 9,7 г стрихнина, нагревают 2 часа при 80°, через 12 час. (0°) выделяют и перекристаллизовывают из воды стрихниновую соль Ia (R =  $\text{изо-C}_3\text{H}_7$ ) (IIIa), выход 77,5%. Концентрированием фильтрата при 30—40° и 10 мм до  $\frac{1}{3}$  первоначального объема с последующей обработкой спиртом выделяют стрихниновую соль Ib (R =  $\text{изо-C}_3\text{H}_7$ ) (IIIб), выход 70,7%. К насыщ. р-ру 5,7 г IIIа в 114 мл воды прибавляют при охлаждении вычисленное кол-во 0,2 н. КОН, фильтрат экстрагируют эфиром, нейтрализуют 5%-ной  $\text{HCl}$ , упаривают в вакууме досуха, из сухого остатка эфиром извлекают Ia (R =  $\text{изо-C}_3\text{H}_7$ ), выход 83,6%, т. пл. 89—90° (из воды),  $[\alpha]_D^{25} -48,5^\circ$  (с 3,650; вода). Из 10 г IIIб в 30 мл воды, аналогично получают Ib (R =  $\text{изо-C}_3\text{H}_7$ ), выход 93,2%, т. пл. 89—89,7° (из бэл.),  $[\alpha]_D^{25} +46,3^\circ$  (с 3; вода). При взаимодействии 26,9 г I (R =  $\text{C}_2\text{H}_5$ ) с 53,46 г стрихнина в 55 мл воды выделяют 39,5 г соли Ia (R =  $\text{C}_2\text{H}_5$ ) (IVa), которую перекристаллизовывают дважды из воды, выход 78,3%. Из фильтрата выделяют стрихниновую соль Ia (R =  $\text{C}_2\text{H}_5$ ) (IVa), которую перекристаллизовывают дважды из воды, выход 78,3%. Из фильтрата выделяют стрихниновую соль Ib (R =  $\text{C}_2\text{H}_5$ ) (IVб), которую перекристаллизовывают из безводн. спирта, выход 64,2%. Из 32,8 г IVа в 636 мл воды, получают Ia, R =  $\text{C}_2\text{H}_5$ , выход 80,5%, т. пл. 105—105,5° (из воды),  $[\alpha]_D^{20} -58,3^\circ$  (с 3,8835; вода). Из 26,9 г IVб в 80 мл воды, выделяют Ib, R =  $\text{C}_2\text{H}_5$ , выход 90,3%, т. пл. 104,5—105,5° (из сп.),  $[\alpha]_D^{20} +58,55^\circ$  (с 3,9126; вода). Нагреванием 1 час р-ра 2,2 г II, R =  $\text{CH}_3$  (т. пл. 125—126°) в 12 мл воды с 6 г бруцина при 50—55° получают 65,7% бруциновой соли IIа, R =  $\text{CH}_3$ , т. пл. 118—123° (из воды; 1:3),  $[\alpha]_D^{20}$



—20,7° (с 2,548; хлф.); из фильтрата аналогично IIIб с последующей обработкой ацетоном выделяют 72,9% бруциновой соли IIб (R =  $\text{CH}_3$ ) (Vб), т. пл. 137—140°,  $[\alpha]_D^{20} -31,8^\circ$  (с 10,944; хлф.). Аналогично получают Ia, R =  $\text{изо-C}_3\text{H}_7$ , выделяют IIа и б, R =  $\text{CH}_3$ , выход 70,1% и 74,7%, т. пл. 123—124° (из бэл.), и 122,5—124°,  $[\alpha]_D^{20} +19,7^\circ$  (с 9,908; вода) и  $[\alpha]_D^{20} -19,5^\circ$  (с 10,188; вода) соответственно. Т-ра плавления смешанной пробы IIа и б, R =  $\text{CH}_3$ , 129—130°. При взаимодействии 30 г II, R =  $\text{C}_2\text{H}_5$  (т. пл. 89—90°) с 73,5 г Б в 150 мл воды получают соль IIа (R =  $\text{C}_2\text{H}_5$ ) (VIа), выход 96,9%, т. пл. 99—102°. Из фильтрата после упаривания в вакууме и промывания сухого остатка 100 мл ацетона получают бруциновую соль IIб (R =  $\text{C}_2\text{H}_5$ ) (VIб), выход 74,8%, т. пл. 105—107°. Из 50,8 г VIа в 660 мл воды выделяют IIа, R =  $\text{C}_2\text{H}_5$ , выход 68,7%, т. пл. 121—122°,  $[\alpha]_D^{20} +53,55^\circ$  (с 4,426; вода). Из VIб выделяют IIб, R =  $\text{C}_2\text{H}_5$ , выход 72,2%, т. пл. 120—120,5°,  $[\alpha]_D^{20} -53,75^\circ$  (с 3,915; вода).

**6Ж58. Синтез диацетиленовых макроциклических лактонов.** Бергельсон Л. Д., Молотковский Ю. Л., Шемякин М. М. «Изв. АН СССР. Отд. хим. н.», 1960, № 6, 1139.—Разработан метод синтеза диацетиленовых макроциклич. лактонов (I) из эфиров (II)  $\omega$ -ацетиленовых к-т с ацетиленовыми спиртами путем окислительной конденсации II в кипящем 5%-ном р-ре  $(\text{CH}_3\text{COO})_2\text{Cu}$  в смеси эфира с пиридином (1:3) в условиях высокого разбавления (конечная конц-я 0,1%). Приведены II, т. пл. в °C, I, выход в %, т. пл. в °C: бутин-3-ильный эфир ундецин-10-овой к-ты (III к-та), 33,8—34,2, пентадекадин-10,12-олид (IV), 80, 55,5—56; 2-метилбутин-3-ильный эфир III, —, (т. кип. 104°/0,25 мм,  $n_D^{20}$  1,4585,  $d_4^{20}$  0,9219), 14-метилпентадекадин-10,12-олид (V), 60, 30,4—31,4. Гидрированием IV получен пентадеканол. Приведены данные УФ-спектров I и ИК-спектра V. Л. Бергельсон

**6Ж59. Некоторые реакции N-оксиметилдодеканамид.** Petterson R. C., Brownell H. R. Some reactions of N-hydroxymethyl dodecanamide. «J. Organ. Chem.», 1960, 25, № 5, 843—845 (англ.).—При взаимодействии  $\text{C}_{11}\text{H}_{23}\text{CONHCH}_2\text{OH}$  (I) с 1-нафтиллизонаматом (II) или при р-ции Шоттен—Баумана вместо ожидаемых продуктов образуется  $\text{C}_{11}\text{H}_{23}\text{CON}(\text{CH}_2\text{OH})\text{CH}_2\text{NHCOC}_{11}\text{H}_{23}$  (III). Строение III установлено сравнением ИК-спектров I, II и  $(\text{C}_{11}\text{H}_{23}\text{CONHCH}_2)_2\text{O}$  (IV). 10 г лаурамида, 14 г 36%-ного  $\text{CH}_2\text{O}$ , 1,15 мл 30%  $\text{NaOH}$  и 90 мл  $\text{CH}_3\text{OH}$  кипятят 2 часа, выделяют I, выход 88%, т. пл. 110—111° (из сп.), ацетат, т. пл. 74° (из ацетона + изопентана), 1,15 г I нагревают при  $\sim 100^\circ$  с 0,9 г II, лигроином извлекают  $\sim 1$  г III, т. пл. 106—106,5° (из сп.); р-цию воспроизвести не удалось. R 1 г I прибавляют 10%-ный КОН и 1 мл  $\text{C}_6\text{H}_5\text{COCl}$ , взбалтывают 1 час ( $\sim 20^\circ$ ), фильтруют, осадок перекристаллизовывают из спирта и  $\text{CHCl}_3$ ; из маточного р-ра выделяют 0,08 г III. 1 г лаурамида, 2 мл 36%-ного  $\text{CH}_2\text{O}$ , 1 мл 5%-ной  $\text{H}_2\text{SO}_4$  и 10 мл дихлорэтана кипятят 1,5 часа, выделяют IV, выход (неочист.) 57%, т. пл. 155—156° (из сп.).

Е. Караулова  
**6Ж60. Производные ундецен-10-овой кислоты.** Попова Е. Г., Крафт М. Я. «Ж. общ. химии», 1960, 30, № 6, 1787—1791.—Получены ундецин-10-овая к-та (I) (выход 51,8%), хлорангидрид I (получен двумя известными методами, выход 90 и 82% соответственно) и ряд производных I. Приведены в-во, т. кип. в °C/мм или т. пл. в °C, выход в %: амид, 99,5—101,5 (из этилацетата), 74; метиламид, 40—41 (из петр. эф.), 90; N-ундециноилбензимидазол, 65—66 (из петр. эф.-сп.), 88; тиосемикарбазид (II), 125—126 (из бэл.-сп.), —; изотиоцианат, 179/17, 70; N-ундециноил-N'-фенетила-тиомочевина (III), 69—70 (из сп.), 77; n-хлорфениловый эфир, 163/1, 28—29, 77; уреид, 168, (из сп.), 60; n-бромфениловый эфир, 71,5, 75; бутиловый эфир, 170/16, 70; Си-соль (IV), 119—120, —; IV является нестойким соединением и при 3-часовом нагревании пре-

вращается (V), т. встречены добавляю  $\text{HCl}$ , вст док пром дают ак человече vitro) ви 6Ж61. с гем-ди ров Ю. 131, № ного эф не по ти щего пр собой м из I и 2 =  $\text{CHCN}$   $(\text{C}_2\text{H}_5)_2\text{CO}$  смесь к и  $\text{RCH}_2$  подтверд килгидри в моно с образ 35 г I (20°) п IV гидр 90—92° сил-1-г и ли VI перего ил-1-ги (VIII). 2,4-дим  $n_D^{20}$ , (выхо 1,0207; (разл. (II), 0,8533.

6Ж61. Кре 1960, ком с теисс тодом крах окис (5-он ние эфир  $\text{K}_2\text{CO}_3$  155— афир (V), в эт  $\text{CH}_2$  1,477 Са (6 сме млы ост фиц аде хро 0,12 млы та мет ней 13

огично III  
ают 72,9%  
137—140°  
получению  
CH<sub>3</sub>, выход  
122,5—124,  
(с 10,188,  
анной про-  
действии  
в 150 мл  
(Ia), выход  
паривания  
100 мл аце-  
та (VI),  
в 660 мл  
, т. пл.  
VI, выде-  
120—120,5°  
ренникова  
жидких  
овский  
Отд. хим.  
за дице-  
фиров (II)  
ами путем  
6-ном р-ре  
(3) в ус-  
конц-ия  
, т. пл.  
вой к-ты  
дид (IV),  
р III, —  
14-метил-  
Гидри-  
приведены  
ергельсон  
деканами-  
оме геас-  
и. Organ.  
и взаимо-  
изопана  
а вместо  
N(CH<sub>2</sub>OH)  
ено срав-  
2)O (IV).  
% NaOH-  
I, выход  
74° (из  
—100°  
пл. 106—  
удалось.  
C<sub>6</sub>H<sub>5</sub>COCl,  
ок пере-  
раточного  
36%-ного  
на кипа-  
ц.) 57%,  
араулова  
ты. По-  
1960, 30,  
к-та (I)  
дума из-  
ственно)  
в °С/мм  
из этил-  
ф., 90;  
эф.-сп.),  
сп.), —;  
бензил-  
фенил-  
сп.), 60;  
й эфир,  
ется не-  
ни пре-

вращается в эйкозидин-9,11-дикарбоновую-1,20 к-ту (V), т. пл. 112—113,5°. Строение V подтверждено встречным синтезом: к р-ру 18,2 г I в 150 мл спирта добавляют 9,9 г CuCl и 30 г NH<sub>4</sub>Cl в 150 мл 0,08 н. HCl, встряхивают в атмосфере O<sub>2</sub>, подкисляют, осадок промывают водой, получают 75% V. II и III обладают активностью (in vitro) в отношении палочки человеческого туберкулеза, а IV — нейтралizes (in vitro) вирус гриппа.

И. Протопопов  
6Ж61. О взаимодействии азодикарбонового эфира с гем-диалкилбутадиенами. Левина Р. Я., Шабаров Ю. С., Кузьмин М. Г. «Докл. АН СССР», 1960, 131, № 5, 1080—1083. — Взаимодействие азодикарбонового эфира (I) с гем-диалкилбутадиенами протекает не по типу диенового синтеза, а как р-ция замещающего присоединения, продукты которой представляют собой моноамещ. гидразидикарбоновые эфиры. Так, из I и 2,5-диметилгексадиена-2,4 образуется (CH<sub>3</sub>)<sub>2</sub>C=CHCN=C(CH<sub>3</sub>)CH<sub>2</sub>R (II) [R здесь и далее N(NHCOO-C<sub>2</sub>H<sub>5</sub>)COOC<sub>2</sub>H<sub>5</sub>], из I и 2,4-диметилпентадиена-1,3 — смесь изомерных CH<sub>2</sub>=C(CH<sub>3</sub>)CH=C(CH<sub>3</sub>)CH<sub>2</sub>R (III) и RCH<sub>2</sub>C(=CH<sub>2</sub>)CH=C(CH<sub>3</sub>)<sub>2</sub> (IV). Строение II—IV подтверждено гидрированием в соответствующие алкилгидразидикарбоновые жиры и омылением эфиров в моноамещ. гидразины и расщеплением гидразинов с образованием нециклич. углеводов. Прибавляют 35 г I к 0,2 моля диена I в бензоле, через 5—7 час. (20°) перегонкой выделяют II—IV. II или смесь III—IV гидрируют в спирте над Pd на холоду, получают 90—92% 2,4-диметилпентал-1 (V) или 2,5-диметилгексил-1-гидразидикарбонового эфира (VI). 0,1 моля II или VI, 29 г KOH кипятят в 100 мл спирта 4 часа, перегонкой р-ра выделяют 2,5-диметилгексадиен-2,4-или-1-гидразин (VII) или 2,5-диметилпентал-1-гидразин (VIII). Разложение VIII в присутствии HgO дает 2,4-диметилпентан. Приводятся в-во, т. кип. в °С/мм, n<sub>D</sub><sup>20</sup>, d<sub>4</sub><sup>20</sup>: II, 185—187/15, 1,4738, 1,0390; смесь III—IV (выход 75%), 172—175/10, —, V, 169—170/10, 1,4530, 1,0207; VI, 175—176/8, 1,4570, 1,0120; VII, 88—90/2 (равл.), —, —, n-нитробензилдиеновое производное (НБ), т. пл. 303° (из CH<sub>3</sub>COOH); VIII, 84—85/25, 1,4550, 0,8533, НБ, т. пл. 112—113° (из CH<sub>3</sub>COOH).

И. Протопопов  
6Ж62. Реакция цианамидов с окисью этилена. В. Кретов А. Е., Матвеев И. С. «Ж. общ. химия», 1960, 30, № 6, 1837—1841. — Реакция цианамидов с избытком окиси этилена приводит к сложной неперегоняющейся смеси производных 2-иминооксазолидина. Методом адсорбционной хроматографии на картофельном крахмале из продуктов р-ции выделены 2-имино-3-β-оксизтилоксазолидин-1,3 (I), 2-N-β-оксизтимино-3-β-оксизтилоксазолидин-1,3 (II) и 2-N-β-оксизтимино-3-(5'-оксиз-3'-оксапентил)-оксазолидин-1,3 (III). Строение I подтверждено щел. гидролизом его метилового эфира (Ia), при котором в-во распадается на CH<sub>3</sub>NH<sub>2</sub>, K<sub>2</sub>CO<sub>3</sub> и β-метоксиз-β'-оксидиетиламин (IV) (т. кип. 155—165°/3 мм, n<sub>D</sub><sup>19,5</sup> 1,4692). Омыление диметилового эфира II (IIa) аналогично привело к CH<sub>3</sub>OCH<sub>2</sub>CH<sub>2</sub>NH<sub>2</sub> (V), K<sub>2</sub>CO<sub>3</sub> и IV, а диметилловый эфир III (IIIa) дал в этих условиях V, K<sub>2</sub>CO<sub>3</sub> и полуэфир CH<sub>3</sub>OCH<sub>2</sub>CH<sub>2</sub>OCH<sub>2</sub>CH<sub>2</sub>NHCH<sub>2</sub>CH<sub>2</sub>OH (VI), т. кип. 135—145°/3 мм, n<sub>D</sub><sup>21</sup> 1,4780, 0,5 моля CNNH<sub>2</sub>, 1,4 моля окиси этилена, 20 мл Ca(OH)<sub>2</sub> и 75 мл C<sub>6</sub>H<sub>6</sub> нагревают 2,5 часа при 80—85°, смесь экстрагируют CHCl<sub>3</sub>, р-р вводят в колонку и вымывают III хлороформом. Нерастворимый в CHCl<sub>3</sub> остаток обрабатывают горячим ацетоном, хроматографируют и вымывают ацетоном II. Нерастворимый в ацетоне I извлекают метанолом и так же очищают хроматографированием. Смесь 0,05 моля I—III и 0,12 моля (CH<sub>3</sub>)<sub>2</sub>SO<sub>4</sub> нагревают 3 часа при 60—70°, промывают CHCl<sub>3</sub> и ацетоном, остаток растворяют в метаноле и хроматографируют на силикагеле, вымывая метанолом соли Ia—IIIa и метилсерной к-ты, которую нейтрализуют 0,5 н. р-ром KOH, отгоняют воду и из-

влекают Ia—IIIa метанолом. Приводятся в-во, n<sub>D</sub><sup>18</sup>, d<sub>4</sub><sup>18</sup>: I, 1,5210, 1,2312; II, 1,5361, —; III, 1,5065, 1,2210. Ia, n<sub>D</sub><sup>25</sup> 1,4858; IIa, 1,5085; IIIa, n<sub>D</sub><sup>28</sup> 1,4790. Для сравнения с Vi синтезирован CH<sub>3</sub>OCH<sub>2</sub>CH<sub>2</sub>NHCH<sub>2</sub>CH<sub>2</sub>OCH<sub>2</sub>CH<sub>2</sub>OH (в оригинале назван 1-метоксиз-8-окси-3-окса-6-азооктаном), т. кип. 135—145°/3 мм, n<sub>D</sub><sup>21</sup> 1,4760. См. также РЖ-Хим, 1958, № 20, 67452; 1959, № 9, 31316. Г. Кондратьева  
6Ж63. О синтезе 1,4-динитробутадиена-1,3. Новикова С. С., Корсакова И. С., Бабиевский К. К. «Изв. АН СССР. Отд. хим. н.», 1960, № 5, 944—945. — Описан синтез 1,4-динитробутадиена-1,3 (I). К 140 мл CH<sub>3</sub>NO<sub>2</sub> (II) в 140 мл CH<sub>3</sub>OH при 5° одновременно по каплям прибавляют 0,2 моля 30%-ного (CH<sub>3</sub>O)<sub>2</sub> и 16 г NaOH в 24 мл воды, перемешивают 1 час (0°), добавляют 100 мл воды, насыщают SO<sub>2</sub> и извлекают II. Дробной кристаллизацией экстракта выделяют 1,4-динитробутандиол-2,3 (IIIa), выход 40,5%, т. пл. 134° (из II) и изомер 1,4-динитробутандиола-2,3 (IIIb), выход 40%, т. пл. 89,5—90° (из II + хлф.). 0,011 моля IIIa кипятят в 25 мл лед. CH<sub>3</sub>COOH и 5 мл CH<sub>3</sub>COCl; по окончании р-ции выливают в воду, выделяют 1,4-динитро-2,3-диацетоксибутан (IV), выход 85,5%, т. пл. 91,5—92° (из сп.). Аналогично из 1 г IIIb получен второй изомер IV, выход 82%, т. пл. 80,5—81° (из сп.). 0,01 моля IV в 75 мл CHCl<sub>3</sub> и 0,001 моля HNCOO<sub>2</sub> кипятят 4 часа, фильтрат упаривают, выделяют I, выход ~100%, т. пл. 146,5—147° (из CHCl<sub>3</sub>). Приведены данные ИК-спектров I.

Е. Караулова  
6Ж64. Присоединение алифатических β-нитроспиртов к виниловым эфирам. Новикова С. С., Швехгеймер Г. А. «Изв. АН СССР. Отд. хим. н.», 1960, № 2, 307—310. — Присоединением β-нитроспиртов к эфирам CH<sub>2</sub>=CHOR (I, здесь и далее R = C<sub>2</sub>H<sub>5</sub>, C<sub>3</sub>H<sub>7</sub>, n-C<sub>4</sub>H<sub>9</sub>) в присутствии HCl получены CH<sub>3</sub>CH(OR)OCH<sub>2</sub>CH<sub>2</sub>NO<sub>2</sub> (II), CH<sub>3</sub>CH(OR)CH(CH<sub>3</sub>)CH<sub>2</sub>NO<sub>2</sub> (III) и CH<sub>3</sub>CH(OR)OCH<sub>2</sub>CH<sub>2</sub>C(NO<sub>2</sub>)<sub>2</sub>CH<sub>3</sub> (IV), CH<sub>3</sub>CH(OC<sub>2</sub>H<sub>5</sub>)OCH(CH<sub>3</sub>)CH(CH<sub>3</sub>)NO<sub>2</sub> (V) и CH<sub>3</sub>CH(OC<sub>2</sub>H<sub>5</sub>)OCH<sub>2</sub>C(NO<sub>2</sub>)<sub>2</sub> (VI). Все II—VI легко омыляются при нагревании с 5%-ной H<sub>2</sub>SO<sub>4</sub>, регенерируя исходный нитроспирт. К 9,1 г CH<sub>3</sub>ONCH<sub>2</sub>NO<sub>2</sub> и 0,5 мл абс. эфира, насыщенного HCl-газом, прибавляют при 25—30° 15 мл Ia (или 20 мл Ib, Ic), через 20 час. перегонкой смеси выделяют IIa (или IIb, IIc). Аналогично получают III—VI. Приводятся в-во, выход в %, т. кип. в °С/мм, n<sub>D</sub><sup>20</sup>, d<sub>4</sub><sup>20</sup>: IIa, 65, 85—87/4, 1,4331, 1,0964; IIb, 55, 83—85/3, 1,4244, 1,0458; IIc, 59, 98—101/4, 1,4300, 1,0284; IIIa, 65, 72—74/3, 1,4332, 1,0694; IIIb, 50, 75—77/3, 1,4261, 1,0227; IIId, 75, 92—94/3, 1,4306, 1,0060; IVa, 89, 96—99/4, 1,4405, 1,2103; IVb, 66, 99—102/4, 1,4335, 1,1526; IVc, 70, 116—120/5, 1,4367, 1,1196; V, 83, 73—75/3, 1,4270, 1,0300; VI, 67, 84—86/3, 1,4435, 1,2943.

В. Г.  
6Ж65. Об образовании двух разновидностей динитрата диэтиленгликоля. Hackel J., Kuboszek R. On the formation of two varieties of diethylene-glycol dinitrate. «Bull. Acad. polon. sci. Sér. sci. chim.», 1960, 8, № 4, 143—145 (англ.; рез. русск.). — Показано, что динитрат диэтиленгликоля (I), синтезированный нитрованием диэтиленгликоля смесью HNO<sub>3</sub> (50%), H<sub>2</sub>SO<sub>4</sub> (45%) и воды (5%) при 7°, существует в двух полиморфных модификациях: лабильной, т. пл. —11,2° (Ia), и стабильной, т. пл. 2,0° (Ib). Прибавление к охлажденному до т-ры от —20 до —30° I 10 вес.% инфузорной земли или толченой стеклянной ваты приводит к Ia, а прибавление KNO<sub>3</sub> дает Ib. Охлажденный до —15° I при прибавлении затравки Ia или Ib дает соответствующую модификацию. Прибавление затравки Ib к охлажд. Ia вызывает образование Ib; обратного превращения не происходит. С помощью описанного ранее (Hackel J., Roczniki chem., 1936, 16, 213) метода изучены бинарные системы Ia и Ib с 2,4,6-тринитробензолом (II) и с тринитротолуолом (III) и показано, что они образуют следующие эвтектики (перечисляются бинарная смесь, т. пл. эвтектики в °С, содержание в ней Ia или соответственно Ib в вес.%):





CH<sub>2</sub> (II),  
я вторич-  
1,5 часа с  
вакууме,  
обменной  
о его в г  
кт р-ции,  
17, 1, пор-  
Для срав-  
OOC<sub>2</sub>H<sub>5</sub>;  
(n-C<sub>4</sub>H<sub>9</sub>)-  
из р-ра  
дидрате  
IV. Син-  
бутана.  
уки на  
—1043—  
3, 8192),  
мина (I)  
Ошсан  
с выхо-  
мл HCl-  
200 г IV,  
0 г хлор-  
обавляют  
ку, вновь  
288 мл  
4 часа),  
141—144°.  
NaOH в  
2 мл C<sub>2</sub>H<sub>5</sub>  
нижения  
обавляют  
(VIII),  
г VIII и  
досуша,  
эфиром  
од 71,5%.  
NaOH в  
г; выход  
нитро-2-  
2 часа,  
ксибутан  
аривают  
HCl, до-  
эфиром  
коничая,  
и 45 мл  
ия., под-  
тазона и  
онц. HCl  
вакууме,  
II, вы-  
требует  
метил-2-  
III см.  
хаетия  
сульфи-  
Г., Те-  
л. 1960,  
1, 1950,  
1, SCl<sub>2</sub> (I)  
прот-  
SCl<sub>2</sub>CH<sub>3</sub> (V)  
присо-  
(VIII) и  
сульфи-  
по при-  
гревают  
п. 84—  
IV H<sub>2</sub>O<sub>2</sub>  
и SCl<sub>2</sub>С-  
K 20 г

IV прибавляют при ~20° р-р 6 г КОН в этилцелло-  
лозье, нагревают 30 мин. при ~100°, разбавляют водо-  
й, из органич. слоя выделяют 57% смеси CCl<sub>2</sub>=C-  
(CH<sub>2</sub>Cl)SC<sub>2</sub>H<sub>5</sub> (XII) и CCl<sub>2</sub>C(SC<sub>2</sub>H<sub>5</sub>)=CH<sub>2</sub> (XIII),  
т. кип. 72—76°/3 мм, n<sub>D</sub><sup>20</sup> 1,5404, d<sub>4</sub><sup>20</sup> 1,3576. 10 г смеси  
XII и XIII нагревают 3 часа с 20 мл X и 5 мл конц.  
HCl, разбавляют водой, из органич. слоя отгоняют  
1,5 г CCl<sub>2</sub>COCH<sub>3</sub> (XIV), т. кип. 55—60°/60 мм, 0,8 г XIV  
обрабатывают р-ром 1 г 2,4-(NO<sub>2</sub>)<sub>2</sub>C<sub>6</sub>H<sub>3</sub>NNH<sub>2</sub> (XV) в  
1,5 мл конц. H<sub>2</sub>SO<sub>4</sub> и 10 мл спирта, получают CH<sub>3</sub>C-  
(OOC<sub>2</sub>H<sub>5</sub>)=NNHC<sub>2</sub>H<sub>5</sub>(NO<sub>2</sub>)<sub>2</sub> (XVI), выход 95%, т. пл.  
148—149° (из сп.). Р-р 0,4 г тиомочевны (XVII) и  
1 г смеси XII и XIII в 10 мл спирта кипятят 3 мин.,  
добавляют р-р 0,8 г пикриновой к-ты в спирте, от-  
фильтровывают пикрат CCl<sub>2</sub>=C(SC<sub>2</sub>H<sub>5</sub>)CH<sub>2</sub>SC(NH<sub>2</sub>)=  
=NH, выход 50%, т. пл. 168—169° (из сп.). 69 г смеси  
XII и XIII обрабатывают р-ром 28 г XVII в спирте,  
упаривают, из остатка экстрагируют теплым эфиром  
XIII, выход 18,8%, т. кип. 54°/1,5 мм, n<sub>D</sub><sup>20</sup> 1,5355,  
d<sub>4</sub><sup>20</sup> 1,3427. Действием XV на XIII получен XVI. Р-цией  
4,5 г XIII с H<sub>2</sub>O<sub>2</sub> в X получено 4 г XI, т. пл. 40,5—41,5°.  
В присутствии FeCl<sub>3</sub> при ~20° XIII лишь в незначи-  
тельной степени изомеризуется в XII. XIII легко гидри-  
зуется по C—S-связи, а XII не изменяется при  
нагревании со смесью X и конц. HCl. В р-р 10 г VI в  
300 мл X пропускают 30 мин. VII, через ~24 часа раз-  
бавляют водой, из органич. слоя экстрагируют эфи-  
ром V, выход 43,5%, т. кип. 128—128,5°/3 мм, n<sub>D</sub><sup>20</sup>  
1,5428, d<sub>4</sub><sup>20</sup> 1,4717. В (CH<sub>3</sub>CHClCH<sub>2</sub>)<sub>2</sub>S, n<sub>D</sub><sup>20</sup> 1,5170,  
d<sub>4</sub><sup>20</sup> 1,1894, пропускают Cl<sub>2</sub> при ~20°, отгоняют II,  
т. кип. 35—40°/4 мм, 3,6 г II медленно кристаллизуют  
при ~20° к 7 г III, через ~24 часа нагревают 1,5 часа  
при 60°, выделяют V, т. кип. 114—116°/1 мм, n<sub>D</sub><sup>20</sup>  
1,5433, d<sub>4</sub><sup>20</sup> 1,4688. К р-ру 20 г VI в 150 мл X прибав-  
ляют 13 г VIII, оставляют на 4 дня при ~20°, раз-  
бавляют водой, получают аддукт C<sub>7</sub>H<sub>11</sub>Cl<sub>5</sub>S (XVIII),  
выход 63,5%, т. кип. 93—95°/0,5 мм, n<sub>D</sub><sup>20</sup> 1,5363, d<sub>4</sub><sup>20</sup>  
1,4218. При дегидрохлорировании XVIII полученная  
смесь тетрагидросульфидов C<sub>7</sub>H<sub>10</sub>Cl<sub>4</sub>S (XIX), n<sub>D</sub><sup>20</sup> 1,5420,  
d<sub>4</sub><sup>20</sup> 1,3735, гидролиз которой смесью X и HCl приво-  
дит к XIV. Из XIX получен пикрат изотиурониевой  
соли C<sub>11</sub>H<sub>16</sub>Cl<sub>3</sub>N<sub>5</sub>O<sub>7</sub>S<sub>2</sub>, т. пл. 134—135° (из сп.). Анало-  
гично XVIII из IX и VI получают аддукт C<sub>11</sub>H<sub>11</sub>Cl<sub>5</sub>S,  
выход 91%, т. пл. 78—79° (из сп.). Ф. Величко

6Ж71. Синтез серосодержащих веществ на основе  
виниловых эфиров и ацетилена. Сообщение 23. Окис-  
ление винилсульфидов и некоторые свойства винил-  
сульфоксидов и сульфонов. Прилежаева Е. Н.,  
Цымбал Л. В., Доманина О. Н., Шкурина  
Т. Н., Шостаковский М. Ф. «Изв. АН СССР. Отд.  
хим. н.», 1960, № 4, 724—733.—Окисление винил-  
сульфидов CH<sub>2</sub>=CHSR (I) действием H<sub>2</sub>O<sub>2</sub> или RCO<sub>3</sub>H  
получены CH<sub>2</sub>=CHSOR (II) и CH<sub>2</sub>=CHSO<sub>2</sub>R (III)  
(здесь и далее а R = CH<sub>3</sub>, б R = C<sub>2</sub>H<sub>5</sub>, в R = C<sub>3</sub>H<sub>7</sub>,  
г R = C<sub>4</sub>H<sub>9</sub>, д R = C<sub>4</sub>H<sub>9</sub>OCH<sub>2</sub>CH<sub>2</sub>, е R = C<sub>6</sub>H<sub>5</sub>). Приве-  
дены значения молекулярных рефракций, УФ-спек-  
тры (в гексане или сп.) и спектры комб. рас. II и  
III, на основании которых авторы предполагают  
частичное участие d-электронов S-атома в образова-  
нии (S—O)-связи II и III. К охлажд. до —15° р-ру  
0,1 моля I в 8 мл ацетона приливают по каплям  
2,7 мл 70%-ной H<sub>2</sub>O<sub>2</sub> (т-ра ≤ 5°), перемешивают  
10 час. при 0—5°, через 35—40 час (~20°) добав-  
ляют Na<sub>2</sub>SO<sub>4</sub> и нагревают 3 часа при 60—70°, упари-  
вают в вакууме, остаток фракционируют, выход Iб  
60—75%, т. кип. 54,5°/2 мм, n<sub>D</sub><sup>20</sup> 1,4900, d<sub>4</sub><sup>20</sup> 1,0422.  
Аналогично получают II (приведены II, выход в %,  
т. кип. в °C/мм, n<sub>D</sub><sup>20</sup>, d<sub>4</sub><sup>20</sup>): а, 70, 58,5—59/6, 1,4951,  
1,0876; в, 60—70, 83/8, 1,4870, 1,0125; г, 65—75, 80—83/2  
или 88—90/6, 1,4830—1,4840, 0,9891; д, 44—58, 113—114/2,  
1,4765, 1,0138; е, 58—74, 104—106/2 или 132—133/7,  
1,5860, 1,1629. Кроме того, из продуктов окисления Iе  
57%-ной H<sub>2</sub>O<sub>2</sub> выделяют 3,5—4% IIе, т. пл. 66,5—67°.  
К 0,1 моля Iб и 0,44 мл пиридина приливают по кап-

лям 28,5 мл 28%-ной H<sub>2</sub>O<sub>2</sub> (20—40°), перемешивают  
10 час. при 80°, избыток H<sub>2</sub>O<sub>2</sub> разлагают MnO<sub>2</sub>, воду  
отгоняют в вакууме, из остатка выделяют 10—12%  
Iб, 21,2%, IIб, т. кип. 87—88°/2 мм, n<sub>D</sub><sup>20</sup> 1,4643, d<sub>4</sub><sup>20</sup>  
1,1497, и 57 вес.% полимерного остатка, растворимого  
в диоксане и воде. Сокращение продолжительности  
р-ции (IIР) до 2 час. (80°) снижает выход IIб до 10%  
(выходы Iб и полимера соответственно 45% и  
28 вес.%), а увеличение IIР до 60 час. (80°) исклю-  
чает образование IIб и Iб (выход полимера 80—  
90 вес.%). Аналогично нагреванием с 27—31%-ной  
H<sub>2</sub>O<sub>2</sub> в присутствии пиридина Iг окисляют в IIг, вы-  
ход 39,8%, т. кип. 116—117°/5 мм, n<sub>D</sub><sup>20</sup> 1,4630, d<sub>4</sub><sup>20</sup>  
1,0776 (выход полимера 50 вес.%), и Iе окисляют  
в IIе (60 час.), выход 55,3%. К 0,058 моля Iб в 50 мл  
CHCl<sub>3</sub> приливают при —10° р-р 0,12 моля C<sub>6</sub>H<sub>5</sub>CO<sub>2</sub>H  
в 250 мл CHCl<sub>3</sub>, перемешивают 4 часа при —10°, через  
40 час. (~20°) нейтрализуют пропусканьем тока  
сухого NH<sub>3</sub> (охлаждение до —10°), фильтрат упари-  
вают, перегонкой остатка выделяют 66% IIб. Окис-  
лением 0,05 моля Iб в 30 мл эфира действием при  
т-ре от —10 до 0° 12,5 г 67%-ной CH<sub>3</sub>CO<sub>2</sub>H получают  
(перемешивание 0,5 часа при т-ре от —10 до 0° и  
2 часа при ~20°, нейтр-ция 16,6 г K<sub>2</sub>CO<sub>3</sub>, выдержка  
40 час.) 75% IIб, К 1 г SeO<sub>2</sub> в 40 мл трет-С<sub>4</sub>H<sub>9</sub>ОН  
(IV) и 0,1 моля Iб добавляют по каплям 11,5 г 75%-  
ной H<sub>2</sub>O<sub>2</sub> в 10 мл IV (60—65°), нагревают 4 часа при  
60—70° (общая IIР 48 час.), пропускают через колон-  
ку с ионообменной смолой (напр., ЭДЭ-10 II) и обыч-  
ной обработкой выделяют 71% IIб. Аналогично про-  
водят окисление Iв в IIв, выход 66%, т. кип. 107—  
107,5°/5 мм, 98—100°/3 мм, n<sub>D</sub><sup>20</sup> 1,4642, d<sub>4</sub><sup>20</sup> 1,060, Iг  
в IIг, выход 55—60%. Уменьшение кол-ва используе-  
мого при окислении Iб SeO<sub>2</sub> до 0,5 г в тех же усло-  
виях снижает выход IIб с 71 до 50% (выход IIб 35%).  
Сообщение 22 см. РЖХим, 1960, № 9, 34769. О. Нефедов

6Ж72. Цианоэтирование. I. Селективное циано-  
этирование хлоргидрата 2-аминоэтантиола. Gaul  
Richard J., Fremuth Winfried J., O'Connor  
Michael N. Cyanoethylation. I. The selective cyano-  
ethylation of 2-aminoethanethiol hydrochloride. «J.  
Organ. Chem.», 1960, 25, № 5, 725—726 (англ.).—Повы-  
шенная т-ра плавления 2-аминоэтантиола (I) (99°)  
по сравнению с его хлоргидратом (70°) указывает,  
что I существует в виде внутренней соли. В р-ре  
с изменением pH возможны следующие переходы:  
HSCH<sub>2</sub>CH<sub>2</sub>NH<sub>3</sub><sup>+</sup> (pH < 7) ⇌ —SCH<sub>2</sub>CH<sub>2</sub>NH<sub>3</sub><sup>+</sup> (pH 7—8) ⇌  
⇌ —SCH<sub>2</sub>CH<sub>2</sub>NH<sub>2</sub> (pH > 8). В пределах pH 1,5—8,8 ско-  
рость р-ции цианоэтирования (ЦЭ) возрастает в ряду  
слева направо. При pH 1,5 ЦЭ не идет, в интервале  
pH 1,5—3,6 р-ция проходит умеренно быстро. С повы-  
шением pH скорость ЦЭ растет, достигая максимума  
при pH 6—6,8. В щел. средах при pH > 6,8 идет  
быстрая неселективная р-ция, дающая некристалли-  
зующиеся сиропообразные продукты. В кислых и  
нейтр. средах (pH ≤ 8) ЦЭ проходит только по атому  
серы, давая исключительно хлоргидрат 3-(2-амино-  
этилтио)-пропониотрила (II), в щел. среде р-ция со-  
вершенно не селективна. 1,2 моля акрилонитрила  
прибавляют сразу к 0,3 моля I в 100 мл деминеро-  
ванной воды при pH 6,8 (установлено NaOH), через  
час подкисляют HCl-к-той и упаривают в вакууме  
(20 мм). Оставшийся сироп обрабатывают смесью эта-  
нола с бензолом, фильтрат упаривают в вакууме и  
охлаждают. Выход II 77,8%, т. пл. 83,1—83,7° (из сп.-  
бэл.). 0,2 моля II в 50 мл конц. HCl нагревают 3 часа,  
упаривают в вакууме и извлекают кипящим абс. спир-  
том 3-(2-аминоэтилтио)-пропониотриловую к-ту, выход  
97,1%, т. пл. 124,7—125,3° (из сп.-гексана). Б. Руденко

6Ж73. Образование циклопропанового кольца из  
карбониевого иона. Edwards O. E., Lesage M.  
Cyclopropane ring formation from a carbonium ion.  
«Chemistry and Industry», 1960, № 35, 1107—1108  
(англ.).—Показано, что при дезаминировании 2-амино-

6,6-диметилциклогексанола в разб.  $\text{HClO}_4$  при действии  $\text{HNO}_3$  наряду с 2,2-диметилциклопентанкарбоновой  $\alpha$ -той и 2,2-диметилциклопентановой  $\alpha$ -той образуется нейтр. фракция, в которой с помощью газо-жидкостной хроматографии установлено наличие 3,3-диметил-2-кетобисцикло-[3,1,0]-гексана (I), выход  $\sim 46\%$ , и 2,5,5-триметилциклопентен-2-она (II), выход  $\sim 23\%$ . Приведены данные ИК- и УФ-спектров I и II и спектра ядерного магнитного резонанса I.

Л. Хейфиц  
6Ж74. Исследования в ряду циклобутана. VI. Попытки расщепления четвертичных аммониевых солей, полученных из 1,3-диаминоциклобутана. Avram Margareta, Nenitzescu Costin D. Untersuchungen in der cyclobutanreihe. VI. Versuche über den Abbau der aus 1,3-Diaminocyclobutan herrührenden quartären Salze. «Rev. chim. (RPR)», 1959, 4, № 2, 265—270 (нем.).—С целью синтеза циклобутана осуществлена попытка расщепления по Гофману бис-бромметилата 1,3-бис-диметиламиноциклобутана (I; II—основание) под влиянием  $\text{C}_6\text{H}_5\text{Li}$ . Р-р 9,5 г II в 10 мл абс.  $\text{CH}_3\text{OH}$  при  $0^\circ$  насыщают сухим  $\text{CH}_3\text{Br}$ , выдерживают 12 час. при  $0^\circ$  и получают I, выход 59%, гигроскопичен; дициклат II, т. пл.  $>265^\circ$  (из  $\text{CH}_3\text{OH}$ ). К 100 мл р-ра  $\text{C}_6\text{H}_5\text{Li}$  (из 9,6 г  $\text{C}_6\text{H}_5\text{Br}$ ) в эфире прибавляют 4,95 г I и смесь встряхивают 80—100 час. при  $\sim 20^\circ$  в колбе, заполненной стеклянными бусами. Образовавшийся  $(\text{C}_6\text{H}_5)_3\text{N}$  (выход 35%) для определения отгоняют (р-р ликриновой к-ты, реакционную смесь отфильтровывают от неизмененного I и LiBr и после отгонки р-рителя и перегонки получают фенилциклобутен (III), выход 0,45 г, т. кип.  $80$ — $88^\circ/2$  мм, и в остатке в-во не выясненного строения с т. пл.  $157^\circ$  (из сл.). Строение III подтверждается качеств. р-циями с  $\text{Br}_2$  и  $\text{C}(\text{NO}_2)_4$ , окислением  $\text{KMnO}_4$  в  $\text{C}_6\text{H}_5\text{COOH}$ , неспособность вступать в диеновый синтез и р-цией с 2,4-динитрофенилсульфенхлоридом (IV). Р-р 80 мг III в 3 мл лед.  $\text{H}_2\text{SO}_4$  нагревают 1 час с 90 мг IV при  $110^\circ$ , прибавляют 1 мл воды и выдерживают  $\sim 12$  час. при  $\sim 20^\circ$ , образовавшийся продукт присоединения при перекристаллизации из разб.  $\text{CH}_3\text{COOH}$  или спирта теряет  $\text{HCl}$  и превращается в (2,4-динитрофенил)-(фенилциклобутен)-сульфид, т. пл.  $98^\circ$ . Положение двойной связи в III не определялось. По-видимому, при взаимодействии I с  $\text{C}_6\text{H}_5\text{Li}$  лишь одна четвертичная аммониевая группа претерпевает нормальное расщепление по Гофману; другая группа заменяется на анион  $\text{C}_6\text{H}_5$ . При попытке расщепления II другим методом (см. РЖХим, 1957, № 23, 74308) (действием на II  $\text{CH}_2\text{Br}_2$ , а затем  $\text{C}_6\text{H}_5\text{Li}$ ) ожидаемый на первой стадии бис-бромметилат 1,3-бис-ди-(метилбромметилат)-аминоциклобутана образовался лишь в миним. кол-ве; главным продуктом р-ции являлось полимерное в-во. Расщепление II другим описанным методом (см. РЖХим, 1957, № 18, 60483) также не удалось. К 15 мл 30%-ной  $\text{H}_2\text{O}_2$  при охлаждении прибавляют 3,6 г II, смесь перемешивают 10 час. при  $0$ — $10^\circ$ , избыток  $\text{H}_2\text{O}_2$  разлагают  $\text{Pt}$ -чернью и после упаривания получают 1,3-бис-диметилоксидаминоциклобутан [выход 4 г, т. пл.  $85$ — $90^\circ$ , очень гигроскопичен; дициклат, т. пл.  $186^\circ$  (из водн.  $\text{CH}_3\text{OH}$ )] при термич. разложении которого выделяют  $\text{N,N}$ -диметилгидроксил-амин. Сообщение V см. РЖХим, 1961, 5Ж69. В. Андреев

6Ж75. О синтезе циклопропена по Дьяконову. Breslow R., Chipman D. Concerning Dyaconov's cyclopropene synthesis. «Chemistry and Industry», 1960, № 35, 1105—1106 (англ.).—Авторы считают, что в-во с т. пл.  $38^\circ$ , синтезированное Дьяконовым и Комендантовым из  $\text{C}_6\text{H}_5\text{C}\equiv\text{CC}_6\text{H}_5$  и  $\text{CHN}_2\text{COOC}_2\text{H}_5$  и описанное ими как 1,2-дифенил-3-карбэтоксиклопропен-2 (РЖХим, 1960, № 15, 61346), является в действительности 1,2-дифенил-4-этоксифураном, что хорошо согласуется с хим. свойствами и превращениями этого в-ва и подтверждается ИК-спектром. В-ва, описанные Дьяконовым как 1,2-дипропил-3-карбэтоксиклопропен-2

и 1,2-дибутил-3-карбэтоксиклопропен-2, по мнению авторов, в действительности также являются соответствующими фурановыми соединениями. Л. Хейфиц

6Ж76. К химии полигалогидроциклопентадиенов и родственных соединений. Сообщение 18. Гексахлорциклопентадиен и аллилгликолевые эфиры. Rienschneider R., Köttsch H. J. Zur Chemie von Polyhalocyclopentadienen und verwandten Verbindungen. 18 Mitt. Hexachlorcyclopentadien und Allylglykoläther. «Monatsh. Chem.», 1960, 91, № 1, 41—47 (нем.).—С целью синтеза «гантелеобразных» молекул, молекула с прямой цепью, на концах которых расположено «шаровидные» взаимно отталкивающиеся электроотрицательные группы, получен ряд аддуктов диеновой р-ции гексахлорциклопентадиена (I) с моно- и диаллиловыми эфирами моно-, ди-, три- и тетраэтиленгликолей. Смесь 27 г I и 6 г  $\text{CH}_2=\text{CHCH}_2\text{OH}$  нагревают в запаянной ампуле 20 час. при  $125^\circ$  и получают 2-оксиметил-1,4,5,6,7,7-гексахлорнорборнен (II), выход 67%, т. пл.  $155$ — $165^\circ$  (из лигр.); ацетат, выход 91%, т. кип.  $140$ — $142^\circ/0,8$  мм;  $n_D^{20}$  1,5336. Смесь 10 г моноаллилового эфира этиленгликоля (III) и 27 г I нагревают в запаянной ампуле 20 час. при  $125^\circ$  (метод А), продукт р-ции перегоняют с паром и получают моно-(1,4,5,6,7,7-гексахлорнорборнен-2)-метилловый эфир этиленгликоля (IV), выход 60%, т. кип.  $166$ — $168^\circ/0,2$  мм,  $n_D^{20}$  1,5461. При кипячении 60 час. (метод Б) смеси 81 г I, 30 г III и 15 мл кислоты выход IV составляет 49%. Смесь 5 г IV, 1 г  $\text{CH}_3\text{COONa}$  и 20 мл  $(\text{CH}_3\text{CO})_2\text{O}$  кипятят 18 час. и получают ацетат IV, выход 90%, т. кип.  $115$ — $118^\circ/0,01$  мм,  $n_D^{20}$  1,5259. Аналогично методами А и Б синтезируют аддукты I (перечисляются исходный аллиловый эфир и его кол-ва в г по методам А/Б, кол-ва I в г по методам А/Б, образующийся аддукт, выход в % по методам А/Б, т. кип. в  $^\circ\text{C}/\text{мм}$ ,  $n_D^{20}$ , выход ацетата в %, т. кип. в  $^\circ\text{C}/\text{мм}$ ,  $n_D^{20}$ ): моноаллиловый эфир диэтиленгликоля, 14,6/43,5, 27,2/81, моно-(1,4,5,6,7,7-гексахлорнорборнен-2)-метилловый эфир диэтиленгликоля, 76/44, 137—139/0,02 (192—194/0,2), 1,5321, 77, 144—148/0,01, 1,5214 моноаллиловый эфир триэтиленгликоля, 19/38, 27,54 моно-(1,4,5,6,7,7-гексахлорнорборнен-2)-метилловый эфир триэтиленгликоля, 42/28, 210—214/0,2, 1,5264, 34 162—167/0,01, 1,5188; моноаллиловый эфир тетраэтиленгликоля 13/—, 14/—, моно-(1,4,5,6,7,7-гексахлорнорборнен-2)-метилловый эфир тетраэтиленгликоля (одно временно выделяет 3 г II), 38/—, 159—163/0,01 (226—232/0,2), 1,5260, 30, 165—174/0,01, 1,5185. Смесь 10 г диаллилового эфира и 54 г I в запаянной ампуле нагревают 20 час. при  $150^\circ$  и получают ди-(1,4,5,6,7,7-гексахлорнорборнен-2)-метилловый эфир (V), выход 82%, т. пл.  $170$ — $172^\circ$  (из лигр.). Смесь 7,1 г диаллилового эфира этиленгликоля и 27,2 г I нагревают в запаянной ампуле 20 час. при  $125^\circ$  с паром отгоняют ди-(1,4,5,6,7,7-гексахлорнорборнен-2)-метилловый эфир этиленгликоля (VI), выход 94%,  $n_D^{20}$  1,5598,  $d_4^{24}$  1,6001. Аналогично из 9,3 г диаллилового эфира диэтиленгликоля и 27,2 г I синтезируют ди-(1,4,5,6,7,7-гексахлорнорборнен-2)-метилловый эфир диэтиленгликоля (VII) (выход 91%,  $n_D^{20}$  1,5512,  $d_4^{24}$  1,5420), а из 5,5 г диаллилового эфира тетраэтиленгликоля и 10,9 г I—ди-(1, 4, 5, 6, 7, 7-гексахлорнорборнен-2)-метилловый эфир тетраэтиленгликоля (VIII), выход 75%,  $n_D^{20}$  1,5294,  $d_4^{24}$  1,4372. Синтезировать бис-аддукты I из  $\text{N}$ -алкоголятов моноаддуктов I обработкой 2-галогидметил-1,4,5,6,7,7-гексахлорнорборненими не удалось. Смесь 3,3 г V и 20 мл р-ра  $\text{HBr}$  в лед.  $\text{CH}_3\text{COOH}$  (4,7, 1,34) нагревают в запаянной ампуле 20 час. при  $140^\circ$  р-рителем отгоняют, остаток для очистки многократно кипятят с активированным углем в 70%-ном  $\text{CH}_3\text{OH}$  и получают 2-бромметил-1,4,5,6,7,7-гексахлорнорборнен (IX), выход 85%, т. пл.  $77$ — $78^\circ$  (из 70%-ном  $\text{CH}_3\text{OH}$ ). При аналогичном расщеплении VI—VIII получают IX с выходами соответственно 80, 79 и 68%

Ацетаты моноаддуктов при хранении на воздухе быстро омыляются, а при действии Na-алкоголятов отщепляют Cl-атомы. Смесь 15 г  $\text{CH}_2=\text{CHCH}_2\text{Cl}$  и 54 г I нагревают в запаянной ампуле 40 час. при  $140^\circ$  и после очистки активированным углем (см. выше) получают 2-хлорметил-1,4,5,6,7,7-гексахлорнорборнен, выход 88%, т. пл.  $55^\circ$  (из 70%-ного  $\text{CH}_3\text{OH}$ ). Аналогично из 18 г  $\text{CH}_2=\text{CHCH}_2\text{Br}$  и 41 г I (нагревают 20 час. при  $125^\circ$ ) синтезируют IX (выход 93%), а 16,8 г  $\text{CH}_2=\text{CHCH}_3$  и 27,3 г I (нагревают 12 час. при  $120^\circ$ ) дает 2-йодметил-1,4,5,6,7,7-гексахлорнорборнен, выход 72%, т. пл.  $109-110^\circ$  (из 70%-ного  $\text{CH}_3\text{OH}$ ). Рассмотрение показателей преломления полученных в-в показывает, что для бис-аддуктов он падает относительно быстро, а для ацетатов моноаддуктов — медленно. Сообщено 17 см. РЖХим, 1961, 5Ж73.

В. Андреев

**6Ж77. Восстановительно-окислительное диспропорционирование винциальных поликарбонильных соединений.** Eistert Bernd, Bock Gustav, Kosch Ehrenfried, Spalink Fritz. Die Redox-Disproportionierung von vic.-Polycarbonylverbindungen. Chem. Ber., 1960, 93, № 7, 1451-1466 (нем.). — Ранее (Arndt F., Eistert B., Ber., 1929, 62, 36; 1935, 68, 1572) было найдено, что при кипячении 2,2-дихлор-6-метилтиохромандиона-3,4 с водой вместо ожидаемого 6-метилтиохромандиона-2,3,4 (I) образуются 5-метилтиофенхинон (II), 6-метилтиокумаринол-3,4 (III) и  $\text{CO}_2$  в соотношении 1:1:1, т. е. происходит восстановление одной половины I в III и окисление другой половины в II и  $\text{CO}_2$ . Вероятно, процесс протекает так, что образующийся вначале I присоединяет воду, одновременно претерпевая перегруппировку типа перегруппировки бензильной к-ты с сужением цикла и превращаясь в 5-метил-2-оксис-3-кетотиофенкарбонную-2 к-ту, дающую с отщеплением воды сильный восстановитель — 5-метилтиофенгидрохинон, который затем реагирует с оставшимся I, восстанавливая его в III и одновременно сам дегидрируясь в II. Обнаружены и изучены дальнейшие примеры такого восстановительно-окислительного диспропорционирования (редокс-диспропорционирования) винциальных поликарбонильных соединений в карбоциклич. ряду. Смесь 1 г 2-диазоксимедона, 50 мл 0,1 н.  $\text{H}_2\text{SO}_4$  и 0,2 г Si-порошка нагревают 3,5 часа при  $60^\circ$  (до прекращения выделения  $\text{N}_2$ ) и фильтруют; к р-ру, содержащему 2-оксидимедон (IV), для дегидрирования прибавляют немного более 2 молей *n*-бензохинона (V), фильтруют, экстрагируют и в водн. р-ре получают соответствующий ацирелдуктогидрат 5,5-диметилциклогексантиона-1,2,3 (VI), выход 58-79,2% (по титрованию  $\text{J}_2$ ). Этот р-р VI нагревают 1,5 часа при  $90^\circ$  в токе  $\text{N}_2$  и получают IV (выход по титрованию  $\text{J}_2$  31,5-40,8%), выделенный в виде Si-комплекса, и небольшое кол-во продукта сужения цикла — 4,4-диметилциклопентандиона-1,2 (VII); бис-динитрофенилгидразон, т. пл.  $165-167^\circ$ . Колич. изучение восстановительно-окислительного диспропорционирования в случае VI оказалось затруднительным вследствие высокой растворимости в воде и неустойчивости IV и VII. Поэтому процесс был исследован на примере гидрата 5,5-пентаметиленициклогексантиона-1,2,3 (VIII). К суспензии 20 г 5,5-пентаметиленициклогексантиона-1,3 (IX) в 100 мл эфира при энергичном перемешивании при  $-20^\circ$  прибавляют 11 мл  $\text{HNO}_3$  ( $d$  1,5), перемешивают при  $-20^\circ$  до обесцвечивания, при охлаждении прибавляют еще 5 мл  $\text{HNO}_3$  и в осадке получают 13,9 г 2-нитро-5,5-пентаметиленициклогексантиона-1,3 (X). К эфирному фильтрату прибавляют воду, подщелачивают 30%-ным р-ром NaOH и получают Na-соль X, из которой выделяют еще 8,7 г X, общий выход 90%, т. пл.  $102^\circ$  (из воды). Гидрирование 19,4 г X в смеси 250 мл воды и 10 мл конц. HCl над Pt (из  $\text{PtO}_2$ ) приводит к хлоргидрату 2-амино-5,5-пентаметиленициклогексантиона-1,3 (XI основание), выход 14,2 г, не имеет

определенной т-ры плавления (из  $\text{CH}_3\text{OH}$ -эф.). При гидрировании X в  $\text{CH}_3\text{OH}$  получают XI, выход 74%. К р-ру хлоргидрата XI (из 19,4 г X) в 2 н. HCl или в  $\text{CH}_3\text{OH}$ , содержащем HCl, прибавляют р-р 5,5 г  $\text{NaNO}_2$  в воде и получают 2-диазо-5,5-пентаметиленициклогексантион-1,3 (XII), т. разл.  $91-94^\circ$  (из воды, в темноте). Для идентификации 1 г XII кипятят в анилине до окончания выделения  $\text{N}_2$  и в результате перегруппировки Вольфа получают анилид 4,4-пентаметиленициклопентанон-2-карбонной-1 к-ты, выход 1,15 г, т. пл.  $134^\circ$  (из сп.). Нагревание 1 г XII с 0,1 г Si-порошка в лед.  $\text{CH}_3\text{COOH}$  при  $85^\circ$  (2 часа) приводит к 2-ацетокси-5,5-пентаметиленициклогексантиону-1,3, выход 0,5 г, т. пл.  $155^\circ$  (из воды). По другому методу 4 г IX в избытке р-ра  $\text{Na}_2\text{CO}_3$  обрабатывают при  $0^\circ$  р-ром  $\text{C}_6\text{H}_5\text{N}_2\text{Cl}$  (из 2 г  $\text{C}_6\text{H}_5\text{NH}_2$ ) и получают 2-бензолазо-5,5-пентаметиленициклогексантион-1,3 [выход 94%, т. пл.  $160^\circ$  (из сп.)], гидрирование 5 г которого в  $\text{CH}_3\text{OH}$ , содержащем 3,1 мл конц. HCl, над Pt (из  $\text{PtO}_2$ ) при  $9-10^\circ$  приводит к XI; при диазотировании XI (без выделения) получают XII, выход 91%. К перемешиваемой суспензии 1 г Si-порошка в 300 мл свободной от воздуха 0,1 н.  $\text{H}_2\text{SO}_4$  при  $78-80^\circ$  в токе  $\text{N}_2$ , очищенного от следов  $\text{O}_2$ , постепенно прибавляют 10 г XII, перемешивают 3 часа, охлаждают до  $0^\circ$ , осадок кипятят со свободной от воздуха водой, фильтруют и при охлаждении фильтрата получают 2-оксис-5,5-пентаметиленициклогексантион-1,3 (XIII), выход 6,6-8,9 г, т. пл.  $146^\circ$ ; при действии  $\text{CH}_3\text{N}_2$  превращается в 3-метилтиловый эфир, т. пл.  $73^\circ$  (из циклогексана). При проведении гидролиза XII при  $65^\circ$  образуется в-во с т. пл.  $129^\circ$ , строение которого не выяснилось. К р-ру 2 г XIII в эфире, насыщенном водой, прибавляют р-р 0,7 г V и получают VIII, выход 51%, т. разл.  $146^\circ$ ; хинхосалиновое производное, т. пл.  $183^\circ$  (из сп.); 1,3-бис-фенилгидразин, т. пл.  $143^\circ$  (из сп.) (образуется также и непосредственно из XIII). Для целей сравнения синтезируют 4,4-пентаметиленициклопентандион-1,2 (XIV). К р-ру 7 г диметилового эфира циклогексантионуксусной-1,1 к-ты (т. кип.  $140^\circ/11$  мм) в ксилоле в атмосфере  $\text{N}_2$  прибавляют суспензию 4,8 г K-порошка в ксилоле, осторожно нагревают до  $135^\circ$  и после подкисления получают 4,4-пентаметиленициклопентанол-1-он-2 (XV), выход 3,1 г, т. кип.  $130-135^\circ/0,01$  мм. При растворении XV в 2 н. NaOH и пропускании через щел. р-р  $\text{O}_2$  (3 часа,  $\sim 20^\circ$ ) образуется XIV; бис-семикарбазон (XVI), т. разл.  $241^\circ$  (из разб.  $\text{CH}_3\text{COOH}$ ). Предполагается, что восстановительно-окислительное диспропорционирование VIII будет проходить путем перегруппировки в 1-оксис-2-кето-4,4-пентаметиленициклопентанкарбонную-1 к-ту, превращающуюся затем с потерей  $\text{CO}_2$  в энольную форму XV — 4,4-пентаметиленициклопентен-1-диол-1,2 (XVII), обладающий сильными восстанавливающими свойствами. Взаимодействие XVIII с VIII приведет к восстановлению VIII в XIII и одновременному окислению XVII в XIV. При кипячении VIII в свободной от воздуха воде в атмосфере  $\text{N}_2$ , очищенной от  $\text{O}_2$ , в течение 3 час. выделяется 72%  $\text{CO}_2$  и образуется XIII (выход по титрованию  $\text{J}_2$  90%); XIV при этом не обнаружен. Нагревание сухого VIII при  $\sim 145^\circ$  до прекращения выделения газа приводит к образованию  $\text{CO}_2$ , XIII и XIV (выделен в виде XVI) в эквимолярных кол-вах, выходы 69%. Для подтверждения восстанавливающего действия предполагаемого промежуточного соединения — XVII — на VIII р-р XV в 0,1 н. NaOH (содержит Na-сол. XVII) прибавляют к суспензии VIII в 0,1 н.  $\text{H}_2\text{SO}_4$ ; титрование  $\text{J}_2$  через 15 мин. показывает, что при этом образуется  $\sim 25\%$  теоретич. кол-ва XIII. Остальной XVIII, вероятно, успевает кетонизоваться в XV. Изучение перегруппировки дигидрата 1,2,3,4-тетракет-1,2,3,4-тетрагидрофталлина (XVIII), осуществленной ранее и получившей неправильное объяснение (Zincke Th., Ossenberg A., Liebigs Ann. Chem., 1899, 307, 10; 1900,



311, 280), показало, что она также является восстановительно-окислительным диспропорционированием. Нагревание XVIII (150–160°, ~50 мин.) приводит к образованию изонафтазарина (XIX), выход 92%, нингидрина (XX), выход 95%, и  $\text{CO}_2$ , выход 87%. При кипячении XVIII с водой (1 час) получают XIX, выход 84%,  $\text{CO}_2$ , выход 90%, и следы XX, который будучи сам трикарбонильным соединением, вероятно, претерпевает дальнейшую перегруппировку в условиях р-ции. Наконец, были исследованы превращения октагидрата трихлорола (гексакетотрихлорогексана) (XXI) при нагревании с р-рителями и без них и в отличие от прежних данных (Nietzki R., Benckiser Th., Ber., 1883, 18, 1837; Henle F., Liebigs Ann. Chem., 1906, 350, 331; Bergel F., Ber., 1929, 62, 490) найдено, что они также в значительной степени протекают по схеме восстановительно-окислительного диспропорционирования. Согласно этой схеме, XXI должен превратиться в смесь родизоновой к-ты (1,2-диокси-3,4,5,6-тетракетотрихлорогексана-1) (XXII), лейконовой к-ты (пентакетотрихлоропентана) (XXIII) и  $\text{CO}_2$ . Поскольку XXII и XXIII также являются вицинальными поликарбонильными соединениями, то из XXII в условиях р-ции должны образоваться тетраоксикетон (XXIV), кроконовая к-та (1,2-диокси-3,4,5-трикетотрихлоропентан-1) (XXV) и  $\text{CO}_2$ , а из XXIII—XXV и продукты разложения. Смесь 10 г XXIV, 600 мл воды, 40 г  $\text{K}_2\text{CO}_3$  и 30 г  $\text{MnO}_2$  кипятят 30 мин., фильтруют, подкисляют  $\text{HCl}$ , прибавляют избыток  $\text{BaCl}_2$ , образующуюся Ва-соль XXV (выход ~20 г) отделяют, подкисляют конц.  $\text{H}_2\text{SO}_4$  в  $\text{CH}_3\text{OH}$ , фильтруют и в фильтрате получают XXV, выход 9–11 г, т. разл. 310° (из лед.  $\text{CH}_3\text{COOH}$ ); в присутствии воды превращается в тригидрат. При нагревании пентагидрата XXIII (вероятно, имеет строение 1,1,2,2,3,3,4,4,5,5-декаоксидтрихлоропентана) с водой 2 н.  $\text{HCl}$  или лед.  $\text{CH}_3\text{COOH}$  он возвращается неизменным. Нагревание пентагидрата XXIII при 165–170° приводит к углеводородному продукту р-ции, из которого выделяют небольшое кол-во XXV. При нагревании дигидрата XXII при ~130° он обугливается, а при нагревании в вакууме возгоняется безводно. XXII. Однако при кипячении дигидрата XXII с 2 н.  $\text{HCl}$  получают ожидаемый XXIV (выход 86%), а также XXV (выход ~40%),  $\text{CO}_2$  и продукты дальнейшего разложения. При нагревании октагидрата XXI при 100° выделяется ~1,5 моля  $\text{CO}_2$  и в смолообразном продукте р-ции обнаруживается небольшое кол-во XXIV; ни XXIII, ни XXV при этом найдены не были. При нагревании октагидрата XXI при 100° с водой, диоксаном, лед.  $\text{CH}_3\text{COOH}$  или 2 н.  $\text{HCl}$  получают ~1,5 моля  $\text{CO}_2$  и ~0,3 моля XXIV. Однако в кипящем спирте из 2 молей октагидрата XXI образуется ~1 моль дигидрата XXII и 2 моля  $\text{CO}_2$ . Отсутствие в продуктах р-ции устойчивой в этих условиях XXIII авторы объясняют тем, что избыточная вода в октагидрате XXI гидролизует его в какие-то соединения с открытой цепью, которые восстанавливают остающийся XXI, но сами не способны циклизироваться в XXIII. Для того чтобы исключить влияние образующихся XXII и XXIV на ход превращения XXI при нагревании при 100° в 90%-ной  $\text{CH}_3\text{COOH}$ , по окончании выделения  $\text{CO}_2$  смесь охлаждают, обрабатывают  $\text{Br}_2$  до прекращения обесцвечивания и повторяют эту операцию до тех пор, пока выделение  $\text{CO}_2$  и выпадение XXIV полностью не закончатся. При этом в р-ре получают небольшие кол-ва XXV и мезоксалево-й к-ты, которая, по-видимому, является побочным продуктом р-ции. Авторы полагают, что способность к восстановительно-окислительному диспропорционированию — это общее свойство вицинальных поликарбонильных соединений, особенно в водн. р-рах, которое всегда следует принимать во внимание. В. Андреев

6Ж78. Структурная направленность диеновых конденсаций 1-алкилбутadiенов с несимметричными дие-

нофилами. Назаров И. Н., Титов Ю. А., Куанцова А. И. Изв. АН СССР. Отд. хим. н., 1960, № 5, 879–886. — Изучена структурная направленность диеновых конденсаций транс-пиперилена (I), 1-изопропилбутadiена (II), 1-н-бутилбутadiена (III) и 1-трет-бутилбутadiена (IV) с метилакрилатом (V), метилметакрилатом (VI) и этиловым эфиром  $\alpha$ -изопропилакриловой к-ты (VII). Дегидратация бутилпропиленкарбинола при 290–300° над 20%-ной  $\text{ZrO}_2/\text{лемза}$  ( $18 \times 200$  мм) (скорость пропускания 0,5 мл/мин) приводит к III, выход 15,0 г, т. кип. 113–114°/751 мм,  $n_D^{20}$  1,4350. Одновременно получают 52 г 1-метил-4-пропилбутadiена (VIII), т. кип. 132–132,5°/751 мм,  $n_D^{20}$  1,4566, и 8,3 г диена (IX) с т. кип. 124–125°/751 мм и  $n_D^{20}$  1,4273, строение которого не изучалось. Смесь 120 г 1-хлор-4-трет-бутилбутена-2, 600 мл лед.  $\text{CH}_3\text{COOH}$  и 300 мл безводн.  $\text{CH}_3\text{COOH}$  кипятят 4 часа, выливают в воду и получают 1-ацетокси-4-трет-бутилбутadiен, выход 81%, т. кип. 85–87°/47 мм,  $n_D^{20}$  1,4322, пробыла которого при 510–520° (битое стекло) приводит к IV, выход 63%, т. кип. 106,5–106,8°/756 мм,  $n_D^{20}$  1,4442. Смесь 30 г I и 40 г V нагревают в стальной ампуле 2 часа при 200° и получают смесь аддуктов, выход 85%, т. кип. 94–97°/30 мм, которую дегидрируют над 20%-ным Pd/C при 340–350°, омыляют кипячением (1 час) с 10%-ным р-ром NaOH в  $\text{CH}_3\text{OH}$ , окисляют 15%-ной  $\text{HNO}_3$  (РЖХим, 1955, 28791) и получают смесь фталевой к-ты (X) и изофталевой к-ты (XI) в соотношении 6,8 : 1, отвечающему соотношению о- и м-аддуктов в исходной смеси. Аналогичным образом при других диеновых конденсациях (200°) после осуществления описанной последовательности р-ций получают следующие соотношения X и XI (перечисляются исходный диен, исходный диенофил, время нагревания в час., выход смеси аддуктов в %, т. кип. смеси аддуктов в °C/мм, соотношение X : XI): II, V, 5, 60, 99–101/10, 5 : 1; III, V, 5, 74, 143–146/40, 5 : 1; IV, V, 5, 76, 122–125/20, соотношение о-трет-бутилбензойной (XII) и п-трет-бутилбензойной (XIII) к-т (получены дегидрированием и омылением смеси аддуктов и разделены фракционированной кристаллизацией из ацетона и петр. эфира) 4,1 : 1; I, VI, 2, 68, 88–91/15, 4,9 : 1; II, VI, 5, 52, 113–117/20, 3,1 : 1; IV, VI, 5, 75, 132–135/25, соотношение XII и XIII 2,6 : 1; I, VII, 15, 33, 102–105/8, 2,5 : 1; II, VII, 10, 32 (содержит димер II), 118–124/40, 2,4 : 1; IV, VII, 10, 19 (содержит димер IV), 135–140/25, соотношение XII и XIII 0,9 : 1. Таким образом, при увеличении объема алкильного заместителя как в диене, так и в диенофиле структурная избирательность р-ции уменьшается и доля м-изомера в смеси аддуктов возрастает. Ранее (РЖХим, 1960, № 7, 26550) было найдено, что при конденсациях 2-алкилбутadiенов имеется обратная зависимость. Следовательно, изменения структурной направленности в описанных р-циях обусловлены не электронными эффектами заместителей, а ростом пространственных затруднений при увеличении их объема, вследствие чего р-ция направляется в сторону стерически более выгодного переходного комплекса. С целью изучения влияния т-ры на структурную направленность диеновых р-ций осуществляют конденсации I с V при 20° (1 год) и 400° (в проточной системе); при этом получают соотношения X и XI 18 : 1 и соответственно 3,7 : 1, т. е. с повышением т-ры содержание м-изомера в смеси аддуктов увеличивается. Приведены УФ-спектры III, IV, VII и IX. В. Андреев

6Ж79. Синтез углеводородов. LXXV. Новый синтез 1,1,3,3-тетраалкилциклогексанов. Левина Р. Я., Даукшас В. К., Сурикова Т. П. «Ж. общ. химии», 1960, 30, № 7, 2145–2148. — Исходя из 1,3-диметилциклогексана-1,3 (I) разработан общий метод синтеза 1,1,3,3-тетраалкилциклогексанов (II). 1, т. кип. 135–136°/750 мм,  $n_D^{20}$  1,4813,  $d_4^{20}$  0,8328, гидролизированием сухим  $\text{HCl}$  при охлаждении льдом с солью

Кузне-  
1960, № 5,  
ность ди-  
1-изопр-  
и 1-трет-  
метилмет-  
ропилакри-  
онилкарби-  
ма (18 X  
ин) приво-  
1 мм,  $n_D^{20}$   
4-пропи-  
 $n_D^{20}$  1,456,  
тес 120 г  
H<sub>2</sub>SO<sub>4</sub> и  
выливают  
обугающей  
е, пиролиз  
одит к IV,  
 $n_D^{20}$  1,442,  
и ампуле  
ов, выход  
пруток над  
пичением  
окисляют  
нают смесь  
I) в соот-  
о- и м-ад-  
разом при  
е осущес-  
твляющих  
нагрева-  
н. смеси  
II, V, 5,  
5,1:1; IV,  
тибензой-  
получени  
гов и раз-  
й из аце-  
88—91/15,  
VI, 5, 75,  
VII, 15,  
ит димер  
ржит ди-  
III 0,9:1;  
дильного  
е струж-  
и доля  
т. Ранее  
что при  
ратная за-  
турной на-  
валены не  
остом пре-  
их обме-  
сторону  
омплекса  
рную на-  
конден-  
очной си-  
XI 18:1  
т-ры со-  
сывается.  
Андреев  
ий синтез  
Р. Я.,  
общ. хи-  
1,3-дме-  
ий метод  
I, т. кип.  
дрохлори-  
с солью

переведен в неустойчивый 1-хлор-1,3-диметилцикло-  
гексен-2, который сразу (не перегоняя) вводили в  
р-цию с  $\text{C}_2\text{H}_5\text{MgBr}$  и  $\text{C}_2\text{H}_5\text{MgBr}$ . Этим путем с выходом  
35—40%, считая на I, получены 1,1,3-триметилцикло-  
гексен-2 (III), т. кип. 138—138,5°/750 мм,  $n_D^{20}$  1,4580,  
 $d_4^{20}$  0,8110, и 1,3-диметил-1-этилциклогексен-2 (IV),  
т. кип. 50—52°/10 мм,  $n_D^{20}$  1,4589,  $d_4^{20}$  0,8224. III и IV  
подвергались гидрохлорированию и полученные тре-  
тичные предельные хлориды вводились в р-цию  
Гриньяра—Вюрца в присутствии  $\text{HgCl}_2$ ; при этом  
хлориды не только обменивали атом хлора на алкил,  
но и отщепляли  $\text{HCl}$ , образуя с выходом ~75% исход-  
ные III или IV, которые легко отделялись перегонкой  
и снова вводились в р-цию. Перечисляются II, выход  
в % (считая на III или IV), т. кип. °C/мм, т. заст. °C,  
 $n_D^{20}$ ,  $d_4^{20}$ : 1,1,3-триметил-3-этилциклогексан, 15, 179—  
180/743, —100 (стекло), 1,4472, 0,8113; 1,1,3-триметил-3-  
пропилциклогексан, 8, 194—194,5/740, —95 (стекло),  
1,4493, 0,8155; 1,1,3-триметил-3-бутилциклогексан,  
7, 217—218/731, —80 (стекло), 1,4522, 0,8171; 1,3-дме-  
тил-1,3-диэтилциклогексан, 15, 88,9—89,2/9, —100  
(стекло), 1,4561, 0,8267. Сообщение LXXIV м. РЖХим,  
1961, 2Ж83.

6Ж80. Превращение 4-винилциклогексена-1 на  
кремнефосфорном катализаторе. Germain Jean-  
Eugène, Blanchard Michel. Conversion du vi-  
nyl-4 cyclohexène-1 sur un catalyseur silicophosphorique,  
«C. r. Acad. sci.», 1960, 250, № 21, 3476—3478 (франц.).  
— Показано, что 4-винилциклогексен-1 (I) в паровой фазе  
на кремнефосфорном катализаторе (РЖХим, 1959,  
№ 3, 7589) претерпевает р-цию полимеризации, дис-  
пропорционирования водорода и изомеризации цик-  
ла. Через трубку, содержащую 34 г катализатора, при  
250° со скоростью 23 мл/час. при давл. ~760 мм про-  
пускают I (синтезирована димеризацией бутадена при  
200° выход 70%, т. кип. 128°,  $n_D^{20}$  1,4640) и получают  
полимер, выход 50%, и жидкий катализат, который  
при повторном пропускании над катализатором дает  
50% полимера и жидкий продукт р-ции (т. кип. 126—  
135°,  $n_D^{20}$  1,4650), состоящий только из углеводородов  
С<sub>8</sub>. Этот продукт р-ции, как показывают данные газо-  
жидкостной хроматографии (ГЖХ) (в качестве ста-  
ционарной фазы применяют р-р  $\text{AgNO}_3$  в диэтиленгли-  
коле), содержит неизмененный I (23%), этилбензол  
(II) (21,5%), смесь метилэтилциклопентенов (20%),  
смесь этилциклогексенов (15%), бицикло-[3,3,0]-октен-2  
(18%) и бицикло-[2,2,2]-октен-2 (2,5%). Для более пол-  
ной идентификации составных частей смеси проводят  
следующий ряд операций. Гидрирование продукта  
р-ции над Pt (из  $\text{PtO}_2$ ) и последующая перколяция на  
силикагеле для удаления II приводит к смеси в-в, ко-  
торая, как установлено с помощью ГЖХ (стационар-  
ная фаза — динонифталат), состоит из этилциклоге-  
ксана (III), смеси двух метилэтилциклопентанов, би-  
цикло-[3,3,0]-октана (IV) и бицикло-[2,2,2]-октана (V).  
При ароматизации этой смеси в-в при 310° над слабо  
изомеризующим  $\text{Pt-Al}_2\text{O}_3$ -катализатором III превра-  
щается в II, после удаления которого перколяцией на  
силикагеле смесь вновь ароматизуют при 300° над  
энергично изомеризующим  $\text{Pt-Al}_2\text{O}_3$ -катализатором (в  
несколько пропусков) и получают смесь ксилолов,  
IV и V. Предложен ионный механизм образования би-  
циклич. углеводородов.

В. Андреев  
6Ж81. Перегруппировка транс- и цис-4-трет-бутил-  
1-этилциклогексанолов в муравьиной кислоте.  
Newman Melvin S., Goble Paul H. Rearran-  
gement of trans- and cis-4-tert-butyl-1-ethylcyclohexanols  
in formic acid, «J. Amer. Chem. Soc.», 1960, 82, № 15,  
4086—4099 (англ.). — Транс-(I) (т. пл. 101,3—102,3°)  
и цис-4-трет-бутил-1-этилциклогексанолы (II) (т. пл.  
63—64°) при кипячении (45 мин.) с 90%-ной  $\text{HCOOH}$   
перегруппировываются в 1-ацетил-4-трет-бутилцикло-  
гексен (III), выход 72—78 и 95% соответственно,  
т. кип. 135—137°/14 мм; 2,4-динитрофенилгидразон, т. пл.

178,2—179°. Образование 4-трет-бутилциклогексиден-  
ацетальдегида при перегруппировке I и II установи-  
ть не удалось. Строение III подтверждено ИК- и УФ-  
спектрами, а также спектром ядерного магнитного ре-  
зонанса. Кинетич. измерениями установлено, что II  
перегруппировывается в III быстрее, чем I. Промежу-  
точным продуктом перегруппировки I и II в III яв-  
ляется, по-видимому, 4-трет-бутил-1-этилциклогек-  
сен (IV) (т. кип. 64—67°/9 мм,  $n_D^{25}$  1,4850), который  
перегруппировывается в III значительно быстрее, чем  
I и II. Точные кинетич. измерения осложняются по-  
бочным образованием форматов I и II наряду с пре-  
вращением этих спиртов в IV и III. III и 1-ацетилци-  
клогексен не дают положительной йодоформенной про-  
бы. Приведены данные УФ-спектра IV. Л. Хейфиц

6Ж82. Окисление циклогексанолов в циклогекса-  
ноны хромовой кислотой. Hussey Allen S., Ba-  
ker Robert H. Chromic acid oxidation of cyclohexa-  
nols to cyclohexanones, «J. Organ. Chem.», 1960, 25,  
№ 8, 1434 (англ.). — Внесение некоторых изменений в  
классич. методику окисления циклич. спиртов хромо-  
вой к-той (уменьшение избытка  $\text{Na}_2\text{Cr}_2\text{O}_7$  до 20%, ис-  
пользование стехиометрич. кол-ва  $\text{H}_2\text{SO}_4$  и прибавле-  
ние воды. р-ра  $\text{Na}_2\text{Cr}_2\text{O}_7$  и  $\text{H}_2\text{SO}_4$  к водн. эмульсии цик-  
лич. спирта) на 20—30% увеличивает выходы соответ-  
ствующих кетонов, которые, кроме того, содержат  
меньше исходных спиртов и ≤4—5% продуктов даль-  
нейшего окисления. Р-р 120 г  $\text{Na}_2\text{Cr}_2\text{O}_7 \cdot 2\text{H}_2\text{O}$  и 135 г  
96%-ной  $\text{H}_2\text{SO}_4$  в 500 мл воды за 40 мин. прибавляют к  
перемешиваемой смеси 128,0 г 4-этилциклогексанола и  
200 мл воды (при этом т-ра смеси возрастает от 30  
до 68°), охлаждают, экстрагируют смесь эфира и пента-  
на (3:1) и получают 4-этилциклогексанон, вы-  
ход 90%, т. кип. 109—112°/50 мм,  $n_D^{25}$  1,4533. Подобным  
же образом эмульсию 114,0 г 2-метилциклогексанола в  
200 мл воды за 45 мин. обрабатывают р-ром 120,0 г  
 $\text{Na}_2\text{Cr}_2\text{O}_7 \cdot 2\text{H}_2\text{O}$  и 135 г 96%-ной  $\text{H}_2\text{SO}_4$  в 500 мл воды  
и получают 2-метилциклогексанон, выход 80%, т. кип.  
104—107°/116 мм,  $n_D^{25}$  1,4473. Аналогичное окисление  
l-ментола приводит к l-ментону, выход 94%, т. кип.  
116—119°/41 мм,  $n_D^{25}$  1,4490,  $[\alpha]_D^{25}$  —28,9°. В. Андреев

6Ж83. Об оптимальной кислотности в процессе  
перегруппировки оксима циклогексанола в капролак-  
там. Котляр И. Б., Гуляков В. М. «Тр. по химии  
и хим. технол. (Горький)», 1959, вып. 3, 631—636.  
— В литературе имеются две точки зрения на строение  
первичного продукта перегруппировки оксима цик-  
логексанола (I) в капролактамы (II) под влиянием  $\text{H}_2\text{SO}_4$   
или олеума. Согласно первой из них, этот продукт  
является эфиром лактимной формы II и  $\text{H}_2\text{SO}_4$  (в этом  
случае для связывания воды, содержащейся в технич.  
I и выделяющейся при р-ции, требуется столько олеу-  
ма, чтобы кислотность реакционной смеси была  
~80%), а согласно второй — солью II и  $\text{H}_2\text{SO}_4$  (при  
этом кислотность должна составлять лишь ~50%).  
Поскольку в условиях произв. кислотность не превы-  
шает 65%, а выходы II достигают 96%, верной следует  
считать вторую точку зрения. Оптимальной кислот-  
ностью реакционной смеси должна быть такая кислот-  
ность, которая обеспечивала бы полное связывание  
воды, так как присутствие в смеси даже миним. ее  
кол-в резко снижает выход II и ухудшает его качест-  
во. Такая кислотность достигается при ведении про-  
цесса в присутствии 1,5—2,0%  $\text{SO}_3$ . На основании сте-  
хиометрич. расчетов авторами составлен график за-  
висимости кислотности реакционной массы от влаж-  
ности исходного I, пользуясь которым можно опреде-  
лять оптимальную кислотность, необходимую для I  
данной влажности. Точка зрения авторов на строение  
первичного продукта перегруппировки I и величину  
оптимальной кислотности, необходимую для достиже-  
ния максим. выходов II, подтверждается experim.  
данными. Предложен простой и быстрый способ ка-  
честв. контроля за возможным присутствием воды в

реакционной смеси. Для этого 5 мл смеси встряхивают с 30 мл дистил. воды: в случае присутствия воды в исходной смеси (недостаток  $\text{SO}_3$ ) на поверхности жидкости образуется устойчивая пена, и затем выпадает хлопьевидный осадок, а в случае отсутствия воды (избыток  $\text{SO}_3$ ) этих явлений никогда не наблюдают.

В. Андреев

**6Ж84.** Димеризация окиси мезитила в гомогенной или гетерогенной фазе: структура изоксилитонов. Wiemann Joseph, Furth Bernard, Dana Gilbert. Dimérisation de l'oxyde de mésityle en phase homogène ou hétérogène: structure des isoxylitones. «C. r. Acad. sci.», 1960, 250, № 22, 3674—3676 (франц.).—Ранее (РЖХим, 1956, № 3, 6739; 1956, № 17, 57319) было показано, что димеризация окиси мезитила (I) в гомог. или гетерог. фазе приводит к смеси изоксилитонов. Найдено с помощью газовой хроматографии (ГХ), что характер применяемого катализатора не влияет на состав образующейся смеси продуктов, но сказывается на ее выходе. Так, выход смеси в-в с т. кип. 80—140°/12 мм составляет в случае  $\text{MgO}$  18%, в случае анионо-обменных смол (дауэкс или Allassion) 25%, при применении  $\text{BaO}$  35%, при использовании  $\text{трет-C}_6\text{H}_7\text{ONa}$  65% и в случае  $\text{Li}$  90%. Из продуктов димеризации I под влиянием  $\text{Li}$  выделяют 1-ацетил-2,2,4,6-тетраметилциклогексен-4-ол-6 (II) (т. пл. 73°), присутствие которого обнаружено с помощью ГХ также в продуктах димеризации I под действием всех изученных катализаторов, кроме  $\text{трет-C}_6\text{H}_7\text{ONa}$ . Дегидратация II под влиянием  $\text{I}_2$  или  $n\text{-CH}_3\text{C}_6\text{H}_4\text{SO}_3\text{H}$  приводит к соответствующему изоксилитону — 1-ацетил-6-метил-2,2,4-триметилциклогексену-4 (III), т. кип. 102°/12 мм,  $n_D^{20}$  1,495; при действии на III р-ра  $\text{KOH}$  в спирте экзотермич. связь в нем перемещается в кольцо. Кипячение III с  $\text{BaO}$  в толуоле в течение 18 час. превращает его в смесь стереоизомерных изоксилитонов — 1-ацетил-2,2,4,6-тетраметилциклогексанонов-1,3 (IVa и б) [т. кип. 122—124°/12 мм,  $n_D^{24}$  1,520,  $d_4^{24}$  0,958; семикарбазон (V), т. пл. 155—156°; динитрофенилгидразон (ДНФГ) (VI), т. пл. 156°; и т. кип. 120—122°,  $n_D^{23}$  1,5221,  $d_4^{23}$  0,942; семикарбазон (VII), т. пл. 180°; ДНФГ (VIII), т. пл. 179°], которые являются главными первичными продуктами димеризации I. Гидрирование смеси IVa и IVб над  $\text{Pd/C}$  приводит к 1-ацетил-2,2,4,6-тетраметилциклогексану, т. кип. 107—108°/15 мм,  $n_D^{22}$  1,458,  $d_4^{22}$  0,884; семикарбазон, т. пл. 167°. При гидрировании III образуется смесь трех стереоизомерных соединений (найденно с помощью ГХ). Рассмотрение молекулярных моделей показывает, что IVa и IVб должны отличаться друг от друга расположением  $\text{CH}_3$ -группы ацетильного радикала по отношению к одной из  $\text{gem-CH}_3$ -групп, занимающей квазиаксиальное положение. При димеризации I, кроме II, IVa и IVб, образуются еще два других в-ва, которые, по-видимому, имеют скелет 1-изопропилен-2,6,6-триметилциклогексен-2-она-4. Приведены УФ-спектры II, III и V—VIII. В. Андреев

**6Ж85.** Об алифатических нитросоединениях. XX. Об отщеплении нитрогруппы от третичных нитросоединений. Dornow Alfred, Müller Arno. Über aliphatische Nitroverbindungen. XX. Über die Abspaltung der Nitrogruppe aus tertiären Nitroverbindungen. «Chem. Ber.», 1960, 93, № 1, 41—44 (нем.).—Показано, что при действии  $\text{CH}_3\text{ONa}$  на вицинальные хлорнитросоединения с третичной  $\text{NO}_2$ -группой последние легко отщепляются в виде  $\text{NaNO}_2$  и с хорошими выходами образуются соответствующие хлоролефины. 1-хлор-2-нитро-2-метилпропан (I) при кипячении с  $\text{CH}_3\text{ONa}$  (3 час.) образует 1-хлор-2-метилпропен-1 (выход 82%, т. кип. 67°), 1-нитро-1-хлорметилциклогексан (II) в этих условиях дает хлорметилциклогексан (выход 74%, т. кип. 50°/12 мм), а 3-хлор-2-нитро-2-метилгексан (III) образует 3-хлор-2-метилгексен-2, выход 33%, т. кип. 72—74°/16 мм. I (выход 92%, т. кип. 70—71°/12 мм), II (выход 80%, т. кип. 105°/4 мм) и III (выход 40%, т. кип.

116—117°/12 мм) получены взаимодействием 2-нитро-2-метилпропанола-1 (IV), 1-нитро-1-оксиметилциклогексана (V) и соответственно 2-нитро-2-метилгексанола-3 (VI) с  $\text{SOCl}_2$  в  $\text{CCl}_4$  в присутствии  $\text{C}_6\text{H}_5\text{N}$ . IV [выход 91%, т. кип. 93—94°/13 мм, т. пл. 88° (из  $\text{CCl}_4$ )] и V (выход 93%, т. кип. 117°/2,5 мм) получены взаимодействием 2-нитропропана и соответственно нитроциклогексана с параформом в присутствии  $\text{CH}_3\text{ONa}$ . Взаимодействием IV, V и VI с параформом в присутствии  $\text{HCl}$ -газа в сухом  $\text{C}_6\text{H}_6$  синтезированы соответственно формальдегид-бис-(2-нитро-2-метилпропилацеталь) (VII) [выход 81%, т. пл. 66—68° (из  $\text{CH}_3\text{OH}$ )], формальдегид-бис-[(1-нитроциклогексил)-метилацеталь] (VIII) [выход 73%, т. пл. 56—57° (из  $\text{CH}_3\text{OH}$ )] и формальдегид-бис-(2-нитро-2-метилгексил-(3)-ацеталь) (IX), выход 30%, т. кип. 183—184°/1,5 мм. VII, VIII и IX устойчивы по отношению к  $\text{CH}_3\text{ONa}$  даже при многократном нагревании. Сообщение XIX см. реф. 6Ж849.

Л. Хейфиц

**6Ж86.** 1-аминометилциклогексен и его дезаминирование азотистой кислотой. Colonge Jean, Dauris Henri. Sur l'aminométhyl-1 cyclohexène et sa désamination nitreuse. «C. r. Acad. sci.», 1960, 251, № 9, 1080—1081 (франц.).—При действии  $\text{HNO}_2$  на 1-аминометилциклогексен (I) образуется с выходом 55—60% смесь, содержащая 52—56% циклогептен-2-ола (II) и 44—48% 1-оксиметилциклогексена (III). Содержание II и III в смеси определено с помощью газовой хроматографии, подтверждено выделением II [т. кип. 66—68°/9 мм,  $n_D^{20}$  1,4838,  $d_4^{25}$  0,952; 2,4-динитробензоат (ДНБ), т. пл. 86°] и III [т. кип. 79,5°/9 мм,  $n_D^{25}$  1,4870,  $d_4^{25}$  0,977; ДНБ, т. пл. 94°] разгонкой смеси на колонке с вращающейся лентой, а также гидрированием смеси II и III с образованием циклогептанола и циклогексилкарбинола, разделение которых производилось через кислые фталаты. I [т. кип. 55—57°/12 мм; пикрат (ПК), т. пл. 181°, N-нитробензоат (НБ), т. пл. 198°] синтезирован восстановлением 1-цианоциклогексена  $\text{LiAlH}_4$  при  $-10^\circ$  в эфире. Гидрированием I получен аминометилциклогексан, т. кип. 47—48°/12 мм; ПК, т. пл. 185°; НБ, т. пл. 186°. N-бензоат, т. пл. 95°.

В. Дашунин

**6Ж87.** Изучение семичленных циклов. VIII. Синтез дибензо-[a, c]-циклогептадиена-1,3. Fujita Tadashi. «Якугаку дааси», 1959, 79, № 10, 1354—1356 (японск.; реф. англ.).—В продолжение прошлой работы (сообщение см. VII, РЖХим, 1961, 5Ж148) 2 г 2-оксо-2,3,4,4а,6,7-гексагидро-5Н-дибензо-[a, c]-циклогептадиена (см. РЖХим, 1960, № 16, 65429) в 50 мл абс. эфира восстанавливают, добавляя по каплям в р-р 0,2 г  $\text{LiAlH}_4$  в 20 мл эфира, перемешивают 1 час при  $\sim 20^\circ$ , кипятят 1 час, обычным способом выделяют 2-оксо-2,3,4,4а,6,7-гексагидро-5Н-дибензо-[a, c]-циклогептатриен (I), выход 2 г, т. пл. 103—105° (из петр. эф.). Дегидратацией 1,6 г I нагреванием (330—340°, 3 часа) с 1 г 20%-ного  $\text{Pd/C}$  получают дибензо-[a, c]-циклогептадиен-1,3 (II), выход 41,4%, т. кип. 88—90°/0,2 мм, т. пл. 51—52° (из  $\text{CH}_3\text{COOH}$ ). II характеризуется УФ- и ИК-спектрами. Восстановление 2,5 г 3-оксо-11б-метил-1,2,3,6,7,11б-гексагидро-5Н-дибензо-[a, c]-циклогептатриена (III) (см. ссылку выше) посредством  $\text{LiAlH}_4$ , как описано выше, дало 2,5 г 3-оксо-11б-метил-1,2,3,6,7,11б-гексагидро-5Н-дибензо-[a, c]-циклогептатриена (IV). При нагревании 1,8 г IV с 2 г Se (330—350°, 2 часа, 350—360°, 1 час) получен II, выход 52,3%, идентичный вышеописанному. Этот результат подтвердил принятое для III строение. Приведены данные ИК- и УФ-спектров II.

Л. Яновская

**6Ж88.** Синтез 4-аминотропона. Doi Kozo. The synthesis of 4-aminotropone. «Bull. Chem. Soc. Japan», 1960, 33, № 7, 887—888 (англ.).—4-аминотропон (I) получен следующим образом. При взаимодействии сульфата 4-аминотропона (2 г) с  $n\text{-C}_6\text{H}_5\text{SO}_3\text{Cl}$  в  $\text{C}_6\text{H}_5\text{N}$  образуются соответствующий ди-О,N-*n*-толуолсульфонат, выход 1,8 г, т. пл. 213° (разл.; из  $\text{CH}_3\text{OH}$ ), и 4-ам-

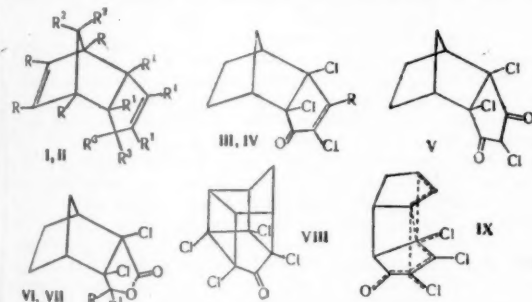


2-нитро-циклогексанона-3-IV [выход 34%] и V (заимодействительность) (VIII) формальде- (IX), вы- IX устой- го часового 9.

Хейфиц, Дашин, Дэвис, 9, 1080— ние метиль- 44—48%, II и III в тографии, м.м.  $n_D^{20}$  1,3877; ДНБ, тающей II с обра- нола, разне фтала- п.л. 184°, ован воспр- 10° илцикло- НБ, т.пл. Дашунин, I. Синтез a d a s h i. (японск.; (сообще- 0-2,3,4,4a, на (см. LiAlH<sub>4</sub> в кипят 3,4,4a,6,7- (I), вы- ратацией 2,0%-ного 1,3 (II), -52° (из етрами. 7,11б-рег- II) (см. но выше, гидро-5Н- рования I, 1 час) писанно- II строе- II. Яновская z o. The J. Ларан, (I) по ии суль- в C<sub>6</sub>H<sub>5</sub>N лсульфо- и 4-ами-

но-2-тозилситронон (II), выход 0,12 г, т. пл. 194° (разл.; из CH<sub>3</sub>OH). Гидролиз II (0,15 г) в присутствии 5%-ного Pd/C в CH<sub>3</sub>OH приводит к I, выход 0,02 г, т. пл. 218° (разл.; из этилацетата). Приведены данные и кривые УФ- и ИК-спектров I. Л. Хейфиц 6Ж89. Гидрогенизация ди-(Δ<sup>2</sup>-циклопентенил)-ацетилена на Pd-, Pt- и Ni-катализаторах. Платэ А. Ф., Станко В. И. «Изв. АН СССР. Отд. хим. н.», 1960, № 8, 1481—1489.—В присутствии Pd тройная связь в ди-(Δ<sup>2</sup>-циклопентенил)-ацетилене селективно гидрируется до двойной. В присутствии Pt после присоединения 3 молей H<sub>2</sub> к ди-(Δ<sup>2</sup>-циклопентенил)-ацетилену образуется 1,2-дициклопентенилэтилен, т. е. преимущественно гидрируются двойные связи в пятичленных циклах. В присутствии Pd, в результате его изомеризирующего действия после присоединения 3 молей H<sub>2</sub> к ди-(Δ<sup>2</sup>-циклопентенил)-ацетилену, образуется смесь неопределенных углеводородов, в которой преобладают 1,2-дициклопентенилэтилен и 1-(Δ<sup>1</sup>-циклопентенил)-циклопентенилэтан. Преимущественное присоединение водорода по двойной связи в пятичленном цикле по сравнению с двойной связью в открытой цепи наблюдается и при частичной (на 50%) гидрогенизации на Pt-черни эквимолекулярной смеси 3-метилциклопентена-1 и октена-2.

6Ж90. Изомеризация в ряду дициклопентенидиена. Yates P., Eaton P. *Isomerizations in the dicyclopentadiene series*, «Tetrahedron Letters», 1960, № 11, 5—9 (англ.).—Найдено, что 4,5,6,7-тетрахлор-3а,4,7а-тетрагидро-4,7-метаноидено-8 (I), т. пл. 123—123,5°, при нагревании до 135° количественно переходит в изомер (II) с т. пл. 82—83°, строение которого доказано спектральными данными и следующими превращениями: гидрирование II над Pt приводит к дигидропропадиону (III), превращающемуся при действии метанольного р-ра CH<sub>3</sub>ONa в метокситрихлоркетон (IV). Обработкой IV смесью HBr-CH<sub>3</sub>COOH получают



I R=Cl, R'=R''=H, R<sup>1</sup>+R''=O; II R=R''=H, R'=Cl, R<sup>1</sup>+R''=O; III R=Cl; IV R=OCH<sub>3</sub>; VI R=OH, R<sup>1</sup>=COOH; VII R<sup>1</sup>+R''=O

трихлордикетон (V), дающий при окислении HNO<sub>3</sub> производное дикарбоновой к-ты (VI). Окисление VI щел. KMnO<sub>4</sub> с последующим пиролизом приводит к дихлорангидриду (VII), т. пл. 202—203° (запаянный капилляр), оказавшемуся идентичным продукту, полученному гидрированием аддукта дихлормалеиновой к-ты с циклопентанином. IV синтезируются также обработкой II метанольным р-ром CH<sub>3</sub>ONa с последующим катализатич. гидрированием. УФ-облучение II приводит к новому изомеру, т. пл. 113,5—114,5°, которому авторы приписывают строение VIII. По предположению авторов, изомеризация I в II протекает через переходное состояние (IX), что подтверждается значительным ускорением изомеризации под влиянием H<sub>2</sub>SO<sub>4</sub> или AlCl<sub>3</sub>. Приведены данные по УФ-спектрам I, II, VII и VIII. Л. Бергельсон

6Ж91. Прямой синтез адамантанкарбоновой-1 кислоты. Koch Herbert, Haaf W. *Direkte Synthese der Adamantan-carbonsäure*-(1), «Angew. Chem.», 1960, 72, № 17, 628 (нем.).—При действии 0,4 моля трет-С<sub>4</sub>H<sub>9</sub>ОН и 1,2 моля 99%-ной HCOOH на смесь 470 г 96%-ной H<sub>2</sub>SO<sub>4</sub> и 0,1 моля адамантана (I) в 100 мл циклогексана (3 часа при 17—19°) с последующим разложением реакционной смеси льдом получена адамантанкарбоновая-1 к-та [выход 80%, т. пл. 174—177°; амид, т. пл. 190—191° (из бзл.)] и 18,7 г (CH<sub>3</sub>)<sub>3</sub>CCOON. Механизм р-ции состоит в обмене (CH<sub>3</sub>)<sub>3</sub>C+ с I с образованием карбониевого иона из I с зарядом на одном из третичных атомов C и последующем карбоксилировании этого иона HCOOH. Уменьшение кол-ва циклогексана до 50 мл приводит к снижению выхода продукта до 37%. В. Дашунин

6Ж92. Синтез и свойства парадилкилбензолов. Петров А. Д., Никишин Г. И., Воробьев В. Д. «Изв. АН СССР. Отд. хим. н.», 1960, № 4, 717—723.—Осуществлен синтез *n*-диалкилбензолов *n*-R<sub>2</sub>C<sub>6</sub>H<sub>4</sub>R (I) в одну стадию по ур-нию: *n*-BrC<sub>6</sub>H<sub>4</sub>Br + 2Mg + 2RBr → I + 2MgBr. Обсужден механизм р-ции. Сравнены т-ры кипения, плавления и застывания,  $n_D^{20}$ ,  $d_4^{20}$ , молекулярная рефракция, молекулярные объемы, кинематич. вязкости, ИК-спектры моноалкилбензолов и *n*-диалкилбензолов с одинаковым числом углеродных атомов, а также моющая способность полученных из них Na-солей сульфокислот. К 57,62 г Mg в 500 мл эфира за 3,5 часа прибавляют р-р 240 г *n*-BrC<sub>6</sub>H<sub>4</sub>Br в эфире, кипятят 1,5 часа и за 2,5 часа прибавляют 413 г BrC<sub>6</sub>H<sub>13</sub>, оставляют на 12 час., отгоняют эфир, нагревают при 110° 1 час и при 160° 10 час., охлаждают, возвращают эфир в смесь, разлагают слабой HCl, из эфирного р-ра перегонкой над Na получают 49 г I (R = C<sub>6</sub>H<sub>13</sub>), выход 23%. Получены I (указаны R, т. кип. в °C/мм,  $n_D^{20}$ ,  $d_4^{20}$ ): *n*-C<sub>4</sub>H<sub>9</sub>, 93—99/3, 1,4903, 0,8584; *n*-C<sub>6</sub>H<sub>13</sub>, 91—92/1, 1,4875, 0,8573; *n*-C<sub>8</sub>H<sub>17</sub>, 146—147/2,5, 1,4886, 0,8567; *n*-C<sub>10</sub>H<sub>21</sub>, 179—180/4, 1,4858, 0,8563; *n*-C<sub>12</sub>H<sub>25</sub>, 180—181/3, 1,4859, 0,8566; *n*-C<sub>14</sub>H<sub>29</sub>, 210—212/2, 1,4840, 0,8557; (CH<sub>3</sub>)<sub>2</sub>CHCH<sub>2</sub>CH<sub>2</sub>, 130—131/6, 1,4855, 0,8509. Синтезируются также *n*-R<sub>2</sub>C<sub>6</sub>H<sub>4</sub>R' (приводятся R, R' и те же константы): *изо*-C<sub>3</sub>H<sub>7</sub>, C<sub>2</sub>H<sub>5</sub>CH<sub>2</sub>(CH<sub>3</sub>)<sub>2</sub>C, 68—89/1,5, 1,4827, 0,8675; CH<sub>3</sub>, C(CH<sub>3</sub>)<sub>2</sub>C<sub>6</sub>H<sub>11</sub>-*n*, 144—145/3, 1,4900, 0,8566; (CH<sub>3</sub>)<sub>2</sub>CH, C(CH<sub>3</sub>)<sub>2</sub>C<sub>6</sub>H<sub>11</sub>-*n*, 117—118/2, 1,4908, 0,8626. П. Зайцев

6Ж93. Алкилирование изопропилбензола пропиленом в присутствии алюмосиликатного катализатора. Панченков Г. М., Колесников И. М. «Ж. прикл. химия», 1960, 33, № 6, 1425—1427.—При алкилировании пропиленом (I) (CH<sub>3</sub>)<sub>2</sub>CHCH=CH<sub>2</sub> (II) с т. кип. 152°,  $n_D^{20}$  1,4915,  $d_4^{20}$  0,8610, для получения (CH<sub>3</sub>)<sub>2</sub>CHCH<sub>2</sub>CH<sub>2</sub>CH<sub>3</sub> (CH<sub>3</sub>)<sub>2</sub> (III) в присутствии алюмосиликатного катализатора состава (в %): Al<sub>2</sub>O<sub>3</sub> 14,01, SiO<sub>2</sub> 84,66, Na<sub>2</sub>O 0,36, Fe<sub>2</sub>O<sub>3</sub> 0,13, MgO и Zn — следы, CaO 0,60, показано, что наибольший выход III, равный 71,5% (в расчете на I), получался при проведении процесса в потоке в газовой фазе при 260° и атмосферном давлении, молярном отношении II : I = 2,5 : 1 и объемной скорости Г 0,31 см<sup>3</sup> на 1 см<sup>3</sup> катализатора в 1 час. Уменьшение молярного отношения II : I до 0,53 : 1 при 260° снижает выход III до 26,8% с одновременным увеличением выхода триизо-пропилбензолов. Д. Зыков

6Ж94. Димер стирола — 1,2-дифенилциклобутан. Bengelsdorf Irving S. A dimer of styrene: 1,2-diphenylcyclobutane. «J. Organ. Chem.», 1960, 25, № 8, 1468—1469 (англ.).—При полимеризации стирола (I) кипячением в присутствии J<sub>2</sub> наряду с твердым полимером (II) образуется жидкий олигомер 1,2-дифенилциклобутан (III). Окислением III превращается в (C<sub>6</sub>H<sub>5</sub>COCH<sub>2</sub>)<sub>2</sub> (IV). Для освобождения от ингибиторов I промывают р-ром NaOH и перегоняют в вакууме. 0,4 г J<sub>2</sub> в 200 г I кипятят 16 час., выделяют перегонкой 100 г неизмененного I, 77 г II и 19 г III, т. кип. 124—160°/0,5 мм (после промывки р-ром NaHSO<sub>3</sub> и взбалты-

вания с Hg),  $n_D^{20}$  1,5913 (третья фракция из семи). ИК-спектр III отличается от ИК-спектра димера, получаемого с  $H_2SO_4$  (РЖХим, 1955, № 4, 5566). К I с III в 40 мл лед.  $CH_3COOH$  при 50° за 40 мин. прибавляют 4 г  $CrO_3$  (разогревание до 73°); после ряда промываний и возгонок остатков, полученных от выпаривания элюатов при хроматографировании на силикагеле, выделяют небольшое кол-во IV, т. пл. 143—145°; с 2,4-динитрофенилгидразоном дает, по-видимому, производное пиридазина  $C_{22}H_{16}N_4O_4$ , т. пл. 219—221°. Строение III установлено синтезом IV путем восстановления  $(C_6H_5COCN=)_2$  (V) (см. Allen C. F. H. и др., J. Organ. Chem., 1937, 2, 235). V получается конденсацией фумарилхлорида с  $C_6H_5$  по ранее известному методу (см. Синтезы органич. препаратов, М., Издательство Иностранной литературы, 1952, сб. I, 337). Приведен ИК-спектр IV.

В. Скородумов

**6Ж95. Некоторые фенил-2-метилгексаны.** Goerner Gordon L., Muller Herman L., Corbin James L. Selected phenyl-2-methylhexanes. J. Organ. Chem., 1959, 24, № 10, 1561—1563 (англ.). Синтезированы некоторые фенил-2-метилгексаны. Из 2,58 моля  $CH_2(COOC_2H_5)_2$ , 2,5 моля  $iso-C_5H_{11}Br$  и  $C_2H_5ONa$  (из 2,5 моля Na) обычным способом получают 386 г  $iso-C_5H_{11}CH(COOC_2H_5)_2$ , т. кип. 123—125°/13 мм,  $n_D^{25}$  1,4229—1,4235; его гидролизуют (5 час.) кипячением с 5,7 моля КОН в 320 мл воды, отгоняют спирт, водн. слой извлекают эфиром,  $H_2SO_4$  выделяют  $iso-C_5H_{11}CH(COOH)_2$ , кислый р-р кипятят 5 час., извлекают  $C_6H_6$ , отгоняют р-ритель, остаток нагревают при ~200° до прекращения выделения  $CO_2$ , получают 44,8%  $(CH_3)_2CH(CH_2)_3COOH$  (I), т. кип. 110—116°/16 мм,  $n_D^{25}$  1,4202—1,4206. К I по каплям прибавляют 20%-ный избыток  $SOCl_2$ , кипятят 2,5 часа, выделяют 145 г хлорангидрида I (II), т. кип. 76—82°/34 мм. 0,56 моля II в 500 мл  $C_6H_6$  прибавляют к 0,937 ммоль  $AlCl_3$  в 150 мл  $C_6H_6$ , обработкой по ранее описанному методу (Berliner E., Berliner F., J. Amer. Chem. Soc., 1950, 72, 222) выделяют 79%  $(CH_3)_2CH(CH_2)_3COC_6H_5$  (III), т. кип. 148—151°/17 мм,  $n_D^{25}$  1,5050—1,5060, 0,44 моля III прибавляют к р-ру 0,9 г КОН в 400 мл  $O(CH_2CH_2OH)_2$  (IV) и 50 мл 85%-ного  $N_2H_4 \cdot H_2O$ , кипятят 1 час, отгоняют летучее в-ва до 190°, кипятят остаток еще 3 часа, после обычной обработки перегонкой выделяют 55 г  $(CH_3)_2CH(CH_2)_3C_6H_5$  (V), т. кип. 238,3°/735 мм (испр.),  $n_D^{20}$  1,4850,  $n_D^{25}$  1,4828,  $d_4^{20}$  0,8547,  $d_4^{25}$  0,8509; диацетаминпроизводное (ДАП) (полученное нитрованием V при 50° или выше и обычными дальнейшими р-циями), т. пл. 206,5—207° (испр.; из сп.). 0,5 моля  $C_6H_5COC_2H_5$  по каплям прибавляют к  $NaNH_2$  [из 0,5 моля Na по ранее описанному методу (Хэнкок Э., Коп А., Синтезы органич. препаратов, М., Изд-во Ин. лит., 1952, сб. 3, 494)], размешивают 30 мин., по каплям прибавляют 0,56 моля  $C_6H_5Br$ , нагревают при ~100° 1,5 часа, оставляют на ~12 час., маслянистый слой промывают 300 мл воды, промывные воды извлекают  $C_6H_6$ , объединенные органич. слои промывают водой, выделяют 72,5%  $C_6H_5CH(CH_3)COC_2H_5$  (VI), т. кип. 107—110°/2 мм,  $n_D^{25}$  1,0548—1,0558; 2,4-динитрофенилгидразон, т. пл. 74,5—76°. Восстановление при помощи варианта Хуан-Мишона метода Кижнера приводит к  $C_6H_5CH(CH_3)CH_2C_6H_5$ , выход 63%, т. кип. 233,5°/735 мм,  $d_4^{20}$  0,8558,  $d_4^{25}$  0,8521; ДАП, т. пл. 193—193,8° (из сп.). Смесь 1,043 моля  $C_6H_5CH_2CN$  (VI) и 1,095 моля  $iso-C_4H_9Br$  сразу прибавляют к 1,017 моля NaH в 200 мл абс. толуола, нагревают до 65° до начала бурной р-ции, которая продолжается ~30 мин. и сдерживается внешним охлаждением, затем кипятят 5 час. и оставляют на ~12 час., по каплям прибавляют 40 мл спирта, затем 200 мл воды,  $C_6H_6$  извлекают 65,5%  $(CH_3)_2CHCH_2CH_2CH_2CN$  (VII), т. кип. 132—134°/10 мм,  $n_D^{20}$  1,4990,  $n_D^{25}$  1,4970. 1,014 моля VII прибавляют за 2 часа к  $CH_3MgBr$  (из 2,05 моля Mg), кипятят 5 час., часть эфира выпаривают и заменяют толуолом, нагревают несколько часов при 90°, после гидролиза и удаления р-рителя выделяют 95 г  $(CH_3)_2CHCH_2CH_2CH_2CN$  (VIII), т. кип. 115—122°/10 мм,  $n_D^{20}$  1,4971—1,4988,  $n_D^{25}$  1,4952—1,4968, и 46 г смеси этого в-ва с V; обе части обрабатывают 110 мл 64%-ного  $N_2H_4 \cdot H_2O$  в р-ре 110 г КОН в 500 мл IV по модифицированному методу Кижнера, к углеводородной фракции (УФР), т. кип. 76—96°/10 мм, (67,6 г) после очистки промыванием охлажд. льдом  $H_2SO_4$ , водой и  $Na_2CO_3$  прибавляют абс.  $C_6H_6$ , отгоняют азеотропич. путем воду и выделяют 4,6 г  $iso-C_5H_{11}C_6H_5$ , т. кип. 197—199°/752 мм, 72—77°/10 мм,  $n_D^{20}$  1,4850, ДАП, т. пл. 216—217°, и 45,7 г  $(CH_3)_2CHCH_2CH_2CH_2CN$  (IX), т. кип. 87,5—88,5°/10 мм, 216,6°/733 мм (испр.),  $n_D^{20}$  1,4832,  $n_D^{25}$  1,4813,  $d_4^{20}$  0,8539,  $d_4^{25}$  0,8501; ДАП, т. пл. 198,8—199,2° (из сп.). Из щел. р-ра (после удаления УФР) в V выделяют 32 г неочищ.  $(CH_3)_2CHCH_2CH_2CH_2CN$  (X), т. кип. 115—122°/10 мм,  $n_D^{20}$  1,4971—1,4988,  $n_D^{25}$  1,4952—1,4968, и 46 г смеси этого в-ва с V; обе части обрабатывают 110 мл 64%-ного  $N_2H_4 \cdot H_2O$  в р-ре 110 г КОН в 500 мл IV по модифицированному методу Кижнера, к углеводородной фракции (УФР), т. кип. 76—96°/10 мм, (67,6 г) после очистки промыванием охлажд. льдом  $H_2SO_4$ , водой и  $Na_2CO_3$  прибавляют абс.  $C_6H_6$ , отгоняют азеотропич. путем воду и выделяют 4,6 г  $iso-C_5H_{11}C_6H_5$ , т. кип. 197—199°/752 мм, 72—77°/10 мм,  $n_D^{20}$  1,4850, ДАП, т. пл. 216—217°, и 45,7 г  $(CH_3)_2CHCH_2CH_2CH_2CN$  (IX), т. кип. 87,5—88,5°/10 мм, 216,6°/733 мм (испр.),  $n_D^{20}$  1,4832,  $n_D^{25}$  1,4813,  $d_4^{20}$  0,8539,  $d_4^{25}$  0,8501; ДАП, т. пл. 198,8—199,2° (из сп.). Из щел. р-ра (после удаления УФР) в V выделяют 32 г неочищ.  $(CH_3)_2CHCH_2CH_2CH_2CN$  (X), т. кип. 115—122°/10 мм,  $n_D^{20}$  1,4971—1,4988,  $n_D^{25}$  1,4952—1,4968, и 46 г смеси этого в-ва с V; обе части обрабатывают 110 мл 64%-ного  $N_2H_4 \cdot H_2O$  в р-ре 110 г КОН в 500 мл IV по модифицированному методу Кижнера, к углеводородной фракции (УФР), т. кип. 76—96°/10 мм, (67,6 г) после очистки промыванием охлажд. льдом  $H_2SO_4$ , водой и  $Na_2CO_3$  прибавляют абс.  $C_6H_6$ , отгоняют азеотропич. путем воду и выделяют 4,6 г  $iso-C_5H_{11}C_6H_5$ , т. кип. 197—199°/752 мм, 72—77°/10 мм,  $n_D^{20}$  1,4850, ДАП, т. пл. 216—217°, и 45,7 г  $(CH_3)_2CHCH_2CH_2CH_2CN$  (IX), т. кип. 87,5—88,5°/10 мм, 216,6°/733 мм (испр.),  $n_D^{20}$  1,4832,  $n_D^{25}$  1,4813,  $d_4^{20}$  0,8539,  $d_4^{25}$  0,8501; ДАП, т. пл. 198,8—199,2° (из сп.). Из щел. р-ра (после удаления УФР) в V выделяют 32 г неочищ.  $(CH_3)_2CHCH_2CH_2CH_2CN$  (X), т. кип. 115—122°/10 мм,  $n_D^{20}$  1,4971—1,4988,  $n_D^{25}$  1,4952—1,4968, и 46 г смеси этого в-ва с V; обе части обрабатывают 110 мл 64%-ного  $N_2H_4 \cdot H_2O$  в р-ре 110 г КОН в 500 мл IV по модифицированному методу Кижнера, к углеводородной фракции (УФР), т. кип. 76—96°/10 мм, (67,6 г) после очистки промыванием охлажд. льдом  $H_2SO_4$ , водой и  $Na_2CO_3$  прибавляют абс.  $C_6H_6$ , отгоняют азеотропич. путем воду и выделяют 4,6 г  $iso-C_5H_{11}C_6H_5$ , т. кип. 197—199°/752 мм, 72—77°/10 мм,  $n_D^{20}$  1,4850, ДАП, т. пл. 216—217°, и 45,7 г  $(CH_3)_2CHCH_2CH_2CH_2CN$  (IX), т. кип. 87,5—88,5°/10 мм, 216,6°/733 мм (испр.),  $n_D^{20}$  1,4832,  $n_D^{25}$  1,4813,  $d_4^{20}$  0,8539,  $d_4^{25}$  0,8501; ДАП, т. пл. 198,8—199,2° (из сп.). Из щел. р-ра (после удаления УФР) в V выделяют 32 г неочищ.  $(CH_3)_2CHCH_2CH_2CH_2CN$  (X), т. кип. 115—122°/10 мм,  $n_D^{20}$  1,4971—1,4988,  $n_D^{25}$  1,4952—1,4968, и 46 г смеси этого в-ва с V; обе части обрабатывают 110 мл 64%-ного  $N_2H_4 \cdot H_2O$  в р-ре 110 г КОН в 500 мл IV по модифицированному методу Кижнера, к углеводородной фракции (УФР), т. кип. 76—96°/10 мм, (67,6 г) после очистки промыванием охлажд. льдом  $H_2SO_4$ , водой и  $Na_2CO_3$  прибавляют абс.  $C_6H_6$ , отгоняют азеотропич. путем воду и выделяют 4,6 г  $iso-C_5H_{11}C_6H_5$ , т. кип. 197—199°/752 мм, 72—77°/10 мм,  $n_D^{20}$  1,4850, ДАП, т. пл. 216—217°, и 45,7 г  $(CH_3)_2CHCH_2CH_2CH_2CN$  (IX), т. кип. 87,5—88,5°/10 мм, 216,6°/733 мм (испр.),  $n_D^{20}$  1,4832,  $n_D^{25}$  1,4813,  $d_4^{20}$  0,8539,  $d_4^{25}$  0,8501; ДАП, т. пл. 198,8—199,2° (из сп.). Из щел. р-ра (после удаления УФР) в V выделяют 32 г неочищ.  $(CH_3)_2CHCH_2CH_2CH_2CN$  (X), т. кип. 115—122°/10 мм,  $n_D^{20}$  1,4971—1,4988,  $n_D^{25}$  1,4952—1,4968, и 46 г смеси этого в-ва с V; обе части обрабатывают 110 мл 64%-ного  $N_2H_4 \cdot H_2O$  в р-ре 110 г КОН в 500 мл IV по модифицированному методу Кижнера, к углеводородной фракции (УФР), т. кип. 76—96°/10 мм, (67,6 г) после очистки промыванием охлажд. льдом  $H_2SO_4$ , водой и  $Na_2CO_3$  прибавляют абс.  $C_6H_6$ , отгоняют азеотропич. путем воду и выделяют 4,6 г  $iso-C_5H_{11}C_6H_5$ , т. кип. 197—199°/752 мм, 72—77°/10 мм,  $n_D^{20}$  1,4850, ДАП, т. пл. 216—217°, и 45,7 г  $(CH_3)_2CHCH_2CH_2CH_2CN$  (IX), т. кип. 87,5—88,5°/10 мм, 216,6°/733 мм (испр.),  $n_D^{20}$  1,4832,  $n_D^{25}$  1,4813,  $d_4^{20}$  0,8539,  $d_4^{25}$  0,8501; ДАП, т. пл. 198,8—199,2° (из сп.). Из щел. р-ра (после удаления УФР) в V выделяют 32 г неочищ.  $(CH_3)_2CHCH_2CH_2CH_2CN$  (X), т. кип. 115—122°/10 мм,  $n_D^{20}$  1,4971—1,4988,  $n_D^{25}$  1,4952—1,4968, и 46 г смеси этого в-ва с V; обе части обрабатывают 110 мл 64%-ного  $N_2H_4 \cdot H_2O$  в р-ре 110 г КОН в 500 мл IV по модифицированному методу Кижнера, к углеводородной фракции (УФР), т. кип. 76—96°/10 мм, (67,6 г) после очистки промыванием охлажд. льдом  $H_2SO_4$ , водой и  $Na_2CO_3$  прибавляют абс.  $C_6H_6$ , отгоняют азеотропич. путем воду и выделяют 4,6 г  $iso-C_5H_{11}C_6H_5$ , т. кип. 197—199°/752 мм, 72—77°/10 мм,  $n_D^{20}$  1,4850, ДАП, т. пл. 216—217°, и 45,7 г  $(CH_3)_2CHCH_2CH_2CH_2CN$  (IX), т. кип. 87,5—88,5°/10 мм, 216,6°/733 мм (испр.),  $n_D^{20}$  1,4832,  $n_D^{25}$  1,4813,  $d_4^{20}$  0,8539,  $d_4^{25}$  0,8501; ДАП, т. пл. 198,8—199,2° (из сп.). Из щел. р-ра (после удаления УФР) в V выделяют 32 г неочищ.  $(CH_3)_2CHCH_2CH_2CH_2CN$  (X), т. кип. 115—122°/10 мм,  $n_D^{20}$  1,4971—1,4988,  $n_D^{25}$  1,4952—1,4968, и 46 г смеси этого в-ва с V; обе части обрабатывают 110 мл 64%-ного  $N_2H_4 \cdot H_2O$  в р-ре 110 г КОН в 500 мл IV по модифицированному методу Кижнера, к углеводородной фракции (УФР), т. кип. 76—96°/10 мм, (67,6 г) после очистки промыванием охлажд. льдом  $H_2SO_4$ , водой и  $Na_2CO_3$  прибавляют абс.  $C_6H_6$ , отгоняют азеотропич. путем воду и выделяют 4,6 г  $iso-C_5H_{11}C_6H_5$ , т. кип. 197—199°/752 мм, 72—77°/10 мм,  $n_D^{20}$  1,4850, ДАП, т. пл. 216—217°, и 45,7 г  $(CH_3)_2CHCH_2CH_2CH_2CN$  (IX), т. кип. 87,5—88,5°/10 мм, 216,6°/733 мм (испр.),  $n_D^{20}$  1,4832,  $n_D^{25}$  1,4813,  $d_4^{20}$  0,8539,  $d_4^{25}$  0,8501; ДАП, т. пл. 198,8—199,2° (из сп.). Из щел. р-ра (после удаления УФР) в V выделяют 32 г неочищ.  $(CH_3)_2CHCH_2CH_2CH_2CN$  (X), т. кип. 115—122°/10 мм,  $n_D^{20}$  1,4971—1,4988,  $n_D^{25}$  1,4952—1,4968, и 46 г смеси этого в-ва с V; обе части обрабатывают 110 мл 64%-ного  $N_2H_4 \cdot H_2O$  в р-ре 110 г КОН в 500 мл IV по модифицированному методу Кижнера, к углеводородной фракции (УФР), т. кип. 76—96°/10 мм, (67,6 г) после очистки промыванием охлажд. льдом  $H_2SO_4$ , водой и  $Na_2CO_3$  прибавляют абс.  $C_6H_6$ , отгоняют азеотропич. путем воду и выделяют 4,6 г  $iso-C_5H_{11}C_6H_5$ , т. кип. 197—199°/752 мм, 72—77°/10 мм,  $n_D^{20}$  1,4850, ДАП, т. пл. 216—217°, и 45,7 г  $(CH_3)_2CHCH_2CH_2CH_2CN$  (IX), т. кип. 87,5—88,5°/10 мм, 216,6°/733 мм (испр.),  $n_D^{20}$  1,4832,  $n_D^{25}$  1,4813,  $d_4^{20}$  0,8539,  $d_4^{25}$  0,8501; ДАП, т. пл. 198,8—199,2° (из сп.). Из щел. р-ра (после удаления УФР) в V выделяют 32 г неочищ.  $(CH_3)_2CHCH_2CH_2CH_2CN$  (X), т. кип. 115—122°/10 мм,  $n_D^{20}$  1,4971—1,4988,  $n_D^{25}$  1,4952—1,4968, и 46 г смеси этого в-ва с V; обе части обрабатывают 110 мл 64%-ного  $N_2H_4 \cdot H_2O$  в р-ре 110 г КОН в 500 мл IV по модифицированному методу Кижнера, к углеводородной фракции (УФР), т. кип. 76—96°/10 мм, (67,6 г) после очистки промыванием охлажд. льдом  $H_2SO_4$ , водой и  $Na_2CO_3$  прибавляют абс.  $C_6H_6$ , отгоняют азеотропич. путем воду и выделяют 4,6 г  $iso-C_5H_{11}C_6H_5$ , т. кип. 197—199°/752 мм, 72—77°/10 мм,  $n_D^{20}$  1,4850, ДАП, т. пл. 216—217°, и 45,7 г  $(CH_3)_2CHCH_2CH_2CH_2CN$  (IX), т. кип. 87,5—88,5°/10 мм, 216,6°/733 мм (испр.),  $n_D^{20}$  1,4832,  $n_D^{25}$  1,4813,  $d_4^{20}$  0,8539,  $d_4^{25}$  0,8501; ДАП, т. пл. 198,8—199,2° (из сп.). Из щел. р-ра (после удаления УФР) в V выделяют 32 г неочищ.  $(CH_3)_2CHCH_2CH_2CH_2CN$  (X), т. кип. 115—122°/10 мм,  $n_D^{20}$  1,4971—1,4988,  $n_D^{25}$  1,4952—1,4968, и 46 г смеси этого в-ва с V; обе части обрабатывают 110 мл 64%-ного  $N_2H_4 \cdot H_2O$  в р-ре 110 г КОН в 500 мл IV по модифицированному методу Кижнера, к углеводородной фракции (УФР), т. кип. 76—96°/10 мм, (67,6 г) после очистки промыванием охлажд. льдом  $H_2SO_4$ , водой и  $Na_2CO_3$  прибавляют абс.  $C_6H_6$ , отгоняют азеотропич. путем воду и выделяют 4,6 г  $iso-C_5H_{11}C_6H_5$ , т. кип. 197—199°/752 мм, 72—77°/10 мм,  $n_D^{20}$  1,4850, ДАП, т. пл. 216—217°, и 45,7 г  $(CH_3)_2CHCH_2CH_2CH_2CN$  (IX), т. кип. 87,5—88,5°/10 мм, 216,6°/733 мм (испр.),  $n_D^{20}$  1,4832,  $n_D^{25}$  1,4813,  $d_4^{20}$  0,8539,  $d_4^{25}$  0,8501; ДАП, т. пл. 198,8—199,2° (из сп.). Из щел. р-ра (после удаления УФР) в V выделяют 32 г неочищ.  $(CH_3)_2CHCH_2CH_2CH_2CN$  (X), т. кип. 115—122°/10 мм,  $n_D^{20}$  1,4971—1,4988,  $n_D^{25}$  1,4952—1,4968, и 46 г смеси этого в-ва с V; обе части обрабатывают 110 мл 64%-ного  $N_2H_4 \cdot H_2O$  в р-ре 110 г КОН в 500 мл IV по модифицированному методу Кижнера, к углеводородной фракции (УФР), т. кип. 76—96°/10 мм, (67,6 г) после очистки промыванием охлажд. льдом  $H_2SO_4$ , водой и  $Na_2CO_3$  прибавляют абс.  $C_6H_6$ , отгоняют азеотропич. путем воду и выделяют 4,6 г  $iso-C_5H_{11}C_6H_5$ , т. кип. 197—199°/752 мм, 72—77°/10 мм,  $n_D^{20}$  1,4850, ДАП, т. пл. 216—217°, и 45,7 г  $(CH_3)_2CHCH_2CH_2CH_2CN$  (IX), т. кип. 87,5—88,5°/10 мм, 216,6°/733 мм (испр.),  $n_D^{20}$  1,4832,  $n_D^{25}$  1,4813,  $d_4^{20}$  0,8539,  $d_4^{25}$  0,8501; ДАП, т. пл. 198,8—199,2° (из сп.). Из щел. р-ра (после удаления УФР) в V выделяют 32 г неочищ.  $(CH_3)_2CHCH_2CH_2CH_2CN$  (X), т. кип. 115—122°/10 мм,  $n_D^{20}$  1,4971—1,4988,  $n_D^{25}$  1,4952—1,4968, и 46 г смеси этого в-ва с V; обе части обрабатывают 110 мл 64%-ного  $N_2H_4 \cdot H_2O$  в р-ре 110 г КОН в 500 мл IV по модифицированному методу Кижнера, к углеводородной фракции (УФР), т. кип. 76—96°/10 мм, (67,6 г) после очистки промыванием охлажд. льдом  $H_2SO_4$ , водой и  $Na_2CO_3$  прибавляют абс.  $C_6H_6$ , отгоняют азеотропич. путем воду и выделяют 4,6 г  $iso-C_5H_{11}C_6H_5$ , т. кип. 197—199°/752 мм, 72—77°/10 мм,  $n_D^{20}$  1,4850, ДАП, т. пл. 216—217°, и 45,7 г  $(CH_3)_2CHCH_2CH_2CH_2CN$  (IX), т. кип. 87,5—88,5°/10 мм, 216,6°/733 мм (испр.),  $n_D^{20}$  1,4832,  $n_D^{25}$  1,4813,  $d_4^{20}$  0,8539,  $d_4^{25}$  0,8501; ДАП, т. пл. 198,8—199,2° (из сп.). Из щел. р-ра (после удаления УФР) в V выделяют 32 г неочищ.  $(CH_3)_2CHCH_2CH_2CH_2CN$  (X), т. кип. 115—122°/10 мм,  $n_D^{20}$  1,4971—1,4988,  $n_D^{25}$  1,4952—1,4968, и 46 г смеси этого в-ва с V; обе части обрабатывают 110 мл 64%-ного  $N_2H_4 \cdot H_2O$  в р-ре 110 г КОН в 500 мл IV по модифицированному методу Кижнера, к углеводородной фракции (УФР), т. кип. 76—96°/10 мм, (67,6 г) после очистки промыванием охлажд. льдом  $H_2SO_4$ , водой и  $Na_2CO_3$  прибавляют абс.  $C_6H_6$ , отгоняют азеотропич. путем воду и выделяют 4,6 г  $iso-C_5H_{11}C_6H_5$ , т. кип. 197—199°/752 мм, 72—77°/10 мм,  $n_D^{20}$  1,4850, ДАП, т. пл. 216—217°, и 45,7 г  $(CH_3)_2CHCH_2CH_2CH_2CN$  (IX), т. кип. 87,5—88,5°/10 мм, 216,6°/733 мм (испр.),  $n_D^{20}$  1,4832,  $n_D^{25}$  1,4813,  $d_4^{20}$  0,8539,  $d_4^{25}$  0,8501; ДАП, т. пл. 198,8—199,2° (из сп.). Из щел. р-ра (после удаления УФР) в V выделяют 32 г неочищ.  $(CH_3)_2CHCH_2CH_2CH_2CN$  (X), т. кип. 115—122°/10 мм,  $n_D^{20}$  1,4971—1,4988,  $n_D^{25}$  1,4952—1,4968, и 46 г смеси этого в-ва с V; обе части обрабатывают 110 мл 64%-ного  $N_2H_4 \cdot H_2O$  в р-ре 110 г КОН в 500 мл IV по модифицированному методу Кижнера, к углеводородной фракции (УФР), т. кип. 76—96°/10 мм, (67,6 г) после очистки промыванием охлажд. льдом  $H_2SO_4$ , водой и  $Na_2CO_3$  прибавляют абс.  $C_6H_6$ , отгоняют азеотропич. путем воду и выделяют 4,6 г  $iso-C_5H_{11}C_6H_5$ , т. кип. 197—199°/752 мм, 72—77°/10 мм,  $n_D^{20}$  1,4850, ДАП, т. пл. 216—217°, и 45,7 г  $(CH_3)_2CHCH_2CH_2CH_2CN$  (IX), т. кип. 87,5—88,5°/10 мм, 216,6°/733 мм (испр.),  $n_D^{20}$  1,4832,  $n_D^{25}$  1,4813,  $d_4^{20}$  0,8539,  $d_4^{25}$  0,8501; ДАП, т. пл. 198,8—199,2° (из сп.). Из щел. р-ра (после удаления УФР) в V выделяют 32 г неочищ.  $(CH_3)_2CHCH_2CH_2CH_2CN$  (X), т. кип. 115—122°/10 мм,  $n_D^{20}$  1,4971—1,4988,  $n_D^{25}$  1,4952—1,4968, и 46 г смеси этого в-ва с V; обе части обрабатывают 110 мл 64%-ного  $N_2H_4 \cdot H_2O$  в р-ре 110 г КОН в 500 мл IV по модифицированному методу Кижнера, к углеводородной фракции (УФР), т. кип. 76—96°/10 мм, (67,6 г) после очистки промыванием охлажд. льдом  $H_2SO_4$ , водой и  $Na_2CO_3$  прибавляют абс.  $C_6H_6$ , отгоняют азеотропич. путем воду и выделяют 4,6 г  $iso-C_5H_{11}C_6H_5$ , т. кип. 197—199°/752 мм, 72—77°/10 мм,  $n_D^{20}$  1,4850, ДАП, т. пл. 216—217°, и 45,7 г  $(CH_3)_2CHCH_2CH_2CH_2CN$  (IX), т. кип. 87,5—88,5°/10 мм, 216,6°/733 мм (испр.),  $n_D^{20}$  1,4832,  $n_D^{25}$  1,4813,  $d_4^{20}$  0,8539,  $d_4^{25}$  0,8501; ДАП, т. пл. 198,8—199,2° (из сп.). Из щел. р-ра (после удаления УФР) в V выделяют 32 г неочищ.  $(CH_3)_2CHCH_2CH_2CH_2CN$  (X), т. кип. 115—122°/10 мм,  $n_D^{20}$  1,4971—1,4988,  $n_D^{25}$  1,4952—1,4968, и 46 г смеси этого в-ва с V; обе части обрабатывают 110 мл 64%-ного  $N_2H_4 \cdot H_2O$  в р-ре 110 г КОН в 500 мл IV по модифицированному методу Кижнера, к углеводородной фракции (УФР), т. кип. 76—96°/10 мм, (67,6 г) после очистки промыванием охлажд. льдом  $H_2SO_4$ , водой и  $Na_2CO_3$  прибавляют абс.  $C_6H_6$ , отгоняют азеотропич. путем воду и выделяют 4,6 г  $iso-C_5H_{11}C_6H_5$ , т. кип. 197—199°/752 мм, 72—77°/10 мм,  $n_D^{20}$  1,4850, ДАП, т. пл. 216—217°, и 45,7 г  $(CH_3)_2CHCH_2CH_2CH_2CN$  (IX), т. кип. 87,5—88,5°/10 мм, 216,6°/733 мм (испр.),  $n_D^{20}$  1,4832,  $n_D^{25}$  1,4813,  $d_4^{20}$  0,8539,  $d_4^{25}$  0,8501; ДАП, т. пл. 198,8—199,2° (из сп.). Из щел. р-ра (после удаления УФР) в V выделяют 32 г неочищ.  $(CH_3)_2CHCH_2CH_2CH_2CN$  (X), т. кип. 115—122°/10 мм,  $n_D^{20}$  1,4971—1,4988,  $n_D^{25}$  1,4952—1,4968, и 46 г смеси этого в-ва с V; обе части обрабатывают 110 мл 64%-ного  $N_2H_4 \cdot H_2O$  в р-ре 110 г КОН в 500 мл IV по модифицированному методу Кижнера, к углеводородной фракции (УФР), т. кип. 76—96°/10 мм, (67,6 г) после очистки промыванием охлажд. льдом  $H_2SO_4$ , водой и  $Na_2CO_3$  прибавляют абс.  $C_6H_6$ , отгоняют азеотропич. путем воду и выделяют 4,6 г  $iso-C_5H_{11}C_6H_5$ , т. кип. 197—199°/752 мм, 72—77°/10 мм,  $n_D^{20}$  1,4850, ДАП, т. пл. 216—217°, и 45,7 г  $(CH_3)_2CHCH_2CH_2CH_2CN$  (IX), т. кип. 87,5—88,5°/10 мм, 216,6°/733 мм (испр.),  $n_D^{20}$  1,4832,  $n_D^{25}$  1,4813,  $d_4^{20}$  0,8539,  $d_4^{25}$  0,8501; ДАП, т. пл. 198,8—199,2° (из сп.). Из щел. р-ра (после удаления УФР)

# 6Ж98. Алкилирование 4-броманизола пропиленом, псевдобутиленом и циклогексеном в присутствии $\text{BF}_3 \cdot \text{H}_2\text{PO}_4$ . Крючкова В. Г., Завгородний С. В. «Ж. общ. химии», 1960, 30, № 6, 1929—1932. — Изучено алкилирование 4-броманизола (I) пропиленом (II), псевдобутиленом (III) и циклогексеном (IV) в присутствии $\text{BF}_3 \cdot \text{H}_2\text{PO}_4$ (V) при различных молярных соотношениях реагентов, кол-вах V и т-рах. При р-ции с II и III образуются 2-R-4-BrC<sub>6</sub>H<sub>4</sub>OCH<sub>3</sub> (VI), а с IV образуются 2-циклогексил-4-броманизол (VII) и 2,6-дихлоргексил-4-броманизол (VIII). Безводн. $\text{H}_2\text{PO}_4$ насыщают $\text{BF}_3$ до 8—30% избытка против ф-лы, соответствующей V, добавляют I, нагревают до 70° в случае II или до 30° для III, вводят II или III (за 2 часа на 1 моль I). Молярные соотношения $\text{V} : \text{I} : \text{II}$ (III) = 0,3 : 4 : 1. Перемешивают 2 часа при ~20°, оставляют на 12—16 час, растворяют в $\text{C}_6\text{H}_6$ , промывают водой, 5%-ным р-ром соды и водой, сушат $\text{CaCl}_2$ и получают VI (R = изопропил) (VIa) (здесь и далее для полученных в-в приведены выход в %, т. кип. в °C/мм, $n_D^{20}$ , $d_4^{20}$ ), 64,5, 86—87/2, 1,5360, 1,2462, или VI (R = втор-бутыл), 58, 140—111/5, 1,5364, 1,2450. Эта р-ция с IV приводит к VII, 67, 132—133/2, т. пл. 44,5—45° (из сп.), 1,5602, 1,2749, и к VIII, выход 18%, т. пл. 160—161° (из эф.). К 2,44 г Mg в 40 мл абс. эфира добавляют по каплям смесь 5,45 г $\text{BrC}_6\text{H}_4\text{I}$ и 11,45 г VIa в 20 мл абс. эфира, перемешивают кипящую смесь 30 мин., вносят твердую $\text{CO}_2$ , подкисляют HCl по конто, извлекают эфиром, промывают эфирный р-р 10%-ной содой, подкисляют разб. HCl, получают 3-изопропил-4-метоксibenзойную к-ту, выход 84%, т. пл. 163,5—164°. Аналогично получены 3-втор-бутил-4-метоксibenзойная к-та, выход 81,4%, т. пл. 165° (из водн. $\text{CH}_3\text{OH}$ ), и 3-циклогексил-4-метоксibenзойная к-та, т. пл. 192,5—193° (из $\text{CH}_3\text{OH}$ ). И. Зайцев

6Ж99. Окисление ароматических алкоксисоединений тетраацетатом свинца. Jadoit J., Neugay M. Oxidation des éthers — oxydes aromatiques par le tétracétate de plomb. «Bull. Soc. roy sci. Liège», 1960, 29, № 5-6, 138—155 (франц.). — Изучаются продукты окисления ароматич. метоксисоединений действием  $(\text{CH}_3\text{COO})_2\text{Pb}$  (I) при различных т-рах в среде  $\text{CH}_3\text{COOH}$  и приводятся рассуждения о возможном механизме р-ции. Контроль за расходом I проводят йодметрически. При 80°  $\text{CH}_3\text{OC}_6\text{H}_5$  (II) окисляется до 4- $\text{CH}_3\text{OC}_6\text{H}_4\text{OCOHCH}_3$  (III) без выделения газов. При окислении II при 94—95° отмечено некоторое выделение  $\text{CH}_4$  и  $\text{CO}_2$ ; на реакционной массе выделены  $\text{CH}_3\text{COOCH}_2\text{COOH}$  (IV),  $\text{CH}_3(\text{OCOCH}_3)_2$  (V), 4- $\text{CH}_3\text{OC}_6\text{H}_4\text{CHO}$  (VI), 2- $\text{CH}_3\text{OC}_6\text{H}_4\text{CHO}$  (VII), 4- $\text{CH}_3\text{OC}_6\text{H}_4\text{NO}$  (VIII), (4- $\text{CH}_3\text{OC}_6\text{H}_4\text{CH}_2\text{SO}_2\text{O}$ ) (IX), 4- $\text{CH}_3\text{OC}_6\text{H}_4\text{CH}_2\text{SO}_2\text{COCH}_3$  (X), (4- $\text{CH}_3\text{OC}_6\text{H}_4\text{CH}_2\text{SO}_2\text{COCH}_3$ )<sub>2</sub> (XI) и (4- $\text{CH}_3\text{OC}_6\text{H}_4\text{CH}_2\text{SO}_2\text{COCH}_3$ )<sub>2</sub> (XII). Окисление II при 120° происходит с образованием IV, V, 4- $\text{CH}_3\text{OC}_6\text{H}_4\text{CH}_2\text{SO}_2\text{COCH}_3$  (XIII) и 4- $\text{CH}_3\text{OC}_6\text{H}_4\text{COOH}$  (XIV); выделение  $\text{CO}_2$  и  $\text{CH}_4$  не отмечается. При окислении  $m\text{-C}_6\text{H}_4(\text{OCH}_3)_2$  (XV) (80°) образуются 2,4-( $\text{CH}_3\text{O}$ )<sub>2</sub> $\text{C}_6\text{H}_3\text{CHO}$  (XVI), [2,4-( $\text{CH}_3\text{O}$ )<sub>2</sub> $\text{C}_6\text{H}_3\text{SO}_2\text{COCH}_3$ ] (XVII) и [2,4-( $\text{CH}_3\text{O}$ )<sub>2</sub> $\text{C}_6\text{H}_3\text{SO}_2\text{COCH}_3$ ] (XVIII). При окислении  $p\text{-C}_6\text{H}_4(\text{OCH}_3)_2$  (XIX) (80°) отмечается значительное выделение  $\text{CH}_4$  и  $\text{CO}_2$ ; выделены IV, V, 2,5-( $\text{CH}_3\text{O}$ )<sub>2</sub> $\text{C}_6\text{H}_3\text{CH}(\text{OCOCH}_3)_2$  (XX), 2,5-( $\text{CH}_3\text{O}$ )<sub>2</sub> $\text{C}_6\text{H}_3\text{CHO}$  (XXI) и 2,5-( $\text{CH}_3\text{O}$ )<sub>2</sub> $\text{C}_6\text{H}_3\text{COOH}$  (XXII). Окисление II при 80° проводят по методике, разработанной ранее (РЖХим, 1956, № 3, 6683); результаты получают то же, выход III 31%; образования газов не отмечено. 20 г II и 250 г I в 750 мл  $\text{CH}_3\text{COOH}$  нагревают при 94—95°, через 2 часа начинается слабое выделение  $\text{CH}_4$  и  $\text{CO}_2$ , усиливающееся за 30 мин. до определенной скорости, замедляющееся к концу р-ции и через 15—16 час. совсем прекращающееся; прекращение выделения газов свидетельствует о полном израсходовании I. По охлаждению смесь медленно выливают в 10-кратный объем эфира. Из образовавшейся клейкой массы Pb-солей по ранее известному методу (Kharasch и др., J. Org. Chem. 1951, 16, 533) выделяют IV, т. пл. 67°. От жидкой части отгоняют эфир и боль-

шую часть  $\text{CH}_3\text{COOH}$ , остаток выливают в эфир для удаления следов солей Pb, фильтрат (фильтрат А) перегонкой разделяют на фракции (ФР). ФР с т. кип. 162—165° (0,5 г) оказывается V [гидролиз 5%-ным  $\text{NaHCO}_3$  дает  $\text{CH}_2\text{O}$ ; 2,4-динитрофенилгидразон (ДНФГ), т. пл. 163°]. К 10 г ФР с т. кип. 222° (XXIII) (общий выход 15,1 г) в спирте прибавляют избыток реактива Джонсона, получают 9,8 г ДНФГ, который растворяют в бензине и хроматографируют на  $\text{Al}_2\text{O}_3$ , выделяют немного ДНФГ VII, т. пл. 251°, и 90% (к общему кол-ву взятого в-ва) ДНФГ VI, т. пл. 249,5°. Спиртовой фильтрат разбавляют 50 мл воды, извлекают эфиром, от экстракта отгоняют р-ритель, остаток гидролизуют нагреванием с 10%-ным NaOH, извлекают эфиром, подкислением щел. р-ра разб. HCl выделяют 3,5 г VIII, т. пл. 55°; бензоат, т. пл. 87°. Из эфирного р-ра выделяют 2,2 г IX, т. пл. 42°. Из 5 г XXIII при окислении  $\text{KMnO}_4$  получают XIV, т. пл. 180°. ФР с т. пл. 258—260° (10,3 г) состоит главным образом из X, т. кип. 148°/20 мм, гидролизующегося до 4- $\text{CH}_3\text{OC}_6\text{H}_4\text{CH}_2\text{OH}$ ; фенилуретан, т. пл. 91,5°. Остаток от перегонки фильтрата А растворяют в петр. эфире и хроматографируют на  $\text{Al}_2\text{O}_3$ , выделяют 1,4 г XI, т. пл. 175°, и 0,9 г XII, т. пл. 146°; ДНФГ, т. пл. 200°. Кипятят 10 г II и 250 г I в 650 мл  $\text{CH}_3\text{COOH}$ , но выделения газов не наблюдают. Обработкой, аналогичной описанной выше, выделяют 6 г IV, V и XIII, т. кип. 160—165°/15 мм, т. пл. 65° (из хлф.); окисление XIII  $\text{KMnO}_4$  приводит к XIV. Гидролизом 15%-ным  $\text{Na}_2\text{CO}_3$  XIII превращают в VI; ДНФГ, т. пл. 251°. 46 г XV и 300 г I в 1000 мл  $\text{CH}_3\text{COOH}$  нагревают 30 час. при 80°. Выделения газов не отмечают. Большую часть р-рителя удаляют в вакууме, остаток выливают в 5—6-кратный объем холодной воды, извлекают эфиром, из эфирного р-ра выделяют 17% XVI [т. кип. 160—164°/14 мм, т. пл. 71°; ДНФГ, т. пл. 257° (из этилацетата)] и часть в-ва, которое хроматографированием разделяют на 5,5 г XVII, т. пл. 138—139° (из лигр.), и 2 г XVIII, т. пл. 133° (из лигр.); ДНФГ, т. пл. 148°. 20 г XIX окисляют 450 г I в 1 л  $\text{CH}_3\text{COOH}$  24 часа при 80° аналогично окислению II. Наблюдается значительное выделение  $\text{CO}_2$  и  $\text{CH}_4$ . При аналогичной обработке выделяют 14 г IV, 4,6 г V и 26,4 г смеси XX с XXI [омыляется кипячением с  $\text{NaHCO}_3$  до XXI, т. кип. 150—152°/14 мм; ДНФГ, т. пл. 268° (из этилацетата); XXI окисляется  $\text{KMnO}_4$  до XXII, т. пл. 76°], остаток после перегонки кипятят с 15%-ным  $\text{Na}_2\text{CO}_3$ , эфиром извлекают 6,2 г XXII. В. Скородумов

6Ж100. Ароматизация 2-метил-, 4-метил-Δ<sup>3</sup>-тетрагидробензальдегидами. Кугатова Г. П., Пошкене Р. А. «LietTSR Mokslų Akad. darbai, Tr. AN ЛитССР», 1960, 62(22), 157—161 (рез. лит.). — Полученные нагреванием пиперилена или изопрена с акролеином в металлич. ампуле при 180—190° 2 часа 4-метил-(Ia) и 2-метилтетрагидробензальдегиды в присутствии S при 180° (в атмосфере  $\text{N}_2$ ) ароматизируются в соответствующие  $m$ -(IIa) и  $o$ -толуиловые альдегиды (IIb).  $\text{CH}_3$ -группа при четвертичном C не мигрирует и не отщепляется. Получены семикарбазоны, диэтилацетаты и к-ты, 42 г Ia и 22,32 г S кипятят 45 мин. и разгоняют в вакууме, выход IIa 47,1%; выход IIb 54%. Смесь 24,5 г семикарбазона IIa и 100 г  $(\text{COOH})_2$  перегоняют с водяным паром, извлекают эфиром, сушат  $\text{Na}_2\text{SO}_4$ , выход чистого IIa 58,4%. Аналогично очищают IIb, выход 40%. 3 г IIa, 5,2 г  $\text{Si}(\text{OC}_2\text{H}_5)_4$ , 0,2 мл 85%-ной  $\text{H}_3\text{PO}_4$  и 2 мл абс. спирта выдерживают при 20° 24 часа, разбавляют эфиром. Эфирный р-р промывают 30%-ным NaOH, водой и сушат  $\text{Na}_2\text{SO}_4$ , выход диэтилацетата IIa 83,3%. Аналогично получают 70% диэтилацетата IIb. 3 г IIa и 2 г воды выдерживают на воздухе 1 месяц, выход  $m$ -толуиловой к-ты 94%. Аналогично из IIb образуется  $o$ -толуиловая к-та.

И. Зайцев

6Ж101. Недокись углерода и некоторые ее реакции. VII. Недокись углерода в реакции Фриделя —



Крафуса, Дашкевич Л. Б., Израилев Л. Г. «Ж. общ. химии», 1960, 30, № 9, 3060—3062.—Взаимодействие  $C_3O_2$  с ароматич. углеводородами в условиях р-ции Фриделя—Крафуса приводит к метиларилкетонам.  $C_3O_2$  получали пиролизом р-ра ангидрида диэтилвинной к-ты в уксусном ангидриде при 750°, выход  $C_3O_2$  30%. Через смесь 100 мл сухого  $C_6H_6$ , 30 г  $AlCl_3$  и 4 г  $C_3O_2$  в течение 30 час. при 60° пропускают газобразную  $C_3O_2$ , разлагают льдом и  $HCl$  и выделяют ацетофенон с выходом 37%. Аналогично из толуола получен *n*-метилацетофенон, выход 43%; из этилбензола получен *n*-этилацетофенон, выход 52%, и из нафталина синтезирован  $\alpha$ -ацетонафтон, выход 32%, т. пл. 53—54° (из сп.). Сообщение VI см. РЖХим, 1961, 3Ж54.

В. Беликов  
6Ж102. Реакция кетонов с аммиачным раствором окиси серебра. III. Окисление дезоксибензоина. Векслер В. И. «Ж. общ. химии», 1960, 30, № 8, 2647—2650.—Окислением дезоксибензоина (I) аммиачным р-ром  $Ag_2O$  при 54° получают бензойную к-ту (II) (~10% от веса I) и смесь трех карбонильных соединений состава  $C_{10}H_{12}O_3$ , состоящую на 55% из в-ва (IIIa) (т. пл. 96—105°), растворимого в эфире и горячем спирте, на ~25% из в-ва (IIIб) (т. пл. 130—137°), нерастворимого в спирте, и на ~20% из в-ва (IIIв) (т. пл. 140—148°), растворимого в эфире. Эти в-ва являются, по-видимому, продуктами уплотнения четырех молекул I. В-во IIIa образует моно-2,4-динитрофенилгидразон, т. пл. 140—148°. На основании изучения ИК-спектров IIIa констатируется отсутствие группировки C—O—C. К р-ру 0,078 моля  $Ag_2O$  в 0,7 моля  $NH_4OH$  прибавляют 6,5 г  $NaOH$  и доводят р-р водой до 500 мл. При 54° по каплям в течение 2 час. прибавляют 7 г I в 50 мл спирта, перемешивают и нагревают 2,5 часа, из фильтрата выделяют 0,8 г II, осадок промывают спиртом, многократно обрабатывают ацетоном, после испарения которого получают 5,95 г в-ва, при обработке которого соответствующими р-рителями получают IIIa—в. Сообщение II см. РЖХим, 1958, № 3, 7903.

М. Ряшенцева  
6Ж103. Новый метод получения метиларилкетон-ов—посредством термического разложения  $\alpha$ -арил-оксипропиофенонов. Royer René, Bisagni Emile, Hudry Claude. Sur un nouveau mode de formation des methyl aryl cétones: la pyrolyse composition des  $\alpha$ -(aryloxy) propiophénone. «Bull. Soc. chim. France», 1960, № 6, 1178—1180 (франц.).—В продолжение работы (РЖХим, 1960, № 24, 96408) изучено термич. разложение (ТР)  $ArOCH(CH_3)COC_6H_5$  [Ia—д; всюду а  $Ar = 3-CH_3OC_6H_4$ , б  $Ar = 3-CH_3-4-(CH_3)_2CHC_6H_3$ , в  $Ar = 5-CH_3-2-(CH_3)_2CHC_6H_3$ , г  $Ar = \alpha-C_{10}H_7$ , д  $Ar = \beta-C_{10}H_7$ ], протекающее в соответствии со схемой:  $ArOCH(CH_3)COC_6H_5 \rightarrow ArCOCH_3$  (II) +  $ArOH$  (III) +  $C_2H_5COC_6H_5$  (IV) +  $C_6H_5COOH$  (V) +  $C_6H_5COON$  (VI) +  $H_2O$ . Получены следующие результаты (приведены исходный I, средние для нескольких опытов выходы II, III, IV, V, VI и непрореагировавшего I в %): а, б, 18, 10, 3, 5, 1, 17; в, 12, 5, 25, 7, 5, 28; г, 1, 20, 32, 7, ~0, 30; д, ~0, 28, 5, 30, 3, 0, ~0; е, 23, 5, 28, 5, 15, 4, 2, ~0. ТР I по сравнению с ТР  $ArOCH_2COC_6H_5$  (VII) (РЖХим, 1960, № 17, 69473) отличается тем, что выход II в общем еще меньше, чем выход  $ArCHO$  из VII, а процент непрореагировавшего I (кроме Iг и Iд) больше, чем таковой для VII, т. е. замещение в  $CH_2$ -группе VII атома Н на  $CH_3$ -группу повышает термич. устойчивость. Помимо этого, при ТР I в отличие от ТР VII образуется IV, что снижает выходы V и VI. При ТР Iг и Iд происходит также дегидратация, сопровождаемая циклизацией, и образуются 3-метил-2-фенил-6,7-бензкумарон (VIII) и соответственно 3-метил-2-фенил-4,5-бензкумарон (IX). Строение VIII и IX установлено на основании их неидентичности изомерным им продуктам циклогидратации Iг и Iд при действии  $P_2O_5$ , представляющими собой 2-метил-3-фенил-6,7-бензкумарон (X) и соответственно 2-метил-3-фенил-4,5-бензкумарон (XI). VIII и IX обладают более высокими т-рами плавления, чем X и соответственно XI, а также сильной флуоресценцией в р-рах, что характерно для 2-арилкумаронов по сравнению с 3-арилкумаронами. Кипятят 20 час. р-р эквимоларных кол-в  $CH_3CHBrCO-C_6H_5$  и соответствующего фенола в ацетоне в присутствии  $K_2CO_3$ , разбавляют водой, подкисляют и получают I (приведены I, выход в %, т. кип. в °C/мм, т. пл. в °C): а, 82, 225/18, 76; б, 81, 220/15, 49; в, 79, 201/13, —; г, 1,5920; д, 86, —, 108; е, 90, —, 88. ТР I и выделение II—VI производилось, как описано раньше (см. вторую ссылку). Кубовый остаток от ТР Iг, смешанный с кубовым остатком от перегонки с паром дистиллята, полученного при ТР, перегоняют в вакууме и получают VIII, выход 21%, т. кип. 255—256°/20 мм, т. пл. 118° (из сп.). Кристаллизацией аналогичных фракций от ТР Iд получают IX, выход 20%, т. пл. 104° (из петр. эф.). 50 г Iг и 50 г  $P_2O_5$  в 500 мл кислоты кипятят 30 мин., добавляют воду, перегоняют в вакууме и фракционной кристаллизацией получают X, т. пл. 80° (из петр. эф.-бзл.). Аналогично получен XI, выход 70%, т. пл. 55° (из сп.). Получены также IIб, т. кип. 254—256°/740 мм,  $n_D^{20}$  1,5320, оксим, т. пл. 85° (из разб. сп.), фенилгидразон, т. пл. 84° (из разб. сп.), и IIв, т. кип. 223—225°/743 мм,  $n_D^{22}$  1,5300.

А. Белоцветов  
6Ж104. К изучению  $\alpha$ -ванилина. Сообщение VI. Реактооснования пирокатехина. Proffitt E., Schindler M. Zur Kenntnis des  $\alpha$ -Vanillins. VI. Mitt. Ketobasen des Brenzkatechins. «Arch. Pharmazie», 1960, 293/65. № 4, 375—383 (нем.).—С целью получения новых местно-анестезирующих в-в из  $RCHO$  (I всюду  $R = 2-n-C_6H_4-3-CH_2OC_6H_5$ ) через  $RCHONCH_3$  (II) получен  $RCOCH_3$  (III). Конденсацией III с рядом алифатич. и гетероциклич. вторичных аминов и  $HCHO$  по Манниху синтезированы кетооснования, которые в случае пиперидина и морфолина оказались соответственно в 2,5 и 1,5 раза активнее кокаина. С целью получения противотуберкулезных в-в и фунгицидов окислением I получена  $RCOOH$  (IV),  $RCONHNH_2$  (V), а также  $RCOCl$  (VI),  $RCONH_2$  (VII) и  $RCN$  (VIII). К р-ру Гриньяра из 42,6 г  $CH_3I$ , 7,2 г  $Mg$  и 250 мл эфира при охлаждении добавляли 38,8 г I в 200 мл эфира, через 2 часа разлагают водой и разб.  $CH_3COOH$ , выход II 91%, т. кип. 158—160°/18 мм. К 100 г  $K_2Cr_2O_7$  в 500 мл воды и 45 мл конц.  $H_2SO_4$  при т-ре до 40° медленно добавляли 63 г I, экстрагируют эфиром, остаток после отгонки эфира растворяют в 500 г  $CH_3OH$  и 50 г лед.  $CH_3COOH$ , добавляют 46 г реактива Жирара, кипятят 45 мин., выливают в ледяную воду, на 9/10 нейтрализуют содой (бромтимоловый синий не меняет цвета), конечная конц-я спирта 10—20%, экстрагируют эфиром, к водн. р-ру добавляют  $HCl$  или  $H_2SO_4$  до установления конц-и к-ты 0,5 н., через 2—3 часа экстрагируют эфиром и получают III, выход 63%, т. кип. 154—155°/14 мм,  $n_D^{20}$  1,5175; 2,4-динитрофенилгидразон, т. пл. 202—203°. К 4,16 г III, 1,21 г пиперидина и 0,9 г параформальдегида в 40 мл абс. спирта добавляют 2—3 капли конц. спирт.  $HCl$ , нагревают 8 час. при ~100°, вносят еще 0,3—0,5 г параформальдегида, в вакууме отгоняют спирт, фильтрат подкисляют очень разб.  $HCl$ , экстрагируют эфиром, водн. слой подщелачивают 2 н.  $Na_2CO_3$  и экстрагируют эфиром, выход  $RCOCH_2CH_2N(C_2H_5)_2$  46%, т. кип. 128—131°/0,1 мм; хлоргидрат (XГ), т. пл. 116—117°; реинект, т. пл. 208° (разл.). Аналогично получают другие кетооснования (приводятся R' в  $RCOCH_2CH_2R'$ , выход в %, т. кип. в °C/мм, т. пл. XГ в °C, т. пл. реинекта в °C): диметиламино, 49, 134—137°/0,4, 134—135, 134 (разл.); диэтиламино, 55, 118—121°/0,03, —, 186 (разл.); дибутиламино, 54, 114—119°/0,02, —, —; пирролидино, 40, 123—125°/0,09, 127—128, 200 (разл.); морфолино, 49, 134—137°/0,1, 147—148, 180 (разл.). К 20 г I в 400 мл ацетона добавляют 40 г  $KMnO_4$  и 20 г  $K_2CO_3$ , так, чтобы р-р закипел, нагревают 30 мин. при ~100°.

отгоняют, п (из п-ра IV по 168—174°/0,1 мм, 90%—н. 6 час. 68—69°/156—158°/1 мм, вают отгон V р-ры I воды, 30 мин. эф.). COON эфиром 1,5211

6Ж105. Лов. I мин», (см. с. 196) R'-2-O (IIa)—CH (IIb)—C<sub>6</sub>H<sub>4</sub>C<sub>6</sub>H<sub>5</sub> 6 R= ством IIбб установ. ДМ IIбб; метильн-мет. легкой записи при II адм. получ. оксид В сл. малы > ор. 2,5-дм. 2-мет. вест. собом вают 200° + H<sub>2</sub> в °C, 90—9 из С<sub>6</sub>H<sub>5</sub> 97—9 бзл.-е. СН<sub>3</sub>С<sub>6</sub>H<sub>4</sub> ляют р-роз. подк. (мас. поло. III 26,4, 1—2 дятс в °C (из сана бзл.

отгоняют ацетон, к остатку добавляют воду, фильтруют, пропускают  $\text{SO}_2$ , выход IV 81%, т. пл. 52–53° (из петр. эф.). Пропусканием HCl (газа) в спирт. р-р IV получают этиловый эфир IV, выход 62%, т. кип. 168–169°/13 мм. и метиловый эфир IV, выход 61%, т. кип. 158–159°/17 мм. 10 г этилового эфира IV, 5 г 90%-ного гидразингидрата и 15 мл спирта кипятят 6 час., отгоняют в вакууме спирт, выход V 88%, т. пл. 68–69° (из сн.). Выход VI ( $\text{SOCl}_2$ , 30 мин.) 88%, т. кип. 156–158°/13 мм. Смесь 4 г VI и 40 г  $(\text{NH}_4)_2\text{CO}_3$  нагревают 20 мин., обрабатывают 250 мл холодной воды, выход VII 41%, т. пл. 113–114° (из воды). Смешивают р-ры 2 г  $\text{NH}_4\text{OH} \cdot \text{HCl}$  в 12 мл воды и 3 г  $\text{Na}_2\text{CO}_3$  в 6 мл воды, добавляют 5 г I в 6 мл спирта и нагревают 30 мин., выход RCH=NOH 74%, т. пл. 65–66° (из петр. эф.). 6,5 г RCH=NOH, 11,2 г  $(\text{CH}_3\text{CO})_2\text{O}$  и 11,2 г  $\text{CH}_3\text{COONa}$  кипятят 3 часа, добавляют воду и экстрагируют эфиром, выход VIII 69%, т. кип. 168–169°/15 мм,  $n_D^{20}$  1,5211. Сообщение V см. РЖХим, 1960, № 17, 69506.

Ю. Волкенштейн  
6Ж105. Перегруппировка окси- и метоксибензилов. П. Сомин И. Н., Кузнецов С. Г. «Ж. общ. химии», 1960, 30, № 6; 1842–1848. — В продолжение работы (см. сообщение I, РЖХим, 1960, № 17, 69478) исследуется перегруппировка м-оксисбензилов: 3- $\text{RC}_6\text{H}_4\text{COCOC}_6\text{H}_3\text{R}'$ -2-ОН-5 (Ia–г) → 3- $\text{RC}_6\text{H}_4\text{C}(\text{OH})(\text{COOH})\text{C}_6\text{H}_3\text{R}'$ -2-ОН-5 (IIa–г, где а R = R' = H; б R = HO, R' = H; в R =  $\text{CH}_3\text{O}$ , R' = H; г R = H, R' =  $\text{OCH}_3$ ). I получают дегидрированием (DM) метоксизамец. бензилов 3- $\text{RC}_6\text{H}_4\text{COCOC}_6\text{H}_3\text{R}'$ -2-OR''-5 (IIIa–в, где а R =  $\text{CH}_3\text{O}$ , б R =  $\text{CH}_3\text{O}$ , R' =  $\text{CH}_3$ , в R' =  $\text{CH}_3\text{O}$ , R'' =  $\text{CH}_3$ ) посредством  $\text{C}_6\text{H}_5\text{N} \cdot \text{HCl}$  (IV) или HBr (к-той). Расщепление IIб дает смесь IIб, в; из IIв получается только IIг. Для установления строения Iг проведено сравнительное DM посредством HBr 2,2', 4,4'-диметокси-III, IIIв и IIб; скорость DM м-метоксигруппы оказалась значительно большей по сравнению со скоростью DM о- и п-метоксигрупп. Перегруппировка I в II происходит легко при кипячении в водн. р-рах щелочей. II оказались устойчивыми, не изменяющимися в условиях, при которых о-оксизомеры превращаются в лактоны. II идентифицируются в виде метиловых эфиров (МЭ), получаемых через Ag-соли. Скорость превращения оксисбензилов падает в ряду *мета* > *орто* > *пара*. В случае метоксисбензилов орто-эффект оказался нормальным и скорость изменяется по ряду *мета* > *пара* > *орто*. IIIа и IIIв получают окислением 3-метоксигруппы 2,5-диметоксифенилбензилкетонов  $\text{H}_2\text{SeO}_3$  аналогично 2-метокси-III (см. предыдущую ссылку), выходы соответственно 88,5 и 97,5%. IIб получают обычным способом из соответствующего бензоина. IIIа–б нагревают 2 часа с 2-кратным по весу кол-вом IV при 195–200° (метод А) или кипятят со смесью  $\text{CH}_3\text{COOH} + \text{HBr}$  (метод Б), получают I (приводятся III, т. пл. в °C, метод, подкупаемый I, выход в %, т. пл. в °C): IIIа, 90–91 (из сн.), А, Ia, 96,5, 97–98 (из бzl-гексана или из  $\text{CCl}_4$ ); IIIб, 82–83 (из сн.), А, Ib, 92, 149–149,5 (из воды или  $\text{C}_2\text{H}_4\text{Cl}_2$ ); Б, Iv, 91,8, 68,5–69,5 (из бzl.); IIIв, 97–98 (из бzl-гексана-сп.), Б, Iv, 95,5, 103–104 (из бzl-гексана, или из воды, или из  $\text{CCl}_4$ ). 2 г III в 20 мл  $\text{CH}_3\text{COOH}$  и 4 мл HBr ( $d$  1,48) кипятят 90 мин., прибавляют 180 мл 10%-ного NaOH, осадки III промывают р-ром щелочи и водой, из объединенных фильтратов подкислением выделяют оксиметоксисбензил (ОМБ) (маслянистые в-ва извлекают эфиром). Приводятся положение  $\text{CH}_3\text{O}$ -групп в III, выход ОМБ в %, возврат III в %: 2,2', 25,4, 70; 3,3', 52,8, 42,5; 2,5', 55, 42; 4,4', 26,4, 70,5. 10 г I в 50 мл 20%-ного КОН кипятят 1–2 часа, подкисляют, эфиром извлекают II (приводятся к-та, выход в %, т. пл. в °C, выход в % МЭ, т. пл. в °C): IIа, 95,3, 149–151 (из воды), 93,5, 102,5–104,5 (из бzl-гексана); IIб, 99, —, 93, 157–159 (из эф-гексана или из  $(\text{C}_6\text{H}_5)_2\text{O}$ ); IIв, 91,7, —, 95,5, 103–104 (из бzl. или  $\text{C}_2\text{H}_4\text{Cl}_2$ ); IIг, 87,3, 186 (разл.; из воды или

$\text{C}_6\text{H}_4\text{Cl}_2$ ). —. Сравнение скоростей перегруппировки окси- и метоксисбензилов производят на группах соединений (приводятся заместители сравниваемых бензилов, кол-во бензила в ммольях, р-ритель, конц-ия КОН в %, время кипячения в мин., выходы соответствующей к-ты или лактона в %, возврат бензила в %): 3-НО и 2-НО, 4,1, 30 мл воды, 5, 30, 89,7 и 22,6, 6,4 и 72; 2-НО и 4-НО, 4,1, 30 мл воды, 15, 30, 82,3 и 34,1, 15 и 65,6; 3,3'-(НО) $_2$  и 2,2'-(НО) $_2$ , 4,1, 30 мл воды, 15, 30, ~100 и 4, — и 95; 2,2'-(НО) $_2$  и 4,4'-(НО) $_2$ , 4,1, 6 мл воды, 30, 240, 85 и 7,3, 10 и 92; 3-НО и 3,3'-(НО) $_2$ , 4,1, 30 мл воды, 5 + 4,1 ммолья КОН, 30, 90,5 и 30,7, 4,3 и 66; 3- $\text{CH}_3\text{O}$ , 4- $\text{CH}_3\text{O}$  и 2- $\text{CH}_3\text{O}$ , 5, 35 мл 50%-ного спирта, 5, 75, 84,5, 48,8 и 32,5, 10, 45,8 и 64,1; 3,3'-( $\text{CH}_3\text{O}$ ) $_2$ , 4,4'-( $\text{CH}_3\text{O}$ ) $_2$  и 2,2'-( $\text{CH}_3\text{O}$ ) $_2$ , 4,5, 35 мл 75%-ного спирта, 6, 120, 92,3, 40,6 и 18, 1,7, 55 и 78,3; 3-НО и 3- $\text{CH}_3\text{O}$ , 5, 35 мл 50%-ного спирта, 5 + 5 ммольей КОН, 75, 32,8 и 85,9, 62 и 9,1. 1 г IIб или IIг в 10 мл 10%-ного NaOH и 2 мл  $(\text{CH}_3)_2\text{SO}_4$  нагревают 20–30 мин. при ~100°, прибавляют избыток конц. NaOH, нагревают еще 20–30 мин., разбавляют водой, извлекают эфиром, подкисляют, эфиром извлекают 3,3'- или 2,5-( $\text{CH}_3\text{O}$ ) $_2$ -II. 5 г III и 2,5 г КОН в 13 мл  $\text{C}_6\text{H}_5\text{ON}$  кипятят 10 мин., разбавляют эфиром, извлекают водой, водн. экстракт промывают эфиром, подкисляют, отфильтровывают или эфиром извлекают метоксизамец. Бензиловые к-ты (приводятся положение заместителей, т. пл. в °C): 2, 118–119 (из бzl-гексана); 3, —, 4, 146–147 (из бzl.), 2,2', 159–160 (из *изо*- $\text{C}_3\text{H}_7\text{OH}$ ); 3,3', 107–108 (из *изо*- $\text{C}_3\text{H}_7\text{OH}$ ); 4,4', 166–167 (из *изо*- $\text{C}_3\text{H}_7\text{OH}$ ); 2,5, 120,5–121,5 (из бzl.).

В. Скородумов  
6Ж106. Получение п-хинонэпоксинов. Alder Kurt, Flock Franz Heinz, Beumling Herbert. Darstellung von p-Chinon-epoxyden. «Chem. Ber.», 1960, 93, № 8, 1896–1899 (нем.). — В результате диенового синтеза циклопентадиена (I) с п-бензохиноном, п-толухиноном, о-, м- и п-ксило-п-хиноном получены соответствующие аддукты — циклопентадиен-п-хинон (IIa), циклопентадиен-п-толухинон (IIб), циклопентадиен-о-ксило-п-хинон (IIв), циклопентадиен-м-ксило-п-хинон (IIг) и циклопентадиен-п-ксило-п-хинон (IIд), которые при действии  $\text{H}_2\text{O}_2$  дают а-окиси по двойной связи (активированной карбонильными группами) соответственно (IIIa–д). При пиролизе III происходит расщепление с образованием I и монооксидов п-хинона (IVa), п-толухинона (IVб), о-ксило-п-хинона (IVв), м-ксило-п-хинона (IVг) и п-ксило-п-хинона (IVд). Смешивали примерно эквивалентные кол-ва I и хинона в  $\text{CH}_3\text{OH}$  при 20–30°, полученные II выделяли и перекристаллизовывали из смеси  $\text{C}_6\text{H}_6$  и петр. эфира, выходы II 80–90%. Получены следующие II (перечислены II, т. пл. в °C): а, 78; б, 62; в, 46; г, —; д, 64. К р-ру 10 г II в ацетоне при 0° прибавляли 10 мл 20%-ного р-ра  $\text{Na}_2\text{CO}_3$  и 20 мл 30%-ной  $\text{H}_2\text{O}_2$ , через несколько минут прибавляли 3 объема воды и полученные III перекристаллизовывали из 80%-ного  $\text{CH}_3\text{OH}$ , выходы 85–95%. Приведены III и т. пл. в °C: а, 118; б, 137; в, 167; г, 77; д, 65. Через трубку, нагретую до 420°, при 10 мм пропускали 10 г III, полученные IV очищали дробной возгонкой и перекристаллизовывали из лигроина или петр. эфира, выходы 80–95%. Приведены IV и т. пл. в °C: а, 83; б, 68; в, 79; г, 24–26; д, 92.

А. Берлин  
6Ж107. Синтез халконов на основе β-хлорвинилкетонов. Кочетков Н. К., Беляев В. Ф. «Ж. общ. химии», 1960, 30, № 5, 1495–1497. — Конденсацией  $\text{ArCOCH}=\text{CHCl}$  (Ia–в, где а Ar =  $\text{C}_6\text{H}_5$ , б Ar = 4- $\text{CH}_3\text{C}_6\text{H}_4$  в Ar = 4- $\text{BrC}_6\text{H}_4$ ) с эфирами фенолов 4- $\text{CH}_3\text{OC}_6\text{H}_5$  (II), 4- $\text{C}_2\text{H}_5\text{OC}_6\text{H}_5$  (III) или 3,4-( $\text{CH}_3\text{O}$ ) $_2\text{C}_6\text{H}_3$  (IV) в  $\text{C}_6\text{H}_6$  в присутствии  $\text{SnCl}_4$  (V) в  $\text{C}_6\text{H}_6$  получают халконы общей ф-лы  $\text{ArCOCH}=\text{CHAr}'$  (VI). К 30,5 г Ia и 20,4 г II в 50 мл абс.  $\text{C}_6\text{H}_6$  при охлаждении (лед + соль) за 2 часа прибавляют 43 г V, размешивают 40 мин., прибавляют 150 мл эфира и 150 мл воды, из эфирного слоя

выделяют 61,9% VI ( $\text{Ar} = \text{C}_6\text{H}_5$ ,  $\text{Ar}' = 4\text{-CH}_3\text{OC}_6\text{H}_4$ ) (VIa), т. пл. 76–77° (из сп.). Аналогично получают VI (приводятся  $\text{Ar}$ ,  $\text{Ar}'$  в скобках исходные в-ва и их кол-ва, выход VI в %, т. пл. в °C (из сп.):  $\text{C}_6\text{H}_5$ ,  $4\text{-C}_2\text{H}_5\text{-OC}_6\text{H}_4$  (25 г Ia, 18 г III, 35 г V и 50 мл  $\text{C}_6\text{H}_6$ ), 61, 62;  $\text{C}_6\text{H}_5$ ,  $3,4\text{-(CH}_3\text{O)}_2\text{C}_6\text{H}_3$  (7 г Ia, 6,2 г IV, 11 г V и 50 мл  $\text{C}_6\text{H}_6$ ), 40,1, 81–82;  $4\text{-BrC}_6\text{H}_4$ ,  $4\text{-CH}_3\text{OC}_6\text{H}_4$  (6,1 г Ib, 3 г II, 7,8 г V и 50 мл  $\text{C}_6\text{H}_6$ ), 60, 142–143;  $4\text{-BrC}_6\text{H}_4$ ,  $4\text{-C}_2\text{H}_5\text{-OC}_6\text{H}_4$  (10 г Ib, 5,2 г III, 10,4 г V и 50 мл  $\text{C}_6\text{H}_6$ ), 59,9, 123,5–124,5;  $4\text{-CH}_3\text{C}_6\text{H}_4$ ,  $4\text{-C}_2\text{H}_5\text{OC}_6\text{H}_4$  (7,3 г Ib, 5,8 г III, 13,2 г V и 50 мл  $\text{C}_6\text{H}_6$ ), 69,6, 95,5–96;  $4\text{-CH}_3\text{C}_6\text{H}_4$ ,  $3,4\text{-(CH}_3\text{O)}_2\text{C}_6\text{H}_3$  (VIb) (10,7 г Ib, 9,9 г IV, 18,7 г V и 50 мл  $\text{C}_6\text{H}_6$ ), 61,1, 93,5–94,5. При окислении (с целью доказательства строения) 5 г VIa, 30 г  $\text{KMnO}_4$  в 50 мл 5%-ного  $\text{Na}_2\text{CO}_3$  (кипячение 2,5 часа) и последующем подкислении фильтрата получают  $4\text{-CH}_3\text{OC}_6\text{H}_4\text{COOH}$ , т. пл. 181–182°, и  $\text{C}_6\text{H}_5\text{COOH}$ , т. пл. 121°. Аналогичным окислением VIb получают  $3,4\text{-(CH}_3\text{O)}_2\text{C}_6\text{H}_3\text{COOH}$ , т. пл. 180–181° (после возгонки).

**6Ж108. Синтез некоторых 2-окси-4-алкоксибензофенонов.** Ларин Н. А., Матвеева Е. Н., Смирнова В. С. «Ж. общ. химии», 1960, 30, № 7, 2377–2379.—В целях изыскания светостабилизаторов синтезируются 2-НО-4- $\text{ROC}_6\text{H}_4\text{COC}_6\text{H}_5$  (Ia–в; всюду  $\text{a R} = \text{C}_2\text{H}_5$ ,  $\text{b R} = \text{n-C}_4\text{H}_9$ ,  $\text{в R} = \text{n-C}_6\text{H}_{13}$ ) р-цией 2-НО-4- $\text{NaO-C}_6\text{H}_4\text{COC}_6\text{H}_5$  (II) с  $\text{RBr}$ . К р-ру 0,05 моля 2-НО-4- $\text{HO-C}_6\text{H}_4\text{COC}_6\text{H}_5$  и 2 г  $\text{NaOH}$  в 5 мл воды и 15 мл спирта при перемешивании добавляют  $\text{C}_2\text{H}_5\text{Br}$ , взбалтывают 1–2 мин., нагревают 1 час при 30–40°, затем 16 час. при 65–75°, охлаждают, приливают ~40 мл воды, эфиром экстрагируют Ia, выход 35%, т. пл. 54,5° (из 70%-ного сп.). К спирто-водн. р-ру II прибавляют 10 мл  $\text{n-C}_4\text{H}_9\text{Br}$ , встряхивают, нагревают при 70–80° 13 час., охлаждают, осадок отфильтровывают, эфиром извлекают Ib, выход 30%, т. пл. 67° (из 65%-ного сп.). Аналогично предыдущему получают Iv, выход ~40%, т. пл. 56–57° (из 80% сп.). Таким же путем получены не вполне идентифицированные продукты конденсации II с нормальными гексил-, октил-, децил-бромидами при ~100° (18–23 часа), приводятся выход в % продукта конденсации, т. пл. в °C соответственно: 15, 55,5; 13–15, 45–46; 28–30, 50,5; 18 (р-ция 15 час., 110–115°), 50. Д. Зыков

**6Ж109. Реакции ванилина и его производных.** XXIX. 3,3',4,4'-тетраоксibenзил и его восстановление. Pearl Irwin A., Faber Harace B., Jr., Holman Waver C. Reactions of vanillin and its derived compounds. XXIX. 3,3',4,4'-tetrahydroxybenzil and its reduction. «J. Organ. Chem.», 1960, 25, № 8, 1449–1450 (англ.).—При поисках средств борьбы с болезнями картофеля синтезирован  $(3\text{-RO-4-RO-C}_6\text{H}_3\text{CO})_2$  ( $\text{I R} = \text{R}' = \text{H}$ ) (Ia) и изучен ряд его производных и продуктов восстановления. 50 г I ( $\text{R} = \text{CH}_3$ ,  $\text{R}' = \text{H}$ ) (Ib) и 50 г свежеосажденного сухого  $\text{C}_6\text{H}_5\text{N} \cdot \text{HCl}$  нагревают при 160° до полного растворения, 2 часа нагревают при 190–200°, плав растворяют при 70° в 800 мл воды, нагревают до кипения, фильтрат подкисляют 6 н.  $\text{HCl}$ , через ~12 час. при ~20° получают 78% Ia·2H<sub>2</sub>O, т. пл. 125–130° (из воды), при плавлении обезвоживается; Ia, т. пл. 234–236°. К 50 г Ib в 500 мл лед.  $\text{CH}_3\text{COOH}$  при кипении прибавляют 100 мл 48%-ной  $\text{HBr}$ , кипятят 3 часа, выпаривают в вакууме до половины объема, разбавляют 3 л воды, выделяется 44 г Ia·H<sub>2</sub>O, т. пл. 113° (из воды). Ацетилированием Ia, Ia·H<sub>2</sub>O или Ia·2H<sub>2</sub>O посредством  $(\text{CH}_3\text{CO})_2\text{O}$  в  $\text{C}_6\text{H}_5\text{N}$  получают I ( $\text{R} = \text{R}' = \text{COCH}_3$ ) (Iv), т. пл. 133–134° (из сп.). Метилирование всех трех форм Ia диметилсульфатом дает I ( $\text{R} = \text{R}' = \text{CH}_3$ ), т. пл. 220–221° (из лед.  $\text{CH}_3\text{COOH}$ ). 5 г Ia·2H<sub>2</sub>O в 200 мл горячей воды восстанавливают 5 г Sn и 25 мл лед.  $\text{CH}_3\text{COOH}$  (1,5 часа, ~100°), из фильтрата выделяют 1,2 г 3,4-( $\text{RO}$ )<sub>2</sub> $\text{C}_6\text{H}_3\text{CH}(\text{OR})\text{COC}_6\text{H}_4(\text{OR})_2$  (II  $\text{R} = \text{H}$ ) (IIa) в виде IIa· $\frac{1}{2}\text{H}_2\text{O}$ , т. пл. 186–188°; II ( $\text{R} = \text{COCH}_3$ ), т. пл. 182–183°. К 5 г Ia·2H<sub>2</sub>O и 10 г Sn в 200 мл горячей воды посте-

пенно прибавляют 10 мл конц.  $\text{HCl}$ , нагревают 1,5 часа при ~100°, фильтрат выпаривают в вакууме, через несколько дней при ~20° получают 2,2 г 3,4-( $\text{RO}$ )<sub>2</sub> $\text{C}_6\text{H}_3\text{CH}_2\text{COC}_6\text{H}_4(\text{OR})_2$  (III  $\text{R} = \text{H}$ ) (IIIa) в виде IIIa·H<sub>2</sub>O, т. пл. 196–198° (из воды); III ( $\text{R} = \text{COCH}_3$ ) (IIIb), т. пл. 127–128° (из сп.). IIIa получается также восстановлением Ia·2H<sub>2</sub>O Sn-Hg и  $\text{HCl}$  в водн. или водно-спирт. р-ре. К 5 г Ia·2H<sub>2</sub>O в 200 мл горячей воды прибавляют 10 г Zn-пыли, нагревают до кипения, постепенно прибавляют 40 мл конц.  $\text{HCl}$ , через 5 мин. фильтрат выпаривают в вакууме, из остатка получают 4 г [3,4-( $\text{RO}$ )<sub>2</sub> $\text{C}_6\text{H}_3\text{CH}_2$ ]<sub>2</sub> (IV  $\text{R} = \text{H}$ ) (IVa), т. пл. 151–152° (из воды); IV ( $\text{R} = \text{CH}_3\text{CO}$ ) (IVb), т. пл. 148–149° (из сп.). Приведены УФ-спектры Ia, Ib, IIa, IIIa, б и IVa, б. Сообщение XXVIII см. РЖХим, 1958, № 15, 50285. В. Скородумов

**6Ж110. Аллифатические феноксикилоты.** Carrière G. Alifatische phenoxykyloten. «Nederl. chem. ind.», 1960, 2, № 18, 313–314 (гол.).—Обзор методов получения, р-ций и применения в качестве расточных в-в и гербицидов. Библ. 9 назв. В. Беликов

**6Ж111. Триметоксифенильные соединения.** IV. Реакция 3,4,5-триметоксibenзальдегида с циануксусной кислотой. Schiemenz Günter Paulus, Engelhard Hermann. Trimethoxyphenylverbindungen, IV. Die Reaktion von 3,4,5-Trimethoxybenzaldehyd mit Cyanessigsäure. «Chem. Ber.», 1960, 93, № 8, 1751–1758 (нем.).—В результате конденсации 3,4,5-триметоксibenзальдегида (I) с циануксусной к-той (II) в присутствии водн.  $\text{NaOH}$  образовалась 3,4,5-триметокси- $\alpha$ -циан-транс-коричная к-та (III), тогда как в пиридине в присутствии пиридина, кроме того, одновременно образовались cis-изомер IV (IV) и продукт декарбоксилирования IV—нитрил 3,4,5-триметоксitrans-коричной к-ты (V; VI к-та). Декарбоксилировать III не удалось. Соответственно при декарбоксилировании  $\alpha$ -цианкоричной к-ты (1 час, 230°) получено только 13% нитрила коричной к-ты, т. кип. 127–131°/16 мм. При действии избытка II на I получен динитрил  $\beta$ -(3,4,5-триметоксифенил)-глутаровой к-ты (VII; VIII к-та), который превращен в диамид VIII (IX), в VIII и в ангидрид VIII (X). Из последнего получены моноамид VIII (XI) и диметилвый эфир VIII (XII). Кроме того, VII образовалась непосредственно из III, но не из V. Из VI получен амид VI (XIII), который превращен в V. При встряхивании 12,4 ммоль I с избытком II в водн. р-ре  $\text{NaOH}$  постепенно выделялась Na-соль III, из которой получена III, выход 80%, т. пл. 221–223° (из бал.). Смесь 25,5 ммоль I, 26,6 ммоль II, 30 мл пиридина и 10,1 ммоль (40 мол.%) пиридина кипятят 5 час., после отгонки р-рителя в вакууме остаток обработали  $\text{C}_6\text{H}_6$ , из которого выделили V, выход 83%, т. пл. 95–97° (из водн.  $\text{CH}_3\text{OH}$ ). В аналогичном опыте, но в присутствии 7 мол. % пиридина из бензольного р-ра выделилась смесь плохо растворимых III и IV, т. пл. IV 170–172° (разл.; из бал.), но отгонке р-рителя получено 57% V. При действии  $\text{HCl}$ -газа или водн.  $\text{HCl}$  IV дала III. Из 1,29 ммоль III в 5 мл пиридина и 5,1 ммоль пиридина (5 час., кипячение) получают 82% V. К р-ру 37,5 ммоль I и 90 ммоль II в 30 мл пиридина прибавили 1,1 мл пиридина и смесь кипятили 4 часа, после обычной обработки из бензольного р-ра выделилось 10% V и 55% VII, т. пл. 110–112° (ш бал.). В 10 мл конц.  $\text{H}_2\text{SO}_4$  растворили 3,84 ммоль VII и через 3 дня красный р-р вылили в воду, после нейтр-ции  $\text{NH}_3$  р-р выпарили досуха и остаток обработали горячим  $\text{CH}_3\text{OH}$ , р-ритель отогнали, остаток растерли с ацетоном и получили IX, выход 51%, т. пл. 167–170° (из  $\text{C}_6\text{H}_5\text{NO}_2$ ). Смесь 9,4 ммоль VII и р-ра 64 ммоль КОН в 9,5 мл воды кипятили 5 час., остальное неразворенным 2,7 ммоль VII, а из водн. р-ра при подкислении получили VIII, выход 88%, т. пл. 193–197° (из этилацетата-пепт. эф.). Из 5,4 ммоль VIII и 10 мл  $\text{CH}_2\text{COCl}$  (2 часа, кипячение) образовался X.

выход ~ 0,79 ммоль дией (20°) рили досу делии X ка  $\text{CH}_2\text{COCl}$  95%, т. п ния (4 ч пиридина VII. Из 8 р-ра 88,4 триэтила ботки р- 65 мл  $\text{CH}_2\text{COCl}$  1 час при хивали 4  $\text{CH}_2\text{COCl}$  68 34,8 ммоль дия 73 через 24 работали РЖХим, 6Ж112. зойной к укисной брома. Р rogen bro ху-6-броп mine mif 725 (анг bromбенз иллас 2 II доказ ванием сравнен окси-5-б трилиров (V) с а к-та (VII постано (VII) с привело сравнен группн  $\text{HBr} + \text{C}$  (VIII), (IX), об веинного тез диан металме (димети лизом (XV), 1, 48%-ной  $\text{Pd/C}$ , ф водн, п через 45  $\text{CuSO}_4$ ), оставши ром, ост фаруют т. пл. 1 и 0,2 г сульфат кипяти ром н 85,1%, т 140,5–1  $\text{COOH}$  н при 130 лизуют 223° (из 80 мл су кипятят



1,5 часа  
через пе-  
O)C<sub>2</sub>H<sub>5</sub>-  
де Ша-  
COCH<sub>3</sub>)  
я также  
одн. или  
горячей  
до кипе-  
и, через  
остатка  
(IVa),  
(IVb),  
стры Ia,  
РЖХим,  
продуктов  
Cargile,  
m. ind.,  
получе-  
их в-в и  
Беликов  
я. IV.  
анукуеу-  
aulus,  
ylverbin-  
cybenzal-  
93, № 8,  
ти 3,4,5-  
й к-той  
3,4,5-три-  
да как в  
го, одно-  
продукт  
метокси-  
лизовать  
илирова-  
но толь-  
14/16 мм.  
итрил β-  
II; VIII  
, в VIII  
ны моно-  
(I). Кроме  
I, но не  
превраще-  
избытком  
Na-соль  
пл. 221-  
II, 30 мл  
на кипя-  
е остаток  
ход 83%,  
м опыте,  
изольного  
III и IV,  
р-рителя  
водн. HCl  
ридина и  
получают  
30 мл пе-  
кипяча-  
изольного  
-112° (ш  
моль VII  
ту, после  
ок обра-  
остаток  
%, т. пл.  
I и р-ра  
ас., ост-  
одн. р-ра  
%, т. пл.  
моль VIII  
овался X

выход ~100%, т. пл. 174—175° (из лигр.). К смеси 0,79 ммоль X и 10 мл конц. водн. NH<sub>3</sub> через несколько дней (20°) добавили еще 5 мл р-ра NH<sub>3</sub> и р-р выпарили досуха, из остатка после обработки конц. HCl выделили XI, выход 99%, т. пл. 170—171°. Из X и избытка CH<sub>3</sub>OH (10 час., кипячение) получили XII, выход 95%, т. пл. 109—110° (из лигр.). В результате кипячения (4 часа) смеси 1,14 ммоль III, 40,3 ммоль II, 15 мл пиридина и 2,53 ммоль пиперидина образовалось 78% VII. Из 87,7 ммоль VI в 100 мл CHCl<sub>3</sub> по прибавлении р-ра 88,4 ммоль (C<sub>2</sub>H<sub>5</sub>)<sub>3</sub>N в 75 мл CHCl<sub>3</sub> образовалась триэтиламмониевая соль, которая в результате обработки р-ром 92,5 ммоль этилхлоругольного эфира в 65 мл CHCl<sub>3</sub> превращена в смешанный ангидрид, через 1 час прибавили 100 мл конц. водн. NH<sub>3</sub> и смесь встряхивали 4 часа, из водн. слоя выделили 17% VI, а из CHCl<sub>3</sub> 68% XIII, т. пл. 167—169° (из CH<sub>3</sub>OH). К р-ру 3,8 ммоль XIII в 65 мл пиридина постепенно прибавляли 73 ммоль POCl<sub>3</sub>, р-р быстро охлаждали до 20°, через 24 часа р-ритель удалили в вакууме, остаток обрабатывали водой и получили 73% V. Сообщение III см. РЖХим, 1959, № 23, 82252.

6Ж112. Деметилирование 2,3-диметокси-6-бромбензойной кислоты под действием бромистого водорода и уксусной кислоты. Пример сопутствующей миграции брома. Pettit George R., Piatak David M. Hydrogen bromide-acetic acid demethylation of 2,3-dimethoxy-6-bromobenzoic acid. An example of concomitant bromine migration. «J. Organ. Chem.», 1960, 25, № 5, 721—725 (англ.).—При деметилировании 2,3-диметокси-6-бромбензойной к-ты (I) в р-ре HBr в CH<sub>3</sub>COOH образовалась 2,3-диокси-5-бромбензойная к-та (II). Строение II доказано встречным синтезом, а также метилированием в 2,3-диметокси-5-бромбензойную к-ту (III) и сравнением ее с III, полученной окислением 2,3-диметокси-5-бромбензальдегида (IV). Для сравнения деметилированием 2-окси-3-метокси-6-бромбензойной к-ты (V) с AlCl<sub>3</sub> синтезирована 2,3-диокси-6-бромбензойная к-та (VI). I в кристаллич. виде была получена из V; восстановление 2,3-диметокси-6-нитробензойной к-ты (VII) с последующим бромированием по Зандмейеру привело к жидкой I. Идентичность обоих I доказана сравнением их анилидов. В случае отсутствия о-COON-группы миграция Br не происходит. Так при действии HBr + CH<sub>3</sub>COOH на 3,4-диметокси-6-бромнитробензол (VIII), полученный нитрованием 4-бромвератрола (IX), образовался 3,4-диокси-6-бромнитробензол (X) и немного 3,4-диоксинитробензола (XI). Встречный синтез диацетата X (XII) осуществлен бромированием диметилметилendioксибензола (XIII), нитрованием 3,4-(диметилметилendioкси)-бромбензола (XIV) и гидролизом 3,4-(диметилметилendioкси)-бромнитробензола (XV). 1,5 г VII в 20 мл спирта, содержащего 3 капли 48%-ной HBr, гидрируют при 3 ат над 75 мг 10%-ного Pd/C, фильтрат упаривают, остаток растворяют в 30 мл воды, при 5° диазотируют 0,55 г NaNO<sub>2</sub> в 2 мл воды, через 45 мин. при 5° добавляют смесь Cu<sub>2</sub>Br<sub>2</sub> (из 1 г CuSO<sub>4</sub>) и 0,65 г Si-порошка, 2,6 г NaBr и 1 г H<sub>2</sub>SO<sub>4</sub>, оставляют при ~20° на ~16 час., экстрагируют эфиром, остаток после отгонки эфира дважды хроматографируют на силикагеле в CHCl<sub>3</sub>, выход I 38,8%; анилид, т. пл. 139—141° (из CH<sub>3</sub>COOC<sub>2</sub>H<sub>5</sub>-птр. эф.). К 0,5 г V и 0,2 г NaOH в 50 мл воды добавляют 0,5 мл диметилсульфата, кипятят 2 часа, добавляют NaOH до pH 11, кипятят еще 2 часа, подкисляют, экстрагируют эфиром и хроматографируют на силикагеле, выход I 85,1%, т. пл. 87—89° (из бэл.-птр. эф.); анилид, т. пл. 140,5—141,5°. 0,93 г I и 5 мл 41%-ного HBr в лед. CH<sub>3</sub>COOH нагревают в трубке 1,6 часа при 130° и 65 мин. при 130—142°, упаривают в вакууме, остаток кристаллизуют из CH<sub>3</sub>OH + CHCl<sub>3</sub> и получают IV, т. пл. 222—223° (из воды). Смесь 1 г V, 12,3 г безводн. AlCl<sub>3</sub> и 80 мл сухого C<sub>6</sub>H<sub>6</sub> кипятят 6 час., добавляют 7,5 г AlCl<sub>3</sub>, кипятят 4 часа, добавляют при ~0° 50 мл конц. HCl

и 35 мл воды и экстрагируют эфиром, выход VI 90,4%, т. пл. 182—185° (разл.; из воды). 18,7 г 2,3-диметоксибензойной к-ты, 900 мл C<sub>6</sub>H<sub>5</sub>Cl и 80 г AlCl<sub>3</sub> кипятят 1 час, вносят 30 г AlCl<sub>3</sub>, кипятят 2 часа, упаривают, обрабатывают 800 мл HCl-к-ты, выход 2,3-диоксибензойной к-ты 52,5%, т. пл. 207—208° (из воды). 3 г последней в 100 мл лед. CH<sub>3</sub>COOH обрабатывают 3,1 г Br<sub>2</sub>, оставляют на 24 часа, выход II 70,4%, т. пл. 222—224° (из водн. CH<sub>3</sub>OH). К 1,4 г II и 1,4 г NaOH в 30 мл воды добавляют 2,2 г диметилсульфата, кипятят 2 часа, добавляют NaOH до pH 11, кипятят 2 часа, подкисляют, выход III 70,1%, т. пл. 118,5—120° (из бэл.-птр. эф.). К 2,9 г IV и 4,8 г AgNO<sub>3</sub> в 50 мл воды медленно добавляют 2,3 г NaOH в 25 мл воды, кипятят 1 час, фильтрат подкисляют, выход III 84,1%, т. пл. 122—124° (из воды). К 70 мл конц. HNO<sub>3</sub> и 210 мл CH<sub>3</sub>COOH при ~10° медленно добавляют 10 г IX, через 1 час разбавляют водой и экстрагируют эфиром, выход VIII 82%, т. пл. 122—124° (из сп.). Смесь 1,8 г VIII и 7 мл 35%-ного HBr + лед. CH<sub>3</sub>COOH в запаянной трубке нагревают 1 час при 141° и 50 мин. при 140—142°, упаривают в вакууме, добавляют (CH<sub>3</sub>CO)<sub>2</sub>O + C<sub>6</sub>H<sub>5</sub>N, оставляют на ~16 час. при ~20° и снова упаривают в вакууме, выход XII 36,7%, т. пл. 119—121° (из бэл.-птр. эф.); в некоторых опытах кристаллизацией продуктов р-ции из C<sub>6</sub>H<sub>5</sub>CH<sub>3</sub> выделяют X, выход 30—35%; маточный р-р упаривают в вакууме, хроматографируют в птр. эфире + C<sub>6</sub>H<sub>6</sub> (1:2) на дезактивированной Al<sub>2</sub>O<sub>3</sub> и получают диацетат XI, т. пл. 80—81°. Смесь 3 г XIII, 3,6 г N-бромсукцинимид и 6 мл CHCl<sub>3</sub> кипятят 6 час., разбавляют эфиром и получают XIV, выход 74,4%, т. кип. 97—102°/8 мм, 101—102°/20 мм. Смесь 1,05 г XV, 4 мл конц. HCl и диоксана нагревают 15 мин. при ~100°, упаривают в вакууме, добавляют (CH<sub>3</sub>CO)<sub>2</sub>O + C<sub>6</sub>H<sub>5</sub>N, нагревают 30 мин. при ~100°, выход XII 74,6%, т. пл. 120—122° (из бэл.-птр. эф.).

6Ж113. Действие бензанида на оксibenзойные кислоты и их метиловы эфиры. Pepe Rodolfo O., Alvarez Alba Rosa. Accion de la benzazida sobre los acidos oxibenzoicos y sus esteres metilicos. «Arch. bioquim., quim. y farm.», 1957—1958, 8, № 1, 41—49 (исп.; рез. нем.).—При действии C<sub>6</sub>H<sub>5</sub>CON<sub>2</sub> (I) на HOС<sub>6</sub>H<sub>4</sub>COOH (IIa—n, где a para, b meta, в орто) получены C<sub>6</sub>H<sub>5</sub>COOC<sub>6</sub>H<sub>4</sub>COOH (IIa—n). Аналогичная р-ция происходит с метиловыми эфирами (МЭ) II. К охлажд. р-ру 2,76 г II в 14 мл 3 н. NaOH прибавляют охлажд. р-р 2,94 г I в 10 мл ацетона, перемешивают 2 часа, выливают в воду и добавляют 14 мл 3 н. HCl. Приведены III, выход в %, т. пл. в °C: а, 68, 224 (из CH<sub>3</sub>OH); б, 62, 154, 3,04 г МЭ II в 6 мл ацетона, 2,94 г I в 8 мл ацетона и 7 мл 3 н. NaOH перемешивают 2 часа, добавляют воду и 7 мл 3 н. HCl, фильтруют или извлекают эфиром. Приведены МЭ III, выход в %, т. пл. в °C: а, 45, 132—134 (из CH<sub>3</sub>OH, сл., CH<sub>3</sub>COOH); б, 39, 82; в, 19, 85. МЭ IIa и МЭ IIб получены также этерификацией IIa и IIб. Этилированием IIa и IIб получены этиловы эфиры IIIa и IIIб с выходами 35 и 20% и т. пл. 88—89° и 56—58° соответственно. В. Беликов

6Ж114. Реакция хлористого тиюнила с бензильной и хлордифенилуксусной кислотами. Взаимное превращение ангидрида хлордифенилуксусной кислоты и хлорангидрида хлордифенилацетилбензильной кислоты. Wasserman Harry N., Wharton Peter S. The reaction of thionyl chloride with benzoic and chlorodiphenylacetic acids. Interconversion of chlorodiphenylacetic acid anhydride and chlorodiphenylacetylbenzoic acid chloride. «J. Amer. Chem. Soc.», 1960, 82, № 13, 3457—3460 (англ.).—В продолжение работы (РЖХим, 1956, № 8, 22408) изучено взаимодействие SOCl<sub>2</sub> с (C<sub>6</sub>H<sub>5</sub>)<sub>2</sub>C(OH)COOH (I) и с (C<sub>6</sub>H<sub>5</sub>)<sub>2</sub>CClCOOH (II). Найдено, что единственным продуктом р-ции I с SOCl<sub>2</sub> (взятых в молярных отношениях I:SOCl<sub>2</sub> = 1:6,4, нагревание 40 час. в CCl<sub>4</sub>), вопреки данным (Stolle R., Ber., 1910, 43, 2471), является (C<sub>6</sub>H<sub>5</sub>)<sub>2</sub>CO, выход 96%.

CH<sub>3</sub>COO)  
звукуют  
(из сл.).  
R = R'  
из Кото  
получае  
β мн.  
151-152  
(из CH<sub>3</sub>  
ют 3-фе  
2 з-фен  
пятят  
закот С  
10 з не  
ноды н  
Сl (1  
(R = C  
на Ia),  
(R = C  
логиче  
67%, т.  
(R = R'  
12 з IV  
получае  
пл. 173  
(R = R'  
сл.). 5  
подкис  
т. п. л. 1  
тит п  
кодом  
NaOH  
180° (п  
CH<sub>3</sub>O к  
заот  
предель  
= C<sub>6</sub>H<sub>5</sub>  
юся I  
170/3°  
(R = C  
93%-н  
ливаю  
180° (и  
княтия  
ром в  
пл. 222  
д 1,8;  
8 мас.  
(из CH<sub>3</sub>  
CH<sub>3</sub>COO  
93%-н  
60 г л.  
CONH<sub>2</sub>  
NaOH  
в воду  
филъм  
на А п  
24° (и  
сл.). 4  
промы  
по по:  
княтия  
по OCH<sub>3</sub>  
(R = C  
100 мас.  
подкис  
(из сл.)  
ХП (1  
т. п. л.  
всосе  
0,5°

Д. 6Ж115. Некоторые производные галловой кислоты. Загоревский В. А., Зыков Д. А., Орлова Э. К. «Ж. общ. химии», 1960, 30, № 9, 3103—3104.—В поисках в-в, обладающих резерпиноподобным действием, синтезированы β-диэтиламиноэтиловые эфир галловой к-ты (I), β-диметиламино-(II), β-диэтиламиноэтиловые эфиры (III) и γ-диметиламинопропиловый эфир (IV) 3,4,5-триацетоксибензойной к-ты (V к-та), а также N-(3,4,5-триацетоксибензоил)-фенолазин (VI). V нагревают 1 час при 70° с 4 молями  $\text{SOCl}_2$  и получают хлорангидрид V (VII), выход 70%, т. пл. 104—105° (из  $\text{CCl}_4$ ). К. 3,3 г VII в 1,5 мл дихлорэтана прибавляют 0,89 г 2-диметиламиноэтанола в 5 мл дихлорэтана, через 24 часа разбавляют 100 мл абс. эфира, осадок растворяют в 30 мл воды, насыщают  $\text{NaCl}$ , извлекают  $\text{CHCl}_3$ , сушат, упаривают в вакууме и высасывают

эфиром хлоргидрат (ХГ) II, выход 84%, т. пл. 131,5–133° (из абс. сп.). Аналогично синтезируют ХГ III, выход 82%, т. пл. 105,5–107° (осаждением эфиром (II) дихлорэтана), и ХГ IV, выход 75%, т. пл. 154–155° (из ацетона). Смесь 34 г безводн. галловой к-ты, 25,8 г 2-диэтилaminоэтанола и 100 мл толуола насыщают сухим HCl и кипятят с отбором воды (~3,5 мл) 32 часа, сливают толуольный слой, добавляют 50 мл воды и 100 мл этилацетата и получают ХГ I, выход 35%, т. пл. 183–184,5° (из ацетона-абс. сп.). 53 г VII, 33,4 г фтивазина и 150 мл дихлорэтана оставляют на 5 суток при ~20°, упаривают в вакууме, добавляют 50 мл абс. спирта и 100 мл абс. эфира и выделяют VI, выход 37,7%, т. пл. 180–181° (из абс. сп.).

6Ж116. Синтез и изучение раскрытия циклов ангидридов и имидов некоторых несимметрических замещенных янтарных кислот. Foucaud André. Contribution à la synthèse et à l'étude de l'ouverture de quelques anhydrides et imides succiniques dissymétriquement substitués. «Bull. Soc. scient. Bretagne. Sci. math., phys. et natur.», 1960, 35, Fasc. hors sér., 88 p., ил. (франц.). Синтезированы ряд производных несимметрии, замест. янтарной к-ты и изучены пути раскрытия их ангидридов (АН) и имидов (ИМ). Синтез осуществляют по схемам:  $C_6H_5COOR$  (I) +  $CNCH_2COOR'$  (II)  $\rightarrow C_6H_5C(R)(CN)CH_2COOR'$  (III)  $\rightarrow C_6H_5C(R)(CN)CH(CN)COOR'$  (IV)  $\rightarrow C_6H_5C(R)(CONH_2)CH(CONH_2)COOR'$  (V)  $\rightarrow$  3-фенил-3-Р-4-карбамоилсукцинимид (VI); IV  $\rightarrow C_6H_5C(R)(CN)CH(CN)COOH$  (VII)  $\rightarrow$  3-фенил-3-Р-4-дианосукуллимид (VIII); VII  $\rightarrow C_6H_5C(R)(CN)CH_2CN$  (IX)  $\rightarrow C_6H_5C(R)(CN)CH_2CONH_2$  (X) или  $C_6H_5C(R)(CONH_2)CH_2CN$  (XI); I или XI  $\rightarrow$  3-фенил-3-Р-сукцинимид (XII)  $\rightarrow C_6H_5C(R)(CONH_2)CH_2COOH$  (XIII) или  $C_6H_5C(R)(COOH)CH_2COOH$  (XIV); XIII или XIV  $\rightarrow C_6H_5C(R)(COOH)CH_2COONH_4$  (XV)  $\rightarrow$  ангидрид XV (XVI). Нитрованием XV получают смесь о- и п-нитропроизводных, из которой выделяют  $4-NO_2C_6H_4C(R)(COOH)CH_2COOH$  (XVII). Ангидриды XVII (XVIII) получают аналогично XVI. В-м XIII синтезируют по схеме:  $C_6C_5CH(R)CN$  (XIX)  $\rightarrow C_6H_5C(R)(Na)C \rightarrow NC_6H_5C(R)(CN)CH_2COOC_2H_5$  (XX)  $\rightarrow C_6H_5C(R)(CN)CH_2COOH$  (XXI)  $\rightarrow$  XIII. Легкость гидролиза XXI в сернокислой среде объясняется наличием водородной связи между атомами азота и водорода карбоксила. XXI ( $R = C_6H_5CH_2$ ) (XXa) после действия  $SOCl_2$  и выливания в  $NH_4OH$  вместо соответствующего амида или имида превращается в 2,4-димино-3-фенил-3-бензилтетрагидрофуран (XXII). XIII и XIV нитруются аналогично XV, причем выделяют  $4-NO_2C_6H_4C(R)(CONH_2)CH_2COOH$  (XXIII) и  $4-NO_2C_6H_4C(R)(COOH)CH_2CONH_2$  (XXIV) соответственно. В щел. среде IX ( $R = C_6H_5CH_2$ ) (IXa) омыляется в XII ( $R = C_6H_5CH_2$ ) (XVa); в кислой среде в результате омыления и циклизации образуется 3-фенил-3-карбокситетрагидро-1 (XXV). Раскрытие цикла АН происходит под действием  $NH_3$ , а ИМ под действием  $NaOH$ . Разработаны хроматографич. метод разделения смесей XIII и XIV образующихся при этом раскрытии. Измерены константы ионизации XIII и XIV. При раскрытии АН при избытке XIV; раскрытие ИМ также приводит главным образом к XIV; ИМ оказывается более устойчивым к гидролизу в кислой среде; продолжительное нагревание с  $H_2SO_4$  приводит к XV; также и нагревание со щелочью дает XV; лишь обработка щелочью на холоду приводит к раскрытию цикла с образованием амидокишлот (AK). Приводятся рассуждения для объяснения этих фактов. 0,096 моля I ( $R = CH_2C_6H_5$ ) (Ia), 0,19 моля II ( $R = C_6H_5$ ) (IIa), 7,6 г  $CH_3COONH_4$ , 18,3 мл лед.  $CH_3COOH$  и 80 мл абс.  $C_6H_6$  кипят 20 час. с отделившейся образующейся воды, охлаждают, промывают  $Na_2CO_3$  отгонной р-турой получают смесь двух геометрических изомеров III ( $R = C_6H_5CH_2$ ,  $R' = C_6H_5$ ) (IIIa), из которых кристаллизацией выделяют один из изомеров (IIIb) с выходом 60%, т. пл. 66° (из сп.). Аналогично из 0,2 моля I ( $R = C_6H_5$ ), 0,24 моля IIa, 36 мл лед.  $CH_3COOH$ , 18,3

14 Зах

пл. 131,5-132,5°;  $\text{XG}$  III,  $\text{CH}_3\text{COONH}_4$  и 160 мл  $\text{C}_6\text{H}_5$  (кипячение 18 час.) синтезируют смесь изомеров III ( $\text{R}=\text{R}'=\text{C}_2\text{H}_5$ ), выход 84%, т. кип. 160–163°/4 мм; один из изомеров, т. пл. 46–47° (из сп.). Так же получают смесь двух изомеров III ( $\text{R}=\text{R}'=\text{CH}_3$ ), выход 73%, т. кип. 137–138°/2 мм, один из которых имеет т. пл. 70° (из  $\text{CH}_3\text{OH}$ ). Аналогично получают III ( $\text{R}=\text{C}_6\text{H}_5\text{CH}_2$ ,  $\text{R}'=\text{CH}_3$ ), т. кип. 195–200°/3 мм, и III ( $\text{R}=\text{C}_2\text{H}_5$ ,  $\text{R}'=\text{CH}_3$ ), выход 63%, т. кип. 151–152°/5 мм; один из геометрич. изомеров, т. пл. 16° (из  $\text{CH}_3\text{OH}$ ). IIIa нагревают 1 час при  $\sim 250^\circ$ , выделяют 3-фенил-2-цианонафтол-1, т. пл. 183° (из ксилола). 2 г IIIb в 30 мл 20%-ного спирто-води. р-ра NaOH кипятят 1,5 часа, по охлаждению выливают в воду, получают  $\text{C}_6\text{H}_5\text{CH}_2\text{C}(\text{C}_6\text{H}_5)=\text{CHCONH}_2$ , т. пл. 186° (из сп.). 10 г неочищ. IIIa в 30 мл спирта и 5 г KCN в 15 мл воды нагревают до кипения, охлаждают, подкисляют HCl (1:3), выливают в 150 мл воды, выделяют IV ( $\text{R}=\text{C}_6\text{H}_5\text{CH}_2$ ,  $\text{R}'=\text{C}_2\text{H}_5$ ) (IVa), выход 60% (в расчете на Ia), т. пл. 86° (из сп.). Аналогично получают IV ( $\text{R}=\text{C}_6\text{H}_5\text{CH}_2$ ,  $\text{R}'=\text{CH}_3$ ), т. пл. 114° (из  $\text{CH}_3\text{OH}$ ). Аналогично синтезируют IV ( $\text{R}=\text{R}'=\text{C}_2\text{H}_5$ ) (IVb), выход 67%, т. кип. 175–178°/1 мм, т. пл. 52° (из сп.), и IV ( $\text{R}=\text{C}_2\text{H}_5$ ,  $\text{R}'=\text{CH}_3$ ), выход 60%, т. кип. 190–192°/3 мм, т. пл. 62° (из  $\text{CH}_3\text{OH}$ ). Так же получается IV ( $\text{R}=\text{R}'=\text{CH}_3$ ), выход  $\sim 100\%$ , т. пл. 65° (из  $\text{CH}_3\text{OH}$ ). 12 г IVa в 30 мл  $\text{H}_2\text{SO}_4$  ( $d$ , 1,83) выливают в 50 г льда, получают  $\sim 100\%$  V ( $\text{R}=\text{C}_6\text{H}_5\text{CH}_2$ ,  $\text{R}'=\text{C}_2\text{H}_5$ ) (Va), т. пл. 175–176° (из сп.). Аналогично синтезируют V ( $\text{R}=\text{R}'=\text{C}_2\text{H}_5$ ) (Vb), выход  $\sim 100\%$ , т. пл. 165° (из сп.). 5 г Va растворяют в 50 мл 1 н. NaOH (сп.-вода), подкислением HCl (1:3) выделяют VI ( $\text{R}=\text{C}_6\text{H}_5\text{CH}_2$ ), т. пл. 198–200° (из водн. сп.). Это же в-во можно получить при нагревании Va вблизи т-ры плавления с выходом  $\sim 100\%$ . Действием на холоду 1 н. спирто-води. NaOH на Vb получают  $\sim 100\%$  VI ( $\text{R}=\text{C}_2\text{H}_5$ ), т. пл. 180° (из сп.). 10 г IVa в 200 мл 1 н. спирто-води.  $\text{Na}_2\text{CO}_3$  кипятят 0,5 часа, выливают в 200 мл воды, получают  $\sim 100\%$  IXa, т. пл. 103° (из сп.). Подкислением предыдущего содового р-ра HCl выделяют VIII ( $\text{R}=\text{C}_6\text{H}_5\text{CH}_2$ ), т. пл. 169° (из сп.). Аналогично получают IX ( $\text{R}=\text{C}_2\text{H}_5$ ) (IXb), выход 67%, т. кип. 165–170°/3 мм, т. пл. 38°, IX ( $\text{R}=\text{CH}_3$ ), т. пл. 29°, и VIII ( $\text{R}=\text{C}_2\text{H}_5$ ) (VIIIa), т. пл. 117° (из сп.). 2 г VIIIa в 28 г 93%-ной  $\text{H}_2\text{SO}_4$  выдерживают 24 часа при  $\sim 20^\circ$ , выливают на 50 г льда, выделяют VI ( $\text{R}=\text{C}_2\text{H}_5$ ), т. пл. 180° (из сп.). 7 г IXa в 20%-ном спирто-води. р-ре KOH кипятят 30 час., подкислением выделяют осадок, эфиром в аппарате Сокелета извлекают  $\sim 100\%$  Xva, т. пл. 220° (из разб.  $\text{CH}_3\text{COOH}$ ). 5 г IXa в 20,4 г  $\text{H}_2\text{SO}_4$  ( $d$ , 1,83), 12,9 г лед.  $\text{CH}_3\text{COOH}$  и 4,1 г воды кипятят 8 час., выливают в лед, получают 83% XXV, т. пл. 192° (из сп.); 2,4-динитрофенилгидразон, т. пл. 280° (из  $\text{CH}_3\text{OH}$ ). 2 г IXa при охлаждении растворяют в 28 г 93%-ной  $\text{H}_2\text{SO}_4$ , через 24 часа при  $\sim 20^\circ$  выливают в 60 г льда, выделяют 80%  $\text{C}_6\text{H}_5\text{CH}_2\text{C}(\text{C}_6\text{H}_5)(\text{CONH}_2)\text{CH}_2\text{CONH}_2$ , т. пл. 200° (из сп.). 2 г IXa в 100 мл 0,25 н. NaOH в 50%-ном спирте кипятят 0,5 часа, выливают в воду, осадок (A) промывают водой, подкислением фильтрата выделяют 25% XII ( $\text{R}=\text{C}_6\text{H}_5\text{CH}_2$ ); из осадка A получают 71% X ( $\text{R}=\text{C}_6\text{H}_5\text{CH}_2$ ) (Xa), т. пл. 245–247° (из сп.); хлоридат, т. пл. 170° (разл.); из разб. сп.). 4 г  $\text{NH}_4$ -соли XXIIa нагревают при 250° 35 мин., промывают  $\text{Na}_2\text{CO}_3$  и эфиром, получают Xa. Аналогично получают X ( $\text{R}=\text{C}_2\text{H}_5$ ), т. пл. 228° (из сп.). 5 г IXb кипятят в 120 мл 3 н. KOH в 50%-ном спирте 24 часа, по охлаждению подкисляют HCl, выделяют  $\sim 100\%$  XV ( $\text{R}=\text{C}_2\text{H}_5$ ), т. пл. 180° (из разб.  $\text{CH}_3\text{COOH}$ ). 3 г IXb в 100 мл 1 н. NaOH в 20%-ном спирте нагревают 1 час, подкислением выделяют 70% XII ( $\text{R}=\text{C}_2\text{H}_5$ ), т. пл. 99° (из сп.). Аналогично описанному выше синтезируют XII ( $\text{R}=\text{CH}_3$ ), т. пл. 88° (из  $\text{CH}_3\text{OH}$ ), и XV ( $\text{R}=\text{CH}_3$ ), т. пл. 167° (из разб.  $\text{CH}_3\text{COOH}$ ). 3 г XV постепенно вносят в 15 мл  $\text{HNO}_3$  ( $d$ , 1,49) при охлаждении, через 0,25 часа выливают в 60 г льда, перекристаллизацией

из разб.  $\text{CH}_3\text{COOH}$  выделяют XVII (приводятся R, выход в %, т. пл. в °C): H, 52, 230;  $\text{C}_2\text{H}_5$ , 60, 218–220;  $\text{CH}_3$ , 56, 168. Аналогичным нитрованием XII получают п-нитро-XII (приводятся R, выход в %, т. пл. в °C):  $\text{CH}_3$ , 60, 156 (из сп.);  $\text{C}_2\text{H}_5$ , 75, 122–133, 0,6 г XV в 10 мл  $\text{SOCl}_2$  кипятят 1 час, отгоняют  $\text{SOCl}_2$  в вакууме, получают XVI [приводятся R, т. пл. в °C (из  $\text{CCl}_4$ ): H, 53;  $\text{C}_6\text{H}_5$ , 91;  $\text{C}_6\text{H}_5\text{CH}_2$ , 112;  $\text{CH}_3$ , выход 80%, т. кип. 140°/2 мм, —;  $\text{C}_2\text{H}_5$ , выход 80%, т. кип. 165–170°/6 мм, —. Аналогично получают XVIII (приводятся те же показатели):  $\text{CH}_3$ , 123–124 (из бэл.);  $\text{C}_2\text{H}_5$ , 104–105 (из  $\text{CCl}_4$ ); H, — (разлагается при перегонке). 2,3 г Na растворяют в 16 г трет- $\text{C}_4\text{H}_9\text{OH}$  в 300 мл абс.  $\text{C}_6\text{H}_5$  кипячением 5 час., через 1 час при  $\sim 20^\circ$  прибавляют  $\sim 0,09$  моля XIX ( $\text{R}=\text{C}_6\text{H}_5\text{CH}_2$ ), нагревают при  $\sim 100^\circ$  1,5 часа, по охлаждению прибавляют по каплям 0,1 моля  $\text{CH}_2\text{BrCOOC}_2\text{H}_5$  (XXVI), кипятят 1,5 часа, из органич. слоя выделяют XX ( $\text{R}=\text{C}_6\text{H}_5\text{CH}_2$ ), т. пл. 62°; его омыляют, выделяя 51% XXIIa, т. пл. 163°. Аналогично получают XXI ( $\text{R}=\text{C}_6\text{H}_5$ ) (XXIIb), выход 70%, т. пл. 183°. 0,11 моля XIX ( $\text{R}=\text{C}_2\text{H}_5$ ) и 4,7 г  $\text{NaNH}_2$  в 200 мл эфира кипятят  $\sim 1,5$  часа, по охлаждению по каплям прибавляют 0,22 моля XXVI, кипятят 1,5 часа, из эфирного р-ра выделяют 74% XX ( $\text{R}=\text{C}_2\text{H}_5$ ) (XXa), т. кип. 145–150°/1 мм. 11,8 г XXa и 1,12 мл воды прибавляют к р-ру 1,43 г Na в 31,2 мл  $\text{CH}_3\text{OH}$ , оставляют на 48 час., прибавлением эфира полностью осаждают Na-соль, осадок промывают эфиром, растворяют в воде, прибавляют разб.  $\text{H}_2\text{SO}_4$ , эфиром извлекают XXI ( $\text{R}=\text{C}_2\text{H}_5$ ), т. пл. 75° (из бэл.-петр. эф.). Аналогично синтезируют 25% XXI ( $\text{R}=\text{CH}_3$ ), т. пл. 84° (из бэл.-петр. эф.). 2 г XXIIb растворяют в 28 г 93%-ной  $\text{H}_2\text{SO}_4$ , выдерживают 48 час. при 5°, выливают в 200 г льда, получают XIII ( $\text{R}=\text{C}_6\text{H}_5$ ), выход 86%, т. пл. 159° (из разб. сп.). Аналогично синтезируют XIII [приводятся R, выход в %, т. пл. в °C (из разб. сп.): H,  $\sim 100$ , 172;  $\text{C}_2\text{H}_5$ , —, 198;  $\text{CH}_3$ , —, 172. Аналогично получают XIV ( $\text{R}=\text{H}$ ), т. пл. 162° (из водн. сп.). 2 г XXIIa и 10 мл  $\text{SOCl}_2$  кипятят 1,5 часа, осторожно выливают в 25 мл  $\text{NH}_4\text{OH}$ , получают 60% XXII, т. пл. 143° (из сп.). Нагреванием в 1 н. спирто-води. NaOH XXII превращается в Xa. Растворяют XXII в 10-кратном кол-ве 85%-ной  $\text{H}_2\text{SO}_4$ , выливают в лед, получают XIII ( $\text{R}=\text{C}_6\text{H}_5\text{CH}_2$ ) (XIIIa). Аналогично нитрованием XV из XIII получают XXIII (приводятся R, выход в %, т. пл. в °C): H, —, 183 (из водн. сп.);  $\text{CH}_3$ , 83, 189–190 (из разб.  $\text{CH}_3\text{OH}$ );  $\text{C}_2\text{H}_5$ , 80, 184–186 (из водн. сп.). XIV ( $\text{R}=\text{H}$ ) нитруется аналогично до XXIV ( $\text{R}=\text{H}$ ), т. пл. 200° (из водн. сп.). В 0,4 г XVI или XVIII в 50 мл абс. эфира 45 мин. при 15° пропускают сухой  $\text{NH}_3$ -газ, удаляют р-ритель, растворяют в миним. кол-ве воды, подкисляют разб.  $\text{H}_2\text{SO}_4$ , главная часть AK выделяется в осадке; маточный р-р выпаривают в вакууме досуха, абс. ацетоном извлекают остальную часть AK (выход  $\geq 99\%$ ) и подвергают хроматографированию. Приводятся ватный ангидрид, выход в % AK: XVI ( $\text{R}=\text{H}$ ), 46,6; XVIII ( $\text{R}=\text{H}$ ), 60,3; XVI ( $\text{R}=\text{C}_6\text{H}_5$ ), 53,2 [XIV ( $\text{R}=\text{C}_6\text{H}_5$ ), т. пл. 146°]; XVI ( $\text{R}=\text{CH}_2\text{C}_6\text{H}_5$ ), 72,2 [XIIIa, т. пл. 202–205°]; XIV ( $\text{R}=\text{CH}_2\text{C}_6\text{H}_5$ ), т. пл. 220–232° (из сп.-ацетона); XVI ( $\text{R}=\text{C}_2\text{H}_5$ ), 70,2 [XIV ( $\text{R}=\text{C}_2\text{H}_5$ ), т. пл. 140°]; XVI ( $\text{R}=\text{CH}_3$ ), 78 [XIV ( $\text{R}=\text{CH}_3$ ), т. пл. 153–155°]; XVIII ( $\text{R}=\text{C}_2\text{H}_5$ ), 67 [XXIV ( $\text{R}=\text{C}_2\text{H}_5$ ), т. пл. 170° (разл.)]; XVIII ( $\text{R}=\text{CH}_3$ ), 69,6 [XXIV ( $\text{R}=\text{CH}_3$ ), т. пл. 180–182°]. 2 г IIM и 50 мл 1 н. NaOH в 50%-ном спирте нагревают 0,5 часа при  $\sim 100^\circ$ , охлаждают, подкисляют разб. HCl, незамененный IIM и XV извлекают эфиром, нерастворимые в эфире AK перекристаллизуют из разб. спирта. Приводятся R исходного XII, полученное в-во, выход в %:  $\text{C}_6\text{H}_5$ , XIV ( $\text{R}=\text{C}_6\text{H}_5$ ), 60;  $\text{C}_6\text{H}_5\text{CH}_2$ , XIV ( $\text{R}=\text{C}_6\text{H}_5\text{CH}_2$ ), 40;  $\text{C}_2\text{H}_5$ , XIII ( $\text{R}=\text{C}_2\text{H}_5$ ), 80. Из 4- $\text{NO}_2$ -XII ( $\text{R}=\text{C}_2\text{H}_5$  и  $\text{CH}_3$ ) получают XXIII ( $\text{R}=\text{C}_2\text{H}_5$ ) и XIII ( $\text{R}=\text{CH}_3$ ) с выходами 70 и 65% соответственно. При гидролизе XII ( $\text{R}=\text{H}$ ) выход смеси и AK 70% с содержанием 67% XIII ( $\text{R}=\text{H}$ )



= H) и 33% XIV (R = H); при гидролизе XII (R = CH<sub>3</sub>) выход смеси AK 30% с содержанием главным образом XIII (R = CH<sub>3</sub> и XV (R = CH<sub>3</sub>), выход 70%.

В. Скородумов

**6Ж117. Восстановление замещенных резорцинов. Сообщение VI. Восстановление N,N-диметил-2,6-диоксibenзамиды.** Tomino Koichi, «Якугаку дзасси, Yakugaku zasshi, J. Pharmac. Soc. Japan», 1959, 79, № 12, 1615—1617 (японск.; рез. англ.).—При гидрировании 1 г моногидрата N,N-диметил-2,6-диоксibenзамиды в 20 мл воды с 5,2 мл 1 н. NaOH над 2 г скелетного Ni в течение 2—3 час. происходит одновременное расщепление цикла и после подкисления получают (CH<sub>3</sub>)<sub>2</sub>N-COCH<sub>2</sub>CO(CH<sub>2</sub>)<sub>2</sub>COOH (I), выход 0,75 г, т. пл. 103°. Кипячение (10 час.) I с 20%-ной H<sub>2</sub>SO<sub>4</sub> вызывает кетонное расщепление и приводит к CO<sub>2</sub>, (CH<sub>3</sub>)<sub>2</sub>NH и CH<sub>3</sub>CO(CH<sub>2</sub>)<sub>2</sub>COOH (II), выход 77%; семикарбазон, т. пл. 175° (из CH<sub>3</sub>OH). Строение II доказывают синтезом из C<sub>2</sub>H<sub>5</sub>OOC(CH<sub>2</sub>)<sub>2</sub>COCl. I получают из метилового эфира 2,6-диоксibenзойной к-ты и 40%-ного водн. (CH<sub>3</sub>)<sub>2</sub>NH; безводн. амид, температура плавления 198—210° (разл.). Сообщение V см. РЖХимБх, 1960 № 18, 25560.

Н. Швецов

**6Ж118. О строении оксима фенолфталеина и родственных соединений.** Lund Henning, On the constitution of phenolphthalein oxime and related compounds. «Acta chem. scand», 1960, 14, № 2, 359—378 (англ.).—На основании хим. свойств, ИК-спектров и полярографии данных оксиму фенолфталеина (I) приписывается строение *o*-*n*-оксibenзоил-бензойной к-ты. Рассмотрены ф-лы строения «анилидов» и «псевдоанилидов» *o*-бензоилбензойной к-ты. I синтезирован по описанному методу (см. РЖХим, 1955, № 20, 45937). Аналогично получен монометилловый эфир I, т. пл. 228°. 5 г *o*-*n*-анизоил-бензойной к-ты и 15 мл SOCl<sub>2</sub> кипятят 30 мин., избыток SOCl<sub>2</sub> отгоняют в вакууме, остаток растворяют в 40 мл абс. C<sub>6</sub>H<sub>6</sub> и к р-ру приливают р-р 5 г *n*-анизида и 5 г N(C<sub>2</sub>H<sub>5</sub>)<sub>3</sub> в 50 мл абс. C<sub>6</sub>H<sub>6</sub>, нагревают 15 мин., выливают в воду, подкисляют CH<sub>3</sub>COOH до pH 4, из р-ра в C<sub>6</sub>H<sub>6</sub> продукт экстрагируют 1 н. NaOH и осаждают 5,8 г в-ва, растворяют в эфире, выделяется 4 г 3-(4'-метоксифенил)-3-(N-4'-метоксифениламино)-фталид (II), т. пл. 156—158° (из эф.). Аналогично получены фталиды (указаны в-во и т. пл. в °C): 3-(4'-метоксифенил)-3-(N-фениламино)-фталид, 161; 3-фенил-3-(N-4'-метоксифениламино)-фталид, 195; 3-фенил-3-(N-фениламино)-фталид, 220—221, а также 2,6-диметиланил-2-(4'-метоксibenзоил)-бензойной к-ты (III), 187. 3-(4'-метоксифенил)-3-(N-метил-N-фениламино)-фталид (IV) получен из хлорангидрида 2-(4-метоксibenзоил)-бензойной к-ты и N-метиланилина в C<sub>6</sub>H<sub>6</sub>, т. пл. 103° (из C<sub>6</sub>H<sub>6</sub> лигр.). 3-(4'-метоксифенил)-3-(N-метил-N-4'-метоксифениламино)-фталид, т. пл. 145°. Триметилловый эфир оксима фенолфталеина (V) получен по описанному методу (Meuser R., Sprengler O., Ber., 1903, 36, 2949). N-метилоксим фенолфталеина, т. пл. 160—165° (из водн. диоксана), получен прибавлением к 10 г фенолфталеина и 8 г КОН (70°) р-ра 3 г оксалата CH<sub>3</sub>NHON в 20 мл H<sub>2</sub>O, охлаждением через 10 мин., добавлением 100 мл эфира и подкислением CH<sub>3</sub>COOH. По известному методу (см. первую ссылку) синтезированы (указаны в-во и т. пл. в °C): *o*-*n*-анизоил-бенз-*n*-анизидид, 175—177 (VI); *o*-*n*-анизоил-бензанилид, 190—192; *o*-бензоилбенз-*n*-анизидид, 202; *o*-бензоилбензанилид, 195; *o*-*n*-анизоил-бенз-2,6-диметиланилид, 238. Этиловый эфир псевдо-2-(4-метоксibenзоил)-бензойной к-ты (VII) получен из хлорангидрида и C<sub>2</sub>H<sub>5</sub>OH, т. пл. 76—78°. Электровосстановлением из I получен 2,3-бис-(*n*-оксифенил)-фталимидин, т. пл. 254—256°; из II (или V) синтезирован 2-(4'-метоксифенил)-3-(4'-метоксифенил)-2,3-дигидро-2-изобензазолол-1, т. пл. 130°; из IV, V, VI, VII получен один и тот же 3-(4-метоксифенил)-фталид, т. пл. 116—117°; из *o*-бензоилбенз-

N,N-диэтиламида и из этилового эфира *o*-бензоилбензойной к-ты получен 3-фенилфталид, т. пл. 115°.

И. Зайцев

**6Ж119. Синтез препарата билигност.** Вишневская Г. О., Горбунова А. С., Желобенко В. А., Филалков Ю. А., Шевченко О. И., Ягупольский Л. М. «Мед. пром-сть СССР», 1960, № 9, 25—30.—Разработан и внедрен в пром-во способ получения рентгеноконтрастного в-ва «билигност», представляющего собой 20%-ный водн. р-р диатриевой соли бис-2,4,6-триод-3-карбоксамидида адипиновой к-ты (I карбоксамидида). Синтез I осуществлен по схеме: *m*-O<sub>2</sub>NC<sub>6</sub>H<sub>4</sub>COOH (II) → *m*-H<sub>2</sub>NC<sub>6</sub>H<sub>4</sub>COOH (III) → 2,4,6-I<sub>3</sub>-3-H<sub>2</sub>NC<sub>6</sub>H<sub>4</sub>COOH (IV); взаимодействием IV с дихлорангидридом адипиновой к-ты (V) получают I. 60 г II в 30 мл (по-видимому, 300) CH<sub>3</sub>OH гидрируют над 12 г влажного скелетного Ni при 25 ат (60°) и получают III, выход 80,5—81,5%, т. пл. 174—175°. Р-р 68,5 г III в 4 л дистил. воды и 60 мл конц. HCl (к. ч.) обрабатывают при 80° активированным углем, фильтруют горячим, прибавляют при 20° 800 мл 2 н. р-ра комплекса KCl·JCl, перемешивают при 60° 3 часа, охлаждают и отфильтровывают IV. Полученную IV суспендируют в воде, прибавляют 20%-ный NaOH при 60° до растворения (объем р-ра 800—850 мл), добавляют 2—3 г Na<sub>2</sub>SO<sub>3</sub>, обрабатывают активированным углем при 60° 20 мин., добавляют при 60° 250 г NaCl, через ~12 час. охлаждают до 5° и отфильтровывают Na-соль IV. Очистку повторяют еще 1 раз, затем Na-соль растворяют в 4 л воды, повторяют обработку сульфитом и углем, осаждают IV 15%-ной HCl и сушат при 70°, выход 76%, т. пл. 194—195° (разл.). 40 г адипиновой к-ты и 56,4 г PCl<sub>3</sub> за 4 часа нагревают до 90° и перемешивают при этой т-ре до прекращения выделения HCl, сливают при 20° полученный р-р V в PCl<sub>3</sub>, добавляют 80 мл сухого дихлорэтана, упаривают при 200—250 мм при периодич. добавлении дихлорэтана до полного удаления PCl<sub>3</sub> и получают р-р V в дихлорэтате, выход 71%. От р-ра 42,5 г IV в 250 мл сухого C<sub>6</sub>H<sub>5</sub>Cl отгоняют 20—30 мл р-рителя, к кипящему р-ру добавляют за 30 мин. смесь 7,55 г V и 30 мл C<sub>6</sub>H<sub>5</sub>Cl, кипятят 2,5 часа, охлаждают, отфильтровывают неочищ. I и очищают через диатриевую соль, как описано выше. Высаживание I производят прибавлением слабощел. р-ра к 10%-ной HCl при 40°, выход I 70%, т. пл. 291—293° (разл.).

В. Белякова

**6Ж120. Окисление органических соединений с помощью водного сульфата.** Toland William G. Oxidation of organic compounds with aqueous sulfate. «J. Amer. Chem. Soc.», 1960, 82, № 8, 1911—1916 (англ.).—Водные р-ры сульфатов в присутствии соединений серы низших валентностей при 300—350° окисляют органич. соединения в к-ты. Р-ция применима к парафинам, олефинам, алкилированным ароматич. соединениям и частично окисленным в-вам. Гетероциклич. соединения подвергаются окислительному распаду. Нафты дегидрогенизируются с образованием ароматич. соединений и фенолов. Наилучшие результаты получены с (NH<sub>4</sub>)<sub>2</sub>SO<sub>4</sub> в качестве окислителя и H<sub>2</sub>S в качестве инициатора. Испытаны сульфаты Al, Fe, K, Na и Li, а также инициаторы (NH<sub>4</sub>)<sub>2</sub>S, S, NH<sub>4</sub>HSO<sub>4</sub>, (NH<sub>4</sub>)<sub>2</sub>S<sub>2</sub>O<sub>3</sub> и H<sub>2</sub>Se. В случае C<sub>6</sub>H<sub>5</sub>(CH<sub>3</sub>)<sub>2</sub> (I) окисление проходит по ур-нию I + 3/2(NH<sub>4</sub>)<sub>2</sub>SO<sub>4</sub> → C<sub>6</sub>H<sub>5</sub>(COOH)<sub>2</sub> + 2H<sub>2</sub>O + NH<sub>3</sub> + 3/2 H<sub>2</sub>S. Константа равновесия = (H<sub>2</sub>S)<sup>3</sup>(SO<sub>4</sub><sup>2-</sup>)(H<sup>+</sup>)<sup>2</sup>. Окисление сульфатами может также являться методом получения серы из сульфатов и H<sub>2</sub>S, для чего после установления равновесия сжигают т-ру и выпускают газы из реактора. Проведено также окисление некоторых ароматич. соединений с помощью серы и ее соединений промежуточной валентности. Методика окисления и аппаратура описаны ранее (РЖХим, 1959, № 8, 27406). При окислении смеси I (здесь и далее 85% мета-изомера и 15% пара-изомера) с помощью (NH<sub>4</sub>)<sub>2</sub>SO<sub>4</sub> (2 моля на 1 моль; 70 мо-

изоилбен-115°.

И. Зайцев. Выход бен-10,5%, к-т присутствует в виде амидов. Для других опытов окисления приводятся окисляемое в-во, окислитель в молях на 1 моль, вспомогательное в-во в молях на 1 моль, кол-во воды в молях на 1 моль, т-ра р-ции в °С, время в мин., процент превращения, выход толуиловой к-ты (II) в %, выход фталевой к-ты (III) в %: Na-соль II (85% мета-изомера, 15% пара-изомера) 48, —, 56, 288, 360, 100, —, 87,4; Na-соль II, 3S 1NaOH, 53, 293, 270, 72, —, 92; Na-соль II, 6S, 3NaOH, 56, 288, 230, 100, —, 90,5; Na-соль II 2,7 S 5,5 NaOH, 56, 282, 240, 7,5, —, 95; Na-соль n-II, 1Na<sub>2</sub>SO<sub>3</sub>, 0,7 H<sub>2</sub>S, 100, 315, 60, 13,6, —, 87,1; Na-соль n-II, 1Na<sub>2</sub>SO<sub>3</sub>, 2CH<sub>3</sub>COOH и 0,7 H<sub>2</sub>S, 100, 315, 60, 23,3, —, 80; I, 2,2 (NH<sub>4</sub>)<sub>2</sub>SO<sub>3</sub>, 2,2 NH<sub>4</sub>SH, 56, 315, 60, 96,7, 4,2, 87,2; I, 2 NH<sub>4</sub>HSO<sub>3</sub>, 2,4 NH<sub>4</sub>SH, 56, 315, 60, 96,1, 5,9, 76,4; Na-соль n-II, 1Na<sub>2</sub>SO<sub>3</sub>, —, 100, 315, 60, 40,6, —, 93,2; m-I, 1,5 Na<sub>2</sub>SO<sub>3</sub>, —, 53, 315, 90, 34, 42,2, 37,9; m-I, 1,5 (NH<sub>4</sub>)<sub>2</sub>SO<sub>3</sub>, —, 53, 315, 90, 100, 0, 94,8. Для окисления с помощью (NH<sub>4</sub>)<sub>2</sub>SO<sub>4</sub> приводятся окисляемое в-во в молях, кол-ва (NH<sub>4</sub>)<sub>2</sub>SO<sub>4</sub>, H<sub>2</sub>S, воды в молях, т-ра р-ции в °С, давление в ат, время в мин., процент превращения, продукты и их выход в мол.-%: 3CH<sub>4</sub>, 3,03, 1,83, 325—350, 23,1, 70, —, Co, 8, CO<sub>2</sub>, 92; 3 циклогексан, 2, 1, 90, 315, 19,5, 120, 51,3, фенол, —; 3 метилциклогексан, 2, 1, 90, 315, 19, 1, 60, 30,7, C<sub>6</sub>H<sub>5</sub>COOH, —, фенол, —; 4 этилен, 2, 7, 90, 325, 24,7, 15, 100, CH<sub>3</sub>COOH, 63,5; 3,3 пропилен, 1,51, 3,9, 60, 315, 26,8, 60, 81,8, C<sub>6</sub>H<sub>5</sub>COOH, —; 2,9 изобутилен, 1,67, 3,9, 60, 315, 32,2, 45, 83, изо-C<sub>3</sub>H<sub>7</sub>-COOH, —; 0,5-циклооктатетраен, 0,8, 0,2 (NH<sub>4</sub>)<sub>2</sub>S, 50, 330, 16,1, 90, 100, C<sub>6</sub>H<sub>5</sub>COOH, —; 1 тетрагидрофуранфуриловый спирт, 1, 0,6, 90, 315, 15,8, 90, 100, глутаровая к-та, —, CH<sub>3</sub>COOH, —, 2,12 m-I, 3,5, 18, 53, 325, 19,7, 60, 100, m-III, 89; 1,5 n-I, 2,3, 4,6 NH<sub>4</sub>HS, 100, 315, 20,7, 60, 56,8, n-II, 42,4, n-III, 37,6, 1,5 n-I, 2,3, 4,6 (NH<sub>4</sub>)<sub>2</sub>S, 100, 315, 20,7, 360, 100, n-III, 96,2; 1,86 o-I, 3,5, 1, 50, 325, 20,4, 40, 90, C<sub>6</sub>H<sub>5</sub>COOH, 27,2, o-II, 35,1, o-III, 6; 2,12 m, n-II (85/15), 1,73, 1,1, 53, 325, 18, 30, 100, m-III, 99,7, C<sub>6</sub>H<sub>4</sub>(COOH)<sub>2</sub>, —; 1n-H<sub>2</sub>CC<sub>6</sub>H<sub>4</sub>SO<sub>3</sub>NH<sub>4</sub>, 0,76, 1, 60, 332, 18,2, 90, 100, n-HOCC<sub>6</sub>H<sub>4</sub>SO<sub>3</sub>N, 59,3. Для опытов с различными сульфатами приводятся окисляемое в-во, окислитель, инициатор и вода в молях на 1 моль, т-ра р-ции в °С, время в мин., процент превращения, продукты, выход в %: n-I, 1,53 (NH<sub>4</sub>)<sub>2</sub>SO<sub>4</sub>, 3,1 NH<sub>4</sub>HS, 80, 315, 360, 100, n-III, 96,2; n-I, 0,67 Al<sub>2</sub>(SO<sub>4</sub>)<sub>3</sub>, 1H<sub>2</sub>S, 50, 335, 60, 100, C<sub>6</sub>H<sub>5</sub>COOH, 13,1, n-II, 12,3, n-III, 27,5; n-I, 0,5 K<sub>2</sub>SO<sub>4</sub>, 1,5 KHSO<sub>4</sub>, 0,66 H<sub>2</sub>S, 100, 329, 60, 98,6, C<sub>6</sub>H<sub>5</sub>COOH, 1, n-II, 73; m, n-II, 0,29 Al<sub>2</sub>(SO<sub>4</sub>)<sub>3</sub>, 0,2 S, 40, 327, 30, 61,9, m, n-III, 63,8; I, 1,65 FeSO<sub>4</sub>, 1H<sub>2</sub>S, 53, 327, 60, 59, C<sub>6</sub>H<sub>5</sub>COOH и II, 7; I, 1,65 Li<sub>2</sub>SO<sub>4</sub>, 1H<sub>2</sub>S, 53, 329, 60, 15,3, II, 26,2; n-I, 3,4 Na<sub>2</sub>SO<sub>4</sub>, 2,2 (NH<sub>4</sub>)<sub>2</sub>S, 74, 315, 60, 6,9, n-II, 34,8, n-III, 14,6; толуол, 1K<sub>2</sub>SO<sub>4</sub>, 0,5 H<sub>2</sub>S, 50, 343, 120, 45, C<sub>6</sub>H<sub>5</sub>COOH, 24,5. Для опытов с различными инициаторами приводятся инициатор, (NH<sub>4</sub>)<sub>2</sub>SO<sub>4</sub>, углеводород, к-та (все кол-ва в молях): —, 1,65, 1 n-I, 0; 0,5 H<sub>2</sub>S, 1,65, 1 n-I, 1,9; 0,2 (NH<sub>4</sub>)<sub>2</sub>S, 0,8, 1 толуол, 0,72; 1 S, 3,5, 2,12 I, 3,75; 0,5 NH<sub>4</sub>HSO<sub>3</sub>, 3,5, 2,12 I, 3,33; 0,5 (NH<sub>4</sub>)<sub>2</sub>SO<sub>3</sub>, 3,5, 2,12 n-I, 2,8; 0,2 H<sub>2</sub>Se, 0,8, 1 толуол, 0,51. Для опытов по получению серы приводятся сульфат, H<sub>2</sub>S и вода в молях, т-ра р-ции в °С, время в мин., кол-во S в молях: 2(NH<sub>4</sub>)<sub>2</sub>SO<sub>4</sub>, 7,90, 327, 60, 6,2; 1,5 Na<sub>2</sub>SO<sub>4</sub>, 6, 53, 327, 15, 0,75; 2K<sub>2</sub>SO<sub>4</sub>, 8,8, 50, 335, 80, 0,42; 2K<sub>2</sub>SO<sub>4</sub> (+2 моля C<sub>6</sub>H<sub>5</sub>COOH), 8,8, 50, 335, 80, 1,21; 2,5 MgSO<sub>4</sub>·7H<sub>2</sub>O, 10, 90, 327, 60, 0,1; 1,5 CaSO<sub>4</sub>·2H<sub>2</sub>O, 6, 53, 327, 15, следы.

Ю. Волькенштейн

лей воды, 0,4 моля NH<sub>4</sub>OH, 315°, 60 мин.) по окончании р-ции спускают давление, смесь отгоняют с паром до pH 7, остаток обрабатывают SO<sub>2</sub>, степень превращения I 69,5%, выход толуиловых к-т 38,5%, фталевых 25,9%; 10,5% к-т присутствует в виде амидов. Для других опытов окисления приводятся окисляемое в-во, окислитель в молях на 1 моль, вспомогательное в-во в молях на 1 моль, кол-во воды в молях на 1 моль, т-ра р-ции в °С, время в мин., процент превращения, выход толуиловой к-ты (II) в %, выход фталевой к-ты (III) в %: Na-соль II (85% мета-изомера, 15% пара-изомера) 48, —, 56, 288, 360, 100, —, 87,4; Na-соль II, 3S 1NaOH, 53, 293, 270, 72, —, 92; Na-соль II, 6S, 3NaOH, 56, 288, 230, 100, —, 90,5; Na-соль II 2,7 S 5,5 NaOH, 56, 282, 240, 7,5, —, 95; Na-соль n-II, 1Na<sub>2</sub>SO<sub>3</sub>, 0,7 H<sub>2</sub>S, 100, 315, 60, 13,6, —, 87,1; Na-соль n-II, 1Na<sub>2</sub>SO<sub>3</sub>, 2CH<sub>3</sub>COOH и 0,7 H<sub>2</sub>S, 100, 315, 60, 23,3, —, 80; I, 2,2 (NH<sub>4</sub>)<sub>2</sub>SO<sub>3</sub>, 2,2 NH<sub>4</sub>SH, 56, 315, 60, 96,7, 4,2, 87,2; I, 2 NH<sub>4</sub>HSO<sub>3</sub>, 2,4 NH<sub>4</sub>SH, 56, 315, 60, 96,1, 5,9, 76,4; Na-соль n-II, 1Na<sub>2</sub>SO<sub>3</sub>, —, 100, 315, 60, 40,6, —, 93,2; m-I, 1,5 Na<sub>2</sub>SO<sub>3</sub>, —, 53, 315, 90, 34, 42,2, 37,9; m-I, 1,5 (NH<sub>4</sub>)<sub>2</sub>SO<sub>3</sub>, —, 53, 315, 90, 100, 0, 94,8. Для окисления с помощью (NH<sub>4</sub>)<sub>2</sub>SO<sub>4</sub> приводятся окисляемое в-во в молях, кол-ва (NH<sub>4</sub>)<sub>2</sub>SO<sub>4</sub>, H<sub>2</sub>S, воды в молях, т-ра р-ции в °С, давление в ат, время в мин., процент превращения, продукты и их выход в мол.-%: 3CH<sub>4</sub>, 3,03, 1,83, 325—350, 23,1, 70, —, Co, 8, CO<sub>2</sub>, 92; 3 циклогексан, 2, 1, 90, 315, 19,5, 120, 51,3, фенол, —; 3 метилциклогексан, 2, 1, 90, 315, 19, 1, 60, 30,7, C<sub>6</sub>H<sub>5</sub>COOH, —, фенол, —; 4 этилен, 2, 7, 90, 325, 24,7, 15, 100, CH<sub>3</sub>COOH, 63,5; 3,3 пропилен, 1,51, 3,9, 60, 315, 26,8, 60, 81,8, C<sub>6</sub>H<sub>5</sub>COOH, —; 2,9 изобутилен, 1,67, 3,9, 60, 315, 32,2, 45, 83, изо-C<sub>3</sub>H<sub>7</sub>-COOH, —; 0,5-циклооктатетраен, 0,8, 0,2 (NH<sub>4</sub>)<sub>2</sub>S, 50, 330, 16,1, 90, 100, C<sub>6</sub>H<sub>5</sub>COOH, —; 1 тетрагидрофуранфуриловый спирт, 1, 0,6, 90, 315, 15,8, 90, 100, глутаровая к-та, —, CH<sub>3</sub>COOH, —, 2,12 m-I, 3,5, 18, 53, 325, 19,7, 60, 100, m-III, 89; 1,5 n-I, 2,3, 4,6 NH<sub>4</sub>HS, 100, 315, 20,7, 60, 56,8, n-II, 42,4, n-III, 37,6, 1,5 n-I, 2,3, 4,6 (NH<sub>4</sub>)<sub>2</sub>S, 100, 315, 20,7, 360, 100, n-III, 96,2; 1,86 o-I, 3,5, 1, 50, 325, 20,4, 40, 90, C<sub>6</sub>H<sub>5</sub>COOH, 27,2, o-II, 35,1, o-III, 6; 2,12 m, n-II (85/15), 1,73, 1,1, 53, 325, 18, 30, 100, m-III, 99,7, C<sub>6</sub>H<sub>4</sub>(COOH)<sub>2</sub>, —; 1n-H<sub>2</sub>CC<sub>6</sub>H<sub>4</sub>SO<sub>3</sub>NH<sub>4</sub>, 0,76, 1, 60, 332, 18,2, 90, 100, n-HOCC<sub>6</sub>H<sub>4</sub>SO<sub>3</sub>N, 59,3. Для опытов с различными сульфатами приводятся окисляемое в-во, окислитель, инициатор и вода в молях на 1 моль, т-ра р-ции в °С, время в мин., процент превращения, продукты, выход в %: n-I, 1,53 (NH<sub>4</sub>)<sub>2</sub>SO<sub>4</sub>, 3,1 NH<sub>4</sub>HS, 80, 315, 360, 100, n-III, 96,2; n-I, 0,67 Al<sub>2</sub>(SO<sub>4</sub>)<sub>3</sub>, 1H<sub>2</sub>S, 50, 335, 60, 100, C<sub>6</sub>H<sub>5</sub>COOH, 13,1, n-II, 12,3, n-III, 27,5; n-I, 0,5 K<sub>2</sub>SO<sub>4</sub>, 1,5 KHSO<sub>4</sub>, 0,66 H<sub>2</sub>S, 100, 329, 60, 98,6, C<sub>6</sub>H<sub>5</sub>COOH, 1, n-II, 73; m, n-II, 0,29 Al<sub>2</sub>(SO<sub>4</sub>)<sub>3</sub>, 0,2 S, 40, 327, 30, 61,9, m, n-III, 63,8; I, 1,65 FeSO<sub>4</sub>, 1H<sub>2</sub>S, 53, 327, 60, 59, C<sub>6</sub>H<sub>5</sub>COOH и II, 7; I, 1,65 Li<sub>2</sub>SO<sub>4</sub>, 1H<sub>2</sub>S, 53, 329, 60, 15,3, II, 26,2; n-I, 3,4 Na<sub>2</sub>SO<sub>4</sub>, 2,2 (NH<sub>4</sub>)<sub>2</sub>S, 74, 315, 60, 6,9, n-II, 34,8, n-III, 14,6; толуол, 1K<sub>2</sub>SO<sub>4</sub>, 0,5 H<sub>2</sub>S, 50, 343, 120, 45, C<sub>6</sub>H<sub>5</sub>COOH, 24,5. Для опытов с различными инициаторами приводятся инициатор, (NH<sub>4</sub>)<sub>2</sub>SO<sub>4</sub>, углеводород, к-та (все кол-ва в молях): —, 1,65, 1 n-I, 0; 0,5 H<sub>2</sub>S, 1,65, 1 n-I, 1,9; 0,2 (NH<sub>4</sub>)<sub>2</sub>S, 0,8, 1 толуол, 0,72; 1 S, 3,5, 2,12 I, 3,75; 0,5 NH<sub>4</sub>HSO<sub>3</sub>, 3,5, 2,12 I, 3,33; 0,5 (NH<sub>4</sub>)<sub>2</sub>SO<sub>3</sub>, 3,5, 2,12 n-I, 2,8; 0,2 H<sub>2</sub>Se, 0,8, 1 толуол, 0,51. Для опытов по получению серы приводятся сульфат, H<sub>2</sub>S и вода в молях, т-ра р-ции в °С, время в мин., кол-во S в молях: 2(NH<sub>4</sub>)<sub>2</sub>SO<sub>4</sub>, 7,90, 327, 60, 6,2; 1,5 Na<sub>2</sub>SO<sub>4</sub>, 6, 53, 327, 15, 0,75; 2K<sub>2</sub>SO<sub>4</sub>, 8,8, 50, 335, 80, 0,42; 2K<sub>2</sub>SO<sub>4</sub> (+2 моля C<sub>6</sub>H<sub>5</sub>COOH), 8,8, 50, 335, 80, 1,21; 2,5 MgSO<sub>4</sub>·7H<sub>2</sub>O, 10, 90, 327, 60, 0,1; 1,5 CaSO<sub>4</sub>·2H<sub>2</sub>O, 6, 53, 327, 15, следы.

6Ж121. Замещенные гидразиды оксикарбоновых кислот. III. Моноацильные производные арилгидразидов диарил- и диалкилгликолевых кислот. Бердьянский И. С. «Ж. общ. химии», 1960, 30, № 6, 2030—2032.—Синтезирован ряд N-ацетильных и N-бензильных производных арилгидразидов диалкил- и ди-

арилгликолевых к-т с возможным аналитическим действием. В типичном опыте р-р I с фенилгидразида бензильной к-ты (I) в 10 мл (CH<sub>3</sub>CO)<sub>2</sub>O нагревают 40 мин. на кипящей водяной бане. Таким путем получены C<sub>6</sub>H<sub>5</sub>N(COCH<sub>3</sub>)NHCOC<sub>6</sub>H<sub>4</sub>OH (II) (далее указаны R, выход в %, т. пл. в °С): C<sub>6</sub>H<sub>5</sub>, 84,1, 226—227 (из лед. CH<sub>3</sub>COOH); n-C<sub>3</sub>H<sub>7</sub>, 88,1, 180—181 (из сп.); m-C<sub>3</sub>H<sub>7</sub>, 80,4, 175—176 (из лед. CH<sub>3</sub>COOH); o-C<sub>3</sub>H<sub>7</sub>, 89,7, 148—151 (из разб. CH<sub>3</sub>COOH); C<sub>6</sub>H<sub>5</sub>CH<sub>2</sub>, 89,3, 249—250 (из лед. CH<sub>3</sub>COOH). Аналогично получены другие II (даны те же показатели): C<sub>2</sub>H<sub>5</sub>, 67,2, 132—133 (из бэл.); C<sub>3</sub>H<sub>7</sub>, 85,7, 167—168 (из толуола); изо-C<sub>3</sub>H<sub>7</sub>, 60, 189—190 (из лед. CH<sub>3</sub>COOH); C<sub>4</sub>H<sub>9</sub>, 86,9, 173—174 (из разб. сп.); изо-C<sub>5</sub>H<sub>11</sub>, 94,1, 214—215 (из лед. CH<sub>3</sub>COOH); C<sub>8</sub>H<sub>17</sub>, 76,4, 143—144 (из сп.); аналогично получен n-BrC<sub>6</sub>H<sub>4</sub>N(COCH<sub>3</sub>)NHCOC(C<sub>6</sub>H<sub>5</sub>)<sub>2</sub>OH, выход 89,3%, т. пл. 207—208° (из (CH<sub>3</sub>CO)<sub>2</sub>O). К р-ру m-CH<sub>3</sub>C<sub>6</sub>H<sub>4</sub>MgBr (из 20,5 г m-CH<sub>3</sub>C<sub>6</sub>H<sub>4</sub>Br и 2,8 г Mg) прибавляют 5 г этилового эфира β-фенилгидразида щавелевой к-ты, нагревают 20 мин. на водяной бане и разлагают разб. HCl, извлекают эфиром фенилгидразид m-толиловой к-ты, выход 72,3%, т. пл. 158—159° (из толуола). I с I и 0,7 г C<sub>6</sub>H<sub>5</sub>COCl в C<sub>6</sub>H<sub>6</sub> нагревают 15 мин., получают β-бензоил-β-фенилгидразид бензильной к-ты. Далее указаны R, выход в %, т. пл. в °С N-бензильных производных фенилгидразидов диарил- и диалкилгликолевых к-т общей ф-лы C<sub>6</sub>H<sub>5</sub>N(COC<sub>6</sub>H<sub>4</sub>)NHCOC(OH)R<sub>2</sub>: C<sub>6</sub>H<sub>5</sub>, 94,6, 246—247; n-C<sub>3</sub>H<sub>7</sub>, 92,3, 223—225; C<sub>6</sub>H<sub>5</sub>CH<sub>2</sub>, 81,8, 221—221,5; C<sub>2</sub>H<sub>5</sub>, 81,6, 207—208; C<sub>3</sub>H<sub>7</sub>, 85,7, 220—222; C<sub>4</sub>H<sub>9</sub>, 94,9, 242—243. Сообщение II см. РЖХим, 1959, № 2, 4652.

И. Зайцев

6Ж122. Взаимодействие хлоридов амидов с аминами. Зильберман Е. Н., Куликова А. Е. «Ж. Всес. хим. о-ва (бывш. Хим. наука и пром-сть)», 1960, 5, № 1, 107—108.—Взаимодействием эквивалентных кол-в хлоридов ацетамидов, δ-цианвалероамида (I) и бензамида с анилином (II) получены с выходом ~100% соответствующие анилиды. Указанная р-ция может быть применена для идентификации амидов. Смесь 16,25 г I и 9,3 г II нагревают 1 час. при 160—170°, обрабатывают при ~20° водой и получают δ-цианвалероанилид, выход 99,5%.

М. Рябенцева

6Ж123. Конденсация ароматических нитросоединений с арилацетонитрилами. I. Нитробензол. Davis R. B., Pizzini L. C., Benigni J. D. The condensation of aromatic nitro compounds with arylacetone nitriles. I. Nitrobenzene. «J. Amer. Chem. Soc.», 1960, 82, № 11, 2913—2915 (англ.).—Цианистый бензил (I) и нитробензол (II) с р-ром КОН и CH<sub>3</sub>ОН дают оксим 4-(фенилцианометил)-циклогексадиен-2,5-о-а-1 (III). Таутомерных форм продукта конденсации не обнаружено. II аналогично реагирует с n-хлор-, n-метоксибензилцианидами и α-нафтилацетонитрилом, давая соответствующие арилцианометилхиноноксимы (IV—VI). Структура продуктов конденсации подтверждена ИК-спектрами и данными ядерного магнитного резонанса. В р-р 60 г КОН (85%-ного) в 300 мл абс. CH<sub>3</sub>ОН при 50° приливают 32,2 г I и 30,8 г II, перемешивают при 50—55° 4 часа, охлаждают, добавляют 400 мл воды и р-р 109 г лед. CH<sub>3</sub>COOH в 100 мл воды. Промытый разб. CH<sub>3</sub>ОН и высушенный осадок обрабатывают кипячением C<sub>6</sub>H<sub>6</sub> (150 мл) 15 мин., охлаждают, выход III 77, т. пл. 161° (из бэл.). Аналогично получены IV, выход 77%, т. пл. 195°, V, выход 77%, т. пл. 161°, и VI, выход 65%, т. пл. 169°. К р-ру 30 г КОН (85%-ного) в 300 мл воды добавляли 11 г хиноноксима и перемешивают до растворения, вносят 60 г 30%-ной H<sub>2</sub>O<sub>2</sub> в 140 мл воды и выдерживают при ~20° 3 часа, получают 6,5 г n-нитробензофенона. Аналогично получены n-хлор- и n-метоксифенил-n-нитрофенилкетоны.

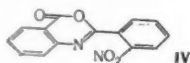
И. Зайцев

6Ж124. Взаимодействие n-нитрофенилацетилена с низшими предельными одноосновными кислотами. Большухин А. И., Орлова А. Н. «Ж. общ. хи-

мин», 1960, 30, № 9, 2986—2988.—При действии уксусной, пропионовой и масляной к-т на  $n\text{-O}_2\text{NC}_6\text{H}_4\text{C}\equiv\text{CH}$  (I) получаются  $n\text{-O}_2\text{NC}_6\text{H}_4\text{COCH}_3$  (II) и димер II динитродипнон (III). Получение II свидетельствует об образовании в процессе р-ции сложных  $\beta$ -виниловых эфиров, которые выделены не были ввиду их неустойчивости. К р-ру I в  $\text{HgO}$  в смеси 12 г лед.  $\text{CH}_3\text{COOH}$  и 10 г  $(\text{CH}_3\text{CO})_2\text{O}$  добавляют 1 мл эфира  $\text{BF}_3$  и 5 г I (т. пл. 153°), кипятят 10 час. и выделяют II, выход 16%, т. пл. 80—81°, семикарбазон, т. пл. 234—235°, оксим, т. пл. 169—170°, фенилгидразон, т. пл. 131—132°, и III, выход 3,5%, т. пл. 151—152°; семикарбазон, т. пл. 223—224°.

В. Беликов

**6Ж125.** N-(o-нитробензил)-антралиновая кислота как продукт превращения o-нитробензальдегида. Ionescu Maria, Mantsch Horst, Goia Ileana. N-(o-Nitro-benzoyl)-anthranilsäure als Umwandlungsprodukt von o-Nitro-benzaldehyd. «Chem. Ber.», 1960, 93, № 9, 2063—2065 (нем.).—o-Нитробензальдегид (I) в смеси с ароматич. углеводородами, лучше всего с антраценом (II) и фенантроном, в присутствии полифосфорной к-ты (ПФК) подвергается окислительно-восстановительным р-циям, причем часть I превращается в антралиновую к-ту и конденсируется с ней, образуя N-(o-нитробензил)-антралиновую к-ту (III). Часть II при этом окисляется до антрахинона.



Дегидратация III приводит к образованию в-ва (IV). Смесь 5 г I и 5 г II с 84%-ной ПФК [из 30 г  $\text{P}_2\text{O}_5$  и 15 мл  $\text{H}_3\text{PO}_4$  (d 1,75)] выдерживают в сушильном шкафу 4 часа при 90° при периодич. встряхивании, обрабатывают водой, осадок извлекают  $\text{NaOH}$ , подкисляют и получают III, выход 59%, т. пл. 239° (из водн. сп.). 0,5 г III, 5 мл  $(\text{CH}_3\text{CO})_2\text{O}$  и 0,25 г безводн.  $\text{CH}_3\text{COONa}$  нагревают на водяной бане 30 мин., выливают в воду и получают IV, т. пл. 196° (из сп.). В. Беликов

**6Ж126.** Синтез o- и n-нитрофенилантирарных кислот. Tandon S. P., Chauhan J. S. Preparation of ortho and para-nitrophenylsuccinic acids. «Виджана парисад анусандхан патрика, Vijnana parishad anusandhan patrika, Res. J. Hindi Sci. Acad.», 1959, 2, № 1, 7-8 (хинди; рез. англ.).—Прямим нитрованием фенилантирарной к-ты (I), проводимым в точно контролируемых условиях, получается смесь o-нитро-I, т. пл. 200°, и n-нитро-I, т. пл. 222°, выделенных в чистом виде.

В. Скородумов

**6Ж127.** О синтезе  $\beta$ -(2,4-динитрофенил)-этилгалогенидов. Лиманов В. Е. «Ж. общ. химии», 1960, 30, № 6, 2091—2092.—К р-ру 0,02 моля  $4\text{-O}_2\text{NC}_6\text{H}_4\text{C}_2\text{H}_4\text{Br}$  в 15 г  $\text{H}_2\text{SO}_4$  приливают смесь 2 г  $\text{HNO}_3$  и 4 г  $\text{H}_2\text{SO}_4$  при 15°, размешивают 3 часа, выливают на лед, экстрагируют  $\text{C}_6\text{H}_6$ , выход  $\beta$ -(2,4-динитрофенил)-этилбромида 20%, т. пл. 34°. Аналогично получен  $\beta$ -(2,4- $\text{NO}_2$ ) $_2\text{C}_6\text{H}_3\text{C}_2\text{H}_4\text{Cl}$  (24 часа, ~20°; 5 час., ~40°), выход 89%, т. пл. 23,5°.

И. Зайцев

**6Ж128.** Действие аллил- и пропиламинов на 1,3-дихлор-4,6-динитробензол. Rossi Pier Filippo, Guasco Gianfranco. Azione dell'allile della propilammina sull'1,3,4-dicloro-4,6-dinitrobenzene. «Ann. chimica», 1960, 50, № 6-7, 939—942 (итал.).—При действии  $\text{CH}_2=\text{CHCH}_2\text{NH}_2$  (I) и  $n\text{-C}_3\text{H}_7\text{NH}_2$  (II) на 1,3-дихлор-4,6-динитробензол (III) получены в зависимости от условий р-ции N-аллил-3-хлор-4,6-динитроанилин (IV) и N-пропил-3-хлор-4,6-динитроанилин (V) или димзамещенные: N,N'-диаллил-4,6-динитро-м-фенилендиамин (VI) и N,N'-дипропил-4,6-динитро-м-фенилендиамин (VII). Действием брома на IV и VI получены дибромид (VIII) и тетрабромид (IX) соответственно. 50 г  $m\text{-C}_6\text{H}_3\text{Cl}_2$  выливают в смесь 120 г  $\text{HNO}_3$  (d 1,54) и 120 г конц.  $\text{H}_2\text{SO}_4$ , нагревают на водяной бане 2—3 часа, выливают на смесь воды со льдом и получают 78 г

III, т. пл. 101—103° (из сп.). 2,37 г III, 0,75 мл I и 0,82 г безводн.  $\text{CH}_3\text{COONa}$  в 30 мл спирта кипятят 15 мин. и получают IV, т. пл. 89—90° (из сп.). 2,37 г III, 1,7 мл II и 30 мл спирта кипятят 20 мин. и выделяют V, т. пл. 90—92°. 2,37 г III и 3 мл I в спирте кипятят 15 мин. и выделяют 2,6 г VI, т. пл. 143—145°. 0,85 г III и 1 мл II кипятят 15 мин. в 20 мл спирта и получают VII, т. пл. 140—143°. К р-ру 1,28 г IV в 10 мл  $\text{CHCl}_3$  прибавляют 0,25 мл  $\text{Br}_2$  в 10 мл  $\text{CHCl}_3$ , через 30 мин. упаривают и получают VIII, т. пл. 94—96°. Из VI аналогично получают IX, т. пл. 135—136°. Приведены и обсуждены УФ-спектры синтезированных соединений.

В. Беликов

**6Ж129.** Действие аммиака и различных органических оснований на ароматические галовддинитросоединения. VIII. 2,6-дибром-1,4-динитробензол. Qvist Walter, Grönroos Göran. Über die Einwirkung des Ammoniaks und verschiedener Stickstoffbasen auf aromatische Halogendinitroverbindungen. VIII. 2,6-Dibrom-1,4-dinitro-benzol. «Acta Acad. aboensis. Math.», 1960, 21, № 18, 14S (нем.).—При взаимодействии 2,6-дибром-1,4-динитробензола (I) с  $\text{NH}_3$  (II),  $\text{CH}_3\text{NH}_2$  (III),  $\text{C}_2\text{H}_5\text{NH}_2$  (IV), этаноламином (V), бензиламином (VI), анилином (VII), n-толуэдином (VIII),  $(\text{CH}_3)_3\text{NH}$  (IX) и пиперидином (X) происходит замещение нитрогруппы в положение 1 и образование n-нитроанилинов общей ф-лы 2,6- $\text{Br}_2\text{-4-NO}_2\text{C}_6\text{H}_2\text{NRR}'$  (XIa—и, где a R = R' = H; б R =  $\text{CH}_3$ , R' = H; в R =  $\text{C}_2\text{H}_5$ , R' = H; г R =  $\text{CH}_2\text{CH}_2\text{OH}$ , R' = H; д R =  $\text{CH}_2\text{C}_6\text{H}_5$ , R' = H; е R =  $\text{C}_6\text{H}_5$ , R' = H; ж R =  $n\text{-C}_3\text{H}_7$ , R' = H; з R = R' =  $\text{CH}_3$ ; и RR' =  $(\text{CH}_2)_4$ ). Однако при применении морфолина (XII) получен 1,4-динитро-2-бром-6-морфолинобензол (XIII). С  $\text{NH}_2\text{NH}_2\cdot\text{H}_2\text{O}$  (XIV) I дал 3,5-дибромнитробензол (XV) и 3,5,3',5'-тетрабромазобензол (XVI), а с этилендиаминном (XVII) дал n-нитроанилины (XIX—л, где a R =  $\text{CH}_2\text{CH}_2\text{NH}_2$ , R' = H; б R = 2,6- $\text{Br}_2\text{-4-NO}_2\text{C}_6\text{H}_2\text{NH}$ , R' = H). При действии  $\text{KOH}$  в  $\text{CH}_3\text{OH}$  или этаноле из I образовались соответственно 2,6-дибром-4-нитроанизол (XVIII) и 2,6-дибром-4-нитрофенол (XIX). Так же синтезированы 3,5,3',5'-тетрабром-4,4'-диэтоксиназобензол (XX). В смесь 43 г XIa и 40 мл конц.  $\text{HNO}_3$  при 0—5° пропускали окислы азота, полученные из  $\text{HNO}_3$  и крахмала, после разбавления равным объемом воды и охлаждения до -10° осадок отделили, растворили в 1,5 л ледяной воды и р-р постепенно прибавили при 0° к р-ру 50 г  $\text{NaNO}_2$  в 300 мл воды, получили I, выход 37 г, т. пл. 132,5—133,5° (ш. сп.). Указанные XI получены при взаимодействии I с I в спирте с соответствующими аминами (перечислены амин, его кол-во, продолжительность р-ции в час. т-ра р-ции в °C, полученное в-во, выход его в г, т. пл. в °C (из сп.)): II, 30 мл спирт, р-ра (и пропускание  $\text{NH}_3$ -газа в течение р-ции), 10, кипячение, XIa, 0,1 208—208,5 (из лед.  $\text{CH}_3\text{COOH}$ -сп.); III, 2 мл 25%-ной водн. р-ра, 5, кипячение, XIб, 0,64, 118—118,5; IV, 2 мл 70%-ного водн. р-ра, 6, кипячение, XIв, 75—76; V, 4 мл, несколько часов, 20, XIг, —, 112—112,5; VI, 4 мл, 0,5, 20, XIд, 0,8, 96,5—97,5; VII, 3 мл, 40, кипячение, XIе, 0,51, 134—135; VIII, 2 г, 7, кипячение, XIж, 0,6, 136—136,5; IX, 2 мл 33%-ного спирт. р-ра, 48, 20 (и 10 мин., кипячение), XIз, 0,63, 102—102,5; X, 2 мл, 48, 20 (и 15 мин., кипячение), XIи, 0,2 86,5—87; XII, 3 мл (в 30 мл  $\text{C}_6\text{H}_6$ ), 5, кипячение, XIII, 0,74, 195,5—196,5 (из сп.-бал.); XVII, 2 мл, 25, 20, XIл, 0,8, 113,5—114,5 (из  $\text{CH}_3\text{OH}$ ); XVIII, 0,41 мл, 50, 2, XIл, —, 158,5—159,5 (из сп.-бал.). Кроме того, XI получен из XIк и I (30 час., 20°). При нагревании I, 1 г мочевины и 30 мл спирта (6 час., 150—155°) так же образовался XIа. Смесь 1 г I, 0,4 мл XIV и 30 мл спирта после выдержки (30 час., 20°) подкислена разб.  $\text{HCl}$  и получен XV, т. пл. 105—106° (из сп.). Из так же в-в, но при нагревании образовался XVI, т. пл. 226—230°. Кроме того, XVI получен при нагревании

XV с XI 20°) под Аналогично XIX, т. пл. (20 час. т. пл. РЖХИМ 6Ж131 XII. нитропро Skuls nitrozv absorpti muvany 34, №  $\text{CH}_3\text{NO}_2$  4- $\text{CH}_3\text{CO}$  зом кот диазом К смеси 1500 мл вают 1250 мл остаток и пром (XII) по охл лем в 154—15 ляют 225 мл (разл. в 12,9 льдом бокисл (на CH диазот ~100° горяче воды).

6Ж131

ния Hol n A sim amine 1960, метод в со 30%-н ~20° бавле до 35° повы выход чены веден в %. (из б  $\text{CH}_3\text{CO}$  к-той 2,6-ди хлор, 72,7, (III), тил ( тил, окси, этоск рляют  $\text{H}_2\text{O}_2$  отфи. 2,4,6-



XV с XIV. Из 1 г I и 1 г KOH в 30 мл  $\text{CH}_3\text{OH}$  (20 час., 20°) получено 0,8 г XVIII, т. пл. 122,5–123° (из сп.). Аналогично, но в этаноле (1 неделя, 20°) получен XIX, т. пл. 59–59,5° (из сп.). В измененных условиях (20 час., 20° и 0,5 часа, кипячение) образовался XX, т. пл. 166–167° (из сп.-баз.). Сообщение VII см. РЖХим, 1960, № 11, 42684. А. Берлин

6Ж130. Реакции алифатических нитросоединений.

XLII. Реакции и спектры абсорбции производных нитростирила. I. Синтез 4-( $\beta$ -нитровинил)-анилина. Skulski Lech, Urbanski Tadeusz. Reakcje nitrozwiązków alifatycznych. XLII. Reakcje i widma absorpcji związków pochodnych  $\omega$ -nitrostyrenu. I. Otrzymywanie 4-( $\beta$ -nitrowinylo)-aniliny «Roczn. chem.», 1960, 34, № 1, 283–287 (польск.; рез. англ.).—Действием  $\text{CH}_3\text{NO}_2$  (I) на  $4\text{-CH}_3\text{CONHC}_6\text{H}_4\text{CHO}$  (II) синтезируют  $4\text{-CH}_3\text{CONHC}_6\text{H}_4\text{CH}=\text{CHNO}_2$  (III), кислотным гидролизом которого получают  $4\text{-NH}_2\text{C}_6\text{H}_4\text{CH}=\text{CHNO}_2$  (IV). IV диазотетом превращают в  $4\text{-HOC}_6\text{H}_4\text{CH}=\text{CHNO}_2$  (V). К смеси 100 г  $\text{Na}_2\text{S}$  в 500 мл воды и 110 г NaOH в 1500 мл воды при  $\sim 100^\circ$  прибавляют 60 г S, размешивают 30 мин., вливают туда 200 г  $4\text{-NO}_2\text{C}_6\text{H}_4\text{CH}_3$  в 1250 мл спирта, кипятят 3 часа, перегоняют с паром, остаток охлаждают ( $\sim 12$  час.) льдом, к отделенному и промытому водой  $4\text{-NH}_2\text{C}_6\text{H}_4\text{CHO}$  прибавляют 400 мл  $(\text{CH}_3\text{CO})_2\text{O}$ , осторожно нагревают и кипятят 2 часа, по охлаждению прибавляют 1,2 л воды, очищают углем в горячем виде, выделяют 85–92 г II, т. пл. 154–155°. R 49 г II и 18,3 г I в 180 мл спирта прибавляют 12,6 г NaOH в 30 мл воды, через 15 мин. прибавляют  $\sim 180$  мл воды, выливают в 150 мл конц. HCl и 225 мл воды, получают 50–53 г III, т. пл. 275–276° (разл.; из разб.  $\text{CH}_3\text{COOH}$ ). 6,18 г III в 45 мл спирта и 12,9 мл конц. HCl кипятят  $\sim 1,5$  часа, охлаждают льдом (р-р A), прибавляют насыщ.  $\text{CH}_3\text{COONa}$  до слабоблиской р-ции, выделяют 3,8 г IV, т. пл. 157,5–158,5° (из  $\text{CH}_3\text{COOH}$ ); хлоридат, т. пл.  $\sim 194^\circ$  (разл.). Р-р A диазотируют 2,1 г  $\text{NaNO}_2$  в 10 мл воды, нагревают при  $\sim 100^\circ$  до окончания выделения  $\text{N}_2$  ( $\sim 15$  мин.), из горячего фильтрата выделяют V, т. пл. 166–168° (из воды). Сообщение XLI см. РЖХим, 1960, № 24, 95264.

В. Скородумов

6Ж131. Простой метод непосредственного окисления ароматических аминов в нитросоединения. Holmes Richard R., Bayer Raymond P. A simple method for the direct oxidation of aromatic amines to nitroso compounds. «J. Amer. Chem. Soc.», 1960, 82, № 13, 3454–3456 (англ.).—Найден простой метод непосредственного окисления ароматич. аминов в соответствующие нитросоединения действием 30%-ной водн.  $\text{H}_2\text{O}_2$ , смешанной с лед.  $\text{CH}_3\text{COOH}$ , при  $\sim 20^\circ$  (метод A). В некоторых случаях необходимо добавление катализат. кол-в  $\text{H}_2\text{SO}_4$  и повышение т-ры до 35–45° (метод B). При увеличении кол-ва  $\text{H}_2\text{O}_2$  и повышении т-ры до 70–80° получаются с хорошими выходами соответствующие нитросоединения. Получены следующие замещ. в ядре нитробензолы (приведены заместители в ядре, метод получения, выход в %, т. пл. в  $^\circ\text{C}$ ): 2,6-дихлор (I), A, 91,3, 175,5–176 (из баз.); 2,4,6-трихлор (II), B, 73,8, 145–146 (из  $\text{CH}_3\text{COOH}$ ); 2,4,6-трибром, B, 80,8 (при окислении к-той Каро выход 25,8%), 122–123 (из  $\text{CH}_3\text{COOH}$ ); 2,6-дихлор, B, 26,3, 135–136 (из  $\text{CCl}_4$ ); 2,6-дихлор-4-хлор, B, 42, 110–111 (из  $\text{CCl}_4$ ); 2,6-дихлор-4-бром, B, 72,7, 144–145 (из  $\text{CCl}_4$  +  $\text{CH}_3\text{OH}$ ); 2,6-дихлор-4-метил (III), B, 22,6, 163–164,5 (из  $\text{CCl}_4$ ); 2,3,6-трихлор-4-метил (IV), B, 21,4, 189–190 (из  $\text{CCl}_4$ ); 2,6-дихлор-4-метил, A, 28,7, 136,5–138 (из  $\text{CCl}_4$ ); 2,6-дихлор-4-карбт.-окси, B, 37,8, 133–134 (из  $\text{CCl}_4$ -сп.); 2,6-дихлор-4-карбт.-окси, B, 38,7, 154–155 (из  $\text{CCl}_4$ ). Метод A. Растворяют 0,1 моля 2,6-дихлоранилина в смеси 0,7 моля  $\text{H}_2\text{O}_2$  и 400 мл  $\text{CH}_3\text{COOH}$ , оставляют на 2 дня при 20° и отфильтровывают I. Метод B. Добавляют 0,102 моля 2,4,6-трихлоранилина к смеси 0,44 моля  $\text{H}_2\text{O}_2$ , 200 мл

$\text{CH}_3\text{COOH}$  и 3 мл конц.  $\text{H}_2\text{SO}_4$ , нагревают 10 час. при 35–40°, разбавляют равным объемом воды и отфильтровывают II. 0,025 моля 3,5-дихлор-4-аминобензонитрила, 30 мл  $\text{H}_2\text{O}_2$ , 100 мл  $\text{CH}_3\text{COOH}$  и 2 мл конц.  $\text{H}_2\text{SO}_4$  нагревают всего 8,5 часа при 70–80°, причем через 3,25 часа добавляют еще 15 мл  $\text{H}_2\text{O}_2$  и 50 мл  $\text{CH}_3\text{COOH}$ , выделившийся осадок затем растворяется и р-р становится светло-желтым. Добавляют 200 мл воды и получают 3,5-дихлор-4-нитробензонитрил (V), выход 83%, т. пл. 166–167° (из  $\text{CH}_3\text{OH}$ ). 0,29 моля  $\beta$ -аминобензонитрила, 950 мл воды, 350 мл 48%-ной водн. HBr и 60 мл  $\text{H}_2\text{O}_2$  перемешивают 30 мин. при 25° и получают 3,5-дихлор-4-аминобензонитрил (VI), выход 62,5%, т. пл. 126–127° (из сп.). 0,025 моля VI, 30 мл  $\text{H}_2\text{O}_2$ , 100 мл  $\text{CH}_3\text{COOH}$  и 2 мл конц.  $\text{H}_2\text{SO}_4$  нагревают 2 часа при 70–80° до изменения цвета р-ра из темно-зеленого в светло-оранжевый, добавляют 200 мл воды и получают 3,5-дихлор-4-нитробензонитрил (VII), выход 67,9%, т. пл. 175–176,5° (из  $\text{CH}_3\text{OH}$ ). 2,6-дихлор-4-цианнитрозобензол (VIII) получен посредством окисления к-той Каро. К 20 мл конц.  $\text{H}_2\text{SO}_4$  добавляют 0,09 моля  $\text{K}_2\text{S}_2\text{O}_8$ , перемешивают 1 час и вливают в смесь 150 г льда с 50 мл воды. Полученный р-р к-ты Каро добавляют к смеси 0,026 моля VI, 16 мл конц.  $\text{H}_2\text{SO}_4$  и 5 мл воды, перемешивают 1 час при 70–80°, затем оставляют на 2 дня при 20° и получают VIII, выход 53,1%, т. пл. 190–191° (из  $\text{CH}_3\text{COOH}$ ). Аналогично получен 2,6-дихлор-4-цианнитрозобензол, выход 76,6%, т. пл. 220–221° (из  $\text{CH}_3\text{COOH}$ ). Хлорированием  $\beta$ - $\text{CH}_3\text{CONHC}_6\text{H}_4\text{CH}_3$  с последующим омыванием получается трудноразделимая смесь 2,6-дихлор-4-метил (IX) и 2,3,6-трихлор-4-метиланилина (X). Строение IX и X, а вместе с тем и полученных из них III и соответственно IV подтверждено тем, что III и IV сильно димеризованы в разб. бензольных р-рах, это не наблюдается обычно у моноортозамещ. нитробензолов. Р-р 2 молей  $\beta$ - $\text{H}_2\text{NC}_6\text{H}_4\text{CH}_3$  в 800 мл  $\text{CH}_3\text{COOH}$  кипятят 2 часа, добавляют 0,01 моля безводн.  $\text{FeCl}_3$  и пропускают  $\text{Cl}_2$  3 часа при 50–60°, перемешивают еще 0,5 часа и добавляют 1,5 л воды. Отфильтровывают выделившийся осадок (A), промывают его водой, вносят в 1,4 л разб. HCl (4:3) и кипятят 45 час., осадок отфильтровывают, вносят его в р-р 100 г NaOH в 200 мл воды и перегоняют с паром. Из дистилята получают неочищ. X, выход 4,75%, т. пл. 52–60° (из сп.). Маточный р-р от осадка A разбавляют 1 л воды, отфильтровывают осадок (B), который соединяют с осадком, выделяющимся при осторожной нейтр-ции маточного р-ра от осадка B твердым NaOH, и получают IX, выход 3,6%, т. пл. 58–59° (из сп.). Р-р 0,29 моля  $\beta$ - $\text{H}_2\text{NC}_6\text{H}_4\text{COOC}_2\text{H}_5$  в смеси 700 мл воды, 800 мл конц. HCl и 120 мл  $\text{H}_2\text{O}_2$  перемешивают 2 часа при 25° и отфильтровывают этиловый эфир 3,5-дихлор-4-аминобензойной к-ты [выход 62,6%, т. пл. 60–64° (из сп.)], который полностью очистить не удалось; для идентификации превращают кипячением с 10%-ной водн. NaOH (2 часа) в свободную к-ту, выход 56,4%, т. пл. 280° (разл.; из сп.). Приведены частоты в ИК-спектрах V и VII. Все в-ва после кристаллизации возгорались в вакууме. Т-ры плавления исправлены. А. Б.

6Ж132. Поиски веществ аналитического действия. Сообщение I. Синтез некоторых  $\alpha,\alpha$ -диметилазамещенных  $\beta$ -фенилэтиламинов. Ferrari G. Ricerche su sostanze ad azione analitica. Nota I. Sulla sintesi di alcune  $\beta$ -feniletilamine  $\alpha,\alpha$ -dimetilsostituite. «Farmaco. Ed. scient.», 1960, 15, № 5, 337–342 (итал.; рез. англ.).—Из 4-(I) и 2- $\text{ClC}_6\text{H}_4\text{CH}_2\text{C}(\text{CH}_3)_2\text{OH}$  (II) (полученных Mg-органич. синтезом) при помощи р-ции Риттера получают 4-(III) и 2- $\text{ClC}_6\text{H}_4\text{CH}_2\text{C}(\text{CH}_3)_2\text{NHCHO}$  (IV), которые омываются до 4-(V) и 2- $\text{ClC}_6\text{H}_4\text{CH}_2\text{C}(\text{CH}_3)_2\text{NH}_2$  (VI). Восстановлением LiAlH<sub>4</sub> III и IV превращаются в 4-(VII) и 2- $\text{ClC}_6\text{H}_4\text{CH}_2\text{C}(\text{CH}_3)_2\text{NHC}_2\text{H}_5$  (VIII). 165 г 4- $\text{ClC}_6\text{H}_4\text{CH}_2\text{Cl}$  в 500 мл эфира прибавляют к 24,3 г Mg-стружек в 100 мл эфира, кипятят 3 часа, при ох-

лаждении прибавляют 60 г безводн. ацетона, кипятят еще 3 часа, разлагают льдом и разб. HCl, из эфирного слоя выделяют ~75% I, т. кип. 115—116°/3 мм, 127°/12 мм. Аналогично получают II, т. кип. 110°/3 мм. К 22 г NaCN (осторожно!) при <20° прибавляют 50 мл лед. CH<sub>3</sub>COOH, затем за 30 мин. при <20° прибавляют 100 мл моногидрата H<sub>2</sub>SO<sub>4</sub> в 50 мл лед. CH<sub>3</sub>COOH, размешивают 1 час, за 20 мин. прибавляют 74 г I, (разогревание до 50°), нагревают 1,5 часа при 70°, размешивают при ~20° 3 часа, разбавляют водой, осторожно подщелачивают твердым Na<sub>2</sub>CO<sub>3</sub>, эфиром извлекают 64% III, т. кип. 164—165°/3 мм. Аналогично получают IV, т. кип. 155—160°/2 мм, т. пл. 65°. 50 г III и 60 мл конц. HCl в 300 мл спирта нагревают 5 час. при 85°, выпаривают досуха, остаток растворяют в воде, подщелачивают разб. NaOH, эфиром извлекают 90% V, т. пл. 100—102°/2 мм; хлоридат (XG), т. пл. 233°; N-ацетильное производное [5 г V, 13 мл (CH<sub>3</sub>CO)<sub>2</sub>O и 50 мл C<sub>6</sub>H<sub>5</sub>N оставляют на 48 час., выпаривают в 400 мл воды], т. пл. 122°; N-пропионильное производное, т. пл. 100°; N-бутиральное производное, т. пл. 84°. Аналогично получают VI, т. кип. 88—89°/2 мм; XG, т. пл. 183°. 55 г III в 350 мл абс. эфира по каплям прибавляют к 12 г LiAlH<sub>4</sub> в 120 мл эфира, кипятят 4 часа, разлагают 60 мл воды, эфирный слой извлекают 5%-ной H<sub>2</sub>SO<sub>4</sub>, водн. слой подщелачивают NH<sub>4</sub>OH и эфиром извлекают 74% VII, т. кип. 112—115°/3 мм; XG, т. пл. 192—193° (из сп.-эф.); сульфат, т. пл. 231° (из ацетона-сп.). Аналогично получают VIII, т. кип. 94—95°/1 мм; XG, т. пл. 150°; сульфат, т. пл. 190°.

**6Ж133. О красных анилах. Сообщение 3. Получение α-(n-диметиламинофенилимино)-β-кето-δ-(2,3,4,4'-тетраметокси-5-бромдифенил-6)-валеронитрила.** Michalský J., Smrč P. Über die roten Anile. 3. Mitt. Darstellung von α-(p-Dimethylaminophenylimino)-β-keto-δ-[2,3,4,4'-tetramethoxy-5-bromdiphenyl-(-6)-]valeriansäurenitril. «Monatsh. Chem.», 1960, 91, № 2, 307—312 (нем.).—Синтезирован α-(n-диметиламинофенилимино)-β-кето-δ-(2,3,4,4'-тетраметокси-5-бромдифенил-6)-валеронитрил (I), для чего 3,4,5-триметоксибензойная к-та (II) бромирована p-ром Br<sub>2</sub> в CH<sub>3</sub>COOH (2 часа, ~20°) в 2-бром-II, т. пл. 151—152° (из CH<sub>3</sub>OH), конденсированную с n-JC<sub>6</sub>H<sub>4</sub>OCH<sub>3</sub> в 2,3,4,4'-тетраметоксидифенилкарбеновую-6 к-ту (III); метиловый эфир III восстановлен LiAlH<sub>4</sub> в эфире в 3,4,5-триметокси-2-(n-метоксифенил)-бензиловый спирт (IV), выход 93%; 3,5-динитробензоат, т. пл. 150—150,5°. Из IV действием SOCl<sub>2</sub> в C<sub>6</sub>H<sub>6</sub> (12 час., ~20°) получен 3,4,5-триметокси-2-(n-метоксифенил)-бензилхлорид (V), выход 83%, превращенный конденсацией с малоновым эфиром (VI) и последующим гидролизом с бромированием в β-(2,3,4,4'-тетраметокси-5-бромдифенил-6)-пропионовую к-ту (VII); из хлоридата VII синтезирован по Ариду—Эйстеру 1-хлор-4-(2,3,4,4'-тетраметокси-5-бромдифенил-6)-бутанон-2 (VIII), пиридиниевая соль которого действием n-ONC<sub>6</sub>H<sub>4</sub>N(CH<sub>3</sub>)<sub>2</sub> и NaCN превращена в I, кислотным расщеплением которого получен α,β-дикето-δ-(2,3,4,4'-тетраметокси-5-бромдифенил-6)-валеронитрил, конденсированный с о-фенилендиаминном в 2-β-(2,3,4,4'-тетраметокси-5-бромдифенил-6)-этил-3-цианохиноксалин (IX). Смесь 10 г метилового эфира 2-бром-II, 35 г n-JC<sub>6</sub>H<sub>4</sub>OCH<sub>3</sub> и 25 г порошка Si нагревают 15 мин. при 250—260°, затем 20 мин. при 270°, плав извлекают C<sub>6</sub>H<sub>6</sub>, отгоняют р-тель, остаток смешивают с 10 г NaOH в 200 мл CH<sub>3</sub>OH, кипятят 3 часа, переносят в 200 мл воды, фильтруют, от р-ра отгоняют CH<sub>3</sub>OH, остаток извлекают эфиром, подкисляют H<sub>2</sub>SO<sub>4</sub>, продукт отделяют и извлекают из него горячим C<sub>6</sub>H<sub>6</sub> III, выход 37,5%, т. пл. 163—164° (из сп.); вторичная, т. пл. 173—174°; метиловый эфир, т. пл. 82—83° (из CH<sub>3</sub>OH). Из нерастворимого в C<sub>6</sub>H<sub>6</sub> в-ва получают 4,5,6,4',5',6'-гексаметоксидифеновую к-ту, т. пл. 250—251°

(из сп.). К завеси C<sub>6</sub>H<sub>5</sub>ONa (из 0,5 г Na) в 25 мл C<sub>6</sub>H<sub>6</sub> прибавляют 3,2 мл VI, кипятят 1 час, добавляют 5 г V в 50 мл C<sub>6</sub>H<sub>6</sub>, кипятят 20 час., фильтруют, отгоняют в вакууме C<sub>6</sub>H<sub>6</sub>, остаток гидролизуют 3 часа спирт. NaOH, отгоняют спирт, подкисляют H<sub>2</sub>SO<sub>4</sub>, продукт извлекают эфиром, нагревают 2 часа при 170—180°/10 мм, растворяют в 10 мл CH<sub>3</sub>COOH, броммируют смесью 2,5 г Br<sub>2</sub> с 10 мл CH<sub>3</sub>COOH, выдерживают 2 часа при 0—5°, разбавляют водой и извлекают эфиром VII, выход 56%, т. пл. 169—171° (из сп.). 200 мг VII и 0,25 мл SOCl<sub>2</sub> в 5 мл C<sub>6</sub>H<sub>6</sub> нагревают 3 часа при 70°, продукт выделяют, как обычно, растворяют в 5 мл эфира, p-p прибавляют по каплям при -25° к эфирному p-ру CH<sub>2</sub>N<sub>2</sub> (из 1 г нитрозоэтилметилмочевины), выдерживают 12 час. при 0°, фильтруют, в p-p пропускают сухой HCl и выделяют VIII, выход 88%, т. пл. 105—106° (из CH<sub>3</sub>OH). К пиридиниевой соли VIII (из 150 мг VIII) прибавляют нагретую до 40° смесь 50 мг n-ONC<sub>6</sub>H<sub>4</sub>N(CH<sub>3</sub>)<sub>2</sub> в 1 мл спирта и 35 мг NaCN в 0,5 мл воды и отделяют I, выход 84%, т. пл. 148,5—149,5° (из бал.-сп.). 20 мг I и 1 экв о-фенилендиамина в 2 мл CH<sub>3</sub>COOH нагревают 10 мин. при 100° и по охлаждению получают IX, т. пл. 213—215° (из сп.). Сообщение 2 см. РЖХим, 1960, № 15, 61382.

**6Ж134. Соединения с возможной противотуберкулезной активностью. Часть VIII. Получение дифениламин-4-арил- или -алкиламинов.** Misra Vinay S., Husain Intiaz. Possible antituberculous compounds. Part VIII. Preparation of diphenylamine-4-aryl- or -alkyl-amides. «J. Indian Chem. Soc.», 1960, 37, № 6, 367—368 (англ.).—При поисках возможных противотуберкулезных средств синтезировали ряд 4-C<sub>6</sub>H<sub>5</sub>NHC<sub>6</sub>H<sub>4</sub>NHC(R)=NH (I) по схеме: 4-C<sub>6</sub>H<sub>5</sub>NHC<sub>6</sub>H<sub>4</sub>NH<sub>2</sub> (II) → 4-C<sub>6</sub>H<sub>5</sub>NHC<sub>6</sub>H<sub>4</sub>NH<sub>2</sub>·C<sub>6</sub>H<sub>5</sub>SO<sub>3</sub>H (III) → 4-C<sub>6</sub>H<sub>5</sub>NHC<sub>6</sub>H<sub>4</sub>NHC<sub>6</sub>H<sub>4</sub>NHC(R)=NH·C<sub>6</sub>H<sub>5</sub>SO<sub>3</sub>H (IV) → I. К 5,2 г II в 20 мл эфира по каплям прибавляют 6 г C<sub>6</sub>H<sub>5</sub>SO<sub>3</sub>H в CH<sub>3</sub>OH, отделяется 93% III, т. пл. 204—205° (из воды). Известным методом (РЖХим, 1960, № 8, 30784) III превращают в IV и I (приводятся R, выход IV в %, т. пл. в °C, выход I в %, т. пл. в °C): C<sub>6</sub>H<sub>5</sub>, 92, 163 (из эф.), 87, 85; 2-CH<sub>3</sub>C<sub>6</sub>H<sub>4</sub>, 90, 245 (из ацетона), 75, 110; 3-CH<sub>3</sub>C<sub>6</sub>H<sub>4</sub>, 90, 145 (из сп.), 83, 132—233; 4-CH<sub>3</sub>C<sub>6</sub>H<sub>4</sub>, 50, 190 (из ацетона), 68, 102; α-нафтил, 30, 115 (разл.; из сп.), 61, 170; β-нафтил, 76, 176—177 (из эф.), 66, 137—138; C<sub>6</sub>H<sub>5</sub>, 85, 183 (из ацетона), 5, 140; C<sub>6</sub>H<sub>5</sub>, 86, 146—147 (из эф.), 7, 161—162; C<sub>6</sub>H<sub>11</sub>, 77, 167 (из эф.), 6, 90; изо-C<sub>6</sub>H<sub>11</sub>, 16, 210 (из ацетона), 46, 157—158. Часть VII см. РЖХим, 1960, № 19, 77338.

**6Ж135. Конденсация энихлоргидрина с ароматическими аминами.** Merchant J. R., Choughuley A. S. U., Vaghani Kum D. D. Condensation of epichlorohydrin with aromatic amines. «Current Sci.», 1960, 29, № 4, 142—144 (англ.).—Эквимольные кол-ва ароматич. амина и энихлоргидрина в спирт. среде в присутствии 1—2 капель HCl (к-ты) выдерживают 4 дня при 20°. Продукт p-ции общей ф-лы ArNHC<sub>2</sub>CH(OH)CH<sub>2</sub>Cl (I) осаждают в виде пикрата из C<sub>6</sub>H<sub>6</sub>. Из пикрата основание освобождают действием LiOH. Кипячением эфирного p-ра основания над порошком KOH

получают эпоксисоединения ArNHC<sub>2</sub>CHCH<sub>2</sub>O (II). Со спирт. p-ром NH<sub>3</sub> (48 час.) из I и II получают ArNHC<sub>2</sub>CH(OH)CH<sub>2</sub>NH<sub>2</sub> (III) и [ArNHC<sub>2</sub>CH(OH)CH<sub>2</sub>]<sub>2</sub>NH (IV). После удаления спирта и NH<sub>3</sub> из реакционной смеси III кристаллизуется, а IV экстрагируют эфиром и выделяют в виде оксалата. В смеси не обнаружено третичных аминов; не выделены чистые продукты p-ции энихлоргидрина с n-анилином и α-нафтиламином. При повышении t-ре из α-нафтиламина и энихлоргидрина получен 3-окс-1,2,3,4-тетрагидро-7,8-бензхинолин. Приведены Ar, т. пл. в °C пикрата I, пикрата II, т. пл. в °C III, оксалата III, т. пл. IV в °C: C<sub>6</sub>H<sub>5</sub>, 174, 190—192, —, 159, 136—137; n-ClC<sub>6</sub>H<sub>4</sub>,

134—135, 181—182, 90, 214, 168—169;  $n$ - $C_3H_7$ , 145—146, —, —, 193, 178—179;  $\beta$ - $C_{10}H_7$ , —, —, 120, 208—210, 165.

И. Зайцев

**6Ж136.** Алкилирование  $\alpha$ -диметиламинофенилацетонитрила галогенными алкилами в присутствии амида калия. Реакции продуктов с гриньяровскими реактивами. Taylor Harold M., Hauser Charles R. Alkylations of  $\alpha$ -dimethylaminophenylacetone nitrile with alkyl halides by potassium amide. Reactions of products with Grignard reagents. «J. Amer. Chem. Soc.», 1960, 82, № 8, 1960—1965 (англ.).— $C_6H_5CH(CN)N(CH_3)_2$  (I) в присутствии  $KNH_2$  в жидком  $NH_3$  (II) алкилируется галогенными алкилами (ГА) до  $C_6H_5C(R)(CN)N(CH_3)_2$  (III). Кислотный гидролиз переводит III в  $C_6H_5COR$  (IV). Действием  $R'MgX$  (V) на III синтезируются  $C_6H_5C(R)(R')N(CH_3)_2$  (VI). Однако некоторые III реагируют с V с заменой CN-группы на атом N и образованием  $C_6H_5CH(R)N(CH_3)_2$  (VII) и олефина. Аналогично из  $C_6H_5CH(CN)NC_5H_{10}$  (VIII) после действия ГА в II в присутствии  $KNH_2$  и соответствующим V получают  $C_6H_5C(CH_3)(C_2H_5)NC_5H_{10}$  (IX). При взаимоделинии V с III обнаружено следующее течение р-ций (приводятся природа R в III, природа R в V, тип р-ции): первичный, первичный, замещение; вторичный, первичный, главным образом замещение и в небольшой степени восстановление; первичный, вторичный или третичный, восстановление; вторичный, вторичный, восстановление. Строение некоторых VI и VII подтверждено встречным синтезом. VI (R =  $CH_3$ , R' =  $CH_2C_6H_5$ ) (VIa) дает йодметилат (ИМ), который при действии  $KNH_2$  в II превращается в 2-( $CH_3$ ) $_2$ N- $CH_2C_6H_5CH(CN)CH_2C_6H_5$  (X) и  $C_6H_5CH=C(CN)C_6H_5$  (XI). При кипячении с к-той VI [R =  $CH(CH_3)_2$ , R' =  $C_2H_5$ ] претерпевает дезаминирование с образованием  $C_2H_5C(C_6H_5)=C(CH_3)_2$  и  $(CH_3)_2CHC(C_6H_5)=CHCH_3$ . 0,2 моля I [т. кип. 88—90°/1,8—2,1 мм, полученного с выходом 88% по ранее описанному методу (РЖХим, 1961, 2Ж129) с изменением: взят 25%-ный водн.  $(CH_3)_2NH$  вместо безводн.] прибавляют к 0,2 моля  $NaNH_2$  в 500 мл II, через 5 мин. прибавляют 0,2 моля  $C_2H_5Br$ , через 2 часа II заменяют эфиром, выделяют 86% III (R =  $C_2H_5$ ) (IIIa), т. кип. 89,5—89,8°/1,2 мм,  $n_D^{20}$  1,5106. Аналогично получают III (приводятся R, выход в %, т. кип. в °C/мм,  $n_D^{20}$ ):  $CH_3$ , 70, 98—100/6,3, 1,5112;  $CH(CH_3)_2$ , 88, 99,5—100/1,7, 1,5133;  $C_4H_9$ , 89, 108—108,5/1,5, 1,5044. 34 г IIIa, 50 мл конц. HCl и 200 мл воды кипятят 16 час. (выделение HCN!), эфиром извлекают 20,4 г  $C_6H_5COC_2H_5$ , т. кип. 76—80°/3,8—4,3 мм,  $n_D^{20}$  1,5255; семиркабазон, т. пл. 171—173°. Аналогично гидролизуют и другие III; выход соответствующих IV 74—83%. 0,2 моля I алкилируют по методу, описанному выше; после удаления эфира по каплям прибавляют к V, полученному из 0,3 моля ГА и 0,35 моля Mg в 500 мл эфира (бурная р-ция), через 3 часа р-р выливают в HCl со льдом, твердый остаток разлагают большим кол-вом к-ты и кислые р-ры объединяют, через ~12 час. водн. р-р извлекают эфиром, из объединенных эфирных р-ров выделяют побочно образовавшийся IV; кислый водн. р-р нейтрализуют  $NH_4OH$ , эфиром извлекают непрореагировавший III и полученный VI [приводятся R, R' для VI, выход VI в %, т. кип. в °C/мм,  $n_D^{20}$ , т. пл. пикрата (ПК) в °C, побочные в-ва]:  $CH_3$ ,  $CH_3$  (VIb), 21, 79—84/8,7, 1,5063, 209—210, IV (R =  $CH_3$ ) (IVa);  $C_4H_9$ ,  $C_2H_5$  (VIv), 77, 91—94/3,2—3,7, 1,5152, 149,5—151,5, —; VIa, 81, 106/0,3, 1,5600, 159,5—160,5, —;  $CH_2C_6H_5$ ,  $CH_3$ , малый, —, 1,5600, 159,5—160,5, IV (R =  $CH_2C_6H_5$ );  $C_4H_9$ ,  $CH_3$  (IVr), 78, 83—89/1,1—1,4, 1,5043, 152—153, —;  $CH_3$ ,  $C_4H_9$ , O, —, —, 20—22% III (R =  $CH_3$ ) и 46—60% IVa;  $C_4H_9$ ,  $C_2H_5$ , 85, 96—98/7,1—1,5, 1,5083, 103,5—105, 5% IV (R =  $C_4H_9$ );  $C_2H_5$ ,  $C_4H_9$ , 62, 92—97/1,3—1,5, 1,5083, 103,5—105, 21% IV (R =  $C_2H_5$ );  $CH(CH_3)_2$ ,  $C_2H_5$  (VIд), 58—69, 94—95/1,9—2,1, 1,5182, 162—162,5, IV (R =  $iso$ - $C_3H_7$ ) (IVб);  $CH(CH_3)_2$ ,  $C_4H_9$ , 61 (и 7% продукта восстанов-

ления), 111—113,5/2,2, 1,5104, 154—156, IVб. Аналогично из VIII получают IX, т. кип. 106—109°/1,55—1,7 мм, 104—108°/1,4—1,55,  $n_D^{20}$  1,5254—1,5261; ПК, т. пл. 181—182°. Приводятся R из III, R' из V, выход IX в %, побочные в-ва:  $C_2H_5$ ,  $CH_3$ , 78, —;  $CH_3$ ,  $C_2H_5$ , 42, 31% IVa. VIb синтезируют также по ранее описанному методу (РЖХим, 1954, № 20, 44607) по схеме:  $(CH_3)_2C(OH)CN \rightarrow (CH_3)_2CN(CH_3)_2CN + C_6H_5MgBr \rightarrow$  VIb. 0,05 моля VIa и 14 г  $CH_3J$  прибавляют к 50 мл  $CH_3CN$ , через 4 часа твердую массу разбивают и добавляют в 300 мл эфира; высушенный ИМ VIa прибавляют к 0,13 моля  $KNH_2$  в 300 мл II, размешивают 3 часа, темную окраску р-ра удаляют влажным эфиром, удаляют  $NH_3$ , эфирный р-р размешивают с 100 мл 2 н. HCl, из органич. слоя выделяют (—78°) 45% XI, т. пл. 78—79°; водн. кислый р-р нейтрализуют  $NH_4OH$ , эфиром извлекают 3,1 г X, т. кип. 136—139°/0,45—0,5 мм; ПК, т. пл. 135—138° (из сп.). При попытках получения ИМ VIv, г выделяется только  $(CH_3)_3N \cdot HJ$ . Алкилирование I действием V (R' =  $iso$ - $C_3H_7$ , X = Br) (Va) проводят, как описано выше, реакционную массу кипятят с HCl 16 час., совсем не выделяется VI и очень мало VII; из нейтр. части выделяют 16,5 г в-ва, в котором ИК-спектр показывает наличие C=C-связи, находящейся в сопряжении с  $C_6H_5$ -группой, и отсутствие CO- или NO-группы. 25 г  $C_6H_5CH(C_4H_9)Cl$  [полученного из  $C_6H_5CH(C_4H_9)OH$  с выходом 87% по ранее описанному методу (Protiva M. и др. Chem. Listy, 1952, 46, 346)] в 150 мл абс.  $CH_3OH$  насыщают безводн.  $(CH_3)_2NH$ , оставляют на 16 час. (защита от влаги), кипятят 1 час, отгоняют р-ритель в вакууме, остаток растворяют в разб. HCl, извлекают эфиром, кислый р-р подщелачивают твердым NaOH, эфиром извлекают 63% VII (R =  $C_4H_9$ ), т. кип. 98—100°/3,5 мм,  $n_D^{20}$  1,4964, 0,05 моля  $C_6H_5CH(OC_4H_9)N(CH_3)_2$  обрабатывают V (R' =  $C_2H_5$ , X = Br) по описанной методике (РЖХим, 1956, № 9, 25631), выделяют 73% VII (R =  $C_2H_5$ ), т. кип. 81—82°/9,3 мм,  $n_D^{20}$  1,5007; ПК, т. пл. 166,5—167,5°. Аналогично получают VII [R =  $CH(CH_3)_2$ ], выход 65%, т. кип. 61—62°/1,8 мм, 77—78°/4,1 мм,  $n_D^{20}$  1,4998; ПК, т. пл. 156—157°. I алкилируют  $iso$ - $C_3H_7Br$ , как описано ранее, неочищ. продукт прибавляют к р-ру Va, обрабатывают обычным способом, в темноте прибавляют по каплям  $Br_2$  в  $CCl_4$ , перегонкой выделяют  $CH_2BrCH_2Br$ , т. кип. 75—77°. Аналогично из I,  $C_2H_5Br$  и V (R' =  $C_6H_{11}$ , X = Br) после бромирования фракции с т. кип. 85—105° получают 9,6%  $C_2H_5CHBrCHBrC_2H_5$ , т. кип. 104—108°/25 мм.

**6Ж137.** Разложение четвертичных солей. V. Стереоспецифичность в ряду метадона. Easton Nelson R., Nelson Samuel J., Fish Velmer B. Decomposition of quaternary salts. V. Stereospecificity in the methadon series. «J. Organ. Chem.», 1960, 25, № 5, 847—849 (англ.).—При пиролизе разложения оптически активных форм йодметилата (ИМ) метадона (I) образуются оптически активные формы 3,3-дифенил-2-этилен-5-метилтетрагидрофурана (II). Рацемизация, если при этом и идет, то в очень малой степени. Разложение  $C_6H_5COC(C_6H_5)_2CH_2CH_2N^+(CH_3)_3X^-$  (III X = J) (IIIa) идет нормально с образованием  $CH_3J$  и  $C_6H_5COC(C_6H_5)_2CH_2CH_2N(CH_3)_2$  (IV); однако при III (X = OH) неожиданно получают  $C_6H_5COOCH_3$  (V) и  $(C_6H_5)_2CHCH_2CH_2N(CH_3)_2$  (VI). Попытки получения ненасыщ. кетона типа  $CH_2=CHC(C_6H_5)_2COR$  к успеху не привели. Параллельно d- и l-форм I (т. пл. 170—171°) проводят по ранее известному способу (РЖХим, 1954, № 9, 25234); из 15 г d-I получают 3,3 г l-II, т. кип. 130—134°/2 мм,  $[\alpha]_D^{25} -246^\circ$  (с 0,1026; сп.); из 15 г l-I получают 4,6 г d-II, т. кип. 129—133°/2 мм,  $[\alpha]_D^{25} +246^\circ$  (с 0,1014; сп.). Равные кол-ва d-II и l-II смешивают в спирте, выделяют рацемат, т. пл. 78—80°. При длительном стоянии в холодильнике обе оптич. формы II кристаллизуются, т. пл. 55—56° (из  $CH_3OH$ ). Из IV обычным путем получают IIIa, т. пл. 270—271° (разл.,



из воды). 10 г IIIa подвергают пиролизу открытым пламенем при 3 мм остаточного давления, перегоняющееся масло растворяют в эфире, извлекают разб. HCl, кислый р-р нейтрализуют, эфиром извлекают IV, идентифицируют в виде IV · HBr. 4 г IIIa и 3 г Ag<sub>2</sub>O в тепло разб. спирте сильно размешивают до отсутствия J-иона, осадок промывают водой и спиртом, фильтраты упаривают в вакууме, остаток пиролизуют при 20 мм, маслянистый продукт растворяют в эфире, промывают разб. HCl, из эфирного р-ра выделяют V, т. кип. 50—55°/3 мм,  $n_D^{20}$  1,5190. Кислый р-р нейтрализуют, эфиром извлекают 0,7 г VI; хлоридрат (XГ), т. пл. 165—167° [из сп.-этилацетата-(изо-C<sub>3</sub>H<sub>7</sub>)<sub>2</sub>O]. Восстановлением CNC(C<sub>6</sub>H<sub>5</sub>)<sub>2</sub>CH<sub>2</sub>CH<sub>2</sub>N(CH<sub>3</sub>)<sub>2</sub> Na в изо-C<sub>3</sub>H<sub>7</sub>OH получают VI; XГ, т. пл. 167—169°; йм, т. пл. 190—192°. Сообщение IV см. РЖХим, 1956, № 13, 39544.

В. Скородумов

**6Ж138. Последовательные ортоперегруппировки 2- и 4-замещенных понов бензилтриметиламмония.** Beard William Q., Jr., Hauser Charles R. Consecutive ortho substitution rearrangements starting with 2- and 4-substituted benzyltrimethylammonium ions. «J. Organ. Chem.», 1960, 25, № 3, 334—343 (англ.). Четвертичные аммониевые ионы (ЧА) (из бензилдиметиламинов) в присутствии NaNH<sub>2</sub> (I) в жидком NH<sub>3</sub> (II) последовательно перегруппировываются по схемам: A. 2-RC<sub>6</sub>H<sub>4</sub>CH<sub>2</sub>N(CH<sub>3</sub>)<sub>2</sub> (III) → 2-RC<sub>6</sub>H<sub>4</sub>CH<sub>2</sub>N<sup>+</sup>(CH<sub>3</sub>)<sub>3</sub> → 3-R-2-CH<sub>3</sub>C<sub>6</sub>H<sub>3</sub>CH<sub>2</sub>N(CH<sub>3</sub>)<sub>2</sub> (IV) → 3-R-2-CH<sub>3</sub>C<sub>6</sub>H<sub>3</sub>CH<sub>2</sub>N<sup>+</sup>(CH<sub>3</sub>)<sub>3</sub> → 4-R-2,3-(CH<sub>3</sub>)<sub>2</sub>C<sub>6</sub>H<sub>3</sub>CH<sub>2</sub>N(CH<sub>3</sub>)<sub>2</sub> (V) [для III—Va R = CH<sub>3</sub>, б R = C<sub>2</sub>H<sub>5</sub>, в R = CH<sub>3</sub>O, г R = Cl; выходы IVa—г 60—70, 90, 84 и 18% соответственно, в присутствии KNH<sub>2</sub> (VI) выход IVг 37%; выходы Va—г 43, 46, 59 и 2% соответственно]; Б. 4-RC<sub>6</sub>H<sub>4</sub>CH<sub>2</sub>N(CH<sub>3</sub>)<sub>2</sub> (VII) → 4-RC<sub>6</sub>H<sub>4</sub>CH<sub>2</sub>N<sup>+</sup>(CH<sub>3</sub>)<sub>3</sub> → 2-CH<sub>3</sub>-5-RC<sub>6</sub>H<sub>3</sub>CH<sub>2</sub>N(CH<sub>3</sub>)<sub>2</sub> (VIII) → 2-CH<sub>3</sub>-5-RC<sub>6</sub>H<sub>3</sub>CH<sub>2</sub>N<sup>+</sup>(CH<sub>3</sub>)<sub>3</sub> → 2,3-(CH<sub>3</sub>)<sub>2</sub>-6-RC<sub>6</sub>H<sub>3</sub>CH<sub>2</sub>N(CH<sub>3</sub>)<sub>2</sub> (IX) [для VII—IX а R = CH<sub>3</sub>, б R = (CH<sub>3</sub>)<sub>2</sub>CH, в R = CH<sub>3</sub>O, г R = Cl, выходы VIIa—г 53—63, 92, 93 и 54—60% соответственно; в случае бромметилата (БМ) VII (R = CN) (VIIд) перегруппировка не происходит; выходы IXa—г 84, 68, 78 и 8% соответственно]. Иногда перегруппировки сопровождаются образованием димерных и тримерных продуктов. Строение IVв, г доказывают окислением: IV → 2-CH<sub>3</sub>-3-RC<sub>6</sub>H<sub>3</sub>COOH (Xa, б, где а R = CH<sub>3</sub>O, б R = Cl) → 2,3-(HOOC)<sub>2</sub>C<sub>6</sub>H<sub>3</sub>R (XIa, б, где а R = CH<sub>3</sub>O, б R = Cl) и превращением XIa, б в их ангидриды (XIa, б). Vв, г окисляются в соответствующие 2,3-(CH<sub>3</sub>)<sub>2</sub>-4-RC<sub>6</sub>H<sub>3</sub>COOH (XIIa, б). Аналогично доказываются строение VIIa [окислением в 2,5-(CH<sub>3</sub>)<sub>2</sub>C<sub>6</sub>H<sub>3</sub>COOH (XIV) или в 1,2,4-C<sub>6</sub>H<sub>3</sub>(COOH)<sub>3</sub> (XV) и переводом ее в ангидрид (XVI)], VIIв [окислением в 2-CH<sub>3</sub>-5-CH<sub>3</sub>OC<sub>6</sub>H<sub>3</sub>COOH (XVII) и далее в 4-CH<sub>3</sub>OC<sub>6</sub>H<sub>3</sub>(COOH)<sub>2</sub> (XVIII)] и превращением XVIII в ее ангидрид (XIX), IXв [окислением до 2,3-(CH<sub>3</sub>)<sub>2</sub>-6-CH<sub>3</sub>OC<sub>6</sub>H<sub>3</sub>COOH (XX)], VIIг [окислением в 2-CH<sub>3</sub>-5-ClC<sub>6</sub>H<sub>3</sub>COOH (XXI) и далее до 4-ClC<sub>6</sub>H<sub>3</sub>(COOH)<sub>2</sub> (XXII) и превращением XXII в ее ангидрид (XXIII)], а также IXг [окислением в 2,3-(CH<sub>3</sub>)<sub>2</sub>-6-ClC<sub>6</sub>H<sub>3</sub>COOH (XXIV)]. VIIIб синтезировали действием реактива Гриньяра [из 3-Br-4-CH<sub>3</sub>C<sub>6</sub>H<sub>3</sub>CH<sub>2</sub>N(CH<sub>3</sub>)<sub>2</sub> (XXV)] на C<sub>6</sub>H<sub>5</sub>CH(CH<sub>3</sub>)OCH<sub>2</sub>N(CH<sub>3</sub>)<sub>2</sub> (XXVI). Йодметилаты (ЙМ) IXa, б при восстановлении по методу Эмме превращаются в 2,3,4-(CH<sub>3</sub>)<sub>3</sub>C<sub>6</sub>H<sub>3</sub>R (XXVIA, б соответственно). 0,5 моля 2-CH<sub>3</sub>OC<sub>6</sub>H<sub>3</sub>COOH в 1 л абс. эфира восстанавливают 25 г LiAlH<sub>4</sub> аналогично методу, предложенному для восстановления 3,5-(CH<sub>3</sub>)<sub>2</sub>C<sub>6</sub>H<sub>3</sub>COOH (Adams R., Harfien M., Leowe S., J. Amer. Chem. Soc., 1949, 71, 1624), получают 2-CH<sub>3</sub>OC<sub>6</sub>H<sub>3</sub>CH<sub>2</sub>OH (XXVIII), выход 86%, т. кип. 125—127°/13 мм. К 0,43 моля XXVIII прибавляют 0,215 моля PBr<sub>3</sub> в 750 мл эфира, оставляют на ~12 час., разлагают льдом, из органич. слоя выделяют 85% 2-CH<sub>3</sub>OC<sub>6</sub>H<sub>3</sub>CH<sub>2</sub>Br (XXIX), т. кип. 114,5—116°/10 мм (самопроизвольно полимеризуется за несколько часов). К 0,36 моля XXIX в 350 мл CH<sub>3</sub>CN (XXX) при ~0° прибавляют 0,5 моля жидкого

N(CH<sub>3</sub>)<sub>3</sub> (XXXI), через 1 час прибавлением 1,5 л эфира выделяют БМ IIIв, выход 94%, т. пл. 188,5—189,5°; пикрат (ПК), т. пл. 152,5—153° (из сп.). Аналогично синтезируют хлорметилат (ХМ) IIIг [из 1 моля 2-ClC<sub>6</sub>H<sub>4</sub>CH<sub>2</sub>Cl и 2 молей XXXI, выход 96%, т. пл. 208—209°; ПК, т. пл. 166,5—167,5 (из сп.)], БМ VIIa [из 0,3 моля 4-CH<sub>3</sub>C<sub>6</sub>H<sub>4</sub>CH<sub>2</sub>Cl (т. кип. 105—106°/20 мм), выход 99%, т. пл. 196—197°], БМ VIIб [из 0,33 моля 4-(CH<sub>3</sub>)<sub>2</sub>C<sub>6</sub>H<sub>3</sub>CH<sub>2</sub>Br (XXXII) и 0,67 моля XXXI, выход 90%, т. пл. 139—140°; XXXII получают из 0,4 моля 4-(CH<sub>3</sub>)<sub>2</sub>C<sub>6</sub>H<sub>3</sub>CH<sub>2</sub>OH и 0,2 моля PBr<sub>3</sub> (1 час), выход 84%, т. кип. 118—120°/14 мм], БМ VIIв [из 0,44 моля 4-CH<sub>3</sub>OC<sub>6</sub>H<sub>3</sub>CH<sub>2</sub>Br (XXXIII) с избытком XXXI в XXX, выход 96%, т. пл. 148,5—149°; XXXIII синтезируют из 0,5 моля 4-CH<sub>3</sub>OC<sub>6</sub>H<sub>3</sub>CH<sub>2</sub>OH и 0,25 моля PBr<sub>3</sub> (1 час), выход 87%, т. кип. 124—126°/12 мм]. К 0,16 моля IVв в 150 мл XXX при охлаждении прибавляют 0,3 моля CH<sub>3</sub>J, через 1 час прибавлением 500 мл абс. эфира выделяют 97% йм IVв, т. пл. 227° (разл.). Аналогично получают ИМ (приведены в-во, выход в %, т. пл. в °C): IVг, 99, 238—238,5 (из ацетона-сп.); VIIa, 99, 250 (из XXX); IXa, 93, 194 (разл.); IXб, 99, 169—169,5 (разл.); VIIб, 98, 190—191 (разл.); VIIв, 99, 166—167; VIIг, 99, 226 (разл.); БМ VIIд, 97, 235—235,5. Из 0,3 моля 4-ClC<sub>6</sub>H<sub>4</sub>CH<sub>2</sub>Cl и избытка XXXI синтезируют 96% ХМ VIIг, т. пл. 201,5—202° (из XXX-эф.), очень гигроскопичен. 0,0795 моля ХМ VIIг растворяют в миним. кол-ве XXX, постепенно прибавляют горячий р-р 0,0795 моля NaJ в 300 мл XXX, нагревают до кипения, фильтруют горячим, к охлажд. фильтрату прибавляют 1 л абс. эфира, получают ИМ VIIг, т. пл. 249,5—250°, 0,1 моля БМ IIIв за 10 мин. прибавляют к 0,2 моля I в 300 мл II, через 1 час прибавляют 0,2 моля NH<sub>4</sub>Cl, выпаривают II, заменяя его равным объемом эфира, фильтрат извлекают 2 н. HCl (3 × 100 мл), кислый р-р сильно подщелачивают NaOH, охлаждают льдом, эфиром извлекают 84% IVв, [т. кип. 111—113°/9,5 мм,  $n_D^{20}$  1,5176, ПК, т. пл. 125—125,5° (из сп.)] и 0,9 г в-ва, растворимого в к-тах. Аналогично проводят перегруппировку (приводятся исходное в-во, продукт р-ции, выход в %, т. кип. в °C/мм,  $n_D^{20}$ ): йм IVв, Vв, 59, 126—127,5/9, 1,5204 [йм, т. пл. 232—233°; получают также 1,67 г нейтр. аморфного в-ва]; БМ VIIa, VIIb, 63 (при уменьшении кол-ва II выход VIIa 53%), 89,5—90,7/11, 1,5044 [ПК, т. пл. 121,5—122° (из сп.)], образуются также 10% (4-CH<sub>3</sub>C<sub>6</sub>H<sub>3</sub>CH=CH<sub>2</sub>), т. пл. 174—175°, окисляющийся 3 н. HNO<sub>3</sub> (кипение 18 час.) в 4-CH<sub>3</sub>C<sub>6</sub>H<sub>3</sub>COOH, т. пл. 174—175°; йм VIIa, IXa, 84, 108—110,5/10, 1,5160; БМ VIIб, VIIб, 92, 108—111,5/10, 1,4989; йм VIIб, IXб, 68, 121—124/9, 1,5090 [йм, т. пл. 152—152,5° (из сп.)]; ЧА из VIIв, IXв, 78, 121—123/9,5, 1,5178 (йм, т. пл. 167,5—168°). 0,15 моля ХМ IIIг прибавляют к 0,15 моля I в 500 мл II, размешивают 13 час. (холодильник с твердой CO<sub>2</sub>), прибавляют 0,15 моля NH<sub>4</sub>Cl, выпаривают II, заменяя его эфиром, из фильтра выделяют 18% IVг, т. кип. 103—106,5°/9,5 мм,  $n_D^{20}$  1,5248, и 1,68 г в-ва, растворимого в к-тах. 0,2 моля ХМ IIIг быстро прибавляют к 0,2 моля VI в II (см. РЖХим, 1959, № 22, 78488), через 10 мин. прибавляют 400 мл абс. эфира, размешивают 22 часа, отгоняют II, гидролизуют 100 мл воды и 250 мл 2 н. HCl, водн. слой сильно подщелачивают NaOH, охлаждают льдом, эфиром извлекают 37% IVг, т. кип. 105,5—108°/10 мм,  $n_D^{20}$  1,5246; ПК, т. пл. 140—140,5° (из сп.). При действии 2 молей VI на ХМ IIIг в эфире (24 часа) выход IVг тот же, но получается много смолы. К 0,081 моля йм IVг в 300 мл II за 10 мин. прибавляют взвесь 0,085 моля I в 200 мл II, через 2,5 часа нейтрализуют 0,085 моля NH<sub>4</sub>Cl и II заменяют эфиром, обычным путем выделяют Vг, выход 2%, т. кип. 126—127°/10 мм,  $n_D^{20}$  1,5309; йм, т. пл. 235—235,5° (из сп.-гексана) (выделяют также 5 г нейтр. аморфного в-ва). Аналогично проводят перегруппировку (приводятся исходное в-во, продукт р-ции, выход в %, т. кип. в °C/мм,  $n_D^{20}$ ): йм VII.

1,5 л эфи-  
5—189,5°  
аналогично  
моля 2-  
пл. 208—  
VIIa (из  
м), вы-  
моля 4-  
KI, выход  
моля 4-  
, выход  
0,44 моля  
I в XXX,  
ируют из  
(1 час),  
эфи IV в  
0,3 моля  
фира вы-  
аналогично  
пл. в °C):  
9, 250 (из  
5° (разл.);  
37; VIIIr,  
3 моля 4-  
96% XM  
гигроско-  
в миним.  
ный р-р  
кипения,  
приваляют  
9,5—250°.  
2 моля I  
NH<sub>4</sub>Cl,  
и эфира,  
кислый  
льдом,  
9,5 мм,  
9,5 г в-ва,  
перегру-  
р-р щел.  
Vv, 59,  
ают так:  
VIIa, 63  
(из сп.),  
89,5—  
образует-  
5°, окис-  
CH<sub>3</sub>C<sub>6</sub>H<sub>4</sub>-  
24, 108—  
114,5/10.  
PK, т. пл.  
—123/9,5.  
IIIr при-  
т 13 час.  
15 моля  
из филь-  
9,5 мм,  
х. 0,2 мо-  
в II (см.  
приваляют  
ония II,  
одн. слой  
дом, эфи-  
мм, n<sub>D</sub><sup>20</sup>  
действию  
IV тот  
IM IV  
85 моля  
85 моля  
м выде-  
D 1,5309;  
ают так:  
тродуют  
продукт  
M VIIr.

VIIIr, 60, 104—105/9,7, 1,5219; IM VIIIr, IXr, 8, 119—121/41, 1,5290 (PK, т. пл. 176—177° (сп.); наряду с IXr получается 4 г нейтр. аморфного в-ва). 0,1 моля BM VIIv в 150 мл II за 30 сек. прибавляют к 0,2 моля I в 250 мл II, через 5 мин. быстро прибавляют 0,2 моля NH<sub>4</sub>Cl в II, заменяют II эфиром, выделяют 93% VIIIv, т. кип. 106—108,5°/7,3, n<sub>D</sub><sup>25</sup> 1,5133; PK, т. пл. 129—129,5° (из сп.). 2 г IVv в 100 мл 0,5 н. NaOH окисляют KMnO<sub>4</sub> (из сп.), подкислением выделяют 80% Xa, т. пл. 145—146° (из водн. сп.). 0,5 г Xa и 0,95 г KMnO<sub>4</sub> в 100 мл 0,05 н. NaOH нагревают ~15 мин., подкислением выделяют небольшое кол-во Xa, р-р насыщают Na<sub>2</sub>SO<sub>4</sub>, эфиром извлекают 0,17 г XIa, т. пл. 169,5—170,5° (разл.; из сп.-гексана). Нагреванием XIa в пробирке превращают в XIIa, т. пл. 158—158,5°. Аналогично проводят окисление других аминов (приводятся исходное в-во, продукт р-ции, выход в %, т. пл. в °C): Vv, XIIa, 42, 204—205 (из водн. сп.); IVr, Xb, 53, 157,5—158,5; Xb, XIb, —(0,2 г из 0,2 г Xb), 182—184 (XIIb, т. пл. 120—121,5°); Vg, VIIIb, 49, 183 (из сп.-гексана); VIIIa, XIV, 54, 129—130 (из водн. сп.); VIIa, XV, 74 (кипением 17 час. 2 г VIIa и 20 г KMnO<sub>4</sub> в 100 мл 0,1 н. NaOH), 228 (из бал.-CH<sub>3</sub>OH) (XVI, т. пл. 159—160°); VIIIb, XVII, 83, 146 (из водн. сп.); XVII, XVIII, —(0,14 г из 0,2 г XVII), 169—170 (из сп.-гексана) (XIX, т. пл. 93,5—94°); IXv, XX, 25, 156,5—158 (из водн. сп.); VIIIr, XXI, 67, 165,5—166,5 (из водн. сп.); XXI, XXII, —(0,18 г из 0,2 г XXI), 152—153 (XXIII, т. пл. 94,5—95,5°); IXr, XXIV, 16, 144,5—145 (из водн. сп.). Из 0,12 моля XXV, 0,16 г атома Mg и 0,08 моля XXVI (т. кип. 129,5—131,5°) в соответствии с методом присоединения гриньяровских соединений к α-аминоэфирам (см. РЖХИМ, 1956, № 9, 25631) получают 64% VIIb, т. кип. 108—109,5°/9,8 мм, n<sub>D</sub><sup>25</sup> 1,4978; IM, т. пл. 190—191° (разл.). 0,05 моля IM IXa восстанавливают 210 г 5%-ной Na/Hg, после перегонки с паром и извлечения эфиром получают XXVIIa, выход 75%, т. кип. 95—97°/25 мм, n<sub>D</sub><sup>25</sup> 1,5185. Из 0,0288 моля IM IXb и 120 г 5%-ной Na/Hg аналогично получают 66% XXVIIb, т. кип. 95—98°/8,3—8,6 мм, n<sub>D</sub><sup>25</sup> 1,5127. Приведены ИК-спектры III (R = = H), IVa, в г. Vv, г. VIIIa—г. IXa—г. В. Скородумов

6Ж139. Получение твердых солей ариладизония из двойных ариладизониевых солей хлорного железа. Реутов О. А., Птицына О. А., Орлов С. И. «Вестн. Моск. ун-та. Химия», 1960, № 2, 47—49. — Разработан способ получения n- и m-NO<sub>2</sub>C<sub>6</sub>H<sub>4</sub>FeCl<sub>3</sub> (I, II) в твердом виде из двойных солей (ДС) I-FeCl<sub>3</sub> (Ia) (или I-C<sub>6</sub>H<sub>5</sub>SbCl<sub>4</sub>) и II-FeCl<sub>3</sub> соответственно действием HCl на ацетоновый р-р ДС. Выделение I или II происходит за счет имеющейся диссоциации ДС на I или II и FeCl<sub>3</sub>. Если арил не содержит такого сильного орпентаанта второго рода, как COOC<sub>2</sub>H<sub>5</sub>-группа, NO<sub>2</sub>-группа или имеет в пара-положении CH<sub>3</sub>, CH<sub>3</sub>- или C<sub>2</sub>H<sub>5</sub>-группу, то получить хлористые диазонии из ДС таким путем не удается. В отличие от этого из XC<sub>6</sub>H<sub>4</sub>N<sub>2</sub>Cl-FeCl<sub>3</sub> (III, где X = H, CH<sub>3</sub>, CH<sub>3</sub>O или C<sub>2</sub>H<sub>5</sub>OCO) при действии H<sub>2</sub>SO<sub>4</sub> можно получить XC<sub>6</sub>H<sub>4</sub>N<sub>2</sub>SO<sub>4</sub>H (IV). К р-ру 0,01 моля Ia в миним. кол-ве сухого (CH<sub>3</sub>)<sub>2</sub>CO прибавляют равный объем спирт. HCl и осаждают эфиром твердый I, выход 89%. Р-р 0,008 моля I в спирте прибавляют при охлаждении к р-ру 0,008 моля фенолсубтиновой к-ты в 20 мл спирта, насыщенного HCl, получают I-C<sub>6</sub>H<sub>5</sub>SbCl<sub>4</sub>, т. пл. 132,3° (разл.). Аналогично получают II, выход 50%, и II-C<sub>6</sub>H<sub>5</sub>SbCl<sub>4</sub>, т. пл. 134°. К р-ру 0,01 моля III (X = CH<sub>3</sub>) в (CH<sub>3</sub>)<sub>2</sub>CO прибавляют равный объем спирта, при охлаждении льдом приливают по каплям 0,01 моля конц. H<sub>2</sub>SO<sub>4</sub> и эфиром осаждают IV (X = CH<sub>3</sub>), выход 70%. Аналогично получают IV (указаны X, выход в %, т. пл. в °C): H, 85, —; CH<sub>3</sub>O, 50, 140; C<sub>2</sub>H<sub>5</sub>OCO, 50, 95. И. Зайцев

6Ж140. Разложение 2-дiazобензойной к-ты. Stiles Martin, Miller Roy G. Decomposition of benzenediazonium-2-carboxylate. «J. Amer. Chem. Soc.», 1960, 82, № 14, 3802 (англ.). — 2-дiazобензойная к-та

(I), представляющая собой амфотерный ион, в водн. р-ре при 45° за 36 час. образует салициловую к-ту с выходом 88%, а в C<sub>6</sub>H<sub>6</sub> при 39° в течение 49 час. разлагается с выделением N<sub>2</sub> и CO<sub>2</sub> (выход 59%), давая полимерные продукты. Из суспензии I в фуране в течение 64 час. с выходом 55% получают 1,4-дигидро-нафталинендиоксид-1,4, т. пл. 55—56°, идентифицированный превращением в α-нафтол (выход 81%). С антраценом в бензольном р-ре I образует с выходом 30% триптицен. Нагреванием I при 45—55° с избытком бензойной к-ты в C<sub>6</sub>H<sub>6</sub> или в n-ксилоле получают с выходом соответственно 25 и 22% фенолбензоат. Из I и m-толуиловой к-ты получают фенольный эфир m-толуиловой к-ты. По-видимому, указанные превращения происходят через стадию образования дегидробензола «бензина». В ряде опытов произошли взрывы реакционной массы! М. Ряшенцева

6Ж141. О реакции оснований Шиффа с муравьиной кислотой, восстановление оснований из этилендиамина и ароматических альдегидов. Eckstein Zygmunt, Łukasiewicz Andrzej. O reakcji zasad Schiffa z kwasem mrówkowym. Redukcja zasad utworzonych z etylenodwaminy i aromatycznych aldehydów. «Przem. chem.», 1960, 39, № 6, 367—371 (польск.; рез. русск., англ.). — Для нахождения новых фунгицидов синтезирован ряд (ArCH=NCHNCH<sub>2</sub>)<sub>2</sub> (I), которые в дальнейшем подвергались восстановлению HCOOH до смеси ArCH<sub>2</sub>NHCH<sub>2</sub>CH<sub>2</sub>NH<sub>2</sub> (II) и (ArCH<sub>2</sub>NHCH<sub>2</sub>)<sub>2</sub> (III). Присутствие солей органич. к-т (pH > 7) значительно ускоряет восстановление и повышает выход III. Разделение смеси II и III производят действием 2-HOC<sub>6</sub>H<sub>4</sub>CHO (IV), причем образуется соответственно 2-HOC<sub>6</sub>H<sub>4</sub>CH=NCH<sub>2</sub>CH<sub>2</sub>NHCH<sub>2</sub>Ar (V), растворимый в спирте, и 1,3-ди-(арилметил)-2-(o-оксифенил)-имидазолидин (VI), выделяющийся в виде осадка. Из р-ра V после обработки HCl выделяют дихлоридат II (IIa). К кипящему р-ру 0,2 моля ароматич. альдегида (AA) в 50 мл спирта по каплям прибавляют 0,1 моля (NH<sub>2</sub>CH<sub>2</sub>)<sub>2</sub> (VII) в 10 мл абс. спирта, кипятят 30 мин., по охлаждению получают I. Или к кипящему р-ру 0,2 моля AA в C<sub>6</sub>H<sub>6</sub> по каплям прибавляют 0,1 моля VII в C<sub>6</sub>H<sub>6</sub>, после азеотропного отделения воды выделяют I (приводятся Ar, выход в %, т. пл. в °C (из сп., бzl. или petr. эф.)): C<sub>6</sub>H<sub>5</sub>, 98, 55—56; 4-FC<sub>6</sub>H<sub>4</sub> (Ia), 94, 95—96; 2-ClC<sub>6</sub>H<sub>4</sub>, 75, 86—87; 3-ClC<sub>6</sub>H<sub>4</sub>, 93, 90—90,5; 4-ClC<sub>6</sub>H<sub>4</sub> (Ib), 98, 144—145; 4-BrC<sub>6</sub>H<sub>4</sub> (Iv), 85, 156,5—157,5; 4-Jc<sub>6</sub>H<sub>4</sub>, 86, 190—191,5; 2-NO<sub>2</sub>C<sub>6</sub>H<sub>4</sub>, 92, 110,5—111,5; 3-NO<sub>2</sub>C<sub>6</sub>H<sub>4</sub>, 97, 161,5—162,5; 4-NO<sub>2</sub>C<sub>6</sub>H<sub>4</sub> (Iv), 82, 199—200,5; 2-HOC<sub>6</sub>H<sub>4</sub> (Id), 98, 125—126; 3-HOC<sub>6</sub>H<sub>4</sub>, 90, 197 (разл.); 4-CH<sub>3</sub>OC<sub>6</sub>H<sub>4</sub>, 87, 111—112; 2,3-(CH<sub>3</sub>O)<sub>2</sub>C<sub>6</sub>H<sub>3</sub> (Ie), 98, 119—120; 2,5-(CH<sub>3</sub>O)<sub>2</sub>C<sub>6</sub>H<sub>3</sub> (If), 89, 92,5—93,5; нафтил-1, 90, 134,5—135,5; нафтил-2, 76, 212—213,5; 2-NO-3-CH<sub>3</sub>OC<sub>6</sub>H<sub>3</sub> (Iz), 99, 165,5—166,5; 4-(CH<sub>3</sub>)<sub>2</sub>NC<sub>6</sub>H<sub>4</sub>, 92, 181—182,5; 4-(C<sub>2</sub>H<sub>5</sub>)<sub>2</sub>NC<sub>6</sub>H<sub>4</sub>, 84, 131,5—132,5. Аналогично из (C<sub>6</sub>H<sub>5</sub>)<sub>2</sub>CO и VII в толуоле (нагревание 15 час.) получают [(C<sub>6</sub>H<sub>5</sub>)<sub>2</sub>C=NCH<sub>2</sub>]<sub>2</sub>, выход 85%, т. пл. 116—117° (из абс. сп.). 0,02 моля I и 12 мл 90—100%-ной HCOOH кипятят 35 час., отгоняют летучие в-ва в вакууме, к остатку прибавляют 10 мл конц. HCl и 20 мл изо-C<sub>3</sub>H<sub>7</sub>OH, кипятят 2 часа, осадок промывают C<sub>6</sub>H<sub>6</sub> или изо-C<sub>3</sub>H<sub>7</sub>OH, фильтрат выпаривают до небольшого объема, прибавляют немного спирта и C<sub>6</sub>H<sub>6</sub>, из фильтрата выделяют непрореагировавший AA; к объединенным осадкам прибавляют 20%-ный NaOH, эфиром, C<sub>6</sub>H<sub>6</sub> или CHCl<sub>3</sub> извлекают смесь II и III (метод А). Или 0,02 моля I, 12 мл HCOOH, 5 г HCOONa (или эквивалентное кол-во соли другой органич. к-ты) кипятят 10 час., по охлаждению добавляют 5 мл воды, кислотный слой выпаривают в вакууме, остаток подщелачивают 20%-ным NaOH, извлекают эфиром, C<sub>6</sub>H<sub>6</sub> или CHCl<sub>3</sub>, выпаривают р-ритель, остаток объединяют со вторым слоем, прибавляют 10 мл конц. HCl и 20 мл изо-C<sub>3</sub>H<sub>7</sub>OH, кипятят 2 часа, далее поступают, как описано в методе А (метод Б). Смесь II и III раство-

ряют в небольшом кол-ве спирта, нагревают до кипения, прибавляют избыток IV, спустя некоторое время отделяют VI; к фильтрату прибавляют избыток конц. HCl, через ~2 часа осадок отделивают (фильтрат выпаривают, остаток обрабатывают спиртом, получают еще немного VI), прибавляют 15—20 мл разб. (1:1) спирта, нерастворенный осадок разлагают NaOH, извлекают эфиром, остаток после отгонки р-рителя растворяют в спирте, прибавляют IV, осадок VI присоединяют к главной порции; водно-спирт. р-р выпаривают, выделяют IIa. Или смесь II и III подвергают перегонке в вакууме [приводятся Ag, т. кип. II в °C/мм, т. кип. III в °C/мм]: C<sub>6</sub>H<sub>5</sub>, 75—77/0,3, 144—146/0,3; 2-ClC<sub>6</sub>H<sub>4</sub>, 99—101/0,3, 171—175/0,2; 3-ClC<sub>6</sub>H<sub>4</sub>, 119—123/0,3, 191—194/0,3; 4-ClC<sub>6</sub>H<sub>4</sub>, 96—100/0,15, 174—176/0,1. Приводятся Ag, выходы в % II и III по методу А, II и III по методу Б: C<sub>6</sub>H<sub>5</sub>, 32, 33, 24, 46; 4-FC<sub>6</sub>H<sub>4</sub>, 30, 24, —, —, 2-ClC<sub>6</sub>H<sub>4</sub>, 20, 24, 20, 46; 3-ClC<sub>6</sub>H<sub>4</sub>, 30, 36, 22, 58; 4-ClC<sub>6</sub>H<sub>4</sub>, 29, 26, 22, 51; 4-BrC<sub>6</sub>H<sub>4</sub>, —, —, 25, 43; 4-JC<sub>6</sub>H<sub>4</sub>, —, —, 23, 42; 2-NO<sub>2</sub>C<sub>6</sub>H<sub>4</sub>, 25, 26, 23, 45; 3-NO<sub>2</sub>C<sub>6</sub>H<sub>4</sub>, 28, 32, 20, 57; 4-NO<sub>2</sub>C<sub>6</sub>H<sub>4</sub>, 29, 27, 17, 53; 4-CH<sub>3</sub>OC<sub>6</sub>H<sub>4</sub>, 35, 13, 37, 28; 2,3-(CH<sub>3</sub>O)<sub>2</sub>C<sub>6</sub>H<sub>3</sub>, —, —, 27, 32; нафтил-1, —, —, 29, 42; нафтил-2, —, —, 21, 46. Приводятся Ag, т. пл. в °C II (из разб. сп. с небольшим кол-вом HCl), т. пл. в °C VI (из сп.-бэл.): C<sub>6</sub>H<sub>5</sub>, 257—259, 106—107; 4-FC<sub>6</sub>H<sub>4</sub>, 284—286, 108—109; 2-ClC<sub>6</sub>H<sub>4</sub>, 251—253, 141—142; 3-ClC<sub>6</sub>H<sub>4</sub>, 261—262,5, 85—86; 4-ClC<sub>6</sub>H<sub>4</sub>, 272—274, 164—165,5, 4-BrC<sub>6</sub>H<sub>4</sub>, 286—288, 167—168,5, 4-JC<sub>6</sub>H<sub>4</sub>, >292 (разл.), 144,5—146; 2-NO<sub>2</sub>C<sub>6</sub>H<sub>4</sub>, 216—217,5, 172—173; 3-NO<sub>2</sub>C<sub>6</sub>H<sub>4</sub>, 236—240, 98—99; 4-NO<sub>2</sub>C<sub>6</sub>H<sub>4</sub>, 244 (разл.), 161,5—163; 4-CH<sub>3</sub>OC<sub>6</sub>H<sub>4</sub>, 243,5—245, 98,5—99,5; 2,3-(CH<sub>3</sub>O)<sub>2</sub>C<sub>6</sub>H<sub>3</sub>, 232 (разл.), 106—107; нафтил-1, 110 (разл.), 180,5—182; нафтил-2, 276—278, 128,5—129,5. Ia—з оказывают фунгицидное действие на фитопатогенные грибы (*Fusarium culmorum*, *Alternaria tenuis* и *Rhizoctonia solani*). По-видимому, фунгицидная активность связана со способностью I к образованию внутрикомплексных соединений.

В. Скороумов  
6Ж142. Каталитическая конденсация шиффовых оснований из эфиров п-аминобензойной кислоты и ароматических альдегидов с ароматическими кетонами. Козлов Н. С., Пак В. Д. «Ж. общ. химии», 1960, 30, № 7, 2400—2402. Синтезированы п-RC<sub>6</sub>H<sub>4</sub>NHCH(C<sub>6</sub>H<sub>4</sub>R'-n')CH<sub>2</sub>COC<sub>6</sub>H<sub>4</sub>R''-n' (I) р-цией п-RC<sub>6</sub>H<sub>4</sub>N=CHC<sub>6</sub>H<sub>4</sub>R'-n' (II) с CH<sub>3</sub>COC<sub>6</sub>H<sub>4</sub>R''-n' (III). Конденсация идет с присоединением молекулы III к азометиновой связи II. К нагретому р-ру 0,01 моля II в 5—10 мл спирта добавляют эквимолярное кол-во III и 0,5—1 г катализатора (солянокислой соли того амина, который участвует в образовании II), смесь нагревают при ~100° 5—10 мин. и охлаждают, осадок обрабатывают аммиаком и перекристаллизовывают из смеси толуола и спирта или C<sub>6</sub>H<sub>6</sub> и спирта (иногда из одного р-рителя). Получены I (даны R, R', R'', выход в %, т. пл. в °C): CH<sub>3</sub>OCO, Н, Н, 51, 184—185; C<sub>2</sub>H<sub>5</sub>OCO, Н, Н, 38, 148,5—150; C<sub>3</sub>H<sub>7</sub>OCO, Н, Н, 32, 146,0—148; C<sub>4</sub>H<sub>9</sub>OCO, Н, Н, 35, 158,0—160; CH<sub>3</sub>OCO, Н, ОСН<sub>3</sub>, 49, 175,0—176; C<sub>2</sub>H<sub>5</sub>OCO, Н, ОСН<sub>3</sub>, 29, 131,0—133; C<sub>3</sub>H<sub>7</sub>OCO, Н, ОСН<sub>3</sub>, 33, 124,5—126; C<sub>4</sub>H<sub>9</sub>OCO, Н, ОСН<sub>3</sub>, 30,5, 112,0—114; CH<sub>3</sub>OCO, ОСН<sub>3</sub>, Н, 47, 160,0—161,5; C<sub>2</sub>H<sub>5</sub>OCO, ОСН<sub>3</sub>, Н, 45, 163,0—165; C<sub>3</sub>H<sub>7</sub>OCO, ОСН<sub>3</sub>, Н, 37,5, 141,0—142; CH<sub>3</sub>OCO, ОСН<sub>3</sub>, ОСН<sub>3</sub>, 39, 143,0—145; C<sub>2</sub>H<sub>5</sub>OCO, ОСН<sub>3</sub>, ОСН<sub>3</sub>, 42, 151—152; C<sub>3</sub>H<sub>7</sub>OCO, ОСН<sub>3</sub>, ОСН<sub>3</sub>, 34,5, 139,0—141; C<sub>4</sub>H<sub>9</sub>OCO, ОСН<sub>3</sub>, ОСН<sub>3</sub>, 49, 107,0—109.

Д. Зыков  
6Ж143. Исследование в области синтеза и превращений в ряду диарилмочевин. XII. Синтез анилинов и диарилмочевин, замещенных в ядре одновременно на хлор и другие заместители. Кутепов Д. Ф., Хохлов Д. Н., Тужилкина В. Л. «Ж. общ. химии», 1960, 30, № 8, 2484—2489. В результате взаимодействия 2,6-Cl<sub>2</sub>C<sub>6</sub>H<sub>3</sub>NH<sub>2</sub> (I) с COCl<sub>2</sub> получены (4-R-2,6-Cl<sub>2</sub>C<sub>6</sub>H<sub>3</sub>NH)<sub>2</sub>CO (IIa—e, где a R = H, б R = F, в R = Br, г R = J, д R = CH<sub>3</sub>, e R = NO<sub>2</sub>). IIe получена нитроацией IIa. Взаимодействием 2-F-4,6-Cl<sub>2</sub>C<sub>6</sub>H<sub>3</sub>NH<sub>2</sub> (III)

с COCl<sub>2</sub> получают (2-F-4,6-Cl<sub>2</sub>C<sub>6</sub>H<sub>3</sub>NH)<sub>2</sub>CO (IV). Необходимый для синтеза IIб 4-F-2,6-Cl<sub>2</sub>C<sub>6</sub>H<sub>3</sub>NH<sub>2</sub> (V) синтезирован из 4-FC<sub>6</sub>H<sub>4</sub>NH<sub>2</sub> (VI) и COCl<sub>2</sub> с последующим хлорированием, гидролизом IIб и декарбоксилированием. Аналогично из 2-FC<sub>6</sub>H<sub>4</sub>NH<sub>2</sub> (VII) получен III, 2,6-Cl<sub>2</sub>-4-BrC<sub>6</sub>H<sub>3</sub>NH<sub>2</sub> (VIII) синтезирован бромированием I, а 2,6-Cl<sub>2</sub>-4-JC<sub>6</sub>H<sub>3</sub>NH<sub>2</sub> (IX) его йодированием при помощи CII. В результате взаимодействия соответствующих анилинов в COCl<sub>2</sub> получены диарилмочевинной общей ф-лы (2,6-R<sub>2</sub>C<sub>6</sub>H<sub>3</sub>NH)<sub>2</sub>CO (Xa—б, где a R = Br, б R = CH<sub>3</sub>). 4-RC<sub>6</sub>H<sub>4</sub>NH<sub>2</sub> (R = NO<sub>2</sub>, COOH, SO<sub>3</sub>H) не реагируют с COCl<sub>2</sub>. К 7 г IIa в 45 мл конц. H<sub>2</sub>SO<sub>4</sub> прибавляют 3 мл HNO<sub>3</sub> (d 1,5) и 10 мл конц. H<sub>2</sub>SO<sub>4</sub>, перемешивают при ~20° 30 мин. и выливают на лед. выход IIв 79,5%, т. пл. 252—253° (разл.). Через 20 г I в 200 мл C<sub>6</sub>H<sub>5</sub>Cl или C<sub>6</sub>H<sub>5</sub>Cl<sub>2</sub> при 100° 2 часа пропускают COCl<sub>2</sub>, через ~20 час. отделяют IIa, выход 90%, т. пл. 293—295° (из лед. CH<sub>3</sub>COOH в запаянном капилляре). Пропусканием COCl<sub>2</sub> (20—30°, 2 часа) через 20 г VI и 20 г Na<sub>2</sub>CO<sub>3</sub> в 100 мл дихлорэтана и 70 мл H<sub>2</sub>O получают (4-FC<sub>6</sub>H<sub>4</sub>NH)<sub>2</sub>CO (XI), выход 86,1%, т. пл. 260—263° (из лед. CH<sub>3</sub>COOH в запаянном капилляре). Через 20 г XI в 240 мл лед. CH<sub>3</sub>COOH 6 час. при 80° пропускают Cl<sub>2</sub>, причем выпадает 20,3 г IIб, 20 г которого нагревают в 100 мл конц. H<sub>2</sub>SO<sub>4</sub> при 165—170° в течение 40 мин. и выливают в холодную воду, выход V 50%, т. пл. 59—60° (из 50%-ного сп.). Через 5 г V в 30 мл C<sub>6</sub>H<sub>5</sub>Cl при 105—110° 3 часа пропускают COCl<sub>2</sub>, выход IIб 59,9%, т. пл. 290—291° (в запаянном капилляре). К 6 г I в 60 мл лед. CH<sub>3</sub>COOH при т-ре <10° приливают 6 г Br<sub>2</sub> в 20 мл CH<sub>3</sub>COOH, выход VIII 73,8%, т. пл. 86—87°. Через 2 г VII в 10 мл C<sub>6</sub>H<sub>5</sub>Cl<sub>2</sub> при 110—120° 1,5 часа пропускают COCl<sub>2</sub>, выход IIв 33,1%, т. пл. 285° (в запаянном капилляре), возгоняется при 298—299°. К 10 г I в 120 мл лед. CH<sub>3</sub>COOH прибавляют 1,5 мл H<sub>2</sub>O и 10 г CII в 30 мл лед. CH<sub>3</sub>COOH, кипятят 10 мин., через ~20 час. прибавляют р-р NaHSO<sub>4</sub> до обесцвечивания, выход IIв 11,7 г, т. пл. 96—97° (из 30%-ного сп.). Через 5 г I в 50 мл кислоты при 100° 20 мин. пропускают COCl<sub>2</sub>, через 3—5 дней выпадает IIг, т. пл. >300°. Из 2,6-Cl<sub>2</sub>-4-JC<sub>6</sub>H<sub>3</sub>NH<sub>2</sub> аналогично IIв в среде маточного р-ра от предыдущей операции получают IIд, выход 66%, т. возг. 284°. Аналогично IIб из VII с выходом 88% получают (2-FC<sub>6</sub>H<sub>4</sub>NH)<sub>2</sub>CO, т. пл. 240—242°, 7 г которого превращают в III, выход 3,6 г, т. пл. 60—61° (из 50%-ного сп.); из III получают IV, выход 23,5%, т. пл. 298—300° в запаянном капилляре). Аналогично IIв при 90—100° с использованием маточного р-ра из 2,6-Br<sub>2</sub>C<sub>6</sub>H<sub>3</sub>NH<sub>2</sub> получают Xa, выход 93%, т. возг. 299—300°. 0,5 г 2,6-(H<sub>3</sub>C)<sub>2</sub>C<sub>6</sub>H<sub>3</sub>NH<sub>2</sub> в 20 мл H<sub>2</sub>O обрабатывают COCl<sub>2</sub> 30 мин. с постепенным добавлением р-ра Na<sub>2</sub>CO<sub>3</sub>, выход Xб 85%, температура плавления 321—323° (разл.). Сообщение II см. РЖХим, 1961, 3К19.

М. Ряшенцев  
6Ж144. Исследование в области синтеза и превращений в ряду диарилмочевин. XIII. Взаимодействие гексахлордифенилмочевин с анилином. Кутепов Д. Ф., Потапник А. А. «Ж. общ. химии», 1960, 30, № 8, 2489—2491. Взаимодействием 2,2',4,4',6,6'-гексахлордифенилмочевин (I) с анилином (II) при 180—190° получают 2,4,6-трихлоранилин (III) и дифенилмочевину (IV). Оптимальное кол-во II составляет 185% (от теоретич.). При взаимодействии 2,2',4,4',6,6'-гексахлордифенилмочевин (V) с II с выходом 92% получают 2,4,5-трихлоранилин (VI) и IV. При нагревании I образуется 2,4,6-трихлорфенилизоцианат (VII). Это подтверждено нагреванием I в декане с последующим связыванием образовавшегося VII с помощью 2,4-дихлоранилина (VIII) с образованием 2,2',4,4',6-пентахлордифенилмочевин (IX). 6,5 г I и 5,2 г II нагревают при 180—190° 3 часа, избыток II удаляют с помощью HCl, в осадке получают IV, выход 97,37%, т. пл. 78°, фильтрат разбавляют водой и вы-





лиз последнего привел к 3-метилфталевой к-те, т. пл. 157—158°; ангидрид, т. пл. 117—118°; имид, т. пл. 188—189°. Аналогичным образом из ХАГ 3,5-диметилбензойной к-ты (II к-та) получают ИТЦ II, выход 63%, т. кип. 99°/1,5 мм, который циклизует в 3,5-диметил-2а-тиофталимид, выход 65%, т. пл. 209—210°. Гидролиз последнего дал 3,5-диметилфталевую к-ту, т. пл. 185° (разл.).  $C_6H_5CH_2COCl$  дал  $C_6H_5CH_2CONCS$  (III) с выходом 72%, т. кип. 86°/0,5 мм. При действии анилина на III получена N-фенилацетил-N'-фенилтиомочевина, т. пл. 107—108°. При циклизации III получен с выходом 52% 2а-тиомофталимид (IV), т. пл. 221—222°. При гидролизе IV получена гомофталевая к-та, а восстановление IV избытком  $LiAlH_4$  привело к тетрагидроизохинолину (V), выход 47%; пикрат, т. пл. 196°.  $\beta$ -Нафтоилхлорид дал 44% ИТЦ, т. пл. 74° (N- $\beta$ -нафтоил-N'-фенилтиомочевина, т. пл. 148—149°), циклизация которого привела к 1а-тио-1,2-нафталымиду (VI), выход 25%, т. пл. 248—249°. При гидролизе VI получена нафталиндикарбоновая-1,2 к-та, т. пл. 175° (разл.).  $C_6H_5CH_2CH_2NCS$  при циклизации дал 1-тиодигидроизокарбостирил (VII), выход 40%, т. пл. 98—99°. При гидролизе VII получен хлоридрат о-(2-аминоэтил)-бензойной к-ты, т. пл. 197—198°. Восстановление VII  $LiAlH_4$  дает V.  $\alpha$ -нафтилацетилхлорид дает с выходом 72% ИТЦ (N- $\alpha$ -нафтилацетил-N'-фенилтиомочевина, т. пл. 125°), который циклизуется в 8а-тио-1-гомофталимид, выход 41%, т. пл. 254—255°. Гидролиз последнего привел к гомонафталевой к-те, т. пл. 214—215°. Тиофенкарбоновая-3 и циклогексен-1-уксусная к-ты также, по-видимому, вступают в эту р-цию.

**6Ж151. Синтез смешанных бис-соединений альдегидов в кетонах. II. о-, м- и п-арилалдитионамиды.** Сиротановић Ксеија. Синтеза мешовитих диједињених алдехида и кетона II. (I) о-, м- и п-арилалдитионамиды. «Гласник хем. друштва», 1958—1959, 23—24, № 3-4, 149—155 (сербо-хорв.; рез. англ.).—В продолжение работы (см. сообщение I, РЖХим, 1957, № 17, 57486) взаимодействием эквимольных кол-в ароматич. альдегида,  $CH_3COSH$  и  $CH_3CONH_2$  (I) синтезированы  $RC_6H_4CH(SCOCH_3)NHCOSCH_3$  (II). Скорость р-ции и выход II уменьшается от орто к пара-изомеру; II получают с тем большим трудом, чем более электроотрицателен R. Для II приводятся R, кол-во исходных в-в в молях (в скобках время р-ции), выход в %, т. пл. в °C (из сп.): 2- $CH_3O$ , 0,05, 63, 156; 3- $CH_3O$ , 1/30 (48 час.), 54, 126; 4- $CH_3O$ , 1/30 (3 дня), 46, 155—156; 2- $HO$ , 1/30 (~12 час.), 54, 166; 4- $HO$ , 1/30 (~12 час.), 30, 178—179; 2- $Cl$ , 0,05 (48 час.), 70, 169—172; 3- $Cl$ , 1/30 (3 дня), 27, 145. Нагреванием 2 часа при ~100° смеси 4,7 г 3- $ClC_6H_4CHO$ , 7,9 г I и 15 мл  $(CH_3CO)_2O$  с последующим фильтрованием и извлечением эфиром получают 77,5% 3- $ClC_6H_4CH(NHCOSCH_3)_2$ , т. пл. 243° (из сп.).

**6Ж152. Изотиоцианаты. I. Получение некоторых эфиров карбоксибензилотиоциановой кислоты как биологически активных веществ.** Antoš K., Hulka A., Kristián P., Drobnič L., Nemec P. Izotiokeanáty. I. Priprava niektorých karboxyfenylizotiokeanátov ako biologicky účinných látok. «Chem. zvesti», 1959, 13, № 1, 27—31 (словацк.; рез. русск., нем.).—С целью исследования антимикробного действия синтезированы 2-SCN-4- $CH_3CONHC_6H_4COOH$  (I) и 2-SCN-5- $JC_6H_4COOH$  (II). 0,27 моля 2- $NO_2$ -4- $CH_3CONHC_6H_4COOH$  в 750 мл ~10%-ного  $NH_4OH$  постепенно прибавляют к кипящему р-ру 1,8 моля  $FeSO_4 \cdot 7H_2O$  в 1,5 л воды, во время дальнейшего подчасового кипячения порциями по 50 мл прибавляют 500 мл  $NH_4OH$ , в фильтрат пропускают  $SO_2$  до обесцвечивания, выделяют 62,5% 2- $NH_2$ -4- $CH_3CONHC_6H_4COOH$  (III), т. пл. 215°. К р-ру 0,05 моля III и 2 г  $NaOH$  в 150 мл воды за 30 мин. прибавляют 0,051 моля  $CSCl_2$ , размешивают 1 час, подкислением  $HCl$  выделяют 52,1% I, т. пл. 273—274° (из сп.). Ана-

логично из 0,05 моля 2- $NH_2$ -5- $JC_6H_4COOH$  получают 42% II, т. пл. 160—161° (разл.).

**6Ж153. Новая реакция сульфидных кислот.** Farag W. V. A new reaction of sulphonic acids. «J. Chem. Soc.», 1960, July, 3160—3161 (англ.).—При прибавлении 20 мл  $CH_3COOH$  к 20 г 4- $CH_3C_6H_4SO_3Na \cdot 2H_2O$  и 20 г  $NaCNO$  в 200 мл воды выделяется  $CO_2$ ; через несколько минут выпадает 4—5 г  $RSO_2C(NH_2)=NH$  (I) ( $R = 4-CH_3C_6H_4$ ) (Ia), т. пл. 192° (разл.; из воды). Аналогично с теми же выходами получают I ( $R = C_6H_5$ ), т. пл. ~190° (разл.; из воды), и I ( $R = 2-NO_2C_6H_4$ ), т. пл. ~195° (разл.; из воды). Кипячение Ia (1 час) с 2 н.  $NaOH$  или  $HCl$  приводит к полному гидролизу до 4- $CH_3C_6H_4SO_3H$ .

**6Ж154. п-Фенилазобензолсульфохлорид — новый реагент для идентификации и разделения аминов.** Woolfolk E. O., Reynolds W. E., Mason J. L. p-Phenylazobenzenesulfonyl chloride — a new reagent for identification and separation of amines. «J. Organ. Chem.», 1959, 24, № 10, 1445—1450 (англ.).—4- $C_6H_5N=NC_6H_4SO_2Cl$  (I) оказался хорошим реагентом для идентификации различных аминов. Предлагается хроматографич. метод анализа и метод разделения смесей аминов в виде 4- $C_6H_5N=NC_6H_4SO_2R$  (II). Смесь 0,1 г I и амина (10%-ный избыток по весу) в 3—6 мл  $C_6H_5N$  кипятят 1 час, выливают в лед и 50 мл 10%-ного  $NaHCO_3$ , II выделяют или сразу подвергают хроматографированию, 0,112 г II ( $R = CH_3$ ) или соответствующее кол-во другого II и 50 мл конц.  $HCl$  [при II ( $R =$  алкил)] кипятят ~6 час., выливают в 100 мл воды, фильтрат выпаривают досуха, остаток растворяют в спирте, очищают поритом, выделяют хлоридрат амина. В случае II ( $R =$  арил) гидролиз проводят смесью 10 мл конц.  $HCl$  с 10 мл диоксана, фильтрат после гидролиза подщелачивают 10%-ным  $NaOH$ ,  $C_6H_5N$  извлекают амин. Для II приводятся R, выход в %, т. пл. в °C (в скобках кол-во II, применяемого для гидролиза в мг, выход амина при гидролизе в %):  $C_3H_7NH$ , 47, 97,4—98,2;  $изо-C_3H_7NH$ , 89, 104—105 (179, 38);  $C_4H_9NH$ , 88, 91,4—92 (188, 94);  $изо-C_4H_9NH$ , 71, 120,6—121;  $втор-C_4H_9NH$ , 89, 123,2—124,4 (120, 58);  $трет-C_4H_9NH$ , 77, 159,8—160,3 (102, 85);  $C_2H_5NH$ , 62, 137,2—138;  $CH_3NH$ , 89, 156—157,3 (112, 64);  $C_3H_7NH$ , 60, 101,6—102,2;  $изо-C_3H_7NH$ , 69, 119—120,6;  $(C_6H_5)_2NH$ , 80, 97,4—98,4 ( $изо-C_6H_5$ ), 78, 118,5—119,3 (132, 33);  $(C_4H_9)_2NH$ , 81, 99,4—100 (91, 66);  $(изо-C_4H_9)_2NH$ , 78, 138,7—140,6;  $(втор-C_4H_9)_2NH$ , 21, 93,6—95;  $(C_2H_5)_2NH$ , 76, 104,6—105,3;  $(CH_3)_2NH$ , 75, 166—168 (184, 80);  $(C_3H_7)_2NH$ , 66, 98,6—99,2;  $(изо-C_3H_7)_2NH$ , 21, 138,4—139,4; 2- $HOC_6H_4NH$ , 81, 178—178,8; 3- $HOC_6H_4NH$ , 48, 190—191; 4- $HOC_6H_4NH$ , 32, 213—213,9;  $C_6H_5NH$ , 89, 156—156,8; 3- $BrC_6H_4NH$ , 38, 168—169,8; 4- $BrC_6H_4NH$ , 40, 188—188,9; 2- $ClC_6H_4NH$ , 35, 139—140,2; 4- $ClC_6H_4NH$ , 60, 167—168 (102, 45); 2- $C_2H_5OC_6H_4NH$ , 58, 143—144,5; 3- $C_2H_5OC_6H_4NH$ , 73, 132—132,9; 4- $C_2H_5OC_6H_4NH$ , 45, 158—159,5; 2- $CH_3OC_6H_4NH$ , 35, 122—123; 4- $CH_3OC_6H_4NH$ , 44, 140—141,8; 1-нафтиламин, 61, 189—190 (105, 37); 2-нафтиламин, 88, 158—159,5 (96, 37); 2- $NH_2$ - $C_6H_4NH$ , 57, 171,2—172,2; 3- $NH_2$ - $C_6H_4NH$ , 53, 140—141,2; 4- $NH_2$ - $C_6H_4NH$ , 79, 166—166,8 (105, 71);  $C_6H_5N(C_2H_5)$ , 46, 153—154,9;  $C_6H_5N(C_2H_5)$ , 46, 144—145,2;  $C_6H_5N(изо-C_6H_5)$ , 22, 156—157,2;  $C_6H_5N(CH_3)$ , 66, 168,8—168,8; 2- $CH_3C_6H_4NH(CH_3)$ , 24, 141—142; 4- $CH_3C_6H_4NH(CH_3)$ , 52, 134—135,2;  $OC_4H_9NH$ , 46, 217—218;  $C_5H_{10}NH$ , 95, 191—191,4.

**6Ж155. О реакциях нитрования сульфаниламидов.** Szezechucki Eugeniusz, Okoń Kazimierz. O reakcjach nitrowania sulfanilidów. «Roczn. chem.», 1960, 34, № 1, 159—164 (польск.; рез. русск., англ.).—Доказано, что, вопреки ранее принятому мнению (Opolski S. Bull. Intern. Acad. Sci. Cracovie, 1910, A. 127), при нитровании  $C_6H_5SO_2NHC_6H_5$  (I) первые две  $NO_2$ -группы вступают в бензольное ядро анилидной группы и образуются  $C_6H_5SO_2NHC_6H_3(NO_2)_2$  2,4' (II); третья  $NO_2$ -группа входит в ядро бензолсульфокислотной

части мо-  
SO<sub>2</sub>NHC<sub>6</sub>H<sub>4</sub>  
C<sub>6</sub>H<sub>5</sub>SO<sub>2</sub>  
HC<sub>6</sub>H<sub>4</sub>SO<sub>2</sub>  
2,4,6'  
2,4,6' (V)  
вают в 1  
циях по  
~20° (о  
(из сп.)  
смесь II  
0,01 мол  
CH<sub>3</sub> и C<sub>6</sub>  
бавляют  
кипения  
(VII), т  
же р-ции  
0,04 мол  
HNO<sub>3</sub> (с  
бавляют  
примеси  
21°. Ан  
3-NO<sub>2</sub>-C<sub>6</sub>H<sub>4</sub>  
182—183  
HCH<sub>3</sub> (с  
к 130 г  
при 60°  
ляют 90  
Аналог  
71% с т.  
с 2,4,6-  
**6Ж156.**  
Кепп  
from β-  
1836 (а  
C<sub>6</sub>H<sub>5</sub> пр  
абс. не  
вылива  
перегов  
84—85°  
фенилг  
**6Ж157.**  
Дум п  
vestis.  
лат.).—  
аминоб  
получе  
инданд  
инданд  
(III), м  
дион-  
соедин  
много  
Ia, 0,02  
пятят  
т. пл.  
осажда  
44,5%.  
Из Ia  
CH<sub>3</sub>COO  
0,081 м  
(CO)<sub>2</sub>  
74,4%,  
Na<sub>2</sub>SO<sub>4</sub>  
из кот  
т. пл.  
0,4 г  
получе  
пятят  
Иг. Р.  
док пр  
187—1  
0,02 м

получают  
Скордуну  
ислор. F. a-  
s. J. Chem.  
приблиз  
Na<sub>2</sub>HPO<sub>4</sub>  
; через н  
H<sub>2</sub>O) = NH  
(H<sub>2</sub>O). Ава  
(R = C<sub>2</sub>H<sub>5</sub>)  
2-NO<sub>2</sub>C<sub>6</sub>H<sub>4</sub>  
Ia (1 час)  
гидролиз  
Скордуну  
— новый  
ампакон  
ason J. I.  
reagent for  
«J. Organ  
—4-C<sub>6</sub>H<sub>4</sub>N=

гентом для  
гается хре  
нения смес  
меси 0,1 г  
6 мл C<sub>2</sub>H<sub>5</sub>  
10%-ного  
от хромато  
ответствен  
вур II (R =  
0 мл воды.  
створняют  
а гидрат ам  
идат смеси  
после гид  
% H<sub>2</sub> извл  
е, т. п. п.  
гидролиз  
H<sub>2</sub>), NH<sub>4</sub>, 4;  
C<sub>6</sub>H<sub>4</sub>NH<sub>2</sub>, 7  
—121; втор  
C<sub>6</sub>H<sub>4</sub>NH<sub>2</sub>, 7  
38; CH<sub>3</sub>NH  
—102,2; изо  
97,4—98,4  
H<sub>2</sub>)<sub>2</sub>N, 8;  
10,6; (втор  
3; (CH<sub>3</sub>)<sub>2</sub>  
99,2; (изо  
178—178,8  
213—213,9  
168—168,8  
139—140,2  
C<sub>6</sub>H<sub>4</sub>NH<sub>2</sub>, 5  
H<sub>2</sub>OC<sub>6</sub>H<sub>4</sub>,  
123; 4-CH<sub>3</sub>  
—189—19  
37; 2-NH<sub>2</sub>  
140—141,2  
C<sub>6</sub>H<sub>4</sub>N), 4;  
C<sub>6</sub>H<sub>4</sub>N (изо  
38,8—168,9  
191—191,3  
191—191,3

кордуну  
анализиро  
erg. O. p.  
m., 1960  
— Доказ  
Opolski S.  
при нитр  
О<sub>2</sub>-группы  
упирова  
II); трет  
кислоты

части молекулы, вследствие чего получается  $3\text{-NO}_2\text{C}_6\text{H}_4\text{-SO}_2\text{NHC}_6\text{H}_4(\text{NO}_2)_2\text{-2',4'}$  (III). Аналогично из  $3,5\text{-(NO}_2)_2\text{C}_6\text{H}_3\text{SO}_2\text{NHC}_6\text{H}_5$  (IV) синтезируют  $3,5\text{-(NO}_2)_2\text{C}_6\text{H}_3\text{SO}_2\text{NHC}_6\text{H}_4(\text{NO}_2)_2\text{-2',4'}$  (V), а из  $\text{C}_6\text{H}_5\text{SO}_2\text{N}(\text{CH}_3)\text{C}_6\text{H}_4(\text{NO}_2)_3$  (VI) получают  $3\text{-NO}_2\text{C}_6\text{H}_4\text{SO}_2\text{N}(\text{CH}_3)\text{C}_6\text{H}_4(\text{NO}_2)_3$  (VII). 63 г ( $\text{CH}_3\text{CO}_2$ )O по каплям при  $\sim 10^\circ$  вливают в 100 г  $\text{HNO}_3$  ( $d$  1,50), за  $\sim 1$  час при  $7\text{--}10^\circ$  порциями прибавляют 0,1 моля I, размешивают 2 часа при  $\sim 20^\circ$  (охлаждение), получают 53% II, т. пл.  $112\text{--}114^\circ$  (из сп.). Из фильтрата выделяют трудноразделимую смесь II с  $2,4,6\text{-(NO}_2)_3\text{C}_6\text{H}_2\text{COOH}$ . К 0,01 моля II и 0,01 моля NaOH в 40 мл  $\text{CH}_3\text{OH}$  прибавляют 0,015 моля  $\text{CH}_3\text{I}$ , кипятят 10 час., выливают в 200 мл воды, прибавляют 4 мл 10%-ного NaOH, нагревают быстро до кипения, получают 50%  $\text{C}_6\text{H}_5\text{SO}_2\text{N}(\text{CH}_3)\text{C}_6\text{H}_3(\text{NO}_2)_2\text{-2,4}$  (VIII), т. пл.  $151^\circ$  (из  $\text{CH}_3\text{COOH}$ ). VIII получается также р-цией  $\text{C}_6\text{H}_5\text{SO}_2\text{N}(\text{CH}_3)\text{NH}_2$  с  $2,4\text{-(NO}_2)_2\text{C}_6\text{H}_3\text{Cl}$  (IX). 0,04 моля II при  $20^\circ$  понемногу прибавляют к 52 г  $\text{HNO}_3$  ( $d$  1,52), размешивают 3 часа, осторожно прибавляют 8 мл воды, оставляют на  $\sim 12$  час., осадок промывают спиртом, получают  $\sim 40\%$  III, т. пл.  $210\text{--}211^\circ$ . Аналогично получению VIII из III синтезируют  $3\text{-NO}_2\text{C}_6\text{H}_4\text{SO}_2\text{N}(\text{CH}_3)\text{C}_6\text{H}_3(\text{NO}_2)_2\text{-2',4'}$ , выход  $\sim 48\%$ , т. пл.  $182\text{--}183^\circ$ , получаемый также р-цией  $3\text{-NO}_2\text{C}_6\text{H}_4\text{SO}_2\text{NHC}_6\text{H}_3$  (X) с IX. 0,1 моля IV постепенно прибавляют к 130 г  $\text{HNO}_3$  ( $d$  1,50) при  $20\text{--}30^\circ$ , нагревают 30 мин. при  $60^\circ$ , по охлаждению выливают в 1 л воды, выделяют 90% V, т. пл.  $243^\circ$  [из  $(\text{CH}_3\text{CO}_2)\text{O}$  или ацетона]. Аналогично V нитрованием VI получают VII, выход 71%, т. пл.  $229^\circ$ . Тот же VII синтезируют р-цией X с  $2,4,6\text{-(NO}_2)_3\text{C}_6\text{H}_2\text{Cl}$ . В. Скородумов

В. Скородумов

694156.  $\alpha$ -Инданон из  $\beta$ -пропиолактона. Rinehart Kenneth L., Jr, Gustafson David H.  $\alpha$ -indanone from  $\beta$ -propiolactone. «J. Organ. Chem.», 1960, 25, № 10, 1836 (англ.).—Раствор 43,5 г  $\beta$ -пропиолактона в 100 мл  $C_6H_6$  прибавляют за 45 мин. к смеси 300 г  $AlCl_3$  и 400 мл абс. не содержащего тиофена  $C_6H_6$ , кипятят 18 час., выпаривают на смесь льда и  $HCl$ , извлекают эфиром и перегонкой выделяют  $\alpha$ -инданон, выход 81%, т. кип. 84–85°/1,5 мм, температура плавления 40°; 2,4-динитрофенилгидразон, температура плавления 256,5–257,5°.

В. Беликов

6Ж157. 2-аминобензилпндандионы-1,3. Ванан Г., Dumpsit T., Зутере Л. *ActaPSTR Zinātur Akad. Vēstis. Изв. АН ЛатвССР*, 1960, № 6, 73—80 (рез. лат.).—Восстановлением 2-*n*-диметил-(Ia) и 2-*n*-диэтил-аминобензилпндандионов (Ib) посредством  $\text{Na}_2\text{S}_2\text{O}_4$  получены 2-*n*-диметил-(IIa) и 2-*n*-диэтиламинобензилпндандионы (IIb). В этих условиях 2-о-нитробензилпндандион-1,3 (Iв) дает 2,3-(CO)-бензоиленихиолин (III), мета-изомер Iв (Iг) дает 2-*m*-аминобензилпндандион-1,3 (IIв), пара-изомер Iв (Iд) дает бисульфитное соединение 2-*n*-аминобензилпндандиона-1,3 (Iе) и немого 2-*n*-аминобензилпндандиона-1,3 (IIг). 0,02 моля Ia, 0,0286 моля  $\text{Na}_2\text{S}_2\text{O}_4$ , 60 мл спирта и 30 мл воды кипятят 3—4 часа и горячим фильтруют, получают IIa, т. пл. 143—145° (из 70%-ного сп.). Из фильтрата водой осаждают дополнительное кол-во в-ва, общий выход 75,5%. Аналогично из Ib получают IIб, выход 76,6%. Из Iв выход III 46%, т. пл. 172—173°. Р-р в 100 мл лед.  $\text{C}_6\text{H}_5\text{COOH}$  сиропа, полученного из 0,02 моля Iг и 0,081 моля  $\text{Na}_2\text{S}_2\text{O}_4$ , кипятят 1,5 часа с 0,03 моля  $\text{C}_6\text{H}_4(\text{CO})_2\text{O}$ , выход 2-*m*-фталимидобензилпндандиона-1,3 74,1%, т. пл. 262—263°. Из 0,02 моля Iд и 0,081 моля  $\text{Na}_2\text{S}_2\text{O}_4$  получают 2,05 г бисульфитного соединения Iд, из которого кипячением с HCl 10 мин. выделяют Iе, т. пл. 252—255° (разл.; из сп.). Из фильтрата выделяют 0,4 г IIг, т. пл. 158—160° (из воды). Из 0,01 моля Iд получают в-во состава  $(\text{C}_{16}\text{H}_{13}\text{O}_2\text{N})_n$  для анализа его кипятят с  $\text{C}_6\text{H}_6$ . Упариванием фильтрата получают 0,36 г IIг. Р-р 2 г IIa в 40 мл  $\text{C}_6\text{H}_6$  насыщают HCl-газом, осадок промывают абс. эфиром, выход IIa · HCl 2,1 г, т. пл. 187—188°. К горячему р-ру 0,02 моля пндандиона-1,3 и 0,02 моля  $\text{K}(\text{C}_6\text{H}_5)_2\text{NC}_6\text{H}_4\text{CHO}$  в 30 мл спирта прибав-

ляют 0,5 мл пиперидина, кипятят 15 мин. и к охлажд. р-ру прибавляют 1 мл лед.  $\text{CH}_3\text{COONH}_4$ , выход  $\text{Ib}$  57,4%. т. пл. 147—149°, 0,005 моля **IIa**, 0,02 моля  $\text{NH}_4\text{OH} \cdot \text{HCl}$ , 0,02 моля  $\text{CH}_3\text{COONa}$  и 30 мл спирта кипятят 4 часа, фильтрат разбавляют 200 мл воды. Выход диоксида **IIa** 1,4 г, т. пл. 194—196° (разл.; из сл.). Аналогично из **IIb** получают его диоксим, т. пл. 189—192° (из разл.; бзд.).

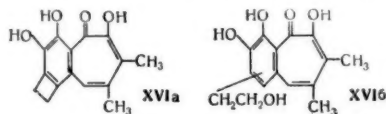
Осужд **III**, выход 71,4%, т. пл. 255—257° (из бутанола).

И. Зайцев

6Ж158. Взаимодействие 2-галоген-2-*n*-нитрофенил-пиперидинон-1,3 с алифатическими и гетероциклическими аминами. Арен А., Озол Я., Ванат Г. «LatvPSR Zinātņu Akad. vēstis, Изв. АН ЛатвССР», 1960, № 6, 61—66 (рез. лат.).—При действии алифатич. и гетероциклич. аминов на 2-*R*-2-*n*-нитрофенилпиперидинон-1,3 **I**, где  $R = Br$  (**Ia**),  $R = Cl$ ] только в редких случаях удается выделить соответствующее **I** ( $R = NH_2$ ). Чаще наблюдается замена галоида на атом Н с образованием исходного **I** ( $R = H$ ) и его окисление в *бис*-*n*-нитрофенилпиперидинон (**II**). Емольные соли **I** ( $R = H$ ) в качестве единственного продукта *р*-ции получены при действии **Ia** на  $C_5H_5NH_2$  и в небольшом кол-ве на  $цикло-C_6H_{11}NH_2$  и  $(C_2H_5)_3NH$ . Рассмотрен механизм *р*-ции. К *р*-ру 1,5 г **Ia** в 20 мл сухого диоксана прибавляют по каплям 0,9 мл пиперидина в 8 мл диоксана, выпадает  $C_5H_{10}NH \cdot HBr$ , фильтрат упаривают в вакууме, остаток растворяют в абс. эфире и *р*-р насыщают сухим HCl, выпадает **I** ( $R =$  пиперидил)  $\cdot HCl$ , его обрабатывают разб.  $NH_4OH$ , выход **I** ( $R =$  пиперидил) 63%, т. пл. 124°. Аналогично из **Ia** получены (указаны исходный амин, полученное соединение, выход в %, т. пл. в °C):  $C_5H_5N$ , бромистый (2-*n*-нитрофенилпиперидинон-1,3-пл-2)-пиперидин, 53, 121;  $(CH_3)_3N$ , II, 97, 243;  $C_2H_5NH_2$ , **I** ( $R = C_2H_5NH$ ), 94,5, 188—192, и **I** ( $R = H$ ), —, 209;  $цикло-C_6H_{11}NH_2$ , II, 73, 243—244, и **I** ( $R = H$ ), —, 209;  $(C_2H_5)_2NH$ , II, ~40, —, и **I** ( $R = (C_2H_5)_2N$ ), 7,5, 117.

И. Зайцев

67K159. Об электрофильном замещении бензциклобутена. Horner Leopold, Schmeltzer Hans-Georg, Thompson Betty. Zur elektrophilen Substitution des Benzocyclobutens. «Chem. Ber.», 1960, 93, № 8, 1774—1781 (нем.).—Нитрованием бензциклобутена (I) получены 4-нитро-I (II) и  $\beta$ -(2-нитрофенил)-этилпират (III). Восстановление III с последующим ацилированием приводит к образованию  $\beta$ -(2-ацетиламинофенил)-этанола (IV). Полученный гидролизат IV соответствующий амин (V) циклизован в пидолин (VI). Строение II и III подтверждено окислением до *n*-(VII) и  $o$ -O<sub>2</sub>NC<sub>6</sub>H<sub>4</sub>COOH (VIII) соответственно. При восстановлении II получен 4-амино-I (IX), который при дезаминировании дает I. Попытка гидролиза ацетат IX привела к образованию 3-( $\beta$ -хлорэтил)-анилина (X). Из IX получен 4-окс-I (XI), окисленный в бензциклобутенхинон-3,4 (XII). С  $o$ -(H<sub>2</sub>N)<sub>2</sub>C<sub>6</sub>H<sub>4</sub> XII дает 1,2-этилсульфенил (XIII), с C<sub>6</sub>H<sub>5</sub>SO<sub>2</sub>H дает 3 (или 4)-фенилсульфон-5,6-диокс-I (XIV), с 4,5-диметилпирогалолом (XV) дает бензотролопропизводное (XVIa) · H<sub>2</sub>O или

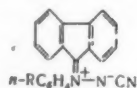


(XVI6). К 0,144 моля I при 20—25° прибавляют по каплям смесь 60 мл  $\text{HNO}_3$  ( $d$  1,5) и 30 мл лед.  $\text{CH}_3\text{COOH}$ , выливают в воду, экстрагируют эфиром, экстракт упаривают, остаток перегоняют с паром, собирая 8 л дистилата, дистилат экстрагируют эфиром и получают II, выход 23—28%, т. заст. 17—18°,  $n_D^{20}$  1,5800, и III, выход 16—20%,  $n_D^{20}$  1,5460—1,5500. К кипящему р-ру 1 г  $\text{Na}_2\text{CO}_3$  в 150 мл воды прибавляют 1 г II и порциями 8 г  $\text{KMnO}_4$ , кипятят 2 часа, обрабатывают обыч-



ным образом и получают VII, выход 70%. Аналогично из III получена VIII, выход 70%. К 1 г 5%-ного Pd/ $\text{Al}_2\text{O}_3$  в 50 мл  $\text{CH}_3\text{OH}$  прибавляют по каплям р-р 5 г II в 100 мл  $\text{CH}_3\text{OH}$ , по окончании гидрирования фильтруют, к р-ру добавляют 2 н.  $\text{H}_2\text{SO}_4$ , отгоняют  $\text{CH}_3\text{OH}$  и по охлаждению получают сульфат IX, выход 43%, т. разл. 207–208°. Из водн. р-ра сульфата IX с  $(\text{CH}_3\text{CO})_2\text{O}$  и  $\text{CH}_3\text{COONa}$  получен ацетат IX, выход ~100%, т. пл. 141–142° (из водн.  $\text{CH}_3\text{OH}$ ). Аналогично из III получен IV, т. пл. 101–102° (из бэл.). По описанному ранее методу (Bennet G. M., Hafez M. M., J. Chem. Soc., 1941, 287) из V получен VI; *n*-тозил-VI, т. пл. 98–99°; ацетат, т. пл. 103°; бензолсульфонил-VI, т. пл. 131°. Кипятят 2 часа 2,8 г ацетата IX в 40 мл конц. HCl, к р-ру добавляют щелоч, экстрагируют эфиром и получают X; ацетат, т. пл. 84–85°. Диазотируют 1,5 г IX, р-р восстанавливают 40-кратным молярным кол-вом 50%-ного  $\text{NaH}_2\text{PO}_2$  и получают I. Р-р 2,6 г IX в 10 мл конц.  $\text{H}_2\text{SO}_4$  и 40 мл воды диазотируют при 0–5°, р-р нагревают до окончания выделения  $\text{N}_2$  при 40–50°, перегоняют с паром, дистилят экстрагируют эфиром и получают XI, выход ~50%; *n*-нитробензоат, т. пл. 117–118° (из  $\text{CH}_3\text{OH}$ ). К р-ру 1 г IX в 40 мл ацетона прибавляют порциями при 5° р-р 6,25 г соли Фреми в 350 мл воды и 80 мл 1/6 M  $\text{KH}_2\text{PO}_4$ , через 0,5 часа (0°) экстрагируют  $\text{CHCl}_3$  и получают XII, выход 11–12%, т. разл. 139–140°. К р-ру 50 мг XII и 40 мг *o*-( $\text{H}_2\text{N}$ ) $\text{C}_6\text{H}_4$  в 1–2 мл  $\text{CHCl}_3$  прибавляют 1 каплю лед.  $\text{CH}_3\text{COOH}$ , через 24 часа (~20°) экстрагируют  $\text{CHCl}_3$ , хроматографируют на  $\text{Al}_2\text{O}_3$  и получают (из желтой зоны) XIII, выход 57%, т. пл. 223–224°. Суспензия 30 мг XII в эфире смешивают с молярным кол-вом  $\text{C}_6\text{H}_5\text{SO}_2\text{H}$ , р-р упаривают досуха и получают XIV, выход ~100%, т. пл. 185–195° (разл.; из водн.  $\text{CH}_3\text{OH}$ ). К р-ру 29 мг XII и 17 мг XV в 3 мл диоксана добавляют ~15 мл воды и немного р-ра соды и получают XVI, выход 43%, т. пл. 195–208° (разл.; из водн. диоксана).

Р. Журин  
6Ж160. Азометинимины — новый класс внутрионных соединений. Huigen Rolf, Fleischmann Rudolf, Eckell Albrecht. Azomethinimine, eine neue Klasse zwitterionischer Verbindungen. «Tetrahedron Letters», 1960, № 12, 1–4 (нем.).—Взаимодействием молярных кол-в *анти*-*n*-хлор-, бром- и нитродиазопиридов с диазофлуореном в  $(\text{CH}_2\text{Cl})_2$  или ацетоне при 20° получен новый класс внутрионных соединений — соответствующие азометинимины: (Ia), выход 93%, т. пл. 192–193° (разл.), (Ib), выход 90%, т. пл. 195–197° (разл.), и (Iv), выход 85%, т. пл. 209° (разл.). Строение Ia — в подтверждено хим. превраще-



I a R = Cl  
b R = Br  
v R = NO<sub>2</sub>

ниями и данными УФ- и ИК-спектров. Ароматич. диазопириды с  $(\text{C}_6\text{H}_5)_2\text{CN}_2$  также дают в-ва типа I, выход 81–89%. Из Ia и 2,4-динитрофенилгидразина получен 2,4-динитрофенилгидразон флуоренона (III), выход 100%. Гидролизом Ia в  $\text{CH}_3\text{COOH} + \text{HCl}$  (10:1) при 25° получен II, выход 88%. При восстановлении  $\text{NaBH}_4$  в спирте Ia дает *n*-хлоранил II, выход 54%; при восстановлении  $\text{H}_2$  над Pt в этилацетате получен 9-*n*-хлоранилино-II, выход 87%. Взаимодействием  $(\text{C}_6\text{H}_5)_2\text{C}=\text{N}^+(\text{NC}-\text{N})\text{C}_6\text{H}_4\text{Cl}$  с  $\text{C}_6\text{H}_5\text{NHNH}_2$  получены  $(\text{C}_6\text{H}_5)_2\text{C}=\text{NNHC}_6\text{H}_5$ , выход 84%, и *n*- $\text{ClC}_6\text{H}_4\text{NHNHCONHC}_6\text{H}_5$ , выход 64%.

Р. Журин  
6Ж161. Синтез 1-бензилнафталинов. Hussein A. Fahim, Abdallah M. Fleifel, Fawzia Fahim, Mrs. Syntheses of 1-benzyl-naphthalenes. «J. Organ. Chem.», 1960, 25, № 6, 1040–1041 (англ.).—Замещенные 1-бензилнафталины (I) синтезированы взаимодействием  $\text{C}_6\text{H}_5\text{CH}_2\text{MgCl}$  с замещ.  $\alpha$ -тетралинами (II) с последующим дегидрированием полученных 1-бензил-3,4-

дигидронафталинов (III). К  $\text{C}_6\text{H}_5\text{CH}_2\text{MgCl}$  (из 0,3 моля  $\text{C}_6\text{H}_5\text{CH}_2\text{Cl}$ , 1,2 г атома Mg и 30 мл сухого эфира) прибавляют р-р 0,1 моля II в 25 мл сухого  $\text{C}_6\text{H}_6$ , кипятят 3–5 час., разлагают разб.  $\text{H}_2\text{SO}_4$ , экстрагируют эфиром и получают III. Нагревают 1 г III с 0,3 г S 5 час. при 205–210°, экстрагируют эфиром и получают I. Получены следующие в-ва (указаны заместители в III, выход III в %, т. кип. в °C/мм, т. пл. в °C): H, 70, 181–183/8, 50, 200–202/8, 58; 7- $\text{CH}_3$ , 51, 190–192/8, 47, 208–210/10, 58–59; 7- $\text{OCH}_3$ , 45, 180–183/10, 82, 200–210/10, 56–57; 7-Br, 65, 218–220/10, 30, 226–227/10, 109–110; 6,7-( $\text{CH}_3$ )<sub>2</sub>, 48, 200–202/10, 70, 210–212/10, 78–79; 2,7-( $\text{CH}_3$ )<sub>2</sub>, 55, 200–203/10, 75, 208–210/10, 96–97; 6,7-( $\text{CHO}$ )<sub>2</sub>, 65, 206–207/10, 80, 245–247/10, 94–95.

Р. Журин  
6Ж162. Восстановление в жидком аммиаке. XIII. Восстановление и восстановительное метилирование 2-метил- и 1,2,3-триметилнафталинов; изопропилирование нафталина. Hückel Walter, Cramer Rolf. Reduktion und reduzierende Methylierung von 2-Methyl- und 1,2,3-Trimethyl-naphthalin; Isopropylierung des Naphthalins. «Liebig's Ann. Chem.», 1960, 630, № 1–3, 89–104 (нем.).—Восстановлением 2-метилнафталина (I) с помощью  $\text{Na}$  в жидком  $\text{NH}_3$  (II) получена смесь  $\Delta^1$ -(III) и  $\Delta^2$ -дигидро-2-метилнафталинов (IV) с преобладанием III. В случае восстановления I  $\text{Na}$  в II и  $\text{CH}_3\text{OH}$  получен лишь IV, а с большим избытком  $\text{Na}$  получен 2-метилтетралин (V). Взаимодействие I с  $\text{Na}$  и  $\text{CH}_3\text{Br}$  в II приводит к образованию дигидро-1,2,3-триметилнафталина (VI), который превращен в 1,2,3,4-тетраметилтетралин (VII). Строение VI и VII подтверждено дегидрированием в 1,2,3-три-(VIII) и 1,2,3,4-тетраметилнафталины (IX) соответственно. Восстановление VIII в II приводит к образованию изомера VI (X), который с  $\text{CH}_3\text{Br}$  дает  $\Delta^1$ -дигидропентаметилнафталин (XI), в котором все  $\text{CH}_3$ -группы находятся в одном ядре. Восстановительным изопропилированием нафталина (XII) получен 1,4-диизопропил- $\Delta^2$ -дигидронафталин (XIII), дегидрированный в 1,4-диизопропилнафталин (XIV). Восстанавливают 30 г I в 500 мл спирта с помощью 35 г  $\text{Na}$ , разбавляют водой, экстрагируют эфиром, экстракт упаривают, остаток перегоняют в вакууме, дистилят растворяют в 50 мл эфира, встраивают 24 часа с 67,5 г  $\text{Hg}(\text{OOCCH}_3)_2$  в 450 мл воды и несколькими каплями лед.  $\text{CH}_3\text{COOH}$ , осадок экстрагируют  $\text{C}_6\text{H}_6$  и из экстракта получают IV  $\cdot \text{Hg}(\text{OOCCH}_3)_2$  (IVa), выход 27,8 г, т. пл. 146°. Нагревают IVa с 240 мл 25%-ной HCl и получают IV, т. кип. 103°/12 мм, 106–107°/13 мм,  $n_D^{20}$  1,5527,  $d_4^{20}$  0,9785. Маточный р-р после отделения IVa экстрагируют петр. эфиром и после хроматографирования на  $\text{Al}_2\text{O}_3$  получают III, выход 15 г, т. кип. 106–106°/13 мм,  $n_D^{20}$  1,5720,  $d_4^{20}$  0,9743. К р-ру 6,9 г Na в 200 мл II при –75° в токе  $\text{N}_2$  прибавляют по каплям р-р 21,45 г I в 150 мл эфира, размешивают 50 мин., разлагают 18 г  $\text{NH}_4\text{Cl}$ , упаривают  $\text{NH}_3$ , разбавляют водой, экстрагируют эфиром, эфирный р-р обрабатывают, как указано выше, и получают III, выход 85%, дибромид, т. пл. 34° (из  $\text{CH}_3\text{OH}$ ), и IV, выход 8,5%. Аналогично из 14,4 г III (–60°, 5 мин.) получают 1,2,3,4-тетрагидро-2-метилнафталин, выход 10 г, т. кип. 98–100°/16 мм,  $n_D^{20}$  1,5370,  $d_4^{20}$  0,9591; из 17 г VIII (–62°, 4 часа) получают X, выход 14,5 г, т. кип. 113–116°/17 мм,  $n_D^{20}$  1,5818,  $d_4^{20}$  0,9792. К суспензии 10 г I в 50 мл эфира, 12,5 г  $\text{CH}_3\text{OH}$  и 300 мл II прибавляют при –60° 4,7 г Na, через 1,5 часа обрабатывают обычным способом и получают V. Аналогично, применяя 15 г Na (4 часа), получают V, т. пл. 21° (из  $\text{CH}_3\text{OH}$ ),  $n_D^{20}$  1,5276,  $d_4^{20}$  0,9591; V  $\cdot 2\text{Hg}(\text{OOCCH}_3)_2$ , т. пл. 128° (из бэл.). К красному р-ру, полученному из 14,2 г I и 4,6 г Na в 100 мл эфира и 200 мл II, прибавляют за 1 час 19 г  $\text{CH}_3\text{Br}$  (т-ра ниже т-ры кипения  $\text{NH}_3$ ), упаривают  $\text{NH}_3$ , экстрагируют эфиром и получают VI, выход 12 г, т. кип. 142–149°/64 мм, т. пл. 4–5°,  $n_D^{20}$  1,5861,  $d_4^{20}$  0,9704. Ана-

(из 0,3 моля эфира) при 160° кипятят 5 час. при 24 часа при 240–260°, экстрагируют эфиром и хроматографированием экстракта на  $Al_2O_3$  получают VIII, выход 4,6 г, т. пл. 28,4° (из петр. эф.); пикрат, т. пл. 144° (из сп.). Аналогично из 5 г VII получают IX, выход 0,5 г, т. пл. 47° (из петр. эф.), и из 5 г XIII (5 час., 280–300°) получают XIV, выход 3,5 г, т. кип. 272–274°/735 мм., 158–160°/12 мм.,  $n_D^{20}$  1,5781,  $d_4^{20}$  1,0073. К р-ру 25,5 г XII, 150 мл эфира и 9,2 г Na в 300 мл II добавляют порциями 49,2 г  $iso-C_3H_7Br$  [–60–(–40)°], через 2 часа упаривают  $NH_3$ , остаток разбавляют водой, экстрагируют эфиром и получают XIII, выход 23 г, т. кип. 155–159°/12 мм.,  $n_D^{20}$  1,5302,  $d_4^{20}$  0,9451; дибромид, т. пл. 69° (из  $CH_3OH$ ). Р-р 4,7 г 1,4-дибромнафталина и 4 г  $iso-C_3H_7Br$  в 5 мл абс. эфира прибавляют по каплям к 1,5 г Na в эфире, кипятят 4 часа, через 16 час. (~20°) разбавляют  $CH_3OH$  и водой, экстрагируют эфиром и получают XIV, выход 2,9 г. Кипятят 7 дней 5 г XIV в 50 мл 5%-ной  $HNO_3$ , разбавляют водой, экстрагируют эфиром, экстракт извлекают р-ром  $NaHCO_3$ , щел. р-р подкисляют  $H_2SO_4$ , экстрагируют эфиром и получают нафталиндикарбоновую-1,4 к-ту, выход 0,3 г, т. пл. 322° (из водн.  $CH_3COOH$ ); диметил-эфир, т. пл. 64° (из лед.  $CH_3COOH$ ). К р-ру 50 г Na в 400 мл II при –60° прибавляют 2,5 г дуроло в 50 мл толуола и 50 мл  $CH_3OH$ , нагревают до –35°, добавляют  $CH_3OH$  до обесцвечивания р-ра, упаривают р-ритель, полученную смесь подвергают повторному восстановлению, отгоняют дигидротолуол и из остатка по охлаждению получают 3,6-дигидродурол, выход 0,2 г, т. пл. 61,9–62,2° (из эф.). Нагревают 50 час. при ~100° 2 г III с дымящей  $HNO_3$  и получают фталевую к-ту. Через р-р 4 г III в 50 мл  $CH_3OH$  при –15° медленно пропускают 3%-ный  $O_3$  в  $O_2$  до поглощения 1,3 г  $O_3$ , разлагают 70 мл 30%-ной  $H_2O_2$  и 30 мл 2 н.  $NaOH$ , подкисляют  $H_2SO_4$ , экстрагируют эфиром и получают карбоновую к-ту  $C_{11}H_{12}O_3$ , т. пл. 105° (из воды). Приведены и обсуждаются УФ-спектры синтезированных углеводородов. Сообщение XII см. РЖХим, 1959, № 2, 4584. Р. Журип

**6Ж163.** Исследование влияния молекулярного строения на оптические свойства сульфониловых соединений. II. Об оптически-активных 1,4-метокси-нафталин-сульфинилуксусных кислот. Janczewska Maria, Bartnik Teresa. *Studia nad wpływem budowy cząsteczkowej na własności optyczne układów sulfotlenkowych*. II. Kwasy 1,4-metoksy-naftylosulfinylooctowe. «Roczn. chem.», 1960, 34, № 1, 333–336 (польск.; рез. нем.).—С целью изучения оптич. свойств и их зависимости от структуры молекулы синтезированы оптич. изомеры 4-метоксинафталинсульфинилуксусной к-ты (I). Из 1-метоксинафталина и  $ClSO_3H$  в  $CHCl_3$  получают 4-метоксинафталинсульфохлорид (II), т. пл. 98–99° (из  $CH_3COOH$ ). Восстановлением II ( $SnCl_2$  в  $CH_3COOH$ , насыщенной  $HCl$ , или лучше  $Zn$  в нейтральной, затем в кислой среде) синтезируют 4-метокси-4-меркаптонафталин (III); ацетильное производное, т. пл. 109–110° (из  $CH_3COOH$ ); 2',4'-динитрофенильное производное, т. пл. 190–191° (из пиридина-сп.). При восстановлении II металлич.  $Zn$  в первую фазу образуется  $\alpha$ -метоксинафталинсульфиновая к-та (IV), т. пл. 80–82°, которую с хорошим выходом получают действием  $Na_2SO_3$  на II по ранее описанному методу (РЖХим, 1954, № 19, 42941). Взаимодействием Na-соли IV с  $CH_3J$  в  $CH_3OH$  синтезируют 4-метоксинафтилметилсульфон, т. пл. 124–125° (из  $CH_3OH$ ). Аналогично получают 4-метоксинафтилбензилсульфон, т. пл. 128,5° (из сп.). При нагревании III с  $CH_2ClCOONa$  в щел. среде образуется 4-метоксинафталиннитроглицеролевая к-та (V), т. пл. 113–114° (из  $CH_3COOH$ ); амид, т. пл. 136° (из воды). Окислением V

$H_2O_2$  в  $CH_3COOH$  при ~20° получают I, т. пл. 161–162° (из сп.); проведение той же р-ции при 100° с избытком окислителя дает 4-метоксинафталинсульфинилуксусную к-ту, т. пл. 155° (из  $CH_3COOH$ ). Рау-1 расщепляют при помощи кристаллизации бруциновой соли, т. пл. 138° (из влажного ацетона),  $[\alpha]_D^{20}$  –153° (с 0,72; сп.), и стрихниновой соли, т. пл. 146–148° (из ацетона),  $[\alpha]_D^{20}$  +130° (с 0,6; сп.). Из бруциновой соли выделяют (–)-I, т. пл. 126°,  $[\alpha]_D^{20}$  –368,75° (с 0,4; сп.). Сообщение I см. РЖХим, 1960, № 16, 65425. В. Скородумов

**6Ж164.** О новых производных антрахинона с англярно расположенными группами. Jędraszewska Z., Kaszmarek J. O nowej pochodnej antrachinonu z grupami angularnymi. «Roczn. chem.», 1960, 34, № 1, 341–343 (польск.; рез. англ.).—С помощью р-ции Дильса—Альдера между 2-метил-3-оксинафтохиноном-1,4 (I) и диметилбутадиеном (II) получен 4а-окси-2,3,9а-триметил-1,4,4а,9а-тетрагидроантрахинон (III), окислением которого синтезирована 4а-окси-1,4,4а,9а-тетрагидроантрахинонтрикарбоновая-2,3,9а к-та (IV). К 0,94 г I в 5,5 мл спирта прибавляют 1,64 г II, нагревают 4 часа при 190°, выпаривают досуха, извлекают 2%-ным  $Na_2CO_3$ , из остатка выделяют 51,1% III, т. пл. 96–97° (из разб. сп.); ацетильное производное (1 час, нагреванием при ~100° 0,2 г III с 2 мл  $CH_3COCl$ , выход 0,05 г), т. пл. 125–126,5° (из сп.). К 0,83 г III в 30 мл воды при ~20° прибавляют порциями  $KMnO_4$ , фильтрат подкисляют, выпаривают досуха, извлекают водой, из остатка выделяют 0,05 г IV, т. пл. 197–198° (из бzl.-ацетона). В. Скородумов

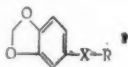
**6Ж165.** Исследование пероксисоединений. V. Введение трет-бутоксигруппы в тетрагидрофуран. Lawesson Sven-Olov, Berglund Curt, Grönwall Susanne. *Studies on peroxy compounds. V. The introduction of the t-butoxy group into tetrahydrofuran*. «Acta chem. scand.», 1960, 14, № 4, 944 (англ.).—В процессе изучения р-ции Карата-Сосновского (см. РЖХим, 1958, № 16, 53834; 1960, № 23, 92225) применительно к простым эфирам установлено, что при взаимодействии  $C_6H_5CO_3C(CH_3)_3$  с тетрагидрофураном (I) образуется 2-трет-бутокс-1, т. кип. 127°,  $n_D^{20}$  1,4194. В этих же условиях 1,4-диоксан и ди-*n*-бутиловый эфир образуют 2-бензоилоксидиоксан-1,4, т. пл. 51–52°, и 2-бензоилоксиди-*ди-н*-бутиловый эфир, т. кип. 97–98°/0,3 мм.,  $n_D^{20}$  1,4837. Предыдущее сообщение см. РЖХим, 1960, № 20, 81031. Л. Виноград

**6Ж166.** Получение 2,5-фурандикарбоновой кислоты и ее диметилового эфира из фурфурола. Луткова В. И., Шмагина Н. Н. «Пласт. массы», 1960, № 4, 56–57.—Описано получение из фурфурола (I) фурандикарбоновой-2,5 к-ты (II) и ее диметилового эфира (III) по схеме: I → фуранкарбоновая-2 к-та (IV) → бутиловый эфир IV (V) → бутиловый эфир 5-хлорметил-IV (VI) → II → III. К горячему р-ру (80–90°) 34,5 г  $NaOH$  в 600 мл воды добавляют горячий р-р 100 г  $CuSO_4 \cdot 5H_2O$  в 400 мл воды, кипятят 10–15 мин., промывают декантацией, отфильтровывают, выдерживают осадок 1,5–2 часа с 40 мл  $NH_4OH$  и после отмычки и сушки (110–120°, 6 час.) получают  $CuO$ -катализатор. К 8 г  $CuO$  и 3,6 г  $NaOH$  в 300 мл воды добавляют 2 мл 1%-ного р-ра  $AgNO_3$  в 12 мл воды, пропускают воздух и при 30° прибавляют по каплям 24 мл I и 14,4 г  $NaOH$  несколькими порциями, отфильтровывают осадок, упаривают фильтрат и подкислением 50%-ной  $H_2SO_4$  получают IV, выход 75–78%, т. пл. 131°. К р-ру  $NaClO$  (из 200 мл 25%-ного  $NaOH$  и 36 г  $Cl_2$ ) при 5–10° прибавляют в течение 1 часа 40 г I, выдерживают при 30–40° 2 часа и после подкисления отделивают IV, выход 78%. Смесь 200 г IV, 200 г  $C_4H_9OH$  и 5 мл конц.  $H_2SO_4$  нагревают 2 часа, отгоняют воду, и получают V, выход 95,4–95,7%, т. кип. 122–123°/25 мм.,  $n_D^{20}$  1,4715,  $d_{20}^{20}$  1,0565. Через р-р 500 г V, 90 г параформа и 102 г  $ZnCl_2$  в 1500 мл  $CCl_4$  при 20° пропускают в течение 4 час. сухой  $HCl$ -газ и выделяют VI, выход 89,5%, т. кип. 132–

140°/5 мм,  $n_D^{20}$  1,4990,  $d_{20}^{20}$  1,159. К 600 мл  $HNO_3$  ( $d$  1,36) при 60° добавляют в течение 1 часа по каплям 100 г VI, нагревают (~100°, 2 часа), отгоняют воду и по охлаждению получают II, выход 80%, т. пл. ~320° (из воды). Смесь 50 г II, 14 мл конц.  $H_2SO_4$  и 250 мл  $CH_3OH$  кипятят 4—5 час., охлаждают и отделяют III, выход 80%, т. пл. 106°.

С. Суминов

**6Ж167.** Синтез 3,4-метилендиоксифениловых эфиров и синергизм их действия. Ohno Minoru, Hamada Masayuki, Takahara Hirokazu. Synthesis of 3,4-methylenedioxyphenyl ethers and their synergistic activities. «Bull. Inst. Chem. Res. Kyoto Univ.», 1960, 38, № 1, 34—39 (англ.).—В поисках новых синергистов пиретриноидов получен ряд 3,4-метилендиоксифениловых эфиров (I, где  $a$  X = O, R =  $2-C_4H_9O$ ; б X =  $=OCH_2$ , R =  $2-C_4H_9O$ ; в X =  $CH_2O$ , R =  $2-C_4H_9O$ ; г X =  $=CH_2OCH_2$ , R =  $2-C_4H_9O$ ; д X =  $CH_2OCH_2$ , R = 3,4-ме-



тилендиоксифенил) и 2-(3',4'-метилендиоксифенил)-тетрагидрофуран (Ie). К р-ру 91 г 34%-ной  $CH_3CO_2H$  (из 50 г лед.  $CH_3COOH$ , 45 г 88%-ной  $H_2O_2$  и 0,55 мл конц.  $H_2SO_4$ ) при 35—40° добавляют за 6 час. 135 г  $(CH_3CO)_2O$  и 108 г  $CH_3COOH$ , через 16 час. (25°) вводят 2,8 г  $CH_3COONa$  и 1,6 г  $n-C_4H_9SO_3H$  и полученную смесь прибавляют по каплям 7 час. к р-ру 125 г пипероналя в 650 мл  $CH_3COOH$  (т-ра 30—40°), через 12 час. перегонкой выделяют 115 г в-ва (т. кип. 135°/5 мм), выдерживают при 25° 3 часа с 76 г КОН в 684 мл  $CH_3OH$ , добавляют 66 г  $CH_3COOH$ , отгоняют р-ритель, остаток экстрагируют  $C_6H_6Cl_2$  и перегонкой получают 3,4-метилендиоксифенол (II), выход 65%, т. кип. 113—116°/2 мм, т. пл. 62° (из  $C_6H_5CH_3$ ). Смесь 125 г 2,3-дихлортетрагидрофурана, 83 г  $CuCN$  и 130 мл ксилола нагревают 3 часа при 140° и получают 2-циан-3-хлортетрагидрофуран (III), выход 63%, т. кип. 79—93°/14 мм, 30 мл конц.  $HCl$  (к-ты) добавляют по каплям к 30 г III, экстрагируют эфиром и получают 3-хлортетрагидрофуранкарбоную-2 к-ту (IIIa), выход 76%, т. пл. 92° (из бзд.). 20 г IIIa нагревают со 150 мл 2 н. КОН в колбе Кляйзена и повторной перегонкой получают 2,3-дигидрофуран (IV), выход 84%, т. кип. 54—55°. К смеси 1,4 г IV и нескольких капель конц.  $HCl$  (к-ты) добавляют постепенно 2,7 г II, нейтрализуют КОН и получают Ia, выход 70%, т. кип. 127°/1,5 мм,  $n_D^{25}$  1,5395. К р-ру 1,38 г II в 5 мл 10%-ного  $CH_3ONa$  в  $CH_3OH$  прибавляют 1,3 г тетрагидрофуранхлорида, нагревают в запаянной трубке при 160° 3 часа, экстрагируют эфиром и получают Ib, выход 27%, т. кип. 143—144°/1,5 мм,  $n_D^{25}$  1,5379. К смеси 1,4 г IV и 3 г пиперонилевого спирта (V) добавляют несколько капель конц.  $HCl$  (к-ты) и получают Iv, выход 86%, т. кип. 133—135°/1,5 мм,  $n_D^{25}$  1,5286. К р-ру 1,2 г Na в 10 г тетрагидрофуранхлорида спирта добавляют 15 г пиперонилброма, кипятят 2 часа, выливают в воду, экстрагируют эфиром и получают Ig, выход 68%, т. кип. 142—143°/1 мм,  $n_D^{25}$  1,5275. 2,6 г V, 2 г пиперонилхлорида и 1,8 г твердой КОН нагревают при 200° 3 часа, экстрагируют эфиром и перегонкой получают Id, выход 78%, т. кип. 189—192°/0,5 мм, т. пл. 41° (из хлф.). Смесь 120 г сафрола п 50 г параформальдегида нагревают в автоклаве при 200—230° 4 часа и получают 3-пиперонилденпропанол (VI), выход 23%, т. кип. 150—170°/5 мм, т. пл. 59° (из  $CCl_4$ ). Сухой  $HCl$ -газ пропускают 3 часа через эфирный р-р 7 г VI, удаляют избыток  $HCl$ -газа, полученную смесь добавляют постепенно к 80 мл 13%-ного спирта. р-ра КОН, отфильтровывают, отгоняют р-ритель, экстрагируют эфиром и перегонкой получают Ie, выход 61%, т. кип. 115—117°/1,5 мм,  $n_D^{25}$  1,5470. I показывает заметный синергизм с пиретринами и аллетринами по отношению к *Musca domestica vicina* Маск. (приво-

дятся результаты испытаний). Ia и Ie эффективнее пиперонилбутоксид соответственно в 1,48 и 1,26 раза.

С. Суминов

**6Ж168.** Продукты гидратации фенилдиаллилацетамида. Bobrański Bogusław, Wojtowski Ryszard. The hydration products of phenyl-diallylacetamide. «Dissert. pharmac. PAN», 1960, 12, № 1, 11—15 (англ.; рез. польск., русск.).—С целью изучения влияния гидратации аллилсодержащих в-в на фармакологич. свойства (см. РЖХим, 1957, № 6, 19217) осуществлен синтез фенилдиаллилацетонитрила (I) и ацетамида (II). Конц.  $H_2SO_4$  в зависимости от времени р-ция гидратирует один или оба аллильных радикала в I и приводит к образованию смеси 4-аллил- и 4-(β-оксипропил)-2-метил-4-фенилтетрагидрофуранов-5 (III—IV). Выделен один из промежуточных продуктов — 4-аллил-2-метил-4-фенилпирролидон-5 (V), легко превращающийся в III. При действии на II  $H_3PO_4$  образуются только III и V. Строение III и IV подтверждается окислением до 2-метил-4-фенил-4-ацетонилтетрагидрофурана-5 (VI). К р-ру 117 г  $C_6H_5CH_2CN$  в 600 мл абс. эфира добавляют за 2 часа 80 г  $NaNH_2$ , кипятят 3 часа, вводят по каплям за 3 часа 250 г  $CH_2=CHCH_2Br$ , кипятят еще 1 час, фильтруют и перегонкой получают I, выход 110 г, т. кип. 147°/15 мм. Смесь 30 г I и 20 г КОН в 20 мл спирта кипятят до образования р-ра (~6 час.), выливают в воду и по охлаждению отделяют II, т. пл. 75° (из петр. эф.). Смесь 10 г II и 70 г 85%-ной  $H_3PO_4$  нагревают при ~100° 2 часа, выливают в 220 мл воды, нагревают 4 часа, экстрагируют эфиром и получают III, выход 8 г, т. кип. 146°/3 мм, т. пл. 33°. При кипячении 30 мин. 1 г III в 10 мл спирт. NaOH получена Na-соль фенилаллил-(β-оксипропил)-уксусной к-ты. 10 г II в 60 г  $H_2SO_4$  выдерживают при ~2° 6 час., выливают на лед, нагревают (~100°) 4 часа, экстрагируют эфиром, к эфирному р-ру добавляют по каплям петр. эфир и получают IV, выход 30%, т. пл. 127° (из водн.  $CH_3OH$ ); из маточных р-ров после упаривания выделяют III. 0,5 г IV, 3 мл  $(CH_3CO)_2O$  и 0,1 г  $CH_3COONa$  кипятят 40 мин., выливают в воду, экстрагируют эфиром и получают ацетат IV, масло. Действием 5 мл сухого  $C_6H_5NH_2$  и 0,5 мл  $C_6H_5COCl$  на IV (65°) получают бензоат IV. Аналогично получен 3,5-динитробензоат, т. пл. 163° (из  $CH_3OH$ ). К кипящему р-ру 5 г IV в 500 мл 10%-ной  $H_2SO_4$  добавляют 3 г  $K_2Cr_2O_7$  в 100 мл воды, через 30 мин. охлаждают, экстрагируют эфиром и получают VI, выход 3,5 г, масло; 2,4-динитрофенилгидразон, т. пл. 157° (из сп.). К 70 г 85%-ной  $H_3PO_4$  добавляют 10 г II, нагревают (~100°) 1,5 часа, выливают в смесь 100 г  $Na_2CO_3$  и 200 мл воды, нагревают 0,5 часа при ~100°, экстрагируют эфиром, эфир упаривают, к осадку добавляют 50 мл 80%-ного спирта и 3 г NaOH, нагревают до кипения, по охлаждению экстрагируют эфиром и получают V, выход 6 г, т. кип. 132°/3 мм. Из щел. р-ра подкислением разб.  $H_2SO_4$  и экстракцией эфиром получают III, выход 1,5 г. К 0,05266 г V прибавляют 10 мл воды и 2 мл конц.  $H_2SO_4$ , нагревают (~100°) 2 часа, экстрагируют эфиром и получают III. В малых дозах III увеличивает эффект других снотворных в-в на 100—1700%; мало токсичен.

С. Суминов

**6Ж169.** О некоторых новых производных тиомочевин. Фурил- и бензоилтиомочевина. Гах И. Г., Назарова З. Н. «Ж. общ. химии», 1960, 30, № 7, 2183—2186.—С целью получения в-в с противотуберкулезной активностью получены  $RCONHCSNHR'$  (Ia—ж, где  $a$  R =  $C_6H_5$ , R' =  $C_6H_5CH_2$ -; б R =  $C_6H_5$ , R' =  $C_6H_5OCH_2$ -; в R = α-фурил, R' =  $C_6H_4CH_3$ -; г R = α-фурил, R' =  $C_6H_4OCH_3$ -; д R = α-фурил, R' =  $C_6H_4Cl$ -; е R = 5-бром-α-фурил, R' =  $C_6H_4OCH_3$ -; ж R = 5-бром-α-фурил, R' =  $C_6H_4Cl$ -). Ia—ж синтезируют из соответствующих RCOCl через RCONCS. 11,1 г приспосабливаемой к-ты нагревают 4 часа при ~100° с 8 г  $PCl_5$  и получают хлорангидрид, выход 66%, т. кип. 72°/25 мм. К RCOCl прибавля-

ют эквивалент ацетона, к- в ацетоне, том и полу т. пл. в ацетоне, д. 128—129 (на); ж, 161

кипятят 1 SNHCSNHR с 10%-ным 180°.

**6Ж170.** furani. «B furani. (итал.).— трофуразо ральтадо

**6Ж171.** халкона. Széll T. kon-Analo hydroxy-c

1928—192 нов (I ац дегидмо способно тро-2-окс 4 ммольа

лиют Na лучают 100%, т. получаю и 3-нитр 147—148 NaOH в 20° и в

цинами ацетата) 30 мл ден-I, в (1 час. 154—155 миллиде ацетата

**6Ж172.** нение п нов для замеще er Re de la d nes à la ques su № 20, з торов 3-RCO = (CH, r R =

ствую ботке окисбе являю точны проду ние I 0,33 мл ял AlC разла NaCC Анал СdHs заны (т-ра



эффективные и 1,26 раз.  
С. Суминов  
маллиацет-  
ojowski  
enyl-diall-  
№ 1, 11-18  
ления влия-  
фармаколо-  
7) осущес-  
I) и -ацет-  
мени р-ца-  
кала в I  
(β-оксипро-  
(III-IV).  
— 4-алли-  
превращае-  
образуются  
аается окис-  
гидрофура-  
I абс. эфир-  
т 3 часа.  
H<sub>2</sub>Br, кипя-  
получают I  
и 20  
ания р-ра  
ни отдела  
II и 70  
выделяют  
ют эфиром  
т. пл. 33°  
ит. NaOH  
ил)-уксус-  
т при -2°  
4 часа  
деляют по  
30%, т. пл.  
после упя-  
20 по 0,1 г  
лу, экстра-  
Действие  
V (65°) по-  
5-динитро-  
ру-ру 5 г  
K<sub>2</sub>Cr<sub>2</sub>O<sub>7</sub> и  
трагируют  
4-динитро-  
е 85%-ной  
1,5 часа.  
нагрева-  
ром, эфир  
ного спир-  
слаживания  
3 г, т. кип.  
H<sub>2</sub>SO<sub>4</sub> и эф-  
K (0,05266 г  
H<sub>2</sub>O, нагр-  
и получа-  
и другие  
ен.  
С. Суминов  
тиомоче-  
И. Г. Не-  
7, 2183-  
окулезной  
— ж, гл.  
H<sub>2</sub>OSn<sub>2</sub>Cl<sub>2</sub>  
ил, R' =  
e R = 5-  
-α-фурф-  
ствующи  
нагрева-  
лорагид-  
прибавля-

ют эквивалентное кол-во р-ра NH<sub>4</sub>SCN или NaSCN в ацетоне, кипятят 10 мин., затем приливают р-р R'NH<sub>2</sub> в ацетоне, кипятят 15 мин., промывают водой и спиртом и получают Ia—ж, выход 40–70% (приведены I и т. пл. в °): Ia, 156–157 (из ацетона); б, 146–147 (из сп. и ацетона); в, 124–125 (из сп.); г, 114–115 (из сп.); д, 128–129 (из CH<sub>3</sub>COOH и сп.); е, 141–142 (из ацетона); ж, 164–165 (из ацетона). При получении Iе смесь

кипятят 1 час и получают [—SC=CHCH=C(O)CONHC-SNH<sub>2</sub>C<sub>6</sub>H<sub>4</sub>OCH<sub>3</sub>], т. пл. 135–136° (из сп.). Ia, в кипятят с 40%-ным NaOH и получают толилитомочевину, т. пл. 180°.

Л. Виноград

**6Ж170. Нитрофураны.** Battistoni M. V. I nitrofurani. «Boll. chim. farm.», 1960, 99, № 8, 528–534 (итал.).—Краткий обзор хим. и биол. свойств нитрофуранона, нитрофурантоина, фуразолидона и фуразоладома. Библ. 27 назв.

Д. Витковский

**6Ж171. Заметка о получении некоторых аналогов халкона.** (Синтез и свойства нитрооксихалконов, III). Széll T a m a s. Notiz über die Herstellung einiger Chalkon-Analoga (Synthese und Eigenschaften von Nitrohydroxy-chalkonen, III). «Chem. Ber.», 1960, 93, № 8, 1928–1929 (нем.).—Конденсацией нитрооксациацетофенонов (I ацетофенон) с фурфуролом (II) и коричным альдегидом (III) получен ряд халконов, не обладающих способностью к полимеризации. К р-ру 2 ммоль 5-нитро-2-окс-И (IV) в 20 мл 1 н. NaOH при 20° добавляют 4 ммоль II, содержащего 7% воды, через 15 мин. отделяют Na-соль и действием 15 мл 2 н. H<sub>2</sub>SO<sub>4</sub> при 60° получают 5-нитро-2-окс-ω-фурфурилен-И, выход 100%, т. пл. 142–143° (из сп.-этилацетата). Аналогично получают 4-нитро-2-окс-, выход 91%, т. пл. 179–180°, и 3-нитро-4-окс-ω-фурфурилен-И, выход 87%, т. пл. 147–148°. Смесь 1 ммоль IV и 1 ммоль III в 5 мл 2 н. NaOH выдерживают 2–3 мин. при 60° и 3,5 часа при 20° и выделяют, как указано выше, 5-нитро-2-окс-ω-диннамилиден-И, выход 51%, т. пл. 209–210° (из этилацетата). Аналогично (в р-ре 20 мл 1 н. NaOH и 30 мл воды) получают 4-нитро-2-окс-ω-диннамилиден-И, выход 91%, т. пл. 233–234° (из этилацетата), (1 час. 70°) 3-нитро-4-окс-ω-диннамилиден-И, т. пл. 154–155° (из этилацетата), и 2-нитро-5-окс-ω-диннамилиден-И, выход 51%, т. пл. 202–203° (из сп.-этилацетата). Сообщение II см. РЖХим, 1959, № 24, 86570.

С. Суминов

**6Ж172. Исследования в ряду бензофурана.** Применение щелочного расщепления 2-этил-3-ацилбензофуранов для получения новых бензофурановых соединений, замещенных в положении 2. Bisagni Emile, Royet René. Recherches sur le benzofuranne. Application de la dégradation alcaline des éthyl-2 acyl-3 benzofurannes à la préparation de nouveaux composés benzofuranniques substitués en position 2. «C. r. Acad. sci.», 1960, 250, № 20, 3339–3341 (франц.).—В продолжение работы авторов (РЖХим, 1961, 1Ж170) щел. расщеплением 3-RCO-2-этилбензофуранов I; здесь и далее a R = (CH<sub>3</sub>)<sub>2</sub>COOH, б R = (CH<sub>3</sub>)<sub>2</sub>C<sub>6</sub>H<sub>5</sub>, в R = C<sub>6</sub>H<sub>5</sub>(OCH<sub>3</sub>)<sub>2</sub>, г R = тиенил-2] осуществлен синтез ряда соответствующих 2-R-замещ. бензофурана (IIa–г). При обработке Iб–г выделены фенилмасляная (III), 2,5-диметоксibenзойная (IV) и α-тиофенокарбоновая (V) к-ты, являющиеся вторым продуктом гидролиза, и промежуточный 2-оксibenзил-2'-тиенилкетон (VI). Побочным продуктом является 2-этилбензофуран (IIд). Расщепление I (R = фурил-2) (Id) не дает чистого в-ва. Смесь 0,33 моля IIд, 0,5 моля янтарного ангидрида и 0,66 моля AlCl<sub>3</sub> в 350 мл C<sub>6</sub>H<sub>5</sub>NO<sub>2</sub> выдерживают при 15° 18 час., разлагают водой, удаляют р-ритель и экстракцией Na<sub>2</sub>CO<sub>3</sub> выделяют Ia, выход 65%, т. пл. 95° (из сп.). Аналогично из соответствующих хлорангидридов к-т в C<sub>6</sub>H<sub>6</sub> в присутствии SnCl<sub>4</sub> синтезируют другие I [указаны в-во, выход в %, т. кип. в °C/мм, т. пл. в °C, n<sub>D</sub> (т-ра в °C)]: б, 62, 236–237/12, 43–45 (из петр. эф.), —;

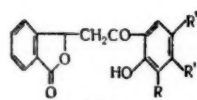
в, 85, 242–243/13, —, 1, 6041(23); г, 66, 224–226/14, —, 1,6408(19); д, 40, 218–220/15, —, 1,6217(21). Проводя омыление I в условиях, описанных ранее, получают IIa–г (приводятся II, выход в %, т. кип. в °C/мм, т. пл. в °C, к-та, выход в %, выход IIд в %): а, 26, —, 118–119 (из водн. сп.), —, —, 7, этиловый эфир IIa, т. кип. 230–231°/12 мм, т. пл. 53–55° (из петр. эф.); б, 47,5, 200–202/13, —, n<sub>D</sub><sup>20</sup> 1,5900, III, 34,5, 11,5; в, 11, 228–230/12, 67 (из сп.), IV, 47,5, 34; г, 55, —, 96–97 (из сп.). V, 11,5, 13,5 (VI, т. пл. 93–94°).

С. Суминов

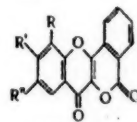
**6Ж173. О реакции образования хроманового цикла.** Smoliński Stefan. O pewnej reakcji zamknięcia pierścienia chromanu. «Roczn. chem.», 1960, 34, № 3–4, 857–861 (польск.; рез. русск., англ.).—Дибромгидрин и трибромгидрин пентаэритрола (Ia, б) при нагревании с гваяколом Na дают соединение, отвечающее по анализам и свойствам 3-диоксиметил-8-метоксихроману (II). ИК-спектр II имеет полосы при 1260 и 1075 см<sup>-1</sup>, характерные для хромана; УФ-спектр II подобен УФ-спектру α-токоферола. В р-р 0,03 моля гваякола в сухом ксилоле вносят 0,7 г Na, нагревают до растворения Na, постепенно добавляют 15 ммоль Ia или эквивалентное кол-во Ib, кипятят 8 час., продукт перегоняют в вакууме, фракцию 200°/0,15 мм хроматографируют в C<sub>6</sub>H<sub>6</sub> на Al<sub>2</sub>O<sub>3</sub> и вымывают II, выход 40%, т. пл. 140° (из сп.); бис-3,5-динитробензоат, т. пл. 230° (из сп.).

Д. Витковский

**6Ж174. Производные карбоксифлавоны, фенацилфталиды и хромоны-3',2'-3,4'-изокумарины.** Venturilla Pietro, Bellino Aurora. Derivati carbossiflavonici, fenacilftalidici e cromoni (3',2'-3,4'-isocoumarinici). «Ann. chimica», 1960, 50, № 6–7, 875–914 (итал.).—Конденсацией 2-окс-5-карбоксиацетофенона (I) с метоксиметилловыми эфирами салицилового альдегида, ванилина и сиреневого альдегида (IIa–в) получены 2'-метоксиметокси-, 3'-метокси-4'-метоксиметокси- и 3',5'-диметокси-4'-метоксиметокси-2-окс-5-карбоксихалконы (IIIa–в), превращенные обычными методами окисления и гидролиза в соответствующие флавоны и флавонолы. Р-цией 2-карбоксибензальдегида (IV) с 2-оксациацетофеноном (V), 4-метокси-V, 5-метокси-V и 3,4-диметокси-V получены окрашенные соединения, не имеющие свойств, характерных для халконов и флавононов; на основании анализов и спектральных характеристик этим в-вам приписано строе-



VIa-r



VIIa-r, XI6-r

ние фталидов (VIa–г; везде a все R = H, б R' = CH<sub>3</sub>O, в R' = CH<sub>3</sub>O, г R = R' = CH<sub>3</sub>O; не указанные R = H). Соединения VI растворяются в 2 н. NaOH с желтым окрашиванием и регенерируются при подкислении, из чего можно заключить, что они являются лактонами соответствующих 2-карбокси-β-оксигидрохалконов. При окислении VIa–г получают замещ. хромоны-3',2'-3,4'-изокумарины (VIIa–г). Строение VIIa–г подтверждено на примере VIIa, который при обработке (CH<sub>3</sub>)<sub>2</sub>SO<sub>4</sub> и K<sub>2</sub>CO<sub>3</sub> дает 3-метокси-2'-карбометоксифлавоны (VIIIa), гидролизующийся в 3-метоксифлавонокарбоновую-2 к-ту (IXa), декарбоксилирующуюся в 3-метоксифлавоны (X). Соединения (VIIIb–г) деметилированы в (XI5–г; б R' = HO, в R' = HO, г R = R' = HO) и действием (CH<sub>3</sub>)<sub>2</sub>SO<sub>4</sub> и K<sub>2</sub>CO<sub>3</sub> превращены в производные VIII. УФ- и ИК-спектры синтезированных халконов, флавонолов, фталидов и хромонов имеют характер, обычный для соединений этих классов с дополнением полос, соответствующих наличию COOH-групп.

УФ-спектры VIIa—г в спирте имеют максимумы при 236, 252, 306, 316, 334 и 350 мμ, изменяющиеся на 248, 300 и 388 мμ в шел. р-ре, что соответствует представлению о различном строении этих в-в в различных средах. К 0,01 моля I и 0,01 моля IIa—в в 25 мл спирта приливают 3 г КОН в 6 мл воды, выдерживают 24 часа, разбавляют ледяной водой, подкисляют разб. HCl и отделяют (пелле указаны в-во и т. пл. в °C): IIIa, 203 (из CH<sub>3</sub>COOH); б, 184—185 (из сп.); в, 200—201 (из сп.). 0,5 г IIa—в в 20 мл CH<sub>3</sub>COOH нагревают до 100°, добавляют 2 мл разб. H<sub>2</sub>SO<sub>4</sub> (1:6), нагревают 2—3 мин., вливают в 100 мл ледяной воды и отделяют следующие 5-карбоксифлавоны (XII): 2,2'-диокси-XII, 241—242 (разл.; из CH<sub>3</sub>COOH); 2,4'-диокси-3'-метокси-XII, 240—241 (разл.; из сп.); 2,4'-диокси-3',5'-диметокси-XII, 246—247 (из сп.). К смеси 1 г IIIa, б в 15 мл спирта и 0,5 г КОН в 8 мл спирта приливают 2 мл 33%-ной H<sub>2</sub>O<sub>2</sub>, выдерживают 3—4 часа, разбавляют водой, подкисляют HCl и отделяют следующие 3-окси-6-карбоксифлавоны (XIII): 2'-метоксифлавоны-XIII, 187—189 (из сп.); 3'-метокси-4'-метоксифлавоны-XIII, 214—215 (из сп.), которые гидролизуют смесью разб. H<sub>2</sub>SO<sub>4</sub> и CH<sub>3</sub>COOH (см. выше) в 3,2'-диокси- и 3'-метокси-3,4'-диокси-6-карбоксифлавоны, т. пл. 266°—270° и 325—326° (разл.; оба из сп.). Окислением IIб шел. р-ром H<sub>2</sub>O<sub>2</sub> получают 2,4'-диокси-3',5'-диметокси-6-карбоксифлавоны, 303—304 (из CH<sub>3</sub>COOH). К смеси 1,36 г V и 1,5 г IV в 20 мл спирта приливают р-р 3 г КОН в 6 мл воды, выдерживают 12—24 часа, разбавляют водой, подкисляют разб. HCl и отделяют 2,5 г VIa, 144—145 (из сп.); аналогично синтезируют VIб, 134—135; в, 136—137; г, 178—179 (все из сп.). Тем же методом из IV и ацетона получают 3-фенацетилфталид, 139—140 (из сп.). Смесь 1 г VIa, 5 мл CH<sub>3</sub>OH и 20 мл 10%-ного р-ра NaOH нагревают до растворения VIa, добавляют при охлаждении 4 мл 15%-ного H<sub>2</sub>O<sub>2</sub>, выдерживают 14—16 час. при 0°, разбавляют водой, подкисляют HCl и отделяют 0,5 г VIIa, т. пл. 275—276° (из пиридина); или к 1 г VIa в 15 мл горячего спирта приливают р-р 0,8 г КОН в 10 мл спирта, добавляют по каплям при нагревании 2,5 мл 36%-ной H<sub>2</sub>O<sub>2</sub>, выдерживают 3—4 часа при ~20° и выделяют, как описано выше, VIIa. Аналогично синтезируют VIIб, 276—277 (из C<sub>6</sub>H<sub>5</sub>N); в, 252—253 (из C<sub>6</sub>H<sub>5</sub>N); г, 275—276 (из C<sub>6</sub>H<sub>5</sub>N). 0,5 г VIIa, 200 мл ацетона, 2 мл (CH<sub>3</sub>)<sub>2</sub>SO<sub>4</sub> и 4 г K<sub>2</sub>CO<sub>3</sub> кипятят 80—90 час., р-р упаривают досуха, остаток растирают с разб. NH<sub>4</sub>OH и отделяют VIII, 95—96 (из сп.), который кипятят с спирт. КОН и выделяют IX, 164—165 (из хлф.). 0,2 г IX, 2,5 мл хинолина и 0,05 г порошка Cu кипятят 30 мин., продукт извлекают эфиром, промывают 2 г HCl, отгоняют эфир и получают X, 107 (из сп.). 0,1 г VIIб—г, 2 г CH<sub>3</sub>COOH и 5 мл HI (d 1,7) нагревают 2 часа при 240°, разбавляют водой, вносят немного NaHSO<sub>3</sub> и отделяют (указаны в-во, т. пл. в °C и т. пл. в °C ацетильного производного): XIб, 350 (из C<sub>6</sub>H<sub>5</sub>N), 273—275 (из C<sub>6</sub>H<sub>5</sub>N); в, 352—355 (из CH<sub>3</sub>OH-C<sub>6</sub>H<sub>5</sub>N), 319—321 (из C<sub>6</sub>H<sub>5</sub>N); г, не плавится до 360°. 290—294 (разл.; из CH<sub>3</sub>OH-C<sub>6</sub>H<sub>5</sub>N). Соединение XIб, в обработкой (CH<sub>3</sub>)<sub>2</sub>SO<sub>4</sub> и K<sub>2</sub>CO<sub>3</sub> (см. выше) превращают в 3,7-диметокси- и 3,6-диметокси-2'-карбометоксифлавоны, т. пл. 132—133° и 87—88° (из бал.-петр. эф.), гидролизуют в 3,7-диметоксип- и 3,6-диметокси-2'-карбоксифлавоны, т. пл. 155—156° и 136—137° (оба из разб. сп.). Приведены кривые УФ- и ИК-спектров синтезированных соединений.

**6Ж175.** Исследование флавоноидов. Часть IV. Положение оксигруппы, образующей комплексы с хлоридом алюминия. Часть V. Синтез 7,5,4'-триметоксиморина. Hayashi, K. Keizo. «Нихон ногай какагу кайси, Nippon nogei kagaku kaishi, J. Agric. Chem. Soc. Japan», 1959, 33, № 12, 1063—1068 (японск.).—IV. В опытах с использованием 3-оксифлавоны, 7,3-диоксифлавоны, 7-метокси-3-оксифлавоны, 7,5,3-триокси-

флавоны, 7,5-диокси-3-метоксифлавоны и некоторых других флавоноидов показано, что при р-ции образования внутрикомплексных соединений с хлоридом Al происходят незначительные изменения в максимумах спектров поглощения в-в. В особенности это касается р-ций, которые сопровождаются освобождением оксигруппы в третьем положении по соседству с карбонильной группой. Изменения спектра поглощения не распространяются на оксигруппу в пятом положении, которая образует водородный мостик вблизи карбонильной группы.

V. 0,8 г морина и 0,65 г AlCl<sub>3</sub>·6H<sub>2</sub>O растворяют в 15 мл пиридина, кипятят 1—2 часа с обратным холодильником, полученную реакционную смесь фильтруют, фильтрат вливают в дистил. воду, при этом выпадает осадок желтого цвета. Осадок отделяют фильтрованием и высушивают. Полученный порошок растворяют в 100 мл CH<sub>3</sub>OH и метилируют эфирным р-ром диазометана, полученным из нитрозометилмочевны, упаривают, удаляют р-ритель, остаток растворяют в бутаноле, подкисленным 1 н. HCl, промывают несколько раз разб. HCl и дистил. водой, Al почти полностью удаляется из р-ра бутанола. Р-р концентрируют упариванием и перекристаллизуют остаток из спирта, получают 0,2 г светло-желтых игольчатых кристаллов с т. пл. 226°, представляющих собой 7,5,4'-триметоксиморин. Полученное в-во нерастворимо в воде, растворимо в горячем спирте и эфире и может быть перекристаллизовано из спирта, обладает зеленой флуоресценцией. Часть III см. РЖХимБх, 1961, 2С736.

**6Ж176.** Таутомерия дикумарола. Три изомерных метилэтиловых эфира дикумарола. Jachymczyk Witold, Cieślak Jerzy, Chmielewska Irena. Tautomeria dikumarolu. 3 Izomeryczne etery metyloetylowe dikumarolu. «Roczn. chem.», 1960, 34, № 3—4, 925—930 (польск.; рез. русск., англ., нем.).—Синтезированы следующие смешанные диэфиры дикумарола (I): 4-метил-4'-этиловый (Ia), 4-метил-2'-этиловый (Iб) и 4-этил-2'-метилый (Iв), являющиеся таутомериями хромоновой таутомерии I. Эфиры Ia и Iб имеют одинаковую т-ру плавления, но только Iб дает перхлорат (IХ). Ia устойчив в слабых к-тах, Iб легко дегидрируется, превращаясь в 4-метилый эфир I. Эфир I подобен Iб, но труднее теряет CH<sub>3</sub>-группу. ИК-спектр Ia аналогичен ИК-спектру 4,4'-диметилового эфира I, но имеет дополнительную полосу при 7,25 м. ИК-спектры Iб и Iв сходны с ИК-спектрами 4,2'-диметилового эфира I, но имеют полосы при 7,10 и 7,25 м. К взвес 5 г 4-метилового эфира I в 750 мл сухого эфира приливают избыток CH<sub>3</sub>CHN<sub>2</sub> в эфире, выдерживают 2 часа при 10°, отгоняют в вакууме р-ритель, остаток растворяют в 1 л эфира и при 0° осаждают эфирным р-ром HClO<sub>4</sub>, 0,9 г IХ Iб, т. пл. 151—152° (разл.). Эфирный р-р после отделения IХ Iб промывают 2%-ным р-ром Na<sub>2</sub>CO<sub>3</sub>, упаривают досуха и получают 4,5 г Ia, т. пл. 127—128° (из эф.-петр. эф.). Взвес 0,7 г IХ Iб в 0,7 л эфира встряхивают с небольшим избытком эфирного р-ра NH(CH<sub>3</sub>)<sub>2</sub>, фильтруют, отгоняют эфир и получают 0,54 г Iб, т. пл. 125—127° (из эф.-петр. эф.). Аналогично метилируют 4-этиловый эфир I р-ром CH<sub>3</sub>N<sub>2</sub> и выделяют 0,9 г IХ Iв, т. пл. 169—171° (из эф.-петр. эф.) и Ia. Д. Витковский

**6Ж177.** Дегидрирование гетероциклических гидроароматических соединений трифенилметилперхлоратом. Bonthrone W., Reid D. H. Dehydrogenation of heterocyclic hydroaromatic compounds by triphenylmethyl perchlorate. «Chemistry and Industry», 1960, № 33, 1192—1193 (англ.).—Метод дегидрирования эквивалентным кол-вом [(C<sub>6</sub>H<sub>5</sub>)<sub>3</sub>C]+ClO<sub>4</sub>—(I) в лед. CH<sub>3</sub>COOH распространен на некоторые гетероциклич. гидроароматич. соединения (см. РЖХим, 1960, № 11, 42598). Получены следующие перхлораты (IХ) (приведены исходное соединение, IХ, выход в %, т. разл. в °C):

которых образ-  
долом Al  
симулах  
касается  
ем оксе-  
с карбо-  
нения не  
тожения,  
а карбо-  
оряют в  
им холо-  
филтрум  
выпа-  
филтру-  
расто-  
ром  
челины,  
оряют в  
несколь-  
ностью  
ют упав-  
спирта,  
сталлов  
метокси-  
расто-  
перекри-  
блуорес-  
анников  
мерных  
с зук  
a Ige-  
метуло-  
№ 3-4,  
иятези-  
умарола  
гый (16)  
умария-  
ют оди-  
хлорлат  
дестила-  
физ Iв  
-спектр  
физ Iа  
ИК-спек-  
илового  
звезе  
ра при-  
от 2 ча-  
рост рас-  
ром  
фирный  
м р-ром  
т. пл.  
в 0,7 л  
фирного  
получи-  
погно  
и выде-  
р. эф.),  
ковский  
гидро-  
рхлора-  
ation of  
epulme-  
№ 33,  
молар-  
2COOH  
дироаро-  
42598).  
ведены  
в °C):

6Ж176. 4-дигидрофенантридин, ПХ фенантридиния, 91, 225—225; 9,10-дигидроакридин, ПХ акридиния, 77, 233—239; 9,10-дигидро-9,10-диметилакридин, ПХ 9,10-диметилакридиния, 97, 310; тиоксантен, ПХ тиоксантенина, 80, 217—219. Из 1-тиохроманона (отщепление Н<sup>+</sup>) получается отщеплением Н<sup>+</sup>) получен 1-тиохроманол, выход 71%, т. пл. 75—76° (ПХ, т. пл. 193,5—195°), из бензо-[f]-хроманона-4 получен бензо-[f]-хромон-4, выход 69%, т. пл. 96—96,5°. В случае действия I на хроманол-4, бензо-[f]-хроманол-4 и 1-тиохроманол-4 дегидрирование сопровождается дегидратацией и получается соответственно ПХ бензо-[b]-пирилия, ПХ нафто-[2,1-b]-пирилия, выход 51%, т. разл. 200°, и ПХ 1-тио-бензо-[b]-пирилия, выход 85%, т. разл. 221°. Дегидрирующую способность I авторы объясняют действием  $\text{C}_6\text{H}_5\text{O}^-\text{COOH}$  образующейся по ур-нию:  $\text{I} + \text{CH}_3\text{COOH} \rightleftharpoons (\text{C}_6\text{H}_5)_2\text{COCOSCH}_3 + \text{HClO}_4$ . В. Родионов

6Ж178. Некоторые основные производные 3-метил-3-карбоксифлавоноид-8 кислоты. Da Re Paolo, Ver-  
gelli Lucia, Setnikar Ivo. Some basic deriva-  
tives of 3-methylflavone-8-carboxylic acid. «J. Med. and  
Pharmac. Chem.», 1960, 2, № 3, 263—269 (англ.).—  
продолжение изучения фармакологич. действия про-  
водных карбоновых к-т осуществлен синтез 3-метил-  
3-карбоксифлавоноид-8 к-ты (I) и ряда ее основных эф-  
нов  $\text{RCOO}(\text{CH}_2)_n\text{R}'\cdot\text{HCl}$  (II); везде R = 3-метилфлаво-  
ноид-8. 3-нитро-2-оксипропиофенон (III) переведен  
через стадию амина в 3-циано-2-оксипропиофенон (IV),  
из которого с  $\text{C}_6\text{H}_5\text{COCl}$  приводит к образованию  
метил-8-цианофлавонона (V), омыленного до I. В-во V  
получено также р-цией Зандмейера с 3-метил-8-амино-  
флавоном (VI). Не удалось осуществить перегруппи-  
ровку Фриса для этилового эфира 2-пропионилокси-  
пропионой к-ты и р-цией Фриделя — Крафта с метил-  
ацетилом. Карбоксилирование о-оксипропиофенона  
в Кольбе — Шмидта привело к образованию 3-метил-  
оксипропиофенона. Смесь 19,5 г III, 12,5 г  $(\text{CH}_3)_2\text{SO}_4$  и  
8 г безводн.  $\text{K}_2\text{CO}_3$  кипятят 8—10 час. в 250 мл сухого  
ацетона, фильтруют, р-р упаривают и перегонкой вы-  
деляют метиловый эфир III (VII), выход 10,5 г, т. кип.  
60—165°/10 мм,  $n_D^{20}$  1,5379,  $d_4^{20}$  1,2136. К кипящему  
ру 10 г VII в 100 мл спирта и 3 мл конц. HCl (к-ты)  
добавляют в течение 1 часа 20 г Fe-порошка, смесь  
нагревают горячей, р-р подкисляют спирт. HCl  
(к-той) и после упаривания получают хлоридат  
метокси-2-аминопропиофенона (VIII), выход 6,5 г,  
т. пл. 154—155° (разл.; из сп.эф.). Дистиллируют при  
3° 10 г VIII в 10 мл конц. HCl (к-ты) и 150 мл во-  
ды р-ром 3,3 г  $\text{NaNO}_2$  в 20 мл воды, добавляют при  
0—70° полученную смесь к р-ру CuCN (из 12,5 г  
 $\text{CuSO}_4\cdot 5\text{H}_2\text{O}$  и 14,7 г NaCN в 150 мл воды) и выделяют  
метокси-3-цианопропиофенон (IX), выход 6 г, т. пл.  
67—88° (из водн. сп.). 3 г IX и 3 г  $\text{AlCl}_3$  кипятят 2 часа  
в 50 мл  $\text{C}_6\text{H}_6$ , удаляют р-ритель, разлагают льдом и  
HCl (к-той) и отделяют IV, выход 2 г, т. пл. 82—85°  
(из сп.). Смесь 15 г IV, 30 г  $\text{C}_6\text{H}_5\text{COCl}$  и 20 г  $\text{C}_6\text{H}_5\text{COONa}$   
нагревают при 180—190° 7—8 час., обрабатывают про-  
дукт 10%-ной NaOH и получают V, выход 7 г, т. пл.  
160—162° (из сп.). 3 г V в 10 мл 70%-ной  $\text{H}_2\text{SO}_4$  кипятят  
1—2 часа, выливают на лед и отделяют I, выход  
1,5 г, т. пл. 230—231° (из водн. сп.); этиловый эфир,  
т. пл. 97—99° (из лигр.). К р-ру 40 г VI в 75 мл конц.  
HCl (к-ты) и 40 мл воды добавляют при 0—5° за 0,5 ча-  
са 12,3 г  $\text{NaNO}_2$  в 25 мл воды, полученную смесь вво-  
дят при 90° в р-р 45 г  $\text{CuSO}_4\cdot 5\text{H}_2\text{O}$  и 45 г NaCN в  
200 мл воды, выдерживают 1 час при 90° и отделяют V.  
Кипячением V в 600 мл 60%-ной  $\text{H}_2\text{SO}_4$  получают I,  
выход 15 г, т. пл. I и 10 г  $\text{SOCl}_2$  в 200 мл безводн.  $\text{C}_6\text{H}_6$   
кипятят 2 часа, удаляют р-ритель и получают хлорид  
дигидрид I (X), т. пл. 155—156° (из лигр.). Р-р 11 г X  
в 150 мл безводн.  $\text{C}_6\text{H}_6$  добавляют к 3,3 г  $(\text{CH}_3)_2\text{NCH}_2\text{N}$   
 $\text{H}_2\text{O}$ , кипятят 2—3 часа и отделяют II [R' =  $(\text{CH}_3)_2\text{N}$ ,  
n = 2], выход 12 г, т. пл. 177—178° (из сп.эф.). Анало-  
гично получают другие II (приведены R', n, т. пл. в °C

(из сп.эф.): N( $\text{C}_2\text{H}_5$ )<sub>2</sub>, 2, 163—164; N( $\text{C}_3\text{H}_7$ )<sub>2</sub>, 2, 212—215;  
N(изо- $\text{C}_3\text{H}_7$ )<sub>2</sub>, 2, 190—192;  $\text{NC}_5\text{H}_{10}$ , 2, 232—234;  $\text{NC}_6\text{H}_9$ , 2,  
2, 233—234; N( $\text{CH}_3$ )<sub>2</sub>, 3, 207—210; N( $\text{C}_2\text{H}_5$ )<sub>2</sub>, 3, 187—189.  
II (R' =  $\text{NC}_5\text{H}_{10}$ , n = 2) обладает одновременно папаве-  
риноподобным, анагетич. и местноанестетич. дей-  
ствием. С. Суминов

6Ж179. Окисление 2-оксисалконов. Реакция Ал-  
гара — Флинна — Ойамады с 6-метоксисалконами.  
Venturella Pietro, Bellino Aurora. Ossida-  
zione dei 2-ossisalconi. Reazione di Algar-Flynn —  
Oyamada sui calconi con un metossile in posizione 6». «Ann. chimica», 1960, 50, № 1—2, 202—219 (итал.).—  
Исследована р-ция окисления халкона (I)  $\text{H}_2\text{O}_2$  в щел.  
среде с образованием смеси флавонола (II) и аурана  
(III). К р-ру 0,01 моля ацетофенона и 0,01 моля аль-  
дегида в 15 мл спирта добавляют при 95° 3 г KOH в  
5 мл воды, через 24 часа разбавляют 50 мл ледяной  
воды, подкисляют HCl (1:5) и получают I (приведе-  
ны I, т. пл. в °C): 2-окси-6,2',3'-триметокси-I, 114—115  
(из сп.); 2-окси-4,6,2',3'-тетраметокси-I, 126—127 (из  
сп.); 2-окси-3,4,6-триметокси-3',4'-метилendioкси-I,  
173—174 (из сп.); 2-окси-4,5,6-триметокси-3',4'-метилен-  
диоокси-I, 140; 2,5-диокси-4,6,2',3'-тетраметокси-I, 147—  
148. К р-ру I в 60 мл спирта при 95° добавляют  
40 мл разб. HCl [47 ч. HCl (d 1,18) и 22,5 ч. воды], ки-  
пятят 30 час., упаривают, выпадает смесь флавонона  
(IV) и I. Приведены IV, т. пл. в °C: 5,2',3'-тримет-  
окси-IV, 130—131 (из сп.); 5,7,2',3'-тетраметокси-IV,  
167 (из сп.); 5,7,8-триметокси-3',4'-метилendioкси-IV,  
185—186; 5,6,7-триметокси-3',4'-метилendioкси-IV, 193—  
194 (из сп.); 6-окси-5,7,2',3'-тетраметокси-IV, 170—171  
(из сп.). В р-р I в 15 мл 95%-ного спирта добавля-  
ют при 60° 20 мл 2 н. NaOH и 1,5 мл 35%-ной  $\text{H}_2\text{O}_2$ ,  
через 24 часа при 20° добавляют 50 мл воды и полу-  
чают III [из фильтрата, подкислением разб. HCl (1:5)  
получают соответствующий флавонол]. Приведены III  
или II, т. пл. в °C (из сп.): 4,2',3'-триметокси-III, 157;  
4,6,2',3'-тетраметокси-III, 165—167; 4,6,7-триметокси-  
3',4'-метилendioкси-III, 242—243; 4,5,6-триметокси-3',4'-  
метилendioкси-III, 195—196; 4,6,2',3'-тетраметокси-5-  
окси-III, 175—176; 4,4'-диметокси-III, 180—181; 4,3',4'-  
триметокси-III, 193—194; 4,6,7-триметокси-III, 185—  
186; 4,6,7,3',4'-пентаметокси-III, 184—185; 3-окси-5,2',3'-  
триметокси-II, 142—143; 3-окси-5,7,2',3'-тетраметокси-II,  
176—177; 3-окси-5,7,8-триметокси-3',4'-метилendioкси-II,  
240—241; 3-окси-5,6,7-триметокси-3',4'-метилendioкси-  
II, 206—207; 3-окси-5,7,8,2',3'-пентаметокси-II, 138—139;  
3-дигидро-5,7,2',3'-тетраметокси-II, 180; 3-дигидро-5,7,  
2',3'-тетраметокси-6-окси-II, 183—184. Приведены спек-  
троскопич. данные полученных соединений. Приведе-  
ны данные по УФ-спектру 3-дигидро-5,7,2',3'-тетра-  
метокси-, 3-дигидро-6-окси-, 5,7,2',3'-тетраметокси- и  
3-окси-5,7,8,3',4'-пентаметоксифлавонов (V). 4,6,7,3',4'-  
пентаметокси-III, а также данные по ИК-спектру  
(в нуболе) 4,6,7,3',4'-пентаметокси-III и V. Ф. Пальти

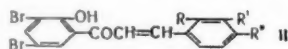
6Ж180. Перегруппировка п-аронлокси-о-оксинацето-  
фенонов в щелочной среде. Jurd L. Alkaline rearrange-  
ment of paraoxyloxy-ortho-hydroxyaceto-phenones.  
«Chemistry and Industry», 1960, № 30, 965—966 (англ.).—  
п-Аронлокси-о-оксинацетофеноны перегруппировываются  
подобно о-аронлоксиацетофенонам в щел. среде в  
о-аронлокси-о-оксинацетофеноны. Кипячением 4-О-бензоил-  
презацетофенона в ацетоне с избытком  $\text{K}_2\text{CO}_3$  (4 часа)  
получают ω,4-дibenзоилпрезацетофенон (I), выход  
50%. т. пл. 163°, который циклизуется в кислой среде  
в 7-бензоилоксифлавонон, т. пл. 158°, гидролизанный  
в 7-оксифлавонон, т. пл. 239—240°. Из 4-О-анизоил- и  
4-О-диннамоилпрезацетофенонов получены ω,4-динни-  
зоил- и ω, 4-диннамоилпрезацетофеноны, т. пл. 170°  
и 159—160° соответственно, а после их циклизации и  
гидролиза получены 7-окси-4-метоксифлавонон и 7-окси-  
2-стирилхромон, т. пл. 262—263 и 240°. Для перегру-  
пировки необходим свободный о-гидроксил. Так, п-бен-  
зоилоксинацетофенон- (II) и 2-О-бензил-4-О-бензоилпреза-



ацетофенон не изменяются в условиях этой перегруппировки, а в присутствии резацетофенона из II получается I. Аналогично из смеси II и о-оксиацетофенона получен о-бензоил-о-оксиацетофенон, т. пл. 123—124°. Следовательно, первым этапом перегруппировки является внутримолекулярная этерификация о-гидроксильной ароматической группой, а затем идет перегруппировка Беккер — Венкатарамана. В качестве оснований для перегруппировки пригодны КОН в пиридине,  $K_2CO_3$  в пиридине и бутилат калия в диоксане. Для препаративных целей кипятят ацетофеноны, арилированные в орто- и в пара-положении, с  $K_2CO_3$  в ацетоне. Напр., для синтеза йодоксифлавонов из дибензоата резацетофенона получен II, выход 70—75%; дибензоаты 3-йодо- и 3,5-дйодорезацетофенонов дают 3-йодо- и 3,5-дйодо-ω, 4-дйодобензоилрезацетофеноны т. пл. 149 и 195°, выходы 80 и 90% соответственно.

И. Зайцев

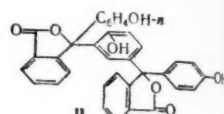
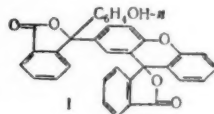
**6Ж181. Изучение 2'-оксифлавонов и родственных соединений.** Синтез 3',5'-дибром-2'-оксифлавонов и их производных. Christian C. M., Amin G. C. Studies in 2'-hydroxy chalcones and related compounds. Synthesis of 3':5'-dibromo-2'-hydroxy chalcones and their derivatives. «Acta chim. Acad. scient. hung.», 1959, 21, № 4, 391—396 (англ.; рез. нем., русск.). — Конденсация 3',5'-дибром-2'-оксиацетофенона (I) с альдегидами в присутствии едкого щелочи приводит к образованию 3',5'-дибром-2'-оксифлавонов (IIa—e); здесь и далее не указанные R = H, а R = R' = R'' = H, б R = OH, в R' = OH, г R'' =  $CH_3O$ , д R' = R'' =  $CH_3O$ , е R' + R'' =  $OCH_2O$ ), структура которых подтверждается рядом



цветных р-ций и образованием соответствующих ацетильных (АП) и бензоильных (БП) производных. Под действием HCl к-ты II циклизируются в 6,8-диформфлаваноны (IIIa—e). Обычным образом II переведены в 6,8-диформфлавоны (IVa—e) и флавонолы (Va—e) соответственно. Нагреванием 2,4-диформфенилацетата с  $AlCl_3$  (3,3 моля, 150°, 2 часа) получают I, выход 50—60%, т. пл. 110° (из сп.). К горячему р-ру 2 г I и 1 г альдегида в 30—35 мл спирта добавляют постепенно 40 мл 40%-ной КОН, кипятят 5 мин., выдерживают при 25—30° ~ 16 час. и разбавлением водой выделяют соответствующие II (здесь и далее указаны в-во, т. пл. в °C): Па, 145 (из  $CH_3COOH$ ); БП Па, 108 (из сп.); АП Па, 110 (из сп.); Пб, 179 (из бzl.); ди-БП Пб, 116 (из сп.); ди-АП Пб, 124 (из сп.); Пв, 174 (из  $CH_3COOH$ ); ди-БП Пв, 117 (из бzl.-петр. эф.); ди-АП Пв, 138 (из бzl.); Пг, 170; БП Пг, 125 (из сп.); АП Пг, 124 (из сп.); метиловый эфир Пг, 151 (из сп.); Пд, 162 (из  $CH_3COOH$ ); АП Пд, 185 (из сп.); БП Пд, 115 (из сп.); Пв, 190 (из  $CH_3COOH$ ); БП Пе, 99 (из петр. эф.); АП Пе, 118 (из сп.). К р-ру 0,5 г II в 40 мл спирта добавляют по каплям 20 мл 10%-ной HCl (к-ты), кипятят 40—50 час., упаривают спирт и отделяют III, выход 0,2—0,3 г. Получены следующие III: а, 140 (из сп.); б, 201 (из сп.); в, 188 (из сп.); г, 130 (из сп.); д, 140 (из сп.); е, 136 (из сп.). Смесь 0,5 г II и 0,5 г  $SeO_2$  в 15—20 мл изо- $C_8H_{11}OH$  кипятят (160—170°, 12 час.) и после удаления осадка и р-рителя получают следующие II, выход ~0,2 г: а, 166 (из сп.); б, 206 (из петр. эф.); в, 260 (из бzl.); г, 205 (из петр. эф.); д, 240 (из  $CH_3COOH$ ); е, 217 (из хлф.-петр. эф.). К охлажд. смеси 0,4 г II в 25 мл спирта и 25 мл 5%-ной NaOH добавляют 5 мл 16,5%-ной  $H_2O_2$ , выдерживают при охлаждении (~0°) 2 часа, через ~16 час. разбавляют водой и отделяют V, выход 2 г. Синтезированы следующие в-ва: Va, 202 (из  $CH_3COOH$ ); АП Va, 188 (из сп.); Vб, 222 (из сп.); ди-АП Vб, 191 (из сп.); Vв, 265 (из  $CH_3COOH$ ); ди-АП Vв, 207 (из  $CH_3COOH$ );

Vг, 208 (из  $CH_3COOH$ ); АП Vг, 198 (из сп.); Vд, 201 (из сп.); АП Vд, 201 (из сп.); Vе, 280 (из  $CH_3COOH$ ); АП Vе, 233 (из сп.).

**6Ж182. Желтый фенолфталеин.** II. Hubacher Max H. Yellow phenolphthalein. II. «J. Amer. Pharm. Assoc. Scient. Ed.», 1960, 49, № 5, 308—311 (англ.). — Хроматографированием выделены два побочных продукта, образующихся при синтезе желтого фенолфталеина (см. Hubacher M. H., Doernberg S., Amer. Chem. Soc., 1948, 37, 261), которым на основании их хим. свойств и изучения продуктов их разложения приписано строение (I) и (II). При повторении I получена дикарбоновая к-та (III), образующая при декарбоксилировании и последующей



перегонке с Zn 2-бензил-9-фенилксантен (IV). IV был получен встречным синтезом из о-(п-бензилфенокси)бензойной к-ты (V) через 2-бензил-9-ксантенон (VI) и 2-бензил-9-окси-9-фенилксантен (VII). При действии спирта на VII получен 2-бензил-9-этокси-9-фенилксантен (VIII). II при сплавлении с КОН образует фенол (IX),  $C_6H_5COOH$  (X) и п-окси-X (XI). В р-ре NaOH II образует о-(п-оксибензоил)-X (XII). При действии на II  $H_2O_2$  образуются фталевая к-та (XIII) гидрохинон (XIV) и 3-(п-оксибензил)-3-(м, п-диоксибензил)-фталид (XV). При восстановлении II получен дикарбоновая к-та (XVI). Нагреванием 0,2 г I (т. пл. 250°), 0,24 мл  $C_6H_5N$  и 0,15 мл  $C_6H_5COCl$  получено бензоильное производное I, т. пл. 207,1—209,8° (из сп.). Масло, полученное при декарбоксилировании 1,7 г III смешивают с 5 г  $ZnCl_2$ , 1 г NaCl и 3 г Zn-пыли, нагревают до 260° в атмосфере  $H_2$  и получают IV, т. пл. 125,8—126,5° (из сп.). 0,4 г II [т. пл. 252,2—254,4° (из  $CH_3COOH$ )] и 5 г КОН сплавляют при 230—235° и получают IX, X, XI. I и II в 6,6 мл 0,2 н. NaOH выдерживают при 18° в течение месяца и получают XII. К р-ру 1 г II в 14 мл NaOH добавляют 2 мл 30%-ной  $H_2O_2$ , нагревают до 47° (образуется осадок), р-р выпаривают, получают XIII, 0,31 г XIV и 0,33 г XV выделенный в виде триацетильного производного, т. пл. 149—151°. Смесь 1 г II, 20 мл 80%-ной  $CH_3COOH$  и 1 г Zn кипятят до растворения Zn, добавляют 1 г Zn, разливают в воду и получают XVI, т. пл. 258,9—259,1° (разл.; из сп.). 0,1 моля о-хлор-X, 0,1 моля 4-оксибензилметана, т. пл. 79—80°, и 0,2 г  $Cu_2Cl_2$  в 100 мл 2 н. NaOCH<sub>3</sub> постепенно нагревают до 200°, отгоняют  $CH_3OH$ , выдерживают при 200° 1 час и получают VII, выход 73—80%, т. пл. 138—139° (из 41%-ного сп. 141,8—142,2° (возг.); п-толуидид V, т. пл. 119,2—121,1° (из сп.). 30 г V, 80 мл  $CH_3COCl$  и 0,5 мл конц.  $H_2SO_4$  нагревают до 95°, отгоняют HCl и избыток  $CH_3COCl$  добавляют воду, осадок растворяют в 800 мл спирта при кипячении, отгоняют 400 мл спирта и получают VII, выход 92%, т. пл. 135,4—136,1° (возогнан при 130°/0,8 мм).  $C_6H_5MgBr$  (из 2,4 г Mg, 15,7 г  $C_6H_5Br$  и 50 мл эфира) добавляют к р-ру 14,3 г VI в 120 мл спирта при 40°, кипятят 1 час, добавляют воду, р-рители отгоняют и получают VII, выход 18,8 г, т. пл. 118—120°/0,6 г VII кипятят со 100 мл спирта и получают VII, т. пл. 80,7—81,7°. 10 г VII, 30 г HCOOH и 80 г 89%-ной HCOOH кипятят 0,5 часа, добавляют водный осадок растворяют в 600 мл спирта, отгоняют 450 мл спирта и получают IV, выход 74%, т. пл. 126,2—126,4° (из сп.). Обсуждаются ИК-спектры I, II и IV.

Л. Лукацкий

**6Ж183. Новый синтез 3-замещенных хромонов.** Da Re P., Verlicchi L. A new synthesis of 3-substituted chromones.

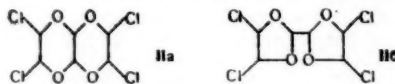
stituted chromanones, «Experientia», 1960, 16, № 7, 301—302 (англ.; рез. итал.).—При взаимодействии Na-соли о-оксипропиофенона (I) с  $\text{CH}_2\text{O}$  (в воде при 50°) получен 3-метилхроманон. Р-ция, вероятно, включает электрофильную атаку формальдегидом  $\alpha$ -С-атома и последующую циклогидратацию о-НОС<sub>2</sub>H<sub>4</sub>СОСН(CH<sub>3</sub>)—CH<sub>2</sub>ОН. Аналогично реагируют 5-бром- и 5-метил-1,4-оксипропиофенон и о-оксифенилбензилкетон. В случае о-оксипропиофенона получен полимерный продукт, а с о-оксизобутирофеноном р-ция протекает в другом направлении и приводит к 5-оксиметилпроизводному.

Л. Виноград  
6Ж184. Перегруппировка ациллактонов. XIV. Перегруппировка бициклических  $\alpha$ -ацилл- $\gamma$ - и  $\delta$ -лактонов. Korte Friedrich, Büchel Karl Heinz. Acyl-lacton-Umlagerung. XIV. Die Umlagerung von bicyclischen  $\alpha$ -Acyl- $\gamma$ - und  $\delta$ -lactonen. «Chem. Ber.», 1960, 93, № 5, 1025—1033 (нем.).—Перегруппировка 4-формил- (Ia) и 4-этоксалилгексагидроизохроманона-3 (Ib) под действием спирта. HCl-газа приводит к образованию этилового эфира (MЭ) 3-метоксигексагидроизохроманкарбоновой-4 к-ты (II) и диэтилового эфира (ДЭ) 3-метоксигексагидроизохромандикарбоновой-3,4 к-ты (III) соответственно. Это подтверждает ранее высказанный механизм р-ции, заключающийся в отщеплении ацильной группы с одновременным раскрытием цикла I.

Действием полифосфорной к-ты (ПФК) II и III переделены соответственно в МЭ гексагидроизохроман-3-карбоновой-4 к-ты (IV, V к-та) и ДЭ гексагидроизохроман-3-дикарбоновой-3,4 к-ты (VI). Гидрированием VI синтезирован ДЭ гексагидроизохроман дикарбоновой-3,4 к-ты (VII), а омылением IV получена V, образующаяся также при прямом действии конц. HCl (к-ты) на Ia. При аналогичной обработке р-ром HCl-газа в  $\text{CH}_3\text{OH}$  или спирте 3-формил- (VIIIa) и 3-этоксалилхроманона-2 (VIIIb), 3-формил- (IXa) и 3-этоксалилгексагидроизохроманона-2 (IX) получены МЭ 2-метоксигексагидроизохроман-3 к-ты (XI) и 2-метоксигексагидрокумаран-3 к-ты (XII) и ДЭ 2-оксигексагидроизохроман-3 к-ты (XIII) и ДЭ 2-оксигексагидрокумаран-3 к-ты (XIV) и 2-этоксигексагидроизохроман-3 к-ты (XV). Полученные XI—XIV далее были превращены в соответствующие дегидропроизводные р-цией с ПФК. Конденсация дигидрокумарина (XVI) с  $\text{HCOOC}_2\text{H}_5$  в присутствии  $\text{C}_2\text{H}_5\text{ONa}$  приводит к образованию этилового эфира гидро-о-кумаровой к-ты (XVII). К суспензии 0,13 г атома Na в 300 мл абс. эфира и 0,5 мл абс. спирта добавляют за 2 часа смесь 0,13 моля лактона (2-оксиметилциклопентан-2-он) и 60 г  $\text{HCOOC}_2\text{H}_5$  в 150 мл абс. эфира, через 12 час. отделили Na-соль Ia, растворяют в небольшом кол-ве воды, подкисляют и выделяют Ia, выход 66%, т. пл. 104° (из  $\text{CH}_3\text{COCH}_2\text{CH}_2\text{CH}_3$ ); 2,4-динитрофенилгидразон (ДНФГ), т. пл. 77—78° (из  $\text{CH}_3\text{OH}$ ). Аналогично синтезируют Ib, выход 55%, т. кип. 113—116°/0,03 мм; ДНФГ, т. пл. 144—145° (из  $\text{CH}_3\text{OH}$ ). 10 г Ia в 50 мл 5%-ного р-ра HCl-газа в абс.  $\text{CH}_3\text{OH}$  кипятят 1 час, через ~12 час. (20°) смесь вносят в р-р  $\text{K}_2\text{CO}_3$ , экстрагируют эфиром и получают смесь 48% II и 52% IV, выход 8,5 г, т. кип. 78—81°/0,2 мм. 4 г II нагревают (1 час, 80°) с 1 каплей ПФК в токе  $\text{N}_2$  и получают IV, выход 91%, т. кип. 85°/0,3 мм. Р-р 2 г IV и 1 г КОН в 30 мл водн.  $\text{CH}_3\text{OH}$  (1:1) перемешивают (20°, 24 часа), нагревают при 50° 1 час, отгоняют р-ритель и подкислением выделяют V, выход 76%, т. пл. 118—119° (из лигр.). Перегруппировкой 2 г Ia (0°, 2 дня) в 10 мл конц. HCl (к-ты) получена V, выход 80%. 7 г Ib в 70 мл 5%-ного р-ра HCl-газа в абс. спирте выдерживают 3 дня при 20° и аналогично II получают III, выход 95%, т. пл. 55—56° (из эф.-петр. эф.). Нагревают 5 г III с ПФК в токе  $\text{N}_2$  при 110° 2 дня, перегоняют в вакууме, экстрагируют эфиром и получают VI, выход 68%. т. кип. 124—127°/0,2 мм. 10 г VI над 3 г 5%-ного Pd/C в 100 мл

спирта гидрируют (20°, 3 дня) и после фракционирования получают VII, выход 51%, т. кип. 100—103°/0,05 мм. Гидрированием кумарина в эфире при 100° и 150 ат  $\text{H}_2$  в присутствии скелетного Ni получают XVI, выход 94%, т. кип. 140—141°/14 мм; гидразид, т. пл. 165°. Взаимодействием 0,5 моля XVI, 0,5 г атома Na и 53 г  $\text{HCOOC}_2\text{H}_5$ , как указано выше, получают XVII, выход 70 г, т. кип. 92—95°/0,2 мм. К р-ру  $\text{C}_2\text{H}_5\text{MgBr}$  (из 1,4 г атома Mg и 1,4 моля  $\text{C}_2\text{H}_5\text{Br}$ ) в 200 мл абс. эфира добавляют по каплям 1,4 моля (изо- $\text{C}_3\text{H}_7$ )<sub>2</sub>NH в 150 мл абс. эфира, перемешивают 1 час, охлаждают ниже 0° и вводят по каплям р-р 0,4 моля XVI и 45 г  $\text{HCOOC}_2\text{H}_5$  в 150 мл абс. эфира, выдерживают при 20° 24 часа и обычным способом выделяют VIIIa, выход 57%, т. пл. 140—141° (из петр. эф.). Аналогично получен VIIIb, выход 41%, т. кип. 118—130°/0,2 мм, т. пл. 58—59° (из  $\text{CH}_3\text{COCH}_2\text{CH}_2\text{CH}_3$ -петр. эф.); ДНФГ, т. пл. 179—182° (из  $\text{CH}_3\text{OH}$ ). Из 8 г VIIIa в 40 мл 5%-ного р-ра HCl-газа в  $\text{CH}_3\text{OH}$  (3 дня, 20°) получают XI, выход 83%, т. кип. 103°/0,3 мм. Аналогично получают XIII, выход 88%, т. пл. 60—61° (из петр. эф.). 4 г XI с 1 каплей ПФК нагревают (100°, 1 час) в токе  $\text{N}_2$  и выделяют, как описано выше, МЭ 1,4-хромендикарбоновой-3 к-ты, выход 70%, т. кип. 85°/0,05 мм; аналогично получен (110°, 2 часа) ДЭ 1,4-хромендикарбоновой-2,3 к-ты, выход 64%, т. кип. 132—133°/0,05 мм. К суспензии 0,1 г атома Na в 200 мл абс. эфира и 0,5 мл абс. спирта прибавляют по каплям смесь 0,1 моля лактона *цис*-2-оксипропиофенона и 0,1 моля лактона *цис*-2-оксипропиофенона к-ты, т. кип. 70—71°/0,05 мм, и 30 г  $\text{HCOOC}_2\text{H}_5$  в 50 мл абс. эфира, смесь обрабатывают обычным образом и перегонкой выделяют IXa, выход 72%, т. кип. 90—94°/0,1 мм, т. пл. 82—83° (из бзл.); ДНФГ, т. пл. 169—171° (из  $\text{CH}_3\text{OH}$ ). Аналогично получен IXb, выход 67%, т. кип. 118—120°/0,03 мм, т. пл. 57—58° (из лигр.); ДНФГ, т. пл. 177—179° (из лигр.- $\text{CH}_3\text{OH}$ ). Из 0,2 моля (изо- $\text{C}_3\text{H}_7$ )<sub>2</sub>NMgBr, 0,15 моля лактона  $\alpha$ -окси- $\beta$ -пиранилуксусной к-ты (т. кип. 107—109°/0,05 мм) и 0,2 моля ( $\text{COCOO-C}_2\text{H}_5$ )<sub>2</sub> в абс. эфире синтезируют X, выход 15%, т. кип. 95—110°/0,1 мм. Кипятием в течение 48 час. IXa—b и X со спирт. р-рами HCl-газа получены (приведены в-во, выход в %, т. кип. в °C/мм): XII, 81, 62/0,2; XIV, 72, 98/0,05; XV, 50, 76—77/0,3. Нагреванием XII (2 часа, 100°) и XIV (1 час, 120°) с ПФК в токе  $\text{N}_2$  получают МЭ гексагидрокумарондикарбоновой-3 к-ты, выход 92%, т. кип. 65°/0,1 мм, и ДЭ гексагидрокумарондикарбоновой-2,3 к-ты, выход 80%, т. кип. 104—105°/0,1 мм. Приведены данные УФ- и ИК-спектров, полученных в-в. Сообщение XIII см. РЖХим, 1961, 5Ж171.

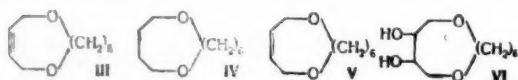
С. Суминов  
6Ж185. Взаимодействие транс-2,3-дихлор-1,4-диоксана с серной кислотой. Cort L. A. Interaction of *trans*-2,3-dichloro-1,4-dioxan and sulphuric acid. «J. Chem. Soc.», 1960, July, 3167—3168 (англ.).—При взаимодействии транс-2,3-дихлор-1,4-диоксана (I) с  $\text{H}_2\text{SO}_4$  получено соединение  $\text{C}_6\text{H}_6\text{Cl}_4\text{O}_4$  (II), имеющее строение (IIa) или (IIb). II не реагирует с Mg и  $\text{C}_2\text{H}_5\text{MgBr}$  в



эфире, Na и  $\text{NaNH}_2$  в толуоле,  $\text{C}_2\text{H}_5\text{OK}$  или  $\text{SC}(\text{NH}_2)_2$  в спирте, Br или N-бромсукцинимидом в  $\text{CCl}_4$ , KJ в ацетоне и при сплавлении с  $\text{K}_2\text{CO}_3$ . При гидролизе II получены гликозаль (III) и  $\text{HOCH}_2\text{COOH}$  (IV). 200 г I (т. пл. 31°) нагревают 24 часа при 40° с 1 л конц.  $\text{H}_2\text{SO}_4$ , выливают на лед и получают II, выход, 93 г, т. пл. 143—144° (из бзл. или ацетона). 0,1019 г II кипятят 6 час. с 100 мл 1%-ной  $\text{H}_2\text{SO}_4$  и получают III; *бис*-*n*-нитрофенилгидразон, выход 96%, т. пл. 332—334° (разл.; из ацетона). Р-р 35 г II в 100 мл 95%-ного спирта кипятят 4 часа с 13,8 г КОН в 25 мл воды, упав

ривают и выделяют II (19,7 г); из маточного р-ра извлекают IV в виде S-бензилтиуроиевой соли, выход 6,4 г, т. пл. 148—150° (из воды), или III в виде бис-нитрофенилгидразона.

Л. Виноград  
6Ж186. Полиметиленовые эфиры 2-бутин-1,4-диола. Treibs W., Pester R. Butin-(2)-diol-(1,4)-polymethylenäther. «Tetrahedron Letters», 1960, № 17, 5—8 (нем.).—Предложен новый метод синтеза полиметиленовых эфиров 2-бутин-1,4-диола (I диол). 1 моль моно-Na-производного I, 5 молей  $\text{Br}(\text{CH}_2)_n\text{Br}$  (II,  $n = 4$ ) и 2 моля I нагревают при 80° и получают  $\text{HOCH}_2\text{C}\equiv\text{CCH}_2\text{O}(\text{CH}_2)_n\text{Br}$ , выход 20—25%, которые характеризуют в виде  $\text{HOCH}_2\text{C}\equiv\text{CCH}_2\text{O}(\text{CH}_2)_n\text{OCH}_3$ . На добавляя по каплям в кипящую суспензию КОН в ди-



оксано и получают (III), выход 15—18%, т. кип. 40—50°/0,01 мм, т. пл. 59,5—60° (из  $\text{CH}_3\text{OH}$ )  $n_D^{25}$  1,4696. III гидрируют на катализаторах Адамса и Линдлара и получают соответственно (цис-IV), т. кип. 56—56,5°/1,2 мм, т. пл. 31,5—32°,  $n_D^{25}$  1,4458, и (цис-V), т. кип. 60°/1,1 мм  $n_D^{25}$  1,4618. V окисляют  $\text{OsO}_4$  и получают (цис-VI), т. пл. 109—109,5°; ди-n-нитробензоат, т. пл. 122—122,5°. Строение II подтверждено окислением посредством  $\text{KMnO}_4$  в ацетоне до  $\text{HOCH}_2\text{C}\equiv\text{CCH}_2\text{O}(\text{CH}_2)_n\text{COOH}$ , т. пл. 92—93°; дифенилэфир, т. пл. 82—83°. Приведены ИК-максимумы полученных соединений.

Л. Виноград  
6Ж187. Химия политиенилов. II. Wynberg Hans, Bantjes A. The chemistry of polythienyls. II. «J. Amer. Chem. Soc.», 1960, 82, № 6, 1447—1450 (англ.).—Исследовано направляющее действие тиофенового кольца в р-циях ацилирования и замены металла на водород и обратно 2,2'-дитиенила, 2,3'-дитиенила и 2,2',5',2''-трיתיенила (I) (см. РЖХим, 1958, № 1, 1295). 0,02 моля 2,2'-дитиенила в 50 мл эфира добавляют в р-р 0,02 моля  $\text{C}_5\text{H}_5\text{Li}$  в 40 мл эфира, кипятят 15 мин., выливают на лед, через 1 час отгоняют р-ритель, остаток растворяют при перемешивании и нагревании в 5%-ном NaOH, при 20° подкисляют HCl и осаждают 5-(2'-тиенил)-тиофенкарбоную-2 к-ту (II), выход 74%, т. пл. 183—184° (из гептана). Аналогично из II получают смесь 2,3'-дитиенилкарбоную-5 к-ты, выход 38%, т. пл. 173—175° (из гептана-бэл., 4:1), и 2,3'-дитиенилкарбоную-2 к-ты, выход 52%, т. пл. 107—109°. Нагреванием II в  $\text{CH}_3\text{OH}$  и нескольких каплях  $\text{H}_2\text{SO}_4$  получают метиловый эфир II, выход 89%, т. пл. 74—75°. Из 2,2'-дитиенила дикарбоную-5,5' к-ты (III) через дихлорангидрид получен диметиловый эфир III, т. пл. 211—212°. 0,3 г диаммониевой соли III добавляют в дисперсию 4 г скелетного Ni в 100 мл воды и кипятят 16 час. при перемешивании, фильтрат упаривают до 5 мл, добавлением HCl к-ты осаждают себациновую к-ту, выход 67%, т. пл. 133,5—134,0°. Р-р 0,195 г I, т. пл. 94—95°, в 1,25 мл уксусного ангидрида и 1 капля  $\text{H}_3\text{PO}_4$  (85%) после нагревания 1 час при 110° выливают на 25 г льда и получают 5,5'-диацил-тил-I (IV), выход 51%, т. пл. 249—250°. Десульфурацией 0,035 г IV и окислением 0,021 г полученного продукта 50 мг  $\text{CrO}_3$  в 1,5 мл лед.  $\text{CH}_3\text{COOH}$  получают гексадекан-2,15-дион, выход 69%, т. пл. 83—85° (из  $\text{CH}_3\text{OH}$ ). Предыдущее сообщение см. РЖХим, 1958, № 1, 1295.

Ф. Псалты  
6Ж188. Синтез тионафтена. Кравченко В. М., Мильский В. И. «Тр. Донецк. индустр. ин-та», 1959 (1960), 39, 43—48.—Изучено влияние способа приготовления катализатора (КТ) на выход тионафтена (I) при пропускании стирола и  $\text{H}_2\text{S}$  через нагретый (580—620°)  $\text{FeS}/\text{Al}_2\text{O}_3$ . Показано, что наилучшие результаты

получены при применении КТ, обладающего наибольшей активностью и наивысшим насыщенным весом (100 мл/71,2 г), приготовленного следующим образом: 4,75%-ный р-р  $\text{AlCl}_3$  прибавляют к 5%-ному р-р  $\text{NH}_4\text{OH}$  при 70—80°; выпавший  $\text{Al}(\text{OH})_3$  через 24 часа промывают водой, фильтруют, промывают на фильтре водой, сушат, выдерживают при 130—140° 1—2 часа, прокалывают в муфельной печи (600—630°, 6—7 час), выдерживают 24 часа в р-ре  $\text{Fe}(\text{NO}_3)_3$ , денитрируют в трубчатой печи в слабом токе воздуха (200 мл/мин) в течение 3—4 час. при 530—600°; затем окислительная сульфидируют при 600° пропусканием смеси  $\text{H}_2\text{S}$  и  $\text{H}_2\text{S}$  (1:2) со скоростью 10 объемов газа на 1 объем КТ в 1 час. Синтез I осуществляют путем одновременной подачи стирола и  $\text{H}_2\text{S}$  (при молярном соотношении 1:4) в трубку из нержавеющей стали ( $d_{\text{вн}}$  25 мм,  $l$  800 мм, зона максим. нагрева 100 мм), содержащую слой КТ (50—60 мм), со скоростью подачи стирола 30—40 мл/час при времени контакта 4—5 сек. Температуру промывают водой, 10%-ным р-ром  $\text{Na}_2\text{CO}_3$ , вновь водой, высушивают  $\text{CaCl}_2$  и после двойной перегонки получают I, выход 5%, т. кип. 210—240°, т. пл. 31,2—31,4° (из сл.). Увеличение кол-ва КТ и времени контакта приводит к повышению выхода I до 21%. В этих условиях КТ, приготовленный из промышленной окиси алюминия, также активен, как и КТ, приготовленный по способу авторов. Регенерацию КТ осуществляют пропусканием перегретого пара с примесью 25% воздуха через слой КТ со скоростью 200—300 объемов на 1 объем КТ в 1 час.

В. Родичев  
6Ж189. Использование отходов производства полистиролов. Сообщение III. Уточнение реакции между стилибеном и серой. Сообщение IV. О восстановлении нитропроизводных тионессаля и тионессальсульфона. Fortina Luigi, Montaudo Giorgio. Utilizzazione dei residui polistirolici. Nota III. Precisazioni sulla reazione tra stilbene e zolfo. Nota IV. Sulla riduzione di nitro derivati del tionessale e del tionessalsolfone. «Ann. chimica», 1960, 50, № 3—4, 445—450, 451—454 (итал.).—III. При сплавлении стилибена и S образуются пентафенилциклопентадиен (I), тионессаль (тетрафенилметил-фен) (II) и полисернистый тионессаль (III). Строение I подтверждено спектральными характеристиками; строение III подтверждено окислением р-ром  $\text{KMnO}_4$  в ацетоне в II. Последний не восстанавливается  $\text{Zn}$  и HCl, но при восстановлении Na и  $\text{C}_5\text{H}_5\text{OH}$  превращается в 1,2-дифенил-3-бензилгидранден, т. пл. 181° (из  $n\text{-C}_5\text{H}_{11}\text{OH}$ ), и тетрафенилбутан, т. пл. 89° (из  $\text{CH}_3\text{OH}$ ). Смесь 30 г стилибена и 9 г S нагревают 8 час. при 250° из плава извлекают теплым спиртом в-во, которое разделяют дробной кристаллизацией на II, выход 80%, т. пл. 184°, и III, т. пл. 166°; нерастворимый в спирте остаток кристаллизуют из  $\text{C}_5\text{H}_5\text{OH}$  и получают I, т. пл. 247°. Приведены кривые ИК-спектров I, 1,2-трифенил- и 1,2,3-трифенилциклопентадиенов и пентафенилциклопентадиена.

IV. Восстановление  $\alpha$ -(4-нитро)- и  $\alpha,\alpha'$ -(4,4'-динитро)-тионессаль водно-спирт. р-ром  $\text{Na}_2\text{S}$ ,  $\text{Zn}$  и HCl или  $\text{Zn}$  и  $\text{CH}_3\text{COOH}$  (кипчение 2 часа) приводит к  $\alpha$ -(4-амино)- и  $\alpha,\alpha'$ -(4,4'-диамино)-тионессалям (IV, V), выходы ~100%, т. пл. 204° (из бэл.) и 272° (из толуола) соответственно.  $\alpha$ -(4-нитро)-тионессальсульфон при восстановлении  $\text{Na}_2\text{S}$  дает  $\alpha$ -(4-амино)-тионессальсульфон, т. пл. 265° (из бэл.-петр. эф.); применение  $\text{Zn}$  и HCl сопровождается восстановлением сульфидов и образованием IV.  $\alpha,\alpha'$ -(4,4'-динитро)-тионессальсульфон восстанавливается Na и спиртом в  $\alpha,\alpha'$ -(4,4'-диамино)-тионессальсульфон, т. пл. 288° (из бэл.-петр. эф.). При восстановлении IV и V Na и  $n\text{-C}_5\text{H}_{11}\text{OH}$  получены 1-( $n$ -аминофенил)-2,3,4-трифенилбутан, т. пл. 166° (из  $\text{CH}_3\text{OH}$ ), и 1,4-ди-( $n$ -аминофенил)-2,3-дифенилбутан, т. пл. 175°. Приведены  $\lambda$  (макс.) и  $I_g$  синтезированных соединений. Сообщение II см. РЖХим, 1960, № 22, 88597.

Д. Витковский

6Ж190.  
Bose  
Chatter-  
tam ring  
2386  
где ацил-  
тирех-  
N(C<sub>6</sub>H<sub>5</sub>)<sub>2</sub>  
ствующи-  
ся в эти-  
CH(COO)  
X = Cl)  
3-хлор-4-  
дукт аци-  
хлорааг-  
(IV) при  
карбозо-  
CON(C<sub>6</sub>H<sub>5</sub>)  
= C<sub>6</sub>H<sub>5</sub>;  
превраща-  
кси-,  
5,5-ди-  
ствени-  
H<sub>5</sub>)<sub>2</sub> (V)  
и n = 4  
N(C<sub>6</sub>H<sub>5</sub>)  
тичная  
CHCOOH  
дний пере-  
ла в э-  
тельни-  
к-т C<sub>6</sub>H<sub>5</sub>  
R = H  
виализи-  
β-лакта-  
CH<sub>2</sub>C<sub>6</sub>H<sub>5</sub>  
удало-  
существо-  
и PCI<sub>5</sub>  
Аналог-  
в C<sub>6</sub>H<sub>5</sub>  
Па, и  
директ-  
MgO  
= C<sub>6</sub>H<sub>5</sub>  
неде-  
110/100  
нии  
(из п-  
ют 3  
от р-  
N(C<sub>6</sub>H<sub>5</sub>)  
орган-  
155°  
и 1,4-  
щую  
1,513  
Vb,  
т. пл.  
сани-  
в-во  
82,5°  
VII  
4,6  
кипи-  
ваки-  
(из  
6  
сис-  
мис-  
От-  
пре-  
Ж  
нал



## 6Ж190. Легкость замыкания β-лактамового кольца.

Bose Aja K, Ghosh-Bazumdar B. N., Chatterjee B. G., Ease of cyclization to the β-lactam ring. *J. Amer. Chem. Soc.*, 1960, 82, № 9, 2382—2386 (англ.). — α-Галоидациламинамалоновые эфиры, где ацил =  $\text{CH}_3\text{CO}$  и  $\text{C}_2\text{H}_5\text{CO}$ , легко циклизируются в четырех- и пятичленные лактамы в присутствии  $\text{N}(\text{C}_2\text{H}_5)_3$ ; при ацил =  $n\text{-C}_3\text{H}_7\text{CO}$  и  $n\text{-C}_4\text{H}_9\text{CO}$  соответствующие шести- и семичленные циклы не образуются в этих условиях. Так, соединения  $\text{X}_2\text{CHCON}(\text{C}_6\text{H}_4\text{R})\text{CH}(\text{COOC}_2\text{H}_5)_2$  (Ia, б, где а R = H, X = Br; б R =  $n\text{-CH}_3$ , X = Cl) циклизованы в 1-фенил-3-бром- и 1-( $n$ -толил)-3-хлор-4,4-дикарбэтоксиназетидиноны-2 (IIa, б), а продукт ацилирования аниномалонового эфира (III) хлоргидридом β-фталимида-β-бромпропионовой к-ты (IV) превращен в 1-фенил-3-фталимидометил-4,4-дикарбэтоксиназетидинон-2 (IIв). Соединения  $\text{BrCH}_2\text{CH}_2\text{CON}(\text{C}_6\text{H}_4\text{R})\text{CH}(\text{COOR})_2$  (Va—в, где а R = H, R' =  $\text{C}_2\text{H}_5$ ; б R = H, R' =  $\text{CH}_2\text{C}_6\text{H}_5$ ; в R =  $n\text{-CH}_3$ , R' =  $\text{C}_2\text{H}_5$ ) превращены тем же методом в 1-фенил-5,5-дикарбэтоксиназетидиноны-2 (VIIa—в; где а n = 3, R =  $n\text{-CH}_3$ ; б n = 3, R = H; в n = 4, R = H) уже не циклизируются при действии  $\text{N}(\text{C}_2\text{H}_5)_3$ ; из VIIa при этой р-ции образуется четвертичная соль  $\text{Br}^+ \cdot (\text{C}_2\text{H}_5)_3\text{N}^+ (\text{CH}_2)_3\text{CON}(\text{C}_6\text{H}_4\text{CH}_2)_2\text{CH}(\text{COOC}_2\text{H}_5)_2$ . Неспособность соединений VII к циклизации не находит объяснения, так как замыкание цикла в этом случае не вызывает в молекуле дополнительных напряжений. Производные монокарбонных к-т  $\text{ClCH}_2\text{CON}(\text{C}_6\text{H}_5)\text{CH}(\text{R})\text{COOC}_2\text{H}_5$  (VIIIa, б; где а R = H, б R =  $\text{C}_6\text{H}_5$ ), где α-водородный атом не активизирован второй  $\text{COOH}$ -группой, не циклизируются в β-лактам, также как соединения  $\text{ClCH}_2\text{CON}(\text{C}_6\text{H}_5)\text{CH}_2\text{C}_6\text{H}_5$  (IX). Ацетанилидомалоновый эфир (X) не удалось алкилировать бромуксусным эфиром в присутствии  $\text{N}(\text{C}_2\text{H}_5)_3$ . Кипятят 4 часа р-р III,  $\text{Br}_2\text{CHCONH}$  и  $\text{PCl}_5$  в  $\text{C}_6\text{H}_6$  и выделяют Ia, выход 79%, т. пл. 84—85°. Аналогично синтезируют Ib, выход 86,5%. К р-ру Ia в  $\text{C}_6\text{H}_6$  добавляют  $\text{N}(\text{C}_2\text{H}_5)_3$  и через 16 час. отделяют IIa, выход 98%,  $n_D^{20}$  1,5215, превращающийся при гидрировании над Pd/C в этилацетат в присутствии  $\text{MgO}$  в 1- $\text{R}$ -4,4-дикарбэтоксиназетидинон-2 (XI, R =  $\text{C}_6\text{H}_5$ ). Тем же методом, но в течение нескольких недель при  $\sim 20^\circ$ , получают IIб, выход 62%, т. кип.  $110^\circ/0,05$  мм,  $n_D^{20}$  1,5277, из которого при гидрировании получают XI (R =  $n\text{-CH}_2\text{C}_6\text{H}_4$ ), т. пл. 89,5—90,5° (из циклогексана). Р-р 2,5 г III и 3 г IV в  $\text{C}_6\text{H}_6$  кипятят 3,5 часа, р-р промывают водой и  $\text{NaHCO}_3$ , отгоняют р-ритель, остаток растворяют в  $\text{C}_6\text{H}_6$ , добавляют  $\text{N}(\text{C}_2\text{H}_5)_3$ , через 16 час. р-р смешивают с водой и из органич. слоя выделяют IIв, выход 50%, т. пл. 154—155° (из сп.). 5 г III в 40 мл  $\text{C}_6\text{H}_6$ , 3 г  $\text{BrCH}_2\text{CH}_2\text{COOH}$  и 1,5 мл  $\text{PCl}_5$  кипятят 2 часа, выделяют Va и превращают его, как описано выше, в VIa, выход 53%,  $n_D^{20}$  1,5136,  $d_4^{20}$  1,7586. Тем же методом синтезируют Vб и Vв, т. пл. 65—67°, и циклизируют их в VIб, выход 80%, т. пл. 95,5—96,5°, и VIв, выход 77%. Способом, описанным для получения Ia, синтезируют (указаны в-во, выход в %, т. кип. в  $^\circ\text{C}/\text{мм}$  или т. пл. в  $^\circ\text{C}$ ): VIIa, 82,5, 120/0,05; б, 93,5, 120/0,05 ( $n_D^{20}$  1,5140); в, 90, —; VIIa, —, 75; б, 77, 92,5 (из лигр.); IX, 71, —, 10 г III, 4,6 г ( $\text{CH}_3\text{CO}$ )<sub>2</sub>O и 1 каплю конц.  $\text{H}_2\text{SO}_4$  в 100 мл  $\text{C}_6\text{H}_6$  кипятят 3 часа, отгоняют р-ритель, остаток смешивают с водой и получают X, выход 73%, т. пл. 57—58° (из лигр.).

Д. Витковский

6Ж191. Химия нитропириролов. Сообщ. 5. Получение замещенных нитропириролов. Новиков С. С., Сафонова Э. Н., Беликов В. М. «Изв. АН СССР. Отд. хим. н.», 1960, № 6, 1053—1056. — В продолжение проводимых ранее исследований (см. РЖХим, 1960, № 1, 1219) изучена область применения р-ции образования замещ. 3,4-динитропириролов из ди-К-соли α,β-

тринитропропионового альдегида (I), альдегидов и аминов. При взаимодействии I с  $\text{CH}_2\text{O}$  и  $\text{NH}_3$ ,  $\text{H}_2\text{NNH}_2$ ,  $\text{H}_2\text{NCH}_2\text{CH}_2\text{NH}_2$  и  $\text{H}_2\text{NCONH}_2$  р-ция приводит к аморфным продуктам, из которых не выделено никаких индивидуальных в-в. При р-ции I с  $\text{CH}_2\text{O}$  и  $\text{C}_6\text{H}_5\text{CH}_2\text{NH}_2$  (II),  $\text{HOCH}_2\text{CH}_2\text{NH}_2$  (III) и  $\text{H}_2\text{NCH}_2\text{COOC}_2\text{H}_5$  (IV) выделены соответственно 3,4-динитро-*N*-бензилпирирол (V), 3,4-динитро-*N*-(β-оксиэтил)-пирирол (VI) и этиловый эфир 3,4-динитро-*N*-пирилуксусной к-ты (VII, VIII к-та). Взаимодействие I,  $\text{CH}_3\text{NH}_2$  и  $\text{CH}_3\text{CHO}$  или  $\text{C}_2\text{H}_5\text{CHO}$  приводит соответственно к 1,2-диметил-3,4-динитропириролу (IX) и 1-метил-2-этил-3,4-динитропириролу (X). Акролеин, кротоновый альдегид и бензальдегид в указанной р-ции дают смолы. Везде использована неочищ. I с содержанием  $\sim 40\%$  KBr. I из 50 г α,β-дибромформилакриловой к-ты (XI) растворяют в воде, добавляют несколько капель р-ра  $\text{NH}_4\text{OH}$ , 28 мл 28%-ного р-ра  $\text{CH}_2\text{O}$  и 15 г хлоргидрата II и через 3—4 часа отфильтровывают V, выход 18,2%, т. пл. 108—109° (из  $\text{CH}_3\text{COOH}$ , сп.). Аналогично из 11 г хлоргидрата III получают VI, выход 16,7%, т. пл. 77—79° (из сп. при охлаждении). К суспензии I в VI и 0,3 г красного фосфора в 10 мл  $\text{CHCl}_3$  прибавляют 0,3 г  $\text{Br}_2$  в 5 мл  $\text{CHCl}_3$ , нагревают 1 час, фильтруют, упаривают и получают 3,4-динитро-*N*-(β-бромэтил)-пирирол, выход 24,5%, т. пл. 87—87,5° (из сп.). Аналогично V из 15,5 г хлоргидрата IV получают VII, выход 12%, т. пл. 83,5—85° (из сп.). К р-ру 0,5 г VII в 10 мл  $\text{CH}_3\text{OH}$  прибавляют 2 мл конц.  $\text{HCl}$  и через 48 час. отфильтровывают метилвый эфир VIII, выход 89%, т. пл. 114,5—116° (из сп.). К р-ру 9,5 г VII в 150 мл конц.  $\text{H}_2\text{SO}_4$  прибавляют за 10—15 мин. 50 мл воды, выливают в равное кол-во воды и получают VIII, выход 93%, т. пл. 243—244° (разл.). 1 г анилиновой соли анила тринитропропионового альдегида (XII анил) смешивают с 15 мл спирта, 0,4 мл 28%-ного р-ра  $\text{CH}_2\text{O}$  и 1—2 каплями анилина, нагревают до растворения, добавляют 1—2 мл конц.  $\text{NH}_3$  и после охлаждения отфильтровывают 0,15 г в-в  $\text{C}_{16}\text{H}_{13}\text{N}_3\text{O}_2$ , т. пл. 130—131° (из сп.). 0,5 г XII, 0,174 г анилина и 0,2 г 28%-ного  $\text{CH}_2\text{O}$  растворяют в 15 мл ацетона, оставляют до полного испарения и после кристаллизации из спирта или смеси дихлорэтана с изоктаном получают в-во  $\text{C}_{13}\text{H}_{11}\text{N}_3\text{O}_2$ , т. пл. 202—203°. Р-р I (из 25 г XI), 2—3 капли  $\text{NH}_4\text{OH}$ , 13 г  $\text{CH}_3\text{NH}_2 \cdot \text{HCl}$  и 10 мл  $\text{CH}_3\text{CHO}$  в воде слегка нагревают и через 3—4 часа выделяют IX, выход 3,6%, т. пл. 116—117° (из лед.  $\text{CH}_3\text{COOH}$ , сп.). Аналогично получен X, выход 13%, т. пл. 142—143° (из бzl.). Предыдущее сообщение см. РЖХим, 1960, № 1, 1218.

В. Беликов

## 6Ж192. Синтез лактама пириролакриловой кислоты.

Agosta William C. The synthesis of a pyrrole acrylic lactam. *J. Amer. Chem. Soc.*, 1960, 82, № 9, 2258—2261 (англ.). — Синтезирован лактам 2,4-диметил-3-карбэтоксипирирол-5-(β-акрилового) к-ты (I, II к-та), для чего 2,4-диметил-3-карбэтоксиназетидинон (III) конденсирован по Кновенегелю с малоновой к-той (IV) в 2,4-диметил-3-карбэтоксиназетидинон-5-(β-акрилового) к-ты (VI, VII к-та), выход 77%, т. пл. 116° (из циклогексана), синтезированный также из VI; при кипячении VII 2,5 часа с  $(\text{CH}_3\text{CO})_2\text{O}$  получен ангидрид VII, выход 79%, т. пл. 148—149° (разл.; из бzl.), превращенный кипячением с  $(\text{CH}_3\text{CO})_2\text{O}$  и  $\text{CH}_3\text{COONa}$  в VI. Соединение I превращено действием (1 мин.) р-ра  $\text{C}_2\text{H}_5\text{ONa}$  в спирте в этиловый эфир II, выход 50%, т. пл. 58—59° (из водн. сп.), который при гидрировании над Pd/C в абс. спирте дает этиловый эфир VII. Легкость гидролиза и гидрирования I, а также его спектральные характеристики согласуются с предложенным для него строением. 2 г III и 2 г IV в 100 мл абс. спирта, содержащего 2 мл  $\text{NH}(\text{C}_2\text{H}_5)_2$ , кипятят 24 часа в атмосфере  $\text{N}_2$ , разбавляют



Cl<sub>2</sub> и 0,1 г 11-бенз[а]- (из бэл.); 6-дигидро- VII син- Synthesen, в для II- П и V. емянову 6,7-триме- F. Morin и 6-chlo- trypami- 1542—1547 синтезиро- (пиптамина), ентаметла- а в 200 мл эфира, от- едидируют CH<sub>3</sub>)<sub>2</sub>NH в амидиндо- п.). К су- еают 14,4 г хландают, кип. 140—150° (из бэл.). 5-хлоран- 7%, т. пл. 4 мл IV в чен I, вы- из сп.-эф.). 3-глиоксе- (разл.); из II, выход 3-хлор- (из бэл.). Из щей обра- тилглиоксе- (из бэл.). 6-хлор- II, K 176 г и прибавляют из 30 мл. К объе- 4,5-триме- (из бэл.), через мл воды, триметил- (из бэл.). (из NaOH) от 40,2 г ту (VII), и 100 мл ц (VIII), —47°. Вос- 10 г Pd (IX), вы- H<sub>2</sub>SO<sub>4</sub> (по чают 2,6 г, т. пл. 22,2 г IX, добавля- еляют 1 мл этилбена- г VIII в мл 45% ливают в 14,5-триме- 185—188° ацетата при 3,6 ат. 3%, т. пл. 1,5 г X в

200 мл этилацетата, 25 мл спирта и 25 мл лед. CH<sub>3</sub>COOH над 2 г 10%-ного Pd/C выделен 2-нитро-3,4,5-триметил-фенилацетальдоксим, т. пл. 183—184°. 7,5 г XI в 100 мл эфира обрабатывают 7,5 г ClCOCOCI и затем 6,8 г (CH<sub>3</sub>)<sub>2</sub>NH, получают 5,6,7-N,N-пентаметил-3-глиокс-амидиндол, выход 50%, т. пл. 192—193°, который вос- станавливают LiAlH<sub>4</sub> в 5,6,7-N,N-пентаметил-II, выход 85%, т. пл. 124—125°. Нитрованием 120,4 г 5-хлорбенз-альдегида 88 г KNO<sub>3</sub> в 1200 мл конц. H<sub>2</sub>SO<sub>4</sub> получен 2-нитро-5-хлорбензальдегид (XII), выход 66,5%, т. пл. 78,5—79,5° (из эф.-птр. эф.). 122,9 г XII обрабатывают 40,4 г CH<sub>3</sub>NO<sub>2</sub> и 132 мл CH<sub>3</sub>OH (10—15°), добавляют 27,8 г NaOH в 67 мл воды, через 2 часа (0—5°) выде- ляют α-(2-нитро-5-хлорфенил)-β-нитроэтанол (XIII), выход 51%, т. пл. 89—90° (из хлф.-птр. эф.). Обраба- тывают безводн. CH<sub>3</sub>COONa (из 56 г тригидрата) и 90 мл (CH<sub>3</sub>CO)<sub>2</sub>O 20 г XIII (кипчение 5 час.), выде- ляют в 60 мл воды, получают 2-нитро-5-хлор-β-нитро- стирол (XIV), выход 95,4%, т. пл. 124—125° (из сп.). При гидрировании XIV над 10%-ным Pd/C вместо 5-хлорбензола выделен индол, выход 52,1%, т. пл. 52,5—53°. Л. Аксанова

6Ж197. Новый класс высокоактивных антигист- аминных веществ. Huebner C. F., Donoghue Ellen, Wenk Patricia, Sury E., Nelson J. A. A new class of highly active antihistaminics. «J. Amer. Chem. Soc.», 1960, 82, № 8, 2077—2078 (англ.).—Кон- денсацией бензилфталата с диметиламиноэтиламином получают 3-бензил-2-(2-диметиламиноэтил)-фтал- имидин, т. пл. 225—226°, каталитич. восстановление которого дает 3-бензилфталимидин; дальнейшее вос- становление LiAlH<sub>4</sub> дает 1-бензил-2-(2-диметиламино- этил)-изондолин, т. пл. 200—201°, обладающий мяг- кими антигистаминными свойствами и являющийся сильным местным анестетиком. Из 2-(диметиламино- этил)-изондола-1, т. кип. 132°/1,7 мм, полученного р-цией с литийорганич. соединением (из 2-этилпири- дина и C<sub>6</sub>H<sub>5</sub>Li) и последующей дегидратацией, получа- ют di-2-[1-2-(2-диметиламиноэтил)-3-инденил]-этил-пи- ридин, температура плавления 159—161°, l-изомер ко- торого обладает наибольшей антигистаминной актив- ностью. Ф. Псалты

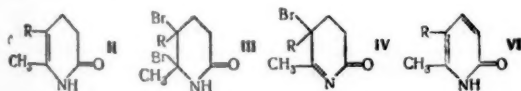
6Ж198. δ-Лактоны и δ-лактамы. XXI. Дибромиды δ-ε-олактамов (5,6-дибром-5,6-диалкилпиперидоны-2). Ш. Шерина Н. П., Головин А. В., Левина Р. Я. «Ж. общ. химии», 1960, 30, № 6, 1762—1769.—Циклиза- цией кетонов CH<sub>3</sub>COCH(R)CH<sub>2</sub>CH<sub>2</sub>CN (I) синтезированы производные 3,4-дигидропиридона-2 (II), которые при р-ции с бромом превращаются в 5,6-дибром-II (III). При действии холодной воды III отщепляют I молекулу HBr и образуют δ-5-бромпиридоны-2 (IV). При действии диэтиламина (V) или при нагревании с водой IV превращаются в диалкилпиридоны-2 (VI). Последние образуются также при р-ции III с V. Пере- годка IV в вакууме или их нагревание в кислоте при- водит к образованию бромгидратов VI. Р-р 0,5 моля I в 100 мл CHCl<sub>3</sub> насыщают сухим HCl и оставляют на 4 часа при ~20°. Описанным способом получают сле- дующие II (указаны R, т. пл. в °C): CH<sub>3</sub>, —; n-C<sub>3</sub>H<sub>7</sub>, 54, 125—126 (из этилацетата); n-C<sub>3</sub>H<sub>7</sub>, 36, 67—69 (из эф.); iso-C<sub>3</sub>H<sub>7</sub>, 25, 99—100 (из птр. эф.); C<sub>6</sub>H<sub>5</sub>, 60, 58 (из птр. эф.). К р-ру 0,1 моля II в 50—60 мл CHCl<sub>3</sub>

воды размешивают 30—40 мин., описанным способом получают следующие IV (здесь и далее указаны R, выход в %, т. пл. в °C): CH<sub>3</sub>, 65, 91—93 (из бэл.); n-C<sub>3</sub>H<sub>7</sub>, 80, 113—114 (из птр. эф.); iso-C<sub>3</sub>H<sub>7</sub>, 73, 107—108 (из птр. эф.); C<sub>6</sub>H<sub>5</sub> (IVa), 68, 108—109 (из птр. эф.). 0,01 моля IV нагревают 10—15 мин. в вакууме 40—50 мм и перегоняют. Описанным способом получают бромгидраты следующих VI: CH<sub>3</sub>, 50, 153—155 (из этил- ацетата); iso-C<sub>3</sub>H<sub>7</sub>, 48, 177—178 (из ацетона); C<sub>6</sub>H<sub>5</sub> (VII), 48, 185—187 (из ацетона). Смесь 1 г IVa и 6 мл ксидола нагревают 15 мин., получают VII. Смесь 0,01 моля IV и 0,01 моля V нагревают 10 мин. при 150—160°, растворяют в 8 мл воды и нейтрализуют NH<sub>4</sub>OH. Описанным способом получают следующие VI: CH<sub>3</sub> (VIa), 10, 205—206 (из ацетона); n-C<sub>3</sub>H<sub>7</sub> (VIb), 25, 129—130 (из ацетона); iso-C<sub>3</sub>H<sub>7</sub> (VIc), 25, 171—171,5 (из птр. эф.); C<sub>6</sub>H<sub>5</sub> (VIr), 45, 92—93 (из птр. эф.). Смесь 0,01 моля IV и 5 мл воды кипятят 15 мин. и ней- трализуют NH<sub>4</sub>OH. Описанным способом получают VIa—г, выходы которых равны соответственно 15, 15, 17 и 23%. Смесь 0,05 моля III и 0,1 моля V нагревают 5—10 мин. при 150—160°, растворяют в 5—10 мл го- рячей воды и нейтрализуют NH<sub>4</sub>OH. Описанным спосо- бом получают VIb—г с выходами соответственно 23, 20 и 23%. Сообщение XX см. РЖХим, 1960, № 20, 80999.

А. Травин

6Ж199. Синтез N-(5-диметиламино-n-пентил)-3-аза- бичило-[3,3,1]-нонана. Rossi Silva n., Valvo Car- mela. Sintesi del N-(5-dimetilammino n-pentil), 3-aza- biciclo [3-3-1] nonano. «Chimica e industria», 1960, 42, № 6, 637—638 (итал.).—Конденсацией N,N-диметилка- даверина (I) с гексагидроизофталевым ангидридом (II) получен N-(5-диметиламинопентил)-гексагидроизофтал- имид (III), восстановленный в фармакологически инте- ресный N-(5-диметиламинопентил)-3-азабичило-[3,3,1]- нонан (IV). Улучшен синтез I. Взвесь 11,3 г глутари- мида в 45 мл спирта и 6 г NH(CH<sub>3</sub>)<sub>2</sub> нагревают в за- паянной трубке 7 час. при 100—110°, р-р сгущают и извлекают эфиром N,N-диметилглутарамид, т. пл. 97—98° (из этилацетата), который восстанавливают LiAlH<sub>4</sub> в тетрагидрофуране (кипчение 3 часа) в I, т. кип. 54°/2 мм. Смесь 2,7 г I и 3,18 г II нагревают 16 час. при 140° и перегоняют III, т. кип. 197—198°/0,05 мм; пикрат, т. пл. 112—114° (из сп.). Кипятят III 5 час. с LiAlH<sub>4</sub> в эфире и выделяют IV, т. кип. 116—118°/1 мм; пикрат, температура плавления 164—166° (из сп.); йодметилат, температура плавления 172—174° (из сп.-эф.). Д. Витковский

6Ж200. Получение 3-оксис-5-оксиметил-2,4-диметил- пиридина (4-дезоксидермина). Wibaut J. P., Uhlenbroek J. H., Kooyman E. C., Kettenes D. K. Note on the preparation of 3-hydroxy-5-hydroxy- methyl-2,4-dimethyl-pyridine, (4-desoxyadernine). «Re- cueil trav. chim.», 1960, 79, № 5, 481—484 (англ.).— Улучшен синтез промежуточных соединений в получе- нии 4-дезоксидермина (I) и превращение 3-амино- 2,4-диметил-5-метиламинопиридина (II) в I с общим выходом 15%. В р-р 0,25 моля цианацетамид в 150 мл спирта добавляют 3 мл пиперидина, осторожно кипят- ят и медленно добавляют 0,25 моля ацетилацетона, кипятят 30 мин., охлаждают, получают 6-оксис-5-циано- 2,4-диметилпиридин (III), выход 97%, т. пл. 294°. В суспензию 0,5 моля III в 300 мл уксусного ангидрида добавляют 1/5 кол-ва смеси из 44 мл HNO<sub>3</sub> (d 1,52) и 40 мл уксусного ангидрида при 35°, остальную часть нитрующей смеси добавляют при 45—50° за 8—12 мин., перемешивают еще 10 мин. при 39—40°, выливают на лед (1 кг) и перемешивают 3—4 часа, получают 3-нитро-III, выход 68—70%, т. пл. 265—268° (разл.). К смеси 0,26 моля последнего и 0,31 моля PCl<sub>5</sub> прибавляют 30 мл POCl<sub>3</sub>, нагревают 45 мин. при 130°, POCl<sub>3</sub> отго- няют в вакууме, остаток выливают в холодную воду, получают 6-хлор-3-нитро-2,4-диметилпиридин (IV), вы-



прибавляют при охлаждении и размешивании 0,1 моля Br<sub>2</sub> в 10 мл CHCl<sub>3</sub>. Описанным способом получают сле- дующие III (указаны R, т. пл. в °C): CH<sub>3</sub>, —; n-C<sub>3</sub>H<sub>7</sub>, 70—72 (из бэл.); iso-C<sub>3</sub>H<sub>7</sub>, 79—80 (из бэл.); C<sub>6</sub>H<sub>5</sub>, 69—71 (из бэл.). Смесь 0,01 моля III и 15—20 мл холодной



ход 70%, т. пл. 112—113° (из сп.). Р-р 0,034 моля IV в 200 мл  $\text{CH}_3\text{OH}$  и 17 мл 2 н.  $\text{HCl}$  гидрируют над 5 г  $\text{Pd/C}$  (из 0,2 г  $\text{PdCl}_2$  и 5 г угля в 100 мл разб.  $\text{HCl}$ ) при 20° 1,5 часа, выпадает дихлоргидрат моногидрата II, выход 70—75%, т. пл. 310° (разл.). В р-р 0,0144 моля последнего в 20 мл дистил. воды и 35 мл 1,4 н.  $\text{H}_2\text{SO}_4$  добавляют по каплям р-р 0,035 моля  $\text{Ba}(\text{NO}_3)_2$  при т-ре ниже 0°, выдерживают 1 час при 0° и 1 час при 15° (свободную  $\text{HNO}_3$  разлагают мочевиной), нагревают 6 час. при 90° и кипятят несколько минут, фильтруют, добавляют в фильтрат несколько капель разб.  $\text{H}_2\text{SO}_4$ , обрабатывают углем и упаривают, получают хлоргидрат I, выход 45%, т. пл. 264° (испр.; из абс. спир.).

Ф. Псалти

**6ЖК201. Таутомеризм оксипиридинов. II. Бромирование 2,4-диоксипиридина и его этильных производных.** Kolder C. R., Hertog H. J. den. Tautomerism of hydroxypyridines. II. Bromination of 2,4-dihydroxypyridine and its ethyl derivatives. «Recueil trav. chim.», 1960, 79, № 5, 474—480 (англ.).—При бромировании 2,4-диоксипиридина (I), 2-этокси-4-оксипиридина (II) и 2-окси-4-этоксипиридина (III) получают соответственно 3-бромпроизводные I, II и III (IV—VI). При бромировании 2,4-диэтоксипиридина (VII) получают 2,4-диэтоксис-5-бромпиридин (VIII). 0,75 г 2-амино-4-этоксипиридина в 7 мл 30%-ной  $\text{H}_2\text{SO}_4$  диазотируют при 0° р-ром 0,4 г  $\text{NaNO}_2$  в 5 мл воды, нагревают 1 час при 60°, добавляют  $\text{NaOH}$  до слабощелочной р-ции, эфиром извлекают III, выход 90—95%, т. пл. 165,5—166,5°. Так же из 4-амино-2-этоксипиридина получают II, выход 90%, т. пл. 128—129°. К 0,001 моля I (II, III или VII) в 3 мл пиридина при 0° добавляют 0,0011 моля  $\text{Br}_2$  в 4 мл пиридина, оставляют на 1 час, р-ритель отгоняют в вакууме, разбавляют 10 мл воды, получают IV, выход 90%, т. пл. 249—251°. Аналогично получают (V и VI) извлекают эфиром из слегка подкисленной реакционной массы после отгонки пиридина V, выход 80%, т. пл. 119—119,5° (из воды), VI, выход 80%, т. пл. 181—182° (из воды), и VIII (извлекают эфиром из слегка подщелоченного р-ра), выход 90%, т. пл. 71—72° (из водн. сп.). К р-ру 0,1 г IV в 50 мл абс. спирта при 0° добавляют эфирный р-р 0,005 моля диазоэтана, через несколько часов р-ритель отгоняют, остаток перегоняют с паром, получают 3-бром-2,4-диэтоксипиридин (IX), т. пл. 55—55,5° (из водн. сп.). Аналогично получают IX из VI или V с выходом соответственно 50—55% и 60—65%; из 5-бром-2,4-диоксипиридина получают VIII, выход 65—70%. Приведены УФ-спектры I—IX. Сообщение 1 см. РЖХим, 1956, № 22, 71520.

И. Котляревский

**6ЖК202. Замещенные при азоте производные пириндикарбоновой-2,5 кислот.** Peterson Marvin L. Nitrogen-substituted derivatives of 2,5-pyridinedicarboxylic acid. «J. Organ. Chem.», 1960, 25, № 4, 565—569 (англ.).—Метосульфат N-метил-2,5-дикарбометокси-пиридина (I) легко реагирует в щел. среде с  $\text{K}_3\text{Fe}(\text{CN})_6$  (II) с образованием N-метил-5-карбометокси-пиридина-2 (III) и N-метил-5-карбоксипиридина-2 (IV). Из I кипячением с  $\text{HCl}$ -к-той получают 2,5-дикарбокс-N-метилпиридинийбетаин (V), который с II дает IV. N-окись 5-карбометокси-2-карбоксипиридина (VI) с  $\text{C}_6\text{H}_5\text{COCl}$  дает 5-карбоксипиридон-2 (VII). VI с уксусным ангидридом дает 3-карбометокси-пиридон-4 (VIII), который гидролизует в 3-карбоксипиридон-4 (IX), получающийся также при р-ции VI с  $\text{CH}_3\text{COCl}$ . 3 моля пиридиндикарбоновой-2,5 к-ты кипятят 6 час. с 3,2 г  $\text{CH}_3\text{OH}$  и 480 мл конц.  $\text{H}_2\text{SO}_4$ , нейтрализуют 4,5 л 25%-ного  $\text{Na}_2\text{CO}_3$  и  $\text{CHCl}_3$  извлекают 2,5-дикарбометокси-пиридина (X), выход 69%, т. пл. 162—163°. 0,1 моля X, 0,16 моля  $(\text{CH}_3)_2\text{SO}_4$  и 100 мл  $\text{C}_6\text{H}_6$  кипятят 3 часа, получают 26 г I, т. пл. 88—89° (из ацетона). I (из 0,2 моля X) кипятят 3 часа со 100 мл конц.  $\text{HCl}$ , получают V, выход 55%, т. пл. 170° (разл.; из воды). 0,05 моля I добавляют к смеси 0,1 моля II, 0,15 моля

$\text{NaOH}$  и 100 мл воды при 35—40°, водн. р-р экстрагируют  $\text{CHCl}_3$ , получают 1 г III, т. пл. 138,3—139,2° (из воды); при подкислении водн. р-ра после удаления III получают IV, т. пл. 241—243°. IV получают также при окислении V щел. р-ром II. При р-ции (100—105°, 16,5 часа) 0,6 моля X с 300 мл лед.  $\text{CH}_3\text{COOH}$  и 150 мл 30%-ной  $\text{H}_2\text{O}_2$  получают VI, т. пл. 151° (разл.; из сп.). VI нагревают 15 мин. с 40 мл 10%-ного  $\text{NaOH}$ , подкисляют конц.  $\text{HCl}$ , получают N-окись 2,5-дикарбоксипиридина, т. пл. 242—244° (разл.). 0,57 моля  $\text{C}_6\text{H}_5\text{COCl}$  добавляют к 0,51 моля VI в 50 мл диоксана при 90°, р-ритель отгоняют, остаток экстрагируют 10%-ным  $\text{Na}_2\text{CO}_3$ , остаток кипятят 1 час с 15%-ной  $\text{HCl}$ , охлаждают, получают VII, т. пл. 303,4—303,7° (из воды). VII получают также нагреванием (200°, 4 часа) смеси 0,105 моля пиридина-2 с 40 г  $\text{K}_2\text{CO}_3$  под давлением  $\text{CO}_2$  при 35 ат с последующим подкислением водн. р-ра реакционной смеси. Смесь 0,152 моля VI и 90 мл  $(\text{CH}_3\text{CO})_2\text{O}$  нагревают 10 мин. при 45—70°, удаляют  $(\text{CH}_3\text{CO})_2\text{O}$  в вакууме, получают ацетокси-карбометокси-пиридин, т. пл. 100—101,5° (из бал.); если р-р упаривают при 20° и атмосферном давлении и оставляют на неделю, получают VIII, т. пл. 82—84° (из бал.-петр. эф.). VIII кипятят 11,5 часа с конц.  $\text{HCl}$ , нейтрализуют  $\text{Na}_2\text{CO}_3$ , получают IX, т. пл. 245—247° (из воды). Смесь из 0,225 моля 2,5-бис-(N,N-диэтилкарбоксамида)-пиридина, 200 мл  $\text{CH}_3\text{COOH}$  и 100 мл 30%-ной  $\text{H}_2\text{O}_2$  кипятят 3 часа, р-ритель удаляют, получают N-окись 2,5-бис-(N,N-диэтилкарбоксамида)-пиридина, т. пл. 166,5—167,4°.

И. Котляревский

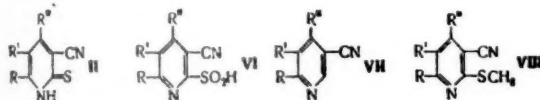
**6ЖК203. Катализируемое натрием алкилирование алкилпиридинов в боковой цепи.** Pines Hergma, Notari Bruno. Sodium-catalyzed side chain alkylation of alkylpyridines. Synthesis of alkylpyridines. «Amer. Chem. Soc.», 1960, 82, № 9, 2209—2213 (англ.).—Этилирование 2-R- и 4-R-пиридинов [Ia—ж, IIa—ж, где a R =  $\text{C}_2\text{H}_5$ , б R =  $\text{C}_3\text{H}_7$ , в R =  $\text{C}_4\text{H}_9$ , г R =  $\text{C}_6\text{H}_5$ , д R =  $\text{CH}(\text{C}_2\text{H}_5)_2$ , е R =  $\text{CH}(\text{C}_6\text{H}_5)_2$  (изо- $\text{C}_6\text{H}_7$ )] этиленом в присутствии Na в описанных ранее условиях (см. РЖХим, 1960, № 2, 5022) приводит к образованию 2- и 4-втор-бутил-, этилпропил-, трет-амил-, метилэтилпропил-, этилазобутил-, диэтилпропил- и метилэтилдибутилпиридинов соответственно. Этилирование IIa—д проходит при 140—145° и 28—59 ат с выходами 60—65%; для этилирования IIe требуется т-ра 160—180° при 55—62 ат и присутствии антрацена, выходы продуктов 32—65%. Этилирование Ia—ж проходит или в более жестких условиях (Ia 175°) или в присутствии антрацена (16—ж), выходы 4—88%. Пропилирование Ia, б и IIa, б также идет только в присутствии антрацена при 150—160° и 50—66 ат, причем образуются 2- и 4-метилдибутил- и этилдибутилпиридины. Состав образующихся смесей определяется методом газовой хроматографии и ИК-спектроскопии. Кинетич. исследование на примере IIa показывает, что алкилирование проходит как р-ция первого порядка (при 1—15 ат), скорость его пропорциональна кол-ву Na и механизм полностью совпадает с механизмом алкилирования пиколинов и алкилароматич. соединений. С целью сопоставления синтезов пиридин Ia—ж, IIb, г—ж и 2- и 4-R-пиридины [IIIa—д, IVa—д, где a R =  $\text{CH}(\text{C}_2\text{H}_5)_2$  (изо- $\text{C}_3\text{H}_7$ ), б R = трет- $\text{C}_4\text{H}_9$ , в R =  $\text{C}(\text{CH}_3)_2$  ( $\text{C}_2\text{H}_5$ ), г R =  $\text{C}(\text{CH}_3)_2$  ( $\text{C}_2\text{H}_5$ ) (изо- $\text{C}_6\text{H}_7$ ), д R =  $\text{C}(\text{C}_2\text{H}_5)_3$ ]. К р-ру 0,2 г  $\text{Fe}(\text{NO}_3)_3$  в 200—300 мл жидкого  $\text{NH}_3$  вносят 0,5 г атома K, через 10—15 мин добавляют 0,5 моля 2-метилпиридина, размешивают 15 мин., постепенно приливают (1—1,5 часа) 0,5 моля изо- $\text{C}_3\text{H}_7\text{Br}$ , р-р оставляют до повышения т-ры до ~20°, медленно вливают в воду, продукт извлекают эфиром, отгоняют р-ритель, остаток смешивают с  $\text{C}_6\text{H}_6$ , отгоняют азеотропную смесь воды и  $\text{C}_6\text{H}_6$  и перегоняют Ia, выход 97%, т. кип. 181°,  $n_D^{20}$  1,4831,  $d_4^{20}$  0,8973; кипит. т. пл. 97°. Аналогично синтезируют (указаны исходный I или II, алкилбромид, продукт, выход в %, т. кип.

в °C/мл  
84, 177°  
0,8988,  
0,9028,  
—,  
изо- $\text{C}_6\text{H}_7$   
 $\text{C}_6\text{H}_5\text{Br}$   
 $\text{C}_6\text{H}_5\text{Br}$   
 $\text{C}_6\text{H}_5\text{Br}$   
IIb, 90  
110/107°  
1,4985,  
0,9096,  
113,5°  
 $\text{C}_6\text{H}_5\text{Br}$   
IVd, 50  
6ЖК20  
к-т. II  
ration  
Chem.  
0,03 м  
6,6%-н  
 $\text{CH}_3\text{CO}$   
60°, д  
1 час,  
N-окси  
пириди  
II, вы  
и II д  
школо  
6ЖК2  
II. Тил  
рду  
в диа  
Synth  
Schm  
не аи  
Gies  
reihe.  
pyridi  
1960,  
ммоде  
ными

в °C/мм,  $n_D^{20}$ ,  $d_4^{20}$ , т. пл. в °C пикрата): Ia, C<sub>2</sub>H<sub>5</sub>Br, Ir, 84, 177/748, —, —, —; Ib, C<sub>2</sub>H<sub>5</sub>Br, Ic, 98, 196/755, 1,4860, 0,9088, 72—73; Ia, *изо*-C<sub>2</sub>H<sub>5</sub>Br, Id, 95, 193/740, 1,4875, 0,9028, 121,5;  $\gamma$ -пиколин, C<sub>2</sub>H<sub>5</sub>Br, IIb, 80, 186/748, 1,4961, —, —; IIa, C<sub>2</sub>H<sub>5</sub>Br, IIg, 85, 199/747, —, —, —;  $\gamma$ -пиколин, *изо*-C<sub>2</sub>H<sub>5</sub>Br, IIд, 79, 199,6/750, 1,4896, 0,9109, 122; IIб, C<sub>2</sub>H<sub>5</sub>Br, IIе, 87, 150/134, 1,4912, 0,9113, 225,5; IIа, *изо*-C<sub>2</sub>H<sub>5</sub>Br, IIж, 98, 159/173, 1,4930, 0,9185, 153; Ib, *изо*-C<sub>2</sub>H<sub>5</sub>Br, IIа, 54, 204/750, 1,4859, 0,8976, 92; IIв, C<sub>2</sub>H<sub>5</sub>Br, IIб, 90, 188/750, 1,4924, 0,9132, 118; Ir, C<sub>2</sub>H<sub>5</sub>Br, IIв, 90, 110/107, —, —, 114; Ir, *изо*-C<sub>2</sub>H<sub>5</sub>Br, IIг, 80, 225,5/755, 1,4963, 0,9197, —; IIб, *изо*-C<sub>2</sub>H<sub>5</sub>Br, IVa, 76, 166/155, 1,4921, 0,9096, 115; IIв, C<sub>2</sub>H<sub>5</sub>Br, IVб, 95, 159/176, 1,4975, 0,9251, 113,5; IIг, C<sub>2</sub>H<sub>5</sub>Br, IVв, 70, 130/110, —, —, 88; IIа, *изо*-C<sub>2</sub>H<sub>5</sub>Br, IVг, 50, 245/760, 1,4924, 0,9138, —; IIе, C<sub>2</sub>H<sub>5</sub>Br, IVд, 50, 150/110, —, —, 101. Д. Витковский

6Ж204. Получение N-оксид пиридиндикарбоновых к-т. Heywood Donald L., Dunn Jesse T. Preparation of pyridinedicarboxylic acid N-oxides. *J. Organ. Chem.*, 1959, 24, No 10, 1569—1570 (англ.).—В р-р 0,03 моля пиридиндикарбоновой-2,6 к-ты (I) в 45 г 6,6%-ного NaOH добавляют 10 г 45%-ной CH<sub>3</sub>CO<sub>2</sub>H в CH<sub>3</sub>COOH с 20 г 10%-ной NaOH, нагревают 1 час при 60°, добавляют еще 5 г р-ра CH<sub>3</sub>CO<sub>2</sub>H, нагревают еще 1 час, охлаждают, подкисляют конц. HCl, получают N-оксид I, выход 73%, т. пл. 155—157°. Аналогично из пиридиндикарбоновой-2,5 к-ты (II) получают N-оксид II, выход 86%, т. пл. 241—244°. Строение N-оксид I и II доказано декарбоксилированием их до N-оксид пиридиновой и пикотиновой к-т. Ф. Псалты

6Ж205. Синтезы с тиоамидами малоновой кислоты. II. Тиопиридон из циантиоацетамида. III. (Синтезы в ряду адермина. I). Превращение циантиопиридонов в циантипидины при окислении и восстановлении. Synthesen mit den Thioamiden der Malonsäure. II. Schmidt Ulrich, Kubitzek Harry. Thiopyridone aus Cyan-thioacetamid. III. Schmidt Ulrich, Giessele mann Günter. (Synthesen in der Aderminreihe. I.). Umwandlungen der Cyan-thiopyridone in Cyanpyridine durch Oxydation und Reduktion. *Chem. Ber.*, 1960, 93, № 7, 1559—1565, 1590—1597 (нем.).—II. Взаимодействием циантиоацетамида (I) с  $\beta$ -дикарбонильными соединениями в присутствии каталитич. кол-ва



третичного амина синтезированы производные 5-циан-6-тиопиридоны (II). В р-р 200 г динитрила малоновой к-ты (III) и 100 г  $\alpha$ -пиколина (или смеси пиколинов) в 1 л спирта пропускают слабый ток H<sub>2</sub>S, через 1—2 дня отделяют кристаллич. осадок, к маточному р-ру добавляют 200 г III и снова пропускают H<sub>2</sub>S. Повторяя указанную операцию несколько раз, из 1 кг III получают 1,4 кг I, т. пл. 119° (из сп.). Р-р 50 г 3-оксиминоацетилацетона в 250 мл (CH<sub>3</sub>CO)<sub>2</sub>O гидрируют при ~20° и начальном давл. 100 ат над скелетным Ni и размешивают несколько часов пока давление не упадет до 75 ат, получают 3-ацетаминоацетилацетон, выход 40 г, т. пл. 103° (из бзл.). Р-р 1 моля ацетилацетона и 1 моля I в 1 л спирта нагревают до кипения, прибавляют 5 мл  $\beta$ -диэтиламиноэтанола (IV), кипятят 15 мин. и охлаждают несколько часов, получают II (R = R' = CH<sub>3</sub>, R'' = H) (IIa), выход ~100% (неочищ.), т. пл. 264° (разл.; из лед. CH<sub>3</sub>COOH). Аналогично получают следующие II (указаны R, R', R'', выход, т. пл. в °C): C<sub>6</sub>H<sub>5</sub>, H, CH<sub>3</sub>, 4,2 г (из 2 г I и 3,2 г бензоилацетона), 223 (из лед. CH<sub>3</sub>COOH); CH<sub>3</sub>, H, COO-C<sub>2</sub>H<sub>5</sub>, 93%, 200 (разл.; из лед. CH<sub>3</sub>COOH); CH<sub>3</sub>, CH<sub>3</sub>COO, CH<sub>3</sub> (IIб), 88%, 223—227 (из лед. CH<sub>3</sub>COOH); CH<sub>3</sub>, CH<sub>3</sub>CONH, CH<sub>3</sub>, 60%, 290 (из лед. CH<sub>3</sub>COOH и диметил-

формамида). К кипящей смеси 10 г I, 13 г ацетоуксусного эфира и 15 мл *n*-гексанола прибавляют 3 мл пиридина и 2 мл IV, кипятят 10 мин., оставляют на ~12 час., растворяют в 2 л NaOH, фильтруют и подкисляют, получают II (R = OH, R' = H, R'' = CH<sub>3</sub>) (IIв), выход 7 г, т. пл. 251°. В 200 мл смеси спирта, диоксана и воды (1:1:1) вносят 2,3 г Na, прибавляют 16 г IIв и 20 г *n*-гексилбромида, кипятят 6 час., прибавляют 0,5 л воды и оставляют на ~12 час., получают 2-окси-4-метил-5-циан-6-*n*-гексилмеркаптопиридин, выход 20 г, т. пл. 84—85° (из петр. эф.). К кипящему р-ру 100 г I в 0,4 л 10%-ной CH<sub>3</sub>COOH прибавляют 135 г диметилацетата  $\beta$ -кетомасляного альдегида, нагревают 10 мин. и оставляют на ~12 час., получают II (R = CH<sub>3</sub>, R' = R'' = H), выход 150 г (неочищ.), т. пл. 235° (разл.; из лед. CH<sub>3</sub>COOH). При обработке последнего диметилсульфатом в щел. р-ре получают 2-метил-5-циан-6-метилмеркаптопиридин, выход 80%, т. пл. 100—101° (из петр. эф.). Смесь 30 г IIа и 100 мл 48%-ной HBr кипятят 2 часа и оставляют на ~12 час., получают 2,4-диметил-6-тиопиридонкарбоновую-5 к-ту (V), выход 28 г, т. пл. 245° (разл.; из 50%-ной CH<sub>3</sub>COOH). Смесь 15 г V, 100 мл пиридина и 25 г тетрафосфордекасульфида кипятят 1 час, выливают в 0,5 л воды и оставляют на 1 час, получают 2',4'-диметилпиридино-[5',6':2,3]-трион, выход 1,5 г, т. пл. 141° (из лед. CH<sub>3</sub>COOH и бутилацетата). Скорость р-ции I с  $\beta$ -дикарбонильными соединениями в 20 раз превышает скорость аналогичной р-ции цианацетамида.

III. При окислении II разб. HNO<sub>3</sub> или йодом в р-ре K<sub>2</sub>CO<sub>3</sub> образуются соответствующие дисульфиды, которые при р-ции с H<sub>2</sub>S снова превращаются в II. Окисление II действием H<sub>2</sub>O<sub>2</sub> в сильно щел. условиях приводит к 5-цианпиридил-6-сульфиновым к-там (VI). Последние превращаются при нагревании в соответствующие 5-цианпиридины (VII), которые образуются также при восстановлении 5-циан-6-метилмеркаптопиридонов (VIII) действием чистого Zn в кислой среде. Разложение VI протекает значительно труднее, чем разложение  $\alpha$ -пиколилсульфиновой к-ты (IX). Окисление II избытком H<sub>2</sub>O<sub>2</sub> приводит к 5-цианпиридил-6-сульфовым к-там, которые превращаются при нагревании с водой в 5-циан-6-пиридоны (приведен механизм образования последних) и при р-ции с гидразином гидратом (X) — в соответствующие пиазолопиридины (через промежуточные 5-циан-6-гидразинопиридины). Последние образуются также при р-ции X с VIII. Смесь 26 г 3-бензолазоацетилацетона, 15,3 г I, 20 г прокаленного K<sub>2</sub>CO<sub>3</sub> и 200 мл ацетона кипятят 4 часа и оставляют на 2 дня в рефрижераторе, получают K-соль II (R = R' = CH<sub>3</sub>, R'' = C<sub>6</sub>H<sub>5</sub>N=N) (IIг), выход 55 г (неочищ.). К кипящему р-ру 55 г IIг в 0,5 л спирта прибавляют 65 г Na<sub>2</sub>S<sub>2</sub>O<sub>4</sub> в 0,3 л воды и оставляют на 1 день в рефрижераторе, получают II (R = R' = CH<sub>3</sub>, R'' = NH<sub>2</sub>), (IIд), выход 18 г (неочищ.), т. разл. ~300°. К р-ру IIа в избытке теплого водн. р-ра K<sub>2</sub>CO<sub>3</sub> прибавляют вычисленное кол-во 10%-ного спирт. р-ра J<sub>2</sub>, получают бис-(2,5-диметил-5-цианпиридил-6)-дисульфид (XI), выход ~100%, т. пл. 173° (из бутанола и бзл.). При насыщении р-ра XI в пиридине сероводородом получают IIа. К р-ру 0,5 моля IIа и 20 г NaOH в 0,2 л воды прибавляют при т-ре не > 20° 1 моль H<sub>2</sub>O<sub>2</sub> и обрабатывают конц. р-ром NH<sub>4</sub>Cl, получают NH<sub>4</sub>-соль VI (R = R' = CH<sub>3</sub>, R'' = H) (VIa, VIб к-та). Аналогично из IIд получают VI (R = R' = CH<sub>3</sub>, R'' = NH<sub>2</sub>) (VIв). Смесь 0,9 г Na-соли VIб и 2 г Si-порошка нагревают до 250°, в дистилляте получают VII (R = R' = CH<sub>3</sub>, R'' = H) (VIIa), выход 350 мг, т. пл. 57—58° (из петр. эф.). 3 г VIа и 0,1 л смеси (CH<sub>3</sub>CO)<sub>2</sub>O-CH<sub>3</sub>COOH (1:1) нагревают несколько минут при 80—90° обрабатывают по охлаждению спиртом, упаривают в вакууме, остаток растворяют в воде, подщелачивают р-ром NaOH и извлекают эфиром, получают VIIа, выход 80%. В 50 мл (CH<sub>3</sub>)<sub>2</sub>SO<sub>4</sub> вносят при 100° 40 г IIа

и выливают в воду, получают VIII ( $R = R' = \text{CH}_3$ ,  $R'' = \text{H}$ ) (VIIIa), выход 41,5 г, т. пл. 167—170° (из сл.). К р-ру 28,8 г VIIIa в 0,3 л 50%-ной  $\text{CH}_3\text{COOH}$  прибавляют 30 г чистого Zn (в виде чешуек), кипятят до образования прозрачного р-ра при разбавлении водой (в отдельной пробе), кипятят еще 30 мин., упаривают в вакууме, обрабатывают конц. р-ром NaOH и извлекают эфиром, получают VIIa, выход 18 г, т. кип. 110°/12 мм. К р-ру 2,33 г VIb в 20 мл гликоля прибавляют при 180° в атмосфере  $\text{N}_2$  р-р 1,5 г бензойной к-ты в гликоле, охлаждают и обрабатывают р-ром 3 г пикриновой к-ты в 30 мл спирта, получают пикрат VII ( $R = R' = \text{CH}_3$ ,  $R'' = \text{NH}_2$ ) (VIIb основание), выход 2,3—2,6 г, т. пл. 228—230° (разл.). Р-р IIд в щелочи обрабатывают  $(\text{CH}_3)_2\text{SO}_4$ , получают VIII ( $R = R' = \text{CH}_3$ ,  $R'' = \text{NH}_2$ ) (VIIIb), выход 95%, т. пл. 152° (из сл.). Р-р VIIIb в кипящей 3 н. HCl обрабатывают чистым Zn (конец р-ции определяют по слабой муте при разбавлении отдельной пробой водой и прибавлении  $\text{CH}_3\text{COONa}$ ), сильно подщелачивают NaOH и охлаждают, получают VIIb, выход 60%, т. пл. 196—197° (из сл.). Р-р 1 моля IIb в избытке 2 н. NaOH оставляют на 5 час. при ~20°, размешивают несколько минут с 1,2 моля  $(\text{CH}_3)_2\text{SO}_4$ , подкисляют, фильтруют и осадок кристаллизуют из спирта. 0,1 моля полученного таким образом кристаллич. продукта (выход 80%) вносят в р-р  $\text{C}_6\text{H}_5\text{ONa}$  (из 2,3 г Na и 0,2 л спирта), осторожно обрабатывают 0,1 моля  $(\text{CH}_3)_2\text{SO}_4$ , оставляют на ~24 часа и выливают в большой объем воды, получают VIII ( $R = R' = \text{CH}_3$ ,  $R'' = \text{CH}_3\text{O}$ ) (VIIIb), т. пл. 73° (из сл. в бал.; возгонка при 100°/15 мм). Смесь 34 г VIIIb, 0,5 л конц. HCl и 0,4 л воды обрабатывают 100 г технич. Zn (до образования прозрачного р-ра при разбавлении водой); при вакуум-перегонке продукта р-ции получают 25 г VII ( $R = R' = \text{CH}_3$ ,  $R'' = \text{CH}_3\text{O}$ ), т. кип. 88—90°/0,6 мм, т. пл. 43°, и 20 г 2,4-диметил-3-метокси-5-аминопиримидил-6-метилмеркаптопиридина, т. кип. 90—110°/0,6 мм; 5-N-ацетилпроизводное, т. пл. 168°. К р-ру 80 г IIa и 20 г NaOH в 0,2 л воды прибавляют при охлаждении 170 мл 30%-ной  $\text{H}_2\text{O}_2$ , оставляют при охлаждении на 1 час, прибавляют при 0° 100 мл конц. HCl и оставляют на несколько часов, получают 2,4-диметил-5-цианпиримидил-6-сульфоновую к-ту (XII), выход 60—65 г. Смесь 20 г XII и 0,2 л 2 н. HCl нагревают 10 час. на водяной бане, получают 2,4-диметил-5-цианпиримидон-6, выход 12 г, т. пл. 282° (из лед.  $\text{CH}_3\text{COOH}$ ). Смесь 21 г XII и 30 мл 80%-ного X нагревают до кипения, выдерживают 10 мин. при 120°, охлаждают несколько часов, фильтруют, осадок растворяют в HCl (к-те) и обрабатывают  $\text{CH}_3\text{COONa}$ , получают 3'-амино-2,4-диметилпиримидон-4-[4',5':5,6]-пиримидин (XIII), выход 15 г, т. пл. 280° (из бутанола). Смесь 3 г VIIIa и 3 г 90%-ного X нагревают 48 час. при 140° и обрабатывают, как указано выше, получают XIII. К 100 мл 0,7 M р-ра  $\text{C}_6\text{H}_5\text{Li}$  в эфире прибавляют 6,5 г  $\alpha$ -пиколина (XIV) в 30 мл эфира, оставляют на 24 часа, насыщают при охлаждении током  $\text{SO}_2$ , прекращают охлаждение, пропускают  $\text{SO}_2$  до обесцветивания р-ра и фильтруют, получают Li-соль IX (XV). Смесь 1 г XV и 5 мл лед.  $\text{CH}_3\text{COOH}$  кипятят 2 мин. и обрабатывают конц. р-ром NaOH, получают XIV. Сообщение I см. РЖХим, 1959, № 24, 74931.

6Ж206. Пиримидил-4-кетимин. Bourbon Pierre, Malbos Robert, Puig Philippe. Sur les pyridyl-4 cétimines. «C. r. Acad. sci.», 1960, 250, № 25, 4179—4181 (франц.).—К р-ру 1 моля 4-цианпиримидина в эфире



прибавляют 2,5 моля реактива Гриньяра, кипятят 3 часа и магнийорганич. комплекс разрушают действием льда и  $\text{NH}_4\text{Cl}$  или (в безводн. условиях) щавелевой

к-ты. Описанным способом получают пиримидил-4-фенилкетимин, т. кип. 126°/0,5 мм, 135°/2 мм,  $n_D^{20}$  1,6098, и пиримидил-4-бутилкетимин, т. кип. 127—128°/6 мм,  $n_D^{20}$  1,5257. При аналогичном синтезе пиримидил-4-этилкетимина, т. кип. 101°/3 мм,  $n_D^{20}$  1,6060, наряду с последним из реакционной смеси выделен этилэтилиденпиримидил-4-кетимин (I), т. кип. 170°/2 мм,  $n_D^{20}$  1,5980.

6Ж207. Изучение фаликанна. Сообщение X. Сульфосоединения с анестезирующим действием. Proff Elm ar, Jumar Alfred.  $\beta$ -Sulfobasen mit anästhetischer Wirksamkeit. X. Mitteilung zur Kenntnis der Falcaine. «Chemiker-Ztg», 1960, 84, № 13, 421—422 (нем.). Синтезированы серусодержащие аналоги фаликанна  $n\text{-RC}_6\text{H}_4\text{SO}_2\text{CH}_2\text{CH}_2\text{NC}_5\text{H}_9 \cdot \text{HCl}$  (Ia—ж; всюду  $\alpha$  R = H,  $\beta$  R =  $\text{CH}_3\text{O}$ , в R =  $\text{C}_2\text{H}_5\text{O}$ ,  $\gamma$  R =  $\text{C}_6\text{H}_5\text{O}$ ,  $\delta$  R =  $\text{C}_6\text{H}_{11}\text{O}$ ,  $\epsilon$  R =  $\text{C}_6\text{H}_{13}\text{O}$ ) по схеме  $n\text{-RC}_6\text{H}_4\text{SH} + \text{SOCl}_2 \rightarrow n\text{-RC}_6\text{H}_4\text{SCH}_2\text{CH}_2\text{OH}$  (IIa—ж)  $\xrightarrow{\text{SOCl}_2} n\text{-RC}_6\text{H}_4\text{SCH}_2\text{CH}_2\text{Cl}$  (IIIa—ж)  $\rightarrow \text{C}_6\text{H}_5\text{SO}_2\text{CH}_2\text{CH}_2\text{Cl} \rightarrow \text{Ia—ж}$ . Исследование на мышах показало, что токсичность Ia—ж (в особенности Ig,  $\epsilon$ ) в 3—4 раза ниже токсичности фаликанна; анестезирующая активность Ig,  $\epsilon$  почти вдвое превышает таковую фаликанна. К р-ру 0,1 моля  $n\text{-RC}_6\text{H}_4\text{SH}$  в 25 мл 4 н. NaOH приливают по каплям 8,05 г  $\text{ClCH}_2\text{CH}_2\text{OH}$ , по окончании экзотермич. р-ции нагревают 1,25 часа при 100°, продукт перегоняют или кристаллизуют из петр. эфира и получают с выходом 79—97% (указаны в-во и т. кип. в °C/мм или т. пл. в °C): IIa, 130—131/5; б, 40—40/5; в, 135/1; г, 41; д, 47; е, 37; ж, 37—39. К р-ру 75 ммоль IIa—ж в 20—25 мл  $\text{CHCl}_3$  приливают по каплям 18 г  $\text{SOCl}_2$ , кипятят 45 мин., отгоняют  $\text{SOCl}_2$  и перегоняют с выходом 70—86%: IIIa, 91—92/2; б, 138/2; в, 149—150/4; г, 150/3,5; д, 163/3; е, 169/5; ж, —. 0,05 моля IIIa—ж растворяют в  $\text{CH}_3\text{COOH}$ , добавляют 20 мл  $\text{H}_2\text{O}$ , нагревают 2 часа при 60°, выдерживают 1 день при ~20°, отгоняют в вакууме р-ритель, остаток смешивают с водой и нейтрализуют разб. NaOH; 0,03 моля продукта растворяют в 20—50 мл эфира, медленно приливают 0,065 моля ниперидина в эфире, кипятят 30—60 мин., р-р извлекают водой, сушат и осаждают сухим HCl с выходом 80—93% (указаны в-во и т. пл. в °C): Ia, 222—223; б, 209—210; в, 211—212; г, 206—207; д, 204—205; е, 203—204; ж, 194—196. Предыдущее сообщение см. РЖХимБх, 1959, № 11, 14818. М. Карапетян

6Ж208. Синтез этилового эфира 2-карботокс-4-(5'-метилпиримидил-2')-валериановой кислоты. Arata Yoshio, Asai Takesi. «Yakugaku daissi, Yakugaku zasshi, J. Pharmac. Soc. Japan», 1959, 79, № 11, 1442—1445 (японск.; рез. англ.).—Проведен синтез этилового эфира 2-карботокс-4-(5'-метилпиримидил-2')-валериановой к-ты (I). Смесь 55 г 2,5-лутидина (II), 15,5 г параформальдегида и 15 мл воды нагревают при 125—130° в автоклаве, отгоняют с паром, остаток извлекают  $\text{CHCl}_3$ , разгонкой выделяют (даны время р-ции в час, продукт, выход в %, т. кип. в °C/мм): 11, 2-(2'-оксиэтил)-5-метилпиримидин (III), 7, 107—109/4; 22, III, 12, —; 33, III, 20, —; 2-(2'-диоксизизопропил)-5-метилпиримидин (IV), 3,1, 155—159/4. Эквимольные кол-ва II и 35%-ного  $\text{HCHO}$  нагревают 35 час. при 140—150°, получают III, выход 15,5% [пикрат (ПК), т. пл. 126—127° (из сл.)], IV, выход 4,2%; пикролат (ПКЛ), т. пл. 175—177° (из 50%-ного сл.). Смесь 25 г III и 17,5 г 35%-ного  $\text{HCHO}$  нагревают 37 час. при 150—160°, получают IV, выход 40%. 42 г IV и 5-кратное кол-во  $(\text{CH}_3\text{CO})_2\text{O}$  кипятят 3 часа, отгоняют в вакууме, остаток обрабатывают водой, насыщают  $\text{K}_2\text{CO}_3$ , извлекают эфиром, получают 2-(1'-ацетоксиметилвинил)-5-метилпиримидин (V), выход 37,5 г, т. кип. 115—116°/3 мм [ПК, т. пл. 113—117° и 245° (разл.; из 50%-ного сл.)] и 2-(2',2'-диацетоксизизопропил)-5-метилпиримидин, выход 4 г, т. кип. 170—200° (баня)/0,05 мм, т. пл. 46—47°; ПКЛ, т. пл. 126° (разл.; из сл.). Смесь натрмалонового эфира

(из 1,4 малоновой 2 часа, промыв навеска 4,7 г 2-кп. 100° (из 7 г 2-кп. винил- (баня) спирта 0,5 г уг. 0,05 мм. 137° (из 2'-проп- р-ром 2 получ. выход (разл.; нагрет. подше. чают (VIII, к р-р по идент. 6Ж202. няя, I ных Стап 1960, ные (туре а от их 16,2 г 20 мл (R = из дио диона 49,5% м-мет 100 л (R = из д 360° вание кипя ятсро лед. I [R ~40° ния I сред 6Ж риди кетон М. I ques

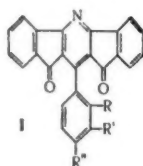


4-фенил-  
1,6098, и  
мм,  $n_D^{20}$   
-этилкет-  
с послед-  
дендипи-  
мм,  $n_D^{20}$   
Травин  
X. Суль-  
Proff  
anästheti-  
der Fali-  
(нем.).—  
аликанна  
а R = H,  
= C<sub>6</sub>H<sub>5</sub>,  
C<sub>6</sub>H<sub>5</sub>SH +  
SOCl<sub>2</sub> →

CH<sub>2</sub>Cl →  
ало, что  
—4 раза  
актив-  
фалика-  
ОН при-  
кончания  
00°, про-  
эфира  
и т. кип.  
40—40,5;  
5 ммольей  
при 18 г  
отгоняют  
в, 149—  
0,05 моля  
мл H<sub>2</sub>O,  
ень при  
смеси  
0,03 моля  
нио при-  
дают 30—  
дают су-  
и т. пл.  
206—207;  
ущее со-  
рапелая  
токен-4  
Arata  
akugaku  
и, 1442—  
тилового  
перяно-  
5,5 г па-  
и 125—  
влекают  
и в час.  
(2'-окси-  
III, 12,  
5-мети-  
ол-ва II  
150°, по-  
26—127  
т. ш.  
и 17,5 г  
°, полу-  
CH<sub>2</sub>  
остаток  
эфир-  
тилли-  
мм [ПК  
сп.]] и  
выход  
°; ПКЛ  
о эфира

(из 1,4 г Na, 17 мл абс. спирта, 24 г диэтилового эфира малоновой к-ты) и 12 г V в 40 мл абс. спирта кипятят 2 часа, выливают в смесь 55 г льда и 13,6 мл конц. HCl, промывают эфиром, водн. слой выщелачивают K<sub>2</sub>CO<sub>3</sub>, высекают эфиром, при разгонке остатка получают 4,7 г 2-(1'-оксиметилвинил)-5-метилпиридина (VI), т. кип. 100—101°/3 мм [ПК, т. пл. 139—140° (из сп.); ацетат (из 7 г VI, (CH<sub>3</sub>CO)<sub>2</sub>O, кипячение 3 часа), выход 6,5 г, т. кип. 115—117°/3 мм], и 2-[1'-(2'',2''-дихлорэтил)-винил]-5-метилпиридин, выход 13%, т. кип. 150—190° (баня) 0,05 мм; 1,5 г полученного продукта в 10 мл спирта гидрируют с Pd/C (из 5 мл 2%-ного PdCl<sub>2</sub> и 0,5 г угля), получают I, выход 20%, т. кип. 146° (баня) 0,05 мм; ПК, т. пл. 81—82° (из сп.); ПКЛ, т. пл. 136—137° (из сп.). 2,8 г этилового эфира 2-(5'-метилпиридил-2'-пропионой к-ты) восстанавливают эфирным р-ром 2,4 г LiAlH<sub>4</sub> (30 мин., ~20°), разлагают водой, получают 2-(2'-оксипропил)-5-метилпиридин (VII), выход 2 г, т. кип. 110—112°/7 мм; ПКЛ, т. пл. 137° (разл.; из сп.). Смесь 1,5 г VII, 2 г CHCl<sub>3</sub> и 2,5 г SOCl<sub>2</sub> нагревают 3 часа при 70°, отгоняют в вакууме, остаток подщелачивают р-ром K<sub>2</sub>CO<sub>3</sub>, извлекают эфиром, получают 0,6 г 2-(2'-хлорпропил)-5-метилпиридина (VIII), т. кип. 95—105°/3,5 мм; ПК, т. пл. 135—136° (из сп.). В смеси из 1,5 г малоновой кислоты и 3 мл толуола растворяют при нагревании 0,15 г Na, добавляют 0,6 г VIII, кипятят 15 час., промывают 10%-ной HCl, кислый р-р подщелачивают K<sub>2</sub>CO<sub>3</sub>, извлекают эфиром, выделяют I, выход 0,1 г, т. кип. 140—155° (баня) 0,05 мм, идентичен полученному выше продукту. Л. Яновская 6Ж209.

**Многоядерные гетероциклические соединения. II. Структура и цветность некоторых производных 4-фенилдибензоилпиридина.** Ванан Г. Я., Стапкевич Э. И., Грен Э. Я. «Ж. общ. химии», 1960, 30, № 5, 1620—1627. Синтезированы производные (I) и сделано предположение об истинной структуре этих в-в и о зависимости окраски и хим. свойств от их строения. 2,62 г м-оксидибензоилдиандиона-1,3, 16,2 г CH<sub>3</sub>COONH<sub>4</sub> и 80 мл лед. CH<sub>3</sub>COOH кипятят 20 мин., прибавляют 3—4 мл 30%-ной H<sub>2</sub>O<sub>2</sub>, получают I (R = R' = H, R'' = OH), выход 44%, т. пл. 390° (разл.; из диоксана). Аналогично из о-метоксибензоилдиандиона получают I (R = OCH<sub>3</sub>, R' = R'' = H), выход



49,5%, т. пл. 310—315° (из *n*-ксилола). 2,75 г о-оксим-метоксибензоилдиандиона-1,3, 15,1 г CH<sub>3</sub>COONH<sub>4</sub> и 100 мл лед. CH<sub>3</sub>COOH кипятят 30 мин., получают I (R = OH, R' = OCH<sub>3</sub>, R'' = H), выход 50%, т. пл. 340° (из диоксана). Аналогично (кипятят 1,5 часа) получают I [R = R' = H, R'' = (CH<sub>3</sub>)<sub>2</sub>N], выход 27%, т. пл. 360° (из нитробензола); хлоридат (получают упариванием 0,5 г I с 200 мл конц. HCl), выход 84%. При кипячении 30 мин. смеси 3,21 г *n*-диметиламино-м-нитробензоилдиандиона, 15,4 г CH<sub>3</sub>COONH<sub>4</sub> и 120 мл лед. CH<sub>3</sub>COOH с последующей добавкой H<sub>2</sub>O<sub>2</sub> получают I [R = H, R' = NO<sub>2</sub>, R'' = (CH<sub>3</sub>)<sub>2</sub>N], выход 27%, т. пл. ~400° (из диоксана). Приведены спектры поглощения I в УФ- и видимой области в разных р-рителях и средах. Сообщение I см. РЖХим, 1960, № 3, 9263.

**И. Котляревский 6Ж210.** Синтез ацетиленовых спиртов в ряду пиридина. Сообщение I. Этилирование пиридиновых кетонов в жидком аммиаке. Gautier J. A., Miocque M., Lafontaine Cl. Synthèse de carbonols acétyléniques en série pyridique. (1-е mém) L'éthynylation des

cétones pyridiques dans l'ammoniac liquide, Bull. Soc. chim. France, 1960, № 6, 1117—1121 (франц.).—Изучено этилирование ацетиленом, фенилацетиленом (I) и 3-*N*-пиридинопропином-1 (II) пиридиновых кетонов трех типов: C<sub>5</sub>H<sub>4</sub>NCO<sub>2</sub>R (III), 2- или 4-C<sub>5</sub>H<sub>4</sub>N(CH<sub>2</sub>)<sub>4</sub>COCH<sub>3</sub> (IV) и C<sub>5</sub>H<sub>4</sub>NCH<sub>2</sub>COR (V). В жидком NH<sub>3</sub> III и IV переходят нормальным образом в ацетиленовые спирты (AC), V не реагируют, вероятно, вследствие значительной энолизации. Исходные кетоны получены р-цией Фриделя—Крафтса с хлорангидами пиридинкарбоновых к-т и р-цией пиридилития и пиколития с эфирами и нитрилами или гидратацией 6-(2/4-пиридил)-гексинов-1. Синтез II осуществлен по схеме: BrCH<sub>2</sub>CHBrCH<sub>2</sub>Br → CH<sub>2</sub>=CBrCH<sub>2</sub>Br → CH<sub>2</sub>=CBr-

CH<sub>2</sub>N(CH<sub>2</sub>)<sub>4</sub>CH<sub>2</sub> (VI) → II. Не удалось осуществить р-ции Манниха между полученными спиртами и пиридином. Попытки получить [2(или 4)-пиридилметил]-фенилацетиленкарбинолы взаимодействием пиколития с C<sub>6</sub>H<sub>5</sub>COC≡CH также не увенчались успехом. Через р-р NaNH<sub>2</sub> или LiNH<sub>2</sub> [из 0,11 моля Na или Li и ~0,10 г Fe(NO<sub>3</sub>)<sub>3</sub> в 100 мл жидкого NH<sub>3</sub>] пропускают 30—45 мин. сухой C<sub>2</sub>H<sub>2</sub>, вводят 0,1 моля кетона в безводн. эфире, через 2 часа отгоняют NH<sub>3</sub>, разлагают 150 мл водн. эфира и из эфирного р-ра получают AC перегонкой или кристаллизацией. Приведены исходный кетон, полученное в-во, выход в %, т. кип. в °C/мм: 2-пропионилпиридин, 3-(2-пиридил)-пентин-1-ол-3, 68—70, 113—125/12 (из уайт-спирита); 2-бензоилпиридин (VII), 3-(пиридил-2)-3-фенилпропин-1-ол-3, 78, — (из уайт-спирита); 3-бензоилпиридин (VIII), 3-пиридил-3)-3-фенилпропин-1-ол-3, 70, — (из толуола-ацетона); 4-бензоилпиридин (IX), (пиридил-4)-3-фенилпропин-1-ол-3, 70, — (из абс. сп.); 6-(пиридил-2)-гексанон-2 (X), 7-(пиридил-2)-3-метилгептин-1-ол-3, 61, 145—147/0,6; 6-(пиридил-4)-гексанон-2 (XI), 7-(пиридил-4)-3-метилгептин-1-ол-3, 71, — (из уайт-спирита). AC получают еще двумя методами. Метод А: К р-ру 0,11 моля NaNH<sub>2</sub> в жидком NH<sub>3</sub> добавляют 0,10 моля I в эфире, через 60—90 мин. вводят 0,10 моля кетона в равном объеме эфира и через 90 мин. выделяют AC. Метод Б. Синтез ведут аналогично, используя 0,10 моля C<sub>6</sub>H<sub>5</sub>CHBrCH<sub>2</sub>Br в 75 мл эфира, но с 0,33 моля NaNH<sub>2</sub>. Приведены исходный кетон, AC, метод получения, выход в %, т. кип. в °C/мм: VII, 3-(пиридил-2)-1,3-дифенилпропин-1-ол-3, Б, 44, — [из (н-С<sub>4</sub>H<sub>9</sub>)<sub>2</sub>O]; VIII, 3-(пиридил-3)-1,3-дифенилпропин-1-ол-3, Б, 50, — (из н-С<sub>4</sub>H<sub>9</sub>OH); IX, 3-(пиридил-4)-1,3-дифенилпропин-1-ол-3, Б, 51, — (из н-С<sub>4</sub>H<sub>9</sub>OH); X, 7-(пиридил-2)-3-метил-1-фенилгептин-1-ол-3, А, 55, 200—208/0,6; XI, 7-(пиридил-4)-3-метил-1-фенилгептин-1-ол-3, А, 59, 208—218/0,6. К 0,22 моля NaNH<sub>2</sub> добавляют 0,10 моля эфирного р-ра VI, а через 90 мин. 0,10 моля кетона в эфире и обычным способом выделяют AC. По этому методу синтезированы следующие соединения (приведены исходный кетон, AC, выход в %, т. кип. в °C/мм): VII, 1-(пиридил-2)-1-фенил-4-(*N*-пиридил)-бутин-2-ол-1, 60, — [из (н-С<sub>4</sub>H<sub>9</sub>)<sub>2</sub>O]; VIII, 1-(пиридил-3)-1-фенил-4-(*N*-пиридил)-бутин-2-ол-1, 77, — [из (н-С<sub>4</sub>H<sub>9</sub>)<sub>2</sub>O]; IX, 1-(пиридил-4)-1-фенил-4-(*N*-пиридил)-бутин-2-ол-1, 80, — [из (н-С<sub>4</sub>H<sub>9</sub>)<sub>2</sub>O]; X, 8-(пиридил-2)-4-метил-1-(*N*-пиридил)-октин-2-ол-4, 46, 203—207/6,7; XI, 8-(пиридил-4)-4-метил-1-(*N*-пиридил)-октин-2-ол-4, 43, —. С. Суминов 6Ж211.

**Синтез производных хинолизина. VI. Синтез 3-аминохинолизина. (I). Синтез DL-3-амино-, DL-3-эпи-амино- и DL-3-эпи-диметиламинохинолизидинов. VII. Синтез 3-аминохинолизидинов. 2. Синтез DL-3-амино-, DL-3-эпи-амино-, DL-3-диметиламино- и DL-3-эпи-диметиламино-9,10-метилendioкси-1,2,3,4,6,7-гексагидро-11bH-бенз[а]-хинолизидинов. VIII. Синтез 3,3'-спиробихинолизидина. VI. Noike Yoshiya. VII. Noike Yoshiya. VIII. Ohki Sadao, Noike Yoshiya, Ohishi Tokuro, Nara Kiyoshi, Kato Toshio. «Якугакү дазсин, Yakegaku zasshi, J. Phar-**

мас. Soc. Japan», 1959, 79, № 12, 1514—1518, 1519—1522, 1522—1525 (японск.; рез. англ.).—VI. Получен ряд производных 3-аминохинолизинов. На основе прежней работы (см. Якутаку дзасси, J. Pharm. Soc. Japan, 1944, 64, 20) получают гидразид хинолизинкарбонвой-3 к-ты (I) и гидразид *эпи*-хинолизинкарбонвой-3 к-ты (II); перегруппировка Курциуса I и II привела к DL-3-аминохинолизину (III) и DL-3-*эпи*-аминохинолизину (IV), причем для I реакция проходит через азид и карбамат, а в случае II карбамат не выделен. 5 г 3-А-карботоксхинолизина (A здесь и далее аксиальный) (см. сообщение V, РЖХим, 1960, № 23, 92504) и 1,5 г  $N_2H_4 \cdot H_2O$  нагревают 5 час. при 130—135°, добавляют  $C_6H_6$ , упаривают в вакууме, растворяют в  $C_6H_6$ , фильтруют через  $Al_2O_3$ , получают I, выход 94%; пикрат (PK), т. пл. 208° (разл.; из  $CH_3COOH$ ); аналогично из 3-9-карботоксхинолизина (Э здесь и далее экваториальный, см. ссылку выше) получают II, выход 92%, т. пл. 174° (из бзл.). 1 г I и 0,8 г пиперона кипятят 1 час в  $C_6H_6$ , упаривают, получают 1,4 г  $N^2$ -пиперонилден-3-хинолизинкарбогидразид, т. пл. 168° (из бзл.-петр. эф.); при гидролизе 5%-ной HCl при ~20° вновь дает I; аналогично из I и II получают 1,5 г  $N^2$ -пиперонилден-3-*эпи*-хинолизинкарбогидразид, т. пл. 168° (из бзл.). К р-ру 1 г I в 3 мл конц. HCl при охлаждении добавляют водн. р-р 1 г  $NaNO_2$ , перемешивают 30 мин. растворяют в  $C_6H_6$ , подщелачивают  $Na_2CO_3$ , извлекают 3 раза  $C_6H_6$ , к остатку после удаления  $C_6H_6$  добавляют 1 г бензильного спирта (V), кипятят 6 час., получают бензилкарбамат (масло); PK, т. пл. 154°; к последнему добавляют 10 мл смеси 20%-ной HCl с  $CH_3COOH$  (1:1), нагревают 3 часа при 120—130°, отгоняют с паром, упаривают в вакууме, нейтрализуют содой, извлекают  $C_6H_6$ , разгонкой выделяют III, выход 30%, т. кип. 82—84°/0,1 мм; PK, т. пл. 247° (разл.; из  $CH_3COOH$ ); аналогично из II (кипячение с V 2 часа, со смесью HCl и  $CH_3COOH$  2 часа) получают IV, выход 47%, т. кип. 82—83°/0,1 мм; PK, т. пл. 275° (разл.; из  $CH_3COOH$ ). Аналогично вышеописанному из I получают азид, кипятят его 6 час. с анилином и получают 1-фенил-3-(3'-хинолизинил)-мочевину, выход 58,4%, т. пл. 204° (из ацетона); аналогично из II получают 1-фенил-3-(3'-*эпи*-хинолизинил)-мочевину, выход 65%, т. пл. 208—209° (из ацетона). Смесь 0,1 г IV, 0,1 мл 90%-ной  $HCN$  и 0,1 мл 35%-ного формалина нагревают 6 час. при 100—110°, обрабатывают 10%-ной HCl, упаривают в вакууме, подщелачивают содой, извлекают  $C_6H_6$ , выделяют 0,1 г 3-*эпи*-диметиламмонохинолизина, т. кип. 62—63°/0,1 мм; PK, т. пл. 228° (разл.; из  $CH_3COOH$ ). К  $C_2H_5ONa$  (из 0,2 г Na) в  $C_6H_6$  и 5 г этилового эфира 2-ацетиамидо-2-циануксусной к-ты при кипячении добавляют по каплям 3,1 г 2-винилпиридина, кипятят 7 час., упаривают, добавляют насыщ. р-р  $NaHSO_3$ , встряхивают 2 часа, получают этиловый эфир 2-ацетиамидо-2-циано-4-(пиридил-2')-масляной к-ты (VI), выход 62%, т. пл. 121° (из  $CH_3OH$ ). 4,4 г VI нагревают (120—130°, 7 час.) с 4,5 мл конц. HCl, упаривают в вакууме, этерифицируют абс. спиртом обычным путем, упаривают в вакууме, подщелачивают, извлекают  $C_6H_6$ , разгонкой выделяют этиловый эфир 2-амино-4-(пиридил-2')-масляной к-ты (VII), выход 68%, т. кип. 138—140°/4 мм; пикролат, т. пл. 222° (разл.); PK, т. пл. 186°; ацетильное производное (VIII), выход 2,3 г (из 2 г VII), т. пл. 85°; бензильное производное (IX) (пиридин,  $C_6H_5COCl$ ), выход 5,9 г (из 5,3 г VII), т. пл. 94° (из разб. сп.). 1,5 г VIII в 8 мл спирта с 3 мл конц. HCl гидрируют с 50 мг  $PtO_2$  при 5 ат., упаривают в вакууме, нагревают 3 часа при 110—120° с 20%-ной HCl, выпаривают остаток в вакууме, остаток этерифицируют спиртом и HCl, упаривают в вакууме, нейтрализуют содой, извлекают  $C_6H_6$ , выделяют 3-аминохинолизин-4, т. кип. 130—132°/4 мм; PK, т. пл. 220° (из  $CH_3COOH$ ). 1,8 г VII восстанавливают (кипячение

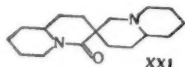
3 часа) с эфирным р-ром 0,54 г  $LiAlH_4$ , подкисляют 10%-ной  $H_2SO_4$ , водн. слой подщелачивают содой, извлекают  $CHCl_3$ , получают 2-амино-4-(пиридил-2')-бутинол-1; PK, т. пл. 158° (из  $CH_3COOH$ ). 3,8 г IX восстанавливают в 30 мл тетрагидрофурана эфирным р-ром 1,8 г  $LiAlH_4$  (кипячение 10 час.), разлагают водой, перемешивают 2 часа при нагревании, фильтруют, добавляют  $K_2CO_3$ , извлекают эфиром, получают 2-бензиламино-4-(пиридил-2')-бутанол-1 (X), выход 64,5%, т. кип. 191—194°/0,1 мм; PK, т. пл. 208° (из  $CH_3COOH$ ); фенилуретан, т. пл. 83°. Смесь 1,5 г X, 15 мл  $CHCl_3$  и 1 г  $SOCl_2$  нагревают 3 часа при 50—60°, упаривают в вакууме, обрабатывают ледяной водой, промывают эфиром, водн. слой подщелачивают содой, извлекают  $C_6H_6$ , получают хлорид, его кипятят 25 час. с  $C_6H_6$ , р-ритель отгоняют, получают 3-бензиламино-1,2,3,4-тетрагидрохинолизиновый хлорид; хлораурат, т. пл. 202° (разл.); хлорид растворяют в воде, обрабатывают KJ, извлекают йодид  $CHCl_3$ , остаток после удаления р-рителя нагревают 1,5 часа со спиртом и избытком  $AgCl$ , к фильтрату добавляют спирт. HCl, гидрируют с Pt-катализатором, фильтруют, упаривают, подщелачивают содой, извлекают  $C_6H_6$ , получают 3-бензиламинохинолизин (XI), выход 36%, т. кип. 135—137°/0,05 мм; PK, т. пл. 218° (из  $CH_3COOH$ ). 0,12 г IV бензоилируют ( $C_6H_5COCl$ , пиридин), получают бензоильное производное, выход 89%, т. пл. 202—204°, которое восстанавливают  $LiAlH_4$  в тетрагидрофуране (кипячение 20 час.), разлагают водой, выделяют XI.

VII. Изучена перегруппировка Курциуса 9,10-метилendioкси-1,2,3,4,6,7-гексагидро-11bH-бенз[а]-хинолизин-3-карбогидразид (XII) и 9,10-метилendioкси-1,2,3,4,6,7-гексагидро-11bH-бенз[а]-хинолизин-3-*эпи*-карбогидразид (XIII) в 3-амино-9,10-метилendioкси-1,2,3,4,6,7-гексагидро-11bH-бенз[а]-хинолизин (XIV) и 3-*эпи*-амино-9,10-метилendioкси-1,2,3,4,6,7-гексагидро-11bH-бенз[а]-хинолизин (XV) по методу Сугасавы и Томаса (см. Якутаку дзасси, J. Pharm. Soc. Japan, 1952, 72, 804). Как и в случае диастереоизомерной пары I—II (см. сообщение VI) наблюдается разница в течении реакции в зависимости от конфигурации при  $C_3$ . Смесь 5,6 г 1-(3'-4-метилendioксифенэтил)-6-оксонипекотовой к-ты, 16,7 мл  $POCl_3$  и 11,2 мл толуола нагревают 40 мин. при 110—120°, упаривают в вакууме, добавляют 30 мл спирта, кипятят 1 час, упаривают в вакууме, добавляют 40 мл воды и KJ, получают 3-карботокс-9,10-метилendioкси-1,2,3,4,6,7-гексагидро-11bH-бенз[а]-хинолизинийодид, выход 86%, т. пл. 200—203° (из сп.); 3,3 г йодида нагревают со спиртом и  $AgCl$ , получают хлорид, его гидрируют с Pt-катализатором, фильтруют, упаривают, подщелачивают содой, извлекают  $C_6H_6$ , выпаривают, добавляют немного спирта, получают 0,75 г 3-А-карботокс-9,10-метилendioкси-1,2,3,4,6,7-гексагидро-11bH-бенз[а]-хинолизина (XVI), т. пл. 101—102° (из петр. эф.); пикролат, т. пл. 236—238° (разл.); PK, т. пл. 165—167°; из маточного спирта р-ра хроматографированием на  $Al_2O_3$  выделяют 50 мг XVI (вымывание петр. эфиром) и 0,66 г 3-9-карботокс-9,10-метилendioкси-1,2,3,4,6,7-гексагидро-11bH-бенз[а]-хинолизина (XVII), т. пл. 81—84° (вымыв петр. эф. с эф.); пикролат, т. пл. 232—234° (разл.). Строение XVI и XVII подтверждается дальнейшими превращениями. Восстановление XVI  $LiAlH_4$  в тетрагидрофуране (~20°, 12 час.) дает 9,10-метилendioкси-1,2,3,4,6,7-гексагидро-11bH-бенз[а]-хинолизин-3-метанол, выход 90%, т. пл. 136—138° (из сп.); пикролат, т. пл. 226—228° (разл.; из ацетона); PK, т. пл. 190° (из сп.); аналогично из XVII получают 9,10-метилendioкси-1,2,3,4,6,7-гексагидро-11bH-бенз[а]-хинолизин-3-*эпи*-метанол, выход 81%, т. пл. 91—94° (из волн. сп.); пикролат, т. пл. 212—214° (разл.; из ацетона). Из XVI и XVII обычным путем получают XII, выход 95%, т. пл. 191—193° (из сп.) и соответственно XIII, выход 97%, т. пл. 231—233° (из сп.). Из XII аналогично III через

239(63)

бензилкарбамат получают XIV, выход 47%; ПК, т. пл. 226—227° (разл.; из  $\text{CH}_3\text{COOH}$ ); из XIII в этих же условиях также через карбамат [выход 75%, т. пл. 167—168° (из сп.)] получают XV, выход 92%; дихлоргидрат, т. пл. 252—253° (разл.; из сп.). При нагревании (100—110°, 1 час) XIV с  $\text{HCOOH}$  и формалином аналогично IV получают 3-диметиламино-9,10-метилendioкси-1,2,3,4,6,7-гексагидро-11bH-бенз[а]-хинолизин; выход 72%; ПК, т. пл. 249—251° (разл.; из  $\text{CH}_3\text{COOH}$ ); так же из XV получают 3-этил-диметиламино-9,10-метилendioкси-1,2,3,4,6,7-гексагидро-11bH-бенз[а]-хинолизин; дихлоргидрат, т. пл. 258—261° (разл.; из сп.).

VIII. Осушительный синтез 3,3'-спирохинолидинна (XVIII). XVIII обнаружил 1/5 активности спартеина сульфата в качестве препарата, сокращающего матку. Смесь 21,6 г диэтилового эфира 2-(пиридил-2')-этилмалоновой к-ты, 9,8 г 2-винилпиридина, 0,51 г Na и небольшого кол-ва гидрохинона нагревают 8 час. при 130—132°, обрабатывают водой, извлекают эфиром, разгонкой выделяют две фракции: А, выход 8,1 г, т. кип. 170—171°/4 мм, и Б, выход 10,4 г, т. кип. 199°/0,07 мм, хроматографирование фракции Б на 70 г  $\text{Al}_2\text{O}_3$  (вымывание  $\text{C}_6\text{H}_6$ ) дает 5,8 г диэтилового эфира бис-2-(пиридил-2')-этил-малоновой к-ты (XIX) (дипират, т. пл. 150—152°) и продукт (вымывание спиртом) с т. кип. 190°/0,02 мм; ди-ПК, т. пл. 199—204° (из  $\text{CH}_3\text{COOH}$ ). Из фракции А получают два ПК: с т. пл. 85° (легко растворим в спирте, идентичен ПК исходного) и с т. пл. 223—224° (из  $\text{CH}_3\text{COOH}$ ), трудно растворим в спирте, из которого разложением 10%-ной  $\text{HCl}$  выделено основание, т. кип. 135—137°/0,1 мм. Смесь 0,15 г XIX нагревают 3 часа, при 120—130° с 5 мл 20%-ной  $\text{HCl}$ , выпаривают в вакууме досуха, добавляют спирт, вновь выпаривают, нагревают с насыщ. спирт. р-ром  $\text{HCl}$  2 часа при ~100°, отгоняют спирт, нейтрализуют  $\text{K}_2\text{CO}_3$ , извлекают эфиром, получают этиловый эфир 1,5-ди-(пиридил-2')-пентакарбоновой-3 к-ты; ди-ПК, т. пл. 171—172° (из сп.). 0,96 г XIX восстанавли-



XXI

дывают  $\text{LiAlH}_4$  в эфирном р-ре (кипение 1,5 часа), получают 0,8 г 2,2-бис-[2'-(пиридил-2'')-этил]-пропандиола-1,3, т. пл. 113,5° (из баль.). 3,7 г XIX гидрируют (64—150 ат, 200°) в 15 мл абс. спирта с 1 г скелетного Ni, фильтруют, упаривают, обрабатывают гексаном, получают 0,26 г 3,3'-спирохинолидиндиона-4,4' (XX), т. пл. 174°; из меточного р-ра выделяют в-во (масло), хроматографированием которого на  $\text{Al}_2\text{O}_3$  выделяют 1,35 г в-ва (масло, вымывание  $\text{C}_6\text{H}_6$ ), разгонка которого дает немного продукта, т. кип. 170—180° (баня)/0,15—0,4 мм, и 0,69 г продукта, т. кип. 190—199°/0,15 мм, из него обработкой  $\text{HCl}$ -гексаном выделяют 0,23 г XX, т. пл. 174°, и 0,4 г в-ва (масло), дает ПК, т. пл. 215—230° (разл.; из  $\text{CH}_3\text{COOH}$ ), идентичный ПК в-ва (XXI); дополнительно 0,64 г изомера XX с т. пл. 174° выделяют вымыванием бензолом ацетоном (3:1); вымывание  $\text{C}_6\text{H}_6$ -ацетоном, 1:1, дает 0,27 г XX с т. пл. 150—152°, оба изомера XX дают одинаковый ИК-спектр. Восстановление XX с т. пл. 174° посредством  $\text{LiAlH}_4$  в тетрагидрофуране (кипение 16 час.) дает XVIII, выход 78%, т. пл. 70—84° (неочищ.); ди-ПК, т. пл. 246° (разл.; из  $\text{CH}_3\text{COOH}$ ); йодметилат, т. пл. > 330° (разл.; из  $\text{CH}_3\text{OH}$ ); хлоргидрат, т. пл. > 340° (возг.; из сп.). Л. Яновская

6Ж212. Некоторые реакции 3-оксис-1,2,3,4-тетрагидрохинолинов. Ворожцов Н. Н., мл. Куткевичус С. И. В сб. «Химия, технол. и применение производн. пиридина и хинолина». Рига, АН ЛатвССР, 1960, 229—235.—Обзор. Библ. 9 назв.

6Ж213. Изучение оксихинолинового метода синтеза хинолиновых оснований. Михайлов Г. И. В сб.

«Химия, технол. и применение производн. пиридина и хинолина». Рига, АН ЛатвССР, 1960, 145—150.—Обзор. Библ. 32 назв.

6Ж214. Синтез и реакция  $\alpha$ -нитрометилхинолинов. Залукаев Л. П., Ванга Э. В. В сб. «Химия, технол. и применение производн. пиридина и хинолина». Рига, АН ЛатвССР, 1960, 223—228.—Обзор. Библ. 9 назв.

6Ж215. Использование насыщенных азотсодержащих гетероциклов для синтеза ганглиоблокирующих курареноподобных веществ. Вассерман Х. М., Гилер С. А. В сб. «Химия, технол. и применение производн. пиридина и хинолина». Рига, АН ЛатвССР, 1960, 207—221.—Обзор. Библ. 15 назв.

6Ж216. Получение хинальдинов из патридацетилинов и синтез N-арилхинальдинеивых солей. Минкин В. И. В сб. «Химия, технол. и применение производн. пиридина и хинолина». Рига, АН ЛатвССР, 1960, 139—144.—Разработан общий метод получения производных хинальдина (I): в р-р небольшого избытка Na в спирте,  $\text{изо-C}_4\text{H}_9\text{OH}$  или  $\text{изо-C}_5\text{H}_{11}\text{OH}$  вносят формил ацетанилиды, нагревают и добавляют параллельно, через некоторое время добавляют  $\text{HCl}$  (к-ту) или  $\text{H}_2\text{SO}_4$ , кипятят и выделяют обычным способом (приведены исходный продукт, полученный I, выход в %, т. пл. в °C пикрата и йодметилата): форманид, I, 15, 191—192, 195;  $n$ -формтолуидид, 6-метил-I, 48, 187, 242;  $m$ -формксилдид, 6,8-диметил-I, 49, 185, —;  $n$ -форманидид, 6-метокси-I, 35, 217, 236—238;  $o$ -ацетанидид, 8-метокси-I, 28, —, соль с  $\text{HgCl}_2$ , 243;  $n$ -формфенидид, 6-этокси-I, 48, 193, 157;  $\beta$ -ацетнафтадид, 5,6-бензо-I, 45, 228, —;  $n$ -формтолуидид, 2-этил-3,6-диметилхинолин, 10, 178, —; дифениламин, перхлорат N-фенилхинальдиния, 11, 158, —. Разработан также метод получения солей N-фенилхинальдиния: диариламины (II) растворяют в нитробензоле, добавляют избыток ацетальдегида в виде его ацетата или параллельно, кипятят 5—8 час., подкисляют, оставляют на холоду на 12 час., отгоняют с паром (приведены II, перхлорат N-фенилхинальдиния (III хинальдиний), выход в %, т. пл. в °C): дифениламин (IV), N-фенил-III, 22, 162—163;  $n$ -дифениламин, N-толил-6-метил-III, 40, 192—193; фенил- $n$ -толиламин, N-фенил-6-метил-III, 28, 154—155; фенил- $n$ -нафтамин, N-фенил-5,6-бензо-III, 40, 160;  $n$ -дифениламин, N- $n$ -аэтил-6-метокси-III, 25, 135; IV, N-фенил-2-этил-3-метил-III, 35, 194; IV, N-фенил-2-пропил-3-этил-III, 18, 185.

6Ж217. Взаимодействие N-арилхинальдинеивых четвертичных солей с диазосоединениями. Пилон Г. Т. В сб. «Химия, технол. и применение производн. пиридина и хинолина». Рига, АН ЛатвССР, 1960, 237—242.—Конденсация четвертичных солей N-арилхинальдиния с диазосоединениями приводит к бисазокрасителям нового типа. При сочетании перхлората N-фенилхинальдиния (I) с хлористым фенилдиазонием (II) и хлористым  $n$ -нитрофенилдиазонием (III) получены соответственно: перхлорат 2-метил-бис-(фенилдиазо)-N-фенилхинолиния (IV) и 2-метил-бис-( $n$ -нитрофенилдиазо)-N-фенилхинолиния (V). К р-ру 5 г I в 50 мл хинолина при 0° прибавляют р-р II (из 3 мл анилина, соответствующего кол-ва  $\text{HCl}$ -к-ты и конц. р-ра 2,6 г  $\text{NaNO}_2$ ), через 10 час. добавляют эфир, получают IV, выход 84,3%, т. пл. 234° (разл.). К охлажд. р-ру 5 г I в 70 мл лед.  $\text{CH}_3\text{COOH}$  прибавляют р-р III (из 4,3 г  $n$ -нитроанилина, соответствующего кол-ва  $\text{HCl}$ -к-ты и 1,8 г насыщ. р-ра  $\text{NaNO}_2$ ), нейтрализуют содой, получают V, выход 92,6%, т. пл. 209—210° (из сп.-воды). И. Лебедева

6Ж218. 1-(N-бензиламино)-1-алкил(или арил)-2,2-диэтоксикетаны. Их применение в синтезе 3-алкил(или арил)-4-этокси-1,2,3,4-тетрагидроизохинолинов. Vinot Nicole. Sur les N-benzylamino-1 alcoyl (ou aryl)-4 diétoxy-2,2 éthanes. Lener utilisation à la synthèse des alcoyl (ou aryl)-3 étoxy-4 tétrahydro-1,2,3,4-isoquinolé-



nes. «Bull. Soc. chim. France», 1960, № 4, 617—620 (франц.).—Конденсацией эквимольных кол-в моноацетата глиоксала с первичными бензиламидами (I) и последующим действием  $\text{RMgX}$  на образовавшиеся  $\text{RC}_6\text{H}_4\text{CH}_2\text{NHR}=\text{CHCN}(\text{OC}_2\text{H}_5)_2$  (II) получают  $\text{RC}_6\text{H}_4\text{CH}_2\text{N}(\text{HCHNR}'\text{CH}(\text{OC}_2\text{H}_5)_2)$  (III), циклизирующиеся под действием  $\text{BF}_3$  в 3-алкил(или арил)-4-этокси-1,2,3,4-тетрагидроизохинолины (IV). Последние действием 5%-ного  $\text{Pd/C}$  образуют изохинолины (V). Смесь 45 г  $\omega$ -бром-*n*-кислота, 45 г фталимида K и 45 мл  $\text{HCON}(\text{CH}_3)_2$  нагревают 1 час при 150—160°, охлаждают до 50°, выливают в воду, получают 4-метилбензилфталимид (VI), выход 80%, т. пл. 116—117° (из сп.). 45 г VI и р-р 9,1 мл 98%-ного  $\text{N}_2\text{H}_4 \cdot \text{H}_2\text{O}$  в 150 мл абс. спирта кипятят 45 мин., охлаждают, добавляют 17 мл конц.  $\text{HCl}$ , нагревают 15 мин. до кипения, фильтруют, упаривают, остаток нейтрализуют 15%-ным  $\text{NaOH}$ , экстрагируют эфиром, перегоняют в атмосфере  $\text{N}_2$ , получают 4-метил-I (VII), выход 60%, т. кип. 99—100°/23 мм. II получают по ранее описанному методу (Schüttler E., Müller J., Helv. Chem. acta, 1948, 31, 914). Приведены  $\text{R}, \text{R}'$ , выход в %, т. кип. в °C/мм,  $n_D$  (т-ра в °C),  $d_4$  (т-ра в °C): Н, Н, 50, 166—168/25, —, —;  $\text{CH}_3$ , Н, 65, 162—163/12, 1,499 (18), 0,990 (18); Н,  $\text{C}_6\text{H}_5$ , 84, 170—173/1,5, 1,550 (23), 1,042 (23). По описанному методу (см. РЖХим, 1956, № 12, 35859) получают III [приведены  $\text{R}, \text{R}'$ , выход в %, т. кип. в °C/мм,  $n_D$  (т-ра в °C),  $d_4$  (т-ра в °C): Н, Н,  $\text{CH}_3$ , 75, 94—96/0,4, 1,492 (19), 0,982 (19) (получают также из 2 молей I и 1 моля бромацетата при 150° и нагреванием 3 часа, выход 50%); Н, Н,  $\text{C}_2\text{H}_5$ , 72, 109—110/0,75, 1,480 (20), 0,978 (20); Н, Н,  $\text{C}_6\text{H}_5$ , 62, 138—140/0,4, 1,529 (20), —; 4- $\text{CH}_3$ , Н,  $\text{CH}_3$ , 75, 112—114/0,5, 1,429 (19), 0,951 (19); 4- $\text{CH}_3$ , Н,  $\text{C}_2\text{H}_5$ , 64, 108—110/0,4, 1,489 (19), 0,945 (19); 4- $\text{CH}_3$ , Н,  $\text{C}_6\text{H}_5$ , 56, 164—166/0,7, 1,529 (18), 1,018 (18); Н,  $\text{C}_6\text{H}_5$ ,  $\text{CH}_3$ , 60, 138—140/0,5, 1,536 (26), 1,037 (26); Н,  $\text{C}_6\text{H}_5$ ,  $\text{C}_6\text{H}_5$ , 57, 140—145/0,15, 1,530 (18), 1,015 (18); Н,  $\text{C}_6\text{H}_5$ ,  $\text{C}_6\text{H}_5$ , 14, 188—193/1, 1,568 (21), —. IV получают (см. РЖХим, 1958, № 1, 1311) [приведены  $\text{R}$ , выход в %, т. кип. в °C/мм,  $n_D$  (т-ра в °C),  $d_4$  (т-ра в °C), т. пл. в °C оксалата и *n*-нитробензольного производного):  $\text{CH}_3$ , 50, 123—125/12, 1,533 (19), 1,021 (19), 158—160 (из абс. сп.), 127—128 (из сп.);  $\text{C}_2\text{H}_5$ , 63, 152—155/18, 1,530 (22), 1,027 (22), 146—148 (разл.; из сп.), 150—152 (из разб. сп.),  $\text{C}_6\text{H}_5$ , 68, 210—212/25, 1,589 (20), —, —, 3,6-( $\text{CH}_3$ )<sub>2</sub>, 32, 152—155/12, 1,527 (19), —, 112—113 (из ацетона), 170—172 (из сп.); 3- $\text{C}_2\text{H}_5$ -6- $\text{CH}_3$ , 34, 151—153/12, 1,540 (19), —, 90—92 (из ацетона), —; 3- $\text{C}_6\text{H}_5$ -6- $\text{CH}_3$ , 45, 150—153/0,1, 1,577 (18), —, 122—124 (из ацетона), —; 1- $\text{C}_6\text{H}_5$ -3- $\text{CH}_3$ , 48, 195—200/15, 1,572 (21), —, 230—232 (из сп.), —; 1- $\text{C}_6\text{H}_5$ -3- $\text{C}_2\text{H}_5$ , 35, 140—145/0,1, 1,571 (19), —, 232—234 (разл.; из абс. сп.), 176—177 (из разб. сп.). VII кипятят 2 часа в тетралине, получают (приведено в-во, выход в %, т. пл. в °C): 3-метил-V, 51 (шкрат (ПК)), 197—198 (разл.; из сп.); 3-этил-V, 88 (ПК), 170—172 (разл.; из сп.); 3-фенил-V, 30, 102—104; 3,6-( $\text{CH}_3$ )<sub>2</sub>-V, 32 (ПК), 193—195 (разл.; из сп.); 3- $\text{C}_2\text{H}_5$ -6- $\text{CH}_3$ -V, 55 (ПК), 194—196 (из сп.); 3- $\text{C}_6\text{H}_5$ -6- $\text{CH}_3$ -V, 70 (ПК), 216—217 (разл.; из сп.); 1- $\text{C}_6\text{H}_5$ -3- $\text{C}_2\text{H}_5$ -V, 60 (ПК), 158—160 (из сп.); 1- $\text{C}_6\text{H}_5$ -3- $\text{CH}_3$ -V, 70 (ПК), 197—198 (разл.; из сп.).

6Ж219. К химии аминокарбинолов. III. Синтез и реакции 2-( $\beta$ -оксипропил)-изокарбостиролов. Schneider Woldemar, Müller Bertold. Beiträge zur Chemie der Carbinolamine. III. Synthesen und Reaktionsweisen von 2-( $\beta$ -Hydroxy-äthyl)-isocarbostrylen. «Chem. Ber.», 1960, 93, № 7, 1579—1584 (нем.).—Описан синтез 2-( $\beta$ -оксипропил)-изокарбостирила (I) и 3,4-дигидро-I (II) по схемам: 1) изохинолин (III) +  $\text{Cl}-\text{CH}_2\text{CH}_2\text{OH}$  (IV)  $\rightarrow$  хлорид 2-( $\beta$ -оксипропил)-изохинолина  $\rightarrow$  I  $\rightarrow$  II; 2) 1-аминоизохинолин (V) + окись этилена (VI)  $\rightarrow$  1-имино-2-( $\beta$ -оксипропил)-1,2-дигидроизохинолина (VII)  $\rightarrow$  I  $\rightarrow$  II. При действии  $\text{HClO}_4$  I и II превращаются соответственно в перхлораты 4,9,5,6,7,8-гекса-

дегидро-(VIII) и 4,9,7,8-тетрадегидро-1-окса-7,8-бензоиндолизидиния (IX). При р-ции VIII и IX со щел. агентами наблюдается разрыв оксазолинового цикла по связи между атомом кислорода и C1-атомом изохинолина. Смесь 130 г свежеперегнанного III и 80 г IV нагревают 2 часа на водяной бане и 1 час при 120—130°, реакционную смесь растворяют в 200 мл воды, прибавляют одновременно при т-ре не  $>10^\circ$  р-р 33 г  $\text{K}_3\text{Fe}(\text{CN})_6$  (X) в 700 мл воды и р-р 85 г  $\text{NaOH}$  в 140 мл воды, вносят при тех же условиях еще 330 г X, размешивают 2 часа при  $\sim 20^\circ$ , фильтруют, осадок растворяют в  $\text{C}_6\text{H}_6$ , фильтруют, р-р упаривают и остаток перегоняют в высоком вакууме, получают I, выход 63,5%, т. кип. 180—183°/0,05 мм, т. пл. 117—117,5° (из  $\text{CH}_3\text{OH}$ ). Р-р 120 г I в 500 мл  $\text{CH}_3\text{OH}$  гидрируют  $\sim 4$  часа при 100° и давл. 80 ат над скелетным Ni (или Co), получают II, выход 92%, т. пл. 44,5—45° (из бэл., изопропанола или эф.). К р-ру 36 г V в 55 мл абс.  $\text{CH}_3$



ОН прибавляют при охлаждении 12 г VI в 45 мл абс.  $\text{CH}_3\text{OH}$  и оставляют на 2 дня при 20°, получают VII, выход 81%, т. пл. 183,5° (из  $\text{CH}_3\text{OH}$ ). Смесь 5 г VII в 25 мл 20%-ного р-ра  $\text{NaOH}$  нагревают до прекращения выделения  $\text{NH}_3$  ( $\sim 16$  час.), получают I, выход 80%. К р-ру 25 г I в 150 мл спирта прибавляют 19 мл 70%-ной  $\text{HClO}_4$  и кипятят 2 часа, получают VIII, выход 93%, т. пл. 182—183° (из воды или сп.). Аналогично из II получают IX, выход 96,5%, т. пл. 145—146° (из воды или изопропанола). Смесь 17,5 г VIII и р-р  $\text{C}_2\text{H}_5\text{OK}$  (из 2,5 г K и 150 мл спирта) кипятят 2 часа в токе  $\text{N}_2$ , фильтруют, р-р упаривают, остаток растворяют в абс.  $\text{C}_6\text{H}_6$ , фильтруют, р-р упаривают и остаток перегоняют в высоком вакууме, получают 2-( $\beta$ -этоксипропил)-изокарбостирил (XI), выход 68%, т. кип. 119—120°/0,03 мм. Аналогично из IX получают 3,4-дигидро-XI (XII), выход 70%, т. кип. 119—121°/0,06 мм. К р-ру 15 г II в 50 мл абс.  $\text{C}_6\text{H}_6$  прибавляют при охлаждении 14 мл  $\text{SOCl}_2$  и оставляют на 2 дня, получают 2-( $\beta$ -хлорэтил)-3,4-дигидроизокарбостирил (XIII), выход 86%, т. кип. 130—134°/0,05 мм, т. пл. 35,5° (из эф.). При р-ции II с 4- $\text{O}_2\text{NC}_6\text{H}_4\text{COCl}$  получают 2-[ $\beta$ -(*n*-нитробензильокси)-этил]-3,4-дигидроизокарбостирил, т. пл. 160° (из изопропанола). К суспензии 6 г VIII в 80 мл  $\text{CH}_3\text{OH}$  и 30 мл воды медленно прибавляют 1 г  $\text{NaNH}_2$  в 30 мл  $\text{CH}_3\text{OH}$ , через 2 часа упаривают досуха, остаток растворяют в к-те, р-р подщелачивают, извлекают эфиром, вытяжку высушивают  $\text{K}_2\text{CO}_3$  и обрабатывают р-ром  $\text{HCl}$  (газа) в эфире, получают хлоргидрат 2-( $\beta$ -оксипропил)-1,2,3,4-тетрагидроизохинолина, выход 77%, т. пл. 136° (из сп.). Последний получают также аналогичным образом из IX и при восстановлении II действием  $\text{LiAlH}_4$  или Na в бутаноле. Приведены ИК-спектры для II, VII, VIII, IX, XI, XII и XIII. Сообщение II см. РЖХим, 1959, № 13, 45851. А. Травин

6Ж220. Исследования в области синтеза 1,10-фенантролина. Михайлов Г. И. В сб. «Химия, техника и применение производ. пиридина и хинолина», Рига, АН ЛатвССР, 1960, 283—288.—Обзор. Библ. 19 назв.

6Ж221. Координационные соединения 1,10-замещенных фенантролинов и родственных дипиридилов. I. Синтез 2,9-диметил-1,10-фенантролина. O'Reilly E. J., Plowman R. A. Coordination compounds of substituted 1,10-phenanthrolines and related dipyritydyls. I. Synthesis of 2,9-dimethyl-1,10-phenanthroline. «Austral. J. Chem.», 1960, 13, № 1, 145—149 (англ.).—Разработан новый метод синтеза 2,9-диметил-1,10-фенантролина (I), описаны некоторые его производные. Р-р 13 г  $\text{C}_6\text{H}_4(\text{NH}_2)_2$ -о- и 100 г  $\text{m-NO}_2\text{C}_6\text{H}_4\text{SO}_3\text{Na}$  (II) в 360 мл  $\text{H}_2\text{SO}_4$

[из 190 м. 90°, добав. топового II примес.  $\text{CH}_3\text{OH}$ ], см. охлажд. (d 0,88),  $\text{HCl}$  (d 1, таким же упаривают и р-р 15 г, растворяют эфиром,  $\text{H}_2\text{S}$  фильтруют 10—1 крат, т. л. [1 мл  $\text{HCl}$  декс.

6Ж222. линя. Ба ше в Е. 2008.—С ных свой щей  $\alpha,\beta$ -синтезир дифенил- дифенил- = цис-1,3 R = 1- $\beta$ -а рил), а та 5)-бензол 5)-бензол (III). Ви синтеза смеси 21, насыщаю 0°, разба и из ори (IV), выв дезоксиб 20° сухой вают воз ня, т. пл 19,6 г де 30 мл 0,25 ОН и 0,5 № 17, 543 рилэтик гравани 80—90° и лонки пр ны исхо в °C): 4-6 127 (из транс-фо 213—214 тона); бе (из сп.-а ав, Им, VI, 13, 8 при 30— сталлич. и масло, 184—186° и VI на выход 72 по из 1,4 азируют 1 подучен ра, смеш тофенона на, пр РЖХим, сан-1,3,4,

7,8-бензо-  
со щел.  
го цикла  
м изохи-  
80 г IV  
при 120—  
мл воды,  
р-р 35) г  
в 140 мл  
г X, раз-  
док рас-  
остаток  
I, выход  
117,5° (из  
т ~4 ча-  
(или Co),  
бал., изо-  
абс. CH<sub>2</sub>

[из 190 мл H<sub>2</sub>SO<sub>4</sub> (d 1,84) и 170 мл воды] нагревают до 90°, добавляют по каплям за 4 часа 86 г диацетата кро-  
тонового альдегида, нагревают 15 мин. при 125° (вместо  
II применяют 40 г As<sub>2</sub>O<sub>5</sub> и добавляют 36 г CH<sub>3</sub>CH=CH-  
CHO), смесь охлаждают и выливают в 600 мл воды,  
охлаждают 12 час., фильтруют, подщелачивают NH<sub>4</sub>OH  
(d 0,88), выпавшую смолу кипятят в 1 л воды с 3 мл  
HCl (d 1,16), фильтруют, остаток снова экстрагируют  
таким же кол-вом подкисленной воды, водн. вытяжки  
упаривают до объема 20 мл, добавляют 100 мл спирта  
и р-р 15 г CuCl<sub>2</sub> в 100 мл спирта, охлаждают, отфильт-  
ровывают медный комплекс, промывают спиртом с  
эфиром, суспендируют его в разб. H<sub>2</sub>SO<sub>4</sub>, разлагают  
H<sub>2</sub>S, фильтрат подщелачивают NH<sub>4</sub>OH, получают I, вы-  
ход 10—16%; дигидрат, т. пл. 158—160° (из воды); пи-  
крат, т. пл. 225° (разл.; из сл.). Из р-ра I в разб. HCl  
[1 мл HCl (d 1,16) и 20 мл воды] CuCl<sub>2</sub> осаждает ком-  
плекс.

Ф. Псалты

6Ж222. Синтез некоторых производных Δ<sup>2</sup>-пиразо-

лина. Барони Е. Е., Ковырзина Р. А., Андрее-

щев Е. А. «Ж. общ. химии», 1960, 30, № 6, 2002—

2008.—С целью выяснения зависимости флуоресцент-

ных свойств Δ<sup>2</sup>-пиразолинов от их строения конденса-

цией α,β-ненасыщенных кетонов с арилгидразинами

синтезированы R-Δ<sup>2</sup>-пиразолины [Iа—з, где а R = 1,5-

дифенил-3-этил, б R = 1,3-дифенил-5-стирил, в R = 1,5-

дифенил-3-пропенил, г R = 1,3,4,5-тетрафенил, д R =

= *цис*-1,3,4-трифенил, е R = 1-(*n*-толил)-3,5-дифенил, ж

R = 1-β-нафтил-3,5-дифенил, з R = 1,3-дифенил-5-фу-

рил, а также 1,4-*бис*-(1-фенил-3-метил-Δ<sup>2</sup>-пиразолинил)-

5-бензол (IIа), 1,4-*бис*-(1,3-дифенил-Δ<sup>2</sup>-пиразолинил)-

5-бензол (IIб) и 1,1',5,5'-тетрафенил-3,3'-дипиразолил

(III). Внесены изменения в описанные ранее методы

синтеза некоторых Δ<sup>2</sup>-пиразолинов. Охлаждаемую

смесь 21,05 г метилпропенилкетона и 26,6 г C<sub>6</sub>H<sub>5</sub>CHO

насыщают 1 час сухим HCl, выдерживают 48 час. при

0°, разбавляют эфиром, обрабатывают р-ром NaHSO<sub>3</sub>

из органич. слоя выделяют пропенилстирилкетон

(IV), выход 31,5%, т. кип. 120—125°/1 мм. В р-р 10 г

дезоксibenzoина в 11 г C<sub>6</sub>H<sub>5</sub>CHO пропускают при 18—

20° сухой HCl до затвердения массы, которую проду-

вают воздухом и получают хлорбензальдезоксibenzo-

ин, т. пл. 154—155° (из CH<sub>3</sub>COOH). К кипящему р-ру

19,6 г дезоксibenzoина в 80 мл CH<sub>3</sub>OH приливают

30 мл 32%-ного CH<sub>2</sub>O, 0,5 мл пиперидина в 10 мл CH<sub>3</sub>-

OH и 0,5 мл CH<sub>3</sub>COOH и получают (см. РЖХим, 1956,

№ 17, 54399) метилдезоксibenzoин (V). Р-р 10 г сти-

рилстирилкетона в 25 мл CH<sub>3</sub>COOH смешивают при на-

гревании с 9 г C<sub>6</sub>H<sub>5</sub>NHNH<sub>2</sub> (VI), нагревают 1 час при

80—90° и отделяют Iа, т. пл. 69,5° (из сл., после воз-

вонки при 10<sup>-4</sup> мм). Аналогично синтезируют (указы-

ваны исходные в-ва, продукт р-ции, выход в %, т. пл.

в °C): 4-фенилбутаденилфенилкетон, VI, 16, 78, 126—

127 (из сл.-ацетона); бензальдезоксibenzoин, VI, 1г,

*транс*-форма, 83, 152,5—153 (из сл.), *цис*-форма, 9,2,

213—214 (из сл.); V, VI, 1д, 89, 207—208 (из сл.-аце-

тона); бензальацетофенои, *n*-CH<sub>3</sub>C<sub>6</sub>H<sub>4</sub>NHNH<sub>2</sub>, 1е, 82, 166

(из сл.-ацетона); бензальацетофенои, β-нафтилгидра-

зин, 1ж, 83, 179,5 (разл.); фурилфенилацетофенои,

VI, 1а, 86, 124 (из сл.-ацетона). Тем же методом, но

при 30—40° в атмосфере CO<sub>2</sub> из IV и VI получают кри-

сталлич. в-во, т. пл. 220°, неуставленного строения,

из масла, из которого извлекают эфиром Iв, т. кип.

184—186°/0,5 мм. Смесь 1,4-*бис*-(β-ацетиламинил)-бензола

и VI нагревают 2 часа при 90—100° и получают IIа,

выход 72%, т. пл. 224—225° (из пиридина). Аналогич-

но из 1,4-*бис*-(1-фенилпропенил-1)-бензола и VI синте-

зируют IIб, выход 83%, т. пл. 215° (разл.). CH<sub>3</sub>ONa,

полученный из 16 г CH<sub>3</sub>OH и 12,5 г Na в 300 мл эфи-

ра, смешивают при 0° с 36,5 г этилоксалата и 30 г аце-

тофенона, через 4 часа добавляют еще 30 г ацетофе-

нона, проводят далее синтез, как описано ранее (см.

РЖХим, 1956, № 7, 19283), и выделяют 1,6-дифенилге-

ксан-1,3,4,6-тетракетон, который нагреванием с VI

(4 часа) превращают в III, выход 73%, температура

плавления 231°.

Д. Витковский

6Ж223. О солеобразовании 4-изонитропиразолонов.

I. Введение. Novorka V., Šúcha L. Über die Salz-

bildungsfähigkeit der 4-Isonitrosopyrazolone. I. Einfüh-

rung. «Collect. Czechosl. Chem. Commun», 1960, 25,

№ 1, 55—59 (нем.; рез. русск.).—Обсуждена возмож-

ность образования внутрикомплексных солей 4-изо-

нитропиразолонов-5 (I), замещ. и незамещ. в поло-

жении I. Приведены различные теоретически возмож-

ные соединения этого типа. Синтезированы 1-(2,4-ди-

нитрофенил)-3-метил-I (Iа) и 1-(*n*-нитрофенил)-3-фе-

нил-I (Iб). Показано, что спирт, р-ры замещ. I реаги-

руют с 5%-ными р-рами нитратов металлов, образуя

с колич. выходами окрашенные соли. 1б и 1-(2,4-ди-

нитрофенил)-3-метилпиразолона-5 нитрозируют при 10°

в 80%-ной CH<sub>3</sub>COOH посредством 5 г NaNO<sub>2</sub>, смесь раз-

бавляют водой и отделяют Iа, выход 90%, т. пл. 142°

(разл.). 10 г 1-(*n*-нитрофенил)-пиразолона-5 растворя-

ют в 200 мл 5%-ного KOH, холодный р-р нитрозиру-

ют 2,5 г NaNO<sub>2</sub>, медленно вливают в 10%-ную H<sub>2</sub>SO<sub>4</sub>

и отделяют Iб, выход 90%, т. пл. 213—214° (разл.);

из сл.).

А. Emr

6Ж224. О солеобразовании 4-изонитропиразоло-

нов. II. Соли серебра. Novorka V., Šúcha L. Über

die Salzbildungsfähigkeit der 4-Isonitrosopyrazolone. II.

Silbersalze. «Collect. Czechosl. Chem. Commun», 1960,

25, № 1, 60—67 (нем.; рез. русск.).—Описывается при-

готовление и свойства Ag-солей 4-изонитропиразоло-

на-5 (I), 3-метил-I, 3-фенил-I, 1-фенил-I, 1-фенил-3-ме-

тил-I, 1-(нитрофенил)-3-метил-I, 1-(*n*-хлорфенил)-3-ме-

тил-I, 1-(2',4'-динитрофенил)-3-метил-I, 1,3-дифенил-I и

1-(*n*-нитрофенил)-3-фенил-I. В соответствии с хим. со-

ставом и окраской приготовленные Ag-соли разделены

на 5 групп: 1) нестойкие зеленые соли состава AgPz

(Pz — соответствующий 5-кетопиразолил), образующие

только из 1,3-замещ. I, с координационно двува-

лентным Ag; 2) полимерные, устойчивые, темно-крас-

ные и фиолетовые соли AgPz с координационно трех-

валентным Ag; 3) устойчивые красные соли AgPzX

(где X — молекула воды, NH<sub>3</sub> или пиридина), которые

после отнятия X (напр. высушиванием в вакууме)

легко переводятся в зеленые соли типа I; 4) оранже-

вые соли состава AgPzX с координационно 3—4-ва-

лентным Ag; 5) оранжево-коричневые соли состава

AgPz + Ag<sub>2</sub>Pz. Для всех типов солей предложены

структурные ф-лы. К р-ру 2 ммоль I в 25 мл 8%-ной

CH<sub>3</sub>COOH приливают р-р 2 ммоль AgNO<sub>3</sub> в 25 мл воды

и через 10 мин. отделяют красную соль состава

C<sub>3</sub>H<sub>2</sub>N<sub>3</sub>O<sub>2</sub>Ag · H<sub>2</sub>O. В близких условиях получают соли

всех перечисленных производных I; даны их брутто-

формулы, окраска, форма кристаллов. Antonín Emr

6Ж225. Химия арилгидразинон. II. 1-(β-арил-

этил)-пиразолоны-5. Сунь Юй-шань, Кост А. Н.

«Сычуань дасюэ сюэбао (изысканье ксэюэ), Sichuan

dasue xuebao. Ziran kexue, Acta scient. natur. Univ. szechuan», 1959, № 6, 55—64 (кит.; рез. русск.).—Синте-

зирован ряд 1-(β-арилэтил)-пиразолонов и изучены не-

которые их р-ции. Конденсацией RCOCH<sub>2</sub>COOCH<sub>2</sub> с

эквивалярным кол-вом H<sub>2</sub>NHN(CH<sub>2</sub>)<sub>2</sub>R' получены O=

=CCRCR'=NN(CH<sub>2</sub>)<sub>2</sub>R' [Iа—д, где а R = H, R' = CH<sub>3</sub>,

R' = C<sub>6</sub>H<sub>5</sub>; б R = H, R' = C<sub>2</sub>H<sub>5</sub>, R' = C<sub>6</sub>H<sub>5</sub>; в R = C<sub>2</sub>H<sub>5</sub>,

R' = CH<sub>3</sub>, R' = C<sub>6</sub>H<sub>5</sub>; г R = H, R' = C<sub>6</sub>H<sub>5</sub>, R' = C<sub>6</sub>H<sub>5</sub>,

д R = H, R' = CH<sub>3</sub>, R' = 2,3-(CH<sub>3</sub>O)<sub>2</sub>C<sub>6</sub>H<sub>3</sub>] (указаны I,

условия р-ции, выход в %, т. пл. в °C): а, в неболь-

шом кол-ве C<sub>2</sub>H<sub>5</sub>OH, 80, 139—140; б, 40 мин. при ~100°,

65, 98—99 (из сл.); в, 1 час. при ~100°, 46, 82—83 (из

эф.); г, в небольшом кол-ве C<sub>2</sub>H<sub>5</sub>OH, 83, 144—145; д,

40 мин. при ~100°, 86,9, 154—155 (из сл.). При дейст-

вии конденсирующих агентов (P<sub>2</sub>O<sub>5</sub>, POCl<sub>3</sub> и H<sub>3</sub>PO<sub>4</sub>) на

Iа—д циклизация по Бишлер — Напиральскому не

идет. 20,2 г Iа кипятят 10 час. с 60 г POCl<sub>3</sub>, упарива-

ют в вакууме, остаток кипятят с разб. HCl, фильтруют,

фильтрат подщелачивают разб. NaOH, экстрагируют эфиром и получают 1-(β-фенилэтил)-3-метил-5-хлорпиразол, выход 55%, т. кип. 148—149°/7 мм. Аналогично 5,3 г Id кипятят 40 час. с 30 г POCl<sub>3</sub>, получают 1-(β-(2,3-диметоксифенил)-этил)-3-метил-5-хлорпиразол, выход 35%, т. пл. 194—195°/11 мм. К р-ру 30,3 г Ia в 50 мл спирта прибавляют 20 мл конц. HCl и р-р 15,3 г NaNO<sub>2</sub> в 200 мл воды, перемешивают, получают 1-(β-фенилэтил)-3-метил-4-нитропиразол-5, выход 91%, т. пл. 140—141° (из сп.). Аналогично из 2,6 г Id получают 1-(β-(2,3-диметокси-(-)-)-нитрофенилэтил)-3-метил-4-нитропиразол-5, выход 86%, т. пл. 163—164° (разл.; из сп.). На основании хим. свойств и спектров поглощения можно считать, что в случае Ia—д энольная форма является преобладающей. Сообщения I см. РЖХим, 1961, 4Ж116.

**6Ж226.** Опыт получения имидазолилальдегидов окислением метилзамещенных имидазолов двуокисью селена и их применение для синтеза димидазолов. Schubert Hermann, Böhme Gottfried. Versuche zur Darstellung von Imidazolylaldehyden durch Oxydation methylsubstituierter Imidazole mit Selendioxyd und ihre Verwendung für Diimidazolsynthesen. «Wiss. Z. Martin-Luther-Univ. Halle—Wittenberg. Math.-naturwiss. Reihe», 1958—1959, 8, № 6, 1037—1039 (нем.).—Попытки окислить CH<sub>3</sub>-группу 2-метил-(I) и 4(5)-метил-(II), 2-метил-4(5)-нитро- и 2-метил-4(5)-дифенилимидазолов при помощи свежеприготовленной SeO<sub>2</sub> до альдегидной группы даже в жестких условиях не увенчались успехом, хотя в ряде случаев отмечено заметное выделение Se. Единственным идентифицированным продуктом являются молекулярные комплексы I и II с SeO<sub>2</sub>, причем не плавкие продукты, получаемые в инертных р-телях (C<sub>6</sub>H<sub>6</sub>, ксилол, α-метилнафталин), сильно отличаются от образующихся в полярных средах низкоплавких в-в. С пириновой к-той оба дают исходные I и II. Окисление бензимидазола (III) и нафтимидазола (IV) в тех же условиях приводит к ожидаемым альдегидам. При использовании 4(5)-имидазолил-, 2-бенз-(V) и 2-нафтимидазолил-альдегидов (VI) в димидазольном синтезе (см. Davidson D. и др., J. Organ. Chem. 1937, 2, 319) получены с выходом 70—80% в-ва, структура которых не была точно доказана. Метод А. К р-ру 0,1 моля II в 100 мл диоксана и 4 мл воды при 40° добавляют 0,1 моля SeO<sub>2</sub> и нагревают (до 5 час.) при 70—80°, причем выпадает некристаллизующееся масло, переходящее с горячим р-ром пириновой к-ты в пикрат II, выход 80%, т. пл. 159—160°. Метод Б. Кипятят 0,1 моля II и 0,1 моля SeO<sub>2</sub> в 100 мл абс. ксилола и через 40 мин. получают комплекс C<sub>6</sub>H<sub>5</sub>N<sub>2</sub>·SeO<sub>2</sub>, выход 92,5%, т. пл. 230—234° [разл.; из HCON(CH<sub>3</sub>)<sub>2</sub>]. Метод В. Аналогично, нагревая II и SeO<sub>2</sub> (по 0,1 моля) в 150 мл (CH<sub>3</sub>CO)<sub>2</sub>O при 60°, а затем до кипения 1 час, отделяют 7 г Se; не удалось обнаружить следов альдегида. Как по методу А, из 0,1 моля I и 0,1 моля SeO<sub>2</sub> при 70° получают комплекс C<sub>6</sub>H<sub>5</sub>N<sub>2</sub>·SeO<sub>2</sub>, выход 88%, т. пл. 58—59° (из сп.), переведен в пикрат I, выход 80%, т. пл. 210°. Аналогично методом В синтезируют другой комплекс I с SeO<sub>2</sub>, выход 92,5%, т. пл. 255—257° [разл.; из HCON(CH<sub>3</sub>)<sub>2</sub>]. Опыт в (CH<sub>3</sub>CO)<sub>2</sub>O не приводит к определенным результатам. Нагревают 0,1 моля III и 0,1 моля SeO<sub>2</sub>, как указано в В, отделяют 7 г Se, нейтрализуют воды. NaOH и отделяют V, выход 60%, т. пл. 224—226° [разл.; дважды из HCON(CH<sub>3</sub>)<sub>2</sub>]; 2,4-динитрофенилгидразон, т. пл. 310° (из сп.). Кипятят 15 мин. 0,03 моля IV и 0,03 моля SeO<sub>2</sub> в 60 мл диоксана и 4 мл воды и получают комплекс C<sub>12</sub>H<sub>10</sub>N<sub>2</sub>·SeO<sub>2</sub>, выход 89%, т. пл. 106—109° (из бзл.). Нагревают до 110° по 0,03 моля IV и SeO<sub>2</sub> в 150 мл (CH<sub>3</sub>CO)<sub>2</sub>O, отделяют 1,8 г Se и получают VI, выход 53,8%, температура плавления 225—228° (разл.; из воды); 2,4-динитрофенилгидразон, температура плавления 300—310° [разл.; из сп.-HCON(CH<sub>3</sub>)<sub>2</sub>]. С. Суминов

**6Ж227.** Нафтимидазолы. III. Некоторые 6,7,8,9-тетрагидронафт-[1,2]-имидазолы. Brown D. J., Harrison R. J. Naphthimidazoles. Part III. Some 6,7,8,9-tetrahydronaphth [1,2]-imidazoles. «J. Chem. Soc.», 1960, Apr., 1837—1839 (англ.).—Конденсацией 1,2-диамино-5,6,7,8-тетрагидронафталина (I) с HCOOH или CH<sub>3</sub>COOH получены ангулярные 2-R-6,7,8,9-тетрагидронафт-[1,2]-имидазолы (IIa—b, где a R = H, b R = CH<sub>3</sub>) соответственно. Аналогично из 2-N-метил-I (Ia) получают 3-метил-IIa. Сплавление I с мочевиной и тиомочевинной приводит к II (R = OH) (IIb) и II (R = SH) (IIc) соответственно. Из IIb получен II (R = Cl) (IId), который преобразован в различные 2-аминопроизводные, а из IIc синтезированы II (R = CH<sub>2</sub>S) (IIe) и II (R = SCH<sub>2</sub>COOH) (IIf), последний имеет строение биологического иона. pKa II весьма близки величинам, приведенным ранее (см. часть II, РЖХим, 1960, № 14, 57142) для линейных изомеров, также подобных их УФ-спектры (сдвиг на 5—10 мμ в область коротких волн у II, более слабое поглощение, но пик при <250 мμ выше). Описанным методом (Schroeter, Ann., 1922, 426, 17) получен 5,6,7,8-тетрагидро-1-нитро-2-нафтиламин (во время перегонки в вакууме 500 г месочик, в-ва последовал сильный взрыв), который восстановлен в I, 2,46 г I и 1,78 г (CH<sub>3</sub>)<sub>2</sub>SO<sub>4</sub> нагревают 1 час при ~100°, разбавляют водой, экстрагируют эфиром, экстракт упаривают и остаток гидрируют (3 ат) в спирте над скелетным Ni и перегонкой фильтрата выделяют Ia, т. кип. 140°/0,3 мм (неустойчив). 1 г I в 3 мл 90%-ной HCOOH и 10 мл 4 н. HCl кипятят 2 часа, упаривают в вакууме, выливают на лед, доводят NH<sub>4</sub>OH до pH 8—9 и получают 1,2 г IIa, т. пл. 204—205° (из 50%-ного сп.). Аналогично из Ia получают 3-метил-IIa, т. кип. 114°/0,1 мм; оксалат, т. пл. 172—173°. Подобно IIa синтезируют IIb, т. пл. 188° (из 33%-ного сп.). I и мочевины (по 1 г) нагревают в токе N<sub>2</sub> 10 мин. при 190°, охлаждают, прибавляют 10 мл воды и отделяют 1,2 г IIb, т. пл. 307—308° (из 2-метоксизанола). Аналогично из 1 г I и CS(NH<sub>2</sub>)<sub>2</sub> получают 1 г IIg, т. пл. 375° (из 2-метоксизанола). Р-р 0,5 г IIg в 8 мл горячего 1 н. NaOH разбавляют водой и охлаждают до 20°, встряхивают 1 час с 0,38 г CH<sub>3</sub>I, подкисляют до pH 4 и получают IIe, т. пл. 196—198° (из этилацетата). 0,75 г II, 0,35 г ClCH<sub>2</sub>COOH и 7 мл 1 н. NaOH нагревают 2 часа при 100°, охлаждают, прибавляют 3 мл воды, подкисляют до pH 3, осадок обрабатывают 5 н. Na<sub>2</sub>CO<sub>3</sub>, отделяют немного IIg и из фильтрата при pH 3 получают 0,47 г IIj, т. пл. 219° (из 2-метоксизанола). 3,35 г IIb в 50 мл POCl<sub>3</sub> кипятят 6 час., отгоняют в вакууме, выливают на лед, доводят NH<sub>4</sub>OH до pH 6, осадок кипятят 5 мин. с 10 н. HCl (2 порции к-ты) и из фильтрата при pH 6 получают 2,8 г IIд, т. пл. 175—178° (возгонка при 140°/0,1 мм). 0,4 г IIд в 2 мл ангиллина кипятят 2 часа в токе N<sub>2</sub>, отгоняют с паром ангиллин, выход II (R = C<sub>6</sub>H<sub>5</sub>NH) 0,45 г, т. пл. 198—199° (возгонка при 140°/0,1 мм; из 50%-ного сп.). 0,5 г IIд и 10 мл 30%-ного водн. (CH<sub>3</sub>)<sub>2</sub>NH нагревают 5 час при 175° в закрытом сосуде в присутствии порошка Cu, отгоняют в вакууме, остаток растворяют в 2,5 н. HCl и из фильтрата при pH 8 получают 0,32 г II [R = (C<sub>6</sub>H<sub>5</sub>)<sub>2</sub>N], т. пл. 154—155° (возгонка при 140°/0,1 мм; из 70%-ного CH<sub>3</sub>OH). BrCN (из 0,34 г KCN в 5 мл воды и 0,73 г Br<sub>2</sub>) в 10 мл холодной воды прибавляют к суспензии 0,67 г I, через ~12 час. разбавляют водой, подщелачивают NH<sub>4</sub>OH и отделяют осадок, который перегоняют при ~140°/0,1 мм и получают II (R = NH<sub>2</sub>) в виде гипоскопич. стекла, разлагается при 170°, разл. 178°. CH<sub>3</sub>NH<sub>2</sub> не реагирует с IIд. Часть II см. РЖХим, 1960, № 14, 57142.

**6Ж228.** 4,5-замещенные пиридазины. VIII. Гидролиз 2-фенил-6-хлороксазола-[5,4-с]-пиридазина. Kurashiki Tsukasa. 4,5-disubstituted pyridazines. VIII. Hydrolysis of 2-phenyl-6-chloroxazolo-[5,4-c]-pyridazine. «Chem. and Pharm. Bull.», 1960, 8, № 6, 553—554



6,7,8,9-тетра-  
Harris  
7,8,9-тетра-  
1960, Apr.  
ино-5,6,7,8-  
COOH по-  
нафт[1,2]-  
соответ-  
стуют 3-  
мочевинной  
(II) со-  
да), кото-  
ровые, е-  
II (R =  
пие био-  
нам, при-  
1960, № 14,  
их УФ-  
их волн у  
50 мк вы-  
1922, 426,  
фтилами-  
тип. в-ва  
исполнен в  
час при  
ром, экст-  
в спирте  
выделяют  
3 м. 90%  
а, упари-  
NH<sub>4</sub>OH до  
(из 50%-  
ил-Па, т.  
добно Па  
. I и мо-  
при 190°  
ают 1,2 г  
налогично  
375° (из  
чего 1 г.  
встряхи-  
4 г полу-  
7,5 г II,  
ром 2 ча-  
оды, пол-  
м. Na<sub>2</sub>CO<sub>3</sub>  
I 3 полу-  
этанол).  
ают в ве-  
рН 6,  
к-ты) и  
пл. 175-  
м. ани-  
ром ани-  
198-199°  
0,5 г Па  
5 час при  
а Cu, от-  
5 мл HCl  
[R = (C-  
м. 10%; из  
м. воды и  
от к суе-  
дой, по-  
рый по-  
R = NH)  
и 170°, т.  
II см.  
Дубиня  
I. Гидро-  
Kuraj  
III. Гидро-  
uridazine  
553-554

(англ.).—Синтезированный ранее 4-бензоиламино-6-хлорпиридазинол-3 (I) (см. сообщение VII, РЖХим, 1960, № 16, 65469) получен бензоилированием 4-амино-6-хлорпиридазинила-3 (II) действием C<sub>6</sub>H<sub>5</sub>COCl в кипящем C<sub>6</sub>H<sub>5</sub>NO<sub>2</sub> или C<sub>6</sub>H<sub>5</sub>N и кислотным гидролизом 2-фенил-6-хлорказол[5,4-с]-пиридазина (III). При кипячении I с POCl<sub>3</sub> регенерируется III. Кипячение III с 15%-ным NaOH (30 мин. дает II, т. пл. 286° (из сп.).

М. Карапетян

**6Ж229. Полициклические производные циннолина.** Часть III. Синтез циклической системы 4,5,9,10-тетраазепина и некоторых непланарных бенз[с]-циннолинов. Holt P. F., Hughes A. N. Polycyclic cinnoline derivatives. Part III. The synthesis of the 4,5,9,10-tetraazepine ring system and some nonplanar benzo[с]-cinnolines. «J. Chem. Soc.», 1960, Aug., 3216-3221 (англ.).—Синтезирована 4,9(10)-диоксис 4,5,9,10-тетраазепина (I), для чего 2,2'-диамино-6,6'-динитробифенил (II) восстановлен LiAlH<sub>4</sub> и полученный 1,10-диаминобенз[с]-циннолин (III) окислен надуксусной к-той в I. Строение I согласуется с данными УФ-спектра. При восстановлении I SnCl<sub>2</sub> и HCl получено немного в-ва, т. разл. >250°, нерастворимого в обычных органич. растворителях. В поисках способа получения 4,5-диазепинов синтезированы 1,10-бисоксиметилбенз[с]-циннолин (IV), из которого при действии HBr и PrBr вместо ожидаемого 1,10-бисбромметилбенз[с]-циннолина получен 9,11-дигидро-10-окса-4,5-дизаациклогепта-[d,l]-фенантрин (V), не изменяющийся при нагревании с H<sub>2</sub>SO<sub>4</sub> и полифосфорной к-той. SOCl<sub>2</sub> и IV реагируют нормально, образуя в зависимости от условий 1-хлорметил-10-оксис- и 1,10-бисхлорметилбенз[с]-циннолины (VI, VII). Р-ция VII с Na в кипящем толуоле не привела к 9,10-дигидро-4,5-дизаацепрену, вместо которого получены окрашенные и плохо растворимые полимеры. 50 г 2-йод-3-нитробензойной к-ты в 1 л CH<sub>3</sub>OH, насыщенный HCl, кипятят 14 час, с отделяют 51 г метилового эфира 2-йод-3-нитробензойной к-ты (VIII), т. пл. 62-64°. 20 г VIII и 17 г активированного порошка Cu нагревают 25 мин. при 160-170°, затем 30 мин. при 210-220° и извлекают бензолом диметилловый эфир 6,6'-динитробифенилдикарбонной-2,2'-к-ты (IX, X к-та), т. пл. 125-128°, который гидролизуют в X, выход 94%, т. пл. 255-258°. 10 г X кипятят с 60 мл SOCl<sub>2</sub> до растворения в-ва, отгоняют SOCl<sub>2</sub>, остаток вносят в NH<sub>4</sub>OH (d 0,88) и отделяют 9 г диамида X, т. пл. 268-272°. В смесь 4 мл Br<sub>2</sub> с р-ром 13 г NaOH в 136 мл воды постепенно при ~0° вносят 10,8 г диамида X, размешивают 10 мин., фильтруют, нагревают 10 мин. при 80-90°, вливают в конц. р-р NH<sub>4</sub>Cl и отделяют 4,26 г II, т. пл. 242-244° (из сп.). 0,5 г II в 1 л эфира и 2 г LiAlH<sub>4</sub> в 100 мл эфира кипятят 1 час, разлагают комплекс водой, фильтруют, р-р встряхивают с 20%-ной HCl, водн. слой подщелачивают и получают 160 мг III, т. пл. 217-221° (из сп.). При восстановлении II Zn-пылью и водно-спирт. КОН получают немного в-ва, т. пл. 86-92°, неустойчивого строения; восстановление II Hg/Na и CH<sub>3</sub>OH приводит к 2,6,2',6'-тетрааминбифенилу, т. пл. 192-194°; насыщ. водн. р-р Na<sub>2</sub>S не действует на II. К 160 мг III в CH<sub>3</sub>COOH добавляют 15 мл CH<sub>3</sub>COOH (полученной из 6 мл 85%-ной H<sub>2</sub>O<sub>2</sub> и 19 мл CH<sub>3</sub>COOH), нагревают при 100° ~1,5 часа, упаривают и получают 110 мг I, т. разл. >270°. 2 г IX в 0,2 л C<sub>6</sub>H<sub>6</sub> и 0,5 л сухого эфира и 1,25 г LiAlH<sub>4</sub> в 120 мл эфира кипятят 20 мин., разлагают LiAlH<sub>4</sub> водой и выделяют 0,18 г IV, т. пл. 227-230,5°, подметилат, т. пл. 160° (разл.). 0,14 г IV и 10 мл 60%-ной HBr нагревают 30 мин. при 75°, оставляют на ~12 часа, вливают в разб. р-р NaOH и отделяют 89 мг V, т. пл. 171-172°, подметилат, т. пл. 185-188°. Окислением V 80%-ной H<sub>2</sub>O<sub>2</sub> в CH<sub>3</sub>COOH получают N-оксис V, т. пл. 224-226°. 115 мг IV и 3 мл SOCl<sub>2</sub> кипятят 10 мин., р-р медленно вливают в разб. КОН, осадок растворяют в ацетоне, фильтруют через Al<sub>2</sub>O<sub>3</sub>, сгуща-

ют и отделяют 68 мг VI, т. пл. 131-133° (разл.); при кипячении 2 часа получают VII, выход 57,5%, т. пл. 171° (разл.; из ацетона). Часть II см. РЖХим, 1960, № 9, 34826.

М. Карапетян

**6Ж230. Новые производные пиперазина.** Groszkowski Stefan. Nowe pochodne piperazyny. «Roczn. chem.», 1960, 34, № 2, 707-708 (польск.; рез. англ.).—Реакцией пиперазина с CH<sub>3</sub>CHClCOCl или BrCH<sub>2</sub>CH<sub>2</sub>COCl синтезированы N,N'-ди-(2-хлорпропионил)- и N,N'-ди-(3-бромпропионил)-пиперазины, т. пл. 162-163° и 106-107°, превращенные действием соответствующих аминов в биологически интересные N,N'-ди-(2-R-пропионил)-пиперазины (R = пиперидил, т. пл. 195-196°; R = морфолил, т. пл. 220-222°) и N,N'-ди-(3-R-пропионил)-пиперидины (R = пиперидил, т. пл. 150-151°, R = морфолил, т. пл. 165-166°). Аналогично получен N,N'-ди-(морфолиноацетил)-пиперазин, т. пл. 207-208°.

Д. Витковский

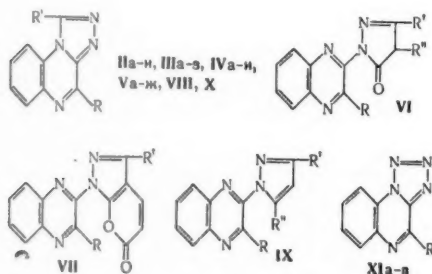
**6Ж231. Синтез N,N'-бис-циклогексилпиперазина и N,N'-бис-н-гексилпиперазина.** Groszkowski S., Serper A., Ionesco M. Synthèse de la N,N'-bis-(cyclohexyl)-piperazine et de la N,N'-bis-(n-hexyl)-piperazine. «Ann. pharm. franç.», 1960, 18, № 4, 224-229 (франц.).—Синтезированы N,N'-бис-циклогексил- и N,N'-бис-н-гексилпиперазины (I, II). Соединение I активно против аскаридов и получено конденсацией циклогексиламина (III) с 2 молями BrCH<sub>2</sub>CH<sub>2</sub>Br в присутствии NaOH или р-ции бромистого циклогексила (IV) с пиперазином. II синтезирован аналогично из n-C<sub>6</sub>H<sub>13</sub>NH<sub>2</sub> и BrCH<sub>2</sub>CH<sub>2</sub>Br или из n-C<sub>6</sub>H<sub>13</sub>Br и пиперазина. III, выход 67%, т. кип. 134°, получен восстановлением оксима циклогексанона Na и спиртом. К 0,42 моля BrCH<sub>2</sub>CH<sub>2</sub>Br попеременно небольшими порциями добавляют 0,2 моля III и 1 моль NaOH (2 часа, 90-100°), смесь нагревают 3 часа при 120° и 4 часа при 130°, продукт растворяют в 0,2 л 10%-ной HCl и осаждают NaOH I, выход 25%, т. пл. 148° (из сп.), хлоридрат, т. пл. 280-284°; пикрат, т. пл. 262-265°. Кипятят 5 час. смесь 50 г циклогексанола и 250 г 48%-ной HBr, медленно отгоняют IV, выход 52,5%, т. кип. 164°. 58 ммоль пиперазина, 0,12 моля K<sub>2</sub>CO<sub>3</sub> или 6,7 КОН и 0,17 моля IV нагревают 28 час. при 150-155°, подщелачивают и извлекают эфиром I, выход 14,4%. CH<sub>3</sub>(CH<sub>2</sub>)<sub>4</sub>CN восстанавливают Na и спиртом в n-C<sub>6</sub>H<sub>13</sub>NH<sub>2</sub>, выход 72,9%, т. кип. 128-130°, и конденсируют последний с BrCH<sub>2</sub>CH<sub>2</sub>Br в присутствии NaOH (9 час., 140°) в II, выход 23,6%, т. кип. 158-160°/6 мм, 168-169°/12-13 мм, n<sub>D</sub><sup>20</sup> 1,4570; или конденсируют, как описано выше, пиперазин и n-C<sub>6</sub>H<sub>13</sub>Br, выход II 15,6%.

Д. В.

**6Ж232. Изучение соединений, родственных пиперазину. II. Реакция 3-замещенных 2-гидразинохиноксалинов с карбонильными соединениями.** Shino Den-itsu, Tagami Shoichiro. Studies on compounds related to pyrazine. II. The reaction of 3-substituted-2-hydrazinoquinoxalines with carbonyl compounds. «J. Amer. Chem. Soc.», 1960, 82, № 15, 4044-4054 (англ.).—Исследованы р-ции 2-гидразино-3-R-хиноксалинов [Ia-g; где a R = H, б R = CH<sub>3</sub>, в R = C<sub>6</sub>H<sub>5</sub>, г R = CH(CH<sub>3</sub>)(C<sub>2</sub>H<sub>5</sub>)] с карбонильными соединениями. При взаимодействии Ia-в с R'C(OC<sub>2</sub>H<sub>5</sub>), R'COCl, R'COOH или (R'CO)<sub>2</sub>O получены триазоло[4,3a]-хиноксалины [IIa-и, R = H; IIIa-з, R = CH<sub>3</sub>; IVa-и, R = C<sub>6</sub>H<sub>5</sub>; для всех II-III a R' = H, б R' = CH<sub>3</sub>, в R' = C<sub>2</sub>H<sub>5</sub>, г R' = n-C<sub>6</sub>H<sub>7</sub>, д R' = n-C<sub>4</sub>H<sub>9</sub>, е R' = C<sub>6</sub>H<sub>5</sub>, ж R' = C<sub>6</sub>H<sub>5</sub>CH = CH; з R' = OH; и R' = (CH<sub>3</sub>)<sub>2</sub>CHCH<sub>2</sub>]. Наилучший результат дает применение ортоэфиров. Эти же в-ва, но с меньшими выходами получают при р-ции 2-хлор-3-R-хиноксалинов с моно- и диацилгидразинами или при нагревании Ia-g с кетонами; так, р-ции Iv с R'COR''(CH<sub>3</sub>COC<sub>2</sub>H<sub>5</sub>, CH<sub>3</sub>COC<sub>2</sub>H<sub>7</sub>, CH<sub>3</sub>COCH(C<sub>2</sub>H<sub>5</sub>)<sub>2</sub> и т. д.) синтезирован IVб; по-видимому, образующиеся первоначально гидразоны циклизуются при нагревании в промежуточные 1-R'-1-R''-4R-2H-сим-триазоло[4,3a]-хиноксалины, разлагающиеся с выделением углевод-

16\*

рода R'H и IVб, причем отщепляется алкил с наибольшим кол-вом атомов С; это же правило подтверждено на примере синтеза IVе из IV и различных кетонов. Р-цией IV с R'CHO получены соединения (Va-ж, где R = C<sub>6</sub>H<sub>5</sub>; а R' = *n*-C<sub>6</sub>H<sub>13</sub>; б R' = *m*-NO<sub>2</sub>C<sub>6</sub>H<sub>4</sub>; в R' = *n*-NO<sub>2</sub>C<sub>6</sub>H<sub>4</sub>; г R' = 3-CH<sub>3</sub>O-4-HOC<sub>6</sub>H<sub>3</sub>; д R' = *n*-CH<sub>3</sub>O-C<sub>6</sub>H<sub>4</sub>; е R' = *n*-ClC<sub>6</sub>H<sub>4</sub>; ж R' = 2,4-Cl<sub>2</sub>C<sub>6</sub>H<sub>3</sub>). При р-ции IV с пировиноградной к-той получен гидразон, превращающийся при пиролизе и кипячении с CH<sub>3</sub>COOH (16—24 часа) в IVб, а при кипячении с C<sub>2</sub>H<sub>5</sub>COOH и C<sub>2</sub>H<sub>5</sub>COON в IVв, г. Р-ция Ia, б, г с β-кетозфирми в зависимости от условий и соотношения реагентов дает пиразолон (VI), лактоны (VII) или триазолы (VIII).



При взаимодействии Ia, б, г с β-дикетонами образующиеся первоначально гидразоны в зависимости от условий дегидратируются в пиразолы (IX) или пиритически разлагаются с образованием соединений (X). Р-ция I с γ-дикетонами приводит к производным пиридазина. Действием HNO<sub>2</sub> на Ia—в синтезированы тетраоло-1,5-α-хлороксалины (XIa—в; где а R = H, б R = CH<sub>3</sub>, в R = C<sub>6</sub>H<sub>5</sub>). Смесь 4 г 2-оксип-3-фенилхлороксалина и 35 мл POCl<sub>3</sub> кипятят 30 мин., отгоняют POCl<sub>3</sub>, к остатку осторожно приливают воду и получают 2-хлор-3-фенилхлороксалин (XII), т. пл. 130° (из сп.). К р-ру 0,1 моля XII в 30 мл спирта добавляют 15 мл 80%-ного N<sub>2</sub>H<sub>4</sub> · H<sub>2</sub>O, кипятят 2 часа и отделяют Ia, выход 87%, т. пл. 167° (из сп.). Аналогично синтезируют (указаны в-во, выход в %, т. пл. в °C): 1б, 94, 172; в, 93, 140; г, 80, 112. Смесь 25 ммоль I и 5 мл лед. R'COOH кипятят 2 часа, отгоняют в вакууме R'COOH и получают триазол; или к смеси 6 мл пиридина и 2,3 ммоль R'COCl добавляют 2 ммоль I нагревают 1 час при 100°, отгоняют р-ритель, остаток выливают в воду и отделяют продукт; или 2,5 ммоль I и 3 мл (R'CO)<sub>2</sub>O кипятят 1 час, отгоняют в вакууме (R'CO)<sub>2</sub>O и продукт кристаллизуют из воды; или 2 ммоль I и 5 мл R'C(OC<sub>2</sub>H<sub>5</sub>)<sub>2</sub> кипятят 1 час и по охлаждению отделяют триазол; этими методами получают (указаны циклизующий агент, продукт р-ции, выход в % и т. пл. в °C): HC(OC<sub>2</sub>H<sub>5</sub>)<sub>2</sub>, Ia, 88, 234 (из CH<sub>3</sub>OH); CH<sub>3</sub>COOH, 1б, 70, 210 (из CH<sub>3</sub>OH); C<sub>2</sub>H<sub>5</sub>COOH, 1в, 68, 180 (из CH<sub>3</sub>OH); *n*-C<sub>3</sub>H<sub>7</sub>COOH, 1г, 79, 150 (из CH<sub>3</sub>OH); *n*-C<sub>4</sub>H<sub>9</sub>COOH, 1д, 67, 141 (из CH<sub>3</sub>OH); C<sub>6</sub>H<sub>5</sub>COCl, 1е, 87, 225 (из сп.); C<sub>6</sub>H<sub>5</sub>CH=CHCOCl, 1ж, 85, 238 (из CH<sub>3</sub>OH); SiCOOC<sub>2</sub>H<sub>5</sub>, 1з, 74, 300 (из CH<sub>3</sub>COOH); (CH<sub>3</sub>)<sub>2</sub>CHCH<sub>2</sub>COOH, 1и, 45, 138 (из сп.); при р-ции 1б и (CH<sub>3</sub>CO)<sub>2</sub>O получено диалетальное производное 1б, выход 55%, т. пл. 104° (из CH<sub>3</sub>OH). Аналогично синтезируют следующие пиразолы (указаны в-во, выход в % и т. пл. в °C): 1IIa, 85, 247 (из CH<sub>3</sub>OH); б, 78, 196 (из воды); в, 92, 152 (из изо-C<sub>3</sub>H<sub>7</sub>OH); г, 80, 138 (из воды); д, 85, 117 (из ацетона); е, 92, 203,5 (из CH<sub>3</sub>OH); ж, 77, 197,5 (из сп.); з, 75, 283 (из пиридина); IVa, 94, 190 (из CH<sub>3</sub>OH-пиридина); б, 85, 220 (из CH<sub>3</sub>OH-пиридина); в, 86, 160 (из CH<sub>3</sub>OH); г, 91, 146 (из CH<sub>3</sub>OH); д, 90, 113 (из водн. CH<sub>3</sub>OH); е, 87, 237,5 (из CH<sub>3</sub>OH-пиридина); ж, 85, 202 (из CH<sub>3</sub>OH-пиридина); з, 78, 303

(из CH<sub>3</sub>COOH); и, 94, 136 (из водн. CH<sub>3</sub>OH). 0,52 г IVa, 4 мл POCl<sub>3</sub> и 1,2 г PCl<sub>5</sub> нагревают в запаянной трубке 6 час. при 200°, продукт выливают в воду и получают IV (R = C<sub>6</sub>H<sub>5</sub>, R' = Cl), выход 5,5%, т. пл. 135° (из пиридина). Смесь 0,24 г ацетофенона и 0,4 г IV нагревают 4 часа при 180—200° [причем образуется соответствующий гидразон, т. пл. 125° (из CH<sub>3</sub>OH)], затем 70 мин. при 260—270°, продукт растирают с CH<sub>3</sub>OH и получают IVв. Аналогично из IV и CH<sub>3</sub>COCH<sub>2</sub>C<sub>6</sub>H<sub>5</sub> получают гидразон, т. пл. 127°. К р-ру 0,4 г IV в CH<sub>3</sub>OH добавляют 0,21 г C<sub>6</sub>H<sub>5</sub>CHO, кипятят 5 мин., полученный гидразон, т. пл. 118° (из CH<sub>3</sub>OH), нагревают 1 час при 230—250° и получают 0,36 г IVе. Тем же методом синтезируют (указаны в-во и т. пл. в °C): Va, 285; б, 214; в, 252; г, 243; д, 225; е, 258; ж, 268. Смесь 3,1 ммоль CH<sub>3</sub>COCH(C<sub>2</sub>H<sub>5</sub>)COOC<sub>2</sub>H<sub>5</sub> (XIII) и 2,5 ммоль Ia нагревают 2 часа при 140—150°, растирают с XIII и отгоняют VI (R = H, R' = CH<sub>3</sub>, R'' = C<sub>2</sub>H<sub>5</sub>), выход 78%, т. пл. 144° (из этилацетата). В близких условиях (нагревание от 30 мин. до 8 час., 130—180°) из Ia, г синтезируют (указаны исходный I, β-кетозфир, продукт, R, R', R'', выход в % и т. пл. в °C): Ia, CH<sub>3</sub>COCH(C<sub>6</sub>H<sub>5</sub>)COOC<sub>2</sub>H<sub>5</sub>, VI, H, CH<sub>3</sub>, (CH<sub>3</sub>)<sub>2</sub>CH<sub>2</sub>, 91, 118 (из этилацетата); Ia, C<sub>6</sub>H<sub>5</sub>COCH<sub>2</sub>COOC<sub>2</sub>H<sub>5</sub> (XIV), VI, H, C<sub>6</sub>H<sub>5</sub>, H, 61, 217 (из этилацетата); Ia, *n*-CH<sub>3</sub>C<sub>6</sub>H<sub>4</sub>COCH<sub>2</sub>COOC<sub>2</sub>H<sub>5</sub> (XV), VI, H, *n*-CH<sub>3</sub>-C<sub>6</sub>H<sub>4</sub>, H, 66, 218 (из CH<sub>3</sub>OH + C<sub>6</sub>H<sub>5</sub>N); Ia, *n*-ClC<sub>6</sub>H<sub>4</sub>COCH<sub>2</sub>COOC<sub>2</sub>H<sub>5</sub> (XVI), VI, H, *n*-ClC<sub>6</sub>H<sub>4</sub>, H, 72, 228 (из C<sub>6</sub>H<sub>5</sub>N); 1б, XIII, VI, CH<sub>3</sub>, CH<sub>3</sub>, C<sub>2</sub>H<sub>5</sub>, 60, 145 (из CH<sub>3</sub>OH-C<sub>6</sub>H<sub>5</sub>N); 1б, XIV, VI, CH<sub>3</sub>, C<sub>6</sub>H<sub>5</sub>, H, 16, 212 (из CH<sub>3</sub>OH-C<sub>6</sub>H<sub>5</sub>N); 1б, XV, VI, CH<sub>3</sub>, *n*-CH<sub>3</sub>C<sub>6</sub>H<sub>4</sub>, H, 98, 210 (из CH<sub>3</sub>OH-C<sub>6</sub>H<sub>5</sub>N); 1б, XVI, VI, CH<sub>3</sub>, *n*-ClC<sub>6</sub>H<sub>4</sub>, H, 90, 231,5 (из C<sub>6</sub>H<sub>5</sub>N); 1в, XIV, VI, C<sub>6</sub>H<sub>5</sub>, C<sub>6</sub>H<sub>5</sub>, H, 20, 257 (из C<sub>6</sub>H<sub>5</sub>N); 1г, XIV, VI, CH(CH<sub>3</sub>)<sub>2</sub>(C<sub>2</sub>H<sub>5</sub>), C<sub>6</sub>H<sub>5</sub>, H, 21, 189 (из водн. CH<sub>3</sub>OH); 1г, XV, VI, CH(CH<sub>3</sub>)<sub>2</sub>(C<sub>2</sub>H<sub>5</sub>), *n*-CH<sub>3</sub>-C<sub>6</sub>H<sub>4</sub>, H, 43, 159 (из CH<sub>3</sub>OH). 0,43 г 1б и 1,5 мл ацетокислого эфира (XVII) кипятят 5 час и отгоняют VII (R = R' = CH<sub>3</sub>), выход 47%, т. пл. 235° (из CH<sub>3</sub>OH + C<sub>6</sub>H<sub>5</sub>N). Смесь 3 ммоль XVII и 2 ммоль 1г нагревают 1 час при 90—100°, затем 4 часа при 150—180°, продукт растирают с петр. эфиром и получают VIII (R = CH(CH<sub>3</sub>)<sub>2</sub>, R' = CH<sub>3</sub>), выход 50%, т. пл. 145,5° (из CH<sub>3</sub>OH). Тем же методом синтезируют (указаны исходный I, β-кетозфир, в-во, R, R', выход в % и т. пл. в °C): 1в, XVII, VIII, C<sub>6</sub>H<sub>5</sub>, CH<sub>3</sub>, 86,5, 220 (из CH<sub>3</sub>OH-C<sub>6</sub>H<sub>5</sub>N); 1а, XIV, VIII, C<sub>6</sub>H<sub>5</sub>, C<sub>6</sub>H<sub>5</sub>, 20, 257 (из C<sub>6</sub>H<sub>5</sub>N); 1г, XVII, VIII, CH(CH<sub>3</sub>)<sub>2</sub>(C<sub>2</sub>H<sub>5</sub>), CH<sub>3</sub>, 50, 145,5 (из CH<sub>3</sub>OH). Смесь 2,5 ммоль Ia—г и 3 ммоль R'COCH<sub>2</sub>COR' нагревают при 120—160° до прекращения вспенивания, продукт растирают с CH<sub>3</sub>OH и отгоняют следующие IX (указаны R, R', R'', выход в %, т. пл. в °C): H, CH<sub>3</sub>, CH<sub>3</sub>, 71,4, 110 (из CH<sub>3</sub>OH); H, C<sub>2</sub>H<sub>5</sub>, C<sub>2</sub>H<sub>5</sub>, 80, 64 (из водн. CH<sub>3</sub>OH); H, CH<sub>3</sub>, CH<sub>2</sub>C<sub>6</sub>H<sub>5</sub>, 76, 127 (из CH<sub>3</sub>OH); H, CH<sub>3</sub>, C<sub>6</sub>H<sub>5</sub>, 95, 129 (из сп.); H, C<sub>2</sub>H<sub>5</sub>, C<sub>6</sub>H<sub>5</sub>, 66, 96 (из CH<sub>3</sub>OH); H, C<sub>3</sub>H<sub>7</sub>, C<sub>6</sub>H<sub>5</sub>, 70, 72 (из CH<sub>3</sub>OH); H, C<sub>6</sub>H<sub>5</sub>, C<sub>6</sub>H<sub>5</sub>, 90, 142 (из CH<sub>3</sub>OH); CH<sub>3</sub>, C<sub>2</sub>H<sub>5</sub>, C<sub>6</sub>H<sub>5</sub>, 40, 94 (из водн. CH<sub>3</sub>OH); CH<sub>3</sub>, C<sub>3</sub>H<sub>7</sub>, C<sub>6</sub>H<sub>5</sub>, 63, 82 (из водн. CH<sub>3</sub>OH); C<sub>6</sub>H<sub>5</sub>, CH<sub>3</sub>, CH<sub>2</sub>C<sub>6</sub>H<sub>5</sub>, 62, 116 (из водн. CH<sub>3</sub>OH); C<sub>6</sub>H<sub>5</sub>, C<sub>6</sub>H<sub>5</sub>, C<sub>6</sub>H<sub>5</sub>, 76,4, 134 (из сп.); CH(CH<sub>3</sub>)<sub>2</sub>, CH<sub>3</sub>, CH<sub>3</sub>, 71, 64 (из водн. CH<sub>3</sub>OH). К р-ру 2,5 ммоль 1г и 5 мл спирта добавляют 3 ммоль β-дикетона, кипятят 30 мин., отгоняют летучие в-ва, остаток растирают с CH<sub>3</sub>OH и получают следующие IX: CH<sub>3</sub>, CH<sub>3</sub>, CH<sub>3</sub>, 74, 117 (из CH<sub>3</sub>OH); CH<sub>3</sub>, C<sub>2</sub>H<sub>5</sub>, C<sub>2</sub>H<sub>5</sub>, 65, т. кип. 165—167°/3 мм., —; CH<sub>3</sub>, C<sub>6</sub>H<sub>5</sub>, C<sub>6</sub>H<sub>5</sub>, 85, 135 (из CH<sub>3</sub>OH); C<sub>6</sub>H<sub>5</sub>, CH<sub>3</sub>, CH<sub>3</sub>, 70, 115 (из CH<sub>3</sub>OH); C<sub>6</sub>H<sub>5</sub>, C<sub>2</sub>H<sub>5</sub>, C<sub>2</sub>H<sub>5</sub>, 57, 98 (из водн. CH<sub>3</sub>OH). 2,5 ммоль 1г и 3 ммоль β-дикетона нагревают 5 мин. при 140—150° и получают следующие X (приведены R, R', выход в %, т. пл. в °C): CH(CH<sub>3</sub>)<sub>2</sub>(C<sub>2</sub>H<sub>5</sub>), CH<sub>3</sub>, 74, 145 (из CH<sub>3</sub>OH); CH(CH<sub>3</sub>)<sub>2</sub>(C<sub>2</sub>H<sub>5</sub>), CH<sub>3</sub>, 38, 145 (из CH<sub>3</sub>OH); CH(CH<sub>3</sub>)<sub>2</sub>(C<sub>2</sub>H<sub>5</sub>), C<sub>2</sub>H<sub>5</sub>, 26, 123 (из *n*-C<sub>6</sub>H<sub>14</sub>). Смесь 0,38 г 1б и 0,38 г CH<sub>3</sub>COCH<sub>2</sub>COCH<sub>3</sub> нагревают 1 час при 150—250°, продукт смешивают с петр. эфиром и отгоняют 0,48 г 1-(3-R'-хлороксалин-2)-3,6-диметил-4-гидропиридазина (XVIII R' = CH<sub>3</sub>),

52 е IV<sub>2</sub>,  
и трубки  
получают  
(из сп.  
Ив нагре-  
вают соот-  
но), затем  
в СН<sub>3</sub>ОН по-  
лученный  
час при  
синте-  
5; 6, 214  
толя СН<sub>3</sub>-  
агревают  
получают VI  
пл. 144°  
вание от  
т (указа-  
н), выход  
15, VI, H,  
H<sub>2</sub>COSCH<sub>2</sub>-  
гилата-  
1-CH<sub>3</sub>-  
C<sub>6</sub>H<sub>4</sub>CO-  
228 (из  
из СН<sub>3</sub>-  
212 (из  
H, 98,  
C<sub>6</sub>H<sub>4</sub>, H,  
I, 20, 187  
N, 21, 259  
, n-CH<sub>3</sub>-  
из ацето-  
получают VII  
в СН<sub>3</sub>ОН +  
I<sub>2</sub> нагре-  
150—180°  
получают VIII  
пл. 145,5°  
заны не-  
т. п. л.  
из СН<sub>3</sub>ОН +  
C<sub>6</sub>H<sub>5</sub>N);  
(из СН<sub>3</sub>-  
C<sub>6</sub>H<sub>5</sub>COR'  
иссле-  
следова-  
следую-  
л. в °C):  
C<sub>2</sub>H<sub>5</sub>N, 91  
127 (из  
H<sub>2</sub>, C<sub>6</sub>H<sub>5</sub>,  
C<sub>6</sub>H<sub>5</sub>ОН);  
C<sub>6</sub>H<sub>5</sub>N, 40,  
(из водн.  
C<sub>6</sub>H<sub>5</sub>ОН);  
C<sub>6</sub>H<sub>5</sub>N, C<sub>6</sub>H<sub>5</sub>,  
I в 5 мл  
кни-  
тируют с  
C<sub>6</sub>H<sub>5</sub>, 74,  
165—167°  
(H); C<sub>6</sub>H<sub>5</sub>,  
H<sub>2</sub>, 57, 98  
дикетона  
следующие  
C<sub>6</sub>H<sub>5</sub> (CH<sub>3</sub>-  
C<sub>6</sub>H<sub>5</sub>), C<sub>6</sub>H<sub>5</sub>,  
123 (из  
C<sub>6</sub>H<sub>5</sub>ОН)  
п-ивают с  
салицил-  
H<sub>2</sub>Y = CH<sub>2</sub>-

т. пл. 203° (из водн. сп.). Аналогично из **Iв**, г получают **XVIII** ( $R' = C_2H_5$ ), т. пл. 184°, и **XVIII** [ $R' = CH_3$  ( $C_2H_5$ )], т. пл. 142°. К холодному р-ру 2,5 ммольа **Iв**—в в 14 мл 42%-ной  $CH_3COOH$  приливают по каплям р-р 2,6 ммольа  $NaNO_2$  в 2 мл воды, выдерживают 1 час при  $\sim 20^\circ$  и отделяют (указаны в-во, выход в % и т. пл. в  $^\circ C$ ): **XIa**, 93, 198; **б**, 92, 151; **в**, 93, 170 (все из  $SiO_2/Al_2O_3$ ). Сорбирование I см. РЖХим. 1958, № 1. 1342.

М. Карапетян

6Ж233. Восстановление 3-оксехиноксалинкарбоновой-2 кислоты и ее производных с дитионитом натрия. Bahj M. S., Rees C. W. The reduction of 3-hydroxyquinoxaline-2-carboxylic acid and derivatives with sodium dithionite. J. Chem. Soc., 1960, Aug., 3384—3386 (англ.).—3-оксехиноксалинкарбоновая-2 к-та (I) восстанавливается р-ром  $\text{Na}_2\text{S}_2\text{O}_4$  в 1,2-дигидро-I (II); гидрат, т. пл. 152° (разл.). Анилид I, т. пл. 340—343° (разл.); в тех же условиях дает анилид II, т. пл. 208°, быстро окисляющийся на воздухе в исходный анилид I; 4-диоксис N-метиланилида хиноксалинкарбоновой-2 к-ты и 1-оксис N-метиланилида 3,4-дигидро-4-метил-3-кетохиноксалинкарбоновой-2 к-ты восстанавливаются в неокисленные N-метиланилиды соответствующих к-т, т. пл. 128 и 188°. Анилид, N-метиланилид и 1-оксис N,N-дифениламида 3,4-дигидро-4-метил-3-кетохиноксалинкарбоновой-2 к-ты (III к-та) восстанавливаются в соответствующие 1,2,3,4-тетрагидропроизводные, т. пл. 161, 168 и 179°. Замена оксигруппы на  $\text{NH}_2$  в I и аналогичных соединений приводит к соединениям, не восстанавливающимся  $\text{Na}_2\text{S}_2\text{O}_4$ . Эти результаты, так же как и результаты предыдущих исследований (см. РЖХим, 1960, № 5, 17725), подтверждают электрофильный характер  $\text{C}_2$  в некоторых из исследованных соединений. 2 г амида III кипятят ~13 час. с 15 мл анилина, р-р выделяют в избыток 2 п.  $\text{HCl}$  и отделяют анилид III, выход 67%, т. пл. 193—195°, 3,9 мл фенолфосфазонанилида, 0,64 мл  $\text{POCl}_3$  и 2 г 3-аминохиноксалинкарбоновой-2 к-ты (IV) в сухом толуоле кипятят 1 час, горячую смесь фильтруют, р-р сгущают и получают анилид IV, выход 41%, т. пл. 213° (из сж.). Три N-метиланилид фосфорной к-ты (из 4,3 мл метиланилина и 0,64 мл  $\text{PCl}_3$ ) и 2 г IV в 40 мл толуола кипятят 20 мин., отгоняют толуол и из остатка извлекают спирт N-метиланилид IV, выход 23%, т. пл. 157° (из воды). 0,2 г восстанавливаемого в-ва и 0,3 г  $\text{Na}_2\text{S}_2\text{O}_4$  в 10 мл 50%-ного спирта кипятят 45 мин., добавляют 0,3 г  $\text{Na}_2\text{S}_2\text{O}_4$ , кипятят еще 45 мин., отгоняют спирт и продукт кристаллизуют из спирта. М. Караетянц

М. Карашетян

61234. Окисление анилида 3-оксихиноксалинкарбоновой-2 кислоты и его N-метилпроизводных. Habib M. S., Rees C. W. The oxidation of 3-hydroxyquinoxaline-2-carboxyanilide and its N-methyl derivatives. (J. Chem. Soc., 1960, Aug., 3386—3392 (англ.).—N-R-анилиды 3,4-дигидро-4-R'-3-кетохиноксалинкарбоновой-2 к-ты (Ia—г, где а R = R' = CH<sub>3</sub>; б R = R' = H; в R = CH<sub>3</sub>, R' = H; г R = H, R' = CH<sub>3</sub>) относятся различно к действию надкислот: при окислении Ia надуксусной к-той в среде CH<sub>3</sub>COOH (20—40 час., ~65°) образуется его I-окис; при удалении одной или обеих CH<sub>3</sub>-групп р-ция протекает без образования N-окисей и с замещением CONR<sub>2</sub>C<sub>6</sub>H<sub>5</sub>-группы на гидроксил; так, из Ib, в получается до 80% 2,3-диоксихиноксалина; из Ig образуется 60—75% 3,4-дигидро-2-окси-4-метил-3-кетохиноксалина (II), т. пл. 286—288°, синтезированного также метилированием 2,3-диоксихиноксалина (CH<sub>3</sub>)<sub>2</sub>SO<sub>4</sub> в присутствии NaOH. I (R = CH<sub>3</sub>CO, R' = CH<sub>3</sub>), т. пл. 254° (из бвл.), полученный ацетилированием Ig кипятищем (CH<sub>3</sub>CO)<sub>2</sub>O, также окисляется 30%-ной H<sub>2</sub>O<sub>2</sub> в среде CH<sub>3</sub>COOH (72 часа, 55°) в II, выход 50%. N-метиланилид 4-ацетил-3,4-дигидро-3-кетохиноксалинкарбоновой-2 к-ты (III) окисляется нормально в N-окис III, которая с H<sub>2</sub>SO<sub>4</sub> частично изомеризуется в 4-ацетил-3,4-дигидро-2-(о-метиламинофенил)-3-кетохиноксалин (IV), а частично гидролизуется в 3-окси-2-о-ме-

**тиламинофенилхинокалин (V).** Получены 2 изомерные моноокиси N-метилалилда хинокалинакарболовой-2 к-ты (VI, VII к-та). Обсужден механизм описанных р-ций. К взвеси 3 г хлорангидрида 3-окси-VII в  $C_6H_6$  постепенно приливают 10 мл метилалилина в 15 мл  $C_6H_6$  и вымывают 2 н. HCl IV, выход 71%, т. пл.  $242^\circ$  (из сп.). 0,5 г IV и 5 мл  $CH_3COCl$  кипятят 24 часа и выделяют III, выход 86%, т. пл.  $216^\circ$  (из сп.). Смесь 1,2 г III, 6 мл  $CH_3COOH$  и 1,2 мл 30%-ной  $H_2O_2$  нагревают 60 час. при  $55^\circ$ , добавляя через 20 и 40 час. по 0,6 мл  $H_2O_2$ , отгоняют в вакууме  $CH_3COOH$  и из остатка извлекают спиртом 1-окись III, выход 47%, т. пл.  $216-217^\circ$  (из бзл.-хлф.). К 2 мл конц.  $H_2SO_4$  постепенно добавляют N-окись III, через 20 мин. при  $\sim 20^\circ$  выливают на лед, нейтрализуют р-ром NaOH, из осадка извлекают бензолом V, выход 73%, т. пл.  $221-222^\circ$  [из води.  $HCON(CH_3)_2$ ]; остаток кристаллизуют из большого кол-ва  $C_6H_6$  и получают IV, выход 11%, т. пл.  $204-205^\circ$ . Окисляют 0,8 г VI  $H_2O_2$  в среде  $CH_3COOH$  (см. выше) и выделяют 4-окись VI, выход 65%, т. пл.  $150^\circ$  (из сп.), из которой при действии  $PCl_3$  (16 час.,  $\sim 20^\circ$ ) регенерируется VI. 1 г анилида VII окисляют 40%-ной  $CH_3COOH$  (см. выше) и получают 1,4-диокись анилида VII (VIII), выход 60%, т. пл.  $211^\circ$  [из  $HCON(CH_3)_2$ ]. К 0,2 г VIII в 2 мл  $CHCl_3$  добавляют 0,4 мл  $PCl_3$ , выдерживают 16 час. при  $20^\circ$ , выливают на лед, подщелачивают NaOH и извлекают  $CHCl_3$  1-окись анилида VII, выход 79%, т. пл.  $159^\circ$  (из сп.). Аналогично из диокиси VI получают 1-окись VI, т. пл.  $198-199^\circ$ , не изменяющуюся при действии  $PCl_3$ . М. Карапетян

6Ж235. К вопросу циклизации этилового эфира *N*-цианэтилгликолата. Будчук П. Ф. «Ж. общ. химии», 1960, 30, № 6, 1814—1816. Нагревание этилового эфира (ЭЭ) *N*-цианэтилгликолата (I) в  $C_2H_6$  в присутствии  $C_2H_5ONa$  или без р-рителя и  $C_2H_5ONa$  приводит не к 3-цианпропироллидону-4 (см. Cocker W. и др., J. Chem. Soc., 1952, 1182), а к *N,N*-дипианэтил-2,5-дикетопиперазину (II). При гидролизе II и этерификации продукта описанным ранее методом (см. РЖХим, 1955, № 10, 18881) получен ЭЭ *N*-карботоксизетилгликолата, т. кип. 249—251°/760 мм (разл.), 135—137°/9—10 мм,  $n_D^{20}$  1,436; гидрат, т. пл. 84—86°. Кипячение (20 час.) 2,5 г II с 9,3 г анилина и 1 г KOH [или 6г  $N(C_2H_5)_3$ ] в 150 мл воды приводит к перцианэтиллированию с образованием  $\beta$ -фениламинопропионитрила, т. пл. 48—49°. 10 г I нагревают 14 дней при 110—120°, продукт обрабатывают 20 мл спирта, выдерживают при 0° и получают II, выход 20%, т. пл. 166°. Д. Витковский

Д. Витковский

6Ж236. **Ароматические и псевдоароматические небензольные системы. II. Исследование 1,2-диаза-3,5,7-циклооктатриеновой системы.** Allinger Norman L., Youngdale Gilbert A. *Aromatic and pseudoaromatic nonbenzenoids systems. II. Studies directed toward the 1,2-diaza-3,5,7-cyclooctatriene system.* *J. Organ. Chem.*, 1960, **25**, № 9, 1509—1511 (англ.). — Конденсацией *о*-фенилендиациетона (Ia) и *о*-к-лил лев-ди-(2,4-ксилл)-кетона (Ib) с  $N_2H_4$  синтезированы 3,8-дифенил- и 3,8-ди-(2,4-ксилл)-1,2-диаза-5,6-бензо-2,5,8-циклооктатриены (IIa, б), для которых подсчитана энергия резонанса 2,99 и 4,76  $\beta$  соответственно. Соединения IIa, б не удалось изомеризовать нагреванием с Pd/C в ксилоле в соответствующие 3,8-диарил-1,2-диаза-3,5,7-циклооктатриены, что объясняется не полностью ароматич. характером этих соединений. Смесь 70  $\epsilon$  *о*-фенилендиациетонитрила и 0,7 л 6 н. HCl кипятят до растворения в-ва, отгоняют 0,5 л *p*-рителя и по охлаждению отделяют *о*-фенилендиациетонусную к-ту (III), выход 93%, т. пл. 149—150° (из воды). 10  $\epsilon$  III и 15,3  $\epsilon$   $SOCl_2$  нагревают 6 час. при 70°, отгоняют  $SOCl_2$ , продукт растворяют в 30 мл  $C_6H_6$ , *p*-р постепенно приливают к 16  $\epsilon$   $AlCl_3$  в 80 мл  $C_6H_6$ , размешивают 2 часа, выливают в смесь льда и HCl и из бензольного слоя выделяют Ia, выход 74%, т. пл. 181,5—182° (из бзд.). В одном из аналогичных опытов авторами вме-



сто Ia получен 2-фенил-3-бензоилиндеп, выход 40%, т. пл. 164—166° (из диоксана). Аналогично синтезируют Ib, выход 35%, т. пл. 81—82° (из петр. эф.). 6,28 г Ia в 110 мл  $\text{HCON}(\text{CH}_3)_2$  смешивают с теплым р-ром 2,26 г бромгидрата гидразина в 70 мл  $\text{HCON}(\text{CH}_3)_2$ , выдерживают 2 дня, приливают 0,4 л абс. спирта, полученный р-р вливают в течение 24 час. в 1,5 л абс. спирта, содержащего 60 мл пиридина, кипятят 3 дня, сгущают до 300 мл, выливают в ледяную воду и отделяют 6 г Па, т. пл. 157,5—158,5° (из водн. ацетона), и немного неисследованного в-ва, т. пл. 244—244,5°. К горячему р-ру 9 г  $\text{NaH}_4 \cdot 2\text{HCl}$  в 32 мл воды и 45 мл спирта приливают р-р 18 г  $\text{CH}_3\text{COOK}$  в 68 мл кипящего спирта, смесь охлаждают, фильтруют, р-р вливают в суспензию 10 г Ib в 320 мл спирта, кипятят 6 час., отгоняют половину р-рителя, остаток разбавляют водой, продукт извлекают эфиром, растворяют в  $\text{C}_6\text{H}_6$ , хроматографируют на  $\text{Al}_2\text{O}_3$  и вымывают Иб, выход 14%, т. пл. 158—159° (из эф.-гексана). Предыдущее сообщение см. РЖХим, 1960, № 9, 34866. М. Карапетян

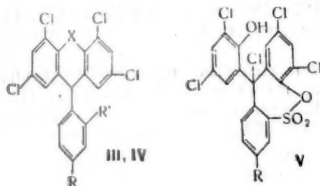
6Ж237. О гидролизе цианурхлорида. Matsui Koji, Sakamoto Ichiji. Юки госай катку кёкай-сн, J. Soc. Organ. Synth. Chem., Japan, 1960, 18, № 3, 175—183 (японск.; рез. англ.).—Гидролиз цианурхлорида (I) в присутствии избытка щел. агентов ( $\text{Na}_2\text{CO}_3$ ,  $\text{NaHCO}_3$ ,  $\text{CaCO}_3$  или  $\text{ZnO}$ ) в водн. р-рах или водно-ацетоновых р-рах (в случае  $\text{CaCO}_3$ ) при т-ре 0—35° приводит к 2,4-дихлор-6-оксисимм-триазину (II) в виде Na-соли. II устойчив в щел. р-рах до 80°, что объяснено существованием II в форме аниона, что сильно дезактивирует оставшиеся атомы Cl. II получают также при гидролизе I в присутствии избытка NaOH при 0—5°, при 20° образуется 2-хлор-4,6-диоксисимм-триазин (III) в виде Na-соли, устойчивость III в щел. р-рах объяснена тем же причинами, что и устойчивость II. В-ва II и III имеют различную растворимость в щелочах, их можно разделить и определить в смеси. При обработке II метанольным р-ром NaOH получают О,О-диметилциануровую к-ту (IV). Кислотный гидролиз I (водно-ацетоновый р-р и разб. HCl, 9:1, при 15° проходит медленно до циануровой к-ты (V), что объяснено неустойчивостью II и III в кислой среде и легким разложением их до V. Смесь 0,1 моля I и 100—250 мл р-ра  $\text{NaHCO}_3$  (0,22—0,25 моля  $\text{NaHCO}_3$ ) перемешивают при 35°, получают 18—19 г Na-соли II (после высушивания над  $\text{P}_2\text{O}_5$  при 110°). К 0,1 моля I в 50—100 мл ледяной воды при 0—5° добавляют по каплям 100 мл р-ра NaOH (0,21 моль NaOH), перемешивают при ~20° до окончания р-ции, получают Na-соль II; аналогично, но при проведении р-ции при 35—40° и использовании р-ра 0,4—0,5 моля NaOH, получают Na-соль III, выход 12—13 г (после высушивания при 110° над  $\text{P}_2\text{O}_5$ ). При р-ции II или III с анилином (перемешивание слабоподкисленного р-ра II или III с анилином при ~20°, затем 1 час при нагревании при ~100°) получают соответствующие анилинпроизводные (приведены данные определения С, Н, N). Смесь 4,2 г Na-соли II, 30 мл метанола и 3 г NaOH кипятят 3 часа, получают 1,6 г IV, т. пл. 179—180° (из  $\text{CH}_3\text{OH}$ ). Л. Яновская

6Ж238. N-винилтетразолы. Finnegan William G., Henry Ronald A. N-vinyltetrazoles. «J. Organ. Chem.», 1959, 24, № 10, 1565—1567 (англ.).—Описан синтез и полимеризация 5-R-1-винилтетразола (Ia—б; везде а R = Н, б R =  $\text{NH}_2$ ), 5-R-2-винилтетразола (IIa—б) и 1- и 2-аллилтетразолов (III, IV). Из тетразола и  $\text{ClCH}_2\text{CH}_2\text{NaOH}$  получают смесь 5-R-1-(β-оксипропил)-тетразола (VIa—б) и 5-R-2-(β-оксипропил)-тетразола (VIIa—б), которую переводят в 5-R-1-(β-хлорэтил)-тетразол (VIIIa—б) и 5-R-2-(β-хлорэтил)-тетразол (IXa—б), последние с КОН в  $\text{CH}_3\text{OH}$  дают I и II. Прямое алкилированием Na-соли V получают III и IV. При полимеризации I и II образуются нерастворимые и неплавкие гомополимеры, свежееосажденные полиме-

ры при растворении быстро образуют студень. III и IV дают сополимеры со стиролом и метилметакрилатом. Улучшен выход V (см. РЖХим, 1955, № 4, 5640) до 98% путем непрерывной экстракции в-ва этилацетатом прямо из р-ра при pH 3,5. Суспензию 2 моля V в 300 мл воды нейтрализуют (по фенолфталеину) NaOH в 300 мл воды, нагревают до кипения, прибавляют 15 мин. 2,5 моля 2-хлорэтанол, кипятят 18 час., упаривают в вакууме при ~100° и экстрагируют кипящим ацетоном (1 × 300 мл и 3 × 100 мл) 236 г смеси VIa и VIIa, которую взбалтывают в 250 мл  $\text{CHCl}_3$ , прибавляют по каплям при <20° 2,5 моля  $\text{SOCl}_2$ , разбавляют без охлаждения 24 часа, кипятят 2 часа, упаривают в вакууме, охлаждают, обрабатывают 100 г льда и экстрагируют  $\text{CHCl}_3$  265 г смеси VIIa и IXa. Эту смесь и 1 г гидрохинона растворяют в 200 мл  $\text{CH}_3\text{OH}$ , при кипячении прибавляют 1 час 2 моля КОН в 500 мл  $\text{CH}_3\text{OH}$ , кипятят 30 мин., отгоняют  $\text{CH}_3\text{OH}$ , охлаждают, экстрагируют  $\text{CH}_2\text{Cl}_2$  (3 × 100 мл), добавляют к вытяжке 1 г гидрохинона и перегонкой выделяют Па, выход 20,1%, т. кип. 66—68/60 мм,  $n_D^{20}$  1,4850,  $d_4^{20}$  1,13 (капли в-ва детонируют при падении), и Ia, выход 36,8%, т. кип. 94°/1 мм,  $n_D^{20}$  1,5000,  $d_4^{20}$  1,18. Из перегнанного IXa (выход 30,7%, т. кип. 76°/1 мм) получают Па с выходом 70%. 13,25 г IXa и 13,8 г  $\text{K}_2\text{CO}_3$  в 50 мл  $\text{CH}_3\text{OH}$  гидрируют 18 час. при ~3,5 ат с 0,2 г 5%-ного Pd/C и 1 мл водн. 5%-ного  $\text{PdCl}_2$  и выделяют 2-этил-V, выход 65,6%, т. кип. 72°/37 мм,  $n_D^{20}$  1,4366,  $d_4^{25}$  1,07. К 150 мл  $\text{SOCl}_2$  прибавляют (<20°) 4,54 г VIb, кипятят 4 часа и выделяют VIIIb, выход 75,7%, т. пл. 150—151,5° (из воды с углем). Аналогично из VIIb получают IXb, выход 61,8%, т. пл. 51—52° (из бз.). К кипящему р-ру 39,79 г VIIb и 0,1 г гидрохинона в 150 мл  $\text{CH}_3\text{OH}$  прибавляют 30 мин. р-р 18 г 85%-ного КОН в 100 мл  $\text{CH}_3\text{OH}$ , кипятят 1 час, при ~20° отделяют KCl, фильтрат упаривают в вакууме и получают Ib, выход 86,8%, т. пл. 157—158° (из водн.), который при гидрировании в лед.  $\text{CH}_3\text{COOH}$  при ~3,5 ат над Pt (из  $\text{PtO}_2$ ) дает 1-этил-5-аминотетразол, выход 97,7%. Аналогично 16 из IXb получают Ib (экстракция  $\text{CH}_2\text{Cl}_2$ ), выход 77,7%, т. кип. 75—77°/0,8 мм, т. пл. 47—49° (из  $\text{CSCl}_4$ ). К кипящей смеси 70 г V в 400 мл спирта, предварительно нейтрализованной (по фенолфталеину) 50%-ным р-ром NaOH, прибавляют 10 мин. аллилбромид, кипятят ~12 час., отгоняют спирт, экстрагируют  $\text{C}_6\text{H}_6$  и перегонкой выделяют IV, выход 28,96%, т. кип. 80—81°/20 мм,  $n_D^{20}$  1,4670,  $d_4^{20}$  1,08, и III, выход 37,36%, т. кип. 101°/1 мм, 5,55 г Ib и 9,5 г  $\text{C}_6\text{H}_5\text{SO}_3\text{CH}_3$  нагревают до начала р-ции (~100°, разогревание до 165°), растворяют в 50 мл  $\text{CH}_3\text{OH}$ , прибавляют р-р 3,62 г КОН в 25 мл  $\text{CH}_3\text{OH}$ , упаривают досуха и экстрагируют  $\text{CHCl}_3$  масло, которое подкисляют 5 мл конц. HCl и упаривают в вакууме при ~100°, выход хлоргидрата 1-винил-4-метил-5-аминотетразола 31,7%, т. пл. 214—215° (разл.; из 98%-ного  $\text{iso-C}_3\text{H}_7\text{OH}$ ). Б. Дубинин

6Ж239. Химия противомолековых агентов трифенилметанового типа. Faggat W. V. Chemistry of triphenylmethane-type mothproofing agents. «J. Appl. Chem.», 1960, 10, № 5, 207—213 (англ.).—В связи с светочувствительностью соединений типа ауланов— $2\text{-NaSO}_3\text{-C}_6\text{H}_4\text{CH}(\text{C}_6\text{H}_4\text{OH}-2\text{-Cl}_2-3)_2$  (Ia—б, где а R = Н, б R = Cl), вызванной наличием фенольных гидроксильных групп, сделаны попытки избежать этот недостаток, сохранив биологич. активность в-в путем блокирования HO-группы (метилирование, ацилирование) или циклизации в гетероциклы, соединения с участием HO-группы. Предварительные опыты проведены с модельными в-вом  $\text{C}_6\text{H}_5\text{CH}(\text{C}_6\text{H}_4\text{OH}-2\text{-Cl}_2-3)_2$  (II), из которого получены гетероциклы [IIIa—д, где R = R' = H; а X = O, б X =  $\text{OCH}_2\text{O}$ , в X =  $\text{OP}(\text{OOC}_2\text{H}_5)_2$ , г X =  $\text{OS}(=\text{O})_2$ , д X =  $\text{OCH}_2\text{CH}_2\text{O}$ ]. Из Ib и  $\text{CH}_2\text{Cl}_2$  удалось получить в-во (IV) (X =  $\text{OCH}_2\text{O}$ , R = Cl, R' =  $\text{SO}_2\text{ONa}$ ) (Iva). При р-ции I с  $\text{POCl}_3$  образуются семичленные сульфиды

ны (Va—б, где а R = H, б R = Cl), которые гидролизуются р-ром  $\text{Na}_2\text{CO}_3$  в соответствующие 2- $\text{NaSO}_3\text{—4—RC}_6\text{H}_3\text{C}(\text{OH})(\text{C}_6\text{H}_4\text{OH—2—Cl}_2\text{—3,5})_2$  (Via—б). Строение VI подтверждается восстановлением бисульфитом в I. При подкислении Via—б образующаяся к-та циклизуется с выделением воды, вероятно, из  $\text{HOSO}_2$ -группы и алифатич. гидроксильной в пятичленный сульфон (VIIa—б) соответственно. К смеси 32 г Na-соли бензальдегида сульфо-2 к-ты (VIII), 140 г 25%-ного олеума и 170 г 100%-ной  $\text{H}_2\text{SO}_4$  добавляют 3 часа при 0° 30 г 2,4,5-трихлорфенола (IX), размешивают 17 час. при 20—25°, нагревают 2 часа при 80°, прибавляют смесь 370 г  $\text{H}_2\text{SO}_4$  и 110 г воды и получают 25 г циклич. сульфтона S-диокиси 3-(2-окси-3,5,6-трихлорфенил)-2,1,3-бензоксатиола, т. пл. 233° (разл.; из  $\text{CH}_3\text{COOH}$ ). 21 г VIII, 41 г 2,4,6-трихлорфенола и 200 г 100%-ной  $\text{H}_2\text{SO}_4$



размешивают 24 часа при 100—110°, разбавляют водой, отгоняют с паром 21,5 г исходного фенола, в остатке S-диокиси 3-(3-окси-2,4,6-трихлорфенил)-2,1,3-бензоксатиола, т. пл. 243—244° (из  $\text{CH}_3\text{COOH}$ ). 5 г дифенилди-хлорметана и 10 г IX медленно нагревают до 250°, растрепывают с холодным  $\text{CH}_3\text{OH}$  и отделивают  $(\text{C}_6\text{H}_5)_2\text{C}(\text{OC}_6\text{H}_4\text{Cl}_2\text{—2,4—R—5})_2$  (X) (R = Cl), выход 6 г, т. пл. 228° (из ацетона). Аналогично из 2,4-дихлорфенола (XI) получают X (R = H), т. пл. 176—177° (из водн. ацетона). 10 г XI и 5 г бензилдихлорида медленно нагревают до 250°, отгоняют с паром избыток XI, остаток экстрагируют разб. NaOH и при подкислении шел. р-ра получают 1 г  $\text{C}_6\text{H}_5\text{CH}(\text{C}_6\text{H}_4\text{OH—2—Cl}_2\text{—3,5—R—6})_2$  (XII) (R = H), т. пл. 178—179°, который более удобно получать из  $\text{C}_6\text{H}_5\text{CHO}$  и соответствующего фенола. Нерастворимый в щелочи продукт состоит главным образом из 2,4-дихлорфенилового эфира бензойной к-ты, т. пл. 92°. Получить подобным путем из IX биологически интересный XII (R = Cl) не удалось, видимо, из-за стерич. препятствий; вместо его образуется 0,2 г нерастворимого в щелочи в-ва, вероятно,  $\alpha$ -(2-окси-3,5,6-трихлорфенил)- $\alpha$ -хлортолуола, т. пл. 208—210° (из петр. эф.). К смеси 50 г 16, 10 г NaOH и 1 л воды прибавляют при 20—25° 20 мл  $(\text{CH}_3)_2\text{SO}_4$ , размешивают 2 часа и экстрагируют  $\text{C}_6\text{H}_6$  33 г кристаллич. диметил-16, который с избытком  $\text{POCl}_3$  (100°, 1 час) дает 2- $\text{ClSO}_2\text{—4—ClC}_6\text{H}_3\text{CH}(\text{C}_6\text{H}_4\text{OCH}_2\text{—2—Cl}_2\text{—3,5})_2$ , т. пл. 130° (из петр. эф.). Смешивают 20 г 16 с 40 мл  $\text{CH}_3\text{COCl}$  и после экзотермич. р-ции кипятят 1 час, фильтрат упаривают и водой осаждают 12 г диацетил-16, призма (из  $\text{CH}_3\text{COOH}$ ), которые с  $\text{POCl}_3$  образуют 2- $\text{ClSO}_2\text{—4—ClC}_6\text{H}_3\text{CH}(\text{C}_6\text{H}_4\text{OCOCCH}_3\text{—2—Cl}_2\text{—3,5})_2$ , т. пл. 177—178° (из бзл.-петр. эф.). 25 г 4-хлор-VIII, 40 г 1,2,4-трихлорбензола и 200 г 100%-ной  $\text{H}_2\text{SO}_4$  нагревают 24 часа при 120°, разбавляют водой, отгоняют с паром, из остатка высеивают твердое в-во, которое растрепывают в горячем спирте, охлаждают, отделяют Na-соль 2,4,5-трихлорбензосульфокислоты и из маточного р-ра при упаривании получают 8 г аморфного осадка 2,4,5- $\text{Cl}_3\text{C}_6\text{H}_3\text{CH}(\text{OH})\text{C}_6\text{H}_4\text{Cl—4—SO}_3\text{Na—2}$ , дачего с  $\text{POCl}_3$  циклич. сульфон, т. пл. 230° (из бзл.-петр. эф.). 80 г бензальдегида, 190 г XI и 420 г 91%-ной  $\text{H}_2\text{SO}_4$  размешивают (70—75°, 40 час.), отгоняют с паром и отфильтровывают 107 г темного осадка, р-р которого в 80 мл спирта пропускают через  $\text{Al}_2\text{O}_3$ , разбавляют водой и получают сначала смолу, затем 76 г II, т. пл. 178—180° (из водн. эф.). 48 г XI, 17 г KOH (порошок) и 38 г 2,5-дихлор-

нитробензола нагревают (100°, 20 час.), отгоняют с паром, отделяют 23 г 2,4,4'-трихлор-2'-нитродифенилового эфира, т. пл. 85° (из сп.), который восстанавливают Fe и HCl в спирте в амин, и 12 г хлоргидрата амина диазотируют в разб. HCl и обрабатывают при 0—5° р-ром 10 г  $\text{Cu}_2\text{Cl}_2$  в HCl, нагревают 1 час при 100° и из темного продукта извлекают эфиром 4 г 2,4,2',4'-тетрахлордифенилового эфира, т. пл. 70—72°, который однако не конденсируется с альдегидами. 4,1 г II, 0,8 г NaOH, 2,5 г  $\text{JCH}_2\text{SO}_3\text{Na}$  и 5 мл воды нагревают с отгонкой воды, выдерживают 2 часа при 215—220° охлаждают, смешивают с 50 мл воды, подкисляют HCl, нагревают 3 часа при ~100° и получают 0,4 г IIIa, т. пл. 158° (из сл.; зеленая флуоресценция). 1 моль производного 2,2'-диоксидифенилметана, 1,25 моля  $\text{CH}_2\text{I}_2$  и большой избыток 5%-ного р-ра NaOH кипятят 16 час. и циклич. метиленовый эфир кристаллизуют, выходы 40—70%. Этим методом получают (перечисляются в-во, т. пл. в °C): IIIb, 169—170° (из ацетона); 2,2'-диокси-3,5,6,3',5',6'-гексахлордифенилметан, 217 (из  $\text{CH}_3\text{COOH}$ ); 2,2'-диокси-1,1'-динафтилметан, 160 (из сл.); IIIд (выход 9%), 155 (из водн. ацетона). 5 г 2,2'-диокси-1,1'-динафтилметана и 10 мл  $\text{C}_6\text{H}_5\text{N}$  в 100 мл  $\text{C}_6\text{H}_6$  обрабатывают фосгеном до прекращения экзотермич. р-ции, перегоняют с паром, продукт растрепывают с  $\text{CH}_3\text{OH}$  и получают 0,6 г циклич. карбоната, т. пл. 234—235° (из ацетона). Провести р-цию II с  $\text{COCl}_2$  не удалось. 5 г II в 100 мл  $\text{C}_6\text{H}_6$  обрабатывают последовательно 2,5 мл феноксифосфорилдихлорида и 2 мл  $\text{C}_6\text{H}_5\text{N}$ , выдерживают 1,5 часа при 35—40°, экстрагируют водой, органич. слой упаривают досуха и получают 3,5 г IIIв, т. пл. 240—242° (из ацетона). К 4 г II в 60 мл  $\text{C}_6\text{H}_6$  прибавляют 2 мл  $\text{C}_6\text{H}_5\text{N}$  и затем 1 мл  $\text{SOCl}_2$ , кипятят 10 мин. и аналогично IIIв выделяют IIIг, т. пл. 178—179° (из петр. эф.). 120 г 16, 25 г NaOH, 1100 мл воды и 25 мл  $\text{CH}_2\text{Cl}_2$  нагревают в автоклаве (130°, 10 час.) и получают 102—107 г IVa, который с  $\text{POCl}_3$  (100°, 1 час) дает IV (X =  $\text{OCH}_2\text{C}_6\text{H}_4\text{O}$ , R = Cl, R' =  $\text{SO}_2\text{Cl}$ ), т. пл. 198° (из бзл.-петр. эф.). 100 г 16 и 150 мл  $\text{POCl}_3$  после экзотермич. р-ции нагревают 1 час при 100°, прибавляют лед и из осадка горячим  $\text{C}_6\text{H}_6$  извлекают 76 г Vb, т. пл. 190°. Аналогично из Ia получают Va, т. пл. 106° (сольват; из бзл.); после сушки при 100° т. пл. 180—181°. 70 г Vb и 30 г  $\text{Na}_2\text{CO}_3$  в 30 мл воды размешивают 2 часа при 100° и через ~12 час отделяют тригидрат Vb, выход 20 г, кристаллы (из воды). Аналогично из Va получают дигидрат VIIa. Эти гидраты при подкислении переходят в тригидрат VIIб, т. пл. ~255—265° (разл.; из 1,2,4-трихлорбензола), и тетрагидрат VIIa, т. пл. 235—240° (разл.) соответственно. К 50 мл  $\text{ClSO}_2\text{OH}$  порциями прибавляют 20 г 16, нагревают 1 час при 100°, разлагают льдом, осадок сушат, обрабатывают холодным  $\text{C}_6\text{H}_6$ , к р-ру прибавляют петр. эфир и из фильтрата через несколько дней выпадает ~1 г в-ва  $\text{C}_6\text{H}_5\text{O}_4\text{Cl}_3\text{S}$ , т. пл. 231—233° (разл.; из бзл.-петр. эф.), строение которого обсуждается.

Б. Дубинин  
6Ж240.  $\alpha$ -Дифенилэтилацетамин- $\beta$ -арилакриловые кислоты с потенциальной холеретической и гипохолестеролевической активностью. Turbanti L., Di Pasco G., F. Acidi  $\alpha$ -difenililettilacetamino- $\beta$ -arilacrilici a presunta azione coleretica e ipocolesterolemica, «Farmaco. Ed. scient.», 1960, 15, № 6, 406—413 (итал.; рез. англ.).—Конденсацией  $n$ - $\text{C}_6\text{H}_5\text{C}_6\text{H}_4\text{CH}(\text{C}_6\text{H}_5)\text{COCl}$  (I) и  $\text{H}_2\text{NCH}_2\text{COOC}_2\text{H}_5$  (II) получен аминоэфир  $n$ - $\text{C}_6\text{H}_5\text{C}_6\text{H}_4\text{CH}(\text{C}_6\text{H}_5)\text{CONHCH}_2\text{COOC}_2\text{H}_5$  (III), гидролизовавший в соответствующую к-ту (IV), превращенную взаимодействием с  $\text{ArCHO}$  в присутствии  $(\text{CHCO})_2\text{O}$  и  $\text{CH}_3\text{COONa}$  в 2-дифенилэтилметил-4-(R-бензилден)-оксазолон-5 [Va—к, где а R = H, б R = 2- $\text{CH}_3\text{COO}$ , в R = 3- $\text{CH}_3\text{COO}$ , г, R = 4- $\text{CH}_3\text{COO}$ , д R = 2- $\text{CH}_3\text{O}$ , е R = 3- $\text{CH}_3\text{O}$ , ж R = 4- $\text{CH}_3\text{O}$ , з R = 2,4-( $\text{CH}_3\text{O})_2$ , и R = 3,4-метилendi-окси, к R = 3- $\text{CH}_3\text{O—4—CH}_3\text{COO}$ ]; действием щелочи Va—к гидролизуются в производные коричной к-ты

$n\text{-C}_6\text{H}_5\text{C}_6\text{H}_4\text{CH}(\text{C}_6\text{H}_5)\text{CONHC}(\text{COOH})=\text{CHR}$  [VIa—к, где а R =  $\text{C}_6\text{H}_5$ , б R =  $2\text{-HOC}_6\text{H}_4$ , в R =  $3\text{-HOC}_6\text{H}_4$ , г R =  $4\text{-HOC}_6\text{H}_4$ , д R =  $2\text{-CH}_3\text{OC}_6\text{H}_4$ , е R =  $3\text{-CH}_3\text{OC}_6\text{H}_4$ , ж R =  $4\text{-CH}_3\text{OC}_6\text{H}_4$ , з R =  $2\text{-(CH}_3\text{O)}_2\text{C}_6\text{H}_3$ , и R =  $3,4\text{-метилendioксифенил}$ , к R =  $3\text{-CH}_3\text{O-4-HOC}_6\text{H}_3$ ]. Предварительное биологич. исследование показывает, что VIг, ж, к, обладают холеретич. активностью. К охлаждаемому р-ру 0,2 моля хлоргидрата II и 0,4 моля  $\text{NaHCO}_3$  в 40 мл воды постепенно приливают р-р 0,2 моля I в 0,5 л ацетона, размешивают 4 часа при  $\sim 20^\circ$ , затем 4 часа при  $60^\circ$ , отгоняют ацетон, остаток смешивают с водой и отделяют III, т. пл.  $130^\circ$  (из сп.-ацетона). Кипятят III 12 час., с 10%-ным р-ром  $\text{NaHCO}_3$  и выделяют IV, т. пл.  $162^\circ$  (из бзл.-ацетона); амид, т. пл.  $161^\circ$  (из воды). 6 ммоль IV, 6,6 ммоль  $2\text{-HOC}_6\text{H}_4\text{CHO}$ , 0,5 г  $\text{CH}_3\text{COONa}$  и 2 г  $(\text{CH}_3\text{CO})_2\text{O}$  нагревают 2 часа при  $100^\circ$  и по охлаждению отделяют Vб, т. пл.  $128^\circ$  (из бзл.-сп.). Аналогично синтезируют (здесь и далее указаны в-во и т. пл. в  $^\circ\text{C}$ ): Va, 98, в, 88; г, 165; д, 97; е, 106; ж, 124; з, 120; и, 125; к, 142. 0,3 г Va—к и 5 г 2 н. NaOH нагревают при  $\sim 100^\circ$  до растворения в-ва, разбавляют водой, извлекают эфиром, подкисляют и отделяют: VIa, 191; б, 177; в, 153; г, 249; д, 170; е, 189; ж, 240; з, 185; и, 225; к, 210 (все из ацетона-толуола).

Д. Витковский  
6Ж241. К таутомерии 2-аминотиазола. О реакции ацетилирования 2-арил- и 2-алкиламинотиазола. Лундина И. Б., Постовский И. Я. «Тр. Уральского политехн. ин-та», 1959, сб. 81, 15—35.—В отличие от 2-амино-4-метилтиазола ацетилирование 2-R-амино-4-метилтиазола (Ia—г, где а R =  $\text{CH}_3$ , б R =  $\text{C}_6\text{H}_5$ , в R =  $\text{C}_6\text{H}_4\text{Cl}$ -н, г R =  $\text{C}_6\text{H}_4\text{OCH}_3$ -н) приводит к образованию 2 изомерных в-в; в чистом  $(\text{CH}_3\text{CO})_2\text{O}$  или в присутствии  $\text{CH}_3\text{COONa}$  получается низкоплавкое в-во, которому на основании УФ-спектра приписано аминотиазольное строение 2-R-(N-ацетил)-амино-4-метилтиазола (IIa—г) соответственно. В присутствии конц.  $\text{H}_2\text{SO}_4$  (или безводн.  $\text{H}_3\text{PO}_4$  и безводн.  $\text{ZnCl}_2$ ) образуется с меньшим выходом высокоплавкий изомер с иминотиазольным строением 2-R-амино-3-ацетил-4-метилтиазолина (IIIa—г) соответственно. Показано, что I, содержащие в положении 4 вместо  $\text{CH}_3$ -группы N или  $\text{C}_6\text{H}_5$ , также дают 2 ряда изомеров, однако другие N-гетероциклич. соединения: 2-фениламино-5-метилтиадиазол, 2-фениламинобензтиазол и 2-фениламинопиридин образуют только одно ацетиловое производное. Таким образом получение 2 различных ацетильных производных является специфич. для 2-замещ. аминотиазолов. УФ-спектры ранее полученных 2-иминотиазолов в нейтр. р-рителе и разб. HCl резко отличаются друг от друга (переход в аминотиазол с положительным зарядом у кольцевого N), поэтому для выяснения строения I и II ацетилированием 3-R-4-метил-2-иминотиазолинов (IVa—г) получены соединения с заведомым иминостроением 2-N-ацетил-IV для сравнения их УФ-спектров со спектрами I—III (приведены кривые). Смесь эквимольных кол-в хлорацетона,  $\text{H}_2\text{NCSNHR}$  и воды кипятят 2 часа (в случае  $\text{H}_2\text{NCSNHC}_6\text{H}_5$  нагревают при  $\sim 100^\circ$ ), охлаждают, нейтрализуют 30%-ным NaOH (по фенолфталеину) и отфильтровывают I (всюду перечисляются в-во, выход в %, т. пл. в  $^\circ\text{C}$ ): Ia, 78, 71—72; б,  $\sim 100$ , 115—116; в, 89, 143—143,5; г, 84, 99—100,5. Конденсацией  $\text{C}_6\text{H}_5\text{NHCNSNH}_2$  с хлорированным спиртом (d 1,025) в воде получают 2-фениламинотиазол (V), выход 72%, т. пл.  $122\text{—}123^\circ$ . Сплавлением бромгидрата 2-амино-4-фенилтиазола с анилином получают 4-фенил-V, выход 71%, т. пл.  $137\text{—}138^\circ$ . Смесь I, безводн.  $\text{CH}_3\text{COONa}$  (0,2 г на 1 г I) и 5-кратного избытка  $(\text{CH}_3\text{CO})_2\text{O}$  кипятят 1,5—2 часа, немного охлаждают, выливают на лед и отделяют II: а, 60,4, 109—110 (из воды); б, 81,9, 115—117 (из разб.  $\text{CH}_3\text{COOH}$ , 1:2); в, 73,0, 129—131 (из сп.); г, 90,4, 125—127. Так же получают 2-N-ацетил-V, выход 61,9%, т. пл.  $100\text{—}102^\circ$  (из воды) и 2-N-ацетил-4-фенил-V, выход

79,8%, т. пл.  $132\text{—}133^\circ$ . Смесь I, избытка  $(\text{CH}_3\text{CO})_2\text{O}$  и конц.  $\text{H}_2\text{SO}_4$  (4 капли на 1 г I) кипятят 2,5—3,5 часа, охлаждают, выливают на лед, нейтрализуют р-ром  $\text{Na}_2\text{CO}_3$  и получают неочищ. III: а, 57,3, 141—142 (из воды); б, 68,4, 174—174,5 (из сп.); в, 61,8, 200—202 (из сп.); г, 42,1, 146—147 (из сп.). Аналогично из V получают 2-фенилимино-3-ацетилтиазолин (VI), выход 49,6, т. пл.  $215\text{—}216,5^\circ$  (из сп.), и из 4-фенил-V синтезируют 4-фенил-VI, выход 57,1%, т. пл.  $172\text{—}174^\circ$ . Р-р эквимольных кол-в  $\text{RNHCSNH}_2$  и хлорацетона в спирте и конц. HCl ( $\sim 1$  мл на 0,01 моля тиомочевины) кипятят 45 мин., охлаждают и отделяют хлоргидрат IV: а, —; б, 84, 80; в, 77,0, 113—114; г, 80,0, 144—145. Выделенное из соли основание IV в избытке  $(\text{CH}_3\text{CO})_2\text{O}$  кипятят 10—15 мин., выливают на лед и отделяют 2-N-ацетил-IV: а (получен метилированием 2-ацетамидо-4-метилтиазола  $(\text{CH}_3)_2\text{SO}_4$  в щел. среде), 44, 113 (из бзл.); б, 85, 181—182 (из разб.  $\text{CH}_3\text{COOH}$ , 1:3); в, 68,0, 172—172,5 (из сп.); г, 84,0, 209—211 (из сп.).

Б. Дубинин  
6Ж242. О некоторых комплексообразователях из ряда тиазола. Braun H. A., Kühne H., Pijls B. Über einige Komplexbildner aus der Thiazolreihe. «Helv. chim. acta», 1960, 43, № 3, 659—664 (нем.; рез. англ.).—Для сравнения с бициридалом синтезирован ряд соединений с возможными металлокомплексобразующими свойствами, имеющих 2 или 4 основные группы, часть которых представляет азот тиазольного ядра, а другая часть имеет алифатич. характер (см. РИХим, 1956, № 2, 4662). Образование комплекса с  $\text{Cu}^{2+}$  для 2-метиламинотиазола 4-(п-R-фенил)-тиазолов (I), где R = Cl или  $\text{CH}_3\text{O}$ , доказано без колич. оценки спектрофотометрически в разб. спирте при pH 5. К 44 г этилендиамина в 94 мл воды прибавляют при охлаждении льдом по каплям одновременно из 2 воронок 50 г HCN и р-р 1,14 г  $\text{Ca}(\text{CN})_2$  в 12,5 мл воды, размешивают 30 мин., насыщают NaCl и экстрагируют 5 дней эфиром ( $\text{NC}_2\text{H}_4\text{NCH}_2\text{—}$ ), выход 57,5%, коричневое масло, которое с  $(\text{CH}_3\text{CO})_2\text{O}$  ( $\sim 100^\circ$ , 2 часа) дает при охлаждении N,N'-диацетиловое производное (II), выход 84,5%, т. пл.  $169\text{—}171^\circ$  (из абс.  $\text{CH}_3\text{OH}$ ). В еще горячий р-р 1 г II в 100 мл абс. спирта прибавляют 2—3 мл триэтиламина, пропускать  $\sim 3$  часа  $\text{H}_2\text{S}$  и получают  $[\text{H}_2\text{NCSCH}_2\text{N}(\text{COCH}_3)\text{CH}_2\text{—}]_2$ , выход 61,5%, т. разл.  $214\text{—}218^\circ$ , 0,9 г которого, 0,96 г п-хлорфенилбромиды в 50 мл спирта и 2—3 капли  $\text{C}_6\text{H}_5\text{N}$  кипятят 2 часа и отделяют N,N'-диацетил-N,N'-ди-[4-(п-R-фенилтиазолил-2-метил)-этилендиамина (III), где R = Cl (IIIa), выход 65%, т. пл.  $206\text{—}208^\circ$  (промыывают спиртом). Аналогично получают III (перечисляются R, выход в %, т. пл. в  $^\circ\text{C}$ ):  $\text{CH}_3\text{O}$ , 62,5, 180—183 (из абс. сп.); Br, 79,5, 214—216;  $\text{CH}_3$ , 25,7, 170—172. 0,2 г IIIa в 5 мл конц. HCl и 5 мл спирта нагревают 4 часа при  $100^\circ$  и при  $0^\circ$  отделяют дихлоргидрат (DXG) N,N'-ди-[4-(п-R-фенилтиазолил-2-метил)-этилендиамина (IV), где R = Cl (IVa), выход 92%, т. разл.  $248\text{—}255^\circ$  (из абс. сп.), который (0,5 г) в 7 мл 20%-ного р-ра  $\text{CH}_3\text{COONa}$  нагревают 3 мин. при  $80^\circ$  и при  $-5^\circ$  отфильтровывают основание IVa, выход 92%, кристаллы (из абс. сп.). Аналогично получают IV (перечисляются R, время нагревания в час., выход в % и т. разл. в  $^\circ\text{C}$  DXG, выход в % и т. пл. в  $^\circ\text{C}$  основания):  $\text{CH}_3\text{O}$ , 3, 89, 252—256° (из абс. сп.), 73, 116—117 (из сп.); Br, 2, 98, 258—264, 77, 145—147 (из сп.);  $\text{CH}_3$ , 2 (0,5 г III, 2,5 мл к-ты и 2,5 мл спирта), 80,5, 241—247 (из 50%-ного сп.), —, —, 2 мл  $(\text{C}_2\text{H}_5)_3\text{N}$  в 25 мл абс. спирта насыщают при  $0^\circ$   $\text{H}_2\text{S}$ , добавляют 19 г динитрила пиперазиндиуксусной-1,4-к-ты (V к-та) и нагревают в автоклаве 12 час. при  $70\text{—}75^\circ$ , выход дитиомида V 71%, т. разл.  $254\text{—}259^\circ$ , который (2,32 г) с 5,88 г п-бромфенилбромиды (VI) в 100 мл абс. спирта и 2—3 каплями  $\text{C}_6\text{H}_5\text{N}$  кипятят 3 часа и получают дибромгидрат (ДБГ) N,N'-ди-[4-(п-R-фенил)-тиазолил-2-метил]-пиперазин (VII), где R = Br, выход 97%, т. разл.  $276\text{—}286^\circ$  (из сп.), который с разб.  $\text{NH}_4\text{OH}$  (1:4)



(CH<sub>3</sub>CO)<sub>2</sub>O в 5–3,5 часа, аэтируют р-ром 141–142 (из 200–202) из из V полу- выход 49,6, нитируют р-р эквива- в спирте и (ы) кипятят т IV: а, — 145. Выде- (CH<sub>3</sub>CO)<sub>2</sub>O ки- отделяют 2-ацетиам- 44, 113 (из 3); в, 68,0, п.). Б. Дубинин, *Ateliers de P. Prijs v. Eindhoven*, (англ.) — ряд соеди- разующими ппы, часть а, другая Хим, 1958, 2-металл- R=Cl профотоме- лендиамин- ния льдом HCN и р-р от 30 мин, ром (NC- нило, кото- охлажде- нод 84,5%, р-р 3-м три- получают разл. 214- бромид в часа и от- пазолил-2- Ia), выход Аналогич- %, т. пл. 79,5, 214- онц. HCl и и 0° отде- нилтиазо- Cl (IVa), который нагревают основание алогично ревания в % и т. пл. абс. сп.), 145–147 (в спирта), (C<sub>2</sub>H<sub>5</sub>)<sub>3</sub>N добавляют (V-к-та) выход д- (2,32 г) с абс. спир- получают тиазолил- 97%, т. OH (1:1)

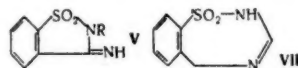
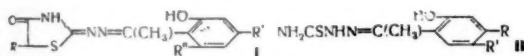
при встряхивании 10 мин. дает основание, выход 54,9%, т. пл. 252–258° (из бал.). Аналогично получают VII (R = CH<sub>3</sub>O), выход 91%, т. пл. 214–217° (из бал.). В р-р 20 г нитрила пиперидинуксусной-1 к-ты (VIII-кта) в 40 мл C<sub>6</sub>H<sub>5</sub>N пропускают 12 час. при 0° H<sub>2</sub>S и ледяной водой осаждают тиоамид VIII (VIIIa), вы- ход 63%, т. пл. 99–100° (из CH<sub>3</sub>OH). 5 г VIIIa и 5,8 г хлорацетона в 50 мл абс. спирта кипятят 14 час., при 0° фильтруют и р-р упаривают в вакууме при т-ре < 50°. Остаток в 20 мл 2 н. HCl встряхивают 30 мин. с углем, экстрагируют примеси эфиром, подщелачива- ют при 0° 2 н. NaOH и извлекают 48 час. эфиром 2-пи- перидинметилтиазол (IX), выход 19,4%, т. кип. 95–110°/4 мм; пикрат, т. пл. 140–142°. Аналогично из 1,65 г VIIIa и 2,9 г VI получают бромгидрат (БГ) 4-н- бромфенил-IX, выход 68,5%, т. пл. 262–266° (начинает возгоняться при 215°; из сп.), который с 2 н. NaOH при 80° дает основание, выход 87%, т. пл. 110–111° (из воды-сп., 1:10). Также из *n*-метоксифенилбром- мида (X) получают БГ 4-*n*-метоксифенил-IX, выход 59,5%, т. пл. 240–242°; основание, выход 90%, т. пл. 88–89°. Аналогично конденсируют 1,46 г *N*-ацетил- саркозинтиоамида, получают *N*-ацетил-I (перечисля- ются компонент, R, выход в %, т. пл. в °C): 2,78 г VI, Br, 71, 98–101 (из CH<sub>3</sub>OH); 2,29 г X, CH<sub>3</sub>O, 72,6, 114–116 (из воды); 2,33 г *n*-хлорфенилбромид, Cl, —, — (кристаллы в-ва отделяют при –5°). 0,5 г *N*-ацетил-I в 8–15 мл спирта, содержащего 1,5 мл конц. HCl, нагревают 2 часа при 100° и получают хлоргидраты (ХГ) I, которые при недолгом нагревании с 2 н. NaOH переходят в I (перечисляются R, выход в % и т. пл. в °C ХГ I, выход и т. пл. в °C I): Br, 79, 226–228 (из сп.), —, 82–83 (из разб. CH<sub>3</sub>OH, 1:1); CH<sub>3</sub>O (0,5 мл конц. HCl), 91,3, 207–211 (из сп.), 80,5 (нагревают при 60°), 40–41 (из разб. CH<sub>3</sub>OH, 1:1); Cl, 76, 222–226 (из сп.), 80, 70–72 (из разб. CH<sub>3</sub>OH, 1:1).

Е. Дубинин  
6Ж243. Изучение химиотерапевтических средств против *Mycobacterium tuberculosis*. XVIII. Taniyama Yuozo, Yasui Bonpei, Aoki Hideo, Uchida Nomage. Синтез и противобактериальная актив- ность 2-салицилденгидразонотиазолидинонов-4 и род- ственных соединений (9). XIX. Taniyama Yuozo, Yasui Bonpei, Takehara Nobue, Uchida Nomage. Синтез и противобактериальная актив- ность некоторых 3-замещенных роданинов. «Якугаку заэсси, Yakugaku zasshi, J. Pharm. Soc. Japan», 1959, 79, № 11, 1462–1465; 1465–1468 (японск.; рез. англ.).—XVIII. В продолжение прошлой работы (сооб- щение XVII, см. РЖХим, 1959, № 1, 1332) с целью по- лучения соединений с противотуберкулезной актив- ностью 2-салицилденгидразонотиазолидинона-4 или его 5-метильного производного, но с большей раство- римостью получен ряд производных этих в-в с оксип- ли метоксигруппами в бензольном кольце типа (I). I, содержащие метильные группы в положениях 4 или 5, имеют противобактериальную активность про- тив штаммов *Mycobacterium tuberculosis* H<sub>37</sub>Rv, Аояма А и BCG. Кипячением 3–5 час. спирт. р-ра эквиволяр-

пять 2–5 час., получают I [даны R, R', R'', выход в %, т. пл. в °C (из сп. или CH<sub>3</sub>OH)]: H, OH, H, 65,2, 260,5; CH<sub>3</sub>, OH, H, 87,9, 243; H, H, OH, 75,4, 272; CH<sub>3</sub>, H, OH, 69, 239; H, OCH<sub>3</sub>, H, 57,1, 253; CH<sub>3</sub>, OCH<sub>3</sub>, H, 57,2, 197; H, H, OCH<sub>3</sub>, 61,4, 243; CH<sub>3</sub>, H, OCH<sub>3</sub>, 76, 214.

XIX. С целью выяснения влияния заместителей в положении 3 на противотуберкулезную активность роданина получают ряд 3-*R*-роданинов (III). III (R = = пзоникотиноил, α-нафтил, *n*-толил и *n*-метоксифе- нил) обладают заметной активностью против *Mycobac- terium tuberculosis* (штаммы C<sub>37</sub>Rv, H<sub>3</sub>, Аояма В и BCG). К смеси 10 мл конц. NH<sub>4</sub>OH и 2,8 г CS<sub>2</sub> при охлаждении за 10–20 мин. добавляют р-р 0,04 моля амина в 10 мл спирта, отделяют кристаллы (если их мало, р-р упаривают в вакууме), промывают эфи- ром, растворяют в воде, полученный р-р добавляют по каплям к 15 мл 2 н. ClCH<sub>2</sub>COONa (0,1 моля ClCH<sub>2</sub>- COOH, 10 мл воды и 3,5 г NaOH в 10 мл воды, добав- ляют Na<sub>2</sub>CO<sub>3</sub> до pH 8–10, разбавляют водой до 50 мл) при 5–10°, постепенно нагревают до 50°, фильтруют, добавляют 1 мл конц. HCl, получают III [даны R, вы- ход в %, т. пл. в °C (из сп.)]: CH<sub>3</sub>, 20, 5,72; CH<sub>2</sub>COOH, 14, 148; CH<sub>2</sub>COOC<sub>2</sub>H<sub>5</sub>, 15,5, 58; фенил, 46, 192; *n*-толил, 40, 160; *n*-анизил, 32,5, 155; бензил, 53, 83; α-нафтил, 46,5, 168; NH<sub>2</sub>, 5,8, 92; HNC<sub>6</sub>H<sub>5</sub>, 12, 132. К р-ру 0,01 моля S=C(SCH<sub>2</sub>COOH)<sub>2</sub> в 30 мл воды добавляют по каплям 0,01 моля ароматич. амина (или гидразона), добавля- ют спирт до растворения, кипятят 3–4 часа, получают III [даны R, выход в %, т. пл. в °C (из сп. или CH<sub>3</sub>- OH)]: *m*-оксифенил, 22,5, 188; *n*-H<sub>2</sub>NSO<sub>2</sub>C<sub>6</sub>H<sub>5</sub>, 80,5, 256–260 (разл.); *n*-H<sub>2</sub>NSO<sub>2</sub>C<sub>6</sub>H<sub>4</sub>CH<sub>2</sub>, 78, 164; C<sub>6</sub>H<sub>5</sub>CH<sub>2</sub>CONH-, 92,8, 178; *n*-O<sub>2</sub>NC<sub>6</sub>H<sub>4</sub>CH<sub>2</sub>CONH-, 85, 192; пзоникотиноил- амино, 22, 194.

Л. Яновская  
6Ж244. Синтез нового гетероциклического кола- ца—1,1-диоксис 2,5-дигидро-1,2,4-бензотиадизепина и промежуточные вещества. Cignarella Giorgio, Teotino Uberto. Synthesis of a new heterocyclic ring-2,5-dihydro-1,2,4-benzothiadiazepine 1,1-dioxide and its intermediates. «J. Amer. Chem. Soc.», 1960, 82, № 7, 1594–1596 (англ.).—(o-H<sub>2</sub>NCOC<sub>6</sub>H<sub>4</sub>S—)<sub>2</sub> (I) при дейст- вии Cl<sub>2</sub> неожиданно образует о-цианбензолсульфоксид- лоту (II); хлорангидрид II (III) с аминами дает о-*N*- CC<sub>6</sub>H<sub>4</sub>SO<sub>2</sub>NHR (IVa–в, всюду а R = H, б R = CH<sub>3</sub>, в R = C<sub>6</sub>H<sub>5</sub>), которые устойчивы в нейтр. среде, но изо- меризуются щелочами в псевдосахаринимиды (V). При гидрировании IV над Pd получают соответствую- щие о-H<sub>2</sub>NCH<sub>2</sub>C<sub>6</sub>H<sub>4</sub>SO<sub>2</sub>NHR (VIa–в). В отличие от VIб, в конденсации VIа с HC(OC<sub>2</sub>H<sub>5</sub>)<sub>2</sub> приводит к 1,1-диокси 2,5-дигидро-1,2,4-бензотиадизепина (VII), строение которой основывается на гидролизе 20%-ной H<sub>2</sub>PO<sub>4</sub> в VIа и HCOOH и на подобии ИК-спектров VII и ранее описанной авторами 2,2-диоксис 1,3-дигидро-2,3,5-бен- зотиадизепина. В суспензии 30 г I в 900 мл разб. HCl (1:1) пропускают 1–1,5 часа без охлаждения ток Cl<sub>2</sub> до образования р-ра, током воздуха вытесня- ют избыток Cl<sub>2</sub>, нейтрализуют насыщ. р-ром Na<sub>2</sub>CO<sub>3</sub> и упаривают в вакууме при 45–50°, осадок сушат в вакууме при 100° и экстрагируют в аппарате Сокле-



ных кол-в диоксис (или метоксис)-ацетофенона и семи- карбазиды в присутствии небольшого кол-ва конц. HCl получены тиосемикарбазоны (II) [даны R, R', выход в %, т. пл. в °C (из сп.)]: OH, H, 87,7, 222; H, OH, 66,7, 282; CH<sub>3</sub>O, H, 69,2, 186; H, CH<sub>3</sub>O, 62,6, 190. II имеют невысокую активность против различных штаммов *Mycobacterium tuberculosis*. Смесь 0,01 моля II, 0,012 моля ClCH<sub>2</sub>COOC<sub>2</sub>H<sub>5</sub> или CH<sub>3</sub>CHBrCOOC<sub>2</sub>H<sub>5</sub>, 0,01 моля кристаллич. CH<sub>3</sub>COONa и 100 мл спирта ки-

та абс. спиртом (2 × 250 мл) 28,6 г Na-соли II; в ИК- спектре найдена полоса NC-группы, но не CONH<sub>2</sub>-груп- пы. 10 г соли II в 25 мл POCl<sub>3</sub> нагревают 2 часа при 95–100°, охлаждают, выливают на 50 г льда, осадок промывают холодным р-ром NaHCO<sub>3</sub> и сушат, выход III 86,5%, т. пл. 69–69,5° (из эф.). В р-р 8 г III в 50 мл абс. эфира пропускают сухой NH<sub>3</sub> при охлажде- нии водой, не допуская насыщения эфира NH<sub>3</sub>, осадок немедленно отделяют и растирают с 10 мл воды для удаления NH<sub>4</sub>Cl, выход IVа 5,4 г, т. пл. 165–167° (из абс. сп.). К 7 г III в 70 мл абс. эфира прибавляют по

каплям при  $\sim 0^\circ$  51 мл 4%-ного р-ра  $\text{CH}_3\text{NH}_2$  в эфире, осадок взбалтывают в 15 мл воды и отфильтровывают 3,2 г IVb, т. пл.  $82-84^\circ$  (из бзл.); упариванием водн. маточного р-ра выделяют еще 1,5 г IVb. Аналогично из 5 г III в эфире и 4,55 г анилина (прибавление при  $\sim 20^\circ$  и размешивание 15 мин.) получают 6 г IVb, т. пл.  $151-153^\circ$  (из бзл.). При повторении опыта получают IVb с избытком  $\text{CH}_3\text{NH}_2$  получают V ( $\text{R} = \text{CH}_3$ ), т. пл.  $165-166^\circ$  (из воды); ИК-спектр указывает на наличие  $\text{C}=\text{N}$ -группы и отсутствие  $\text{N}=\text{C}$ -группы. Р-р 6 г IVa в 300 мл абс. спирта встряхивают несколько часов с 1 г Pd/C, к фильтрату прибавляют 500 мл 4%-ного HCl в абс. эфире и р-р гидрируют 5-6 час. в присутствии 2 г 10%-ного Pd/C, фильтруют, упаривают до небольшого объема и получают 4,1 г хлоргидрата (Xf) VIa, т. пл.  $210-212^\circ$  (из абс. сп.), который обрабатывают теоретич. кол-вом 2%-ного р-ра  $\text{C}_2\text{H}_5\text{ONa}$  в абс. спирте, фильтрат упаривают в вакууме и получают VIa, т. пл.  $114-115^\circ$  (из воды). 0,9 г VIa в 5 мл лед.  $\text{CH}_3\text{COOH}$  и 0,7 г  $(\text{CH}_3\text{CO})_2\text{O}$  нагревают 30 мин. при  $\sim 100^\circ$  и при охлаждении получают N-ацетил-VIa, т. пл.  $157-158^\circ$  (из воды). Аналогично из 3,3 г IVb получают 2,6 г Xf VIb, т. пл.  $200-202^\circ$ , и из него 2 г VIb, т. пл.  $120-122^\circ$  (из 90%-ного сп.); из 3 г IVb получают 2,2 г Xf VIv, т. пл.  $176-178^\circ$ , и из него 1,6 г VIv, т. пл.  $164-165^\circ$ . 2,4 г VIa растворяют при умеренном нагревании в 8 мл пропиленгликоля, добавляют 8 мл  $\text{HCl}(\text{OC}_2\text{H}_5)_3$ , нагревают 6 час. при  $120-130^\circ$  с отгонкой образующегося спирта и при  $\sim 0^\circ$  отделяют VII, выход 51,5%, т. пл.  $240-241^\circ$  (из  $\text{CH}_3\text{OH}$ ),  $pK$  11,2. Б. Д.

**6Ж245. Получение 2-амино-5-меркапто-1,3,4-тиадиазола.** Brzozowski Zdzisław. Otrzymywanie 2-amino-5-merkapt-1,3,4-thiodiazolu. [Roczn. chem., 1960, 34, № 2, 725-728 (польск.; рез. нем.).—Улучшен описанный ранее (см. РЖХим, 1959, № 11, 38746) метод получения 2-амино-5-меркапто-1,3,4-тиадиазола (I), оказавшийся наиболее удобным при сопоставлении с другими методами. Смесь 80 мл пиридина, 20 г тиосекарбазида и 26 мл  $\text{CS}_2$  кипятят 7,5 часа, упаривают досуха при 15 мм, остаток смешивают с 100 мл воды и 50 мл 25%-ного  $\text{NH}_4\text{OH}$ , нагревают до  $60^\circ$ , подкисляют HCl до pH 9, фильтруют, подкисляют при  $50-80^\circ$  до pH 1-1,5 и по охлаждению отделяют I, выход 91%, т. пл.  $230-233^\circ$ . Д. Витковский

**6Ж246. Реакции металлоорганических соединений с солями тяжелых металлов.** Сообщение 2. Взаимодействие литийстилла с галогенидами кобальта и титана. Крончев В. А., Долгопосок Е. А., Геллер Н. М., Зелепина М. Н. Изв. АН СССР. Отд. хим. н., 1960, № 6, 1044-1048.—Реакции между  $\text{C}_6\text{H}_5\text{Li}$  (I) и галогенидами Co или Ti не имеют свободнорадикальных стадий, поскольку введение в смесь акцепторов свободных радикалов не влияет на состав продуктов р-ции. Из  $\text{CoCl}_2$  и I в  $\text{C}_6\text{H}_6$  при  $20^\circ$  образуются эквимольные кол-ва этана и этилена. При взаимодействии  $\text{TiCl}_4$  с I образующийся этилен полимеризуется. Введение в реакционную смесь  $\alpha$ -метилстирола (II) снижает общий выход газов, но не влияет на состав и соотношение продуктов р-ции. Приведены таблицы выхода этана, этилена и  $\text{C}_4\text{H}_{10}$  при различных соотношениях галогенидов и I при р-ции в  $\text{C}_6\text{H}_6$ , кумоле, метаксилоле, II и диаллиле. Сообщение I см. РЖХим, 1960, № 22, 88642. Ф. Величко

**6Ж247. Обмен анионами между бромистым трифенилсульфонием и литийорганическими соединениями.** Franzen V., Mertz Ch. Anionenaustausch zwischen Triphenylsulfoniumbromid und lithiumorganischen Verbindungen. [Angew. Chem., 1960, 72, № 12, 416 (нем.).—При взаимодействии в эфире  $n\text{-C}_4\text{H}_9\text{Li}$  (I) с  $(\text{C}_6\text{H}_5)_3\text{SBr}$  (II) образуются  $\text{C}_6\text{H}_5\text{Li}$  (III) и  $n\text{-C}_4\text{H}_9\text{S}(\text{C}_6\text{H}_5)_2\text{Br}$ , который реагирует далее с I с образованием  $\text{C}_4\text{H}_9\text{Li}$ ,  $\text{CH}_2=\text{CHC}_2\text{H}_5$  и  $(\text{C}_6\text{H}_5)_2\text{S}$  (IV). Аналогично из  $n\text{-C}_6\text{H}_{17}\text{Li}$  и II образуются октен-1, III и IV. Из  $\text{CH}_3\text{Li}$  и II образуется полиметилден и  $\text{C}_6\text{H}_6$ . Сходным образом

$(\text{C}_6\text{H}_5)_3\text{PBr}$  реагирует с  $\text{CH}_3\text{Li}$  с образованием трифенилфосфинметилена. Ф. Величко

**6Ж248. Новый метод получения рутинорганических соединений.** Eckstein Z., Dahlig W., Hetnarski B., Pasynkiewicz S. Neue Darstellungsmethode organischer Quecksilber-Verbindungen. [Bull. Acad. polon. sci. Sér. sci. chim., 1960, 8, № 4, 161-164 (нем.; рез. русск.); [Przem. chem., 1960, 39, № 4, 225-228 (польск.).—Реакцией  $\text{RAlCl}_2$ ,  $\text{R}_2\text{AlCl}$  и  $\text{R}_3\text{Al}$  с  $\text{HgCl}_2$  получены  $\text{RHgCl}$ . При применении более устойчивого несамовоспламеняющегося комплекса  $\text{C}_2\text{H}_5\text{AlCl}_2 \cdot \text{NaCl}$  (I) р-ция с  $\text{HgCl}_2$  протекает в органич. р-телях без необходимости в атмосфере инертного газа. В качестве исходного продукта может быть использован как отход от произ-ва катализатора для полимеризации  $\text{C}_2\text{H}_4$  при низком давлении, так и продукт нагревания смеси  $\text{RAlCl}_2$  и  $\text{R}_2\text{AlCl}$  с  $\text{AlCl}_3$  с последующим добавлением NaCl. Приведены исходные в-во, выход  $\text{RHgCl}$  в %:  $\text{CH}_3\text{AlCl}_2$ , 79,2; I, 91;  $(\text{CH}_3)_2\text{AlCl}$ , 79,8;  $(\text{C}_2\text{H}_5)_2\text{AlCl}$ , 82,5;  $(\text{CH}_3)_3\text{Al}$ , 96;  $(\text{C}_2\text{H}_5)_3\text{Al}$ , 79,7. Из  $\text{R}_2\text{Al}$  и  $\text{Hg}(\text{OCOCCH}_3)_2$  получены  $\text{RHgOCOCCH}_3$  (II  $\text{R} = \text{CH}_3$ ) (IIa), выход 73%, т. пл.  $125-126^\circ$ , и II ( $\text{R} = \text{C}_2\text{H}_5$ ) (IIb), выход 87,5%, т. пл.  $68-70^\circ$ . Из IIa-б и NaCl получены  $\text{RHgCl}$  с выходами 71,4 и 61,2% из IIb и NaBr получен  $\text{C}_2\text{H}_5\text{HgBr}$ , выход 78,6%, а из IIb и  $\text{H}_2\text{SO}_4$  получен  $\text{C}_2\text{H}_5\text{HgSO}_4$  с выходом 58,7%. Из  $n\text{-C}_4\text{H}_9\text{SO}_4\text{N}(\text{Na})\text{C}_6\text{H}_5$  и  $\text{RHgX}$  ( $\text{X} = \text{Cl}$ , Br,  $\text{OCOCCH}_3$ ) получены  $n\text{-C}_4\text{H}_9\text{SO}_4\text{N}(\text{HgR})\text{C}_6\text{H}_5$  (III  $\text{R} = \text{CH}_3$ ), т. пл.  $154-156^\circ$ , и III ( $\text{R} = \text{C}_2\text{H}_5$ ), т. пл.  $152-154^\circ$ . С. Иоффе

**6Ж249. Рутинные производные некоторых 1-дизамещенных бензола и реакции их с азотной кислотой.** Петрович П. И., Ж. Вес. хим. о-на (бывш. Хим. наука и пром-сть), 1960, 5, № 1, 106-107.—При взаимодействии  $n\text{-Cl}_2\text{C}_6\text{H}_4$  (I) с  $\text{Hg}(\text{OCOCCH}_3)_2$  в  $\text{CH}_3\text{COOH}$  при  $125^\circ$  образуется  $n\text{-Cl}_2\text{C}_6\text{H}_4\text{HgOCOCCH}_3$  (II), выход 50%, т. пл.  $170,5-171^\circ$  (из сп.), а при более продолжительном нагревании образуется  $(2,5\text{-Cl}_2\text{C}_6\text{H}_3)_2\text{Hg}$  (III), т. пл.  $236-237^\circ$  (из ацетона-хлф.). III получают также нагреванием II в кислоте или мезитиле при  $142-143^\circ$ . Действием насыщ. р-ра NaCl на р-р II в  $\text{CH}_3\text{OH}$  получают  $n\text{-Cl}_2\text{C}_6\text{H}_4\text{HgCl}$ , т. пл.  $207-207,5^\circ$ .  $n\text{-(CH}_3)_5\text{C}_6\text{H}_3\text{HgX}$  ( $\text{X} = \text{Cl}$ ,  $\text{OCOCCH}_3$ ) окисляют 2,5 часа при 90° щел. р-ром  $\text{KMnO}_4$ , получают ангидро-2-оксимеркуртерифталевую к-ту (IV), выход 85,3%. Аналогично из  $4\text{-NO}_2\text{C}_6\text{H}_3(\text{CH}_3)\text{HgCl}_2$  (V), т. пл.  $231,5-232^\circ$  (из ацетона), синтезирована ангидро-2-оксимеркур-4-нитробензойная к-та, выход 75%. V получают диазометодом из  $4\text{-NO}_2\text{-2-NH}_2\text{C}_6\text{H}_3\text{CH}_3$ . Действием порошка Cu и 25%-ного  $\text{NH}_4\text{OH}$  на р-р V в ацетоне синтезирована 2,2'-(4- $\text{NO}_2\text{C}_6\text{H}_3$ ) $_2\text{Hg}$ , т. пл.  $258,2-258,6^\circ$ . При действии 58%-ной  $\text{HNO}_3$ , содержащей окислы азота, на II или на III образуется  $3,6\text{-Cl}_2\text{-2,4-(NO}_2)_2\text{C}_6\text{H}_3\text{NOH}$ , т. пл.  $146,2-147^\circ$  с примесью  $n\text{-Cl}_2\text{C}_6\text{H}_3\text{NO}_2$ . Действием  $\text{HNO}_3$  на I в присутствии  $\text{Hg}(\text{NO}_3)_2$  ( $140^\circ$ ) получают  $2,5\text{-Cl}_2\text{-C}_6\text{H}_3\text{NO}_2$ ,  $2,5\text{-Cl}_2\text{-1,3-(NO}_2)_2\text{C}_6\text{H}_3$ ,  $2,5\text{-Cl}_2\text{-1,4-(NO}_2)_2\text{C}_6\text{H}_3$  и  $\text{HgCl}_2$ . В условиях окислительного нитрования V превращается в 2-нитрозо-4-нитротолуол и 2,4-динитротолуол, а IV в запаянной трубке превращается в нитротерифталевую к-ту. Ф. Величко

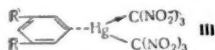
**6Ж250. Исследование органических соединений рутин.** Сообщение II. Реакционная способность аримеркурариленульфидов. Leonardi Giuseppe, Spinelli Domenico, Monaco Giacinta. Ricerche sui composti organici del mercurio. Nota II. Aspetti reattivi degli aril-mercurio-aril-solfuri. [Ann. chimica, 1960, 50, № 1-2, 156-164 (итал.).—В развитии исследования (см. сообщение I, РЖХим, 1960, № 18, 73490) найдено, что  $\text{XC}_6\text{H}_4\text{HgSC}_6\text{H}_4\text{Y}$  (I) реагируют с  $\text{RCOOH}$  с образованием  $\text{XC}_6\text{H}_4\text{HgOCOR}$ ,  $\text{Hg}(\text{C}_6\text{H}_4\text{Y})_2$  (II) и  $\text{C}_6\text{H}_5$ . Р-р 2 г I ( $\text{X} = \text{Y} = \text{H}$ ) (Ia) в 10 мл лед.  $\text{CH}_3\text{COOH}$  кипятят 10 мин., отфильтровывают II ( $\text{Y} = \text{H}$ ), т. пл.  $152^\circ$  (из бзл.), фильтрат упаривают получают  $\text{C}_6\text{H}_5\text{HgOCOCCH}_3$  (III), т. пл.  $150^\circ$  (из сп.). При  $\sim 20^\circ$  (40 дней) Ia реагирует с лед.  $\text{CH}_3\text{COOH}$  на 80%. Аналогично

нем трифе-  
Величко  
иоорганиче-  
W. Het-  
Darstellungs-  
ngen. «Bull.  
4, 161—164  
№ 4, 225—  
и R<sub>2</sub>Al с  
более устой-  
ка C<sub>6</sub>H<sub>5</sub>Al-  
ганич. р-ри-  
отного газа,  
использую-  
полимери-  
дукт нагре-  
следующим  
з-во, выход  
1, 79,8; (C<sub>6</sub>H<sub>5</sub>)<sub>2</sub>Al-  
7. Из R<sub>2</sub>Al  
I (R = CH<sub>3</sub>)  
(R = C<sub>6</sub>H<sub>5</sub>)  
и NaCl по-  
I и NaBr  
H<sub>2</sub>SO<sub>4</sub> по-  
CH<sub>3</sub>C<sub>6</sub>H<sub>5</sub>SO<sub>2</sub>-  
получены  
пл. 154—  
С. Иоффе  
х п-дизаме-  
кислотой.  
Хим.  
При взаи-  
CH<sub>3</sub>COOH  
(II), выход  
ее продол-  
Cl<sub>2</sub>C<sub>6</sub>H<sub>3</sub>Cl<sub>2</sub>Hg  
I получена  
глине при  
р II в CH<sub>3</sub>-  
n-(CH<sub>3</sub>)<sub>2</sub>-  
са при 95°  
кисмерку-  
логично из  
4-нитро-  
азометодом  
Cu и 25%  
апа 2,2'-  
вствии 58%  
или на III  
6,2—147°  
а I в р-ре  
2,5-Cl<sub>2</sub>C<sub>6</sub>H<sub>3</sub>-  
C<sub>6</sub>H<sub>5</sub> и Hg-  
V препара-  
динитро-  
в нитро-  
Величко  
соединений  
ость ари-  
ре, Sp<sup>2</sup>-  
Ricerche  
spetti real-  
icas», 1960,  
исследова-  
3490) най-  
RCOOH с  
I) и C<sub>6</sub>H<sub>5</sub>-  
COOH на-  
N), т. пл.  
с C<sub>6</sub>H<sub>5</sub>Hg-  
(40 дней)  
ично во-

и взаимодействием C<sub>6</sub>H<sub>5</sub>HgSCH<sub>2</sub>C<sub>6</sub>H<sub>5</sub> с лед. CH<sub>3</sub>COOH полу-  
чен Hg(SCH<sub>2</sub>C<sub>6</sub>H<sub>5</sub>)<sub>2</sub>, т. пл. 121° (из сл.). Проведены  
следующие р-ции I с лед. CH<sub>3</sub>COOH (перечислены X,  
Y, т. пл. в °C исходного I и т. пл. в °C полученного II):  
H, H, 105, 152; H, o-CH<sub>3</sub>, 118, 172; H, m-CH<sub>3</sub>, 151,  
128; H, n-CH<sub>3</sub>, 104, 166; H, o-Cl, 136, 180; H, m-Cl, 145,  
186; H, n-Cl, 157, 227; H, n-Br, 166, 229; H, o-NO<sub>2</sub>, 149,  
234; H, n-NO<sub>2</sub>, 216, 265; H, o, n-Cl<sub>2</sub>, 189, 269; H, o, n-Br<sub>2</sub>,  
208, 246; o-CH<sub>3</sub>, H, 112, 152; m-CH<sub>3</sub>, H, 118, 152; n-CH<sub>3</sub>,  
H, 123, 152; o-Cl, H, 135, 152; m-Cl, H, 137, 152; n-Cl, H,  
139, 152; n-Cl, n-NO<sub>2</sub>, 203, 265; n-NO<sub>2</sub>, H, 179, 152. К р-ру  
I в 5 мл теплого C<sub>6</sub>H<sub>6</sub> прибавляют 2 мл C<sub>6</sub>H<sub>5</sub>COOH,  
кипятят несколько часов, охлаждают, фильтрат упари-  
вают, получают C<sub>6</sub>H<sub>5</sub>HgOCOC<sub>6</sub>H<sub>5</sub>, т. пл. 80—81°. Анало-  
гично получены (указаны в-во и т. пл. в °C): C<sub>6</sub>H<sub>5</sub>Hg-  
OCOC<sub>6</sub>H<sub>7</sub>, 91; C<sub>6</sub>H<sub>5</sub>HgOCOC<sub>6</sub>H<sub>5</sub>, 97—98. Р-р I в 1 г и 0,66 г  
(NO<sub>2</sub>)<sub>2</sub>C<sub>6</sub>H<sub>3</sub>COOH кипятят в C<sub>6</sub>H<sub>6</sub> 30 мин., отфильтровы-  
вают C<sub>6</sub>H<sub>5</sub>MgOCOC<sub>6</sub>H<sub>3</sub>(NO<sub>2</sub>)<sub>2</sub>, т. пл. 228°. К р-ру I в Ia  
в CCl<sub>4</sub> прибавляют 10 мл CCl<sub>4</sub>, насыщенного HCl-га-  
зом, отфильтровывают 0,8 г C<sub>6</sub>H<sub>5</sub>HgCl (IV), т. пл. 256°,  
фильтрат упаривают, прибавляют 2%-ный р-р Br<sub>2</sub> в  
эфире, упаривают, выделяют (C<sub>6</sub>H<sub>5</sub>S)<sub>2</sub>, т. пл. 59°. III  
и IV при нагревании с C<sub>6</sub>H<sub>5</sub>SH в C<sub>6</sub>H<sub>6</sub>, спирте (лучше  
всего) или ксилоле реагируют с образованием Ia. По-  
лучить IV действием NaCl на III не удалось.

Ф. Величко

6Ж251. Синтез ртутноорганических нитросоедине-  
ний. Сообщение 3. Взаимодействие ртутной соли три-  
нитрометана с нитропропеновыми ароматическими со-  
единениями. Новиков С. С., Годовикова Т. И.,  
Тартаковский В. А. Изв. АН СССР. Отд. хим. н.,  
1960, № 5, 863—865.—Hg<sub>2</sub>C(NO<sub>2</sub>)<sub>3</sub> (I) образует с C<sub>6</sub>H<sub>5</sub>-  
NO<sub>2</sub> (II), m-(NO<sub>2</sub>)<sub>2</sub>C<sub>6</sub>H<sub>4</sub>, o-CH<sub>3</sub>C<sub>6</sub>H<sub>4</sub>NO<sub>2</sub> и o-CH<sub>3</sub>OC<sub>6</sub>H<sub>4</sub>-  
NO<sub>2</sub> комплексы типа (III) [перечислен выход комплек-  
сов в % и т. пл. в °C (из CCl<sub>4</sub>) соответственно]: 55, 116;



60, 147; 55,5, 75; 51, 109. Р-р 50 ммелей I и 50 ммелей  
II в 50 мл C<sub>6</sub>H<sub>5</sub>OH кипятят 3,5 часа, фильтрат упари-  
вают в вакууме и получают III (R = NO<sub>2</sub>, R' = H)  
(IIIa). Остальные III получены аналогично. 17 г IIIa  
обрабатывают при ~20° 20 мл 40%-ного KOH, из филь-  
трата выделяют II, выход 89%. Осадок обрабатывают  
ацетоном, из р-ра выделяют KC(NO<sub>2</sub>)<sub>3</sub>, выход 90,5%, т.  
разл. 97°; в осадке остается HgO, выход 96,5%, 3,5-  
(NO<sub>2</sub>)<sub>2</sub>C<sub>6</sub>H<sub>3</sub>CH<sub>3</sub>, 3,5-(NO<sub>2</sub>)<sub>2</sub>C<sub>6</sub>H<sub>3</sub>OCH<sub>3</sub> и 1,3,5-(NO<sub>2</sub>)<sub>3</sub>C<sub>6</sub>H<sub>3</sub>  
не образуют комплексов с I. Меркурировать все упомяну-  
тые в-ва действием I в более жестких условиях не  
удалось. Сообщение 2 см. РЖХим, 1961, 2Ж224.

Ф. Величко

6Ж252. Соединения дибортетрахлоридолефина.  
Часть II. Разложение дибортетрахлоридолефина. Hol-  
liday A. K., Massey A. G. Diboron tetrachloride-ole-  
fin compounds. Part II. The decomposition of diboron  
tetrachloride-ethylene. «J. Chem. Soc.», 1960, May, 2075—  
2078 (англ.).—Изучено разложение Cl<sub>2</sub>BClCH<sub>2</sub>BCl<sub>2</sub>  
(I) при 200 и 500° и в тиклом разряде при ~20°. При  
200° I разлагается медленно, при 500° за несколько ча-  
сов полностью. Продуктами разложения являются H<sub>2</sub>,  
HCl, CH<sub>4</sub>, C<sub>2</sub>H<sub>6</sub> и фракция, состоящая из BCl<sub>3</sub> с неболь-  
шими примесями CH<sub>3</sub>BCl<sub>2</sub> и HBCl<sub>2</sub>; кроме того, обра-  
зуется полимерное в-во состава (BCl)<sub>n</sub>. По-видимому,  
I разлагается по схеме: nI → (ClBClCH<sub>2</sub>CH<sub>2</sub>)<sub>n</sub> (II) + nB-  
Cl<sub>3</sub>; II + 2nH<sub>2</sub> → (BCl)<sub>n</sub> + 2nCH<sub>4</sub>; II + nH<sub>2</sub> → (BCl)<sub>n</sub> +  
+ nC<sub>2</sub>H<sub>6</sub>. Выделение H<sub>2</sub> может происходить за счет  
превращения: I → >BClCH=CH< (или >BC≡C<) +  
+ H<sub>2</sub>. Так как выделенное кол-во (BCl)<sub>n</sub> меньше, чем  
требуется ур-ниями, можно предположить, что (BCl)<sub>n</sub>  
медленно диспропорционирует на BCl<sub>3</sub> и B. В разряде  
(15 кэ) образуются H<sub>2</sub>, HCl, следы CH<sub>4</sub>, BCl<sub>3</sub>, не содер-  
жащий примесей, и смесь твердого и жидкого в-ва.

Твердое в-во, возможно, содержит II. Р-ции проводят  
в запаянных трубках, затем удаляют летучие продук-  
ты и фракционируют их; в остатке после гидролиза  
определяют Cl<sup>-</sup> и B. Часть I см. РЖХим, 1960, № 24,  
96536.

П. Аронович

6Ж253. Диметилборизоцианат. Goubeau Josef,  
Gräbner Hugo. Dimethylborisocyanat. «Chem. Ber.»,  
1960, 93, № 6, 1379—1387 (нем.).—Действием R<sub>2</sub>BBr (I;  
здесь и далее R = CH<sub>3</sub>) на AgNCO получен R<sub>2</sub>BNCO  
(II), который легко полимеризуется. Полимеру II на  
основании ИК-спектров приписано строение R<sub>2</sub>BNCO-  
[N(BR<sub>2</sub>)CO]<sub>n</sub>N(BR<sub>2</sub>)CO. II реагирует с O<sub>2</sub> со взрывом;  
легко гидролизуется водой с образованием R<sub>2</sub>BOH,  
<5% (R<sub>2</sub>BNCO)<sub>n</sub>, <5% (HNCO)<sub>3</sub>, NH<sub>3</sub> и CO<sub>2</sub>. При дей-  
ствии CH<sub>3</sub>OH на II получается R<sub>2</sub>BOR, но одновременно  
на 20—30% II полимеризуется. С первичными и  
вторичными аминами II количественно реагирует по  
примерной схеме: II + 2RNH<sub>2</sub> → R<sub>2</sub>BNHR (III) + RNH-  
CONH<sub>2</sub>. II с NR<sub>3</sub> образует продукт присоединения (1:  
1); поэтому можно предполагать, что р-ции II с во-  
дой, спиртами и аминами протекают по механизму  
SN с расщеплением связи B—N. Пары I (~0,1 моля)  
пропускают 10—12 час. при —50 до —60°/10—15 мм над  
измельченным AgNCO, смесь I и II конденсируют и  
разгоняют, выход II ~90%, давление паров 3 мм при  
—57,5° и 21 мм при —34°. II полимеризуется через 2—  
3 дня при —80°; при ~20° II быстро превращается в  
твердый полимер. Смешивают при —180° 0,75 моля  
CH<sub>3</sub>OH и 0,05 моля II, медленно нагревают до ~20°  
и выделяют 0,035 моля R<sub>2</sub>BOR, т. пл. от —37,5 до —38°,  
т. кип. 22,5°, а также CH<sub>3</sub>OCONH<sub>2</sub>, HCN и полимер  
II. Действием изо-C<sub>3</sub>H<sub>7</sub>OH на II в тех же условиях по-  
лучают изо-C<sub>3</sub>H<sub>7</sub>OCONH<sub>2</sub>, тропизануровую к-ту и поли-  
мер II. Аналогично р-цией 0,024 моля II и 0,107 моля  
CH<sub>3</sub>NH<sub>2</sub> в 10 мл ксилола получают III; из (C<sub>2</sub>H<sub>5</sub>)<sub>2</sub>NH и  
II синтезировал (CH<sub>3</sub>)<sub>2</sub>BN(C<sub>2</sub>H<sub>5</sub>)<sub>2</sub>. Теплота диссоциации  
II·NR<sub>3</sub> 10,44 ккал. Все опыты проведены в высокова-  
куумной, тщательно высушенной аппаратуре; при на-  
личии следов влаги II полимеризуется. Приведены  
ИК-спектры II и его полимера.

П. Аронович

6Ж254. Трехзамещенные бораны в качестве алки-  
лирующих агентов. Honeycutt Julian B., Jr.,  
Riddle James M. Triorganoboranes as alkylating  
agents. «J. Amer. Chem. Soc.», 1960, 82, № 12, 3051—  
3052 (англ.).—R<sub>3</sub>B (Ia—в; здесь и далее а R = C<sub>2</sub>H<sub>5</sub>,  
b R = n-C<sub>4</sub>H<sub>9</sub>, в R = C<sub>6</sub>H<sub>5</sub>) алкилируют HgO и Hg(OC-  
OCH<sub>3</sub>)<sub>2</sub> (II) с образованием R<sub>2</sub>Hg (IIIa—в). Действием  
Ia—б на PhO и нафтаат Pb (IV) получены R<sub>2</sub>Pb  
(Va—б). Р-ция I с HgCl<sub>2</sub> в присутствии NaOH проте-  
кает, вероятно, ступенчато: I → R<sub>2</sub>BONa → RB(ONa)<sub>2</sub> →  
→ B(ONa)<sub>3</sub>. Суммарное ур-ние р-ции: 2I + 3HgCl<sub>2</sub> +  
+ 12 NaOH → 3III + 2B(ONa)<sub>3</sub> + 6NaCl + 6H<sub>2</sub>O. К 0,05  
моля HgCl<sub>2</sub> в 100 мл воды прибавляют 0,15 моля NaOH  
в 25 мл воды, нагревают до 70—80° и прибавляют за  
15 мин. 0,05 моля Ia, через 10 мин. перегонкой ниж-  
него слоя выделяют IIIa с выходом 95%. В тех же  
условиях выходы IIIb 55% и IIIв 52%. Суспензию  
0,05 моля HgO в р-ре 0,15 моля NaOH в 100 мл воды  
нагревают до 75° и прибавляют 0,05 моля Ia, выход  
IIIa 65%. К 0,02 моля II в 25 мл (CH<sub>3</sub>OCH<sub>2</sub>)<sub>2</sub> (VI) ме-  
ленно прибавляют 0,04 моля Ia, кипятят 2 часа, при-  
бавляют 0,12 моля NaOH в 15 мл воды и отделяют IIIa,  
выход 66,7%. Аналогично получают IIIб и IIIв с вы-  
ходами соответственно 52 и 47%; при применении тет-  
рагидрофурана (ТГФ) в качестве р-рителя выход IIIб  
50%. К смеси 0,06 моля PhO, 0,37 моля NaOH и 250 мл  
воды при 80° прибавляют 0,13 моля Ia, через 30 мин.  
охлаждают и извлекают Va 100 мл гексана, выход Va  
(по анализу р-ра) 42%; в отсутствие NaOH выход 19%.  
Кипятят 6—7 час. 0,07 моля Ia и 0,03 моля IV в 100 мл  
ТГФ, разбавляют 200 мл толуола и гидролизуют 50 мл  
10%-ного NaOH, выход Va 27% (по анализу толуоль-  
ного р-ра). При замене VI на ТГФ выход Vб 18%.

П. Аронович



**6Ж255.** Термический распад триалкилборанов. Winternitz Paul F., Carotti Arrigo A. The thermal decomposition of trialkylboranes. *J. Amer. Chem. Soc.*, 1960, 82, № 10, 2430—2433 (англ.).— $(n-C_5H_{11})_3B$  (I) и  $(n-C_6H_{13})_3B$  (II) при нагревании, в противоположность  $R_3B$  ( $R$  — алкил, содержащий от 1 до 4 атомов C), не образуют алкилпроизводных диборана. I при кипячении дает  $H_2$ , транс-пентен-2 (III) и 1-н-амил-2-метил-4-борапиклопентан (IV) в эквимолярных кол-вах. Нагревание II приводит к  $H_2$ , транс-гексен-3 (V), 1-н-гексил-2-метил-4-борапиклопексану (VI) с выходом 6—10% и полимеру  $(BC_6H_{13})_n$ . Р-ция протекает, вероятно, по схеме:  $II \rightarrow V + HB(C_6H_{13})_2$  (VII);  $VII \rightarrow B(C_6H_{13})_2$  (VIII) +  $1/2 H_2$ ;  $VIII \rightarrow VI + 1/2 H_2$ ;  $2VII \rightarrow II + BC_6H_{13}$ ;  $n-BC_6H_{13} \rightarrow (BC_6H_{13})_n$ . При разложении  $(CH_2=CHC_6H_5)_3B$  (IX) получен диаллил и  $(C_6H_5)_2B_2$  (X). Действием  $n-C_5H_{11}MgBr$  на  $BF_3 \cdot O(C_2H_5)_2$  (XI) синтезируют I, т. кип. 75—76°/0,25 мм, 88—89°/0,6 мм,  $d^{25}_4$  0,765. При кипячении 28 час. в атмосфере  $N_2$  0,25 моля I выделяются 0,053 моля  $H_2$  и 0,056 моля III, перегонкой остатка получают 0,058 моля I и 0,056 моля IV, т. кип. 29—30°/0,3 мм, 21—22°/0,2 мм, быстро окисляется кислородом воздуха. При окислении  $H_2O_2$  в щел. среде IV дает 2-метилтетрагидрофуран,  $C_5H_{11}OH$  и  $B(OH)_3$ . Из XI и  $C_6H_{13}MgBr$  синтезируют II, т. кип. 119—120°/0,6 мм, 106—108°/0,25—0,3 мм. После кипячения 5 час. 250,5 г II в атмосфере  $N_2$  получают 119,5 г V, 0,8 моля  $H_2$  и перегонкой 34 г остатка выделяют 6,5 вес.% VI, т. кип. 34—36°/0,25—0,3 мм, 18 вес.% II и 26,4 вес.%. В  $(C_6H_{13})_n$ , т. кип. 126°/0,25—0,3 мм. При окислении VI образуется гексанол-1,  $B(OH)_3$  и 2-метилтетрагидрофуран. Кипячением  $(BC_6H_{13})_n$  в атмосфере  $N_2$  и последующей перегонкой получают вязкую жидкость [возможное строение  $(C_6H_{13}BC_6H_{12}BC_6H_{13})_n$ ] и осадок [возможное строение  $(HBBC_6H_{13})_n$  (XII)]; последний, при кипячении 3—4 часа со спирт. КОН выделяет  $H_2$  в кол-ве, соответствующем строению XII. После кипячения IX (т. кип. 116—117°) в атмосфере  $N_2$  получают диаллил и X; ИК-спектр последнего показывает отсутствие связи B—H. П. Аронович

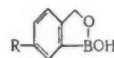
**6Ж256.** Получение трет-бутилдиклборанов и 1-трет-бутилборапиклопентана из олефинов и триметиламин-трет-бутилборана. Hawthorne M., Frederick. The preparation of *t*-butyldialkylboranes and 1-*t*-butylborocyclopentane from olefins and trimethylamine-*t*-butylborane. *J. Amer. Chem. Soc.*, 1960, 82, № 3, 748 (англ.).—Трет- $C_4H_9BH_2 \cdot N(CH_3)_3$  (I) (см. РЖХим, 1960, № 12, 47692) присоединяется к олефинам значительно быстрее, чем  $BH_3 \cdot N(CH_3)_3$  и  $BH_3 \cdot NC_5H_5$ , что объясняется большей скоростью диссоциации I. Р-ция I с олефинами при 50—60° завершается через 1—2 часа; перегонкой выделяют трет- $C_4H_9BR_2$  (II). При действии бутадиена-1,3 или изопрена на I образуется 1-трет-бутилборапиклопентан (III) или 1-трет-бутил-3-метилборапиклопентан (IV). Взаимодействием  $(CH_3)_2Si(CH=CH_2)_2$  и I синтезируют 1-трет-бутил-4,4-диметил-1-бора-4-силапиклопексан (V). Приведены в-во, выход в % и т. кип. в °C/мм: II ( $R = C_2H_5$ ), 35, 60/70; II ( $R = n-C_3H_7$ ), 88, 67/22; II ( $R = C_4H_9$ ), 90, 74/6,1; II ( $R = iso-C_4H_9$ ), 85, 62/75; III, 60, 55/55; IV, 55, 67/54; V, 58, 44/2. П. Аронович

**6Ж257.** Арилборные кислоты. III. Получение и полимеризация *p*-винилфенилборной кислоты. Lennarz W. J., Snyder H. R. Arylboronic acids. III. Preparation and polymerization of *p*-vinylbenzeneboronic acid. *J. Amer. Chem. Soc.*, 1960, 82, № 9, 2169—2171 (англ.).— $n-CH_2=CHC_6H_4B(OH)_2$  (I) (см. сообщение II, РЖХим, 1959, № 5, 15462) в водн. р-ре под действием персульфата К превращается в полимер, устойчивый на воздухе;  $O_2$  препятствует полимеризации. По ИК-спектру полимер близок к  $n-C_2H_5C_6H_4B(OH)_2$  (II). В водной, но не в безводн.  $(CH_3)_2SO$  полимер растворится, что объясняется, вероятно, образованием трехмерной структуры вследствие ангидризации. Добавление 0,4 мол.%

$(n-CH_2=CHC_6H_4BO)_3$  при полимеризации стирола в блоке в присутствии азодизобутиронитрила приводит к полимеру, нерастворимому в  $C_6H_6$ . При синтезе I из  $n-ClMgC_6H_4CH=CH_2$  и  $B(ONH_2)_3$  образуется, вероятно, сополимер  $n-ClC_6H_4CH=CH_2$  (III) и I. К 0,16 моля Mg прибавляют в атмосфере азота 1,5 мл  $C_2H_5Br$  в 2,5 мл тетрагидрофурана (ТГФ), затем за ~20 мин. прибавляют р-р 0,08 моля III в 20 мл ТГФ, кипятят 15—20 мин., перемешивают 45 мин. при ~20°, охлаждают до 0°, приливают охлад. до -50° р-р 0,16 моля  $B(O-CH_3)_3$  в 25 мл ТГФ, перемешивают 4 часа при -80°, через ~12 час. (~20°) разлагают разб.  $H_2SO_4$  и обрабатывают эфиром. Осадок, полученный после удаления эфира, растворяют в ~50 мл 10%-ного КОН, подкислением выделяют осадок, который смешивают с 150 мл 33%-ного спирта, нагревают до кипения, отфильтровывают сополимер III и I, упаривают фильтрат в вакууме до ~50 мл и через ~12 час. (0°) отфильтровывают I, выход 20%, т. пл. 176—180° (из воды); после хроматографирования в эфире на  $Al_2O_3$  т. пл. 197—200°. Гидрированием в спирте над  $PtO_2$  превращают I в II, т. пл. 142—150°. При синтезе I из 0,1 моля III выделяют 7,7 г полимера; последний перемешивают 2 дня с 125 мл  $C_6H_6$  при ~20° и отфильтровывают сополимер (6,1 г); из фильтрата выделяют ~0,1 г  $(n-CH_2=CHC_6H_4BO)_3$ ; сополимер не растворяется в кипящем ксилоле, не размягчается до 300°. Через р-р 0,8 г I в 60 мл воды при 80° пропускают  $N_2$  и прибавляют 22 мл  $K_2S_2O_8$ , перемешивают 20 час. при 60°, удаляют воду лиофилизацией и получают 0,82 г полимера I, т. размягч. 300—350°. П. Аронович

**6Ж258.** Боразол и его производные. Михайлов Б. М. «Успехи химии», 1960, 29, № 8, 972—992.—Обзор литературных данных о химии боразола и его производных. Библи. 71 назв. Я. К.

**6Ж259.** Арилборные кислоты. IV. Реакции борафталата. Lennarz W. J., Snyder H. R. Arylboronic acids. IV. Reactions of boronophthalate. *J. Amer. Chem. Soc.*, 1960, 82, № 9, 2172—2175 (англ.).—Для изучения свойств борафталата (Ia) (РЖХим, 1958, № 24, 70899) и получения в-в, пригодных для терапии рака, синтезируют 5-замещ. Ia. Нитрованием Ia получают (Ib), восстановленный в (Ic), который действием янтарного ангидрида (II) превращен в (Id). Диазотированием Ib и последующим сочетанием с 2-оксинафтойной-3-той (III) получен азокраситель (Id). Попытки замещения атома кислорода в Ia в цикле на NH или  $C_6H_5CH_2N$ .



Ia  $R = H$ , б  $R = NO_2$ , в  $R = NH_2$ , г  $R = NHCOCH_3$ , д  $R = COOH$ , е  $R = N=NAg$ , где Ag = 2-окси-3-карбоксивафтил

группу дали отрицательные результаты. Ia не реагирует с *o*-фенилендиаминном в описанных условиях (РЖХим, 1960, № 14, 57191). При действии  $SeO_2$  в дioxане Ia не изменяется. В ИК-спектре Ia отсутствует поглощение при 1350  $cm^{-1}$ , характерное для связи B—O, но имеется полоса в области 1000—970  $cm^{-1}$ , соответствующая, вероятно, связи C—O. Ia очищают перегонкой при 50°/0,05 мм. К 10 мл  $HNO_3$  (d 1,49) при т-ре от -45 до -40° прибавляют за 4 мин. 11,5 ммоль Ia, перемешивают 20 мин. при т-ре от -45 до -30°, выливают на лед и через 2 часа (0—10°) отфильтровывают Ib, выход 84%, т. пл. 203—206° (из воды). Нагревают 0,5 г Ia и 12 мл 0,4 н.  $AgNO_3$  75 мин. при ~95° и выделяют  $C_6H_5CH_2ON$ . Аналогичной обработкой Ib получают  $n-NO_2C_6H_4CH_2ON$ . 14 ммоль Ib в 50 мл абс. спирта восстанавливают 16 час.  $H_2$  в присутствии 0,5—1 г скелетного Ni, фильтруют и отгоняют спирт в вакууме при ~20°, при добавлении капли воды остаток закристаллизовывается, выход Iv 79%, т. пл. 157° (разл.; из сп.; в запаянном капилляре, в  $N_2$ ); Iv·HCl не плавится до 350°; при нагревании на воздухе Iv быстро разла-

гается. На 18 мл абс. -10° и о 210,5—212, Iv·HCl, р- 10%-ного разб. HCl, растворен осаждают  $C_6H_5CH_2NH$ . Сообщение 6Ж260. канол, по ge b a r t h cycloalkyl, J. Amer. (англ.).— циклоалки шрение положение кольца. Р



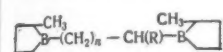
25° получ циклопент шел.  $H_2O$  1,3 и -1,4, смесь Ia, сивл-пент диол-1,5. 1,6-бис-(1 82%, т. -175°, 6 талдиклол дает в в (7:3). П смесь 1,4 савов та

6Ж261. ров борн органиче Uber Un sloff-un gen. «W Math-nat (нем.).—  $(C_6H_5O)_3$

ленборат сил-о-фе рует на  $(C_6H_5O)_2$   $(C_6H_5S)_3$  ний. III и далее нием  $C_6$  трикомп 60° проп который 110—120° Р-ции I В кипя газобор вают п раствор охладж

тирола в приводит теге I на вероятно, моля Mg в 2,5 мл прибавляют 15-лаждают оля B(O-ри -80°, и обра-е удале-ОН, под-пляют с-ния, от-т филь-т (0°) от-из во- $Al_2O_3$  т. $PO_2$  пре-из 0,1ий пере-фильт-ыделяют-ториет- $CO_2$ . Через-1 и при-при 60°, 2 г пол-Аронович-а й дов-2.—Обзор-го произ-Я. К.борафта-ic acids, т. Soc., и свой-и полу-езирова-воста-го анги-м Iv и-1-3 к-той-мещения $H_2SCH_2N$ - $H_2$ , г R=NaR, где-тил

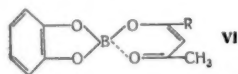
гается. Нагревают 11,05 ммольа Iv, 11,05 ммольа II и 18 мл абс. спирта 10 час. при 65°, охлаждают до -10° и отфильтровывают Ig, выход 75%, т. пл. 210,5—212,5° (из разб. сп.). Диазотируют 8,1 ммольа Iv, HCl, p-p прибавляют к p-ру 8,1 ммольа III в 13 мл 10%-ного NaOH, перемешивают 15 мин., выливают в разб. HCl и отфильтровывают IV, который очищают растворением в диметилформамиде и последующим осажением подкисленной водой. Кипятят 25 час. 15 мл  $C_6H_5CH_2NH_2$  и 7,4 ммольа Ia и выделяют  $C_6H_5CH_2OH$ . Сообщение III см. РЖХим, 1961, 6Ж257. П. Аронович



Ia R =  $C_2H_5$ , n = 2  
Ib R =  $CH_3$ , n = 3

6Ж260. Изомеризация бис-(1-бора-2-метилциклоалкил)-алканов, полученных гидроборированием диенов. Saegbarth Klaus A. The isomerization of bis-(1-boracycloalkyl) alkanes via the hydroboration of dienes. J. Amer. Chem. Soc., 1960, 82, № 8, 2081—2082 (англ.). При термич. перегруппировке бис-(1-бора-2-метилциклоалкил)-алканов в ряде случаев происходит расширение или сужение гетероциклич. кольца, причем положение атома B в цепи определяется размерами кольца. Р-цией 3 экв пентадиена-1,3 с 1 экв  $B_2H_6$  при 25° получена смесь 1,3-(Ia) и 1,4-бис-(1-бора-2-метилциклопентил)-пентанов (Ib), которая при окислении шел.  $H_2O_2$  дает с выходом 84% смесь пентадиолов-1,3 и -1,4 (1:9). При нагревании (160—175°, 6 час.) смесь Ia—б превращается в 1,5-бис-(1-бора-2-метилциклопентил)-пентан, который при окислении дает пентадиол-1,5. Действием  $B_2H_6$  на гексадиен-1,5 получают 1,6-бис-(1-бора-2-метилциклопентил)-гексан (II) с выходом 82%, т. кип. 131—132°/1 мм. При нагревании (160—175°, 6 час.) II превращается в 1,6-бис-(1-бора-2-метилциклопентил)-гексан (III), который при окислении дает с выходом 82% смесь гексадиолов-1,5 и -1,6 (7:3). Полученная гидроборированием гексадиена-1,4 смесь 1,4- и 1,5-бис-(1-бора-2-метилциклопентил)-гексанов также изомеризуется при нагревании в III.

П. Аронович  
6Ж261. Взаимодействие некоторых ариловых эфиров борной кислоты с азот- и кислородсодержащими органическими соединениями. Funk H., Koch H. J. Über Umsetzungen einiger Borsäurearylester mit stickstoff- und sauerstoffhaltigen organischen Verbindungen. «Wiss. Z. Martin-Luther-Univ.-Halle Wittenberg. Math.-naturwiss. Reihe», 1958—1959, 8, № 6, 1025—1031 (нем.). Получены комплексные соединения аминов с  $(C_6H_5O)_3B$  (I),  $(m-CH_3C_6H_4O)_3B$  (II) и фенил-о-фенил-



VI

ленборатом (III). При действии аминов на циклогексил-о-фенилборат (IV) последний диспропорционирует на трициклопентилборат и три-о-фенилборат  $(C_6H_5O)_3BO_2C_6H_5$ . С кислородсодержащими в-вами и  $(C_6H_5S)_3B$  не удалось получить комплексных соединений. III и IV реагируют с  $RCOCH_2COCH_3$  (Va—v; здесь и далее а R =  $CH_3$ , б R =  $C_2H_5$ , в R =  $C_6H_5$ ) с замещением  $C_6H_5O$ - или  $C_6H_5S$ -группы и образованием внутримолекулярных соединений (VIa—v). В  $C_6H_5OH$  при 90° пропускают  $BCl_3$  (из  $KBF_4$  и  $AlCl_3$ ) и выделяют I, который кристаллизуют из бензина с т. кип. 110—120°, выход I 55—60%. Аналогично получен II. Р-ции I—II с аминами проводят по двум методам. В кипящий p-р 10 г I или II в 100 мл  $C_6H_6$  пропускают газообразный амин и по охлаждению отфильтровывают продукт p-ции (метод А). Нагревают до растворения 5 г I или II в 40—50 мл жидкого амина, охлаждают и фильтруют (метод Б). По методу А

получены I·NH<sub>3</sub>, I·NH<sub>2</sub>CH<sub>3</sub> и II·NH<sub>3</sub>. Выход II·NH<sub>2</sub>CH<sub>3</sub> по методу А низок, более высокий выход достигается при расплавлении II в атмосфере  $CH_3NH_2$ . По методу Б получают комплексные соединения I с пиперидином (кристаллизация начинается после добавления 2 мл гексана), I·NH<sub>2</sub>C<sub>6</sub>H<sub>5</sub> (с свежеперегнаным анилином), II·NH(C<sub>2</sub>H<sub>5</sub>)<sub>2</sub>, II·NH(C<sub>4</sub>H<sub>9</sub>-изо)<sub>2</sub>, II с пиридином, α-пиколином (кристаллизация наступает после добавления гексана) и хинолином. Аналогично получены комплексы  $(n-CH_3C_6H_4O)_3B$  с пиридином, α-пиколином, хинолином и диэтиламинном.  $(o-CH_3C_6H_4O)_3B$  не образует комплексов с аминами. P-р 10 г III (синтез III—IV см. Thomas L. H., J. Chem. Soc., 1946, 823) в 50 мл  $C_6H_6$  нагревают до кипения, добавляют амин с небольшим избытком и фильтруют при ~20°; приведены амин и т. пл. в °C продукта p-ции:  $CH_3NH_2$ , 336;  $n-C_4H_9NH_2$ , 185;  $(C_2H_5)_2NH_2$ , 270;  $(изо-C_4H_9)_2NH$ , 220;  $(C_2H_5)_3N$ , 127; пиридин, 171; пиперидин, 248; хинолин, 130; оксихинолин, 220; анилин, 236. К горячему p-ру 5 г III в 40 мл  $C_6H_6$  добавляют 10 мл Va, охлаждают до ~20° и отфильтровывают VIa, т. пл. 195°. Аналогично получают VIb, т. пл. 218°. Нагревают 5 г III и 50 мл Vb, охлаждают до ~20°, прибавляют 3 мл гексана и получают VIb, т. пл. 98°. Кипятят III и диметилглиоксим в эфире и выделяют  $(C_6H_4O_2B)_2 \cdot O_2N_2C_4H_6$ , т. пл. 156°. К  $C_6H_5SH$  прибавляют по каплям  $BBR_3$ , нагревают до 170° и по охлаждению отфильтровывают  $(C_6H_5S)_3B$ . При действии  $BCl_3$  на  $C_6H_5SH$  образуется смесь галогеносодержащих в-в.

П. Аронович  
6Ж262. Синтез мономерных силанов. Senear Allen E., Wirth Joseph, Neville Roy G. Synthesis of monomeric silanes. J. Organ. Chem., 1960, 25, № 5, 807—809 (англ.). Описано получение  $n-(CH_2=CH)C_6H_4Si(CH_3)_3$  (I) и 4-эпоксиэтилфенилтриметилсилана (II). Синтез I осуществлен из  $n-(CH_2=CH)C_6H_4MgCl$  (III) и  $(CH_3)_3SiCl$  (IV), а также дегидратированием  $n-(CH_2CH(OH)C_6H_4)Si(CH_3)_3$  (V) действием  $KHSO_4$ . V получен восстановлением  $n-(CH_3CO)C_6H_4Si(CH_3)_3$  (VI)  $NaBH_4$  и p-цией  $n-ClMgC_6H_4Si(CH_3)_3$  с  $CH_3CHO$ . Кетон VI получен гидролизом описанного (см. РЖХим, 1959, № 17, 60920) 2-(4'-три-метилсилилфенил)-2-метил-1,3-диоксолана (VII) p-ром HCl в  $CH_3OH$ . При обработке VII большим избытком HCl образуется  $(n-CH_2COC_6H_4)_2Si(CH_3)_2$  (VIII). 26 г VII растворили в смеси 150 мл  $CH_3OH$  и 30 мл конц. HCl и через 30 мин. добавили 400 мл воды и экстрагировали бензолом VI, выход 53%, т. кип. 93—95°/1,5 мм,  $n_D^{20}$  1,5178. К p-ру 0,052 ммольа VI в 40 мл  $CH_3OH$  прибавили p-р 0,06 ммольа  $NaBH_4$  в 20 мл  $CH_3OH$  (25—30°), через 20 час. добавили 300 мл 2%-ной HCl и экстрагировали эфиром V, выход 72%, т. кип. 110—111°/4,5 мм, т. пл. 46—47°. К III [из 0,6 ммольа  $n-(CH_2=CH)C_6H_4Cl$ ] прибавили p-р 0,54 ммольа IV в 225 мл тетрагидрофурана, после кипячения 15 мин. внесли 1 г гидроксидона и размешивали 1 час, смесь обрабатывали льдом, выход I 62%, т. кип. 120—136°/25 мм,  $n_D^{20}$  1,5218. При дегидратации V  $KHSO_4$  (240°, 25 мм) выход I 43%. К p-ру 0,28 ммольа I в 300 мл  $C_6H_6$  прибавили (0°) 0,30 ммольа  $C_6H_5CO_2H$  (0,5 M p-р в  $C_6H_6$ ), получили II, выход 50%, т. кип. 105—108°/8 мм,  $n_D^{20}$  1,5150. К p-ру 0,361 ммольа VII в 4,8 л  $C_6H_6$  добавили 800 мл конц. HCl, через 1 час p-р влили в 15 л воды и экстрагировали бензолом VIII, выход 87%, т. пл. 77,5—78° (из  $CH_3OH$ ). Восстановлением VIII  $NaBH_4$  получен  $(n-CH_2CH(OH)C_6H_4)_2Si(CH_3)_2$ , выход 91%, т. пл. 97—98° (из  $изо-C_6H_7OH$ ); строение полученных в-в подтверждено данными ИК-спектров.

В. Вавер  
6Ж263. Термическая теломеризация олефинов с силанами. Фрейдлина Р. Х., Чукотская Е. С., Каранетян Ш. А., Несмеянов А. Н., «Изв. АН СССР. Отд. хим. н.», 1960, № 4, 662—668.—Изучена термическая теломеризация  $C_2H_4$  с  $CH_3SiHCl_2$  (I) и  $(C_6H_5)_3SiH$  (II), а также  $C_3H_6$  с I.  $C_3H_6$  присоединяет I против

правила Марковникова. Р-ция, по-видимому, по цепному механизму происходит одинаково в стекле и в стали и не катализируется стенками автоклава или солями металлов. Выход теломеров зависит от т-ры и соотношения реагентов. Повышение т-ры приводит к возрастанию содержания низших теломеров; увеличение кол-ва олефина ведет к противоположным результатам. Изменение давления в пределах 50—150 ат мало влияет на состав смеси теломеров. Смесь 0,1 моля I и 0,18 моля  $C_2H_4$  нагревают в запаянной ампуле (320—340°, 40—50 ат, 3 часа). При разгонке смеси выделены фракции, содержащие в основном, помимо I,  $(CH_3)_2(C_2H_5)SiCl_2$  и  $(CH_3)(n-C_4H_9)SiCl_2$ . Аналогичная конверсия I (46%) установлена при взаимодействии 1 моля I и 2,7 моля  $C_2H_4$  в стальном автоклаве (340°, 50 ат, 40 мин.). Смесь 32 г II, 30 мл гексана и 25 г  $C_2H_4$  нагревают 12 час. при 290—300° в автоклаве (100—65 ат) и после обычной обработки выделяют 13 г в-ва с т. кип. 150—165°/0,46 мм, т. пл. 68—70° (из сп.), и 8 г в-ва с т. кип. 165—180°/0,4 мм, т. пл. 81—82° (из петр. эф.). По данным спектрального анализа эти в-ва представляют собой  $C_2H_5Si(C_6H_5)_3$  и  $C_4H_9Si(C_6H_5)_3$ . Из остатка, нерастворимого в спирте и петр. эфире, выделен  $(C_6H_5)_3SiOSiO(C_6H_5)_3$ , т. пл. 224° (из бэл.). Из смеси 65 г I, 50 мл  $C_3H_6$  и 0,1 мл р-ра 0,00865 г  $H_2PtCl_6$  в изо- $C_3H_7OH$  через 1 час (20°) выделяют 77 г  $C_3H_8$  в  $n-C_3H_7SiCl_2$  (III), т. кип. 123—124°,  $n_D^{20}$  1,4230,  $d_4^{20}$  1,0432; метилирование III реактивом Гриньяра ведет к  $n-C_3H_7Si(CH_3)_3$  (IV), т. кип. 88,5—89°,  $n_D^{20}$  1,3925,  $d_4^{20}$  0,7020; III получают также термич. теломеризацией  $C_3H_6$  с I; другим продуктом р-ции (после метилирования) является  $C_6H_5SiSi(CH_3)_3$ , т. кип. 82—83°/60 мм,  $n_D^{20}$  1,4171,  $d_4^{20}$  0,7493. Влияние конц-ии  $C_2H_4$  на состав смеси теломеров  $CH_3SiCl_2(CH_2CH_2)_nH$  (V) при других равных условиях (300 + 10°, 150 + 5 ат, 0,5—2 часа) характеризуется следующими данными [приведены молярные отношения  $C_2H_4$ :I, содержание V ( $n = 1, 2, 3, > 3$ ) в % на сумму всех продуктов]; 0,75, 70, 17, 8, 5; 3,4, 34, 23, 19, 24; 9, 18, 17, 17 48. Влияние т-ры видно из следующих данных [приведены т-ра в °C, время в мин., конверсия I в %, содержание V ( $n = 1, 2, 3, > 3$ ) в %]: 285, 120, 44, 36, 26, 15, 23; 320, 10, 77, 45, 30, 11, 14; 350, —, 88, 54, 27, 13, 7. Приведем данные спектров комб. расс. света III и IV.

Г. Модарев  
6ЖК264. Синтез и свойства дисилилазещенных этиленов. Миронов Н. Ф. «Гласник Хем. друштва», 1958—1959, 23—24, № 1-2, 23—28 (русс.; рез. серб.-хорв.). —Описание получение  $(\text{CH}_3)_3\text{SiCH}=\text{CHSi}(\text{CH}_3)_3$  (I) (т. кип.  $145^\circ$ ,  $n_D^{20}$  1,4310,  $d_4^{20}$  0,7589):  $\text{Cl}_3\text{Si}(\text{CH}_2)_2\text{SiCl}_3 \rightarrow \text{Cl}_3\text{SiCHSiCH}_2\text{SiCl}_3$  (II)  $\rightarrow \text{Cl}_3\text{SiCH}=\text{CHSiCl}_3$  (III)  $\rightarrow$  I, а также конденсаций  $(\text{CH}_3)_3\text{SiCH}=\text{CHCl}$  с  $(\text{CH}_3)_3\text{SiCl}$  (IV) в присутствии Na. При аналогичной конденсации  $\text{SiCH}=\text{CHCl}$  с IV неожиданно образуется  $(\text{CH}_3)_3\text{SiC}\equiv\text{CSi}(\text{CH}_3)_3$ , т. кип.  $134^\circ$ ,  $n_D^{20}$  1,4260,  $d_4^{20}$  0,7703. Конденсация  $(\text{CH}_3)_3\text{SiC}(\text{Cl})=\text{CH}_2$  с IV в присутствии Na или Mg ведет к  $[(\text{CH}_3)_3\text{Si}_2\text{C}=\text{CH}_2]$  (V), изомерному I. В-во I является транс-формой, обладает повышенной реакционной способностью. При дегидрохлорировании II действием  $\text{AlCl}_3$  образуется в-во с т. пл.  $-10^\circ$ , дегидрохлорирование II хинолином дает III с т. пл.  $36^\circ$ . После метилирования в-ва с т. пл.  $-10^\circ$ , действием  $\text{CH}_3\text{MgCl}$  получена смесь I и V, при метилировании в-ва с т. пл.  $36^\circ$  образуется I. При дегидраталогенировании  $\text{Cl}_3\text{SiCHXCH}_2\text{X}$  ( $\text{X} = \text{Cl}, \text{Br}$ ) хинолином отщепляет  $\beta$ -атом Br,  $\text{AlCl}_3$  отщепляет  $\alpha$ -атом Br.  $\alpha$ - и  $\beta$ -бромвинилтриметилсиланы в тетрагидрофуране образуют реакционноспособные Mg-органич. соединения. Обсуждается механизм перегруппировки. Г. М.  
6ЖК265. Относительная реакционная способность некоторых алкенилсиланов при их взаимодействии с трихлорсиланом. Миронов В. Ф., Щуковская Л. Л. «Изв. АН СССР. Отд. хим. н.», 1960, № 4, 760—762. —Исучена реакционная способность ряда ал-

кенилсиланов в р-циях присоединения к ним HSiCl<sub>3</sub> (I). Накопление атомов Cl у атома Si способствует присоединению I к алкиламещ. спланам и тормозит присоединение I к винилзамещ. силанам. Описан синтез R<sub>2</sub>(CH<sub>3</sub>)SiCH=CH<sub>2</sub> (IIа—д, где α R = C<sub>2</sub>H<sub>5</sub>, β R = n-C<sub>4</sub>H<sub>9</sub>, γ R = n-C<sub>6</sub>H<sub>13</sub>, δ R = α-C<sub>6</sub>H<sub>5</sub>). R-n-C<sub>4</sub>H<sub>9</sub>MgBr (из 300 г n-C<sub>4</sub>H<sub>9</sub>Br) добавляют 130 г CH<sub>3</sub>(CH=CH<sub>2</sub>)SiCl<sub>2</sub>, через 24 часа кипятят 8 час., разлагают 10%-ной HCl и из эфирного р-ра после обычной обработки выделяют IIв (здесь и далее для полученных в-в приведены выход в %, т. кип. в °С/мм, n<sub>D</sub><sup>20</sup>, d<sub>4</sub><sup>20</sup>): 66,5, 85–86/15, 1,4390, 0,7810. Аналогично получены IIа, 70, 116,6/750, 1, 4,225, 0,7504; IIб, 55,5, 158/742, 1,4330, 0,7664; IIг, 51, 128,5–129/1, 4,5746, 0,9972; IIд, 22, 238,5/3, т. пл. 136,5–137,5°, —, —. К смеси 0,18 моля CH<sub>2</sub>=CHSiCl<sub>3</sub> (III), 0,18 моля CH<sub>2</sub>=CHCH<sub>2</sub>SiCl<sub>3</sub> (IV) и 0,5 мл 0,1 н. H<sub>2</sub>PtCl<sub>6</sub>·6H<sub>2</sub>O в изо-C<sub>3</sub>H<sub>7</sub>OH добавляют 0,18 моля I (<100°), кипятят 1 час и перегоняют; в р-цию входит 60,5% III и 40% IV. Аналогичное взаимодействие смеси 0,257 моля III и 0,257 моля IIа с 0,257 моля I приводит к взрывчатому в р-цию 22,7% III и 77% IIа. При взаимодействии 56,8 г IV и 37 г (CH<sub>3</sub>)<sub>2</sub>SiCH<sub>2</sub>CH=CH<sub>2</sub> (V) с 44 г I в р-цию вступает 60% IV и 40% V. К ~5 мл смеси (47 г IIг и 35 г CH<sub>3</sub>SiH<sub>2</sub>Cl) добавляют 0,5 мл катализатора (100–120°), нагревают 2 часа при 150° и выделяют (C<sub>6</sub>H<sub>5</sub>)<sub>2</sub>CH<sub>2</sub>Si(CH<sub>2</sub>)<sub>2</sub>Si(CH<sub>3</sub>)Cl<sub>2</sub>, 85, 171–173/1,5, 1,5561, 1,1134. Аналогично получают (C<sub>6</sub>H<sub>5</sub>)<sub>2</sub>CH<sub>2</sub>Si(CH<sub>2</sub>)<sub>2</sub>Si(CH<sub>3</sub>)Cl<sub>2</sub>, 85, 171–173/1,5, 1,5561, 1,1134. Аналогично получают (C<sub>6</sub>H<sub>5</sub>)<sub>2</sub>CH<sub>2</sub>Si(CH<sub>2</sub>)<sub>2</sub>Si(C<sub>6</sub>H<sub>5</sub>)Cl<sub>2</sub>, —, 213,5–214,5/4, 4,5740, 1,0111; (C<sub>6</sub>H<sub>5</sub>)<sub>2</sub>CH<sub>2</sub>Si(CH<sub>2</sub>)<sub>2</sub>Si-CH<sub>2</sub>(C<sub>6</sub>H<sub>5</sub>)<sub>2</sub>, 50, 290–292/3, т. пл. 85–86°, —, —; (α-C<sub>10</sub>H<sub>7</sub>)<sub>2</sub>CH<sub>2</sub>Si(CH<sub>2</sub>)<sub>2</sub>Si(CH<sub>3</sub>)Cl<sub>2</sub>, 65, 259–260/2, —, —; (α-C<sub>10</sub>H<sub>7</sub>)<sub>2</sub>CH<sub>2</sub>Si(CH<sub>2</sub>)<sub>2</sub>Si(CH<sub>3</sub>)<sub>3</sub>, 60, 226/1, —, —. Г. М. БЖ266.

**Реакции кремнийсодержащих аминокосециней.** Shiina Kyo, Kumada Makoto. Koré nagaku dassai, Kogyo kagaku zasshi, J. Chem. Soc. Japan. Industr. Chem. Sec., 1960, 63, № 1, 173–175, А 9 (японск.; реэ. англ.). Изучено присоединение (CH<sub>3</sub>)<sub>2</sub>-SiCH<sub>2</sub>NH<sub>2</sub> (I), [(CH<sub>3</sub>)<sub>2</sub>SiCH<sub>2</sub>NH] (II), NH<sub>2</sub>(CH<sub>2</sub>)<sub>2</sub>Si-(CH<sub>3</sub>)<sub>3</sub> (n-OC<sub>2</sub>H<sub>5</sub>)<sub>n</sub> (III, где n = 0, 2, 3), NH<sub>2</sub>(CH<sub>2</sub>)<sub>2</sub>Si-(CH<sub>3</sub>)<sub>3</sub> (IV) и NH<sub>2</sub>(CH<sub>2</sub>)<sub>4</sub>Si(CH<sub>3</sub>)(OC<sub>2</sub>H<sub>5</sub>)<sub>2</sub> (V) к метилметакрилату (VI) и этилакрилату (VII). Во всех случаях, за исключением р-ций II с VI и III (n = 3) с VII, образуются продукты присоединения, в которых атом N присоединен к концевому атому С ненасыщен связей в VI и VII. Строение продуктов присоединения II к VI и III (n = 3) к VII (в этом случае получено два в-ва) не установлено. Легкость присоединения силиламинов к VI и VII связана с основностью аминов. Смесь эквимольных кол-в I—V и VI или VII, небольших кол-в гидрохинона и NH<sub>4</sub>Cl нагревают (~100°, 2–3 дня), в случае I, III (n = 0) или IV и VII выдерживают смесь при ~20° и выделяют продукты присоединения (даны исходные продукты, продукт р-ции, выход в %, т. кип. в °С/мм, n<sub>D</sub><sup>20</sup>, d<sub>4</sub><sup>20</sup>): I и VI, (CH<sub>3</sub>)<sub>2</sub>SiCH<sub>2</sub>NHCH<sub>2</sub>CH(CH<sub>3</sub>)COOCH<sub>3</sub>, 23,7, 98/16, 1,4362, 0,9064; I и VII, (CH<sub>3</sub>)<sub>2</sub>SiCH<sub>2</sub>NHCH<sub>2</sub>CH<sub>2</sub>COOC<sub>2</sub>H<sub>5</sub>, 60, 102–103/18, 1,4354, 0,9028; II и VI, строение неустановлено, в ИК-спектре имеются линии C=O (5,78 μ) и вторичной аминогруппы (3,02, 6,12 μ), мол. вес подходит к продукту присоединения при аммонолизе, —, 125–127/0,5, 1,4651, 0,900; II и VII, [(CH<sub>3</sub>)<sub>2</sub>SiCH<sub>2</sub>NCH<sub>2</sub>CH<sub>2</sub>COOC<sub>2</sub>H<sub>5</sub>, 81,5, 129–130/12, 1,4468, 0,8849; III (n = 0) и VI, (CH<sub>3</sub>)<sub>2</sub>Si(CH<sub>2</sub>)<sub>2</sub>NHCH<sub>2</sub>CH(CH<sub>3</sub>)COOCH<sub>3</sub>, 58,3, 126–130/12, 1,4425, 0,8990; III (n = 0) и VII, (CH<sub>3</sub>)<sub>2</sub>Si-(CH<sub>2</sub>)<sub>2</sub>NHCH<sub>2</sub>CH<sub>2</sub>COOC<sub>2</sub>H<sub>5</sub>, 76,7, 128–130/11, 1,4421, 0,9017; IV и VI, (CH<sub>3</sub>)<sub>2</sub>Si(CH<sub>2</sub>)<sub>2</sub>NHCH<sub>2</sub>CH(CH<sub>3</sub>)COOCH<sub>3</sub>, 51,7, 134–137/11,5, 1,4433, 0,8960; IV и VII, (CH<sub>3</sub>)<sub>2</sub>Si-(CH<sub>2</sub>)<sub>2</sub>NHCH<sub>2</sub>CH<sub>2</sub>COOC<sub>2</sub>H<sub>5</sub>, 61,5, 136–139/11, 1,4431, 0,8948; III (n = 2) и VI, (CH<sub>3</sub>)(C<sub>2</sub>H<sub>5</sub>O)<sub>2</sub>Si(CH<sub>2</sub>)<sub>2</sub>NHCH<sub>2</sub>CH(CH<sub>3</sub>)COOCH<sub>3</sub>, 35,5, 110–113/1, 1,4385, 0,9729; III (n = 2) и VII, (CH<sub>3</sub>)(C<sub>2</sub>H<sub>5</sub>O)<sub>2</sub>Si(CH<sub>2</sub>)<sub>2</sub>NHCH<sub>2</sub>CH<sub>2</sub>COOC<sub>2</sub>H<sub>5</sub>, 64, 135–137/3,5, 1,4440, 0,9710; III (n = 3) и V,







62476. Синтез фосфорорганических соединений из углеводородов и их производных. XIV. Окислительное хлорфосфорирование хлористого винила метилдихлорфосфинем и получение некоторых эфиров дикалхлорфосфиновых кислот. Зиновьев Ю. М., Соболевский Л. З. «Ж. общ. химии», 1960, 30, № 5, 1571—1573.—Реакцией  $\text{CH}_2=\text{CHCl}$  (I) с  $\text{CH}_3\text{PCl}_2$  (II) и O<sub>2</sub> получены  $\text{CH}_3(\text{C}_2\text{H}_3\text{Cl}_2)_2\text{P(O)Cl}$  (III) и  $\text{CH}_3(\text{CICH}=\text{CH})\text{P(O)Cl}$  (IV). Образование IV объясняется частичным гидрохлорированием III. Р-цией III, IV и  $\text{CH}_3(\text{C}_2\text{H}_7)_2\text{P(O)Cl}$  со спиртами получены соответственно  $\text{CH}_3(\text{C}_2\text{H}_3\text{Cl}_2)_2\text{P(O)OR}$  (VI),  $\text{CH}_3(\text{CICH}=\text{CH})\text{P(O)OR}$  (VII) и  $\text{CH}_3(\text{C}_2\text{H}_7)_2\text{P(O)OR}$  (VIII). Через смесь 2,72 моля I и 1,03 моля II при  $-20^\circ$  пропускают O<sub>2</sub> до прекращения р-ции и выделяют III и IV. В типовом опыте к 45 мл  $\text{C}_2\text{H}_5\text{ON}$  при  $-5^\circ$  приливают 0,036 моля III. К р-ру 0,033 моля IV в 50 мл эфира при 0° добавляют 2,84 моля  $\text{C}_2\text{H}_5\text{Na}$  и выделяют  $\text{CH}_3(\text{CICH}=\text{CH})\text{P(O)}(\text{SC}_2\text{H}_5)$  (VIII). Приведены в-во, выход в %, т. кип. в  $^{\circ}\text{мм}$ ,  $n_D^{20}$ ,  $d_4^{20}$ : III, 61, 105—107/4, 1,4960, 1,4820; IV, —, 70—75/4, 1,4950, 1,3657; для V приведены R:  $\text{C}_2\text{H}_5$ , 21,8, 95—100/4, 1,4668, 1,3432;  $\text{C}_2\text{H}_5$ , 61,3, 88—92/2, 1,4560, 1,2272;  $n\text{-C}_3\text{H}_7$ , 47,5, 94—96/2, 1,4530, 1,2412;  $\text{изо-C}_3\text{H}_7$ , 224, 110—112/5, 1,4530, 1,2423;  $n\text{-C}_4\text{H}_9$ , 33,5, 122—126/3, 1,4570, 1,2087;  $\text{изо-C}_4\text{H}_9$ , 27,4, 115—120/3, 1,4560, 1,2096; для VI:  $\text{C}_2\text{H}_5$ , 74,5, 55—58/2,5, 1,4520, 1,1533; для VII:  $\text{C}_2\text{H}_5\text{Cl}$ , 57, 113—114/4, 1,4595, 1,1574;  $\text{CH}(\text{CH}_3)_2\text{Cl}$ , 3, 66, 135—139/2, 1,4715, 1,2114; VIII, 19,7, 80—85/2, 1,5250, 1,2360. Сообщение XIII см. РЖХим, 1960, № 18, 73502.

В. Гиларов  
6ЖК277. Эфиры арилсульфонимидофенилфосфиновых кислот. Шевченко В. И., Стратенко В. Т. «Ж. общ. химии», 1960, 30, № 5, 1561—1565.— Реакцией  $\text{ArSO}_2\text{N}=\text{P}(\text{C}_6\text{H}_5)(\text{OR})_2$  (I) с  $\text{RONa}$  получены  $\text{ArSO}_2\text{N}=\text{P}(\text{C}_6\text{H}_5)(\text{OR})_2$  (II). При гидролизе II образуются  $\text{ArSO}_2\text{NHP}(\text{O})(\text{C}_6\text{H}_5)(\text{OR})$  (III). К р-ру 5 ммолей I в 25 мл  $\text{C}_6\text{H}_6$  при перемешивании и охлаждении прибавляют р-р  $\text{RONa}$  (из 10 ммолей Na в 15 мл  $\text{ROH}$ ) ( $<10^\circ$ ), добавляют 100—150 мл воды и из р-ра в  $\text{C}_6\text{H}_6$  выделяют II. К 2 ммольям II добавляют 25 мл 0,4 н. водно-спирт. р-ра  $\text{NaOH}$ , нагревают 3 часа, спирт отгоняют в вакууме и подкислением выделяют III (метод А). К р-ру  $\text{RONa}$  (из 10 ммолей Na в 10 мл  $\text{ROH}$ ) прибавляют по каплям р-р 3 ммолей I в 10 мл  $\text{C}_6\text{H}_6$ , нагревают 30 мин. при  $50^\circ$ ,  $\text{C}_6\text{H}_6$  и  $\text{ROH}$  отгоняют в вакууме, остаток растворяют в 10 мл воды и подкисляют (метод Б). К 0,01 моля сухого  $\text{C}_6\text{H}_5\text{ONa}$  прибавляют 5 ммолей I в 25 мл  $\text{C}_6\text{H}_6$ , нагревают 1 час,  $\text{C}_6\text{H}_6$  удаляют в вакууме и выделяют II ( $\text{R} = \text{C}_6\text{H}_5$ ). К 3—4 ммольям II ( $\text{R} = \text{C}_6\text{H}_5$ ) прибавляют 250 мл 0,02 н. водно-спирт. р-ра  $\text{NaOH}$ , нагревают 3 часа, спирт отгоняют в вакууме, подкисляют и выделяют III ( $\text{R} = \text{C}_6\text{H}_5$ ). Далее перечисляются для II Ar, выход в %, т. пл. в  $^\circ\text{C}$  ( $\text{R} = \text{CH}_3$ ):  $\text{C}_6\text{H}_5$ , 86,3, 48;  $o\text{-CH}_3\text{C}_6\text{H}_4$ , 78,7, 59;  $n\text{-CH}_3\text{C}_6\text{H}_4$ , 76,8, 65;  $o\text{-ClC}_6\text{H}_4$ , 78, 79;  $\beta\text{-C}_{10}\text{H}_7$ , 84, 95;  $o\text{-NO}_2\text{C}_6\text{H}_4$ , 67, 49;  $m\text{-NO}_2\text{C}_6\text{H}_4$ , 68,1, 64; ( $\text{R} = \text{C}_2\text{H}_5$ ):  $\text{C}_6\text{H}_5$ , 80,1, жидкость;  $o\text{-CH}_3\text{C}_6\text{H}_4$ , 78,7, 100—102;  $n\text{-CH}_3\text{C}_6\text{H}_4$ , 80,4, жидкость;  $o\text{-C}_{10}\text{H}_7$ , 87,9, 85;  $\beta\text{-C}_{10}\text{H}_7$ , 81, жидкость;  $o\text{-NO}_2\text{C}_6\text{H}_4$ , 64,7, жидкость;  $m\text{-NO}_2\text{C}_6\text{H}_4$ , 62,8, жидкость; то же для III ( $\text{R} = \text{CH}_3$ ) метод А, перекристаллизация из водн. спирта):  $n\text{-CH}_3\text{C}_6\text{H}_4$ , 86,2, 156—157;  $o\text{-C}_{10}\text{H}_7$ , 97,8, 155—157; ( $\text{R} = \text{C}_2\text{H}_5$ ):  $n\text{-CH}_3\text{C}_6\text{H}_4$ , 90,9, 167—168;  $m\text{-NO}_2\text{C}_6\text{H}_4$ , 95,4, 140—143;  $\beta\text{-C}_{10}\text{H}_7$ , 77,7, 195—197; (метод Б,  $\text{R} = \text{CH}_3$ ):  $\text{C}_6\text{H}_5$ , 75, 172—173;  $o\text{-CH}_3\text{C}_6\text{H}_4$ , 81,2, 166—168;  $n\text{-CH}_3\text{C}_6\text{H}_4$ , 80, 156—157;  $o\text{-NO}_2\text{C}_6\text{H}_4$ , 91,5, 161—162;  $n\text{-NO}_2\text{C}_6\text{H}_4$ , 66,3, 175—176;  $n\text{-ClC}_6\text{H}_4$ , 67,5.

165–167;  $\alpha$ -C<sub>10</sub>H<sub>7</sub>, 80,6, 165–167;  $\beta$ -C<sub>10</sub>H<sub>7</sub>, 71,7, 165–166; (R = C<sub>6</sub>H<sub>5</sub>): C<sub>6</sub>H<sub>5</sub>, 96,1, 141–142; *o*-CH<sub>3</sub>C<sub>6</sub>H<sub>4</sub>, 97,1, 156–158; *m*-CH<sub>3</sub>C<sub>6</sub>H<sub>4</sub>, 86,7, 166–167; *n*-ClC<sub>6</sub>H<sub>4</sub>, 86,6, 158–160;  $\alpha$ -C<sub>10</sub>H<sub>7</sub>, 89,3, 148–150;  $\beta$ -C<sub>10</sub>H<sub>7</sub>, 86,8 195–197; (R = *n*-C<sub>3</sub>H<sub>7</sub>): C<sub>6</sub>H<sub>5</sub>, 84,1, 110–112; *o*-CH<sub>3</sub>C<sub>6</sub>H<sub>4</sub>, 90,9, 129–130; *n*-CH<sub>3</sub>C<sub>6</sub>H<sub>4</sub>, 97, 138–140; *n*-ClC<sub>6</sub>H<sub>4</sub>, 86,7, 130–134;  $\alpha$ -C<sub>10</sub>H<sub>7</sub>, 93,7, 137–139; для II (R = C<sub>6</sub>H<sub>5</sub>): C<sub>6</sub>H<sub>5</sub>, 80,6, 64–65; *o*-CH<sub>3</sub>C<sub>6</sub>H<sub>4</sub>, 73,8, 56–58; *n*-CH<sub>3</sub>C<sub>6</sub>H<sub>4</sub>, 82,4, 88–89; *n*-ClC<sub>6</sub>H<sub>4</sub>, 80,6, 88–89; *o*-NO<sub>2</sub>C<sub>6</sub>H<sub>4</sub>, 86,2, 112–113;  $\alpha$ -C<sub>10</sub>H<sub>7</sub>, 87,2, 118–120;  $\beta$ -C<sub>10</sub>H<sub>7</sub>, 72,3, 98–99; для III (R = C<sub>6</sub>H<sub>5</sub>): C<sub>6</sub>H<sub>5</sub>, 89,1, 144–146; *o*-CH<sub>3</sub>C<sub>6</sub>H<sub>4</sub>, 98,9, 130–131; *n*-CH<sub>3</sub>C<sub>6</sub>H<sub>4</sub>, 98,4, 155–157;  $\alpha$ -C<sub>10</sub>H<sub>7</sub>, 85,6, 165–166; *n*-ClC<sub>6</sub>H<sub>4</sub>, 99,1, 124–125; *n*-NO<sub>2</sub>C<sub>6</sub>H<sub>4</sub>, 98,2, 120–121.

6Ж278. Присоединение полных эфиров фосфористой и фосфинистых кислот к сопряженным системам. Х. Взаимодействие триалкилфосфитов с  $\pi$ ,  $\pi$ ,  $\pi$ -сопряженными системами. Кухтин В. А., Орехова В. М. «Ж. общ. химии», 1960, 30, № 5, 1526—1529.— При р-ции  $(RO)_3P$  (**Ia**—**6**, где  $a$  R =  $C_2H_5$ ,  $b$  R =  $iso-C_3H_7$ ) с *транс*-дибензоэплатиленом (**II**) в мягких условиях образуется, по-видимому, промежуточный продукт присоединения, аналогичный аддукту **I** с  $n$ -хинонами (см. сообщение IX, РЖХим, 1961, 27К250). При гидролизе аддукта образуется  $C_6H_5COC_2H_4COC_6H_5$ ; при нагревании получен 2,5-дифенилфторан (**III**). **Ia** с *цис*-**II** реагирует аналогично. Главным продуктом р-ции **Ia** с  $CH_2=CHCN=CHCOOH$  (**IV**) является фосфорсодержащий теломер; при р-ции **Ib** с **IV** образуется только теломер. К **8 г транс-II** добавляют **6 г Ia**, трубку запаивают, через 30 мин. образуется гомог. р-р. смесь нагревают 5 час. при  $120^\circ$  и выделяют  $(C_2H_5O)_3PO$ , выход 30,7%,  $n_D^{20}$  1,4  $\pm$  III, т. кип.  $138-142^\circ/0,0125$  мм, т. пл.  $89-90^\circ$ . К р-ру **7 г IV** в эфире (стабилизирована гидрохиноном) добавляют **11,8 г Ia** и нагревают 15 час., выход  $(C_2H_5O)_2P(O)CH_2CN=CHCN_2COOC_2H_5$  (см. РЖХим. 1958, № 24, 81710) 5,9%.

**6Ж279.** Винильные соединения трех- и пятивалентной сурьмы. Несмеянов А. Н., Борисов А. Е., Новикова Н. В. «Изв. АН СССР. Отд. хим. н.», 1960, № 5, 952.—RMgBr (везде R — винил) с  $\text{SbCl}_3$  в тетрагидрофуране образует  $\text{R}_3\text{Sb}$ , т. кип.  $46^\circ/15 \text{ мм}$ ,  $n_D^{20} 1,5614$ ,  $d_4^{20} 1,4341$ , которая с  $\text{Br}_2$  в  $\text{CHCl}_3$  дает  $\text{R}_3\text{SbBr}_2$ , т. кип.  $117^\circ/1 \text{ мм}$ ,  $n_D^{20} 1,6400$ ,  $d_4^{20} 2,1152$ . Взаимодействием  $\text{RMgBr}$  с  $\text{R}_3\text{SbBr}_2$  получена  $\text{R}_5\text{Sb}$ ,  $n_D^{20} 1,5590$ ,  $d_4^{20} 1,2986$ , действием  $\text{Br}_2$  переведенная в  $\text{R}_3\text{SbBr}$ . т. пл.  $53-54^\circ$ . В. Гиларов

**6Ж280. Диазогексахлортеллуриды.** Dobrowolski Jan, Korewa Ryszard. Sześciochlorotellurowy dwaazoniowe. «Roczn. chem.», 1960, **34**, № 2, 367—374 (польск.; рез. русск., англ.).—При действии  $\text{H}_2\text{TeCl}_6$  (I) на р-р  $\text{ArN}_2\text{X}$  при  $0-10^\circ$  синтезируются ( $\text{ArN}_2$ )  $\text{TeCl}_6$  (IIa—ж, где а  $\text{Ar} = \text{C}_6\text{H}_5$ , б  $\text{Ar} = \alpha\text{-C}_{10}\text{H}_7$ , в  $\text{Ar} = 3\text{-NO}_2\text{C}_6\text{H}_4$ , г  $\text{Ar} = 4\text{-NO}_2\text{C}_6\text{H}_4$ , д  $\text{Ar} = 2\text{-NO}_2\text{C}_6\text{H}_4$ , е  $\text{Ar} = 3\text{-ClC}_6\text{H}_4$ , ж  $\text{Ar} = 4\text{-ClC}_6\text{H}_4$ ). Полученные в аналогичных условиях II ( $\text{Ar} = 3\text{-HOC}_6\text{H}_4$ ) (IIa) и II ( $\text{Ar} = 3\text{-C}_2\text{H}_4\text{OOC}_6\text{H}_4$ ) (IIв) весьма неустойчивы и не были выделены в чистом состоянии. При р-ции I с  $\text{ArN}_2\text{X}$  из бензидина образуются в зависимости от условий различные окрашенные твердые в-ва. II из  $\text{ArN}_2\text{X}$  из  $2\text{-NH}_2\text{C}_6\text{H}_4\text{COOH}$  и  $4\text{-NH}_2\text{C}_6\text{H}_4\text{SO}_3\text{H}$  не получены. II обладают свойствами диазониевых солей и неорганич. гексахлортеллуридов. К 0,1 моля соответствующего амина прибавляют 33 мл конц.  $\text{HCl}$  и 30 мл воды, по охлаждению до  $0-5^\circ$  диазотируют насыщ. р-ром  $\text{NaNO}_2$ ; 12,8 г  $\text{Te}$  растворяют в 60 мл царской водки, выпаривают, прибавляют несколько раз по 5—10 мл конц.  $\text{HCl}$ , получают 50 мл р-ра I, который при  $0^\circ$  смешивают с р-ром  $\text{ArN}_2\text{Cl}$ , выделяется II (приводятся в-во, т. разл. в  $^\circ\text{C}$ , наибольшая конц-ия  $\text{HCl}$ , при которой начинается гидролиз, в молях/л, сравнительная растворимость в 20%-ной  $\text{HCl}$  при  $20^\circ$ ): IIa, 79, 2,5, 6; IIб, 101, 1,5, 2; IIв, 139,



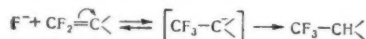
1,5, 2; Иг, 121, 2, 8; Ид, 131, 3, 5; Ие, 116, 1,5, 3; Иж, 145, 1, 1; Из, —, —, 9; Ии, —, —, 7. В. Скородумов  
 6Ж281. Некоторые новые успехи в химии фтора. E. meléus H. J. Some recent advances in fluorine chemistry. «Proc. Chem. Soc.», 1960, July, 234—239 (англ.).—Доклад на собрании Хим. общества в Белфасте 7 апреля 1960 г., посвященный обзору работ в области р-ции перфторалкильных радикалов с металлами и неметаллами. С. Иоффе

6Ж282. Реакция окислов азота с полифторированными этиленами. Получение и восстановление полифторированных нитрозосоединений. Гинсбург В. А., Привезенцева Н. Ф., Родионова Н. П., Дубов С. С., Макаров С. П., Якубович А. Я. «Ж. общ. химии», 1960, 30, № 7, 2406—2409.—Реакцией  $\text{CF}_2=\text{CF}_2$  (I) и  $\text{CFCl}=\text{CF}_2$  (II) с  $\text{N}_2\text{O}_3$  в газовой фазе или действием NO при УФ-облучении получены соответственно  $\text{NOCF}_2\text{CF}_2\text{NO}_2$  (III) и  $\text{NOCFClCF}_2\text{NO}_2$  (IV). Восстановлением III и IV действием HJ получен  $\text{NO}_2\text{CF}_2\text{CF}=\text{NOH}$  (V), по-видимому, через промежуточный  $[\text{NO}_2\text{CF}_2\text{CFXNHON}]$ , где X = F или Cl, с последующим отщеплением NH. Строение полученных в-в подтверждено данными ИК-спектров. В колбе емк. 6,5 л загрузили I и  $\text{N}_2\text{O}_3$  в отношении 1:1, выход III через 6 час. 42%, т. кип. 25°,  $d_{20}^{20}$  1,513. Так же выделяли 8,7 г  $(\text{NO}_2\text{CF}_2)_2$  с т. кип. 58°. В колбу емк. 13,15 л загрузили II и  $\text{N}_2\text{O}_3$  (1:1), выход IV через 4 часа 61%, т. кип. 57°,  $d_{20}^{20}$  1,3360,  $n_D^{20}$  1,557. После УФ-облучения (40 час.) смеси I и NO (1:2) выход III 35%. К смеси 8 г HJ в 20 мл эфира при  $<0^\circ$  добавляли по каплям 5 г III и оставляют на 30 мин., получают 2,2 г  $\text{V} \cdot \frac{1}{2} (\text{C}_2\text{H}_5)_2\text{O}$ , т. кип. 56°/50 мм,  $n_D^{20}$  1,3330,  $d_{20}^{20}$  1,350. Аналогичным образом из 5 г IV и 8 г HJ получают 2,7 г  $\text{V} \cdot \frac{1}{2} (\text{C}_2\text{H}_5)_2\text{O}$ . С. Иоффе

6Ж283. Реакция галогидов, окисл азота и полифторированных этиленов в ультрафиолете. Получение и термический распад полифторированных алифатических нитрозосоединений. Гинсбург В. А., Привезенцева Н. Ф., Шпанский В. А., Родионова Н. П., Дубов С. С., Хохлова А. М., Макаров С. П., Якубович А. Я. «Ж. общ. химии», 1960, 30, № 7, 2409—2415.—Реакцией  $\text{CF}_2=\text{CF}_2$  (I),  $\text{CF}_2=\text{CFCl}$  (II) и  $\text{CF}_2=\text{CFH}$  (III) с NO и  $\text{Cl}_2$  или  $\text{Br}_2$  при УФ-облучении и из  $\text{CFCl}=\text{CFCl}$  (IV) с NOCl без облучения получены  $\text{CF}_2\text{ClCF}_2\text{NO}$  (V),  $\text{CF}_2\text{ClCFClNO}$  (VI),  $\text{CF}_2\text{BrCF}_2\text{NO}$  (VII),  $\text{CF}_2\text{BrCFClNO}$  (VIII),  $\text{CF}_2\text{ClCFHNO}$  (IX) и  $\text{CFCl}_2\text{CFClNO}$  (X). Р-ция протекает по радикальному механизму и начинается атомарным Cl, возникающим под действием УФ-света. Восстановлением VI и VIII действием HJ получены  $\text{ClCF}_2\text{CF}=\text{NOH}$  (XI) и  $\text{BrCF}_2\text{CF}=\text{NOH}$  (XII), а при восстановлении IX образуются  $\text{CF}_2\text{ClCFHNOH}$  (XIII). При пиролизе V и  $\text{NO}_2\text{CF}_2\text{CF}_2\text{NO}$  (XIV) обнаружены  $\text{ClCF}_2\text{CF}_2\text{NO}_2$  (XV) и  $(\text{NO}_2\text{CF}_2)_2$  (XVI), а также  $\text{ClCF}_2\text{CF}_2\text{N}=\text{CFCF}_2\text{Cl}$  (XVII) и  $\text{NO}_2\text{CF}_2\text{CF}_2\text{N}=\text{CFCF}_2\text{NO}_2$  (XVIII). Строение полученных в-в подтверждено данными ИК- и масс-спектров. В колбе емк. 13 л облучают 15—18 час. смесь I, NO и  $\text{Cl}_2$  (1:1:0,5), выход V 38%, т. кип. —5°, наряду с 2,5 г  $(\text{CF}_2\text{Cl})_2$ , т. кип. 3,5°, п. XV, т. кип. 34°. Из II, NO и  $\text{Cl}_2$  (1:1:0,5) после облучения 40 час. получены VI (здесь и далее при описании в-в перечисляются выход в %, т. кип. в °C и (или) в °C/мм,  $n_D^{20}$ ,  $d_{20}^{20}$ ), 35, 36, —8/125, 1,3410, 2,042, и 6,3 г  $\text{CF}_2\text{ClCFCl}_2$ , т. кип. 48°. Из I, NO и  $\text{Br}_2$  (1:1:0,5) за 15—20 час. получают VII, 40, 18, —, 1,863, 11,8 г  $(\text{CF}_2\text{Br})_2$ , т. кип. 46°, и 4 г  $\text{BrCF}_2\text{CF}_2\text{NO}_2$ , т. кип. 58°. Из II, NO и  $\text{Br}_2$  (1:1:0,5) за 30—35 час. получены VIII, 3,5 г, 10,5/100, 1,3634, 1,665, и 6,3 г  $\text{CFClBrCF}_2\text{Br}$ , т. кип. 96°. Из III, NO и  $\text{Cl}_2$  (1:1:0,5) за 50 час. получают IX, выход 4,8 г, т. кип. 10°/432 мм. Из 35 г NOCl и 75 г IV в ампулах (8 суток,  $\sim 20^\circ$ ) получен X, 13 г, 81,5, 1,3975, 1,575. Нагреванием в металлах. пробирке 6,5 г V (4 часа, 120—130°) получены XVII, 42, 75, 1,3290, 1,621, и 1,5 г XV. Из 10 г XIV (5 час., 120—130°) получены

XVI, выход 50%, т. кип. 58—59°, и XVIII, 3 г, 52/50, 1,3520, 1,719. В 8 г техник. HJ и 25 мл эфира добавляют при  $<0^\circ$  по каплям 5 г VI, через 30—45 мин. выделяют XI  $\cdot \frac{1}{2} (\text{C}_2\text{H}_5)_2\text{O}$ , 2,2 г, 60/145, 1,360, 1,231. Из 5 г VIII и 8 г HJ получен XII  $\cdot \frac{1}{2} (\text{C}_2\text{H}_5)_2\text{O}$ , 46, 62,5/100, 1,3845, 1,5217. Из 5 г IX и 8 г HJ получен XIII  $\cdot \frac{1}{2} (\text{C}_2\text{H}_5)_2\text{O}$ , 0,8 г 36—38/50, 1,3735, 1,3504.

С. Иоффе  
 6Ж284. Реакции замещения и присоединения фторолефинов. IV. Реакции фторид-иона с фторолефинами. Miller William T., Jr., Fried John H., Goldwhite Harold. Substitution and addition reactions of the fluoroolefins. IV. Reactions of fluoride ion with fluoroolefins. «J. Amer. Chem. Soc.», 1960, 82, № 12, 3091—3099 (англ.).—Реакция  $\text{F}^-$  с фторолефинами может протекать в трех направлениях: замещение винильного галоида (р-ция А), замещение аллильного галоида с перегруппировкой ( $\text{S}_\text{N}2$ ) (р-ция Б) и присоединение HF. В качестве источников  $\text{F}^-$  использованы р-ры KF в  $\text{HCONH}_2$  (I) или  $(\text{C}_2\text{H}_5)_3\text{NF}$  (II) в  $\text{CHCl}_3$ ,  $\text{CH}_2\text{Cl}_2$  или ацетоне. В результате р-ции Б и  $\text{CF}_2=\text{CHCCl}_2\text{F}$  (III) и  $\text{F}^-$  получен  $\text{CF}_3\text{CH}=\text{CClF}$  (IV). Нуклеофильная активность ионов галоида в I убывает в ряду:  $\text{F}^- \gg \text{Cl}^- > \text{Br}^-$ ,  $\text{I}^-$ . В более жестких условиях  $\text{CClF}=\text{CFCClF}_2$  (V) с  $\text{F}^-$  образует  $\text{CF}_3\text{CH}_2\text{CF}_3$  (VI) через промежуточный  $\text{CClF}_2\text{CF}=\text{CF}_2$  (медианная стадия) с последующим превращением в  $\text{CF}_2=\text{CFCF}_3$  (VII), который присоединяет HF с образованием VI.  $\text{CClF}=\text{CClCF}_3$  (VIII) с  $\text{F}^-$  образует  $\text{CF}_3\text{CH}_2\text{CF}_3$  (IX); по-видимому, сначала по р-ции А образуется  $\text{CF}_2=\text{CClCF}_3$  (X), который с HF дает IX. В-во X удалось выделить при р-ции  $\text{CF}_2=\text{CClCClF}_2$  (XI) с II. Из  $\text{CBrF}_2\text{CF}=\text{CFBrF}_2$  (XII) в результате р-ции Б с последующим присоединением HF выделены  $\text{CF}_3\text{CF}=\text{CFCF}_3$  (III) и  $\text{CF}_3\text{CHFCF}_2\text{CF}_3$  (XIV). Так же выделен  $\text{CF}_3\text{CHFCF}_2\text{CBrF}_2$  (XV), а присутствие  $\text{CF}_3\text{CF}=\text{CFCBrF}_2$  доказано ИК-спектром. Перегруппировка, катализируемая  $\text{F}^-$ , изучена на примере  $n\text{-C}_5\text{F}_{11}\text{CF}=\text{CF}_2$  (XVI), причем образуется смесь  $n\text{-C}_4\text{F}_9\text{CF}=\text{CFCF}_3$  и  $n\text{-C}_4\text{F}_9\text{CF}=\text{CF}_2$ . Фторолефины с концевой  $\text{CF}_2$ -группой быстро присоединяют HF, к группировке  $-\text{CF}=\text{CF}-$  присоединение протекает медленнее. Приведены для р-ции с KF в I исходный oleфин, т-ра р-ции в °C, время р-ции в час., конечный продукт, выход в %:  $\text{CF}_2=\text{CClF}$ , 55, 30,  $\text{CF}_3\text{CHClF}$ , 72; VII, 25, 5, VI, 60; VII, 65, медленное пробульзывание через KF в I, VI, 21, X, 25, IX, 61; XIII, 81, 24, XIV,  $\sim 35$ . HF присоединяется че-



рез промежуточный фторкарбанион (см. схему). Из 1,29 моля  $\text{CCl}_3\text{I}$  и 1,02 моля  $\text{CH}_2=\text{CF}_2$  (115°, 36 час.) получен  $\text{CCl}_3\text{CH}_2\text{CF}_2\text{I}$  (XVIII) (здесь и далее при описании в-в перечисляются выход в %, т. кип. в °C/мм и (или) т. пл. в °C,  $n_D^{20}$ ,  $d_{20}^{20}$ ), 86,5, 78,3—78,5/22—37,5, 1,5089, 2,1157. Действием Zn в эфирном р-ре XVIII превращен в  $[\text{CCl}_3\text{CH}_2\text{CF}_2]_2$ , выход 88%, который при хлорировании дает  $(\text{CCl}_3\text{CH}_2\text{CF}_2)_2$  с т. пл. 116,7—118° (из гексана). К 0,5 моля XVII в 0,4 л  $(\text{C}_2\text{H}_5\text{OC}_2\text{H}_5)_2\text{O}$  при 150° добавляют 1 моль KOH в 70 мл воды, получают  $\text{CCl}_2=\text{CHCClF}_2$  (XVIII) (продукт изомеризации  $\text{CCl}_3\text{CH}=\text{CF}_2$ ), —, 95,5/749, —96,5, 1,4290, 1,5308. Фотохим. хлорированием XVIII превращен в  $\text{CCl}_3\text{CH}=\text{CClF}_2$ , 72, 168—169/746, 1,4640, —. Из 0,1 моля III и 40 г II в 250 мл  $\text{CHCl}_3$  (12,5 часа, 27°) получают 10,1 г IV, т. кип. 24—25°, 0,3 моля VIII и 0,88 моля KF в 0,5 л I нагревают 27 час. при 60°, выход IX 55%. Из 0,4 моля V и 1,5 моля KF в 0,5 л I при 52° и затем постепенным нагреванием до 65° в течение 3 дней получают 35 г VI, т. кип. —15,5°/718 мм, т. пл. —129,5° К. 0,218 моля XI в 89 г  $\text{CHCl}_3$  при —5° добавляют за 5 мин. охлад. до 0° р-р 28 г II в  $\text{CHCl}_3$ , получают

16,6 г X  
 для KF  
 Из 0,14  
 25°) п.  
 для XI  
 XIV, в  
 —, 57—  
 0,27 мо  
 наряду  
 14 мм  
 0,86 г  
 дуток  
 аом. Со  
 6Ж285  
 Взаимо  
 тами. Д  
 ваянц  
 1227—  
 RON по  
 ром RO  
 в R =  
 жуточн  
 следую  
 возмож  
 рый вз  
 разова  
 на Na  
 превра  
 с ани.  
 (VII).  
 SO<sub>2</sub>F  
 лям 4  
 водой,  
 и CH<sub>3</sub>  
 онсан  
 6Ж286  
 SO<sub>2</sub>F, d  
 получе  
 Из а-т  
 получа

1,5600.  
 лям и  
 спирта  
 IV, т.  
 10 мл  
 лучают  
 100° 4,  
 162—16  
 при 0°  
 получа  
 Сообщ  
 6Ж287  
 Получ  
 ский  
 «Изв.  
 В кач  
 SO<sub>2</sub> с  
 тону  
 (IV).  
 превра  
 60—70  
 ляющ

3 г, 52/50, гра добавля-  
45 мин. вы-  
1,231. Из 5 г  
48, 62,5/100  
лучен XII.  
04.

С. Иоффе  
исоединения  
фторолефи-  
John H.  
addition re-  
of fluoride  
с., 1960, 82

гетероцикла-  
замещение  
аллильного  
Б) и при-  
использо-

а) NF (II) в  
р-ции Б в  
= CF<sub>2</sub> (IV).  
а в I убыве-  
жесткость  
CF<sub>2</sub>CH<sub>2</sub>—  
= CF<sub>2</sub> (ме-  
нем в CF<sub>2</sub>—  
F с образо-

зывает CF<sub>2</sub>CH<sub>2</sub>—  
ни А обра-  
ет IX. В-во  
CF<sub>2</sub> (XI) с  
те р-ции Б  
ны CF<sub>2</sub>CF<sub>2</sub>—  
выделен  
F=CFBrBr<sub>2</sub>

агатализире-  
CF<sub>2</sub> (XVI).  
а в н-С<sub>6</sub>F<sub>5</sub>—  
CF<sub>2</sub>—группой  
—CF=CF—  
преданы для  
и в °C. пре-  
в: CF<sub>2</sub>—  
60; VII, 65,  
I, 21, X, 25,  
няется че-

н<

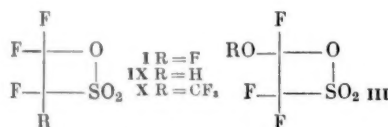
схему). По  
5°, 36 час.)  
е при оп-  
пл. в °C/мл  
3,3—78,5/22  
прим р-ре  
%, который  
пл. 116,7—  
(C<sub>2</sub>H<sub>5</sub>OCH<sub>2</sub>—  
10 мл водн.  
т изомери-

290, 1,538  
в CCl<sub>3</sub>CHCl—  
моля III в  
чают 10,1  
моля KF в  
X 55%. По  
2° и затем  
е 3 дня  
т. —129°  
авляют за  
получают

18,6 г X, т. кип. 6—7°/735 мм. Из 0,18 моля X и 0,26 моля KF в 165 мл I (6 час., 25°) получен IX, выход 61%. Из 0,14 моля VII и 0,19 моля KF в 85 мл I (5 час., 25°) получен VI, выход 59%. Из 1,66 моля KF и 0,31 моля XII в 100 мл C<sub>6</sub>H<sub>6</sub> и 0,5 л I (60°, 3 дня) выделены XIV, выход 24%, т. пл. —129°, а также XIII и XV, —57—59/745, —94, 1,3064, 1,8397. Из 0,19 моля XIII, 0,27 моля KF и 150 мл I (24 часа, 81°) получен XIV, наряду с CF<sub>3</sub>CFBrCFBrCF<sub>3</sub>, 10, 95—100/735, 1,3555, —14 ммоль XVI в 50 мл CHCl<sub>3</sub> добавляют при 0° к 0,86 г II в 20 мл CHCl<sub>3</sub>, образование изомерных продуктов р-ции установлено газохроматографич. анализом. Сообщение III см. РЖХим, 1959, № 21, 74806.

С. Иоффе

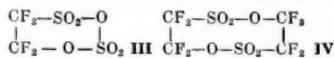
**6Ж285. Фторсодержащие β-сультоны. Сообщение 3.** Взаимодействие фторсодержащих β-сультонов со спиртами. Дмитриев М. А., Соколовский Г. А., Кнуцкий И. Л. «Изв. АН СССР. Отд. хим. н.», 1960, № 7, 1227—1230. — Реакцией тетрафторэтансультона (I) с ROH получены перегоняющиеся без разложения с паром ROCOCF<sub>2</sub>SO<sub>2</sub>F (IIa—в, где а R = CH<sub>3</sub>, б R = C<sub>2</sub>H<sub>5</sub>, в R = iso-C<sub>3</sub>H<sub>7</sub>). Высказано предположение о промежуточном образовании алкоксисультона (III) с последующим расщеплением цикла и отщеплением HF; возможна также изомеризация I в FCOCF<sub>2</sub>SO<sub>2</sub>F, который взаимодействует с ROH с отщеплением HF и образованием II. При действии C<sub>2</sub>H<sub>5</sub>ONa на IIб выделена NaOSO<sub>2</sub>CF<sub>2</sub>COOC<sub>2</sub>H<sub>5</sub> (IV), которая р-рами щелочи превращается в NaOSO<sub>2</sub>CF<sub>2</sub>COONa (V). Нагреванием IIб с анилином (VI) получен C<sub>6</sub>H<sub>5</sub>NHSO<sub>2</sub>CF<sub>2</sub>CONHC<sub>6</sub>H<sub>5</sub> (VII). При действии VI на I выделен C<sub>6</sub>H<sub>5</sub>NHCOCF<sub>2</sub>SO<sub>2</sub>F (VIII). К 18 г I при 0—5° прибавляют по каплям 4,6 г CH<sub>3</sub>OH, дважды промывают 20 мл ледяной водой, выход IIа 95%. С тем же выходом получен IIб. Выход IIв 93%. Из α-гидротрифторэтансультона (IX) в CH<sub>3</sub>OH получен CH<sub>3</sub>OCOCFHSO<sub>2</sub>F (здесь и далее при описании в-в перечисляются выход в %, т. кип. в °C, n<sub>D</sub><sup>20</sup>, d<sub>4</sub><sup>20</sup>), 95, 172—173, 1,3875, 1,5160. Из IX и спирта получен C<sub>2</sub>H<sub>5</sub>OCOCFHSO<sub>2</sub>F, 94, 179—180, 1,3880, 1,3959. Из α-трифторметилтрифторэтансультона (X) и CH<sub>3</sub>OH получен CH<sub>3</sub>OCOCF(CF<sub>3</sub>)SO<sub>2</sub>F, 92, 118—119, 1,3415,



1,5600. К 2,06 г IIб в 10 мл спирта добавляют по каплям при 45—50° р-р C<sub>2</sub>H<sub>5</sub>ONa (из 23 г Na и 10 мл спирта), разбавляют 80 мл эфира и отделяют 1,6 г IV, т. пл. 191—192° [из сп.-эф. (1:1)]. Р-р I, I и III в 10 мл воды нейтрализуют ~4,95 мл 1 н. NaOH и получают 0,9 г V с т. пл. > 300°. Нагревают 2 часа при 100° 4,1 г IIб в 5,6 г VI, получают 4,5 г VII с т. пл. 162—163° [из водн. сп. (1:1)]. К 4,5 г I в 20 мл эфира при 0° добавляют по каплям 2,3 г VI в 20 мл эфира, получают 4,5 г VIII с т. пл. 104—105° (из петр. эф.). Сообщение 2 см. РЖХим, 1961, 3Ж221. С. Иоффе

**6Ж286. Фторсодержащие β-сультоны. Сообщение 4.** Получение тетрафторэтан-β-пиросультона. Соколовский Г. А., Дмитриев М. А., Кнуцкий И. Л. «Изв. АН СССР. Отд. хим. н.», 1960, № 7, 1231—1234. — В качестве побочных продуктов р-ции α-модификации SO<sub>2</sub> с CF<sub>2</sub>=CF<sub>2</sub> (I), приводящей к тетрафторэтансультону (II), выделены продукт присоединения 2 молей SO<sub>2</sub> к 1 молю I пиросультоном (III) и циклодимер II (IV). Образование III и IV не связано с дальнейшими превращениями II в процессе р-ции, что доказано отсутствием взаимодействия II с SO<sub>2</sub> или II с I (2 часа, 60—70°). II также не реагирует с (CH<sub>3</sub>)<sub>2</sub>SO<sub>4</sub> (V), являющимся стабилизатором SO<sub>2</sub>. Образование III про-

текает по ионному механизму, причем IV образуется за счет межмолекулярной ассоциации 2 биполяр-



ных ионов. Образование III может быть связано также с примесью димерной формы SO<sub>2</sub>. При р-ции I с β-модификацией SO<sub>2</sub> (димерная форма) основным продуктом является III, а II побочным. 10 порций (23,2 г) остатка реакционной смеси I и SO<sub>2</sub> (стабилизированного V) после отгонки 163,4 г II подвергают фракционной разгонке в вакууме, получают 11 г III, т. кип. 105—106°, n<sub>D</sub><sup>20</sup> 1,3470, d<sub>4</sub><sup>20</sup> 1,7407 и 2,5 г IV, т. кип. 68—70°/129 мм, n<sub>D</sub><sup>20</sup> 1,3460, d<sub>4</sub><sup>20</sup> 1,7625. В автоклав охлажд. до —100° загружают 16 г кристаллич. SO<sub>2</sub> и 10 г I, нагревают 2 часа до 0—10° и 2 часа до 60° и получают III, выход 80%, и 1,8 г II. В-во III — бесцветная, дымящая жидкость, разъедает стекло, хорошо растворима в C<sub>6</sub>H<sub>6</sub>, CHCl<sub>3</sub> и CCl<sub>4</sub>, взаимодействует с водой, спиртами, к-тами и аминами. С. Иоффе

**6Ж287. Производные флуорена. VIII. Фторфлуорены. II. Fletcher T. Lloyd, Namkung Moses J., Pan Hsi-Lung, Wetzel William H. Derivatives of fluorene. VIII. Fluorofluorenes. II. «J. Organ. Chem.», 1960, 25, № 6, 996—1000 (англ.).** — Для изучения канцерогенного действия синтезированы фторпроизводные 2-ацетиамидофлуорена FC<sub>13</sub>H<sub>9</sub>NHCOCH<sub>3</sub>-2 (I) (F в положении 1, 4, 5 или 8). Из м-нитроанилина (II) через 2-амино-4-нитроидбензол (III) получен 2-фтор-4-нитроидбензол (IV), который в результате конденсации с o-BrC<sub>6</sub>H<sub>4</sub>COOR (V R = C<sub>2</sub>H<sub>5</sub> или CH<sub>3</sub>) с последующими гидролизом и циклизацией дал 2-нитро-4-фторфлуоренон-9 (VI); последний превращен в 2-амино-4-фторфлуоренон-9 (VII), 2-амино-4-фторфлуорен (VIII) и 4-И (здесь и далее цифра при I указывает на положение атома F). Синтез 5-И осуществлен, исходя из 4-аминофлуоренона (IX) через 4-фторфлуоренон (X), 2-нитро-5-фторфлуоренон (XI), 2-амино-5-фторфлуоренон (XII) и 2-амино-5-фторфлуорен (XIII). Кроме того, из X получен 4-фторфлуорен (XIV), а из XII получен 2-ацетиамидо-5-фторфлуоренон (XV). Из 2-нитро-8-аминофлуорена (XVI) через 2-нитро-8-фторфлуорен (XVII) и 2-амино-8-фторфлуорен (XVIII) получен 8-И. Не удалась попытка синтеза 8-И из 1-аминофлуоренона (XIX), который превращен через 1-фторфлуоренон (XX) в 2-нитро-8-фторфлуоренон (XXI). Последний также образуется при окислении XVII Na<sub>2</sub>C<sub>2</sub>O<sub>7</sub> в лед. CH<sub>3</sub>COOH. Из XVIII через 2-трифторацетиамидо-8-фторфлуорен (XXII), 2-трифторацетиамидо-7-нитро-8-фторфлуорен (XXIII), 2-амино-7-нитро-8-фторфлуорен (XXIV), 1-фтор-2-нитрофлуорен (XXV) и 1-фтор-2-аминофлуорен (XXVI) синтезирован 1-И. Кроме того, XXV окислен в 1-фтор-2-нитрофлуоренон (XXVII). Для изучения ориентирующего влияния фтора из 5-И получен 2-ацетиамидо-3-нитро-5-фторфлуорен (XXVIII) и после гидролиза 2-амино-3-нитро-5-фторфлуорен (XXIX), который превращен в известный 2-трифторацетиамидо-3-нитро-5-фторфлуорен (XXX). При попытке замещения аминогруппы в 1-амино-2-диметиламинофлуорене (XXXI) через соответствующий диазоборфторид (XXXII) в результате монометилирования образовался 2-метиламинофлуорен (XXXIII). Прибавляют к II по каплям за 6 час. при 80—82° небольшой избыток JCl с последующим нагреванием (18 час., 80°) и получают III (здесь и далее при описании в-в указаны выход в % и т. пл. в °C), 39—46, 160—161, 0,18 моля III в 160 мл 48—50%-ной HBF<sub>4</sub> диазотируют, образовавшийся диазоборфторид (выход 92,5%) в смеси с 2 объемами ч. песка нагревают в слабом вакууме 30 мин. при 167—170°, выделяется IV, 44, 128,5—129,5 (из CH<sub>3</sub>OH). Из 0,073 моля IV и 0,15 моля V в присутствии 60 г порошка Si в условиях конденсации по Ульману (при R = CH<sub>3</sub> при 215—220°; при

$R = C_2H_5$  на  $15-20^\circ$  ниже) с последующей обработкой (см. сообщение VII, РЖХим, 1961, 3ЖК227) образовался VI, 43, 196—197 (из бал.- $CH_3OH$ ). Смесь 0,95 г VI, 4 г  $SnCl_2 \cdot 2H_2O$ , 4 мл конц. HCl и 3 мл спирта кипятили 15 мин., осадок отделили, обработали 150 мл 2 н. NaOH и получили VII, 97, 251,5—252,5 (из толуола). Р-р 0,03 моля VII, 10,8 мл 85%-ного  $NH_2NH_2 \cdot H_2O$  и 4,6 г NaOH в 130 мл этиленгликоля нагревали 2,5 часа при  $178-180^\circ$  (т-ра бани) и 3,5 часа при  $210^\circ$  (т-ра бани) и после обработки холодной водой получили VIII, 90, 121—123,5 (из бал.), и 4-I, 93, 196—197,5 (из водн. сп.). Смесь 0,7 моля IX, 420 мл 48—50%-ной  $HBF_4$  в 250 мл воды нагрели до растворения и охладили до  $0-5^\circ$ , через 30 мин. после диазотирования отделили диазоборфторид, выход 93—98,5%; 39,6 г последнего в 1 л толуола нагревали при  $60-65^\circ$  до прекращения выделения газа, затем смесь нагрели до кипения и из фильтрата выделили X, 67, 161—162,5 (из сп.). При нагревании диазоборфторида IX в смеси с песком (45 мин.,  $80-85^\circ$ ) выход X 61%. Смесь 2 г X, 5 г красного P, 6 мл 48—50%-ной HJ и 50 мл  $CH_3COOH$  кипятили 40 час., остаток после отгонки р-рителя из фильтрата обработали кипящим петр. эфиром и получили XIV, 86, 38—39. К 80 мл лед.  $CH_3COOH$  и 80 мл  $HNO_3$  (d 1,50) при  $35^\circ$  медленно прибавили 16,6 г X, добавили 12 мл конц.  $H_2SO_4$ , причем т-ра поднялась до  $56^\circ$ , выделился XI, 65, 214,5—213. Смесь 0,205 моля XI, 200 г  $SnCl_2 \cdot 2H_2O$ , 200 мл конц. HCl и 125 мл спирта осторожно нагрели и после замедления р-ции кипятили 20 мин., осадок отделили, обработали 2 н. NaOH и получили XII, 90—97, 204—205 (из толуола); XV, —, 245—246. Смесь 0,047 моля XII, 22 г красного P, 30 мл 47%-ной HJ и 250 мл лед.  $CH_3COOH$  кипятили 24 часа, остаток после отгонки р-рителя обработали водой, профильтровали, обработали водн.  $NH_3$  и извлекли n-гексаном XIII, 48, 85—87, из которого получили 5-I, выход 87%. Восстановлением XII аналогично VII с последующим ацетилированием получили 49% 5-I. После диазотирования 25,2 г XVI в смеси 270 мл 48—50%-ной  $HBF_4$  и 270 мл 85%-ной  $H_3PO_4$  диазоборфторид немного прибавили к 400 мл кипящего толуола и после кипячения 1 час получили XVII, 75—80, 143—143,5 (из сп.). Из 12 г XVII, 12 г  $NH_2NH_2 \cdot H_2O$  и скелетного Ni в смеси 0,5 л толуола и 0,5 л спирта получили XVIII, 95, 139—139,5 (из лигр.), и 8-I, 189—190 (из сп.). Из 4 г XIX в смеси 22 мл  $HBF_4$  и 4 мл воды после диазотирования получили диазоборфторид (выход ~100%, т. разл. ~ $140^\circ$ ), который разложен нагреванием в 100 мл кислоты (1 час, кипячение), получили XX, 78,5, 110—111,5 (из сп.). К смеси 15 мл  $CH_3COOH$  и 15 мл  $HNO_3$  (d 1,5) при  $35^\circ$  прибавили 3 г XX и по растворении 3 мл конц.  $H_2SO_4$ , по охлаждении смесь разбавили водой и получили XXI, 74, 210—211 (из бал.). К р-ру 0,072 моля XVIII в 200 мл горячего  $C_6H_6$  медленно прибавили смесь 0,095 моля  $(CF_3CO)_2O$  (XXXIV) и 100 мл  $C_6H_6$  и после кипячения 20 мин. выделился XXII, 98, 195—195,5 (из сп.). К р-ру 23 г XXII в 230 мл лед.  $CH_3COOH$  при  $50^\circ$  прибавили 23 мл  $HNO_3$  (d 1,42) и затем при  $60^\circ$  3 мл конц.  $H_2SO_4$ , по охлаждению выделился XXIII, 71, 245—245,5 (из толуола). К взвеси 0,036 моля XXIII в 1 л кипящего спирта прибавили 30 мл водн. р-ра 5 г NaOH и смесь кипятили 15 мин., выделился XXIV, 94,5, 231—231,5 (из сп.). К смеси 160 мл конц. HCl и р-ра 0,035 моля  $NaNO_2$  в 20 мл воды за 10 мин. при  $0^\circ$  прибавили 0,019 моля XXIV и через 1 час ( $0^\circ$ ) добавили 160 мл охладж. 50%-ной  $H_3PO_4$ , после перемешивания (3 часа) и выдержки (36 час.,  $3^\circ$ ; 2 часа,  $40^\circ$ ; 16 час.,  $3^\circ$ ) отделили XXV, 60, 181—181,5 (из толуола). Восстановлением XXV получили XXVI, 96, 113—114 (из сп.); 4-I, 96, 182—183 (из сп.). К кипящему р-ру 1 г XXV в 30 мл лед.  $CH_3COOH$  прибавили 3 г  $Na_2Cr_2O_7$ , жидкость кипятили до объема 5 мл, добавили еще 30 мл лед.  $CH_3COOH$  и снова кипятили до объема 5 мл, выделился

XXVII, 75,5, 243,5—244 (из толуола). К р-ру 1 г 5-I в 10 мл лед.  $CH_3COOH$  при  $50^\circ$  прибавили 1 мл  $HNO_3$  (d 1,42) и жидкость нагрели до  $55^\circ$ , образовался XXVIII, 84,5, 241—246 (разл.; из сп.). При кипячении со смесью спирта и конц. HCl (15 час.) из XXVIII получен XXIX, 88, 238—239 (из сп.). Из XXIX и XXXIV в  $C_6H_6$  получен XXX, ~100, 201,5—202,5. К р-ру 5 г XXXI в 38 мл 50%-ной  $HBF_4$  и 15 мл воды при  $0^\circ$  прибавили 5 мл водн. р-ра 1,75 г  $NaNO_2$ , причем образовался XXXII, выход 80%, т. разл.  $110^\circ$ . Эту соль кипятили 30 мин. с 140 мл  $C_6H_6$ , р-ритель удалили, остаток обработали водн.  $NH_3$  и извлекли 100 мл толуола XXXIII, 31, 78—78,5 (из циклопентана). Т-ры плавления исправлены. Сообщение VII см. РЖХим, 1961, 3ЖК227.

**6Ж288. Синтез простых эфиров ферроценкарбинола.** Несмеянов А. Н., Перелова Э. Г., Устьянюк Ю. А., Шиловецова Л. С. «Изв. АН СССР. Отд. хим. н.», 1960, № 3, 554—555. Исходя из  $RCH_2N(CH_3)_3$  (I; здесь и далее  $R = C_5H_5FeC_5H_5$ ) и  $RCH_2N(CH_3)_2C_2H_5Br$  (II) синтезирован ряд эфиров  $RCH_2OR'$  (IIIa—з, где а  $R' = CH_3$ , б  $R' = C_2H_5$ , в  $R' = C(CH_3)_3$ , г  $R' = C_2H_5$ , д  $R' = \alpha$ -фурил, е  $R' = C(CH_3)_3$ , ж  $R' = n-C_9H_{19}$ , з  $R' = n-C_{10}H_{21}$ ). Р-р 6 г I и 6 г NaOH в 100 мл абс.  $CH_3OH$  нагрели 12 час., смесь вылили в воду и извлекли петр. эфиром IIIa (здесь и далее при описании в-в приведены выход в %, т. кип. в  $^\circ C/мм$  или т. пл. в  $^\circ C$ , для жидких в-в  $d^{20}_D$ ). 83, 118,5—119,5/3, 1,5996. Аналогично получены IIIб, 63, 117—118/3, 1,5850; IIIв, 60, 120—121/2,5, 1,5908; IIIг, 80, 88—89 (из петр. эф.); очищен хроматографически на  $Al_2O_3$ ; IIIд, 58, 49,5—50,5 (из петр. эф.). IIIг получен также без NaOH (выход 55%) и нагреванием 10 час. 1 г  $RCH_2OH$  и 10 мл  $C_6H_5CH_2OH$  с 0,5 г  $B_2O_3$ , выход 75%. 1,5 г I, 1,5 г NaOH и 40 мл  $(CH_3)_3COH$  нагрели 14 час. и вылили в 250 мл петр. эфира, в осадке — неперереагировавший I (33%). Р-р в петр. эфире хроматографирован на  $Al_2O_3$ , выделено 0,1 г Ше, т. пл. 73,5—74° (из петр. эф.), и 0,2 г  $(RCH_2)_2O$  с т. пл. 129,5—130°. II получили сливанием р-ра  $RCH_2N(CH_3)_2$  в бензоле с р-ром  $C_2H_5Br$  в эфире, т. разл. 160—163°. IIIж получили нагреванием 8 час. смеси 1,5 г II с 2,5 мл  $n-C_9H_{19}OH$  при  $80-100^\circ$ , продукт р-ции извлекли петр. эфиром и очистили хроматографически на  $Al_2O_3$ , 28, 22,5—23,5 (из  $CH_3OH$ ). Аналогично синтезированы IIIа, 30, 35—37 (из  $CH_3OH$ ).

**6Ж289. 1-(1'-галогидферроценил)-борные кислоты и синтезе производных ферроцена.** Несмеянов А. Н., Сазонова В. А., Дрозд В. Н., Никонина Л. А. Докл. АН СССР, 1960, 131, № 5, 1088—1091. — В продолжение исследования (см. РЖХим, 1960, № 6, 22477) получены  $XC_5H_4FeC_5H_4B(OH)_2$  (I) исходя из ферроцендиборной 1,1'-к-ты (II). Строение I подтверждено получением соответствующих галогидферроценов после гидролиза I в присутствии солей Zn. I реагирует с  $HgX_2$  с образованием  $XC_5H_4FeC_5H_4HgX$  (III), легко симметризуясь действием  $Na_2S_2O_3$ . Действием I на III (X = Cl) получен  $XC_5H_4FeC_5H_4J$  (IV X = Cl) и на III (X = Br) получен IV (X = Br). При действии  $CuCl_2$  на I (X = Br) образуется лишь  $ClC_5H_4FeC_5H_4Cl$  т. пл. 75—77° (из сп.). К 3,1 г II и 7 мл  $CH_3OH$  добавили 4,7 г  $CuCl_2 \cdot 2H_2O$  в 75 мл воды и 60 мл  $C_6H_6$ , смесь кипятили 2,5 часа при переключении, бензольный слой отделили, а воду, кипятили с неперереагировавшей II в 70 мл  $C_6H_6$ , бензольные р-ры упарили, I (X = Cl) извлекли 10%-ным KOH и осадили 10%-ной  $H_2SO_4$ , выход 52%, т. пл. 159—161° (из воды). Аналогично получен I (X = Br), выход 65%, т. пл. 155—157° (из воды). Нагреванием I (X = Cl) с  $ZnCl_2$  и отгонкой с паром получили хлорферроцен, выход 79%, т. пл. 57—58° (из сп.). Аналогично из I (X = Br) и  $ZnBr_2$  получили с выходом 88% бромферроцен, т. пл. 32—33° (из  $CH_3OH$ ). К горячему р-ру 0,27 г I (X = Cl) в 5 мл спирта прилили водно-ацетоновый р-р 0,28 г  $HgCl_2$



выход III ( $X = Cl$ ) 88%, т. пл. 144,5—145° (из ацетона). Аналогично с выходом 84% получен III ( $X = Br$ ), т. пл. 146,5—147° (из ацетона). III ( $X = Cl$ ) симметризовали 50%-ным р-ром  $Na_2S_2O_3$ , выход ди-1-(1'-хлорферроценил)-ртути 95%, т. пл. 151—152° (из ксилола-ферроценил)-ртути 94%, т. пл. 135—136° (из  $CH_3NO_2$ ). Добавлением 3 г  $I_2$  в ксилоле к 1 г III ( $X = Cl$ ) в 10 мл горячего ксилола получили осадок, который после обработки  $Na_2S_2O_3$  дал растворимый в эфире IV ( $X = Cl$ ), выход 64%, т. пл. 42—44° (из  $CH_3OH$ ). Аналогично синтезировали IV ( $X = Br$ ), выход 76%, т. пл. 28—30°.

**6Ж290. Ферроценсульфиновые кислоты.** Перевалова З. Г., Несмеянова О. А., Лукьянова И. Г. Докл. АН СССР, 1960, 132, № 4, 853—856. — Получены  $HSO_2-A-SO_2H$  (I; здесь и далее  $A = C_6H_4-Fe(C_5H_5)_2$ ) и изучены р-ции этой к-ты и  $H-A-SO_2H$ . При сливании водн. р-ра  $H-A-SO_2Na$  (II) со спирт. р-ром  $HgCl_2$  образуется  $H-A-HgCl$  с выходом 100%. К суспензии 0,37 г II в спирте добавили 0,5 г  $SnCl_2$ , выпал осадок  $(H-A-S)_2Sn$ , выход 74%, при подкислении выделили  $H-A-SH$ , идентифицированный в виде  $H-A-SCOC_6H_5$ . Суспензию 1,8 ммоль II и 1,8 ммоль  $(C_6H_5)_3CCl$  в эфире нагревали 4 часа и получили  $H-A-SO_2C(C_6H_5)_3$ , т. пл. 220—221° (разл.; из  $CH_3OH$ ). Спирт. р-р 0,55 г II и 0,5 г  $C_6H_5CH_2Cl$  нагревали 4 часа, р-ритель отогнали, извлекли бензолом  $H-A-SO_2CH_2C_6H_5$ , выход 80%, т. пл. 144—146° (из сл. очищен. хроматографированием на  $Al_2O_3$ ). Смесь 1,8 ммоль II и 3,5 ммоль никрихлорида нагревали в спирте 1 час и отделили  $H-A-SO_2C_6H_4(NO_2)_3$ , выход 88%. Р-р 3,6 ммоль  $H-A-CH_2N(CH_3)_3$  в 150 мл воды прилили к р-ру 3,2 ммоль II в 70 мл воды, смесь нагревали 3 часа при 80—90° и 2 часа при кипении, получили  $H-A-CH_2SO_2-A-H$ , выход 92%, т. разл. >175—180°. Р-р 6 г  $ClSO_2ASO_2Cl$  в бензоле нагревали с 10 г Zn-пыли и 1 мл воды 3—4 часа, за это время трижды добавили по 2 г Zn и по 0,5 мл воды, осадок отделили и обработали горячим р-ром соды, при 0° подкислили конц.  $HCl$ , выпал осадок I, выход 56%, т. разл. 126—128°;  $NaSO_2ASO_2Na \cdot 3H_2O$ , т. разл. 290—298° (из сл.). При обработке ее р-ром  $HgCl_2$  образуется  $SHg-A-HgCl$ .

Н. Несмеянов

**6Ж291. Некоторые кислорододеоксидирующие производные ферроцена.** Goldberg Stanley I. Some oxygen-containing ferrocenes. «J. Organ. Chem.», 1960, 25, № 3, 482—483 (англ.). — К 30 ммольм ферроцена (I) в 50 мл  $CH_2Cl_2$  при 0° добавили за 1 час 20 ммоль  $AlCl_3$  и затем за 1 час охлажд. р-р 10 ммоль  $(COCl)_2$ , через 2 часа (~20°) смесь вылили на лед, р-ритель выпарили и I удалили из остатка возгонкой в вакууме, продукт р-ции диферроценикетон очистили хроматографически на  $Al_2O_3$ , выход 0,5%, т. пл. 206,5—207° (из бал.). Восстановлением неочищ.  $RC_6H_4FeC_5H_4R'$  (II, где  $R = R' = COCl$ ) получили на основании ИК-спектров неочищ. II ( $R = R' = CHO$ ) (IIa), 10 ммоль II ( $R = R' = COOH$ ) в 100 мл  $PCl_3$  кипятити в токе  $N_2$  24 часа,  $PCl_3$  отогнали в вакууме, к полученному неочищ. II ( $R = R' = COCl$ ) в 50 мл  $(CH_3OCH_2CH_2)_2O$  (III) при -78° прилили за 1 час р-р 30 ммоль  $LiAlH_4$  в 15 мл III, через ~12 час. смесь вылили на лед, осадок промыли р-ром  $NaOH$  и извлекли горячим  $C_2H_5OH$  1,75 г IIa, т. разл. >200°. Неочищ. II ( $R = R' = COCl$ ) при обработке  $CH_3OH$  дает с хорошим выходом II ( $R = R' = COOCH_3$ ). К р-ру 3,36 г I в эфире при 0° прилили водн. р-р соли диазона (из 2,97 г  $n-NH_2C_6H_4OC_6H_5$ ), нейтрализованный  $CH_3COONa$ ; после перемешивания 30 мин. при 0° и 40 мин. при ~20° водн. слой отделили и обработали Zn и конц.  $HCl$ , затем экстрагировали эфиром, твердый остаток после отгонки эфира экстрагировали петр. эфиром в аппарате Сокслета, р-ритель отогнали, I (1,39 г) удалили из остатка возгонкой и получили 3,19 г II (1,39 г)

удалили из остатка возгонкой и получили 3,19 г II ( $R = H$ ,  $R' = n-C_6H_5OC_6H_5$ ) с т. пл. 129,5—130,5° (из  $n-C_3H_7OH$ ). Р-цией I с  $m-ClN_2C_6H_4OC_6H_5$  в тех же условиях получили бис-(3-феноксибензил)-ферроцен, который очистили хроматографически и путем двух молекулярных возгонок, выход 8,5%, жидкость; на основании данных ИК-спектра сделан вывод, что обе феноксибензильные группы связаны с одним ядром.

Н. Несмеянов

**6Ж292. Органические соединения марганца. III. Продукты замещения метилциклопентадиенилмарганцетрикарбонила.** Riemschneider Randolph, Kassahn Horst-Günter. Manganorganische Verbindungen. III. Substitutionsprodukte des Methylcyclopentadienyl-mangan-tricarbonyls. «Chem. Ber.», 1959, 92, № 12, 3208—3213 (нем.). — В доп. к ранее полученным производным  $CH_3C_5H_4Mn(CO)_3$  (I) (см. сообщение II, РЖХим, 1960, № 3, 9322) синтезированы по р-ции Фриделя—Крафтса кетоны  $CH_3(RCO)C_5H_3Mn(CO)_3$  (II), а также циклич. кетоны  $CH_3(COXCO)C_5H_2Mn(CO)_3$  [IIa—б, где а  $X = (CH_2)_4$ , б  $X = n-(C_6H_4)_2$ ]. Р-ции проведены в  $CS_2$  с хлорангидридами к-т в обычных условиях. II ( $R = C_6H_5$ ) выделен в виде 2 изомеров с т. пл. 120—121° (выход 47,3%) и 57—58,5° (выход 32,2%). В случае II ( $R = n-ClC_6H_4$ ) получены 2 изомера: а) выход 38,5%, т. пл. 92—93°, б) выход 26%, т. пл. 72—73°. IIa разделен на 2 изомера с т. пл. 79—81° и 149—151,5°. IIb выделен в виде 3 изомеров с т. пл. 151°, 157—159° и 199—201°. Р-ция I с  $ClCH_2CH_2COCl$  привела к отщеплению  $HCl$  и образованию II ( $R = CH_2=CH$ ) с т. кип. 128—130°/1 мм,  $n^{20}_D$  1,6095. Из кетонов II действием  $R'MgX$  получены соответствующие третичные спирты  $CH_3(CRR'OH)C_5H_3Mn(CO)_3$  (выходы 65—85%), которые дегидратированы при 200° с  $KHSO_4$ . Приводятся  $R$  в II,  $R'$  в  $R'MgX$ , т. кип. в °C/мм, и  $n^{20}_D$  третичного спирта, продукт дегидратации, его т. кип. в °C/мм и  $n^{20}_D$ :  $CH_3$ ,  $CH_3$  113—114/1, 1,5731,  $CH_2=C(CH_3)-C_6H_5(CH_3)Mn(CO)_3$ , 88,5/0,6, 1,5910;  $CH_3$ ,  $C_2H_5$ , 129—130/1,7, 1,5680,  $CH_3CH=C(CH_3)C_6H_5(CH_3)Mn(CO)_3$ , 103/0,8, 1,5870;  $CH_3$ ,  $C_6H_5$ , 182—183/2,8, 1,6116,  $CH_2=C(C_6H_5)C_6H_5(CH_3)Mn(CO)_3$  (IV), 128/0,4, 1,6227;  $C_6H_5$ ,  $CH_3$ , 153—155/0,7, 1,6122, IV, 137/0,8, 1,6229. Р-цией II ( $R = C_6H_5$ ) с  $CH_3MgJ$  получен карбинол с т. пл. 70—71,5°. Из II ( $R = C_6H_5$ ) и  $C_6H_5MgBr$  получен карбинол с т. пл. 119,5—121,5°. Все операции проведены в токе азота. Приведены константы I: т. кип. 233°/760 мм,  $n^{20}_D$  1,588;  $n^{30}_D$  1,583.

Н. Несмеянов

**6Ж293. Синтезы соединений, меченных изотопами. I. Синтез метакриловой-(1- $C^{14}$ ) кислоты и ее метилового эфира.** Urban J. Synthesen von mit Isotopen markierten Verbindungen. I. Synthesen der Methacrylsäure-1- $C^{14}$  und ihres Methylesters. «Collect. Czechosl. Chem. Commun.», 1959, 24, № 12, 4050—4053 (нем.; рез. русск.). — Раствор 910 мг KCN и 65 мг  $K^{14}CN$  (активность 8,5  $\mu$ кюри/мг) в 20 мл воды прибавляли по каплям к 5 мл 48%-ной  $H_2SO_4$  при 80°. Образующийся  $H^{14}CN$  отгоняли в токе  $N_2$  и конденсировали охлаждением твердый  $CO_2$ , затем  $H_2SO_4$  нагревали до 90°, прибавляли 10 ммоль KCN в 3 мл воды и вновь отгоняли KCN, выход  $H^{14}CN$  92%. К охлажд.  $H^{14}CN$  прибавляли 3—5 мг  $K_2CO_3$  и 23 ммоль ацетона. Через 1 час при -40° полученный цианид ацетона- $C^{14}$  (I) стабилизировали добавкой 2—3 капель 98%-ной  $H_2SO_4$ . 22 ммоль I прибавляли при  $t < 75^\circ$  к 2 мл 98%-ной  $H_2SO_4$ , содержащей 20 мг порошкообразной  $Cu$ , а затем смесь нагревали 30 мин. до 130°. К р-ру метакриламида- $C^{14}$  (II) прибавляли 20 мг гидрохинона (III), 1,6 мл воды и 1,8 мл  $CH_3OH$ , кипятити 2,5 часа, прибавляли 20 мг III и полученный метилметакрилат-(1- $C^{14}$ ) перегоняли с водяным паром, выход 75—78%. К азетропной смеси III с водой прибавляли 2-кратный объем  $CH_3OH$ , 10 мг перекипс бензола и полимеризовали при кипячении (48 час.), выход полимера 90%, активность 200  $\mu$ кюри/мг. К р-ру II прибавляли 30 мг

II и 3,6 мл воды, кипятят 1 час, после добавки еще 40 мг III полученную метакриловую-С<sup>14</sup> к-ту (IV) перегоняли с водяным паром, выход ~70%. Добавлением H<sub>2</sub>O<sub>2</sub> и кипячением получен полимер IV.

А. Емг

**6Ж294.** Синтезы соединений, меченных изотопами. II. Синтез тиоспазмина-<sup>35</sup>S. Piták O., Zikmund J. Synthesen von mit Isotopen markierten Verbindungen. II. Synthese von Thiospasmin-<sup>35</sup>S. «Collect. Czechosl. Chem. Commun», 1959, 24, № 12, 4053—4054 (нем.; рез. русск.).—Синтезирован йодид 2-(фенилциклолекилсульфония)-S<sup>35</sup> (I), обладающий спазмолитич. действием (см. РЖХим, 1954, № 12, 30564; 1955, № 4, 5596). Смесь 0,375 г (NH<sub>2</sub>)<sub>2</sub>C=S=S<sup>35</sup> (активность 24,9 мюри/мг), 5 мл ацетона и 1 мл CH<sub>3</sub>J кипятят 1 час, упаривали, прибавляли 1 мл 5 н. NaOH и колбу нагревали открытым пламенем 90 мин., образующийся CH<sub>3</sub>S<sup>35</sup>N высушивали при помощи CaCl<sub>2</sub>, P<sub>2</sub>O<sub>5</sub> и поглощали при -70° в 20 мл эфира. К эфирному р-ру прибавляли эфирный р-р 0,5 М (C<sub>6</sub>H<sub>5</sub>)<sub>3</sub>CNa до появления красного окрашивания. Выделившийся CH<sub>3</sub>S<sup>35</sup>Na смешивали с 5 мл ацетона и 1,625 г бромэтилового эфира фенилциклолекилуксусной к-ты и кипятят 2,5 часа, выход метилмеркапто-этилового эфира фенилциклолекилуксусной-<sup>35</sup>S к-ты (II) 1,2 г, т. кип. 158°/0,5 мм; при р-ции 1,2 г II с 1 мл CH<sub>3</sub>J (3 суток) выделяется I, выход 1,233 г, т. пл. 103° (активность 4,083 мюри/мг).

А. Емг

**6Ж295.** Синтез органических веществ, меченных изотопами. III. Синтез 2,3-дихлор-4-(*n*-метоксифенил)-4-кродолактона-OC<sup>14</sup>CH<sub>3</sub>. Kučera J. Organické látky značené izotopy. III. Syntéza 2,3-dichlor-4-(*p*-methoxyphenyl)-4-krotonlaktónu-(O<sup>14</sup>CH<sub>3</sub>). «Českosl. farmas.», 1960, 9, № 6, 298—299 (чешск.; рез. русск., англ., нем.).—Синтезирован меченный 2,3-дихлор-4-(*n*-метоксифенил)-4-кродолактон-OC<sup>14</sup>CH<sub>3</sub> (I). Метилированием фенолята натрия метилийодидом-С<sup>14</sup> в водно-диоксановом р-ре приготовлен аниол-OC<sup>14</sup>H<sub>3</sub>, конденсированием которого с мукохлорной кислотой в избытке полифосфорной к-ты при 60° получен I, выход 28,3% (из расчета на исходный метилийодид-С<sup>14</sup>), активность 0,718 мюри/г.

Резюме автора

**6Ж296.** Разработка синтезов органических соединений, меченных изотопом N<sup>15</sup>. Геллер Б. А., Самосват Л. С. «Ж. общ. химии», 1960, 30, № 5, 1590—1594.—Разработаны методы получения C<sub>6</sub>H<sub>5</sub>CON<sup>15</sup>H<sub>2</sub> (I), C<sub>6</sub>H<sub>5</sub>N<sup>15</sup>H<sub>2</sub> (II), α- и β-нафтиламина-N<sup>15</sup> (α- и β-III) и C<sub>6</sub>H<sub>5</sub>N<sup>15</sup>O<sub>2</sub> (IV). К р-ру 0,16 моля N<sup>15</sup>H<sub>4</sub>NO<sub>3</sub> в 80 мл воды, покрытому слоем (1—2 мм) C<sub>6</sub>H<sub>6</sub>, добавляют под C<sub>6</sub>H<sub>6</sub> 0,338 моля NaOH в 60 мл воды и 0,159 моля C<sub>6</sub>H<sub>5</sub>COCl в 600 мл C<sub>6</sub>H<sub>6</sub>, смесь перемешивают 1—1,5 часа, охлаждают льдом, отфильтровывают I, из водн. слоя дополнительно извлекают I CHCl<sub>3</sub>, выход 93—96%, т. пл. 126°. К охлажд. льдом р-ру 20 г NaOH в 190 мл воды прибавляют при перемешивании 11 мл Br<sub>2</sub>, постепенно 20 г I, оставляют при 0° на 20—30 мин., после добавления 11,4 г NaOH в 31 мл воды нагревают при 100° 40—50 мин., II отгоняют с паром. Остаток подкисляют HCl, кипятят 15 мин., подщелачивают и отгоняют с паром дополнительно II, из отгонн. II извлекают эфиром, выход 84—87%. Нагревают в ампуле 8—10 час. при 280° 0,057 моля N<sup>15</sup>H<sub>4</sub>Cl, 0,017 моля α-нафтола, 7,2 г безводн. CH<sub>3</sub>COONa и 3 мл лед. CH<sub>3</sub>COOH, осадок кипятят в 100 мл 1,2%-ного NaOH 30 мин., охлаждают льдом, фильтруют, осадок вновь кипятят с 100 мл 6%-ной HCl 1 час, горячий р-р фильтруют, фильтрат после обработки NaOH экстрагируют эфиром, экстракт и фильтрат после обработки HCl подщелачивают 10 г NaOH, α-III отгоняют с паром, выход 77—82%. Аналогично получают β-III, выход ~68%, т. пл. 110—113°. К 0,25 моля NaN<sup>15</sup>O<sub>3</sub> и 0,62 моля C<sub>6</sub>H<sub>6</sub> при 60—62° (перемешивание) прибавляют 1 час 135 мл 80%-ной H<sub>2</sub>SO<sub>4</sub>, нагревают 1 час при 70—74°, разбавляют при охлаждении

200 мл ледяной воды, отделяют IV, из кислотного слоя бензолом дополнительно извлекают IV, из соединенных экстрактов IV отгоняют с паром, выход 91—94%. Описаны методы регенерации N<sup>15</sup> в виде N<sup>15</sup>H<sub>4</sub>Cl из остатков после выведения основных продуктов. Предварительное сообщение см. РЖХим, 1958, № 23, 77761.

Т. Шаткина

**6Ж297.** Получение 6-меркаптопурина и рибозид 6-меркаптопурина реакцией обмена с элементарной серой-S<sup>35</sup>. Morávek J., Nejedlý Z. Labelling of 6-mercaptopurine and 6-mercaptopurine riboside by an exchange reaction with elementary sulphur-<sup>35</sup>S. «Chemistry and Industry», 1960, № 19, 530—531 (англ.).—6-меркаптопурин кипятят 6 час. с S<sup>35</sup> в пиридине, смесь упаривают в вакууме, 6-меркаптопурин-S<sup>35</sup> извлекают горячей водой, выход 85%. 6-меркапто-9-β-D-рибофуранозилпурин-S<sup>35</sup> получают аналогично при кипячении 3 часа, выход 76%. Аналогично получены меченные S<sup>35</sup>-тиогуанин и его рибозид, 2-окси-6-меркаптопурин и 2-метил-6-меркаптопурин.

Т. Шаткина

**6Ж298.** I. О конкурирующих реакциях окисления в двухфазовой системе. II. Исследование окислительной циклизации полифенолов соединений. Oberhänsli Pet. I. Über kompetitive Oxydationsreaktionen in Zweiphasensystemen. II. Versuche zur oxydativen Cyclisation von Polyphenolverbindungen. Diss., Dokt. techn. Wiss., Techn. Hochschule Zürich. Zürich, Juris-Verl., 1960, 85, S., ill. (нем.).

**6Ж299.** Синтез некоторых полифениловых углеводородов на основе ацетиленовых соединений. Шварцберг М. С. Автореф. дисс. канд. хим. н., Ин-т химии Вост.-Сиб. фил. Сиб. отд. АН СССР, Иркутск, 1960

См. также разделы Промышленный органический синтез. Промышленный синтез красителей. Лекарственные вещества и рефераты: Соединения алифатич. 6Б576; ароматич. 6С242; гетероциклич. 6С1479

## ПРИРОДНЫЕ ВЕЩЕСТВА И ИХ СИНТЕТИЧЕСКИЕ АНАЛОГИ

Редакторы Л. А. Аксанова, М. М. Ботвинник, А. Д. Кузнецов, И. С. Лишанский, В. В. Некрасов, Н. В. Торгов, Л. М. Уткин, В. В. Шпанов

**6Ж300.** Взаимодействие моновинилдиакетон-D-глюкозы со спиртом и органическими кислотами. Мухантьев Б. И., Лапенко В. Л. «Изв. высш. учебн. заведений. Химия и хим. технол.», 1960, 3, № 3, 560—561.—При взаимодействии 3-винил-1:2, 5:6-диизопропилиден-D-глюкозы (I) с *n*-C<sub>4</sub>H<sub>9</sub>OH, HCOOH и CH<sub>3</sub>COOH получены соответственно 3-(*n*-бутокс-2-этилиден)- (II), 3-(формокс-2-этилиден)- (III) и 3-(ацетокс-2-этилиден)-1:2, 5:6-диизопропилиден-D-глюкоза (IV). При перемешивании и охлаждении (—1°) к смеси 10 г I и 2,6 г *n*-C<sub>4</sub>H<sub>9</sub>OH прибавляют 1—2 капли конц. H<sub>2</sub>SO<sub>4</sub>, через 3—4 часа разбавляют эфиром, нейтрализуют K<sub>2</sub>CO<sub>3</sub>, фильтрат трижды перегоняют в вакууме, получают II, выход 41,6%, т. кип. 127—128°/1—1,5 мм, d<sub>20</sub><sup>20</sup> 1,0450, n<sub>D</sub><sup>20</sup> 1,4450. Аналогично из 10 г 1:2,5:6-диизопропилиден-D-глюкозы и 70 г *n*-C<sub>4</sub>H<sub>9</sub>OHCH=CH<sub>2</sub> получают 6,1 г II, выход 44,2%. Из 7,2 г I и 6 г безводн. HCOOH при охлаждении (—7°) 4 часа с последующей перегонкой в вакууме получают III, выход 62,6%, т. кип. 106—107°/1—1,5 мм, d<sub>20</sub><sup>20</sup> 1,1780, n<sub>D</sub><sup>20</sup> 1,4590. Аналогично из 9 г I и 18 г лед. CH<sub>3</sub>COOH (48 час., 20°) получают 4,5 г IV, выход 41,3%, т. кип. 116—118°/1—1,5 мм, d<sub>20</sub><sup>20</sup> 1,1610, n<sub>D</sub><sup>20</sup> 1,4540.

Б. Дмитриев

**6Ж301.** N-ацилирование 2-амино-2-дезоксид-β-D-глюкозы смешанными ангидридами карбоновых кислот. Inoue Yoshiyuki, Onodera Konoshin, Kitaoka Shozaburo, Hirano Shigehiro. N-acyla-

ного слоя  
соединен-  
91—94%.  
N<sup>15</sup>H<sub>4</sub>Cl из  
тов. Пред-  
23, 77761.  
Шаткина  
рибозид  
ментарной  
belling of  
ide by an  
ss, «Che-  
(англ.).—  
ине, смесь  
извлекают  
рибозури-  
вращения  
меченные  
опурии и  
Шаткина

к углево-  
динений.  
хим. н.  
Н СССР,

ический  
Лекарст-  
вфатич.

ик,  
расов,  
в

и-D-глю-  
и. М. п.  
учебн.  
3, 560—  
лизопро-  
H<sub>2</sub>COOH  
(лиден)-  
детоксиз-  
за (IV).  
смесь  
капли  
эфиром,  
гоняют  
к. кип.  
логично  
и 70 г  
%. Из  
(—7)  
получают  
м. d<sub>20</sub><sup>20</sup>  
41,3%.  
40.

итриев  
-D-глю-  
кислот.  
н. Ki-  
-асула-

tion of 2-amino-2-deoxy-D-glucose with mixed carboxylic acid anhydrides, «J. Organ. Chem.», 1960, 25, № 7, 1265—1267 (англ.).—При взаимодействии D-глюкозамина (I) в CH<sub>3</sub>OH со смешанными ангидридами карбоновых к-т (RCOOCOR') получены N-ацилпроизводные I (II). К р-ру I (получен из 10 г хлоргидрата I действием CH<sub>3</sub>ONa) в 70 мл CH<sub>3</sub>OH прибавляют 8 г CH<sub>3</sub>COOCOC<sub>6</sub>H<sub>5</sub>, выдерживают 1 час при ~20° и ~12 час. в холодильнике, получают 7,1 г N-ацетил-I, выход 69%, т. пл. 204° (из CH<sub>3</sub>OH-воды), [α]<sub>D</sub><sup>20</sup> +41° (с 2; вода). Аналогично получены II [приведены N-ацил R и R', выход в %, т. пл. в °C (из сп.), [α]<sub>D</sub> (в скобках т-ра), с 1; вода]: N-пальмитойл, C<sub>15</sub>H<sub>31</sub>, CH<sub>3</sub>, 63, 202—203, —; N-миристоил, C<sub>14</sub>H<sub>29</sub>, C<sub>6</sub>H<sub>5</sub>, 86, 208—209, +62° (16); N-пальмитойл, C<sub>15</sub>H<sub>31</sub>, C<sub>6</sub>H<sub>5</sub>, 79, 201—202, —; N-бутироил, C<sub>4</sub>H<sub>9</sub>—, CH<sub>3</sub>, 50, 208—209, +62° (16); N-фталилглицил-, C<sub>6</sub>H<sub>4</sub>—(CO)<sub>2</sub>—, >CH<sub>2</sub>—, C<sub>6</sub>H<sub>5</sub>, 65, 218—219, +48° (18). Тетраацетат последнего в-ва имеет т. пл. 202—203° (из сп.), [α]<sub>D</sub><sup>20</sup> +29° (с 1; хлф.).

Б. Дмитриев

6Ж302. 2-дезоксид-D-рибоза. III. Аномеры 1,3,4-трибензоил-2-дезоксид-D-рибозы, аномеры 1,3,5-трибензоил-2-дезоксид-D-рибозы и некоторые другие производные. Pedersen Christian, Diehl Harry W., Fletcher Hewitt G., Jr. 2-deoxy-D-ribose. III. The anomeric 1,3,4-tri-O-benzoyl-2-deoxy-D-ribose, the anomeric 1,3,5-tri-O-benzoyl-2-deoxy-D-ribose and certain other derivatives. «J. Amer. Chem. Soc.», 1960, 82, № 13, 3425—3428 (англ.).—Получены и охарактеризованы кристаллич. аномеры 2-дезоксид-D-бензилрибозидрибозиды (α- и β-I), при гидрогенолизе дибензоатов которых получена 3,4-дибензоил-2-дезоксид-β-D-рибоза (II). Бензоилированием II, а также 2-дезоксид-D-рибозы (III) получены аномеры 1,3,4-трибензоил-2-дезоксид-D-рибозы (α- и β-IV). Взаимодействие диэтилопиридина с 5-бензоил-2-дезоксид-D-рибозы (V) с C<sub>6</sub>H<sub>5</sub>COOAg приводит к аномерам 1,5-дибензоил-2-дезоксид-D-рибозы (α- и β-VI). Приготовленный при 60° р-р 4 г III в 100 мл C<sub>6</sub>H<sub>5</sub>CH<sub>2</sub>OH охлаждают до 25°, насыщают 1,04 г HCl (т-ра ≤ 32°), выдерживают 2 часа, нейтрализуют 8 г Ag<sub>2</sub>CO<sub>3</sub>, фильтрат упаривают в вакууме, сироп растворяют в 42 мл C<sub>6</sub>H<sub>6</sub> и прибавляют 30 мл C<sub>5</sub>H<sub>12</sub>; 4,4 г сырого β-I перекристаллизовывают из (изо-C<sub>5</sub>H<sub>7</sub>)<sub>2</sub>O, этилацетата, выход β-I 45%, т. пл. 106—107°, [α]<sub>D</sub><sup>20</sup> —174° (с 0,82; хлф.); 3,4-димезилат, т. пл. 63—64° (из абс. сп.), [α]<sub>D</sub><sup>20</sup> —161° (с 0,93; хлф.); 3,4-дизоилат, т. пл. 107—108° (из абс. сп.), [α]<sub>D</sub><sup>20</sup> —132° (с 1,1; хлф.). Объединенные маточные р-ры от β-I упаривают в вакууме, растворяют в 8 мл ацетона и охлаждают до —5°, получают 0,64 г α-I, выход 9,6%, т. пл. 122—123° (из ацетона), [α]<sub>D</sub><sup>20</sup> +130° (с 0,95; хлф.); 3,4-димезилат, т. пл. 79—80° (из абс. сп.), [α]<sub>D</sub><sup>20</sup> +55,6° (с 0,94; хлф.); 3,4-дибензоат, т. пл. 91—92° (из абс. сп.), [α]<sub>D</sub><sup>20</sup> +8,3° (с 0,96; хлф.); 3,4-дизоилат, т. пл. 125—126° (из абс. сп.), [α]<sub>D</sub><sup>20</sup> +43° (с 1,0; хлф.). 3 г β-I бензоилируют в C<sub>6</sub>H<sub>5</sub>N, получают 6 г дибензоата, р-р которого в 39 мл диоксана гидрируют над 12 г Pd-черни в 5 мл диоксана, фильтрат упаривают в вакууме, растворяют в 10 мл C<sub>6</sub>H<sub>6</sub>, фильтруют через уголь и разбавляют 10 мл C<sub>5</sub>H<sub>12</sub>, получают 3,7 г II, выход 81%, т. пл. 105—106° (из бэл. C<sub>5</sub>H<sub>12</sub>), [α]<sub>D</sub><sup>20</sup> —162° (9 мин.) → —144° (48 час., пост.) (с 0,97; хлф.). Аналогично гидрируют 800 мг дибензоата α-I и затем бензоилируют в C<sub>6</sub>H<sub>5</sub>N, смесь α- и β-IV разделяют хроматографированием на Al<sub>2</sub>O<sub>3</sub>, вымывая смесь C<sub>6</sub>H<sub>5</sub>-циклогексан (1:1), получают 165 мг β-IV, т. пл. 159—161° (из водн. CH<sub>3</sub>OH), [α]<sub>D</sub><sup>20</sup> —195° (с 0,96; хлф.), вымывая C<sub>6</sub>H<sub>6</sub>, получают 56,5 мг α-IV, т. пл. 151—152° (из CH<sub>3</sub>OH), [α]<sub>D</sub><sup>20</sup> +41,6° (с 0,83; хлф.). Прибавляют 0,5 г III к смеси 1,43 мл C<sub>6</sub>H<sub>5</sub>COCl и 4 мл C<sub>6</sub>H<sub>5</sub>N (0°), перемешивают и выдерживают при +5° ~12 час., разлагают льдом, получают 1,6 г смеси α- и β-IV, которую разделяют дробной кристаллизацией из спирта и метилцеллозольва, получают 110 мг β-IV и 30 мг α-IV. Перемешивают 2 часа при нагревании смесь 5 г V в 80 мл CH<sub>3</sub>CN и 12 г C<sub>6</sub>H<sub>5</sub>COOAg,

охлаждают, фильтруют, осадок промывают 20 мл CH<sub>3</sub>CN, фильтрат нагревают 2 часа с 9,2 г C<sub>6</sub>H<sub>5</sub>COOAg, охлаждают, осадок промывают эфиром, объединяют с фильтратом и упаривают в вакууме, остаток растворяют в 50 мл CH<sub>2</sub>Cl<sub>2</sub>, насыщают H<sub>2</sub>S, фильтруют через уголь, упаривают в вакууме, растворяют в 25 мл CH<sub>2</sub>Cl<sub>2</sub>, промывают насыщ. р-ром NaHCO<sub>3</sub> и водой, высушивают над Na<sub>2</sub>SO<sub>4</sub>, упаривают, остаток растворяют в 15 мл эфира и вносят затравку β-VI, получают 0,6 г β-VI, выход 13%, т. пл. 109—112° (из эф.-C<sub>5</sub>H<sub>12</sub>), [α]<sub>D</sub><sup>20</sup> —17,6° (с 0,6; хлф.); трибензоат, т. пл. 84—87° (из эф.-C<sub>5</sub>H<sub>12</sub>), [α]<sub>D</sub><sup>20</sup> —20,0° (с 1,09; хлф.). Эфирный маточный р-р от β-VI упаривают, остаток растворяют в смеси C<sub>6</sub>H<sub>5</sub>-эфир (1:1) и хроматографируют на Al<sub>2</sub>O<sub>3</sub>, при вымывании эфиром получают 1,15 г α-VI, выход 25%, т. пл. 89—90° (из эф.-C<sub>5</sub>H<sub>12</sub>), [α]<sub>D</sub><sup>20</sup> +44,5° (с 0,65; хлф.); трибензоат, т. пл. 110—112° (из эф.-C<sub>5</sub>H<sub>12</sub>), [α]<sub>D</sub><sup>20</sup> +75,3° (с 0,38; хлф.). Сообщение II см. РЖХим, 1960, № 7, 26731.

Б. Дмитриев

6Ж303. Новый и удобный синтез 1-ацетил-2,3,5-трибензоил-β-D-рибозурибозиды из гуанозина; исследование сольволиза 2',3',5'-трибензоилгуанозина. Ishikawa Fumiyo, Nomura Akihiko, Ueda Tohru, Ikehara Morio, Mizuno Yoshihisa. A new and convenient synthesis of 1-O-acetyl-2,3,5-tri-O-benzoyl-β-D-ribofuranose from guanosine; some observations on solvolysis of 2',3',5'-tri-O-benzoylguanosine. «Chem. and Pharmac. Bull.», 1960, 8, № 5, 380—384 (англ.).—Предложен простой способ получения 1-ацетил-2,3,5-трибензоил-β-D-рибозурибозиды (I), необходимой для синтеза рибонуклеозидов и рибонуклеотидов, ацетилизмом 2',3',5'-трибензоилгуанозина (II) CH<sub>3</sub>COOH, (CH<sub>3</sub>CO)<sub>2</sub>CO и H<sub>2</sub>SO<sub>4</sub>. Растворяют при нагревании 2 г II в 25 мл лед. CH<sub>3</sub>COOH, охлаждают до 17—18°, прибавляют при перемешивании 1 мл конц. H<sub>2</sub>SO<sub>4</sub> и затем 2—3 мл (CH<sub>3</sub>CO)<sub>2</sub>CO, смесь перемешивают 3 часа, отфильтровывают сульфат гуанина, фильтрат выливают в ледяную воду, осадок промывают р-ром NaHCO<sub>3</sub> и водой, высушивают над P<sub>2</sub>O<sub>5</sub> в вакууме и хроматографируют на Al<sub>2</sub>O<sub>3</sub>, вымывая CHCl<sub>3</sub>, получают 0,8 г I, выход 48%, т. пл. 129—130° (из сп.), [α]<sub>D</sub><sup>20</sup> +41,2° (с 1,92; хлф.). Наряду с I выделены два в-ва, структура которых не установлена: в-во А, т. пл. 111—113°, [α]<sub>D</sub><sup>20</sup> +10,4° (с 1,92; хлф.), и в-во Б, т. пл. 223—224° (из ацетона), [α]<sub>D</sub><sup>20</sup> —59,0° (с 2,07; хлф.).

Б. Дмитриев

6Ж304. Ацетали и дитиоацетали 2-S-этил-2-тио-D-ксилозы (ликозы). Wolfrom M. L., Bebenburg Walter von. Acetals and dithioacetals of 2-S-ethyl-2-thio-D-xylose (lyxose). «J. Amer. Chem. Soc.», 1960, 82, № 11, 2817—2819 (англ.).—Из диэтилдитиоацетата 3,4,5-трибензоил-D-ксилозы (I) получен диэтилдитиоацеталь 3,4,5-трибензоил-2-S-этил-2-тио-D-ксилозы (ликозы) (II) [2-S-этил-2-тио-D-ксилоза (ликоза) (III)], а из него синтезирован ряд родственных соединений. Структура II подтверждена следующим образом: II десульфурит (кипятят 24 часа со скелетным Ni), окисляют NaJO<sub>4</sub> и получают пропионовый альдегид и CH<sub>2</sub>O. Пространственное расположение C<sub>6</sub>H<sub>5</sub>S-группы у C<sub>2</sub> не определено. Р-р 0,035 моля I в 200 мл CHCl<sub>3</sub> и 30 мл C<sub>6</sub>H<sub>5</sub>SH насыщают HCl-газом при 0°, после стояния (24 часа, 20°) выпаривают в вакууме, водн. р-р остатка обрабатывают, как обычно, и получают 30 г II, сироп, который дегбензоилируют с C<sub>6</sub>H<sub>5</sub>ONa (экстрагируют эфиром), ацетилируют в C<sub>6</sub>H<sub>5</sub>N (40 час., 20°) и выделяют диэтилдитиоацеталь 3,4,5-триацетил-III (IV), выход 15 г, т. пл. 61—62° (из эф.-птр. эф.), [α]<sub>D</sub><sup>20</sup> +58,5° (с 2,6; ацетон). Дезацетилированием последний (2 г) превращают в диэтилдитиоацеталь-III, выход 0,9 г, сироп. К суспензии 40 г CdCO<sub>3</sub> в р-ре 10 г IV в 100 мл C<sub>6</sub>H<sub>5</sub>CH<sub>2</sub>OH при 80° поливают р-р 40 г HgCl<sub>2</sub> в 100 мл C<sub>6</sub>H<sub>5</sub>CH<sub>2</sub>OH, нагревают 4,5 часа, смесь фильтруют, фильтрат обрабатывают, как обычно, выпаривают в вакууме (1 мм), из остатка птр. эфиром экстрагируют дибензоалацеталь 3,4,5-триацетил-III, выход 6,5 г, т. пл.



61—63° (из сп.-воды),  $[\alpha]_D^{25} + 25^\circ$  (с 1,5; ацетон). Из 20 г II с  $\text{CH}_3\text{OH}$  аналогичным методом получают диметилацеталь 3,4,5-трибензил-III, выход 16 г, сироп. Его омыляют  $\text{CH}_3\text{ONa}$  до диметилацетата III (V), выход 6 г, сироп, т. кип. 100°/0,05 мм (т-ра бани), из которого (0,25 г) ацетилированием получают диметилацеталь триацетил-III (VI), выход 0,2 г, т. пл. 58—59° (из петр. эф.),  $[\alpha]_D^{20} + 43^\circ$  (с 2; хлф.). VI получают также из IV с  $\text{CH}_3\text{OH}$  по тому же методу. VI (5 г) при омылении  $\text{CH}_3\text{ONa}$  (20°, 24 часа) переходит в V, выход 1,1 г,  $[\alpha]_D^{20} + 38^\circ$  (с 1; хлф.). В. Зеленкова

**6Ж305. Синтез и характеристика 2-(β-D-глюкопиранозилуруновой кислоты)-D-ксилопиранозы.** Bowering W. D. S., Timell T. E. Synthesis and characterization of 2-O-(β-D-glucopyranosyluronic acid)-D-xylopyranose. «J. Amer. Chem. Soc.», 1960, 82, № 11, 2827—2830 (англ.).—2,3,4-триацетил-1-бром-α-D-метилглюкуронат (I) синтезируют по схеме: D-глюкофуранозид (3 → 6)-лактон → метил-(D-глюкопиранозил)-уронат (с  $\text{CH}_3\text{OH}$  выход ~100%, с  $\text{CH}_3\text{OH} + \text{Na}$  81%, с  $\text{CH}_3\text{OH} + \text{NaOH}$ , ~100%) → 1,2,3,4-тетраацетил-α-п 1,2,3,4-тетраацетил-β-D-метилглюкуронат (ацетилирование в  $\text{C}_6\text{H}_5\text{N}$ ); при последующей изомеризации в  $\text{CH}_3\text{CO}_2\text{O} + \text{CH}_3\text{COOH} + \text{H}_2\text{SO}_4$  выделяют α-аномер, выход 76% [→ 2,3,4-триацетил-1-хлор-1-дезоксид-α-D-метилглюкуронат (в безводн.  $\text{CHCl}_3$  с  $\text{TiCl}_4$ , 40—45°, 3 часа, выход из α-ацетата 36%, из β-ацетата 81%), или I (в лед.  $\text{CH}_3\text{COOH}$ , насыщ.  $\text{HBr}$ , 20°, кристаллизация из спирта, выход 82%, стабилен в течение недели при 3°). К р-ру 12,9 г 3:5-изопропилиден-D-метилглюкозида в безводн. свободном от спирта  $\text{CHCl}_3$  прибавляют 90 г безводн.  $\text{CaSO}_4$ , 35 г  $\text{Ag}_2\text{O}$  и 72 г стеклянных бус, встряхивают в темноте 1 час при 20°, прибавляют 90 мл I и 4,5 г  $\text{I}_2$ , перемешивают в темноте 7 дней. Осадок отделяют, фильтрат пропускают через целит, выпаривают до сиропа, гидролизуют  $\text{CH}_3\text{ONa}$  (кипение 20 мин.), выпаривают, кипятят сироп в 0,5 н.  $\text{H}_2\text{SO}_4$  3 часа, нейтрализуют  $\text{BaCO}_3$ , пропускают через колонку с амберлитом IR-120 (H), упаривают и с помощью хроматографии на бумаге с р-рителем этилацетат- $\text{CH}_3\text{COOH}$ -вода (9:2:2) выделяют 2-(β-D-глюкопиранозилуруновую к-ту)-D-ксилопиранозу (II),  $R_{\text{ф}}(\text{сп. воды})$  0,26. При повторном разделении тем же методом получены 2,9% лактона II и 1,8% II,  $[\alpha]_D^{20} + 5,7^\circ$  (с 3,0; вода). 700 мг II с  $\text{CH}_3\text{OH} + \text{HCl}$  (кипение 8 час.) дает 753 мг 2-[метил-(β-D-глюкопиранозил)-уронат]-D-метилксилопираноза (III), который (540 мг) восстанавливают с  $\text{LiAlH}_4$  до желтого сиропа (369 мг),  $[\alpha]_D^{20} + 47^\circ$  (с 0,4; вода). Полученный таким образом дисахарид метилируют  $(\text{CH}_3)_2\text{SO}_4$  +  $\text{KOH}$ , затем  $\text{CH}_3\text{I}$  +  $\text{Ag}_2\text{O}$  и выделяют 2-(2,3,4,6-тетраацетил-β-D-глюкозил) - 3,4-диметил-α,β-D-метилглюкозид (250 мг), сироп, превращаемый кипячением (10 час.) с 0,5 н.  $\text{H}_2\text{SO}_4$  в смесь 2,3,4,6-тетраацетил-D-глюкозы и 3,4-диметил-D-ксилозы. Из 200 мг III ацетилированием в  $\text{C}_6\text{H}_5\text{N}$  получают 238 мг 2-[метил-(2,3,4-триацетил-β-D-глюкозил)-уронат]-3,4-диацетил-α,β-D-метилглюкозида,  $[\alpha]_D^{20} + 28,4^\circ$  (с 1,6; хлф.). В. З.

**6Ж306. Превращение 1-метил-L-сорбозы в α-L-глюкосахариновую кислоту под действием щелочи.** Soden John C., Mao Irene I-ling. Conversion of 1-O-methyl-L-sorbose to α-L-glucosaccharinic acid by alkali. «J. Organ. Chem.», 1960, 25, № 8, 1461—1462 (англ.).—При действии р-ра  $\text{Ca}(\text{OH})_2$  на 1-метил-L-сорбозу (I) образуется смесь продуктов, в которой хроматографией на бумаге [р-ритель  $n\text{-C}_4\text{H}_9\text{OH}:\text{C}_2\text{H}_5\text{OH}:\text{HCOOH}:\text{H}_2\text{O}$ , 45:5:1:49 по объему (A), проявители: бромкрезоловый зеленый или аммиачный р-р серебра] обнаружены молочная к-та, лактон α-D-глюкосахариновой к-ты (L-II), лактоны α-D-изосахариновой и α-D-галактосахариновой к-т, I, L-сорбоза. Из смеси хроматографией на порошке целлюлозы выделен L-II. Метилированием 2:3:4:6-дивизопропилиден-L-сорбозы (Evaans T. H. и др., Canad. J. Research, 1942, 20, 175) получают 2:3:4:6-дивизопропилиден-1-метил-L-сорбозу

(III), выход 90%, т. пл. 54—55° (осаждением водой из р-ра в спирте),  $[\alpha]_D^{20} - 11^\circ$  (с 4; ацетон). 5 г III растворяют в 50 мл 50%-ного спирта, содержащих 0,175%  $\text{HCl}$ , нагревают 12 час. (80°), охлаждают, деионизируют (дуолит А-4), обесцвечивают, выпаривают в вакууме. Выход I ~100%. К р-ру 65 г I в 1200 мл воды, не содержащей  $\text{O}_2$ , прибавляют 55 г  $\text{Ca}(\text{OH})_2$ , выдерживают 16 дней (20°), фильтрат насыщают  $\text{CO}_2$ , фильтруют, деионизируют (амберлит IR-100), обесцвечивают, выпаривают в вакууме. Выход сиропа 48 г. Часть продукта извлекают эфиром, остаток (1,33 г) хроматографируют на колонке с порошком целлюлозы (150 г, р-ритель А). Из фракций 91—99, содержащих два компонента ( $R_f$  0,43 и 0,52) выделено 0,242 г сиропа, который через несколько месяцев кристаллизуется. Выход L-II (γ-лактон 2-С-метил-L-рибонитеновой к-ты) 1 г, т. пл. 162—163° (из воды),  $[\alpha]_D^{20} - 93,4^\circ$  (с 1; вода),  $R_f$  0,52. Ацетонирование L-II дает 2:3-изопропилиден-L-II, т. пл. 60—62°,  $[\alpha]_D^{20} + 39,5^\circ$  (с 2; хлф.); фенилгидразид из L-II, т. пл. 164—165°,  $[\alpha]_D^{20} - 50^\circ$  (с 1; вода). Полученные константы вполне согласуются с соответствующими константами D-II. Кристаллизация равных частей D-II и L-II дает рацемат с т. пл. 155—156°. Е. А.

**6Ж307. Синтез дисахаридов с α-биозидными связями.** Lloyd P. F., Roberts G. P. Synthesis of disaccharides with α-bioside linkages. «Proc. Chem. Soc.», 1960, July, 250 (англ.).—При конденсации 3,4,6-триацетил-2-дезоксид-2-(2,4-динитроанилино)-α-D-глюкозилбромид с 1:2,3:4-дивизопропилиден-D-галактозой в  $\text{CHCl}_3$  в присутствии  $\text{C}_6\text{H}_5\text{N}$  после хроматографич. разделения смеси и деацетилирования получены дисахариды α-гликозид (30%) и β-гликозид (15%). При использовании  $\text{Ag}_2\text{CO}_3$  вместо  $\text{C}_6\text{H}_5\text{N}$  получают только β-изомер. Оба защитных легко снимают последовательным действием анионита и разб. к-ты. Б. Дмитриев

**6Ж308. Эфиры сахарозы.** Mori Shigeru, Watanabe Wataru. «Юки гозэй какаку кёкайи, J. Soc. Organ. Synth. Chem., Japan», 1960, 18, № 6, 401—407 (японск.).—Обзор. Библ. 84 назв.

**6Ж309. Химический синтез 6-дезоксамиллозы и 3:6-ангидроамиллозы.** Bines B. J., Whelan W. I. Chemical synthesis of «6-deoxyamylose» and «3,6-anhydroamylose». «Chemistry and Industry», 1960, № 31, 997—998 (англ.).—Для выяснения зависимости специфичности ферментов от типа гликозидной связи, конформации структурных единиц глюкозы (I) в полимере и пространственного расположения OH-групп синтезированы 6-дезоксамиллоза (II) и 3:6-ангидроамиллоза (III). Схема синтеза: амиллоза (IV) → 6-третил-IV (V) → 2,3-дибензил-V → 2,3-дибензил-IV (VI) → 6-тозил-VI (VII). Нагреванием VII с р-ром  $\text{NaOH}$  в диоксане получают смесь III и I в отношении 2:1. Кислотный гидролиз III протекает легче, чем для IV. Для получения II на VII действуют  $\text{NaI}$ . Замещение тозилных групп йодом протекает на 86%. 6-дезоксид-6-йод-VI восстанавливают  $\text{LiAlH}_4$ . Кислотный гидролиз продукта восстановления дает II, I, неизвестный сахар в отношении 9:1:1. Как II, так и III подвергают воздействию α-амилазы слюны. В α-амилолизате II содержится сахар,  $R_f$  которого соответствует II. Продукты расщепления III содержат только I. Фосфорилаза картофеля и β-амилаза сладкого картофеля, по-видимому, не оказывают действия на II.

Е. Алексеева  
**6Ж310. Фотохимические реакции в ряду производных α-нитробензилденацеталей.** XVII. (Дополнение к сообщению XV). Tănăsescu I., Ionescu M., Mager S. Reacții fotochimice în seria derivaților α-nitrobenzildenaacetaliilor. XVII. (Completări la nota XV). «Studia Univ. Babeș-Bolyai. Chem.», 1958, 3, № 4, 161—164 (рум.; рез. русск., франц.).—Показано, что в-во с т. пл. 130°, полученное ранее (см. сообщение XV, Tănăsescu I., Ionescu M., Bull. Soc. Chim. France, 1940, ser. 5, 7, 90) действием ацетата ртути на ацетобромглю-

козу в галазои, козой. C. Bulletin 799. 6Ж311 (Picea substitution glauca). 2827 (а) вают с в древе деленну 17,5%-п атмосфере комплек HCl (к- глюкомо 82% все осажден держит ксилозы п араб 17,5%-п HCOON с после колонки спирта 4-β-D-мил-D-г-машной D-манн пираноз нозы. I харош алман + Ag-зано в 2%-пы 7%-пы кол-во HNO<sub>3</sub> держат степен светост 51, 700 NaJO<sub>4</sub> глюкоз 100. II ветвле равнов 6Ж312 N-арил n a s i N-aryl-scient. русск. 6Ж313 масел. chimie 1960, 143 на 6Ж314 ной с Action Acad. легко «йдрр с таи ненас ра ос афреплой 30 мг

МИЛОЗЫ в  
ан W. L.  
3,6-anhyd  
№ 31, 997—  
специфич-  
и, конфо-  
полимере  
тип синте-  
проамилоза  
-триглиц-  
-IV  
(VI) —  
ром NaOH  
чени 2:1  
чем для  
J. Замеше-  
36%, 6-дез-  
Кислотной  
, неизвест-  
и III под-  
3 α-амило-  
твествую-  
ского I. Фо-  
картофеля  
I.  
Алексеева  
производ-  
ополнен-  
escu M.  
derivati  
la nota  
№ 8, 3, № 4  
азано, что  
шение XV,  
агмент, 1980,  
обромгла-

6Ж311. Стрессине глюкоманнана из серебристой ели (*Picea glauca*). Tyuminski A., Timell T. E. The constitution of a glucomannan from white spruce (*Picea glauca*). «J. Amer. Chem. Soc.», 1960, 82, № 11, 2823-2827 (англ.). — Древесину серебристой ели обрабатывают спиртом с  $C_6H_6$ , водой (содержание маннозы (I) в древесине 11,6%), затем 7 раз кислотным хлоритом. Выделенную холоднощелочью (выход 78,6%) экстрагируют 17,5%-ным NaOH, содержащим 4%  $H_3BO_3$  (p-p A) (30%, атмосфера  $N_2$ ), осаждают сахара из экстракта в виде комплекса с р-ром Фелинга, который разрушают 1 н. HCl (к-той). При добавлении спирта получают осадок глюкоманнана (II), выход неочищ. 12,7%. Содержит 82% всех маннозных остатков. II очищают 2-кратным осаждением комплекса. Чистый II (выход 6,7%) содержит I и глюкозу (III) в отношении 3:1 и следы ксилозы (неочищ. II, кроме того, содержит галактозу и арабинозу).  $[\alpha]_D^{25} -85^\circ$  (с 1; p-p A),  $-34^\circ$  (с 1; 17,5%-ный NaOH). Частичный гидролиз II 45%-ной  $HCOOH$  ( $\sim 98^\circ$ , 4 часа, повторная обработка остатка) с последующим разделением гидролизата на угольную колонку с увеличивающейся от 0,5 до 5,5% конц-ей спирта приводит к выделению следующих сахаров: 4- $\beta$ -D-маннопиранозил-D-маннозы, 4- $\beta$ -D-маннопиранозил-D-глюкозы, 4- $\beta$ -D-глюкопиранозил-D-маннозы,  $\beta$ -D-маннопиранозил-(1  $\rightarrow$  4)- $\beta$ -D-маннопиранозил-(1  $\rightarrow$  4)-D-маннозы и  $\beta$ -D-маннопиранозил-(1  $\rightarrow$  4)- $\beta$ -D-маннопиранозил-(1  $\rightarrow$  4)- $\beta$ -D-маннопиранозил-(1  $\rightarrow$  4)-D-маннозы. Кроме того, среди 4 неидентифицированных сахаров предполагаются целлобиоза и маннозпиглюкоальманноза. II метилируют  $(CH_3)_2SO_4$ , затем  $CH_3I$  +  $Ag_2O$ , продукт метилирования гидролизуют, как указано выше, и из гидролизата на колонке выделяют 2%-ным спиртом 2,3,6-триметил-D-маннозу и 5%-ным спиртом 2,3,6-триметил-D-глюкозу и малое кол-во тетраметилгексозы. При нитровании (смесь  $HNO_3$ ,  $H_2PO_4$  и  $P_2O_5$ , 17°, 1 час) II дает продукт с содержанием N 13,82%, средний осмотич. мол. вес 30,500, степень полимеризации 107. Определение методом светорассеяния дает соответствующие величины 51, 700 и 182. При окислении II затрачивается  $\sim 1$  моль  $NaJO_4$ . Следовательно, во II связаны I и III  $\beta$ -(1  $\rightarrow$  4)-глюкозидной связью, кол-во остатков немного более 100. II содержит мало смежных остатков III. Степень ветвления II не определена. Все  $[\alpha]_D^{25}$  определены в равновесии при 20°.

6Ж313. Последние достижения в химии эфирных масел. Naves Yves-René. Progrès récents dans la chimie des huiles essentielles. «Bull. Soc. chim. France», 1960, № 8-9, 1517—1528 (франц.).—Обзор. Библ. 143 назв. Ж. Н.

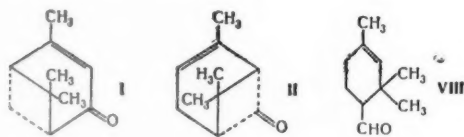
6Ж314. Действие йодродана на соединения с двойной связью. Mesnard Pierre, Raby Claude. Action du thiocyanate d'iode sur les éthyléniques. «C. r. Acad. sci.», 1960, 251, № 8, 1027—1029 (франц.).— JCMS. Легко присоединяется по двойным связям. С помощью «йодородного числа» (определяется и рассчитывается так же как йодное число) можно характеризовать ненасыщ. соединения. Р-р 3 г стирила в 5 мл абс. эфира оставляют на 24 часа с 90 мл 1 н. р-ра JCMS в эфире, избыток JCMS удаляют 1 н.  $\text{Na}_2\text{S}_2\text{O}_3$ , эфирный слой сушат над  $\text{CaCl}_2$  и упаривают. Для анализа 20—30 мг жидкого йодороданида нагревают в микроволновом

**6Ж315.** Изучение восстановления терпенов натрия в водном аммиаке. Часть IV. О восстановлении (+)-пулегона. Ueda Hiroo, Shimizu Sumio. Studies on the reduction of terpenes with sodium in aqueous-ammonia. Part IV. On the reduction of (+)-pulegone. «Bull. Agric. Chem. Soc. Japan», 1960, 24, № 1, 92—95 (англ.).—При восстановлении 9,5 г (+)-пулегона (I), т. кип. 72—75°/3 мм,  $n_D^{20}$  1,4893,  $d_4^{20}$  0,9396 [ $\alpha_D^{20}$  +21,7° [семикарбазон (СК), т. пл. 174—174,5°, 2,4-динитрофенилгидразон, т. пл. 147,5—148,5°], с помощью 8,4 г Na в водн.  $NH_3$  в присутствии  $C_2H_6$  по известной методике (см. часть III, РЖХим, 1960, № 22—88701) получают 8,5 г смеси (смесь А) с т. кип. 69—70°/2 мм, т. пл. 30—33°, [ $\alpha_D^{20}$  —26,35° (с 23,08,  $CH_3OH$ )] из которой выделяют (—)-ментон в виде СК (II), выход 158 мг, т. пл. 150—161°. Остаток (смесь Б) на основании данных по ИК-спектру содержит 75% (—)-ментола (III) и 25% (+)-пизомента. 3,5-динитробензоат III, т. пл. 152—153,5° (из  $CH_3OH$ ). Окислением смеси В  $CrO_3$  при 50° получают смесь (3:1, смесь В) III и (+)-пизомента (IV), выход 79,2%, т. кип. 76—77°/8,5 мм,  $n_D^{20}$  1,4503,  $d_4^{20}$  0,8965. Приведены кривые ИК-спектров для III, IV и смесей Б и В, данные по ИК-спектрам смесей Б и В и данные по ИК-спектрам для II и смеси А. Г. Сербяков

6Ж317. О некоторых пинанфосфоновых и пинанфосфиновых эфирах и кислотах. Quesnel George, Botton Marcel de, Chambolle Antoine, Dulou Raymond. Sur quelques esters et acides pinane-phosphoniques et phosphiniques. «C. r. Acad. sci.», 1960, 251, № 9, 1074—1076 (франц.).—Присоединение  $\text{HOP}(\text{OC}_2\text{H}_5)_2$  к *d*- $\alpha$ -пинуину (I) *l*- $\alpha$ -пинуину (II)

l-β-пинену (III) происходит против правила Марковникова; камфен не реагирует с  $\text{HOP}(\text{OC}_2\text{H}_5)_2$ . Катализаторами присоединения служат перекиси бензоила или циклогексанона; оптимальное кол-во катализатора составляет 20% от веса углеводорода. Присоединение  $\text{H}_3\text{PO}_3$  и  $\text{H}_3\text{PO}_2$  к II имеет тот же характер. К р-ру углеводорода в спирте или петр. эфире в случае р-ции с  $\text{HOP}(\text{OC}_2\text{H}_5)_2$ , или в 35%-ном водн. диоксиде в случае р-ции с  $\text{H}_3\text{PO}_3$  или  $\text{H}_3\text{PO}_2$ , прибавляют двойное кол-во фосфорного компонента и катализатор, смесь кипятят 5–15 час. до стабильного значения  $[\alpha]_D$  и выделяют продукт р-ции либо перегонкой, либо через солеобразование — подкисление. Из I в  $\text{HOP}(\text{OC}_2\text{H}_5)_2$  получен d-2-пинандитилфосфонат (IV), выход 42%, т. кип. 116–117°/1 мм,  $n_D^{22,5}$  1,4653,  $d_4^{22,5}$  1,012,  $[\alpha]_{578}^{25}$   $\pm 75,65^\circ$ ,  $[\alpha]_{436}^{25}$  +456,6°; из II в  $\text{HOP}(\text{OC}_2\text{H}_5)_2$  образуется l-2-пинандитилфосфонат (V), выход 48%, т. кип. 117°/1 мм,  $n_D^{23}$  1,4595,  $d_4^{23}$  1,011,  $[\alpha]_{578}^{25}$  –68,1°,  $[\alpha]_{436}^{25}$  –140,9°. Р-ция III с  $\text{HOP}(\text{OC}_2\text{H}_5)_2$  протекает второе медленнее, чем в случае I и II и дает l-10-пинандитилфосфонат (VI), выход 55%, т. кип. 186°/17 мм,  $n_D^{23}$  1,4672,  $d_4^{23}$  1,032,  $[\alpha]_{578}^{25}$  –48°,  $[\alpha]_{436}^{25}$  –95,5°. Последний более устойчив, чем IV и V. ИК-спектры IV–VI указывают на сохранность в них скелета исходных соединений. При омылении V или при р-ции II с  $\text{H}_3\text{PO}_3$  образуется l-2-пинанфосфиновая к-та — темная жидкость. Р-ция II с  $\text{H}_3\text{PO}_2$  приводит к l-2-пинанфосфиновой к-те, выход 15%, желтоватая жидкость с  $n_D^{20}$  1,4851,  $d_4^{20}$  1,030,  $[\alpha]_{578}^{25}$  –84,7°,  $[\alpha]_{546}^{25}$  –97,2°; Na-соль, т. пл. 220° (из диоксана).

З. Серебряков  
6Ж318. Фотохимия вербенон. Hurst J. J., Whitham G. H. The photochemistry of verbenone, «J. Chem. Soc.», 1960, July, 2864–2869 (англ.).—УФ-облучение вербенона (I) в среде циклогексана приводит к хризантенолу (II). При УФ-облучении I в среде спирта образуются наряду с II стереоизомер (III) этилового эфира гераниевой к-ты (IV), и этиловый эфир 3,7-диметилдигидро-3,6-овой к-ты (V, Va к-та). При гидрировании III и Va дают этиловый эфир тетрагидрогераниевой к-ты (VI). По-видимому, в III этоксикарбонильная группа занимает транс-положение по отношению к основной цепи, тогда как IV является цис-изомером. При УФ-облучении I в среде влажного эфира или в эфирном р-ре  $\text{NH}_3$  образуются соответственно Va и



амид V (V6). Авторы предполагают, что первичным промежуточным продуктом фотохим. превращения I является кетон  $(\text{CH}_3)_2\text{C}=\text{CHCH}_2\text{CH}=\text{C}(\text{CH}_3)\text{CH}=\text{CO}$ . Восстановление II посредством  $\text{LiAlH}_4$  приводит к хризантенолу (VII). Щел. омыление 3,5-динитробензоата (ДНБ) VII сопровождается разрывом кольца с образованием 4-формил-1,3,3-триметилциклогексена (VIII). При обработке ДНБ VII  $\text{LiAlH}_4$  удается регенерировать VII. 2 г вербенон окисляют 120 г  $\text{MnO}_2$  в 300 мл петр. эфира, встряхивают 1 час при 20°, фильтруют и выделяют I, выход 65%, т. кип. 102–105°/12 мм,  $n_D^{18}$  1,4957. Р-р 1,25 г I в 125 мл кипящего циклогексана облучают 3 часа ртутной кварцевой лампой, продукт р-ции хроматографируют в петр. эфире на  $\text{Al}_2\text{O}_3$ . Тем же р-рителем неочищ. II, выход 47%, а смесью петр. эфир-эфир (4:1) вымывают 0,41 г неизмененного I. После вторичного хроматографирования в петр. эфире на активированном угле — цеците (1:1) получают чистый II, т. кип. 88–89°/12 мм,  $n_D^{22}$  1,4720,  $[\alpha]_D$  +37° (с 2,4; хлф.). Аналогичный результат получают при УФ-облучении I в

безводн. эфире. 0,5 г II восстанавливают  $\text{LiAlH}_4$  (0,13 г) в 20 мл эфира, продукт р-ции хроматографируют в петр. эфире на  $\text{Al}_2\text{O}_3$ . Смесью петр. эфир-эфир (98:2) вымывают VII, выход 62%; ДНБ, т. пл. 114–116° (из сп.). Окислением 0,1 г VII посредством 0,2 г  $\text{CrO}_3$  в 2 мл пиридина (16 час.) регенерируют II. 0,33 г ДНБ VII кипятят 2 часа с 5%-ным метанольным р-ром КОН, разбавляют водой, экстрагируют эфиром, продукт р-ции (масло, 0,1 г) переводят в 2,4-динитрофенилгидразон VIII (очищают хроматографированием на  $\text{Al}_2\text{O}_3$ , вымывают  $\text{CHCl}_3$ ), т. пл. 161–162° (из сп.). Р-р 2,5 г I в 200 мл абс. спирта кипятят 4 часа при УФ-облучении, упаривают досуха, остаток хроматографируют в петр. эфире на  $\text{Al}_2\text{O}_3$ . Тем же р-рителем вымывают последовательно 0,11 г III, т. кип. 111–116°/10 мм, 0,68 г смеси III и V, 0,23 г смеси V и II, 0,26 г II. Смесью петр. эфир-эфир вымывают 0,84 г смеси I и II, 165 мг III гидрируют над  $\text{PtO}_2$  (100 мг) в 25 мл  $\text{CH}_3\text{COOH}$ , продукт р-ции омыляют 10%-ным спирт. КОН до VI; амид, т. пл. 101–103,5° (из петр. эф.); S-бензиллизотиоурониевая соль, т. пл. 149–151° (из водн. сп.). Р-р 1 г I в 150 мл влажного эфира кипятят 3,5 часа при УФ-облучении, перегонкой кислого продукта р-ции выделяют Va, выход 0,27 г, т. кип. 100–102°/0,4 мм; амид (смесь стереоизомеров), т. пл. 87–97° (из петр. эф.). Р-р 1,3 г I в 150 мл эфира, насыщ.  $\text{NH}_3$  (газом) облучают УФ-светом 4 часа при 30°, упаривают, остаток хроматографируют на  $\text{Al}_2\text{O}_3$ . Смесью петр. эфир-эфир (4:1) вымывают 0,48 г смеси I и II, а вымыванием смесью эфир-спирт (1:1) выделяют V6, выход 0,27 г, т. пл. 100–104,5° (из петр. эф.). При УФ-облучении р-ров II в различных р-рителях получены следующие результаты (указаны р-ритель, кол-во исходного II в мг, продукт р-ции, его выход в мг): влажный эфир, 150, Va, 15; водн. диоксан, 173, Va, 61; спирт, —, смесь III и V, 15;  $\text{CH}_3\text{OH}$ , —, смесь метиловых эфиров гераниевой к-ты и Va, —. Приведены данные по УФ-спектрам I и II.

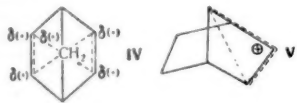
Л. Бергельсон  
6Ж319. Изучение производных α-лонгифолена. Сообщение I и II. Yamashita Iwao, Tanaka Jun-taro. «Юки госсэй кагаку кёкайси, J. Soc. Organ. Synth. Chem., Japan», 1960, 18, № 1, 41–44, 45–47 (японск.; рез. англ.).—I. Реакция лонгифолена с фенолом в присутствии катализатора трехфтористого бора. К смеси фенола и α-лонгифолена (I) в циклогексане или безоле добавлял при 0–28° эфират  $\text{BF}_3$  (II) и перемешивают при т-рах до 5–89° от 2 до 6 час. В различных опытах берут от 20 до 204 г I, от 10 до 146 г фенола, 9,3–3 г II и 5–250 мл р-рителя и после обработки 5%-ным NaOH во всех случаях около половины I изомеризуется в изолонгифолен (III), а другая часть превращается в лонгифолениловый эфир (IV), выход 30%, т. кип. 178–183°/5 мм,  $[\alpha]_D$  +11,04°,  $n_D^{25}$  1,5382,  $d_4^{25}$  1,0276. Приведены кривые ИК-спектров III и IV.  
II. Р-ция лонгифорилхлорида с фенолом и ее продукты. Эфирный р-р I насыщают  $\text{HCl}$ -газом, отгоняют эфир и получают лонгифорилхлорид (лонгифоренилхлорид) (V), т. пл. 59–60° (из этилацетата),  $[\alpha]_D$  +7°. При нагревании 30 г V с 150 г фенола (15 час, 150–170°) получают ~6 г лонгифоренилфенолового эфира (VI), т. пл. 90,7–91,5° (из петр. эфира) и смесь 0-л-лонгифорилфенолов (VII, VIII), т. кип. 190–207°/6 мм. Превращение VI в VII наблюдали при нагревании в смеси конц.  $\text{H}_2\text{SO}_4$  и  $\text{CH}_3\text{COOH}$  (5 час. при 125°). Приведены кривые ИК-спектров VI и смеси VII и VIII.

6Ж320. 7-трет-бутоксинорборнадие. Единственный пример гомоаллильного замещения. Story Paul R. 7-t-butoxynorbornadiene. A unique homoallylic substitution. «J. Amer. Chem. Soc.», 1960, 82, № 8, 2085 (англ.).—В присутствии  $\text{CuBr}$  р-ция между олефинами и  $\text{C}_6\text{H}_5\text{CO}_2\text{C}(\text{CH}_3)_3$  (I) проходит по типу радикального аллильного замещения; продуктами р-ции являются соответствующие аллилбензоаты (см. РЖХим, 1960, № 24



АН<sub>4</sub> (0,43 г) афируют в эфир (98:2) 4—116° (на 2 г CrO<sub>3</sub> в 0,33 г ДНБ-ром КОН, продукт оффенвальдма на Al<sub>2</sub>O<sub>3</sub>). Р-р 2,5 г УФ-облучают афируют в мывают по 1 мм, 0,68 г II. Смесь из II, 165 мг SOOH, про- VI; амид, отогнано-р-р 1 г I в II. УФ-облучают выделяют амид (смесь) II. Р-р 1,3 г II в эфире, добавляют УФ-хроматогра- I) вымыв- смесь эфир-пл. 100—105° в раз-результаты 50, Va, 15; VI и V, — в- к-ты и I и II. Бергелсон, Ролена, Со-ака J. Org. Synth. 7 (японск; лом в при-а. К смеси или бензо-перемеш-различных 3 г фенола, обработки инны I изо-часть пре-IV), выход 2,5382, III и IV. II и ее про- отгоняют дифенилпи-тата), [α]<sub>D</sub> 15 час, фенолового (а) и смеси кип. 190—195° при нагр-е 5 час. при смеси VII И. Швейцар-ственный Paul R. is substitu-5 (англ.).-и и C<sub>6</sub>H<sub>5</sub>-го алли-соотв-960, № 24

92225). Р-ция между I и норборнадиевом-2,5 (II) является первым примером гомоаллильного замещения, а атакующим радикалом является здесь трет-С<sub>4</sub>H<sub>9</sub>O;



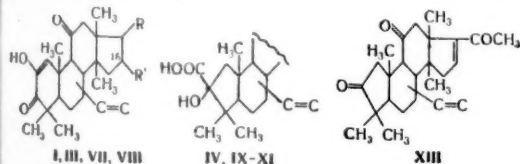
в результате образуется 7-трет-бутоксипорборнадиев-2,5 (III). К смеси 29,8 г II и 0,064 г CuBr в C<sub>6</sub>H<sub>6</sub> прибавляют 24,5 г I, удаляют образующуюся при р-ции C<sub>2</sub>H<sub>5</sub>COOH, выход 32%, и получают III, выход 26%, т. кип. 57°/7 мм; в остатке содержится исходный I (данные ИК-спектра). Для выделения III использована также хроматография на Al<sub>2</sub>O<sub>3</sub>. При гидрировании III легко поглощает 2 моля H<sub>2</sub> с образованием 7-трет-бутоксинорборнана, а при стоянии на воздухе поглощает O<sub>2</sub>. Обсуждается возможный механизм р-ции с образованием радикала (IV); рассчитанная для IV энергия делокализации составляет 6,7 ккал, тогда как для известного катиона 7-норборненила (V) эта энергия составляет 7,7—10,5 ккал. Приводятся данные УФ- и ИК-спектров III.

Э. Серебряков

6Ж321. Последние достижения в химии сесквитерпенов. Sorm František. Some recent developments in sesquiterpene chemistry. «Rec. Chem. Progr.», 1960, 21, № 2, 73—93 (англ.).—Обзор.

Ж. Н.

6Ж322. Вещества *Ecballium elaterium* L. XI. Вероятная структура α-элатьерина и продуктов его распада. Lavie David, Willner David. The constituents of *Ecballium elaterium* L. XI. Proposed structures for α-elaterin and its degradation products. «J. Amer. Chem. Soc.», 1960, 82, № 7, 1668—1673 (англ.).—Предложена структурная ф-ла для α-элатьерина (кукурбитацена E) (I). Доказательством принадлежности I к классу трициклич. тритерпенов послужило выделение 1,2,8-триметилфенантрена (II) из продуктов дегидрирования восстановленных производных I. При гидрировании I в р-ре CH<sub>3</sub>COOH на Pt-катализаторе до поглощения 1 моля H<sub>2</sub> образуется дигидроэлатьерин (III), т. пл. 169—172° (водн. CH<sub>3</sub>COOH или водн. CH<sub>3</sub>OH), [α]<sub>D</sub> —45° (с 1,6; хлф.). Из III получены аморфный диацетат и микрокристаллич. бис-динитрофенилгидразон. При восстановлении III при помощи LiAlH<sub>4</sub> в кипящем тетрагидрофуране в течение 48 час. с последующим ацилированием посредством (CH<sub>3</sub>CO)<sub>2</sub>O в пиридине выделено аморфное в-во, спектр которого не содержал более карбонильных частот и которое без дальнейшей очистки нагревали в течение 50 час. с порошком Se в токе N<sub>2</sub> при 360°, продукты дегидрогенизации экстрагировали эфиром и после отгонки р-рителя подвергали перегонке в вакууме; из фракции с т. кип. 134—136°/0,3 мм путем хроматографии на Al<sub>2</sub>O<sub>3</sub> выделен II, идентифицированный по УФ-спектру в изоктане и аддукту с 1,3,5-тринитробензолом, т. пл. 185—187°. Обра-



Неуказанные R=COCH<sub>3</sub>, I R=C(CH<sub>3</sub>)(OH)COCH=CHC(CH<sub>3</sub>)<sub>2</sub>COCH<sub>3</sub>, R'=OH; II R=C(CH<sub>3</sub>)(OH)COCH<sub>3</sub>, R'=OH; III R=C(CH<sub>3</sub>)(OH)COCH<sub>3</sub>, R'=OH; IV R=C(CH<sub>3</sub>)(OH)COCH<sub>3</sub>, R'=OH; V R'=H, Δ<sup>14</sup>; VI R'=OH; VII R'=H, Δ<sup>14</sup>; VIII R'=OH; IX R'=H, Δ<sup>14</sup>; X R'=OH; XI R'=H

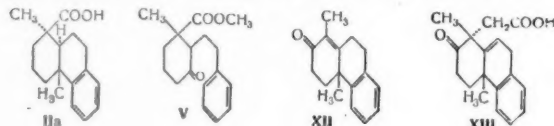
ботка I щелочью ведет к описанной ранее экабалловой к-те (IV), окисление метилового эфира (МЭ) IV по-

средством CrO<sub>3</sub> в ацетоне при 0° дает МЭ 16-кетозекбалловой к-ты (V), т. пл. 185—187° (эф.), [α]<sub>D</sub> —112° (с 0,97; хлф.). При хроматографии V на основной Al<sub>2</sub>O<sub>3</sub> (в-во оставляют в колонке в течение 3 дней), образуется МЭ Δ<sup>17(20)</sup>-дегидро-16-кетозекбалловой к-ты (VI), т. пл. 248—258° (хлф.-пепт. эфир). ИК-спектр содержит полосу поглощения пятичленного кетона (1743 см<sup>-1</sup>), а УФ- и ИК-спектры VI указывают на наличие системы CO—CH=CH—CO, которая могла возникнуть путем отщепления третичной OH-группы от C<sub>(20)</sub>. Таким образом вторичная гидроксильная группа I должна находиться при C<sub>(16)</sub>. Правильность этого положения подтверждена окислением МЭ III и МЭ IV посредством HJO<sub>4</sub>. При действии HJO<sub>4</sub> на МЭ III в водн. CH<sub>3</sub>OH при 20° образуются МЭ дегидрогексанорэлатьерина (VII), т. пл. 193—195° (эф.), [α]<sub>D</sub> +14° (с 0,77; хлф.) и МЭ гексанорэлатьерина (VIII), т. пл. 244—251° (водн. CH<sub>3</sub>OH), разделение VII и VIII осуществлено путем хроматографирования на Al<sub>2</sub>O<sub>3</sub>. Аналогично из МЭ IV получены МЭ дегидробиснорэкбалловой к-ты (IX), т. пл. 199—201° (эф.), [α]<sub>D</sub> +32° (с 0,8; хлф.) и МЭ биснорэкбалловой к-ты (X), т. пл. 225—228° (бэл.), [α]<sub>D</sub> +60° (с 1,2; хлф.), причем IX и X были разделены также посредством хроматографии на Al<sub>2</sub>O<sub>3</sub>. При окислении МЭ IV при помощи NaJO<sub>4</sub> выделен только X. Нагревание X в бензоле с n-толуолсульфокислотой при 80° в течение 2 час. ведет к IX. Гидрирование IX на Pd/C в спирте дает МЭ 16-дезоксиснорэкбалловой к-ты (XI), т. пл. 163—165° (водн. CH<sub>3</sub>OH) (с 0,9; хлф.). Взаимоотношения VII и VIII, а также IX и X могут быть объяснены только наличием OH-группы при C<sub>(16)</sub>. Положение α-дикетонной группировки в I выяснено путем окисления III при помощи H<sub>2</sub>O<sub>2</sub> в водн. CH<sub>3</sub>OH, которое привело к образованию аморфной дикарбоновой к-ты (XII), пиролизом XII при 300° в токе N<sub>2</sub> в вакууме получен кетон (XIII), т. пл. 195—197° (эф.), [α]<sub>D</sub> +48° (с 0,6; хлф.), очищенный хроматографированием на Al<sub>2</sub>O<sub>3</sub>. ИК-спектр XIII соответствует наличию карбонила в пятичленном кольце, откуда следует, что α-дикетонная группировка находилась в кольце А. Приведены спектроскопич. данные, указывающие, что пространственно затрудненная кето-группа в I должна находиться при C<sub>(11)</sub>. Положение двойной связи не определено. Приведены данные по УФ-спектрам II—XI и XIII и ИК-спектрам III—XI и XIII. Сообщение X см. РЖХим, 1960, № 22, 88712. О. Чижов

6Ж323. Изучение тритерпенов, находящихся в мексиканских растениях *Euphorbia hirta* var. *Procumbens*, *Pedilantus calcaratus* и *Pedilantus tehucanus*. Estrada H. Estudio de la *Euphorbia hirta* var. *Procumbens*, del *Pedilantus calcaratus* y del *Pedilantus tehucanus*. «Bol. Inst. quim. Univ. nac. autonoma Mexico», 1959, 11, 15—21 (исп.).—В *E. hirta* обнаружены фриделин (I), β-амирин (II), β-ситостерин (III) и углеводород, предположительно — гентриаконтан (IV). Совместное нахождение I и II в одном растении является единичным случаем и подтверждает гипотезу Кори и Уршпрунга о том, что II служит биогенетич. предшественником I. Сушат и измельчают 12 кг *E. hirta* и полученную массу экстрагируют 7 раз 20 л спирта. Первичный экстракт (1,463 кг) разделен на кислую и нейтр. фракции. Омыление последней дает 150 г нейтр. в-в. При хроматографировании 100 г этих в-в выделено 4,46 г IV (вымывание смесью гексан-бэл.), т. пл. 62—64°; затем 1,7 г I (вымывание бэл.-эф., 1:1), т. пл. 270—271°, [α]<sub>D</sub> —25,8°; 4,7 г II (вымывание хлф.), т. пл. 191—195°, [α]<sub>D</sub> +82,1° и III (вымывание хлф.-CH<sub>3</sub>OH, 9:1), т. пл. 138—140°, [α]<sub>D</sub> —45,5°. При аналогичной обработке сухого *P. calcaratus* (синонимы *P. affilus*, *P. cymbiferus*) получено 321 г нейтр. в-в с содержанием I около 1,5%. Гликозидная фракция (430 г) после гидролиза и хроматографирования дает ~760 мг I. Из *P. tehucanus* выделен I. Для характеристики I и II по-

лучен ряд их производных и приведены данные по ИК-спектрам.

**6Ж324. Синтетические исследования в области смолных кислот.** IV. Ghatak Usha Ranjan, Datta Dilip Kumar, Ray Suvas Chandra. Synthetic studies on resin acids. IV. «J. Amer. Chem. Soc.», 1960, 82, № 7, 1728—1734 (англ.).—Описан синтез *dl*-подокарповой к-ты (I), дезоксиподокарповой к-ты (II) и *dl*-дезизопропилдегидроабетиновой к-ты (III). Присоединением HCN к 2-(β-фенэтил)-3-метил-Δ<sup>2</sup>-циклогексенону (IV) с последующим щел. гидролизом



и этерификацией синтезирован 2-(β-фенэтил)-3-метил-3-карбометоксидигидрогексанон (V). Конденсация V с  $\text{CH}_3\text{MgI}$  и последующая дегидратация приводят к смеси сложного эфира и лактона, дающей при циклизации с полифосфорной к-той II в виде двух энантиомерных форм (IIa и IIб), которые при дегидрировании переходят в 1-метилфенантрен (VI). Метилловый эфир IIa при конденсации с  $\text{CH}_3\text{COCl}$  переходит в метилловый эфир 6-ацетил-*dl*-дезоксиподокарповой к-ты (VII), образующий I при окислении посредством  $\text{C}_6\text{H}_5\text{CO}_3\text{H}$  и последующем гидролизе. При окислении посредством  $\text{CrO}_3$  метилловый эфир IIa дает метилловый эфир 9-кетодезокси-*dl*-подокарповой к-ты (VIII) в виде двух энантиомерных форм, дающих один и тот же 2,4-динитрофенилгидразон (ДНФГ). В тех же условиях метилловый эфир IIб образует метилловый эфир 9,10-дикето-*цис*-дезоксиподокарповой к-ты (IX), енолацетат которого при каталитич. гидрировании дает метилловый эфир IIa, откуда следует что IIa обладает *транс*-, а IIб — *цис*-конфигурацией колец A/B. Синтез III осуществлен исходя из 1-метилтетралона-2 (X), дающего при конденсации с β-хлорэтилэтилкетонном (XI) 4,4а,9,10-тетрагидро-1,4а-диметил-2(3Н)-фенантрои (XII). Конденсация XII с  $\text{BrCH}_2\text{COOC}_2\text{H}_5$  и последующее омыление приводят к 1,2,3,4,4а,9-гексагидро-1,4а-диметил-2-кето-1-фенантреноксусной к-те (XIII), образующей при гидрировании 1,2,3,4,4а,9,10,10а-октагидро-1,4а-диметил-2-кето-1-фенантреноксусную к-ту (XIV). Метилловый эфир последней образует при р-ции с  $(\text{CH}_3\text{SH})_2$  и последующем обессеривании над скелетным Ni метилловый эфир 1,2,3,4,4а,9,10,10а-октагидро-1,4а-диметил-1-фенантреноксусной к-ты (XV), переходящей при расщеплении по Барбье — Виланду в III. Описаны также некоторые неудачные попытки синтеза III: 4а-метил-1-кето-1,2,3,4,4а,9,10,10а-октагидро-фенантрен (XVI) дал при конденсации с HCN с последующей дегидратацией и щел. гидролизом вместо ожидаемой α,β-непредельной к-ты 1,2,3,4,4а,10а-гексагидро-4а-метил-1-фенантреноксусную к-ту (XVII). Строение последней принято на том основании, что она имеет λ (макс.) 265 мμ (lg ε 4,0), дает при гидрировании 1,2,3,4,4а,9,10,10а-октагидро-4а-метил-1-фенантреноксусную к-ту (XVIII), переходящую при метилировании в IIб, и образует при конденсации с  $(\text{CH}_3)_2\text{Cd}$  1,2,3,4,4а,10а-гексагидро-4а-метил-1-ацетилфенантрен (XIX), который, однако, не удалось использовать для синтеза III. К смеси 6,6 г метилового эфира 1,2,3,4,4а,9,10,10а-октагидро-1-карбометокси-4а-метил-1-фенантреноксусной к-ты и 6,4 г  $\text{AlCl}_3$  в 30 мл нитробензола добавляют при охлаждении 2,4 мл  $\text{CH}_3\text{COCl}$ , выдерживают 1 час при 0° и 20 час. при 25—30°, продукт р-ции метилируют  $\text{CH}_3\text{N}_2$  и превра-

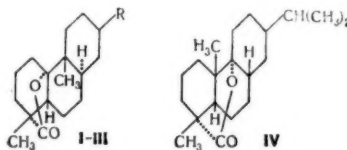
щают в семикарбазон, из которого регенерируют метилловый эфир 1,2,3,4,4а,9,10,10а-октагидро-1-карбометокси-4а-метил-6-ацетил-1-фенантреноксусной к-ты (XXII), выход 31%, т. пл. 137—138° (из  $\text{CH}_3\text{OH}$ ); ДНФГ, т. пл. 227—228° (из этилацетата). В тех же условиях из 2,18 г метилового эфира 1,2,3,4,4а,9,10,10а-октагидро-1,4а-диметилфенантреноксусной к-ты (XXIII) получают метилловый эфир 6-ацетил-XXIII (XXIV), выход 64%, т. кип. 165—175°/0,3 мм; ДНФГ, т. пл. 226° (из этилацетата). 1,2 г XXII восстанавливают по Кизнеру — Хуан — Минлону, кислый продукт р-ции (I г) нагревают с 1,5 г Se 12 час. при 325—340°, нейтр. продукт фильтруют в петр. эфире через  $\text{Al}_2\text{O}_3$  и выделяют 1-метил-6-этилфенантрен, выход 42% (неочищ.); 2,4,6-тринитробензолат, т. пл. 141—142° (из сн.). К р-ру 1,5 г XXIV в 10 мл эфира добавляют при —5° в атмосфере  $\text{N}_2$  эфирный р-р  $\text{CH}_3\text{MgI}$  (из 0,24 г Mg и 1 мл  $\text{CH}_3\text{I}$ ), перемешивают 15 мин., разлагают  $\text{NH}_4\text{Cl}$ , продукт р-ции (XXV) кипятят 12 час. со скелетным Ni (W-6) в спирте, фильтруют, фильтрат упаривают, остаток (1,1 г) кипятят 5 час. с р-ром 2,5 г KOH в 25 мл *n*- $\text{C}_4\text{H}_9\text{OH}$ , подкисляют, отгоняют р-ритель с паром и выделяют 1,2,3,4,4а,9,10,10а-октагидро-1,4а-диметил-6-изопропилфенантреноксусную к-ту, выход 50%, т. пл. 155—156° (очищают возгонкой при 165—175°/0,1 мм и кристаллизацией из сн.). 0,1 г XXV и 0,2 г Se нагревают 12 час. при 325—340°, продукт р-ции (40 мг) перегоняют над Na при 160—170°/1 мм и получают 1-метил-6-изопропилфенантрен; никрат, т. пл. 142—143° (из сн.). К р-ру 62 г IV в 500 мл спирта добавляют р-р 62 г KCN в 300 мл воды, кипятят 10 час., добавляют р-р 80 г KOH в 900 мл воды, кипятят 55 час., продукт р-ции разделяют на кислоту (A) и нейтр. фракцию, из которой при обработке воды спиртом выпадает 3,5 г нитрила с т. пл. 184—185° (из сн.). Фракцию A кипятят 30 час. с 200 мл  $\text{CH}_3\text{OH}$  и 20 мл конц.  $\text{H}_2\text{SO}_4$ ; выделяют V, выход 68%, т. кип. 178—180°/0,6 мм; ДНФГ, т. пл. 163° (из сн.-этилацетата). К р-ру 49 г V в 120 мл эфира добавляют за 1 час эфирный р-р  $\text{CH}_3\text{MgI}$  (из 5,4 г Mg), оставляют на 1,5 часа, продукт р-ции растворяют в толуоле и кипятят с 20 г  $(\text{COOH})_2$  3 часа с азетропной отгонкой воды, продукт р-ции (38,5 г, т. кип. 145—157°/0,4 мм) нагревают 1 час, 15 мин. при 80—90° с полифосфорной к-той, приготовленной из 96 г  $\text{P}_2\text{O}_5$  и 82 мл 89%-ной  $\text{H}_3\text{PO}_4$ , разлагают льдом, экстрагируют эфиром, эфирный экстракт промывают 5%-ным NaOH (нейтр. остаток B), из щел. р-ра выделяют IIa, выход 6,2 г, т. пл. 232—233° (из этилацетата-сн.); метилловый эфир, т. пл. 131—132°. Из маточных р-ров от IIa после обработки  $\text{CH}_3\text{N}_2$  выделяют дополнительно 1,8 г метилового эфира IIa и метилловый эфир IIб (неочищ.), т. пл. 85—86° (из  $\text{CH}_3\text{OH}$ ), омылением которого (KOH в *n*- $\text{C}_4\text{H}_9\text{OH}$ ) получают IIб, выход 1,95 г, т. пл. 206—207° (из  $\text{CH}_3\text{OH}$ ). При дегидрировании над 10%-ным Pd/C (320—330°, 4 часа) IIa и IIб дают 1-метилфенантрен, т. пл. 122—123°. Из нейтр. остатка B (16,1 г) после кипячения 10 час. с 300 мл 10%-ного р-ра KOH в *n*- $\text{C}_4\text{H}_9\text{OH}$  выделяют дополнительные кол-ва IIa и IIб, а также 3,1 г 2,3,4,4а,9,10-гексагидро-1,4а-диметилфенантрена, т. кип. 128—130°/0,15 мм. 3,2 г метилового эфира IIa в 40 мл  $\text{CH}_3\text{COOH}$  окисляют р-ром  $\text{CrO}_3$  (4 г) в 8 мл воды в 30 мл  $\text{CH}_3\text{COOH}$  до VIII (выделяют через семикарбазон), выход 50% в виде двух форм с т. пл. 124—125° и 146—147° (из  $\text{CH}_3\text{OH}$ ); ДНФГ, т. пл. 219—220° (из этилацетата). В тех же условиях 3,1 г метилового эфира IIб дают IX, выход 27%, т. пл. 129—130° (из бал.-летр. эф.). Смесь 0,4 г IX, 0,2 г  $\text{CH}_3\text{COONa}$  и 20 мл  $(\text{CH}_3\text{CO})_2\text{O}$  кипятят 1,5 часа, неочищ. продукт р-ции гидрируют над 10%-ным Pd/C (0,2 г) в 12 мл  $\text{CH}_3\text{COOH}$ , содержащей 0,3 мл 60%-ной  $\text{HClO}_4$ , до метилового эфира IIa, выход 42%. В условиях синтеза XXII из 1,7 г метилового эфира IIa получают VII, выход 35%, т. пл. 133—134° (из водн.  $\text{CH}_3\text{OH}$ ); ДНФГ, т. пл.

рируют ме-  
1-карбомет-  
к-ты  
(Н); ДНФГ,  
е условия  
-октагидро-  
XXIII к-та  
XXIV), вы-  
т. пл. 226°  
ливают по  
дукт р-ции  
340°, нейтр.  
О<sub>2</sub> и выде-  
(неочищ.);  
сп.). К р-ру  
-5° в атмо-  
Mg и 1 мл  
NH<sub>4</sub>Cl, про-  
-летным И  
нают, оста-  
ОН в 25 мл  
е паром в  
диметил-ф-  
ход 50 мг,  
165—175°  
XV в 0,2 г  
дукт р-ции  
мм и полу-  
ат, т. пл.  
спирта до-  
тит 10 час.  
м, кипятят  
(А) в  
води. спир-  
5° (из сп.),  
ОН в 20 мл  
178—180°  
та). К р-ру  
с эфирами  
часа, про-  
тит 20 г,  
ы, продукт  
вают 1 час,  
приготов-  
разлагают  
тракт про-  
т, из спир-  
220—233°  
131—132°  
CH<sub>3</sub>N<sub>2</sub> вы-  
фира Па в  
5—86° (из  
H<sub>2</sub>OH) по-  
из CH<sub>3</sub>OH).  
(320—330°  
т. пл. 122°  
кипячения  
H<sub>2</sub>OH выка-  
каже 3,1 г,  
на, т. кип.  
Ia в 40 мл  
мл воды в  
семикарба-  
124—125°  
—220° (из  
метилового  
—130° (из  
Na в 20 мл  
дукт р-ции  
2 мл CH<sub>3</sub>-  
теза XII  
VII, выхо-  
ДФГ, т. пл.

234—235° (из этилацетата). К р-ру 450 мг VII в 2 мл CHCl<sub>3</sub> добавляют р-р 0,257 г C<sub>6</sub>H<sub>5</sub>CO<sub>2</sub>N в 6,8 мл CHCl<sub>3</sub>, выдерживают в темноте 2 дня при 10° и 3 дня при 28—32° и выделяют метиловый эфир ацетата I (Ia), выход 79%, т. пл. 125—126° (из петр. эф.-этилацетата). Кипячением 0,3 г Ia с 450 мг KOH в 25 мл воды и 40 мл спирта (4 часа) получают метиловый эфир I, выход 94%, т. пл. 193° (из водн. CH<sub>3</sub>OH), дальнейшее омыление которого (0,4 г KOH, 5 мл диэтиленгликоля, 160—180°, 5 час. в атмосфере N<sub>2</sub>) приводит к I, выход 70%, т. пл. 266—268° (из этилацетата-петр. эф., очищают возгонкой при 180—190°/0,1 мм). К р-ру KNH<sub>2</sub> (из 8 г K) в 500 мл жидкого NH<sub>3</sub> добавляют сразу 6,3 г Δ<sup>2</sup>-циклогексенкарбонной к-ты и через 5 мин. по каплям 50 г CH<sub>3</sub>I, после повторного метилирования получают 1-метил-Δ<sup>2</sup>-циклогексенкарбонную к-ту, выход 57%, т. кип. 105—107°/3 мм, переходящую при гидрировании над PtO<sub>2</sub> в спирте в 1-метилциклогексенкарбонную к-ту, выход 94%, т. кип. 105°/4 мм; амид, т. пл. 66—67° (из петр. эф.). 45 г XVI обрабаты-вают при —40° HCN (из 150 г KCN), неочищ. диэтиленгликоль растворяют в 45 мл пиридина, добавляют при 0° 32 мл SOCl<sub>2</sub>, выдерживают 1 час при 0° и нагревают 1 час при 100°. 15 г полученного ненасыщ. нитрила (выход 51%, т. кип. 165—170°/0,8 мм) добавляют при 80° к атмосфере N<sub>2</sub> к р-ру 4,5 г NaOH в 60 мл диэтиленгликоля, нагревают 4 часа при 200—210° и выделяют XVII, выход 32%, т. кип. 170—180° (т-ра бани)/0,6 мм; т. пл. 172—173° (из водн. сп.). Р-р хлорангидрида XVII (из 1 г XVIII) в 2 мл C<sub>6</sub>H<sub>6</sub> добавляют к нагретому эфирному р-ру (CH<sub>3</sub>)<sub>2</sub>Cd (из 3,6 г CoCl<sub>2</sub>), кипятят 1,5 часа и выделяют XIX в виде ДНФГ, т. пл. 186—187° (из сп.-этилацетата, 1:1), 1,8 г XVIII гидрируют над 10%-ным Pd/C (0,2 г) в спирте до XVIII, выход 93%, т. пл. 203—204° (из водн. сп.). К суспензии трет-С<sub>6</sub>H<sub>11</sub>OK (из 2 г K) в 25 мл эфира добавляют при охлаждении р-р 1,7 г хлорангидрида XVIII в 15 мл эфира, оставляют на 1 час при 20°, кипятят 1 час, продукт р-ции (1,6 г) в 20 мл эфира добавляют сразу к р-ру 1 г K в 100 мл жидкого NH<sub>3</sub>, перемешивают 1 час, добавляют 5 мл CH<sub>3</sub>I в 5 мл эфира. Продукт, полученный после вторичного метилирования (1,3 г) кипятят 15 мин. с 15 мл конц. HCl в 10 мл диоксана и выделяют II, выход 29%. К р-ру трет-С<sub>6</sub>H<sub>11</sub>OK (из 2,8 г K) в 80 мл толуола добавляют в атмосфере N<sub>2</sub> 12,8 г X в 200 мл толуола, нагревают 30 мин., добавляют 44 г триметиленидбромид, оставляют на 12 час., кипятят 3 часа, продукт р-ции (11,6 г, т. кип. 153—154°/0,8 мм) кипятят 12 час. с 9,3 г ацетоуксусного эфира в присутствии 1,5 г Na, продукт конденсации кипятят 6 час. в атмосфере N<sub>2</sub> с метанольным р-ром 16 г KOH и выделяют XX, выход 4,5 г, т. кип. 160—180°/0,5 мм. Смесь 1,8 г XX, 50 мл CH<sub>3</sub>COOH и 5 мл конц. HCl кипятят 5 час. в атмосфере N<sub>2</sub> и получают XXI, выход 1,3 г, т. кип. 155—160°/0,4 мм; семикарба-зон, т. пл. 222° (из сп.). К р-ру 8,8 г Na в 150 мл CH<sub>3</sub>OH добавляют при охлаждении в атмосфере N<sub>2</sub> 30,5 г X в 25 мл CH<sub>3</sub>OH, кипятят 30 мин., добавляют за 50 мин. р-р 25 г XI в 20 мл CH<sub>3</sub>OH (охлаждение льдом), перемешивают 2 часа на холоду, кипятят 1 час, разлагают лед. CH<sub>3</sub>COOH и льдом и отфильтровывают XII, выход 65%, т. пл. 88—88,5° (из петр. эф.); ДНФГ, т. пл. 238° (из этилацетата). К р-ру трет-С<sub>6</sub>H<sub>11</sub>OK (из 7,8 г K) в 200 мл C<sub>6</sub>H<sub>6</sub> добавляют в атмосфере N<sub>2</sub> р-р 15 г XII в 75 мл C<sub>6</sub>H<sub>6</sub>, нагревают 45 мин. при 60—70°, добав-ляют 26 г BrCH<sub>2</sub>COOC<sub>2</sub>H<sub>5</sub>, выдерживают 30 мин., кипятят 1 час в атмосфере N<sub>2</sub> и выделяют этиловый эфир XIII (XIIIa), выход 72%, т. кип. 165—170°/0,1 мм. Омылением XIIIa (кипячение 4 часа с метанольным р-ром KOH) получают XIII, выход 46%, т. пл. 148—149° (из CH<sub>3</sub>OH). 5 г XIII гидрируют над PtO<sub>2</sub> (0,1 г) в лед. CH<sub>3</sub>COOH до XIV, выход 83%, т. пл. 137—138° (из CH<sub>3</sub>OH); метиловый эфир (XIVa), т. пл. 95° (из CH<sub>3</sub>OH). К смеси 1,9 г ZnCl<sub>2</sub> и 1,2 г безводн. Na<sub>2</sub>SO<sub>4</sub> добавляют

при охлаждении 4,4 г XIVa и затем 7 мл (CH<sub>3</sub>SH)<sub>2</sub>, оставляют на 12 час., разбавляют водой, экстрагируют CHCl<sub>3</sub>, продукт р-ции (5,2 г) гидрируют над Ni (W-6) в кипящем спирте (10 час.) до XV, выход 65%, т. кип. 160—162°/0,25 мм. К эфирному р-ру C<sub>6</sub>H<sub>5</sub>MgBr (из 0,6 г Mg и 3,9 г C<sub>6</sub>H<sub>5</sub>Br) добавляют 2,5 г XV в 5 мл эфира, кипятят 3 часа, неочищ. продукт р-ции (3,2 г) окис-ляют CrO<sub>3</sub> в водн. CH<sub>3</sub>COOH (75—80°, 5 час.) и выде-ляют III, выход ~20 мг, т. пл. 174—175° (из водн. CH<sub>3</sub>OH). Приведены данные об УФ-спектрах VII—IX, XII, XVII, семикарбазона XXI. Сообщение III, РЖХим, 1960, № 4, 13539. Л. Бергельсон

6Ж325. Ориентация изопропильной группы в γ-лактоне дигидроабетиновой кислоты. Gough Laurence J., Sanderson Thomas F., Stenberg Virgil I., Wenkert Ernest. The orientation of the isopropyl group of dihydroabietic γ-lactone. «J. Organ. Chem.», 1960, 25, № 7, 1269—1271 (англ.). Установлено, что кетон (I), полученный ранее из γ-лактона дигидроабетиновой к-ты (II), не изменяется



I R=COCH<sub>3</sub>, II R=CH(CH<sub>3</sub>)<sub>2</sub>, III R=C(OH)(CH<sub>3</sub>)<sub>2</sub>

при кипячении с метанольным р-ром CH<sub>3</sub>ONa, откуда следует, что ацетильная группа в I и изопропильная группа в II занимают экваториальное β-положение. Найдено, что оксилактон (III), полученный ранее окислением II (РЖХим, 1957, № 1, 1036), идентичен γ-лактону, образуемому при действии сильных к-т на пимаровую и изопимаровую к-ту. Полученные дан-ные позволяют также приписать пространственную ф-лу δ-лактону (IV), образуемому из II при обра-ботке H<sub>2</sub>SO<sub>4</sub>. Энергетич. расчеты показывают, что равновесная смесь II и IV должна содержать ~50% каждого компонента. Л. Бергельсон

6Ж326. О продуктах гидролиза аддукта абетиновой кислоты с малеиновым ангидридом. Abo Masahiro. On the hydrolysis products of abietic acid-maleic anhydride adduct. «Bull. Chem. Soc. Japan», 1960, 33, № 6, 798—801 (англ.). При р-ции абетиновой к-ты (I) с малеиновым ангидридом (МА) образуется аддукт (II) с т. пл. 226—228° и [α]<sub>D</sub><sup>25</sup> —25,2°. К р-ру 30 г II в 100 мл ацетона прибавляют 30 мл воды, по оконча-нии р-ции (60—70°, 2 час.) смесь выливают на воду выпавший осадок кристаллизуют из водн. ацетона и сушат при 20°/3 мм до постоянного веса. Растворяют I в избытке 10%-ного водн. NaOH, р-р подкисляют 2 н. HCl, кристаллизуют из ацетона и сушат как выше. Оба образца продукта гидролиза (α-III и β-III) имеют ту же т. пл., что и II, но в запаянном капилляре плавятся при 187—210°; величина [α]<sub>D</sub><sup>25</sup> —24° практически совпадает с таковой у I. Данные титрования с 0,1 н. NaOH в спирте соответствуют не трикарбонной, а ди-карбонной к-те. В смеси трет-С<sub>6</sub>H<sub>11</sub>OH и ацетона (1:3) III потенциометрически титруется как трикарбонная к-та. Как α-III, так и β-III содержат в ИК-спектре две полосы, характерные для 5-членного ангидридного цикла (ν 1770 и 1830 см<sup>-1</sup>); в ИК-спектре α-III имеет-ся полоса HOOC-группы с HO-связью. В обоих ИК-спектрах проявляются полосы гидратной воды. На основании этих данных III рассматривается как гид-ратная форма II. Для сравнения получен аддукт I с фумаровой к-той. Этот аддукт (IV) титруется в спирт. среде сразу как трикарбонная к-та, а кривая его термич. разложения отличается от таковых для



III и II. В ИК-спектрах IV и I, кристаллизованных из воды, ацетона, нет полос, характерных для HOOC-группы с Н-связью.  $[\alpha]_D$  определены в спирте (с 2).

Э. Серебряков

**6Ж327.** Действие надбензойной кислоты на метиловый эфир  $\Delta^9,10$ -дегидроабетиновой кислоты. Defaye-Duchateau Geneviève. Action de l'acide perbenzoïque sur le  $\Delta^9,10$ -déhydroabétate de méthyle. «С. г. Acad. sci.», 1960, 251, № 8, 1024—1026 (франц.).— Действием  $\text{Hg}(\text{CH}_3\text{COO})_2$  на метиловый эфир (МЭ) абетиновой к-ты получен МЭ  $\Delta^9(10)$ -дегидроабетиновой к-ты (I). При р-ции I с  $\text{C}_6\text{H}_5\text{CO}_2\text{H}$  в  $\text{CHCl}_3$  (0°, 24 часа) образуются МЭ 9-кетодегидроабетиновой к-ты (II), выход 47%; 2,4-динитрофенилгидразон, т. пл. 185°, и МЭ 9-бензоата 9,10-доксидегидроабетиновой к-ты (IIIa; III-диоксик-та), выход 43%, т. пл. 161—162°. Строение IIIa подтверждается тем, что он не окисляется ни  $\text{MnO}_2$  (НО-группа не находится в  $\alpha$ -положении к ароматич. ядру), ни  $\text{CrO}_3$  [НО-группа пространственно затруднена заместителями при  $\text{C}_{(1)}$ ]. При р-ции IIIa с  $\text{CH}_3\text{COOH}$  (100°, 3 час.) образуется бензоилкоксил-лактон (IV), т. пл. 115°. Холодный спирт. КОН не действует на IV, если же смесь кипятить 30 мин., то образуется III, т. пл. 182° (моногидрат). III получается и при непосредственном омылении IIIa. Для IIIa и IV приводятся данные ИК-спектров, для II—УФ. и ИК-спектров.

Э. Серебряков

**6Ж328.** Синтез 1-(6-метоксинафтил-2)-циклопентен-1-она-3. Carboni Salvatore, Bottari Francesco, Marsili Antonio. Preparazione dell'1-(6-metossi-2-naftil)-ciclopenten-1-one-3. «Gazz. chim. ital.», 1959, 89, № 10-11, 2321—2327 (итал.).—В процессе исследований, посвященных полному синтезу эстрогена, потребовалось получить промежуточное соединение — 1-(6-метоксинафтил-2)-циклопентен-1-он-3 (I), приготовленное ранее (Bachmann W. E., Morin R. D., J. Amer. Chem. Soc., 1944, 66, 553) с низким выходом. Для этой цели с успехом использован уже применявшийся для синтеза аналогичных в-в метод (Weidlich H. A., Meyer—Delius M., Chem. Ber., 1939, 72, 1941) несмотря на имеющееся указание (Robinson R., Koenig A., J. Soc. Chem., 1941, 566) на его непригодность для данного случая. Р-р 20 г 2-бром-ацетил-5-бром-6-метоксинафталлина в 500 мл абс.  $\text{C}_6\text{H}_6$  за 90 мин. прибавляют к перемешиваемой суспензии Na-ацетоуксусного эфира (из 7,5 г эфира и 3 г Na) в 60 мл эфира, перемешивают еще 3 часа, обрабатывают разб. HCl, органич. слой упаривают до объема ~150 мл и получают этиловый эфир  $\alpha$ -ацетил- $\beta$ -(5-бром-6-метоксинафтил-2)-пропионовой к-ты (II), выход 90%, т. пл. 118—119° (из  $\text{CH}_3\text{OH}$ ). Смесь 4,5 г II, 38 мл 5%-ного NaOH и 12,5 мл спирта кипятят 30 мин., продукт р-ции (3,7 г) для очистки экстрагируют кипящим  $\text{C}_6\text{H}_6$  и в экстракте получают 5-бром-6-метоксинафтил-2-( $\beta$ -ацетилпропионил)-нафталин (III), т. пл. 166—169° (из  $\text{CH}_3\text{OH}$ ); бис-ДНФГ, т. разл. 273—274° (из  $\text{C}_6\text{H}_5\text{NO}_2$ , нагрето до 100°). К р-ру I в III в 50 мл спирта прибавляют 50 мл 10%-ного водн. р-ра NaOH, смесь нагревают 60 мин. при 100° и после охлаждения получают 1-(5-бром-6-метоксинафтил-2)-циклопентен-1-он-3 (IV) (выход 0,5 г, т. пл. 215—216,5° (из бзл.); ДНФГ, т. пл. выше 350° (из кипящего  $\text{C}_6\text{H}_5\text{NO}_2$ ), образующийся также непосредственно из II (9 г) при нагревании (100°) со смесью 300 мл 5%-ного NaOH и 75 мл спирта, выход 3,8 г. Суспензию 2 г II в  $\text{CH}_3\text{OH}$ , содержащем 3 г  $\text{Pd}/\text{CaCO}_3$  и 0,5 мл  $\text{C}_6\text{H}_5\text{N}$ , гидрируют при 15° и после фильтрования и подкисления  $\text{H}_2\text{SO}_4$  получают этиловый эфир  $\alpha$ -ацетил- $\beta$ -(6-метоксинафтил-2)-пропионовой к-ты (V), выход 0,92 г, т. пл. 86,5—88° (из  $\text{CH}_3\text{OH}$ ). Гидрирование 0,5 г III в 50 мл  $\text{CH}_3\text{OH}$  в присутствии 0,5 г КОН и 1 г  $\text{Pd}/\text{CaCO}_3$  приводит к 6-метоксинафтил-2-( $\beta$ -ацетилпропионил)-нафталину (VI), выход 0,2 г, т. пл. 111—113° (из  $\text{CH}_3\text{OH}$ ). При нагревании (3 часа, 100°) смеси 0,15 г V и 30 мл 2%-ного КОН по-

лучают I, выход 0,1 г, т. пл. 175—177° (из  $\text{CH}_3\text{OH}$ ); ДНФГ, т. разл. 275—277° (из  $\text{C}_6\text{H}_5\text{NO}_2$ , нагрето до 100°); семикарбазон, т. пл. 250—251°. При нагревании (1 час, 100°), 0,05 г VI с 2,5 мл спирта и 2,5 мл 10%-ного NaOH (выход 0,02 г) образуется I. Р-р 0,5 г IV в смеси 50 мл ацетона и 50 мл спирта гидрируют с 2 г  $\text{Pd}/\text{CaCO}_3$  и 0,3 г КОН, получают I, выход 0,23 г.

В. Андреев

**6Ж329.** Стереохимия производных В-норкопростана. Goto Toshio. Stereochemistry of B-Norcoprostane derivatives. «J. Amer. Chem. Soc.», 1960, 82, № 8, 2005—2011 (англ.).—Для получения данных, подтверждающих строение В-норкопростандиола-3,6 (I) (см. РЖХим, 1954, № 15, 35925) исследовалось восстановление I и дальнейшие превращения полученных спиртов. К р-ру 5 г I в 50 мл эфира и 50 мл  $\text{CH}_3\text{OH}$  добавляют при 12—16° 1,5 г  $\text{NaNH}_4$ , размешивают 1 час и оставляют на ночь; получают 4 г смеси изомерных спиртов, кристаллизацией которой из водн.  $\text{CH}_3\text{OH}$  выделяют 2,1 г комплекса (1:1) В-норкопростандиола-3,6a (II) и В-норкопростандиола-3a,6b (III), т. пл. 145—146,5°,  $[\alpha]_D +14^\circ$ . Для разделения II и III их ацетаты хроматографируют на  $\text{Al}_2\text{O}_3$  и омыляют  $\text{LiAlH}_4$ . Таким образом, получают II, т. пл. 140—141,5° (из  $\text{CH}_3\text{OH}$ ),  $[\alpha]_D -1,6^\circ$  и III, т. пл. 170—172° (из ацетона),  $[\alpha]_D +35^\circ$ , диацетат, т. пл. 93—94° (из  $\text{CH}_3\text{OH}$ ),  $[\alpha]_D +37,8^\circ$ . 1,5 г I в 30 мл  $\text{CH}_3\text{COOH}$  гидрируют над 150 мг  $\text{PtO}_2$ . Получают 50 мг В-норкопростандиола-3b,6b (IV), т. пл. 126—127,5° (из эф.-птр. эф.),  $[\alpha]_D +40,1^\circ$ . К р-ру 150 мг II в 3 мл пиридина добавляют при 0° 170 мг  $\text{CH}_3\text{C}_6\text{H}_4\text{SO}_2\text{Cl}$ , смесь оставляют при 0°—5° 18 час. и получают 110 мг тозилата II (V), т. пл. 118,5—119,5° (из эф.-птр. эф.),  $[\alpha]_D +1,7^\circ$ . К р-ру 70 мг II в 2 мл пиридина прибавляют, 270 мг  $n\text{-CH}_3\text{C}_6\text{H}_4\text{SO}_2\text{Cl}$  при 90—100°, нагревают еще 1 час, добавляют 1 мл воды, нагревают при 100° 5 мин., продукт р-ции экстрагируют эфиром и хроматографируют на  $\text{Al}_2\text{O}_3$ . Получают 33 мг 3a,6a-оксидо-В-норкопростана (VI), т. пл. 85,5—86,5° (из  $\text{CH}_3\text{OH}$ ),  $[\alpha]_D -30,5^\circ$ . VI получают также из III или V. Строение VI подтверждается его устойчивостью к гидролизу при кипячении с  $\text{CH}_3\text{OH}$ -диоксаном в присутствии HCl, спектром ядерно-магнитного резонанса в химич. превращениях VI. Смесь 600 мг VI, 300 мг  $n\text{-CH}_3\text{C}_6\text{H}_4\text{SO}_2\text{N}$  (VII) и 20 мл  $(\text{CH}_3\text{CO})_2\text{O}$  нагревают 30 мин. при 100°, выделяют в ледяную воду, продукты р-ции хроматографируют на  $\text{Al}_2\text{O}_3$ , в-во, элюируемое смесью птр. эф.- $\text{C}_6\text{H}_6$  (3:1) (370 мг), гидрируют над  $\text{PtO}_2$  в  $\text{CH}_3\text{COOH}$  и омыляют кипячением (18 час.) с 1 г КОН в 20 мл 95%-ного спирта. Получают 250 мг В-норкопростанола-6a (VIII), т. пл. 102,5—103,5° (из  $\text{CH}_3\text{OH}$ ),  $[\alpha]_D -19,8^\circ$ . VIII синтезируют также восстановлением V  $\text{LiAlH}_4$  (кипчение в эфире 6 час.) или восстановлением В-норкопростанола-6 (IX)  $\text{NaNH}_4$  в эфире- $\text{CH}_3\text{OH}$ . Р-р 130 мл VIII в 1,5 мл  $\text{C}_6\text{H}_6$  и 1,5 мл  $\text{CH}_3\text{COOH}$  окисляют 130 мл  $\text{Na}_2\text{Cr}_2\text{O}_7$  в 1,5 мл  $\text{CH}_3\text{COOH}$  в течение ночи при 24°. Получают 110 мг IX, т. пл. 98—98,5° (из  $\text{CH}_3\text{OH}$ ),  $[\alpha]_D +33,6^\circ$ . Положение кетогруппы в пятичленном цикле IX принято на основании данных ИК-спектра. Р-р 4 г I в 80 мл эфира и 80 мл  $\text{CH}_3\text{OH}$ , содержащего 0,8 мл 10%-ного NaOH, обрабатывают при 5—8° 1,8 г  $\text{NaNb}(\text{OCH}_3)_3$  и оставляют, на 2 часа. Р-р масляобразных продуктов р-ции, 0,2 г VII и 3,5 г этиленгликоля в 100 мл  $\text{C}_6\text{H}_6$  кипятят 12 час. с отделением воды, полученное масло (4,8 г) в 30 мл пиридина окисляют 2,5 г  $\text{CrO}_3$  в 50 мл пиридина при 0° и продукты р-ции хроматографируют на  $\text{Al}_2\text{O}_3$ . Получают 6-этиленкеталь I (X), выход 1,4 г, т. пл. 120—121° (из  $\text{CH}_3\text{OH}$ ). Смесь 200 мг X, 1 мл спирта, 4 мл триэтиленгликоля, 400 мл КОН и 0,2 мл гидразина нагревают при 200—210° 1 час (атмосфера  $\text{N}_2$ ), продукт р-ции омыляют 1,5 мл 25%-ной  $\text{HClO}_4$  в 10 мл тетрагидрофурана 17 час. при 24° и выделяют IX. При взаимодействии I (4 г) с этиленгликолем (1,5 г) в  $\text{C}_6\text{H}_6$  (100 мл) в присутствии VII (0,1 г) (кипчение

3 часа)  
т. пл. 11  
ра и 25  
25° (1 ч  
до 20 мл  
этиленг  
124—126  
омыляю  
нат-3а-  
(из птр  
NaBH<sub>4</sub>  
фирован  
другим  
Хуан-М  
(после  
Охлажд  
0,5 мл  
1 мл а  
получа  
6b-она-  
же окис  
новлен  
Al<sub>2</sub>O<sub>3</sub> в  
эф.),  $[\alpha]$   
эф.-птр  
эфире  
Получа  
т. пл.  
XVIII  
нают 5  
на Al<sub>2</sub>  
Хуан-М  
CHCl<sub>3</sub>.  
XVI и  
6Ж33  
едини  
сложны  
Kast  
II. А п  
4. Орг  
Р-р 1,3  
бавляю  
45 мл  
лучаю  
+23,8°  
этокси  
+53,2°  
17 к-т  
выход  
145—1  
20° П

6Ж33  
путей  
Wei  
isolate  
1960,  
тон 10  
стерил  
Предл  
оксид  
делен



изомер  
4,5-се  
ченны

из  $\text{CH}_3\text{OH}$ : агрегатов до  $\text{CH}_3\text{OH}$  (из  $\text{CH}_3\text{OH}$ ). Р-р 1,06 г X в 25 мл эфира и 25 мл  $\text{CH}_3\text{OH}$  восстанавливают 0,25 г  $\text{NaBH}_4$  при 25° (1 час), добавляют 1 мл ацетона и концентрируют до 20 мл. При добавлении воды выделяют 910 мг 6-этиленкетала В-норкопростанол-3а-она-6 (XII), т. пл. 124–125° (из водн.  $\text{CH}_3\text{OH}$ ),  $[\alpha]_D^{20} -11,0^\circ$ . 910 мг XII омывают как указано выше, получают В-норкопростанол-3а-он-6 (XIII), т. пл. 116–117,5° (или 88,5–90°) (из петр. эф.),  $[\alpha]_D^{20} +47,6^\circ$ . При восстановлении XIII  $\text{NaBH}_4$  с последующим ацелированием и хроматографированием получают (после омывания) II, наряду с другими продуктами р-ции. Восстановлением XI по Хуан-Мингуну получают В-норкопростанол-3а (XIV) (после омывания), т. пл. 93–94,5° (из водн.  $\text{CH}_3\text{OH}$ ). Охлажденный (0°) р-р 50 мг бихромата натрия в 0,5 мл  $\text{CH}_3\text{COOH}$  добавляют к 50 мл III в 1 мл  $\text{C}_6\text{H}_6$  и 1 мл ацетона, смесь оставляют на 10 час. при 2–3°, получают 15 мг комплекса (XV). В-норкопростанол-6β-она-3 (XVI) и I, т. пл. 144–144,5°. XV получают также окислением смеси продуктов р-ции после восстановления I  $\text{NaBH}_4$ . При хроматографировании XV на  $\text{Al}_2\text{O}_3$  выделяют XVI, т. пл. 151,5–152° (из эф.-петр. эф.),  $[\alpha]_D^{20} +57,5^\circ$ ; 6-тозилат (XVII), т. пл. 148–149° (из эф.-петр. эф.). 200 мг XVII восстанавливают  $\text{LiAlH}_4$  в эфире и, продукты р-ции хроматографируют на  $\text{Al}_2\text{O}_3$ , получают 70 мг VI, 30 мг В-норкопростанол-3 (XVIII), т. пл. 64,5–65,5° (из  $\text{CH}_3\text{OH}$ ),  $[\alpha]_D^{20} +37,1^\circ$  и 30 мг I. XVIII получают также окислением XIV. Восстанавливают 50 мг XVIII  $\text{LiAlH}_4$ , после хроматографирования на  $\text{Al}_2\text{O}_3$  получают XIV; при восстановлении XIII по Хуан-Мингуну также получают XIV.  $[\alpha]_D^{20}$  определены в  $\text{CHCl}_3$ , приведены кривые ИК-спектров X, XI, XIII, XVI и XVIII. Э. Мистриков

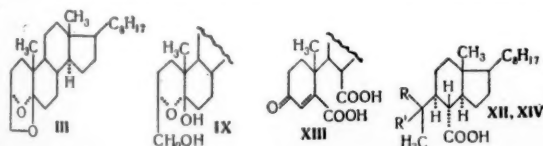
3 часа) получают 3-этиленкеталь I (XI), выход 41%, т. пл. 112,5–113,5° (из  $\text{CH}_3\text{OH}$ ). Р-р 1,06 г X в 25 мл эфира и 25 мл  $\text{CH}_3\text{OH}$  восстанавливают 0,25 г  $\text{NaBH}_4$  при 25° (1 час), добавляют 1 мл ацетона и концентрируют до 20 мл. При добавлении воды выделяют 910 мг 6-этиленкетала В-норкопростанол-3а-она-6 (XII), т. пл. 124–125° (из водн.  $\text{CH}_3\text{OH}$ ),  $[\alpha]_D^{20} -11,0^\circ$ . 910 мг XII омывают как указано выше, получают В-норкопростанол-3а-он-6 (XIII), т. пл. 116–117,5° (или 88,5–90°) (из петр. эф.),  $[\alpha]_D^{20} +47,6^\circ$ . При восстановлении XIII  $\text{NaBH}_4$  с последующим ацелированием и хроматографированием получают (после омывания) II, наряду с другими продуктами р-ции. Восстановлением XI по Хуан-Мингуну получают В-норкопростанол-3а (XIV) (после омывания), т. пл. 93–94,5° (из водн.  $\text{CH}_3\text{OH}$ ). Охлажденный (0°) р-р 50 мг бихромата натрия в 0,5 мл  $\text{CH}_3\text{COOH}$  добавляют к 50 мл III в 1 мл  $\text{C}_6\text{H}_6$  и 1 мл ацетона, смесь оставляют на 10 час. при 2–3°, получают 15 мг комплекса (XV). В-норкопростанол-6β-она-3 (XVI) и I, т. пл. 144–144,5°. XV получают также окислением смеси продуктов р-ции после восстановления I  $\text{NaBH}_4$ . При хроматографировании XV на  $\text{Al}_2\text{O}_3$  выделяют XVI, т. пл. 151,5–152° (из эф.-петр. эф.),  $[\alpha]_D^{20} +57,5^\circ$ ; 6-тозилат (XVII), т. пл. 148–149° (из эф.-петр. эф.). 200 мг XVII восстанавливают  $\text{LiAlH}_4$  в эфире и, продукты р-ции хроматографируют на  $\text{Al}_2\text{O}_3$ , получают 70 мг VI, 30 мг В-норкопростанол-3 (XVIII), т. пл. 64,5–65,5° (из  $\text{CH}_3\text{OH}$ ),  $[\alpha]_D^{20} +37,1^\circ$  и 30 мг I. XVIII получают также окислением XIV. Восстанавливают 50 мг XVIII  $\text{LiAlH}_4$ , после хроматографирования на  $\text{Al}_2\text{O}_3$  получают XIV; при восстановлении XIII по Хуан-Мингуну также получают XIV.  $[\alpha]_D^{20}$  определены в  $\text{CHCl}_3$ , приведены кривые ИК-спектров X, XI, XIII, XVI и XVIII. Э. Мистриков

6Ж330. Стероиды и родственные природные соединения. II. Метод непосредственного превращения сложных эфиров в простые. Pettit George R., Kasturi T. R. Steroids and related natural products. II. A method for the direct conversion of esters to ethers. *J. Organ. Chem.*, 1960, 25, № 5, 875–876 (англ.).—Р-р 1,1 г ацетата холестерола-3β и  $\text{BF}_3$  в эфире прибавляют к охлажден. суспензии  $\text{LiAlH}_4$  в эфире. Через 45 мин. смесь кипятят 2 часа и после обработки получают 0,17 г 3β-этоксистерола, т. пл. 81–83°.  $[\alpha]_D^{20} +23,8^\circ$ . Аналогично ацетат даностанола-3β дает 3β-этоксистерола, выход 38%, т. пл. 134–135°.  $[\alpha]_D^{20} +53,2^\circ$ , а лактон 3β,13α-диокси-13,17-секоандростановой-17 к-ты переходит в 17α-окса-D-гомоандростанол-3β, выход 43%, т. пл. 181–183°,  $[\alpha]_D^{20} 0,00^\circ$ ; 3-ацетат, т. пл. 145–146°,  $[\alpha]_D^{20} -18,0^\circ$ . Все  $[\alpha]_D^{20}$  измерены в  $\text{CHCl}_3$  при 20°. Предыдущее сообщение см. РЖХим, 1961, 2Ж308. Г. Сегаль

6Ж331. Образование кетона 104 и выделение сопутствующих кислот. Fieser Louis F., Huang Wei-Yuan, Goto Toshio. Origin of ketone 104 and isolation of a companion acid. *J. Amer. Chem. Soc.*, 1960, 82, № 7, 1688–1693 (англ.).—Показано, что «кетон 104»  $\text{C}_{27}\text{H}_{44}\text{O}_3$  (I) образуется при окислении холестерина (II), а не присутствующих в II примесей. Предложен улучшенный способ получения I путем окисления II р-ром  $\text{Na}_2\text{Cr}_2\text{O}_7 \cdot 2\text{H}_2\text{O}$ . Кроме того, выделены другие продукты окисления I, и синтезирован

к-ты (V). Смесь 4,8 г холестердиола-3β,5α (VI) и 6 г *n*-толуолсульфохлорида в 40 мл пиридина оставляют на 17 час. при 20°, разбавляют ледяной водой и получают 4,75 г 3-тозилата VI (VII), т. пл. 137–138° (разл.; из  $\text{CH}_3\text{OH}$ ),  $[\alpha]_D^{20} -3^\circ$ . К р-ру алкохолята (из 1 г Na или K в 100 мл трет- $\text{C}_4\text{H}_9\text{OH}$ ) добавляют 2,4 г VII и смесь кипятят 2 часа. Р-ритель удаляют в вакууме, остаток разбавляют водой и экстрагируют эфиром. После хроматографирования на  $\text{Al}_2\text{O}_3$  (нейтр.) получают 0,6 г 4,5-секо-Δ<sup>3</sup>-холестенона-5 (VIII), 2,4-динитрофенилгидразон (ДНФГ), т. пл. 145–150°, и 0,6 г эпитхолестерина, т. пл. 140–142° (из хлф.- $\text{CH}_3\text{OH}$ ),  $[\alpha]_D^{20} -41^\circ$ . Р-р 2,5 г VIII и 1,77 г  $\text{OSO}_4$  в 10 мл тетрагидрофурана (ТГФ) и 25 мл  $\text{C}_6\text{H}_6$  оставляют на 2 часа при 20°, прибавляют р-р 6 г  $\text{Na}_2\text{SO}_3$  в 80 мл воды и 150 мл спирта и кипятят смесь 2 часа. Полученный таким образом неочищ. диол (IX) растворяют в 5 мл эфира и 5 мл  $\text{C}_6\text{H}_6$ , прибавляют 0,2 мл  $\text{BF}_3 \cdot (\text{C}_2\text{H}_5)_2\text{O}$  и оставляют на ночь при 20°. После хроматографирования на  $\text{Al}_2\text{O}_3$  получают 0,9 г III, т. пл. 101–102° (из  $\text{CHCl}_3 + \text{CH}_3\text{OH}$ ),  $[\alpha]_D^{20} +20^\circ$ . 1,03 г VIII гидрируют над 10%-ным Pd/C, получают 4,5-секохолестан-5 (IX), масло, ДНФГ, т. пл. 183–184° (из  $\text{CHCl}_3 + \text{CH}_3\text{OH}$ ). При восстановлении IX по Хуан-Мингуну получают 4,5-секохолестан, масло,  $[\alpha]_D^{20} +27^\circ$ . Окислением 15 г V с помощью  $\text{Na}_2\text{Cr}_2\text{O}_7$  получают 250 мг IV, т. пл. 135–137° (из  $\text{CH}_3\text{OH}$ ),  $[\alpha]_D^{20} -39,7^\circ$ . К кипящему р-ру 20 г II в 65 мл  $\text{C}_6\text{H}_6$  прибавляют нагретый до 70° р-р 150 г  $\text{Na}_2\text{Cr}_2\text{O}_7 \cdot 2\text{H}_2\text{O}$  в 470 мл  $\text{CH}_3\text{COOH}$ . После окончания экзотермич. р-ции (10 мин.) смесь кипятят 1 час., охлаждают, разбавляют 250 мл воды и экстрагируют смесью 130 мл эфира и 130 мл петр. эфира, органич. слой промывают разб. HCl к-той и р-ром NaCl и кислоту часть продуктов р-ции (X) отделиют с р-ром NaOH (выход 5 г). X разделяют с помощью реактива Ййра на кетонную фракцию (XI) (1,9 г) и некотонную (3,1 г). Из нейтр. части продуктов р-ции (1,55 г) после кристаллизации из  $\text{CH}_3\text{OH}$  получают 870 мг I, т. пл. 123–124°. При аналогичном окислении 20 г II с последующей отгонкой р-рителя при 120° и кипячением 4 часа из 1,7 г XI получают 0,7 г дуоаннеловой к-ты (XII  $R + R' = \text{O}$ ), т. пл. 144–145°,  $[\alpha]_D^{20} +17,8^\circ$ . Строение XII подтверждается спектральными данными, а также синтезом из к-ты Бутенандта (XIII) или смеси к-т, содержащей, по-видимому, к-ту Виндауса (Windaus, Ber., 1909, 42, 3774). К нагретому до 50° р-ру 20 г II в 65 мл  $\text{C}_6\text{H}_6$  прибавляют нагретый (50°) р-р 75 г  $\text{Na}_2\text{Cr}_2\text{O}_7 \cdot 2\text{H}_2\text{O}$  в 300 мл  $\text{CH}_3\text{COOH}$ . Во время экзотермич. стадии (30 мин.) реакционную смесь охлаждают (ниже 60°), затем оставляют на ночь. Из кислой части продуктов р-ции получают 2,7 г XIII, т. пл. 179–181° (из эф.-петр. эф.). К р-ру 5 г  $\text{Na}_2\text{Cr}_2\text{O}_7 \cdot 2\text{H}_2\text{O}$  в 15 мл  $\text{CH}_3\text{COOH}$  при 50° добавляют 1 г XIII и 5 мл  $\text{CH}_3\text{COOH}$  и смесь нагревают 4 часа при 110°. После обычной обработки выделяют 38 мг XII, метиловый эфир, т. пл. 77,5–78,5°. Восстановлением  $\text{NaBH}_4$  получена дигидро-XII (XIV  $R = \text{H}$ ,  $R' = \text{OH}$ ), т. пл. 160–161° (из ацетона),  $[\alpha]_D^{20} +19,5^\circ$ . Строение XIV подтверждается затрудненной лактонизацией (кипчение 12 час. с  $\text{CH}_3\text{OH} + \text{HCl}$  к-та) в γ-лактон, т. пл. 100,5° (из  $\text{CH}_3\text{OH}$ ),  $[\alpha]_D^{20} +16^\circ$ . При окислении XII бромной щелочью получают дикислоту  $\text{C}_{26}\text{H}_{42}\text{O}_4$ , т. пл. 179–180,5° (из водн. ацетона),  $[\alpha]_D^{20}$  определялось в  $\text{CHCl}_3$  приведены данные по ИК-спектрам III, IV и IX и спектры ядерного магнитного-резонанса III и XII. Э. Мистриков

6Ж332. Реакция ацетатов холестерола с этандиолом. Fieser Louis F., Yuan Ching, Goto Toshio. Reaction of cholesterol acetates with ethanedithiol. *J. Amer. Chem. Soc.*, 1960, 82, № 8, 1996–2001 (англ.).—Исследовано строение продуктов р-ции несащенных кетонов ряда холестерола с этандиолом (I) и обсуждается вероятный механизм их образования. К р-ру 0,6 г ацетата Δ<sup>4</sup>-холестенол-6β-она-3 (II) в 10 мл  $\text{CH}_3\text{COOH}$  прибавляют 1 мл I и 1 мл эфира  $\text{BF}_3$



изомерный «дезоксикетону 104» (3α,5α)-(3β,4)-диэпокси-4,5-секохолестан (III) и аналог I  $\text{C}_{25}\text{H}_{40}\text{O}_3$  (IV), полученный при окислении метилового эфира Δ<sup>5</sup>-холеновой





ни II в  
—91° (из  
124—125°)  
идельных  
таль аце-  
ацетона),  
6, т. пл.  
УФ-спект-  
спектрам  
MP синте-  
СНС<sub>3</sub>.  
Инструмент-  
ские свой-  
его пропе-  
R. Prepa-  
plant ste-  
1209—1219  
или хлор-  
у-ситосте-  
(IV), у-си-  
или пири-  
фиры I—  
вия р-ции  
т. пл. в °C,  
—12 час.  
с, 95, 111,  
8; капри-  
C<sub>6</sub>H<sub>6</sub>, кип.,  
—31; ми-  
мтитат I,  
Б, толуол,  
52, —28;  
енат I, Б,  
лол, кип.,  
95, —27;  
бутират  
ат II, Б,  
6, кип., 92,  
лаурат II,  
6, кип., 73,  
40; стеарат  
6, кип., 63,  
инолеат II,  
лол, кип.,  
94; апетат  
рат III, А,  
I, Б, C<sub>6</sub>H<sub>6</sub>,  
п, 93, 112,  
лаурат III,  
Б, C<sub>6</sub>H<sub>6</sub>,  
кип., 74,  
—39; олеат  
C<sub>6</sub>H<sub>6</sub>, кип.,  
99, 38, —  
ацетат IV,  
C<sub>6</sub>H<sub>6</sub>, кип.,  
99, —127;  
лаурат IV,  
л, кип., 80,  
89,5, —10;  
теарат IV,  
6, кип., 67,  
инолеат,  
кип., 93,  
29, —10;  
илат V, Б,  
г, кип., 71,  
—7,5; ми-  
титат V, Б,  
г, кип., 68,  
инолеат V, Б,  
г, кип., 57, 30,  
0; бегеат

V, кип., 78, 103, —; ацетат VI, А, C<sub>6</sub>H<sub>6</sub>, 20°—12 час., 95, 177, —88; бутират VI, А, C<sub>6</sub>H<sub>6</sub>, 20°—12 час., 90, 134, —85; капроат VI, А, C<sub>6</sub>H<sub>6</sub>, кип., 75, 125,5, —; каприлат VI, А, C<sub>6</sub>H<sub>6</sub>, кип., 65, 121, —80; каприлат VI, А, C<sub>6</sub>H<sub>6</sub>, кип., 50, 117,5, —; лаурат VI, Б, C<sub>6</sub>H<sub>6</sub>, кип., 70, 116, —; мирилат VI, Б, C<sub>6</sub>H<sub>6</sub>, кип., 70, 115, —67; пальмитат VI, Б, C<sub>6</sub>H<sub>6</sub>, кип., 72, 107, —; стеарат VI, Б, C<sub>6</sub>H<sub>6</sub>, кип., 60, 113, —59; олеат VI, Б, C<sub>6</sub>H<sub>6</sub>, кип., 50, 68, —; линолат VI, Б, C<sub>6</sub>H<sub>6</sub>, кип., 40, 58, —58; линоленат VI, Б, C<sub>6</sub>H<sub>6</sub>, кип., 40, 47, —; арахидат VI, Б, толуол, кип., 50, 116, —58; беганат VI, Б, толуол, кип., 50, 115, —; Авторы считают, что ранее отмеченные явления мезоморфии при плавлении сложных эфиров стеринов обусловлены наличием примесей.

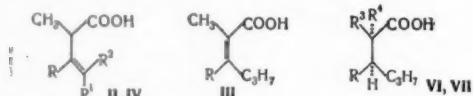
Л. Бергельсон

**6Ж334. Синтезы в группе эстрогенных гормонов.**  
XIX. О перегруппировке Вагнера—Мейервейна для 1-метил-2-этилциклогексилькарбинола и аналогичных октагидрофенантрена. Jilek J. O., Protiva M. Synthetische Versuche in der Gruppe der östrogenen Hormone. XIX. Über die Wagner—Meerweinsche Umlagerung von 1-Methyl-2-äthylcyclohexylcarbinol und deren Analoge in der Octahydrophenanthrenreihe. «Collect. Czechoslov. Chem. Commun.», 1960, 25, № 1, 165—179 (нем.; рез. русск.). — Восстановлением лактона 1-(2-метилциклогексилэтил) - 2-этил-3- метилциклогексанола-3-карбинольной к-ты (I) при помощи LiAlH<sub>4</sub> получают 1-(2-метилциклогексилэтил)-2-этил-3- метил-3-оксиметилциклогексанола (II). Циклизация II при помощи полиэфирной к-ты приводит к в-ву (III) C<sub>19</sub>H<sub>26</sub>O. Для установления структуры III авторы исследовали перегруппировку аналога II, а именно 1-метил-2-этилциклогексилькарбинола (IV). Взаимодействие IV с полиэфирной к-той приводит к смеси углеводов, гидрированием которой получают смесь, состоящую (по данным ИК-спектра) преимущественно из 1,2-дигидроциклогексана (V) с примесью 1-метил-3-этилциклогексана (VI). На основе этих данных авторы считают, что III равным образом представляет собой смесь, состоящую главным образом из 1-этил-2-этилен-7-метоксид-1,2,3,4,9,10,11,12- октигидрофенантрена. Описание синтез IV—VI и 1-метил-2-этилциклогексана (VII). К 4 г LiAlH<sub>4</sub> в 150 мл эфира прибавляют в течение 2 час. р-р 15 г I в 200 мл эфира, кипятят 3 часа, разлагают 100 мл воды и 100 мл 10%-ной H<sub>2</sub>SO<sub>4</sub> и получают 14,4 г II, т. пл. 84—87° (из эф.-баз., 8:1). Р-р 15 г P<sub>2</sub>O<sub>5</sub> в 25 мл H<sub>3</sub>PO<sub>4</sub> нагревают 3,5 часа с 5 г II до 160—190°, разбавляют 300 мл воды и экстрагируют эфиром. После хроматографирования на 150 г нейтр. Al<sub>2</sub>O<sub>3</sub> (активность II) выделено (вымывание петр. эф.) 2,3 г III, т. кип. 145—148°/0,5 мм. Гидрирование 0,7 г III в CH<sub>3</sub>COOH на Pd-черни дает 0,5 г в-ва C<sub>19</sub>H<sub>26</sub>O, т. кип. 154—160°/0,3—0,4 мм (т-ра бани). Из 54 г 2-метил-2-карботоксикциклогексана и C<sub>2</sub>H<sub>5</sub>MgBr (из 7,2 г Mg) готовят обычным способом 37,3 г 2-метил-2-карботоксид-1-этилциклогексанола, т. кип. 116—122°/10 мм. Дегидратацией 31 г последнего (обработка 30 мл POCl<sub>3</sub> в 100 мл пиридина 20°, 20 мин.) получают 24,2 г 1-метил-2-этил-1-карботоксикциклогексана, т. кип. 90—105°/8 мм, который при гидрировании в CH<sub>3</sub>COOH на Pt дает 1-метил-2-этил-1-карботоксикциклогексан (IX), выход 87%, т. кип. 86—98°/10 мм. Восстановлением 22 г IX при помощи 5 г LiAlH<sub>4</sub> в эфире синтезируют IV, выход 10 г, т. кип. 96—98°/8 мм; 4-нитробензоат, т. пл. 80—82° (из водн. сп.). 10 г IV нагревают в течение 4 ч. с 25 г P<sub>2</sub>O<sub>5</sub> в 75 мл H<sub>3</sub>PO<sub>4</sub> (d 1,71) при 160—170° и после обработки выделяют в 3,2 г смеси углеводов C<sub>10</sub>H<sub>18</sub> (X), т. кип. 78—85°/35 мм, n<sub>D</sub><sup>20</sup> 1,4588 и 1,9 г углеводорода C<sub>20</sub>H<sub>34</sub> (XI), т. кип. 150—160°/8 мм (т-ра бани), n<sub>D</sub><sup>20</sup> 1,4923. Установлено, что XI содержит 2 двойные связи. Гидрированием 2,6 г X на Pd-черни в спирте получено 1,55 г смеси углеводов (Ха) C<sub>10</sub>H<sub>20</sub>, т. кип. 148—150°/760 мм, n<sub>D</sub><sup>20</sup> 1,4462. К смеси 90 г 2-карботоксикциклогексана и 96 г C<sub>2</sub>H<sub>5</sub>I прибавляют по каплям при

охлаждении р-р CH<sub>3</sub>ONa (из 12,2 г Na и 100 мл CH<sub>3</sub>OH), смесь размешивают до отвердения, оставляют на 12 час., затем кипятят 12 ч., разлагают водой, извлекают эфиром и получают 81,6 г 2-этил-2-карботоксикциклогексана (XII), т. кип. 122—124°/9 мм. Смесь 40,8 г XII, 40,8 г KOH и 816 мл 50%-ного CH<sub>3</sub>OH кипятят 15 ч., медленно подкисляют 108 мл конц. HCl, кипятят 2 часа, разбавляют водой, экстрагируют петр. эфиром и получают 20,4 г 2-этилциклогексана (XIII), т. кип. 90—94°/40 мм, n<sub>D</sub><sup>20</sup> 1,4510; 2,4-динитрофенилгидразон, т. пл. 163—164° (сп.). Взаимодействием 18,9 г XIII с C<sub>2</sub>H<sub>5</sub>MgBr (из 4,5 г Mg) получают 21 г неочищ. 1,2-этилциклогексанола, который дегидратируют медленной перегонкой (дважды) с 0,1 г J<sub>2</sub>. Из дистиллята после сушки, перегонки над Na и хроматографирования на Al<sub>2</sub>O<sub>3</sub> выделено 12 г 1,2-этилциклогексана, т. кип. 169—171°/760 мм, n<sub>D</sub><sup>20</sup> 1,4637, гидрирование которого на Pd-черни в этилацетате привело к V, т. кип. 171—172°, n<sub>D</sub><sup>20</sup> 1,4459. К смеси 48 г циклогексанола, 125 г р-толилсульфонилметилнитрозоамида и 160 мл 90%-ного спирта прибавляют (2 часа, 10—20°) р-р 15 г KOH в 50 мл 50%-ного спирта, через 30 мин. р-р 100 г Na<sub>2</sub>S<sub>2</sub>O<sub>3</sub> в 200 мл воды и выделяют бисульфитное соединение, которое промывают эфиром и разлагают 125 г NaCO<sub>3</sub> и 200 мл воды. Отгонкой с паром выделяют 24,9 г циклогексанола, т. кип. 74—75°/23 мм, n<sub>D</sub><sup>20</sup> 1,4608; 2,4-динитрофенилгидразон, т. пл. 148—150° (сп.). Кетон переводят в 2-карботоксикциклогексанон (XIV), выход 59%, т. кип. 116—124°/8—10 мм. Смесь 64 г XIV и 7,9 г порошка Na в 500 мл C<sub>6</sub>H<sub>6</sub> кипятят до растворения Na, прибавляют 90 г C<sub>2</sub>H<sub>5</sub>I и кипятят 35 час. После обычной обработки получают 52 г 2-этил-2-карботоксикциклогексана (XV), т. кип. 125—128°/8 мм, n<sub>D</sub><sup>20</sup> 1,4629. Аналогично из XIV и CH<sub>3</sub>I получают 2-метил-2-карботоксикциклогексанон (XVI), т. кип. 120—123°/8 мм, n<sub>D</sub><sup>20</sup> 1,4600. Смесь 26 г XV, 26 г KOH и 520 мл 50%-ного CH<sub>3</sub>OH кипятят 15 час., подкисляют HCl и после прекращения выделения CO<sub>2</sub> кипятят еще 2 часа. После разбавления водой и экстракции эфиром получают 2-этилциклогексанон (XVII), выход 82%, т. кип. 200—203°/760 мм, n<sub>D</sub><sup>20</sup> 1,4593; 2,4-динитрофенилгидразон, т. пл. 118—119° (из сп.). Аналогично из XVI получают 2-метилциклогексанон (XVIII), выход 67%, т. кип. 182—185°, n<sub>D</sub><sup>20</sup> 1,4571; 2,4-динитрофенилгидразон, т. пл. 123° (сп.). К р-ру алкоголята (из 4,1 г Na и 95 мл спирта) при —8 до —5° прибавляют 23,3 г XVII и 24,3 г (COOC<sub>2</sub>H<sub>5</sub>)<sub>2</sub>, выдерживают 5 час. при 0° и 5 еуток при 4°, подкисляют при 0—5° 2 п. H<sub>2</sub>SO<sub>4</sub> и экстрагируют эфиром. Продукт р-ции (37 г) смешивают с 20 мл H<sub>2</sub>BO<sub>3</sub>, нагревают 4 ч. до 160—180° (т-ра бани) при 200—400 мм и перегоняют. Дистиллят подвергают подобной обработке еще раз и получают 2-карботоксид-7-этилциклогексанон (XIX), выход 20,6 г, т. кип. 125—128°/8 мм. Из 20,6 г XIX метилированием (аналогично метилированию XIV) получают 15,7 г 2-метил-2-карботоксид-7-этилциклогексанола (XX), т. кип. 125—133°/8 мм. Аналогично, из 12 г XV получено 5,8 г 2-этил-2-карботоксид-7-метилциклогексанола (XXI), т. кип. 135—140°/8 мм, n<sub>D</sub><sup>20</sup> 1,4588. Смесь 15 г XX, 15 г KOH и 300 мл 50%-ного CH<sub>3</sub>OH кипятят 25 час., подкисляют 40 мл HCl, кипятят 2 часа и получают 8,8 г 2-метил-7-этилциклогексанола (XXII), т. кип. 80°/8 мм, n<sub>D</sub><sup>20</sup> 1,4549; 2,4-динитрофенилгидразон, т. пл. 103—106°. Аналогично из 5,8 г XXI получено 2,8 г XXII, который, однако, существенно отличался по чистоте от XXI, приготовленного из XX. Смесь 4 г KOH, 25 мл диэтиленгликоля, 10 мл 90%-ного NH<sub>2</sub>OH·H<sub>2</sub>O и 4 г XXII кипятят 2 часа с отгонкой, постепенно поднимая т-ру до 200°, которую выдерживают 3,5 часа. После обычной обработки получают 1,4 г VI, т. кип. 185—190° (т-ра бани), n<sub>D</sub><sup>20</sup> 1,4514. К C<sub>2</sub>H<sub>5</sub>MgI (из 0,95 г Mg), прибавляют 4,3 г XVIII в 10 мл эфира при 0°, смесь оставляют на 3 часа при 0° и 20 час. при 20°, после обработки получают 4,2 г 1-этил-2-метилциклогексана

нола (XXIII), т. кип. 83—93°/8 мм,  $n_D^{20}$  1,4698. К р-ру 4 г XXIII в 200 мл эфира прибавляют 60 мл пиридина и затем (при 0°) 3,5 г  $\text{SOCl}_2$ ; смесь оставляют на 2 часа при 0° и 2 часа при 20°. После обработки и хроматографирования продукта р-ции на  $\text{Al}_2\text{O}_3$  и вымывания петр. эфиром выделяют 1,5 г 1-метил-2-этилциклопентена, т. кип. 165—170,  $n_D^{20}$  1,4639. Последний (1,3 г) при гидрировании на Pd-черни в смеси 5 мл спирта, 3 мл  $\text{CH}_3\text{COOH}$  и 3 мл эфира переходит в VII, выход 0,9 г, т. кип. 180—185° (т-ра бани),  $n_D^{20}$  1,4530. В работе приведены ИК-спектры V—VII и Ха. Сообщение XVIII см. РЖХим, 1960, № 9, 34946.

**6Ж335.** Строение молекулы и эстрогенная активность. XXI. Стереоселективный синтез *трео*- и *эритро*-2-метил-3-(6'-метоксинафтил-2')-гексановых кислот. 2-этил-3-(6'-метоксинафтил-2')-пентановая кислота. Lam Cham Binh, Jacques Jean. Structure moléculaire et activité oestrogène (XXI). Préparation stéréosélective des acides méthyl-2 (méthoxy-6'-naphtyl-2')-3 hexanoïques *threo* et *érythro*. Acide éthyl-2 (méthoxy-6'-naphtyl-2')-3 pentanoïque. «Bull. Soc. chim. France», 1960, № 4, 711—718 (франц.).—Реакция 2-бутирил-6-метоксинафталина (I) с  $\text{CH}_3\text{CHBrCOOC}_2\text{H}_5$  и  $\text{Zn}$  в  $\text{C}_6\text{H}_6$  в присутствии  $\text{HgCl}_2$  приводит с почти колич. выходом к смеси двух диастереомерных этиловых эфиров (ЭЭ) 3-окси-2-метил-3-(6'-метоксинафтил-2')-гексановых к-т (смесь А). С помощью р-тива Жирара II ее очищают от следов I и дробной кристаллизацией из водн. спирта выделяют изомеры с т. пл. 100—102° и 69,5—71°; оба изомера содержатся в смеси А в сравнимых кол-вах. Неочищ. смесь А кипятят 2 мин. с  $\text{HCOOH}$  и продукт дегидратации омыляют 1,5 н. спиртов. NaOH. Из смеси к-т (выход колич.) кристаллизацией из толуола выделена к-та, выход 40%, т. пл. 158—160°, которой приписана ф-ла (II). Р-имость II в толуоле при 20° составляет 1,5 г/100 мл. Оставшуюся от выделения II смесь к-т (смесь В) хроматографируют на  $\text{SiO}_2$  (бэл., затем бэл.-эфир 49:1) и выделяют вторую к-ту с т. пл. 158—160° (из водн.  $\text{CH}_3\text{OH}$ ), которой приписано строение (III), и к-ту с т. пл. 71—72° (из водн. сп.), для которой предложена ф-ла (IV). Метилевые эфиры II и III имеют одинаковую т. пл. 49—50°. Смесь В содержит 70% II, 15% III и 15% IV. Если кипячение смеси А с  $\text{HCOOH}$  вести в течение 2 час., то после отде-



R везде 6-метоксинафтил-2; II  $\text{R}^1=\text{C}_2\text{H}_5$ ,  $\text{R}^2=\text{H}$ ; IV  $\text{R}^1=\text{H}$ ,  $\text{R}^2=\text{C}_2\text{H}_5$ ; VI  $\text{R}^1=\text{H}$ ,  $\text{R}^2=\text{CH}_3$ ; VII  $\text{R}^1=\text{CH}_3$ ,  $\text{R}^2=\text{H}$

ления II (осаждение петр. эфиром) хроматография на  $\text{SiO}_2$  дает, в основном, IV. Состав смеси к-т при этом приблизительно равен 25% II и 25% III, 50% IV. Показано, что II и III устойчивы при 3-х часовом кипячении с разб. спиртов. NaOH. Строение II и IV доказано окислением их действием щел. р-ра  $\text{KMnO}_4$  до 2-пропионил-6-метоксинафталина (V). В тех же условиях III остается без изменения. Конфигурация II—IV при двойной связи определена на основании данных по УФ-спектрам. Заметная эстрогенная активность III свидетельствует в пользу *транс*-расположения алкильных групп при двойной связи, при котором структурная аналогия с эстроном максимальна. При каталитич. гидрировании II над Pt (из  $\text{PtO}_2$ ) в спирте образуется смесь двух насыщ. к-т, которую хроматографированием на  $\text{SiO}_2$  (из бэл., вымывание смесью бэл. + эфир 97:3) разделяют на *эритро*-изомер (VI) с т. пл. 145—146° (из водн.  $\text{CH}_3\text{OH}$ ) и *трео*-изомер (VII) с т. пл. 116—117°; их метилевые эфиры имеют соответственно т. пл. 83—85° и 57—58°. При гидро-

вании над Pt (из  $\text{PtO}_2$ ) в спирте II—IV образуют, соответственно, 75, 75 и 15% VII; преимущественное образование VII при каталитич. гидрировании III рассматривается как доказательство *трео*-конфигурации VII. При гидрировании Na-солей II и IV над скелетным Ni в воде выход VII составляет, соответственно, 45 и 75%. При р-ции V с  $\text{CH}_3\text{CH}_2\text{CHBrCOOC}_2\text{H}_5$  и  $\text{Zn}$  в  $\text{C}_6\text{H}_6$  в присутствии  $\text{HgCl}_2$  с хорошим выходом образуется смесь диастереомерных этиловых эфиров (ЭЭ) 3-окси-2-этил-3-(6'-метоксинафтил-2')-пентановой к-ты (смесь В), из которой кристаллизацией из  $\text{CH}_3\text{OH}$  выделены изомер с т. пл. 119—120° (р-имость при 20° равна 1,5 г/100 мл) и изомер с т. пл. 77—78° (р-имость при 20° равна 3 г/100 мл). Смесь В нагревают в  $\text{HCOOH}$  до начала кипения, нейтрализуют, удаляют частично образующийся при этой р-ции V с помощью реактива Жирара II и получают в качестве единственного продукта ЭЭ 2-этил-3-(6'-метоксинафтил-2')-Δ<sup>3</sup>-пентеновой к-ты (VIII, VIIIa к-та), т. пл. 80—82° (из  $\text{CH}_3\text{OH}$ ). При омылении VIII нагреванием с 1,5 н. спиртов. NaOH получена VIIIa, т. пл. 86—87° (из гексана). При 3-х часовом кипячении VIII с  $\text{HCOOH}$  никакой изомеризации не происходит, что указывает на устойчивость конфигурации при двойной связи. Окисление VIIIa щел.  $\text{KMnO}_4$  (≈ 0,5%-ный р-р) с последующим декариб-окислением промежуточно образующейся β-кетокислоты при кипячении (10 мин.) приводит к I. При гидрировании VIIIa над Pt (из  $\text{PtO}_2$ ) в спирте образуется лишь одна насыщ. к-та с т. пл. 165—166° с неустановленной конфигурацией. Обсуждается влияние заместителей в α- и β-положениях алифатич. цепи на направление дегидратации образующихся при р-ции Реформатского β-оксифиров. Сообщение XX см. РЖХим, 1960, № 23, 92484.

**6Ж336.** Получение 9-фторстероидов. Bergstrom Clarence G., Dodson R. M. The preparation of 9-fluorosteroids. «J. Amer. Chem. Soc.», 1960, 82, № 13, 3479—3480 (англ.).—При обработке 21-ацетата 17α-оксикортикостерона 70%-ным р-ром HF в пиридине и превращении Δ<sup>9(11)</sup>-смеси в 9,11 β-окись (см. РЖХим, 1958, № 12, 39763) с последующим хроматографированием на  $\text{SiO}_2$  получены 21-ацетат 9,11β-эпокси-Δ<sup>4</sup>-прегненидиол-17α,21-диона-3,20 и 21-ацетат 9α-фтор-Δ<sup>4</sup>-прегненидиол-17α,21-диона-3,20 (I), т. пл. 264—267°,  $[\alpha]_D^{25} +123^\circ$ . Строение I доказано гидролизом в 9α-фтор-Δ<sup>4</sup>-прегненидиол-17α,21-диона-3,20 (II), т. пл. 235—238°,  $[\alpha]_D^{25} +105,5^\circ$ , при окислении которого получен 9α-фтор-Δ<sup>4</sup>-андростендион-3,17 (III), т. пл. 227—228°,  $[\alpha]_D^{25} +158^\circ$ . При аналогичной обработке (HF-пиридин) Δ<sup>4</sup>-андростендиол-11β-диона-3,17, Δ<sup>4</sup>-андростендиол-9α-диона-3,17 или Δ<sup>9(11)</sup>-андростаденидиона-3,17 (малый выход) также образуется III, в то время как Δ<sup>4</sup>-андростендиол-11α-дион-3,17 не реагирует с HF в пиридине. Аналогичным образом из 21-ацетата кортикостерона получен 21-ацетат 9α-фтордезоксикортикостерона (IV), т. пл. 188—190°,  $[\alpha]_D^{25} +169,5^\circ$ . Строение 9α-фторстероидов основано на данных молекулярных вращений, ядерно-магнитных спектров, а также данных биологич. активности. Так IV в 12 раз активнее ацетата дезоксикортикостерона в пробе на удержание Na. Высказан взгляд о влиянии F на увеличения активности. Приведены данные по УФ-спектрам для I—IV.  $[\alpha]_D$  измерены в  $\text{CHCl}_3$ .

**6Ж337.** 4-оксааналоги стероидов. Atwater Norman W., Ralls Jack W. 4-oxasteroid analogs. «J. Amer. Chem. Soc.», 1960, 82, № 8, 2011—2014 (англ.).—Исследовались свойства и превращения продуктов озонлиза бензоата тестостерона (I). Р-р 20 г I в 325 мл  $\text{CH}_3\text{COOH}$  в 325 мл этилацетата озонируют при охлаждении льдом и солью и озонид разлагают 20 мл 30%-ной  $\text{H}_2\text{O}_2$  в 40 мл воды 16 час. при 20°. Смесь разбавляют эфиром, промывают водой и 2%-ным р-ром NaOH. После подкисления щел. р-ра получают 14,9 г 17β-бензилокси-5-кето-3,5-секо-А-норандростановой-3 к-ты (II), т. пл. 175—176° [из (изо- $\text{C}_3\text{H}_7$ )<sub>2</sub>O],  $[\alpha]_D^{25} +127^\circ$ .

Полученная таким образом II отличается от 17-бензоата 4-оксаандростандиол-5,17β-она-3 (III), синтезированного ранее озонлизом I (см. Turner R. B., J. Amer. Chem. Soc., 1950, 72, 579). Строение II подтверждается изомеризацией III в II при нагревании до 165°, спектральными данными и описанными ниже превращениями. 1,38 г III в 100 мл 95%-ного спирта восстанавливают 0,39 г NaBH<sub>4</sub> в 10 мл воды и выпадающий осадок растворяют добавлением 50 мл воды и 50 мл спирта, добавляют еще 0,15 г NaBH<sub>4</sub>, выдерживают 3 часа при 20°, выливают в воду, подкисляют конц. HCl и получают бензоат 4-окса-5α-андростанол-17β-она-3 (IV), выход 59%, т. пл. 206—207,5° (из CH<sub>3</sub>OH), [α]<sub>D</sub><sup>20</sup> +102°. IV получают, также при аналогичном восстановлении II, выходя 63%; из маточных р-ров выделяют 5β-эпимер IV (V), т. пл. 167—168° (из (изо-C<sub>8</sub>H<sub>7</sub>)<sub>2</sub>O), [α]<sub>D</sub><sup>20</sup> +62°. 1,5 г II гидрируют над PtO<sub>2</sub> в 50 мл CH<sub>3</sub>COOH с последующим хроматографированием продуктов р-ции на силикагеле; получают 0,42 г 17β-циклогексанкарбоксии-4-окса-5β-андростанона-3 (VI), т. пл. 200,5—203,5° (из CH<sub>3</sub>OH), [α]<sub>D</sub><sup>20</sup> +12°. При кипячении IV (3 часа) с NaOH в водн. диоксане получают 4-окса-5α-андростанол-17β-он-3 (VII), т. пл. 178—179° (из этилацетата). 0,239 г VII в 15 мл C<sub>6</sub>H<sub>6</sub> и 0,5 мл пиридина обрабатывают 15 мл р-ра хлорангидрида циклогексанкарбоновой к-ты, приотделенного кипячением 1 г к-ты с 3 мл SOCl<sub>2</sub> с последующей отгонкой избытка реагента и разбавлением C<sub>6</sub>H<sub>6</sub> до 40 мл. Смесь оставляют на 16 час. при 20° и встряхивают с водой. Получают 5α-эпимер VI, т. пл. 168—170° (из хлф.-петр. эф.), [α]<sub>D</sub><sup>20</sup> +66°. При омылении VI или V как указано выше получают 4-окса-5β-андростанол-17β-он-3. Р-р 1,03 г II в 10 мл C<sub>6</sub>H<sub>6</sub> обрабатывают SOCl<sub>2</sub> при 10°, оставляют на два дня при 2—3°, упаривают в вакууме и получают 0,83 г бензоата 5-хлор-4-оксаандростанол-17β-она-3 (VIII), т. пл. 184—189° (из ацетона), [α]<sub>D</sub><sup>20</sup> +61°. Из 0,28 г VIII в 5 мл C<sub>6</sub>H<sub>6</sub> и 5 мл CH<sub>3</sub>OH получают (90 час. при 20°) 0,19 г бензоата 5-метокси-4-оксаандростанол-17β-она-3 (IX), т. пл. 234—238° (из CH<sub>3</sub>OH-CH<sub>2</sub>Cl<sub>2</sub>), [α]<sub>D</sub><sup>20</sup> +72°; аналогично синтезируют бензоат 5-аллилокси-4-оксаандростанол-17β-она-3, т. пл. 162—164,5°, [α]<sub>D</sub><sup>20</sup> +67° и соответствующий бензильный эфир, т. пл. 230—236°, [α]<sub>D</sub><sup>20</sup> +67°. IV, V и IX обладают слабой андрогенной и анаболич. активностью. [α]<sub>D</sub> определены в CHCl<sub>3</sub>. Приведены данные по ИК-спектрам полученных соединений.

**6Ж338. Новые превращения в ряду стероидов.** Schaffner K., Arigoni D., Jeger E. Neuartige Umwandlungen bei den Steroiden. «Experientia», 1960, 16, № 5, 169—180 (нем.; рез. англ.).—Обзор. Библ. 74 назв.

**6Ж339. Исследования по синтезу 16α-оксипроизводных ряда андростана.** Zderic Juan A., Bowers Alberto. Experimentos sobre la sintesis de derivados 16α-hidroxi de la serie del androstano. «Ciencia (Mexico)», 1960, 20, № 1—2, 23—28 (исп.; рез. англ.).—Производные 16α-оксиандростана интересны как потенциальные гипотензивные агенты. Наилучшие результаты достигнуты при восстановлении 16-кетостероидов Са в жидком NH<sub>3</sub>. Р-р 0,63 г диацетата Δ<sup>5</sup>-андростендиол-3β,17β-она-16 в 20 мл безводн. тетрагидрофурана прибавляют в течение 5 мин. к р-ру 1,1 г Са в 200 мл жидком NH<sub>3</sub>, спустя 15 мин. избыток Са удаляют прибавлением CH<sub>3</sub>OH, добавляют 150 мл р-ра NaCl и продукты р-ции экстрагируют CHCl<sub>3</sub>. После хроматографирования на 28 г Al<sub>2</sub>O<sub>3</sub>, вымывание смесью C<sub>6</sub>H<sub>6</sub>-эфир (1:1) дает 0,15 г Δ<sup>5</sup>-андростендиол-3β,16β (Ia), т. пл. 143—145° (из ацетона-гексана); вымывание эфиром дает Δ<sup>5</sup>-андростендиол-3β,16α (16), выход ≈40%, т. пл. 217—218° (из ацетона-CH<sub>3</sub>OH). При р-ции 0,20 г Δ<sup>5</sup>-андростендиол-3β-она-16 с р-ром 0,3 г Li в 150 мл жидкого NH<sub>3</sub> с последующим хроматографированием продуктов р-ции на 10 г Al<sub>2</sub>O<sub>3</sub> выделено по 30 мг Ia и Ib и 70 мг в-ва с т. пл. >280°, являющегося неопределенным кетоном

(данные УФ- и ИК-спектров). Наличие HO-группы при C<sub>(17)</sub> не препятствуют р-ции восстановления. Взаимодействие 1 г Δ<sup>5</sup>-андростендиол-3β,17β-она-16 в 20 мл 1-метоксипропанола-2 с 2,0 г Са в 200 мл жидкого NH<sub>3</sub> приводит после ацетилирования продукта р-ции смесью (CH<sub>3</sub>CO)<sub>2</sub>O-пиридин и хроматографирования на Al<sub>2</sub>O<sub>3</sub> (фракция, вымытая смесью гексан-бензол, 85:15, хроматографируется повторно) к триацетату Δ<sup>5</sup>-андростендиол-3β,16α,17β, выход 70 мг, т. пл. 190—192° (из ацетона-гексана), и его 16-эпимеру, выход 0,3 г, т. пл. 214—216° (из ацетона-CH<sub>3</sub>OH). К р-ру 0,5 г диацетата 16α,17α-эпоксиандростандиол-3β,17β (II) в 25 мл C<sub>6</sub>H<sub>6</sub> прибавляют 0,5 мл эфира BF<sub>3</sub> и по окончании р-ции (20°, 30 мин.) выделяют диацетат андростандиол-3β,16α-она-17 (III), выход 0,49 г, т. пл. 181—183°. Этот метод получения III из II эффективнее, чем описанный ранее (РЖХим, 1956, № 7, 19357.). Р-ция между 250 мг III и 3 мл (CH<sub>3</sub>SH)<sub>2</sub> в 3 мл C<sub>6</sub>H<sub>6</sub> в присутствии 0,05 мл 70%-ной HClO<sub>4</sub> (20°, 20 час.) приводит к 17-этилендитиокеталу III (IV), выход 120 мг, т. пл. 116—118°. При омылении IV с избытком ≈3%-ного KOH в CH<sub>3</sub>OH (кипчение, 30 мин.) образуется 17-этилендитиокеталь андростандиол-3β,16α-она-17 (IVa), выход >70%, т. пл. 229—231° (из хлф.-CH<sub>3</sub>OH), [α]<sub>D</sub><sup>20</sup> -49° (хлф.). При восстановлении 0,7 г IVa скелетным Ni в спирте (кипчение, 24 часа) с последующим двукратным хроматографированием на Al<sub>2</sub>O<sub>3</sub> получено 55 мг андростанола-3 (V) и 15 мг андростандиол-3β,16α (VI), т. пл. 185—187° (из ацетона-гексана), [α]<sub>D</sub><sup>20</sup> +25° (сп.); диацетат, т. пл. 170—173°. Р-ция 0,45 г IV со скелетным Ni в аналогичных условиях дает, после хроматографирования на 10 г нейтр. Al<sub>2</sub>O<sub>3</sub>, 0,14 г ацетата V и немного (<55 мг) диацетата VI. К р-ру 5 г III в 100 мл диоксана прибавляют р-р 2 г NaBH<sub>4</sub> в 5 мл воды и по окончании р-ции (20°, 45 мин.) получают 3,16-диацетат андростантриол-3β,16α,17β (VII); тозилат (VIIa), т. пл. 187—189° (из ацетона-гексана), [α]<sub>D</sub><sup>20</sup> -71° (хлф.); и-нитро-о-толуолсульфонат (VIIb), т. пл. 150—151°, [α]<sub>D</sub><sup>20</sup> -82° (хлф.); мезилат (VIIc), т. пл. 141—143°, [α]<sub>D</sub><sup>20</sup> -60° (хлф.). Восстановление III действием NaBH<sub>4</sub> в диоксане позволяет избежать частичного гидролиза ацетильных групп, наблюдающегося при проведении р-ции в CH<sub>3</sub>OH. При окислении VI в ацетоне 8 н. CrO<sub>3</sub> с почти колич. выходом образуется снова III. Восстановление 0,5 г III избытком LiAlH<sub>4</sub> (20°, 24 часа) приводит к андростантриолу-3β,16α,17β (VIII), выход 0,3 г, т. пл. 251—253° (из CHCl<sub>3</sub>-CH<sub>3</sub>OH), [α]<sub>D</sub><sup>20</sup> -30° (пиридин). При попытке превратить VIIa в VI действием избытка LiAlH<sub>4</sub> в эфире или восстановлением с помощью Li в жидком NH<sub>3</sub> образуется только VIII; тот же результат получается при замене VIIa на VIIb или VIIc. Все попытки ввести VIIa—VIIc в р-цию с NaJ в ацетоне или CH<sub>3</sub>COOH в спирте оказались безуспешными. При взаимодействии 0,5 г VIIa в 50 мл спирта с 3 г KOH в 25 мл воды (кипчение, 2 часа) образуется 16α,17α-эпоксиандростанол-3β (IX), выход 0,31 г, т. пл. 124—125° (хроматографирование на Al<sub>2</sub>O<sub>3</sub>) и 144—145° (устойчивая модификация), [α]<sub>D</sub><sup>20</sup> +15° (хлф.). Хотя ацетат IX восстанавливается LiAlH<sub>4</sub> в андростандиол-3β,17α (РЖХим, 1956, № 6, 16199), восстановить сам IX не удается ни Li в жидком NH<sub>3</sub>, ни Na в спирте; в обоих случаях с высоким выходом возвращается IX. Эти результаты указывают на большую стерич. затрудненность C<sub>(17)</sub>. При окислении 3-ацетата Δ<sup>5</sup>-прегнендиол-3β,16α-она-20 в ацетоне 8 н. CrO<sub>3</sub> (0°, 2 мин.) образуется ацетат Δ<sup>5</sup>-прегнендиол-3β-дион-16,20 (X), т. пл. 155—157° (из ацетона), [α]<sub>D</sub><sup>20</sup> -111° (хлф.). При действии KOH в водн. спирте (кипчение, 1 час, N<sub>2</sub>) на X образуется с хорошим выходом к 16,17-секо-Δ<sup>5</sup>-прегнендиол-3β-он-20-овой-16 к-те, т. пл. 214—215° (из ацетона), [α]<sub>D</sub><sup>20</sup> -78° (хлф.). Для VIIb и X приводятся данные УФ-спектров.

**Э. Серебряков**  
**6Ж340. 20-метилпрегнан и его производные.** Duszak John P., Bergmann Werner. 20-methylpregna-



ne and derivatives. (J. Organ. Chem., 1960, 25, № 1, 79—83 (англ.).—Синтезированы 20-метил-5 $\alpha$ -прегнан (I) и ряд производных I, и определено молекулярное вращение полученных соединений. К суспензии 2,2 г LiAlH<sub>4</sub> в тетрагидрофуране (ТГФ) прибавляют р-р 6,0 г 3 $\beta$ -ацетокси-биснор- $\Delta^5$ -холеновой к-ты в 50 мл ТГФ, кипятят смесь 5 час., разлагают избыток реагента этилформинатом и выливают реакционную смесь в 500 мл 2 н. р-ра H<sub>2</sub>SO<sub>4</sub>. Получают биснор- $\Delta^5$ -холенидиол-3 $\beta$ ,22 (II), т. пл. 204—206°, [ $\alpha$ ]<sub>D</sub> —47° (с 0,35); диацетат, т. пл. 128—129° (из водн.; CH<sub>3</sub>OH), [ $\alpha$ ]<sub>D</sub> —51,6° (с 1,30). 6,4 г n-CH<sub>3</sub>C<sub>6</sub>H<sub>4</sub>SO<sub>3</sub>Cl прибавляют при охлаждении к р-ру 2 г II в 50 мл, оставляют смесь на 24 часа при 20°, выливают в 100 мл ледяной воды и оставляют при 5° на 24 часа. Продукт р-ции растворяют в 200 мл ацетона и 60 мл воды и омыляют кипячением с 10 мл конц. H<sub>2</sub>SO<sub>4</sub> (4 часа). Получают 1,82 г 22-тозилата II (III), т. пл. 115—118° (из разб. ацетона), [ $\alpha$ ]<sub>D</sub> —37,2 (с 1,00). 500 мг LiAlH<sub>4</sub> прибавляют к р-ру 1,01 г III, в 150 мл диоксиана, кипятят смесь 4 часа, обрабатывают обычным образом и продукты р-ции хроматографируют на Al<sub>2</sub>O<sub>3</sub>. Получают 0,59 г 20-метил- $\Delta^5$ -прегненола-3 $\beta$  (IV), т. пл. (гидрата) 131—133° (из разб. сп.) после высушивания в вакууме, т. пл. 136—137°, [ $\alpha$ ]<sub>D</sub> —65,8 (с 1,30); ацетат, т. пл. 121—124,5°, [ $\alpha$ ]<sub>D</sub> —69,2° (с 1,37). 75 мг IV в 30 мл CH<sub>3</sub>COOH и 30 мл этилацетата гидрируют над PtO<sub>2</sub> до 20-метил-5 $\alpha$ -прегнанола-3 $\beta$  (V), т. пл. 145—146°, [ $\alpha$ ]<sub>D</sub> +9,3° (с 1,31); ацетат, т. пл. 122—123°, [ $\alpha$ ]<sub>D</sub> —1,9° (с 1,31). Р-р 110 мг V в 3 мл пиридина окисляют 0,1 г CrO<sub>3</sub> в 5 мл пиридина (20°, 17 час.). После хроматографирования на Al<sub>2</sub>O<sub>3</sub> и кристаллизации из разб. сп. получают 87 мг 20-метил-5 $\alpha$ -прегнанола-3 (VI), т. пл. 144—145°, [ $\alpha$ ]<sub>D</sub> +30,2° (с 1,18). 100 мг VI в 10 мл CH<sub>3</sub>COOH кипятят с 3,5 г Zn/Hg, через 7 час. добавляют 5 мл CH<sub>3</sub>COOH, 20 мл конц. HCl к-ты, 0,5 мл кислоты и кипятят еще 30 мин. Хроматографированием продукта р-ции на Al<sub>2</sub>O<sub>3</sub> выделяют I, т. пл. 111—112° (возгонка), [ $\alpha$ ]<sub>D</sub> +8,9° (с 1,53). 120 мг IV в 30 мл ацетона окисляют 0,18 мл р-ра CrO<sub>3</sub> (2,67 г CrO<sub>3</sub>, 2,3 мл конц. H<sub>2</sub>SO<sub>4</sub>, объем доведен до 10 мл), через 5 мин. разбавляют водой и экстрагируют эфиром. Экстракт выпаривают, остаток кипятят 10 мин. с 25 мл 2%-ного р-ра КОН в спирте. После хроматографирования на Al<sub>2</sub>O<sub>3</sub> получают 30 мг 20-метил- $\Delta^5$ -прегненона-3, т. пл. 143—144° (из водн. CH<sub>3</sub>OH), [ $\alpha$ ]<sub>D</sub> +113° (с 0,41). К р-ру 0,8 г IV в 25 мл C<sub>6</sub>H<sub>6</sub> добавляют 1 мл SOCl<sub>2</sub>, выдерживают 30 мин. при 20°, нагревают 90 мин. при 50—60° и получают 0,78 г 3 $\beta$ -хлор-20-метил- $\Delta^5$ -прегнена (VII), т. пл. 147,5—148°, [ $\alpha$ ]<sub>D</sub> —52,4° (с 1,30). К 0,56 г VII в 20 мл кипящего *азо*-C<sub>6</sub>H<sub>11</sub>OH прибавляют Na (~1 г) до исчезновения желтого окрашивания (90 мин.); получают 0,25 г 20-метил- $\Delta^5$ -прегнена, т. пл. 104,5—105° (из CH<sub>3</sub>OH-эф.), [ $\alpha$ ]<sub>D</sub> —89,7° (с 1,27). Смесь 2 г  $\Delta^5$ -прегненол-3 $\beta$ -она-20 (VIII), 15 мл 2-метокситетрагидропиранина и 2 г кислой смолы Дауэкс-50 нагревалась 10 час. при 95°. После хроматографирования на нейтр. Al<sub>2</sub>O<sub>3</sub> получают 1,81 г 3 $\beta$ -тетрагидропиранилового эфира VIII (IX), т. пл. 126—128°, [ $\alpha$ ]<sub>D</sub> +16,5° (с 1,45). В ранее описанных условиях (РЖХим, 1958, № 19, 64596) 2,44 г IX и метилтрифенилфосфоний (из 2,16 г бромистоводородного трифенилфосфония) дают 2,01 г 3 $\beta$ -хлор-20-метил- $\Delta^5$ -прегнена (VII), т. пл. 147,5—148°, диенола-3 $\beta$  (X, XI диол), т. пл. 110—112° (из сп.), [ $\alpha$ ]<sub>D</sub> —39,6 (с 1,25). К р-ру 2 г X в 100 мл гексана добавляют 100 мл CH<sub>3</sub>OH и 5 капель конц. HCl. Через 1 час упаривают и, остаток кристаллизуют из водн. CH<sub>3</sub>OH (5:1) и получают 1,23 г XI, т. пл. 133,5—134°, [ $\alpha$ ]<sub>D</sub> —66,4° (с 0,55); ацетат, т. пл. 128,5—129° (из CH<sub>3</sub>OH), [ $\alpha$ ]<sub>D</sub> —72° (с 1,62). 0,7 г III кипятят с 10 мл коллидина 3 часа, продукты р-ции хроматографируют на Al<sub>2</sub>O<sub>3</sub>, получают 50 мг неочищ. XI. Попытки изомеризовать 20,21-двойную связь XI в 17,20-положение действием HCl в CHCl<sub>3</sub> успеха не имели. Окислением 0,2 г XI в выше указанных условиях получают 97 мг 20-ме-

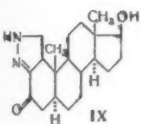
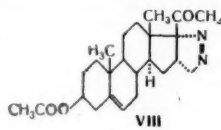
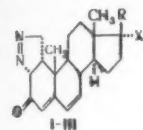
тил- $\Delta^{4,20}$ -прегнадиенона-3, т. пл. 152—154° (из CH<sub>3</sub>OH-H<sub>2</sub>O), [ $\alpha$ ]<sub>D</sub> +112° (с 1,35). 0,4 г XI в 150 мл абс. спирта гидрируют над 0,2 г 5%-ного Pd/C до V, выход 0,29 г. Из 5 г  $\Delta^{5,16}$ -прегнадиенол-3 $\beta$ -она-20 получают тетрагидропиранилового эфира (XII) как указано выше (нагревание 6 час.), выход 5,4 г, т. пл. 165—167° (из эф.), [ $\alpha$ ]<sub>D</sub> +49,7 (с 0,95). В условиях синтеза XI из 2,2 г XII получают 20-метил- $\Delta^{5,16,20}$ -прегнатириенол-3 $\beta$  (XIII), т. пл. 162—164°, [ $\alpha$ ]<sub>D</sub> —69,0° (с 1,39), ацетат (XIV), т. пл. 125—125,5, [ $\alpha$ ]<sub>D</sub> —75,3 (с 1,17); тетрагидропиранилового эфира XIV (XV), т. пл. 155—156° (из ацетона), [ $\alpha$ ]<sub>D</sub> —56,0 (с 0,82). К кипящему р-ру 0,53 г XIII в 75 мл абс. спирта прибавляют ~7 г Na в течение 90 мин., кипятят смесь 30 мин., выливают в воду и экстрагируют эфиром. Получают 0,17 г 20-метил- $\Delta^{5,16}$ -прегнадиенола-3 $\beta$  (XVI), т. пл. 130—132°, [ $\alpha$ ]<sub>D</sub> —58,6° (с 1,40), ацетат (XVII), т. пл. 136—138°, [ $\alpha$ ]<sub>D</sub> —65,5° (с 1,87°). При гидрировании XIII или XVI в CH<sub>3</sub>COOH над PtO<sub>2</sub> получают V. [ $\alpha$ ]<sub>D</sub> определены в CHCl<sub>3</sub> при 25° в-ва кристаллизованы из CH<sub>3</sub>OH. Приведены данные по УФ-спектрам XIII—XVII.

Э. Мистрюков

6Ж341. Усовершенствованный метод получения прогестерона и оксима ацетата  $\Delta^{5,16}$ -прегнадиенола-3 $\beta$ -она-20 из соласидина. Суворов Н. Н., Морозовская Л. М., Лейбельман Ф. Я., Ершова Л. И. «Мед. пром-сть СССР», 1960, № 7, 31—33.—Излагаются результаты работы по увеличению выхода ацетата  $\Delta^{5,16}$ -прегнадиенол-3 $\beta$ -она-20 (I) при синтезе прогестерона из соласидина (II) (см. РЖХим, 1957, № 17, 5878; 1959, № 1, 1407). Установлено, что ацетилирование II протекает с оптимальным выходом при взаимодействии II с (CH<sub>3</sub>CO)<sub>2</sub>O в инертном р-рителе в присутствии карбонатов щел. или щел.-зем. металлов или CaO с азотропной отгонкой воды. Образующийся О,Н-диацетат II при кипячении с лед. CH<sub>3</sub>COOH (15 мин.) изомеризуется в О,Н-диацетат псевдосоласидина (III), переходящий в I при окислении посредством Na<sub>2</sub>Cr<sub>2</sub>O<sub>7</sub> в CH<sub>3</sub>COOH при 25—43° с последующим кипячением в уксуснокислой среде. Выход I составляет 61%, считая на II. Гидрирование I над Pd/CaCO<sub>3</sub> в пиридине приводит к ацетату  $\Delta^5$ -прегненол-3 $\beta$ -она-20, превращающемуся при омылении посредством K<sub>2</sub>CO<sub>3</sub> и последующем окислении по Оппенгауэру в прогестерон, выход 47% считая на II. При действии метанольного р-ра NH<sub>3</sub>OH на неочищ. продукт расщепления III получают I, бекмановская перегруппировка которого приводит к ацетату дегидроэпиадростерона, выход 42%, считая на II. Л. Е.

6Ж342. Пиразолины стероидного ряда и их расщепление. Wiechert Rudolf, Kaspar E. «Chem. Ber.», 1960, 93, № 8, 1710—1715 (нем.).—Присоединение CH<sub>2</sub>N<sub>2</sub> к  $\alpha,\beta$ -ненасыщ. кетостероидам распространено на систему  $\Delta^{1,4,6}$ -3-кетостероидов. К р-ру 26,4 г ацетата  $\Delta^{1,4,6}$ -андростатриенол-17 $\beta$ -диона-3 в 250 мл эфира прибавляют р-р CH<sub>2</sub>N<sub>2</sub> (из 177 нитрозометилмочевины) в 2,4 л эфира и продукт р-ции (20°, 6 дней) хроматографируют на SiO<sub>2</sub> 10%-ной влажностью (вымывание CH<sub>2</sub>Cl<sub>2</sub>). Получают ацетат 1 $\alpha$ , 2 $\alpha$ -( $\Delta^1$ -пиразолино-4', 3')- $\Delta^{4,6}$ -андростатриенол-17 $\beta$ -диона-3 (I), выход 11 г, т. пл. 161° [разл.; из CH<sub>2</sub>Cl<sub>2</sub>-изопропилового эфира (ИПЭ)], [ $\alpha$ ]<sub>D</sub> —91° (с 1,055; вскл. хлф.). Из ацетата  $\Delta^{1,4,6}$ -прегнатириенол-17 $\beta$ -диона-3, 2 по этой же методике получен ацетат 1 $\alpha$ , 2 $\alpha$ -( $\Delta^1$ -пиразолино-4', 3') и  $\Delta^{4,6}$ -прегнадиенол-17 $\alpha$ -диона-3, 20 (II), выход 45%, т. пл. 222—224° (из CH<sub>3</sub>OH), [ $\alpha$ ]<sub>D</sub> —40° (с 0,73). Из 2 г 21-ацетата  $\Delta^{1,4,6}$ -прегнатириенол-17 $\alpha$ -диона-3, 20 этим путем получен 21-ацетат ( $\Delta^1$ -пиразолино-4', 3')- $\Delta^{4,6}$ -прегнадиендиол-17 $\alpha$ , 21-диона-3 (III) (при хроматографировании CH<sub>2</sub>Cl<sub>2</sub> заменен в CHCl<sub>3</sub>), выход 650 мг, т. пл. 229—230° (разл.).

(из  $\text{CH}_3\text{OH}$ ) абс. спирта выход 0,29 г. Изотетрагидрофураны (нагр. 67° (из эф.  $\text{CH}_3\text{OH}$ ),  $[\alpha]_D^{25} + 58,6$  (из  $\text{CH}_3\text{OH}$ ),  $[\alpha]_D^{25} + 65,5$  (из  $\text{CH}_3\text{COOH}$ ),  $\text{HCl}$  при 25° в  $\text{CH}_3\text{COOH}$  в течение 10 мин. Мистроуко



I R=OH, X=H;  
II R=CH<sub>2</sub>CO, X=CH<sub>2</sub>COO;  
III R=CH<sub>2</sub>COOCH<sub>2</sub>CO, X=OH

получены из предшественника 3-ацетата 17-а-андростадиенола-17-она-3 (IV), выход 55%, т. пл. 178—180° (из ИПЭ),  $[\alpha]_D^{20} + 188$  (с 0,975). Эта же методика в приложении к II дает ацетат 1а, 2а-метил-Δ<sup>4,6</sup>-прегнадиенол-17а-диона-3,20 (V), выход 30%, т. пл. 280—281° (из  $\text{CH}_3\text{OH}$ ),  $[\alpha]_D^{20} + 143$  (с 0,955). К III эта методика неприменима, как при пиролизе происходит отщепление или перегруппировка боковой цепи. К р-ру 0,3 мл 70%-ной  $\text{HClO}_4$  в 30 мл ацетона при 20° прибавляют порциями 1,5 г III, сразу по окончании выделения  $\text{N}_2$  реакционную смесь выливают на ледяную воду, выпавший осадок сушат и хроматографируют на  $\text{SiO}_2$  10%-ной влажностью (вымывание пентаном). Получают 21-ацетат 1а, 2а-метил-Δ<sup>4,6</sup>-прегнадиенол-17а, 21-диона-3,20 (VI), выход 680 мг, т. пл. 206,5—208° (из  $\text{CH}_3\text{COOC}_2\text{H}_5$ ). Таким же способом из 4,5 г V получают 2,06 г V; при вымывании  $\text{CH}_2\text{Cl}_2$  и  $\text{HCl}$  удается выделить также ацетат 1-метил-Δ<sup>1,4,6</sup>-прегнатириенол-17а-диона-3,20 (VII), выход 340 мг, т. пл. 195,5—196° (из ИПЭ),  $[\alpha]_D^{20} + 92$  (с 0,705). Из 6,2 г I и 2,4 мл 70%-ной  $\text{HClO}_4$  в 240 мл ацетона после выливания продукта р-ции на воду, экстрагирования  $\text{CH}_2\text{Cl}_2$ , сушки экстракта и хроматографирования на 300 г  $\text{SiO}_2$  (вымывание  $\text{CH}_2\text{Cl}_2$ ) удается выделить IV с выходом 58%, дальнейшее вымывание  $\text{CH}_2\text{Cl}_2$  дает ацетат 1-метил-Δ<sup>1,4,6</sup>-андростатриенол-17а-он-3 (VII), выход 9%, т. пл. 220—221° (из ИПЭ),  $[\alpha]_D^{20} - 94,9$  (с 1,015). Аналогичные результаты получаются при замене  $\text{HClO}_4$  на  $\text{HBF}_4$ . Применение этого способа к ацетату 16а, 17а-(Δ<sup>1</sup>-пиразолино-4', 5')-Δ<sup>5</sup>-прегненол-3β-она-20 (VIII) позволяет получить ацетат 16а, 17а-метил-Δ<sup>5</sup>-прегненол-3β-она-20 с выходом 39%, тогда как при пиролизе VIII выход не выше 5% (Sandoval A. и др., J. Amer. Chem. Soc., 1951, 73, 2383). В случае 18, 2-(Δ<sup>2</sup>-пиразолино-4', 3')-андростанол-17β-она-3 (IX) расщепление с помощью  $\text{HClO}_4$  в ацетоне неосуществимо. Р-р 5 г IX в 750 мл  $\text{CCl}_4$  кипятят 16 час с 235 г кислото  $\text{SiO}_2$  (получен встраиванием  $\text{SiO}_2$  с 1в.  $\text{HCl}$  с последующим высушиванием при 120°), леонин. продукт р-ции ацетируют смесью ( $\text{CH}_3\text{CO}_2\text{O}$  и пиридина) и после хроматографирования на  $\text{SiO}_2$  получают ацетат 1-метил-Δ<sup>1</sup>-андростенол-17β-она-3 (Ха, X кетоспирт), выход 2,2 г, т. пл. 138—139° (из ИПЭ), а при хроматографировании маточного р-ра выделяют ацетат 1а, 2а-метиленадростанол-17β-она-3 (XIа; XI кетоспирт). Соотношение Ха и XIа такое же, как

соотношение X и XI при пиролизе IX. Если 4 г IX кипятить 3 дня с 200 г кислой  $\text{Al}_2\text{O}_3$  (получена обработкой  $\text{Al}_2\text{O}_3$  насыщ. р-ром  $\text{HCl}$ -газа в  $\text{CCl}_4$  с дальнейшим высушиванием при 50°/12 мм) в 400 мл  $\text{CCl}_4$ , то образуется X, выход 1,02 г, т. пл. 149,5—152° (из ИПЭ). При размешивании 1 г I в течение 16 час с 50 г кисл.  $\text{Al}_2\text{O}_3$  в 50 мл  $\text{CCl}_4$  получен VII, выход 290 мг; обработка 0,5 г VIII суспензией 25 г кисл.  $\text{Al}_2\text{O}_3$  в 50 мл  $\text{CCl}_4$  (кипчение, 16 час.) приводит к ацетату 16-метил-Δ<sup>5,16</sup>-прегнадиенол-3β-она-20, выход 0,2 г, т. пл. 173—175° (из ацетона). Бромирование 342 мг XIа в диоксане р-ром  $\text{Br}_2$  (0,05 мл) в  $\text{CH}_3\text{COOH}$  в присутствии следов  $\text{HBr}$ -к-ты при 20° дает ацетат 4β-бром-1а, 2а-метиленадростанол-17β-она-3, выход 200 мг. Последний, не очищая, обрабатывают смесью 124 мг  $\text{LiBr}$  и 105 мг  $\text{Li}_2\text{CO}_3$  в 2,5 мл диметилформамида (100°, 14 час.,  $\text{N}_2$ ) и получают ацетат 1а, 2а-метил-Δ<sup>4</sup>-андростенол-17β-она-3 (XII), выход 50 мг, т. пл. 172—173° (из ИПЭ). Тот же XII получен с выходом 50% при восстановлении IV с помощью Li в смеси жидкого  $\text{NH}_3$  и тетрагидрофурана при -70°. Все полученные соединения охарактеризованы УФ-спектрами (приводятся данные); строение пиразолинового цикла в I—III и IX установлено по данным ИК-спектра. В ИК-спектрах IV—VI сдвиг  $\text{CO}$ -колебания в высокочастотную область составляет 15  $\text{cm}^{-1}$ , тогда как циклопропановое кольцо в соседстве с несопряженной кетогруппой вызывает аналогичный сдвиг на 50  $\text{cm}^{-1}$ . Идентификация трехчленного цикла в обычном ИК-спектре затруднена, в близкой ИК-области ему приписываются частоты 6098 и 4505  $\text{cm}^{-1}$ .

Э. Серебряков

6Ж343. Синтез сукциноилных и фталоилных производных дигитоксигенина, гитоксигенина и олеандригенина. Yamada Atsushi. «Якугаку заасси, Yakugaku zasshi, J. Pharmac. Soc. Japan», 1959, 79, № 11, 1440—1442 (японск.; рез. англ.).—Синтезированы 3-О-сукциноилдигитоксигенин (I), 16-О-сукциноилгитоксигенин (II), 3-О-сукциноилолеандригенин (III), 3-О-фталойлдигитоксигенин (IV) и 3-О-фталойлолеандригенин (V). Сравнение токсичности I—V с гитоксигенином (VI), дигитоксигенином (VII), олеандригенином (VIII) и 3-О-ацетилдигитоксигенином (на голубях) обнаружало отсутствие увеличения токсичности VI—VIII при сукцинировании и уменьшение растворимости и токсичности при фталойлировании. Смесь 145 мг VII, 224 мг ( $\text{CH}_3\text{CO}_2\text{O}$ ) и 3,5 мл пиридина выдерживают при -20° 3 месяца, обрабатывают ледяной водой и немного  $\text{H}_2\text{SO}_4$ , растворяют в 75 мл смеси  $\text{CHCl}_3$ - $\text{CH}_3\text{OH}$  (2:1), промывают 1 н.  $\text{H}_2\text{SO}_4$ , упаривают, получают I, выход 143 мг, т. пл. 224—227° (из водн. сп.),  $[\alpha]_D^{20} + 8$  (с 1; сп.). Аналогично из 126 мг VI (18°, 7 дней) получено 82 мг II, т. пл. 198—203° (из ацетона-эф.),  $[\alpha]_D^{20} + 35$  (с 1; сп.); из 104 мг VIII (24°, 3 дня; 100°, 2 часа) получено 113 мг III, т. пл. 200,5—202,5° (из водн. сп.),  $[\alpha]_D^{20} - 12$  (с 2; сп.); из 105 мг VII и 333 мг фталового ангидрида (20°, 72 часа, 100°, 2 часа) — 162 мг IV, т. пл. 245—247° (из водн.  $\text{CH}_3\text{OH}$ ),  $[\alpha]_D^{20} + 57$  (с 0,31; ацетон); из 73 мг VIII (20°, 97 час., 100°, 3 часа) — 87 мг V, т. пл. 153—158° (из ацетона, метанола, эф.),  $[\alpha]_D^{20} + 13$  (с 0,35; ацетон). Для I—III приведены данные по УФ-спектрам; для IV получена Na-соль, трудно растворимая в воде.

Л. Яновская

6Ж344. Цимарол-(19-Н<sup>3</sup>). Segel Karl-Heinz. Cymarol-(19-Н<sup>3</sup>). «Naturwissenschaften», 1960, 47, № 12, 279 (нем.).—Необходимый для биохим. исследований сердечный гликозид с меченым агликоном получен восстановлением цимарина посредством тритированного  $\text{NaBH}_4$  в цимарол (I), т. пл. 220—237° (из ацетона-эф.), активность 10  $\mu\text{мюри/мг}$ . Подвижный Н<sup>3</sup> из гидроксильной группы I может быть удален путем многократных перекристаллизаций или хроматографически. Приведены данные биологич. испытаний.

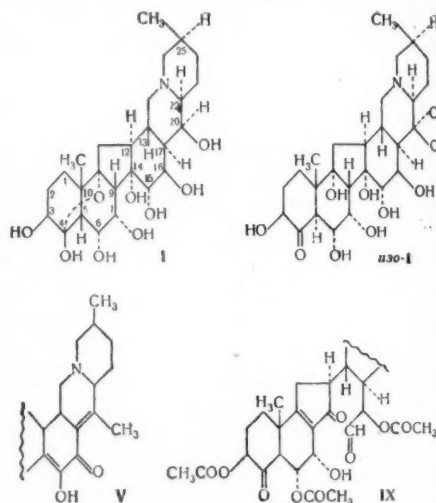
О. Чижов

**6Ж345. Гликозиды и агликоны. Сообщение 218. Исследование карденолидов 8 видов рода *Erysimum* и двух представителей близких родов методом хроматографии на бумаге.** Kowalewski Z. *Papierchromatographische Untersuchung der Cardenolide von 8 Erysimum-Arten und zwei Vertretern verwandter Gattungen.* Glykoside und Aglykone, 218. Mitt. «Helv. chim. acta», 1960, 43, № 5, 1314—1321 (нем.).—На основании результатов, полученных при хроматографии на бумаге, сравнивается качеств. состав сердечных гликозидов, выделенных из семян *Erysimum odoratum*, *E. Witmannii*, *E. hieracifolium*, *E. pulchellum*, *E. cheiranthoides*, *E. perofskianum*, *E. repandum*, *E. diffusum*, *Acachnema cuspidata* и *Conringia orientalis* как с предварительной ферментацией, так и без ферментации. О. Чижов

**6Ж346. Стероидные алкалоиды. Голафилламин и голамин, алкалоиды *Holarrena floribunda* (G. Don) Dur. et Schinz.** Janot Maurice-Marie, Cavé André, Goutarel Robert. *Alcaloïdes stéroïdes. Holaphyllamine et holamine, alcaloïdes de l'*Holarrena floribunda* (G. Don) Dur. et Schinz.* «C. r. Acad. sci.», 1960, 251, № 4, 559—561 (франц.).—Установлено строение новых алкалоидов — голафилламина  $C_{21}H_{33}NO$  (I) и голамина  $C_{21}H_{33}NO$  (II), выделенных вместе с голафиллином (3β-метиламино-Δ<sup>5</sup>-прегнено-20) (III) (РЖХим, 1960, № 4, 13559) из листьев *Holarrena floribunda*. ИК-спектры I (не выделен в кристаллич. виде) и II (т. пл. 135—136° (из этилацетата), [α]<sub>D</sub><sup>20</sup> +23° (с 0,88)) указывают на присутствие NH<sub>2</sub>- и CO-групп. При метилировании I  $CH_3O + HCOOH$  получен диметил-I, т. пл. 121°, [α]<sub>D</sub><sup>20</sup> +30° (с 1,12), идентичный метил-III. Таким образом, I является 3β-амино-Δ<sup>5</sup>-прегнено-20. Гидрирование II над Pd/C в  $CH_3COOH$  приводит к фунтунину (РЖХим, 1959, № 1, 1416), т. пл. 128°, [α]<sub>D</sub><sup>20</sup> +95°. Положение двойной связи определено при дезаминировании II по методу Рушига — получен прогестерон, выход 40%, т. пл. 129—131°, [α]<sub>D</sub><sup>20</sup> +180°. Восстановление диметил-II, т. пл. 137°, [α]<sub>D</sub><sup>20</sup> +17,5° (с 1,14) по Кизнеру — Вольфу дает дигидродезоксодиметил-II, т. пл. 131°, [α]<sub>D</sub><sup>20</sup> —50° (с 1,18), идентичный 3α-диметиламино-Δ<sup>5</sup>-прегнену. Расщепление по Гофману йодметилата диметил-II дает Δ<sup>4,5</sup>-прегнадиен-20, т. пл. 144°, [α]<sub>D</sub><sup>20</sup> —61° (с 1,16). Таким образом II является 3α-амино-Δ<sup>5</sup>-прегнено-20. Приведены данные об ИК-спектре II и УФ-спектре прогестерона. [α]<sub>D</sub> определены в  $CHCl_3$ . К. Старосельская

**6Ж347. Вератровые алкалоиды. XXXVIII. Строение и конфигурация протOVERина.** Kurchan S. Morris, Auges C. Ian, Neeman Moshe, Hensler Ruprecht H., Masamune Tadashi, Rajagopalan S. *Veratrum alkaloids. XXXVIII. The structure and configuration of protoverine.* «J. Amer. Chem. Soc.», 1960, 82, № 9, 2242—2251 (англ.).—Установлено строение и конфигурация алкалоида протOVERина (I). Изомеризация I в щел. среде приводит к изо-I и далее к псевдо-I — эписмеру I по C<sub>3</sub>. При ацелировании I действием  $(CH_3CO)_2O$  в пиридине получают 3,6,7,15,16-пентаацетил-I (II); ацелирование I действием  $(CH_3CO)_2O$  в присутствии  $HClO_4$  приводит к 3,4,6,7,15,16-гексаацетил-I (III). Последний при метанолизе дает 3,4,6,7,15-пентаацетил-I (изо-II), который при окислении  $CrO_3$  образует 3,4,6,7,15-пентаацетил-16-дегидро-I (IV). При щел. обработке IV возникает производное частичной флы (V), имеющее систему скрещенного сопряжения. I дает 14,15-ацетонид I (VI), который при ацелировании образует 3,6,16-триацетил-14,15-ацетонид I (VII). Кислотный гидролиз последнего приводит к 3,6,16-триацетил-I (VIII), который окисляют действием  $NaJO_4$  в циклопентеноновый альдегид (IX). При окислении VII  $CrO_3$  возникает 14,15-ацетонид 3,6,16-триацетил-7-дегидро-I (дегидро-VII), который при кислотном гидролизе дает 3,6,16-триацетил-7-дегидро-I (X). При восстановлении дегидро-VII  $NaBH_4$  образуется 6,16-диацетил-VI. Обработкой изо-I ацетоном и HJ получают 6,7,14,15-

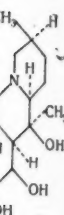
диацетонид изо-I (XI), ацелированием превращенный в 3,16-диацетил-6,7,14, 15-диацетонид изо-I (XII). При тозилровании VI образуется 6-тозил-14,15-ацетонид I (XIII), ацелирование последнего приводит к 3,16-диацетил-14,15-ацетониду I (XIV), который при кислотном гидролизе и последующем ацелировании дает 3,7,15,16-тетраацетил-6-тозил-I (XV). При восстановлении дегидро-VII действием Са в жидком  $NH_3$  образуется 3,16-диацетил-14,15-ацетонид 7-дегидрогермина (XVI), это указывает на то, что I является 6-α-оксигермином. Отсюда следует, что конфигурация асимметрич. центров при C<sub>3</sub>(3), C<sub>4</sub>(4), C<sub>5</sub>(5), C<sub>6</sub>(6), C<sub>10</sub>(10), C<sub>12</sub>(12), C<sub>13</sub>(13), C<sub>14</sub>(14), C<sub>15</sub>(15), C<sub>16</sub>(16), C<sub>17</sub>(17), C<sub>20</sub>(20), C<sub>22</sub>(22), C<sub>25</sub>(25) совпадают с конфигурациями при тех же атомах в гермине. α-ориентация ОН-группы при C<sub>7</sub> вытекает из легкости ее ацелирования и затрудненного ацелирования ОН-группы при C<sub>4</sub>. Образование XI указывает на *цис*-расположе-



ние HO-групп при C<sub>6</sub> и C<sub>7</sub>. Пространственные предпочтения, которые оказывает α-ориентированная 14,15-изопропилиденная группировка ацелированной ОН-группы при C<sub>7</sub> (превращение VI→VII), могут быть объяснены только на основании допущения β-расположения Н-атома при C<sub>3</sub> и α-ориентации ОН-группы при C<sub>7</sub>. 160 мл 1 н. метанольного NaOH, охлажденного до 0—4°, прибавляют при 0—3° к 20 г протOVERина (A и B, см. реф. 6Ж348) в 35 мл  $CH_3OH$ , через 20 час. при 0° добавляют 10%-ную  $H_2SO_4$  до pH 7, удаляют  $CH_3OH$ , остаток разбавляют водой и подщелачивают до pH 8—8,5 10%-ным р-ром  $Na_2CO_3$ , смесь быстро и непрерывно экстрагируют  $CHCl_3$ , поддерживая pH 8—8,5 добавлением 10%-ного NaOH через каждые 30 мин., из экстракта выпадает I, выход 9—10 г, т. пл. 195—200° (разл.); из  $CH_3OH$ ; здесь и далее все т-ры плавления испаряются), [α]<sub>D</sub><sup>25</sup> —12° (с 1,00), 7,25 г хлоргидрата VI [т. пл. 259—260° (разл.)] в 90 мл пиридина обрабатывают при —10° 2,2 мл  $(CH_3)_2CHCOCl$ , через 12 час. (20°) нагревают 2 часа при 50°, подщелачивают разб.  $NH_4OH$  и экстрагируют  $CHCl_3$ , экстракт упаривают до 50 мл, отфильтровывают выпадающий при охлаждении VI (4,9 г), фильтрат упаривают и хроматографируют на  $Al_2O_3$ , выделяют 3,6-диизобутил-14,15-ацетонид I, выход 0,05 г, т. пл. 231—233° (разл.); из ацетона-птр. эф.), [α]<sub>D</sub><sup>25</sup> +24° (с 1,2), п 6-изобутирил-14,15-ацетонид I (XVII), выход 0,1 г, т. пл. 270—271° (разл.); из ацетона-птр. эф.), [α]<sub>D</sub><sup>25</sup> —2° (с 1,00). При окислении XVII действием  $NaJO_4$  происходит разрыв связи C<sub>3</sub>—C<sub>4</sub> с образованием соответствующего альдегидо-γ-лактона. Нагревают (2,5 часа, ~100°) 3 г



м превраще-  
изо-1 (XII)  
пл-14,15-аце-  
о приводит  
который при  
етиловании  
При восста-  
ком NH<sub>3</sub> обра-  
гидрогерми-  
6-α-оксиге-  
α-ориента-  
ее ацетила-  
ОН-группы  
е-расположе-



COCH<sub>3</sub>

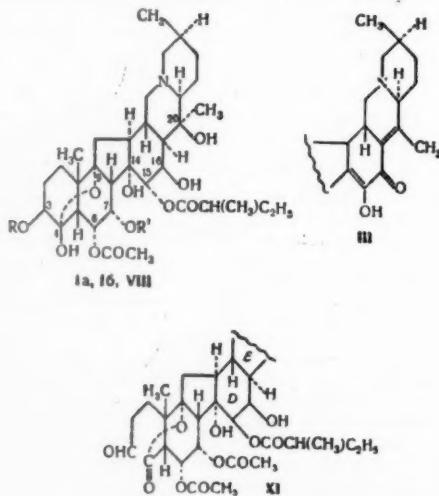
енные пре-  
анная 14,15-  
ванию OH-  
могут быть  
β-располо-  
ОН-группы  
хлажденно-  
отвератри-  
ОН, через  
N 7, удале-  
подщелачива-  
ась быстро  
живая рН  
из кажды  
10 г, т. пл.  
все т-ры  
7,25 г хлор-  
пиридина  
ОСН<sub>3</sub> через  
елачивают  
от упари-  
и хромат-  
утил-14,15-  
л.; из аце-  
утирил-14,  
270—271°  
(0,00). При  
т разры-  
тующего  
(100°) 3 г

1, 19 мл пиридина и 68 мл  $(\text{CH}_3\text{CO})_2\text{O}$ , охлаждают, добавляют 30 мл  $\text{CH}_3\text{OH}$ , упаривают в вакууме, остаток растворяют в воде, добавляют  $\text{NH}_4\text{OH}$  и экстрагируют  $\text{CHCl}_3$ , хроматографируют на  $\text{Al}_2\text{O}_3$ , выделяют II, выход 1,5 г, т. пл. 257—258° (разл.; из ацетона-птр. эф.),  $[\alpha]_D^{20} -53^\circ$  (с 1,60). 5 г I обрабатывают при  $-10^\circ$  50 мл  $(\text{CH}_3\text{CO})_2\text{O}$  и 1,5 мл 60%-ной  $\text{HClO}_4$ , через 1,5 часа добавляют 50 мл  $\text{CH}_3\text{OH}$ , упаривают, растворяют в воде, добавляют  $\text{NH}_4\text{OH}$  и экстрагируют  $\text{CHCl}_3$ , получают III, выход 1,14 г, т. пл. 281—282° (разл.; из ацетона-птр. эф.),  $[\alpha]_D^{20} -72^\circ$  (с 1,10). Аналогично II ацетилованием 1 г изо-I [т. пл. 247—248° (разл.)] получают 3,6,7,15,16-пентаацетилиз-1, выход 0,45 г, т. пл. 191° (разл.; из ацетона-эф.),  $[\alpha]_D^{20} -67^\circ$  (с 1,53). 0,3 г XVII в 20 мл 2%-ной  $\text{HCl}$  оставляют стоять 16 час. при 20°, подщелачивают  $\text{NH}_4\text{OH}$  и экстрагируют  $\text{CHCl}_3$ , выделяют 6-изобутирил-I (дигидрат), выход 0,2 г, т. пл. 219—221° (разл.; из ацетона-птр. эф.),  $[\alpha]_D^{20} -37^\circ$  (с 1,00). 5 г хлоргидрата VI ацетилюют действием  $(\text{CH}_3\text{CO})_2\text{O}$  в пиридине (3 часа, 85°), получают VII, выход 3,7 г, т. пл. 261—262° (разл.; из ацетона-птр. эф.),  $[\alpha]_D^{20} +21^\circ$  (с 1,97). 3,5 г VII в 40 мл  $\text{CH}_3\text{COOH}$  обрабатывают 65 мл 0,66 н.  $\text{CrO}_3$  в 98,5%-ной  $\text{CH}_3\text{COOH}$ , через 2,5 часа (20°) смесь охлаждают, добавляют  $\text{NaHSO}_4$ ,  $\text{NH}_4\text{OH}$  и экстрагируют  $\text{CHCl}_3$ , получают дегидро-VII, после хроматографирования на  $\text{Al}_2\text{O}_3$  выход 1,85 г, т. пл. 261—262° (разл.; из ацетона-птр. эф.),  $[\alpha]_D^{20} -32^\circ$  (с 1,89). 8,5 г VII, 6 мл конц.  $\text{HCl}$  и 200 мл воды оставляют стоять при 20° 15 час., подщелачивают  $\text{NH}_4\text{OH}$  и экстрагируют  $\text{CHCl}_3$ , хроматографированием на  $\text{Al}_2\text{O}_3$  выделяют VIII, выход 4,5 г, т. пл. 236—238° (разл.; из ацетона-птр. эф.),  $[\alpha]_D^{20} -4^\circ$  (с 1,00). 0,1 г VIII в 5 мл 5%-ной  $\text{CH}_3\text{COOH}$  обрабатывают 0,08 M p-ром  $\text{NaJO}_4$ , через 1,5 часа подщелачивают  $\text{NH}_4\text{OH}$  и экстрагируют  $\text{CHCl}_3$ , экстракт сушат, упаривают, остаток растворяют в 10 мл спирта, содержащего 10 капель конц.  $\text{NH}_4\text{OH}$ , и через 20 мин. разбавляют водой и экстрагируют  $\text{CHCl}_3$ , получают IX, выход 0,088 г (аморфный). 1 дегидро-VII, 2 мл  $\text{CH}_3\text{COOH}$ , 20 мл воды и 4 мл конц.  $\text{HCl}$  встряхивают 45 мин., через 3 часа (20°) p-р охлаждают, добавляют  $\text{NH}_4\text{OH}$  до pH 8 и экстрагируют  $\text{CHCl}_3$ , хроматографированием на кислом  $\text{Al}_2\text{O}_3$  выделяют X, выход 0,295 г, т. пл. 217° (разл.; из эф.),  $[\alpha]_D^{20} -46^\circ$  (с 1,02). 5 г III растворяют в 200 мл  $\text{CH}_3\text{OH}$  и 20 мл воды, через 20 час. (20°) упаривают, остаток подщелачивают  $\text{NH}_4\text{OH}$  и экстрагируют  $\text{CHCl}_3$ , выделяют изо-II, выход 0,8 г, т. пл. 259—260° (разл.; из ацетона),  $[\alpha]_D^{20} -65^\circ$  (с 2,01). 2 г изо-II в 2,5 мл  $\text{CH}_3\text{COOH}$  и 47,5 мл  $\text{CCl}_4$  окисляют (17 час., 20°) 50 мл 0,66 н.  $\text{CrO}_3$  в 98,5%-ной  $\text{CH}_3\text{COOH}$ , получают IV, выход 0,25 г, т. пл. 194—195° (разл.; из  $\text{CH}_3\text{OH}$ ),  $[\alpha]_D^{20} -128^\circ$  (с 1,64). 0,2 г IV в 25 мл  $\text{CH}_3\text{OH}$  кипятят 10 мин. с 0,4 мл 50%-ного  $\text{NaOH}$ , подкисляют  $\text{CH}_3\text{COOH}$ , упаривают, подщелачивают  $\text{NH}_4\text{OH}$  и экстрагируют  $\text{CHCl}_3$ , выделяют V, выход 0,045 г. Изо-I (5 г) встряхивают 3 часа с 50 мл спирта, 250 мл ацетона и 5 мл  $\text{H}_2$ , через 12 час. (20°) p-р упаривают до 10 мл, обрабатывают льдом и  $\text{NH}_4\text{OH}$ , обесцвечивают  $\text{Na}_2\text{S}_2\text{O}_3$  и экстрагируют  $\text{CHCl}_3$ , получают XI (кристаллосольват с 0,5  $\text{CH}_3\text{OH}$ ), выход 3,6 г, т. пл. 246—247° (разл.; из  $\text{CH}_3\text{OH}$ ),  $[\alpha]_D^{20} -20^\circ$  (с 0,99). Ацетилованием (90 мин.,  $\sim 100^\circ$ ) действием  $(\text{CH}_3\text{CO})_2\text{O}$  в пиридине 1,6 г XI превращают в XII, выход 1,306 г, т. пл. 300—301° (разл.; из бэл.),  $[\alpha]_D^{20} -31^\circ$  (с 1,25). XII не окисляется  $\text{CrO}_3$  в  $\text{CH}_3\text{COOH}$  (20°, 20 час.). 0,15 г дегидро-VII в 45 мл трет- $\text{C}_2\text{H}_5\text{OH}$  и 0,045 г  $\text{NaBH}_4$  оставляют на 90 мин. при 20°, добавляют 1,5 мл воды и через 10 мин. подкисляют  $\text{CH}_3\text{COOH}$ , упаривают, подщелачивают разб.  $\text{NH}_4\text{OH}$  и экстрагируют  $\text{CHCl}_3$ , хроматографированием на  $\text{Al}_2\text{O}_3$  выделяют гидрат диацетил-VI, выход 0,075 г, т. пл. 229—230° (разл.; из ацетона-птр. эф.),  $[\alpha]_D^{20} +4^\circ$  (с 0,95); маслянистая часть продукта p-ции при ацетиловании дает VII. Диацетил-VI (0,15 г) при ацетиловании действием  $(\text{CH}_3\text{CO})_2\text{O}$  в

пиридине также образует VII, выход 0,111 г. 3 г VII в 75 мл  $\text{CH}_3\text{OH}$  оставляют стоять 10 час. при 20°, упаривают, получают 3,6-диацетил-VI, выход 0,64 г, т. пл. 257—259° (разл.; из ацетона-эф.),  $[\alpha]_D^{20} +26^\circ$  (с 1,20). 8 г VI в 40 мл пиридина обрабатывают (при охлаждении) 12 г  $n\text{-CH}_3\text{C}_6\text{H}_4\text{SO}_2\text{Cl}$ , через 14 час. (20°) p-р охлаждают, подщелачивают  $\text{NH}_4\text{OH}$  и экстрагируют  $\text{CHCl}_3$ , получают XIII (полугидрат), выход 4,7 г, т. пл. 230—231° (разл.; из ацетона),  $[\alpha]_D^{20} +10^\circ$  (с 0,80). 2,5 г XIII ацетилюют (90 мин.,  $\sim 100^\circ$ )  $(\text{CH}_3\text{CO})_2\text{O}$  в пиридине, получают аморфный XIV, выход 2,7 г, т. разл.  $> 220^\circ$ . 10 г XIII растворяют в 6 мл конц.  $\text{HCl}$  и 200 мл воды, через 24 часа (20°) подщелачивают  $\text{NH}_4\text{OH}$ , извлекают  $\text{CHCl}_3$ , экстракт упаривают, остаток ацетилюют  $(\text{CH}_3\text{CO})_2\text{O}$  в пиридине, выделяют XV, выход 5 г, двойная т. пл. 175—180° и 225—230° (разл.; из эф.-птр. эф.),  $[\alpha]_D^{20} -57^\circ$  (с 0,94). 2,5 г XIV окислением  $\text{CrO}_3$  в  $\text{CH}_3\text{COOH}$  превращают в дегидро-XIV (гидрат), выход 0,618 г, т. пл. 215—216° (разл.; из хлф.-эф.),  $[\alpha]_D^{20} -69^\circ$  (с 0,86). К 50 мл сухого жидкого  $\text{NH}_3$  добавляют при  $-70^\circ$  0,5 г Ca и затем быстро 0,1 г дегидро-VII в 2 мл тетрагидрофурана (время прибавления  $< 5$  сек.), через 2 мин. при  $-70^\circ$  прибавляют 3 мл  $\text{C}_6\text{H}_5\text{Br}$ , 3 г  $\text{NH}_4\text{Cl}$ , 2 мл тетрагидрофурана и 2 мл воды,  $\text{NH}_3$  улетают, к остатку прибавляют ледяную воду и  $\text{CHCl}_3$ , экстракт упаривают, остаток растворяют в эфире и экстрагируют 0,5 н.  $\text{HCl}$ , кислый p-р подщелачивают холодным  $\text{NH}_4\text{OH}$  и извлекают  $\text{CHCl}_3$ , экстракт упаривают, остаток (0,06 г) содержит 20—25% XVI. Из 0,13 г смеси хроматографированием на  $\text{Al}_2\text{O}_3$  выделяют 0,005 г XVI, т. пл. 268—270° (разл.; из ацетона-птр. эф.). Приведены данные по УФ-спектрам V, IX, ИК-спектру IX, дисперсии оптич. вращения дегидро-VII, XVI, а также результаты окисления действием  $\text{HJO}_4$  I изо-I, 6-изобутирил-I, VI, 6,16-диацетил-VI, VIII, X, XI, XIII, XVII, и данные по титрованию  $\text{CrO}_3$  II, VII, XII. Все  $[\alpha]_D^{20}$  определены в пиридине. Сообщение XXXVII см. РЖХим, 1960, № 18, 73571. Е. Цветков

**6Ж348. Вератровые алкалоиды. XXXIX. Строение протOVERATРИНА А и протOVERATРИНА В. Kurchan S. Morris, Ayres C. Ian. Veratrum alkaloids. XXXIX. The structures of protoveratrine A and protoveratrine B. J. Amer. Chem. Soc., 1960, 82, № 9, 2252—2258 (англ.).—Установлено строение протOVERATРИНА А (Ia) и протOVERATРИНА В (Ib), которые являются соответственно 3-d-2'-окси-2'-метилбутирил-6,7-диацетил-15-1'-2'-метилбутирилпротOVERATРИНОМ и 3-d-трео-2',3'-диокси-2'-метилбутирил-6,7-диацетил-15-1'-2'-метилбутирилпротOVERATРИНОМ. 4 г Ia [т. пл. 273—275° (разл.); т-ры плавления всюду исправлены] в 95 мл  $\text{CCl}_4$  и 5 мл  $\text{CH}_3\text{COOH}$  окисляют (19 час., 20°) 50 мл 0,66 н.  $\text{CrO}_3$  в 98,5%-ной  $\text{CH}_3\text{COOH}$ , получают 16-дегидро-Ia, протOVERATРИН А (II), выход 1,2 г, т. пл. 221—223° (разл.; из водн. сп.),  $[\alpha]_D^{20} -97^\circ$  (с 1,18; здесь и далее в пиридине). 0,2 г II в 25 мл  $\text{CH}_3\text{OH}$  подкисляют  $\text{CH}_3\text{COOH}$ , упаривают, остаток растворяют в воде, подщелачивают разб.  $\text{NH}_4\text{OH}$  до pH 8,5 и экстрагируют  $\text{CHCl}_3$ , получают аморфное в-во частичной структуры (III), идентичное по спектрам продукту щел. гидролиза 3,4,6,7,15-пентаацетил-16-дегидропротOVERATРИНА (см. флу V, сообщение XXXVIII, реф. 6Ж347). 1 г Ia в 5 мл пиридина ацетилюют действием 5 мл  $(\text{CH}_3\text{CO})_2\text{O}$  (90 мин.,  $\sim 100^\circ$ ), получают 16-ацетил-Ia, выход 0,54 г, т. пл. 249—250° (разл.; из ацетона-птр. эф.),  $[\alpha]_D^{20} -52^\circ$  (с 1,07). Ацилирование 2 г Ia в пиридине действием  $[(\text{CH}_3)_2\text{CHCO}]_2\text{O}$  (3 часа при  $\sim 100^\circ$ , затем 12 час. при 20°, хроматографирование на  $\text{Al}_2\text{O}_3$ ) приводит к 16-изобутирил-Ia (IV), выход 0,47 г, т. пл. 245—246° (разл.; из ацетона-птр. эф.),  $[\alpha]_D^{20} -41^\circ$  (с 1,36). При метанолизе 4 г IV в 100 мл  $\text{CH}_3\text{OH}$  (20 час., 20°, хроматографирование на  $\text{Al}_2\text{O}_3$ ) получают наряду с IV (1,94 г) Ia, выход 0,4 г, и дезацетил-IV (идентифицирован по хроматограмме на бумаге). 3 г Ia при метанолизе (26 час. кипячения в 250 мл  $\text{CH}_3\text{OH}$ , хроматографирование на  $\text{Al}_2\text{O}_3$ ) дают моногидрат**

3-д-2'-окси-2'-метилбутирил-15-1-2-метилбутирилпротоверина (V), выход 0,75 г, т. пл. 203—205° (разл.; из эф.),  $[\alpha]^{25}_D -19^\circ$  (с 1,07), и 15-1-2'-метилбутирилпротоверин (VI), выход 0,17 г, т. пл. 218—220° (разл.; из ацетона-птр. эф.),  $[\alpha]^{25}_D -48^\circ$  (с 0,97). 0,3 г VI ацетируют (90 мин., т-ра около 100°) действием  $(CH_3CO)_2O$  в пиридине, получают 3,6,7,16-тетраацетил-VI, выход 0,25 г, т. пл. 261—262° (разл.; из ацетона-птр. эф.). 2 г 3,6,16-триацетилпротоверина в 10 мл пиридина обрабатывают при 0° 0,5 мл хлористого 1-2-метилбутирила, через 20 час. (20°) смесь выливают в воду, подщелачивают разб.  $NH_4OH$  и экстрагируют  $CHCl_3$ , хроматографированием на  $Al_2O_3$  выделяют 3,6,16-триацетил-VI, выход 0,8 г, т. пл. 234—235° (разл.; из ацетона-птр. эф.),  $[\alpha]^{25}_D -4^\circ$  (с 0,98). Последний при ацетилировании дает 3,6,7,16-тетраацетил-VI,  $[\alpha]^{25}_D -46^\circ$  (с 1,10). В (0,13 г) при ацетилировании действием  $(CH_3CO)_2O$  в пиридине (90 мин., ~100°) образует 16-ацетил-Ia, выход 0,043 г. Суспензию 2 г Ia в 20 мл  $[(CH_3)_2CHCO]_2O$  обрабатывают при 0° 0,5 мл 60%-ной  $HClO_4$ , через 14 час. выдержки при 20° прибавляют 100 мл  $CH_3OH$ , смесь упаривают, остаток растворяют в воде, подщелачивают разб.  $NH_4OH$  и экстрагируют  $CHCl_3$ , получают 4,16-дизобутирил-Ia (VII), выход 0,36 г, т. пл. 140—143° (разл.; из ацетона-птр. эф.),  $[\alpha]^{25}_D -39^\circ$  (с 1,10). Метанолиз 3,3 г VII в 30 мл  $CH_3OH$  (50 дней, 20°, хроматографирование на  $Al_2O_3$ ) приводит к 4-изобутирил-V, выход 0,97 г, т. пл. 140—150°, т. разл. 220—230° (из эф.),  $[\alpha]^{25}_D -8^\circ$  (с 1,20). К 2 г 16 (т. пл. 267—269° (разл.)) в 20 мл пиридина прибавляют порциями 2 г  $n-CH_3C_6H_4SO_2Cl$  при 0°, через 12 час. (20°) р-р подщелачивают охлажд.  $NH_4OH$  и экстрагируют  $CHCl_3$ , получают моноэтилат I (VIII), выход 1,7 г, т. пл. 214—217° (разл.; из ацетона-птр. эф.),  $[\alpha]^{25}_D -22^\circ$  (с 1,13). Действием  $CrO_3$  в  $CH_3COOH$  (75 мин., 20°) окисляют OH-группу при  $C_{16}$  в VIII до кетогруппы, при этом получают 16-дегидро-VIII (IX), выход 0,3 г (из 0,4 г VIII), т. пл. 194—197° (разл.; из сп.),  $[\alpha]^{25}_D -66^\circ$  (с 1,13). IX при обработке 40%-ным  $NaOH$  в  $CH_3OH$  (12 мин. кипячения) образует III, вы-



R' введ.  $COCH_3$ , Ia R =  $C_2H_5(CH_2)_2C(OH)CO$ ,  
 16 R =  $CH_2CH(OH)C(CH_3)(OH)CO$ , VIII R =  
 =  $CH_2CH(OSO_2C_2H_5CH_2)_nC(CH_3)(OH)CO$

ход 0,013 г (из 0,050 г IX). Метанолиз 2 г 16 (24 часа кипячения, хроматографирование на  $Al_2O_3$ ) приводит к VI, выход 0,388 г. Р-р 0,7 г 16 в 15 мл 5%-ной  $CH_3-$

$COOH$  обрабатывают 38 мл 0,08 M р-ра  $NaJO_4$ , через 5 час. (20°) р-р охлаждают, подщелачивают разб.  $NH_4OH$  и экстрагируют  $CHCl_3$ , хроматографированием на  $Al_2O_3$  выделяют 6,7-диацетил-VI (X), выход 0,3 г, т. пл. 232—233° (разл.; из ацетона-птр. эф.),  $[\alpha]^{25}_D -46^\circ$  (с 0,95). X при ацетилировании действием  $(CH_3CO)_2O$  в пиридине дает 3,6,7,16-тетраацетил-VI, выход 0,045 г (из 0,085 г X). При окислении X (1,45 г)  $NaJO_4$  в разб.  $CH_3COOH$  (150 мин., 20°) происходит расщепление связи  $C_{(3)}-C_{(4)}$  и образование сека-производного (XI), выход 0,8 г, т. пл. 241—242° (разл.; из ацетона-птр. эф.),  $[\alpha]^{25}_D +17^\circ$  (с 1,12). Приведены данные по ИК-спектру III и ИК-спектру XI, а также данные по окислению периодатом Ia, 16, V, VI, VII, VIII, X, 3,6,16-триацетил-VI, 4-изобутирил-V и титрованию  $CrO_3$  Ia, 16, IV, 3,6,16-триацетил-VI, VIII.

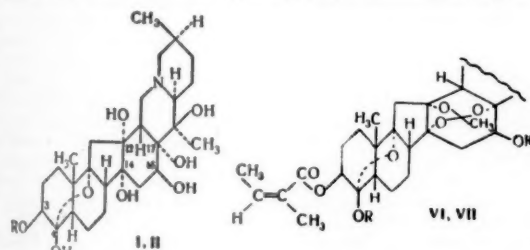
6Ж349. Вератровые алкалоиды. XLII. Строение деацетилпротовератрина A и деацетилпротовератрина B. Kurchan S. Morris, Ayres C. Ian, Hensler Ruprecht H. Veratrum alkaloids. XLII. The structures of desacetylprotoveratrine A and desacetylprotoveratrine B. J. Amer. Chem. Soc., 1960, 82, № 10, 2616—2620 (англ.).—Установлено строение деацетилпротовератрина A (Ia) (см. ф-лу Ia в реф. 6Ж348, где R' = H) и деацетилпротовератрина B (16) (см. ф-лу 16 в реф. 6Ж348, где R' = H), как 3-д-2'-окси-2'-метилбутирил-6-ацетил-15-1-2'-метилбутирилпротоверина и 3-д-трео-2'-3'-диокси-2'-метилбутирил-6-ацетил-15-1-2'-метилбутирилпротоверина соответственно. 1 г протовератрина A (IIa) в 50 мл 10%-ной  $HCl$  оставляют на 24 часа при 20°, охлажд. р-р подщелачивают разб.  $NH_4OH$  и экстрагируют  $CHCl_3$ , хроматографированием на  $Al_2O_3$  выделяют наряду с IIa (0,3 г) Ia, выход 0,2 г, т. пл. 200—201° (разл.; из ацетона-птр. эф.); здесь и далее все т-ры плавления исправлены,  $[\alpha]^{25}_D -11^\circ$  (с 1,05; всуху в пиридине). 1 г протовератрина B (IIb) при аналогичном гидролизе дает 16, выход 0,213 г, т. пл. 201—202° (разл.; из ацетона-птр. эф.),  $[\alpha]^{25}_D -8^\circ$  (с 1,00), и 0,54 г IIb, 1,1 г 16-изобутирил-IIa (III) (см. реф. 6Ж348) гидролизуют аналогично (110 мл 10%-ной  $HCl$ , 48 час., 20°), получают 7-деацетил-16-изобутирил-IIa (IV), выход 0,19 г, т. пл. 235—236° (разл.; из ацетона-птр. эф.),  $[\alpha]^{25}_D -15^\circ$  (с 1,00), и 0,115 г III, 0,1 г IV при окислении (1 час, 20°)  $CrO_3$  в  $CH_3COOH$  образуют 7-дегидродеацетил-16-изобутирил-IIa (7-дегидро-IV) (гидрат), выход 0,07 г, т. пл. 239—241° (разл.; из ацетона-птр. эф.),  $[\alpha]^{25}_D -47^\circ$  (с 1,00). 3 г 3,6,16-триацетилпротоверина (см. реф. 6Ж348) ацетируют действием  $(CH_3CO)_2O$  в пиридине (12 час., 20°), хроматографированием на  $Al_2O_3$  выделяют 3,6,7,15,16-пентаацетилпротоверин, выход 0,3 г, и 3,6,15,16-тетраацетилпротоверин (V), полутидрат, выход 1 г, т. пл. 235—236° (разл.; из ацетона-птр. эф.),  $[\alpha]^{25}_D -1^\circ$  (с 1,05). 1,35 г V при окислении действием  $CrO_3$  в пиридине (2 часа, 20°) дают 7-дегидро-V, выход 1,1 г, т. пл. 228—229° (разл.; из ацетона-птр. эф.),  $[\alpha]^{25}_D -39^\circ$  (с 1,18). 18 г 3,6,16-триацетил-14,15-ацетонида протоверина (VI) (см. предыдущую ссылку) в 600 мл 2%-ной  $HCl$  оставляют на 20 час. при 20°, охлажд. р-р подщелачивают разб.  $NH_4OH$ , экстрагируют  $CHCl_3$ , упаривают, получают 6,16-диацетилпротоверин (VII), выход 2 г, т. пл. 246—248° (разл.; из ацетона),  $[\alpha]^{25}_D -11^\circ$  (с 1,03). Из маточного р-ра аналогичным гидролизом (42 часа, 20°) получают еще 1,45 г VII, 4,8 г 6,16-диацетил-14,15-ацетонида протоверина (VIII) при гидролизе в аналогичных условиях также дают VII, выход 4 г. Кипятят 1 час 11,5 г VI, 2,5 г  $NaBH_4$  в 1 л трет- $C_4H_9OH$ , охлаждают, добавляют 50 мл воды, через 15 мин. подкисляют 75 мл  $CH_3COOH$  и упаривают в вакууме, остаток растворяют в воде, подщелачивают разб.  $NH_4OH$  и извлекают  $CHCl_3$ , хроматографированием на  $Al_2O_3$  выделяют VIII, выход 4,8 г, т. пл. 236—238° (разл.; из ацетона-птр. эф.). 1 г VII в 6 мл пиридина обрабатывают при 0° 0,3 мл хлористого 1-2-метилбутирила, через 16 час. вы-

NaJO<sub>4</sub>, через 16 ч. разбавляют разб. H<sub>2</sub>O, экстрагируют CHCl<sub>3</sub>, хроматографируют на Al<sub>2</sub>O<sub>3</sub> выделяют 6,16-диацетил-15-1'-метилбутирил-протоверин (IX), гидрат, выход 0,5 г, т. пл. 217–219° (разл.; из ацетона-птр. эф.), [α]<sub>D</sub><sup>20</sup> –26° (с 0,95). При ацетилировании IX дает 3,6,7,16-тетраацетил-15-1'-метилбутирил-протоверин. При окислении действием NaJO<sub>4</sub> образует аморфное в-во (X), имеющее ИК-спектр, характерный для альдегидо-γ-лактона, возникающего при периодатном расщеплении кольца A (см. предыдущую ссылку). 0,54 г IX при метанолизе (15 мл CH<sub>3</sub>OH, 11 час., 20°) дают 6-ацетил-15-1'-метилбутирил-протоверин (XI) (кристаллосольват с 1 молекулой CHCl<sub>3</sub>), выход 0,15 г, т. пл. 248–249° (разл.; из хлф. птр. эф.), [α]<sub>D</sub><sup>20</sup> –23° (с 1,01). XI при окислении действием NaJO<sub>4</sub> образует аморфный продукт, который обладает ИК-спектром, характерным для альдегидо-γ-лактонной системы X. 0,25 г IX в 6 мл 5%-ной CH<sub>3</sub>COOH обрабатывают р-ром 0,25 г HJO<sub>4</sub> в 3 мл воды и 18 мл трет-С<sub>4</sub>H<sub>9</sub>ОН, через 1 час при 20° быстро прибавляют 25 мл 0,1 н. Na<sub>2</sub>ASO<sub>3</sub> и р-р экстрагируют CHCl<sub>3</sub>, хроматографируют на Al<sub>2</sub>O<sub>3</sub> выделяют XI, выход 0,062 г. Ia (0,13 г) и 0,045 г NaBH<sub>4</sub> в 10 мл пиридина и 10 мл трет-С<sub>4</sub>H<sub>9</sub>ОН оставляют стоять 30 мин. при 20°, избыток NaBH<sub>4</sub> разлагают 5 мл CH<sub>3</sub>COOH, р-р жидкостно экстрагируют разб. NH<sub>4</sub>ОН и экстрагируют CHCl<sub>3</sub>, хроматографируют на Al<sub>2</sub>O<sub>3</sub> выделяют XI, выход 0,006 г. Приведены кривые дисперсии оптич. вращения 7-дегидро-IV, 7-дегидро-V, данные по окислению периодатом V, VII, IX, 15-1'-метилбутирил-протоверина и титрованию CrO<sub>3</sub> V, а также ИК-спектр X. Сообщение XLI см. РЖХим, 1960, № 13, 73572. Е. Цветков

**6Ж350.** Вератровые алкалоиды. XLIII. Строение цевадина. Kurchan S. Morris, Afonso Adriano. Veratrum alkaloids. XLIII. The structure of cevadine. J. Amer. Pharmac. Assoc. Scient. Ed., 1960, 49, № 4, 242–244 (англ.).—Цевадин (I), основной алкалоид *Schoenocaulon officinale* A. Gray, является 3-ангелойверацином. Ацилирование верацефина (II) хлористым 3-бромангелойлом (III) приводит к 3-(3'-бромангелойл)-II (IV), который при гидрогенолизе дает I, 0,02 г II [т. пл. 220–225° (разл.), [т-ры плавления здесь

разует аморфное в-во (V), в ИК-спектре которого отсутствует полоса поглощения, характерная для γ-лактона. Приведены данные по титрованию при помощи CrO<sub>3</sub> 4-ацетил-D-ортоацетата I («моноацетилацетидо-I») (VI), т. пл. 280–281° (разл.), [α]<sub>D</sub><sup>20</sup> 72° (с 0,95; хлф.), и D-ортоацетата I («ангидро-I») (VII), т. пл. 214–215° (разл.), [α]<sub>D</sub><sup>20</sup> +97° (с 0,98; сп.), а также данные по ИК-спектру V. Е. Цветков

**6Ж351.** Химия спироаминокетальной боковой цепи соласодина и томатидина. I. Улучшенный синтез Δ<sup>5,16</sup>-3β-ацетокси-прегнадиенона-20 и Δ<sup>16</sup>-3β-ацетокси-5α-прегненона-20 из соласодина и томатидина. II. Химия 3β,16β-диацетокси-20-(2'-Δ<sup>2</sup>-N-ацетил-5'-метилтетрагидропиридил)-прегнена-5. III. Реакция O,N-диацетилсоласодина в кислой среде. The chemistry of the spiroaminoketal side chain of solasodine and tomatidine. J. Sato Yoshio, Ikekawa Nobuo, Mosettig Erich. Improved preparation of 3β-acetoxy-5,16-pregnadien-20-one and 3β-acetoxy-5α-pregn-16-en-20-one from solasodine and tomatidine. II. Sato Yoshio, Ikekawa Nobuo. Chemistry of 3β,16β-diacetoxy-20-(2'-Δ<sup>2</sup>-N-acetyl-5'-methyltetrahydropyridyl)-5-pregnene. III. The reaction of O,N-diacetylsolasodine in acidic media. J. Organ. Chem., 1960, 25, № 5, 783–786, 786–789, 789–791 (англ.).—I. Стероидные алкалоиды соласодин (I) и томатидин (II) превращены с общими выходами 65 и 68% соответственно в Δ<sup>5,16</sup>-3β-ацетоксипрегнадие-20 (III) и Δ<sup>16</sup>-3β-ацетоксипрегнено-20 (IV). O,N-диацетил-I и O,N-диацетил-II при нагревании с лед. CH<sub>3</sub>COOH образуют Δ<sup>5,20(22)</sup>-3β-ацетоксид-26-ацетиламинофуростадие-20 (V) и Δ<sup>20(22)</sup>-3β-ацетоксид-26-ацетиламино-5α,25L-фуростен (VI). Последние при окислении CrO<sub>3</sub> в водн. CH<sub>3</sub>COOH и последующем гидролизе боковой ацилоксигруппы дают III и IV. 0,824 г I в 15 мл (CH<sub>3</sub>CO)<sub>2</sub>O кипятят 3 часа, смесь упаривают в вакууме, хроматографируют остаток на Al<sub>2</sub>O<sub>3</sub> выделяют аморфное в-во (VII), выход 51%, т. пл. 98–102°, [α]<sub>D</sub><sup>20</sup> –3° (хлф.), V, выход 40%, т. пл. 135–138° (из ацетона-гексана), и небольшое кол-во в-ва (VIII), т. пл. 175–178° (из ацетона-гексана). II в аналогичных условиях дает N-ацетил-VI, выход 40%, аморфное в-во (IX), выход 23%, т. пл. 97–102°, [α]<sub>D</sub><sup>20</sup> +92,5° (хлф.), и VI, выход 32%, т. пл. 128–132° (из ацетона-гексана). 0,52 г I, 5 мл пиридина и 1 мл (CH<sub>3</sub>CO)<sub>2</sub>O кипятят 1 час, выливают на лед, прибавляют NH<sub>4</sub>ОН и NaCl, через 1 час осадок хроматографируют, получают O,N-диацетил-I, выход 65%, т. пл. 164–166°, и VII, выход 20%. При уменьшении кол-ва (CH<sub>3</sub>CO)<sub>2</sub>O до 0,46 мл выход O,N-диацетил-I увеличивается до 92–95%. II (0,505 г) при ацетилировании [8 мл пиридина, 2 мл (CH<sub>3</sub>CO)<sub>2</sub>O, 12 час., 20°] образует O,N-диацетил-II, выход 96%, т. пл. 190–192° (из птр. эф.-эф.). Дигидро-I при ацетилировании дает O,N-диацетилдигидро-I, выход 92%, т. пл. 180–183°, 0,5 г O,N-диацетил-I прибавляют 15 мин. к 10 мл кипящей CH<sub>3</sub>COOH, р-ритель удаляют в вакууме, получают V, выход 95–98%, [α]<sub>D</sub><sup>20</sup> –23° (хлф.). При р-ции с C<sub>2</sub>H<sub>5</sub>COOH получают аналогичный результат. Взаимодействие (23°, 10 мин.) в присутствии 60%-ной HClO<sub>4</sub> (или 36%-ной HCl) и CH<sub>3</sub>COOH приводит к V, выход 73%, и оксипроизводному с т. пл. 144–152°, выход 23%; O,N-диацетил-II дает (кипящая CH<sub>3</sub>COOH, 15 мин.) VI, выход 96%, т. пл. 128–132° (из ацетона-гексана), [α]<sub>D</sub><sup>20</sup> +1,5° (хлф.). Аналогично O,N-диацетилдигидро-I образует ацетат Δ<sup>20(22)</sup>-26-ацетиламино-5α,25D-фуростенола-3β (X), выход 93%, т. пл. 78–80°, [α]<sub>D</sub><sup>20</sup> +22° (хлф.). 0,11 г CrO<sub>3</sub> в 8 мл 80%-ной CH<sub>3</sub>COOH прибавляют 15 мин. к 0,28 г V в 10 мл CH<sub>3</sub>COOH при 15°, через 1 час при 20° добавляют воду и небольшое кол-во Na<sub>2</sub>SO<sub>4</sub>, смесь насыщают NaCl и экстрагируют эфиром, экстракт сушат, упаривают, остаток кипятят 2 часа с 25 мл CH<sub>3</sub>COOH, удаляют CH<sub>3</sub>COOH, добавляют воду, нейтрализуют NaHCO<sub>3</sub> и экстрагируют эфиром, получают III, выход 76%, т. пл. 173–175,5° (из водн. CH<sub>3</sub>OH).



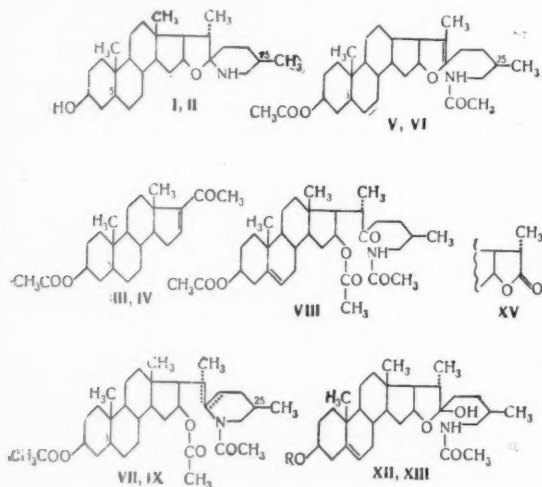
I R = транс-CH<sub>2</sub>CH=C(CH<sub>3</sub>)CO, II R = H,  
VI R = CH<sub>3</sub>CO, VII R = H

я далее исправлены) в 5 мл пиридина ацилируют действием 0,6 г III (16 час., 20°), смесь охлаждают, прибавляют 10%-ный р-р Na<sub>2</sub>CO<sub>3</sub> до pH 8, извлекают CHCl<sub>3</sub>, экстракт упаривают, пиридин удаляют многократным добавлением и последующей отгонкой C<sub>6</sub>H<sub>6</sub>, остаток растирают с 25 мл эфира, получают 0,36 г II, из фильтра хроматографируют на Al<sub>2</sub>O<sub>3</sub> выделяют аморфный IV, выход 0,26 г, [α]<sub>D</sub><sup>20</sup> –4° (с 1,36; сп.), 0,14 г IV в 14 мл спирта гидрируют до поглощения 1 моли H<sub>2</sub> над 0,07 г 10%-ного Pd/C в присутствии 0,07 г CH<sub>3</sub>COONa, р-р упаривают, остаток суспендируют в 2 мл ледяной воды, подщелачивают 10%-ным р-ром Na<sub>2</sub>CO<sub>3</sub> и экстрагируют CHCl<sub>3</sub>, получают I, выход 0,065 г, т. пл. 208–209° (из водн. ацетона), [α]<sub>D</sub><sup>20</sup> +13° (с 0,92; сп.). I при окислении действием HJO<sub>4</sub>, об-



$[\alpha]^{20}_D - 35^\circ$  (хлф.). VI и X в аналогичных условиях дают IV, выходы 79 и 75% соответственно, т. пл. 165—167° (из водн.  $\text{CH}_3\text{OH}$ ),  $[\alpha]^{20}_D + 42^\circ$  (хлф.). 0,1 г VII в 20 мл 10%-ного метанольного КОН кипятят 12 час., упаривают и разбавляют водой, выпадает I, выход 80%, т. пл. 199—202° (из водн.  $\text{CH}_3\text{OH}$ ). Приведены данные по УФ-спектрам III—V, VII, IX и данные по ИК-спектрам V—VII, IX, X.

II. Для установления строения изучены некоторые превращения продуктов р-ции I с  $(\text{CH}_3\text{CO})_2\text{O}$ : VII [аморфная смесь изомеров с  $\Delta^{22(23)}$  (VIIa),  $\Delta^{20(22)}$  (VIIb)] и N-ацетил-V (последний при хроматографировании на  $\text{Al}_2\text{O}_3$  быстро деацетируется и превращается в V). 0,15 г псевдосаосидина B (Sato Y. и др., J. Amer. Chem. Soc., 1951, 73, 5009) в 5 мл пиридина и 2 мл  $(\text{CH}_3\text{CO})_2\text{O}$  оставляют стоять на 20 час. при 20°, выливают в ледяную воду и экстрагируют эфиром, хроматографированием на  $\text{Al}_2\text{O}_3$  выделяют VIIa, выход 0,127 г, т. пл. 166—169° (из эф.-гексана),  $[\alpha]^{20}_D + 97^\circ$  (хлф.). При внесении затравки VIIa в р-р VII (0,13 г) в эфире-гексана выпадает VIIa, выход 0,022 г. При кипячении (30 мин.) VII с 2%-ным метанольным КОН происходит гидролиз  $\text{CH}_3\text{COO}$ -группы при C(3). Хроматографированием на  $\text{Al}_2\text{O}_3$  выделяют спирт, соответствующий изомеру VIIa (XI), т. пл. 192—196° (из ацетона-гексана),  $[\alpha]^{20}_D + 107^\circ$  (хлф.). VIIa в аналогичных условиях также образует XI. VIIa и VII при гидролизе в жестких условиях (10%-ный метанольный КОН, 12 час.) образует I, 0,285 г VII, 8 мл  $\text{CH}_3\text{COOH}$  и 1,5 мл 4 н. HCl оставляют стоять при 20° 45 мин., добавляя избыток воды, частично нейтрализуют  $\text{NaHCO}_3$ , выпадает  $\Delta^5$ -3 $\beta$ ,16 $\beta$ -диацетокси-26-ацетиламинохолесте-



I  $\Delta^5$ , D-C(25); II  $\alpha$ -H при C(5), L-C(25);  
III  $\Delta^5$ ; IV  $\alpha$ -H при C(5); V  $\Delta^5$ , D-C(25);  
VI  $\alpha$ -H при C(5), L-C(25); VII  $\Delta^5$ , D-C(25);  
IX  $\alpha$ -H при C(5); L-C(25); XII R=H; XIII R=COCH<sub>3</sub>.

нон-22, идентичный VIII, выход 0,22 г, т. пл. 175—178° (из ацетона-гексана),  $[\alpha]^{20}_D + 9^\circ$  (хлф.). VIIa в аналогичных условиях также дает VIII. Гидролиз VIII 2%-ным метанольным КОН (1,5 часа кипячения) приводит к  $\Delta^5$ -26-ацетиламинофуростендиолу-3 $\beta$ ,22 (XII), т. пл. 119—122° (из ацетона-гексана),  $[\alpha]^{20}_D - 55^\circ$  (хлф.), который при ацетилировании действием  $(\text{CH}_3\text{CO})_2\text{O}$  и пиридина (20°, 15 час.) и хроматографировании на  $\text{Al}_2\text{O}_3$  образует  $\Delta^5$ -3 $\beta$ -ацетокси-26-ацетиламинофуростендиол-22 (XIII), т. пл. 152—155°. При дегидратации (кипячение с  $\text{CH}_3\text{COOH}$  30 мин.) XII дает

$\Delta^5$ ,<sup>20(22)</sup>-26-ацетиламинофуростендиол-3 $\beta$  (XIV), т. пл. 185—190° (из ацетона-гексана). V при гидролизе (1 час. кипячения) 2%-ным метанольным КОН также образует XIV,  $[\alpha]^{20}_D - 27,3^\circ$  (хлф.). V ацетилированием действием  $(\text{CH}_3\text{CO})_2\text{O}$  в пиридине (3 часа кипячения) превращают в N-ацетил-V, т. пл. 89—90° (из водн.  $\text{CH}_3\text{OH}$ ),  $[\alpha]^{20}_D - 23^\circ$  (хлф.). 0,3 г  $\text{CrO}_3$  в 15 мл 80%-ной  $\text{CH}_3\text{COOH}$  прибавляют постепенно к 0,35 г VII в 15 мл  $\text{CH}_3\text{COOH}$ , через 2 часа добавляют воду и небольшое кол-во  $\text{Na}_2\text{SO}_4$ , экстрагируют смесь эфиром, экстракт упаривают и кипятят 2 часа с 3%-ным спиртом. КОН, спирт удаляют, добавляют воду, экстрагируют эфиром, полученное в-во ацетируют и после хроматографирования на  $\text{Al}_2\text{O}_3$  получают 0,017 г неочищ. III, водн. слой после экстракции подкисляют HCl (к-той) и экстрагируют эфиром, из экстракта после ацетилирования и хроматографирования на кислот.  $\text{Al}_2\text{O}_3$  получают лактон (XV), выход 0,03 г, т. пл. 212—215° (из ацетона-гексана). VII в  $\text{CH}_3\text{COOH}$  гидрируют над  $\text{PdO}$ , до поглощения 2 молей  $\text{H}_2$  (30 мин.), получают неочищ. тетрагидро-VII,  $[\alpha]^{20}_D + 24^\circ$  (хлф.), который гидролизуют далее 10%-ным метанольным КОН (3 часа) до тетрагидро-I, т. пл. 288—292° (из водн.  $\text{CH}_3\text{OH}$ ),  $[\alpha]^{20}_D - 8,7^\circ$  (хлф.). VII (или VIIa) кипячением с  $\text{CH}_3\text{COOH}$  (3 часа) превращают в псевдосаосидин B, выход 0,175 г (из 0,225 г VII), т. пл. 184—191° (из  $\text{CH}_3\text{OH}$ ). Последний образуется также при обработке VII HCl-газом в  $\text{C}_6\text{H}_6$ -эфире (12 час., 5°). Приведены данные по УФ-спектрам N-ацетил-V, VII, VIIa, VIII и ИК-спектрам N-ацетил-V, VII, VIII, XI—XIII.

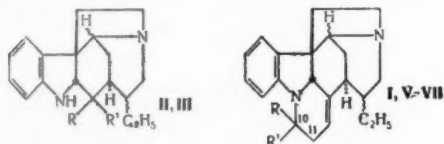
III. При изомеризации O,N-диацетил-I в неполярной безвод. среде в присутствии HCl-газа образуется V. O,N-диацетил-I в присутствии HCl к-ты в диоксане наряду с V дает XIII. Обсуждается ряд вопросов химии 22-полукеталей и алкоксикеталей. 0,105 г O,N-диацетил-I, 0,5 мл 2 н. HCl и 6 мл диоксана оставляют стоять при 20° 30 мин., добавляют воду и  $\text{NH}_4\text{OH}$ , из осадка хроматографированием на  $\text{Al}_2\text{O}_3$  выделяют V, выход 63%, и XIII, выход 26%,  $[\alpha]^{20}_D - 52^\circ$  (хлф.). В  $\text{CH}_3\text{COOH}$  в присутствии HCl или 60%-ной HClO<sub>4</sub> образуются те же продукты. К 0,3 г O,N-диацетил-I в 10 мл  $\text{CH}_3\text{OH}$  прибавляют 0,2 мл 6 н. HCl, через 15 мин. добавляют воду и 0,5 мл  $\text{NH}_4\text{OH}$ , выделяют O-метил-XIII, выход 85%, т. пл. 141—144° (из водн.  $\text{CH}_3\text{OH}$ ),  $[\alpha]^{20}_D - 82^\circ$  (хлф.), и смесь XIII и 3-оксипроизводного. В аналогичных условиях в спирте получают O-этил-XIII, выход 64%, т. пл. 166—171° (из ацетона-гексана),  $[\alpha]^{20}_D - 75^\circ$  (хлф.), и XIII, выход 15%. O-этил-XIII при взаимодействии (3 часа, 20°) с  $\text{CH}_3\text{OH}$  в присутствии  $\text{CH}_3\text{COOH}$  образует O-метил-XIII. Аналогично O-метил-XIII в спирте дает (5 час., 20°) O-этил-XIII. O-метил-XIII и O-этил-XIII при взаимодействии с водн.  $\text{CH}_3\text{COOH}$  образуют (2 часа, 20°) XIII. Последний действием соответствующего спирта в присутствии  $\text{CH}_3\text{COOH}$  переводят (10 мин., 20°) в O-метил- или O-этил-XIII. При кипячении (30 мин.) в лед.  $\text{CH}_3\text{COOH}$  O-метил- или O-этил-XIII, а также XIII образуют V. К 0,25 г O-метил-XIII в 12 мл  $\text{CH}_3\text{COOH}$  прибавляют постепенно 0,25 г  $\text{CrO}_3$  в 3 мл 90%-ной  $\text{CH}_3\text{COOH}$ , через 1 час 40 мин. р-р выливают в ледяную воду и экстрагируют эфиром, экстракт промывают 5%-ным р-ром  $\text{NaHCO}_3$  водой, сушат и упаривают, остаток кипятят 40 мин. с 10 мл 2%-ного метанольного КОН, упаривают, добавляют воду и экстрагируют эфиром, полученное нейтр. в-во ацетируют действием  $(\text{CH}_3\text{CO})_2\text{O}$  в пиридине, хроматографированием на  $\text{Al}_2\text{O}_3$  выделяют 8 мг неочищ. III, водн. слой после экстракции подкисляют HCl (к-той) и извлекают  $\text{CH}_2\text{Cl}_2$ , экстракт упаривают, ацетируют  $(\text{CH}_3\text{CO})_2\text{O}$  в пиридине, хроматографированием на кислот.  $\text{Al}_2\text{O}_3$  выделяют XV, выход 9%,  $[\alpha]^{20}_D - 90^\circ$  (хлф.). O-этил-XIII при окислении также дает XV. Последний при гидрировании в лед.  $\text{CH}_3\text{COOH}$  над 10%-ным Pd/C образует дигидро-XV (ацетат тирогенинового лактона), т. пл. 210—213° (из ацетона-гексана).



линии (VI), выход 0,97 г, т. кип. 134–136°/1 мм,  $n_D^{20}$  1,4748,  $d_4^{20}$  0,9919,  $[\alpha]_D^{20} +90,31^\circ$  (с 3,2; вода). При окислении 0,673 г VI в 140 мл воды 47 г  $\text{CrO}_3$  и 80 г  $\text{H}_2\text{SO}_4$  (12 час. кипячения) получено две молекулы  $\text{CH}_3\text{COOH}$ , что подтверждает расположение кислородного мостика между  $\text{C}_2$  и  $\text{C}_5$ . Предыдущее сообщение см. РЖХим, 1960, № 19, 77501. Л. Аксанова

**6Ж355. Стереохимия нециновых кислот.** Nair M. D., Adams Roger. Stereochemistry of necic acids. «J. Amer. Chem. Soc.», 1960, 82, № 14, 3786–3787 (англ.).—*Цис*-конфигурация двойной связи (относительно  $\text{CH}_3$  и  $\text{COOH}$ -групп) в сенеционивной (I), ридделлиновой (II) и сенецифиллиновой (III) к-тах и *транс*-конфигурация в интегринивной к-те (IV), предположенные ранее на основе УФ-спектров и т-р плавления, подтверждены сравнением чисел перекрестия ( $\tau$ ) протона у двойной связи в спектрах ядерного магнитного резонанса диметилловых эфиров (ДМЭ) I–IV и аналогичных более простых *цис*- и *транс*-соединений типа  $\text{CH}_3\text{CH}=\text{C}(\text{X})\text{COOR}$  (перечисляются X, R,  $\tau$ ) для *транс*-соединения:  $\text{CH}_3$ , H, 3,03;  $\text{CH}_3$ ,  $\text{CH}_3$ , 3,28;  $\text{C}_2\text{H}_5$ , H, 3,00;  $(\text{CH}_3)_2\text{CH}$ ,  $\text{CH}_3$ , 3,3;  $\text{CH}_3\text{OOCCH}_2$ ,  $\text{CH}_3$ , 3,2; ДМЭ IV, 3,24; то же для *цис*-соединения:  $\text{CH}_3$ , H, 3,82;  $\text{CH}_3$ ,  $\text{CH}_3$ , 4,03;  $\text{C}_2\text{H}_5$ , H, 3,82;  $\text{HOOCCH}(\text{CH}_3)\text{CH}_2$ , H, 3,70;  $\text{CH}_3\text{OOCCH}(\text{CH}_3)\text{CH}_2$ ,  $\text{CH}_3$ , 3,95; ДМЭ I, 3,99; ДМЭ II, 3,96; ДМЭ III, 3,90. Использование  $\tau$  метильного протона для тех же целей менее удобно. В связи с пересмотром строения *изо*-III (и, следовательно, III) (РЖХим, 1959, № 19, 68060) аналогично пересмотрена ф-ла для II:  $\text{CH}_3\text{CH}=\text{C}(\text{COOH})\text{CH}_2\text{C}(\text{CH}_3)(\text{OH})\text{COOH}$ . А. Васильев

**6Ж356. Об алкалоидах калебассе.** Сообщение 43. Стриханон, пентациклический продукт расщепления стрихнина, и родственные соединения. Weissmann Ch., Heshmat O., Bernauer K., Schmid H., Karger P. Strychanon, ein pentacyclisches Abbauprodukt des Strychnins, und verwandte Verbindungen. 43. Mitt. über Calebassenalkaloide. «Helv. chim. acta», 1960, 43, № 5, 1165–1170 (нем.).—Изучены р-ции озонолиза и восстановления дигидродезоксизострихнина (I) (ср. Boit H.-G., Chem. Ber., 1951, 84, 16). Озонирование I в  $\text{CH}_3\text{OH}$  при  $-70^\circ$  и последующее расщепление про-



I, II R+R'=O; III R=H, R'=OH; V R=OH, R'=H; VI R=R'=H; VII R=H,  $\Delta^{10}(11)$

межуглового продукта, представляющего собой, вероятно,  $\text{N}(a)$ -ацилированную  $\text{N}(b)$ -окись, приводит к пентациклич. кетону стриханону (II), строение которого принято на основании данных ИК- и УФ-спектров (последний имеет модифицированный индолиновый характер) и образования  $\text{N}(a)$ -ацильных производных.  $\text{NaBH}_4$  или  $\text{LiAlH}_4$  восстанавливают II до стрихана (III), имеющего нормальный индолиновый УФ-спектр и вновь превращающегося в II при окислении по Оппенгауэру. Восстановление II амальгамой Al приводит к изостриханолу  $\text{C}_{18}\text{H}_{25}\text{N}_2\text{O}$  (IV), продукту не установленного строения, обратное превращение которого в II окислением по Оппенгауэру осуществить не удалось. II и III являются также продуктами расщепления некоторых алкалоидов куаре. При восстановлении I  $\text{LiAlH}_4$  в мягких условиях получен 10-оксидигидродезоксизострихнин (V), тогда как более энергичное восстановление приводит к дигидродезоксизострихнину (VI). При дегидратации V образуется 10,11-дигидродигидродезоксизострихнин (VII),

ИК-спектр которого свидетельствует о наличии 1-(N-индолино)-бутандиеновой-1,3 системы. Р-р 100 мг I в 20 мл абс.  $\text{CH}_3\text{OH}$  обрабатывают при  $-70^\circ$  2,5%-ным  $\text{O}_3$  до поглощения 31 мг  $\text{O}_3$ , прибавляют 5 мл воды, выдерживают в токе  $\text{N}_2$  10 мин. при  $20^\circ$  и 10 мин. при  $50^\circ$ ,  $\text{CH}_3\text{OH}$  отгоняют, остаток нагревают 10 мин. при  $80^\circ$  с 15 мл 10%-ной  $\text{H}_2\text{SO}_4$ , затем при  $50^\circ$  в течение 5 мин. медленно пропускают через р-р  $\text{SO}_2$  и в течение 30 мин. ток  $\text{N}_2$ , р-р подщелачивают  $\text{NH}_3$  и  $\text{CHCl}_3$  экстрагируют очищаемый хроматографией в  $\text{C}_6\text{H}_6$  на  $\text{Al}_2\text{O}_3$  II, выход 49%, т. пл. 160–164° (из бал.-лигр.),  $[\alpha]_D^{20} -219 \pm 6^\circ$  (с 0,412; хлф.),  $\text{N}(b)$ -йодметилат, т. пл. 254–256° (разл.; из  $\text{CH}_3\text{OH}$ ),  $\text{N}(b)$ -хлорметилат, т. пл. 257–260° (разл.; из  $\text{CH}_3\text{OH}$ -ацетона). Действием на II  $(\text{CH}_3\text{CO})_2\text{O}$  в пиридине (24 часа при  $20^\circ$ ) получен  $\text{N}(a)$ -ацетилстриханон, т. пл. 249–252° (из бал.-эф.), а действием  $(\text{COCl})_2$  в тетрагидрофуране (ТГФ) получен  $\text{N}(a)$ ,  $\text{N}'(a)$ -оксалилдиэтриханон, т. пл. 198–202° (из  $\text{CH}_3\text{OH}$ ). Р-р 200 мг II в 6 мл ацетона, 4,5 мл воды и 200 мг  $\text{NaBH}_4$  выдерживают 5 час. при  $20^\circ$  и после нейтр-ции, упаривания в вакууме и подщелачивания  $\text{CHCl}_3$  экстрагируют III, выход 149 мг, т. пл. 194–196° (из  $\text{CH}_3\text{OH}$ -эф.) и затем возгонка при  $170^\circ/0,001$  мм),  $[\alpha]_D^{20} -141 \pm 6^\circ$  (с 0,481;  $\text{CH}_3\text{OH}$ ),  $\text{N}(b)$ -йодметилат, т. пл. 285–289° (из  $\text{CH}_3\text{OH}$ ),  $\text{N}(b)$ -хлорметилат разлагается, не плавясь. Р-р 100 мг II в 20 мл 50%-ного водн.  $\text{CH}_3\text{OH}$  и 200 мг амальгамы Al в 6 мл 5%-ной  $\text{HCl}$  кипятят 1 час, фильтруют и из фильтрата (после отгонки  $\text{CH}_3\text{OH}$  и подщелачивания  $\text{NH}_3$ )  $\text{CHCl}_3$  экстрагируют IV, выход 73 мг, т. пл. 193–195° (из  $\text{CH}_3\text{OH}$ -эф.),  $[\alpha]_D^{20} +80 \pm 5^\circ$  (с 0,508;  $\text{CH}_3\text{OH}$ ). Смесь 27 мг III, 2,6 мл толуола, 2,6 мл циклогексанола и 200 мг  $(\text{iso-C}_3\text{H}_7\text{O})_3\text{Al}$  нагревают 2 часа, упаривают досуха и  $\text{CHCl}_3$  экстрагируют II, выход 21 мг. В аналогичных условиях образования II из IV не происходит. К 2 мл 3,9 н. р-ра  $\text{LiAlH}_4$  в ТГФ прибавляют по каплям р-р I в 15 мл ТГФ, оставляют на 2 часа при  $\sim 20^\circ$ , разлагают водой, упаривают досуха и  $\text{CHCl}_3$  экстрагируют V, выход 379 мг, двойная т. пл. 122–128° и 149–154° (из хлф.-ацетона),  $[\alpha]_D^{20} -205 \pm 6^\circ$  (с 0,510; хлф.). Р-р 93 мг V в 10 мл ацетона и 2 мл  $\text{CH}_3\text{OH}$  выдерживают 30 мин. при  $20^\circ$  с 2 каплями 5%-ной водн.  $\text{HCl}$  и выделяют VII, выход 69 мг, т. пл. 160–163° (из ацетона-воды),  $[\alpha]_D^{20} +1462 \pm 10^\circ$  (с 0,424;  $\text{CH}_3\text{OH}$ ). Р-р 0,5 г I в 25 мл ТГФ и 2 мл 3,9 н. р-ра  $\text{LiAlH}_4$  в ТГФ кипятят 36 час. и после обычной обработки выделяют очищенный хроматографированием в  $\text{C}_6\text{H}_6$  на  $\text{Al}_2\text{O}_3$  VI, выход 403 мг, т. пл. 158–160° (из лигр. и затем возгонка при  $140^\circ/0,001$  мм),  $[\alpha]_D^{20} +97 \pm 5^\circ$  (с 0,6076;  $\text{CH}_3\text{OH}$ ), хлорметилат, т. пл. 261–264° (из  $\text{CH}_3\text{OH}$ -ацетона). Приведены кривые УФ-спектров II, III и VII и данные по УФ- и ИК-спектрам II–VII. Сообщение 42 см. РЖХим 1960, № 24, 96630. Л. Нейман

**6Ж357. Третичные основания из Chondrodendron tomentosum.** Bick I. R. C., Clezy P. S. Tertiary bases from Chondrodendron tomentosum. «J. Chem. Soc.», 1960, June, 2402–2407 (англ.).—Из *Ch. tomentosum* наряду с известными ранее алкалоидами выделены  $\text{N}$ -бензилфатамид (I) и два новых в-за: основание А (II) не установленного строения, неидентичное томентурину (III), и основание В (IV), идентичное нордиклеанину, выделенному из *Cyclea insularis* (РЖХим, 1960, № 12, 47783, 47784). I, по-видимому, впервые получен из природного источника. Возможно, что основание В, выделенное ранее из *Ch. limacifolium* (РЖХим, 1955, № 1, 560), является энантиоморфом IV. Обсуждается строение основания А из *Ch. limacifolium*, а также алкалоидов хондродендрона, III и протокуридина. 400 г смеси продуктов, остающихся после выделения тубокуаринхлорида из *Ch. tomentosum*, извлекают  $\text{CHCl}_3$ , остаток экстрагируют несколькими днями  $\text{CH}_3\text{OH}$ , получают изохондродендрин (V), выход 2 г, т. пл. 315° (разл.; из  $\text{CH}_3\text{OH}$ ),  $[\alpha]_D^{20} +50^\circ$  (с 0,5; пиридин); хлоридат, т. пл. 330°.  $[\alpha]_D^{20} +120^\circ$  (с 5,5; пи-

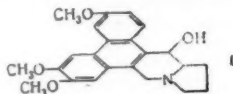


ти 1-(N-  
0 мг I в  
%-ным O<sub>2</sub>  
воды, вы-  
мин. при  
мин. при  
в течение  
O<sub>2</sub> и в те-  
из и CHCl<sub>3</sub>  
C<sub>6</sub>H<sub>6</sub> из  
ал.-лигр.),  
лат, т. пл.  
ат, т. пл.  
и ем на П  
чен N(a-  
), а дей-  
получен  
-202° (из  
и воды и  
и после  
тачива-  
194—196°  
,001 мм),  
дметилат,  
ат разла-  
50%-ного  
и 5%-ной  
та (после  
из экстра-  
CH<sub>3</sub>OH—  
27 мг III,  
мг (изо-  
из и CHCl<sub>3</sub>  
ых усло-  
2 мл 3,9 н  
р 1 г I в  
разлагают  
ют V, вы-  
-154° (из  
эф.). Р-р  
прива-  
HCl и вы-  
ацетона  
р 0,5 г I  
кипят  
очищае-  
VI, выход  
онка при  
H), хлор-  
Приве-  
нные по  
Р.ЖХим  
И. Нейман  
rodendron  
tiary ba-  
em. Soc.  
osum на-  
вание N-  
вание A  
не томен-  
ное нор-  
(Р.ЖХим,  
рвые по-  
то осно-  
scifolium  
рфом IV,  
limacifo-  
и проте-  
после  
osum, из-  
годей  
ход 2 г,  
5; при-  
5,5; при-

радин). Хлороформный экстракт частично упаривают, промывают 5%-ным NaOH, водой, извлекают разб. HCl, упаривают и хроматографируют на Al<sub>2</sub>O<sub>3</sub>, выделяют I, выход 0,2 г, т. пл. 115—116° (из петр. эф.); O,O-диметил-V (циклеанин) (VI), выход 1,5 г, т. пл. 271—272° (из ацетона),  $[\alpha]^{25}_D -15^\circ$  (с 0,4; хлф.),  $[\alpha]^{25}_D -31,9^\circ$  (с 0,4; сп.). Кислый р-р после осаждения неалкалоидных примесей подщелачивают NH<sub>4</sub>OH, смесь оснований отделяют, переосаждают из кислого р-ра, сушат и хроматографируют на Al<sub>2</sub>O<sub>3</sub>, получают VI, выход 15 г; II, выход 0,01 г, т. пл. 255—260°, и IV состава C<sub>27</sub>H<sub>40</sub>O<sub>6</sub>N<sub>2</sub>·1,25H<sub>2</sub>O, выход 0,5 г, т. пл. 245° (разл., из CH<sub>3</sub>OH). Щел. р-р подкисляют HCl (к-той) и через несколько дней отфильтровывают примеси, фильтрат подщелачивают NH<sub>4</sub>OH, осадок отделяют и переосаждают из кислого р-ра, получают 230 г в-ва. Экстракцию последнего C<sub>6</sub>H<sub>6</sub> выделяют аддукт курнина (VII) с C<sub>6</sub>H<sub>6</sub>, выход 30 г, т. пл. 161°; VII (полуцидрат), выход 10 г, т. пл. 213° (из CH<sub>3</sub>OH),  $[\alpha]^{25}_D -318^\circ$  (с 0,8; сп.), и кондикурин (VIII), выход 4 г, т. пл. 232° (из CH<sub>3</sub>OH),  $[\alpha]^{25}_D +173^\circ$  (с 0,5; хлф.),  $[\alpha]^{25}_D +220^\circ$  (с 0,5; 0,1 н. HCl). Остаток после экстракции C<sub>6</sub>H<sub>6</sub> извлекают CH<sub>3</sub>OH, упаривают, переосаждают NH<sub>4</sub>OH из 1%-ной HCl и экстрагируют эфиром, выделяют нерастворимый в эфире V, выход 60 г, из экстракта получают VII, выход 10 г; VIII, выход 7 г, и III состава C<sub>26</sub>H<sub>38</sub>O<sub>6</sub>N<sub>2</sub>·2,75H<sub>2</sub>O, выход 0,2 г, т. пл. 260° (из CH<sub>3</sub>OH-хлф.),  $[\alpha]^{25}_D +202^\circ$  (с 0,2; 0,1 н. HCl). IV (0,3 г) при действии CH<sub>2</sub>N<sub>2</sub> образует VII (полуцидрат), выход 0,2 г.

Е. Цветков

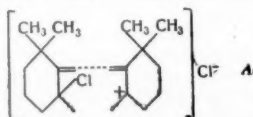
**6Ж358. Структура тилофоринина.** Govindachari T. R., Pai B. R., Ragade I. S., Rajappa S., Viswanathan N. Structure of tylophorinine. «Chemistry and Industry», 1960, № 30, 966 (англ.).—На основании предыдущей работы (Р.ЖХим, 1960, № 6, 22534) и дальнейших исследований установлена структура тилофоринина (I). При каталитич. гидрировании I над Pd/C и HClO<sub>4</sub> в CH<sub>3</sub>COOH получен дезокситилофоринин (II), т. пл. 252—254° (разл.),  $[\alpha]^{25}_D -3,7^\circ$  (хлф.), что указывает на присутствие системы бензильного спирта. Конденсацией 2,3,6-триметокси-9-фенантрилметилхлорида с пирриллимагнийбромидом получен 2-(2,3,6-триметокси-9-фенантрилметил)-пиррол, т. пл.



202—203°, который при восстановлении в CH<sub>3</sub>COOH (PtO<sub>2</sub>) переходит в соответствующий пирролдин с т. пл. 140°, а последующим N-формилированием, циклизацией POCl<sub>3</sub> и восстановлением NaBH<sub>4</sub> четвертичной соли получен 2,3,6-триметоксифенантро-9,10,7,6'-индолизин C<sub>22</sub>H<sub>25</sub>O<sub>3</sub>N (III), т. пл. 212—214°. ИК-спектры III и II идентичны, при разложении по Гофману получен один и тот же метин C<sub>24</sub>H<sub>27</sub>O<sub>3</sub>N, т. пл. 171,5°.

Л. Шаховский

**6Ж359. Хлорирование β-каротина.** Bodea C., Nisoară E. Clorurarea β-carotinei. «Studii și cercetări chim. Acad. RPR Fil. Cluj», 1959, 10, № 2, 347—352 (рум.; рез. русск., нем.).—Изучено хлорирование β-



каротина (I) в различных условиях. Хлорирование I в CS<sub>2</sub> при -15° р-ром 1 моля Cl<sub>2</sub> в CS<sub>2</sub> дало дихлорид (II), т. пл. 134—136° (из CS<sub>2</sub>-петр. эф.); на основании УФ-спектра и осаждаемости Cl р-ром AgNO<sub>3</sub> II при-

писана ретроинилиденная ионная структура (A). Такое строение подтверждено восстановлением II до ретро-дегидрокаротина с помощью Na<sub>2</sub>S<sub>2</sub>O<sub>3</sub> (Kuhn R., Lederer E., Ber., 1932, 65, 637). Исчерпывающее хлорирование I в CS<sub>2</sub> при -10° дало в-во C<sub>40</sub>H<sub>56</sub>Cl<sub>16</sub>, выход 90%, т. пл. 103—104° (из сп.-эф.). Хлорирование суспензии I в лед. CH<sub>3</sub>COOH дало C<sub>40</sub>H<sub>56</sub>Cl<sub>16</sub>, выход 90%, т. пл. 137—138° (разл.; из сп.-эф.). Хлорирование порошкообразного I в течение 24 час. дало продукт, содержащий 54,72% Cl (18 атомов Cl). Подхлориды I не отщепляют полностью Cl при обработке 0,5 н. спирт. KOH (~20°, 24 часа). На основании полученных результатов заключено, что полиеновая система I, как и обычная система с сопряженными двойными связями, присоединяет Cl<sub>2</sub> в первую очередь по концам сопряженной системы, причем проходит ретроинилиденная перегруппировка; дальнейшее хлорирование не зависит от среды. В результате образуются соединения, в которых 2 или 3 двойные связи в цепи остаются ненасыщенными.

Л. Яновская

**6Ж360. Аналоги пантетина.** Конденсация пантотеновой кислоты с селеноцистаммином, с бис-(β-аминоэтил)-сульфидом и с 1,2-дигидро-5-азепаном (новый гетероцикл). Günther Wolfgang H. H., Mautner Henry G. Pantethine analogs. The condensation of pantothenic acid with selenocystamine, with bis-(β-aminomethyl)-sulfide and with 1,2-dithia-5-azepane (a new ring system). «J. Amer. Chem. Soc.», 1960, 82, № 11, 2762—2765 (англ.).—В процессе изыскания в-в с антагонистич. коферменту A (I) активностью синтезированы селенопантетин или N,N'-дипантеноилселеноцистаммин (II), бис-(β-пантотеноиламиноэтил)-сульфид (III) и N-пантотеноил-1,2-дигидро-5-азепан (IV) конденсацией пантотеновой к-ты (V) с селеноцистаммином (VI), с S(CH<sub>2</sub>CH<sub>2</sub>NH<sub>2</sub>)<sub>2</sub> (VII) и с 1,2-дигидро-5-азепаном (VIII) соответственно. В опытах с *Lactobacillus helveticus*, вероятно, способным превращать пантетин (IX) в I, удалось полностью моль за моль заменить IX на II. Если II заменить на V и VI либо на V и цистамин, роста микроорганизма не наблюдается. По-видимому, II превращается в селено-I, который способен выполнять метаболич. функции I. Р-р 18,3 г β-хлорэтилбензамида и 14,5 г KSeCN в 250 мл абс. спирта кипятят 18 час., получают β-селеноцианоэтилбензамида, выход 84%, т. пл. 89—90° (из водн. сп.); к р-ру 14,4 г последнего в 30 мл спирта добавляют р-р 10 г КОН в 70 мл 80%-ного спирта, смесь нагревают (100°, несколько минут), при охлаждении выпадает N,N'-дигбензоил-VI (X), выход 85%, т. пл. 144—145° (разл.; из сп.). Р-р 10 г X в 30 мл спирта + 30 мл конц. HCl кипятят 36 час., добавляют воду, отделяют C<sub>6</sub>H<sub>5</sub>COOH (0°), р-р упаривают, из полученного дихлоргидрата (ди-XI) VI (выход 75%) действием NaOH в водн. р-ре выделяют VI, желтое масло. Из р-ра 10 г Са-соли V и 10 мл (C<sub>2</sub>H<sub>5</sub>)<sub>3</sub>N в 25 мл воды осаждают ионы Са добавлением р-ра 1,87 г (COOH)<sub>2</sub> в 25 мл воды; высушенную соль V и (C<sub>2</sub>H<sub>5</sub>)<sub>3</sub>N (масло) растворяют в 50 мл сухого HCON(CH<sub>3</sub>)<sub>2</sub> (DMFA) и при -5° добавляют по калиям р-р 4,1 г CCl<sub>3</sub>COOCH<sub>3</sub> в 25 мл сухого этилацетата. Смесь перемешивают 30 мин. при охлаждении; к образовавшемуся этиловому эфиру смешанного ангидрида V и H<sub>2</sub>CO<sub>3</sub> (XI), не выделяемому из реакционной смеси, прибавляют р-р 4,9 г неочищ. VI в 25 мл этилацетата и 10 мл (C<sub>2</sub>H<sub>5</sub>)<sub>3</sub>N; перемешивают (1 час, 20°), отгоняют в вакууме р-ритель (50°), маслянистый остаток растворяют в 20 мл CH<sub>3</sub>OH + 110 мл ацетона, проводят через Al<sub>2</sub>O<sub>3</sub>, вымывают ацетоном + 15% CH<sub>3</sub>OH, первые 150 мл отбрасывают, из последующих 250 мл получают желтый гигроскопичный стекловидный II, выход 35%. Смесь 48 г Na<sub>2</sub>S·9H<sub>2</sub>O с 6,4 г S сплавляют, после охлаждения добавляют насыщ. р-р 30 г Na<sub>2</sub>CO<sub>3</sub> в воде и лед до общего объема 800 мл, затем р-р 30 г HN(CH<sub>2</sub>CH<sub>2</sub>Cl)<sub>2</sub>·HCl в 50 мл воды и 150 г льда, через

48 час. (0°) начинают отгонку с паром; после снижения pH дистиллята с 9 до 8 к реакционной массе прибавляют р-р 0,5 г KCN в 100 мл 6 н. NaOH и продолжают отгонку. Дистиллят (6 л) подкисляют 6 н. HCl, упаривают в вакууме досуха, осадок сушат азетропной отгонкой с  $C_6H_6$  и спиртом, получают ХГ VIII, выход 55%, т. пл. 178° (из абс. сп.), с последующим затвердеванием I, т. разл. 230°. 3,5-динитробензоат VIII, т. пл. 152—154° (из бэл.). Суспензию 7,9 г ХГ VIII в 25 мл ДМФА + 10 мл  $(C_2H_5)_3N$  добавляют к р-ру XI (—5°), через час (20°) фильтруют, р-р упаривают в вакууме, остаток очищают, как II, получают стекловидный IV, выход 43%. Аналогично из 2,5 г VII в 20 мл этилацетата + 5 мл  $(C_2H_5)_3N$  с р-ром XI получен аморфный III, выход чистого в-ва 33%. А. Краевский

**6Ж361. Структура спирамицина.** Paul. Structure de la spiramycine. (Résumé). «Bull. Soc. chim. France», 1960, № 7, 1279 (франц.).—Спирамицин (I) представляет смесь трех в-в: I, моноацетата II (II) и монопропионата I (III). Мягкий гидролиз этих в-в приводит к новым антибиотикам: нео-I, нео-II и нео-III и выделению моля микарозы (IV). Гидролиз нео-I, нео-II и нео-III дает аминокпиранол (V) и форопидины (A, B, C). При гидролизе последних получают микаминозу (VI) и смолотое в-во,  $C_{22}H_{36}O_8$  (VII). Установлено, что VII — это макроциклич. лактон с разветвленной цепью, 16 C-атомами и 4 OH-группами. При окислении VI  $KMnO_4$  найдены молочная к-та и монометиламид щавелевой к-ты. Аналогичное окисление VII приводит к  $\beta$ -оксимасляной, фумаровой и трикарбоновой  $C_{13}H_{20}O_8$  (VIII) к-там. Среди продуктов расщепления VIII идентифицированы 2-метил-4-карбоксинадиновая и 2-метил-4-бутилглютаровая к-ты. По-видимому, VIII является стереоизомером к-ты, которая найдена среди продуктов окисления магмацина. Сравнение продуктов расщепления I—II и метилированных нео-I — нео-III позволяет заключить, что IV связана с VI. Очевидно, VII связан с II или III, V и 5-микарил-VI.

**6Ж362. Новый простой способ синтеза фузариновой кислоты.** Schreiber Klaus, Adam Günter. Eine neue einfache Synthese der Fusarinsäure. «Chem. Ber.», 1960, 93, № 8, 1848—1851 (нем.).—Фузариновая или 5-н-бутилпиридинкарбоновая-2 к-та (I) синтезирована, исходя из диэтилового эфира (ди-3Э) н-бутилмалоновой к-ты (II) и 3Э  $\beta$ -аминокрононовой к-ты (III). Конденсация II и III приводит к 4,6-диоксид-2-метил-5-н-бутилпиридину (IV), который через 4,6-дихлор-2-метил-5-н-бутилпиридин (V) и 2-метил-5-н-бутилпиридин (VI) превращают в I. Р-р 17,5 г K в 150 мл  $n$ -C<sub>4</sub>H<sub>9</sub>OH, 43,2 г II и 51,6 г III кипятят 11 час. в среде N<sub>2</sub>, р-ритель отгоняют, р-р остатка в воде промывают эфиром, кипятят 1 час в среде N<sub>2</sub>, подкисляют 2 н. HCl, выделяют IV, выход 50%, т. пл. 280—285° (разл.; из диоксана, после возгонки при 200—220°/11 мм). Взаимодействием 10 г IV с 15 мл POCl<sub>3</sub> (180—200°, 5 час.) получен V, выход 80%, т. кип. 126—128°/11 мм;  $n_D^{20}$  1,5258. Р-р 20 г V в 150 мл CH<sub>3</sub>OH гидрируют над 2 г 10%-ного Pd/C (~20°, 4 часа); фильтрат упаривают, с помощью 2 н. KOH выделяют VI, выход 82%, т. кип. 88—90°/10 мм (ср. РЖХим, 1955, № 14, 34602; 1956, № 17, 54454). Нагреванием 1 г VI с 1,12 г SeO<sub>2</sub> (100—110°, 6 час., затем 1 час, 130—140°, в запаянной трубке, со взбалтыванием) получают I, выход 50%, т. пл. 101—102° (из этилацетата + гексан). При загрузках свыше 2 г VI в качестве р-рителя применяют пиридин (ср. РЖХим, 1958, № 21, 70872); 6 г VI с 7,3 г SeO<sub>2</sub> в 50 мл пиридина кипятят 3,5 часа с перемешиванием, выход I 53%.

**6Ж363. Изучение разложения пенициллина аминами.** Сообщение IV. Разложение водного раствора прокаинаевой соли бензилпенициллина. Сообщение V. Разложение водных растворов посредством анилина и замещенных в ядре анилинов. Сообщение VI. Разло-

жение водных растворов бензилпенициллина посредством N-замещенных анилинов и алкиламинов. Hito-mi Hiro-mu. «Якугаку дзасси, Yakugaku zasshi, J. Pharm. Soc. Japan», 1959, 79, № 12, 1600—1606; 1606—1610; 1611—1614 (японск.; рез. англ.).—IV. Прокаина-вая соль бензилпенициллина (бензилпенициллин I) в насыщ. водн. р-ре при 37° за 96 час. превращается в смесь в-в, из которой выделяют бензилпенициллоевую к-ту (II), бензилпениллоевую к-ту (III), N-формил-д-пеницилламин (IV), фенацетуровую к-ту (V), бензилпениллоевую к-ту (VI), d-пеницилламин (VII), бензилпенилальдегид (VIII) и дисульфид d-пеницилламина (IX). Авторы считают, что гидролиз I приводит к II, которая при декарбоксилировании дает III, а при гидролизе превращается в IV. Гидролиз III приводит к VII и VIII, которые, окисляясь, дают IX и IV. К-та VI образуется вследствие межмолекулярной перегруппировки. Приведена кривая ИК-спектра IV, кривые УФ-спектров экстракта в этилацетате продуктов гидролиза I через 6—120 час.

V. При разложении I в водн. р-ре при 37° с анилином,  $n$ -NH<sub>2</sub>C<sub>6</sub>H<sub>4</sub>COCH<sub>3</sub>,  $n$ -NH<sub>2</sub>C<sub>6</sub>H<sub>4</sub>COOC<sub>2</sub>H<sub>5</sub>,  $o$ -,  $m$ - и  $p$ -ClC<sub>6</sub>H<sub>4</sub>NH<sub>2</sub>,  $o$ -,  $m$ - и  $p$ -CH<sub>3</sub>C<sub>6</sub>H<sub>4</sub>NH<sub>2</sub>,  $o$ -,  $m$ - и  $p$ -NH<sub>2</sub>C<sub>6</sub>H<sub>4</sub>CH<sub>3</sub>,  $o$ - и  $p$ -NH<sub>2</sub>C<sub>6</sub>H<sub>4</sub>NO<sub>2</sub> получают II, III, IV, VI, в ряде случаев V, ее замещенные и  $\alpha$ -амиды III. Изучена зависимость между  $pK_a$  аминов и выходом VI. Указаны положения и характер R и т. пл. в °C (из CH<sub>3</sub>OH) для C<sub>6</sub>H<sub>5</sub>CH<sub>2</sub>CONHCH<sub>2</sub>COCH<sub>3</sub>:  $n$ -COCH<sub>3</sub>, 190—192,  $n$ -COOC<sub>2</sub>H<sub>5</sub>, 210—211;  $n$ -Cl, 210—213;  $n$ -CH<sub>3</sub>, 184—185,  $n$ -OCH<sub>3</sub>, 190—193,  $m$ -Cl, 173—175 (из этилацетата);  $m$ -CH<sub>3</sub>, 142—145;  $o$ -Cl, 155—157;  $o$ -CH<sub>3</sub>, 169—172. Приведены кривые УФ-спектров экстрактов продуктов разложения этилацетатом.

VI. Разложение I в водн. р-рах с добавками N-замещ. анилина и алкиламинов приводит к II, IV и VI. При разложении I N,N-дизамещенными анилинами и алкиламином образуется также бензилпениллоевая к-та. На основании данных сообщений V и VI установлено, что при  $pK_a$  аминов < 2 выход VI составляет 48%, с увеличением  $pK_a$  от 2 до 4,5 выход VI снижается до 10%, при увеличении  $pK_a$  от 4,5 до 7,5 выход VI возрастает до 52% и не меняется при дальнейшем увеличении  $pK_a$  до 11. Данные для C<sub>6</sub>H<sub>5</sub>NH<sub>2</sub> являются исключением. Приведены т. пл. следующих амидов V:  $\beta$ -фенилэтил-амид, т. пл. 141—144° (из разб. сп.), N-метиламид, т. пл. 91—93° (из разб. CH<sub>3</sub>OH), N-этил-амид, т. пл. 151—153° (из разб. CH<sub>3</sub>OH). Сообщение III см. РЖХим, 1957, № 6, 49360.

**6Ж364. Эксперименты по синтезу веществ, родственных тетрациклину.** II. Синтез 2,4,6-триоксид-5-кето-5,12-дигидронафтацена. Huang Yaotseng, Sheng Huai-yu, Tai Li-hsin, Tu Tung-yuan. Experiments on the synthesis of substances related to tetracyclines. II. Synthesis of 2,4,6-trihydroxy-5-oxo-5,12-dihydronaphthacene. «Scientia sinica», 1959, 8, № 12, 1495—1506 (англ.).—Синтез 2,4,6-триоксид-5-кето-5,12-дигидронафтацена (I), моделирующего структуру диметиламинотетраэрубицина, осуществлен двумя путями. Конденсация  $\alpha$ -нафтола (II) с 3,5-диметоксифталевым ангидридом (III) дает 2-( $\alpha$ -оксид- $\beta$ -нафтолом)-3,5-диметоксибензойную к-ту (IV). IV получают также, наряду со сложным этиловым эфиром IV (V) и 2,4-ди-О-метил-12-кето-I (VI), в результате взаимодействия этилового эфира 3,5-диметоксибензойной к-ты (VII) с хлорангидридом (VIII) 1-метокси-2-нафтольной к-ты (IX). При омылении V получают IV. Циклизация IV под действием конц. H<sub>2</sub>SO<sub>4</sub> приводит к образованию смеси VI и 2-О-метил-12-кето-I (X), которая, как и VI, при обработке HJ превращается в I. Смесь VI и X деметилируют HBr, получая X, восстановление которого Sn/HCl в лед. CH<sub>3</sub>COOH дает 2-О-метил-I (XI). Восстановление XI HJ приводит к I. Положение кетогруппы в I приписано на основании литературных данных по восстановлению оксиантрахинонов в окси-

посред-  
в. Hito-  
casshi, J.  
6; 1606—  
рокаио-  
тин I) в  
дается в  
плоскую  
ормил- $\delta$ -  
бензил-  
ламмина  
ит к II,  
при гид-  
водит к  
K-та VI  
егруппы-  
ые УФ-  
идролиза

с анилин-  
м и п-  
NH<sub>2</sub>CH<sub>2</sub>-  
V, VI, в  
Изуучена  
н. Указан  
CH<sub>3</sub>OH)  
-192, п-  
-185, л-  
-CH<sub>3</sub>,  
иведены  
разложе-

ин N-за-  
IV и VI  
нами и  
енилло-  
V и VI  
с состав-  
VI спл-  
7,5 вы-  
д-  
NH<sub>2</sub> яв-  
дующих  
из разб.  
CH<sub>3</sub>OH),  
OH). Со-

родет-  
-5-кето-  
S heng  
Ехре-  
то tet-  
о-5,12-  
№ 12,  
-5,12-ди-  
путами.  
гальвем  
-димер-  
паряду  
ти-О-ме-  
тия эти-  
(VII) с  
и к-ты  
ция IV  
ованно  
как в  
VI и X  
е кето-  
I (XI).  
е кето-  
турных  
в окси-

нитроны (см. Steyermark Al., Gardner J. H. J. Amer. Chem. Soc., 1930, 52, 4887), цветной р-ция с  $(\text{CH}_3\text{COO})_3\text{B}$  и спектральных данных. Для I возможны также еще 3 таутомерные формы. Смесь 2,5 г III и 5 г  $\text{H}_3\text{BO}_3$  нагревают при 180° до образования плавя, по охлаждении смешивают с 2,2 г II и 5 г  $\text{H}_3\text{BO}_3$ , нагревают в течение 30 мин. до 190—195° и выдерживают при этой температуре 1,5 часа. Измельченную смесь кипятят 2 мин. с 300 мл воды, декантируют и остаток дважды обрабатывают 100 мл кипящей воды. Остаток растворяют в эфире, экстрагируют 3 н.  $\text{NaHCO}_3$  (3 раза по 100 мл), бикарбонатный р-р подкисляют до pH < 3, получают 1,85 г IV, т. пл. 236—238° (из сп.). К смеси VIII (получен 10-минутным кипячением 20 г IX с эквивалентным кол-вом  $\text{PCl}_5$  в перг. эф.) и 21 г VII (т. кип. 180°/25 мм) в 135 мл  $(\text{CHCl}_3)_2$  прибавляют четырьмя порциями при встряхивании 28 г безводн.  $\text{AlCl}_3$ . Смесь нагревают 1,5 часа при 120°, выливают на лед, прибавляют 150 мл конц.  $\text{H}_2\text{SO}_4$  и разбавляют водой до объема 1,2 л. Р-ритель отгоняют с паром, отделившуюся массу обрабатывают насыщ. р-ром  $\text{Na}_2\text{CO}_3$  (2 раза по 500 мл). При подкислении содового р-ра получают 2 г IV. Из не растворившейся в  $\text{Na}_2\text{CO}_3$  части выделяют 13,5 г V, т. пл. 174—174,5° (из ацетона), и 0,70 г не растворимого в ацетоне VI, т. пл. 268° (из лед.  $\text{CH}_3\text{COOH}$ , затем из диоксана). Смесь 3,7 г V, 8 г  $\text{NaOH}$ , 65 мл спирта и 6 мл воды кипятят 2 часа, после разбавления водой и подкисления получают IV. Нагревают 0,55 г IV, 1,1 г  $\text{H}_3\text{BO}_3$  и 44 мл 95%-ной  $\text{H}_2\text{SO}_4$  (~100°, 30 мин.), выливают на лед, получают 0,32 г смеси VI и X перекристаллизованной из лед.  $\text{CH}_3\text{COOH}$ . В результате нагревания смеси 0,35 г VI, 15,5 мл HJ (d 1,5) и 35 мл лед.  $\text{CH}_3\text{COOH}$  (170—180°, 3 часа) получают 0,27 г I, т. пл. 246° (из диоксана). Кипятят 0,50 г смеси VI и X, 10 мл HBr (d 1,48) и 40 мл XI в течение 15 час., получают 0,47 г X, т. пл. 263° (из диоксана). Смесь 0,30 г X, 1 г Sn-фольги и 70 мл лед.  $\text{CH}_3\text{COOH}$  кипятят, прибавляя в течение 2 час. 6 мл конц. HCl (шестью порциями), кипятят еще 2 часа, получают 0,23 г XI, т. пл. 233—236° (из диоксана). Кипячение 0,18 г XI с 9 мл HJ в 48 мл лед.  $\text{CH}_3\text{COOH}$  (5 час.) дает 0,16 г I. Т-ры плавления выше 200° определены на блоке Кюфлера. Приведены кривые ИК-спектров I, X и XI и данные УФ-спектров I, IV, V, VI, X и XI. Сообщение I см. РЖХим, 1959, № 2, 4874.

**6Ж365.** К получению ангидридов N-ациламинокислот. Bräuniger H., Mengering S. Beitrag zur Darstellung von N-Acylaminosäureanhydriden. «Pharmaz. Zentralhalles», 1960, 99, № 6, 284—289 (нем.). Описан синтез ангидридов N-ациламинокислот карбодимидным методом. 1 моль ациламиноокислоты обрабатывают в ацетоне 0,56 моля диптикогексилкарбодимидом. Выпавший осадок отделяют, маточный р-р упаривают и извлекают ангидрид N-ациламинокислоты ацетоном. Получены N-ацилангидриды, выход в %, т. пл. в °C, р-ритель: карбобензоксиглицилангидрид 55, 120 (из спирта); карбобензоксиглицилангидрид 61,7, 144—146 (из спирта); карбобензоксифенилаланин-ангидрид 51,7 [отделяют от диптикогексилкарбодимидов (I) абс. спиртом], 123—125; фталилглицилангидрид 83,7 (отделяют от I хлороформом), 242; фталилаланин-ангидрид 65,1 (отделяют от I хлороформом и затем спиртом), фталилфенилаланин-ангидрид 78,2 (промывают эфиром), 165—167 (из этилацетата-п-тр. эф.). М. Ботвинник

**6Ж366.** Некоторые  $\alpha$ -аминокислоты, содержащие трифторметильные группы. Князюня И. Л., Чебуруков Ю. А. «Изв. АН СССР. Отд. хим. н.», 1960, № 8, 1516—1518. Взаимодействием этилового эфира  $\beta$ -д-трифторметилакриловой к-ты (I) с этаноламин (II) и этилового эфира гексафторвалина (III) с оксисью этилена получен этиловый эфир N-( $\beta$ -оксипропил)-гексафторвалина (IV), который может служить исходным в-вом в синтезе физиологически активных

соединений. I не реагирует с диэтиламином при 150° в ампуле. 0,103 моля III, 100 мл 60%-ной  $\text{CH}_3\text{COOH}$  и 0,216 моля оксипропилена оставляют на 48 час. (20°), нейтрализуют  $\text{Na}_2\text{CO}_3$ , экстрагируют эфиром и разгоняют, получают 6 г III, т. кип. 79—82°/21 мм; хлоргидрат, т. пл. 184°, и IV, выход 81%, т. кип. 91—91,5°/1 мм,  $n_D^{20}$  1,3874,  $d_4^{20}$  1,3805, хлоргидрат, т. пл. 148,5—149° (из этилацетата). К 0,05 молям I прибавляют при -60° по каплям 0,0425 моля II, перемешивают, доводят т-ру смеси за 1 час до ~20° и получают IV, выход 93%, т. кип. 89—95°/1 мм,  $n_D^{20}$  1,3879, 0,047 моля IV, 0,075 моля  $\text{SOCl}_2$  в 50 мл абс.  $\text{C}_6\text{H}_6$  кипятят 8 час.  $\text{C}_6\text{H}_6$  отгоняют, остаток обрабатывают водой; экстрагируют эфиром и разгоняют, выход этилового эфира N-( $\beta$ -хлорэтил)-гексафторвалина (V) 77%, т. кип. 82—82,5°/5 мм,  $n_D^{20}$  1,3910,  $d_4^{20}$  1,3820, хлоргидрат, т. пл. 129—130° (из этилацетата и  $\text{CCl}_4$ ). 1,8 г V и 5 мл конц. HCl нагревают при 100° в ампуле до полного растворения, упаривают досуха и получают N-( $\beta$ -хлорэтил)-гексафторвалин, выход 84%, т. пл. 145—146° (из n-октана).

М. Коновалова

**6Ж367.** К синтезу пептидов. II. Синтез некоторых новых N-фталильных и N-сукцинилных аминокислот и дипептиднитрилов. Balog A., Vargha J., Balázs I. Adalékok a peptidek szintéziséhez. II. Néhány új n-ftalil- és n-szukcinil-aminosavnitrit és dipeptid-nitrit szintézise. «Studia Univ. Babes—Bolyai. Chem.», 1958, 3, № 4, 175—185 (венг.). Описан синтез нитрилов N-ацилированных аминокислот и пептидов (о получении N-фталиламинокислот см. сообщение I РЖХим, 1959, № 18, 64613). Их получают кипячением бензольной суспензии  $\alpha$ -аминокислот с хлорангидридами N-фталил (или сукцинил)- $\alpha$ -аминокислот или взаимодействием хлорацетиламинитрилов с фталимидом калия. К 2,13 г хлоргидрата DL-аланиннитрила (I) в 10 мл пиридина добавляют при 0° по каплям 4,06 г фталилхлорида и добавлением воды выделяют фталилаланиннитрил, т. пл. 136—137° (из воды). Смесь 56 г хлорангидрида N-фталилглицина (II) и 2,3 г хлоргидрата аминоацетонитрила (III) в 40 мл бензола кипятят 6 час., выпадает фталилглицил-глициннитрил, выход 74%, т. пл. 237—239° (из сп.). Смесь 8,94 г II и 4,26 г I в 80 мл хлороформа кипятят до прекращения выделения HCl и получают фталилглицил-DL-аланиннитрил, выход 68%, т. пл. 241,5—242,5° (из сп.). Аналогично из 0,05 моля II и 0,05 моля хлоргидрата  $\alpha$ -аминоизобутиронитрила (IV) в бензоле получают N-фталилглицил- $\alpha$ -аминоизобутиронитрил, т. пл. 187—188° (из сп.). Из 18,17 г II и 8 г хлоргидрата 1-аминогексагидробензонитрила синтезируют N-фталилглицил-1-аминогексагидробензонитрил, т. пл. 193° (из сп.). Из 2,4 г хлорангидрида N-фталил-DL-аланина (V) и 1 г III получают N-фталил-DL-аланил-глициннитрил, выход 64%, т. пл. 169—171° (из воды). Из V и 0,84 г IV выделяют N-фталил-DL-аланил- $\alpha$ -аминоизобутиронитрил, т. пл. 141—142° (из сп. и эф.). Из 1,49 г V и 0,6 г 1-аминогексагидробензонитрила синтезируют N-фталил-DL-аланиламиногексагидробензонитрил, т. пл. 174—176°. Из 7,75 г сукцинилхлорида (VI) и 4,8 г III получают сукцинил-глициннитрил, т. пл. 121—121,5° (из бzl.). Нагреванием 5 час. при 130° 7,75 г VI и 6 г IV получают сукциниламмоноацетонитрил, т. пл. 79—81° (из толуола-п-тр. эф.). Нагреванием 6 час. при 170° 7,75 г VI и 6,2 г хлоргидрата аминогексагидробензонитрила синтезируют сукциниламмоногексагидробензонитрил, т. пл. 87—89°, выход 4,87 г.

А. Ермакова

**6Ж368.** Синтез олигопептидов из  $\alpha$ -аминозоемальной кислоты и глицина. Faust G., Lange H. Synthese von Oligopeptiden aus  $\alpha$ -Aminoisobuttersäure und Glycin. «J. prakt. Chem.», 1960, 11, № 3—4, 153—164 (нем.). Синтезированы различные пептиды из  $\alpha$ -аминозоемальной к-ты (I) и глицина (II). Р-р 1 моля I в 250 мл 4 н. NaOH обрабатывают 1 час 170 г карбобензоксигексафторвалина, экстрагируют эфиром, водн.



слой подкисляют, выпавшее масло растворяют в этилацетате и упаривают (20°), получают N-кбз-аминоизома- масляную к-ту (III), выход 74—76%, т. пл. 78° (из этил- петр. эф.). К р-ру смешанного ангидрида [из 0,1 моля III в 70 мл абс. тетрагидрофурана (ТГФ)], 14 мл три- этиламина и 9,57 мл  $\text{ClCOOC}_2\text{H}_5$  прибавляют при 0° 7,5 г II и 4 г NaOH в 70 мл воды. ТГФ удаляют (20°), а воды. слой экстрагируют эфиром и подкисляют конц. р-ром HCl, выпавшее масло растворяют в этилацетате, упаривают в вакууме и получают N-кбз-аминоизо- бутирилглицин (IV), выход 75—81%. Гидрированием 1,4 г IV над Pd в 60 мл  $\text{CH}_3\text{OH}$  и лед.  $\text{CH}_3\text{COOH}$  полу- чают (α-аминоизобутирил)-глицин, выход 97,4% (не- очич.), т. пл. 264° (разл.; из воды-ацетона). Аналогич- но из 0,1 моля IV в 200 мл абс. ТГФ, 14 мл триэтил- амина, 9,57 мл  $\text{ClCOOC}_2\text{H}_5$  и затем 10,3 г I и 4 г NaOH в 200 мл воды синтезируют (N-кбз-α-аминоизобутирил)- глици-(α-аминоизомасляную к-ту (V), выход 11,1—12,4% (неочич.), т. пл. 211—212° (разл.; из воды). Гидрирова- нием над Pd чернью V получают (α-аминоизобути- рил)-глици-(α-аминоизомасляную к-ту, выход 99,6% (не- очич.), т. пл. 182—184° (разл.; из воды-ацетона). Смес- ный ангидрид, полученный из 3,79 г V, 1,4 мл три- этиламина и 0,96 мл  $\text{ClCOOC}_2\text{H}_5$  в 100 мл ТГФ и 20 мл спирта, при 0° добавляют к р-ру 0,75 г глицина и 0,4 г NaOH в 100 мл воды и обрабатывают аналогично IV. Р-р подкисляют 1 н. HCl (по конго), выход (N-кбз-α- аминоизобутирил)-глици-(α-аминоизобутирил)-глицина (VI) 78—82% (неочич.), т. пл. 195—196° (разл.; из воды). Гидрированием над Pd VI получают (α-амино- изобутирил)-глици-(α-аминоизобутирил)-глицин, выход 99,5% (неочич.), т. пл. 150—153° (разл.; из воды-аце- тона). К р-ру смешанного ангидрида, из 0,004 моля VI 0,56 мл триэтиламина, 0,383 мл  $\text{ClCOOC}_2\text{H}_5$  в 100 мл абс. ТГФ с 20 мл абс. спирта добавляют при -10° р-р 0,412 г I и 0,16 г NaOH в 100 мл воды, обрабатыва- ют аналогично IV, подкисляют 1 н. HCl, получают N-кбз-α-аминоизобутирил-глици-(α-аминоизобутирил)-глици-(α-аминоизомасляную к-ту (VII), выход 5,3—6,3% (не- очич.), т. пл. 184—186° (разл.; из воды). К р-ру 0,01 моля VI в 200 мл  $\text{CH}_2\text{Cl}_2$  добавляют бензиловый эфир I (из 0,014 моля хлоргидрата) и 1,056 г дициклогексил- карбодимид, оставляют на 3—4 дня (20°), фильтрат упаривают досуха в вакууме, остаток обрабатывают этилацетатом и получают бензиловый эфир VII, выход 72—77%, т. пл. 177—179° (разл.; из этилацетата). Гид- рированием над Pd-чернью I г бензинового эфира VII получают моногидрат α-аминоизобутирил-глици-(α-аминоизобутирил)-глици-(α-аминоизомасляной к-ты, выход 97,7% (неочич.), т. пл. 172—174° (разл.; из водн. ацетона). При обработке 45 мин. 2,04 г бензинового эфира VII 2,54 мл HBr (лед.  $\text{CH}_3\text{COOH}$ ) получают бромгидрат бензинового эфира VII. К р-ру 3,34 ммоль кбз-глицина в 50 мл абс. ТГФ добавляют бромгидрат бензинового эфира VII (из 2,04 г бензинового эфира VII) и 1,4 мл триэтиламина. При сильном перемеши- вании и охлаждении до -15° за 1 час прибавляют 0,31 мл  $\text{POCl}_3$  в 10 мл ТГФ. После добавления 10 мл воды удаляют ТГФ (20°), к выпавшему маслу прибав- ляют 10 мл воды и экстрагируют этилацетатом. При упаривании в вакууме экстракта получают бензиль- вый эфир N-кбз-глици-(α-аминоизобутирил)-глици-(α-ами- ноизобутирил)-глици-(α-аминоизомасляной к-ты (VIII), выход 32—34%, т. пл. 158—159° (разл.; из этилацетата- петр. эф.). Гидрированием над Pd-чернью VIII полу- чают глици-(α-аминоизобутирил)-глици-(α-аминоизобу- тирил)-глици-(α-аминоизомасляную к-ту, выход 94,7% (неочич.), т. пл. 158—163° (разл.; из водн. ацетона). К р-ру 0,01 моля III, 1,876 г хлоргидрата бензинового эфира глицина и 4,2 мл триэтиламина при -15° за 1 час добавляют 0,92 мл  $\text{POCl}_3$  в 20 мл абс. ТГФ, далее обрабатывают аналогично VIII, выход бензинового эфира N-кбз-α-аминоизобутирил-глицина (IX), 78— 83%, т. пл. 91—92° (разл.; из этилацетата-петр. эф.).

Аналогично из 0,01 моля IX (пептид), 2,295 г хлорид- рата бензинового эфира I, 4,2 мл  $(\text{C}_2\text{H}_5)_3\text{N}$  в 50 мл ТГФ при -15° и сильном перемешивании 0,92 мл  $\text{POCl}_3$  в 20 мл ТГФ синтезируют бензиловый эфир N-кбз-α-ам- иноизобутирил-глици-(α-аминоизомасляной к-ты (X), вы- ход 60—74%, т. пл. 126—127° (разл.; из этилацетата- петр. эф.), из 1,25 ммоль X (пептид), 0,26 г хлорид- рата бензинового эфира II и 0,5 мл  $(\text{C}_2\text{H}_5)_3\text{N}$  в 50 мл абс. ТГФ и 10 мл абс. спирта и 0,12 мл  $\text{POCl}_3$  в 10 мл абс. ТГФ получают бензиловый эфир N-кбз-α-аминоизо- бутирил глици-(α-аминоизобутирил)-глицина, выход 32—36%, т. пл. 94—96° (разл.; из этилацетата-петр. эф.). Методом смешанных ангидридов с  $\text{ClCOOC}_2\text{H}_5$  полу- чают N-кбз-глици-глицин с выходом 65—68%, т. пл. 178°. Из 0,032 моля III в 100 мл ТГФ, 4,3 мл триэтиламина, 3,08 мл  $\text{ClCOOC}_2\text{H}_5$  и 3,34 г I, 1,3 г NaOH в 80 мл воды. Аналогично IV получают (N-кбз-α-аминоизобутирил)- α-аминоизомасляную к-ту, выход 9,3%, т. пл. 158,5— 160° (разл.; из этилацетата-петр. эф.).

М. Коновалов

6Ж369. О защите имидазольного ядра при синтезе гистидил-пептидов с последовательностью С-конечной цепи ангиотензина. Briceas Evanghélou, Nicot Gutton Claude. Sur la protection du noyau imidazole pendant la synthèse des histidylpeptides de la séquence C-terminale d'une angiotensine. «Bull. Soc. chim. France», 1960, № 3, 466—472 (франц.). Синтезировали метиловый эфир (МЭ) L-вал- $\text{N}^{\text{Hm}}$ -бензил-L-гис-L-прол- L-фенилаланина (I) (производное С-конечного тетра- пептида ангиотензина) по схеме: L-гистидин превра- щают в N-карбобензоксип (кбз)- $\text{N}^{\text{Hm}}$ -бензил-L-гистидин (II); из кбз-L-пролина и хлоргидрата МЭ L-фенилала- нина методом смешанных ангидридов получают МЭ N- кбз-L-прол-L-фенилаланина (III), действием HBr/лед.  $\text{CH}_3\text{COOH}$  его превращают в МЭ L-прол-L-фенилала- нина (IV). Из IV и II о-фенилхлорфосфитным методом синтезируют МЭ N-кбз-N $^{\text{Hm}}$ -бензил-L-гис-L-прол-L- фенилаланина (V), который превращают в МЭ  $\text{N}^{\text{Hm}}$ - бензил-L-гис-L-прол-L-фенилаланина (VI). Из N-кбз- L-валина и VI методом смешанных ангидридов полу- чают МЭ N-кбз-L-вал- $\text{N}^{\text{Hm}}$ -бензил-L-гис-L-прол-L-фе- нилаланина (VII) и из него дибромгидрат I. При бен- зилировании L- и D-гистидина в жидком  $\text{NH}_3$  полу- чают  $\text{N}^{\text{Hm}}$ -бензил-L-гистидин (L-VIII), т. пл. 248,5°,  $[\alpha]_D^{20} + 11 \pm 0,7^\circ$  (с 2; вода + 1 экв HCl);  $\text{N}^{\text{Hm}}$ -бен- зил-D-гистидин (D-VIII),  $[\alpha]_D^{20} - 10,9 \pm 0,7^\circ$ ; N-бензил- N $^{\text{Hm}}$ -бензил-L-гистидин,  $[\alpha]_D^{20} + 17,5 \pm 1^\circ$  (с 2; вода + 1 экв HCl). При гидрировании L-VIII над Pd-чернью при 20° в 1 M р-ре HCl в  $\text{CH}_3\text{OH}$  за 7 час. гидрогенолиз проходит частично, при 37° в р-ре 80%  $\text{CH}_3\text{COOH}$  гидро- генолиз заканчивается за 10 час., а при 50° в р-ре 80%-ной  $\text{CH}_3\text{COOH}$  с 1 экв HCl за 4,5 часа. Гидрирова- ние L-VIII над 5%-ным Pd/C проходит при 23° за 12 час. на 60% а за 24 часа на 100%. Из 0,03 моля L-VIII в 30 мл 1 н.  $\text{Na}_2\text{CO}_3$  и 5,1 мл кбз-хлорида полу- чают II, выход 85%, т. пл. 214—215° (из  $\text{C}_2\text{H}_5\text{OH}$  + пиридин),  $[\alpha]_D^{20} - 17,6 \pm 0,5^\circ$  (с 2; 1 н. HCl),  $[\alpha]_D^{20} + 8,1 \pm 0,5^\circ$  (с 5; лед.  $\text{CH}_3\text{COOH}$ ). На соль II трудно рас- творима в воде. К смеси этилового эфира (ЭЭ) глици- на (из 2 ммоль хлоргидрата), 4 мл диэтилфосфита, 2 ммоль  $(\text{C}_2\text{H}_5)_3\text{N}$  и 0,25 мл о-фенилхлорфосфита, нагретой 5 мин. до ~100°, прибавляют, 1,8 ммоль II несколько мин. порциями и продолжают нагревание 30 мин. Затем смесь выливают в 100 мл воды (0°), до- водят 2 н.  $\text{Na}_2\text{CO}_3$  до pH 7 и осадок экстрагируют эти- лацетатом. Выход ЭЭ N-кбз-N $^{\text{Hm}}$ -бензил-L-гис-глицина 79%, т. пл. 121—122,5° (из этилацетата). Аналогично получают МЭ N-кбз-N $^{\text{Hm}}$ -бензил-L-гис-глицина, выход 61%, т. пл. 109—110° (из этилацетата),  $[\alpha]_D^{20} - 3 \pm 0,5^\circ$  [с 1,6; диметилформамид (ДМФА)]. Р-р 1,3 ммоль ЭЭ N-кбз-N $^{\text{Hm}}$ -бензил-L-гис-глицина в 5 мл  $\text{CH}_3\text{OH}$  гидролизуют 75 мин. 0,9 мл 1,8 н. р-ра  $\text{Na}_2\text{CO}_3$ , выход N-кбз-N $^{\text{Hm}}$ -бензил-L-гис-глицина (IX) 82%, т. пл. 216—217,5° (разл.; из пиридина),  $[\alpha]_D^{20} - 5,7 \pm 1^\circ$  (с 1,6; из пиридина).

лед. СН  
ОН (с  
при 20°  
ток рас-  
рат L-г-  
0,7 ммоль  
над Pd/  
на 65%  
1,02; вод-  
нилан-  
сана),  
5 ммоль  
де 30 м  
IV, вых  
[α]<sup>20</sup><sub>D</sub> —  
промид-  
при 0°  
хлорфос-  
добавля-  
работы  
в смеси  
нич. сл-  
+ гекса-  
генсан),  
логично  
пл. 199-  
[α]<sup>20</sup><sub>D</sub> —  
(с 2,9; м-  
гидроф-  
3 ммоль  
сят р-р  
6 ммоль  
ют 5 ммоль  
рают в  
ют VII,  
—32,2 ±  
деляют  
(из СН<sub>3</sub>-  
K р-ру  
на при-  
ридина  
Смесь л-  
обработ-  
МЭ N-к-  
пл. 113-  
(с 3,2;  
электр-  
гистидин  
6Ж37  
мее из-  
ты. В г-  
P. J. M.  
Further  
Chem.  
синтез  
гил-L-л-  
вой к-т-  
бензил-  
го эфир  
la или  
ра е-ка-  
ответст-  
гил) и  
K 4,5  
(30 мин  
(<40°)  
нсляю-  
107—10  
K 5,34  
CHCl<sub>3</sub>  
рез 5 м  
зильно-  
C<sub>6</sub>H<sub>5</sub>CH  
смесь

хлорид  
50 мл ТГФ  
и  $\text{POCl}_3$   
в кбз- $\alpha$ -ами-  
(X), вы-  
тилацетата  
хлорид  
N в 50 мл  
Cl<sub>2</sub> в 10 мл  
аминоэно-  
на, выход  
петр.эф.).  
Cl<sub>2</sub> получа-  
т. пл. 178°.  
тиламина,  
мл воды.  
бутирала-  
т. пл. 158,5°.

оновалова  
и синтезе  
-конечной  
и, Nicot-  
imidazo-  
la séquen-  
Soc. chim.  
тезирировал  
из L-прол-  
ного тетра-  
на превра-  
-гистидина  
бензилала-  
ют МЭ N-  
HBr/лед.  
нилаланин  
методом  
-прол-  
MЭ N-м.  
из N-кбз-  
цов полу-  
рол-  
L-фе-  
При бен-  
з получа-  
т. пл. 248,5°.  
N-м-бен-  
N-бензил-  
2; вода +  
Pd-чернь  
рогенели  
OON гид-  
50° в р-ре  
гидрирова-  
ри 23° за  
0,03 моля  
да полу-  
C<sub>6</sub>H<sub>5</sub>ON +  
I), [α]<sup>20</sup><sub>D</sub>  
удно рас-  
Э) глици-  
фосфата,  
фосфата,  
ммоль II  
агрегание  
(0°), до-  
уют этил-  
-глицид  
аналогично  
а. выход  
1,3 ммоль  
мл CH<sub>3</sub>OH  
O<sub>2</sub>, выход  
т. пл.  
1° (с 1,8;

лед.  $\text{CH}_3\text{COOH}$ ). 0,8 ммоль IX в 5 мл 80%-ной  $\text{CH}_3\text{COOH}$  (с 1 экв; HCl) гидрируют над Pd-чернью 2 часа при 20° и 4,5 часа при 50°. Фильтрат упаривают, остаток растворяют в воде и спиртом высасывают хлорид-ат  $\alpha$ -амино- $\beta$ -лизина, выход 70%. При гидрировании 0,7 ммоль IX в 5 мл 80%-ной  $\text{CH}_3\text{COOH}$  (с 1 экв; HCl) над Pd/C, выход полу-гидрата хлоридата L-глиц- $\alpha$ -лизина 65%, т. пл. 217,5–218° (разл.), [α]<sup>20</sup><sub>D</sub> –31,5 ± 2° (с 1,02; вода). Выход III (из N-кбз-L-пролина и МЭ L-фенилаланина) 81%, т. пл. 67–68,5° (из этилацетата-гексана), [α]<sup>18</sup><sub>D</sub> –27 ± 0,5° (с 4,85; ДМФА). Из р-ра 5 ммоль III в 4,5 мл 3,5 н. HBr в лед.  $\text{CH}_3\text{COOH}$  после 30 мин. стояния эфиром высасывают бромидат IV, выход 78%, т. пл. 169,5–170,5° (из  $\text{CH}_3\text{OH}$ -эф.), [α]<sup>20</sup><sub>D</sub> –3,7 ± 1° (с 2,08; вода). К суспензии 10 ммоль бромидата IV в 10 мл диэтилфосфата прибавляют при 0° 20 ммоль  $(\text{C}_2\text{H}_5)_3\text{N}$ , затем 10 ммоль  $\alpha$ -фенил-хлорфосфата. Смесь нагревают 5 мин. при ~100° и добавляют 10 ммоль II. Нагревают еще 45 мин. и обрабатывают на холоду гексаном. Осадок растворяют в смеси этилацетат-вода, и доводят pH р-ра до 7. Органич. слой упаривают и обработкой смесью бензол + гексан получают V, выход 72%, т. пл. 71° (из 53% гексана), [α]<sup>20</sup><sub>D</sub> –27 ± 0,5° (с 2,7; ДМФА). Из V аналогично III получают дибромгидрат VI, выход 94%, т. пл. 199–201° (разл.; из  $\text{CH}_3\text{OH}$ -эф.), [α]<sup>21</sup><sub>D</sub> –23,3 ± 1° (с 2,9; вода). К р-ру 3 ммоль N-кбз-L-валина в тетрагидрофуране (ТГФ) с 0,43 мл  $(\text{C}_2\text{H}_5)_3\text{N}$  прибавляют 3 ммоль  $(\text{CH}_3)_2\text{CHCH}_2\text{OCCl}$ , через 10 мин. (–5°) вносят р-р VI в ТГФ [из 3 ммоль дибромгидрата VI и 6 ммоль  $(\text{C}_2\text{H}_5)_3\text{N}$ ], перемешивают 3 часа и нагревают 5 мин. при 50°. Смесь упаривают, остаток растворяют в этилацетате, промывают, упаривают и получают VII, выход 82,5%, т. пл. 78° (из бал.-гексана), [α]<sup>22</sup><sub>D</sub> –32,2 ± 2° (с 1,04; ДМФА). Из VII аналогично III выделяют дибромгидрат I, выход 81%, т. пл. 153–157° (из  $\text{CH}_3\text{OH}$ -ацетон-эф.), [α]<sup>20</sup><sub>D</sub> –30,4 ± 1° (с 2,4; вода). К р-ру МЭ L-лейцина (из хлоридата) в 5 мл пиридина прибавляют при –10° 1,5 ммоль  $\text{PCl}_5$  в 10 мл пиридина и через 30 мин. (20°) вносят 2,75 ммоль II. Смесь нагревают 3 часа (~100°), упаривают, остаток обрабатывают при 40° водн. этилацетатом и получают МЭ N-кбз-N<sup>nm</sup>-бензил-L-глиц-L-лейцина, выход 79%, т. пл. 113–113,5° (из  $\text{CH}_3\text{OH}$ -вода), [α]<sup>20</sup><sub>D</sub> –13,6 ± 0,75° (с 3,2;  $\text{CH}_3\text{COOH}$ ). Проведены хроматографии, и электрофоретич. исследования некоторых производных гистидина.

М. Коновалова

6Ж370. Аминокислоты и пептиды. XIV. Дальнейшее изучение синтеза пептидов аспарагиновой кислоты. Bryant P. M., Miss Moore R. H., Pimlott P. J., Miss Yang. Aminoacids and peptides. Part XIV. Further studies on the synthesis of aspartyl-peptides, «J. Chem. Soc.», 1959, Dec., 3868–3873 (англ.).—Описан синтез пептидов L-аспарагиновой к-ты (I):  $\alpha$ -L-аспарагил-L-лейцина (II),  $\alpha$ -L- и  $\beta$ -L-аспарагил-L-аспарагиновой к-ты (III и IV),  $\alpha$ -L- и  $\beta$ -L-аспарагил-L-глутаминовой к-ты (V и VI). Предложен метод получения  $\alpha$ -бензилового эфира I (Ia) расщеплением дибензилового эфира I (Ib) с помощью HJ с лед.  $\text{CH}_3\text{COOH}$ . Из Ia или  $\beta$ -бензилового эфира I (Iv) и бензилового эфира  $\epsilon$ -карбобензоксип (кбз)-L-лизина (VII) получены соответственно дибензиловые эфиры  $\alpha$ -(кбз- $\alpha$ -L-аспарагил) и  $\alpha$ -(кбз- $\beta$ -L-аспарагил)- $\epsilon$ -кбз-L-лизина (VIII и IX). К 4,5 г Ib в 250 мл водн. ацетона (1:4) добавляют (30 мин.) 0,255 г LiOH в 10 мл воды, ацетон удаляют (<40°), р-р обрабатывают  $(\text{C}_2\text{H}_5)_2\text{O}$ , водн. слой подкисляют 6 н. HCl и выделяют Iv, выход 70%, т. пл. 107–109° (из бал.), [α]<sup>17</sup><sub>D</sub> +13,1° (с 10; лед.  $\text{CH}_3\text{COOH}$ ). К 5,34 г Iv и 2,1 мл  $(\text{C}_2\text{H}_5)_3\text{N}$  в 30 мл  $\text{C}_6\text{H}_5\text{CH}_3$  и 10 мл  $\text{CHCl}_3$  (–5°) добавляют 2 мл  $\text{ClCO}_2\text{C}_6\text{H}_5$ -атор (X) и через 5 мин. 7,07 г охладж. р-ра  $n$ -толуолсульфоната бензилового эфира L-лейцина и 2,4 мл  $(\text{C}_2\text{H}_5)_3\text{N}$  в 5 мл  $\text{C}_6\text{H}_5\text{CH}_3$  и 15 мл  $\text{CHCl}_3$ . Через 12 час. реакционную смесь упаривают в вакууме и получают дибензило-

вый эфир кбз-II (IIa), выход 43,5%, т. пл. 69,5–70° (из эф.-петр.; водн. сп.), [α]<sup>19</sup><sub>D</sub> –22,5° (с 1,38; ацетон), [α]<sup>19</sup><sub>D</sub> –29,8° (с 1,41; сп.). IIa получают из 2,36 г хлоридата бензилового эфира L-лейцина и 1,6 мл  $(\text{C}_2\text{H}_5)_3\text{N}$  в 20 мл диэтилфосфата и 0,54 мл этиленхлорфосфата и 2,14 Iv в 5 мл диэтилфосфата, выход 49%. Гидрированием IIa над Pd-чернью в водн. спирте (содержащем  $\text{CH}_3\text{COOH}$ ) приходят к II, перекристаллизованный из ацетона, [α]<sup>17</sup><sub>D</sub> –10,6° (с 3,3; вода), [α]<sup>17</sup><sub>D</sub> –9,7° (с 3,42; 0,1 н. HCl). К 0,89 г кбз-Iv в 5 мл  $\text{CH}_2\text{Cl}_2$  и 1,21 г  $n$ -толуолсульфоната дибензилового эфира L-аспарагиновой к-ты (Iг) и 0,33 мл  $(\text{C}_2\text{H}_5)_3\text{N}$  в 5 мл  $\text{CH}_2\text{Cl}_2$  добавляют 0,57 г дициклогексилкарбодимида в 20 мл  $\text{CH}_2\text{Cl}_2$  и перемешивают 6 час., добавляют несколько капель лед.  $\text{CH}_3\text{COOH}$ , фильтрат упаривают в вакууме, остаток обрабатывают 100 мл этилацетата, р-ритель удаляют и выделяют трибензиловый эфир кбз-III (IIIa), выход 81%, т. пл. 108,5–109,5° (из абс. сп.), [α]<sup>16</sup><sub>D</sub> +23,1° (с 5; хлф.), [α]<sup>16</sup><sub>D</sub> –6,1° (с 5,06; ацетон). IIIa гидрируют над Pd-чернью. Последовательной обработкой остатка (после упаривания) диметилформамидом и абс. спиртом выделяют III, [α]<sup>20</sup><sub>D</sub> +16,8° (с 5; вода); [α]<sup>20</sup><sub>D</sub> +8,4° (с 5; 0,5 н. HCl). Аналогично IIIa получают трибензиловые эфиры IV (IVa), V (Va) и VI (Via). Здесь и далее приведены выход в %, т. пл. в °C и [α]<sub>D</sub> для: IVa, 83, 121,5–123 (из водн. сп.), [α]<sup>16</sup><sub>D</sub> +25,2° (с 5; хлф.), [α]<sup>16</sup><sub>D</sub> –5,7° (с 5; ацетон); Va, 78, 99–100 (из абс. сп.), [α]<sup>16</sup><sub>D</sub> +12,5° (с 5,72; хлф.), [α]<sup>15</sup><sub>D</sub> –10,5° (с 5,25; ацетон); VIa, 87, 111,5–112,5 (из абс. сп.), [α]<sup>15</sup><sub>D</sub> +10,7° (с 5; хлф.), [α]<sup>15</sup><sub>D</sub> –10,8° (с 5,25; ацетон). Аналогично III гидрированием в водн.  $\text{CH}_3\text{OH}$  соответствующих эфиров (IVa, Va, Via) получают ди-пептиды, для которых здесь и далее приведены выход в %, т. пл. в °C, [α]<sub>D</sub>: IV, 97, –, +4,8° (с 5; вода) +18,2° (с 5; 0,5 н. HCl); V, 85, 145–150° +6,3; (с 5; вода), +4,6° (с 5; 0,5 н. HCl); VI, 79, –, –10,5° (с 5,25; вода), +5,5° (с 5,05; 0,5 н. HCl). 9,9 г Iг в 60 мл лед.  $\text{CH}_3\text{COOH}$  и 8 мл HJ нагревают 29 час. при 45°, р-ритель удаляют в вакууме, остаток обрабатывают  $\text{C}_6\text{H}_6$ , смесь упаривают и добавляют абс. спирт и  $(\text{C}_2\text{H}_5)_3\text{N}$ , при охлаждении выделяют Ia, выход 50%, т. пл. 174–175° (из воды), [α]<sup>18</sup><sub>D</sub> –15,4° (с 5; 1 н. HCl). Из 0,77 Ia и 0,6 г  $\text{ClCO}_2\text{C}_6\text{H}_5$  получают  $\alpha$ -бензиловый эфир кбз-I (Id) извлекают в этилацетат, выход 70%, т. пл. 84–85° (из  $\text{C}_6\text{H}_5\text{CH}_3$ ), [α]<sup>18</sup><sub>D</sub> –9,7° (с 5,59;  $\text{CH}_3\text{COOH}$ ), [α]<sup>17</sup><sub>D</sub> +8,8° (с 5; хлф.), [α]<sup>17</sup><sub>D</sub> –14,8° (с 5; ацетон). При обработке  $(\text{CH}_3\text{CO})_2\text{O}$  и затем петр. эф. Id выпадает ангидрид  $\alpha$ -O-бензил-N-кбз- $\beta$ -L-аспарагиновой к-ты (XI), т. пл. 120–121° (из  $\text{C}_6\text{H}_5\text{CH}_3$ ), [α]<sup>17</sup><sub>D</sub> +20,9° (с 5; хлф.), [α]<sup>17</sup><sub>D</sub> –9,8° (с 5; водн.  $\text{CH}_3\text{COOH}$ ) [α]<sup>17</sup><sub>D</sub> –14,9° (с 5,0; водн. ацетон). К 0,89 г Iv и 0,34 мл 1-этилпиперидина в безводн. тетрагидрофуране (ТГФ) добавляют (0°) 0,24 мл  $\text{ClCO}_2\text{C}_6\text{H}_5$  и через 15 мин. 0,45 г  $n$ -нитрофенола в ТГФ, через 4 часа р-ритель удаляют в вакууме, остаток обрабатывают водой при 5° и получают  $\beta$ -бензиловый эфир  $\alpha$ -( $n$ -нитрофенил- $\alpha$ -тиоловый эфир)-L-аспарагиновой к-ты (XII) с выходом 81%. К 0,84 г XII в 10 мл безводн. ТГФ добавляют 0,7 г хлоридата VII (VIIa) и 0,24 мл 1-этилпиперидина и нагревают 2 часа, р-ритель удаляют в вакууме, остаток обрабатывают  $\text{CHCl}_3$  и вновь упаривают, выход VIII 60%, т. пл. 116–117° (из ацетона-эф.). VIII (с выходом 61%) также получают методом смешанных ангидридов из 2,55 г Ib, 1 г X и 2,9 г VIIa, [α]<sup>17</sup><sub>D</sub> –4,6° (с 3,5; диоксан). Аналогично VIII (двумя способами) синтезируют IX, выход 75 и 60% соответственно, т. пл. 153,5–154° (из ацетона-диизопропилового эфира), [α]<sup>17</sup><sub>D</sub> –4,1° (с 2,93; диоксан). Указаны условия цветных р-ний с нингидрином и результаты биуретовых р-ний для II–VI, а также для  $\alpha$ - и  $\beta$ -аспарагил-L-валина и L-тирозина. Приведены данные электрофоретич. исследования III–VI, величины R<sub>f</sub> для II–VI и данные ИК-спектра для XI. Сообщение XIII см. РЖХим, 1960, № 7, 26808.

Е. Левин

6Ж371. Труды симпозиума по методам синтеза пептидов. «Collect. Czechosl. Chem. Commun.», 1959 24, Spec. issue, 6—14, 15—25, 39—45, 54—59, 60—74, 95—106, 107—110, 114—117, 120—137, 143—146, 159—160, Diskuss., 26—38, 26—38, 46—53, 54—59, 60—74, 111—113, 111—113, 114—117, 138—142, 147, 159—160 (нем.).—Обзорные доклады (Прага, сентябрь 1958 г.).

Активирование карбоксильной группы для синтеза пептидов. Wieland T. H. Библ. 62 назв.

Методы образования пептидных связей, основанные на активировании аминогрупп. Goldschmidt, St. Библ. 22 назв.

Рацемизация в синтезе пептидов. Young G. T. Библ. 21 назв.

Синтез оптически активных пептидов из рацемич. эфиров аминокислот. Ботвинник М. М. Библ. 17 назв.

Группировки защищающие аминогруппы. Wünsch E. Библ. 120 назв.

Специальные проблемы в синтезе пептидов из ди-аминомонокислотных и монокислотных карбоновых кислот. Rudinger J. Библ. 126 назв.

Внутримолекулярное транспептирование пептидов аспарагиновой и глутаминовой кислот. Medzihradsky K. Библ. 11 назв.

Синтезы пептидов, содержащих цистеин; специальная проблема. Young G. T. Библ. 28 назв.

Пептиды оксиминокислот; специальная проблема. Brenner M., Hartmann A. Библ. 109 назв.

О пептидах, содержащих остатки  $\alpha$ -замещенных аминокислот. Шемякин М. М. Библ. 10 назв.

Специальная проблема синтеза циклических пептидов. Rothe M. Библ. 50 назв.

6Ж372. Синтез аминокислотных производных ряда аденозин-2'-фосфорной кислоты. Швачкин Ю. П., Сырцова Л. А., Прокофьев М. А. «Ж. общ. хим.», 1960, 30, № 8, 2462—2466.—Осуществлен синтез этилового эфира N-R-глицина (I) и метиловых эфиров N-R-валина (II), N-R-фенилаланина III и N-R-фал. глицина (IV), где R = (3',5'-диацетиладенозин-2'-бензилфосфо) —. I—IV легко гидролизуются в щел. среде; кислотный гидролиз протекает значительно медленнее; по мнению авторов, это объясняется быстрым отщеплением O-ацетильных групп при щел. гидролизе, что создает возможность дальнейшего гидролиза фосфоамидной связи через образование аденозин-2',3'-циклофосфатной структуры, 0,14 ммоль 3,5-диацетиладенозин-2'-бензилфосфата (V) (РЖХим, 1957, № 19, 63870) в 1 мл сухого  $\text{CH}_3\text{CN}$ , 5 мл  $\text{CCl}_4$  и 0,5 ммоль этилового эфира глицина в 1 мл сухого  $\text{CCl}_4$  оставляют на 12 час. при 20°, р-р упаривают в вакууме, остаток растворяют в 35 мл  $\text{CHCl}_3$ , р-р промывают 0,05 н.  $\text{HCl}$  и насыщ. р-ром  $\text{NaHCO}_3$ , упаривают до малого объема в вакууме и I высаживают петр. эфиром, выход 49%, т. пл. 35°. Аналогично получают: II из 0,14 ммоль V и 0,4 ммоль метилового эфира валина, выход 38%, т. пл. 77°; III из 0,2 ммоль V и 3 ммоль метилового эфира фенилаланина, выход 85%, т. пл. 73°, и IV из 0,24 ммоль V и 0,9 ммоль метилового эфира фал. глицина, выход 71%, т. пл. 108°. 5 мг I, III и IV в 2 мл спирта в 0,4 мл 0,1 н.  $\text{H}_2\text{SO}_4$  гидролизуют при 37°, за ходом гидролиза следят, хроматографируя на бумаге пробы, периодически отбираемые из гидролизата. К 5 мг II—IV в 0,2 мл спирта прибавляют 0,5 мл 0,1 н.  $\text{NaOH}$  в опыте с II, 0,4 мл 1 н.  $\text{NaOH}$  в случае III и 0,5 мл 1 н.  $\text{NaOH}$  в случае IV; гидролиз проводят аналогично кислотному. I—IV охарактеризованы хроматографически и спектрально. А. Богданов

6Ж373. Пиримидиновые нуклеозиды. VI. Нитрование нуклеозидов. Wempen Iris, Doerr Iris L., Kaplan Louis, Fox Jack J. Pyrimidine nucleosides. VI. Nitration of nucleosides. «J. Amer. Chem. Soc.», 1960, 82, № 7, 1624—1629 (англ.).—При нитровании уридина (I) (Levene P. A., La Forge F. B., Berg, 1912, 45, 608) наряду с нитрованием пиримидинового цикла

происходит окисление  $\text{C}'$  — 5 углеродного атома рибозы до карбоксильной группы. Структуру полученного 5-нитро-1-( $\beta$ -D-рибозилуридина к-та)-урицила (II) доказывают синтезом ряда его производных, периодическим титрованием и исследованием УФ-спектров. Чтобы избежать окисления  $\text{C}'$  — 5 в I, предлагают нитровать 1- $\beta$ -D-(2,3,5-три-О)-3,5-(динитробензоил)-уридин (III) с последующим деацилированием, восстановлением 5-нитроурициловых нуклеозидов получают соответствующие 5-аминопроизводные. Показано, что в II и 5'-дезоксиз-5'-фторуридине гликозидная связь устойчива к нуклеозидазе *E. coli*, а в 5'-дезоксизуридине (IV) — расщепляется, установлена некоторая структурная специфичность дезаминазы *E. coli*, р-р 0,165 моля I в 288 мл  $\text{HNO}_3$  (конц.  $\text{HNO}_3$  и вода; 1:1) выпаривают досуха и получают II, выход 59%, т. пл. 229—231° (из воды),  $[\alpha]_D^{20} -31^\circ$  (с 0,92; вода), 0,003 моля II в 30 мл бутанола, насыщают  $\text{HCl}$ , кипятят один час и выделяют 5'-бутиловый эфир-II (Va), выход 86%, т. пл. 189—190° (из воды),  $[\alpha]_D^{20} -26^\circ$  (с 0,49; вода). Аналогично Va из 0,065 моля II получают 5'-изопропиловый эфир-II (Vb) с выходом 93%, т. пл. 240—241° (разл.; из воды),  $[\alpha]_D^{24} -31^\circ$  (с 0,57; диоксан). 0,0033 моля Vb в 30 мл сухого ацетона, содержащего 2 г  $\text{CuSO}_4$  и 2 капли конц.  $\text{H}_2\text{SO}_4$ , встряхивают при  $\sim 20^\circ$  72 часа, фильтруют и упаривают, выход 5-нитро-1-(2',3'-изопропилиден- $\beta$ -D-рибозилуридина к-та изопропиловый эфир)-урицила 78%, т. пл. 188—190° (из воды),  $[\alpha]_D^{24} -109^\circ$  (с 0,51; диоксан). 0,00166 моля II в 20 мл воды гидрируют над Pd/C. Фильтрат упаривают и обрабатывают остаток спиртом; выход 5-амино-1-( $\beta$ -D-рибозилуридина к-та)-урицила 92%, т. пл. 149° (разл.). Аналогично II восстанавливают 2 г Va до 5-амино-1-( $\beta$ -D-рибозилуридина к-та бутиловый эфир)-урицила; выход 56%, т. пл. 187—188° (из воды),  $[\alpha]_D^{25} -16^\circ$  (с 0,97; вода). 10 г I в 400 мл пиридина обрабатывают 31,1 г 3,5-динитробензоилхлорида до растворения, нагревают до 50° 50 час., р-р упаривают и сироп выливают в 2 л воды и осадок экстрагируют после промывки водой, спиртом, выход III 93%; т. пл. 233—239°. 0,0376 моля III добавляют к 123 мл 50% смеси (объемн.) конц.  $\text{H}_2\text{SO}_4$  и  $\text{HNO}_3$  (d 1,5), через 30 мин. р-р выливают в лед, осадок промывают водой, спиртом и эфиром, выход 5-нитро-III (VI) 71%, т. пл. 155°. К 0,0265 моля VI в 1 л спирта добавляют при кипячении  $\text{C}_2\text{H}_5\text{ONa}$  250 мл спирта, 0,53 моля Na, кипятят смесь 3 часа, осадок растрясют со спиртом и промывают эфиром; выход сырой Насоли 5-нитроуридина (VII) 85%, VII суспендируют в 150 мл спирта и при 70° обрабатывают 0,8 мл конц.  $\text{H}_2\text{SO}_4$  до pH 3 и фильтрат сгущают, выход 5-нитро-I (VIII) 46%, т. пл. 188—190°.  $[\alpha]_D^{24} -45^\circ$  (с 0,53; диоксан), —18° (с 1; вода). 0,0035 моля VIII гидрируют над 5% Pd/C и получают 5-амино-I (IX), выход 0,2 г, т. пл. 202—204° (разл.; из спирта-вода; 35:1,5). 0,5 г VIII гидрируют над 5% Pd/C, упаривают до половины объема и насыщают  $\text{HCl}$ ; выход хлоргидрата IX 50%, т. пл. 220° (разл.),  $[\alpha]_D^{24} +2^\circ$  (с 1,74; вода). 1 г VIII, 1,3 г безвод.  $\text{CuSO}_4$  в 30 мл сухого ацетона с 3 каплями конц.  $\text{H}_2\text{SO}_4$  встряхивают 10 час. при  $\sim 20^\circ$ , фильтрат доводят до pH 5, фильтруют и сгущают, выход 5-нитро-1-(2, 3-изопропилиден- $\beta$ -D-рибозилуридина к-та)-урицила 56%, т. пл. 207—208° (из воды),  $[\alpha]_D^{24} -64^\circ$  (с 0,71; диоксан). К р-ру 0,94 г 5'-дезоксиз-5'-йод-2',3'-изопропилиденуридина в 25 мл  $\text{CH}_3\text{OH}$  добавляют 1 мл бутиламина, гидрируют над 0,5 г 5% Pd/C, упаривают до сиропа, кипятят 10 мин. с 10 мл  $\text{HCl}$ , нейтрализуют аммиаком, упаривают, извлекают ацетоном и упаривают со спиртом, выход IV 75%, т. пл. 174—176° (с спирта),  $[\alpha]_D^{24} +11^\circ$  (с 0,57; вода). Сообщение V см. РЖХим, 1960, № 22, 88765. Н. Соколов

6Ж374. Дезокси-нуклеозиды и аналогичные соединения. Часть IX. Синтез 3'-дезоксинаденозина. Todd Alexander, Ulbricht T. L. V. Deoxynucleosides



and related compounds. Part IX. A synthesis of 3'-deoxyadenosine. «J. Chem. Soc.», 1960, Aug., 3275—3277 (англ.). — Предложен метод синтеза 3'-деоксиаденозина (I) восстановлением 3'-деокси-3'-йодаденозина (II). II получают действием NaI на 3'-O-*n*-нитробензолсульфаденозин (III). Попытки получить аналогичным образом 2'-деокси-2'-галлоаденозин для синтеза 2'-деоксиаденозина оказались неудачными. 2'-O-*n*-толуолсульфаденозин (IV) не реагирует с NaI, при т-ре ниже т-ры разложения IV, длительное нагревание 2'-O-*n*-нитробензолсульфаденозина (V) с NaI или с LiBr также приводит к разложению V. 3,5 г *n*-толуолсульфохлорида оставляют на 48 час. при 0° с 5 г 3'-O-ацетиладенозина (VI) в 150 мл пиридина, прибавляют 25 мл воды и 200 мл насыщ. р-ра NaHCO<sub>3</sub>, экстрагируют CHCl<sub>3</sub>, упаривают в вакууме, остаток дважды упаривают со смесью 20 мл CHCl<sub>3</sub> и 5 мл толуола, сушат при 50°/0,1 мм, растворяют в 80 мл CH<sub>3</sub>OH, прибавляют при 0° 80 мл насыщ. р-ра NH<sub>3</sub> в CH<sub>3</sub>OH и через 21 час (0°) упаривают в вакууме; к остатку прибавляют воду, экстрагируют этилацетатом, экстракт упаривают в вакууме, остаток растворяют в (CH<sub>3</sub>)<sub>2</sub>CHОН и высаживают IV бензолом, выход 0,8 г, т. пл. 224°. 1,66 г *n*-нитробензолсульфохлорида и 2 г VI в 60 мл пиридина оставляют на 6 суток при 0° и затем на 2 суток при 20°, прибавляют 10 мл воды и 50 мл насыщ. р-ра NaHCO<sub>3</sub>, экстрагируют CHCl<sub>3</sub>, упаривают, остаток дважды упаривают со смесью 50 мл C<sub>2</sub>H<sub>5</sub>OH и 10 мл толуола, растворяют в 40 мл CH<sub>3</sub>OH, прибавляют (0°) 30 мл насыщ. р-р NH<sub>3</sub> в CH<sub>3</sub>OH, через 7 час. (0°) упаривают в вакууме из остатка и выделяют V, выход 0,825 г, т. пл. 215° (разл.; из изопропанола), и III, выход 0,4 г, т. пл. 174° (разл.). 0,214 г III нагревают 5 час. при 115° с 0,145 г NaI в 4 мл ацетонил-ацетона, фильтрат упаривают при 50°/0,5 мм; остаток фракционируют противоточным распределением (этилацетат-вода, объем фазы 20,5 мл, 92 переноса), р-ры из ячеек 34—70 упаривают, выход II 31 мг, т. пл. 186—188° (разл.; из воды). 74 мг II и 20 мг CH<sub>3</sub>COONa в 25 мл воды гидрируют над 10%-ным Pd/C, фильтрат упаривают, I высаживают спиртом, т. пл. 212° (из изопропанола). I—III и V охарактеризованы хроматографически, для III и V приведены спектры поглощения в ИК-области, для I—λ(макс.), λ(мин.) и ε-спектра поглощения в УФ-области. Сообщение VIII см. РЖХим, 1960, № 19, 68082.

А. Богданов

6Ж375. N-пурил-(6)-производные биогенных аминов и аминокислот. Lettré Hans, Ballweg Hubert. N-Puryl-(6)-Derivate von biogenen Aminen und Aminosäuren. «Liebig's Ann. Chem.», 1960, 633, № 1-3 (нем.). — Для исследования противораковой активности синтезированы производные по NH<sub>2</sub>-группе триптамина (I), гистамина (II), серотонина (III), норадреналина (IV), тирамина (V), мекалина (VI), DL-триптофана (VII), DL-тистинина (VIII), тиненил-(2)-аланина (IX), DL-фенилаланина (X) с N-пурилом-6 (соответственно XI—XX). Из 2,6,8-трихлорпурина (XXI) с аминами получают их 2,6-дихлор-N-пурил-(6)-производные, которые гидрированием переводят в N-пурил-(6)-производные. Лизин (XXII) и орнитин (XXIII) реагируют с 6-хлорпуринном (XXIV) по ε-NH<sub>2</sub> и по δ-NH<sub>2</sub>-группам, образуя DL-α-амино-ε-(пурил-6-амино)-капроновую (XXV) и DL-α-амино-δ-(пурил-(6)-амино)-валериановую (XXVI) к-ты. XXV получена также р-цией XXIV с лизиновым ангидридом (XXVII) с последующим гидролизом. 1,5 г XXI и 5 г этиламина кипятят 5 час., упаривают, растворяют в воде, добавляют HCl до pH 7 и получают 6-этиламино-2,8-дихлорпурин (XXVIII), выход 90%, т. пл. 264° (сп. + вода; лед. CH<sub>3</sub>COOH). 1 г XXI с 1 г бензиламина кипятят 30 мин. в 20 мл *n*-бутанола и получают 6-бензиламино-2,8-дихлорпурин (XXIX), выход 91%, т. пл. 220—221° (из CH<sub>3</sub>COOH). 1 г XXI кипятят 20—25 мин. с NaOCH<sub>3</sub>-н (из 105 мг Na) в 15 мл *n*-C<sub>4</sub>H<sub>9</sub>OH, упаривают, экстрагируют в эфир и полу-

чают 6-бутилокси-2,8-дихлорпурин (XXX), выход 89%, т. пл. 134—135° (сп. + вода или CH<sub>3</sub>COOH + вода). 350 мг XXI и 0,5 г I кипятят 45 мин. в 20 мл *n*-C<sub>4</sub>H<sub>9</sub>OH, упаривают до 1/3 объема и получают 6-[β-(индолил-3)-этиламино]-2,8-дихлорпурин (XXXI), выход 75%, т. пл. 145—146° (сп. + вода). Из XXI и II (по 0,5 г) аналогично получен 6-[β-(имидазолил-(4)-этиламино)]-2,8-дихлорпурин (XXXII), выход 42%, т. пл. 165° (NH<sub>4</sub>OH + CH<sub>3</sub>COOH). 6-амино-2,8-дихлорпурин или 6-окси-2,8-дихлорпурин (по 1 г) гидрируют в 30 мл лед. CH<sub>3</sub>COOH над Pd/C (7,5%) при 40—50°, фильтруют, упаривают, нейтрализуют 2 н. р-ром Na<sub>2</sub>CO<sub>3</sub> и получают аденин, соответственно гипоксантин, выход 80—85%. 1 г XXVIII в 50 мл лед. CH<sub>3</sub>COOH гидрируют 24 часа, фильтрат упаривают, растворяют в 2 н. NaOH, нейтрализуют HCl, упаривают, экстрагируют CHCl<sub>3</sub> и получают 6-этиламинопурин, выход 89%, т. пл. 238—239° (из воды). Из XXIX, 6-этокси-2,8-дихлорпурина, XXX, XXXII получены соответственно 6-бензиламинопурин, 6-этоксипурин, 6-бутилоксипурин, XII; выходы 91, 88, 85, 47%. XI получен из I и 6-метилмеркаптопурина (24 часа, 130°), выход 28%, т. пл. 241° (CH<sub>3</sub>OH + вода). 1 г XXIV и 1,45 г II в 15 мл *n*-C<sub>4</sub>H<sub>9</sub>OH кипятят 45 мин. и получают XII, выход 74,5%, т. пл. 256—257° (из воды). 0,5 г VI и 185 мг XXIV кипятят 30 мин. в возможно меньшем кол-ве пиридина и получают XVI, выход 69%, т. пл. 202° (из воды). 0,5 г V и 0,56 г XXIV кипятят в 15 мл воды (рН 10, КОН) 3 часа, нейтрализуют 2 н. HCl, упаривают до 1/3 объема и получают XV, выход 84%, т. пл. 246° (из воды). Аналогично из III и IV получают XIII и XIV, выходы 48 и 51%, т. пл. 254—256° (CH<sub>3</sub>OH + эф.) и 238—240° (разл.; из сп.) соответственно. 0,41 г XXIV и 1,4 г 5-бензилокситриптамина кипятят в 20 мл *n*-C<sub>4</sub>H<sub>9</sub>OH 1 час, упаривают, добавляют 1 н. NaOH, водн. р-р промывают эфиром, нейтрализуют 2 н. HCl и получают бензиловый эфир XIII (XXXIII), выход 69%, т. пл. ацетата XXXIII 166° (лед. CH<sub>3</sub>COOH + вода). Гидрированием XXXIII над Pd/C в CH<sub>3</sub>OH получают XIII, выход 33,5%. 0,75 г монохлоргидрата VIII обрабатывают 0,605 г XXIV, как в случае XV, после подкисления до pH 4—5 упаривают, экстрагируют абс. спиртом, получают XVIII, выход 74%, т. пл. 168—173° (гигроскопично); биспикрат, т. пл. 173—175° (разл.). 2,6 г VII обрабатывают, как описано для XV 2 г XXIV, при pH 3—4 выпадает XVII, выход 78%, т. пл. 216—217° (разл.; из сп. + вода). 0,2 г XVII кипятят 7—8 час. в тетрагидрофуране с 4—5 молярным избытком LiAlH<sub>4</sub>, добавляют воду, упаривают, извлекают абс. спиртом, вновь упаривают, растворяют в воде, доводят pH до 7 и получают 6-[α-оксиметил-β-(индолил-(3))-этиламино]пурин (XXXIV), выход 21%, т. пл. 248—249° (разл.; из воды или NH<sub>4</sub>OH/HCl). 0,5 г XVII в 30 мл CH<sub>3</sub>OH обрабатывают C<sub>2</sub>H<sub>5</sub>N<sub>2</sub> в эфире, упаривают (~20°), растворяют в спирте, сорбируют на колонке с целлюлозой, вымывают C<sub>2</sub>H<sub>5</sub>OH-водой (3:1), 3-ю и 4-ю фракции (по 10 мл) упаривают, получают метиловый эфир XVII, выход 77%, т. пл. 130—155° (сп. + эф.), из которого действием LiAlH<sub>4</sub>, как описано выше (3 часа), получают XXXIV, выход 74,5%. Аналогично XVII из IX и XXIV получают XIX, выход 90%, т. пл. 155° (сп. + вода) и из X и XXIV получают XX, выход 77%, т. пл. 163—164° (разл.). 0,75 г дихлоргидрата XXII обрабатывают 0,53 г XXIV, как в случае XVII, после подкисления до pH 4—5 упаривают, экстрагируют горячим спиртом (~80°) и после упаривания до 15—20 мл получают XXV, выход 77%, т. пл. биспикрата 150—152° (разл.), дихлоргидрата 143—145° (гигроскопична; из сп.-эф.), 1,1 г XXVII кипятят 1 час с 0,66 г XXIV в 15 мл *n*-C<sub>4</sub>H<sub>9</sub>OH, упаривают и получают NNH<sub>2</sub>-монопуриллизининовый ангидрид (XXXV), биспикрат, т. пл. 181—183° (разл.; из воды или сп.). 0,5 г XXXV обрабатывают 4—5 дней при ~20° 7,5 мл 2 н. NaOH, добавляют разб. HCl до pH 5—6 и получают XXV. Ана-

логично XXV из 0,75 г бромгидрата XXIII и 545 мг XXIV в 20 мл воды получают XXVI, выход 76%, т. пл. 105—111°. Пикрат XXVI, т. пл. 187—188° (разл.), 0,75 г хлоргидрата DL-диаминопропионовой к-ты и 825 мг XXIV кипятят 3 часа с 25 мл р-ра КОН (рН 10—11), нейтрализуют и получают DL- $\alpha,\beta$ -бис-(пурил-(6)-амино)-пропионовую к-ту (XXXVI), выход 45%, т. пл. 240° (разл.; из воды), биспикрат, 246—247° (разл.; из воды). При добавлении HCl к маточному р-ру от XXXVI до рН 4 получают DL- $\alpha$ -амино- $\beta$ -(пурил-(6)-амино)-пропионовую к-ту, выход 17,5%, т. пл. 267° (из воды). К 0,5 г XXIV и эквивалентному кол-ву  $\omega$ -аминокислоты в 15 мл воды добавляют 40%-ный р-р КОН до рН 10, кипятят 3 часа, добавляют разб. HCl до рН 3—4 и получают с выходами 85—95% N-(пурил-6-амино)-производные следующих к-т: пропионовой, т. пл. 212—213° и повторно 237—238° (из воды); масляной, т. пл. 222—223°; валериановой, т. пл. 240°; капроновой, т. пл. 234—235° ( $\text{NH}_4\text{OH} + \text{CH}_3\text{COOH}$ ); *n*-энантовой, т. пл. 224°; каприловой, т. пл. 212—213°. Приведены значения УФ-спектров и  $R_f$  в 75%-ном  $\text{C}_2\text{H}_5\text{OH}$  и в  $\text{C}_4\text{H}_9\text{OH}$ -воде. Физиол. действие *in vitro* в нормальных и злокачественных клетках (НК и ЗК): XI тормозит процессы деления в НК и ЗК; XII не действует на нормальные фибробласты, но действует на клетки саркомы и карциномы в процессе их деления и развития; XIII, XIV и XV повреждают жизнедеятельность НК и ЗК, сильнее ЗК; XVI и 6-фенетиламинопуридин содержат гидрофобные заместители, поэтому неактивны. Неактивны также XVII, XVIII, XIX, XX и XXXIV.

В. Максимов

**6Ж376. Изучение аналогов коэнзимов. I. Синтез 3- $\beta$ -D-рибофуранозил-2-оксо-2,3-дигидропиридина (6-дезоксипуридина) и его 5'-фосфата. Ikehara Morio. Studies on coenzyme analogs. I. Synthesis of 3- $\beta$ -D-ribofuranosyl-2-oxo-2,3-dihydropyrimidine (6-deoxyuridine) and its 5'-phosphate. «Chem. and Pharmac. Bull.», 1960, 8, № 4, 308—313 (англ.).** Синтезирован 3- $\beta$ -D-рибофуранозил-2-оксо-2,3-дигидропиридин (6-дезоксипуридин) (I) и его 5'-фосфат (II) из хлоритного производного 2-оксипиридина (III) и 2,3,5-три-О-бензоил-D-рибофуранозилхлорида (IV) с последующим удалением защитных групп и фосфорилированием I до II. К р-ру 0,02 моля 2-оксипиридина и 0,8 г NaOH в 200 мл воды добавляют при  $\sim 20^\circ$  и перемешивании 5,4 г  $\text{HgCl}_2$  в 50 мл  $\text{C}_2\text{H}_5\text{OH}$  и получают III; выход 90,1%. Из 0,014 моля 1-О-ацетил-2,3,5-три-О-бензоилрибофуранозы обработкой в течение 8 дней при 0—5° 300 мл сухого эфира, насыщенного HCl, получают IV. 7,2 г IV в 20 мл абс. бензола добавляют при перемешивании к суспензии 0,014 моля III в 300 мл сухого ксилола, кипятят 1 час, упаривают в вакууме, извлекают  $\text{CH}_2\text{Cl}_2$ , фильтрат промывают насыщ. р-ром NaI, упаривают в вакууме и получают 3-(2,3,5-три-О-бензоилрибофуранозил)-2-оксо-2,3-дигидропиридин (V), выход 67,5%, т. пл. 134—136° (из сп.),  $[\alpha]_D^{20} -1,12^\circ$  (с 1,49; хлф.). Р-р 10 г V в 350 мл  $\text{CH}_3\text{OH}$ , насыщенного  $\text{NH}_3$  при 0°, оставляют на 50 час. при 5—15°, упаривают в вакууме, стекловидный остаток отделяют от бензамида; добавляют 50 мл воды и экстрагируют хлороформом. Водн. слой упаривают досуха в вакууме ( $<30^\circ$ ), остаток растирают со спиртом и ацетоном и фильтрат упаривают, выход I 46,5%, т. пл. 183° (из сп.). 2 г I и 12,5 г *n*-толуолсульфокислоты в 250 мл ацетона перемешивают 1 час при  $\sim 20^\circ$ , выливают в насыщ. р-р  $\text{NaHCO}_3$ , экстрагируют  $\text{CHCl}_3$ , упаривают в вакууме, выход 2',3'-изопропилиден-6-дезоксипуридина (VI) 2 г (стекловидный остаток). 700 мг VI (высушенного при 60° и 2 мм 3 часа) смешивают с 3,5 г 85%-ной  $\text{H}_3\text{PO}_4$  и 2,5 г  $\text{P}_2\text{O}_5$ , нагревают в запаянном сосуде 2 часа при 60°, добавляют 25 мл воды и нагревают 30 мин. при 100°. Добавляют  $\text{Ba}(\text{OH})_2$  до рН 6,4, фильтрат упаривают до  $\sim 20$  мл и вносят  $\text{Ba}(\text{OH})_2$  до рН 7,3. Добавлением 2 объемов спирта выделяют дифос-

фат, выход 17%, последующей обработкой фильтрата спиртом получают II, выход 8,2%. К р-ру 700 мг VI в 1,3 мл  $\text{CH}_3\text{CN}$  добавляют 0,6 мл 2,4,6-коллина. смешанный ангидрид (из 0,97 г Na-бензилфосфита, 1,04 мл дифенилхлорфосфата) и 0,7 мл триэтиламина в 15 мл бензола, оставляют на 30 мин., упаривают, остаток растворяют в  $\text{CHCl}_3$ , промывают и упаривают в вакууме, выход 2',3'-изопропилиден-6-дезоксипуридил-5'-бензилфосфита (VII) 0,8 г (сироп). В р-р 0,8 г VII в 20 мл  $\text{CH}_3\text{CN}$  вносят 0,3 г N-хлорсукцинимид, оставляют при  $\sim 20^\circ$  на 2 часа, добавляют 20 мл насыщ. р-ра  $\text{NaHCO}_3$ , перемешивают 6 час., упаривают в вакууме, подкисляют HCl (по конго), экстрагируют  $\text{CHCl}_3$  и упаривают; выход 2',3'-изопропилиден-6-дезоксипуридил-5'-бензилфосфата (VIII) 250 мг. 250 мг VIII в 50 мл воды, подкисленной 0,005 н. HCl, гидрируют над PdO и Pd/C (0,1 г, 10%) и фильтрат упаривают в вакууме; выход 2',3'-изопропилиден-6-дезоксипуридин-5'-фосфата (IX) 175 мг. 100 мг IX обрабатывают 15 час. 5%-ным р-ром HCl в MeOH, добавляют 2 мл воды, упаривают до 1/2 объема в вакууме, добавляют  $\text{Ba}(\text{OH})_2$  до рН 7,3 и приливают 2 объема спирта, выход II 60 мг. Л. Андропова

**6Ж377. Изучение аналогов коэнзимов. II. Удобный синтез «тиоинозина». Ikehara Morio. Studies on coenzyme analogs. II. A convenient synthesis of «thioinosine». «Chem. and Pharmac. Bull.», 1960, 8, № 4, 367—368 (англ.).** Предложен удобный метод синтеза 6-меркапто-9- $\beta$ -D-рибофуранозилпурина (тиоинозина) (I) из аденозина. К суспензии 5 г сухого аденозина в 70 мл пиридина добавляют 5 г  $\text{As}_2\text{O}_3$ . Через 1,5 часа перемешивания фильтрат упаривают ( $<50^\circ$ ), извлекают  $\text{CHCl}_3$  и снова упаривают в вакууме; выход 2,3,5-три-О-ацетиладенозина (II) 4,1 г, т. пл. 166—167° (из сп.). К р-ру 1,5 г II в 4 мл  $\text{CH}_3\text{COOH}$  15 мл воды добавляют 0,5 г  $\text{NaNO}_2$ , через 48 час. упаривают в вакууме и остаток экстрагируют горячим сухим спиртом, выход 2,3,5-три-О-ацетиладенозина (III) 800 мг, т. пл. 236—238°. К р-ру 300 мг III в сухом пиридине добавляют 800 мг  $\text{P}_2\text{S}_5$ . После 4 час. кипячения реакционную смесь выливают в кипящую воду, выпавший осадок растирают со спиртом и водой; выход 2,3,5-три-О-ацетилтиоинозина (IV) 250 мг, т. пл. 214—216° (из сп.-ацетона). а) 100 мг р-р IV в 20 мл  $\text{CH}_3\text{OH}$ , насыщенном сухим  $\text{NH}_3$  при 0°, оставляют на 24 часа, упаривают в вакууме, остаток растирают с  $\text{CH}_3\text{OH}$  и из маточного р-ра выделяют 20 мг I. б) К р-ру 2,5 мг IV в 185 мл безводн.  $\text{CH}_3\text{OH}$  добавляют 4 мл н. NaOMe. Через 4,5 час. кипячения р-р упаривают в вакууме, добавляют 15 мл воды и  $\text{CH}_3\text{COOH}$  до рН 8,5, экстрагируют  $\text{CHCl}_3$  и доводят рН до 4—5; выход I 800 мг, т. пл. 208—210° (из сп.). Л. Андропова

**6Ж378. О частичном синтезе ангидроцеребрина. Proštenik M., Ries-Lešić B. Über die partielle Synthese des Anhydro-Cerebrins. «Naturwissenschaften», 1960, 47, № 16, 377—378 (нем.).** Ангидроцеребрин, выделенное из природного ангидроцеребрина (I), ацетилируют хлорангидридом 2-ацетоксигексакозановой к-ты в эфире в присутствии хлорида, получают моноацетильное производное I, которое очищают через диацетат (II), т. пл. 89—90°.  $[\alpha]_D^{20} +17,3^\circ$ . Деацетилирование II метанолным KOH дает с хорошим выходом I, т. пл. 115—116° (из сп.),  $[\alpha]_D^{20} +14,2^\circ$ . I и II идентифицируют с природными соединениями по т-ре плавления смешанных проб, уд. вращению и ИК-спектрам. 2-ацетоксигексакозановая к-та приготовлена гидролитич. расщеплением церебрина. Сообщ. XIV см. РЖХим, 1961, 4 ж 347. Г. С.

**6Ж379. Синтез (—)-2-(D), 4-(D)-диметилгептаноновой кислоты. Brettell R., Polgar N., Smith W. Synthesis of (—)-2(D), 4(D)-dimethylheptacosanoic acid. «J. Chem. Soc.», 1960, July, 2802—2805 (англ.).** Анодным сочетанием L-(+)-5-ацетокси-4-ме-

тилпента-  
ледующий  
завол-1  
2-(D), 4-  
станты  
d<sup>14</sup>, 1,0,  
петр. эф.  
CH<sub>3</sub>ONa  
гают алк.  
76825), ч.  
CH<sub>3</sub>OH.  
щийся Р  
са падеа  
дукт р-п  
>107/0,1  
ды + 160  
67—67,5°  
К р-ру 7  
30 мин.  
мешивае  
толуол-п  
торый н  
(48 час.  
выход 8  
р-ром 0,  
спирта и  
ценный  
20 мл во  
остаток  
ром и  
смесь IV  
ход 91%  
и 5 г см  
ляют хр  
деляют  
—40°),  
свободно  
—4,2° (с  
щелочью  
в эфире  
графиро  
(+)-2(г  
из бан  
8,5 г I  
описано  
0,6 а),  
тилокта  
n<sup>19</sup>D 1,4  
теплым  
водит  
т. пл. 3  
Привед  
II.  
6Ж380  
DL-21-ме  
ul, As  
lique. S  
«Cr. Ac  
Синтез  
ценный  
hashi H  
мирова  
щелчен  
т. пл. 3  
II (см.  
226) по  
67%, т.  
106/0,05  
либро  
готовле  
выход  
фталин  
который  
DL-10-м

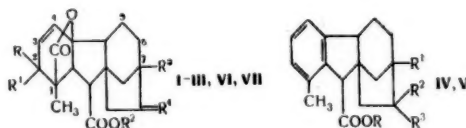
фильтрата  
700 мг VI  
дина, сме-  
та, 1,04 мг  
на в 15 мл  
т, остаток  
ают в ваку-  
уридил-5-  
0,8 г VII  
да, остав-  
мл насыщ-  
ают в ваку-  
трагируют  
иден-6-дез-  
250 мг  
ICI, гидри-  
рат упари-  
6-дезоксип-  
обработк-  
добавляют  
ме, добав-  
мл спирта,  
Андропова  
Удобный  
Studies on  
s of ethio-  
8, № 4  
од синтеза  
инозинина)  
аденозина  
из 1,5 часа  
(0°), извле-  
м; выход:  
166—167  
5 мл воды  
вают в ваку-  
хим спирт-  
) 800 мг,  
пиридине  
ения реак-  
выпавший  
ыход 2,35  
214—216°  
ОН, насы-  
аса, упари-  
и из ма-  
2,5 мг IV  
NaOMe. Че-  
кууме, до-  
экстрагн-  
I 800 мг,  
Андропова  
церебрин-  
die parti-  
aturwissen-  
Ангидрок-  
того анги-  
дом 2-ацет-  
тствии хл-  
ное I, ко-  
л. 89—90°  
ным КОН  
(из сп.)  
природных  
ых проб-  
аказована  
нем пере-  
347. Г. С.  
игентакон-  
mith W.  
ptacosaol-  
2802—2806  
токсин-4-мг

тилпентаановой к-ты (I) и докозановой к-ты (II) с последующим гидролизом получен D-(+)-2-метилпентаконтанол-1 (III), из которого далее синтезирована (-)-2-(D), 4-(D)-диметилгептакозановая к-та (IV). Константы исходной I: т. кип. 160°/10 мм;  $n_D^{20}$  1,4400;  $d_4^{20}$  1,0805;  $[\alpha]_D^{20}$  4,76°. Горячий р-р 9 г II в 300 мл петр. эфира прибавляют к горячему р-ру 30 г I и  $\text{CH}_3\text{ONa}$  (из 3 г Na) в 250 мл  $\text{CH}_3\text{OH}$ , смесь подвергают электролизу при 47° (ср. РЖХим, 1958, № 23, 76825), через 0,5 часа добавляют р-р 0,3 г Na в 50 мл  $\text{CH}_3\text{OH}$ . Катодом являлась Hg, а анодом — вращающийся Pt-диск; начальная сила тока 2,6 а, через 4 часа падает до постоянной — 0,65 а. Р-р упаривают, продукт р-ции извлекают эфиром, фракцию с т. кип.  $>107^\circ/0,1$  мм кипятят с р-ром 20 г КОН в 35 мл воды + 160 мл спирта (16 час.), получают III, т. пл. 67—67,5° (из ацетона),  $[\alpha]_D^{20} +5,5^\circ$  (с 8,15; хлф.). К р-ру 7,5 г III в 250 мл сухого пиридина в течение 30 мин. (0°) прибавляют 6,49 г  $n\text{-CH}_3\text{C}_6\text{H}_4\text{SO}_2\text{Cl}$ , перемешивают 2 часа (20°), через 48 час. выделяют 9,98 г толуол- $n$ -сульфоната III, т. пл. 54—55° (из бзн.), который кипятят с р-ром 5,7 г NaI в 150 мл ацетона (48 час.), получают D-1-йод-2-метилпентакозан (V), выход 8,3 г, т. пл. 43—44° (из бзн.). Смесь 3,1 г V с р-ром 0,25 г Na и 2,6 мл  $\text{CH}_3\text{CH}(\text{COOC}_2\text{H}_5)_2$  в 30 мл спирта кипятят 6 час., подкисляют разб. HCl, извлеченный эфиром продукт кипятят с р-ром 15 г КОН 20 мл воды + 80 мл спирта (15 час.), отгоняют спирт, остаток подкисляют HCl, органич. к-ту извлекают эфиром и декарбоксилируют (180°, 2 часа), получают смесь IV и ее 2-1-диастереоизомера (IVa), общий выход 91%. Эту смесь этерифицируют ( $\text{CH}_3\text{OH} + \text{H}_2\text{SO}_4$ ), и 5 г смеси метиловых эфиров (MЭ) IV и IVa разделяют хроматографированием на  $\text{Al}_2\text{O}_3$  из бензина; выделяют 1,97 г MЭ IV, т. пл. 46,5—47,5° (из бзн., при -40°),  $[\alpha]_D^{20} -4,9^\circ$  (с 9,35; хлф.), из которого получают свободную IV, т. пл. 54—55° (из бзн. при -6°),  $[\alpha]_D^{20} -4,2^\circ$  (с 6,05; хлф.). Длительное кипячение MЭ IV со щелочью ведет к рацемизации. Из MЭ IV кипячением в эфире с  $\text{LiAlH}_4$  (30 мин.) последующим хроматографированием на  $\text{Al}_2\text{O}_3$  и вымытием  $\text{C}_6\text{H}_6$  получен (+)-2-(R), 4-(D)-диметилгептакозанол-1, т. пл. 63—64° (из бзн.),  $[\alpha]_D^{20} +3,17^\circ$  (с 4,42; хлф.). Р-р 0,75 г Na и 8,5 г I в 300 мл  $\text{CH}_3\text{OH}$  подвергают электролизу, как описано выше (1,5 часа, 20—40°, сила тока 4,5 а, 0,6 а), выделяют (+)-1,8-диактокси-2-(D), 7-(1)-диметилпентаконтана, выход 4,04 г, т. кип. 158,5—159°/9,5 мм,  $n_D^{20}$  1,4370,  $[\alpha]_D^{20} +2,08^\circ$ . Гидролиз последнего длительным кипячением с р-ром КОН в воде + спирт приводит к (+)-1,8-диокси-2-(D), 7-(1)-диметилпентаконтану, т. пл. 33—34° (из эф.),  $[\alpha]_D^{20} +22,5^\circ$  (с 17,16; хлф.). Приведены отдельные цифровые данные ИК-спектра II.

**6Ж380. Структура коринолевой кислоты. Синтез** DL-21-метилгексатриаконтанона-2. Toubiana Raoul, Asselineau Jean. Structure de l'acide corynolique. Synthèse de la DL-méthyl-21 hexatrickontanone-2. «Cr. Acad. sci.», 1960, 251, № 6, 884—886 (франц.).— Синтезирован 21-метилгексатриаконтанон-2 (I), полученный при окислении коринолевой к-ты (см. Takahashi N., J. Pharmac. Soc. Japan, 1948, 68, 292). При бромировании ундециленовой к-ты и последующем отщеплении HBr образуется ундецин-10-овая к-та (II), т. пл. 39—41°, т. кип. 115°/0,03 мм. При гидрировании II (см. Fraser M. M., Raphael R. A., J. Chem. Soc., 1952, 226) получена 10-оксоундекановая к-та (III), выход 67%, т. пл. 56—57,5°; метиловый эфир (MЭ), т. кип. 106°/0,05 мм;  $n_D^{20}$  1,4407. При действии пентадецилмagnиобромидна на MЭ III и последующем омылении приготовлена 10-метил-10-оксипентакозановая к-та (IV), выход 70%. При кипячении в  $\text{C}_6\text{H}_6$ , в присутствии  $\beta$ -нафталинсульфокислоты, IV дает смесь ненасыщ. к-т, которые при гидрировании над  $\text{PtO}_2$ , превращаются в DL-10-метилпентакозановую к-ту (V), т. пл. 49—50°; MЭ,

т. кип. 170°/0,05 мм;  $n_D^{20}$  1,4529. Смесь леулиновой к-ты и моноэтилового эфира себаценовой к-ты подвергают электролизу по Кольбе, омыляют, получают 12-оксотридекановую к-ту (VI), т. пл. 59—60°; MЭ, т. кип. 100°/0,03 мм. Р-ция Кольбе между V и VI приводит к DI-I, т. пл. 49—51°, семикарбазон, т. пл. 104—105°. Из продуктов р-ции выделен также 16,33-диметиллоктатетракоитан  $\text{C}_{30}\text{H}_{62}$ , т. пл. 60—62°. Приведены данные по ИК-спектрам IV и MЭ V. А. Лютенберг

**6Ж381. Гиббереллин А<sub>7</sub>. Новый плесневый гиббереллин.** Cross B. E., Galt R. H. B., Hanson J. R. Gibberellin A<sub>7</sub>. A new fungal gibberellin. «Tetrahedron Letters», 1960, № 15, 18—22 (англ.).—Из *Gibberella fujikuroi* выделен новый гиббереллин А<sub>7</sub> (I). После развития плесени до исчезновения неорганич. азота в питательной среде и выдержки 209 час. при pH 7 выделена гиббереллиновая к-та (II) (см. РЖХимБх, 1957, № 14, 15318). Смола из этилацетатного маточного р-ра хроматографирована на смеси уголь + целит (1:2) и вымыта повышающимися конц-ями ацетона в воде. В-во из 65%-ного ацетона хроматографировано на  $\text{SiO}_2$  + целит. (1:2) [вымывание возрастающими конц-ями этилацетата (ЭА) в  $\text{CHCl}_3$ ]. Из 20%-ного ЭА получен I (25 мг на 1 л фильтрата),  $\text{C}_{19}\text{H}_{22}\text{O}_5$ , т. пл. 202° (разл.),  $[\alpha]_D^{20} +20^\circ$  (сп.). Метиловый эфир I (II), т. пл. 152—153° или 168—170°,  $[\alpha]_D^{20} +33^\circ$  (сп.). Гидрирование указывает на наличие двух двойных связей. Обработка I разб. к-той при 20° приводит к ароматич. к-те  $\text{C}_{18}\text{H}_{22}\text{O}_5$  (IV), т. пл. 220—222°, которая с  $\text{CH}_2\text{N}_2$  дает эфир  $\text{C}_{19}\text{H}_{24}\text{O}_3$  (V), т. пл. 145—148°. Гидрирование III над 25%-ным Pd/C приводит к образованию 60% кислотных в-в и метилового эфира дигиббериллина А<sub>4</sub>. При окислении III  $\text{MnO}_2$  получен  $\alpha$ , $\beta$ -ненасыщ. кетон  $\text{C}_{20}\text{H}_{22}\text{O}_5$  (VI), т. пл. 139—140°. Наличие концевой  $\text{CH}_2$ -группы показано спектрофотометрич. определением  $\text{CH}_2\text{O}$  при окислении I  $\text{NaIO}_4/\text{KMnO}_4$ . При озолизе III получено 0,43 моля  $\text{CH}_2\text{O}$



I R=R'=R''=H, R<sup>1</sup>=OH, R<sup>4</sup>=CH<sub>3</sub>; II R=R''=H, R<sup>1</sup>=R''=OH, R<sup>4</sup>=CH<sub>3</sub>; III R=R''=H, R<sup>1</sup>=OH, R<sup>2</sup>=CH<sub>3</sub>, R<sup>4</sup>=CH<sub>3</sub>; IV R=R''=H, R<sup>2</sup>=OH, R<sup>4</sup>=CH<sub>3</sub>; V R=R''=CH<sub>3</sub>, R<sup>1</sup>=H, R<sup>2</sup>=OH; VI R+R''=O, R<sup>3</sup>=CH<sub>3</sub>, R<sup>4</sup>=H, R<sup>5</sup>=CH<sub>3</sub>; VII R=R''=H, R<sup>2</sup>=OH, R<sup>3</sup>=CH<sub>3</sub>, R<sup>4</sup>=O

и норкетон  $\text{C}_{19}\text{H}_{22}\text{O}_6$  (VII), т. пл. 185°, устойчивый к  $\text{H}_2\text{O}_4$ , его моноацетат, т. пл. 187—189°. Приведены данные по ИК-спектрам I, III, VI. Л. Шапновский

**6Ж382. Химическое строение гиббереллинов. Часть 48. Биохимическое изучение гриба «баканае». Часть 49. Новый гиббереллин-гиббереллин А<sub>4</sub>. Часть XIV. Biochemical studies on «bakanae» fungus. Part 48. Takahashi Nobutaka, Seta Yasuo, Kitamura Hiroshi, Sumiki Yusuke. A new gibberellin, gibberellin A<sub>4</sub>. Part 49. Kitamura Hiroshi, Seta Yasuo, Takahashi Nobutaka, Kawarada Akira, Sumiki Yusuke. Chemical structure of gibberellins. Part XIV. «Bull. Agric. Chem. Soc. Japan», 1959, 23, № 5, 405—407; 408—411 (англ.).—48. Смесь метиловых эфиров гиббереллинов (MЭГ), полученную обработкой  $\text{CH}_2\text{N}_2$  смеси гиббереллинов (СГ), выделенной из культуральной жидкости *Gibberella fujikuroi*, хроматографировали на колонке с  $\text{Al}_2\text{O}_3$ , р-итель: смесь этилацетата и  $\text{C}_6\text{H}_6$  (1:5). Метиловый эфир гиббереллина А<sub>4</sub> (MЭ I) элюируется прежде других MЭГ. Его очищают повторной хроматографией, т. пл. 175—176° (из этилацетата и лигр.),  $[\alpha]_D^{20} -14,2^\circ$**



(с 3,17;  $\text{CH}_3\text{OH}$ ), получено моноацетильное производное с т. пл. 131—133°. Свободный I выделен из СГ с помощью распределительной хроматографии на  $\text{SiO}_2$  с фосфатным буфером (рН 5,4) в качестве неподвижной фазы и смесью этилацетата I и  $\text{C}_6\text{H}_6$  (1:1) в качестве подвижной; т. пл. 222°,  $[\alpha]_D^{20} -14,70^\circ$  (с 3,81;  $\text{CH}_3\text{OH}$ ),  $\text{C}_{19}\text{H}_{24}\text{O}_6$ . При гидрировании МЭ-I в  $\text{CH}_3\text{OH}$  с Pt (из  $\text{PtO}_2$ ) получается дигидропроизводное МЭ-I,  $\text{C}_{20}\text{H}_{26}\text{O}_6$ , т. пл. 141°. Озонолиз МЭ-I дает  $\text{CH}_2\text{O}$  и нейтр. в-во  $\text{C}_{19}\text{H}_{22}\text{O}_6$ , т. пл. 203°, что указывает на присутствие в молекуле I одной экзоциклич.  $\text{CH}_2$ -группы. ИК-спектр МЭ-I указывает на наличие  $\gamma$ - или несколько деформированной  $\delta$ -лактонной группы и этерифицированной карбоксильной группы, присутствие которой подтверждено также титрованием I и определением  $\text{CH}_3\text{O}$ -группы у МЭ-I. Дегидрирование МЭ-I с Se дает смесь 1-метил- и 1,7-диметилфлуоренов, т. пл. 80—92°. Биологич. активность I на проростках риса подобна активности гиббереллина  $A_1$ , но I подавляет рост корней.

49. Установлен углеродный скелет и функциональные группы гиббереллинов  $A_1$ ,  $\text{C}_{19}\text{H}_{24}\text{O}_6$  (II), т. пл. 232—235°,  $[\alpha]_D^{20} +42,3^\circ$ ,  $A_2$ ,  $\text{C}_{19}\text{H}_{26}\text{O}_6$  (III), т. пл. 235—237°,  $[\alpha]_D^{20} +11,7^\circ$ ,  $A_3$ ,  $\text{C}_{19}\text{H}_{22}\text{O}_6$  (IV), т. пл. 233—235°,  $[\alpha]_D^{20} +86,0^\circ$  и I. II и III с диазометаном дают нейтр. монометилонные эфиры (V и VI соответственно). ИК-спектры II и III указывают на наличие в их молекулах одной  $\gamma$ - или  $\delta$ -лактонной и одной карбоксильной групп. При каталитич. гидрировании V образуются два дигидро-V. VI не гидрируется. V с  $(\text{CH}_3\text{CO})_2\text{O}$  и пиридином образует моноацетильное производное (VII), а при кипячении с  $(\text{CH}_3\text{CO})_2\text{O}$  и безводн.  $\text{CH}_3\text{COONa}$  дает сироп, который при гидрировании превращается в два диацетилдигидро-V (VIII и IX). Дигидро-V образует два стереоизомерных моноацетильных производных (X и XI) и VIII и IX. При окислении дигидро-II хромовой к-той образуется монокетон (XII), устойчивый к дальнейшему окислению. VI также дает моноацетильное производное (XIII) и окисляется хромовой к-той в монокетон  $\text{C}_{20}\text{H}_{26}\text{O}_6$  (XIV). ИК-спектр XIII указывает на присутствие ОН-группы. Из полученных данных следует, что II и III являются диоксимонокарбоновыми к-тами, содержащими лактонную группу. Одна из оксигрупп вторичная, другая — третичная, II содержит одну двойную связь, отсутствующую у III. Дегидрирование V Se дает 1,7-диметилфлуорен (XV). При дегидрировании VI получен XV и небольшое кол-во нейтр. масла. Показано, что II, III, IV отличаются только числом двойных связей (у II — одна, у IV — две, у III — отсутствуют). I имеет тот же скелет, одну двойную связь и одну ОН-группу. Выделили диацетильное производное V, т. пл. 168—169°, и моноацетильное производное, т. пл. 173—174°. Смесь V, VII и  $\text{CH}_3\text{COONa}$  кипятили 1,5 часа. Полученный сироп гидрировали над Pd/C и выделили VIII, т. пл. 176—178°, и IX, т. пл. 210—212°. После ацетилирования дигидро-V выделили VIII, IX, X, т. пл. 120—122°, и XI, т. пл. 202—204°. Дигидро-II нагревали с 1,2%-ным р-ром  $\text{CrO}_3$  в  $\text{CH}_3\text{COOH}$  при 60° (3 часа). Из смеси выделили XII, т. пл. 256—258°. Смесь V и порошка Se нагревали при 320—330° в течение 2 час., выделили XV, т. пл. 106—107°. Ацетилированием VI выделили XIII, т. пл. 204—205°,  $[\alpha]_D^{20} +40,0^\circ$  (с 2,5;  $\text{C}_2\text{H}_5\text{OH}$ ). Окислением VI получали XIV, т. пл. 102—104° (монокетон), 177—178° (безводн.); монокетим, т. пл. 206—208° VI дегидрировали с Se. Из смеси выделили XV, пикрат, т. пл. 83—84°, аддукт XV с 1,3,5-тринитробензолом, т. пл. 98—100°. Синтезированные в-ва выделяли из смеси хроматографированием на  $\text{Al}_2\text{O}_3$ . Часть 47 см. РЖХим, 1960, № 9, 35035.

6Ж383. Биохимическое изучение гриба «Баканае». Часть 50. Химическое строение гиббереллинов. Часть XV. Часть 51. Химическое строение гиббереллинов.

Часть XVII. Часть 52. Химическое строение гиббереллинов. Часть XVIII. Часть 53. Химическое строение гиббереллинов. Часть XIX. Часть 54. Химическое строение гиббереллинов. Часть XX. Biochemical studies on «bakanae» fungus. Part XV. Part 50. Seta Yasuo, Takahashi Nobutaka, Kawarada Akira, Kitamura Hiroshi, Sumiki Yusuke. Chemical structure of gibberellins. Part XVII. Part 51. Seta Yasuo, Takahashi Nobutaka, Kitamura Hiroshi, Takai Makoto, Tamura Saburo, Sumiki Yusuke. Chemical structure of gibberellins. Part XVIII. Part 52. Takahashi Nobutaka, Seta Yasuo, Kitamura Hiroshi, Sumiki Yusuke. Chemical structure of gibberellins. Part XIX. XX. Part 53, 54. Kitamura Hiroshi, Takahashi Nobutaka, Seta Yasuo, Kawarada Akira, Sumiki Yusuke. Chemical structure of gibberellins. «Bull. Agric. Chem. Soc. Japan», 1959, 23, № 4, 344—346; № 5, 412—417; № 6, 493—498; 499—509; 509—524 (англ.).—50. Установлена природа двойной связи и ее положение в молекуле гиббереллина  $A_1$  (I). По данным спектроскопии и озонолиза двойная связь у I соединяет циклич. часть молекулы с терминальной метиловой группой. В ИК-спектре метилового эфира I (II) имеется полоса поглощения при 890  $\text{cm}^{-1}$ , исчезающая при каталитич. гидрировании. При озонолизе II образуются  $\text{CH}_2\text{O}$ ,  $\text{HCOOH}$ , нейтр. в-во  $\text{C}_{19}\text{H}_{24}\text{O}_7$  (III) и к-та  $\text{C}_{19}\text{H}_{24}\text{O}_8$  (IV). ИК-спектр III указывает на наличие лактонной группы, сложнэфирной группы и 5-членного цикла.  $\text{H}_2\text{O}_2$  окисляет III в IV. III не реагирует с реактивом Шиффа, но восстанавливает аммиачный р-р  $\text{AgNO}_3$  и р-р Фелинга, не реагирует с  $\text{HNO}_3$ . Продукт р-ции III с  $\text{NaNH}_4$  окисляется  $\text{HIO}_4$  в альдегид. Эти р-ции III свидетельствуют об  $\alpha$ -кетонном строении. ИК-спектр IV указывает на наличие лактонной, сложнэфирной и карбоксильной групп. По данным ИК-спектра метиловый эфир IV (V) содержит лактонную и сложнэфирную группу и кетогруппу в 6-членном цикле. При ацетилировании V получается моноацетил-V,  $\text{C}_{22}\text{H}_{28}\text{O}_9$  (VI); следовательно, одна из двух ОН-групп I является третичной. Окисление VI хромовой к-той дает дикарбоновую к-ту  $\text{C}_{22}\text{H}_{28}\text{O}_{12}$  (VII) с тем же числом C-атомов, что подтверждает циклич. строение IV. Дегидрирование VI ведет к образованию 1-метил-7-оксифлуорена (VIII), поэтому один конец кольца, содержащего метиленовую группу, связан с положением 7 молекулы I. Если бы конец 5-членного цикла I находился в положении 5 флуоренового цикла, то дегидрирование IV дало бы 1,5-диметил-7-оксифлуорен. Если бы этот конец находился в положении 12, то гиббереллин C (IX), получающийся при перегруппировке I, при гидрировании не дал бы 1,7-диметилфлуорен (X). Следовательно, это положение также исключено. Из всех возможных положений для конца 5-членного цикла остается только 13. II (т. пл. 232—234°) озонировали при т-ре от -40 до -50° током  $\text{O}_2$ , содержащего ~3%  $\text{O}_3$ . Получены  $\text{CH}_2\text{O}$ ,  $\text{HCOOH}$ , III, двойная т. пл. 135 и 170°.  $[\alpha]_D^{20} +44,0^\circ$ ,  $\text{C}_{19}\text{H}_{24}\text{O}_7$ , и IV, т. пл. 98°,  $[\alpha]_D^{20} +32,1^\circ$ . V, т. пл. 169—170°,  $[\alpha]_D^{20} +48,2^\circ$ , получили по методу Фишера — Шпейера или с диазометаном. III окисляли  $\text{H}_2\text{O}_2$  и из реакционной смеси выделили IV. VI, т. пл. 195°,  $[\alpha]_D^{20} +71,0^\circ$ , приготовлен ацетилированием V. VI окислен хромовой к-той в VII, т. пл. 194—196°,  $[\alpha]_D^{20} +87,2^\circ$ . VIII получен дегидрированием IV Se, т. пл. 159—161°. Нагревание IX с Se дает X, т. пл. 106—107°, и гибберон, т. пл. 126—127° (Yabuta и др., J. Agric. Chem. Soc. Japan. 1941, 17, 894).

51. Изучали связь между изомерами I, т. е. IX псевдогиббереллином  $A_1$  (XI), изогиббереллином  $A$  (XII). I в присутствии минер. к-ты изомеризуется в IX. Ацетилирование IX дает моноацетил-IX (XIII). Монометиловый эфир XIII не содержит ОН-групп. IX содержит карбонил и дает 2,4-динитрофенилгид-

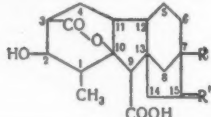
зон. ИК-спектр IX доказывает наличие карбоксила и  $\gamma$ - или  $\delta$ -лактонной группы. IX не гидрируется под Pt (из  $PtO_2$ ). Следовательно, молекула IX содержит одну OH-группу, одну кетогруппу, один карбоксил- и одну лактонную группу. При этом одна OH-группа (по-видимому, третичная) и экзоциклич.  $CH_2$ -группа I при обработке к-той превращается в кетогруппу IX. При обработке 0,1 н. NaOH и последующем подкислении IX превращается в XII, содержащий одну лактонную и одну карбоксильную группы. IX и XII являются энантимерами. Взаимодействие II с 0,01 н. NaOH ведет к образованию I и XI. При гидрировании XI превращается в дигидро-И. ИК-спектры I и XI одинаковы. Дигидро-И при действии 0,01 н. NaOH превращается в дигидро-ХI. При этом лактонное кольцо дигидро-И не раскрывается, т. е. при превращении I в XI и дигидро-И в дигидро-ХI происходит эимеризация. Циклизация при открытии лактонного кольца у дигидро-ХI обратима. Обработка XI 30%-ной  $H_2SO_4$  дает XII. В эимеризации принимает участие вторичная OH-группа. Механизм перегруппировки I в IX и XI в XII в присутствии к-ты подобен изменениям, происходящим при бромировании I. Бромирование I дает монобром-И, который не гидрируется с Pt (из  $PtO_2$ ) в нейтр. среде, но гидрируется в щел. среде; Zn +  $CH_3COOH$  легко дебромирует I с образованием IX. При бромировании I и перегруппировке в присутствии к-ты происходит образование промежуточного соединения, содержащего лактон карбонил, и его перегруппировка. При окислении  $SeO_2$  IX превращается в  $\alpha$ -дикетон  $C_{19}H_{22}O_7 \cdot H_2O$  (XIII), дающий положительную реакцию с этилендиаминном. Приведены ИК-спектры IX, XI, XII и монобром-И. Моноацетил-IX (XIV) получен ацетилированием IX, т. пл. 265—267°,  $C_{21}H_{26}O_7$ . Метилирование XIV диазо-метаном дает монометилловый эфир XIV, т. пл. 200°. XII получен кипячением IX с 0,1 н. NaOH, т. пл. 260—262°. Нагревание XI с 30%-ной  $H_2SO_4$  также дает XII. Метиловый эфир XII, т. пл. 270—272°. Дигидро-ХI получен гидрированием XI с Pt (из  $PtO_2$ ), т. пл. 290—295°. Дигидро-ХI окислен  $CrO_3$ . Продукт окисления (т. пл. 254°) идентичен с в-вом, получающимся при окислении дигидро-И. IX получен гидрированием монобром-И с Pd/ $CaCO_3$  и обработкой монобром-И Zn +  $CH_3COOH$ . Окисление IX в спирт. р-ре  $SeO_2$  дает этиловый эфир IX, т. пл. 206—207°, и XIII, т. пл. 240—248°. Бромированием IX 1%-ным р-ром  $Br_2$  в  $CH_3COOH$  получен монобром-IX, т. пл. 228—229°, и неидентифицированное в-во, т. пл. 202—205°.

52. Установлено положение вторичной OH-группы и лактонного карбонила у I. Дегидрирование кетонов (XV и XVI соответственно), полученных окислением дигидро-И и IX  $CrO_3$ , дает в первом случае некристаллич. фенолы, во втором случае приводит к в-ву  $C_{17}H_{20}O_2$  (XVII), т. пл. 240—243°, ИК-спектр которого указывает на присутствие фенольной группы и 1,2,3,4-тетразамещенного бензольного кольца. При этом кольцо D не разрывается. При восстановлении IV Zn + HCl образуется в-во  $C_{19}H_{26}O_7$  (XVIII), содержащее лактонную, сложнотетрациклическую, карбоксильную и кетогруппы. Окисление XVIII  $CrO_3$  сопровождается декарбоксилированием и образованием нейтр. кетона  $C_{18}H_{24}O_5$  (XIX). Во время восстановления IV по Клемменсену лактонное кольцо размыкается и образуется OH-группа, которая снова лактонизируется с карбоксил-ом при  $C_{14}$ , а затем отщепляется  $COOH$ -группа, входящая в состав первоначального лактона, под влиянием  $CO$ -группы, образовавшейся при окислении вторичной OH-группы. Это доказывает, что лактонный атом O может располагаться при  $C_{10}$  или  $C_{11}$ . Дегидрирование XIX Se дает 1-метил-2-оксифлуорен (XX), образование которого указывает, что кетогруппа, а следовательно, и вторичная OH-группа I, располагается у  $C_{12}$ . Метиловый эфир IV при дегидратации  $POCl_3$  образует моноагидропродукт  $C_{20}H_{24}O_7$  (XXI).

XXI не содержит хромофорной сопряженной системы. Восстановление II  $LiAlH_4$  приводит к образованию пентаола (XXII), не окисляющегося  $HJO_4$ . Моноацетилмоноагидро-XXII (XXIII) указывает на наличие в молекуле II 1,3-гликолевой связи. Окисление дигидро-И  $CrO_3$  дает  $C_{22}$ -кетон  $C_{19}H_{24}O_8$  (XXIV), содержащий лактонную и карбоксильную группы и кетогруппу в 6-членном кольце и дающий при нагревании с  $H_2SO_4$  кетомонокарбоновую к-ту (XXV) в качестве главного продукта, теряя при этом 1 моль  $CO_2$  и кетон (XXVI) с потерей 2 молей  $CO_2$ . ИК-спектр XXVI указывает на наличие кетогруппы в 6-членном цикле и  $\alpha, \beta$ -ненасыщ. кетогруппы. Оба в-ва не содержат лактонной группы. Кетогруппа XXIV находится в  $\beta$ -положении к лактонному карбонилу и облегчает делактонизацию. Двойная связь XXVI расположена при  $C_{10}$ — $C_{11}$ . При обработке метилового эфира XVIII (XXVII)  $LiAlH_4$ , лактонная и карбоксиметильная группы восстанавливаются в оксиметильные и образуются пентаол (XXVIII). Смесь углеводов, получающаяся при восстановлении XXVIII Se, содержит 1,3-диметилфлуорен (XXIX) и 1-метилфлуорен. Если бы  $CH_2OH$ -группа, образовавшаяся из лактонного карбонила, находилась у  $C_{11}$ , то при дегидрировании образовался бы только 1-метилфлуорен. Поэтому  $CH_2$ -группа при  $C_{10}$  может образоваться только из  $CH_2OH$ -группы при  $C_{10}$  XXVIII. Следовательно, лактонный карбонил I должен находиться у  $C_{10}$  (или  $C_{11}$ ). Лактонный атом O у I расположен при  $C_{10}$ , как это следует из строения гиббереллина  $A_3$  (XXX). IV нагревали со смесью амальгамированного Zn и HCl получили XVIII, т. пл. 252—254°,  $[\alpha]_D^{25} + 46,2^\circ$ . Метиловый эфир XVIII, т. пл. 154—156°,  $[\alpha]_D^{25} + 40,9^\circ$ . XVII нагревали с р-ром  $CrO_3$  в  $CH_3COOH$ . Т. пл. полученного XIX 173—174,5°,  $[\alpha]_D^{25} + 46,8^\circ$ , 2,4-динитрофенилгидразон, т. пл. 195°. XIX нагревали с Se, получили XX, т. пл. 185—187°. IV нагревали со смесью  $POCl_3$  и пиридина, получили XXI, т. пл. 135—136°,  $[\alpha]_D^{25} - 42,9^\circ$ . XXI гидрировали над Pt (из  $PtO_2$ ), получили дигидро-XXI, т. пл.  $C_{20}H_{26}O_7$  114—116°,  $[\alpha]_D^{25} + 27,2^\circ$ . XXI нагревали с Se, получили VII, т. пл. 162—163°; VIII получен также при нагревании дигидро-XXI с Se. XXI озонирован при 15—20°. Из реакционной смеси выделено небольшое кол-во кристаллич. в-ва  $C_{19}H_{22}O_8 \cdot H_2O$ , т. пл. 74—77°, XXIII получен взаимодействием XXII с ацетоном в присутствии  $H_2SO_4$ , т. пл. 137—139°, XXIV синтезирован из дигидро-И обработкой  $CrO_3$  в пиридине, т. пл. 256—258°,  $C_{19}H_{24}O_8$ . Смесь XXIV и  $H_2SO_4$  кипятят в течение 2 час. Из реакционной смеси выделяли XXV, т. пл. 215—217°, и XXVI, т. пл. 193°. XXVIII кипятят с  $LiAlH_4$ . Т. пл. XXVIII 214—219°,  $C_{16}H_{32}O_5$ . Нагреванием смеси XXVIII и Se получили XXIX, т. пл. 94—97°, 1,3,9-триметилфлуорен, 1,9-диметилфлуорен и флуоренол, т. пл. 152—154°.

53. Изучена связь между I и XXX. При гидрировании метилового эфира XXX (XXXI) с Pt (из  $PtO_2$ ) получена кислая фракция (80%) и смесь двух стереоизомерных метиловых эфиров дигидро-И. Кислая фракция разделена на два изомерных в-ва  $C_{20}H_{30}O_6$  (XXXII) и (XXXIII). При гидрировании XXX образуется смесь дигидро-И, стереоизомера I (XXXIV), получающегося в результате гидрирования одной двойной связи XXX, дикарбоновой к-ты  $C_{19}H_{26}O_6$  (XXXV) и дикарбоновой к-ты  $C_{19}H_{26}O_6 \cdot 0,66H_2O$  (XXXVI). Диметиловый эфир XXXV идентичен с диметиловым эфиром XXXIII, но диметиловый эфир XXXVI не идентичен с диметиловым эфиром XXXII. Факт, что дигидро-И находится среди продуктов гидрирования XXX, свидетельствует о том, что XXX отличается от I только лишней двойной связью. Одна из двойных связей XXX и алкильный кислород лактонной группы находятся в аллильном положении друг к другу. Восстановлением II и XXXI  $LiAlH_4$ , полученные в-ва  $C_{19}H_{32}O_5$  (XXXVII) и  $C_{19}H_{30}O_5$  (XXXVIII), соответст-

венно. При обработке безводн.  $\text{CH}_3\text{COONa}$  XXXVII дает тетраацетильное производное (XXXIX), а при действии  $(\text{CH}_3\text{CO})_2\text{O}$  в пиридине триацетильное производное (XL). Из XXXVIII образуется только триацетильное производное (XLI). XXXVII не гидрируется с Pt (из  $\text{PtO}_2$ ), XXXVIII превращается в XXXVII. Так как озонлиз XXXVII, XXXIX и XL дает  $\text{HCHO}$  с очень плохим выходом, то, по-видимому, экзациклич.  $\text{CH}_2$ -группа у XXXVII отсутствует. Метилирование XXXV по Фишер — Шпейеру дает кислый монометиловый эфир (XLII), не идентичный с XXXIII. При окислении XXXV  $\text{CrO}_3$  образуется некоторое кол-во монокарбоновой к-ты  $\text{C}_{13}\text{H}_{26}\text{O}_4$  (XLIII), что указывает на окисление вторичного гидроксильного к-та последующим декарбоксилированием вследствие наличия системы  $\beta$ -кетокислоты. При нагревании XXXV с  $(\text{CH}_3\text{CO})_2\text{O}$  получается соединение  $\text{C}_{23}\text{H}_{40}\text{O}_7$  (XLIV), в котором ацетилированы два гидроксильных. В этих условиях XXXVI превращается в изомерный XLIV ангидрид (XLV). Оба в-ва (XLIV и XLV) образуются за счет ангидризации карбоксильных в 3 и 9 положениях. XXXVII и XXXVIII не окисляются  $\text{HNO}_3$ , доказывая этим, что лактонный кислород не находится в винильном положении к первоначальной вторичной OH-группе в кольце А. Продукт, полученный подкислением щел. р-ра II, хроматографировали на колонке  $\text{SiO}_2$ . Выделили 10% I, 40% изомера I (XLVI), не являющегося XI и не окисляющегося перйодатом. Хроматографированием продукта обработки XXXI целочью выделены два в-ва (XLVII и XLVIII). XLVIII является дикарбоновой к-той. XLVIII быстро окисляется  $\text{HNO}_3$  и в кислой и в щел. среде, XLVII медленно



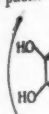
I  $\text{R}=\text{O}^-\text{H}$ ,  $\text{R}=\text{CH}_2$   
 XXX  $\text{R}=\text{OH}$ ,  $\text{R}'=\text{CH}_2$ ,  $\Delta^4(11)$   
 LVII  $\text{R}=\text{H}$ ,  $\text{R}'=\text{CH}_2+\text{OH}$   
 LVIII  $\text{R}=\text{H}$ ,  $\text{R}'=\text{CH}_2$

окисляется в щел. среде. При гидрировании XLVIII присоединяет 1 моль  $\text{H}_2$ . При щел. обработке к XXXI присоединяются два моля  $\text{H}_2\text{O}$ , один из которых служит для гидролиза лактонной группы. Одна из двойных связей XXX у XLVIII отсутствует, следовательно, XLVIII не просто продукт гидролиза лактонного цикла, но возникает в результате гидратации двойной связи, причем образующаяся OH-группа винильна к алкильному O лактонной группы. При бромировании XXX получают два монобромпроизводных  $\text{C}_{13}\text{H}_{21}\text{O}_4\text{Br}$  (XLIX и L). XLIX дает моноацетильное производное (LI). Метилловый эфир LI (LII) не содержит OH-групп. При бромировании XXX OH-группа превращается в карбонильную и происходит вагнеровская перегруппировка колец C и D с образованием монобромсоединения (LIII). При обработке XLIX  $\text{Zn} + \text{CH}_3\text{COOH}$  получен IX. Из нейтр. фракции, полученной при гидрировании LIII с Pt (из  $\text{PtO}_2$ ), выделен метилловый эфир монобром-I (LIV), а из кислой — продукт гидрогенолиза лактонного кольца (LV). Озонированием LII получена монокарбоновая к-та  $\text{C}_{22}\text{H}_{25}\text{O}_{10}\text{Br}$  (LVI). При кипячении LVI с  $\text{H}_2\text{SO}_4$  выделяется 0,5 моля  $\text{CO}_2$ . Легкость декарбоксилирования показывает, что LVI является  $\beta$ -оксокарбоновой к-той. Отсюда двойная связь XLIX и XXX находится у  $\text{C}(4) - \text{C}(11)$ . Алкильный кислород лактонной группы является аллильным к двойной связи, что доказывается легкостью гидрогенолиза при каталитич. гидрировании XXX и XLVI. Так как двойная связь находится у  $\text{C}(4) - \text{C}(11)$ , то алкильный кислород лактонного кольца может быть у  $\text{C}(12)$  или  $\text{C}(10)$ . Так как ароматизация XXX происходит легко (РЖХим, 1958, № 6, 18160), положение C-12 невозможно. Таким образом установлено строение XXX, XLIX и I. Лактонная группа гиббереллинов, по-видимому,  $\delta$ -лактонная. XXXI гидриро-

ван над Pt (из  $\text{PtO}_2$ ). Выделены метилловый эфир дигидро-I, т. пл. 235—238°, XXXII, т. пл. 212—216°, и XXXIII, т. пл. 224°. Диметилловый эфир XXXII, т. пл. 130—132°. Диметилловый эфир XXXIII, т. пл. 204—205°. Из смеси, полученной гидрированием XXX, выделены дигидро-I, т. пл. 270—272°, XXXIV, т. пл. 268—270°, XXXV, т. пл. 290—295°, и XXXVI, т. пл. 184—186°. Метилловый эфир XXXIV, т. пл. 242—244°, диметилловый эфир XXXV, т. пл. 204°, диметилловый эфир XXXVI, т. пл. 140°. XLII, т. пл. 258—260°. XLIII получен окислением XXXV  $\text{CrO}_3$ , т. пл. 198—200°. XLIV и XLV получены обработкой XXXV и соответственно XXXVI усусным ангидридом, т. пл. 165—168° и 185,6° соответственно. XXXVII приготовлен обработкой II  $\text{LiAlH}_4$ , т. пл. 204°. XXXIX, т. пл. 148—150°, XL, т. пл. 198—200°. XXXI восстановлен  $\text{LiAlH}_4$ , т. пл. XXXVIII 208—210°. XLII, т. пл. 182—183°. XXXVIII при гидрировании с Pt (из  $\text{PtO}_2$ ) дает XXXVII, далее гидрирование не идет. II нагреет с 0,5 н.  $\text{NaOH}$ . Выделены: I и XLVI, т. пл. 154° и 216—218°. Кипячением XXXI с 0,1 н.  $\text{NaOH}$  получены XLVII и XLVIII, т. пл. 152—154°. XXX обработан р-ром  $\text{Br}_2$  в тетрагидрофуране при т-ре от  $-5$  до  $-0^\circ$ . Выделены XLIX, т. пл. 242—244°, и L, т. пл. 268—270°. XLIII, т. пл. 214—216°, LI, т. пл. 175°. LII, т. пл. 178—180°, метилловый эфир L, т. пл. 202—204°. XLIII гидрирован с Pt (из  $\text{PtO}_2$ ). Выделены LIV, т. пл. 264—266° и LV, т. пл. 206°. IX получен кипячением XLIX с  $\text{Zn} + \text{CH}_3\text{COOH}$ , т. пл. 245°. LII озонирован и продукт перегнан с паром. Выделена к-та LVI. Ее декарбоксилировали кипячением с 33%-ной  $\text{H}_2\text{SO}_4$ .

54. Изучена связь между строением I и гиббереллина A<sub>2</sub> (LVII) и установлено строение LVII и гиббереллина A<sub>4</sub> (LVIII). При обработке метилового эфира моноацетил-LVII  $\text{POCl}_3$  и пиридином получено 60% метилового эфира моноацетил-LVIII (LIX) (РЖХим, 1960, № 9, 35035) и 40% смеси двух его изомеров (LX) и (LXI), что доказано озонлизом дегидратированных в-в LIX, LX и LXI. В случае LIX образуется  $\text{CH}_2\text{O}$  и 5-членный циклич. кетон,  $\text{C}_{21}\text{H}_{26}\text{O}_7$ , т. пл. 189—190°, содержащий лактонное кольцо, карбоксильную группу и ацетильный карбонил, что указывает на присутствие экзациклич.  $\text{CH}_2$ -группы, связанной с 5-членным циклом в молекуле LIX. Смесь LX и LXI при озонлизе дает кетокислоту  $\text{C}_{22}\text{H}_{25}\text{O}_8$  (XLII), т. пл. 250—252° (разл.), и нейтр. кетон  $\text{C}_{22}\text{H}_{25}\text{O}_8$  (LVIII), т. пл. 204—205°. ИК-спектры показывают, что положение C—C двойной связи у LX и LXI должны быть  $\text{C}(14) - \text{C}(15)$  и  $\text{C}(7) - \text{C}(15)$  соответственно. Окисление LXIII с  $\text{NaOBr}$  дает дикарбоновую к-ту,  $\text{C}_{13}\text{H}_{22}\text{O}_6$ , т. пл. 93—95° (разл.), идентичную с продуктом гидролиза к-ты, полученной озонлизом I (РЖХим, 1958, № 17, 57648). Идентичность этих двух в-в подтверждает, что вторичный гидроксил и лактонная и карбоксильная группы LVII находятся в том же положении, что и у I. Таким образом, ф-лы LVII и LVIII установлены. Дальнейшее доказательство правильности предложенной для LVII ф-лы получено при отщеплении ацетильных групп от диацетильного производного  $\alpha$ -кетона, образующегося при озонлизе I. Положение алкильного кислорода лактонной группы у  $\text{C}(10)$  доказано следующим образом. При дегидратировании вторичных и третичных OH-групп метилового эфира VII  $\text{POCl}_3$  и пиридином получено диангидросоединение (LXIV)  $\text{C}_{20}\text{H}_{24}\text{O}_4$ , т. пл. 145—146°, которое при каталитич. гидрировании превращено в тетрагидро-LXIV, т. пл. 167—168°. Восстановление тетрагидро-LXIV  $\text{LiAlH}_4$  дает диол  $\text{C}_{20}\text{H}_{22}\text{O}_4$  (LXV), т. пл. 200—202°, и триол  $\text{C}_{19}\text{H}_{22}\text{O}_3$  (LXVI), т. пл. 169—170°. LXV — продукт восстановления только лактонной группы исходного в-ва, а LXVI — и лактонной и карбоксильной групп. При ацетилировании LV образуется моноацетил — LXV, а из LXVI-диацетил-LXVI, т. пл. 201—202°. LXV и LXVI имеют гидроксильную группу, не окисляемую  $\text{CrO}_3$ , т. е. третичную, полученную из лактон-

ного кисл.  
 шение ме  
 (см. РЖХ  
 6Ж384.  
 реактив  
 David  
 and react  
 pol. «J.  
 (англ.).  
 рованием  
 в гексаа  
 (IV) и в  
 гексаацет  
 синол) п  
 шение Н  
 Смесь 3,  
 нагреван  
 т. разл.



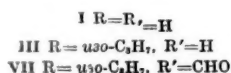
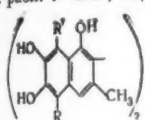
III полу  
 выхол 7  
 При окис  
 выхол 3  
 эф.). Во  
 258—261  
 VII, 0,0  
 сухого  
 флориза  
 вязкого  
 и 5 г (0  
 два про  
 ковые  
 имеют  
 4,4',8,8'  
 2,2'-бис  
 спирта  
 Na<sub>2</sub>CO<sub>3</sub>  
 83%, т.  
 диоксис  
 ные по  
 6Ж38  
 aticum  
 ние ст  
 дзасси  
 В прол  
 РЖХим  
 163, об  
 в щел.  
 ляется

и  
 к-той  
 сравне  
 незав  
 работе  
 3,4-дм  
 пячен  
 чают з  
 1 моля  
 капля  
 оклаж  
 эфиром  
 эфиром  
 рил (1  
 0° нас  
 вают



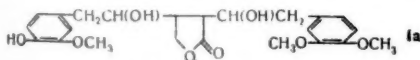
новый эфир 212—216°, и XXII, т. пл. 204—205°, выделены 268—270°, —186°. Метилметиловый эфир XXXVI, не окислен, XLV укс. 85,6° соот. II LiAlH<sub>4</sub>, 198—200°, 208—210°, вани с R не идет. II, т. пл. 154° и получены отан р-ром —0°. Вы 268—270°. II, т. пл. 204°. XLIII IV, т. пл. кипячением нирован в VI. Ее ле- 2SO<sub>4</sub>. абберелл- гиберел- эфира мо- 60% ме- (РЖХим, изомеров гидратиро- образуется 0, т. пл. карбоме- что ука- ппы, свя- IX. Смесь 2H<sub>2</sub>O<sub>2</sub> и C<sub>2</sub>H<sub>5</sub>O<sub>2</sub> вают, что I должн- Окисле- C<sub>18</sub>H<sub>22</sub>O<sub>2</sub> 100 гидро- им, 1958, подтверж- и карбо- ложении, установ- сти пред- делении изводного оложение (10) дока- нии вто- эфира VII единение катал- ро-LXIV, ро-LXIV —202°, и продукт сходного сильной моноаце- 01—202°. не окис- лактон-

ного кислорода. Таким образом, подтверждено соотно- шение между LXVII и LVIII, установленное ранее (см. РЖХим, 1960, № 9, 35035). К. Бокарев 6Ж384. Некоторые новые реакции и продукты реакций апогоссинола и дезапогоссинола. Shirley David A., Alley Peggy W. Some new reactions and reaction products of apogossypol and desapogossypol. J. Organ. Chem., 1960, 25, № 8, 1391—1394 (англ.).—Дезапогоссинол (I) приготовлен деметили- рованием гексаметилового эфира I (II). I превращен в гексаацетат I (III), тетраацетат дезапогоссинола (IV) и в октаацетат гидродезапогоссинола (V). Для гексааллилового эфира апогоссинола (VI, VII апогос- синол) проведена перегруппировка Кляйзена и окис- ление H<sub>2</sub>O<sub>2</sub> гексаметилового эфира апогоссинола. Смесь 3,5 ммоль II и 6 г C<sub>6</sub>H<sub>5</sub>N·HCl в атмосфере N<sub>2</sub> нагревают 10 час. при 195—200°, получают 330 мг I, т. разл. > 280°, гидрат (1,5 моля H<sub>2</sub>O), т. пл. 190—193°.



III получают из I действием (CH<sub>3</sub>CO)<sub>2</sub>O в пиридине, выход 74%, т. пл. 270—274° (из этилацетата-птр. эф.). При окислении 200 мг III CrO<sub>3</sub> + H<sub>2</sub>SO<sub>4</sub> получают IV, выход 35 мг, т. пл. 137—140° (из этилацетата-птр. эф.). Восстановление III Zn-пылью дает V, т. пл. 258—261° (из этилацетата-птр. эф.). Смесь 0,011 моля VII, 0,083 моля CH<sub>2</sub>=CHCN<sub>2</sub>Br и 12 г K<sub>2</sub>CO<sub>3</sub> в 50 мл сухого ацетона кипятят 48 час., хроматографией на флоризиле (вымывание птр. эф.) получают VI в виде вязкого масла. Кипячение 2,5 г VI с 10 г C<sub>6</sub>H<sub>5</sub>N(CH<sub>3</sub>)<sub>2</sub> и 5 г (CH<sub>3</sub>CO)<sub>2</sub>O в течение 5 час. в атмосфере N<sub>2</sub> дает два продукта, т. пл. 115—120° и 200°. Они имеют одина- ковые ИК-спектры и данные анализа и, очевидно, имеют строение 1,1',7,7'-тетраацетоксис-3,3'-диметил-4,4',8,8'-тетрааллил-5,5'-диизопропил-6,6'-диаллилокси-2,2'-бинафтила. При окислении 80 мг VII в 15 мл абс. спирта 1 мл 30%-ной H<sub>2</sub>O<sub>2</sub> при 45° с 1 мл насыщ. р-ра Na<sub>2</sub>CO<sub>3</sub> получают соответствующую диоксис, выход 83%, т. пл. 242—245°. Аналогичное окисление IV дает диоксис, выход 40%, т. пл. 237—241°. Приведены дан- ные по ИК-спектру VI. В. Шибаяв

6Ж385. Изучение веществ *Trachelospermum asiaticum* Nakai var. *intermedium* Nakai. VI. Исследова- ние структуры трахелозидов (5). Такано «Якугаку даасс», 1959, № 11, 1440—1451 (японск.; рез. англ.).— В продолжение прошлой работы (сообщение V см. РЖХим, 1960, № 16, 65621) найдено, что к-та с т. пл. 163°, образующаяся при окислении трахелогенина (I) в щел. р-ре при 30—35° 1 молем 2%-ного KMnO<sub>4</sub>, яв- ляется 3-метоксис-4-(3',4'-диметоксифенил)-масляной



к-той (II). Это подтверждено УФ- и ИК-спектром II в сравнении с образцом препарата II, приготовленным независимым синтезом. На основании полученных в работе и прежних данных I придают строение (Ia). 3,4-диметоксифенилуксусную к-ту этерифицируют кипячением (5 час.) с абс. спиртом и конц. H<sub>2</sub>SO<sub>4</sub>, полу- чают этиловый эфир (III), т. кип. 191°/25 мм. К смеси 1 моля III и 1 моля C<sub>2</sub>H<sub>5</sub>ONa при 80° добавляют по каплям 1,25 моля CH<sub>3</sub>CN, нагревают 10 час. при 110°, охлаждают, обрабатывают ледяной водой, промывают эфиром, водн. р-р подкисляют разб. H<sub>2</sub>SO<sub>4</sub>, извлекают эфиром, получают 3,4-диметоксифенилацетонитрил (IV), т. пл. 125° (из сп.). Р-р IV в абс. спирте при 0° насыщают сухим HCl, через 12 час. (~20°) выпари- вают в вакууме, остаток гидролизуют нагреванием со

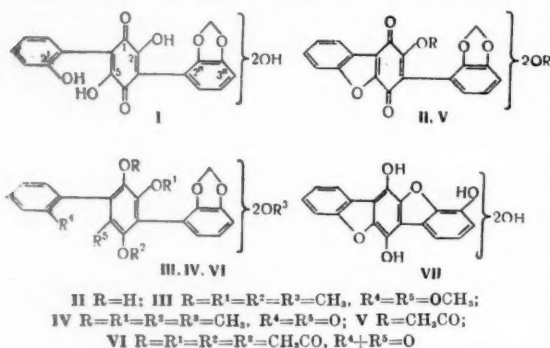
смесью воды, спирта и конц. HCl в течение 30 мин., получают этиловый эфир 4-(3',4'-диметоксифенил)- ацетоуксусной к-ты (V), т. кип. 173°/8 мм. 1 моль V в спирте добавляют по каплям к р-ру 1 моля NaNH<sub>2</sub> в спирте, на другой день подкисляют H<sub>2</sub>SO<sub>4</sub>, извлекают эфиром, к-ту этерифицируют (абс. CH<sub>3</sub>OH, CH<sub>3</sub>J, Ag<sub>2</sub>O, кипячение 2 часа), полученный метиловый эфир омы- ляют 10%-ным водно-метанольным NaOH (кипячение 4 часа) и получают II. Л. Яновская

6Ж386. DL-мариинин (дигидрокавин) и родст- венные 6-арил-5,6-дигидро-4-метоксипираны-2. Vis- wanathan K., Swaminathan S. dl-marinidin (dihydrokawain) and some related 6-aryl-5,6-dihydro-4- methoxy-2-pyrones. «Proc. Indian Acad. Sci.», 1960, A52, № 2, 63—68 (англ.).—Реакцией Реформатского получен DL-мариинин (I) и ряд 6-арил-5,6-дигидро-4-метокси- пиранов-2 (6-арил-II). К смеси 80 г ацетоуксусного эфира и 70 г метилового эфира ортомуравьиной к-ты прибавляют 1,5 мл конц. H<sub>2</sub>SO<sub>4</sub>. Через 24 часа (0°) и 24 часа (~20°) добавляют безводн. K<sub>2</sub>CO<sub>3</sub>, выделяют этиловый эфир γ-бром-β-метоксикротоновой к-ты (III), выход 25 г, т. кип. 186—192°. Смесь 0,05 моля альдегид- а, 0,05 моля III и 0,05 г-атом Zn-пыль в 80 мл C<sub>6</sub>H<sub>6</sub> осторожно нагревают до начала р-ции, после прекра- щения бурной р-ции кипятят 3,5 часа, разлагают р-ром NH<sub>4</sub>Cl, экстрагируют C<sub>6</sub>H<sub>6</sub>. Получены следующие 6-арил-II (приведены альдегид, арил, выход в %, т. пл. в °C): коричный, стирал, 33,5, 145—146; гидро- коричный, β-фенилэтил (т. е. I), 8,6, 72—73; бензаль- дегид, фенил, 31, 143—144; пиперональ, 3,4-метилendi- оксифенил, 54,5, 158—159; n-анисовый, n-анисид, 31, 95—96; α-нафталальдегид, α-нафтил, 26, 154—155; I полу- чен также с выходом 57,5% при гидрировании 1 г DL-кавина в 50 мл CH<sub>3</sub>OH над 30%-ным Pd/C (3,6 ат, 12 мин.). Л. Аксанова

6Ж387. Галохромизм продигозина. Stefany David. Halochromism studies on prodigiosin. «J. Or- gan. Chem.», 1960, 25, № 7, 1261—1262 (англ.).—Изме- нение окраски продигозина (I) из желтой в красную не зависит от природы р-рителя и вызывается окис- нием ионом, играющим роль к-ты Льюиса по отно- шению к I. Константа кислотной диссоциации I: k<sub>a</sub> = 3,23 · 10<sup>-8</sup> и pK<sub>a</sub> = 7,51 (25°). Вода, свободная от CO<sub>2</sub>, и хорошо очищ. спирты не вызывают покрасне- ния желтого р-ра I в ацетоне. Кристаллогидраты Zn, Mg, NH<sub>4</sub> и Cu-сульфатов в таком р-ре постепенно дегидратируются, изменяя его окраску. Ю. Оводов

6Ж388. Структура телефоровых кислот. Agho- ramurthy K., Sarma K. G., Seshadri T. R. The structure of telephoric acid, «Tetrahedron Letters», 1960, № 16, 4—10 (англ.).—Уточнена предложенная ра- нее (РЖХим, 1960, № 11, 42918) структура телефорово- к-ты (I). Исследование ИК- и рентгеновских спектров образцов I из лишайников *Lobaria isidiosa* Wain., *L. re- tigera* и плесени *Hudnum aurantiacum* Batsch показа- ло, что их спектры почти не отличаются между со- бой, но отличаются от спектра образца, выдержанного 7 час. при 200° в глубоком вакууме. Очевидно, есте- ственные образцы содержат главным образом в-во I и немного (II), нагревание приводит к увеличению кол-ва II. Образование двух метиловых эфиров I (Kögl F. и др., Ann., 1930, 482, 105) может быть объ- яснено на этой основе: главный продукт с т. пл. 254— 256° является гептаметиловым эфиром лейкотелефо- ровой к-ты (III), а побочное в-во — это пентаметилов- ый эфир гидратированной формы (IV). При восста- новлении и метилировании I в водн. среде со щел. NaHS<sub>2</sub>O<sub>4</sub> и (CH<sub>3</sub>)<sub>2</sub>SO<sub>4</sub> получен только III. I образует триацетат (V) и лейкопентаацетат (VI), вместо пента- ацетата и лейкогептаацетата, возможно, в процес- се ацетилирования происходит дегидратирование с об- разованием фуранового кольца. Длительное кипяче- ние I с водн. HJ приводит к образованию нор-лейкто- телефоровой к-ты, которая дает пентаацетильное произ-

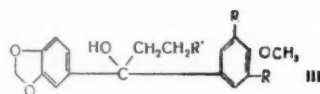
водное и пентаметилловый эфир, что может быть объяснено дальнейшей дегидратацией с образованием (VII). Хроматографией на бумаге продуктов щел. окисления



I H<sub>2</sub>O<sub>2</sub> установлено наличие не менее двух к-т, которые не соответствуют пиперониловой или ортопиперониловой к-там. Попытка окисления I (CH<sub>3</sub>COO)<sub>4</sub>Pb в производные пувлиновой к-ты оказалась неудачной. Приведены данные УФ-спектра ацетата VII.

Л. Шахновский

6Ж389. Потенциальные противораковые вещества. I. Ароматическая система подофилотоксина (часть А). Pettit George R., Alkalay David S. Potential cancerocidal agents. I. The aromatic system of podophyllotoxin (part A). «J. Organ. Chem.», 1960, 25, № 8, 1363—1365 (англ.).—Синтезирован ряд аналогов подофилотоксина, содержащих окисленную ароматическую систему и вторичную аминогруппу. К р-ру 1 моля л-метоксиацетофенона, 1,1 моля хлоргидрата диэтанолами-



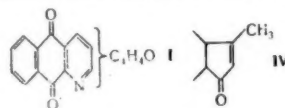
на, 1 мл конц. HCl в 150 мл спирта добавляют 60 г параформа, кипятят 2 часа, добавляют еще 30 г параформа, кипятят еще 1 час, выделяют β-бис-2-оксизтиламино-4-метоксипропиофенон (I), выход 42,7%, т. кип. 126—134°/0,7—0,8 мм, т. пл. 58—59° (из этилацетата). Аналогично получены (приведены в-во, выход в %, т. кип. в °C/мм, т. пл. в °C): β-бис-2-оксизтиламино-3',4',5'-триметоксипропиофенон (II), 29,2, 108—115°/0,07—0,01, —; хлоргидрат β-бис-2-хлорэтиламино-3',4',5'-триметоксипропиофенона, 14, —, 151 (из сп.); β-N-пиперидино-3,4,5-триметоксипропиофенон, —, —, 31,5 (из сп.-воды); β-N-морфолино-3,4,5-триметоксипропиофенон, 74,5, —, 95—96 (из сп.-воды). 0,0135 моля 3,4-метилendioксибромбензола в 15 мл тетрагидрофурана (ТГФ) обрабатывают при —65° 6,8 мл 2 н. р-ра C<sub>4</sub>H<sub>9</sub>Li в эфире, затем добавляют 0,0135 моля β-диметиламино-3,4,5-триметоксипропиофенона в 15 мл ТГФ, получают α-(2-диметиламиноэтил)-α-(3,4-триметоксифенил)-пиперониловый спирт (III), R = OCH<sub>3</sub>, R' = N(CH<sub>3</sub>)<sub>2</sub>, выход 38%, т. пл. 138—139,5° (из ацетона-воды). Аналогично получены III (перечислены R, R', выход %, т. пл. в °C): OCH<sub>3</sub>, N(C<sub>2</sub>H<sub>5</sub>)<sub>2</sub>, 46,7, 108 (из CH<sub>3</sub>OH); OCH<sub>3</sub>, N-пиперидил, 79, 146 (из сп.); OCH<sub>3</sub>, N-морфилл (IIIa), 76, 161—162 (из водн. сп.); H, N-морфилл (IIIб), 89,5, 143—143,5 (из сп.). Для I, II, IIIa и IIIб приведены данные по ИК-спектру.

В. Шибаев

6Ж390. Потенциальные противораковые вещества. II. Синтез 6,7-метилendioксикарбостирила. Pettit George R., Kalbins Malda V. Potential cancerocidal agents. II. Synthesis of 6,7-methylenedioxy-carbostyryl. «J. Organ. Chem.», 1960, 25, № 8, 1365—1367 (англ.).—Восстановление 3,4-метилendioкси-6-нитро-ричной к-ты в соответствии с работой Перкина (Perkin F. M., J. Chem. Soc., 1891, 59, 150) дало 3,4-метилendioкси-6-аминокоричную к-ту (I), а не 6,7-метилendioксикарбостирил (II), как утверждали позже (Narang K. S. и др., J. Indian Chem. Soc., 1936, 13, 260). Взаимодействие (CH<sub>3</sub>CO)<sub>2</sub>O с 6-аминопипероналиден-л-толуидином дало не II (Borsche W., Ried W., Leibigs Ann. Chem., 1943, 554, 269), а смесь 6-ацетаминопипероналиден-л-толуидина (III), т. пл. 186—188° (из CH<sub>3</sub>OH) и 6-ацетаминопипероналя (IV), т. пл. 161—162° (из CH<sub>3</sub>OH). Для доказательства строения IV окислен Ag<sub>2</sub>O в 6-ацетаминопиперониловую к-ту (V), т. пл. 239—240° (из CH<sub>3</sub>OH); V получена также восстановлением 6-нитропиперониловой к-ты FeSO<sub>4</sub> + NH<sub>4</sub>OH. Обработка I горячей HCl-к-той (100°, 2 часа) дает II, выход 44%, т. пл. 351—353° (разл.). II синтезирован также по схеме: пиперональ → 2,3-метилendioксиналин → 6,7-метилendioксиналин (VI) → N-окис VI (VII) → II, 7 г VI в 50 мл лед. CH<sub>3</sub>COOH обрабатывают 8 мл 30%-ной H<sub>2</sub>O<sub>2</sub>, нагревают 16 час. при 70°, получают 54% VII, т. пл. 179—180°. Кипятят 5 час. р-р 1,8 г VII в 15 мл (CH<sub>3</sub>CO)<sub>2</sub>O, выделяют 63% II. Приведены данные по ИК-спектрам II, III и IV.

В. Шибаев

6Ж391. Лироденнин — азотсодержащий краситель древесины желтого тона Buchanan M. A., Dickey E. E. Liriodenine, a nitrogen-containing pigment of yellow poplar heartwood (Liriodendron tulipifera, L.). «J. Organ. Chem.», 1960, 25, № 8, 1389—1391 (англ.).



Из древесины *Liriodendron tulifera* L. экстракцией смесью бензол-спирт (10:1), растворением в к-те и осаждением щелочью получен желтый пигмент лироденнин C<sub>17</sub>H<sub>9</sub>O<sub>3</sub>N (I), выход 0,06—0,08%, т. пл. 282° (из хлф.), оксим, т. пл. 271° (из бутанола). Окисление I CrO<sub>3</sub> + H<sub>2</sub>SO<sub>4</sub> дает к-ту C<sub>14</sub>H<sub>7</sub>O<sub>4</sub>N (II), т. пл. 335—336°. При нагревании до т-ры плавления с CaCO<sub>3</sub> II декарбоксилируется, давая бензо-[g]-хинолидин-5,10 (III), т. пл. 275—277° (не дает депрессии с заведомым образцом). Предложено строение I. Предполагают, что I содержит конденсированное четвертое кольцо (IV). Из маточных р-ров выделен второй желтый пигмент (V), выход 0,01%, т. пл. 235—236° (из сп.). Приведены данные УФ-спектров и кривые ИК-спектров для I, II, III, V.

В. Шибаев

6Ж392. Изучение порфиринов. XVII. β-Ацетилади-пиррилметаны; их конденсация в порфирины. Kleinspehn George G., Corwin Alson H. Porphyrin studies. XVII. β-Acetyldipyrromethanes; their self-condensation to porphyrins. «J. Amer. Chem. Soc.», 1960, 82, № 11, 2750—2755 (англ.).—Конденсацией 2 молекул 5-(3-этил-4-метилпирролил)-2-метил-2,4-диметилпирролил-3-метилкетона (I), а также и 2 молекул 5-(3-ацетил-4,5-диметилпирролил)-3-метил-2-этил-4-метилпирролкарбоновой-2 к-ты (II) в присутствии (CH<sub>3</sub>COO)<sub>2</sub>Cu·H<sub>2</sub>O (III) получена смесь Cu-комплексов (МК) диацетиладитеропорфиринов (МК IV). Судя по рентгенограммам, в обоих случаях образуется преимущественно один и тот же МК IV (МК IVa); по данным спектров видимой области, он является МК 1,5-диэтил-3,7-диэтил-2,4,6,8-тетраметилпорфирина. Получение смеси МК IV объяснено перемещением монопиррильных фрагментов, причем образуются пары изомеров. К р-ру 31,8 г этилового эфира (ЭЭ) 4-этил-3,5-диметилпирролкарбоновой-2 к-ты в 160 мл сухого C<sub>6</sub>H<sub>6</sub> за 40 мин. прибавляют р-р 8,3 мл Br<sub>2</sub> в 80 мл C<sub>6</sub>H<sub>6</sub>, через

mediocarbonyl, 1365-1367; 6-нитро-  
-6-нитро-  
-3,4-метил-  
-7-метил-  
-же (Nagao  
1960). Взаимо-  
-иден-а-толу-  
Leibigs Alk.  
-пиперона-  
-CH<sub>2</sub>OH) и  
161-162° (сп.  
-окислен Ag<sub>2</sub>O  
пл. 239-240°  
-ановления  
Н. Обработ-  
т II, выход  
также вы-  
-лин -> 6,7-  
VI (VII) -  
-ывают 8 мл  
-, получают  
-р 1,8 г в VII  
-ведены да-  
В. Шибаяе  
краситель  
М. А., Dis-  
-ing pigment  
Ipiriga, L.)  
1 (англ.).

экстракцией  
и в к-те  
-ент лири-  
-л. 282° (из-  
-кисление I  
- 335-336°.  
II декаро-  
-5,10 (III),  
-ым обра-  
-ют, что I  
-о (IV). Из-  
-мент (V),  
-дены да-  
I, II, III,  
В. Шибаяе  
-Ацетилди-  
-орфини.  
Isoph N.  
anes; their  
-em. Сосл.  
-дей 2 мо-  
-1,2-дими-  
-2 молеку-  
-3-этил-4-  
-исутствии  
-омплексов  
-. Судя по  
-преиму-  
-данним  
-1,5-дице-  
-олучение  
-опирри-  
-изомер.  
-диметил-  
-C<sub>6</sub>H<sub>5</sub> за  
-Н<sub>2</sub>, через

5 мин. быстро нагревают до кипения, разбавляют 240 мл сухого изоктана, охлаждают, выпавший продукт р-ции промывают смесью C<sub>6</sub>H<sub>6</sub>-изоктан (1:1) и сушат в вакууме; выход ЭЭ 5-(бромметил)-4-этил-3-метилпирролкарбоновой-2 к-ты (V) 77%. Конденсацией V с 2,4-диметилпирролил-3-метилкетонем по описанному методу (Schlesinger W. и др., J. Amer. Chem. Soc., 1950, 72, 2867) получают ЭЭ 5-(4-ацетил-3,5-диметилпирролил-2)-метил-4-этил-3-метилпирролкарбоновой-2 к-ты (VI к-та), выход 32-59%; р-р 14 г ЭЭ VI в 105 мл спирта кипятят 3 часа с р-ром 3,5 г NaOH в 12,5 мл воды, выход VI 97%, т. пл. 220-225° (разл.; из водн. сп.). Из спирта VI кристаллизуется с 1 молекул C<sub>6</sub>H<sub>5</sub>OH. Смесью 410 мг VI, 330 мг NaHCO<sub>3</sub>, 5 мл воды и 16 мл CH<sub>3</sub>OH нагревают до почти полного растворения NaHCO<sub>3</sub>, охлаждают, приливают р-р 340 мг I<sub>2</sub> в 5 мл CH<sub>3</sub>OH (0°), через 3 часа отделяют 4-(3-этил-5-йод-4-метилпирролил-2)-метил-2,4-диметил-3-пирролилметилкетон (VII), выход 79%. При нагревании VII до 210-230° в кинолене образуются этиопорфирины или родственные в-ва, не содержащие CH<sub>3</sub>CO-групп. При нагревании VI в токе N<sub>2</sub> (190-220°, 11 мин.) образуется I, т. пл. 132-134° (из сп.+ вода; после возгонки в вакууме); поэтому для осуществления конденсации I можно исходить из VI. Смесью 50 мг VI и 1,5 г нафталина нагревают до 190°, охлаждают до начала затвердевания, вносят 45 мг III, снова нагревают (210°, 5,5 мин., затем 210-230°, 5,5 мин.), продукт р-ции хроматографируют из CH<sub>2</sub>Cl<sub>2</sub> на Al<sub>2</sub>O<sub>3</sub> и повторно на магнетозе, вымываемым CH<sub>2</sub>Cl<sub>2</sub> и CHCl<sub>3</sub>, выделяя несколько различных МК IV. В наибольшем кол-ве получают МК IVa, вымываемый CHCl<sub>3</sub> и ацетоном, выход 0,9%, при общем выходе суммы МК IV 2,4%. При объединении продуктов р-ции из ряда опытов выход МК IVa, C<sub>32</sub>H<sub>32</sub>O<sub>2</sub>N<sub>2</sub>Cu, возрос до 2,2%, т. разл. 344-348° (из хлф.-CH<sub>3</sub>OH, 1:2). Для превращения в свободные основания отдельные МК IV растворяют в холодной конц. H<sub>2</sub>SO<sub>4</sub>, добавляют лед, CH<sub>3</sub>COOH, затем воду и пиридин, упаривают жидкую фазу и полученные IV хроматографируют на Al<sub>2</sub>O<sub>3</sub>. Из 19,4 мг МК IVa в 5 мл конц. H<sub>2</sub>SO<sub>4</sub> (0°) с добавлением 40 г льда получено 13,5 мг чистого IVa, C<sub>32</sub>H<sub>32</sub>O<sub>2</sub>N<sub>2</sub> (из хлф.-CH<sub>3</sub>OH, 1:1). 3-ацетил-4,5-диметилпирролкарбоновая-2 к-та (VIII) получена взаимодействием 3-аминобутанона-2 с Na-производным ЭЭ или метилового эфира 2,4-диоксвалериановой к-ты (80-85°, рН 5-7) по ранее описанному методу (Piloty O., Blömer A., Ber., 1912, 45, 3752): выход VIII до 18%. Смесью 20,8 г VIII, 35 г KHSO<sub>5</sub> и 230 мл спирта кипятят, прибавляя 30 мл (C<sub>6</sub>H<sub>5</sub>)<sub>2</sub>SO<sub>4</sub>, кипятят 90 мин., получают ЭЭ VIII, выход 74%, т. пл. 138,5-140° (из сп.). При гидрировании 15,5 г ЭЭ VIII с 5 г нирита А + 2,5 мл 10%-ного р-ра PdCl<sub>2</sub> в 250 мл спирта (36 час., 2,2 ат) образуется ЭЭ 3-этил-4,5-диметилпирролкарбоновой-2 к-ты (IX), выход 52%. Бромированием IX (как при синтезе V) получен ЭЭ 5-(бромметил)-3-этил-4-метилпирролкарбоновой-2 к-ты (X), выход 68%. Декарбоксилирование VIII в медленном токе N<sub>2</sub> привело к 4,5-диметил-3-пирролилметилкетону (XI), выход 64-74%. При конденсации XI и X (аналогично получению ЭЭ VI) образуется ЭЭ II, выход 16-26%, т. пл. 170-171° (из CH<sub>3</sub>OH или толуола). Омыление ЭЭ II (как ЭЭ VI) приводит к II, выход 90%, т. пл. 141-146° (разл.; из сп.+ вода). Конденсацию II проводят аналогично VI (25 мг II, 90 мг III и 750 мг нафталина), получают смесь МК IV, преимущественно МК IVa, выход 1,1%, несколько лучше растворимый в диоксане, чем МК IVa из I. Оба МК IVa отдельно хроматографируют в CHCl<sub>3</sub> на магнетозе, получают по 2 полосы, нижние полосы вымывают, получают хроматографически и рентгенографически идентичные в-ва. Приведены цифровые данные спектров видимой области отдельных IV и МК IV и ИК-спектра МК IVa. Предыдущее сообщение см. РЖХим, 1960, № 24, 96682.

А. Краевский

6Ж393. Химия бактерий. Часть VIII. Синтез виолацеина и родственных соединений. Ballantine J. A., Beer R. J. S., Crutchley D. J., Dodd G. M., Palmer D. R. The chemistry of bacteria. Part VIII. The synthesis of violacein and related compounds. J. Chem. Soc., 1960, May, 2292-2299 (англ.). Синтезом виолацеина (I) подтверждено его строение как транс-5-(5-оксиндолил-3)-3-(оксиндолиден-3)-2-оксопирролина (см. сообщение VII РЖХимБх, 1958, № 22, 28898). Синтезированы второй пигмент *Chromobacterium violaceum* 5-(индолил-3)-3-(оксиндолиден-3)-2-оксопирролин, или дезокси-I (II), и несколько более простых аналогов I. Проведена р-ция превращения лактонов типа лактона 4-окси-2-(оксиндолиден-3)-4-фенилбутен-3-овой к-ты (III) действием NH<sub>3</sub> в соответствующие лактамы, впервые описанная в индольном ряду. При пропускании NH<sub>3</sub> через кипящую суспензию 0,5 г лактона 4-(1-ацетил-5-метоксиндолил-3)-4-окси-2-(оксиндолиден-3)-бутен-3-овой к-ты в 90%-ном спирте (4 часа) образуется метиловый эфир (MЭ) I, выход 75 мг, т. пл. > 310°; он же получен из I действием CH<sub>3</sub>N<sub>2</sub>, выход 4%. При нагревании 3 часа 215 мг MЭ I с 200 мл 5%-ного р-ра HBr в CH<sub>3</sub>COOH получают 130 мг I, C<sub>20</sub>H<sub>13</sub>O<sub>3</sub>N<sub>2</sub>·1/2 C<sub>6</sub>H<sub>6</sub>O (после очистки экстракцией ацетоном). При метилировании I или MЭ I действием (CH<sub>3</sub>)<sub>2</sub>SO<sub>4</sub> + K<sub>2</sub>CO<sub>3</sub> в ацетоне образуются описанный ранее (см. ссылку выше) тетраметил-I (IV), т. пл. 128°, затем 220° (из бэл.), 220° (из этилацетата) и неразстворимое в-во, выход которого возрастает при большом избытке K<sub>2</sub>CO<sub>3</sub>; последнее действием (CH<sub>3</sub>CO)<sub>2</sub>O + CH<sub>3</sub>COONa превращено в диацетат MЭ I, т. пл. 345° [из (CH<sub>3</sub>CO)<sub>2</sub>O]; предполагается, что в присутствии избытка K<sub>2</sub>CO<sub>3</sub> оксиндольное кольцо I размыкается и образуется К-соль к-ты. Ацетилирование I в тех же условиях приводит к смеси 250 мг растворимого в C<sub>6</sub>H<sub>6</sub> тетраацетата I, т. пл. 300° (из бэл.), и 500 мг триацетата I (V), т. пл. > 300°. При метилировании V (как I) образуется преимущественно триацетилметил-I (VI), т. пл. 257-258°, а при избытке K<sub>2</sub>CO<sub>3</sub> - диацетилдиметил-I, т. пл. 275°. Действием NH<sub>3</sub>-газа на р-р 0,2 г VI в кипящем спирте (2 часа) получен 1-(N)-метил-I, выход 0,1 г, т. пл. > 300° (из ацетона). Через суспензию 4 г лактона 4-(1-ацетилиндолил-3)-4-окси-2-(оксиндолиден-3)-бутен-3-овой к-ты (см. РЖХим, 1958, № 16, 54164) в 300 мл 90%-ного спирта пропускают ток NH<sub>3</sub> (4 часа), получают II, выход 2,7 г, т. пл. > 300° (из ацетона). При метилировании 0,5 г II (как I) образуется триметил-II (VII), выход 0,31 г, т. пл. > 300° (из этилацетата). Ацетилирование II (как I) приводит к диацетату II, выход почти ~100%, т. пл. > 300° (из ацетона); метилированием 0,35 г его с избытком K<sub>2</sub>CO<sub>3</sub> получено 0,13 г 3-(1-ацетил-3-оксиндолиден)-1-метил-5-(1-метилиндолил-3)-2-оксопирролина (VIII), т. пл. 268-271° (из бэл.). Через суспензию 100 мг VIII, в кипящем спирте пропускают ток NH<sub>3</sub> (2 часа), получают 1-метил-5-(1-метилиндолил-3)-3-(оксиндолиден-3)-2-оксопирролин, выход 20 мг, т. пл. 285-290° (из бэл.), при метилировании дает VII. Нагреванием (1 час) 0,5 г лактона 4-(1-ацетилиндолил-3)-4-оксибутен-3-овой к-ты с 30 мл NH<sub>4</sub>OH (d 0,88) получают амид γ-(индолил-3)-γ-оксомасляной к-ты (IX), выход 385 мг, т. пл. 214° (из сп.); метиламид той же к-ты (X), т. пл. 207° (из ацетона). При нагревании 250 мг IX, в 10 мл (CH<sub>3</sub>CO)<sub>2</sub>O (1 час) образуется нитрил γ-(1-ацетилиндолил-3)-γ-оксомасляной к-ты (XI), выход 0,2 г, т. пл. 199° (из CH<sub>3</sub>OH). При конденсации 250 мг X с 160 мг изатина (XII) в кипящем (CH<sub>3</sub>CO)<sub>2</sub>O образуется 380 мг 5-(1-ацетилиндолил-3)-3-(1-ацетил-оксиндолиден-3)-1-метил-2-оксопирролин (XIII), выход 380 мг, т. пл. 275-280° (из бэл.). Суспензию 100 мг XIII в 50 мл спирта с 1 мл 50%-ного водн. р-ра KOH кипятят (4 часа, в атмосфере N<sub>2</sub>), добавляя NH<sub>4</sub>Cl, пропускают при подогревании ток NH<sub>3</sub> (3 часа), получают 12 мг II. Метилированием XIII с избытком K<sub>2</sub>CO<sub>3</sub> полу-



чен VIII. Для выделения природного II ацетоновый маточный р-р после получения природного I упаривают, остаток (масло) повторно извлекают  $C_6H_6$ , затем этилацетатом, р-р хроматографируют на  $Al_2O_3$  с проявлением этилацетатом и  $CHCl_3$  и вымывают II ацетоном. Описанным ранее методом (Walton, J. Chem. Soc., 1940, 438) из лактона 4-окси-4-фенилбутен-3-овой к-ты (XIV) с  $CH_3NH_2$  получен 2-окси-1-метил-5-оксо-2-фенилпирролидин (XV), т. пл. 132—135°; с  $NH_3$  в этих условиях XIV превращается в  $\beta$ -бензоилпропионамид (XVI), т. пл. 123—125° (из воды). При кипячении р-ра 1 г XVI и 0,8 г XII в 10 мл  $CH_3OH$  с 2 мл конц. HCl (30 мин.) образуется 3-(оксиндолилиден-3)-2-оксо-5-фенилпирролин (XVII), выход 1,3 г, т. пл. >300° (из ацетона); он же получен пропусканием тока  $NH_3$  через кипящую суспензию 1 г III в 750 мл 90%-ного спирта (3 часа), выход XVII 0,5 г. При нагревании 1 г XVII с 1 г  $CH_3COONa$  в 25 мл  $(CH_3CO)_2O$  (10 мин.) образуется 3-(1-ацетилксиндолилиден-3)-2-оксо-5-фенилпирролин (XVIII), выход 0,6 г, т. пл. >300° (из ацетона); он же получен нагреванием 0,8 г XII с 1 г XVI в 4 мл  $(CH_3CO)_2O$  (30 мин.), выход XVIII 0,9 г. Смесь 0,8 г 1-метилксиндололина (XIX), 1 г XVI и 4 мл  $(CH_3CO)_2O$  нагревают (30 мин.), получают 3-(1-метилксиндолилиден-3)-2-оксо-5-фенилпирролин (XX), выход 1 г, т. пл. >300° (из ацетона); он же образуется при пропускании тока  $NH_3$  через кипящую суспензию 1 г лактона 4-окси-2-(1-метилксиндолилиден-3)-4-фенилбутен-3-овой к-ты в 90%-ном спирте, выход XX 0,7 г. При нагревании смеси 0,8 г XII, 1 г XV, 10 мл  $CH_3OH$  и 2 мл конц. HCl (30 мин.) образуется 1-метил-3-(оксиндолилиден-3)-2-оксо-5-фенилпирролин (XXI), выход 0,9 г, т. пл. 254° (из этилацетата). Кипячением смеси 0,5 г XVIII, 0,5 г  $K_2CO_3$ , 3 мл  $(CH_3)_2SO_4$  и 150 мл ацетона (24 часа) получен 1-(N)-метил XVIII (XXII), выход 0,3 г, т. пл. 248° (из бзл.); он же образуется при конденсации XII и XV в горячем  $(CH_3CO)_2O$ . Деацетилирование XXII ( $NH_3$  в кипящем спирте) привело к XXI. Конденсацией 0,8 г XIX с 1 г XV в 4 мл кипящего  $(CH_3CO)_2O$  (30 мин.) получен ди-N-метил-XVII (XXIII), выход 0,9 г, т. пл. 203° (из этилацетата); он же образуется при метилировании XVII или XX. Из 1 г XVII кипячением с 1 г  $CH_3COONa$  и 30 мл  $(CH_3CO)_2O$  (1 час) с последующей обработкой  $C_6H_6$  получено 500 мг не растворимого в  $C_6H_6$  XVIII и 200 мг ди-N-ацетил-XVII (XXIV), т. пл. 260° (из бзл.). Смесь 7 г XII, 10 г лактона 4-н-ацетоксифенил-4-оксипутен-3-овой к-ты и 1 мл пиридина нагревают в спирте 30 мин., получают лактон 4-н-ацетоксифенил-4-окси-2-(оксиндолилиден-3)-бутен-3-овой к-ты, выход 13 г, т. пл. >300° (из ацетона); через кипящий р-р 10 г последнего в 1500 мл 95%-ного спирта пропускают ток  $NH_3$  (5 час.), выделяют 5-н-оксифенил-3-(оксиндолилиден-3)-2-оксопирролин (XXV),  $C_{18}H_{12}O_3N_2 \cdot 1/2 C_3H_5OH$ , выход 7 г, т. пл. >300° (из ацетона), при метилировании образует МЭ ди-N-метил-XXV,  $C_{21}H_{16}O_3N_2$  (XXVI), т. пл. 188° (из ацетона). Приведены данные УФ- и видимого спектров природных I и IV и синтетич. I, МЭ I, II, IV, VII, IX, X, XV, XVI, XVII, XXIII, XXV и XXVI, а также ИК-спектров I, II, IV, VII, XI, XVII, XVIII, XX, XXI, XXII, XXIII, XXIV и XXVI.

А. Краевский  
6Ж394. Об оммохромах. XVIII. Модельные опыты по вопросу построения оммохромов: конденсация оксикинонов с о-аминофенолами. Butenandt Adolf, Bieker Ernst, Schäfer Wolfram. Über Omochrome. XVIII. Modellversuche zur Konstitution der Omochrome: Die Kondensation von Hydroxy-chinonen mit o-Aminophenolen. «Liebigs Ann. Chem.», 1960, 632, № 1—3, 134—143 (нем.).—При конденсации 2-оксо-нафтохинона-1,4 (I) или 4,6-диоксихинолинхинона-5,8

(II) с производными о-аминофенола (III) образуются соответствующие феноксазоны (FOA), лежащие в основе строения молекулы оммохромов. Максим. выход FOA получен при введении в р-цию 2 молей III на 1 моль хинона. С уменьшением силы III как основания выход FOA падает за счет увеличения выхода побочного продукта конденсации — анилинафтохинона. Смесь 2 ммолей I, 4 ммолей III и 15 мл 90%-ной  $CH_3COOH$  нагревают (2 часа, 100°), выливают в воду, добавляют NaOH, осадок отделяют, растворяют в  $C_6H_6$ , хроматографируют на  $Al_2O_3$  с вымыванием смесью  $C_6H_6$ -этилацетат (4:1), получают 3,4-бенз-FOA-2 (IV), выход 57%, т. пл. 192° (из бзл.). При замене I на 2-О-метил-I и применении лед.  $CH_3COOH$  выход IV 51%. Из 10 ммолей 2-амино-4-метилфенола и 5 ммолей I в 10 мл лед.  $CH_3COOH$  (нагревание 90 мин.) аналогично получен 3,4-бенз-6-метил-FOA-2 (V), выход 71%, т. пл. 211—212°, а из 8 ммолей 2-амино-4,6-диметилфенола (VI) и 4 ммолей I — 3,4-бенз-6,8-диметил FOA-2 (VII), выход 97%, т. пл. 213—214° (оба из сп.); при иных соотношениях VI и I (1:1 и 1:2), выход VII соответственно 50 и 38%. Смесь 8 ммолей 2-амино-4-хлорфенола и 2 ммолей I в 50 мл лед.  $CH_3COOH$  нагревают (100° 6 час.), осадок 2-(2-оксо-3-хлоранилин)-нафтохинона-1,4 отделяют, фильтрат выливают в воду, экстрагируют  $C_6H_6$ , очищают на  $Al_2O_3$ , выделяют 3,4-бенз-6-хлор-FOA-2 (VIII), выход 63%, т. пл. 236—237° (из сп.). Смесь 4 ммоль 2-амино-4,6-дихлорфенола и 2 ммоль I в 50 мл лед.  $CH_3COOH$  кипятят 4 часа, выливают в воду, осадок экстрагируют 50 мл теплого  $C_6H_6$ , 2-(2-оксо-3,5-дихлоранилин)-нафтохинон-1,4 отделяют, р-р хроматографируют на  $Al_2O_3$ , вымывают  $C_6H_6$ - $CHCl_3$  (4:1), получают 3,4-бенз-6,8-дихлор-FOA-2 (IX), выход 30%; т. пл. 221° (из сп.). Из 5 ммолей I и 10 ммолей 2-амино-5-нитрофенола в 40 мл лед.  $CH_3COOH$  (кипячение 3 часа) аналогично получены: 2-(2-окси-4-нитроанилин)-нафтохинон-1,4, т. пл. 230—235°, и после очистки (как IV, но с вымыванием  $C_6H_6$  + этилацетат, 9:1) — 3,4-бенз-7-нитро-FOA-2 (X), выход 7,4%, т. пл. 264—265° (из бзл.). Смесь 1,5 ммоль II, 4 ммоль VI и 40 мл 70%-ной  $CH_3COOH$  встряхивают 2 дня, через сутки отделяют осадок (102 мг), из которого хроматографированием на  $SiO_2$  из  $CHCl_3$  выделено в-во  $C_{24}H_{24}N_2O_2$  (XI), т. пл. 206—207° (разл.; из сп.). Р-р после удаления XI выливают в 500 мл воды, выпавший продукт растворяют в  $CHCl_3$ , очищают, как XI, вымывают спиртом 4'-окси-3,4-пиридино-6,8-диметил-FOA-2 (XII), выход 152 мг, не плавится до 360°. Аналогично из 2,5 ммолей II и 5 ммолей III в 110 мл 80%-ной  $CH_3COOH$  (8 час., 60°) получен 4'-окси-3,4-пиридино-FOA-2 (XII), выход неочищ. 430 мг, т. пл. 320—322° (из сп.), а из 10 ммолей II и 15 ммолей 2-амино-3-ацетилфенола в 40 мл 90%-ной  $CH_3COOH$  (в токе  $N_2$ , 5 час. 100°) — 4'-окси-3,4-пиридино-5-ацетил-FOA-2 (XIII), не плавится до 380° (из  $CHCl_3$ -пент. аф.). Приведены и обсуждены данные УФ-спектров IV, V, VII, XIII, 3,4-бенз-5-ацетил-FOA (XIV), 3,4-бенз-5-карбоксиметил-FOA и ксантоматина и данные ИК-спектров IV, V, VII, XII и XIV. Сообщение XVII см. РЖХим, 1959, № 21, 75100.

Ю. Малина

См. также раздел Лекарственные вещества. Витамины. Антибиотики и рефераты: Углеводы и родственные соединения 6Л156, 6С41, 6С230, 6С404. Терпены 6С414, 6С673, 6С680. Стероиды 6С339, 6С415. Алкалоиды 6С642, 6С653, 6С654, 6С655, 6С656. Витаминами 6Л119. Антибиотики 6С133, 6С444—6С446, 6С451, 6С468. Аминокислоты и белки 6С135, 6С138, 6С140, 6С145, 6С163, 6С568, 6С569. Др. природные в-ва 6С102, 6С245

Рефер

Рода  
6Н1.  
биджай  
химичес  
сум за  
1960, №  
6Н2.  
спектив  
та хими  
ного ра  
№ 4, 12  
6Н3.  
мическо  
1965 гг.  
voju he  
na peric  
«Нем. и  
6Н4.  
ленност  
lian che  
1960, №  
6Н5.  
дия). Г  
вочный  
develop  
A prac  
№ 2, 3  
6Н6.  
в обще  
дия). S  
in the  
«Chem  
6Н7.  
Ro ul  
dustry.  
6Н8.  
на хими  
гаку и  
(японо  
6Н9.  
борат  
Т. С.  
chemi  
406—4  
6Н11.  
вания  
эконо  
proces

# РЕФЕРАТИВНЫЙ ЖУРНАЛ ХИМИЯ

## IV

Рефераты 6И1—6И375

№ 6

25 марта 1961 г.

### II. ОБЩИЕ ВОПРОСЫ ХИМИЧЕСКОЙ ТЕХНОЛОГИИ

#### ОБЩИЕ ВОПРОСЫ

Редакторы М. Л. Карапетянц, Н. А. Ширяева

6И1. Развитие химической промышленности Азербайджана в текущей семилетке и задачи Всесоюзного химического общества имени Д. И. Менделеева. Мовсумзаде М. М. «Азерб. хим. ж.», Азерб. хим. ж., 1960, № 3, 3—6

6И2. Польская химическая промышленность и перспективы ее развития. Швентославски Е. Полската химическа промишленост и перспективите за нейното развитие. «Химия и индустрия» (Бълг.), 1960, 32, № 4, 122—123 (болг.)

6И3. Съезд по вопросам перспектив развития химической промышленности НР Сербии в период 1961—

1965 гг. Zeželj St. Savetovanje o perspektivnom razvoju hemiske industrije NR Srbije s posebnim osvrtom na period 1961—1965 godine. «Tehnika», 1960, 15, № 8, «Hem. ind.», 13(14), № 8, 129—131 (сербо-хорв.)

6И4. Современное состояние химической промышленности Австралии. Nicholls C. E. C. The Australian chemical industry to-day. «Australas. Manufacturers», 1960, Annual, 124—125, 150 (англ.)

6И5. Промышленное развитие шт. Гуджарат (Индия). Громадные возможности в будущем. Ориентировочный практический план. Parekh M. D. Industrial development of Gujarat—Vast possibilities foreseen—A practical plan outlined. «Chem. Age India», 1960, 11, № 2, 305—313 (англ.)

6И6. Роль развития химической промышленности в общем росте промышленности шт. Махараштра (Индия). Sathe T. R. Development of chemical industries in the industrial development of Maharashtra State. «Chem. Age India», 1960, 11, № 2, 314—320 (англ.)

6И7. Химическая промышленность Франции. Rouleau J. Bertin. The French chemical industry. «Chem. Prod.», 1960, 23, № 10, 466—467 (англ.)

6И8. Модификация внутризаводского транспорта на химических заводах. I. Фуками Хисаси. «Кагаку кодзё, Chem. Factory», 1960, 4, № 3, 44—48 (японск.)

6И9. Измерения, производимые в контрольных лабораториях химических заводов. Chang Andrew T. C. Work measurement in the control laboratory of chemical plants. «J. Industr. Engng», 1960, 11, № 5, 406—410 (англ.)

6И10. Проектирование технологического оборудования, обеспечивающее оптимальные с точки зрения экономии условия работы. Taborek J. J. Design of process equipment to economic optimum. «Brit. Chem.

Engng», 1960, 5, № 11, 784—788 (англ.; рез. франц., нем., русск.)

6И11. Исследовательская работа в химической промышленности. Morton Frank. Pesquisa na indústria química. «Máquinas e constr.», 1960, 24, março, 22—27, 16 (порт.; рез. англ., нем.)

6И12. Основные вопросы организации труда и заработной платы в химической промышленности. Бородкин В. И. Автореф. дисс. докт. экон. н., АН УССР, Киев, 1960

#### ПРОЦЕССЫ И АППАРАТЫ ХИМИЧЕСКОЙ ТЕХНОЛОГИИ

Редакторы В. А. Жужиков, В. Г. Фастовский

6И13. Быстрый и точный способ определения плотности жидкостей при помощи гидростатических весов. Schoeneck H., Wanning W. Schnelle und genaue Bestimmung von Flüssigkeitsdichten mit hydrostatischen Waagen. «Chem.-Ingr-Techn.», 1960, 32, № 6, 409—412 (нем.; рез. англ., франц.)

6И14. Измерение плотности азрированной воды. Makowski Jerzy. Pomiar gestosci wody napowietrzanej. «Arch. hydrotechn.», 1960, 7, № 1, 129—137 (польск.; рез. русск., франц.).—Рассмотрен метод измерения плотности азрированной воды путем пропускания через такую воду  $\gamma$ -лучей. Указано, что этим методом можно измерять степень аэрации воды в водоемах и трубопроводах, не вводя при этом возмущений в систему. Отмечено, что описанный метод применим для определения плотности любой дисперсной системы.

Из резюме автора

6И15. Гидростатический метод измерения сжимаемости жидкости под высоким давлением. Ехлаков А. Д., Родионов К. П. «Физ. металлов и металловедение», 1960, 9, № 6, 932—935.—Описан метод, основанный на определении изменения веса твердого тела в жидкости при увеличении ее плотности под давлением. Даны результаты измерений сжимаемости керамического и трансформаторного масла в зависимости от давления (до 5000 кг/см<sup>2</sup>) и т-ры (в пределах 20—80°).

Из резюме авторов

6И16. Уравнение состояния для жидкого аммиака. Plank R. Eine Zustandsgleichung für flüssiges Ammoniak. «Kältetechnik», 1960, 12, № 10, 282—283 (нем.)

6И17. Изучение поля скоростей в аппаратах химической технологии методом электрогидродинамической аналогии. Аэров М. Э., Никитина Н. И., Трайнина С. С. «Хим. пром-сть», 1960, № 3, 242—246.—

Указано, что метод электрогидродинамич. аналогии (ЭА) может быть использован при исследовании течения жидкости в пористой среде, когда преобладают силы трения, и течения жидкости в незаполненном насадкой пространстве, когда преобладают силы инерции; в некоторых аппаратах одновременно осуществляются оба вида течения. Приведены основные соотношения некоторых параметров, характеризующих электр. и гидродинамич. поля, а также условия подобия, которые необходимо соблюдать при моделировании аппаратов, заполненных пористой средой. Кратко описаны установка и способ проведения опытов по моделированию аппаратов методом ЭА. Приведены графики распределения потенциалов и скоростей в аппаратах, целиком и частично заполненных пористой средой. Полученные результаты методом ЭА сопоставлены с данными, найденными способом массопередачи.

**6И18. Распределение турбулентного аналога вязкости и длина смешения в гладких трубах.** Rothfus R. R., Archer D. H., Sikchi K. G. Distribution of eddy viscosity and mixing length in smooth tubes. «A. I. Ch. E. Journal», 1958, 4, № 1, 27—32 (англ.).— Аналитически исследованы профили турбулентного аналога вязкости  $E$  и определена длина смешения  $L$  для стабилизированного изотермич. потока несжимаемой жидкости в гладких трубах при  $Re\ 1.2 \cdot 10^3$ — $3.2 \cdot 10^4$ . Приведены графики для определения этих величин в переходном режиме. Указано, что для  $Re < 10\ 000$  величина  $Re$  заметно влияет на величину  $E$  и распределение  $L$  и  $E$ ; при  $Re\ 3000$ — $10\ 000$  величина  $E$  достигает максим. значения и затем уменьшается при дальнейшем увеличении  $Re$ ; для развитого турбулентного режима влияние величины  $Re$  на  $E$  и  $L$  относительно невелико и длина смешения в центре трубы близка к нулю. Рассмотрено распределение  $E$  и  $L$  при течении жидкости между двумя параллельными пластинками.

**6И19. Номограмма для определения эквивалентного диаметра трубных пучков.**— Nomogram showing the diameter for heat exchanger tube bundles. «Brit. Chem. Engng», 1960, 5, № 9, 660 (англ.).

**6И20. Опыт использования газодинамической теории моделирования к экспериментальному определению коэффициента газодинамического сопротивления магистральных газопроводов.** Кудряшев Л. И., Церерин В. А. «Изв. высш. учебн. заведений. Нефть и газ», 1960, № 6, 119—121.—Предложена методика эксперим. определения коэф. газодинамич. сопротивления магистральных газопроводов: на произвольном расстоянии от начала газопровода устанавливается пьезометр; по разности показаний пьезометров в начале газопровода и точке измерения рассчитывается коэф. сопротивления, как для несжимаемой среды; по данным о начальном и конечном давлениях на перекачивающих станциях можно определить коэф. газодинамич. сопротивления, что позволяет рассчитать расход газа. Отмечено, что предлагаемая методика может явиться основой диспетчерского управления и автоматизации на магистральных системах.

**6И21. III. Перекачивание жидкостей и газов. 5. Проблемы движения по трубопроводом вязких жидкостей.** Maker F. I. III. Tuyauteries (piping). 5. Problèmes spéciaux relatifs à l'écoulement des fluides visqueux. «Rev. Inst. franç. pétrole», 1959, 14, № 12, 1697—1712 (франц.).—Рассмотрено распределение давления и расхода жидкости в разветвленных трубопроводах. Даны методы приведения длины трубопровода, разветвляющегося на 2 параллельных канала, к эквивалентной длине; при этом предполагается, что потеря давления в каждом канале независимо от его длины и диаметра одинакова. Приведены ур-ния и таблицы для расчета трубопроводов по эквивалентной длине. Для расчета сетей трубопроводов предложено использовать

релаксационный метод, принцип которого заключается в рассмотрении потоков жидкости, движущейся по трубам, как сил и моментов, приложенных к системе; решение задачи сводится к приведению всех сил и моментов в равновесие путем последовательного приближения. Приведены термодинамич. ур-ния изотермич. течения жидкостей и газов по трубам. Сообщение II см. РЖХим, 1960, № 7, 26840.

**6И22. Определение расхода жидкости в трубах большого диаметра при помощи добавок трассирующего вещества.** Lee J. C. Tracer measurements on a large diameter pipe. «Chem. Engng Sci.», 1960, 12, № 3, 191—197 (англ.; реф. франц., нем.).—Описан способ определения расхода и средней скорости потока жидкости с помощью введения в поток небольшого кол-ва нерадиоактивного трассирующего в-ва (ТВ); такое ТВ вводится в поток, а на некотором расстоянии от точки ввода производится отбор пробы, в которой определяется кол-во ТВ. Найдено, что зная кол-во ТВ в пробе можно с помощью теоретич. ур-ний вычислить расход и скорость потока, а также коэф. продольного перемешивания и кол-во осадка, отложившегося в исследуемом участке трубопровода. Рекомендовано в качестве ТВ использовать  $Na_2SO_4 \cdot 7H_2O$ , а для анализа пробы применять полнотитриметрич. метод.

**6И23. Трубопроводы в химической промышленности. 3. Соединения труб из различных материалов.** Bolten H. J. L. S. Leidingen in de chemische industrie. 3. Pijpverbindingen voor verschillende materialen in de chemische industrie. «Ingenieur (Nederl.)», 1960, 72, № 14, Ch. 27—Ch. 37 (гол.; реф. англ.).—Дана краткая классификация соединений труб. Приведены соображения о выборе жестких и разъемных соединений в зависимости от свойств материала и особенностей соединения. Рассмотрены жесткие и способные к расширению соединения труб. Сообщение 2 см. РЖХим, 1960, № 15, 61705.

**6И24. К гидравлическому расчету прорези колпачка тарельчатой колонны.** Молоканов Ю. К., Скобел А. И. «Изв. высш. учебн. заведений. Нефть и газ», 1960, № 7, 77—83.—Отмечено, что величина открытия прорези колпачка, погруженного в слой жидкости, является основной характеристикой, определяющей эффективность и стабильность работы колпачковой тарелки. Рассмотрен случай, когда газ проходит не только через прорези, но и под нижним краем колпачка по всей его периферии. Даны ур-ния, позволяющие вычислить степень открытия трапециевидных, прямоугольных и треугольных прорезей, а также находить величину средней скорости газа в этих прорезях. Отмечено, что в колоннах, работающих под атмосферным или повышенном давлением, средняя скорость пара в прорези находится в пределах, рекомендуемых для расчета; в колоннах, работающих под вакуумом, эти скорости значительно превосходят рекомендуемые величины. Указано, что прохождение газа под нижним краем колпачка не влияет отрицательно на работу колпачковой тарелки, если газовые струи, выходящие из прорезей соседних колпачков, сталкиваются в зоне образования пены; целесообразное расстояние между нижним краем колпачка и поверхностью тарелки составляет 5—10 мм.

**6И25. Расчет гидравлического сопротивления сухих решетчатых тарелок и перегородок.** Идельчик И. Е. «Хим. пром-сть», 1960, № 3, 247—251.—Указано, что гидравлич. сопротивление решетчатых тарелок и перегородок (решеток), применяемых в ректификационных и абсорбционных колоннах и электрофильтрах, составляет значительную долю общего сопротивления этих аппаратов. Даны схемы решеток обычных конструкций и перечислены факторы, влияющие на их гидравлич. сопротивление. Приведены графики и таблицы, дающие зависимость коэф. гидравлич. сопротивления решетки от отношений: площади всех отверстий

решетки к  
решеткой;  
нами к ги  
закругленн  
сравненным  
величина  
не зависит  
свободного  
6И26.  
щего слоя.  
технол. ис  
Сиб. отд.  
ур-ние для  
ожижения  
$$s = d \sqrt{4g} \left( \frac{\rho}{\rho_0} \right)^{1/2}$$
  
сменная к  
тич. вязк  
Приведен  
скоростей  
Федорова,  
6И27.  
рыла с  
установок  
ре в Е.  
ни-та, 195  
тич. иссл  
учете взаи  
эристого  
газа. Най  
входящая  
уляться из  
шара в во  
считывает  
d<sub>m</sub> — диа  
материала  
пийся с  
(диаметр  
польдса,  
рассматри  
то в св  
C<sub>0</sub> его  
в действ  
6И28.  
пшли мо  
Jerg y.  
lezasuch  
1960, 39,  
смотрены  
мером 0,  
собой и  
счет Бро  
пересыщ  
трами ко  
римента  
бы Вент  
падении  
0,16 л/м<sup>3</sup>  
газа 25  
расходе  
0,005—0,  
взвешен  
гонки к  
дельным  
45—60%  
Установ  
(98—99  
венно (с  
49%).



решетки к площади поперечного сечения канала перед решеткой; глубины отверстия с параллельными стенками к гидравлич. диаметру отверстия  $D_T$ ; радиуса закругления отверстия к  $D_T$ ; глубины отверстия со срезаемыми под углом кромками к  $D_T$ . Найдено, что величина коэф. сопротивления решеток практически не зависит от числа отверстий в ней, но зависит от свободного сечения решеток.

И. Мезенцев

6И26. Некоторые вопросы гидродинамики кипящего слоя. Волков В. Ф. В сб. «Вопр. энерготехнол. использования топлив Сибири. Новосибирск, Сиб. отд. АН СССР», 1960, 129—136. — Предложено ур-ние для определения критич. скорости псевдооживления  $Re = 0,095 Fe^{1.56}$ , где  $Re = wd/v$ ,  $Fe = \frac{d}{\sqrt{4g}} (\gamma_T - \gamma_C) / (3v^2 \gamma_C)$  ( $d$ ,  $\gamma_T$  — диаметр и уд. вес твердых частиц;  $w$  — критич. скорость потока, отнесенная к поперечному сечению;  $\gamma_C$  и  $v$  — уд. вес и кинематич. вязкость газа,  $g$  — ускорение силы тяжести). Приведены сравнительные результаты расчетов критич. скоростей по приведенному ур-нию и ур-нием Тодеса, Федорова, Касаткина и Акопяна.

С. Забродский

6И27. Взаимодействие частицы зернистого материала с потоком газа в каналах круглого сечения установок пневматического транспорта. ИИ и х-рев Е. А. «Сб. научн. тр. Белорусск. политехн. ин-та», 1959, вып. 74, 61—67. — Сообщается об анализе исследования, основанном на непосредственном учете взаимодействия сил, действующих на частицу зернистого материала при перемещении ее потоком газа. Найдено, что скорость потока газа  $W$ , обеспечивающая устойчивый пневмотранспорт, может определяться из ур-ния  $W \approx 2W_s$ , где  $W_s$  — скорость витания шара в вертикальном потоке газа; величина  $W_s$  рассчитывается по ур-нию:  $W_s = 3,6 (d_m \gamma_m / C_q \gamma_T)^{0.5}$ , где  $d_m$  — диаметр частицы,  $\gamma_m$  и  $\gamma_T$  — уд. веса твердого материала и газа,  $C_q$  — коэф. сопротивления, являющийся сложной функцией нескольких переменных (диаметров частицы и трубопровода; критериев Рейнольдса, отнесенных к частице и потоку; расстояния рассматриваемой частицы от оси потока). Отмечено, что в связи со сложностью аналитич. определения  $C_q$  его вычисляют по эксперим. данным, полученным в действит. условиях пневмотранспорта.

Б. Сумм

6И28. Очистка газа от трудноулавливаемых частиц пылью мокрым методом. Krakowski Jan, Pikoń Jerzy. Odpylanie gazów metodą mokrą z frakcji pyłów leżących w strefie trudnej zwilżalności. «Przem. chem.», 1960, 39, № 6, 345—350 (польск.). — Теоретически рассмотрены 3 процесса укрупнения частиц аэрозоля размером 0,01—0,5  $\mu$ : а) при столкновении частиц между собой и с каплями воды в турбулентном потоке; б) за счет Броуновского движения; в) путем конденсации пересыщ. водяного пара на частицах, служащих центрами конденсации. Выводы теории проверены экспериментально с помощью аппаратов двух типов: 1) трубы Вентури при скорости газа в горловине 110 м/сек, падении давления газа 160 мм вод. ст. и расходе воды 0,16 л/м<sup>3</sup>; 2) в трубе с конденсацией пара при скорости газа 25 м/сек, падении давления газа 35 мм вод. ст., расходе воды 0,05 л/м<sup>3</sup> и расходе пара (давл. 2 ат) 0,005—0,01 кг/м<sup>3</sup>. Применены аэрозоли, состоящие из взвешенных в воздухе частиц пыли (продукты возгонки карбидной печи, глинозем, окись меди) с предельными размерами частиц 0,01—10  $\mu$  и содержанием 45—60% трудноулавливаемой фракции 0,01—0,5  $\mu$ . Установлена значительно большая эффективность (98—99%) конденсационного метода очистки по сравнению с методом прямых столкновений частиц (46—49%).

Ю. Скорецкий

решетки к площади поперечного сечения канала перед решеткой; глубины отверстия с параллельными стенками к гидравлич. диаметру отверстия  $D_T$ ; радиуса закругления отверстия к  $D_T$ ; глубины отверстия со срезаемыми под углом кромками к  $D_T$ . Найдено, что величина коэф. сопротивления решеток практически не зависит от числа отверстий в ней, но зависит от свободного сечения решеток.

И. Мезенцев

6И26. Некоторые вопросы гидродинамики кипящего слоя. Волков В. Ф. В сб. «Вопр. энерготехнол. использования топлив Сибири. Новосибирск, Сиб. отд. АН СССР», 1960, 129—136. — Предложено ур-ние для определения критич. скорости псевдооживления  $Re = 0,095 Fe^{1.56}$ , где  $Re = wd/v$ ,  $Fe = \frac{d}{\sqrt{4g}} (\gamma_T - \gamma_C) / (3v^2 \gamma_C)$  ( $d$ ,  $\gamma_T$  — диаметр и уд. вес твердых частиц;  $w$  — критич. скорость потока, отнесенная к поперечному сечению;  $\gamma_C$  и  $v$  — уд. вес и кинематич. вязкость газа,  $g$  — ускорение силы тяжести). Приведены сравнительные результаты расчетов критич. скоростей по приведенному ур-нию и ур-нием Тодеса, Федорова, Касаткина и Акопяна.

С. Забродский

6И27. Взаимодействие частицы зернистого материала с потоком газа в каналах круглого сечения установок пневматического транспорта. ИИ и х-рев Е. А. «Сб. научн. тр. Белорусск. политехн. ин-та», 1959, вып. 74, 61—67. — Сообщается об анализе исследования, основанном на непосредственном учете взаимодействия сил, действующих на частицу зернистого материала при перемещении ее потоком газа. Найдено, что скорость потока газа  $W$ , обеспечивающая устойчивый пневмотранспорт, может определяться из ур-ния  $W \approx 2W_s$ , где  $W_s$  — скорость витания шара в вертикальном потоке газа; величина  $W_s$  рассчитывается по ур-нию:  $W_s = 3,6 (d_m \gamma_m / C_q \gamma_T)^{0.5}$ , где  $d_m$  — диаметр частицы,  $\gamma_m$  и  $\gamma_T$  — уд. веса твердого материала и газа,  $C_q$  — коэф. сопротивления, являющийся сложной функцией нескольких переменных (диаметров частицы и трубопровода; критериев Рейнольдса, отнесенных к частице и потоку; расстояния рассматриваемой частицы от оси потока). Отмечено, что в связи со сложностью аналитич. определения  $C_q$  его вычисляют по эксперим. данным, полученным в действит. условиях пневмотранспорта.

Б. Сумм

6И28. Очистка газа от трудноулавливаемых частиц пылью мокрым методом. Krakowski Jan, Pikoń Jerzy. Odpylanie gazów metodą mokrą z frakcji pyłów leżących w strefie trudnej zwilżalności. «Przem. chem.», 1960, 39, № 6, 345—350 (польск.). — Теоретически рассмотрены 3 процесса укрупнения частиц аэрозоля размером 0,01—0,5  $\mu$ : а) при столкновении частиц между собой и с каплями воды в турбулентном потоке; б) за счет Броуновского движения; в) путем конденсации пересыщ. водяного пара на частицах, служащих центрами конденсации. Выводы теории проверены экспериментально с помощью аппаратов двух типов: 1) трубы Вентури при скорости газа в горловине 110 м/сек, падении давления газа 160 мм вод. ст. и расходе воды 0,16 л/м<sup>3</sup>; 2) в трубе с конденсацией пара при скорости газа 25 м/сек, падении давления газа 35 мм вод. ст., расходе воды 0,05 л/м<sup>3</sup> и расходе пара (давл. 2 ат) 0,005—0,01 кг/м<sup>3</sup>. Применены аэрозоли, состоящие из взвешенных в воздухе частиц пыли (продукты возгонки карбидной печи, глинозем, окись меди) с предельными размерами частиц 0,01—10  $\mu$  и содержанием 45—60% трудноулавливаемой фракции 0,01—0,5  $\mu$ . Установлена значительно большая эффективность (98—99%) конденсационного метода очистки по сравнению с методом прямых столкновений частиц (46—49%).

Ю. Скорецкий

6И29. Дисперсионные системы жидкостей. Le Goff Pierre. Les dispersions fluide-dans-fluide. Principes physico-chimiques et utilisations en génie chimique. «Génie chim.», 1960, 83, № 6, 170—182 (франц.; рез. англ., нем., исп.). — Рассмотрены различные дисперсионные системы (ДС) (суспензии, эмульсии, аэрозоли, пены) и влияние соотношения фаз и размера частиц диспергированной фазы на свойства ДС. Приведены краткие сведения о способах образования ДС и стабильности их свойств, а также о влиянии поверхностного контакта фаз на их термодинамич. свойства. Отмечено, что движение ДС можно рассматривать как движение однородной «эквивалентной» жидкости и как движение неоднородной жидкости, на которое влияют различные факторы, обусловленные свойствами и взаимодействием фаз. На основе этого рассмотрены процессы осаждения и диффузии. Даны методы колич. оценки массо-, тепло- и электропередачи между фазами в ДС и указаны направления использования полученных данных в хим. пром-сти. Библ. 44 назв.

И. Рискин

6И30. Механические процессы, используемые для приготовления тонких эмульсий. Описание типового аппарата. Finiel A. Procédés mécaniques utilisés pour la préparation d'émulsions fines. Etude d'un appareil type. «Génie chim.», 1960, 83, № 6, 183—191 (франц.; рез. англ., нем., исп.). — Рассмотрены методы приготовления тонких эмульсий и применяемые для этого аппараты. Дано подробное описание роторного эмульсионного аппарата (Microdispenseur 103) для приготовления эмульсий с вязкостью до 200 пуаз. Указано, что в настоящее время для получения тонких эмульсий используются главным образом механич. методы, характеризующиеся затратой механич. энергии на деформацию и разрыв крупных частиц диспергируемой фазы. Описан процесс дробления частиц диспергируемой фазы за счет создания линейного градиента скорости по толщине движущегося слоя жидкости и даны оценки теоретически необходимых затрат энергии. Отмечено, что в роторных аппаратах дробление частиц происходит в тангенциальном поле скоростей (турбогенераторы, колл. мельницы); наиболее эффективны аппараты, в которых эмульсия образуется при продавливании жидкостей через отверстия диам. 10—20  $\mu$  под давлением до 300 кг/см<sup>2</sup>; при этом скорость жидкой фазы в отверстии достигает 200—900 м/сек; для приготовления эмульсий используются также ультразвуковые и звуковые аппараты. Библ. 14 назв.

И. Рискин

6И31. Распределение воды в гидроциклонах большого диаметра в зависимости от условий работы. Peachey C. G. Distribution of water in large-diameter cyclones under operating conditions. «Preprint. Internat. Mineral Process. Congr.», (1960), № 8, 10 pp., ill. (англ.; рез. франц., нем., русск.). — Сообщено об исследовании работы гидроциклонов (ГЦ) диам. 700—900 мм при давл. 0,5 кг/см<sup>2</sup>. Найдено, что выход осветленной воды линейно зависит от кол-ва воды в подаваемой на очистку суспензии; при этом коэф. пропорциональности не зависит от конц-ии твердой фазы в суспензии. Найдено, что практически распределение воды между осветленным и загрязненным потоками не зависит от диаметра ГЦ; относительное кол-во осветленной воды снижается при увеличении диаметра нижнего сливного отверстия ГЦ, при уменьшении размеров конич. днище ГЦ и при уменьшении диаметра трубы для подачи суспензии в ГЦ. Установлено, что кол-во твердой фазы в загрязненном потоке линейно возрастает с увеличением площади сливного отверстия. Отмечено, что расчет распределения воды в ГЦ дает расхождение с опытом в пределах  $\pm 5\%$ .

Б. Сумм

6И32. Центрифуги. Tra win ski H. F. Zentrifugen, Maschinen der Verfahrenstechnik. «Maschinenmarkt», 1960, 66, № 24, 5—10 (нем.). — Даны сведения о разви-

тии конструкций центрифуг и их применении в различных отраслях пром-сти, в частности для сепарирования жидкостей и разделения суспензий. Приведены рекомендации по методике расчета и измерению основных параметров центрифуг. Б. Сумм

6ИЗ3. Производительность вакуум-фильтров непрерывного действия. Исаев Н. И. «Изв. высш. учебн. заведений. Пищ. технол.», 1960, № 3, 96—99.—Приведены ур-ния для определения производительности вакуум-фильтров непрерывного действия, основанные на ранее данных зависимостях. См. РЖХим, 1959, № 13, 47637.

Из резюме автора  
6ИЗ4. Изучение движения воды и кавитационных пузырьков в центробежном насосе. Yamamasa Masao bu. «Nihon kikai gakkaei rombunshu, Trans. Japan Soc. Mech. Engrs», 1960, 26, № 162, 210—217 (японск.; рез. англ.)

6ИЗ5. Перекачивание смесей нефти и газа поршневыми насосами. Haddenhorst H. G., Horn K. Die Förderung von Gas-Öl-Gemischen mittels Tiefpumpen. «Erdoel-Z. Bohr-und Fördertechn.», 1960, 76, № 9, 293—299 (нем.; рез. англ.)

6ИЗ6. Конструкция и выбор регулирующих вентилей, применяемых на заводах нефтехимической промышленности. Нисигавы Итару. «Отомасэн, Automation», 1959, 4, № 12, 135—137 (японск.)

6ИЗ7. Применение регулирующих вентилей на заводах нефтеперерабатывающей промышленности. Омор и Набору. «Отомасэн, Automation», 1959, 4, № 12, 131—134 (японск.)

6ИЗ8. Кажущаяся теплопроводность гетерогенных керамических тел в изотермических условиях. Whitmore D. H. Apparent thermal conductivity of a heterogeneous ceramic body under isothermal conditions. «J. Amer. Ceram. Soc.», 1960, 43, № 5, 281—282 (англ.)

6ИЗ9. Передача количества движения и теплопередача в ламинарном пограничном слое неньютоновской жидкости, обтекающей поверхность. Acrivos Andreas, Shah M. J., Petersen E. E. Momentum and heat transfer in laminar boundary-layer flows of non-Newtonian fluids past external surfaces. «A. I. Ch. E. Journal», 1960, 6, № 2, 312—317 (англ.).—Приведен общий метод расчета касательных напряжений и профиля скоростей при течении неньютоновских жидкостей по плоской плите и поверхностям другой формы и полученные результаты сравнены с теоретич. решением Польгаузена для плоской плиты, обтекаемой ньютоновской жидкостью. Полученный профиль скоростей использован для интегрирования дифференциального ур-ния теплообмена в пограничном слое, на основании чего для больших чисел  $Pr$  получено ур-ние:  $Nu = Re^{1/(1+n)} Pr^{1/3} F(n)$ ; здесь  $n$  — фактор, учитывающий отклонения свойств данной жидкости от ньютоновской, для которой  $n = 1$ ;  $F(n)$  — геометрич. фактор поверхности (для плоской плиты  $F(n) = 1$ ).

В. Герцовский  
6ИЗ40. Участок тепловой стабилизации в потоке с развитой турбулентностью. Abbrecht Peter H., Churchill Stuart W. The thermal entrance region in fully developed turbulent flow. «A. I. Ch. E. Journal», 1960, 6, № 2, 268—273 (англ.).—Исследован процесс тепловой стабилизации потока с развитой турбулентностью при значениях  $Re = 15\,000$  и  $65\,000$  в трубе внутренним диам.  $d = 38,6$  мм. Воздух направлялся газодувкой через успокоительный участок, сужающееся сопло и необогреваемый отрезок трубы длиной 1680 мм в рабочий участок трубы, длина которого составляла 0,453; 1,13; 4,12 и 9,97 калибра, а затем проходил через калориметр, выполненный в виде отрезка медной трубки длиной 25 мм, нагреваемый электрич. током. Рабочий участок трубки нагревался паром или электрич. током, который пропускался через обмотку. Для определения профилей скорости и т-ры на выходе воздуха из рабочего участка применен высокочувствительный термоанемометр. На основании измерений вычислены градиенты т-ры в радиальном и осевом направлениях, плотность теплового потока в радиальном направлении, а также значения турбулентных аналогов коэф. температуропроводности ( $e_h$ ) и кинематич. вязкости ( $e_m$ ). Установлено, что  $e_h$  не зависит от длины пути в пределах участка тепловой стабилизации и является функцией гидродинамич. характеристик потока. Плотность теплового потока в радиальном направлении проходит через максимум у стенки, а затем убывает почти по линейному закону в пределах теплового пограничного слоя.

Ю. Петровский  
6ИЗ41. О влиянии внутренних источников тепла на конвективный теплообмен. Сидоров Э. А. «Атом. энергия», 1960, 9, № 1, 51—52.—Рассмотрен вопрос о влиянии внутренних источников тепла на интенсивность конвективного теплообмена для общего случая обтекания изогнутых поверхностей при любом характере изменения плотности теплового потока и т-ры обтекаемой поверхности. Установлено, что выделение тепла внутренними источниками ведет к уменьшению коэф. теплоотдачи, а поглощение тепла — к его увеличению; при ламинарном режиме течения это влияние проявляется в большей степени, чем при турбулентном.

А. Ровинский  
6ИЗ42. Естественная конвекция внутри горизонтального цилиндра. Martini William R., Churchill Stuart W. Natural convection inside a horizontal cylinder. «A. I. Ch. E. Journal», 1960, 6, № 2, 251—257 (англ.).—Опыты проводились с горизонтальной трубой длиной ~900 и диам 110 мм. Половина трубы (по одну сторону от вертикальной плоскости, проходящей через ось трубы) нагревалась конденсирующимся паром ацетона, воды, а также даутермом, вторая часть охлаждалась ацетоном, т-ра которого менялась. Разность т-р стенок трубы и воздуха, циркулирующего внутри нее, составляла 2—200°. Поле скоростей изучалось по движению в циркулирующем воздухе частиц  $TiO_2$  размером 3—7 м, которые подавались в центральную часть трубы. Конечная скорость частиц при свободном падении составляла 1,3—5,1 мм/сек. Установлено, что у стенок трубы происходит круговая циркуляция утолщенного кольцевого слоя газа, скорость которой возрастает у горячей части стенки, уменьшается в верхней части трубы, увеличивается у холодной стенки и снова уменьшается в нижней части трубы. Центральное ядро почти не участвует в циркуляции газа. Локальные коэф. теплоотдачи резко меняют свою величину на различных участках внутренней стороны стенки и почти не меняются при изменении разности т-р стенки и воздуха; среднее значение  $Nu$  по длине трубы равно ~7,0. Приведены графики профилей т-р, скоростей и локальных значений  $Nu_x$ .

В. Герцовский  
6ИЗ43. Теплообмен с водой и этиловым спиртом при естественной конвекции вблизи критической точки. Казакова Е. А. «Инж.-физ. ж.», 1960, 6, 3—4 (рез. англ.).—Исследован процесс теплоотдачи в условиях естественной конвекции от горизонтальной платиновой проволоки диам. 0,15 мм, нагреваемой электрич. током и погруженной в воду или этанол. Давление в опытах с дегазированной водой составляло 3,7—248 атм. Установлено, что при давл. > 75 атм наблюдаются значительные отклонения опытных данных от рассчитанных по обычным ур-ниям для естественной конвекции: при увеличении давления коэф. теплоотдачи  $\alpha$  возрастает, причем в области давл. < 150 атм разность температур напор  $\Delta t$  почти не влияет на  $\alpha$ ; при более высоких давлениях с увеличением  $\Delta t$  величина  $\alpha$  уменьшается и притом тем интенсивнее, чем ближе к критич. давлению. С переходом в закритич. область характер кривых сохраняется, причем с ростом  $\Delta t$  кривые для разных давлений сближаются и стремятся к величине близкой к 2000 ккал/м<sup>2</sup> час град. Указано, что расхождение эксперим.  $\alpha$  с величинами, рассчитанными по обычным ур-ниям, составляет 243 атм.

В. Герцовский  
6ИЗ44. Конвекция вблизи критической точки. S. rection h. city. «A. (англ.).—при т-ре С этой раз-ной пла-менялась ных соот-наблюда-часть по-ном нап-части. Н и при д-лового и описыва-ции (об-плотност-лены при  
6ИЗ45. Конвекция вблизи критической точки. S. rection h. city. «A. (англ.).—при т-ре С этой раз-ной пла-менялась ных соот-наблюда-часть по-ном нап-части. Н и при д-лового и описыва-ции (об-плотност-лены при  
6ИЗ46. Конвекция вблизи критической точки. S. rection h. city. «A. (англ.).—при т-ре С этой раз-ной пла-менялась ных соот-наблюда-часть по-ном нап-части. Н и при д-лового и описыва-ции (об-плотност-лены при  
6ИЗ47. Конвекция вблизи критической точки. S. rection h. city. «A. (англ.).—при т-ре С этой раз-ной пла-менялась ных соот-наблюда-часть по-ном нап-части. Н и при д-лового и описыва-ции (об-плотност-лены при  
6ИЗ48. Конвекция вблизи критической точки. S. rection h. city. «A. (англ.).—при т-ре С этой раз-ной пла-менялась ных соот-наблюда-часть по-ном нап-части. Н и при д-лового и описыва-ции (об-плотност-лены при  
6ИЗ49. Конвекция вблизи критической точки. S. rection h. city. «A. (англ.).—при т-ре С этой раз-ной пла-менялась ных соот-наблюда-часть по-ном нап-части. Н и при д-лового и описыва-ции (об-плотност-лены при  
6ИЗ50. Конвекция вблизи критической точки. S. rection h. city. «A. (англ.).—при т-ре С этой раз-ной пла-менялась ных соот-наблюда-часть по-ном нап-части. Н и при д-лового и описыва-ции (об-плотност-лены при

ерений вы-  
совом на-  
радиальном  
ных анало-  
кинематиче-  
сит от дис-  
плизации в  
ристик по-  
альном на-  
ки, а затем  
елах тепло-  
Петровский  
ков тепло  
А. Атом  
и вопрос о  
интенсив-  
его случа  
бом харак-  
ка и т-ры  
выделение  
меньшинств  
его увели-  
от влияни  
турбулент-  
Ровинский  
ризониталь-  
hurchill  
ontal cylin-  
2, 251—25  
ной трубой  
ы (по одлу-  
ищей через  
паром аце-  
ность охла-  
зность т-ры  
внутри нес-  
по две-  
TiO<sub>2</sub> разме-  
ную часть  
одном паде-  
и, что у сте-  
дия узкого  
возрастает  
хней части  
и спом  
ентральном  
за. Локаль-  
о величину  
и стенки и  
т-р стенки  
трубы рав-  
и скорости  
Герцовский  
и спирто-  
еской точки.  
№ 6, 3—4  
гдачи в ус-  
зонитальной  
емой элемен-  
тальной. Давле-  
и составлял  
и. > 75 атм  
иных данных  
естественной  
ф. теплоот-  
ф. < 150 атм  
ет на α; при  
и величину  
чем ближе  
ит. области  
ростом в  
и стремятс  
д. Указав  
ми, расче

анными по известному ур-нию, вблизи критич. точки, составлял ~200%. Предложено эмпирич. ур-ние, пригодное в закритич. области при давл.  $p = 226 - 243 \text{ атм}$ :  $Nu = [7650 (p - p_{кр}) p_{кр}^{-1} + 470] (Gr Pr)^{-0.6}$ . В опытах с этанолом определялись величины теплового потока при переходе пузырькового кипения в пленочное  $q_{кр}$  и обратно  $q_{кр2}$ . Отношение  $p/p_{кр}$  составляло 0,970—0,998. Установлено: с приближением к критич. области величина  $q_{кр}$  снижается; при давл. 0,97  $p_{кр}$  составляло 145 000 ккал/м<sup>2</sup> час, а при 0,998  $p_{кр}$  — всего 65 000 ккал/м<sup>2</sup> час, причем обратный переход от пленочного кипения в пузырьковое происходил при заметно меньших тепловых потоках  $q_{кр2}$ , чем  $q_{кр}$ . Для  $p = 69,0 \text{ атм}$  величина  $q_{кр1}/q_{кр2}$  составляет 3,1 и для  $p = 69,5 \text{ атм}$  — 2,8. Как и для воды коэф. теплоотдачи для разных давлений в закритич. области стремится к постоянной величине, равной 2000 ккал/м<sup>2</sup> час град.

В. Герцовский  
6144. Коэффициент теплоотдачи при естественной конвекции в области максимальной плотности жидкости. Schechter R. S., Isbin H. S. Natural-convection heat transfer in regions of maximum fluid density. «A. I. Ch. E. Journal», 1958, 4, № 1, 81—89 (англ.). — Изучена естественная конвекция жидкости при т-ре, соответствующей максим. ее плотности. С этой целью наблюдалось движение частиц полистирола размером 325—400 мш и уд. в. 1,05 у вертикальной пластинки, погруженной в воду, т-ра которой изменялась в пределах, близких к 4°. При определенных соотношениях между т-рой пластинки и жидкостью наблюдается инвертированная конвекция: внешняя часть пограничного слоя движется в противоположном направлении по отношению к внутренней его части. На основании теоретич. рассмотрения проблемы и при допущении, что толщины гидродинамич. и теплового пограничных слоев равны, выведены ур-ния, описывающие теплоотдачу при естественной конвекции (обычной и инвертированной) в области максим. плотности жидкости. На основании опытов установлены пределы применимости этих ур-ний.

В. Герцовский  
6145. Фотографическое изучение устойчивого пленочного кипения жидкостей, нагретых до температур насыщения. Nishikawa Kaneyasu. «Нихон кикай гаккай ромбунсю», Trans. Japan Soc. Mech. Engrs, 1960, 26, № 165, 726—734. Discuss., 734—737 (японск.; рез. англ.). — Исследование процесса кипения воды и р-ров олеатов натрия в большом объеме при атмосферном давлении выполнено на нихромовых проволоках диам. 0,6—1 мм и платиновой проволоке диам. 0,5 мм при тепловых нагрузках  $q (1-9) \cdot 10^5 \text{ ккал/м}^2 \text{ час}$ . Установлено, что произведение отрывного диаметра  $d$  на чистоту отрыва  $f$  пузырьков зависит от величины эмиссии поверхности нагревания. При тепловых потоках  $q$ , обусловленных радиацией, меньших 0,01  $q$ , значение  $df$  растет с увеличением  $q$ . При  $q > 0,01$   $q$  величина  $df$  остается неизменной. Установлено также, что в области  $q < 0,01$   $q$  эксперим. значения коэф. теплоотдачи α хорошо следуют обычным теоретич. ур-ниям для устойчивого пленочного кипения насыщ. жидкостей. В области  $q > 0,01$   $q$  значения α располагаются существенно ниже вычисленных величин. В области  $q > 0,01$   $q$  необходимо учитывать влияние перемещения пузырей на теплоотдачу при пленочном кипении.

Р. Артым  
6146. О теплообмене в прямоточных полых скрубберах с распылением жидкости газозным потоком, движущимся с повышенной скоростью. Постников В. П. «Ж. прикл. химии», 1960, 33, № 8, 1801—1808. Исследован теплообмен в трех моделях полых вазоохладителях с прямоточным движением распыляемой охлаждающей воды и горячего газа. Опреде-

лена зависимость величины коэф. теплопередачи  $K$  от размера капель воды  $d_k$ , относительной скорости их движения  $w$  и величины коэф. орошения  $m = V_v/V_g$ , где  $V_v$  и  $V_g$  — расход воды и газа в м<sup>3</sup>/час; исследование охватывает область изменения  $d_k = 110 - 640 \mu$ ,  $w = 2,6 - 13 \text{ м/сек}$ ,  $m = (0,5 - 7) \cdot 10^{-3} \text{ м}^3/\text{м}^3$ . Основное влияние на интенсивность теплопередачи оказывают  $d_k$  и  $w$ , с увеличением которых  $K$  значительно возрастает. Опытные данные описываются критериальным ур-нием  $Ki = 4,5 Re^{0.8} Pr^{0.33} N^{-0.7}$ , где  $Ki$  — критерий Киричева,  $H = F_k/S$  — плотность орошения рабочего объема,  $F_k$  — суммарная поверхность капель жидкости,  $S$  — величина поперечного сечения аппарата.

А. Ровинский  
6147. Теплопередача в аппаратах с наружными змеевиковыми нагревателями и определение их поверхностей нагрева. Д о л и н и н Н. П. «Хим. пром-сть», 1960, № 3, 234—241. — Рассмотрено распределение т-р в стенках змеевика и в корпусе аппарата, когда змеевик приварен к наружной поверхности последнего. Предложено, что все тепло передается от змеевика к корпусу через поверхности их контакта; т-ра среды, находящейся в аппарате, постоянна; стенка корпуса рассматривается как плоская; распределение т-р в сечении корпуса аппарата в любой плоскости, перпендикулярной оси аппарата, равномерно; коэф. теплоотдачи на поверхности змеевика и внутренней поверхности корпуса постоянны; коэф. теплопроводности стенок змеевика и корпуса аппарата одинаковы и постоянны. На основании выведенных ур-ний, при известных коэф. теплоотдачи от теплоносителя к стенке змеевика и от стенки корпуса к нагреваемому в-ву, можно определить оптимальный шаг между витками при произвольной и заданной высоте змеевика, предельно допустимый шаг, длину змеевика при произвольной и заданной его высоте, максим. и миним. т-ру стенки корпуса аппарата. Приведен пример расчета.

В. Герцовский  
6148. Методы расчета процессов нагревания. Sasvári György. Módszerek a melegedés számításához. «Építészanyag», 1960, 12, № 6, 217—230 (венг.; рез. русск., нем.). — Приведены методы, ур-ния и графики для расчета. Библ. 5 назв.

А. Е.  
6149. Влияние размещения труб на эффективность трубчатой печи. Mathis H. M., Scheweppe J. L., Wimpers R. N. Tube location is key to performance. «Petrol. Refiner», 1960, 39, № 4, 177—181 (англ.). — Изучено влияние конструктивных параметров на эффективность трубчатых радиационных печей, широко используемых в нефтехим. пром-сти. Исследование выполнено на спец. установке, основным элементом которой являлась камера сжигания размером  $0,9 \times 0,9 \times 0,5 \text{ м}$ , футерованная огнеупорным материалом, внутри которой размещались в один ряд 4 или 6 трубок (Т) в вертикальном или горизонтальном положении. При проведении опытов изменялись расстояние от Т до стенки камеры, расстояние между Т, их размер и ориентация. Внутри Т продувался воздух, который воспринимал передаваемое тепло. Установлено, что расстояние  $l$  между поверхностью излучения (стенкой камеры) и Т (номинальный диам. 50 мм) сильно влияет на интенсивность поглощения тепла: при увеличении  $l$  с 2,5 до 25 мм кол-во поглощаемого тепла возрастает на  $\Delta Q = 19\%$ , при дальнейшем увеличении  $l$  с 25 до 75 мм — еще на  $\Delta Q = 12\%$ , с 75 до 180 мм — на  $\Delta Q = 9\%$ . Увеличение  $Q$  происходит только в том случае, когда зазоры между Т свободны: установка за Т экранирующих перегородок сводит этот эффект к нулю. Плотность теплового потока по периметру Т более однородна при большем шаге между ними и для Т с большим диаметром. Ориентация Т не оказывает заметного влияния.

Ю. Петровский



**6И50. Нагревательные устройства, использующие солнечную энергию.** Duffie J. A., Löff G. O. G., Salam E. M. A. Solar heat exchangers. «Chem. Engng Progr.», 1960, 56, № 7, 63—67 (англ.).—Плоские солнечные нагреватели, у которых облучаемая поверхность совпадает с теплоотдающей, применяются для нагрева главным образом воды на 55—80° выше т-ры окружающей среды; они просты по конструкции, не требуют особенно точной ориентации по отношению к солнцу, используют не только падающее, но также и рассеянное излучение; возможно их применение в системах отопления и кондиционирования. Нагреватели с рефлекторами, концентрирующими падающее излучение на сравнительно небольшой поверхности, дают возможность получать более высокие т-ры и используются в парогенераторах низкого давления, а также в печах, где удается получать т-ру до 4500° при соотношении поверхностей рефлектора и нагреваемой поверхности порядка  $(10 \div 0) \cdot 10^4 : 1$ ; такие нагреватели обязательно снабжаются следящими системами, постоянно ориентирующими рефлектор, и поэтому значительно сложнее по устройству; они используют энергию только лишь падающего излучения. Выполнен анализ у-рия теплового баланса солнечного нагревателя. Отмечено, что отношение  $A_d/A_x$  ( $A_d$  — поверхность, поглощающая излучение, и  $A_x$  — нагреваемая поверхность) определяет плотность теплового потока, которая составляет 950 ккал/м<sup>2</sup> час для плоских нагревателей ( $A_d/A_x = 1$ ), а для нагревателей с рефлектором она намного выше; в то же время для последних характерны меньшие теплопотери, определяющие высокий к. п. д. (до 85%). Эффективность нагревателя во многом зависит от качества поверхности рефлектора, отражательной способности и правильности формы его; металлизация порошковым алюминием под вакуумом позволяет достигать отражательной способности свыше 80%. Для уменьшения теплопотерь конвекцией и радиацией нагреваемая поверхность покрывается защитным теплопрозрачным экраном, в качестве которого обычно используется силикатное стекло с тонким слоем (0,01—0,1 мм) пластика, напр. полиэфирной смолы. Нагреваемая поверхность должна обладать высокой степенью черноты: для этого на металл, поверхность наносится тонкий слой полупроводника (напр. CuO). Отмечено возрастающее значение солнечных нагревателей.

**6И51. Электрический водонагреватель.** Илиев П. Нов тип электрически топлообменител с непрекъснато действие и определяне коефициента на топлоотдаването на електрически му елемент. «Научни тр. Висш. ин-т хранит. и вкус. пром-ст-Пловдив», 1960, 7, 319—325 (болг.; рез. русск., нем.).—Электрический водонагреватель, применяемый в лаборатории, представляет собой цилиндр, стакан из оцинкованного железа, внутри которого несколько спиралей из реотана смонтированы в спец. керамич. гнездах; общая мощность нагревательного элемента 1600 вт. Стакан с помощью фланца аксиально установлен в цилиндр, кожухе и в кольцевом пространстве смонтирована спираль из ленты нержавеющей стали так, что нагреваемая вода движется снизу вверх по спиральному каналу между стаканом и кожухом и при расходе 1 л/мин нагревается от 16 до 38°. К. п. д. теплообменника 0,994.

**6И52. Эффективность высокотемпературного испарителя.** Born J. H., Jr., Jones M. L. Efficiency of a high temperature vaporizer. «Chem. Engng Progr.», 1960, 56, № 7, 39—44 (англ.).—Приведены результаты испытания высокотемпературного испарителя с естественной циркуляцией, состоящего из двух горизонтальных барабанов, соединенных стальными трубами диам. 38,1 мм с шагом 63,5 мм и размещенных в точке. Теплопередающие поверхности точки и испарителя соответственно равны 38 и 135,8 м<sup>2</sup>. В качестве теплоносителя использован даутерм. Испытания проводились при т-ре пара 371°. Испытаны горелки двух типов: с воздушным (I) и с воздушно-паровым (II) распылением топлива. В горелке I подавалась лишь часть общего кол-ва воздуха, необходимого для полного сгорания топлива. В горелке II подавался весь требующийся воздух. Исследовано распределение т-р в топке, изменение состава топочных газов, теплопередача в точке. Установлено, что к. п. д. испарителя составляет 75%; максим. тепловой поток, отнесенный к общей поверхности испарителя, равен  $2,71 \cdot 10^4$  ккал/м<sup>2</sup> час. Использование горелок II позволяет получить более равномерное температурное поле в объеме точки и более высокую т-ру металлиз. поверхностей. Применение горелок II рекомендуется при интенсивном теплообмене с использованием высокотемпературных теплоносителей, отличающихся большой термостойкостью. При низких тепловых нагрузках обе горелки дают примерно одинаковый результат.

**6И53. Новый холодильный абсорбционный цикл.** Merrick R. H., English R. A. An air-cooled absorption cycle. «ASHRAE Journal», 1960, 2, № 8, 30—41 (англ.).—Описывается принцип работы новой абсорбционной холодильной установки с воздушным охлаждением, холодопроизводительностью 9000—13 600 ккал/час. Рабочим в-вом служит водоаммиачный р-р. Особенности установки: использование герметичного устройства для обеспечения циркуляции рабочего в-ва и применение ректификатора, включенного параллельно с теплообменником и охлаждаемого р-ром.

**6И54. Возможные неполадки в холодильной установке.** Bopp John. Wodurch die Betriebssicherheit einer Kälteanlage gestört werden kann. «Kälte», 1960, 13, № 4, 186—188 (нем.).—Отмечены возможные неполадки в работе холодильных установок: недопустимое повышение т-ры в компрессоре, заполнение установки F-22 вместо F-12, высокая т-ра всасываемого пара и др. Наличие в системе к-т приводит к образованию солей железа и меди и разложению смазочного масла. Вода и кислород вызывают коррозию металла деталей; продукты коррозии обладают абразивными свойствами, увеличивают износ движущихся частей, засоряют дросселирующие приборы и являются причиной неплотности клапанов. Описаны наиболее надежные способы вакуумирования и осушки установок.

**6И55. Трубопроводы охлаждающего агента у аппаратов для охлаждения воды.** Harnish J. R. Refrigerant piping for flooded water coolers. «Air Condit. Heat and Ventil.», 1960, 57, № 5, 66—70 (англ.).—Рассматриваются кожухотрубные теплообменники для охлаждения воды или рассола, используемых затем в осушительных или холодильных устройствах. Вода или рассол протекают по трубам, омываемым жидким охлаждающим агентом. Скорость движения воды в трубах равна 2,4—3,0 м/сек; трубы часто снабжаются внешними ребрами, увеличивающими отношение наружной поверхности к внутренней до 3,5 : 1. Описываются системы возврата смазочного масла в компрессор и устройства для поддержания постоянства уровня охлаждающего агента в корпусе трубчатого холодильника.

**6И56. Тепловая изоляция.** Dawson J. W. Thermal insulation. Some basic considerations. «Chem. and Process Engng», 1960, 41, № 9, 406—407 (англ.).—Рассмотрены применение и особенности порошково-вакуумной изоляции, характеризующейся равномерным распределением пор, низкими значениями коэф. теплопроводности и уд. весов; коэф. теплопроводности перлит при т-ре —183° и давл. 0,01 мм рт. ст. равен 0,001488 ккал/м час град. Величина уд. веса может служить критерием совершенства изоляции лишь для материалов с одинаковой структурой. Для в-в с разны-

структурной плотностью  
6И57. Теплоотдающая способность в газовой среде. W. G. C. прерывающейся ватой ра Chem., 1960, 15, № 1, 1—2. Схемы обтекания с точки зрения теории теплообмена. Стационарные и нестационарные процессы в газовой среде. Выводы.

6И58. Гидродинамический расчет. G. E. H. «In-», 1963, 1, № 1, 1—2. Расчеты для гидродинамических задач. Таблицы коэффициентов. Расчеты для гидродинамических задач.

6И59. Калорийность. «Chem.», 1960, 15, № 1, 1—2. Экспериментальные данные по калорийности. Таблицы калорийности. Выводы.

проводилась двух типов: 1) распылили часть полного слоя, требующего в топке, передача в яля составленный к об ккал/м<sup>2</sup> час, учесть более ме точки в ий. Примененном тепло-ных тепло-стойкостью и дают при Р. Артым цнкл. оled absorb-8, 39—41 вой абсорб-13 600 ккал/м<sup>2</sup> час. Оо-рметичног обочего в-я параллель-ом.

Д. Иоффе-льной ут-ssicherheit-е», 1960, 13, де, немолад-устимое по-установи-омого пара-бразованию-очного мас-металлич-бразивных-хся частей-яются при-иболее на-установе-

Д. Иоффе-та у апт- R. Refrige-ondit. Heat-.-Рассма-для охлад-ем в осущ-да или рас-ким охлад-ы в труба-ются внешне-е наружной-иаются с-мпрессор-а уровн-о холода-Скоренки W. Therm-и. and Pro-.-Рассмо-на-вакуум-ым распе-теплопр-сти перди-ст равн-может ст-ипь для и-в с разн-

структурой необходимо учитывать относительную пористость материала.

**6157.** Новые представления о механизме массо- и теплоотдачи. Toor H. L., Marchello J. M. Film-penetration model for mass and heat transfer. «A. I. Ch. E. Journal», 1958, 4, № 1, 97—101 (англ.).—Известные представления о механизме переноса тепла и в-ва, вытекающие из пленочной теории Уитмена (Whitman W. G., Chem. and Met. Eng., 1923, 29, 147) и теории непрерывного обновления контактной поверхности, разветвленной ранее (Danckwerts P. V., Industr. and Engng Chem., 1951, 43, 1460), являющиеся частными случаями схемы обмена, разработанной авторами. В соответствии с этой схемой при низких значениях критерия Sc для жидкости в процессе ее взаимодействия с газом быстро устанавливается стационарный градиент движущей силы переноса, что определяет приложимость в этих условиях выводов, следующих из пленочной теории. Наоборот, по мере повышения величины Sc, увеличивается время, необходимое для установления стационарного градиента, и даже при сравнительно медленном обновлении контактной поверхности она может в известном смысле рассматриваться как свежая: в этих условиях справедливы соотношения, вытекающие из теории Данквортса. Во многих случаях условия переноса являются промежуточными между двумя указанными пределами. Дано математическое описание механизма переноса для предложенной схемы и произведено сопоставление сделанных выводов с известными опытными данными.

Ю. Петровский

**6158.** Теоретические основы и методы дистилляции. Gerster J. A. Distillation theory and fundamentals. «Industr. and Engng Chem.», 1960, 52, № 8, 645—653 (англ.).—Выполнен критич. анализ основных работ, посвященных эксперим. исследованию и методам расчета равновесных составов жидкости и пара идеальных бинарных и многокомпонентных смесей, распределению компонентов в колоннах для ректификации многокомпонентных смесей (программирование задач для счетных машин, новые методы расчета ректификации многокомпонентных смесей); эффективности ректификационных тарелок (новейшие данные, перемешивание жидкости на колпачковых тарелках, в.п.д. тарелок при ректификации многокомпонентных смесей, диффузия в жидкостях и парах, унос с тарелок и их конструкции); автоматич. контролю работы колонн.

Ю. Петровский

**6159.** Экспериментальный метод определения локальных коэффициентов массопереноса на твердой поверхности и его применение к случаю цилиндра, обтекаемого воздухом. Macleod N., Stewart G. An experimental method for determining local mass transfer coefficients at a solid surface, and its application to the case of a circular cylinder in a transverse air stream. «Chem. Engng Sci.», 1960, 12, № 2, 142—146 (англ.).—Экспериментальное определение коэф. массоотдачи проводится обычно с применением тел из сублимирующихся или растворимых в-в. Среднее значение коэф. массоотдачи определяется по потере веса образца или по концентрации компонента в жидкой фазе. Описан прибор для определения локального значения коэф. массоотдачи. В приборе основным элементом является щуп, соприкасающийся с образцом; убыль в-ва на поверхности образца определяется по уменьшению толщины слоя. Эксперимент проводился на испытательном цилиндре из аценафтена, диам. 1,4 см и длиной 7,5 см. Цилиндр обдувался поперечным потоком воздуха в течение 12—24 час. при комнатной т-ре. Найдено распределение локальной скорости сублимации по образующей цилиндра при Re = 10 000, 15 000, 215 000 (скорость воздуха 9—21 м/сек). Точка максим. скорости сублимации отвечает лобовой зоне, а миним. скорость смещена на 85° от лобовой зоны. Соотношение между

максим. и средней скоростью сублимации ~1,8; между миним. и средней 0,3—0,4. В кормовой зоне скорость сублимации в 1,6 раза менее максимальной. С уменьшением Re скорость пропорционально убывает по всему периметру.

Н. Кондуков

**6160.** Исследования в области пленочной дистилляции. Malyusov V. A., Zhavoronkov N. M. Research in the field of film distillation. «Internat. Sympos. Distillation. Brighton, 1960. London, Instn Chem. Engrs. (1960), 93—99 (англ.).—На основании теоретич. предположений выведено ур-ние, определяющее высоту, эквивалентную единице переноса в-ва ( $h_{or}$  в см), при пленочной ректификации в условиях ламинарного течения пара:  $h_{or} = 0,068dRePr$ , где  $d$  — диаметр колонки в см;  $Pr$  — диффузионный критерий Праудля (т. е. Sc). Для проверки ур-ния выполнены опыты по ректификации смесей бензол-дихлорэтан, этанол-вода и *n*-гептан-толуол в пленочных полых колонках диам. 3; 6,5; 10 и 22 мм при атмосферном давлении и разрежении до 710 мм рт. ст. Установлено, что в области  $Re = 200 \div 1000$  ур-ние хорошо описывает опытные данные; критич. значение Re увеличивается с уменьшением  $d$ , так как при этом создаются менее благоприятные условия для возникновения турбулентных пульсаций. В области турбулентного течения пара справедливо ур-ние:  $h_{or} = 11,1d^{0,64}Re^{0,23}Pr^{0,67}$ . Опытами охвачены значения  $Re = 1000 \div 15 000$ . Показано, что искусств. турбулизация парового потока в роторных колонках существенно интенсифицирует массообмен. Приведены основные результаты исследования ректификации в колоннах с упорядоченной насадкой: полых колоннах различной высоты со смоченными стенками, с насадкой в виде коротких вертикальных патрубков с проволочной спиралью на внутренней поверхности, с насадкой в виде натянутых вертикально струн диам. 2 мм и высотой 10 м, с плоскопараллельной насадкой.

Ю. Петровский

**6161.** Практические вопросы дистилляционной техники. Haines Harry W., Jr. Distillation. The practical aspects. «Industr. and Engng Chem.», 1960, 52, № 8, 662—670 (англ.).—Рассмотрены основные методы осуществления дистилляции и контроля за процессом. 1. Ректификация в обычной колонне, состоящей из концентрационной и отгонной секций, а также в концентрационной и отгонной колоннах, работающих отдельно; вакуумная дистилляция и различные способы осуществления дистилляции с водяным паром; абсорбция и отпарка насыщенного поглотителя; ректификация сложных смесей в одной и нескольких колоннах, а также в колоннах с промежуточным отбором; экстрактивная и азеотропная дистилляция. 2. Типизация и нормализация дистилляционной аппаратуры (колонн, емкостей, теплообменников, насосов). 3. Выбор наиболее целесообразной системы контроля за осуществлением процесса разделения смеси: расположение датчиков, контролирующих состав продуктов разделения и потоков жидкости и пара в колонне; способы поддержания постоянного соотношения кол-в жидкости и пара в концентрационной и отгонной секциях колонны, постоянных тепловых нагрузок куба и конденсатора; хроматографич. и рефрактометрич. методы контроля. 4. Автоматизация контроля и поддержания оптимальных параметров процесса. 5. Рациональное расположение аппаратуры. 6. Экономич. показатели и их анализ.

Ю. Петровский

**6162.** Влияние перемешивания на направление движения фаз на эффективность тарелок. Miyauchi Terukatsu. «Kagaku kogaku, Kagaku kogaku, Chem. Engng (Japan)», 1960, 24, № 6, 434—443 (японск.; рез. англ.).—Выполнен теоретич. анализ процесса массообмена на контактной тарелке с учетом диффузии в паровой (газовой) и жидкой фазах, происходящей в направлении их движения и снижающей эффективность тарелки.

Из резюме автора

**6И63.** Влияние расстояния между колпачками на размеры колонны. Gyökhégyi L. S., Hay J. J., Czermann J. J. How cap spacing sets tower design. «Petrol. Refiner», 1960, 39, № 5, 201—206 (англ.).—Предложен новый метод расчета основных размеров колонны с колпачковыми тарелками, в котором учитывается влияние размера колпачков и расстояния между ними на характеристики работы колонны. На основании полученных расчетных ур-ний сделаны следующие выводы: 1) расчетный параметр, введенный ранее (Davies, Petrol. Refiner, 1950, 29, № 8, 93; № 9, 121), является функцией размеров колпачков (самого колпачка, патрубка, прорезей, расстояний между ними), а также плотности пара и жидкости; 2) предельная величина линейной скорости газа в абсорберах составляет ~75% величины скорости пара в ректификационных колоннах, что согласуется с данными практики; 3) уд. пропускная способность колпачка в отношении пара возрастает с уменьшением его диаметра; 4) с увеличением диаметра колпачков и расстояния между ними возрастает допустимая скорость пара в прорезях; 5) выведенные ур-ния позволяют определить такие предельные значения скорости пара в прорезях колпачка, при которых не происходит существенного уноса жидкости с тарелки. Рассмотрено применение предложенного метода к расчету колонны. Ю. П.

**6И64.** Теплообмен на тарелках и эффективность колпачковых тарелок. Ellis S. R. M., Shelton J. T. Interstage heat transfer and plate efficiency in a bubble-plate column. «Internat. Sympos. Distillation. Brighton», 1960, London, Instn Chem. Engrs., (1960), 121—126 (англ.).—При ректификации в колоннах с колпачковыми тарелками происходит конденсация части паров на нижней стороне тарелок и внутренней поверхности патрубков, служащих для прохода пара под колпачком; конденсация обуславливает некоторое дополнительное разделение в результате фракционированной конденсации. Для исследования влияния этого процесса на результаты разделения осуществлена ректификация смесей метанола и воды в колонне диам. 100 мм с 6 колпачковыми тарелками в условиях полного возврата орошения и при различных скоростях пара, составлявших  $w = 0,11; 0,19$  и  $0,35$  м/сек. Установлено, что рабочая линия ректификации отклоняется от диагонали в диаграмме  $x-y$  ( $x, y$  — содержание легколетучего компонента в жидкости и паре) тем больше, чем ниже  $w$ . Эффективность (к. п. д.) тарелок при всех  $w$  оказалась ниже 100% и слабо зависит от концентрации жидкости на тарелке. Ю. П.

**6И65.** Промышленные фракционирующие колонны со струйными тарелками. Forgive John. Commercial jet-tray fractionators. «Internat. Sympos. Distillation. Brighton, 1960, London, Instn Chem. Engrs., 1960, 135—139 (англ.).—В промышленной практике получили распространение струйные тарелки (Т), обладающие рядом преимуществ. Т изготавливается из тонколистового металла, на поверхности которого выполняется ряд U-образных надрезов, после чего образовавшиеся «язычки» отгибаются под определенным углом к плоскости Т. Полученные таким образом отверстия служат для прохода пара, который при этом отклоняется от вертикального направления и, взаимодействуя с жидкостью, заставляет ее двигаться в определенном направлении. На Т отсутствуют сливные перегородки. Применение новых Т в колонне диам. 1070 мм, работающей под дав. 23 атм, позволило увеличить производительность на 28% и в то же время уменьшить сопротивление на 13%, при этом число Т осталось неизменным (раньше в колонне были установлены колпачковые Т), а разделительное действие даже несколько улучшилось. Замена колпачковых Т струйными в колонне диам. 4100 мм, работающей под атмосферным давлением, привело к увеличению производительности на 35% и уменьшению сопротивления

на 37%. Новые Т значительно дешевле и легче колпачковых; экономия затрат на сооружение фракционирующих колонн составила 12—45%. Приведены общие соображения о выборе основных параметров струйных Т. Ю. Петровский

**6И66.** Простой аналитический способ расчета периодической ректификации двухкомпонентной смеси при постоянном флегмовом числе. Кодзима Кадзуюо. «Кагаку когаку, Kagaku kogaku, Chem. Engng (Japan)», 1960, 24, № 4, 245 (японск.).

**6И67.** Метод анализа работы насадочных экстракционных колонн. Слободяник Н. П. Изв. высш. учебн. заведений. Инж. технol., 1960, № 3, 111—115.—Предложен общий вид ур-ния для определения скорости массопередачи при экстракции в системе жидкость — жидкость в насадочных колоннах, работающих при оптимальных скоростях потоков фаз. При выводе ур-ния для учета влияния физико-хим. свойств на скорость массопередачи использовано понятие коэф. эквивалентности действующих масс. К. Сакодынский

**6И68.** Флегмообразование при противоточном распределении. I. Кислотно-основной процесс. II. Процесс распределения. Reflux in counter-current distribution. I. Barker J. A., Beecham A. F. The acid-base process. II. Beecham A. F., Maslen V. W. The partition process. «Austral. J. Chem.», 1960, 13, № 1, 1—17, 18—29 (англ.).—I. Рассмотрены теоретич. основы процесса распределения органич. к-ты между органич. р-рителем и водн. р-ром щелочи: кислотно-основное равновесие, коэф. распределения, характер приближения к состоянию равновесного распределения при различных величинах коэф. распределения. Обоснован предлагаемый метод флегмообразования за счет изменения pH среды. Проведенные расчеты поясняются на примере разделения о-толуоловой и п-толуоловой к-т, для которых двумя методами определено значение коэф. распределения, оказавшегося равным 2,2. Выполнены опыты по разделению на аппарате Крайга с 20 ячейками и получена кривая распределения к-т по ячейкам. II. Выведены ур-ния для расчета распределения органич. в-в между органич. р-рителями и водой для случая образования флегмы за счет испарения с последующим переводом в другую фазу в любой стадии модифицированного аппарата Крайга. Составление распределения м- и п-нитроанилина по 12 ячейкам аппарата Крайга в сложной системе бензол — хлороформ — метанол — вода в соотношении 8:8:11:4 показало хорошее соответствие с рассчитанным распределением по предложенным ур-ниям. К. Сакодынский

**6И69.** Экспериментальное определение кривых сушки. Gerstenberg H. Aufnahme von Trocknungskurven. «Chem.-Ingr-Techn.», 1960, 32, № 9, 613—616 (нем.; рез. англ., франц.).—Описана установка для автоматич. получения кривых сушки при конвекционном и радиационном нагревании в-ва. Изучено влияние размеров частиц исследуемого материала, его структуры и порозности. Опыты проводились со смесью этилено-пропиленовых полимеров, а также гранулами из стекла и поливинил-хлорида. Размер гранул менялся от 1 до 500 мк, исходная влажность материала составляла 17,5—61% по весу. Для изучения влияния размеров капилляров и формы частиц производилось пресование материала. Снятые кривые зависимости скорости сушки от влагосодержания имеют характерные изломы соответственно различным механизмам массопереноса. Уменьшение геометрии, размеров капилляров приводит к сокращению времени сушки. Предложенный метод снятия кривых сушки является простым и удобным. Применение метода рекомендуется для быстрого определения кривых сушки новых в-в и решения вопроса о пригодности того или иного сушильного аппарата для сушки нового в-ва. Р. Артыш

**6И70.** Экономика процесса сушки твердых материалов. Bates Herbert T. Economical drying of so-

lids. «Chem. (англ.).—...мичность твердых струйных форм...ляющие в кинетику выбирать сушки.

**6И71.** сушки. Т. T. Wad...ku kogaku...297 (япо...куумной...ной 0,5—4...ной каме...сверху ра...гревателе...характер...ных обра...шения сн...дающей...показал...ляется к...коэф. исп...кг в г/см...шальной...кг = 4,4.

**6И72.** сорбенто...В сб. «1...УССР, 19...ничных...хом при...ками то...воде. Те...разделен...периода...связи вл...ризуется...вода ост...стичность...ляется...стояние...находятся...выпадает...ропорово...ветствует...влагосод...рактеристики тверд...пательной...мой, явл...коал. ки...ден англ...для п-ва.

**6И73.** трубочат...den opt...«Chem...англ., ф...оптима...Дробно...что про...максим...ходов в...с опти...ставлен...мание...чатого...ур-ний...заво та



hds. «Chem. Engng Progr.», 1960, 56, № 7, 52—57 (англ.).—Рассмотрены факторы, определяющие экономичность процесса конвективной сушки изделий из твердых пористых материалов сферич. и цилиндрич. формы или в виде брусков. Приведены ур-ния, позволяющие на основе эксперим. данных о теплоотдаче и кинетике сушки рассчитать сушильный аппарат и выбрать оптимальные условия проведения процесса сушки.

**6И71. Исследование основных вопросов вакуумной сушки.** Toei R., Maeda K., Yamauchi T., Fuha T., Wada K., Yamamoto H. «Kagaku kogaku, Kagaku kogaku, Chem. Engng (Japan)», 1960, 24, № 5, 289—297 (японск.; рез. англ.).—Исследовался процесс вакуумной сушки глины. Образец в виде пластины толщиной 0,5—3 мм размещался на весах в теплоизолированной камере при давл. 4—300 мм рт. ст. и нагревался сверху радиационным источником или контактным нагревателем, расположенным снизу. Из полученных характеристик кривых сушки следует, что в различных образцах при одинаковых влагосодержаниях отношения скоростей сушки в периоды постоянной и падающей скорости одинаковы. Анализ кривых сушки показал, что механизм процесса сушки глины определяется капиллярными явлениями. Соотношение между коэф. испарения, отнесенным к единице поверхности,  $kg$  в  $g/cm^2$  мин (мм рт. ст.) и общим давлением в сушильной камере  $p$  в мм рт. ст., выражается ур-нием:

$$kg = 4,4 \cdot 10^{-3} \cdot p^{-2/3}.$$

**6И72. Тепло- и влагообмен при сушке природных сорбентов и их гидрофильность.** Казанский М. Ф. В сб. «Природн. минеральн. сорбенты». Киев, АН УССР, 1960, 166—171.—Исследована сушка пасти черепичных глин различных месторождений УССР воздухом при  $t$ -рах 25—110°; опыты проводились с пластинами толщиной 2 мм после полного набухания их в воде. Термограммы процесса сушки глины могут быть разделены на четыре участка, соответственно четырем периодам процесса, различающимся формой и видом связи влаги с твердой фазой. Первый период характеризуется удалением осмотич. влаги, а система глина—вода остается двухфазной и сохраняет свойство пластичности. После первой крит. точки из глины удаляется гигроскопич. влага и образец переходит в состояние упруго-хрупкого тела; в этот период уменьшаются скорость сушки и внешний теплообмен, повышается  $t$ -ра образца и возрастает коэф. температуропроводности материала. Вторая критич. точка соответствует максим. кол-ву адсорбированной влаги, а влагосодержание образца в третьей критич. точке характеризует кол-во адсорбированной влаги, связанной с твердой фазой наиболее прочно. Кинетика последовательного удаления влаги из глины представлена схемой, являющейся общей для сушки тонких образцов коалд. капиллярно-пористых в-в; по этой схеме приведен анализ водоудерживающих свойств различных глины для разных видов связи влаги с твердой фазой глина.

**6И73. Об оптимальном температурном режиме в трубчатом реакторе.** Horn F., Trollenier U. Über den optimalen Temperaturverlauf im Reaktionsrohr. «Chem.-Ing.-Techn.», 1960, 32, № 6, 382—393 (нем.; рез. англ., франц.).—Описаны различные методы расчета оптимального температурного режима реактора и подробно рассмотрены некоторые схемы р-ции. Указано, что проведение р-ции по кривой оптимальных  $t$ -р дает максим. выход продуктов. Отмечено, что сравнение выходов в оптимальном изотермич. реакторе и реакторе с оптимальным температурным режимом дает представление о преимуществе последнего. Основное внимание уделено расчету температурного режима трубчатого реактора, причем для решения полученных ур-ний использовалась вычислительная машина. Указано также на возможность применять модельные системы

для того, чтобы определить необходимость проведения некоторых сложных р-ций по кривой оптимальных  $t$ -р, и для того, чтобы получить указания о характере изменения  $t$ -ры в р-циях со сложной кинетикой.

**6И74. Фотохимические реакции в изотермическом трубчатом реакторе с ламинарным потоком.** Schecter R. S., Wissler E. H. Photochemical reactions in an isothermal laminar-flow chemical reactor. «Appl. Sci. Res.», 1960, A9, № 5, 334—344 (англ.).—Теоретически рассмотрены зависимости между конц-цией на выходе трубчатого реактора и скоростями диффузии, движения жидкости, хим. р-ции, а также скоростью подвода лучистой энергии при протекании фотохим. р-ции. Отмечено, что аналитич. решение задачи сложно и практически неприменимо. Приведено упрощенное ур-ние, учитывающее влияние перечисленных выше параметров, которое дает приближенные решения с достаточной для практики степенью точности; для степени превращения выше 20% и отношения  $R^2 \cdot K \cdot I_0 / D > 10$  ( $R$ —радиус реактора,  $K$ —константа скорости р-ции,  $I_0$ —интенсивность источника света,  $D$ —коэф. диффузии), разность между результатами точного и приближенного решений достигает 17—20%. Р. Терехин

**6И75. Кинетический метод количественного определения проскока в реакционных системах с различной интенсивностью перемешивания реагентов.** Полотнок О. Я. «Инж.-физ. ж.», 1960, 3, № 7, 127—131 (рез. англ.).—Предложено оценивать величину проскока газов сквозь псевдооживленный слой, а также в других проточных и проточно-циркуляционных системах по уменьшению степени конверсии, в сравнении с рассчитанной по кинетич. ур-нию для систем без проскока. Рассмотрена методика вычисления проскока для систем с различной степенью перемешивания реагентов. Отмечено, что определение величины проскока по кол-ву пузырей и их размерам едва ли имеет практич. ценность.

**6И76. Конструирование сосудов с рубашками.** Feichtinger C. A. New idea in jacketed vessels. «Chem. Engng», 1960, 67, № 18, 127—130 (англ.).—Для нагревания или охлаждения реактора применена рубашка, которая выполнена в виде спирали из теплового материала корытообразного профиля, приваренной по наружной поверхности сосуда. Приведены результаты гидростатич. и тепловых испытаний этой конструкции на моделях; эти результаты показывают высокую эффективность спиральной рубашки.

**6И77. Замена вальцевой мельницы молотковой.** Meinhold Ted F., Boucher Armand. Slash mill maintenance over 90%. «Chem. Process. (USA)», 1960, 23, № 2, 33—34 (англ.).—Сообщается о замене вальцевой мельницы молотковой (с целью сокращения эксплуатационных расходов) так, что обрабатываемый материал предварительно измельчается на вальцевой мельнице и затем поступает в молотковую мельницу (1800 об/мин); отмечено, что описанная замена дает снижение эксплуатационных расходов на 90% за счет упрощения отсасывающих устройств.

**6И78. Характеристики сит и грохотов.** Klim B. B., Davis D. S. Screen characteristics. «Chem. Process. (USA)», 1960, 23, № 2, 63, 65, 67 (англ.).—Приведены номограммы для расчета сит и грохотов; при помощи этих номограмм по двум из трех параметров (диаметр проволоки  $D$ , расстояние между проволоками  $M$ , кол-во отверстий на 1 см длины  $n$  или свободного сечения  $A$ ) определяется третий параметр. Номограммы даны в пределах:  $D$  до 5,1 мм,  $M$  до 11,2 мм,  $n = 1$ —40 отверстий на 1 см,  $A$  до 80%.

**6И79. Прибор для ситового анализа с воздушным соплом.** Air jet sieve. «Chem. Process. (Engl.)», 1960, 6, № 5, 12—13, 49 (англ.).—Описывается прибор для ситового анализа состоящий из вертикального цилинд-

ра с горизонтально установленным внутри него ситом, на который помещается слой исследуемого сыпучего материала; сверху цилиндр закрыт герметичной крышкой. Непосредственно под ситом, в центре, расположено сопло для подачи сжатого воздуха, а к дну цилиндра сбоку приварен штуцер, по которому воздух удаляется из цилиндра. Пройдя через слой материала, воздух переводит его в псевдооживленное состояние; частицы, прошедшие через сито, задерживаются тканевым фильтром. Отмечается, что при анализе фракций с размером частиц  $< 42 \mu$  описанный способ обладает большей точностью и требует меньше времени, чем вибрационный метод.

Б. Сумм

**6180. Основы термодинамики для инженеров-химиков.** Gilmont Roger. Thermodynamic principles for chemical engineers. Englewood Cliffs, N. J., Prentice-Hall, 1959, xxv, 339 pp., ill., 11.00 doll. (англ.)

**6181. Доклады на международном симпозиуме по высокотемпературным технологическим процессам.** Proceedings of an International Symposium on High Temperature Technology, Oct. 6th—9th, 1959. New York—Toronto—London, McGraw—Hill Book Co., Inc., 1960, 348 pp., ill. (англ.)

**6182. Листовой горизонтальный фильтр периодического действия для фильтрации под давлением.** Перепелица Е. М., Левашов Н. П., Городынский Ю. Д. Авт. св. СССР № 125544, 15.01.60.—Описан фильтр, обечайка которого откатывается по балкам на катках посредством гидравлич. или электр. привода. Осадок с поверхности вертикальных листов отделяется при помощи струнных ножей, которые совершают возвратно-поступательное движение вдоль поверхности листов и одновременно вибрируют; для улучшения условий отделения осадка производится его отдувка. Для увеличения производительности фильтра и уменьшения расхода металла на его изготовление фильтровальные листы укреплены при помощи анкерных связей, соединяющих крышки фильтра. В фильтре можно проводить разделение суспензий под давлением с применением вспомогательного в-ва или без него. В фильтре могут осуществляться последовательно стадии фильтрования, промывки (или пропаривания) осадка, сушки осадка, выгрузки его, регенерации фильтровальной ткани промывкой при одновременном воздействии струнных ножей. Переключение работы фильтра с одной стадии на другую производится автоматически; фильтр снабжен устройством, выключающим из работы фильтровальные листы с поврежденной тканью.

И. Мезенцев

**6183. Процесс смешения различных материалов в жидкой среде.**— Procédé de mélange de substances quelconques dans un milieu liquide. [Mme Georges Lacour, née Madeleine Bouffette]. Франц. пат. 1217610, 4.05.60.—Предложен процесс смешения жидких, пастообразных и твердых материалов в жидкой среде, позволяющий получать однородные смеси. Смешение производится при ударе струй жидкости о стенку или при столкновении двух встречных струй, направляемых из сопел, расположенных друг против друга на одной оси или под некоторым углом. Для повышения интенсивности и качества смешения процесс может сопровождаться вибрацией жидкости. Кратность циркуляции жидкости, необходимая для полного смешения, зависит от типа среды и смешиваемых в-в. Аппараты, применяемые для смешения, аналогичны по устройству мельницам без измельчающих тел (напр. струйным мельницам). Рассмотрены различные варианты осуществления процесса смешения и применяемой аппаратуры. Описан аппарат для осветления р-ра сахара путем добавления извести.

И. Рискин

**6184. Процесс сушки влажных сыпучих материалов, разлагающихся при высоких температурах.**— Nou-

veau procédé de séchage des matières humides très pulvérisables thermiquement instables) [Eugène-Marie Burstlein, Soc. An. dite: Soc. des Acieries de Longwy]. Франц. пат. 1215218, 15.04.60.—При сжигании высококалорийного горючего (измельченного каменного угля, нефтяных масел, коксового и других горючих газов) т-ра достигает 2000°, тогда как многие материалы, подвергаемые сушке, разлагаются уже при 250—350°. Для снижения т-ры до 600° применяется метод смешения горячего воздуха с холодным. Предложен новый метод непосредственной сушки (без смешения горячего и холодного воздуха), при котором высушиваемый материал разделяется на несколько фракций по размерам частиц и поступает на сушку в определенной последовательности. Вначале поступает фракция наиболее крупных частиц, затем, в направлении уменьшения т-ры, в сушилку подаются фракции с последовательно убывающими размерами частиц. В случае, если наиболее крупная фракция неустойчива к воздействию высоких т-р вследствие недостаточного большого размера входящих в нее частиц или малого процентного содержания их в материале, в сушилку вводится вспомогательный сыпучий материал, не разлагающийся под действием высоких т-р и имеющий средний размер частиц, несколько превышающий размер таковой в наиболее крупной фракции высушиваемого материала. На выходе из сушилки вспомогательный материал отделяется от основного и вновь направляется в сушилку. В случае переменного содержания крупной фракции в основном материале подача вспомогательного материала регулируется в зависимости от количества поступившей на сушку крупной фракции. Приведены примеры сушки лотарингской железной руды с помощью вспомогательного материала и без него. Отмечено, что применение нового метода дает возможность повысить к.п.д. с ~60% до значения, близкого к 100%, а также сократить во много раз расход воздуха.

И. Рискин

**6185. Метод определения эффективности контактирования газа и катализатора.** Eckstrom Hartley C., Frye Clifton G., Pickering Harold L., Telfson Eric L. Method for determining gas-catalyst contacting efficiency. [Pan American Petroleum Corp.]. Пат. США 2918355, 22.12.59.—Предлагается метод определения эффективности контактирования, при котором используется модельная р-ция разложения озона с образованием кислорода. Смесь газов, обычно воздуха и озона, пропускается при нормальных т-ре и давлении через модель промышленного аппарата, заполненного катализатором, ускоряющим процесс разложения озона. Контроль степени разложения озона осуществляется йодометрич. методом с точностью до 0.002%. В зависимости от высоты слоя катализатора и степени разложения озона определяется эффективность контактирования.

А. Терехин

См. также: Электрофильтры 61111. Центрифуги 6163, 61385. Центробежные насосы 61205. Фильтрование 61377, 61379. Теплопередача в трубчатой печи 61204. Абсорбция 61105. Сушка 6164, 61382. Ректификация 61226

## КОНТРОЛЬНО-ИЗМЕРИТЕЛЬНЫЕ ПРИБОРЫ. АВТОМАТИЧЕСКОЕ РЕГУЛИРОВАНИЕ

Редактор Н. Я. Феста

**6186. Экономически оптимальное оснащение действующего химического завода измерительными приборами и регуляторами.** Kamel Dieter. Die wirtschaftlich optimale Ausstattung eines bestehenden Chemiebetriebes mit Meß- und Regelungsgeräten, "Automatisierung" (DDR), 1960, 3, № 6, 235—240 (нем.; русск.)

русс.)  
ствую-  
как тре-  
повыше  
читель  
провз-в  
вания с  
регуляр  
вание р  
траты п  
года. П  
башни,  
ка регу  
дукта.  
6187.  
ачной с  
Ром б  
1960, №  
ления п  
ходяще  
боратор  
реконст  
установ  
ющая п  
и меха  
передач  
нержав  
ся два  
нее — д  
работат  
томати  
сигнал  
ления  
1:60. I  
ханизм  
личени  
было в  
нители  
умень  
бран д  
которо  
ное ш  
ным в  
в кру  
ботае  
6188  
екой к  
сен к  
В сб.  
168.—  
чиков,  
в авто  
в лин  
терист  
быть с  
обходи  
умень  
тудно  
зывает  
преме  
мает  
типа 3  
6189  
Zeili  
und D  
№ 8, 4  
ного и  
ся в  
вала в  
нальн  
сов за  
чиков  
ного м  
аппон

руск.).—Хотя комплексная автоматизация старых, действующих хим. произ-в экономич. не выгодна, так как требует коренного переоборудования з-да, все же повышение степени их автоматизации может дать значительный эффект. Приводится схема целлюлозного произ-ва и показываются возможности усовершенствования системы автоматики. Применение автоматич. регулирования в хлорной башне повышает использование реакционного объема и дает экономию CI и затраты на автоматизацию окупаются менее чем за полгода. Регулирование pH пульпы, выходящей из башни, сокращает расход NaOH. Кроме того установка регулятора pH повышает качество выходящего продукта. Библ. 17 назв.

И. Ихлов  
6И87. Опыт применения телевидения в цехе аммиачной селитры Лисичанского химического комбината. Ромб С. Я., Телятников И. П. «Хим. пром-сть», 1960, № 4, 310—314.—Для визуального контроля отделения расфасовки и упаковки аммиачной селитры, находящегося на расстоянии 200 м от диспетчерской, лабораторией автоматики ГИАП проведены работы по реконструированию промышленной телевизионной установки типа ПТУ-ОМ. Реконструированная передающая камера состоит из двух узлов: головки камеры и механизма поворота. Головка камеры (собственно передающая камера) представляет собой корпус из нержавеющей стали, на лобовой стенке которой имеется два остекленных герметизированных окна: нижнее — для объектива и верхнее — для специально разработанной фотопроставки, предназначенной для автоматич. поддержания оптимального напряжения на сигнальном электроде передающей трубки при изменении уровня освещенности объекта в отношении 1:60. Головка камеры соединяется с поворотным механизмом посредством П-образной скобы. С целью увеличения срока службы электроннолучевой трубки было выбрано периодич. включение установки на сравнительно короткие отрезки времени. При этом с целью уменьшения времени прогрева до минимума был выбран дежурный режим работы электронной схемы, при котором во время холостой работы отсутствует анодное питание, а накал лампы находится под пониженным напряжением. Описанная установка находится в круглосуточной эксплуатации с октября 1958 г. и работает бесперебойно.

М. Людмировский  
6И88. Автоматический потенциометр с динамической коррекцией первичных преобразователей. Панасенко И. М., Рыбашов М. В., Цатурова И. А. В сб. «Автомат. управление». М., АН СССР, 1960, 160—168.—Для уменьшения влияния инерционности датчиков, в частности терморпар, рекомендуется встроить в автоматич. потенциометр корректирующую цепочку в линии обратной связи. Амплитудно фазовая характеристика вторичного прибора с этой цепочкой должна быть обратной характеристике датчика. При этом необходимо высокие частоты срезать, для того, чтобы уменьшить влияние помех. Приводится расчет амплитудно фазовой характеристики такой цепочки и показывается, что ее применение уменьшило постоянную времени системы потенциометр — терморпара в 20 раз. Макет прибора был создан на основе потенциометра типа ЭПД-07.

И. Ихлов  
6И89. Электронное измерение оборотов и расхода. Zeilinger K. Elektronische Messung von Drehzahlen und Durchflüßmengen. «Elektron. Rundschau», 1960, 14, № 8, 324—326 (нем.; рез. англ., руск.).—Методы точного измерения скорости вращения валов заключаются в преобразовании, при помощи датчика, оборотов в электрич. импульсы, число которых пропорционально числу оборотов вала и отсчета числа импульсов за определенный отрезок времени. В качестве датчиков применяют: а) зубчатое колесо из ферромагнитного материала, укрепленное на оси вала или дистанционного тахометра и вращающегося в магнитном

поле; б) фотоэлектрич. датчики, в которых вращающийся вал периодич. прерывает свет, падающий на фотоэлемент. Второй метод особенно удобен там, где требуется отсутствие обратного воздействия датчика на вал. В качестве датчика времени применяют генератор стабилизированный кварцем. Путем соответствующего деления частоты устанавливают нужный масштаб времени, а следовательно и шкалу прибора. Счет импульсов производят обычным путем при помощи электронных пересчетных устройств и декадных указателей, напр., типа «Декаptron». Погрешность такого устройства определяется погрешностью временной базы (частоты генератора) и не превышает  $10^{-6}$ , что позволяет применять 5-декадные счетчики. Такое же устройство может быть применено для отсчета оборотов в счетчика Вольтама для измерения расхода жидкости с точностью  $\pm 0,5\%$ .

И. Ихлов  
6И90. Регулирование уровня с помощью радиоактивных изотопов и изотропного регулятора. Reinsch Hans H. Flüssigkeitsstand-Regelung mit Isotopen und PI-Regler. «Allgem. Schlosser- und Maschinenbauer-Ztg», 1960, 62, № 9, 372—374 (нем.).—В современных паровых котлах с малым объемом воды автоматич. регулирование уровня является чрезвычайно важной задачей. В связи с возможностью значительного изменения нагрузки простая одноконтурная схема регулирования уровня неприменима. Приводится, в качестве примера, 4 схемы, дополнительно включающие в систему регулирования: регулятор расхода питающей воды, регулятор оборотов насоса питания, регулятор перепада давления на регулирующем клапане или регулятор соотношения расходов пар/вода. В качестве чувствительного элемента для регулятора уровня рекомендуется радиоактивный уровнемер. Показывается, что несмотря на значительный статистич. разброс показаний этого уровнемера, вследствие неравномерности расхода радиоактивного в-ва источника излучения, все же удается получить хорошее регулирование уровня с точностью  $\pm 1$  см при применении изотропного регулятора с большим временем изотропа.

И. Ихлов  
6И91. Руководство по приборам для предприятий серной кислоты. 3. Приборы для измерения давления. 4. Приборы для измерения уровня.—«Pocan. J. Sulfuric Acid Assoc. Japan», 1959, 12, № 10, 290—305; 1960, 13, № 5, 137—152 (японск.).—3. Описаны схемы и краткие характеристики 38 типов приборов для измерения давления газов. 4. Описаны схемы и краткие характеристики 51 типа приборов для измерения уровня жидкостей и сыпучих в-в. Предыдущее сообщение см. РИХХим, 1960, № 6, 22678.

М. Гусев  
6И92. Емкостные мембранные манометры для измерения давления в области высокого и среднего вакуума независимо от рода газа. Drawin H.-W. Kapazitive Membran-Manometer für Druckmessungen im Hoch- und Feinvakuumgebiet, unabhängig von der Gasart. «Glas-Instrum.-Techn.», 1960, 4, № 5, 171—177 (нем.).—Фирма Atlas-Werke AG разработала и выпускает емкостные мембранные манометры для измерения малых абс. давлений типа MCT и перепадов давлений типа MMT. Приборы MCT предназначены для измерений в пределах от  $2 \cdot 10^{-1}$  до 20 тор. Давление измеряется по прогибу упругой мембраны, разделяющей камеры датчика. Этот прогиб вызывает изменение емкости между мембраной и неподвижным электродом. После соответствующего усиления разбаланс моста, вызываемый изменением емкости, передается вторичному измерительному прибору. Технич. данные: а) нелинейность  $\pm 2\%$ ; б) чувствительность  $2 \cdot 10^{-2}$  тор на 1 деление шкалы вторичного прибора; в) точность  $\pm 2\%$  от диапазона шкалы; г) рабочая т-ра — термостатирован при  $50^\circ$ , возможно повышение рабочей т-ры до  $350^\circ$ , т-ры термостатирования до  $150^\circ$ ; д) негерметичность датчика  $10^{-9}$  нем<sup>3</sup>/сек; е) не боится перегрузок.



Прибор МММ измеряет разность давлений в диапазоне от  $10^{-4}$  до  $2 \cdot 10^{-1}$  тор. В приборе использован метод электростатич. компенсации. Для этой цели к мембране подается от 10-курельного потенциометра напряжение постоянного тока, вызывающее притягивание мембраны и создающее нужное противодействующее усилие. Равенство этого усилия и усилия от давления на мембране определяется по перемещению этой мембраны, что контролируется по изменению емкости. Это изменение емкости измеряется мостовой схемой с усилением сигнала небаланса. Технич. данные: а) нелинейность  $\pm 0,3\%$ ; б) точность 0,3—1,5% в зависимости от измеряемой величины; в) максим. рабочая т-ра 180° г) максим. перепад давлений на мембране 50 тор. Остальные данные такие же, как у МСТ. Корпуса датчиков изготовлены из нержавеющей стали, что позволяет их применять для агрессивных газов. Приведены частотные характеристики обоих датчиков, а также расчеты прогиба мембраны и изменения емкости в зависимости от давления. И. Ихлов

61193. Рабочие формулы для определения расхода сухих и влажных газов. Milewski Bolesław. Wzory użytkowe na natężenie przepływu gazów suchych i wilgotnych. «Pomiary, automat, kontrola», 1960, 6, № 8, 316—317 (польск.).—Предложен разработанный автором рационализированный метод расчета расхода сухих и влажных промышленных газов, определяемого по перепаду давления газа в измерительном сужении газопровода. Приведен вывод ф-л расчета и даны вычисления на их основе величины постоянных коэф. для часто встречающихся условий измерения расхода сухих и влажных промышленных газов. Ю. Скорейкий

61194. Коррекция калибровки при измерении расхода газа. Gross Sidney. Gas flow calibration correction. «Chem. Engng», 1960, 67, № 17, 154 (англ.).—Приводятся график и ф-лы для внесения поправок на изменение давления и т-ры при измерении расходов газов. И. Ихлов

61195. Замечания к практике измерения расхода нормализованными диафрагмами. Hirschleber A., Heide K. Bemerkungen zur Praxis der Durchflußmessung mit genormten Bienen. «Automatisierung» (DDR), 1960, 3, № 6, 247—251 (нем.; рез. русск., англ.).—С целью стандартизации расчетных операций при выборе диафрагм (Д) предлагаются таблицы, на которых дана последовательность всех операций. Одна таблица — для измерения расхода по заданной Д, а другая — определение параметров Д по заданным данным произ-ва. Отдельная таблица предусмотрена для внесения паспортных данных Д, установленной на газопроводе. Применение таких таблиц значительно упрощает проведение расчетов и является подготовительной ступенью к программированию вычислительных машин. И. Ихлов

61196. Исследование потоков с помощью радиоактивных изотопов. Ramdohr Harald. Strömungsuntersuchungen mit radioaktiven Nukliden. «Gas- und Wasserfach», 1960, 101, № 34, 853—855 (нем.).—С помощью радиоактивных изотопов, методом меченых атомов, можно производить следующие измерения и исследования: а) скорости перемещения в-ва в трубопроводе или скорости циркуляции путем измерения времени прохождения радиоактивной маркировки между двумя заданными точками; б) расхода в-ва; в) распределения в-ва в аппаратуре путем счета импульсов в различных точках этой аппаратуры; г) измерения полного объема в-ва путем добавки определенного кол-ва маркирующего радиоактивного в-ва и измерение активности единичного объема. Приводятся ряд практич. применений указанных методов. Библи. 28 назв. И. Ихлов

61197. Обзор пробоботборников, рекомендуемых для улучшения регулирования качества перерабатываемых потоков. Poundstone A. R. A resume of recommended sampling techniques for better feed quality control.

«Cereal Sci. Today», 1960, 5, № 6, 174—175, 178 (англ.)

61198. Современные достижения в области измерения влажности воздуха. Meel D. A. van. Recent ontwikkelingen op het gebied van luchtvochtigheidsmeting. «T. N. O. nieuws», 1960, 15, № 5, 217—220 (гол.).—Обзор.

Г. Стеллих  
61199. Измерение влажности воздуха в измерительных помещениях. Siebrecht F. Feuchtemessung der Luft in Prüf- und Meßräumen. «Techn. Zbl. Metallbearb.», 1960, 54, № 8, 384—387 (нем.).—Обзор методов измерения и регулирования влажности воздуха помещений. Рассматриваются: а) волосные и пластмассовые гигрометры; б) колориметрич. бумажные индикаторы; в) психометрич. методы с влажным и сухим термометрами; г) влагомер электрокондуктометрический с LiCl. Приводятся основные понятия и показываю.ся особенности измерения относительной и абс. влажности. Для автоматич. регулирования влажности рекомендуются методы «в» и «г». И. Ихлов

61100. Уменьшение эксплуатационных расходов системы автоматического регулирования pH. Sprston Ralph G., Jr. Upkeep cost reduced on automatic pH control. «Oil and Gas J.», 1960, 58, № 34, 95—96 (англ.).—Для быстрого обнаружения неисправностей в цепях измерения и регулирования pH рекомендуется применение устройства, моделирующего сигналы электродной цепи. Это устройство представляет собой делитель напряжения с высокоомным выходом и включается в систему вместо электродов. Этим удается прервать исправность системы (усилителя, проводки, потенциометра и т. д.). Установка термометров сопротивления для температурной компенсации электродов позволяет значительно снизить погрешность от колебаний т-ры. Для уменьшения загрязнений электродов рекомендуется их устанавливать в измеряемом р-ре на глубине 76—100 мм. При этом необходим напорный сосуд для KCl для того, чтобы избежать загрязнения KCl измеряемым р-ром. И. Ихлов

61101. Электроды для измерения pH. Wirz Willy W. Elektroden für die pH — Messung. «Chem. Rundschau», 1960, 13, № 17, 440—443 (нем.).—Обзор конструкций стеклянных электродов, выпускаемых фирмой Polymetron для различных областей применения. И. Ихлов

61102. Новый газоанализатор для непрерывного определения и регистрации процентного содержания CO<sub>2</sub> в выдыхаемом воздухе (типа ГУФ-1). Абдраманов М. И., Трофимовский М. Р. «Казанск. мед. ж.», 1960, № 3, 91—93.—В Казанском конструкторском бюро спроектирован настольный портативный прибор, предназначенный для непрерывного определения содержания CO<sub>2</sub> в выдыхаемом человеком воздухе (как при естественном, так и при искусств. дыхании в момент операции). Прибор работает по фотоколориметрич. методу регистрации изменения оптич. плотности (цвета) индикаторного р-ра при пропускании через него газовой смеси с содержанием CO<sub>2</sub>. Малые дозы исследуемой газовой смеси отбираются мембранным насосом (непрерывно или периодически) и через 3-ходовый кран и увлажнитель поступают в диффузор с индикаторным р-ром, состоящим из 0,005% водн. р-ра индикатора бромтимолового синего, растворенного в 0,05%-ном водн. NaHCO<sub>3</sub>. При изменении конц-ны CO<sub>2</sub> 0—12% окраска индикатора изменяется от синего до желтого через зеленый. За счет этого меняется спектральный состав луча света, проходящего через светофильтр и нижнюю часть колбы с индикатором, что приводит к возникновению па фотозлементах фототоков различной интенсивности. Второй (сравнительный) фотозлемент расположен перед индикатором и предназначен для гашения неизменяющейся части спектра и устранения влияния изменения силы света при колебаниях напряжения питания. Разность фототоков обоих элементов подается на вход электронного ус-

178 (англ.)  
ти измере-  
ecente ont-  
idsmeting.  
.).—Обзор.  
Г. Стеллих  
измеритель-  
essung der  
akt. Metall-  
r методо-  
духа поме-  
ластмассо-  
е индика-  
и сухим  
ометриче-  
и показыв-  
и абс.  
влажности  
И. Ихлов  
расходов  
H. Spre-  
automatic  
34, 95—96  
правностей  
комендуе-  
о сигналы  
ляет собой  
ом и вклю-  
ается при-  
оводки, по-  
сопротив-  
электродов  
от колеба-  
электродов  
едем р-ре  
напорный  
произведения  
И. Ихлов  
irz Wil-  
est. Rund-  
Обзор кон-  
емых филь-  
изменения.  
И. Ихлов  
прерывного  
одежания  
Абдрах-  
«Казанск.  
констру-  
ративный  
определя-  
едем возду-  
дыхании  
фотоколо-  
итич. плот-  
опускании  
О<sub>2</sub>. Малые  
и мембран-  
и) и через  
диффузор  
водн. р-ра  
репного по-  
инции CO<sub>2</sub>  
е сило до  
е спектра  
рез свето-  
ром, что  
е фотокол-  
ительный  
и пред-  
ги спектра  
а при вы-  
фототоков  
ного ус-

дителя автоматич. уравновешенного моста, где сравнивается с некоторым постоянным напряжением. В зависимости от величины и фазы суммарного сигнала приходит в движение реверсивный двигатель компенсирующего устройства. Перемещение двигателя связано с пером регистратора. Результаты клинич. испытаний в Ин-те хирургии АМН СССР показали, что погрешность прибора не превышает  $\pm 0,2\%$  CO<sub>2</sub> при расходе 0—12%. Сопротивление дыханию составляет 0,5—1,0 вод. ст. Максим. время запаздывания  $\leq 2$  мин. Прибор работает от сети переменного тока напряжением 220 В и частотой 50 гц.

М. Любимский

6И103. Характеристики импульсного трубопровода как элемента системы автоматического регулирования. Финкельштейн С. М. В сб. «Автоматиз. произв. процессов». Вып. 3. М., АН СССР, 1960, 57—68.—Экспериментальные и аналитич. исследования импульсного трубопровода (диам. 6—25 мм и длиной  $> 100$  м) показали, что отраженные волны практически отсутствуют и не влияют на процесс изменения давления на выходном конце трубопровода. Это позволяет аппроксимировать трубопровод двумя элементарными звеньями: звеном чистого запаздывания (с временем запаздывания, пропорциональным длине трубопровода) и условным одноемкостным звеном с некоторой постоянной времени, зависящей от гидравлич. сопротивления трубопровода и его емкости.

М. Любимский

6И104. Поток воды управляет реле времени. Sideman S., Giladi J. Water flow controls time-delay relay, «Chem. Engng», 1960, 67, № 16, 145—146 (англ.).—Описывается конструкция реле времени, в котором в качестве элемента задержки использовано вытекание воды из сосуда. Для этой цели в стеклянном сосуде на коромысле подвешен стеклянный поплавок, который при понижении уровня в этом сосуде замыкает Hg-контакт, укрепленный на коромысле. Пусковой сигнал открывает электромагнитный клапан на выходе воды. Время срабатывания этого реле регулируется иглочатым вентилем, управляющим скоростью вытекания воды, а следовательно и скоростью понижения уровня в сосуде.

И. Ихлов

6И105. Динамические свойства и автоматическое регулирование колначковой абсорбционной колонны. Сиглесе Н. (Международ. федерация по автомат. упр. 1-й Междунар. конгресс по автомат. упр.). М., АН СССР, 1960, 16 стр., илл.

6И106. Исследование динамики изменения давления в системах, содержащих газ, и в частности исследование полнотронических процессов. Хаверрааен С. (Международ. федерация по автомат. упр. 1-й Междунар. конгресс по автомат. упр.). М., АН СССР, 1960, 20 стр., илл.

6И107. Определение характеристик непрерывных движущихся потоков жидкости посредством импульсных возмущающих воздействий. Хед Ф. Е., Хоуги Д. О., Уолли Р. А. (Международ. федерация по автомат. упр. 1-й Междунар. конгресс по автомат. упр.). М., АН СССР, 1960, 10 стр., илл.

6И108. Возможности табулирования оптимальных процессов регулирования и полученные до сего времени результаты. Стрейц В. (Международ. федерация по автомат. упр. 1-й Междунар. конгресс по автомат. упр.). М., АН СССР, 1960, 19 стр., илл.

6И109. Автоматизация отбора и химического анализа проб. Пайнент Д. А. (Международ. федерация по автомат. упр. 1-й Междунар. конгресс по автомат. упр.). М., АН СССР, 1960, 16 стр., илл.

6И110. Электрические методы и приборы для измерения и регулирования влажности. Берлинер М. А. М.—Л., Госэнергоиздат, 1960, 319 стр., илл., 10 р.

6И111. Устройство для регулирования напряжения электрофильтров. Mauve Werner. Einrichtung zur

Spannungsregelung bei Elektrofiltern. [LICENTIA Patent-Verwaltungs-G. m. b. H.]. Пат. ФРГ 1059412, 21.01.60.—В предлагаемом устройстве управление напряжением электрофильтра производится мотором, который вращается в сторону понижения этого напряжения при увеличении числа пробоев и в сторону повышения напряжения под действием датчика.

И. Ихлов

6И112. Способ и устройство для изменения уровня конденсата в паровом пространстве теплообменника. Jenssen S. K. Sätt att variera kondensatnivån i värmväxlares upphettningssångtrum och anordning för sätets genomförande. [AB Rosenblads Patenter]. Швед. пат. 168987, 20.10.59.—Патентуется система питания теплообменника (Т), служащего для нагрева до постоянной т-ры конденсированным паром. В отличие от известных систем питания паром от парогенератора, получающего в свою очередь из Т конденсат с помощью насоса, паровое пространство патентуемого Т подпитывается возвратом конденсата из водяного пространства парогенератора. Это облегчает возможность своевременного регулирования уровня конденсата в соответствии со скоростью его выпадения в Т и с колебаниями потребности в тепле. Для этого регулирующей клапан, управляемый зависящими от т-ры импульсами, помещается в трубопроводе возврата конденсата в Т и регулирует подачу конденсата на вход питающего парогенератора насоса так, что производительность насоса соответствует уровню конденсата и т-ре нагреваемой среды. В другом варианте регулирующей клапан вводится между насосом и парогенератором.

Г. Стеллих

6И113. Регулятор для центробежных сепараторов. Thylefors H. W. Reglerdon för centrifugalseparatorer. [AB Separator]. Шведск. пат. 167902, 21.07.59.—Патентуется конструкция регулятора, устранивающего возможность переполнения сепаратора, отказа водяного затвора или сдвига поверхностей раздела между компонентами сепарируемого материала. Регулятор при помощи действия установлен на байпасе и в зависимости от разности давлений между выходом и входом сепаратора управляет кол-вом поступающего в сепаратор и выдаваемого из него материала.

Г. Стеллих

См. также: Контроль в цементной пром-сти 6И429. Автоматизация: коксовых печей 6М95; процесса стерилизации консервов 6Н28; в переработке зерна 6Н34; осветления сусла 6Н360; в процессе отбелки тканей 6И571. Автоматич. регулирование обогрева коксовых печей 6М97. Автоматич. контроль работы колонны 6М137. Счетно-решающие машины на нефтеперерабатывающих з-дах 6М168. КИП: в нефтеперерабатывающей пром-сти 6М184; на спиртовых з-дах 6Н302; в сахарной пром-сти 6Н384; в бумажном произ-ве 6И451, 5И506

## КОРРОЗИЯ. ЗАЩИТА ОТ КОРРОЗИИ

Редактор И. Я. Клинов

6И114. Коррозия металлов и ее предотвращение. Wormwell Frank. La corrosione dei metalli e la sua prevenzione. «Ann. chimica», 1960, 50, № 4-2, 288—295 (итал.).—Сообщение на VIII Национальном хим. Конгрессе в г. Турине в мае—июне 1958 г. Приводятся результаты длительного исследования факторов, влияющих на коррозию и окисление металлов в атмосфере и в почвенных условиях. Эти исследования позволили усовершенствовать способы защиты металлов с помощью замедлителей коррозии, покрытий и др.

Б. Лапина

6И115. Современное состояние работ смешанной комиссии по коррозии подземных трубопроводов. Carriere J. E. La situation actuelle de la commission

mixte de corrosion des canalisations enterrées, Bull. trimestr. CEVEDEAU», 1960, № 48, 68—71 (франц.).— Сообщение о работах смешанной комиссии Бельгии, Голландии и Люксембурга (Бенелюкс), Франция и Западной Германии. Ю. Аронсон

6И116. Материалы для конструирования химической аппаратуры.— Materials of construction for chemical plant. «Chem. and Process Engng», 1960, 41, № 4, 128 (англ.).—Приведен перечень материалов как металлических, так и неметаллических, применяемых в хим. машиностроении. И. К.

6И117. Специальные чугуны. Lemaire P. Les fontes spéciales. Rev. univers. mines, 1960, 16, № 2, 81—85 (франц.).—Описаны спец. чугуны (СЧ) наиболее часто применяемые в хим. пром-сти. Различают 3 группы СЧ: жаропрочные, коррозионностойкие и износостойкие. Приведены эксплуатационные характеристики коррозионностойких СЧ, содержащих 30% Cr, высококремнистых с 14—16% Si и аустенитных с 21% Ni, 15% Ni и 6% Cr. Из износостойких СЧ описаны чугуны с 4,5% Ni и 2% Cr и высокохромистые с 30% Cr. Я. Поляков

6И118. Антикоррозионные свойства конструкционных материалов. Schillmoller C. M., LaQue F. L. New look at sulfuric-resisting alloys. «Chem. Engng», 1960, 67, № 7, 170, 172, 174 (англ.).—Построена диаграмма, позволяющая определить возможность применения того или иного металла или сплава в определенных агрессивных условиях. Описаны свойства некоторых конструкционных металлов и сплавов, а также составы важнейших сплавов. Н. Михайлов

6И119. Проблемы коррозии при конструировании. Clarke S. G. Corrosion as a design problem. «Chemistry and Industry», 1960, № 4, 84—89 (англ.).—Рассмотрены проблемы выбора конструкционных материалов и защитных покрытий. Библ. 19 назв. И. П.

6И120. Кинетические исследования процесса окисления железа при высоких температурах и низких давлениях кислорода. III—IV. Belin Pierre. Etude cinétique de l'oxydation du fer aux températures élevées et sous basses pressions d'oxygène. III—IV. «Corros. et anticorros.», 1960, 8, № 4, 140—157 (франц.).—Приводятся результаты аналитич. исследования изотерм и изобар окисления и влияния давления  $O_2$  на кинетику процесса. Опыты проводились при давлениях  $O_2$  в пределах 1—20 мм рт. ст. и  $t$ -рах  $> 800^\circ$ . Установлено, что давление  $O_2$  не влияет на скорость окисления FeO и  $Fe_3O_4$ . В р-ции  $Fe + \frac{1}{2}O_2 \rightarrow FeO$  показано, что постоянная скорости окисления зависит от давления по закону, выведенному автором. Влияние давления  $O_2$  на р-цию образования FeO при одной и той же  $t$ -ре объясняется изменением механизма диффузии. Предыдущее сообщение см. РЖХим, 1960, № 17, 69884.

Я. Матлис  
6И121. Механизм и законы окисления циркония при высокой температуре. Sainfort G. Les mécanismes et les lois d'oxydation du zirconium à haute température. «Mém. scient. Rev. métallurgie», 1959, 56, № 7, 704—712 (франц.; рез. англ., нем.).—Исследован процесс окисления образцов Zr кислородом при 773, 883 и 985°. Вид окислов при 773 и 883° отличается от получаемого при 985°. Окисление в первых двух случаях идет во времени по кубич. закону  $W^3 = kt$ , а при 985° по линейному закону, что объясняется растрескиванием окисной пленки. Проведено также рентгенографич. исследование слоев на различной глубине. Механизм окисления Zr при 773 и 883° заключается в проникновении  $O_2$  по границам зерен и затем вглубь отдельных зерен. При 985° диффузия идет не вдоль границ зерен, а непосредственно вглубь металла, начиная с поверхности раздела газ/металл.

Ю. Аронсон  
6И122. Окисление и коррозия циркония и его сплавов. VIII. Влияние облучения нейтронами на скорость

растворения  $ZrO_2$ . Alcock K., Cox B. The oxidation and corrosion of zirconium and its alloys. VIII. The effect of neutron irradiation on the dissolution rate of  $ZrO_2$ . «Atomic Energy Res. Establ.», 1959, № R3114, 8 pp. ill. (англ.).—Опыты проводились с особо чистой окисью циркония  $ZrO_2$ , которая облучалась в ядерном реакторе потоком нейтронов. Навеска 0,5 г  $ZrO_2$  растворялась в р-ре, приготовленном смешением 10 мл 48% HF, 100 мл конц.  $HNO_3$  и 90 мл воды. Р-р с  $ZrO_2$  находился в спец. полиэтиленовой трубке внутри Al-контейнера, вращавшегося непрерывно со скоростью 10 об/мин. Т-ра р-ра поддерживалась постоянной  $60 \pm 0,2^\circ$ . Предварительно было установлено, что выдержка без облучения в течение часа 0,1 г  $ZrO_2$  в 10 мл р-ра приводит к накоплению в р-ре измеримых кол-в Zr. Дозиметрия потока тепловых нейтронов осуществлялась с помощью кобальтовых образцов, располагавшихся на дне контейнера. Результаты испытания представлены в виде зависимости скорости растворения (СР) (% растворенного  $ZrO_2$ ) необлученного и облученного  $ZrO_2$  от продолжительности испытания. В течение часа растворяется примерно 20% необлученного и 35% облученного  $ZrO_2$ . СР  $ZrO_2$  после предварительной прокалки при 850° 24 часа, уменьшается за это же время приблизительно до 15%. С увеличением времени испытания СР замедляется во всех случаях. Увеличение СР  $ZrO_2$  при облучении и уменьшение СР прокаленного  $ZrO_2$ , по-видимому, связано с изменением поверхностной структуры окислов. Часть VII см. РЖХим, 1961, 4И227. Ю. Сорokin

6И123. Окисление и коррозия циркония и его сплавов. Cox B. Oxidation and corrosion of zirconium and its alloys. «Corrosion», 1960, 16, № 8, 86—90 (англ.).—Исследован механизм разрушения защитных окисных пленок (ОП) на Zr дуговой плавке и циркуляцией 2, образующихся при коррозии в водном паре и в сульфатных р-рах при 300°. Электрононимикроскопич. исследование показало, что рост ОП до критич. толщины (2500—3000 Å) на исследованных металлах происходит равномерно. В дальнейшем рост ОП на Zr происходит преимущественно над границами зерен, что приводит к возникновению внутренних растягивающих напряжений и растрескиванию ОП вначале вдоль границ зерен, а потом по всей поверхности. Рост ОП выше критич. толщины связан с образованием ориентированного монокристаллического оксида  $ZrO_2$ . Преимущественное окисление Zr вдоль границ зерен вызывается ускоренной диффузией  $O_2$  через дефекты ОП в этих участках, что в свою очередь связано с разорванными решетками соседних зерен металла. У циркуляцией 2 рост ОП на всех стадиях окисления протекает равномерно по всей поверхности. Библ. 13 назв.

А. Грашин  
6И124. Увеличение коррозионной стойкости циркония с повышением его чистоты. Kuhn W. E. Higher purity boosts zirconium resistance. «Chem. Engng», 1960, 67, № 3, 154, 156, 158, 160 (англ.).—Приводятся данные по скорости коррозии (СК) Zr в HCl (к-та),  $H_2SO_4$ ,  $HNO_3$  и  $H_2PO_4$ . Даже небольшое снижение примесей в Zr приводит к значительному уменьшению СК в HCl (к-та) и к изменению характера коррозии от межкристаллитной к равномерной. Приведены данные по влиянию состояния поверхности Zr на его СК. Электрополировка и вакуумный отжиг значительно снижают СК Zr в HCl (к-та). Образование гидрида Zr под окисной пленкой нарушает ее связь с основным металлом и приводит к ее растрескиванию и быстрому разрушению. Наличие ионов Fe в 20%-ной кипящей HCl (к-та) в кол-ве  $> 0,001\%$  резко увеличивает СК Zr как общей, так и точечной. Введение ионов Sn (0,005%) в 20%-ную кипящую HCl приводит к охрупчиванию, коррозионному растрескиванию и к усилению точечной коррозии Zr. В 70%-ной  $HNO_3$  при  $t$ -рах вплоть до кипения СК Zr промышленной чистоты





введением 0,1% Ti. Сплав с 0,05% Ti сильно корродировал при 370°. Добавка Zr ухудшает свойства сплава при испытании в водном паре. При испытаниях в воде при 350° увеличение веса всех сплавов с Ti и Zr было примерно одинаково. Свойства сплавов легированных Ti и Zr ниже чем только с одним Ti и выше чем с одним Zr. Испытания сварных образцов привели к аналогичным результатам. Ю. Аронсон

**6И131.** Окисление пленок магния, полученных путем испарения. Cohen M. S. Oxidation of evaporated magnesium films, «Acta metallurg.», 1960, 8, № 6, 356—361 (англ.; реф. франц., нем.).—Исследована скорость окисления Mg при пропускании O<sub>2</sub> в высоком вакууме в интервале t-р от -76° до 136°. Структура поверхности исследована электронографически и посредством электронного микроскопа. Ю. Аронсон

**6И132.** Исследование тонких металлических пленок как индикаторов коррозии. Roller David, Rohrbach G. H. Development of thin metal film corrosion indicators, «Corrosion», 1960, 16, № 8, 105—119 (англ.).—Тонкие пленки (П) металла могут быть использованы как индикаторы (И) агрессивности влажных сред в качестве чувствительных элементов при хранении различных изделий. Установлено, что П Fe и Mn являются наиболее эффективными как И, в то время как другие металлы корродируют или слишком быстро (Ca, Sr), или слишком медленно (Cu, Co), или слишком неравномерно. Основным металлом для И было выбрано Fe. Индикаторные П наносились на полупрозрачные или прозрачные пластмассовые подложки, распылением в вакууме при давлении  $5 \cdot 10^{-5}$  мм рт. ст. при пропускании тока в течение 5—10 сек. в зависимости от толщины П. Обычно применялись П толщиной ~0,001 А. Скорость коррозии (СК) оценивалась визуально или по изменению электросопротивления П, или обоими способами одновременно. Исследованиями установлено, что для того, чтобы СК индикаторной П была соизмерима с СК стальных деталей, П надо обрабатывать в NH<sub>4</sub>Cl и Na<sub>2</sub>CrO<sub>4</sub>. Обработка П 4 ч. Na<sub>2</sub>CrO<sub>4</sub> и 1 ч. NH<sub>4</sub>Cl давала воспроизводимую коррозию, причем при относительной влажности <40% и t-ре 25° коррозия не наступает, при более высокой влажности и t-ре СК возрастает. Обработка большим кол-вом NH<sub>4</sub>Cl уменьшает время до наступления коррозии. Na<sub>2</sub>CrO<sub>4</sub> действует как замедлитель коррозии, поэтому имеется необходимый начальный период замедленной коррозии. При применении индикаторных П необходимо контролировать толщину NH<sub>4</sub>Cl на поверхности П, оптимальной считается толщина ~0,6 · 10<sup>-5</sup> г/см<sup>2</sup>. Если И обработан солями, то чистота и состав Fe, из которого он получен, не оказывает решающего влияния на СК. В случае биметаллич. П СК возрастает в результате появления гальванич. пар. Показано, что для визуальных наблюдений более удобны прозрачные подложки, они дают возможность легче обнаружить первые признаки начала коррозии с обратной стороны П. Считается необходимым, чтобы индикаторные П изготавливались и обрабатывались таким образом, чтобы они имели начальный период замедленной коррозии ≥ 48 час. при влажности атмосферы 60% и 25°. Период замедленной коррозии индикаторных П можно увеличить, применяя обработку летучими замедлителями коррозии. Визуальные У обычно монтируются в крышки ящиков, в которых хранятся законсервированные детали, при этом появление оранжевых пятен продуктов коррозии на И является сигналом опасности; И, показывающие начало коррозии по изменению электросопротивления, обычно укладываются вместе с консервируемыми деталями. Электрич. И и приборы, с которыми они комплектуются, подобраны и отградуированы так, что сигнал опасности подается при увеличении электросопротивления П более, чем в 100 раз (с 10 до 1000 ом), это увеличение сопротивления соот-

ветствует коррозионному поражению 30% поверхности П.

**6И133.** Атомарный водород способствует коррозии покрытой лаком стальной пластины и препятствует образованию пузырьков. Laar J. A. W. van. Het DIA-effect. Atomaire waterstof als medium dat bij een gelakte stalen plaat de corrosie bevordert en de blaasvorming tegengaat. «Verfkronek», 1960, 33, № 8, 296—307 (гол.; реф. франц., англ., нем.).—Исследован механизм дифференциальной аэрации (ДИА) полностью и частично покрытой лаком стальной пластины, погруженной в аэрированную воду и изучена роль развивающегося в этом процессе на неокрашенных участках образца атомарного водорода, стимулирующего коррозию и замедляющего выделение пузырьков H<sub>2</sub> под слоем лака на катодных участках пластины. Изучен также ДИА в зависимости от способа предварительной обработки поверхности металла, наличия царапин и т. н., а также наличия Cu- или другого покрытия на стальной пластине. Дана теория и практические выводы ДИА; приведены фотоснимки, иллюстрирующие поведение пластины в аэрированной воде без наложения тока, при электролизе и в сыром воздухе. Описаны результаты потенциометрич. измерений и анализов газов. М. Голомбик

**6И134.** Влияние pH в интервале 6,6—14 на коррозионную усталость стали в условиях доступа кислорода. Radd F. J., Crowder L. H., Wolfe L. H. Effect of pH in the range 6.6—14.0+ on the aerobic corrosion fatigue of steel. «Corrosion», 1960, 16, № 8, 121—124. Discuss., 124 (англ.).—Исследовалась коррозионная усталость Ст. AISI 1036 (0,30—0,37% C, 1,2—1,5% Mn) после нормализации ( $\sigma_b$  70 кг/мм<sup>2</sup>,  $\sigma_t$  48 кг/мм<sup>2</sup>,  $\delta$  30%) в 3%-ном p-ре NaCl с добавками NaOH до необходимой величины pH. В интервале pH 6,6—11,1 выносливость (В) стали мала и предел В не отмечается. При более высоких значениях pH, а также в насыщ. p-ре NaOH В стали резко повышается, причем отмечается предел В. Развитие трещин объясняется действием гальванич. микроэлементов, возникающих за счет различий в доступе O<sub>2</sub> к поверхности. Критич. значение pH (α), при котором резко поддается работа коррозионных элементов, связывается с сильным падением до нуля нерастворимости Fe(OH)<sub>3</sub>, образующей при дальнейшем повышении pH защитную пленку, состав которой меняется. Даны аналитич. зависимости α, а также времени до разрушения металла от концентрации O<sub>2</sub> в p-ре. А. Гринин

**6И135.** Влияние температуры на скорость окисления алюминия в воде и водных растворах нейтральных солей. 1. Коррозия алюминия в растворах хлорида калия в статических условиях. Вайваде А., Лепинь Л. LatvPSR Zinātnu Akad. vestis, Mav. AN LatvSSR, 1960, № 5, 89—96 (реф. лат.).—Установлено, что при 28—30° скорость коррозии (СК) Al в дистил. воде и 0,001—0,1 н. p-рах KCl резко возрастает, достигая максим. величины, во много раз превышающей СК при 20°. При дальнейшем повышении t-ры от 40 до 70° СК изменяется мало, а > 80° снова резко падает. Рассмотрено также изменение СК в 1 н. при 40—50° и в 2,0—4,0 н. p-рах KCl при 20—40° и 40—70°. Предполагается, что изменение характера коррозии в зависимости от t-ры и конц-ии p-ров связано с изменением состава и свойств образующихся нерастворимых продуктов коррозии. Библ. 20 назв. Из резюме авторов

**6И136.** Влияние надрезов и местной коррозии на коррозионноусталостную прочность при переменном кручении. Endo Kichiro, Miyao Yoshiharu. «Хиросима дайгаку когакубу кэнкю хококу. Bull. Fac. Engng. Hiroshima Univ.», 1959, 8, № 1, 15—20 (японск.; реф. англ.)

**6И137.** Испытания образцов на усталость при кручении в условиях коррозии. Oe Takuji, Ueta Yasuo. «Дзосэн кёкай ромбунсю, J. Soc. Naval Archit.

Japan», (японск.; реф. англ.)

**6И138.** Свойства коррозионной стойкости в морской воде. R. Con- tre la cor- SEBEDE, сведения из опыта в чашках для поли- ния чере- шения тл- абсолюте- содержа- **6И139.** аустенит- нержавеющей стали в морской воде. T. 1960, 198- стом кор- (500 и 4- стальной 15 и 30- NaOH и почти д- **6И140.** стабилиз- лионное- р-рах. У- стальит- водкина- **6И141.** образую- ния метал- electroly- «Nature» поверх- коррози- KCl. По- модели- стью. I- трещины- ния в- тенциа- сравнен-

**6И142.** Влияние температуры на скорость окисления алюминия в воде и водных растворах нейтральных солей. 1. Коррозия алюминия в растворах хлорида калия в статических условиях. Вайваде А., Лепинь Л. LatvPSR Zinātnu Akad. vestis, Mav. AN LatvSSR, 1960, № 5, 89—96 (реф. лат.).—Установлено, что при 28—30° скорость коррозии (СК) Al в дистил. воде и 0,001—0,1 н. p-рах KCl резко возрастает, достигая максим. величины, во много раз превышающей СК при 20°. При дальнейшем повышении t-ры от 40 до 70° СК изменяется мало, а > 80° снова резко падает. Рассмотрено также изменение СК в 1 н. при 40—50° и в 2,0—4,0 н. p-рах KCl при 20—40° и 40—70°. Предполагается, что изменение характера коррозии в зависимости от t-ры и конц-ии p-ров связано с изменением состава и свойств образующихся нерастворимых продуктов коррозии. Библ. 20 назв. Из резюме авторов

**6И143.** Влияние надрезов и местной коррозии на коррозионноусталостную прочность при переменном кручении. Endo Kichiro, Miyao Yoshiharu. «Хиросима дайгаку когакубу кэнкю хококу. Bull. Fac. Engng. Hiroshima Univ.», 1959, 8, № 1, 15—20 (японск.; реф. англ.)

**6И144.** Испытания образцов на усталость при кручении в условиях коррозии. Oe Takuji, Ueta Yasuo. «Дзосэн кёкай ромбунсю, J. Soc. Naval Archit.

Japan», 1959, № 105, 293—300. Discuss., 336—337 (японск.; рез. англ.)

6И138. Кондиционирование питьевой воды агрессивной по отношению к стали и чугуну. Sandrine li R. Conditionnement des eaux potables agressives contre la corrosion de l'acier et de la fonte. «Bull. trimestr. CEVEDEAU», 1960, № 48, 75—82 (франц.).—Общие сведения о влиянии  $\text{CO}_2$ ,  $\text{O}_2$  и минер. солей на коррозию в частности коррозию труб. Описание установок для понижения агрессивности воды путем фильтрования через известняк. Описание случая полного разрушения трубопровода из незащищенных внутри смолой асбоцементных труб под воздействием воды с высоким содержанием  $\text{CO}_2$  и песка.

Ю. Аронон  
6И139. Влияние различных сред на коррозию аустенитных сталей в напряженном состоянии при сверхкритических параметрах. Каган Д. Я., Михайлова Т. М. В сб. «Межкристаллитная коррозия и коррозия металлов в напряж. состоянии». М., Машиз, 1960, 198—209.—Отмечается, что при испытаниях в чистом конденсате и паре при  $t$ -рах 380 и 550° в течение 4500 и 4830 час. ни в одной из исследованных марок сталей промышленных плавков, деформированных на 15 и 30%, не обнаружено образования трещин. Р-р NaOH при указанных  $t$ -рах является агрессивным почти для всех марок испытанных сталей (ЭИ257, ЭИ257Т, ЭИ405, ЭИ694, ЭИ695) независимо от наличия стабилизирующих присадок.  $\text{Na}_2\text{SO}_4$  замедляет коррозионное растрескивание аустенитных сталей в щел. р-рах. Установлено, что трещины транс- и межкристаллитные появлялись со стороны растягивающего полонка.

Из резюме авторов  
6И140. Проникновение электролита в трещины, образующиеся вследствие коррозионного растрескивания металла под напряжением. West J. M. Flow of electrolyte within a propagating stress-corrosion crack. «Nature (Engl.)», 1960, 185, 4706, 92—93 (англ.).—На поверхности Ст. 18-8 образуются трещины вследствие коррозии под напряжением в горячих р-рах  $\text{MgCl}_2$  и KCl. Появление подобных трещин изучалось на спец. моделях из Ст. 18-8 с ровной и изогнутой поверхностью. Показана электрохим. природа возникновения трещин, распространяющихся вследствие проникновения в них горячего р-ра хлоридов. Электродный потенциал в трещинах обычно более отрицателен по сравнению с потенциалом поверхности без трещин.

Ю. Сорокин  
6И141. Влияние режима старения на коррозионную стойкость сплавов. Константинова Е. В. «Металловедение и терм. обработка металлов», 1960, № 1, 17—19.—Коррозионное растрескивание сплавов системы Al—Zn—Mg исследовалось на листах, подвергнутых старению при различных режимах 50—450° и выдержке 8—48 час. Коррозия под напряжением изучалась в 3%-ном р-ре NaCl на образцах в форме петли при переменном намокании и высыхании, определяясь электросопротивлением листов, а также склонность их к межкристаллитной коррозии. Установлена связь между склонностью к коррозионному растрескиванию и распадом твердого р-ра, колич. оценкой которого является падение уд. электросопротивления. Кривые зависимости электросопротивления от  $t$ -ры старения имеют минимум при 200—250°, когда коррозионная стойкость листов является наиболее высокой. Приводится объяснение наблюдаемых явлений. Е. К.

6И142. Склонность к коррозии чистых и загрязненных металлургических изделий. Bukowiecki A. Über die Korrosionsanfälligkeit sauberer und verunreinigter Metallgegenstände. «Schweiz. Maschinenmarkt», 1960, 60, № 1, 5/1—5/4 (нем.).—Рассматривается влияние на скорость коррозии (СК) металлург. изделий отложений на их поверхности различных в-в. Приводятся примеры увеличения СК стали при загрязнении поверхности (ЗП) NaCl, потом р-р,  $\text{ZnCl}_2$ . Указывает-

ся, что увеличение СК наблюдается также и при загрязнении  $\text{CaCl}_2$ , удобрениями и другими гигроскопич. солями при условии определенной влажности воздуха. Так при ЗП стали NaCl коррозия наблюдается при относительной влажности  $\geq 70\%$ , при ЗП стали  $\text{CaCl}_2$  и  $\text{ZnCl}_2$  — при относительной влажности 40—50%. К гигроскопичным солям, замедляющим СК, относятся хроматы, нитриты, фосфаты и другие соли, способствующие пассивации поверхности стали. При ЗП стали минер. маслами, напр. вазелином и мылодержащими машинными маслами, СК замедляется. СК стали, Cu, Zn и Pb возрастает при ЗП некоторыми животными и растительными жирами и маслами, разлагающимися под действием света и воздуха с образованием органич. к-т. К таким маслам и жирам относятся говяжий жир, костный жир и др. М. Кристаль

6И143. Причины, действие, определение и предотвращение точечной коррозии. Robinson F. P. A. Pitting corrosion: cause, effect, detection and prevention. «Corros. Technol.», 1960, 7, № 8, 237—239, 266 (англ.; рез. нем., франц.).—Ионы (Я) при точечной коррозии (ТК) зарождаются у включений на поверхности металла, однако отмечается, что это предположение не всегда верно, так как при этом играет также роль природа включений. Можно предположить, что пленка (П), образующаяся на неметаллич. включениях на поверхности нержавеющей стали, не обладает свойствами П, образованной на чистой металлич. поверхности. Полагают также, что остаточные напряжения, сосредоточенные на искаженной поверхности металла способствуют образованию Я, так как на этих местах растягивается и растрескивается малоэластичная защитная поверхностная П, кроме того, на границах зерен также могут возникать Я. ТК может также возникать в результате целевой коррозии вследствие дифференциальной аэрации. Основная причина разрушающего действия ТК, часто приводящей к сквозной перфорации изделий, заключается в том, что ТК имеет электрохим. природу: небольшая площадь Я является анодом, а катодом служит окружающая, покрытая П площадь металла. Предполагают также, что разрушение происходит благодаря адсорбции Cl-иона на поверхности раздела металл—жидкость, который и вытесняет  $\text{O}_2$  в диффузионный слой. Замечено, что при малых конц-ях Cl-ионов,  $\text{O}_2$  или другие окислители, присутствующие в р-ре, могут замедлить дальнейшее образование Я, восстанавливая поврежденные места П, из которых ионы металлов уже начали переходить в р-р (напр., стали, легированные Mo). Скорость роста Я на нержавеющей стали возрастает также с увеличением  $t$ -ры, проходя через максимум при 65—90° Дно Я является при этом концентратором напряжений. Для уменьшения ТК предлагается избегать наличие щелей и зазоров при конструировании; избегать присутствия иона Cl<sup>-</sup>, в случае невозможности этого, для его нейтрализации вводить окисляющие замедлители коррозии, применять защитные покрытия, электрохим. защиту и др.

А. Москвичева  
6И144. Межкристаллитная коррозия аустенитных сталей повышенной прочности в морской воде. Таган Д. Я. В сб. «Межкристаллитная коррозия и коррозия металлов в напряж. состоянии». М., Машиз, 1960, 92—109.—Изучение коррозионного поведения аустенитных Ст. 45Х3Н5Г9, 1Х14Н3Г9 + N, 1Х14Н3Г9Д2 + N, 1Х14Н3Г9Б + N, 1Х14Н3Г9БД2 + N, 1Х14Н3Г9Б + N, 1Х14Н5Г9Б3 + N, 1Х14Н3Г9Б + N в морской воде в зависимости от хим. состава и термич. обработки показало, что причина возникновения склонности стали к межкристаллитной коррозии обуславливается выделением карбидов по границам зерен в зависимости от их состава.

Н. Попова  
6И145. Межкристаллитное коррозионное растрескивание сплавов железа. Rädcker W. Die interkristalline Spannungsrisskorrosion bei den Eisenlegierungen.



«Korrosion. 9. Weinheim, Bergstr., Verl. Chemie», 1958, 77—78 (нем.).—Отмечается, что обычные испытания образцов в форме скоб с постоянной деформацией имеют недостатки, заключающиеся в том, что напряжения растяжения неравномерны по длине и сечению образцов. Кроме того, холодная деформация меняет механич. свойства образцов. Нормальное длительное испытание на растяжение при постоянной нагрузке оказалось пригодным для изучения коррозионных процессов. Характеристикой служит время до разрушения (ВР) образца сечения  $10 \times 10 \text{ мм}^2$  под определенной нагрузкой. Значительное влияние на устойчивость сталей оказывает термич. обработка и холодная деформация. При испытании образцов вдоль и поперек волокна результаты для них получаются разными в зависимости от того, принято ли за масштаб начальное напряжение растяжения или его отношение к пределу прочности или текучести при  $t$ -ре кипящего щелоча. Для чистого Fe ВР в кипящем щелоча Ca-NH<sub>4</sub>NO<sub>3</sub> незначительно. При легировании Al наибольшая стойкость достигается при определенном состоянии выделений нитридов, что зависит от термообработки. Для других добавок действует правило, что чем выше прочность Fe-сплавов, вызванная образованием твердого р-ра, тем выше ВР в Ca-NH<sub>4</sub>NO<sub>3</sub>-щелочах.

А. Козьминский

6И146. Новое водное уплотнение цилиндров дизелей прекращает кавитационно-эрозийные повреждения картера коленчатого вала. Neild A. Bayne, Jr. New diesel cylinder water seal stops crankcase cavitation-erosion. «SAE Journal», 1960, 68, № 7, 64—65 (англ.).—Промышленные испытания показали, что новое водное уплотнение цилиндров в форме широкой ленты, изготовленной из нитрильной резины «Paracril BLT» предотвращает кавитационно-эрозийные повреждения Al-картеров на судовых дизелях.

А. Мамет

6И147. Правильное проектирование уменьшает повреждения резервуаров. Aldrich C. K. Design tips reduce tank failures. «Chem. Engng», 1960, 67, № 16, 154, 156, 158 (англ.).—В статье рассматривается опасность щелочевой коррозии и способы ее предотвращения. Устранению щелочевой коррозии способствует применение сварки. Приводится ряд примеров правильной и неправильной конструкции отдельных узлов резервуара: ввода труб, спускных отверстий и т. д. Там, где это возможно, рекомендуется применять внутреннюю, а не наружную сварку. При необходимости применения уплотненных салников, щели необходимо герметизировать стойким материалом. При применении внутренних обкладок необходимо соблюдение ряда условий: устранение острых углов, щелей, спец. конструкция фланцев и др. При осуществлении обкладки должны применяться меры против возникновения водородных пузырей.

В. Питула

6И148. Конструирование с учетом коррозии. Nelson William M. Corrosion — a major design problem. «Electr. Manufact.», 1960, 66, № 3, 132 (англ.).

6И149. Продление срока службы резервуаров. Aldrich C. K. How to extend storage-tank life. «Chem. Engng», 1960, 67, № 15, 148, 150, 152 (англ.).—Приведены практич. советы по предотвращению коррозии крупных резервуаров, расположенных под открытым небом, путем правильного конструирования и эксплуатации их.

Ю. Арносон

6И150. Перекачивание корродирующих растворов мочевины по алюминиевому трубопроводу, соединенному с паропроводом. Weyermuller Gordon, Smiley William. Steam-traced aluminum piping handles corrosive urea solutions. «Chem. Process. (USA)», 1960, 23, № 6, 97 (англ.).—Для транспортирования 150—300 г в сутки р-ров мочевины на одном из заводов США применяют двойной трубопровод; по одной нитке проходят р-р, а по другой пар для нужд з-да.

Пар поддерживает  $t$ -ру р-ра на необходимом уровне, что дает существенную экономию энергии на его нагревание.

В. Герцовский

6И151. Коррозия в ядерных реакторах. Grall L. La corrosion dans les réacteurs nucléaires. «Energie nucl.», 1960, 2, № 3, 181—187 (франц.).—Краткий обзор докладов на конференции объединения Евратом, состоявшейся 14—16 октября 1959 г. по вопросам коррозии ядерных реакторов, поведения сплавов Zr и Al и влияния ядерного горючего.

Ю. Арносон

6И152. Атмосферная коррозия алюминиевых сплавов. Clark W. D. Further data on atmospheric corrosion of aluminium alloys in a large chemical factory and their protection by painting. «J. Inst. Metals», 1960, 88, № 9, 406 (англ.).—Проведены длительные (4—8 лет) коррозионные испытания сплавов Al в атмосферных условиях и установлено, что окраска увеличивает срок службы металла, интервал между повторными окрашиваниями достигает 10 лет.

Н. Михайлов

6И153. Коррозионное испытание литых алюминиевых сплавов в условиях сухой и влажной агрессивной среды. Morinaga Takuchi, Zaima Shigeo, Chan Hing Hong. «Кэйкинзюку, Light Metals», 1959, 9, № 5, 45—51 (японск.; рез. англ.).—Антикоррозионные свойства Al-сплавов No.4C сравнивались со свойствами сплава No.7B. Сплав No.4C превосходно сопротивляется возникающим напряжениям и ударным нагрузкам в атмосферных условиях, хорошо лется и сваривается. Сплав No.7B среди Al-сплавов обладает наилучшими антикоррозионными и механич. свойствами. Изучалась возможность замены сплава No.7 с No.4C, технология изготовления которого не так сложна. Метод испытания заключался в том, что сплавы периодически подвергались воздействию сухой и влажной агрессивной среды. Опыты проводились с использованием р-ра 3%-ного NaCl + 0,15% H<sub>2</sub>O<sub>2</sub>.

Из резюме авторов

6И154. Испытание конденсаторов из медно-никелевого сплава 70-30 в морской воде. Todhunter H. A. Sea water exposure of 70-30 cupro nickel surface condensers. «Corrosion», 1960, 16, № 5, 96—98 (англ.).—Изучалось поведение конденсаторов с поверхностью теплообмена ~8800 м<sup>2</sup>, изготовленных из различных материалов, в морской воде. Наилучшие результаты дал сплав, содержащий (в %): Cu 70, Ni ~30 и Fe 0,4—0,8. Коэф. теплопередачи этого сплава не изменялся длительное время. В результате длительной эксплуатации стальных конденсаторов, защищенных пластинами сплава Cu-Ni толщиной 6—7 мм, установлено, что себестоимость их на 22% ниже себестоимости стальных конденсаторов без защиты.

Н. Михайлов

6И155. Сравнение коррозионного поведения анода из электролитического марганца с цинковым анодом в речной и морской воде. Tajima Sakae, Majima Jiro, Takemi Mori. «Босёку гидзюцу, Corros. Engng», 1959, 8, № 10, 415—418 (японск.; рез. англ.).—Защитные свойства анода из электролитич. Mn (99,95%) сравнивались со свойствами Zn-анода (99,9964%) в речной воде (pH 6,6) и в искусств. морской воде. Образцы испытывались в контакте с катодами из пластин среднеуглеродистой стали. Скорость коррозии Mn составляла 1,39 мг/дм<sup>2</sup> в сутки в речной воде. Потенциал Mn был от —1,2 до —0,75 в в речной и морской воде. Показано, что Mn-анод может защитить в ~30 раз большую поверхность стальных пластин, чем Zn-анод. Потенциал стали непрерывно сдвигается в отрицательную область. Потенциал стали и плотность тока составляли после 600 час. испытания —0,8 в и 0,04 мА/см<sup>2</sup> в речной воде и —1,15 в и 0,8 мА/см<sup>2</sup> в морской воде в паре с Mn-анодом. В паре с Zn-анодом соответствующие значения для стальных образцов составляли —0,76 в и 0,01 мА/см<sup>2</sup> в речной воде и —1,10 в и 0,06 мА/см<sup>2</sup> в морской воде. Установлено, что Mn-анод лучше защищает среднеуглерод-

стую ста  
В морско  
3800—450  
скорость  
6И150  
соли, вы  
ных апп  
corrosion  
«Corrosio  
довава с  
металлов  
менник  
выпарив  
MgCl<sub>2</sub> и  
pH р-ро  
образцы  
0,1—4 Si  
Cu—Ni  
и Mn);  
стали кар  
Cu, 16—  
остальны  
(5 Ni, 8  
(30—34  
ное—Fe  
ты иссл  
CK обра  
нейтр.  
Cu и ес  
значите  
случаях  
поверхн  
рознон  
снижае  
этих сп  
резко в  
своему  
монель  
вергают  
р-ре не  
зюныи  
вергале  
ма хру  
Ст. кар  
во ко  
р-рах  
станови  
(влади  
р-ре. М  
в щел.  
лой-С  
на осн  
верх  
6И15  
ных р  
А. М.,  
sion in  
dian J  
Научч  
60,7/39  
вляно  
форно  
разны  
опыта  
менее  
Уксуе  
хоти  
ваши  
распо  
мони  
ните  
лагаю  
каме  
В 0,0

стую сталь, чем Zn-анод, особенно в речной воде. В морской воде Mn быстро корродирует со скоростью 3800—4500 мг/дм<sup>2</sup> в сутки, что в 15 раз превышает скорость коррозии Zn.

Из резюме авторов  
**6И156.** Коррозия деталей установок для очистки солей, вызванная изменением условий работы выпарных аппаратов. Turnbull John M. Salt refinery corrosion caused by varying evaporator conditions. «Corrosion», 1960, 16, № 7, 11—12, 14, 16 (англ.).—Исследована скорость коррозии (СК) образцов из различных металлов применительно к коррозии трубок теплообменников выпарных аппаратов, предназначенных для выпаривания р-ров NaCl, содержащих также CaCl<sub>2</sub>, MgCl<sub>2</sub> и р-ров NaCl, содержащих Na<sub>2</sub>CO<sub>3</sub> и NaOH; pH р-ров в пределах 7,5—12. Испытаны следующие образцы: монель-металл (в %): 63—67 Ni, 30—32 Cu, 0,1—4 Si, 1,4—2,0 Fe, 0,1—0,15 C и 0,75—1 Mn; сплавы Cu—Ni (10 Ni и 90 Cu с небольшими примесями Fe и Mn); чистая Cu; бронза (89,75 Cu, 10 Sn и 0,25 P); стали карпентер-20, № 316, Worthite (10—24 Ni, 1,75—3 Cu, 16—20 Cr, 1—3,5 Si, 2—3 Mo, 0,07—0,1 C, 0,6—2 Mn; остальное — Fe); никонель; Ni Resist-2: Al—бронза (5 Ni, 82 Cu, 2,5 Fe и 9,5 Al); хастеллой-С; инколой (30—34 Ni, 0,3 Cu, 19—22 Cr, 1 Si, 0,1 C, 1,5 Mn; остальное — Fe), а также Ti-сплав и карпентер-7. Результаты исследований показали, что почти во всех случаях СК образцов в щел. р-ре резко превышает СК в нейтр. р-ре, причем наиболее быстро корродировали Cu и ее сплавы. СК монель-металла в нейтр. р-рах значительно выше, чем в щелочных, причем в обоих случаях имеет место коррозионное растрескивание поверхности. Cu-сплавы не показывают наличия коррозионного растрескивания; СК для них несколько снижается при увеличении кол-ва Fe в сплаве. СК этих сплавов не зависит от т-ры в обычных р-рах и резко возрастает в щелочных. Сплав 70 Cu и 30 Ni по своему поведению в щел. р-рах аналогичен поведению монель-металла. Чистая Cu, бронза и сплав Cu-Al подвергаются сильной эрозии, причем бронза в нейтр. р-ре несколько более устойчива, чем чистая Cu; коррозионные растрескивания не наблюдаются. Ст. 316 подвергалась значительной коррозии и становилась весьма хрупкой, однако она почти не подвергалась эрозии. Ст. карпентер-20 подвергалась коррозии только в первом корпусе при выпаривании щел. р-ра. В обычных р-рах СК была значительной и поверхность металла становилась неровной. Инколой сильно корродирует (впадины на поверхности до 2 мм глубины) в щел. р-ре. Ni Resist-2 подвергается сильному разрушению в щел. р-ре и слабо корродирует в нейтр. р-ре. Хастеллой-С не подвергается коррозии в щел. р-ре и сплав на основе Ti показывает слабое растрескивание поверхности в обычном р-ре.

В. Герцовский  
**6И157.** Изучение коррозии латуни: коррозия в водных растворах некоторых кислот и солей. Trivedi A. M., Desai M. N. Studies in corrosion of brass: corrosion in aqueous solutions of some acids and salts. «Indian J. Appl. Chem.», 1960, 23, № 1, 9—17 (англ.).—Исучена скорость коррозии латуни (2 типа α-сплава: 60,7/39,3 и 67,8/32,2) в статич. условиях при 30°, в р-рах виннокаменной, лимонной, малеиновой, уксусной, фосфорной и соляной к-т, цитрата и тартрата калия, при разных конц-ях и различной продолжительности опыта. Опыты показали, что виннокаменная к-та наименее агрессивна, по сравнению с остальными к-тами. Уксусная к-та обладает наибольшей агрессивностью, хотя она является наиболее слабой из всех испытывавшихся к-т. В порядке убывания агрессивности к-ты располагаются в ряд: HCl > H<sub>2</sub>PO<sub>4</sub> > CH<sub>3</sub>COOH > лимонная > малеиновая > виннокаменная. В отношении идентификации обесцинкования латуни к-ты располагаются в следующем порядке: HCl > H<sub>2</sub>PO<sub>4</sub> > виннокаменная > уксусная > малеиновая или лимонная. В 0,01 н. р-ре H<sub>2</sub>PO<sub>4</sub> образуется защитная пленка.

Пленки, образующиеся во всех 4 испытывавшихся органич. к-тах, не обладают защитными свойствами, вероятно, вследствие их пористости. В р-рах цитрата и тартрата калия образование комплексов более вероятно, чем в р-рах соответствующих к-т. Обесцинкование латуни Cl-ионами усиливается в присутствии ацетат-ионов.

А. Мамет

**6И158.** Коррозионная стойкость некоторых металлов в растворах сульфидов и полисульфидов аммония. Bretsznajder Stanisław, Pasiuk Wanda. Badania odporności niektórych metali na działanie siarczku i wielosiarczku amonu. «Przem. chem.», 1960, 39, № 7, 433—436 (польск.; рез. русск., англ.).—Изучено поведение углеродистой Ст. St4S, нержавеющей Ст. H13 и 1H18N9, Al 99,5%-ного и сплава AlCu3Mg1 в р-рах: 1) (NH<sub>4</sub>)<sub>2</sub>S (3,6 моль/л H<sub>2</sub>S + 7,35 моль/л NH<sub>3</sub>); 2) (NH<sub>4</sub>)<sub>n</sub>Sm (2,15 моль/л H<sub>2</sub>S + 5,14 моль/л NH<sub>3</sub> + 135 г/л S), а также в условиях воздействия их паров. Установлено, что Ст. 1H18N9 обладает высокой стойкостью и пригодна для изготовления различных несварных аппаратов. Ст. H13 и чистый Al совершенно стойки в обычных условиях и при 100°. Сплав AlCu3Mg1 недостаточно стоек и пригоден для изготовления несложных установок. Ст. St4S рекомендуется для изготовления резервуаров, баков и т. п., так как при 100° она обладает пониженной стойкостью. Н. М.

**6И159.** Коррозия стали в сероводороде. Herzog E. Etat actuel de nos connaissances sur la corrosion des aciers par l'hydrogène sulfuré. 3 Colloque métallurg. corrosion (sèche et aqueuse). Saclay, 1959. Gif-sur-Yvette (S.-et-O.), Amsterdam, 1960, 217—237. Discuss., 237—239 (франц.; рез. англ.).—Рассматривается влияние различных факторов (pH, природа электролита, т-ра, напряженное состояние металла и др.) на коррозию углеродистой стали в H<sub>2</sub>S-среде. Показано, что разность потенциалов вследствие возникновения микропар в 1%-ном р-ре NaCl достигает 0,32 в. Величины весовой потери при коррозии Fe в 1%-ном р-ре NaCl хорошо согласуются с рассчитанными величинами токов, возникающих при работе микроэлементов Fe—FeS. Установлено, что H<sub>2</sub>S ускоряет диффузию ионов H<sup>+</sup> в решетку стали и увеличивает градиент их конц-ий на поверхности слоев металла, приводя к увеличению внутренних напряжений. H<sub>2</sub>S также благоприятствует разрушению границ кристаллитов. Возникновение трещины и последующее растрескивание образцов стали при коррозии под напряжением в насыщенном H<sub>2</sub>S 1%-ном р-ре NaCl обусловлено суммарным воздействием, возникающих при диффузии в решетку металла H<sup>+</sup> внутренних напряжений и приложенных внешних. Анодное растворение стали в 4%-ном р-ре Na<sub>2</sub>S посит межкристаллитный характер. При приложенных внешних напряжениях эта среда вызывает растрескивание стали, т. е. растрескивание зависит не только от наводороживания, но и от проникновения ионов S<sup>2-</sup> в металл.

П. Стрекалов

**6И160.** Новый никелевый сплав стойкий против коррозии в горячей H<sub>2</sub>SO<sub>4</sub>. Johnson T. E. Eine neue Nickellegierung unterbindet den Angriff heißer Schwefelsäuren. «Werkstoffe und Korrosion», 1960, 11, № 9, 551, XXXIV (нем.; рез. англ., франц.).—Приведен состав нового Ni-сплава, состава (в %): 55 Ni, 28 Cr, 8,5 Mo, 5,5 Cu, 1,25 Mn, 1,0 Fe и 0,05 C, обладающего высокой коррозионной стойкостью в широкой области конц-ий H<sub>2</sub>SO<sub>4</sub>. Сплав применяется для изготовления литых деталей для насосов, фитингов, труб и вентилялей для сериокислотных установок, установок для получения алкидных смол и сульфонов; сплав обладает высокой стойкостью против коррозии и в HNO<sub>3</sub> и других окислительных средах.

Г. Деятарева

**6И161.** Коррозия котлов для варки сульфитной целлюлозы. Stockman Lennart. Sulfatkokarkorrosionens beroende av vitlutens polysulfidhalt. «Svensk papperstidn.», 1960, 63, № 13, 425—430 (шведск.; рез.

англ., нем.).—Исследована зависимость между содержанием полисульфидов в белом щелоке и скоростью коррозии (СК) углеродистой стали. Установлено, что белый щелок, содержащий полисульфиды при нормальном содержании NaOH и  $\text{Na}_2\text{S}$ , оказывает агрессивное действие на углеродистую сталь, которое может быть снижено путем добавки сульфида. В белом щелоке, содержащем  $\sim 50 \text{ г/л}$  NaOH и  $18 \text{ г/л}$   $\text{Na}_2\text{S}$ , СК незначительна вследствие пассивации образцов даже при содержании полисульфидной серы до  $2 \text{ г/л}$ . СК стали снижается с повышением содержания в ней Si. СК чистой поверхности углеродистой стали возрастает при добавке S в кол-ве  $\sim 8 \text{ кг S}$  на  $1 \text{ т}$  варочной массы.

Н. Михайлов

**6И162. Коррозия ряда сортов сталей, применяемых для труб испарителей, под действием черного щелока и его паров.** Stockman L., Tansen A. Korrosion av svartlutång och svartlut på olika stålsorter vanliga i industrietuber. «Svensk papperstidn.», 1959, 62, № 24, 907—914 (шведск.; рез. англ., нем.).—Описывается коррозионное поведение неустойчивой и устойчивой углеродистой стали и легированных сталей с 5% Ni и с 1% Cr марки 18-8. В качестве корродирующих сред испытан пар от щелоков, пар с добавкой 1%  $\text{O}_2$ , окисленный и неокисленный щелок разной сульфидности. Были выполнены ориентировочные опыты с пленкообразующим амином как замедлителем коррозии (K). Работа позволила сделать следующие заключения: при неокисленном неупаренном щелоке сильно проявляется K в паровой фазе; K в паровой фазе ослабляется с окислением щелока; интенсивность K в паровой фазе сначала замедляется, а затем вновь усиливается; наличие  $\text{O}_2$  в паровой фазе усиливает K; с увеличением кол-ва сульфидов K усиливается как в жидкой, так и в паровой фазе; существенной разницы между K и неустойчивой и устойчивой углеродистой стали не замечено: сталь с 5% Ni в паровой фазе на 40% меньше корродирует, чем углеродистая сталь, а преимуществами первой в жидкой фазе начинают замечаться только при высоких содержаниях  $\text{Na}_2\text{S}$ ; стали с 13% Cr и сталь марки 18-8 характеризуются стойкостью во всех испытанных условиях; пленкообразующий амин эффективно действует как замедлитель K в паровой фазе.

М. Нагорский

**6И163. Стали, сопротивляющиеся коррозии в бумажной промышленности.** McWilliam J. A. Corrosion-resisting steels for papermaking plant. «Paper Technol.», 1960, 1, № 4, 391—396 (англ.).—Описываются хим. и механич. свойства коррозионностойких Cr-сталей мартенситовой и ферритной структур, которые в качестве конструкционного материала в произ-ве бумаги и картона применяются уже свыше 30 лет. В настоящее время для сульфитных варочных котлов рекомендуется также аустенитная сталь 18-8 3Mo и для установок, требующих сварки, напр. для теплообменников и др.—Ст. 18-8 Ti. Для изготовления полых кованных цилиндров широкое применение получила нержавеющая сталь, содержащая 13% Cr. Наиболее высокой прочностью на разрыв, жаростойкостью и сопротивляемостью к коррозии отличается сталь марки F.V. 520 (S), хим. состав, физ. и механич. свойства которой подробно приводятся.

М. Голубчик

**6И164. Оборудование из кислотоупорной стали для непрерывной варки целлюлозы.** Schofer E. A. Stainless steel castings. «Pulp and Paper», 1960, 34, № 5, 67—71 (англ.).—Описан технологич. процесс варки целлюлозы из щепы хвойных и лиственных пород деревьев, а также дана конструкция непрерывно действующей установки с указанием материала, из которого изготовлены основные детали установки.

Н. Михайлов

**6И165. Исследования коррозии, вызываемой водными теплыми целебными источниками.** Chiostri Enrico. Essais de corrosion par les eaux thermales. «Corros. et anticorros.», 1960, 8, № 1, 15—36 (франц.).—Исследо-

вана скорость коррозии ряда материалов при воздействии теплых минер. вод Монтекатини, применяемых для бальнеотерапии и для питья. Проведены наблюдения над поведением материалов в эксплуатационных и лабор. условиях. Основными составляющими воды являются ионы:  $\text{Na}^+$  5,6 г/л;  $\text{Cl}^-$  8,9 г/л;  $\text{SO}_4^{2-}$  1,5 г/л;  $\text{HCO}_3^-$  0,89 г/л. Общее содержание солей  $\sim 18 \text{ г/л}$ . Учитывалась токсичность материалов, их коррозионная стойкость, механич. свойства и стоимость. Для водопроводных труб рекомендуется в первую очередь асбоцемент, а для фитингов непитательных вод — Pb; для аппаратуры и сложного оборудования — нержавеющая сталь и бронза. Хорошие результаты дает винипласт. Для сточных вод и канализации издавна применяются керамика, трубы. Начало испытание винипласта с бетонной внешней арматурой.

Ю. Аронов

**6И166. Никелевые сплавы для жидкостей при  $-195,5^\circ$ .** Johnson R. J. Nickel steel alloys for liquids at  $-320^\circ \text{F}$ , 9% excels. «Chem. Engng.», 1960, 67, № 15, 115—118 (англ.).—Из Fe-Ni-сплавов с содержанием Ni до 9% рекомендуется изготавливать оборудование для получения жидкого кислорода, танкеров для хранения и перевозки сжиженных газов (метан и т. п.) и другого оборудования, работающего при т-рах до  $-195,5^\circ$ . Эти сплавы имеют хорошие механич. свойства при низких т-рах. Отмечается, что с повышением т-ры резко увеличивается их эксплуатационная прочность. Ni-сплавы хорошо свариваются Cr-Ni-электродом (20—25). Шов имеет достаточную прочность, хотя несколько меньшую, чем основной металл. Сплавы с 9% Ni коррозионностойки в жидком кислороде и азоте; они не образуют продуктов коррозии, которые влияли бы на работу вентиля и расходомеров. Стали с 2,25 и 3,50% Ni используются в конструкциях для служб при пониженных т-рах.

И. Маршаков

**6И167. Применение алюминия в нефтеперерабатывающей промышленности.** Sherwood Peter W. Performance of aluminium in refineries. «Corros. Technol.», 1959, 6, № 12, 375—378 (англ.; рез. нем., франц.).—Рассмотрены области применения Al в нефтеперерабатывающей пром-сти: танки для нефтепродуктов, трубопроводы, теплообменники и т. д. Библ. 7 назв. Н. П.

**6И168. Наружная коррозия экранных труб [В порядке обсуждения].** По поводу статьи М. В. Мейжляра. «Наружная коррозия экранных труб». Мейжляр К. Я. «Энергетик», 1960, № 7, 1—2; 3—5.

**6И169. Коррозия газгольдеров.** Berkeley R. G. C. Deterioration of gasholders: cause and electrochemical remedies. «Corros. Technol.», 1960, 7, № 4, 111—113 (англ.).—Указывается, что значительная коррозия газгольдеров наблюдается при повышенной влажности воздуха, наличии в нем загрязнений (сернистые соединения) и бактерий. С целью защиты от коррозии, рекомендуется наносить на поверхность металла различные покрытия и применять катодную защиту при плотности тока  $0,02 \text{ А/дм}^2$  и напряжении 20 в. Н. Михайлов

**6И170. О коррозии тушальных вагонов.** Даякова Н. М., Гавага В. С. «Кокс и химия», 1960, № 9, 29—30.—Отмечено, что основной причиной коррозии (K) тушальных вагонов является качество воды, поступающей на тушение кокса. Анализы воды, стекающей из тушального вагона, показали, что с парами отдуваются главным образом  $\text{NH}_3$ ,  $\text{H}_2\text{S}$  и фенолы. Одновременно сильно возрастает концентрация  $\text{CO}_2$ , агрессивная действующая на железо. На Ижидовском коксохим. з-де проведены исследования по подбору покрытий и выбору низколегированных сталей стойких в водах, идущих на тушение кокса. Оказалось, что интенсивность K Cr-сталей в условиях работы тушального вагона в 3 раза меньше, чем скорость K Ст.3. М. Цогалин

**6И171. Влияние породы дерева на коррозионную стойкость в морской воде винтов из легких сплавов, используемых для соединения деревянных панелей.** Panzeri C., Luft G. Influenza della natura del legno



sulla corrosione in acqua di mare delle viti di lega leggera. «Alluminio», 1960, 29, № 1, 5—20 (итал.; рез. франц., англ., нем., исп., русск.).—Приведены результаты изучения скорости коррозии винтов из легких сплавов, латуни и стали без покрытий и со спец. покрытиями после пребывания в морской воде в течение 14 месяцев.

6И172. Современные материалы в химической промышленности и аппаратостроении. Kieffer R., Sedlatschek K. Moderne Werkstoffe in der chemischen Industrie und im Apparatebau. «Österr. Chem.-Ztg.», 1960, 61, № 8, 217—227 (нем.).—Рассматриваются области применения, физ., механич. свойства, способы произ-ва  $\text{Hf}$ ,  $\text{V}$ ,  $\text{Cr}$ ,  $\text{Ta}$ ,  $\text{Ti}$ ,  $\text{Zr}$ ,  $\text{Nb}$ ,  $\text{Mo}$ ,  $\text{W}$  и их сплавов и их коррозионное поведение в  $\text{H}_2\text{SO}_4$ ,  $\text{HCl}$  (к-та),  $\text{HNO}_3$ ,  $\text{HNO}_3 + \text{HCl}$ ,  $\text{CH}_3\text{COOH}$ ,  $\text{KOH}$ ,  $\text{FeCl}_3$ ,  $\text{HF}$ ,  $\text{H}_2$ .

6И173. Влияние химического воздействия на коррозионностойкие сварные и несварные стали. Zitter Herbert. Beurteilung des chemischen Angriffes bei korrosionsbeständigen Stählen in ungeschweißtem und geschweißtem Zustand. «Berg- und Hüttenmänn. Monatsh.», 1959, 104, № 10-11, 227—228 (нем.).

6И174. Применение специальных сталей в химической промышленности. Berger René. Les aciers spéciaux dans l'industrie chimique. «Rev. univers. mines», 1960, 16, № 2, 55—76 (франц.).—Приведены результаты коррозионных испытаний сплавов  $\text{Fe-Cr-C}$ ,  $\text{Fe-Cr-Ni}$ ,  $\text{Fe-Cr-Ni-Mo}$ ,  $\text{Fe-Cr-Ni-Mo-Cu}$  с различным содержанием легирующих элементов в  $\text{H}_2\text{SO}_4$ ,  $\text{HCl}$  (к-та),  $\text{HNO}_3$  и др. при различных концентрациях и т-рах. Указывается, что сплав, содержащий 65%  $\text{Ni}$  и 25—30%  $\text{Mo}$ , обладает отсутствием склонности к точечной коррозии во влажном  $\text{Cl}_2$ , хлоритах, гипохлоритах и р-рах окислительных солей, как напр.  $\text{FeCl}_3$ .

6И175. Материалы, применяемые в вакуумной технике. Klumb H. Materialprobleme der modernen Hochvakuumtechnik. «Feinwerktechnik», 1960, 64, № 2, 61—63 (нем.).—Обоснования выбора материалов, используемых в вакуумной технике (электронные трубки), ядерной техники и др. Отмечаются большие требования, предъявляемые к чистоте и однородности материалов.

6И176. Конструкционные материалы для химических установок: нержавеющие стали. Ineson E. Materials of construction for chemical plant: stainless steels. «Chem. and Process Engng.», 1960, 41, № 8, 357—359, 361—363, 365—366 (англ.).—Обзор. Библ. 13 назв.

6И177. Механические свойства и химическая стойкость высокопрочных нержавеющих и кислотоупорных сталей. Zitter Herbert. Mechanische Eigenschaften und chemische Beständigkeit von rost- und säurebeständigen Stählen hoher Festigkeit. «Draht», 1960, 11, № 8, 438—441 (нем.).—Описаны свойства хромистых (12—18%  $\text{Cr}$ ) и аустенитных  $\text{Cr-Ni}$ -сталей.

6И178. Высоколегированные нержавеющие стали и сплавы. Bourrat J. Aciers et alliages inoxydables fortement alliés. «Corros. et anticorros.», 1960, 8, № 9, 293—302 (франц.).—Рассматриваются коррозионные свойства и области применения ряда нержавеющих сталей и сплавов на основе  $\text{Ni}$ . Введение  $\text{Mo}$  в сталь типа 18/10 улучшает ее коррозионные свойства, что позволяет применять сталь в горячих органич. к-тах, в горячих  $\text{H}_3\text{PO}_4$  и в  $\text{H}_2\text{SO}_4$ , находящейся под давлением и при т-ре 200°. Легирование стали  $\text{Ti}$  или  $\text{Nb}$  предотвращает межкристаллитную коррозию ( $\text{MK}$ ) стали. Аустенитоферритная  $\text{Cr-20 Cr-8Ni}$  с  $\text{Mo}$  и  $\text{Cu}$  обладает высокой стойкостью к  $\text{MK}$ , повышенной стойкостью в сернокислых средах, высокими механич. свойствами. Высоколегированные аустенитные стали состава (в %):  $18\text{Cr} + 16\text{Ni} + 6\text{Mo} + 3\text{Cu}$  и  $25\text{Cr} + 20\text{Ni} + 0,2\text{Nb} + \leq 0,03\text{C}$ , стойки в большом кол-ве разнообразных ме-

нер. и органич. еред. Хастеллой-В ( $\text{Ni-Mo}$ ) стоек в  $\text{HCl}$  (к-та) при всех конц-ях и т-рах. Присутствие в р-е окислителей ( $\text{Fe}^{3+}$  и  $\text{Cu}^{2+}$ ) вызывает снижение коррозионной стойкости сплава. В р-рах  $\text{H}_2\text{SO}_4$  и при т-рах  $> 150^\circ$  коррозионные характеристики сплава ухудшаются. Сплав стоек в р-рах  $\text{H}_3\text{PO}_4$  (до 86%), несклонен к коррозии под напряжением. Хастеллой-С ( $\text{Ni-Cr-Mo}$ ) обладает хорошей стойкостью в слабых р-рах  $\text{HCl}$ . В присутствии окислителей коррозионная стойкость его резко возрастает. Сплав стоек в р-рах хлоридов  $\text{Fe}$  и  $\text{Cu}$ . Хастеллой-С используется в произ-ве гексахлорбензола,  $\text{HF}$  и т. п. средах. Коррозионные свойства хастеллой-Ф в  $\text{HCl}$  (к-та) аналогичны стойкости стали 20/25  $\text{Mo-Cu}$ . Сплав обладает превосходной устойчивостью в  $\text{HNO}_3$ ,  $\text{H}_3\text{PO}_4$  и органич. к-тах, не склонен к точечной коррозии и к коррозии под напряжением в р-рах хлоридов. Хастеллой-Ф применяется в бумажноделательном произ-ве, в атомных реакторах и пр. Хастеллой-Д ( $\text{Ni-Si-Cu}$ ) обладает высокой стойкостью в  $\text{H}_2\text{SO}_4$ , хорошо сопротивляется механич. и термич. ударам, абразивному воздействию взвешенных частиц. Сплав используется в произ-ве сульфобензола, при синтезе фенола и пр.

6И179. Новые никелевые сплавы для химического аппаратостроения. Katz W. Neuere Nickellegierungen im chemischen Apparatebau. «Werkstoffe und Korrosion», 1960, 11, № 6, 357—369 (нем.; рез. англ., франц.).—Приведены составы и описаны свойства сплавов: хастеллой-Н, хастеллой-Х, инконель, инконель-Х, АТ-никель и низкоуглеродистый  $\text{Ni}$ . Указывается, что присадка  $\text{Mo}$  увеличивает коррозионную стойкость  $\text{Ni}$  в неокислительных к-тах.

6И180. Хром и жаростойкие хромовые сплавы. Yoshida Susumu, Ohba Yukio. «Korô Kagaku zasshi, Kogyo Kagaku zasshi, J. Chem. Soc. Japan. Industr. Chem. Sec.», 1960, 63, № 7, 1113—1116 (японск.).—Обзор различных методов получения  $\text{Cr}$  высокой чистоты и жаростойких сплавов на основе  $\text{Cr}$ . Библ. 20 назв.

6И181. Коррозия марганца и урана. Llewellyn Leach J. S. Etude de la corrosion du manganèse et de l'uranium. «Mém. scient. Rev. métallurgie», 1959, 56, № 7, 675—680 (франц.; рез. англ., нем.).—Исследована скорость выделения  $\text{H}_2$  порошкообразным  $\text{Mn}$  и изменение во времени потенциала металла.  $\text{Mn}$  в щел. р-рах. Электролиты.  $\text{Mn}$ , насыщенный  $\text{H}_2$ , корродирует значительно быстрее и обладает более отрицательным потенциалом. Аналогичные результаты получены и при исследовании потенциала  $\text{U}$ . Исследования показали, что образующийся при коррозии и растворяющийся в  $\text{U}$  водород образует затем гидрид урана, чем и вызывает разрушение и отслаивание защитной окисной пленки. Для металлов, в которых  $\text{H}_2$  нерастворим, следует исследовать влияние его на защитную окисную пленку.

6И182. Титан и его сплавы для химической промышленности. Connolly B. J. Titanium and its alloys for chemical plant. «Light Metals», 1960, 23, № 268, 235—237 (англ.).—Отмечается, что высокую коррозионную стойкость  $\text{Ti}$  проявляет в окислительных средах.  $\text{Ti}$  также не подвержен точечной коррозии и коррозионному растрескиванию в водн. р-рах хлоридов. Для повышения стойкости в восстановительных средах ( $\text{HCl}$  (к-та),  $\text{H}_2\text{SO}_4$  и др.) применяется анодная пассивация. В электрохим. установках и для катодной защиты стальных конструкций применяются нерасходуемые платинированные аноды из  $\text{Ti}$ , допущающие высокую  $D_a$  ( $> 30 \text{ a/dm}^2$ ). Толщина слоя  $\text{Pt}$  0,13—2,5 м. Основное применение в хим. пром-сти  $\text{Ti}$  находит в виде листа толщиной 0,9 мм для плакировки внутренних поверхностей стальных и чугунных баков. Соединение  $\text{Ti}$  со сталью осуществляется заклепками листов  $\text{Ti}$  между собой — аргонно-дуговой и точечной сваркой.

А. Гришин

6И183. Титан как конструкционный материал для химической аппаратуры. Kann H. van, Pollanz A. Titan als Werkstoff für den chemischen Apparatebau. «Werkstoffe und Korrosion», 1960, 11, № 8, 465—473, XXX—XXXI, XXX—XXXI (нем.; рез. англ., франц.).—Обзор. Библ. 5 назв. Н. П.

6И184. Исследование сплавов ниобий — тантал. Braun H., Sedlatschek K., Kieffer R. Untersuchungen an Niob-Tantal-Legierungen. «J. Less — Common Metals», 1959, 1, № 6, 413—419 (англ.).—Исследованы физ.-мех. и электрохим. свойства сплавов Nb-Ta с 20, 40, 60, 80 и 100% Ta. Л. Шведов

6И185. Коррозионная стойкость технического циркония. Takao Zenichiro, Shimose Takasaki, Nakano Koichi. «Босёку гадзюцу, Corros. Engng», 1959, 8, № 12, 511—515 (японск.; рез. англ.).—Исследование коррозионной стойкости технич. Zr по сравнению с Ti показало, что первый обладает высокой стойкостью в HCl (к-та), HNO<sub>3</sub>, таких органич. к-тах как муравьиная, щавелевая, уксусная и хлоруксусная при различных концентрациях и т-рах, а также в конц. H<sub>2</sub>SO<sub>4</sub> и H<sub>3</sub>PO<sub>4</sub> при повышенных т-рах. В р-рах сульфатов, нитратов и хлоридов стойкость Zr также высокая. Повышенной стойкостью по сравнению с Ti обладает Zr в крепких р-рах щелочей. Он устойчив в газообразном SO<sub>2</sub> и сернистой к-те, но корродирует во влажном хлоре и хлорной воде. Ti обладает в этих условиях высокой стойкостью. Н. Михайлов

6И186. Применение благородных металлов в аппаростроении. Wittum M. Verwendung von Edelmetall im Apparatebau. «Metall», 1960, 14, № 9, 897—901 (нем.).—Рассмотрены вопросы применения Ag и его сплавов для защиты от коррозии хим. аппаратов, свойства сплавов Ag-Ni, Ag-Si, Ag-Cd, Au-Ag, Au-Ag-Pd.

6И187. Борьба с эрозией и коррозией прядильных насосов. Argend A. G. Curing erosion and corrosion headaches in spinning pumps. «Skinner's Silk and Rayon Recs.», 1959, 33, № 12, 1181—1182 (англ.).—Предполагается, что одной из причин коррозии при прядении вискозы являются р-ции с триэтикарбонатами, каталитически ускоряемые следами солей тяжелых металлов. Для исследования процессов эрозии и коррозии прядильных насосов предлагается применять избирательные органич. реактивы и радиоактивные изотопы, позволяющие обнаруживать на металлич. поверхности возникновение коррозии. В. С.

6И188. Обработка поверхности железных изделий, полученных методом порошковой металлургии. Széki P. Oberflächenbehandlung von eisenpulvermetallurgischen Erzeugnissen. «Metallüberfläche», 1960, 14, № 9, 266—269 (нем.).—Значительная пористость деталей из спеченного порошкового Fe (1,3—32,7%) затрудняет травление и нанесение на них гальванич. покрытий. Целесообразна обработка таких изделий при т-ре 550—600° в водяном паре для уменьшения пористости за счет образования соединений Fe<sub>2</sub>O<sub>3</sub> и FeO. Установлено, что окисная пленка, образующаяся на поверхности металла в перегретом паре, имеет прочное сцепление с основой и обладает электропроводностью, достаточной для нанесения на нее гальванич. покрытий. Удовлетворительное гальванич. Ni-покрытие удалось получить на поверхности изделий из спеченного порошка Fe после обработки в паре без дополнительного обезжиривания, травления и без промежуточного меднения с пористостью покрытия меньшей, чем при осаждении Ni на подслое Cu. При испытании никелированных образцов в камере со 100%-ной влажностью в течение 14 дней следов коррозии обнаружено не было. А. Козьминский

6И189. Технология травления металлов для целей техники связи. Müller Heidrun. Die Technologie des Ätzens von Metallen für Zwecke der Nachrichtentechnik. «Nachrichtentechnik», 1959, 9, № 12, 533—537

(нем.; рез. русск., англ., франц.).—Рассматривается технология травления металлов, применяющаяся как самостоятельный вид обработки при изготовлении приборов связи. В качестве примеров приведено изготовление печатных схем, диафрагм и др. М. Кристал

6И190. Удаление ржавчины и окалины из пароператоров. Seyb E. Die Entfernung von Rost und Zunder aus Dampferzeugern. «Brennstoff-Wärme-Kraft», 1960, 12, № 1, 9—13, I, III (нем.; рез. франц., англ.).

6И191. Электрохимический способ устранения пригара с чугуновых и стальных отливок. Брэдвард, Александр, Станев Тихомир. Электрохимический способ для отстраняване на пригара от чугунови и стоманени отливки. «Машиностроение», 1960, 9, № 1, 18—20 (болг.).—Показано, что электрохим. путем можно полностью очистить чугуновые или стальные отливки от литейного пригара. Процесс проводят в расплаве NaOH, периодически через 2—4 мин., меняя направление тока. Для электролиза используют источник постоянного тока напряжением 8—12 в и силой тока 400 а. Когда отливка становится катодом, FeO восстанавливается до Fe, а когда она становится анодом, FeO окисляется до высших окислов, напр. Fe<sub>2</sub>O<sub>3</sub>. При этом сцепление окислов с основным металлом нарушается, они падают в расплав и растворяются в нем. При напряжении 8 в полная очистка достигается при D = 5 а/дм<sup>2</sup> в течение 10—12 мин. При снижении D время обработки необходимо увеличить. Для очистки стальных отливок требуется большее время, чем для чугуновых. Т-ру электролита не следует снижать < 400°. Использование электрохим. метода очистки отливок позволяет сэкономить площадь в литейных, а также уменьшить расход металлопорежущего инструмента, применяемого для механич. обработки отливок. Б. Левинсон

6И192. Подготовка молибдена перед нанесением гальванических покрытий. Benninghoff Hanns. Über die Vorbehandlung von Molybdän. «Metall — Reinigung + Vorbehandl.», 1960, 9, № 8, 134—136 (нем.).—Для подготовки Mo перед нанесением покрытий Cr, Ni, Fe рекомендуется погружение изделия на 1 мин. в р-р (в г/л): KOH 100, K<sub>3</sub>Fe(CN)<sub>6</sub> 300 при т-ре 21—33° или KOH 100, K<sub>3</sub>Fe(CN)<sub>6</sub> 100. Эта обработка сочетается часто с обработкой в H<sub>2</sub>SO<sub>4</sub>, HNO<sub>3</sub>, HCl (к-та). Перед гальванич. хромированием рекомендуется: 1. Анодная обработка в горячем 30%-ном р-ре KOH при 14 а/дм<sup>2</sup> (1 мин.) с последующим погружением в HCl (к-та). 2. Травление в 50%-ном HNO<sub>3</sub> (1 мин.) или травление в HNO<sub>3</sub>, а затем в смеси CrO<sub>3</sub> + Na<sub>2</sub>Cr<sub>2</sub>O<sub>7</sub>. 3. Предварительная очистка Mo в 10%-ном р-ре NaOH, т-ра 20°, переменный ток напряжением 25 в, 20 сек. Затем обработка в р-ре H<sub>2</sub>SO<sub>4</sub> (1:2), т-ра 21—33°, 10—30 а/дм<sup>2</sup>, при 10—24 в. 4. Очистка и травление анодной обработкой в смеси H<sub>3</sub>PO<sub>4</sub> + H<sub>2</sub>SO<sub>4</sub> при 4,5—18,5 а/дм<sup>2</sup>, 2—3 мин. Затем активирование в р-ре: 6—10% CrO<sub>3</sub>, 15% H<sub>2</sub>SO<sub>4</sub>, 15% HCl и 70% воды. Перед покрытием Cr и Ni возможно также травление в конц. HF при 21—33°, 7 а/дм<sup>2</sup>, 3 мин. Указываются составы ванн латунирования, хромирования, золочения и никелирования, используемых для предварительной подготовки Mo, перед нанесением гальванич. покрытий. А. Козьминский

6И193. Методы обработки поверхности алюминия. Lutz F. Möglichkeiten der Oberflächenveredlung von Aluminium. «Ind.-Anz.», 1960, 82, № 73, 1238—1240 (нем.).—Кратко рассмотрены хим. и электрохим. методы облагораживания поверхности, в том числе нанесение металлич. и неметаллич. покрытий. Н. П.

6И194. Современные достижения в области металлизации. Curson G. A. Important recent developments in metal spraying. «Corros. Prevent. and Control», 1960, 7, № 8, 41, 45 (англ.).

6И195. Достижения в области металлизации. Payne J. H. Metal spraying progress. «Corros. Prevent. and Control», 1960, 7, № 8, 35—37, 40 (англ.).

рассматривается  
яющаяся на  
овлении пр  
дено намот  
М. Кристал  
из парок  
Rost und Z  
Värme-Kraft  
ранц, англ.  
ранения пр  
ра дварод  
Электрох  
чугуны  
1960, 9, № 3,  
путем мо  
льные отл  
ят в рас  
ения на  
источник  
силой то  
FeO восста  
анодом, FeO  
О<sub>2</sub>. При этом  
нарушается  
и. При напра  
D = 5 а/дм<sup>2</sup>  
емя обра  
гальных от  
чугуны  
00°. Испок  
ки позволяет  
уменьшить  
именяемого  
Б. Левинсон  
нанесением  
f Наппа  
tettall — Re  
нем.).—Дл  
й Cr, Ni, Fe  
мин. в р-р  
21—33° или  
тается за  
Перед галь  
одная обра  
14 а/дм<sup>2</sup>  
HCl (к-та).  
травление  
3. Предва  
Н, т-ра 20°  
Затем обра  
—30 а/дм<sup>2</sup>  
дной обра  
—13,5 а/дм<sup>2</sup>  
—10% CrO<sub>3</sub>  
покрытием  
ц. HF при  
тавы ванн  
никелиро  
подготовки  
Земинский  
алюминия.  
dlung von  
1238—1240  
охим. ме  
числе на  
Н. П.  
ети метал  
elopments  
rols, 1960.  
ции. Рау  
event. and

6И196. Автоматическая металлизационная установка. Stanton W. E. Automatic spraying plant. «Corros. Prevent. and Control», 1960, 7, № 8, 38—40 (англ.).—Нанесение металлизационного покрытия в описанной установке (У) осуществляется с помощью нескольких распылительных головок, перемещающихся в различных плоскостях. Для автоматич. управления движением головок использован известный принцип «механизма жаккарда», применяющийся в ткацких станках, на которых определенный рисунок ткани задается спец. картонными картами с отверстиями. В автоматич. У программный комплекс перемещения распылительных головок задается контрольными металлич. пластинами, содержащими различные по величине и расположению отверстия. Рабочие перемещения головок выполняются пневмогидравлич. приводами, более надежными, чем электронная система управления, не исключающая возможность короткого замыкания при попадании металлических частиц. Указывается, что автоматич. У наиболее рентабельна при металлизации серийных деталей, однако она с успехом может использоваться также и для выполнения индивидуальных и мелкосерийных работ. С этой целью в У предусмотрено возможность сравнительно легкого перехода на ручное управление процессом металлизации. Е. Костров

6И197. Защита от коррозии диффузионным хромированием. Bommer Ernst August. Korrosionsschutz durch Inkromierung. «Glaser's Ann.», 1959, 83, № 12, 434—437 (нем.; рез. англ., франц., исп.).—Описан способ диффузионного хромирования, заключающийся в загрузке деталей в контейнеры с феррохромом и выдержке при 1000° в неокислительной атмосфере в присутствии HCl (газ). Большое влияние на коррозионное поведение и твердость хромированных деталей оказывает содержание в металле углерода, а также его соединений. Хорошую коррозионную стойкость показали хромированные детали из малоуглеродистой стали с добавкой Ti.

А. Козьминский  
6И198. Защита поверхности конструкций сильнооточных установок. Kestenholz E. Oberflächenschutz für Konstruktionen Installationen und Apparate bei Starkstromanlagen. «Schweiz. Maschinenmarkt», 1960, 60, № 1, 5/VI—5/X (нем.).—Рассматриваются способы защиты металлич. конструкций от коррозии путем нанесения металлич. покрытий в вакууме, гальванич., диффузионных покрытий и покрытий лаками.

А. Козьминский  
6И199. Антикоррозионная стойкость алитированной стали в воде при высокой температуре. Morinaga Takuchi, Kato Yoshio, Takahashi Tsuneo, Otori Gorou. «Кэйкиндзюку, Light Metals», 1960, 10, № 1, 34—38 (японск.; рез. англ.).—Исследована скорость коррозии (СК) стали, покрытой различными сплавами Al в дистил. и водопроводной воде, при 245° методами измерения СК, электродных потенциалов, рентгеноструктурным анализом и др. Установлено, что СК в начальной стадии зависит от состава покрытия и протекает примерно одинаково в водопроводной и дистил. воде. Пленка, образующаяся на поверхности покрытия состоит в основном из бемита ( $\alpha\text{-Al}_2\text{O}_3 \cdot \text{H}_2\text{O}$ ), но в небольших кол-вах образуется также диаспор ( $\beta\text{-Al}_2\text{O}_3 \cdot \text{H}_2\text{O}$ ).

Н. Михайлов  
6И200. Новый метод цинкования железной проволоки. Lourdun M. R. Un nouveau procédé de galvanisation de fil d'acier. «Bull. inform. Heurtey», 1960, № 20, 13—15 (франц.).—Описывается полуводяская установка горячего цинкования проволоки по методу Сендзмйра. Производительность установки составляет 212 т в месяц. Последовательность операций следующая: размотка, очистка поверхности, предварительный подогрев до 500° и окисление поверхности, восстановление в атмосфере диссоциированного NH<sub>3</sub>, охлаждение в этой же атмосфере, горячее цинкование, охлаждение, намотка. Слой сплава Fe и Zn получается значительно тон-

ше, чем по обычному методу, что уменьшает хрупкость проволоки. Предел прочности на разрыв 50—70 кг/мм<sup>2</sup>.

Ю. Аронсон

6И201. Возникновение игольчатого строения и особенности процессов диффузии при образовании Fe-Zn-легированных слоев при горячем цинковании. Bablik Heinz, Götzl Franz, Nell Erika. Auftreten von Bartgefüge und Besonderheiten der Diffusionsvorgänge bei der Bildung der Eisen—Zink—Legierungsschichten beim Feuerverzinken. «Arch. Eisenhüttenwesen», 1960, 31, № 6, 331—336 (нем.).—В некоторых случаях на шероховатой поверхности изделий, опинкованных из расплава Zn, образуется особая структура слоев, вызываемая диффузией Zn в Fe и называемая игольчатой. Это связано с увеличением содержания в Fe-Zn-слое  $\xi$ -фазы, причем слой, образуемый  $\delta$ -фазой, в этом случае получается весьма тонкий. Исследование образцов из листа толщиной в 0,1 мм, подвергавшихся горячему цинкованию, показало, что возникновение игольчатой структуры в связи с наличием большого кол-ва легко деформируемых  $\xi$ -кристаллитов сопровождается появлением сил, действующих перпендикулярно направлению диффузии, и вызывающих изгиб листа. Сравнительными испытаниями установлено, что на электролитич. Fe в большей степени, чем на стали с низким содержанием С более вероятно образование плотного Zn-покрытия. На электролитич. Fe при горячем цинковании образуется  $\gamma$ -фаза, толщина которой непрерывно увеличивается с возрастом выдержки. На стали с небольшим содержанием С этот слой тоньше и не утолщается во времени. Изучение процессов диффузии в Zn-покрытии показало, что рост слоя происходит исключительно за счет диффузии Zn.

Г. Деятарева

6И202. Свойства покрытий из карбидов титана по стали. Wiegand H., Ruppert W. Einige Eigenschaften der Werkstoffkombination Stahl mit Titankarbidüberzug. «Metalloberfläche», 1960, 14, № 8, 229—235 (нем.).—Высокая коррозионная стойкость карбидов Ti в HCl (к-та) и H<sub>2</sub>SO<sub>4</sub>, высокая твердость ( $H_V = 3200$  кг/мм<sup>2</sup>) и износостойкость, высокая т-ра пл. (3137°), низкий коэф. трения (0,08—0,1) позволяют применять их в качестве покрытий по стали и чугунам, как напр., для защиты рабочих поверхностей фильера, применяемых для протяжки проволоки. Н. Михайлов

6И203. Некоторые физические свойства плат, облицованных медной фольгой. Sparkes J. J. Some physical properties of copper clad laminates. «A. T. E. Journal», 1959, 15, № 3, 263—269 (англ.).—Рассматривалось влияние различных факторов на поверхностное сопротивление плат (П) при коррозионных испытаниях (ускоренных и долгосрочных). Отмечается, что режимы обработки (время травления, обеднение травящего р-ра, степень его кислотности, время промывки и чистота промывных вод) не оказывали значительного влияния на поведение П, при условии, если время промывки было  $\geq 10$  мин. Покрытие Cu-проводников Au или Ag улучшало коррозионную стойкость, материал и качество П. При применении защитных слоев наилучшие результаты получены для эпоксидных и алкидных смол, так как они не гидролизуются и не отстаиваются от основы при ускоренных коррозионных испытаниях.

Н. Аппатова

6И204. Фосфатирование металлов. Janić Tomislav. Napreci u postupku fosfatiranja metala. «Zašt. mater.», 1959, 7, № 14, 153—156 (серб.-хорв.).

6И205. Фосфатирование стали в борьбе с морской коррозией. Гасанов Я. Г., Негреев В. Ф., Гаджиев А. Р. «Азерб. нефт. тасарруфаты, Азерб. нефт. х-во», 1960, № 5, 42—43.—Описан способ холодного фосфатирования (ХФ) применительно к крупногабаритным конструкциям, подвергаемым коррозии в морских условиях. Р-р содержит 18,3 г/л ZnO и 79,3 г/л 70%-ной H<sub>3</sub>PO<sub>4</sub>. pH р-ра 2,6—2,7, уд. в. 1,055—1,060. Приведена



технология нанесения р-ра для ХФ. Установлено, что срок службы защитных лакокрасочных и битумных покрытий, нанесенных на фосфатированную поверхность, увеличивается в 2—3 раза.

**6И206.** Влияние фосфатирования на прочность стали при длительных нагрузках. Tauscher Herbert. Der Einfluss der Phosphatierung auf die Dauerfestigkeit von Stahl. «Draht», 1960, 11, № 8, 442—448 (нем.).—Рассматривается применение способа фосфатирования и влияние фосфатного слоя на прочностные свойства стали при статич. и переменных нагрузках. Фосфатирование термически улучшаемых сталей  $K30SiMnCr$  и  $K40NiCrMo$  не влияет на прочность при статич. нагрузках. Снижение предела усталости невелико и составляет максимум 14%.

**6И207.** Химическое никелирование. Осаждение сплавов никель-фосфор. Aitken B.Sc. Mc. L. Ström-lös förnickling—utfällning av nickel-fosforlegeringar. «Industr. tekn.», 1960, 88, № 14, 497—498 (шведск.).

**6И208.** Уплотнение анодированного алюминия. Pearlstein Fred. Sealing anodized aluminum. «Metal Finish.», 1960, 58, № 8, 40—43 (англ.).—Исследуются коррозионное поведение в брызгах соленой воды в контакте с  $Cu$  и коэф. трения  $Al$ -сплава 2024 после анодирования в сернокислотном электролите и уплотнения анодной пленки различными способами. При обработке в 5%-ном р-ре  $Na_2Cr_2O_7$  и последующем уплотнении в различных 9 органич. и неорганич. средах по истечении 48 час. испытаний коррозия не возникала на образцах, дополнительно обработавшихся выдержкой при т-ре кипения в р-ре, содержащем 140 мл/л жидкого стекла. В случае обратной последовательности операций уплотнения за такой же срок испытаний коррозия не возникала при применении р-ра алкиларилполиэтилентетракарбоната (2 мл/л), чистой воды и  $Ni(CH_3COO)_2$  (5 г/л). По сравнению со способом уплотнения в р-ре  $Na_2Cr_2O_7$  уплотнение в суспензии тетрафторэтилена (5 мл/л), 20%-ной эмульсии полиэтилена (5 мл/л), р-ре диглицольстеарата (1 г/л) и в эмульсии воска (7 г/л) + алкилсульфате натрия (5 г/л) приводило к значительному уменьшению коэф. трения скольжения анодной пленки по хромированной стали.

**6И209.** Химическая обработка поверхности алюминия и цинка. Freeman D. B., Trigg A. M. Studies on the surface treatment of aluminium and zinc. «Trans. Inst. Metal Finish.», 1960, 37, № 2, Techn. Papers, 56—64 (англ.).—Изучалось влияние различных методов хим. обработки поверхности  $Al$  и  $Zn$  на их коррозионную стойкость и на сцепляемость лакокрасочных покрытий с поверхностью металла. Установлено, что наилучшими свойствами обладают пленки, полученные при обработке  $Al$  в хроматофоридном р-ре. Наилучшей стойкостью во влажной атмосфере обладают золотисто-желтые хроматные пленки на  $Zn$ , полученные при обработке в одном из р-ров: 1)  $Na_2Cr_2O_7$  +  $H_2SO_4$  210 г/л,  $Cr^{6+} : SO_4^{2-} = 8$ ; 2)  $CrO_3$  +  $Cr_2(SO_4)_3$  17 г/л,  $Cr^{6+} : SO_4^{2-} = 0,9$ . Лучшим грунтом под окраску является пленка, полученная при обработке  $Zn$  в р-ре 2.

**6И210.** Химическое фрезерование, возможности внедрения и использования. Wogack W. Chemisches Abtragen, Einsatzmöglichkeiten und Nutzen. «Dtsch. Flugtechn.», 1960, 4, № 7, 193—198 (нем.).—Описывается технология хим. фрезерования деталей из  $Al$ -сплавов. Рассматривается зависимость скорости фрезерования и качества поверхности от состава травильных р-ров и режимов обработки. Приводятся экономич. характеристика процессов.

**6И211.** Коррозия строительных конструкций на калийном комбинате. Субботкин М. И. «Пром. стро-во», 1960, № 7, 41—45.—Установлено, что причиной разрушения строительных материалов (бетон, кирпич и т. п.) под воздействием  $KCl$  является кристал-

лизация этой соли в их порах в процессе насыщения р-рами соли и последующего высушивания. Перечисляются спец. требования к материалам конструкций калийных комбинатов.

**6И212.** Защита корпусов варочных котлов от коррозии. Лопатин Б. В. «Бум. пром-сть», 1960, 9, № 8, 14—15.—Отмечается, что в зависимости от физ.-хим. и механич. свойств футеровочных материалов (керамических, бетона и т. п.), размеров и особенностей корпуса котла, технологии произ-ва и условий эксплуатации тип футеровки должен проектироваться для каждого отдельного случая.

**6И213.** Проектирование защитных средств и изоляции. Комаров Никола. Проектиране на защитни средства и изолации. «Хранит. пром-сть», 1960, 9, № 7, 38—40 (болг.).—Рассматриваются принципы проектирования коррозионностойких полов для предприятий пищевой пром-сти. Рекомендуется обкладка кислотостойким асфальтом или керамич. плитками. Стены помещений целесообразно облицовывать керамич. плитками, футерованными на кислотоупорном цементе, или красить масляной краской.

**6И214.** Химическая стойкость остеклованной стальной поверхности.—Chemical resistance of glass lined steel. «Corros. Prevent. and Control.», 1960, 7, № 5, 51—52, 54, 58 (англ.).—Изучены хим. стойкость и физ.-мех. свойства нового покрытия из кислото- и щелочестойкого боросиликатного стекла, наплавляемого на сталь. Покрытия из стекла обладают высокой стойкостью в цел. р-рах до pH 12, не растрескиваются при растяжении стальной подложки до предела текучести, выдерживают перепад т-р 93,3°. Остеклованная стальная аппаратура обладает такими качествами как отсутствие каталитич. действия, плохое сцепление перерабатываемых в-в с поверхностью сосуда и легкость очистки остеклованной поверхности.

**6И215.** Подготовка металлической поверхности и применение сварочных красок. Sloof G. W. Vorbehandlung von Metalloberflächen und Anwendung von Schweißfarben. «Industrie — Lackier — Betrieb», 1960, 28, № 8, 251—258 (нем.).—Рассматриваются способы предупреждения коррозии во время монтажа конструкций, хим. и механич. способы подготовки металлич. поверхности. Рассматриваются сварочные краски, отвечающие следующим требованиям: не оказывают вредного влияния на свойства сварных соединений, стойки против механич. воздействия, наносятся обычными способами, обладают хорошими коррозионно-защитными свойствами и пригодны как Рз-основа для красок.

**6И216.** Окраска строительных конструкций. Riggs L. K. Painting big construction equipment. «Industr. Finish.», 1959, 36, № 2, 62, 64 (англ.).—Перед сборкой детали очищаются и окрашиваются быстро сохнущей алкидной грунтовкой. Смоирированные и загрунтованные механизмы подвергаются 4-часовому рабочему испытанию, после чего загрязненные и покрытые маслом поверхности очищают шаром под давл. 13 атм. К паре добавляют р-р детергента, р-рителя и фосфатирующего состава. После воздушной сушки детали очищают от пыли щетками и пылесосом и наносят затем покрывную алкидную эмаль, сохнущую в течение 20 мин.

**6И217.** Некоторые соображения по вопросам применения коррозионностойких пластмассовых трубопроводов. Sansone Leonard F. J. Considerations involved in choosing plastic pipe for corrosion control. «Corrosion», 1960, 16, № 7, 108—110. Discuss., 110 (англ.).—Отмечается, что 95% всех пластмассовых трубопроводов, применяемых для транспортирования питьевой воды, рассолов, травильных р-ров и кислых нефтепродуктов изготавливаются из сополимеров акрилонитрила, бутадиена и стирола, поливинилхлорида и бутирата ацетата целлюлозы. Приведена характеристика

ка хим. этилена  $Ca(OH)_2$  в ацето. Приведены свойства в зависимости от применения целей этилена

**6И218.** И цел. J. E. C. and al. № 6, 2. ных с. лево, после бензоа. зашит, и пер. зывает. задер. плоти. лична. Хим., 6И219. солян. T. L. Techn. фран. ми ко. р-рах. други. поряд. к-та. можн. 0,1 а/

**СИ2** белей. ka i. nish. англ. поан. нисл.  $Na_2SO_4$  веря. в-ва. де. У. явля. ные. веса. Pb с. не. и э. тич. **6И** леза. нич. такн. 229. бар.

насыщения  
и. Перечис-  
струкций  
Н. Попова  
ов от кор-  
1960, № 8,  
физ.-хим. и  
(керамиче-  
ей коруша  
ситуации  
каждого  
Н. Попова  
гов и изоля-  
а защиты  
90, 9, № 7,  
и проекти-  
редприятий  
ладна кис-  
ками. Сте-  
ь керамич.  
и цемента,  
Левинсон  
ной сталь-  
glass lined  
7, № 5,  
ть и физ.-  
и щелоче-  
емого на  
кой стой-  
аются при  
текущей,  
ная сталь-  
как отсут-  
перера-  
легкостью  
Михайлов  
рхности и  
W. Vorbe-  
ndung von  
, 1960, 28,  
особы пре-  
конструк-  
металлич.  
раски, от-  
казывают  
единений,  
тся обыч-  
зионно-за-  
аснова для  
зынский  
ий. Riggs  
ndustr. Fr-  
боркой де-  
сохнувшей  
грунтовав-  
бочему ис-  
ые маслом  
м. К пар-  
тирующие  
очищают  
затем по-  
не 20 мин.  
В. Б.  
осам при-  
ых трубе-  
siderations  
on control,  
cuss., 110  
совых тру-  
тирования  
и кислоты  
еров акри-  
х-лориды и  
актеристи-

ка хим. устойчивости этих пластмасс (а также поли-  
этилена) в 10–70%-ной  $\text{HNO}_3$  и  $\text{H}_2\text{SO}_4$  в р-рах  $\text{NH}_4\text{OH}$ ,  
 $\text{Ca}(\text{OH})_2$ ,  $\text{NaOH}$ ,  $\text{NH}_4\text{Cl}$ ,  $\text{FeCl}_3$ ,  $\text{NH}_4\text{NO}_3$ ,  $\text{NaCl}$ , а также  
в ацетоне, бензоле, этиловом спирте, формальдегиде.  
Приведены также данные по некоторым физ.-мех.  
свойствам этих пластмасс. Отмечено, что в настоящее  
время проводятся исследования возможностей исполь-  
зования ацетата, хлорированных полиэфиров, а так-  
же поликарбонатов для изготовления трубопроводов,  
работающих при т-рах до  $120^\circ$ . В. Герцовский

6И218. Защита от коррозии металлическими и  
пластмассовыми покрытиями. Nicholls John H.  
Protection against corrosion sprayed metallic and plas-  
tic coatings. «Corros. Technol.», 1960, 7, № 9, 275–277  
(англ.; рез. нем., франц.).—Рассматриваются вопросы  
применения Al, Zn, Cu, бронзы, Sn и сплавов для за-  
щиты стали от коррозии, а также применение для этих  
целей полиэтилена, фторопласта, политрифторхлор-  
этилена, полиамидов и других пластиков.

«А. Шевченко

6И219. Замедление коррозии железа в нейтральных  
и щелочных растворах. H. Lorking K. F., Mayne  
J. E. O. Inhibition of the corrosion of iron in neutral  
and alkaline solutions. H. «J. Appl. Chem.», 1960, 10,  
№ 6, 262–266 (англ.).—Исследовалось влияние различ-  
ных сред на процессы образования и разрушения за-  
щитных окисных пленок на поверхности Fe. Установ-  
лено, что окисная пленка, образующаяся на воздухе  
после 4–5-минутной обработки образцов в 0,1 н. р-ре  
бензоата или ортонитробензоата, обеспечивает полную  
защиту от коррозии. Хлориды, сульфаты, формиаты  
и перхлораты практически не пассивируют Fe. Ука-  
зывается, что разрушение окисной пленки может быть  
задержано анодной поляризацией, причем анодная  
плотность тока, необходимая для пассивации Fe, раз-  
личная для разных электролитов. Сообщение I см. РЖ-  
Хим., 1960, № 16, 65782. Н. Михайлов

6И220. Замедители коррозии алюминия в растворе  
соляной кислоты. Sundararajan J., Rama Char  
T. L. Inhibitors for aluminium in acid solutions. «Corros.  
Technol.», 1960, 7, № 7, 207–208 (англ.; рез. нем.,  
франц.).—Установлено, что наилучшими замедлителями  
коррозии технич. Al (92% Al, 3% Fe, 4% Mn) в  
р-рах HCl является акридин. Эффективность действия  
других замедлителей коррозии убывает в следующем  
порядке: тиомочевина, никотиновая к-та, танининовая  
к-та. Наилучшую защиту Al от действия HCl (к-та)  
можно получить, сочетая катодную защиту при  
0,1 а/дм<sup>2</sup> с действием 1–5 г/л тиомочевины.

Н. Михайлов

СИ221. Коррозия оцинкованных телеграфных ка-  
белей. Nakatani Shizuo, Saji Takashi, Mu-  
kai Masao. «Киндзоку хемэн гидзюцу, J. Metal Fi-  
nish. Soc. Japan.», 1960, 11, № 1, 9–16 (японск.; рез.  
англ.).—С целью предотвращения коррозии (K) оцин-  
кованных телеграфных кабелей в артезианской воде  
исследовалось влияние таких добавок как  $(\text{NH}_4)_2\text{SO}_4$ ,  
 $\text{Na}_2\text{SO}_4$ ,  $\text{Na}_2\text{SiO}_3$ , гексаметафосфата Na, α-никотина, про-  
верялось действие контакта с другими металлами и  
в-вами, а также измерялись потенциалы образцов в во-  
де. Установлено, что наилучшими замедлителями K  
являются  $(\text{NH}_4)_2\text{SO}_4$  или  $\text{Na}_2\text{SO}_4$ . Другие исследова-  
ные добавки, хотя и уменьшают K образцов по потере  
веса, но не предотвращают точечной K. При контакте  
Pb с более электроотрицательными металлами, а также  
с непроводниками типа стекла скорость K снижается,  
и этот метод защиты можно рекомендовать для прак-  
тич. применения. Из резюме авторов

6И222. Химическая обработка оборудования из же-  
леза и стали. I. Тормозящий эффект различных орга-  
нических соединений. Saito Horoshi. «Нихон сию  
гаккайси, Bull. Soc. Salt Sci., Japan», 1959, 13, № 5, 225–  
229 (японск.; рез. англ.).—Указано, что для крупнога-  
баритного оборудования типа паровых котлов и тур-

бин очистку поверхности более целесообразно прово-  
дить хим. методами, чем путем механич. удаления  
окисной пленки. Исследован тормозящий эффект до-  
бавки к р-ру HCl (к-та) дитизона, уротропина и метил-  
рота. Отмечено, что уротропин имеет ряд преимуществ  
перед остальными исследованными соединениями

Из резюме автора

6И223. Защита от коррозии смазочными вещества-  
ми и защитными продуктами. Pauk Willi F. Der  
Schutz gegen Korrosion mit Schmierstoffen und Schutz-  
produkten. «Chem. Rundschau», 1960, 13, № 16, 409–411  
(нем.).—Описываются различные нормализованные  
способы коррозионных испытаний стальных и Cu-де-  
талей для определения защитного действия смазочных  
в-в. Последние рекомендуются для различных двига-  
телей внутреннего сгорания в зависимости от топли-  
ва. Указываются наиболее распространенные в-ва, при-  
меняемые для предупреждения коррозии (амины, суль-  
фонаты, производные фенола и др.). А. Козьминский

6И224. Защита кабелей от коррозии, вызываемой  
током утечки из цепи снижения напряжения. Ершов  
И. М., Евсеев И. Г. «Автоматика, телемеханика и  
связь», 1960, № 5, 8–10.—Установлено, что для пред-  
отвращения коррозии кабелей типа СОВ необходимо  
заземление однопроводных цепей снижения напряже-  
ния делать отдельным заземлителем — проводом без  
металлич. оболочки, напр. проводом с хлорвиниловой  
изоляцией. Н. Попова

6И225. О построении потенциальных картограмм  
коррозионного состояния. Цекун Н. «Жил.-комму-  
х-во», 1960, № 7, 13–15.—Результаты коррозионных  
исследований показали, что эффективным является  
метод построения потенциальных диаграмм по общим  
средним значениям потенциалов, как более точно опре-  
деляющему опасные зоны. Потенциальная картограмма  
позволяет сократить объем коррозионных исследо-  
ваний на подземных сооружениях. Н. Попова

6И226. Методы и практика координации катодной  
защиты. Jones David T. Suggested methods and prac-  
tices for cathodic protection coordination. «Corrosion»,  
1960, 16, № 8, 20, 22–23 (англ.).—Рассматриваются ме-  
тоды и практика координации мероприятий по при-  
менению катодной защиты с владельцами соседних  
подземных сооружений. Такая координация делает ми-  
ним. опасное влияние катодной защиты на другие си-  
стемы подземных металлич. сооружений. Описываются  
необходимые предварительные изыскания, нужные для  
определения места установки анодного заземления.  
Необходимая регистрационная форма, приводимая в  
статье, была разработана Технич. координационным  
комитетом Т-7 Американского об-ва по борьбе с кор-  
розией. Указываются конструкции, при помощи кото-  
рых устраняется опасное влияние катодной защиты  
на соседние сооружения. В. Притула

6И227. Расчет протекторов комбинированной фор-  
мы для защиты танков и цистерн. Бардина В. П.,  
Зобачев Ю. Е., Кузнецов В. С. «Судостроение»,  
1960, № 5, 9–12.—Приводятся ориентировочные расчет-  
ные ф-лы для определения токоотдачи протекторов  
комбинированных форм. Н. Попова

6И228. Защита подземных сооружений от корро-  
зии, вызываемой блуждающими токами. Притула  
В. А., Притула В. В. «Металловедение и терм. обра-  
ботка металлов», 1960, № 8, 39–47.—Обзор. Библ.  
16 назв. Н. П.

6И229. О новых правилах защиты подземных ме-  
таллических сооружений от коррозии. [В порядке об-  
суждения]. Акинфиев Л. И., Акуленок В. Н.  
«Электричество», 1960, № 8, 81–87

6И230. Взаимосвязь почвенных микроорганизмов  
с коррозией и катодной защитой (стальных трубопро-  
водов). Harris J. O. Soil micro-organisms in relation  
to corrosion and cathodic protection. «Corros. Technol.»,  
1960, 7, № 8, 250–253 (англ.; рез. нем., франц.).—Опи-

саны эксперим. и лабор. работы по изучению влияния почвенных бактерий (Б) на изоляционные покрытия и металлич. поверхность подземных трубопроводов. Работы были проведены Канзасским ун-том на территории от Техаса до Канады. В результате исследований установлены виды аэробных Б, встречающихся в большинстве грунтов и при определенных обстоятельствах активно разрушающих изоляционные покрытия. К числу таких Б относятся *Micrococcus paraffinae*, *Pleomorphic rods* и *Pseudomonas aeruginosa*. В плохо аэрируемых грунтах установлено присутствие анаэробных сульфатовосстанавливающих Б. Описаны основные р-ции, протекающие на оголенной поверхности трубопроводов под воздействием продуктов жизнедеятельности этих Б. Б восстанавливают сульфаты в сульфиды и окисляют металлич. поверхность, являясь причиной перехода атомов Fe в ионную форму. Замерены также величины гальванотоков и разности потенциалов, возникающих на стальном проводнике, находящемся в средах с различной насыщенностью микроорганизмами. Библ. 10. Э. Иоффе

**6И231. Электролитическая водоподготовка.** Heinzelmann U., Leisen G. Elektrolytische Wasseraufbereitung. «Schlägel und Eisen», 1960, № 5, 322—323 (нем.).—Описывается способ предотвращения коррозии и образования накипи. В резервуар монтируется Al-электрод (99,7% Al), подключаемый к положительному полюсу источника постоянного тока. Роль катода выполняет корпус резервуара. Резервуар защищается катодно. Напряжения 10—15 в,  $D_k$  200  $\text{мг/м}^2$ . В результате протекания электродных р-ций в воде падает содержание  $\text{O}_2$ . Образующаяся при растворении анода  $\text{Al}(\text{OH})_3$  поглощает содержащиеся в воде соли, электропроводность уменьшается, коррозия замедляется. Способ пригоден для защиты котельных агрегатов. Возможна обработка этим способом воды, циркулирующей в нагревательных системах путем включения в установку реакционных сосудов предлагаемой конструкции. А. Козьминский

**6И232. Влияние добавок железа, алюминия и кадмия на работу цинковых анодов в морской воде.** Waldron L. J., Peterson M. H. Effect of iron, aluminum and cadmium additions on the performance of zinc anodes in sea water. «Corrosion», 1960, 16, № 8, 81—85 (англ.).—Испытания анодов, изготовленных из различных цинковых сплавов, проводились в морской воде в течение 36 недель. Катодом служила стальная шпунтовая стенка пирса. Практич. эффективность работы всех сплавов была близка к 100%. Чистый Zn с низким содержанием Fe давал меньший выход тока, чем другие сплавы. Сплав с 0,006% Fe, 0,1% Al и сплав с 0,0014% Fe и 0,5% Al давали более низкий выход тока, чем любой из сплавов, содержащих Al и Cd. Единственным сплавом, не содержащим Cd и показавшим хорошую работу, был Zn с 0,10% Al и низким содержанием Fe. Приводятся ряд кривых, характеризующих работу сплавов. По мнению автора, уменьшение выхода тока с течением времени объясняется как созданием на поверхности пленки из продуктов коррозии, так и уменьшением размеров анодов. Очистка анодов во время испытания резко повышала выход тока. Максим. выход тока достигался при добавках Al до 0,5%. Добавка Cd в кол-ве до 0,02% сильно улучшала работу каждого сплава, но дальнейшее увеличение его содержания до 0,10% не давало дальнейшего улучшения. Миним. содержанием Cd было признано 0,025%, а Al 0,1%. Приводится упр-е Дайта для определения сопротивления растеканию анода в морской воде. В. Притула

**6И233. Анодная защита в установках для сульфирования.** Riggs Olen L., Jr, Hutchison Merle, Conger N. L. Anodic control of corrosion in a sulfonation plant. «Corrosion», 1960, 16, № 2, 102—106 (англ.).—На примере процесса нейтр-ции сульфокис-

лоты щелочью рассматривается применение анодной защиты металлов. В 20%-ной щелочи нержавеющей Ст. 304 начинает пассивироваться при  $D$  1,5  $\text{мг/см}^2$ , которая снижается затем до 0,3  $\text{мг/см}^2$ . При добавлении сульфокислоты для пассивации необходимо увеличивать  $D$  до 1,0  $\text{мг/см}^2$ , затем в течение 0,5 сек.  $D$  снижается до 0,03  $\text{мг/см}^2$ . С применением анодной защиты конц-ия Fe в р-рах уменьшается с 1000 до 30—50  $\text{мг/л}$ . Н. Михайлов

**6И234. Коррозионные испытания.** Kirkendall William E. Practical corrosion testing. «Water and Sewage Works», 1960, 107, № 4, 155—158 (англ.).

**6И235. Меченые атомы в коррозионных исследованиях.** Erwall Lars-G. Radioaktiva spårämnen inom korrosionsforskningen. «Jernkontorets ann.» 1959, 143, № 10, 646—672 (шведск.; рез. англ.).—Обзор. Библ. 44 назв. Н. П.

**6И236. Лабораторное и промышленное применение самопишущего прибора для измерения скорости коррозии.** Winégartner E. C. Laboratory and plant applications of recording electrical resistance corrosion meters. «Corrosion», 1960, 16, № 6, 99—103. Discuss., 104 (англ.).—Описывается устройство и принцип действия самопишущей измерительной установки для определения скорости коррозии (СК) металлов и сплавов по изменению их электрич. сопротивления. С помощью прибора в лабор. условиях была исследована СК медь-металла во времени в 0,2%-ных р-рах  $\text{CH}_3\text{OH}$  и  $\text{HCl}$ . В промышленных условиях была исследована СК в процессах полимеризации пропилена в условиях применения кислотного катализатора. Для нейтр-ции конц. органич. к-т ( $\text{CH}_3\text{COOH}$ ,  $\text{HCOOH}$  и др.), разрушающих аппаратуру, были установлены нужн. момент введения и конц-ия подаваемого  $\text{NaOH}$ . Н. Михайлов

**6И237. Кондуктометрический метод испытания антикоррозионных масел и их стандартизация (Для случая образцов из стальной проволоки, применяемых при определенной температуре испытания масел).** Goto Ken'ichi, Asahara Teruzo. «Киндокухэн гидзюцу, J. Metal Finish. Soc. Japan», 1959, 10, № 8, 301—305 (японск.).—Описывается установка для испытания антикоррозионных свойств масел кондуктометрич. методом и приводятся результаты некоторых исследований. Петля из 3—5 параллельных проволок диам. 0,25—0,30 мм покрывается исследуемым маслом и затем погружается в 20 н. водн. р-р  $\text{HCl}$ . О скорости коррозии проволок судят по изменению их электросопротивления. На основании проведенных опытов даются предложения о стандартизации т-ры и конц-ии р-ра, продолжительность испытания, числа проволок в петле и их диаметра и т. д. Д. Ф.

**6И238. Исследование механизма электрохимической защиты и ее практическое применение.** Красноярский В. В. Автореф. дисс. канд. хим. н., Ин-т физ. химии АН СССР. М., 1960

**6И239. Препарат для предохранения от коррозии и образования ржавчины.** Kroll Harry, Spivack John D., Pines Robert M. Präparat zur Verhütung von Korrosion und Rostbildung. [J. R. Geigy A.-G.] Швейц. пат. 344161, 15.03.60.—Патентуется препарат, содержащий органич. соединение типа:  $\text{R}'\text{R}''\text{NR}'''\text{CH}(\text{CH}_2)_n\text{COOH}$ , где  $\text{R}'$  — алкилкарбонильный остаток жирной к-ты с 8—24 атомами С (предпочтительны радикалы с 12—18 атомами С),  $\text{R}''$  — Н, алкил-, гидроксилалкил- или фенилгруппа,  $\text{R}'''$  — Н или алкилгруппа,  $n = 0$  или 1 и  $\text{X} = \text{N}$ , одновалентный катион или эквивалент многовалентного катиона, который будучи добавлен в минер. масло в кол-ве до 1% предохраняет от коррозии стальные изделия. В масляную смесь вводятся также первичные амины следующего



не анодной ржавчающей 1,5  $\text{мг/см}^2$ , при добавлении 0,5 сек. анодной с 1000 до Михайлов Kendall Water and (англ.)

исследовании коррозии металлов как незащищенных покрытиями (П), так и с цинковыми, фосфатными, хроматными и др. П. С этой целью на металл наносится бесцветное, практически невидимое П весом 56—390  $\text{г/м}^2$ . П наносится путем погружения металла при  $\sim 20^\circ$  на 2—10 сек. в р-р, содержащий 3—5  $\text{г/л}$   $\text{CrO}_3$  в виде бихромата щелочей или морфолина и 4—7% синтетич. смолы, растворимой в присутствии бихромата. Можно использовать шеллак, сополимер винилацетата и акриловой, метакриловой или кротоновой к-т, сополимеры винилацетата и малеинового или фталевого ангидридов, сополимеры стирола и кротоновой к-ты. В р-р добавляется также летучее основание для доведения pH до 7—9,2. Препарат может изготавливаться в виде растворимого в воде концентрата, содержащего 0,3—0,5 вес. ч. бихромата и 4—7 вес. ч. смолы. Ю. Аронсон

6И241. Способ непрерывной регенерации солянокислых и сернокислых отработанных травильных растворов. Verfahren zur kontinuierlichen Regeneration von salzsäuren und schwefelsäuren Beizabläugen. [Othmar Ruthner]. Австр. пат. 205311, 25.09.59.—При существующих методах регенерации отработанные травильные р-ры насыщаются газообразным HCl, причем выпадающий хлорид после отделения окисляется и HCl-газ вместе с газообразным HCl, который образуется при разложении маточного р-ра, содержащего хлорид, под действием тепла, может быть снова использован для осаждения новых порций хлорида металла. Таким образом, не считая небольших потерь, осуществляется замкнутый цикл. При абсорбции HCl водн. р-рами освобождаются большие кол-ва тепла, что вызывает необходимость применения обезгаживающей установки. Патент предусматривает для случая соляно- или сернокислых травильных р-ров сокращение коммунаций, экономию стоимости процесса и эксплуатационных расходов путем исключения из технологич. схемы обезгаживающей установки, благодаря тому, что выпадение хлорида осуществляется при охлаждении р-ра, обрабатываемого HCl, до  $t$ -р ниже  $10^\circ$ , предпочтительно, от  $+5$  до  $-10^\circ$ . При этом можно избежать насыщения HCl при комнатной  $t$ -ре и осуществить  $t$ -цию при более низких конц-ях HCl, не мешая выпадению хлорида. Хлорид превращается в окислы в окислительной печи, при этом образуется HCl, который снова идет на осаждение новых порций отработанных р-ров. Я. Лапин

6И242. Усовершенствованный способ очистки и шлифования металлических поверхностей. Chesner Louis, Heathcote Derek. Improvements in or relating to the removal of contaminating material from, and the smoothing of, metal surfaces. [Laporte Chemicals Ltd]. Англ. пат. 826172, 31.12.59.—Патентуется способ удаления окалины и ржавчины с внутренних поверхностей нелегированных, а также способ шлифования внутренних поверхностей трубопроводов из стали (в том числе и нержавеющей) и Cu. Обработка производится путем пропуска через трубопровод горячего водн. р-ра, содержащего  $\text{H}_2\text{O}_2$  и  $\text{H}_3\text{PO}_4$ , и последующей нейтр-ции остатков  $\text{H}_2\text{O}_2$  и к-ты щел. р-ром или промывкой горячей водой. В р-р может быть добавлено тонко измельченное абразивное в-во, напр. песок или пемза. Рекомендуется поддерживать мол. соотношения  $\text{H}_2\text{O}_2$  и  $\text{H}_3\text{PO}_4$  в пределах от 1:3 до 1:1. Нейтр-цию рекомендуется производить р-ром щелочи

при  $t$ -ре 70— $100^\circ$ . После этого рекомендуется обрабатывать поверхность смесью низкокипящего органич. р-рителя и воды. Вместо  $\text{H}_2\text{O}_2$  можно брать перекисное соединение металла. Приведено несколько примеров успешной очистки от окалины и ржавчины труб из углеродистой стали р-ром, содержащим 70 об. ч.  $\text{H}_3\text{PO}_4$  (70%), 15  $\text{H}_2\text{O}_2$  (35%) и 15 ч. воды при  $75^\circ$  и последующей нейтр-ции 2% р-ром соды при  $95^\circ$ . М. Кристалл

6И243. Процесс очистки и покрытия алюминия. Bulloff Jack J. Process of cleaning and coating aluminum. [The Commonwealth Engineering Co. of Ohio]. Пат. США 2898230, 4.08.59.—Патентуется способ очистки Al от окислов и покрытия его металлом, легко поддающимся пайке и сварке. Al-проволоку или ленту пропускают при помощи системы роликов сначала через ванну с расплавленным криолитом, где поверхность Al освобождается от окислов. В отсек аппарата, через который проходит подлежащее покрытию изделие, подают газообразное соединение, способное при повышенной  $t$ -ре взаимодействовать с Al с образованием летучего соединения Al и осаждением металла; в качестве такого соединения рекомендуются хлориды Os, Mo, Ga, Be, Fe, Re, Te, Sb, Bi и Au. При  $t$ -ре  $\sim 250^\circ$  образуется  $\text{AlCl}_3$ , который легко удаляется, и на поверхности Al осаждается соответствующий металл. При желании получить покрытие металла, не соединяющегося непосредственно с Al напр. Ir, W, V или Si, в следующий отсек аппарата подают хлорид или фторид этого металла и  $\text{H}_2$ ; образующийся HCl (газ) или HF (газ) удаляют, а металл осаждается на ранее полученном покрытии (2-компонентное покрытие). В. Левинсон

6И244. Улучшения способа нанесения покрытий на титан и его сплавы. Jenkins Herbert Arthur Henry, Freeman Dennis Brian. Improvements in the formation of coatings on titanium and alloys thereof. [The Pyrene Co. Ltd]. Англ. пат. 823928, 18.11.59.—Патентуется метод получения на Ti и его сплавах прочно сцепленного хим. покрытия (П), облегчающего водочение Ti, увеличивающего коррозионную стойкость основного металла и могущего служить грунтом под окраску. Указываются 3 способа получения П: а) обработка поверхности Ti или его сплава кислым водн. р-ром, содержащим фтористое соединение и соль Na или K (или обе),  $> 0,5$  кислотных радикалов — фториды, кислотность р-ра устанавливается HF; б) р-р для П также содержит F-соединения и соли Na или K, но  $> 0,5$  кислотных радикалов составляют сульфаты, хлориды, нитраты, вводимые в р-р в виде  $\text{H}_2\text{SO}_4$ , HCl,  $\text{HNO}_3$ ; в) р-р для П содержит  $> 0,5$  кислотных радикалов, радикалы органич. к-ты с первоначальной константой диссоциации  $10^{-6}$ — $3 \cdot 10^{-2}$ . Во всех 3 случаях pH 2,5—5, конц-я ионов Na и K 0,5%. Органич. кислотные радикалы вводятся в р-р в виде янтарной, салициловой, малеиновой, винной, фталевой, уксусной, бензойной и лимонной к-т. П осуществляется погружением в р-р или разбрызгиванием его. Для очистки поверхности перед П Ti в течение нескольких секунд промывают в р-ре  $\text{HNO}_3$  и HF с последующей промывкой в воде. Пример. Состав р-ра (в %): KF 5,8, HF 0,04. Образуется коричнево-серое, прочно сцепленное П толщиной 30,8  $\text{мг/дм}^2$ . А. В.

6И245. Чернение нержавеющей стали. Акимото Гидзо. Японск. пат. 3355, 6.06.57.—Нержавеющую сталь (Cr-Ni) погружают в р-р, полученный растворением 55  $\text{г}$   $\text{Na}_2\text{S}$  и 30  $\text{г}$   $\text{NiCl}_2$  в 1 л 50%-ного р-ра NaOH, нагревают 2—5 мин. при  $130^\circ$  и получают гладкое твердое черное покрытие. Э. Т.

6И246. Способ производства металлизированных суспензий для образования покрытий из неблагородных металлов на неорганических неметаллических материалах, в частности на керамике. Mgráček Jago m r. Způsob výroby pokovovacích suspenzí pro

vytváření povlaků neušlechtilých kovů na anorganických nekovových materiálech zejména na keramice. Чехосл. пат. 91555, 15.08.59.—Окислы металлов (напр. Мо или W) смешивают с окислом или другим соединением высокорекреакционного металла, напр. Mn, и нагревают в корундовом тигле в окислительной атмосфере до полного расплавления. Полученные гранулы тонко размалывают и восстанавливают в атмосфере  $H_2$  при 400–800°. Конечный продукт в тонко размолотом виде суспендируют в р-ре нитроцеллюлозы и щеткой наносят слой суспензии на обрабатываемое изделие. После обжига в восстановительной атмосфере или в вакууме при  $t$ -ре  $\geq 1100^\circ$  полученное покрытие обладает хорошей адгезией.

В. Левинсон  
6И247. Добавки, ускоряющие процесс горячего цинкования. Усуда Наомаса. Японск. пат. 7706, 03.09.59.—К конц. HCl (к-та), не содержащей  $FeCl_3$ , добавляют металл. Zn и спустя некоторое время, верхний осветленный слой р-ра (I) фильтруют. Отдельно растворяют в разб. HCl 90%-ный  $ZnCl_2$ , добавляют к р-ру  $NH_4Cl$  и  $Na_2P_2O_7$ , смесь хорошо перемешивают до получения однородного р-ра. К одной части полученного р-ра добавляют 3 части I. Пример. К 3 кг  $\geq 30\%$ -ной HCl, не содержащей  $FeCl_3$ , добавляют 30 г металл. Zn и растворяют его, затем верхний осветленный слой р-ра фильтруют через ткань и получают р-р I. Отдельно растворяют 50 г 90%-ного  $ZnCl_2$  в 1 кг разб. HCl, добавляют к р-ру 5 г  $NH_4Cl$  и 5 г  $Na_2P_2O_7$  и все это хорошо перемешивают до получения однородного р-ра. К 1 кг полученного р-ра добавляют 3 кг I и хорошо перемешивают смесь. Железные изделия, которые хотят оцинковать, не очищая от ржавчины, погружают на 15–25 мин. в полученный р-р, в результате чего полностью удаляется окисная пленка с поверхности этого изделия, затем его погружают в расплав металл. Zn. Качество полученной Zn-пленки покрытия высокое. Предлагаемый метод предварительной обработки железных изделий до нанесения на них Zn-покрытий, намного ускоряет процесс оцинкования по сравнению с применяемым в настоящее время методом оцинкования с предварительным травлением железа в  $H_2SO_4$  и с последующим травлением его в HCl (к-та).

В. Зломанов  
6И248. Флюс, применяемый при нанесении алюминевых покрытий на черные металлы в расплаве алюминия. Ватанабэ Сатоси, Такатаи Тосио. Японск. пат. 6859, 29.08.57.—Состав флюса (в %): KCl 15–20, NaCl 14–18,  $Na_3AlF_6$  15–20,  $SiO_2$  4–6,  $NaClO_3$  20–25,  $KClO_3$  20–25. Т-ра пл. флюса 650–680°. Обработка железа и стали патентуемым составом с последующим травлением железа и стали к-той и промывкой водой обеспечивает полное удаление окисной пленки с поверхности черных металлов и получение плотной, красивой блестящей Al-пленки. Наилучшие результаты были получены при обработке черных металлов смесью состава (в кг): KCl 20, NaCl 20,  $Na_3AlF_6$  25,  $SiO_2$  7,  $NaClO_3$  28,  $KClO_3$  30.

В. Зломанов  
6И249. Изоляционная антикоррозионная водонепроницаемая паста для защиты подземных металлических трубопроводов и электрических кабелей. Payet Adolf, Payetová Věra. Isolační antikorozní vodopropustná pasta pro ochranu kovových potrubí a elektrických kabelů uložených v zemi. Чехосл. пат. 91652, 15.09.59.—Патентуется композиция, которую можно наносить в качестве изоляционного покрытия на влажную металл. поверхность без коррозионных разрушений под слоем изоляции впоследствии. Наилучшими признаны пасты, содержащие 1–10 вес.% замедлителя коррозии (чаще  $K_2CrO_4$  или  $NaNO_2$ ) диспергированного добавкой 50–70 вес.% минер. наполнителя (стеклянного порошка и пр.) с добавкой 5–15%  $Ca(OH)_2$  или карбонатов щел. металлов в смеси с 20–45 вес.% парафиновых углеводородов с  $t$ -рой каплепадения 50–60°. В патенте приведено

3 рецепта вышеуказанной пасты.

Н. Клязев  
6И250. Состав для защиты от коррозии и способ его получения.—Rostskyddsmedelskomposition och sätt att framställa densamma. [T. P. G. Stedt, A. A. H. Dolph]. Швед. пат. 169110, 27.10.59.—Патентуются шесть антикоррозионных составов, состоящих из солей высокомолекулярных органич. к-т: абиеиновой и к-т, входящих в сосновое масло, пчелиный воск, шерстный жир с триэтаноламино и (или) щел. солей тех же к-т в смеси со сложными эфирами их с гликолями, глицерином и (или) полигликолями. Для указанной цели были использованы продукты очистки и полимеризации приведенных выше растительных масел и жиров. Подробно описаны способы изготовления каждой смеси в отдельности и условия, обеспечивающие наиболее эффективное защитное действие их (т-ра, pH среды, катализатор и др.).

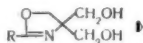
М. Головин  
6И251. Комплексообразующий состав, содержащий замедлитель коррозии. McCune Homer W. Sequestering composition containing a corrosion inhibitor. [The Procter & Gamble Co.]. Пат. США 2921908, 19.01.60.—Для защиты Al, Zn и «немецкого серебра» от коррозии в разб. слабощелочных р-рах комплексообразователей (этилендиаминтетраацетат, N-гидроксиэтилэтилендиаминтриацетат, пиперидинтриацетат) к последнему предлагается добавлять от 3 до 40% (от веса комплексообразователя) замедлителя коррозии с ф-лой  $R(O_2C)_3$ , где R — алкильная группа с 14–22 атомами C,  $x$  1–7, M и N — группы H, Na, K, NH<sub>4</sub> и алкильно замещенный аммоний. В состав р-ра могут входить также различные детергенты (растворимые мыла, анионные «немыльные» и неионные смачиват. детергенты и их смеси).

А. Мамет  
6И252. Замедлитель коррозии. Drigot Stanley Walter, Lebolt John Michael, Minow Lawrence Irwin, Reynolds Albert Henry. Corrosion inhibitor. [The Cromwell Paper Co.]. Австрал. пат. 221955, 10.01.59.—Патентуется способ увеличения эффективности летучего замедлителя коррозии (ЗК), используемого в качестве компонента оборотного материала или покрытия деталей, подверженных коррозии. Способ имеет преимущество перед существующими методами, так как дает возможность регулировать степень летучести ЗК в паровой фазе, а также наиболее полно использовать этот ЗК. Конц-я ЗК автоматически изменяется в зависимости от содержания водяных паров в атмосфере. Применяются твердые, водорастворимые, образующие непрерывные пленки материалы — летучие ЗК, напр., водорастворимые воски, смолы, пластмассы или их смеси с добавками водорастворимых умягчителей и пластификаторов или без них. В качестве восков могут применяться некоторые полиэтиленгликоли с мол. в. ~1000, в качестве пластмасс — поливинилловый спирт. Умягчители на основе полиэтиленгликоля — полипропиленгликоль, этиленгликоль, пропиленгликоль, глицерин или гликоли с более низким мол. весом. В качестве летучих ЗК, которые могут применяться в соответствии с настоящим патентом, можно указать на следующие амины: этиламин, пропиламин, изопропиламин, бутиламин, изобутиламин, амиламин, изоамиламин, гексиламин, изогексиламин, октиламин, диотиламин, дипропиламин, диизопропиламин, дибутиламин, трипропиламин, циклогексиламин, дициклогексиламин, морфолин, моно- и диэтаноламин. К-ты с высоким мол. весом также являются эффективными летучими ЗК, напр., капроновая к-та, каприловая, пеларгоновая, бензойная, толуиловая, глюконовая и другие к-ты. Эффективны также соли аммония этих к-т. Для диспергирования или растворения летучих ЗК в водорастворимых восках или других твердых в-вах применяются т-ры порядка 120° и ниже.

Я. Лапин  
6И253. Состав, защищающий от коррозии. Butler George N. Anticorrosion agent. [Commercial Sol-

И. Клязев  
и енот  
tion and s  
A. H. Dolph  
шесть ап  
пей высок  
и к-т, вхо  
шерстны  
тех же к-т  
ями, глине  
нной цел  
полимериз  
и жир  
каждой сл  
не наиболее  
pH среды  
Г. Голубин  
содержащи  
er W. Se  
on inhibitor.  
A 2921908  
серебра  
т плексосооб  
дроксизит  
последней  
веса комп  
с ф-лой  
группа с  
H, Na, K,  
состав р-р  
ны (раств  
опные сп  
A. Mamer  
Stanley  
ow Law  
ng. C  
Австрал. пат.  
нчения э  
зации (ЗК)  
гочного ма  
ны корро  
существую  
регулиру  
ре, а также  
ония ЗК  
содержа  
ются твер  
спрыски  
подорожа  
смес с до  
пластиф  
гут приме  
в. ~1000.  
пирт. Ум  
глицирил  
В качестве  
соответс  
следую  
ропиламин  
амиламин  
зиотамин  
амин, три  
ексилламин  
с высоким  
летучим  
аргонозав  
путе к-т  
Д. Для ди  
В в водо  
вах при  
Я. Лаппа  
ии. But  
mercial Sol

vents Corp.]. Пат. США 2905644, 22.09.59.—Предлагается защита от коррозии путем покрытия поверхности ме-



тала минер. или растительным маслом, содержащим 0,04—10 вес. % замещенного оксазолина (I). А. Мамет

61254. Травление нержавеющей стали, термостойкой стали, никеля и сплавов никеля. Кавамура Хироити. [Сумитомо киндзюку ногэ кабусики кайсей]. Японск. пат. 2557, 17.04.59.—Нержавеющую или жаростойкую сталь, Ni и сплавы Ni на некоторое время погружают в водн. р-р, содержащий (в объемн. ч.): 30%-ную  $H_2O_2$  < 10, 37%-ную  $HCl$  < 20 или (и) 20%-ную  $H_2SO_4$  < 20. В случае необходимости к травильному р-ру могут быть добавлены  $HF$  и фосфорная к-та. Примеры: 1. К смеси состава: 30%-ная  $H_2O_2$ , 37%-ная  $HCl$ , вода, с соотношением компонентов (в объемн. ч.) 1:1:30, добавляют 10 ч. 40%-ной  $HF$ . В смесь на 30 мин. погружают нержавеющую сталь Ст. 18-8 или нержавеющую сталь с содержанием 13%  $Cr$  или же жаростойкую сталь «Тимкен» 15155,3—186, 19-9 DL (фирменная марка). В результате обработки этим р-ром окисная пленка полностью удаляется и получают сталь с безой блестящей поверхностью. 2. В р-р состава: 30%-ная  $H_2O_2$ , 37%-ная  $HCl$  и вода, с соотношением компонентов 1:3:30, на 10 мин. погружают Ni, в результате чего окисная пленка полностью удаляется и получают Ni с блестящей поверхностью. 3. К смеси состава: 30%-ная  $H_2O_2$ , 37%-ная  $HCl$  и вода, с соотношением компонентов 1:3:30, добавляют 10 ч. 85%-ной фосфорной к-ты. В полученный р-р на 20 мин. погружают Ni-сплав «Нимоник 80 А». Окисная пленка при этом полностью удаляется и получают сплав с блестящей поверхностью. В. Злоданов

**В. 50465. Антикоррозионное покрытие.**— *Product anti-corrosion* (René Michel). Франц. пат. 1214009. 5.04.60.—Патентуется антикоррозионное покрытие, состоящее из смеси порошкообразных наполнителей (графита, Та, W, В или карбида бора, Sb и т. п.) и связующего — изомеризованного каучука и смолы: кумарон пиденовой, бензофураковой или циклопентадиеновой. Если требуется защитить основной металл от воздействия F-газа, все металл. составляющие заменяются Mg или от H<sub>2</sub>SO<sub>4</sub> — Pb или Sb. Ю. Аносов

61256. Замедлитель ржавления для бензина. Martin Eugene C., Tittsworth Harvey R. Rust inhibitor for gasoline. [The American Oil Co.]. Пат. США 2919979, 5.01.60.—Патентуется антикоррозийная присадка к бензину (доза 0,0001—0,01% по весу), состоящая из смеси ацилсаркозина с ф-лой  $RCON(CH_3)CH_2-$

COOH и 4,2-двузамещенного имидазолипа,  $R'C=NCH_2CH_2NCH_2CH_2OH$ , где R и R' — алкилы с 8—20 атомами C. Мол. соотношение указанных компонентов от 0,1:1 до 10:1. В качестве первого компонента смеси указан N-олеилсаркозин, второго — тяжелые масла. Перед добавлением к бензину смесь нагревается в интервале t-р от 38 до 93°.

См. также раздел Лаки. Краски. Лакокрасочные покрытия и реператы: Кинетика окисления W 6Б541. Окисление: Zr 6Б540; Ta 6Б542; TiC 6Б543; металлов 6Б544; Ti и Zr 6Б550. Электрохим. поведение: Ni 6Б632, 6Б633. Гальванические покрытия: 6Б645—6К186, 6К194, 6К198—6К208. Коррозия цементов 6К359. Смазки 6М289, 6М348, 6М349. Пластмассы 6П115—6П35; 6П44, 6П57, 6П60, 6П70. Ингибиторы коррозии: 6П111

## ПОДГОТОВКА ВОДЫ. СТОЧНЫЕ ВОДЫ

Редактор *М. И. Лапшин*

**6Н257. Определение натрия и калия в питьевой воде с помощью пламенного фотометра.** Olivari Luigi, Benassi Roberto. La determinazione del sodio e del potassio nelle acque potabili mediante la fotometria di fiamma. «Boll. lab. chim. provinc.», 1960, 11, № 2, 230—239 (итал.; рез. франц., англ., нем.). Экспериментально показано, что определение  $K^+$  в конц-ии 0,5—3,5 мг/л возможно с точностью ~2% (при 10-кратной конц-ии  $Na^+$ , 70-кратной  $Ca^{2+}$  и 15-кратной  $Mg^{2+}$ ). Определение  $Na^+$  в конц-ии 5—50 мг/л возможно с точностью 1% (при 4—7-кратной конц-ии  $Ca^{2+}$ ). М. Ланшин

611258. Колориметрическое определение фенолов в сточных водах нефтеперерабатывающих заводов. Удаление сульфидов нитратом серебра. Gordon G. E. Colorimetric determination of phenolic materials in refinery waste waters. Removal of sulfides by silver nitrate. «Analyst. Chem.», 1960, 32, № 10, 1325—1326 (англ.). — Предложен упрощенный вариант определения фенолов при помощи 4-аминоантипиррина с осаждением сульфидов  $\text{AgNO}_3$ . 50 мл пробы подкисляют ~ 8 М  $\text{HNO}_3$  по метиловому красному, точно нейтрализуют 0,5 н.  $\text{NaOH}$  и прибавляют 3 мл 1 н.  $\text{AgNO}_3$ . Убедившись в полноте осаждения сульфидов, удаляют избыток  $\text{Ag}^+$  р-ром  $\text{NaCl}$ . Осадок центрифугируют, разбавляют аликвотную часть 5—50 частями дистил. воды и последовательно прибавляют р-р боратного буфера, 4%-ного  $\text{NH}_4\text{OH}$  и 2%-ного р-р 4-аминоантипиррина. После 40 мин. определяют оптич. плотность при  $\lambda$  510 мμ. Н. Ваксберг

61259. Исследование пригодности метода мембранных фильтров и бакто-стрип-метода для биологической оценки качества воды. Just J., Ziemska S. Porovnání vhodnosti metody membránových filtrů a metody Bacto-strip v biologickém hodnocení vod. «Vodní hospod», 1960, № 4, 148—156 (чешск.; реэ. русск., нем., англ.).—Описана техника работы. Авторы считают, что бакто-стрип-метод (см. РЖХим, 1960, № 3, 9668) позволяет получить только ориентировочные сведения.

6П260. Автоматический контроль качества воды.—Automatic system for monitoring water quality. (J. Sanit. Engng Div. Proc. Amer. Soc. Civil Engrs), 1960, 86, № 4, Part 1, 25—40. Discuss., 105 (англ.).—Описаны методы, практикуемые на опытной станции на р. Делавэр (США) для непрерывного определения: т-ры, рН, электропроводности, растворенного  $O_2$  и мутности воды. Матсбург

61261. Автоматическое определение аммиака в речной воде. Lucht Fritz. Automatische Messung des Ammoniakgehaltes im Flußwasser. «Dtsch. gewässerkundl. Mitt.», 1960, 4, № 4, 84—85 (нем.).—Кратко описана схема автоматически действующего анализатора, работа которого основана на р-ции  $\text{NH}_4^+$  с реактивом Несслера. Весь цикл операций заканчивается за 12 мин. Н. Ваксберг

61262. Непрерывное определение алкиларисульфоксидов в сточных водах. Růžicka Otakar, Vilím Otakar. *Kontinuální stanovení alkylarylsulfonátů*, «Vodní hospod.», 1960, № 8, 348—349 (чешск.; рез. русск., нем., англ.).—Приведена схема прибора для непрерывной экстракции алкиларисульфоксидов (I) из СВ хлороформом и фотометрич. определения I с метиленовым синим. М. Лапин

6Н263. Замер расхода воды методом разбавления солевого раствора. Hutton Stanley Peerman, Spencer Ernest Antony. Gauging water flow by the salt-dilution method. «Proc. Instn Civil Engrs», 1960, 16, Aug., 395—418 (англ.).—Описана сущность метода (выпскивание р-ра в трубопровод), применяемая



аппаратура, техника выполнения; указана точность измерений. М. Л.

6И264. Замер расхода воды на промышленных предприятиях. Macháček Václav. Měření odběru průmyslové vody. «Hutník» (CSR), 1960, 10, № 7, Příl., 3—6 (чешск.).—Даны схемы применяемой аппаратуры. М. Л.

6И265. Химический состав воды и характеристика планктона некоторых прудов, расположенных в западной пригороде Ямагата (Япония). Mizuno Toshiko «Рикусуйгаку дзасси, Japan. J. Limnol.», 1959, 20, № 4, 181—184 (японск.).

6И266. Поверхностноактивные вещества в сточных водах. Metzger A. Grenzflächenaktive Stoffe im Abwasser, ein Beitrag zum Abwasser-Problem. «Fette, Seifen, Anstrichmittel», 1960, 62, № 6, 499—502 (нем.; рец. франц., англ., русск.).—Критически рассматривается распространенный в настоящее время взгляд о необходимости замены алкилбензолсульфонатов (I) (в частности, тетрапропиленбензолсульфоната) другими синтетич. детергентами, ввиду трудности их биохим. окисления I и вызываемого ими сильного вспенивания воды. Л. Купперберг

6И267. Биологическая очистка водоемов. Жадин В. И. «Вестн. АН СССР», 1960, № 6, 61—64.—Приведены примеры биологич. загрязнения (развитие водорослей) и самоочищения. Ставится вопрос о практич. использовании этих процессов. М. Лапшин

6И268. Санитарная охрана водоемов от загрязнения сточными водами кожевенных заводов. Найштейн С. Я., Петров Ю. Л., Коровицкий А. А., Бобок Т. Е. «Врачебн. дело», 1960, № 6, 623—628.—Характеристика СВ (в мг/л): ГДП 1000—4000; БПК<sub>5</sub> 290—6800; окисляемость 360—4750; плотный остаток 2877—10 980; Cr<sup>3+</sup> 5,8—58,5; фенолы 21,6—50. Потребное разбавление СВ в водоемах и водотоках, определенное по отдельным показателям: окраска 1:120—1:310; запах 1:120—1:350; БПК<sub>5</sub> 1:1000; ГДП 1:10 000; хром 1:65; токсичное действие на теплокровных животных > 1:1000. Сброс неочищ. СВ может быть допущен при разбавлении 1:10 000, а при наличии фенолов 1:30 000. При невозможности достичь такого разбавления необходима биохим. очистка СВ. О. Болотина

6И269. Проблемы сброса сточных вод и качества подземных вод. Rorabaugh Matthew I. Problems of waste disposal and ground water quality. «J. Amer. Water Works Assoc.», 1960, 52, № 8, 979—982 (англ.).—Рассмотрены перспективы ближайшего будущего. М. Л.

6И270. Сaproбиость Дуная и прогноз качества его воды (для водохозяйственных целей). Napuška Ladislav. Saprobiológia Dunaja a prognóza pre vodné diela. «Vodní hospod.», 1960, № 9, 408—410 (словацк.).

6И271. Воды, пригодные для промышленного использования в Конго. Delvaux E. Les eaux d'usage industriel du Congo. «Termotecnica», 1960, 14, № 9, 402—404 (франц.).—Краткий обзор. М. Л.

6И272. Распирение водоснабжения г. Гудзона (шт. Нью-Йорк, США). Harding Howard. Old + New = more water for Hudson. «Water Works Engng.», 1960, 113, № 7, 640, 655 (англ.).—Для повышения производительности водопроводной станции сооружены 6 диатомитовых фильтров (площадь 22 м<sup>2</sup>, пропускная способность 7500 м<sup>3</sup>/сутки). На фильтры наносят Celite-545 (I), а поверх его — диатомит Hyflo (II). За сутки расходуется 67 кг II и 90 кг I. Длительность фильтроцикла 24 часа. Промывка и загрузка 10 мин. Л. Фальковская

6И273. Водоснабжение г. Декейтер (шт. Алабама, США). Gilmore W. H. Decatur, Alabama's water system. «Water and Sewage Works», 1960, 107, № 7, 253—255 (англ.).—Краткий обзор развития водоснабжения города с 1889 г., когда была построена первая фильтровальная станция, до 1959 г., когда производи-

тельность водопровода была доведена до 45 000 м<sup>3</sup>/сутки. Л. Фальковская

6И274. Применение полифосфатов для образования защитного кальцитного покрытия. McCauley Robert F. Use of polyphosphates for developing protective calcite coatings. «J. Amer. Water Works Assoc.», 1960, 52, № 6, 721—734 (англ.).—Рекомендуется следующий режим образования на поверхности труб защитной пленки кальцита: а) при пересыщении CaCO<sub>3</sub> на 0,1 мг-экв/л скорость движения воды 2,4—4 м/сек; б) при пересыщении 1,2 мг-экв/л скорость 0,45 м/сек. При неконтролируемом пропуске воды по трубам могут образовываться рыхлые отложения кальцита. При введении в воду, пересыщенную CaCO<sub>3</sub>, 0,5—1,5 мг/л полифосфата натрия скорость образования пленки снижается, но она получается более гладкой и плотной (рекомендуемая скорость течения ~0,9 м/сек). В. Клячко

6И275. Прогресс в использовании реагентов на водопроводной станции в Чикаго. Gullans Oscar. Progress in chemical handling and feeding at Chicago. «J. Amer. Water Works Assoc.», 1960, 52, № 7, 847—851 (англ.).—Приведены результаты эксперим. работ, проведенных на Южной станции, по использованию активного угля, р-ров сульфата алюминия, сульфата железа, кремнефтористоводородной к-ты, фторосиликата натрия, известки и аммиака. Даны рекомендации по защитным покрытиям баков для реагентов. Л. Фальковская

6И276. Механическая обработка воды. Batel Wilhelm, Werner Siegfried. Mechanische Flüssigkeitsabtrennung. «VDI-Zeitschrift», 1960, 102, № 28, 1339—1340 (нем., рец. англ.).—Краткий обзор по вопросам отстаивания, фильтрования, центрифугирования и применения циклонов. М. Л.

6И277. Регенерация и повторное использование осадка гидроксид алюминия в Тампе (шт. Флорида, США). Roberts J. Moran, Roddy Charles P. Recovery and reuse of alum sludge at Tampa. «J. Amer. Water Works Assoc.», 1960, 52, № 7, 857—866 (англ.).—Приведены результаты сравнительных опытов по коагуляции воды торговым сульфатом алюминия и полученным путем обработки H<sub>2</sub>SO<sub>4</sub> осадков гидроксид алюминия, образующихся на станции. Дана схема установки для регенерации коагулянта. Л. Фальковская

6И278. Рациональный отвод воды из горизонтальных отстойников. Демура М. «Жил.-комму. х-во», 1960, № 7, 16—13.—Исследования, проведенные на горизонтальном отстойнике Днепровского водопровода и на опытной полупроизводственной установке, показали возможность интенсификации работы отстойника путем секционного отбора осветленной воды с поверхности отстойника через дырчатые желоба. Восходящие скорости к желобам не должны превышать 0,25—0,3 мм/сек. Первый по ходу воды желоб следует располагать в средней части отстойника, последний — не ближе 10—12 м от выходного устройства. Расстояния между желобами должны быть ≥ 3 м. Л. Фальковская

6И279. О расчете и конструировании осветлителей. Васильченко М. П., Серебряков Н. Б. «Нав. вып. учебн. заведений. Стр-во и архитек.», 1960, № 3, 83—89.—При расчете и конструировании осветлителей для обеспечения стабильного эффекта осветления воды необходимо соблюдение следующих условий: 1) скорость восходящего потока в защитной зоне над взвешенным слоем не должна превышать скорость выпадения (в свободном объеме) частиц, выносимых из взвешенного слоя; 2) площадь осветлителя должна обеспечивать непрерывное осаждение всего поступающего избыточного осадка; 3) конструктивное оформление должно обеспечивать оптимальные условия для протекания технологич. процессов. Л. Фальковская

6И280.

вод. Час

sushi,

«Сого сн

Fac. En

(японск.

ления об

условия

ботке м

Hakudo

151,6; ве

вания ч

Sr<sup>90</sup>, jz

следую

3000—400

ответств

99—100;

97—100;

0—20; 45

Zeolite

35—60; 8

5—25; 85

диам. 2,5

вания 0,

№ 21, 855

6И281.

нения во

we zamk

1960, 4,

6И282.

перманг

ganese r

late. «J.

219—228

(в сред

кинбур

окисля

ном хлоп

ления р

воды в

варители

щей кон

исходит

бодного

при коа

тивирова

тельность

Мп пов

таты, ч

6И283.

опытов

ska Ir

runkach

zmieksza

354—356

6И284.

тами. П

теория

Для пол

воды из

леднико

ОН-ани

ми КУ

1 л вод

каждог

быть пр

примес

органол

Обработ

из поли

6И285.

нчески

Rober

5 000 м<sup>3</sup>/ч  
льковская  
образова-  
Caulley  
ing pro-  
Assoc.,  
тся сле-  
труб за-  
CaCO<sub>3</sub>  
-4 м/сек;  
45 м/сек;  
убам мо-  
нта. При  
-1,5 м/л  
пленки  
и плот-  
9 м/сек).  
Клячко  
итов на  
Оскар.  
Chicago.  
847-851  
бот, про-  
анию ак-  
сульфата  
горосили-  
мендации  
в.  
льковская  
Bate  
chanische  
1960, 102,  
обзор по  
ифуиро-  
М. Л.  
ьзование  
Флориды,  
Charles P.  
«J. Amer.  
(англ.).—  
ов по ко-  
ия и по-  
дрокисли  
на схема  
льковская  
инзонта-  
уб. х-во,  
ые на го-  
опровода  
нке, пока-  
стойника  
с поверх-  
Восходя-  
ревышать  
б следует  
ледный—  
Расстоя-

6И280. Опыты по дезактивации радиоактивных вод. Часть 2. Hirose Korokuro, Tokuhira Atsushi, Kadoya Shozo, Horioka Masakazu, «Cogo sikkensu pompo, Annual Rept Engng Res. Inst. Fac. Engng, Univ. Tokyo», 1960, 18, № 2, 82—85 (японск.; рез. англ.).—Приведены результаты определения обменной емкости (в мг-экв на 100 г) в статич. условиях некоторых природных и подвергнутых обработке минералов: Syoseinendo 46,4; Hakudo A 31,8; Hakudo B 30,7; Ooyaishi 116,5; Zeolite A 70,8; Zeolite B 151,6; вермикулит 46,3; Vermix 60, 61,8. При фильтровании через те же сорбенты р-ров, содержащих Р<sub>32</sub>, Sr<sup>90</sup>, I<sup>131</sup> или смесь продуктов деления, достигнуто следующее снижение (в %) активности (исходная 3000—4000 распадов в 1 мин. в 1 мл): Syoseinendo соответственно: 0—5; 90—99; 0; 60—75; Hakudo A: 99—100; 90—95; 60—65; 90—98; Hakudo B: 97—100; 97—100; 35—50; 90—98; Ooyaishi: 5—25; 65—85; 0—20; 45—55; Zeolite A: 50—60; 97—99; 0—25; 75—85; Zeolite B: 35—70; 87—94; 0—5; 75—85; вермикулит: 35—60; 85—95; 0—15; 80—85; Vermix 60: 50—70; 98—99; 5—25; 85—90. Фильтрование проводилось на колонке диаметром 2,5 см при высоте слоя 25 см; скорость фильтрования 0,13—2,20 мл/мин. Часть 1 см. РИХим, 1960, № 21, 85219.

М. Лапшин  
6И281. Малогабаритная установка для обезжелезнения воды. Rudziński Bronisław. Malogabarytowe zamknięte oddzielacze wody. «Przem. fermentacyjny», 1960, 4, № 1, 35—36 (польск.).

6И282. Удаление из воды марганца окислением перманганатом калия. Adams Reginald B. Manganese removal by oxidation with potassium permanganate. «J. Amer. Water Works Assoc.», 1960, 52, № 2, 219—228.—Вода реки Алдгейни содержит 0,5—4,0 мг/л (в среднем 1,2) растворенного Mn. На станции в Уилкинсбурге (шт. Пенсильвания, США) его удаляют, окисляя до MnO<sub>2</sub> введением KMnO<sub>4</sub> при предварительном хлорировании воды. Для достаточно быстрого окисления pH поддерживают в пределах 7,2—8,3. Для полного удаления Mn без предварительного хлорирования воды в нее нужно вводить 2,2 мг/л KMnO<sub>4</sub>. При предварительном хлорировании воды дозой, обеспечивающей конц-ию свободного Cl<sub>2</sub> 12 мг/л, удаление Mn происходит без введения KMnO<sub>4</sub>. При конц-ии 4 мг/л свободного Cl<sub>2</sub> нужно вводить 0,6 мг/л KMnO<sub>4</sub>. Добавки при коагуляции полиэлектролита HCA-18 (I) или активированной кремнекислоты (II) увеличивают длительность фильтровального цикла с 60 до 67—73 час., удаление Mn повышается с 89,4 до 91,6%. II дает лучшие результаты, чем I.

В. Клячко  
6И283. Лабораторная установка для постановки опытов по реагентному умягчению воды. Szymańska Irena. Zestaw umożliwiający prowadzenie w warunkach laboratoryjnych niektórych badań z dziedziny zmięszania wody. «Przegl. kolejowy», 1960, 12, № 9, 354—356 (польск.).

6И284. Опреснение соленой воды во фляге ионитами. Штаниников Е. В. В сб. «Хромотаграфия, ее теория и применение». М., АН СССР, 1960, 402—404.—Для получения небольших кол-в пресной питьевой воды из солоноватой предлагается обрабатывать последнюю перед употреблением смесью Н-катионита и ОН-анионита. Исследования, проведенные с ионитами КУ-2 и ЭДЭ-10П, показали, что для опреснения 1 л воды с солесодержанием 5—6 г/л требуется 24—25 г каждого из ионитов. Применяемые иониты должны быть предварительно обработаны к-той для удаления примесей (исходные продукты синтеза), ухудшающих органолептич. свойства воды, и отрегенированы. Обработку воды предлагается осуществлять во фляге из полиэтилена емк. 0,5 л.

Н. Субботина  
6И285. Старение анионитов под действием органических веществ. Frisch Norman W., Kunin Robert. Organic fouling of anion-exchange resins.

«J. Amer. Water Works Assoc.», 1960, 52, № 7, 875—887 (англ.).—В результате изучения работы лабор. Н-ОН-ионитных фильтров на искусств. р-рах, содержащих экстракты чая, торфа и лигнина, было установлено, что с увеличением конц-ии органич. в-в в исходном р-ре снижается уд. сопротивление обессоленной воды. Определение качества фильтрата Н-ОН-ионитного фильтра при работе на водопроводной и речной коагулированной воде показало, что органич. в-ва являются основной составляющей примесью обессоленной воды (0,72 мг/л при сухом остатке 0,91 мг/л и кремнесодержании 0,0086 мг/л). С целью изучения органич. в-в, сорбирующихся анионитом, были отобраны пробы отработанных р-ров NaCl от промывок промышленных анионитных фильтров 5—40%-ными р-рами NaCl. Эти пробы были обессолены фильтрованием через лабор. Н-ОН-ионитный фильтр, загруженный сильнокислотным катионитом и слабоосновным анионитом. В обессоленных пробах установлено наличие карбоновых к-т с рК ~3,7. Для выяснения эффекта поглощения органич. в-в различными ионитами обессоленные пробы фильтровались через лабор. фильтры, загруженные сильно- и слабокислотными Са- и Рb-катионитами и сильноосновным Cl-анионитом. Наиболее глубокое удаление органич. в-в (на 99,5%) достигнуто на высокопористом анионите амберлите IRA-401. Опыты, проведенные на опытной обессоливающей установке, показали, что предварительное фильтрование воды через высокопористый сильноосновной Cl-анионит обеспечивает повышение уд. сопротивления фильтрата Н-ОН-ионитных фильтров. Предотвратить старение анионитов можно тремя путями: 1) максим. снижением конц-ии органич. в-в в обрабатываемой воде (применение коагуляции, хлорирования, фильтрования через активный уголь, активированную окис алюминия, сильноосновные Cl-аниониты); 2) применением высокопористых анионитов; 3) осуществлением частых промывок анионитных фильтров подогретым р-ром NaCl (5%-ный). Применение систематич. промывок щел. р-ром гипохлорита натрия не рекомендуется. Выбор мероприятий, способствующих увеличению срока службы сильноосновных анионитов, должен производиться с учетом качества воды источника водоснабжения.

Н. Субботина  
6И286. Три метода обескремнивания воды. Applebaum S. B. Three methods of silica removal. «South. Power and Ind.», 1960, 78, № 8, 34—39 (англ.).—При подготовке котловой воды для котлов находят применение следующие методы обескремнивания: 1) горячее известкование (остаточное кремнесодержание 0,5—1,0 мг/л); 2) ОН-анионирование после стадии Na-катионирования (остаточное кремнесодержание 0,1—0,5 мг/л); 3) ОН-анионирование после стадии Н-катионирования (остаточное кремнесодержание 0,01—0,02 мг/л). Выбор способа обескремнивания для котлов давл. 70—105 ат определяется технико-экономич. соображениями. Для котлов давл. 105—140 ат обескремнивание обычно сочетают с ионитным обессоливанием, напр. по схеме: Н-катионирование — вакуумная деаэрация — ОН-анионирование; при повышенной конц-ии в исходной воде Cl<sup>-</sup> и SO<sub>4</sub><sup>2-</sup> применяют трехступенчатую схему: Н-катионирование — ОН-анионирование (анионит слабоосновной) — деаэрация — ОН-анионирование (анионит сильноосновной). Для котлов давл. 140 ат двухступенчатую схему дополняют обычно стадией совместного Н-ОН-ионирования. Вода, обработанная по этой схеме, характеризуется следующими показателями: SiO<sub>2</sub> 0,01—0,02 мг/л; солесодержание 0,05—0,25 мг/л, электропроводность 0,125—0,63 мкм-1. От применения совместного Н-ОН-ионирования в качестве первой ступени ионирования отказываются (даже при обработке водопроводной воды) ввиду отрицательного влияния на сильноосновной анионит органич. примесей. Обессоливание и

обескремнивание турбинного конденсата (для котлов сверхвысокого и закрытия. давления) осуществляют совместным Н-ОН-попириванием с предварительным удалением из воды продуктов коррозии на целлюлозных фильтрах. Очистку конденсата производят со скоростями фильтрования  $\sim 90$  м/час.

Н. Субботина  
6П287. Контроль за дозировкой полифосфатов при стабилизационной обработке воды. Lucas E. G. Metering phosphate requires accurate threshold treatment. «Water and Sewage Works», 1960, 107, № 6, 251—252 (англ.).—Введение стабилизационной обработки воды требует постепенного увеличения дозы полифосфатов (I) в начальный период. С этой целью на водопроводной станции Форт-Блесс (шт. Техас, США) первоначальная доза I была принята 0,2 мг/л, которая увеличивалась через каждые 30 суток на 50%, пока не достигла 2 мг/л. Приведены схемы установки для автоматиз. контроля дозы I.

Л. Фальковская  
6П288. О селективном уносе солей с водным паром. Vilim Jiří, Hoch Ladislav. Přehled názorů na znečišťování páry selektivním únosem soli. «Energetika» (CSR), 1960, 10, № 10, 516—521 (чешск.; рез. русск., нем., англ.).—Систематизированный обзор.

М. Л.  
6П289. Удаление отложений кремниевой кислоты с лопаток паровых турбин щелочной промывкой. Aksan Gabriel. Odkrývání lopatek turbíny parovej metóda lugowa. «Energ. przemysł», 1960, 8, № 7, 237—240 (польск.).—Приведены: микрофотографии отложений; результаты опытов по удалению их при щел. промывке (9—10%-ный р-р NaOH; t-ра 102—160°; время обработки 4 часа).

М. Л.  
6П290. Обеспечение нормального питания паровых котлов низкого давления пара котельных сахарозаводской базы, локомотивов и паровозов. Дунаев П. Т. «Тр. групповых лабор. Центр. н.-и. ин-т сахар. пром-сти». Киев, 1959, 156—167.—Указан ряд мероприятий по организации водн. хозяйства и эксплуатации котлов. Для подготовки добавочной воды рекомендуется совместное  $\text{NH}_4\text{-Na}$ -катионирование или Na-катионирование. Описаны 4 схемы: 1) 1 катионитный фильтр и 1 солевосстановитель, используемый для предварительного осветления воды (рекомендуется при конц-ии ГДП  $< 20$  мг/л); 2) 1 катионитный и 1 механ. фильтр, выполняющий также и функции солевосстановителя (рекомендуется при конц-ии ГДП  $> 20$  мг/л); обе схемы предназначены для локомотивов; 3) 1 катионитный, 1 механ. фильтр и 1 солевосстановитель (рекомендуется для котельных при паропроизводительности  $< 20$  т/час, при жесткости воды  $> 4$  мг-экв/л); 4) то же, но с 2 катионитными фильтрами (рекомендуется для котельных при паропроизводительности  $> 20$  т/час при той же жесткости воды). Для защиты от коррозии рекомендуется внутрикотловая дегазация воды или установка термич. деаэратора на питательном баке.

А. Мамет  
6П291. Кондиционирование охлаждающей воды в нефтехимической промышленности. Del Grande Sergio. Condizionamento dell'acqua di raffreddamento in un impianto petrolchimico. «Termotecnica», 1960, 14, № 9, 421—421 (итал.).—Приведены общие соображения.

М. Л.  
6П292. Затруднения при нагнетании в нефтеэквивалентный смесь различных вод. Case L. C. Watch those mixed injection waters. «Oil and Gas J.», 1960, 58, № 32, 92—95 (англ.).—Рассмотрены процессы образования труднорастворимых соединений, вызывающие закупорку труб, сеток, фильтров и самой нефтяной формации. Наиболее часто образуются отложения, содержащие  $\text{BaSO}_4$ ,  $\text{SrSO}_4$ ,  $\text{CaSO}_4$ ,  $\text{CaCO}_3$ ,  $\text{FeS}$  и окислы Fe, условия образования которых разбираются. А. Мамет

6П293. Расчет остаточной концентрации грубодисперсных примесей воды при фильтровании части ее потока. Hägele W. Die mathematische Bestimmung

des sich ergebenden Feststoffrestgehaltes bei Teilstromfiltrationen. «Wasser, Luft und Betrieb», 1960, 4, № 9, 246—247 (нем.; рез. англ., франц.).—Для расчета конц-ии ГДП в циркуляционной воде в условиях фильтрования байпасного потока выведена ф-ла:  $f = f_0 + (f_0 - f_e)e^{-kt}$ , где  $f$  — конц-ия ГДП (г/м<sup>3</sup>) в циркуляционной воде к моменту времени  $t$ ;  $f_0$  — то же в начале фильтрования ( $t = 0$ );  $f_e$  — то же при установившемся равновесии ( $t = \infty$ );  $k$  — константа. Приведены примеры использования ф-лы.

А. Мамет  
6П294. Белковые вещества в сточных водах и осадках. Jursík František. Bílkoviny v odpadní vodě a kalu. «Vodní hospod.», 1960, № 9, 390—392 (чешск.).—Приведены данные о содержании различных аминокислот в СВ, активном иле и сброженных осадках.

М. Л.  
6П295. Исследование очистки сточных вод с применением коагулирования водным раствором хлорного железа. Ожерельева М. Н. «Тр. Горьковск. ин-строит. ин-та», 1959, вып. 31, 3—30.—Экспериментально показано, что при механич. очистке городских СВ с предварительным коагулированием  $\text{FeCl}_3 \cdot 6\text{H}_2\text{O}$  качество очис. СВ является таким же, как и при непод-ной очистке в аэротенках. Способ имеет следующие преимущества: 1) отсутствие в составе очистной станции ряда дорогостоящих сооружений (аэротенки, вторичные отстойники, метантенки, компрессорная и котельная; уменьшение объема первичных отстойников в 2 раза); 2) значительное снижение эксплуатационных расходов (за счет снижения расхода электроэнергии). Основной недостаток способа — большое кол-во осадков (территория иловых площадок в 3 раза превышает их площадь, потребляемую при биохим. очистке).

О. Болотина  
6П296. Снижение общей концентрации свободной хлора в воде при действии аминокислот. Stanković L'udovit. Zmena obsahu vol'ného chlóru účinkom aminokyselín na chlórúvodu. «Chem. zvesti», 1960, 14, № 4, 275—281 (словацк.; рез. русск., нем.).—Исследовано взаимодействие 21 аминокислоты (I) (главным образом продуктов гидролиза белков) с водн. р-рами  $\text{Cl}_2$  (время взаимодействия 1 мин. и 1 час). Показано, что при эквивалентном соотношении  $\text{I} : \text{Cl}_2 = 1 : 2$ — $1 : 3$  свободный  $\text{Cl}_2$  отсутствовал в р-ре большинства I. Считается, что разложение I хлором проходит через стадию образования хлораминнов.

М. Ланшин  
6П297. Обработка сточных вод, содержащих органические примеси, в аэрируемых прудах. O'Connor Donald J., Eckenfelder W. Wesley Jr. Treatment of organic wastes in aerated lagoons.—Discussion. Orford Harold E., «J. Water Pollution Control Federat.», 1960, 32, № 4, 365—382 (англ.).—Исходя из зависимости вида:  $E = 100 \cdot kt / (1 + kt)$ . ( $E$  — эффективность снижения БПК в %;  $t$  — время пребывания СВ в аэрируемых прудах (АП) в сутках;  $k$  — константа скорости БПК), изложены методы расчета, позволяющие определить: время пребывания СВ в АП; объем АП; необходимое для окисления кол-во  $\text{O}_2$ ; аэрационное оборудование. Результаты расчетов согласуются с опытными данными, полученными в лабор. и производственных условиях при исследовании окисления СВ бумажного и консервного з-дов. В дискуссии отмечается недоучет накопления ила в АП и вызываемое этим дополнительное потребление  $\text{O}_2$ . Г. Морозкин

6П298. Окислительные пруды: экономичный способ очистки сточных вод. Salazar Montoya René. Lagunas de oxidación: tratamiento económico de aguas residuales. «Ingeniería y archit.», 1960, 13, № 151, 12—14 (исп.).—Описана работа окислительных прудов и дана характеристика эффективности очистки I них СВ.

М. Л.  
6П299. Применение в биофильтрах насадок из пластмасс. Egan John T., Sandlin McDew

in. Eval. distr. W. выпуска готовляе водствен по БПК, ный в э 165 мг/м<sup>3</sup> 6 кг/м<sup>3</sup> в для био, ной про

6П300. аэрирова fects of «J. Water 351—364 бор, уста торую ч верхност тарной н бензолсу (25°) и в ались п лась по, скорост вались ф стоянны конц-ии нса (К жение ( дейшее не заме О повыш воздуха вой) с 7 снижает Авторы ванием молекул пствуе 6П301. вилле ( project. «Public Краткое 6П302. (Израи: cient H. 316—318 произво новные ные отс вой и в ные отс второй СВ: БП ние их приращ 6П303. ходов д вод. В a jineho a hospo примерн можны 6П304. дов в хлора. tongbaa торы, т т-ра). 6П305. обрабат



Teilstrom-  
0, 4, № 9,  
и расчета  
иых филь-  
а:  $f = f_e +$   
в циркуля-  
не в нача-  
установи-  
Приведены  
А. Махер  
водах и  
v odpadní  
р. 390—392  
и различ-  
броженных  
М. Л.  
вод с при-  
хлорного  
вск. инж.-  
рименталь-  
олексих СВ  
· 6Н<sub>2</sub>O на-  
при непо-  
следующие  
твой стан-  
тежки, вто-  
рая и ко-  
стойники  
уатации  
электро-  
ежное кол-  
ва пре-  
е. очистке).  
Болотина  
еободного  
Stankol-  
hloru úst-  
m. zvesti,  
k. (нем.).  
елоты (I)  
ов) с вод-  
и 1 час).  
иения Е  
ал в р-  
I хлором  
минов.  
М. Лапшин  
иых орга-  
'Соплот  
J. Treat-  
Discussi-  
Control Fe-  
оди из за-  
эффектив-  
вания СВ  
станта свя-  
зующие  
объем АП;  
радионное  
пасуются с  
и производ-  
сления СВ  
слизи отме-  
ываемое  
Морошкин  
ный спо-  
тоуа Re-  
omismo de  
13, № 51,  
ных при-  
очистки в  
М. Л.  
асадок и  
Mc Dew-

in. Evaluation of plastic trickling filter media. «Industr. Wastes», 1960, 5, № 4, 71—77 (англ.).—Описаны выпускаемые пром-стью насадки для биофильтров, изготовляемые из полистирола и полиэтилена. В результате исследований, проведенных в полупроизводственных условиях, установлено: 1) при нагрузках по БПК<sub>5</sub> ≤ 11 кг/м<sup>3</sup> в сутки не наблюдается осложнений в эксплуатации; 2) при гидравлич. нагрузках 165 м<sup>3</sup>/м<sup>2</sup> в сутки, удаление БПК<sub>5</sub> может достигать 6 кг/м<sup>3</sup> в сутки. Насадки из пластмасс рекомендуются для биофильтров, очищающих СВ целлюлознобумажной пром-сти.

О. Демидов

6И300. Влияние поверхностноактивных веществ на аэрирование воды. Mansy K. H., Okun D. A. Effects of surface active agents on bubble aeration. «J. Water Pollution Control Federat.», 1960, 32, № 4, 351—364 (англ.).—Исследование проводилось на лабор. установке, состоящей из цилиндра с водой, в которую через капилляр подавался воздух. Концентрация поверхностноактивного в-ва — Na-соли диоктилсульфонатной к-ты (I) (по своим свойствам близкой к алкилбензолсульфонатам) изменялась 0—640 мг/л. Т-ра (25°) и высота столба жидкости в цилиндре поддерживались постоянными. Концентрация растворенного O<sub>2</sub> измерялась полярографически. Объем пузырьков воздуха, скорость их подъема и скорость образования фиксировались фотографич. методом. Установлено, что при постоянном расходе воздуха (1,2 м<sup>3</sup>/мин) увеличение концентрации I от 20 мг/л резко снижает коэфф. газопереноса (КГ) с 1,87 до 0,74 см/мин; поверхностное натяжение (ПН) при этом падает с 71 до 45,6 эрг/см<sup>2</sup>. Дальнейшее повышение концентрации I до 640 мг/л практически не меняет КГ (ПН снижается при этом до 27 эрг/см<sup>2</sup>). С повышением концентрации I от 640 мг/л объем пузырьков воздуха постепенно уменьшается (по затухающей кривой) с 7,2 · 10<sup>-3</sup> до 2,61 · 10<sup>-3</sup> см<sup>3</sup>, скорость образования снижается (по аналогичной кривой) с 0,376 до 0,147 сек. Авторы объясняют снижение КГ при 20 мг/л I образованием на поверхности раздела: газ — жидкость мономолекулярного слоя ориентированных молекул I, препятствующего диффузии газа.

Г. Морошкин

6И301. Новая станция очистки сточных вод в г. Бивилле (шт. Техас, США). Weber L. E. Navy housing project. Prompts sewage treatment plant construction. «Public Works», 1960, 91, № 9, 106—108 (англ.).—Краткое описание.

М. Л.

6И302. Станция очистки сточных вод г. Хайфа (Израиль). Erlich A. Modern high-rate filters for ancient Haifa, Israel. «Wastes Engng», 1960, 31, № 6, 316—318, 323 (англ.).—Описана строящаяся станция производительностью (1-я очередь) 29 000 м<sup>3</sup>/сутки. Основные сооружения: песколовка, преаэратор, первичные отстойники, высоконагружаемые биофильтры первой и второй ступени (работа с рециркуляцией), вторичные отстойники, хлораторная, метантенки первой и второй ступени, иловые площадки. Характеристика СВ: БПК<sub>5</sub> 700 мг/л; ГДП 600 мг/л; ожидается снижение их на 90%. Очищенная СВ будет использоваться для ирригации.

М. Лапшин

6И303. Использование шлака, золы и других отходов для обезвреживания производственных сточных вод. Bulíček Jaroslav. Využití škvrý, popelu a jiného materiálu k zneškodnění odpadních vod. «Vodní hospod.», 1960, № 9, 388—390 (чешск.).—Приведены примеры, заимствованные из практики. Указаны возможные области применения.

М. Л.

6И304. Исследование процесса окисления дианидов в промышленных сточных водах под действием хлора. Ван Чунь-линь. «Хуасюэ тунбао». Huaxue tongbao», 1960, № 7, 37—38 (кит.).—Исследованы факторы, влияющие на течение процесса (доза Cl, pH, т-ра).

М. Л.

6И305. Регенерация хрома из сточных вод металл-обработывающей промышленности. Kapitán-

zyk Kazimierz, Kurzawa Zbigniew. W sprawie regeneracji chromu ze ścieków przemysłu metalowego, «Prace Komis. nauk. podstawow. stosow. Poznań. towarz. przyjaciół nauk», 1960, 1, № 2, 9 s., il. (польск.; рез. англ.).—Разработан способ выделения Cr, Cu и Zn из СВ от пассивирования медных сплавов (характеристика СВ: pH 4—6; Cr (VI) 143—208 мг/л; Cu<sup>2+</sup> 32—53 мг/л; Zn<sup>2+</sup> 11,4—15,2 мг/л; сухой остаток 992—1307 мг/л). Cr (VI) восстанавливают SO<sub>2</sub> и осаждают Cr(OH)<sub>3</sub> известью или Na<sub>2</sub>CO<sub>3</sub>. Cu<sup>2+</sup> и Zn<sup>2+</sup> выделяют в виде карбонатов.

М. Лапшин

6И306. Станция для совместной очистки производственных сточных вод с бытовыми сточными водами, образующимися на заводе розикоподшипников Link-Belt. Geyer Larry C. Industry solves its own sewage and process wastes treatment problem. «Wastes Engng», 1960, 31, № 9, 508—510 (англ.).—Ввиду удаленности от крупных населенных пунктов, к канализационной системе которых могли бы быть присоединены СВ, на заде осуществлена их самостоятельная очистка. Промышленные СВ (расход 115—230 м<sup>3</sup>/сутки; pH 6,8—12,0; основные примеси: мыла, синтетич. детергенты, различные масла, р-рителы, ингибиторы коррозии, фосфорная к-та, нитрат натрия) поступают в сборник и из него подаются в периодически действующие реакторы (Р), оборудованные мешалками и приспособленным для снятия масел (имеются 3 Р; емкость каждого 125 м<sup>3</sup>). После отстаивания и удаления масел СВ нейтрализуют H<sub>2</sub>SO<sub>4</sub> или Na<sub>2</sub>CO<sub>3</sub> и Ca(OH)<sub>2</sub> и коагулируют Al<sub>2</sub>(SO<sub>4</sub>)<sub>3</sub> (45 кг). После образования хлопьев добавляют полиэлектrolит, перемешивают 30—45 мин. и оставляют отстаиваться. Осветленные промышленные СВ направляют в сборник, из которого они равномерно поступают в сеть бытовой канализации, собирающей СВ от заводских уборных, кафетерия и т. п. Общий сток проходит первичный отстойник (время пребывания 1,4 часа), 2 последовательных биофильтра (глубина ~1 м, диам. 9 м), работающих с рециркуляцией, вторичный отстойник (время пребывания 2,45 часа) и песчаные фильтры периодич. действия. После хлорирования (концентрация остаточного Cl<sub>2</sub> 0,4—0,6 мг/л, pH 6,0—7,5) СВ сбрасывают. Осадок сбраживается.

М. Лапшин

6И307. Станция для совместной очистки производственных и бытовых сточных вод. Geyer Larry C. Plant in rural location treats both wastes and sewage. «Plant Mainten. and Engng», 1960, 22, № 2, 40—43 (англ.).—См. реф. 6И306.

М. Л.

6И308. Очистка сточных вод от производственных металлургических соединений. Meinhold Ted F., Mandell Arthur A. Organometallic plant waste purer than river water. «Chem. Process. (USA)», 1960, 23, № 7, 41 (англ.).—Кратко описана установка для очистки СВ (~55 м<sup>3</sup> в сутки), осуществляемой путем затопленного сжигания газа. Т-ра СВ поднимается до ~100° и при этом происходит полное сгорание органич. примесей. Очищ. СВ разбавляются 900-кратным кол-вом охлаждающих вод и сбрасываются в р. Огайо. Сбрасываемые воды являются более чистыми, чем вода реки.

М. Лапшин

6И309. Возможность использования существующих типов сооружений при очистке сточных вод бумажной промышленности. Csépai Ludwig. Anwendungsmöglichkeiten der allgemeinen Abwassertechnik bei der Stoffaufbereitung und Abwasserreinigung der Zellstoffindustrie. «WO-Maschinenfunk», 1960, 11, № 8, 1—3, 6 (нем.).—Показана возможность использования обычных, применяемых в настоящее время сооружений для очистки СВ бумажной пром-сти. Приведены описания конструкций песколовки, отстойников, флоатационных ловушек и аэротенков производительностью до 90 000 м<sup>3</sup>/сутки.

О. Демидов

6И310. Сточные воды от производства сульфитцеллюлозы. Bárta J. Odpadní vody z výroby sulfitové ce-

lulózy, «Vodní hospod.», 1960, № 7, 302—306 (чешск.; рез. русск., нем., англ.).—Приведены данные о расходе СВ и о кол-ве сбрасываемых с ними примесей (ГДП, минер., органич.) по различным з-дам, о существующих системах очистки и о влиянии сбрасываемых СВ на качество воды рек.

М. Лапшин  
6ИЗ11. Сточные воды от производства сульфитцеллюлозы. Bošk K. Odpadové vody z výroby sulfito-vej celulózy. «Vodní hospod.», 1960, № 7, 306—308 (словацк.; рез. русск., нем., англ.).—Приведены технологич. характеристики (БПК, константа БПК) некоторых примесей СВ и указан сброс их на 1 т вырабатываемой целлюлозы при различных способах очистки СВ.

М. Л.  
6ИЗ12. Физико-химическая и биохимическая очистка разведенных сульфитных щелоков. Brebion G. Epuration physico-chimique et biologique d'eaux résiduaires diluées bisulfiteuses. «Bull. trimestr. CEBEDEAU», 1960, № 48, 143—147 (франц.).—Приведены результаты опытов, выполненных на лабор. установках различных типов. При исходной окисляемости (цериметрич.) 3,4—6,5 г/л достигнуто снижение ее на 24—50%; конц-ия сахаров (исходная 1,4—2,2 г/л) снижалась на 50—93%.

Н. Ваксберг  
6ИЗ13. Вода в производстве лигнина и медно-цинковой ваты. Nosek Jaromír, Tušek Arnošt. Voda při výrobě buničité a sanitní vaty. «Vodní hospod.», 1960, № 8, 346—347 (чешск.; рез. русск., нем., англ.).—Указана схема использования воды и расход ее по отдельным операциям. Приведен состав СВ и опытные данные по очистке их вакуумфильтрованием и коагулированием  $\text{FeSO}_4$  совместно с  $\text{Ca(OH)}_2$ .

М. Лапшин  
6ИЗ14. Хроматографическое исследование растворенных органических веществ, содержащихся в отстойных сточных водах сахарных заводов. Leclerc Ed., Edeline F. Etude chromatographique des substances organiques dissoutes dans les eaux décantées. «Bull. mens. Centre belge étude et docum. eaux», 1960, № 114—115, 201—203 (франц.).—Проведено хроматографич. исследование органич. примесей, содержащихся в СВ от промывки свеклы (по 4 з-дам). Из числа сахаров выделены сахароза, глюкоза и фруктоза. В СВ одного из з-дов, не применяющего хлорирования и известкования, сахароза полностью гидролизована; помимо фруктозы и глюкозы, в этих СВ найдены, по-видимому, рамноза. В результате усиления гидролиза в СВ этого з-да повышена также конц-ия аминокислот и аминов. Из жирных к-т идентифицированы уксусная, масляная, пировиноградная. Изолированы алифатич. амины с числом атомов  $C \leq 5$ : амилмин (преобладает), этаноламин, аллиламин. Из аминокислот преобладают аланин, серин, глутаминовая к-та, глицин.

Н. Ваксберг  
6ИЗ15. Очистка транспортно-мочевых вод на сахарных заводах. Gebler Jaroslav. Cistění plavčích vod v dekantérech. «Listy cukrovýrn.», 1960, 76, № 8, 180—185 (чешск.; рез. русск., нем., англ.).—В результате отстаивания СВ достигнуто удаление ГДП на ~87%; вода после отстойника направлялась на повторное использование.

По резюме автора  
6ИЗ16. Снижение загрязнения рек в результате выделения побочных продуктов из сточных вод ферментационной промышленности. Boruff C. S. By-product recovery pollution control measure in the fermentation industry. «Chem. Engng Progr.», 1959, 55, № 11, 82—86 (англ.).—Показана (на основании примеров, заимствованных из практики) возможность уменьшения на  $\leq 90\%$  загрязнения СВ спирто-водочной, пивоваренной, винодельческой пром-сти и пром-ва антибиотиков.

М. Лапшин  
6ИЗ17. Анаэробное сбраживание сточных вод от производства спирта. Иси и Сётё. «Хакко кёкайси, J. Ferment. Assoc.», 1959, 17, № 11, 517—520 (японск.)

6ИЗ18. Очистка сточных вод установок для дистилляции вина. Soeiro Joaquim Soares, Linhares de Lima Antonio. Traitement des effluents des installations industrielles de distillation du vin. «Bull. trimestr. CEBEDEAU», 1960, № 48, 149—152 (франц.).—СВ характеризуются следующими показателями: pH 3,5; ГДП 398,5 мг/л; растворенные в-ва 26 852 мг/л (из них органич. 24104); окисляемость 10 848 мг/л O; БПК 24 000 мг/л; винная к-та 750 мг/л. Предложена следующая схема очистки СВ; разбавление охлаждающими водами, отстаивание, обработка известью (10 кг на 1 м<sup>3</sup>), отстаивание, нейтр-ция HCl, биофильтры (нагрузка 1,250 м<sup>3</sup> на 1 м<sup>3</sup> в сутки), вторичные отстойники.

М. Лапшин  
6ИЗ19. Сточные воды от производства водки из выжимок. Pimentel Eduardo Serpa. Effluents de la fabrication de l'eau-de-vie de marc. «Bull. trimestr. CEBEDEAU», 1960, № 48, 152—153 (франц.).—Количество образующихся СВ незначительно. Очистка их (в случае надобности) может быть осуществлена аналогично очистке СВ от дистилляции вина (см. реф. 6ИЗ18).

М. Лапшин  
6ИЗ20. Вакуум-фильтрование сброженного осадка. Brown James M. Vacuum filtration of digested sludge. «Water and Sewage Works», 1960, 107, № 3, 193—196 (англ.).—На станции очистки бытовых СВ в Нью-Рошелл (шт. Нью-Йорк, США) на каждые 1000 м<sup>3</sup> СВ образуется 2,7 м<sup>3</sup> сырого осадка, содержащего 2,6—4,0 вес.% сухого в-ва. Осадок сбраживается в течение 40 суток в двухступенных метантенках; бикарбонатная щелочность сброженного осадка, в зависимости от содержания сухого в-ва в сыром осадке, составляет 30—42 мг-экв/л (при щелочности 42 мг-экв/л, pH 6,9). Сброженный осадок, содержащий 8—12% сухого в-ва, подвергается коагуляции 10%-ным р-ром  $\text{FeCl}_3$  и известью (дозы в процентах от сухого в-ва:  $\text{FeCl}_3$ , 3;  $\text{CaO}$  7,4; время р-ции  $\leq 15$  мин.), после чего направляется для обезвоживания на барабанные вакуум-фильтры (диам. 2,43 м; длина 2,43 м; площадь фильтрования 18,6 м<sup>2</sup>) производительностью 31,7—34,8 кг/м<sup>2</sup> в час. Установлено: 1) при дозах  $\text{FeCl}_3$  (в %): 3; 4,9; 7,2, скорость фильтрования соответственно составляет (в кг сухого в-ва на 1 м<sup>2</sup>): 30; 51; 53; поэтому увеличение дозы  $\text{FeCl}_3$  с 4,9 до 7,2 считается не экономичным; 2) дозы реагентов увеличиваются с увеличением щелочности; 3) увеличение вакуума с 250 до 500 мм рт.ст. увеличивает производительность вакуум-фильтра всего на 12%. Обезвоженный осадок, содержащий 28—30% сухого в-ва, сжигается; эксплуатационные затраты на сжигание составляют ~83% от затрат на обезвоживание.

Г. М.  
6ИЗ21. Станция для совместной очистки сточных вод и твердых отходов в Нью-Олбани (шт. Индиана, США). Edlin Marion. A refuse-sewage treatment works. «Amer. City», 1960, 75, № 8, 89—91 (англ.).—На станции очистки СВ поступают в 3 отстойника (время пребывания СВ 2,4 часа). Каждый отстойник оборудован 8 сборными V-образными лотками, имеющими по 100 V-образных водосливов. Осадок уплотняется на 2 вакуум-фильтрах до влажности 70% и подсушивается горячими газами мусоросжигательной станции до влажности 8%. Сухой кек вывозится на свалку или сжигается в печах станций, рассчитанных на 80 т в сутки.

О. Демидов  
6ИЗ22. Единые методы анализа воды, сточных вод и осадков, принятые в ФРГ. Физические, химические и бактериологические исследования. Изд. 3-е, полностью перераб. Выпуск 1. Deutsche Einheitsverfahren zur Wasser-, Abwasser- und Schlamm-Untersuchung. Physik., chem. und bakteriöl. Verfahren. 3. völlig neu bearb. Aufl. Lfg. 1. Weinheim-Bergstr., Verl. Chemie, 1960, 26.—DM. (нем.)

6ИЗ23. Руководство по подготовке и химическому контролю воды для питания паровых котлов. Neg-

lousci  
are la c  
1959, 125  
6ИЗ24.  
ней в  
Костр  
упр. при  
ционали  
энергоиз

6ИЗ25.  
мической  
siegtvortig  
Wassera  
sana кон  
ториями  
неркаве  
штудер  
проходя  
крытые  
работав  
ленной  
или чел  
ходит р  
6ИЗ26.  
твердог  
ности. S  
Eindosie  
oder anc  
Chemisc  
бюровов  
котором  
(кусков  
корзин  
болтов  
изменя  
нее сна  
с котор  
вода.  
6ИЗ27  
воды. П

вверх, а  
этого о  
того с  
6ИЗ28  
жидкост  
gen vor  
ter, A.-  
констру  
шем, к  
ки — т  
под ло  
имеется  
подведе  
зующег  
Даны р  
и т. д.),  
по устр

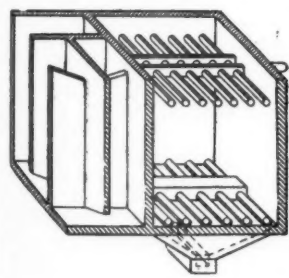
lescu Lucian. Călăuza pentru tratarea și controlul apei la cazanele de abur. București, Inst. docum. techn., 1959, 125 p., il. (рум.)

6И324. Предотвращение образования медных наплев в паровых котлах с многократной циркуляцией. Кострикин Ю. М., Манькина Н. Н. (Гл. энерг. упр. при Госплане СССР. Гос. трест по органи. и рационализ. район. электр. ст. и сетей). М.—Л., Госэнергоиздат, 1960, 72 стр., илл.

6И325. Дозирующее устройство, пригодное при химической обработке воды. Klein Karl-Heinz. DosierVorrichtung, insbesondere für Zwecke der chemischen Wasseraufbereitung. Пат. ФРГ 1064921, 25.02.60.—Описана конструкция дозатора для добавления к воде растворимых твердых реагентов. На крышке корпуса (из нержавеющей стали) дозатора имеются загрузочный шпатель и смотровое стекло. Сквозь корпус дозатора проходят 2 трубы, заглушенные с одного конца; открытые концы труб служат для подвода и отвода обрабатываемой воды. На части длины труб (расположенной внутри корпуса дозатора) имеются отверстия или щели, через которые в дозатор входит вода и выходит р-р реагента.

6И326. Устройство для дозирования растворимого твердого вещества в проточную воду или другие жидкости. Schönaich Friedrich. Vorrichtung für die Eindosierung löslicher Feststoffe in strömendes Wasser oder andere Flüssigkeiten. [Joh. A. Benckiser G. m. b. H. Chemische Fabrik]. Пат. ФРГ 1064481, 11.02.60.—На трубопроводе воды устанавливается цилиндрич. сосуд, в котором помещается корзина с дозируемым твердым (кусковым) реагентом; отбортованный верхний край корзины зажимается крышкой сосуда (при помощи болтов или струбцинок). Размеры дозирования можно изменять, передвигая по высоте корзины надетую на нее снаружи гильзу, т. е. меняя поверхность реагента, с которой соприкасается протекающая через сосуд вода.

6И327. Установка для предварительной обработки воды. Цуда Кидзиро. [Цудасики помму сэйсакудзэ]. Японск. пат. 2591, 19.03.60. — Установка представляет собой ряд вертикальных отстойных камер, по которым турбулентным потоком протекает вода. Оседание ГДП передается по трубе водой в другое отделение установки, в которой (при использовании труб с прорезями) вода поднимается



вверх, а ГДП собираются в приемок. В верхней части этого отделения вода собирается аналогичными трубами с прорезями и идет на дальнейшую очистку.

М. Гусев

6И328. Фильтровальная установка для очистки жидкостей, в частности воды.—Filteranlage zum Reinigen von Flüssigkeit, besonders Wasser. [Gebrüder Sulzer, A.-G.]. Швейц. пат. 342202, 31.12.59.—Предложена конструкция осветлительного фильтра с ложным днищем, колпачки которого имеют длинные «хвостовики» — трубки, выступающие в нижнюю часть фильтра, под ложным днищем. На нижней части этих трубок имеется вертикальная щель или отверстие. Под днище подведены трубы для подачи сжатого воздуха, образующего под ложным днищем воздушную подушку. Даны различные варианты отвода воды (под днище и т. д.), вытесняемой из воздушного распределительного устройства, при подаче в него воздуха. При помощи

такого устройства фильтрующий материал можно промывать и взрыхлять: только водой; только воздухом; водо-воздушной смесью.

А. Мамет

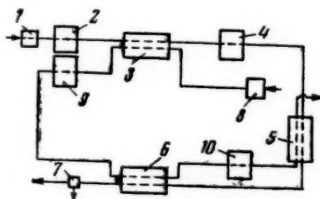
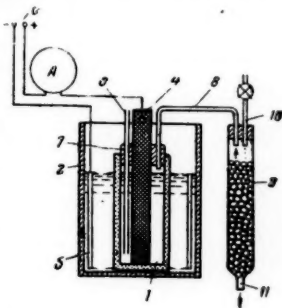
6И329. Установка для непрерывного фильтрования воды. Арима Такаси. Японск. пат. 2344, 17.03.60.—Предложена установка типа вакуум-фильтра; в качестве фильтрующего материала применяется натуральное или искусств. волокно. Установка обладает большой производительностью. В результате фильтрования бактериальное загрязнение воды снижается на ~99%; удаление ГДП достигает ~100%.

М. Гусев

6И330. Установка для хлорирования воды с получением хлора электролитическим методом. Кобаяси Кодзо. Японск. пат. 4888, 11.06.59.—В цилиндрич. сосуд 1, помещенный в электролизер 2, по трубе 3 заливают воду. р-р  $MgCl_2$  с уд. в. 1,02. Угольный анод 4 и железный катод 5 присоединяют к источнику постоянного тока 6. Хлор, образующийся в анодной камере, герметически закрытой крышкой 7, отводится по трубке 8 в колонку 9 с насадкой из стеклянных бус. Вода, поступающая по трубе 10, растворяет хлор и, выходя по трубе 11, применяется для хлорирования.

М. Гусев

6И331. Метод и аппарат для получения чистой воды. Schmeizler Lawrence J. Method and apparatus for extracting pure water. Пат. США 2902414, 1.09.59.—Предложен термич. способ получения чистой воды, осуществляемый по схеме, приведенной на рис. Поток теплого, сухого воздуха, подаваемый вентилято-



ром 1, проходит увлажнитель (У) 2 и далее через теплообменник (Т) 3, У 4, Т 5, Т 6 и отделитель конденсированных паров воды 7. Навстречу первому потоку воздуха вентилятором 8 подается второй поток воздуха, который подогревает первый поток в 3, охлаждается в 9 и 10 и, охлаждая первый поток в 6 и 5, вызывает в нем конденсацию паров воды.

М. Лапшин

6И332. Способ обессоливания воды путем многого обмена с повторным использованием ионитов после регенерации и отмывки. Höke Engelbert. Verfahren zur Vollentsalzung von Wasser durch Ionenaustausch unter Wiederverwendung der Austauscher nach Regenerierung und Waschung. [Maschinenbau-A.-G. Balcke]. Пат. ФРГ 1063986, 4.02.60.—Предложен следующий способ отмывки ОН-анионитного фильтра обессоливающей установкой, работающей по схеме: Н-катионит — декарбонизатор — ОН-анионит — буферный фильтр. ОН-анионитный фильтр сначала отмывают Н-катионированной водой до тех пор, пока щелочность фильтрата не снизится до 1 мг-экв/л. После этого фильтрат ОН-анионитного фильтра начинают пропускать через буферный фильтр и декарбонизатор и снова на-





**6ИЗ40. Мероприятия по борьбе с загрязнением воздуха, проводимые в целлюлозно-бумажной промышленности.** Hendrickson. Atmospheric improvement activities of the pulp industry. «Tappi», 1960, 43, № 3, A193—A195 (англ.).—Приведена методика определения  $\text{SO}_2$ ,  $\text{H}_2\text{S}$  и др. сернистых соединений в воздухе. Для улавливания  $\text{Na}_2\text{SO}_4$ , уносимого с газами из цехов регенерации, целесообразно устанавливать дополнительно после электрофильтров скрубберы. Для устранения запахов рекомендуется пропускать черный щелок перед упариванием и сжиганием через башни с пасадкой или продувать воздух для окисления сернистых соединений. Служебные газы из варочных котлов после отделения подающей конденсации фракции собираются в газгольдере и сжигаются в спец. топке или печи для обжига известня.

**6ИЗ41. Токсичность гидрокарбонила кобальта при ингаляционном отравлении.** Palmes Edward D., Nelson Norton, Laskin Sidney, Kuschner Marvin. Inhalation toxicity of cobalt hydrocarbonyl. «Amer. Industr. Hyg. Assoc. J.», 1959, 20, № 6, 453—468 (англ.).—В эксперименте на белых крысах установлено, что  $\text{LC}_{50}$  при 30-минутной экспозиции  $\text{CoH}(\text{CO})_4$  165  $\text{мг/м}^3$  (по  $\text{Co}$ ). У животных отмечены отек и кровоизлияния в легких, ателектазы, эмфизема, плеврит и др. изменения. При хронич. отравлении (716-часовая заправка в течение 3 месяцев при средней конц-ии 9  $\text{мг/м}^3$  по  $\text{Co}$ ) на крысах, морских свинках и собаках показано поражение легких (образование узелков из пылевых клеток под плеврой и по всей ткани легкого), увеличение содержания гемоглобина в крови. Увеличение выделения  $\text{Co}$  с мочой отмечено только в первые 15 дней после начала хронич. заправки. Библ. 11 назв.

**6ИЗ42. Отравление свинцом — профессиональное заболевание.** Sejbl Jaroslav, Sejblova Svata. Otrava olovem — nemoc z povolání. «Sklář a keramik», 1960, 10, № 8, Příl., 37—40 (чешск.).—Причиной часто наблюдающихся в стекольной пром-сти случаев интоксикации  $\text{Pb}$  считают выделение  $\text{Pb}$  в воздухе при пересыпании, погружке и разгрузке свинцового сырья, перемешивании стеклянной массы, манипуляциях с  $\text{Pb}$ -глазурью. Указаны симптомы острого и хронич. отравления  $\text{Pb}$ , меры первой помощи; молоко с яичными белками внутрь, промывание желудка, введение  $\text{CaNa}_2\text{EDTA}$ . Рекомендовано: герметизация и механизация производственных процессов, устройство эффективной вентиляции и местных отсосов, увлажнение сухого сырья, соблюдение правил личной гигиены (защитные маски, одежда, обувь, полоскание рта, тщательное мытье рук теплой водой с мылом после работы), частая стирка защитной одежды в спец. прачечных отдельно от рабочей одежды, полноценное, богатое витамином С питание, проведение периодич. и профилактич. медицинских осмотров 2—4 раз в год. Противопоказаниями к работе с  $\text{Pb}$  являются туберкулез, заболевания почек, желудочно-кишечного тракта, крови, репродуктивных органов. Запрещается принимать на работу с  $\text{Pb}$  женщин и юношей моложе 18 лет. Наивысшая допустимая конц-ия в воздухе рабочих помещений по чехословацким нормам 0,00005  $\text{мг/л}$ .

**6ИЗ43. Методы исследования для установления свинцового отравления.** Popper Ludwig. Untersuchungsmethoden zur Feststellung der Bleivergiftung. «Sichere Arbeit», 1960, 13, № 3, 23—27. Diskuss., 27 (нем.).—Считают, что при медицинском обследовании с целью выявления  $\text{Pb}$ -интоксикации необходимо обращать внимание на все симптомы, обусловленные воздействием  $\text{Pb}$  на организм. Подробно описаны: свинцовая кайма, свинцовый колорит, колики, невриты, артриты, энцефалопатия, состояние почек, изменения кровяного давления, базофильная зернистость эритроцитов, порфирия, содержание  $\text{Pb}$  в крови и

в моче (приведены методы лабор. определения); подчеркнута неспецифичность большинства симптомов, взятых в отдельности. С целью раннего выявления  $\text{Pb}$ -интоксикации предлагают 1 раз в 3 месяца определять содержание базофильно зернистых эритроцитов в крови и порфирина в моче, не реже 1 раза в год проводить измерение кровяного давления и общий анализ крови, в сомнительных случаях определять содержание  $\text{Pb}$  в крови и моче (указаны верхние границы нормы: для базофильно зернистых эритроцитов 1—2%; для  $\text{Pb}$  крови — 70—80  $\mu\text{г}$ , 100 $\mu\text{г}$  свидетельствуют о массивности контакта, 150  $\mu\text{г}$  — о наличии отравления); для  $\text{Pb}$  мочи — цифры зависят от метода определения).

**6ИЗ44. Содержание свинца в воздухе на производстве аккумуляторов.** II. Mirnik Katarina. Analiza olova u atmosferi jedne tvornice akumulatora. II. «Arhiv hig. rada i toksikol.», 1959, 10, № 3, 235—243 (сербохорв.; рез. англ.).—При санитарно-гигиенич. обследовании аккумуляторного з-да в воздухе рабочих помещений обнаружены высокие конц-ии  $\text{Pb}$ , в 10—200 раз превышающие предельно допустимую (0,15  $\text{мг/м}^3$  по югославским нормам). Только в 5% анализов обнаружены конц-ии  $\text{Pb}$  < 0,2  $\text{мг/м}^3$ . Наиболее высокие конц-ии  $\text{Pb}$  в воздухе обнаружены в смесительном отделении и при сборке аккумуляторов (до 30  $\text{мг/м}^3$ ). Рекомендовано: улучшение вентиляции, герметизация и механизация технологии процесса, постоянный контроль за содержанием  $\text{Pb}$  в воздухе, проведение периодич. медицинских осмотров. Библ. 6 назв. Сообщение I см. Arh. hig. rada, 1961, 2, № 19.

**6ИЗ45. Химические ожоги.** Lewis G. Kenneth. Chemical burns. «Amer. J. Surg.», 1959, 98, № 6, 928—937 (англ.).—Рассмотрен механизм действия едких хим. в-в при соприкосновении с тканями организма. Указано, что необратимые изменения наступают, если pH действующего в-ва < 2,5 и > 11,5. Считают ожоги щелочами более опасными, чем ожоги к-тами, ввиду стойкого соединения иона  $\text{OH}^-$  с тканями и расширения области поражения с течением времени. Описана клинич. и патоморфологич. картина хим. ожогов кожи, глаз, слизистых оболочек полости носа, рта, глотки, пищевода, желудка. Приведены внешние признаки и др. симптомы ожога щелочевой и плавленой к-тами, фенолом, хроматами, раздражающими газами, а также боевыми отравляющими в-вами, зажигательными смесями и др. Первая помощь при хим. ожогах заключается в удалении поражающего агента (растворение, нейтрализация), напр., путем длительного орошения водой (до 12 час. при ожоге  $\text{HF}$ ). Затем применяются смягчающие мази (при поражении слизистых оболочек), антибиотики, 2,3-димеркаптопропанол, кортикостероиды (подчеркнуто, что во избежание осложнений дозы кортизона или гидрокортизона должны постепенно уменьшаться). При ожогах очень сильными к-тами или щелочами показано оперативное иссечение некротизированной ткани. Библ. 35 назв. Т. Бржевская

**6ИЗ46. Осторожность при работе с ацетиленом.** Hejl Emil. Pozor při práci s acetylenem. «Bezpečn. a hyg. práce», 1960, 10, № 8, 242—243 (чешск.).—Описаны несчастные случаи при несоблюдении правил техники безопасности при обращении с ацетиленом. Рекомендовано: строгое соблюдение правил техники безопасности, в частности запрещение применения открытого пламени, применение защитной одежды из материалов, исключающих возникновение искры и др.

**6ИЗ47. Переносимость органических соединений серы, используемых при кислой холодной химической завивке.** Borelli S., Haberstroh F. Die Verträglichkeit organischer Schwefelverbindungen der sauren Kaltdauerwelle. «Acta allergol.», 1960, 15, № 2, 139—171 (нем.).—Описаны физ.-хим. и токсико-аллергич. свойства производных тиогликолевой к-ты, имеющих сла-

боксислую р-цию и используемых для холодной хим. завивки, а также клинич. картина поражения кожи парикмахеров этими в-вами. Приведены результаты исследования токсич. и аллергич. р-ций кожи у 207 человек. Сделан вывод, что щел. препараты обладают, в основном, токсич. действием, а кислые в равной степени токсич. и сенсибилизирующим; сенсибилизация возможна при однократном контакте, интервал от контакта до поражения наиболее часто составляет 3 месяца. Указывают на необходимость более подробного изучения новых препаратов с учетом токсич. и аллергич. свойств на животных с целью выявления и устранения причин вредного действия. Перечислены факторы, влияющие на всасывание в-в кожей (механич. раздражение, влажность кожи, р-ция и растворимость в-ва и др.). С целью предупреждения кожных поражений рекомендуют для завивки применять в-ва, плохо растворимые в жирах, а также использовать средства индивидуальной защиты (резиновые перчатки, жирные кремы).

К. Никонорова

**6ПЗ48. Пластмассы и эластомеры. Вопросы промышленной гигиены.** Lefaux René. Les matières plastiques et les élastomères. Problèmes d'hygiène industrielle. «Chim. europ.», 1960, 1, № 3, 43—48 (франц.; реф. англ., нем., исп.).—Указано, что наиболее токсичными являются следующие мономеры: акрилонитрил, стирол, хлоропрен, метилметакрилат, ацетонциангидрид, винилхлорид, бутадиев и др., а также вспомогательные в-ва: HCON, фенол, диизоцианаты, порошкообразные перекиси бензола и фталевый ангидрид. Полимеры сами по себе почти безвредны, если не содержат мономеров или продуктов распада, образовавшихся в результате нагревания, действия света, O<sub>2</sub> или др. агентов. Известны случаи массового отравления продуктами распада политетрафторэтилена на з-дах США и Англии при чрезмерном нагревании его (до 350°). С точки зрения возникновения профессиональных дерматитов наиболее опасны некоторые р-рители (ароматич. и хлорированные углеводороды, кетоны, спирты, производные нефти и т. п.), мягчители (хлорированные нафталины и дифенилы, соли и эфиры азелаиновой к-ты, некоторые фталаты и др.), пигменты, краски, фенопласты, аминопласты, исходное сырье для изготовления полиэфиров, эпоксиэсмола, отвердители (полиамиды и др.). Меры охраны труда включают рациональное распределение, автоматизацию и непрерывность рабочих процессов, кондиционирование воздуха, а также индивидуальные средства защиты (перчатки, защитные мази и др.).

Ю. Марголина

**6ПЗ49. О дерматитах, вызываемых эпоксидами смолами, и защита от них.** Sonneck H. J. Über die Epoxydharzdermatitis und ihre Verhütung. «Technik», 1960, 15, № 8, 558—559 (нем.).—Приведены данные литературы об учащающемся возникновении дерматитов (Д) при контакте с эпоксидами смолами (ЭС). Иногда заболевание Д подобного происхождения имеют характер эпидемий. Распространению Д часто способствует неосторожное применение органич. р-рителей с целью удаления с поверхности кожи и с рабочего места остатков налипшей отвержденной ЭС. По мнению автора, ЭС обладают некоторыми раздражающими и хорошо выраженным сенсибилизирующим действиями, тогда как аминные отвердители (АО), наоборот, будучи сильными раздражителями, вызывают лишь слабую сенсибилизацию. Предложен ряд мероприятий для предупреждения дерматитов, возникающих вследствие контакта с ЭС и АО, в том числе беседы с рабочими, соблюдение правил личной гигиены, содержание в чистоте рабочего места, применение защитной одежды, перчаток и нарукавников и др.

Н. Шумская

**6ПЗ50. Прогресс промышленной гигиены в связи с применением новой пасты для мытья рук.** Schulzen Herbert. Fortschrittliche Arbeits- und Betriebs-hygiene durch neuentwickelte Handwaschpaste. «Maschi-

nenmarkt», 1960, 66, № 72, 8—9 (нем.).—Считают, что моющие пасты, приготовленные из мыла, щелочи, песка и глицирина, при длительном применении могут принести вред здоровью работающих, так как они снижают защитные свойства кожи (обезжиривают, снимают кислотность, вызывают механич. повреждения), способствуют проникновению в организм возбудителей инфекционных заболеваний и потере работниками трудоспособности. Новый вид пасты, основой которого являются высококачественные синтетич. в-ва (противодонные белки), а носителем тонкая скандинавская беззольная мука, лишенная указанных недостатков. Паста обладает хорошими моющими свойствами, обладает антимикробным действием. Показано сравнительное влияние старых и новой паст на рост культуры стафилококка и возбудителя трихофитии.

К. Никонорова

**6ПЗ51. Сорта асбеста, их оптическое исследование и патогенное действие.** Schmidt K. G. Asbestsorten, ihre Untersuchung mit optischen Mitteln und ihre krankmachende Wirkung. «Staub», 1960, 20, № 6, 173—180 (нем.; реф. англ., франц.).—Приведены классификация асбеста (А), хим. состав и свойства кислото-щелоч. и жароустойчивость, прочность, теплоизолирующие свойства и др.) различных сортов. Указывают, что сорт А сравнительно просто определяется с помощью поляризационного микроскопа с фазовым контрастом, для чего проводится определение собственного окраски образца, а также коэф. преломления, величины его по длине волокна и др. Приведены результаты микроскопич. исследования 11 образцов. На основании данных литературы о профессиональных заболеваниях легких у работающих с А, о патогенности А для животных и др., сделан вывод, что патогенным действием обладают кризотил, амозит и крокидолит, а также, по-видимому, тремолит и антофиллит. Поскольку точных данных об опасности других сортов нет, в настоящее время считают, что все А могут вызывать поражение легких.

К. Никонорова

**6ПЗ52. Новые приборы для защиты органов дыхания.** Paluszynski P. Neuartige Atemschutzgeräte «Silikattechnik», 1960, 11, № 1, 31—32 (нем.).—Описаны полнообзорный шлем (Ш) и полнообзорная маска (М), применяемые при работе с вредными в-вами. Подача воздуха под Ш 200 л/мин, под М — 150 л/мин. Вес приборов соответственно 450 и 390 г. Приборы могут подключаться к стационарным воздухоподводящим линиям или питаться от ралицевого воздуходувки (вес 1900 г, производительностью 160 л/мин). Приборы испытаны при работе с пылящими продуктами. Указано, что Ш не предназначен для пескоструйных работ.

Н. Соловьев

**6ПЗ53. Мероприятия по оздоровлению труда при очистке дегидраторов водогрязеотделителей на установках первичной переработки нефти.** Стурва Л. П. Воробьева Р. А. «Тр. Вес. н.-и. ин-т по техн. безопасности и нефт. пром-сти», 1959, вып. 12, 85—91.—Основным мероприятием, улучшающим условия труда, является внедрение нового гидромеханич. способа очистки дегидраторов, исключающего пребывание рабочего внутри дегидратора. ВНИИТБ разработана конструкция переносимого шарнирного ствола, рисунок и описание которого приводятся. Наряду с этим необходимо улучшать качество подготовки дегидраторов к очистке. Наиболее эффективным методом дегазации дегидраторов является заполнение их водой. Рекомендуется следующий порядок проведения операций по очистке дегидраторов: 1. Освобождение от нефти. 2. Отсоединение от трубопроводов. 3. Заливка водой для удаления паров углеводородов. 4. Очистка при помощи шарнирного ствола. При работе внутри дегидратора следует проверить содержание паров углеводородов путем отбора проб. Работать можно только при содержании паров, допускаемом санитарными нормами. Промышленные испытания показали, что переносной шарнир-



нтают, что  
алочи, песч  
могут  
они свя  
от, снижа  
еждения),  
будителей  
отающими  
и которого  
а (пропа  
авская бе  
ов. Паста  
обладает  
инительное  
туры ста  
Никонова  
следование  
bestsorten,  
hre krank  
173—180  
сификация  
го-щелоче  
лирующие  
пают, что  
помощью  
онтрастом,  
и окраски  
ны его до  
микроско  
и данных  
их легких  
ивотных в  
ишем обла  
нке, по-ви  
ую точны  
настоющее  
поражение  
Никонова  
нов дыха  
hutzgerate  
—Описаны  
аска (М),  
и. Подаци  
В. Вес при  
могут под  
ощим ли  
вски (вес  
иборы ис  
Указано,  
работ.  
и. Соловы  
труда при  
на уста  
у а Л. П.  
тех. без  
4.—Осно  
труда, я  
оба очист  
е рабочего  
конструк  
и ощи  
еобходимо  
к очист  
ии дегад  
мендуется  
о очистк  
и. Отсоеди  
и удале  
иции шар  
ора след  
дов путем  
держали  
Промыш  
и шарни

ный ствол вполне удовлетворяет требованиям безопасной очистки дегадаторов.

**И. Лекае**  
**6И354. Мероприятия по улавливанию паровых и жидких нефтепродуктов, вытекающих из сальников насосов нефтеперерабатывающих заводов.** Наглев А. М., Мустафабекова А. С. «Тр. Всес. н.-и. ин-т по техн. безопасн. в нефт. пром-сти», 1959, вып. 12, 111—115.—В целях обезвреживания воздушной среды и уменьшения невозвратимых потерь нефтепродуктов ВНИИТЭ разработана установка для герметизации и улавливания жидких и паровых углеводородов, просачивающихся из сальниковых соединений насосов. Как показали наблюдения, кол-во улавливаемых из сальников каждого насоса светлых нефтепродуктов достигает 0,4 т, причем конц-ция паров углеводородов в помещении не превышает 0,04 мг/л. Ежегодная экономия светлых нефтепродуктов по приблизительным подсчетам составляет десятки тысяч тонн. Широкое внедрение установок будет способствовать не только оздоровлению атмосферы, но и даст большой экономич. эффект. Приведены схема устройства установок для улавливания светлых нефтепродуктов и ее принцип действия.

**И. Лекае**  
**6И355. Аэрозоли в атмосфере больших городов и их вредное действие.** Schmidt Joachim. Das Großstadtaerosol und die hierdurch bedingten Belastungen und Schädigungen. «Wiss. Z. Karl-Marx-Univ. Leipzig. Math.-naturwiss. Reihe», 1959—1960, 9, № 3, 368—373 (нем.).

**6И356. Лабораторное исследование по извлечению двуокиси серы из дымовых газов.** Bienstock D., Field F. Bench-scale investigation on removing sulfur dioxide from flue gases. «J. Air Pollution Control Assoc.», 1960, 10, № 2, 121—125 (англ.).—Исследовались сухие способы очистки от  $SO_2$  котельных дымовых газов, без охлаждения последних (при  $130 \pm 325^\circ$ ). Опыты велись на приготовленном «дымовом газе» состава (вес. %):  $SO_2$  0,3;  $CO_2$  13;  $O_2$  6,0;  $H_2O$  6,0,  $N_2$  74,7. В качестве катализаторов окисления  $SO_2$  испытывали:  $MnO$ ,  $Co_2O_3$ ,  $Cr_2O_3 + Na_2O$ ,  $NiO$ ,  $Na_2CO_3$ ,  $Fe_2O_3$ ,  $CdO$ ,  $CuO$ ,  $PbO$ ,  $V_2O_5$  и др. Проверялись методы адсорбции  $SO_2$  активированным углем, чистым и пропитанным металлами, окислами; адсорбция молекулярными ситами, с порами diam. 4—13 Å; каталитич. окисления с помощью ванадиевого и др. катализаторов, а также способы термич. восстановления и электролитич. регенерации металлич. окислов, с извлечением  $SO_2$  или  $S$ . Лабор. опыты показали возможность сухой очистки подготовленных дымовых газов от  $SO_2$  при повышенной т-ре.

**Ю. С.**  
**6И357. Контроль концентраций пыли на производстве.** Kitzler Walter. Betriebliche Staubüberwachung. «Staub», 1960, 20, № 8, 286—289. Discuss., 311—312 (нем.; реф. англ., франц.).—Кратко описана организация борьбы с пылью на произ-вах, которая проводится австрийским об-вом по борьбе с силикозом. Рекомендовано использовать для определения конц-ий пыли в производственных условиях И5-кониметр, который имеет широкие возможности применения, благодаря встроенному микроскопу позволяет сравнительно просто оценивать пробы, достаточно точен и удобен. К. Н.

**6И358. Новый метод определения пылесодержания путем осаждения легких ионов.** Hasenclever D., Siegmann H. Chr. Neue Methode der Staubbemessung mittels Kleinionenanlage. «Staub», 1960, 20, № 7, 212—218 (нем.; реф. англ., франц.).—Метод непрерывного измерения и автоматич. регистрации небольших конц-ий пыли, основанный на измерении убыли легких аэроионов при их осаждении на пылевых частицах, введенных в исследуемый воздух. Прибор состоит из двух цилиндров. цилиндрических камер объемом ~10 л с двойными стенками из стальной проволоки толщиной 0,5 мм, с ячейками 1 мм. Наружные проводящие цилиндры заземлены, внутренние находятся под напряжением создаваемым батареями. Посредст-

вом  $\gamma$ -излучателя в виде препарата Ra (5—10 кюри), укрепленного на одинаковых расстояниях от 2 камер, в них создается поток аэроионов, оседающих на заземленных электродах. Одна из камер герметизирована и заполнена обеспыленным воздухом, через другую просасывается исследуемый воздух. Для определения пылесодержания воздуха замеряется ток, отводимый от заземленных электродов 2 камер, при одинаковом напряжении на их внутренних стенках. Разность замеренных величин определяет потерю ионов в результате их осаждения на пылевых частицах, содержащихся в воздухе, просасываемом через камеру, и пропорциональна кол-ву пылевых частиц. В случае монодисперсных аэрозолей известного размера число частиц может быть рассчитано по ф-лам. Описаны результаты измерений с применением молотой кварцевой пыли и воздуха в естественных условиях. Показания прибора контролировались с помощью термореципитаторов и оптич. приборов. Установлено, что прибор реагирует на конц-ии, которые находятся за пределами чувствительности контрольных приборов.

**А. Пирумов**  
**6И359. Замечания к статье «Загрязняющие атмосферный выбросы от сжигания топлива».** Sonderling H. H. Comments on «Contaminant emissions». «J. Air Pollution Control Assoc.», 1960, 10, № 1, Parts 1—2, 44 (англ.).—Отмечается актуальность приведенных в статье (см. РЖХим, 1961, И359) статистич. данных. Дана критика некоторых положений из статьи. Ю. С.

**6И360. Защита атмосферы от загрязнения выбросами коксовых и газовых заводов.** Krause Witold. Ochrona atmosfery przed zanieczyszczeniem przez kokownie i gazownie. «Energ. przemysl.», 1960, 8, № 8, 272—273 (польск.).—Установлено, что основными источниками пылевых выбросов на коксовых з-дах (КЗ) являются процессы разгрузки и подготовки сырья, загрузки камер, гашения кокса, КЗ и газовые з-ды (ГЗ) в Польше выбрасывают в атмосферу до 1500 т пыли (П) в 1 г. Кроме того, в воздух выбрасываются ядовитые газы ( $CO$ ,  $H_2CN$ , пары фенола, бензола и др.). В последние годы в результате сжигания П, герметизации оборудования, укрытия транспортеров, усовершенствования вентиляции и т. д. загрязнение атмосферы П и газами значительно снижено. Считают, что имеется полная возможность снижения загрязнения атмосферы пылью выбросами КЗ и ГЗ на 50%. Рекомендовано: установка в цехах ГЗ контрольных приборов для определения содержания токсич. газов в воздухе рабочих помещений, соблюдение чистоты в цехах, озеленение территории и др.

**Т. Бржевальская**  
**6И361. Улавливание керамических пылей.** Schütz Horst. Das Abscheiden keramischer Stäube. «Sprechsaal Keramik, Glas, Email», 1960, 93, № 17, 453—454 (нем.).—В керамич. пром-сти распространены кварцесодержащие пыли. Активными источниками пылевых выделений являются неплотности в дробильном, ситовом, классификационном и смесительном оборудовании, а также оборудовании для транспорта пылеобразующих материалов. Для обеспыливания рекомендуется применять пылеуловители фирмы ААФ (США) — батарейные циклоны, рукавные фильтры с обратной продувкой сжатым воздухом и мокрые пылеуловители — ротоклоны типа N.

**А. Пирумов**  
**6И362. Взрывоопасность пыли в крахмальной промышленности.** Szejtli József. Porrobbanások a keményítőiparban. «Szézipar», 1960, aug.-okt., 111—113, 130, 131 (венг.; реф. нем., франц.).—Пыли крахмала и декстрина среди 26 наиболее взрывоопасных пылей занимают 9-е и 10-е места. Особенно взрывоопасна пыль крахмала из кукурузы. Приведены условия, способствующие возникновению взрывов, а также описания случаев взрывов.

**Д. Пюшпеки**  
**6И363. Воздушные фильтры.** Netz H. Luftfilteranlagen. «Betriebstechnik», 1960, 1, № 2, 60—64 (нем.).—Обзор. Приводятся краткие сведения о современных

средствах очистки от пыли воздуха, подаваемого в помещения кондиционерами и др. вентиляционными устройствами: масляные фильтры — ячеиковые и самоочищающиеся; сухие — бумажные и волокнистые, в т. ч. рулонные, в которых рулон фильтрующего материала перематывается по мере насыщения пылью; электрич. — в виде волокна, заряжаемого в процессе эксплуатации, 2-ступенчатые электростатич. фильтры с раздельными зонами ионизации и осаждения. А. П.

6ИЗ64. Вентиляционное оборудование отделочных помещений. Wilke Heinz. Lüftungstechnische Raumgestaltung in der Oberflächentechnik. «Techn. Zbl. prakt. Metallbearb.», 1960, 54, № 8, 388—393 (нем.). Обзор. Излагаются общие принципы вентилирования производственных помещений для отделки поверхностей — окрасочных, гальванич. и пр. А. Пирумов

6ИЗ65. Хранение жидких горючих веществ и топлива. Krevets Georg. Die Gefährdung durch flüssige Brennstoffe. «Gas, Wasser, Wärme», 1960, 14, № 9, 185—187 (нем.). Сообщается об издании в Австрии «Норм для хранения жидких горючих в-в и топлив», более совершенных по сравнению с изданными в ФРГ, учитывающих охрану водоемов и пр. Л. Фрейдкин

6ИЗ66. Маслостойкие заводы. Bălulescu Pompiliu. Fabrici de ulei. «Paşa contra incendiilor», 1960, 12, № 3, 5—6 (рум.). Перечислены причины, вызывающие пожары на маслопрессовых, маслоэкстракционных и гидрогенизационных з-дах, а также мероприятия по борьбе с возможными возникновениями огня. В основном эти мероприятия сводятся к соблюдению правил противопожарной охраны, хорошей вентиляции помещений, герметичности осветительных приборов, тщательной изоляции электрич. проводов и т. д. Указано на необходимость смазки трущихся частей, на устранение возможности возникновения взрывов смесей бензина или водорода с воздухом, а также смесей с воздухом насыщенных горючих материалов. А. Мария

6ИЗ67. Нанесение огнезащитных покрытий на поверхности изделий. Reininger Hans. Zunderschutzspritzungen auf Werkstück-Oberflächen. «Maschinenmarkt», 1960, 66, № 79, 29—30 (нем.). Обзор методов нанесения огнезащитных (т-ра > 800°) покрытий на поверхности стальных изделий путем напыления соответствующих составов. Л. Фрейдкин

6ИЗ68. Экономика мероприятий по пожарной безопасности. Часть 1. Планирование мероприятий на заводе. Duggan James J. Fire safety economics. Part 1. Design safety into your plant. «Petrol. Refiner», 1960, 39, № 3, 227—229 (англ.). Мероприятия по организации пожарной безопасности на нефтеперерабатывающих з-дах. Основным требованием при планировке з-дов является группирование строений по степени пожароопасности производимых в них операций. Подчеркнута целесообразность использования для пожароопасных помещений огнестойких конструкций, которые не только повышают безопасность рабочих, но и требуют меньших затрат на страхование. В помещениях, где производятся работы со взрывоопасными материалами, должна быть предусмотрена возможность выхода взрывной волны без повреждения здания. Система вентиляции должна исключать возможность скопления воспламеняющихся паров. Оборудование помещений sprinkлерными устройствами обеспечивает эффективное тушение пожаров и предотвращает их распространение. Электрооборудование допускается лишь во взрыво- и пожаробезопасном исполнении. Предусматривается система сигнализации. Показана целесообразность единой системы классификации и маркировки всех материалов по степени представляемой ими опасности (воспламеняемости, и токсичности). Отмечена эффективность применения инертного газа для

вытеснения кислорода из пожаро- и взрывоопасных зон. В. Синьковский

6ИЗ69. Разложение ацетилена и предохранение баллона с газом от взрыва. Šimunek V. Rozklad acetylenu a ochrana láhve s dissousplynem před explozí. «Bezpečn. a hyg. práce», 1960, 10, № 6, 176—178 (чешск.). Мероприятия по предотвращению взрыва ацетилена в баллонах, заполненных пористой массой и ацетоном. Е. Стефановский

6ИЗ70. Техника безопасности на газосланцевых предприятиях. Скаринов В. К. Л., Гостоптехиздат, 1960, 534 стр., илл., 19 р. 20 к.

6ИЗ71. Токсический эффект неэлектролитов при их непрерывном и интермиттирующем воздействии. (Материалы к проблеме нормирования вредных веществ в воздушной среде). Толоконцев Н. А. Автореф. дисс. канд. мед. н., Ленингр. сан.-гигиен. мед. ин-т, Л., 1960

6ИЗ72. Основы техники безопасности и противопожарной техники в химической промышленности. (Учебник для хим.-технол. вузов). Соловьев Н. В., Ермилов П. И., Стрельчук Н. А. М., Госхимиздат, 1960, 394 стр., илл., 10 р.

6ИЗ73. Новые способы и средства тушения пламени нефтепродуктов. Сб. статей. Центр. н.-и. ин-т противопожар. обороны, М., Гостоптехиздат 1960, 148 стр., илл., 6 р. 20 к.

6ИЗ74. Камера для работы с материалами, обладающими высокой радиоактивностью. Hubáček Mario, Weber Miloš, Novotný Rudolf, Panýr Miloš, Kos Eduard, Elfmark Jaroslav. Kamora pro práce s materiály vysoké radioaktivity. Чехосл. пат. 93231, 15.12.59. Патентуется новая конструкция камеры для работы с высокоактивными в-вами. Камера состоит из наружного бокса, изготовленного из материалов, задерживающих проникающее излучение (бетон, спец. кирпич), с разборной задней стенкой, и собственно рабочей камеры небольших размеров, вкладывающейся внутрь бокса и изолированной от него, в результате чего объем отсасываемого из камеры воздуха может быть уменьшен в 10 раз, что значительно уменьшает стоимость сооружения и улучшает санитарно-технич. условия труда, так как это небольшое кол-во воздуха может быть полностью очищено от радиоактивных в-в. Для манипуляций внутри камеры в задней ее стенке имеется спец. дверца. Т. Бржевецкая

6ИЗ75. Способ имитирования радиоактивного заражения с целью проведения инструктажа по его определению. — Procédé pour la simulation d'une contamination radio-active et pour sa détection en vue de l'instruction. [Norbert-Jean-Marie-Pierre-François Chassende-Baron] Франц. пат. 1210364, 8.03.60. — На всю или часть поверхности предмета (чаще из гумиарабика), используемого для имитации его радиоактивного заражения, наносит разбрызгиванием металлич. пудру (обычно намагниченную) в виде суспензии в воде. При приближении предмета с нанесенным металлич. порошком к катушке индуктивности, аппарат посылает слышимый сигнал. В. Толстогузов

См. также: О токсичности пластиков 6Н207. Токсикология алифатических спиртов 6С1567; трихлорэтилен 6С1576. Отравление F и его обнаружение 6С1575; диметилсульфатом 6С1574; острое и подострое отравление тетраэтилсвинцом 6С1581. Моющие средства 6Н478. Способ получения пленкообразующих паст для предохранения кожи от раздражений р-рами агрессивных веществ 6Н527. Исследование взрыва угольной пыли 6М41

Рефер

ХИ

6К1.

тония в  
ного от  
plutonium  
plant.—  
1960, N  
го р-ра  
ниевое  
связок  
Для уд  
4 М Н  
сообраз  
спирто  
плотно  
камер  
Предел

6К2.

Taylor  
Papers  
ание ра  
пром-ст  
6К3.  
шести  
ний в  
ции. С  
О. В.  
лов В  
Важны  
или ре  
логич.  
нений  
направ  
тивны  
ренни  
Первой  
перен  
вмот  
Опред  
ности  
ний.

# РЕФЕРАТИВНЫЙ ЖУРНАЛ ХИМИЯ

V

Рефераты 6K1—6K438

№ 6

25 марта 1961 г.

## К. ТЕХНОЛОГИЯ НЕОРГАНИЧЕСКИХ ВЕЩЕСТВ

### ХИМИКО-ТЕХНОЛОГИЧЕСКИЕ ВОПРОСЫ ЯДЕРНОЙ ТЕХНИКИ

Редактор В. Д. Матвеев

**6K1. Колориметрический метод определения плутония в растворе, подаваемом в установку для первичного отделения.**—The absorptiometric determination of plutonium in the feed solution to the primary separation plant.—Industr. Group. U. K. Atomic Energy Author., 1960, N AM/W—115, 7 pp. (англ.).—Из 1 M азотнокислого р-ра экстрагируют  $Pu^{4+}$  р-ром четвертичного аммониевого основания Hyamine 1622 (n-диизобутилфеноксикситоксиддиметилбензиламмонийхлорид) в бензоле. Для удаления U органич. р-р промывают несколько раз 4 M  $HNO_3$ , после чего его смешивают с р-ром комплексообразователя — торонола в бензоле и разбавляют спиртом. Конц-ию  $Pu$  определяют, измеряя оптич. плотность полученного окрашенного р-ра. Область измерения конц-ий  $Pu$   $4 \cdot 10^{-6}$ — $100 \cdot 10^{-6}$  г/мл. Предел чувствительности  $1 \cdot 10^{-6}$  г/мл.

В. Храменков

**6K2. Изотопы, применяемые в промышленности.** Taylor C. Industrial radioisotopes. «Indian Pulp and Paper», 1960, 15, № 1, 81—84 (англ.).—Обзор. Применение радиоактивных изотопов в бумажной и хим. промышленности.

В. Матвеев

**6K3. Исследование переноса радиоактивных веществ паром и водой и химической стойкости отложений в пароводяной петле Первой атомной электростанции.** Слюсарев П. Н., Ушаков Г. Н., Старков О. В., Кочетков Л. А., Нестерова Л. Н., Козлов В. Я. «Атомн. энергия», 1960, 9, № 2, 98—103.—Важным вопросом при создании кипящих реакторов или реакторов с кипением и перегревом пара в технологич. каналах является исследование уровня загрязнения радиоактивными в-вами пара, генерируемого и направляемого в турбину, физ.-хим. свойств радиоактивных отложений и возможности дезактивации внутренних поверхностей трубопроводов и турбины. На Первой атомной электростанции исследованы процессы переноса радиоактивных в-в паром и водой в петле, смонтированной в первый контур электростанции. Определен коэф. отложения в-в на внутренней поверхности трубопроводов, изучена хим. стойкость отложений.

Из резюме авторов

**6K4. Получение гидрата тетрафторида урана.** Иваса Эйити. [Рикагаку кэнкюдзэ]. Японск. пат. 4314, 26 04.60.—При  $pH > 7$  в водн. р-ре проводят р-цию между  $UO_2^{2+}$  и  $S^{2-}$ ; образовавшийся  $UO_2S$  нагревают и получают смесь  $UO_2$  с серой. Эту смесь обрабатывают  $H_2SO_4$ , отделяют водн. р-р соли  $U^{4+}$  от S, добавляют к водн. р-ру  $HF$  и получают гидрат  $UF_4$ . Пример. К 200 мл водн. р-ра  $UO_2(NO_3)_2$  (конц-ия  $\sim 10\%$ ), подогретого до  $70$ — $90^\circ$ , добавляют водн. р-р  $Na_2S$  (конц-ия  $\sim 15\%$ ) до  $pH \sim 11$ . После выпадения осадка последний отделяют от маточного р-ра, промывают водой и обрабатывают  $H_2SO_4$ , в результате чего U, содержащийся в осадке, растворяется и переходит в  $U(SO_4)_2$ . К полученному водн. р-ру добавляют  $HF$  и осаждают из р-ра гидрат  $UF_4$ . Выход  $UF_4 \sim 8$  г или  $\sim 60\%$ .

В. Зломанов

**6K5. Удаление хлоридов из водных растворов.** Human Marshall L., Savolainen Jouko E. Removal of chloride from aqueous solutions. [United States of America as represented by the United States Atomic Energy Commission]. Пат. США 2919972, 5.01.60.—Топливные элементы ядерных реакторов из урана в оболочке из нержавеющей стали (содержащей Cr) растворяют в смеси 2—2,5 M  $HCl$  и 4—6 M  $HNO_3$ . Полученный U-содержащий р-р обрабатывают при повышенной т-ре парами конц.  $HNO_3$ . Хлориды в виде  $HCl$ , часть  $HNO_3$ , пары  $H_2O$  и другие продукты разложения удаляются в виде газов и собираются в абсорбере. Неабсорбированный газ направляют на конденсацию с возвратом конденсированной к-ты в процесс растворения топливных элементов. Р-р, содержащий U и некоторые примеси, свободный от ионов  $Cl^-$ , поступает в испаритель для удаления  $HNO_3$  и его направляют затем при конц-ии к-ты 3—6 M в процесс селективной экстракции. Пример. Топливный элемент из урана в оболочке из нержавеющей стали обрабатывают смесью 2 M  $HCl$  и 5 M  $HNO_3$ . Из р-ра, содержащего 70—85 г/л компонентов растворенных топливных элементов при конц-ии хлоридов 1,5—2 M, отгоняют хлориды пропусканием через него паров кипящей 15,2 M  $HNO_3$  (противотоком к р-ру); отходящие газы пропускают через абсорбер. Полученный U-р-р содержит ничтожное кол-во хлоридов, благодаря чему возможно проводить селективную экстракцию урана в аппаратуре из нержавеющей стали.

И. Денисова

**6K6. Обработка ядерного горючего.** Dawson John, Keith, Gibson Allan Robert, McKay



Herbert Alan. Improvements in or relating to process for treating nuclear fuel. [United Kingdom Atomic Energy Authority]. Англ. пат. 838508, 22.06.60.—Облученный U или Pu растворяют в расплаве хлоридов Pb и щел. или щел.-зем. металлов, напр. Na, K, Rb, Cs, Ca, Sr или Ba. Образовавшийся расплав хлоридов U или Pu отделяют. Затем в него добавляют Al (при т-ре расплава 1200°) и полученный расплав  $AlCl_3$  отделяют от U или Pu. Метод может быть использован для очистки ядерного горючего от ред.-зем. металлов и других элементов, являющихся продуктами деления.

В. Храменков

6K7. Выделение плутония из органических растворителей. Jamrack William Douglas, Walker Harold Augustus. Improvements in or relating to the recovery of plutonium from organic solvents. [The United Kingdom Atomic Energy Authority]. Англ. пат. 834531, 11.05.60.—Органич. р-р, содержащий  $Pu(NO_3)_4$ , а также  $HNO_3$ , смешивают с 0,25 M р-ром щавелевой к-ты и  $HNO_3$  так, чтобы конц-ция последней в смеси была равна 1,5—3 M. Образующийся осадок  $Pu(C_2O_4)_2$  отделяют. Пример. 40 л р-ра трибутилфосфата в керосине (20 об. % трибутилфосфата), содержащего 100 г Pu и  $HNO_3$  (0,7 M), смешивают с 10 л 0,25 M щавелевой к-ты. Смесь перемешивают 30 мин. После расслоения фаз их разделяют. Из водной фазы выделяют осадок  $Pu(C_2O_4)_2$ , содержащий 99,4 г Pu.

В. Храменков

6K8. Получение фторида бериллия. Gough Alan Raymond Simmonds, Bennett Edward William. Production of beryllium fluoride. [United Kingdom Atomic Energy Authority]. Англ. пат. 833808, 27.04.60.—Через  $BeF_2$  пропускают электр. ток (или же его нагревают другим способом) и в полученный расплав непрерывно вводят при 850—950°  $(NH_4)_2BeF_6$ , который претерпевает при этой т-ре термич. разложение. Выделяющийся  $NH_4F$  поглощают в насадочной колонне водой. Пример.  $BeF_2$  расплавляют в закрытом графитовом сосуде при помощи тока, пропускаемого через графитовое сопротивление. После этого через расплав пропускают при помощи двух графитовых электродов переменный ток 600 а при напряжении 30 в. В расплав непрерывно вводят  $(NH_4)_2BeF_6$  так, чтобы т-ра его не превышала 950°. Образующиеся  $BeF_2$  и  $NH_4F$  выводят из реактора.

В. Храменков

6K9. Устройство для концентрирования радиоактивных продуктов и источников излучения. Hatch Loganus P. Radioactive concentrator and radiation source. [United States of America as represented by the United States Atomic Energy Commission]. Пат. США 2918700, 29.12.59.—Монтмориллонитовую глину смешивают с водой и синтетич. водорастворимым полиэлектролитом, мол. вес которого равен ~10000. Полиэлектролит представляет соединение, полученное полимеризацией моноолефинов и не содержащее поперечных связей, напр. применяя натриевую и кальциевую соли частично гидролизованного полиакрилонитрила. Кол-во последнего в смеси 0,2—1 (0,5) % от веса глины; кол-во воды — 40—45% от общего веса сухих компонентов. Полученную пастообразную массу продавливают через фильеры диам. ~0,4—3 (0,8) мм. Выдавливание ведут в сосуд, заполненный водой, и получают при этом проникаемый слой беспорядочно уложенных брикетиков. Через такой слой пропускают р-р, содержащий катионы радиоактивных элементов, которые адсорбируются на брикетиках. Брикетик отделяют от р-ра, сушат и прокалывают при 750—1000°, фиксируя на глине адсорбированные радиоактивные продукты.

И. Магидсон

См. также: Получение изделий из графита, используемых в атомных реакторах 6M162

## ЭЛЕМЕНТЫ. ОКСИДЫ. МИНЕРАЛЬНЫЕ КИСЛОТЫ, ОСНОВАНИЯ, СОЛИ. ПОЛУЧЕНИЕ И РАЗДЕЛЕНИЕ ГАЗОВ

### Серная кислота, сера и ее соединения

Редактор М. Л. Карапетянц

6K10. Обжиг медных и цинковых сульфидных руд в псевдоожиженном слое. Сообщения I и II. Nishihara Kiyokado, Nakajima Jun. «Русан. J. Sulfuric Acid Assoc. Japan», 1960, 13, № 6, 153—159; № 7, 185—190 (японск.; рез. англ.).—I. Приведены ф-лы для расчета (независимо от состава руды) конц-ий  $SO_2$ ,  $O_2$  и  $SO_3$  в газах, полученных при сульфатизирующем или окислительном обжиге.

II. Получение огарка, из которого возможно выщелачивание Cu или Zn в максим. степени, зависит от точности контроля при обжиге в псевдоожиженном слое. Описаны опытная печь, условия контроля при обжиге в ней и методика составления программы опытов.

Из резюме авторов

6K11. Сернокислотный завод компании Saint Gobain. Lhemann Christian. La fábrica de ácido sulfúrico de Saint Gobain. «Rev. industr. y fabrila», 1959, 14, № 151, 202—203 (исп.).—Краткое описание з-да контактной  $H_2SO_4$  около Гавра (Франция). См. также РЖХим, 1959, № 5, 15940.

Г. Рабинович

6K12. Определение содержания окислов азота в газе, получаемом при производстве серной кислоты по способу мокрого катализа. Неймарк М. Е., Брагловская М. М. «Сб. научн. тр. Укр. н.-и. утлехим. ин-та», 1960, вып. 32, 272—276.—Пробу газа отбирают в бутылку (1 л), вводят в нее 10 мл 3%-ного р-ра  $H_2O_2$ , закрывают пробкой, а затем в течение часа встряхивают бутылку несколько раз, причем окислы N окисляются в  $HNO_3$ . Затем отбирают 2 мл р-ра и титруют 1 н. КОН по метилоранжу. Такую же порцию р-ра (2 мл) переносят в фарфоровую чашку, добавляют КОН в кол-ве, равном расходу при титровании +1—2 капли (для предотвращения потерь N при выпаривании), выпаривают на водяной бане, добавляют 2 мл р-ра фенолсульфокислоты, слегка нагревают до растворения осадка, разбавляют 10 мл воды и медленно добавляют 20%-ный р-р  $NH_3$  до явно щел. р-ции. При наличии окислов N р-р окрашивается в зеленовато-желтый цвет. Объем р-ра доводят до 30 мл. Оптич. плотность окрашенного р-ра измеряют с помощью фотоколориметра при синем светофильтре. При каждой новой партии реактивов определяют оптич. плотность глухого опыта; эту величину вычитают из замеренной. По калибровочному графику, построенному по  $KNO_3$ , находят содержание  $N_2O_5$  в 2 мл пробы. Продолжительность анализа 2—2,5 часа. Расчет:  $N_2O_5$  (г/м³) =  $a \cdot 10/2 \cdot V_0$ , где  $a$  — кол-во мг  $N_2O_5$ , найденное по калибровочному графику;  $10$  — кол-во мл р-ра  $H_2O_2$ ;  $2$  — кол-во мл р-ра, взятое для определения;  $V_0$  — объем газа в л при 0° и 760 мм рт. ст. Библ. 4 назв.

Г. Рабинович

6K13. Расчет многоступенчатого контактного аппарата для окисления  $SO_2$ . Abe Kazuo, Kinugasa Jouji, Matsumoto Taichi. «Русан. J. Sulfuric Acid Assoc. Japan», 1960, 13, № 7, 191—204 (японск.; рез. англ.).—По данным, полученным на полупромышленной установке, составлена диаграмма для скорости р-ции как функции т-ры и степени конверсии. Если т-ра на входе в 1-ю ступень определена, то можно построить адиабатич. кривую, которая пересекет кривую оптимальной т-ры. По вышеуказанной диаграмме условия процесса определяют следующим образом: скорость р-ции в точке пересечения равна среднему логарифмич. между скоростями на входе и выходе; скорость р-ции на выходе из i-ступени аппарата должна быть равна скорости р-ции на входе в (i+1)-ступень аппарата. По предлагаемому графику метод

можно рассчитать наиболее эффективный многоступенчатый контактный аппарат. Из резюме авторов

6K14. Расчет контактного аппарата с неподвижным слоем катализатора для окисления диоксида серы. Kubota Hiroshi, Akehata Takashi, Shindo Masuo. Design of sulfur-dioxide converter of fixed-bed type. «Ryosan, J. Sulfuric Acid Assoc. Japan», 1960, 13, № 6, 160—163 (японск.; рез. англ.).—Оптимальный размер частиц катализатора определяется с учетом перепада давления в слое катализатора и эффективности частиц, которые в свою очередь являются функцией размера частиц и увеличиваются при уменьшении размера. Приведен пример расчета, показывающий, что при промышленном применении катализатора его оптимальные размеры равны 0,5—1,0 мм. Ранее авторы дали метод расчета оптимальных условий процесса, необходимых для уменьшения кол-ва катализатора при данной степени конверсии. Для расчета контактного аппарата для  $\text{SO}_2$  применили теорию адiabатич. многоступенчатого аппарата, а скорость р-ции брали в соответствии с предыдущими исследованиями (РЖХим, 1960, № 23, 92868). Установлено, что для адiabатич. процесса достаточен 3-ступенчатый аппарат.

6K15. Обработка отбросной кислоты после операций травления и газочистки. Smallwood M. Treatment of waste acid from pickle and scrubbing lines. «Sheet Metal Inds», 1960, 37, № 401, 675—680 (англ.).—Обзор. Вопросы нейтр-ции, переработки и использования отработанных сернокислых и солянокислых р-ров. Нейтрализационные установки.

6K16. Получение серы [из сероводорода].—Ресюте of sulphur. «Chem. Process.» (Engl.), 1960, 6, № 10, 48—49, 76—77 (англ.).—Приведены схема и описание установки для получения  $\text{S}$  (40 т/сутки) из газа, содержащего в %:  $\text{H}_2\text{S}$  95, углеводородов 4,5,  $\text{CO}_2$  0,5, на э-де Standard Vacuum Refining Co. of Australia Pty. Ltd. в Алтона. Газ и воздух в кол-ве, необходимом для сжигания всех углеводородов и  $\frac{1}{3}$   $\text{S}$ , поступают в горелку котла-утилизатора, дающего пар 10 атм. Часть  $\text{S}$ , образовавшейся при р-ции  $\text{H}_2\text{S}$  с  $\text{SO}_2$ , конденсируется в котле, а остальная в конденсаторе. Далее газы нагреваются при смешении с продуктами сжигания топливного газа во 2-й камере, проходят 1-й контактный аппарат (где происходит вышеуказанная р-ция), конденсатор  $\text{S}$ , каплеуловитель  $\text{S}$ , а затем агрегат 2-й ступени, состоящий из камеры сжигания, контактного аппарата, конденсатора и каплеуловителя; во 2-й ступени применяется более активный катализатор. Наконец, газы проходят еще одну камеру сжигания, где поддерживается т-ра значительно выше, чем в первых камерах, что обеспечивает полную конверсию  $\text{H}_2\text{S}$  в 3-м контактном аппарате, после которого газы через трубу выбрасывают в атмосферу. Ввиду сильно колеблющейся нагрузки по газу, соответствующей 4—40 т/сутки  $\text{S}$ , главная горелка снабжена 2 взаимозаменяемыми трубами Вентури. Получают  $\text{S}$  чистотой > 99,9% при выходе > 95%.

6K17. Обогащение сернистого газа с одновременным получением азотных удобрений. Василенко Н. А., Розенкноп З. П. «Ж. прикл. химия», 1960, 33, № 9, 1962—1968.—Для очистки отбросных сернистых газов их пропускают через р-р  $\text{NH}_3$ . Образовавшаяся  $(\text{NH}_4)_2\text{SO}_4$  и  $\text{NH}_4\text{HSO}_4$  разлагают  $\text{HNO}_3$ , при этом получают азотные удобрения, преимущественно в виде аммиаков. Выделяющиеся при разложении  $\text{SO}_2$  отгоняют из р-ра паром или воздухом с получением концентрированного газа (15—30%  $\text{SO}_2$ ). Определены условия, при которых взаимодействие между  $\text{HNO}_3$  и р-рами  $(\text{NH}_4)_2\text{SO}_4$  и  $\text{NH}_4\text{HSO}_4$  протекает преимущественно в направлении обменных р-ций и исключается возможность возникновения автокаталитич. процессов. При очистке дымовых газов электростатич. (содержащих ~0,3%  $\text{SO}_2$ ) указанным методом на

1 т уловленного  $\text{SO}_2$  при расходе ~1 т  $\text{NH}_3$  и 1 т  $\text{HNO}_3$  можно получить ~1,3 т  $\text{H}_2\text{SO}_4$ , ~3 т аммиаков с содержанием общего азота ~35% и ~0,2 т сульфата аммония с примесью  $\text{NH}_4\text{NO}_3$ . Библ. 8 назв. В. Х.

6K18. Усовершенствование обжига в псевдоожиженном слое. Курияма Котаро, Масаки Райси. [Сумитомо катаку когэ кабусики кайся]. Японск. пат. 1524, 1.03.60.—Молотую руду ( $\text{S}$  46%,  $\text{Cu}$  0,38%), содержащую частиц < 0,246 мм 20,88%; 0,833—0,246 мм 16,17%; 1,651—0,833 мм 13,65%; 4,699—1,651 мм 38,00%; > 4,699 мм 11,30%, непрерывно загружают со скоростью 1100 кг/час в печь, куда одновременно по воздухопроводу в нижней части печи подают воздух со скоростью 3000 м<sup>3</sup>/час, и проводят обжиг в псевдоожиженном слое при 950°. Часть руды из псевдоожиженного слоя по наклонному трубопроводу в верхней части печи поступает во вторую печь, расположенную несколько ниже первой, а часть обожженной руды вместе с газом, образующимся в процессе обжигания, поступает в циклон, где введенные в газе твердые частицы отделяют от газа и подают во вторую печь. Газ из циклона направляют для дальнейшей переработки. Часть газовой смеси, образующейся в первой печи (состав в %:  $\text{SO}_2$  12,0, кислород 5,3, азот 82,7), по особому воздухопроводу поступает в нижнюю часть второй печи, где в течение 5 мин. при 600° в псевдоожиженном слое происходит окончательный обжиг. Обожженный материал, который содержит  $\text{S}$  1% и  $\text{Cu}$  75%, выводят из установки со скоростью 770 кг/час, а газ из второй печи подают в циклон. В. Зломанов

6K19. Получение сублимированной серы. Varnat Pierre. Procédé d'obtention de soufre sublimé. [Les Raffineries de Soufre Réunies]. Франц. пат. 1213693, 4.04.60.—Камеры для сублимации серы обычно наполняют инертным газом во избежание частичного окисления серы воздухом с образованием  $\text{SO}_2$  и  $\text{SO}_3$ . Возгонку серы ведут в герметичных аппаратах, в которых давление поддерживается постоянным. По одному варианту для этого применяют сухие или влажные жесткие газометры из легкого, стойкого против коррозии материала, напр. винипласта, либо эластичные баллоны, напр. из неопрена, гипалона и т. п. Применяют также ткани, пропитанные этими материалами. Ю. А.

6K20. Получение гранулированной серы из жидкой. Reppert Rüdiger Lothar von. Verfahren zur Herstellung von Schwefelgranulaten aus geschmolzenem, dünnflüssigem Schwefel. Пат. ФРГ 1064926, 25.02.60.—Жидкую  $\text{S}$  при 95—120° выливают несколькими (4) струями в наклонный вращающийся тарельчатый гранулятор, где при обрызгивании водой капли  $\text{S}$  затвердевают в гранулы размером 2—6 мм, которые через борт внутреннего цилиндра поступают в канал с перфорированным днищем для отделения воды. Горячие влажные с поверхности гранулы сушат за счет их собственного тепла или горячим воздухом и ИФ-лучами. Гранулы можно опудрить тонкодисперсной  $\text{S}$ . Г. Рабинович

6K21. Применение летучих галогенопропизводных кремний-органических соединений для разжижения серы. Emploi des dérivés organo-siliciques halogénés volatils dans la fluidification des soufres. [René Magimel — Pelonier, Léon Etcheverry]. Франц. пат. 1214652, 11.04.60.—Для разжижения серы и придания ей текучести применяют различные галогенопропизводные кремний-органических соединений, в частности монометилтрихлорсилан.

6K22. Удаление пиротрозных соединений из серной кислоты. Wolf Friedrich, Hummel Horst. Verfahren zur Entfernung nitroser Verbindungen aus Schwefelsäure. [VEB Farbenfabrik Wolfen]. Пат. ГДР 18549, 14.04.60.— $\text{H}_2\text{SO}_4$ , конц-ей < 70% обрабатывают при перемешивании и т-ре ~20—75° формальдегидом (параформальдегидом, водн. р-ром или в-вом виде)

ляющим формальдегид), взятым с избытком (10% — 25-кратным) против эквивалентного содержанию окислов N в к-те; чем выше конц-ия к-ты, тем выше должна быть т-ра и тем больше избыток формальдегида и продолжительность обработки, которая меняется от 20 мин. до 3 час. Затем через к-ту продувают воздух или инертный газ для удаления NO и избытка формальдегида. Очищ. к-та не содержит окислов N.

Г. Рабинович

**6К23.** Способ и контактный аппарат для получения серы. Bähr Johannes. Verfahren und Kontaktöfen zur Herstellung von Schwefel. [Elfriede Ella Bähr, geb. Schnadt]. Пат. ФРГ 973480, 3.03.60.—Газы, содержащие  $H_2S$  и  $SO_2$ , напр. полученные сжиганием части  $H_2S$ , проходят последовательно несколько ступеней контактного аппарата, соединенных газопроводами, расположенными внутри аппарата и орошаемыми циркулирующей жидкой S для охлаждения газов после контактирования. Для герметичности и безопасности работы при смене контактной массы в одной из ступеней газопроводы имеют внизу затворы, наполняемые жидкой S, вентили для задержания и отвода жидкой S, а также вентили для переключения хода газов. Г. Р.

**6К24.** Выделение серы, образовавшейся в одноступенчатом процессе из сероводорода или при восстановлении двуокиси серы. Bähr Johannes. Verfahren zur Abscheidung von in ein- oder mehrstufigen Kontaktverfahren aus Schwefelwasserstoff oder der Reduktion von Schwefeldioxyd gebildetem Schwefel aus den heißen Gasen. [Elfriede Ella Bähr, geb. Schnadt]. Пат. ФРГ 1067792, 19.05.60.—Большую часть тепла газов отводят, взбрызгивая в газовый поток воду, причем S охлаждается до т-ры выше т-ры плавления, но ниже 200°, а затем охлаждают газы в том же аппарате, орошая их циркулирующей жидкой S, вместе с которой выводят образовавшуюся S. Г. Р.

См. также: Получение S высокой чистоты 6В4

### Азотная промышленность

Редакторы В. Д. Матвеев, Н. А. Ширяева

**6К25.** Азототуковые заводы Индии. Medlock N. A. Nitrogenous fertiliser plants — India. «Chem. Age India», 1960, 11, № 2, 229—232 (англ.).—Приведены данные об азототуковых з-дах, строящихся и проектируемых в Индии по третьему 5-летнему плану. Указывается, что для Индии большой интерес представляет способ Тексако получения синтез-газа из природного газа, газов переработки нефти, мазута и т. д.; по этому способу в разных странах мира работают 26 з-дов и строятся 15. Г. Рабинович

**6К26.** Новая технология производства катализатора конверсии окиси углерода. Уханев В. П., Жидков Б. А. «Вестн. техн. и экон. информ. Н.-и. ин-т техн.-экон. исслед. Гос. ком-та Сов. Мин. СССР по химии», 1959, № 1(13), 62—65.—Для получения среднетемпературного железо-хромового катализатора, содержащего 90%  $Fe_2O_3$  и 7—10%  $Cr_2O_3$  и служащего для конверсии CO, используют  $Fe_2O_3$ , получаемый из железного купороса и соды. Для этого в декантатор с 12%-ным р-ром соды подают 20%-ный р-р  $FeSO_4$  с таким расчетом, чтобы в конце осаждения содержание соды в маточнике было  $\leq 5$  г/л. Выпадающий при этом осадок карбоната железа промывают декантацией до содержания  $Na_2SO_4$  в промывных водах 15 г/л, затем перекачивают пульпу во вращающийся вакуум-фильтр и после фильтрации снова промывают, сушат и прокалывают во вращающихся печах, где происходит разложение карбоната до  $Fe_2O_3$ . Восстанавливают  $Na_2Cr_2O_7$  метиловым спиртом и осаждают 20%-ным р-ром  $NH_3$ . Полученную  $Cr(OH)_3$  фильтруют на фильтр-прессах, промывают горячей водой от  $NaNO_3$  и растворяют в

$HNO_3$ . Р-р  $Cr(NO_3)_3$  упаривают до конц-ии 36—43%, после чего передают на смешение с  $Fe_2O_3$ . Для уменьшения содержания щел. металлов в катализаторе соду заменяют на  $(NH_4)_2CO_3$  и  $Na_2Cr_2O_7$  на  $CrO_3$ , благодаря этому получена большая экономия в аппаратуре и реактивах.

В. Борисова

**6К27.** Зависимость давление — объем — температура для аммиака в газообразном и жидком состояниях. Groenier W. S., Thodos George. Pressure-volume-temperature behavior of ammonia in the gaseous and liquid states. «J. Chem. and Engng Data», 1960, 5, № 3 285—288 (англ.).—Приведены графики зависимости приведенной плотности  $\rho = \rho/\rho_c$  от приведенных т-ры  $T_R = T/T_c$  и давления  $P_R = P/P_c$  (индексы: R — приведенная, c — критич.). Библ. 36 назв. Г. Р.

**6К28.** Исследование абсорбции микроконцентраций  $NO_2$  водными растворами солей ароматических аминов. Борок М. Т. «Ж. прикл. химии», 1960, 33, № 9, 2035—2042.—Изучено влияние скорости газовой смеси в абсорбере, конструктивных параметров абсорбера, состава и конц-ии абсорбента на степень поглощения  $NO_2$  в интервале его конц-ии  $10^{-3}$ — $40^{-2}$  мг/л (5 ·  $10^{-4}$ —5 ·  $10^{-4}$  об. %). В качестве абсорбента использовали водн. р-ры солей ароматич. диаминов: р-р ацетата бензидина и солинокислый р-р метafenилдиамин. При абсорбции микроконцентраций  $NO_2$  водн. р-рами ароматич. диаминов также, как при водн. абсорбции  $NO_2$  в определенном интервале микроконцентраций наблюдается минимум степени абсорбции. Наибольшее влияние на степень абсорбции оказывает диаметр входного отверстия абсорбера, а именно: при данной объемной скорости газа в абсорбере с уменьшением диаметра отверстия степень абсорбции увеличивается. Кривая коэф. абсорбции имеет максимум при определенной скорости газа в абсорбере. Увеличение конц-ии р-ра солинокислого метafenилдиамина  $> 1$  г/л и р-ра ацетата бензидина  $> 2$  г/л практически не влияет на изменение степени абсорбции. Библ. 8 назв. Р. А.

**6К29.** Равновесие в системе аммиак — двуокись углерода — вода. Otsuka Eiji, Yoshimura Shinji, Yakabe Masatoshi, Inoue Shigeru. «Kogyo Kagaku Zasshi, Kogyo Kagaku Zasshi, J. Chem. Soc. Japan. Industr. Chem. Sec.», 1960, 63, № 7, 1214—1218, А 66 (японск.; рез. англ.).—Для получения данных, необходимых для расчета процесса циркуляции газов, непрореагировавших при синтезе мочевины, было исследовано равновесие пара с жидкостью в системе, содержащей  $NH_3$ ,  $CO_2$  и  $H_2O$ , причем особое внимание было уделено паровой фазе. Установлено, что миним. общее давление наблюдается при составе, соответствующем  $(NH_4)_2CO_3$ , при повышении т-ры оно сдвигается в сторону избытка  $NH_3$ . Парц. давление  $NH_3$  понижается линейно при понижении содержания  $NH_3$  в жидкой фазе при составе в пределах от чистого  $NH_3$  до  $(NH_4)_2CO_3$ . Миним. парц. давление водяного пара наблюдается при составе между  $(NH_4)_2CO_3$  и  $NH_4HCO_3$ . Равновесие в 3-компонентной системе рассмотрено с точки зрения правила фаз и сделан вывод, что конц-ия воды в жидкой фазе регулируют два фактора: давление и т-ра, при которой появляется твердая фаза. Максимально допустимую конц-ию  $NH_3$  и  $CO_2$  в жидкой фазе можно определить по этим двум факторам. Указано, что при промышленном применении полученных данных важное значение имеет т-ра, соответствующая максим. конц-ии при  $p = const$ . А. Р.

**6К30.** Регенерация щелочных карбонатных растворов на установках для очистки конвертированного газа от двуокиси углерода. Bayer Richard. Verfahren zum Regenerieren von Alkalikarbonatlösungen beim Betrieb von Anlagen zum Auswaschen von Kohlensäure aus Konvertgas. [Metallgesellschaft A.-G.]. Пат. ФРГ 1035108, 10.03.60.—Для лучшего использования тепла



36—43%.  
для умень-  
агоре соду  
благодаря  
апаратуре  
и Борисова  
температу-  
ростояниях.  
sure-volu-  
aseous and  
50, 5, № 3  
висимости  
ных т-ры  
R — при-  
Г. Р.  
центраций  
х аминов.  
33, № 9,  
рой смеси  
орбера, со-  
глотения  
(5·10—  
ользовали  
етата бен-  
мина. При  
рами аро-  
бии NO<sub>2</sub>  
ий наблю-  
шее явля-  
е водного  
объемной  
аметра от-  
Кривая  
еделенной  
ции р-ра  
и р-ра  
влияет на  
Р. А.  
двуокис  
га Shi-  
higeru.  
J. Chem.  
7, 1214—  
ения дан-  
ркуляции  
молевичи,  
тью в си-  
собое ви-  
влено, что  
таве, соот-  
т-ры оло-  
тение NH<sub>3</sub>  
ания NH<sub>3</sub>  
стого NH<sub>3</sub>  
ого пара  
NH<sub>4</sub>HSO<sub>4</sub>  
отрено с  
о конци-  
ра: давле-  
дая фаза.  
O<sub>2</sub> в жид-  
фактором  
получен-  
соответст-  
А. Р.

их раство-  
ного газа  
Verfahren  
gen beim  
phlensäure  
at. ФРГ  
ия тепло

р-ции конверсии СО водяным паром под давл. 10—30 (15) атм, выходящую из конденсационной башни при 130—200° (166°), делят на 2 потока: один направляют, как обычно, в сатурационную башню, а другой — в один из кипятильников регенератора, где он нагревает карбонатный, в частности «горячий поташный» р-р, применяемый для очистки конвертированного газа от СО<sub>2</sub> (2-й кипятильник нагревается паром). Воду, выходящую из кипятильника (при 110°), вместе с водой из сатурационной башни подают насосом обратно в конденсационную башню. В другом варианте 2-й поток горячей воды из конденсационной башни направляют непосредственно или после прохождения кипятильника через дроссельный вентиль в экспансер, работающий, напр. под давл. 1 атм; выделяющийся водяной пар используют в регенераторе для отгонки СО<sub>2</sub> из регенерируемого р-ра; охлажденную воду из экспансера подают насосом в цикл конденсационной башни. Можно также выделяющийся в экспансере пар низкого давления подавать с помощью инжектора, работающего от пара высокого давления, в кипятильник регенератора. Приведены схемы.

Г. Рабинович  
6К31. Получение высококонцентрированной азотной кислоты. Verfahren zur Herstellung von hochkonzentrierter Salpetersäure. [Pintsch Bamag A.-G.]. Пат. ФРГ 1060850, 17.12.59.—Слабую (50%-ную) HNO<sub>3</sub> концентрируют в 2 ступени. В 1-й под нормальным или более высоким давлением отгоняют чистую воду, а кубовый остаток — азеотропную смесь (68,5%-ную HNO<sub>3</sub>) подают во 2-ю ступень, где под давл. < 500 (150) мм рт. ст. абс. отгоняют конц. HNO<sub>3</sub> (99,5%-ную). Кубовый остаток из 2-й ступени — азеотропную смесь (66%-ную HNO<sub>3</sub>) подают в 1-ю ступень ниже точки подачи слабой HNO<sub>3</sub>. Колонны обогревают глухим паром. Г. Р.

См. также: Технич.-экономич. соображения по произ-ву NH<sub>3</sub> из газа камерных печей 6М109. Извлечение из коксового газа 6М153

### Содовая промышленность

Редактор Н. А. Ширяева

6К32. Об условиях образования жидкой пленки при взаимодействии карбоната с H<sub>2</sub>O и СО<sub>2</sub>. Кляшторный М. И. «Изв. высш. учебн. заведений. Химия и хим. технол.», 1960, 3, № 3, 494—496.—При поглощении твердым карбонатом смеси СО<sub>2</sub> и H<sub>2</sub>O поверхность твердого карбоната покрывается пленкой насыщенного р-ра при условии, когда  $h_a > h$  (где:  $h_a$  — относительная влажность воздуха в %;  $h$  — гигроскопич. точка карбоната) и когда молярное отношение H<sub>2</sub>O/CO<sub>2</sub> > 1. Н. Ш.

6К33. Сушка сырого [бикарбоната натрия] перед калцинацией. Balajka Bohumil. Způsob sušení suroviny před kalcinací. Чехосл. пат. 91594, 15.09.59.—Перед калцинацией влажного NaHCO<sub>3</sub> топочными газами производят предварительную подсушку его в непрерывно действующих вакуумных сушильках, обогреваемых отходящими из печей газами, до состояния, исключающего приплавление соли к горячим стенкам. Благодаря этому обеспечивается экономия ~10% общего кол-ва тепла, потребного на калцинацию соды, и ~25% воды, расходуемой для охлаждения газов. В. Е.

### Остальные элементы, окислы, минеральные кислоты, основания, соли

Редакторы М. Л. Каранетянц, Н. А. Ширяева

6К34. К изучению возможности увеличения степени использования восстановителя при силикотермическом методе получения калия. Микулинский А. С., Селянский А. П. «Ж. прикл. химии», 1960,

33, № 9, 1981—1985.—Описан аппарат для нового метода исследования кинетики получения шел. металлов, в котором индикатором скорости служит прирост веса получаемого металла в единицу времени. При силикотермич. методе получения калия при снижении в шихте отношения ферросилиция к KCl до молярного отношения Si:KCl = 0,3—0,5 можно уменьшить удельный расход 75%-ного ферросилиция до 0,5—0,8 кг на 1 кг калия, при этом несколько увеличивается уд. расход соли. При определении оптимального состава шихты необходимо учитывать уд. расходы компонентов шихты, а также местные цены на сырье и электроэнергию.

Из резюме авторов  
6К35. Обжиг в псевдоожиженном слое зернистого медного колчедана. Лим Хен Гюн, Хан Дон Гын. «Хвахак ка хвахак коноп. Ж. химии и хим. пром-сти», 1960, 4, № 3, 22—29 (кор.).

6К36. Извлечение окиси бериллия из берилла путем обжига с глауберовой солью и использование ионного обмена для очистки ее. Яо Вэн-у, Цзян Ци-вэн, Гу Сюэ-минь. «Кэсюэ цзиньчжань, Кехуе jinzhan», 1959, № 2, 24—26 (кит.).—Порошкообразные берилл (содержание BeO 11,1%), Na<sub>2</sub>SO<sub>4</sub> и уголь смешивают в соотношении 2:3:3, помещают в тигель и нагревают до 950° в электропечи в восстановительной атмосфере. Продукт измельчают, приливают серной к-ты, мелют до клеобразного состояния, выпаривают до появления белого дыма, охлаждают, заливают водой и отфильтровывают примеси. Добавкой перекиси водорода окисляют Fe<sup>2+</sup> в Fe<sup>3+</sup>, добавляют 15%-ный р-р NaOH до pH 8, при этом в осадок выпадают Be(OH)<sub>2</sub>, Al(OH)<sub>3</sub> и Fe(OH)<sub>3</sub>. Осадок трижды промывают р-ром (NH<sub>4</sub>)<sub>2</sub>CO<sub>3</sub>, Be переходит в р-р в виде (NH<sub>4</sub>)<sub>2</sub>Be(CO<sub>3</sub>)<sub>2</sub>, который разлагают нагреванием в течение 1,5—2 час., причем выпадает BeCO<sub>3</sub>·xBe(OH)<sub>2</sub>. Осадок отфильтровывают, прокалывают при 850° и получают BeO. Для удаления примесей Al<sup>3+</sup>, Fe<sup>3+</sup>, Mn<sup>2+</sup>, Mg<sup>2+</sup> (если бериллий присутствует в виде Be<sup>2+</sup>) применяют анионные ионообменные смолы, которые затем орошают 15%-ным р-ром (NH<sub>4</sub>)<sub>2</sub>CO<sub>3</sub>. Библ. 7 назв. М. Б.

6К37. Опыт использования антрацита вместо кокса в производстве карбида кальция.—«Хуасюэ гунъе, Нуахуе гонъе», 1960, № 4, 24 (кит.).—Приведен опыт использования антрацита в произ-ве CaC<sub>2</sub> на китайском хим. з-де Фуцзянь-саньминь.

А. Зоннтаг  
6К38. Новая установка для производства кадмия. Gibson F. W. New twist in cadmium production. «Chem. Engng Progr.», 1960, 56, № 6, 120—122 (англ.).—На новом металлургич. з-де в Мексике, производящем свинец из руд, содержащих ≤ 0,5% Cd, построена установка для извлечения последнего. Газы, выделяющиеся при обжиге, содержат весь Cd, входящий в состав руд; для обогащения кадмием газы многократно циркулируют через печь. Некоторую часть газов отбирают и охлаждают, что сопровождается выпадением порошка, содержащего 5—10% Cd. Порошок вместе с хлорсодержащими соединениями (р-р ZnCl<sub>2</sub>) нагревают 6—8 час. в печи при 400°. Вес. отношение Cd к Cl должно составлять 1—1,6:1; при этом до 80% Cd переходит в водорастворимую форму. Затем массу измельчают в шаровой мельнице вместе с фильтратом со 2-й ступени (см. ниже); получаемая суспензия содержит 60% твердой фазы, > 80% которой проходит сквозь сито 325 меш. Плотность суспензии 2,3—2,5. Суспензию обрабатывают фильтратом со 2-й ступени в аппарате с мешалкой, отфильтровывают и фильтрат, содержащий Cd 70—80 г/л, направляют в сборник р-ра, а осадок повторно суспендируют в чистой воде, отфильтровывают осадок и направляют снова на перешлавку; фильтрат идет на пригоготовление суспензии (см. выше). pH фильтрата, содержащего 70—80 г/л Cd, доводят прибавлением NaOH до 5,0—5,5, после чего прибавляют K<sub>2</sub>C<sub>2</sub>O<sub>7</sub> для удаления следов свинца, осадок отфильтровывают и фильтрат очища-

ют от растворенной  $\text{Cu}$ . Сначала к фильтрату прибавляют 4% от необходимого кол-ва  $\text{Zn}$ -пыли. Осадок отфильтровывают, к фильтрату прибавляют  $\text{H}_2\text{SO}_4$  в таком кол-ве, чтобы ее содержание в подкисленном р-ре составляло 4 г/л. Затем при перемешивании прибавляют остальную часть цинковой пыли и перемешивают еще 2 час. Образующиеся шарики кадмия отфильтровывают, промывают водой и брикетировуют в диски diam. 50 и толщиной 6 мм. Брикетты плавят в расплаве  $\text{NaOH}$  (расход  $\text{NaOH}$  6 кг на 100 кг  $\text{Cd}$ ). Полученные болванки весом в 30 кг расплавляют и обрабатывают  $\text{NH}_4\text{Cl}$  до возможно полного удаления  $\text{Ti}$ . Готовый продукт содержит (в %):  $\text{Cd} > 99,95$ ,  $\text{Pb}$  0,015,  $\text{As}$  0,0001,  $\text{Cu}$  0,0008,  $\text{Zn}$  0,001 и  $\text{Ti}$  0,002. В. Герцовский

6К39. Применение хлора в производстве бариевых солей. Matašić Marijan. Primjena klora u proizvodnji barijevih soli. «Kemija u industriji», 1960, 9, № 6, N-20 (сербо-хорв.).

6К40. Получение борной кислоты и бора из корейской борной руды обработкой азотной кислотой. Ли Ги Ён Хан, Ли Хен Ду, Ким Бен Лин. «Хвахак на хвахак коноч, Ж. химии и хим. пром-сти», 1960, 4, № 2, 23—28; 29—33 (кор.).

6К41. Хлорирование окислов отвала шахтной печи производства безводного хлористого алюминия, взвешенных в среде расплавленных хлоридов. Грошев Г. Л., Рабовский Б. Г., Щеголь Ш. С. «Тр. по химии и хим. технол. [Горький]», 1960, вып. 2, 344—351.—Интенсивность процесса хлорирования с применением в качестве восстановителя нефтяного кокса растет с повышением т-ры в интервале 750—1050°. Возрастает с т-рой и степень использования хлора. Скорость хлорирования растет с увеличением загрузки кокса в плав, повышением конц-ции хлора в хлороз-воздушной или хлорозазотной смеси и с ускорением подачи хлора. Для создания активного теплового баланса необходимо разбавлять хлор воздухом. Повышение содержания  $\text{AlCl}_3$  в плавле от 0 до 69,5% не влияет на процесс хлорирования, поскольку определяющей стадией р-ции хлорирования окислов, взвешенных в расплаве хлористых солей, являются подвод  $\text{O}_2$  и взаимодействие его с коксом.

Из резюме авторов  
6К42. К вопросу о совместном действии аминов и жирных кислот при флотации титаносодержащих минералов. Соколова В. И., Каковский И. А. «Изв. высш. учебн. заведений. Цветн. металлургия», 1960, № 4, 23—27.—Добавка дициклогексилamina при флотации рутила с жирными к-тами резко повышает качество концентрата и снижает расход собирателя или повышает извлечение. В присутствии дициклогексилamina при повышении расхода олеиновой к-ты до величины, необходимой для высокого извлечения, качество концентрата не снижается, чего не удается достигнуть при флотации с одной олеиновой к-той. В присутствии дициклогексилamina часть олеиновой к-ты можно заменить более дешевыми и недефицитными реагентами (напр., соапстоками), почти не ухудшая технологич. показателей флотации.

Р. А.  
6К43. Влияние некоторых технологических параметров на показатели процесса магнетермического восстановления четыреххлористого титана. Форсблом Г. В., Сандлер Р. А. «Цветн. металлы», 1960, № 10, 62—67.—Повышение при восстановлении парц. давления инертного газа ( $\text{Ar}$ ), очищенного пропускаем через нагретую кварцевую трубку с медными и титановыми стружками, уменьшает использование  $\text{TiCl}_4$ , способствует образованию низших хлоридов, увеличивает кол-во мелких фракций в губке и повышает содержание железа в ней. Увеличение скорости подачи  $\text{TiCl}_4$  в реактор снижает содержание железа и хлора в сепарированной губке и практически не ухудшает других показателей. Подтверждена необходимость изоляции реакционного пространства от холодных зон реактора. При достаточно плотной изоляции

выход губки определяется главным образом коэф. использования магния.

Из резюме авторов  
6К44. Опытное производство четыреххлористого титана. Юань Ци-хуа, Сяо Жи-дун, Ли Шан-юань, Чжан Вань-хуэй. «Ухань дасюэ цзыжянь кэсюэ сюэбао», 1959, № 1, 68—69 (кит.).—Порошкообразный рутил, содержащий 80—83%  $\text{TiO}_2$ , смешанный с каменным углем в соотношении 3:1, формуют в брикетты (связка — креозот или крахмал) и хлорируют в трубчатой электропечи при 800°  $\text{Cl}_2$  (газ). Степень хлорирования 85—90%, чистота продукта > 99%, т-ра кипения устойчива, цвет водянисто-белый. Кроме каменного угля были испытаны древесный уголь и сажка, причем последняя дала наилучшие результаты. Полезна добавка в брикетты древесных опилок. При использовании в качестве катализатора небольшого кол-ва  $\text{MnO}_2$  т-ру хлорирования можно снизить до 400—500°. Для очистки  $\text{TiCl}_4$  применяли перегонку, адсорбцию примесей активированным углем, восстановление амальгамой натрия и порошком меди. Оптимально применение меди с последующей перегонкой. Библ. 6 назв.

М. Богачкин  
6К45. О надлежащем выборе фосфорного сырья. Kozłowski T. B. O właściwym doboru surowców fosforowych. «Chemika», 1960, 13, № 7—8, 282—284 (польск.).—Рассмотрены экономич. аспекты развития фосфорной пром-сти в ПНР.

В. Ленинсон  
6К46. Развитие процесса дистилляции для очистки сырой двуххлористой серы. II. Конструирование и работа производственной установки. Hands C. H. G., Whitt F. R. Development of a large-scale distillation process for purifying crude sulphur dichloride. II. Construction and operation of a large-scale distillation unit. «J. Appl. Chem.», 1960, 10, № 6, 237—246 (англ.).—На основании лабор. данных спроектированы и построены установки для очистки сырой  $\text{SCl}_2$  производительностью 1 и 10 т в неделю. Сырье состоит из 80—85%  $\text{SCl}_2$ , 5—10%  $\text{S}_2\text{Cl}_2$  (остальное — хлор, тиопил и незначительное кол-во хлоридов серы различного состава). Каждая установка состоит из двух колонн; первая предназначена для отделения  $\text{SCl}_2$  и  $\text{Cl}_2$  от  $\text{S}_2\text{Cl}_2$ , вторая — для разделения  $\text{SCl}_2$  и  $\text{Cl}_2$ . Меньшая установка: diam. колонн 75 и 50 мм; высота насадочной части 1,8 и 1,5 м; материал — медно-никелевый сплав и стекло; элементы насадки — керамич. кольца Рашига diam. ~16 мм; т-ры в верхней части колонн 55 и 35° и в нижней части 136 и 57°; скорость подачи стабилизатора ( $\text{PCl}_3$ )  $\approx 1$  мл/час; флегмовое число 0,4 и 4; высота, эквивалентная теоретич. тарелке (ВЭТТ), 0,335 и 0,455 м. Большая установка: diam. колонн 250 и 150 мм; высота насадочной части 1,98 и 1,5 м; материал — медно-никелевый сплав и стекло; элементы насадки — стеклянные кольца Рашига diam. ~16 мм; скорость подачи стабилизатора 1—4 мл на 4,54 л питания; флегмовое число 1,1 и 2,0; ВЭТТ 0,335 и 0,455 м. Меньшую часть стабилизатора подают в первую колонну, а большую — во вторую. Выход  $\text{SCl}_2$  для первой и второй установок равен 74 и 76% соответственно. Чистота  $\text{SCl}_2$  98%. Исследована возможность хлорирования  $\text{S}_2\text{Cl}_2$ , получаемой в качестве побочного продукта. Полный переход  $\text{S}_2\text{Cl}_2$  в  $\text{SCl}_2$  невозможен, так как небольшие примеси  $\text{PCl}_3$  подавляют р-цию хлорирования. Реактор, построенный для утилизации  $\text{S}_2\text{Cl}_2$ , отходящей с более крупной установки, представляет собой колонну из мягкой стали diam. 178 мм, наполненную керамич. кольцами Рашига diam. ~16 мм; высота насадочной части 1,8 м.  $\text{S}_2\text{Cl}_2$  вводят в верхнюю часть колонны со скоростью 13,2 кг/час; противотоком к  $\text{S}_2\text{Cl}_2$  подают  $\text{Cl}_2$  (7,7 кг/час); т-ра в колонне: верх 26° и низ 18°; кол-во образующегося  $\text{SCl}_2$  20 кг/час (выход 85%). Сообщение 1 см. РЖХим, 1961, 2К33.

В. Герцовский  
6К47. Получение селена высокой чистоты. Юханов Д. М., Плетенева Н. Б. «Ж. прикл. химии»,

1980, 33, № 9, 1951—1957.—Для получения чистого Se на технич. продукта, содержание Se в котором составляет 97,3%, его сжигают в токе  $O_2$  (т-ра 560°). Образовавшуюся  $SeO_2$  конденсируют. Для окончательной очистки Se от Te конденсированную  $SeO_2$  подвергают сублимации в токе воздуха при 320—350° и растворяют в бидистилляте (на 0,4—0,5 л воды приходится ~100 г  $SeO_2$ ). Для выделения элементарного Se полученный р-р  $H_2SeO_3$  обрабатывают восстановителем ( $SO_2$ ). Выделенный материал обладает хорошими электрич. характеристиками (прямое напряжение 0,63 в, обратное 55 в), которые можно еще улучшить при нахождении оптимальных условий введения добавки хлора в селен. Библ. 4 назв. В. Храмченков

6K48. Изучение полупроводниковых материалов: приготовление и термоэлектрические свойства теллуридов, селенидов и их твердых растворов. Ван Ю-пюй. «Сибирь даэюэ сюэбао (цзыжань кэсюэ), Xibei daxue xuebao, Ziran kexue», 1959, № 4, 37—39 (кит.).—Твердые р-ры получены смещением (в %):  $Bi_2Te_3$  80,  $Bi_2Se_3$  20 с  $Bi_2Te_3$  70 и  $Sb_2Te_3$  30 с последующим нагревом до плавления в трубчатой печи. Библ. 9 назв. М. Богачихин

6K49. Взаимодействие катионного собирателя типа первичного амина с гюбнеритом и некоторыми другими минералами. Ключарев А. П., Плаксин И. Н., Мясникова Г. А. «Изв. АН СССР. Отд. техн. и металлургия и топливо», 1960, № 2, 133—137.—Основной причиной успешного отделения флюатитной гюбнерита и вольфрамитов от кварца, флюорита и кальцита при pH 1,2—2,3 при применении алифатич. аминов является активное поглощение гюбнеритом и вольфрамитом ионов амина и незначительное поглощение их кварцем, флюоритом и кальцитом. Р. А

6K50. Изучение абсорбции хлора солянокислым раствором хлористой меди в пенном аппарате. Раковский Б. Г., Щеголь Ш. С., Потапов В. Н., Гурьева З. М. «Тр. по химии и хим. технол. [Горький]», 1960, вып. 2, 335—339.—Исследовалась абсорбция хлора из газов с содержанием хлора до 10%. Поглощительный р-р после электролитич. регенерации имел состав (в %):  $Cu_2Cl_2$  3,7,  $CuCl_2$  10,6,  $HCl$  20,2,  $H_2O$  65,5. Во время опытов, проводимых при ~20°, регистрировали скорость подачи газа и р-ра, высоту пены, перепад давления на полке. Движущая сила процесса в любой точке удовлетворяет ур-нию  $\Delta = P \cdot C^n$ , где  $n = 2,1-1$ . Определен коэф. абсорбции хлора из хлоровоздушной смеси, значения которого колеблются в пределах 10 000—40 000  $kg/m^2 \text{ час ат г экв/л}$ . Н. Ш.

6K51. Методы утилизации хлористого водорода, получаемого в качестве побочного продукта. Synowiec Jerzy, Nawliczek Józef. Metody zagospodarowania odpadowego chlorowodoru. «Przem. chem.», 1960, 39, № 8, 478—485 (польск.).—Утилизация  $HCl$  идет в основном по двум путям: переработка на  $HCl$  (к-та) и чистый  $HCl$  (газ). Абсорбцию  $HCl$  для получения  $HCl$  (к-та) можно осуществлять тремя методами, выбор которых зависит от состава исходного газа. Изотермич. метод основан на непосредственном охлаждении абсорбера, адиабатическо-изотермич. метод использует постепенное охлаждение к-ты на отдельных стадиях, при адиабатич. методе теплота адсорбции удаляется за счет выпаривания равновесного кол-ва воды. Достоинством последнего метода является то, что легко летучие примеси (органич. соединения и  $Cl_2$ ) остаются в газовой фазе, не загрязняя получаемый продукт. Очистку  $HCl$  от органич. примесей производят в противоточных колонках, орошаемых хлоруглеводородами. Для произ-ва  $HCl$  (газ) высокой чистоты газы с низкой конц-ией  $HCl$  и большим кол-вом примесей адсорбируют водой и десорбируют  $HCl$  (газ) из полученной  $HCl$  (к-та). Для десорбции используются конц.  $H_2SO_4$ ,  $CaCl_2$ ,  $MgCl_2$ ,  $ZnCl_2$ . В. Л.

6K52. Диссоциация и восстановление высших окислов марганца. Аникиев В. А., Любан А. П., Манчинский В. Г. «Тр. Ленингр. политехн. ин-та», 1960, № 212, 52—59.—Высшие окислы, содержащиеся в предварительно прокаленной при 350° чистурской руде, диссоциируют в атмосфере нейтр. газов и  $CO_2$  до  $Mn_2O_4$  при 300—600°, причем диссоциация в атмосфере  $CO_2$  совершается медленнее, чем в нейтр. газе. Восстановление окислов Mn окисью углерода и водородом начинается при более низких т-рах, чем их термич. диссоциация, а при одинаковых т-рах протекает быстрее, что согласуется с результатами исследований поведения высших окислов Mn в вакууме. В зависимости от кинетич. условий процесса (диффузионная или кинетич. область) относительные скорости восстановления этими газами изменяются. Увеличение скорости газов в реакционном пространстве повышает скорость диссоциации и восстановления высших окислов Mn; степень этого влияния неодинакова для азотермич. и эндотермич. р-ций. Библ. 13 назв. Из резюме авторов

6K53. Анализ и извлечение йода из вод нефтяных промыслов. Инь Жун-чжэнь. «Ланьчжоу даэюэ сюэбао (цзыжань кэсюэ), Lanzhou daxue xuebao, Уч. зап. Ланьчжоуск. ун-та (Сер. естеств. н.)», Lanzhou Univ. J. (Nature Sci.), 1959, № 2, 37—42 (кит.; рез. русск.).—Для извлечения йода окисляют йодистые соединения нитратом в сернокислой среде до свободного йода, поглощают йод активированным углем, извлекают с помощью  $NaOH$  из угля, вновь окисляют до свободного йода, перегоняют и возгоняют или осаждают ион йода нитратом серебра. Дана методика анализа. Библ. 17 назв. М. Богачихин

6K54. Получение порошка никеля из растворов его солей. Ishibashi S., Orii S., Yokoyama H. «Химэдзи когё дайгаку кэнкю хококу, Repts Himeji Techn. Coll.», 1960, № 11, 140—146 (японск.; рез. англ.).—Изучен процесс образования осадка никеля, получающегося при восстановлении р-ра  $NiCl_2$  р-ром гипофосфита натрия. Активатором р-ции является небольшое кол-во  $PdCl_2$ . Полученный Ni-порошок представляет собой темно-коричневую пористую массу, состоящую в основном из частиц диам. 10 м, которые могут быть легко диспергированы. При восстановлении кислого р-ра оптимальное содержание фосфора должно составлять 8—14%, при восстановлении щел. р-ра 3—5%.

Из резюме авторов  
6K55. Извлечение металлов из сульфидных руд мокрым методом. Forward F. A., Warren I. H. Extraction of metals from sulphide ores by wet methods. «Metallurg. Revs», 1960, 5, 18, 137—164 (англ.).—Обзор. Библ. 142 назв.

6K56. Рубидий и цезий. (Перечень освоенных и возможных областей применения). 2-е изд. доп. и переработ. Перельман Ф. М. М., АН СССР, 1960, 139 стр., илл., 5 р. 75 к.

6K57. Исследование процесса хлорирования суспензии окиси магния в расплаве карналита. Тетеревков А. И. Автореф. дисс. канд. техн. н., Уральский политехн. ин-т, Свердловск, 1960

6K58. О взаимодействии теллура с антимонидом алюминия. Скудникова Е. В. Автореф. дисс. канд. техн. н., Ин-т металлургии АН СССР, М., 1960

6K59. Получение перекиси водорода циклическим методом. Хирацука Кидзо, Мацумура Сиро, Оно Тадао, Сугано Дзюньитири. [Эдогава кагаку когё кабусики кайся] Японск. пат. 2162, 12.03.60.—Алкилантрахинон растворяют в смешанном р-рителе (кислоте и диизобутилкарбиноле). Р-р гидрируют в присутствии катализатора и получают алкилантрагидрохинон, который окисляют, получая одновременно  $H_2O_2$  и алкилантрахинон.  $H_2O_2$  экстрагируют р-рителем (водой), а алкилантрахинон возвращают в цикл. В каче-



стве катализатора используют металлич. Pd, в качестве носителя окислы типа шпинели, имеющие общую ф-лу  $MIIIMII_2O_4$ , где MII — двухвалентный металл ( $Fe^{2+}$ ,  $Mg^{2+}$ ,  $Ni^{2+}$  или их смесь), MIII — трехвалентный металл ( $Fe^{3+}$ ,  $Al^{3+}$ ,  $Co^{3+}$ ,  $Cr^{3+}$  или их смесь). Пример. К 10%-ному водн. р-ру  $MgCl_2$  и  $Al(NO_3)_3$  добавляют при перемешивании пятикратное против эквивалентного кол-во 28%-ного водн. р-ра  $NH_3$ . Отфильтровывают осадок, промывают водой, сушат при  $120^\circ$  и прокалывают 3 часа при  $600^\circ$ , получая белые кристаллы. Кристаллы измельчают до частиц размером 150—200 меш. Отдельно растворяют в водн. р-ре, содержащем 1% конц.  $HCl$ , хлористый палладий в соотношении 40:1 вес. ч. В 10 мл воды диспергируют 5 г измельченных кристаллов и при перемешивании добавляют к взвеси 2 мл водн. р-ра  $PdCl_2$ . Продолжая перемешивание, добавляют 5%-ный водн. р-р  $NaHCO_3$  до полной нейтр-ции и продолжают подогревать при  $\sim 80^\circ$  до тех пор, пока верхний слой р-ра не потеряет окраску, присущую ионам палладия. Затем добавляют к р-ру 1 мл 35%-ного водн. р-ра формалина и подогревают его  $\sim 30$  мин. при  $70-80^\circ$  до полного восстановления Pd, после этого отфильтровывают Pd, промывают его водой и сушат 2—3 часа при  $100^\circ$ . В смешанном р-рителе, состоящем из ксилола и диизобутилкарбинола в соотношении (в объемн. ч.) 50:50, растворяют 2-алкилантрахинон 150 г/л, в 30 мл полученного р-ра диспергируют 0,5 г катализатора (Pd) и, перемешивая с постоянной скоростью р-р, пропускают при  $30^\circ$  через него  $H_2$  со скоростью 105 мл/мин на 1 г катализатора.

**6К60.** Окислительная установка для получения перекиси водорода циклическим способом. Хирацука Кидзо, Касавара Дзэнъитиро, Исигава Кадазуо, Абэ Тэцуя. [Эдогава кагаку когё кабусики кайся]. Японск. пат. 4120, 22.04.60.—После каталитич. гидрирования удаляют из р-ра катализатор и подают р-р в насадочную колонну. Одновременно противотоком к р-ру подают  $O_2$  или же газ, содержащий  $O_2$ . Часть окисленного р-ра ( $H_2O_2$ ) выводит из колонны, а остаток поступает в холодильник, где охлаждается до  $20-30^\circ$ . Охлажденный р-р  $H_2O_2$  вместе с новой порцией исходного р-ра вновь подают в насадочную колонну и повторяют цикл. Предлагаемый метод устраняет перегрев р-ра при его окислении в колонне. При окислении исходного р-ра в колонне т-ра его повышается до  $50-60^\circ$ , при циркуляции же части получаемого в колонне р-ра  $H_2O_2$ , охлажденного в холодильнике до  $20-30^\circ$ , т-ра не превышает  $35^\circ$ . Дана схема.

**6К61.** Получение перекиси водорода методом барботирования с использованием катализатора в качестве насадки колонны. Итахаси Такаси, Исигава Кадазуо [Эдогава кагаку когё кабусики кайся]. Японск. пат. 4121, 22.04.60.—Р-р алкилантрахинона подвергают каталитич. гидрированию, удаляют из р-ра катализатор, полученный р-р, содержащий алкилантрагидрохинон, окисляют  $O_2$  или воздухом, обогащенным  $O_2$ , и получают р-р, содержащий  $H_2O_2$  и алкилантрахинон. При помощи воды из р-ра экстрагируют  $H_2O_2$ , смесь экстрагента с алкилантрахиноном вновь подвергают каталитич. гидрированию. Гидрирование производят путем пропускания смеси исходного р-ра с  $H_2$  или с газом, содержащим  $H_2$ , через колонну с насадкой из катализатора. Пример. Через колонну с насадкой (100 мл порошка шпинели с размером частиц 10—20 меш + 6% Pd) сверху пропускают со скоростью 72 мл/мин исходный р-р (к смеси ксилола с диизобутилкарбинолом с соотношением 50:50 добавляют 2-этилантахинон 50 г/л) и  $H_2$  со скоростью 250 и 1000 мл/мин. В первом случае скорость гидрирования (адсорбция  $H_2$  мл/катализатор мл в минуту) 1,04; во втором 1,13. Выход  $H_2O_2$  соответственно 95,2 и 94,0%.

В. Зломанов

**6К62.** Очистка перекиси водорода. Мооре Джон W. Purification of hydrogen peroxide. [Columbia-Southern Chemical Corp.]. Пат. США 2919975, 5.01.60.—Р-р  $H_2O_2$ , полученный в результате окисления органич. соединений с последующей экстракцией  $H_2O_2$  водой, очищают дистилляцией от примесей С. Остаток после дистилляции, представляющий собой более конц. (50—75 вес.%) и более загрязненную  $H_2O_2$ , разбавляют водой до конц-ии  $< 40$  вес.%.  $H_2O_2$  (разбавление не является абсолютно необходимым) и охлаждают до  $t < 10$  (обычно  $\sim 0^\circ$ ) для предотвращения разложения  $H_2O_2$ . К полученному р-ру добавляют активированный уголь (0,5—10 г на 100 г р-ра  $H_2O_2$ ), перемешивают до удаления основного кол-ва примесей, а затем отделяют сорбент от р-ра фильтрацией.

**6К63.** Очистка перекиси водорода, полученной методом окисления. Хирацука Кидзо, Мацумура Сиро, Касавара Дзэнъитиро, Одава Нориаки. [Эдогава кагаку когё кабусики кайся]. Японск. пат. 2361, 17.03.60.—Из водн. р-ра  $H_2O_2$  удаляют методом экстрагирования низкокипящими (с т. кип.  $> 50-120^\circ$ ) и труднорастворимыми в воде ( $< 0,1\%$  при  $20^\circ$ ) углеводородами примесь высококипящих р-рителей. Затем отделяют от р-ра  $H_2O_2$  низкокипящие углеводороды, продувают сквозь р-р газ ( $N_2$  или воздух) и удаляют остатки низкокипящих углеводородов. Пример. 100 мл 35%-ного (по весу) водн. р-ра  $H_2O_2$  и 100 мл смешанного р-рителя (диизобутилкарбинолксил и 10% 2-этилантахинона) несколько минут интенсивно взбалтывают в делительной воронке, после чего на некоторое время смесь оставляют в покое. Если отделить нижний осветленный слой р-ра  $H_2O_2$  от верхнего слоя смешанного р-рителя, то водн. р-р  $H_2O_2$  будет иметь сильный запах диизобутилкарбинола и беловатую окраску. 100 мл этого водн. р-ра  $H_2O_2$  смешивают с 100 мл 35%-ного водн. р-ра очищ.  $H_2O_2$ , добавляют 100 мл насыщ. р-ра  $C_6H_6$ , интенсивно встряхивают, некоторое время оставляют в покое и отделивают  $C_6H_6$  от водн. р-ра  $H_2O_2$ . Получают совершенно прозрачный р-р  $H_2O_2$  со слабым запахом  $C_6H_6$ . 100 мл полученного водн. р-ра  $H_2O_2$  заливают в колбу емк. 200 мл с двумя отверстиями: одно (ниже уровня р-ра) для нагнетания воздуха, второе для удаления его. 10 мин. продувают сквозь р-р воздух со скоростью 400 мл/мин. После этого р-р  $H_2O_2$  подогревают до  $\sim 50^\circ$  и получают совершенно прозрачный р-р, не имеющий запаха.

**6К64.** Производство боргидрида лития. Нотб Нейрих. Improvements in and relating to the production of lithium borohydride. [Imperial Chemical Industries Ltd]. Англ. пат. 834283, 4.05.60.—Боргидрид кальция реагирует с галогенидом лития ( $LiCl$  или  $LiBr$ ) при молярном соотношении 1:1,7—2,5. Взаимодействие протекает при т-рах  $\leq 200^\circ$  в среде полярного р-рителя (эфира с дипольным моментом  $> 1,2$ -тетрагидрофурана и диметловых эфиров гликолей) при абсолютном отсутствии воды и, предпочтительно, в отсутствие кислорода, который перед началом р-ции следует вытеснить из колбы инертным газом. Продукты р-ции представляют собой р-р боргидрида лития и осадок галогенида кальция, которые разделяют фильтрованием или центрифугированием. Затем из р-ра отгоняют р-ритель и осадок боргидрида лития очищают экстракцией.

**6К65.** Непрерывная очистка раствора поваренной соли от примесей. Нагата Митикадзу, Индзума Токудзо, Самэдзима Сэйси. [Канэфути кагаку когё кабусики кайся]. Японск. пат. 7579, 29.08.59.—Установка состоит из ряда соединенных последовательно горизонтальных резервуаров. Р-р поваренной соли движется с линейной скоростью  $\sim 10$  см/сек, проходя через фильтрующий слой. Пример. Для очистки от  $SO_2$  р-р поваренной соли с

конц-ией  $10-14\%$  поступает в резервуар, имеющий перегородку, разделяющую его на две части. Одновременно в резервуар со скоростью 150 г/л поступает с  $Mg(OH)_2$  и  $Mg(OH)_2$  на дне отделения по мере плавания в нем, где плавает в чистом виде, фильтрующийся р-р, содержащий  $SO_2$ .

**6К66.** Очистка перекиси водорода. Ритц Рауль, Мистамисе Перекисы, Японск. пат. 4120, 22.04.60.—После каталитич. гидрирования удаляют из р-ра катализатор и подают р-р в насадочную колонну. Одновременно противотоком к р-ру подают  $O_2$  или же газ, содержащий  $O_2$ . Часть окисленного р-ра ( $H_2O_2$ ) выводит из колонны, а остаток поступает в холодильник, где охлаждается до  $20-30^\circ$ . Охлажденный р-р  $H_2O_2$  вместе с новой порцией исходного р-ра вновь подают в насадочную колонну и повторяют цикл. Предлагаемый метод устраняет перегрев р-ра при его окислении в колонне. При окислении исходного р-ра в колонне т-ра его повышается до  $50-60^\circ$ , при циркуляции же части получаемого в колонне р-ра  $H_2O_2$ , охлажденного в холодильнике до  $20-30^\circ$ , т-ра не превышает  $35^\circ$ . Дана схема.

**6К67.** Очистка перекиси водорода. Ритц Рауль, Мистамисе Перекисы, Японск. пат. 4121, 22.04.60.—Р-р алкилантрахинона подвергают каталитич. гидрированию, удаляют из р-ра катализатор, полученный р-р, содержащий алкилантрагидрохинон, окисляют  $O_2$  или воздухом, обогащенным  $O_2$ , и получают р-р, содержащий  $H_2O_2$  и алкилантрахинон. При помощи воды из р-ра экстрагируют  $H_2O_2$ , смесь экстрагента с алкилантрахиноном вновь подвергают каталитич. гидрированию. Гидрирование производят путем пропускания смеси исходного р-ра с  $H_2$  или с газом, содержащим  $H_2$ , через колонну с насадкой из катализатора. Пример. Через колонну с насадкой (100 мл порошка шпинели с размером частиц 10—20 меш + 6% Pd) сверху пропускают со скоростью 72 мл/мин исходный р-р (к смеси ксилола с диизобутилкарбинолом с соотношением 50:50 добавляют 2-этилантахинон 50 г/л) и  $H_2$  со скоростью 250 и 1000 мл/мин. В первом случае скорость гидрирования (адсорбция  $H_2$  мл/катализатор мл в минуту) 1,04; во втором 1,13. Выход  $H_2O_2$  соответственно 95,2 и 94,0%.

**6К68.** Очистка перекиси водорода. Ритц Рауль, Мистамисе Перекисы, Японск. пат. 4120, 22.04.60.—После каталитич. гидрирования удаляют из р-ра катализатор и подают р-р в насадочную колонну. Одновременно противотоком к р-ру подают  $O_2$  или же газ, содержащий  $O_2$ . Часть окисленного р-ра ( $H_2O_2$ ) выводит из колонны, а остаток поступает в холодильник, где охлаждается до  $20-30^\circ$ . Охлажденный р-р  $H_2O_2$  вместе с новой порцией исходного р-ра вновь подают в насадочную колонну и повторяют цикл. Предлагаемый метод устраняет перегрев р-ра при его окислении в колонне. При окислении исходного р-ра в колонне т-ра его повышается до  $50-60^\circ$ , при циркуляции же части получаемого в колонне р-ра  $H_2O_2$ , охлажденного в холодильнике до  $20-30^\circ$ , т-ра не превышает  $35^\circ$ . Дана схема.

**6К69.** Очистка перекиси водорода. Ритц Рауль, Мистамисе Перекисы, Японск. пат. 4121, 22.04.60.—Р-р алкилантрахинона подвергают каталитич. гидрированию, удаляют из р-ра катализатор, полученный р-р, содержащий алкилантрагидрохинон, окисляют  $O_2$  или воздухом, обогащенным  $O_2$ , и получают р-р, содержащий  $H_2O_2$  и алкилантрахинон. При помощи воды из р-ра экстрагируют  $H_2O_2$ , смесь экстрагента с алкилантрахиноном вновь подвергают каталитич. гидрированию. Гидрирование производят путем пропускания смеси исходного р-ра с  $H_2$  или с газом, содержащим  $H_2$ , через колонну с насадкой из катализатора. Пример. Через колонну с насадкой (100 мл порошка шпинели с размером частиц 10—20 меш + 6% Pd) сверху пропускают со скоростью 72 мл/мин исходный р-р (к смеси ксилола с диизобутилкарбинолом с соотношением 50:50 добавляют 2-этилантахинон 50 г/л) и  $H_2$  со скоростью 250 и 1000 мл/мин. В первом случае скорость гидрирования (адсорбция  $H_2$  мл/катализатор мл в минуту) 1,04; во втором 1,13. Выход  $H_2O_2$  соответственно 95,2 и 94,0%.

re John  
mbia-Sou-  
5.01.60.  
ния орга-  
H<sub>2</sub>O<sub>2</sub> во-  
статок по-  
лее конц.  
разбавля-  
збавление  
ждут до  
разложе-  
активиро-  
, пере-  
сей, а за-  
й.  
увшинова  
енной ме-  
а думу-  
Одзави  
и кайсы].  
H<sub>2</sub>O<sub>2</sub> уда-  
лими (с т.  
и в воде  
высококи-  
О<sub>2</sub> низко-  
р газ (N<sub>2</sub>  
щих угле-  
есу) водн.  
изобутил-  
несколь-  
льной по-  
оставля-  
ный слой  
ителя, то  
динзобу-  
того водн.  
водн. р-ра  
С<sub>6</sub>H<sub>6</sub>, ип-  
авляют в  
Получают  
и запахах  
вливают в  
дно (ниже  
для уда-  
воздух со  
подогрев-  
ный р-р.  
Зломанов  
Noth  
to the pro-  
chemical In-  
Боргидрид  
LiCl или  
Взаимо-  
де поляр-  
м > 1,2-  
гликолей)  
гательно,  
ом р-ции  
Продук-  
а лития и  
ют филь-  
из р-ра  
очища-  
рцовский  
оваренной  
Индия-  
Канабури  
пат. 757.  
нных по-  
Р-р по-  
скорости  
ой. При  
й соли с

конц-ией NaCl 300 г/л и уд. в. 1195—1200, содержащий SO<sub>4</sub> 10—14 г/л, MgO 100—500 мг/л, CaO 100—500 мг/л, поступает в первый резервуар установки, на дне которого имеется слой CaSO<sub>4</sub> (толщина ~80 см), а затем по переливной трубе во второй резервуар (р-р содержит SO<sub>3</sub> 3,4—4,4 г/л, MgO 100—500 г/л, CaO 2,1—2,7 г/л). Одновременно во второй резервуар по той же трубе непрерывно поступают р-р NaOH (конц-ия 550 г/л) со скоростью 22—66 л/час и р-р Na<sub>2</sub>CO<sub>3</sub> (конц-ия 150 г/л) со скоростью 850—1080 л/час, которые реагируют с MgO и CaO, содержащимися в р-ре, образуя Mg(OH)<sub>2</sub> и CaCO<sub>3</sub>. После этого р-р проходит через слой Mg(OH)<sub>2</sub> и CaCO<sub>3</sub> толщиной ~110 см, находящийся на дне второго резервуара установки, и после осветления по переливной трубе поступает в третий резервуар, где проходит через фильтрующий слой, и поступает в четвертый резервуар, где вновь проходит через фильтрующий слой, и выводится из установки. Очищ. р-р содержит (в мг/л): CaO 10—15, MgO 5—8; содержание SO<sub>2</sub> уменьшается в 3 раза. Дана схема. В. З.

6К66. Способ и устройство для получения перекиси щелочного металла. Örnholm Runar Mauritz Rafaelsson. Тара ja laite alkaliperoksidin valmistamiseksi. [Kymn O/Y]. Фин. пат. 30568, 29.02.60.—Перекись щел. металла получают окислением органич. в-в (гидроазобензол) кислородсодержащим газом (или кислородом) в присутствии щелочи. Образующуюся перекись щел. металла отделяют, а окисленное органич. в-во восстанавливают амальгамой щел. металла и снова направляют в процесс. Устройство обеспечивает окисление требуемого кол-ва гидроазобензола и отсутствие оседания на дно образующихся кристаллов перекиси щел. металла. Дана схема. М. Т.

6К67. Способ получения фосфатов щелочных металлов. Huber Hans. Verfahren zur Gewinnung von Alkaliphosphaten. [Chemische Werke Albert]. Пат. ФРГ 1061305, 24.12.59.—AlPO<sub>4</sub> (полученный из сульфатов Al в щел. металла и природного фосфата) в смеси с сульфатом щел. металла нагревают при 500—1000° в восстановительной атмосфере H<sub>2</sub> или газов, содержащих H<sub>2</sub>. Затем известными способами: а) полученный H<sub>2</sub>S перерабатывают в H<sub>2</sub>SO<sub>4</sub>; б) продукт спекания вымачивают водой и из р-ра получают ортофосфат щел. металла и Al(OH)<sub>3</sub>. Пример. 2AlPO<sub>4</sub> + 4K<sub>2</sub>SO<sub>4</sub> + 16H<sub>2</sub> = 2K<sub>3</sub>PO<sub>4</sub> + 2KAlO<sub>2</sub> + 4H<sub>2</sub>S + 12H<sub>2</sub>O (1). 2K<sub>3</sub>PO<sub>4</sub> + 2KAlO<sub>2</sub> (твердые) + H<sub>2</sub>O → 2K<sub>2</sub>PO<sub>4</sub> + 2KOH + 2Al(OH)<sub>3</sub>

(2). 2K<sub>3</sub>PO<sub>4</sub> + 2KOH + 0,5Al(OH)<sub>3</sub>  $\xrightarrow{\text{H}_2\text{O}}$  2K<sub>2</sub>PO<sub>4</sub> · 7H<sub>2</sub>O (твердый) + 2KOH + 0,5Al(OH)<sub>3</sub> (3). 2KOH + 0,5Al(OH)<sub>3</sub> + CO<sub>2</sub> = K<sub>2</sub>CO<sub>3</sub> + 0,5Al(OH)<sub>3</sub> + H<sub>2</sub>O (4). 2K<sub>2</sub>PO<sub>4</sub> · 7H<sub>2</sub>O + 3CO<sub>2</sub> = KH<sub>2</sub>PO<sub>4</sub> + K<sub>2</sub>HPO<sub>4</sub> + 3KHCO<sub>3</sub> (твердый) (5). 2Al(OH)<sub>3</sub> + 3H<sub>2</sub>SO<sub>4</sub> = Al<sub>2</sub>(SO<sub>4</sub>)<sub>3</sub> + 6H<sub>2</sub>O (6). При многократном возврате р-ра Al<sub>2</sub>(SO<sub>4</sub>)<sub>3</sub> в цикл для разложения природного фосфата р-р обогащается U, V, Mn и др. Е. Бруцкус

6К68. Экстракция солей тяжелых металлов из водных растворов. Ziegler Max. Verfahren zur Extraktion von Schwermetallsalzen aus wäßriger Lösung. Пат. ФРГ 1057106, 22.10.59.—Водн. р-ры солей тяжелых металлов I и II групп периодич. системы Менделеева или Co, Ni, Pd и Pt смешивают с аминамизамещенными бензол(или нафталин)сульфокислоты или их Na-солей, а также с избытком алифатич. амина. Образовавшиеся сульфонаты металлов извлекают органич. р-р-ителями. Пример. В р-р соли (CuCl<sub>2</sub> конц-ия 5 г/л) добавляют бензолмоносудьфокислоту (конц-ия 20 г/л) и бутиламин до нейтр. р-ции, а затем избыток алифатич. амина (бутиламин, дибутиламин, трибутиламин, пропиламин или дипропиламин) до установления конц-ии его 10 г/л. После перемешивания образуется темно-синий р-р, из которого экстрагируют соль Cu несмешивающимися с водой р-р-ителями (ме-

тиленхлорид, бензол или диапропилкетон). Водная фаза обесцвечивается; Cu содержится в экстракте, окрашенном в синий цвет. Приведены примеры извлечения метилхлоридом фиолетовой Co-соли, а также экстракции солей Ni, Zn, Pd, Ag, Cd и Pt. В. Елинек 6К69.

Непрерывное получение роданата аммония. Кавамура Масао, Симатака Сабуро, Фути и Кийси. [Сумитомо кагаку когэ кабусики кайся]. Японск. пат. 3873, 18.04.60.—Смесь CS<sub>2</sub> с 30—60%-ным водн. р-ром NH<sub>3</sub> (мол. соотношение CS<sub>2</sub>:NH<sub>3</sub> = 1:3) непрерывно подают в реактор, откуда прореагировавшая смесь поступает в аппарат для разложения тиакарбоната. После разложения отделяют образовавшийся в процессе р-ции газ, из которого в спец. аппарате извлекают NH<sub>3</sub>. Р-р поступает в десульфуратор, где получают водн. р-р NH<sub>4</sub>CNS. Пример. В футерованный стеклом реактор с мешалкой подают CS<sub>2</sub> со скоростью 76 кг/час и 50%-ный водн. р-р NH<sub>3</sub> со скоростью 136 кг/час; в реакторе поддерживают т-ру ~75°. Массу ~10 мин. интенсивно перемешивают, затем прореагировавший р-р поступает в футерованный стеклом аппарат для разложения тиакарбоната, где поддерживают т-ру 110°. После завершения р-ции разложения (~1 час) р-р поступает в эвапоратор, где газ отделяют от р-ра. Затем р-р поступает в десульфуратор, где он вступает в непосредственный контакт с водяным паром и очищается от H<sub>2</sub>S и остаточного NH<sub>3</sub>; после этого р-р подают в фильтровальную установку, откуда непрерывно выводят в виде 35%-ного р-ра NH<sub>4</sub>CNS. Газ из эвапоратора вместе с газом из десульфуратора поступает в сорбционную колонну, где NH<sub>3</sub> абсорбируется 50%-ной H<sub>2</sub>SO<sub>4</sub> и в виде 34,5%-ного р-ра (NH<sub>4</sub>)<sub>2</sub>SO<sub>4</sub> выводится из колонны. Не поглощенный серной к-той газ из колонны подается в спец. аппарат и после обезвоживания в виде H<sub>2</sub>S поступает в газовую горелку, где сгорает в SO<sub>2</sub>, которая поступает в приемник для дальнейшей утилизации. Выход NH<sub>4</sub>CNS (35%-ный водн. р-р) 68,4 кг/час, (NH<sub>4</sub>)<sub>2</sub>SO<sub>4</sub> (34,5%-ный водн. р-р) 145 кг/час. Дана схема установки. В. Зломанов

6К70. Использование отработанной серной кислоты и рапы, полученных при очистке нефти, для получения MgO. Йокока Нобуо. [Сякоку касэй когэ кабусики кайся]. Японск. пат. 2263, 15.3.60.—Отработанную серную к-ту, содержащую органич. в-ва, смешивают с рапой и путем разложения извлекают HCl. Твердые в-ва, получаемые при разложении, прокалывают при 1400—1500° и извлекают из них MgO. Пример. 300 кг конц. рапы загружают в печь и добавляют к ней при перемешивании небольшими дозами 140 кг отработанной H<sub>2</sub>SO<sub>4</sub> и ведут р-цию при ~20°, причем образуются HCl (газ) и шлам, содержащий MgSO<sub>4</sub>, Mg-соли органич. сульфокислоты, непрореагировавший MgCl<sub>2</sub> и H<sub>2</sub>SO<sub>4</sub>. Так как р-ция разложения смеси при ~20° не завершается, то шлам подогревают до 150—180° и продолжают р-цию разложения. Соли сульфокислоты карбонизируются, а MgCl<sub>2</sub> частично разлагается, причем образуются MgO и смесь, состоящая из MgSO<sub>4</sub> и неразложившегося шлама. Эту массу нагревают в печи до 500—600°, в результате чего HCl (газ) улетучивается и остается твердая масса, содержащая MgSO<sub>4</sub>, MgO, небольшое кол-во солей щел. металлов и С. Массу загружают в печь и обжигают при 1400—1500°, при этом происходит разложение MgSO<sub>4</sub>, восстановление его углеродом и улетучивание солей щел. металлов. В результате получают клинкер, содержащий 95—99,5% чистого MgO. Выход обожженной MgO равен 35—40 кг, выход HCl (газ) 200 кг. HCl (газ) направляют в сорбционную колонну, где получают 31,5%-ную HCl (к-та). Дана схема установки. В. Зломанов

6К71. Производство диборана и боргидрида кальция. Noth Heinrich. Improvement in and relating to the production of boron hydride compounds. [Impe-

rial Chemical Industries Ltd]. Англ. пат. 834282, 4.05.60.—При циклич. процессе произ-ва  $B_2H_6$  из  $Ca(BH_4)_2$  и  $Ca(BH_4)_2$  из  $B_2H_6$  р-р, содержащий 0,5–1,5 молей  $Ca(BH_4)_2$ , взаимодействует при т-ре  $> 40^\circ$  с галогенидом бора  $[Ca(BF_4)_2]$ ; в качестве р-рителя для  $Ca(BH_4)_2$  применяют эфиры, имеющие дипольный момент  $> 1,2$  (тетрагидрофуран и диметилловые эфиры гликолей).  $Ca(BF_4)_2$  предварительно растворяют в реакционном р-ре; р-цию проводят с дефлегмацией паров. В конце р-ции диборан удаляют из реакционной смеси дистилляцией. Для произ-ва  $Ca(BH_4)_2$  р-р борана контактируют с тонкоизмельченной суспензией  $CaH_2$  в каком-либо из вышеупомянутых р-рителей. Р-цию проводят при т-ре  $> 40^\circ$  с дефлегмацией паров. По окончании р-ции твердые частицы удаляют центрифугированием или фильтрованием. Обе р-ции проводят при отсутствии водяных паров,  $O_2$  и  $CO_2$ , которые предварительно вытесняют из реакционного сосуда азотом. В течение всей р-ции через систему пропускают азот или инертный газ. Выход  $Ca(BH_4)_2$  95,5% от теоретического. В. Герцовский

**6K72. Получение нитрида бора.** Lauza Wilbur R. Production of boron nitride. [Union Carbide Corp.]. Пат. США 2922699, 26.01.60.—В расплав дициандиамида и  $NH_4Cl$ , взятого для подавления вспенивания (молярное отношение 1:2), вводят  $B_2O_3$  (2–4 моля на моль дициандиамида) и нагревают ( $1600^\circ$ ) в атмосфере азота до полного прекращения выделения газов. Выход BN 65% от теоретического. П. Новиков

**6K73. Способ получения трехзамещенного ортофосфата алюминия.** Huber Hans, Keller Helmut, Rohlf Hans Adolf. Verfahren zur Herstellung von tertiärem Aluminiumorthophosphat. [Chemische Werke Albert]. Пат. ФРГ 1052373, 3.09.59.—Доп. к пат. (РЖХим, 1960, № 6, 22997). Природный фосфат (марокканский фосфорит) нагревают (5 час. при т-ре кипения) при добавлении воды вместо испарившейся и перемешивания в смеси с водн. р-ром избытка  $Al_2(SO_4)_3$ ; в конце р-ции pH должен составлять 2,5–2,9 для того, чтобы образовавшийся  $AlPO_4$  остался в р-ре. Образовавшийся гипс отделяют фильтрованием и промывают водой, подкисленной  $H_2SO_4$ . Горячий фильтрат разбавляют водой вдвое, нагревают до кипения, отделяют легко фильтрующийся  $AlPO_4$ , промывают его водой и сушат. Можно также проводить процесс в присутствии  $H_2SO_4$ , взятой в кол-ве, необходимом для превращения избытка  $CaO$  в фосфате (несвязанной с  $P_2O_5$ ) в соответствующую  $Ca$ -соль. Е. Брудцук

**6K74. Способ получения трехзамещенного ортофосфата алюминия.** Huber Hans, Dewald Wolfgang. Verfahren zur Herstellung von tertiärem Aluminiumorthophosphat. [Chemische Werke Albert]. Пат. ФРГ 1052374, 3.09.59.—Доп. к пат. (РЖХим, 1960, № 6, 22997). При применении водн. кислого р-ра  $Al$ -соли, содержащего также Fe, сначала обрабатывают р-ром часть природного фосфата (0–80% в зависимости от содержания  $P_2O_5$  в р-ре) при т-ре от  $50^\circ$  до т-ры кипения. Полученный р-р (вместе с нерастворимым остатком) нагревают под давлением при т-ре  $< 250^\circ$  ( $160$ – $220^\circ$ ), причем осаждаются почти все Fe и немного  $Al$  в виде  $FePO_4$  и  $AlPO_4$  соответственно. После отделения осадка р-р с незначительным содержанием Fe используют для разложения остальной части природного фосфата в соответствии с основным патентом. Е. Брудцук

**6K75. Способ получения трехзамещенного ортофосфата алюминия.** Huber Hans, Keller Helmut. Verfahren zur Herstellung von tertiärem Aluminiumorthophosphat. [Chemische Werke Albert]. Пат. ФРГ 1052375, 1052376, 3.09.59.—Доп. к пат. (РЖХим, 1960, № 6, 22997).

Пат. 1052375. Сначала водн. р-ром  $Al(NO_3)_3$  или  $AlCl_3$  обрабатывают 33–67% стехиометрич. кол-ва при-

родного фосфата (считая на  $Al_2O_3$ ) в присутствии минер. к-ты, взятой в кол-ве, необходимом для нейтр-ции избытка  $CaO$  в фосфате (несвязанной с  $P_2O_5$ ); при этом образовавшийся  $AlPO_4$  растворяется в избытке  $Al$ -соли; нерастворимый остаток ( $SiO_2$ , гипс) отделяют. После разбавления и (или) под давлением р-р нагревают для осаждения  $AlPO_4$ , который отделяют. Из маточного р-ра с помощью  $H_2SO_4$  или  $Al_2(SO_4)_3$  осаждают  $Ca$ . Оставшийся р-р  $Al$ -соли используют для разложения природного фосфата.

Пат. 1052376. Для получения  $AlPO_4$  с миним. содержанием  $Ca$  разложение природного фосфата р-ром  $Al$ -соли проводят в присутствии избытка минер. к-ты сверх кол-ва, необходимого для нейтр-ции избытка  $CaO$  в фосфате, несвязанной с  $P_2O_5$ . Е. Брудцук

**6K76. Производство чистого кремния.** Macpherson Malcolm, Bolger Derek Edwin. Improvements in the manufacture of pure silicon. [Standard Telephones and Cables Ltd]. Англ. пат. 833621, 27. 04.60.—Пары  $Zn$  и  $SiCl_4$  подают по двум параллельным кварцевым трубам в горизонтально расположенный цилиндрич. реактор, помещенный в муфельную печь. Т-ра внутри реактора  $1000$ – $1100^\circ$  ( $1020^\circ$ ). У входа в реактор расположена перегородка, образующая со стенками реактора узкий кольцевой зазор и направляющая пары к стенкам реактора таким образом, что не происходит лишней турбулизации потоков и смешение их идет за счет диффузии. Это способствует получению крупных чистых кристаллов  $Si$ , которые откладываются на стенках реактора. Предложено устройство, автоматически выравнивающее давление. Дана схема. В. Герцовский

**6K77. Получение кремния высокой чистоты.** Яно Томосабуро, Комацу Аkitosi, Ямада Судзюи. [Сэва данко кабусики кайся]. Японск. пат. 4112, 22.04.60.—В полую кварцевую трубку вставляют вторую кварцевую трубку или стержень из  $SiC$  и нагревают до  $1000^\circ$ , затем продувают  $TaCl_5$  и ведут восстановление в атмосфере  $H_2$  или подвешивают термич. разложению в атмосфере  $SiHCl_3$  (или  $SiH_4$ ,  $SiCl_4$ ). Пример. В кварцевую трубку с внутренним диам. 6 см и длиной 30 см вставляют кварцевую трубку с внешним диам. 3 см и длиной 30 см. Во внутреннюю трубку вставляют электронагреватель, термически закрывают с обоих концов кольцевое пространство между стенками трубок, оставляя только лишь небольшие отверстия для прохода газа. После этого включают ток и, пропуская через кольцевое пространство трубок чистый  $H_2$ , нагревают внутреннюю трубку до  $1000^\circ$ ; пропускают в течение 10 мин. через пространство между трубками  $TaCl_5$  со скоростью 30 мл/сек, а после этого 4 часа смесь  $SiHCl_3$  и  $H_2$  в мол. соотношении 1:2 со скоростью 50 мл/сек, в результате чего тонкая пленка, состоящая из  $Si$  высокой чистоты, легко отделяется от стенки внутренней трубки. Выход  $Si$  60% от кол-ва  $SiHCl_3$ . В. Зломаков

**6K78. Очистка циркониевых руд от гафния.** Procédé d'enlèvement de hafnium des matières contenant du zirconium. [I. E. Newnham]. Бельг. пат. 55533, 12.02.60.—Руду, содержащую тетрагалогениды  $Zr$  ( $ZrCl_4$ ), восстанавливают 4 часа порошкообразным цирконием ( $Mg$ ,  $Al$ ,  $Zn$ ,  $ZrCl_2$ ) в сосудах из нержавеющей стали при  $430^\circ$  в атмосфере аргона или под вакуумом. Сосуд охлаждают до  $300^\circ$  подачей воды и змеевик, укрепленный с внутренней стороны крышки. При этом  $HfCl_4$  и непрореагировавший  $ZrCl_4$  конденсируются на поверхности змеевика. Т-ру в сосудах снижают до  $150^\circ$ , вводят сухой аргон, снимают крышку и удаляют  $HfCl_4$  сублимацией или растворением в минер. к-те. Внутреннюю поверхность крышки и змеевик смывают спиртом, высушивают и вновь закрывают сосуда. Затем его нагревают под вакуумом до  $200^\circ$ , отключают вакуум и поднимают т-ру до  $500^\circ$ . При этом  $ZrCl_4$  пре-



присутствия для нейтральной смеси с  $P_2O_5$ ; в избытке (иногда) отделяют.  $Al_2(SO_4)_3$  используют

6K79. Получение фосфатов. Edwards James W. Method of producing phosphates. [Monsanto Chemical Co.] Пат. США 2916354, 8.12.59.—Смесь Na-фосфатов (кроме Na-полифосфатов) с мол. отношением  $Na_2O : P_2O_5$  1,5—1,8 (1,6—1,7) и  $Na_2O : H_2O$  (конституциональн.)  $< 10$  ( $< 5$ ), напр. смесь  $NaH_2PO_4$  и  $Na_2HPO_4$ , нагревают при относительно низкой т-ре 200—470° (250—450°) до получения продукта, содержащего  $Na_2P_2O_7$  преимущественно в форме I (так называемой «метастабильной» формы), обычно получаемой при т-рах  $> 470^\circ$ ; это достигают путем ограничения времени нагрева, после чего продукт быстро охлаждают до т-ры  $< 150^\circ$  ( $< 100^\circ$ ). Содержание формы I в продукте определяют методом повышения т-ры (РИХХим, 1955, № 12, 23261); оно должно составлять: при содержании формы I 10%  $\geq 8,5^\circ$ , при 20—50% 11—18,5°, при  $> 50\%$   $\geq 18,5^\circ$ . Приведены диаграммы.

6K80. Способ получения азотно-фосфорнокислых соединений. Welles Friedrich, Köster Alfred. Verfahren zur Herstellung von Stickstoff-Phosphorsäure-Verbindungen. [Henkel & Cie. G. m. b. H.] Пат. ФРГ 1064042, 11.02.60.—Дополнение к пат. (РИХХим, 1960, № 14, 57733). В водн. р-р  $NH_3$  подводят  $P_2O_5$  в виде суспензии в жидкости, несмешивающейся с водой; при этом получается продукт с повышенным содержанием N в амидной или имидной формах. При р-р К 400 мл насыщ. при 0° водн. р-ра  $NH_3$  при охлаждении смесью льда и NaCl и сильном перемешивании добавляли в течение 30 мин. суспензию 40 г  $P_2O_5$  в 400 мл  $CCl_4$  такими порциями, чтобы т-ра была  $< 15^\circ$  и одновременно добавляли 2 л/мин  $NH_3$  (газ). По окончании перемешивания реакционная смесь быстро разделилась на 2 слоя: верхний — почти прозрачный водн. р-р продукта р-ции и нижний —  $CCl_4$ , который можно применять вновь без очистки. После разделения из водн. р-ра добавлением 200 мл  $CH_3OH$  осадил продукт р-ции, отфильтровали его, высушили и получили 50 г продукта, содержащего 28,2% P и 16,1% общего N, из них 25,8% в амидной или имидной формах.

6K81. Приготовление окиси хрома. Melville Francis L. Process of preparing chromic oxide. [Leonard J. Buck, Inc.] Пат. США 2921838, 19.01.60.—Хромат или бихромат щел. металла смешивают с  $Al_2O_3$ ,  $Al(OH)_3$  или  $AlPO_4$ . Аллюминия в реакционной смеси должно хватить для полного связывания в алюминат содержащегося в хромате (бихромате) щел. металла. Предпочтительно иметь 13—18%-ный (от стехиометрически необходимого) избыток Al. Смесь в присутствии восстановителя ( $H_2$ , CO или пары нижнего алифатич. спирта, продукты окисления которого представляют собой при т-ре р-ции газообразные в-ва) нагревают до 550—650°, после чего начинается экзотермич. р-ция, скорость которой регулируют, разбавляя восстановитель инертным газом. Применение газообразных восстановителей исключает попадание в  $Cr_2O_3$  нерастворимых примесей. По окончании процесса восстановления продукты р-ции выщелачивают водн. р-ром NaOH (KOH). Осадок  $Cr_2O_3$  отделяют от полученного р-ра. Щел. алюминатный р-р обрабатывают при  $\sim 80^\circ$  слабодиссоциирующим реагентом ( $CO_2$  или бикарбонатом щел. металла), осаждают  $Al_2O_3$ ,  $Al(OH)_3$  или их смесь. Этот осадок возвращают в цикл, смешивая с очередной порцией хромата (бихромата). Раствор карбонатов и бикарбонатов щелочных металлов концентрируют, получаемые соли используют при производстве хроматов. Метод

позволяет получать  $Cr_2O_3$  высокой чистоты; выход по Cr 87—92%.

6K82. Производство хлора. Diprose Gordon. Chlorine manufacture. [Imperial Chemical Industries Ltd.] Англ. пат. 844789, 17.08.60.— $NO_2$  (газ) при т-ре 21° и атмосферном давлении взаимодействует с твердым  $NH_4Cl$ , содержащим  $\leq 5\%$   $H_2O$  (2—2,5%) по р-ции  $NH_4Cl + 2NO_2 \rightarrow NH_4NO_3 + NOCl$ . Затем NOCl окисляют, получая  $Cl_2$  и  $NO_2$ , которые разделяют, напр., фракционной дистилляцией. Пример. Смесь, состоящую из 2675 ч. твердого  $NH_4Cl$  и 53,5 ч.  $H_2O$ , загружают на пористое основание вертикальной стеклянной трубки. Медленно вращающаяся мешалка поддерживает смесь в непрерывном движении. Т-ру поддерживают  $\sim 20^\circ$ . 4770 ч. жидкого  $NO_2$  испаряют и  $NO_2$  (газ), проходя через пористое основание, взаимодействует с твердыми частицами  $NH_4Cl$ . Газообразные продукты р-ции абсорбируют р-ром NaOH. Кол-во  $H_2O$  дважды пополюют (всего добавляют 26,75 ч.  $H_2O$ ) через 0,75 и 1,5 часа для возмещения потерь на испарение. 97,2%  $NH_4Cl$  переходит в  $NH_4NO_3$ . Отходящие газы содержат NOCl 3180 ч. и  $NO_2$  300 ч.

6K83. Получение двуокиси хлора с применением катализатора. Сасаки Рёкити. [Ходотани кагаку когё кабусики кайся]. Японск. пат. 4119, 22.04.60.—Водный р-р соли хлорноватой к-ты восстанавливают соляной к-той или HCl (газ) в присутствии катализатора — соединения марганца при конц-ии его 0,05—0,25 моль/л. После окончания р-ции катализатор извлекают из отработанного р-ра и без дополнительного восстановления вновь вводят в цикл. Пример. В стеклянный генератор для генерации  $ClO_2$  заливают водн. р-р  $NaClO_3$  ( $NaClO_3$  500 г/л, NaCl 60 г/л) 1 л, к р-ру добавляют Mn(OH) $_3$  24 г, смесь подогревают до 90° и продувают через нее смесь HCl (газ) с воздухом из расчета на 50 г/л  $NaClO_3$  370 г HCl (газ). Молярное соотношение  $ClO_2 : Cl_2$  в полученном газе 1,68, выход  $ClO_2$  95% от кол-ва  $NaClO_3$ , участвовавшего в р-ции. Mn(OH) $_3$  извлекают методом нейтр-ции из отработанного р-ра и вновь вводят в цикл. При использовании в качестве катализатора Mn(OH) $_3$ , извлеченного из уже отработанных р-ров, мол. соотношение  $ClO_2 : Cl$  в полученном газе равно 1,67.

6K84. [Использование УФ-] излучения для получения хлорной кислоты. Sandberg William A., Erikson Ted A., Riesz Charles H. Producing perchloric acid by irradiation. [United States of America as represented by the Secretary of the Navy]. Пат. США 2925368, 16.02.60.—Реактор для получения  $HClO_4$  вакуумируют, затем наполняют водяным паром до давления, соответствующего давлению водяного пара при  $\sim 20^\circ$ , озоном до давл. 211 мм рт. ст. и хлором до общего давл. 396 мм рт. ст. Газовую смесь облучают до завершения р-ции УФ-светом с длиной волны  $\lambda = 2537$  Å, причем  $O_2$  превращается в  $O_3$ . Продукты р-ции конденсируют при замораживании реакционного сосуда в жидком кислороде.

6K85. Получение раствора кислого пирофосфата трехвалентного марганца. Китахара Сабуро, Танино Контити. [Рикагану кэнкюдзё]. Японск. пат. 4474, 30.05.59.—Соли двухвалентного марганца ( $MnSO_4$ ,  $MnCl_2$ ,  $Mn_3(PO_4)_2$ ) обрабатывают смесью  $H_3PO_4$  с  $H_2SO_4$ , добавляют  $MnO_2$  или  $KMnO_4$ , подогревают и в результате р-ции  $2KMnO_4 + 8MnSO_4 + 30H_3PO_4 + 2H_2SO_4 = 5Mn_2(H_2P_2O_7)_3 + 2KHSO_4 + 8H_2SO_4 + 23H_2O$  или  $4MnO_2 + 4MnSO_4 + 24H_3PO_4 + nH_2SO_4 = 4Mn_2(H_2P_2O_7)_3 + (n+4)H_2SO_4 + 20H_2O$  получают р-р кислого пирофосфата трехвалентного марганца. Пример. К смеси 100 мл  $H_3PO_4$  (уд. в. 1,7) и 100 мл  $H_2SO_4$  (уд. в. 1,84) добавляют 1,0 г кристаллич.  $MnSO_4$ , подогревают до полного растворения  $MnSO_4$  и охлаждают. К р-ру добавляют  $KMnO_4$  1,9 г. Смесь при непрерывном встряхивании постепенно нагревают до т-ры  $< 100^\circ$  и  $\geq 10$  мин. выдерживают при этом т-ре, а за-

тем 5 мин. при 70—100°, после этого, продолжая встряхивать, подогревают до 200°. Когда смесь перестанет пузыриться, ее в течение ~5 мин. выдерживают при 200—240°, после чего охлаждают до ~20°.

**6K86. Обработка железной руды, содержащей хром.** Огава Иосики, Муракоси Синъити. [Явата сэйтэцу кабусики кайся]. Японск. пат. 2453, 15.04.59.—К водной пульпе руды добавляют небольшое кол-во к-ты или щелочи (эта операция не является обязательной), загружают в центрифугу с соплом, предназначенную для классификации руды мокрым методом, и при высокой скорости вращения распыляют пульпу, причем происходит разделение на пульпу бурого железняка (лимонита) и на пульпу хромита. Дана схема центрифуги.

**6K87. Получение красной окиси железа.** Мацубара Асаити. [Уцу сода когё кабусики кайся]. Японск. пат. 1378, 29.02.60.—К р-ру  $\text{FeCl}_2$  добавляют порошок  $\text{CaCO}_3$ . Смесь заставляют прореагировать с кислородом, осаждают из р-ра  $\text{Fe}(\text{OH})_3$ , который отделяют от р-ра и прокамливают. Пример. 1,4 г кристаллич. сульфата железа (состав в %:  $\text{FeSO}_4 \cdot 7\text{H}_2\text{O}$  94,5,  $\text{MnSO}_4$  1,05,  $\text{TiO}_2$  0,26,  $\text{Fe}_2(\text{SO}_4)_3$  следы), полученного в качестве побочного продукта при извлечении  $\text{TiO}_2$  из ильменита, растворяют в 10 л воды, нагретой до 70°. К р-ру добавляют 1,1 л р-ра  $\text{CaCl}_2$  (конц-ия 500 г/л) и отфильтровывают выпавшие кристаллы  $\text{CaSO}_4 \cdot 2\text{H}_2\text{O}$  и  $\text{TiO}_2$ . Берут 8,8 л фильтрата, представляющего собой р-р  $\text{FeCl}_2$  (конц-ия 0,43 моль/л), добавляют 340 г  $\text{CaCO}_3$ , полученного в качестве побочного продукта при получении  $\text{NaOH}$  аммиачным способом, и через р-р при ~20° продувают воздух, причем  $\text{FeCl}_2$  переходит в  $\text{Fe}(\text{OH})_3$  и выпадает из р-ра. Р-р слегка подкисляют добавлением  $\text{HCl}$  (к-та). Осадок отделяют от р-ра и прокамливают при 800°. Чистота полученной красной окиси железа 99,6%.

**6K88. Получение красной окиси железа.** Ямамото Хирою. Японск. пат. 1379, 29.02.60.—Раствор  $\text{FeSO}_4$ , полученный в качестве побочного продукта при извлечении из титановых руд  $\text{TiO}_2$  сульфатным методом, обезжелезивают, получая  $\text{FeSO}_4 \cdot \text{H}_2\text{O}$ . Затем  $\text{FeSO}_4 \cdot \text{H}_2\text{O}$  измельчают до частиц размером 100—200 меш и обжигают во вращающейся печи. Пример. Во вращающуюся печь диам. 150 мм и длиной 6 м непрерывно подают  $\text{FeSO}_4 \cdot \text{H}_2\text{O}$  со скоростью 4 кг/час и противотоком к нему смесь  $\text{Cl}_2$  с воздухом со скоростью 5 л/час  $\text{Cl}_2$  и 5 л/час воздуха. Т-ра 650°, продолжительность обжига 1 час, выход  $\text{Fe}_2\text{O}_3$  95%. Для получения более интенсивной окраски окиси железа пользуются газовой смесью с более высокой конц-ией  $\text{Cl}_2$  (10 и 20 л  $\text{Cl}_2$  на 5 л воздуха).

См. также: Редкоземельные элементы и их получение 6B1. Произ-во  $\text{Hf}$ ,  $\text{V}$ ,  $\text{Cr}$ ,  $\text{Ta}$ ,  $\text{Ti}$ ,  $\text{Zr}$ ,  $\text{Nb}$ ,  $\text{Mo}$ ,  $\text{W}$  6H172

## УДОБРЕНИЯ

Редактор И. Л. Гофман

**6K89. Удобрения во Франции в 1957—1960 гг.** Vergnaud Henri J. Les engrais en France en 1957—1960. «Ind. chim.», 1960, 47, № 518, 269—276 (франц.).—Приведены данные о произ-ве и потреблении  $\text{N}$ ,  $\text{P}_2\text{O}_5$  и  $\text{K}_2\text{O}$ , а также отдельных видов удобрений.

**6K90. Промышленность азотных удобрений в плане развития народного хозяйства в 1960—1965 гг.** Martin T. Industria de ingerăsiminte de azot în planul de dezvoltare a economiei naționale în anii 1960—1965. «Rev chim.» (RPR), 1960, 11, № 7, 373—374 (рум.).

**6K91. Об увеличении производства сернокислотной аммонии.** Юй Пэн-сян. «Шиню лянъэжи, Shinyuan Lianzhi», 1960, № 6, 13—14 (кит.).

**6K92. Производство сульфата аммония — побочного продукта.** Bradley D. The manufacture of by-product sulphate of ammonia. «Gas J.», 1960, 303, № 5064, 433—437 (англ.).—Приведены схемы и описание произ-ва  $(\text{NH}_4)_2\text{SO}_4$  по полупрямому методу. Газ, очищенный от смолы и содержащий ~1%  $\text{NH}_3$ , подогретается до 60° и с добавлением  $\text{NH}_3$  (из дистилляционных колонн для газовой воды) поступает в сатуратор, где поддерживается конц-ия  $\text{H}_2\text{SO}_4$  < 5% и т-ра, при которой не происходит конденсации паров воды. Для получения однородных по размеру кристаллов через сатуратор с помощью насоса производят циркуляцию р-ра и, кроме того, р-р в сатураторе перемешивают газом, подаваемым через кольцевой распределитель. Сатуратор изготовлен из мягкой стали, выложенный свинцом и футерован кислотоупорным кирпичом для защиты от эрозии. Периодически сатуратор (не останавливая выдачу соли из него) «промывают», подавая избыток воды и к-ты, но не повышая конц-ию к-ты при этом растворяются образующиеся мелкие кристаллы и соль, инкрустирующаяся на стенках, и уменьшается перепад давления (на старых установках промывку производили раз в смену в течение 2 час. после выдачи продукта, повышая конц-ию к-ты до 10—15%). Кристаллы вместе с р-ром из конуса сатуратора с помощью эжектора подают в кристаллоотделитель, откуда они поступают в центрифугу непрерывного действия, а затем в пневматич. сушилку Ройстона, где при помощи воздуха, нагретого до > 49° и подаваемого со скоростью 81 м/сек, высушиваются от влажностного 3,3 до 0,067%. Из бункера сушилки кристаллы поступают в упаковочную машину. Продукт содержит (%):  $\text{N} \geq 21$ ,  $\text{H}_2\text{SO}_4 \leq 0,025$ , воды < 0,25.

**6K93. Использование техники высоких давлений в синтезе аммиака для завода азотных удобрений (Птолеманде).** Кёлер Ф. «Биомеханики эпитеориснес», 1960, 26, № 308, 359—377 (греч.).

**6K94. О гигроскопически активной поверхности гранулированных удобрений.** Pawlikowski Stefan, Szymonik Stefan, Chomiakow Antoni. O czynnej higroskopijnie powierzchni granulowanych nawozów sztucznych. «Chem. stosow.», 1960, № 2, 243—252 (польск.; рез. русск., англ.).—Исследовано влияние размера гранул  $\text{NH}_4\text{NO}_3$  и известково-аммиачной селитры на «гигроскопически активную» поверхность и на скорость поглощения влаги. Установлено, что скорость поглощения влаги уменьшается, если при хранении навалом гигроскопические гранулированные удобрения покрыть слоем порошкового продукта. Библ. 6 назв.

**6K95. Кондуктометрическое определение  $\text{NH}_4\text{NO}_3$  в удобрениях — аммиачной и известково-аммиачной селитрах.** Hrubeš Pavel, Kleinová Lidmila. Konduktometrické stanovení  $\text{NH}_4\text{NO}_3$  v dusičnanu amonném hnojivém a v ledku amonném s vápencem. «Chem. průmysl», 1960, 10, № 9, 473—474 (чешск.; рез. русск., англ.).—Разработан быстрый метод определения содержания общего  $\text{N}$  в указанных удобрениях с помощью кондуктометра Шандера — Прижидала. Результаты, полученные этим методом, соответствуют результатам метода Деварда.

**6K96. Определение содержания общего азота в различных его форм в жидких удобрениях.** Slater J. D., Hill J. S., Sesso D. C. Determination of total nitrogen and nitrogen distribution in fertilizer solutions. «J. Agric. and Food Chem.», 1960, 8, № 3, 175—176 (англ.).—Разработан быстрый и точный метод анализа азотных жидких удобрений. Мочевину определяют видоизмененным методом после гидролиза ее с помощью уреазы,  $\text{NH}_3$  — отгонкой по Кьельдалю, нитраты — по Кьельдалю.

ерноокислотный, Shiyon  
и — побочно  
re of bypro-  
303, № 5064  
описание  
ду. Газ, оч-  
Н<sub>2</sub>, подогре-  
стилизация  
в сатуратор  
и т-ра, при  
в воды. Дел  
аллов черн  
циркуляции  
ешивают пе-  
литель. Со-  
люжен сви-  
ном для аз-  
от (не осто-  
от), подава-  
иции в-т-к  
кие кристал-  
х, и умень-  
ионов как про-  
е 2 час. без  
до 10—15%  
улятора при  
елитель, о-  
вного дей-  
ойстона, ги  
подавимо-  
влажности  
аллы посту-  
т содержат  
25.  
Рабинович  
давлений  
удобрений  
питеорисис

ный N — обработкой сплавом Деварда с последующей

отгонкой по Кьельдалю. Разработан также метод отбо-  
роб указанных удобрений в полиэтиленовой со-  
уд, причем несмотря на высокую упругость пара  
р-р-он получают хорошие результаты. Библ. 10 назв.

Из резюме авторов

6K97. Жидкие азотные удобрения и их приме-  
ние в сельском хозяйстве. Кильман Я. И., Кле-  
е В. А. «Вестн. техн. и экон. информ. Н. — и. инт-  
техн.-экон. исслед. Гос. ком-та Сов. Мин. СССР по хи-  
мии», 1959, № 2 (14), 21—28. — Обзор. Данные о  
произ-ве, применении и внесении в почву жидких  
азотных удобрений (ЖАУ) в США и СССР. Приведе-  
ны схемы произ-ва: 1) аммиаков на основе NH<sub>4</sub>NO<sub>3</sub>; 2)  
аммиаков на основе NH<sub>4</sub>NO<sub>3</sub> и Ca(NO<sub>3</sub>)<sub>2</sub>; 3) NH<sub>3</sub>-  
воды, а также результаты опытов по определению  
эффективности ЖАУ и техно-экономич. расчетов, про-  
веденных в СССР. Авторы считают наиболее доступ-  
ным ЖАУ NH<sub>3</sub>-воду, применение которой, однако, ста-  
новится экономически нецелесообразным при увели-  
чении расстояния железнодорожных перевозок  
> 400—500 км с последующей доставкой к месту по-  
требления автомобильным транспортом > 30—40 км.  
Библ. 21 назв.

Г. Рабинович

6K98. Применение воздушных сепараторов увели-  
чивает выход фосфорита. Vandenhoek Paul.  
Pneumatic classifiers reclaim phosphate. «Farm Chemi-  
cals», 1960, 123, № 9, 60—62 (англ.). — Приведены схе-  
мы и описание воздушных сепараторов фирмы Buell  
Engineering Co., установленных American Agricultural  
Chemical Co. на руднике в Пиерс (шт. Флорида, США)  
для разделения фосфорита, уловленного в циклонах  
разделяющихся сушилок, на 2 фракции: > 0,15 мм и  
< 0,15 мм, которые поступают затем в отдельные си-  
мозы (крупная вместе с фосфоритом, выходящим из  
сушилок). Крупная фракция содержит ~5% мелкой,  
и мелкая ~6% крупной. Указаны преимущества уста-  
новки сепараторов.

Г. Рабинович

6K99. Развитие производства суперфосфата в США  
за последние пятьдесят лет. Jacob K. D. Fifty years  
of superphosphate in the United States. «Commerz. Fer-  
tilizer», 1960, 101, № 3, 24—30 (англ.). — Обзор. Приве-  
дены данные о произ-ве простого и двойного супер-  
фосфатов в период 1910—1959 гг. В 1959 г. простой су-  
перфосфат вырабатывали 217 з-дов (в 1914 г. 257), а  
двойной суперфосфат — 14 з-дов. Продукция этих з-дов  
в 1959 г. составляла соответственно 1265 и 810 тыс. т.  
условной P<sub>2</sub>O<sub>5</sub>. Библ. 26 назв.

Е. Бруцкус

6K100. Получение суперфосфата из сыпучего  
апатита и апатита Вьетнама. Сообщение I. Зу Чан  
Хван «Хуахак ка хуахак конон, Ж. химии и хим.  
пром-сти», 1960, 4, № 3, 61—70 (кор.).

6K101. Жидкие сложные удобрения на основе  
азотнокислотного разложения фосфатов. Набиев  
М. Н., Глаголева А. Ф. «Узб. химия ж., Узб. хим.  
ж.», 1960, № 4, 3—8 (рез. узб.). — Приведены результа-  
ты вегетационных опытов, которые показывают, что  
вытяжки, полученные при азотнокислотной переработ-  
ке фосфоритов Каратау или апатита, при использо-  
вании их в качестве удобрений для подкормки хлопчат-  
ника так же эффективны, как суперфосфат и NH<sub>4</sub>- и  
К-селитры. Библ. 15 назв.

Из резюме авторов

6K102. Предупреждение слеживания сульфата ам-  
мония. Сэгава Акира, Накамура Дзёдзи,  
Мицусима Тосисукэ. [Сумитомо какагу когэ ка-  
бусики кайся]. Японск. пат. 8873, 2.10.59. — Поверхность  
кристаллич. (NH<sub>4</sub>)<sub>2</sub>SO<sub>4</sub> покрывают путем распылива-  
ния ровным слоем какого-либо растворимого органич.  
соединения хрома, напр. [Cr(H<sub>2</sub>O)<sub>6</sub>](HCOO)<sub>3</sub>,  
[Cr(H<sub>2</sub>O)<sub>6</sub>](CH<sub>3</sub>COO)<sub>3</sub>·6H<sub>2</sub>O, Cr<sub>2</sub>(C<sub>2</sub>O<sub>4</sub>)<sub>3</sub>·6H<sub>2</sub>O или их  
смесью из расчета 0,0004—0,008 % от общего кол-ва  
(NH<sub>4</sub>)<sub>2</sub>SO<sub>4</sub>. Внесение указанных добавок в 10—20 раз  
уменьшает степень слеживания. (NH<sub>4</sub>)<sub>2</sub>SO<sub>4</sub>. М. Гусев

6K103. Способ превращения роданида аммония в  
сульфат аммония. Grosskinsky Otto, Huck  
Georg, Klempt Walter, Schmitz Wilhelm.  
Verfahren zur Umsetzung von Ammoniumrhodanid zu  
Ammoniumsulfat. [Bergwerksverband G. m. b. H.]. Пат.  
ФРГ 1064932, 25.02.60. — NH<sub>4</sub>SCN, полученный при по-  
глощении HCN из коксового газа р-ром NH<sub>4</sub>-полисуль-  
фида, превращают в (NH<sub>4</sub>)<sub>2</sub>SO<sub>4</sub> по р-ции: NH<sub>4</sub>SCN +  
+ H<sub>2</sub>SO<sub>4</sub> + H<sub>2</sub>O → (NH<sub>4</sub>)<sub>2</sub>SO<sub>4</sub> + COS при 105—120° (110°);  
причем для предупреждения образования побочных  
продуктов (S и персульфоциановой к-ты), загрязняю-  
щих продукт, NH<sub>4</sub>SCN добавляют к H<sub>2</sub>SO<sub>4</sub> (78%-ной) в  
таком кол-ве, чтобы р-р практически не содержал сво-  
бодных SCN-ионов. Конц-ию H<sub>2</sub>SO<sub>4</sub> (> 40%) подде-  
рживают, добавляя к р-ру SO<sub>3</sub>, конц. H<sub>2</sub>SO<sub>4</sub> и (или)  
NH<sub>4</sub>SCN в виде конц. р-ра или в твердом виде. Р-цию  
можно проводить в сатураторе для получения  
(NH<sub>4</sub>)<sub>2</sub>SO<sub>4</sub>. Г. Рабинович

6K104. Способ получения удобрений, содержащих  
фосфат и другие питательные вещества. Nees Hugo,  
Geiersberger Karl. Verfahren zur Herstellung  
phosphathaltiger Mehrnährstoffdüngemittel. [Chemische  
Fabrik Kalk G. m. b. H.]. Пат. ФРГ 1017188, 24.03.60. —  
При получении удобрений с соотношением CaO : P<sub>2</sub>O<sub>5</sub> =  
= 1,8—2,4 (CaO в виде CaSO<sub>4</sub> в расчет не принимает-  
ся) разложением природного фосфата HNO<sub>3</sub>, одной  
или в смеси с H<sub>2</sub>SO<sub>4</sub>, или (и) H<sub>3</sub>PO<sub>4</sub> с последующим  
выделением части Ca(NO<sub>3</sub>)<sub>2</sub> известным способом и  
аммонизацией пульпы, при pH 2,5—6,0 добавляют  
B(OH)<sub>3</sub> или соединение, дающее в реакционной среде  
борат-ионы, в кол-ве 0,1—0,3 г-атом B на 1 моль P<sub>2</sub>O<sub>5</sub>.  
Для усиления стабилизирующего действия B(OH)<sub>3</sub> и  
получения легко текучей пульпы добавляют также  
растворимые соли Mg, Al, Fe (II) или (III), пред-  
почтительно двух металлов, в кол-ве 0,02—0,12 г-атом  
металла на 1 моль P<sub>2</sub>O<sub>5</sub>, напр. (в г-атом): B 0,1—0,15,  
Mg 0,02—0,04 и Al 0,02—0,04. Соли металлов добавля-  
ют при соответствующих оптимальных pH: Mg при  
pH 4,5—6, Al и Fe (III) при 2,5—3. К-соли добавля-  
ют при pH 4—6. Г. Рабинович

6K105. Добавление аммиака к реакционной массе  
при получении фосфорно-азотного удобрения. Яма-  
мото Сотоо, Дои Кэндзи. [Асахи касэй когэ ка-  
бусики кайся]. Японск. пат. 9331, 17.10.59. — К 100 ч.  
природного фосфата добавляют 120 ч. HNO<sub>3</sub>. При по-  
мощи системы трубопроводов и центробежного насо-  
са полученная суспензия непрерывно циркулирует из  
реактора в трубопроводы и из трубопроводов в реак-  
тор. В трубопровод, вблизи центробежного насоса, к  
циркулирующей суспензии добавляют NH<sub>3</sub> с таким  
расчетом, чтобы pH р-ра составлял 1,5—6,0. По мере  
циркуляции суспензии NH<sub>3</sub> постепенно переходит в  
NH<sub>4</sub>NO<sub>3</sub>. Приведена схема. М. Гусев

6K106. Способ улучшения текучих свойств высоко-  
аммонизированной пульпы, полученной при разложе-  
нии природного фосфата в производстве полных удо-  
брений. Karbe Kurt, Boos Wilhelm. Verfahren  
zur Verbesserung der Fließeigenschaften hochammoni-  
sierter Phosphataufschlußgemische bei der Herstellung  
von Mehrnährstoff-Düngemitteln. [Gewerkschaft Victor].  
Пат. ФРГ 973443, 18.02.60. — Для улучшения текучих  
свойств пульпы, полученной азотнокислотной перера-  
ботки природных фосфатов с последующей ее аммо-  
низацией, и для облегчения дальнейшей ее переработ-  
ки перед достижением pH ≈ 5 (4—5) к пульпе добав-  
ляют KCl или KNO<sub>3</sub> в кол-ве 20—50% от веса природ-  
ного фосфата. При аммонизации пульпы до pH > 5,  
напр., для конверсии Ca(NO<sub>3</sub>)<sub>2</sub> в CaCO<sub>3</sub> действием NH<sub>3</sub>  
и CO<sub>2</sub> при наличии KCl можно уменьшить кол-во до-  
бавляемого к пульпе стабилизатора — Me<sub>2</sub>SO<sub>4</sub>, а при  
использовании технич. KCl, содержащего Me<sub>2</sub>SO<sub>4</sub>, мож-  
но обойтись без стабилизатора. Е. Бруцкус

6K107. Способ получения веществ для опудрива-  
ния гигроскопических удобрений, поглощающего влагу

поверхности. Сэгава Акира, Накамура Дзёдзи,  
Мицусима Тосисукэ. [Сумитомо какагу когэ ка-  
бусики кайся]. Японск. пат. 8873, 2.10.59. — Поверхность  
кристаллич. (NH<sub>4</sub>)<sub>2</sub>SO<sub>4</sub> покрывают путем распылива-  
ния ровным слоем какого-либо растворимого органич.  
соединения хрома, напр. [Cr(H<sub>2</sub>O)<sub>6</sub>](HCOO)<sub>3</sub>,  
[Cr(H<sub>2</sub>O)<sub>6</sub>](CH<sub>3</sub>COO)<sub>3</sub>·6H<sub>2</sub>O, Cr<sub>2</sub>(C<sub>2</sub>O<sub>4</sub>)<sub>3</sub>·6H<sub>2</sub>O или их  
смесью из расчета 0,0004—0,008 % от общего кол-ва  
(NH<sub>4</sub>)<sub>2</sub>SO<sub>4</sub>. Внесение указанных добавок в 10—20 раз  
уменьшает степень слеживания. (NH<sub>4</sub>)<sub>2</sub>SO<sub>4</sub>. М. Гусев

6K108. Предупреждение слеживания сульфата ам-  
мония. Сэгава Акира, Накамура Дзёдзи,  
Мицусима Тосисукэ. [Сумитомо какагу когэ ка-  
бусики кайся]. Японск. пат. 8873, 2.10.59. — Поверхность  
кристаллич. (NH<sub>4</sub>)<sub>2</sub>SO<sub>4</sub> покрывают путем распылива-  
ния ровным слоем какого-либо растворимого органич.  
соединения хрома, напр. [Cr(H<sub>2</sub>O)<sub>6</sub>](HCOO)<sub>3</sub>,  
[Cr(H<sub>2</sub>O)<sub>6</sub>](CH<sub>3</sub>COO)<sub>3</sub>·6H<sub>2</sub>O, Cr<sub>2</sub>(C<sub>2</sub>O<sub>4</sub>)<sub>3</sub>·6H<sub>2</sub>O или их  
смесью из расчета 0,0004—0,008 % от общего кол-ва  
(NH<sub>4</sub>)<sub>2</sub>SO<sub>4</sub>. Внесение указанных добавок в 10—20 раз  
уменьшает степень слеживания. (NH<sub>4</sub>)<sub>2</sub>SO<sub>4</sub>. М. Гусев

6K109. Предупреждение слеживания сульфата ам-  
мония. Сэгава Акира, Накамура Дзёдзи,  
Мицусима Тосисукэ. [Сумитомо какагу когэ ка-  
бусики кайся]. Японск. пат. 8873, 2.10.59. — Поверхность  
кристаллич. (NH<sub>4</sub>)<sub>2</sub>SO<sub>4</sub> покрывают путем распылива-  
ния ровным слоем какого-либо растворимого органич.  
соединения хрома, напр. [Cr(H<sub>2</sub>O)<sub>6</sub>](HCOO)<sub>3</sub>,  
[Cr(H<sub>2</sub>O)<sub>6</sub>](CH<sub>3</sub>COO)<sub>3</sub>·6H<sub>2</sub>O, Cr<sub>2</sub>(C<sub>2</sub>O<sub>4</sub>)<sub>3</sub>·6H<sub>2</sub>O или их  
смесью из расчета 0,0004—0,008 % от общего кол-ва  
(NH<sub>4</sub>)<sub>2</sub>SO<sub>4</sub>. Внесение указанных добавок в 10—20 раз  
уменьшает степень слеживания. (NH<sub>4</sub>)<sub>2</sub>SO<sub>4</sub>. М. Гусев

6K110. Предупреждение слеживания сульфата ам-  
мония. Сэгава Акира, Накамура Дзёдзи,  
Мицусима Тосисукэ. [Сумитомо какагу когэ ка-  
бусики кайся]. Японск. пат. 8873, 2.10.59. — Поверхность  
кристаллич. (NH<sub>4</sub>)<sub>2</sub>SO<sub>4</sub> покрывают путем распылива-  
ния ровным слоем какого-либо растворимого органич.  
соединения хрома, напр. [Cr(H<sub>2</sub>O)<sub>6</sub>](HCOO)<sub>3</sub>,  
[Cr(H<sub>2</sub>O)<sub>6</sub>](CH<sub>3</sub>COO)<sub>3</sub>·6H<sub>2</sub>O, Cr<sub>2</sub>(C<sub>2</sub>O<sub>4</sub>)<sub>3</sub>·6H<sub>2</sub>O или их  
смесью из расчета 0,0004—0,008 % от общего кол-ва  
(NH<sub>4</sub>)<sub>2</sub>SO<sub>4</sub>. Внесение указанных добавок в 10—20 раз  
уменьшает степень слеживания. (NH<sub>4</sub>)<sub>2</sub>SO<sub>4</sub>. М. Гусев

6K111. Предупреждение слеживания сульфата ам-  
мония. Сэгава Акира, Накамура Дзёдзи,  
Мицусима Тосисукэ. [Сумитомо какагу когэ ка-  
бусики кайся]. Японск. пат. 8873, 2.10.59. — Поверхность  
кристаллич. (NH<sub>4</sub>)<sub>2</sub>SO<sub>4</sub> покрывают путем распылива-  
ния ровным слоем какого-либо растворимого органич.  
соединения хрома, напр. [Cr(H<sub>2</sub>O)<sub>6</sub>](HCOO)<sub>3</sub>,  
[Cr(H<sub>2</sub>O)<sub>6</sub>](CH<sub>3</sub>COO)<sub>3</sub>·6H<sub>2</sub>O, Cr<sub>2</sub>(C<sub>2</sub>O<sub>4</sub>)<sub>3</sub>·6H<sub>2</sub>O или их  
смесью из расчета 0,0004—0,008 % от общего кол-ва  
(NH<sub>4</sub>)<sub>2</sub>SO<sub>4</sub>. Внесение указанных добавок в 10—20 раз  
уменьшает степень слеживания. (NH<sub>4</sub>)<sub>2</sub>SO<sub>4</sub>. М. Гусев

6K112. Предупреждение слеживания сульфата ам-  
мония. Сэгава Акира, Накамура Дзёдзи,  
Мицусима Тосисукэ. [Сумитомо какагу когэ ка-  
бусики кайся]. Японск. пат. 8873, 2.10.59. — Поверхность  
кристаллич. (NH<sub>4</sub>)<sub>2</sub>SO<sub>4</sub> покрывают путем распылива-  
ния ровным слоем какого-либо растворимого органич.  
соединения хрома, напр. [Cr(H<sub>2</sub>O)<sub>6</sub>](HCOO)<sub>3</sub>,  
[Cr(H<sub>2</sub>O)<sub>6</sub>](CH<sub>3</sub>COO)<sub>3</sub>·6H<sub>2</sub>O, Cr<sub>2</sub>(C<sub>2</sub>O<sub>4</sub>)<sub>3</sub>·6H<sub>2</sub>O или их  
смесью из расчета 0,0004—0,008 % от общего кол-ва  
(NH<sub>4</sub>)<sub>2</sub>SO<sub>4</sub>. Внесение указанных добавок в 10—20 раз  
уменьшает степень слеживания. (NH<sub>4</sub>)<sub>2</sub>SO<sub>4</sub>. М. Гусев

6K113. Предупреждение слеживания сульфата ам-  
мония. Сэгава Акира, Накамура Дзёдзи,  
Мицусима Тосисукэ. [Сумитомо какагу когэ ка-  
бусики кайся]. Японск. пат. 8873, 2.10.59. — Поверхность  
кристаллич. (NH<sub>4</sub>)<sub>2</sub>SO<sub>4</sub> покрывают путем распылива-  
ния ровным слоем какого-либо растворимого органич.  
соединения хрома, напр. [Cr(H<sub>2</sub>O)<sub>6</sub>](HCOO)<sub>3</sub>,  
[Cr(H<sub>2</sub>O)<sub>6</sub>](CH<sub>3</sub>COO)<sub>3</sub>·6H<sub>2</sub>O, Cr<sub>2</sub>(C<sub>2</sub>O<sub>4</sub>)<sub>3</sub>·6H<sub>2</sub>O или их  
смесью из расчета 0,0004—0,008 % от общего кол-ва  
(NH<sub>4</sub>)<sub>2</sub>SO<sub>4</sub>. Внесение указанных добавок в 10—20 раз  
уменьшает степень слеживания. (NH<sub>4</sub>)<sub>2</sub>SO<sub>4</sub>. М. Гусев

6K114. Предупреждение слеживания сульфата ам-  
мония. Сэгава Акира, Накамура Дзёдзи,  
Мицусима Тосисукэ. [Сумитомо какагу когэ ка-  
бусики кайся]. Японск. пат. 8873, 2.10.59. — Поверхность  
кристаллич. (NH<sub>4</sub>)<sub>2</sub>SO<sub>4</sub> покрывают путем распылива-  
ния ровным слоем какого-либо растворимого органич.  
соединения хрома, напр. [Cr(H<sub>2</sub>O)<sub>6</sub>](HCOO)<sub>3</sub>,  
[Cr(H<sub>2</sub>O)<sub>6</sub>](CH<sub>3</sub>COO)<sub>3</sub>·6H<sub>2</sub>O, Cr<sub>2</sub>(C<sub>2</sub>O<sub>4</sub>)<sub>3</sub>·6H<sub>2</sub>O или их  
смесью из расчета 0,0004—0,008 % от общего кол-ва  
(NH<sub>4</sub>)<sub>2</sub>SO<sub>4</sub>. Внесение указанных добавок в 10—20 раз  
уменьшает степень слеживания. (NH<sub>4</sub>)<sub>2</sub>SO<sub>4</sub>. М. Гусев

6K115. Предупреждение слеживания сульфата ам-  
мония. Сэгава Акира, Накамура Дзёдзи,  
Мицусима Тосисукэ. [Сумитомо какагу когэ ка-  
бусики кайся]. Японск. пат. 8873, 2.10.59. — Поверхность  
кристаллич. (NH<sub>4</sub>)<sub>2</sub>SO<sub>4</sub> покрывают путем распылива-  
ния ровным слоем какого-либо растворимого органич.  
соединения хрома, напр. [Cr(H<sub>2</sub>O)<sub>6</sub>](HCOO)<sub>3</sub>,  
[Cr(H<sub>2</sub>O)<sub>6</sub>](CH<sub>3</sub>COO)<sub>3</sub>·6H<sub>2</sub>O, Cr<sub>2</sub>(C<sub>2</sub>O<sub>4</sub>)<sub>3</sub>·6H<sub>2</sub>O или их  
смесью из расчета 0,0004—0,008 % от общего кол-ва  
(NH<sub>4</sub>)<sub>2</sub>SO<sub>4</sub>. Внесение указанных добавок в 10—20 раз  
уменьшает степень слеживания. (NH<sub>4</sub>)<sub>2</sub>SO<sub>4</sub>. М. Гусев

6K116. Предупреждение слеживания сульфата ам-  
мония. Сэгава Акира, Накамура Дзёдзи,  
Мицусима Тосисукэ. [Сумитомо какагу когэ ка-  
бусики кайся]. Японск. пат. 8873, 2.10.59. — Поверхность  
кристаллич. (NH<sub>4</sub>)<sub>2</sub>SO<sub>4</sub> покрывают путем распылива-  
ния ровным слоем какого-либо растворимого органич.  
соединения хрома, напр. [Cr(H<sub>2</sub>O)<sub>6</sub>](HCOO)<sub>3</sub>,  
[Cr(H<sub>2</sub>O)<sub>6</sub>](CH<sub>3</sub>COO)<sub>3</sub>·6H<sub>2</sub>O, Cr<sub>2</sub>(C<sub>2</sub>O<sub>4</sub>)<sub>3</sub>·6H<sub>2</sub>O или их  
смесью из расчета 0,0004—0,008 % от общего кол-ва  
(NH<sub>4</sub>)<sub>2</sub>SO<sub>4</sub>. Внесение указанных добавок в 10—20 раз  
уменьшает степень слеживания. (NH<sub>4</sub>)<sub>2</sub>SO<sub>4</sub>. М. Гусев

6K117. Предупреждение слеживания сульфата ам-  
мония. Сэгава Акира, Накамура Дзёдзи,  
Мицусима Тосисукэ. [Сумитомо какагу когэ ка-  
бусики кайся]. Японск. пат. 8873, 2.10.59. — Поверхность  
кристаллич. (NH<sub>4</sub>)<sub>2</sub>SO<sub>4</sub> покрывают путем распылива-  
ния ровным слоем какого-либо растворимого органич.  
соединения хрома, напр. [Cr(H<sub>2</sub>O)<sub>6</sub>](HCOO)<sub>3</sub>,  
[Cr(H<sub>2</sub>O)<sub>6</sub>](CH<sub>3</sub>COO)<sub>3</sub>·6H<sub>2</sub>O, Cr<sub>2</sub>(C<sub>2</sub>O<sub>4</sub>)<sub>3</sub>·6H<sub>2</sub>O или их  
смесью из расчета 0,0004—0,008 % от общего кол-ва  
(NH<sub>4</sub>)<sub>2</sub>SO<sub>4</sub>. Внесение указанных добавок в 10—20 раз  
уменьшает степень слеживания. (NH<sub>4</sub>)<sub>2</sub>SO<sub>4</sub>. М. Гусев

6K118. Предупреждение слеживания сульфата ам-  
мония. Сэгава Акира, Накамура Дзёдзи,  
Мицусима Тосисукэ. [Сумитомо какагу когэ ка-  
бусики кайся]. Японск. пат. 8873, 2.10.59. — Поверхность  
кристаллич. (NH<sub>4</sub>)<sub>2</sub>SO<sub>4</sub> покрывают путем распылива-  
ния ровным слоем какого-либо растворимого органич.  
соединения хрома, напр. [Cr(H<sub>2</sub>O)<sub>6</sub>](HCOO)<sub>3</sub>,  
[Cr(H<sub>2</sub>O)<sub>6</sub>](CH<sub>3</sub>COO)<sub>3</sub>·6H<sub>2</sub>O, Cr<sub>2</sub>(C<sub>2</sub>O<sub>4</sub>)<sub>3</sub>·6H<sub>2</sub>O или их  
смесью из расчета 0,0004—0,008 % от общего кол-ва  
(NH<sub>4</sub>)<sub>2</sub>SO<sub>4</sub>. Внесение указанных добавок в 10—20 раз  
уменьшает степень слеживания. (NH<sub>4</sub>)<sub>2</sub>SO<sub>4</sub>. М. Гусев

6K119. Предупреждение слеживания сульфата ам-  
мония. Сэгава Акира, Накамура Дзёдзи,  
Мицусима Тосисукэ. [Сумитомо какагу когэ ка-  
бусики кайся]. Японск. пат. 8873, 2.10.59. — Поверхность  
кристаллич. (NH<sub>4</sub>)<sub>2</sub>SO<sub>4</sub> покрывают путем распылива-  
ния ровным слоем какого-либо растворимого органич.  
соединения хрома, напр. [Cr(H<sub>2</sub>O)<sub>6</sub>](HCOO)<sub>3</sub>,  
[Cr(H<sub>2</sub>O)<sub>6</sub>](CH<sub>3</sub>COO)<sub>3</sub>·6H<sub>2</sub>O, Cr<sub>2</sub>(C<sub>2</sub>O<sub>4</sub>)<sub>3</sub>·6H<sub>2</sub>O или их  
смесью из расчета 0,0004—0,008 % от общего кол-ва  
(NH<sub>4</sub>)<sub>2</sub>SO<sub>4</sub>. Внесение указанных добавок в 10—20 раз  
уменьшает степень слеживания. (NH<sub>4</sub>)<sub>2</sub>SO<sub>4</sub>. М. Гусев

6K120. Предупреждение слеживания сульфата ам-  
мония. Сэгава Акира, Накамура Дзёдзи,  
Мицусима Тосисукэ. [Сумитомо какагу когэ ка-  
бусики кайся]. Японск. пат. 8873, 2.10.59. — Поверхность  
кристаллич. (NH<sub>4</sub>)<sub>2</sub>SO<sub>4</sub> покрывают путем распылива-  
ния ровным слоем какого-либо растворимого органич.  
соединения хрома, напр. [Cr(H<sub>2</sub>O)<sub>6</sub>](HCOO)<sub>3</sub>,  
[Cr(H<sub>2</sub>O)<sub>6</sub>](CH<sub>3</sub>COO)<sub>3</sub>·6H<sub>2</sub>O, Cr<sub>2</sub>(C<sub>2</sub>O<sub>4</sub>)<sub>3</sub>·6H<sub>2</sub>O или их  
смесью из расчета 0,0004—0,008 % от общего кол-ва  
(NH<sub>4</sub>)<sub>2</sub>SO<sub>4</sub>. Внесение указанных добавок в 10—20 раз  
уменьшает степень слеживания. (NH<sub>4</sub>)<sub>2</sub>SO<sub>4</sub>. М. Гусев

6K121. Предупреждение слеживания сульфата ам-  
мония. Сэгава Акира, Накамура Дзёдзи,  
Мицусима Тосисукэ. [Сумитомо какагу когэ ка-  
бусики кайся]. Японск. пат. 8873, 2.10.59. — Поверхность  
кристаллич. (NH<sub>4</sub>)<sub>2</sub>SO<sub>4</sub> покрывают путем распылива-  
ния ровным слоем какого-либо растворимого органич.  
соединения хрома, напр. [Cr(H<sub>2</sub>O)<sub>6</sub>](HCOO)<sub>3</sub>,  
[Cr(H<sub>2</sub>O)<sub>6</sub>](CH<sub>3</sub>COO)<sub>3</sub>·6H<sub>2</sub>O, Cr<sub>2</sub>(C<sub>2</sub>O<sub>4</sub>)<sub>3</sub>·6H<sub>2</sub>O или их  
смесью из расчета 0,0004—0,008 % от общего кол-ва  
(NH<sub>4</sub>)<sub>2</sub>SO<sub>4</sub>. Внесение указанных добавок в 10—20 раз  
уменьшает степень слеживания. (NH<sub>4</sub>)<sub>2</sub>SO<sub>4</sub>. М. Гусев

6K122. Предупреждение слеживания сульфата ам-  
мония. Сэгава Акира, Накамура Дзёдзи,  
Мицусима Тосисукэ. [Сумитомо какагу когэ ка-  
бусики кайся]. Японск. пат. 8873, 2.10.59. — Поверхность  
кристаллич. (NH<sub>4</sub>)<sub>2</sub>SO<sub>4</sub> покрывают путем распылива-  
ния ровным слоем какого-либо растворимого органич.  
соединения хрома, напр. [Cr(H<sub>2</sub>O)<sub>6</sub>](HCOO)<sub>3</sub>,  
[Cr(H<sub>2</sub>O)<sub>6</sub>](CH<sub>3</sub>COO)<sub>3</sub>·6H<sub>2</sub>O, Cr<sub>2</sub>(C<sub>2</sub>O<sub>4</sub>)<sub>3</sub>·6H<sub>2</sub>O или их  
смесью из расчета 0,0004—0,008 % от общего кол-ва  
(NH<sub>4</sub>)<sub>2</sub>SO<sub>4</sub>. Внесение указанных добавок в 10—20 раз  
уменьшает степень слеживания. (NH<sub>4</sub>)<sub>2</sub>SO<sub>4</sub>. М. Гусев

6K123. Предупреждение слеживания сульфата ам-  
мония. Сэгава Акира, Накамура Дзёдзи,  
Мицусима Тосисукэ. [Сумитомо какагу когэ ка-  
бусики кайся]. Японск. пат. 8873, 2.10.59. — Поверхность  
кристаллич. (NH<sub>4</sub>)<sub>2</sub>SO<sub>4</sub> покрывают путем распылива-  
ния ровным слоем какого-либо растворимого органич.  
соединения хрома, напр. [Cr(H<sub>2</sub>O)<sub>6</sub>](HCOO)<sub>3</sub>,  
[Cr(H<sub>2</sub>O)<sub>6</sub>](CH<sub>3</sub>COO)<sub>3</sub>·6H<sub>2</sub>O, Cr<sub>2</sub>(C<sub>2</sub>O<sub>4</sub>)<sub>3</sub>·6H<sub>2</sub>O или их  
смесью из расчета 0,0004—0,008 % от общего кол-ва  
(NH<sub>4</sub>)<sub>2</sub>SO<sub>4</sub>. Внесение указанных добавок в 10—20 раз  
уменьшает степень слеживания. (NH<sub>4</sub>)<sub>2</sub>SO<sub>4</sub>. М. Гусев

6K124. Предупреждение слеживания сульфата ам-  
мония. Сэгава Акира, Накамура Дзёдзи,  
Мицусима Тосисукэ. [Сумитомо какагу когэ ка-  
бусики кайся]. Японск. пат. 8873, 2.10.59. — Поверхность  
кристаллич. (NH<sub>4</sub>)<sub>2</sub>SO<sub>4</sub> покрывают путем распылива-  
ния ровным слоем какого-либо растворимого органич.  
соединения хрома, напр. [Cr(H<sub>2</sub>O)<sub>6</sub>](HCOO)<sub>3</sub>,  
[Cr(H<sub>2</sub>O)<sub>6</sub>](CH<sub>3</sub>COO)<sub>3</sub>·6H<sub>2</sub>O, Cr<sub>2</sub>(C<sub>2</sub>O<sub>4</sub>)<sub>3</sub>·6H<sub>2</sub>O или их  
смесью из расчета 0,0004—0,008 % от общего кол-ва  
(NH<sub>4</sub>)<sub>2</sub>SO<sub>4</sub>. Внесение указанных добавок в 10—20 раз  
уменьшает степень слеживания. (NH<sub>4</sub>)<sub>2</sub>SO<sub>4</sub>. М. Гусев

6K125. Предупреждение слеживания сульфата ам-  
мония. Сэгава Акира, Накамура Дзёдзи,  
Мицусима Тосисукэ. [Сумитомо какагу когэ ка-  
бусики кайся]. Японск. пат. 8873, 2.10.59. — Поверхность  
кристаллич. (NH<sub>4</sub>)<sub>2</sub>SO<sub>4</sub> покрывают путем распылива-  
ния ровным слоем какого-либо растворимого органич.  
соединения хрома, напр. [Cr(H<sub>2</sub>O)<sub>6</sub>](HCOO)<sub>3</sub>,  
[Cr(H<sub>2</sub>O)<sub>6</sub>](CH<sub>3</sub>COO)<sub>3</sub>·6H<sub>2</sub>O, Cr<sub>2</sub>(C<sub>2</sub>O<sub>4</sub>)



и не разрушающего краситель. Schaafhausen Jürgen, Banthien Hans. Verfahren zur Herstellung eines saugfähigen und farbenbeständigen Pudermittels für hygroskopische Düngemittel. [Farbwerke Hoechst A.-G. vormals Meister Lucius & Brüning]. Пат. ФРГ 1065437, 10.03.60.—Тонкоизмельченный известняк (частицы размером ~0,03 мм) смешивают с 70—95%-ной  $H_2PO_4$  или с кислыми фосфатами в таком соотношении, чтобы полученное опудривающее в-во содержало 2—20% ( $P_2O_5$ ); затем в-во сушат. К к-те или фосфату можно добавить краситель, напр. нафталиновый зеленый, в кол-ве 40—60 г на 1 т удобрения, напр. известково-аммиачной селитры. Г. Рабинович

6К108. Получение из природных фосфатов удобрения мочевины — гипс и раствора мочевины — фосфорная кислота. Икэно Рёто, Кадзи Кэндзи. [Таки сёйхисё]. Японск. пат. 3817, 18.04.60.—Природный фосфат обрабатывают смешанным р-ром  $CO(NH_2)_2$  и  $H_2SO_4$  или смешанным р-ром, состоящим из  $CO(NH_2)_2$ ,  $H_2SO_4$  и  $H_3PO_4$ . Содержание отдельных компонентов смеси регулируют так, чтобы фосфорная к-та составляла 5—47%,  $CO(NH_2)_2$  25—75% и вода 50—5%. Когда смесь прореагирует, продукт мочевины — гипс (I) отделяют от р-ра мочевины — фосфорная к-та (II). Пример. К 1 кг измельченного природного фосфата [73%  $Ca_3(PO_4)_2$ ] добавляют 3 кг 34,2%-ной  $H_3PO_4$ , 1 кг 98%-ной  $H_2SO_4$  и 5,4 кг  $CO(NH_2)_2$ . Смесь перемешивают 3 часа при 60°, после чего охлаждают до комнатной т-ры. Полученную пульпу разделяют на центрифуге и получают ~3,7 кг I и ~6,6 кг р-ра II. Состав I (в %):  $H_2O$  2,31, общий N 27,85, общая  $P_2O_5$  2,56, лимоннорастворимая  $P_2O_5$  2,36. Состав II после его промывки водой (в %):  $H_2O$  1,52, общий N 28,50, N в форме мочевины 28,47, общая  $P_2O_5$  0,61, лимоннорастворимая  $P_2O_5$  0,55. Состав р-ра II (в %):  $H_3PO_4$  24,0,  $CO(NH_2)_2$  50,3,  $H_2O$  25,3. М. Гусев

6К109. Получение удобрения из окиси магния. Нисикава Ясусигэ. Японск. пат. 6213, 17.07.59.—К  $MgSO_4$ , доломиту,  $MgCO_3$ ,  $Mg(OH)_2$  или их смеси добавляют неорганич. соединения, содержащие Si, Mn, B, Cu, Zn, Fe, Mo или смеси этих соединений. Смесь нагревают при 50—300° и гранулируют или отверждают. Пример. Смесь состава (в кг):  $MgSO_4 \cdot 7H_2O$  45, доломит 40, диатомовая земля 4,  $MnSO_4 \cdot 4H_2O$  10, бора 1, нагревают до 250° и получают 72 кг эвтектич. смеси, которую гранулируют или отверждают и измельчают. Состав удобрения (в %):  $MgO$  водорастворимый 9,5,  $MgO$  лимоннорастворимый 10,0, CaO 22,  $SiO_2$  4,  $B_2O_3$  0,03,  $MnO_2$  5,3,  $CO_2$ ,  $SO_3$  и  $Na_2O$  следы. М. Гусев

6К110. Обработка рапы для производства удобрений. Мураяма Кадзуо, Ито Тэрухико, Накан Рэйдзо. [Бэппу какаку когэ кабусики кайсэ]. Японск. пат. 159, 14.01.60.—Из рапы вначале удаляют бор, в результате чего получают рапу следующего состава (в г/100 см<sup>3</sup>):  $MgO$  10,75,  $MgCl_2$  20,50,  $MgSO_4$  6,46, KCl 3,60, NaCl 5,39 и  $B_2O_3$  0,074. К 1 т рапы добавляют 640 кг  $(NH_4)_2SO_4$  и небольшое кол-во воды, смесь нагревают до полного растворения  $(NH_4)_2SO_4$ , а затем охлаждают и получают 970 кг кристаллич. комплексной соли следующего состава (в %): N 7,28,  $MgO$  10,76,  $K_2O$  1,35, Cl 1,59,  $SO_4$  50,20,  $B_2O_3$  0,001. Маточный р-р после отделения указанной выше соли концентрируют выпариванием, выделившийся осадок сушат и получают 350 кг комплексной соли, содержащей (в %): N 18,04,  $K_2O$  3,47,  $MgO$  1,10, Cl 52,70,  $SO_4$  6,87 и  $B_2O_3$  0,198. М. Гусев

6К111. Получение удобрения из сульфата марганца. Томико Сигэнори. Японск. пат. 1776, 5.03.60.—К измельченной марганцевой руде добавляют (можно и не добавлять) магнезит или какой-либо минерал, содержащий  $MgO$ , напр. серпентин. Смесь обрабатывают  $H_2SO_4$ . Пример. К 100 кг руды (в пересчете на сухое в-во), содержащей Mn-карбонат (Mn 47,40%,  $SiO_2$  5,01%,  $H_2O$  9,0%), добавляют 80 кг

85,6%-ной  $H_2SO_4$ . После перемешивания смесь оставляют на 2 суток в покое, получают 148 кг продукта, содержащего (в %):  $Mn_{общ}$  31,50, водорастворимый Mn 27,96,  $SiO_2$  3,42,  $H_2SO_{4,общ}$  0,21, вода 9,6. М. Гусев

См. также: Получение  $(NH_4)_2SO_4$  из  $NH_3$  коксового газа 6М86. Данные по использованию природного газа для произ-ва удобрений 6М222

## ПРОИЗВОДСТВО КАТАЛИЗАТОРОВ И СОРБЕНТОВ

Редактор В. Д. Матвеев

6К112. Кремне-медные катализаторы и возможности значительной экономии меди. Лайнер Д. И., Малышева Л. А., Сотникова Л. И. «Цветн. металлы», 1960, № 8, 70—72.—Изучены возможности уменьшения содержания меди в сплаве кремне-медного катализатора без снижения его каталитич. активности. Сплавы готовили из меди (марки МО) и кремния (марки Кр1) плавлением в высокочастотной индукционной печи в тиглях, выточенных из угольных электродов. Отливали образцы сплава в вертикальные чутунные изложницы. Плавление проводили без флюсов; т-ра расплава перед разливкой 1550—1600°. Установлено, что сплавы с небольшим содержанием меди (~3%) обладают высокой производительностью процесса (142 г/кг·час) при крайне низком выходе целевого продукта  $(CH_3)_2SiCl_2$  (6,9%). При увеличении содержания меди в сплаве от 5 до 10% активность повышается. Установлено, что активность катализатора кремний — медь, содержащего 10% Cu, 90% Sn, не ниже, чем у стандартного сплава — катализатора, содержащего 20% Cu. Н. Ширяева

6К113. Изучение гранулированного плавленного железного катализатора. III. Влияние диффузии жидкой фазы на процесс синтеза углеводородов. Чанг Лин-янг, Чи Чин-шю. «Жаньяло сюэбао, Рэнлиао хуэбао, Acta focalia sinica», 1960, 5, № 2, 132—142 (кит.; рез. англ.).—Исследовано изменение активности железного плавленного катализатора в зависимости от условий синтеза углеводородов. Установлено, что в начальный период синтеза при объемной скорости  $CO$  4000 час<sup>-1</sup> и при степени конверсии ~80% коэф. активности поверхности катализатора составляет 0,98; в конце р-ции, когда микро- и макропоры катализатора закрываются пленкой высокомолекулярных в-в и кокса, общая скорость р-ции определяется скоростью диффузии жидкой фазы к порам и коэф. активности уменьшается до 0,082. Рассчитанный коэф. диффузии равен  $2,4 \cdot 10^{-5}$  см<sup>2</sup>/сек, что находится в удовлетворительном соотношении с эксперим. величиной. В случаях, когда общая скорость процесса определяется скоростью диффузии, уровень активности катализатора прямо пропорционален корню квадратному из произведения коэф. диффузии, коэф. уд. скорости р-ции и эффективной поверхности катализатора. Отмечено, что поскольку коэф. диффузии слабо изменяется при изменении т-ры, железный катализатор вследствие большой уд. поверхности и высокой активности пригоден для процесса синтеза углеводородов в условиях высоких объемных скоростей реагентов. Библ. 22 назв. Сообщение II см. РЖХим, 1960, № 12, 53147.

Из резюме автора  
6К114. Влияние содержания закиси никеля на активность алюминокислых катализаторов в процессе деструктивной гидрогенизации при невысоких давлениях. Кацобашвили Я. Р., Попов А. А. «З. прикл. химия», 1960, 33, № 7, 1607—1613.—Изучено влияние содержания активного компонента в катализаторе на глубину деструктивной гидрогенизации нефти и на свойства получаемых продуктов. Опыты про-

смесь остав-  
же продукта,  
одораствори-  
е, вода 9,6.  
М. Гусев

Н<sub>2</sub> коксового  
родного газа  
СОРБЕНТОВ

возможности  
Д. И., Ма-  
вети, метал-  
ности умень-  
медного ка-  
активности,  
еминия (мар-  
индукцион-  
ных электро-  
ные чувств-  
флюсов; т-ра  
Установлено,  
еди (~3%) о  
процесса де-  
целового те-  
нии содер-  
ность повы-  
катализатора  
90% Sn, по-  
лизатора, со-  
Н. Ширяева  
плавленного  
фузии жид-  
ков. Chang  
сюэбао, Rap-  
№ 2, 132—  
ление актив-  
в зависимо-  
Установлено,  
емной скоро-  
рости ~90%  
ра состав-  
микропоры на-  
лекулярны  
еляется ст-  
и коэф. аг-  
аппный коэф.  
идится в уд-  
величения  
есса опре-  
тивности из-  
кватратной  
уд. скорост-  
изатора. Он-  
слабо изме-  
катализатор  
сокой актив-  
стводородной  
реакции  
1960, № 13  
иоме автор  
келя на в-  
в процес-  
оких дан-  
А. А. Об-  
13.—Иссле-  
а в ката-  
изации неф-  
Опыты пре-

водили на алюмоникелевых катализаторах, которые приготавливали смешением влажных осадков гидроокисей Ni и Al. Смешанный гель центрифугировали, формовали и прокачивали. Готовые таблетки в форме цилиндров диам. 1,2 и высотой 1,3 мм содержали 5—20% NiO. Насыпной вес 0,59—0,68 г/см<sup>3</sup>, уд. поверхность 110—156 м<sup>2</sup>/г, объем пор 0,544—0,712 см<sup>3</sup>/г. Испытания катализаторов проводили на туймазинской нефти с плотностью 0,8478, содержанием S 1,40%. Опыты были проведены на полупромышленной установке непрерывного действия с объемом реактора ~250 мл. Продолжительность опытов 2 час., дав. 30 ат, подача водорода 1000 л/кг сырья; объемная скорость менялась от 1 до 3. При этом для катализатора, содержащего 5% NiO, степень десульфурзации менялась от 24 до 74%, для катализатора с 10% NiO — от 39 до 73% и для катализатора с 20% NiO — от 46 до 82%. Графо-аналитич. исследование процесса показало, что скорость р-ций при 393° заметно возрастает при увеличении кол-ва NiO в образце; при т-ре 432° и особенно при 470° состав катализатора практически не влияет на скорость р-ции. Установлено, что с точки зрения превращения сырья наиболее целесообразно использовать образцы с содержанием 10—12% NiO; состав катализатора не влияет на общий выход продуктов гидрогенизации. Найдено, что потребление водорода падает с ростом скорости подачи сырья на катализатор; процент сульфидируемых увеличивается с ростом скорости при постоянной т-ре, а при постоянной скорости подачи сырья дает минимум при 432°. Иные числа растут с увеличением т-ры при постоянной скорости, а если т-ра постоянна, дают максимум при объемной скорости равной 2. В. Герцовский

6К115. Комплексный азотнокислотный метод переработки ангрескис глины с получением глинозема и аммиачной селитры. Исмаилов Х., Чижигов Д. М. «Узб. химия ж., Узб. хим. ж.», 1960, № 4, 9—16 (рез. узб.). Технологическая схема включает в себя следующие стадии: обжиг, выщелачивание р-ром HNO<sub>3</sub> обожженной глины, нейтр-цию р-ра аммиаком и гидротит. осаждение суммы гидратов окисей алюминия и железа, растворение Al(OH)<sub>3</sub> р-ром NaOH с оставлением Fe(OH)<sub>3</sub> в осадке и извлечение глинозема из аммиачного р-ра выкручиванием по Байеру. По разработанной схеме обеспечивается извлечение Al<sub>2</sub>O<sub>3</sub> в пределах 92—94% и получение глинозема, чистого по железу (0,015%). Оптимальная т-ра обжига глины 700°. Показана возможность обжига глины в условиях псевдокипелого слоя. Выщелачивание обожженных глины осуществляют методом агитации или перколяции. При перколяционном способе исключается операция отделения кислых р-ров от плохо фильтрующегося кремнеземистого остатка и уменьшается расход воды для промывки. Установлены оптимальные условия выщелачивания обожженных глины при агитации: конц-ия HNO<sub>3</sub> 40%, кол-во ее 125% от стехиометрич., т-ра 110°, продолжительность процесса 2 часа (при перколяции процесс длится 9—10 час.). Р-ры NH<sub>4</sub>NO<sub>3</sub> с конц-ией 40—50% используют в качестве удобрений.

Из резюме авторов  
6К116. О взаимодействии геленита с содой при высоких температурах. Кожеников Г. Н. В сб. «Материалы Всес. совещания по химии и технол. глинозема, 1958». Новосибирск, Сиб. отд. АН СССР, 1960, 71—78.—Для определения оптимальных условий спекания составляли смеси синтетич. геленита с содой с мол. соотношением Na<sub>2</sub>O:Al<sub>2</sub>O<sub>3</sub> = 0,6—1,2. Спекание производили при т-рах 1000—1200° и продолжительность 30—120 мин. в силикатовой печи в платиновых тиглях. Условия выщелачивания спеков: продолжительность 30 мин., т-ра 70°, отношение Ж:Т в пульсе для выщелачивания 10:1. Выщелачивание производили 0,5 н. NaOH. По окончании выщелачивания р-ры фильтровали. Установлено, что с увеличением конц-ии

соды и т-ры спекания извлечение глинозема в р-р растет до молярного отношения Na<sub>2</sub>O:Al<sub>2</sub>O<sub>3</sub> = 1, а затем уменьшается и тем быстрее, чем выше т-ра спекания. Потери щелочи и Al<sub>2</sub>O<sub>3</sub> возрастают с увеличением т-ры, конц-ии соды и продолжительности спекания. Исследование вещественного состава кристалло-оптич. и рентгеноструктурными методами показало, что в случае недостатка соды оставшийся геленит образует твердый р-р с Na<sub>2</sub>O·Al<sub>2</sub>O<sub>3</sub>. В случае избытка щелочи последние образует вначале твердый р-р с β2CaO·SiO<sub>2</sub>, а при дальнейшем увеличении конц-ии Na<sub>2</sub>O в спеке образуются тройные соединения. Изучение диаграмма состояния системы геленит—Na<sub>2</sub>O. При вводе соды в расплавленный шлак для обеспечения высоких выходов Al<sub>2</sub>O<sub>3</sub> и миним. потерь щелочи необходимо дозировать определенное кол-во Na<sub>2</sub>O и осуществлять медленное охлаждение расплава. Снижение т-ры плавления шлаков при вводе соды в расплав создает предпосылки для нормального осуществления этого процесса. Н. Ширяева

6К117. Некоторые свойства сульфидно-алюминатных растворов. Рубан Н. Н. В сб. «Материалы Всес. совещания по химии и технол. глинозема, 1958». Новосибирск, Сиб. отд. АН СССР, 1960, 23—30.—Получены новые данные о плотности и вязкости сульфидно-алюминатных р-ров. Опыты по растворению гидроокисей алюминия в р-рах Na<sub>2</sub>S и NaOH иллюстрируют правило осадка, характерное для коллоидных закономерностей, что подтверждает ур-ние диссолюционной пентизации—коагуляции В. Д. Пономарева:  $\alpha = a(1 - e^{-Km})$ , где  $\alpha$  — кол-во в-ва, коагулировавшееся из р-ра при добавлении новой порции геля  $m$ ,  $a$  — максим. растворимость,  $K$  — константа коагуляции,  $e$  — основание натуральных логарифмов. Рассчитанное значение константы коагуляции показывает, что константа эта не зависит от конц-ии Na<sub>2</sub>S и NaOH, взятых для растворения. Сульфидно-алюминатные р-ры в известных пределах представляют собою сложную систему, одним из компонентов которой является золь гидроокиси алюминия.

Из резюме автора  
6К118. Обескремнивание растворов алюмината натрия. Шварцман Б. Х., Волкова Н. С. В сб. «Материалы Всес. совещания по химии и технол. глинозема, 1958». Новосибирск, Сиб. отд. АН СССР, 1960, 125—138.—При атмосферном давлении и 15-час. экспозиции присмеляемая глубина обескремнивания (кремниевый модуль 420—600) достигается лишь при содержании в р-ре Al<sub>2</sub>O<sub>3</sub> 80—100 г/л, Na<sub>2</sub>O<sub>общ</sub> 240—250 г/л и Na<sub>2</sub>O<sub>карб</sub> 150—180 г/л и неудовлетворительна при наличии карбоната калия. Добавка извести в кол-ве 20 г/л не вносит существенных изменений. Обескремнивание р-ров, содержащих 100 г/л Al<sub>2</sub>O<sub>3</sub>, при повышенной т-ре (7 атм) в течение 3 час. в присутствии добавок карбонатов натрия и калия (вес. отношение Na<sub>2</sub>O:K<sub>2</sub>O = 3:1) обеспечивает получение кремниевого модуля порядка 400, но изменение кол-ва карбонатов от 20 до 156 г/л не оказывает влияния на процесс. Более эффективные результаты обескремнивания при повышенной т-ре для р-ров, содержащих 100 г/л Al<sub>2</sub>O<sub>3</sub> в присутствии карбонатов калия и натрия, достигаются при добавке 10 г/л извести. Изменение содержания карбонатов при этом сказывается лишь при снижении R<sub>2</sub>O<sub>карб</sub> (по Na<sub>2</sub>O) до 7 г/л, при 7 г/л R<sub>2</sub>O<sub>карб</sub> происходит уменьшение кремниевого модуля до 320. Дана характеристика осадков, полученных различными авторами при обескремнивании, растворении кремнеземсодержащих материалов и разбавлении алюминатных р-ров. Показано влияние т-ры на процесс обескремнивания р-ров с различными каустич. модулями и содержанием кремнезема, а также влияние перемешивания пульпы после обескремнивания на степень очистки р-ров от кремнезема. Библ. 34 назв. Н. Ширяева

**6К119. Кристаллизация алюмината натрия.** Са-  
жигин В. С. В сб. «Материалы Всес. совещания по хи-  
мии и технол. глинозема, 1958». Новосибирск. Сиб. отд.  
АН СССР, 1960, 41—46. — Применяются два способа вы-  
деления глинозема из алюминатных р-ров: разложе-  
ние выкручиванием и карбонизация. Проведены опы-  
ты по кристаллизации алюмината натрия из маточных  
р-ров, имеющих после выкручивания каустич. модуль  
порядка 3,5. Опыты проводились при 45°; начальный  
каустич. модуль р-ров составлял 6,7—7,0. Высокий вы-  
ход глинозема 80—85% за продолжительность кри-  
сталлизации 6—8 час. может быть получен из р-ров,  
имеющих начальную конц-ию по  $\text{Na}_2\text{O} \geq 500 \text{ г/л}$ . Опре-  
делено влияние начального каустич. модуля на выход  
глинозема. Так, при каустич. модуле, равном 9,42, за  
10 час. кристаллизации выход глинозема составил  
73,8%, а при  $c_{\text{кауст.}}$  равном 3,71—92,2%, каустич. мо-  
дуль в маточном р-ре повысился до 30—35. Наиболее  
приемлемым температурным режимом является сни-  
жение т-ры в процессе кристаллизации до 30°. Уста-  
новлено также, что кремнезем является вредной при-  
месью, резко замедляющей процесс кристаллизации.  
Н. Ширяева

**6К120. Курынская опока как адсорбент.** Шеина  
З. Г. «Тр. Горно-геол. ин-та. Уральский фил. АН СССР»,  
1960, вып. 35, 277—289. — Отмечены высокие адсорб-  
ционные свойства курынской опоки, превосходящие  
адсорбционные свойства силикагеля в особенности при  
адсорбции из водн. р-ров. Определена уд. поверхность  
опоки. Указано ее применение для очистки транс-  
форматорного и турбинного масел с эффективным сни-  
жением их кислотности. Для регенерации курынской  
опоку прокалывают при 800°. Регенерированная опока  
имеет несколько меньшую адсорбционную способность,  
чем свежая, но более высокую, чем у силикагеля. Опо-  
ка имеет высокую твердость, слабо набухает, что  
позволяет ее применять в перколяционных установ-  
ках (где применяют адсорбент с размером зерен  
~5 мм). Библ. 14 назв.

Из резюме автора

**6К121. Лиофильность и адсорбционная способность**  
активированных бентонитов Украины. Быков С. Ф.,  
Овчаренко Ф. Д. В сб. «Природа, минеральн. сор-  
бенты». Киев, АН УССР, 1960, 146—158. — Изучены ли-  
офильные и сорбционные свойства природных и акти-  
вированных бентонитов методами теплот смачивания  
и структурно-сорбционного анализа. Проведены ис-  
следования по определению оптимальных условий  
активации украинских бентонитов Пыжевского, Горь-  
ского и Курцовского месторождений серной к-той с  
конц-иями: 5, 10, 15, 20, 25, 35%; расход  $\text{H}_2\text{SO}_4$  на 100 г  
сухой глины 20, 30, 40, 50, 60, 70 и 80%; время контак-  
та к-ты с глиной 3, 6 и 9 час. При оптимальном режи-  
ме глину обрабатывают 6 час. 25%-ным р-ром  $\text{H}_2\text{SO}_4$   
(расход  $\text{H}_2\text{SO}_4$  составляет 75% к весу сухой глины) при  
100°. Расход к-ты можно сократить на 50% за счет уве-  
личения времени активации с 6 до 9 час. Термич. об-  
работку образцов проводили в муфельной печи в те-  
чение 6 час. при 100, 200, 300, 400, 500, 600 и 700°. При  
нагревании бентонитов от 110 до 700° наблюдается рез-  
кое падение их лиофильности. Теплоты смачивания  
бентонитов водой уменьшаются при этом в 8 раз, бен-  
золом — в 4 раза. Максим. сорбционная активность  
бентонитов проявляется при 200°, т. е. при т-ре, когда  
полностью удаляется адсорбционно связанная вода.  
Активирование бентонитов минер. к-тами обуславли-  
вает изменение пористой структуры вследствие раство-  
рения полутвердых окислов и окислов металлов, что  
также приводит к увеличению кол-ва  $\text{SiO}_2$  на 15—20%  
в его активной гидратной форме. У активированных  
бентонитов возрастает сорбционная емкость по сравне-  
нию с естественными в случае поглощения воды в  
1,5 раза, бензола — в 3—4 раза; эффективная уд. по-  
верхность при этом увеличивается в 5 раз. Активиро-

ванные к-тами бентониты Пыжевского, Курцовского,  
Листвинского, Кутского и Горьского месторождений  
Украинской ССР показали высокие лиофильные и ад-  
сорбционные свойства. Библ. 7 назв.

Из резюме авторов

**6К122. Об оценке отбеливающих и каталитических**  
свойств некоторых природных сорбентов. Быков  
В. Т., Липкинд Б. А., Герасимова В. Г. «Тр.  
Дальневост. фил. Сиб. отд. АН СССР. Сер. хим.», 1960,  
вып. 4, 113—115. — Приготовлены пробы катализаторов,  
полученные методом активации их серной к-той. Пред-  
варительно подсушенную глину размалывают, просеива-  
ют через сито 75 меш. и активируют 10%-ной  $\text{H}_2\text{SO}_4$ .  
Активацию проводят 6 час. при 100°. После активации  
глину отмыляют дистил. водой до отрицательной р-ции  
в промывной воде на  $\text{SO}_4^{2-}$ . Затем формуруют, сушат и  
прокалывают 6 час. при 750°. Для оценки отбелива-  
ющих свойств испытуемых природных сорбентов прове-  
дены опыты по контактной доочистке масла селектив-  
ной очистки в оптимальных условиях, принятых для  
данного процесса. Отбеливающая способность боль-  
шинства природных сорбентов с повышением т-ры по-  
вышается. Наибольшую отбеливающую способность  
имеют хвалынский туф, трепел и сульфунит. После  
активации трепел дает степень обесцвечивания, рав-  
ную 3,4 при т-ре отбеливания 100°. Н. Ширяева

**6К123. Диспергирование металла и приготовление**  
металлоорганических катализаторов. Patton Roland  
Granville, Cooper Wilfrid. Metallic dispersions  
and organometallic catalysts prepared therefrom. [Dunlop  
Rubber Co. Ltd.] Англ. пат. 836702, 9.06.60. — Расплавлен-  
ный металл. На под слоем ксилола обрабатывают  
ультразвуком (200—500 кц). Полученную дисперсию  
далее обрабатывают в присутствии пентана хлористый  
амилон. Приготовленный катализатор используют для  
полимеризации бутадиена. Пример. Металлич. Na  
помещают в контейнер, наполненный ксилолом, нагре-  
вают до 120° и подвергают обработке ультразвуком  
(300 кц) от кварцевого генератора мощностью 100 вт.  
Диаметр диспергированных частиц натрия 2,5—5 м.  
В. Храменков

**6К124. Получение в кипящем слое безводного хлорида**  
алюминия. Hille Joseph, Dürrwächter  
Wolfgang. Wirbelschichtverfahren zur Herstell-  
ung von wasserfreiem Aluminiumchlorid. [Badische An-  
lin- & Soda-Fabrik A.-G.] Пат. ФРГ 1061757,  
31.12.59. — Безводный  $\text{AlCl}_3$  готовят разложением  
в псевдоожиженном слое  $\gamma\text{-Al}_2\text{O}_3$  смесью  $\text{Cl}_2$  и  $\text{CO}$  I  
(или) фосгеном в присутствии катализатора — рас-  
плава  $\text{AlCl}_3$  в хлоридах щел. металлов. Большая часть  
частиц  $\gamma\text{-Al}_2\text{O}_3$  должна иметь размеры < 60 м с тем,  
чтобы максим. увеличение объема  $\text{Al}_2\text{O}_3$  в псевдоожи-  
женном слое составляло 40—55 (45—50)% от объема  
в спокойном состоянии. Можно применять также смесь  
измельченной и неизмельченной  $\text{Al}_2\text{O}_3$ . В. Шацкий

**6К125. Производство катализатора для процессов**  
гидрогенизации и дегидрогенизации. Heinemann  
Heinz, Shalit Harold. Method of preparing a hydro-  
genation-dehydrogenation catalyst. [Houdry Process  
Corp.] Пат. США 2908654, 13.10.59. — Частицы активиро-  
ванной  $\gamma\text{-Al}_2\text{O}_3$  с уд. поверхностью 60—100 м<sup>2</sup>/г и раз-  
мером 2—13 мкм импрегнируют водн. р-рами  $\text{H}_2\text{PtCl}_6$  до  
получения 0,2—1,9%-ного содержания Pt в готовом ка-  
тализаторе. Затем частицы обрабатывают водородом  
для полного восстановления соединений Pt до металла  
и нагревают далее 1—36 час. при 370—540° в атмосфе-  
ре смеси, содержащей 25—75 об.% водяных паров,  
10—75%  $\text{H}_2$  и 65%  $\text{CH}_4$ ,  $\text{C}_2\text{H}_6$  или  $\text{C}_3\text{H}_8$ , до получения  
кол-ва хлоридов в катализаторе < 0,1 вес.%. Катали-  
затор не обладает кислой р-цией и имеет высокую ме-  
ханич. прочность. Пример. Частицы активирован-  
ной  $\text{Al}_2\text{O}_3$  промывают 1 час р-ром  $\text{CH}_3\text{COOH}$ , а затем  
дистил. водой; далее их опрыскивают во вращающемся



ся барабане р-ром  $\text{H}_2\text{PtCl}_6$ , сушат 1 час при  $135^\circ$  и восстанавливают при  $480^\circ$  водородом. После этого фракцию катализатора диам. 4 мм обрабатывают 5 час. при  $480^\circ$  смесью 67% водяного пара и 33%  $\text{H}_2$ . Полученный катализатор применяют для конверсии и ароматизации.

**В. Герцовский**  
**6К126.** Получение носителя катализатора. Таматэ Эйси, Араки Йосиро, Сагара Сёдзо. [Нитто кагаку когё кабусики кайся, Нитто кагаку кэнгудзё]. Японск. пат. 4467, 30.05.59.—К кислой глине добавляют воду и какое-либо в-во, содержащее  $\text{SiO}_2$  и обладающее высокой адсорбционной способностью, напр. силикат или диатомит. Из полученной массы формируют носитель катализатора (напр., в виде полых цилиндров диам. 4 мм и высотой 7 мм), сушат 3 часа при  $100\text{--}120^\circ$  и прокалывают  $1\text{--}7$  час. (2 часа) при  $500\text{--}1000^\circ$  ( $800^\circ$ ). Полученный носитель имеет сопротивление на излом  $190 \text{ кг/см}^2$ , не изменяющееся при кипячении в воде.

**В. Зломапов**  
**6К127.** Получение (аэрозолей) из тонкодисперсных частиц йодида серебра. Dessens Henri. Procédé et dispositif pour l'obtention de particules d'iodure d'argent à l'état finement divisé. [Centre National de la Recherche Scientifique]. Франц. пат. 1217176, 2.05.60.—Аэрозоль  $\text{AgI}$ , применяемый в метеорологии (для вызывания дождя), получают при сжигании распыленного р-ра  $\text{AgI}$  в ацетоне. Процесс ведут при возможно более низкой т-ре, для чего воздух для инжектирования р-ра берут в меньшем кол-ве, чем это требуется для сжигания р-ра; остальную часть воздуха добавляют после инжекции. Получают частицы  $\text{AgI}$  размером  $\leq 0,1 \mu$ . Установка состоит из резервуара с ацетоном р-ром  $\text{AgI}$ , регуляторов подачи р-ра и воздуха, форсунки, печи, футерованной огнеупорным материалом, и нагреваемого воздуха вентилятора.

**И. Денисова**  
**6К128.** Приготовление силиказолей. Ahlberg Jacob Elston, Simpson Edgar A. Preparation of silica sols. [W. R. Grace & Co.]. Пат. США 2900348, 18.08.59.—Золь  $\text{SiO}_2$ , стабильный при конц-ии  $\text{SiO}_2 \leq 30 \text{ вес.}\%$ , получают при неполной нейтр-ции р-ра силиката щел. металла р-ром  $\text{H}_2\text{SO}_4$ , взятой в кол-ве 70–95% от стехиометрически необходимого. Затем гель с pH 9–10 отмыывают  $16\text{--}40$  час. деминерализованной водой от растворимых солей и медленно нагревают (при pH 9–9,5) до  $95\text{--}100^\circ$  в течение  $10\text{--}18$  час. в автоклаве. 98–100% геля переходит в гидрозоль (pH 9,3–9,5), который стабилизируют нагреванием в автоклаве при постоянной влажности и т-ре  $160\text{--}210^\circ$  в течение  $45\text{--}90$  (60) мин. и концентрируют. Полученный золь прозрачен. Его вязкость не повышается со временем. Размер мицелл золя контролируют изменением конц-ии золя при стабилизации. Пример. 1.4 29,7%-ной  $\text{H}_2\text{SO}_4$  прибавляют к 12 л р-ра, содержащего 2,28 л силиката Na (плотность  $40^\circ \text{Bé}$ ), с соотношением  $\text{SiO}_2 : \text{Na}_2\text{O} = 3,25$ . Смесь затвердевает в течение 2 мин. Гель, содержащий 6,4%  $\text{SiO}_2$  при pH  $10,0\text{--}10,5$ , выдерживают 6 час., извлекают из жидкости, промывают деминерализованной водой со скоростью  $11,3\text{--}15,5 \text{ л/час}$ , загружают в закрытый контейнер и нагревают (pH 9,0–9,2) 6 час. при  $70\text{--}80^\circ$  и 10 час. при  $95\text{--}100^\circ$ . Полученный гидрозоль прокачивают через нагретый до  $180^\circ$  автоклав со скоростью  $0,5 \text{ л/час}$  (при pH 9,5–9,6) и упаривают в вакууме до конц-ии  $\text{SiO}_2$  28–40%. Приведены примеры.

**Ю. Гольнец**  
**6К129.** Производство вентлерита. Wiig Edwin O., Morse Norman L. Whetlerite product and process. [United States of America as represented by the Secretary of War]. Пат. США 2920051, 5.01.60.—Для получения вентлерита, используемого в респираторных коробках газовых масок для поглощения  $\text{COCl}_2$ ,  $\text{ClCN}$ ,  $\text{H}_3\text{As}$  и т. д., пропитывают активированный уголь р-ром, содержащим: Cu (в виде основного карбоната) в кол-ве 6–12%,  $\text{Ni}_2$  6–15%,  $\text{AgNO}_3$  0,05–0,5%, органич. к-ту (вспугую, гликолевую или ятарную) 1–12%, окислы

или соли Mo или V 1,5–10%,  $\text{CO}_2$  (в виде  $(\text{NH}_4)_2\text{CO}_3 \cdot \text{H}_2\text{O}$ ) 0–10%. Полученную массу обезвоживают, сушат и нагревают до т-ры  $> 200^\circ$ . Пример. Активированный уголь с размером частиц  $12\text{--}16$  меш пропитывают в течение 0,5 часа 100 мл водн. р-ра, содержащего (в г): Mo в виде  $(\text{NH}_4)_2\text{MoO}_4$  2; основного карбоната Cu 10,  $\text{CO}_2$  в виде  $(\text{NH}_4)_2\text{CO}_3 \cdot \text{H}_2\text{O}$  10,  $\text{NH}_3$  в виде  $\text{NH}_4\text{OH}$  10 и винной к-ты 5. Этот р-р готовят раствором одной половины  $(\text{NH}_4)_2\text{MoO}_4$  в  $\text{H}_2\text{O}$ , а другой в  $\text{NH}_4\text{OH}$ . Добавляют  $(\text{NH}_4)_2\text{CO}_3 \cdot \text{H}_2\text{O}$  к водн. р-ру молибдата и перемешивают оба р-ра до однородности, после чего в р-р вводят основной карбонат Cu и винную к-ту, затем р-р разбавляют водой до получения объема 100 мл. Далее массу центрифугируют, сушат 0,75 часа при  $130^\circ$  и 3,5 часа при  $315^\circ$ .

**И. Денисова**

См. также: Катализатор гидроформинга, содержащий  $\text{ZnO}$  6М286. Изготовление катализатора гидрообессеривания углеводородов 6М315. Катализатор для селективной гидрогенизации ацетилена 6М331

## ЭЛЕКТРОХИМИЧЕСКИЕ ПРОИЗВОДСТВА.

### ЭЛЕКТРООСАЖДЕНИЕ.

### ХИМИЧЕСКИЕ ИСТОЧНИКИ ТОКА

Редактор М. М. Мельникова

**6К130.** Процесс в области химических источников тока. Euler Joachim. Fortschritte auf dem Gebiet der galvanischen Stromerzeuger. I. «Elektrotechn. Z.», 1960, B12, № 19, 462–467, 2. 4 (нем.; рез. англ., франц.).—Обзор малогабаритных однопрозовых источников тока. Указывается на применение в качестве положительного электрода новых неорганич. и органич. в-в.

**В. Паланкер**

**6К131.** Конструкция и характеристики гальванического элемента «Купрон». Cosma Gheorghe, U l m P a u n e l. Construcția și performanțele elementului galvanic «Cupron». «An. Univ. «C. I. Parhon». Ser. științ. natur.», 1959, № 22, 63–73 (рум.; рез. русск., франц.).—Приведены характеристики элемента (Э) «Купрон»:  $\text{CuO}$  р-р  $\text{KOH}$  (25%) /  $\text{Zn}$ . Э обладает строго постоянной э. д. с., способен работать при больших разрядных токах. Явление поляризации имеет место только при больших нагрузках, коротких замыканиях и в этом случае не превышает  $10^{-2} \text{ в}$ . Положительный полюс легко регенерируется и не разрушается при интенсивной разрядке. Общие внутреннее сопротивление Э колеблется в пределах  $0,25\text{--}0,75 \text{ ом}$ . Саморазряд Э практически равен 0. К недостаткам относятся: падение ( $\text{а/час}$ ) емкости со снижением конц-ии электролита и рабочих т-р, необходимость применения чистых в-в ( $\text{Zn}$  и  $\text{KOH}$ ).

**Я. Матлис**

**6К132.** Топливные элементы. II. Adams A. M. Fuel cells. II. «Heating», 1960, 22, № 172, 116–118 (англ.).—Обзор высокотемпературных топливных элементов. Предыдущее сообщение см. РЖХим, 1960, № 23, 92975.

**М. Тарасевич**

**6К133.** Новые типы аккумуляторов и гальванических элементов за рубежом. Kubeš Jaroslav. Zahraniční novinky z oboru akumulátorů a článků. «Sla-boproudý obzor», 1960, 21, № 6, 364–367 (чешск.).—Кратко описаны характеристики и области применения аккумуляторов и гальванич. элементов, изготавливаемых в Венгрии, Англии, США, Польше, Франции, ГДР и Японии.

**В. Герцовский**

**6К134.** Об улучшении некоторых эксплуатационных характеристик серебряно-цинковых аккумуляторов. Романов В. В. «Вестн. электропром-сти», 1960, № 9, 26–29.—Исследовано влияние зарядки асимметричным переменным током (АПТ) промышленной ча-

стоты на эксплуатационные характеристики серебряно-цинковых аккумуляторов (СЦА). Зарядка АПТ сокращает в несколько раз время формирования СЦА при их вводе в эксплуатацию. Разрядная емкость СЦА, заряженного АПТ в два раза больше на протяжении 5 циклов, чем при заряде постоянным током. Зарядка АПТ снижает начальное напряжение разряда с 1,82 до 1,64 в, увеличивая при этом разрядную емкость разряда на 20%. Это свойство сохраняется в течение 35 циклов.

Н. Бардина

**6K135.** О реакционной способности цинкового порошка. Сообщение 7. Химическая активность порошка, подвергнутого различным видам обработки. Сообщение 8. Изучение влияния условий электролиза на свойства электролитического порошка цинка. Kubota Yoshio. «Нихон киндзоку гаккайси, J. Japan Inst. Metals», 1959, 23, № 9, 542—545; 546—548 (японск.; рез. англ.).—7. Исследовано влияние нагревания в вакууме на хим. активность (ХА) Zn-порошков, полученных дистилляцией (I) и электролитически (II). ХА определялась по скорости растворения порошка в 3 н. HCl. Установлено, что ХА I увеличивается примерно в 3 раза после нагревания его в вакууме в течение 2 час. до 350°, а II — уменьшается в 3 раза. Увеличение времени нагревания I в вакууме до 5 час. снижает ХА. Измельчение I уменьшает ХА в 4 раза. ХА II почти не изменяется. Уменьшение активности сопровождается уменьшением дифракции рентгеновских лучей по оси (103).

8. Исследовано влияние перемешивания и т-ры при электроосаждении Zn-порошка из р-ра NaOH (300 г/л) и ZnO (15—70 г/л) на хим. активность полученного порошка. Активность определялась по скорости выделения водорода при взаимодействии Zn с р-ром HCl. Найдено, что при увеличении скорости перемешивания и т-ры активность порошка падает, а угол β для дифракции рентгеновских лучей по кристаллографич. оси (103) уменьшается. Максимально устойчивую активность имеет Zn-порошок, полученный из электролита, содержащего 15 г/л ZnO при D = 2—12 а/см<sup>2</sup>. Предыдущее сообщение см. РЖМет, 1960, № 9, 21306.

Из резюме автора

**6K136.** Об исследовании связанной воды в пастах свинцово-кислотных аккумуляторов. Ikari Shinichi. Studies on the combined water in paste for lead storage batteries. «J. Electrochem. Soc. Japan. Overseas Ed.», 1959, 27, № 7—9, E150—E152 (англ.); Transl.—Данки кагаку, J. Electrochem. Soc. Japan», 1959, 27, 385.—Исследован состав гидратных соединений пасты PbO (тетрагональная H<sub>2</sub>SO<sub>4</sub>). Связанная вода определялась по изменению веса пасты при нагревании ее в вакууме при 10<sup>-2</sup>—10<sup>-3</sup> мм Hg. В пастах, приготовленных высушиванием смеси PbO пазб. H<sub>2</sub>SO<sub>4</sub> при 70—80°, связанная вода выделяется при 120 и 170°. Пасты, приготовленные высушиванием на воздухе смеси PbO·PbSO<sub>4</sub>, содержащей воду, которая выделяется при 210°, что соответствует соединению PbSO<sub>4</sub>·3PbO·H<sub>2</sub>O. При 225° эти пасты выделяют CO<sub>2</sub>, поглощенную при высушивании.

Н. Бардина

**6K137.** Основные сульфаты свинца в пастах свинцовых аккумуляторов. Ikari Shinichi, Yoshizawa Shiro, Okada Shinzo. On basic lead sulfate in paste for lead storage batteries. «J. Electrochem. Soc. Japan. Overseas Ed.», 1959, 27, № 7—9, E167—E169 (англ.); Transl.—Данки кагаку, J. Electrochem. Soc. Japan», 1959, 27, 426.—Рентгенографически исследованы хим. состав, стадии образования основных сульфатов свинца в термич. изменениях паст для аккумуляторов. Паста PbO—H<sub>2</sub>SO<sub>4</sub>, содержащая 0—30% PbSO<sub>4</sub>, состоит из неакционноспособного PbO и PbSO<sub>4</sub>·3PbO·H<sub>2</sub>O (I), содержащая 30—60% PbSO<sub>4</sub>, состоит после сушки из I и PbSO<sub>4</sub>·PbO II, содержащая 60% PbSO<sub>4</sub>, после сушки имеет состав PbSO<sub>4</sub>·PbO и PbSO<sub>4</sub>. I образуется за 1,5 часа из красного PbO и за 2,5 часа из желтого PbO.

До 60° паста, имеющая 25% PbSO<sub>4</sub>, состоит из I, от 60 до 80° представляет собой смесь I и PbSO<sub>4</sub> и PbO. Паста с содержанием 31% PbSO<sub>4</sub> при всех т-рах имеет только PbSO<sub>4</sub>·PbO. Разложение основных солей PbSO<sub>4</sub> при т-рах 150, 200, 230 и 400° в течение 4 или 20 час. показало, что I почти не изменяется до 200° за 4 часа и разлагается за 20 час. при 200°.

Н. Бардина

**6K138.** Формирование свежеластованных положительных электродов для свинцовых аккумуляторов. Ikari Shinichi, Yoshizawa Shiro, Okada Shinzo. Formation of freshly pasted positive plate for lead storage battery. «J. Electrochem. Soc. Japan. Overseas Ed.», 1959, 27, № 7—9, E186—E189 (англ.); Transl.—Данки кагаку, J. Electrochem. Soc. Japan, 1959, 27, 487.—Исследованы изменения хим. состава активной массы и формы кристаллов PbO<sub>2</sub> (I), образующихся при формировании (Ф) пастированных положительных пластин (II) свинцовых аккумуляторов. При Ф током 4,5 ма/см<sup>2</sup> в кислотной пасте в H<sub>2</sub>SO<sub>4</sub> уд. в. 1,07 при 15°, внутри II образуется I в форме орторомбич. кристаллов. Образование I начинается лишь после прохождения ~20% теоретически необходимого кол-ва электричества. Кристаллич. структура исходной PbO не оказывает влияния на ход Ф. Исследование поведения основных сульфатов Pb при Ф показало, что на образование орторомбич. I влияет не хим. состав пасты, но в гораздо большей мере степень пористости пастированных II. При Ф пастированных II, содержащих 10% PbSO<sub>4</sub> (II), в H<sub>2</sub>SO<sub>4</sub> уд. в. 1,01—1,25 при 20, 24, 55 и 60° в течение 70 час. процентное содержание I растет с уменьшением уд. веса к-ты и увеличением т-ры. Размер кристаллич. частиц I связан с растворимостью II. При Ф II, содержащих 0,10 и 20% II, в H<sub>2</sub>SO<sub>4</sub> уд. в. 1,070 и 1,005 током 4,5 а/см<sup>2</sup> при 15 и 60° в течение 70 час., в условиях, благоприятствующих образованию тетрагональной формы I, процентное содержание ее в отформированной II растет с увеличением содержания II в исходной II, а остаток PbO растет с уменьшением содержания II. Анализ кристаллич. структуры и размеров кристаллов, полученных после циклирования II с тетрагональной и ромбич. I, показал, что ромбич. I не является промежуточным соединением. Большая часть ромбич. I исчезает в течение первых циклов, при продолжающемся циклировании скорость исчезновения ромбич. I уменьшается. Размер кристаллов ромбич. I не изменяется во время циклирования. Разряд ромбич. I приводит к образованию II, а заряд II к образованию тетрагональной I. Ромбич. I образуется при окислении в твердой фазе частиц Pb решетки и PbO пасты и при окислении в жидкой фазе иона Pb<sup>2+</sup> в щел. среде.

В. Левинсон

**6K139.** Исследование фактора растяжения при образовании перекиси свинца на анодах свинцовых аккумуляторов. Coustenoble A. Contribution à l'étude du facteur traction dans la peroxydation anodique du plomb. «Métaux (corros.-inds)», 1960, 35, № 421, 309—316 (франц.).—Обзор. Рассмотрены причины разрушения положительных электродов в стартерных свинцовых аккумуляторах.

Ю. Аронсон

**6K140.** Высокочастотный кремниевый транзистор. Little W. A. A PNP high-frequency silicon transistor. «J. Electrochem. Soc.», 1960, 107, № 9, 789—791 (англ.).

**6K141.** Получение поваренной соли из морской воды с использованием ионитов. Судзуки К и Ёси. Хатакояма Мориёси. «Данки кэйсан», 1960, 28, № 2, 351—355 (японск.).—Обзор. Краткие сведения о получении NaCl (как сырье для получения Cl<sub>2</sub>) из морской воды различными методами (выпариванием морской воды при повышенном давлении, концентрированием, вымораживанием с последующим выпариванием, концентрированием с применением ионитов с последующим выпариванием).

М. Гусев

**6K142.** Об электролитическом разложении воды при весьма низком напряжении при помощи пористых

электродов  
Wojciech  
hardzinski  
skowych.  
(польск.:  
угольные  
анодов, пр  
0,1—0,2 в  
при нали  
стующего  
на характ  
как функц

6K143.

буровой в  
С. П. А. н  
», 1960,  
блемой эл  
исследова  
лиза, р-ци  
ления Вг  
меном 8  
3%-ным  
5-кратно  
и неподк  
Вг = 0,5  
45 мин.  
что в пер  
а затем н  
до 8 ма/с  
10 мин. В  
току — до  
в неподк  
мидов на  
степень з  
стадии ре  
положени  
при кото  
де новов  
цесс взаи

6K144.

тролитич  
Ciochi  
Marsu  
num per  
litica. «C  
220 (из  
Na<sub>2</sub>Cr<sub>2</sub>O<sub>7</sub>  
дукта щ  
катод —  
конц-ни  
D-1,88 а/  
простран  
чающего

6K145.

Schne  
lung der  
1960, 51,  
обзор ра  
сравнени  
принадл  
тов — на

6K146.

в гальве  
kroskop  
«Calvan  
зорная

6K147.

ных мет  
posited  
(англ.).  
чета вы  
Cu, Zn,

и, от 60  
и PbO.  
рах имеет  
лей PbSO<sub>4</sub>  
и 20 час.  
за 4 часа  
Бардина  
ых поло-  
уляторов.  
Okada  
plate for  
an. Over-  
Transl.—  
27, 487.—  
ой массы  
при фор-  
ных пла-  
ф током  
1,07 при  
бич. кри-  
прохож-  
ва элек-  
PbO не  
оверения  
на обра-  
тасты, по  
пастиро-  
щих 10%  
55 и 60°  
растет с  
ры. Раз-  
остью П.  
О, уд. в.  
течение  
зависимо-  
ние ее в  
ержания  
ыпнем  
и раз-  
вания П  
бич. I не  
ая часть  
при про-  
ования  
омбич. I  
ромбич.  
зованию  
исления  
и при  
еде.  
евинсон  
при об-  
ых акку-  
étude du  
u plomб.  
309—316  
рушения  
ипцовых  
Аронсон  
изистор.  
ansistor.  
(англ.)  
ской во-  
с.п. Ха-  
28, № 2,  
о полу-  
морской  
морской  
важем,  
ем, кон-  
следую-  
М. Гусев  
оды при  
иновых

электродов. Tomassi Witold, Zieleniewski Wojciech O. elektrolitycznym rozkładzie wody pod hardzoniem napięciem przy zastosowaniu elektrod proszkowych. «Przem. chem.», 1960, 39, № 7, 421—423 (польск.; рез. русск., англ.).—Применяя платиновые и угольные порошковые электроды в качестве катодов и анодов, производили электролиз воды при напряжении 0,4—0,2 в и  $D \sim 30$  а/м<sup>2</sup> и 0,3—0,5 в при  $D \sim 150$  а/м<sup>2</sup> при наличии обоих порошковых электродов. Для действующего таким образом электролизера была получена характерная форма кривой диаграммы силы тока, как функции напряжения электролиза.

Резюме авторов  
6K143. Окисление ионов брома в концентрированной буровой воде электрохимическим методом. Тевосов С. П., Андрейко О. В. «Азерб. хим. ж.», 1960, № 2, 141—148 (рез. азерб.).—В связи с проблемой электрохим. выделения брома из буровых вод исследовано влияние  $D$ , продолжительности электролиза, р-ции среды и концентрации бромидов на процесс окисления Br<sup>-</sup>. Опыты проводились в цилиндрич. диафрагменном электролизере с графитовыми электродами и 3%-ным р-ром NaCl в качестве католита. Анолит—3-кратно концентрированная подкисленная (рН 1,46) и неподкисленная (рН 7,55) буровая вода с конц. Br<sup>-</sup> = 0,5 г/л. Электролиз продолжительностью 5—45 мин. проводился при  $D = 2—8$  ма/см<sup>2</sup>. Обнаружено, что в первые 5—10 мин. окисляются только ионы йода, а затем начинается выделение Br<sub>2</sub>. Повышение  $D$  с 2 до 8 ма/см<sup>2</sup> сокращает время выделения Br<sub>2</sub> с 45 до 10 мин. Выходы по продукту доходят до 90—100%, по току—до 40—45% в подкисленных водах и до 30—35% в неподкисленных. После почти полного окисления бромидов начинается выделение Cl<sub>2</sub>. Полнота выхода Br<sub>2</sub> и степень загрязненности его Cl<sub>2</sub> определяется на этой стадии режимом процесса окисления. Высказано предположение о «хлорном механизме» процесса окисления, при котором первичным актом является разряд на аноде ионов Cl<sup>-</sup>, а окисление J<sup>-</sup> и Br<sup>-</sup>—вторичный процесс взаимодействия с молекулами Cl<sub>2</sub> в р-ре.

С. Белевский  
6K144. К исследованию оптимальных условий электролитического получения чистого бихромата натрия. Ciochina I. N., Ivascanu St., Ciureanu N., Marcus M. Contributo allo studio delle condizioni ottimali per ottenere il bicromato sodico puro per via elettrolitica. «Cuoio, pelli, mater. conc.», 1960, 36, № 3, 215—220 (итал.).—Исследовались условия получения Na<sub>2</sub>Cr<sub>2</sub>O<sub>7</sub> (I) путем электролиза с диафрагмой р-ра продукта щел. сילавления минер. хромитов. Анод—Pb, катод—Hg. Оптимальный выход I получен при конц-ии Cr<sub>2</sub>O<sub>3</sub> 8,7·10<sup>-5</sup> моль/л, силе тока 0,5 а,  $D=1,88$  а/дм<sup>2</sup>, времени электролиза 60 мин. В катодном пространстве получают NaOH и Cr<sub>2</sub>O<sub>3</sub>. Чистота получаемого I 90,6%.

Б. Каплан  
6K145. Развитие гальванической промышленности. Schnellenkamp Max. Die wirtschaftliche Entwicklung der galvanotechnischen Industrie. «Galvanotechnik», 1960, 51, № 7, 319—326 (нем.).—Приводится экономич. обзор развития гальванич. пром-сти ФРГ в 1959 г. По сравнению с 1958 г. произ-во аппаратуры, приборов и принадлежностей возросло на 31,9%, произ-во химикатов—на 13,3%.

В. Палацкер  
6K146. Электрономикроскопические исследования в гальванотехнике. Weiner Robert. Elektronenmikroskopische Untersuchungen über galvanische Probleme. «Galvanotechnik», 1960, 51, № 10, 485—494 (нем.).—Обзорная статья. Библ. 19 назв.

М. М.  
6K147. Внутренние напряжения электроосажденных металлов. Newell I. Laird. Stress in electrodeposited metals. «Metal Finish.», 1960, 58, № 10, 56—61 (англ.).—Обзор. Рассмотрены методы измерения и расчета внутренних напряжений в электролитич. осадках Cu, Zn, Pb, Cd, Cr, Ni. Библ. 20 назв.

М. М.  
6K148. Анодное окисление алюминия. Sacchi F. L'ossidazione anodica dell'alluminio. «Galvanotecnica», 1960, 11, № 9, 193—205 (итал.).—Обзор. Библ. 25 назв.

М. М.  
6K149. Анодирование алюминия и его сплавов. II. Анодирование алюминия. III. Quattrone C. Ossidazione anodica dell'alluminio e sue leghe. II. Ossidazione anodica dell'alluminio. III. «Galvanotecnica», 1960, 10, № 12, 295—297; 11, № 1, 8—10 (итал.).—Обзор. Рассмотрены методы анодирования, наполнения, окрашивания и контроля качества анодных пленок. Предыдущее сообщение см. РЖХим, 1961, № 2, 31520.

Б. Л.  
6K150. Твердое анодирование. Trankla Joseph E. You can get a harder anodize. «Aircraft and Missiles», 1960, 3, № 6, 48—49 (англ.).

6K151. Твердое анодирование алюминия при постоянной мощности [источника тока]. Blumenfeld Martin A., Schurig W. Fred. Constant wattage hard anodizing of aluminum. «Platings», 1960, 47, № 10, 1159—1165 (англ.).—Исследовался процесс твердого анодирования Al, проводимый в р-ре состава (в г/л): H<sub>2</sub>SO<sub>4</sub> 130, C<sub>2</sub>H<sub>2</sub>O<sub>4</sub> 14 при постоянной мощности источника тока. Анодные пленки, получаемые таким методом на сплаве марки 6061-T6, обладают такой же твердостью и износостойкостью, как пленки, получаемые обычными методами при постоянной силе тока. Изучено влияние т-ры электролита, мощности используемого тока и времени анодирования на толщину получаемой пленки, а также зависимость пробивного напряжения и износостойкости пленки от ее толщины. Использование постоянной мощности вместо постоянной силы тока значительно сокращает время получения пленки заданной толщины. Оптимальные условия процесса: т-ра 5—10°, мощность тока 258 вт/дм<sup>2</sup>.

В. Левинсон  
6K152. Прочность сцепления покрытий с алюминием. II. Подготовка поверхности. Meynis de Paulin J.—J. Le collage de l'aluminium. II. La préparation des surfaces. «Rev. aluminium», 1959, 36, № 270, 1223—1233 (франц.; рез. англ., исп.).—Рассматриваются методы механич., хим. и электрохим. подготовки поверхностей изделий из Al и Al-сплавов, Mg и Mg-сплавов, Fe, Zn, нержавеющей стали, Ti, Cu и Cu-сплавов. Часть I см. РЖМер, 1960, № 6, 13148.

З. Соловьева  
6K153. Серебрение. IV. Quattrone C. Argentatura. IV. «Galvanotecnica», 1959, 10, № 4, 94 (итал.).—Описаны методы подготовки поверхности различных металлов перед серебрением. Сообщение III см. РЖХим, 1959, № 22, 79199.

М. М.  
6K154. Гальванические покрытия металлами платиновой группы. Trä g ä r d h U n o. Elektrolytisk ytbeläggning med platinagruppernas metaller. «Tekn. tidskr.», 1960, 90, № 37, 995—996 (шведск.).—Обзор. Приведены составы электролитов и режимы осаждения Pt, Rh, Pd, Ir, Ru. Библ. 7 назв.

М. М.  
6K155. Основы гальваностегии. 53. Цианистые электролиты. 54. Цианистый электролит меднения, содержащий сегнетову соль. 55. Анализ цианистых электролитов для меднения. 56. Высокопроизводительные электролиты меднения. Serota L. Science for electroplaters. 53. Complex cyanide baths. 54. The Rochelle salt bath. 55. Cyanide copper analysis. 56. High-efficiency copper cyanide. «Metal Finish.», 1959, 57, № 12, 75—78; 1960, 58, № 1, 73—75; № 2, 75—76, 79; № 3, 66—68; № 4, 76—79 (англ.).—53. Обзор.

54. Обзор. Рассмотрено влияние конц-ии компонентов ванны на допустимые интервалы pH;  $D_k$ ;  $D_a$ ; поведение анодов; применение перасторимых анодов; ВТ<sub>к</sub>; составы ванн и режимы меднения.

55. Описаны методы определения Cu, NaCN<sub>своб</sub> карбонатов, сегнетовой соли, pH р-ра.

56. Рассмотрены электролиты меднения: цианистые, пирофосфатные и содержащие моноэтаноламин. Сообщение 52 см. РЖХим, 1961, 5K173.

М. М.



**6K156.** Остаточные напряжения II и III рода в электролитических покрытиях. Ордоков И. «Тр. Привеальского пед. ин-та», 1957 (1958), вып. 5, 93—102.—Рентгенографическим методом было исследовано возникновение и развитие кристаллитных и элементарных искажений в Cu-покрытиях. Исследовалось влияние силы тока ( $I$ ) и времени электролиза на атомно-кристаллич. структуру покрытия. По мере увеличения  $I$  или времени электролиза кристаллич. структура покрытия приближается к структуре недеформированного металла.

Из резюме автора

**6K157.** Электролитическое цинкование тонкой стальной проволоки. Маринков Никола, Козарев Христо. Электролитно цинкование на тонкие стальные телове. «Машиностроение», 1960, 9, № 4, 27—30 (болг.).—Рассматриваются преимущества электролитич. метода цинкования стальной проволоки перед горячим. Приведена схема технологич. процесса. Библ. 9 назв.

В. Левинсон

**6K158.** Цинк или кадмий. Bacquias Guy. Zinc ou cadmium. «Galvano», 1960, 29, № 282, 409—410 (франц.).—Сравниваются защитные свойства Zn- и Cd-покрытий и эксплуатация ванн цинкования и кадмирования.

М. Берштейн

**6K159.** Прогресс в развитии процесса осаждения нехрупких кадмиевых покрытий. IV. Использование метанола в качестве растворителя в электролитах для кадмирования. Strauss S. W., Vlanes P. N. Progress toward the development of a nonembrittling cadmium electroplating process. IV. Use of methanol as a solvent in cadmium plating solutions. «Plating», 1960, 47, № 8, 926—932 (англ.).—С целью устранения наводороживания стали при электролитич. кадмировании были изучены электролиты на основе метанола (I) и  $(\text{CH}_3\text{COO})_2\text{Cd}$ . Хорошие результаты были получены только при  $t$ -ре  $\sim 0^\circ$ . Изучено влияние добавок солей Al, Ti, Mg, Zr, Cu, а также ряда органич. в-в: триэтилтетрамина, диэтилтетрамина, моноэтаноламина, диэтанолamina, триэтанолamina (II), бромистого бутанола, пиридина, пирролидина, пиридина, хинолина и изохинолина. Во всех случаях были получены плотные полублестящие осадки Cd, причем введение в состав электролита II повышало его кроющую способность. Добавление к электролиту больших кол-в воды ( $> 50\%$ ) повышает электропроводность, но ведет к ухудшению качества осадка. Был измерен ВТ Cd и рассеивающая способность электролитов, содержащих 1000 мл I + 240 г  $\text{Cd}(\text{CH}_3\text{COO})_2 \cdot 3\text{H}_2\text{O}$  (III) и 715 мл I + 240 г III + 285 мл II. ВТ<sub>а</sub> в обеих ваннах составлял  $\sim 100\%$ , ВТ<sub>к</sub> 94 и 100%. Рассеивающая способность была значительно ниже, чем у цианистого электролита. В условиях длительной эксплуатации оба электролита нуждаются в периодич. добавлении метанола для компенсации испарения. Испытания стальных кадмированных образцов показали, что электролиты на основе I или I + II позволяют полностью устранить наводороживание. Предыдущее сообщение см. РЖХим, 1961, 3K175.

С. Кругликов

**6K160.** Об электролитическом рафинировании никеля в сульфатно-хлористых и хлористых растворах. Журин А. И. «Изв. высш. учебн. заведений. Цветн. металлургия», 1960, № 354—361.—Изучено влияние ионов  $\text{Cl}^-$  на анодный и катодный процесс при рафинировании Ni. Увеличение конц-ии  $\text{Cl}^-$  снижает потенциал осаждения и растворения Ni, повышает ВТ<sub>к</sub> Ni, увеличивает электропроводность и снижает расход электроэнергии. При рафинировании Ni в сульфатных р-рах содержание Pd в катодном Ni  $< 0,0001\%$ , а при содержании в электролите 35,5 г/л Cl в Ni содержится 0,00025—0,0005 % Pd. Коррозионное действие чисто хлористых р-ров не выше, чем сульфатных. Указано на возможность интенсификации процесса рафинирования Ni в 1,5—2 раза при замене сульфатных электро-

литов на хлористые или сульфатно-хлористые с высоким содержанием  $\text{Cl}^-$ .

З. Соловьева

**6K161.** Электроосаждение никеля из щелочного триэтаноламинового электролита. Nakagawa Aki-ga. «Киндзоку хэмэн гидзюцу, J. Metal Finish. Soc. Japan», 1960, II, № 2, 55—59 (японск.; рез. англ.).—Исследованы свойства щел. электролита для никелирования, содержащего комплексное соединение Ni-триэтанолamina,  $\text{NiCl}_2 \cdot 6\text{H}_2\text{O}$ ,  $\text{NiSO}_4 \cdot 6\text{H}_2\text{O}$  и  $\text{H}_3\text{BO}_3$ . Блестящие осадки Ni получают при  $t$ -ре  $22^\circ$  Дк 2 а/дм<sup>2</sup>, ВТ<sub>к</sub> 50—60%, pH 7,8—8,4.

Из резюме автора

**6K162.** Исследование прикатодного слоя в процессе электроосаждения никеля. Сообщение 2. Maejima Keiichi. «Нихон когэ кайси, J. Mining and Metallurg. Inst. Japan», 1960, 76, № 859, 27—34 (японск.; рез. англ.).—Установлено, что оптимальным составом электролита является следующий (в г/л): Ni 40,  $\text{H}_3\text{BO}_3$  20,  $\text{Na}_2\text{SO}_4$  40; pH  $\sim 4,0$ —5;  $t$ -ра 50—55°; Дк-120—150 а/дм<sup>2</sup>. Исследованы факторы, влияющие на процесс электролиза. Предыдущее сообщение см. РЖХим, 1960, № 23, 93003.

Из резюме автора

**6K163.** Связь между блеском и структурой гальванических никелевых покрытий. Weil R., Paquin R. The relationship between brightness and structure in electroplated nickel. «J. Electrochem. Soc.», 1960, 107, № 2, 87—91 (англ.).

**6K164.** Факторы, влияющие на блестящее никелирование. Некоторые основные правила для руководства. Bacquias Guy. Les facteurs du nickelage brillant. Quelques règles essentielles à respecter. «Galvano», 1960, 29, № 281, 337—340 (франц.).—Краткий обзор влияния pH, конц-ии других ионов, блескообразователей, поверхностноактивных в-в и перемешивания на блестящее никелирование.

А. Скудиди

**6K165.** Влияние ультразвука на блестящее никелирование. Ishida Seiichi, Yamamoto Sobe, Sai Heijun. «Киндзоку хэмэн гидзюцу, J. Metal Finish. Soc. Japan», 1960, II, № 1, 20—25 (японск.; рез. англ.).—Исследовалось влияние частоты и интенсивности ультразвука (УЗ) на качество осадков в ванне Уатта. Изменений потенциала осаждения Ni по сравнению с обычным никелированием не обнаружено. С увеличением частоты УЗ несколько возрастает ВТ<sub>к</sub> и увеличивается твердость покрытий. Пористость покрытий несколько уменьшается при использовании УЗ низкой частоты, а блеск — увеличивается.

Из резюме автора

**6K166.** Дискуссия по статье Эдуарда «Свойства осадков блестящего никеля в зависимости от времени работы ванны. III. Состав и микроструктура». — Discussion: The properties of bright nickel electrodeposits in relation to the period of service in the plating bath. III. Composition and microstructure by J. Edwards. «Trans. Inst. Metal Finish.», 1959, 36, № 5, 170—172 (англ.).—К РЖХим, 1960, № 20, 81693.

**6K167.** Никелирование урана. Baudin G., Chauvin G., Cariou H., Hure J. Dépôt électrolytique de nickel sur l'uranium. «Rapport. CEA», 1957, № 815, 25 p. ill. (франц.; рез. англ.).—Исследовано влияние предварительной подготовки на сцепление Ni-покрытия с ураном. Хорошее сцепление может иметь место при отсутствии или очень тонкой пленке оксидов на поверхности урана. Для оценки качества сцепления сопоставлением микрорельефов определялась степень проникновения Ni в U после соответствующей термообработки. Предварительная механич. обработка и электрополировка не улучшают сцепления. Последовательная обработка в 6 н.  $\text{HNO}_3$ , 12 н.  $\text{HCl}$  и 6 н.  $\text{HNO}_3$  обеспечивает хорошее сцепление. Для защиты U в реакторах рекомендуется никелирование в электролитном составе (в г/л):  $\text{NiSO}_4 \cdot 7\text{H}_2\text{O}$  70,4,  $\text{NH}_4\text{Cl}$  5,4;  $t$ -ра 25—40°; pH 3,5—6; Дк-1—3 а/дм<sup>2</sup> и последующая термообработка (600—800°).

Н. Смагунов

6K168.

тн. J. o n e  
ture. «Indu  
41—42 (ан  
ния для эл  
жиривания  
(1:1); лу  
ваннах. т  
р-р  $\text{SnSO}_4$   
бавкой д  
т-ра 35—5  
540 л/мин  
двигается  
6K169.  
кель. M a  
die elektro  
Lieferung  
481—487.  
дея Fe  
жен эле  
(флюетон  
 $\text{NiSO}_4 \cdot 7\text{H}_2\text{O}$   
т-ра 40—  
конц-ни  
темпл  
6K170.  
кель-мол  
ров, соде  
цитрат н  
сп. Kogy  
Chem. S  
рез. англ  
на соста  
в р-ре н  
дергани  
6K171.  
рабанах  
Finish.»,  
ставь э  
Cd. Cr. A  
6K172.  
M a c a r  
то», 195  
анализа  
 $\text{SO}_4^{2-}$ ).  
№ 13. 5  
6K173.  
электро  
M. S h  
of the  
dited ref  
(англ.).  
6K174.  
тически  
ting an  
Finish.  
ние ра  
ваются  
меняем  
сти, и  
сравни  
тельн  
6K175.  
тн. B  
лучен  
Mell  
tal la  
source  
(англ.  
ких м  
источ  
цент  
Метод  
к раз

с высоким  
Соловьева  
щелочного  
wa Aki-  
sh. Soc. Ja-  
.). Иссле-  
дирования,  
ризапола-  
щие осад-  
к 50—60%,  
оме автора

в процессе  
Ma e j i m a  
Metallurg.  
иск.; рез-  
анов элект-  
H<sub>2</sub>BO<sub>3</sub> 20,  
—150 а/м.  
с электро-  
960, № 23,  
оме автора  
ой гальва-  
a qu i n R.  
structure in  
1960, 107,

ее никель-  
руковод-  
celage brit-  
«Galvano»,  
кий обзор  
бразовате-  
вания на  
Скрудли  
е никель-  
o b e, Sai-  
tal Finish.  
n. angl.).  
ости уль-  
Уатта. Из-  
внению с  
С увеличе-  
увеличи-  
рытий не-  
УЗ низкой

те авторов  
«Свойства  
времени  
». Discus-  
deposits in  
bath. III  
s. «Trans  
(англ.).

С. Cha v-  
lytique de  
815, 25 p.  
е предва-  
тия с ур-  
при отсут-  
поверхно-  
поставле-  
опикове-  
обработки  
ктрополи-  
ная обра-  
спешивает  
рах реко-  
составы  
—40°; pH  
обработки  
Смагунов

6K168. Получение качественных оловянных покрытий. Jones Garnet E. Quality in tin-plate manufacture. «Industr. Finish». (Engl.), 1960, 12, № 144, 38, 41—42 (англ.).—Описана непрерывная автоматич. линия для электролитич. лужения металлич. ленты. Обезжиривание ведется в 2—4%-ном р-ре Na<sub>2</sub>CO<sub>3</sub> + Na<sub>3</sub>PO<sub>4</sub> (1:1); лужение ведется в вертикальных стальных ваннах, покрытых изнутри резиной. Электролит — р-р SnSO<sub>4</sub>, содержащий изомер сульфоновой к-ты с добавкой дигидроксифенилсульфона, Dk-32—56 а/дм<sup>2</sup>, т-ра 35—55°, перемешивание электролита со скоростью 540 л/мин, ВТк ~95—100%. После лужения лента оплавляется и пассивируется. П. Стрекалов

6K169. Электроосаждение сплавов железо-хром-никель. Machu Willi, El-Ghandour M. F. M. Über die elektrolytische Abscheidung von Eisen-Chrom-Nickel-Legierungen. «Werkstoffe und Korrosion», 1960, 11, № 8, 481—487, XXXII (нем.; рез. англ., франц.).—Для осаждения Fe—Cr(18)—Ni(8)-сплава (сталь 18/8) предложен электролит состава (в г/л): Cr<sub>2</sub>(SO<sub>4</sub>)<sub>3</sub>·15H<sub>2</sub>O (фиолетовая модификация) 264,8, FeSO<sub>4</sub>·7H<sub>2</sub>O 55,6, NiSO<sub>4</sub>·7H<sub>2</sub>O 112,3, H<sub>2</sub>BO<sub>3</sub> 24,7, мочевины 180,2; pH 2,1; т-ра 40—45°, Dk-12—20 а/дм<sup>2</sup>. Исследовано влияние концентрации компонентов, Dk и т-ры на состав сплава и потенциал его выделения. М. М.

6K170. Электролитическое осаждение сплавов никель-молибден из высококонцентрированных растворов, содержащих сульфат никеля, молибдат натрия и нитрат натрия. I m a n a g a H i r o t o. «Kōgō kagaku zasshi, J. Chem. Soc. Japan, Industr. Chem. Sec.», 1960, 63, № 8, 1336—1339, A74 (японск.; рез. англ.).—Исследовано влияние состава р-ра и Dk на состав сплава и ВТк. При увеличении концентрации Mo в р-ре возрастает содержание Mo в сплаве. Максимальное содержание Mo в сплаве 28%. Из резюме автора

6K171. Нанесение гальванических покрытий в барабанах. M a n n a F. J. Barrel plating solutions. «Metal Finish», 1960, 58, № 10, 66—70 (англ.).—Приведены составы электролитов и режимы осаждения Cu, Cu-Zn, Cd, Cr, Au, Fe, Pb, Ni, Rh, Ag, Sn, Zn. М. М.

6K172. Методы анализа электролитов. 5. Отан Масару. «Киндзюку хэмэн гидзюцу гэндзэ панфурэтто», 1959, № 70, 38—39, 19 (японск.).—Описан метод анализа электролита для хромирования (CrO<sub>3</sub>, Cr<sup>3+</sup>, SO<sub>4</sub><sup>2-</sup>). Предыдущее сообщение см. РЖХим, 1960, № 13, 53258. М. Гусев

6K173. Методы определения ферроцианидов в электролитах кадмирования. Rosenberger Helen M., Shoemaker Clarence J. A critical examination of the ferrocyanide determination of cadmium and related references. «Plating», 1959, 46, № 10, 1151—1152 (англ.).

6K174. Методы испытания и контроль электролитических осадков. Часть 4. Quarendon R. The testing and examination of electrodeposits. Part 4. «Prod. Finish», 1960, 13, № 4, 98—102 (англ.).—В продолжение работы автора (РЖХим, 1961, 3K190) рассматриваются различные оптич. микроинтерферометры, применяемые для измерения блеска металлич. поверхности, и визуальные способы оценки блеска, а также сравниваются различные методы измерения отражательной способности покрытий. З. Соловьева

6K175. Измерение тонких металлических покрытий. Возбуждение флуоресцентного рентгеновского излучения радиоактивными источниками. Cook G. B., Mellish C. E., Payne J. A. Measurement of thin metal layers. Fluorescent X-ray production by radioisotope sources. «Analyt. Chem.», 1960, 32, № 6, 599—593 (англ.).—Разработан метод измерения толщины тонких металлич. покрытий с помощью радиоактивных источников (РИ), основанный на измерении флуоресцентного рентгеновского излучения в-ва покрытий. Метод имеет высокую чувствительность и применим к различным покрытиям, так как кроме измерения из-

лучения в К-серии и в L-серии, можно измерять поглощение рентгеновских лучей, возбужденных в основном металле, и, кроме того, подбирать соответствующие РИ. Приведены результаты измерения толщины покрытий (ТП) Cr, Sn, Cu. Определение ТП Cr на Ni-основе проводилось на описанной ранее аппаратуре (2nd United Nations Conference on Peaceful Uses of Atomic Energy, Geneva, 1958, vol. 19, p. 127). Наиболее употребительная ТП Cr (0,127—0,254 м) лежит внутри чувствительной области измерений этим методом. ТП Sn на Fe-основе измерена по интенсивности излучений SnK<sub>α</sub>, SnL<sub>α</sub> и по поглощению FeK<sub>α</sub> в Sn-слое с использованием γ-излучения Am<sup>241</sup> (60 кэв). При толщине слоя ~2,5 м чувствительность всех измерений примерно одинакова. Наиболее чувствительная область измерений с этим источником лежит в интервале толщин 0—7,6 м и охватывает всю область покрытий Sn. Для измерения ТП Cu используют излучение Am<sup>241</sup> и W<sup>181</sup>. Приведены также теоретич. кривые зависимости интенсивности излучения от толщины слоя с другими РИ. Эксперим. кривые достигают насыщения при меньших толщинах, чем это следует из теории, так как излучение РИ содержит значительное кол-во фотонов низких энергий. Поэтому точные измерения ТП Cu > 25,5 м невозможны с этим РИ. Анализируемое излучение регистрируется пропорциональными и сцинтилляционными счетчиками. Измерения толщины многослойных покрытий возможны, если покрывающие металлы значительно различаются по атомным номерам. И. Лапутина

6K176. Заметки об отделке металлов. Определение времени нанесения гальванических покрытий. Duffek Edward F. Finishing pointers. Plating time determinations. «Metal Finish», 1959, 57, № 9, 77 (англ.).

6K177. Расчет веса, толщины осадков, плотности тока и времени экспозиции при гальваническом осаждении металлов. Müller Karl. Die Berechnung des Niederschlagsgewichts, der Schichtdicke, der Stromdichte und der Expositionszeit bei der galvanischen Abscheidung metallischer Niederschläge. «Draht», 1960, 11, № 8, 461—462 (нем.).—Приводятся ф-лы для элементарных расчетов и примеры расчетов. В. Паланкер

6K178. Приборы для измерения толщины хромопокрытия на внутренней поверхности узких труб. Lamb Vernon A., Krasley Paul A. Gages for measuring the thickness of chromium on the internal surface of small-bore tubes. «Plating», 1960, 47, № 2, 176—179 (англ.).

6K179. История развития автоматов в гальванотехнике. Lohrie Fr. Geschichtliches zur Entwicklung der Galvanisier-Automaten. «Metalloberflächen», 1960, 14, № 10, 309—312 (нем.).—Обзорная статья. М. М.

6K180. Автоматы для нанесения гальванических покрытий на мелкие детали. Petter H. Automaten zum Galvanisieren von Kleinteilen. «Metalloberflächen», 1960, 14, № 11, 333 (нем.).

6K181. Цели и задачи опытных установок в гальванотехнике. Petter Hanns. Wesen und Aufgaben der galvanotechnischen Versuchsanstalt. «Kleptzig Fachber.», 1960, 68, № 1, 32—34 (нем.).

6K182. Современные сушилки. Heptner R. Moderne Wassertrockner. «Metalloberflächen», 1960, 14, № 6, 185—187 (нем.).—Обзор. Описываются различные типы сушилок, применяемых в гальванотехнике. В. П.

6K183. Промывные воды и техника промывки в гальваническом производстве. Burkhardt Werner. Spülwasser und Spültechnik im galvanotechnischen Betrieb. «Galvanotechnik», 1960, 51, № 8, 375—386 (нем.).—Указывается влияние различных примесей, содержащихся в воде природных источников, на качество промывки деталей при гальванной обработке и качество получаемых покрытий. Приводятся методы очистки природной воды и описываются устройства для промывки обрабатываемых деталей. В. Паланкер

**6K184.** Химически медненные типографские формы в плоской печати. Bernwald Zvonimir. Chemisch verkupferte Druckformen im Flachdruck. «Fachh. Chemigr., Lithogr. und Tiefdruck», 1960, № 2, 94—98 (нем.).—Приведены составы р-ров для хим. меднения алюминиевых форм. В. Эбериль

**6K185.** Исследования с помощью меченых атомов. Beattie R. W. Radioactive traces studies. «A. T. E. Journal», 1959, 15, № 3, 272—276 (англ.).—Определяется величина адсорбции  $\text{FeCl}_3$  на пластинах (р-р  $\text{FeCl}_3$  употребляется как травитель при произ-ве печатных схем). В качестве индикатора применяется изотоп  $\text{Au}^{198}$ . Наличие радиоактивного Au, адсорбированного на пластине, определялось по почернению фотоленки. В пластине перфорировались отверстия и углубления, наносилась защитная краска для трафаретного печатания, затем производилась сушка, травление и испытание на наличие адсорбированного в-ва. Показано, что в то время как адсорбция на поверхности становится заметной только при наличии на пластине механич. повреждений, адсорбция на краях весьма значительна. Кол-во адсорбированного в-ва зависит от качества механич. обработки краев и составляет  $0,51 \text{ мкг/см}^2$  для шлифованного края и  $17 \text{ мкг/см}^2$  для края перфорированного отверстия. Н. Алпатова

**6K186.** Электролитический метод получения титана. Călușaru A., Craiu Viorica, Anghel Paula. Asupra obținerii electrolitice a titanului metalic. «Rev. chim.» (RPR), 1960, 11, № 7, 384—390 (рум.; рез. русск., нем., франц., англ.).—Исследовано получение Ti из расплавов  $\text{K}_2\text{TiF}_6\text{-NaCl}$ . Т-ра  $720\text{--}920^\circ$ ;  $D_k = 150\text{--}750 \text{ а/дм}^2$ ; атмосфера — чистый аргон; чистота Ti 99,9%. Из резюме авторов

**6K187.** Исследования по электрохимическому разделению титановых сплавов. Лукашин В. И., Резниченко В. А., Хромов А. Д. «Изв. АН СССР. Отд. техн. и Металлургия и топлив», 1960, № 4, 29—32.—При исследовании электрохим. рафинирования металлич. сплавов Ti-Al установлена возможность получения чистого Ti при содержании в анодном продукте до 40% Al. Наличие в черном Ti примесей и особенно таких, которые стабилизируют  $\beta$ -фазу Ti, позволяет получить достаточно качеств. катодный продукт даже при содержании в анодном материале до 30% Al. Из резюме авторов

**6K188.** Исследование метода получения тантала электролизом расплава. I. Электролит. Iuchi Toshiaki, Matsumura Tomoo, Ono Kenji. «Тохоку дайгаку сэнко сайрэн кэнкюсё ихо. Bull. Res. Inst. Mineral Dress. and Metallurgy. Tohoku Univ.», 1959, 15, № 2, 87—90 (японск.; рез. англ.).—Методом термич. анализа исследовались диаграммы равновесия смесей  $\text{KF}$ ,  $\text{K}_2\text{TaF}_7$ ,  $\text{KCl}$ . Установлено, что в системе  $\text{KF}-\text{K}_2\text{TaF}_7$  образуется двойной фторид —  $\text{KF} \cdot \text{K}_2\text{TaF}_7$  и система разделяется на две эвтектики:  $\text{KF}-\text{KF} \cdot \text{K}_2\text{TaF}_7$  ( $718^\circ$ , 22 мол.%  $\text{K}_2\text{TaF}_7$ ) и  $\text{KF} \cdot \text{K}_2\text{TaF}_7-\text{K}_2\text{TaF}_7$  ( $697^\circ$ , 71 мол.%  $\text{K}_2\text{TaF}_7$ ). В системе  $\text{KCl}-\text{K}_2\text{TaF}_7$  установлено две эвтектики:  $\text{KCl}-\text{KCl} \cdot \text{K}_2\text{TaF}_7$  ( $696^\circ$ , 20 мол.%  $\text{K}_2\text{TaF}_7$ ) и  $\text{KCl}-\text{K}_2\text{TaF}_7-\text{K}_2\text{TaF}_7$  ( $697^\circ$ , 80 мол.%  $\text{K}_2\text{TaF}_7$ ). Из резюме авторов

**6K189.** Стартерные кислотные аккумуляторы. Изд. 4-е, перераб. и доп. Белогуров И. Г. М. «Воениздат», 1960, 168 стр., илл., 4 р. 15 к.

**6K190.** Селеновые фотоэлементы. Blet G. Photopiles au sélénium. Paris, Dunod, 1959, XI, 150 p., ill. (франц.)

**6K191.** Электролиз растворов поваренной соли. Гейн Я. С. М., Госхимиздат, 1960, 207 стр., илл., 7 р. 45 к.

**6K192.** Справочник по металлургии и металлообработке, 1960 г. Основные свойства металлов и сплавов. Основные данные и таблицы. Электроосаждение и способы обработки поверхности.— Metal industry hand-

book and directory 1960. 49th Year. S. I., Birmingham Battery & Metal Co., Ltd., s. a., XVI, 568 pp., ill., 21 sh. (англ.)

**6K193.** Изготовление аккумуляторных пластин с волокнистым покрытием. Цутихара Тоббёси, Кадоваки Хидэёси. [Нихон дэнти кабусики кайсэ]. Японск. пат. 1465, 18.03.59.—Трубку из какого-либо кислотостойкого волокна, напр. стеклянного или синтетич., закрывают пробкой из кислотостойкого материала с отверстием. В отверстие вставляют свинцовый стержень. Ряд трубок заполняют активной массой, закрывают пробками и укрепляют в раме из сплава Pb или кислотостойкого пластика. М. Гусев

**6K194.** Изготовление аккумуляторных пластин с волокнистым покрытием. Цутихара Тоббёси, Кадоваки Хидэёси. [Нихон дэнти кабусики кайсэ]. Японск. пат. 1466, 18.03.59.—В опоре из Pb-сплава устанавливают ряд параллельных свинцовых стержней с перегородками. На нижний конец стержней одевают разъемные втулки из кислотостойкого материала. После этого на стержни надевают трубки из кислотостойкого волокна, заполняют трубки активной массой, закрывают пробками; все это покрывают верхней опорной рамой. М. Гусев

**6K195.** Изготовление боковых пластин свинцовых аккумуляторных батарей. Ямаура Масао, Ито Сацуо. [Юаса дэнти кабусики кайсэ]. Японск. пат. 10275, 10.12.57.—Для изготовления боковой пластины используют металл с высокой электропроводностью, напр. Cu. Поверхность пластины покрывают слоем Pb или его сплавами и на него, с целью предупреждения короткого замыкания и повышения коррозионной стойкости, наносят покрытие из электроизоляционного материала, напр. резины, эбонита, синтетич. смолы. М. Гусев

**6K196.** Изготовление элементов выпрямителя из окиси титана. Ватанабэ Хисао. [Нарита Сиро]. Японск. пат. 963, 20.02.60.—Анодируют поверхность металлич. титана и на слой  $\text{TiO}_2$  осаждают электролитич. Ti. После этого все нагревают в вакууме, кислород, содержащийся в  $\text{TiO}_2$ , окисляет пленку титанового покрытия. В результате образуются полупроводники  $n$  и  $p$ -типа, состоящие из  $\text{TiO}$ . На полученные полупроводники электролитич. путем наносят покрытия из какого-либо металла с хорошей электропроводностью. М. Гусев

**6K197.** Метод быстрой кристаллизации хромокалевых и хромоаммонийных квасцов. Нисихара Кияёсу, Курати Мицую, Кодама Иосио. Японск. пат. 2164, 12.03.60.—К 1 кг порошка хромистого железняка с размером частиц  $> 200$  мени, содержащего 34,5% Cr и 9,8% Fe, добавляют 5 л 80%-ной  $\text{H}_2\text{SO}_4$  и 0,2 кг  $(\text{NH}_4)_2\text{Cr}_2\text{O}_7$ . К 1 л полученного р-ра добавляют 300 г  $(\text{NH}_4)_2\text{SO}_4$ . Смесь хорошо перемешивают, охлаждают и фильтруют. Фильтрат, содержащий 62 г/л Cr и 0,92 г/л Fe, используют в качестве электролита, катод — нержавеющая сталь, т-ра  $20\text{--}22^\circ$ , напряжение на ванне — 2,5 в,  $D_k = 1 \text{ а/дм}^2$ . По мере проведения электролиза, из р-ра выпадают хромо-аммонийные квасцы. Выход квасцов: через 12 час. после начала электролиза — 225 г, через 24 часа — 376 г, через 48 час. — 415 г, через 72 часа — 420 г. Выход квасцов из р-ра того же состава при обычном (неэлектролитическом) способе кристаллизации равен соответственно: 0; 0,6 и 15,6 г. В. Зломазов

**6K198.** Электролитический метод очистки металлов и сплавов. D'Aquila Carl, Bohne Raymond E. Jr. Electrolytic cleaning of metal and composition therefor. [Chrysler Corp.]. Пат. США 2920023, 5.01.60.—Для катодной очистки деталей черных металлов от песка, грязи и окислов предлагается расплав состава (в вес. %): NaOH 97,  $\text{KBF}_4$  3;  $D_k = 2,2 \text{ а/дм}^2$ ; т-ра  $425^\circ$ ; время 20 мин. В расплав можно вводить добавки других



Birmingham  
Ill., 21 sh.

пластин с  
ё с, Ка-  
ки кайс].  
акого-либо  
или синте-  
о материа-  
свинцовый  
массой, за-  
сплава Pb  
М. Гусев  
пластин с  
ё с, Ка-  
ки кайс].  
лава уста-  
стержней  
й одевают  
иала. Пос-  
лотостой-  
массой, за-  
сней опор-  
М. Гусев  
свинцовых  
Ито Са-  
пат. 10275,  
ы исполь-  
напр. Си-  
б или его  
ия корот-  
стойкого мате-  
риала.

М. Гусев  
нителю из  
а Спро-  
ность ме-  
тролиты.  
кислород  
нового по-  
длинки л-  
полупро-  
рты из  
одностью.  
М. Гусев  
омокале-  
ра Ки-  
Японск.  
ного желе-  
ержащего  
H<sub>2</sub>SO<sub>4</sub> и  
добавляют  
от, охлаж-  
62 г/л Ст-  
олита, на-  
пряжения  
оведения  
монийные  
е начала  
з, через  
к квасцов  
ктролити-  
ственно:  
Зломанов  
металлов  
nond E.  
ion there-  
1.60.—Дл-  
от песка,  
остава (в  
425°; вре-  
других

солей, напр. до 20% NaF, до 10% Na<sub>2</sub>BO<sub>3</sub> и до 25% NaCl, но суммарное содержание NaOH и KBF<sub>4</sub> должно быть  $\geq 45$  вес.%. Н. Михайлов

6K199. Состав для очистки и обезжиривания поверхности металлов. Мори Тикаки. Японск. пат. 1985, 9.04.59.—К смеси, состоящей из Na<sub>2</sub>SiO<sub>3</sub> · 5—12H<sub>2</sub>O (50—75 ч.) и Na<sub>3</sub>PO<sub>4</sub> (15—40 ч.), добавляют какое-либо неомогенное поверхностноактивное в-во (2—5 ч.), у которого при нагревании очень сильно повышаются липофильные свойства и порошок SiO<sub>2</sub> (2—3 ч.), с размером частиц  $< 30$  мк. Пример состава смеси: алкиларилловый эфир полиэтиленгликоля (т-ра помутнения  $> 98^\circ$ ) 3 ч., эфир высших спиртов полиэтиленгликоля (т-ра помутнения  $> 55^\circ$ ) 1 ч., Na<sub>2</sub>SiO<sub>3</sub> · 5—12H<sub>2</sub>O 62 ч., Na<sub>3</sub>PO<sub>4</sub> · 12H<sub>2</sub>O 30 ч., порошок SiO<sub>2</sub> 3 ч. В. Зломанов

6K200. Окраска деталей из алюминия и его сплавов. Kape James Michael, Doyle William Michael, Mills Ernest Charles. Improvements relating to the colouring of aluminium and its alloys. [High Duty Alloys Ltd]. Англ. пат. 834049, 4.05.60.—Предлагается метод окрашивания в зеленый цвет деталей из Al и его сплавов после анодирования в H<sub>2</sub>SO<sub>4</sub>, H<sub>2</sub>C<sub>2</sub>O<sub>4</sub>, р-ре CrO<sub>3</sub>, maleиновой к-те и т. д. Пример: сплав Al-Mg (2% Mg) анодируют в 6,8%-ной H<sub>2</sub>SO<sub>4</sub>; напряжение 20 в; т-ра 20°; D<sub>a</sub> = 1,6 а/дм<sup>2</sup>; время 1 час. После промывки сплав погружают на 2 мин. в р-р SnSO<sub>4</sub> (5 вес.%); т-ра 35°; промывают и еще на 2 мин. погружают в р-р тиомочевины (1 вес.%). Эти две операции проводят вторично. Поверхность сплава приобретает желто-коричневый цвет. После наполнения в кипящей дистил. воде (pH 5,5; 30 мин.) поверхность сплава приобрела приятный зеленый цвет.

М. Платков  
6K201. Чернение оловянных пластин. Цуда Акира. Японск. пат. 2467, 22.04.57.—При пропускании переменного тока между пластинкой Sn и графитовым электродом в водн. р-ре Na<sub>2</sub>S<sub>2</sub>O<sub>3</sub> · 5H<sub>2</sub>O на пластинке образуется черный слой сульфида Sn, прочно связанный с ней. При этом не происходит образования H<sub>2</sub>S.

Э. Т.  
6K202. Способ блестящего цинкования и блестящие добавки к электролитам цинкования.—Verfahren zur Glanzverzinkung und Glanzzusatz für Zinkbäder zur Durchführung des Verfahrens. [Firma Alfred Kolnik]. Австр. пат. 208171, 25.03.60.—Предлагается в цианидные электролиты цинкования состава (в г/л): Zn 20—40, NaCN 60—130, NaOH 40—80, работающие при т-ре 20—40° и D<sub>k</sub> 1—5 а/дм<sup>2</sup>, вводить добавки, обеспечивающие получение высокого блеска Zn-покрытия: 0,2—0,5 г/л продукта расщепления клея до стадии пептона (продукт расщепления при гидролизе пептина) и 0,02—0,05 г/л ароматич. альдегидов или окислительных соединений.

А. Козыминский  
6K203. Электролитическое цинкование. Procédé de revêtement électrolytique. [Carl Fenimore Cooper]. Франц. пат. 1211108, 14.03.60.—Для цинкования стали, Al, Mg и их сплавов предлагается электролит, содержащий (в г/л): Zn 10—35, Ti 10—50 и BF<sub>4</sub><sup>-</sup> (или Cl<sup>-</sup>); аноды — смешанные (Zn + Ti) или графит; D<sub>k</sub> = 2,58—19,4 а/дм<sup>2</sup>; т-ра 26—66°. Предлагаемый электролит обладает выравнивающими свойствами, значительно повышает коррозионную стойкость и сцепление Zn-покрытий на стали. Пример состава электролита (в г/л): Ti(BF<sub>4</sub>)<sub>3</sub> 220, Zn(BF<sub>4</sub>)<sub>2</sub> 45, ZnCl<sub>2</sub> 80.

Н. Смагунова  
6K204. Электролитическое рафинирование. Миятава Йосироку. Японск. пат. 3853, 18.04.60.—С целью предупреждения применения Pb к Zn при электрорафинировании Zn с применением анодов, содержащих Ag и Pb, к электролиту добавляют карбонаты, окислы, гидроокиси или сульфаты La, Ce, Nb, Ca, Sr, или их смеси. Пример. Состав электролита (в г/л): Zn 60, H<sub>2</sub>SO<sub>4</sub> 150, Mn 1; т-ра 35°; D<sub>k</sub> 715—740 а/м<sup>2</sup>; D<sub>a</sub> 803—830 а/м<sup>2</sup>; напряжение 3,1—3,5 в; про-

должительность электролиза 8, 16, 24 и 48 час. Катод — 99,7—99,99%-ный Al, анод — пластинка из Ag-Pb-сплава (Ag—1%). При добавлении к электролиту в (мг/л): LaSO<sub>4</sub> 1 содержание Pb в Zn равнялось 0,0031%, при 5—0,0026%, при добавлении CeSO<sub>4</sub> 2—0,0050%, при 4—0,0018%.

В. Зломанов  
6K205. Электроосаждение никеля.—Procédé d'obtention de dépôts électrolytiques du nickel. [Jacob, dit Jacques, Glayman]. Франц. пат. 1222338, 9.06.60.—С целью получения мелкозернистого, блестящего и пластичного Ni-покрытия предлагается вводить в кислотный электролит для никелирования ее менее одной добавки из каждой группы: алкалоиды 0,0001—0,1 г/л, органич. сульфокислоты 1—40 г/л, ароматич. сульфамиды и амиды 0,05—10 г/л и поверхностноактивные в-ва (аниониты, катиониты и неомогенные) 0,05—0,35 г/л. Из алкалоидов применяются — коницин, пиперин, никотин, атропин, кокаин, цинхонин, хинин, кофеин. Можно использовать сульфокислоты (алифатич., ароматич., одноядерные, бициклич. гетероциклич.) и их соли.

Н. Смагунова  
6K206. Электролит для химического никелирования. Puls Lawrence V., Vincent William R. Chemical reduction nickel plating bath. [General Motors Corp.]. Пат. США 2916401, 8.12.59.—Для хим. никелирования Mg, Th и их сплавов предлагается р-р состава (в моль/л): Ni<sup>2+</sup> 0,005—0,2, PO<sub>2</sub><sup>-</sup> 0,01—0,4, F<sup>-</sup> 0,2—1, алкиламин или аминоспирт в кол-ве, чтоб N/Ni<sup>2+</sup> = 1:1—10:1, карбоновая к-та или ее соль — в кол-ве, чтоб COOH/PO<sub>2</sub><sup>-</sup> = 1:1—10:1, pH р-ра 7—11. Пример состава р-ра (в г/л): NiSO<sub>4</sub> 11, NaH<sub>2</sub>PO<sub>4</sub> 16,6, лимонная к-та 17, NaF 21,7, триэтанолламин 40; pH 8,1; т-ра 70—85°.

И. Галль  
6K207. Усовершенствование процесса электроосаждения титана.—Perfectionnements à l'électrodeposition du titane. [Soc. d'Application de Matériel Electrique]. Франц. пат. 1215884, 21.04.60.—Патентуется метод покрытия сплавами Ti-Zn; Ti-Cd и Ti-Zn-Cl. Из TiOCl<sub>2</sub> и винной к-ты готовят ванну (при 30—50°) р-р Ti(C<sub>2</sub>H<sub>3</sub>O<sub>6</sub>)<sub>2</sub>, нейтрализуют избыток к-ты щелочью и полученный щел. р-р добавляют в цианистую, цинковую, кадмиевую или смешанную ванну (5 л р-ра с конц-ей TiO<sub>2</sub> 48 г/л на 100 л цианистого р-ра). Осаждение сплавов ведут при 18—20°, D<sub>k</sub> = 0,5—3 а/дм<sup>2</sup> с Zn-, Cd- или графитовыми анодами.

А. Скундин  
6K208. Прибор для определения плотности тока в процессе электроосаждения металлов. Quinn Paul. Improvements in and relating to apparatus and methods for measuring current density in plating baths. [The English Electric Co. Ltd]. Англ. пат. 832182, 6.04.60.—Во время измерения D<sub>k</sub> плоская пластинка из сплава Niло К, изолированная с одной стороны слоем стекла, помещается вблизи поверхности детали. Ток проходит через вспомогательный электрод, рукоятку, амперметр на катодную шину. Зная поверхность вспомогательного электрода и показания амперметра, можно вычислить D<sub>k</sub>. Метод применим для измерения D<sub>k</sub> при массовой загрузке стационарной ванны, на отдельных деталях и даже на различных поверхностях одного и того же изделия.

Н. Михайлов  
6K209. Электролиз расплавленной соли. Callinger Clyde T. Fused salt electrolysis. [E. I. du Pont de Nemours and Co.]. Пат. США 2924558, 9.02.60.—В ванне для произ-ва Na предлагается прикреплять диафрагму не к хлоротводящему колпаку, а к спец. диафрагменному кольцу, которое может двигаться в горизонтальной плоскости при помощи ползуна; таким образом диафрагма может совершать колебания в межэлектродном пространстве, что препятствует образованию наростов и коротким замыканиям. При работе диафрагма колеблется циклами по 3—10 колебаний с интервалами между циклами в 30 мин. Напряжение на ванне максимально, когда диафрагма находится на равных расстояниях от электродов.

А. Скундин



метрического и дифференциального термического анализа. Basinska-Pampuchová Stefánia. Lengyel tűzállóanyagok mineralógiai jellemzése differenciáltermoanalízis, termogravimetria és dilatometria segítségével. «Építőanyag», 1960, 12, № 9, 334—339 (венг.; рез. русск., нем.).—Сделана попытка определения характеристик глины путем параллельного применения методов дифференциального термич., dilatометрич. и термогравиметрич. анализов.

Из резюме автора 6К220. Каолины для керамической промышленности. Rozgaj S., Kasjan M. Osvajanje domačih kaolinskih sirovina za upotrebu u keramici. «Kemija u industriji», 1960, 9, № 6, N-17—N-19 (сербо-хорв.; рез. русск., нем.).—Проведено исследование каолинов месторождений Братунац и Мотайца. По своим хим. и керамич. свойствам эти каолины в смеси с полевым шпатом и кварцевым песком пригодны для получения высококачественных керамич. масс.

Из резюме авторов 6К221. Облагораживание польского бентонита при помощи кислотной обработки. Berak Józef M. Guczałski Romuald, Wójcik Jerzy, Zalwert Stefan. Uzlaczenie bentonitu krajowego poprzez obróbkę kwasową. «Przem. chem.», 1960, 39, № 9, 573—575 (польск.; рез. русск., англ.).—Одним из методов облагораживания бентонитов (Б) является обработка их к-тами, вызывающая активацию их каталитич. действия при многих хим. процессах. Влияние к-т на монтмориллонит, являющийся главной составной частью Б, зависит от вида, конц-ии к-ты, т-ры и времени травления (Т). Т к-тами увеличивает уд. поверхность Б и удаляет из него часть связанной воды. Хим. состав келецкого Б (ПНР) (в вес. %):  $\text{SiO}_2$  55,1,  $\text{Al}_2\text{O}_3$  22,0,  $\text{MgO}$  1,33,  $\text{CaO}$  3,20,  $\text{Fe}_2\text{O}_3$  1,63, п. п. 16,8. Рентгенография, исследование показало, что келецкий Б является Са-Мг-монтмориллонитом. Были проведены опыты Т сухого Б 11%-ными р-рами  $\text{HCl}$  и  $\text{H}_2\text{SO}_4$  при  $100^\circ$  и  $20^\circ$  в течение 1—16 час., из расчета 100 г Б на 300 мл р-ра к-ты. По окончании Т образцы Б промывали водой до исчезновения р-ции на  $\text{Ag}^+$  или  $\text{Ba}^{2+}$ . Хим. анализ Б после Т показал значительную убыль  $\text{Al}_2\text{O}_3$  (до 10 абс. %) по мере роста т-ры и времени Т  $\text{HCl}$ , которая действует сильнее  $\text{H}_2\text{SO}_4$ . Т горячей  $\text{HCl}$  вызывало сильное нарушение структуры Б, уменьшение числа гидроксильных групп (установлено дифференциально-термич. анализом) и рост удельной поверхности Б (обнаружено по способу измерения адсорбции препаратами газа  $\text{CO}_2$  при  $-78^\circ$ ). При Т  $\text{HCl}$  при  $20^\circ$  (20 час.) удельная поверхность Б оставалась слабо развитой, а убыль  $\text{Al}_2\text{O}_3$  достигала всего 2,4 %.

С. Глебов 6К222. Обезвоживание тремолита. Freeman A. G., Taylor H. W. F. Die Entwässerung von Tremolit «Silikat — Technik», 1960, 11, № 8, 390—392 (нем.).—Кривая потеря веса тремолита (Т) при нагревании показывает, что основное кол-во воды выделяется при  $700$ — $900^\circ$ . Степень превращения Т в пироксен пропорциональна кол-ву выделившейся воды. Рентгенограмма кристалла Т, нагревавшегося до  $\leq 600^\circ$ , не обнаруживает превращений. Следовательно, 0,5% воды, выделившейся  $< 600^\circ$ , химически не связано.

В. А. См. также: Сегнетоэлектрич. свойства твердых р-ров в тройной системе Ва ( $\text{Ti}$ ,  $\text{Zr}$ ,  $\text{Sn}$ ) $\text{O}_3$  6Б428. Липофильность и адсорбционная способность активированных бентонитов Украины 6К121.

### Керамика

Редакторы В. В. Аутко, С. В. Глебов, С. И. Горелкина

6К223. Работы над составом и технологией фарфоровой изоляторной массы для высокого напряжения. Lidmanowski W., Boguslawski S., Cyganowicz K., Fekecz J. Prace nad składem i technolo-

gią masy porcelanowej do celów wysokonapięciowych. «Przegl. elektrotechn.», 1960, 36, № 6, 227—231 (польск.). Изложены результаты совместной работы польского ин-та электротехники и з-да электрокерамики в области повышения механич. и электр. свойств электроизоляторов (ЭИ) высокого напряжения, особенно висячих длинно-стержневых, двухколпачковых и проходных. Ряд работ, проведенных в разных странах за последние годы, в связи с повышающимися требованиями к механич. прочности ЭИ на разрыв показал, что  $\sigma_{\text{разр}}$  и  $\sigma_{\text{изг}}$  массы электрофарфора можно повысить путем увеличения содержания в ней глины или  $\text{Al}_2\text{O}_3$ . В связи с этим было изготовлено несколько ЭИ-масс, в которых часть каолина была заменена чистыми разновидностями польских глин, а также массы с частичной заменой кварца фарфоровым боем. Вместе с тем была поставлена задача несколько снизить т-ру обжига ЭИ-масс при одновременном повышении  $\sigma_{\text{разр}}$  и  $\sigma_{\text{изг}}$  и диэлектрич. свойств ЭИ. Обе эти задачи удалось выполнить путем изменения состава обычной ЭИ-массы за счет увеличения в ней кол-ва полевого шпата до 26%, снижения содержания кварца до 3,5—6,5%, введения 10% фарфорового боя и увеличения содержания глины и каолинов до 60,5—68,5%. Среднее значение  $\sigma_{\text{изг}}$  у ЭИ повысилось с 630—700 до 820—880  $\text{кг/см}^2$ , при  $\sigma_{\text{разр}}$  380—400  $\text{кг/см}^2$ , при сохранении диэлектрич. свойств ЭИ в границах полн. стандарта PN-56/E-06301, причем т-ру обжига ЭИ удалось снизить на  $20$ — $30^\circ$  (до  $1350^\circ$ ). Работа внедрена в произ-во. С. Глебов

6К224. Серый трахит в массах электротехнического фарфора. Wielgus Józef. Trachit szary w masach porcelany elektrotechnicznej. «Szkło i ceram.», 1960, 11, № 9, 260—264 (польск.).—Для изготовления электротехнич. фарфора (ЭФ) в ПНР используется скандинавский полевой шпат марки «Alavus». С целью замены его местным сырьем проведены опыты использования в ЭФ-массах серого трахита из Седлеца, состава (в вес. %):  $\text{SiO}_2$  73,6,  $\text{Al}_2\text{O}_3$  14,0,  $\text{Fe}_2\text{O}_3$  0,12,  $\text{CaO}$  +  $\text{MgO}$  1,4,  $\text{K}_2\text{O}$  7,8,  $\text{Na}_2\text{O}$  0,9, п. п. 1,9. В массы вводили 24—22% серого трахита, кроме него в виде флюсов вводили еще 17—19% местного полевого шпата из Штеблкова, возможность использования которого в массы ЭФ была доказана ранее. Опыты изготовления и сравнительные испытания на пробой и другие электр. свойства различных УФ-изделий (линейные, конусные, проходные изоляторы высокого и низкого напряжения, изоляторы для масляных выключателей и др.), изготовленных на основе импортного полевого шпата, показали полную возможность использования серого трахита в ЭФ-изделиях широкого ассортимента без какого-либо снижения качества. Приведены данные испытаний. С. Глебов

6К225. Процессы электроочистки керамики. Богородицкий Н. П., Плащинский Н. Т., Дукаревич Н. Я. В сб. «Физика диэлектриков». М., АН СССР, 1960, 473—478. Дискус., 479—480.—Результаты исследования электроочистки и ее влияния на электр. свойства керамич. материалов: стеатита, муллитовой керамики и ультрафарфора. Три керамич. образца в виде дисков толщиной 1,0—1,5 мм и диам. 50—60 мм складывались вместе и зажимались между платиновыми электродами. Т-ра исследования  $750^\circ$ , электр. напряжение 3,5—4,0 кв. Опыты продолжались до установления постоянного веса у образцов. В результате исследований установлено, что длительное прохождение постоянного электрич. тока через образцы из стеатита, муллитовой керамики и ультрафарфора сопровождается электроочисткой керамики. При этом меняется природа электропроводности, возрастает уд. объемное сопротивление и резко уменьшаются диэлектрич. потери. После электроочистки электропроводность керамики становится электронной. В исследо-



ванных керамич. материалах ионы металлов, участвующие в электропроводности, находятся в двух энергетич. состояниях: часть их обладает большой энергией закрепления, другая часть закреплена слабо. Диэлектрич. потери и электропроводность определяются в основном слабо закрепленными ионами. Подчеркивается, что в электропроводности участвует только часть ионов щел. металлов, содержащихся в керамике.

Г. Геращенко

6К226. Пути развития неорганических диэлектриков. Богородицкий Н. П. «Изв. Ленингр. электротехн. ин-та», 1960, вып. 43, 6—11

6К227. Диэлектрическая проницаемость и диэлектрические потери в некоторых керамических материалах в сильных электрических полях высокой частоты при высокой температуре. Филатов И. С. В сб. «Физика диэлектриков». М., АН СССР, 1960, 28—36. Дискус., 37—38. — Проведено изучение диэлектрич. потерь,  $\tan \delta$  и диэлектрич. проницаемости  $\epsilon$  керамич. материалов в сильных электрич. полях высокой частоты при высокой т-ре. Исследовалась керамика В состава (в %): ополский тальк 91,6, елининский каолин 5,2, боратин 3,2. В процессе изготовления образцов вводились добавки  $\text{BaCO}_3$  в кол-ве 1 и 4%,  $\text{MgO}$  4 и 6%, парафин 10, 15 и 20%. Установлено, что диэлектрич. потери в исследуемых материалах в сильных электрич. полях высокой частоты при высоких т-рах складываются из релаксационных и ионизационных потерь и потерь проводимости. При этом доминирующими являются ионизационные потери. Увеличение кол-ва и размера пор, т-ры, частоты, напряженности поля и длительности приложенного напряжения благоприятствует развитию ионизационных процессов и приводит к возрастанию  $\epsilon$  и  $\tan \delta$ . Некоторое изменение стекловидной и кристаллич. фаз керамики не приводит к существенному изменению  $\epsilon$  и  $\tan \delta$  в сильных полях и при высоких т-рах.

Из резюме автора

6К228. Влияние окислов хрома на электрические свойства титаната бария. Вербицкая Т. Н., Александрова Л. М., Синицина Л. С. В сб. «Физика диэлектриков». М., АН СССР, 1960, 372—384. Дискус., 429—431. — Исследовано влияние небольших добавок окислов Cr на электрич. свойства титаната Ba и сегнетокерамики состава: 94 мол.%  $\text{BaTiO}_3$  + 6 мол.%  $\text{SnO}_2$ , получаемых синтезом при 1400° из технич. сырья, применяемого для изготовления конденсаторной керамики. В одну партию  $\text{BaTiO}_3$  вводились добавки  $\text{Cr}_2\text{O}_3$  в кол-ве 0,1—5 мол.%, в другую одновременно добавки  $\text{SnO}_2$  в кол-ве 6 мол.% и  $\text{Cr}_2\text{O}_3$ . Вместо  $\text{Cr}_2\text{O}_3$  в ряде случаев добавляли  $\text{BaCrO}_4$  в кол-ве 0,1—10 мол.%. Изучены характеристики составов в слабых и повышенных электрич. полях, начаты структурные исследования сегнетоэлектриков рентгенографич. и кристаллооптич. методами. Из сопоставления результатов исследований вытекает, что небольшая добавка  $\text{Cr}_2\text{O}_3$  увеличивает поляризуемость исходного в-ва, повышает величину диэлектрич. проницаемости и коэф. нелинейности сегнетоэлектрика; увеличение кол-ва добавки снижает нелинейные и диэлектрич. характеристики сегнетоэлектрика.

Г. Геращенко

6К229. Влияние примесей на качество конденсаторов из  $\text{TiO}_2$ . Tamás Ferenc. Idegen anyagok hatására titándioxid-alapú kondenzátorok minőségére. «Építőanyag», 1960, 12, № 9, 319—323 (венг.; рез. русск., нем.). — Исследовано влияние примесей ( $\text{SiO}_2$ ,  $\text{Al}_2\text{O}_3$ ,  $\text{Fe}_2\text{O}_3$ ,  $\text{CaO}$ ,  $\text{MgO}$ ,  $\text{K}_2\text{O}$ ,  $\text{Na}_2\text{O}$ ,  $\text{SO}_3$ ) в кол-ве 0,1—5 мол.% на качество керамич. конденсаторов из  $\text{TiO}_2$ . Установлено, что влияние примесей определяется их валентностью, радиусом ионов и их размещением в кристаллич. решетке.

Из резюме автора

6К230. Зависимость удельного сопротивления резисторов от температуры. Shito Nobuhiko. «Koréi kagaku zasshi, Kogyo Kagaku zasshi, J. Chem. Soc. Japan, Industr. Chem. Sec.», 1960, 63, № 8, 1290—1295,

A 71—A 72 (японск.; рез. англ.). — Исследовано уд. сопротивление резисторов, приготовленных из газовой сажи и цемента, в зависимости от изменения т-ры. Уд. сопротивление определяли по ф-ле:  $\rho = \rho_0 e^{A/kT}$ , где  $\Delta\epsilon$  — энергия активации,  $k$  — постоянная Больцмана,  $T$  — абс. т-ра. Отмечается, что  $\Delta\epsilon$  резисторов, приготовленных из угольной сажи, уменьшается с увеличением т-ры обработки и почти не отличается от значений  $\Delta\epsilon$  углерода, обработанного при тех же т-рах.

Из резюме автора

6К231. Кварц для межконтинентальных баллистических снарядов. Williams A. E. Quartz for I. C. B. M. «Mining Mag.», 1960, 103, № 4, 214—217 (англ.).

6К232. Новые керамические покрытия на металлах, превосходящие стекловидные покрытия на стали. — New ceramic-coated metal takes over where glassed steel leaves off. «Chem. Engng.», 1960, 67, № 20, 130, 132, 133 (англ.). — Фирма Pfaunder разработала новые керамич. покрытия типа пирокерама — Nucerite для различных металлов (стали, никонеля, молибдена). Как и при эмалировании сначала на металл наносится слой грунта, поверх него 2—5 слоев стекла толщиной 0,25 мм каждый. Каждый слой обжигают отдельно, после чего подвергают изделие термич. обработке по специальному весьма жесткому режиму при ~1100°. Спец. добавки, введенные в стекло, способствуют его кристаллизации. В результате получается весьма твердая, прочная мелкокристаллич. структура покрытия. Наиболее ценные свойства: прочность на удар превосходит таковую стекла в 18 раз; термостойкость выше, чем у стекла, в 3—4 раза; допустимый перепад т-ры 660°; устойчивость на истирании в 4 раза выше, чем у лаб. стекла; теплопроводность в 13 раз выше, чем у фарфора. Наиболее важно защитное действие, которое оказывает покрытие при высоких т-рах. Молибден оно защищает от окисления при 870°, может выдерживать 1100°.

М. Серебрякова

6К233. Развитие производства и пути улучшения качества огнеупоров на предприятиях треста «Огнеупорперуд». Бардагов Г. Т. «Огнеупоры», 1960, № 10, 433—440

6К234. Измерение теплопроводности огнеупоров до температуры 1500°. Пустовалов В. В. «Сб. науч. тр. Укр. н.-и. ин-т огнеупоров», 1960, вып. 3 (50), 282—290. — Приводятся результаты измерения коэф. теплопроводности ряда огнеупорных материалов от 100 до 1500° на горячей стороне, характеристика установлена для определения теплопроводности, методика расчета и анализ полученных результатов.

Г. Геращенко

6К235. Вес динасового кирпича. Schmid O. Gewichtsbestimmungen von Silikasteinen. «Glas-Email-Keramo-Techn.», 1960, 11, № 9, 328—330 (нем.; рез. англ. франц.). — На сериях образцов динасового кирпича, взятых с одних партий и имеющих одинаковый уд. вес и одинаковую степень превращения кварца, выявлены значительные различия в весе кирпичей, колеблющиеся от 200 до 400 г. Эти колебания веса динасового кирпича равного качества и одной партии не объяснены.

А. Говоров

6К236. Высокоглиноземистые огнеупоры на фосфатной и керамической связке для футеровки печи для плавки алюминия. — Phosphate and ceramic bonded high alumina refractories developed for aluminum melting furnaces. «Industr. Heat.», 1960, 27, № 8, 1698, 1696 (англ.). — Фирма Harbison — Walker Refractories Co. (США) начала выпускать два новых типа высокоглиноземистых кирпича и мертеля под общим названием «Корал». В зависимости от условий службы кирпичи на фосфатной связке могут применяться как в необожженном, так и в обожженном виде. Кирпичи стойки к эрозии и газонепроницаемы. При 930° в 30 час. выдержки огнеупор не пропитывается расплавом алюминия.

Т. Ряховский

вано уд. со-  
из газовой  
нения т-ры  
е:  $\rho = \rho' e^{\Delta \alpha / \Delta T}$   
и Больца-  
сторов, при-  
ся с увели-  
ется от ана-  
же т-рах.  
иоме автора  
баллистиче-  
ог I. С. В. М.  
гт.)  
на металле,  
на стали, —  
glassed steel  
130, 132, 134  
е керами-  
различных  
как и при  
слоя грун-  
ной 0,25 мм  
после чего  
специально-  
шеч, добав-  
кристалли-  
рда, проч-  
и. Наиболее  
ходит тако-  
е, чем у  
т-ры 660°;  
ем у лабор-  
чем у фар-  
оторое ока-  
ден оно за-  
держати  
серебряно-  
улучшен-  
ега «Огне-  
упор», 1960.

огнеупоров  
«Сб. научн.  
(50), 282—  
коэф. тепло-  
от 100 до  
установки  
ка расчет  
Герашенко  
id O. Ge  
Glas-Emai  
(нем.; ре-  
ового кар-  
динаковы  
и кварца  
ричей, ве-  
веса диве-  
партли в  
А. Говоро  
на фо-  
овки печи  
gamic vol-  
aluminum  
№ 8, 1961.  
Refractories  
на высоки-  
им назви-  
ужобы кир-  
ть как  
Кипичи  
ри 930°  
ся расли-  
Ряховски

6K237. Разработка технологии производства капселей из специальных масс с большим числом оборотов для туннельных печей при обжиге мягкого столового фарфора. — Opracowanie technologii produkcji osłoniaczy z mas specjalnych o dużej obrotowości dla pieców tunelowych do wypału porcelitu stołowego. «Szkoło i ceram.», 1960, 11, № 9, 282—286 (польск.). — Разработана технология произ-ва термостойкого мулито-корундового и мулито-кордиеритового капселей для обжига изделий из мягкого фарфора в туннельных печах. Карборундовый капсель на фабриках мягкого фарфора и фаянса применять невыгодно из-за наличия в печах окислительной атмосферы, сокращающей стойкость капселей. В лабор. условиях было изготовлено 10 мулито-корундовых и 6 кордиеритсодержащих масс и изучены их свойства. В качестве сырья использовались огнеупорные глины Ярошув G-2 и Селец G-2 (1:1), обожженный технич.  $Al_2O_3$ , австрийский тальк (для добавки в кордиеритсодержащие массы) и минерализаторы:  $TiO_2$ ,  $CaO$ ,  $MgO$  и тальк. Все исходные материалы размалывали в шаровых мельницах до прохождения через сито 0,06 мм (глины — через сито 2 мм), затем смешивали также в шаровой мельнице и изготовляли из нее шамот, который мололи до зерна 1 мм. Опытные капсельные массы изготовляли пластичным и полусухим способами из шамота и сырой массы в соотношении 1:1; образцы обжигали при 1350°. Приведены данные о физ. и термич. свойствах масс. В результате испытаний образцов сделаны следующие выводы: а) мулито-корундовые массы, изготовленные с добавкой минерализаторов  $TiO_2$  и  $MgO$  (в виде талька, магнезита, доломита) при обжиге на 1350°, обладают свойствами, позволяющими их использовать при произ-ве капселей; б) кордиеритсодержащие массы со средним содержанием талька (15—30%) пригодны для изготовления капселя для обжига мягкого фарфора и фаянса, а с малым содержанием талька (10%) — для обжига твердого фарфора. В настоящее время производятся опыты изготовления капселей из лучших кордиеритсодержащих масс в полупромышленном масштабе на 2 заводах (Чимановском и Ходкевском, ПНР).

6K238. Ковшевой кирпич и стонорные трубки из кыштымского обогащенного каолина. Бродецкий Г. Г., Ланде П. А., Дьячкова З. С., Михайлов Ю. Ф. «Огнеупоры», 1960, № 10, 443—448. — Показана возможность изготовления качеств. огнеупоров для сталеплавильного произ-ва из обогащенного каолина Кыштымского месторождения. Приводятся результаты исследований лабор. масс, свойства полуфабрикатов и готовых изделий в зависимости от т-ры обжига, результаты минералогич. исследования, технология произ-ва и результаты испытания изделий в службе.

Г. Герашенко  
6K239. Повышение производительности завода по производству карборундовых огнеупоров в три раза. Brown Roy W. Carborundum triples plant capacity. «Glass Ind.», 1960, 41, № 1, 18—21, 51 (англ.). — Приведена технологич. схема 3-да. Показано, как путем механизации и автоматизации некоторых технологич. операций удалось увеличить производительность 3-да в 3 раза.

И. Асвович  
6K240. К вопросу о влиянии структурного типа кристаллической решетки высокоогнеупорных окислов на относительную температуру спекания. Тресвятский С. Г. «Огнеупоры», 1960, № 10, 467—470. — Приведены результаты работы по определению влияния структурного типа кристаллич. решеток на относительную т-ру спекания (ОТС) х. ч.  $Al_2O_3$ ,  $BeO$ ,  $MgO$ . ОТС определяли снятием «кривых спекания», показывающих зависимость относительной пористости от т-ры обжига. Установлено, что между ОТС и типом кристаллич. решеток высокотемпературных окислов имеется взаимосвязь. Наиболее низкая ОТС у  $ThO_2$  и  $MgO$ , имею-

щих кристаллич. решетку с высокой симметрией и совершенной спайностью по 3 направлениям. Наиболее высокая ОТС у  $Al_2O_3$ , имеющей решетку с плотнейшей гексагональной упаковкой ионов, лишенную спайности.  $BeO$ , имеющая гексагональную решетку, полученную деформацией кубич. структуры, и обладающая спайностью по одному направлению, занимает промежуточное значение. Отсюда следует, что способность кристаллич. решеток к пластич. деформированию при спекании и скольжению отдельных фрагментов кристаллов по плоскостям спайности является фактором, благоприятствующим уплотнению материала при спекании образцов, спрессованных из порошков.

В. Аутко  
6K241. Изделия из плавленной двуокиси циркония с повышенной термической устойчивостью. Маргулис О. М., Стовбур А. В., Басалова Г. К. «Сб. научн. тр. Укр. н.-и. ин-т огнеупоров», 1960, вып. 3 (50), 153—171. — Разработал способ изготовления из  $ZrO_2$  тиглей и изделий, обладающих высокой термич. стойкостью, что достигается применением кубич. и моноклинной модификаций плавленной  $ZrO_2$  в соотношении 1:1. Установлено, что кубич. модификация  $ZrO_2$ , стабилизированная  $CaO$ , при 1500° имеет низкую прочность, которая резко повышается при добавлении 50% моноклинной модификации. Коэф. термич. расширения моноклинной модификации  $ZrO_2$  и ее смесей с кубической ниже, чем коэф. термич. расширения кубич. модификации  $ZrO_2$ . Петрографич. и рентгенографич. методами установлена дестабилизация кубич. формы  $ZrO_2$ , стабилизированной  $CaO$ , так и  $MgO$  при длительном нагреве при 1200°. Установлено, что дестабилизация сопровождается увеличением прочности изделий при 1500°.

Из резюме авторов  
6K242. Производство сталеразливочных магнетитовых стаканов. Винокур С. Б., Литвиненко Н. М. «Огнеупоры», 1960, № 10, 440—442. — Произ-во сталеразливочных магнетитовых стаканов на Пантелеймоновском 3-де из магнетитового порошка ( $MgO \geq 90\%$ ). Шихта состоит из 40% тонкомолотого и 60% зернистого магнетита. Зернистый магнетит увлажняют до влажности 2% и подвергают гидратации в бункере с паровым эмеевиком. Затем в бегуны загружают зернистую составляющую, увлажняют ее сульфитно-спиртовой бардой, подают тонкомолотую составляющую и пере-мешивают 10—12 мин. Влажность массы 2,7—3,3%. Отпрессованные стаканы сушат в сушильках с ма-ксим. т-рой в тоннеле 140° в течение 110—120 час. до влажности 0,3%. Высушенные стаканы после рассортировки немедленно загружают в печь обжига.

В. Аутко  
6K243. Исследование основных огнеупоров в атмосфере, богатой щелочными парами. Eloy P., Jaupain M., Plumet E. The behaviour of basic refractories in atmospheres rich in alkaline vapours. «Glass Technol.», 1960, 1, № 4, 162—173 (англ.; нем., франц.). — Исследовано влияние паров щел. солей на поведение основных огнеупоров в условиях, близких к работе регенераторов ванн печей. Установлено, что в общем основные огнеупоры не разрушаются щел. солями, но в случае, если такие огнеупоры содержат заметное кол-во окислов или силикатов Fe, периодически изменяющийся состав газовой среды действует на них разрушающе. Это же явление наблюдалось и при исследовании форстеритовых и магнезитовых огнеупоров. Опытами установлено, что необходимо избегать контакта этих огнеупоров с Si-содержащими материалами, так как в этом случае при высоких т-рах возникает коррозия вследствие образования эвтектик. Исследования огнеупорных материалов с высоким содержанием Mg и низким содержанием Fe выявили высокую стойкость их к действию щел. солей. Разработан спец. тип печи, позволяющий проводить опыты в условиях регулируемой т-ры и контролируемой газовой среды.

Л. Струтинский

**6K244.** Прессы взаимодействия между хромшпинелидом и периклазом при обжиге. Френкель А. С., Шмуклер К. М., Сухаревский Б. Я., Гулько Н. В., Балюк С. Т. «Сб. научн. тр. Укр. н.-и. ин-та огнеупоров», 1960, вып. 3 (50), 202—229.—Исследовались условия образования вторичных шпинелидов в процессе взаимодействия между хромитом и магнезитом при обжиге. Изучение проводилось рентгенографич., петрографич. и рациональным хим. анализом. Исследовались образцы, медленно охлажденные и подвергавшиеся закалке. Т-ра обжига 1200—1750°. Установлено, что для каждой т-ры существует предельная толщина твердого р-ра хромшпинелида в периклазе. При растворении хромшпинелида в периклазе происходит замещение ионов  $Mg^{2+}$  ионами  $Fe^{2+}$  и ионами трехвалентных металлов, радиусы которых меньше, чем у  $Mg^{2+}$ , что подтверждается уменьшением параметра решетки периклаза. Образующиеся твердые р-ры представляют собой твердые р-ры замещения с катионными вакансиями. При охлаждении твердый р-р хромшпинелида в периклазе, стабильный при высоких т-рах, распадается с выделением вторичного шпинелида. Анализ показал, что в состав вторичного шпинелида, выделяющегося при высоких т-рах, входит несколько меньше  $Cr_2O_3$  и больше  $Fe_2O_3$ , чем в первичном хромшпинелиде. Микроскопич. частицы вторичного хромшпинелида обнаруживаются уже при 1500°. Распад твердого р-ра с выделением вторичного шпинелида заканчивается при 1200—1300°.

Г. Герашенко

**6K245.** Безобжиговые форстеритовые огнеупоры на периклазовом цементе. Пирогов А. А., Ракина В. П. «Сб. научн. тр. Укр. н.-и. ин-та огнеупоров», 1960, вып. 3 (50), 172—184.—Проведено исследование по изучению свойств безобжиговых форстеритовых изделий на периклазовом цементе с использованием в качестве заполнителей масс хабозерского оливинита и уктусского дунита (сырого и обожженного при 1450°). Приводятся хим. состав исходных материалов, рецептуры опытных масс, технология изготовления образцов и результаты физ.-хим. испытаний. Установлено, что безобжиговые изделия, изготовленные из оливинита на периклазовом цементе, характеризуются высокой прочностью (300—400 кг/см<sup>2</sup>) после 7 суток твердения в естественных условиях, хорошей устойчивостью к деформации под нагрузкой при высоких т-рах (начало разрушения 1580—1640°, разрушение 1660—1680°), низкой пористостью (10—11%) и достаточным постоянством объема при нагреве до 1650°. Безобжиговые изделия из обожженного дунита в отличие от оливинитовых характеризуются несколько большей пористостью и более широким интервалом деформации под нагрузкой.

Г. Герашенко

**6K246.** Исследование форстеритового сифонного кирпича после службы. Долкарт Ф. З., Кузьмина Л. А. «Огнеупоры», 1960, № 10, 474—477.—Исследования 'отработавших огнеупоров и литников показали, что по характеру и степени износа форстеритовый сифонный кирпич отличается от полукислого и шамотного. При прохождении металла через сифонную проводку рабочая поверхность форстеритового огнеупора насыщается окислами Fe и (частично) Mn. Начиная с рабочей поверхности канала сифонного кирпича, происходит процесс восстановления окиси Fe в закись Fe, убывающий по мере приближения к наружной поверхности кирпича. Благодаря незначительному износу в службе и отсутствию признаков оплавления применение форстеритового сифонного кирпича может представлять практич. интерес. Предыдущее сообщение см. РЖХим, 1960, № 5, 18690.

**6K247.** Минералогический состав обожженных смесей магнезит-доломит-окалина и магнезит-доломит-мартековский шлак. Басьяс И. П., Лещеса А. М. «Огнеупоры», 1960, № 10, 478—483.—Для выяснения мине-

ралогич. изменений при нагревании смесей магнезита и доломита со шлаком, окалиной и ильменитом выполнено минералогич. исследование магнезито-доломитовых образцов различного состава после обжига в криптолово-печи при 1300, 1450, 1600° в нейтрально-окислительной среде. Образцы прессовались под давл. 300 кг/см<sup>2</sup>. Для состава магнезит-доломит-окалина выявлены области существования различных минералов связи между кристаллами периклаза в зависимости от состава смесей, т-ры и продолжительности обжига. Монтичеллит наблюдается почти во всех образцах, обожженных при 1300° с часовой выдержкой. После обжига при 1450° область его сокращается, а после обжига при 1600° он не обнаруживается. После 3-часовой выдержки образцов при 1450° вместо монтичеллита появляется стекло с кристаллами мервинита и кристаллы  $2CaO \cdot SiO_2$ . Ферриты Ca образуются при 1300°, с повышением т-ры обжига область их существования распространяется от районов максим. содержания доломита и окалины на районы с малым содержанием доломита. При 1300° в области высокого содержания магнезита и окалины наблюдается магнетит. В смеси магнезит-доломит-мартековский шлак, обожженной при 1450° с выдержкой 1 час, появляется область существования свободной извести, увеличивается область существования мервинита, меняются контуры распространения ферритов Ca, отсутствует магнетит. Проведено также исследование этих смесей при добавке к ним 10% ильменита.

**6K248.** К вопросу о действии основного мартековского шлака на магнезито-силикатный ковшевой кирпич. Александрова Т. А., Алексеева А. Н. «Огнеупоры», 1960, № 10, 470—474.—Микроскопич., рентгенографич. и хим.-аналитич. методами исследовано изменение фазового состава магнезито-силикатных огнеупоров под влиянием основного мартековского шлака. Для исследования использовались образцы из смеси тонкоизмельченных дунитового, талькомагнезитового и оливинитового огнеупоров с 40 и 60% шлака, обожженные при разных т-рах. Установлено, что магнезито-силикатные огнеупоры взаимодействуют с основным мартековским шлаком, образуя наряду с более легкоплавкими фазами (пирронолобонитом минералом, монтичеллитом) и тугоплавкие (периклаз и шпинель сложного состава). Испытания магнезито-силикатных огнеупоров в качестве футеровки сталеразливочных ковшей показали заметное налипание и приваривание шлака к огнеупорам.

**6K249.** Предел прочности при сжатии огнеупорных материалов при разных температурах. Bodin V. Résistance à l'écrasement des produits réfractaires aux différentes températures. «Ind. céram.», 1960, № 520, 263—268 (франц.).—Обзор. Библ. 20 назв.

**6K250.** Опыт определения дополнительной усадки доменных плит горшковых печей, происходящей под действием паров щелочей при температуре 1450°. Rakowska Helena. Próby wyjaśnienia skurczliwości wtórnej płyt pieców donicowych, zachodzącej pod działaniem par alkaliów w temperaturze 1450°C. «Szkló i ceram.», 1960, № 9, 257—260 (польск.).—Проведены опыты по определению влияния разных производственных факторов (рода сырья, зернового состава шамота и кажущейся пористости) на дополнительную усадку (ДУ) шамотных доменных плит горшковых сталеплавильных печей в условиях их службы при т-рат 1450—1500° и действия паров щелочей, выделяющихся при варке стекла. Для этого 11 образцов многошамотных брусков (55 × 55 × 75 мм) разного состава были помещены на 6—12 недель на доновую плиту горшковой печи в загрузочной части. После испытания бруски вынуты из печи и повторно подвергнуты исследованию. Многошамотные бруски с мелким зерном шамота (0—2 мм) дали значительную ДУ (3—4%) и были

слабо раз  
9 мм), о  
дали мин  
всех проб  
держания  
лита. На  
ленные и  
шув PG-2  
разнов в  
6K251.  
металлур  
Jose M.  
hiergo y c  
102—114.  
6K252.  
чексом за  
tories J.,  
6K253.  
стве фут  
mi Nob  
1960, 32,  
ревы воз  
ча, огнеу  
теровочн  
их состав  
нок.  
6K254.  
мого при  
wa Yu k  
32, № 5,  
микроск  
меадуется  
ремонта  
измельче  
фаллите  
6K255.  
риалов  
Hajim  
32, № 5,  
свойства  
бой сме  
леня ч  
100 меш  
10 меш,  
нок. Лу  
показав  
чивость  
после 4  
риале «Г  
пирокси  
6K256.  
кириче  
Ha ya s  
Ссс., 19  
Исследо  
кириче  
чем вы  
высоких  
6K257.  
при сп  
Стваран  
магнези  
24, № 3,  
дования  
чах при  
дом и  
основн  
ОК про  
месью  
лов дру  
сущест  
резкое  
спекае  
24 Зака



слабо разведены. Грубозернистые образцы (зерно до 9 мм), особенно с прерывистым зерновым составом, дали миним. ДУ и почти не подверглись коррозии. Во всех пробах наблюдалось значительное увеличение содержания щелочей и наличие мелкокристаллич. муллитов. Наиболее стойкими оказались образцы, изготовленные из огнеупорных глин Червона Вода G-3 и Ярошув PG-2. Влияния кажущейся пористости на ДУ образцов в службе отмечено не было.

**6K251.** Использование огнеупорных материалов в металлургии. Части II, III. Palacios Reparaz Jose M. Materiales refractarios para la industria del hierro y del acero. Parte II. III. «Dyana», 1960, 35, № 2, 102—114, № 10, 757—765 (исп.).

**6K252.** Использование огнеупоров на металлургическом заводе фирмы Consett Iron. Storey C. Refractories usage at Consett Iron Company, Limited. «Refractories J.», 1960, 36, № 8, 238—240, 242 (англ.).

**6K253.** Условия использования огнеупоров в качестве футеровочного материала в вагранках. Tsutsumi Nobuhisa. «Имоно, J. Japan Foundrymen's Soc.», 1960, 32, № 5, 346—349 (японск.; рез. англ.).—Рассмотрены возможности применения огнеупорного кирпича, огнеупорных замазок и материалов в качестве футеровочного материала для вагранок в зависимости от их состава, условий плавки, размера и формы вагранок.

**6K254.** Испытание нового материала, используемого при ремонте вагранок. Ota Taro, Nishikawa Yukio. «Имоно, J. Japan Foundrymen's Soc.», 1960, 32, № 5, 340—345 (японск.; рез. англ.).—На основании микроскопич. и рентгенографич. исследования рекомендуется в качестве материала, используемого при ремонте футеровки вагранок, применять смесь грубоизмельченных кварцитов и тонкоизмельченного пиррофиллита.

**6K255.** Об использовании кремнеземистых материалов при ремонте футеровки вагранок. Tamura Hajime. «Имоно, J. Japan Foundrymen's Soc.», 1960, 32, № 5, 335—340 (японск.; рез. англ.).—Исследованы свойства материала «Daubрах», представляющего собой смесь естественного и искусств.  $\text{SiO}_2$  высокой степени чистоты с частицами, проходящими через сито 100 меш и частицами, задерживаемыми на сите 10 меш, используемого при ремонте футеровки вагранок. Лучшие показатели прочности на сжатие сырец показывает при влажности 6—8%, наивысшей устойчивостью к воздействию шлаков материал обладает после 4—6 дней подвялки. Как футеровочный материал «Daubрах» обладает лучшими свойствами, чем пиррофиллитовый кирпич.

**6K256.** Стойкость к петиранню кислотоупорных кирпичей для вагранок. Makiguchi Toshisada, Hayashi Takeshi. «Имоно, J. Japan Foundrymen's Soc.», 1960, 32, № 5, 319—325 (японск.; рез. англ.).—Исследована стойкость к петиранню кислотоупорных кирпичей в зависимости от содержания в них  $\text{SiO}_2$ ; чем выше конц-ия  $\text{SiO}_2$ , тем выше их вязкость при высоких т-рах и лучшие свойства.

**6K257.** Образование колец во вращающихся печах при спекании магнезита. Кнежевић Милош Б. Стваране прстена у ротационој пећи за синтеровање магнезита. «Гласник хем. друштва», 1958—1959, 23—24, № 3—4, 219—222 (серб.-хорв.; рез. англ.).—Исследования образования колец (ОК) во вращающихся печах при спекании магнезита проведены над двумя видами исходного материала. Первый имел в качестве основной примеси  $\text{CaO}$ , второй  $\text{SiO}_2$ . Установлено, что ОК происходит при обжиге материала, основной примесью которого является  $\text{SiO}_2$ . При спекании материалов другого состава не только не происходит ОК, но и существующие кольца уничтожаются. Причина ОК — резкое повышение в некоторых местах печи т-ры в спекаемом материале, при котором создается значи-

тельное кол-во вязкой жидкой фазы. Избежать ОК можно удлинением пламени, так как при этом смягчаются температурные скачки, уменьшается кол-во жидкой фазы и создаются условия, при которых р-ция происходит, в основном, в материале, находящемся в твердом состоянии.

**6K258.** Физические свойства керамических рекущих материалов. Влияние размера на прочность при изгибе. Okushima Keiji, Fujii Yoshiya. «Сай-яцу кикай, J. Soc. Precis. Mech. Japan», 1960, 26, № 1, 15—18 (японск.; рез. англ.).—Исследование зависимости предела прочности керамики. рецов на изгиб показало, что прочность на изгиб пропорциональна  $V^{-1/m}$ , где  $V$  — объем образца, а  $m$  — постоянная = 4,2, подсчитанная из эмпирич. данных.

**6K259.** Обзор экспериментальных работ в целях получения искусственных алмазов. Мацуяма Хидэтаро. «Тансо, Carbons», 1960, 8, № 1, 24—28 (японск.).—Библ. 8 назв.

**6K260.** Новое о синтезе алмазов компанией General Electric Co. Rodewald Hans. Neues über die Diamantsynthese der General Electric Co. «Chimia», 1960, 14, № 5, 162—165 (нем.).—Описана аппаратура и процесс синтеза искусств. алмазов, разработанные General Electric Co. (см. также РЖХим, 1960, № 14, 56462). В качестве основного материала для внешних обложечек камеры высокого давления использовались  $\text{ZrC}$  и  $\text{TaC}$  со связкой из тугоплавкого металла. Собственно камерой служил цилиндр из пиррофиллита  $\text{Al}_2(\text{OH})_4[\text{Si}_2\text{O}_5]_2$ , который обеспечивал электро- и теплоизоляцию и не терял своих механич. свойств в условиях высоких т-р и давлений. В центре камеры помещается слой графита, выше и ниже его — слой металла ( $\text{Ta}$ ,  $\text{Cr}$ ,  $\text{Mn}$ ,  $\text{Ni}$  и др.). Необходимая т-ра (1700—2600°) создавалась путем пропускания постоянного тока по оси цилиндра, причем концы поршня, создававшие в системе давл. 50 000—130 000 атм, являлись, одновременно электродами. В процессе повышения давления и т-ры на границе металл—графит образуется «переходная зона», состоящая из сплава карбида металла с металлом, насыщенным  $\text{C}$ . Рост кристаллов алмаза со скоростью до 0,1 мм/мин происходит на границе графита и переходной зоны. В процессе р-ции образуются сильно эндотермич. соединения  $\text{C}$ , напр., в момент их разложения возникают атомы  $\text{C}$ , обладающие большой энергией. Эти атомы бомбардируют поверхность растущего кристалла алмаза и являются как бы строительным материалом для его решетки.

**6K261.** Отливка изделий из высокодисперсных глинистых масс. West Richard, Coffin Leon. Casting of ware with highly dispersed clay bodies. «Amer. Ceram. Soc. Bull.», 1960, 39, № 9, 462—464 (англ.).—Исследования свойств шликеров, приготовленных из одних и тех же глин, но в разной степени диспергированных, показали, что повышение дисперсности глинистого компонента путем помола, улучшает литейные характеристики шликеров и однородность продукции, но слегка уменьшает скорость отливки. Повышение уд. поверхности вызывает повышение поверхностной активности глины, повышая тем самым эффективность действия данного кол-ва электролита. Следовательно, контроль высокодисперсных шликеров не следует ограничивать определением их относительной вязкости, так как их вязкость может быть повышенной несмотря на лучшие литейные свойства.

**6K262.** Новые пути в изготовлении гипсовых форм. Litzow K. Neue Wege in der Gipsformherstellung «Ber. Dtsch. keram. Ges.», 1960, 37, № 9, 434—441 (нем.; рез. англ., франц.).—В качестве материала для изготовления гипсовых форм рекомендуется использовать наряду с гипсом отвердители (полиэфиры и эпокси-дные отвердители), которые позволяют повысить прочность и износостойкость форм. Отмечается, что затра-

ты на отвердители, а также некоторое усложнение технологии изготовления форм полностью окупаются существенно возрастающей продолжительностью их эксплуатации. Разработан усовершенствованный процесс изготовления гипсовых форм, предусматривающий раздельное проведение операций несколькими рабочими. Отмечается, что этот способ более производительен по сравнению с методом последовательного проведения операций одним рабочим. Приведены схемы используемого для изготовления гипсовых форм оборудования, включающего установку для подготовки гипса, форм для разливки гипса, вакуумной установки и др. Установлено, что качество гипсовых форм значительно повышается обработкой под вакуумом. При этом существенно возрастает продолжительность эксплуатации форм. Установлена зависимость производительности гипсовых форм от метода работы, показывающая, что использование наиболее прогрессивных методов работы поднимает производительность со 100 до 190%.

Г. Масленникова  
**6K263. Развитие кирпично-черепичной промышленности.** Křofita J. Další rozvoj cihlářského průmyslu. «Stavivo», 1960, 38, № 5, 154—157 (чешск.; рез. русск., нем., англ., франц.).—Обсуждаются вопросы развития кирпично-черепичной промышленности в Чехословакии. Приводятся технико-экономич. показатели произ-ва разного вида строительных материалов. Я. Сатуновский

**6K264. Использование летучей золы для производства керамических строительных материалов.** Kubiczek Kazimierz, Matulkiwicz Bronisław. Wykorzystanie popiołów lotnych do produkcji wyrobów ceramicznych budowlanych. «Szkło i ceram.», 1960, 11, № 8, 237—240, 2—3 (обл.) (польск.; рез. русск., англ., франц.).—Приводятся результаты опытов по использованию летучей золы для произ-ва изделий строительной керамики в Англии и Венгрии, а также результаты собственных работ, показывающих возможность применения золы для формовки керамич. изделий методами пластич. и полусухого прессования на гидравлич. и вибрационных прессах. Из резюме авторов

**6K265. Выцветы в кирпичной кладке. Часть II. Выцветы в растворах на основе извести, глиниста, песка.** Chatterji A. K., Dhariyal K. D. Efflorescence in brickwork. Part II. Efflorescence in lime-surfki-sand mortars. «J. Scient. and Industr. Res.», 1960, A19, № 8, 373—376 (англ.).—Исследовалось образование выцветов  $KNO_3$  на поверхности блоков из ф-ра известн. глиниста и песка в пропорции 1:2:9 по весу вследствие их погружения на 1 см в водн. р-р  $KNO_3$ . Глинист был получен обжигом суглинки, содержащего 30% каолинита, при 600, 700, 800, 900, 1000°, и последующим помолом. Установлено, что выцветы минимальны у блоков, показавших максим. механич. прочность вследствие максим. активности глиниста, но не у блоков с наименьшим эффективным радиусом пор. Максим. активность глинист имел после обжига при 800°. Эта связь между максим. активностью глиниста и миним. — выцветами объясняется тем, что максимально активный глинист соответствует максим. степени нарушения кристаллич. структуры глинистого компонента, при которой возможно максим. связывание ионов соли. Часть I см. РЖХим. 1959, № 13, 46506. А. Говоров

**6K266. Исследование пористости и водопоглощения кирпича и черепицы.** Leusden C. O. Pels. Untersuchungen über die Porosität und das Sättigungsverhalten von Dach- und Mauerziegeln. «Ziegelindustrie», 1960, 13, № 18, 663—667 (нем.).—Исследованы пористость (П) и водопоглощение (В), как факторы, определяющие главные свойства керамики, и проверены точность различных методов их определения. Кроме общепринятых методов для измерения В в работе применены методы: а) измерение кол-ва протекающего через насыщенный водой черепок воздуха при значительных давлениях последнего; б) насыщение системы

пор образца ртутью и в) определение размеров кол-ва пор под микроскопом. Сделаны выводы, ставящие под сомнение достоверность применяемых в настоящее время методов определения В; не установлена точная закономерность связи между П, В и морозостойчивостью, на которую кроме П влияют скорость замораживания, сопротивление всей системы пор к проникновению в нее льда и склонность к его обратному выдавливанию. Уже при давлении воздушного потока ~10 атм кол-во протекающего через черепок воздуха резко меняется при изменении положения образца в отношении направления воздушного потока — продольном, поперечном или перпендикулярном к последнему. Это свидетельствует о том, что В зависит не только от кол-ва, но и от структуры пор и что значения В для черепков различной структуры между собой несравнимы. Весьма значительна роль характера соприкосновения испытываемого образца с водой; одностороннее впитывание, обуславливающее свободное удаление воздуха из системы пор, дает всегда показания В на 20% больше, чем при полном погружении, когда значительное кол-во воздуха оказывается запертым в порах образца. Выявлены закономерности, касающиеся скорости водонасыщения, график определения окончания водонасыщения открытыми порами, явления морозостойчивости в его связи с В. Л. Лифшиц

**6K267. Изготовление пористого кирпича.** Scholl Fritz. Über die Herstellung poröser Ziegel. «Ziegelindustrie», 1960, 13, № 18, 655—662 (нем.).—Приводятся различные способы получения пористого кирпича: применение пористых добавок (трешел, кизельгур, вермикулит), испаряющихся добавок (нафалин, нафталин, антрацен и др.), низкокипящих жидкостей, газовыделяющих комбинаций к-т с карбонатами и выгорающих добавок (уголь, опилки, торф и др.). Проведено исследование относительно показателей объема веса кирпича, изготовленного из смесей глины с различным содержанием  $SiO_2$  при добавке к ним в качестве выгорающей добавки паровозного шлака разной гранулометрии в разных соотношениях. Установлено, что объем, вес и прочность уменьшаются с увеличением кол-ва выгорающих добавок и уменьшаются размеров зерен шлака; соответственно уменьшается в механич. прочность. Приведены ссылки на результаты экспериментов по уменьшению объема, веса керамики изделий с помощью вспенивающих и поверхностно-активных добавок: алифатич., ароматич. или тех и других углеводородов с 10—20 атомами С. Приведены соображения о значительном удешевлении обработки и упрощении технологии произ-ва при применении вспенивающих добавок. Л. Лифшиц

**6K268. Опыты по производству мозаичных плиток из отечественного сырья.** Moldvai Rezsőné. Kísérletek hazai nyersanyagból kerámiai mozaikkö gyártására. «Építőanyag», 1960, 12, № 8, 273—277 (венг.; рез. русск., нем.).—Проведены опыты по изготовлению мозаичных цветных плиток пластичным методом из венгерского сырья. В качестве основного сырья использовались иллитсодержащие глины месторождений Холлохаза и Киптерене, в качестве добавок — красящие окислы  $MnO_2$ ,  $Cr_2O_3$ ,  $TiO_2$ ,  $CoCl_2$  или подглазурные керамики, краски. Красящие окислы в кол-ве 1—10% при смешивали к иллитовой глине Холлохаза, изготовляли сначала цветной шпат, а затем дробили, смешивали шпат в разных цветных комбинациях со смесью обожженной и прессовали мозаичные плитки разных цветных комбинаций. Иллитовая цветная мозаичная плитка оказалась пригодной для архитектурных целей.

Из резюме автора  
**6K269. Автоматическая установка для сигнализации о наличии металла в формовочной массе.** Байдал К. П., Донцов Н. В., Огурцов А. Н. «Строительные материалы», 1960, № 10, 28.—На Черемушкинском

размеров в  
оды, ставя-  
емых в на-  
установлен-  
и морозо-  
няют ско-  
ей системы  
ность к его  
ни возду-  
через чери-  
воздушного  
пендикуляр-  
том, что в  
туры пор в  
структуры  
ельная роль  
образца с  
вливающее  
даст всего-  
попу-  
оказывает  
закономер-  
тия, графич.  
открытыми  
связи с В.  
П. Лифшиц  
а. Scholl  
«Ziegeln-  
Приводятся  
ица: пра-  
тур, вер-  
ни, пафта-  
стей, газо-  
и выго-  
и. Проведе-  
ей объем-  
тин с раз-  
чим в каче-  
такова раз-  
таковлено.  
с увеличе-  
нения раз-  
шается в  
результаты  
а керами-  
ерхностно-  
ли тех в  
Приведены  
работки в  
ении все-  
и. Лифшиц  
ых плиток  
н. Kisé-  
gyártási-  
енг.; ре-  
деление мо-  
из ве-  
использо-  
ений Хо-  
красящие  
урные ве-  
—10% при-  
готовлял  
мешивали  
сью объект  
цветных  
и плит  
ей.  
ме автор  
игнали-  
есе, Бай-  
«Строит-  
иском ве-

рамич. з-де внедрена автоматич. установка, сигнализирующая о попадании ферромагнитных материалов в шихту. Установка состоит из чувствительного элемента-датчика, систем блокировки и сигнализации. В качестве чувствительного элемента использован индуктивный датчик типа DU-2, установленный под транспортной лентой, которая подает сырьевую массу из подготовительного отделения в формовочное.

Г. Герашенко  
6K270. Электровыгрузчик кирпича из кольцевых печей. Ластиков М. Д. «Строит. материалы», 1960, № 10, 28—29.—Принципиальная схема электровыгрузчика кирпича и золы из кольцевых печей.

Г. Герашенко  
6K271. Диэлектрическая импульсная сушка керамических масс. Halling H.-H. Impulstrocknung keramischer Massen. «Elektrowärme (BRD)», 1960, 18, № 6, 191—192 (нем.; рез. франц., англ.).—При диэлектрич. сушке прилагаемая мощность ограничена опасностью растрескивания или деформации изделий. Эта опасность исчезает, если генератор подает высокую мощность лишь отдельными импульсами. Установлено, что расходуемая при этом энергия в периоды между импульсами снижается в два раза без замедления процесса сушки по сравнению с постоянным облучением ВЧ-полем. Таким образом улучшается коэф. полезного действия генератора. См. также РЖХим, 1960, № 21, 85558.

А. Говоров  
6K272. Техноэкономические показатели расхода основных и вспомогательных материалов дают возможность составить реальный баланс материалов. Schäff Friedrich, Petzold Herbert. Kennziffern des Produktionsverbrauchs führen zu realer Materialbilanz. «Silikatechnik», 1960, 11, № 9, 415—416 (нем.).—Перечисляются отдельные элементы, которые должны быть учтены при составлении технически обоснованных расходных норм на единицу изделия, на основании которых можно перейти к материальному балансу в керамич. произ-ве. Приводятся ф-лы, позволяющие, исходя из массы изделия и принятой технологии его изготовления, рассчитывать неизбежные потери в материалах при произ-ве керамики.

С. Шуэль  
6K273. Транспорт по подвесным путям ускоряет технологический процесс производства электроизоляторов.—Overhead conveyors speed operations. «Ceram. Age», 1960, 76, № 3, 34—35 (англ.).—Приведены 12 фотографий и краткое описание использования транспорта полуфабриката и готовых изделий по подвесным рельсам на изоляторном з-де Ohio Brass Co (США), изготовляющем линейные изоляторы высокого напряжения типа Future. Применение непрерывного транспорта (за исключением съема изоляторов для выдержки на складе, погрузки на вагонетку туннельных печей и съема с них, которые производятся вручную) значительно ускорило произ-во и повысило качество изоляторов. Испытание изоляторов на пробой (в течение 3 мин.) производится также на непрерывном конвейере.

С. Глебов  
6K274. Микроскопия керамики, цемента, стекол, шлаков и формовочных песков. Инсли Г., Фрешетт В. Д. Перев. с англ. М., Госстройиздат, 1960, 298 стр., илл., 10 р. 40 к.

6K275. Усовершенствование высокотемпературных электроизоляционных материалов. Carwardine Anthony John. Improvements in and relating to high temperature electric insulating materials. [The English Electric Co. Ltd]. Англ. пат. 827243, 3.02.60.—Патентуется метод изготовления высокотемпературных электроизоляционных материалов на основе порошка слюды или силикатов магния, связанных окисью алюминия, полученной из  $Al(OH)_3$ , которая, в свою очередь, создается при гидролизе щел. окиси алюминия или

другого гидролизуемого органич. соединения алюминия. В качестве указанной щел. окиси может быть использовано соединение — изопропановая окись  $Al-(CH_3)_2CHO$ , которое связывает слюду в процессе нагревания до  $750^\circ$  в течение нескольких часов, после чего полученный электроизоляционный материал медленно охлаждают и, если требуется, возвращают для конечной обработки. Свойства типичной смеси, состоящей из 60% флогопита и 40% глинозема, следующие: усадка по диаметру (диск diam. 31,7 мм) = 0,1%; уд. в. = 1,63; водопоглощение (Британский стандарт 1598/1949) = 30%; прочность на растяжение =  $161,7-224,9 \text{ кг/см}^2$ ; диэлектрич. постоянная при 1 кГц = 3,03; tg  $\delta$  при 1 кГц =  $4 \cdot 10^{-2}$ ; электрич. прочность = 11,1—15,8 кВ/мм; сопротивление при  $300^\circ$  =  $6 \cdot 10^{11}-3 \cdot 10^{12} \text{ ом см}$ ; при  $600^\circ$  =  $4 \cdot 10^8-5 \cdot 10^9 \text{ ом см}$ . При этом гидроокись алюминия осаждается при гидролизе ф-ра указанной изопропановой окиси алюминия в низкомолекулярном спирте. Последний может быть представлен изопропиловым спиртом или толуолом. Осажденная гидроокись алюминия превращается в окись алюминия при удалении р-рителя при нагревании. В качестве порошка слюды могут быть использованы измельченный флогопит или мусковит, а в качестве указанных силикатов — тальк или стеатит.

Г. Масленникова  
6K276. Способ производства плавенной окиси магния для электроизоляции. Andres Zdeněk. Způsob výroby taveného kyslíčniku hořečnatého pro elektroizolační účely. Чехосл. пат. 92791, 15.11.59.—Для целей электроизоляции во многих электроприборах используют чистую порошкообразную плавеную  $MgO$ , имеющую, однако, тот недостаток, что т-ра ее плавления при произ-ве в дуговых печах чрезмерно высока ( $2600-2800^\circ$ ). Для снижения т-ры плавления  $MgO$  предложено прибавлять к  $MgCO_3$  или прокаленной  $MgO$ , служащим сырьем при плавке, добавки  $SiO_2$ ,  $Al_2O_3$ ,  $CaO$  или  $Fe_2O_3$  в чистом виде или в виде шламного боя, сырого или обожженного каолинита, талька или природного обожженного магнезита. Кол-во примесей в готовом продукте не должно, однако, превышать (в вес.%):  $SiO_2$  3,5,  $Al_2O_3$  2,  $Fe_2O_3$  1,  $CaO$  2, щелочей 0,25, а кол-во  $MgO$  должно быть  $\geq 94\%$ .

С. Глебов  
6K277. Метод и аппарат для изготовления синтетической слюды. Worden Edgar C. Method and apparatus for manufacturing synthetic mica. [Synthetic Mica Corp.]. Пат. США 2923754, 2.02.60.—Патентуется новый совершенный способ и аппаратура для изготовления искусств. слюды, отличающейся хим. чистотой, высокими термич. и изоляционными свойствами. Для изготовления применяется фтор-флогопитовая слюда хим. ф-лы  $K_2Mg_6Al_2Si_6O_{20}F_4$  состава (в молях): K 2—2,1, Mg 6, Al 2, Si 6, O<sub>2</sub> 20, F 4,12—4,5 и шихта состава (в вес.%):  $K_2SiF_6$  19,4, калиевый полевой шпат 19,  $SiO_2$  23,9,  $Al_2O_3$  8,8,  $MgO$  28,9. Дано подробное описание печи сопротивления, электрообогрев которой осуществлялся графитовыми электродами (парой основных электродов и вспомогательных, расположенных под углом к основным электродам). Шихта засыпалась в камеру печи порошкообразная и гранулированная. Непрерывное расплавление, изотермия и охлаждение обеспечивали большую производительность, рост кристаллов и высокую чистоту материалов.

В. Рижина  
6K278. Диэлектрические материалы в процессе их изготовления. Pierrot André, Lescroel Yves, Bernard Nicolle. Matériaux diélectriques et procédés pour leur fabrication. [Lignes Télégraphiques et Téléphoniques]. Франц. пат. 1222657, 13.06.60.—Диэлектрические материалы с высоким значением диэлектрич. постоянной ( $\epsilon > 20000$  до  $1 \cdot 10^6$ ) и tg  $\delta < 5$  (при  $20^\circ$ , напряжении  $\sim 5$  в, частоте 50 Гц) отличаются тем, что состоят из смеси:  $xFe_2O_3 + yNiO + zZnO$ , где  $x + y + z = 100$ ;  $45 \leq x \leq 52$  и  $0 \leq z \leq 40$ ; к этой смеси



добавляют до 10% одного или нескольких х. ч. окислов  $TiO_2$ ,  $SiO_2$  или  $ZrO_2$ . Из смеси с добавкой временных пластификаторов изготавливают методом прессования или протяжки пластинки, таблетки или трубки и подвергают их обжигу в атмосфере воздуха или  $O_2$  при 1100—1400°, а затем медленно (~15 час.) охлаждают также в окислительной атмосфере. Описанным способом из смеси изготавливают малогабаритные конденсаторы для размыкания связи или для фильтров питания при постоянном напряжении, особенно рекомендуемые для печатных схем и использования с транзисторами. Приведено 5 примеров шихт и изготовления малогабаритных конденсаторов с разными характеристиками. С. Глебов

**6K279.** Составы железных шпинелей для магнетриционных ферромагнетиков. Harvey Robert L. Ferrosinzel compositions. [Radio Corp. of America]. Пат. США 2925388, 16.02.60.—Добавки небольших кол-в  $Co_3O_4$  в Ni-Zn-Fe-шпинель (Ш) улучшают магнетриционные свойства Ш, используемой в качестве материала для магнетриционных преобразователей. Смесь (в молях):  $NiO$  0,5 и  $Fe_2O_3$  0,5 с добавкой 0,8 вес.%  $Co_3O_4$  перемешивается в лопастной мешалке. Добавки  $Co_3O_4$  вводятся от 0,1 до 1,5%, в качестве реактива можно применять  $CoSO_4$ . Спекание смеси производится в воздухе при 1150° в течение 1 часа, после охлаждения материал измельчается до < 0,01 мм. Порошок смешивается с органич. связкой (парафин) с добавкой смазки (Zn-стеарат) и затем прессованием формируются изделия. Обжиг изделий происходит в течение 1 часа при 1400° в воздухе, охлаждение со скоростью 75—100° в мин. Коэф. электропроводности связи  $k$  и  $\lambda$  у полученного преобразователя на 50% больше, чем без добавок  $Co_3O_4$ . Повышение  $k$  и  $\lambda$  происходит вследствие внедрения атомов  $Co$  в кристаллич. решетку. Кол-во кислорода, связанного с каждым атомом  $Co$  в Ш, неизвестно, поскольку неизвестно кол-во кислорода, отданного или присоединенного при обжиге. Однако кол-во  $Co$ , который остается в обожженном изделии, составляет 73,4% от добавляемого  $Co$  в  $Co_3O_4$ .  $Ni$ -Ш без  $Co_3O_4$  имеет  $k = 0,18$ , а при 1,1%  $Co_3O_4$   $k = 0,31$ . Г. Соколов

**6K280.** Усовершенствование неметаллических материалов для магнетиков. Campbell George. Improvements in or relating to non-metallic magnetic materials. [The Plessey Co. Ltd]. Англ. пат. 844610, 17.08.60.—Постоянные магниты из неметаллич. материалов (М) на основе  $Fe_2O_3$  и  $Co_3O_4$  изготавливают прессованием с добавкой небольшого кол-ва связки. Улучшение свойств М достигается смешением окислов Fe и по меньшей мере одного из окислов металлов — Ba, Sr и Pb со смолистой связкой, затвердевающей при нагревании. В качестве связки М используется этоксиленовая смола, продающаяся под названием «Аралдит». М смешивается с 5 вес.% смолы (Аралдит XV) и 5% цемента для смолы, одновременно добавляется ацетон, чтобы образовалась паста. Паста гранулируется в вибрационном грануляторе через сетку в 30 меш, подсушивается при  $t$ -ре < 50°, просеивается и М крупностью 30—100 меш используется для изготовления магнитов. Прессование изделий производится под давл. 31,4 кг/см<sup>2</sup>, затем изделия нагревают до 170—200° для отверждения связки, подвергают механич. обработке и намагничиванию. Порошок М может быть отпрессован непосредственно на сердечнике или вставке магнита. Свойства магнитов из этого М следующие: плотность 3,6 г/см<sup>3</sup>,  $B_s$  1400 гс,  $H_c$  950 э,  $BH$  максим. 0,33 · 10<sup>6</sup> гс э. Г. Соколов

**6K281.** Способ производства основных или нейтральных огнеупорных изделий. Heuer Russell Pearce. Způsob výroby zásaditých nebo neutrálních žárovzdorných tvárnic. Чехосл. пат. 93240, 15.12.59.—Предложен способ прессования безобжиговых основных или нейтр. огнеупорных изделий, покрытых с на-

ружных сторон металлич. пластинами, отличающийся тем, что нижняя часть металлич. обоймы (МО), вставляемая в коробку пресса перед прессованием, состоит из дна и 2 боковых стенок, согнутых под углом, несколько > 90°; верхняя часть МО прикреплена к верхнему штемпелю пресса. К нему крепится также выступ, образующий в изделии углубление для подвески готового изделия к арматуре печи. После установки частей МО в форму пресса засыпают шихту и производят прессование изделия. При этом стенки и дно МО принимают точные прямоугольные очертания формы, а верхнюю грань точно закрывает накладка, крепящаяся к верхнему штемпелю. Для лучшей связи МО с телом изделия на верхней части и дне сделано по 8, а на боковых стенках по 4 отогнутых внутрь зубца. Отпрессованное изделие покрыто МО с 4 сторон. Дано 7 детальных чертежей, поясняющих способ прессования и устройства МО. С. Глебов

**6K282.** Способ изготовления высокоогнеупорных химически устойчивых масс и изделий. Kapert Erich, Reichardt Helmut. Verfahren zur Herstellung von höchstfeuerfesten und chemische widerstandsfähigen Massen oder Formkörpern. [Westdeutsche Kalk- und Portlandzement-Werke A.-G.]. Пат. ФРГ 1067355, 14.04.60.—С целью существенного повышения хим. устойчивости огнеупоров, изготавливаемых на основе цел.-зем. окислов (напр., спекшейся  $CaO$ , доломита и др.), предложено к основному окислу или окисному соединению, вводимому в состав массы в кол-ве > 50—70%, добавлять те же материалы в форме металлов (2—10%) или безкислородных соединений — карбидов, цианамид-цианидов, нитридов (2—30%). Эти добавки, окисляясь в процессе хранения и эксплуатации, вызывают уплотнение структуры огнеупора и значительно повышают устойчивость его к воздействию расплавленного металла. При повышенной пористости предварительно спеченного (и стабилизированного) окисного материала, применяемого в качестве основного, к нему добавляют увеличенное кол-во цел.-зем. металлов. Для спец. металлургии, целей предложено вводить в форму металлов, окислов или солей соответствующих легирующих компонентов — Cr, Mo, Ni, Co, Ti, V, W и др., один или в сплавах с металлами группы Fe, что еще более увеличивает устойчивость огнеупоров к эрозии. Легирующие компоненты рекомендуют вводить (полностью или частично) в форме солей, легко разлагающихся при нагревании и дающих в-во в тонкораспределенной форме; эти добавки могут вводиться в форму руд и шлаков. Кол-ва соотношения добавок выбирается таким, чтобы цел.-зем. металлы и их бескислородные соединения, обладающие дезоксидирующими свойствами, обеспечивали полное восстановление содержащихся в огнеупоре легирующих компонентов и металлов группы Fe. Одновременно, находясь в огнеупоре в избытке, цел.-зем. металлы оказывают дезоксидирующее влияние на окисные составляющие расплавы, что создает благоприятные условия для получения качеств. сталей, металлов и сплавов. В состав огнеупоров, используемых в атомно-энергетич. пром-сти, вводят добавки В, Be и их окислов. Все добавки рекомендуется вводить в тонкой фракции с величиной зерен < 0,8 мм, восстановителя (карбид и др.) 0,3—0,8 мм, соли < 0,05 мм. Массы формуруют с использованием органич. связок (5—10%) или без них. Предложенные огнеупоры могут быть безобжиговыми и изготавливаться в виде больших блоков. Для защиты против гидратации и окисления на поверхность таких огнеупоров предложено наносить смолистые в-ва, органич. пластич. массы (эфир целлюлозы и др.) или герметизировать их фольгой и жезью. Л. Струтинский

**6K283.** Метод покрытия и пропитки пористого огнеупорного изделия. Tarkan Stuart E., Lawendel Henry W. Method for coating and infiltrating a

пичающийся (МО), встав-  
лем, состоят  
углом, плен-  
к к перх-  
также вы-  
для подвес-  
ле установ-  
ихту и про-  
енки и диа-  
отания фор-  
адка, креп-  
й связи МО  
делано по  
внутри зуб-  
с 4 сторон.  
способ прес-  
С. Глебов  
неупорных  
Каперт  
a zur Her-  
sche wider-  
esdeutsche  
Пат. FRG  
повышения  
их на осно-  
е, долготы  
окисному  
в кол-ве  
форме ме-  
дицины —  
30%). Эти  
окислитель-  
теупора и  
воздейст-  
ной пори-  
зирования  
качестве  
д-во шел-  
й предло-  
состей со-  
Gr, Mo, Ni,  
металлами  
ойчивость  
иты реко-  
о) в фор-  
свания и  
эти до-  
во. Колич-  
обы шел-  
ния, обра-  
спечивали  
упоре ле-  
Fe. Одно-  
шел-зем.  
яние на  
ет благо-  
алей, ме-  
зьюемых  
и В. Ве-  
полить в  
т, восста-  
0,05 мм.  
связи  
норы мо-  
е боль-  
я окис-  
дложено  
т. массы  
и фоль-  
типский  
ористого  
a wep-  
rating a

porous refractory body. [Sintercast Corp. of America]. Пат. США 292721, 26.01.60.—Метод одновременной пропитки и покрытия пористого огнеупорного изделия металлом отличается следующим. Спрессованное спекшееся пористое огнеупорное изделие (напр., горяче-прессованные турбинные лопатки или сопла из TiC, имеющие пористость ~40%) покрывают снаружи тонкой первичной пленкой металла с высокой t-рой плавления (напр., Ni). Металлич. пленку наносят путем окраски или обрызгивания боковых поверхностей изделия суспензией из металла в улетучивающейся жидкости (напр., смоле, растворенной в органич. р-ителе). Толщина пленки должна составлять 0,25—0,75 мм. После затвердения покрытия изделие помещают в углубление формы, в которое вокруг изделия набивают тонкий порошок ThO<sub>2</sub>. На свободный от металла торец изделия помещают жароупорный сплав на основе Ni, t-ра плавления которого на 50° ниже, чем у Ni (напр. в %: Cr 13—16, Fe 6—8, Al 0,4—0,8, Ti 2,25—2,85, Nb 0,2—1,2, C 0,1, Ni остальное), и форму с изделием в засыпке помещают в печь с t-рой ~1410°, где выдерживают при этой t-ре ~20 мин. Сплав плавится, заполняет все поры изделия и просачивается через металл. пленку на поверхности изделия, но не плавит ее, а образует с ней сплав. Изготовленные таким методом изделия выдерживают t-ру до 885° при напряжении на изгиб 1120 кг/см<sup>2</sup> в течение > 100 час. без разрушения. Приведено 5 примеров. С. Глебов

6K284. Производство необожженного силикатного кирпича. И. намура Ясуси. [Курасаки ёё кабуси-кайса]. Японск. пат. 9877, 26.11.57.—К порошку кремния (SiO<sub>2</sub>) добавляют в качестве связки небольшое кол-во портланд-цемента и извести. Смесь замешивают на воде и формируют. Когда кирпич несколько затвердеет, его сушат до полного отвердевания на воздухе или же отверждают в воде или на пару. Т-ро размягчения под нагрузкой и коэф. теплового расширения такого кирпича выше соответствующих показателей обычного dinasового кирпича. Пример. К порошку кремния с частицами размером 5—3 мм 15,8%, 3—2 мм 12,3%, 2—1 мм 13,6%, 1—48 меш 12,3%, 48—100 меш 10,6% и < 100 меш 35,4% добавляют известково-молото (~5% в пересчете на известь) или портланд-цемент (2—3%). К порошку кремния вместо портланд-цемента можно добавлять известково-молото, а также сульфитный или сульфатный шлоко в кол-ве 2—5% от кол-ва порошка кремния. Смесь хорошо перемешивают и формируют кирпич. Отформованный кирпич сушат 2—3 суток на воздухе, после чего выдерживают в воде (в тех случаях, когда в качестве связки использовали портланд-цемент). Состав полученного кирпича (в %): SiO<sub>2</sub> 94,01, Al<sub>2</sub>O<sub>3</sub> 0,71, CaO 2,95, Fe<sub>2</sub>O<sub>3</sub> 1,11; MgO 0,35, MnO 0,1. Его кажущийся уд. в. 2,55; об. уд. в. 2,10; пористость 17%; сопротивление на сжатие 380 кг/см<sup>2</sup>; огнеупорность 1730°. М. Гусев

6K285. Сферондальный огнеупорный материал и способ его производства. McMullen John C. Spheroidal refractory material and method of making. [The Carborundum Co.]. Пат. США 2924533, 9.02.60.—Расплавленная в дуговой электропечи смесь, состоящая (в вес.%) из: ZrO<sub>2</sub> 45—75, SiO<sub>2</sub> 55—25 или ZrO<sub>2</sub> 22,5—75, SiO<sub>2</sub> 25—55 и Al<sub>2</sub>O<sub>3</sub> 0—22,5, выпускается тонкой струей из печи. Струя подвергается действию сжатого воздуха давл. 0,7—4 атм, выпускаемого через несколько тонких сопел. Поток воздуха уносит частицы расплава на расстояние 2—3 м, по пути они принимают форму, близкую к сферической, и отвердевают до падения; значительного повышения твердости сферич. частиц (СЧ) можно добиться окончательным их охлаждением в холодной воде. Размеры СЧ зависят от давления сжатого воздуха и колеблются в пределах от 8 меш до 40 меш. СЧ из смесей ZrO<sub>2</sub> + SiO<sub>2</sub> состоит из тонких кристаллов ZrO<sub>2</sub> (~2 м), окруженных кварц-содержащей стеклофазой. СЧ из ZrO + SiO<sub>2</sub> особен-

но, при соотношении 50 : 50, обладают весьма высокой  $\sigma_{сж}$  и сильными абразивными свойствами. СЧ рекомендуются для пескоструйной обработки поверхностей металлов, превосходя по износостойкости муллитовые СЧ в 8 раз и СЧ из шлаковой шерсти в 9—10 раз, а также для использования в теплообменниках в качестве теплопередающих материалов. С. Глебов

6K286. Регенерация шлифовального порошка из остеклованных отходов наждачного камня. Такада Мако то. [Фукуяма дэнки кабусики кайса]. Японск. пат. 3198, 6.04.60.—Остеклованный наждачный порошок, полученный в качестве отхода при шлифовке металлов наждаком или при изготовлении шлифовальных кругов из наждака, смешивают с NaOH и нагревают до t-ры выше точки плавления NaOH. Смесь загружают в резервуар с водой и растворяют водорастворимые соли, содержащиеся в смеси. Затем отфильтровывают порошок, добавляют к нему разб. минер. к-ту, напр. H<sub>2</sub>SO<sub>4</sub>, растворяют содержащиеся в порошке примеси, растворимые в этой к-те, еще раз фильтруют и отделяют порошок от к-ты. Отфильтрованный порошок промывают водой и просушивают. Пример. Смесь 100 кг отработанного наждачного порошка со 100 кг NaOH загружают в автоклав, нагревают до 400°, все время хорошо перемешивая смесь. Через 20 мин. NaOH полностью расплавится, смесь извлекают из автоклава, охлаждают до 100° и загружают в резервуар со 100 л воды. Через 24 часа, когда полностью растворятся содержащиеся в смеси водорастворимые примеси, ее обезвоживают центрифугированием и в результате получают ~87 кг порошка. Порошок загружают в 50 л 10%-ной H<sub>2</sub>SO<sub>4</sub> и хорошо перемешивают. Спустя некоторое время порошок загружают в моечную машину, промывают водой, просушивают и получают ~79 кг чистого наждачного порошка. Уд. вес порошка 3,18; содержание SiC 99,38%, свободного SiO<sub>2</sub> 0%, Fe 0,05%. М. Гусев

6K287. Способ механического гранулирования керамических флюсов. Звягинцев В. П., Сыроваткин А. А. Авт. св. СССР 128275, 28.04.60.—Способ механич. гранулирования керамич. флюсов заключается в том, что масса требуемой консистенции, замешанная на жидком стекле, поступает в бункер питателя, где она подпрессовывается и на выходе из питателя гранулируется металл. щеткой. После камеры подвешивания гранулированный флюс попадает в разгрузочный бункер. Регулируя скорость подачи массы, число оборотов и диаметр проволоки щетки, можно достигнуть любой грануляции флюса. Г. Герашенко

См. также: Получение монокристаллов ферритов по методу Вернейля 6B301. Высокое давление и синтез тит. алмазы 6B303. Определение Na<sub>2</sub>O и K<sub>2</sub>O в огнеупорах 6Д70

## Стекло

Редакторы С. И. Горелкина, С. И. Иофе,  
И. А. Михайлова

6K288. Новое в исследовании стекла. Stevels J. M. Nya resultat från grundforskning rörande glas. «Glastekn. tidskr.», 1960, 15, № 5, 123—130, 145 (шведск.; рез. англ., нем., франц.)

6K289. О природе расплавленных стекол системы окисл. свинца — кремнезем. Миненко В. И., Петров С. М., Иванова Н. С. «Стекло и керамика», 1960, № 6, 34—37.—Исследованы расплавы системы PbO—SiO<sub>2</sub> в широком диапазоне конц-ий и t-р, в котором стекла являются гомог. Применение метода электродвижущих сил (э. д. с.) позволило одновременно получить сведения для суждения о строении частиц, образующихся в расплаве, и для оценки их термодинамич. свойств. Исследовались концентрационные

цели типа:  $\text{Pd} | \text{PbO}_{(C)} + \text{SiO}_2 | \text{Al}_2\text{O}_3 | \text{SiO}_2 + \text{PbO}_{(C)} | \text{Pt}$ , в которых состав левой части оставался постоянным (29,6 вес. %  $\text{SiO}_2$ ), в то время как составы правой части варьировались в широких пределах и изменялись от опыта к опыту на каждые 1—2 вес. %  $\text{SiO}_2$ . Показан типичный характер зависимости э. д. с. от состава расплава. В изученном интервале т-р упорядоченность частиц расплавов наблюдается при составах, соответствующих соединениям:  $4\text{PbO} \cdot \text{SiO}_2$ ,  $2\text{PbO} \cdot \text{SiO}_2$ ,  $3\text{PbO} \cdot 2\text{SiO}_2$ ,  $\text{PbO} \cdot \text{SiO}_2$ ,  $2\text{PbO} \cdot 3\text{SiO}_2$  и  $\text{PbO} \cdot 2\text{SiO}_2$ . Прочность образующихся в расплаве сложных ионов различна и меняется в зависимости от т-ры. Полученные данные позволяют объяснить характер зависимости свойств стекол системы  $\text{PbO}-\text{SiO}_2$  от состава и заключить, что определенный ближний порядок, существующий в расплаве и соответствующие ему ионные группировки сохраняются и в затвердевшем стекле.

И. Михайлова

**6K290.** Изучение легкоплавкого стекла. IV. Измерение температур спайвания, расплавления и адгезии. Kataoka Nagamasa, Kawamoto Takamichi. «Osaka kōgō gijyūgaku shikōshū kyo», Bull. Osaka Industr. Res. Inst., 1959, 10, № 4, 257—263 (японск.; рез. англ.).—Предложен оптич. метод определения т-р адгезии, расплавления и спайвания легкоплавкого стекла (С), применяемого для склеивания многофокусных линз, состоящий в том, что слой порошкообразного С, имеющего более низкую т-ру расплавления, чем основное С, наносится на стеклянную пластину, которую помещают в печь, снабженную спец. оптич. устройством, и нагревают с определенной скоростью. По изменению отражения света определяют т-ры адгезии, расплавления и спайвания С. Указанный способ дает возможность без больших затрат на шлифовку и полировку определить, пригоден ли С для спайвания оптич. линз.

Из резюме авторов

**6K291.** Кинетика перемещения воды в силикатных стеклах при температурах окружающей среды. Haller Wolfgang. Kinetics of the transport of water through silicate glasses at ambient temperatures. «Phys. and Chem. Glasses», 1960, 1, № 2, 46—51 (англ.; рез. нем., франц.).—Изучена способность вспученных стекол криолитового состава (в виде порошков с величиной зерна 0,075—0,15 мм) поглощать воду во влажной (90%) воздушной среде при 25°. Сконструирована спец. установка, позволяющая соблюдать заданные условия в течение длительного времени; проведены опыты продолжительностью до 300 дней. Установлено, что поглощение воды по весу происходит по параболич. закону и сопровождается увеличением объема стекол. Скорость поглощения воды имеет величину порядка  $10^{-8} \text{ г см}^{-2} \text{ день}^{-1/2}$ ; отмечено, что в определенных пределах скорость сорбции воды зависит от характера предшествующей гидратации, так как диффузия воды в стекло приводит к необратимым изменениям его структуры.

А. Полинковская

**6K292.** Взаимодействие стеклообразных алюмосиликатов лития с водой. Шмидт Ю. А. «Ж. прикл. химии», 1960, 33, № 3, 536—540.—Установлено, что при взаимодействии с водой стеклообразных алюмосиликатов Li в р-р переходят меньшие кол-ва компонентов стекла, чем в случае стеклообразных алюмосиликатов Na. Добавление к бисиликатам Li и Na окиси Al уменьшает абс. кол-ва переходящих в р-р при взаимодействии с водой компонентов; степень разрушения каркаса стекла имеет миним. значения для добавок 0,15—0,3 молей  $\text{Al}_2\text{O}_3$ , а с дальнейшим увеличением ее содержания возрастает. Добавление  $\text{SiO}_2$  к бисиликатам Li и Na вызывает уменьшение как переходящих в р-р кол-в компонентов, так и степени разрушения каркаса стекла. См. также РЖХим, 1960, № 2, 5855.

Резюме автора

**6K293.** Влияние отдельных составляющих и некоторых добавок на процесс образования рубинового

окраски стекла. Ковтуненко Г. А. «Сб. научн. тр. Белорусск. политехн. ин-та», 1960, вып. 82, 112—115.—Проведено исследование влияния различных составляющих на процесс образования золотого рубина. Показано влияние ионов Li, Na, K, Mg, Ca, Sr, Ba, Pb, Ti, Zr, Si, Al, Sb, Bi на процесс рубинообразования, исходя из предположений М. А. Безбородова (РЖХим, 1957, № 5, 18282) о связи колл. окрашивания с микропористой структурой стекла. Даны характеристики вводимых ионов. Понимая термич. расширение стекол, как единственную функцию стабильности сетки, можно по влиянию различных ионов на это свойство судить о роли отдельных компонентов на процесс рубинообразования. Практически подтверждено следующее влияние содержащихся в стекле ионов на термич. расширение: чем больше порядковое число, тем сильнее расширение; с увеличением валентности до 4 расширение уменьшается, а затем вновь возрастает; с увеличением координационного числа увеличивается расширение стекла; с увеличением радиуса иона расширение увеличивается; с увеличением напряжения поля расширение уменьшается. Изучено и показано влияние добавок (соли галондов,  $\text{Fe}_2\text{O}_3$  и  $\text{BiNO}_3(\text{CH}_3)_2$ ) на процесс рубинообразования. Роль добавок заключается в ускорении формирования зародышей кристаллов (центров кристаллизации), отдельные же составляющие, действуя на решетку стекла, создают благоприятные условия для роста этих кристаллов.

И. Михайлова

**6K294.** Опаловое стекло, содержащее фтор. Часть II. Paoletti G. Vetri opali al fluoro. Parte II. «Vetri e silice», 1960, 4, № 21, 5—13 (итал.; рез. нем., франц., англ.).—Рассмотрены: основные физ. характеристики опаловых стекол, влияние сырьевых материалов, содержащих фтор, на заглущенность стекол, механизмы улетучивания фторидов при плавке. Сообщены некоторые соображения о технологии произ-ва опаловых стекол. Часть I см. РЖХим, 1961, 2K298.

И. Михайлова

**6K295.** Влияние частичного замещения  $\text{Na}_2\text{O}$  на  $\text{Li}_2\text{O}$  в опаловых и молочных стеклах. Rauch H. W., Commons C. H., Jr, Silverman A. Effect of partial replacements of soda by lithia in opal and alabaster glass. «Glass Ind.», 1960, 41, № 5, 261—263, 292 (англ.).—Изучено влияние на термич. расширение, отражательную способность, коэф. светорассеяния и степень заглущенности опаловых и молочных стекол, в которых 0,25—0,50%  $\text{Na}_2\text{O}$  (по весу) замещалось на  $\text{Li}_2\text{O}$ . Все стекла хорошо проварились при 1215—1260°. Стекла, содержащие  $\text{Li}_2\text{O}$ , обладают более низким коэф. расширения, лучшей термич. стойкостью и более высокой светопрозрачностью, чем чисто натриевые стекла.

А. Полинковская

**6K296.** Бесщелочное стекло на основе силикатного минерального сырья. Laslo R. Bezalkalna stakla na bazi alumosilikatnih mineralnih sirovina. «Kemija u industriji», 1960, 9, № 3, SPK-5—SPK-6 (серб.-хорв.; рез. нем., англ.).

**6K297.** Физико-химические свойства стекол состава  $\text{B}_2\text{O}_3-\text{Li}_2\text{O}-\text{BeO}-\text{MgO}$  в зависимости от состава и структуры. Мазелев Л. Я. «Сб. научн. тр. Белорусск. политехн. ин-та», 1960, вып. 82, 38—53.—Для системы  $\text{B}_2\text{O}_3-\text{Li}_2\text{O}-\text{BeO}-\text{MgO}$  определены участки стеклообразования и кристаллизации, термодинам. р-ции в процессах стеклообразования, физ. и физ.-хим. свойства, а также условия кристаллизации стекол, минералогия и кристаллооптика продуктов кристаллизации. Выводы, сделанные для тройных боратных систем (РЖХим, 1959, № 11, 39437) в области структуры боратных стекол, закономерностей изменения их свойств и характеристик их стеклообразного состояния, соответствуют для данной системы. Структуры боратных стекол в основном определяют род и коли-отношение составляющих стекло окислов ( $m\text{Li}_2\text{O} +$



б. научн. тр.  
112—115.  
ных состав-  
рубина. По-  
Sr, Ba, Pb,  
образования  
ва (РЖХим,  
ия с микро-  
активности  
ение стенок  
сетки, мож-  
свойство су-  
процесс руби-  
следующее  
термич. рас-  
тем сильнее  
до 4 распы-  
гается с уве-  
ляется рас-  
она распы-  
жения по-  
зано влия-  
O<sub>2</sub>(CH<sub>3</sub>)<sub>2</sub> на  
заклучает  
кристаллов  
составляю-  
ают благо-  
Михайлова  
тор. Часть  
е II. «Vetro-  
м», франц.  
теристика  
оналов, со-  
механизм  
ны некото-  
оналовых

Михайлова  
Na<sub>2</sub>O на  
ch H. W.  
ect of radi-  
alabaster  
(англ.).—  
образатель-  
тельность за-  
в которых  
Li<sub>2</sub>O. Все  
°С. Стекла,  
коэф. рас-  
е высокой  
стекла.  
Михайлова  
ликатного  
stakla na  
Kemija i  
rbo-horaz;

од состо-  
состава и  
тр. Бело-  
—Для се-  
участия  
им. р-ции  
им. свой-  
стекло, мн-  
сталлиз-  
ных се-  
структур  
ния и  
состо-  
структур  
и коэф-  
mLi<sub>2</sub>O +

+ mMeO) : В<sub>2</sub>O<sub>3</sub>, состав образовавшихся боратов и степе-  
нь связности В<sub>2</sub>O<sub>3</sub> в бораты; общее содержание  
О<sub>2</sub> по отношению к В и к сумме катионов, физ., физ.-  
хим. и механич. свойства стекол, характер их измене-  
ния до т-ры стеклования; координационное состояние  
В в стекле и изменение отношения ВО<sub>3</sub> : ВО<sub>4</sub>; однород-  
ность и гетерогенность структуры.

Из резюме автора

6K298. Применение дифференциального термиче-  
ского и термовесового анализа к изучению реакций  
между стеклообразующими материалами. Часть 2. Си-  
стема карбонат натрия — кремнезем с незначительными  
добавками других компонентов. Thomasson C. V.,  
Wilburn F. W. The application of differential  
thermal analysis and thermogravimetric analysis to the  
study of reactions between glass-making materials.  
Part 2. The sodium carbonate-silica system with minor  
batch additions. «Phys. and Chem. Glasses», 1960, 1, № 2,  
32—60 (англ.; рез. нем., франц.).—Изучены при т-рах  
до 1000° процессы, протекающие в трехкомпонентной  
шхите, состоящей (в мол.%) из SiO<sub>2</sub> 85, Na<sub>2</sub>CO<sub>3</sub> 15 с  
добавками небольших кол-в NaF, Na<sub>2</sub>SiF<sub>6</sub>, NaCl, NaNO<sub>3</sub>,  
(NH<sub>4</sub>)<sub>2</sub>SO<sub>4</sub>. Наряду с термограммами приведены кривые,  
показывающие скорость потери в весе каждого  
состава. Исследуемые шхиты разделяются на 3 груп-  
пы, характеризующиеся: образованием расплавов, со-  
держащих Na<sub>2</sub>CO<sub>3</sub> при т-ре ниже т-ры плавления чи-  
стого компонента; образованием между основным ко-  
мпонентом и добавкой промежуточного соединения  
(NH<sub>4</sub>SO<sub>4</sub>, Na<sub>2</sub>SiF<sub>6</sub>); появлением жидкой фазы добавки  
при т-ре более низкой, чем для основных компонен-  
тов (NaNO<sub>3</sub>). Установлено, что во всех случаях т-ра  
начала хим. р-ций в исходной шхите понижается при  
введении добавок, которые, однако, не оказывают  
влияния на т-ру стеклообразования (за исключением  
фторидов, которые понижают последнюю примерно на  
20°). Часть 1 см. РЖХим, 1959, № 12, 43122.

А. Полинковская

6K299. Применение рентгенографического диф-  
фракционного анализа для исследования стекла. Pa-  
len Vern W. X-ray diffraction gains increasing popu-  
larity. «Ceram. Age», 1960, 76, № 3, 36—39 (англ.)

6K300. Нормы для установления химической ха-  
рактеристики фармацевтических стекол. Mearrelli  
E., Rocchi B., Scaglioni O. Proposta di norme per  
l'accertamento delle caratteristiche chimiche dei vetri  
per il confezionamento dei prodotti farmaceutici. «Far-  
maco. Ed. prat.», 1960, 15, № 3, 135—145 (итал.).—Пред-  
ложены новые нормы на тарное фармацевтич. стекло  
(ФС), подразделяющиеся на 3 типа: I боросиликатное,  
с высокой стойкостью в кислых и щел. средах; II Na-  
Ca-Mg-стекло со спец. термич. обработкой, обеспечи-  
вающей обогащение поверхностного слоя SiO<sub>2</sub>; III Na-  
Ca-Mg-стекло без спец. термич. обработки со средн.  
гидролитич. стойкостью. Для всех стекол предложены  
нормы гидролиза щел. после автоклавной обработки  
ФС при 121° в течение 30 мин.—1 час., в виде порош-  
ка с зерном < 0,3 м и в виде отдельных сосудов. Опи-  
сана методика испытаний.

С. Глебов

6K301. Предварительные измерения для определе-  
ния влияния состава на теплопроводность стекла.  
Ratcliffe E. N. Preliminary measurements to deter-  
mine the effect of composition on the thermal conducti-  
vity of glass. «Phys. and Chem. Glasses», 1960, 1, № 3,  
103—104 (англ.).—Измерена теплопроводность (Т) раз-  
личных составов стекол (многокомпонентных с высо-  
ким содержанием SiO<sub>2</sub>, PbO, BaO) на дисках diam.  
7,6 см и толщиной 0,76 см в интервале т-р от 150—  
100° (дана кривая зависимости Т от т-ры). Приведе-  
ны составы стекол, их плотность. Т при 20° а также  
процент увеличения Т в интервале т-р 10—30° по от-  
ношению к Т при 20°.

В. Рашина

6K302. Применение радиационного воздействия на  
стекла для дозиметрии излучений низкой и высокой

интенсивности. Blair G. E. Applications of radiation  
effects in glasses in low- and highlevel dosimetry. «J.  
Amer. Ceram. Soc.», 1960, 43, № 8, 426—429 (англ.).—  
Рассмотрены два типа дозиметров, в которых в каче-  
стве чувствительного элемента использованы стекла,  
активированные серебром. Оба типа дозиметров изме-  
ряют суммарную дозу излучений. Один тип основан  
на зависимости люминесценции от дозы облучения.  
Для него применяют активированные серебром фос-  
фатные стекла состава (в вес. ч.): метафосфат Al 50,  
метафосфат Ba или Mg 25, метафосфат K или Li 25  
и метафосфат Ag 8. Другой тип основан на зависи-  
мости оптич. поглощения от дозы облучения; для него  
применяют стекла, изготовленные на основе состава  
(мол. %): SiO<sub>2</sub> 62,5, Na<sub>2</sub>O 10,7, В<sub>2</sub>O<sub>3</sub> 20,8, Al<sub>2</sub>O<sub>3</sub> 6,0.

Т. Ряховская

6K303. Опыты на моделях по гомогенизации пере-  
мешиванием новых оптических стекол. Izumitani  
Tetsuro, Terai Ryohei. «Egō kōkai shi, Yogyo kyō-  
kai shi, J. Ceram. Assoc. Japan.», 1960, 68, № 772, 110—  
118 (японск.; рез. англ.).—Сообщаются результаты  
опытов по выявлению оптимальных условий переме-  
шивания при плавке в Рт-тиглях новых оптич. стекол  
в боратной системе, содержащих окислы редкозем.  
элементов. Опыты охватывали широкий интервал вяз-  
кости. Применяли различные виды мешалок и при-  
водных механизмов к ним. В качестве критериев по-  
добия использовали числа Рейнольдса и Фроуде. Уста-  
новлена зависимость между числом оборотов мешалки  
(N) и временем, необходимым для полного перемеши-  
вания стекла (θ):  $Na \cdot \theta = k$ , где константы  $a$  и  $k$  воз-  
растают по мере увеличения вязкости. Для распла-  
вленных стекол с вязкостью  $10^2 \sim 10^3$  пуаз мешалка  
коленчатого типа оказалась более эффективной, чем  
обычные пропеллерные и шнековые мешалки.

Е. Глиндзич

6K304. Плавка стекла в стеклоплавильных ваннах  
печах. Schaefer Zdeněk. Tavení jakostních užit-  
kových skel v pávnových pecích. «Sklář a keramik», 1960,  
10, № 10, 270—273 (чешск.; рез. русск., нем., англ.)

6K305. Минералогическое изучение камней в стек-  
ле. Fukui Tadaoki. Mineralogical study on the stone  
in glass. «Mineral. J.», 1959, 2, № 6, 355—374  
(англ.).—Рассмотрены морфологии, оптич. и рентге-  
носкопич. свойства минер. включений, образующихся  
в стекле в процессе его изготовления. Показано, что  
состав этих включений зависит от состава расплавлен-  
ной стекольной массы или огнеупорных кирпичей пе-  
чи; известные влияние оказывают примеси, случайно  
попавшие в расплав. Впервые здесь обнаружены эгир-  
рин, целезиан, герцанит и шпинель. Библ. 18 назв.

Р. Хмельницкий

6K306. Кристаллы, образованные в результате  
расстекловывания в стеклоплавильной ванной печи  
для плавки натриево-кальциево-магниевого стекла. Ki-  
shi Toru, «Госипба рэбю, Toshiba Rev.», 1960, 15, № 1,  
61—65 (японск.; рез. англ.).—Результаты микроскопич.  
исследования кристаллич. материалов, образованных в  
результате расстекловывания электрокользящего стек-  
ла, содержащего SiO<sub>2</sub>, Na<sub>2</sub>O, MgO, Al<sub>2</sub>O<sub>3</sub> (образцы были  
взяты во время остановки печи на ремонт). В кристал-  
лич. фазе установлено наличие девитрита, β-воласто-  
нита, диопсида, альбита и плагноклаза.

Из резюме автора

6K307. Вопросы теплотехники в стеклоплавильных  
ваннах печах. Kristiansen A. Värmetekniska frå-  
gor beträffande unit meltern. «Glastekn. tidskr.», 1960,  
15, № 5, 133—139 (шведск.; рез. англ., нем., франц.)

6K308. Польское сырье для производства лодочек,  
поплавков и перешейков стеклоплавильных ванн  
печей. Rakowska Helena. Surowce krajowe do  
produkcji dysz, pływaków i butów szklarskich. «Szkło  
i ceram.», 1960, 11, № 3, 65—73 (польск.).—Исследо-  
ваны хим. и минералогич. составы, а также хим. и физ.

свойства некоторых импортных и 6 типов польских глины с целью подбора отечественных составов для произ-ва упомянутых огнеупорных деталей.

Л. Седов

**6K309.** Конвейерная установка для производства бесосколочного стекла. Cleave A. G. Douglas. A conveyor for glass. A teleflex installation for Triplex. «Mech. Handl.», 1960, 47, № 2, 66—68, 60, 61 (англ.; рез. франц., нем., исп.).—Описана подвесная установка для непрерывного произ-ва гнутого бесосколочного стекла, на которой осуществляются все процессы, начиная от формования листов в печи до сборки их в пакеты.

И. Аснович

**6K310.** Контроль и упаковка полых стеклянных изделий — часть непрерывного технологического процесса. Schubert H. Kontrollieren und Verpacken von Behälterglas — Teile eines kontinuierlichen Arbeitshablaufes. «Silikattechnik», 1960, 11, № 3, 140 (нем.)

**6K311.** Влияние загрязнений парами масла на адгезию пленки сульфида цинка к стеклу и кварцу. Holland L., Bateman S. K. Effects of oil vapour contamination on the adhesion of zinc sulphide films to glass and silica. «Brit. J. Appl. Phys.», 1960, 11, № 8, 382—385 (англ.).—Явление ухудшения адгезии ZnS к поверхности стекла, загрязненной парами масел, выделяющихся из жидкости диффузных вакуумных насосов, замечено давно. Статья представляет собой изложение детального изучения этого факта. Эксперименты производились в вакуумной испарительной камере, снабженной испарителями масел и ZnS. Использовано три вида масел, в том числе 2 силиконовых (составы указаны). Изучено влияние различной подготовки поверхности стекла и кварца: очистка, испарение монооксида Si, предварительный подогрев и др. Качество наносимой пленки проверялось по ее устойчивости на воздухе и в воде, ванне, что определяется временем сохранения пленки без шелушения. Показано, что прочность пленки ZnS зависит от природы оставшихся масляных молекул, т-ры стекла и степени покрытия стекла адсорбированными молекулами, в том числе водой. Наличие молекул силиконов на поверхности стекла резко ухудшает адгезию ZnS к стеклу.

З. Михайлова

**6K312.** Изготовление телевизионных трубок. Knapp Oscar. Über die Herstellung von Fernsehkolben. «Silikattechnik», 1960, 11, № 9, 404—407 (нем.).—Основные вопросы технологии произ-ва телевизионных трубок. Библ. 11 назв.

В. Мейтина

**6K313.** Исследование потоков стекломассы в электропечах для производства стекловолокна. Черняк М. Г., Блох К. И., Алиев А. И., Капусткин Д. М. «Стекло и керамика», 1960, № 8, 4—7.—Исследованы потоки стекломассы в малых электропечах для произ-ва стекловолокна с помощью стеклянных шариков интенсивно окрашенных CoO и радиоактивных изотопов (окиси U и Ca<sup>45</sup>). На основании полученных данных составлена предположительная схема движения потоков стекломассы, которая приведена.

И. Михайлова

**6K314.** Стеклянная шерсть и стеклянное волокно. Radaković Vojta. O staklenoj vuni i staklenom vlaknu. «Kemija u industriji», 1960, 9, № 6, SPK-28—SPK-33 (сербо-хорв.; рез. англ., нем.).—Краткие сведения о способах произ-ва, сырьевых материалах и применении.

И. Михайлова

**6K315.** О расширении производства и применения стеклянного волокна в строительстве. Барбарина Т. М., Шелудяков Н. А. «Тр. Совещания по расшир. произ-ва и ассортимента теплоизоляции и акуст. материалов и их применению в стр-ве и других отраслях нар. х-ва», Рига, 1958, 317—323

**6K316.** О производстве и применении стеклянного волокна. Rogers H. M. Glass fibers how they are made where they are used. «Mod. Text. Mag.», 1960, 41, № 10, 42, 44 (англ.).—Популярная статья.

И. М.

**6K317.** Факторы, влияющие на изготовление стеклянной бумаги. Huckaba Charles E., Geddes J. C., Jr. Factors affecting preparation of glass paper. «Indust. and Engng Chem.», 1960, 52, № 7, 569—574 (англ.).—Приведены зависимости предела прочности на разрыв от величины зазора между измельчающими валками, от времени измельчения стеклянных волокон, от длины волокна, от pH р-ра, от продолжительности обработки р-ром, от т-ры высушивания листов бумаги, от величины давления при прессовании, а также от способов измельчения и последующего разделения волокон. Высказана гипотеза действия р-ра HCl на стеклянные волокна. Под действием к-ты происходит образование студенистого геля SiO<sub>2</sub>, который связывает волокна между собой. Кроме того, к-та вызывает набухание волокон и способствует их равномерному распределению, но прочность отдельных волокон заметно снижается. Предполагено, что при продолжительном воздействии к-ты преобладает эффект набухания волокон в связывании их гелем SiO<sub>2</sub>, а при воздействии в течение 4 мин. и более уже сказывается эффект ослабления стеклянных волокон. Замечено, что присутствие пылевидной фракции способствует увеличению прочности на разрыв, что, очевидно, вызвано образованием геля SiO<sub>2</sub>.

М. Артамонова

**6K318.** Сочетание продуктов расщепления со стеклом для удаления радиоактивных отходов. Bancroft A. R. The incorporation of fission products into glass for disposal. «Canad. J. Chem. Engng.», 1960, 38, № 1, 19—24 (англ.).—В процессе исследования получено стекло, содержащее до 50 кюри продуктов расщепления (ПР) на 1 кг. Это радиоактивное стекло исследовалось в лабор. и в полевых условиях. Исходными материалами для получения стекла являются нефелиновый шенит и 30% (по весу) CaO. Азотнокислый р-р ПР добавляется к таблетированной смеси твердых в-в. Из смеси испаряется HNO<sub>3</sub> при 110°. В области т-р 130—600° происходит разложение нитратов, затем смесь сплавляется в виде стекла при максим. т-ре 1350°. Ru и Cs улетучиваются при нагревании, образуя большую часть загрязнений. При воздействии воды на стекло, зарытое в землю, оно выделяет ПР с чрезвычайной малой скоростью. Библ. 8 назв.

С. Иодфе

**6K319.** Изучение взаимодействия глазури с черепком методом меченых атомов. Заварзина Е. И. «Стекло и керамика», 1960, № 10, 26—30.—Для изучения глубины проникновения отдельных компонентов глазури (Г) в черепок были использованы радиоактивные изотопы Ca<sup>45</sup>, Fe<sup>59</sup> и Ba<sup>140</sup>, которые вводили в состав Г (в фритту). Глубину проникновения катионов из Г в черепок определяли, совмещаясь слой глазурованной поверхности образца и измеряя активность вновь образованной поверхности с помощью счетчика Гейгера — Мюллера. Установлено, что ионы Ca, Ba, Fe, входящие в состав глазури, весьма подвижны и мигрируют внутрь черепка и что повышение т-ры обжига способствует более глубокому проникновению Ca, Ba и Fe. Глубина проникновения Ca в черепок при т-ре обжига 1160° с выдержкой 30 мин составила 0,35 мм. Проникновение Г в черепок носит диффузионный характер, причем коэф. диффузии возрастает с повышением т-ры обжига. Подвижности катионов Ca и Ba при сравнительно низких т-рах (1000—1080°) невелика, при повышении т-ры обжига до 1160° подвижность катионов резко увеличивается. Подвижность катионов Fe при более низкой т-ре несколько больше, чем катионов Ba и Ca. При повышении т-ры до 1080, 1160° подвижность катионов Fe возрастает в меньшей степени, чем Ca и Ba. Изучено влияние различных окислов на диффузионные свойства катионов Ca.

В. Аутин

**6K320.** Определение способности сцепления эмали с металлической основой. Franke Ernst A. Zur Er-

mittlung der  
tallischen C  
Email), 196  
способ для  
ли с метал  
наносит  
ости образ  
деленного  
тый амаль  
ливают  
меньшее, ч  
верности.  
Опора име  
участок, т  
стами, св  
штами и  
произойде  
сцепления  
изломов и  
подклады  
маясь к не  
па.

**6K321.**  
P. E. The  
mel firing  
(англ.).—  
эмали, ка  
ния. Пере  
мента. Ос  
ный конт  
мов и ли  
персонал  
ций прив  
боров к  
т-ру зон  
перепад  
5 м. Им  
ласти пе  
составки  
лечь.

**6K322.**  
ки крист  
Григор  
Ленингр.  
**6K323.**  
внимост  
ного ант  
чиков  
политехн

**6K324.**  
Opal gla  
19.01.60.  
стекло,  
фаза со  
Получен  
2—12, I  
окислов  
что стек  
частей  
могут б  
при изл  
держан  
твердое  
не. С д  
и избы  
мягкое  
приятн  
фазы  
(1—3%  
в разв  
чивост

ние стек-  
des J.  
aper. en-  
569—574  
прочности  
льчающа-  
нных во-  
олжатель-  
ля листов  
ни, а так-  
го разде-  
фра HCl  
происхо-  
орый свя-  
та вызы-  
равномер-  
ных во-  
При не-  
даёт эф-  
лем SiO<sub>2</sub>  
уже ска-  
уюкуп. За-  
ла способ-  
о, очевид-  
отомовна  
и со стек-  
an croft  
glass for  
1, 19—24  
о стекло,  
ния (ПР)  
ивалось в  
ериалами  
ий сменит  
ПР добав-  
Из сме-  
130—600°  
сь сплав-  
и Ru и Cs  
большую  
а стекло,  
чайпо ма-  
С. Иофе  
с черна-  
Е. И.  
ля изуче-  
ионовато-  
радиоак-  
водил в  
ия кати-  
тая слой  
ая актив-  
помощью  
что ионы  
сьма по-  
вышение  
проникно-  
Са в че-  
ион со-  
лок нося-  
узии воз-  
ности ка-  
ках (100,  
а до 1160°  
Подвиж-  
несколько  
нии т-ры  
озрастает  
влияние  
ва кати-  
В. Аут-  
ия эмали  
A. Zug Et

müttlung des Haftvermögens von Email aus seiner metallischen Grundschrift. «Sprechsaal Keramik, Glas, Email», 1960, 93, № 15, 407—410 (нем.).—Предлагается способ для колич. определения силы сцепления эмали с металлом. На образец металла с одной стороны наносится слой испытуемой эмали. Затем эмаль с части образца удаляют, оставляя в центре участок определенного размера (круг или прямоугольник), покрытый эмалью. Со стороны, обратной покрытию, высверливают в металле отверстие, по размерам несколько меньшее, чем оставленный участок эмалированной поверхности. Образец помещают на опору эмалью вниз. Опора имеет отверстие, меньшее чем эмалированный участок, так что образец опирается на нее только частями, свободными от эмали. В отверстие вводят штамп и увеличивают нагрузки до тех пор, пока не произойдет отрыв эмали от металла. Расчет прочности сцепления ведут на единицу площади. Во избежание трещин и трещин в самом эмалевом слое под него подкладывают металлическую пластину, которая, прижимаясь к нему пружинами, не мешает движению штампа.

М. Серебрякова

6K321. Наблюдение за обжигом эмали. Grigg P. E. The plant superintendent looks at porcelain enamel firing. «Ceram. Ind.», 1960, 75, № 3, 90—93, 125 (англ.).—Приводятся общие соображения об обжиге эмали, как решающей операции процесса эмалирования. Перечисляются различные виды печей, инструмента. Особое внимание следует обращать на тщательный контроль т-ры, своевременный ремонт механизмов и инструмента, исправность горелок, подготовку персонала. В качестве одной из последних конструкций приводится печь фирмы Lindberg и перечень приборов к ней, позволяющих тщательно регулировать т-ру зон обжига, подогрева и охлаждения при миним. перепаде по высоте. Печь обогревается радиационными трубами. Общая длина печи 46 м, зона обжига 15 м. Имеется зона водяного охлаждения наружной части печи. Имеется электронное оборудование для остановки конвейера в случае падения изделий в печь.

М. Серебрякова

6K322. Зависимость показателей процесса шлифовки кристаллов от их физико-механических свойств. Григорьева Л. Ф. Автореф. дисс. канд. техн. н., Ленингр. технол. ин-т им. Ленсовета, Л., 1960

6K323. Изучение свойств фансовых глазурей в зависимости от количественного содержания в них борного ангидрида и заменяющих его соединений. Сивятова М. Г. Автореф. дисс. канд. техн. н., Киевск. политехн. ин-т, Киев, 1960

6K324. Опаловое стекло. Stookey Stanley D. Opal glass. [Corning Glass Works]. Пат. США 2921860, 19.01.60.—Способ изготовления фтористых опаловых стекол, в которых светорассеивающая кристаллич. фаза состоит из щел. фторидов главным образом NaF. Получены составы стекол (в %): SiO<sub>2</sub> 55—75, Al<sub>2</sub>O<sub>3</sub> 2—12, Li<sub>2</sub>O 0,5—3,0, Na<sub>2</sub>O 6—19,5 (общее содержание окислов щел. металлов — 12—20%), F 5—9. Отмечено, что стекла, содержащие один или более из составных частей в кол-вах, отличающихся от приведенных, не могут быть использованы по разным причинам. Напр., при избытке SiO<sub>2</sub> или Al<sub>2</sub>O<sub>3</sub> и недостатке полного содержания окислов щел. металлов получается очень твердое или вязкое стекло, которое трудно в обработке. С другой стороны, при недостатке SiO<sub>2</sub> или Al<sub>2</sub>O<sub>3</sub> и избыточном содержании щел. металлов получается мягкое стекло с плохой хим. устойчивостью. Благоприятное влияние на скорость образования опаловой фазы оказывает введение небольших кол-в в Li<sub>2</sub>O (1—3%), Na<sub>2</sub>O (6%); K<sub>2</sub>O (до 13,5%) не участвует в развитии опаловой фазы, но улучшает хим. устойчивость стекол, в частности в соединении с др. окис-

лами щел. металлов. Существенное влияние на развитие опаловой фазы оказывает присутствие F. При получении опаловых стекол также используются BeO, MgO, CaO, ZnO, SrO, CdO, BaO в кол-ве ≤ 6%, взятые отдельно или вместе. Приведены составы стекол, которые могут быть использованы для получения светорассеивающих изделий, при выработке последних на автоматах.

Л. Егорова

6K325. Методы плавки и осветления стекла и конструкции электрических печей. Gell Philip Anthony Mausell. Method of and furnace for melting and refining glass. [Elemelt Ltd]. Пат. США 2899476, 11.08.59.—Предложена конструкция электрич. печи для плавки и осветления стекла, состоящая из двух печных камер, соединенных между собой заглубленным протоком. Первая камера служит для варки и частичного осветления стекла. Дано изображение протока и добавочной камеры с расположением электродов в обеих камерах. Показано движение конвекционных потоков стекломассы в камерах. Рассмотрены схемы размещения электродов в добавочной камере.

В. Кречмар

6K326. Процесс получения многослойных стекол или стекол с покрытиями из плавких материалов.— Procédé de fabrication de verres en plusieurs couches ou de verres recouverts d'autres produits fusibles, et produits en résultant. [E. Brichard]. Бельг. пат. 550858, 18.12.59.—Предложен способ произ-ва листового стекла, состоящего из двух или более слоев, покрытых одним или несколькими слоями плавких материалов, напр., эмалей или металлов, наносимых путем пульверизации в струе пламени. Для этого устанавливают с одной или обеих сторон вытягиваемого листа, вблизи лодочки, соответствующие форсунки, подающие расплавленный материал. Поддача материала может осуществляться также и непосредственно в стекломассу, вблизи от места образования «луковичи» вытягиваемой ленты.

С. Иофе

6K327. Усовершенствование электропечей для плавки стекла.— Perfectionnements aux fours électriques pour la fusion du verre. [C. G. Hann]. Бельг. пат. 550780, 18.12.59.—Способ регулирования теплоотдачи электрода (Э) на охлаждаемую его часть, в зависимости от плотности тока на нем, характеризуется тем, что в данном месте создается слой, обладающий термич. сопротивлением и меньшей теплопроводностью, чем материал самого Э. Благодаря этому в зоне, прилегающей к Э, создаются особые условия для его охлаждения.

С. Иофе

6K328. Усовершенствование процессов и печей для плавки и осветления стекла.— Perfectionnements apportés aux procédés et aux fours pour la fusion et le raffinage du verre. [P. A. M. Gell]. Бельг. пат. 552631, 31.12.59.—Процесс плавки и осветления стекла, осуществляемый путем прохождения электрич. тока через расплавленную стекломассу, характеризуется тем, что исходные стеклообразующие материалы, в виде твердого порошкообразного в-ва, распределяются по поверхности расплава, образуя над ним теплоизолирующую корку, покрывающую всю поверхность. Лишь по краям этой поверхности сохраняется сравнительно узкая полоса расплавленного или частично расплавленного стекла, покрытого тонким слоем шихты, благодаря чему теплоизолирующая корка, покрывающая всю стекломассу, не соприкасается со стенками бассейна и не препятствует ее течению в печи, а также подъему или опусканию расплава при изменении уровня стекломассы.

С. Иофе

6K329. Процесс и устройство для рекуперации тепла дымовых газов промышленных печей.— Procédé et dispositif de récupération de la chaleur des fumées des fours industriels. [J. Ledent]. Бельг. пат. 550153, 4.12.59.—Предложен процесс повышенной рекуперации тепла дымовых газов промышленных, в частности



стеклоплавильных, печей посредством огнеупорных насадок с вертикальной циркуляцией, расположенных в различных камерах, характеризующийся в основном следующими особенностями: дымовые газы, выходящие из камеры горения печи, направляются в коллектор и затем проходят через две насадочные камеры, соединяющиеся между собой последовательно или параллельно. В случае ремонта одних насадочных камер весь газовый поток направляется в другие камеры, благодаря чему обеспечивается возможность сохранить постоянным режим работы печи. С. Иофе

**6К330. Метод выращивания единичных кристаллов кварца.** Jaffe Hans, Turobinski Thaddeus J. Method of growing quartz single crystals. [Clevite Corp.]. Пат. США 2923605, 2.02.60.—Для получения единичных кристаллов кварца, из которых изготавливаются кварцевые пластинки, применяющиеся в частотных осцилляторах, электрич. фильтрах и т. п. рекомендуется в водн. р-р карбонатов щел. металлов, напр.  $\text{NaHCO}_3$  или  $\text{Na}_2\text{CO}_3$ , который находится в контакте с в-вом, являющимся источником чистого кварца, вводить кварцевую затравку. При определенной т-ре и давлении происходит пересыщение р-ра, примыкающего к затравке, и выделение на ней чистого кварца. В качестве затравки применяется кварцевая пластинка, вырезанная из монокристалла под определенными углами к кристаллографии, осям: параллельна оси Y и перпендикулярна осям X и Z. М. Артамонова

**6К331. Метод выращивания единичных кристаллов кварца.** Hale Danforth R., Jost Jacob M. Method of growing quartz single crystals and seed body therefor. [Clevite Corp.]. Пат. США 2923606, 2.02.60.—Для уменьшения отходов при вырезании пластин из выращенного кристалла  $\text{SiO}_2$  авторы рекомендуют вводить в качестве затравки пластинку  $\text{SiO}_2$ , вырезанную из монокристалла под углом  $\Phi$  к кристаллографии, оси Z (угол  $\Phi$  находится в интервале углов  $\pm 70^\circ$ — $\pm 7^\circ$ ). Пластинка вытянута параллельно оси X и ее боковые плоскости перпендикулярны оси X. С помощью спец. держателей, которые ограничивают рост кристалла в определенном направлении, затравка вносится в водн. р-р карбоната щел. металла, напр. карбоната Na, который находится в контакте с в-вом, являющимся источником чистого  $\text{SiO}_2$ . Повышенная т-ра и давление в автоклаве вызывают пересыщение р-ра, примыкающего к затравке и выделение на ней чистого  $\text{SiO}_2$ . М. Артамонова

**6К332. Устройство для выработки штапельного волокна из вертикальных струй расплава.** [Н.-и. ин-т стекл. волокна Госплана РСФСР]. Авт. св. СССР 117822, 20.02.59.—Устройство отличается тем, что с целью удобства ухода за дутьевой головкой (ДГ) и точного центрирования отверстий фильер относительно нее, фильер снабжен двумя металлич. несущими фильеры донными плитами, подвижно смонтированными в пазах фильера. Обе части ДГ образуют диффузор обращенными встречно стенками; одна часть ДГ выполнена откидной. В камере волокнообразования одна из стенок выполнена в виде автоматически открываемой дверцы. Для предохранения фильер от засорения применена защитная решетка. Для охлаждения фильер применяются водяные трубы, покрытые электроизоляционными материалами. С. Иофе

**6К333. Состав, предназначенный для удаления эмали и различных красок со стекла или других материалов.**—Procédé et composition pour enlever les émaux, vernis ou peintures de toutes sortes sur les objets en verre ou matière similaire. [Paul Nicolas]. Франц. пат. 1217651, 5.05.60; 1196161, 23.11.59.—Состав для снятия различных надписей с флаконов из стекла, фаянса, фарфора и др. материалов притворяют из смеси  $\text{HF}$  (к-та),  $\text{K}_2\text{Cr}_2\text{O}_7$ ,  $\text{Pb}(\text{CH}_3\text{COO})_2$  с добавлением воды; р-р помещают в сосуд из свинца, дерева или пластмассы и выдерживают на водяной бане в течение

1 часа или более. Примерный состав смеси (в г) на 10 л воды:  $\text{HF}$  (к-та) 260,  $\text{K}_2\text{Cr}_2\text{O}_7$  0,86,  $\text{Pb}(\text{CH}_3\text{COO})_2$  0,006. И. Михайлова

**6К334. Фритта для эмалирования.**—Emaljfritta. [J. Puustusmaa]. Швед. пат. 171788, 21.06.60.—Предлагается состав фритты (в %):  $\text{SiO}_2$  35—50,  $\text{TiO}_2$  5—10, содержащей основной эмали 50—65, которая в свою очередь состоит из:  $\text{Na}_2\text{O}$ ,  $\text{K}_2\text{O}$  24—30,  $\text{B}_2\text{O}_3$  30—42,  $\text{TiO}_2$  30—42. Компоненты шихты тщательно смешивают и обжигают во вращающейся печи при 1250—1300°. Шликер для эмалирования готовят из (в вес. ч.): фритты 100, глины 4, бентонита 0,25,  $\text{Na}_2\text{NO}_3$  0,5, воды 38. Покрывают обжигают при 800°. В. Ауто

**6К335. Усовершенствование производства стекловидных эмалей.** Cianchi Alfredo Luigi. Improvements relating to the manufacture of vitreous enamels. Англ. пат. 839751, 29.06.60.—Эмали, применяемые в качестве электроизоляционных слоев в конденсаторах и сопротивлениях, должны обладать высокой однородностью, недоступимой при обычных способах варки в тигельных или вращающихся печах. Предлагаются вертикальная шахтная печь конич. или цилиндрич. формы. Шихта предварительно тщательно измельчается и перемешивается. В некоторых случаях рекомендуется предварительное прогревание шихты до удаления кристаллизационной воды из шихтных материалов. Засыпка шихты производится через загрузочную воронку, находящуюся в верхней части печи и закрытую заслонкой, совершающей возвратно-поступательные движения. Шихта непрерывно понемногу сыплетсся через обогреваемую снаружи до 900—1500° верхнюю часть шахты, не соприкасаясь с ее стенками, при этом происходит полное или частичное остекловывание. Для окончательного провара стекла предусмотрен дополнительный обогрев нижней части печи, которая может быть выполнена в виде тигля. Из нижней части эмаль сливается в приемник и гранулируется. М. Серебрякова

**6К336. Получение эмали для покрытия алюминия и его сплавов.** Ямада Тосио. [Моримура сёдай кабусики кайся]. Японск. пат. 3975, 25.05.59.—Поверхности Al или его сплавов обрабатывают в водн. р-ре  $\text{NaBO}_2$  или  $\text{Na}_2\text{B}_4\text{O}_7$ , в результате на поверхности Al или его сплавов образуется окисная пленка. На полученную пленку наносят расплав эмали. Пример. Al-пластинку на 1—2 мин. погружают в 5%-ный водн. р-р  $\text{NaOH}$  с т-рой 50°, после этого Al-пластинку анодируют в течение 5—10 мин. в 3—5%-ном водн. р-ре  $\text{NaBO}_2$  или  $\text{Na}_2\text{B}_4\text{O}_7$ , пропуская ток при напряжении 30—120 в. Поверхности пластинки покрывают пастой состава (в вес. ч.):  $\text{B}_2\text{O}_3$  30—40,  $\text{SiO}_2$  15—25,  $\text{CaO}$  15—20,  $\text{K}_2\text{O}$  10—20,  $\text{Na}_2\text{O}$  10—20,  $\text{Li}_2\text{O}$  10—15,  $\text{BaO}$  5—10 и  $\text{PbO}$  1—4, загружают в электропечь и в течение 4 мин. прокаливают при 540°. М. Гусев

**6К337. Фарфоровидные эмали для легких металлов.** Judd Donald M. Porcelain enamels for light metals. [Ferro Corp.]. Пат. США 2925351, 16.02.60.—Рекомендуется несколько составов бессвинцовых эмалей, характеризующихся высоким содержанием окислов щел. металлов, для покрытия алюминия и его сплавов. Т-ра плавления эмалей 900—1050°. В качестве исходных материалов используются окислы, карбонаты, нитраты и силикаты. Составы эмалей (в вес. %): 1)  $\text{R}_2\text{O}$  21—35,  $\text{R}_2\text{O}_3$  2—5;  $\text{R}_2\text{O}_5$  11—21;  $\text{RO}$  44—50, где  $\text{R}_2\text{O}$  является окислами Na, K или Li;  $\text{R}_2\text{O}_5$  является  $\text{B}_2\text{O}_3$ ;  $\text{RO}$  представляет собой окислы P или Sb и  $\text{RO}_2$  окислы Si или Ti; 2)  $\text{B}_2\text{O}_3$  2,0—5,0;  $\text{Na}_2\text{O}$  9,5—16,0;  $\text{K}_2\text{O}$  10,0—18,0;  $\text{Li}_2\text{O}$  2,0—6,0;  $\text{TiO}_2$  20,0—27,0;  $\text{P}_2\text{O}_5$  1,0—3,0;  $\text{Sb}_2\text{O}_5$  10,0—18,0;  $\text{SiO}_2$  17,0—29,0. В этих составах отношение весовых процентов  $\text{SiO}_2$ :  $\text{TiO}_2$  = 0,8—1,3;  $\text{Sb}_2\text{O}_5$ :  $\text{B}_2\text{O}_3$  = 1,2—8,5; кол-во  $\text{Li}_2\text{O}$ ,  $\text{Na}_2\text{O}$  и  $\text{K}_2\text{O}$  должно составлять соответственно 9—18, 30—50 и 32—56% от общего кол-ва щелочей. Для получения цветных эмалей в фритту добавляются красители. Г. Герасимов

смеси (в г)  
 $\text{Pb}(\text{CH}_3\text{COO})_2$   
 Михайлов  
 Emailfritta  
 30.—Предла  
 $\text{TiO}_2$ -содер  
 вою очередь  
 $\text{TiO}_2$  30—42  
 от и обжи  
 90°. Шлиф  
 фритты 100  
 8. Покрытие  
 В. Ауто  
 тва стекло  
 ig. I. I. I.  
 ous enamel  
 яемые в на  
 конденсатор  
 ой однород  
 обках варки  
 предлагается  
 цилиндрич  
 но измель  
 учаях реш  
 шихты до  
 ктных мате  
 из загрузч  
 и печи и за  
 но-поступа  
 лонемому  
 900—1500  
 е стенкам  
 остекловы  
 предусмот  
 печи, кото  
 Из нижней  
 нулируется  
 Серебряков  
 алюминий  
 седиз кабу  
 Ловерхност  
 р-ре  $\text{NaBO}_3$   
 Al или его  
 получению  
 ер. Al-шл  
 ой воды. р-р  
 анодируют  
 р-ре  $\text{NaBO}_3$   
 и 30—120  
 ой состав  
 15—20,  $\text{K}_2\text{O}$   
 и  $\text{PbO}$  1—4  
 н. прокал  
 М. Гусев  
 х металлов  
 igh metal  
 екомендуе  
 й, характе  
 ислсов шел  
 илавов. Тр  
 е исходны  
 ты, нитрат  
 $\text{R}_2\text{O}$  21—35  
 $\text{O}$  является  
 $\text{R}_2\text{O}_3$  пре  
 ислы Si или  
 $\text{O}$ —18,0;  $\text{Li}_2\text{O}$   
 $\text{O}$  10,0—18,0  
 ие весовы  
 $\text{O}$ —1,2—8,5  
 ть соответ  
 го кол-ва  
 й в фритт  
 Герашев

6K338. Печь для изготовления фриттованных эмалей и керамических масс. Schultheis Peter, Schultheis August. Ofen zum Herstellen von Sintermassen für Emails und Keramik. [Schultheis & Söhne Chemisch-Keramische Fabrik]. Пат. ГДР 19064, 10.06.60.—Обычно фриттованные или спеченные эмали изготавливают, нагревая шихту на металлических противнях в муфельных печах. При этом масса получается неоднородной, загрязняется окалиной, процесс длителен и трудоемок. Предложена шахтная печь, верхняя часть которой расширяется книзу. Шихта засыпается сверху и попадает в обогреваемое печное пространство постепенно при поднимании заслонки. Нагреваемые снизу частицы спекаются и падают вниз в приемник, не касаясь стенок печи. Горелки могут размещаться как с одной стороны, так и по окружности. Размеры печи зависят от потребности и могут быть весьма различными (вплоть до нескольких т эмали). Процесс ведется непрерывно. М. Серебрякова

См. также: Стеклопластики 6П57—6П59, 6П79, 6П80. Успехи в области склеивания стекол 6П90. Изготовление труб 6П176. Очистка безосколочного стекла 6П183

### Вяжущие вещества. Бетоны и другие силикатные строительные материалы

Редакторы А. С. Пантелеев, М. Л. Степанова

6K339. Исследования, проводимые лабораторией испытаний материалов Высшей технической школы Норвегии. Rudjord Asle. Betongforskning ved N. T. H.'s materialprøvningsanstalt. «Beton. idag», 1960, 25, № 2, 28—29 (норв.; рез. англ.)

6K340. Реакции в системе  $\text{CaO} - \text{SiO}_2 - \text{H}_2\text{O}$ , богатой окисью кальция, в гидротермальных условиях. Midgley H. G., Chopra S. K. Hydrothermal reactions in the limerich part of the system  $\text{CaO} - \text{SiO}_2 - \text{H}_2\text{O}$ . «Mag. Concrete Res.», 1960, 12, № 34, 19—26 (англ.).—Изучены р-ции в гидротермальных условиях при 150—180° в системе  $\text{CaO} - \text{SiO}_2 - \text{H}_2\text{O}$  в зависимости от исходных материалов. Р-ции проводили в стальной бомбе с серебряной обкладкой либо в бомбе из нержавеющей стали емк. 8 мл. Исходные в-ва смешивали, добавляя воды до образования пасты, которую затем помещали в бомбу, и добавляли еще воды с таким расчетом, чтобы она покрыла пасту. После окончания р-ции образовавшийся продукт промывали ацетовом, затем эфиром и сушили до постоянного веса над  $\text{CaCl}_2$ . Фазы, присутствующие в продукте р-ции, идентифицировали рентгенографически; с продуктов р-ции были также получены термограммы. При соотношении  $\text{CaO}/\text{SiO}_2 = 1$  продуктом р-ции во всех случаях является тоберморит. При  $\text{CaO}/\text{SiO}_2 = 2$ , если исходными материалами служат  $\text{CaO}$  и аморфный кремнезем, первоначально образуется  $\alpha$ -гидрат двухкальциевого силиката, который переходит в  $\beta$ -форму. Если исходными продуктами являются гидросиликат кальция и  $\text{CaO}$ , то первоначально образуется смесь  $\text{CSH}(\text{A})$  и  $\alpha$ -гидрата двухкальциевого силиката; по-видимому, в дальнейшем  $\text{CSH}(\text{A})$  переходит в  $\alpha$ -гидрат, а  $\alpha$ -гидрат в  $\beta$ -гидрат двухкальциевого силиката. Если исходным материалом является  $\beta$ - $2\text{CaO} \cdot \text{SiO}_2$ , то возникает метастабильная фаза —  $\gamma$ -гидрат двухкальциевого силиката; других фаз не найдено. При соотношении  $\text{CaO}/\text{SiO}_2 = 3$ , из исходной смеси  $\text{CaO}$  и  $\text{SiO}_2$  образуется  $\alpha$ -гидрат двухкальциевого силиката, который затем превращается в  $\beta$ -гидрат; из смеси  $2\text{CaO} \cdot \text{SiO}_2$  и  $\text{CaO}$  возникает  $\alpha$ -гидрат. Из смеси гидросиликата кальция I и  $\text{CaO}$  образуется или чистый  $\text{CSH}(\text{A})$  или  $\text{CSH}(\text{A})$  с небольшим кол-вом  $\alpha$ -гидрата. Если исходным материалом является  $3\text{CaO} \cdot \text{SiO}_2$ , то образуется  $3\text{CaO} \cdot \text{SiO}_2 \cdot 1,5\text{H}_2\text{O}$ . Одновременно установлено, что продолжи-

тельность процессов в 90 дней не является достаточной для достижения равновесия фаз в описанной системе.

В. Кушаковский

6K341. Организация работ на известняковом карьере. Torgerson Ralph S. Dream deposit excites wide-awake planning. «Rock Prod.», 1960, 63, № 6, 99—101 (англ.).—Добываемый на карьере высококачественный известняк доставляется самосвалом на дробильную установку, а затем после грохочения подается транспортерами в штабеля. Погрузка дробленого известняка на баржи производится с помощью спец. закрытого транспортера, который приспособлен для работы в условиях переменного уровня моря.

Б. Левман

6K342. Изменение конструкции шахтных печей, переводимых на газообразное топливо. Шедогулов Д. Ф. «Строит. материалы», 1960, № 10, 26—27

6K343. Определение прочности и деформативных свойств материала при его запарке в автоклаве. Линденберг Б., Куннос Г. «LatvPSR Zinātņu Akad. vestis. Изв. АН ЛатвССР», 1960, № 6, 37—40 (рез. лат., нем., англ.)

6K344. Получение гидросиликатов кальция глицепатным методом. Tamás F. D. Die Herstellung von Silikathydraten nach der Glyzeratmethode. «Silikat-Technik», 1960, 11, № 8, 378—379 (нем.).—Реакционная смесь, состоящая из чистой аморфной  $\text{SiO}_2$ , полученной гидролизом тетраоксисилана, и х. ч.  $\text{CaO}$ , растворялась в безводн. х. ч. глицерине. Растворение идет при постоянном перемешивании и т-ре  $200 \pm 0,5^\circ$  и заканчивается через 3 часа. Полученный р-р разбавляется водой, в результате чего выпадает гидросиликат  $\text{Ca}$ , образуя рыхлый осадок. Осадок промывается водой и декантируется до исчезновения следов глицерина, затрудняющего проведение ДТА, центрифугируется и высушивается над  $\text{P}_2\text{O}_5$ , затем обрабатывается в атмосфере, насыщ.  $\text{H}_2\text{O}$  при т-ре  $120^\circ$ . Подробно описан анализ осадка и идентифицированы составы гидросиликатов.

М. С.

6K345. Искусственная карбонизация как способ повышения активности доломитового вяжущего. Михайлов Н. Н., Кузнецов А. М. «Строит. материалы», 1960, № 9, 28—30.—Установлено, что искусственная карбонизация доломитового вяжущего, обожженного при 800—900°, позволяет увеличить его прочность до 250—300  $\text{кг}/\text{см}^2$  при кол-ве воды затворения 40—50% от веса вяжущего. Расход углекислого газа для получения вяжущего прочностью до 300  $\text{кг}/\text{см}^2$  составляет 0,347 кг на 1 кг вяжущего, для марки 200  $\text{кг}/\text{см}^2$  — 0,247 кг. Описана методика исследований. М. Степанова

6K346. Процессы твердения при изготовлении магнезиальных шпифовальных кругов. Pontoni Alfred. Abbindevorgänge bei der Herstellung von Magnesit-Schleifscheiben. «Adhäsion», 1960, 4, № 3, 133—135 (нем.).—Исследован процесс растворения каустич.  $\text{MgO}$  (остаток на сите 4900  $\text{отв}/\text{см}^2 \sim 25\%$ ) в дистил. воде, в 12%-ном р-ре  $\text{MgCl}_2$  и 15%-ном р-ре  $\text{MgSO}_4$ . Установлено, что растворимость  $\text{MgO}$  в р-рах значительно выше по сравнению с водой и возрастает во времени, тогда как в воде растворимость падает. Содержание  $\text{Mg}(\text{OH})_2$  в дистил. воде и в указанных р-рах после 1 часа обработки составило 0,29; 6,44 и 4,97%; после 5 час. 0,06; 10,65 и 7,23%. С повышением конц-ии и плотности р-ра  $\text{MgCl}_2$  с 14 до 20 и 25° В6 содержание  $\text{Mg}(\text{OH})_2$  через 5 час. возрастает с 5,10 до 11,22 и 15,91%. Растворимость  $\text{MgO}$  зависит от природы материала, т-ры его обжига, крупности помола и времени взаимодействия с р-ром  $\text{MgCl}_2$ . Повышение т-ры обжига  $\text{MgO}$  снижает растворимость вследствие образования периклаза. Установлено, что соотношение  $\text{MgO}:\text{MgCl}_2$  в торговых магнезиальных цементях (Сореля) таково, что на 85 вес. ч.  $\text{MgO}$  в среднем приходится 3,9 вес. ч. химически связанного  $\text{MgCl}_2$  что противоречит утверждениям Сореля (1867). F





сталлов  $C_2S$ . Увеличение вязкости жидкой фазы, затрудняющей процессы диффузии и кристаллизации, приводит к уменьшению  $R$  клинкера. Максим.  $R$  клинкера наблюдалась при медленном его охлаждении, начиная с  $t$ -ры, лежащей в середине интервала спекания. Состав газовой среды при обжиге оказывает существенное влияние на  $R$  клинкера, получаемого из ангидрита. В условиях восстановительной среды происходит стабилизация  $C_2S$  углеродом, зависящая при этом, по-видимому, от содержания алюминатов кальция или образования геленита в результате  $r$ -ции  $Ca_2Al_2SiO_7 + SiO_2$ ; таким образом,  $R$  клинкера понижается. Авторы полагают, что  $R$  клинкера, получаемого во вращающейся печи, будет происходить более интенсивно, чем это имело место в выполненных исследованиях. Сообщение 1 см. РЖХим, 1960, № 10, 39514.

Г. Рояк  
6К353. Нонвариантные и эвтектические точки системы  $CaO - 2CaO \cdot SiO_2 - 5CaO \cdot 3Al_2O_3$ . Реакции и равновесные системы в этих точках. Goggi Grasso. Invariants et eutectiques du système  $CaO - C_2S - C_3A$ . Caractéristiques des réactions et des équilibres  $h_y$  rapportant. «Silicates industr.», 1960, 25, № 7-8, 347-351 (франц.). В тройной диаграмме  $CaO - 2CaO \cdot SiO_2 - 5CaO \cdot 3Al_2O_3$  дана физ.-хим. характеристика 3 нонвариантных точек:  $CaO - 3CaO \cdot SiO_2 - 2CaO \cdot SiO_2$ ;  $CaO - 3CaO \cdot SiO_2 - 3CaO \cdot Al_2O_3$ ;  $3CaO \cdot SiO_2 - 2CaO \cdot SiO_2 - 3CaO \cdot Al_2O_3$  и одной эвтектики:  $2CaO \cdot SiO_2 - 3CaO \cdot Al_2O_3 - 5CaO \cdot 3Al_2O_3$ . И. Кузнецова  
6К354. О включении  $Al_2O_3$  и  $MgO$  в трехкальциевом силикате. Locher F. W. Die Einlagerung von  $Al_2O_3$  und  $MgO$  in Tricalciumsilikat. «Zement-Kalk-Gips», 1960, 13, № 9, 389-394 (нем.; рез. англ., франц.). Смесь  $C_3S + C_3A + MgO$ , разлагающаяся по содержанию  $C_3A$  и  $MgO$ , обжигалась в течение 1 часа при  $1500^\circ$  и быстро охлаждалась на воздухе. По данным рентгеноструктурного анализа и определения содержания свободной плавки по методу Франка (извлечение своб.  $CaO$  смесью ацетоуксусного эфира и изобутилового спирта и титрование  $0,1$  н.  $HCl$ ) высказываются соображения о включении  $C_3A$  и  $MgO$  в  $C_3S$ . Автор приходит к выводу, что  $C_3S$  может включать в виде твердого  $r$ -ра  $\sim 2\%$   $C_3A$  благодаря замещению атомов  $Si$  атомами  $Al$ , без заметного изменения решетки  $C_3S$ . Включение  $MgO$  происходит вследствие замещения ионами  $Mg$  ионов  $Ca$ , доходящего до  $2,5\%$   $MgO$  при  $1500^\circ$ . Включение  $MgO$  сопровождается уменьшением (сжатием) решетки  $C_3S$ .

Г. Рояк  
6К355. Изменение прочности двухкальцевого силиката в зависимости от природы стабилизирующей добавки. Окорков С. Д., Гольяно-Вольфсон С. Л., Корнеев В. И. «Тр. Ленингр. технол. ин-та им. Ленсовета», 1960, вып. 56, 93-98.—Установлено, что сернокислые соли аммония,  $Na$ ,  $K$ ,  $Mg$ ,  $Ca$ ,  $Zn$ ,  $Ba$  и  $Al$  при добавлении их в шихту, рассчитанную на получение  $C_2S$ , способствуют образованию его в виде  $\beta$ -формы. Сернокислые железо такого действия не оказывают. Прочность и скорость твердения  $\beta$ - $C_2S$  сильно зависят от вида используемого стабилизатора. Прочность в 28-суточном возрасте колеблется от  $16$   $кг/см^2$  при использовании в качестве стабилизатора  $ZnSO_4$  до  $154$   $кг/см^2$  при использовании  $CaSO_4$ , который является наиболее эффективным стабилизатором. М. Степанова  
6К356. О составе и устойчивости гидросиликатов кальция в условиях гидротермальной обработки при  $700$   $ати$  и  $200^\circ$ . Будников П. П., Рояк С. М., Лопатникова Л. Я., Дмитриев А. М. «Докл. АН СССР», 1960, 134, № 3, 591-594.—Рентгенография, петрография и термография. Методами идентифицированы гидросиликаты  $Ca$ , синтезированные из х. ч.  $CaO$  и кварцевого песка с отношением  $CaO : SiO_2 = 2; 1$  и  $0,8$  при  $t$ -ре  $200^\circ$  и  $700$   $ати$  (применительно к условиям сверхглубоких нефтяных скважин), а также для сравнения при  $200^\circ$  и  $16$   $ати$ . Отмечается, что процессы

синтеза гидросиликатов  $Ca$  при  $700$   $ати$  и  $200^\circ$  качественно и количественно отличаются от процессов, происходящих при  $16$   $ати$  и той же  $t$ -ре. Гидросиликаты  $Ca$ , синтезированные при  $16$   $ати$ , отличаются мелкой и нечетливой кристаллизацией минералов и неоднородным их составом.

М. Степанова  
6К357. Исследование тампонажных цементов. Kinský I. Cercetări în domeniul cimenturilor de sondă. «Petroli și gaze», 1960, 11, № 2, 60-62 (рум.; рез. русск., нем., франц., англ.).—Для цементирования неглубоких скважин ( $500-600$  м), где  $t$ -ра не превышает  $15-35^\circ$ , в Румынии были использованы цементы (Ц) с  $B/C = 0,45-0,5$  с добавкой  $2-4\%$   $CaCl_2$  (по отношению к Ц). При больших кол-вах  $CaCl_2$  наблюдается быстрое снижение прочности затвердевшего Ц. При работе с цементным  $r$ -ром, содержащим барит в кол-вах, повышающих вес  $r$ -ра до  $2,1-2,2$   $кг/см^3$ , необходимо добавлять до  $6\%$   $CaCl_2$  (часть его адсорбируется частицами барита). Для снижения склонности Ц к адсорбции  $CH_4$  и для ускорения гидратации клинкерных минералов рекомендуется применять смесь из:  $47,5\%$  портланд-цемента,  $47,5\%$  основного доменного шлака и  $5\%$  бентонита. Из этой смеси готовят цементный  $r$ -р с  $B/C = 0,45-0,5$  с добавкой  $2\%$   $CaCl_2$ .

П. Матлис  
6К358. Влияние добавки гипса на сульфатостойкость портландцементов различного минералогического состава. Окорков С. Д., Мин Пан-жун. «Тр. Ленингр. технол. ин-та им. Ленсовета», 1960, вып. 56, 113-120.—Путем введения в состав цементов разного минералогич. состава  $4-10\%$  гипса, считая на  $SO_3$ , можно повысить их сульфатостойкость. Действие гипса объясняется его взаимодействием с гидроалюминатом кальция, в результате которого образуется гидросульфаталюминат  $Ca$ . Образование последнего не вызывает опасных напряжений, так как гидросульфаталюминат  $Ca$  образуется очень быстро и в тот период, когда цементный камень обладает хорошей деформационной способностью.

М. Степанова  
6К359. Коррозионная стойкость цементов с непельными добавками от электрофильтров ТЭЦ. Бабачев Г. Н., Пенчев П. С. «Гидротехн. стр-во», 1960, № 10, 26-31.—Установлено, что смешанные цементы на основе портланд-цементов болгарского произ-ва с добавкой  $40\%$  зол ТЭЦ устойчивы в  $5\%$ -ном  $r$ -ре  $Na_2SO_4$ . Коэф. стойкости через 3 мес. составляет  $0,93-1,34$  и  $0,97-1,2$  через 6 мес. Однако в  $5\%$ -ном  $r$ -ре  $MgCl_2$  такие цементы имеют пониженные прочности.

М. Степанова  
6К360. Влияние температуры на тепловыделение цемента. Еременок И. П. «Изв. высш. учебн. заведений. Стр-во и архитект.», 1960, № 4, 88-100.—Приведены аналитич. зависимости, определяющие влияние повышения  $t$ -ры на скорость тепловыделения. Отмечается, что на скорость тепловыделения оказывает влияние главным образом начальная  $t$ -ра цементного  $r$ -ра. С повышением начальной  $t$ -ры  $r$ -ра скорость тепловыделения увеличивается.

М. Степанова  
6К361. О составе твердой фазы при взаимодействии  $\beta$ -двухкальцевого силиката с растворами едкого натра. Бергер А. С., Лилеев И. С. В сб. «Материалы Всес. совещания по химии и технол. глинозема, 1958». Новосибирск, Сиб. отд. АН СССР, 1960, 109-115.—Гидрат окиси кальция и силикат натрия, выделявшиеся при разрушении  $\beta$ -двухкальцевого силиката в  $r$ -рах  $NaOH$ , взаимодействуют между собой. Результатом этого взаимодействия является образование тоберморитоподобного гидросиликата кальция, присутствие которого в твердой фазе подтверждено методами химич., термич. (ДТА) и рентгенофазового анализ. Накопление этого соединения и гидрата окиси кальция у поверхности  $\beta$ -двухкальцевого силиката в ходе процесса разрушения его в  $r$ -рах  $NaOH$  обуславливает самотормозящийся характер указанного процесса.

Из резюме авторов

гора (1930), Липовца (1932) и др. о влиянии в  $Mg$  соединений (предельных хлм. соединений:  $5MgO \cdot MgCl_2$ ,  $17H_2O$ ,  $2MgO \cdot MgCl_2 \cdot 9H_2O$ ,  $5MgO \cdot MgCl_2 \cdot 2H_2O$ ).

616347. Интенсификация процесса сушки листовых строительных материалов. Кремлев О. А., Баронский Н. Р., Писевский И. М. «Строит. материалы», 1960, № 7, 13-16. Проведено исследование процесса повисающей сушки сухой гипсовой штукатурки. Научное исследование, влияние отдельных параметров сушального агента (температура, скорость движения, влагосодержание) на процесс сушки. Исследование показало, что интенсификация процесса сушки гипсовой штукатурки за счет значительного повышения скорости теплоносителя нецелесообразна, но при уменьшении теплоносителя с пониженным влагосодержанием оказывает благоприятное влияние на качество продукции и уменьшение расхода с гипсовым сердечником. В. Савельев

616348. Цепоангидрит и цепоце. Gürtler Rudolf, Schaumhydrat und gips. «Silikattechnik», 1960, 11, № 7, 331-336 (нем.). При изготовлении перегородочных досок из цепоангидрита ( $265 \times 35 \times 6$  см) производится армирование их не деревянными рейками или камнем, а по обеим сторонам, минеральной ватой в кол-ве 4% от веса ангидрита (А). Вата должна быть распределена на полосу длиной 4-6 см. Смещение компонентов производится вначале вручную, затем действие сначала пласко, а затем при добавлении воды и песка, общий длительность смешения равна 5,5-6 мин. В качестве катализатора, вводимого в массу или при помоле А, применяют  $K_2SO_4$ ,  $Na_2SO_4$  и  $FeSO_4$  в кол-ве 1,63% от веса А. Формование досок производится в горизонтальном положении. Распалубку на после формования производится через 4 часа и спрессовка поддона — через 20 час.; затем доски высушивают на поддухе или в сушилке при  $t \leq 30^\circ$ . При изготовлении плит из цепоангидрита добавка базальтового поддона равна 1% от веса гипса. Распалубку плит, включая спрессовку поддона, производят через 40-45 мин. Плиты высушивают при  $t \leq 40-45^\circ$ .  $R_{сж}$  кубов  $10 \times 10 \times 10$  см при об. в. 0,87-1,07  $kg/cm^2$  составляет 15,8-121  $kg/cm^2$ , а  $R_{раст}$  плит при об. в. 0,93-1,07  $kg/cm^2$  — 18,23-29,95  $kg/cm^2$ . Г. Конелинский

616349. Вязкучие свойства манганатов металлов второй группы периодической системы. Д. И. Менделеев, Окорков С. Д., Голынкин Вольфсон С. Д., Стародубцев Ю. Я. «Тр. Ленингр. техн. ин-та им. Ленсовета», 1960, вып. 56, 26-34. Изучены вязкучие свойства систем оксидов  $CaO$ ,  $ZnO$ ,  $SrO$ ,  $CdO$  и  $BaO$  с  $Mn_2O_3$ . Синтез производился путем многократных обжигов смесей углекислых солей указанных элементов и двуокиси  $Mn$  с промежуточным измельчением спеков в тонкий порошок. Шихты для получения спеков составлялись со следующими соотношениями основного оксида к  $MnO_2$ : 1:2; 1:1; 5:3 и 3:1 (по аналогии с  $Ca_2$ ,  $Ca$ ,  $Ca_3A_2$  и  $Ca_3A$ ), а также 2:1 (аналогия с  $C_2F$ ). Т-ра обжига выбиралась возможно более близкой к т-ре размягчения соответствующих смесей и устанавливалась экспериментально. Охлаждение после обжига применялось резкое — воздушное. Установлено, что по проявлению вязкучих свойств все изученные системы делятся на 2 группы: А — обладающие вязкучими свойствами:  $CaO - Mn_2O_3$ ,  $SrO - Mn_2O_3$  и  $BaO - Mn_2O_3$  и Б — не обладающие вязкучими свойствами:  $MgO - Mn_2O_3$ ,  $ZnO - Mn_2O_3$  и  $CdO - Mn_2O_3$ . Интенсивность проявления вязкучих свойств у соединений первой группы повышается в направлении от кальциевых к бариевым соединениям. Исследованиями подтверждено предположение В. Ф. Журавлева о том, что по проявлению вязкучих свойств манганаты металлов II группы периодич. системы элементов являются анало-

гами соответствующих алюминатов и ферритов, в связи с тем, что вязкучими свойствами обладают манганаты лишь тех металлов II группы, которые стоят в четных рядах периодич. системы. М. Степанов

616350. Минерализующее действие сернокислых солей при синтезе отдельных минералов портландцементной клинкера. Окорков С. Д., Голынкин Вольфсон С. Д., Кукушкин В. С. «Тр. Ленингр. техн. ин-та им. Ленсовета», 1960, вып. 56, 84-92. В сырьевые смеси, составленные из х. ч.  $CaCO_3$ , силикатов, глинозема или окиси железа и раскислителей на получение  $C_2S$ ,  $C_3S$ ,  $C_4A$  и  $C_4AF$ , добавлялся в кол-ве 0,05-2,00 г смеси сернокислые  $Mg$ ,  $Ca$ ,  $Zn$ ,  $Ba$ ,  $Al$ ,  $Fe$  (2 и 3 валентные). Каждая смесь обжигалась при 900, 1000, 1100, 1200 и 1300  $^\circ C$  в полученных спекках определялась сернистая  $SO_2$ . Для сравнения обжигалась смесь без добавки минерализатора и с добавкой  $CaF_2$  (в кол-ве 0,05 г экв на 100 г смеси). Полученные результаты позволили систематизировать сульфаты по степени их минерализующего действия при синтезе клинкерных минералов. Установлено, что сернокислые соли при добавке их в количестве минерализаторов в шихту  $CaCO_3 : Al_2O_3$  способствуют образованию лишь менее основных, чем  $C_4A$ , алюминатов кальция и не оказывают положительного влияния на процесс образования трехвалентного алюмината. С. Окорков

616351. К вопросу о минерализующем действии  $MgF_2$ . Сычев М. М., Баркал А. С. «Тр. Ленингр. техн. ин-та им. Ленсовета», 1960, вып. 56, 81-83. Изучено взаимодействие  $MgF_2$  с  $CaCO_3$  сырьевой смеси в интервале  $t$  от 500-550  $^\circ C$ . Рентгеновский и кристаллографич. анализ спеков состава  $MgF_2 : CaCO_3 = 1:1$  показали следующий фазовый состав:  $CaF_2$  35%,  $MgCO_3$  — 15%, новообразования А и В (изотропные в  $n = 1,580$  и  $1,488$ ) соответственно 45 и 5%. При обработке спеков водой фазовый состав их меняется вследствие разложения новообразований: увеличивается кол-во  $CaF_2$  и появляется  $Mg(OH)_2$ . Термографич. исследование показало, что при сжигании, приводящее к образованию соединений А и В, начинается уже при 400  $^\circ C$ . В процессе нагревания смеси  $MgF_2$  и  $CaCO_3$  при относительно низких т-рах начинается интенсивный гидролиз  $MgF_2$  парами воды, находящимися в воздухе. В результате гидролиза образуются  $MgO$  и  $H_2F$ . Последний взаимодействует с  $CaCO_3$ , вследствие чего образуется  $CaF_2$ . Предполагается, что к моменту начала р-ции силикатообразования в производственной печи  $MgF_2$  переходит в  $CaF_2$ , который и является минерализатором процессов силикатообразования. М. Степанов

616352. Исследование рассыпаемости белитового клинкера. Сообщение 2. Wolf Friedrich, Ritzmann Horst. Untersuchungen über das Rieselverhalten dikalziumsilikathaltiger Klinker. 2. Mitt. «Silikattechnik», 1960, 11, № 6, 276-285 (нем.). — Исследована зависимость рассыпаемости (Р) клинкера от условий обжига и охлаждения. Оценка рассыпаемости проводилась по удельной поверхности и зерновому составу клинкерного порошка. В качестве основного сырьевого компонента применялась известь для 7 клинкеров и ангидрит с добавкой углерода для 3 клинкеров. Отпеченные  $CaSO_4$  составляло, как принято при производстве и серной к-ты из гипса, на 1 моль сульфата кальция 0,6 моля углерода. В качестве глинистого компонента использовались х. ч. аморфная кремниевая кислота и глинозем. Обжиг производился в муфельной печи при разной т-ре интервала спекания в условиях окислительной и восстановительной среды. Составы клинкеров лежали в треугольниках  $C_2S - C_3A - C_4A$ ;  $C_2S - C_3A - C_4A$ ;  $C_2S - C_3A - C_4A$  3-х точной диаграммы  $CaO - SiO_2 - R_2O_3$ , где  $R_2O_3 = Al_2O_3 + Fe_2O_3$  при содержании  $Fe_2O_3 < 1$ . Результаты показали, что Р клинкеров зависит от их минералогич. состава, главным образом, от кол-ва и размеров кри-

физическое, обладающее некоторыми свойствами, портландцемент, а также и другие материалы, применяемые в строительстве. В частности, это касается бетона, который является одним из основных материалов в строительстве. Бетон представляет собой смесь цемента, песка, щебня и воды. При затвердевании эта смесь образует прочную структуру, способную выдерживать большие нагрузки. В зависимости от состава и условий эксплуатации бетон может использоваться для различных целей, от строительства дорог до возведения высотных зданий.

стало  $C_2S$ . Увеличение вязкости жидкой фазы, сопровождающей процессы диффузии и кристаллизации, приводит к уменьшению  $R$  клинкера. Максимум  $R$  клинкера наблюдается при медленном его охлаждении, начиная с  $t_{\text{тр}}$ , лежащей в середине интервала спекания. Состав газовой среды при обжиге оказывает существенное влияние на  $R$  клинкера, получаемого из анкидрита. В условиях восстановительной среды происходит стабилизация  $C_2S$  углеродом, зависящим при этом, по-видимому, от содержания алюминатов кальция при образовании геленита в результате реакции  $C_2S + SiO_2$  таким образом,  $R$  клинкера повышается. Авторы полагают, что  $R$  клинкера, получаемого во восстановительной печи, будет происходить более интенсивно, чем это имело место в восстановительных исследованиях. Сообщение 1 см. РИХХим, 1960, № 10, 29514.

6К353. Нонвариантные и эвтектические точки системы  $CaO - 2CaO \cdot SiO_2 - 5CaO \cdot 3Al_2O_3$ . Реакция и равновесные системы в этих точках. Goggi G. Invariants et eutectiques du système  $CaO - C_2S - C_3A$ . Caractéristiques des réactions et des équilibres N° rapportant, «Silicates industriels», 1960, 25, № 7-8, 347-354 (франц.). В тройной диаграмме  $CaO - 2CaO \cdot SiO_2 - 5CaO \cdot 3Al_2O_3$  даны физ. хим. характеристики 3 нонвариантных точек:  $CaO - 3CaO \cdot SiO_2 - 2CaO \cdot SiO_2$ ;  $CaO - 3CaO \cdot SiO_2 - 3CaO \cdot Al_2O_3$ ;  $3CaO \cdot SiO_2 - 2CaO \cdot SiO_2 - 3CaO \cdot Al_2O_3$  и одной эвтектики:  $2CaO \cdot SiO_2 - 3CaO \cdot Al_2O_3 - 5CaO \cdot 3Al_2O_3$ . И. Кузнецова

6К354. О включении  $Al_2O_3$  и  $MgO$  в трехкальциевый силикат. Lucher F. W. Die Einlagerung von  $Al_2O_3$  und  $MgO$  in Tricalciumsilikat. «Zement-Kalk-Gips», 1960, 13, № 9, 389-394 (нем.; рец. англ., франц.). Смесь  $C_3S + CaO + MgO$ , разлагавшаяся по содержанию  $C_3A$  и  $MgO$ , обжигалась в течение 1 часа при  $1500^\circ$  и быстро охлаждалась на воздухе. По данным рентгеноструктурного анализа и определения содержания свободной влаги по методу Франка (напряжение своб.  $CaO$  смесью апатоуксусного эфира и изобутилового спирта и титрование  $0,1$  н.  $HCl$ ) высказываются соображения о включении  $C_3A$  и  $MgO$  в  $C_3S$ . Автор приходит к выводу, что  $C_3S$  может включать в виде твердого р-ра  $\sim 2\%$   $C_3A$  благодаря замещению атомов  $Si$  атомами  $Al$ , без заметного изменения решетки  $C_3S$ . Включение  $MgO$  происходит вследствие замещения ионами  $Mg$  ионов  $Ca$ , достигающего до  $2,5\%$   $MgO$  при  $1500^\circ$ . Включение  $MgO$  сопровождается уменьшением (сжатием) решетки  $C_3S$ .

6К355. Изменение прочности двухкальцевого силиката в зависимости от природы стабилизирующей добавки. Окорков С. Д., Голынько В. И., Мельников С. Л., Корнеев В. И. «Тр. Ленингр. техн. ин-та им. Ленсовета», 1960, вып. 56, 93-98. — Установлено, что сернокислые соли алюминия,  $Na$ ,  $K$ ,  $Mg$ ,  $Ca$ ,  $Zn$ ,  $Ba$  и  $Al$  при добавлении их в шихту, рассчитанную на получение  $C_2S$ , способствуют образованию его в виде  $\beta$ -формы. Сернокислые железо такого действия не оказывают. Прочность и скорость твердения  $\beta$ - $C_2S$  сильно зависят от вида использованного стабилизатора. Прочность в 28-суточном возрасте колеблется от  $16$  кг/см<sup>2</sup> при использовании в качестве стабилизатора  $ZnSO_4$  до  $154$  кг/см<sup>2</sup> при использовании  $CaSO_4$ , который является наиболее эффективным стабилизатором. М. Степанова

6К356. О составе и устойчивости гидросиликатов кальция в условиях гидротермальной обработки при  $700$  атм и  $200^\circ$ . Будничков П. Н., Рояк С. М., Лопатинкова Л. Я., Дмитриев А. М. «Докл. АН СССР», 1960, 134, № 3, 591-594. — Рентгенография, петрография и термография, методами идентификации гидросиликатов  $Ca$ , синтезированные из х. ч.  $CaO$  и кварцевого песка с отношением  $CaO : SiO_2 = 2; 1$  и  $0,8$  при  $t$ -ре  $200^\circ$  и  $700$  атм (применительно к условиям сверстудовых нефтяных скважин), а также для сравнения при  $200^\circ$  и  $16$  атм. Отмечается, что процессы

синтеза гидросиликатов  $Ca$  при  $700$  атм и  $200^\circ$  качественно и количественно отличаются от процессов, происходящих при  $16$  атм и той же  $t$ -ре. Гидросиликаты  $Ca$ , синтезированные при  $16$  атм, отличаются медленной и нечетливой кристаллизацией минералов и неоднородным их составом. М. Степанова

6К357. Исследование тапмономических цементов. Kijak I. Cercetări în domeniul cimenturilor de sondă. «Petroli și gaze», 1960, 11, № 2, 80-82 (рум.; рец. русск., нем., франц., англ.). Для цементирования неглубоких скважин ( $500-600$  м), где  $t$ -ра не превышает  $15-25^\circ$ , в Румынии были использованы цементы (II) с  $W/H$   $0,45-0,5$  с добавкой  $2-4\%$   $CaCl_2$  (по отношению к II). При больших кол-вах  $CaCl_2$  наблюдается быстрое снижение прочности затвердевшего II. При работе с цементными р-ром, содержащими барит в кол-вах, позволяющих вес р-ра до  $2,1-2,2$  кг/см<sup>3</sup>, необходимо добавлять до  $5\%$   $CaCl_2$  (часть его адсорбируется частицами барита). Для снижения стоимости II и адсорбции  $Ca$  и для ускорения гидратации клинкерных минералов рекомендуется применять смесь из  $47,5\%$  портландцемента,  $47,5\%$  основного доменного шлака и  $5\%$  бентонита. Из этой смеси готовят цементный р-р с  $W/H = 0,45-0,5$  с добавкой  $2\%$   $CaCl_2$ . И. Матвеев

6К358. Влияние добавки гипса на сульфатостойкость портландцементов различного минералогического состава. Окорков С. Д., Мия Пая жуи. «Тр. Ленингр. техн. ин-та им. Ленсовета», 1960, вып. 56, 113-120. — Путем введения в состав цементов разного минералогического состава  $4-10\%$  гипса, считая на  $SO_3$ , можно повысить их сульфатостойкость. Действие гипса объясняется его взаимодействием с гидроксидом алюминия, в результате которого образуется гидросульфат алюмината  $Ca$ . Образование последнего не вызывает опасных напряжений, так как гидросульфат алюмината  $Ca$  образуется очень быстро и в тот период, когда цементный камень обладает хорошей деформационной способностью. М. Степанова

6К359. Коррозионная стойкость цементов с неспешными добавками от электрофилитов ТЭП. Вавачев Г. И., Педчев П. С. «Гидротехн. строит.», 1960, № 10, 26-31. — Установлено, что смешанные цементы на основе портландцементов болгарского производства с добавкой  $40\%$  зол ТЭП устойчивы к  $5\%$ -ном р-р  $Na_2SO_4$ . Коэф. стойкости через 3 мес. составляет  $0,88-1,24$  и  $0,87-1,2$  через 6 мес. Однако к  $5\%$ -ном р-р  $MgCl_2$  такие цементы имеют пониженные прочности. М. Степанова

6К360. Влияние температуры на тепловыделение цемента. Еремеев И. П. «Изв. высш. учебн. заведений. Стр.-во и архитек.», 1960, № 4, 88-100. — Приведены аналитич. зависимости, определяющие влияние повышения  $t$ -ры на скорость тепловыделения. Отмечается, что на скорость тепловыделения оказывает влияние главным образом начальная  $t$ -ра цементного р-ра. С повышением начальной  $t$ -ры р-ра скорость тепловыделения увеличивается. М. Степанова

6К361. О составе твердой фазы при взаимодействии  $\beta$ -двукальцевого силиката с растворами едкого натра. Бергер А. С., Лилеев И. С. В сб. «Материалы Всес. совещания по химии и технол. глинозема», 1958. Новосибирск, Сиб. отд. АН СССР, 1960, 109-115. — Гидрат окиси кальция и силикат натрия, выделившиеся при разрушении  $\beta$ -двукальцевого силиката в р-рах  $NaOH$ , взаимодействуют между собой. Результатом этого взаимодействия является образование тоберморитоподобного гидросиликата кальция, присутствие которого в твердой фазе подтверждено методами химич. термич. (ДТА) и рентгенофазового анализа. Накопление этого соединения и гидрата окиси кальция у поверхности  $\beta$ -двукальцевого силиката в ходе процесса разрушения его в р-рах  $NaOH$  обуславливает самотормозящийся характер указанного процесса.

Из резюме авторов



**6К362.** Обжиг клинкера коксом из бурогоугольного бассейна близ г. Мост (ЧССР). Blaža K., Talajka J. Pálenie slinku mosteckým koksom. «Stavivo», 1960, 38, № 7, 222—224 (словацк.; рез. русск., нем., англ., франц.).—Приводятся технико-экономич. показатели, полученные при проведении опытных работ по применению кокса из чехословацких бурых углей для обжига клинкера.

**6К363.** Исследование гидратированных синтетических минералов глиноземистых шлаков. Будников П. П., Горшков В. С. «Укр. хим. ж.», 1960, 26, № 4, 523—530.—Минералы глиноземистых шлаков  $\text{CaAl}_2\text{O}_4$ ,  $\text{Ca}_5\text{Al}_6\text{O}_{14}$  и  $\text{Ca}_2\text{Al}_2\text{SiO}_7$  синтезировались из х. ч. компонентов путем обжига сырьевых брикетов в платиновых тиглях в силитовой печи до спекания с последующим охлаждением в течение 12 час. Синтез  $\text{CaAl}_2\text{O}_4$  производился при  $1350^\circ$ ,  $\text{Ca}_5\text{Al}_6\text{O}_{14}$  — трехкратным обжигом при этой т-ре;  $\text{Ca}_2\text{Al}_2\text{SiO}_7$  получен в результате двукратного обжига смеси при  $1550^\circ$ . Методами ДТА и электронномикроскопич. исследований установлено, что продуктами гидратации синтезированных  $\text{CaAl}_2\text{O}_4$  и  $\text{Ca}_5\text{Al}_6\text{O}_{14}$  являются гидроалюминаты кальция, кристаллизующиеся в виде гексагональных пластинок. Присутствие в указанных минералах аниона  $\text{SO}_4^{2-}$  наряду с образованием гидроалюминатов Са способствует образованию трехсульфатной формы сульфогидрата Са. При взаимодействии геленита с водой образуется гидрат геленита состава  $\text{Ca}_2\text{Al}_2\text{SiO}_7 \cdot n\text{H}_2\text{O}$ . Наличие в реакционной смеси аниона  $\text{SO}_4^{2-}$  способствует образованию трехсульфатной формы сульфогидрата состава  $\text{Ca}_2\text{Al}_2\text{SiO}_7 \cdot (1-3 \text{ CaSO}_4) \cdot n\text{H}_2\text{O}$ .

**6К364.** Разработка состава зубных цементах для цементации мостовидных протезов и одиночных коронок. Голынько-Вольфсон С. Л., Шевелева Б. И. «Тр. Ленингр. техн. ин-та им. Ленсовета», 1960, вып. 56, 121—129.—Разработаны рецептуры зубных цементах, отвечающих требованиям, предъявляемым при использовании их для протезирования. Способ получения таких цементах заключается в следующем: заводской цинк-фосфатный цемент-порошок подвергают мокрому помолу до удельной поверхности  $\sim 8000 \text{ см}^2/\text{г}$ . К порошку в качестве ускорителя твердения добавляется 1% по выбору или  $\text{CaSiF}_6$ , или  $\text{Ca}(\text{H}_2\text{PO}_4)_2$  или  $\text{CaHPO}_4$  или  $\text{Zn}_3(\text{PO}_4)_2$ , или  $\text{CaF}_2$ . Цинковая жидкость для затворения, содержащая 78%  $\text{P}_2\text{O}_5$ , 16%  $\text{ZnO}$ , 6%  $\text{Al}(\text{OH})_3$ , доводится разведением водой до плотности, равной 1,70.

**6К365.** Влияние добавки сидерита на свойства портланд-цемента. Лопаткин Я. М., Полякова С. В. «Изв. высш. учебн. заведений. Стр-во и архитек.», 1960, № 3, 110—117.—Исследовано влияние на свойства портланд-цемента добавки микронаполнителя — сидерита различного хим. и гранулометрич. состава. Обнаружено, что замена 5—10% клинкера или портланд-цемента молотым сидеритом не снижает механич. прочности цемента. Изучение физ.-хим. процессов, протекающих при гидратации клинкера в присутствии сидерита, показало, что сидерит, так же как и  $\text{CaCO}_3$  служит активизатором процесса твердения и способствует интенсивному выделению  $\text{Ca}(\text{OH})_2$  в начальном периоде твердения, а в более поздние сроки вступает в хим. взаимодействие с выделившейся  $\text{Ca}(\text{OH})_2$ , что ведет к уменьшению кол-ва свободной извести.

**6К366.** Петрография цемента и бетона. Brown L. S. Petrography of cement and concrete. «J. Portland cement Assoc. Res. and Developm. Labs», 1959, 1, № 3, 23—34 (англ.).—Описываются возможности петрографич. исследований применительно к цементу и бетону, а также используемая для этих целей аппаратура. Подробно освещается методика изготовления прозрачных шлифов. Отмечается, что для изучения бетона

необходима дальнейшая разработка методики и усовершенствование аппаратуры.

**6К367.** Изучение отвалных шлаков металлургического комбината Решица с целью их применения в строительстве. Mîrşu O., Filimon I., Voinea N., Radoslav I. Studiul zgurilor din halda Combinatului Metalurgic Reşiţa în vederea folosirii lor în construcţii. «Studii şi cercetări. Acad. RPR. Baza Timişoara. Ştiinţe tehn.», 1960, 7, № 1-2, 153—163 (рум.; рез. русск., франц.).

**6К368.** Самозанисывающий калориметр и определение теплоты гидратации шлаковых цементов. Kondō Renichi, Shimizu Hiroshi, Yamauchi Toshiyoshi. «Ergō kōkaishi, Yogyō kyōkai shi, J. Ceram. Assoc. Japan», 1960, 68, № 773, 119—125 (японск.; рез. англ.).—Сконструирована установка, состоящая из калориметра и самозанисывающего устройства, и определена величина и скорость тепловыделения различных цементов (портландского, шлако-портландского и с различным содержанием шлака и сульфатно-шлакового). Проведенные измерения подтвердили, что тепловыделение различных цементов зависит от их состава. У портланд-цемента (I) оно составляет после 10—13 час. гидратации 2,1—2,2 кал/г в час. У шлако-портланд-цемента (II) наблюдается тенденция к понижению максимума тепловыделения по мере увеличения содержания шлака. У сульфатно-шлакового цемента (III) максим. тепловыделение после 18 час. твердения составляло 1,1—1,2 кал/г в час. Общая величина тепловыделения через 24 часа достигала: у I 35 кал/г, у II 20 кал/г и у III только 14 кал/г.

**6К369.** Метод определения щелочей в гипсошлаковом цементе. «Цзяньчжу цайляо гунъе, Jianzhu cailiao gongye», 1960, № 9, 36—37 (кит.).—100 г цемента промывали дистил. водой и помещали в колбу, добавляли туда же 900 мл дистил. воды и помещали колбу в сосуд с водой, имеющей постоянную т-ру  $20 \pm 0,5^\circ$ . Колбу встряхивали в течение 2 час. Затем р-р фильтровали. В 50 мл отфильтрованного р-ра добавляли несколько капель метилового оранжевого в качестве индикатора, затем титровали разб. соляной к-той известной конц-ии.

**6К370.** О колебаниях свойств сланцевольных вяжущих. Кикас В. X. «Тр. Таллинск. политех. ин-та», 1959, А, № 166, 29—43.—Изучалось колебание качеств. параметров сланцевольных вяжущих. Обыкновенный кукуермит готовился в лабор. и промышленных условиях; исследовались колебания сроков схватывания и прочности на сжатие кукуермитовых р-ров и зависимость их от потерь при прокаливании (п.п.) вяжущего. Чем выше средние п.п.п. крупной золы топок слоевого сжигания, тем медленнее схватывается изготавленный из нее обыкновенный кукуермит. Из умеренно обожженной золы (средние значения п.п.п. 10—13%) получается вяжущее сравнительно высокой марок. Из более полно обожженной золы (средние значения п.п.п. до 10%) получается быстротвердеющее и относительно быстро твердеющее вяжущее.

**6К371.** Вяжущие из золы сланца-кукуермита. Кикас В. X. «Тр. Таллинск. политех. ин-та», 1959, А, № 166, 5—28.—Вяжущие свойства золы сланца-кукуермита (СК) зависят от крупности зерен сжигаемого сланца и от режима сжигания. Зола от сжигания СК во взвешенном состоянии в течение нескольких секунд обладает улучшенными свойствами по сравнению с золой, получаемой при медленном сжигании кускового сланца. Золой от сжигания СК при низких т-рах (800—900°) быстрее твердеют, но дают в дальние сроки меньшую прочность, чем золы, обожженные при высоких т-рах (1200—1300°).

**6К372.** О технологии изготовления кукуермита. Кикас В. X. «Тр. Таллинск. политех. ин-та», 1959,

А, № 166, товления ной золо топок пыльный спосо нцах — т медленн. свободной Гашение митов, об. Золы ных разм отличаюс сепариро с высоки товленое вечат тр

**6К373.** левидного 3. Э. «Тр. 100—128. нов в лаб ных устан Равномерн золы прои вверх. Пр 25% мелк нами, даю ки 300, их стойкость, объема.

**6К374.** стоянство Autoklavp 1960, 13, I, которые и при прим вом при 151—58. Е держиван образцов а также п на расши гания по Р влияет г алюминат жительство Уменьшен действия насыщени превраще действия при испы лабор. ус. ментов, т условия д

**6К375.** приборов Исао, I «Сэмэнт» № 160, 28 **6К376.** во враща do. Instal horns ro 301—302, **6К377.** дах. Ma in Rohrm 394—409 посвящен

А, № 166, 44—66.—Рассматривается технология изготовления кукуриков из двух сланцевых зол: крупной золы топок слоевого сжигания и циклонной золы топок пылевидного сжигания сланца-кукерита. Главный способ измельчения — размол в шаровых мельницах — тормозится из-за сильного налипания зол к мельнице. Так как сланцевые золы содержат 14—20% свободной извести, можно их предварительно гасить. Гашение увеличивает тонкость и активность кукуриков, облегчает размол, предотвращая налипание зол. Золы сланца-кукерита состоят из частиц разных размеров, их хим. состав и вяжущие свойства отличаются друг от друга. Эти частицы можно легко сепарировать воздушным путем и выделять фракции с высокими вяжущими свойствами. Вяжущее, изготовленное из фракций с размером частиц  $< 30 \mu$ , отвечает требованиям марки 250 и 300.

Е. Миропольская

6K373. О воздушной сепарации летучей золы пылевидного сланца в мультициклоне. Когерман Э. Э. «Тр. Таллинск. политехн. ин-та», 1959, А, № 166, 100—128.—Проводились исследования мультициклонов в лабор. условиях (на модели) и в промышленных установках с целью сепарации сланцевых зол. Равномерная и наиболее полная сепарация летучей золы происходит при входе зол в мультициклон снизу вверх. При такой сепарации зол можно выделить до 25% мелких фракций с высокими вяжущими свойствами, дающих при размоле гидравлич. вяжущее марки 300, имеющее удовлетворительные водо- и морозостойкость, а также хорошие свойства и постоянство объема.

Е. Миропольская

6K374. Об автоклавном испытании цемента на постоянство объема. Naböck H. Erfahrungen bei der Autoklavprüfung von Klinkerproben. «Zement-Kalk-Gips», 1960, 13, № 8, 363—366 (нем.; рез. англ., франц.).—Некоторые цементы, сохраняющие постоянство объема при применении в бетоне, не обладают этим свойством при испытании в автоклаве согласно ASTM C 151—58. Было изучено влияние предварительного выдерживания размоленного клинкера до изготовления образцов в течение 0, 3, 6, 9, 12, 18, 24, 48, 72 и 96 час., а также пропаривания продолжительностью в 150 мин. на расширение (Р), возникающее в результате испытания по стандартному методу. Установлено, что на Р влияет не только состав (содержание  $MgO$ ,  $CaO$  свобод., алюминатов) и свойства цемента, но также продолжительность и условия его хранения до испытания. Уменьшение Р, наблюдаемое с увеличением предварительного выдерживания клинкера с высоким коэф. насыщения известно без доступа воздуха, объясняется превращением  $CaO$  в  $Ca(OH)_2$  в результате взаимодействия с  $H_2O$  гипса. Поэтому выводы, полученные при испытании свежих цементов, изготовленных в лабор. условиях, не будут верны для заводских цементов, так как при произ-ве последних создаются условия для гидратации  $CaO$  свобод. в процессе помола.

Г. Рояк

6K375. Исследование состояния оборудования и приборов для испытания цемента в Японии. Канэко Исэо, Йосимото Синдзо, Сайин Тоити. «Самэито конкурито, Cement and Concrete», 1960, № 160, 28—32 (японск.).

6K376. Установки для сжигания жидкого топлива во вращающихся печах. Sastre García Ferrnando. Instalación de quemadores de combustible líquido en hornos rotativos. «Cementohormigón», 1960, 26, № 315, 301—302, 307—313 (исп.).

6K377. Износ броневого плит в трубных мельницах. Matouschek F. Verschleiß von Mantelplatten in Rohrmöhlen. «Zement — Kalk — Gips», 1960, 13, № 9, 394—409 (нем.; рез. англ., франц.).—Обзорная статья, посвященная вопросу стойкости броневого плит раз-

личных систем в сырьевых и цементных трубных мельницах.

Я. Штейн

6K378. Крупнейший цементный завод в Центральной Европе. Kirwan Lawrence. Central Europe's biggest cement works. «Cement, Lime and Gravel», 1960, 35, № 10, 296—297 (англ.).—Описание строительства цементного з-да в Венгрии с проектной производительностью 1 млн. т в год.

М. С.

6K379. Исправление к статье Хренникова «Усадка, набухание и ползучесть цемента». — Errata. «J. Engng Mech. Div. Proc. Amer. Soc. Civil. Engrs», 1960, 86, № 4, Part 1, 201 (англ.).—К РЖХим, 1960, № 12, 48709.

6K380. Некоторые вопросы проектирования установок для дробления сырья на цементных заводах. Сычев М. М. «Тр. Ленингр. технол. ин-та им. Ленсовет», 1960, вып. 56, 130—138.

6K381. Физические явления в прессованном бетоне. Kluz Tomasz, Lęcznar Franciszek. Zjawiska fizyczne w prasowanym betonie. «Inż-ia i budown.», 1960, 17, № 6, 204—211 (польск.; рез. англ., русск.).—При изготовлении бетонных изделий методом прессования происходит изменение различных физ. свойств бетона и составляющих его компонентов. Для исследования этого вопроса были изготовлены растворные и бетонные цилиндры на портланд-цементе марки 250. Цилиндры подвергались давлению в широком диапазоне — от 15 до 710  $kg/cm^2$ . Установлено, что степень уплотнения (прессования) р-ра или бетона зависит от величины В/Ц. Чем меньше воды в р-ре и бетоне, тем он лучше уплотняется. Пористость р-ра или бетона определяется величиной применяемого давления и значением В/Ц. С увеличением этих факторов пористость уменьшается. Кол-во поглощаемой р-ром и бетоном воды уменьшается по мере увеличения В/Ц и давления. При большем расходе цемента водонасыщение увеличивается. Прочность образцов при неизменном В/Ц возрастает с увеличением давления. По мере снижения величины В/Ц прочность прессованных образцов резко возрастает и достигает при В/Ц = 0,06 и давл. 710  $atm$  свыше 2000  $kg/cm^2$ .

Б. Левман

6K382. О длительном изучении поведения цемента в бетоне. Jackson Frank H. The history and philosophy of the long-time study of cement performance in concrete. «J. PCA Res. and Developm. Labs», 1959, 1, № 3, 14—22 (англ.).—Приведен обзор работ, проводившихся в США по программе длительного исследования поведения цемента в бетоне при различных условиях службы. Первоначальный план предусматривал изучение влияния хим. состава цемента, тонкости помола и способа произ-ва на долговечность бетона в суровых природных условиях. Однако в процессе исследований было установлено, что стойкость бетона зависит в большей степени от формы и величины воздушных пузырьков, образующихся при введении поверхностноактивных добавок, чем от указанных выше факторов. Библ. 11 назв.

Б. Левман

6K383. ALCA — препарат для ускорения твердения бетона. Kadlec K. ALCA — přípravek k urychlování tvrdnutí betonu. «Stavivo», 1960, 38, № 7, 231—232 (чешск.; рез. русск., нем., англ., франц.).—Описан новый препарат — ускоритель твердения бетона. Состав (в %):  $AlCl_3$  180—200,  $CaCl_2$  150—220,  $SiO_2$   $\leq$  20,  $SO_4$   $\leq$  2; рН 2,8—3,4; вязкость 24—28° Вё. Я. Сатунювский

6K384. Расчет состава бетона по удельному расходу и предельной упаковке его составляющих. Вольф И. В. В сб. «Строит. материалы и конструкции». Сталино, 1959, 12—19.

6K385. Проектирование состава бетона, гранулометрический состав и дозирование составляющих. Твердение цемента. Часть 1. Vandepere Lucien J. Plisnier Jacques. La granulometrie, le dosage et la preestimation des bétons. Le durcissement des ciments. 1-e part. «Ann. trav. publics Belg.», 1960, № 1, 7—52 (франц.; рез. флам.)

6К386. Определение состава бетонной смеси. Гелеев А. В. «Тр. Всес. ин-та по проектир. организ. энерг. стр-ва», 1959, вып. 1, 71—93

6К387. Исследование тонкомолотых добавок (микронаполнителей) для бетона. Часть 2. Houlrick C. L., Lamathe J., Mme, Poindereft A., Mlle Etude générale des fillers. 2-e part. «Rev. gén. routes et aérodr.», 1960, 30, № 343, 51—70 (франц.).— Часть 1 см. РЖХим, 1960, № 13, 53649.

6К388. Определение теплофизических постоянных гидротехнического бетона и железобетона. Алейников С. М. «Изв. Всес. н.-н. ин-та гидротехн.», 1960, 64, 243—249

6К389. Образование белых выцветов на бетонных поверхностях. Walz K., Bonzel J. Entstehung weißer Verfärbungen auf Betonflächen. «Beton», 1960, 10, № 7, 330 (нем.).—Для изучения условий, благоприятствующих выцветообразованию (В), и последующей разработки мероприятий по его устранению предложены два способа форсированного В в лаборатор. условиях. Согласно одному из способов на горизонтальную поверхность бетонного куба сразу после распалубки (в 1- или 3-суточном возрасте) набрызгивается несколько участков воды диам. 4—7 см. После испарения воды на бетоне остаются белые пятна. По второму способу распалубленному в суточном возрасте образцу придается некоторый наклон, а на несколько участков верхней заглаженной поверхности наносится в течение 1—3 суток вода (~2 капли в 1 мин.). После испарения стекавшей по поверхности образца воды остаются белые пятна и полосы. Изучено влияние состава, технологии изготовления и условий хранения бетона на В. В частности, установлено, что бетоны низких марок (160—225), характеризующиеся сильной впитываемостью воды, менее склонны к В, чем бетоны высоких марок (300 и более). При пониженных т-рах (+5°) В более интенсивно, чем при высоких (+20°). Г. Копелянский

6К390. Комплексное действие механического износа и механической агрессии на гидрофобизованный и обычный цементный камень. Хигероуич М. И., Орендлихер Л. П. «Изв. высш. учебн. заведений. Стр-во и архиткт.», 1960, № 2, 20—24.—Исследовалось, с применением специально разработанной методики, сопротивление различных цементов износу при одновременном действии водно-солевой агрессии. Использованы 3 клинкера характеризовались различным содержанием алита и четырехкальцевого алюмоферрита. В параллельных сериях помол клинкеров производился с добавлением 0,2% мылонафта или 0,1% олеиновой к-ты. В качестве агрессивных сред применялись искусств. морская вода, 5%-ный р-р  $\text{Na}_2\text{SO}_4$  и 5%-ный р-р  $\text{MgSO}_4$ . Эталонном являлась чистая водопроводная вода. Было установлено, что гидрофобизация цементов разного хим.-минер. состава несколько улучшает их сопротивляемость механич. износу в водн. агрессивных средах. При изготовлении образцов с одинаковым В/Ц тонкомолотые цементы лучше, чем грубомолотые, противостоят комплексному воздействию износа и водн. коррозии. Е. Штейн

6К391. Подводный бетон в современном гидротехническом строительстве. Grün Wolfgang. Sperrbeton für moderne Wasserbauten. «Wasserwirtschaft», 1960, 50, № 7, 169—176 (нем.).—Рассматривается влияние воды на бетон (Б). Указывается на необходимость применения цемента (Ц) слишком тонкого помола. Достаточная марка Ц 275. При наличии сульфатной агрессии и отсутствии сульфатостойких Ц необходимо применение возможно более плотного Б. Физ.-хим. влияние на Б проявляется в отложении кристаллов в капиллярах и порах Б и постепенном расшатывании его структуры, а также во вредном эффекте увеличения объема замерзающей воды. Воздействие на подводный Б физ.-мех. факторов наблюдается при

нормальных производственных условиях редко. Отмечается возможное вредное влияние процесса капиллярной и процесса испарения. Величина прочности Б имеет решающего значения. Качество Б зависит не только от содержания Ц в  $\text{м}^3$  Б; следует ограничивать расход Ц 400  $\text{кг}/\text{м}^3$  Б. Решающими факторами являются: плотность Б, высокое качество заполнителей и соблюдение при изготовлении основных норм технологии. Е. Штейн

6К392. Автоматизация производства бетона, автоматизированной обработкой в бегунах.—«Цзяньцзю, Jianzhu», 1960, № 11, 23—25 (кит.)

6К393. Фракционирование заполнителей и проектирование состава массивного бетона в Новой Зеландии. Slater W. M. Exponential grading of aggregates. «N. Z. Engng», 1960, 15, № 7, 232—240 (англ.)

6К394. О качестве бетона плотности Нисэ в Японии. Хосода Кадзуо, Накадзава Нихито, Коя Кува. «Сэмэнто конкритито, Cement and Concrete», 1960, № 160, 12—17 (японск.)

6К395. Изучение свойств жароупорного бетона на бариево-алюминатной связке. Будников П. П., Савельев В. Г. «Тр. Моск. хим.-технол. ин-та им. Д. И. Менделеева», 1959, вып. 27, 272—279.—Изучение свойств жароупорных бетонов на бариево-алюминатной связке показало, что они обладают рядом преимуществ перед жароупорными бетонами на связке на обычных кальцевых цементах. Жароупорные бетоны на бариевом глиноземе цемента, содержащем материал  $\text{BaO} \cdot \text{Al}_2\text{O}_3$ , по сравнению с обычными жароупорными бетонами на кальцевом глиноземе цемента, обладают большей огнеупорностью, меньшим изменением прочности при нагреве, меньшим коэффициентом расширения, а следовательно большей термостойкостью. В. Савельев

6К396. Формула для определения коэффициента однородности бетона. Марков Тодор. Една практична формула за определяне на коэффициента на еднородността на бетона. «Техника» (Бълг.), 1960, 9, № 16—17 (болг.)

6К397. Вопросы дозирования, смешения и транспортировки в производстве бетона. Schulz H. E. Probleme der Dosierung des Mischens und des Transports bei der Betonaufbereitung. «Aufbereit.—Technik», 1960, 1, № 9, 388—394 (нем.; рез. англ., франц.)

6К398. Новая установка для производства грануло-песчаной смеси в Швейцарии. Bättig Karl. Neuezeitliche Kiesaufbereitungsanlage in der Schweiz. «Bauwirtschaft», 1960, 14, № 43, 1007—1012 (нем.)

6К399. К вопросу о допустимом содержании глинистых примесей в песках для растворов и бетонов. Бунаков А. Г. «Тр. Харьковск. ин-та инж. ж-д трансп.», 1960, вып. 39, 51—55.—Отмечается, что для прочных строительных р-ров и бетонов, состав растворной части которых  $\geq 1:2,5$ , необходимо применять только чистые или специально обогащенные (промытые) пески. Для тощих р-ров состава  $< 1:2,5$  и песчаных бетонов могут употребляться некачественные пески при использовании вибрирования. Из резюме автора

6К400. О сцеплении цементно-гравитных и гипсов-содержащих штукатурных растворов с различными видами бетонной поверхности. Esenwein P., Pièce G. Ueber die Haftung von Zementspritzanstrich und gipshaltigen Verputzmörteln an verschiedenartigen Betonoberflächen. «Schweiz. Bauzeitung», 1960, 78, № 33, 538—543 (нем.).—Исследованы причины отслаивания штукатурных р-ров, нанесенных на бетонную поверхность, а также средства, обеспечивающие хорошее сцепление (С). Установлено, что на С существенное влияние оказывает состояние поверхности бетона, зависящее, в свою очередь, от материала опалубки (использовались деревянные, металлические и пластмассовые), характера ее смазки, а также от содержания в

р-ре дисперс-  
нариатель-  
ния на С  
творию  
бавка «п-  
с бетоном  
ствые доб-  
строители  
6К401.  
Tut eg d  
karakteri-  
i istraž.  
хорв.).  
6К402.  
зованным  
лев Д. П.  
хиткт.»,  
лучения  
полните-  
шлаково-  
дич 5—2  
450  $\text{кг}/\text{м}^3$   
цемент  
шонка с  
являющие  
шлаком  
неообразо-  
гидролиз-  
пористых  
камнем  
легкими  
повышен-  
меньшим  
стью и  
ного, по-  
примене  
350  $\text{кг}/\text{м}^3$   
использу  
бетон с  
70  $\text{кг}/\text{м}^3$   
6К403.  
клавной  
Unter-  
klavhär-  
11, № 7.  
клавной  
и дитте  
8 час. в  
пено- и  
диль в  
вида и  
через 25  
сущива-  
лос та-  
хения.  
при дав-  
ности н  
20  $\text{атм}$   
повыше-  
при дру-  
обуслов-  
развития  
6К404.  
товлеме  
Siegf  
betonen  
1960, 11  
чпы к  
велени  
ной об-  
ко от с-  
порист-  
лений  
пемзе,  
26. Зам





тельно применение пыли, обеспечивающей получение длинного факела.

**6K411.** Легкий заполнитель из основных огнежидких доменных шлаков. Глик Л. Б., Эфрос Г. М. «Строит. материалы», 1959, № 4, 6—7. — Разработан и проверен ускоренный способ получения шлаковой пемзы из основных расплавленных доменных шлаков путем охлаждения их водно-воздушной смесью. В целях повышения прочности пемзы и одновременно уменьшения размера ее пор в расплавленный шлак вводилась коллиническая пыль (отходы доменных шлаков) в кол-ве 1, 0,5 и 0,2% от веса шлака. Вспучивание расплавленного шлака в течение 1,5 мин. сжатым воздухом (давл. до 1,5 атм) и 1 мин. — водой (давл. до 4 атм) позволяет получать шлаковую пемзу об. в. ~800 кг/м<sup>3</sup> и прочностью 30—40 кг/см<sup>2</sup>. Описана опытно-промышленная установка для ускоренного получения пемзы из расплавленных шлаков.

**6K412.** Технология агломерации зол. Кнауст Вальтер. Technologie der Aschensinterung. «Silikattechnik», 1960, 11, № 7, 308—311 (нем.). — Рассматривается технология агломерации зол электростанций с целью получения заполнителя для легкого бетона. Золы, как и агломерированные в металлургии руды, представляют собой силикатные соединения, поэтому их можно агломерировать спеканием (С). Ход С можно регулировать добавкой угля или кокса (6—12%). Еще не установлены требования по хим. составу для спекаемых зол, но известно, что основные золы имеют короткий интервал размягчения и частички не успевают соединяться. Содержание сульфатов >10% может привести к тому, что в агломерате останутся вредные для бетона соединения. Для нормального хода процесса обрабатываемая смесь должна быть газо- и воздухопроницаема, что зависит главным образом от гранулометрич. состава. Описывается технологич. оборудование и работа прямой и карусельной спекательных конвейерных установок, а также спекательной чаши периодич. действия. Приводятся данные о свойствах агломерата из золы и качестве легкого бетона.

**6K413.** Получение легкого заполнителя методом формирования шлаковых расплаво в пластичном состоянии. Кириченко В. М. «Строит. материалы», 1960, № 6, 24—25. — Исследовалась возможность получения зерен легкого заполнителя наиболее эффективной формы, напр. гравиеподобной, путем формирования вспученного расплава, находящегося еще в пластичном состоянии. Описана схема формирования шлаковых заполнителей гравиеподобной формы.

**6K414.** Производство строительных деталей из активизированного шлака. Дин Мао-цин. «Цзяньчжу дайляо гунгэ, Jianzhu cailiao gongye», 1960, № 9, 32—33, 34 (кит.). — Исходным сырьем для получения активизированного шлака служит гранулированный доменный шлак с размером частиц ~5 мм. После совместного помола гранулированного доменного шлака с возбудителями твердения (цементом, известью, гипсом и т. д.) и пластификатором получают смесь активизированного шлака, обладающую рядом положительных свойств. Прочность активизированного шлака на сжатие через 28 суток достигает 500—600 кг/см<sup>2</sup>, а после запарки — 1000 кг/см<sup>2</sup>. Суточная прочность на сжатие достигает 30—40% 28-дневной прочности, трещиностойкость, стойкость на истирание и водонепроницаемость изделий из активизированного шлака значительно выше, чем у изделий из обычного бетона. При получении активизированного шлака добавки вводятся в следующем кол-ве: цемента 10—15%, извести 3—5%. Если коэф. основности шлака равен 1,0—1,2, кол-во вводимого цемента и извести соответственно уменьшается до 7—10% и 1—3%. Кол-во вводимого гипса зависит от содержания в шлаке Al<sub>2</sub>O<sub>3</sub> и не превышает 3—5%. В состав шлаковой смеси входит так-

же CaCl<sub>2</sub> в кол-ве 0,5—2,0%. Вода добавляется из расчета 11—19%. Изделия из активизированного шлака формируются на вибрационных столах и пропариваются в камерах при t-ре 100° по режиму 4 + 18 + 4.

**6K415.** Золобетон и зологазобетон. Кромател Урсула, Schlögl Alfred. Aschenbeton und Aschengasbeton. «Silikattechnik», 1960, 11, № 7, 319—322 (нем.). — Рассматриваются два направления в использовании летучих зол тепловых электростанций: изготовление крупных стеновых блоков из золобетона (ЗБ) и стеновых панелей из зологазобетона (ЗГБ). В результате проведенных работ, исследований даны оптимальные составы ЗБ и ЗГБ, а также рекомендации по смешиванию, формированию и режиму твердения изделий из ЗБ и ЗГБ. Описывается работа установки по произ-ву стеновых блоков из ЗБ и ее технико-экономич. показатели.

**6K416.** Некоторые факторы, определяющие качество запаренных сланцеволновых изделий. Отсман Р. Э. «Тр. Таллинск. политехн. ин-та», 1959, А, № 108, 67—77. — Изучалось влияние дозировки вяжущего в воды затворения, а также зернового состава заполнителя на свойства запаренных изделий из сланцеволно-песчаных смесей. Вяжущее получалось путем гашения циклонной золы под давлением насыщ. пара. При полном гашении золы прочность изделий повышается, а разбухание их уменьшается. При постоянном В/В важно давать в смесь оптимальное кол-во вяжущего, повышенное кол-во его приводит к увеличению объемных разбуханий и ухудшению уплотняющих свойств смеси. Между прочностью и об. весом изделий существует линейная зависимость. Прочность изделий можно увеличить, применяя заполнитель с небольшим объемом пустот.

**6K417.** Влияние некоторых технологических факторов на сцепление арматуры с термозитобетоном. Яковлева Н. А. В сб. «Строит. материалы и конструкции». Сталино, 1959, 19—25.

**6K418.** Изготовление строительных деталей из железобетона поточным методом. Schulze Walter Müller Kurt. Herstellung von Bauelementen im Betonstrang. «Betonstein-Ztg», 1960, 26, № 9, 394—397 (нем.; рез. англ., франц.). — Напряженно-армированные детали изготавливают по методу, при котором свежая бетонная масса укладывается 3 слоями (несущий, теплоизоляционный слой и штукатурное покрытие) и уплотняется вибрированием.

**6K419.** Некоторые результаты исследования цементно-грунтовых составов как стенового материала малоэтажном строительстве. Тимофеев А. И. «Науч. вып. учебн. заведений. Стр-во и архитект.», 1960, № 4, 161—169.

**6K420.** Закрепление грунтов методом смешения с цементом. Örbom Björn. Cementstabilisering enligt verkbländningsmetoden. «Cement och betong», 1960, 35, № 1, 16—26 (шведск.). — Отмечается, что закрепление грунтов для дорожных покрытий путем смешения с цементом дает хорошие результаты и не требует сложных механизмов.

**6K421.** Исследование уплотнения горящих асфальтовых смесей стальными катками. Schmidt R. I. Kari W. J., Bower H. C., Hein T. C. Behavior of hot asphaltic concrete under steel-wheel rollers. «Highway Res. Board Bull.» 1960, № 251, 18—35. Discuss. 36—37 (англ.).

**6K422.** Однослойные или двухслойные асфальтобетонные покрытия? Кононов В. Н. «Автомоб. дороги», 1960, № 8, 8—9.

**6K423.** Влияние кристаллохимических особенностей минеральных порошков на структурно-механические свойства битумо-минеральных материалов. Рыбьева Т. Г. «Изв. высш. учебн. заведений. Стр-во и архитект.», 1960, № 3, 90—99. — На основе анализа кри-

386(4)

37(47)

сталлоим. особенностей минер. порошков в асфальтовых материалах, в частности энергетич. активности их поверхности, даются некоторые практич. рекомендации по рациональному подбору составов битумо-минер. систем.

В. Савельев  
6K424. Электросхемы автоматизации узлов асфальтобетонных заводов. Кобезский И. А. «Автомоб. инж.», 1960, № 8, 26—27.—

6K425. Влияние ложного схватывания цемента на водоотделение раствора. Sulikowski Jerzy, Labo Czeslaw. Wplyw falszywego wiązania na wydzielanie wody przez zaprawę. «Cement. Wapno. Gips», 1960, 15, № 6, 161—165 (польск.; рез. русск., франц.).—

Изучение свойств цементов, обладающих ложным схватыванием (ЛС), показало, что такие цементы характеризуются очень небольшим водоотделением. Находящее исследование ставило задачей выяснить свойства р-ров, изготовленных из этих цементов. Были взяты 2 портланд-цемента марки «350» с различными дозами. Оба цемента схватывались нормально, но после нагревания при 200° в течение 20 мин. приобрели свойство ЛС. Изготовленные из этих цементов р-ры испытывались на водоотделение с помощью прибора, рекомендуемого в американском стандарте ASTM C 53-58 Т. На величину водоотделения р-ра влияют многие факторы, как напр., хим. состав цемента, его физ. и хим. свойства, зерновой состав и др. Поверхность, характер продуктов гидратации и уд. Поэтому опыты проводились в полностью идентичных условиях, чтобы, по возможности, исключить влияние этих факторов. Полученные результаты показали, что при прочих равных условиях у р-ра из портланд-цемента, характеризующегося свойством ЛС, процесс водоотделения замедляется, а кол-во выступившей на поверхности воды уменьшается.

Б. Левман  
6K426. К определению состава раствора и бетона. Gaede Kurt, Kirtschig Kurt. Zur nachträglichen Bestimmung der Zusammensetzung von Mörtel oder Beton. «Tonind.-Ztg.», 1960, 84, № 17, 417—421 (нем.).—Изложение математич. способа определения состава р-ра и бетона на гравелисто-песчаной смеси.

Г. Копелянский  
6K427. Новое в области асбестоцемента. Stock G. Developments in the asbestocement field. «Asbestos», 1960, 41, № 12, 8, 10, 12 (англ.).—Широкое применение при изготовлении асбестоцементных плиток и труб получило способ выдерживания изделий в спец. печах для ускорения схватывания. Продолжительность выдерживания плиток в таких печах 5 час. В Европе стали применять по примеру США и Австралии пропаривание асбестоцементных изделий. Образующаяся при этом волокнистая форма гидросиликата тоберморита служит как бы дополнительной арматурой, повышающей прочность изделий. При изготовлении напорных труб вместо хризотила успешно применяют так называемый «голубой асбест», длинные волокна которого обладают повышенной прочностью. Асбестоцементные трубы диаметром > 40 см, армированные этими волокнами и подвергнутые пропариванию, выдерживают давление до 60 атм. Считают, что их можно будет применять для строительства нефтепроводов.

Б. Левман  
6K428. Асбестоцемент для панельных конструкций и его деформативные свойства. Пикель Л. Н., Александрова Г. В. «Строит. материалы», 1960, № 9, 7—10

6K429. Контроль и регулирование в цементной промышленности. Шинк Г. (Международ. федерация по автомат. упр. 1-й Международ. конгресс по автомат. упр.). М., АН СССР, 1960, 14 стр. илл.

6K430. Технология бетона в Польше и Чехословакии. Сборник статей. Часть 2. Technológia betonu v Polsku a Československu. Sborník prác. 2. část. Praha,

Cs. Ved.-techn. spol. pre stavebníctvo, 1959, 345 s., il. (словацк.)

6K431. Способ производства извести, свободной от серы. Schapo Ludwig. Verfahren zur Herstellung von schwefelfreiem Kalk. Пат. ФРГ 1063952, 4.02.60.— При обжиге извести применяется кокс с добавкой CaO или Ca(OH)<sub>2</sub>. При сгорании такого кокса в среде известия сера, содержащаяся в коксе, остается в золе в связанном состоянии.

Г. Копелянский  
6K432. Способ изготовления автоклавных силикатных изделий. Геммерлинг Г. В., Бобров Б. С. Авт. св. СССР 131669, 10.09.60.—Предлагается способ изготовления автоклавных силикатных изделий с использованием в качестве вяжущего отвалных металлургич. легкораспадающихся шлаков, напр. феррохромовых. Для увеличения прочности изделий порошок шлака перед формованием подвергают предварительной автоклавной обработке в течение 6—8 час. при давл. 8 атм или 3—4 час. при 12 атм. При расходе запаренного шлака 30% можно получить силикатный кирпич марки 150, при расходе 20% — марки 100.

М. Степанова  
6K433. Способ производства порошкообразного гравелистого вяжущего с высоким содержанием окиси магния. Eliáš Mojmir. Způsob výroby práškové hydrátické maltoviny s vysokým obsahem kyslíku hořečnatého. Чехосл. пат. 92626, 15.11.59.—Сырьевую смесь с силикатным модулем 2,3—2,5 и глиноземным 0,8—0,5 размалывают до остатка на сите 4900 отг/см<sup>2</sup> не более 8%, на сите 900 отг/см<sup>2</sup> — не более 0,8%. Обжиг проводят в обычной шахтной или вращающейся печи при t-ре 1400°. Полученный клинкер быстро охлаждают водой. Т-ра клинкера должна быть ≥ 600°. Охлажденный клинкер размалывают с гипсом до обычной дисперсности цемента.

Я. Сатуновский  
6K434. Магнезитовая футеровка цементовращательных вращающихся печей. Ackermann Hugo. Magnesitauskleidung von Zementdrehrohröfen. [Didier-Werke A.-G.]. Пат. ФРГ 973298, 14.01.60.—В основную магнезитовую массу вводят перед формованием и обжигом добавки, способствующие образованию гарниссажа при эксплуатации печей. Такими добавками являются: кварцит, алюмосиликаты, силикаты магния, шамот и железосодержащие материалы. Зерна добавок в основном крупнее зерен магнезита и величина их колеблется от 2 до 8 мм. Содержание зерен магнезита величиной до 1 мм должно составлять по меньшей мере половину объема магнезита, а по весу — превышать половину веса магнезита.

Г. Копелянский  
6K435. Способ нагревания пламовидных керамических масс, в частности сырого шлама для производства цемента во вращающихся печах с насадками. Fritzsche Kurt. Způsob ohřívání kalových keramických hmot, zvláště surového kalu pro výrobu cementu v otočných bubnech s vestavbami. Чехосл. пат. 92212, 15.10.59.—Предложен способ нагревания сырьевой нортланд-цементной смеси — шлама во вращающихся печах с керамич. теплообменниками. Способ отличается тем, что к пламу добавляется в небольших кол-вах цементный клинкер в виде порошка.

Я. Сатуновский  
6K436. Способ производства кислотоупорной замазки для склеивания футеровочных плиток варочных котлов при варке сульфитной целлюлозы. Macháček Seněk, Křeněk Zdeněk, Král Josef. Způsob výroby kyselinovzdorného tmelu k tmelení obkladových desek pro vyzdívání vářáků na sulfíťovou celulosu. Чехосл. пат. 91288, 15.08.59.—Рекомендуется изготавливать кислотоупорную замазку для керамич. футеровочных плиток целлюлозно-варочных котлов следующего состава (в вес. %): ваграночный шлак 72—80, портланд-цемент 7—11, глет (PbO) 5—10, Na<sub>2</sub>SiF<sub>6</sub> 1—3, асбест волокнистый 0,5—2. Молотый шлак (зерно — 0,1 мм) вместе с другими материалами смешивают и домалы-



ванют в шаровой мельнице, а перед употреблением замешивают на Na-жидком стекле 45—48° В<sub>е</sub>, с модулем 2,65—2,80, при соотношении (в вес. ч.): сухая смесь 2, жидкое стекло 1,1—1,2. Замазка хорошо скрепляет плитки между собой и приклеивает их к стальному корпусу.

**6K437. Звукоизоляционный материал.** **Sucetti Glenn.** Acoustical composition. Пат. США 2921862, 19.01.60.—Сухую смесь легких пористых заполнителей, бентонитовой глины и обожженного гипса затворяют водой до консистенции р-ра. К смеси добавляют лаурил-сульфаты натрия или калия, содержащиеся в сосновой смоле и обладающие способностью образовывать в р-ре воздушные поры, тесно переплетающиеся между собой. Эти поры придают р-ру повышенную звукопроницаемость. В качестве легкого заполнителя можно использовать вермикулит. Состав компонентов: вермикулит 1,7—1,8 м<sup>3</sup>, бентонитовая глина 23—45 кг, обожженный гипс 90—135 кг, поверхностноактивная добавка 2,7—4,5 кг.

Б. Левман

**6K438. Способ изготовления блоков и строительных деталей.** **Sochurek Jan, Sláma Stanislav, Syrový Václav.** Způsob výroby tvárnice a stavební dílců. Чехосл. пат. 92445, 15.10.59.—Способ изготовления блоков и строительных деталей отличается тем, что в качестве сырья используются отбросные шлаки, вращающихся печей для прямого восстановления из руд, до сих пор идущие исключительно в отвал. В качестве пластификатора и активизатора к шлакам добавляют обожженную или гидравлич. СаО. Применяемая шихта (в вес. ч.): шлака 5, смеси (3—15 вес. СаО + 85—97 вес. % портланд-цемента) 1. После схватывания на воздухе (лучше после пропарки) блоки имеют об. в. 1,45 т/м<sup>3</sup> и  $\sigma_{сж}$  ~48 кг/см<sup>2</sup>.

См. также: Новое определение кристаллич. структуры трикальцийсиликата 6B198. Коррозия строительных конструкций на калийном комбинате 6И211. Битумы 6M218—6M221. Способ смещения дорожного битума наполнителем 6M323

еферать

ПРОМЫШ

Редакто

6Л1. Пе  
нности в  
сб. «Разн  
дом-сть», 1  
6Л2. Ре  
ическом с  
арап)», 14  
6Л3. Во  
иногороды  
асло. «Х  
9—20.—Ци  
ом, гидри  
0 ат в ци  
шла. На о  
газовой  
ри сумма  
 восстано  
инилами  
6Л4. П  
at the bi  
8, 40—  
Канаде  
~7% рас  
нется дл  
используе  
ывающих  
использов  
продуктов  
илена, п  
6Л5. С  
методом. 1  
1960, 26,  
П) в бут  
центрате  
использова  
Al<sub>2</sub>O<sub>3</sub> (Т<sub>м</sub>  
исщадют  
актерист  
1110°).  
При этом

6Л6.

ное. Ya  
oshi. c  
nst. Fac

# РЕФЕРАТИВНЫЙ ЖУРНАЛ ХИМИЯ

## VI

Рефераты 6Л1—6Л576

№ 6

25 марта 1961 г.

### Л. ТЕХНОЛОГИЯ ОРГАНИЧЕСКИХ ВЕЩЕСТВ

#### ПРОМЫШЛЕННЫЙ ОРГАНИЧЕСКИЙ СИНТЕЗ

Редакторы Т. В. Рострома, З. Н. Нудельман,  
С. З. Тайц, Б. П. Фабричный

6Л1. Перспективы развития химической промышленности в Восточной Сибири. Костанов Л. А. сб. «Развитие производств сил Вост. Сибири. Хим. пром-сть», М., АН СССР, 1960, 7—15

6Л2. Реакции окисления в промышленном органическом синтезе. Oda R. «Kagaku kōgō, Chem. Ind. Japan», 1960, 11, № 6, 537—540 (японск.)

6Л3. Восстановление олефинов в насыщенные углеводороды в условиях реакции оксосинтеза. Марко Ласло. «Химия и технол. топлив и масел», 1960, № 9, 9—20. Циклогексен, разбавленный 30%-ным толуолом, гидрировался при 200° и парц. давлении  $H_2$  80—100 ат в присутствии катализатора — дикобальткарбоната. На основании результатов опыта, проведенного газовой смесью  $H_2 + 2CO$  с катализатором  $Co_2(CO)_8$  при суммарном давл. 300 ат, дается заключение, что восстановление олефина катализируется только карбилами Co.

6Л4. Пропилен в Канаде. — Propylene is ready for the big jump. «Canad. Chem. Process.», 1960, 44, № 8, 40—41 (англ.). Объем произ-ва пропилена (I) в Канаде исчисляется в ~450 000 т, из них только ~7% расходуется на нефтехим. синтез, 80% потребляется для получения полимерного газолитина и 13% используется в качестве топлива на нефтеперерабатывающих з-дах. Ставится вопрос о более широком использовании I для произ-ва различных нефтехим. продуктов: полипропилена, акрилонитрила, окиси пропилена, полимеров на его основе и др. Л. Песин

6Л5. Определение дивинила хроматографическим методом. Колобихин В. А. «Заводск. лаборатория», 1960, 26, № 7, 814—815. Для определения дивинила (I) в бутилендивинильных смесях и в дивиниле-концентрате применен метод термохроматографии с использованием в качестве газа-носителя  $CO_2$ . Сорбент  $Al_2O_3$  (ТУ МХП 2968—54) зернением 0,01—0,1 мм помещают в колонку длиной 420 мм и диам. 20 мм (характеристич. т-ры десорбции: бутан 70, бутилбен 90 и I 110°). Относительная ошибка определения I 2,5%. При этом полимеризации I не происходит.

6Л6. Изучение частичного сжигания в кипящем слое. Yagi Sakae, Kunii Daizo, Iwata Yoshio. «Cogo sikkōsei jōmō, Annual Rept Engng Res. Inst. Fac. Engng Univ. Tokyo», 1960, 18, № 2, 100—103

(японск.; рез. англ.).—При получении  $C_2H_4$  частичным сжиганием  $CH_4$  образующийся крекинг-газ охлаждают в несводоожиженном слое твердых частиц. М. Долгая

6Л7. Производство хлорметанов. Johnson Paul R., Parsons James L., Roberts John B. Making chloromethanes. «Industr. and Engng Chem.», 1959, 51, № 4, 499—506 (англ.).

6Л8. О новых методах получения основных хлорорганических полупродуктов алифатического ряда. Чопоров Я. Н. «Вестн. техн. и экон. информ. Н-т ин-т техн.-экон. исслед. Гос. ком-та Сов. Мин. СССР по химии», 1959, № 2(14), 12—20. Обзор новых промышленных методов и опубликованных работ, касающихся получения  $CHCl_3$ ,  $CCl_4$ ,  $C_2H_5Cl$ ,  $C_2HCl_3$  и  $C_2Cl_4$ .

6Л9. Получение алкилсульфатов реакцией серной кислоты с  $\alpha$ -олефинами. Butcher K. L., Nickson G. M. The sulphation reaction between aqueous sulphuric acid and  $\alpha$ -olefins. «J. Appl. Chem.», 1960, 10, № 2, 65—73 (англ.).—При взаимодействии избытка конц.  $H_2SO_4$  с  $\alpha$ -олефинами ( $C_6$ — $C_{10}$ ) при обычных т-рах получают вторичные алкилсульфаты и соответствующие спирты. Алкилсульфаты определяют титрованием реакционной смеси каустич. содой после тщательной промывки смесью водой. Выходы даны в мол. %. Р-цию проводят с 4—7,5-кратным избытком к-ты при скорости мешалки 2800 об/мин. При р-ции 2,04 г гексена-1 (I) с 12,15 г 85,65%-ной  $H_2SO_4$  при 20° через 1,25 мин. получают максим. выход гексилсульфата (II) 79,9%, после чего в результате гидролиза II и полимеризации выход II падает и через 2880 мин. составляет всего 0,11%. При р-ции I с 76—79%-ной  $H_2SO_4$  при 0—25° через несколько минут выход II достигает 67—89%, после чего падает до равновесного значения 28—65%. Показано, что увеличению выходов алкилсульфатов способствует увеличение отношения  $H_2SO_4$ :олефин, понижение т-ры р-ции и увеличение скорости перемешивания (при 5600 об/мин. максим. выход II 92,1%). Скорость р-ции уменьшается при увеличении числа атомов C олефинов (от 6 до 10). Определены константы скорости р-ций образования алкилсульфатов из олефинов и спиртов и р-ций гидролиза алкилсульфатов для I, гектена-1, октена-1 и децена-1. Для этих же р-ций определены энергии активации и факторы столкновения (для I,  $C_8H_{16}$  и  $C_6H_{12}$ ).

6Л10. Синтез метанола на цинкохромовом катализаторе при пониженных концентрациях окиси углерода в контактном газе. Макаров И. А. «Химия и технол. топлив и масел», 1960, № 6, 17—24. —Излага-





391(3)

6120. Получение фенола прямым окислением бензола. Lemetre Giacomo, Carraa Giuseppe. Fenolo per ossidazione diretta del benzolo. «Ann. chim.», 1960, 50, № 1-2, 83—98 (итал.).—Исследован процесс прямого окисления  $C_6H_6$  в  $C_6H_5OH$  (I) и изучено влияние на ход р-ции т-ры, времени контакта, соотношения воздух: $C_6H_6$ , наличия добавок ( $CH_3COOH$ ,  $C_6H_5NO_2$ ,  $C_6H_5NH_2$ , спирта), соотношения спирт: $C_6H_6$ , каталитич. действия  $CH_3OH$ ,  $CH_3ONH$  +  $SeO_2$ ,  $H_2S$ , пентена + гексена, пентена +  $SeO_2$ . Работая в кварцевом реакторе ( $700 \times 20$  мм) при нормальном давлении и т-ре  $\sim 650^\circ$ , можно повысить конверсию  $C_6H_6$  и выход I добавлением алифатич. спиртов и олефинов, а также небольших кол-в  $SO_2$ ,  $H_2S$ ,  $SeO_2$ . Добавление спиртов и олефинов снижает т-ру р-ции, соединения серы благоприятно влияют только на конверсию и выход, добавка небольшого кол-ва  $SeO_2$  к спиртам существенно снижает образование конденсированных продуктов (дифенила) в ходе окисления. Влияние указанных добавок, по-видимому, заключается в активировании  $O_2$ , находящегося в газовой фазе (образование перекисей, гидроперекисей и продуктов их распада), 21,536 кг  $C_6H_6$  4-кратно пропускают через трубку (за 1 цикл пропускают 6,317 кг  $C_6H_6$ ) при соотношении воздух: $C_6H_6$  = 2, времени контакта 0,75 сек., средней т-ре  $650^\circ$  и добавке 1%  $CH_3OH$  и 1%  $SeO_2$ . Через 147,45 час. конверсия I составляет 3,5%, выход I 59% и отношение I к нефенольным продуктам 6,08. При конверсии 1,5% выход I достигает 80%, при конверсии 7% выход I 50%. В работе приведен обзор литературы по окислению  $C_6H_6$  в  $C_6H_5OH$  (45 ссылок).

В. Беликов

6121. Новый метод анализа фенолятов натрия. Грузаева Н. А., Хохлова Л. А. «Кокс и химия», 1960, № 8, 48—52.—Описан новый и точный метод определения свободной щелочи, фенолов и карбонатов в фенолятах. Точность анализа для свободной щелочи 0,15%, для фенола 0,5%, для карбоната 0,2%, при этом время произ-ва анализа сокращается с 4 час. до 30 мин., благодаря одновременному определению из одной навески трех компонентов. М. Ц.

6122. Пирокатехин — неиспользованное отечественное химическое сырье. Tengler S., Wiszniowski K. Pirokatechina — niewykorzystany krajowy surowiec chemiczny. «Chemik», 1960, 13, № 3, 117—121 (польск.).—Описан ряд физич. и химич. свойств пирокатехина и области его применения. Предложено организовать произ-во пирокатехина из продуктов полукисления бурого и каменного углей. Библ. 26 назв.

А. Мышкин

6123. Алкилфенолы для синтетических смол, растворимых в масле. I. Алкилирование фенола *n*-бутиловым спиртом. II. Алкилирование фенолов изоамиловым спиртом. Napu I., Manovicu I. Alchil-fenoli pentru rășinu sintetice solubile în ulei. I. Alchilarea fenolului cu alcool *n*-butilic. II. Alchilarea fenolului cu alcool *i*-amilic. Bul. științ. și tehn. Inst. politehn. Timișoara, 1958, 3, 217—227. Studii și cercetări științ. Acad. RPR. Baza Timișoara. Ser. științe chim., 1958, 5, № 1-2, 145—160 (рум.; рез. русск., франц.).—I. Алкилирование  $C_6H_5OH$  проводят *n*-бутиловым спиртом (I) в присутствии катализатора  $ZnCl_2$  при соотношении  $C_6H_5OH$ :I: $ZnCl_2$  = 1:1:3 и одновременном удалении из реакционной смеси (PC) воды в виде азеотропа с I и непрерывном возвращении I в PC.  $ZnCl_2$  может использоваться в 10 опытах. Смесь  $C_6H_5OH$ , I и  $ZnCl_2$  перемешивают и нагревают (180) при одновременной отгонке азеотропа вода + I, через 30 мин. после того, как PC помутнел нагревание прекращают, охлаждают и отделяют  $ZnCl_2$ . Продукт р-ции перегоняют, монобутилфенолы ( $220-250^\circ$ ) обрабатывают 20%-ной NaOH и 40%-ной  $H_2SO_4$ , промывают и конденсируют с  $CH_2O$ , получают масло-растворимую смолу. Библ. 41 назв.

II. Показано, что алкилирование  $C_6H_5OH$  изоамиловым спиртом в присутствии  $ZnCl_2$  проходит удовлетворительно при  $180^\circ$  при непрерывном удалении воды и при соотношении  $ZnCl_2$ : $C_6H_5OH$  = 1:1—3:1. Со спиртами свишного масла алкилирование идет хуже. Библ. 29 назв.

Л. Песня

6124. Скорость реакции окисления замещенных стиролов надкислотами. Ishii Yoshio, Inamoto Yoshihiko. «Korē kagaku dзасси, Kogyo kagaku zasshi, J. Chem. Soc. Japan. Industr. Chem. Sec.», 1960, 63, № 5, 765—768, A40 (японск.; рез. англ.).—Скорость эпексидирования стирола, *m*-нитро-, *m*- и *p*-метокси-, метил- и хлорстиролов надбензойной к-той (I) в среде  $C_6H_6$  при 20, 30 и  $40^\circ$  определяют йодометрически по уменьшению кол-ва I. Найдено (по константам скорости), что р-ция электрофильна и константы скорости эпексидирования *m*-изомеров соответствуют, а *p*-изомеров отклоняются от ур-ния Гаммета. М. Долгая

6125. Терефталевая кислота и методы ее получения.—Terephthalic—where do we start? «Canad. Chem. Process.», 1960, 44, № 8, 50—51 (англ.).—Обсуждают перспективы увеличения на 4 530 000 кг произ-ва в хим. пром-сти Канады терефталевой к-ты (I), получаемой окислением *n*-ксилола (метод А) или изомеризацией фталата и бензоата К (метод В). В США методом А в настоящее время производят 40 300 т I (в 1965 г. будут производить 56 000—68 000 т I) и ее диметилловый эфир используют для получения полиэфирных волокон и пластификаторов. И. Долгий

6126. Окисление водорастворимых кислот, полученных окислением каменного угля перманганатом калия в щелочном растворе. Tsutsui Takahiro. «Korē kagaku dзасси, Kogyo kagaku zasshi, J. Chem. Soc. Japan. Industr. Chem. Sec.», 1960, 63, № 5, 756—760, A40 (японск.; рез. англ.).—Полученные окислением каменного угля водорастворимые к-ты окисляют щел. р-ром  $KMnO_4$ . Выделяют фталевую, терефталевую, тримеллитовую, гетимеллитовую, меллофановую и пиромеллитовую к-ты. М. Долгая

6127. К вопросу о бензоилировании нафталина. Reichel I., Vilceanu R. Contribuții la benzoilarea naftalenului. «Rev. chim. (RPR)», 1960, 11, № 4, 206—207 (рум.).—Разработан новый метод получения  $\alpha$ -бензоилнафталина (I) р-цией  $C_6H_5COCl$  и нафталина в отсутствие катализатора при повышенной т-ре. В статье приведено подробное описание метода синтеза I, т. пл.  $70^\circ$ , с выходом 72% в среде  $CS_2$  ( $\beta$ -изомер отсутствует). При проведении р-ции в среде  $CH_3NO_2$  при  $0^\circ$  образуется 20% I, 56%  $\beta$ -изомера и 20% неразделяющейся смеси. Описана также р-ция интрамолекулярной конденсации в присутствии  $AlCl_3$  при  $150^\circ$  с образованием бензатрона, выход 80%, т. пл.  $171^\circ$ . Библ. 6 назв.

Н. Кириченко

6128. Соли фенилнафтилдитиокарбаминной кислоты. Kahl Władysław, Rojek Zofia. Sole kwasu fenyl-naftylo-dwutiokarbaminowego. «Acta polon. pharm.», 1960, 17, № 1, 93—98 (польск.; рез. русск., англ.).—Синтезировали и изучали фенилнафтилдитиокарбаминную к-ту (I) и ее соли. I очень нестойка, Zn, Cu, Ni и Al-соли I — прочные соединения. Нафтил не влияет на устойчивость дитиокарбаминной к-ты. Изучение возможности применения солей I для колориметрич. определения металлов показало, что соли I непригодны для этой цели. Приведены сравнительные результаты абсорбции света для Cu-солей различных производных дитиокарбаминной к-ты. Соли I являются очень слабыми ускорителями вулканизации. Из резюме авторов

6129. Гидрирование в жидкой фазе фурфурола до фурфуролового спирта с катализатором на основе меди и окиси хрома. Scipioni Andrea. Idrogenazione del furfurolo ad alcol furfurilico con catalizzatore a base di ossido di rame ed ossido di cromo in fase fluida. «Atti. Ist. veneto sci., lettere ed arti. Cl. sci. mat. e

natur», 1958, 416, 413—422 (итал.).—Исследована р-ция гидрирования фулфура (I) в фулфуриловый спирт (II) на неподвижном или подвижном катализаторе (КТ) Адкина. В первом случае р-цию из-за большой чувствительности КТ, применяемого в виде таблеток, проводят при низкой т-ре, небольшом времени контакта (ВК) и постепенно возрастающем соотношении  $H_2:I$ . Во втором случае применяют КТ в виде порошка и р-цию проводят при более высокой т-ре, длительном ВК и меньшем соотношении  $H_2:I$ , выход II в этом случае почти количественный. М. Нагорский

6Л130. Окисление 2-метил-5-этилпиридина в изоникотинон-овую кислоту. Kato Tokio, Tsunoda Yashugoro. «Kōgō kakaku zasshi, Kogyo kagaku zasshi, J. Chem. Soc. Japan. Industr. Chem. Sec.», 1960, 63, № 7, 1278, А 69 (японск.; рез. англ.).—При окислении 2-метил-5-этилпиридина в изоникотинон-овую к-ту добавление избытка  $O_2$  к  $Cu(NO_3)_2$  снижает кол-во используемого в р-ции  $Cu(NO_3)_2$  в 10 раз. М. Д.

6Л131. Восстановление гексадекахлорфталояцианина меди. Shigemitsu Masahiro. Reduction of copper hexadecachlorophthalocyanine. «Bull. Chem. Soc. Japan», 1959, 32, № 6, 544—547 (англ.).—С целью изучения механизма восстановления гексадекахлорфталояцианина меди (I), проведены опыты по восстановлению I, а также окислению, пересаживанию и нагреванию восстановленного продукта. Изменения цвета, наблюдавшиеся при этом, изучали по кривым отражения, ИК-спектрам и рентгенограммам. Б. Ш.

6Л132. Органическая химическая технология. Том I. Glavaš Andrija, Kolbah Dragutin. Organska kemijska tehnologija. I. dio. Zagreb, «Skripta», 1959, 103 s., il. (серб.-хорв.)

6Л133. Способ получения этилена путем каталитической дегидратации спирта. Hellin M., Coussemant F. Procédé de fabrication de l'éthylène par déshydratation catalytique de l'alcool éthylique. [Institut Français du Pétrole, des Carburants et Lubrifiants]. Франц. пат. 1216236, 22.04.60.—Этилен 100%-ной чистоты получают дегидратацией спирта при 210—300° (лучше 220—260°) в присутствии катализатора  $H_3PO_4$ . В реактор, содержащий 330 г безводн.  $H_3PO_4$ , при 196° пропускают ток смеси спирта со скоростью 0,33 мл/мин и получают ~75 мл/мин газообразного  $C_2H_4$  и 0,05 мл/мин жидкого эфира (степень превращения спирта 76%). И. Берлин

6Л134. Получение изопрена. Heinemann Heinz, Milliken Thomas Henry, Jr., Stevenson Donald Herbert. Preparation of isoprene. [Houdry Process Corp.]. Пат. США 2900429, 18.08.59.—Изопрен (I) получают следующим образом: смесь ациклич.  $C_5$ -углеводородов дегидрируют в присутствии  $Cr_2O_3$  на  $Al_2O_3$  (20%  $Cr_2O_3$ ) при 538—539° и 25—175 мм рт. ст. со скоростью пропускания 0,7—2 объема в 1 час на 1 объем катализатора. Из продукта дегидрирования выделяют I, остаток гидрируют до моноолефинов при 191—246° (210—227°) и давл. 1,4—7 ат (2,8—4,2 ат) в присутствии сульфида Ni на  $Al_2O_3$  (5—20% Ni), сульфида W на  $Al_2O_3$ , двойного сульфида Ni и W на  $Al_2O_3$  или сульфида Mo на  $Al_2O_3$ . Селективное гидрирование можно вести также в присутствии восстановленного Ni- или Cu-катализатора (см. пат. США 1982536). Получаемые олефины (в основном пентен-1 и пентен-2) изомеризуют в изоолефины при ~427° и в присутствии активированной  $Al_2O_3$  или алюмосиликатов (скорость пропускания 2—4 объема в 1 час на 1 объем катализатора). Изоолефины (как таковые или в смеси с исходными углеводородами  $C_5$ ) вновь направляют на дегидрирование. Приведена технологическая схема процесса. Для синтеза используют смесь (в вес. %) 26,4 пентанов (13,2 *n*-пентана и 13,2 изопен-

танов) и 73,6 редкизованных углеводородов  $C_5$  (16 *n*-пентана, 19 изопентанов, 17,7 *n*- и 17,9 изопентанов). Смесь пропускают со скоростью 1 объем в 1 час на 1 объем катализатора через реакционную зону, содержащую стандартный катализатор дегидрирования ( $Cr_2O_3$  на  $Al_2O_3$ ). Т-ра р-ции 566°, давл. 125 мм рт. ст. Продукт р-ции направляют в разделительную зону, на которой выходят три фракции [фракция А углеводороды  $C_4$  (8,2 вес. %), фракция Б пентадиены (30,3 вес. %), фракция В 38 вес. % пентанов и 21,5 вес. % пентенов]. Фракцию В подвергают дистилляции и получают 15,6 вес. % I и в остатке ~14,7 вес. % (в основном пирилен). Последний остаток подвергают селективному гидрированию при 216° и 3,5 ат в присутствии сульфида Ni (10%) на  $Al_2O_3$  (скорость подачи 3 объема в 1 час на 1 объем катализатора, соотношение пирилен: $H_2$  ~1:3). Получают продукт (в основном 1- и 2-пентены), который затем изомеризуют при 427° в присутствии алюмосиликатного катализатора крекинга (скорость пропускания 2 объема в 1 час на 1 объем катализатора). Продукт изомеризации (~14,5 вес. %) содержит 7,5 вес. % изопентана, ~7,0 вес. % *n*-пентана и ~1,5 вес. % углеводородов, отличных от  $C_5$ . После отделения последних остаток присоединяют к полученной, как указано выше, фракции В и смесь вновь направляют на дегидрирование. В результате превращений синтезируют 59 вес. % I (на исходное сырье). Дан пример получения I в других условиях. Н. Маторина

6Л135. Способ приготовления многокомпонентных катализаторов для синтеза бутадиена из этанола. Kovarik Bohuslav. Způsob přípravy vicesložkových katalysátorů pro syntézu butadienu z ethanolu. Чехосл. пат. 88569, 15.02.59.—Для синтеза бутадиена (I) из спирта используют катализаторы (КТ), содержащие в качестве основных компонентов  $SiO_2$  и соединяющие элементов II, III и VIII групп периодической системы, которые при нагревании дают соответствующие окислы. КТ употребляют в виде водн. дисперсии, пасты или в плотной консистенции, полученной после гидротермич. обработки. КТ, приготовленный из  $Mg(OH)_2$  и силикагеля с небольшим кол-вом примесей, сушат, подвергают в течение 12 час. гидротермич. обработке в автоклаве при 230° и вновь сушат. 1000 мл полученного КТ загружают в трубку с диам. 40 мм и длиной 1 м и активизируют при 530—550°. Через слой КТ пропускают 350 мл 85%-ного спирта. При 380° конверсия в I и выход I 43 и 76%, при 390° 48,4 и 76,3%, при 400° 55,4 и 73,2%. При рециркуляции образующегося эфира выход I повышается на 2%. При использовании КТ такого же состава без гидротермич. обработки конверсия и выход I при 400° 40 и 68—70%. Гидротермич. обработку можно проводить под давлением инертного газа до 100 ат. А. Маткина

6Л136. Гидрирование анилина. Andersen Høger C., Haley Alfred J., Jr. Hydrogenation of acetylene. [Engelhard Industries, Inc.]. Пат. США 2909578, 20.10.59.—При получении  $C_2H_4$  путем пиролиза насыщ. углеводородов образуются смеси, содержащие некоторое кол-во  $C_2H_4$ . Для удаления последнего предложено метод селективного гидрирования смеси имеющейся в ней  $H_2$  в присутствии 0,0001—0,0014% (лучше 0,0001%) Pd на активной  $Al_2O_3$ . Р-ция протекает при 0—250° и 0—35 ат. Скорость пропускания газовой смеси 1000—20 000 стандартных объемов в 1 час (на 1 объем катализатора). Катализатор регенерируют путем нагревания на воздухе при 350—550°. Смесь, содержащую (в об. %) 0,5  $C_2H_2$ , 15  $H_2$ , 26  $C_2H_4$ , 45  $C_2H_6$  и 14  $C_2H_8$ , пропускают со скоростью 75 мл/час через стальную реактор с 15 г палочкообразной активной  $Al_2O_3$  с 0,0001% Pd (61—67°, 10,5 ат). После короткого индукционного периода выходящая смесь содержит 0,0001—0,0005%  $C_2H_2$  и потребление  $H_2$  составляет только ~1,2 об. %. При более низких т-рах содержа-

392(4)

393(5)

одов  $C_6$  (19  
в 1 час на  
зону, содер-  
гидрирования  
5 мл рт. ст.  
ую зону, на  
углеводоро-  
30,3 вес. %).  
пентеном,  
получают  
снвом пше-  
селективно-  
гости суль-  
и 3 объема  
ление пше-  
основном I-  
при 42° в  
ра крекин-  
на 1 объ-  
(~14,5 вес.  
ес. %)-н-пен-  
ных от  $C_6$   
единяют и  
В и смесь  
результате  
а исходное  
условиях.  
Моторная  
ионентных  
из этанола,  
viceslozko-  
z ethanolu.  
бутадиена  
(КТ), содер-  
и  $CO_2$  и соеди-  
одической  
ответственно  
диспер-  
полученной  
зленный из  
ном приме-  
дотрогичн.  
пат. 1000 мл  
нам. 40 мм  
Через слой  
из 380° кон-  
4 и 76,3%,  
образующе-  
ри использо-  
мич. обра-  
68—70%.  
под давле-  
и. Мышкин  
sen Hol-  
of ace-  
IA 2909578,  
иза насыщ.  
ице неко-  
го предло-  
имеюшим-  
% (лучше  
екают при  
зовой сме-  
1 час (на  
ируют су-  
Смесь, со-  
I, 45  $C_6H_6$   
час через  
активной  
е коротко-  
сь содер-  
составляет  
содержа-

ние  $C_6H_2$  в выходящей смеси увеличивается. При по-  
вышении т-ры наблюдается избыточное поглощение  
 $H_2$ . Даны примеры гидрирования смеси в различных  
условиях над чистой  $Al_2O_3$  и над  $Al_2O_3$ , содержащей  
различные (в том числе и большие) кол-ва Pd. При  
большом содержании Pd селективность гидрирования  
улучшается.

М. Каплун

6137. Способ гидродегалондирования галониро-  
ванных углеводородов. Blauhut Wilhelm, Pohl-  
loth Helmut. Způsob dehalogenující hydrogenace  
halovaných uhlovodíků. Чехосл. пат. 92021, 15.10.59.—  
При гидродегалондировании галондированных углево-  
дородов в присутствии катализаторов образующийся  
продукт при т-ре выше критич. т-ры разделяют на  
газообразную и жидкую фазы, удаляя из обеих фаз  
алондород цел. реагентами (газ промывают при  
рабочем, а жидкость при атмосферном давлении). Хло-  
рированное парафиновое масло с т. кип. 200—350°,  
с 0,774 и содержанием Cl 0,03% гидрируют при 300°  
и 200 ат в присутствии  $NiSO_4$  и сульфита W в избытке  
 $H_2$ . Образующийся продукт охлаждают до 125—135°  
(критич. т-ра ~120°) и разделяют на фазы. Газ про-  
мывают 4%-ым NaOH, охлаждая до 40°, и вновь вво-  
дят в р-цию, жидкость нейтрализуют р-ром, получен-  
ным после промывки газа, отделяют водн. слой и по-  
лучают бесцветное масло, не содержащее Cl, не насыщ.  
и кистых н-в. Аналогично гидрируют фракцию кан-  
каской нефти с т. кип. 180—300°.

А. Мышкин

6138. Каталитическая дегидрогенизация. Wood  
Donald W., Maisel Daniel S., Hunt John C.  
Catalytic dehydrogenation in transline reactor. [Esso  
Research and Engineering Co.]. Пат. США 2820072,  
14.01.58.—Дегидрогенизация насыщ. углеводородов  
[напр.  $C_8H_{18}$  через бутилен (I) в бутадие (II), изо-  
 $C_5H_{12}$  через изопентен (III) в изопрен (IV),  $C_4H_{10}$  и  
 $C_3H_8$  в II и стирол (V)] осуществляется в труб-  
чатом реакторе (РТ), имеющем подвод для исходных  
н-в снизу, в середине и сверху РТ. При дегидрогени-  
зации, напр.  $C_8H_{18}$  в II, катализатор (КТ)  $Al_2O_3 + Cr_2O_3$   
тяжкого помола, нагретый до 620—790°, вводят в РТ  
плиз с потоком рециркулирующего I, который при  
700—815° и 100—400 мм рт. ст. в нижней зоне превра-  
щается в II. Поднимаясь до середины РТ, этот поток,  
благодаря поступлению свежего  $C_8H_{18}$  в середине, рез-  
ко охлаждается до 620—700° и как бы «выводится из  
р-ции», однако т-ра и время пребывания (<1 сек.) в  
РТ достаточны для превращения  $C_8H_{18}$  в I. Все про-  
дукты выводят сверху из РТ, I и II разделяют, КТ  
регенерируют. В случае произ-ва IV из изо- $C_5H_{12}$  че-  
рез III, последний поступает в РТ снизу, а изо- $C_5H_{12}$   
в середине. При произ-ве II и V в одном и том же РТ,  
I поступает снизу,  $C_8H_{18}$  в середине, а  $C_2H_5C_6H_5$ , как  
наиболее легко дегидрируемый, сверху, он «гасит» пу-  
тем охлаждения, возможное термич. разложение и  
сам дегидрируется до V.

С. Розенфельд

6139. Ингибитор полимеризации. Nelson Her-  
bert H. Polymerization inhibitor. [Monsanto Chemical  
Co.]. Пат. США 2861041, 18.11.58.—Для предупреждения  
полимеризации диацетилен, растворенного в бутиро-  
лактоне или в другом органич. р-рителе, прибавляют  
к р-ру 0,1—1% пиридина. Добавка пиридина позволя-  
ет устранить засорение оборудования и отложение  
осадков продуктов полимеризации диацетилена, обра-  
зующихся в процессе произ-ва ацетилена.

Э. Тукачина

6140. Стабилизация мономеров. Norton Wil-  
liam T. Stabilization of monomers. [E. I. du Pont de  
Nemours and Co.]. Пат. США 2842602, 8.07.58.—Для  
ингибирования этиленовых ненасыщ. мономеров при-  
меняют основную N-содержащую анионообменную  
смолу, содержащую  $\geq 0,1\%$   $NO_2$ -иона по отноше-  
нию к общему весу мономера. В стеклянную колонну  
диам. 38 мм, наполненную стеклянными дисками, до-  
бавляют 200 мг-экв амберлита IRA-400, медленно про-

мывают 1 л 4%-ного р-ра NaOH и дистил. водой, обра-  
батывают р-ром 40 г  $NaNO_2$  в 500 мл воды, затем про-  
мывают дистил. водой, сушат и промывают 500 мл  
95%-ного спирта. В две колбы наливают по 20 мл све-  
жеперегнанного в токе  $N_2$  хлоропрена (I), в первую  
добавляют 0,0065 г свежеприготовленного активного I  
и 0,500 г (0,333 вес.%, считая на I) анионообменной  
смолы, во вторую добавляют лишь 0,021 г активного I  
и оставляют в атмосфере  $N_2$ . В то время как I во вто-  
рой колбе полимеризуется уже через 66 час. при 20°,  
I в первой колбе остается неизменным в течение  
68 дней.

В. Волков

6141. Дегидрохлорирование тетрахлорэтана. Ei-  
senlohr Douglas H., Shelton Robert D.  
Dehydrochlorination of tetrachloroethane. [Columbia-  
Southern Chemical Corp.]. Пат. США 2808383, 4.08.59.—  
Тетрахлорэтан (I) дегидрохлорируют в  $CHCl_3-CCl_4$   
(II), пропуская над катализатором (КТ) [активирован-  
ный уголь (AY), пропитанный  $BaCl_2$ ] при 177—370° и  
поддерживая конверсию 50—75%. При конверсии 90%  
активность КТ резко падает. Время контакта 5—  
15 сек. Р-цию начинают при 177°, постепенно (на 0,1—  
13°) поднимая т-ру до ~370° в течение 20—60 час.,  
при достижении 357—385° р-цию прекращают. В р-ции  
применяют I 97%-ной чистоты, при отсутствии следов  
 $FeCl_3$ . Реактор (РТ) представляет U-образную Ni-тру-  
бу (внутренний диам. 5 см, длина одного колена  
182 см), погруженную в органич. теплоноситель. Пер-  
вое, заполненное носителем, колено РТ предназначено  
для испарения и нагревания I, второе колено содер-  
жит 2,44 кг AY, пропитанного  $BaCl_2$  (содержит 20 вес. %  
 $BaCl_2$ , размер частиц 6—8 меш). I вводят в РТ со ско-  
ростью 7,2 кг/час. Анализ проб на содержание I и II  
проводят через 3 часа. Р-цию прекращают через  
~40 час. Максим. т-ра 214°. Продукт р-ции охлаждают,  
отделяют HCl, органич. конденсат (содержит 80,3%  
II, 2,9%  $C_2Cl_4$ , 16,8% I) разделяют порционной. Произ-  
водительность установки 1100 кг II на 1 кг КТ.

Н. Кульбеская

6142. Изомеризация дихлорбутенов. Wellton Do-  
nald Eldon. Isomerization of dichlorobutenes. [E. I.  
du Pont de Nemours and Co.]. Пат. США 291450,  
3.11.59.—При хлорировании дивинила наряду с не-  
большими кол-вами других продуктов образуются 1,4-  
дихлорбутен-2 (I) (цис- и транс-изомеры) и 3,4-ди-  
хлорбутен-1 (II), транс-I и II могут быть превращены  
в 1,4-дихлорбутен-2 с выходами на 20% большими,  
чем в случае использования цис-I. Предложен способ  
изомеризации указанных дихлорпроизводных, в ре-  
зультате которого получают равновесную смесь,  
состоящую из (в %) 5—8 цис-I, 15—20 II и 75—80 транс-  
I. Р-ции протекают в жидкой фазе в присутствии  
водн. HCl с солями  $Cu^+$  (напр.,  $CuCl$ ) в при 25—400°  
(лучше 35—90°). Оптимальная конц-я HCl 10%  
(можно 35—40%). Конц-я  $CuCl$  в водн. фазе 15—  
20 вес. % Объемное соотношение водн. и органич. фаз  
должно лежать в пределах 2:1—5:5:1. В присут-  
ствии воздуха активность катализатора падает. Способ  
более эффективен при непрерывном осуществлении.  
Приведена технологич. схема процесса. Смесь с со-  
держанием (в %) 18 цис-I, 12 транс-I и 39—40 II вво-  
дят в стеклянный реактор, емк. 400 мл, залитый  
200 мл продукта  $N_2$  р-ра  $CuCl$  в конц. HCl (молярное  
соотношение 1:3). Катализатор для полного превра-  
щения  $Cu^{+2}$  в  $Cu^{+1}$  предварительно перемешивают в  
закрытом сосуде с  $Cu$  (5 час.). При 40° и с 3,51 моля  
 $Cu$  на 1 моль дихлорбутенов через 4 мин. получают  
смесь, содержащую (в %) цис-I 5, транс-I 79 и II 16.  
Даны результаты опытов по изомеризации в других  
условиях. В том же реакторе, но разведенном пори-  
стой пластижкой на две зоны, проводят непрерывную  
изомеризацию исходной смеси (приведены результаты  
опытов). Дан также пример изомеризации с больши-  
ми нагрузками реагентов. Из продуктов изомеризации



далее обычными способами получают 1,4-дипианобу-тен-2, который затем превращают в адипонитрил. Н. М. 6Л143. Способ фотохимического хлорирования. Rosenber David S. Photochemical chlorination process. [Hooker Chemical Corp.]. Пат. США 2899370, 11.08.59.—При хлорировании углеводородов и частично хлорированных углеводородов, имеющих 3—8 атомов С, Cl<sub>2</sub> и углеводороды отдельно вводят в поток полихлоруглеводорода, циркулирующего через реактор.

Скорость подачи Cl<sub>2</sub> и т-ру реактора регулируют так, чтобы 90% Cl<sub>2</sub> и углеводородов попадали в реактор в жидком виде. Часть потока из реактора отводят как целевой продукт. Пример. В поток полихлорпентанов с d<sub>4</sub><sup>20</sup> 1,67, циркулирующий со скоростью 10200 кг/час, вводят 50 кг/час Cl<sub>2</sub> и 5,5 кг/час пентана и в течение 9,5 часа при 83—88° поддерживают молярное отношение Cl<sub>2</sub>: пентан = 9—9,5:1. Cl<sub>2</sub>/HCl-газ, выводимый из реактора, содержит 27% Cl<sub>2</sub>. 36,5 кг/час Cl<sub>2</sub> вступает в р-цию. Получают продукт средней ф-лы C<sub>5</sub>Cl<sub>6</sub>H<sub>5,5</sub> с d<sub>4</sub><sup>20</sup> 1,621. Сходным образом хлорируют пропан, получая C<sub>3</sub>H<sub>3,5</sub>Cl<sub>4,4</sub> с d<sub>4</sub><sup>20</sup> 1,614. Найдено, что при 90% Cl<sub>2</sub> в р-ре перед входом в реактор миним. допустимое отношение скорости циркуляции полихлоруглеводорода к скорости подачи Cl<sub>2</sub> при 50° равно 5, при 120°—285, а при 100% Cl<sub>2</sub> в р-ре и 50°—450 и при 120°—630. Р-цию инициируют активным светом с λ 3000—5000 Å. Приведены схемы процесса. А. Мышкин

6Л144. Гидрофторирование пропилена Sweeney Richard F., Woolf Cyril. Hydrofluorination of propylene. [Allied Chemical Corp.]. Пат. США, 2917559, 15.12.59.—Действием безводн. HF на C<sub>3</sub>H<sub>6</sub> в молярном соотношении 1—3:1 при атмосферном давлении, т-ре < 200° (20—100°) в присутствии активированного угля (АУ) получают с хорошим выходом (CH<sub>3</sub>)<sub>2</sub>CHF (I). Амесь 314 г C<sub>3</sub>H<sub>6</sub> и 456 г HF пропускают через трубку, наполненную АУ, время контакта 36 сек., максим. т-ра 56°. Выходящие из реактора газы промывают водой для удаления избытка HF (~300 г), сушат и конденсируют, охлаждая твердой CO<sub>2</sub>. Из 458,2 г конденсата перегонкой получают 2,8 г C<sub>3</sub>H<sub>6</sub> и 450,8 г фракции, кипящей в пределах от -9,5° до -11°, и представляющей собой по ИК-спектрам и по хроматографии анализу практически чистый I. Конверсия C<sub>3</sub>H<sub>6</sub> 97%. С. Р.

6Л145. Получение гексафторбутадиена. Miller William T. Preparation of hexafluorobutadiene. Пат. США 2894042, 7.07.59.—Гексафторбутадие-1,3 (I) получают фторированием CFCF=CFCl (II) при т-ре < 10° в присутствии р-рителя (предпочтительны фреоны) с последующим дехлорированием образующегося при этом 1,2,3,4-тетрахлорперфторбутана (III) при 50—250° (100—200°) металл. Zn в присутствии р-рителя (алифатич. спиртов, целлозольва, бензилового спирта, диоксана, смеси диоксана с глицерином). В реактор (РТ), снабженный мешалкой и медным устройством для ввода и распределения F<sub>2</sub>, помещают 1120 г II (т. кип. 20—23°), охлаждают смесь сухого льда с ацетоном, промывают систему N<sub>2</sub> и подают F<sub>2</sub> со скоростью, равной скорости его поглощения. Р-цию заканчивают, когда наблюдается сильный проскок F<sub>2</sub>. В ряде экспериментов средний выход III составил 400—500 г, (30—40%), т. кип. 60—70°/75 мм, или 134,1°, n<sub>D</sub><sup>20</sup> 1,3853, d<sub>4</sub><sup>20</sup> 1,7812, мол. в. 305. В одном из опытов получают, кроме III (выход 30%), C<sub>4</sub>Cl<sub>5</sub>F<sub>5</sub> (выход 2,1%), т. кип. 90—92°/78 мм, n<sub>D</sub><sup>20</sup> 1,4203, d<sub>4</sub><sup>20</sup> 1,7961, в C<sub>4</sub>Cl<sub>5</sub>F<sub>4</sub>, т. кип. 125—128°/76 мм, n<sub>D</sub><sup>20</sup> 1,457. 556 г Zn-пыли суспендируют в 1,5 л абс. спирта, к смеси добавляют 1 кг III и по мере образования отгоняют из РТ I при 7—9°. Получено 503 г I, выход ~95%. В близких условиях получают CF<sub>3</sub>CFClCFClCF<sub>3</sub>, т. кип. 64°, n<sub>D</sub><sup>20</sup> 1,3109, мол. в. 270; 1,4-дихлорперфторбутан, т. кип. 64°; 1,2-дихлорперфторбутан, т. кип. 64°, т. зам. 28—29°, мол. в. 273; перфторбутен-2, т. зам. от -134 до -136°, т. кип. 1,2°/764,3 мм, d<sub>4</sub><sup>20</sup> 1,001, мол. в. 201; CFCF<sub>2</sub>CCl(CF<sub>3</sub>)CCl(CF<sub>3</sub>)CFCl<sub>2</sub>, т. кип. 115°/20 мм, n<sub>D</sub><sup>20</sup>

1,4387, d<sub>4</sub><sup>20</sup> 1,9415, мол. в. 429; CF<sub>3</sub>CCl(CF<sub>3</sub>)CCl(CF<sub>3</sub>)CF<sub>3</sub>, т. кип. 114—115,5°/735 мм, мол. в. 379, т. пл. 91,5—93,0°; CF<sub>3</sub>C(CF<sub>3</sub>)=C(CF<sub>3</sub>)CF<sub>3</sub>, т. кип. 54,5°, d<sub>4</sub><sup>20</sup> 1,6924, мол. в. 461; C<sub>6</sub>F<sub>14</sub>, т. кип. 57,5—59,0°, d<sub>4</sub><sup>20</sup> 1,7729; CClF<sub>2</sub>CF<sub>2</sub>CF<sub>2</sub>CF<sub>2</sub>CF<sub>2</sub>CF<sub>2</sub>, т. кип. 125—126°/70 мм. Конденсацией II и CF<sub>3</sub>CCl=CClCF<sub>3</sub> в присутствии F<sub>2</sub> получают CClF<sub>2</sub>CClFClCF<sub>3</sub>(CF<sub>3</sub>)CClFCF<sub>3</sub>, т. кип. 175,8—176,0°/760 мм, т. заст. от -75 до -100° (в запаянной стеклянной трубке), d<sub>4</sub><sup>20</sup> 1,9016, n<sub>D</sub><sup>20</sup> 1,3861, мол. в. 421, аналогично получают тетрахлорперфторпентан, т. кип. 153,3—153,9°, т. заст. от -111 до 126° (в запаянной стеклянной трубке), d<sub>4</sub><sup>20</sup> 1,8335, n<sub>D</sub><sup>20</sup> 1,3665, мол. в. 348;

CF<sub>2</sub>CF<sub>2</sub>CF<sub>2</sub>CFCClCF<sub>2</sub>CF<sub>2</sub>, т. кип. 104,6—105°, т. заст. (в запаянной стеклянной трубке) от -84 до -100°.

d<sub>4</sub><sup>20</sup> 1,7410, n<sub>D</sub><sup>20</sup> 1,3294, мол. в. 336; CF<sub>2</sub>CF<sub>2</sub>CF<sub>2</sub>CF<sub>2</sub>CF<sub>2</sub>CF<sub>2</sub>

CF<sub>2</sub>CF<sub>2</sub>, т. кип. 86,2—87,3°, т. пл. -6,75°, d<sub>4</sub><sup>20</sup> 1,7511, n<sub>D</sub><sup>20</sup> 1,295, мол. в. 366; CF<sub>2</sub>ClCCl<sub>2</sub>CCl<sub>2</sub>CF<sub>2</sub>CF<sub>2</sub>CF<sub>2</sub>, т. кип. 125—126°/76 мм; CF<sub>2</sub>=CClCCl=CF<sub>2</sub>, т. кип. 67—70°; CF<sub>3</sub>CFBrCFBrCF<sub>3</sub>, т. кип. 95°/751 мм, n<sub>D</sub><sup>20</sup> 1,3574, мол. в. 361; CF<sub>2</sub>ClCFBrCFBrCF<sub>2</sub>CF<sub>2</sub>CF<sub>2</sub>, т. кип. 60—65°/12 мм, n<sub>D</sub><sup>20</sup> 1,428. 546 г I обрабатывают F<sub>2</sub> в РТ, охлаждаемом смесью твердая CO<sub>2</sub> + ацетон до тех пор, пока реакционная смесь не станет достаточно вязкой, после этого т-ру поднимают до 0°, охлаждая РТ льдом. Подачу F<sub>2</sub> при 0° продолжают при перемешивании до тех пор, пока не замедлится абсорбция F<sub>2</sub>. Перегонкой продуктов р-ции с последующим хлорированием их на свету получают следующие фракции (перечислены т. кип. в °С/мм, найденный мол. в., рассчитанный мол. в., соединение, по которому рассчитан мол. в.): 100—101, 432 и 438, 438, C<sub>6</sub>F<sub>18</sub>; 91—93/50, 624 и 606, 638, C<sub>12</sub>F<sub>26</sub>; 90—95/10, 834, 838, C<sub>16</sub>F<sub>34</sub>; 153—177/7, 1420 и 1450, 1438, C<sub>28</sub>F<sub>58</sub>. Полученные полигалогидуглеводороды находят широкое применение в качестве смазочных масел, теплоносителей, р-рителей, пластификаторов для F-содержащих полимеров, мономеров для произ-ва полимеров или промежуточных продуктов для произ-ва таких мономеров. И. Дорман

6Л146. Усовершенствования в области галогидорганических соединений. Haszeldine Robert N. Improvements in or relating to halogenated organic compounds. Англ. пат. 824229, 25.11.59.—Пергаплатаны ф-лы CF<sub>2</sub>XCClY (I), где X = Cl или Br, Y = Cl или F, а Z = Br или I, под воздействием свободных радикалов присоединяются к галоидсодержащим олефинам или диенам общей ф-лы R'CF=CU (II), где R' = H, F, Cl, алкил, алкенил или фтор- (или хлор-) алкил (алкенил), а U = H, F или Cl, с образованием аддуктов или полимеров общей ф-лы (CF<sub>2</sub>XCClY)<sub>n</sub>(R')<sub>m</sub> (III), где R' = 2-валентный радикал из II, n = 1—20, m ≤ 30 для II, R' = алкен, а m = 1—40 для других II. Процесс проводят при УФ-облучении или в присутствии перекисей, азо- или диазосоединений (т-ра обычно 60—150°), или путем нагревания реагентов до >150° (термич. р-ция). Степень полимеризации контролируют изменением соотношения I и II и временем р-ции. Хлорированные III заменяют Z на Cl и получают стабилизированные II, хлорирование проводят в присутствии свободных радикалов при т-ре >150°. Действием на стабилизированные II 10—20%-ного избытка акцепторов галоида (Zn-пыль, Fe, Mg, амальгама Na) получают вторичные алкени общей ф-лы (CF<sub>2</sub>=CY)<sub>n</sub>R'<sub>m</sub>/Cl<sub>n</sub> (IV), содержащими двойную связь на конце цепи. Дегалоидирование проводят в среде органич. р-рителя (спирты, гликолы, эфиры, замещ. амиды, тетрагидрофуран или тетрагидропиран), обычно при кипячении, время р-ции 0,5—10 час. IV получают также дегидрогалогидированием H-содержащих стабилизированных III (действием спирт. KOH или NaOH). IV могут быть подвергнуты

CCl(CF<sub>3</sub>)CF<sub>2</sub>,  
91,5—93,0°;  
924, мол. в.  
CClF<sub>2</sub>CF<sub>2</sub>CF<sub>2</sub>  
70 мм. Кип.  
т. 175,8—  
западной  
мол. в. 421,  
т. кип.  
западной  
мол. в. 348;

5°, т. заст.  
до -100°.

CF<sub>2</sub>CF(CF<sub>3</sub>)CF<sub>2</sub>

d<sub>4</sub><sup>20</sup> 1,7511,  
Cl, т. кип.  
ниж. 67—70°;  
3574, мол. в.  
2 мм, n<sub>D</sub><sup>20</sup>  
клардаем  
пока реак-  
цией, после  
льдом. По-  
ливание до  
Перегонкой  
ованием их  
(перечисле-  
считанных  
ни мол. в.):  
624 и 606,  
—177,7, 1420  
идулеводо-  
стве смазоч-  
астификато-  
меров для  
продуктов  
И. Дорман

галогидора-  
Robert Ne-  
ogenated or-  
—Перга-  
Cl или Br  
ствием сво-  
оидсодержа-  
R'CF=CF<sub>2</sub>  
фтор- (или  
Cl, с образо-  
щей ф-лы  
птивный ради-  
алкен, и л  
ят при УФ  
изо- или ди-  
путем ва-  
ия). Степен  
соотноше  
ем III заме-  
ные III, хлор-  
ных радиа-  
ованные III  
(Zn-цикл  
ные алкени  
содержащие  
ование пре-  
ы, гликоли  
и тетрагид-  
емя р-ции  
алоидиров-  
(действи  
подвергнуты

дополнительной полимеризации. Действием на IV окислителей (KMnO<sub>4</sub>, K<sub>2</sub>Cr<sub>2</sub>O<sub>7</sub> или O<sub>3</sub>) при 30—60° получают галоидсодержащие к-ты общей ф-лы (HOOC)<sub>n</sub>R<sub>m</sub>Cl<sub>n</sub> (V). Окислением III или стабилизированных III O<sub>2</sub> в присутствии свободных радикалов (в безводн. условиях) получают ацилгалогениды; в щел. среде образуются соли соответствующих V (отличных от V из IV). При действии галоида на Ag-соли V идет замена карбоксила на галоид. Пиролизом щел. солей V получают соответствующие алкены, пиролиз CFCl<sub>2</sub>CF<sub>2</sub>CO<sub>2</sub>M (M — щел. металл) является новым способом синтеза CF<sub>2</sub>=CFCl. IV реагируют с NaHSO<sub>3</sub>, давая соли сульфокислот. Жидкую фазу смеси (в вес. ч.) 29,2 CF<sub>2</sub>=CFCl и 14 CF<sub>2</sub>ClCFClJ облучают УФ-светом в кварцевой трубке в отсутствие влаги и воздуха 3 дня при встряхивании. Получают смесь III состава ClR<sub>n</sub>J (где R = —CF<sub>2</sub>CFCl—), из которой перегонкой выделяют следующие в-ва (указаны n, выход в %, т. кип. в °C/мм. р<sup>20D</sup>): 2, 5, 78—80/20, —; 3, 7, 140—142/30, —; 4, 11, 135—140/10—1, 1,435; 5, 13, 185—190/10—1, 1,432; 6, 12, 200—208/10—2, 1,428; 7, 12, 230—240/10—3. Молекулярной перегонкой остатка выделены ClR<sub>n</sub>J (указаны n, выход в %): 8,7; 9,4; 10,5; 11,4; остаток, 16. Описана р-ция CF<sub>2</sub>=CFCl с CF<sub>2</sub>ClCFClJ в иных условиях. 40,7 ч. ClR<sub>n</sub>J и 78 ч. CF<sub>2</sub>ClCFClJ облучают УФ-светом 7 дней при встряхивании в кварцевой трубке в присутствии Cl<sub>2</sub> (10%-ный избыток), затем промывают водн. NaOH и сушат, получают смесь в-в ф-лы ClR<sub>n</sub>Cl, из которой перегонкой выделяют следующие в-ва (указаны n, выход в %, т. кип. в °C/мм. р<sup>20D</sup>): 2, 7, 73/100, —; 3, 7, 96—98/20, 1,397/20; 4, 9, 145—147/20, 1,408/22; 5, 8, 135—139/10—1, 1,413/22; 6, 12, 190—195/10—1, —; 7, 14, 235—240/10—1—10—2, —. Молекулярной перегонкой остатка выделяют ClR<sub>n</sub>Cl (10%). Описана стабилизация III в других условиях. Р-р 15,7 ч. ClR<sub>n</sub>Cl в 28 ч. спирта приливают при перемешивании к суспензии 30 ч. Zn в 24 ч. спирта, нагревают (50°, 1 час.), фильтруют и выливают в воду. Из органич. слоя выделяют IV ф-лы CF<sub>2</sub>=CFR<sub>2</sub>Cl (IVa), выход 59%, т. кип. 80—82/105 мм. Аналогично получают CF<sub>2</sub>=CFRCl (IVб), выход 78%, т. кип. 70—74°. IVб с избытком Br<sub>2</sub> дает CF<sub>2</sub>BrCFBrCF<sub>2</sub>CFCl<sub>2</sub>, выход 91%, т. кип. 65°/5 мм. р<sup>20D</sup> 1,427. Окислением IV получают к-ты HOOCR<sub>n</sub>Cl (V) (указаны n, выход в %, т. кип. в °C/мм.): 1, 62, 83—85/20; 2, 57, 135/18. Описано окисление ClR<sub>n</sub>J кислородом в различных условиях до к-т ф-лы ClR<sub>n</sub>—CF<sub>2</sub>COOH. Пиролизом Ag-солей V в атмосфере Cl<sub>2</sub> (2 часа, 120°) получают CF<sub>2</sub>ClCFCl<sub>2</sub> и ClR<sub>n</sub>Cl (выходы соответственно 78 и 55%). Пиролиз Na-соли V (n = 2) (320—400°) дает 63% IVб. Смесь (в вес. ч.) 4,6 IVб, 2,5 NaHSO<sub>3</sub>, 2 буры, 12 воды и 0,5 перекиси бензола нагревают в автоклаве 2 часа при 80°, 1 час при 100° и 3 часа при 110°. Водн. р-р фильтруют и выпаривают досуха, остаток экстрагируют кипящим абс. спиртом. Экстракт выпаривают досуха, сушат над P<sub>2</sub>O<sub>5</sub> и нагревают в вакууме с олеумом. Получают HO<sub>2</sub>SCF<sub>2</sub>CHFRCl, выход 69%, т. кип. 118—120°/3,5 мм. Аналогично из IVa получают HO<sub>2</sub>SCF<sub>2</sub>CHFR<sub>2</sub>Cl, выход 57%, т. кип. 130—133°/10—1 мм. III применяют как смазочные масла. V и сульфокислоты являются сильными к-тами, они обладают заметной поверхностной активностью и применяются в качестве эмульгаторов и добавок к нефтепродуктам (для понижения давления пара).

Н. Майер  
6Л147. Галогидорганические соединения и их производные. Haszeldine Robert Neville. Halogenated organic compounds and derivatives thereof. Англ. пат. 824230, 25.11.59.—Новые галогидоалканы общей ф-лы CF<sub>2</sub>XCCY(R')<sub>m</sub>(R'')<sub>n</sub>CCIUFC<sub>2</sub> (I), где X и Q = Cl или Br, Y и U = Cl или F, R' и R'' — 2-валентные галогидированные радикалы, содержащие атома F, m и n ≤ 20, получают р-цией двух галогидоорганич. соединений (ГС) CF<sub>2</sub>XCCY(R')<sub>m</sub>Z и CF<sub>2</sub>QCCIU(R'')<sub>n</sub> (Z = Br или J). ГС получают, как описано в па-

тенте 824229 (см. реф. 6Л146). Р-цию ведут в присутствии дегалогидирующего металла (Zn, Mg, Sn, Fe, Al, Cu, Cd) или в условиях, обеспечивающих распад ГС на свободные радикалы (нагревание или облучение ИК-, УФ-или видимым светом, радиоизлучением и т. д.), в присутствии или отсутствии акцепторов галоида (металлы, преимущественно Hg, NaOH, KJ, Na<sub>2</sub>S<sub>2</sub>O<sub>3</sub> и т. д.) в среде органич. р-рителя [диоксан, (CH<sub>3</sub>CO)<sub>2</sub>O, C<sub>6</sub>H<sub>6</sub>, высшие спирты], при фотохим. р-ции р-ритель должен пропускать лучи 250—350 мкм. Т-ра р-ции ≤ 20°, высокая т-ра способствует протеканию побочных процессов. I дегалогидируют до диенов или до триенов в зависимости от структуры I и условий р-ции. Полиены окисляют до соответствующих двусоединных к-т (в случае триенов возможен разрыв центральной двойной связи). При действии галоида на Ag<sub>2</sub>-соли полученных к-т происходит замена карбоксила на галоид. Пиролизом щел. солей к-т получают диены с более короткой цепью. Диены могут быть также превращены в сульфокислоты (СК). Указанные р-ции описаны в реф. 6Л146. Смесь (в вес. ч.) 5,1 Cl(CF<sub>2</sub>CFCl)<sub>2</sub>J, 7,8 CF<sub>2</sub>ClCFCl<sub>2</sub> и 135 Hg встряхивают в западной кварцевой трубке 8 дней при УФ-облучении, затем экстрагируют эфиром, из экстракта перегонкой выделяют (ClR<sub>2</sub>)<sub>2</sub> (R = CF<sub>2</sub>CFCl—)<sub>2</sub> (Ia), выход 81%, т. кип. 142—144°/20 мм. р<sup>20D</sup> 1,408. Аналогично из ClR<sub>3</sub>J получают (ClR<sub>3</sub>)<sub>2</sub> (Iб), выход 74%, т. кип. 195—200°/10—1 мм. Р-р Ia в спирте кипятят 1 час с Zn, фильтруют и выливают в воду, нижний слой сушат над P<sub>2</sub>O<sub>5</sub> и перегоняют. Получают триены ф-лы (CF<sub>2</sub>=CFCF<sub>2</sub>CF=)<sub>2</sub> (II), выход 78%, т. кип. 99—100°. Iб в тех же условиях дает (CF<sub>2</sub>=CFRCF<sub>2</sub>CF=)<sub>2</sub>, выход 65%, т. кип. 115—120°/20 мм. В мягких условиях (50—55°, 10 час.) Ia и Iб дают соответственно (CF<sub>2</sub>=CFR)<sub>2</sub> (51%, 58°/20 мм) (III) и (CF<sub>2</sub>=CFR<sub>2</sub>)<sub>2</sub> (56%, 150—152°/0,1 мм). II нагревают с р-ром KMnO<sub>4</sub> в присутствии NaHCO<sub>3</sub> 1 час при 35° и 1 час при 60°, смесь обрабатывают SO<sub>2</sub> и H<sub>2</sub>SO<sub>4</sub> и экстрагируют эфиром. Эфир испаряют. Получают CF<sub>2</sub>(COOH)<sub>2</sub> (IV), т. пл. 118° (из бзл.); диметилловый эфир, т. кип. 60—62°/12 мм, диамины, т. пл. 207°. Вопреки литературным данным (Henne, Dewitt, J. Amer. Chem. Soc., 1948, 70, 1548) IV устойчив до 160°. Аналогично из III получают (HOOCR—)<sub>2</sub> (V), выход 51%; диметилловый эфир, т. кип. 155—158°/2—4 мм. Хлорирование Ag<sub>2</sub>-соли V (120°) дает (ClR—)<sub>2</sub> с выходом 69%. Пиролизом Na-соли V (150—420°) получают (CF<sub>2</sub>=CF)<sub>2</sub>, выход 71%.

Н. Майер

6Л148. Способ гидроксилирования бутадиена. Rabek Tadeusz, Ziabicki Andrzej. Sposób hydroksyloowania butadienu. [Politechnika Wroclawska (Zakład Technologii Tworzyw Sztucznych)]. Польш. пат. 40225, 31.10.57.—Бутадиен (I) гидроксилируют в жидкой фазе действием алифатич. надкислот или смеси алифатич. к-т с H<sub>2</sub>O<sub>2</sub> при 0—90°. Смесь (в ч.) 140 H<sub>2</sub>O<sub>2</sub>, 460 CH<sub>3</sub>COOH, 6H<sub>2</sub>SO<sub>4</sub> и 54 I нагревают в автоклаве при 60° в течение 30 час., отгоняют 3/4 р-рителя, добавляя равный объем воды, кипятят 1 час, нейтрализуют 10CH<sub>3</sub>COONa, отгоняют остаток р-рителя и перегоняют в вакууме, получая 24 бутен-2-диола-1,4 (II), 39 бутен-1-диола-3,4 (III) и 10 эритрита (IV). При использовании HCOOH без добавки H<sub>2</sub>SO<sub>4</sub> из 54 ч. I при 45° получают 4 ч. II, 2,7 ч. III и 88 ч. IV. А. Мышкин

6Л149. Способ получения третичных ацетиленовых карбинолов. Rutledge Thomas F. Process of preparing tertiary acetylenic carbinols. [Air Reduction Co.]. Пат. США 2910540, 27.10.59.—Вещества ф-лы R'C(R)(OH)C≡CH (I, а R = CH<sub>3</sub>, R' = C<sub>6</sub>H<sub>5</sub>), где также R — низший алкил, R' — арил, получают по схеме RC(O)R' + NaC≡CH (II) → R'C(R)(ONa)C≡CH → I. Р-ции протекают при 40—80° в среде диоксана (III), который, по мнению автора, или катализирует р-цию, или принимает в них участие. Оптимальное кол-во III составляет 1 л на 8 молей реагентов. Исходный II по-

6Л53. Получение химических соединений из олефинов при помощи перфторокислот. Fenske Merrell R., Jones Jennings H. Production of chemicals from olefins with aid of a perfluoroacid. [Esso Research and Engineering Co.], Пат. США 2858334, 28.10.58.—Сложные эфиры перфторкарбонных  $\gamma$ - $\gamma$  (ПФК  $\gamma$ -та) получают  $\gamma$ -цией алифатич.  $C_2-C_{18}$ -моноолефинов, алициклич.  $C_3-C_{16}$ -моноолефинов или  $C_5-C_{16}$ -диолефинов алифатич. или алициклич. ряда, имеющих непосредственные двойные связи, с алифатич.  $C_2-C_6$ -моно-ПФК или с  $C_3-C_5$ -ди-ПФК. В зависимости от реакционной способности олефинов и ПФК



р-цию с одноосновными ПФК ведут при  $t$ -ре от  $-15$  до  $+300^\circ$ , с двусосновными ПФК, напр. с тетрафторантарной  $k$ -той, при  $< 50^\circ$  и давлении, при котором ПФК и олефины находятся в жидком состоянии. Этерификацию можно ускорить добавками катализат. кол-в  $H_2SO_4$ . ПФК применяются в форме водных р-ров с конц-ией 70%. Эфиры ПФК выделяются из реакционной смеси перегонкой и могут найти применение в качестве алкилирующих агентов, напр. для получения алкилфенолов, или (без выделения их реакционной массы, в которой они образовались) превращены методом омыления, алкоголиза или гидролиза в соответствующие олефины спирты. После омыления эфиров спирты выделяют и ПФК регенерируют. Для получения спиртов из высококипящих эфиров ПФК удобен метод алкоголиза посредством  $C_1$ — $C_3$ -спиртов в присутствии  $HCl$  или  $C_1$ — $C_3$ -алкоголятов  $Na$ , в этих случаях ПФК легко регенерируются из образовавшихся эфиров ПФК и  $C_1$ — $C_3$ -спиртов путем непродолжительного кипячения с водой и выделяются на ректификационной колонке в виде водн. азеотропа, характеризующегося высокой конц-ией ПФК и пригодного для повторного использования при получении эфиров. Смесь 112 вес. ч. октена-1 (I) и 126 вес. ч.  $CF_3COOH$  (II) кипятили при нормальном давлении, начальная  $t$ -ра кипения смеси  $74^\circ$ , через 6 час.  $109^\circ$ , через 12 час.  $144^\circ$ . Через 6 час. содержание II в смеси составляло 20,1, через 12 час. 14,0% (превращение 69 и 82% I соответственно). После промывки продукта  $r$ -ции холодной водой ( $2 \times 200$  вес. ч.) получено 200 вес. ч. нерастворимой остатка, разгонка которого дала 27 вес. ч. I,  $t$ . кип.  $124$ — $127^\circ$ , и 162 вес. ч. (78%)  $st$ -ор-октилового эфира II (III),  $t$ . кип.  $167$ — $168^\circ$ ,  $n_D^{20D}$  1,3740. Тот же процесс, но с добавкой 10 вес. ч.  $n$ -толуолсульфокислоты (IV) или 1 вес. ч. 95%-ной  $H_2SO_4$ , протекает быстрее:  $t$ -ра кипения смеси  $115^\circ$  достигалась с IV менее чем через 1 час, а с  $H_2SO_4$ —через 3 часа (против 8 час. без катализаторов). Аналогично получены другие эфиры II (указаны олефин, продолжительность  $r$ -ции в час., конечная  $t$ -ра реакционной смеси в  $^\circ C$ , конверсия олефина в %, выход эфира в %,  $t$ . кип. эфира в  $^\circ C$ ): октен-2, 21, 124, 79, 81, 170 (смесь 2- и 3-октилтрифторацетатов); додецен-1, 10, —, 74, —, 83—84; циклогексен (1 моль на 2 моля II), 24, 90, 61,4, 52, 145—150; циклопентен, 18, 85—95, ~65, —, 125—127° (дан также ряд других примеров этерификации). Алкоголиз III дает октанол-2 (V). Смесь 34 вес. ч. III и р-ра  $HCl$ -газа в 50 вес. ч.  $CH_3OH$  кипятили 6 час., отгоня образующиеся 18,5 вес. ч. (97%) метилового эфира II,  $t$ . кип.  $39^\circ$ ,  $n_D^{20D}$  1,295—1,296, и избыток  $CH_3OH$  и получая в остатке 17 вес. ч. (87%) V. Алкоголиз III в V можно успешно проводить также с водн.  $CH_3OH$  или  $n$ - $C_3H_7OH$  в присутствии катализат. кол-в IV. ПФК сами являются активными катализаторами образования эфиров ПФК и не вызывают в отличие от  $H_2SO_4$  полимеризацию циклич. олефинов. 37,6 г II прибавляли за 20 мин. при  $3$ — $6^\circ$  к 24,6 г 1-метилциклопентена-1, после 2-час. выдержки смеси при  $3^\circ$  выделено 52 г эфира II (85%), омыление которого при кипячении с р-ром 0,2 г  $Na$  в 15 г  $CH_3OH$  дало 31,6 г (99%) метилтрифторацетата и 25 г (88%) 1-метилциклопентана-1,  $t$ . кип.  $71$ — $72^\circ/50$  мм. Смесь 0,1 моля гексацилена-1,5 и 0,22 моля гептафтормасляной  $k$ -ты (VI) кипятили 4,5 часа (конечная  $t$ . кип.  $133^\circ$ ), в конце  $r$ -ции смесь содержала 46,5% неизменной  $k$ -ты и дала при разгонке три фракции: 12 вес. ч. гексенил-гептафторбутирата,  $t$ . кип.  $51$ — $53^\circ/14$  мм ( $\sim 158$ — $160^\circ/760$  мм),  $n_D^{20D}$  1,3489; 2 вес. ч. промежуточной фракции,  $t$ . кип.  $53$ — $107^\circ/14$  мм; 11 вес. ч. эфира гександиола-2,5 и VI,  $t$ . кип.  $110$ — $113^\circ/15$  мм,  $n_D^{20D}$  1,3433. В других примерах показано, что вследствие способности II легко вступать в  $r$ -ции с олефинами, ее можно использовать для разделения смеси олефинов с насыщ. или ароматич. углеводородами, а этерификацию олефинов

тетрафторантарной  $k$ -той ( $t$ . пл.  $112,5$ — $115,5^\circ$ ,  $t$ . кип.  $150$ — $151$  мм) — для получения из ее эфиров различных спиртов (напр.,  $C_2H_5OH$  из  $C_2H_4$ ,  $iso$ - $C_3H_7OH$  из  $C_3H_6$  и т. д.).

О. Чернышев

6154. Гидроформилирование сопряженных диенов. Hess Lawrence G., Cox Norman R. Hydroformylation of conjugated dienes. [Union Carbide Corp.]. Пат. США 2912464, 10.11.59.—Алициклические сопряженные диены (I), содержащие 4—6 атомов C (напр., циклич. диены с 12 атомами C), предпочтительно  $CH_2=C(CH_3)-CH=CH_2$  (I) и  $CH_3CH=CHCH=CH_2$  (II), гидроформируют смесью  $CO$  и  $H_2$  в молярном соотношении 1:1—1:4 на катализаторах, содержащих  $Co$ , напр.  $CoO$ , карбонил и гидрокарбонил  $Co$ , нафтенат, ацетат, формат, олеат, карбонат  $Co$  (предпочтительно 0,5 вес. ч.  $Co$  на 100 вес. ч.  $D$  при  $195$ — $215^\circ$  и давл.  $272$ — $310$  ат). Особенность процесса состоит в том, что непрерывно рециркулируют 0,5—2,0 объема ч. продукта  $r$ -ции на 1 объем ч.  $D$ .  $r$ -цию можно проводить в инертных разбавителях, напр. моноолефиновых соединениях, ароматич. и алифатич. углеводородах, алканолах, диалкиловых эфирах. Реактор (РТ) представляет собой цилиндр, трубку с соотношением внутреннего диаметра к давлению  $1000:1$ — $15000:1$ , линейная скорость реагентов в РТ  $30$ — $900$  см/сек. Предварительно нагретую смесь, содержащую 55,3 мол.% I и II, 16,5 мол.% пентенов, 3,9 мол.% циклич. диолефинов, инертные углеводороды и эфиры, вместе с 1%  $CoO$  непрерывно вводят со скоростью 2000 мл/час в РТ (внутренний диам. 2,54 см, длина 366 см, объемная скорость в РТ 1 в 1 час), подают  $Co$  и  $H_2$  (в молярном отношении 1:1) со скоростью 1483 л/час. Давление в системе 408 ат,  $t$ -ра рубашки РТ  $200^\circ$ . Продукты  $r$ -ции конденсируют, газы отделяют, жидкость собирают в приемнике со стояком, позволяющим поддерживать постоянный уровень жидкости, часть которой направляют в РТ в соотношении 1 объем первоначальной смеси к 2 объемам рециркулируемого продукта. Все операции проводят под давлением, равновесное состояние достигается через 5,5 часа,  $r$ -цию ведут далее еще 5 час. Производительность 0,65 кг альдегидов и  $C_6$ -спиртов на 1 л объема РТ в 1 час, выход 73%, конверсия 95%. Приведена технологич. схема.

Н. К.

6155. Усовершенствование метода производства кислородсодержащих соединений (альдегидов). Goddard Reginald Edwin, Lenel Paul Otto, Munro Frank James Lucien. Improvements in and relating to the production of oxygenated hydrocarbons. [Imperial Chemical Industries Ltd.]. Англ. пат. 826763, 20.01.60.—Для получения альдегидов (A) с 4—6 атомами C в молекуле олефиновую фракцию, содержащую в основном алкен или алкены (напр., пропилен) с числом атомов C на 1 менее получаемого A, карбонилируют в жидкой фазе при повышенной  $t$ -ре и давлении в присутствии  $Co$ -катализатора. Продукты  $r$ -ции разделяют под давлением в горячем газо-жидкостном сепараторе (ГЖС) и из паровозного продукта, выходящего из горячего ГЖС, выделяют в холодном ГЖС сырой жидкий A, содержащий (в вес.%), напр. 58  $n$ - $C_3H_7CHO$ , 31  $iso$ - $C_3H_7CHO$ , 6  $n$ - $C_4H_9OH$ , 3  $iso$ - $C_4H_9OH$  и 2 воды. Сырой жидкий A (после понижения давления для выделения растворенного газа) перегоняют в тщательно контролируемых условиях в вакууме, получают дистиллят, обогащенный изомерными A и содержащий небольшие кол-ва спирта, при перегонке которого с водой, взятой в избытке (вода:A = 1:25), выделяют A изостроения в виде азеотропа с водой. Перегонкой остатка выделяют A нормального строения.

Г. Марголина

6156. Способ получения триоз. Binko Ivan, Kolář Jaroslav. Způsob výroby trios. Чехосл. пат. 92198, 15.10.59.—Триозы получают, нагревая 10—30%-ные р-ры  $CH_2O$  до  $120$ — $140^\circ$  в присутствии слабощел. катализаторов. 10 ч. 16%-ного  $CH_2O$  и 3 ч.  $MgO$

перемешивают при 130° в течение 5—6 час. в сосуде, рассчитанном на давление, в результате чего весь  $\text{CH}_2\text{O}$  превращается в смесь  $\text{CH}_2(\text{OH})\text{CH}(\text{OH})\text{CHO}$  и  $\text{CH}_2(\text{OH})\text{COSH}_2\text{OH}$ . Тот же результат получают, перемешивая 100 ч. 25%-ного  $\text{CH}_2\text{O}$  и 4 г  $\text{MgO}$  при 130°. Полученные р-ры можно использовать для синтеза сахаридов и различных альдегидов и кетонов. А. М.

**6157. Способ получения кетонов.** Dahlig Włodzimierz, Porowska Natalia, Pasynkiewicz Stanisław. Sposób wytwarzania ketonów. [Politechnika Warszawska]. Польш. пат. 41989, 2.06.59.—Кетоны получают действием на хлорангидриды к-т комплексными солями, получаемыми нагреванием дихлоралюминия с  $\text{NaCl}$ . Р-р 120 г  $\text{NaAlCl}_2\text{H}_2\text{Cl}_3$  в 170 мл ксилола прибавляют по каплям к р-ру 54 г  $\text{C}_2\text{H}_5\text{COCl}$  в 100 мл ксилола, поддерживая т-ру 15—20°. Полученную смесь по каплям выливают в лед с  $\text{HCl}$  (к-той), отделяют верхний слой, нижний экстрагируют ксилолом, ксилольный р-р сушат  $\text{Na}_2\text{S}_2\text{O}_8$  и фракционируют, получают 42 г (84%)  $(\text{C}_2\text{H}_5)_2\text{CO}$ . А. Мышкин

**6158. Метод получения метилизобутилкетона и диизобутилкетона.** Opitz Wolfgang, Urbanski Werner. Verfahren zur Herstellung von Methylisobutylketon und Diisobutylketon. [Knapsack-Griesheim A.-G.]. Пат. ФРГ 1063592, 4.02.60.—Дегидратацией  $\text{изо-C}_4\text{H}_9\text{OH}$  (I) при 250—300° в присутствии катализатора (КТ), состоящего из  $\text{CuO}$ ,  $\text{MgO}$  и пемзовой пыли (ПМ), взятых в соотношении 5:3:2, получают метилизобутил- (II) и диизобутилкетоны (III). ПМ содержит 20,1%  $\text{Al}_2\text{O}_3$ , 55,5%  $\text{SiO}_2$  и 12% окислов щел. металлов. Смесь компонентов пропитывают 0,5%-ным водн. р-ром метилцеллюлозы, прессуют и сушат 24 часа при 100° и 2 часа при 600°, активируют КТ обработкой водяным паром при 400—500° и восстановлением при 200—300°. 99%-ный I пропускают над 2,1 г КТ (48,4%  $\text{CuO}$ , 34,6%  $\text{Mg}$  и 0,17% ПМ) в виде шариков diam. 3—6 мм в течение 136 час. при 260°, получают II с выходом 35%, III с выходом 11%, конверсия I 95%. М. Долгая

**6159. Очистка изофорона.** Fewlass Maurice William. Purification of isophorone. [The Distillers Co. Ltd]. Англ. пат. 833099, 21.04.60.—Окрашенный изофорон (I) обезцвечивают смешиванием с ароматич. сульфокислотой и отгонкой I из смеси. Сырой I, полученный из ацетона с щел. катализатором, отделяют от воды перегонкой при 15—20 мм, смешивают с 0,1 об. %  $n\text{-CH}_3\text{C}_6\text{H}_4\text{SO}_3\text{H}$  (II) и вводят смесь в колонку, заполненную кольцами Рашига. При установившемся режиме т-ра вязку колонки 135°, сверху 87—90° флегмовое число 1:1, давл. 10 мм. Цвет получаемого I 0,8 ед. (желтый). При добавке 0,2 об. % II к I до его обезжелезивания получают I с цветом 0,2—0,5 ед. При использовании сульфаниловой к-ты получают I с цветом 1,6 ед. Без добавки сульфокислот цвет отогнанного I 3,9 ед. А. Мышкин

**6160. Ациклические кетали  $\alpha,\alpha'$ -дифторпергалоидкетон и их получение.** Drysdale John J. Acyclic ketals of  $\alpha,\alpha'$ -difluoroperhalogenoketones and their preparation. [E. I. du Pont de Nemours and Co.]. Пат. США 2901514, 25.08.59.—Вещества ф-лы  $\text{RR}'\text{C}(\text{OR}'')\text{OR}'''$  (Ia—б, а R и R' =  $\text{CF}_2\text{Cl}$ , R'' и R''' =  $\text{CH}_3$ , б R и R' =  $\text{CF}_2\text{Cl}$ , R'' =  $\text{CH}_3$ , R''' =  $\text{втор-C}_4\text{H}_9$ ), где также R и R''' — одинаковые или различные пергалоидалкилы, содержащие в  $\alpha$ - и  $\alpha'$ -положениях, по крайней мере, по одному атому F и имеющие каждый  $\leq 7$  атомов C (в случае вхождения R и R' в общую циклич. систему таковые образуют 5-, 6- или 7-членный цикл), R'' и R''' — одинаковые или различные углеводородные остатки с 1—18 атомами C, не имеющие этиленовой ненасыщенности и содержащие (или не содержащие) F и другие галоиды (в последнем случае только в ароматич. ядрах), получают при конденсации кетонов со спиртами и эфирами спиртов с сильными минер.

к-тами в присутствии сильных неорганич. оснований. В случае использования для р-ции вместо эфиров галогидуглеводородов вместо щел. агентов применяют  $\text{Ag}_2\text{O}$  или соли Ag. Четыре указанных реагента берут в эквимольных кол-вах. Лучшие результаты берут с использованием избытка трех последних в-в (эфиры сильных к-т с 50%-ным избытком, основания с избытком до 100%, спирты могут присутствовать в большом избытке). В некоторых случаях для связывания образующейся при р-ции воды используют избыток кетона (можно применять также обычные водоотнимающие средства). К р-ру 25 вес. ч.  $(\text{CF}_2\text{Cl})_2\text{CO}$  (II) в 40 вес. ч.  $\text{CH}_3\text{OH}$  прибавляют при перемешивании и в безводн. условиях  $\sim 10$  вес. ч. диметилсульфата ( $\sim 20$ -ный избыток). При непрерывном размешивании в течение 5—10 мин. в смесь по частям вводят  $\sim 13$  вес. ч.  $\text{Na}_2\text{CO}_3$  ( $\sim 100$ -ный избыток). Времени от времени к массе для придания ей подвижности прибавляют  $\text{CH}_3\text{OH}$ . После окончания выделения  $\text{CO}_2$  (5—10 мин.) смесь выливают при перемешивании в 500 вес. ч. воды, органич. слой отделяют, сушат его  $\text{MgSO}_4$ , перегоняют и получают  $\sim 16$  вес. ч. Ia, выход  $\sim 50\%$ , т. кип. 150°,  $n_D^{20}$  1,3830. Дан пример синтеза Ia из II и  $\text{CH}_3\text{J}$  в  $n$ -пентане и в присутствии  $\text{MgSO}_4$  и  $\text{Ag}_2\text{O}$ . Из 25,0 вес. ч. II, 9,3 вес. ч.  $\text{втор-бутанола}$ , 15,9 вес. ч. диметилсульфата и 15 вес. ч.  $\text{K}_2\text{CO}_3$  в  $n$ -пентане синтезируют 14,3 вес. ч. неочищ. Ib, выход 40%. т. кип. 61—62°/13 мм,  $n_D^{20}$  1,3910. Неочищ. продукт промывают 3 н. р-ром  $\text{NaOH}$ , сушат  $\text{MgSO}_4$ , перегоняют и получают 10 вес. ч. чистого Ib, т. кип. 71,5°/14,5 мм,  $n_D^{20}$  1,3949. Аналогично получают другие I (указаны R, R', R'', R''', выход в %, т. кип. в °C/мм,  $n_D^{20}$ ):  $\text{CF}_2\text{Cl}$ ,  $\text{CH}_3$ ,  $\text{C}_2\text{H}_5$ , 46, 79—80°/51, 1,3853;  $\text{CF}_2\text{Cl}$ ,  $\text{CF}_3$ ,  $n\text{-C}_4\text{H}_9$ ,  $\text{CH}_3$ , 20, 65—66°/17, 1,3384;  $\text{C}_6\text{H}_5$ ,  $\text{C}_6\text{H}_5$ ,  $\text{CH}_3$ , 85, 71—72°/48, 1,3105. I отличаются от кеталей, имеющихся в  $\alpha,\alpha'$ -положениях атомов F, тем, что не синтезируют в присутствии щел. в-в. I также отличаются хим. (в частности гидролитич.) и физ. устойчивостью. Так, Ia не изменяется при кипячении с  $\text{CH}_3\text{OH}$ , содержащим 38%-ную  $\text{HCl}$  (24 часа), при нагревании с 8 молями  $\text{H}_2\text{SO}_4$  (100°, 48 час.), с 6 молями  $\text{HNO}_3$  (100°, 48 час.) и с конц.  $\text{HCl}$  (100°, 48 час.). Ia выдерживают кипячение в течение 140 час. в токе воздуха. I также устойчивы по отношению к различным металлам. Дан сравнительный пример гидролитич. нестойкости 2-трифторметил-1,3-диоксолаана, т. кип. 91,5—92°,  $n_D^{20}$  1,3365. I не воспламеняются и устойчивы по отношению к действию окислителей. I применяют в качестве термически и химически устойчивых гидравлич. жидкостей, жидкостей для гидравлических и трансформаторных жидкостей.

**6161. Способ получения ацеталей.** Klahr Leon, Orłowski Jan, Herczyk Janina, Czerwińska Henryka. Sposób otrzymywania acetalu. [Instytut Barwników i Półproduktów]. Польш. пат. 40093, 30.11.57.—Ацетали получают непрерывным пропусканием смеси альдегида, спирта и катализатора через вертикальный реактор. Реакционную воду удаляют из реактора азеотропной отгонкой с одним из реагентов или со специально добавленным азеотропобразующим агентом, не вступающим в р-цию. Приведена принципиальная схема аппаратуры. А. Мышкин

**6162. Способ получения высших эпокси соединений.** Tjerkema Jacobus Jan. Werkwijze voor de bereiding van hogere epoxyden. [N. V. de Bataafsche Petroleum Maatschappij]. Гол. пат. 91319, 15.06.58.—Реакцией олефинов (ОЛ), содержащих  $\geq 5$  атомов C с  $\text{Cl}_2$  при т-ре 55° в водн. среде при pH  $> 10$  в присутствии смешивающихся с водой спиртов или кетонов наряду с хлоридридами получают окиси. Для получения окисей ОЛ с 8—22 атомами C применяют ОЛ, полученные парофазным крекингом твердых парафинов или рафината каталитич. крекинга нефтяных

сплавов. pH регулируют введением оснований, преимущественно гидроксидов щел. металлов.  $\text{Cl}_2$  вводят в кол-ве 0,85–1,2 моля на 1 моль ОЛ. Применяют спирты и кетоны, растворимость которых в воде  $> 15\%$ , напр. ацетон или  $\text{iso-C}_3\text{H}_7\text{OH}$ , и вводят в р-цию в кол-ве 25–90 об. % (50–85) от общего объема смеси. С уменьшением величины отношения общего объема смеси к объему ОЛ повышается выход окиси ОЛ, оптимальное отношение объемов 10:1. В вертикальный трубчатый реактор с мешалкой вводят непрерывно смесь ацетона и тетрадецена (I) (фракция  $\text{C}_{14}$ , выделенная из смеси ОЛ, полученных крекингом твердого парафина), через другой патрубков р-р NaOH и отдельную смесь  $\text{Cl}_2$ -газ. Отношение I:ацетон:вода составляет 1:8:2. Т-ру р-ции  $\sim 20^\circ$  поддерживают охлаждением, время нахождения смеси в реакторе 24 мин. Реакционную смесь отбирают непрерывно из реактора снизу, после отгона ацетона остаток разделяется на водн. и маслянистый слои, последний разбавляют пентаном, сушат  $\text{Na}_2\text{SO}_4$  и после отгона р-рителя получают окись I. Из реакционных смесей с  $\text{pH} > 10$  и молярным отношением I:  $\text{Cl}_2$ :NaOH = 27:31:42 или 27:25:48 из 100 г I получено в м.к.в. хлоргидрина 122 и 90, а окиси I 51 и 140 (соответственно).

6163. Ацилалли. Hurd Charles D. Acylals. [Columbia-Southern Chemical Corp.]. Пат. США 2847456, 12.08.58.—Ацилалли ф-лы  $\text{R'OCCH}_2\text{OCOR}$  (I), где R = H, алкил, арил или замещ. арил, не содержащие кратных связей в алифатич. цепи и имеющие до 12 атомов C, R'—одновалентный ненасыщ. радикал, содержащий 3–12 атомов C, получают действием солей органич. к-т на алкилхлорметилловые эфиры. Описано получение алкилхлорметилового эфира (II), т. кип. 107–108° из  $\text{CH}_2=\text{CH}-\text{CH}_2\text{OH}$ , параформальдегида и HCl (в безводн. условиях). Далее из II и  $\text{CH}_3\text{COONa}$  получают в присутствии гидрохинона (ингибитор полимеризации) I, где R =  $\text{CH}_3$ , R' =  $\text{CH}_2=\text{CHCH}_3$ , т. кип. 145–146°,  $n_D^{20}$  1,4154,  $d_4^{20}$  0,983. Аналогично получены (даны R, R', т. кип. в °C,  $n_D^{20}$ ,  $d_4^{20}$ ): H,  $\text{CH}_2=\text{CHCH}_3$ , 136–138/760, 50,5–52,5/23, 1,4170, 1,021;  $\text{CH}_3\text{COOCH}(\text{CH}_3)$ ,  $\text{CH}_2=\text{CHCH}_3$ , 115–118/0,5, 1,4452. — I применимы для получения термопластичных и термореактивных смол, могут быть сополимеризованы со многими в-вами, могут быть превращены в меркаптаны, алдгиды и т. п.

6164. Способ окисления и расщепления органических соединений с образованием кислых продуктов. Snyder Jordan P. Method of oxidizing and cleaving compounds to form acidic products. Пат. США 2862942, 2.12.59.—Предложен способ окисления органич. продуктов до моно-(МК) и (или) дикарбоновых к-т (ДК) с одновременным разрывом углеродной цепи (или без него). Для окисления пригодны алканы с 2–200 атомами C (лучше 4–30 атомов C), насыщ. карбоновые к-ты, насыщ. спирты (перечисленные классы соединений могут также принадлежать к циклоалифатич. ряду), бициклич. углеводороды, карбонильные соединения, алкилгетероциклич. соединения и алкилароматич. углеводороды, моно- и полиолефины, содержащие у атомов C двойной связи, по крайней мере, один атом H, карбоновые к-ты этиленового ряда и смеси различных в-в (в том числе продукты переработки нефти смазочные масла, сланцевое масло, каменноугольная смола, продукты синтеза по Фишеру—Тропу). Окислительным агентом является 30–100%-ная (лучше 68%-ная)  $\text{HNO}_3$  или окислы N. Приведена схема процессов, включающая (в общем случае для окисления по двойной связи): а) присоединение  $\text{HNO}_3$  (или  $\text{N}_2\text{O}_4$ ) к двойной связи с образованием нитроспирта, нитронитрита или нитронитрата, б) щел. гидролиз последних продуктов с образованием солей ацикислот типа  $-\text{CH}(\text{OH})\text{C}(=\text{NOONa})-$  (в ф-ле указаны атомы C, составлявшие двойную связь), в) вторую стадию окисления солей ацикислот с образованием

$\alpha$ -оксисальдегидов или  $\alpha$ -оксикетонов и г) окисление образовавшихся продуктов до МК и (или) ДК. Процессы протекают при 30–250° (лучше 80–170°) и с молярным соотношением  $\text{HNO}_3$ :окисляемый продукт в пределах 1:1–100:1. Способ может быть непрерывным на каждой стадии. Допускается применение инертных р-рителей. Лучшие результаты получают с использованием на второй стадии окисления катализаторов (соли Mn, V, Cr или Co). По указанному способу без опасности взрыва могут быть синтезированы чистые и устойчивые при хранении и при нагревании в-ва. 282 г технич. олеиновой к-ты (I) постепенно и с хорошим перемешиванием прибавляют к 2000 г горячей 68%-ной  $\text{HNO}_3$ . Массу нагревают до 100°, выдерживают ее при этой т-ре 1 час (выделяются окислы N), упаривают в вакууме досуха, остаток извлекают 250 мл  $\text{CHCl}_3$  и кристаллизуют из р-ра 50,6 г ДК. Маточные р-ры упаривают, маслянистый остаток прибавляют к горячему р-ру 240 г NaOH в 500 мл воды, смесь выдерживают 1 час при 80–85° и постепенно с хорошим перемешиванием прибавляют ее к 2948 г горячей  $\text{HNO}_3$ . Массу выдерживают 1 час при 100°, образовавшееся масло отделяют, водн. р-р упаривают в вакууме досуха и остаток кристаллизуют из 450 мл воды. После вторичной кристаллизации из 200 мл  $\text{CHCl}_3$  получают 55,6 г ДК. Маточный хлороформный р-р упаривают, остаток присоединяют к отделенному ранее маслу, смесь перегоняют и получают 82,2 г МК, т. кип. 128–169°/32 мм, и 40,0 г МК, т. кип. 190–252°/29 мм. Общий выход к-т 228,4 г (80,9% (на I)). Выделяющиеся при окислении I окислы N пропускают в 72 г I в 200 мл гексана (охлаждение, перемешивание). Массу упаривают, остаток прибавляют к 1000 г горячей  $\text{HNO}_3$  и затем после щел. гидролиза и вторичного окисления  $\text{HNO}_3$  обрабатывают, как указано выше. Получают 15,0 г ДК и 10,0 г МК, выход 34,7%. Даны примеры окисления других продуктов, а также примеры с использованием в качестве катализатора второй стадии окисления метаванадата аммония, примеры выделения  $\text{C}_5\text{H}_5\text{N}$  и  $\text{C}_6\text{H}_6$  соответственно из смесей с  $\beta$ -никотином (II) и  $n$ -ксиолом (III) (способы основаны на окислении II и III по этому методу). Прямое окисление I  $\text{HNO}_3$  ведет к 51,1% МК и ДК.

6165. Способ получения монохлоруксусной кислоты. Sipos Zoltán, Kovács Imre. Eljárás monoklórecetsav előállítására. [Nitrokémia Ipartelepek]. Венг. пат. 145494, 15.11.59.—Описан непрерывный метод получения  $\text{ClCH}_2\text{COOH}$  (I) прямым хлорированием лед.  $\text{CH}_3\text{COOH}$  в присутствии  $\text{S}_2\text{Cl}_2$  при соотношении  $\text{CH}_3\text{COOH}:\text{Cl}_2 = 1$  моль:0,75–0,85 моля. 150 кг  $\text{Cl}_2$  и смесь 120 кг лед.  $\text{CH}_3\text{COOH}$  и 5 кг  $\text{S}_2\text{Cl}_2$  по принципу противотока пропускают через пять последовательно соединенных реакторов в течение 5 час., получают 148 кг I, т. пл. 60,5°.

6166. Способ получения метилформата. Кодэма Сидзиро, Нисидэ Томосуми, Кагита и Цутому. [Сумитомо какаку когэ кабусики кайся]. Японск. пат. 905, 18.02.60.—Метилформат получают разложением многоатомных спиртов в присутствии катализатора и последующей обработкой продуктов р-ции в автоклаве  $\text{CH}_3\text{OH}$  и CO. К 45 г глицерина прибавляют 4 г NaOH, нагревают до 200° с отгонкой воды, остаток вводят в автоклав, прибавляют 160 г  $\text{CH}_3\text{OH}$ , нагревают до 70°, обрабатывают сухим CO при 85°/200 атм CO, по окончании поглощения CO автоклав охлаждают, получают 317 г продукта, разгонкой которого выделяют 231 г  $\text{HCOOCH}_3$ , выход 77%. т. кип. 32°.

6167. Способ получения  $\alpha$ -оксиглutarовой и  $\gamma$ -бутиролактонкарбоновой кислот. Каваи Йосио, Уно Осаму. [Санко кабусики кайся]. Японск. пат. 3877, 18.04.60.—Реакцией 1 моля акролена с 2 молями HCN в присутствии катализатора получают динитрил  $\alpha$ -оксиглutarовой к-ты (I, II к-та), при дальнейшем гид-



ролизе которого получают II и  $\gamma$ -бутиролактокарбонную к-ту (III). К 56 г акролеина приливают по каплям ~80 мл HCN, нагревают до 100°, размешивают ~30 мин. при этой т-ре, прибавляют смесь 400 мл конц. HCl и 200 мл воды, гидролизуют I кипячением в течение 5 час., упаривают в вакууме на водяной бане, отфильтровывают  $\text{NH}_4\text{Cl}$ , полученное масло растворяют в ацетоне, еще раз отфильтровывают  $\text{NH}_4\text{Cl}$ , отгоняют ацетон и перегонкой в вакууме выделяют 48 г фракции с т. кип. 116—118°/1,5 мм, которая при сушке над  $\text{P}_2\text{O}_5$  дает III, т. пл. 49—51° (из ацетона). 10 г III этерифицируют кипячением в 5%-ной HCl в abs. спирте и перегонкой выделяют 9 г диэтилового эфира II, т. кип. 116—120°/4 мм. 1 г этого эфира в 80%-ном спирте обрабатывают 1 г  $\text{NH}_2\text{NH}_2 \cdot \text{H}_2\text{O}$  и отфильтровывают дигидразид II, т. пл. 157—158° (из  $\text{CH}_3\text{OH}$ ). С. Петрова

6168. Способ непрерывного получения изопропенилацетата. Horn Otto, Krause Walter. Verfahren zur kontinuierlichen Herstellung von Isopropenylacetat. [Farbwerke Hoechst Akt.-Ges. vormals Meister Lucius & Brünning]. Пат. ФРГ 1015789, 5.11.59.—Изопропенилацетат (I) получают из кетена (II) и ацетона (III) (молярное соотношение 1:2—1:3) в присутствии энолизующих катализаторов [напр., ацетилсульфокислотная к-та (IV)]. Р-ции протекают при 60—75°. Приведена технологич. схема процесса. В сосуд емк. 500 мл помещают 250 г III, 250 г I и 5 г IV. Смесь нагревают до кипения, пары направляют в реактор и туда же (из раздельных емкостей) подают II, III и IV (скорости подачи в г/час соответственно 84, 316 и 4). Т-ра в реакционной зоне ~70°. Процесс идет непрерывно. Через 5 час. получают 2006 г неочищ. продукта (в реакторе остается еще 503 г в-ва). После вакуумной разгонки получают (в г) 1265 III, 1170 I, выход 95% (на III) и 92% (на II), т. кип. 59—61/200 мм и 44 остатка (потери при перегонке 30 г). Н. Маторина

6169. Синтез сложных эфиров низших алифатических спиртов. Hess Lawrence G., Schulz Helmut W. Synthesis of esters of lower aliphatic alcohols. [Union Carbide Corp.]. Пат. США 2898366, 4.08.59.—Сложные эфиры низших алифатич. спиртов получают р-цией соответствующих спиртов с CO в присутствии каталитич. кол-ва Ni-соли низшей алифатич. к-ты, промотированной небольшим кол-вом  $\text{H}_2$  или  $\text{J}_2$  при 325—400° и 210—420 ат. В реактор загружают  $\text{CH}_3\text{OH}$ , 1,4% ацетата Ni и 0,1%  $\text{H}_2$ , трижды продувают реактор CO под давл. 35 ат и заполняют рассчитанным кол-вом CO. Реактор герметизируют, при перемешивании быстро нагревают до 350° и в течение 30 мин. ведут р-цию при 350—362° (макс. давл. 330 ат). Конверсия  $\text{CH}_3\text{OH}$  61,6%, выход  $\text{CH}_3\text{COOCH}_3$  77,1%,  $\text{CH}_3\text{COOH}$  4,7% и  $(\text{CH}_3)_2\text{O}$  2%.  $\text{CH}_3\text{COOCH}_3$  с выходом 76% (конверсия  $\text{CH}_3\text{OH}$  74%) получают в присутствии 1,4% ацетата Ni и 0,4  $\text{J}_2$ . Без добавки промотора конверсия  $\text{CH}_3\text{OH}$  10%. Аналогично из  $\text{C}_2\text{H}_5\text{OH}$  и CO получают  $\text{C}_2\text{H}_5\text{COOC}_2\text{H}_5$  и  $\text{C}_2\text{H}_5\text{COOH}$  с выходом 43,3 и 6,9%. Предложен непрерывный вариант процесса.

А. Мышкин  
6170. Способ получения высококипящих сложных эфиров. Zieliński Antoni, Niraz Séweryn. Sposób otrzymywania estrów wysokowrzących. [Politechnika Szczecińska]. Польш. пат. 41090, 5.07.58.—Высококипящие сложные эфиры получают нагреванием смеси к-ты и спирта в присутствии  $\text{Fe}_2(\text{SO}_4)_3$  или  $\text{FeSO}_4$ . Получаемые эфиры менее окрашены, чем в случае использования минер. к-т в качестве катализаторов, не требуют нейтр-ции и повторной перегонки.

А. Мышкин  
6171. Получение алифатических надкислот. Harkinson Alfred T., Schmitz William R. Preparation of aliphatic peracids. [E. I. du Pont de Nemours and Co.]. Пат. США 2910504, 27.10.59.—Надкислоты ф-лы  $\text{RCOOOH}$  (I), где R—алкил, получают при р-циях  $\text{RCOOH}$  с  $\text{H}_2\text{O}_2$  в присутствии 0,5% (лучше 2—10%) от

реакционной смеси катионообменных смол кислотного характера (т. е. содержащих в углеродной цепи  $\text{SO}_3\text{H}$ ,  $\text{COOH}$ ,  $\text{PO}_3\text{H}_2$ ,  $\text{PO}_3\text{H}_2$ -группы и их комбинации). Лучшим катализатором являются сульфированные полистиролы, считые 1—16% дивинилбензола (II). После использования катализатор может быть рециклизован. Р-ция протекает при 15—70° (лучше 25—50°) в течение 15 мин.—24 час. Способ может быть непрерывным. Смесь 100 г лед.  $\text{CH}_3\text{COOH}$ , 17 г 50%-ной  $\text{H}_2\text{O}_2$  и 10 г амберлита IR-120 (сульфированный сополимер стирола с ~8% II с содержанием одной  $\text{SO}_3\text{H}$ -группы на бензольное ядро) перемешивают 3 часа при 40—45°. Массу декантируют и получают р-р, содержащий 1,33 г  $\text{H}_2\text{O}_2$  и 15,7 г I, R =  $\text{CH}_3$  (Ia), конверсия 82,7%. Аналогично получают I, R =  $\text{C}_2\text{H}_5$ . Даны примеры синтеза Ia в различных условиях (катализаторы карбоксисульфосмолы, сульфированная фенолформальдегидная смола, смолы с  $\text{PO}_3\text{H}_2$ -группами и сополимер метакриловой к-ты с 8—10% II) и пример непрерывного получения Ia. Дан также сравнительный пример синтеза Ia в присутствии  $\text{H}_2\text{SO}_4$ . Получаемые по указанному способу I можно непосредственно использовать для эпоксилирования этиленовых соединений.

М. Кепулу  
6172. Нитроэтилены. Robertson Dale N. Nitroethylenes. [The Dow Chemical Co.]. Пат. США 2855442, 7.10.58.—Соединения ф-лы  $\text{RCH}=\text{C}(\text{NO}_2)\text{R}'$  (I) (R—нафтил или замещ. нафтил, R'—фенил или замещ. фенил) получают конденсацией фенилнитрометанов (II) с шиффовыми основаниями нафталальдегидов. Смесь 15 г 1-нафталальдегида, 10 мл n-бутиламина и 50 мл  $\text{C}_6\text{H}_6$  нагревают, отгоняя азеотропную смесь  $\text{C}_6\text{H}_6$  + вода, а оставшийся  $\text{C}_6\text{H}_6$  отгоняют в вакууме. К остатку прибавляют р-р 13,7 г нитрометана в 20 мл лед.  $\text{CH}_3\text{COOH}$ , перемешивают и оставляют на ~12 час в темноте, отфильтровывают выпавший осадок, получают 18,9 г (68,7%) 1-( $\beta$ -нитростирил)-нафталлина, т. пл. 122—122,5° (из сп.). Аналогично получают I (приведены R, R', мол. вес): нафтил-2, фенил, 275; 5-бромнафтил-1, фенил, 354,2; 5-бром-8-нитронафтил-1, фенил, 390,2; 2,7-диметоксинифтил-1, 2-хлорфенил, 369,8; 4-нитронафтил-1, 2-фторфенил, 338,3; 4-хлорнафтил-1, 4-нитрофенил, 354,8; 6-метоксинифтил-2, 4-хлорфенил, 339,8; 5-хлор-6-метоксинифтил-2, 4-бромфенил, 418,7; 4-метилнафтил-1, 3-нитрофенил, 334,3; 2-метокси-6-нитронафтил-1, 3-бромфенил, 413,2. II получают обработкой соответствующих бензилбромидов  $\text{NaNO}_2$  в диметилформамиде при т-ре от -20 до -15°. I используют в качестве промежуточных продуктов органич. синтеза, кроме того, они обладают бактери-, фунги- и пестицидными свойствами.

В. Спирин  
6173. Метод получения моонитроуглеводородов. Burkhard Charles A., Brown John F., Jr. Method of forming mononitro hydrocarbons. [General Electric Co.]. Пат. США 2867669, 6.01.59.—Метод получения моонитропроизводного олефинового углеводорода (бутилена, стирола, циклогексена, изобутилена, 2-метил-2-бутена) состоит в контактировании исходного олефина в жидкой фазе с NO в присутствии небольшого кол-ва (от следов до ~2 вес.%)  $\text{NO}_2$ ,  $\text{N}_2\text{O}_3$ ,  $\text{N}_2\text{O}_4$  или  $\text{N}_2\text{O}_5$ . 100 г 1-пентена (I) загружают в качающийся эмалированный автоклав (объемом 300 мл), продувают  $\text{N}_2$  и под давл. 24 ат вводят NO, содержащий 0,01 вес.%  $\text{NO}_2$ . Дальнейшее добавление NO производят в течение 2 час. порциями, перед каждым добавлением реакционные газы отводят из автоклава. После отгонки в вакууме 55,5 г I остаток был отфильтрован и перекристаллизован из эфира. Получен димер 1-нитро-2 нитроэпоксиэтана, т. пл. 86°. Из фильтрата перегонкой получен 1-нитропентен-1, г. кип. 66—66,5°/11 мм,  $n_D^{20}$  1,445. Аналогично получают димер 1-нитро-2-нитроэпоксиэтана, т. пл. 114°, и 1-нитробутен-2, т. кип. 64°/19 мм,  $n_D^{20}$  1,4541; изоамиленинитрезит, т. пл. 74—75°, и 1-нитро-2-метилбутен-2, т. кип. 56,5—57,5°/9 мм.

401(13)  
 $n_D^{20}$  1,447  
20°, и 2-  
1,458  
16,2°/10 мм  
г. кип. 151°  
г. пл. 151°  
 $n_D^{20}$  1,478  
 $n_D^{20}$  1,504  
 $n_D^{20}$  1,444  
68—70°/10 мм  
10,5 мм.  
10,5 мм.  
пл. 57,0—  
6174.  
децид, в  
ward, J.  
tot. Sp  
отного,  
nej]. Пол  
NH из SF  
лизатора  
ния Ni(C  
восстанов  
при 65°  
мелячают  
а затем  
ций 40%  
пропуска  
(состав  
CO 4,5 и  
ют прод  
на  $\text{CH}_3\text{Cl}$   
6175.  
на контак  
дегид, в  
тивности  
Jawor  
parbieg  
azy otul  
staz zw  
ut Chen  
зование  
 $\text{CH}_3\text{CHO}$   
тально  
ния с H  
актор. 3  
6176.  
Zdeně  
88639, 1  
троной н  
адорбен  
троп, со  
с актив  
0,45—0,2  
получае  
дает см  
6177.  
Huber  
aminu.  
этилами  
 $\text{CH}_3\text{CH}$   
нолами  
Смесь 4  
ростью  
 $\text{Al}_2\text{O}_3$ , I  
/ас I.  
или  $\text{H}_2$   
при 3  
50 ч. I  
систем  
вать не  
вания  
аццид.  
26 Зака

400(12)

401(13)

мол. кислото-  
й цепи SO<sub>2</sub>-  
комбинации)  
рованные по-  
ла (II). Пос-  
ить рецикли-  
ше 25—50°)  
ет быть пе-  
17 ± 50%-  
анный сопо-  
одной SO<sub>2</sub>-  
т 3 часа при  
р-р, содержа-  
), конверсия  
Даны при-  
(катализатор-  
ная фенола-  
группами и  
I) и пример  
сравнитель-  
О. Получае-  
осредственно  
ковых соеди-  
М. Кашуни-  
ale N. Нил-  
ША 285542,  
К (I) (R-  
или замещ.  
итрометанов  
альдегидов.  
тиламины и  
ую смесь C<sub>6</sub>-  
в вакууме.  
ана в 20 мл  
на ~ 12 час.  
садок, полу-  
фталлина, т.  
ают I (при-  
275; 5-бром-  
афтил-1, фе-  
фенил, 368 г,  
дорнафтил-1,  
-хлорфенил,  
ил, 418,7; 4-  
кси-6-нитро-  
обработкой  
в диметил-  
используют  
и синтеза,  
и пинекти-  
В. Спиритче-  
неводород.  
F., J. G. Me-  
General Elect-  
получении  
дородола (бу-  
на, 2-метил-  
одного ок-  
небольшой  
з, N<sub>2</sub>O<sub>4</sub> или  
качающийся)  
, продукт  
содержащую  
О произво-  
судым добы-  
ислава. По-  
отфильтро-  
учен димет-  
льтрате пе-  
и. 66—68,5°  
имер 1-нит-  
ен-2, т. кип.  
т. пл. 74—  
57,5/9,5 мм.

<sup>n</sup>D 1,4473; 2,3-диметил-2,3-динитробутан, т. пл. 208—209° и 2,3-диметил-3-нитробутен-1, т. кип. 70,8°/10 мм, <sup>n</sup>D 1,4564; 1-нитро-2,3-диметилбутен-1, т. кип. 76—76,2°/10 мм, <sup>n</sup>D 1,4680, и 1-нитро-2,3-диметилбутен-2, т. кип. 63—67°/10 мм, <sup>n</sup>D 1,4444; циклогексенитрозит, т. пл. 151—151,5°, 3-нитроциклогексен, т. кип. 84°/10 мм, <sup>n</sup>D 1,4792, и 1-нитроциклогексен, т. кип. 96,3°/10 мм, <sup>n</sup>D 1,5048; 2-нитро-2-метилбутан, т. кип. 149,5°/754 мм, <sup>n</sup>D 1,4143, т. пл. —38°, 1-нитро-2-метилбутен-1, т. кип. 68—70°/10 мм, <sup>n</sup>D 1,4650; C<sub>6</sub>H<sub>5</sub>CH<sub>2</sub>NO<sub>2</sub>, т. кип. 109°/10,5 мм, <sup>n</sup>D 1,5332; C<sub>6</sub>H<sub>5</sub>CHCH<sub>2</sub>NO<sub>2</sub>, т. кип. 113,5°/10,5 мм, <sup>n</sup>D 1,5237, т. пл. 9,5—10,5°, C<sub>6</sub>H<sub>5</sub>CH=CHNO<sub>2</sub>, т. пл. 57,0—7,5°.

6174. Способ получения диэтиламина из ацетальдегида, водорода и аммиака. T्रेसzczanowicz Edward, Jaworska Irena, Kaźmierowicz Wiktor. Sposób wytwarzania dwuetyloaminy z aldehydu octowego, wodoru i amoniaku. [Instytut Chemii Ogólnej]. Польша. пат. 42199, 19.09.59.—При синтезе (C<sub>2</sub>H<sub>5</sub>)<sub>2</sub>NH из CH<sub>3</sub>CHO, H<sub>2</sub> и NH<sub>3</sub> используют в качестве катализатора смесь Ni и Al<sub>2</sub>O<sub>3</sub>, полученную путем осаждения Ni(OH)<sub>2</sub> и Al(OH)<sub>3</sub> из р-ра Ni(NO<sub>3</sub>)<sub>2</sub> и NaAlO<sub>2</sub> и восстановления осадка, Ni(OH)<sub>2</sub> и Al(OH)<sub>3</sub> осаждают при 65° и рН 9, отсасывают, промывают, сушат, измельчают, таблеттируют, восстанавливают при 320° H<sub>2</sub>, а затем смесь H<sub>2</sub> и CO, получают контакт, содержащий 49% Ni и 51% Al<sub>2</sub>O<sub>3</sub>. Через контакт при 140° пропускают CH<sub>3</sub>CHO, H<sub>2</sub>, NH<sub>3</sub> и газы рециркулируют (состав в об. %: H<sub>2</sub> 45, NH<sub>3</sub> 43, (C<sub>2</sub>H<sub>5</sub>)<sub>2</sub>NH 2, CH<sub>3</sub>CHO 1, CO 4 и CH<sub>4</sub> 4,5) в отношении 1:1:0,5:10 и получают продукт, содержащий 35,1 (C<sub>2</sub>H<sub>5</sub>)<sub>2</sub>NH (выход 54,4% на CH<sub>3</sub>CHO).

6175. Способ предотвращения образования смол на контакте для синтеза этиламина из уксусного альдегида, аммиака и водорода и увеличение времени активности контакта. Tресzczanowicz Edward, Jaworska Irena, Abramowicz Jerzy. Sposób zapobiegania tworzeniu się smółek na kontakcie do syntezy etylaminu z aldehydu octowego, amoniaku i wodoru oraz zwiększania trwałości aktywności kontaktu. [Instytut Chemii Ogólnej]. Польша. пат. 41732, 4.02.59.—Образование смол на контакте для синтеза этиламина из CH<sub>3</sub>CHO, NH<sub>3</sub> и H<sub>2</sub> предотвращают тем, что предварительно аспируют CH<sub>3</sub>CHO при ≤ 40° либо до смешения с H<sub>2</sub>, либо в токе H<sub>2</sub> и при этой т-ре подают в реактор. Значительно увеличивается время активности контакта (4 месяца вместо 1).

6176. Способ выделения триметиламина. Seha Zdeněk. Způsob izolace trimethylaminu. Чехосл. пат. 88639, 15.02.59.—Триметиламин (I) извлекают из азеоотропной смеси с NH<sub>3</sub> путем пропускания смеси через адсорбент и десорбирования I водяным паром. Азеоотроп, содержащий 12,5% I, пропускают через колонку с активированным углем. На 1 г угля адсорбируется 0,45—0,20 г I. После десорбирования водяным паром получают водн. р-р, перегонка которого под давлением дает смесь 71% I и 29% NH<sub>3</sub>.

6177. Способ получения диэтиламина. Schade Hubert, Sperling Walter. Způsob výroby diethylaminu. Чехосл. пат. 88273, 15.01.59.—При получении диэтиламина (I) восстановительным аминированием CH<sub>3</sub>CHO образующиеся моноэтилоламин (II) и триэтилоламин (III) катализатор. путем превращают в I. Смесь 45 ч. II и 100 ч. III при 155° пропускают со скоростью 1 л/час через 2 л катализатора на основе Ni и Al<sub>2</sub>O<sub>3</sub>. Продукт р-ции дистиллируют, получая ~300 г/час I. Описанную р-цию проводят также в присутствии H<sub>2</sub> и/или NH<sub>3</sub>. Через 200 л того же катализатора при 3 атм и 160° пропускают 2 м<sup>3</sup> NH<sub>3</sub> и 120 л смеси 50 ч. II и 100 ч. воды. III при рециркуляции через систему H<sub>2</sub>. Получают 50 кг/час I. Можно использовать катализатор, уже использованный для аминирования CH<sub>3</sub>CHO и ставший непригодным для этой реакции.

А. Мышкин

6178. Способ получения β-диметиламиноакролеина общей формулы (CH<sub>3</sub>)<sub>2</sub>N—CH=CH—CHO. Arnold Zdeněk, Sorm František. Způsob výroby β-dimethylaminoakroleinu obecného vzorce (CH<sub>3</sub>)<sub>2</sub>N—CH=CH—CHO. Чехосл. пат. 90045, 15.05.59.—β-Диметиламиноакролеины общей ф-лы (CH<sub>3</sub>)<sub>2</sub>NCH=CHCHO, где R = H, алкил, арил или алкиларил, получают действием диметилформамида (I) и фосгена (II) или I и POCl<sub>3</sub> на альдегид ф-лы RCH<sub>2</sub>CHO, его ацеталь, α-хлорэфир или на виниловый эфир ф-лы RCH=CHOR', где R' = алкил, при 20—100°, после чего реакционную смесь разлагают льдом, добавляют K<sub>2</sub>CO<sub>3</sub>, нагревают до 80—100° и выделяют продукт высаливанием и экстракцией. 0,75 моля POCl<sub>3</sub> прикапывают при охлаждении к 1 молю I, перемешивают 30 мин. без охлаждения, вновь охлаждают, добавляют по частям 0,5 моля C<sub>2</sub>H<sub>5</sub>CHO, поднимают т-ру до 60°, нагревают 1 час при этой т-ре, охлаждают, разлагают льдом, добавляют р-р I 1 моля C<sub>6</sub>H<sub>5</sub>NH<sub>2</sub>·HCl (III) и получают кристаллич. солинокислый дианил этилмалонового диальдегида (IV), выход 30—35%. IV с выходом 65—70% получают р-цией 0,5 моля I и 0,25 моля C<sub>2</sub>H<sub>5</sub>CH(OC<sub>2</sub>H<sub>5</sub>)<sub>2</sub> с 0,3 моля II при 70° после добавки III. В р-р 18,3 г I в 40 мл дихлорэтана (V) при перемешивании и охлаждении вводят 1 г II, добавляют еще 20 мл V и при ~15° добавляют 18,4 г C<sub>6</sub>H<sub>5</sub>CH(OC<sub>2</sub>H<sub>5</sub>)<sub>2</sub>, проводят р-цию при ~30°, нагревают в течение 15 мин. при 70—80°, охлаждают, разлагают льдом, прикапывают 75 мл конц. р-ра K<sub>2</sub>CO<sub>3</sub>, нагревая на кипящей водяной бане и отгоняя V. Затем смесь охлаждают, продукт экстрагируют смесью C<sub>6</sub>H<sub>6</sub> + спирт (1:1), сушат K<sub>2</sub>CO<sub>3</sub>, отгоняют р-ритель, перегоняют остаток в вакууме и получают 14,75 г (89%) β-диметиламино-α-амилакролеина, т. кип. 98—105° (т-ра бани). Р-цией 10,95 г I и 5,5 г II с C<sub>2</sub>H<sub>5</sub>OCH=CH<sub>2</sub> получают 4,1 г (82%) β-диметиламиноакролеина, т. кип. 100—130°/0,15 мм (т-ра бани). 5,66 г β-диметиламино-α-метилакролеина смешивают при 70° с 4,3 г 50%-ного NaOH и 7,5 мл дистил. воды, упаривают смесь в вакууме и осаждают продукт добавкой спирта и ацетона, получая Na-соль метилмалонового диальдегида с выходом 90,5%.

А. Мышкин

6179. Способ получения 1-(β-хлорэтиламино)-2-оксаналенов-3 или их производных, замещенных у атома С углеводородными остатками. Metzger Horst, Oettel Heinz, Vierling Karl, Wilhelm Gertrud, geb. Kollmannsperger. Verfahren zur Herstellung von 1-(β-Chloräthyl-amino)-2-hydroxy-alkanen-3 oder deren am Kohlenstoffatom durch Kohlenwasserstoffreste substituierten Derivaten. [Badische Anilin- & Soda-Fabrik A.-G.]. Пат. ФРГ 1064500, 25.02.60.—1-(β-хлорэтиламино)-2-оксаналенов-3 или их замещ. у атома С углеводородными остатками производные получают взаимодействием 1 моля водн. р-ра 1-этиленамино-2-оксаналенов-3 с 2 молями HCl (к-ты). Р-ция заканчивается (конец р-ции устанавливают титрованием щелочью) через несколько часов или суток в зависимости от строения и кон-ции исходных в-в и т-ры процесса. К 200 см<sup>3</sup> 2 н. водн. HCl в течение 10 мин. при 0—5° и перемешивании добавляют по каплям 22,6 г

CH<sub>2</sub>=CH—CH(OH)CH<sub>2</sub>NCH<sub>2</sub>CH<sub>2</sub>, нагревают до 50° через 3—3,5 часа р-ция заканчивается, выход CH<sub>2</sub>=CH—CH(OH)CH<sub>2</sub>NH(CH<sub>2</sub>)<sub>2</sub>Cl·HCl практически количественный. Полученные соединения обладают цитостатическим действием.

Е. Бутеренко

6180. Способ очистки акрилонитрила. Курокава Санзо, Аритомо Юми, Таматэ Эйсири, Хата Хироси. [Нитто рикагаку канкюдзё, Нитто кагаку котё кабусики кайсёя]. Японск. пат. 908, 18.02.60.—Акрилонитрил (I), полученный р-цией C<sub>2</sub>H<sub>2</sub> с HCN, очищают от примесей обработкой HClO<sub>4</sub>, HClO<sub>3</sub> или их металлич. солями и H<sub>2</sub>SO<sub>4</sub> и последующей фракционной перегонкой. 1000 ч. I (содержащего 3,5% воды, 0,11% дивинилацетилена, 1,34% цианбутадиена,

0,12% HCN, 3,1% лактонитрила, 0,15%  $\text{CH}_3\text{CHO}$ , 0,17% метилвинилкетона и другие примеси), 150 ч. 98%-ной  $\text{H}_2\text{SO}_4$ , 40 ч.  $\text{KClO}_3$  и 3,2 ч.  $\text{NaCl}$  перемешивают 10 час. при 30°; отделяют органич. слой, прибавляют стабилизатор, предотвращающий полимеризацию, и фракционированной перегонкой выделяют 800 ч. очищ. I, содержащего 0,7% воды, <0,01% HCN и <0,001%  $\text{CH}_3\text{CHO}$ . Из головной и хвостовой фракций и из кислотного слоя дополнительно регенерируют 63 ч. очищ. I.

С. Петрова

6Л181. Способ перегонки неочищенного акрилонитрила. Нисидэ Мотохико, Онодэра Норико. [Нихон катаку когэ кабусики кайся; Дзайдэн ходзин Нитиран рикагаку канкюсэ]. Японск. пат. 1971, 9.04.59.—Для предотвращения полимеризации перегонку неочищ. акрилонитрила, содержащего  $\text{CH}_3\text{CHO}$ ,  $\text{C}_2\text{H}_2$  и другие примеси, проводят с прибавлением 0,001—1% о-, м-, п-толуидина, о-аминофенола или смеси двух из указанных стабилизаторов. Приведены данные о стабилизирующем действии указанных и других соединений.

С. Петрова

6Л182. Способ очистки сырого формамида. Smeyskal Karl, Köthnig Martin. Způsob zpracování surového formamidu. Чехосл. пат. 92043, 15.10.59.—Формамид (I), полученный р-цией  $\text{CO}_2$  с  $\text{NH}_3$  в присутствии  $\text{CH}_3\text{OH}$  и алкоголята щел. металла, очищают от летучих в-в и неорганич. примесей пропусканием сырого I через дистилляционную колонну при 130—160° и нормальном давлении со скоростью, обеспечивающей отгонку > 99% летучих в-в, и затем перегоняют I при 10 мм. Смесь 5 г  $\text{NH}_3$ , 31 г  $\text{CH}_3\text{OH}$ , 4 г  $\text{HCOOCH}_3$  и 60 г I нагревают в подогревателе до 100°, вводят в верх насадочной колонны, обогреваемой по всей длине при 150—155°, в результате чего смесь, доходя до низа колонны, нагревается до 145°. Листенную летучих в-в жидкость перегоняют при 120—130°/10 мм, подавая ее в колонну с такой скоростью, чтобы она сразу же полностью испарилась. Получают I 99,8%-ной чистоты,  $d_{20}^{20}$  1,113. Приведена схема установки. А. М.

6Л183. Способ получения ε-аминокапроновой кислоты. Schaffler Alfred, Zukale Walter, Disinger Kurt. Způsob výroby kyseliny ε-aminokapronové. Чехосл. пат. 89041, 15.03.59.—ε-Аминокапроновую к-ту (I) получают из отходов произ-ва ε-капролактама (II) путем обработки их  $\text{H}_2\text{SO}_4$ , нейтр-ции  $\text{NH}_3$ , отделения  $(\text{NH}_4)_2\text{SO}_4$ , добавкой спирта и удаления красящих примесей окислителем или адсорбентом. Упаривание спирт. р-ра производят непрерывно в специальном устройстве, направляя отогнанный спирт на рециркуляцию. 100 г остатка от перегонки II растворяют в 150 л воды и нагревают с 90 кг конц.  $\text{H}_2\text{SO}_4$  в течение 6 час. при 100—102°, охлаждают до 20° и разбавляют водой до уд. веса 1,15. Затем через смесь пропускают  $\text{NH}_3$  (газ) до pH 8—8,5, смешивают с 2300 л безводн.  $\text{CH}_3\text{OH}$ , отфильтровывают (или центрифугируют) выпавший осадок  $(\text{NH}_4)_2\text{SO}_4$ , добавляют к р-ру 6 л 30%-ной  $\text{H}_2\text{O}_2$ , выдерживают в течение 12—24 час. и упаривают до начала кристаллизации. Выпавшую I отфильтровывают (или центрифугируют) и промывают безводн.  $\text{CH}_3\text{OH}$ . После сушки получают 20—25 кг I с содержанием воды <0,2% и т. пл. 201—202°. Проводят аналогичный опыт, добавляя к р-ру после  $\text{H}_2\text{O}_2$  небольшое кол-во  $\text{Ba}(\text{OH})_2$  для удаления из р-ра ионов  $\text{SO}_4^{2-}$ . Получают I с т. пл. 202—204°, содержание воды <0,3% и ионов  $\text{SO}_4^{2-}$  <0,1%. Вместо  $\text{H}_2\text{O}_2$  к р-ру, нагретому до 50°, добавляют активированный или животный уголь. Приведены схема и описание устройства для упаривания спирт. раствора. А. Мышкин

6Л184. Способ получения чистой ε-аминокапроновой кислоты. Kőbösi Jóné. Verfahren zur Herstellung reiner ε-Aminocapronsäure. Пат. ГДР 18334, 8.03.60.—Получаемую гидролизом ε-аминокапроновой к-ты (I), содержащую  $\text{NaCl}$ , очищают перекристаллизацией из 50—70%-ного водн. р-ра диметилформамида

(II). 56,5 г гидролизуемого материала (лаптр., ε-капролактама) кипятят 5 час. с 81 мл конц.  $\text{HCl}$  и 50 мл воды при 130—140°, р-р обрабатывают 30—40%-ным  $\text{NaOH}$  до pH 7—8, подкисляют  $\text{HCl}$  (1:1) до pH 6 и выпаривают в вакууме. Остаток (135 г), содержащий 50%  $\text{NaCl}$  и 50% I, кипятят 2 часа с 300 мл 90%-ного  $\text{CH}_3\text{OH}$ , отфильтровывают  $\text{NaCl}$  (49 г), фильтрат выпаривают и полученную (66—70 г) неочищ. I, т. пл. 198—202°, содержащую в золе ~10%  $\text{NaCl}$ , растворяют в 2-кратном кол-ве 50%-ного (по объему) II при 100°, р-р охлаждают, выдерживают несколько часов при 0°, отфильтровывают I, промывают  $\text{CH}_3\text{OH}$  и сушат при 100°, получают очищ. I с выходом 60—65%, содержание  $\text{NaCl}$  0,03—0,1%. Для получения особо чистой I ее перекристаллизуют еще раз из 70%-ного II.

К. Смирнов

6Л185. Способ получения 2-метил-2-н-пропилпропандиол-1,3-дикарбамата. Horváth Tibor, Lázár András, Somogyi Tibor. Eljárás 2-metil-2-n. propil-1,3. propándiol-dikarbamat előállítására. [Gyógyszeripari Kutató Intézet]. Венг. пат. 145441, 15.11.59.—2-Метил-2-н-пропилпропандиол-1,3-дикарбамат (I) получают р-цией 2-метил-2-н-пропилпропандиола-1,3 (II) с этилуретаном при нагревании в кислой среде в присутствии 1—4% галогенидов Al. Смесь 90 г II, 144 г этилуретана, 0,3 г Al (фольги) и 50 мл дихлорэтана нагревают при перемешивании до 145°, отгоняя последний, и прибавляют 0,9 г  $\text{AlCl}_3$ , перемешивают 4 часа при 150—160° в токе инертного газа в вакууме, затем смесь охлаждают до 80°, кипятят с активированным углем в 320 мл 18%-ного спирта, уголь отфильтровывают, промывают 3 × 30 мл 18%-ного горячего спирта до отрицательной р-ции на Cl-ион и получают 112 г (выход 74,4%) I, т. пл. 106°.

М. Коловертнов

6Л186. Способ получения дитиокарбамата аммония. Hubicki Włodzimierz. Sposób wytwarzania dwi-tio-karbaminianu amonowego. Польшк. пат. 39772, 16.04.57.—Дитиокарбамат аммония получают действием  $\text{CS}_2$  на р-р неорганич.  $\text{NH}_4$ -соли в  $\text{NH}_3$  в присутствии или отсутствии воды. К р-ру 100 г  $\text{NH}_4\text{NO}_3$  и  $\text{NH}_3$  (молярное соотношение 1:2) при 18° и нормальном давлении прибавляют 91 г  $\text{CS}_2$ . Смесь интенсивно перемешивают и пропускают через нее в течение 10 мин.  $\text{NH}_3$ -газ. Через ~3 часа выделившийся  $\text{NH}_2\text{C(S)SNH}_2$  отфильтровывают и промывают.

Т. Будкевич

6Л187. Способ получения солей высших алкансульфокислот с аминокислотами. Утими Исаму, Саттэваки Тикара, Баба Тацунори, Такаэута Тацуо. [Танаба сэйяку кабусики кайся]. Японск. пат. 4998, 13.06.59.—Соли высших алкансульфокислот с 8—20 атомами C с аминокислотами получают смешением их или смешением их солей в среде органич. или водн. р-рителя. Указанные соли получают для превращения аминокислот, имеющих питательное или лечебное значение в устойчивую форму. 3,1 г гексадекансульфокислоты (I) растворяют в 30 мл эфира, прибавляют 1,5 г метионина (II), выделившиеся кристаллы отфильтровывают и кристаллизуют из ацетона, получают 3,6 г соли I + II, выход 78,3%, т. пл. 94—104°. Аналогично получают соли (указаны исходные в-ва, выход в % и т. пл. в °C): тетрадекансульфокислота (III), II, 99,1, 118—120; додекансульфокислота (IV), II, 40, 116—118; леансульфокислота (V), II, 81,8, 105—110; IV, глицин (VI), 69,7, 96—100; V, VI, 60,0, 102—104; I, лейцин, 52,3, 95—97; III, хлоргилрат II, 46,5, —. 27; Na-соли IV и 1,9 г хлоргилрата II растворяют в 10 мл воды при нагревании до 40°, сушат и кристаллизацией остатка из теплового ацетона выделяют 1,8 г соли II + IV, выход 45%.

С. Петров

6Л188. Способ получения формосульфамидов. Novotný Ludvík, Čech Josef. Způsob přípravy formosulfonamidů. Чехосл. пат. 89490, 15.04.59.—Формосульфамиды получают р-цией сульфамидов и  $\text{CH}_2\text{O}$  в среде разб. водн.  $\text{NH}_3$  при 100°. 100 г сульфанилатет



амид растворяют в 700 мл воды с добавкой  $\text{NH}_3$  до pH 8,5. Р-р нагревают до 95°, фильтруют через активированный уголь, добавляют к фильтрату 70 мл 40%-ного  $\text{CH}_3\text{O}$  и, перемешивая смесь при 85–90°, в течение 15 мин. приливают к ней 70 мл  $\text{CH}_3\text{COOH}$ . После охлаждения р-ра (при перемешивании) до 15° отфильтровывают осадок, промывают его дистил. водой, сушат и получают 99,5 г продукта с т. п. 216–217°. Аналогично из 100 г сульфаниламочевинны получают 95 г продукта с т. п. 203–205° (при разложении).

А. Мышкин  
6Л98. Способ сульфирования органических соединений. Oláh György, Kuhn István. Eljárás szerves vegyületek szulfonálására. Венг. пат. 145666, 30.11.59.—Сульфирование органич. ароматич. соединений проводится с помощью сульфониновых солей, полученных по схеме:  $\text{SO}_3 + \text{HF} + \text{BF}_3 \rightleftharpoons [\text{SO}_3\text{H}]^+ + \text{BF}_4^-$ ,  $[\text{SO}_3\text{H}]^+ + \text{BF}_4^- + \text{RH} \rightarrow \text{RSO}_3\text{H} + \text{HF} + \text{BF}_3$ , где R — алкил, арил или ароматич. радикал. М. Коловернова

6Л99. Способ получения диазидов сульфидифторуксусной кислоты. Князьянц И. Л., Сокольский Г. А., Дмитриев М. А. Авт. св. СССР 125554, 15.01.60.—Диазиды сульфидифторуксусной к-ты (I к-та) получают р-цией тетрафторэтан-β-пиросульфтона (II) с алкоholes. К 10 вес. ч. сухого  $\text{CH}_3\text{OH}$  при 0–5° и перемешивании прибавляют порциями 26 вес. ч. II, реакционную смесь трижды промывают ледяной водой порциями по 20 вес. ч. Нижний слой отделяют, сушат над  $\text{MgSO}_4$  и фракционируют сначала при атмосферном давлении, а затем в вакууме. Выделяют две фракции: 4,3 вес. ч. диметилового эфира сульфотрифторуксусной к-ты и 15,1 вес. ч. диметилового эфира I (выход 74%), т. кип. 83–85°/8 мм,  $n_D^{20}$  1,3990,  $d_4^{20}$  1,4895. Аналогично получают диэтиловый эфир I (выход 70%), т. кип. 103–104°/8 мм,  $n_D^{20}$  1,3999,  $d_4^{20}$  1,3482. Диазиды I используют в качестве исходных соединений для получения фторсодержащих пластмасс.

Т. К.  
6Л91. Способ получения ацеталей S-замещенного γ-тиомасляного альдегида. Хаттори Сабуро, Минагава Рюя. [Мицубиси касэй когё кабусики кайсэ]. Японск. пат. 2213, 9.04.59.—Ацетали S-замещ. γ-тиомасляного альдегида (I) получают присоединением меркаптанов к ацеталам винилацетальдегида (II альдегид) в присутствии перекисей, соединений Hg и органич. оснований, а также при облучении активизирующим светом в качестве катализатора. К 72 ч. диэтилацетата II (II) и 0,35 ч. HgO прибавляют 12 ч. охлажд.  $\text{CH}_3\text{SH}$ , встряхивают ~40 час. при 20°, отфильтровывают катализатор и перегонкой в вакууме выделяют 32 ч. III и 44,5 ч. диэтилацетата γ-метилмеркаптомасляного альдегида (IV масляный альдегид), выход 93%, т. кип. 88°/1,5 мм,  $n_D^{20}$  1,4537, 116 ч. диметилацетата II и 15 ч.  $\text{CH}_3\text{SH}$  в кварцевом сосуде встряхивают в течение ~50 час. при прямом солнечном освещении и аналогично выделяют 46,5 ч. диметилацетата γ-метилмеркапто-IV, выход 91%, т. кип. 70°/1,5 мм,  $n_D^{20}$  1,4600. Аналогично получают I (указаны выход в %, т. кип. в °C/мм,  $n_D^{20}$ ): диэтилацеталь γ-этилмеркапто-II, 84, 100/4, 1,4541; диметилацеталь γ-(n-тилфенилмеркапто)-II, —, 118–120°/0,1, —[2,4-динитрофенилгидразон], т. п. 99–100°; диметилацеталь γ-(n-тилфенилмеркапто)-II, —, 130–132°/0,1, —[2,4-динитрофенилгидразон], т. п. 84–85°. I пригодны в качестве текстильных вспомогательных в-в или промежуточных продуктов синтеза лекарственных препаратов

С. Петрова  
6Л92. Способ связывания ионов. Zech John D. Sequestering process. [Atlas Powder Co.]. Пат. США 2868724, 13.01.59.—Описан способ связывания ионов поливалентных тяжелых металлов, атомный номер которых >24, основанный на образовании комплексов этих ионов с каким-либо из карбоксилатгексаметил-аминов общей ф-лы  $(\text{C}_6\text{H}_{12}\text{O}_5)_n\text{—N—[R]_d\text{—C}_n\text{H}_{2n}\text{COOY}]_b$

$[\text{—CH(COOY)CH}_2\text{COOY}]_d\text{—CH(COOY)}_2]_d$  (I), где число  $\text{COOH}$ -групп 2, радикал  $(\text{C}_6\text{H}_{12}\text{O}_5)$  — гексаметиленольный остаток гексаметилена, R = H,  $\text{C}_1\text{—C}_3$ -алкил или  $\text{C}_2\text{—C}_3$ -оксипалкил, Y = H или щел. металл,  $n = 1\text{—}2$ ,  $a = 0\text{—}1$ ,  $b = 0\text{—}2$ ,  $c = 0\text{—}1$ ,  $d = 0\text{—}1$  и сумма  $a + b + c + d = 2$ . I являются высокоизбирательными комплексообразующими агентами, которые можно применять в широких пределах pH (от 4 до 11), в чем I далеко превосходит соли этилендиаминотетрауксусной к-ты. В таблицах приведены показатели комплексообразующей способности N-метил-N-карбоксиметилглюкоамина, N-метил-N-карбоксиэтилглюкоамина, N-этил-N-карбоксиметилглюкоамина, глюкаминодиуксусной к-ты (II) и N-метил-N-глюциламинояктариной к-ты в разб. водн. р-рах и в конц. и разб. щел. р-рах на примерах с солями  $\text{Fe}^{3+}$ ,  $\text{Cu}^{2+}$ ,  $\text{Mn}^{2+}$ ,  $\text{Ni}^{2+}$  и  $\text{Pb}^{2+}$ . II получают следующим способом: 33,4 г  $\text{CH}_2\text{ClCOOH}$  растворяют в 100 мл воды, нейтрализуют при 0–2° р-ром 14,5 г NaOH в 50 мл воды, прибавляют 32 г глюкамина, нагревают до 80° и выдерживают 1 час при 101° (т-ра повышается до указанной вследствие экзотермич. р-ции), охлаждают и разбавлением дистил. водой до 250 мл получают р-р II (0,7 моля/л). Для получения I М р-ра N-метил-N-глюциламинояктариной к-ты к смеси 98 г малеинового ангидрида и 200 мл воды прибавляют при охлаждении и размешивании р-р 81 г NaOH в 150 мл воды, затем 195 г N-метилглюкамина, нагревают до 109°, кипятят 21 час и по охлаждении разбавляют до объема 1 л дистил. водой. Аналогично могут быть приготовлены р-ры других N-замещ. N-глюциламинояктариных к-т. I применимы в произ-вах мыл, моющих средств, текстиля (отварка, мерсеризация, отбелка, крашение и т. п.), жиров и масел, косметич. средств, каучука, кожи, бумаги и т. д.

О. Черников  
6Л93. Способ получения и аппаратура для промышленного производства метилбората без перегонки. Procédé et dispositif pour la préparation industrielle des borates de méthyle sans distillation. [Albert-Jean-Ducamp, Charles-Paul Gache]. Франц. пат. 1203953, 22.01.60.—Описан способ промышленного получения 30–70%-ного р-ра  $\text{B}(\text{OCH}_3)_2\text{OH}$  (I) в  $\text{CH}_3\text{OH}$ . В цилиндрч. реактор (PT) емк. ~130 л помещают 100 л безводн.  $\text{CH}_3\text{OH}$ , на дно насыпают 2 кг безводн.  $\text{ZnSO}_4$  (или  $\text{CuSO}_4$ , декстрина, карбоксиметилцеллюлозы). Перфорированный Al-сосуд с 10 кг безводн.  $\text{B}_2\text{O}_3$  вносят в PT и подвешивают на крючках так, чтобы он находился в верхней трети слоя  $\text{CH}_3\text{OH}$ . Сверху PT накрывают крышкой с полкой трубкой, сообщающей с атмосферой, для конденсации паров I и  $\text{CH}_3\text{OH}$ , выделяющихся в результате экзотермич. р-ции образования I. Вода и I, образующиеся при взаимодействии  $\text{CH}_3\text{OH}$  и  $\text{B}_2\text{O}_3$ , опускаются на дно реактора, вытесняя  $\text{CH}_3\text{OH}$ ,  $\text{ZnSO}_4$  связывает воду. По окончании р-ции сифонуют 105 л безводн. и прозрачного р-ра I.

Н. Кульбовская  
6Л94. Улучшение способа производства триметилбората. Mason Ronald George. Improvements in or relating to the production of trimethyl borate. [A. Boake Roberts and Co. Ltd]. Англ. пат. 818062, 12.08.59.—Триметилборат (I) получают при р-циях  $\text{H}_3\text{BO}_3$  с  $\text{CH}_3\text{OH}$  в присутствии поглощающих воду в-в. Отогнанную из продукта р-цию азеотропную смесь (АС) I с  $\text{CH}_3\text{OH}$  далее обрабатывают в-вами, образующими с  $\text{CH}_3\text{OH}$  нерастворимые в I соединения. Из последней смеси I выделяют разгонкой. В качестве поглощающих воду агентов и одновременно акцепторов  $\text{CH}_3\text{OH}$  пригодны  $\text{CaCl}_2$ ,  $\text{ZnCl}_2$ ,  $\text{MgCl}_2$ ,  $\text{CuCl}_2$ ,  $\text{FeCl}_2$ ,  $\text{MgSO}_4$  и  $\text{ZnSO}_4$ . В случае рециркуляции различных фракций, состоящих в основном из смеси I с  $\text{CH}_3\text{OH}$ , и при рециркуляции соединений  $\text{CH}_3\text{OH}$  с акцепторами  $\text{CH}_3\text{OH}$  (с примесью I) выход I достигает 95% (на  $\text{CH}_3\text{OH}$ ) или 94% (на  $\text{H}_3\text{BO}_3$ ). Способ может быть непрерывным. Смесь 5 молей  $\text{H}_3\text{BO}_3$ , 25 молей  $\text{CH}_3\text{OH}$  и 2,5 моля  $\text{CaCl}_2$  нагревают до 60–65°. В течение 3 час. с помощью фракционной

молонны из смеси отбирают 640 г АС с т. кип. 54,5° (74,7 вес. % I). Затем быстро отгоняют фракцию с т. кип. 54,5—64,7° и с содержанием 15 вес. % I. Последнюю фракцию (26 г I и 173 г CH<sub>3</sub>OH) направляют на повторную этерификацию. 640 г АС перемешивают 30 мин. с 64 г CaCl<sub>2</sub>. Смеси дают отстояться в течение 30 мин., нижний слой (230 г), содержащий 64 г CaCl<sub>2</sub>, 51 г I и 115 г CH<sub>3</sub>OH присоединяют к очередной загрузке, направляемой на этерификацию. 474 г верхнего слоя (427 г I и 47 г CH<sub>3</sub>OH, с применением большего кол-ва CaCl<sub>2</sub> содержание I в этом слое может быть доведено до 92 вес. %) фракционируют и получают 180 г АС, т. кип. 54,5° (45 г CH<sub>3</sub>OH и 135 г I), 10 г фракции с т. кип. 54,5—68° (80% I) и 284 г I, т. кип. 68—68,7°. Две легкие фракции присоединяют к АС, полученной из следующей загрузки. При однократном проведении процесса выход I 80%. Дан пример непрерывного получения I.

**6195.** Способ получения бортналькислых соединений вместе с высокоактивной окисью алюминия. Köster Roland. Verfahren zur Herstellung von Bortnalkislen neben hochaktivem Aluminiumoxyd. [Studien-gesellschaft Kohle m. b. H.]. Пат. ФРГ 1056127, 98.10.59.—Вещества ф-лы R<sub>3</sub>B (Ia—б), где R — алкил (а R = C<sub>2</sub>H<sub>5</sub>, б R = n-C<sub>3</sub>H<sub>7</sub>) получают по схеме B<sub>2</sub>O<sub>3</sub> + I → (RBO)<sub>3</sub> (II) (циклич. ангидрид алкилборной к-ты). II + 2AlR<sub>3</sub> (III, а R = C<sub>2</sub>H<sub>5</sub>) → 3 I + Al<sub>2</sub>O<sub>3</sub> или (суммарно) B<sub>2</sub>O<sub>3</sub> + 2AlR<sub>3</sub> → 2I + Al<sub>2</sub>O<sub>3</sub>. Р-ция протекает весьма энергично. Рекомендуется вести процесс при ~20° или ниже и (желательно) в р-рителях (на-спщ. углеводороды, эфир или I). Для завершения р-ции допустимо нагревание смеси до 150°. Образующаяся при р-ции Al<sub>2</sub>O<sub>3</sub> выпадает в виде геля только при введении в смесь приблизительно стехиометрич. кол-ва III. Способ может быть непрерывным. 98 г Ia и 70 г B<sub>2</sub>O<sub>3</sub> нагревают в автоклаве при 250—300° (4—5 час.). К полученному II, R = C<sub>2</sub>H<sub>5</sub>, (1 моль) в колбе емк. 750 мл с нисходящим холодильником в течение 1 часа прибавляют по каплям и при перемешивании 2 моля IIIa (начальная т-ра смеси ~20°). К концу прибавления IIIa т-ра повышается до 94—95° и выпадает гель Al<sub>2</sub>O<sub>3</sub>, затрудняющий перемешивание. Образующийся Ia отгоняется при перемешивании. Остатки Ia удаляют в вакууме и получают 280 г Ia, выход 95%, т. кип. 94—95°, и ~100 г Al<sub>2</sub>O<sub>3</sub> в виде бесцветной глинистой гелеобразной массы. Аналогично синтезируют Ib, выход 93%, т. кип. 45°/12 мм (продукт загрязнен небольшим кол-вом II, R = n-C<sub>3</sub>H<sub>7</sub>, т. кип. 90°/12 мм, от которого может быть очищен фракционированием в вакууме). Приведена технологич. схема. М. Каплун

**6196.** Способ получения магнийорганических производных. Normant Henri. Procédé de préparation de dérivés organomagnésiens. [Soc. des Usines Chimiques Rhône-Poulenc]. Франц. пат. 1171022, 21.01.59.—Найдено, что Mg-органич. производные этиленовых и ацетиленовых галондуглеводородов можно получать не только в среде циклич. эфиров (тетрагидрофурана, тетрагидропирана) или их гомологов, но и в полных простых эфирах диэтиленгликоля (I гликоль). 1 г-атом Mg помещают в 150 мл этилового эфира I (II), прибавляют кристаллич. I<sub>2</sub> и затем пропускаяют 1 моль 1-бромпропена-1 в 150 мл II и нагревают при 80° в течение 50 мин. Полученный CH<sub>3</sub>CH=CHMgBr р-цией с октеновым альдегидом при охлаждении превращают в гептилпропена-1-карбинол, выход 74% на альдегид. Аналогично получают Mg-производные. C<sub>6</sub>H<sub>5</sub>Br, из которого при гидролизе получают C<sub>6</sub>H<sub>6</sub> с выходом 70%, α-хлорнафталина и нафталина с выходом 75%, α-метил-β-бромстирола и α-метилстирола с выходом 75%. Из 1 моля 4-бромбутилацетилена в ди-н-бутиловом эфире I готовят Mg-производное, конденсацией которого с 0,7 моля CH<sub>3</sub>CHO получают метилгексинилкарбинол, выход 81%, т. кип. 84°/16 мм. Аналогично получают Mg-производное из бромфенилацетилена, а из последнего с CH<sub>2</sub>=

=CH—CH<sub>2</sub>Br фенилаллилацетилена, выход 82%, т. кип. 95°/11 мм, n<sub>D</sub><sup>20</sup> 1,5584, d<sub>4</sub><sup>20</sup> 0,956. С. Якушкин

**6197.** Получение ртутноорганических соединений Baldoni Andrew A., Miyashiro James J. Preparation of organo mercuric compounds. [Morton Chemical Co.]. Пат. США 2914451, 24.11.59.—RHgI, где R — алкил, получают р-цией Hg с избытком RJ в присутствии катализатора (KT) [J<sub>2</sub>, (Hg)<sub>2</sub>J<sub>2</sub>, HgJ<sub>2</sub>] при облучении светом длины волны 2536—8.00А и перемешивании. Время протекания р-ции зависит от интенсивности освещения, кол-ва KT и перемешивания, смеси сульфидов замедляют р-цию. Для удаления сульфидов CH<sub>3</sub>J обрабатывают 1% активированного углем или CaCl<sub>2</sub>. RHgJ легко превращают в RHgOH, RHgNO<sub>3</sub>, RHgCl, RHgOCOCN<sub>3</sub>. 0,498 г-атома Hg, 0,0315 моля J<sub>2</sub> и 2,64 моля CH<sub>3</sub>J перемешивают и освещают электрич. лампой, р-ция образования CH<sub>3</sub>HgJ заканчивается через 2 часа при т-ре кипения смеси 42,5—45°. Освещение выключают, добавляют 0,486 г-атома Hg и перемешивают, поддерживая кипение 1 час, отфильтровывают Hg<sub>2</sub>J<sub>2</sub>, промывают 228 ч. CH<sub>3</sub>J. Осадок Hg<sub>2</sub>J<sub>2</sub>, содержащий 0,435 атома Hg, 0,063 атома Hg в виде Hg<sup>2+</sup>, 0,0315 моля J<sub>2</sub> в составе Hg<sub>2</sub>J<sub>2</sub>, вновь вводят в реактор, добавляют 375 ч. CH<sub>3</sub>J и повторяют процесс. К фильтрату и промытым «водам» добавляют 200 ч. воды, перемешивают и отгоняют CH<sub>3</sub>J (выделяют 96% от взятого кол-ва CH<sub>3</sub>J), оставшуюся воду, суспензию CH<sub>3</sub>HgJ обрабатывают 75 ч. воды. AgO, перемешивают 3 часа при 50—60°, фильтруют, осадок AgJ промывают 250 ч. воды. Получают 550—600 ч. воды. р-ра, содержащего 109 ч. CH<sub>3</sub>HgOH, выход ~100%. Осадок AgJ перемешивают с 326 ч. воды ~30 мин., затем добавляют 32,6 ч. Zn-пыли в течение 15 мин., перемешивают ~1,5 часа, подкисляют конц. HCl, если образуется осадок, добавляют Zn-пыль и перемешивают, по окончании р-ции подкисляют 71 ч. конц. HCl до pH 1,0, перемешивают 2 часа, центрифугируют, осадок Ag промывают горячей водой до отрицательной р-ции на галлоид. Ag растворяют в 116 ч. HNO<sub>3</sub> (d 1,42), разбавляют 109 ч. воды, нагревают паром 30 мин., подкисляют 35%-ным р-ром NaOH, осадок AgO центрифугируют, отмывают от щелочи, выход AgO ~100%. К р-ру ZnJ<sub>2</sub> полученному после отделения Ag, приливают р-р NaOH до pH 5, перемешивают при 50° и медленно добавляют 63 ч. (CH<sub>3</sub>)<sub>2</sub>SO<sub>4</sub>, нагревают до 70°, отгоняют 60 ч. CH<sub>3</sub>J. К водн. суспензии CH<sub>3</sub>HgJ, полученной после отгонки CH<sub>3</sub>J, добавляют р-р 75 ч. Hg в 106,5 ч. HNO<sub>3</sub> и 50 ч. воды, смесь перемешивают 1 час при 35—40°, фильтруют, осадок промывают 300 ч. воды, в водн. р-ре получают CH<sub>3</sub>HgNO<sub>3</sub> с выходом ~100%. Обработавшие р-р CH<sub>3</sub>HgNO<sub>3</sub> избытком NaCl, получают осадок CH<sub>3</sub>HgCl с выходом ~100%. Суспензию CH<sub>3</sub>HgJ обрабатывают стехиометрич. кол-вом (CH<sub>3</sub>COO)<sub>2</sub>Hg, отфильтровывают HgJ<sub>2</sub>, р-р содержит CH<sub>3</sub>HgOCOCN<sub>3</sub>. Н. Кульбаскин

**6198.** Способ получения алюминийорганических соединений. Ziegler Karl, Gellert Hans-Georg. Verfahren zur Herstellung von Aluminiumkohlenwasserstoffen. [Karl Ziegler]. Пат. ФРГ 1038043, 26.02.59.—Al реагирует с H<sub>2</sub> и с в-вами ф-лы R(R')C=CH<sub>2</sub> (Ia—б), где R и R' — одинаковые или различные углеводородные остатки (R и R' могут входить в циклич. систему) (а R = R' = CH<sub>3</sub>; б R = C<sub>2</sub>H<sub>5</sub>, R' = C<sub>2</sub>H<sub>5</sub>) с образованием в-в ф-лы Al(CH<sub>3</sub>CHRR')<sub>3</sub> (IIa—б, а R = R' = CH<sub>3</sub>; б R = C<sub>2</sub>H<sub>5</sub>, R' = C<sub>2</sub>H<sub>5</sub>) и ф-лы Al(CH<sub>3</sub>CHRR')<sub>2</sub> (III). При взаимодействии II и III с CH<sub>2</sub>=CHNR' (R' — углеводородный остаток), а также с циклоолефинами с 4—8 атомами C и по крайней мере с одной двойной связью в цикле, идет р-ция по схеме II + 3CH<sub>2</sub>=CHNR' → 3 I + Al(CH<sub>3</sub>CHNR')<sub>3</sub>. В качестве катализаторов можно использовать мелкоизмельченные металлы (напр., Ni). Р-ция начинается при 70° и быстро протекает при 120—130°. В случае применения высококипящих олефинов можно использовать инертные р-рители (напр., C<sub>6</sub>H<sub>6</sub>). 97 г IIa смешивают в атмосфе-

%, т. кип.

Якушкин  
единицы  
с J. Pre  
on Chemi  
где R-  
ком RJ  
HgJ<sub>2</sub> при  
и пере  
от явля  
ания, при  
ения суль  
ного угл  
R<sub>2</sub>HgNO<sub>2</sub>  
моля J<sub>2</sub> и  
электрич  
вается че  
Осветле  
и пере  
льцовых  
J<sub>2</sub>, содер  
де Hg<sub>2</sub><sup>2+</sup>  
реактор  
К филь  
ч. воды  
96% от  
успенза  
мешиваю  
ромываю  
содержа  
AgJ по  
добавляю  
мешиваю  
уется оса  
о оконча  
1,0, пере  
г промы  
галонд  
завалют  
мешиваю  
огружают  
р-ру ZnBr  
р-р NaOH  
обавляют  
0 ч. CH<sub>3</sub>J  
отгоняю  
и 50 ч  
фильтру  
ре полу  
ваяя р-р  
H<sub>2</sub>HgCl  
сбавляют  
тровоыва  
сьбовская  
нически  
п-с-Ge  
mkohlen  
1038043  
R(R')C=O  
азличные  
в п-це  
=C<sub>2</sub>H<sub>5</sub> с  
б, а R и  
CH<sub>2</sub>CHN<sub>2</sub>  
=CHN<sub>2</sub>  
иклооле  
с одной  
еме II +  
стве п-  
облени  
и быст  
ения вы  
сперты  
атмосфе

45(17)

и N<sub>2</sub> с 340 г I<sub>6</sub>, т. кип. 120°. Смесь нагревают до кипения и отгоняют выделяющийся Ia. За 3 часа получают 75 г Ia (теоретич. выход 82 г). Из остатка удаляют легучие в-ва при т-ре бани <90°, сначала при слабом разрежении и затем в полном вакууме водоструйного насоса. В остатке получают 171 г почти чистого I<sub>16</sub>. Аналогично из IIa и додецена-1 получают дидодецилалюминийгидрид, т. пл. 30–35°. Приведено еще несколько аналогичных примеров. Даны примеры с использованием в качестве р-рителей гексана и C<sub>6</sub>H<sub>6</sub> и в качестве катализатора коллоидного Ni. Из Al(изо-C<sub>4</sub>H<sub>9</sub>)<sub>3</sub> (получение из Al, H<sub>2</sub> и 2-метилпентена-1 в присутствии (C<sub>2</sub>H<sub>5</sub>)<sub>2</sub>AlCl, см. РЖХим, 1958, № 17, 58349) и пропилена (110°, 49 и затем 25 атм) синтезируют (C<sub>2</sub>H<sub>5</sub>)<sub>2</sub>Al, выход ~100%, т. кип. 65°/0,1 мм. Получаемые по настоящему способу Al-органич. соединения являются ценными промежуточными продуктами. Так, при р-циях их с O<sub>2</sub>, галогенами, SO<sub>2</sub>, CdCl<sub>2</sub>, HgCl<sub>2</sub>, SiF<sub>4</sub> и BF<sub>3</sub> могут быть синтезированы соответственно спирты, алкилалогениды, сульфидные к-ты (а из последних сульфокислоты и меркаптаны), Cd-, Hg-, Si- и B-органич. соединения.

Н. Маторина  
6Л109. Способ получения галоалкильных соединений алюминия. Жигач А. Ф., Антонов И. С., Калаков Е. Б., Фрайман Р. С. Авт. св. СССР 140579, 15.02.60.—Для осуществления непрерывного и безопасного проведения процесса галоалкил вводят в р-цию в газообразном виде, а в качестве источника Al применяют стружку дюрала марки Д 6 и р-цию ведут при ~50°. Опыт проводят в колонне из нержавеющей стали, снабженной герметич. питателем для подачи стружки дюрала, нагревательной рубашкой и барботером. В колонну загружают 2 кг дюралевых стружек толщиной 0,15 мм и 15 кг эквимолярной смеси C<sub>2</sub>H<sub>5</sub>AlCl<sub>2</sub> и (C<sub>2</sub>H<sub>5</sub>)<sub>2</sub>AlCl и нагревают до 50°, вводят C<sub>2</sub>H<sub>5</sub>Cl со скоростью 700 л в 1 час. По мере образования продукта р-ция он стекает через фоварь в сборник. Каждый час добавляют 0,4 кг стружки. За 122 часа получено 208 кг эквимолярной смеси хлоридов.

Т. К.  
6Л1100. Ацилоксипроизводные оксипалкокси(арилокси)алюминия и продукты их конденсации. Rinse Jacobus. Hydroxy-, R-oxy-aluminium acylates and condensation products thereof. [J. W. Ayers & Co.] Пат. США 2913468, 17.11.59.—При взаимодействии алкогалатов Al и i моле органич. к-ты образуются моноацилоксипроизводные диалкоксиалюминия. Эту р-цию проводят в две стадии, нагревая сначала алкогалат алюминия в органич. неполярном р-рителе до гомогенизации с органич. к-той в молярном отношении 1:1, и затем отгоняя выделившийся при р-ции спирт под конец в вакууме при ~150°. Полученное моноацилоксипроизводное обрабатывают эквимолярным кол-вом воды и получают соединение ф-лы RCOOAl(OR')OH IIa—r, а RCOO—остаток олеиновой к-ты, R' = (CH<sub>3</sub>)<sub>2</sub>CH; б R = C<sub>17</sub>H<sub>35</sub>, R' = (CH<sub>3</sub>)<sub>2</sub>CH; в R = C<sub>17</sub>H<sub>35</sub>, R' = C<sub>6</sub>H<sub>5</sub>; г R = C<sub>6</sub>H<sub>5</sub>, R' = (CH<sub>3</sub>)<sub>2</sub>CH, где R могут быть также углеводородные остатки других насыщ. и ненасыщ. C<sub>2</sub>—C<sub>18</sub> кислот. I при нагревании до ≥160° претерпевает термическую конденсацию с образованием полимерных в-в. В качестве алкогалата Al предпочтительнее использовать (изо-C<sub>4</sub>H<sub>9</sub>)<sub>3</sub>Al (II), который может быть превращен в жидкость переохлаждением расплава II. В жидком состоянии II представляет собой высокоактивный мономер, в отличие от твердого тетрамера II, т. пл. 116°. Р-р 204 г порошка II в 200 мл уайт-спирита смешивают с 280 г олеиновой к-ты и смесь перемешивают при 60–70° до полной гомогенизации. Затем р-р нагревают при 100° для отгонки изо-C<sub>4</sub>H<sub>9</sub>OH (III) и р-рителя, остаток которых удаляют в вакууме при 160°, получая жидкий диизопропоксиолеат Al. К 422 г последнего прибавляют 16 г воды и 50 г III и нагревают при 150° до отгонки 110 г III, получая в остатке Ia. Для проведения термоконденсации Ia нагревают 30 мин. при 200°, получая вязкое масло, обладающее отличны-

ми смачивающими и суспендирующими свойствами для пигментов. Аналогично получают I<sub>6</sub>. 204 г II измельчают вместе с 94 г C<sub>6</sub>H<sub>5</sub>OH и затем отгоняют 60 г III. Из продукта р-ции аналогично вышеописанному получают I<sub>6</sub>. 204 г холодного жидкого II прибавляют к 122 г C<sub>6</sub>H<sub>5</sub>COOH, перемешивают до гомогенизации и при 150° отгоняют 60 г III, получая диизопропоксибензоат Al. Прибавляют воду в молярном соотношении 1:1 и III до образования однородной массы и постепенно нагревают до 200° с отгонкой III, получая продукт термоконденсации I<sub>6</sub>. Продукты термоконденсации I являются хорошими смачивателями и диспергаторами.

Л. Макарова

6Л1101. Способ получения триметилсилана. Кумадэ Макото. [Токэй Сибатура дэнки кабусики кайся]. Японск. пат. 2161, 9.04.59.—(CH<sub>3</sub>)<sub>3</sub>SiH (I) получают р-цией (CH<sub>3</sub>)<sub>3</sub>SiSi(CH<sub>3</sub>)<sub>3</sub> (II) с HCl-газом при нагревании. Через кварцевую трубку (диам. 4 см, длина 100 см), обогреваемую в электрич. печи до 600°, 4 часа пропускают 50 г II и избыток сухого HCl-газа, выходящие газообразные продукты охлаждают в холодильнике и собирают в ловушке (–60°), при перегонке выделяют 12 г I, т. кип. 6°, 37 г (CH<sub>3</sub>)<sub>3</sub>SiCl, т. кип. 57,5° и 7 г непрореагировавшего II.

С. Петрова

6Л1102. Способ получения органических хлорсиланов. Lengyel Béla, Székely Tamás. Eljárás szerves klórszilánok előállítására. Венг. пат. 145210, 15.09.59.—Хлорсиланы ф-лы R<sub>4–x</sub>SiCl<sub>x</sub>, где R — алкил, x = 1–3, получают из SiCl<sub>4</sub> и алкилалюминийгалогенидов. 2,9 моля SiCl<sub>4</sub> и 2,1 моля (CH<sub>3</sub>)<sub>2</sub>Al<sub>2</sub>Cl<sub>2</sub> (R<sub>2</sub>AlCl<sub>2</sub>: RAlCl<sub>2</sub> = 1:1) загружают в кислотостойкий автоклав, нагревают в течение 2 час. до 250° и выдерживают при этой т-ре 23 часа. Выход хлорсиланов 82%, считая на SiCl<sub>4</sub>; эквимолярное R:Si в полученном продукте 1:7; содержание (CH<sub>3</sub>)<sub>2</sub>SiCl<sub>2</sub> 15%, CH<sub>3</sub>SiCl<sub>3</sub> 5%. М. К.

6Л1103. Получение алкилсиланов реакцией Гриньяра в присутствии циклических эфиров. Ramsden Hugh E., Rosenberg Sanders D. Preparation of alkyl silanes by the grignard reaction employing cyclic ethers. [Metal & Thermit Corp.] Пат. США 2872471, 3.02.59.—Алкилсиланы RR'R''R'''dSiX<sub>4–(b+c+d)</sub>, где R, R', R'', R''' = H или углеводородный радикал; b, c и d = 0–4, b + c + d ≤ 3, X — галоген, алкокси- или арилалкоксигруппа, получают при взаимодействии органических ф-лы R'bR''R'''dSiX<sub>4–(b+c+d)</sub> с алкилмагниихлоридом в присутствии циклич. эфиров [тетрагидрофуран (I), тетрагидропиран, 2-этокситетрагидропиран, диэтилоксиран, N-метилморфолин и т. д.]. 1 л р-ра 6250 г додецилхлорида (II) в 6480 г I прибавляют к 754 г Mg-стружки, добавляют для иницирования р-ции 10 г C<sub>2</sub>H<sub>5</sub>Br, нагревают и добавляют остальное кол-во р-ра II с такой скоростью, чтобы смесь кипела. Кипятят 6 час., приливают р-р 1005 г SiCl<sub>4</sub> в 7,570 л ксилола (III), добавляют еще 30,28 л III, отгоняют I (100–135°), остаток кипятят 7 дней и гидролизуют при охлаждении ледяным 5%-ным р-ром HCl, удаляют водн. слой, органич. слой сушат Na<sub>2</sub>SO<sub>4</sub>, фильтруют, отгоняют при 135–165° р-рителе, остаток перегоняют в вакууме, выделяют следующие фракции (т. кип. в °C/мм): А) смесь III, додекана и II 25–180/1; Б) дидодекан 180–220/1; В) 808 г смеси дидодекана, тридодекансианола (IV) и тетрадодецилсилана (V) 220–275/0,5; Г) 2904 г смеси IV и V 275–320/0,5; Д) 844 г кубовых остатков — гексадодецилсилан и другие силосаны. Из фракции Г после повторной перегонки выделяют 2080 г (47,6%) V, т. кип. 302–308°/0,5 мм, n<sub>D</sub><sup>25</sup> 1,4628, d<sub>4</sub><sup>25</sup> 0,8310. 25 мл р-ра 510 г лаурилхлорида в 540 г I прибавляют к 60,8 г Mg, добавляют для иницирования р-ции 0,5 мл C<sub>2</sub>H<sub>5</sub>Br и приливают остальную р-р лаурилхлорида, кипятят 3 часа и полученный р-р приливают в течение 2,5 часа при перемешивании к р-ру 1000 г (5,89 моля) SiCl<sub>4</sub> в 2 л n-гептана (т. кип. 98,89°), кипятят 1 час, оставляют на ~12 час., отфильтровывают MgCl<sub>2</sub>, промывают его 200–250 мл геп-



тана, отгоняют р-ритель, остаток перегоняют, выделяют 449,3 г (59,5%) додецилтрихлорсилана и 63,1 г (11,6%) бисдодецилхлорсилана. Аналогично получены октадецилтрихлорсилан, диметилдокадецилсилан, диметилдододецилсилан, тетрадодецилсилан, диоктадецилдиэтилсилан, диэтилдихлорсилан, децилэтилтоксисилан, додецилтриэтоксисилан, октадецилдиэтилфеноксисилан, трибутилсилан, дибутилхлорсилан. Полученные в-ва применяются для приготовления смазочных в-в и гидравлич. жидкостей. Л. Волкова

**6Л1104. Способ разделения кремнийорганических соединений.** Hyde James F., Brown Paul L. Method of separating organosilicon compounds. [Dow Corning Corp.]. Пат. США 2902507, 1.09.59.—Предложен способ разделения смесей моно-, ди-, три- и тетрахлорсиланов. Смесь органохлорсиланов обрабатывают под давлением воды. HCl с конц-ией  $\geq 50$  вес.%. При этом происходит частичный гидролиз органохлорсиланов с образованием летучих продуктов из моно- и дихлорсиланов и нелетучих — из три- и тетрахлорсиланов. Смесь после гидролиза разделяют на водн. и силиконовый слои и разгонкой последнего выделяют моно- и дихлорсиланы и продукты их частичного гидролиза — полидиорганосилоксаны небольшого мол. веса с концевыми атомами Cl. Разделение водн. и силиконовых слоев желательно проводить таким образом, чтобы конц-ия HCl в водн. слое не уменьшалась (быстрое разделение или работа под давлением HCl). Разделению можно подвергать также соответствующие силиоксаны, которые в процессе указанной обработки расщепляются HCl с образованием хлорсиланов и хлорсилосанов. Предлагаемым способом могут быть эффективно разделены смеси  $(CH_3)_2SiCl_2$  (I),  $(CH_3)_3SiCl_2$  (II),  $CH_3SiCl_3$  (III) и  $SiCl_4$ ;  $CH_3SiHCl_2$  и III; 3,3,3-трифторпропилметилдихлорсилана и трифторпропилтрихлорсилана; диметил- и монофенилполисилоксанов; сополимеры триэтил-, диметил- и моноэтилсилоксанов; диэтил- и диметилсилоксанов; триметилсилоксана и  $SiO_2$  и др. 3600 г смеси хлорсиланов (в вес. % I 5, II 90 и III 5) гидролизуют под давл. 10 ат с 2200 мл 36%-ной HCl при 7°, затем подают HCl-газ до давл. 18,7 ат, что соответствует конц-ии HCl в водн. фазе 62%. Через 6 час. перемешивание останавливают, водн. фазу удаляют со дна реактора и перегонкой кремнийорганич. фазы выделяют (в-во и кол-во в %): I 6,3; II 10,9; Cl  $(CH_3)_2SiO_2Si(CH_3)_2Cl$  (IV) 33,6; Cl  $(CH_3)_2SiO_2Si(CH_3)_2Cl$  (V) 20,4 и остаток 28,8. Остаток содержит все монометилсилановые производные. При снижении конц-ии HCl в водн. фазе до 51,6% кол-во неперегоняющегося остатка повышается до 65,7%. Приведен пример очистки сырого  $(C_2H_5)_3SiCl_2$  перемешиванием с 36%-ной HCl. 3620 мл II в 586 мл III в 2 л  $CHCl_3$  перемешивают с 1300 мл воды, вводят HCl-газ до давл. 16,5 ат (конц-ия HCl 54,3 вес.%) при 24°, перемешивают 20 час. в перегонной органич. слоя выделяют (в-во, кол-во в %): II 4; IV 18,3; V 13,3; Cl  $(CH_3)_2SiO_2Si(CH_3)_2Cl$  5,2; остаток 60,2. Приведены другие примеры. Л. Макарова

**6Л1105. Получение высокоалкилированных алкилгалогенсиланов.** Bluestein Ben A. Preparation of higher alkylated alkyl halogenosilanes. [General Electric Co.]. Пат. США 2887501, 19.05.59.—Смесь алкилгалогенсиланов, содержащая повышенное кол-во триалкилгалогенсилана и тетраалкилсилана, получают при взаимодействии галогеналкила (I) со смесью (II) Si и Ca (10—80% Ca) при 300—375° в присутствии 5—25% (от веса I) галогидроксида. II применяют в виде сплава Si и Ca или в виде смеси их порошков. II может содержать 2—20% Cu, 0,05—0,1% Zn или смесь Cu и Zn. 29 ч.  $CH_3Cl$  и 9 ч. HCl пропускают в течение 4,5 часа при 350—375° над 63 ч. сплава II, смешанного с 7 ч. Cu, получают (в %) 41  $(CH_3)_2SiCl_2$  (III), 4  $(CH_3)_3SiCl$  (IV), 24  $(CH_3)_2SiCl_3$  (V), 30  $CH_3SiCl_3$  (VI). В аналогичных условиях при пропускании  $CH_3Cl$  без HCl над Si, не

содержащим Ca, получают <5% III и следы IV. Аналогично за 5 час. над смесью 45 ч. сплава II, 5 ч. Cu и 0,1 ч. Zn при 300° из 91 ч.  $CH_3Cl$  и 5 ч. HCl получают (в %) 7,6 IV, 61,6 III, 13,1 V; 7,9 VI и 4,8  $CH_3SiHCl_2$  (VII); при 325° из 31 ч.  $CH_3Cl$  и 2 ч. HCl соответственно 8,8 IV, 44,2 III, 30,8 V, 9,6 VI и 1,6 VII. Л. Волкова

**6Л1106. Получение алкилхлорсиланов.** Bluestein Ben A. Preparation of alkyl chlorosilanes. [General Electric Co.]. Пат. США 2887502, 19.05.59.—Метилхлорсиланы, содержащие повышенное кол-во  $CH_3SiHCl_2$  (I), получают при взаимодействии  $CH_3Cl$  с Si, содержащим Cu-катализатор и Zn-промотор, в присутствии третичных алкилхлоридов, напр. трет- $C_4H_9Cl$  (II) или трет- $C_5H_{11}Cl$ , при 250—500°.  $CH_3Cl$  пропускают при 28° со скоростью 8—10 г в 1 час через реактор, содержащий II, и затем смесь  $CH_3Cl$ , содержащую 71 мл II, пропускают при 300° в течение 6—7 час. над сплавом Si-Cu-Zn (45:5:0,1), получают 31,9%  $(CH_3)_2SiCl_2$  (III), 15,9% I, 38,7%  $CH_3SiCl_3$  (IV), 0,5%  $(CH_3)_3SiCl$  (V) и 11,1%  $HSiCl_3$  (VI). Аналогично при 325° в присутствии 54 мл II получают 50,5% III, 11,9% I, 28,8% IV, 1,2% V и 6,3% VI.  $CH_3Cl$  пропускают со скоростью 8—10 г в 1 час через реактор с II при 0° и полученную смесь, содержащую 12 мл II, пропускают над сплавом Si-Cu-Zn (46,2:3,7:0,1) в течение 2,5 часа, получают (в %) 59,9 III, 12,4 I, 22,7 IV, 1,8 V и 1,3 VI. Приведены другие аналогичные примеры. Л. Волкова

**6Л1107. Диспропорционирование органохлорсиланов.** McEntee Harry R. Redistribution of organosilanes. [General Electric Co.]. Пат. США 2887500, 19.05.59.—Активность катализатора (КТ) Na-Al-хлорида, применяемого при р-ции диспропорционирования силанов общей ф-лы  $R_mSiCl_4-m$  и  $R'_nSiCl_4-n$ , где R и R' — алкил или арил,  $m=1-4$ ,  $n=0-3$ , восстанавливают при пропускании 0,5—10 вес. % (от веса силанов) безводного  $AlCl_3$ , растворенного в силане. КТ можно применять на носителе (пористое стекло, пемза,  $Al_2O_3$  и т. д.). Р-цию диспропорционирования проводят при 250—500° при нормальном или повышенном давлении. К насыщ. водн. р-ру NaCl (35 г NaCl на 100 г воды) при 28° прибавляют 1000 г  $Al_2O_3$  «Alundum», диаметр сферы частиц 6,35 мм, избыток р-ра сливают и сушат при 150° обработанный  $Al_2O_3$  и эквимолярное кол-во  $AlCl_3$  помещают в стальной трубчатый реактор диам. 50,8 мм и длиной 457,2 мм, нагревают 24 часа при 475°. Эквимолярные кол-ва  $(CH_3)_2SiCl_2$  и  $CH_3SiCl_3$  пропускают при 470° и атмосферном давлении над полученным КТ в течение различного времени до тех пор, пока наличие  $(CH_3)_2SiCl_2$  в реакционной смеси не достигнет 50 вес. % в течение 2,3 мин. и 30 вес. % в течение 1 мин. К указаным хлорсиланам добавляют 3%  $AlCl_3$  и пропускают смесь над КТ, конверсия в  $(CH_3)_2SiCl_2$  повышается до 70,5% в течение 1 мин. или 65% в течение 2,3 мин. Исследовано влияние кол-ва  $AlCl_3$  на активность КТ. Л. Волкова

**6Л1108. Способ получения циклических силоксанов.** Gordon Arthur F. Method of preparing cyclic siloxanes. [Dow Corning Corp.]. Пат. США 2884432, 28.04.59.—Низкомолекулярные циклич. органохлорсиланы получают при димеризации высокомолекулярных силанов нагреванием в присутствии цел. катализатора. Соплимер, полученный при конденсации 2 молей винилметилсилоксана (I), 2 молей диметилсилоксана (II) и 0,002 моля дифенилметилсилоксана (III) в присутствии 0,338 г К-соли диметилсилоксана (IV), нагревают 1,5 часа при 155° и давл. 18 мм рт. ст. Получают 94,3% летучих жидких силоксанов, из которых при фракционировании выделяют (в %) 15,5 мевинилпента(V), 33,4 дивинилгекса(VI), 13,9-тривинилпентаметилциклотетрасилоксанов и 26,6% высокомолекулярных циклич. соединений. Соплимер, полученный из (в молях) 20 I, 20 II и 0,4 III, в присутствии IV нагревают до 160° и выделяют (в %) 19,4 V, 32,3 VI и 36,2 высококипящих циклич. силоксанов

Этот ост. II и нагр. нагреван (в %) 4 циклоксан, локсана, щем при дистилля, лотрисил, циклоксана, оксана и Приведе

6Л1109. Вышеи Brase ethylleas Nemours Pb (I) пажащего ном соо 10 мин.  $CH_3COCl$  талей, а мелкойз ливают жащий нагретая чении р товом н всят о 20 мол. сплава, 35 мол. 92%.

6Л1110. Duan Method of the fional L ф-лы C (II) с ствии (A, He) также при р- реакции тем на <170° ветстве скорост 95 г/мин 141,8 л водн. I III с т-т. В коммун III с т-т. 141,8 л поддер I в ви, путем товат меры с 6Л1111. фосфа Ellis of orga Пат. С аые п р-цией новой формн алкил, = О н

Этот остаток присоединяют к 20 молям I и 20 молям II и нагревают 7 час. при 150°. Полученный сополимер нагревают при 145° и давл. 10 мм рт. ст. и выделяют (в %) 16,2 V, 36,3 VI и 39,2 высококипящих циклич. силоксанов. Сополимер из (в молях) 2 фенилметилсилоксана, 6 II и 0,016 III, полученный как в предыдущем примере, нагревают до 250° при 2 мм рт. ст., из дистиллята выделяют 7,6% монофенилпентаметилциклоотриэтилоксана, 27% монофенилгептаметилциклоотетраэтилоксана, 7,1% монофенилнонаметилциклопентаэтилоксана и 12,7% высококипящих циклич. соединений. Приведены другие аналогичные примеры.

С. Якушкина

6Л1109. Способ получения тетраэтилсвинца при повышенной температуре. Baumgartner Walter E., Brasse Neal O. Process for the manufacture of tetraethyllead at elevated temperatures. [E. I. du Pont de Nemours and Co.]. Пат. США 2917527, 15.12.59. —  $(C_2H_5)_4Pb$  (I) получают взаимодействием Na-Pb-сплава, содержащего 10,0 вес. % Na, с избытком  $C_2H_5Cl$  при молярном соотношении 6:1—35:1, 130—160° в течение 5—10 мин. в присутствии на 1 моль сплава 0,02—30 мол. %  $CH_3COONa$  или алифатич. альдегидов, кетонов, ацеталей, амидов, эфиров, спиртов. Навеску Na-Pb-сплава, мелкоизмельченного (10—40 меш) в атмосфере  $N_2$ , заливают и помещают в Ni-автоклав емк. 22 мл, содержащий  $C_2H_5Cl$  и  $CH_3COONa$  в атмосфере  $N_2$ , автоклав нагревают и, встряхнув, разбивают ампулу. По окончании р-ции автоклав быстро охлаждают в бане с ацетоном и  $CO_2$ . Оптимальные соотношения реагентов зависят от т-ры р-ции. Так, при 130—136° применяют 2—20 мол. %  $CH_3COONa$  и 6—35 молей  $C_2H_5Cl$  на 1 моль сплава, при 146—160° 5—15 мол. %  $CH_3COONa$ , 20—35 молей  $C_2H_5Cl$ . Время р-ции 5—10 мин., выход I 89—92%.

Н. Кульбоская

6Л1110. Способ получения дихлордидекагидрата титана. Duane Donald, O'Shaughnessy James M. Methods for making titanium dichloride dihydrate. [National Lead Co.]. Пат. США 2898357, 4.08.59. — Соединение ф-лы  $Cl_2Ti(OOCCH_3)_2$  (I) получают при р-циях  $TiCl_4$  (II) с лед.  $CH_3COOH$  (III) в паровой фазе в присутствии сухих инертных разбавителей ( $N_2$ , воздух,  $CO_2$ , Ar, He). На 1 моль II берут 2 моль III (допускается также избыток одного из реагентов). Образующийся при р-ции HCl и избыток II (или III) выводится из реакционной зоны разбавителем. Т-ру в реакторе путем наружного охлаждения поддерживают ~70—<170° (лучше <150°). Пары II и III (при т-рах соответственно 140—150° и 130—140°) вводят в реактор со скоростью соответственно 77—154 г/мин и 45,4—95 г/мин. Разбавитель подают со скоростью 42,5—141,8 л/мин (лучше 113,5—141,8 л/мин). Жидкий безвод. II направляют в испаритель, из которого пары II с т-рой 142° и со скоростью 68 г/мин вводят в реактор. В этот же реактор одновременно (но по разным коммуникациям) подают со скоростью 40,8 г/мин пары III с т-рой 133° и сухой воздух (т-ра 25°) со скоростью 141,8 л/мин. Т-ру реактора наружным охлаждением поддерживают ~86°. В течение 8 час. получают 36,3 кг I в виде желтого безвод. порошка. Из полученного I путем нагревания при 850° в присутствии воздуха готовят  $TiO_2$  с кристаллич. решеткой рутила. Даны примеры синтеза I в различных условиях. М. Каплун

6Л1111. Металлические производные органических фосфатов и фосфитов. Hoff Melvern C., Fields Ellis Kirby, Watson Roger W. Metal derivatives of organic phosphates and phosphites. [Standard Oil Co.]. Пат. США 2866732, 30.12.58. — Молибденовые и ванадиевые производные фосфатов и фосфитов получают р-цией окисла или сульфида Мо или V, соли молибденовой или ванадиевой к-ты и слабого основания с фосфорным соединением ф-лы  $(RM)_xPM_y(M'H)_z$  (I) (R — алкил, арил, циклоалкил,  $C_3$  —  $C_{30}$ -аралкил; M, M' = O или S, x = 1—3; z = 0—2; y = 0—1; x + z = 3) при

соотношении соединения металла к I от 1:3 до 1:20 и 20—50° в присутствии  $H_2O_2$  (5—90%-ный водн. р-р), взятой в кол-ве 0,2—2 вес. ч.  $H_2O_2$  на 1 ч. металл. соединения. К смеси 190 г динонилфосфита и 86,4 г  $MoO_3$  добавляют при перемешивании 84 мл 30%-ной  $H_2O_2$  за 2 часа. После добавления всей  $H_2O_2$  смесь перемешивают еще 16 час. при ~20°. После этого к ней добавляют n-гексан, легкую часть отделяют и отгоняют р-ритель. В полученном продукте содержится Mo 11,57% и P 5,69%. Аналогично получены комплексы [указаны исходные в-ва и содержание в % Mo(V) и P в конечных продуктах]: трибутилфосфит и  $MoO_3$ , 21,4 и 16,3; ди-(2-этилгексил)-фосфит и  $MoO_3$ , 4,48 и 6,42; триизодecilфосфит и  $V_2O_5$ , 1,49 и 8,15; трибутилфосфат и  $MoO_3$ , 8,08 и 9,9; тринонилфосфит и  $V_2O_5$ , 8,95 и 6,1; динонилфосфит и  $MoS_2$ , 4,01 и 11,1. Получаемые комплексы применяют как добавки к минер. смазочным маслам (0,2—5,0%), а также в качестве фунгицидов и ингибиторов коррозии.

Ю. П.

6Л1112. Способ получения аминозамещенных арильных эфиров алкилфосфиновых кислот. Кузнецов Е. В., Валетдинова Р. К., Валишева К. А. Авт. св. СССР 125560, 15.01.60. — Соединения ф-лы  $RPO(OCH_2CH_2NH_2)_2$  (I), где R — алкил, получают р-цией  $HOCH_2CH_2NH_2 \cdot HCl$  (II) с  $RPOCl_2$  (III) в р-ре пиридина. 21,4 г II растворяют в пиридине и постепенно добавляют 16 г III (R =  $C_7H_{15}$ ), выдерживают 1,5 часа при 90°, затем охлаждают до 20° и выливают в тройное кол-во воды. Дизфир отфильтровывают, промывают водой до исчезновения запаха пиридина и сушат при 70°, получают фиолетовые кристаллы I (R =  $C_7H_{15}$ ), т. пл. 100,5°.

Т. К.

6Л1113. Способ получения бис- и трис-моноэтанол-аминовых эфиров фосфорной и алкилфосфиновых кислот. Кузнецов Е. В., Валетдинов Р. К., Валишева К. А. Авт. св. СССР 125561, 15.01.60. — Соединения ф-лы  $PO(OCH_2CH_2NH_2)_3$  и  $RPO(OCH_2CH_2NH_2)_2$ , где R — алкил, получают р-цией алкогалатов моноэтанол-амин с  $POCl_3$  или  $RPOCl_2$  в спирт. р-ре. 20,3 г  $KOCH_2CH_2NH_2$  растворяют в 150 г  $CH_3OH$ , добавляют  $POCl_3$ , охлаждают до т-ры < 30°, выпавший KCl (15 г) отфильтровывают, а фильтрат насыщают HCl, после чего отгоняют  $CH_3OH$  в вакууме, через некоторое время остаток закристаллизовывается.

Т. К.

6Л1114. Получение фосфинборинов. Burg Anton B., Slota Peter J. Manufacturing phosphinoborines. [American Potash & Chemical Corp.]. Пат. США 2877272, 10.03.59. — Фосфинборины получают действием боргидрида щел. металла на фосфорные соединения ф-лы  $R'R''POX$  (R' и R'' — низшие алкилы, циклоалкилы или фенил, X = F, Cl, Br) в среде инертного р-рителя с выходом 36—52%. Полученные в р-ции полимеры фосфинборина отделяются сублимацией или кристаллизацией. 7,3 г  $(CH_3)_2POCl$  (I) растворяли в 40 мл  $(CH_3OCH_2CH_2)_2O$ . Полученный р-р по каплям при перемешивании добавляли к р-ру 3 г  $NaBH_4$  в 40 мл  $(CH_3OCH_2CH_2)_2O$ . После прибавления всего I смесь нагревали 7,5 часа при 170° до полного прекращения выделения  $H_2$ . При этом в ловушке, охлаждаемой твердым  $CO_2$ , найдено несколько капель  $(CH_3)_2PH \cdot BH_3$ . Осадок, полученный в колбе, представляет собой тример  $[(CH_3)_2PBH_2]_3$ , выход 52% на I. Аналогично получены тримеры дифенил-, циклопентаметилен-, диэтиламин-, фенилметил- и дициклогексилфосфинборинов, которые являются стабильными соединениями. Полимеры, полученные на основе фосфинборинов, применимы как дизлектрики.

Ю. П.

6Л1115. Метод получения фосфинборинов. Stewart Robert D., Stern David R. Method for the preparation of phosphine borines. [American Potash & Chemical Corp.]. Пат. США 2879301, 24.03.59. — Моно-, ди- и тризамещ. фосфинборины получают восстановлением соответствующих тригалогенных производных гидридами щел. или щел.-зем. металлов в среде

инертного р-рителя в отсутствие воды. Р-ция протекает по ур-нию:  $4RR'R''P \cdot BX_3 + 3LiAlH_4 \rightarrow 4RR'R''P \cdot BH_3 + 3LiX + 3AlX_3$ , где X — галоид, R, R', R'' = H, алкил, арил. В колбу емк. 250 мл, снабженную магнитной мешалкой, загружают 18 мл абс. эфира, к которому затем одновременно прибавляют 257,4 мл  $BF_3$  и 245,3 мл диметилфосфина. Затем в вакууме медленно при перемешивании добавляют 0,3311 г  $LiAlH_4$  (I). После окончания р-ции эфир отгоняют и оставшуюся смесь выдерживают 20 час. при 195°, после чего промывают метанолом. Выход диметилфосфинборина (II) 28,8%. Аналогично проводят р-цию с  $BCl_3$ . 308,8 мл  $(CH_3)_2PH \cdot BF_3$  (III) растворяют в 21,5 мл эфира и к смеси прибавляют 0,4237 г I. Полученный продукт (после отделения непрореагировавшего III) пиrolизируют при 190°, выход II 66,6%.

Ю. П. 6Л116. Метод получения бис-алкилированных производных циклопентадиена. Sweeney William M. Method for making bis-alkylated cyclopentadienyl compounds. [Texasco Inc.]. Пат. США 2912449, 10.11.59. —  $\omega$ -Алкил- и  $\omega, \omega'$ -диалкилфульлены, где алкил имеет 1—8 атомов C, взаимодействуют с  $RMgX$ , где R = алкил с 1—8 атомами C, арил, аларкил, алкенил, X = Cl, Br, в эфире (или в ксилоле, петр. эфире, высших алифатич. эфирах, анизоле, третичных аминах) с образованием продуктов присоединения  $RMgX$  к двойной семиполярной связи фульвена, причем R присоединяется к  $\omega$ -углеродному атому, а  $MgX$  к углероду цикла. Остаток  $MgX$  легко замещается поливалентными металлами IV и VIII групп периодической системы с образованием замещ. бис-циклопентадиеновых комплексов (ЦД). Смешивают при 20° и перемешивают 0,574 моля  $\omega, \omega'$ -диметилфульвена, 0,8 моля  $C_2H_5MgBr$ , 4,8 моля эфира и добавляют по каплям р-р 0,25 моля безводн.  $FeCl_3$  в 2,9 моля эфира. После окончания р-ции смесь выливают в 20%-ный р-р  $NH_4Cl$ , перемешивают, фильтруют, добавляют  $C_6H_6$ , органич. слой сушат над  $K_2CO_3$ , р-рителем отгоняют и перегонкой из остатка выделяют  $Fe(C_5H_4C(CH_3)_2C_2H_5)_2$ , т. кип. 115°/0,8 мм,  $n^{20}_D$  1,581. Аналогично смешивают при 20° 0,7 моля  $\omega$ -монометилфульвена, 0,8 моля  $C_2H_5MgBr$ , 4,8 моля эфира, прикапывают р-р 0,234 моля  $FeCl_3$  в 2,9 моля эфира. Перегонкой выделяют масло с т. кип. 126—174°/1,0 мм,  $n^{20}_D$  1,5596,  $d^{20}_4$  1,087. ЦД применяются в качестве антидетонационных добавок к бензинам или для подавления дымообразования в маслах и ракетных топливах.

Н. Кульбовская 6Л117. Оксидициклопентадиенильные соединения переходных металлов VI—VIII групп и их получение. Benson Richard Edward. Oxy-dicyclopentadienyl compounds of transition metals of groups VI to VIII and their preparation. [E. I. du Pont de Nemours and Co.]. Пат. США 2849470, 26.08.58. — Соединения ф-лы  $\{[цикло-C_5(OH)_nR_5-n]M\}^{m+} \cdot X^-$ , где R = H или насыщ. углеводородные радикалы;  $n = 1-5$ ; M — переходный металл VI—VIII группы, лучше из первого длинного периода VIII группы; X — неорганич. анион;  $m$  — обычно  $\leq 2$  (по числу валентностей M), получают обработкой производных циклопентенона амидом щел металла в среде жидкого аммиака, на полученное диметаллич. производное действуют солью переходного металла VI—VIII групп периодической системы, 19,2 ч. 3-метил-2-циклопентенона-1 добавляют по каплям за 20 мин. к суспензии 16 ч.  $NaNH_2$  в 200 ч. жидкого  $NH_3$  при  $t$ -ре —38°. Через 1 час перемешивания при той же  $t$ -ре добавляют малыми порциями за 15 мин. 12,7 ч. безводн.  $FeCl_3$ , выдерживают при этой  $t$ -ре и перемешивании еще 75 мин. Испаряют через конденсатор половину аммиака, добавляют 175 ч. сухого эфира и смесь оставляют при ~20° на ~12 час. в токе  $N_2$ . Затем смесь выливают в р-р NaOH, не содержащий  $O_2$  (3 ч. NaOH на 250 ч. воды). Осадок отфильтровывают, фильтрат при охлаждении встрихивают с 24 ч.  $C_6H_5COCl$ , фильтруют, осадок промывают 1%-ным NaOH, затем

р-ром  $NaHCO_3$  и водой. Получают бис-(1-бензоилоксен-3-метилциклопентадиенил)-железо (I), выход 34%, т. пл. 121,5—123,5°. Дробной кристаллизацией I на  $n$ -гептана получают стереоизомеры с т. пл. 125,5—127° и 104—105°. 3 ч. I, 60 ч. абс. спирта, 15 ч. воды и 2 ч. KOH кипятят в токе  $N_2$  1,5 часа, отгоняют спирт, добавляют воду, свободную от  $O_2$ , охлаждают, подкисляют HCl (к-той), фильтруют, осадок в токе  $N_2$  промывают водой и р-ром  $NaHCO_3$  и получают бис-(1-оксн-3-метилциклопентадиенил)-железо (II), которое возгоняется при 130—140°/0,1 мм. Аналогично, применяя  $CoCl_2$ , после обработки 3%-ным водн. р-ром  $H_2O_2$  и избытком соли Рейнке получают с выходом 6% реинкат бис-(1-оксн-3-метилциклопентадиенил)-кобальт, т. пл. 154—162° (разл.) (стереоизомер). Приведены ИК-спектры I и II. Полученные в-ва применимы в качестве хороших проявителей в фотографии, антидетонаторов, пестицидов, полупродуктов для красителей, образуют с формальдегидом полимеры типа фенолформальдегидных, эффективны для предотвращения хлороза цитрусовых — при прямой обработке водн. р-ром уже при конц-ии 0,007%.

Р. Стауцин 6Л118. Получение циклогексенилметил- и алкилзамещенных циклогексенилметил-2-алкениловых эфиров. Starcher Paul S. Production of cyclohexenylmethyl and alkyl substituted cyclohexenylmethyl 2-alkenyl ethers. [Union Carbide Corp.]. Пат. США 2863925, 9.12.58. — Указанные эфиры получают р-цией 3-циклогексенметанола (I) или алкилзамещ. I с ненасыщ. спиртами (HC) общего типа  $R_2C=CHCR_2OH$ , где R = H,  $C_1$  —  $C_4$ -алкилы или вместе с атомами C могут входить в циклич. системы. Р-цию проводят в алифатич. углеводородах (гексан, петр. эфир), их хлорпроизводных ( $CH_2ClCH_2Cl$ ,  $CH_2Cl_2$ ) или простых эфирах (ди- $n$ -бутиловый или диэтиловый) в присутствии катализаторов, которыми являются различные соединения  $BF_3$  и  $HgO$ , в том числе  $Hg(CH_3OBF_3)_2$ ,  $Hg(CH_2=CHCH_2OBF_3)_2$ ,  $[Hg(HF)(H_2O)]BF_4$  и другие соли одно- или двухвалентной ртути и кислотных соединений В и F. Катализаторы применяют в кол-вах, соответствующих  $\geq 0,01\%$   $HgO$  и  $0,03\%$   $BF_3$  и  $\leq 3\%$   $HgO$  и  $2\%$   $BF_3$  от веса реагирующих спиртов. Воду, образующуюся в процессе р-ции, отделяют азетропной отгонкой или действием дегидратирующих в-в (напр.,  $Al_2O_3$ ). К смеси 348 г (6 молей) аллилового спирта (II) и 336 г (3 моля) I прибавляли при размешивании 9,5 г красной  $HgO$  и 6 г эфира  $BF_3$  (41%  $BF_3$ ), размешивали 42 часа при 18—20°, нейтрализовали катализатор 42 г  $K_2CO_3$  и перегонкой выделяли смесь 203 г (45%) аллил-3-циклогексенилметилового эфира (III) с 114 г I. В другой операции, где отношение II : I было увеличено до 4 : 1, выход III составил 52%. III и непрореагировавший I разделялись кратковременной обработкой их смесей при 150° небольшим избытком фталевого ангидрида, после чего III отгонялся от монотетрагидробензилфталата и фракционировался на колонне высотой 61 см со стеклянной насадкой. Полученный продукт, т. кип. 60—61°/4 мм,  $n^{20}_D$  1,4620—1,4622, содержал 99% чистого III (определено методом бромирования). ИК-спектр III указывает на наличие эфирной группировки, конечной двойной винильной связи и *cis*-структуры по отношению к внутренней двойной связи III. Описанные эфиры образуют сополимеры с винилхлоридом или акрилонитрилом, которые могут применяться в качестве покрытий или пленок.

О. Черепцов 6Л119. Метод получения каротиноида. Isler Otto, Lindlar Herbert, Montavon Marc, Rüegg Rudolf, Zeller Paul. Verfahren zur Herstellung eines Carotinoids. [F. Hoffmann-La Roche & Co. A-G.]. Швейц. пат. 334621, 31.01.59. — Для получения транс-3,4'-бисдегидро- $\beta$ -каротина (I) конденсируют с ацетиленом, одновременно или последовательно, 2 молекулы 8-(2',6',6'-триметилциклогексен-2'-илиден)-2,6-диметилотатриен-2,4,6-али-1 (II), образующийся



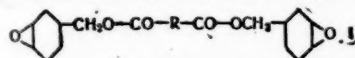
1,18-ди-(2',6',6'-триметилциклогексен-2'-илиден) - 3,7,12,16-тетраметил-8,11-диоксоиктадекагексен-2,4,6,12,14,16-гекс-ин (III) подвергают дегидратированию с одновременной аллильной перегруппировкой в 3,4:15,15':3',4'-трисдегидро-β-каротин (IV), селективно гидрируют последний по тройной связи и изомеризуют полученный 15,15'-дигидро-3,4:3',4'-бисдегидро-β-каротин (V). Р-р гексилмагнийбромида, полученный из 16 г Mg и 110 г C<sub>6</sub>H<sub>11</sub>Br в 300 мл абс. эфира, размешивают 24 часа в атмосфере C<sub>2</sub>H<sub>2</sub>, отделяют нижний слой, промывают 100 мл абс. эфира, смешивают с 200 мл сухого эфира. К полученной смеси быстро приливают р-р 80 г II в 200 мл абс. эфира и кипятят 3 часа в атмосфере N<sub>2</sub>, после охлаждения разлагают 75 г NH<sub>4</sub>Cl в 175 мл ледяной воды и интенсивно размешивают 10 мин., эфирный слой отделяют, промывают водой (3 × 200 мл), сушат Na<sub>2</sub>SO<sub>4</sub>. После отгонки эфира получают 87 вес. ч. смолообразного III, λ(макс.) 349,5 мμ (в петр. эф.). III можно также получить взаимодействием 1 моля II с HSCl в жидком NH<sub>3</sub> с последующим омылением полученного продукта до 10-(2',6',6'-триметилциклогексен-2'-илиден) - 4,8-диметилдекатриен - 4,6,8-ин-1-ола-3, λ(макс.) 349 мμ в петр. эфире, и конденсацией последнего в виде магнийалогенида со вторым молем II. 10 г III в 90 мл толуола постепенно при размешивании и охлаждении прибавляют к смеси 6 мл POCl<sub>3</sub>, 43 мл C<sub>6</sub>H<sub>5</sub>N и 50 мл CH<sub>3</sub>C<sub>6</sub>H<sub>5</sub>, нагревают 1 час при 95°, быстро охлаждают и выливают на 300 г льда. Толуольный слой промывают 3 н. H<sub>2</sub>SO<sub>4</sub> (2 × 200 мл), 5% NaHCO<sub>3</sub> (2 × 200 мл), сушат Na<sub>2</sub>SO<sub>4</sub>, отгоняют р-ритель, остаток экстрагируют петр. эфиром. Концентрированием экстракта получают IV, т. пл. 165—167° (из CH<sub>2</sub>Cl<sub>2</sub>-метанол), λ(макс.) 449 мμ в петр. эфире, 0,75 г IV в 20 мл CH<sub>3</sub>C<sub>6</sub>H<sub>5</sub> встряхивают в атмосфере H<sub>2</sub> с 0,2 г «Lindlar» — катализатора (Helv. Chim. Acta, 1952, 35, 446) и 0,05 мл хинолина при 20° до поглощения 1 моля H<sub>2</sub>, после фильтрования и отгонки р-рителя в высоком вакууме получают V, т. пл. 190° (из CH<sub>2</sub>Cl<sub>2</sub>-метанол), λ(макс.) 366 и 467 мμ в петр. эфире. Суспензия 5 г V в 30 мл петр. эфира (т. кип. 80—100°) кипятят 22 часа в атмосфере N<sub>2</sub>, охлаждают, получают I в виде сине-фиолетовых кристаллов, т. пл. 190—191° (из CH<sub>2</sub>Cl<sub>2</sub>-метанол), λ(макс.) 471 мμ в петр. эфире. Исходный II получают путем последовательного проведения следующих р-ций: бромирование 4-(2',6',6'-триметилциклогексен-1'-ил)-2-метилбутен-2-ола-1 с помощью бромсукцинимиды, отщепление HBr хинолином, ацетилизирование образующегося 4-(2',6',6'-триметилциклогексен-2'-илиден)-2-метилбутен-2-ола-1, конденсация полученного ацетата с винильным эфиром и омыление, ацетилизирование образующегося 6-(2',6',6'-триметилциклогексен-2'-илиден)-4-метилгексадиен-2,4-ола-1, конденсация с пропениловым эфиром и омыление. I является красителем для пищевых продуктов. В. С.

6J1120. Селективный медный контакт для дегидрирования циклогексанола и способ его приготовления. Tleszczanowicz Edward, Sznajder Jerzy. Selektynny kontakt miedziowy do odwodorniania cykloheksanolu oraz sposób jego wytwarzania. [Instytut Chemii Ogólnej]. Польш. пат. 40606, 27.01.58.—Для дегидрирования циклогексанола используют медный контакт, приготовленный из электролитич. Cu или из смеси последней со скелетной Cu. К хорошо смешанным Cu-компонентам добавляют небольшое кол-во воды, перемешивают, таблеттируют, сушат при 105°, продавливают при 300° воздухом и восстанавливают H<sub>2</sub> при 270°. Содержание Al в контакте ≤ 1,5%. Для полного удаления Al<sub>2</sub>O<sub>3</sub> из скелетной Cu ее промывают несколько раз р-ром NaOH с постепенной уменьшаемой конц-цией. Дегидрирование проводят при 270—280°, получая циклогексанон с выходом 78—85%. Контакт регенерируют пропусканием воздуха при 260—270° и последующим восстановлением H<sub>2</sub>. После многократных регенераций активность контакта не падает. А. Мышкин

6J1121. Гидроперекиси третичных алкилциклогексенов. Jones Jean P. Hydroperoxides of tertiary alkyl cyclohexenes. [Phillips Petroleum Co.]. Пат. США 2899469, 11.08.59.—Новый C<sub>14</sub>-углеводород получают р-цией в углеводородной среде 2,3-диметилбутана (I) и винилциклогексена (II) в молярных соотношениях 1—20:1 в условиях и с катализатором алкилирования при 10—232°, времени р-ции 5—1080 мин. и давлении, достаточном для поддержания реагентов в жидкой фазе. Объемное отношение катализатора к углеводородной смеси равно 0,01—2:1. При окислении продукта алкилирования (фракция 240,5—254,5°) O<sub>2</sub>-содержащим газом в присутствии катализатора окисления при 50—160° в течение 1—10 час. получают гидроперекись C<sub>14</sub>, ценную в качестве инициатора полимеризации. К 2742 г смеси 47%-ного HF с BF<sub>3</sub> и 1065 г n-гептана (III) в течение 310 мин. при перемешивании приливают смесь 4867 г I и 445 г II с 5323 г III при 37—40,5°, оставляют на ~12 час. в ледяной бане и отделяют затем катализаторный слой. Углеводородный слой дважды промывают водой, фильтруют, отгоняют непрореагировавший I и III, а остаток дважды ректифицируют (при 275—5 мм рт. ст. и флегмовом числе 15:1 и затем при 200—3 мм и 100:1). Получают фракции (приведены т. кип. в °C/760 мм, вес. в г, n<sub>D</sub><sup>20</sup> и бромное число): 102—126, 22, 1,4038, 0,4; 126—140,5, 34, 1,4484, 0,4 и d<sub>15,56</sub><sup>15,56</sup>, 834; 140,5—240,5, 24, 1,4638, 22; 240,5—254,5, 91, 1,4708, 4,6 и d<sub>15,56</sub><sup>15,56</sup>, 0,869; 240,5—304,5, 20, 1,4840, 12; 304,5—308,32, 1,5022, 5 и d<sub>15,56</sub><sup>15,56</sup>, 0,946, 53,3 г фракции 240,5—254,5° окисляют воздухом при 140° в течение 255 мин. в присутствии 0,2 г K<sub>2</sub>CO<sub>3</sub> и 0,2 г гидроперекиси диизопропилбензола. 43,2 г оксидата разбавляют 128,3 г III, при —12,8° трижды промывают порциями по 50 мл 50%-ной H<sub>2</sub>SO<sub>4</sub> и затем дважды порциями по 20 мл 30%-ного K<sub>2</sub>CO<sub>3</sub>, сушат и отпаривают углеводороды при 90°/3 мм. Содержание C<sub>14</sub>-гидроперекиси в оксидате рассчитано 4,7%. Приведены опыты эмульсионной сополимеризации дивинила и стирола в присутствии гидроперекиси C<sub>14</sub>. А. Мышкин

6J1122. Процесс получения бисхлорформата транс-1,4-циклогександиола. Norton Frederick H. Process for making quinitol bis-chloroformate. [The Dow Chemical Co.]. Пат. США 2923732, 2.02.60.—Бисхлорформат транс-1,4-циклогександиола (I) получают р-цией транс-1,4-циклогександиола (II) с COCl<sub>2</sub> (III) в 2—5-кратном кол-ве р-рителя (кетон с числом атомов C ≤ 6) при молярном отношении II:III = 1:3 (1:4—6) при 0—65°, 19 г II, 170 г жидкого III и 250 мл ацетона загружают в реактор при 5°, смесь нагревают до 10—20° и через 1,5 часа до 35°, ацетон и избыток III отгоняют в вакууме, а 46 г твердого остатка перекристаллизовывают, выход I 96%, т. пл. 113,3—114,3° (из абс. эф.). Аналогично получают цис-производное. М. Долган

6J1123. Дизпоксисоединения. Phillips Benjamin, Starcher Paul S. Diepoxides. [Union Carbide Corp.]. Пат. США 2863881, 9.12.58.—Соединения (I), где R — алкилен, арилен или простая связь (могут содержать углеводородные заместители в циклах), получают окислением соответствующих 3-циклогексенилметильных эфиров моноацетатом ацетальдегида или лучше надуксусной к-той (II). Р-цию проводят при 25—50°,

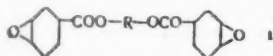


беря на 1 моль эфира ≥ 2 молей II. Исходные эфиры получают этерификацией дикарбоновых к-т ненасыщ. алифатич. спиртами, получаемыми дневным синтезом или другими методами. К р-ру 194 г 3-циклогексенилметилового спирта (III) и 187 г пиридина в 500 мл эфира прибавляли при размешивании в течение 2 час. 100 г (COCl<sub>2</sub>), размешивали еще 1 час, выливали в 750 мл ледяной воды, эфирный слой промывали, су-

шили  $\text{Na}_2\text{SO}_4$  и перегонкой выделяли 175 г 99–99,3%-ного бис-(3-циклогексенилметил)-оксалата (IV), т. кип. 180–185°/5 мм, выход 80%. К 174 г IV прибавляли за 1,75 часа при 35–40° и размешивании 518 г 24,8%-ного р-ра II в ацетоне (1,69 моля II), размешивали при той же т-ре еще 3,5 часа и оставляли на ~12 час. при –11°, после чего азеотропной перегонкой с этилбензолом (при 25 мм рт. ст.) удаляли ацетон, избыток II и  $\text{CH}_3\text{COOH}$  и получали 70,4%-ный I, R — простая связь, выход 69%, т. кип. 180°/22 мм (слабое разл.),  $n_D^{20}$  1,4927,  $d_{15,6}^{25}$  1,206. К кипящему р-ру 200° г малеинового ангидрида, 3,4 г п-толуолсульфокислоты и 1,7 г ди-β-нафтил-п-фенилендиамина (ингибитор окисления) в 500 г  $\text{C}_6\text{H}_6$  прибавляли за 20 мин. 476 г 6-метил-III, отгоняли в виде азеотропа 31 г воды, нейтрализовали охлажденную смесь 30 г ацетата Na, фильтровали и перегонкой фильтрата выделяли 388 г 99,7%-ного бис-(6-метил-3-циклогексенил)-малеата (V), выход 68%, т. кип. 180–190°/1 мм или 200°/2 мм. Аналогично из ангидрида янтарной к-ты и 6-метил-III получали 6-метил-3-циклогексенилметилэфир (VI) янтарной к-ты, выход 95,5%, т. кип. 180–200°/1–2 мм. Смесь 320 г пимелиновой к-ты, 560 г III, 300 мл  $\text{C}_6\text{H}_6$  и 1 г  $\text{H}_2\text{SO}_4$  кипятили 48 час., отгоняя 65 г воды, промывали по охлаждению 10%-ным р-ром  $\text{Na}_2\text{CO}_3$  и затем водой и перегонкой выделяли 553 г 99,7%-ного 3-циклогексенилметилового эфира пимелиновой к-ты (VII), выход 80%, т. кип. 233°/4,5 мм,  $n_D^{20}$  1,4850–1,4858,  $d_{20}^{20}$  1,03. Смесь 406 г диметилтерефталата, 1174 г III и 15,0 г  $\text{CH}_3\text{ONa}$  нагревали 45 мин. при 150° (отгонялось 109 г  $\text{CH}_3\text{OH}$ , 82% теоретич. выхода). Кристаллич. продукт р-ции отфильтровывали, промывали холодным  $\text{CH}_3\text{OH}$ , сушили и перекристаллизацией из спирта выделяли 310 г 100%-ного бис-(3-циклогексенил)-терефталата (VIII), т. пл. 100–101°, выход 42%. Действием II на V–VIII в условиях, аналогичных р-ции II с IV, получены соответствующие I (даны выход в %, т. кип. в °C): 6-метил-I, R =  $\text{CH}=\text{CH}$ , 86, 210–220/1 (слабое разл.),  $n_D^{20}$  1,5003,  $d_{15,6}^{25}$  1,51; 6-метил-I, R =  $\text{CH}_2-\text{CH}_2$ , 89, 170–210/2,  $n_D^{20}$  1,4893,  $d_{15,6}^{25}$  1,143; I, R =  $\text{C}_6\text{H}_{14}$ , 88; I, R =  $n\text{-C}_6\text{H}_{14}$ , 60, т. пл. 131,5–133° (из этилацетата). I являются пластификаторами и стабилизаторами синтетич. смол.

6Л124. Эфиры 3,4-эпоксидциклогексанкарбоновой кислоты с ди- и триэтиленгликолями. Phillips Benjamin, Starcher Paul S. 3,4-epoxycyclohexane carboxylic acid esters of di and tri ethylene glycol. [Union Carbide Corp.]. Пат. США 2853499, 23.09.58.—Способ получения указанных эфиров, а также эфиров 6-метил-3,4-эпоксидциклогексанкарбоновой к-ты, аналогичен описанному в пат. 2853498 (см. реф. 6Л125). О. Чернцов

6Л125. Эфир 3,4-эпоксидциклогексанкарбоновой кислоты и 2-метоксиметил-2,4-диметилпентандиола-1,5. Phillips Benjamin, Starcher Paul S. 2-methoxymethyl-2,4-dimethyl-1,5-pentandiol bis-(3,4-epoxycyclohexane carboxylate). [Union Carbide Corp.]. Пат.



США 2853498, 23.09.58.—Соединения общей ф-лы (I), где R — алкилен, в частности  $-\text{CH}_2\text{CH}(\text{CH}_3)\text{CH}_2\text{C}(\text{CH}_3)(\text{OCH}_3)\text{CH}_2-$  (Ia), и циклогексановые кольца могут содержать углеводородные заместители, получают окислением соответствующих диэфиров 3-циклогексенкарбоновой к-ты (II) или ее замещенных и гликолей  $\text{R}(\text{OH})_2$  надуксусной к-той (III) или ацетальдегидмонадацетатом. II получают р-цией бутадиена или его гомологов с α,β-ненасыщ. алифатич. альдегидами и последующим окислением полученных ненасыщ. алициклич. альдегидов в II. К 264 г диэфира II и 2-метоксиметил-2,4-диметилпентандиола-1,5 прибавляли в течение 3 час. 15 мин. при 40–50° и размешивании 745 г

21%-ного р-ра III (156 г III) в ацетоне, продолжали р-цию в тех же условиях еще 3 часа и после выдерживания смеси 16 час. при –11° приливали ее по каплям при 45° и давл. 35 мм рт. ст. к 1800 г этилбензола, отгоняя одновременно ацетон,  $\text{CH}_3\text{COOH}$ , III и этилбензол. После удаления летучих в-в до т-ры кип. 85°/3 мм получали 274 г остатка, содержащего 72,5% Ia, выход 69,6%, и 6% непрореагировавшего исходного эфира. Аналогично получают другие I, которые могут найти применение в качестве стабилизаторов или пластификаторов для синтетич. смол и пластич. материалов. О. Чернцов

6Л126. Способ производства и выделения ангидридов хлорсодержащих карбоновых кислот. Charles F. Blackwell Alexander L., Olmsted James L. Process for the manufacture and recovery of a chlorine-containing carboxylic anhydride. Baranaukas [Hooker Chemical Corp.]. Пат. США 2903463, 8.09.59.—Ангидрид гексахлорэндометилентетрагидрофталевой к-ты (I к-та) (хлорэндоровый ангидрид) (II), т. пл. 239–240°, получают при р-циях гексахлорциклопентандиена (III) с малеиновым ангидридом (IV) в среде хлорированных бензолов. Рекомендуется использовать небольшой избыток IV. Р-ция протекает при 110–170° в течение 8–10 час. Получаемый II весьма чист и имеет светлую окраску (дана методика определения цветности II). Приведена технологич. схема процесса. 3,15 кг-моля III нагревают до 145° и в течение ~2 час. прибавляют к нему нагретую до 65° смесь 3,17 кг-моля 99,6%-ного IV с 149,5 кг  $\text{C}_6\text{H}_5\text{Cl}$  (V). Р-цию ведут при 145 ± 5° в атмосфере  $\text{CO}_2$  и с защитой от действия влаги. По окончании введения IV коммуникации аппаратуры заполняют 41,7 кг V. Т-ру 145 ± 5° поддерживают еще 10 час., смесь разбавляют 625 кг V, прибавляют к ней 2,3 кг поропка для фильтрования и фильтруют при 125–135° (коммуникации заполнены 292 кг V). Фильтрат охлаждают до ~80° (начинается кристаллизация II) и затем доводят т-ру смеси до 25–30°. Осадок центрифугируют, промывают его 426 кг V и сушат при 25–30 мм рт. ст. и 150° (давление пара в обогревателе сушилки 4,2 ат, время сушки 5 час.). Получают 754 г 99,57%-ного II (маточные р-ры также содержат II). Дан пример синтеза II с малыми нагрузками реагентов и с использованием в качестве р-рителя о-дихлорбензола (выход 53,8%, степень чистоты II 99,1%). II используют для получения I. Из синтезируемого по указанному методу II готовят светлоокрашенные огнестойкие полиэфирные смолы. II пригоден также для изготовления отверждающихся эпоксидных смол. Н. Маториян

6Л127. Способ получения N-нитро-N'-циклогексанмочевин. Такатори Йоситаро, Ямада Ясую Японск. пат. 1816, 8.03.60.—N-нитро-N'-циклогексанмочевину (I) получают обработкой конц.  $\text{H}_2\text{SO}_4$  на холоду нитрата N-циклогексанмочевин (II основание). 142 г II размешивают при нагревании в 1400 мл 15%-ной  $\text{HNO}_3$ , охлаждают, отфильтровывают и сушат, получают 195 г нитрата II, выход 95%, т. пл. 132°. 332 г сухого нитрата II помещают при –3° вносят в 700 мл конц.  $\text{H}_2\text{SO}_4$ , размешивают 2 часа при < 0° и 2 часа при < 3°, выливают на лед, фильтруют, промывают водой и сушат, получают 150 г I, выход 80%, т. пл. 132°. I пригодна в качестве промежуточного продукта синтеза лекарственных препаратов. С. Петров

6Л128. Получение кислородсодержащих производных смоляных кислот. Moore Richard N., Lawrence Ray V. Preparation of oxygenated resin acid derivatives. [United States of America as represented by the Secretary of Agriculture]. Пат. США 2899463, 11.08.59.—Левонимаровую к-ту (I), ее эфиры или левоимаринол фотохимически окисляют  $\text{O}_2$  до 6,14-пероксид-7(8)-дигидроабиегитиновой к-ты (II) (или до соответствующих производных II) в полярных р-рителях при освещении светом с длиной волны 2000–7000 Å

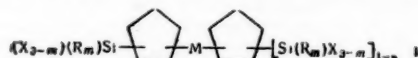
продолжали  
осле выдер  
ее по кат  
тилбензола  
III и этил  
т-ры кип  
него 72,5%  
него исход  
ие I, кото  
стабилиза  
смои и пла  
О. Черепи  
а андриа  
Charles F.  
James L.  
a. chlorin  
kas [Hook  
—Андриа  
к-ты (I)  
239—240°  
длена (III)  
хлорирован  
небольшой  
в течение  
имеет свет  
цветности  
3,15 кг-моля  
прибавляют  
99,6%-ного  
и 145 ± 5°  
и влаги. По  
ратуры за  
завивают ещ  
ляют к ней  
струют при  
V). Фила  
таллизации  
Осадок де  
сушат при  
огревателе  
ают 754 г  
ержат II)  
и реагент  
дихлорбен  
(%). II же  
ого по ук  
анные огн  
также для  
с мол.  
Материал  
иклогексид  
да Ясуа  
тегексиме  
О, на холо  
основание).  
00 мл 15%-  
сушат, по  
132° 332°  
т в 700 мл  
° и 2 час  
примывают  
80%, т. пл.  
о продукты  
С. Петров  
производ  
N., Law  
resin acid  
represented by  
A 2899463.  
или лево-  
6,14-пер  
до соот  
р-рителя  
00—7000 А

в присутствии сенсibilизаторов (резорцинфталеновые красители, о-нафтохинон и его производные, бенгальская роза и другие красители и их смеси). II (или производные II) перегруппировывается в присутствии избытка 0,01 н. (или более конц. р-ра) NaOH в 6-кето-14-окси-7(8)-дигидроабетиновую к-ту (III) (или в производные III). Р-ции протекают при 0—100° (лучше при ~20—80°). III можно получать без предварительного выделения II. В мягких условиях (в  $\text{CH}_3\text{COOH}$  и в отсутствие сильных к-т) III дегидратируют до 6-кетоабетиновой к-ты (IV). В более жестких условиях и в присутствии минер. к-т главным продуктом р-ции является 6-оксидегидроабетиновая к-та (V), которую получают также при термич. изомеризации IV в присутствии сильных к-т. Аппарат для окисления состоит из двух вертикальных концентрич. стеклянных трубок. Наружная трубка (диам. 4,28 см и длина 54 см) имеет на нижнем конце приспособление для ввода газа. Внутренняя трубка (диам. 3,48 см, длина 55 см) открыта в верхней части и содержит люминесцентную трубчатую лампу (15 вт). В 95%-ном спирте готовят р-р, содержащий в 1 л 0,1 моля I, 0,2 моля NaOH и 0,1 г бенгальской розы. 280 мл этого р-ра помещают в пространство между трубками и продувают его воздухом, насыщенным парами спирта. Т-ра смеси повышается от 25 до 40°. Ход р-ции контролируют с помощью УФ-спектроскопии проб смеси [исчисление характеристик. области поглощения I (272 мμ) и возникновение поглощения в области 234 мμ, характерного для γ-окси-α,β-ненасыщ. кетона]. Р-ция заканчивается через 120 мин. Смесь оставляют на ~12 час. для завершения перегруппировки, оксикетон дегидратируют и затем кипятят 30 мин. с 9,5 мл конц. HCl в 25 мл спирта. Смесь разбавляют водой, осадок отделяют, дважды кристаллизуют из  $\text{CCl}_4$  и получают 7,80 г V с содержанием 24%  $\text{CCl}_4$  (комплексное соединение), выход 66% (на I). Продукт обрабатывают  $\text{CH}_3\text{N}_3$  и получают метиловый эфир V (VI), выход 90%, т. пл. 162—162,5°,  $[\alpha]_D^{25} + 71^\circ$  (с 1; сп.). При восстановлении 0,095 г VI  $\text{LiAlH}_4$  в эфире образуется 0,09 г оксиддигидроабетинола (VII), т. пл. 180—182°,  $[\alpha]_D^{25} + 65^\circ$  (с 1; сп.). 5,00 г чистой II растворяют в 50 мл 1 н. р-ра NaOH в 95%-ном спирте. Р-р самопроизвольно нагревается до 46°, затем его кипятят 10 мин., охлаждают, подкисляют 5 мл лед.  $\text{CH}_3\text{COOH}$ , разбавляют водой, осадок отделяют и получают 4,78 г III, выход 96%, т. пл. 150° (с потерей воды),  $[\alpha]_D^{25} + 27^\circ$  (после двух кристаллизаций из  $\text{CH}_3\text{CN}$ ; с 1; сп.), λ(макс.) 235 мμ, метиловый эфир, т. пл. 134—135,5° (из  $\text{CH}_3\text{OH}$  + вода и затем дважды из гентана).  $[\alpha]_D^{25} + 28^\circ$  (1%, сп.). III дает динитрофенилгидразон. Р-р 4,0 г III в 25 мл лед.  $\text{CH}_3\text{COOH}$  кипятят 10 мин., прибавляют 3 капли конц.  $\text{H}_2\text{SO}_4$ , смесь кипятят еще 16 час., охлаждают, разбавляют водой, осадок отделяют и получают 4 г V, λ(макс.) 284 мμ. Дан пример фотоокисления I с последующим превращением II в III, выход 83%. Р-р 0,10 г III в 10 мл лед.  $\text{CH}_3\text{COOH}$  ( $[\alpha]_D^{25} + 43^\circ$ ) кипятят 10 мин. и получают р-р с  $[\alpha]_D^{25} - 12^\circ$ , содержащий V. Синтезированное, как указано выше, комплексное соединение V с  $\text{CCl}_4$  трижды кристаллизуют из лед.  $\text{CH}_3\text{COOH}$ , осадок промывают водой, высушивают и получают V ·  $\text{CH}_3\text{COOH}$ , т. разл. ~150°,  $[\alpha]_D^{25} + 62^\circ$  (с 2; сп.). К суспензии 1,31 г  $\text{LiAlH}_4$  в 25 мл абс. эфира прибавляют в течение 20 мин. и при перемешивании р-р, содержащий 2,00 г V ·  $\text{CH}_3\text{COOH}$ . Массу кипятят еще 20 мин., обрабатывают влажным эфиром и затем 40 мл 3 н. водн. р-ра  $\text{H}_2\text{SO}_4$ . Эфирный слой отделяют, водн. извлекают эфиром, соединенные вытяжки сушат  $\text{Na}_2\text{SO}_4$ , упаривают и в остатке получают 1,48 г VII, выход 92%, т. пл. 166—174°. III—V используют для синтезов различных продуктов. V обладает заметным физиологич. действием.

М. Каплун

6Л129. Кремнийорганические производные дициклопентадиенилметаллов и методы их получения. Вен-

keser Robert A. Organosilicon derivatives of dicyclopentadienyl metals and methods for preparing the same. (General Electric Co.). Пат. США 2831880, 22.04.58.—



Соединения ф-лы (Ia—r), где R — алкил, арил, алкиларалкил, циклоалкил или их галоидзамещенные; X — галоид; M = Fe, Ni; m = 1, 2, 3; n = 0, 1 (в частности при R = везде  $\text{C}_6\text{H}_5$  и m = 3, а M = Fe, n = 0; б M = Fe, n = 1; в M = Ni, n = 0; г M = Ni, n = 1), получают металлизацией дициклопентадиенилметалла алкиллитием и последующим взаимодействием Li-производного с кремнийгалогенидами типа  $\text{R}_m\text{SiX}_{4-m}$ . Р-цию металлизацию проводят в органич. р-рителе при 25—30° в инертной атмосфере в течение 4—5 час., а р-цию конденсации проводят при т-ре кипения того же р-рителя в течение 1—12 час. К р-ру 10 г (0,054 моля) ферроцена в 225 мл сухого эфира прибавляют 0,108 моля  $\text{C}_6\text{H}_5\text{Li}$  и смесь перемешивают 37 час. в токе  $\text{N}_2$ , затем разбавляют 200 мл эфира и приливают 35,3 г (0,108 моля)  $(\text{C}_6\text{H}_5)_2\text{SiCl}_2$ . Смесь кипятят 3 часа, перемешивают 9 час. и затем разлагают 300 мл воды. Выпавший осадок кристаллизуют из  $\text{C}_6\text{H}_6$  и получают 2,5 г Ia, т. пл. 253—254°; из органич. слоя выделяют непрореагировавший ферроцен, а также 6,5 г Ib, т. пл. 142—143° (из петр. эф.). Аналогично получают Iv и г. Приведены примеры получения  $\text{Si}(\text{CH}_3)_2$  и  $\text{Si}(\text{C}_6\text{H}_5)_2\text{Cl}$ -производных. Полученные соединения (не содержащие связи Si-галогид) могут применяться как антиоксиданты, а также катализаторы р-ций карбонилирования, металлизирования железом, как источники свободных радикалов; I, содержащие Ni, применяют как присадки к некоторым видам топлива.

С. Давыдова

6Л130. Фосфорносульфидные производные аддуктов гексахлорциклопентадиена с полиолефинами. Fields Ellis Kirby. Phosphorus sulfide derivatives of hexachlorocyclopentadienepolyolefin adducts. [Standard Oil Co.]. Пат. США 2900377, 18.08.59.— Гексахлорциклопентадиен (I) реагирует с полиолефинами, содержащими 4—60 атомов C и 2—6 двойных связей (молярное соотношение 1:3—1:1), с образованием аддуктов (AD). Р-ции протекают в течение 2—40 час. при 85—170° и при давлении от нормального до 14 ат. Полученные АД реагируют с 2—50%  $\text{P}_2\text{S}_5$ ,  $\text{P}_4\text{S}_6$ ,  $\text{P}_2\text{S}_7$  или  $\text{P}_2\text{S}_5(\text{P}_4\text{S}_{10})$  (время р-ции при 85—200° 1—20 час., давление от атмосферного до 14 ат). При р-циях образуются фосфорносернистые производные (ФСП). 1 моль (83,22 мл) жидкого дивинила (II) испаряют в 1 моль I (1,5 часа, 104°, перемешивание). Массу перегоняют в вакууме и получают АД состава  $\text{C}_6\text{H}_6\text{Cl}_6$ , выход 70%, т. кип. 95°/0,6 мм,  $n_D^{20}$  1,5532. Аналогично синтезируют другие АД (указаны олефины, выход АД в % и т. кип. в °C/мм): изопрен, 45, 103/0,5,  $n_D^{20}$  1,5519; 1-винилциклогексен-3, —, 159—167/0,8,  $n_D^{20}$  1,5662; DL-лимонен, —, —; мирцен, 93, —. 0,1 моля полученного, как указано выше, АД I с II смешивают с 0,05 моля  $\text{P}_2\text{S}_5$  и массу выдерживают 4 часа при 160° (перемешивание). Холодную смесь разбавляют 200 мл гексана и 50 мл  $\text{C}_6\text{H}_6$ , фильтруют, фильтрат упаривают и в остатке получают ФСП с содержанием (в %) 51,9 Cl, 4,65 P и 8,03 S (очень вязкая коричневая жидкость). Аналогично получают продукты р-ции  $\text{P}_2\text{S}_5$  с перечисленными выше АД, ФСП при обработке перегретым паром (104—204°) превращаются в кислые продукты, которые реагируют с гидроксидами, окисями, сульфидами и карбонатами щел. металлов, с окисями и гидроксидами щел.-зем. металлов, с окислами других металлов, с  $\text{NH}_3$  или аминами с образованием солей. Получаемые по настоящему способу ФСП используют в качестве добавок к смазочным маслам (CM) (в кол-вах 0,05—10%). Эти добавки улучшают



свойства СМ при высоких давлениях, ингибируют окисление СМ и ингибируют коррозию металлов, находящихся в контакте с СМ (даны соответствующие примеры). ФСП (можно в сочетании с другими в-вами) используют также как добавки к мазутам, изоляционным маслам, жирам, невысыхающим животным и растительным маслам, воскам и асфальтам. Н. Маторина

**6Л131. Получение бензола.** Haensel Vladimir. Production of benzene. [Universal Oil Products Co.]. Пат. США 2911451, 3.11.59.—Бензол получают пропусканием циклопарафиновых углеводородов, содержащих 6 атомов С в молекуле и  $\geq 5$  атомов С в кольце, вместе с  $H_2$  над катализатором (КТ), состоящим из  $Al_2O_3$ , 0,1—8 вес.% галоида по отношению к весу  $Al_2O_3$  и 0,01—1 вес.% металла группы Pt, причем до включения металла КТ обрабатывают паром с тем, чтобы снизить площадь его поверхности до 75—150 м<sup>2</sup>/г при 315—540°, давл. 3,5—42 ат, объемно-весовой скорости 0,5—20 в 1 час и молярном соотношении  $H_2$ : углеводород  $\geq 0,5$ —20. К  $NH_4OH$  прибавляют  $AlCl_3$ ,  $Al(OH)_3$  промывают водой, смешивают с 4,8% водн. р-ра HF, сушат 17 час. при 300°, таблеттируют, прокалывают на воздухе при t-ре < 670° и 3 часа при 670°. Р-р  $H_2PtCl_6$  растворяют в воде, содержащей 1,5 мл  $NH_4OH$  (100 мл р-ра), смешивают с  $Al_2O_3$ , оставляют на 30 мин., сушат на водяной бане и прокалывают 3 часа при 500°. Промывают горячим р-ром  $NH_4NO_3$  до отрицательной р-ции на Cl-ион. КТ сушат 16 час. при 105°, прокалывают 3 часа в муфеле при 500°. Метилциклопентановую фракцию пропускают над неподвижным слоем КТ при t-ре (на выходе из реактора) 450°, давл. 18 ат, объемно-весовой скорости 4 и молярном отношении  $H_2$ : углеводород 3:1. Опыты с различными КТ показали, что на КТ с более высоким содержанием F степень превращения выше; КТ, обработанный паром, дает больший выход  $C_6H_6$ . И. Берлин

**6Л132. Процесс полимеризации моноолефиновых и ацетиленовых углеводородов.** Shapiro Isadore, Weiss Harold G. Process for the polymerization of monoolefin and acetylene hydrocarbons. [Olin Mathieson Chemical Corp.]. Пат. США 2867675, 6.01.59.—Полимеризацию и циклизацию моноолефиновых и ацетиленовых углеводородов, содержащих 2—4 атома С, проводят при 10—150° в присутствии катализатора (КТ) — гелеобразных окислов ( $SiO_2$ ,  $Al_2O_3$ ,  $MgO$ ), содержащих химически связанный бор, причем атомы Н в молекулах связанной воды замещены на  $BN_2$ - или  $B(OH)_2$ -группы. 370 мл  $C_2H_2$  пропускают при ~20° над гелеобразным  $SiO_2-Al_2O_3$ , предварительно обработанным  $B_2H_6$  до насыщения, при этом цвет КТ (первоначально белый) изменяется до пурпурного. Фракционированием полученной газовой смеси получают ~17 мл  $C_6H_6$  (по данным масс-спектрографич. анализа). Аналогично получают триметилбензол, гексан и (или) циклогексан (следы). Э. Тукачинская

**6Л133. Алкилирование ароматических соединений.** Linn Carl B. Alkylation of aromatic compounds. [Universal Oil Products Co.]. Пат. США 2859251, 4.11.58.—Новый катализатор алкилирования (КА) ароматич. соединений (АС) представляет собой комплекс  $BF_3$  и фторида металла из группы Fe(Fe, Co, Ni) в смеси с HF (0,5—150 молей HF на 1 моль комплекса). Алкилирование проводят при 0—200° и давлении, достаточном для поддержания реагентов в жидкой фазе и препятствующем потере  $BF_3$  (1—100 ат), применяя различные АС, включая АС с конденсированными циклами, нитропроизводные АС, ароматич. амины и их хлор- и бромпроизводные, фенолы, галогенпроизводные АС и ароматич. карбоновые к-ты, альдегиды и кетоны. В качестве алкилирующего агента применяют  $C_2H_4$  (I),  $C_3H_6$  (II),  $n-C_4H_9OH$ , Cl-производные олефинов в соотношении 1 моль на 2—20 молей АС. 28 г порошка Fe смешивают с 88 г безводн. HF в медном автоклаве при

100°. После перемешивания (0,5 час.) и удаления образовавшегося  $H_2$  добавляют 61 г  $BF_3$  и смесь перемешивают 20 час. при 23°. Получают 82 г белого твердого осадка ф-лы  $FeF_2BF_3$  (III). 16 г III в смеси с 259 г толуола загружают в автоклав, добавляют 1 г HF и 37 г II за 1 час, выдерживают 20 мин. при 25°. После обработки продуктов р-ции водой, сушки и разгонки получают 85 г цимоло (72%). Без HF алкилирование не идет. Аналогично из  $C_6H_6$  и I получены моно-, ди- и триэтилбензолы и гексаэтилбензол, т. пл. 127—128°, а из м-крезола и  $n-C_4H_9Cl$  при 100° — в-во с т. кип. 250—255° и  $n^{20D}$  1,5207. Алкилирование можно вести  $C_6$ — $C_9$ -полимерами II. Ю. П.

**6Л134. Производство алкилированных ароматических углеводородов.** Woodle Robert A. Manufacture of alkylated aromatic hydrocarbons. [Texaco Inc.]. Пат. США 2909574, 20.10.59.—Газовый поток, содержащий неразветвленные олефины  $C_2H_4$ ,  $C_3H_6$  и другие углеводороды, пропускают над адсорбентом типа алюмосиликатного молекулярного сита (МС) с размером пор ~4А, селективно адсорбирующим олефины, затем адсорбент контактируют с моноциклич. ароматич. углеводородами в условиях десорбции олефина и смеси десорбированных олефинов и ароматич. углеводородов контактируют с катализатором алкилирования ( $Cr_2O_3$  на алюмосиликате, обработанном HF, кизельгур, обработанный  $H_3PO_4$ ) в условиях алкилирования ароматич. углеводородов олефинами. Адсорбцию и десорбцию проводят при любых подходящих t-рах и давлениях (10—425°, 0—700 ат). Газовый поток, содержащий  $C_2H_6$  (5—70 об.%), пропускают над Na-Са алюмосиликатным МС,  $C_2H_6$  адсорбируется, адсорбент десорбируют газом  $C_2H_6$  при 150—370° (молярное соотношение  $C_2H_6$ :  $C_2H_6$  = 4—20:1). Смесь, состоящую из 20 000 мл  $C_2H_6$  и 1600 г  $C_3H_6$ , пропускают над  $Cr_2O_3$  на алюмосиликате при 120°, давл. ~35 ат и объемной скорости 2,0 и получают фракцию с т. кип. < 90° и 5675 мл высококипящего остатка, при последующей перегонке которого получают кумол. Приведены технологич. схемы. И. Берлин

**6Л135. Способ превращения ксилолов в пара-кислот и стирол.** Scott Carleton B., Schaeffer William D. Process for converting a xylene feed mixture to para-xylene and styrene [Union Oil Co. of California]. Пат. США 2879313, 24.03.59.—Предложен двухстадийный способ разделения смесей ксилолов (I) и этилбензола (II), содержащих (в мол.%) 10—20 II, 15—25  $n$ -I, 40—60  $m$ -I, 15—25  $o$ -I, с одновременным получением стирола (III), заключающийся в предварительной селективной дегидрогенизации (ДГ) II в III в присутствии дегидрирующего катализатора (КТ). После ДГ продукты р-ции разделяют на две фракции: А)  $o$ -I и III; Б)  $m$ - и  $n$ -I. Из А разгонкой выделяют  $o$ -I, а из Б при селективном комплексообразовании с  $SbCl_3$  или  $SbBr_3$  (0,5—5 моля на 1 моль  $n$ -I) после отделения продуктов комплекса получают  $m$ -I. Смесь полученных  $o$ - и  $m$ -I изомеризуют на  $AlCl_3$  в  $n$ -I с рециркуляцией полученных продуктов на стадию комплексообразования. ДГ проводят при 575—700° и давл. 0—35 ат на  $ZnO$ ,  $Cr_2O_3$ ,  $Fe_2O_3$ ,  $MgO$ ,  $Al_2O_3$  или их смеси, причем КТ применяют в чистом виде или на носителе. Регенерацию КТ проводят в токе воздуха при 500—600°. Комплексобразование проводят с предварительным подогревом смеси до 50—80° для получения однородного р-ра  $SbCl_3$  в смеси I с последующим охлаждением до 15—30°. Выпавшие кристаллы комплекса отделяют фильтрованием или центрифугированием. Показано, что оптимальные результаты получаются при содержании  $n$ -I в исходной смеси > 40%. В этом случае выход  $n$ -I (90%-ной частоты) может достигать 86—89%. Пары смеси определенного состава, предварительно смешанные с парами воды (1:1) и нагретые до 650°, подавали со скоростью (в кг/час)  $m$ -I 185,  $o$ -I 91, II 81,5,  $n$ -I 95,5 в реактор с CuCr-КТ (0,6 об. жидких углеводородов на

1 об. КТ  
два слоя.  
ли на кол  
и вакууме  
м-1 смеси  
кулирующ  
дени до  
мные фил  
кристалл  
л-1, 36,8%  
лексобра  
ного прод  
лучением  
л- и м-1 п  
гликолем  
кацией; о  
комплекс  
HCl 2%)  
цикл. Вы  
неоднокр  
можно по  
ратурная

**6Л136.**  
третиче  
лов. Sch  
carbons  
compon  
2846513,  
нений, об  
но разли  
ключаетс  
скольких  
(1а—д п  
пиколин  
дин; г М  
Z = β-и  
Cr, Hg, A  
пиколин  
ны, арил  
тиоциан  
рат, нит  
разовани  
щим в-м  
тут быт  
азотосое  
ната кал  
добавля  
Ia [Ni(II  
селекти  
р-рител  
охлажде  
выделяе  
метил-  
переме  
К полу  
С-угле  
22,6; м-  
мешива  
р-рител  
лизуют.  
ретич. т  
р-рител  
Содерж  
Остающ  
использ  
лучен  
рно-тех  
селекти  
**6Л137.**  
мерных  
мощи х  
for rem  
mers in

412(24)

1 об. КТ в час). Полученные продукты разделяли на два слоя. Углеводородный слой насыщали S и разгоняли на колонке эффективностью 90 теоретич. тарелок в вакууме при флегмовом числе 10. Отогнанные *n*- и *m*-I смешивали с  $\text{SnCl}_4$  (2 моля на 1 моль I) и с рециркулирующим *n*-I и нагревали смесь до 68°. При охлаждении до 25° получены кристаллы комплекса, отделяемые фильтрованием. После промывки *m*-деканом кристаллы расплавляли и перегонкой выделяли чистые *n*-I, 36,8% которого возвращали в рецикл на комплексобразование, а 63,2% отбирали в качестве конечного продукта. Оставшийся фильтрат разгоняли с получением *m*-I. Из остатка, полученного при отделении *n*- и *m*-I перед комплексобразованием, экстрагировали гликолем *o*-I и III, которые затем разделяли ректификацией; *o*-I смешивали с полученным из фильтрата от комплекса *m*-I и изомеризовали на  $\text{AlCl}_3$  (содержание  $\text{HCl}$  2%) 30 мин. при 120°, после чего возвращали в рецикл. Выход *n*-I 83%-ной чистоты составлял 86%. При неоднократном повторении комплексобразования возможно получить *n*-I 97%-ной чистоты. Приведена аппаратурная схема проведения процесса.

Ю. Плотников

6Л136. Разделение углеводородов через их клатратные соединения с аминными комплексами металлов. Schaeffer William D. Separation of hydrocarbons by clathrate formation with Werner complex compounds. [Union Oil Co. of California]. Пат. США 2849513, 26.08.58.—Метод разделения органич. соединений, обладающих близкими физ. и хим. свойствами, но различными молекулярными конфигурациями, заключается в селективной абсорбции одного или нескольких компонентов смеси комплексом ф-лы  $\text{MZ}_u\text{A}_n$  (Ia—д при A везде  $\text{SCN}$ ,  $n = 2$ ,  $u = 4$ , A = Ni, Z =  $\gamma$ -пиколин (II), B = Co, II; в M = Ni, Z = 4-этилпиридин; в M = Fe, Z = II; в M = Mn, два Z = II, два других Z =  $\beta$ -пиколин) (X = Fe, Co, Ni, Cu, Zn, Cd, Pb, Mn, Cr, Hg, Al, Mo; Z — азотсодержащее основание,  $\beta$ - и  $\gamma$ -пиколины, 4-этилпиридин, моно-, ди- и триалкиламины, ариламины, полиамины, пирролы и др.; A — анион тиоцианат, изотиоцианат, азид, цианид, сульфат, нитрат, нитрит, фосфат или  $\text{Cl}^-$ ;  $u = 2-6$ ;  $n = 1-3$ ) с образованием клатратного соединения (KC) с последующим выделением абсорбированного компонента. I могут быть получены при добавлении к соли металла азотсодержащего основания. К смеси 2 молей тиоцианата калия и 10%-ного *n*-ра  $\text{NiCl}_2$  при перемешивании добавляют 4 моля II. Выпавший голубоватый осадок Ia [Ni(II) $_{(SCN)_4}$ ] отделяют фильтрованием. Процесс селективной абсорбции проводится в среде органич. растворителя (OP) (моноэфиры низших гликолей) при охлаждении. Кол-во I составляет 0,25–20 вес. ч. 1 ч. выделяемого компонента смеси, 30 ч. 16 в 100 мл смеси метил- (III) и бутилцеллозольвов (1:1) нагревают при перемешивании до полного растворения 16 (110°). К полученному *n*-ру добавляют 20 мл смеси ароматич.  $\text{C}_8$ -углеводородов состава (в об. %) *n*-ксилола (*n*-IV) 22,6; *m*-IV 51,2; *o*-IV 7,7; этилбензола 18,5. После перемешивания смесь охлаждают, от фильтрата отгоняют *n*-ритель и оставшуюся углеводородную смесь рециркулируют. Осадок смешивают с III и на колонке (5 теоретич. тарелок) отгоняют азеотропную смесь III, IV и *n*-рителя, от которой III отделяют промыванием водой. Содержание *n*-IV в выделенной фракции 64,2 об. %. Остаток после перегонки I не разлагается и вновь используется в процессе. Аналогичный результат получен при использовании III. Приведена аппаратурно-технологич. схема полунепрерывного процесса селективной абсорбции.

Ю. П.

6Л137. Способ выделения *m*-ксилола из смесей изомерных ксилолов, содержащих пара-изомер, при помощи хлорирования. Wohlers Herbert C. Process for removing meta-xylene from mixtures of xylene isomers including the para isomer by means of chlorina-

tion. [Allied Chemical Corp.]. Пат. США 2889382, 2.06.59.—Выделение *m*-ксилола (I ксилол) из смеси его с *o*- и *n*-I и этилбензолом (II), содержащей  $\geq 10\%$  *m*-I, производится селективным хлорированием *m*-I в монохлор-*m*-ксилол (III) газообразным  $\text{Cl}_2$  в темноте при  $t$ -ре от  $-25^\circ$  до  $+60^\circ$  в присутствии  $\text{SnCl}_4$ , причем кол-во  $\text{Cl}_2$  не должно превышать теоретически необходимого для полного хлорирования *m*-I. Получающийся III (т. кип.  $184,5-184,7^\circ$ ) легко отделяется при перегонке. В *n*-ции образуются также небольшие кол-ва монохлор-*o*-ксилола (IV) с т. кип.  $192,0-192,3^\circ$  и монохлор-*n*-ксилола (V) с т. кип.  $184,0^\circ$ . К 250 вес. ч. смеси I (50 *m*-, 21 *n*-, 21 *o*-I и 8 вес. % II) добавляли 1,43 вес. ч.  $\text{SnCl}_4$ , после чего в темноте при  $25^\circ$  со скоростью 0,76 вес. ч. в 1 мин. подают  $\text{Cl}_2$ . Полученную реакционную смесь промывают водой и нейтрализуют 5%-ным *n*-ром  $\text{NaHCO}_3$  с последующей вторичной промывкой водой. После сушки  $\text{MgSO}_4$  продукты разгоняют. Получено 174 вес. ч. смеси I (т. кип.  $136,6-150^\circ$ ), содержащей (в вес. %) 33,3 *m*-, 28 *n*-, 28 *o*-I, 10,7 II; 16 вес. ч. промежуточной фракции (т. кип.  $150-183,5^\circ$ ) и 59 вес. ч. фракции, кипящей при  $183,5-184,3^\circ$  и содержащей (в вес. %) 95,6 III, 1,4 IV и 3,0 V.

Ю. П.

6Л138. Гидрогалогенирование стирола. Montgomery Robert S. Hydrohalogenation of styrene compounds. [The Dow Chemical Co.]. Пат. США 2906781, 29.09.59.—Стирол (I) и другие винилароматич. соединения реагируют с  $\text{HCl}$  или с  $\text{HBr}$  в присутствии хлоридов или бромидов Cu с образованием соответствующих 1-галогидостильных соединений.  $\text{Cu}_2\text{Cl}_2$  и  $\text{Cu}_2\text{Br}_2$  более эффективны, чем  $\text{CuCl}_2$  и  $\text{CuBr}_2$ . Катализатор может применяться на носителе [5–50% активного в-ва на диатомовой земле (ДЗ), коксе, асбесте, неактивных силикатных глинах или на карбонуде] или без него. Вместо готового катализатора допустимо введение в реакционную смесь в-в, образующих с  $\text{HCl}$  или с  $\text{HBr}$  галогениды Cu (окис, гидроокис, карбонат, сульфид и другие соли Cu). *n*-ции протекают при  $0-50^\circ$  (лучше при  $20-50^\circ$ ) с прибавлением в смесь ингибиторов полимеризации. Способ может быть непрерывным (или полунепрерывным). В перемешиваемую суспензию 1 вес. ч. мелкоизмельченной  $\text{Cu}_2\text{Cl}_2$  в 100 вес. ч. I пропускают при  $\sim 20^\circ$  ток  $\text{HCl}$  (газа). Ход *n*-ции контролируют по изменению плотности смеси. Через 2 часа продукт *n*-ции содержит 71 мол. % 1-хлорэтилбензола (II). Через 4 часа содержание II повышается до 90 мол. %. Без  $\text{Cu}_2\text{Cl}_2$  через 1 час и через 4 часа образуется соответственно 10 и 47 мол. % II. Дан пример получения II с использованием ДЗ с 32% восстановленной Cu. Даны также примеры непрерывного синтеза II в присутствии 32% восстановленной Cu на ДЗ (Cu в процессе *n*-ции превращается в  $\text{Cu}_2\text{Cl}_2$ ),  $\text{Cu}_2\text{Cl}_2$  на ДЗ,  $\text{CuCl}_2$  на ДЗ и без катализатора (в последнем случае содержание II в продукте *n*-ции составляет 6–11 мол. %).

М. Каплун

6Л139. Получение дигалогидбензолов. Crowder John A., Gilbert Everett E. Production of dihalobenzenes. [Allied Chemical Corp.]. Пат. США 2866828, 30.12.58.—Дигалогидбензолы (ДГБ) получают при восстановлении тригалогидбензолов (ТГБ), где все три атома галогенов одинаковы, в присутствии гидрирующего катализатора (ГК): Pt, Pd, Ni, хромиты Ni и Cu, применяемого в виде суспензии на носителе. *n*-ции ведут при  $250-600^\circ$  в зависимости от активности ГК, давл.  $0,07-0,35$  атм и времени контакта  $0,5-2$  мин. ГК 0,5% Pt на активированном угле работает без регенерации 200–1000 час. При восстановлении 1,3,5- или 1,2,4-ТГБ получают *m*-ДГБ, а из 1,2,3-ТГБ — *o*-ДГБ, причем выход фракции ДГБ 80–90%, а содержание в ней *meta*- (или *ortho*)изомера 25–100%. Кроме того, образуются небольшие кол-ва моногалогидбензола. Фракцию, полученную при хлорировании  $\text{C}_6\text{H}_6$  в гексахлорциклогексан и содержащую (в вес. %) 70 1,2,4- и 30

1,2,3-И (I трихлорбензол), обрабатывали  $H_2$ , взятым в избытке 80 мол. %. Смесь в газовой фазе пропускали над ГК — хромит Ni на  $CaF_2$  при 350°, давл. 0,07 атм, времени контакта 0,5 мин. ГК предварительно обрабатывали смесью 60%  $N_2$  + 40% HF при 150° с последующей продувкой влажным воздухом 1 час при 200°. Кол-во прореагировавшего I составляет 63,5%. В продуктах р-ции найдено (в вес. %): 6,9  $C_6H_6$ , 29,6  $C_6H_5Cl$ ; 63,5 смеси  $C_6H_4Cl_2$  состава 33 орто-, 27 мета- (17,5 на исходный I) и 40 пара-изомеров. Выход  $m-C_6H_4Cl_2$  может быть увеличен до 65% при использовании 0,5% Pt/C при 375° и времени контакта 1 мин. 416 ± 1,2,3-И смешивали с 5,5%-ным молярным избытком  $H_2$  и пропускали за 12 час. над 0,5% Pt/C при 350° и 0,07 атм. Получен 67%-ный выход фракции  $C_6H_4Cl_2$ , содержащей 98% орто-изомера.

Ю. Плотников  
6Л140. Способ получения хлормезитиленов. Bolton Frank H. Process for making chloromesitylene. [The Dow Chemical Co.]. Пат. США 2849501, 26.08.58. — Моно- и дихлормезитилены получают взаимодействием  $Cl_2$  со смесью ароматич. углеводородов, содержащих 9 атомов C в молекуле [смесь этилтолуолов (I) и  $\geq 5$  вес. % мезитилена (II)], кипящей при 155—200° (160—175°) в присутствии катализатора  $FeCl_3$  или  $SbCl_5$  при т-ре от -10 до 110° (40—100°) в кол-ве, соответствующем 0,75—1,5 моля  $Cl_2$  на 1 моль II. В реакционный сосуд, покрытый черной краской, помещают 1350 г ароматич. нефтяной фракции с т. кип. 100—165°, состоящей из 47 вес. % II, 40% о-И, 6% м-И и 5% п-И и 2% неидентифицированных соединений, и 6,4 г  $FeCl_3$ . Смесь перемешивают и при 48—51° вводят 450 г  $Cl_2$  в течение 2 час., хлорированный продукт промывают водой. 10%-ным р-ром NaOH и водой и перегоняют. Перегонкой 1490 г продуктов р-ции получают фракции: 1) т. кип. 100—168°, 689 г, 2) 65—100,5°/25 мм, 9 г, 3) моноклор-П, 100,5—101°/25 мм, 611 г, 4) 101—133°/25 мм, 122 г, 5) дихлор-П, т. кип. 133°/25 мм, 166 г, 6) остаток 24 г. 1 фракция состоит из 78 вес. % о-И, 11% м-И и 11% п-И. Выход моноклор-П 74,5%, считая на II, дихлор-П 11,3%.

Г. Марголина  
6Л141. Производство фенола из кумола. McNoughtan Thomas J. Manufacture of phenol from cumene. [Schenectady Varnish Co., Inc.]. Пат. США 2906789, 29.09.59. — При получении фенола (I) и ацетона (II) из кумола (III) выходы I и II в значительной степени зависят от чистоты исходного III. Так, присутствие следов I и следов соединений Sn, As и Se в III оказывает неблагоприятное влияние на ход процессов. Для удаления загрязнений предложена обработка III сильными к-тами с последующей промывкой сильными щелочами. Лучшие результаты получают с применением для промывки III 2—20%-ных водн. р-ров  $Na_2CO_3$  или  $Na_2BO_3$  при pH 6—12 (лучше ~8). При последней обработке удаляются примеси фенольного характера и соединения Sn, а в случае использования  $Na_2BO_3$  удаляются, кроме того, As и Se (в виде внутрикомплексных солей). Обработку III завершают вакуумной ректификацией. Очищ. III окисляют до гидроксикис III (IV) в многоступенчатом (напр., в трехступенчатом) реакторе при т-рах и времени контакта в 1, 2 и 3 ступенях соответственно 130—80° и 4—24 часа, 100—60° и 8—48 час. и 80—30° и 16—96 час. Из продукта окисления, содержащего 5—30% IV, избыток III удаляют отгонкой с паром. Отогнанный III (с содержанием 2—5% IV) рециклируют. Разложение IV протекает в присутствии 10—70 вес. % (от IV) катализатора [20—70 вес. %  $H_2SO_4$ , 0,2—35 вес. %  $HClO_4$  (V) и 30—80% воды] и при т-рах  $\geq 100^\circ$ . Время р-ции 30—90 мин. Способ может быть непрерывным. Приведены технологич. схемы процессов. 2000 г продажного III (фирмы Dow Chemical Co.) промывают дважды 96%-ной  $H_2SO_4$  (по 200 мл) и затем дважды 25%-ным р-ром NaOH (по 200 мл). После 2-кратной промывки дистил. водой (по 200 мл) органич. слой фракциони-

руют и фракцию с т. кип. 59°/1 мм продавливают воздухом (24 часа, 100°). Получают IV, выход 41,3%; pH конечной смеси 6,1. Аналогичная обработка, но с промывкой III разб. р-ром NaOH и с окислением III в присутствии р-ра  $Na_2CO_3$  приводит к образованию IV с выходом 51,9%. Даны примеры очистки III в различных условиях и использованием р-ров  $Na_2CO_3$  и  $Na_2BO_3$ . 3000 г III нагревают в реакторе емк. 5000 мл до 40° и продавливают через жидкость воздух с такой скоростью, чтобы т-ра смеси оставалась  $\sim 40^\circ$ . По достижении в смеси конц-ии IV 25% в последнюю вводят свежий III (можно с содержанием рециклизованного III) так, чтобы конц-ия IV оставалась приблизительно постоянной. Одновременно из реактора с такой же скоростью выводят продукт р-ции (смесь III с IV). Даны примеры окисления III до IV в различных условиях. 500 г смеси, содержащей 73,8% III и 26,2% IV, вводят в середину колонны (длина 61 см, диам. 2,5 см) с насадкой и перегоняют с паром. Получают дистиллят с содержанием (в %) 32 воды, 4 IV и 64 III. Остаток после высушивания содержит 99,4 IV. Даны примеры разделения III и IV в других условиях, 2500 г очищ. III окисляют  $O_2$  воздуха при 100° (24 часа) в присутствии 10 г  $Na_2BO_3$  в 100 мл воды при pH 8,0. Выход IV 52,9%. Продукт окисления делят на 5 порций (по 500 г) и каждую порцию обрабатывают 60 г  $H_2SO_4$ , в 140 г дистил. воды с добавкой к каждой порции соответственно 10 г 36%-ной HCl, 40 г 36%-ной HCl, 10 г 33%-ной V, 30 г 33%-ной V и 90 г 33%-ной V (смесь III с IV прибавляют к смеси к-т в течение 1 часа при 100° и затем массу выдерживают 3 часа при 100°). Максим. выходы I (90,9%) и II (89,0%) получают с использованием 30 г 33%-ной V. Даны примеры разложения чистой IV и смеси IV с III в различных условиях в присутствии  $H_2SO_4$ . Дан также пример очистки III, окисления III до IV, выделения IV и разложения IV до I и II с непрерывным осуществлением процесса на всех стадиях.

М. Каплун  
6Л142. Способ выделения и очистки *n*-трет-бутилфенола. Chroameček Richard. Způsob isolace a čištění *n*-terc. butylfenolu. Чехосл. пат. 88410, 15.01.59. — Чистый *n*-трет-бутилфенол (I) получают перегонкой с перегретым водяным паром при 110—200° (лучше при 130—150°). Сырую смесь, полученную после р-ции Фриделя — Крафта из 3871 г трет-бутилхлорида, 3566 г фенола и 39 г безводн.  $AlCl_3$ , перегоняют с водяным паром при 140°. Во избежание кристаллизации в холодильнике т-ру конденсата поддерживают  $\geq 50^\circ$ . Получают 24 г I с т. пл. 95—96°, 4625 г продукта с т. пл. 98—99° и 19 кг водн. фазы.

А. Мышкин  
6Л143. Повышение цветовой стабильности алкилфенолов. Enos Herman I, Jr. Improving color stability of alkyl phenols. [Hercules Powder Co.]. Пат. США 2877273, 10.03.59. — Для стабилизации цвета алкилфенолов, имеющих в алкильной группе 2—20 атомов C в получаемых при алкилировании фенолов олефинами в присутствии  $H_2SO_4$ ,  $FeCl_3$ ,  $H_3PO_4$ , HCl, глинозема и других катализаторов алкилирования, к алкилфенолам добавляют 0,01—5 вес. % абетиламина флы  $RN(CH_2COOH)_2$  (I, R — абетирил, X = H, Ia), где R — радикал абетирил, гидроабетирил или деагидроабетирил, X = H,  $NH_4$  или щел. металл, при т-ре 0—125°. I получают окислением соответствующих двухатомных спиртов в присутствии щелочи или при р-ции амина флы  $RNH_2$  с эквивалентным кол-вом  $ClCH_2COOH$  (II). В сосуд с мешалкой, термометром и обратным холодильником загружают 124 вес. ч. деагидроабетиламина (III). После добавления 42 ч. II в 90 ч. этанола проводят при 65° экзотермич. р-цию, во время которой при перемешивании добавляют р-р 17 ч. NaOH в 26 ч. воды и 90 мин. так, чтобы т-ра держалась на одном уровне. Смесь выдерживают 4 часа при 95°. При этом отгоняется спирт и pH изменяется с 8 до 6. Добавление р-ра 26 ч. KOH в 240 ч. воды восстанавливает pH реак-

дционной  
вают р-р  
ды при  
гликоле  
за 30 ми  
(ка, 90°)  
стоянии  
ляют HC  
ления с  
горячей  
140 ч. Ia  
2,6-ди-тр  
0,5 часа,  
Затем см  
кристалл  
куки. П  
ла при с  
как обра  
другие п  
6Л144.  
полов. G  
eterow gl  
zolu. По  
ры фено  
получаю  
фенолы  
добавля  
100° (эк  
смесь ки  
вакууме,  
фильтру  
выделяе  
Сходным  
с выходо  
6Л145.  
Andre  
Berth  
than. Ч  
получаю  
с кетона  
ривном  
К хоро  
конц. Но  
с такой  
40° (~3  
вводят K  
ди II на  
метилме  
рез ~4  
отсасыв  
водой до  
при 40—  
III (89%  
ния обр  
получаю  
564 ч., г  
водят р-  
чают 510  
тана. т.  
ОНОН  
ствии 56  
тетрахл  
та, т. г  
сле соот  
использ  
6Л146.  
бис-(2,5-  
Eve ге  
2,2'-isop  
ethanol.  
16.06.59.  
этанол:  
меризац



от возду-  
%; рН по-  
то с про-  
ем III в  
вание IV  
в различ-  
и Na<sub>2</sub>BO<sub>3</sub>  
до 40° в  
коростью,  
стижения  
т свежий  
(III) так,  
постоян-  
скоростью  
приме-  
ных. 500 г  
одят в со-  
с насад-  
ляют с со-  
ток после  
еры раз-  
очищ. III  
присутст-  
Выход IV  
аций (по  
H<sub>2</sub>SO<sub>4</sub>, в  
ция соот-  
HCl, 10 г  
V (смесь  
часа при  
при 100°).  
лучают с  
еры раз-  
азличных  
е пример  
IV и раз-  
ствлением  
I. Кадуз  
ет-бутил-  
isolase в  
15.01.59.—  
егоной с  
учие при  
ле р-ции  
хлорида,  
ют с во-  
аллизации  
ют ≥ 50%.  
та с т. пл.  
Мышкин  
и алкил-  
color sta-  
Пат. США  
илфено-  
омов С и  
финами в  
нозема в  
лфенола  
RN(CH<sub>2</sub>-  
радикал  
и, X = H,  
получают  
спиртов  
на ф-ны  
(II). В со-  
подилья-  
ина (III).  
проводит  
при пере-  
м. воды и  
м. уровня  
гом отто-  
обавление  
фН реак-

дионной смеси вновь до 8. В отдельном сосуде смешивают р-ры 31 ч. КОН в 46 ч. воды и 45 ч. II в 90 ч. воды при т-ре <30° (для предотвращения образования гликолевой к-ты). Полученный ClCH<sub>2</sub>COOK добавляют за 30 мин. к р-ру III при 65°. После нагревания (4 часа, 90°) получают смесь с рН 6, которую в горячем состоянии разбавляют равным объемом C<sub>6</sub>H<sub>6</sub> и подкисляют HCl (к-той) до рН 2. После расслоения и разделения слоев горячий бензолный слой промывают горячей водой, разделяют и перегоняют. Получают 140 ч. Ia, т. пл. 96—103°, 1,6 ч. Ia смешивают с 528,8 ч. 2,6-дигет-бутил-4-метилфенола (IV) и нагревают 0,5 часа, перемешивая при 80°, при этом IV плавится. Затем смесь выливают в алюминиевую посуду и закристаллизовавшуюся массу разбивают на мелкие куски. Полученный IV с добавкой Ia не изменяет цвета при стоянии на свету в течение 1 года, в то время, как образец без Ia желтеет через 4 недели. Приведены другие примеры стабилизации. Ю. Плотики

6Л144. Способ получения глицериновых эфиров фенолов. Dąbrowska Donata. Sposób otrzymywania eterów glicerynowych fenoli zwłaszcza gwajakolu i o-krezolu. Польск. пат. 42379, 26.09.59.—Глицериновые эфиры фенолов [в частности гваякола (I) и о-крезола (II)] получают действием α-глицерина глицерина (III) на фенолы в сильнощел. р-ре. К смеси 124 г I и 111 г III добавляют 80 г 50%-ного NaOH, т-ра повышается до 100° (экзотермич. р-ция), после прекращения р-ции смесь кипятят еще несколько часов, отгоняют воду в вакууме, горячий остаток экстрагируют изо-C<sub>3</sub>H<sub>7</sub>OH и фильтруют экстракт. При охлаждении из фильтра выделяется глицерингваяколовый эфир, выход >80%. Сходным образом III этерифицируют II, получая эфир с выходом ~8%.

6Л145. Способ получения диоксинарилатанов. Andreas Friedrich, Heidinger Werner, Berthold Horst. Způsob výroby dihydroxyarylmethanů. Чехосл. пат. 92108, 15.10.59.—Диоксинарилатаны получают конденсацией фенола (I) и его производных с кетонами и альдегидами в кислой среде при непрерывном введении HCl (газа) в реакционную смесь. К хорошо перемешиваемой смеси 1000 ч. I и 2000 ч. конц. HCl с ~0,5% SO<sub>2</sub> добавляют 174 г ацетона (II) с такой скоростью, чтобы т-ра смеси не превышала 40° (~30 мин.). Одновременно при легком вакууме вводят HCl (газ) с 10 об. % SO<sub>2</sub>. По окончании добавляя I начинают выпадать осадок 4,4-диоксидифенилдиметилметана (III), который полностью выпадает через ~4 часа, после чего прекращают введение HCl, отсасывают осадок, промывают его конц. HCl и затем водой до нейтр. р-ции и отсутствия I, 24 часа сушат при 40—50° и 15—20 час. при 80—90°. Получают 609 ч. III (89% на II), т. пл. 155—157°. Опыт повторяют, добавляя к смеси 50 ч. лед. CH<sub>3</sub>COOH для предотвращения образования окрашенных побочных продуктов, получают III с выходом 87,5%. Уменьшая кол-во I до 564 ч., получают III с выходом 88%. Аналогично проводят р-цию с 12000 ч. о-крезола, через 40 час. получают 510 ч. 3,3'-диметил-4,4'-диоксидифенилдиметилметана, т. пл. 132°. 382 ч. 2,4-дигет-ор-о-ксиленола в 160 ч. OH<sub>2</sub>OH конденсируют при 25° с 30 ч. CH<sub>2</sub>O в присутствии 500 ч. конц. HCl. Через 6 час. получают 2,6,2',6'-тетрахлор-3,4,3',4'-тетраметил-5,5'-диоксидифенилметана, т. пл. 228°. Получаемые в опытах фильтраты после соответствующего укрепления могут быть вновь использованы для реакций.

А. Мышкин  
6Л146. Нейтральные диэфиры 2,2'-[изопренилиден-бис-(2,5-дихлор-п-фениленокси)]-диэтанола. Hurdis Everett C., Petras John F. Neutral diesters of 2,2'-[isopropylidenebis(2,6-dichloro-p-phenyleneoxy)]-diethanol. [United States Rubber Co.]. Пат. США 2891092, 16.06.59.—Перэтерификацией диалкилфумаратов диэтанолами получают соединения, которые при сополимеризации с олефинами образуют термо- и светостой-

кие пластики. 227 г 2,2'-[изопренилиден-бис-(2,6-дихлор-п-фениленокси)]-диэтанола (I), 216 г диметилфумарата, 200 мл толуола и 0,8 г п-трет-бутилпирокатехина кипятят, отгоняя азеотропную воду + толуол, прибавляют 4,4 г Mg, азеотропную смесь CH<sub>3</sub>OH + толуол отгоняют при 65—69°; р-ция заканчивается при 160°, избыток р-рителя и фумарата отгоняют в глубоком вакууме и получают продукт с коэф. омыления 186.

И. Берлин

6Л147. Способ получения антиоксидантов. Мацу да Сумио. Японск. пат. 2314, 11.04.59.—Конденсацией по Фриделю—Крафту алкильных эфиров одно- или двухатомных фенолов с дихлорангидридом терефталевой (I) или изоталевой к-ты получают соединения ф-лы RCH<sub>2</sub>R'CH<sub>2</sub>R (II, R—алкилоксибензил или алкилдиоксифенил, R'—фенилен). 3 моля трет-бутилвератрола (III) и 1 моль I растворяют в C<sub>2</sub>Cl<sub>4</sub>, охлаждают до 0°, прибавляют AlCl<sub>3</sub>, размешивают 3—4 часа при 20°, нагревают 2 часа при 60—70°, реакционную массу разлагают смесью льда и HCl (к-ты), отгоняют с водяным паром C<sub>2</sub>Cl<sub>4</sub>, удаляют непрореагировавший III и восстановлением по Клемменсену полученного diketона (кипячением в течение нескольких часов с 48%-ной HBr) получают I (R—3,4-диокси-трет-бутилфенил, R'—п-фенилен). II пригодны в качестве антиоксидантов для смазочных в-в, жиров, масел, витаминов А, рыбьего жира, каучука и синтетич. смол.

С. Петрова

6Л148. Способ получения β-арилэтиловых спиртов из ароматических соединений и этилена или этилового спирта. Итикава Кацухико, Фугусима Итару, Оути Хадзимэ. [Нихон кагаку сэнги канкюдзэ]. Японск. пат. 4963, 13.06.59.—Реакцией C<sub>6</sub>H<sub>6</sub>, нафталина и их алкил-, алкокси- или галондпроизводных с C<sub>2</sub>H<sub>4</sub> или спиртом в присутствии H<sub>3</sub>PO<sub>4</sub>, HClO<sub>4</sub>, H<sub>2</sub>SO<sub>4</sub> или сульфокислот и органич. солей Hg получают соответствующие β-арилэтиловые спирты и β-арилэтиловые эфиры алифатич. к-т, которые гидролизуют до спиртов. 324 г анизолла нагревают с 150 г 98,6%-ной H<sub>3</sub>PO<sub>4</sub>, 96 г (CH<sub>3</sub>COO)<sub>2</sub>Hg и C<sub>2</sub>H<sub>4</sub> в течение 3 час. при 130°, продукты ф-ции извлекают C<sub>6</sub>H<sub>6</sub>, экстракт промывают водой, нейтрализуют, гидролизуют и перегонкой в вакууме выделяют 21 г β-(п-метоксифенил)-этилового спирта, т. кип. 124—126°/6 мм, и 31,4 г β-(п-метоксифенил)-этилацетата, т. кип. 125—127°/6 мм. Аналогично получают β-арилэтиловые спирты и β-арилэтилацетаты, у которых арил—фенил, толлил, о-диметилфенил, хлорфенил и α-нафтил, β-(нафтил-1)-этилацетат, т. кип. 181—184°/12 мм.

С. Петрова

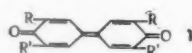
6Л149. Полифенильные производные олефиновых альдегидов. Farnham Alford G. Polyphenylol derivatives of olefinic aldehydes. [Union Carbide Corp.]. Пат. США 2885385, 5.05.59.—Альдегиды ф-лы C<sub>n</sub>H<sub>2n-1</sub>CHO (n = 2—6) реагируют в присутствии кислых катализаторов с ≥ 3 молями одноосновного фенола, имеющего одно активное положение в ядре, или с ≥ 5 молями одноосновного фенола с двумя или тремя активными положениями в ядре. При р-циях образуются относительно низкомолекулярные полифенилы (три-, пента- и гептафенилы, содержащие 2x + 1 фенильные группы, соединенные с x трехвалентными остатками ф-лы C<sub>n</sub>H<sub>2n-1</sub>CH, где x = 1,2 или 3), их смеси и смеси изомеров. Для получения смесей указанных продуктов альдегиды необходимо вводить в р-цию, по крайней мере, с 1,6 теоретич. эквивалента фенола. Для достижения более высоких выходов трифенилов молярное соотношение фенола к альдегиду должно составлять 10:1 (т-ра р-ции 30—60° или выше). Смесью 5 молей фенола (I), 0,33 моля акролеина (II) и 0,3 мл 37,5%-ной HCl оставляют до окончания экзотермич. р-ции (т-ра смеси повышается от ~20 до 78°). Массу выдерживают 1 час при 100°, избыток I отгоняют при 10—12 мм рт. ст. и при т-ре до 200° (шарик термометра погружен в жидкость) и в остатке полу-

чают 99,4 г трифенилола, выход 93% (считая на продукт с мол. весом 320) (плавкое и хрупкое при  $\sim 20^\circ$  в-во). Пробу в-ва перегоняют при 0,4—0,5 мм рт. ст., 62% в-ва переходит при 260—290° (в остатке 35,6%). Неочищ. и перегонянный продукт растворяются в спирте и ацетоне и плохо растворяются в  $C_6H_6$ . Даны примеры р-ций I с II в различных соотношениях с получением различных продуктов и их смесей. Даны также примеры р-ций *n*-крезола с II и 2,6-ксиленола (III) с II. При р-циях III с II получают кристаллич. в-ва ф-лы  $C_{27}H_{32}O_3$  с т. пл. 172,5—174° (из  $CH_3COOH$ ), выход 42% и с т. пл. 167—169° (из 70%-ной  $CH_3COOH$ ), выход 43%. Получаемые по указанному способу полифенилолы при р-циях с эпихлоргидрином или с другими хлоргидринами в присутствии NaOH превращаются в полиглицидные эфиры или в эпокси соединения. Последние в-ва (после удаления водой NaOH и хлоридов) дают термопластичные продукты, устойчивые при  $\sim 20^\circ$  и медленно изменяющиеся при  $\sim 150^\circ$ . Указанные эпокси соединения превращаются в термореактивные смолы при длительном нагревании или (быстрее) в присутствии кислот или щел. катализаторов, а также при р-циях с полифункциональными органич. соединениями с подвижными атомами H (полиолы, полиетиолы, поликарбонные к-ты и их ангидриды, полиамины, полифенолы). Полученные из фенолов с  $\geq 2$  активными положениями в ядре полифенилолы реагируют с олефиновыми или насыщ. алдгидами с образованием термореактивных смол типа фенолформальдегидных. Н. Маторина

**6Л150.** Способ получения карбонильных соединений. Hojós Andor. Eljárás karbonil- vegyületek előállítására. [Gyógyszeripari Kutató Intézet]. Венг. пат. 145633, 30.11.59.—*n*-Нитроацетофеноноксим и *n*-нитробензальдоксим (I) окисляют  $HNO_3$ , ее эфирами и окислами азота в соответствующие карбонильные соединения. К смеси 1,66 г I, 50 мл воды и 5 мл конц.  $H_2SO_4$  при интенсивном перемешивании при 50—60° прибавляют водн. р-р 0,69 г  $NaNO_3$  и оставляют на  $\sim 12$  час. в холодильнике, осадок отфильтровывают, промывают водой, сушат в эксикаторе, получают 1,28 г (85%) *n*-нитробензальдегида, т. пл. 103—105°. Аналогично получают *n*-нитроацетофенон, т. пл. 80—82°.

М. Коловертнова  
**6Л151.** Способ получения органических гидроперекисей. Verfahren zur Herstellung organischer Hydroperoxyde. [Ruhchemie A.-G.]. Пат. ФРГ 1041960, 22.10.59.—Органические гидроперекиси (ГП) получают жидкофазным окислением углеводородов  $O_2$  при 70—80° (для повышения скорости р-ции можно работать при более высоких т-рах), при атмосферном или повышенном давлении в присутствии фталоцианинов Mg, Zn, Cu, Ni или Mn и небольшого кол-ва получаемой ГП. Смесь 120 г кумола, 0,3 г Zn-фталоцианина и 1,5 г ГП кумола при 115° перемешивают с  $O_2$  через 10 час. содержащий ГП составляет 43%. Аналогично получают ГП из  $(C_6H_5)_2CH_2$ ,  $C_6H_5C_2H_5$ , *n*-цимола, декагидро-нафталина, метилциклогексана, *n*-ментена.

Е. Бутеренко  
**6Л152.** Метод получения 3,3',5,5'-тетраалкил-4,4'-дифенохинонов. Filbey Allen H. Method for preparing 3,3',5,5'-tetraalkyl-4,4'-diphenylquinones. [Ethyl Corp.]. Пат. США 2905674, 22.09.59.—Вещества ф-лы (I, R и R' = *tert*-C<sub>4</sub>H<sub>9</sub>, Ia), где R и R' — также алкильные группы с  $< 12$  атомами C каждая [R и (или) R'



разветвлены у  $\alpha$ -углеродного атома], получают при р-циях 4-галоид-2,6-диалкилфенолов с основаниями, константа ионизации которых  $> 1,6 \cdot 10^{-3}$  (25°) (алифатич. амины, гидроокиси четвертичных аммониевых

оснований, алкотолаты и гидроокиси щел. металлов). На 1 моль исходного фенола берут  $\sim 1$  моля основания. Вместо галоидфенолов можно использовать 2,6-диалкилфенолы и галоиды. Выделяющегося при титровании фенолов тепла достаточно для поддержания дальнейшей р-ции с основаниями. Р-ции протекают при 0—75° (в случае работы с сильными основаниями) или при 60—200°. Время р-ции 2—24 часа (в зависимости от силы основания). Смесь (в вес. ч.) 57-4-бром-2,6-ди-*tert*-бутилфенола (II), 40 NaOH 200 воды и 206 диоксана кипятят 24 часа (исходное молярное соотношение NaOH : II = 5 : 1). Массу обрабатывают эфиром и разб. р-ром NaOH и отделяют 30 вес. ч. кристаллич. в-ва. Из эфирного р-ра выделяют еще 8 вес. ч. в-ва. Всего получают 38 вес. ч. Ia конверсия 93%, т. пл. 244,5—245,5°. Даны примеры синтеза Ia из 4-хлор-2,6-ди-*tert*-бутилфенола (III) и пиперидина (выход 85%) и из II и  $CH_3ONa$  (выход 75%). К 600 вес. ч. 2,6-ди-*tert*-бутилфенола (IV) и 240 вес. ч. NaOH в 4875 вес. ч. 1,2-диэтоксизатана прибавляют по каплям в течение 30 мин. 480 вес. ч. Br<sub>2</sub> (перемешивание). Масса разогревается до 100°. Смесь сильно перемешивают и дают ей медленно охлаждаться. Выпавшие кристаллы отделяют, промывают небольшим кол-вом 1,2-диэтоксизатана и получают 525 вес. ч. Ia, выход 87%. Даны примеры синтеза Ia из IV и Br<sub>2</sub> в различных условиях (в некоторых синтезах побочно образуется II, т. пл. 84—82,5°). Аналогично получают также I, R и R' = *iso*-C<sub>4</sub>H<sub>9</sub>, выход 43,2%, т. пл. 196—198°, и I, R = *tert*-C<sub>4</sub>H<sub>9</sub>, R' = *iso*-C<sub>4</sub>H<sub>9</sub>. I применяют для защиты бензинов, альдегидов, жирных масел, смазочных масел, эфиров и других в-т от окисления, от образования перекисных соединений, полимеризации и от образования смол. Из I готовят 3,3,5,5'-тетраалкил-4,4'-диоксидифенилы, которые так же являются ингибиторами окисления. М. Кашур

**6Л153.** Метод получения хинонов.—Verfahren zur Herstellung von Chinonen. [Lannacher Heilmittel G. m. b. H.]. Австр. пат. 208848, 25.04.60.—Диалкилхиноны получают окислением соответствующих диалкилфенолов (напр., изопсевдокумол, 2,5-диметилфенол (I и т. д.)  $NaNO_2$  и конц.  $H_2SO_4$  или эквимольным кол-вом  $NO$  +  $NO_2$  в присутствии конц.  $H_2SO_4$  при т-ре от  $-10$  до  $+30^\circ$  (0—15°). 77 вес. ч.  $NaNO_2$  в течение 10 мин. прибавляют при перемешивании к 850 объемам ч. конц.  $H_2SO_4$  при 0—15°, перемешивают 10 мин. и добавляют 122 вес. ч. I, перемешивают еще 1 час, выливают в 4-кратное кол-во холодной воды и нагревают 1 час на водяной бане, получают 90 вес. ч. (66%) 2,5-диметилбензохинона, т. пл. 123,4—124,4°. Аналогично получают 3,5-диметилбензохинон, т. пл. 72,5—73,5° псевдокумолхинон, т. пл. 32°.

М. Долган  
**6Л154.** Способ окисления серой и водой. Toland William C. Oxidation process with sulfur and water. [California Research Corp.]. Пат. США 2903480, 8.09.59.—Органические в-ва окисляют S и водой при 260—538° и давлением, достаточном для поддержания части воды в жидком состоянии (35—245 ат). На 1 моль органич. в-ва берут 20 молей воды и 0,5—20 *г*-атомов S, которую вводят в горячую реакционную смесь. Преждевременный контакт S с реакционной массой дает худшие результаты. Способ пригоден для окисления алкилароматич. углеводородов, спиртов, кетонов, альдегидов, сложных эфиров, олефинов и алкилбензойных к-т. Способ может быть непрерывным. Приведена технологич. схема процесса. В стальной автоклав емк. 4,5 л помещают 92 г толуола, 1800 мл воды и запаянную стеклянную ампулу, содержащую 100 г S. Содержимое нагревают до 330° и начинают встряхивание (ампула при этом разбивается). Встряхивание продолжают 90 мин. Давление в реакторе повышается до 157,5 ат. Смесь охлаждают, выпускают из автоклава в щел. поглотитель 70 г  $H_2S$ , остаток фильтруют, твердое в-во сушат и перегоняют. Получают

70,9 г  $C_{10}H_8$  коллоиде, В кубе олефины (в скобках м-кислот 64); проп-толлулов [н-толлулов 59,4]; П-изобутулов Даны пр- также ср-контракты (выходы)

6Л155. нистего dation p search C матическ лают до ароматич ствие н 288—426 естатичн жидком г в-ва одну о присуе мых су группн го *n*-к-с и выде м дава окислжидк фильтр чают т ствни хидит также III до ниях м до м-т 91,0%, аналог (капро  $CH_3CO$  логекс и т. д. 6Л15 Таp l for р Пат. углево возду: лов (контат водно метал кле у, сие у. Остат на ок веден ксилт этилп рез с тирур отде: NaOH жим несс ха 19

70,9 г  $C_6H_5COOH$  (I) (5 г I удерживается в перегонной колонне, в водн. фильтрате содержится еще 6 г I), в кубе остается 20,6 г в-ва (S и другие темные побочные продукты). Выход I 75,2%. Аналогично окисляют (в скобках указаны продукты р-ции и их выходы в %) *m*-килол (*m*-толуиловый к-та, 21,6 и изфталевый к-та, 64); пропилен ( $C_2H_5COOH$  и  $CH_3COOH$ ); *o*-килол (*o*-толуиловый к-та, 24,4 и фталевый к-та, 37,5); *n*-килол (*n*-толуиловый к-та (II), 11 и терефталевый к-та (III), 59,4); II (III, 92); пропан ( $CH_3COOH$  и  $C_2H_5COOH$ ); диизобутилен (органич. к-ты, 21,3); ацетофенон (I, 41). Даны примеры окисления в различных условиях. Дан также сравнительный пример окисления *n*-килола с контактом реагентов от момента начала нагревания (выходы II и III соответственно 24,8 и 7,9%).

Н. Маторина

**6Л155. Способ окисления с использованием сернистого ангидрида.** Toland William G., Jr. Oxidation process employing sulfur dioxide. [California Research Corp.]. Пат. США 2900412, 18.08.59.—Алкилароматические углеводороды с хорошим выходом окисляют до карбоновых к-т, содержащих карбоксил у ароматич. ядра, действием  $SO_2$  в водн. среде в присутствии неорганич. оснований. Р-ция протекает при 288–426° (лучше при 316–370°) и под давлением, достаточным для поддержания хотя бы части воды в жидком состоянии (70–350 ат). На 1 моль окисляемого в-ва берут 20–60 молей воды и ~1 моля  $SO_2$  (на одну окисляемую  $CH_3$ -группу). Р-ция ускоряется в присутствии 0,05–0,3 моля  $H_2S$  (или водорастворимых сульфидов) или S (на 1 моль окисляемой  $CH_3$ -группы). В автоклав загружают (в вес. ч.) 2,65 95%-ного *n*-килола (I), 3,6  $SO_2$  и 40 воды. Реактор закрывают и выдерживают его 2,5 час. при 318–321° (за это время давление в автоклаве достигает 120,4 ат). Смесь охлаждают, растворяют в водн. NaOH, фильтруют, фильтрат подкисляют HCl, осадок отделяют и получают терефталевую к-ту (II). Окисление I в присутствии 0,4 вес. ч. S (или такого же кол-ва  $H_2S$ ) проходит быстрее [в этом случае наряду с II образуется также *n*-толуиловый к-та (III)]. Аналогично окисляют III до II. Даны примеры окисления в различных условиях *m*-килола до изфталевой к-ты, выход 83,3%, и до *m*-толуилового к-ты, выход 2,1% и I до II, выход 91,0%, и до  $C_6H_5COOH$ , выход 0,8%. Указывается, что аналогично могут быть окислены многие органич. в-ва (капроновая к-та до  $CO_2$ , тетрагидрофуран до  $CO_2$  или  $CH_3COOH$ , янтарной к-ты, масляной к-ты и  $CO_2$ , циклогексанон до фенола и  $CO_2$ , алканы и алкены до к-т и т. д.).

Н. Маторина

**6Л156. Способ производства ароматических кислот.** Taplin William H., Harris Guy H. Process for producing aromatic acids. [The Dow Chemical Co.]. Пат. США 2906775, 29.09.59.—Алкилароматические углеводороды подвергают частичному окислению  $O_2$  воздуха в присутствии соединений тяжелых металлов (лучше соединений Co). Продукты окисления контактируют при pH 5–9 (лучше 7–8) со слабыми водно-щел. р-рами (карбонатный и бикарбонатный щел. металлов, разб. р-ры гидроокисей щел. металлов). После удаления из смеси карбоновых к-т остаток извлекают щел. р-рами с pH 10 (NaOH и другие щелочи). Остаток после второй экстракции вновь направляют на окисление. Способ может быть непрерывным. Приведена технологич. схема процесса. 11,3 кг технич. *o*-килола (с 9% *m*-килола) (I) и 10,9 г Co (в виде 2-этилгексаноата) нагревают до 140° и пропускают через смесь воздуха. Через 25 час. массу хорошо контактируют с 8%-ным р-ром  $NaHCO_3$ , органич. слой отделяют и таким же образом извлекают 8%-ным р-ром NaOH. Остаток после экстракций смешивают со свежим I и вновь направляют на окисление. Далее процесс ведут непрерывно (140°, скорость подачи воздуха 19 г/час). Каждые 2,5 часа  $\frac{1}{3}$  содержимого реакто-

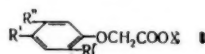
ра удаляют и извлекают р-рами  $NaHCO_3$  и NaOH, как указано выше. Через 109 час. процесс останавливают. За это время расходуют 14,4 кг I. После подкисления  $NaHCO_3$ -экстракта получают 10,7 кг почти чистой толуиловой к-ты (95% *орто*-изомера). Даны примеры окисления I в различных условиях. Дан также пример окисления *n*-трет-бутилтолуола до *n*-трет-бутилбензойной кислоты.

Н. Маторина

**6Л157. Способ непрерывного окисления органических соединений.** Fehr Karl, Fehr Herta, geb. Fortmann. Verfahren zur kontinuierlichen Durchführung von Oxydationen organischer Verbindungen. [Herta Fehr, geb. Fortmann]. Пат. ФРГ 1040030, 19.03.59.—Органические соединения, получаемые из угля и нефти, окисляют при подвергают окислительной очистке от примесей путем нагрева под давлением в аппарате непрерывного действия и последующим смешением с  $O_2$  или  $O_2$ -содержащим газом (с возможной добавкой водяного пара), после чего смесь поступает в колонну, работающую при разрежении, где неокисленные в-ва отделяются от окисленных. Парафин или олефин с добавкой обычных катализаторов нагревают при 1,5 ат в трубчатой печи до 180° и направляют со скоростью 2 кг/мин в соединительную трубу, куда одновременно вводят 1200 л/мин воздуха или 600 л/мин воздуха, обогащенного  $O_2$  (42%). Смесь направляют в колонну, работающую при 0,05 ат, с верха которой отводит непрореагировавший материал вместе с образовавшимся водяным паром и  $N_2$  воздуха, а с низа — жирные к-ты с тем же числом атомов C. При окислении нафталина его нагревают при 3 ат до 300° и в поток 1 кг в 1 мин вводят 1580 л/мин воздуха с 50%  $O_2$ , получают фталевый ангидрид с выходом 95%. Описанный метод окисления применяют для очистки в-в (напр., фенолов, ксилола) от трудноотделимых примесей. Смолы, применяемые в строительстве, и минер. масла, содержащие примеси, чувствительные к  $O_2$ , после обработки описанным методом становятся стабильными.

А. Мышкин

**6Л158. Способ получения запахирующих производных феноксиуксусной кислоты.** Rapoš Pavel, Kováč Jozef. Spůsob výroby nepapáchajících derivátů fenoxycetové kyseliny. Чехосл. пат. 69814, 25.04.59.—Запахирующие производные феноксиуксусной к-ты общей ф-лы (I), где X = H, щел. металл, алкил; R = H,



Cl,  $CH_3$ ; R' и R'' = H, Cl, получают р-цией 1 моля  $ClCH_2COOH$  (II) с 1 молем соответствующего фенола и 2 молями щелочи при одновременном удалении из сферы р-ции образующегося свободного фенола с помощью водяного пара. В реактор загружают 108 кг *o*-крезола (III), 570 кг воды, 80 кг NaOH и после его растворения 94,5 кг II. Смесь нагревают до кипения (103°) и пропускают через нее водяной пар с такой скоростью, чтобы вес отгона через 2 часа был 590 кг. Всего отогнано 21 кг III, который используют для следующей загрузки. Полученный водн. р-р не имеет запаха и содержит 178 кг Na соли 2-метилфеноксиуксусной к-ты.

А. Мышкин

**6Л159. Способ получения фенилпропионоградной кислоты.** Акабори Сиро, Сакураи Сэцудзи [Адзи-но-мото кабусики кайся]. Японск. пат. 4966, 13.06.59.—Фенилпропионоградную к-ту (I) получают кипячением эфиров шавелевофенилуксусной к-ты (II к-та) в  $CH_3COOH$  или  $HCOOH$  в течение нескольких часов в присутствии катализатора этерификации, отгоняют образовавшийся эфир  $CH_3COOH$  или  $HCOOH$  и избыток  $CH_3COOH$  или  $HCOOH$  и декарбоксилированием остатка, содержащего II, получают I. 250 г этилового эфира II, 1200 г  $CH_3COOH$  и 25 г  $n$ - $CH_3C_6H_4SO_3H$



кипятят 5 час., отгоняют образовавшийся этилацетат, перегонкой в вакууме регенерируют  $\text{CH}_3\text{COOH}$ , причем получают 300 г остатка, содержащего II и  $n\text{-C}_6\text{H}_5\text{SO}_3\text{H}$ . Остаток обрабатывают 3 л воды, декарбонизируют при  $38^\circ$  и оставляют стоять 36 час. при этой т-ре, отфильтровывают 118 г 98%-ной I, т. пл.  $143\text{--}147^\circ$ , и концентрированием маточного фильтра дополнительно выделяют 29 г I, общий выход 88%. I является промежуточным продуктом произ-ва фенилаланина.

С. Петрова

**6Л160. Способ получения фенилтолилпропионовой кислоты.** Eidebenz Emil. Verfahren zur Herstellung von Phenyl-tolylpropionsäure. [Chemische Werke Albert]. Пат. ФРГ 1064494, 25.02.60.—К смеси 0,6 кг  $\text{C}_6\text{H}_5\text{CH}=\text{CHCOOH}$  с 12 л  $\text{C}_6\text{H}_5\text{CH}_3$  при сильном перемешивании постепенно добавляют 330 см<sup>3</sup> 96%-ной  $\text{H}_2\text{SO}_4$ , выдерживают 2—4 часа при  $90\text{--}100^\circ$ , продукт р-ции обрабатывают 2 л воды, толуольный р-р дважды промывают 1—2 л воды, отгоняют с водяным паром 9 л толуола, к остатку добавляют 3 л 10%-ного р-ра  $\text{Na}_2\text{CO}_3$  и полученный слабощел. р-р разбавляют 10—12 л воды, оставшийся толуол отгоняют, добавляют HCl до pH 6,0, обесцвечивают углем, фильтруют, фильтрат подкисляют на холоду HCl, получают 850—900 г (90—95%)  $(\text{C}_6\text{H}_5)(\text{C}_6\text{H}_5\text{CH}_3)(\text{CH}_2)_2\text{COOH}$  в виде кристаллов.

Е. Бутеренко

**6Л161. Ароматические карбоновые кислоты и их производные, их получение из перекисных полимеров.** Horwood Stafford L., Jr, Errede Louis A. Aromatic carboxylic acids and derivatives and preparation thereof from peroxide polymers. [Minnesota Mining and Manufacturing Co.]. Пат. США 2864855, 16.12.58.—Перекисный полимер (ПП), являющийся исходным в-вом для получения ароматич. к-т, получают пиролизом л-сизола с образованием хинодиметана и окислением его  $\text{O}_2$ . 4 г ПП, 5 мл  $\text{H}_2\text{SO}_4$ , 50 мл воды и 8 г  $\text{K}_2\text{Cr}_2\text{O}_7$ , кипятят 3 часа, кристаллич. продукт отфильтровывают, растворяют в воде. NaOH, подкисляют HCl и получают 30% терефталевой к-ты. В качестве окислителей применяют также  $\text{Na}_2\text{Cr}_2\text{O}_7$ , конц.  $\text{HNO}_3$ , NaOH и воздух;  $\text{H}_2\text{O}_2$  и  $\text{CH}_3\text{OH}$ , и  $\text{H}_2\text{O}_2$  с  $\text{NH}_3$ . И. Берлин

**6Л162. Способ получения терефталевой кислоты.** Цудуми Сигэру. [Тейда каю кэнсацу кабусики кайся]. Японск. пат. 2974, 24.04.59.—Реакцией толуола с пропиленом и высшими олефинами получают n-алкилпроизводные толуола ф-лы  $n\text{-(CH}_2(\text{R})\text{CH)}\text{C}_6\text{H}_4\text{CH}_3$ , где R— $\text{C}_1\text{--C}_8$ -алкил, которые окисляют в терефталевую к-ту (I). 80 молей толуола и 30 молей 84%-ной  $\text{H}_2\text{SO}_4$  смешивают при  $45^\circ$ , через полученную смесь пропускают со скоростью 332 л/час газообразные углеводороды, содержащие 20%  $\text{H}_2$ , 31%  $\text{CH}_4$ , 27%  $\text{C}_2\text{H}_4$  и 20% высших олефинов, получают смесь n-цимола и n-втор-бутилбензола с примесью небольшого кол-ва n-пентилтолуола, выход ~75%, т. кип.  $162\text{--}208^\circ$ . 18,5 г полученной смеси, 66 мл воды, 15 г NaOH и 0,2 г стеарата Na вносят в автоклав, прибавляют 2 г перекиси бензоила и 2 г  $\text{Fe}_2\text{O}_3$ , нагревают ~8 час. при  $160^\circ/30$  атм  $\text{O}_2$  (поглощается 8,3 г  $\text{O}_2$ ) и выделяют I (выход 69,7%) и 6,6 г непрореагировавшей смеси. С. П.

**6Л163. Способ получения диметилового эфира терефталевой кислоты.** Falkai Béla, Böhm Pál, Geleji Frigyes. Eljárás tereftálsav-dimetilészter előállítására. [Műanyagipari Kutató Intézet jogutódja]. Венг. пат. 145090, 15.08.59.—Через смесь 487 г  $\text{C}_6\text{H}_6$ , 51 г  $\text{ZnCl}_2$  и 56 г порошкообразного параформа (I) барботируют HCl при интенсивном перемешивании (тра самопроизвольно поднимается до  $50^\circ$ ), реакционную смесь выдерживают при  $50^\circ$  75 мин.; сначала охлаждая, затем нагревая, промывают водой и  $\text{Na}_2\text{CO}_3$ , сушат и фракционируют, получают 173 г  $\text{C}_6\text{H}_5\text{CH}_2\text{Cl}$ , т. кип.  $56\text{--}58^\circ/18\text{--}19$  мм и в остатке 5,8 г  $n\text{-C}_6\text{H}_4(\text{CH}_2\text{Cl})_2$  (II). К смеси 100 г  $\text{C}_6\text{H}_5\text{CH}_2\text{Cl}$ , 52,5 г безводн.  $\text{ZnCl}_2$ , 35 г I и 2,5 г  $\text{AlCl}_3$  при перемешивании прибавляют

200 мл  $\text{CCl}_4$  и пропускают HCl до возрастания т-ры до  $50^\circ$ , смесь выдерживают в течение 8 час., затем оставляют на ночь. Выделившиеся кристаллы растворяют в  $\text{CCl}_4$  при нагревании. Р-р промывают водой и  $\text{Na}_2\text{CO}_3$  до нейтр. р-ции, после отгонки  $\text{CCl}_4$  получают 55,8 г II, т. кип.  $99^\circ$ . 20 г II хлорируют под действием УФ-лучей, хлорированный продукт перекристаллизовывают в бензине (вес 28 г). 10 г полученного продукта кипятят в смеси 100 мл 80%-ного  $\text{CH}_3\text{OH}$ , 0,5 г  $\text{FeCl}_3$  и 7,5 мл конц.  $\text{H}_2\text{SO}_4$  в течение 15 ч. После охлаждения р-ра выделяются кристаллы 6,2 г диметилового эфира терефталевой к-ты, т. пл.  $139^\circ$  (из сп.).

М. Коловертнова

**6Л164. Способ получения эфиров фталевых кислот.** Chodkowski Edward. Sposób wytwarzania estrów kwasu ftalowego. Польш. пат. 42164, 15.09.59.—Эфиры фталевой к-ты получают р-цией фталевого ангидрида (I) со спиртами при отгонке воды в виде азеотропа с использованием в качестве катализаторов  $\text{Al}_2(\text{SO}_4)_3$  или Al-квасцов. Смесь 148 ч. I, 192,5 ч.  $\text{C}_6\text{H}_5\text{OH}$  и 7,4 ч кристаллич.  $\text{Al}_2(\text{SO}_4)_3$  в течение 10,5 час. перемешивают, отгоняя азеотроп  $\text{C}_6\text{H}_5\text{OH}$ -вода (т. кип.  $98^\circ$ ) в поднимая т-ру смеси до  $180^\circ$ . Реакционную смесь фильтруют, отгоняют в вакууме избыток  $\text{C}_6\text{H}_5\text{OH}$ , остаток 0,5—1 час, нагревают с активированным углем, охлаждают, промывают разб. NaOH, затем водой, сушат и получают бесцветный дибутилфталат, кислотное число 0,1, уд. в. 1,048, т. кип.  $340^\circ/760$  мм и  $206^\circ/20$  мм, выход 87—92%. Аналогично проводят р-ции с  $\text{C}_6\text{H}_{11}\text{OH}$ , изо- $\text{C}_6\text{H}_{11}\text{OH}$  и 2-этилбутанолом (5—6 час.),  $\text{C}_6\text{H}_{13}\text{OH}$  и  $\text{C}_7\text{H}_{15}\text{OH}$  (4—5 час.),  $\text{C}_8\text{H}_{17}\text{OH}$ ,  $\text{C}_6\text{H}_5\text{CH}_2\text{OH}$ ,  $\text{C}_6\text{H}_5\text{OCH}_2\text{CH}_2\text{OH}$  и циклогексанолом (3—4 час.). Этерификацию проводят в чугунной или стальной аппаратуре.

А. Мышкин

**6Л165. Ненасыщенные диэфирокарбоновые кислоты.** Greenlee Sylvan O. Unsaturated diester acids. [S. C. Johnson & Son, Inc.]. Пат. США 2907779, 6.10.59.—Вещества ф-лы  $\text{RC}(\text{C}_6\text{H}_4\text{OCOR}')_2\text{R}''\text{COOH}$  (I), где R—алкил, R'—остаток углеводорода с >10 атомами C (18—22 атома C), содержащий одну или несколько двойных связей (R' могут быть различными), R''—двухвалентный углеводородный остаток, получают при р-циях 1 моля в-в ф-лы  $\text{RC}(\text{C}_6\text{H}_4\text{ON})_2\text{R}''\text{COOH}$  (II) с 2 молями  $\text{RCOCl}$ . Р-ции протекают при  $50\text{--}150^\circ$  с удалением образующегося HCl током инертного газа или в вакууме. Для синтезов пригодны хлорангидриды к-т природных непредельных растительных масел, синтетич. непредельных к-т, а также к-т рыбьего жира (жир американской сельди и сардин). I реагируют при  $100\text{--}200^\circ$  с эпоксилированными полиэфиром. Исходные II готовят путем конденсации кетокислотных к-т с фенолами. К перемешиваемой смеси 560 вес. ч. к-т соевого масла в 200 вес. ч.  $\text{C}_6\text{H}_6$  прибавляют в течение 2 час. при  $60\text{--}65^\circ$  286 вес. ч.  $\text{SOCl}_2$ . Массу выдерживают еще 2,5 часа при  $65\text{--}80^\circ$ ,  $\text{C}_6\text{H}_6$  и перегоняют при 3 мм рт. ст. и получают хлорангидриды к-т соевого масла (III). Аналогично синтезируют хлорангидриды к-т льняного и дегидрированного касторового масел. Смесь 71,5 вес. ч. 4,4-бис-(4-оксифенил)-пентаоловой к-ты (IV) с 136 вес. ч. III перемешивают 3 часа при  $70\text{--}85^\circ$ , нагревают за 2 часа до  $136^\circ$  и выдерживают при этой т-ре еще 2 часа. В течение последних 4 час. массу вакуумируют (30—40 мм рт. ст.) для удаления HCl. В остатке получают I (вязкий жидкий продукт, кислотное, гидроксильное и омыления числа которого соответственно 89, 21 и 225). Даны примеры ацилирования IV хлорангидридами к-т льняного и дегидрированного касторового масел. Смесь 0,2 моля n-бутанола и 1,1 моля тетрагидрофталевого ангидрида нагревают до расплавления последнего, прибавляют 1 моль бутандиола-1,4 и медленно с перемешиванием нагревают массу до  $225^\circ$ . В смесь вводят ксилол (в кол-ве, достаточном для поддержания кипения) и продолжают нагревание с перемешиванием ( $225\text{--}235^\circ$ ) до тех пор,

ия т-ры до  
тем остав  
астворяют  
и  $\text{Na}_2\text{CO}_3$   
при 55,8 г  
внем УФ.  
аллизовы  
продукта  
5 г  $\text{FeCl}_3$   
охлажде  
етилового  
г.).  
вертнова  
их кислот.  
ia estrów  
—Эфиры  
агидрид  
азеотропа  
 $\text{Al}_2(\text{SO}_4)_3$   
и в 7,4 г  
еремеш  
п. 93°) в  
есь филь  
остаток  
м углем,  
м водой,  
г, кислот  
и 206°/  
ят р-ция  
—6 час.),  
 $\text{H}_2\text{C}_2\text{O}_4$   
). Этери  
аппара  
Мышкин  
Греен-  
S. John-  
Вещества  
кил, R'—  
22 атома  
х связей  
алентный  
х 1 моля  
и  $\text{RCOCl}$ .  
образую  
уме. Для  
ных не  
определя  
меркава  
100—200°  
дкие II  
к-т с фе  
к-т сое  
тчение  
ыдержив  
яют при  
соевого  
гидриды  
о масел.  
тановой  
наса при  
живают  
4 час.  
даления  
продукт,  
которого  
ацилиро  
гидрипро  
бутианола  
гревают  
в бутыл  
гревают  
е, доста  
оделяют  
тех пор,

пока на нейтрализацию 1 г пробы смеси не потре  
буется 8,6 мг КОН. Получают очень вязкий продукт  
с небольшой текучестью при  $\sim 20^\circ$ . Смесь 107 вес. ч.  
монообменной смолы дауэкс 50-X-8 (50—100 меш)  
с 30 вес. ч. лед.  $\text{CH}_3\text{COOH}$  оставляют до полного насы  
щения смолы к-той, прибавляют 273 вес. ч. получен  
ной полиэфирной смолы в равном объеме кислоты и  
затем при перемешивании в течение 45—60 мин. вво  
дят 75 вес. ч. 50%-ной  $\text{H}_2\text{O}_2$  ( $60^\circ$ ). Массу выдерживают  
при  $60^\circ$  до тех пор, пока на титрование 1 мл смеси  
(при йодометрич. определении  $\text{H}_2\text{O}_2$ ) будет уходить  
 $< 1$  мл 0,1 н. р-ра  $\text{Na}_2\text{S}_2\text{O}_3$ . Смесь фильтруют и полу  
чают р-р смолы. 559 вес. ч. р-ра смолы смешивают  
с 175 вес. ч. безводн. обменника дауэкс 1 в основной  
форме, массу фильтруют и получают 45%-ный р-р  
смолы. 10 вес. ч. полученного р-ра смешивают с 20 вес. ч.  
45%-ного р-ра 1 в кислоте и с 0,03% (от нелетучего  
остатка р-ра 1) нафтената Со, образовавшийся лак  
наносит на Sn-пластины и выдерживают 1 час при  
 $175^\circ$ . Получают покрытия, не изменяющиеся в кипя  
щей воде (9 час.) и в 5%-ном р-ре NaOH (3 часа).  
Твердые вязкие и гибкие пленки могут быть также  
получены с использованием режима вулканизации  
(40 мин.,  $200^\circ$ ). Ненасыщ. I используют для этерифи  
кации полиоксисоединений (или) эпоксисоединений).  
Продукты этерификации после полимеризации по  
двойным связям образуют нерастворимые и нелавкие  
материалы, применяемые в качестве покрытий.

М. Каплун

6Л1166. Способ очистки синтетических эфиров.  
Wolff Bogdan, Kiteł Karol. Sposób rafinowania  
syntetycznych estrów. [Zakłady Przemysłu Azotowego  
Kędzierzyn]. Польш. пат. 40586, 16.12.57.—Синтетиче  
ские сложные эфиры с кислотным числом (КЧ)  
 $< 1,5$  очищают смешением с конц. р-ром соды или  
NaOH, после чего продукты нейтр-ции и избыток соды  
(или NaOH) удаляют смешением с адсорбентом, обла  
дающим отбеливающими свойствами. К сырому  
 $\text{C}_6\text{H}_4(\text{COOC}_2\text{H}_5)_2$  с КЧ  $< 1$  при  $\sim 95^\circ$  добавляют 10—  
20%-ный избыток 30%-ной соды, интенсивно переме  
шивают до понижения КЧ  $< 0,2$ , добавляют 1% (от  
эфира) отбеливающей земли, перемешивают 10—  
20 мин., отгоняют в вакууме воду и отфильтровывают  
очищ. эфир.

А. Мышкин

6Л1167. Способ получения пластификаторов для  
пластмасс. Oblój Józef, Jakubowicz Lidia.  
Sposób otrzymywania plastyfikatorów do zmiekszania  
tworzyw sztucznych. [Zakłady Przemysłu Azotowego  
Kędzierzyn]. Польш. пат. 40875, 15.04.58.—Пластифика  
торы для пластмасс получают этерификацией дикар  
боновых к-т или их ангидридов моноэфирами, полу  
чаемыми из жирных к-т ( $\text{C}_2$ — $\text{C}_{10}$ ) и двухатомных  
спиртов, и одноатомными спиртами. 1000 г смеси жир  
ных к-т  $\text{C}_7$ — $\text{C}_9$  этерифицируют 675 г ( $\text{CH}_3\text{OH}$ ), пере  
гоняют продукт в вакууме, получая 900 г моноэфира,  
которым этерифицируют 650 г фталевого ангидрида  
(I) при  $165$ — $230^\circ$  (при добавке  $\text{H}_2\text{SO}_4$  т-ра р-ции  
ниже). К полученной смеси, имеющей кислотное  
число (КЧ)  $\sim 150$ —160, добавляют 500 г  $\text{C}_4\text{H}_9\text{OH}$  и  
этерифицируют до достижения КЧ  $\sim 1$ —0,5, отгоняют  
избыток  $\text{C}_4\text{H}_9\text{OH}$  и моноэфир до  $210^\circ$  при 15 мм рт. ст.,  
остаток нейтрализуют до КЧ  $< 0,5$ , очищают актив  
ированным углем (или перегоняют в вакууме) и полу  
чают 1500 г пластификатора. Вместо  $\text{C}_4\text{H}_9\text{OH}$  для эте  
рификации 2-й  $\text{COOH}$ -группы I можно использовать  
еще 1 моль исходного моноэфира.

А. Мышкин

6Л1168. Способ арилирования ароматических и гете  
роциклических аминов замещенным бензиловым спирт  
ом. Kisfaludy Dajos, Thiele Kurt. Eljárás aró  
más és heterociklusos aminosoknak helyettesített benzilal  
kohollal való arilezésére. [Richter Gedeon Vegyészeti  
Gyár Rt.]. Венг. пат. 145150, 15.08.59.—Реакцию арили  
рования ароматич. или гетероциклич. аминов галодо  
замещ. бензиловым спиртом проводят в неполярном

р-рителе или в смеси р-рителей, т-ра кипения которых  
ниже температуры разложения реагентов, в присут  
ствии щелочи (KOH или NaOH), с одновременным уда  
лением воды с такой скоростью, чтобы кол-во р-рите  
ля при этом существенно не изменилось. Смесь 10 г  
2-аминопиридина, 19,7 г  $n\text{-C}_6\text{H}_4\text{CH}_2\text{CH}_2\text{OH}$ , 2,0 г КОН и  
100 мл ксилола кипятят в течение 2 час., ксилол отго  
няют в вакууме, а остаток обрабатывают 50 мл воды,  
получают 24,2 г сырого продукта, а после перекристал  
лизации из смеси спирт + вода (2:1,3) 22,6 г  $n\text{-Cl}$ -  
бензиламинопиридина, т. пл.  $99$ — $101^\circ$ ; аналогично по  
лучают с выходом 82,9%  $n\text{-Br}$ -бензиламинопиридин,  
т. пл.  $102$ — $103^\circ$ ; с выходом 78,5%  $n$ -метоксибензилами  
нопиридин, т. пл.  $125^\circ$ , хлоргидрат (ХГ) N-( $n$ -хлорбен  
зил)-1-нафтиламина, т. пл.  $178$ — $180^\circ$ , ХГ N-( $n$ -хлорбен  
зил)- $n$ -толуидина, т. пл.  $202$ — $206^\circ$ ; ХГ N-( $n$ -хлорбен  
зил)-аниидина, т. пл.  $202^\circ$ .

С. Розенфельд

6Л1169. Ацилгидразинпроизводные бис-(4-диметил  
аминофенил)-метана и способ их получения. Tien  
Jack M. Acyl hydrazine derivatives of bis-(4-dimethyl  
aminophenyl) methane and process. Пат. США 2900388,  
18.08.59.—Вещества ф-лы  $\text{R}_2\text{CHNHNHNCOR}'$  (Ia—в, а  
 $\text{R}' = \text{C}_6\text{H}_5$ , б  $\text{R}' = 2,4\text{-Cl}_2\text{C}_6\text{H}_3$ , в  $\text{R}' = \text{Cl}_2\text{C}_6\text{H}_3$ ). В веде  
 $n\text{-(CH}_3)_2\text{NC}_6\text{H}_4$ ,  $\text{R}'$  — также алкил с 1—20 атомами С,  
арил, галодарил, алкарил, алкоксиарил, нитроарил,  
оксиарил, гетероциклич. остаток, содержащий (или не  
содержащий) галойд или OH, получают: а) при р-циях  
 $\text{R}_2\text{CHOH}$  (II) с  $\text{R'CONHNH}_2$  (IIIa—в, а  $\text{R}' = \text{C}_6\text{H}_5$ , б  
 $\text{R}' = 2,4\text{-Cl}_2\text{C}_6\text{H}_3$ , в  $\text{R}' = \text{Cl}_2\text{C}_6\text{H}_3$ ), б) при р-циях  $\text{R}_2\text{CH}$ -  
 $\text{NHNH}_2$  (IV) со сложными эфирами ф-лы  $\text{R'COOR}''$   
(Va—б, а  $\text{R}' = 2,4\text{-Cl}_2\text{C}_6\text{H}_3$ ,  $\text{R}'' = \text{C}_2\text{H}_5$ , б  $\text{R}' = \text{Cl}_2\text{C}_6\text{H}_3$ ,  
 $\text{R}'' = \text{C}_2\text{H}_5$ , в) при р-циях IV с  $\text{R'COX}$  (X — галойд) и  
г) при восстановлении гидразонов ф-лы  $\text{R}_2\text{C}=\text{NNHNCOR}'$ .  
Исходный IV синтезируют восстановлением  $\text{R}_2\text{C}=\text{NNH}_2$   
или при конденсации II с  $\text{N}_2\text{H}_4$ . Смесь 2,9 г IIIa и 5,7 г  
II в 60 мл абс. спирта кипятят 3 часа и оставляют на  
ночь. Темную полутвердую массу отделяют, обезве  
чивают активированным углем в кипящем  $\text{C}_6\text{H}_6$  и  
осаждают петр. эфиром. Неочищ. продукт пересажив  
ают петр. эфиром из горячего  $\text{C}_6\text{H}_6$  и получают Ia,  
т. пл.  $142$ — $146^\circ$ . Аналогично синтезируют I, где  $\text{R}' =$   
 $= 3\text{-O}_2\text{NC}_6\text{H}_4$ , т. пл.  $139$ — $144^\circ$  (из бзл.);  $4\text{-O}_2\text{NC}_6\text{H}_4$ ;  
 $2\text{-Cl-5-O}_2\text{NC}_6\text{H}_3$ ;  $4\text{-Cl-3-O}_2\text{NC}_6\text{H}_3$ ; 4-пиридил, т. пл.  $180$ —  
 $182^\circ$ ; 3-пиридил; 2-пиридил; тетрачлор-4-пиридил; 2,6-  
дихлор-4-пиридил; 2,6-диокси-4-пиридил; 2,6-диокси-3,5-  
дихлор-4-пиридил;  $n\text{-C}_7\text{H}_{15}$ ;  $n\text{-C}_{13}\text{H}_{27}$ . 10 г Va [получен  
из абс. спирта и  $2,4\text{-Cl}_2\text{C}_6\text{H}_3\text{COCl}$  (VI)] кипятят 1 час  
с 4 мл  $\text{N}_2\text{H}_4$  в 50 мл спирта. Выпадающие при охлажде  
нии кристаллы отделяют, промывают водой, кристал  
лизуют из  $\text{CH}_3\text{OH}$  и получают IIIб, т. пл.  $166$ — $168^\circ$ .  
Вместо Va для синтеза можно использовать 5 г VI.  
Из IIIб, как указано выше, готовят 1б, т. пл.  $161$ — $163^\circ$   
(из бзл.). В смесь 5,6 г  $\text{C}_6\text{H}_5\text{COCl}$  с 0,04 г мелкораздроб  
ленного Fe и 0,02 г  $\text{J}_2$  пропускают при  $50$ — $60^\circ$   $\text{Cl}_2$   
до привеса 3,2 г. Смесь продувают воздухом (привес па  
дает до 2,8 г), неочищ. продукт кипятят 1 час с 25 мл  
абс. спирта и 4 мл  $\text{C}_6\text{H}_5\text{N}$  и получают Vб (смесь изо  
меров). Из Vб и  $\text{N}_2\text{H}_4$ , как указано выше, готовят IIIв,  
т. пл.  $135$ — $166^\circ$  (смесь изомеров). Из IIIв и II синтези  
руют Iв, т. пл.  $138$ — $163^\circ$  (смесь изомеров). I в обычном  
состоянии бесцветны, но в тесном контакте (в р-ре,  
расплаве или под давлением) с гидратированными  
алюмосиликатами, глинами и фенолами образуют  
окрашенные композиции, применяемые в качестве  
окрашивающего агента в процессах размножения пе  
чатных материалов.

М. Каплун

6Л1170. Способ активации платинового катализато  
ра для гидроконденсации 1-фенилацетилкарбинола с  
первичными аминами. Bauer Stefan, Országh  
Stefan. Spôsob aktivácie platínového katalyzátora pre  
hydrogenačnú tlakovú kondenzáciu 1-fenylacetylkarbino  
lu s primárnymi aminmi. Чехосл. пат. 92118, 15.10.59.—  
Pt-катализатор для гидроконденсации 1-фенилацетил  
карбинола (I) с первичными аминами активируют до





вес. п- и 40—45% вес. о-изомеров, с аминокислотой при pH от 8 до 11 в присутствии инертного р-рителя — дистиллированного спирта или диоксана. I выделяют подкислением смеси сильной к-той. I могут быть получены также р-цией винилбензиламина с ненасыщ. соединениями, напр. диэтиловым эфиром малеиновой к-ты или акрилонитрилом с последующим гидролизом образующихся продуктов. К кипящей смеси 133 г иминодиуксусной к-ты, 1 л воды, 1,5 л  $\text{CH}_3\text{OH}$  и р-ра 66 г NaOH в 250 мл воды в течение 1 часа прибавляют 153 г винилбензилхлорида. Полученную реакционную массу взвешивают  $\text{CHCl}_3$  (4 × 25 мл), экстракт смешивают с водой,  $\text{CHCl}_3$  отгоняют и после охлаждения доводят pH р-ра до 2,0. Выпадает I, R = R' = H, R'' = R''' =  $\text{CH}_2\text{COOH}$  (Ia). Аналогично получают др. I. К р-ру 34 г хлоридатата винилбензиламина в 200 мл воды добавляют р-р 9,6 г NaOH в 80 мл воды. Винилбензиламин экстрагируют эфиром и экстракт после сушки прибавляют к 68,8 г диэтилмалеата. Смесь выдерживают 6 дней при  $\sim 20^\circ$ , после чего при перемешивании добавляют 16 мл конц. HCl и 200 мл воды. Получают 49,1 г N-(винилбензил)-диэтилового эфира аспарагиновой к-ты,  $n_D^{20}$  1,5144, который затем кипятят 3 часа с 16,1 г NaOH в 150 мл воды с последующим подкислением продуктов р-ции конц. HCl до pH 2,0. Получают 30 г N-(винилбензил)-аспарагиновой к-ты (Ib). Аналогично получают др. I. При р-ции 13,2 г n-винилбензилальдегида с р-ром 12,6 г малоновой к-ты в 6 г конц.  $\text{H}_2\text{SO}_4$  и 50 мл спирта при т-ре кипения смеси с последующим подкислением продуктов р-ции HCl получают 10 г 3-(n-винилфенил)-β-аминопропионовой к-ты. Аналогично получают 2-(n-винилфенил)-аминоуксусную к-ту. I можно получать р-цией  $\text{CH}_2\text{CH}_2\text{COOH}$  с соответствующим аминокислотным соединением, содержащим винилбензильную группу и группу —NH—, в щел. среде. К смеси 12,5 г Ib, 7,1 г  $\text{CH}_2\text{CH}_2\text{COOH}$  и 85 мл воды и доводят pH р-ра до 10, смесь кипятят 26 час. Во время нагревания непрерывно добавляют р-р NaOH для поддержания pH 10. После окончания р-ции смесь подкисляют HCl (к-та) до pH 2,0 и получают N-(карбоксиметил)-N-(винилбензил)-аспарагиновую к-ту. Таким способом получены также др. I. Получаемые I являются твердыми кристаллич. в-вами, разлагающимися при нагревании и способными извлекать ионы металлов из р-ров. Внутримолекулярные соединения (BC) на их основе готовят диспергированием I в воде или в 1N р-ре KCl с последующим добавлением металла в форме хлорида (напр.  $\text{CuCl}_2 \cdot 2\text{H}_2\text{O}$ ). Индивидуальные I могут полимеризоваться в присутствии перекисных соединений в р-рителе и без него при нагревании. Полимеры, содержащие одну группу  $\text{CH}_2=\text{CH}-\text{C}_6\text{H}_4$ , растворимы в воде и водн. щел. р-рах. Р-р 23 г Ia в 1300 мл воды облучали УФ-лучами 3 дня при  $90^\circ$ . Получено 11 г бледно-желтого порошкообразного полимера, который образует BC при добавлении к нему  $\text{CuCl}_2$  или  $\text{FeCl}_3$ . Аналогично получены другие полимеры. 0,1085 г полимера из Ia смешивали с 200 мл р-ра, который содержал KCl (1N).  $\text{CuCl}_2$  (1,0155 ·  $10^{-3}$  M). При этом частицы полимера окрашивались в голубой цвет, а р-р обесцвечивался, очищаясь от ионов  $\text{Cu}^{++}$ . Полимер регенерируют промывкой р-ром KCl.

**6Л176.** Способ получения DL-N-бензиласпарагиновой кислоты. Maescker Hans-Jürgen. Způsob výroby kyseliny DL-N-benzylasparagové. Чехосл. пат. 91940, 15.09.59.—При получении DL-N-бензиласпарагиновой к-ты (I) р-цией малоновой к-ты (II) с бензилаланином (III) в водн. р-ре при  $90-100^\circ$ , к горячему р-ру после р-ции добавляют холодную воду и NaOH и экстрагируют III хлороформом. 3,5 кг II растворяют в 7 л воды при  $76^\circ$  и после охлаждения до  $55^\circ$  в течение 25 мин. при перемешивании приливают 6,8 кг III. Р-ра поднимается до  $94-95^\circ$ , перемешивают еще некоторое время, нагревая смесь при  $95^\circ$  паровым змеевиком.

ком, добавляют 6 л холодной воды с 2,76 л 33%-ного NaOH и экстрагируют выделившийся III трихлором в 15 мин. 4-литровыми порциями  $\text{CHCl}_3$ . К щел. р-ру добавляют 3,2 л HCl (к-та) до pH 3, отсасывают выделившуюся I, промывают ее 3 л холодной воды и сушат, получая 6,39 кг (95,5%) I с т. пл.  $194^\circ$ .

**6Л177.** Полифторалкил-п-толуолсульфонаты. O'Rear Jacques G., Faurote Philip D. Polyfluoroalkyl p-toluenesulfonates. [United States of America as represented by the Secretary of the Navy] Пат. США 2894971, 14.07.59.—Соединения ф-лы  $n\text{-CH}_2\text{C}_6\text{H}_4\text{SO}_2\text{OCH}_2(\text{CF}_2\text{CF}_2)_n\text{H}$  (Ia—b, a n = 3, b n = 5), где также n = 3—10, получают р-цией спирта  $\text{H}(\text{CF}_2\text{CF}_2)_n\text{CH}_2\text{OH}$  с п-толуолсульфохлоридом (II) в присутствии воды: щелочи, 3,6 моля  $\text{H}(\text{CF}_2\text{CF}_2)_3\text{CH}_2\text{OH}$  и 3,5 моля II расплавляют, к смеси прибавляют 4 моля NaOH в виде р-ра в 500 ч. воды в течение 3 час. (т-ра  $< 55^\circ$ ); перемешивают 16 час. при  $55^\circ$  и нейтрализуют 319 ч. конц. HCl. Воду удаляют с толуолом, соль отфильтровывают и перегонкой фильтрата выделяют Ia, выход 92%, т. кип.  $126^\circ/0,5$  мм, т. пл.  $33^\circ$ ,  $n_D^{20}$  1,4123,  $d_4^{20}$  1,592 (переохлажденная жидкость). Аналогично получают Ib, выход 79%, т. кип.  $149^\circ/0,5$  мм, т. пл.  $77-80^\circ$ . I являются прочными соединениями, термически и гидролитически устойчивы, применимы в качестве теплоносителей и смазочных в-в, а также для получения полифторалкилдиоксидов.

**6Л178.** Способ получения 4-хлорбензальдегид-2-сульфокислоты. Boboli Edyta. Sposób wytwarzania kwasu 4-chlorobenzaldehydo-2-sulfonowego. [Instytut Barwników i Pólproduktów]. Польш. пат. 40578, 7.01.58.—4-хлорбензальдегид-2-сульфокислоту (I) получают сульфированием хлортолуола (II) 100%-ной  $\text{H}_2\text{SO}_4$  и окислением полученного продукта  $\text{Mn}_2(\text{SO}_4)_3$ . 221 ч. n-II сульфуруют 710 ч. 100%-ной  $\text{H}_2\text{SO}_4$  при  $100^\circ$ , разбавляют 285 ч. воды и 953 ч. 97%-ной  $\text{H}_2\text{SO}_4$ , добавляют 1 час к окислительной пасте, перемешивают 2 часа, нагревая до  $120^\circ$ , и получают Mn-соль I. Приготовленные пасты: 479,5 ч.  $\text{Mn}_2(\text{SO}_4)_3$  смешивают с 543 ч. воды, добавляют 441 ч. 97%-ной  $\text{H}_2\text{SO}_4$ , поддерживая т-ру  $\sim 40^\circ$ , в течение 20—40 мин. добавляют 311,2 ч.  $\text{MnO}_2$ , нагревают 2 часа при  $120^\circ$ , охлаждают и разбавляют 325 ч. воды для получения 36%-ной  $\text{H}_2\text{SO}_4$ .

**6Л179.** Способ получения 3,3',5,5',4"-пентахлор-2,2'-диоксифенилметан-2"-сульфокислоты. Boboli Edyta, Stammer Chaim, Klahr Leon, Kremsky Elzbieta. Sposób wytwarzania kwasu 3,3',5,5',4"-pieciocloro-2,2'-dwyhydroksytrójfenylometano-2"-sulfonowego. [Instytut Barwników i Pólproduktów]. Польш. пат. 40566, 20.12.57.—3,3',5,5',4"-пентахлор-2,2'-диоксифенилметан-2"-сульфокислоту (I) получают конденсацией 4-хлорбензальдегид-2-сульфокислоты (II) с 2,4-дихлорфенолом (III) в присутствии  $\text{H}_2\text{SO}_4$  с использованием мочевины (IV) в качестве катализатора. 136 кг 97%-ной  $\text{H}_2\text{SO}_4$  в течение 25—30 час. перемешивают с 22 кг II, 36 кг III и 1,1 кг IV при  $75-80^\circ$ , разбавляют водой до 12%-ного содержания  $\text{H}_2\text{SO}_4$ , отпаривают избыток III и получают I. Аналогично можно конденсировать изомер II с подходящим хлорфенолом.

**6Л180.** Способ получения индикаторов на основе сульфоталениновых производных иминоуксусной кислоты и хрома. Körbl Jifi. Způsob přípravy metalochromních indikátorů na bási sulfonftaleinových derivátů kyseliny iminodioxetové. Чехосл. пат. 91363, 15.08.59.—Конденсацией сульфоталенинов, незамещенных в 3 и 3'-положениях, с иминодиуксусной к-той (I) и формалином (II) в кислой среде в присутствии ионов щел. металлов при  $10-100^\circ$  получают индикаторы типа комплексонов. 7,3 ч. тимолсульфоталенина и 6 ч. Na-соли I или эквивалентного кол-ва I и NaOH смешивают с 50 ч. лед.  $\text{CH}_3\text{COOH}$  и 4 ч. II, смесь нагревают 2 часа до  $70-100^\circ$ ,  $\text{CH}_3\text{COOH}$  отгоняют в вакууме, после экст-

реакции остатка спиртом получают Na-соль 3,3'-бис-(дихлорбисдиметиламино)метил-тимолоульфоталена (III — к-та). 7,5 ч. Na-соли III растворяют в 10 г воды, добавляют 5 ч. конц. HCl и смесь испаряют досуха в вакууме. Сухой остаток промывают 10 ч. спирта, фильтруют и сушат, получают 6,7 ч. III. 3. Смелый

61181. Способ получения хлораминнов из кальциевых солей ароматических сульфамидов. Kouřel Zdeněk, Horák František. Způsob výroby chloraminů z vápenatých soli aromatických sulfamidů. Чехосл. пат. 91216, 15.08.59. — Хлорамин  $C_6H_5SO_2NClNa \cdot 1,5 H_2O$  (I) или  $CH_3C_6H_4SO_2NClNa \cdot 3H_2O$  получают хлорированием Ca-солей бензол (II) — или толуолсульфамидов (III) и взаимодействием полученных дихлораминнов с Na-солями II или III. 100 кг II промывают водой, растворяют в 1300 л известковой воды при 40° (d 1,05) и фильтруют, фильтрат насыщают  $Cl_2$  до кислот р-ции, осадок отфильтровывают и при перемешивании и нагревании добавляют к р-ру, содержащему 100 кг II, 51 кг NaOH и 740 л воды, при охлаждении выделяется I (выход 95%). 3. Смелый

61182. Способ получения *n*-толуолсульфамидов. Windholz Tamás. Eljárás *p*-toluolsulfonil-karbamidok előállítására. [Gyógyszeripari Kutató Intézet]. Венг. пат. 145004, 15.06.59. — Патентуется способ получения  $CH_3C_6H_4SO_2NHCORR'$  (I), где R и R' = H, алкил, арил, р-цией  $CH_3C_6H_4SO_2X$  и YRR', где X и Y — радикалы, содержащие группы  $-NCOSR'$  и  $HN-(R'' = H, алкил, щел. металл)$ , при  $t$ -ре > 40° в щел. среде. 1,71 г  $n$ - $CH_3C_6H_4SO_2NH_2$  растворяют в 15 мл ацетона, прибавляют 3,8 г  $K_2CO_3$  и в течение 2-х час. добавляют по каплям 2 мл  $C_6H_5CH_2SCl$ , перемешивают 8 час., удаляют ацетон, а маслянистый остаток экстрагируют эфиром, получают из экстракта  $n$ - $CH_3C_6H_4SO_2NHCOSK$  (II), т. пл. 128—130°. К II добавляют избыток  $C_6H_5NH_2$  и выдерживают при 100° в течение 5 час., после удаления избытка амина маслянистый остаток растворяют в 2-н. NaOH (примеси удаляют с помощью эфира), подкисляют и перекристаллизацией из воды, спирта получают I (R = H, R' =  $C_6H_5$ ), т. пл. 128—129°. М. К.

61183. Получение эфиров алкил(арил)борной кислоты. Stafiej Stanley F. Preparation of esters of an oxy acid of boron. [American Cyanamid Co.]. Пат. США 2862951, 02.12.58. — Предложен новый метод разложения промежуточного комплекса (ПК), образующегося при р-ции  $B(OR)_3$  с R'X и Mg или R'MgX (R, R', R' — алкил, циклоалкил, алкенил, циклоалкенил, арил, алкил, X = Cl, Br, J). Хороший выход эфиров борных к-т достигается при разложении ПК насыщ. водн. р-ром соли  $NH_4^+$ , имеющий  $pK \leq 4,75$   $[NH_4NO_3, (NH_4)_2SO_4, NH_4Cl]$  и др.  $C_6H_5MgBr$  в 125 мл эфира (из 24 г  $C_6H_5Br$  и 4,9 г Mg) по каплям прибавляют к 46 г  $B(OC_2H_5)_3$  (I) при перемешивании за 1 час при  $t$ -ре —78°. Смесь выдерживают при ~20° 16 час., после чего к ней по каплям добавляют водн. р-р  $NH_4Cl$  при 0°. Жидкую часть отделяют декантацией от Mg-соли, и отгоняют  $C_6H_5B(OC_2H_5)_2$ , выход 49%, т. кип. 105°/10 мм. Аналогично получают  $o$ - $CH_3C_6H_4B(OC_2H_5)_2$ , т. кип. 139—140°/10 мм и  $C_6H_5B(OC_2H_5)_2$ . 25 мл I и 24,3 г Mg-стружки загружают в колбу, где к ним прибавляют немного  $C_6H_5Br$  вместе с кристаллом  $J_2$  для инициирования р-ции. После начала р-ции медленно при перемешивании добавляют 1060 мл I и 175 г  $C_6H_5Br$ . После окончания процесса смесь обрабатывают р-ром  $NH_4Cl$ . При этом получают с хорошим выходом  $C_6H_5B(OC_2H_5)_2$ . Ю. П.

61184. Способ получения металлоорганических комплексов соединений. Fischer Ernst Otto, Haefner Walter. Verfahren zur Herstellung metallorganischer Verbindungen vom Typ der Additionskomplexe. [Badische Anilin & Soda-Fabrik A.-G.]. Пат. ФРГ 1054456, 24.09.59. — При взаимодействии солей переходных металлов 4—8 групп периодической системы с замещ. или незамещ. ароматич. углеводородами (АУ) в при-

сутствии катализатора типа Фриделя — Крафта (преимущественно  $AlCl_3$ ) и восстановителя (порошки металлов) образуются комплексные соединения (КС), причем металл переходит в более низкую валентность, напр.:  $3CrCl_3 + 2Al + 6C_6H_6 + AlCl_3 \rightarrow 3Cr(C_6H_5)_2 + \cdot[AlCl_2]$ . Р-ции проводят при  $t$ -ре > 100°, в присутствии или отсутствии инертного р-рителя (парафины), иногда в автоклаве, без доступа влаги и  $O_2$  воздуха. Протекание р-ции часто сопровождается характерными изменениями окраски. В случае солей металлов низкой валентности восстановитель не применяют. При действии на КС восстановителя типа  $H_2NOH$ , р-галина и т. п. получают КС, в которых металл имеет низшую валентность, а также незаряженные КС (НКС). НКС легко окисляются, но термически устойчивы и могут возгоняться в вакууме, хорошо растворимы в органич. р-рителях. Растворимые в воде катионы КС могут быть осаждены анионами типа  $J^-$ ,  $SiO_4^{4-}$ , пикрат,  $(C_6H_5)_4B^-$  и т. п. Смесь 3,0 г  $AlCl_3$  и 5 г безвод.  $CrCl_3$ , 0,7 г Al и 15 мл  $C_6H_6$  встряхивают 15 час. при 150° в предварительно эвакуированной запаянной трубке. К части реакционной смеси добавляют при охлаждении метанол и воду. Из водн. фазы после подкисления  $CH_3COOH$  осаждают катион  $[Cr(C_6H_5)_2]^+(A^+)$  в виде пикрата или перхлората. Ко второй части смеси приливают 200 мл  $C_6H_6$  и насыщ. р-р 30 г  $Na_2S_2O_4$ , затем при перемешивании добавляют конц. р-р 50 г KOH. Смесь перемешивают еще 2 часа, органич. слой отделяют (в атмосфере  $N_2$ ), сушат над KOH, отгоняют р-ритель и возгоняют остаток при 150—170° в высоком вакууме. Получают  $Cr(C_6H_5)_2$  (A), выход 50%, т. пл. 284—285°. Через р-р 8 вес. ч. A в 500—1000 ч. воды пропускают воздух до полного окисления  $A \rightarrow A^+$ , вытесняют воздух  $N_2$  и приливают р-р  $Na[C_6H_5Cr(CO)_3]$ , приготовленный из 10 ч. дициклопентадиенилхрома. Получают с хорошим выходом  $A^+ [C_6H_5Cr(CO)_3]^-$ , темно-зеленые кристаллы (после возгонки в вакууме при 125—130°), устойчивые на воздухе. Описано приготовление  $A^+$  и A в иных условиях. Аналогично из  $CrCl_3$  и различных АУ получают  $[Cr(AU)_2]^+$  (указаны АУ): тетралин, дифенил (I), толуол, мезитил (II), гексаметиленбензол, *o*-, *m*- и *p*-ксилолы, а также  $[Cr(AU)_2]$  (указаны АУ, т. пл. в °C): толуол, —; I, 112; II, 117—118; гексаметиленбензол, разл. > 210. Описано также приготовление КС общей ф-лы  $[M(AH)_2]^n+$  ( $M$  — Fe, Ru, Re, Co, Rh, Jg, а также НКС):  $Mo(C_6H_5)_2$ ,  $W(C_6H_5)_2$  и  $V(C_6H_5)_2$ , выход 25%, т. пл. 277—278°. Получены также р-ры КС  $C_6H_6$  и Ti, Zr, V, Fe. КС и особенно НКС применяются как катализаторы и добавки к топливу, для приготовления металлиз. зеркал и чистых металлов, а также как полупродукты при получении других соединений металлов. Н. Майер

61185. Получение фенилалкилхлорсиланов. Ashby Bruce A. Preparation of phenyl alkylchlorosilanes. [General Electric Co.]. Пат. США 2888478, 26.05.59. — Фенилалкилхлорсиланы получают при взаимодействии соединений общей ф-лы  $(C_6H_5)_mSiR'_nCl_4-m-n$  и  $R''pSiCl_4-p$  (где R и R' — алкил,  $m = 2-4$ ,  $n = 0-1$ ,  $m + n = 4$ ,  $p = 1-2$ ) в присутствии 0,01—10 вес. %  $ZrCl_4$  при  $t$ -рах 125—500°, при атмосферном или повышенном давлении; р-ция лучше проходит в присутствии H-содержащих хлорсиланов, напр.,  $CH_3SiHCl_3$  (I),  $C_6H_5SiHCl_2$  и т. д.  $ZrCl_4$  вызывает диспропорционирование только арильных радикалов и не оказывает влияния на алкильные радикалы. 33 ч.  $(C_6H_5)_2SiCH_3$  (II), 37 ч.  $CH_3SiCl_3$  (III) и 7 ч.  $ZrCl_4$  нагревают в автоклаве при 200° 16 час., получают  $(C_6H_5)_3SiCH_3$  (IV), содержащий 9%  $C_6H_5Si(CH_3)_2Cl$  (V). Аналогично 66 ч. II, 75 ч. III, 14 ч.  $ZrCl_4$  и 7,8 ч. I нагревают 16 час. при 150°, получают 48,4 ч. IV, содержащего 0,3 вес. %  $C_6H_5SiCl_3$ . Смесь 232,5 ч.  $(C_6H_5)_2CH_2SiCl_2$  299 ч. III и 26,5 ч. I нагревают при перемешивании 16 час. при 150° в 1 л автоклава, получают 203 ч. IV, содержащего 0,28% V, выход 77% на пошедший в

ффеа (пре-  
ропки ме-  
ния (КС)  
лентность  
( $C_6H_5$ )<sub>2</sub>P-  
присутст-  
арафина),  
O<sub>2</sub> воздуха  
металлов  
применяют.  
NOH, рол-  
алл имеет  
инные КС  
и устойчи-  
растворе-  
катионы  
J-, ClO<sub>4</sub>-,  
г безвод-  
5 час. при  
пной тру-  
ри охлаж-  
подкисле-  
2) (+A) в  
сти смеси  
a<sub>2</sub>S<sub>2</sub>O<sub>8</sub>, за-  
50 г KOH.  
слои отде-  
ляют р-ри-  
е высоком  
%, т. пл.  
воды про-  
4, вытес-  
(O<sub>2</sub>), при-  
рома. По-  
1, темпо-  
уме при  
пригото-  
из SnCl<sub>4</sub>  
аны AU):  
(I), гекса-  
[Cr(AU)<sub>2</sub>]  
II, 117-  
то также  
(M-Fe)  
W(C<sub>6</sub>H<sub>5</sub>)<sub>2</sub>.  
Получе-  
особенно  
ки к тош-  
и чистый  
получения  
Н. Майер  
присилано-  
kylchloro-  
2883/78.  
при взаи-  
(H<sub>2</sub>)<sub>2</sub>SiR<sub>2</sub>  
m = 2-4,  
и, 0,01-  
оферном  
оходит в  
р., CH<sub>3</sub>Si-  
испропор-  
е оказы-  
(C<sub>6</sub>H<sub>5</sub>)<sub>2</sub>P-  
нагрева-  
(H<sub>2</sub>)<sub>2</sub>SiCl<sub>2</sub>  
). Анало-  
нагрева-  
ражающего  
2) CH<sub>3</sub>SiCl<sub>2</sub>  
ишивания  
203 ч. IV,  
едший в

рцию III. Аналогично из 42 ч. (C<sub>6</sub>H<sub>5</sub>)<sub>2</sub>Si, 37,5 ч. III, 5 ч. ZrCl<sub>4</sub> и 5 ч. I получают 87% IV. Приведены другие примеры. Исследовано влияние т-ры, давления, соотношение реагентов и время нагревания на выход IV, который применяют для получения эластомеров и смол.

Л. Волкова

6Л186. Аليفатические арилфосфиты. Boyer William P., Mangham Jesse Roger. Aliphatic aryl phosphites. [Virginia-Carolina Chemical Corp.]. Пат. США 2866807, 30.12.58.—Вещества ф-лы (RO)<sub>m</sub>P(OR')<sub>n</sub> (I), R — алкил или алкенил, R' — моноалкиларил, m + n = 3, получают по схемам: R'OPCl<sub>2</sub> (II, R' = C<sub>6</sub>H<sub>5</sub> или Ph) + 2ROH → I + 2HCl; (R'O)<sub>2</sub>PCl (III, R' = C<sub>6</sub>H<sub>5</sub> или Ph) + ROH → I + HCl. В качестве акцептора HCl используют NH<sub>3</sub>. Р-ции протекают при т-ре от -40 до 25° и в присутствии (или без) 2—3 ч. (на 1 ч. конечного продукта) инертного р-рителя (углеводороды, избыток ROH). Скорость введения NH<sub>3</sub> в смесь подбирают такую, чтобы масса оставалась приблизительно нейтральной. Исходные II и III готовят по схеме (R'O)<sub>2</sub>P + PCl<sub>3</sub> → II + III или по схеме 6R'OH + 3PCl<sub>3</sub> → II + III + (R'O)<sub>2</sub>P + 6HCl. 124 г PCl<sub>3</sub> и 186 г (C<sub>6</sub>H<sub>5</sub>)<sub>2</sub>P кипятят 5,5 час. (т. кип. смеси за это время повышается от 85 до 140°). Смесь фракционируют и получают 66 г IIIа, т. кип. 110—113°/0,4 мм, n<sub>D</sub><sup>20</sup> 1,5760, d<sub>4</sub><sup>20</sup> 1,242; 84,5 г IIа, т. кип. 86—90°/10 мм, n<sub>D</sub><sup>20</sup> 1,5380, d<sub>4</sub><sup>20</sup> 1,353 и фракцию, содержащую IIа и IIIа вместе с некоторыми кол-вами исходных в-в. Аналогично получают II, R' = n-толил, т. кип. 103—106°/10 мм, n<sub>D</sub><sup>20</sup> 1,5478, d<sub>4</sub><sup>20</sup> 1,304 и III, R' = n-толил, т. кип. 138—140°/0,08 мм, n<sub>D</sub><sup>20</sup> 1,5624, d<sub>4</sub><sup>20</sup> 1,188. Смесь 216,6 г о-крезола с 137,4 г PCl<sub>3</sub> нагревают в течение 4,5 час. от 25 до 60°. В течение последнего часа сосуд со смесью вакуируют (должно удалиться 94% HCl от теоретич. кол-ва, вакуум устанавливается ~100 мм рт. ст.). Массу фракционируют и получают 22,0 г II, R' = o-толил, т. кип. 98—101°/14 мм, n<sub>D</sub><sup>20</sup> 1,5514, d<sub>4</sub><sup>20</sup> 1,306, и 122,5 г III, R' = o-толил, т. кип. 135—139°/0,05 мм, n<sub>D</sub><sup>20</sup> 1,5666, d<sub>4</sub><sup>20</sup> 1,193. Аналогично синтезируют другие II (указаны R', т. кип. в °C/мм рт. ст.) n-(1,1,3,3-тетраметилбутил)-фенил, 132—150/1,5; толил (смесь м- и п-изомеров), —; нонилфенил (в основном п-изомер), 130—135/0,15, n<sub>D</sub><sup>20</sup> 1,5139, d<sub>4</sub><sup>20</sup> 0,987 и III (указаны R' и т. кип. в °C/мм рт. ст.) n-(1,1,3,3-тетраметилбутил)-фенил, 215—222/0,5; толил (смесь м- и п-изомеров), —; нонилфенил (в основном п,п'-изомер), 220—231/0,15, n<sub>D</sub><sup>20</sup> 1,5238. Даны также примеры р-ции фенола с PCl<sub>3</sub>. К перемещаемой смеси 26,1 г 2-этилгексанола, 90 мл гексана и 0,1 г метилового красного прибавляют по каплям 50 г IIIа и 90 мл гексана (т-ру наруж-ным охлаждением поддерживают ~0—5°). Одновременно в смесь пропускают NH<sub>3</sub> с такой скоростью, чтобы р-р был слабо щелочным (время введения 30 мин.). Массу перемешивают еще 10 мин., дают ей нагреться до 10°, при энергичном перемешивании прибавляют к ней 150 мл 10%-ного р-ра NaOH и перемешивают еще 10 мин. Органич. слой упаривают при 90°/20 мм, остаток перегоняют и получают 51,5 г I, R = 2-этилгексил, R' = C<sub>6</sub>H<sub>5</sub>, m = 1, т. кип. 148—156°/0,15 мм, n<sub>D</sub><sup>20</sup> 1,5207, d<sub>4</sub><sup>20</sup> 1,056. Аналогично из 65 г IIа получают 101 г I, R = 2-этилгексил, R' = C<sub>6</sub>H<sub>5</sub>, m = 2, т. кип. 148—156°/0,06 мм, n<sub>D</sub><sup>20</sup> 1,4791, d<sub>4</sub><sup>20</sup> 0,964. Даны примеры синтеза других I (указаны R, R', m, т. кип. в °C/мм, nD при т-ре (в скобках в °), d<sub>4</sub><sup>20</sup>: 2-этилгексил, n-толил, 1, —, 1,5191 (30,8), 1,032; 2-этилгексил, n-толил, 2, —, 1,4738 (30,7), 0,940; 2-этилгексил, o-толил, 2, 143—148/0,05, 1,4749 (30,9), 0,954; 2-этилгексил, o-толил, 1, 146—150/0,05, 1,5164 (27,2), 1,027; 2-этилгексил, n-(1,1,3,3-тетраметилбутил)-фенил, 1, —, 1,5037 (26), 0,960; аллил, o-толил, 1, 120—127/0,05, 1,5453 (32), —; 3-циклогексен-1-илметил, o-толил, 1, —, 1,5516 (25,5), —; аллил, n-нонилфенил, 1, —, 1,5100 (25,5); 2-этилгексил, n-(1,1,3,3-тетраметилбутил)-фенил, 2, —, 1,4828 (25), 0,935. Даны также примеры получения раз-

личных смесей I (из смесей различных II и III и II с III в различных соотношениях (указаны R, R', m, n<sub>D</sub><sup>20</sup> и d<sub>4</sub><sup>20</sup>) 2-этилгексил, n-(1,1,3,3-тетраметилбутил)-фенил, 1 и 2, —, —; 2-этилгексил, м- и п-толил, 1 и 2, —, —; 2-этилгексил, C<sub>6</sub>H<sub>5</sub>, 1 и 2, 1,5247 и 1,4933 (при 26°), 1,058 и 0,991 (в зависимости от состава смеси); изооктил, м- и п-толил, 1 и 2, т. кип. 157—165°/0,07 мм; олеил, C<sub>6</sub>H<sub>5</sub>, 1 и 2, 1,4988 и 1,4882, 0,960 и 0,943; олеил, м- и п-толил, 1 и 2, 1,5050 и 1,4823, 0,970 и 0,923; аллил, n-(1,1,3,3-тетраметилбутил)-фенил, 1 и 2, 1,5152 и 1,4830, 0,997 и 0,917. I используют в качестве стабилизаторов для защиты виниловых смол и синтетич. каучуков от термич. воздействий. I предупреждают также образование поверхностных корок при нагревании указанных материалов. Даны примеры стабилизации GRS в латексе. Приведены ценностные каучуков, степени образования корок и вязкости по Муни (контроль и продукты, стабилизированные различными I и триарилфосфитами).

Н. Маторина

6Л187. Способ получения органических фосфино-вых кислот. Horner Leopold, Hoffmann Hellmut, Wippel Hans Günther. Verfahren zur Herstellung von organischen Phosphinsäuren. [Farbwerke Hoechst A.-G. vormalig Meister Lucius & Brüning]. Пат. ФРГ 1044813, 14.05.59.—К-ты ф-лы RRP'(=O)OH (I), где R и R' — алкил, арил, алкенил, аракил или цикло-алкил, получают нагреванием до 360°, преимущественно 210—270°, окиси фосфина RRP'(=O) (II), где R' — арил или арилметил (R, R' и R' могут содержать алкокси- или аминогруппы), в присутствии гидроокиси щел. или щел.-зем. металла, преимущественно NaOH. Р-цию проводят до прекращения выделения R'H. Реакционную смесь растворяют в воде и подкисляют минер. к-той; I выделяют фильтрованием или экстрагированием органич. р-рителем (CHCl<sub>3</sub>). Выход I 80—100%. Смесь 1 моля (C<sub>6</sub>H<sub>5</sub>)<sub>2</sub>PO и 2 молей порошка NaOH нагревают при 250° 1 час; при этом отгоняется 1 моль C<sub>6</sub>H<sub>5</sub>. Смесь растворяют в 400 мл теплой воды и выливают в 2 л. р-р HCl; по охлаждению отсасывают (C<sub>6</sub>H<sub>5</sub>)<sub>2</sub>P(=O)OH, выход ~100%, т. пл. 192° (из сп.). Аналогично из соответствующих II получают другие I (указаны R, R', R', выход в %, т. пл. в °C): C<sub>6</sub>H<sub>5</sub>, C<sub>6</sub>H<sub>5</sub>, 80, 129—133; C<sub>2</sub>H<sub>5</sub>, C<sub>6</sub>H<sub>5</sub>, C<sub>6</sub>H<sub>5</sub>, 94, 78—80 (из сп.); C<sub>2</sub>H<sub>5</sub>, C<sub>2</sub>H<sub>5</sub>, C<sub>6</sub>H<sub>5</sub>, 86, —; C<sub>6</sub>H<sub>5</sub>, C<sub>6</sub>H<sub>5</sub>, C<sub>6</sub>H<sub>5</sub>CH<sub>2</sub>, 100, —; хлорангидрид, выход 70%, т. кип. 172—175°/0,5 мм; C<sub>6</sub>H<sub>5</sub>, C<sub>10</sub>H<sub>7</sub>, C<sub>10</sub>H<sub>7</sub>, 100, 185—187 (из диоксана и см.); C<sub>6</sub>H<sub>11</sub>, C<sub>6</sub>H<sub>5</sub>, C<sub>6</sub>H<sub>5</sub>, 90, 112—114 (из сп. и воды); n-C<sub>12</sub>H<sub>25</sub>, C<sub>6</sub>H<sub>5</sub>, C<sub>6</sub>H<sub>5</sub>, 96, 66—67; n-C<sub>13</sub>H<sub>27</sub>, C<sub>6</sub>H<sub>5</sub>, C<sub>6</sub>H<sub>5</sub>, 100, 124—129 (из сп. и воды); n-C<sub>18</sub>H<sub>37</sub>, C<sub>6</sub>H<sub>5</sub>, C<sub>6</sub>H<sub>5</sub>, 100, 67—68 (из сп.); (CH<sub>3</sub>)<sub>2</sub>NCC<sub>6</sub>H<sub>4</sub>, C<sub>6</sub>H<sub>5</sub>, C<sub>6</sub>H<sub>5</sub>, 58 (Na-соль), —; C<sub>2</sub>H<sub>5</sub>, n-C<sub>6</sub>H<sub>13</sub>, C<sub>6</sub>H<sub>5</sub>, 90 —; хлорангидрид, т. кип. 155—160°/14 мм. Описано приготовление II, использованных в синтезах. I применяют для получения фармацевтич. препаратов и средств борьбы с вредителями с-х культур, а также в аналитич. химии.

Н. Майер

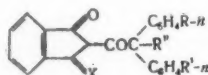
6Л188. Оловоорганические производные три(мер-кантоалкил (арил)-борных эфиров. Ramsden Hugh E. Hydrocarbontin derivatives of trimercapto berole esters. [Metal & Thermit Corp.]. Пат. США 2904570, 15.09.59.—Описано получение соединений ф-лы RSn(R'O)<sub>3</sub>B (Ia—г, а R = C<sub>6</sub>H<sub>5</sub>, R' = C<sub>2</sub>H<sub>5</sub>; б R = n-C<sub>6</sub>H<sub>17</sub>, R' = o-C<sub>6</sub>H<sub>4</sub>; в R = CH<sub>2</sub>=CH, R' = C<sub>2</sub>H<sub>4</sub>; г, R = C<sub>6</sub>H<sub>5</sub>CH<sub>2</sub>, R' = n-C<sub>6</sub>H<sub>4</sub>); (R<sub>2</sub>Sn)<sub>3</sub>(SR'O)<sub>3</sub>B<sub>2</sub> (IIа—д, а R = C<sub>6</sub>H<sub>5</sub>, R' = C<sub>2</sub>H<sub>5</sub>; б R = CH<sub>2</sub>, R' = n-C<sub>6</sub>H<sub>4</sub>; в R = C<sub>12</sub>H<sub>25</sub>, R' = o-C<sub>6</sub>H<sub>4</sub>; г R = C<sub>6</sub>H<sub>5</sub>, R' = C<sub>6</sub>H<sub>5</sub>CHCH<sub>2</sub>; д R = C<sub>6</sub>H<sub>5</sub>, R' = C<sub>2</sub>H<sub>4</sub>); (R<sub>2</sub>Sn)<sub>3</sub>(SR'O)<sub>3</sub>B<sub>2</sub> (IIIа—г, а R = n-C<sub>6</sub>H<sub>13</sub>, R' = C<sub>6</sub>H<sub>5</sub>CHCH<sub>2</sub>; б R = цикло-C<sub>6</sub>H<sub>11</sub>, R' = CH<sub>2</sub>CHCH<sub>2</sub>; в R = изо-C<sub>7</sub>H<sub>15</sub>, R' = n-C<sub>6</sub>H<sub>4</sub>CH<sub>2</sub>; г R = n-C<sub>10</sub>H<sub>17</sub>CH<sub>2</sub>, R' = (CH<sub>2</sub>)<sub>4</sub>). При взаимодействии соответствующего меркаптоспирта с H<sub>2</sub>BO<sub>3</sub> в подкисляем р-рителе с азетропной отгонкой воды получают три(мерканто)-борный эфир, который при р-ции с RSnO-OH, R<sub>2</sub>SnO или R<sub>3</sub>SnOH дает соответственно I, II или III. Эту р-цию также проводят с азетропной отгонкой



воды. 1 моль  $\text{H}_3\text{BO}_3$ , 3 моля  $\text{HSCH}_2\text{CH}_2\text{OH}$  и 100 мл толуола кипятят в приборе с ловушкой для воды до полного удаления воды, затем толуол удаляют, под конец в вакууме при  $160^\circ/15$  мм и получают  $(\text{HSC}_2\text{H}_4)_3\text{BO}_3$  (IV). 0,75 моля  $(\text{C}_4\text{H}_9)_2\text{SnO}$ , 0,5 моля IV и 200 мл толуола кипятят до полного удаления воды, затем удаляют р-ритель в вакууме до постоянного веса и получают II, вязкая жидкость. Аналогично, из соответствующих стехиометрич. кол-в соответствующих реагентов получают Ia, б, в, г, Па б, в, г, ППа б, в и г. I, II и III применяют в качестве стабилизаторов и антиоксидантов для смол и каучуков, ускорителей вулканизации и полимеризации, добавок к маслам. Приведен пример стабилизации поливинилхлорида.

Л. Макарова

6Л189. 1-моногидразоны 2-аралканон-1,3-индан-дионов. Mosher William A., Braun Robert A. 2-aralkanoyl-1,3-indanedione, 1-monohydrazones. [Nease Chemical Co., Inc.] Пат. США 2883423, 21.04.59. — Вещества ф-лы (I, а-б), где R и R' = H, низшие алкилы, низшие алкоксилы, или галогид, R'' = H или  $n\text{-R}''\text{C}_6\text{H}_4$  (R'' — низшие алкил или алкоксил или галогид) (в частности, Ia R = R' = R'' = H в R = R' = H, R'' =  $\text{CH}_3$  получают при р-циях в-в ф-лы (Ia-б, а R = R' = R'' =



I X = NNH<sub>2</sub>  
II X = O

= H, R = R' = H, R'' =  $\text{CH}_3$  IIб) с  $\text{N}_2\text{H}_4$  или с  $\text{N}_2\text{H}_4 \cdot \text{H}_2\text{O}$ . Р-ции протекают при кипячении компонентов в низших спиртах или в их водн. р-рах. В некоторых случаях р-ция проводят в *трет*- $\text{C}_4\text{H}_9\text{OH}$ . Исходные II получают следующим образом: в-ва ф-лы  $\text{NaC}(\text{C}_6\text{H}_4\text{R}-n)(\text{C}_6\text{H}_4\text{R}'-n)\text{R}''$  при р-циях с  $\text{CH}_3\text{COCl}$  превращают в соединения ф-лы  $\text{CH}_3\text{COC}(\text{C}_6\text{H}_4\text{R}-n)(\text{C}_6\text{H}_4\text{R}'-n)\text{R}''$  (III) [III могут быть также синтезированы при р-циях ароматич. углеводородов или их производных с кетонами ф-лы  $\text{CH}_3\text{COCBr}(\text{C}_6\text{H}_4\text{R}-n)\text{R}''$ ] III далее конденсируют с диалкилфталатами и получают II (см. пат. США 2827499 РЖХим, 1959, № 20, 727470). I реагируют с карбонильными соединениями (КС) в спирте, диоксане,  $\text{CCl}_4$ ,  $\text{HCON} \cdot (\text{CH}_3)_2$ , в эфире или (лучше) в  $\text{CHCl}_3$  с образованием кристаллич. смешанных азидов (СА) (р-ция протекают 5—15 мин. и катализируются минер. или органич. к-тами). Для колич. выделения КС в виде СА достаточно 5—10%-ный избыток I (от стехиометрич. кол-ва). Для получения аналитич. образца СА можно брать  $1/2$ — $1/4$  моля I на 1 моль КС. СА из I и КС сильно флуоресцируют при УФ-освещении. Т-ры плавления СА весьма характерны, лежат в пределах 70—300° и отличаются от т-ры плавления производных КС. Ряд КС, не образующих обычных кристаллич. производных, дает кристаллич. СА с I. I устойчивы по отношению к нагреванию и действию к-т. Так, Ia выдерживает нагревание при  $160^\circ$  в течение 4 дней и больше. 68 вес. ч. Па, т. пл.  $145$ — $145,5^\circ$ , в смеси 600 вес. ч. воды с 150 вес. ч. метанола обрабатывают 20 вес. ч.  $\text{N}_2\text{H}_4$ . Массу кипятят с перемешиванием 3 часа, оранжевый осадок отделяют, промывают водой и затем  $\text{CHCl}_3$ , сушат при  $100^\circ$  и получают 69 вес. ч. Ia, т. пл.  $305^\circ$  (из  $\text{HCON}(\text{CH}_3)_2$ -воды). Дан пример получения Ia в других условиях и с большими нагрузками. Аналогично синтезируют другие I (II получают из IIб. т. пл.  $142$ — $143^\circ$ ). К 1 вес. ч. ацетона в 30 вес. ч.  $\text{CHCl}_3$  прибавляют избыток Ia и 1 каплю конц.  $\text{HCl}$ . Смесь кипятят 5 мин., охлаждают, фильтруют, к фильтрату прибавляют 10 вес. ч. эфира (при 10 вес. ч. спирта). выпавший осадок отделяют, промывают эфиром, сушат на воздухе и получают 0,99 вес. ч. изопропилидентгидразона 2-дифенилацетил-1,3-индандиона, т. пл.  $226$ — $227^\circ$  (из  $\text{CH}_3\text{OH}$  и  $\text{CHCl}_3$ ). 2,4-динитрофенилгидразон

(ДНФГ) ацетона имеет т. пл.  $126^\circ$ . Аналогично из 0,005 моля КС и 0,0045 моля Ia готовят другие производные (указаны исходные КС, т. пл. производных с Ia в  $^\circ\text{C}$  и т. пл. ДНФГ соответствующих КС в  $^\circ\text{C}$ ) б-танон-2, 197,5—198, 117; этилбутилкетон, 209—210, 107; 3-метилбутанон-2, 169—170, 117; 4-метилпентанон-2, 177,5—178,5, 95; пинаколин, 151—152, 125; метилциклопропилкетон, 177,5—178,5, 152; циклогексанон, 248,5—249, 162; гептанон-2, 147,5—148,5, 74; октанон-2, 128,5—130,5, 58;  $\text{CH}_3\text{CHO}$ , 180,5—181,5, 147; *n*-масляный альдегид, 167,5—168, 122; метилциклопентилкетон, 238—239, 126; 2-пентанон, 166—167, —; нонанон-2, 126,5—127,5, —; нонанон-5, 128,0—128,5, —; гексанон-2, 135—136, —; ундеканон-2, 104—105, —;  $\text{C}_6\text{H}_5\text{CHO}$ , 230—240, 237;  $n\text{-O}_2\text{NC}_6\text{H}_4\text{CHO}$ , 278—279, 320; ацетофенон, 239,5—240, 250; метил-*n*-толилкетон, 237,5—238,5, 260; фенилпропилкетон, 204—205, 163; 1-фенилпропанон-2, 191,5—192,5, 156; 1,1-дифенилпропанон-2, 232—233,5, 142,5; 3-фенилбутанон-2, 180,5—181,5, 173; *n*-фенилацетофенон, 255,5—256, 242; *n*-фенилбензофенон, 210—211, —; флуоренон, 282—283, 282; *n*-нитроацетофенон, 297,5—298, —; *n*-бутирофенон, 229,5—230,5, 190; *n*-толуальдегид, 255—255,5, 234; 1-ацетилнафталин, 251,5—252,5, 259; 2-ацетилнафталин, 251,5—252, 262;  $\text{CH}_3\text{CH}(\text{C}_6\text{H}_5)\text{CHO}$ , 194,5—195,5, —; терефталальдегид, 342—342,5, —; 2-(*n*-ацетилфенил)-4-метилпентан, 200—200,5, —; акролеин, 85,5—86,5, 165; крононовый альдегид, 184,5—185,5, 190; метилвинилкетон, 76,5—77,5, —; окись мезитила, 165—166, 203;  $\text{C}_6\text{H}_5\text{CH}=\text{CHCHO}$ , 225—226, 255 (разл.); пиналь, 165—166, 116; 4-фенил-3-бутен-2-он, 228—229, —;  $\text{CH}_3\text{CHO}$ , 169,5—170, 151—155; хлорацетон, 179,5—180, 124;  $\alpha$ -хлорацетофенон, 214,5—215,5, 212;  $\alpha$ -бром-*n*-нитроацетофенон, 224—225, —;  $n\text{-FC}_6\text{H}_4\text{COC}(\text{C}_6\text{H}_5)_2$  *трет*, 236,5—237,5, —;  $\text{CH}_3\text{COC}(\text{CH}_2)_2\text{C}(\text{OH})(\text{CH}_3)_2$ , 210—211, 203; 4-(*o*-оксифенил)-бутен-3-он-2, 252—253, —; салициловый альдегид, 245—246, 252 (разл.); 2-оксид-1-нафтаальдегид, 274—275, —; оксанацетофенон, 270—271, —; фурфурол, 209,5—210,5, 229; метил-2-тиенилкетон, 268,5—269, 243; 4-(2-фурил)-бутен-3-он-2, 233—233,5, —; 2-бензоилпиридин, 231,5—232, —; феноксинацетон, 193,5—194,5, —;  $\text{CH}_3\text{COCOOH}$ , 251—252, 218;  $\text{CH}_3\text{COCOCH}_3$ , 220—221, —; ацетоксусный эфир, 179—180, —;  $n\text{-(CH}_3)_2\text{NC}_6\text{H}_4\text{CHO}$ , 271—271,5, —; диацетил, 260,5—261, —; *n*-диметиламинобензальацетон, 234—235, —;  $(\text{C}_6\text{H}_5)_3\text{SiCOC}_6\text{H}_5$ , 209—210, —. Даны цвета производных Ia с перечисленными КС. Даны примеры синтеза изопропилиденовых производных других I. I применяют в качестве реактивов из карбонильную группу.

М. Кашура

6Л190. Получение 9,9'-дифлуорилидена. L. Albert Bernard B., Meili Jay E. Production of 9,9'-beffluorilidene. [Union Carbide Corp.] Пат. США 2905728, 22.09.59. — Флуорен (I) при нагревании с S (мол. соотношение 2:1—3:1,  $240$ — $290^\circ$ ) превращается в 9,9'-бифлуоренил (II). 2 молекулы II при нагревании до  $> 245^\circ$  ( $310$ — $365$  или лучше  $\sim 352^\circ$ ) диспропорционируются с образованием 9,9'-бифлуорилидена (III) и 2 молекул I. Процесс сопровождается некоторым осмелением, для уменьшения которого рекомендуют вести р-цию или в атмосфере инертного газа ( $\text{N}_2$ ) или (лучше) в присутствии 0,5—5 вес. % (от II) инертного древесного угля. Способ может быть непрерывным. 1000 г технич. I (т. пл.  $110$ — $111^\circ$ ) из каменноугольной смолы и 67,4 г S нагревают 70 мин. при  $250^\circ$  (выделение  $\text{H}_2\text{S}$ ). К массе прибавляют 15 г угля и в течение 165 мин. с помощью короткой колонны с насадкой отгоняют из нее фракцию с т. кип.  $250$ — $325^\circ/80$  мм (получают 498 г I, т. пл.  $100$ — $108^\circ$ ). Далее т-ру остатка доводят до  $330^\circ$  и в течение 80 мин. давление в системе снижают до 7,5 мм рт. ст. Собирают 130 г дистиллята, состоящего (вес. %) из 96 I, 3 II и 0,8 III. Перегонку продолжают в течение 55 мин. при  $350^\circ/0,4$  мм и получают 214 г смеси, содержащей (вес. %) 68 III, 4 I и 21 II. Выход III 50%, конверсия 21%. Остаток в кубе вести 143 г. Дан пример синтеза III с использо-

логично из  
угле прова  
изводных с  
С в °С) бу  
9—210, 107;  
пентаион-2  
метилтикло  
ион, 248,5  
и-2, 128,5—  
ный альде  
1, 238—239,  
26,5—127,5,  
135—136,  
—240, 237;  
239,5—240,  
фенилизир  
и-2, 191,5—  
5, 142,5; 3-  
цетифенол,  
—; флуо  
5—298, —;  
егид, 256—  
259; 2-аце  
10, 194,5—  
(*n*-ацети  
ин, 85,5—  
90; метил-  
165—166,  
—; централ  
—; СН<sub>2</sub>С  
—180, 124;  
нитроаце  
6,5—237,5,  
о-оксифе  
алдегид,  
274—275,  
—, 209,5—  
243; 4-(2-  
пипридил  
—; СН<sub>3</sub>СО  
—; ацето  
НО, 271—  
и-ламиво  
209—210,  
ион КС  
производ  
тивов на  
Капаун  
Lam  
of 9,9-  
г. США  
ни с 8  
ващется  
гревании  
опорцио  
(II) и  
ым осмо  
от вести  
ли (луч  
ого дре  
и, 1000 г  
й смоли  
деление  
ние 16  
отто  
(полу  
атка до  
в систе  
дистил  
И. Пере  
/0,4 м  
68 III  
Остаток  
исполь-

ванием перекристаллизованного из СН<sub>3</sub>COOH I (выход III 71%). Из 1000 г технич. I с 6,06 г S (12 мин., 170—280°) с последующей обработкой смеси кипячением с C<sub>2</sub>H<sub>5</sub>OH получают III, выход 83%, т. пл. 230—240°. Даны примеры диспропорционирования чистого II.

М. Капун

6Л191. Октагидро-7-изопропил-1,4b - диметилфенилкарбонная-1 кислота, содержащая три двойных связи. Sanderson Thomas F., Subluskey Lee A. Triethylenically unsaturated octahydro-7-isopropyl-1,4b-dimethyl-1-phenanthrenecarboxylic acid. [Hercules Powder Co.] Пат. США 2854478, 30.09.58.—Указанную к-ту (I), а также соответствующие декатригидрокислоты (DK) получают из смоляных к-т, полученных по пат. США 2360204. Смоляные к-ты или их эфиры галоидируют N-галогидридом органич. к-ты и полученные галоидированные производные дегидрогалогидируют действием органич. [коллоидин (II), пиридин, диметил-ацетилин и т. п.] или неорганич. оснований или на Al<sub>2</sub>O<sub>3</sub>, получая I. Смоляную к-ту, полученную по указанному пат., имеющую т. пл. 147—148° этерифицируют раствором 6,1 ч. этой к-ты в 250 ч. безводн. ацетона с добавлением 7,1 ч. K<sub>2</sub>CO<sub>3</sub> и 14 ч. CH<sub>3</sub>J. После 16 час. кипячения смесь охлаждают, фильтруют, фильтрат концентрируют, разбавляют водой и экстрагируют эфиром. Из эфирного слоя удаляют эфир и получают метиловый эфир указанной смоляной к-ты. Смесь последнего с 4 ч. N-бромсукцинимидом, 0,25 ч. перекиси *n*-кумилкумола в 1600 ч. CCl<sub>4</sub> в токе N<sub>2</sub> при —2° облучают 6,05 ч. смеси эфиров I и DK, УФ-максимумы при 16 час. с 92 ч. II; после охлаждения разбавляют 500 ч. эфира и снова фильтруют, выделяя 90% гидробромид II. Фильтрат упаривают в вакууме, остаток растворяют в эфире, р-р промывают, высушивают и получают 6,05 ч. смеси эфиров I и DK, УФ-саксимумы при 1. 230—240, 269 и 320 мμ. Смесь эфиров I и DK омыляют кипячением (2 часа) в 100 ч. диэтиленгликоля с 2 ч. КОН в 20 ч. воды. Разбавленную 300 ч. воды реакционную смесь извлекают эфиром и подкислением водн. фазы выделяют I и DK, которые можно разделить дробной кристаллизацией их бутаноламинных солей. Na-соли I и DK применяют для проклейки бумаги.

3. Нудельман

6Л192. Способ выделения 1-антрахинонсульфокислоты. Ершов П. Н., Шаранова И. Е. Авт. св. СССР 122747, 10.10.59.—1-антрахинонсульфокислоту (I), полученную сульфированием антрахинона (II) олеумом в присутствии Hg или ее соединений, очищают от Hg действием хлорсульфоновой к-ты (III). Смесь (в г) 52,5 сублимированного II, 65,2%-ного олеума и 0,29 HgO постепенно нагревают до 130—135° и выдерживают при этой т-ре 30—35 мин. Добавляют 1 мл III и выдерживают еще 10 мин. при 130°. Затем выливают смесь в воду, II отсасывают и промывают. Из фильтрата высаливают Na- или K-соль I. Содержание Hg в соли I и в регенерированном II ≤ 0,02 вес. См. РИХим. 1960, № 9, 35813.

Н. Майер

6Л193. Способ производства парадиксоксана-2. Guest Howard R., Kiff Ben W. Process for the production of 2-paradixoxanone. [Union Carbide Corp.] Пат. США 2900295, 18.08.59.—Парадиксоксан-2 (I) получают при циклогидрировании диэтиленгликоля (II) в присутствии окисного Cu-Cr-катализатора (КТ) (с Cu<sub>2</sub>O). Удовлетворительные результаты получают только с комплексом КТ, в котором соотношение Cr:Cu лежит в пределах 5:95—85:15 (лучше 15:85—40:60, оптимальное соотношение 20:80). КТ может применяться с инертными носителями (Al<sub>2</sub>O<sub>3</sub>, SiO<sub>2</sub>, асбест, кизельгур, пемза). Р-ции протекают при 200° (лучше 275—300°). Предварительная обработка КТ H<sub>2</sub> при 275—300° повышает его эффективность. Способ может быть непрерывным. 4731 г II пропускают со скоростью 160 г/час через реакционную зону, содержащую 275 г КТ (восстановленная CuO и Cr<sub>2</sub>O<sub>3</sub> на Al<sub>2</sub>O<sub>3</sub>). Ак-

тивная часть КТ содержит 80,0 ч. Cu<sub>2</sub>O на 20,0 ч. Cr<sub>2</sub>O<sub>3</sub> (соотношение Cu:Cr, 80,7:19,3). Т-ру в реакторе поддерживают ~283—287°. Выходящие пары конденсируют, продукт перегоняют и получают 3814 г I и 513 г II. Выход I 83,6%, эффективность процесса 94,6%. Даны примеры синтеза I в различных условиях и с использованием КТ различного состава (приведены выходы I). Дан график зависимости выхода I и эффективности процесса от соотношения Cu и Cr в КТ.

Н. Маторина

6Л194. Циклические фторсодержащие диаменичные эфиры. Simmons Howard E., Jr. Cyclic esters disubstituted with certain fluoro-substituted radicals. [E. I. du Pont de Nemours and Co.] Пат. США 291444,

3.11.59.—Соединения ф-лы R'R''C—OCO—R—X (I), где R — двухвалентный углеводородный радикал, содержащий до 8 атомов C, причем между X и CO содержится 1 атом C, R' и R'' — пергалонд- или ω-п-пергалондуглеводородные радикалы, содержащие каждый ≤ 6 и вместе ≤ 8 атомов C, причем R' и R'' вместе могут образовывать цикл, X = O, S или NH; получают по схеме R'R''CO + HXRCOOY → I (Y = H или алкил) в присутствии основного катализатора, I, в отличие от других циклич. лактонов, являются гидролитически стабильными в-вами. К 39,8 ч. CF<sub>3</sub>ClOCF<sub>2</sub>Cl (II) в 60 ч. абс. эфира при перемешивании и охлаждении добавляют 26,4 ч. этилового эфира α-оксизомасляной к-ты. Затем прибавляют 2 ч. безводн. CH<sub>3</sub>COONa и перемешивают 48 час. при ~20°, записывая от попадания влаги. Смесь фильтруют, фильтрат упаривают, освобождают от следов неорганич. солей быстрой перегонкой и дистиллят фракционируют в вакууме, получая 24,1 ч. этилгемикетала II, выход 98%, т. кип. 108°, n<sub>D</sub><sup>25</sup> 1,3837, и 18,2 ч. I, где R = (CH<sub>2</sub>)<sub>3</sub>C, R' = R'' = CF<sub>2</sub>Cl, X = O, выход 64%, т. кип. 169°, n<sub>D</sub><sup>25</sup> 1,3935. К р-ру 30,4 ч. HO—CH<sub>2</sub>COOH в 50 ч. HCON(CH<sub>3</sub>)<sub>2</sub> добавляют при охлаждении на ледяной бане и перемешивают 89 ч. II и затем 1 ч. CH<sub>3</sub>COONa. Смесь выдерживают при ~20° три дня, выливают в 1000 ч. воды и извлекают 3 порциями по 135 ч. CH<sub>2</sub>Cl<sub>2</sub>. Вытяжки промывают водой, 2 н. р-ром NaOH, высушивают MgSO<sub>4</sub> и перегонкой на коротке выделяют I, R = CH<sub>2</sub>, R' = R'' = CF<sub>2</sub>Cl, X = O, выход 52,7 ч., т. кип. 159—161°, n<sub>D</sub><sup>25</sup> 1,3870. Аналогично из равномолекулярных жол-в II и HSCH<sub>2</sub>COOH получают I, R = CH<sub>2</sub>, R' = R'' = CF<sub>2</sub>Cl, X = S, выход 98%, т. кип. 118—119°/47 мм, n<sub>D</sub><sup>25</sup> 1,4394, аналитич. образец, т. кип. 120°/50 мм, n<sub>D</sub><sup>25</sup> 1,4388, d<sub>4</sub><sup>25</sup> 1,7064. Из DL-аланина и II получают I, R = CH<sub>3</sub>CH, R' = R'' = CF<sub>2</sub>Cl, X = NH, выход 83%, т. кип. 104°/16 мм, n<sub>D</sub><sup>25</sup> 1,4099. I применяют в качестве промежуточных продуктов, а также как системный инсектицид против бобового вредителя *Uromyces phaseoli*.

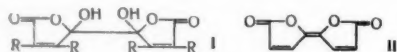
Л. Макарова

6Л195. Способ получения β-ацетилбутиролактона. Нисидзава Йосихико, Китакура Сэйити [Сумитома кагану когэ кабусики кайся]. Японск. пат. 2965; 2966, 24.04.59.—Пат. 2965. β-Ацетилбутиролактон (I) получают конденсацией ди-(мет. металлич.) солей ацетилянтарной к-ты (II к-та) с формалином и отщеплением 1 молекулы воды в кислой среде. К 108 г диэтилового эфира II (т. кип. 140—142°/14 мм, n<sub>D</sub><sup>16</sup> 1,4380) прибавляют 480 мл 10%-ного NaOH, охлад. до 0°, оставляют на 24 часа при 20° до исчезновения масляного слоя, при 0° нейтрализуют 30%-ной H<sub>2</sub>SO<sub>4</sub> до pH 8—8,2, прибавляют 20 г NaHCO<sub>3</sub> и 54 мл 37%-ного формалина, оставляют стоять 16 час. при 20°, подкисляют 30%-ной H<sub>2</sub>SO<sub>4</sub>, извлекают эфиром, экстракт сушат Na<sub>2</sub>SO<sub>4</sub>, отгоняют р-ритель и перегонкой в вакууме выделяют 45,8 ч. I, т. кип. 140—143°/16 мм, n<sub>D</sub><sup>20</sup> 1,4600 [2,4-динитрофенилгидразон, т. пл. 191—192° (разл., из CH<sub>3</sub>COOH)].

Пат. 2966. I получают конденсацией ди-(сложного эфира) II с формалином в присутствии минер. или органич. основания в качестве катализатора, последую-

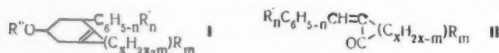
щим гидролизом, декарбоксилированием и циклизацией с удалением 1 молекулы воды. 54 г диэтилового эфира II растворяют в 27 мл 37%-ного формалина и 500 мл спирта, прибавляют немного пиридина,  $\text{NH}(\text{CH}_3)_2$  или 5 г  $\text{NaHCO}_3$ , перемешивают 16 час., отгоняют в вакууме спирт, получают ~50 г масла, которое подкисляют 30%-ной  $\text{H}_2\text{SO}_4$ , нагревают несколько часов, извлекают эфиром и из эфирного экстракта аналогично выделяют 17,1 г I,  $n_D^{20}$  1,4615. I пригоден в качестве промежуточного продукта красителей или синтетич. противоростовых препаратов. С. Петрова

6Л1196. Диоксифурандионы и их синтез. Holmquist Howard E. Dihydroxybifurandiones and preparation thereof. [E. I. du Pont de Nemours and Co.]. Пат. США 2866793, 10.12.58.—Способные к поликонден-



сации диоксифурандионы общей ф-лы (I), где R = H, алкоксиарид, галоидарид и т. п. (R = H, Ia), получают окислением ненасыщенного дилактона ф-лы (II) концентрированной  $\text{HNO}_3$  в сернокислотном р-ре. I легко каталитически гидрируются с образованием 4,5-дигидрогексацикарбонной к-ты (III), а III в свою очередь гидрируются в тетрагидробифурандион (IV). При  $t$ -ре < 15° и перемешивании к 32,8 г II в 150 мл охлажден.  $\text{H}_2\text{SO}_4$  прибавляют в течение 1 часа смесь 15 мл конц.  $\text{HNO}_3$  (d 1,52—1,54) и 35 мл конц.  $\text{H}_2\text{SO}_4$ , перемешивают 3 часа при ~20°, выливают в 3 л раздроблен. льда и получают 25,1 г Ia, выход 63%, т. пл. 187—190° (разл., из этилацетата). 0,8 г диацетата получают из 2 г Ia и 25 мл  $(\text{CH}_3\text{CO})_2\text{O}$ , т. пл. 185° (из этилацетата). 9,9 г Ia и 5,6 г о-фенилендиамина в 50 мл метанола образуют 7,5 г бензипразин-2,3-бисакриловой к-ты. 26 г  $\text{C}_6\text{H}_5$ , 200 мл  $(\text{CH}_3)_2\text{CO}$  и 1,5 г дикобальтдикарбонилла нагревают 14—17 час. в автоклаве при давл. CO 1000 ат, получают 20 г II, т. пл. 229° (из  $\text{CH}_3\text{COOH}$ ). Смесь 25 г Ia, 350 мл диоксана и 0,13 г  $\text{PdO}_2$  выдерживают при ~20° и 3 ат  $\text{H}_2$  в течение 7 час. и получают 21,1 г III, выход 83%, т. пл. 182—183° (из сц.). 0,63 г III и 0,7 г о-фенилендиамина в 30 мл спирта нагревают 45 мин. и получают 0,17 г бензипразин-2,3-биспропионовой к-ты, т. пл. 204—212° (разл.). Из 8,4 г III, 5—10 г скелетного Ni и 200 мл диоксана при 100° и 196 ат  $\text{H}_2$  в течение 2,5 час. получают 3,8 г IV, т. пл. 105° (из этилацетата). Предложен механизм окисления II в I, приведены данные ИК- и УФ-спектров для диацетата I и для III.

С. Давыдова  
6Л1197. Получение полициклических дигидропиранов. Emerson William S., Longley Raymond I., Jr. Polycyclic dihydropyrans and preparation thereof. [Monsanto Chemical Co.]. Пат. США 2836603, 27.05.58.—Полициклические дигидропираны ф-лы (I) получают

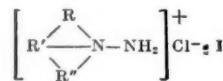


диеновой конденсацией бензальциклокетона ф-лы (III) и алкилвинилового эфира ф-лы  $\text{CH}_2=\text{CHOR}''$ . В ф-лах  $\text{R}'' = \text{C}_1 - \text{C}_4$ -алкил;  $\text{R}'$  — насыщ. органич.  $\text{C}_1 - \text{C}_8$  радикал, < 2 атомами O;  $n = 0 - 2$ ; R — алкил, алкокси, арил и оксорадикалы, где сумма атомов C и O радикала R вместе с x не превышает 10;  $m = 0 - 4$ ;  $x = 3 - 5$ . В р-ции применяют избыток алкилвинилового эфира до 4-кратного, т-ра 150—220°, время р-ции 2—24 часа. 0,55 моля 2-бензальциклогексанона, 0,69 моля этилвинилового эфира и 0,1 г гидрохинона медленно при перемешивании нагревают до 100°, прекращают перемешивание и медленно продолжают нагревать до 210°, выдерживают при 210° 28 часов. Перегонкой выделяют 2-этокси-3,4,5,6,7,8-гексагидро-4-фенил-2Н-бензопиран,

выход 52%, т. кип. 160—162°/4 мм,  $n_D^{25}$  1,5346. Аналогично получены (даны выход в %, т. кип. в °C/мм,  $n_D^{25}$ ): 2-этокси-3,4-дигидро-4-фенил-5,6-триметилен-2Н-пиран, 162—168°/2, 1,5798; 2-этокси-3,4,5,6,7,8-гексагидро-4-(3,4-метилendioксифенил)-2Н-бензопиран, 174—184°/3, 1,5538; 2-этокси-3,4,5,6,7,8-гексагидро-4-(3,4-диэтоксифенил)-2Н-бензопиран, 40, 211—216°/1, 1,5496; 1-(3,4-метилendioксифенил)-3-этокси-1,2,3,4-тетрагидро-4-окса-9-флуоренон, 49, т. пл. 130—132°; 1-(3,4-диэтоксифенил)-3-этокси-1,2,3,4-тетрагидро-4-окса-9-флуоренон, 43, т. пл. 122—124°. I применимы как промежуточные продукты в органич. синтезе, а также как инсектициды. Р. Слудкин

6Л1198. Способ получения 3,6-диокси-9,9-диметилксантена. Nanousek Vítězslav. Způsob přípravy 3,6-dihydroxy-9,9-dimethylxanthenu. Чехосл. пат. 88272, 15.01.59.—3,6-диокси-9,9-диметилксантен (I) получают конденсацией резорцина с ацетоном при 140—160° в присутствии  $\text{ZnCl}_2$  или какого-либо другого катализатора конденсации. I выделяют из смеси добавкой спирта. 550 г резорцина, 550 г безводн.  $\text{ZnCl}_2$  и 145 г ацетона нагревают при перемешивании с обратным холодильником. При 140° начинается экзотермич. р-ция, т-ра поднимается до 164°. Загустевшую реакционную массу, не перемешивая, нагревают еще 6 час. при 140°, добавляют 100 мл спирта, перемешивают, охлаждают и отсасывают. Получают 485 г желтоватого кристаллич. I, т. пл. 266° (из разб. сц.). А. Мышкин

6Л1199. Мостиковые азотистые соединения. Rudner Bernard. Bridgehead nitrogen compounds. [W. R. Grace & Co.]. Пат. США 2891060, 16.06.59.—Вещества ф-лы (I), где R, R' и R'' — углеводородные остатки, содержащие (или не содержащие) двойные связи ароматич. характера и образующие бициклич. систему, получают при р-циях соответствующих бициклич. соединений с гетероатомом N с  $\text{NH}_2\text{Cl}$ . Р-ции протекают в водн. или безводн. р-рителях (галоидпроизводные ала-



фатич. углеводородов, диметилформамид, ароматич. углеводороды,  $\text{C}_6\text{H}_5\text{NO}_2$ ) и в присутствии  $\text{NH}_3$ . Применяемый  $\text{NH}_2\text{Cl}$  разбавляют  $\text{N}_2$ . В 150 мл 10%-ного водн. р-ра гексаметилентетрамина вводят смесь газообразных  $\text{NH}_3\text{Cl}$ ,  $\text{NH}_3$  и  $\text{N}_2$ . Р-ция проходит быстро и с разбавлением (поглощается теоретич. кол-во  $\text{NH}_2\text{Cl}$ ). Прозрачный р-р упаривают и в остатке получают 20,8 г гигроскопичной смеси N-аминогексаметилентетраминийхлорида (II) и  $\text{NH}_4\text{Cl}$ , выход 78%-ного II 79%, т. разл. 190—196°. Смесь частично извлекают 2-пропанолом и получают более чистый II, т. пл. 167—168°. После кристаллизации последнего в-ва из смеси 2-пропанола с  $\text{CHCl}_3$  выделяют чистый II, т. разл. 207—208°. При р-ции II с гексафторфосфатом K (в насыщ. водн. р-ре) выпадает осадок гексафторфосфата N-аминогексаметилентетрамина, т. пл. 203° (разл.). Из продуктов гидролиза II выделяют  $\text{CH}_2\text{O}$ ,  $\text{NH}_3$  и  $\text{N}_2\text{H}_4$ . Аналогично синтезируют другие I (указаны исходные третичные амины, выход I в % и т. пл. I в °C): брүция, 85, 261—263 (из абс. сц.), т. возг. > 180°, гексафторфосфат соответствующего аммониевого соединения, т. разл. 204°, т. возг. > 178°; хинин, —, 166—168 (разл. из воды); гексафторфосфат, т. разл. > 200°; 8-(или 9)-оксидиридо-[2:1-b]-бензимидазол (III), —, —, т. разл. ~163°. Даны примеры с использованием в качестве р-рителей диметилформамида и  $\text{CHCl}_3$ . Перечислены возможные к образованию I др. третичные гетероцикл. амины (в их числе и алкалоиды). I [особенно I из физиологич. активных соединений (стрихин, резерпин и др.)] обладают потенциальным фармакологич. действием. II можно применять для дезинфекции



346. Аналогично в  $^{\circ}\text{C}/\text{мм}$  метил-2-н-8-гексадиан, 174-ро-4-(3,4-ди-6/1, 1,5,4-тетрагидро-1-(3,4-ди-4-окса-9-ти как про-также как Р. Случай 9-димети-р-приравн пат. 68272, получаю 40—160° в катализаторной спир-45 г ацетонич. р-ция, кинетич. при 140°, хладеают кристал-Мышкин Я. Rud-unds, [W. Вещества татки, со-зи аромату, со-еди-текают в эле-



одия радикал R — винил или изопропенил, а остальные N или алкил с числом атомов C  $\leq 12$  (напр., 2-метил-5-винилпиридин) при перегонке в качестве ингибиторов применяют в кол-ве 0,01—5% алкилированных нитроаминифенолы. А. Петрашко

**6Л1201. Способ получения 2-метил-5-этилпиридина.** Кобаяси Эйдзи, Саката Рикита, Нисино Хироми, Накадзима Киёто [Мицубиси касай когё кабусики кайся]. Японск. пат. 3322, 4.05.59.—2-метил-5-этилпиридин (I) получают р-цией алкилвинилового эфира с  $\text{NH}_3$  в присутствии катализатора и спирта. 174 г. метилвинилового эфира (II), 136 ч.  $\text{NH}_3$ , 2 ч.  $\text{NH}_4\text{Cl}$  и 60 ч.  $\text{CH}_3\text{OH}$  нагревают в автоклаве из нержавеющей стали 1 час при 230°/290 атм с понижением давления к концу р-ции до 200 атм, из реакционной массы отгоняют фракцию, содержащую 120 ч.  $\text{NH}_3$ , 36 ч.  $\text{CH}_3\text{OH}$  и 2 ч. II, затем 119 ч.  $\text{CH}_3\text{OH}$ , дальнейшей перегонкой в вакууме выделяют 27 ч. пиридиновой фракции и при 110°/100 мм 66,5 ч. 99,8%-ного I, выход 73%. Приведены 5 аналогичных примеров получения I из II или этилвинилового эфира. С. Петрова

**6Л1202. Способ получения  $\beta$ -оксипиридинов и винилпиридинов из 4-пиколлина или лутидинов и коллидинов, имеющих метильные группы в положении 2 и 4.** Michalski Jan, Studniarski Kazimierz. Sposób otrzymywania  $\beta$ -hydroksyetylopirydyn oraz winylpirydyn z 4-pikoliny oraz lutydyn i kolidydy, posiadających grupy metylowe w położeniach 2 i 4. Польск. пат. 40562, 20.12.57.—( $\beta$ -Оксипиридины (I) получают конденсацией пиколлина (II) или лутидинов (III) и коллидинов (IV), имеющих  $\text{CH}_3$ -группы в положении 2 и 4, с параформом (V) в присутствии < 1% воды при > 140° в течение 1—40 час. I дегидрируют до винилпиридинов (VI) действием КОН. Смесь 160,5 г 2,6-III, 45 г V, 1 мл воды и 1 г гидрохинона (VII) в течение 15 час. нагревают при 150° в запаянной стеклянной трубке, отгоняют непрореагировавшие 2,6-III и  $\text{CH}_2\text{O}$ , остаток перегоняют в вакууме, получая 133,6 г (66%) 2-метил-6-I (Ia), т. кип. 88°/0,8 мм, т. пл. 55°, т-ра плавления пикрата 102,5°. R 103,3 г Ia добавляют 8,7 г гранулированного КОН, нагревают до 130° при 18 мм рт. ст., отгоняя продукт р-ции с водой. Отгон сушат над NaOH и перегоняют на колонке, получая 70,6 г (80%) 2-метил-6-VI, т. кип. 148°/18 мм,  $n_D^{20}$  1,5349, т-ра плавления пикрата 168,5°. Увеличивая кол-во V до 90 г и время р-ции до 30 час., получают после дегидратации 55,2 г (28%) 2,6-дивинилпиридина, т. кип. 88—89°/16 мм,  $n_D^{20}$  1,571, т-ра плавления пикрата 140,5°. Нагревая смесь 160,5 г 2,4-III, 45 г V, 1 мл воды и 1 г VII при 160° в течение 1 часа, получают 85,5 г (42%) 2-метил-4-I, т. кип. 87—89°/0,5 мм, т. пл. 39—40°, т-ра плавления пикрата 119—120°, продуктом дегидратации которого является 2-метил-4-VI, выход 78%, т. кип. 76—77°/15 мм, пикрат, т. пл. 154—155°. Аналогично из II получают 4-I, выход 45%, т. кип. 160—162°/15 мм, пикрат т. пл. 122—123°. А. Мышкин

**6Л1203. Способ разделения 2,2'-дипиридила и 4,4'-дипиридила.** Михайлов Г. И., Мизрах Л. И. Авт. св. СССР 123946, 20.11.59.—Для разделения 2,2'- и 4,4'-лазеров дипиридила (I), полученных действием метеллич. Na на пиридин 2,2'-I переводят в комплексное

соединение с  $\text{FeSO}_4$ . Р-р смеси I с т. кип. 270—305° в  $\text{C}_6\text{H}_6$  обрабатывают 2—30%-ным водн. р-ром  $\text{FeSO}_4$ , с pH 3—4. Водн. слой отделяют, дважды экстрагируют  $\text{C}_6\text{H}_6$  и обрабатывают 36—40%-ным водн. р-ром NaOH при 85—95°. Выделившийся 2,2'-I экстрагируют  $\text{C}_6\text{H}_6$  или  $\text{CHCl}_3$ , т. пл. 70—71°. 4,4'-I выделяют из  $\text{C}_6\text{H}_6$ -слоя путем отгонки  $\text{C}_6\text{H}_6$ , т. пл. 73° (из воды или 1%-ного водн. NaOH). Общий выход I 40%. Н. Майер

**6Л1204. Соли гетероциклических полиаминов и эфиров дитиофосфорной кислоты.** Millikan Allen F., Crosby Gifford W. Heterocyclic polyamine salts of phosphorodithioic acid esters and compositions containing the same. [The Pure Oil Co.]. Пат. США 2894951, 14.07.59.—Разложение аммониевой соли ди-(2-этилгексил)-дитиофосфорной к-ты (I) (выделение  $\text{H}_2\text{S}$ ) уменьшают прибавлением соли гексаметилентетрамина (II) и I (III). 195 г 2-этилгексильного спирта, 195 г  $\text{C}_6\text{H}_5\text{CH}_3$  и 195 г нейтр. масла (вязкостью 17,1 ссг при 38°) смешивают с 83,5  $\text{P}_2\text{S}_5$ , нагревают 4 часа на водяной бане, фильтруют, фильтрат обрабатывают 133 г II, оставляют на 16 час., после чего смесь разбавляют гексаном, избыток II отфильтровывают и при —34° выделяют кристаллич. продукт. Выход III 90%, т. пл. 69—70° (из  $\text{C}_6\text{H}_{14}$ ). Стабилизированные I применяют в качестве добавок к смазочным маслам. И. Берлин

**6Л1205. Способ получения производных 1,2-дифенил-3,5-дикетопиразолидина, замещенных в положении 4.** Wiedemann Otto. Způsob výroby odvozenin 1,2-difenyl 3,5-dioxo-pyrazolidinu, substituívaných v poloze 4. Чехосл. пат. 92016, 15.10.59.—Производные (IP) 1,2-дифенил-3,5-дикетопиразолидина замещенные в положении 4 первичным или вторичным алкилом или алкенилом, и их соли с неорганич. и органич. основаниями, получают действием  $\text{RCH}(\text{COX})_2$ , где X — галогид или алкоксил, а R — заместитель в IP, на  $\text{C}_6\text{H}_5(\text{MgY})$  (N—N)  $\text{C}_6\text{H}_5$ , где Y — галогид, в среде нейтральных р-рителей (преимущественно эфиров). К р-ру  $\text{C}_6\text{H}_5\text{MgBr}$  (из 30,5 ч.  $\text{C}_2\text{H}_5\text{Br}$  в 80 об. ч. эфира) приливают ледяную воду и при встряхивании добавляют по каплям 25,5 ч. азобензола в 200 об. ч. абс. эфира и после 30 мин. кипячения охлаждают до —10°, после чего выпадает светлокориичный осадок. К смеси при 0—5° и встряхивании медленно прикапывают 27,6 ч.  $\text{C}_6\text{H}_5\text{CH}(\text{COCl})_2$  в 200 об. ч. абс. эфира, кипятят 2 часа и оставляют на день — выделяется упругая коричневая смола. Смесь подкисляют 10%-ной HCl с добавкой льда и экстрагируют эфиром IP (R =  $\text{C}_6\text{H}_5$ ), т. пл. 106° (из оп.). Опыт повторяют в р-ре  $(\text{C}_2\text{H}_5)_2\text{O}$ , получают продукт с выходом 90%. А. Мышкин

**6Л1206. Стабилизация органических материалов (производные имидазолина и тетрагидропиридина).** Stromberg Verner L. Stabilization of organic materials. [Petrolite Corp.]. Пат. США 2854322, 30.09.58.—Взаимодействием 3-аминоалкилимидазолинов (I) с альдегидами или кетонами получают основания Шиффа, которые могут быть затем восстановлены до соответствующих 3-алкиламиноалкилимидазолинов. I получают из карбоновых к-т и диэтилентриамин, триэтилентетрамина и тетраэтиленпентамина. Аналогичные р-ции могут быть проведены с тетрагидропиридинами (II), полученными из карбоновых к-т и имино-бис-(3-пропиламина). Дикарбоновые к-ты могут быть применены для получения диацет. производных. Кипячением карбонильных соединений с I или соответствующими производными II получают основание Шиффа, которое затем восстанавливают  $\text{H}_2$  под давлением над Ni/C катализатором до более стабильных насыщ. соединений. Приводится много подходов исходных в-в, но продукты не описаны. Продукты применяются в качестве антиоксидантов (деактиваторов Cu). И. Берлин

**6Л1207. Способ получения 5-( $\beta$ -метилтиоэтил)-гидантоина.** Brzozowski Zdzisław. Sposób otrzymywania 5-( $\beta$ -metylotioetylo)-hydantoiny. [Starogardz-

kie Zakłady Farmaceutyczne]. Польск. пат. 42082, 29.08.59.—5-(β-метилтиоэтил)-гидантоин (I) получают р-цией β-метилтиопропаналя (II) с диссоциирующим неорганич. цианидом и смесью  $(\text{NH}_4)_2\text{CO}_3$  и  $\text{NH}_4\text{SCN}$  в спирт. среде и в присутствии пиридина (III). К 200 кг дистил. воды при интенсивном перемешивании добавляют 103 кг  $\text{NH}_4\text{SCN}$  и 86 кг 25%-ного  $\text{NH}_4\text{OH}$ , после растворения добавляют 23,5 кг KCN, 3—15 л III и 300 л 98—100%-ного  $\text{CH}_3\text{OH}$ , через 15 мин. добавляют 24 кг II, нагревают до 50° и интенсивно перемешивают в течение 4 час. Охлажд. до 20° смесь фильтруют с отсасыванием, осадок промывают небольшим кол-вом  $\text{CH}_3\text{OH}$ , фильтрат упаривают при давл. 50 мм рт. ст. до 130—160 л, подкисляют при 45—50° 75 л конц. HCl и сразу же охлаждают до —5°, выдерживают при этой т-ре 14 час., фильтруют, осадок сушат, поднимая т-ру от ~20 до 60°, и получают 35,5—38,5 кг (90—97%) I, т. пл. 97—100° и 100—103° (из сп.). А. Мышкин

6Л208. Способ окисления о-аминоазосоединений в производные конденсированного триазола. Pirkl Jaromir, Dobás Jaroslav. Způsob oxydace o-aminoazolátů na deriváty vicinálního triazolu. 89431, 15.04.59.—Производные триазола, конденсированного с другими ядрами, получают окислением диазо- или азо-красителей, содержащих группы  $\text{SO}_3\text{H}$ , полученных присоединением диазосоединений (ДАС) к 1- или 2-нафтиламину в о-положении к группе  $\text{NH}_2$ , или  $\text{SO}_3\text{H}$ -содержащих азокрасителей, образованных сочетанием ДАС производных 4-аминостильбена с м-фенилендиамин, 2,4-толуолдиамин, 2,4-диаминоанизолом, 1-хлор-2,4-диаминобензолом и м-фенилендиаминсульфокислотой. Окисление проводят с помощью воздуха в водн. среде при 80—100° в присутствии минер. или органич. добавок [NaOH, KOH, Ca(OH)<sub>2</sub>, пиридин] и с использованием в качестве катализаторов металлов, металлич. солей, оксидов или гидрооксидов (преимущественно Cu). 4,6 г красителя, полученного сочетанием ДАС сульфаниловой к-ты с 2,5-нафтиламинсульфокислотой (2,5-I), растворяют в 300 мл воды, добавляют р-р 0,1 г  $\text{CuSO}_4$  в 10 мл воды, 12 мл 45%-ного NaOH и с помощью стеклянного фильтра вводят воздух со скоростью 300—400 мл/мин. Смесь нагревают до 90° в течение 45 мин. смесь обесцвечивается, прекращают подачу воздуха, добавляют при перемешивании 60 г NaCl, отсасывают выпавший осадок, охлаждают до ~20° и сушат в вакууме при 90°, получая 5,2 г 2-фенилнафто-[1,2]-триазол-6,4'-дисульфоната Na. Подобным образом из 138 г продукта сочетания ДАС 4-хлор-4'-аминоазостильбен-2,2'-дисульфокислоты (II) с 2,6-I в присутствии NaOH и  $\text{CuSO}_4$  получают 150 г 2-(4'-хлорстирил)-нафто-[1,2]-триазол-7,2'-трисульфоната Na. Аналогично окисляют азокрасители, полученные из II и 1,4-, 2,5-, 2,7-I или 2-нафтиламина. Полученные соединения могут использоваться как просветляющие средства. Окислением 70 г красителя, полученного сочетанием ДАС 4-нитро-4'-аминостильбен-2,2'-дисульфокислоты с 1,4-I в присутствии  $\text{CuCl}_2$  и NaOH, получают 72 г 2-(4'-аминостирил)-нафто-[1,2]-триазол-4,2',2''-трисульфоната Na, являющегося полупродуктом синтеза «светлой зелени». Сходным образом получают 2-(4'-ацетиламиностирил)-нафто-[1,2]-триазол-4,7-дисульфат Na, 4,4'-бис-(2-нафто-[1,2]-триазол)-стильбентетра-сульфат Na, 2-(4'-хлорстирил)-5-аминобензтриазол-2',2''-тетрасульфат Na и ряд других соединений.

А. Мышкин

См. также: Производство и выделение:  $\text{C}_6\text{H}_2$  6М237, 6М238, 6М330;  $\text{C}_6\text{H}_4$  6М238. Использование этилена коксового газа 6М87. Получение синтез-газа 6М200. Синтез Фишера — Троша 6М244—6М246. Окисление  $\text{C}_6\text{H}_6$  6Б465, 6Б466. Гидратация  $\text{C}_6\text{H}_6$  в  $\text{CH}_3\text{CHO}$  6Б474. Окисление циклогексанолов в дикетоксаны 6Ж82. Получение капролактама 6Ж83. Произ-во β-омпропионовой к-ты 6Ж51. Восстановление нитроолефинов 6Ж49.

Произ-во  $\text{CS}_2$  6М203. Выделение  $\text{C}_6\text{H}_6$  6М89, 6М214. Получение циклопентадиенов 6М273. Очистка дурала 6М156. Алкилирование изопропилбензола 6Ж83. Дегидрирование этилбензола 6Б463. Выделение фенолов 6М85, 6М149. Очистка нафталина 6М150. Выделение идола 6М155. Получение 2,5-фурандикарбоновой к-ты 6Ж166. Полярографическое определение нафталина 6М140. Определение алкиларилсульфокислот в сточных водах 6И262. Техника безопасности на химических заводах 6И335. Токсичность  $\text{CS}_2$  6И336. Токсичность соединений F 6И338.

## ПРОМЫШЛЕННЫЙ СИНТЕЗ КРАСИТЕЛЕЙ \*

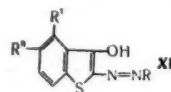
Редактор М. С. Козлова

6Л209. Промышленность синтетических красителей.—«Бэссаку кагаку когэ», 1960, 4, № 1, 168—221 (японск.).—Рассмотрены прямые, кислотные, кислотные протравные, металлосодержащие, сернистые, кубовые дисперсные и нафтоловые красители. М. Козлова

6Л210. Современные красители. Paine Clifford. Modern Dyes. «Research», 1960, 13, № 4, 122—127; «J. Roy. Soc. Arts», 1960, 108, № 5046, 426—438. Discuss., 438—441 (англ.).—Обзор. Развитие химии красителей и методов крашения от открытия мовеина до настоящего времени. Современные открытия в области техники крашения и применяемых типов красителей. Прочности красителей. Дисперсные, кубовые, металлосодержащие азокрасители, фталоцианиновые и проционовые красители. Крашение синтетич. волокон. Оптичкособеливающие средства. Красители для селективного однованного крашения тканей из смешанных волокон. В. Уфимцев

6Л211. Фототропия красителей и пространственная изомерия. Масуо Фудзиро, Кимура Иосиро. «Сэирё то якухин, Dyestuffs and Chemicals», 1960, 5, № 5, 231—239 (японск.).—Обзор. Библи. 52 назв.

6Л212. Исследование в области азокрасителей. Часть I. Dutta Paresh Chandra, Sen Gupta Achintya Kumar, Bose Bhabani Prasad, Roy Sunil Kumar. Studies in azo dyes. Part I. «Indian Chem. Soc.», 1960, 37, № 1, 50—52 (англ.).—Для изучения зависимости между хим. строением и цветом



проведено сочетание тиоиндоксидов (I), 5-фенил-I (II) и 4,5-бенз-I (III) с диазотированными анилином (IV), n-толуидином (V), n-бром-IV (VI), n-нитро-IV (VII), антрацилином (VIII) и сульфаниловой к-тами (IX) и β-нафтиламином (X). Полученные азокрасители отвечают общей ф-ле (XI, где R — незамещ. или замещ. фенил или нафтил; R' = H, R'' = H или фенил; или R' + R'' образуют вместе приконденсированное бензольное кольцо). Замещение в положении 5 на фенил вызывает углубление цвета; при замещении положений 4 и 5 бензостатком углубление цвета не наблюдается. Диазотированием аминов по обычному способу и сочетанием в 2 п. NaOH с I—III получены следующие XI [указаны азо- и диазосоеставляющие, т. пл. в °C (из разб. сп. или  $\text{CH}_3\text{COOH}$ ) и λ(макс.) в мμ (в кс-оле)]: I, VII, > 290, 500; I, VI, 164, 495; I, IX, > 290, —; I, VIII, 228 (разл.), 425; I, X, 224, 490; I, 1-нафтил-

\* В этом разделе для характеристики цвета приняты следующие сокращения: голубой — гол., желтый — жел., зеленый — зел., коричневый — кор., красный — кр., оранжевый — ор., розовый — роз., серый — сер., синий — син., фиолетовый — ф., черный — чер.

аминсульфокислота-4, 159 (разл.), —; II, IV, 158, 450; II, VII, 181, 500; II, IX, > 290, —; II, VIII, 269, 445; II, X, 195, 500; III, VII, 253—256 (разл.), 510; III, VI, 131—132, нет максимума; III, IV, 105 (разл.), 500; III, X, 145—150, 525; III, V, 114—120, нет максимума.

В. Уфимцев

6J1213. Азопигменты. Hargreaves K. G. Azo pigments. «Brit. Ink Maker», 1960, 2, № 4, 20—23 (англ.).—Краткий обзор жел., ор. и кр. азокрасителей, применяемых в качестве пигментов и лаков.

В. Уфимцев

6J1214. Успехи в области красителей, применяемых для холодного крашения. Lenartowicz Jerzy. Rozwój barwników lodowych. «Przegl. włókienn.», 1959, 13, № 11-12, 589—593 (польск.; рез. русск., англ., нем., франц.).—Обзор. Составлено строение компонентов азокрасителей, применяемых для холодного крашения, а именно: рапид-прочных (антидиазотаты), рапидогенов, лейтрогенов (диазоаминосоединений), рапидазолов (диазосульфонов) и вырабатываемых в Польше пологенов. Библи. 13 назв.

В. Уфимцев

6J1215. Потенциалы восстановления сернистых красителей в лейкосоединения. Urahata Toshihiro, Utsunomiya Masayasu. «Сэнти гаккайши, Sen-i gakkaiishi, J. Soc. Text. and Cellulose Inds, Japan», 1960, 16, № 3, 220—226 (японск.; рез. англ.).—Определены потенциалы восстановления 8 сернистых красителей в лейкосоединения и восстановительные потенциалы самого восстановителя в различных условиях. Получены следующие результаты: а) восстановительная способность в условиях крашения уменьшается в порядке двуокись тиомочевны > гидросульфит Na > сульфид щел. металла. Стабильность сульфидов щел. металлов больше, чем двуокись тиомочевны и гидросульфита Na; б) показано, что потенциал восстановления сернистых красителей в лейкосоединения зависит от метода их получения, так красители, полученные осернением идиополов полисульфидами, имеют меньший потенциал, чем красители, полученные осернением в расплаве серы; в) в красильной ванне необходимо контролировать pH и т-ру, как при восстановлении кубовых красителей.

М. Козлова

6J1216. Изучение восстановления индиго в промышленном ферментативном кубе. I. Ферментативный процесс в кубе. II. Влияние некоторых факторов на ферментацию. Takahara Yoshimasa, Tanabe Osamu. «Хакко когаку заасси, J. Ferment. Technol.», 1960, 38, № 4, 176—180; 17, 180—183, 18 (японск.; рез. англ.).—I. Приведены результаты опытов по ферментативному восстановлению индиго (I) в кубе. При анализе броидильной массы (БМ) установлено, что pH БМ постепенно снижается; с увеличением ферментации происходит размножение культуры бактерий в БМ; а окислительно-восстановительный потенциал снижается до 700 мв; процесс ферментации наблюдается только с того момента, когда почти закончится размножение бактерий и окислительно-восстановительный потенциал значительно снизится; ферментация в кубах малого объема не приводит к цели, так как очень трудно контролировать pH БМ.

II. Установлено, что чем больше добавляется в БМ индиго-куба в гранулированной форме, тем легче протекает процесс ферментации (обычно 4—5%); для полного восстановления I и для предотвращения загряжения необходимо установить в БМ pH 10—12; процесс ферментации проводят при 20—40° (оптимальная т-ра 30°); в аэробных условиях культура бактерий энергично размножается, а восстановление I протекает в незначительной степени, вследствие чего для промышленных целей необходимо применять глубокие кубы и по возможности вести процесс без перемешивания БМ; для ускорения процесса ферментации достаточно добавления 1% культуры бактерий; добавление солей муравьиной, молочной и лимонной к-т не оказывает на процесс существенного влияния. М. Козлова

6J1217. Имидазольные красители. II. Моноаролен-имидазольные красители полученные из тетрамина бензольного ряда. Ariént J., Marhan J. Imidazol-Farbstoffe. II. Von Tetraminen der Benzolreihe abgeleitete Monoaroylenimidazol-Farbstoffe. «Collect. Czechosl. Chem. Commun.», 1960, 25, № 1, 124—129 (нем.).—Конденсацией нафталиндикарбоновой-1,8-к-ты (I) с тетрахлоргидратом симм-тетрааминбензола (получен восстановлением соответствующего симм-диазокрасителя) в лед. CH<sub>3</sub>COOH синтезирован в качестве основного продукта р-ции 5,6-бис-(ацетиламино)-1,2-нафтоленбензимидазол (II; III 1,2-нафтоленбензимидазол), а также выделены 5-ацетиламино-III (IV) и 5-ацетилокси-III (V). Соединения II, IV и V, кроме того, были получены конденсацией I с 1,3-диамино-4,6-динитробензолом при одновременном восстановлении NO<sub>2</sub>-групп железом. 83,3 г N,N'-бис-(n-толилсульфонил)-фенилендиамин-1,3 растворяют в щелочи (16 г NaOH в 800 мл воды), добавляют 400 г измельченного льда и затем медленно при перемешивании суспензию из 76 г диазотированной сульфаниловой к-ты. Во время сочетания поддерживают pH 7—7,5 добавлением 60 мл 15%-ного NH<sub>4</sub>OH, перемешивают 1 час при 60°, подкисляют 100 мл конц. HCl, диазокраситель отфильтровывают и промывают водой, подкисленной HCl (к-той). Пасту красителя растворяют в 1 л воды и 120 мл 15%-ного NH<sub>4</sub>OH и добавляют при кипении небольшими порциями 139 г Na<sub>2</sub>S<sub>2</sub>O<sub>4</sub>, 1,5-бис-(n-толилсульфонил)-амино-2,4-диаминобензол (VI) отсасывают теплым, промывают 200 мл воды и сушат при 80°, выход 76,2%, т. пл. 228° (из сл.). 44,65 г VI в 400 мл 80%-ной H<sub>2</sub>SO<sub>4</sub> нагревают медленно до 140° и выдерживают 5 мин., охлаждают, после 24 час. отфильтровывают и промывают 50 мл спирта 2C<sub>6</sub>H<sub>5</sub>(NH<sub>2</sub>)<sub>4</sub>·3H<sub>2</sub>SO<sub>4</sub>. Из фильтрата после стояния выделяют C<sub>6</sub>H<sub>5</sub>(NH<sub>2</sub>)<sub>4</sub>·H<sub>2</sub>SO<sub>4</sub>. Смесь сульфатов нагревают 10 мин. при 70° в 200 мл конц. HCl, осадок отделяют, растворяют в 20 мл воды с добавлением активированного угля и осаждают 200 мл конц. HCl, отделяют и сушат в вакууме при 50° тетрачлоргидрат тетрааминбензола (VII), выход 67,2%. Растворяют 14,2 г VII в 200 мл лед. CH<sub>3</sub>COOH, смешивают с 21,6 г I, кипятят 16 час., охлаждают, осадок (29,2 г) отсасывают, промывают 30 мл лед. CH<sub>3</sub>COOH, кипятят в 2%-ной Na<sub>2</sub>CO<sub>3</sub> и отделяют II (выход 97,9%), который очищают хроматографированием на Al<sub>2</sub>O<sub>3</sub>. 9,2 г 2,4-динитроанилина и 10,8 г I в 150 мл CH<sub>3</sub>COOH кипятят 2 часа, добавляют по частям 30 г Fe-порошка и 5 мл конц. HCl, кипятят 8 час., охлаждают, пасту отделяют и последовательно экстрагируют разб. HCl, затем р-ром Na<sub>2</sub>CO<sub>3</sub> и получают 3,25 г продукта, который подвергают хроматографированию на Al<sub>2</sub>O<sub>3</sub> и получают IV (ор. порошок, т. пл. 265°) и V (жел. порошок, т. пл. 232—233°). Приведены в-во, его R<sub>f</sub> и цвет флуоресценции в УФ-свете: II, 0,25, жел.; IV, 0,45, желто-ор.; V, 0,6, зел.; I, 0,75, коричнево-ф.; III, 0,85, желто-зел. Часть I см. РЖХим, 1960, № 9, 35831. М. Козлова

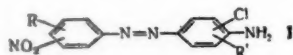
6J1218. Ароматические диазо- и азосоединения. XXXV. Зависимость скорости гидролиза аминазокрасителей от pH, характера заместителей и присутствия спирта. Chmátal V., Allan Z. J. Aromatic Diazotization and Azoverbindungen. XXXV. Hydrolysegeschwindigkeit von Aminoazofarbstoffen in Abhängigkeit von pH, Substitution und Athanolzusatz. «Collect. Czechosl. Chem. Commun.», 1960, 25, № 1, 210—220 (нем.; рез. русск.).—Изучена колориметрич. методом скорость гидролиза при 20° и различных pH аминазокрасителя 4-(4'-нитро-2'-сульфобензолазо)-1-фениламинонафталинсульфокислота-8, его производных, которые в положении 4' бензолазогруппы содержат H- или CH<sub>3</sub>, C<sub>2</sub>H<sub>5</sub>, Cl-, OCH<sub>3</sub>- или SO<sub>3</sub>H-группы, а также красителей, полученных сочетанием диазотированной сульфаниловой к-ты с 1-фениламино- и 1-(n-толиламино)-8-сульфонафталинами и с 1-фениламино-6-сульфонафталином. Исследована зависимость скорости гидролиза от харак-



тера заместителей и от констант Гаммета. Константа скорости первого порядка сильно изменяется от pH. Добавка спирта в кол-ве  $\leq 10\%$  оказывает слабое влияние, а добавка больших кол-в спирта может увеличивать скорость гидролиза до 20 раз. Обсуждается механизм р-ции. Сообщение XXXIV см. РЖХим, 1961, 4Л146. А. Emr

6Л219. Кажущаяся растворимость лейко соединений сернистых красителей. Nakagaki Masayuki, Magara Kimiko. «Kōgō Kagaku Zasshi, Kogyo Kagaku Zasshi, J. Chem. Soc. Japan. Industr. Chem. Sec.», 1960, 63, № 6, 1010—1013, A55 (японск.; рез. англ.).—Измерены кажущиеся растворимости (КР) лейко соединений четырех сернистых красителей: голубого ВВ, индигового R, темно-коричневого D, оранжевого ОА. С возрастанием конц-ии  $\text{Na}_2\text{S}$  КР увеличивается, достигает максимума и затем уменьшается. КР уменьшается, когда избыток  $\text{Na}_2\text{S}$  частично заменяют  $\text{Na}_2\text{SO}_4$  или добавляют NaOH. Этот факт объясняется тем, что при действии электролита происходит высаливание или коагуляция лейко соединений из пересыщ. или колл. р-ра. Определены растворимости (указаны краситель и КР в г/100 мл): голубой ВВ, 0,8; индиговый R, 0,5; темно-коричневый D 0,9. С. Попов

6Л220. Способ получения стойких диазосоединений в твердом виде. Kracker Herbert, Dreyer Ulrich. Verfahren zur Herstellung von festen, haltbaren Diazoniumverbindungen. [Farbwerke Hoechst A.-G. vormals Meister Lucius & Brünig]. Пат. ФРГ 1040562, 26.03.59; 1047787, 9.07.59.—Пат. 1040562. Доп. к пат. 1008310 (см. РЖХим, 1959, № 2, 5692). Патентуется способ получения стойких диазосоединений (СД) из



аминоазосоединений общей ф-лы (I, где R = H, галогид, алкил или алкокси; R' = H, алкил или алкокси;  $\text{NO}_2$ -группа стоит в мета- или пара-положении к азогруппе). I получают сочетанием диазотированного замещ. или незамещ. нитроанилина с о- или м-хлор-анилин-N-метансульфокислотой с последующим отщеплением метансульфогруппы. СД, получаемые диазотированием I и переводом в сульфат, борфторид или двойную соль диазона с  $\text{ZnCl}_2$ , хорошо растворимы в воде и обладают очень хорошей стойкостью; их можно применять для получения на волокне нерастворимых азокрасителей. 27,7 ч. 2-хлор-4-амино-2'-нитроазобензола [т. пл. 210°, получен сочетанием о-нитроанилина с 3-хлоранилин-N-метансульфокислотой и отщеплением метансульфогруппы (II 4-амино-2-нитроазобензол)] нагревают со 100 объемн. ч. 17%-ной HCl, выливают в 2500 объемн. ч. воды, при 20° диазотируют 7 ч.  $\text{NaNO}_2$  в небольшом кол-ве воды, нагревают до 40°, фильтруют, добавляют 7 ч.  $\text{ZnCl}_2$  в небольшом кол-ве воды, высаливают NaCl, отфильтровывают и сушат при умеренной т-ре двойную соль диазонийхлорида с  $\text{ZnCl}_2$ . Полученный красноватый порошок СД растворим в воде и стоек при т-рах до 40°. При замене  $\text{ZnCl}_2$  на NaCl на 16 ч. 16%-ной  $\text{H}_2\text{SO}_4$  и 250 ч.  $\text{NaHSO}_4$  получают сульфат диазона. Аналогично из производных II получают СД (указаны заместители во II и т. пл. в °С аминоазосоединения): 3-хлор, 138—139; 3,4'-дихлор, 193; 2,4'-дихлор, 210; 4'-метил-3-хлор, 174; 4'-метил-2-хлор, 214; 4'-метокс-3-хлор, 153; 4'-метокс-2-хлор, 198—199.

Пат. 1047787. По описанному выше методу получают СД, обладающие аналогичными свойствами (указаны другие заместители в 4-амино-4'-нитроазобензоле и т. пл. в °С аминоазосоединения): 2-метил-5-хлор, 165—167; 2,2'-дихлор-5-метокс, 226; 2-метил-5-хлор-2'-мет-

окс, 200; 2,2'-диметил-5-хлор, 215; 3-метокс-6-хлор, 179—180; кроме того, получены 4-амино-3-метокс-6-хлор-3'-нитроазобензол, 180—181; 4-амино-2-метил-5-хлор-3'-нитроазобензол, 173.

М. Федорова  
6Л221. Азопиримидиновые красители. Baker Ronald. New azo pyrimidine dyestuffs. [Imperial Chemical Industries Ltd]. Англ. пат. 822948, 4.11.59.—Нерастворимые в воде азокрасители (не содержащие карбоксильных и сульфогрупп) общей ф-лы AN(Z)R (I) получают р-цией эквимольных кол-в аминоазосоединения общей ф-лы ANHR с ди- или трихлорпроизводными пиримидина. В указанных ф-лах R = H, незамещ. или замещ. углеводородный остаток; A — остаток, который содержит по крайней мере одну азогруппу, связанную с ароматич. ядром; Z — пиримидиновое ядро, которое содержит два атома Cl в двух из положений 2, 4, 6 или один атом Cl в одном из этих положений и электроотрицательную группу в положении 5; кроме того, пиримидиновое ядро может содержать алкил или арил. Возможно получение I при другой последовательности р-ций, а именно, сначала конденсируют азосоединяющую с производным пиримидина, а затем сочетают с диазосоединяющей. I пригодны для крашения и печати из водн. дисперсий ацетатного шелка и нейлона в жел., кр., ф. и син. цвета; окраски обладают хорошей ровнотой и хорошими прочностями к мокрым обработкам. К 22,7 ч. 2-окс-5-метил-4'-аминоазобензола (II) в 300 ч. спирта прибавляют 19,3 ч. 2,4,6-трихлорпиримидина (III), затем 5,3 ч. безводн. соды в 50 ч. воды, нагревают до 70°, размешивают 4 часа при этой т-ре, охлаждают до 20°, отфильтровывают и промывают водой I, окрашивающий нейлон в жел. цвет, 20,8 ч. 2,4-дихлор-5-нитро-6-метилпиримидина (IV) в 315 ч. ацетона выливают в смесь 125 ч. воды и 125 ч. льда, к полученной суспензии в течение > 30 мин при < 5° прибавляют 22,7 ч. II в 630 ч. ацетона, одновременно приливая 0,2 н.  $\text{Na}_2\text{CO}_3$  до слабощелочной р-ции по конго, повышают т-ру до 10° с прибавлением 0,2 н.  $\text{Na}_2\text{CO}_3$ , после окончания выделения HCl (газа) размешивают 16 час. при 20°, отфильтровывают и промывают водой I, окрашивающий нейлон в жел. цвет. Аналогично получают I (указаны основные исходные в-ва и цвет окраски на нейлоне): 4-метилсульфонил-4'-(N-β-оксиэтил-N-β-аминоэтиламино)-азобензол, III, ор.; 2-хлор-4-метилсульфонил-4'-(N-β-оксиэтил-N-β-аминоэтиламино)-азобензол, IV, красновато-ор. 19,6 ч. 3-амино-N-β-бис-(β-оксиэтил)-анилина в 80 ч. воды в течение > 15 мин. при 0—5° прибавляют к 20,8 ч. IV в 400 ч. воды и 480 ч. ацетона с прибавлением 2 н.  $\text{Na}_2\text{CO}_3$  для поддержания pH 6,8, размешивают 2 часа, отфильтровывают, промывают водой и при 45° сушат 3-(2'-хлор-5'-нитро-6'-метилпиримидил-4'-амино)-N,N-бис-(β-оксиэтил)-анилин (V). К 20,65 ч. 3-хлор-4-аминобензолсульфамида в 100 ч. лед.  $\text{CH}_3\text{COOH}$  прибавляют 30 ч. 10 н. HCl, приливают 400 ч. воды, охлаждают до 0°, сразу приливают 6,9 ч.  $\text{NaNO}_2$  в 50 ч. воды, через 15 мин. р-р выливают при 5—10° в 36,75 ч. V в 800 ч. ацетона, 400 ч. воды и 50 ч. 2 н. HCl, нейтрализуют по конго 2 н. ацетатом Na, размешивают 2 часа при 5—10° и 12 час. при 20°, осадок отфильтровывают, суспендируют в 800 ч. воды, нейтрализуют по лакмусу разб. р-ром соды, вновь отфильтровывают, промывают водой и сушат при 45° краситель, окрашивающий нейлон в кр. цвет. В. Уфимцев

6Л222. Способ получения металлсодержащих азокрасителей. Neier Reinhard. Verfahren zur Herstellung metallhaltiger Azofarbstoffe. [Sandoz A.-G.] Швейц. пат. 340570, 15.10.59.—Металлсодержащие азокрасители (МА) получают обработкой металлодающих (напр., Cr или Co) реагентами моноазокрасителей, полученных сочетанием 1 моля незамещ. или замещ. в ядре 2-оксифенольной-3 к-ты (I) с 1 молем о-аминофенола или соединения общей ф-лы (II, где R = H или другой заместитель; R' — одноядерный арил или

NH-группа, быть заме- арил; в сл

нены друг- кислорода, хоро- шого ра- (напр., а- пригодны при приде- и пластич- Окраски о- старке, об- 36 ч. 2-ам- (III); IV 2- воды при 0—5° в 18, ния высали- ния III → HCONH<sub>2</sub> на- зания раз- (фильтров- от HCl (I за- вают водо- цвет (опи- при приде- диазо- и комплекс- ф. и борф- филилами- 4-сульфо- до-IV I; 4- ламидо- филилами- IV, I; 4-с- фо-(2'-5'- нитро-IV, амидо-IV, перидидо- до-IV, I. амидо-IV, IV, I; 4- до-IV, I. 4-сульфо- окс-4'-х- V, 7-мето- до-IV, I;

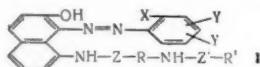
6Л223. Sure a u- rants azo- teinture. Пат. 118- аминс- шей ф-л-

щей ф-л- групп, с R' и R'' алкил, д- алкил, а- ацетил- тановых- Окраски



до окончания восстановления, охлаждают, фильтруют, осадок нагревают в 2 н. NaOH, шлам отфильтровывают в горячем виде, осадок тщательно промывают горячей водой. Полученный фильтрат кипятят с углем, подкисляют HCl (к-той) по конго, I отфильтровывают, K 8 ч. NaOH в 250 ч. воды добавляют 22,2 ч. I, перемешивают до растворения, р-р выпаривают досуха и получают диатриевую соль I. Аналогично получены соли I (указаны соответствующие катионы кислых, затем средних солей): Na, K, аммоний и триэтиламмоний; K, аммоний, триметил-, триэтиламмоний и три-(β-оксипропил)-аммоний; кроме того, при обработке щел. солей I хлоридами металлов второй группы получены соли щел.-зем. металлов. 22,2 ч. I в 300 ч. воды и 50 ч. 5 н. NaOH охлаждают до 0°, добавляют 36 ч. конц. HCl, доводят водой до растворения, р-р выпаривают досуха и получают избыток HNO<sub>3</sub> разрушают, диазораствор быстро приливают к смеси (15 ч. β-нафтола, 20 ч. воды и 26 ч. 5 н. NaOH добавляют к 16 ч. Na<sub>2</sub>CO<sub>3</sub> в 500 ч. воды), перемешивают и выделяют кр. цвета Na-соль азокрасителя I → β-нафтол. Приведено получение Ва-лака. И. Дорман

**6.1225. Способ получения металлосодержащих азокрасителей.** Enders Edgar Verfahren zur Herstellung metallhaltiger Azofarbstoffe. [Farbenfabriken Bayer A.-G.]. Пат. ФРГ 1047340, 18.06.59.—Металлосодержащие азокрасители (MA) получают обработкой металлосодержащими (Cr или Co) реагентами азокрасителей общей ф-лы I, где R — бензольный остаток; R' — алкил; X — окси- или карбоксильная группа или группы, превращающиеся в них; Y = H или пениогенный замести-



тель; Z и Z' = CO и (или) SO<sub>2</sub>-группы). I растворимы в воде и пригодны для крашения шерстяных волокон (ШВ) по однованному способу или с последующим хромированием. MA пригодны для крашения из нейтр. ванны ШВ, синтетич. полиамидных и полиуретановых волокон в кор., сер., син. и оливковые цвета; окраски обладают хорошими прочностями к стирке, валке, декатировке, карбонизации и свету. 9 ч. 4-нитро-2-аминофенола (II; III 2-аминофенол) в 100 ч. воды и 11 ч. конц. HCl при ~5° диазотируют 4,5 ч. NaNO<sub>2</sub> в 10 ч. воды. Суспензию диазосоединения приливают к 20 ч. 1-(3'-метилсульфонил)аминобензол(амино)- нафтола-7 (IV; V нафтол-7) в 250 ч. воды, 15 объемами. ч. 40%-ного NaOH и 100 объемами. ч. 15%-ной соды, после сочетания нагревают до 70—80°, высаливают NaCl и отфильтровывают краситель II → IV. Пасту красителя растворяют в 500 ч. воды и 10 объемами. ч. 40%-ного NaOH, прибавляют 200 объемами. ч. р-ра хромсалицилата в кол-ве, соответствующем 2,8 ч. Cr<sub>2</sub>O<sub>3</sub>, кипятят несколько часов до конца комплексообразования, высаливают NaCl и отфильтровывают Cr-комплекс II → IV, окрашивающий ШВ в оливковый цвет (Со-комплекс окрашивает в сер.), 16 ч. 1-(3'-аминобензил)амино)-V растворяют в 200 объемами. ч. пиридина при 5—10° приливают до каплям 7 ч. метансульфохлорида, после ацилирования прибавляют 50 объемами. ч. конц. NH<sub>3</sub>, медленно приливают диазосуспензию из 10,3 ч. 4,6-дихлор-III, нагревают до 70—80°, высаливают NaCl, отфильтровывают и промывают водой азокраситель 4,6-дихлор-III → IV. Пасту красителя растворяют в 500 ч. воды и 25 объемами. ч. 40%-ного NaOH, при 80° смешивают с аммиачным р-ром 8,2 ч. кристаллич. CoSO<sub>4</sub>, после комплексообразования высаливают NaCl и отфильтровывают Со-комплекс 4,6-дихлор-III → IV, окрашивающий ШВ в зеленоватый темно-син. цвет (Cr-комплекс окрашивает в зеленовато-сер.). Аналогично получают MA (указаны диазо- и азосоставляющие и цвет окраски ШВ Cr- и Со-комплексами): антралиловая к-та, IV,

красноватый темно-кор., —; 4-хлор-6-нитро-III, IV, зеленовато-сер., сине-сер.; 4-метил-III, IV, сине-чер., красновато-син.; 5-нитро-III, IV, зеленовато-сер., —; 4-метил-III, IV, зеленовато-сер., —; 4-нитро-III, 1-(2'-ацетиламинобензолсульфонил)амино)-V (VI), синевато-оливковый, —; 5-нитро-III, VI, —, зеленовато-сер.; 5-нитро-III, IV, зеленовато-сер., сине-сер.; 4-хлор-6-нитро-III, IV, оливковый, темно-син.; 4-хлор-5-нитро-III, IV, зеленовато-сер., сине-сер.; 4-нитро-6-хлор-III, IV, темно-зел., черно-зел.; 4,6-динитро-III, IV, желтовато-оливковый, оливково-серый. В. Уфимцев

**6.1226. Способ получения хромосодержащих красителей.** Zickendraht Christian Verfahren zur Herstellung chromhaltiger Farbstoffe. [CIBA A.-G.]. Швейц. пат. 343559, 15.02.60.—Хромосодержащие азокрасители (1:2) получают р-цией Cr-отдающих реагентов с азокрасителями (AK), содержащими в орто-положении комплексообразующие группы. AK могут иметь в ядрах 1, 2 и более заместителей, одинаковых или различных (за исключением сульфогрупп). Хромирование проводят в нейтр. или слабощел. среде в присутствии легко летучего кислородсодержащего алифатич. р-р-теля действием Cr-комплекса ароматич. о-оксикарбонной к-ты. Полученные AK пригодны для окраски кожи, шерсти, шелка, синтетич. полиамидных и полиуретановых волокон, а также печати по ним. Окраски отличаются равномерностью, стойкостью к свету и стирке. 0,01 моля AK 2-аминобензойная к-та (I) → 1-фенил-3-метилпразолон-5 (II) и 0,01 моля AK I → 2-оксинафталин (III нафталин) взмучивают в 200 мл воды добавляют 100 г втор.-C<sub>4</sub>H<sub>9</sub>OH и обрабатывают 30 г р-ра Cr-салицилата Na, содержащего 2,8% Cr, кипятят 8 час. отгоняют спирт паром, высаливают NaCl и отфильтровывают Cr-содержащий AK, окрашивающий шерсть в нейтр. или слабощел. ванне в красно-кор. с жел. оттенком цвет, отличной светостойкости и стойкости к стирке (приведен пример крашения шерсти Cr-содержащим AK). Аналогично получены (указаны диазо- и азосоставляющие последовательно для двух AK и цвет окраски шерсти): 1, 2-оксинафталин, 4-нитро-2-аминофенол, 3,4-диметилфенол, шоколадно-кор.; 2 моля AK I, 2-оксинафталин, красно-кор.; 2 моля AK I, II, —. С. Хитриш

**6.1227. Способ получения дисазокрасителей и их металлосодержащих комплексов.** Taube Carl, Freytag Karl-Heinz. Verfahren zur Herstellung von Disazo-farbstoffen bzw. deren Metallkomplexverbindungen. [Farbenfabriken Bayer A.-G.]. Пат. ФРГ 1047343, 18.06.59.—Дисазокрасители (AK) и их металлосодержащие комплексы получают последовательным сочетанием 1 моля бисдиазотированного 3-окси(или алкокси)-4,4'-диаминодифенила, который может быть замещен алкилом в положении 3', с 1 молем о-оксисбензойной к-ты, затем с 1 молем незамещ. или замещ. 2-аминонафтол-8-сульфокислоты-6 (I нафтол-8-сульфокислота-6) и обработкой полученного AK непосредственно или на волокне металлосодержащими реагентами. Металлич. комплексы AK окрашивают волокна хлопка и регенерированной целлюлозы в прочный кор. цвет. 21,6 ч. 3-этокси-4,4'-диаминодифенила (II) в солянокислой среде бисдиазотируют 14 ч. NaNO<sub>2</sub>, добавляют р-р 13,8 ч. салициловой к-ты (III) и 16 ч. соды, фильтруют, пасту диазозосоединения вносят в 39 ч. 2-(3'-сульфобензил)амино)-4,45 ч. соды и 100 ч. пиридина в 750 ч. воды и высаливают 100 ч. NaCl. Отфильтрованный дисазокраситель растворяют в 300 ч. воды, прибавляют 25 ч. K<sub>2</sub>SO<sub>4</sub> · 5H<sub>2</sub>O нагревают 6 час. при 120—160°, охлаждают до 70° и отфильтровывают Cu-комплекс III ← II → I, окрашивающий в темный красно-кор. цвет. Аналогично получают AK (указаны бисдиазо- и две азосоставляющие и цвет окраски хлопковых волокон Cu-комплексами): II, 2-этоксис-4-метилбензойная к-та, 2-(4'-метокси-3'-сульфобензил)амино)-I. темный красно-кор.; II, III, 2-(4'-хлор-3'-сульфобензил)амино)-I (IV), темный фиолетово-кор.; 3-метокси-4,4'-диаминодифенил (V), III, IV, темный

фиолетовый  
темный  
аминно)-  
6.1228  
вых кр  
Jif, i  
uziti f  
Конден  
по край  
полной  
ф-лы H  
вые кр  
к фено  
одинак  
кил, ци  
ют гете  
способс  
SO<sub>2</sub>H, S  
но-осно  
метрич.  
2,9 ч. т  
раствор  
37%-по  
охлажд  
ровыва  
оресце  
ленолф  
6.1225  
ных ор  
Educ  
organic  
Прозве  
леннов  
примен  
и содер  
свободн  
лой) п  
с H<sub>2</sub>O  
изводн  
дикатор  
7,6 ч. о  
ного Na  
NH<sub>2</sub>CH<sub>3</sub>  
4 ч. 37  
7—12 ч  
ем HCl  
аминном  
стализи  
ина п  
COON и  
37%-по  
при 20°  
вакуум  
р-ра ап  
бис- (с  
ленна.  
6.123  
Mer k  
Herstel  
Anilin-  
20.08.59  
ем при  
(напр.,  
нения

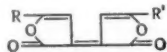
замеще  
к-ты о  
соедин  
оресце  
свете к  
28 Зана



фиолетово-кор.; V, III, 2-(3'-сульфамидофениламино)-I, темный фиолетово-кор.; II, III, 2-(6'-сульфонафтил-4'-амино)-I, темный фиолетово-коричневый. В. Уфимцев 6.1228. Способ получения и применения фталениновых красителей. Terzijská Drahomira, Kőrbli Jiří, Svoboda Vlastimil. Způsob přípravy a použití fteleinových barviv. Чехосл. пат. 88511, 15.01.59.—

Конденсацией фталениновых красителей, содержащих по крайней мере один атом Н в орто-положении к фенольной группе, с  $\text{CH}_2\text{O}$  и аминосоединением общей ф-лы  $\text{HN(R)'R'}$  при 20—100° получают новые фталениновые красители (НФК), замещенные в орто-положении к фенольной группе остатком  $\text{CH}_2\text{N(R)'R'}$  (R и R' — одинаковые или различные, H или алкил, арил, аралкил, циклоалкил или R + R' вместе с атомом N образуют гетероцикл. кольцо; R и R' содержат заместители, способствующие растворению в воде, напр.  $\text{COOH}$ ,  $\text{SO}_3\text{H}$ , SH или OH). НФК пригодны в качестве кислотно-основных индикаторов для ацидиметрич. и колориметрич. анализов. 1,38 ч.  $\alpha$ -аминоизомасляной к-ты, 2,9 ч. тимолфталена и 1,83 ч. кристаллич. ацетата Na растворяют в 17 ч. лед.  $\text{CH}_3\text{COOH}$ , прибавляют 1,7 ч. 37%-ного формалина, нагревают 24 часа при 50—75°, охлаждают, выливают в 900 ч. ледяной воды и отфильтровывают НФК. Аналогично получают НФК из флуоресцеина и серина, о-крезолфталена и пролина, ксиленолфталена и саркозина. В. Уфимцев 6.1229. Способ получения и применения производных органических красителей. Kőrbli Jiří, Kraus Eduard. Způsob přípravy a použití nových derivátů organických barviv. Чехосл. пат. 88055, 15.12.58.—

Производные красителей фталенинового и сульфопталенинового рядов и азокрасителей (которые могут быть применены в качестве кислотно-основных индикаторов и содержат в ароматич. ядре по крайней мере один свободный атом Н в соседнем положении к оксигруппе) получают конденсацией указанных красителей с  $\text{CH}_2\text{O}$  и  $\text{NH}_2\text{CH}_2\text{COOH}$  при 20—100°. Получаемые производные пригодны в качестве кислотно-основных индикаторов при ацидиметрич. и колориметрич. анализах. 7,6 ч. о-крезолсульфопталена растворяют в 4 ч. 20%-ного  $\text{NaOH}$ , 8 ч. воды и 24 ч. спирта, прибавляют 3 ч.  $\text{NH}_2\text{CH}_2\text{COOH}$  в 8 ч. 20%-ного  $\text{NaOH}$ , затем понемногу 4 ч. 37%-ного формалина, через 24 часа нагревают 7—12 час. при  $\leq 100^\circ$ , охлаждают до 20° и подкислением  $\text{HCl}$  (к-той) выделяют 10 ч. 3,3'-бис-(карбоксиметил-аминометил)-о-крезолсульфопталена, который кристаллизуют из водн. спирта. 9,3 ч. тимолсульфопталена и 3 ч.  $\text{NH}_2\text{CH}_2\text{COOH}$  растворяют в 50 ч. лед.  $\text{CH}_3\text{COOH}$  и 5,5 ч. кристаллич. ацетата Na, прибавляют 4 ч. 37%-ного формалина, выдерживают несколько часов в вакууме  $\text{CH}_3\text{COOH}$ , остаток растворяют в 38 ч. насыщ. р-ра ацетата Na в спирте и выделяют 13 ч. Na-соли 3,3'-бис-(карбоксиметил-аминометил) - тимолсульфопталена. В. Уфимцев 6.1230. Способ получения замещенных нафтиронов. Merkel Helmut, Kern Smil. Verfahren zur Herstellung von substituierten Naphthyronen. [Badische Anilin- & Soda-Fabrik A.-G.]. Пат. ФРГ 1052017, 20.08.59.—Замещенные нафтироны получают нагреванием при 100—250° (изомеризация) в органич. р-рителе (напр., в алифатич. спирте с прибавлением для повышения растворимости ароматич. углеводородов или их

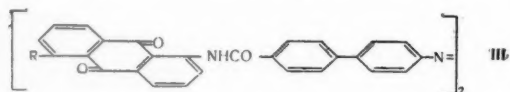


замещенных)  $\gamma,\gamma'$ -дилактона  $\alpha,\alpha'$ -дизамещ. фумаровой к-ты общей ф-лы (I, где R и R' — арил). Полученные соединения пригодны в качестве светочувствительных флуоресцирующих красителей и светящихся при дневном свете в-в. 30 ч. 5-членного дилактона дифенацилфума-

ровой к-ты (т. пл. 317°) растворяют при 200° в 250 ч.  $\text{C}_6\text{H}_5\text{NO}_2$  и 250 ч. этиленгликоля, охлаждают, к еще теплой смеси приливают 500 ч. спирта, после охлаждения отфильтровывают, промывают 150 ч. разб.  $\text{HCl}$  (1:1) небольшим кол-вом спирта и получают 27 ч. оранжево-жел. пигмента с яркой желто-ор. флуоресценцией, т. пл. 332°. Аналогичные оранжево-жел. до ор. пигменты получают из 5-членных лактонов замещ. дифенацилфумаровых к-т (указаны заместители, т. пл. исходного и полученного в-в в °C): 4,4'-диметил, 337, —; 2,4,2',4'-тетраметил, 252, 228; 2,4,6,2',4',6'-гексаметил, 295, 300; 4,4'-дихлор, —, —; 4,4'-диметокси, 310, 325—327. В. Уфимцев 6.1231. Способ получения сернистых фталоцианиновых красителей серого цвета. Zerweck Werner, Ritter Heinrich, Stier Eberhard. Verfahren zur Herstellung von grauen Schwefelfarbstoffen der Phthalocyaninreihe [Cassella Farbwerke Mainkur A.-G.]. Пат. ФРГ 1062852, 14.01.60.—Усовершенствование способа, описанного в пат. ФРГ 947409 (см. РЖХим, 1958, № 8, 26145). Действием  $\text{NH}_2\text{OH}$  (I) или в-в, образующих его, и  $\text{ClSO}_2\text{OH}$  (II) на фталоцианины (III) или их комплексные соли получают сернистые фталоцианиновые красители сер. цвета. Р-цию проводят в присутствии соединений элементов V или VI групп периодической системы при 100—150° с последующей обработкой реакционной смеси при той же т-ре хлоридом серы (IV) в кол-ве 5 молей на 1 моль III. Полученные красители обладают большей красящей силой, повышенной эгализирующей способностью, общей стойкостью, стойкостью к стирке и в особенности к свету. 2,3 ч.  $\text{Cu-III}$ , 15,6 ч. 95%-ного сульфата I и 0,11 ч. молибдата аммония перемешивают с 345 ч. II 2 часа при 115°, приливают в течение 10—15 мин. по каплям 40,5 ч. IV, перемешивают еще 1 час при той же т-ре, охлаждают до 30°, выливают в 5—6-кратное кол-во воды и выделяют краситель, окрашивающий текстильное волокно в р-ре  $\text{Na}_2\text{S}$  в оливково-сер. цвет с зел. оттенком. С. Хитрик 6.1232. Способ получения сернистых красителей фталоцианинового ряда. Zerweck Werner, Ritter Heinrich, Stier Eberhard. Verfahren zur Herstellung von Schwefelfarbstoffen der Phthalocyaninreihe. [Cassella Farbwerke Mainkur A.-G.]. Пат. ФРГ 1049993, 6.08.59.—Сернистые красители (СК) фталоцианинового ряда получают нагреванием при  $> 180^\circ$  фталоцианиновых красителей, содержащих незамещ. или замещ. меркаптогруппы, или их металл. комплексов с S или S-отдающими реагентами. Получаемые СК окрашивают хлопковые волокна в желтоватые темно-зел. цвета, сильно отличающиеся от окрасок исходными сернистыми красителями (ИСК), и обладают хорошими прочностями к стирке и свету. 5 ч. зел. ИСК (полученного обработкой 3 часа фталоцианина  $\text{Cu}$  при 145°  $\text{ClSO}_3\text{H}$  и последующим восстановлением  $\text{Fe}$ -порошком в минерально-кислой водн. суспензии) нагревают с 50 ч. S в железном тигле 12 час. при 240—245°, удаляют избыток S и выделяют СК, окрашивающий в темно-зел. цвет. Приведены еще 4 примера с применением в качестве исходных продуктов фталоцианинов, содержащих меркапто- и родангруппы. В. Уфимцев 6.1233. Способ получения порошкообразных, устойчивых и легкокараверимых в воде сернистых красителей. Bittner Karel, Marval Eduard. Způsob přípravy práškovitých, stálých, ve vodě snadno rozpustných sírých barviv. Чехосл. пат. 88091, 15.12.58.—Красители с указанными свойствами получают растворением сернистых красителей в воде с прибавлением такого диспергатора (напр., Na-соли сульфокислоты динафтил-2-метана), чтобы полученный после сушки порошок растворялся в воде так же хорошо, как и исходный краситель до сушки. При растворении можно одновременно проводить восстановление красителя при помощи  $\text{Na}_2\text{S}$  или  $\text{Na}_2\text{S}_2\text{O}_4$  и добавлять глюкозу. Во вра-

шающемся аппарате для запекания с мешалкой получают 500 ч. необработанного сернистого темно-коричневого R, массу охлаждают до  $< 100^\circ$  и прибавляют р-р, содержащий 500 ч. 15%-ного  $\text{Na}_2\text{S}$ , 750 ч. 33%-ного кортамола NNO и 50 ч. глюкозы, размешивают 5 час. при  $90-95^\circ$ , упаривают, пока т-ра массы не достигнет  $\sim 110^\circ$  и еще несколько часов, охлаждают до  $50^\circ$  и просеивают полученный мелкий порошок красителя. K 500 ч. сернистого синего FBL (в форме пасты) во вращающемся аппарате для запекания или сушилке типа венулет прибавляют 1000 ч. 33%-ного кортамола NNO, размешивают 3 часа при  $20^\circ$ , нагревают до  $105^\circ$  и аналогично упаривают и просеивают краситель. Смешивают 200 ч. сернистого зеленого 3 G (в форме пасты) и 500 ч. 33%-ного кортамола NNO, разбавленного водой до 1500 ч., отстаивают  $\sim 10$  час., отделяют р-р от осадка и суют на вальцевой сушилке.

**6Л234. Способ получения антрахиновых кубовых красителей.** Möggeli Eduard. Verfahren zur Herstellung von Anthrachinonküpenfarbstoffen. [Ciba A.-G.]. Швейц. пат. 340301, 30.09.59.—Ацилированием 1 моля 1-аминоантрахинона (I) и 1 моля 5-бензоиламино-I или его замещенных в бензоильном остатке 1 моля 4,4'-азодифенилдикарбоновой-4''-4''' к-ты (II) или ее функциональных производных получают антрахиновые кубовые красители общей ф-лы (III), где один R—H,



другой R — незамещ. или замещ. бензоиламиногруппа). III легко переходит в куб, их лейкосоединения хорошо растворимы и красят при  $40-50^\circ$ ; окраски обладают хорошей ровнотой и хорошими прочностями к свету и  $\text{Cl}_2$ . 9,2 ч. дихлорангидрида II, 4,5 ч. тонкорастертого I, 300 ч.  $\text{C}_6\text{H}_5\text{Cl}_2$  и 5 ч. пиридина медленно нагревают до  $85-95^\circ$ , размешивают до полного ацилирования I, прибавляют 7,5 ч. 5-(о-фторбензоиламино)-I, кипятят 3 часа, отфильтровывают при  $150^\circ$  и промывают  $\text{C}_6\text{H}_5\text{Cl}_2$  и спиртом краситель, окрашивающий из куба цвета бордо в зеленовато-жел. цвет.

**6Л235. Кубовый краситель антрахинового ряда и способ его получения.** Woerth Louis, Bourguignon Pierre, Kienzle Paul. Nouveau colorant de cuve de la série anthraquinone et procédés pour sa préparation. [Cie Française des Matières Colorantes]. Франц. пат. 1178224, 5.03.59.—Конденсацией 1 моля хлористого цианура (I) с 2 молями 1-амино-4-бензоиламиноантрахинона (II) и 1 молем циклогексиламина (III) получают кубовый краситель (KK). Для получения KK можно применять 1-аминоантрахинон (IV), после чего продукт конденсации нужно нитровать, восстановить и бензоилировать. KK окрашивает хлопковые волокна из фиолетово-кр. куба в яркий прочный кр. цвет. 2080 ч. безводн.  $\text{o-C}_6\text{H}_4\text{Cl}_2$  и 240 ч. II нагревают до  $100^\circ$ , быстро вносят 54 ч. I, нагревают до  $150^\circ$  и размешивают при этой т-ре 8 час. с пропусканьем тока  $\text{CO}_2$  для удаления образующегося HCl, охлаждают до  $100^\circ$ , прекращают пропускание  $\text{CO}_2$ , прибавляют 94 ч. безводн. III, нагревают до  $135^\circ$  и размешивают 8 час. при этой т-ре, охлаждают, отфильтровывают KK и немного промывают  $\text{o-C}_6\text{H}_4\text{Cl}_2$ . 400 ч. 96%-ной  $\text{H}_2\text{SO}_4$  охлаждают до  $0^\circ$ , понемногу прибавляют 37,5 ч. продукта конденсации 1 моля I с 2 молями IV и 1 молем III, размешивают до растворения, при  $\leq 6^\circ$  приливают нитросмесь из 9 ч. 96%-ной  $\text{HNO}_3$  и 80 ч. конц.  $\text{H}_2\text{SO}_4$ , размешивают 2 часа при  $0-5^\circ$ , выливают на лед, отфильтровывают и промывают нитропродукт водой до нейтр. р-ции. Последний суспендируют в 1200 ч. воды, прибавляют 170 ч. NaOH (36% Be) и понемногу 72 ч.  $\text{Na}_2\text{S}_2\text{O}_4$ , размешивают 1 час при  $30-35^\circ$ , осаждают аминсоединение пропус-

канием в реакционную массу воздуха для окисления лейкосоединения. 40 ч. аминсоединения растворяют для очистки в 200 ч. 96%-ной  $\text{H}_2\text{SO}_4$ , понемногу при  $\leq 5^\circ$  разбавляют 40 ч. воды, отфильтровывают и промывают 75%-ной  $\text{H}_2\text{SO}_4$  сульфат аминсоединения, который затем гидролизуют разб.  $\text{NH}_4\text{OH}$ . 41 ч. высушенного и тонкорастертого аминсоединения смешивают с 70 ч. безводн.  $\text{C}_6\text{H}_5\text{NO}_2$  и 6 ч. безводн. диметиламина, нагревают до  $60-70^\circ$ , понемногу приливают 6 ч.  $\text{C}_6\text{H}_5\text{COCl}$  в  $20^\circ$  ч.  $\text{C}_6\text{H}_5\text{NO}_2$ , после окончания р-ции охлаждают до  $20^\circ$ , отфильтровывают KK и промывают  $\text{C}_6\text{H}_5\text{NO}_2$  и спиртом.

**6Л236. Антрахионотриазолы.** Klingsberg Erwin. Anthraquinone triazoles. [American Cyanamid Co.]. Пат. США 2898343, 4.08.59.—Патентуются производные 1,2,4-триазола (ПТР; I 1,2,4-триазол), которые содержат в положении 3 триазолового кольца остаток антрахионил-2, содержащего не более двух заместителей ( $\text{NO}_2$ , Cl,  $\text{NH}_2$ , бензоиламино, теноиламино- или м-трифторметилбензоиламино) в положениях 1,4,5; в положениях 4 и 5 триазоловое кольцо содержит одно- или два ядерные арилы, имеющие в каждом ариле не больше двух заместителей ( $\text{CH}_3$ ,  $\text{OCH}_3$ , Cl, Br, трифторметил, нитро, амино, окси или бензоиламино). В частности, патентуются: 3-(1'-хлорантрахионил-2')-4,5-дифенил-I (II), 3-(1'-аминоантрахионил-2')-4,5-дифенил-I (III); 3-(1'-амино-4'-бензоиламиноантрахионил-2')-4,5-дифенил-I, 3-(1'-амино-4'-(м-трифторметилбензоиламино)-антрахионил-2')-4,5-дифенил-I и 3-(1'-аминоантрахионил-2')-4-(n-толил)-5-фенил-I. ПТР являются кубовыми красителями или промежуточными продуктами для их получения. ПТР синтезируют: а) р-цией соответствующих гидразидов карбоновых к-т с хлоримидами и последующим замыканием 1,2,4-триазолового кольца в полученном амидразоне обработкой его  $\text{SOCl}_2$ ,  $\text{POCl}_3$ , n-толуолсульфокислотой или  $\text{H}_2\text{SO}_4$ ; б) превращением ариламида антрахионкарбонной-2 к-ты (IV к-та) в антрахионил-2-арилхлоримид (обработкой хлорирующим реагентом), который с  $\text{NH}_2\text{NH}_2$  дает арилдигидразон IV, образующий с диарилхлоримидом с последующей циклизацией ПТР. 0,32 ч. N-фенилхлоримида 1-хлор-IV в 15 объемах. ч.  $\text{o-C}_6\text{H}_4\text{Cl}_2$  нагревают до  $\sim 140^\circ$ , прибавляют 0,012 ч. бензгидразида, кипятят до конца циклизации, охлаждают, разбавляют гексаном и отфильтровывают II. 2 ч. анилида IV и 25 объемах. ч.  $\text{SOCl}_2$  кипятят до образования N-фенилхлоримида III, удаляют избыток  $\text{SOCl}_2$ , прибавляют 15 объемах. ч.  $\text{o-C}_6\text{H}_4\text{Cl}_2$ , отгоняют с р-рителем  $\text{SOCl}_2$  до  $\sim 180^\circ$ , прибавляют 1 ч. бензгидразида, охлаждают, немного разбавляют  $\text{C}_6\text{H}_6$  и отфильтровывают 3-(антрахионил-2')-4,5-дифенил-I. Кипятят 0,3 ч. бензанилида и 1 ч.  $\text{SOCl}_2$ , после окончания р-ции отгоняют избыток  $\text{SOCl}_2$ , прибавляют 3 объемах. ч.  $\text{o-C}_6\text{H}_4\text{Cl}_2$  и 0,3 ч. гидразида IV, размешивают при  $180^\circ$  до конца конденсации и выежают 3-(антрахионил-2')-4,5-дифенил-I. Аналогично получают 3-(антрахионил-2')-4-дифенил-5-фенил-I, 3-(антрахионил-2')-4-фенил-5-(β-нафтил)-I и 3-(5-нитроантрахионил-2')-4,5-дифенил-I. 20 ч. анилида 1-амино-IV, 400 ч.  $\text{C}_6\text{H}_5\text{Cl}$  и 11,6 ч.  $\text{PCl}_5$  постепенно нагревают, размешивают при  $100^\circ$  до растворения, фильтруют, охлаждают, отфильтровывают и промывают петр. эфиром N-фенилхлоримид 1-амино-IV. 12 ч. высушенного хлоримида и 250 ч. сухого перегнанного диоксиана нагревают до  $80-90^\circ$ , приливают по каплям 10 ч.  $\text{NH}_2\text{NH}_2 \cdot \text{H}_2\text{O}$ , размешивают до конца р-ции, охлаждают, отфильтровывают и промывают  $\text{CH}_3\text{OH}$  анилдигидразон 1-амино-IV. 6 ч. этого анилдигидразона, 3,2 ч. N-фенилбензгидразидхлорида, 160 ч.  $\text{o-C}_6\text{H}_4\text{Cl}_2$  и 10 ч. пиридина кипятят, охлаждают, отфильтровывают и промывают  $\text{o-C}_6\text{H}_4\text{Cl}_2$  и спиртом III (описано крашение хлопковых волокон в кр. цвет). Аналогично получают 3-(1'-амино-4'-нитроантрахионил-2')-4,5-дифенил-I (V) и 3-(1'-аминоантрахионил-2')-4-(n-толил)-5-(β-нафтил)-I. 10 ч. V постепенно вносят в кипящий

р-р 50 ч.  $\text{Na}_2\text{S}$  в 450 ч. воды, кипятят несколько часов, охлаждают и отфильтровывают 3-(1',4'-диаминоантрахинон-2')-4,5-дифенил-1 (VI). 5 ч. VI и 50 ч.  $\text{C}_6\text{H}_5\text{NO}_2$  размешивают при 130°, прибавляют 5 ч.  $\text{C}_6\text{H}_5\text{COCl}$ , размешивают при этой т-ре до конца бензоилирования, охлаждают, отфильтровывают и промывают  $\text{C}_6\text{H}_5\text{NO}_2$  и спиртом 3-(1'-амино-4'-бензоиламиноантрахинон-1,2')-4,5-дифенил-1, окрашивающий из куба в син. цвет.

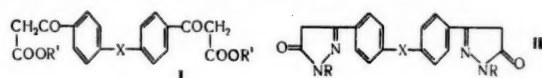
В. Уфимцев  
6Л237. Способ получения серусодержащих кубовых красителей. Zerweck Werner, Honold Ernst. Verfahren zur Herstellung von schwefelhaltigen Küpenfarbstoffen. [Cassella Farbwerke Mainkur A.-G.]. Пат. ФРГ 1057266, 29.10.59.—Кубовые красители (КК), содержащие серу, получают нагреванием при  $> 250^\circ$  с сульфидом щел. металлов 2-аминоантрахинонов (I), замещенных галогеном и (или) сульфогруппой. КК окрашивают хлопковые волокна из темно-кор. куба в оливково-сер. до оливково-кор. цвета. 12 г Na-соли 3-сульфо-1, 30 г S, 40 г кристаллич.  $\text{Na}_2\text{S}$  и 50 мл воды размешивают с постепенным повышением т-ры для испарения воды, сглаживают  $\sim 12$  час. при 280—300°, остаток выщелачивают водой, обрабатывают разб.  $\text{H}_2\text{SO}_4$ , сушат и получают КК, окрашивающий в темный оливково-кор. цвет. Аналогично получают КК (указаны заместители в I и цвет окраски хлопковых волокон): 3-хлор, оливково-кор.; 1,3-диформ, оливково-кор.; 1-хлор, оливково-сер.; Na-соль 1-бром-3-сульфо, оливково-коричневый.

В. Уфимцев  
6Л238. Способ получения основных фталоцианиновых красителей. Bienert Berthold, Baumann Fritz. Verfahren zur Herstellung von basischen Phthalocyaninfarbstoffen. [Farbenfabriken Bayer A.-G.]. Пат. ФРГ 1061010, 17.12.59.—Обработкой фталоцианиновых красителей, содержащих металл (Cu, Co или Ni) и подвижные атомы галогена, алифатич. третичными аминами, содержащими  $\geq 1$  первичной или вторичной аминогруппы, получают основные фталоцианиновые красители. К 10 ч. Cu-фталоцианина (I фталоцианин) в 100 ч.  $\text{HOSO}_2\text{Cl}$  медленно при 60—70° приливают 21 ч.  $\text{SOCl}_2$ , нагревают 4—5 час. при 112—113° [проба должна растворяться в 10%-ном пиридине и не растворяться в водн. р-ре  $(\text{C}_2\text{H}_5)_3\text{NH}$ ], охлаждают, выливают на лед, отсасывают смесь 3,3'-ди- и 3,3',3'-трисульфохлоридов Cu-I, промывают ледяной водой до нейтр. р-ции, перемешивают 12 час. с 40,72 ч. 1-амино-2-метилплатинозана (II) в 38,5 ч. воды, нагревают 1 час при 60°, отфильтровывают, промывают горячей водой и получают краситель, легко растворимый в разб.  $\text{CH}_3\text{COOH}$  с зеленовато-син. окраской. Аналогично получены (указаны металл-I, исходные продукты для его получения, т-ра хлорсульфонирования в °С, амин и окраска р-ра  $\text{CH}_3\text{COOH}$ ): Ni-I, —, 117—118, II, син. с интенсивно зел. оттенком; динатриевая соль 4,4'-дисульфо-Cu-I, фталевый ангидрид, 4-сульфоталат Na (III), мочевины (IV), 75—80, 1-амино-3-диметиламинопропан (V), син. с красным оттенком; динатриевая соль 3,3'-диаза-4,4'-дисульфо-Cu-I, пиридиндикарбоновая-2,3 к-та III, IV, 75—80, 1-диэтиламино-4-амино-*n*-пентан (VI), син. с красным оттенком (приведен пример крашения полиакрилонитрилового волокна); динатриевая соль 4,4'-бис-(дифенил)-4''-дисульфо-Cu-I, дифенилдикарбоновая-3,4 к-та, III, IV, 110, V, зел. с синим оттенком; 4,4',4'',4'''-тетрафенил-Cu-I, —, 20, VI, зел.; тетранатриевая соль 4,4',4'',4'''-тетрасульфо-Co-I, —, 80—90, V или VI, син. с зеленым оттенком; Cu-I, дифенилсульфон-3,4-дикарбоксисульфокислота-3', 80, II, бирюзово-син.; 4,4',4'',4'''-октафенил-Cu-I, —, 20, II, зел. 10 ч. Cu-I, содержащего 3 или 4  $\text{CH}_2\text{Cl}$ -группы, нагревают 15 час. с водн. р-ром 20 ч. VI (1:1) при 90—95°, разбавляют водой, осадок отсасывают, промывают водой, растворяют в 1,5 л 3%-ной  $\text{CH}_3\text{COOH}$  с добавлением животного угля, отфильтровывают примеси, осаждают щелочью и про-

мывают водой до нейтр. р-ции краситель, дающий в р-ре разб.  $\text{CH}_3\text{COOH}$  син. с зеленым оттенком цвет.

С. Хитрик

6Л239. Бис-пиразолоны. Smith Carl Maun. Bis-pyrazolones. [General Aniline & Film Corp.]. Пат. США 2903461, 8.09.59.—Нагреванием 1 моля бис-кетоза общей ф-лы (I) с 2 молями монозамещ. гидразина получают бис-пиразолоны общей ф-лы (II). В ф-лах I и II R = H, низший алкил, бензил, фенил, нафтил, дифенил или их галогид, пикро- или (низший алкил)-замещенные; R' — низший алкил; X = O, S или  $\text{SO}_2$ . II пригодны в качестве промежуточных продуктов для получения пигментов, напр., путем обработки реагентами, отдающими метиновую группу (этилортоформиадом или  $\text{HCONH}_2$ ). 565 мл кислотного р-ра 76,3 г 100%-ного диэтилортоформиада, 4,4'-дикарбондифенилового эфира (III к-та) [получен окислением 4,4'-диацетилдифенилового эфира (IV) до III



и обработкой  $\text{SOCl}_2$ ] смешивают с 85 г ацетоуксусного эфира и 150 г смеси воды со льдом, массу выливают при  $< 10^\circ$  в  $\sim 65$  мл 50%-ного NaOH, поддерживая pH 12, подкисляют конц. HCl до pH 11, размешивают 30 мин. при 10° и 1 час при 20°, затем разделяют слои. К водн. слою прибавляют в течение 1 часа 50 мл конц.  $\text{NH}_4\text{OH}$  и 50 г  $\text{NH}_4\text{Cl}$ , затем сразу 50 г  $\text{NH}_4\text{Cl}$ , размешивают 16 час. в закупоренной склянке и отфильтровывают 236 г бис-кетоза (V) ф-лы  $\text{C}_2\text{H}_5\text{OOCCH}_2\text{OCC}_6\text{H}_4\text{OC}_6\text{H}_4\text{COCH}_2\text{COOC}_2\text{H}_5$ . V получают также конденсацией IV с  $\text{CO}(\text{OC}_2\text{H}_5)_2$ . К 216 г V прибавляют 87 г фенилгидразина, нагревают 2 часа при 100°, твердую массу растирают с  $\text{CH}_3\text{OH}$ , промывают  $\text{CH}_3\text{OH}$  до нейтр. р-ции, растворяют в пиридине, фильтруют, горячий р-р разбавляют водой, после стояния отфильтровывают, промывают водой с небольшим кол-вом пиридина, затем  $\text{CH}_3\text{OH}$  и получают 1,1'-дифенил-3,3'-(дифениловый эфир-4,4')-дипиразолон-5,5'. Приведен вариант получения его в среде диоксана в присутствии лед.  $\text{CH}_3\text{COOH}$  и нескольких капель конц. HCl. Описано получение 1,1'-дифенил-3,3'-(дифенилсульфид-4,4')-дипиразолон-5,5' и 1,1'-дифенил-3,3'-(дифенилсульфон-4,4')-дипиразолон-5,5'. В смесь 1500 г безводн.  $\text{AlCl}_3$  и 3500 мл высушенного тетрахлорэтана в течение 30—40 мин. при 35—40° приливают смесь 632 г дифенилового эфира с 927 г  $\text{CH}_3\text{COCl}$ , размешивают 2 часа при этой т-ре, выливают в смесь воды со льдом и 250 мл конц. HCl, размешивают 15—20 мин., отделяют верхний слой, осторожно смешивают с 2000 мл холодной воды, фильтруют через диатомитовый порошок, отделяют органич. слой, промывают 3 раза 1000—1500 мл холодной воды и перегонкой в вакууме выделяют IV, выход 84,9—86,9%, т. кип. 213—217°/0,3—0,5 мм. Аналогично из дифенилсульфида и  $\text{CH}_3\text{COCl}$  получают 4,4'-диацетилдифенилсульфид, т. кип. 215—222°/11 мм.

В. Уфимцев

6Л240. Способ получения красителя черного А для печати. Anders Wacław, Lisiecki Władysław, Kasprzak Franciszek, Chojnacki Władysław. Sposób wytwarzania czerni drukarskiej A. [Zakłady Przemysłu Barwników «Boruta» Przedsiębiorstwo Państwowe]. Польск. пат. 39864, 30.04.57.—Действием безводн. N-сульфодиаэтиламиниллина (I диаэтиламиниллин) на 4-аминодифениламин получают черный А [4-(сульфамино)-дифениламин], который в виде Na- или K-соли применяют для окрашивания растительных животных и синтетич. волокон в чер. цвет. Окраски с хорошей прочностью к свету, стирке и трению получают на волокне после окисления и запаривания. 250 г  $\text{HOSO}_2\text{Cl}$  медленно приливают к 600 г нагретого





437(49)

(указаны в-во, т. кип. в °C/мм Hg или т. пл. в °C): α-(*м*-ацетиламинофенокси)-II, 95 (из водн. CH<sub>3</sub>OH); α-(*м*-йодифенокси)-II, 90 (из бензина); йодированная *м*-амино-I, 169—170 (из водн. CH<sub>3</sub>OH); дийод-*м*-ацетиламино-I, 204—206 (из водн. CH<sub>3</sub>OH); монойод-*м*-ацетиламино-I, 180—184 (из водн. CH<sub>3</sub>OH); α-(дийод-*м*-ацетиламинофенокси)-II, 164—165 (из водн. CH<sub>3</sub>OH); трийодрезорцин, 147—148 (из водн. CH<sub>3</sub>OH); *м*-окси-I, 152—154 (из толуола), метиловый эфир, 200—220/12—15; α-(*м*-оксифенокси)-II, 96—97 (из бzl.); γ-бутиролактон, 204—208/760; γ-I, 64 (из бzl. с т. кип. 100—110°); γ-(*м*-нитрофенокси)-II, 114—115 (из бzl.); γ-(*м*-йодифенокси)-II, 60—63; γ-(2,4,5-трийодифенокси)-II, 145—147; γ-(*м*-оксифенокси)-II, 75—80; йодированная *м*-окси-I (1—2 атома J в молекуле), 139—141 (из CH<sub>3</sub>OH); 2,4,6-трийод-3-окси-I, 205 (разл.; из CH<sub>3</sub>OH или ацетона); модифицированная α-(*м*-оксифенокси)-II (1—2 атома J в молекуле), 138—139 (из бzl.); γ-(2,4,6-трийод-3-оксифенокси)-II, 140—141 (из ацетона); дийод-*м*-метокси-I, 196 (из CH<sub>3</sub>OH); дийодрезорцин-О-диуксусная к-та, 240—242 (из CH<sub>3</sub>OH); резорцин-О-ди-α-пропионовая к-та, —, 223—225 (из сп.); дийодрезорцин-О-ди-α-пропионовая к-та, 228—230 (из лед. CH<sub>3</sub>COOH); дийодрезорцин-О-уксусная-О'-α-И, 224—225 (из CH<sub>3</sub>OH); 2,4,6-трийод-3-метокси-I, 213 (из лед. CH<sub>3</sub>COOH); N-(*м*-нитрофенил)-аланин, 202—204 (из водн. CH<sub>3</sub>OH); N-(*м*-аминофенил)-аланин, 185 (разл.; из воды); метиловый эфир кротоновой к-ты, 115—120/760. Предварительно сообщаются некоторые зависимости между строением, токсичностью и контрастностью (при пероральном и внутривенном применении) указанных в-в. Библ. 28 назв. Сообщение 1 см. РЖХим, 1960, № 19, 78378.

Ю. Вендельштейн  
6.1251. Новые производные нитрофурана. Sartori G. i. n. n. i. Recenti acquisizioni nel campo dei nitrofurani. «Corriere farmacia», 1960, 15, № 9, 191—192 (итал.).—Даны структурные ф-лы и описаны важнейшие свойства 3 новых производных нитрофурана: 1) нитрофурантоин [N-(5-нитро-2-фурфурилден)-4-аминогидантоин], т. пл. 258—262°, препарат эффективен при лечении различных инфекций мочевых путей; 2) фуразолидон [N-(5-нитро-2-фурфурилден)-3-аминооксазолидон], т. пл. 255—275° (разл.), дающий хорошие результаты при лечении кишечных инфекций и 3) фуруметинол [N-(5-нитро-2-фурфурилден)-3-амино-5-(*N*'-морфоллинметил)-2-оксазолидон], т. пл. 206°, применяемый для лечения острых инфекций при бронхопневмонии. Библ. 14 назв.

А. Гинзбург  
6.1252. Производные пиразола. Cambi Antonio. Derivati del pirazolo. «Corriere farmacia», 1960, 15, № 9, 188—190 (итал.).—Описано получение пиразола и его производных; приведены характеристики ряда производных антипирин и пирамидона, их получение, применение и т. д.

А. Гинзбург  
6.1253. Синтез сульфаметоксипридазина. Чжан Цзинь-тан, Чжан Бин. «Яосюэ тунбао, Yaoshue tongbao», 1959, 7, № 9, 460—461 (кит.).—Сульфаметоксипридазин (I) — один из долгодействующих сульфамидных препаратов, т. пл. 182—183°. Приведено описание получения I по схеме: ангидрид глутароной к-ты + N<sub>2</sub>H<sub>4</sub> · H<sub>2</sub>SO<sub>4</sub> → 3,6-диоксипридазин (II), II + POCl<sub>3</sub> → 3,6-дихлорпридазин (III), III + сульфамидил → 3-сульфаниламид-6-хлорпридазин (IV), IV + CH<sub>3</sub>ONa → I.

Чжан Чжи-пик  
6.1254. Хлортиазид, гидрохлортиазид и гидрофлюметназид — новые лекарственные препараты мочегонного и гипотензивного действия. Masek Otakar. Chlorthiazid, hydrochlorthiazid a hydroflumethiazid: nové léky s močopudným a antihypertonickým účinkem. «Vnitřní lékař», 1960, 6, № 4, 432—438 (чешск.).—Обзор. Приведены ф-лы, физиологич. действие и дозировки указанных препаратов.

З. Смелый  
6.1255. О машинной сушке опия-сырца. Шевелев В. А., Баньковский А. И., Муравьева

В. И. «Тр. Всес. н.-и. лекарств. и аромат. раст.», 1959, вып. 11, 351—353.—На основе лабор. и производственных опытов предложен метод сушки опия-сырца (ОС) на вакуум-вальцевой сушилке; давление пара, обогревающего валцы, 0,5—1 атм, обогревающего корпус, 3—4 атм, давление в камере 0,7—0,75 атм, т-ра в камере 60—70°. ОС насосом подается в дозирующий автомат, откуда самотеком попадает на валцы. Время сушки (до содержания влаги < 4%) 20 сек. (один оборот валцов). Производительность установки 30 кг ОС в 1 час. Сохранность морфина при машинной сушке 5 т ОС 99,43% (при сушке на солнце, а затем в огневой сушилке 87%). Для обслуживания установки требуется лишь небольшое число рабочих, непосредственно не соприкасающихся с ОС.

А. Вавилова  
6.1256. Разработка экономичного способа производства концентрата витамина А из жира печени рыб. Х. Адеорбия слабоксидной глины. Higashi Hideo, Kaneko Tokugoro, Sugii Kisaburo, Yamakawa Takeshige, Iseki Shigeo. «Nihon suisan gakkaiishi, Bull. Japan. Soc. Scient. Fish.», 1959, 25, № 3, 196—203 (японск.; рез. англ.).—Обсуждено применение глины, кислые свойства которой ослаблены NH<sub>3</sub>, мочевиной или NaOH, для очистки концентрата витамина А. Экспериментально показано, что при ослаблении кислых свойств глины NH<sub>3</sub> или мочевиной константы ее адсорбирующей активности не могут быть определенными. При ослаблении 3,5%-ным р-ром NaOH при 150° в соотношении 20:1 получают устойчивые константы активности, и уничтожаются запахи рыбы и темный цвет. Концентрат витамина А отделяют от глины на хроматографич. колонне. Земля Kanuma (род глины, применяемый в садоводстве), ослабленная добавкой KOH, также эффективна при очистке концентрата. Часть IX см. РЖХим, 1960, № 22, 90205.

Г. Мелешкина  
6.1257. Выделение витамина B<sub>12</sub> из остатка от ферментации ауреомицина. Mihăilescu Gh., Lauffmann R. Izolarei vitaminei B<sub>12</sub> din fermentațiile de aureomicină. «Farmacia (RPR)», 1960, 8, № 3, 265—270 (рум.; рез. русск., франц., англ., нем.).—Метод очистки концентрата витамина B<sub>12</sub> (I) заключается в следующем: I экстрагируют C<sub>4</sub>H<sub>9</sub>OH, повторно экстрагируют фенолом и C<sub>4</sub>H<sub>9</sub>OH, хроматографируют на Al<sub>2</sub>O<sub>3</sub>, очищают на ионообменниках и кристаллизуют. Метод легко выполним, воспроизводим, не требует сложной аппаратуры и реактивов. Физ.-хим. и микробиологич. колич. определение кристаллич. I дало сходные результаты.

Из резюме авторов  
6.1258. Производство сухого дрожжевого концентрата витамина D<sub>2</sub>. Скрипстымонский А. И. «Спирт. пром-сть», 1960, № 6, 28—30.—Описан технологич. процесс произ-ва указанного концентрата из отработавших дрожжей — сахаромыцетов, остающихся в бражке з-дов, перерабатывающих патоку. Дрожжевое молоко облучают УФ-светом для превращения эргостерина в витамин D<sub>2</sub>, а затем высушивают на вальцевой сушилке. Проверка биологич. активности концентрата на животных и птицах дала положительные результаты. Сконструирован аппарат (описание и схема приведены) для промышленного произ-ва сухого дрожжевого концентрата с содержанием ≥ 20 000 ед. витамина D<sub>2</sub> в 1 г концентрата.

А. Вавилова  
6.1259. Рутин. Borri Mario. La rutina. «Corriere farmacia», 1960, 15, № 9, 210—211 (итал.).—Обзор. Библ. 17 назв.

6.1260. Изучение возможности применения гидролизатов соевой муки в качестве компонентов питательных сред. Якимов П. А., Евстратова К. И. «Тр. Ленингр. хим.-фармацевт. ин-та», 1960, вып. 9, 54—58.

6.1261. К вопросу использования гидролизатов древесных взамен глюкозы в производстве антибиотиков. Круссер О. В., Якимов П. А., Короткова Н. П. «Тр. Ленингр. хим.-фармацевт. ин-та», 1960, вып. 9, 93—98.

6J262. Способ приготовления жмыховых экстрактов для производства антибиотиков. Якимов П. А., Круссер О. В., Малышкина М. А., Михина А. С., Качкина Р. И. «Тр. Ленингр. хим.-фармацевт. ин-та», 1960, вып. 9, 12—18

6J263. Изыскание условий рационального использования жмыхов в производстве антибиотиков. Якимов П. А., Круссер О. В., Малышкина М. А., Михина А. С., Качкина Р. И. «Тр. Ленингр. хим.-фармацевт. ин-та», 1960, вып. 9, 3—11

6J264. Упрощения в биохимических анализах при технологическом контроле производства антибиотиков. Катанская Г. А. «Тр. Ленингр. хим.-фармацевт. ин-та», 1960, вып. 9, 197—210

6J265. Химический состав солодово-росткового экстракта, применяемого для ферментационных сред при получении пенициллина. Андреева С. М. «Тр. Ленингр. хим.-фармацевт. ин-та», 1960, вып. 9, 47—53

6J266. Применение солодово-росткового экстракта в производстве пенициллина. Андреева С. М. «Тр. Ленингр. хим.-фармацевт. ин-та», 1960, вып. 9, 37—46

6J267. Применение экстрактов из жмыхов при биосинтезе пенициллина. Якимов П. А., Круссер О. В., Малышкина М. А., Михина А. С., Качкина Р. И. «Тр. Ленингр. хим.-фармацевт. ин-та», 1960, вып. 9, 24—29

6J268. Повышение эффективности использования соевой муки в производстве стрептомицина. Круссер О. В., Якимов П. А., Алексеева О. Н. «Тр. Ленингр. хим.-фармацевт. ин-та», 1960, вып. 9, 59—65

6J269. Испытание жмыховых экстрактов при биосинтезе стрептомицина. Якимов П. А., Круссер О. В., Малышкина М. А., Михина А. С., Качкина Р. И. «Тр. Ленингр. хим.-фармацевт. ин-та», 1960, вып. 9, 19—23

6J270. Производство биомицина на Немешаевском заводе кормовых антибиотиков. Танченко И. М., Савченко Н. Я., Семерия В. М. «Спирт. пром-сть», 1960, № 5, 24—28.—В состав изготавливаемого препарата БКВ [биомицин (I) кормовой витаминизированный] входят: I ~ 50 мг/л витамин В<sub>12</sub>, белок 42—48%, сахар 6—8%, жиры 9—12%, влага 6—8%. Произв-во БКВ осуществляют глубинной ферментацией культуры гриба *Actinomyces aureofaciens*. Приведены описание и схема технологич. процесса получения БКВ и экономич. показатели произ-ва. Указано, что применение БКВ в кол-ве 20 г чистого I на 1 т кормов увеличивает привес свиней до 20%, уменьшает падёж поросят в 4—6 раз; увеличивает привес птиц на 10—15%, на 99% сохраняет поголовье и увеличивает яйценоскость птиц. А. Вавилова

6J271. Изучение условий использования хлопкового экстракта в производстве хлортетрациклина. Круссер С. В., Якимов П. А., Парфенова А. И., Каракишишева Т. И., Слотина В. А. «Тр. Ленингр. хим.-фармацевт. ин-та», 1960, вып. 9, 30—36

6J272. Технология получения тетрациклина. II. Выделение тетрациклина из нативного раствора осаждением полами металла. Unterman W., Chiriac Const. Contributii la tehnologia tetraciclului. «Rev. chim. (RPR)», 1960, 11, № 2, 107—108 (рум.; рез. русск., нем., франц., англ.).—Приведен способ осаждения тетрациклина (I) из нативного р-ра полами Ba<sup>2+</sup> в щел. среде. Выход комплексной соли 78%, причем конц-ия I в комплексе колеблется в пределах 230—410 ед/мг. Рассмотрен механизм образования металл. комплекс. I. Из резюме авторов

6J273. Влияние температуры на экстракцию шлювника в диффузионной батарее. Fiala Zdeněk. Vliv teploty při extrakci šípku v difúzní baterii. «Průmysl potravin», 1960, 11, № 7, 364—368 (чешск.)

6J274. Некоторые вопросы механизации и автоматизации производства полиомиелистной вакцины. Селецкий М. А., Метревели Л. И., Поторжип-

ский И. В. «Тр. Моск. н.-и. ин-та препаратов против полиомиелита», 1959, 1, 132—138.—Подробно описаны хим. методы промывки стеклянной посуды, установки для стерилизации воздуха в производственных помещениях, установка для трипсицизации почечной ткани, а также автомат для маркировки и укладки ампул в коробки. А. В.

6J275. Старение лекарственных препаратов. Schneider Georg. Das Altern von Drogen. «Kosmet.-Parfum-Drogen Rundschau», 1960, 7, № 7-8, 103—108 (нем.; рез. франц., англ.).—Обсуждены процессы старения лекарственных препаратов, содержащих эфирные масла, ферменты, горечи или глюкозиды. Р. А.

6J276. Фармацевтическое применение соединений включения. V. Аддукты мочевины с неионными поверхностно-активными веществами. Mima Hiroyuki. «Якугакү засси, Yakugaku zasshi, J. Pharmac. Soc. Japan», 1959, 79, № 7, 857—863 (японск.; рез. англ.).—Приготовлены смеси мочевины с различными неионными поверхностно-активными в-вами (ПАВ), и методом дифракции с применением рентгеновских лучей исследованы полученные аддукты. Найдено, что алкильные эфиры и эфиры полиоксидиленов образуют соединения включения подобно жирным к-там и полиоксидилену, в то время как алкилат сорбита и алкиларилные эфиры полиоксидиленов не образуют соединений включения вследствие того, что размеры колец сорбита и бензола больше канала решетки, диаметр которого равен 5 Å, что может быть применено для разделения или фракционирования ПАВ. Для приготовления аддукта с мочевиной удобно растворить 2 компонента в р-рителе и упаривать р-р досуха. Если р-ритель не применяют, аддукт можно легко приготовить с жидким или твердым ПАВ (в последнем случае при нагревании). Сообщение IV см. РИХим, 1960, № 24, 97696. Из резюме автора

6J277. Пленки на поверхности раздела бензола и растворов солей арабиновой кислоты. Shotton E., Wiberley K. Interfacial films between benzene and solutions of salts of arabic acid. «J. Pharmacy and Pharmacol.», 1959, 11, Suppl., 120—126 (англ.).—С целью нахождения оптим. условий приготовления эмульсий определяют поверхностное натяжение (ПН) пленок на поверхности раздела бензола и р-ров очищ. и неочищ. камеди арабиновой к-ты, арабатов Са и Mg. Обнаружено, что ПН их одинаково. С 1%-ными (вес/объем) и более конц. р-рами ПН быстро уменьшается в течение ~ 8 час., а затем скорость уменьшения заметно падает. За 96 час. равновесие еще не достигается, 0,01%-ные (вес/объем) р-ры очень мало влияют на ПН. Кривые зависимости ПН от времени показывают, что рН р-ра или валентность катиона не оказывает существенного влияния на ориентацию молекул на поверхности раздела. Предполагают, что образовавшаяся вязкая, постепенно утолщающаяся пленка представляет собой прочный полимолекулярный слой, обладающий некоторыми свойствами эластичного твердого в-ва. Фармацевт. эмульсии с указанными в-вами могут быть приготовлены всего за несколько минут, в том случае, когда системы бензол — 35%-ный р-р камеди имеют ПН ~ 20 дин/см. Таким образом, образование эмульсий не зависит от низкого ПН пленки на границе раздела фаз. Библ. 11 назв.

6J278. Применение радиоактивных изотопов в фармацевтической промышленности. Campiglio A. Impiego degli isotopi radioattivi in tecnica farmaceutica. «Farmaco. Ed. prat.», 1960, 15, № 7, 438—444 (итал.).—Путем прибавления радиоактивных изотопов (РИ), напр. Na<sup>24</sup>, <sup>31</sup>P, <sup>32</sup>P, к таблеткам, суппозиториям и другим контролируют влияние различных наполнителей на скорость всасывания препаратов через стенки желудка и кишечника, а также через слизистую оболочку рта. Установлено, что водорастворимые препараты всасываются быстрее, если они изготовлены на жир-

раствор  
таблицы

6J279.  
нитроан  
sintesi:  
171—172  
рых сво  
нии к Н  
хом пр  
Наиболе  
по-4-нит  
и в 2  
ные явл  
димы д  
мости с

6J280.  
Acuto  
macuti  
(исп.).  
став и  
сырья,  
зависа  
де крем  
сметки  
и т. д.)

6J281.  
рина. S  
formula  
(англ.).  
винило  
зован д  
содерж  
ля, кро  
бонот 9  
чивый  
ложени  
дается  
и мето

6J282.  
sen E  
chemi)  
Привед  
воды, а  
логич.  
ванной

6J283.  
раствор  
электри  
тов в в  
турато  
Iked a  
of drug  
the sta  
res. V.  
polyalc  
1960, 8  
шел. р  
вода-С  
активн  
постоя  
ур-ния  
рифмо  
«обрат  
вывод.  
CH<sub>3</sub>OH  
17 назв  
В. Н  
особен  
ния б  
ДП, ка  
ние р  
монов



растворимой основе (напр., масло-какао). Приведены таблицы результатов опытов. Библ. 7 назв.

**6Л279. Синтетические подслащающие вещества: нитроанилины.** Grendene Renato. *Educatori di sintesi: le nitroaniline.* «Corriere farmac.», 1960, 15, № 9, 171—172 (итал.).—Производные нитроанилина, в которых свободная  $\text{NH}_2$ -группа находится в мета-положении к  $\text{NO}_2$ -группе, имеют сладкий вкус и могут с успехом применяться для подслащивания медикаментов. Наиболее важным является *n*-пропиловый эфир 2-амино-4-нитробензола, который в 10 раз слаще сахара и в то же время безвреден (дозы, вызывающие побочные явления, значительно выше тех, которые необходимы для подслащивания). Приведена таблица зависимости сладости продукта от заместителей.

**6Л280. Применение силиконов в дерматологии.** Asuto G. I siliconi principi attivi di interesse dermatologico. «Boll. chim. farmac.» 1960, 99, № 3, 136—145 (итал.).—Перечислены основные физ.-хим. свойства, состав и виды силиконов, а также освещены проблемы сырья, получения, преимуществ перед известными смазывающими в-вами и применения в дерматологии в виде крема Barrieggia для смазывания рук, а также в косметике (зубные пасты, порошки, аэрозоли, лосьоны и т. д.).

**6Л281. Новые представления о составе геля эфедрина.** Saski Witold. A new concept of ephedrine gel formulation. «Drug Standards», 1960, 28, № 3, 79—82 (англ.).—Найдено, что высокомолекулярный карбоксипропиловый полимер карбопол 934 может быть использован для замены трагаканта при приготовлении гелей, содержащих эфедрин. Эфедрин-основание в составе геля, кроме лечебного эффекта, также нейтрализует карбопол 934 (рН 3), в результате чего образуется устойчивый гель, не подвергающийся окислительному разложению под действием солнечного света, что наблюдается в гелях с трагакантом. Предложен состав геля и методика его приготовления.

**6Л282. Деминерализованная вода.** Dauv-Pederesen Erik. Demineraliseret vand. «Arch. pharmaci og chemi», 1960, 67, № 20, 976—978 (датск.; рез. англ.).—Приведены описание установки для деминерализации воды, а также результаты опытов по определению биологич. качества и электропроводности деминерализованной воды.

**6Л283. Исследование устойчивости и разложения растворов лекарственных препаратов. IV. Влияние диэлектрической постоянной на устойчивость барбитуратов в водно-спиртовых смесях. V. Стабилизация барбитуратов в водных растворах полиспиртов и сахаров.** Ikeda Ken. Studies on decomposition and stabilization of drugs in solution. IV. Effect of dielectric constant on the stabilization of barbiturate in alcohol-water mixtures. V. Stabilization of barbiturate in aqueous solution of polyalcohols and sugars. «Chem. and Pharm. Bull.» 1960, 8, № 6, 504—509, 510—513 (англ.).—IV. Проведено цел. разложение гексенала (I) в смесях вода- $\text{C}_2\text{H}_5\text{OH}$  и вода- $\text{C}_2\text{H}_5\text{OH}$ . Обнаружено, что в обеих смесях энергия активации увеличивается в то время, как диэлектрич. постоянная (ДП) уменьшается. Вычисленное по ур-ниям (в статье приведены) отношение между логарифмом скорости р-ции (при силе ионов, равной 0) и обратной величиной ДП было отрицательным. Сделан вывод, что устойчивость барбитуратов при добавлении  $\text{C}_2\text{H}_5\text{OH}$  и  $\text{C}_2\text{H}_5\text{OH}$  вызвана уменьшением ДП. Библ. 17 назв.

V. На примере I показано, что полиспирты и сахара, особенно глюкоза, задерживают р-цию цел. разложения барбитуратов, что нельзя объяснить уменьшением ДП, как в случае стабилизации спиртами. Это замедление разложения может быть приписано связыванию ионов  $\text{OH}$  цел. металлом в комплекс. Заметное умень-

шение скорости р-ции при добавлении глюкозы может быть вызвано значительно большей величиной рК. За границей I известен под названием метилгексабитал и гексабарбитал. Сообщение III см. РЖХим, 1960, № 3, 10434.

**6Л284. Неустойчивость малеата эргоновина при испытании на ускоренное хранение.** Moore Willis E. Ergonovine maleate instability by accelerated storage tests. «Drug Standards», 1959, 27, № 6, 187—193 (англ.).—Исследована относительная устойчивость малеата эргоновина (I) на ускоренное хранение при т-рах 5—70° в р-рах, приготовленных по рецептурам Американской фармакопей XV (АФ) и Британской фармакопей 1958 г. (БФ). Ампульные р-ры, приготовленные согласно АФ и БФ, содержащие I в кол-ве по 0,014 мг/мл, выдерживались одинаковое время при 70, 60, 50, 40, 26,5—30 и 5° и периодич. определении значения рН и содержания I. Найдено, что р-ры, приготовленные по БФ, более устойчивы при > 40° и менее устойчивы при < 40°, чем р-ры АФ. Потери I при длительном хранении (1 год, 5°) р-ров БФ выше и составляют 10%. Исследована зависимость видимой константы скорости от т-ры в свете ур-ния Аррениуса: полученные данные позволяют предсказать устойчивость I лишь качественно, если механизм р-ции не изменяется в пределах рассматриваемой т-ры. Приведены графики и таблицы.

**6Л285. Приготовление стерильного и стойкого раствора дикаина для перидуральной анестезии.** Мартынова В. А., Александров М. С. «Аптеч. дело», 1960, 9, № 4, 46—51 (рез. англ.).—Разработан способ изготовления стерильного 0,3%-ного изотонич. р-ра дикаина (диметиламиноэтиловый эфир *n*-бутиламинобензойной к-ты, I). Об устойчивости р-ра судят по снижению его рН вследствие гидролиза I с образованием *n*-бутиламинобензойной к-ты. Для повышения стойкости р-ра I при стерилизации на 1 л 0,3%-ного р-ра I добавляют 10 мл 0,1 н. HCl. Из экспериментально полученных данных следует, что стабилизированные р-ры были устойчивы до и после стерилизации текущим паром и паром под давлением; р-ры I с рН 3,5—3,6 были стойки даже при нагревании при 125° в течение 15 мин. После 3-месячного хранения эти р-ры имели такое же значение рН, что и свежеприготовленные. Клинич. испытания показали, что получение р-ров I по предложенному способу не снижает их анестезирующей активности.

**6Л286. Получение инъекционных растворов витамина С (аскорбината Na).** Bescutti E. Sulla preparazione di soluzioni iniettabili da vitamina C (ascorbato di sodio). «Giorn. batteriol. virol. ed immunol.», 1960, 53, № 1-2, 51—55 (итал.).—Ввиду неустойчивости водн. р-ров витамина С (I) под влиянием различных факторов ( $\text{O}_2$ , т-ры, света, конц-ии и рН р-ров, присутствия тяжелых металлов, особенно Cu и др.) к этим р-рам прибавляют стабилизаторы. Исследование многочисленных литературных и эксперим. данных показало, что устойчивые р-ры витамина С (I) получают при применении в качестве стабилизатора 1% этилендиаминтетрацетата Na и 2%  $\text{Na}_2\text{SO}_3$ . Растворение и ампулирование проводят в атмосфере  $\text{N}_2$ . Такие ампулы сохраняют устойчивость в течение 16 месяцев. Библ. 27 назв.

**6Л287. Стабилизация водного раствора глюконата кальция и Na-соли аскорбиновой кислоты.** Bescutti E. Stabilizzazione del calcio gluconato e dell'ascorbato di sodio associati in soluzione acquosa. «Giorn. batteriol. virol. ed immunol.», 1960, 53, № 1-2, 56—60 (итал.).—Для получения устойчивого ампульного р-ра, содержащего 10% глюконата Ca (I) и 2% аскорбиновой к-ты (II), р-р I предварительно стерилизуют при 112° (3 ра по 30 мин.; через 24 часа), охлаждают до 20°, прибавляют 0,35% р-ра  $\text{Na}_2\text{S}_2\text{O}_4$  и 0,45% сульфоксилата  $\text{CH}_2\text{O}$ . Затем прибавляют требуемое кол-во II в неболь-

шом кол-ве воды, содержащей 1% этилендиаминтетрацетата Na, и подщелачивают р-ром  $\text{NaHCO}_3$  до pH 5,8. Фильтрацию и ампулирование проводят в токе  $\text{N}_2$ .

А. Гинзбург

6Л1288. Приготовление и консервирование глазных капель. Runti Carlo. Preparazione e conservazione dei colliri. «Boll. chim. farmac.», 1960, 99, № 6, 376—432 (итал.).—Обзор. Библ. 326 назв.

А. В.

6Л1289. Физико-химическое исследование глазных капель. I. Rektořík Z., Rybáček L., Zajíček R. Fyzikálně chemické poznatky z výzkumu kolyrií. I. «Českosl. farmac.», 1960, 9, № 5, 232—234 (чешск.; рез. русск., англ., нем.).—По депрессии т-ры замерзания (модифицированный криоскоп Бекмана) исследована изотоничность фосфатных и боратных буферных р-ров, применяемых для получения изотонического эвгидрич. р-ров глазных капель (борной к-ты и  $\text{ZnSO}_4$ ).

А. В.

6Л1290. Исследование устойчивости сухих препаратов. VI. Связь между внешним видом и устойчивостью солей тиамин в порошковых лекарственных препаратах. Yamamoto Ryuichi, Takahashi Tetsuya. «Якугаку дзасси, Yakugaku zasshi, J. Pharm. Soc. Japan», 1959, 79, № 4, 419—422 (японск.; рез. англ.).—Исследована связь между видимыми изменениями различных солей тиамин (I) при абсорбции влаги и устойчивостью порошковых препаратов этих солей. Дихлоргидрат, динитрат, моносинтрат и нафталиндисульфат I смешивали с лактозой, сахарозой или пантотенатом Ca и полученные препараты хранили в условиях различной влажности. I окислялся газообразным  $\text{BrCN}$  или  $\text{NH}_3$ ; в состоянии соли I в препарате судили по флуоресценции получаемого тioxрома. Пока соль I сохраняет кристаллич. форму, она устойчива; диффузия I с абсорбируемой влагой и его растворение ведет к снижению устойчивости препарата. В препаратах с пантотенатом Ca моносоль I, образовавшаяся при абсорбции влаги и последующей нейтр-ции, нерастворима и устойчива в случае динитрата I, а в случае нафталиндисульфата — неустойчива. Сообщение V см. РЖХим, 1961, 3Л1191.

Из резюме авторов

6Л1291. Эмульсионная масляная основа, содержащая соединения алюминия. Истомина И. А. В сб. «Новые лекарств. растения Сибири, их лечебн. препараты и применение». Вып. 5. Томск, Томский ун-т, 1959, 76—81.—Получены устойчивые эмульсии с содержанием стеарата и пальмитата Al < 5—10% путем введения в систему неорганич. препарата Al (смесь гидрата окиси и окисьюлфосфата Al) в виде пленок, получаемых на специально сконструированном аппарате. Найдено, что неорганич. препарат Al является стабилизатором эмульсий типа масло-вода, причем для получения эмульсий маслообразной консистенции применяют препарат Al, содержащий 87% воды. Предложены 3 варианта прописи эмульсионных масляных основ и указано, что эти основы могут храниться без изменений при т-рах от —16 до 40°; эмульгирующие свойства этих основ близки к свиному жиру, но несколько ниже, чем у ланолина и нафтала. Указанные основы не влияют отрицательно на кожу и нетоксичны.

А. Вавилова

6Л1292. Водорастворимые масляные основы из ряда сложных эмульгаторов, содержащих гидрофильные коллоиды и цетиловый спирт. II. Совместимость с лекарственными препаратами, применяемыми в дерматологии, и возможность выведения из масел введенных в них препаратов. Gruntová Z., Zathurecký L., Somoskeőy G. Vodou zmytelné mastové základy z komplexných emulgentov obsahujúcich hydrofilné koloidy a cetylalkoholy. II. Znášanlivosť s liečivami, používanými v dermatológii a schopnosť uvoľňovať do nich spracované liečiva. «Českosl. farmac.», 1960, 9, № 6, 282—286 (словацк.; рез. русск., англ., нем.).—Сообщение I см. РЖХим, 1961, 3Л1164.

А. В.

6Л1293. К вопросу об определении распадаемости и механической прочности таблеток. Материалы к IX изданию Государственной фармакопей СССР. Благовида Ю. А., Люкшенков А. Г. «Мед. пром-сть СССР», 1960, № 9, 15—23.—Обзор методов определения механич. прочности и распадаемости таблеток, а также краткий перечень приборов, описанных в отечественной и зарубежной литературе; рекомендованы наиболее объективные методы испытания таблеток для внедрения в практику. Указано, что в новое издание Государственной фармакопей СССР необходимо включить приборы, позволяющие объективно оценить распадаемость и механич. прочность таблеток.

А. Вавилова

6Л1294. Изменение таблеток при длительном хранении. Причины изменений и методы контроля. Консерванты. Cambi Antonio. Supposte medicamentose alterate. Cause dell'alterazione e metodi di controllo. Conservanti. «Corriere farmac.», 1960, 15, № 9, 184—185 (итал.).—Приведен обзор причин, оказывающих влияние на устойчивость таблеток при хранении. Разработан метод контроля качества таблеток. Установлено, что наиболее устойчивы таблетки, в которых в качестве консерванта применяют эфиры *n*-оксисабиной к-ты; напр., смесь этилового, пропилового и бутилового эфиров в различных соотношениях.

А. Гинзбург

6Л1295. Получение ментоловых таблеток. Махматов С. М., Уманский З. М. «Тр. Ташкентск. фармацевт. ин-та», 1960, 2, 179—183.—Разработаны рецептура и метод изготовления ментоловых таблеток по прописям: ментола (I) 0,02 (0,03), сахара 0,72 (0,75). Колич. определение I проводили колориметрич. методом, основанным на возникновении стойкого розового окрашивания при взаимодействии спирт. р-ра ментола с ванилинсерной к-той. Указано, что ментоловые таблетки являются удобными, портативными и весьма стойким спазмолитич. средством (не разрушаются в течение 2 месяцев даже при хранении в кармане); считают необходимым организовать серийный выпуск ментоловых таблеток, и статью об этом препарате поместить в ГФ IX СССР.

А. Вавилова

6Л1296. Стерилизация фармацевтических препаратов и большого оборудования ионизирующим излучением. Artandi Ch., Winkle W. Van. Sterilization of pharmaceuticals and hospital supplies by ionizing radiation. «Large Radiat. Sources. Ind. Vol. 2» Vienna, 1960, 249—259. Discuss., 259—260 (англ.; рез. франц., русск., исп.).—Ионизирующим излучением стерилизуют препараты, разлагающиеся или быстро вступающие в р-цию при нагревании. Дозы облучения должны быть безвредны для облучаемых продуктов. Преимущество стерилизации облучением: возможность стерилизации продуктов в конечной упаковке и использования для упаковки более удобных и дешевых материалов (пластмасс), а также возможность стерилизации продуктов при непрерывном процессе их производства.

А. Вавилова

6Л1297. Способ сохранения высоких концентраций активного хлора в растворах, содержащих хлорамин и спирт. Chmelář Vladimír, Nosek Jaroslav. Způsob uchování vysoké hodnoty aktivního chlóru v roztocích obsahujících chloramin a lín. «Českosl. hyg.», 1960, 5, № 5, 317—320 (чешск.; рез. русск., англ.).—Экспериментально разработан метод приготовления водно-спирт. р-ров хлорамина. Установлено, что для сохранения постоянства конц-ии активного Cl в р-рах необходимо, чтобы р-р содержал определенную конц-ию ионов Ca и хлоральгидрата. Относительная устойчивость конц-ии активного Cl в приготовленных р-рах сохранялась до 700 дней.

Из резюме авторов

6Л1298. Определение сопряженных двойных связей как оценка антиоксидантов (применяемых в фармацевции). Tukamoto Tyo-taro. The determination of

diene conj  
«Pharmac.  
Библ. 14 н  
6Л1299.  
фармацевт  
тометрич.  
A note on  
tical prod  
1960, 49, J  
тракции С  
делением  
13,17 и. В  
6Л1300.  
на. Thil  
que de la  
№ 3-4, 13  
ния про  
фенацети  
Маршала  
в 115 мл  
5 мл р-р  
кислотной  
отмеряют  
но вводят  
приваля  
приваля  
мешива  
хлоргид  
ют 1 час  
измеряют  
жаропон  
дидовой  
кодеино  
фенилэф  
рин и  
препятс  
когда п  
греншоно  
определ  
жащие

6Л1301  
глюкозе  
ка MFI  
štavelov  
vymieň  
623—624  
220 иде  
к-ты (I  
хромате  
неоснов  
произ-в  
р-ром  
р-ром С  
лого Са

6Л1302  
мации  
Н, Ne  
pazeti  
dungen  
274 (п  
2 груп  
азота  
р-ров  
CHCl<sub>3</sub>  
кини  
в-в гр  
дают  
б) к  
ляют  
групп  
фиоле  
0,5 г

емости и к IX из-за. Благо-про-м-ст-еделения. еток, а их в оте-ендованы. таблеток. товое па-обходимо. оценить. ок.

Вавилова. ном хро-ла. Кон-edicamen-é control-é 9, 184—ывающих. ни. Раз-становле-ых в ка-сбензой-о и бут-

Гинабург. Ма х к а-тск. фар-ты рецен-еток по 72 (0,75). ич. мето-розового. а менто-итоловые. и весьма. шались в. (армане); и выпуск. репарате. Вавилова. препара-ции общ-п. Steri-és by io- Vol. 2» нгл.; рез. тучением. и быстро. блучения. продуктов. возможность. ке и ис-дельных. гь стер-е их про-Вавилова. нтраций. рамин и. ros lav. chlór v sl. hyg.» нгл.).-товления. что для. I в р-рах. ную конц-ия устой-ных р-рах. «авторов. х связей. в фарма-ication of

diene conjugation as an evaluation of antioxidants, «Pharmac. acta helv.», 1960, 35, № 8, 431—441 (англ.).— Библ. 14 назв.

6Л299. Количественное определение хлороформа в фармацевтических продуктах методом ИК-спектрофотометрии. Souder John C., Deluca Patrick. A note on an infrared assay of chloroform in pharmaceutical products. «J. Amer. Pharm. Assoc. Scient. Ed.», 1960, 49, № 4, 255—256 (англ.).—Метод состоит в экстракции  $\text{CHCl}_3$  при помощи  $\text{CS}_2$  с последующим определением  $\text{CHCl}_3$  по поглощению им ИК-спектра при 13,17 м. Воспроизводимость метода 2,9%. А. Вавилова

6Л300. Колориметрическое определение фенацетина. Thilmans Y., Smeijers R. Dosage colorimétrique de la phénacétine. «J. pharm. Belg.», 1960, 15, № 3-4, 131—138 (франц.; рез. флам.).—Для сокращения продолжительности колориметрич. определения фенацетина (I) модифицирован способ Бреттон—Маршала: к 300 мг I прибавляют 35 мл конц.  $\text{HCl}$  и 115 мл воды, кипятят 90 мин. и разбавляют до 1 л; 5 мл р-ра разбавляют до 100 мл (конц-ия I 15  $\mu\text{г}/\text{мл}$ , кислотность 0,02 н.); 0—4 мл этого стандартного р-ра отмеряют в колбы на 50 мл, в которые предварительно вводят по 1,5 г  $\text{KCl}$ , прибавляют 0,02 н.  $\text{HCl}$  до 4 мл, прибавляют 1 мл 0,5%-ного р-ра  $\text{NaNO}_2$ , через 3 мин. прибавляют 1 мл 2,5%-ного р-ра сульфата  $\text{NH}_4$ , размешивают 3 мин., прибавляют 1 мл 0,5%-ного р-ра хлоргидрата N-(1-нафтил)-этилендиамина и нагревают 1 час при 75°. Добавляют 0,02 н.  $\text{HCl}$  до 50 мл и измеряют поглощение при 580 м. Способ проверен на жароустойчивых препаратах смесей I с ацетилсалициловой к-той, амидофебрином, крахмалом, кофеином, кодеином, эфедрином, папаверином, фенидамином и фенилэфрином и хинином. Аскорбиновая к-та, аневрин и феназон дают очень слабое окрашивание, не препятствующее определению I даже в тех случаях, когда присутствуют в дозах, эквивалентных I. Погрешность определения  $\pm 0,5\%$ ; продолжительность определения 5 час. Подробно приведены данные, лежащие в основе описанного способа. Библ. 5 назв.

Ю. Вендельштейн  
6Л301. Разделение щавелевой кислоты и лактона глюконогеновой кислоты с помощью анионообменника MFD. Traiter Mojmir. Oddelovanie kyseliny šťavelovej a laktónu kyseliny glukohéptónovej pomocou vymieňaca aniónov MFD. «Chem. zvesti», 1960, 14, № 8, 623—625 (словацк.; рез. русск., нем.).—Разработан метод идентификации и колич. определения щавелевой к-ты (I) в инъекционном р-ре глюконогеновой к-ты хроматографич. разделением этих соединений на среднеосновном анионообменнике MFD чехословацкого произ-ва. Адсорбированную I вымывают 5%-ным р-ром  $\text{NH}_4\text{OH}$  и определяют в элюате осаждением р-ром  $\text{CaCl}_2$  и после растворения осадка щавелевокислого  $\text{Ca}$  в  $\text{H}_2\text{SO}_4$  — манганометрически.

Из резюме автора  
6Л302. Опыт идентификации применяемых в фармации четвертичных соединений азота. Auerhoff H., Neumann G. Versuche zur Identifizierung pharmazeutisch gebräuchlicher quartärer Stickstoffverbindungen. «Pharmaz. Zentralhalle», 1960, 99, № 6, 271—274 (нем.).—Четвертичные соединения N делят на 2 группы: инвертные мыла (четвертичные соединения азота с длинными цепями), извлекаемые из водн. р-ров  $\text{CHCl}_3$  (в-ва группы А) и не экстрагируемые  $\text{CHCl}_3$  и остающиеся в водн. р-ре соединения с короткими цепями (в-ва группы Б). Для идентификации в-в группы А применяют следующие способы: а) осаждают из водн. р-ров 1,5%-ным р-ром  $\text{K}_3\text{Fe}(\text{CN})_6$ ; б) к водн. р-рам, подкисленным разб.  $\text{H}_2\text{SO}_4$ , прибавляют  $\text{CHCl}_3$  и 0,1-ный р-р  $\text{KMnO}_4$ ; в) присутствию в-в группы А слой  $\text{CHCl}_3$  окрашивается в интенсивно фиолетовый цвет; в) смесь 0,1 г инвертного мыла и 0,5 г морфолина или его производного нагревают в

автоклаве 2—3 часа при 140°, прибавляют 8 мл воды, 1 мл 15%-ного р-ра  $\text{NaOH}$  и экстрагируют эфиром; эфирный экстракт хроматографируют на бумаге, применяя смесь Партриджа и обрызгивая реактивом Драгендорфа; г) инвертные мыла непосредственно хроматографируют на бумаге по способу Холлеса и Стона. В-ва группы Б осаждают из водн. р-ров в виде кристаллич. нитратов или хроматографируют на бумаге неизмененные в-ва (смесь Партриджа и реактив Драгендорфа). Применяют также хроматографирование продуктов гидролиза в-в группы Б: алкаламинов (смесь Партриджа и реактив Драгендорфа) и кислотных компонентов (смесь Партриджа и 0,04-ный р-р бромфенолового синего или 0,1 н.  $\text{KMnO}_4$ ). Приведены значения  $R_f$  ряда в-в группы А и их продуктов р-ции с морфолином и его производными;  $R_f$  ряда в-в группы Б и их продуктов гидролиза, а также т-фа плавления нитратов в-в группы Б. Библ. 3 назв.

Ю. Вендельштейн  
6Л303. Количественное определение изоникотинилгидразидов. Franchi G., Pacini C. Determinazione quantitativa degli isonicotinilidrazidoni. «Boll. chim. farm.», 1960, 99, № 9, 578—582 (итал.; рез. англ.).—Описано применение объемного метода определения указанного соединения при помощи  $\text{H}_2\text{SeO}_3$  к анализу таблеток.

Из резюме авторов  
6Л304. Быстрый хроматографический метод определения барбитуратов. Ledvina M. Rychlý chromatografický průkaz barbiturátů. «Ceskosl. farm.», 1960, 9, № 7, 333—335 (чешск.; рез. русск., англ., нем.).—Предложен метод разделения барбитуратов на бумаге, пропитанной формамидом; подвижная фаза — хлороформ. Применение системы р-рителей амилловый спирт — р-р  $\text{NH}_3$  и повышение т-ры до 40° значительно ускоряет проявление и улучшает форму пятен барбитуратов. Длительность анализа 2 часа.

Из резюме автора  
6Л305. Под в качестве реактива для колориметрического анализа. I. Методы количественного анализа кофеина, колхицина и резерпина. Gardner John E., Dean Stephen J. Iodine as a colorimetric reagent. I. Assay methods for caffeine, colchicine, and reserpine. «Drug. Standards», 1960, 28, № 2, 50—52 (англ.).—Описан колориметрич. (электрофотометр Фишера, модель АС) метод колич. определения указанных алкалоидов, основанный на колич. осаждении полностью йодированных алкалоидов кислым водн. р-ром  $\text{I}_2$ - $\text{KJ}$  и на растворении полученных солей в ацетоне. Готовят р-ры, содержащие 7,00, 6,00, 5,00, 4,75, 4,50, 4,00 и 3,00 мг алкалоидов разбавляя основные р-ры 1%-ной конц-ия дистил. водой [кофеина (I) и колхицина (II)] и 2 н.  $\text{CH}_3\text{COOH}$  [резерпина (III)]. Осаждение проводят в фильтровальных воронках из пористого стекла, применяя 1 мл (для I и II) и 3 мл (для II) 3 н. р-ра  $\text{I}_2$ . Полученные ацетоновые р-ры солей алкалоидов отвечают закону Ламберта — Бера. Получены следующие значения E: для I 0,0916, II 0,0690 и III 0,0358. Метод прост, быстр и сравним с методом титрования. Отклонения от стандарта для I 2,7%, II 5,4% и III 6,9%.

В. Ингерман  
6Л306. Новая цветная реакция на героин. Lerner Melvin. New color test for heroin. «Analyt. Chem.», 1960, 32, № 2, 198 (англ.).—10 капель смеси 12 мл конц.  $\text{HNO}_3$  и 88 мл 85%-ной  $\text{H}_3\text{PO}_4$  помещают в 5-мл пробирку центрифуги со стеклянной пробкой и добавляют 3,25 мл  $\text{CHCl}_3$ , содержащего 0,5% спирта, образец героина (диацетилморфин, I), помещенного на небольшой ватный тампон, вымывают в микроворонке в пробирку небольшим кол-вом  $\text{CHCl}_3$  (0,05 мл  $\text{CHCl}_3$  достаточно для полного растворения 10 мг хлоргидрата I, а 0,05 мл — для вымывания). Окраска нижнего слоя (смесь  $\text{HNO}_3$  и  $\text{H}_3\text{PO}_4$ ) после 30 сек встряхивания в присутствии I становится все более интенсивной и через 10 мин. является функцией кол-ва I



в образце. 10  $\mu$  I дают светло-желтую окраску р-ра, 1 мг — коричнево-желтую, а 10 мг — темную красно-коричневую окраску. В контрольном опыте получают светло-зеленую окраску. Чувствительность р-ции 10  $\mu$ . На испытание не влияют известные р-рителли или примеси. Реактив Маркиса, дающий пурпурную окраску с опиумными алкалоидами, и указанное испытание применили для анализа ряда алкалоидов. Установлено, что ни один из испытанных алкалоидов, кроме атропины, не дает р-ции, сходной с р-цией на I. Алкалоиды, дающие окраску с реактивом Маркиса, не идентифицируются разработанным методом.

В. Ингерман

**6Л307. Спектрографическое исследование в УФ-свете процесса щелочного гидролиза атропина в мягких условиях.** Bruster Vincent, Vincent Daniel, Broussy Georges. Etude spectrographique dans l'ultraviolet de l'hydrolyse alcaline ménagée de l'atropine. «C. r. Acad. sci.», 1960, 251, № 2, 285—287 (франц.)

**6Л308. Возможность исследования устойчивости апоморфина методом хроматографии на бумаге.** Machovičová F., Mohelská O., Párrák V. Možnosti sledovania stability apomorfinu za použitia papierovej chromatografie. «Českosl. farmac.», 1960, 9, № 5, 243—246 (словацк.; рез. русск., англ., нем.). Исследовали влияние pH системы р-рителли на устойчивость апоморфина (I), для чего применяли систему р-рителли: *n*-бутанол — HCOOH — вода (77:13:10). Образец брали в кол-ве 100—200  $\mu$ . I идентифицировали в присутствии продуктов распада (ПР), образующихся при окислении I в нестабилизированных водн. р-рах. I идентифицируют реактивом Драгендорфа (оранжевое пятно). ПР дает зеленое пятно. Значения  $R_f$  в системе *n*-бутанол — CH<sub>3</sub>COOH — вода (4:1:5): I 0,65, ПР 0,85. Из инъекционных р-ров I отделяют от стабилизирующих агентов (аскорбиновая к-та, маннит, Na<sub>2</sub>S) и определяют реактивом бромфеноловым синим, содержащим ионы бората. Маннит и аскорбиновая к-та дают желтые пятна, I — зеленое пятно на синем фоне. Вышеуказанным методом анализируют также окрашенные в желтый цвет инъекционные р-ры хлоргидрата I. Из резюме авторов

**6Л309. Исследование процесса разложения апоморфина колориметрическим и спектрофотометрическим путем.** Párrák V., Mohelská O., Machovičová F. Studie über die colorimetrische und spectrophotometrische Verfolgung der Apomorphinzersetzung. «Pharmazie», 1959, 14, № 12, 685—689 (нем.). Изучалось разложение апоморфина (I) с целью исследования продуктов разложения, вызывающих коллапс. Методами спектрофотометрии, колориметрии и хроматографии установлено, что р-р I в 0,1 н. HCl наиболее устойчив [ $\lambda$ (макс.) 272,274 мк; 307 и 234 мк]. В щел. среде I легко окисляется при повышенной т-ре. Разложение хлоргидрата I в водн. р-ре под действием света и O<sub>2</sub> воздуха при pH 5 наступает уже через 2 часа,  $\lambda$ (макс.) р-ра 644 мк. Скорость разложения увеличивается с повышением конц-ии I в р-ре. При анализе р-ров I в смесях *n*-бутанол + CH<sub>3</sub>COOH + вода (4:1:5) и *n*-бутанол + HCOOH + вода (77:13:10) в присутствии стабилизатора (аскорбиновая к-та + маннит) методом хроматографии на бумаге получены значения  $R_f$ : I 0,65, продукт разложения I 0,85, аскорбиновая к-та 0,4, маннит 0,19.

К. Смирнов

**6Л310. Объемный ферриметрический метод количественного определения витамина С.** Сообщение I. Савельева Г. И. «Тр. Пермск. фармацевт. ин-та», 1959, вып. 1, 53—62. В результате исследований установлено, что при указанном методе определения в качестве индикатора целесообразно применять NH<sub>4</sub>CNS. В качестве титрованных р-ров при данном методе используют 0,001 и 0,01 н. р-ры FeCl<sub>3</sub> в 0,1 н. HCl (к-те), Fe<sub>2</sub>(SO<sub>4</sub>)<sub>3</sub> и железо-аммонийных квасцов в 0,1 н. H<sub>2</sub>SO<sub>4</sub>.

Указанные р-ры сохраняют свой титр в течение 12 месяцев. Скорость р-ции прямо зависит от т-ры и обратно — от конц-ии H<sup>+</sup>. При т-ре 60—100° р-ция между витамином С и солями Fe<sup>2+</sup> протекает мгновенно, что позволяет легко определить точку эквивалентности. Предложенная методика дает результаты, практически совпадающие с данными йодометрич. и индиферентных методов. Библ. 34 назв. Из выводов авторов

**6Л311. Химические методы определения антибиотиков. IX. Колориметрическое определение окситетрациклина.** (I). Kakemi Kiichiro, Yokota Tsuneko, Nadai Tanekazu. «Якутаку дзасси, Yakugaku zasshi, J. Pharmac. Soc. Japan», 1960, 80, № 2, 176—180 (японск.; рез. англ.).—K 5 мл водн. р-ра окситетрациклина (I) (2—15  $\mu$ /мл) добавляют 1 мл хлористого *n*-нитробензоидназия (приготовлен добавлением 2 мл 15%-ного р-ра NaCN и CH<sub>3</sub>COOH к охлажденному р-ру 200 мл *n*-нитроанилина, растворенного в 5 мл лед. CH<sub>3</sub>COOH и 3 мл конц. HCl и встряхиванием). Смесь нагревают при 70° в течение 25 мин.; полученный желтый р-р имеет  $\lambda$ (макс.) при 440 мк и интенсивность его окраски следует закону Бера. При определении I в присутствии тетрациклина рассчитывают разницу  $E_{440} - E_{530} \cdot k$ , где  $k = E_{440}/E_{530}$  тетрациклина. По калибровочной кривой для I находят значение активности, соответствующее вычисленной разнице поглощения. Данные анализа стандартного р-ра I, хранившегося длительное время, хорошо согласуются с данными биологич. определений. Сообщение VIII см. РЖХим, 1960, № 23, 9301.

Из резюме авторов

**6Л312. Количественное определение антибиотиков тетрациклинового ряда при помощи радиальной хроматографии на бумаге.** Novelli G., Superti E., Cattaneo C. Sulla determinazione quantitativa dei prodotti tetraciclinici mediante cromatografia radiale. «Farmaco. Ed. prat.», 1960, 15, № 8, 483—492 (итал.; рез. англ.).—Описан способ одновременного определения ангидротетрациклина, хлортетрациклина, тетрациклина и их эфимеров в порошковых препаратах и в ферментационной жидкости методом радиальной хроматографии на бумаге в комбинации со спектрофотометрич. исследованием. Приведены результаты испытания смесей неизвестной активности, являющиеся критерием контроля пределов применимости метода. В некоторых опытах выделено неизвестное в-во (названное в-во «X»), значение  $R_f$  которого ниже  $R_f$  для квадратимидина. Библ. 22 назв. Из резюме авторов

**6Л313. Определение хлорамфеникола в различных медицинских препаратах.** Andrew M., Mille, Mirmanoff A. Dosage du chloramphénicol dans diverses formes médicamenteuses. «Pharmac. acta helv.», 1960, 35, № 6, 276—283 (франц.).—Для определения хлорамфеникола (I) в капсулах и суппозиториях аргентометрич. путем разработаны следующие методы: содержимое 5 капсул перемешивают, точно взвешивают (р), отвешивают кол-во порошка (точно), соответствующее  $\sim 1$  г I (q), растирают 1 мин. с 4 мл абс. спирта (для отделения от возможных примесей хлоридов), центрифугируют 3 мин. (3000 об/мин), повторяют экстракцию I 4 раза. Экстракты фильтруют через вату, промывают и доводят до 20 мл. Уд. вращения I должно быть от +17,5° до +22,5°; 10 мл р-ра выпаривают досуха, сушат 30 мин. при 105°, взвешивают (с). Т. пл. 147—150°, продукт должен удовлетворять р-циям идентификации. Смесь  $\sim 0,1$  г I (s), 1 г соды и 0,5 г порошка NaOH нагревают 5 мин., не касаясь пламенем тигля, и 5 мин. в пламени, растворяют в 10 мл горячей воды. Смывают 3 раза, подкисляют конц. HNO<sub>3</sub>, фильтруют, промывают, прибавляют 10 мл 0,1 н. AgNO<sub>3</sub>, 5 мл нитробензола и 5 мл р-ра Fe-квасцов и титруют 0,1 н. NH<sub>4</sub>SCN, до красновато-желтого оттенка. Аналогично проводят контрольное титрование. Содержание I в г в 1 капсуле 0,00646.

•  $(a-b-a'+b') \cdot r \cdot p/q \cdot s^5$  ( $a$  — мл 0,1 н.  $\text{AgNO}_3$ ,  $b$  — мл 0,1 н.  $\text{NH}_4\text{SCN}$ ,  $a'$  и  $b'$  — то же в контрольном титровании,  $p, q, r$  и  $s$  — см. выше). Способ проверен на искусств. смесях I с  $\text{NaCl}$  с результатами, колеблющимися от 97,4 до 102%. Для определения I в сунозиториях отвечивают массу из 4 сунозиторий, размешивают с 20 мл  $\text{C}_6\text{H}_6$ , фильтруют, промывают  $4 \times 20$  мл  $\text{C}_6\text{H}_6$ , сушат при 103—105° и взвешивают ( $q$ ). На фильтре растворяют в 10 мл абс. спирта, промывают абс. спиртом, доводя фильтрат до 20 мл; 10 мл выпаривают, сушат при 103—105° и взвешивают ( $r$ ). Проверяют качество I, как указано выше, отвечивают ~0,1 г ( $s$ ) и поступают далее, как указано при анализе капс. Содержимое I в г в сунозитории  $0,3230 \cdot (a-b-a'+b') \cdot r/q \cdot s \cdot 4$ . Результаты колеблются в пределах 96,8—102%. Для определения I в помехах, содержащих 0,1—5% I, способ слишком дорог. В этом случае рекомендуется спектрофотометрия, или микробиологическое определение. Библ. 4 назв. Ю. Вендельштейн

**6Л314. Селективное определение лекарственных веществ в смесях с применением хлорной кислоты в неполярных растворителях.** Buda László. *Szelektív meghatározások perklórsavval apoláros oldószerekben. «Gyógyszerészet», 1960, 4, № 6, 217—218 (венг.; рез. нем.)*. — Описаны опыты по подбору р-рителей для избирательного определения отдельных компонентов в сложных лекарственных формах. И. Фомина

**6Л315. Быстрый и точный метод количественного определения йода в чистом препарате и таблетках диодитропина.** Суирун П. П. Швадкий и точный метод килькисного визначення йоду в чистому препараті і таблетках діодитропіну. «Фармацевтичний ж.» 1960, № 4, 26—28 (укр.). — Разработанный аргентометрич. метод колич. определения  $\text{I}_2$  основан на отщеплении йода в сернистой среде в присутствии  $\text{Zn}$ -пероксид, связывания  $\text{I}_2$  азотнокислым р-ром  $\text{AgNO}_3$  и титровании избытка  $\text{AgNO}_3$  р-ром  $\text{NH}_4\text{CNS}$ . Предложенный метод по точности и скорости определения имеет преимущества перед методом, указанным в техник. условиях на таблетки диодитропина (3,5-диод-4-оксифенилазанин). Одно определение занимает всего 25—30 мин. вместо 6—7 час. по старой методике. Т. Будкевич

**6Л316. Определение аскорбиновой кислоты в интенсивно окрашенных растворах при помощи N-бромсукцинимидов.** Evered D. F. Determination of ascorbic acid in highly coloured solutions with N-bromosuccinimide. «Analyst», 1960, 85, № 1012, 515—517 (англ.). — Проводят колич. определение аскорбиновой к-ты (I) в соке черной смородины. К свежеприготовленному р-рам I (0,2 мг/мл) в 1%-ой водн.  $\text{CH}_3\text{COOH}$  добавляют 4%-ый (вес/объем) водн. р-р KJ, свободный от йодата, диэтиловый эфир, свободный от перекиси, и титруют р-ром (200 мл в 100 мл р-ра) N-бромсукцинимидом (индикатор  $\text{CCl}_4$ ), 1 мл которого эквивалентен ~0,02 мг I. О конце титрования судят по появлению коричневой окраски верхнего эфирного слоя. Метод дает удовлетворительную точность в пределах опыта. В. Ингерман

**6Л317. Комплексометрическое определение висмута и магния в таблетках препарата бикалин.** Беликов В. В., Шрайбер М. С., Болотников С. М. Комплексометричне визначення вiсмуту та магнію у таблетках препарату бікалін, «Фармацевтичний ж.», 1960, № 4, 10—14 (укр.). — В указанном препарате, применяемом для лечения язвы желудка и двенадцатиперстной кишки, кроме прочих в-в, содержится большое кол-во основного нитрата Bi и основного карбоната Mg. Экспериментально показана возможность колич. определения Bi и Mg комплексометрич. титрованием трилоном Б в сложных смесях при совместном их присутствии. Разработан простой, точный и быстрый метод колич. определения Bi и Mg в таблетках препарата бикалин. Т. Будкевич

**6Л318. Вибрационный насос для стерильных жидкостей.** Ričica J. *Vibration pump for sterile liquids. «Folia microbiol.»*, 1960, 5, № 4, 276—278 (англ.; рез. русск.). — Описание конструкции и действия указанного насоса, применяемого для подачи питательной среды при непрерывном выращивании микроорганизмов в лабор. условиях. А. В.

**6Л319. Способ получения алкильных эфиров производных фосфиновых кислот.** Нисидзава Йосихико, Накагава Масан. [Сумитома какаку когэ кабусики кайся]. Японск. пат. 3880; 3881, 18.04.60. — Пат. 3880. О,О-диалкильные эфиры (цианкарбалкоксиалкил)-фосфиновых или тиофосфиновых к-т общей ф-лы  $(\text{RO})_2\text{P}(=\text{Y})\text{C}(\text{R}')(\text{CN})\text{COOR}''$  (I) (R и R' — низший алкил, R' — H или алкил, X — галогид, Y = O или S, M — щел. металл), обладающие антигельминтным действием, получают р-цией хлорангидридов О,О-диалкиловых эфиров фосфорной или тиофосфорной к-т общей ф-лы  $\text{XP}(=\text{Y})(\text{OR})_2$  с щелочно-металлич. соединениями алкильных эфиров циануксусной к-ты или ее производных общей ф-лы  $\text{MC}(\text{R}')(\text{CN})\text{COOR}''$ . К 6,8 г  $\text{C}_2\text{H}_5\text{ONa}$  в 150 мл сухого толуола прибавляют по каплям в течение 1 часа при 60° 12 г  $\text{NCCCH}_2\text{COOC}_2\text{H}_5$ , прибавляют 17,3 г  $\text{ClPO}(\text{OC}_2\text{H}_5)_2$ , перемешивают 16 час., охлаждают, фильтруют, фильтрат упаривают в вакууме остаток перегоняют и получают 11,3 г О,О-диэтилового эфира (цианкарбэтоксиметил)-фосфиновой к-ты (II), т. кип. 124—126°/1 мм,  $n_D^{20}$  1,4320. Аналогично из 18,9 г  $\text{ClPS}(\text{OC}_2\text{H}_5)_2$  получают 13,2 г О,О-диэтилового эфира (цианкарбэтоксиметил)-тиофосфиновой к-ты, т. кип. 119—120°/1 мм,  $n_D^{20}$  1,4799; а из 16 г  $\text{ClPS}(\text{OCH}_3)_2$  получают 10,6 г О,О-диметилового эфира (цианкарбэтоксиметил)-тиофосфорной к-ты, т. кип. 100—104°/0,5 мм,  $n_D^{16}$  1,4670. В 150 мл сухого  $\text{C}_6\text{H}_6$  вносят 4,6 г тонкоизмельченного Na, прибавляют 22,6 г  $\text{NCCCH}_2\text{COOC}_2\text{H}_5$ , перемешивают до растворения Na, быстро нагревают до кипения, приливают по каплям 28,9 г  $\text{ClPO}(\text{OCH}_3)_2$ , перемешивают 10 час. при 80°, охлаждают, разбавляют водой, органич. слой отделяют, сушат  $\text{Na}_2\text{SO}_4$ , отгоняют р-ритель и перегонкой выделяют 16,3 г О,О-диметилового эфира (цианкарбэтоксиметил)-фосфиновой к-ты (III), т. кип. 119—122°/1,1 мм,  $n_D^{26}$  1,4332. Аналогично из 34,5 г  $\text{ClPO}(\text{OC}_2\text{H}_5)_2$  и 23 г  $\text{NCCCH}_2\text{COOC}_2\text{H}_5$  получают 12,6 г О,О-диэтилового эфира (α-циан-α-карбэтоксигетил)-фосфиновой к-ты (IV), т. кип. 130—131°/1,3 мм,  $n_D^{25}$  1,4341.

Пат. 3881. I получают р-цией триалкилфосфатов общей ф-лы  $\text{P}(\text{OR})_3$  с алкиловыми эфирами производных α-галогид-α-циануксусной к-ты общей ф-лы  $\text{XC}(\text{CN})(\text{R}')\text{COOR}''$  (R и R' — низшие алкилы; R' = H, галогид или алкил; X — галогид). К 8 г  $\text{P}(\text{OC}_2\text{H}_5)_3$  приливают по каплям 14,8 г  $\text{Cl}(\text{CN})\text{CHCOOC}_2\text{H}_5$  с повышением т-ры до 80°, перемешивают 1 час при 20° и перегонкой выделяют 22,6 г II. Аналогично из 16,2 г  $\text{Cl}(\text{CN})\text{C}(\text{CH}_3)\text{COOC}_2\text{H}_5$  получают 20,8 г IV. К 25 г  $\text{P}(\text{OCH}_3)_3$  в 50 мл эфира приливают по каплям 29,6 г  $\text{Cl}(\text{CN})\text{CHCOOC}_2\text{H}_5$  с повышением т-ры до 40°, размешивают 1 час при 40°, отгоняют эфир и перегонкой в вакууме выделяют 35,6 г III. К 33,2 г  $\text{P}(\text{OC}_2\text{H}_5)_3$  в 50 мл  $\text{C}_6\text{H}_6$  приливают по каплям 36,4 г  $\text{Cl}_2(\text{CN})\text{CCOO-C}_2\text{H}_5$  с повышением т-ры до 80°, размешивают 2 часа при 20°, отгоняют  $\text{C}_6\text{H}_6$  и перегонкой в вакууме выделяют 50 г О,О-диэтилового эфира (хлорцианкарбэтоксиметил)-фосфиновой к-ты, т. кип. 128—129°/1,8 мм,  $n_D^{25}$  1,4468. С. Петрова

**6Л320. Способ получения эфиров фосфорной кислоты.** Нисидзава Йосихико, Мидзутани Тосио. [Сумитома какаку когэ кабусики кайся]. Японск. пат. 3883, 18.04.60. — О,О-диалкил-О-виниловые эфиры фосфорной к-ты ф-лы  $(\text{RO})_2\text{P}(=\text{O})\text{OC}(\text{R}')=\text{C}(\text{R}'')\text{R}'''$  (I) (R и R' — алкил, R'' — арил, R''' — нитрил или карбалкокси-группа, обладающие антигельминным действием) получают р-цией триалкилфосфитов ф-лы

$P(OR)_3$  с эфирами или нитрилами  $\beta$ -кетокислот ф-лы  $R'COCH(X)(R'')(R''')$  ( $X$  — галогид). К 17,7 г  $P(OC_2H_5)_3$  в 30 мл  $C_6H_6$  приливают по каплям 34 г  $\alpha$ -бром- $\alpha$ -фенил-ацетоацетонитрила (II) в 100 мл  $C_6H_6$ , размешивают 5 час. при 80°, отгоняют р-ритель и перегонкой в вакууме выделяют 29,8 г I ( $R = R' = CH_3$ ,  $R'' = CN$ ,  $R''' = C_6H_5$ ), т. кип. 153—160/0,3 мм,  $n_D^{25} 1,5165$ . Аналогично получают I (перечислены R, R', R'', R''', т. кип. °C/мм):  $C_2H_5$ ,  $CH_3$ ,  $CN$ ,  $C_6H_5$ , 143—145/0,7 ( $n_D^{25} 1,5165$ );  $CH_3$ ,  $CH_3$ ,  $COOC_2H_5$ ,  $C_6H_5$ , 147—152/0,35 ( $n_D^{25} 1,5070$ );  $C_2H_5$ ,  $CH_3$ ,  $COOC_2H_5$ ,  $C_6H_5$ , 152—156/0,3 ( $n_D^{24} 1,4963$ ).

С. Петрова

6.1321. Способ получения эфиров фосфорной кислоты. Нисидзава Йосихико, Накагава Масатака. [Сумитомо кагаку когё кабусики кайся]. Японск. пат. № 1531, 1532, 1.03.60.—Пат. 1531. О,О-ди-этил-О-(1-фенил-2-карботоксивинилового) эфиры фосфорной к-ты ф-лы  $C_6H_5C(=CHCOOR')OP(Y)(OR)_2$  (I) обладающие антигельминтным действием, получают р-цией хлорангидридов О,О-диалкильных эфиров фосфорной или тиофосфорной к-ты ф-лы  $XP(=Y)(OR)_2$  ( $R$  и  $R'$  — низший алкил,  $X$  — галогид,  $Y = O$  или  $S$ ;  $M$  — щел. металл) с эполатами алкильных эфиров бензотетрауксусной к-ты (II бензотетрауксусная к-та) ф-лы  $C_6H_5C(OM)=CHCOOR'$ . К 6,8 г  $C_6H_5ONa$  в 150 мл сухого  $C_6H_6$  приливают по каплям в течение 1 часа при  $\sim 30^\circ$  19,2 г этилового эфира II (III), прибавляют 17,3 г  $ClPO(OC_2H_5)_2$ , нагревают 4 часа при 50—60°, охлаждают, фильтруют, фильтрат упаривают в вакууме, остаток перегоняют и получают 29,5 г О,О-ди-этил-О-(1-фенил-2-карботоксивинилового) эфира фосфорной к-ты (IV), т. кип. 151—153/0,35 мм,  $n_D^{25} 1,5138$ . Аналогично из III и  $ClPS(OC_2H_5)_2$  получают О,О-ди-этил-О-(1-фенил-2-карботоксивинилового) эфир тиофосфорной к-ты, т. кип. 161/0,5 мм,  $n_D^{24} 1,5348$ . В 150 мл  $C_6H_6$  вносят 2,3 г тонкоизмельченного Na, 3,5 г  $CH_3OH$  и 19,2 г III в 50 мл  $C_6H_6$ , после растворения Na прибавляют 16 г  $ClPS(OC_2H_5)_2$ , перемешивают 5 час. при 80°, разбавляют водой, беззольный слой отделяют, промывают водой, р-ром соды и водой, сушат  $Na_2SO_4$ , р-ритель отгоняют в вакууме, остаток перегоняют и получают 30,1 г О,О-диметил-О-(1-фенил-2-карботоксивинилового) эфира тиофосфорной к-ты, т. кип. 156—159/0,3 мм,  $n_D^{25} 1,5488$ . Аналогично из III и  $ClPO(OC_2H_5)_2$  получают О,О-диметил-О-(1-фенил-2-карботоксивинилового) эфир фосфорной к-ты (V), т. кип. 149—151/0,65 мм,  $n_D^{24} 1,5259$ . Пат. 1532. I получают р-цией эфиров  $\alpha$ -галогид-II общей ф-лы  $C_6H_5COSH(X)COOR'$  с триалкилфосфитами общей ф-лы  $R''(OR)_3$ . К 8 г  $P(OC_2H_5)_3$  приливают по каплям 13,5 г этилового эфира  $\alpha$ -бром-II с повышением т-ры до 80°, перемешивают 1 час при 20° и перегонкой выделяют 15,3 г IV. Аналогично из 24,8 г  $P(OC_2H_5)_3$  в 50 мл эфира и 45,3 г этилового эфира  $\alpha$ -хлор-II получают 51,3 г V.

С. Петрова

6.1322. Получение смешанных алкоколатов-фенолатов алюминия. Arnold Herbert, Rebbling Rolf, Erhardt Albert. Verfahren zur Herstellung von gemischten Alkoholaten-Phenolaten des Aluminiums. [Asta-Werke A.-G. Chemische Fabrik]. Пат. FPG 1059000, 26.11.59.—Указание соединения, активные против анкилостомоза у домашних животных, получают р-цией алифатич. триалкоколата Al с 1—3 молями нитрофенола или -нафтола, напр. 2,4-динитронафтола в среде органич. р-рителя. В кипящий р-р 515 г 2,4-динитронафтола-1 в 2000 мл сухого  $C_6H_6$  вводят при перемешивании р-р 204 г изопропилата Al в 750 мл сухого  $C_6H_6$ , кипятят 6 час., горячий р-р фильтруют, осадок промывают  $C_6H_6$  и экстрагируют 3 л  $C_6H_6$  в аппарате Сокслета (20 час.). Экстракт фильтруют, осадок сушат в вакууме и получают 534 г (96,7%) изопропилат-бис-2,4-динитронафтолата Al.

Ю. Белый

6.1323. Получение  $\alpha$ -ацетиламино- $\gamma$ -метилмеркаптобутиронитрила. Ямада Сюньити, Тихата Ити-

ро. [Танаба сэйяку кабусики кайся] Японск. пат. 3311, 4.05.59.—Ацилированием  $\alpha$ -амино- $\gamma$ -метилмеркаптобутиронитрила (I) действием хлорангидридов или ангидридов жирных к-т получают ацильные производные I, обладающие противораковым действием. К 6,5 г I в 20 мл  $CH_3COOH$  добавляют по каплям 6,1 г  $(CH_3CO)_2O$ , перемешивают 4 часа при 45—50°, концентрируют в вакууме, к остатку прибавляют небольшое кол-во воды и получают 6 г (71%)  $\alpha$ -ацетиламино- $\gamma$ -метилмеркаптобутиронитрила, т. пл. 47—49° (из водн. сп.). К 19 г I в р-ре 5,8 г NaOH в 80 мл воды прибавляют по каплям в течение 2 час. 18,1 г хлор-ацетилахлорида попеременно с р-ром 7,2 г NaOH в 100 мл воды при т-ре от 0 до  $-2^\circ$ , перемешивают 2 часа при  $\sim 20^\circ$ , подкисляют HCl, извлекают этилацетатом, экстракт промывают, сушат, р-ритель отгоняют, остаток обрабатывают водой и получают 19 г (63%)  $\alpha$ -хлорацетиламино- $\gamma$ -метилмеркаптобутиронитрила (II), т. пл. 60—63° (из водн.  $CH_3OH$ ). 4 г II взбалтывают 20 мин. с 100 мл  $NH_4OH$  при  $\sim 20^\circ$ , концентрируют в вакууме, к остатку прибавляют спирт и получают 2,6 г (60%) хлоргидрата  $\alpha$ -глициламино- $\gamma$ -метилмеркаптобутиронитрила, т. пл. 132—135°.

В. Каратаев

6.1324. Получение L-глутаминовой кислоты и ее солей. Mareček Vladimír. Způsob výroby kyseliny L-glutamové a jejích solí. Чехосл. пат. 88126, 15.12.59.—Белковый гидролизат, полученный с применением 13—15%-ной HCl добавкой металлич. Sn, нейтрализуют до pH 4,5—7, фильтруют и концентрируют в вакууме до содержания 65—84% сухих в-в. 100 кг теплового гидролизата смешивают с 75—100 кг конц. HCl, оставляют на несколько суток, фильтруют и осадок нейтрализуют  $Na_2CO_3$  до pH 5,5, 100 кг осадка растворяют в 30 л горячей (70°) воды, фильтруют, фильтрат подкисляют HCl (к-той) до pH 2,5—3,5, добавляют 0,25 объема спирта или 5 вес.% NaCl, оставляют на несколько дней, глутаминовую к-ту отделяют и сушат при 60—65°, выход 13%.

Т. Зварова

6.1325. Способ получения глутаминовой кислоты для фармацевтических целей из белкового сырья. Machowski Stanisław, Czerwiński Jan, Wierzbowski Ryszard, Wypych Waldemar, Szczerbiński Jerzy, Józefowicz Wiesław. Sposób otrzymywania farmaceutycznego kwasu glutaminowego z surowców białkowych. [Spółdzielnia Pracy Chemiczów «Xenon»]. Польш. пат. 42331, 15.09.59.—Ор-фильтрованный хлоргидрат глутаминовой к-ты (I, II к-та) растворяют в горячей воде, добавляют активированный уголь (AV), фильтруют сквозь тонкий слой AV, фильтрат нейтрализуют до pH 2,8—3,0, после чего выделившуюся I отфильтровывают и отделяют от остатка примесей аминокислот и солей тяжелых металлов переводом ее в глутамат K, Na или аммония при pH среды  $> 6,0$ ; полученный р-р глутамата фильтруют через слой AV, фильтрат подкисляют до изoeлектрич. точки I, после чего выделившуюся I отфильтровывают, промывают и сушат. Пример. 130 кг I, полученного гидролизом казеина или галактона HCl, кристаллизацией гидролизата и отделением выделившейся I от маточных щелоков на фильтпрессе, растворяют в 70 л горячей воды, добавляют 4,5 кг AV и через 1 час фильтруют сквозь тонкий слой AV. Фильтрат нейтрализуют 21%-ным р-ром  $NH_3$  до pH 2,8, после чего реакционную массу охлаждают и оставляют на 48 час. Выделившуюся технич. II (60 кг) отфильтровывают от маточных щелоков и обрабатывают 10%-ной аммиачной водой, до pH среды 6,5, при этом I переходит в р-р, а примеси солей тяжелых металлов выпадают в виде гидратов окислов. Одновременно в осадок выпадают остатки других аминокислот, изoeлектрич. точка которых лежит в пределах pH 6,0. Полученный р-р глутамата аммония фильтруют при 20° от осадка через тонкий слой AV, фильтрат



подкисляют HCl (не содержащей As) до изoeлектрич. точки II (pH 3,2) и выделенную II отфильтровывают, промывают и сушат обычными способами. Получают 30 кг II, пригодной для использования в фармацевтич. пром-сти.

Т. Будкевич

**61326.** Извлечение L-серина и L-треонина из смесей с другими аминокислотами. *Pravda Zdeněk. Zprávy přípravu L-serinu a L-threoninu ze směsi s jinými aminokyselinami.* Чехосл. пат. 88345, 15.01.59.—Способ основан на получении смеси L-серина (I) и L-треонина (II) сорбцией на сильнокислых катионитах с последующим их разделением действием ароматич. сульфокислот. 50 г волос гидролизуют 16 час. конц. HCl при 120°, гидролизат три раза упаривают досуха, фильтруют с активированным углем и пропускают через колонку с катионитом (F4M), вымывая 0,5 н.  $\text{CH}_3\text{COOH}$ . Упариванием элюата получают 15 г смеси I, II, глутаминовой к-ты и аспарагина, которую пропускают через слабоосновной анионит (MFD) в  $\text{CH}_3\text{COO}$ -форме и через слабокислотный катионит (церолит 226) в H-форме и получают 6 г смеси I и II. К смеси добавляют 12 г n-оксибензолсульфокислоты (III), растворяют в миним. кол-ве горячей воды, охлаждают до 0°, осадок отделяют, обрабатывают MFD в  $\text{CH}_3\text{COO}$ -форме для отделения III и получают 3 г I и 2 г II. Т. Зварова

**61327.** Способ получения производных аминокислот. Уэда Такэо, Като Тайбу, Тойсима Сигэси, Цудзи Тадакадзу, Танака Ко. «Дай Нихон сэйяку кабусики кайся». Японск. пат. 420, 25.01.57.—Производные аминокислот общей ф-лы  $(\text{R}'\text{HN})_m\text{R}(\text{CONHNH}_2)_n$  (I) [R — алкил, арил или аларкил; R' — ацил или арилсульфонил; Z — H, ацил или арилсульфонил; m и n = 1 или 2] получают р-цией производных аминокислот общей ф-лы  $(\text{R}'\text{HN})_m\text{R}(\text{COY})_n$  (Y — эфирный или галогидный остаток функционально измененной карбоксильной группы) с гидразинами или их ацил- или арилсульфонилпроизводными. I обладают антимикробным и, в частности, противотуберкулезным действием. К 1 мл 80%-ного  $\text{NH}_2\text{NH}_2 \cdot \text{H}_2\text{O}$  при 80° приливают по каплям 1,24 г диэтилового эфира (ДЭЭ) N-лауроиласпарагиновой к-ты (II к-та) в 2 мл спирта, нагревают 5 мин. при 80°, охлаждают и отфильтровывают 1,1 г дигидрида II (III), т. пл. 197—199°. Аналогично получают (указанные эфир к-ты и т-ра плавления соответствующего гидрида или дигидрида в °C): ДЭЭ N-лауроил-глутаминовой к-ты, 178,5—180; этиловый эфир (ЭЭ) N-лауроил-глицина, 159—160 (из  $\text{CH}_3\text{OH}$ ); ЭЭ N-лауроил-DL-α-аминомасляной к-ты, 116—117 (из сп.); ЭЭ N-(4-аминобензоил)-DL-α-аминомасляной к-ты, 117—118; ДЭЭ N-(4-ацетилсульфанил)-L-аспарагиновой к-ты, 176—177 (разл.); ДЭЭ N-(4-ацетиламинонафталин-1-сульфонил)-L-аспарагиновой к-ты, 200,5—201,5 (из сп.); ЭЭ N-лауроил-DL-фенилаланина, 134,5—135 (из сп.); метиловый эфир N<sup>3</sup>, N<sup>6</sup>-дилауроил-L-лизина, 183—184 (из сп.); ДЭЭ N-изоникотиноил-L-аспарагиновой к-ты, 205—206 (разл.); ДЭЭ N-ацетилглициноил-L-аспарагиновой к-ты, 199—200 (из 50%-ного сп.); ЭЭ α-ацетиламино-DL-фенилуксусной к-ты, 172—173 (из сп.). III получают также приливанием по каплям 1,3 г дихлорангидрида II в 5 мл ацетона при 0° к 1 мл 80%-ного  $\text{NH}_2\text{NH}_2 \cdot \text{H}_2\text{O}$ . 3,22 г лауроилгидразина (IV) растворяют в 10 мл пиридина, охлаждают до 5°, приливают по каплям 3,8 г α-ацетиламинобензоилхлорида (V) в 4 мл  $\text{C}_6\text{H}_6$ , нагревают 5 мин. при 90°, отгоняют в вакууме р-ритель, остаток обрабатывают 50 мл 20%-ной HCl, осадок отфильтровывают, промывают водой, сушат и кристаллизацией из 15 мл спирта выделяют 6,61 г N'-лауроил-N<sup>2</sup>-(α-аминобензоил)-гидразина, т. пл. 194—195°. Аналогично из деканоилгидразина и V получают N'-деканойл-N<sup>2</sup>-(α-ацетиламинобензоил)-гидразин, т. пл. 181—183° (из сп.); из IV

и n-бензоиламинобензоилхлорида получают N'-лауроил-N<sup>2</sup>-(n-бензоиламинобензоил)-гидразин, т. пл. 216—217° (из сп.).

С. Петрова

**61328.** Способ получения натриевой соли N-сульфанилил-N'-(n-бутилмочевина) - метансульфокислоты. Арита Дээнъитиро [Танабэ сэйяку кабусики кайся]. Японск. пат. 626, 30.01.60.—Na-соль N-сульфанилил-N'-(n-бутилмочевина) - метансульфокислоты ф-лы  $n-(\text{NaO}_3\text{SCH}_2\text{NH})\text{C}_6\text{H}_4\text{SO}_2\text{NHCONH}(n-\text{C}_4\text{H}_9)$  (I) получают р-цией N-сульфанилил-N'-n-бутилмочевины (II) с Na-солью оксиметансульфокислоты (III). I является растворимой в воде формой II, применяемого при лечении диабета. 271 г II и 152 г III (+H<sub>2</sub>O) суспендируют в 800 мл воды, кипятят 8 час. на водяной бане, охлаждают, обрабатывают активированным углем, фильтруют, фильтрат упаривают досуха, остаток промывают небольшим кол-вом абс. спирта и сушат, получают 380 г I, т. пл. 250—255° (разл.).

С. Петрова

**61329.** Способ получения 4-йодтимола. Хаяси Эйити. Японск. пат. 624, 30.01.60.—4-йодтимол (I; 3-метил-4-йод-6-изопропилфенол) получают р-цией тимола с J<sub>2</sub> в кислотном р-стителе и в присутствии окислителя. I пригоден в качестве антигельминтного препарата. 100 ч. тимола растворяют в 400 ч.  $\text{CH}_3\text{OH}$ , при 20° прибавляют 84,3 ч. J<sub>2</sub> в порошок, затем приливают 32 ч.  $\text{KJO}_3$  и 36 ч.  $\text{H}_2\text{SO}_4$  в 100 ч. воды, перемешивают 4 часа, выливают в большое кол-во воды, выделившееся масло через несколько минут затвердевает, приливают 100 ч. 10%-ного  $\text{NaHSO}_3$ , перемешивают до исчезновения непрореагировавшего J<sub>2</sub>, отфильтровывают, сушат и кристаллизуют из лигирона, получают 168 ч. I, выход ~91%. 10 ч. тимола растворяют в 30 ч.  $\text{CH}_3\text{OH}$  и 20 ч. лед.  $\text{CH}_3\text{COOH}$ , прибавляют 8,43 ч. J<sub>2</sub> и 10 ч. 30%-ной  $\text{H}_2\text{O}_2$ , перемешивают 3 часа при 30° и аналогично выделяют 16,6 ч. I, выход ~90,3%. Аналогично получают I с применением в качестве окислителя 36 ч. 5%-ного  $\text{NaClO}_3$  или к-ты Каро (из 15 ч.  $\text{K}_2\text{S}_2\text{O}_8$  и 16,5 ч. конц.  $\text{H}_2\text{SO}_4$ ).

С. П.

**61330.** Получение бис-(аминофенилтио)-пентанов и -гексанов. *Nouveaux bis (aminophénylthio)-pentane et -hexane et leur préparation* [Soc. des Usines Chimiques Rhône-Poulenc]. Франц. пат. 1212070, 22.03.60.—Соединения общей ф-лы  $n-\text{NH}_2(\text{NH}=\text{C})\text{C}_6\text{H}_4\text{S}(\text{CH}_2)_n\text{SC}_6\text{H}_4\text{C}(=\text{NH})\text{NH}_2-n$  (I) (n = 5—6) и их соли, обладающие трипанонцидным и антибактериальным действием, получают р-цией 4'-циантиофенола (II) с 1,5-дигалоид-пентаном или 1,6-дигалоидгексаном с последующим превращением полученного бис-(4'-цианфенилтио)-пентана (III) или -гексана действием HCl или HBr в абс. спирте в бис-иминоэфир, а затем действием  $\text{NH}_3$  в соответствующие амидины, которые выделяют в виде оснований или солей (хлоргидратов, сульфатов, тартратов, малеатов). В закрывающийся стеклянный сосуд емк. 250 мл вносят последовательно 20 г III, 20 мл абс. спирта и 80 мл  $\text{CHCl}_3$ , охлаждают до 0° и насыщают сухим HCl (газом), сосуд закрывают, взбалтывают 90 час. при ~20°, осадок отделяют, промывают 300 мл эфира, сушат при 20%/0,2 мм рт. ст. и получают 28,5 г хлоргидрата (XГ) бис-(этоксикарбимидо-4'-фенилтио)-1,5-пентана (IV). 130 мл абс. спирта насыщают в автоклаве при 10°  $\text{NH}_3$ , прибавляют 28,5 г IV и нагревают 16 час. при 55°, р-ритель отгоняют в вакууме, остаток растворяют в смеси 100 мл диетил. воды и 8,5 мл HCl (d 1,19), оставляют на 20 час. на льду, фильтруют, осадок промывают водой, сушат в вакууме, перекристаллизуют из 100 мл абс. спирта и получают 10,2 г I (n = 5), т. пл. 220—225° (разл.). Соединение III (т. пл. 124—125°) получают конденсацией 1,5-дибромпентана с II, полученным восстановлением 4-цианбензолсульфохлорида. Аналогично получают I (n = 6), т. пл. 162°.

А. Гинзбург

**61331.** Способ получения I-гексановых кислот и их солей путем енолизации и восстановления 5-кето-Д-

гексоновых кислот и их солей. Сато Кантэ, Мики Тохэй. [Дэйдан ходзин няку сигэн кэнкюдзэ]. Японск. пат. 2157, 9.04.59.—5-кето-D-гексоновые к-ты или их растворимые в воде соли подвергают енолизации путем прибавления к их водн. р-ру гидроокисей щел. или щел.-зем. металлов до pH 7,8—14 и стояния полученного р-ра в течение 1—200 час. при т-ре от —30 до +30°, после чего образовавшиеся енольные соли указанных к-т восстанавливают при 20° или при нагревании до L-гексоновых к-т или их солей. К 40 г 5-кето-D-глюконовой к-ты в 120 мл воды приливают по каплям р-р NaOH до pH 7 и растворения, затем 0,1 г NaOH до pH 8,6, оставляют стоять для енолизации в течение 48 час. при 25°, прибавляют 5 г Ni Ренея, восстанавливают при 80°/90 атм H<sub>2</sub> по окончании поглощения рассчитанного кол-ва H<sub>2</sub> фильтруют, фильтрат упаривают в вакууме, сиропообразный остаток обезвоживают абс. CH<sub>3</sub>OH, отделяют и сушат 40 г Na-соли L-идоновой к-ты (I), выход ~100%,  $[\alpha]_D^{20}$  —2,3° (8%; вода). I пригодна в качестве промежуточного продукта синтеза витамина С. Аналогично из Na-соли 5-кето-D-галактоновой к-ты получают Na-соль L-галактоновой к-ты, выход 95%,  $[\alpha]_D^{20}$  +8,0°.

С. Петрова

6Л1332. Получение солей 2-диметиламиноэтилового эфира  $\alpha$ -метилбензгидрола, обладающего противогистаминным, седативным и противорвотным действием. Protiva Miroslav, Jílek Jiří. Způsob přípravy antihistaminové, sedativné a antiemetické účinných solí  $\alpha$ -methylbenzhydrol-2-dimethylaminoethyl etheru. Чехосл. пат. 86516, 15.05.57.—Эфирная связь в  $(C_6H_5)_2C(CH_3)OCH_2CH_2N(CH_3)_2$  (I) легко расщепляется, поэтому высокий выход при получении растворимых солей I получают при применении для нейт-ции слабых органич. к-т или разб. сильных к-т при условии тщательного контроля кислотности в процессе нейт-ции. 73,5 г 80%-ного NaNH<sub>2</sub> в 600 мл абс. C<sub>6</sub>H<sub>6</sub> смешивают с 290 г  $\alpha$ -метилбензгидрола и в течение 30 мин. приливают 500 мл 32,5%-ного р-ра 2-диметиламиноэтилхлорида в C<sub>6</sub>H<sub>6</sub>. Перемешивают 30 мин., кипятят 8 час., охлаждают до 10—15°, прибавляют 600 мл воды в атмосфере N<sub>2</sub>. Бензольный р-р упаривают в вакууме и получают 350 г остатка, содержащего 80% I, т. кип. 152—154°/1,5 мм, пикрат, т. пл. 127—128° (из сл.), йодметилат, т. пл. 227—228° (из сл.). К 280 г I в 700 мл сухого ацетона прибавляют по каплям при 0° 170 мл 20%-ного р-ра HCl в абс. спирте. Затем еще 20 мл р-ра HCl до pH = 5, прибавляют 300 мл абс. эфира, оставляют на ~16 час., осадок отделяют, промывают и получают хлоргидрат I, выход 85%, т. пл. 159—162°. 13,5 г I растворяют в 60 мл спирта, прибавляют теоретич. кол-во органич. к-ты, упаривают досуха в вакууме и получают соли I (приведены соль и т. пл. в °C): сукцинат, 104; 8-хлортеофиллинат, 180; тартрат, 116—117; цитрат 130—132.

Т. Зварова

6Л1333. Способ получения этиловых эфиров  $\alpha$ -трет-аминоалкил- $\beta$ , $\beta$ -дифенилакриловых кислот. Сугияма Норико, Сигэмацу Нобору. [Танабо сэйяку кабусики кайся]. Японск. пат. 5064, 13.05.60.—Этиловые эфиры  $\alpha$ -трет-аминоалкил- $\beta$ , $\beta$ -дифенилакриловых к-т ф-лы  $(C_6H_5)_2C=C(COOC_2H_5)CH(R)NR'_2$  (I) получают р-цией этиловых эфиров  $\alpha$ -галогидалкил- $\beta$ , $\beta$ -дифенилакриловых к-т ф-лы  $(C_6H_5)_2C=C(COOC_2H_5)CH(R)X$  с диаалкиламидами ф-лы HNR'\_2. В указанных ф-лах R = H, CH<sub>3</sub>, X — галоген, NR'\_2 — диамещ. аминогруппа. I пригодны в качестве седативных средств. 4,5 г этилового эфира  $\beta$ , $\beta$ -дифенил- $\alpha$ -метилакриловой к-ты, 3,2 г N-бромсукцинимид и 0,05 г перекиси бензоила в 40 мл CCl<sub>4</sub> кипятят 2 часа, отфильтровывают сукцинимид и отгонкой р-рителя выделяют этиловый эфир  $\beta$ , $\beta$ -дифенил- $\alpha$ -бромметилакриловой к-ты. Его растворяют в 40 мл C<sub>6</sub>H<sub>6</sub>, прибавляют 6,2 г пиперидина, кипятят 3 часа, охлаждают, извлекают 40%-ной HCl, кислотный экстракт нейтрализуют поташом, извлекают эфиром, эфирный экстракт сушат, отгоняют р-ритель

и перегонкой в вакууме выделяют этиловый эфир  $\alpha$ -пиперидинометил- $\beta$ , $\beta$ -дифенилакриловой к-ты, выход 78%, т. кип. 190—195°/1 мм [пикрат, т. пл. 152—154° (из сл.)]. Аналогично получают I (указаны R и NR'\_2, выход в %, т-ра кипения в °C/мм): H, диметиламино, 86, 166—167/1 (пикрат, т. пл. 145—147°); H, диэтиламино, 91, 170—175/1 (хлоргидрат, т. пл. 125—127°); H, морфолино, 84, 193—198/1 (пикрат, т. пл. 139—141°); H, N-метилпиперазино, 78, 192—196/1 (дипикрат, т. пл. 223—224°); метил, диметиламино, 69, 168—170/1 (пикрат, т. пл. 162—164°); метил, диэтиламино, 64, 168—173/1 (хлоргидрат, т. пл. 105—107°); метил, пиперидино, 68, 182—184/1 (пикролат, т. пл. 193—195°); метил, морфолино, 51, 202—205/1 (пикрат, т. пл. 196—198°); метил, N-метилпиперазино, 48, 198—203/1 (дипикрат, т. пл. 254—255°).

С. Петрова

6Л1334. Способ получения фенилмеркурокси-ди-пропальбензолов. Судзуки Сигэси. [Кёдо какаку когё кабусики кайся]. Японск. пат. 167, 14.01.60.—Фенилмеркурокси-ди-пропальбензолы общей ф-лы  $C_6H_5HgOC_2H_4(NO_2)_2R$  (I, R — алкил) получают р-цией ди-пропальбензолов общей ф-лы  $HOC_2H_4(NO_2)_2R$  с  $C_6H_5HgOC_2H_4NO_2$  (II) в среде р-рителя. I пригодны в качестве антисептич. лекарственных средств. 13,3 г 2,4-динитро-6-циклогексилфенола (т. пл. 106°) и 16,8 г II в 150 мл спирта кипятят 3 часа при 80°, отгоняют 2/3 спирта, охлаждают и отфильтровывают 26 г 2,4-динитро-6-циклогексил-(фенилмеркурокси)-бензола, т. пл. 141—142°. Аналогично из 2,4-динитро-6-метилфенола (т. пл. 85,8°) получают 2,4-динитро-6-метил-(фенилмеркурокси)-бензол, температура плавления 170—172°.

С. Петрова

6Л1335. Усовершенствованный способ выделения *трео*-1-(*п*-нитрофенил)-2-аминопропандиолов-1,3 в виде их N-дихлорацетильных соединений. Хааск Эрих, Нэгедорн Адольф, Оннен Онно, Песчке Вильгельм. Verbesertes Verfahren zur Abscheidung von *threo*-1-(*p*-Nitrophenyl)-2-amino-propandiolen-1,3 in Form ihrer N-Dichloroacetyl-Verbindung. [C. F. Boehringer & Soehne G. m. b. H.]. Пат. ФРГ 1058523, 26.11.59.—Для выделения *трео*-1-(*п*-нитрофенил)-2-аминопропандиолов-1,3 (I) в виде N-дихлорацетильного производного I (II) полученный в предшествующих стадиях синтеза неочищ. I конденсируют с безальдегидом (III) в шифрова основание, которое обрабатывают в безводн. условиях избытком эфира дихлоруксусной к-ты (IV к-та), напр. метилового эфира IV, в присутствии щел. бикарбонатов или щел. солей алфатич. или галогидалфатич. к-т, напр. калиевой солью IV. Реакционную массу обрабатывают водой и индиферентным, несмешивающимся с водой р-рителем. Выходы достигают 90% теоретич. и выше. Приведена предполагаемая схема р-ции шифрова основания с эфиром IV. При м е р ы. а) Смесь 30 г шифрова основания из *dl*-I и III, 60 мл метилового эфира IV и 3 г NaHCO<sub>3</sub> нагревают 2—3 часа при размешивании на водяной бане, охлаждают, прибавляют 60 мл воды и 150 мл лигроина и размешивают 30 мин. Лигроин декантируют, массу промывают несколько раз лигроином для удаления III и непрореагировавшего эфира IV, водн. суспензию оставляют на несколько часов и фильтруют *dl*-II. Последний промывают водой и смесью лигроина и эфира (1:1) и получают продукт с т. пл. 146—148°, после кристаллизации из разб. CH<sub>3</sub>OH т. пл. 150°. Выход почти колич.; NaHCO<sub>3</sub> можно заменить калиевой солью IV. б) Смесь 20 г указанного в примере (а) шифрова основания и 80 мл метилового эфира IV нагревают 4 часа при 90—95° с размешиванием, оставляют на несколько часов, осадок фильтруют, промывают C<sub>6</sub>H<sub>6</sub> и эфиром и получают 6,2 г *dl*-II, т. пл. 148—150°; маточные р-ры выпаривают в вакууме до 50 г и размешивают 45 мин. при 90° с 30 мл воды. После длительного стояния выделившиеся кристаллы промывают C<sub>6</sub>H<sub>6</sub> и эфиром и получают

4,4 г *dl*-II, т. плавления из р-ра D-I и III 5 час. при 95°; ок кипятят C<sub>6</sub>H<sub>6</sub>, дают 140—150°. 6Л1336. Samuel A. Monsanto Co. Обладающие щелочными дей- C<sub>6</sub>H<sub>5</sub>SR' (I), с 1—6 атомом X — галогид, с R-замеще- 10,6 г акрил- 2 часа, ост- в 500 мл вы- экстракт ц- кониют и п- /15 мм, л<sup>2</sup> (R = H, R' = 6Л1337. лондметил-  $\beta$ -cycloalka- and their p- дающие п- ния обще

—C(OH)= дикал с 3 заместител- Br или H) COOC<sub>2</sub>H<sub>5</sub> 46 г этилов- ной к-ты п- прибавляют 30 г свежес- сколько ч- воды, во- 40 мл кон- стализиру- = циклоп- условиях пиклопро- сана); п- 3-метилп- форма-16' нил, Cl, C 2,2,1- $\Delta^3$ -г- сана). 6Л1338. сложных ре- tically) same. [P- Обладаю- ф-лы т- (I) (R- солей ф- (II) (X дом к-т- образов NH<sub>2</sub>·HX (X = Cl) при пер- ляют на- ляют, к-





ducts Corp.]. Пат. США 2844629, 22.07.58.—Диамиды алканоламиножирных к-т и их соли общей ф-лы  $R^1R^2NCO-X-N(R^3)-Y-CONR^3R^4$  (I) ( $R^1, R^2, R^3$  и  $R^4$  — алкилы или алкены, содержащие в сумме 12—26 атомов C;  $R^5$  — оксалкил с 2—4 атомами C, эфиры низших алифатич. к-т или никотиновой к-ты; X и Y — двухвалентные низшие алкилены с 1—2 атомами C), обладающие местноанестезирующим действием, получают взаимодействием низшего алканолamina или амида алканоламиножирной к-ты с амидом галоидо-жирной к-ты в молярном отношении 1:1 или 1:2 при t-ре 100—180° в инертном р-рителе. К 6,2 г диизо-пропиламина в 1500 мл толуола при -30° прикапывают смесь 339 г хлорацетилхлорида в 500 мл толуола. Смесь оставляют при ~20° на ночь, осадок отфильтровывают, а фильтрат перегоняют при 90—100°/3 мм, при повторной перегонке получают 195 г  $\alpha$ -хлор-N,N-диизопропилацетамида (I), т. пл. 48—50°. К 160 мл  $n$ -C<sub>4</sub>H<sub>9</sub>OH и 60 г безводн. K<sub>2</sub>CO<sub>3</sub> добавляют 6,1 г этилоламина и 35,4 г I. Смесь нагревают при 115° 24 часа, фильтруют, промывают C<sub>4</sub>H<sub>9</sub>OH и сушат над MgSO<sub>4</sub>. Р-ритель отгоняют в вакууме. Получают  $\beta$ -оксипропиламино-бис-[N,N-диизопропилацетамид], т. пл. 119—121° (из C<sub>6</sub>H<sub>6</sub>-гексана); пикрат, т. пл. 154—155°; хлоргидрат, т. пл. 238—240°. Аналогично получают I (приведены R<sup>1</sup>, R<sup>2</sup>, R<sup>3</sup>, R<sup>4</sup>, R<sup>5</sup>, X, Y и т. кип. в °C/мм):  $n$ -C<sub>5</sub>H<sub>11</sub>,  $n$ -C<sub>5</sub>H<sub>11</sub>,  $n$ -C<sub>5</sub>H<sub>11</sub>,  $n$ -C<sub>5</sub>H<sub>11</sub>, OHCH<sub>2</sub>CH<sub>2</sub>, CH<sub>2</sub>, CH<sub>2</sub>, 230—235/1;  $n$ -C<sub>4</sub>H<sub>9</sub>,  $n$ -C<sub>4</sub>H<sub>9</sub>,  $n$ -C<sub>4</sub>H<sub>9</sub>,  $n$ -C<sub>4</sub>H<sub>9</sub>, OHCH<sub>2</sub>CH<sub>2</sub>, C<sub>2</sub>H<sub>5</sub>, C<sub>2</sub>H<sub>5</sub>, 180—183/1;  $n$ -C<sub>4</sub>H<sub>9</sub>,  $n$ -C<sub>4</sub>H<sub>9</sub>,  $n$ -C<sub>4</sub>H<sub>9</sub>,  $n$ -C<sub>4</sub>H<sub>9</sub>, OHCH<sub>2</sub>CH<sub>2</sub>, CH<sub>2</sub>, CH<sub>2</sub>, 208—211/1;  $n$ -C<sub>4</sub>H<sub>9</sub>,  $n$ -C<sub>4</sub>H<sub>9</sub>,  $n$ -C<sub>4</sub>H<sub>9</sub>,  $n$ -C<sub>4</sub>H<sub>9</sub>, CH<sub>2</sub>CH(OH)CH<sub>2</sub>, CH<sub>2</sub>, CH<sub>2</sub>, 195—198/0,5;  $iso$ -C<sub>4</sub>H<sub>9</sub>,  $iso$ -C<sub>4</sub>H<sub>9</sub>,  $iso$ -C<sub>4</sub>H<sub>9</sub>,  $iso$ -C<sub>4</sub>H<sub>9</sub>, OHCH<sub>2</sub>CH<sub>2</sub>CH<sub>2</sub>, CH<sub>2</sub>, CH<sub>2</sub>, 205—210/1;  $iso$ -C<sub>4</sub>H<sub>9</sub>,  $iso$ -C<sub>4</sub>H<sub>9</sub>,  $iso$ -C<sub>4</sub>H<sub>9</sub>,  $iso$ -C<sub>4</sub>H<sub>9</sub>, HOCH<sub>2</sub>CH<sub>2</sub>, CH<sub>2</sub>, CH<sub>2</sub>, 189—190/1;  $iso$ -C<sub>4</sub>H<sub>9</sub>,  $iso$ -C<sub>4</sub>H<sub>9</sub>,  $iso$ -C<sub>4</sub>H<sub>9</sub>,  $iso$ -C<sub>4</sub>H<sub>9</sub>, CH<sub>2</sub>CH<sub>2</sub>CH<sub>2</sub>OOCCH<sub>3</sub>, CH<sub>2</sub>, CH<sub>2</sub>, 190—192/0,5;  $iso$ -C<sub>4</sub>H<sub>9</sub>,  $iso$ -C<sub>4</sub>H<sub>9</sub>,  $iso$ -C<sub>4</sub>H<sub>9</sub>,  $iso$ -C<sub>4</sub>H<sub>9</sub>, CH<sub>2</sub>CH<sub>2</sub>OOCCH<sub>3</sub>, CH<sub>2</sub>, CH<sub>2</sub>, —;  $iso$ -C<sub>4</sub>H<sub>9</sub>,  $iso$ -C<sub>4</sub>H<sub>9</sub>, C<sub>2</sub>H<sub>5</sub>, C<sub>2</sub>H<sub>5</sub>, OHCH<sub>2</sub>CH<sub>2</sub>, CH<sub>2</sub>, CH<sub>2</sub>, 175—177/0,3;  $n$ -C<sub>4</sub>H<sub>9</sub>,  $n$ -C<sub>4</sub>H<sub>9</sub>, C<sub>2</sub>H<sub>5</sub>, C<sub>2</sub>H<sub>5</sub>, OHCH<sub>2</sub>CH<sub>2</sub>, CH<sub>2</sub>, CH<sub>2</sub>, 203—205/1;  $n$ -C<sub>4</sub>H<sub>9</sub>,  $n$ -C<sub>4</sub>H<sub>9</sub>,  $n$ -C<sub>4</sub>H<sub>9</sub>,  $n$ -C<sub>4</sub>H<sub>9</sub>,

CH<sub>2</sub>CH<sub>2</sub>OOCCH=CHCH=CHN=CH (A), CH<sub>2</sub>, CH<sub>2</sub>, —, хлоргидрат, т. пл. 206—207°; C<sub>2</sub>H<sub>5</sub>, H,  $n$ -C<sub>4</sub>H<sub>9</sub>, H, HOCH<sub>2</sub>CH<sub>2</sub>, CH<sub>2</sub>, CH<sub>2</sub>, 198—199°; C<sub>2</sub>H<sub>5</sub>, H,  $n$ -C<sub>4</sub>H<sub>9</sub>, H, A, CH<sub>2</sub>, CH<sub>2</sub>, —, дихлоргидрат, т. пл. 212—213°;  $n$ -C<sub>4</sub>H<sub>9</sub>, H, C<sub>2</sub>H<sub>5</sub>, H, HOCH<sub>2</sub>CH(CH<sub>3</sub>)CH<sub>2</sub>, CH<sub>2</sub>, CH<sub>2</sub>, 170—173/1;  $n$ -додецил, H, CH<sub>3</sub>, H, OHCH<sub>2</sub>CH<sub>2</sub>, CH<sub>2</sub>, CH<sub>2</sub>, 225—227/1;  $n$ -C<sub>6</sub>H<sub>13</sub>,  $n$ -C<sub>6</sub>H<sub>13</sub>,  $n$ -C<sub>6</sub>H<sub>13</sub>, OHCH<sub>2</sub>CH<sub>2</sub>, CH<sub>2</sub>, CH<sub>2</sub>, 195/3;  $n$ -C<sub>4</sub>H<sub>9</sub>, H, C<sub>2</sub>H<sub>5</sub>, H, CH<sub>2</sub>CH<sub>2</sub>CH<sub>2</sub>OOCCH<sub>3</sub>, CH<sub>2</sub>, CH<sub>2</sub>, 208—210/1.

Л. Стекольников

6Л342. Способ получения полиметилена- или фенил-бис-уретанов. Schmid Otto. Verfahren zur Herstellung von neuen Polymethylen- bzw. Phenylen-bis-carbaminsäureestern. [Österreichische Stickstoffwerke A.-G.]. Австр. пат. 195438, 10.02.58.—Оказывающие тормозящее действие на ферменты и обладающие нервно-мышечным действием соединения общей ф-лы  $R'OCON(R)-A-N(R)OCOR'$  (I) [ $R$  — низший алкил, алкенил, фенил, бензил или H,  $R'$  — остаток, содержащий третич. N, напр. 3-пиридил,  $m$ -(CH<sub>3</sub>)<sub>2</sub>NC<sub>6</sub>H<sub>4</sub>] и их четвертич. аммониевые соединения получены р-цией диамина ф-лы  $H(R)N-A-N(R)H$  с эфиром ф-лы  $ClCOOR$ . К охлажд. до 0° р-ру 100 ч. COCl<sub>2</sub> в 300 ч. CHCl<sub>3</sub> прибавляют за 1 час. при 0—5° и перемешивании р-р 27,4 ч. м-диметиламинофенола, перемешивают 2 часа, упаривают при t-ре ≤ 30°, остаток растворяют в 225 ч. CHCl<sub>3</sub>, прибавляют при 0—5° и перемешивании р-р смеси 16 ч. N,N'-диметилгексаметилендиамина и 16 ч. NaOH в 100 ч. воды, перемешивают 2 часа, хлороформный р-р промывают 5%-ным NaOH (2 × 100 г), 5%-ной CH<sub>3</sub>COOH (2 × 100 ч.) и водой (3 × 100 ч.), сушат K<sub>2</sub>CO<sub>3</sub>, упаривают, остаток кристаллизуют из CH<sub>3</sub>OH и получают 30 ч. I [ $R$  = CH<sub>3</sub>,  $R'$  =  $m$ -(CH<sub>3</sub>)<sub>2</sub>NC<sub>6</sub>H<sub>4</sub>, A = (CH<sub>2</sub>)<sub>6</sub>, т. пл. 88—91°; дибромметилат, т. пл. 174—176°. В сходных условиях по-

лучены I [приведены R', A, т. пл. в °C ( $R$  = CH<sub>3</sub>),  $m$ -(CH<sub>3</sub>)<sub>2</sub>NC<sub>6</sub>H<sub>4</sub>, (CH<sub>3</sub>)<sub>4</sub>, 72—75; пиридил-3, (CH<sub>3</sub>)<sub>4</sub>, —,  $m$ -(CH<sub>3</sub>)<sub>2</sub>NC<sub>6</sub>H<sub>4</sub>,  $n$ -C<sub>6</sub>H<sub>4</sub>, 156, дибромметилат, т. пл. 172—177°.

М. Альби

6Л343. Способ получения новой соли холина. Nouveau sel de choline et son procédé de préparation. [Soc. des Usines Chimiques Rhône-Poulenc]. Франц. пат. 1213427, 31.03.60.—К р-ру 30,25 г основания холина (I) в 70 мл воды постепенно прибавляют 38,5 г 2,5-диоксibenзойной к-ты, р-р упаривают в вакууме, остаток смешивают с 250 мл ацетона, фильтруют, промывают 100 мл ацетона и получают 44 г 2,5-диоксibenзоата I, т. пл. 181—182°, обладающего противоспазматическим действием и регулирующего деятельность печени.

С. Оку

6Л344. Получение N-(аминоалкил)-п-толуолсульфамидов и их солей. Protiva Miroslav, Nachová Erika. Způsob přípravy nových N-(aminoalkyl)-p-toluensulfonamidů a jejich soli. Чехосл. пат. 92825, 15.12.59.—Патентуется способ получения соединений ф-лы  $n$ -CH<sub>3</sub>C<sub>6</sub>H<sub>4</sub>SO<sub>2</sub>N(R)-A-NR<sub>2</sub>' (I) ( $R$  = A-NR<sub>2</sub>' или H, R' = алкил или NR<sub>2</sub>' = гетероцикл, радикал A = алкилен), обладающих антидиабетич., диуретич. и ганглиоплетич. действием. К р-ру CH<sub>3</sub>ONa (из 1,4 Na) в 20 мл CH<sub>3</sub>OH прибавляют 5,1 г  $n$ -толуолсульфамид (II) и 50 мл толуола, упаривают досуха, остаток суспендируют в 50 мл толуола, прибавляют 4,3 г хлоргидрата (XГ) (CH<sub>3</sub>)<sub>2</sub>NC<sub>2</sub>H<sub>4</sub>Cl (III), кипятят 12 час. при перемешивании и получают 3,3 г I ( $R$  = H, R' = CH<sub>3</sub>, A = C<sub>2</sub>H<sub>4</sub>) (Ia), XГ, т. пл. 143°, диметилат (ИМ), т. пл. 227—228° (из ацетона). К р-ру 7,4 г Ia в 80 мл абс. толуола прибавляют 1,2 г NaNH<sub>2</sub>, кипятят 1 час, оставляют на ~16 час., прибавляют 6,2 г свежеприготовленного III в 50 мл толуола, кипятят 6 час и получают 7,0 г I ( $R$  = C<sub>2</sub>H<sub>5</sub>, N(CH<sub>3</sub>)<sub>2</sub>, R' = CH<sub>3</sub>, A = C<sub>2</sub>H<sub>4</sub>), диметилат, т. пл. 247—248° (из водн. ацетона). Аналогично получают I (приведены R, R' или NR<sub>2</sub>' A и т. пл. в °C солей): H, C<sub>2</sub>H<sub>5</sub>, C<sub>2</sub>H<sub>5</sub>, XГ, 138—139, ИМ, 150—151; C<sub>2</sub>H<sub>5</sub>N(C<sub>2</sub>H<sub>5</sub>)<sub>2</sub>, C<sub>2</sub>H<sub>5</sub>, C<sub>2</sub>H<sub>5</sub>, дихлоргидрат, 219, дихлоридатил, 197—198. Т. Зварова

6Л345. Способ получения N-циклогексилсульфамидов. Каваха Кидэи, Хоси Йосино, Таки Йосидзиро [Дай-Нихон сэйяку кабуси кайсэ]. Японск. пат. 4997, 13.06.59.—Указанную соль получают р-цией N-циклогексилсульфаминовой к-ты (I) с диметиламиноэтилбензидриловым эфиром (II) или р-цией соли I с солью II с минер. к-той. Соль I + II применяют в качестве лекарственного препарата, 1,8 г I и 2,5 г II растворяют при нагревании в 20 мл абс. спирта, охлаждают, отфильтровывают и кристаллизуют из спирта, получают 4,1 г соли I + II, т. пл. 222—225°. 2 г Na-соли I и 2,8 г хлоргидрата II растворяют при нагревании в 20 мл абс. спирта, отфильтровывают в горячем состоянии NaCl и аналогично выделяют 4,4 г соли I + II.

С. Петров

6Л346. Усовершенствованный способ получения четвертичных аммониевых соединений. Corp Frederick Charles. Improvements in and relating to quaternary ammonium compounds and the preparation thereof. [The Wellcome Foundation Ltd]. Англ. пат. 819681, 9.09.59.—Обладающие нематодическим действием соединения общей ф-лы  $o$ -RC<sub>6</sub>H<sub>4</sub>-O-(CH<sub>2</sub>)<sub>2</sub>-N<sup>+</sup>-(CH<sub>3</sub>)<sub>2</sub>-CH<sub>2</sub>C<sub>6</sub>H<sub>4</sub>R'-O-X<sup>-</sup> (I) ( $R$  = Cl, Br, CH<sub>3</sub>, NO<sub>2</sub> или H, R' = Cl, Br, CH<sub>3</sub> или H, X<sup>-</sup> — остаток органич. к-ты) получены р-цией соли ф-лы NaX с I (X = Cl) (II). I менее токсичны, чем II и обладают меньшей растворимостью в воде (<1% против 50%). Р-р 187 г динариевой соли эмбоновой к-ты в 2 л горячей воды медленно прибавляют при перемешивании к р-ру 253 г II ( $R$  = R' = H), перемешивают 2 часа, осадок отфильтровывают, промывают 200 мл воды, сушат в вакууме и получают I, моногидрат, т. пл. 144—146°. В сходных условиях получены I [приведены R, R', HX, т. пл. в °C]

CH<sub>3</sub>, H, эм  
128—130;  
1-нафтоин  
фо., 209—  
6Л347.  
дичетвер  
Evlyn  
diquatern  
[The Well  
15.10.58.  
соединени  
—NR<sup>2</sup>R<sup>3</sup> (4  
фенилы и  
или H, R<sup>3</sup>  
циклч. о  
мами C)  
получены  
(II) с дие  
II ( $R$  = R  
= C<sub>2</sub>H<sub>5</sub>, R  
= 15,9 г б  
пшании,  
остаток и  
изб  
звлекают  
упариваю  
ла, т. кип.  
156—157°  
приведен  
в °C/мм,  
дихометил  
184—186/0  
авериди.  
C<sub>6</sub>H<sub>5</sub>, C<sub>6</sub>H<sub>5</sub>  
1,546 (20)  
(CH<sub>2</sub>)<sub>2</sub>, 16  
CH<sub>3</sub>, кип  
186—188;  
0,04, 7,53  
C<sub>6</sub>H<sub>5</sub>, C<sub>6</sub>H<sub>5</sub>  
CH<sub>3</sub>C<sub>6</sub>H<sub>4</sub>,  
(22), 181  
242—246/0  
(CH<sub>2</sub>)<sub>2</sub>, 16  
C<sub>6</sub>H<sub>5</sub>, C<sub>6</sub>H<sub>5</sub>  
CH<sub>3</sub>C<sub>6</sub>H<sub>4</sub>,  
0,05, —,  
(CH<sub>2</sub>)<sub>2</sub>, 22  
циклогек  
—, 188—  
201/0,17,  
4, (CH<sub>2</sub>)  
C<sub>6</sub>H<sub>5</sub>, N(1  
0,1, 1,546  
6Л348.  
неведомо  
thor p  
dothioug  
can Hom  
Соединен  
(R — низ  
тельность  
нарии, п  
хлоргидр  
аммония  
(IV) вво  
ловым э  
в органи  
2 часа  
водой, с  
перекри  
IV, т. пл  
растворя  
дают, вы

$R = CH_3$ ,  $CH_2$ ,  $H$ , эмбоновая, 68—69;  $H$ ,  $H$ , нафталин-1-сульфо-, 128—130;  $H$ ,  $H$ , 2-окси-3-нафтойная, 170—171;  $H$ ,  $H$ , 1-нафтойная, 170,5—171,5;  $H$ ,  $H$ , нафталин-1,5-дисульф-, 209—209,5. Л. Стекольников 6Л347.

Усовершенствованный способ получения четвертичных соединений. Billingham John Evelyn Warner. Improvements in and relating to quaternary compounds and the manufacture thereof. [The Wellcome Foundation Ltd]. Англ. пат. 802870, 15.10.58.—Обладающие ганглиоблокирующим действием соединения общей ф-лы  $RR^1CHO(CH_2)_n(R^2) - A - NR^3R^4$  (I) ( $R$  и  $R^1$  — низшие алкилы, циклоалкилы, фенилы или замещенные фенилы,  $R^2$  — низший алкил или  $H$ ,  $R^3$  и  $R^4$  — низшие алкилы или  $NR^3R^4$  — гетероциклич. остаток,  $n = 2-10$ ,  $A$  — алкилен с 2—10 атомами  $C$ ) и их четвертичные аммониевые соединения получены р-цией соединений ф-лы  $RR^1CHO(CH_2)_nCl$  (II) с диамидами ф-лы  $R^3R^4N - A - NR^3H$  (III). 24,6 г II ( $R = R^1 = C_6H_5$ ,  $n = 2$ ) (IIa), 13 г III [ $R^3 = R^4 = C_2H_5$ ,  $R^2 = CH_3$ ,  $A = (CH_2)_2$ ] (IIIA), 25 мл спирта и 15,9 г безводн.  $Na_2CO_3$  кипятят 16 час. при перемешивании, отделяют от осадка, упаривают в вакууме, остаток извлекают смесью разб.  $HCl$  и эфира, прибавляют избыток воды,  $NH_4OH$ , водн. слой отделяют, извлекают эфиром, эфирные экстракты сушат  $Na_2SO_4$ , упаривают, остаток перегоняют в вакууме и получают Ia, т. кип. 152°/0,06 мм,  $n_D^{20}$  1,5307, дийодметилат, т. пл. 156—157° (разл.). В сходных условиях получены I [приведены  $R$ ,  $R^1$ ,  $R^2$ ,  $R^3$ ,  $R^4$  или  $NR^3R^4$ ,  $n$ ,  $A$ , т. кип. в °C/мм,  $n_D$  (в скобках указана т-ра), т. пл. в °C дийодметилата]:  $C_6H_5$ ,  $C_6H_5$ ,  $CH_3$ ,  $C_2H_5$ ,  $C_2H_5$ , 3,  $(CH_2)_2$ , 184—186/0,03, 1,5252 (25), 240—242;  $C_6H_5$ ,  $C_6H_5$ ,  $CH_3$ , пиперидил, 3,  $(CH_2)_2$ , 198—200/0,04, 1,5419 (17), 202—204;  $C_6H_5$ ,  $C_6H_5$ ,  $CH_3$ ,  $n$ - $C_4H_9$ ,  $n$ - $C_4H_9$ , 4,  $(CH_2)_2$ , 222—224/0,09, 1,546 (20), 126—128;  $C_6H_5$ ,  $C_6H_5$ ,  $CH_3$ , пирролидил, 4,  $(CH_2)_2$ , 197—200/0,05, 1,5420 (17), 179—181;  $C_6H_5$ ,  $C_6H_5$ ,  $CH_3$ , пиперидил, 4,  $(CH_2)_2$ , 205—207/0,1, 1,5370 (20), 186—188;  $C_6H_5$ ,  $C_6H_5$ ,  $CH_3$ , морфолил, 4,  $(CH_2)_2$ , 202—204/0,04, 7,5394 (20), 200—201;  $n$ - $CH_3C_6H_4$ ,  $n$ - $CH_3C_6H_4$ ,  $CH_3$ ,  $C_6H_5$ ,  $C_2H_5$ , 4,  $(CH_2)_2$ , —, 218—219;  $o$ - $CH_3C_6H_4$ ,  $o$ - $CH_3C_6H_4$ ,  $CH_3$ ,  $C_2H_5$ , 4,  $(CH_2)_2$ , 203—205/0,1, 1,5289 (22), 181—182;  $C_6H_5$ ,  $C_6H_5$ ,  $CH_3$ , морфолил, 4,  $(CH_2)_2$ , 242—246/0,5, —;  $C_6H_5$ ,  $C_6H_5$ ,  $CH_3$ , морфолил, 3,  $(CH_2)_2$ , 187—189/0,07, —, 203—204;  $C_6H_5$ ,  $C_6H_5$ ,  $CH_3$ ,  $C_2H_5$ , 4,  $(CH_2)_2$ , 194/0,9, 1,5222 (25), 190—191;  $n$ - $CH_3C_6H_4$ ,  $n$ - $CH_3C_6H_4$ ,  $CH_3$ , морфолил, 4,  $(CH_2)_2$ , 192—194/0,05, —, 193;  $n$ - $ClC_6H_4$ ,  $n$ - $ClC_6H_4$ ,  $CH_3$ , пиперидил, 4,  $(CH_2)_2$ , 234—237/0,7, 1,5605 (26), 173—175; циклогексил, циклогексил,  $CH_3$ ,  $C_2H_5$ , 4,  $(CH_2)_2$ , 188—190/0,7, —, 188—189;  $C_6H_5$ ,  $C_6H_5$ ,  $M$ , морфолил, 3,  $(CH_2)_2$ , 198—201/0,17, 1,5440 (24), 191—192;  $C_6H_5$ ,  $C_6H_5$ ,  $H$ , морфолил, 4,  $(CH_2)_2$ , 199—203/0,08, 1,5400 (24), 177—178;  $C_6H_5$ ,  $C_6H_5$ ,  $N(R^2) - A - NR^3R^4$  4-метилпиперазил, 4, 190—192/0,1, 1,5461 (20), —. Л. Стекольников 6Л348.

S-замещенные производные N-бензгидрил-псевдомочевны и их псевдотиурониевые соли. Winthrop Stanley O. S-substituted N-benzhydryl pseudothioureas and their pseudothiuronium salts. 10.59. [American Home Products Corp.]. Пат. США 2910505, 27.10.59.—Соединения общей ф-лы  $(C_6H_5)_2CHNHC(SR)=NH$  (I) ( $R$  — низший алкил или бензил), стимулирующие деятельность ЦНС и применяемые в медицине и ветеринарии, получают сплавлением эквимолярных кол-в хлоргидрата бензгидраламина (II) с тиоцианатом аммония (III). Полученную N-бензгуриллиомочевину (IV) вводят в р-цию с низшим алкильным или бензиловым эфиром сильной неорганич. к-ты кипячением в органич. р-рителе. 107 г II и 41,4 г III сплавляют 2 часа при 125—160° (140°), обрабатывают кипящей водой, осадок отделяют, растворяют в  $iso$ - $C_3H_7OH$ , перекристаллизуют из  $iso$ - $C_3H_7OH$  и получают 67 г IV, т. пл. 186—188°, 12 г IV и 3,15 г диметилсульфата растворяют в 100 мл  $CH_3OH$ , кипятят 3 часа, охлаждают, выпаривают и получают метилсульфонат I ( $R =$

$= CH_3$ ), т. пл. 130,5—132° (из  $iso$ - $C_3H_7OH$ ), йодгидрат (ИГ), т. пл. 178,5—180°. Аналогично получают I (приведены  $R$ , т. пл. в °C и т. пл. в °C солей):  $CH_3$ , 161—162, хлоргидрат (ХГ), 195—196; малеат, 164—165, бисульфит, 202—203 (разл.); ацетат, 144—145 (разл.), бромгидрат, 198,5—199,5;  $C_2H_5$ , —, ИГ, 145—147;  $C_3H_7$ , 75—77, ИГ, 150—151;  $iso$ - $C_3H_7$ , —, ИГ, 185—186,5;  $C_4H_9$ , 77—79, ИГ, 160—161;  $C_6H_5CH_2$ , 94—97, ИГ, 168—172. Ю. Зеликсон 6Л349.

Способ получения менадиона. Хорни Дэвиз и т.н. [Тайто фандза кабусики кайся]. Японск. пат. 4322, 26.04.60.—2-метилнафтохинон-1,4 (I, менадион) получают бромированием 2-метилтетралона-1 (II), дегалоидированием полученного 2-метил-2-бромтетралона-1 (III) при обработке  $\gamma$ -коллидином с образованием 2-метилнафтола-1 (IV) и окислением IV в лед.  $CH_3COOH$  при помощи  $CrO_3$ . I пригоден в качестве лекарственного препарата и фунгицида. 147 г II растворяют в 2000 мл эфира, при <5° приливают 160 г  $Br_2$ , нагревают, перемешивают 1 час, реакционную массу промывают водой, р-ром  $NaHCO_3$  и водой, сушат  $Na_2SO_4$ , отгоняют эфир и кристаллизацией остатка из петр. эфира выделяют 195 г III, выход 88,8%. 40 г III и 100 г  $\gamma$ -коллидина кипятят 30 мин., охлаждают, разбавляют эфиром, осадок бромгидрата  $\gamma$ -коллидина отфильтровывают, фильтрат промывают разб.  $HCl$ , сушат  $Na_2SO_4$ , отгоняют эфир и кристаллизацией остатка из петр. эфира выделяют 24 г IV, выход 90,9%. Р-р 24 г  $CrO_3$  в 200 мл 80%-ной  $CH_3COOH$  приливают при 30° к 20 г IV в лед.  $CH_3COOH$ , перемешивают 48 час., выливают в воду со льдом, осадок отфильтровывают и кристаллизацией из  $CH_3OH$  выделяют 11,7 г I, выход 53,7%, т. пл. 105° (диацетильное производное 2-метил-1,4-нафтогидрохинона, температура плавления 112°). С. Петрова 6Л350.

1,12-диметил-6-окси-7-ацил-9-оксо-1,2,3,4,9,10,11,12-октагидрофенантрен-карбоновые-1 кислоты и их производные. Bihle Roy H., Jr. 1,12-dimethyl-6-hydroxy-7-acyl-9-oxo-1,2,3,4,9,10,11,12-octahydrophenanthrene-1-carboxylic acids and derivatives thereof. [G. D Searle & Co.]. Пат. США 2854474, 30.09.58.—Названные соединения, обладающие гипотензивным, противовоспалительным и бактерицидным действием, получают конденсацией O-алкилподокарпата с соединением ф-лы  $RCOCl$  с последующим окислением полученного продукта  $CrO_3$ . К р-ру 5 ч. (везде вес. ч.) O-метил-7-ацетилподокарпата в 53 ч.  $CH_3COOH$  при 5—10° добавляют р-р 3,16 ч.  $CrO_3$  в 1,5 ч. воды и 6 ч.  $CH_3COOH$ , перемешивают 30 мин., оставляют на 48 час. при 5—10°, затем на 72 часа при ~25°. Непрореагировавший  $CrO_3$  разлагают добавлением спирта, смесь разбавляют водой и получают метиловый эфир 1,12-диметил-6-метокси-7-ацетил-I (II) (где I = 9-оксо-1,2,3,4,9,10,11,12-октагидрофенантрен-1-карбоновая к-та), т. пл. ~248—249,5° (из  $CH_3OH$ -этилацетата). Р-р 2 ч. II в 40 ч. хлоргидрата пиридина нагревают 10 мин., переносят в 300 ч. воды и получают 1,12-диметил-6-окси-7-ацетил-I, т. пл. 164—167° (из  $CH_3COOH$  и водн.  $CH_3OH$ ). Аналогично получают (указано в-во и т. пл. в °C): 1,12-диметил-6-метокси-7-бензоил-I, 174—176; метиловый эфир (МЭ) 1,12-диметил-6-метокси-7-( $n$ -хлорбензоил)-I, 262—264; МЭ 1,12-диметил-6-метокси-7-(2,5-дибром-4-метилбензоил)-I; МЭ 1,12-диметил-6-метокси-7-( $o$ -метоксibenzoил)-I, 175—176; МЭ 1,12-диметил-6-метокси-7-( $n$ -этоксibenzoил)-I; этиловый эфир 1,12-диметил-6-этокс-7-бутирил-I. Л. Стекольников 6Л351.

Способ получения производных пергидрохризена. Clinton Raymond O. Compounds of the perhydrochrysene series and preparation thereof. [Sterling Drug Inc.]. Пат. США 260—288, 2822382, 4.02.58.—2,6-д-металлич. К прибавляют к 70 мл  $трет$ - $C_4H_9OH$  при перемешивании в атмосфере  $N_2$  кипятят 4 часа, охлаждают, прибавляют р-р 3,18 г  $D$ -гомэтихохотанол-3-адиона-11,17а в 50 мл абс.  $трет$ - $C_4H_9OH$ . Через смесь

медленно пропускают  $C_2H_2$  (8 час.), оставляют на ~16 час., выливают в 600 мл воды, подкисляют разб. HCl и нейтрализуют  $NaHCO_3$ . Затем концентрируют до 200 мл, фильтруют, осадок промывают водой, сушат при 70° и получают 2,94 г, (85,5%) 17а-а-этинил-*D*-гомоэтихолаидол-3а,17а-б-она-11 (I), т. пл. 220,5—228°,  $[α]_D^{25} + 5$  (с 1; хлф.). Получены также производные *D*-гомоэтихолаидола (II *D*-гомоэтихолаидол) (приведены в-во, в т. пл. в °C,  $[α]_D^{25}$ , в скобках указана конц-ия и р-ритель): 3а-ацетат I, 202—207, +23,9° (0,904; хлф.); 3а-ацетат 17а-б-этинил-3а,17а-а-диокси-11-кето-II, 189—190,5 + 63,5° (1; хлф.); 17а-б-этинил-3а,17а-а-диокси-11-кето-I (III), 260,5—266, +62,2° (1;  $CH_3COOH$ ); 17а-а-винил-3а,17а-б-диокси-11-кето-II (IV), 203—206, +33° (1; хлф.); 3а-ацетат IV, 219—221, +61,7° (1; хлф.); 3а-ацетат III, 200,5—202,5, +33,45° (1; хлф.); 17а-б-винил-3а,17а-а-диокси-11-кето-II (V), 223—226, —1,74° (1; хлф.); 17а-а-этил-3а,17а-б-диокси-11-кето-II (VI), 184—186, +31,1° (1; хлф.); 3а-ацетат VI, 207,5—210, +58° (1; хлф.); 3а-ацетат V, 207,5—211, +53,9° (1; хлф.); 17а-б-этил-3а,17а-а-диокси-11-кето-II, 149—150,5, +30,1° (1; хлф.); 17а-а-этил-17а-б-окси-3,11-дикето-II, 221—225, +12° (1; хлф.); 17а-этинил-3а,11β,17а-триокси-I (VII), 160—162, —; 3а,11β-диацетат VII, 173—176; 3а-ацетоксид-17а-(3-ацетоксид-1-пропинил)-17а-окси-11-кето-II, 192—193, +13,4° (1; хлф.); 17а-(3-окси-1-пропинил)-3а,17а-диокси-11-кето-II, 245—252,5, —15,9° (1; ацетон); 17а-этинил-3а,11а-триокси-II (VIII), 195—210; 3а,11а-диацетат VIII, 222—224, —43,8° (1; хлф.); 3а,11а-диацетат 17а-а-винил-3а,11а,17а-триокси-II, 171—175, —2,2° (1; хлф.); 3а,11а-диацетат-17а-этил-3а,11а,17а-триокси-II, 197—200, —3° (1; хлф.); 3а-ацетат 17а-а-этинил-3а,11β,17а-триокси-II, 202,5—205, +31,7° (1; хлф.); 3а-ацетат 17а-б-этинил-3а,11β,17а-триокси-II, 165—166,5, +12,5° (1; хлф.); 3а-ацетат 17а-а-винил-3а,11β,17а-триол II, 165,6—168, +63,3° (1; хлф.); 3а-ацетат 17а-а-этил-3а,11β,17а-триокси-II, 194—197,5, +54,5° (1; хлф.); диацетат 17а-этинил-3а,17а-б-диокси-11-кето-II, (IV диол), 214,5—217,5, +5,6° (1; хлф.); 3а-ацетат 17а-этил-3а,17а-б-диокси-11-кето-II, 208—209, —; IX, 225—227, —.

Л. Стокольников  
6Л352. Улучшенный способ получения пирролидиновых эфиров и их четвертичных соединений. Mehta Minoo Dossabho. Improvements in or relating to the preparation of pyrrolidyl esters and quaternary compounds thereof. [Beecham Research Labs Ltd]. Англ. пат. 833820, 27.04.60. — Обладающие спазмолитич. действием соединения общей ф-лы  $(C_6H_5)_2C(OH)COO-$

$CH_2CHN(R)CH_2CH_2CH_2$  (I) (R — алкил с 1—4 атомами C или аллил), их соли с нетоксичными к-тами и четвертичные аммониевые соединения, полученные р-цией 1-*R*-2-оксиметилпирролидина (II) с  $(C_6H_5)_2C(Cl)COCl$  (III) с образованием хлоргидрата (XГ) соединения ф-лы  $(C_6H_5)_2C(Cl)COOCH_2CHN(R)CH_2CH_2CH_2$  (IV), при обработке водой переходящего в XГ I. Р-р 16 г II ( $R = CH_3$ ) (IIa) в 40 мл бутанола постепенно прибавляют при перемешивании и т-ре <35° к р-ру 39,2 г III в 80 мл бутанола, оставляют на 16 час. при 0°, упаривают в вакууме, остаток кипятят с абс. эфиром (2 × 20 мл), промывают эфиром и получают 37 г XГ IVa. Р-р 37 г XГ IVa в 700 мл воды оставляют на 25 мин. при ~20°, прибавляют 250 г NaCl, извлекают  $CHCl_3$  (6 × 100 мл), экстракт сушат  $MgSO_4$ , упаривают в вакууме, остаток кристаллизуют из смеси спирт-эфир и получают 29 г XГ Ia, т. пл. 170—176°, основание, т. пл. 100—101° (из петр. эф.). Йодметилат, т. пл. 192°. Йодатилат, т. пл. 146—148°, бромметилат, т. пл. 171°, метилметилсульфонат, т. пл. 135—137°. В сходных условиях получены I (приведены R, т. пл. в °C XГ, т. пл. в °C четвертич. соединений):  $C_2H_5$ , 144—145 (из этилацетат  $C_4H_9OH$ ), —;  $n-C_3H_7$ , 159—160 (из бутанола); *изо*- $C_3H_7$ , 165—166 (из бутанола-сп.), метилметил-

сульфонат — 165—167;  $n-C_4H_9$ , 171—172 (из бутанола-сп.), —;  $CH_2=CHCH_2$ , 128—130 (из бутанола-эф.). С. О. 6Л353. Замещенные аминосоединения. Lunsford Carl D. Substituted amino alcohols. [A. H. Robins Co., Inc.]. Пат. США 2878264, 17.03.59. — Обладающие свойством блокировать нервы, выделяющие адреналиноподобные в-ва 3-*R*-1-*R'*-пирролидины-3 (I) (R — фенил или замещ. фенил, R' — низший алкил, аларкил или H) и их соли с нетоксичными к-тами полученный р-цией соответствующего R'-пирролидинона-3 с  $RMgBr$  с последующим гидролизом образовавшегося металлорганич. соединения. К р-ру 157 г  $C_6H_5Br$  и 24,3 г Mg в 1 л сухого эфира прибавляют при перемешивании в слабом кипении 89 г 1-бензилпирролидинона-3, кипятят еще 1 час, гидролизуют водой и 50%-ным р-ром NaOH, водн. р-р экстрагируют эфиром, эфирные экстракты промывают водой, сушат  $Na_2SO_4$ , упаривают и получают 78 г I ( $R = C_6H_5$ ,  $R' = C_6H_5CH_2$ ), т. кип. 169—174°/0,2 мм, хлоргидрат (XГ), т. пл. 154—156°. В сходных условиях получены I (приведены R, R', т. кип. в °C, т. пл. в °C XГ):  $C_6H_5$ ,  $n-C_4H_9$ , 134—145/0,3, 118,5—120,  $n-CH_3OC_6H_4$ ,  $CH_3$ , 108—111/0,04, т. пл. 79°, —;  $m$ ,  $n$ -(OH)- $C_6H_3$ ,  $C_2H_5$ , 130—150/0,5, т. пл. 152—154, 202—208;  $n-ClC_6H_4$ ,  $n-C_4H_9$ , 157/0,14, 147—149;  $C_6H_5$ , H, —, 145—146,5;  $C_6H_5$ ,  $CH_3$ , —, 142—143;  $C_6H_5$ ,  $C_2H_5$ , —, 121—124;  $C_6H_5$ ,  $n-C_3H_7$ , —, 121—122;  $C_6H_5$ , *изо*- $C_4H_9$ , —, 154—158;  $n-CH_3OC_6H_4$ ,  $C_6H_5CH_2$ , —, 155—157;  $n-OHC_6H_4$ ,  $C_6H_5$ , 209,5—210;  $n-BrC_6H_4$ ,  $n-C_4H_9$ , —, 156—157;  $n-ClC_6H_4$ ,  $C_2H_5$ , фумарат, т. пл. 114—115°. Л. Стокольников

6Л354. Способ получения салазопиррина-2-[1'-карбоксы-2'-оксипензол-(5-азо-4'')-бензоил-1'-сульфон-амидо]-пиридина высокой степени чистоты. Rudnicki Andrzej. Sposób otrzymywania salazopiryny 2-[1'-karboksy-2' oksybenzeno-(5-azo-4'')-benzeno-1' sulfonamido]-pirydyny o wysokiej czystości. [Starogardzkie Zakłady Farmaceutyczne. Przedsiębiorstwo Państwowe]. Польск. пат. 39710, 29.03.57. — Указанный препарат получают из неочищ. салазопиррина (I) действием пиридина с последующим разложением полученного продукта в водн. среде и подкислением р-ра. 2 г неочищ. I растворяют при 20° в 5 г технич. пиридина, оставляют на несколько часов, осадок  $C_{15}H_{11}O_3NS \cdot 2C_6H_5N$  отфильтровывают, промывают небольшим кол-вом пиридина, растворяют в ~20 мл воды, перемешивают 1 час, нагревают до 70°, горячий р-р подкисляют HCl (по конго), охлаждают, осадок отфильтровывают, промывают дистил. водой и сушат. Маточные р-ры концентрируют в вакууме и кристаллизуют. В случае большого кол-ва примесей разбавляют 2—3 ч. воды и отгоняют азеотропную смесь пиридина-вода при нормальном давлении или в вакууме. Остаток (0,33% по объему) разбавляют водой и подкисляют HCl (к-та) (по конго). Продукт отделяют, промывают, сушат и получают 95%-ный I. Ф. Райнес

6Л355. Получение новых эфиров 2-пиперидиларилметанолов. Nouveaux esters de pipéridyl-2 aryl méthanol et leur préparation. [Soc. des Usines Chimiques Rhône-Poulenc]. Франц. пат. 1205149, 29.01.60. — Стимулирующие деятельность центральной нервной системы 2-CH(R)OCOR'-пиперидины (β-форма) (I) (R — фенил или замещ. фенил, R' — низший алкил или H) получают этерификацией соответствующих 2-CH(R)OH-пиперидинов, 22,4 г хлоргидрата (XГ) β-формы II ( $R = n-CH_3C_6H_4$ ), 50 мл  $(CH_3CO)_2O$  и 200 мл  $CH_2COCl$  кипятят 0,5 часа, охлаждают, осадок отделяют, промывают эфиром, сушат в вакууме, кристаллизуют из спирта и получают 18,1 г XГ I, т. пл. 221—223°. В сходных условиях получены I (приведены R, R', т. пл. в °C XГ):  $m-CH_3C_6H_4$ ,  $CH_3$ , 206,5—208 (из сп.);  $o-CH_3C_6H_4$ ,  $CH_3$ , 229—231;  $o-CH_3C_6H_4$ ,  $CH_3$ , 191;  $n-ClC_6H_4$ ,  $CH_3$ , 222—223;  $n-NO_2C_6H_4$ ,  $CH_3$ , 252 (из воды). С. Окунь

6Л356. 4, о-замещенные фенил-1-алканолпиперидины и их эфиры. Parcell Robert F. 4, o-substituted phenyl 1-alkanol piperidines and esters thereof. [Parke,

Davis & Co. обладающие прессуру

систему (X = Cl) тогруппами C<sub>2</sub> или алиф. выми, N-получают

ровой к- (II) H<sub>2</sub> 200—300° напр. LiAlH<sub>4</sub> реакцией о-алкилоа также ридами (C<sub>2</sub> — C<sub>6</sub>) р-ция с II, 228 г C<sub>2</sub>H<sub>5</sub> (IV) оставляют 24 часа, ит, филь до исчез при пере 340 мл 15 мин. эфиром, (к-той), водой, с C<sub>2</sub>H<sub>5</sub>CH(творют) пают анкрытом 200 мл б. лают 400 фильтру в вакуу т. пл. 17° Ш о-CH<sub>3</sub> чают II (R = H). 2,5 часа в 700 м. нают еп воды, 73° руют, у. получаю 1,1 мм. CH=CH<sub>2</sub> R = H) Li (про. ремеш. OC<sub>2</sub>H<sub>5</sub> 1 час, п. эфира, бавляют. вают ег (к-той), эфиром пиперид. р-р кип. прибав. экстрак. тетраг. VI в 500. ного Ре. нонд. Н. творяют. щелачи



бутанона-  
ф.). С. O.  
unsford  
Robins Co.  
дие свой-  
налинопо-  
R — фенол-  
алкил или  
ый р-цией  
gBr с по-  
еталлорпа-  
Mg в 1 л  
ни и сла-  
кипят  
ром NaOH,  
экстракты  
и полу-  
кип. 168—  
°. В сход-  
т. кип. в  
118,5—120,  
n-(OH)<sub>2</sub>,  
202—203;  
—, 145—  
121—124;  
154—158;  
H, C<sub>2</sub>H<sub>5</sub>,  
n-ClC<sub>6</sub>H<sub>4</sub>,  
колоннкой  
на—2(4'-  
сульфон-  
Rudni-  
piryru 2-  
4" sulfon-  
dzkie Zak-  
aistwowe)  
парат по-  
нием ш-  
ного про-  
еочнящ-  
та, остав-  
H<sub>2</sub>O<sub>2</sub>N<sub>2</sub>S-  
оболщши-  
ды, пере-  
р-р под-  
к этил-  
т. Маточ-  
аллизуют.  
ляют 2-  
ридин-во-  
Остаток  
дикисляю-  
омышают.  
D. Райес  
дидларил-  
yl méthac-  
ques Rhô-  
Стимули-  
системы  
— фенол-  
H) полу-  
R)OH-ли-  
I (R = л-  
кипят  
затот эфир-  
и во-  
усло-  
°С ХГ):  
eH, CH<sub>3</sub>,  
222—223;  
С. Окунь  
иперидин-  
abst'ituted  
f. Parke,

Davis & Co.]. Пат. США 2891066, 16.06.59.—Соединения, обладающие гипотензивным, противорвотным и депрессирующим действием на центральную нервную

систему, общей ф-лы  $\alpha$ -XC<sub>6</sub>H<sub>4</sub>CHCH<sub>2</sub>CH<sub>2</sub>N(R)CH<sub>2</sub>CH<sub>2</sub> (I) (X = Cl, Br, алкокси-, алкенилокси- и алкилмеркапто- группы с 1—3 атомами С; R — оксикал или с 2—6 атомами С, который может быть этерифицирован низшими алифатич. к-тами с ≤ 4 атомами С или карбаминными, N-алкил- и N,N-диалкилкарбаминными к-тами) получают: 1) восстановлением замещ. амидов глута-

ровой к-ты общей ф-лы  $\alpha$ -XC<sub>6</sub>H<sub>4</sub>CHCH<sub>2</sub>CON(R)COCH<sub>2</sub> (II) H<sub>2</sub> в присутствии металлическ. катализаторов при 200—300° и давл. 200—300 ат или гидридами металлов, напр. LiAlH<sub>4</sub> и 2) р-цией I (R = H) с окисью этилена, реакционноспособными производными  $\omega$ -окси- или  $\omega$ -ацилоксиалкилов, содержащими 2—6 атомов С, а также с эфирами акриловой к-ты или галоидангидридами или эфирами  $\omega$ -галогидозамещ. карбоновых к-т (C<sub>2</sub>—C<sub>6</sub>), с последующим восстановлением продуктов р-ции способами, применяемыми для восстановления II, 228 г  $\alpha$ -CH<sub>3</sub>OC<sub>6</sub>H<sub>4</sub>CHO (III) и 436 г CH<sub>3</sub>COCH<sub>2</sub>COO-C<sub>2</sub>H<sub>5</sub> (IV) смешивают при 0° с 15 мл пиперидина (III), оставляют при 0—5° на 1 час, затем при 20—25° на 24 часа, прибавляют 200 мл безводн. спирта, охлаждают, фильтруют, осадок промывают 50%-ным спиртом до исчезновения желтой окраски, сушат и постепенно при перемешивании вносят в горячий р-р 350 г КОН в 240 мл воды; реакционную смесь перемешивают 15 мин. при 90—95°, разбавляют водой, промывают эфиром, медленно подкисляют 550 мл конц. HCl (к-той), охлаждают, фильтруют, промывают ледяной водой, сушат в вакууме при 60° и получают II (X = CH<sub>3</sub>O, C<sub>6</sub>H<sub>4</sub>CH(CH<sub>2</sub>COOH)<sub>2</sub> (V), т. пл. 186—190°, 147 г V растворяют в 300 мл воды и 100 мл конц. NH<sub>4</sub>OH, р-р очищают активированным углем, нагревают 20 мин. в открытом сосуде при 200°, осторожно разбавляют 200 мл безводн. спирта, нагревают до кипения, прибавляют 400 мл горячей воды, перемешивают, охлаждают, фильтруют, осадок промывают ледяной водой, сушат в вакууме при 60° и получают IIa (X = CH<sub>3</sub>O, R = H), т. пл. 122—125°. Тем же способом, употребляя вместо III  $\alpha$ -OH-CH=CHOC<sub>6</sub>H<sub>4</sub>CHO или  $\alpha$ -CH<sub>3</sub>SC<sub>6</sub>H<sub>4</sub>CHO, получают IIb (X = OCH<sub>2</sub>CH=CH<sub>2</sub>, R = H) и IIв (X = CH<sub>2</sub>S, R = H). К суспензии 93 г LiAlH<sub>4</sub> в 3 л эфира за 2,5 часа при перемешивании прибавляют р-р 219 г IIa в 700 мл безводн. тетрагидрофурана (ТФ), перемешивают еще 2 часа, разлагают последовательно 98 мл воды, 73 мл 20%-ного р-ра NaOH и 318 мл воды, фильтруют, упаривают, остаток перегоняют в вакууме и получают Ia (X = CH<sub>3</sub>O, R = H), т. кип. 115—118°/1,1 мм. Аналогично из IIб получают Ib (X = OCH<sub>2</sub>CH=CH<sub>2</sub>, R = H). IIв восстанавливают в Iv (X = CH<sub>2</sub>S, R = H) LiAlH<sub>4</sub> в среде эфир-диоксан. К смеси 17,5 г Li (проволочка) в 500 мл эфира при охлаждении и перемешивании быстро прибавляют р-р 252 г  $\alpha$ -BrC<sub>6</sub>H<sub>4</sub>OC<sub>2</sub>H<sub>5</sub> в 350 мл эфира, кипятят при перемешивании 1 час, прибавляют 189 г N-бензилпиперидона-4 в 250 мл эфира, перемешивают 1/2 часа, затем осторожно прибавляют 250 мл воды, отделяют эфирный слой, промывают его водой (200 мл × 3), экстрагируют разб. HCl (к-той), кислый экстракт подщелачивают, извлекают эфиром и получают 300 г N-бензил-4-( $\alpha$ -этоксифенил)-пиперидона-4, который растворяют в 350 мл (CH<sub>3</sub>CO)<sub>2</sub>O, р-р кипятят ~30 мин, упаривают в вакууме, к остатку прибавляют лед. воду и избыток разб. р-ра NaOH и экстрагируют эфиром N-бензил-4- $\alpha$ -этоксифенил-1,2,5,6-тетрагидропиримидин (VI), т. кип. 175—185°/0,6 мм. 190 г VI в 500 мл CH<sub>3</sub>COOH гидрируют H<sub>2</sub> (4 ат) над 5 г 5%-ного Pd/C, фильтруют от осадка, прибавляют 70 мл конц. HCl (к-ты), упаривают в вакууме, остаток растворяют в воде, р-р промывают эфиром, водн. слой подщелачивают р-ром NaOH и экстрагируют эфиром Ir

(X = C<sub>2</sub>H<sub>5</sub>O, R = H), т. кип. 118—120°/1,3 мм. К смеси 450 г  $\alpha$ -ClC<sub>6</sub>H<sub>4</sub>CHO (VII), 735 г CNCH<sub>2</sub>COOC<sub>2</sub>H<sub>5</sub> (VIII) и 500 мл безводн. спирта прибавляют 15 мл III, оставляют на 24 часа, охлаждают, фильтруют, промывают 50%-ным спиртом, растворяют в смеси 1 л CH<sub>3</sub>COOH, 1 л воды и 1 л конц. HCl (к-ты) и кипятят 72 часа, отгоняя часть р-рителя; затем охлаждают, фильтруют, осадок растворяют в 6 л водн. р-ра 270 г NaOH, кипятят, очищают активированным углем, фильтруют, подкисляют конц. HCl (к-той) и получают  $\alpha$ -ClC<sub>6</sub>H<sub>4</sub>CH(CH<sub>2</sub>COOH)<sub>2</sub> (IX), т. пл. 173—178°. Смесь 385 г IX и 226 мл конц. NH<sub>4</sub>OH нагревают в открытом сосуде до 225°, выливают в лед, фильтруют, осадок растворяют в CHCl<sub>3</sub>, промывают р-ром NaHCO<sub>3</sub> водой и CHCl<sub>3</sub>, перегоняют и получают Ir (X = Cl, R = H), т. пл. 169—172°, который восстанавливают LiAlH<sub>4</sub> в среде эфир-диоксан в Id (X = Cl, R = H), т. кип. 94—98°/0,4 мм. Тем же способом из  $\alpha$ -BrC<sub>6</sub>H<sub>4</sub>CHO и VIII получают Ie (X = Br, R = H). Р-р 16 г Ia и 10 г CH<sub>2</sub>=CHCO<sub>2</sub>CH<sub>3</sub> в 50 мл безводн. спирта оставляют на 4 дня при 20—23°, прибавляют 150 мл C<sub>6</sub>H<sub>6</sub>, упаривают, остаток разбавляют 300 мл эфира и при перемешивании прибавляют к суспензии 6 г LiAlH<sub>4</sub> в 500 мл эфира; смесь перемешивают еще 20 мин., разлагают последовательным прибавлением 6 мл воды, 5 мл 20%-ного р-ра NaOH и 22 мл воды, фильтруют, упаривают и получают Im (X = CH<sub>3</sub>O, R = CH<sub>2</sub>CH<sub>2</sub>CH<sub>2</sub>OH), т. пл. 109—110° (из безл.-нетр. эф.). Смесь 38,2 г Ia, 19,5 г BrCH<sub>2</sub>(CH<sub>2</sub>)<sub>2</sub>COO-C<sub>2</sub>H<sub>5</sub> и 200 мл C<sub>6</sub>H<sub>6</sub> кипятят при перемешивании 16 час., отгоняют 150 мл C<sub>6</sub>H<sub>6</sub>, к остатку прибавляют 600 мл эфира, фильтруют, упаривают до ~200 мл и восстанавливают LiAlH<sub>4</sub> (также, как при синтезе Im); получают In (X = CH<sub>3</sub>O, R = (CH<sub>2</sub>)<sub>3</sub>CH<sub>2</sub>OH), т. пл. 77—79° (из C<sub>6</sub>H<sub>6</sub>-нетр. эф.). Аналогично получают Ip (X = C<sub>2</sub>H<sub>5</sub>O, R = (CH<sub>2</sub>)<sub>3</sub>CH<sub>2</sub>OH), хлоридрат (XG), т. пл. 134—136° [из *изо*-C<sub>3</sub>H<sub>7</sub>OH (ИПС) + эф.], и Ir (X = Cl, R = (CH<sub>2</sub>)<sub>3</sub>CH<sub>2</sub>OH), XG Ir, т. пл. 163,5—165° (из ИПС + эф.). Р-р 13 г Ia и 3,5 г окиси этилена в 25 мл спирта оставляют на 16 час. при охлаждении, прибавляют 200 мл безводн. спирта, упаривают, к остатку добавляют р-р HCl (газ) в ИПС и получают XG Ia (X = CH<sub>3</sub>O, R = CH<sub>2</sub>CH<sub>2</sub>CH<sub>2</sub>OH), т. пл. 163—164,5°. Смесь 30 г Ia, 16,5 г BrCH<sub>2</sub>(CH<sub>2</sub>)<sub>2</sub>CH<sub>2</sub>COOC<sub>2</sub>H<sub>5</sub> (X) и 150 мл C<sub>6</sub>H<sub>6</sub> перемешивают при кипении 18 час., разбавляют до 500 мл безводн. эфиром, фильтруют, упаривают, к остатку прибавляют р-р 2 г CH<sub>3</sub>ONa в 400 мл CH<sub>3</sub>OH, р-р вновь упаривают, остаток разбавляют до 500 мл безводн. эфира, промывают водой, сушат MgSO<sub>4</sub>, упаривают, остаток растирают в смеси эфир-петр. эфир и получают Im (X = CH<sub>3</sub>O, R = (CH<sub>2</sub>)<sub>4</sub>CH<sub>2</sub>OH), т. пл. 82—83° (из эф. + петр. эф.). Аналогично получают: In (X = C<sub>2</sub>H<sub>5</sub>O, R = (CH<sub>2</sub>)<sub>4</sub>-CH<sub>2</sub>OH), XG, In — т. пл. 151—152°; Io (X = OCH<sub>2</sub>-CH=CH<sub>2</sub>, R = (CH<sub>2</sub>)<sub>4</sub>-CH<sub>2</sub>OH), In (X = Cl, R = (CH<sub>2</sub>)<sub>4</sub>CH<sub>2</sub>OH), XG, т. пл. 146—147° (из ИПС + эф.) и Ip (X = CH<sub>2</sub>S, R = (CH<sub>2</sub>)<sub>4</sub>CH<sub>2</sub>OH). Р-р 18 г CH<sub>3</sub>COOCH<sub>2</sub>(CH<sub>2</sub>)<sub>3</sub>COCl в 300 мл C<sub>6</sub>H<sub>6</sub> быстро при перемешивании прибавляют к р-ру 38,5 г Ia в 400 мл C<sub>6</sub>H<sub>6</sub>, оставляют на 20 мин., фильтруют, упаривают до 75 мл, разбавляют эфиром до 250 мл, медленно при перемешивании прибавляют к 12 г LiAlH<sub>4</sub> в 500 мл эфира, кипятят при перемешивании 1,5 часа и после обычной обработки получают Ie (X = CH<sub>3</sub>O, R = (CH<sub>2</sub>)<sub>5</sub>CH<sub>2</sub>OH), XG, т. пл. 150—151° (из ИПС + эф.). Аналогично получают Ir (X = C<sub>2</sub>H<sub>5</sub>O, R = (CH<sub>2</sub>)<sub>5</sub>CH<sub>2</sub>OH), XG, т. пл. 139—140° (из ИПС + эф.) и Iy (X = Cl, R = (CH<sub>2</sub>)<sub>5</sub>CH<sub>2</sub>OH), XG, т. пл. 130—133° (из ИПС + эф.). Смесь 30 г Im, 11 г NH<sub>2</sub>COOC<sub>2</sub>H<sub>5</sub> и 85 г толзула нагревают до кипения, отгоняют 20 мл р-рителя, прибавляют 2 г изопропилата Al, отгоняют образующийся в р-ции ИПС, к остатку прибавляют 500 мл C<sub>6</sub>H<sub>6</sub>, встряхивают 2 раза с горячей водой, фильтруют через диатомит, отделяют безводный слой, упаривают до 150 мл, разбавляют петр. эф., охлаждают, фильтруют, получают карбаминный эфир (KЭ) Im, который р-ром HCl в ИПС пре-



azoles. [Merck & Co., Inc.]. Пат. США 2857391, 21.10.58.—Патентуется 4 способа получения 2-аминометилбензимидазолов, обладающих местноанестетич. и антифибрилаторным действием. 1) 246 г 2-хлорметилбензимидазола добавляют к р-ру 11,1 г NaI в 300 мл абс. спирта, добавляют 284,5 г этил-N-фенилглицината в 880 мл абс. спирта, кипятят 18,5 час., р-ритель отгоняют в вакууме, остаток обрабатывают 6 н. HCl, затем NaOH, и извлекают  $C_6H_5$ , этил-N-R-N-фенилглицината (I, R =  $CH_2$  = 2-бензимидазолилметил) выход 57%, т. пл. 174—176° (из  $C_6H_6$ -гексан). 18,5 г I растворяют в 170 мл абс.  $CH_3OH$ , добавляют при 0° 82 г  $NH_4CH_3$ , нагревают 4 часа при 120°, р-ритель отгоняют, остаток кристаллизуют из водн.  $CH_3OH$  и получают N-R-N-фенилглицинидиметиламид II, выход 59%. т. пл. 183—184°, 9,75 г  $LiAlH_4$  добавляют к 220 мл сухого тетрагидрофурана (ТГФ), нагревают 30 мин., добавляют (30 мин.) р-р 11,5 г II в 320 мл сухого ТГФ, перемешивают 1 час при ~20°, нагревают еще 2,5 часа, добавляют 28,7 г этилацетата и 6 мл воды осадок собирают, промывают ТГФ, фильтрат выпаривают, остаток растворяют в разб. HCl и подщелачивают. Получают N-R-N-фенил-N'-N'-диметилаэтилендиамин, выход 51%, т. пл. 168—190° (из водн. ТГФ). В близких условиях получают N-R-N-фенил-2-(1-пиперидил)-этиламин, т. пл. 149—150°. 2) К р-ру 0,46 г NaI в ~20 мл  $CH_3CN$  добавляют 10,15 г 2-хлорметилбензимидазола в 20 мл  $CH_3CN$ , 7,22 г дихлоргидрата N-фенил-N'-N'-диметилаэтилендиамина (III, основание) и 5 г III в 20 мл  $CH_3CN$ , смесь кипятят 18,5 час., фильтруют, р-ритель отгоняют в вакууме, остаток смешивают со 100 мл воды, осадок отфильтровывают, р-р подщелачивают и экстрагируют  $C_6H_6$ . Получают N-R-III, т. пл. 189—190°. Аналогично получают (указаны в-во и т. пл. в °C): N-R-N-фенил-N'-диэтилаэтилендиамин, 93—94; динитрат N-R-N-фенил-N'-ди-*n*-пропилаэтилендиамина, 179—180; N-R-N-фенил-2-(1-пиперидил)-этиламин, 148—149; N-R-N-фенил-2-(4-морфолинил)-этиламин, 178—179; N-R-N-(*n*-хлорофенил)-III, 234—235; N-R-N-(*n*-хлорофенил)-2-(1-пиперидил)-этиламин, 228—229 (разл.); N-R-N-(*m*-метоксифенил)-N'-N'-диэтилаэтилендиамин, 113—114; N-R-N-(*m*-метоксифенил)-2-(1-пиперидил)-этиламин, 174—175; N-R-N-(*m*-метоксифенил)-2-(4-морфолинил) этиламин, 166—167; N-(1-метил-R)-N-фенил-N'-N'-диэтилаэтилендиамин, 89—90; N-(1-метил-R)-N-фенил-N'-ди-*n*-пропилаэтилендиамин; N-(1-метил-R)-N-фенил-2-(1-пиперидил)-этиламин, 124—125; N-(1-метил-R)-N-фенил-2-(4-морфолинил)-этиламин, 124—125; N-[5(6)-хлоро-R]-N-фенил-N'-N'-диметил-1,3-пропандиамин, 200—201; N-R-N-фенил-N'-N'-диметил-1,3-пропандиамин, 187—188; хлоргидрат N-(1-метил-R)-N-фенил-N'-N'-диметил-1,3-пропандиамин, 182—183; хлоргидрат N-[5(6)-хлор-R]-III 162—163; N-[5(6)-хлоро-R]-фенил-N'-N'-диэтилаэтилендиамин 107—108; хлоргидрат N-[5(6)-хлоро-R]-N-фенил-2-(1-пиперидил)-этиламин, 213—214; N-(5,6-дихлоро-R)-III; N-[4(7)-пропокси-R]-N-фенил-N'-метил-N'-пропилаэтилендиамин; N-[4(7)-бутил-R]-N-фенил-2-(1-пиперидил)-этиламин; N-(1-*n*-бутил-R) III, 101—102. 3) Смесь 10,7 г III, 1,57 г  $LiNH_2$  и 100 мл толуола нагревают до удаления  $NH_3$ , охлаждают до ~20°, по каплям добавляют р-р 11,76 г 1-метил-2-хлорметилбензимидазола в 75 мл толуола, нагревают 1 час. LiCl отфильтровывают, толуольный слой промывают водой, экстрагируют 10%-ной HCl, экстракты подщелачивают NaOH, добавляют 200 мл эфира, промывают водой, эфир отгоняют, остаток обрабатывают р-ром 33 г пириновой к-ты в 300 мл толуола, пикрат кипятят последовательно с двумя порциями (250 мл) разб. (3,7%-ной) HCl, осадок перекристаллизуют из лед.  $CH_3COOH$ , получают 17 г пикрата N-(1-метил-R)-III, т. пл. 209—210° (разл.) основание т. пл. 95—95,5°. 4) 98,8 г 37%-ного р-ра  $CH_3O$  добавляют по каплям при охлаждении и помешивании к р-ру 126,8 г  $NaHSO_4$  в 366 мл воды, добавляют 100 г III, смесь нагре-

вают 30 мин. при 100°, добавляют 125 г KCN, перемешивают, нагревают еще 1 час, затем охлаждают в течение 1 часа, экстрагируют 400 мл  $C_6H_6$ , экстракты высушивают над  $Na_2SO_4$ , отгоняют  $C_6H_6$ , остаток перегоняют, получают N-дианометил-III (IV), выход 53%, т. пл. 130—133°/0,3 мм,  $n_D^{20}$  1,5388, пикрат, т. пл. 138—139°, хлоргидрат, т. пл. 154,5—155,5°. 33 г IV добавляют по каплям к 65 мл конц.  $H_2SO_4$  (15 мин. при  $t < 50^\circ$ ), перемешивают 30 мин., переносят в ледяную воду, р-р подщелачивают 10 н. NaOH и экстрагируют  $C_6H_6$ , получают N-карбамилметил-III (V), выход 52%, т. пл. 111—112°. Смесь 4,42 г V, 3,9 г хлоргидрата 4-метил-1,2-фенилендиамина и 12 мл этиленгликоля кипятят 3 часа, охлаждают и переносят в 100 мл воды, р-р фильтруют через диатомит, затем подщелачивают NaOH, экстрагируют 150 мл  $C_6H_6$ , получают N-[5(6)-метил-R]-N-фенил-III, выход 57%, т. пл. 138—139°. Аналогично получают N-R-III, т. пл. 185—189°; хлоргидрат N-(5,6-диметил-R)-N-фенил-2-аминоэтилтриметиламмоний хлорида, т. пл. 152—153°; хлоргидрат N-[5(6)-хлоро-R]-N-фенил-2-аминоэтилтриметиламмоний хлорида, т. пл. 179—180°. Л. Стекольников

6Л362. Эфиры морфолина. Wright Howard B., Moore Marjorie B. Morpholine ethers. [Abbott Labs]. Пат. США 2870151, 20.01.59.—Патентуются указанные эфиры, имеющие при N группировку —ROR' (I), и способ их получения р-цией алкоксифенолатов (шел. или шел.-зем. металлов) или их замещенных с галоидалкилморфолином. (R — низший алкилен с  $\geq 2$  атомами C; R' — алкоксифенилгруппа, алкил которой содержит 2—7 атомов C и которая может содержать и другие заместители: алкил, алкенил, фенил, галоид, нитро-, окси-, алкокси-, морфолиналкокси-, арил-, окси-арил-, оксигруппы). Примеры: а) 110 г гидрохинона, 40 г NaOH в 350 мл воды и 123 г  $n$ -C<sub>8</sub>H<sub>17</sub>Br кипятят 24 часа. Продукт р-ции экстрагируют 4 × 200 мл эфира, эфирный р-р извлекают 4 × 100 мл 10%-ным NaOH, подкисляют, упаривают и получают кристаллизующийся из нефтяного р-рителя монопропиловый эфир гидрохинона (II). К р-ру, полученному при нагревании 5,6 г KOH в 150 мл спирта, прибавляют 15,2 г II и при кипении вносят 16,3 г  $\gamma$ -морфолинопропила хлорида (III морфолинопропил) растворенного в небольшом кол-ве спирта. Смесь кипятят 24 часа, фильтруют, упаривают р-ритель в вакууме, маслянистый остаток подкисляют и промывают эфиром, водн. р-р подщелачивают 40%-ным NaOH, выделившееся масло извлекают эфиром. Р-ритель упаривают, в остатке получают  $\gamma$ -морфолинопропил-4-пропоксифениловый эфир, т. кип. 153°/0,55 мм, хлоргидрат, т. пл. 165—166°. В аналогичных условиях получают следующие эфиры (указаны эфир, т. кип. в °C/мм, т. пл. хлоргидрата в °C): III-4-*n*-бутоксифениловый (IV), 183—184/2,8, —; III-3-бутоксифениловый, 190—191/2,1, 131—133; III-2-*n*-бутоксифениловый, 193—194/4,3, 113—114; III-4-втор-бутоксифениловый, 166/0,8, 143—144; III-4-амил-, оксифениловый, 188/1,7, 170—172; III-4-гептоксифениловый, 200/0,7, —; III-2-этокси-5-пропенилфениловый, 195—196/2,5, 187—188;  $\beta$ -морфолиноэтил-4-*n*-бутоксифениловый, 201/9, —; III-2-хлор-4-бутоксифениловый, 204—205/3,2 (V), —. Исходный для синтеза V 2-хлор-4-бутоксифенол с т. кип. 151—152°/5,0 мм получают кипячением в течение 5 час. 16,6 г *n*-бутоксифенола с 14,7 г  $SO_2Cl_2$  в 100 мл  $C_6H_6$ . Приведены примеры получения I р-цией алкоксифенолатов с диалоидалкилами с образованием алкоксифеноксалилгалоида и взаимодействием последнего с морфолином. б) К 13 г  $\delta$ -(4-бутоксифенокси)бутилбромида, растворенного в 100 мл сухого толуола, прибавляют 8,2 г морфолина, смесь кипятят 7 час., фильтруют и обрабатывают 10%-ной HCl (к-той). Водн. слой отделяют, подщелачивают, выделившееся масло извлекают эфиром, получают  $\delta$ -морфолинобутил-4-бутоксифениловый эфир, т. кип. 165°/0,7 мм, хлоргидрат, т. пл. 141—143°. Аналогично полу-



чают *ε*-морфолиноами-4-бутоксифениловый эфир, т. кип. 165—170°/0,4 мм, т. пл. 40—41° (из эф.), хлоридрат, т. пл. 164—166°. Алкоксифеноксипалкилгалонд, кроме упомянутой *p*-ции дигалонидалкилов с алкоксифенолятами, рекомендуют также получать взаимодействием последних с галондгидридами и замещением НО-группы на галонд кипячением с  $\text{SOCl}_2$ ,  $\text{PCl}_5$  или галондодородной *κ*-той. Алкоксифеноляты получают, наряду с приведенными в примере (а) способом, действием на алкоксифенолы алкогелятами, глеридами или измельченным в *p*-ре толуола щел. металлом. Приведенные константы следующих в-в: хлоридрат III-2-этоксифенилпропилфениловый эфир, т. пл. 149°; III-4-у-морфолинопропифениловый эфир, т. пл. 103—104°, дихлоридрат, т. пл. 270—273°; III-3-у-морфолинопропифениловый эфир, т. кип. 217—218°/1,6 мм. I применяют в виде солей (с  $\text{HCl}$ ,  $\text{H}_2\text{SO}_4$ , лимонной *κ*-той и другими) как анестезирующие средства. Особенно рекомендуемым в-вом с низкой токсичностью является IV- $\text{HCl}$ , на основе которого готовят различные фармацевтич. составы: 1) IV- $\text{HCl}$  10%, бензиловый спирт 0,9%, вода добавляется в кол-ве, необходимом для инъекции; 2) IV- $\text{HCl}$  1,0%, метосел (Methocel) 4,25%, пропиленгликоль 20,0%; вода в необходимом кол-ве; для приготовления анестезирующих кремов. IV- $\text{HCl}$  может быть замешан в масло какао, спермацет, в суспензию с каламином или  $\text{ZnO}$ .

6Л1363. Способ получения 3,6-бис-(третичных алифатических)-замещенных пиридазина. Steck Edgar Alfred. 3,6-bis(tertiary-amino-aliphatic) substituted pyridazines, and their preparation. [Sterling Drug Inc.]. Пат. США 2858341, 28.10.58.—Синтезированы производные пиридазина (I), обладающие курареподобной активностью. Гидразид малеиновой *κ*-ты нагревают с избытком  $\text{POCl}_3$  или  $\text{POBr}_3$  и выделяют 3,6-дихлор-I (II), т. пл. 69—70°, и 3,6-дибром-I, т. пл. 115—116°. Аналогично синтезируют 3,6-дихлор-4-метил-I, т. пл. 283—285°; 3,6-дихлор-4,5-диметил-I, т. пл. > 325°. К взвеси 4,7 г Na в 200 мл ксилола добавляют *p*-р 19,1 г 2-диметиламиноэтана в 100 мл ксилола, нагревают 1 час, обрабатывают *p*-ром 14,9 г II в 100 мл ксилола, нагревают еще 10 час., экстрагируют конц.  $\text{HCl}$ , экстракты концентрируют до небольшого объема в вакууме, подщелачивают 50%-ным  $\text{NaOH}$ , экстрагируют  $\text{CH}_2\text{Cl}_2$  и получают 16,4 г 3,6-бис-R-I, (R — диметиламино), т. кип. 130—133°/0,4 мм,  $n_D^{25}$  1,4982; дийодметилат (ДИМ), т. пл. 241—242°. Аналогично получают: (указано в-во, т. кип. в °C/мм,  $n_D^{25}$  и т. пл. в °C производных): 3,6-бис-(2-R')-I (где R' — диэтиламино) 132—137°/2, 1,4906; дихлорат (ДПК), 158—158,5, ДИМ, 229—229,5 (разл.); 3,6-бис-(2-R'-этоксифенил)-4-метил-I, 140/3 × 10<sup>-5</sup>, 1,4911, дибромметилат (ДБМ), ~145; 3,6-бис-(2-тибутиламиноэтоксифенил)-I, 192—195/0,15, 1,4853, ДПК, 149,5—150,5; 3,6-бис-(3-R'-пропокси)-I, 130—132/0,18, 1,4888, —; 3,6-бис-(3-R'-пропокси)-4-метил-I, ~129—132/1 × 10<sup>-4</sup>, 1,4891, —; 3,6-бис-(4-R'-бутоксифенил)-I, ~125/3 × 10<sup>-5</sup>, 1,4972, —; 3-хлор-6-(4-R'-бутоксифенил)-I, ~110/1 × 10<sup>-5</sup>, 1,5097, ДБМ 174—174,5; 3,6-бис-(4-R'-1-метилбутоксифенил)-I, ~150—156/2 × 10<sup>-4</sup>, 1,4870, —; 3,6-бис-(5-R'-пентоксифенил)-I, ~165/3 × 10<sup>-5</sup>, 1,4896; 3,6-бис-2-(4-морфолинил)-этоксифенил-I, —, т. пл. 85,5—86°, —, 3,6-бис-2-(2-R'-этоксифенил)-I, ~175/1 × 10<sup>-5</sup>, 1,4890; 3,6-бис-(2-R'-этилмеркапто)-I, 165—167/0,07, ДБМ, 205—206° (разл.); 3,6-бис-(3-R'-пропилмеркапто)-I, ~140/2,6 × 10<sup>-5</sup>, 1,5486, ДБМ, 184—184,5, 3,6-бис-(4-R'-бутилмеркапто)-4-метил-I, ~175/1 × 10<sup>-4</sup>, 1,5493, диоксалат, 181—183 (разл.); 3(3-R'-пропилмеркапто)-6-(3-R'-пропокси)-I, ~175/4,8 × 10<sup>-5</sup>, 1,5118, —; 3,6-бис-(3-R'-пропокси)-I, —, —, (т. пл. 37,5—38°), дихлоридрат, 222—223, ДБМ 240—241; бис-(4-нитробензобромид), 190—192; 3,6-бис-(2-R'-1-метилэтоксифенил)-I, 88—89/0,004; 1,4879; ДБМ, 198,5—201,5 (разл.); 3,6-бис-(3-R'-пропокси)-4,5-диметил-I, 120—122/0,0005, 1,4970; дихлоридрат, 250,5—251,5; бис-(4-нитробензобромид), —, 207—208 (разл.); 3,6-бис-(3-

R-пропокси)-4-метил-I, 114—116/0,0005, 1,4972, трифторидат, 155—156,5; 3,6-бис-(3-R'-1-метилпропокси)-I, 88/0,00045, 1,4930; ДБМ, 210 (разл.); 3,6-бис-2-(1-метил-2-пиперидил)-этоксифенил-I, 175—177/0,0003, 1,5228; ДБМ 140—142; 3,6-бис-3-(4-метил-1-пиперазинил)-пропокси-I, —, — (т. пл. 99,5—100°); тетрачлоридрат, 222—224; 3,6-бис-2-(4-метил-1-пиперазинил)-этоксифенил-I, —, — (т. пл. 116—117°), тетрачлоридрат, 192—193 (разл.); 3,6-бис-3-(1-пиперидил)-пропокси-I, т. пл. 70—72°, ДИМ, т. пл. 196—198°.

6Л1364. Способ получения (2-алкил-4-аминопиридин-5-метил)-изотиосемикарбазидов. Сава Йосиро Хориути Махико. [Синоного саяку кабусики кайся]. Японск. пат. 2620, 18.04.59.—(2-алкил-4-аминопиридин-5-метил)-изотиосемикарбазиды (I) получают *p*-цией 2-алкил-4-амино-5-галогидметилпиридиновых солей с тиосемикарбазидом в среде *p*-ритеза. I пригодны в качестве промежуточных продуктов синтеза антигистаминных и противораковых препаратов. 9,7 хлоридрата 2-метил-4-амино-5-хорметилпиридин-5-пропокси-I прибавляют к 4,6 г тиосемикарбазид в 50 мл спирта, перемешивают при кипении до исчезновения тиосемикарбазид, охлаждают, осадок отфильтровывают, кристаллизуют из  $\text{CH}_3\text{OH}$ , получают 10,5 г хлоридрата (2-метил-4-аминопиридин-5-метил)-изотиосемикарбазид, т. пл. 207° (разл.) [пикрат, т. разл. 169°].

6Л1365. Получение амида 3-метил-4-фталазонкарбонной-1 кислоты. Морисита Хирочи, Наканэ Санаэ, Сатода Исао, Йосида Дзиро, Морикадзуо. [Нихон синяку кабусики кайся]. Японск. пат. 3924, 4.05.59.—Амид 3-метил-4-фталазонкарбонной-1 *κ*-ты (I-*κ*-та), обладающий противотуберкулезным действием, получают действием  $\text{NH}_3$  на I или его производные, 0,62 г метилового эфира I растворяют в 100 мл 20%-ного *p*-ра  $\text{NH}_3$  в  $\text{CH}_3\text{OH}$ , оставляют на ~16 час. в закрытом сосуде и получают кристаллы амида I, т. пл. 274° (из  $\text{CH}_3\text{OH}$ ). Вместо эфира I можно применять хлорангидрид. К 1,2 г I добавляют 80  $\text{Cl}_2$ , летучие продукты отгоняют в вакууме, остаток экстрагируют  $\text{C}_6\text{H}_6$ , к экстракту прибавляют 100—200 мл 20%-ного *p*-ра  $\text{NH}_3$  в  $\text{C}_6\text{H}_6$ , нагревают непродолжительное время; после охлаждения получают амид I, т. пл. 274° (из  $\text{CH}_3\text{OH}$ ).

6Л1366. Способ получения индолов и выделение при синтезе продуктов. Taylor William Irving. Process for the manufacture of indoles and products obtained thereby. [Ciba Pharmaceutical Products, Inc.]. Пат. США 2877229, 10.03.59.—Аналог ибоганина (I) окислительно-метил-I (II) получают окислением I йодом или  $\text{CrO}_3$ , превращением образовавшегося лактама I (III) обработкой смесью  $\text{CH}_3\text{COOH}$  и  $\text{HBr}$  в десметил-III (IV), этилированием IV и последующим восстановлением выделенного лактама II. Аналогично III получают лактам табернантанина (V). К кипящей смеси 2 г 50 мл тетрагидрофурана и 40 мл насыщ. *p*-ра  $\text{NaOH}$  при перемешивании прибавляют за 1 час *p*-р 2,8 г йода в 40 мл тетрагидрофурана, охлаждают, извлекают 50 мл  $\text{CH}_2\text{Cl}_2$ , экстракт промывают *p*-ром  $\text{Na}_2\text{SO}_4$ , 2 мл  $\text{H}_2\text{SO}_4$  и водой, сушат  $\text{Na}_2\text{SO}_4$ , упаривают, остаток кристаллизуют из спирта и получают III, т. пл. 218° [ $\alpha_D^{25}$  -9° ± 1 (в сп.)]. Аналогично получен V, т. пл. 312—315°, 0,5 г III, 7,5 мл  $\text{CH}_3\text{COOH}$  и 1,5 мл 49%-ной  $\text{HBr}$  осторожно кипятят 3,5 часа в атмосфере  $\text{N}_2$ , охлаждают, прибавляют воду, осадок отделяют, кристаллизуют из спирта, сушат в вакууме и получают IV, т. пл. 275°. *p*-р 0,5 г IV в 50 мл спирта, 0,2 г  $\text{KOH}$  и 0,3 мл  $(\text{C}_2\text{H}_5)_2\text{SO}_4$  кипятят 1 час в атмосфере  $\text{N}_2$ , прибавляют 0,2 г  $\text{KOH}$  и 0,3 мл  $(\text{C}_2\text{H}_5)_2\text{SO}_4$ , кипятят еще 1 час, охлаждают, извлекают  $\text{CH}_2\text{Cl}_2$ , экстракт сушат  $\text{MgSO}_4$ , упаривают досуха и получают лактам II, т. пл. 218° [ $\alpha_D^{25}$  -11° ± 1 (в сп.)]. *p*-р 0,24 г лактама II в 15 мл тетрагидрофурана кипятят 3 часа с 0,25 г  $\text{LiAlH}_4$ , охлаждают, прибавляют немного воды, фильтруют

осадка, упаривают и получают I, хлоридат т. пл. 260° (разл.). ( $\alpha^D_{20}$  — 66,5° ± 1 (в сл.). Л. Стекольников 61367. Усовершенствованный способ получения гетероциклических соединений. Ash Anthony Stanley Fenton. Improvements in or relating to the production of heterocyclic compounds. [May and Baker Ltd]. Англ. пат. 845034, 17.08.60. — Патентуется способ получения 5-окситриптофана и его производных, обладающих терапевтич. активностью в отношении ЦНС и являющихся исходными продуктами для получения ряда медикаментов. К суспензии 200 г хлоридата (XI) 4-бензилоксанилина в смеси 264 мл конц. HCl, 628 мл воды и 732 г толченого льда прибавляют в течение 10 мин. при —10 ± 2° и энергичном перемешивании р-р 62,4 г NaNO<sub>2</sub> в 136 мл воды, перемешивают 1 час при 0°, добавляют промытый к-той активированный уголь, фильтруют, фильтрат охлаждают до —8° и заводят при перемешивании р-р 500 г SnCl<sub>2</sub> в 760 мл конц. HCl. Перемешивают 2 часа при —8°, осадок отделяют, промывают водой, растворяют в 3 л спирта, осаждают добавлением 800 мл горячей воды и получают 168,5 г (79%) XI 4-бензилоксифенилгидразина (I (основание), т. пл. 185—189°. 28 г полученного продукта суспендируют в 500 мл CHCl<sub>3</sub>, перемешивают с 55 мл 2 н. NaOH в 100 мл воды, водный слой отделяют, экстрагируют CHCl<sub>3</sub> (2 × 100 мл). Хлороформные р-ры промывают водой, сушат Na<sub>2</sub>SO<sub>4</sub>, фильтруют, выпаривают при 30—35° и получают 23 г (97%) I. 6,1 г свежеперегнанного акрилового альдегида в 9,7 мл хлорбензола добавляют при 30° в течение 30 мин. при перемешивании к суспензии 24,2 г диэтилового эфира ацетиламиноацетиланомальной к-ты в 37,5 мл хлорбензола, содержащего 0,25 мл 50%-ного р-ра NaOH. Через 30 мин. р-р нагревают и при 45° добавляют 23 г I, нагревают 1 час при перемешивании и 65—70°, затем добавляют к 140 мл 1 н. H<sub>2</sub>SO<sub>4</sub>, кипятят 6 час. при перемешивании, извлекают CHCl<sub>3</sub> (250 + 100 мл), вытяжки промывают горячей водой (3 × 100 мл), сушат Na<sub>2</sub>SO<sub>4</sub>, выпаривают до 100 мл при 40°, добавляют 300 мл петр. эфира, (т. кип. 40—60°), охлаждают, осадок растворяют в 200 мл C<sub>6</sub>H<sub>6</sub>, прибавляют 100 мл петр. эфира (т. кип. 60—80°), охлаждают, кристаллы отделяют, промывают 50 мл холодной смеси C<sub>6</sub>H<sub>6</sub>-петр. эфир (1:1), сушат при 55° и получают этиловый эфир  $\alpha$ -ацетиламино- $\alpha$ -карботоксип- $\beta$ -(5-бензилоксифенил)-3-пропионовой к-ты (II к-та), т. пл. 164—165°. 18 г II суспендируют в 85 мл воды в присутствии 8,5 г активированного угля, кипятят 4 часа, обезбесивают активированным углем, фильтруют через фарфоровый фильтр, охлаждают до 10°, подкисляют 24 мл конц. HCl, осадок отделяют, промывают водой (3 × 30 мл), сушат в вакууме над силикагелем и получают 15 г (95%) II, т. пл. 144—146°. 15 г II суспендируют в 25 мл воды, кипятят при перемешивании в атмосфере N<sub>2</sub> до прекращения выделения CO<sub>2</sub> (~2 часа), охлаждают, добавляют 120 мл спирта, кипятят до полного растворения осадка, добавляют активированный уголь, фильтруют, осадок промывают 50 мл горячего 50%-ного спирта и получают  $\alpha$ -ацетиламино- $\beta$ -(5-бензилоксифенил)-3-пропионовую к-ту (III), т. пл. 164—166°. Суспензию 11 г III в р-ре 12 г NaOH в 90 мл воды кипятят 24 часа, добавляют активированный уголь, фильтруют, добавляют при 70° 150 мл 2 н. HCl, охлаждают, осадок отделяют, промывают водой, сушат в вакууме над силикагелем и получают 6,9 г (71%) 5-бензилокситриптофана т. пл. 237—238°, из маточного р-ра получают дополнительно 2,2 г продукта, общий выход 94%. 0,4 г PdCl<sub>2</sub> и 1,7 г промытого к-той активированного угля, суспендируют в 157 мл воды, пропускают H<sub>2</sub> при ~20° и нормальном давлении, добавляют суспензию 14,2 г 5-бензилокситриптофана в 175 мл спирта, пропускают H<sub>2</sub> до насыщения, нагревают на паровой бане, фильтруют, осадок промывают водой (3 × 20 мл). Фильтрат выпаривают в ва-

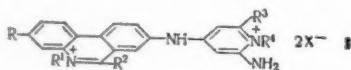
кууме в атмосфере N<sub>2</sub> до 20 мл, остаток растирают с 250 мл охлажд. спирта в атмосфере H<sub>2</sub>, фильтруют, осадок промывают охлажденным спиртом (2 × 15 мл) и получают 6,9 г (69%) 5-окситриптофана, т. пл. 249—247°.

Ю. Белый 61368. Синтез куместрола и его эфиров. Emerson Oliver H., Bickoff Emanuel M. Synthesis coumestrol and its esters. [United States of America as represented by the Secretary of Agriculture]. Пат. США 2884427, 28.04.59. — Обладющий эстрогенным действием куместрол [7,6-диоксикумарино-(3',4'-3,2)-кумарон] (I) получен р-цией  $\omega$ -(2,4-диметоксифенил)-резациптофенона (II) с CH<sub>3</sub>OCOC<sub>2</sub>H<sub>5</sub> с последующей циклизацией образовавшегося 3-(2,4-диметоксифенил)-4,7-диоксикумарина (III) в присутствии хлоридата (XI) анилина. 3,1 г II, 50 мл ацетона, 2 мл CH<sub>3</sub>OCOC<sub>2</sub>H<sub>5</sub> и 8 г K<sub>2</sub>CO<sub>3</sub> кипятят 4 часа, охлаждают, прибавляют 100 мл воды, подкисляют HCl, осадок отфильтровывают, промывают водой, высушивают, растворяют в ~20 мл CH<sub>3</sub>OH, к р-ру прибавляют 20%-ный р-р KOH в CH<sub>3</sub>OH (до pH ~11), кипятят 10 мин. в атмосфере инертного газа, охлаждают, разбавляют водой, подкисляют HCl, осадок отфильтровывают, перекристаллизовывают из спирта и получают III, т. пл. 250—255°. Смесь 1 г III с 2 г XI анилина нагревают в атмосфере CO<sub>2</sub> 2,5 часа при 210—220°, охлаждают, промывают последовательно водой и ~10 мл этилацетата, и получают I (выход 60%). Полученный I и смесь 10 мл (CH<sub>3</sub>CO<sub>2</sub>)O и 1 г CH<sub>3</sub>COONa, кипятят несколько минут, переносят в воду, осадок отфильтровывают, перекристаллизовывают из CH<sub>3</sub>COOH и получают диацетат I, т. пл. 234—235°.

Л. Стекольников 61369. Способ получения 4,5,6,8-тетраоксифенилкарбонной-2-кислоты. Огино Сюдзо. [Сандзю сай-яку кабусики кайся]. Японск. пат. 2269, 15.3.60. — 4,5,6,8-тетраоксифенилкарбонную-2-к-ту (I), применяемую в качестве промежуточного продукта в синтезе производных пиридо-(3,2-а)-феноксазина, пригодных для лечения глазной катаракты, получают циклизацией диэтилового эфира 2,4,5-триметоксифенила- $\alpha$ -оксоектанной к-ты (II) при нагревании с последующим гидролизом эфирных групп и деметилированием. 140 г II нагревают при перемешивании в парафине в течение ~20 мин. при 240°, оставляют на 16 час., парафин сливают, осадок промывают эфиром, фильтруют, обрабатывают горячей водой при 100° и охлаждением выделяя 90 г этилового эфира 5,6,8-триметоксифенилкарбонной-2-к-ты (III), 10 г III и 200 г H<sub>2</sub>O кипятят ~7 час., выливают в холодную воду, кристаллы отделяют, растворяют в разб. NH<sub>4</sub>OH, осадок разб. HCl, осадок отделяют, растворяют при кипении в разб. HCl (1:2), фильтруют, разбавляют 500 мл кипящей воды, оставляют на 16 час. и получают 7,4 г I.

С. Петрова 61370. Усовершенствования способа получения фенантридиновых соединений. Peak Douglas Archibald, Watkins Thomas Iswel, Nicholson John Stuart, Lowe James Loudon, Brodrick Charles Isaac. Improvements in the preparation of phenanthridine compounds. [Boots Pure Drug Co. Ltd]. Англ. пат. 816236, 8.07.59. — Патентуемые усовершенствования способа получения соединений общей ф-лы (I) (R = H, NH<sub>2</sub>, R<sup>1</sup>, R<sup>2</sup>, R<sup>3</sup>, R<sup>4</sup>-алкилы, одинаковые или разные), R<sup>2</sup>-алкил, арил или замещ. арил. X — анион) и в частности 2-амино-7-(2'-амино-6'-метил-4'-пиримидиламино)-9- $\beta$ -аминофенилфенантридин-10-1'-диметилбромид (II), заключающиеся в изменении условий синтеза I и связанным с ним упрощением способа. Для II, получаемого ранее р-цией соли 2,7-диамино-9- $\beta$ -нитрофенил-10-метилфенантридина с солью 2-амино-4-хлор-1,6-диметилпиридина (III) (IIIa метилсульфат, IIIb бромид) в среде минер. к-т и последующим восстановлением образующихся в-в, предложен способ получения в одну стадию р-цией III с солью 2,7-ди-

амино-9-л-аминофенил-10-метилфенантридина (IV) (IVa бромид) в воды. среде при строгом соблюдении рН р-ции 0,8—1,5. При таком рН как показано на при- водимом в патенте графике, кол-во II по отношению



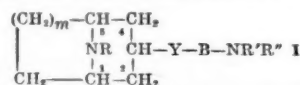
к побочным в-вам составляет 50%. Побочные в-ва, образующиеся при конденсации III с аминогруппами, находящимися во 2 положении ядра фенантридина или в пара-положении заместителя R<sup>2</sup>, а также одновременно при р-ции III с какими либо двумя или со всеми тремя NH<sub>2</sub>-группами IV, получаются при данных условиях в наименьших кол-вах (~10—20%) по отношению к II. Для колич. определения образующихся в-в применяли электрофоретич. метод. Для определения рН < 1,0 авторы применяют ур-ние: рН = -log<sub>10</sub> Nv±, где N конция в-ва в г-экв/л, v± коэф. ионной активности. Установлено, что т-ра р-ции не оказывает большого влияния на выход II, но повышение ее сокращает время взаимодействия. Для получения II с лучшими выходами исходные компоненты берутся в молярных соотношениях. Примеры. а) Смесь 19,8 г IVa с 13,5 г IIIa в 250 мл 0,3 н. HCl выдерживают при рН 0,6 и 56° 88 час., прибавляют конц. HCl в таком кол-ве, чтобы р-р стал 4 н., оставляют на ночь при 20°. Выделившийся побочный продукт отфильтровывают, р-р разбавляют 360 мл воды и доводят конц. NH<sub>4</sub>OH до рН 6,4, нагревают до кипения, прибавляют 60 г NH<sub>4</sub>Br, выделившийся твердый продукт отделяют и снова растворяют в 1 л воды. Р-р нагревают до кипения и обрабатывают 40 г NH<sub>4</sub>Br, образовавшийся осадок отфильтровывают, промывают 20 мл спирта, кипятят дважды по 30 мин. с 300 мл CH<sub>3</sub>OH (для удаления непрореагировавшего IVa и побочных продуктов р-ции). Очищ. таким образом II отфильтровывают, промывают 2 × 40 мл CH<sub>3</sub>OH и суют в вакууме, т. пл. >300°. б) Смесь 19,8 г IVa и 13,5 г IIIa растворяют в 250 мл 0,4 н. H<sub>2</sub>SO<sub>4</sub>, выдерживают при рН 1,1 и 56° 88 час. К получаемому р-ру, доведенному до рН 6,0 конц. NH<sub>4</sub>OH, прибавляют 20 г NH<sub>4</sub>Br. Выделившийся осадок отфильтровывают, растворяют в 250 мл 4 н. HCl и дают р-ру постоять несколько часов, твердый продукт отделяют, фильтрат разбавляют 250 мл воды и доводят конц. NH<sub>4</sub>OH до рН 6,0. Реакционную смесь обрабатывают 45 г NH<sub>4</sub>Br, выделившийся II снова растворяют в 1 л воды и осаждают добавлением 40 г NH<sub>4</sub>Br, а далее очищают с помощью C<sub>2</sub>H<sub>5</sub>OH и CH<sub>3</sub>OH, как описано в примере (а). в) Р-р 950 г IVa и 576 г IIIb в 12 л 4 н. HCl, выдерживают 3 дня при 45° и рН 0,8, охлаждают до 20°, выделившийся осадок отфильтровывают, промывают 500 мл 4 н. HCl. Объединенный р-р разбавляют 20 л воды, конц. NH<sub>4</sub>OH доводят рН до 6,8, нагревают до кипения, обрабатывают 2,8 кг NH<sub>4</sub>Br, выделившийся твердый продукт отфильтровывают, растворяют в 20 л воды, к р-ру снова добавляют 800 г NH<sub>4</sub>Br, отделенный II с помощью C<sub>2</sub>H<sub>5</sub>OH и CH<sub>3</sub>OH очищают аналогично примеру (а). Для получения IVa смесь порошкообразных 12,6 г метилсульфата 2,7-динитро-9-л-нитрофенил-10-метилфенантридина и 20 г восстановленного Fe обрабатывают 200 мл воды, содержащей 3 мл 5 н. HCl, перемешивают и нагревают с обратным холодильником 3 часа, после этого прибавляют 10 г восстановленного порошка Fe и продолжают нагревать еще 3 часа. К получаемому р-ру при перемешивании прибавляют 1,4 г NaHCO<sub>3</sub>, 5 мин. нагревают и горячим фильтруют. Фильтрат обрабатывают 20 г NH<sub>4</sub>Br и оставляют на ночь при 20°. Выделившийся IVa отделяют и перекристаллизовывают из 1% водн. р-ра NH<sub>4</sub>Br. Л. Клейменова

6Л371. Получение производных фентиазина. He b-

ký Jaromír, Rádek Otto, Kejha Jiří Způsob přípravy nových odvozenin fenothiazinu. Чехосл. пат. 89275, 15.03.59.—Патентуется способ получения производных фентиазина (I фентиазин), содержащих в положениях 1,3 галогид и в положении 10 аминокислотную группу. 13,4 г 1,3-дихлор-I, 75 мл кислоты и 2,5 г 80%-ного NaNH<sub>2</sub> кипятят 2 часа, прибавляют по каплям в течение 1 часа 7 г N-диметиламино-н-пропилхлорида в 175 мл кислоты, кипятят 2 часа, непрореагировавший NaNH<sub>2</sub> разлагают водой, подкисляют HCl (к-той), водн. слой отделяют, подщелачивают Na<sub>2</sub>CO<sub>3</sub> и экстрагируют C<sub>6</sub>H<sub>6</sub>. Из экстракта осаждают хлоридат 1,3-дихлор-10-(3'-диметиламинопропил)-I, выход 50—60%, т. пл. 192—193°. Получены также производные I (приведены заместители в положениях 1,3 и 10, выход в % и т. пл. в °C хлоридата): Cl, Cl, β-диметиламино-2-метилэтил, 60, 243; Cl, Cl, β-диметиламиноэтил, —, 238—239; Cl, Cl, β-диэтиламиноэтил, —, 204; Br, Br, γ-диметиламинопропил, 60, 167; Br, Br, β-диметиламинопропил, —, 231—233. Т. Зварова

6Л372. Выделение алкалоидов, сопутствующих морфину, из растворов, полученных экстракцией мака. Bognár Rezső, D. Gaál György, Mészáros Zoltán, Szabó Sándor, Zeller István. Eljárás morfinin társalkaloidainak kinyerésére máknővény részeinek kivonatolása során kapott anyagból. [Alkaloida Vegyészeti Gyár]. Венг. пат. 145999, 15.02.60.—Водный экстракт из 100 кг корочек мака, после выпаривания, экстрагируют спиртом, спирт отгоняют, к остатку прибавляют ~6 л воды, подщелачивают NH<sub>4</sub>OH до рН 9,1 и осаждают морфин 2 л C<sub>6</sub>H<sub>6</sub>. К бензольному р-ру прибавляют при 40° рассчитанное кол-во 25%-ной H<sub>2</sub>SO<sub>4</sub> (определенное предварительным титрованием пробы 0,05 н. H<sub>2</sub>SO<sub>4</sub> в присутствии метилового красного); кислый р-р оставляют на 24 часа при 6° и получают 18 г сульфата кодеина, основание, т. пл. 155—156°. Бензольный р-р повторно промывают 25%-ной H<sub>2</sub>SO<sub>4</sub>, экстракт объединяют с маточным р-ром, полученным после выделения сульфата кодеина, C<sub>6</sub>H<sub>6</sub> отгоняют в вакууме, подщелачивают 25%-ной NaOH (по фенолфталеину), осадок (~150 г) растворяют в 500 мл горячего 96%-ного спирта, фильтруют через активированный уголь, оставляют на 24 часа, осадок отделяют, 2-кратно перекристаллизовывают из спирта и получают 5,72 г наркотина, т. пл. 174—175°; спирт, маточный р-р подкисляют спирт. р-ром винной к-ты, оставляют на 24 часа, кристаллы перекристаллизовывают из воды и получают битартрат тебаина, из которого действием р-ра NaOH получают 5,52 г тебаина, т. пл. 193—194°. Все маточные р-ры объединяют, подкисляют до рН 4, следы C<sub>6</sub>H<sub>6</sub> отгоняют, остаток подщелачивают 25%-ной NaOH, экстрагируют 1,5 л C<sub>6</sub>H<sub>6</sub> и из бензольного р-ра аналогичной обработкой выделяют дополнительно 9,8 г кодеина, 1 г наркотина и 0,4 г тебаина. С. Розенфельд

6Л373. Замещенные третичной аминогруппой 1,5-иминоциклоалканы и их получение. Archer Sydney. Tertiary-amino-substituted 1,5-iminocycloalkanes and preparation thereof. [Sterling Drug Inc.]. Пат. США 2836598, 27.05.58.—Патентуется способ получения соединений общей ф-лы (I) (R — алкил с 1—6 атомами C, арил, фенил, замещ. фенил, бензил и другие, R' и R'' — низшие алкилы или вместе с атомом N образуют гетероцикл, радикал, B — алкилен нормального или изостроения, Y = O, S или NX, X — низшие алкилы, алканойл, алкилкарбамил и другие; m = 1, 2), обладающие гангиоблокующим действием. I (Y = NH) (Ia) получают конденсацией по Робинзону янтарного или глутарового диальдегида с первичным амином



зуют гетероцикл, радикал, B — алкилен нормального или изостроения, Y = O, S или NX, X — низшие алкилы, алканойл, алкилкарбамил и другие; m = 1, 2), обладающие гангиоблокующим действием. I (Y = NH) (Ia) получают конденсацией по Робинзону янтарного или глутарового диальдегида с первичным амином

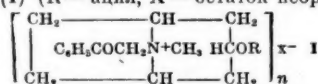


фтором апетондикарбоновой к-ты с последующим действием  $H_2N-B-NR'R''$  (II) в присутствии дегидратирующего средства, напр.  $ZnCl_2$ , и катализатора гидрирования полученного соединения. I ( $Y = NX$ , X — ацил) получают ацилированием Ia соответствующей к-той, ее ангидридом или галоидангидридом. Восстановлением N-ацильных производных  $LiAlH_4$  получают N-алкильные производные. I ( $Y = NCH_3$ ) получают также нагреванием Ia с  $CH_2O$  и  $HCOOH$ . Смесь 30 г тропанона-3, 24 г II ( $R' = R'' = C_2H_5$ ,  $V = C_2H_4$ ), 1,2 г Pt-катализатора (из  $PtO_2$ ) и 50 мл спирта взбалтывают в атмосфере  $H_2$  2,5 часа при 3,5 ат, катализатор отделяют, фильтрат перегоняют и получают I ( $R = CH_3$ ,  $R' = R'' = C_2H_5$ ,  $V = C_2H_4$ ,  $Y = NH$ ,  $m = 1$ ), т. кип. 114—115°/0,5 мм, пикрат, т. пл. 163,5—166°, моногидрат трихлоргидрата (ТХГ), т. пл. 267—271°, дийодметилат (ДИМ), т. пл. 269°, дибромметилат (ДБМ), т. пл. 289—290°. Получены также I (приведены  $R$ ,  $R'$ ,  $R''$  или  $NR'R''$ ,  $V$ ,  $Y$ ,  $m$ , т. кип. в °C/мм или т. пл. в °C,  $n_D^{20}$  и т. пл. в °C солей):  $CH_3$ ,  $C_2H_5$ ,  $C_2H_5$ ,  $C_2H_4$ ,  $NCH_3$ , 1, 120—123/0,8—1, 1,4871, трибромгидрат (ТБГ) 140, ДИМ, 242—244, ДБМ, 245—247, дийодметилат (ДИЭ), 237—238;  $CH_3$ ,  $CH_3$ ,  $CH_3$ ,  $C_2H_4$ ,  $NH$ , 1, 101,5—103/0,5, 1,4880; —;  $CH_3$ ,  $CH_3$ ,  $CH_3$ ,  $C_2H_4$ ,  $NCH_3$ , 1, 104—107/1,2, 1,4900, ДИМ, 238—241;  $CH_3$ , пиперидил,  $C_2H_5$ ,  $NH$ , 1, 141—150/0,5, —; —;  $CH_3$ , пиперидил,  $C_2H_5$ ,  $NCH_3$ , 141—148/0,2, 1,5057, ДИМ, 222—223, трийодметилат (ТИМ), 207—214;  $CH_3$ , пиперидил,  $C_2H_4$ ,  $NH$ , 1, 132—133/0,5, —, ТХГ, 275—277, ДИМ, 239;  $CH_3$ , пиперидил,  $C_2H_4$ ,  $NCH_3$ , 1, 118,5—126/0,07, —, ТБГ, 220—224,5, ДИМ, 259—266, ДИЭ, 215—219;  $CH_3$ , пирролидил,  $C_2H_5$ ,  $NH$ , 1, 140—144/0,05, —; —;  $CH_3$ , пирролидил,  $C_2H_5$ ,  $NCH_3$ , 1, 129—131/0,2, 1,5031, ДИМ, 226—228;  $CH_3$ , пирролидил,  $C_2H_4$ ,  $NH$ , 1, 130—135/0,5, —, ДИМ, 290—293;  $CH_3$ , пирролидил,  $C_2H_4$ ,  $NCH_3$ , 1, 122—124/0,3, 1,5055, ДИМ, 205—220;  $CH_3$ , пирролидил,  $C_2H_5$ ,  $NH$ , 1, 142—148/0,3, 1,5038, —;  $CH_3$ , пирролидил,  $C_2H_5$ ,  $NCH_3$ , 1, 138—140/0,2, 1,5029, —;  $CH_3$ , морфолил,  $C_2H_4$ ,  $NH$ , 1, 133—135/0,4, 1,5066, ТХГ, 245—249,5, ДИМ, 264,5—265;  $CH_3$ , морфолил,  $C_2H_4$ ,  $NCH_3$ , 1, 124—130/0,1, 1,5079, ТБГ, 252—254, ДИМ, 218—220;  $CH_3$ ,  $CH_3$ ,  $CH_3$ ,  $C_2H_4$ ,  $NH$ , 1, 112—114/0,7, 1,4990, пикрат (П), 230;  $CH_3$ ,  $CH_3$ ,  $C_2H_5$ ,  $C_2H_4$ ,  $NCH_3$ , 1, 106—112/0,5, 1,4885, П, 231;  $CH_3$ ,  $C_2H_5$ ,  $C_2H_5$ ,  $C_2H_4$ ,  $NH$ , 1, 120—125/0,1, 1,4862, П, 212;  $CH_3$ ,  $C_2H_5$ ,  $C_2H_5$ ,  $C_2H_4$ ,  $NCH_3$ , 1, 120—123/0,1, 1,4870, ДИМ, 222—227;  $CH_3$ , тропанил-3,  $C_2H_4$ ,  $NH$ , 1, 178—186/0,6, —; —;  $CH_3$ , тропанил-3,  $C_2H_4$ ,  $NCH_3$ , 1, 192—200/1,5, —, ДИМ, 273—274;  $CH_3$ ,  $CH_3$ ,  $CH_3$ ,  $C_2H_4$ , 0, 1, 85—85,5/0,9, 1,4836, диперхлорат, 243—246, ДИМ, 314—315, ДИЭ, 269—275;  $CH_3$ ,  $C_2H_5$ ,  $C_2H_5$ ,  $C_2H_4$ , 0, 1, 101/0,07, 1,4758, ДИМ, 301—302;  $CH_3$ , пиперидил,  $C_2H_4$ , 0, 1, 106—109/0,07, —, ДИМ, 305;  $CH_3$ , пиперидил,  $C_2H_4$ , 0, 1, 115/0,1, —, ДИМ, 305;  $CH_3$ , пирролидил,  $C_2H_4$ , 0, 1, 134/2,8, 1,4932, ДИМ, 313—314;  $CH_3$ ,  $C_2H_5$ ,  $C_2H_5$ ,  $C_2H_4$ , 0, 1, 109—112/0,25, 1,4775, ДИМ, 307—308;  $CH_3$ ,  $C_2H_5$ ,  $C_2H_5$ ,  $C_2H_4$ , 0, 1, 94—96/0,2, —, ДИМ, 300;  $CH_3$ ,  $C_2H_5$ ,  $C_2H_5$ ,  $C_2H_4$ , S, 1, —, —;  $CH_3$ ,  $CH_3$ ,  $C_2H_5$ ,  $C_2H_4$ ,  $NH$ , 1, 167—173/0,1, —;  $CH_3$ ,  $CH_3$ ,  $C_2H_5$ ,  $C_2H_4$ ,  $NCH_3$ , 1, 170—172/0,3, ДИМ, 264—267;  $CH_3$ ,  $C_2H_5$ ,  $C_2H_5$ ,  $C_2H_4$ ,  $NH$ , 1, 174—177/0,6, —, 8-йодметилат (ИМ), 226—228;  $CH_3$ ,  $C_2H_5$ ,  $C_2H_5$ ,  $C_2H_4$ ,  $NCH_3$ , 1, 174—178/0,5, —, ДИМ, 269—271, 8-ИМ, 235—238, ДИМ, 262—262,5, ДИЭ, 253—254;  $C_6H_5CH_2$ ,  $C_2H_5$ ,  $C_2H_5$ ,  $NH$ , 1, 161—168/0,25, 1, 5235, ТХГ, 264—266, ДИМ, 255—257; 4- $CH_3OC_6H_4CH_2$ ,  $C_2H_5$ ,  $C_2H_5$ ,  $C_2H_4$ ,  $NH$ , 1, —, —, ТХГ, 277, 278, ДИМ, 229—230; 2,3-( $CH_3O$ ) $_2C_6H_3CH_2$ ,  $C_2H_5$ ,  $C_2H_5$ ,  $C_2H_4$ ,  $NH$ , 1, —, —, ТХГ, 234—237, ДИМ, 228—228; 3,4- $CH_3O_2C_6H_3CH_2$ ,  $C_2H_5$ ,  $C_2H_5$ ,  $C_2H_4$ ,  $NH$ , 1, —, ТХГ, 275—276, ДИМ, 234—237; 4- $ClC_6H_4CH_2$ ,  $C_2H_5$ ,  $C_2H_5$ ,  $C_2H_4$ ,  $NH$ , 1, —, ТХГ, 273—275, хлоргидрат, ХГ, 241—243; 2- $ClC_6H_4CH_2$ ,  $C_2H_5$ ,  $C_2H_5$ ,  $C_2H_4$ ,  $NH$ , 1, —, ДИМ, 232—234; 2- $CH_3OC_6H_4CH_2$ ,  $C_2H_5$ ,  $C_2H_5$ ,  $C_2H_4$ ,  $NH$ , 1, —, ТХГ, 248—251, ДИМ, 218,5—221,5;  $C_6H_5$ ,  $C_2H_5$ ,  $C_2H_5$ ,  $C_2H_4$ ,  $NH$ , 1, 153—168/0,2, —; —;  $C_6H_5$ ,  $C_2H_5$ ,  $C_2H_5$ ,  $C_2H_4$ ,  $NCH_3$ , —, —;  $CH_3$ , пиперидил,  $C_2H_4$ ,  $NCH_3$ , 2, 173—174,5, —, —;  $CH_3$ , пиперидил,  $C_2H_4$ ,  $NH$ , 2, 285—

287, —, ТХГ, 276;  $CH_3$ ,  $C_2H_5$ ,  $C_2H_5$ ,  $C_2H_4$ ,  $NCH_3$ , 1, 170,5—172, —, —;  $CH_3$ ,  $C_2H_5$ ,  $C_2H_5$ ,  $C_2H_4$ ,  $NCH_3$ , 1, 188—190, —, ТХГ, 270, ДИМ, 277—279; 2- $ClC_6H_4CH_2$ ,  $C_2H_5$ ,  $C_2H_5$ ,  $C_2H_4$ ,  $NCH_3$ , 1, 124—126, —, —;  $CH_3$ ,  $C_2H_5$ ,  $C_2H_5$ ,  $C_2H_4$ ,  $NCH_3$ , 1, 97—100, —, —;  $CH_3$ ,  $C_2H_5$ ,  $C_2H_5$ ,  $C_2H_4$ ,  $NCH_3$ , 1, 122—124, —, —;  $CH_3$ ,  $C_2H_5$ ,  $C_2H_5$ ,  $C_2H_4$ ,  $NCH_3$ , 1, 160—161, —, —;  $C_6H_5CH_2$ ,  $C_2H_5$ ,  $C_2H_5$ ,  $C_2H_4$ ,  $NCH_3$ , 1, 138—139, —, —; 3,4- $CH_3O_2C_6H_3CH_2$ ,  $C_2H_5$ ,  $C_2H_5$ ,  $C_2H_4$ ,  $NCH_3$ , 1, 148—149, —, —;  $CH_3$ ,  $C_2H_5$ ,  $C_2H_5$ ,  $C_2H_4$ ,  $NCOCH_3$ , 1, 142—144/0,09, 1,4980, П, 198—200;  $CH_3$ ,  $C_2H_5$ ,  $C_2H_5$ ,  $C_2H_4$ ,  $NCH_3$ , 1, 142/2, 1,4845; ДИМ, 230—231, ДИЭ, 226;  $CH_3$ ,  $C_2H_5$ ,  $C_2H_5$ ,  $C_2H_4$ ,  $NCOCH_3$ , 1, 160/0,5, 1,4940, П, 173—176;  $CH_3$ ,  $C_2H_5$ ,  $C_2H_5$ ,  $C_2H_4$ ,  $NCH_3$ , 1, 119—126/0,1, 1,4835, П, 223, ДИМ, 203—209;  $CH_3$ ,  $C_2H_5$ ,  $C_2H_5$ ,  $C_2H_4$ ,  $NCOCH_3$ , 1, 162—166/0,7, 1,4935, П, 194—196;  $CH_3$ ,  $C_2H_5$ ,  $C_2H_5$ ,  $C_2H_4$ ,  $NCH_3$ , 1, 125—130/0,1, 1,4839, П, 208—210;  $CH_3$ , пирролидил,  $C_2H_4$ ,  $NCOH$ , 1, 166—172/0,9, 1,5131, П, 192—194;  $C_6H_5$ ,  $C_2H_5$ ,  $C_2H_5$ ,  $C_2H_4$ ,  $NCH_3$ , 1, 161—163, —, —;  $C_6H_5$ ,  $C_2H_5$ ,  $C_2H_5$ ,  $C_2H_4$ ,  $NCOCH_3$ , 1, 183—198/0,2, 1,5470, —;  $C_6H_5$ ,  $C_2H_5$ ,  $C_2H_5$ ,  $C_2H_4$ ,  $NCH_3$ , 1, 180—184/0,9, 1,5370.

К. Смирнов

6Л374. Способы получения новых четвертичных солей и их растворов. Johnston Robert Goodman, Spencer Kenneth Eric Vincent. New quaternary salts, processes for their preparation and solutions thereof. [T. & H. Smith Ltd]. Англ. пат. 798648, 23.07.58. Обладающие гипотензивным действием соединения общей ф-лы (I) ( $R$  — ацил,  $X$  — остаток неорганич. к-ты,



$n$  — валентность аниона) получены р-цией соответствующего эфира тропина с  $C_6H_5COCH_2Cl$  и последующим обменом  $Cl^-$  на другой анион. Р-р 330 г гоматропина в 1 л сухого  $C_2H_5COCH_3$  кипятят с р-ром 204 г  $C_6H_5COCH_2Cl$  в 200 мл  $C_2H_5COCH_3$  через 10 мин. вносят 1 г затравки, кипятят еще 9 час., охлаждают, осадок отделяют, промывают 200 мл  $C_2H_5COCH_3$ , кристаллизуют из 4,9 л смеси спирт-ацетон (1:4) и получают 382 г I ( $R = C_6H_5CH(OH)CO$ ,  $X = Cl$ ) (Ia), т. пл. 195—197°. В сходных условиях получены I (приведены  $R$ ,  $X$ , т. пл. в °C):  $C_6H_5CO$ , Cl, 196;  $C_6H_5CH(CH_2OH)CO$ , Cl, 187—188;  $CH_3CO$ , Cl, 199—200;  $изо-C_3H_7CO$ , Cl, 200;  $C_6H_5CH(OH)CO$ , Br, 198—199,5;  $C_6H_5CH_2CO$ , Br, 199—200;  $C_6H_5CO$ , Br, 218;  $C_6H_5CH(CH_2OH)CO$ , Br, 185—186;  $(C_6H_5)_2CHCO$ , Br, 205—210;  $(C_2H_5)_2CHCO$ , Br, 199—200. К теплому р-ру 8,6 г Ia в 30 мл спирта прибавляют при встряхивании 3 г NaI в 20 мл спирта, оставляют на 10 мин. при ~20°, прибавляют 200 мл воды, осадок отделяют, промывают водой, сушат и получают 9,28 г I ( $R = C_6H_5CH(OH)CO$ ,  $X = I$ ), т. пл. 190°. Получены также I ( $R = C_6H_5CH(OH)CO$ ,  $n = 2$ ,  $X = SO_4$ ), т. пл. 215° (из этилацетата) и I ( $R = C_6H_5CH(OH)CO$ ,  $X = NO_3$ ), т. пл. 140—142° (из сп.-этилацетата). Л. С.

6Л375. Новый способ циклизации и получаемые полициклические соединения ряда йохимбана. Jolly Jean, Joly Robert. Nouveau procédé de cyclisation et composés polycycliques de la famille du yohimbane ainsi obtenus. [Les Labs Français de Chimiothérapie]. Франц. пат. 1212024, 21.03.60. Для получения 17а-метокси-18β-ацетокси-16β-метоксикарбонил-2,3-секо-3-оксо-20а-йохимбана (I), а также его замещенных в положениях 9, 10, 11 и 12 (в одном из них или одновременно в нескольких) группами OH, алкилом, алкоксилем или галоидом, напр. Cl или Br, 1β-карбоксы-2β-метокси-карбонил-3а-метокси-4β-ацетокси-6β-формилилциклогексан (II) в виде соли с неорганич. или органич. основаниями, напр. с  $NaHCO_3$ ,  $KHCO_3$  или триэтиламино, конденсируют с пезамец. или замец. триптаном, напр. с 6-метокситриптаном. Полученную 18β-ацетокси-17а-метокси-16β-метоксикарбонил-2,3-3,4-дисеко-4,21-дегидро-20а-йохимбанкарбоную-3 к-ту (III) вос-

становливают щел. боргидридом, напр.  $\text{NaBH}_4$  или  $\text{KBH}_4$ , в 18β-ацетокси-17α-метокси-16β-метоксикарбонил-2,3,3,4-ди-секо-20α-йохимбанкарбоновую-3 к-ту (IV); последнюю циклизуют нагреванием при 100–150° в присутствии или отсутствии р-теля в I. В качестве новых соединений патентуются I, IV и 11-метокси-IV. Патентуемый способ позволяет избежать в синтезе резерпина применения в промышленном масштабе дорогого, токсичного и опасного диазометана. П р и м е р ы. В 50 мл воды вносят при 0–5°, размешивании и пропускании  $\text{N}_2$  5 г II,  $[\alpha]_D^{20} + 42^\circ$  (с 1; пиридин), и прибавляют 2,6 мл триэтиламина. К полученному р-ру в тех же условиях прибавляют 3,3 г 6-метокситриптамина, размешивают 45 мин. и прибавляют к полученному р-ру 11-метокси-III небольшими частями 0,75 г  $\text{KBH}_4$ , размешивают 5 мин. при 5°, дают нагреться до 15–20°, прибавляют 5 мл  $\text{CH}_3\text{OH}$  и подкисляют до pH 5–6 разб.  $\text{HCl}$ . Оставляют на 30 мин. при 5°, фильтруют, промывают водой, сушат и получают 6,45 г (83%) 11-метокси-IV,  $[\alpha]_D^{20} - 39^\circ$  (с 0,5; пиридин), при 140–145° съезживается и дегидратируется в лактам при 150°, кислотное число 113; растворима в разб. к-тах и щелочах. Аналогично из 5 г II и 2,7 г триптамина получают IV,  $[\alpha]_D^{20} - 35,5^\circ$  (с 0,5; пиридин), при 150° переходит в лактам. Смесь 3 г 11-метокси-IV и 3 мл диметилформамида нагревают 5–7 мин. при 150–155°, охлаждают до 15–20°, выливают в 30 мл ледяной воды, размешивают 30 мин., фильтруют, промывают водой, сушат при 80° и получают с выходом 96% 11-метокси-I, т. пл. 162° и 184° (после затвердевания),  $[\alpha]_D^{20} + 31^\circ \pm 3$  (с 0,5; сп.), число омыления 231,5. Аналогично циклизацией IV получают I, т. пл. 178–179°,  $[\alpha]_D^{20} - 13^\circ \pm 1,5$  (с 1; хлф.).

Ю. Вендельштейн

61376. Способ получения нового производного резерпина. Velluz Léon, Muller Georges. Procédé de préparation d'un nouveau dérivé de la réserpine. [Les Labs Français de Chimiothérapie]. Франц. пат. 1188181, 21.09.59.—Обладающий терапевт. активностью и являющийся полупродуктом синтеза физиологически активных в-в ряда резерпина 1-9,10-диметоксирезерпин (I) получен следующим рядом р-ций: 4,5,6-триметокситриптами (II) конденсируют с метиловым эфиром (МЭ) 1β-карбоксиметил-2β-метоксикарбонил-3α-метокси-4β-ацетокси-6β-формилциклогексана (III к-та) в образовавшийся МЭ 18β-ацетокси-9,10,11,17α-тетраметокси-16β-метоксикарбонил-2,3,3,4-ди-секо-Δ<sup>(21)</sup>-20α-йохимбанкарбоновой-3 к-ты (IV) действием  $\text{KBH}_4$  в присутствии  $\text{CH}_3\text{OH}$  превращают в 11β-ацетокси-9,10,11,17α-тетраметокси-16β-метоксикарбонил-3-оксо-2-3-секо-20α-йохимбан (V). При омылении V получено соответствующее 18β-окси производное (VI), которое действием  $(\text{CH}_3\text{CO})_2\text{O}$  в присутствии  $\text{CH}_3\text{COOLi}$  лактонизируют, выделенный I-лактон 18β-окси-9,10,11,17α-тетраметокси-3-оксо-16β-карбокси-2-3-секо-20α-йохимбана (VII) циклизуют и получают лактон 18β-окси-9,10,11,17α-тетраметокси-16β-карбокси-Δ<sup>(14)</sup>-20α-йохимбана (VIII). При восстановлении VIII  $\text{NaBH}_4$  получают лактон 18β-окси-9,10,11,17α-тетраметокси-16β-карбокси-3α-20α-йохимбана (IXa), который переводит при помощи  $\text{HCOOH}$  в 3β-изомер (IXb). IXb подвергают метанолизу; образовавшийся 18β-окси-9,10,11,17α-тетраметокси-16β-метоксикарбонил-3β,20α-йохимбан (X) при этерификации хлорангидридом 3,4,5-триметоксибензойной к-ты (XI) образует I. Р-р 1,6 г III в 20 мл  $\text{CH}_2\text{Cl}_2$  метилируют диазометаном, упаривают в вакууме досуха, остаток растворяют в 4 мл тетрагидрофурана, к полученному р-ру МЭ III прибавляют р-р 0,95 г II в 20 мл тетрагидрофурана, оставляют на 0,5 часа при ~20°, упаривают в вакууме досуха, остаток растворяют в 10 мл  $\text{CH}_3\text{OH}$ , к полученному р-ру IV прибавляют 0,25 г  $\text{KBH}_4$ , оставляют на несколько мин., прибавляют несколько капель  $\text{CH}_3\text{COOH}$ , охлаждают на льду, осадок отфильтровывают, промывают  $\text{CH}_3\text{OH}$ , сушат и полу-

чают 1,35 г V, т. пл. 230° (из  $\text{CH}_3\text{OH}$ ),  $[\alpha]_D^{20} - 38^\circ$  (с 0,5, хлф.). Из маточных р-ров получают еще 0,1 г V. К р-ру 9,3 г V в 50 мл  $\text{CH}_3\text{OH}$  прибавляют 50 мл 2 н. р-ра соды, кипятят 1 час, охлаждают, прибавляют воду, нейтрализуют 2 н. р-ром  $\text{HCl}$ , прибавляют  $\text{NaCl}$  до насыщения, экстрагируют этилацетатом, вытяжку промывают р-ром  $\text{NaCl}$ , фильтруют, упаривают досуха в вакууме, получают 10 г неочищ. VI, которые растворяют в 50 мл  $\text{CH}_3\text{COOH}$ , прибавляют 50 мл  $(\text{CH}_3\text{CO})_2\text{O}$  и 2,5 г  $\text{CH}_3\text{COOLi}$ , нагревают 3 часа при 75°, охлаждают, прибавляют воду, оставляют на 1 час, экстрагируют  $\text{CH}_2\text{Cl}_2$ , вытяжку промывают насыщ. р-ром  $\text{NaHCO}_3$  и водой, сушат  $\text{MgSO}_4$ , упаривают досуха, остаток кристаллизуют из  $\text{CH}_3\text{OH}$  и получают 3,72 г VII, т. пл. 183°,  $[\alpha]_D^{20} + 77^\circ$  (с 0,5, сп.). Из маточных р-ров получают еще 0,615 г VII. 1,23 г VII и 4 мл  $\text{POCl}_3$  кипятят 1,5 часа, упаривают в вакууме досуха, остаток растворяют в небольшом кол-ве ацетона, прибавляют при ~0° 0,5 мл воды, затем конц.  $\text{NH}_4\text{OH}$  до pH 12, добавляют 12 мл воды, осадок отфильтровывают и получают 1,24 г VIII, к которым прибавляют 4 мл  $\text{CH}_3\text{OH}$ , несколько капель конц. р-ра  $\text{HCl}$  охлаждают до 0°, прибавляют небольшими порциями  $\text{NaBH}_4$  до обесцвечивания р-ра (во время восстановления добавляют  $\text{CH}_3\text{OH}$  во избежание образования густой массы); затем прибавляют воду, оставляют на 1 час при т-ре < 0°, осадок отфильтровывают, промывают водой и  $\text{CH}_3\text{OH}$ , сушат, суспендируют в  $\text{CH}_3\text{OH}$ , добавляют несколько капель  $\text{NH}_4\text{OH}$ , отфильтровывают, промывают водой, сушат и получают 1 г IXa, т. пл. 264°,  $[\alpha]_D^{20} - 50^\circ - 100^\circ$  (с 0,5, хлф.). Р-р 0,985 г IXa в 4 мл  $\text{HCOOH}$  кипятят 0,5 часа, выливают в воду, прибавляют конц. р-р  $\text{NH}_4\text{OH}$  до pH 10, экстрагируют  $\text{CH}_2\text{Cl}_2$ , вытяжку промывают, сушат, упаривают, охлаждают, осадок отфильтровывают и получают 0,755 г IXb, т. пл. 320°,  $[\alpha]_D^{20} + 10^\circ$  (с 0,5, хлф.). 0,460 г IXb 11 мл  $\text{CH}_3\text{OH}$  и 4 мл р-ра  $\text{CH}_3\text{ONa}$  в  $\text{CH}_3\text{OH}$  (из 4 мг Na) кипятят 2 часа, упаривают до 1 мл, экстрагируют  $\text{CH}_2\text{Cl}_2$ , упаривают досуха, остаток растворяют в 4 мл пиридина, к р-ру прибавляют 1 г XI, смесь нагревают в закрытом сосудах 16 час. при 75°, охлаждают, прибавляют 2 мл воды, оставляют на 1 час, добавляют 20 мл воды, экстрагируют  $\text{CH}_2\text{Cl}_2$ , вытяжку промывают  $\text{HCl}$  (к-той) и водой, затем р-ром  $\text{NH}_4\text{OH}$  и водой, упаривают досуха, остаток растворяют в горячем  $\text{CH}_3\text{OH}$ , прибавляют несколько капель 2 н. р-ра  $\text{H}_2\text{SO}_4$ , осадок отфильтровывают, промывают  $\text{CH}_3\text{OH}$ , растворяют в ацетоне, прибавляют  $\text{NH}_4\text{OH}$ , осадок отфильтровывают, сушат при 90° и получают 0,410 г I, т. пл. 171–173°,  $[\alpha]_D^{20} - 11^\circ$  (с 0,5, хлф.).

61377. Способ получения производного резерпина. Velluz Léon, Muller Georges. Procédé de préparation d'un dérivé de la déserpine. [Les Labs Français de Chimiothérapie]. Франц. пат. 1189010, 28.09.59.—Обладающий терапевт. активностью и являющийся полупродуктом синтеза физиологически активных в-в ряда резерпина 11-хлор-12-метоксидезерпин (I) получен следующим рядом р-ций: 6-хлор-7-метокситриптами (II) конденсируют с метиловым эфиром (МЭ) 1β-карбоксиметил-2β-метоксикарбонил-3α-метокси-16β-метоксикарбонил-2,3,3,4-ди-секо-Δ<sup>(21)</sup>-20α-йохимбанкарбоновой-3 к-ты (IV) действием  $\text{KBH}_4$  в присутствии  $\text{CH}_3\text{OH}$  превращают в 11-хлор-18β-окси-12,17α-диметокси-16β-метоксикарбонил-3-оксо-2-3-секо-20α-йохимбан (V). При ацетилировании V получают α-18β-ацетокси-11-хлор-12,17α-диметокси-16β-метоксикарбонил-3-оксо-2-3-секо-20α-йохимбан (VI), который циклизуют и получают 1-18β-ацетокси-11-хлор-12,17α-диметокси-16β-метоксикарбонил-Δ<sup>(14)</sup>-20α-йохимбана (VII). При восстановлении VII образуется 1-18β-ацетокси-11-хлор-12,17α-диметокси-16β-метоксикарбонил-3β,20α-йохимбан (VIIIb), отделяемый дробной кристал-

лизацией от 3-изомера (VIIIa); при частич. омылении VIIIb получают 1-11-хлор-18β-окси-12,17α-диметокси-16β-метоксикарбонил-3β,20α-йохимбан (IX), при этерификации хлорангидридом 3,4,5-триметоксибензойной к-ты (X), переходящий в I. Р-р 2 г III в 20 мл  $\text{CH}_2\text{Cl}_2$  метилируют  $\text{CH}_3\text{N}_2$ , упаривают в вакууме до 20 мл, к полученному р-ру МЭ III прибавляют 1,09 г II, оставляют на 15 мин. при  $\sim 20^\circ$ , к полученному р-ру IV прибавляют 20 мл  $\text{CH}_3\text{OH}$ , охлаждают до  $5^\circ$ , прибавляют при перемешивании 0,55 г  $\text{KBN}$ , выдерживают 10 мин. при  $5^\circ$ , затем 10 мин. при  $20^\circ$ , отгоняют  $\text{CH}_2\text{Cl}_2$ , кипятят 1 час с обр. холодильником, прибавляют немного воды и  $\text{HCl}$  (к-ту) до pH 1, добавляют воду, экстрагируют  $\text{CH}_2\text{Cl}_2$ , вытяжку промывают р-ром  $\text{NaHCO}_3$  и водой, упаривают досуха и получают 1,8 г V, которые растворяют в 7,5 мл пиридина, прибавляют 4,5 мл  $(\text{CH}_3\text{CO})_2\text{O}$ , нагревают 15 мин. при  $70^\circ$ , упаривают в вакууме досуха, остаток кристаллизуют из смеси этилацетат-эфир и получают 1,75 г VI, т. пл.  $188^\circ$ ,  $[\alpha]_D^{20} + 10^\circ \pm 5$  (с 0,5; пиридин). 1,75 г VI кипятят 2 часа с 4 мл  $\text{POCl}_3$ , упаривают досуха, остаток растворяют в ацетоне, охлаждают, прибавляют  $\text{NH}_4\text{OH}$ , затем воду, отфильтровывают, промывают водой и  $\text{CH}_3\text{OH}$ , и получают 1,5 г VII, т. пл.  $290^\circ$ ,  $[\alpha]_D^{20} - 23^\circ \pm 5$  (с 0,5; пиридин). Р-р 0,05 г VII в 1,5 мл  $\text{CH}_3\text{OH}$  подкисляют несколькими каплями  $\text{HCl}$  (к-та), прибавляют  $\text{NaBH}_4$  до обесцвечивания и 3 мл воды, оставляют на несколько мин., отфильтровывают, сушат и получают 0,045 г VIIIa, т. пл.  $231^\circ$  и  $260^\circ$ ,  $[\alpha]_D^{20} - 153^\circ \pm 5$  (с 0,5; пиридин). К р-ру 1,8 г VII и 36 мл ацетона и 36 мл 20%-ного р-ра  $\text{HClO}_4$  прибавляют 3,6 г Zn-пыли, размешивают 2 часа при  $\sim 20^\circ$ , отделяют от Zn, нейтрализуют аммиаком, экстрагируют  $\text{CH}_2\text{Cl}_2$ , вытяжку сушат, упаривают досуха, остаток кристаллизуют из ацетона и получают 0,75 г VIIIb, т. пл.  $314^\circ$ ,  $[\alpha]_D^{20} - 129^\circ \pm 5$  (с 0,5; пиридин). 1,17 г VIIIb, 47 мл  $\text{CH}_3\text{OH}$  и 4,7 г  $\text{KBN}$ , кипятят 2,5 часа, упаривают до 10 мл, прибавляют 5 мл 50%-ного водного р-ра  $\text{CH}_3\text{OH}$ , осадок отфильтровывают, промывают водным  $\text{CH}_3\text{OH}$ , сушат и получают 0,75 г IX (7%  $\text{H}_2\text{O}$ ), т. пл.  $140^\circ$  и  $160^\circ$ ,  $[\alpha]_D^{20} - 86^\circ$  (с 0,5; пиридин). Смесь 0,23 г IX, 0,53 г X и 2,3 мл пиридина нагревают  $\sim 12$  час. при  $75^\circ$ , прибавляют 1 мл воды, перемешивают, оставляют на 1,5 часа при  $50^\circ$ , экстрагируют  $\text{CH}_2\text{Cl}_2$ , вытяжку промывают  $\text{HCl}$  (к-та), аммиаком и водой, упаривают досуха, остаток кристаллизуют из водного  $\text{CH}_3\text{OH}$  и получают 0,15 г I, т. пл.  $183^\circ$ ,  $[\alpha]_D^{20} - 129^\circ \pm 5$  (с 0,5; хлф.).

С. Окунь  
61378. Способ получения замещенного дезерпида. Velluz Léon, Muller Georges. Procédé de préparation d'une deserpidine substituée. [Les Labs Français de Chimiothérapie]. Франц. пат. 1194842, 12.11.59. — Патентуется способ получения левовращающего 11-фтордезерпида (I) по схеме: метиловый эфир 18β-ацетокси-11-фтор-17α-метокси-16β-метоксикарбонил-2,3,3,4-лисеко-Δ<sup>(21)</sup>-20α-йохимбеновой-3 к-ты (II) → 11-фтор-18β-окси-17α-метокси-16β-метоксикарбонил-3-оксо-2,3-секо-20α-йохимбан (III) → 18β-ацетокси-11-фтор-17α-метокси-16β-метоксикарбонил-3-оксо-2,3-секо-20α-йохимбан (IV) → 18β-ацетокси-11-фтор-17α-метокси-16β-метоксикарбонил-3-оксо-2,3-секо-20α-йохимбан (V) → 18β-ацетокси-11-фтор-17α-метокси-16β-метоксикарбонил-3β,20α-йохимбан (VI) → 11-фтор-18β-окси-17α-метокси-16β-метоксикарбонил-3β,20α-йохимбан (VII) → I. Суспензию 4,57 г пикрата 6-фтортриптамина (VIII основание) в  $\text{CH}_2\text{Cl}_2$  обрабатывают избытком 10%-ного водн. р-ра лимон. разбавляют несколько минут и извлекают  $\text{CH}_2\text{Cl}_2$ ; получают 1,68 г неочищ. VIII. Р-р 3,6 г 1β-карбоксиметил-2β-метоксикарбонил-3α-метокси-4β-ацетокси-6β-формиликлогексана,  $[\alpha]_D^{20} + 42,5^\circ$  (с 1; пиридин) в  $\text{CH}_2\text{Cl}_2$  обрабатывают при  $0^\circ$  р-ром  $\text{CH}_3\text{N}_2$ , упаривают до 20 мл в вакууме, прибавляют 1,68 г неочищ. VIII, оставляют на 1 час при  $\sim 20^\circ$ , к полученному таким образом р-ру II прибавляют при  $0^\circ$  40 мл

$\text{CH}_3\text{OH}$  и 1 г  $\text{KBN}$ , размешивают 1 час при  $\sim 20^\circ$ , кипятят 1 час, выливают в воду, извлекают  $\text{CH}_2\text{Cl}_2$ , вытяжку промывают  $\text{HCl}$  (к-та), водой, р-ром  $\text{NaHCO}_3$  и водой и упаривают досуха; получают III, выход 3,7 г (неочищ.), т. пл.  $186^\circ$  (из эф.-этилацетата),  $[\alpha]_D^{20} + 35^\circ$  (с 0,5; сп.). К 3,7 г неочищ. III прибавляют 10 мл пиридина и 10 мл  $(\text{CH}_3\text{CO})_2\text{O}$ , оставляют на ночь при  $\sim 20^\circ$ , выливают в воду, подкисляют  $\text{HCl}$  (к-та) до pH 1, извлекают  $\text{CH}_2\text{Cl}_2$ , вытяжку промывают  $\text{HCl}$  (к-та), водой, р-ром  $\text{NaHCO}_3$  и водой и упаривают досуха; получают IV, выход 2,26 г (50%), т. пл.  $162^\circ$  и  $194^\circ$  (из ацетона),  $[\alpha]_D^{20} 0^\circ$  (с 0,25; пиридин). Смесь 1,31 г IV и 4 мл  $\text{POCl}_3$  кипятят 2 часа, упаривают в вакууме, остаток растворяют в  $\text{CH}_2\text{Cl}_2$ , промывают  $\text{NH}_4\text{OH}$  и водой, упаривают досуха и остаток кристаллизуют из  $\text{CH}_3\text{OH}$ , к которому прибавлена 1 капля  $\text{NH}_4\text{OH}$ ; получают V, выход 1,03 г (70%). К р-ру V (из 220 мг IV) в 3 мл  $\text{CH}_3\text{OH}$  прибавляют 0,5 г 2 н.  $\text{HCl}$ , охлаждают льдом, прибавляют постепенно до щел. р-ции  $\text{KBN}$ , и разбавляют водой; получают 18β-ацетокси-11-фтор-17α-метокси-16β-метоксикарбонил-20α-йохимбан, выход 180 мл (85% на IV), т. пл.  $272^\circ$  (из водн.  $\text{CH}_3\text{OH}$ ),  $[\alpha]_D^{20} - 72^\circ$  (с 0,25; пиридин). Смесь 1,03 г V, 10 мл ацетона, 10 мл 65%-ной  $\text{HClO}_4$ , 2 г Zn-пыли и 0,1 мл р-ра  $\text{FeCl}_3$  45% Боме кипятят 30 мин., фильтруют, осадок извлекают  $\text{CH}_2\text{Cl}_2$ , вытяжку промывают водой,  $\text{NH}_4\text{OH}$  и водой, упаривают досуха и остаток растворяют с ацетоном; получают VI, выход 0,225 г (25%), т. пл.  $340^\circ$  (из  $\text{CH}_2\text{Cl}_2 = \text{CH}_3\text{OH}$ ),  $[\alpha]_D^{20} - 85^\circ \pm 10^\circ$  (с 0,25; пиридин). К р-ру 250 мг VI в 7 мл  $\text{CH}_3\text{OH}$  прибавляют 125 мг  $\text{KBN}$ , кипятят 2 часа, упаривают в вакууме, извлекают  $\text{CH}_2\text{Cl}_2$ , вытяжку промывают водой, высушивают, упаривают и остаток обрабатывают эфиром; получают VII, выход 220 мг (88%), т. пл.  $\sim 160^\circ$ . К 200 мг VII прибавляют 2 мл пиридина и 450 мг хлорангидрида 3,4,5-триметоксибензойной к-ты, нагревают вод.  $\text{N}_2$  17 час. при  $80-90^\circ$ , охлаждают до  $50-55^\circ$ , прибавляют 2 мл воды, оставляют на 1 час при  $50-55^\circ$ , извлекают  $\text{CH}_2\text{Cl}_2$  вытяжку промывают 2 н.  $\text{H}_2\text{SO}_4$ , водой,  $\text{NH}_4\text{OH}$  и водой, высушивают, упаривают в вакууме и остаток обрабатывают эфиром; получают I, выход 175 мг (57%), т. пл.  $261^\circ$  (из водн. ацетона) или  $167^\circ$  (из эфира),  $[\alpha]_D^{20} - 123^\circ \pm 10$  (с 0,25, хлф.).

А. Травин  
61379. α,α-Дифенилпропионаты скопинина и скополина. Zaugg Harold E. Scopolamine and scopolamine esters of alpha, alpha-diphenyl propionic acid. [Abbott Labs]. Пат. США 2927925, 8.03.60. — Соединения общей ф-лы  $(\text{C}_6\text{H}_5)_2\text{C}(\text{CH}_3)\text{COR}$  (Ia, б) (а R-скипил, б R-скополил), обладающие спазмолитич. и седативным действием, блокирующие деятельность пищеварительных желез и применимые при лечении паркинсонизма, получают р-цией хлорангидрида α,α-дифенилпропионовой к-ты (II к-та) с эквивалентным кол-вом скопинина (III) или скополина (II). Р-р 7,9 г II и 5,6 г  $\text{SOCl}_2$  в 50 мл сухого  $\text{C}_6\text{H}_6$  кипятят 2 часа,  $\text{C}_6\text{H}_6$  и избыток  $\text{SOCl}_2$  отгоняют в вакууме и получают хлорангидрид IV, к которому прибавляют 5 г III и 30 мл пиридина, оставляют на 48 час. при  $\sim 20^\circ$ , добавляют 50 мл воды, подщелачивают насыщ. р-ром  $\text{Na}_2\text{CO}_3$  и экстрагируют эфиром. Вытяжку сушат  $\text{Na}_2\text{SO}_4$ , добавляют эфирный р-р  $\text{HCl}$ , продукт перекристаллизуют из  $\text{iso-C}_3\text{H}_7\text{OH}$  и получают хлоридат Ia, т. пл.  $158-160^\circ$ . Р-р 9,78 г хлорангидрида II в сухом  $\text{C}_6\text{H}_6$  прибавляют по каплям при перемешивании в течение 10 мин. к смеси 6,1 г триэтиленамина и 6,2 г IV в 75 мл сухого  $\text{C}_6\text{H}_6$ , кипятят 18 час. извлекают разб.  $\text{HCl}$  (1:1), кислый р-р нейтрализуют насыщ.  $\text{Na}_2\text{CO}_3$ , экстрагируют  $\text{CHCl}_3$ .  $\text{CHCl}_3$  отгоняют, остаток растворяют в абс. спирте, добавляют эфирный р-р  $\text{HCl}$  и получают хлоридат Ib, который перекристаллизуют из  $\text{iso-C}_3\text{H}_7\text{OH}$ , сушат в вакууме над  $\text{P}_2\text{O}_5$  при  $100^\circ$ , т. пл.  $218-220^\circ$ . Ю. Белый

61380. Способ получения гельветикозидов. Országh Stefan, Bauer Stefan. Spôsob získavania



helvetikozidu. Чехосл. пат. 92927, 15.12.59.—Гельветикозид (I) выделяют из надземной части растений *Erysimum capense* (Roth.), собранного в период цветения. 10 кг сухого сырья в 100 л воды выдерживают ~170 час., фильтруют, повторно экстрагируют 60 л воды (2 × 48 час.), объединенные вытяжки концентрируют в вакууме, экстрагируют смесью  $\text{CHCl}_3 + \text{CH}_3\text{OH}$  (3:1), остаток после упаривания подвергают многоступенчатой противоточной экстракции в системе толуол — *n*-бутанол — вода (3:1:4) и получают кристаллы I, выход 0,21%, т. пл. 153—156° (из воды- $\text{CH}_3\text{OH}$ -эф.),  $[\alpha]_D^{25} + 32,3^\circ$  ( $\text{CH}_3\text{OH}$ ). Т. Зварова

6Л381. Получение физиологически активных сульфопроизводных гетерозидов сапонина и танина и их солей. Roubal Zdeněk, Placer Zdeněk, Slabochová Zdenka. Způsob přípravy fyziologicky účinných sulfonových zplodin heterosidů saponinu a taninu a jejich solí. Чехосл. пат. 93204, 15.12.59.—Гетерозиды сульфатируют в среде органич. оснований (пиридина, хинолина,  $\alpha$ -пиктолина и др.) с т. кип. > 110° хлорсульфоновой к-той,  $\text{SO}_3$  или олеумом при *t*-ре 70—105°. Смесь 2100 мл сухого пиридина и 480 мл хлорсульфоновой к-ты нагревают до 90° и вводят при перемешивании 150 г сапонина или танина. Затем нагревают 30 мин. при 100—105°, выливают в 4000 мл горячего спирта, перемешивают 30 мин. при 60—70°, спирт декантируют, добавляют еще 3000 мл горячего спирта, операцию повторяют, промывают холодным спиртом (2 × 500 мл), осадок отделяют, растворяют в 2000 мл дистил. воды, подщелачивают 4 н. NaOH до pH 7—7,5, кипятят 30 мин. с 30 г активированного угля, фильтруют, добавляют NaCl до конц-ии 0,9%, затем добавляют 4000 мл спирта, осадок отделяют, промывают спиртом, эфиром, сушат на воздухе и получают Na-соль полисерного эфира сапонина, активность которого составляет 90% от активности гепарина. З. Смелый

6Л382. Способ извлечения рутина из частей японской акации. Bognár Rezső, Szabó Vince, Farkas István. Eljárás rutin kivonatolására japánakác részeiből. [Alkaloida Vegyészeti Gyár]. Венг. пат. 145409, 15.11.59.—Из отдельных частей японской акации рутин (I), после инактивации рутиназы (нагреванием), экстрагируют щел. р-ром соединения бора при pH 8,5—11,0 (9,0—10,5); экстракт обрабатывают ионитами в  $\text{COOH}$ -форме, неочищ. I растворяют в спирте, содержащем < 1%  $\text{C}_6\text{H}_6$ , р-р (для удаления хлорофилла) обрабатывают сульфитной целлюлозой, предварительно прокипяченной в < 10%-ной HCl, нейтрализованной и высушенной. К 1000 г грубо измельченных частей растения, после пропарки (~20 мин. при 100—110°) прибавляют при 30—40°, 500 мл р-ра бората Na (из 6 ч. р-ра 49,6 г  $\text{HBO}_3$  и 400 мл 1 н. NaOH, разбавленного до 1 л и 4 ч. 0,4 н. NaOH; pH 9,9) через 6 час. экстракт пропускают через колонку с 450 г амберлита IRC; из р-ра отделяют кристаллы неочищ. I, 500 г I растворяют в 4 л абс. спирта, содержащего 0,3%  $\text{C}_6\text{H}_6$ , прибавляют 10 г целлюлозы, кипятят 10 мин. осадок промывают, при 50—60° 500 мл спирта, фильтратвливают в 45 л нагретой до 60—65° дистил. воды и получают очищ. I, выход 17,5%. С. Розенфельд

6Л383. Получение кобаламинов. Perlman David. Preparation of new cobalamins. [Olin Mathieson Chemical Corp.]. Пат. США 2842540, 8.07.58.—Обладающий свойствами витамина  $\text{B}_{12}$  4-бром-6-метоксибензилмидазолианкобаламин (I) получают действием на 4-бром-6-метоксибензилмидазол *Propionibacterium arabinosum* в анаэробных условиях на соответствующих питательных средах. В. Иванова

6Л384. Производные 13-метил-1,2,3,6,7,8,9,10,11,12,13,14,16,17-тетрадекагидро-15Н-циклопента-( $\alpha$ )-фенантрол-17-онов-3. Colton Frank B. Derivatives of 13-methyl-17-hydroxy-1,2,3,6,7,8,9,10,11,12,13,14,16,17-tetradecahydro-15H-cyclopenta[ $\alpha$ ]phenanthren-3-ones. [G. D. Searle & Co.]. Пат. США 2840582, 24.06.58.—Обладающие гор-

мональным действием 13-метил-20-RR'-21-OR-1,2,3,6,7,8,9,10,11,12,13,14,15,16,17-тетрадекагидро-15Н-циклопента-( $\alpha$ )-фенантрол-17-оны-3 (I) ( $\text{R} = \text{H}$ ,  $\text{R}' = \text{OH}$  или ацилоксигруппа или  $\text{RR}' = \text{O}$ ,  $\text{R}^2 =$  ацил или H) получены след. рядом р-ции: афирный р-р метилового эфира (MЭ) 13-метил-1,4,6,7,8,9,11,12,13,14,16,17-додекагидро-15Н-циклопента-( $\alpha$ )-фенантрол-3-она-17 насыщают при 0°  $\text{C}_2\text{H}_2$  и получают MЭ 13-метил-17-этинил-1,4,6,7,8,9,11,12,13,14,16,17-додекагидро-15Н-циклопента-( $\alpha$ )-фенантрол-3,4,17 (II), т. пл. 181—182°,  $[\alpha]_D^{25} + 65^\circ$  (с 1; хлф.). II кипятят с водн.  $\text{CH}_3\text{OH}$  и конц. HCl и получают 13-метил-17-этинил-1,2,3,6,7,8,9,10,11,12,13,14,16,17-тетрадекагидро-15Н-циклопента-( $\alpha$ )-фенантрол-47-он-3, т. пл. 202—204°,  $[\alpha]_D^{25} - 22,5^\circ$  (с 1; хлф.), лмакс. 241 мμ (ε 17 100,  $\text{CH}_3\text{OH}$ ), при гидрировании в присутствии Pd/ $\text{CaCO}_3$  переходящий в соответствующее 17-н-нидпроизводное (III), т. пл. 169—171,  $[\alpha]_D^{25} + 38^\circ$  (в сп.). Действием  $\text{PBr}_3$  на р-р III в  $\text{CHCl}_3$  при 20° получен 17-(β-бромэтилен)-13-метил-1,2,3,6,7,8,9,10,11,12,13,14,16,17-тетрадекагидро-15Н-циклопента-( $\alpha$ )-фенантрол-3, из которого кипячением с  $\text{CH}_3\text{COOK}$  в ацетонном р-ре и последующим хроматографированием на силикагеле выделены: 13-метил-17-винил-1,2,3,6,7,8,9,10,12,13,14,16,17-додекагидро-15Н-циклопента-( $\alpha$ )-фенантрол-3, т. пл. 100—101°,  $[\alpha]_D^{25} + 110,5^\circ$  (с 0,66; хлф.) и 2 полиморфные формы 17-(β-ацетоксиэтилен)-13-метил-1,2,3,6,7,8,9,10,11,12,13,14,16,17-тетрадекагидро-15Н-циклопента-( $\alpha$ )-фенантрол-3 (IV), т. пл. 49—50° и 96—97°,  $[\alpha]_D^{25} + 62,5^\circ$  (с 1; хлф.), лмакс. 241 мμ (ε 17 800,  $\text{CH}_3\text{OH}$ ). При действии на IV  $\text{OsO}_4$  и последующем кипячении продукта р-ции с р-ром  $\text{Na}_2\text{SO}_3$ , а затем с р-ром KOH в  $\text{CH}_3\text{OH}$  получен I ( $\text{R}' = \text{OH}$ ,  $\text{R}^2 = \text{CH}_3\text{CO}$ ) (Ia). Окислением Ia  $\text{CrO}_3$  в пиридиновом р-ре (25° 12 час.) получен I ( $\text{R}' = \text{O}$ ,  $\text{R}^2 = \text{CH}_3\text{CO}$ ), т. пл. 233°,  $[\alpha]_D^{25} + 88^\circ$  (с 1; хлф.), лмакс. 242 мμ (ε 17 700), при окислении дающий I ( $\text{R}' = \text{O}$ ,  $\text{R}^2 = \text{OH}$ ), т. пл. 177—180°,  $[\alpha]_D^{25} + 59,2^\circ$  (с 0,816; хлф.). Получены также 21-ацетат Ia и диацетат Ia, т. пл. 194—196°,  $[\alpha]_D^{25} + 13,5^\circ$  (с 0,28; хлф.). Л. Стекольников

6Л385. 13-метил-17-винил-1,2,3,6,7,8,9,10,11,12,13,14,16,17-тетрадекагидро-15Н-циклопента-[ $\alpha$ ]-фенантрол-17-он-3. Colton Frank B. 13-methyl-17-hydroxy-17-vinyl-1,2,3,6,7,8,9,10,11,12,13,14,16,17-tetradecahydro-15H-cyclopenta[ $\alpha$ ]phenanthren-3-one. [G. D. Searle & Co.]. Пат. США 2838529, 10.06.58.—К р-ру 51 г 3-метилового эфира эстрадиола-3,17β в 1800 г эфира прибавляют при перемешивании 1900 г эфира, затем 1900 г жидкого  $\text{NH}_3$  и 50 г Li, перемешивают 15 мин., прибавляют по каплям 200 г абс. спирта,  $\text{NH}_3$  испаряют на паровой бане, прибавляют воду, водн. слой экстрагируют эфиром (3 × 1400 г), экстракты промывают водой, сушат  $\text{Na}_2\text{SO}_4$ , р-ритель отгоняют в вакууме, остаток перекристаллизовывают из эфира-петр. эфира и получают 3-метокси-13-метил-1,4,6,7,8,9,11,12,13,14,16,17-додекагидро-15Н-циклопента-[ $\alpha$ ]-фенантрол-17β (I), т. пл. 111—114°. Р-р 10 г I, 5 г (изо- $\text{C}_3\text{H}_7\text{O}$ ) $_2\text{Al}$  и 83 г безводн. циклогексана в 450 г толуола кипятят 2,5 час, обрабатывают водой и 90 г насыщ. р-ра соли Рошеля, перегоняют с паром в течение 50 мин., осадок отделяют, сушат, перекристаллизовывают из эфира-петр. эфира и получают 3-метокси-13-метил-1,4,6,7,8,9,11,12,13,14,16,17-додекагидро-15Н-циклопента-[ $\alpha$ ]-фенантрол-17 (II), т. пл. 131—133°. Р-р 12 г II в 260 г сухого толуола и 130 г эфира насыщают сухим  $\text{C}_2\text{H}_2$ , прибавляют в течение 2 час. при перемешивании р-р 12 г трет- $\text{C}_3\text{H}_7\text{OH}$  в 260 г трет- $\text{C}_3\text{H}_7\text{OH}$ , и перемешивание в токе  $\text{C}_2\text{H}_2$  продолжают в течение 5 час. Смесь промывают р-ром  $\text{NH}_4\text{Cl}$  до кислой р-ции, затем водой и насыщ. р-ром NaCl, органич. слой сушат  $\text{Na}_2\text{SO}_4$ , концентрируют в вакууме до 250 г, прибавляют 500 г петр. эфира, оставляют на 1 час при 0° и фильтруют. Осадок перекристаллизовывают из эфира и получают 17-этинил-I, т. пл. 181—182°. К кипящему р-ру 28,5 г 17-этинил-I в 2800 г  $\text{CH}_3\text{OH}$  и 1000 мл воды прибавляют в течение

461(73)  
2 мин. 2  
1 час пр  
на длит  
на возд  
тат-петр  
8,9,10,11  
[ $\alpha$ ]-фена  
III в 25  
вают H  
затер о  
остаток  
HCl, вод  
эфира  
эфира,  
воздухе  
эфира к  
6Л386  
6-метил  
Eun C  
vid M  
steroid  
пат. 84  
дростан  
ен на  
метили  
с посл  
10,5 г  
она-6,  
100 мл  
бавляю  
и 190  
оставл  
органи  
р-рите  
2%-но  
рекри  
17а-эти  
т. пл.  
40 мл  
ириди  
ют эф  
модуль  
он-3  
1 г II  
HCl и  
промы  
сталли  
метил-  
-58°  
ченые  
приве  
log ε):  
+176°  
андро  
290, 4  
21, 0  
6Л387  
rald  
Пат. 8  
авест  
сукци  
= Cl,  
(Ib—  
8,20  
ванке  
регги  
чим  
проис  
Na-со  
(Iж)  
щипц  
омыл  
душ

2 мин. 240 г конц. HCl, кипятят 4 мин., оставляют на 1 час при  $\sim 20^\circ$ , прибавляют 4000 мл воды и оставляют на длительное время при  $0^\circ$ . Осадок отделяют, сушат на воздухе, перекристаллизовывают из смеси этилацетат-петр. эфир и получают 13-метил-17-этинил-1,2,3,6,7,8,9,10,11,12,13,14,16,17-тетрадекагидро-15H-циклопента[а]-фенантрол-17-он-3 (III), т. пл. 202—204°. Р-р 23,5 г III в 2500 г диоксана и 245 г пиридина восстанавливают  $H_2$  в присутствии 6 г 5%-ного Pd/CaCO<sub>3</sub>. Катализатор отделяют, фильтрат концентрируют в вакууме, остаток растворяют в 2500 г эфира, промывают 1 п. HCl, водой и насыщ. р-ром NaCl и сушат Na<sub>2</sub>SO<sub>4</sub>. 200 г эфира отгоняют, остаток обрабатывают 800 г петр. эфира, оставляют при  $0^\circ$ , осадок отделяют, сушат на воздухе, перекристаллизовывают из этилацетата-петр. эфира и получают 17-винил-III, т. пл. 169—171°.

В. Иванова

6Л386. Усовершенствованный способ получения 6-метилстероидов. Ellis Bernard, Hill Betty Eunice, Petrov Vladimir, Williamson David Morton. Improvements in or relating to 6-methyl steroid compounds. [The British Drug Houses Ltd]. Англ. пат. 843353, 4.08.60.—6-метил-3-оксо- $\Delta^4,9$ -стероиды андростанового и прегнанового ряда, получают действием на  $\beta$ -ациклок- или  $\beta$ -5-а-диоксид-6-оксостероиды метилмагнийгаллоидом в подходящем растворителе с последующим окислением и дегидрированием. Р-р 10,5 г  $\beta$ -ацетата-17 $\alpha$ -этиниландростантриол- $\beta$ -5 $\alpha$ ,17 $\beta$ -она-6, т. пл. 245—247°, [ $\alpha_D^{25}$  -103° (хлф.) в смеси 100 мл сухого тетрагидрофурана и 10 мл эфира, прибавляют к реактиву Гриньяра из 5,4 г Mg, 15 мл CH<sub>3</sub>I и 190 мл эфира, перемешивают 2 часа при  $\sim 20^\circ$  и оставляют на 18 час. Затем обрабатывают разб. H<sub>2</sub>SO<sub>4</sub>, органич. слой промывают до нейтр. р-ции, сушат, р-рители отгоняют, остаток кипятят 30 мин. в 100 мл 2%-ного КОН в CH<sub>3</sub>OH, прибавляют воду, осадок перекристаллизовывают из воды. CH<sub>3</sub>OH и получают 17 $\alpha$ -этинил-6-метиландростантриол-3- $\beta$ , 5 $\alpha$ , 6, 17 $\beta$  (I), т. пл. 254—255°, [ $\alpha_D^{20}$  -51° (с 1,01; сп.). Р-р 4 г I в 40 мл пиридина, прибавляют к р-ру 4 г CrO<sub>3</sub> в 40 мл пиридина, оставляют на  $\sim 16$  час., продукт извлекают эфиром, перекристаллизовывают из воды. CH<sub>3</sub>OH и получают 17 $\alpha$ -этинил-6-метиландростантриол-5 $\alpha$ ,6,17 $\beta$ -он-3 (II), т. пл. 246—248°, [ $\alpha_D^{22}$  -36° (с 1,02; сп.). Р-р 1 г II в 25 мл спирта подкисляют 2-мя каплями конц. HCl, кипятят 30 мин., извлекают эфиром, экстракт промывают, сушат, р-ритель отгоняют, остаток кристаллизуют из воды. CH<sub>3</sub>OH и получают 17 $\alpha$ -этинил-6-метил- $\Delta^4,6$ -андростадиенон-3, т. пл. 200—201°, [ $\alpha_D^{20}$  -58° (с 1,03; хлф.).  $\lambda$ (макс.), 290 мμ (lg ε 4,36). Получены также (приведены в-во, т. пл. в  $^\circ$ C,  $\alpha_D$  в скобках приведены т-ра, конция и р-ритель,  $\lambda$ (макс.) в мμ и lg ε): 6-метил- $\Delta^4,6$ -прегнадиенон-3,20, 152—154, +176° (22, 0,56; хлф.), 288,5, 4,37 6,17 $\alpha$ -диметил- $\Delta^4,6$ -андростадиенол-17 $\beta$ -он-3, 157—158, +38° (23, 0,52; хлф.), 290, 4,37; 6-метил- $\Delta^4,6$ -андростадиенон-3,17, 164, +139° (21, 0,51; хлф.), 287, 4,37.

Ю. Белый

6Л387. Галоидированные стероиды. Laubach Gerald D. Halogenated steroids. [Chas. Pfizer & Co., Inc.]. Пат. США 2820736, 21.01.58.—Обладающие седативным, анестезирующим и анагетич. действием Na-соли полусукцинатов 4-X-прегнанол-21-диона-3,20 (Ia—6; а X = Cl, 6, X = Br), 2-X-алло-прегнанол-21-диона-3,20 (Ib—г; в X = Cl, г X = Br) и 17-X-прегнанол-21-диона-3,20 (Id—e; d X = Cl, e X = Br) получают галоидированием в соответствующих условиях полусукцината прегнанол-21-диона-3,20 (II) или алло-II с последующим действием NaHCO<sub>3</sub> на образовавшееся галоидопроизводное. Обладая такая же свойствами Na-соль полусукцината 21-бромпрегнанол-3 она-20 (Iж) получена галоидированием предварительно защищенного в положении 3 прегнанол-3 она-20 (III), омылением выделенного галоидопроизводного и последующим действием на образовавшийся 21-бром-III

янтарного альдегида и NaHCO<sub>3</sub>. Р-р 0,2 г II в 2 мл лед. CH<sub>3</sub>COOH, нагревают при  $\sim 100^\circ$ , прибавляют 700 мл трет-С<sub>4</sub>H<sub>9</sub>ОCl, оставляют при  $\sim 100^\circ$  на 1 час, охлаждают  $\sim 16$  час., осадок отфильтровывают, перекристаллизовывают из смеси CHCl<sub>3</sub> + CH<sub>3</sub>COOC<sub>2</sub>H<sub>5</sub>, обрабатывают разб. NaHCO<sub>3</sub>, сушат сублимацией и получают Ia. Аналогично из алло-II получают Ib, K 1 ммоль II в 8 мл лед. CH<sub>3</sub>COOH прибавляют за 2 часа р-р 1,1 ммоль Bг в 2,5 мл лед. CH<sub>3</sub>COOH и 1 каплю 48%-ной HBr, добавляют 15 мл воды, охлаждают, осадок отделяют, сушат, перекристаллизовывают из этилацетата и получают 4-бром-II, который действием NaHCO<sub>3</sub> переводят в Ib. Аналогично из алло-II получают Ig. K 0,433 г II в 5 мл горячего CHCl<sub>3</sub> прибавляют 0,32 г N-бромсукцинимида, смесь нагревают до кипения, освещают лампой (5 мин.) охлаждают, осадок отфильтровывают, растворяют в CHCl<sub>3</sub>, р-р промывают 10%-ным р-ром NaHSO<sub>3</sub> водой, упаривают в вакууме, остаток перекристаллизовывают из смеси эфир-гексан, обрабатывают NaHCO<sub>3</sub>, сушат сублимацией и получают Ie. Действием N-хлорсукцинимида на II получают Id. 6,5 г CH<sub>3</sub>ONa и 500 мл n-С<sub>4</sub>H<sub>9</sub>OH нагревают до 60°, прибавляют 3,1 г III, нагревают до 70°, прибавляют 30 мл (COC<sub>2</sub>H<sub>5</sub>)<sub>2</sub>, нагревают до 90°, охлаждают 2 часа до  $\sim 20^\circ$ , осадок отделяют, промывают n-С<sub>4</sub>H<sub>9</sub>OH (2 × 50 мл), сушат в вакууме при 60° и получают Na-производное этилового эфира прегнанолонцавельной к-ты (IV). K 1,06 г невисушенного IV и 5,25 мл CH<sub>3</sub>OH при 20° прибавляют 0,05 г CH<sub>3</sub>ONa и 0,13 г Bг<sub>2</sub>, перемешивают 2 часа при 20°, прибавляют при 20° за 30 мин. 6 мл воды, перемешивают 15 мин., осадок отфильтровывают, промывают водой, сушат, перекристаллизовывают и получают 21-бром-III, который этирфицируют (CH<sub>2</sub>CO)<sub>2</sub>O и выделенный 3-полусукцинат действием воды. NaHCO<sub>3</sub> V превращают в Iж.

Л. Городецкий

6Л388. Получение производных кетостероидов. Warrant Julien, Joly Robert, Mathieu Jean, Velluz Léon. Procédé de préparation de nouveaux dérivés des céstéroïdes. [Les Labs' Français de Chimiothérapie]. Франц. пат. 1175415, 26.03.59.—Обладающие терапевт. действием и являющиеся полупродуктами синтеза фармакологически активных в-в дигидроперекиси стероидов полученные окислением соответствующих кетостероидов H<sub>2</sub>O<sub>2</sub> в среде инертного органич. р-рителя. Окисляются способны любые кетогруппы, кроме находящихся в 11-положении или (если 21-группа ацетилирована) — в 20-положении. Взаимодействуя с к-тами в присутствии третичного основания дигидроперекиси образуют соответствующие эфиры, а со смесью CH<sub>3</sub>COOH и H<sub>2</sub>SO<sub>4</sub> — тетроканы. Воды. CH<sub>3</sub>COOH или р-р NH<sub>3</sub> в CH<sub>3</sub>OH превращают дигидроперекиси в исходные кетостероиды. K 300 мл 4,5%-ного р-ра H<sub>2</sub>O<sub>2</sub> в безвод. эфире прибавляют 20 г ацетата прегнанол-3-диона-11,20 (I), р-р упаривают 60 час., пропуская CO<sub>2</sub> при 15—20°, остаток промывают дистил. водой, сушат в вакууме над K<sub>2</sub>CO<sub>3</sub>, промывают этилацетатом и эфиром, сушат в вакууме при 40° и получают 20 г 20-дигидроперекиси I (II), т. пл. 190°, [ $\alpha_D^{20}$  +56°  $\pm$  2 (с 1; хлф.). В сходных условиях получают: 3-дигидроперекись ацетата прегнанол-21-триона-3,11,20, т. пл. 195—200°, [ $\alpha_D^{20}$  +111,5° (с 1; ацетон), 3-дигидроперекись ацетата дезоксикортикостерона, т. пл. 183—184° и 3-дигидроперекись прогестерона, т. пл. 210°, [ $\alpha_D^{20}$  +123°  $\pm$  2 (с 0,5; тетрагидрофуран). 0,5 г II растворяют в 2 мл CH<sub>3</sub>COOH, содержащей 1% H<sub>2</sub>SO<sub>4</sub> (66° Bé), оставляют на 6 час. при 20°, фильтруют, промывают CH<sub>3</sub>COOH и водой, сушат в вакууме при 60° и получают 20-тетроксан бис(ацетат прегнанол-3 она (II), т. пл. 270—280°, [ $\alpha_D^{20}$  +89° (с 0,5; хлф.). 2 г II растворяют при 0° в 4 мл безвод. пиридина, прибавляют постепенно при 0° 4 мл (CH<sub>3</sub>CO)<sub>2</sub>O, оставляют на 20 час. при 0—5°, выливают в ледяную воду, экстрагируют эфиром, экстракт промывают водой, сушат

$\text{MgSO}_4$ , упаривают в вакууме досуха, остаток промывают эфиром и получают диацетат II, т. пл.  $80-85^\circ$ ,  $[\alpha]_D^{20} + 32^\circ \pm 2$  (с 1; ацетон). С. Окунь

61389. Водорастворимые ионные эфиры прегнанолонов. Figdor Sanford K., Laubach Gerald D. Water-soluble ionic esters of pregnanones. [Chas. Pfizer & Co., Inc.]. Пат. США 2883323, 21.04.59.—Патентуется способ получения соединений обладающих спонторным, седативным, спазмолитич., анагетич. и местноанестезирующим действием и применимым перорально, подкожно, внутривенно, внутримышечно и ректально в виде различных сложных лекарственных форм. 9,1 г дитиодиауксусной к-ты (I) и 18,1 г дибензил-ового эфира I нагревают ~ 16 час. на паровой бане в 50 мл дибутилового эфира, содержащего 2 мл конц. HCl, охлаждают, экстрагируют разб. р-ром NaHCO<sub>3</sub>, экстракты подкисляют, экстрагируют эфиром, экстракт выпаривают, остаток обрабатывают 10 мл SOCl<sub>2</sub>, нагревают 15 мин. на паровой бане, избыток SOCl<sub>2</sub> отгоняют в вакууме, остаток растворяют в 35 мл диоксана, р-р добавляют медленно при перемешивании и охлаждении к 10 г прегнанол-3 $\alpha$ -она-20 (II) в 100 мл пиридина, оставляют на ~ 16 час. при ~ 20° переносят в большой объем ледяной воды, избыток пиридина нейтрализуют HCl (к-той), осадок отделяют, промывают водой и сушат в вакууме. Полученный продукт растворяют в спирте, гидрируют при ~ 20° и 3 ат. в присутствии Pt-катализатора. Катализатор отделяют, фильтрат выпаривают досуха, остаток растворяют в холодном разб. р-ре NaHCO<sub>3</sub>, осаждают подкислением HCl (к-той) и получают полудитиодиацетат II (III). I и III растворяют в эквив. кол-ве р-ра KHC0<sub>3</sub>, фильтруют, сушат сублимируют и получают К-соль III.

6Л1390. Способ получения ненасыщенных 17-кето-стероидов. Wettstein Albert, Vischer Ernst. Verfahren zur Herstellung von ungesättigten 17-Keto-steroiden. [Ciba A.-G.]. Швейц. пат. 331974, 30.09.58.— Для получения 17-кето-стероидов, содержащих двойную связь преимущественно в кольце А, соединения ряда pregnана или аллопрегнана, содержащие в положениях 3, 17 или 20 свободную или защищенную оксиген-или оксогруппу подвергают действию культур *Fusarium solani* (или *F. Paeascticum*), *Ventura chlorospora* (или *V. linicerae*), а также ферментами, полученными из последних. 4 л, культуральной жидкости, содержащей 30 мл кукурузного экстракта, 50 г пептона, 200 мг технич. глюкозы, разливают в 13 колб емкостью в 1 л и стерилизуют (рН 6,4). Затем инокулируют культурой *F. solani* и взбалтывают 48 час. при 25°, вводят в стерильных условиях 1,0 г прогестерона в 45 мл ацетона, взбалтывают еще 48 час. и микеллий отделяют. Р-р экстрагируют  $\text{CH}_2\text{Cl}_2$  (1,5 л;  $2 \times 1$  л и  $2 \times 0,5$  л), экстракты промывают 0,1 н  $\text{HCl}$  ( $2 \times 300$  мл), 1%-ным р-ном  $\text{NaHCO}_3$  ( $2 \times 300$  мл) 3 раза водой, сушат  $\text{Na}_2\text{SO}_4$  и упаривают в вакууме. Частично закристаллизовавшийся остаток (1,4 г) хроматографируют на 30 г  $\text{Al}_2\text{O}_3$ , вымывая смесью  $\text{C}_6\text{H}_6$ -петр. эфир (6:4). Из элюата продукт выделяют кристаллизацией из ацетон-петр. эфира и получают  $\Delta^1,4$ -андростадиедн-3,17 (I), выход 80%, т. пл.  $145-146^\circ$ ,  $[\alpha]_D^{25} + 110^\circ \pm 4^\circ$  (хлф.),  $+ 112^\circ \pm 4^\circ$  (сп.). Аналогично I получают из  $\Delta^8$ -pregnenol-3 $\beta$ -опа-20.

6Л1391. Получение  $\Delta^4$ -прегненол-17 $\alpha$ -дионо-3,20. Chemerda John M., Chamberlin Earl M., Tristram Edward W. Preparation of 4-pregnen-17 $\alpha$ -ol-3,20-dione. [Merck & Co., Inc.]. Пат. США 2833796, 6.05.58.— $\Delta^4$ -Прегненол-17 $\alpha$ -дионо-3,20 (I), т. пл. 213—218°, получают бромированием  $\beta$ -ацетокси-5 $\alpha$ -хлор-бис-норхолонала в  $\text{CHCl}_3$  в присутствии  $\text{CaCO}_3$ . Полученный  $\beta$ -ацетокси-5 $\alpha$ -хлор-20-бром-бис-норхолонал, т. пл. 175—179°,  $[\alpha]_D^{25} + 13,4^\circ$ , обрабатывают НВБ в диметилформамиде и получают  $\beta$ -ацетокси-5 $\alpha$ -хлор- $\Delta^{17(20)}$ -бис-

норхоменаль, т. пл. 194—195°, который эпосилируют надфталевой к-той в формат 3β-ацетата 5α-хлор-17,20-эпосипрегнадиа-3β,20, т. пл. 139—142°,  $[\alpha]_D^{25} - 5,2^\circ$ , гидролизом которого спирт. КОН получают Δ<sup>5</sup>-прегнанол-3,17-он-20, т. пл. 205—210°. Последним действием конц. HCl превращают в 5α-хлорпрегнадиа-3β,17,20-он-20 (II), т. пл. 205—210°,  $[\alpha]_D^{25} + 1^\circ$ . Окислением II CrO<sub>3</sub> в пиридине получают I.

В. Исаев

61392.  $\Delta^4$ -Прегненириол-11 $\beta$ ,17 $\alpha$ ,21-дион-3,20 и его эфиры. MurRAY Herbert C., Peterson Durey H. 11 $\alpha$ ,17 $\alpha$ ,21-trihydroxy- $\Delta^4$ -pregnene-3,20-dione and esters thereof. [The Upjohn Co.]. Пат. США 2861088, 18.11.58.— Срезу, состава (в г): 20 усояемого лактальбумина, 3 кукурузного экстракта, 50 технич. глюкозы в 1 л воды доводят до pH 4,3—4,5. 4 л стерилизованной смеси шокулируют *Rhizopus nigricans* № 6227b, выдерживают 24 часа при 28°, аэрации и перемешивании, добавляют 2 г 17 $\alpha$ - $\Delta^4$ -прегненириол-17 $\alpha$ ,21-диона-3,20 в 50 мл ацетона, выдерживают 96 час.: в тех же условиях, мицелий отделяют, промывают ацетоном и экстрагируют  $\text{CH}_2\text{Cl}_2$ , экстракты добавляют к ферментационной жидкости, смесь экстрагируют  $\text{CH}_2\text{Cl}_2$ , экстракты промывают 2%-ным р-ром  $\text{NaHCO}_3$  и водой, высушивают  $\text{Na}_2\text{SO}_4$ , р-ритель отгоняют, остаток (4,988 г) растирают 4 раза с 6 мл охладк.  $\text{CH}_2\text{Cl}_2$ , перекристаллизовывают из смеси 3 мл  $\text{CH}_3\text{OH}$  и 10 мл эфира и получают 132 мг  $\Delta^4$ -прегненириол-11 $\alpha$ ,17 $\alpha$ ,21-диона-3,20 (I), т. пл. 209—212°,  $[\alpha]_D^{25} +113^\circ$ . 500 мг I растворяют в 4 мл пиридина, добавляют по каплям 155 мл  $(\text{CH}_3\text{CO})_2\text{O}$ , оставляют на 24 часа при  $\sim 20^\circ$ , разбавляют 70 мл ледяной воды, экстрагируют  $\text{CH}_2\text{Cl}_2$  (2  $\times$  50 мл и 2  $\times$  25 мл), экстракты промывают 5%-ным р-ром  $\text{NaHCO}_3$  (2  $\times$  25 мл), 25 мл 10%-ного  $\text{NaHCO}_3$  и водой, высушивают  $\text{Na}_2\text{SO}_4$ , р-ритель отгоняют, остаток растворяют в 125 мл  $\text{C}_2\text{H}_5\text{Cl}_2$  и хроматографируют на колонке с 8 г флоризила, вымывая смесями различных кол-в  $\text{C}_2\text{H}_5\text{Cl}_2$  (приведен состав смесей) из элюата выделяют 162 мг 21-ацетата и 35 мг 11 $\alpha$ ,21-дианетата I. т. пл. 198—202°,  $[\alpha]_D^{25} +115^\circ$  (в хлф.). 162 мг ацетата I растворяют в 10 мл лед.  $\text{CH}_3\text{COOH}$ , добавляют р-р 30 мг  $\text{CrO}_3$  в 0,5 мл воды и 2 мл  $\text{CH}_3\text{COOH}$ , оставляют при 6 час. при  $\sim 20^\circ$ , разбавляют 20 мл  $\text{CH}_3\text{OH}$ , выпаривают в вакууме, остаток суспендируют в 25 мл 10%-ного р-ра  $\text{NaHCO}_3$  и, экстрагируют смесью 4 ч. эфира и 1 ч  $\text{CHCl}_3$  (4  $\times$  25 мл), экстракт промывают водой, высушивают  $\text{Na}_2\text{SO}_4$ , перекристаллизовывают из ацетона и получают 138,5 г ацетата кортизона, температура плавления 243—245°  $[\alpha]_D^{25} +169^\circ$  (с 0,3657; хлф.).

6Л393. Способ получения 3-кето- $\Delta^{1,4,6}$ -стероидов. Moreland Walter T., Agnella Eugene E. Process for producing 3-keto- $\Delta^{1,4,6}$  steroids. [Chas. Pfizer & Co., Inc.]. Пат. США 2883379, 21.04.59.—3-кето- $\Delta^{1,4,6}$ -стероиды, обладающие противовоспалительной активностью и применяющиеся в синтезе физиологически активных стероидов, получают р-цией соответствующих стероидов с хиноном, при 110—155° в среде первичного или вторичного спирта, содержащего  $\leq 9$  атомов С. Смесь 50 г 21-ацетата  $\Delta^4$ -прегнентриола-11 $\beta$ , 17 $\alpha$ , 21-диона-3,20, 75 г хлоранила и 250 г  $\text{CaSO}_3 \cdot 1/2\text{H}_2\text{O}$  при 1750 мл  $\text{iso-C}_3\text{H}_7\text{OH}$  кипятят 75 мин. при перемешивании, охлаждают до  $\sim 20^\circ$ , перемешивают 30 мин. фильтруют, концентрируют в вакууме, остаток охлаждают, экстрагируют 1250 мл  $\text{CH}_2\text{Cl}_2$ , фильтруют, осадок экстрагируют  $\text{CH}_2\text{Cl}_2$ , экстракты объединяют, промывают 5%-ным КОН, затем разб.  $\text{CH}_3\text{COOH}$  и водной фильтруют, концентрируют до объема 745 мл, обрабатывают пиридином и  $(\text{CH}_3\text{CO})_2\text{O}$ , оставляют в течение  $\sim 16$  час., промывают  $\text{HCl}$  (к-той) и водой и концентрируют до объема 125 мл. К остатку добавляют 500 мл  $\text{C}_6\text{H}_6$ , нагревают до 78—80°, фильтруют, высущивают в вакууме и получают 30,8 г (62%) 21-ацетата  $\Delta^{1,4,6}$ -прегнентриола-11 $\beta$ , 17 $\alpha$ , 21-диона-3,20, т. пл. 207—210,2°.



61394. 18,20-Эпоксид- $\Delta^4$ -прегнениол-20,21-он-3 и его простые и сложные эфиры. Parro Raphael. 18,20-epoxy-20,21-dihydroxy-4-pregnen-3-ones, ethers and esters thereof. [G. D. Searle & Co.]. Пат. США 2911404, 3.11.59.—Патентуются 18,20-эпоксид- $\Delta^4$ -прегнениол-20,21-он-3 (I), 20,21-диацетат-I (II), 21-ацетат-I (III), 18,20-эпоксид-20-метоксид- $\Delta^4$ -прегнениол-21-он-3 (IV), 18,20-эпоксид-20-метоксид-21-ацетоксид- $\Delta^4$ -прегнениол-3 (V) и другие аналогичные простые и сложные эфиры I, обладающие способностью регулировать минер. обмен в организме. Р-р 18,20-эпоксид- $\Delta^4$ -прегнениола-3 (VI) (полученного из 2 г 18,20-эпоксид-21-диметиламилло- $\Delta^4$ -прегнениола-3 (VII)) в 50 г пиридина (VIII) обрабатывают при 0° р-ром 1,57 г  $\text{OsO}_4$  в 5 г VIII, размешивают 5 час. при ~20°, прибавляют смесь 7 г  $\text{NaHSO}_3$ , 50 мл воды и 5 г VIII, размешивают 30 мин., извлекают  $\text{C}_6\text{H}_6$ , вытяжку промывают последовательно водой, холодной HCl (к-той), водой, р-ром NaOH и водой, высушивают и хроматографируют на адсорбенте, состоящем из 15%  $\text{MgO}$  и 85%  $\text{SiO}_2$ ; получают эфир I с т. пл. 175—180° (разл., из ацетона и спирта, содержащего небольшое кол-во VIII); в-во очень чувствительно к к-там, в присутствии которых оно быстро превращается в димерное соединение, лишенное гидроксильных групп. К р-ру VI (из 2 г VII) в 50 г диоксана прибавляют последовательно 0,8 г VIII и 1,7 г  $\text{OsO}_4$  в 10 г диоксана, оставляют на 12 час. при ~20°, размешивают 24 часа с р-ром 4 г  $\text{Na}_2\text{SO}_3$  в 30 мл воды, фильтруют, осадок промывают диоксаном, к объединенному фильтрату прибавляют 450 г  $\text{C}_6\text{H}_6$ , охлаждают до 5°, промывают последовательно холодной 0,1 н. HCl, водой, р-ром NaOH и водой, высушивают, упаривают и остаток растирают с ацетоном; получают эфир I с т. пл. 191—195° (разл.); при 2-кратной кристаллизации последнего из спирта, содержащего следы VIII, т-ра плавления понижается соответственно до 186—190° и 181—185°. При упаривании ацетонового маточного р-ра под  $\text{N}_2$  и растирании остатка с эфиром получают в-во с т. пл. 175—176° (разл.), которое после кристаллизации из бутанола со следами VIII плавится при 168—170°. К суспензии 66 г I (с т. пл. 186—190°) в 300 г VIII прибавляют 6 г  $(\text{CH}_3\text{CO})_2\text{O}$ , размешивают 10 час., прибавляют 6 мл воды, размешивают 10 мин., разбавляют смесью  $\text{C}_6\text{H}_6$  и эфира (1:1), промывают последовательно водой, 0,1 н. HCl, водой, р-ром  $\text{KHSO}_3$  и водой, высушивают и упаривают в вакууме; получают III, т. пл. 155—158° (из эф.-баз. 10:1). Аналогично из I с т. пл. 175—176° получают III, т. пл. 158—159°. Смесь I (с т. пл. 186—190°), 100 г VIII и 2 г пропионового ангидрида оставляют на 10 час. при ~20°, прибавляют 2 мл воды, размешивают 10 мин. и обрабатывают, как указано выше; получают маслообразную смесь эпимеров 18,20-эпоксид-21-пропионилэксид- $\Delta^4$ -прегнениол-20-он-3 (IX). К р-ру 562 г VI в 3,5 г  $\text{C}_6\text{H}_6$  прибавляют 1633 г  $(\text{CH}_3\text{COO})_2\text{Pb}$  в 4,5 г  $\text{C}_6\text{H}_6$ , размешивают 1 час. при ~20°, разбавляют водой, размешивают 10 мин., фильтруют, осадок промывают  $\text{C}_6\text{H}_6$ , объединенный фильтрат разбавляют эфиром, промывают последовательно разб.  $\text{H}_2\text{SO}_4$ , водой, 5%-ным р-ром  $\text{KHSO}_3$  и водой, высушивают и упаривают под  $\text{N}_2$ ; получают смолообразную смесь эпимеров II. К суспензии 16 г  $(\text{C}_2\text{H}_5\text{COO})_2\text{Pb}$  в 6 г  $\text{CHCl}_3$  прибавляют при 0° р-р 500 г VI в 6 г свободного от к-т  $\text{CHCl}_3$ , размешивают 15 мин. при 20° и обрабатывают, как в предыдущем случае; получают маслообразную смесь эпимеров 18,20-эпоксид-20,21-дипропионилэксид- $\Delta^4$ -прегнениол-3. Смесь 130 г I, 8 г  $\text{CH}_3\text{OH}$  и 15 г 4- $\text{CH}_3\text{C}_6\text{H}_4\text{SO}_3\text{H}$  (X) размешивают 10 час. при ~20°, оставляют на 10 час. при ~20°, фильтруют, р-р подщелачивают  $\text{K}_2\text{CO}_3$  и извлекают эфиром; при упаривании высушенной вытяжки под  $\text{N}_2$  получают смесь эпимеров IV. К последней прибавляют 1 г  $(\text{CH}_3\text{CO})_2\text{O}$  и 5 г VIII, оставляют на 10 час. при ~20°, обрабатывают 5%-ным р-ром  $\text{KHSO}_3$ , размешивают 5 мин. и извлекают  $\text{C}_6\text{H}_6$ ; получают V, т. пл. 144—149°

(из эф.). К р-ру 80 г неочищ. смеси эпимеров III в 2,4 г  $\text{CH}_3\text{OH}$  прибавляют 1 г моногидрата X, оставляют на 15 час. при ~20°, разбавляют  $\text{C}_6\text{H}_6$ , промывают 5%-ным р-ром  $\text{KHSO}_3$  и водой, высушивают и упаривают под  $\text{N}_2$ ; получают V, т. пл. 149—154° (из эф.). Смесь 10 г I, 1 г бутанола и 1 г моногидрата X оставляют на 15 час. при ~20°, фильтруют, р-р подщелачивают  $\text{Na}_2\text{CO}_3$ , извлекают эфиром и высушенную вытяжку упаривают в вакууме; получают смесь эпимеров 18,20-эпоксид-20-бутоксид- $\Delta^4$ -прегнениол-21-он-3. К последней прибавляют 100 г VIII и 1 г ангидрида масляной к-ты, оставляют на 10 час. при ~20°, обрабатывают 5%-ным р-ром  $\text{K}_2\text{CO}_3$  и извлекают  $\text{C}_6\text{H}_6$ ; получают 18,20-эпоксид-20-бутоксид-21-бутирилоксид- $\Delta^4$ -прегнениол-3 (XI). Даны ИК-спектры для I, II, III, V, IX и XI. А. Т.

61395. Прегнениолы. Dodson Raymond M., Soliman Paul B. Pregnenethiols. [G. D. Searle & Co.]. Пат. США 2912443, 10.11.59.—Патентуются  $\Delta^4$ -прегнениол-16-дион-3,20 (I),  $\Delta^4$ -прегнениол-3 $\beta$ -тиол-16-он-20 (II) и их O- и S-ацилпроизводные, получаемые при р-ции  $\text{H}_2\text{S}$  или  $\text{HCOSH}$  с соответствующими  $\Delta^4$ -соединениями прегнанового ряда. Смесь 10 г  $\Delta^4$ -прегнениол-3 $\beta$ -она-20 (III), 70 г пиридина и 20 г  $(\text{C}_2\text{H}_5\text{CO})_2\text{O}$  (IV) оставляют на 24 часа при 25°, разрушают водой избыток IV, разбавляют водой до полного осаждения, фильтруют, осадок промывают водой и кристаллизуют из водн. спирта; получают бутират III (V). К р-ру 6 г ацетата III (VI) в 150 г пиридина, содержащего 4 г  $\text{H}_2\text{S}$ , прибавляют 0,5 г пиридина, оставляют на 20 час. при 25°, прибавляют 0,5 л лед. воды, извлекают в несколько приемов 350 мл эфира, вытяжку промывают водой, упаривают и хроматографируют на силикагеле; получают 3-ацетат II (VII), т. пл. 148—150° и 157—160° (с промежуточным затвердеванием; из петр. эф. и  $\text{CH}_3\text{OH}$ ). Аналогично из V получают 3-бутират II. Смесь 5,5 г VII, 55 г  $\text{CH}_3\text{OH}$ , 10 мл воды и 3,8 г NaOH оставляют на 1 час при 25°, фильтруют, р-р разбавляют водой и подкисляют  $\text{CH}_3\text{COOH}$ ; получают II, т. пл. 178—179° (из водн. сп., смеси петр. эфира с эфиром или водн.  $\text{CH}_3\text{OH}$ ). Смесь р-ра 2,5 г  $(\text{iso-C}_2\text{H}_7)_3\text{Al}$  в 9 г толуола, 3,5 г II, 220 г толуола и 15 г циклогексана кипятят 20 мин., охлаждают, прибавляют 175 г  $\text{C}_6\text{H}_6$ , 140 г эфира и р-р 40 г Na, К-тартрата в 400 мл воды, органич. слой промывают водой, высушивают и упаривают в вакууме; получают I, т. пл. 177—178° (из эф.-петр. эф.). После упаривания маточного р-ра от кристаллизации и хроматографирования остатка на силикагеле получают дополнительное кол-во I. Р-р 12 г VI в 11 г  $\text{CH}_3\text{COSH}$  (VIII) облучают 2 часа УФ-светом, упаривают в вакууме и остаток растворяют с эфиром; получают 8,7 г смеси стереоизомеров 3,16-ди-ацетата II (IX). При кристаллизации последней из смеси этилацетата и петротейного эфира и повторной кристаллизации из  $\text{CH}_3\text{OH}$  получают стереоизомер (IXa) с т. пл. 168—169°,  $[\alpha]_D^{20} = -32^\circ$  (хлф.). При упаривании маточного р-ра от кристаллизации и хроматографирования остатка на силикагеле получают 3 $\beta$ ,16-ди-ацетат II (IXb), т. пл. 186—187° (из  $\text{CH}_3\text{OH}$ ),  $[\alpha]_D^{20} = -53,5^\circ$  (хлф.), и третий стереоизомер, обладающий наиболее высоким левым удельным вращением. Аналогичная смесь стереоизомеров образуется также при облучении р-ра I в 4 г VIII левым светом в течение 4—5 мин. Р-р 1 г VII в 15 г пиридина и 15 г  $(\text{CH}_3\text{CO})_2\text{O}$  оставляют на 24 часа при 25° и выливают в воду; получают IXb. К р-ру 1 г безводн.  $\text{CH}_3\text{COONa}$  в 10,5 г  $\text{CH}_3\text{COOH}$  прибавляют 1 г IXa, кипятят 4 часа, охлаждают и разбавляют 50 мл воды; получают IXb. Смесь 2,6 г I, 50 г пиридина и 50 г  $(\text{C}_2\text{H}_5\text{CO})_2\text{O}$  оставляют на 24 часа при 25° и обрабатывают, как указано при получении V; получают 16-пропионат I, т. пл. 134—135° (из петр. эф. этилацетата). Аналогично из I и  $(\text{CH}_3\text{CO})_2\text{O}$  получают 16-ацетат I. А. Травин

61396. 6 $\alpha$ -алкил- $\Delta^4$ ,16-прегненидиолы-3,20. Löken Bjarte, Flores Hector. 6 $\alpha$ -alkyl-4,16-pregna-

6Л397. Описание стероидов при помощи микобактерий. Shull Gilbert M., Kita Donald A. Oxidation of steroids by mycobacteria. [Chas. Pfizer & Co., Inc.]. Пат. США 2905592, 22.09.59.—Патентуется получение  $\Delta^1,4$ -прегнадиентрол-11 $\beta$ ,17 $\alpha$ ,21-диона-3,20 (I),  $\Delta^1,4$ -прегнадиендиол-17 $\alpha$ ,21-триона-3,11,20 (II),  $\Delta^1,4$ -прегнадиендиол-17 $\alpha$ ,21-диона-3,20 (III),  $\Delta^1,4$ -прегнадиентрол-11 $\beta$ ,14 $\alpha$ ,17 $\alpha$ ,21-диона-3,20 (IV),  $\Delta^1,4$ -прегнадиентрол-14 $\alpha$ ,17 $\alpha$ ,21-триона-3,11,20 (V) и других  $\Delta^1,4$ -кето-

6Л398.  $\Delta^4, 17(20)$ -pregнaтpиeны. Korman Jеrme, Hogg John A. 1,47,17(20)-pregnatrienes. [The Uprjohn Co.]. Пат. США 283271, 10.02.59. — Патентуют соединения общей ф-лы (I), R — H или ацил карбоной к-ты с 1—12 атомами C, предпочтительно с 1—8 атомами C, а также 3-пирролидинилами I, 3-ателглицолькатами I и 3-эфир енольной формы I, являющиеся промежуточными продуктами синтеза  $\Delta^4$ -дрокортизона (II) и его 21-эфиров (III) и других кортикостероидов. В частности патентуются  $\Delta^4, 17(20)$ -pregнaтpиeны-2-11-он-3, 21-ацетат  $\Delta^4, 17(20)$ -pregнaтpиeны-2-11-он-3, 21-ацетат  $\Delta^4, 17(20)$ -pregнaтpиeны-2-11-он-3.

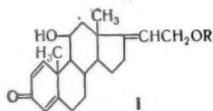
ендиол-1  
прегнатор  
прегнатор  
3-кетогр  
3-этилен  
восстана  
лизом 3-  
чают I  
шим ко  
а) К р-1

этиленг-  
тат 5,5  
водн. р-  
ного, по  
флоризи  
стаюции  
лучают  
 $\Delta^1,4,17(20)$   
1,5  $\pm$  V  
 $\text{LiAlH}_4$   
дают д  
 $\text{LiAlH}_4$   
отделя  
ток пер  
нич.  
 $\Delta^1,4,17(20)$   
VI в 40  
конц. R  
чивают  
прибав  
р-рите  
получа  
лучают  
 $\Delta^1,3,5,17($   
ключен  
ляют  
 $\text{LiAlH}_4$   
раствор  
прибав  
вают 1  
при  $t <$   
ше 45°  
+ 170  
отфиль  
(R = H  
(хлф.),  
дина с  
вают 1  
пириди  
получа  
началь  
еще 2.4  
207°. г)  
бутано  
VII и  
ние 30  
ную с  
~20°,  
в ваку  
гоняют  
0,3  $\pm$   
30 мин  
вакуум  
 $\Delta^1,4$ -пре  
прегна

30 Зак

средств  
ищущих  $\Delta^4$   
M. phlei  
ного водн  
альной сре  
аспарагин  
культуры  
бации 0,5  
единицу  
извлекают  
аривают до  
ерез колон  
порэтана в  
ракции на  
а, остаток  
лем, филь  
охлаждают  
ном кол-ва  
на, разбав  
охлаждают  
2° (в сд.)  
а стерильн  
%  $\text{K}_2\text{HPO}_4$   
%  $\text{FeSO}_4$   
иной веге  
сле 3-днев  
14а, 17а, 21  
екают 2 л  
ривают до  
и силикате  
3,5° (в дж  
исходное  
14а-окси-  
3,20 (VII)  
та), +71,9°  
8 (из сд.),  
спарагина)  
балтывают  
той такая  
сле этого  
ерментир  
фируют на  
таба полу-  
125D + 15°  
солдовое)  
NaNO<sub>3</sub>, 1 г  
5 г  $\text{FeSO}_4$   
matis, вво-  
0,25 г VIII,  
роматогра-  
ного мас-  
14а, 17а, 21  
лф.). Омк-  
кортизола,  
ерона,  $\Delta^4$ -  
а-оксипро-  
гестероид-  
эпокси-  
стеронди  
меняются  
M. butyri-  
lacticola  
A. Травя  
и Jete-  
enes. [The  
тентуются  
и карбокс  
ительно с  
и I. 3-эпи-  
рмы I, и  
теза  $\Delta^4$ -  
ругих кор-  
4,17(20)-  
прегна-  
прегна-

ендиол-11 $\beta$ , 21-он-3 и 3-алкилгликолькеталь  $\Delta^{1,4,17(20)}$ -прегна-триендиол-11 $\beta$ , 21-он-3. Метилловый эфир  $\Delta^{1,4,17(20)}$ -прегна-триендиол-3, 11-овой-21 к-ты (IV) для защиты 3-кетогруппы превращают в 3-пирролидинламин-, 3-этиленгликолькеталь-, 3-эфир енольной формы IV, восстанавливают  $\text{LiAlH}_4$  ( $\text{LiBH}_4$ ), регенерируют гидролизом 3-кетогруппу, ацилируют 21-оксигруппу и получают I (R — ацил), который р-цией с  $\text{H}_2\text{O}_2$  и небольшим кол-вом  $\text{OsO}_4$  превращают в III. Примеры: а) K p-ру 1,5 г IV в 150 мл  $\text{C}_6\text{H}_6$  прибавляют 7,5 мл



этиленгликоля и 0,15 г *n*-толуолсульфокислоты, кипятят 5,5 часа, охлаждают, промывают 100 мл 1%-ного водн. р-ра  $\text{NaHCO}_3$ , водн. слой отделяют от бензольного, последний хроматографируют на колонке с 150 г флоризила (силикат Mg), вымывают  $\text{CH}_2\text{Cl}_2$  с возрастающими кол-вами ацетона, р-ритель отгоняют и получают метилловый эфир 3-этиленгликолькеталь  $\Delta^{1,4,17(20)}$ -прегна-триендиол-3, 11-овой-21 к-ты (V). Р-р 1,5 г V в 70 мл  $\text{C}_6\text{H}_6$  постепенно прибавляют к 1,5 г  $\text{LiAlH}_4$  50 мл сухого эфира, кипятят 30 мин., охлаждают до  $\sim 20^\circ$ , прибавляют для разложения избытка  $\text{LiAlH}_4$  50 мл  $\text{H}_2\text{O}$ , затем 200 мл метилхлорида, отделяют органич. слой, р-рители отгоняют, остаток перекристаллизовывают из смеси этилацетат-технич. гексан и получают 3-этиленгликолькеталь  $\Delta^{1,4,17(20)}$ -прегна-триендиол-11 $\beta$ , 21-он-3 (VI). Р-р 0,572 г VI в 40 мл водн. ацетона (всего 50 мл) и 8 капель конц.  $\text{H}_2\text{SO}_4$  оставляют при  $\sim 20^\circ$  на 24 часа, подщелачивают ласщ. водн. р-ром  $\text{NaHCO}_3$ , ацетон отгоняют, прибавляют  $\text{CH}_2\text{Cl}_2$  и воду, органич. слой отделяют, р-ритель отгоняют, остаток высущивают в вакууме и получают I (R = H). б) Аналогично примеру (а) получают I (R = H) из метилового эфира 3-пирролидин- $\Delta^{1,4,5,17(20)}$ -прегна-тетраенон-11-овой-21 к-ты за тем исключением, что после восстановления его  $\text{LiAlH}_4$  добавляют 3 мл этилацетата (для разложения избытка  $\text{LiAlH}_4$ ), а затем 5 мл  $\text{H}_2\text{O}$ , р-рители отгоняют, остаток растворяют при  $55^\circ$  в 327 мл  $\text{CH}_3\text{OH}$ , охлаждают до  $37^\circ$ , прибавляют 116,5 мл водн. 5%-ного р-ра  $\text{NaOH}$ , нагревают 10 мин. при  $40^\circ$ , нейтрализуют 3,5 мл  $\text{CH}_3\text{COOH}$  при  $t < 37^\circ$ , р-рители отгоняют в вакууме (т-ра не выше  $45^\circ$ ), 140 мл остатка смешивают с 370 мл  $\text{H}_2\text{O}$  + 170 мл конц.  $\text{H}_2\text{SO}_4$ , перемешивают 20 мин., осадок отфильтровывают, промывают водой и получают I (R = H), т. пл.  $149-153^\circ$  (из  $\text{CH}_2\text{Cl}_2$ ),  $[\alpha]_D^{25} + 147^\circ$  (хлф.),  $\epsilon_{243}$  14,700. в) Р-р 6,6 г I (R = H) в 15 мл пиридина смешивают при  $0^\circ$  с 15 мл  $(\text{CH}_3\text{CO})_2\text{O}$ , перемешивают 18 час. при  $\sim 20^\circ$ , осадок промывают смесью пиридин- $(\text{CH}_3\text{CO})_2\text{O}$  (50:50), водой, высущивают и получают 4,92 г I (R =  $\text{CH}_3\text{CO}$ ), т. пл.  $219-223^\circ$ . Первоначальный фильтрат разбавляют водой и получают еще 2,12 г менее чистого I (R =  $\text{CH}_3\text{CO}$ ) с т. пл.  $186-207^\circ$ . г) K суспензии 0,124 г I (R =  $\text{CH}_3\text{CO}$ ) в 2 мл трет-бутанола (VII) добавляют 0,26 мл 2,6 н. р-ра  $\text{H}_2\text{O}_2$  в VII и 0,3 мл р-ра 1 г  $\text{OsO}_4$  в 100 мл VII, затем в течение 30 час. добавляют еще 0,5 мл р-ра  $\text{OsO}_4$ , реакционную смесь перемешивают дополнительно 84 часа при  $\sim 20^\circ$ , добавляют  $\text{H}_2\text{O}$  и  $\text{CH}_2\text{Cl}_2$ , летучие в-ва отгоняют в вакууме, остаток экстрагируют  $\text{CH}_2\text{Cl}_2$ , р-ритель отгоняют, остаток растворяют в 5 мл  $\text{CH}_3\text{OH}$  + 1 мл р-ра 0,3 г  $\text{Na}_2\text{SO}_3$  в 5 мл  $\text{H}_2\text{O}$ , нагревают на паровой бане 30 мин., экстрагируют  $\text{CH}_2\text{Cl}_2$ , р-ритель упаривают в вакууме и в остатке получают II, а также 21-ацетат  $\Delta^{1,4}$ -прегна-триендиол-11 $\beta$ , 17 $\alpha$ , 21-диона-3,20 (VIII),  $\Delta^{1,4}$ -прегна-диентетраол-11 $\beta$ , 17 $\alpha$ , 20, 21-он-3; выход II увели-

чивается, если в первоначальную реакц. массу добавить 2—7 молярных эквивалента пиридина. д) Аналогично примеру (г), но разлагая реакционную смесь водн. р-ром  $\text{Na}_2\text{SO}_3$  при  $\sim 20^\circ$  в течение 30 мин. получают VIII. е) K p-ру 1,11 г I (R =  $\text{CH}_3\text{CO}$ ) в 50 мл VII, 1,5 мл пиридина прибавляют 5,02 мл р-ра 7,5 ммоль перекиси N-метилморфолина (приготовленного р-цией 7,5 ммоль N-метилморфолина и 15 ммоль безвод.  $\text{H}_2\text{O}_2$ ) в VII, затем 18,4 мг  $\text{OsO}_4$  в 10 мл VII, оставляют на 90 мин. при  $25^\circ$ , прибавляют в течение 25 мин. при  $20^\circ$  23 мл 0,5%-ного водн. р-ра  $\text{Na}_2\text{SO}_3$ , концентрируют до  $\sim 40$  мл, перемешивают 30 мин., добавляют в течение 15 мин. 35 мл воды, перемешивают 45 мин., выпавшие кристаллы отсасывают, промывают смесью VIII-вода (1:3) и получают 670 мг VIII, т. пл.  $240-242^\circ$ . Из фильтрата выделяют еще VIII с т. пл.  $243-247^\circ$  (после 2 кристаллизаций из ацетона)  $[\alpha]_D^{25} + 144^\circ$  (диоксан),  $\epsilon_{244}$  15,180. Гидрированием VIII над Pd на  $\text{ZnCO}_3$  в  $\text{CH}_3\text{OH}$  получен 21-ацетат прегна-триол-11 $\beta$ , 17 $\alpha$ , 21-дион-3,20, бромированием которого бромом в лед.  $\text{CH}_3\text{COOH}$  и  $\text{C}_6\text{H}_5\text{N}$  получен 21-ацетат 4-бром-прегна-триол-11 $\beta$ , 17 $\alpha$ , 21-диона-3,20, дегидробромированием которого в пиридине, коллидине или семикарбазида и последующим разложением семикарбазола получен 21-ацетат- $\Delta^4$ -прегна-триол-11 $\beta$ , 17 $\alpha$ , 21-диона-3,20.

Л. Васильев  
6Л399. Получение фтороксистероидов. Muller Georges, Bardoneschi Roland. Procédé de préparation de fluorohydroxy-stéroïdes. [Les Labs Français de Chimiothérapie]. Франц. пат., 1224139, 22.06.60. — 9 $\alpha$ -фтор-11 $\beta$ -оксид и 6 $\beta$ -фтор-5 $\alpha$ -оксистероиды получают обработкой 9 $\beta$ , 11 $\beta$ -эпокси- и 5 $\alpha$ , 6 $\alpha$ -эпокси-стероидов безвод. HF в р-ре диметилформамида при т-ре от  $-10$  до  $40^\circ$ . Смесь 1,5 мл диметилформамида и 1,5 мл HF охлаждают до  $0^\circ$ , вводят при перемешивании 350 мг 9 $\beta$ , 11 $\beta$ -эпокси-5 $\alpha$ -андростандиола-3 $\beta$ , 17 $\alpha$  выдерживают 3 часа при  $0^\circ$ , выливают в р-р  $\text{NaHCO}_3$ , осадок отделяют, промывают, сушат и получают 260 мг 9 $\alpha$ -фтор-5 $\alpha$ -андростандиола-3 $\beta$ , 11 $\beta$ , 17 $\beta$ , т. пл.  $244^\circ$  (из этилацетат-эфир, 1:1)  $[\alpha]_D^{20} + 14^\circ$  (с 0,5; диоксан). Аналогично получают (приведены в-во, т. пл. в  $^\circ\text{C}$  и  $[\alpha]_D^{20}$  в скобках указана конц-ия и р-ритель): 9 $\alpha$ -фтор-16 $\alpha$ -метил- $\Delta^{1,4}$ -прегна-диендиол-11 $\beta$ , 17 $\alpha$ -дион-3,20 (I), 285, —; 21-ацетоксид-I, 170, —; 21-оксид-I, 300,  $+90^\circ$  (0,5; диоксан); 3 $\beta$ , 17 $\beta$ -диацетат 9 $\alpha$ -фтор-5 $\alpha$ -андростандиола-3 $\beta$ , 11 $\beta$ , 17 $\beta$ , 200,  $-11^\circ$  (—, хлф.); 3,20-бис-этиленкеталь 6 $\beta$ -фторпрегна-диол-5 $\alpha$ , 17 $\alpha$ -триона-3, 11, 20, 242—244,  $-10^\circ$  (хлф.). Ю. Белый

6Л400. Получение 17-ацилатов эстрадиола. Procédé de préparation d'oestradiol estérifié en position 17. [Les Labs Albert Rolland]. Франц. пат. 1215503, 19.04.60. — 17 $\beta$ -циклопентанпропионат эстрадиола-3, 17 (I, II диол), обладающий значительно более ценными терапевт. свойствами, чем другие ацилаты II получают блокированием ОН-группы в положении 3 действием напр., безойной к-ты, с последующим ацилированием продукта  $\beta$ -циклопентанпропионовой к-той (III) и омылением ацильной группы в положении 3 обработкой КОН в  $\text{CH}_3\text{OH}$ . 3,75 г 3-бензоата II растворяют на холоду при перемешивании в атмосфере  $\text{N}_2$  в 40 мл сухого пиридина, охлаждают льдом, приливают по каплям 2,0 г хлорагидрида II (т-ра  $\leq 5^\circ$ ); оставляют на  $\sim 16$  час. при  $\sim 20^\circ$  и перемешивании и затем прибавляют 10 мл  $\text{CH}_3\text{OH}$ . Полученный р-р медленно выливают при перемешивании в 800 мл воды со льдом, содержащей 80 г  $\text{H}_2\text{SO}_4$ , оставляют на 1 час, осадок отделяют, промывают водой до нейтр. р-ции, высущивают и получают I, т. пл.  $145-146^\circ$ ; I растворяют в 200 мл  $\text{CH}_3\text{OH}$ , прибавляют по каплям при  $20^\circ$  10 мл 1 н. КОН в  $\text{CH}_3\text{OH}$ , перемешивают 1 час и прибавляют еще 90 мл р-ра  $\text{NaOH}$ . После полного растворения пролукта прибавляют 300 мл воды, фильтруют, прибавляют по каплям разб.  $\text{HCl}$  или  $\text{H}_2\text{SO}_4$  до нейтр. р-ции, кристаллы отделяют, промывают р-ром  $\text{NaHCO}_3$ , затем



водой до нейтр. р-ции, сушат в вакууме над  $P_2O_5$ , перекристаллизовывают из  $CH_3OH$  при  $80^\circ$  и получают I, т. пл.  $151-152^\circ$ .

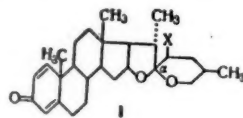
А. Гинзбург  
6Л401. Окисленные в положении 11 производные спиро-( $\Delta^4$ -андростенон-3- и  $\Delta^{1,4}$ -андростадие-3)-17,4'-(2',5'-диоксо-м-диоксана). Bergstrom Clarence G. 11-oxygenated spiro[3-oxoandrost-(4-ene and 1,4-diene)-17,4'-(2',5'-dioxo-m-dioxanes)]. [G. D. Searle & Co.]. Пат. США 2889321, 2.06.59.—Из р-ра 35 ч. 17 $\beta$ -этоксикарбо-пилоксинацетил- $\Delta^4$ -андростенон-17 $\alpha$ -диола-3,11 в 5000 ч.  $C_6H_6$  отгоняют 1000 ч.  $C_6H_6$ , прибавляют 5 ч. *n*-толуол-сульфокислоты, кипятят 48 час., промывают 1000 ч. 4%-ного р-ра  $NaHCO_3$  и трижды водой, сушат, р-ритель отгоняют, остаток в смеси  $C_6H_6$ -этилацетат хроматографируют на силикагеле и получают спиро-[( $\Delta^4$ -андростенон-3,11)-17,4'-(2',5'-диоксо-м-диоксан)] (I), [II спиро-17,4'-(2',5'-диоксо-м-диоксан)], т. пл.  $236,5-239^\circ$  (из этилацетата). 8 ч. I кипятят в 960 ч. трет- $C_4H_9OH$  в атмосфере  $N_2$ , прибавляют 18 ч.  $CH_3COOH$  и 3 ч.  $H_2SeO_4$ , кипятят 24 часа, фильтруют через диатомит, фильтрат концентрируют в вакууме, остаток растворяют в 5400 ч. горячего этилацетата, охлаждают, промывают 5%-ным р-ром  $NaHCO_3$  и водой, сушат, р-ритель отгоняют в вакууме, остаток очищают хроматографией на силикагеле и получают ( $\Delta^4$ -андростадие-нон-3,11)-II, т. пл.  $269-274^\circ$ . Аналогично получают ( $\Delta^4$ -андростенон-11 $\beta$ -он-3) II, т. пл.  $240,5-243^\circ$ .

Л. Городецкий  
6Л402. 3,20-бис-кетали кортизона. Clayton Temple, Oliveto Eugene P., Gould David H. 3,20-bis-ketals of cortisone. [Schering Corp.]. Пат. США 2927108, 1.03.60.—Для избирательного восстановления насыщ. и ненасыщ. 21-окси-11-кетостероидов прегненового ряда, содержащих дополнительные СО-группы в положении 3 и/или 20 и в положении 17 Н или ОН-группу, СО-группы в положениях 3 и 20 защищают алифатич. или циклоалифатич. гликолами в кислой, нейтр. или щел. среде, с последующим расщеплением циклокеталей. Применение указанного метода к кортизону и др. поликетокортикостероидам ведет к получению весьма ценных стероидов, обладающих гормональной активностью. Суспензию 4 г кортизона в 60 мл  $C_2H_5Cl$  обрабатывают 6 мл этиленгликоля и 0,1 г  $CH_3SO_3H$ , кипятят 36 час., нейтрализуют пиридином, промывают водой, выпаривают, остаток растворяют в ацетоне, сушат сублимацией и получают 3,20-бис-этиленкеталь (БЭК)  $\Delta^4$ -прегнендиол-17 $\alpha$ ,21-триона-3,11,20, т. пл.  $230-235^\circ$ . Полученный продукт суспендируют в метанольном р-ре щелочи, обрабатывают 2 г  $NaNH_4$ , перемешивают 1 час, кипятят 18 час., концентрируют в вакууме, остаток обрабатывают ацетоном и водой и получают БЭК  $\Delta^4$ -прегнен-триол-11 $\beta$ ,17 $\alpha$ ,21-диола-3,20, который обрабатывают 5 объемами 50%-ной  $CH_3COOH$  и кипятят 30 мин. Смесь разбавляют водой и получают  $\Delta^4$ -прегнен-триол-11 $\beta$ ,17 $\alpha$ ,21-диол-3,20 (I), т. пл.  $215-218^\circ$  (из этилацетата). К I в 10 объемах ч. пиридина прибавляют 2 объема ч.  $(CH_3CO)_2O$ , оставляют на  $\sim 16$  час. при  $5^\circ$ , осаждают водой и получают 21-ацетат I, т. пл.  $218-221^\circ$  (из этилацетата).

Ю. Белый  
6Л403. Водорастворимые  $C_{21}$  эфиры кортикостероидных гормонов с N-метилнипекотиновой кислотой. Schlesinger Albert, Gordon Samuel M. Water soluble 21-N-methylnipecotic acid esters of cortical hormones. [Endo Labs, Inc.]. Пат. США, 2917508, 15.12.59.—Патентуемые  $C_{21}$  эфиры кортизона, гидрокортизона, преднизолона и преднизона с N-метилнипеко-тиновой к-той и их соли с к-тамп, в частности хлоргидраты, получают р-цией хлорангидрида N-метилнипеко-тиновой к-ты (I) с кортизоном (II), гидрокортизоном (III), преднизолоном (IV) и преднизоном (V) непосредственно в р-рителе или без него или предпочтительно р-цией хлоргидрата I с II, III, IV, V в присутствии трет-амин (третиламин, диметиламин, пиридин). Водн. р-ры патентуемых эфиров устойчивы

к нагреванию и хранению в течение длительного времени. Водн. р-ры солей эфиров (0,5% р-р имеет pH 4) могут применяться в качестве лекарственных средств (парентерально), а также в офтальмологии. Пример. К охлажденному до  $-10^\circ$  р-ру 2,5 г III в 40 мл безводн. пиридина прибавляют при перемешивании 5 г хлоргидрата I. Реакционную массу оставляют на 2-3 дня в холодильнике, разбавляют 300 мл дистил. воды и прибавляют 28%-ный  $NH_4OH$  до pH 9-10. После охлаждения в течение нескольких часов выпадает 21-(N-метилнипеко-тинат)-III, который отфильтровывают, промывают водой и сушат в вакууме экс-каторе, т. пл.  $145^\circ$ . 2,4 г полученного эфира растворяют в 10 мл спирта, прибавляют до кислой р-ции по конго спирт. р-р  $HCl$  (к-ты) и до образования мути эфир. Р-р охлаждают (в ледяной бане) и после начала кристаллизации приливают еще эфира. Получают хлоргидрат 21-(N-метилнипеко-тината) III, т. пл.  $228^\circ$ . Помещенный в ампулы 0,5%-ный водн. р-р полученной соли эфира устойчив при 8-месячном хранении при  $45^\circ$ . Аналогично получают: 21-(N-метилнипеко-тинат)-II, т. пл.  $186^\circ$ , хлоргидрат, т. пл.  $223^\circ$ ; 21-(N-метилнипеко-тинат)-V, т. пл.  $158^\circ$ , хлоргидрат, т. пл.  $217^\circ$ ; 21-(N-метилнипеко-тинат)-IV, т. пл.  $185^\circ$ , хлоргидрат, т. пл.  $235^\circ$ .

Л. Клейменова  
6Л404. Дегидротигеноновые промежуточные продукты. Johns William F. Dehydrotigogenone intermediates. [G. D. Searle & Co.]. Пат. США 2875201, 24.02.59.—Патентуются соединения общей ф-лы (I) ( $X = H$  или  $Br$ ), являющиеся исходными в-ми для синтеза фармацевтически ценных стероидных препаратов с ароматизированным кольцом А. В частности, патентуются 22 $\alpha$ - $\Delta^1,4$ -спиростадие-3 (II) и 23-бром-22 $\alpha$ - $\Delta^1,4$ -спиростадие-3 (III). Примеры. К 10 ч. 5 $\alpha$ -22 $\alpha$ -спиростанона-3 в 70 ч. безводн.  $C_6H_6$  прибавляют 9 ч. изопропилацетата и следы конц.  $H_2SO_4$ . Реакционную



массу отгонкой за 4 часа упаривают примерно до  $1/2$  первоначального объема. Продукт р-ции извлекают:  $CHCl_3$  и экстракт промывают р-ром  $NaHCO_3$ , р-ритель отгоняют и остаток обрабатывают горячей смесью 80 ч.  $C_6H_6$  с 80 ч.  $CH_3OH$ , при охлаждении р-ра выпадает 3-ацетокси-5 $\alpha$ ,22 $\alpha$ - $\Delta^2$ -спиростен, т. пл.  $234-244^\circ$ . К 6 ч. последнего в 192 ч.  $CCl_4$  и 180 ч.  $CHCl_3$  при  $0^\circ$  и энергичном перемешивании прибавляют 3 ч. порошкообразного  $K_2CO_3$  и затем р-р 2 ч.  $Br_2$  в 15 ч. лед.  $CH_3COOH$ . Смесь продолжают перемешивать при  $20^\circ$  до исчезновения окраски  $Br_2$ , после чего через 15 мин. выливают в р-р  $Na_2S_2O_3$ , продукт р-ции экстрагируют эфиром. После удаления в вакууме р-рителя получают в полукристаллич. виде 2-бром-5 $\alpha$ ,22 $\alpha$ -спиростанон-3, который растворяют в  $CHCl_3$ , выделяют добавлением бутанона, отфильтровывают, промывают ацетоном, т. пл.  $\sim 254^\circ$  (разл., из хлф.-этилацетата). Р-р 5 ч. полученного продукта в 30 ч. теплого  $HCON(CH_3)_2$  прибавляют к 33 ч. нагретого до кипения 2,4,6-триметилпиридина. Смесь кипятят с обратным холодильником 4 часа, охлаждают и выливают в избыток, охлажденным 40%-ной  $HCl$  (к-ты). Продукт р-ции извлекают смесью  $C_6H_6$  с эфиром, экстракт промывают холодной 20%-ной  $HCl$  (к-той), р-ритель отгоняют, получают 5 $\alpha$ ,22 $\alpha$ - $\Delta^2$ -спиростанон-3, т. пл.  $201-204^\circ$  (из ацетона). Смесь 5 ч. последнего с 192 ч. 2-метилбутанона-2, 4 ч. лед.  $CH_3COOH$  и 2 ч.  $SeO_2$  кипятят 65 час. в атмосфере  $N_2$  (выделяется тяжелый осадок Se). Полученный продукт извлекают этилацетатом, экстракт промывают р-ром  $NaHCO_3$ , водой, охлажд. водн.  $(NH_4)_2S$ ,  $NH_4OH$ .

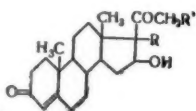
ного вре-  
ет рН 4)  
х средств  
и мер.  
10 мл без-  
ани 5 г  
ляют на  
л дистал-  
рН 9—40.  
сов выпаш-  
ани 5 г  
отфильт-  
уум экста-  
створяют  
по конто  
ути эфир-  
чала хлор-  
ают хлор-  
228°. По-  
лученной  
и при 45°  
тинат)-П,  
алинико-  
21-(N-ме-  
г. п. 235°.  
ейменова  
продукты.  
medicines.  
2.59.—Па-  
и или Br,  
а фарма-  
аромати-  
тентуется  
1,4-спиро-  
2-а-спиро-  
9 ч. изо-  
кционну

мерно до-  
злеают  
р-ритель  
с смесь  
ра выпаш-  
234—244°.  
при 0° и  
порошко-  
5 ч. лед.  
при 20°  
з 15 мин.  
рагируют  
получают  
останон-3.  
авление  
ацетоном.  
5 ч. по-  
H<sub>2</sub>)<sub>2</sub> при-  
риметал-  
ильником  
охлажд-  
злеают  
холодной  
получают  
ацетона)  
ла-2, 4 ч  
тмосфере  
ный про-  
омывают  
NH<sub>4</sub>OH.

водой, разб. HCl (к-той) и снова водой. После отгонки в вакууме р-рителя оставшееся темное масло хроматографируют на силикагелевой колонке, применяя для выделения в-ва C<sub>6</sub>H<sub>6</sub> и этилацетат. Удаляют остатки обработкой р-ра углем, получают II, т. пл. 204—205° из смеси ацетона с n-пентаном, а затем из эфира). Из смеси 23-бром-5α,22α-спиро-останон-3 в 5000 ч. лед. CH<sub>3</sub>COOH при 20° и перемешивании медленно прибавляют 10 ч. р-ра Br<sub>2</sub> в 600 ч. лед. CH<sub>3</sub>COOH. После прибавления 15% Br<sub>2</sub> р-р становится мутным, а после прибавления всего необходимого кол-ва Br<sub>2</sub> в р-р вносят 15 ч. лед. CH<sub>3</sub>COOH, содержащей 2 ч. HBr, после чего прибавляют 360 ч. CHCl<sub>3</sub>. Смесь перемешивают 30 мин., выливают в воду, экстрагируют CHCl<sub>3</sub>, хлороформенный слой промывают последовательно водой, Na<sub>2</sub>S<sub>2</sub>O<sub>3</sub>, NaHCO<sub>3</sub>, р-ритель отгоняют, остаток хроматографируют на силикагеле, для извлечения в-ва применяют C<sub>6</sub>H<sub>6</sub>, получают 2,4,23-трибром-5α,22α-спиро-останон-3, т. пл. ~210° (разл., из ацетона). 1 ч. полученного в-ва кипятят 40 мин. с 35 ч. 2,4,6-триметилпиридина, р-р выливают в охлажд. льдом 20%-ную HCl (к-ту), продукт р-ции извлекают эфиром. После отгонки эфира маслянистый остаток хроматографируют на силикагеле, применяя C<sub>6</sub>H<sub>6</sub> и этилацетат для извлечения полученного III, т. пл. 201° (разл.; из эфира-гексана).

И. Клейменова

6.1405. Стероиды, окисленные в положении 16. Fried Josef, Perlman David, Langlykke Asger F., Titus Elwood O. 16 oxygenated steroid compounds. [Olin Mathieson Chemical Corp.]. Пат. США 2855410, 7.10.58.—Получение микробиологич. путем частично известных, частично новых терапевтически активных стероидов или исходных продуктов синтеза таковых, предпочтительно стероидов общей ф-лы I (R = H или α-OH; R' — ацилосилил-радикал карбоновой к-ты с < 12 атомов C, OH или Cl). Окисление в положении 16 осуществляют ферментацией актиномицетами и плесеньями или выделяемыми ими ферментами, в частности, *Streptomyces roseochromogenus*



(S. r.), *Streptomyces viridis* (S. v.), *Streptomyces olivaceus* (S. o.), *Streptomyces* вид ATCC 11099, называемый также *Streptomyces argenteolus* (S. a.), *Pestalotia funerea* (P. f.), *Aspergillus niger* (A. n.), *Aspergillus nidulans* (A. nid.). В частности, патентуются 16α-окси-11-дезоксикортикостерон (II), 4,5-дигидро-II (III) (а также их 21-моноэфиры и диэфиры с карбоновыми к-тами с < 12 атомами C), Δ<sup>4</sup>-андростенон-16α-дион-3,17 (IV), 16α-окситестостерон (V), 6β,16α-диоксипрогестерон (VI), Δ<sup>16</sup>-аллопрегнантион-3,6,20 (VII), 11α,16α-дигидропрогестерон (VIII), диметилловый эфир Δ<sup>4</sup>-3-кетотестостеронной к-ты (IX). Примеры а) В 700 проб по 100 мл каждая среды из 2,2 мл соевого масла, 0,25 г прогестерона (X), 2,6 г глицина, 2,2 г кислого глутамата Na, 0,025 г FeSO<sub>4</sub> · 7H<sub>2</sub>O, 0,03 г ZnSO<sub>4</sub> · 7H<sub>2</sub>O, 0,012 г CaSO<sub>4</sub> · 5H<sub>2</sub>O, 0,005 г Co(NO<sub>3</sub>)<sub>2</sub> · 6H<sub>2</sub>O, 0,016 г MnSO<sub>4</sub> · 4H<sub>2</sub>O, 0,05 г CaCl<sub>2</sub> · 2H<sub>2</sub>O, 0,5 г MgSO<sub>4</sub> · 7H<sub>2</sub>O, 0,5 г KH<sub>2</sub>PO<sub>4</sub> · 3H<sub>2</sub>O и 1 л воды вносят 2% вегетативной культуры S. a., выращенной 48—75 час. в среде соевой муки и глюкозы, ферментируют 3 дня при 25°, сливают вместе, центрифугируют и экстрагируют 13 × 4 г CHCl<sub>3</sub>. Экстракты выпаривают досуха, остаток (~31 г) перемешивают с 400 мл 80%-ного CH<sub>3</sub>OH, суспензию промывают 7 × 400 мл гексана, фазу водн. CH<sub>3</sub>OH выпаривают, остаток (8,7 г) растворяют в 50 мл CHCl<sub>3</sub> и 800 мл смеси равных объемов силиката Mg и целита.

Вымывают смесью равных объемов CHCl<sub>3</sub> и C<sub>6</sub>H<sub>6</sub>. Сначала вымывается остаточный X, затем вымывают небольшую фракцию кристаллич. в-ва, из которой выпариванием и повторной кристаллизацией из ацетона получают прегнаол-16α-дион-3,20, т. пл. 199—200° [α]<sup>25</sup><sub>D</sub> +90,5° (с 0,8; CHCl<sub>3</sub>), λ(макс.) 284 мμ (ε = 65), далее вымывают главный продукт р-ции, 16α-оксипрогестерон (XI), т. пл. 225—226° (из ацетона), [α]<sup>25</sup><sub>D</sub> +158° (с 0,38; CHCl<sub>3</sub>), λ(макс.) 239 мμ (ε = 17 000) (в сп.), синее окрашивание с J<sub>2</sub> + KJ. Дальнейшее вымывание чистым CHCl<sub>3</sub> дает добавочное кол-во XI. Затем вымывают смесью 3 ч. CHCl<sub>3</sub> и 1 ч. ацетона и получают диокси-X с одной из OH-групп в положении 16, т. пл. 215,5—216,5° (из ацетона), [α]<sup>25</sup><sub>D</sub> -39° (CHCl<sub>3</sub>), λ(макс.) 243 мμ (ε = 14400) (в сп.). Из XI получают моноацетат XI, т. пл. 134—135° (из ацетона-гексана), [α]<sup>25</sup><sub>D</sub> +107° и бензоат XI. Аналогично, но с некоторыми изменениями питательной среды, т-ры, продолжительности ферментации, выделения продукта окисления и применением разных культур получают (последовательно указаны вид культуры, исходный продукт, т. пл. в °C и другие константы; все определения [α] проведены в CHCl<sub>3</sub>): S. a. ацетат 17α-окси-11-дезоксикортикостерона (XII), окси-производное XII, 209—211, [α]<sup>25</sup><sub>D</sub> -58° (с 0,53); S. a. дезоксикортикостерон (XIII), ацетат, II, 202—203°, [α]<sup>25</sup><sub>D</sub> +130° (с 0,4), выход 4%; S. a. ацетат XIII, III, ацетат 130—132 (из эф.-XI), [α]<sup>25</sup><sub>D</sub> +55° (с 0,36); S. a. прегненол (XIV), смесь прогестерона (XV) и 16α-окси-XV (XVI) (установлено хроматографией на бумаге); S. a. Δ<sup>4</sup>-андростендион-3,17 (XVII) IV; S. a., XIV, XV; S. a., (ферменты), XIV, XV; S. r., XV, XVI, 223—225° (из сп.), [α]<sup>25</sup><sub>D</sub> +152° (с 0,5); S. v., XV, XVI, 224—226° (из сп.), [α]<sup>25</sup><sub>D</sub> +152° (с 0,5); S. o., XV, XVI, 225—227 (из ацетона), [α]<sup>25</sup><sub>D</sub> +158° (с 0,645); S. r., XIII, II, 201—203 (из ацетона), [α]<sup>25</sup><sub>D</sub> +129° (с 0,39), λ(макс.) 239 мμ (ε = 187 000), 290 мμ (ε = 148) (в сп.); S. v., XIII, II, S. o., XIII, II, выход 20%; P. f., XIV, XVI, 224—225 (из ацетона), [α]<sup>25</sup><sub>D</sub> +126° (с 0,4); S. r., XVII, IV, 185—187 (из ацетона-эф.), [α]<sup>25</sup><sub>D</sub> 194° (с 0,42), λ(макс.) 239 мμ (ε = 1700), 300 мμ (ε = 145); S. o., XVII, IV, выход < 1%; S. v., XVII, IV, выход 28%; P. f., тестостерон, V, 183—184 (из ацетона-гексана), [α]<sup>25</sup><sub>D</sub> +76° (с 0,59) и диокситестостерон, 279—286 (из сп.); A. nid., XI, аллопрегнантион-3,6,20; A. n., XI, прегнантион-3,11,20; A. nid., XVI, VI, 230—232 (из ацетона), [α]<sup>25</sup><sub>D</sub> +75° (с 1), λ(макс.) 235 мμ (ε = 10800); A. n., XVI, VII, 213—215 (из ацетона), [α]<sup>25</sup><sub>D</sub> +128° (с 1,03), λ(макс.) 240 мμ (ε = 14000) (в сп.). В других примерах описано получение химич. путем производных некоторых из перечисленных выше стероидов (указаны исходный продукт, полученный продукт, т. пл. в °C и другие константы; определения всех [α] проведены в CHCl<sub>3</sub>): II, диацетат II, 151—153 (из ацетона-гексана), [α]<sup>25</sup><sub>D</sub> +105° (с 0,46); II, 21-монобензоат II, 210—212, (из ацетона-эф.), [α] +129° (с 0,325); II, 21-моноацетат, II, 206—208,5° (из ацетона-гексана), [α] +112° (с 0,31), λ(макс.) 239 мμ (ε = 18200) (в сп.); VI, VII, 204—211, (из ацетона-гексана), [α]<sup>25</sup><sub>D</sub> +33° (с 0,65), λ(макс.) 237 мμ (ε = 9500); VII, аллопрегнантион-3,6,20, 223—228 (из ацетона); VIII, 11α-окси-16-дигидропрогестерон (XVIII), 169—174 (из ацетона-гексана), [α]<sup>25</sup><sub>D</sub> +138° (с 0,56), λ(макс.) 239 мμ (ε = 21900) (в сп.); XVIII, Δ<sup>16</sup>-прегнадиентрион-3,11,20 (XIX), 179—183 (из ацетона-гексана), [α]<sup>25</sup><sub>D</sub> +246° (с 0,85), λ(макс.) 239 мμ (ε = 21800) (в сп.); XIX, прегнантион-3,11,20; IV, IX, 97—99 (из гексана). [α] +27° (с 0,34), λ(макс.) 239 мμ (ε = 17850), 345 мμ (ε = 92) (в сп.); диметилловый эфир Δ<sup>4</sup>-3β-кетотестостеронной к-ты, IX, 100—101 (из гексана), [α]<sup>25</sup><sub>D</sub> +26° (с 0,78), λ(макс.) 238 мμ (ε = 16500). Н. Эвергетова

6.1406. Способ получения *cis*-тестостерона. Allais André, Hoffmann Charles. Procédé pour la préparation de la *cis*-testostérone. [Les Labs Français de





содержание  $\text{H}_2\text{O}$  до 0°, подкисляют до pH 2,2 и обрабатывают 100 мл эфира. Объединенный эфирный р-р промывают 75 мл холодного разб. р-ра NaOH, причем pH среды доводят до 7,0 прибавлением 0,1 н. NaOH. Полученный продукт выделяют вымораживанием, очищают растворением в нескольких мл абс. ацетона, из которого продукт при стоянии выпадает в виде кристаллов. Выделившиеся кристаллы отделяют центрифугированием, промывают абс. ацетоном. Для дальнейшей очистки в-во растворяют в небольшом кол-ве ацетона, фильтруют и прибавлением к р-ру абс. ацетона выделяют кристаллич. продукт. Последний состоит из 2,7% I-X, 4,5% I-G, 58,5% IV, 17,1% I-дигидро-Ф и 17,2% I-K. В наибольшем кол-ве образуется I-V. Если в питательную среду добавляют  $\text{N,N}'$ -бис-(алкилоксинацетил)-цистин, или  $\text{N,N}'$ -бис-(бутоксинацетил)-цистин, то аналогично приведенному примеру соответственно получают алкилокси-I или буюкси-I. Для получения II 20 г  $\beta$ -меркаптоэтиламина в 300 мл воды окисляют прибавлением 30%-ной  $\text{H}_2\text{O}_2$  (до отрицательной р-ции с нитропруссидом Na на свободную группу -SH). Охлажденный льдом р-р подщелачивают NaOH до pH 9,0, прибавляют при перемешивании по каплям 53,3 г феноксинацетилхлорида (поддерживая pH цилл 33,3 в р-ре периодич. прибавлением NaOH при прежнем значении), после чего перемешивают еще 20 мин. Выбравший осадок отфильтровывают, промывают многократно водой, растворяют в 400 мл спирта и оставляют 0,5 л. Деленное кристаллизуются. Выход II 40 г (72,8%), кристаллич. пл. 110,5—112,5°. Для получения I можно не выделять II в чистом виде. Различные ацетильные производные цистина получают, напр., следующим путем: *illium* 1044 г цистина растворяют в 200 мл 1 н. NaOH и охлаждают льдом и небольшими порциями прибавляют 10 г  $\text{N,N}'$ -бис-(фенацетил)хлорида прибавлением щелочи под перемешиванием. После прибавления хлорангидрида р-р перемешивают еще 20 мин., подкисляют до pH 2,0 разб. уксусной; выделившаяся смолообразная масса вскоре на льду I-V кристаллизуются. Полученный  $\text{N,N}'$ -бис-(фенацетил)-цистин растворяют в большом объеме ацетона, нагревают до кипения и фильтруют. Р-р разбавляют 1 л ацетона, охлаждают, снова фильтруют, р-рительный фильтровальный в вакууме при 50°. Выход 74,2%, т. пл. 120—121° (из ацетона). Приведены примеры получения смеси на 1 л производных I при применении других вышеуказанных, охлажденного типа веществ.

6.1410. Способ повышения выхода и устойчивости эритромицина, полученного ферментативным методом. Smolek Karel, Hodiňák František, Ulář František. Způsob zvyšování a stabilizace protony streptomycinu při fermentační výrobě. Чехосл. пат. 93124, 15.12.59.—В питательную среду при получении стрептомицина (I) добавляют 5-этил-5-(1-метил-2-пропиль)-лиобарбитуровую к-ту (II) в кол-ве 0,0001—0,0005 об. %. Стерильную питательную среду, содержащую (в %): 4 глюкозы, 3 соевой муки, 0,8  $\text{CaCO}_3$ , 0,4  $(\text{NH}_4)_2\text{SO}_4$ , 0,5 NaCl, 0,026  $\text{KH}_2\text{PO}_4$ , 0,4 50%-ного кукурузного экстракта, 0,00033 II, инокулируют *Streptomyces griseus*, культивируют 120—130 час. при 27° в обычных условиях и получают антибиотик активностью 5500 ед/мл.

6.1411. Способ выделения из растворов антибиотиков тетрациклинового ряда с применением нонитов. Kasszán Béla, Mikes János, Gyimesi József, Senkariuk Vladimir, Vadkerti Tibor. Eljárás tetraciklin típusú antibiotikumoknak oldatából ioncserélő gyantával való elkülönítésére. [Gyógyszeripari Kutató Intézet]. Венг. пат. 146217, 15.02.60.—3 л ферментационной жидкости, подкисленной  $(\text{COOH})_2$  до pH 2, содержащей 2560 ед/мл окситетрациклина (I), пропускают последовательно через 3 колонки, содержащие по 50 мл катионита микрон PSM (сополимер стирола и дивинилбензола) в H-форме; колонки промывают ди-

стил. водой и  $\text{CH}_3\text{OH}$ , вымывают 1,5 н. HCl в  $\text{CH}_3\text{OH}$ . Содержание I в элюате 10 000—12 000 ед/мл. К элюату прибавляют р-р NaOH в  $\text{CH}_3\text{OH}$  до pH ~3, фильтрат концентрируют в вакууме при 25—30°, выделившийся хлоргидрат отделяют, промывают 1,5 н. HCl в  $\text{CH}_3\text{OH}$ , растворяют в воде, прибавляют 2 н. NaOH и получают 4,8 г (65%) дигидрата I. С. Розенфельд

6.1412. Способ выделения веществ, обладающих гипотензивным действием, из растворов тетрациклиновых антибиотиков. Musil Jiří. Způsob odstraňování létek s hypotenzivním účinkem z roztoků tetracyklino-vých antibiotik. Чехосл. пат. 93127, 15.12.59.—Для очистки р-ров тетрациклиновых антибиотиков к ним добавляют адсорбенты, напр. фосфаты Al, Ca или Ba, ферроцианид Cu или  $\text{Ag}_2\text{SO}_4$ . После перемешивания суспензию фильтруют. К 100 мл р-ра хлортетрациклина в бутилацетате прибавляют 10 г  $\text{Al}_2\text{PO}_4$ , перемешивают 15 мин., добавляют 10 г активной кремневой к-ты и снова перемешивают. Препарат содержит 20 г гипотензивных в-в. З. Смелый

6.1413. Очистка хлортетрациклина. Winterbottom Robert, Mendelsohn Harold, Muller Siegfried Arthur, McCormick Jerry Robert Daniel. Purification of chlortetracycline. [American Cyanamid Co.]. Пат. США 2899422, 11.08.59.—К р-ру 3,5 г неочищ. хлортетрациклина (I) (800 г/мл) в 1,5 л воды прибавляют 1,7 г Na-соли 2,4-дихлорфенол-6-сульфокислоты (II), подкисляют 25%-ной  $\text{H}_2\text{SO}_4$  до pH 2, извлекают 375 мл метилизобутилкетона (III), к водн. слою прибавляют 1 г II, вторично извлекают III (3 × 150 мл), экстракты упаривают в вакууме при 40° до 31 мл, прибавляют 0,6 мл конц. HCl, осадок отделяют, промывают 5 мл 2-этоксизэтанола и получают 2,15 г хлоргидрата I (сод. 994 г/мл). Вместо II были применены также Na-соли 2,4-динитрофенол-7-сульфокислоты и других к-т с молекулярным весом 200—600, содержащих  $\text{RSO}_3\text{H}$  или  $\text{ROSO}_3\text{OH}$ -группы (R — инертный гидрофобный органич. радикал). С. Окунь

6.1414. Способ получения солей. Walasek Otto F. Process of preparing salts. [Abbott Labs.]. Пат. США 2881163, 7.04.59.—Патентуется способ получения солей эритромицина (I) активных против многих грамположительных и отрицательных бактерий, риккетсий и вирусов. 1353 л неосветленного водн. р-ра ацетата I, активностью 39000 ед/мл (pH 7,3) обрабатывают адсорбентами (5733 г Hyflo и 2047 г Nuchar C-190-N), вымывают 15 мин., фильтруют, прибавляют 545 л ацетона, 10%-ный NaOH (до pH 8,2) и 307 г NaCl, подщелачивают 10%-ным NaOH до pH 10,6, нагревают до 45° при перемешивании, органич. слой отделяют, добавляют 18 кг стеариновой к-ты, фильтруют при 45°, прибавляют равным объемом теплой (45°) воды, охлаждают в течение 16 час. до 18°, фильтруют, осадок промывают 50%-ным ацетоном, высушивают в вакууме при 45° и получают стеарат I, выход 72,5%, активность 610 ед/мл. Л. Стекольников

6.1415. Получение и выделение антибиотика пирромицина. Brockmann Hans, Lenk Werner. Herstellung und Gewinnung des Antibiotikums Pyromycin. [Farbenfabriken Bayer A.-G.]. Пат. ФРГ 1065134, 3.03.60.—Пирромицин (I) получают с применением культуры *Streptomyces DOA 1205* на обычных питательных средах, с последующей экстракцией I из культуральной жидкости или мицелия бутанолом. I подавляет рост *Staph. aureus* в разбавлении 1:500 000 и по своим характеристикам отличается от всех других известных антибиотиков. 700 л питательной среды, состава (в %): 2,0 глицерина, 0,25 глюкозы, 0,10 NaCl, 0,10  $\text{K}_2\text{HPO}_4$ , 0,01  $\text{FeSO}_4 \cdot 7\text{H}_2\text{O}$ , 0,01  $\text{MgSO}_4 \cdot 7\text{H}_2\text{O}$ , 0,01  $\text{CaCO}_3$  и 2,0 агара стерилизуют при 120° (2 × 20 мин.), инокулируют культурой *S. DOA 1205* и перемешивают 96—120 час. при 30° (pH 7,7). Мицелий отделяют, культуральную жидкость упаривают в вакууме до 500 л, экстрагируют 200 л  $\text{C}_4\text{H}_9\text{OH}$ , экстракт

упаривают в вакууме досуха, остаток растворяют в 1 л  $\text{CHCl}_3$ , р-р промывают 1 л воды и  $\text{CHCl}_3$  отгоняют на водяной бане (70–75°). Отфильтрованный мицеллий экстрагируют ацетоном (несколько раз по 4 л, последний раз с добавлением 0,5%  $\text{HCl}$ ), экстракты нейтрализуют  $\text{NH}_4\text{OH}$ , ацетон отгоняют, остаток (120 г) экстрагируют 2,5 л бутанола, р-ритель отгоняют, остаток перемешивают с водой, водн. р-р упаривают в вакууме при 45°, остаток растворяют в  $\text{CH}_3\text{OH}$ , добавляют равный объем ацетона, фильтруют и упаривают. Остаток кипятят с ацетоном, охлаждают и получают хлоргидрат I, т. пл. 162–165°. 300 мг хлоргидрата I смешивают с 10 мл  $(\text{CH}_3\text{CO})_2\text{O}$ , 1 мл пиридина и небольшим кол-вом *n*-толуолсульфохлорида, оставляют на 3 часа при ~20°, разбавляют водой, экстрагируют  $\text{CHCl}_3$ , р-ритель отгоняют, остаток растворяют в ацетоне и хроматографируют на подкисленном ( $\text{HCl}$ ) силикагеле, вымывая ацетоном и получают хлоргидрат тетраацетата I,  $[\alpha]_D^{25} +52^\circ$  (хлф.).

А. Гинзбург

**6Л1416. Получение олигомицина.** McCoy Elizabeth F., Peterson William H. Oligomycin and process of preparing the same. [Wisconsin Alumni Research Foundation]. Пат. США 2927057, 1.03.60.—К ферментационной среде, содержащей (в %): 0,4  $(\text{NH}_4)_2\text{HPO}_4$ , 0,2  $\text{KH}_2\text{PO}_4$ , 1 мелассы, 0,1  $\text{MgSO}_4 \cdot 7\text{H}_2\text{O}$ , 1 свиного сала, добавляют  $\text{NaOH}$  до pH 7, инокулируют 4% культуры *Streptomyces diastatochromogenes*, выдерживают 24 часа при 29°, перемешивании и аэрации, добавляют 0,5%  $\text{CaCO}_3$ , 1% свиного сала и 6% поверхностноактивного в-ва катионного типа и выдерживают еще 72 часа в тех же условиях. Мицеллий отделяют, экстрагируют равным по объему кол-вом ацетона, затем водн. ацетоном, экстракты упаривают, остаток обрабатывают этилацетатом, р-ритель отгоняют, прибавляют технич. гексан, осадок отделяют, растворяют в спирте, обрабатывают активированным углем, нагревают до 40° и олигомицин осаждают добавлением воды. В. Иванова

**6Л1417. Получение оротовой кислоты.** Severa Zdeněk, Zajíček Jiří, Doskočil Jiří, Herold Miloš, Škoda Jan, Sebestová L., Šorm František. Způsob přípravy kyseliny orotové. Чехосл. пат. 92561, 15.11.59.—Оротовую (4-урацилкарбоновую) к-ту (I), применяемую для лечения заболеваний печени, получают ферментативным путем из азаурацила действием *Escherichia coli* с последующим хроматографич. выделением продукта. Для получения меченой I в питательную среду вводят  $(\text{NH}_4)_2\text{SO}_4$  с  $\text{N}^{15}$  и глюкозу с  $\text{C}^{14}$ , 200 л питательной среды, содержащей (в %): 0,26  $(\text{NH}_4)_2\text{SO}_4$ , 2,9  $\text{Na}_2\text{HPO}_4$ , 0,27  $\text{KH}_2\text{PO}_4$ , 0,06  $\text{NaCl}$ , 0,001  $\text{KCl}$ , 0,025  $\text{MgSO}_4$  и 0,0015  $\text{FeSO}_4$ , стерилизуют 20 мин. при 120°, охлаждают, фильтруют, повторно стерилизуют (20 мин. 120°), добавляют 0,36% глюкозы в виде 30%-ного стерильного р-ра (pH 7,3). После охлаждения до 37° инокулируют 2 л культуры *E. coli*, выращенной на среде того же состава (15 час.), перемешивают 4 часа при аэрации, добавляют горячий стерильный 5%-ный водн. р-р 22,5 г 6-азаурацила и выдерживают еще 10 час. в тех же условиях. Смесь центрифугируют, пропускают через колонку с 3300 г активированного угля со скоростью 1000 мл/мин, колонку промывают водой и вымывают 2%-ным  $\text{NH}_4\text{OH}$  в 50%-ном  $\text{CH}_3\text{OH}$ . Элюат концентрируют в вакууме при 30–45° до 0,1 объема, охлаждают до 0° и получают 48 г кристаллич. I. З. Смелый

**6Л1418. Получение хамазулена из растений семейства сложноцветных.** Šorm František, Herout Vlastimil. Způsob výroby chamazulenu z rostlin čeledi složnokvětých (Compositae). Чехосл. пат. 87744, 15.10.58.—Хамазулен (I) получают дегидрированием экстракта лекарственного сырья, содержащего гваянолыды. 695 г высушенного растения *Herba absinthii* экстрагируют на холоду 96%-ным спиртом, экстракт упаривают в вакууме при 100°/0,15 мм и получают 71,1 г сухого остатка. а) 1,05 г сухого остатка нагревают

10 мин. при 270–300° с 200 мг тонкоизмельченного продукт перегоняют и получают концентрат, содержащий 20,5 мг I. б) К 63,75 г сухого остатка прибавляют 100 мл  $\text{CHCl}_3$  и 75 мл воды, взбалтывают, водн. сл. экстрагируют  $\text{CHCl}_3$  (2 × 250 мл), экстракт упаривают, остаток высушивают в вакууме и получают 40,95 г гваянолоидового концентрата (ГК). 39,35 г ГК и 8 г  $\text{CHCl}_3$  постепенно нагревают до 260°, выдерживают 15 мин. при 260–300°, перегоняют с паром и получают 4,50 г маслянистого продукта, содержащего 1125 мг I. в) 5,6 г полученного продукта растворяют в 10 мл петр. эфира, и экстрагируют последовательно 10,3 и 2 мл конц.  $\text{HCl}$ . Кислый р-р вливают в 750 мл ледяной воды, экстрагируют эфиром (150 и 50 мл), экстракт промывают р-ром  $\text{NaHCO}_3$ , сушат  $\text{Na}_2\text{SO}_4$ , эфир отгоняют, остаток перегоняют и получают 1,05 г I, температура кипения 123°/0,4 мм, триантробензолат, т. пл. 131–132° (из сл. Т. Зваров

**6Л1419. Выделение хлорофилла и стероидных алкалоидов из растений семейства Solanaceae.** Svoboda Bedřich, Čekan Zdeněk. Způsob isolace chlorofylu a steroidních alkaloidů z rostlin čeledi Solanaceae. Чехосл. пат., 92304, 15.10.59.—1000 г сухих листьев *Solanum aviculare* экстрагируют в аппарате Соулера трихлорэтиленом до тех пор, пока вытекающий р-ритель не становится практически бесцветным и получают 50 г неочищ. хлорофилла. Листья после экстракции обрабатывают 10 л 2%-ной  $\text{H}_2\text{SO}_4$ . Кислый р-р подщелачивают  $\text{NH}_4\text{OH}$ , нагревают до 70° и после охлаждения фильтруют. Процесс повторяют 3–5 раз. Осадок высушивают, экстрагируют  $\text{CH}_3\text{OH}$  и получают 50 г глюкоалкалоидов, содержащих значительно меньше примесей, чем при обычных способах извлечения Т. Зваров

**6Л1420. Способ получения продуктов на основе солодкового корня.** Procédé pour préparation de produits à base de racine de réglisse. [Soc. An. pour la Diffusion Industrielle]. Франц. пат. 1165856, 30.10.58.—Для получения изготвляемых в кондитерском произ-ве конфет от кашля из солодкового корня, семян аниса и восстановленного Fe, почти не содержащих глицерина, новой к-ты (I), солодковый корень длительно экстрагируют водой при нагревании, к экстракту прибавляют семена аниса и порошок восстановленного Fe после размешивания фильтруют и выпаривают фильтрат досуха. Продукт получаемый известным ранее способом содержит до 14% вредной I. Пример. 1 г измельченного солодкового корня нагревают при 100° несколько часов с 10 л воды, повторяют экстракцию тех же условиях с 10 л свежей воды, экстракты охлаждают до 36°, прибавляют 12 г семян аниса и 26 г восстановленного Fe, размешивают 2 часа, фильтруют через инфузорию землю, фильтрат выпаривают в вакууме досуха и получают 68 г продукта. К смеси 10 г продукта и 100 мл воды прибавляют 10 мл 25%-ной водн.  $\text{NH}_3$ , осадок промывают 2 раза 10%-ным  $\text{NH}_3$ , р-р подкисляют 6 н.  $\text{HCl}$  до pH 1, осадок I фильтруют, промывают водой, сушат в вакууме над силикагелем до постоянного веса и получают 27 мг I. Ю. Вендельштейн

**6Л1421. Способ выделения фитостероидов из соевых жмыхов.** Ямаути Сёхэй. [Ямаути Сёхэй]. Японск. пат. 2673, 20.04.59.—К соевым жмыхам прибавляют 8–10%  $\text{H}_2\text{SO}_4$ , 60–66° Вё, перемешивают при 80–120° получают темное масло, которое промывают водн. обезвоживают, перегоняют в вакууме, полученное светлое масло вновь разлагают и перегоняют или экстрагированием концентрата выделяют концентрат фитостероидов. К 3000 кг соевых жмыхов прибавляют 240 л  $\text{H}_2\text{SO}_4$ , 66° Вё, перемешивают острым паром в течение 10 час. при 110°, оставляют 5 час. стоять и отделяют ~1350 кг темного масла. Это масло разлагают нагреванием в автоклаве, получают 50 кг глицерина и 1250 кг темного масла, которое промывают водой, с

шат и перегоняют в вакууме при 4 мм, получают 1000 кг алифатич. к-т и 250 кг смолы. Последнюю разлагают и вновь перегоняют, получают 75 кг алифатич. к-т и 175 кг смолы. 50 кг этой смолы и 50 кг NaOH 46% Вé перемешивают острым паром в течение 5 час. в автоклаве, по окончании гидролиза прибавляют 500 л *n*-гексана, перемешивают 3 часа при 20° и извлекают 12 кг фитостеринов, которые для очистки 5 раз кристаллизуют из спирта и получают следующую смесь фитостеринов: кампестерин, стигмастерин, β- и γ-ситостерин, стигмастанол и γ-ситостанол, общий выход ~9%.

С. Петрова

6.1422. Противораковые антибиотики из плазмы больных раком. Усияма Ацуо, Миясак Такаки. Японск. пат. 3998, 20.06.57.—Плазму больного раком смешивают с равным кол-вом стерильной ферментативной среды и культивируют 2—7 дней при 37° для получения нового вида *Proteus immunitatis anticarcinomatosa*, который выращивают 7 дней при 30—37° в культуральной среде, затем фильтруют. Доводят Na<sub>2</sub>CO<sub>3</sub> рН фильтрата до 8,0, хорошо перемешивают с равным кол-вом C<sub>2</sub>H<sub>5</sub>OH и выдерживают 3 часа. Прибавляют к верхнему слою жидкости HCl или H<sub>2</sub>SO<sub>4</sub> до pH 3, перемешивают, выдерживают 12 час, отгоняют в вакууме, прибавляют 3—5 объемов CH<sub>3</sub>OH фильтруют. Фильтрат выпаривают в вакууме и получают HCl- или H<sub>2</sub>SO<sub>4</sub>-соль нового антибиотика — C<sub>11</sub>H<sub>17</sub>NO<sub>3</sub>: светлосветлые очень гигроскопич. кристаллы, т. пл. 195° (разл.). УФ абсорбция водного р-ра 365 и 410 мμ, стабильна при 100°. Полученный антибиотик разрушает раковые клетки и грамположительные бактерии. Подкожное или внутримышечное введение 2—5%-ного водного р-ра в кол-ве 1 мл каждый день или через день дает хорошие результаты без вредных побочных явлений. Описаны результаты клинических испытаний.

Н. Прыткова

6.1423. Получение неочищенного гепарина. Bush Jess A., Freeman Leon D., Hagerty Elliot B. Process for preparing crude heparin. [Southern California Gland Co.]. Пат. США 2884358, 28.04.59.—К 2250 кг говяжьих кишок прибавляют 800 л воды и 40 л CHCl<sub>3</sub>, перемешивают, нагревают до 32°, прибавляют 20 л толуола, выдерживают 17 час., прибавляют р-р 120 л лед. CH<sub>3</sub>COOH в 140 л 30%-ного NH<sub>4</sub>OH, подщелачивают 50%-ным NaOH до pH 9,6 при 26°, прибавляют воду до общего объема 1200 л, перемешивают, выдерживают 2 часа при 60°, доводят до кипения, прибавляют 90 кг перлита, фильтруют, осадок промывают 800 л горячей воды, фильтрат оставляют на ~16 час., прибавляют 96 л экстракта панкреатина (через каждые 12 час. в течение 3 дней), нагревают до кипения, охлаждают до ~20° и фильтруют. 400 л фильтрата содержит 40 000 000 ед. гепарина. Прибавляют 20 кг *n*-октиламина, подкисляют лед. CH<sub>3</sub>COOH до pH 6,5, прибавляют 80 л метилизобутилкетона, перемешивают 1 час, оставляют на ~16 час. К 30 л продукта на границе раздела слоев прибавляют 120 л CH<sub>3</sub>OH, нагревают до ~50°, доводят до pH 9,0, охлаждают ~16 час., осадок промывают 20 л CH<sub>3</sub>OH, суспандируют в 20 л воды, сушат и получают 1000 г продукта, содержащего 38 000 000 ед. гепарина. В. Иванова

6.1424. Способ получения кристаллического билирубина высокой степени чистоты. Orosz Ferenc, Thiele Kurt. Eljárás nagy tisztaságú kristályos bilirubin előállítására. [Richter Gedeon Vegyészeti Gyár Rt.]. Венг. пат. 146380, 15.03.60.—Билирубин (I) получают из свежей или консервированной [Ca(OH)<sub>2</sub> или NaHSO<sub>3</sub>] желчи животного осаждением HCl, с последующей экстракцией I из осадка кипячением с р-рителем, напр. CHCl<sub>3</sub>. 50 кг свиной желчи подкисляют, при интенсивном перемешивании, разб. HCl (1:1), осадок (~10 кг) кипятят 2 часа в 30 л CHCl<sub>3</sub> в присутствии 1,5% NaHSO<sub>3</sub>, экстракт фильтруют, выпаривают досуха

ха в вакууме, остаток экстрагируют спиртом, водой и эфиром и получают 22,5 г чистого I. С. Розенфельд

6.1425. Фракционирование и очистка белков плазмы или сыворотки крови. Richter Péter, Tóth István. Eljárás plazma, illetve szérumfehérjék frakcionálására és tisztítására. [Humán Oltóanyagtermelő és Kutató Intézet]. Венг. пат. 145287, 15.09.59.—Фибриногенную фракцию осаждают спиртом при pH 5,6—5,8, а из полученной обычным способом γ-глобулиновой фракции γ-глобулин экстрагируют равным по объему плазмы кол-вом 15%-ного спирта, содержащего 0,04—0,06% NaCl, при pH 5,1—5,2 и т-ре от -2 до -3°; из маточного р-ра альбуминовую фракцию осаждают 20—25%-ным спиртом и альбумин экстрагируют 5%-ным спиртом. К 10 л цитратной плазмы или сыворотки крови, разбавленной 10 л воды и охлажденной до 0—4°, прибавляют при pH 5,6—5,8 (2 н. CH<sub>3</sub>COOH) 103,4 мл/л охлажденного до -15° 96%-ного спирта, центрифугируют при -3°, фильтрат подщелачивают 2 н. NaOH до pH 7,2, прибавляют при -5° 130 мл/л 96%-ного спирта, оставляют на ~16 час. при -5°, жидкость декантируют, осадок центрифугируют и экстрагируют при pH 5,1—5,2 и т-ре от -2 до -3°; 10 л 15%-ного спирта, содержащего 0,4—0,6% NaCl; к фильтрату от центрифугирования прибавляют при pH 6,8—7,2 (2 н. Na<sub>2</sub>HPO<sub>4</sub>) и т-ре -5° 96%-ный спирт до концентрации 20—22%, через ~16 час. центрифугируют, осадок суспандируют при -3° в равном объеме дистил. воды, сушат сублимацией и получают γ-глобулин, выход 9—16%. Декантированную жидкость после отстоя при pH 4,8 (CH<sub>3</sub>COOH) и -5°, центрифугируют, осадок суспандируют в 1280 мл/кг 5%-ного спирта (-2°), центрифугируют, к фильтрату прибавляют 0,5 по объему кол-во 5%-ного спирта, сушат сублимацией и получают альбумин, выход 40—45%.

С. Розенфельд

6.1426. Фракционное извлечение окситоцина и вазопрессина (β-гипофамина) из задней доли гипофиза. Сакота Наоити, Цукуда Кидзэн. Японск. пат. 4600, 6.07.57.—50 г задней доли гипофиза (в виде порошка) нагревают ~30 мин. с 5 л CH<sub>3</sub>COOH при 95°, быстро охлаждают, фильтруют, фильтрат пропускают со скоростью 200 мл/час через колонку диам. 7,5 см и длиной 15 см, наполненную амберлитом IRC-50 (100—250 меш), предварительно обработанным буферным р-ром CH<sub>3</sub>COONH<sub>4</sub> (pH 5,0). Смолу вымывают 0,1 М CH<sub>3</sub>COONH<sub>4</sub> (pH 7,0), получают окситоцин, затем 0,1 М CH<sub>3</sub>COONH<sub>4</sub> (pH 8,5) и получают вазопрессин. Выход обоих >90%.

Н. Прыткова

6.1427. Половые гормоны из передней доли гипофиза. Такэда Кэнъити, Оцука Хидэо, Нода Сатинао [Сионоги сэйяку кабусики кайся]. Японск. пат. 2698, 1.05.57.—Переднюю долю гипофиза быка экстрагируют (CH<sub>3</sub>)<sub>2</sub>CO, р-ритель удаляют, 50 г остатка сушат и выдерживают в рефрижераторе с 10 объемами 40%-ного спирта в течение 2 дней (в качестве буфера для поддержания pH 5,0 прибавляют CH<sub>3</sub>COOH и CH<sub>3</sub>COONa), после чего фильтруют. К фильтрату прибавляют спирт. Осадок собирают, растворяют в воде, прибавляют 1%-ный р-р акринола (лактат 2-этоксиг-6,9-диаминоакридина) и смесь фильтруют. К фильтрату прибавляют большое кол-во (CH<sub>3</sub>)<sub>2</sub>CO, осадок растворяют в воде, прибавляют (CH<sub>3</sub>)<sub>2</sub>CO до содержания его 33%, смесь фильтруют, к фильтрату добавляют (CH<sub>3</sub>)<sub>2</sub>CO до содержания его 50—55%, осадок отфильтровывают, растворяют в воде и переосаждают (CH<sub>3</sub>)<sub>2</sub>CO. Получают половой гормон в кристаллич. виде (иглы).

Н. П.

6.1428. Получение лекарственных препаратов, действующих через лимфатическую систему. Herold Miloš, Hoffman Josef, Málek Prokop, Sarková Jiřina, Heřmanský Miroslav, Vondráček Miloslav, Kolc Jiří. Způsob výroby léčivých přípravků se zvýšenou schopností pronikání do lymfatického systému. Чехосл. пат. 90981, 15.07.56.—Лекарствен-



ные в-ва основного характера, способные образовывать соли с к-тами, превращают в водорастворимые соли поликислот, содержащих группы  $-\text{SO}_3\text{H}$ ,  $-\text{OSO}_3\text{H}$  или  $-\text{OPO}(\text{OH})_2$ , полученных сульфированием и фосфорилированием полисахаридов. Труднорастворимые или нерастворимые соли переводят в легко растворимую форму добавлением избытка макроаниона, или нейтр. электролита. К 10 г сульфата стрептомицина добавляют 30 г Na-соли сульфата декстрана (моп. в. 7000), тщательно перемешивают в стерильных условиях, прибавляют воду и получают прозрачный р-р комплекса антибиотика с сульфатом декстрана для парентерального применения.

**6Л1429.** Получение смесей аминокислот, применимых в качестве лекарственных препаратов для внутривенного введения, ферментативным гидролизом с последующим диализом. Sätt att genom enzymatisk hydrolys och efterföljande dialys av äggviteämnen framställa för näringstillförsel, särskilt intravenös sådan, avsedda aminosyrablandningar. [K. A. J. Wretling]. Швед. пат. 170695, 15.03.60.—Указанные смеси получают ферментативным гидролизом белков при  $t$ -ре  $\geq 30$  ( $70-80^\circ$ ) и pH 4—8,5 и очищают диализом. Образующаяся при гидролизе глутаминовая к-та при нагревании превращается в пирролидонкарбоновую к-ту (I). Содержание I должно составлять 1,5—2% (4—8%) от общего содержания аминокислот. К 50 кг казеина в 1000 л воды добавляют NaOH до pH 7—8,5. В качестве консервирующего в-ва применяют толуол. К смеси прибавляют 0,3 кг тонкоизмельченной поджелудочной железы, и 0,1 кг прецарата, содержащего эреспин или полипептидазу из слизистой оболочки кишечника,  $t$ -ру доводят до  $37^\circ$ , выдерживают при этой  $t$ -ре до прекращения изменения содержания аминокислот азота, упаривают до объема  $\sim 200$  л и нагревают 96 час. при  $55^\circ$ . Смесь аминокислот содержит 3—8% I. Б. Фабричный

**6Л1430.** Составы для перорального применения. Richter Virgil John. Oral compositions. [Colgate-Palmolive Co.]. Австрал. пат. 214274, 13.09.56.—Патентуются составы для зубочерпачных целей в виде капель, порошков, паст, полосканий и т. п., содержащие смесь ациламида низшей алифатич. аминокислоты (с 12—16 атомами C в ациле) с различными силиконами. В составы добавляют различные корректирующие, отбеливающие, эмульгирующие и консервирующие средства. Примеры: 1) зубной крем, состав (везде в %): 2) N-лаурилсаркозида Na (I), 1 метилсиликона (II) (вязкость 350 с Stokes), 5  $\text{CaCO}_3$ , 45  $\text{Ca}_2\text{HPO}_4 \cdot 2\text{H}_2\text{O}$ , 30 глицерина, 14 воды, а также растворимый сахарин, корректирующее в-во, консерванты и стабилизаторы. 2) Зубной порошок: 4 I, 2 дигидратной соли пирофосфорной к-ты. 1 II (350 сст), 0,1 сахараина, 2,5 корректирующего в-ва и  $\text{Ca}_2\text{HPO}_4 \cdot 2\text{H}_2\text{O}$ . 3) Полоскание: 0,1 I, 0,1 метилфенилсиликона (III) (35—60 сст), 20 спирта, 0,1 корректирующего в-ва, 0,1 сахараина и вода. 4) Зубные капли: 6 лаурилсаркозида K, 0,2, III, 10 спирта, 2,5 корректирующего в-ва, 0,3 сахараина и вода). 5) Жевательная резинка: 0,5 I, 0,5 II (1000 сст), 20 жевательной резины, 60 сахарозы, 18,5 кукурузного экстракта и корректирующее вещество. Л. Стекольников

**6Л1431.** Основа для дерматологических эмульсий и мазей. Monot Pierre Louis Victor. Exipient for dermatological uses. Австрал. пат. 225209, 28.10.59.—Патентуется основа, представляющая собой смесь 15—50% эфиров полиоксидилэтиленгликоля и гидрогенизированных глицеридов с 85—50% частично гидрогенизированных триглицеридов растительного или животного происхождения (кокосовое и пальмовое масла, спермацет). Компоненты смешивают при нагревании и охлаждают при перемешивании. Основа обладает высокой проникающей способностью, липофильна, легко смешивается с различными препаратами, индифферентна, легко смывается холодной водой и устойчива при хранении. В. Иванова

**6Л1432.** Смесь ионообменных смол для применения в дерматологии. Thurmon Francis M., Kupin Robert. Dermatological mixture of ion-exchange resins. [Rohm & Haas Co.]. Пат. США 2857311, 21.10.58.—Патентуются препараты в виде присыпок, лосьонов и мазей, содержащие смесь тонкодиспергированных сульфированной катионообменной смолы в H-форме (сополимер стирола с дивинилбензолом), карбоксильной катионообменной смолы в H-форме (сополимер акриловой к-ты с этилендиметакрилатом или метакриловой к-ты с дивинилбензолом) и анионообменной смолы в основной форме (сополимер метакрилата с дивинилбензолом и триэтилтетраминном или диэтилтетраминном) в различных соотношениях в зависимости от требуемого pH. Приведены примеры.

**6Л1433.** Способ приготовления лекарственных порошков. Умэмура Канэро. [Мэйдан нюгэ кабуши кайся]. Японск. пат. 2648, 18.04.59.—Лекарственные средства в виде порошков получают обработкой талька, каолина,  $\text{Al}_2\text{O}_3$ ,  $\text{CaCO}_3$ ,  $\text{ZnO}$ ,  $\text{H}_3\text{BO}_3$  и других соединений в порошкообразной форме вместе или отдельных компонентов парами алкилгаллоидсиланов, алкилгаллоидсиланов или алкилсилосановыми смолами в органич. р-рителе с последующей сушкой, после чего к ним прибавляют лекарственные в-ва и другие компоненты. Тальк (величина частиц 2 м) для обезвоживания обрабатывают 0,5%  $(\text{CH}_3)_2\text{SiCl}_2$  в парообразном состоянии, затем для получения лекарственного порошка готовят смесь: 70% обезвоженного талька, 10%  $\text{CaCO}_3$ , 10% каолина, 5%  $\text{ZnO}$ , 4,5%  $\text{H}_3\text{BO}_3$  и 0,5% антисептич. препарата и душистого в-ва. 10 кг каолина (величина частиц 1,5 м) размешивают в 20 л  $\text{C}_6\text{H}_6$ , содержащего 3%  $(\text{CH}_3)_2\text{SiCl}_2$  и 1%  $(\text{CH}_3)_3\text{SiCl}$ , отфильтровывают и сушат. Для приготовления лекарственного порошка применяют: 40% талька, обезвоженного  $(\text{CH}_3)_2\text{SiCl}_2$  в паровой фазе, 30% талька, 10%  $\text{CaCO}_3$ , 5% каолина, обезвоженного р-ром алкилхлорсиланов. 5% каолина, 5%  $\text{ZnO}$ , 4,5%  $\text{H}_3\text{BO}_3$  и 0,5% антисептич. препарата и душистого в-ва. Приведены аналогичные примеры. С. Петров

**6Л1434.** Аналигетика. Marshall Philip Guy, McCrea Patrick Anthony, Chapman Margaret, Vera Aveling. Analgesic compounds. [British Schering Ltd]. Англ. пат. 831071, 23.03.60.—Терапевтические препараты, содержащие в качестве активных ингредиентов карбаматы замещ. фенолов, причем заместителями являются алкилы или алкокси-лы с 1—3 атомами C в мета-положении к остатку карбамата, а по меньшей мере одно из ортоположений к остатку карбамата должно быть свободным. В качестве носителей для перорального применения используют нетоксичные твердые в-ва (в таблетках) или масла и жидкий полиэтиленгликоль (в капсулах). В частности патентуются карбаматы м-крезола, 2,3-диметилфенола (I фенол), 2,5-диметил-I, 2,3,5-триметил-I и 3-этил-5-метил-I. Карбаматы получают р-цией замещ. I с щел. цианатом и трихлоруксусной к-той или замещ. фенол в присутствии щелочи вводят в р-цию с фосгеном и обрабатывают  $\text{NH}_3$ . Некоторые из полученных карбаматов, напр. карбамат 2,3-диметил-I активнее морфина или петидина при относительно низкой токсичности. Примеры: а) К суспензии 32,5 г  $\text{NaCNO}$  в 54 г м-крезола и 150 мл  $\text{CCl}_4$  прибавляют 1 час при  $50^\circ$  81,7 г трихлоруксусной к-ты в 180 мл  $\text{CCl}_4$ , размешивают 4 часа, охлаждают и прибавляют 300 мл воды. Фильтруют, промывают водой,  $\text{CCl}_4$ , сушат в вакууме при  $20^\circ$ , кристаллизуют из бензола и получают м-толилкарбамат (II), т. пл.  $135-137^\circ$ . б) Р-н 13,6 г 2,3,5-триметил-I в 25 мл 20%-ного р-ра NaOH прибавляют к 100 мл 12,5%-ного р-ра фосгена в толуоле при  $0^\circ$ . Слой толуола отделяют и прибавляют при  $5^\circ$  и размешивании к 40 мл 30%-ного воды.  $\text{NH}_3$  слой толуола промывают водой, выдерживают в ва-



р-ритель и перегоняют остаток, выход I [ $R = C_2H_5O$ ,  $R' = (CH_3)_2N$ ,  $Y = O$ ,  $X = OCH_3$ ] 22%, т. кип. 109—111/1 мм,  $n^{20}_D$  1,4603,  $d^{20}_4$  1,1415. Аналогично получают I [ $R = C_2H_5O$ ,  $R' = (CH_3)_2N$ ,  $Y = O$ ,  $X = CH_3$ ], выход 21,7%, т. кип. 105—107/1 мм,  $n^{20}_D$  1,4686,  $d^{20}_4$  1,1271. К эфирному р-ру 16,1 г III и 15 г  $(C_2H_5)_3N$  прибавляют при 20° эфирный р-р 21,4 г диэтилхлорфосфита, фильтрат сушат  $Na_2SO_4$ , отгоняют р-ритель и перегоняют остаток, выход II ( $R = R' = C_2H_5$ ,  $X = OCH_3$ ) (IIa) 58,2% т. кип. 93—96/3 мм,  $n^{20}_D$  1,4580,  $d^{20}_4$  1,0778. Аналогично получают другие II (перечисляются R, R', X, выход в %, т. кип. в °C/мм,  $n^{20}_D$  и  $d^{20}_4$ ):  $C_2H_5$ ,  $C_2H_5$ ,  $CH_3$ , 37,3, 85—87/2, 1,4620, 1,0450;  $C_2H_5O$ ,  $(CH_3)_2N$ ,  $OCH_3$ , 51,9, 76—80/0,5, 1,4705, 1,0620;  $C_2H_5O$ ,  $(CH_3)_2N$ ,  $CH_3$ , 55,8, 91—93/2, 1,4791, 1,0318;  $(CH_3)_2N$ ,  $(CH_3)_2N$ ,  $OCH_3$ , 32, 85—88/0,5, 1,4853, 1,0456. 17,6 г IIa и 2,5 г S в 15 мл  $CS_2$  нагревают 7 час. при 50—55°, р-ритель отгоняют, остаток перегоняют в вакууме, выход I ( $R = R' = C_2H_5O$ ,  $Y = S$ ,  $X = OCH_3$ ) (Ib) 75%, т. кип. 106—109/1 мм,  $n^{20}_D$  1,4830,  $d^{20}_4$  1,1614. Аналогично получают другие I (перечисляются R, R', Y, X, выход в %, т. кип. в °C,  $n^{20}_D$ ,  $d^{20}_4$ ):  $C_2H_5O$ ,  $C_2H_5O$ , S,  $CH_3$ , 28,3, 92,5—93/1, 1,4807, 1,1216;  $C_2H_5O$ ,  $(CH_3)_2N$ , S,  $CH_3O$ , 66,2, 104—106/0,5, 1,4970, 1,1456;  $C_2H_5O$ ,  $(CH_3)_2N$ , S,  $CH_3$ , 41,6, 103—105/1, 1,4960, 1,1121;  $(CH_3)_2N$ ,  $(CH_3)_2N$ , S,  $OCH_3$ , 42, 112—114/0,5, 1,5075, 1,1381. В р-р 10,8 г Ia в 18 мл  $CCl_4$  пропускают ток  $Cl_2$  до теоретич. привеса, оставляют на 2 часа при —20°, р-ритель отгоняют и остаток перегоняют в вакууме, выход диэтил-(карбометоксидилхлорпропил-2)-фосфата 70,1%, т. кип. 143—146/2 мм,  $n^{20}_D$  1,4591,  $d^{20}_4$  1,3060. При испытаниях инсектицидных свойств наиболее эффективными оказались Ia и б. По контактной токсичности Ia превосходит тиофос. И. М.

6Л442. Из области органических инсектофунгицидов. LVI. О взаимодействии бис-(диалкокситиофосфон)-дисульфидов с триарил- и диарилфосфитами. Мельников Н. П., Швецова-Шилова К. Д., Каган М. Я. «Ж. общ. химии», 1960, 30, № 7, 2319—2322. Изучено взаимодействие триарил- и диарилфосфитов с бис-(диалкокситиофосфон)-дисульфидами. В первом случае главным образом образуются тетраалкилтрифосфаты (ТАТ) и триарилтиофосфаты (ТТФ), во втором, кроме того, образуются соли диалкилдитиофосфорных к-т и метафосфат. К 8,5 г бис-(диизопропокситиофосфон)-дисульфида в 30 мл бензола добавляют 6,2 г трифенилфосфита, кипятят 3 часа при —100°, р-ритель отгоняют в вакууме, при разгонке остатка в вакууме получают тетраизопропилтрифосфат, выход 86%, т. кип. 107—108/0,08 мм,  $n^{20}_D$  1,5120,  $d^{20}_4$  1,1081, и трифенилтиофосфат (I), выход 84%, т. кип. 160—162/0,08 мм, т. пл. 48—49° (из сп.). Аналогично получают ТАТ общей ф-лы  $[(RO)_2P(S)]_2S$  и ТТФ ф-лы  $(R'O)_3PS$  (перечисляются R, выход ТАТ в %, т. кип. в °C/мм, т. пл. в °C, R', выход ТТФ в %, т. кип. в °C/мм, т. пл. в °C):  $CH_3$  (II), 78, 108,5—111/0,07, 34,  $C_6H_5$ , 74, 155—160/0,15, 49;  $C_2H_5$  (III), 69, —, 41,  $C_6H_5$ , 63, —, 49;  $C_2H_5$ , 48, 105—112/0,05, 40, 4- $ClC_6H_4$ , 49, 190—200/0,15, 108, 5; изо- $C_3H_7$ , 40, 126—129/0,25, —, 4- $ClC_6H_4$ , 74, 190—200/0,15, 108. К 7 г дифенилфосфита в 30 мл бензола прибавляют 0,66 г Na, кипятят 1—1,5 часа, добавляют 7,8 г бис-(диметокситиофосфон)-дисульфида в 20 мл бензола при 40—50°, кипятят 3 часа, осадок отделяют, от фильтрата отгоняют р-ритель и перегоняют, выход II 92%, т. кип. 114—115/0,1 мм, т. пл. 33—34°,  $d^{20}_4$  1,3321, выход I ~100%, т. кип. 148—152/0,05 мм, т. пл. 48—49°. Осадок промывают бензолом, растворяют в воде и обрабатывают р-ром  $Pb(OOCCH_3)_2$ , получают Pb-соль диметилдитиофосфорной к-ты, т. пл. 123—124° (из сп.). Аналогично проводят р-цию с бис-(диэтокситиофосфон)-дисульфидом, получают III, выход 90%, т. пл. 39,5°, I, выход 73%, и Pb-соль диэтилдитиофосфорной к-ты, выход 92%, т. пл. 74°. Сообщение LV см. РЖХим, 1961, 5Л461.

И. Мильштейн

6Л443. Изыскания новых инсектицидов. Часть II. Tiwari S. S., Singh A. Search for new insecticide Part III «J. Indian Chem. Soc.», 1959, 36, № 11, 801—811 (англ.).—С целью выяснения инсектицидных свойств из хлоруксусной к-ты и алкилфенолов с замещ. разветвленной боковой цепью по методу Спасокукоцкого (Ann. Univ. Sofia, 1938, 2, 35, 289) синтезированы эфиры  $ClCH_2COOR$  (I), которые перегруппировкой Фриуса превращали в соответствующие о-оксикетоны. Получены I (даны R, выход в % и т. кип. °C/мм для I, выход в % и т. кип. в °C/мм для оксикетона и т. пл. в °C его n-нитрофенилгидразона): 2-бром-4-бутил, 5, 146/3, 70, 100/3, —; n-трет-амил, 75, 37/1, 75, 180/3, 287; 2-трет-бутил-5-метил, 55, 175/2, 40, 120/5, > 300; n-трет-бутил, 73, 170/2, 50, 195/2, 270; n-изоамил, 89, 160/1, 7, 168/2, 265; 2-бром-4-метил, 53, 140/5, 55, 167/5, 25 (разл.). Данные о токсичности не приведены. Часть I см. РЖХим, 1959, № 19, 68894. Г. Швиндлерман

6Л444. Действие ДДТ при авианосыкании на водных насекомых в штате Коннектикут. Hitchcock S. W. Effects of an aerial DDT spray on aquatic insects in Connecticut. «J. Econ. Entomol.», 1960, 53, № 4, 608—611 (англ.).

6Л445. Авианосыкание леса против еловой хвоевертки. Webb F. E. Aerial forest spraying against spruce budworm — a problem of mutual interest in Canada and the United States. «J. Econ. Entomol.», 1960, 53, № 4, 631—633 (англ.).—Рассмотрены организационные и методич. вопросы, связанные с применением ДДТ в Канаде и США для защиты леса от хвоевертки *Choristoneura fumiferana* (Clem.) и других насекомых. Е. Гранш

6Л446. Действие почвенных инсектицидов и абсорбентов на сахара в растении и результирующее действие на питание клещей. Rodriguez J. G., Maynard Donald E., Smith Walter T., Jr. Effects of soil insecticides and absorbents on plant sugars and resulting effect on mite nutrition. «Econ. Entomol.», 1960, 53, № 4, 491—495 (англ.).—В листьях бобов выращенных на почве, обработанной ДДТ (при дозе 900—1800 кг/га), содержание N общего и редуцирующих сахаров увеличилось, содержание Р и К уменьшилось; численность клещей *Tetranychus telarius* (L.) на опытных растениях была большей, чем на контрольных. При добавлении в почву абсорбентов (Hydrocarbo B, Aqua Nuchar A и Nuchar C-115-A) хим. состав растений (содержание NPK) и численность клещей не изменялись. На сою действие ДДТ сказывалось в меньшей степени, чем на бобы. Е. Гранш

6Л447. Влияние почвенных инсектицидов на яблоню и результирующее действие на питание клещей. Rodriguez J. G., Chen H. H., Smith Walter T., Jr. Effects of soil insecticides on apple trees and resulting effect on mite nutrition. «J. Econ. Entomol.», 1960, 53, № 4, 487—490 (англ.).—В лабораторно-дильных опытах изучено влияние ДДТ, дильдрин (II) и ГХЦГ при внесении в почву в больших дозах (112—4500; 56—560 и 22,4—224 кг/га соответственно) на поглощение элементов питания (NPK) и на развитие корневой системы и побегов яблони. Вес корней заметно понижался (в сравнении с контролем) в варианте с I и незначительно в варианте с ДДТ. I и ГХЦГ в слабой степени подавляли рост побегов. В зависимости от сроков внесения NPK в почву, обработанную ДДТ, содержание N и Р в листьях яблони увеличивалось или понижалось. Отмечено, что изменение хим. состава листьев влияет на численность клещей *Panonychus ulmi* (Koch.) и *Tetranychus telarius* (L.), поселяющихся на них. Е. Гранш

6Л448. Действие хлорорганических инсектицидов при опрыскивании всходов свеклы на миграцию свекловичных долгоносиков. Гранш Е. Ф. Эффективность хлорорганических инсектицидов при обрызскуванні схо-



дів буряків у зв'язку з різним характером міграцій бурякового довгоносика. В сб. «Борьба с буряковым долгоносиком». Київ, Укр. акад. сельскогоспод. наук, 1959, 48—52 (укр.).—По своей токсичности для долгоносиков исследуемые препараты располагаются в следующий ряд: эндрин > изодрин > дильдрин > альдрин > гентахлор > хлоридан > ДДТ. С повышением т-ры СК<sub>50</sub> инсектицидов повышается в несколько раз.

А. Рышка

6Л449. Фасолевый листовой скелетёр *Autopluia egea* и борьба с ним на кустовой ланковой фасоли в Эверглейде. Genung William C. The bean leaf skeletonizer, *Autopluia egea*, and its control on bush snap beans in the Everglades. «J. Econ. Entomol.», 1960, 53, № 4, 566—569 (англ.).—Опрыскивание фасоли токсафеном (1,12; 2,24) (указаны нормы расхода в кг/га), дильдрином (0,56), тиоданом (0,28, 0,56), фосфидрином (0,28, 0,56), кепеном (1,12), пертаном (0,56) и препаратом SD-4402 (1,3,4,5,6,7,8,8-октахлор-3а,4,7,7а-тетрагидро-4,7-эндометилефталат) (0,56) против личинок скелетера *Autopluia egea* более эффективно, чем опрыскивание тритином (0,28), паратионом (0,56), малатином (0,56), севином (0,28), дельнавом (0,56), фосфамидом (0,56) или диазиноном (0,28). Препарат SD-4402 полностью освобождал растения от вредителя.

Е. Гранин

6Л450. Эффективность смесей хлорорганических инсектицидов против устойчивых и чувствительных хлопковых долгоносиков. Brazzel J. R., Lindquist D. A. The effectiveness of chlorinated hydrocarbon insecticide mixtures for control of resistant and susceptible boll weevils. «J. Econ. Entomol.», 1960, 53, № 4, 551—554 (англ.).—Определена токсичность токсафена (I), ДДТ и их смесей (в пропорциях 1:2, 1:4, 1:10, 2:1, 4:1, 10:1) для устойчивых и чувствительных личинок (из лабор. разводов) хлопкового мексиканского долгоносика *Anthonomus grandis* Bon. Устойчивая линия получена путем отбора с применением эндрина (50—75-кратная устойчивость к эндрину). В результате опыта установлен синергич. эффект от смеси I + ДДТ на устойчивой линии; наиболее эффективна пропорция 4:1. Несколько меньший синергизм получен при использовании смеси стробан + ДДТ. На чувствительных долгоносиках синергич. действие смесей не проявилось. Не получено доказательств наличия синергич. свойств у смесей I с метоксихлором и I с ДДТ.

Е. Гранин

6Л451. Применение бактерицидных аэрозолей, полученных возгонкой из термической смеси. (Предварит. сообщение). Васьков В. И., Меньшикова А. К., Милявская П. Ф. «Ж. микробиол., эпидемиол. и иммунобиол.», 1960, № 7, 5—9 (рез. англ.).—Аэрозольные шашки из термич. смеси, в состав которых включены инсектициды (ДДТ, гексахлорофен, пентахлорофен, метоксихлор, ХВ), оказывают значительное бактерицидное действие на золотистых стафилококков, взвешенных в воздухе (при дозе 40—47,8 мг/м<sup>3</sup>) и находящихся на поверхностях (доза 4,3—4,7 г/м<sup>2</sup>).

А. Рышка

6Л452. О действии гексахлорбутадиена на филлоксеру винограда. Коган Л. М., Прица Я. И. «Докл. АН СССР», 1960, 133, № 1, 246—248.—Гексахлорбутадиен (I), внесенный в почву в дозе 25, 50 и 75 г/м<sup>2</sup>, вызывает полную гибель филлоксеры в течение 2 лет. I не фитотоксичен и не придает постороннего привкуса ягодам, сушкам и вину.

А. Рышка

6Л453. Проблемы борьбы с насекомыми, повреждающими мяту. Gould George E. Problems in the control of mint insects. «J. Econ. Entomol.», 1960, 53, № 4, 526—531 (англ.).—Перечную мяту и мяту зеленую повреждают > 50 видов насекомых, но наиболее серьезный вред (потери урожая достигают 25—75%) приносит пяденица *Raphophlusia ou* (Gn.). Опытами

1949—1959 гг. установлено, что против гусениц пяденицы эффективно двукратное опрыскивание (с интервалом в 10 дней) дильдрином, гентахлором, ДДТ, стробаном или токсафеном. Наилучшие результаты показывал ДДТ, который эффективен также против цикадок, растительных клопов и различных видов гусениц. Перечисленные выше инсектициды, а также хлордан, малатион, паратион, ЭПН-300 и хлортион не придают постороннего привкуса и запаха мятному маслу, полученному из обработанных ими растений.

Е. Гранин

6Л454. Влияние температуры на скорость перехода инсектицида из гранул в водную фазу и на скорость разложения некоторых инсектицидов в воде. Mulla Mir S., Axelrod Harold. Effect of temperature on rate of release of toxicants from granules and on breakdown of certain insecticides in water. «Mosquito News», 1960, 20, № 2, 178—183 (англ.).—Скорость разложения инсектицида в воде определяли по изменению токсичности воды. р-ров для личинок комаров при начальном содержании паратиона, препаратов байер 29493 и AC-5727 (I) 5 мг/л и малатиона (II) 20 мг/л. Токсичность р-ров первых двух инсектицидов почти не изменилась после 3-суточного стояния при 38°. Токсичность р-ра II при 21° снизилась через 72 часа на 10%, при 32° через 24 часа на 90% и через 48 час. на 100%. Примерно так же быстро терялась токсичность р-ра I. Для определения скорости перехода инсектицида в воду. р-р использовали 2%-ные атапульгитовые гранулированные препараты первых трех соединений и 5%-ный гранулированный препарат II. Гранулы помещали на дно сосуда с водой и периодически определяли токсичность р-ра. При полном растворении токсиканта содержание его в р-ре было бы равным 20 мг II и 5 мг остальных трех инсектицидов в 1 л. Паратион найден в р-ре в кол-ве ≤ 10% (от максимально возможного) через 72 часа при 10° и более 60% через 48 час. при 25°. Препарат байер 29493 растворялся примерно с такой же скоростью, как и паратион. Максим. содержание II в р-рах, стоявших 24 часа при 27 и 38° составляло > 60% от максим. возможного, а затем оно быстро снижалось в результате разложения. Скорость выделения I в воду примерно такая же, как у II.

П. Попов

6Л455. Прошлое, настоящее и будущее устойчивости комаров к инсектицидам. Brown A. W. A. Past, present and future in insecticide-resistance of mosquitoes. «Mosquito News», 1960, 20, № 2, 110—115 (англ.).—Обзор. В настоящее время известно ≥ 21 вида анафелесов, у которых развилась устойчивость к хлорорганич. инсектицидам, и ≥ 14 видов кулексов устойчивых к ДДТ, ГХЦГ, циклодиеновым и фосфорорганич. (5 видов) инсектицидам. Стали известны многие случаи поливалентной устойчивости эдесов. Разработаны быстрые стандартные методы определения сравнительной устойчивости и организовано снабжение исследователей эталонными образцами инсектицидов. Ни в одном случае не отмечено развитие устойчивости комаров при действии сублетальных доз. Расширились работы по генетич. аспекту устойчивости. Как правило, селекция посредством ДДТ вызывала устойчивость комаров также к ДДД и метоксихлору, а селекция дильдрином влекла за собой устойчивость не только к этому инсектициду, но также к другим циклодиеновым соединениям и к ГХЦГ. Селекция на устойчивость к ДДТ вызывала лишь предрасположенность к повышению устойчивости к дильдрину. Устойчивые к ДДТ и дильдрину комары обычно оставались чувствительными к паратиону и малатиону, однако, селекцией малатином выведена раса *A. aegypti*, устойчивая к малатиону, севину и высокоустойчивая к ДДТ. С целью выигрыша времени, необходимого для изучения механизма устойчивости и разработки доступных эффективных мер, которые позволили бы лег-

ко бороться с устойчивостью, требуется: 1) по возможности оставлять часть площадей без обработки с тем, чтобы комары, мигрирующие с этих площадей, разбавляли устойчивые генотипы, 2) заменять инсектицид, к которому отмечено привыкание, другим, лишь в случае крайней необходимости, 3) применять где возможно старые инсектициды, к которым не образовалось устойчивых популяций, 4) практиковать борьбу путем изменения экологич. условий и 5) использовать биологич. методы борьбы. П. Попов

6.1456. Эффективность инсектицидов в борьбе с кукурузным мотыльком и зеленой персиковой тлей на перце. Hofmaster R. N., Bray D. F., Ditman L. P. Effectiveness of insecticides against the European corn borer and green peach aphid on peppers. «J. Econ. Entomol.», 1960, 53, № 4, 624—626 (англ.).—Опрыскивание перца севином (I), ДДТ, фосфамидоном (II) и гутеном (III) в дозе 1,12 кг/га эффективно (снижение зараженности на 93—100%) против гусениц кукурузного мотылька *Pyrausta nubilalis* (Hbn.); энтрии (IV) (0,56 кг/га) снижал зараженность на 87%, а тиодан (V), диметоат (VI), кепон и токсафен снижали зараженность только на 21—72%. II—VI эффективны против зеленой персиковой тли *Myzus persicae* (Sulz.); I и ДДТ не снижали зараженность растений тлей. Е. Гранин

6.1457. Применение легкого минерального масла и некоторых фосфорных эфиров для борьбы с клещами и их кладками в зимний период. Terrosi U. Ulteriori indagini sull'olio minerale leggero ed alcuni esteri fosforici impiegati in funzione anticoccidica e ovidica invernale. «Notiz. malatt. piante», 1960, № 52, 65—74 (итал.).—20—42%-ная гибель клещей *Diaspis pentagona* Targ. повреждающих персиковые деревья, получена при опрыскивании эмульсиями, содержащими минер. масло (1,3—45%), а также паратион (0,05—20%), диазинон (0,06%), нексон (0,075) и малатион (0,15). В борьбе с *Metatetranychus ulmi* Koch. и *Aphis pomi* De Geer. достигнута в большинстве случаев 95—98%-ная гибель вредителей. А. Верецагин

6.1458. Определение сравнительной токсичности некоторых инсектицидов для взрослых *Dysdercus koenigii* Fabricius, вредящих хлопчатнику. Pradhan S., Jotwani M. G., Sarup Prakash. Bioassay of the comparative toxicity of some insecticides to the adults of *Dysdercus koenigii* Fabricius (Pyrrhocoridae: Hemiptera), a pest of cotton. «Indian Cotton Grow. Rev.», 1960, 14, № 1, 14—15 (англ.).—Способом прямого опрыскивания в чашках Петри определены средние смертельные концентрации (LC<sub>50</sub>) 16 инсектицидов для красного хлопкового клопа *D. koenigii*. Установлены следующие значения LC<sub>50</sub> (в %): паратион 0,004762, дилдрин 0,006145, γ-ГХЦГ 0,006398, энтрии 0,008343, тимет 0,009513, диазинон 0,01575, малатион 0,01818, ипретрины 0,02448, изодриин 0,02863, тиодан 0,03082, п.н'-ДДТ 0,05895, гептахлор 0,09033, хлордан 0,1272, токсафен 0,1453. Е. Гранин

6.1459. Системные инсектициды как добавка к корму для уничтожения личинок кожных оводов. Drummond R. O., Moore Bobby. Systemic insecticides as feed additives for cattle grub control. «J. Econ. Entomol.», 1960, 53, № 4, 682—683 (англ.).—В опытах, проведенных в Техасе, крупному рогатому скоту давали роннел с кормом на протяжении 70 и 40 дней ежедневно. Эффективность борьбы с личинками оводов была очень высокой при дозе 3 мг/кг и низкой при 1 мг/кг. Другой группе двухлетних животных скармливали диметоат (15 мг/кг 1 день и по 7,5 мг/кг на протяжении двух дней) или ко-рал (20 мг/кг 1 день и по 10, 4 и 4 мг/кг на протяжении соответственно 2, 5 и 10 дней). Эффективность диметоата равнялась 81—91%, ко-рала от 0 до 50%. Двухлетним животным

третьей группы, прошедшим пастбищный период в Вайоминге и перевезенных в Техас в октябре, давали с кормом диметоат (5 дней по 5 мг/кг), ко-рал (5 дней по 10 мг/кг), дауко 105 (10 дней по 15 мг/кг), дауко 106 (5 дней по 20 мг/кг) или диптерекс (10 дней по 10 мг/кг). Эффективность ко-рала равнялась 91%, а остальных инсектицидов 99—100%. Отмечено неохотное поедание корма, содержащего диптерекс или диметоат. Ни в одном из опытов не было животных с внешними признаками отравления инсектицидом, но наблюдались случаи временного понижения холостеразной активности. П. Попов

6.1460. Метаболизм меченого изотопом P<sup>32</sup> дельнава в коровах. Chamberlain W. F., Gatterdam P. E., Hopkins D. E. Metabolism of P<sup>32</sup> Delnav in cattle. «J. Econ. Entomol.», 1960, 53, № 4, 672—673 (англ.).—Животных опрыскивали эмульсией технич. дельнава (I), который содержал 42% транс-изомера и 16% цис-изомера и имел активность 366 имп/мин/кг при дозе препарата 16,2 мг/кг. В другом опыте животным вводили перорально технич. I, содержащий 63% цис-изомера и 25% транс-изомера и имевший активность 284 имп/мин/кг при дозе 4,65 мг/кг. I и его метаболиты анализировали в крови, моче, фекалиях и на волосяном покрове методом хроматографии на бумаге и колориметрич. путем. Через 7 дней после опрыскивания ко-лов I на волосах снизилось с 19500 мг/кг на 21%; I не претерпел на волосах хим. превращений. Он очень быстро проник в кровь и наивысший уровень радиоактивности крови найден через 3 часа после опрыскивания (0,477 мг/экв/мл) и через 12 час. после пероральной обработки (0,411 мг/экв/мл). В дальнейшем радиоактивность крови быстро, особенно у перорально обработанных животных, снижалась и через 7 дней была < 0,030 мг/экв/мл. Трех- и четырехчасовые пробы крови опрыснутых животных содержали только 2,6% растворимых в органич. р-рителе радиоактивных в-в, остальные 97,4% представляли собой водорастворимые радиоактивные в-ва. С мочой выделилось за 7 дней 20% (в опыте с опрыскиванием) и 70% (в опытах с дачей внутри) радиоактивных в-в от первоначальной дозы; максим. радиоактивности мочи была соответственно через 6 и 9 час. (227 и 220 мг/экв/мл). Моча перорально обработанных животных содержала через 96 час. 48—59% диэтил-, 39—41% диэтилито- и 0—12% диэтилдитиофосфорных к-т, а у опрыснутых соответственно 44—56%, 34—38% и 6—10%; содержание в-в, растворимых в органич. р-рителе было ничтожным. С экскрементами выделилось у перорально обработанных животных больше радиоактивных в-в (через 7 дней 13% от введенной дозы), чем у опрыснутых животных; максим. уровень радиоактивности (16,5 и 4,4 мг/экв/г соответственно у перорально и на кожно обработанных животных) был через 18 час.; содержание радиоактивных растворимых в органич. р-рителе в-в не превышало нескольких процентов. П. Попов

6.1461. Системные инсектициды для борьбы с личинками кожных оводов. Knapp Fred W., Terhaag C. J., Roan C. C. Systemic insecticides for cattle grub control. «J. Econ. Entomol.», 1960, 53, № 4, 541—546 (англ.).—По опытам в штате Канзас разовое пероральное введение роннела в болосах местному крупному рогатому скоту (110 мг/кг) в июне, августе или ноябре снизило зараженность личинками оводов на 92—99%; от августовской обработки снижение было только 63—72%. Скармливание роннела с кормом на протяжении 79 дней, начиная с половины июля, по 2 мг/кг в день (всего ~150 мг/кг) не снизило зараженность скота. Перорально введенный в конце сентября дауко 109 (25 мг/кг) полностью предотвратил заражение личинками, но после разового скармливания с кормом (15 мг/кг) или опрыскивания 0,5%-ными эмульсиями и суспензиями (2 л на 1 животное) сни-

зано зар-  
дауко 10  
ние 6 дн  
ность на  
кормом  
эффектн  
получен  
ральная  
(16,5 мг/  
эффектн  
ранных  
96 и 83  
(10 мг/к  
эффект  
0,5%-ны  
1 живот  
строва  
животн  
6.1462  
тицидан  
phospho  
Amer.,  
зор по  
соедине  
какого-  
опреде  
нем ус  
соких д  
ности.  
тате п  
ной: м  
му инс  
ности. и  
дит к  
послед  
началь  
ции. Р  
зано,  
тативн  
предот  
до жи  
ности  
ности  
чувств  
ущающ  
токсич  
6.146  
цнды,  
Но у  
some  
Entom  
возмо  
чевин  
для в  
устан  
тия я  
ческия  
ния I  
Rapo  
ли A  
6.14  
G. D.  
«Ann  
Плен  
спир  
цент  
ПР  
пам  
до м  
путе  
мых  
шлен  
нечи

зидо заражение на  $\leq 49\%$ . Разовая дача (в ноябре) дауко 109 в болюсах ( $15 \text{ мг/кг}$ ) или по  $2 \text{ мг/кг}$  в течение 6 дней, или по  $1 \text{ мг/кг}$  12 дней снизила зараженность на 43–73%. Опрыскивания в сентябре 0,5%-ным коралом (2 л на 1 животное) было практически не эффективным. По опытам в Канзасе на животных, полученных с юга США, разовая декабрьская пероральная обработка животных болюсами дауко 109 ( $16,5 \text{ мг/кг}$ ) или дача его с кормом (3 дня по  $5 \text{ мг/кг}$ ) эффективно уничтожала мигрирующих и инцистированных личинок; снижение зараженности равнялось 96 и 83%. Диметоат, вводившийся в виде болюсов ( $10 \text{ мг/кг}$ ), не был эффективен. Плохой защитный эффект получен после опрыскивания южного скота 0,5%-ными суспензиями корала или дауко 109 (4 л на 1 животное). Диметоат и корал убивали личинок, инцистированных под кожей спины, но не освобождали животных от мигрирующих личинок. П. Попов

6Л462. Устойчивость к фосфорорганическим инсектицидам. March Ralph B. Resistance of organophosphorus insecticides. «Misc. Publ. Entomol. Soc. Amer.», 1959, 1, № 1, 13–19 (англ.).—Дан критич. обзор по устойчивости комнатных мух к фосфорорганич. соединениям (ФС). Лабор. селекция посредством какого-либо ФС приводит к получению популяции с определенным, свойственным этому инсектициду уровнем устойчивости и дальнейшее применение более высоких доз инсектицида не повышает уровень устойчивости. Устойчивость, приобретенная расой в результате применения одного ФС, оказывается поливалентной: мухи приобретают устойчивость не только к этому инсектициду, но также и к другим ФС и хлорофосф. инсектицидам. Прекращение селекции ФС приводит к относительно быстрой потере устойчивости у последующих поколений и к возврату ее к первоначальному уровню, бывшему перед началом селекции. Развитие устойчивости при селекции ФС связано, по-видимому, с усилением активности ферментативных детоксигирующих систем или физ. барьеров, предотвращающих доступ опасных кол-в токсиканта до жизненно важных центров. Повышение устойчивости не сопровождается повышением уровня активности холинэстеразы в насекомом, уменьшением ее чувствительности к токсиканту и не влечет за собой усиление активности ферментативных систем, превращающих малотоксичное исходное соединение в более токсичные метаболиты. П. Попов

6Л463. Действие мочевины на некоторые инсектициды, применяемые для борьбы с вредителями яблони. Hoyt Stanley C. Effect of urea on the control of some apple insects with certain insecticides. «J. Econ. Entomol.», 1960, 53, № 4, 685 (англ.).—Изучена возможность применения инсектицидов совместно с мочевиной (I), которую в штате Вашингтон применяют для внекорневой подкормки яблонь. В полевом опыте установлено, что эффективность суспензии ДДТ против яблонной плодовой мушки при добавлении I практически не снижается. Доказана возможность применения I совместно с кельтаном и тедионом против клеща *Panonychus ulmi* (Koch.) или с малатионом против тли *Aphis pomi* (DeG.). Е. Гранин

6Л464. Изучение фотоллиза пиретрума. Jones G. D. Glynne. Studies on the photolysis of pyrethrum. «Ann. Appl. Biol.», 1960, 48, № 2, 352–362 (англ.).—Пленки пиретрума получали путем нанесения 0,5 мл спирт. р-ра, содержащего 0,25 мл пиретринов (ПР), в центр стеклянной пластинки  $10 \times 10 \text{ см}$ . Разрушение ПР изучали на солнечном свете  $90 \text{ кал/см}^2$  и под лампами накаливания 150 вт. Биологич. активность ПР до и после облучения определяли биологич. методом путем помещения на поверхность пластинок насекомых *Tribolium castaneum* Hbst. Биологич. активность пленок терялась уже за 40 мин. экспозиции на солнечном свете; в темноте активность сохранялась при

выдерживании в течение  $\geq 4$  недель. Разрушение осуществляется видимой и УФ-радиацией. Удаление хлорофилла из препаратов сырого пиретрума значительно увеличивает устойчивость пленок. Аллетрин более устойчив к окислению по сравнению с ПР. Защитное действие оказывало прибавление к р-ру ПР 0,25 мг *n*-аминоазобензола (I). При одновременном удалении хлорофилла и прибавлении I наблюдался аддитивный эффект. I задерживает также фотоллиз аллетрина. Разрушение ПР в порошке пиретрума освещением лампами накаливания значительно снижалось в присутствии 0,5% I. На разрушение ПР нагреванием пленок до  $100^\circ$  в течение 1 часа I не влияет. I вызывает также некоторое снижение токсичности препарата по отношению к *T. castaneum*. ПР в пиретруме разрушался светом быстрее, чем цинерин; удаление хлорофилла увеличивало устойчивость всех компонентов, а прибавление I увеличивало устойчивость только ПР II и цинерина II. I оказывал более сильное защитное действие по сравнению с другим красителем — бензолазо- $\beta$ -нафтолом. Некоторое увеличение устойчивости пленок пиретрума к фотоокислению достигалось также прибавлением восстановителей резорцина, пирогаллола, катехина и гидрохинона. Судан IV, *n*-метоксизобензол и спирт. краски оказывали защитное действие, сходное с действием I.

А. Верещагин  
6Л465. Оценка 2-(3,5-дихлор-2-бифенилокси)-триэтиламина в качестве добавки к инсектицидам. Moorefield Herbert H., Tefft Edwin R. Evaluation of 2-(3,5-dichloro-2-biphenyloxy)-triethylamine as an insecticide adjuvant. «Contrib. Boyce Thompson Inst.», 1959, 20, № 4, 293–298 (англ.).—В качестве синергиста для инсектицидов испытан 2-(3,5-дихлор-2-бифенилокси)-триэтиламин (I), который способен, как известно, усиливать и продлевать действие ряда медикантов совершенно различного типа, благодаря подавлению ферментов, разлагающих действующее в-во. I не усиливает инсектицидных свойств пиретринов, аллетрина, циклетрина, ДДТ, диазинона и малатиона, а также не ингибирует ДДТ-дегидрохлориназу. В то же время I является синергистом для в-в группы карбаматов: 3-трет-бутилфенил-N-метилкарбамата, свина, пролана и изолана. Хотя пиперонилбутоксид и другие метилendioксибензильные соединения являются синергистами как для пиретринов, так и для карбаматов, специфичность действия I заставляет предположить, что для этих двух классов инсектицидов синергизм зависит от различных причин. Г. Швиндлерман

6Л466. Наследование устойчивости и толерантности к инсектицидам. Brown A. W. A. Inheritance of insecticide resistance and tolerance. «Misc. Publ. Entomol. Soc. Amer.», 1959, 1, № 1, 20–26 (англ.).

6Л467. Опыт применения бромистого метила для обеззараживания готовой продукции и зерна в складах. Фрейман И., Ратанова В., Белых Е., Соседов Н. «Мукомольно-завед. пром-сть», 1960, № 7, 12–14.—Фумигация  $\text{CH}_3\text{Br}$  при дозе 60–70  $\text{г/м}^3$  и экспозиции 3–4 суток позволяет получить устойчивые положительные результаты обеззараживания зерна от всех наиболее распространенных вредителей.

А. Рыпка  
6Л468. Фумигация построек против термитов *Cryptotermes brevis*. Bess Henry A., Ota Asher K. Fumigation of buildings to control the dry-wood termite, *Cryptotermes brevis*. «J. Econ. Entomol.», 1960, 53, № 4, 503–510 (англ.).—Фумигация построек, накрытых найлоновой или полиэтиленовой пленкой,  $\text{CH}_3\text{Br}$  ( $40 \text{ г/м}^3$ ) полностью ликвидировала в 23 (из 24) постройках естественную зараженность термитами. Экспозиция фумигации 15–19 час. Полуторачасовая фумигация восьми построек  $\text{SO}_2\text{F}_2$  ( $32 \text{ г/м}^3$ ) также полностью освободила постройки от термитов. Фуми-



гация дибромэтаном ( $32-38 \text{ г/м}^3$ ) пяти построек при экспозиции 24 часа полностью освободила только 3 постройки.

**6Л469.** Отпугивающие и привлекающие вещества в области борьбы с насекомыми и клещами. Goodhue Lule D., Howell D. E. Repellents and attractants in pest control operations. «Pest Control», 1960, 28, № 8, 44, 46, 48, 50 (англ.).—Кратко и популярно описаны свойства отпугивающих и привлекающих в-в и указаны насекомые и клещи, против которых применяют эти в-ва. Из отпугивающих в-в приведены MGK Repellent 11 [2,3,4,5-бис-( $\Delta^2$ -бутилен)-тетрагидрофуран], MGK Repellent 326 (ди-*n*-пропилизоциномеронат), R-874 (2-оксиэтил-*n*-октилсульфид), R-55 (трет-бутилсульфенилдиметилдитиокарбамат), R-1207 (3-хлорпропил-*n*-октилсульфоксид), R-949 (2-оксипропил-*n*-октилсульфоксид), диэтил-*m*-толуамид и № 1131 (дибутилсукцинат).

**6Л470.** Криоскопическое определение чистоты линдана. Handley R. Cryoscopic determination of the purity of lindane. «J. Appl. Chem.», 1960, 10, № 9, 353—357 (англ.).—Метод определения содержания  $\gamma$ -ГХЦГ (I) в препарате линдана, предложенный ранее (Toops, Riddick, Anal. Chem., 1951, 23, 1106), с использованием простого прибора для определения точки замерзания (ТЗ) и ртутного стеклянного термометра, проверен в нескольких лабораториях и дал хорошие результаты. Для определения ТЗ берут 25 г порошкообразного линдана. Чистоту образца вычисляют по ф-ле:  $\log_{10}$  (молярного % чистоты) =  $0,0143 \cdot \Delta T / 2,30259$ , где  $\Delta T$  означает разницу между ТЗ образца и величиной 112,86. Если содержание I > 99%, чистоту образца вычисляют по у-нию: молярный % чистоты =  $100 - (112,86 - T) / 0,7$ , где  $T$  наблюдаемая первоначальная ТЗ. Приведен рисунок прибора для определения ТЗ и его подробное описание.

**6Л471.** Определение малых количеств ДДТ в муке и других пищевых продуктах.—The determination of small amounts of DDT in flour and other foodstuffs. «Analyst», 1960, 85, № 1013, 600—606 (англ.).—Остатки ДДТ экстрагируют из пищевых продуктов *n*-гексаном, петр. эфиром или смесью *n*-гексана с ацетоном. Экстракт очищают на колонке с селитом и затем на колонке с силикагелем; очищ. экстракт нитруют и определяют тетранитропропизводное ДДТ по синей окраске, образующейся при добавлении к его бензольному р-ру сперт. р-ра КОН. Метод проверен и рекомендован для применения. Описана подробная методика анализа и способ очистки р-рителей. Приведен рисунок прибора для экстракции и упаривания.

**6Л472.** Метод микроопределения эндрина. Skerrett E. John, Baker E. A. The micro-determination of endrin. «Analyst», 1960, 85, № 1013, 606—607 (англ.).—Колориметрический метод определения эндрина (I) основан на изомеризации I в кислой среде в соответствующий кетон и взаимодействии последнего с 2,4-динитрофенилгидразином (II). Бензольный р-р, содержащий  $\leq 200 \text{ мкг I}$ , упаривают досуха при  $60^\circ / 15$ — $20 \text{ мм}$ , охлаждают, добавляют 1 мл смеси  $\text{CH}_3\text{COOH}$  и  $\text{H}_2\text{SO}_4$  (к 10 мл охлажд. лед.  $\text{CH}_3\text{COOH}$  добавляют 0,1 мл конц.  $\text{H}_2\text{SO}_4$  и 1 мл этой смеси прибавляют к 9 мл лед.  $\text{CH}_3\text{COOH}$ ) и нагревают 30 мин. на водяной бане при  $60^\circ$ . Смесь переносят в делительную воронку при помощи 5 мл  $\text{C}_6\text{H}_6$  и 5 мл воды, добавляют 2 мл 10 н.  $\text{NaOH}$  и энергично взбалтывают. Водн. слой сливают, бензольный слой промывают 15 мл воды, фильтруют через слой (15 мм) безводн.  $\text{Na}_2\text{SO}_4$  и испаряют  $\text{C}_6\text{H}_6$  при  $60^\circ / 15$ — $20 \text{ мм}$ . Остаток растворяют в 0,5 мл  $\text{C}_2\text{H}_5\text{OH}$ , добавляют 0,1 мл р-ра II, полученного по Бокеру (см. РЖХим, 1961, 2Л337) и через 30 мин. добавляют 5 мл  $\text{C}_6\text{H}_6$ , переносят в делительную воронку и промывают последовательно 10 мл конц.  $\text{HCl}$  к-ты, 5 мл 10 н.  $\text{NaOH}$ , 5 мл конц.  $\text{HCl}$  к-ты и 15 мл воды. Бензольный р-р сушат фильтрованием через слой

(15 мм) безводн.  $\text{Na}_2\text{SO}_4$  в мерный цилиндр емк. 10 мл и промывают  $\text{Na}_2\text{SO}_4$  и  $\text{C}_6\text{H}_6$  до получения общего объема 7,5 мл, добавляют 2,5 мл р-ра тетраэтиламмонийгидрата (III) (1 мл 25%-ного III добавляют к 24 мл  $\text{C}_2\text{H}_5\text{OH}$ ), тщательно перемешивают и через 1—10 мин. измеряют абсорбцию при 440 м $\mu$ . Метод применен для определения остатков I на черной смородине. Найдено 91% от известных кол-в I, добавленных к экстракту цветочных бутонов.

**6Л473.** Определение остатков О,О-диметил-S-(N-метилкарбамидометил)-дитиофосфата (диметоата) в обработанных сельскохозяйственных культурах. Chilwell E. D., Beecham P. T. Residues of O,O-dimethyl S-(N-methylcarbamoylmethyl) phosphorothiothionate (dimethoate) in sprayed crops. «J. Sci. Food and Agric.», 1960, 11, № 7, 400—407 (англ.).—Диметоат (I)  $(\text{CH}_3\text{O})_2\text{P}(\text{S})\text{SCH}_2\text{CONHCH}_3$  — белое кристаллич. в-во с т. пл.  $49$ — $50^\circ$ , давление паров  $1 \times 10^{-4} \text{ мм Hg}$  при  $25^\circ$ , растворимость в воде при  $25^\circ$  2,5 г в 100 мл; коэф. распределения при  $25^\circ$  — вода: петр. эфир 23,5; хлороформ: вода 32,5; вода:  $\text{CCl}_4$  2,2. I гидролизуете водн. щелочью ( $K = 6,8 \text{ мин}^{-1} \text{ моль}^{-1}$  при  $25^\circ$ ), полу-распад при обработке 0,1 н.  $\text{NaOH}$  1 мин.; устойчив в нейтр. и слабосидой среде. При хранении медленно разлагается с выделением кислых продуктов разложения. При определении остатков I в овощах или фруктах образец 250 г мацерируют с 250 мл воды, доводят 10%-ной  $\text{CH}_3\text{COOH}$  до pH 4,0, отфильтровывают, осадок мацериируют еще 2 раза при pH 4,0, соединенные фильтраты центрифугируют, доводят их объем до 1 л, отбирают 200 мл, нейтрализуют 2 н.  $\text{NaOH}$  до pH 7,0, экстрагируют дважды равными объемами  $\text{CHCl}_3$ , фильтруют соединенные вытяжки, отгоняют  $\text{CHCl}_3$  при  $60^\circ$  до объема 10 мл, переносят в аппарат для микроотгонки и упаривают при возможно меньшем т-ре и слабом вакууме досуха, выдерживают 30 мин. при  $200^\circ / 1 \text{ мм}$ , обмывают холодильник  $\text{CHCl}_3$ , помещают в колбу Кельдаля емк. 50 мл, прибавляют 5 мл дистил. воды и 2 мл 72%-ной надхлорной к-ты, отгоняют  $\text{CHCl}_3$ , прибавляют 5 капель  $\text{HNO}_3$ , нагревают до появления белого дыма, охлаждают, прибавляют несколько капель воды, нагревают до появления белого дыма, охлаждают, прибавляют 20 мл воды, переносят в делительную воронку и определяют P по методу Хита (см. РЖХим, 1957, № 4, 12430). Чувствительность метода 5 мкг или 0,1 мг в 1 кг растительных тканей. С небольшими изменениями в процедуре экстракции метод применим для анализа сухих образцов.

**6Л474.** Определение фосфорорганического инсектицида М-81 в яблоках, винограде, соке и вине. Исачева Г. Я., Троценко М. А. «Вопр. питания», 1960, 19, № 4, 59—61 (рез. англ.).—В основу метода определения препарата в пищевых продуктах положено определение его по фосфору в виде фосфорномolibденового гетерополикомплекса после экстракции органич. р-рителями и хроматографии. разделения инсектицида от органич. соединений фосфора, присутствующих в растении. Лучшим органич. р-рителем из испытанных оказался  $\text{CHCl}_3$ , а адсорбентом при хроматографии диатомит. Для вина и виноградного сока в качестве р-рителя использовали эфир.

**6Л475.** Качественное и количественное определение биологически активных компонентов пиретрума. Smith H. J. Detection and estimation of the biologically active constituents of pyrethrum. «J. Sci. Food and Agric.», 1960, 11, № 3, 172—176 (англ.).—Пиретриновый экстракт (150—160 мг) растворяют при медленном перемешивании в смеси эфира (2,5 мл) с  $\text{C}_2\text{H}_5\text{OH}$  (6,5 мл). Прибавляют 2,4-динитрофенилгидразин (70 мг) и 1 мл р-ра  $\text{HCl}$ -к-ты в  $\text{CH}_3\text{OH}$  (на 3 мл конц.  $\text{HCl}$ -к-ты берут 25 мл  $\text{CH}_3\text{OH}$ ). Смесь оставляют на 3,5 часа при периодич. взбалтывании при  $\sim 20^\circ$ . Пиретрин I, цинерин I, цинерин II и цинерин II взаимодействуют с 2,4-ди-

нитрофенил-  
пшнные в  
ны, для о  
ную сме  
(50 мл) в  
мешиваю  
экстраги  
слоя повт  
прозрачно  
гексановы  
30 мл), ф  
отгоняют  
творяют  
эфиром  
лонку с  
смесью (и  
ливают  
этиленди  
удаления  
(~4,5 ка  
вых ниж  
Дальнейш  
(одна у  
полосы)  
выше р-  
фракции  
остаток  
испаряют  
95%-ном  
ляют оп  
процент  
оптич.  
При вы  
на II в  
1,288 и  
ошибка  
мы пир  
опытных  
разнов  
6Л476:  
дов в р  
вой вел  
ности.  
of agric  
manageme  
value a  
суй-ку  
Fish.  
Соотно  
токсичн  
токсичн  
ние ска  
опред  
делени  
порогов  
19 назн

6Л47  
запах  
его м  
Geor  
Lisk  
land  
epoxid  
milk,  
(англ.  
корова  
I не п  
вкуса

6Л47  
понер  
S. Los

к. 10 мл  
общего  
гидролизом  
в течение 1  
и через  
Метод  
ной смесью  
обавлен  
сульфон  
ил-S-(N-  
data) в  
ультрафи  
of 0,0  
hydrothio  
-Sci. Food  
имеет ста  
сталлич.  
мг Hg  
100 мг;  
спир 23,5;  
изуется  
, полу  
ойчив в  
седенно  
разложе  
и фрук  
доводят  
ют, осаж  
енные  
до 1 л,  
рН 7,0,  
СНС<sub>3</sub>,  
СНС<sub>3</sub>,  
рат для  
тенней  
30 мин.  
помеща  
от 5 мл  
ы, отго  
вают до  
иют пе  
белого  
реносит  
методу  
альность  
тканей.  
гракции  
ловская  
инсекти  
Исае  
, 1960,  
опреде  
ложено  
олибде  
и орга  
инсек  
дих са  
з испы  
ромато  
го сока  
Рышка  
ределе  
струма.  
Biologi  
ood and  
иповый  
ом пе  
3,5 мл).  
и 1 мл  
берут  
перио  
ерин I,  
2,4-ди-

нитрофенилгидразином, давая соответствующие окрашенные в оранжевый цвет 2,4-динитрофенилгидразины, для очистки которых указанную выше реакционную смесь переносят с помощью изогексана (I) (50 мл) в делительную воронку с 50 мл воды, перемешивают, отделяют водн. слой, который повторно экстрагируют изогексаном (20 мл). Обработку водн. слоя повторяют (~5 раз по 20 мл I) до образования прозрачного циклогексанового р-ра. Соединенные изогексановые р-ры двукратно промывают водой (по 30 мл), фильтруют через слой ваты в колбу и р-ритель отгоняют в вакууме на бане при ~45°. Остаток растворяют в смеси этилацетата (1,5 мл) с легким петр. эфиром (28,5 мл). Р-р выливают в хроматографич. колонку с Al<sub>2</sub>O<sub>3</sub>, колбу дважды ополаскивают указанной смесью (по 5 мл). После ополаскивания р-р также выливают в колонку, производят промывание смесью этилацетата с легким петр. эфиром (1:14) до полного удаления фенилгидразонов цинерина I и пиретрина I (~4,5 часа), что видно по исчезновению двух оранжевых линий (одной узкой и одной широкой) полос. Дальнейшее вымывание цинерина II и пиретрина II (одна узкая и одна широкая — верхние оранжевые полосы) производят (~2 часа) смесью 1:7 указанных выше р-рителей. Из раздельно собранных четырех фракций динитрофенилгидразонов удаляют р-ритель и остаток доводят до 100 мл I. 5 мл полученного р-ра испаряют, растворяют в спектроскопически чистом 95%-ном C<sub>2</sub>H<sub>5</sub>OH, объем доводят до 100 мл и определяют оптич. плотность при 377 мμ. Для вычисления процента пиретрина I в образце пользуются ф-лой: оптич. плотность · 20 · 100 · 1,173 / вес образца (в мг). При вычислении цинерина I, цинерина II и пиретрина II вместо числа 1,173 берется соответственно 1,130, 1,288 и 1,330. При уровне вероятности P = 0,05 средняя ошибка определения цинерина I, пиретрина II и суммы пиретринов равна ±2%, а цинерина II ±4%. Два опытных аналитика могут сделать в день анализ 3 образцов экстракта пиретринов.

П. Пономарев  
6Л476. Изучение токсического действия пестицидов в рыбном хозяйстве. 3. Метод определения пороговой величины и кинетический анализ кривой токсичности. Matida Yoshihiro. Study on the toxicity of agricultural control chemicals in relation to fisheries management. № 3. A method for estimating threshold value and a kinetic analysis of the toxicity curve. «Тансуй-ку суйсан кэнкёку кэнко хококу. Bull. Freshwater Fish. Res. Lab.», 1960, 9, № 2, 4—12 (англ.).—Обзор. Соотношения теоретич. и эксперим. уровней кривой токсичности, соотношение между пороговой величиной токсичности и размерами рыбы, а также т-рой, влияние скачков т-ры на пороговую величину токсичности, определение абс. кол-ва яда в испытуемом р-ре, определение скорости распада инсектицида, определение пороговой величины по кривой токсичности. Библ. 19 назв. Часть I см. РЖХим, 1959, № 14, 50866.

А. Верещагин  
6Л477. Влияние низких доз гептахлора на вкус и запах молока и остатки пестицида при скармливании его молочным коровам. Bache C. A., Gyrisco George G., Fertig S. N., Huddleston E. W., Lisk D. J., Fox F. H., Trimberger G. W., Holland R. F. Effects of feeding low levels of heptachlor epoxide to dairy cows on residues and off-flavors in milk. «J. Agric. and Food Chem.», 1960, 8, № 5, 408—409 (англ.).—При скармливании гептахлора (I) молочным коровам в дозах 0,5 и 1,0 мг/кг анализы обнаруживали в молоке I соответственно в кол-ве 0,38 и 1,94 мг/л. I не придавал молочным продуктам постороннего привкуса или запаха и не был токсичен для животных.

А. Рышка  
6Л478. Потери хлорорганических инсектицидов с поверхности почвы в полевых условиях. Mulla Mir S. Loss of chlorinated hydrocarbon insecticides from soil

surface in the field. «J. Econ. Entomol.», 1960, 53, № 4, 650—655 (англ.).—Изучена скорость исчезновения токсич. остатков ДДТ, эндрина (I), альдрина (II) и препарата SD-4402 (III) с поверхности почвы. Инсектициды в форме эмульсий наносили на почву путем опрыскивания в дозах соответственно 22,4, 5,4, 20,3 и 2,24 кг/га. Величину остатков определяли биологич. методом анализа, используя мошек *Hippelates collusor* (Townsend) и личинок комаров *Culex quinquefasciatus* (Say). Установлено, что через 24 часа после опрыскивания первоначальное кол-во ДДТ уменьшается на 13 или 5% (первая цифра получена при использовании для проведения анализа личинок комаров, вторая — мошек), I на 47 или 56%, II на 8 или 65% и III на 55 или 67%. Несовпадение результатов при определении кол-ва II двумя различными способами объясняют превращением его в почве в дильдрил, который отличается по токсичности для используемых при анализе биологич. объектов от II.

Е. Гранин  
6Л479. Влияние высоких доз севина на вкус и запах молока и количество остатков инсектицида при скармливании его молочному скоту. Gyrisco George G., Lisk D. J., Fertig S. N., Huddleston E. W., Fox F. H., Holland R. F., Trimberger G. W. The effects of feeding high levels of sevin on residue, flavor, and odor of the milk of dairy cattle. «J. Agric. and Food Chem.», 1960, 8, № 5, 409—410 (англ.).—Технический севин (I) в дозе 50, 150 и 450 мг/кг скармливали молочным коровам в течение 2 недель. Остатки I в сликах были ниже чувствительности применяемого аналитич. метода (0,0062—0,0087 мг/л). Не обнаружен также продукт гидролиза I — α-пфтол. Молоко не имело ни запаха, ни вкуса I. У животных не отмечены симптомы отравления.

А. Рышка  
6Л480. Сравнительное изучение активности медьсодержащих и органических фунгицидов в борьбе с ложной мучнистой росой и влиянии их на урожай винограда. Öchs Gertrud. Vergleichende Versuche über die Wirksamkeit bewährter Kupfermittel mit modernen organischen Fungiziden gegen Pseudopeziza tracheiphila Müller-Thurgau unter Berücksichtigung der Ernteergebnisse bei Weinreben. «Schweiz. Z. Pflanzkunde», 1960, 38, № 9, 129—133 (нем.).

6Л481. Опыты с органическими фунгицидами в 1959 году. Winkler E. Versuche mit organischen Fungiziden 1959. «Dtsch. Weinbau», 1960, 15, № 5, 172—174 (нем.).—Описано применение на винограде фунгицидов: смеси цинеба и Cu с S, фалтана и др.

И. Мильштейн  
6Л482. Борьба против ржавчины цихория *Puccinia cichorii* (DC) Bell. Marras Franco. Prove di lotta contro la «ruggine» delle indivie *Puccinia cichorii* (DC) Bell. «Notiz. malatt. piante», 1960, № 52, 137—146 (итал.; рез. англ.).—Эффективными были дитиокарбаматы: цинеб и цирам с или без S и каратана, особенно смесь цинеб + каратан. Колл. S не подавляла *P. cichorii*.

А. Рышка  
6Л483. Парша (*Fusicladium eriobotryae* Cav.) на японской мушмуле в Сицилии. I. Сравнительная эффективность медьсодержащих и органических фунгицидов. Salerno Mario. La «ticchiolatura» del nespolo del Giappone (*Fusicladium eriobotryae* Cav.) in Sicilia. I. Appunti epidemiologici e prove comparative di lotta con anticrittogamici cuprici e acuprici. «Notiz. malatt. piante», 1960, № 52, 79—90 (итал.; рез. англ.).—Хорошие результаты в борьбе с *F. eriobotryae* получены с бордосской жидкостью, хлорокисью Cu (I), цинебом (II) + I, цирамом (III) + I, III, II + III, каптаном и TMTД. Практически различие в результатах зависело не от препарата, а от сроков, числа и доз опрыскивания.

А. Рышка  
6Л484. Изучение эффективности различных фунгицидов in vitro на конидии *Fusicoccum amygdali*. Caselli P. Prove in vitro sulla efficacia di vari anti-

crittogamici verso il *Fusicoccum amygdali*. «Notiz. malatt. piante», 1960, № 52, 75—78 (итал.; рез. англ.).— Неактивными были каратан, сульфат и хлорокись Cu; слабоактивны в высоких дозах S, полисульфид Ba. Высокую активность проявили цирам, фербам и ТМТД.

А. Рышка  
6Л485. Влияние степени измельчения цинеба на его фунгицидную активность. Ciferri R., Scardavi A. Efficacia anticrittogamica di alcuni zineb a diverso grado di finezza. «Notiz. malatt. piante», 1960, № 52, 7—14 (итал.; рез. англ.).— Степень измельчения цинеба повышает фунгицидную активность препарата до известного предела.

А. Рышка  
6Л486. Полевые опыты по применению гризеофульвина для борьбы с церкоспорозом свеклы. Ghilini C. A., Alghisi P. Prime prove in campo con griseofulvina contro la Cercospora della bietola. «Notiz. malatt. piante», 1960, № 52, 15—22 (итал.; рез. англ.).— При применении технич. гризеофульвина в конц-н 1,3 и 5% получены такие же результаты как со смешанной хлорокисью Cu и Ca (16% Cu). Необработанные растения сильно отличались по весу корнеплодов и вегетативной части и по содержанию сахарозы. В других опытах технич. гризеофульвин (440 г/мл, 600 мг/га, 3—7 обработок) по эффективности действия также не отличался от хлорокиси Cu.

А. Рышка  
6Л487. Полимерные и высокомолекулярные соединения в защите растений. Поляков И. М., Андреев С. В., Хотянович А. В. «Защита раст. от вредит. и болезней», 1960, № 9, 14—17.— Полимерные и высокомолекулярные соединения используются в качестве пленкообразующих в-в при протравливании семян и обработке зеленых растений (напр., 1%-ная поливинилацетатная эмульсия или 3%-ная лесохим. перегонная смола), для гранулирования гербицидов (напр., мочевино-формальдегидная смола) и при фумигации (полимерные пленки).

А. Рышка  
6Л488. Обработка фунгицидами и бактерицидами семян хлопчатника в Центральноафриканской Республике. Lagière R., Cognée M. Les traitements fongicides et bactericides des semences du cotonnier en République centrafricaine. Nouvelle contribution. «Coton et fibres trop. Rev. semestr.», 1960, 15, № 1, 41—67 (франц.; рез. англ.).

6Л489. Изучение новых органических фунгицидов. Zemánek J. J. Studium účinnosti nových organických fungicidů. «Sb. Českosl. akad. zeměd. věd. Rostl. výroba», 1960, 6, № 8, 1105—1118 (чешск.; рез. русск., нем.).— Вещества общей ф-лы  $\text{Cl}_3\text{CSSC(S)OR}$  (I) [где R =  $\text{CH}_3$  (а),  $\text{C}_2\text{H}_5$  (б),  $\text{C}_3\text{H}_7$ ,  $\text{CH}(\text{CH}_3)_2$  (в),  $\text{C}_4\text{H}_9$ ,  $\text{CH}_2\text{CH}(\text{CH}_3)_2$ ,  $\text{C}_5\text{H}_{11}$ ,  $\text{CH}_2\text{CH}_2\text{CH}(\text{CH}_3)_2$ ,  $\text{C}_6\text{H}_{13}$ ,  $\text{CH}_2\text{CH}=\text{CH}_2$  (г), цикло- $\text{C}_6\text{H}_{11}$ ,  $\text{CH}_2\text{C}_6\text{H}_5$ ], а также  $\text{Cl}_3\text{CS}_2\text{CCl}_3$  (II) испытывались в качестве фунгицидов в лабор., вегетационных и полевых условиях. Активность этих соединений сравнивали с ртутьорганич. протравителями семян (агралом, наногеном, этилмеркурхлоридом, церезаном М) и ортоцидом 50. Против спор *Tilletia caries* лучшим фунгицистич. действием обладают Ia, Ig и II. В полевых опытах Ig особенно активен против твердой головни пшеницы. Рост гриба *Fusarium* sp. на зернах ржи хорошо подавляют Ia—в и II. Овес, искусственно зараженный спорами *Ustilago avenae*, хорошо предохраняют Ia—г. Ia—в в дозе 25 мг/ц и II в дозе 60 г/ц при протравливании ими семян по эффективности равнялись паногену или церезану М. II не фитотоксичен для семян овса даже при многократном протравливании. I и II фитотоксичны.

А. Рышка  
6Л490. О возможностях получения пестицидов на основе сланцевых смол. I. О фитотоксичности средних фракций смолы полукочевания сланца. Rang H. Vöimalusi pestitsiidide saamiseks põlevkivisaadustest. I. Põlevkivi poolkoksistamise ütletoeva keskimate fraktsioonide fütotoksilisusest. «ENSU Teaduste Akad. toimetised. Füüs.-matem. ja tehn. teaduste seer.», «Изв. АН

ЭстССР. Сер. физ.-матем. и техн. н.», 1960, 9, № 2, 121—129 (эст.; рез. русск., англ.).— По фитотоксичности растений редиса, овса и моркови 0,1—50%-ные эмульсии различных компонентов сланцевого дегтя располагались в следующем порядке: нейтр. кислородные соединения > ароматич. углеводороды > олефиновые углеводороды > парафино-нафтеновые углеводороды. Наиболее фитотоксично масло с т. кип. 250—300°.

А. Рышка  
6Л491. Синтез далапона, меченого  $\text{C}^{14}$ , и опыты по применению его на соевых бобах и кукурузе. Blanchard F. A., Muellder W. W., Smith G. N. Synthesis of carbon-14-labeled dalapon and trial applications to soybean and corn plants. «J. Agric. and Food. Chem.», 1960, 8, № 2, 124—128 (англ.).— Натриевая соль α,α-дихлорпропионовой к-ты (I, II к-та), меченная  $\text{C}^{14}$ , получена прямым двустадийным хлорированием пропионовой к-ты (III), меченной  $\text{C}^{14}$  в α-положении, микрометром, описанным ранее (пат. США 1993713; 2010685; 2809992). ИК-спектр указывал на присутствие в продукте хлорирования II,  $\text{CH}_2\text{ClCCl}_2\text{COOH}$  (IV),  $\text{CH}_2\text{CHClCOOH}$  (V) и других примесей. Очистка на хроматографии. колонке (силикагель с фосфатным буфером, р-ритель для элюирования — смесь  $\text{CHCl}_3$  и пентан-2-а) дала 32% меченого II, считая на III (радиохл. чистота 96%). При хроматографировании продукта на бумаге [состав р-рителя 50 ч.  $\text{CHCl}_3$ , 50 ч. *трет*- $\text{C}_4\text{H}_9\text{OH}$ , 5 ч.  $\text{C}_2\text{H}_5\text{OH}$ , 1 ч.  $\text{C}_2\text{H}_5\text{OH}$ , 1 ч.  $(\text{C}_2\text{H}_5)_2\text{NH}$  и 7 ч. воды] получены значения Rf для V, II, IV соответственно 0,19, 0,38, 0,51 и дополнительно Rf трех в-в 0,27, 0,06 и 0,68. Для изучения распределения I в растении кукуруза и соевые бобы были обработаны меченым I, который затем выделялся из экстрактов различных частей растений с помощью хроматографии на бумаге. Во всех случаях наибольшая радиоактивность наблюдалась в молодых частях растений.

В. Лившиц  
6Л492. Исследования в области синтеза гербицидов. Сообщ. III. γ-Хлоркритиловыи эфиры алифатических, ароматических, моно- и дикарбонных кислот. Довлатян В. В., Какрян Т. О. «Айканан ССР Гитутюннери Академиян тегакагр. Кимиякан гитутюннер. Изв. АН АзССР. Хим. н.», 1959, 12, № 4, 277—281 (рез. арм.).— Указанные эфиры синтезированы с целью изучения их гербицидной активности р-цией Na-солей к-т с 1,3-дихлорбутеном-2 (I) в присутствии  $\text{C}_5\text{H}_5\text{N}$ , Na-солей пиридиневых оснований, алифатич. аминов или  $\text{NH}_3$  в качестве катализаторов. Р-цию проводят, нагревая смесь реагентов (Na-соли соответствующей к-ты, I и амина) при 130—135° в течение 4,5—10,5 часа. По окончании р-ции I удаляют в вакууме, остаток растворяют в эфире, эфирный р-р промывают водой, высущивают, р-ритель отгоняют и продукт фракционируют в вакууме. По описанной методике получены следующие  $\text{RC}(\text{O})\text{OCH}_2\text{CH}=\text{CClCH}_3$  (приведены R, т. кип. в °C/мм,  $n_D^{20}$ ,  $d_4^{20}$ ):  $\text{CH}_3$ , 91/55, 1,4523, 1,4090;  $n\text{-C}_3\text{H}_7$ , 81/3, 1,4510, 1,0277; *трет*- $\text{C}_4\text{H}_9$ , 91/3, 1,4490, 1,005;  $\text{CH}_3\text{CCl}=\text{CHCH}_2\text{OC}(\text{O})$ , 146—148/2, — (распадающиеся кристаллы);  $\text{CH}_3\text{CCl}=\text{CHCH}_2\text{OC}(\text{O})\text{CH}_2\text{CH}_2$ , 173/2, 1,4870, 1,2118;  $\text{C}_6\text{H}_5$ , 126—128/1, 1,5332, 1,1706;  $n\text{-}[\text{CH}_2\text{CCl}=\text{CHCH}_2\text{OC}(\text{O})]\text{-C}_6\text{H}_4$ , —, т. пл. 70°, —. Сообщение II см. РЖХим, 1960, № 10, 38654.

В. Лившиц  
6Л493. Хлорацетилирование меланина. Nestler Nans, Fürst Hans. Chloracetylierungen von Melanin. «Chem. Techn.», 1960, 12, № 9, 546—547 (нем.).— Меланин (I) при нагревании с избытком  $(\text{RCO})_2\text{O}$ , где R =  $\text{CH}_2\text{Cl}$ ,  $\text{CHCl}_2$  и  $\text{CCl}_3$ , образует 2,4,6-трис-(хлорацетиламино)-симм-триазины. 1,26 г I и 20,5 г  $(\text{CH}_2\text{ClCO})_2\text{O}$  нагревают 10 мин. при 130°, охлаждают до 30°, обрабатывают холодной водой и получают 2,4,6-трис-(монохлорацетиламино)-симм-триазин (II), выход 88%, разлагается при нагревании > 200°. 1,26 г I, 29,5 г  $(\text{CHCl}_2\text{CO})_2\text{O}$  и 25 мл абс. диоксана кипятят 8 час, фильтруют, фильтрат охлаждают и высаживают пет-



фифром 2,4,6-трис-(дихлорацетиламино)-симм-триазин (III), выход 77%, т. пл. 185—187°, 1,26 г I, 17 г  $\text{CCl}_4$ ,  $\text{COCl}_2$ , 1,65 г  $\text{CCl}_3\text{COOH}$  и 12 мл абс. диоксана кипятят 6 час. и получают 2,4,6-трис-(трихлорацетиламино)-симм-триазин (IV), выход 80%, т. пл. 292—295° (из абс.  $\text{CH}_2\text{Cl}_2$ ). II—IV подавляют рост *Alternaria*, *Phytophthora* и *Botrytis*. III и IV в дозе 1, 5 и 10 кг/га вначале несколько угнетают рост томатов, картофеля, сельдерея и овса, но затем растения развиваются нормально. При обработке II томатов в дозе 1, 5 и 10 кг/га наблюдаются только легкие повреждения. А. Гранов

6Л1494. Химические препараты, применяемые в борьбе с сорняками. Часть IV. Donaldson T. W. Chemicals used in weed control. Part IV. «J. Agric.», 1960, 58, № 6, 361, 363—365, 367—371 (англ.).—Обзор. Рассмотрены гербициды сплошного действия:  $\text{NaClO}_2$ , водорастворимые соли В, арсениты, минер. масла,  $\text{CCl}_3\text{COOH}$ , замещ. мочевины, эрбон, симазин, а также почвенные фунгициды. Предыдущую часть см. РЖХим, 1960, № 18, 74659. А. Рышка

6495. Получение гексахлорциклогексана. Ока Хидзакэ, Футиваки Ютака, Цунамото Такаси. [Мицубиси касэй когэ кабусики касэй]. Японск. пат. 2215, 9.04.59.—Бензол хлорируют при периодич. облучении. Напр., в реакционную колонну при 30—35° непрерывно подают  $\text{C}_6\text{H}_6$  со скоростью 130 г/мин и  $\text{Cl}_2$  со скоростью 25 г/мин при облучении смеси флуоресцентной лампой (освещение в течение всего процесса периодический включают и выключают с интервалом 1 мин.). По окончании р-ции отгоняют непрореагировавший бензол и выделяют ГХЦГ, выход 32 г/мин, содержание  $\gamma$ -изомера 15,0%.

6Л1496. Процесс выделения  $\gamma$ -гексахлорциклогексана. Nicolaisen Bernard H., Wood Judson A. Process for the separation of gamma benzene hexachloride. «Olin Mathieson Chemical Corp.». Пат. США 2911446, 3.11.59.—Выделение  $\geq 95\%$ -ного  $\gamma$ -ГХЦГ (I) из технич. ГХЦГ осуществляется непрерывно циклич. одноступенчатой экстракцией (при 25—50°) и кристаллизацией (т-ра кристаллизации должна быть ниже на 15°). Технич. ГХЦГ, содержащий 73,6%  $\alpha$ -(II) и  $\beta$ -(III) ГХЦГ, 13,7% I и 12,7%  $\delta$ -ГХЦГ (IV) и гентахлорциклогексана (V) (находящихся частично в кристаллич. состоянии), размешивают 4 часа с равным по весу кол-вом тетрахлорэтилена (VI) при 35°. Смесь фильтруют при 35°, остаток промывают небольшим кол-вом свежего р-рителя, охлаждают до 25°, размешивают 2 часа, снова фильтруют и промывают остаток. Первый фильтрат (без промывок) нагревают до 35° и возвращают на стадию экстракции. После 6 циклов р-р содержит (в %): II и III 6,1; I 14,4; IV и V 19,2 и VI 60,3. Технич. ГХЦГ (в %): 75 II и III, 11,5 I и 13,5 IV и V, размешивают 4 часа при 35° с 10-кратным по весу кол-вом р-ра, полученного выше. Смесь фильтруют при 35° и получают фильтрат, насыщенный всеми изомерами ГХЦГ. Нерастворенный продукт содержит (в %): II и III 84,2, I 0,9 и IV и V 14,9. Из фильтрата при охлаждении до 25° и выдержке 2 часа выделяют фильтрованием 98%-ный I с выходом 89,3%. 124 ч. технич. ГХЦГ, содержащий (в %): II и III 75,5, I 14 и IV и V 10,5, измельчают и размешивают 8 час. при 35° с 478 ч. р-ра, содержащего (в %): II и III 8, I 18,2, IV и V 30,1 и  $\text{CCl}_4$  43,7. Аналогично описанному выше получен 94,5%-ный I с выходом 88,2%. Приведены две принципиальные схемы процесса.

6Л1497. Метод дезодорирования  $\gamma$ -гексахлорциклогексана. Smrž Rudolf, Vrzgula Dionýz, Špláček Roman, Regula Štefan. Spůsob deodorizácie gamma-izoméru hexachlórcyklohexánu. Чехосл. пат. 91490, 15.08.59.—Смесь 250 г  $\gamma$ -ГХЦГ с т. пл. 110—112°, обладающего сильным запахом, и 50 г 65%-ной  $\text{HNO}_3$  нагревают до 120° на масляной бане в те-

чение 2 час. и при перемешивании выливают в 2 л холодной воды. Полученный гранулированный продукт промывают до нейтр. р-ции, сушат, растворяют в 1 кг горячего  $\text{CH}_3\text{OH}$ , выливают в 3,3 л холодной воды, кристаллич. осадок отфильтровывают и сушат, получают  $\gamma$ -ГХЦГ без запаха с т. пл. 110—112°, выход 100%.

Ф. Рышка

6Л1498. Приготовление сыпучих кристаллических веществ с помощью процесса литья расплава. Hinde Lawrence W., Curtis Henry S., Siemon James R. Preparation of easily friable crystalline substances by a melt casting process. [Diamond Alkali Co.]. Пат. США 2902719, 8.09.59.—Расплавленный ДДТ выливают на бесконечную стальную ленту, которая движется с заданной скоростью (вначале между обогреваемыми паром направляющими, препятствующими стеканию расплава) и проходит над водяными теплообменниками, вследствие чего расплав подвергается быстрому переохлаждению до 60°. Далее материал проходит под V-образной грубой, выравнивающей толщину слоя и собирающей сверху полустывшую массу, после чего движущийся слой ДДТ приводится в соприкосновение с твердым кристаллич. ДДТ (причем, по-видимому, происходит внесение затравки). В заключение материал размельчается с помощью ряда перемешивающих элементов, движущихся поперек ленты во взаимнопротивоположных направлениях; эти элементы пустотелые и нагреваются изнутри паром до т-ры, превышающей т-ру кристаллизации ДДТ. При этом продукт дробится и сходит с ленты в виде сыпучих, хрупких хлопьев, хорошо поддающихся размолу. Метод может быть использован и в произ-ве других материалов. Приведены чертежи необходимого оборудования.

Г. Швиндлерман

6Л1499. Хлорированные и бромированные полициклические углеводороды, их получение и инсектицидные препараты, содержащие их. Webber William Cyril, Harthoorn Paulus Adriaan. Chlorinated and brominated polycyclic hydrocarbons, their preparation, and insecticidal compositions containing them. [«Shell» Research Ltd]. Англ. пат. 819240, 2.09.59.—Получение хлорированных или бромированных полициклич. углеводородов или их смеси состоит в обработке адамантана (трицикло-[3,3,1,1<sup>3,7</sup>]-декана) (I) в р-ре инертного р-рителя хлорирующим или бромлирующим агентом ( $\text{Cl}_2$ ,  $\text{Br}_2$ ,  $\text{SO}_2\text{Cl}_2$ ,  $\text{PCl}_5$ ,  $\text{SbCl}_5$  и др.) при повышенной т-ре и в присутствии катализатора ( $\text{FeCl}_3$ ,  $\text{SbCl}_5$ ,  $\text{CuCl}$ ,  $\text{S}_2\text{Cl}_2$ , перекись бензоила) или при освещении. Новые соединения, полученные таким путем и содержащие  $> 2$  атомов Cl, обладают инсектицидными свойствами. I легко получается из дидиакопентадиена (РЖХим, 1958, № 2, 4521). I дает продукты  $\text{C}_{10}\text{H}_x\text{X}_{12}$  ( $\text{X} = \text{Cl}$  или  $\text{Br}$ ), содержащие разное кол-во галоида ( $< 12$  атомов). 13,6 вес. ч. I в 100 объемн. ч.  $\text{CCl}_4$  помещают в реактор, в который монтирована ртутно-кварцевая лампа, и пропускают  $\text{Cl}_2$  1,5 часа (пока не перестанет выделяться  $\text{HCl}$ -газ).  $\text{CCl}_4$  удаляют, а остаток размешивают с небольшим кол-вом спирта и отфильтровывают, получают 55 вес. ч. неочищ. додекахлорадамантана или 2,2,4,4,6,6,8,8,9,9,10,10-додекахлортрицикло-[3,3,1,1<sup>3,7</sup>]-декана (II), т. пл.  $\sim 290^\circ$  (из сл.). К 13,6 вес. ч. I в 100 объемн. ч. сухого  $\text{CCl}_4$  добавляют 270 вес. ч. свежеперегнанного  $\text{SO}_2\text{Cl}_2$  и 70 вес. ч. перекиси бензоила и кипятят 17 час. После этого добавляют еще 70 вес. ч. перекиси бензоила и кипячение продолжают еще 8 час., затем удаляют избыток  $\text{SO}_2\text{Cl}_2$  и  $\text{CCl}_4$ . Остаток, 2,4,6,8,9,10-гексахлортрицикло-[3,3,1,1<sup>3,7</sup>]-декан (III), имеет т. пл. 184—187° (из сл.). Испытания полученных соединений на *Musca domestica* Linn., *Plutella maculipennis* и *Aphis fabae* показали, что лучшими инсектицидными свойствами обладает III, который дает 100%-ную смертность всех 3 видов насекомых; менее активны II (91%-ная смертность для *M. domestica*) и октахлорпроизводное

(87%-ная смертность для *M. domestica*, но 100%-ная для *P. maculipennis*).

Л. Вольфсон

**6Л500.** Циклические тетрадекахлорсоединения и метод их получения. McBee Earl T., Idol James D., Jr., Roberts Carleton W. Cyclic tetradecachloro compound and method of making. [Purdue Research Foundation]. Пат. США 2911448, 3.11.59.—Вещество  $C_{10}Cl_{14}$  (I), т. пл. 166—168° и максимум УФ-абсорбции в спирте при 224 мμ (lg ε 4,20), получают хлорированием бис-хлорпентила (II) или 1,2,3,4,5,6,7,8-декахлор-3а,4,7,7а-тетрагидро-4,7-эпиметилениндена (III). Исходный II получают, прибавляя к 23 г пылевидного Na в 300 мл абс. эфира р-р 149 г циклопентилбромид в 100 мл абс. эфира в течение 2 час., смесь перемешивают 2 часа, прибавляют 10 мл спирта, выливают в 500 мл воды, органич. слой сушат дриеритом и фракционируют на металлич. колонке с насадкой, выход II 53%, т. кип. 107—109°/50 мм,  $n_D^{20}$  1,4645. 50 г II помещают в трубку из стекла пирекс (30 × 3,1 см), охлаждают и пропускают  $Cl_2$  при 0° 10 час. и при 25° 10 час. до зеленого окрашивания смеси, облучают трубку без охлаждения лампой 100 ст до прекращения выделения HCl 20 час. при 75° и 40 час. при 175°, выход I 74%, т. кип. 60—70°, т. пл. 166—167° (из петр. эф.). 10 г III к 10 г  $Cl_2$  нагревают в запаянной трубке 12 час. при 200°, охлаждают жидким  $N_2$ , открывают трубку, улавливают  $Cl_2$ , экстрагируют петр. эфиром (т. кип. 35—37°), обеспечивают активированным углем и вымораживают льдом, выход I 8 г, т. пл. 167—168°. 10 г I запаивают в трубку в вакууме 2 мм рт. ст., выдерживают 10 час. при 400 ± 10°, охлаждают, экстрагируют  $CHCl_3$ , перекристаллизуют из горячего петр. эфира (т. кип. 60—70°) и выделяют 6 г гексахлорциклопенталена, т. пл. 224—225°. 15 г I помещают в трубку из стекла пирекс (10 × 1,5 см), снабженную боковым отводом, соединенным с ловушкой, выдерживают 2 часа при 300°/25 мм и получают 6,7 г гексахлорциклопенталена, т. кип. 83—86°/2 мм,  $n_D^{20}$  1,5657. I обладает инсектицидными свойствами и может быть использован как полупродукт при синтезе.

К. Шведова-Шиловская

**6Л501.** Способ получения нитрозамещенных ароматических хлорфосфатов. Schimmelschmidt Kurt, Karpenberger Helmut. Verfahren zur Herstellung von nitrosubstituierten aromatischen Phosphorsäurechloriden. [Farbwerke Hoechst A.-G. vormals Meister Lucius & Brüning]. Пат. ФРГ 1059915, 10.12.59.—Нитрозамещенные хлорфосфаты получают нитроароматическими соединениями ф-лы  $RYP(O)XCl$  ( $X = Cl$  или  $YR$ ,  $Y = O$  и  $R =$  фенил, нафтил или дифенил) нитроулей смесью (HC). 117 ч. HC прибавляют к 214 ч.  $C_6H_5OP(O)Cl_2$  при 0—15°, перемешивают 1 час при 20° и обрабатывают 500 ч.  $CH_2Cl_2$ . Нижний слой еще раз экстрагируют  $CH_2Cl_2$ . Экстракт нейтрализуют  $CaO$  и получают 216 ч. 4- $NO_2C_6H_4OP(O)Cl_2$ , т. кип. 145°/0,3 мм, т. пл. 45°. Аналогично синтезируют  $NO_2-3-C_6H_4OP(O)Cl_2$ ,  $n_D^{20}$  1,5665,  $NO_2-2-BrC_6H_4OP(O)Cl_2$  и  $NO_2-3-BrC_6H_4OP(O)Cl_2$ . К 245,5 ч. 2- $ClC_6H_4OP(O)Cl_2$  прибавляют 30 ч. 100%-ной  $H_2SO_4$  и затем 117 ч. HC при 20—30°. После выдержки 1 час выделяют  $NO_2-2-ClC_6H_4OP(O)Cl_2$ . Аналогично получают 246- $Cl_3-NO_2C_6H_4OP(O)Cl_2$ , т. пл. 88°. 60 ч. 2- $CH_3OC_6H_4OP(O)Cl_2$  в 50 ч.  $CH_2Cl_2$  пипируют в течение 1 часа смесью 87 ч. 100%-ной  $HNO_3$  и 12 ч. 100%-ной  $H_2SO_4$  и получают  $NO_2-2-CH_3OC_6H_4OP(O)Cl_2$ . Подобным образом синтезируют  $NO_2-β-C_6H_4OP(O)Cl_2$ ,  $n_D^{20}$  1,6181,  $NO_2-2,5-(CH_3)_2C_6H_3OP(O)Cl_2$  и  $NO_2-4-C_6H_4OP(O)Cl_2$ ,  $n_D^{20}$  1,5895. 67,1 ч.  $(C_6H_5O)_2P(O)Cl$  в 100 ч.  $CCl_4$  пипируют 58 ч. HC и получают  $(NO_2C_6H_4O)_2P(O)Cl$ . Полученные соединения применяют при синтезе пестицидов и красителей.

А. Грапов

**6Л502.** Метод получения эфиров тиофосфорной кислоты. Schrader Gerhard. Verfahren zur Herstellung von Thiophosphorsäureestern. Schrader Gerhard. [Farbenfabriken Bayer A.-G.]. Пат. ФРГ 1063154, 21.01.60.—Эфиры тиофосфорной к-ты получают р-цией

O,O-диалкилхлортиофосфатов с  $HOCH_2CH_2SCH_2COOH$ , где R — алкил. К 50 г  $HOCH_2CH_2SCH_2COOC_2H_5$  в 200 мл  $CH_3C_6H_5$  прибавляют 45 г  $K_2CO_3$ , 1 г порошка Cu и затем 60 г  $(C_2H_5O)_2P(S)Cl$  при 85—90°. Реакционную смесь выдерживают 3 часа при 90°, фильтруют и получают 160 г  $(C_2H_5O)_2P(S)OCH_2CH_2SCH_2COOC_2H_5$  (I), т. кип. 170°/2 мм. I уничтожает мух и колорадских жуков в конц-ии 0,001 и 0,1% соответственно и обладает системным действием.

А. Грапов

**6Л503.** Получение эфиров тиофосфорной кислоты, обладающих инсектицидными свойствами. Lorenz Walter. Verfahren zur Herstellung insektizid wirkender Thiophosphorsäureester. [Farbenfabriken Bayer A.-G.]. Пат. ФРГ 1064072, 4.02.60.—При взаимодействии N-галогидметилхиразолона с Na-солями диалкилтиофосфорных к-т при 50—70° образуются соответствующие эфиры хиразолона. 50 г хиразолона (I) растворяют в 1 л 30%-ного горячего р-ра  $CH_3O$ , обеспечивают реакционную смесь животным углем, отделяют осадок N-оксиметилхиразолона (II), выход 83%, т. пл. 187—188° (разл.). К суспензии 0,4 моля I в 200 мл  $CHCl_3$  добавляют 0,44 моля 95%-ного пераформа и 0,3—0,5 г n-толуолсульфонилсоединения, оставляют на ~12 час. при ~20° и выделяют II, выход 90%, т. пл. 186° (разл.). К 0,6 моля II в 400 мл  $CHCl_3$  прибавляют 0,6 моля  $C_6H_5N$  и добавляют 0,72 моля  $SOCl_2$  при 25—30°, перемешивают 2 часа при ~20°, добавляют 250 мл воды, промывают органич. слой несколькими раз водой, сушат, отгоняют р-ритель, выход N-хлорметилхиразолона (III) 77%, т. пл. 119°. 0,4 моля диалкилтиофосфорной к-ты растворяют в 200 мл ацетона, добавляют 0,78 моля  $NaHCO_3$ , прибавляют 0,4 моля III при 50°, нагревают 1 час при 50°, фильтрат выливают в воду, осадок отделяют, выход N-(диэтокситиофосфонметил)-хиразолона 62%, т. пл. 71° (из безл. петр. эф.). Аналогично из III и диалкилтиофосфаты  $NR^1$  получают N-(диэтокситиофосфонметил)-хиразолоны (IV), выход 85,8%, т. пл. 74°. Полученные соединения обладают инсектицидными свойствами. Напр., IV в конц-иих 0,001 и 0,01 уничтожает соответственно личинки *Aedes aegypti* и *Tetranychus telarius*. LD<sub>50</sub> IV крысы per os 10 мг/кг.

И. Мильштейн

**6Л504.** Способ получения эфиров O,O-диалкилтиофосфорной и O,O-диалкилтиофосфорной кислот. Pohle mann Heinz, Schroeder Harald, Stummeyer Herbert, Adolphi Heinrich. Verfahren zur Herstellung von O,O-Dialkylphosphorsäureestern und O,O-Dialkylthiophosphorsäureestern. [Badische Anilin- & Soda-Fabrik A.-G.]. Пат. ФРГ 1061785, 31.12.59.—Эфиры

общей ф-лы  $(RO)(R'O)P(X)O(CR^2R^3)_nN(CH_2)_mC=X$  (I) (R и R' — алкил, R<sup>2</sup> и R<sup>3</sup> — алкил, алкенил, арил или пиклоалкил, n = 1—4, m = 3—7; X и X' = O или S) получают р-цией  $(RO)(R'O)P(X)Hal$  с HO-

$(CR^2R^3)_nN(CH_2)_mC=X'$  в присутствии оснований. К смеси 575 ч. N-оксиметилпирролдона-2 (II), 1500 ч.  $C_6H_5$  и 395 ч.  $C_6H_5N$  медленно прибавляют 940 ч.  $(C_2H_5O)_2P(S)Cl$  (III), реакционную массу перемешивают 6 час. при 60°, обрабатывают 1000 ч. воды и обычным образом выделяют 431 ч. I (R = R' =  $C_2H_5$ , R<sup>2</sup> = R<sup>3</sup> = H, X = S, X' = O, n = 1, m = 3) (Ia),  $n_D^{20}$  1,4972. При применении вместо 1500 ч.  $C_6H_5$  3000 ч.  $CHCl_3$  и выдержке 5 час. при 50° получают Ia с выходом 89%. Аналогично синтезируют I (R<sup>3</sup> = H) (указаны R = R', X, R<sup>2</sup>, n, m, X', выход в %,  $n_D^{20}$ ):  $C_6H_5$ , S, H, 2, 3, O (Ib), —, —;  $C_6H_5$ , S, H, 1, 5, O, —, 1,5012;  $C_6H_5$ , S, H, 1, 7, O (Iv), 82,4, 1,5011;  $C_6H_5$ , S, H, 1, 3, S, 84, —;  $C_6H_5$ , S, H, 1, 4, O, 53,4, 1,4960;  $C_6H_5$ , S, CCl<sub>3</sub>, 1, 3, O, —, —;  $C_6H_5$ , O, H, 1, 3, O, —, 1,4302;  $C_6H_5$ , O, H, 1, 3, S, —, —;  $C_6H_5$ , O, H, 1, 4, O, —, 1,4376;  $C_6H_5$ , O, H, 1, 7, O, —, 1,4590;  $C_6H_5$ , O, H, 2, 3, O, —, —;  $CH_3$ , S, H, 1, 3, O, 40,2, —;  $CH_3$ , S, H, 1, 3, S, 56,6, —;  $CH_3$ , S, H, 1, 3, O, 48, —;  $CH_3$ , S, H, 1, 7, O, 64,4, —;  $CH_3$ , S, H, 2, 3,

0, 63,4, —;  $\text{CH}_3$ , S, H, 2, 3, O, 63,4, —;  $\text{CH}_3$ , S, H, 1, 4, O, 42,7, —;  $\text{C}_2\text{H}_5$ , S, H, 1, 3, O, 76,7, —;  $\text{C}_3\text{H}_7$ , S, H, 1, 3, S, 86,7, —;  $\text{C}_4\text{H}_9$ , S, H, 1, 5, O, 78,7, —;  $\text{C}_5\text{H}_{11}$ , S, H, 1, 7, O, 78,2, —;  $\text{C}_6\text{H}_{13}$ , S, H, 1, 4, O, 70,6, —; *изо*- $\text{C}_7\text{H}_{15}$ , S, H, 1, 3, O, 80,0, —; *изо*- $\text{C}_8\text{H}_{17}$ , S, H, 1, 3, S, 93,8, —;  $\text{C}_9\text{H}_{19}$ , S, H, 1, 3, O, 78,7, —;  $\text{C}_{10}\text{H}_{21}$ , S, H, 1, 3, S, 91,4, —. К смеси 575 ч. II и 690 ч.  $\text{K}_2\text{CO}_3$  в 3000 ч.  $\text{C}_6\text{H}_6$  прибавляют 940 ч. III при 50°, реакцию смесь перемешивают 5 час. при 50°, фильтруют, остаток на фильтре промывают  $\text{C}_6\text{H}_6$  и из фильтрата выделяют Ia, выход 45%. Аналогично получают Ib, выход 87,3%. Ib при конц-ии 0,0084 г/см<sup>2</sup> вызывает 50%-ную смертность мух-дрозофил. ( $\text{C}_2\text{H}_5\text{O}$ )<sub>2</sub>P(S)OCH<sub>2</sub>CH<sub>2</sub>N, 1,2-(CO)<sub>2</sub>C<sub>6</sub>H<sub>4</sub> (IV) дает тот же эффект при конц-ии 0,2 г/см<sup>2</sup>. Ib был в 13 раз эффективнее в борьбе с *Musca domestica*, чем IV. А. Гравов

6Л505. Способ получения эфиров тиофосфорной кислоты. Schrader Gerhard. Verfahren zur Herstellung von Thionophosphorsäureestern. Farbenfabriken Bayer A.-G. Пат. ФРГ 1059444, 26.11.59.—Эфиры тиофосфорной к-ты общей ф-лы (R'O)(R'')P(S)OCH<sub>2</sub>SR (I) (R' и R''—C<sub>1</sub>—C<sub>4</sub>-алкил, R—алкил, арил или аралкил) получают по схеме:  $\text{RSCl}_2 + \text{HOP(OR')-(OR'')OH} \rightarrow \text{I} + \text{HCl}$ . К 24 г  $\text{C}_2\text{H}_5\text{SCH}_2\text{Cl}$  в 28 г ( $\text{C}_2\text{H}_5$ )<sub>2</sub>РОН (II) прибавляют 3,2 г S. Т-ра смеси быстро повышается до 125°, начинается выделение HCl-газа. При 130° выделение HCl-газа оканчивается за 5 мин. Реакционную смесь растворяют в  $\text{C}_6\text{H}_6$ , промывают р-ром  $\text{Na}_2\text{CO}_3$  и получают I (R = R' = R'' =  $\text{C}_2\text{H}_5$ ) (Ia), т. кип. 75–78°/0,01 мм. К 28 г II и 6,4 г S в 50 мл ксилола при 125–130° прибавляют 40 г  $\text{C}_4\text{H}_9\text{SCH}_2\text{Cl}$ , после обычной обработки выделяют 30 г I (R' = R'' =  $\text{C}_2\text{H}_5$ , R = 4-ClC<sub>6</sub>H<sub>4</sub>) (Ib), т. кип. 120°/0,01 мм. Аналогично синтезируют I (R' = R'' =  $\text{C}_2\text{H}_5$ , R = 3,4-Cl<sub>2</sub>-C<sub>6</sub>H<sub>3</sub>) (Iv) и I (R' = R'' =  $\text{C}_2\text{H}_5$ , R = 4-Cl<sub>3</sub>-C<sub>6</sub>H<sub>3</sub>) (Iv), т. кип. 130–132°/0,01 мм. Токсичность Ia—г для крыс рег ос соответственно 2,5, 5, 100 и 50 мг/кг. Ia, Ib и Iv полностью уничтожают паутиного клеща в конц-ии 0,01%, Ib в конц-ии 0,001%. Ia и Ib убивают листовую тлю в конц-ии 0,001% на 80 и 90% соответственно, Ib и Iv убивают листовую тлю на 100% в конц-ии 0,01%. Ia—п в конц-ии 0,1% дают 100%-ную смертность гусениц. Ia, Ib, Iv обладают сильным овицидным действием. Iv в конц-ии 0,1% обладает системным действием.

А. Гравов  
6Л506. Метод получения диметилового эфира β,β-трихлор-α-оксиптилофосфоновой кислоты. Fricke Gerhard, Pimper Rudi. Verfahren zur Herstellung von β,β-Trichlor-α-oxyäthyl-phosphonsäuredimethylester. Пат. ГДР 18763, 27.04.60.—По первому из двух новых одностадийных методов получения диметилового эфира β,β-трихлор-α-оксиптилофосфоновой к-ты (I) из  $\text{PCl}_3$ , хлорала (II) и  $\text{CH}_3\text{OH}$  к 137,35 г  $\text{PCl}_3$  и 147,4 г II в 200 мл  $\text{C}_6\text{H}_6$  прибавляют по каплям за 1 час при 5–10° 32 г  $\text{CH}_3\text{OH}$ , пропуская через смесь ток воздуха. После выдержки смеси в течение 20 час. при 15° прибавляют за 1 час 128 г  $\text{CH}_3\text{OH}$ ;  $\text{C}_6\text{H}_6$  и избыток  $\text{CH}_3\text{OH}$  отгоняют, к остатку (282 г, содержит 191 г I) прибавляют эфир, охлаждают и получают 131 г (49%, считая на  $\text{PCl}_3$ ) кристаллич. 96–97%-ного I. По второму способу к охлажденному до 5° р-ру 68,7 г  $\text{PCl}_3$  в 100 мл  $\text{C}_6\text{H}_6$  добавляют при перемешивании и пропускании тока воздуха 90 г полуметилацетата хлорала, полученного смешением 74 г свеженеперегнанного II и 16 г  $\text{CH}_3\text{OH}$ . Смесь выдерживают 20 час. при 10–20°, после чего добавляют за 1 час при 0° 64 г  $\text{CH}_3\text{OH}$ , через 1 час смесь обрабатывают, как в первом способе, и получают 80 г (45%, считая на  $\text{PCl}_3$ ) 96–97%-ного I.

Г. Кирюшкина  
6Л507. Способ получения тиоловых эфиров β-алкилмеркаптовинилфосфоновой кислоты. Schrader Gerhard. Verfahren zur Herstellung von β-Alkylmercaptovinylphosphorsäurethioestern. (Farbenfabriken Bayer Akt.-Ges.) Пат. ФРГ 1064512, 25.02.60.—Тиоловые эфиры общей ф-лы  $\text{RSCl}_2 + \text{CHP(O)(OR')(SR'')}$  (I) (R и R'—

алкил, R''—замещ. алкил, аралкил или арил) получают р-цией  $\text{RSCl}_2 + \text{CHP(O)(OR')Cl}$  (II) с HSR'' в присутствии оснований или омылением щелочами  $\text{RSCl}_2 + \text{CHP(S)(OR')Cl}$  (III) с последующей р-цией с R'Hal. К 60 г III (R = R' =  $\text{C}_2\text{H}_5$ ) в 120 мл спирта и 20 мл воды прибавляют р-р 29 г KOH в 60 мл воды при 70°, перемешивают 2 часа при 70° и вносят 32 г  $\text{ClCH}_2\text{COOC}_2\text{H}_5$ . После нагревания (2 часа) при 70° выделяют 40 г I (R = R' =  $\text{C}_2\text{H}_5$ , R'' =  $\text{CH}_2\text{COOC}_2\text{H}_5$ ), выход 54%, т. кип. 108°/0,01 мм. Аналогично получают I (R = R' =  $\text{C}_2\text{H}_5$ ) (указаны R' и выход в %):  $\text{CH}_2\text{CH}_2\text{SC}_2\text{H}_5$  (Ia), 59, т. кип. 114°/0,01 мм;  $\text{CH}(\text{CH}_3)\text{COOC}_2\text{H}_5$  (Ib), —;  $\text{CH}_2\text{CH}_2\text{N}(\text{C}_2\text{H}_5)_2$  (Iv), 39;  $\text{CH}_2\text{SC}_6\text{H}_4\text{Cl}$  (Iv), 59;  $\text{CH}_2\text{SC}_6\text{H}_4\text{Cl}$  (Iv), 65. К 37 г 4-ClC<sub>6</sub>H<sub>4</sub>SH в 100 мл  $\text{CH}_2\text{COOC}_2\text{H}_5$  при 30° прибавляют спирт. р-р 0,25 моля  $\text{NaOC}_2\text{H}_5$  и затем при этой же т-ре 53 г II (R = R' =  $\text{C}_2\text{H}_5$ ). Реакционную смесь перемешивают 30 мин., выливают в 300 мл ледяной воды, экстрагируют 300 мл  $\text{C}_6\text{H}_6$  и выделяют I (R = R' =  $\text{C}_2\text{H}_5$ , R'' =  $\text{C}_6\text{H}_4\text{Cl}$ ), выход 91%. Токсичность для крыс LD<sub>50</sub> рег ос Ia и в 10 мг/кг, Iv 25 мг/кг; LD<sub>50</sub> рег ос Ib 50 мг/кг. I активны в качестве пестицидов.

А. Гравов  
6Л508. Метод получения эфиров тиофосфорных кислот. Schegk Ernst, Schlöer Hanshelmut, Schrader Gerhard. Verfahren zur Herstellung von Thionophosphorsäureestern. (Farbenfabriken Bayer A.-G.) Пат. ФРГ 1058992, 17.12.59.—Соединения общей ф-лы  $\text{RP(X)(OR')SYN(R'')(R''')}$  (I) (R—органич. остаток, связанный с фосфором через углерод, R', R'' и R'''—низшие алкилы, R'' и R''' могут быть циклом, Y—алкиленовый остаток, X=O или S) образуются при р-ции галоидангидридов фосфорных или тиофосфорных к-т с аминалалкилмеркаптанами в присутствии в-в, связывающих к-ту. К 250 г р-ра  $\text{CH}_3\text{ONa}$ , полученного из 14 г Na, добавляют 0,3 моля β-дизетиламинотиомеркаптана (II) и затем 50 г  $\text{CH}_3\text{P(S)(OC}_2\text{H}_5)_2\text{Cl}$  при 20–30°, нагревают 1 час при ~100°, добавляют  $\text{C}_6\text{H}_6$ , от фильтрата отгоняют р-ритель, остаток перегоняют в вакууме, выход I (R =  $\text{CH}_3$ , R' = R'' = R''' =  $\text{C}_2\text{H}_5$ , Y =  $\text{C}_2\text{H}_4$ , X = S) (Ia) 89%, т. кип. 67°/0,01 мм. Р-р  $\text{CH}_3\text{ONa}$  (из 0,17 моля Na) разбавляют 50 мл  $\text{C}_6\text{H}_6$ , добавляют 0,17 моля II при 20° и затем 37 г  $\text{C}_6\text{H}_5\text{P(O)(OC}_2\text{H}_5)_2\text{Cl}$  при 25–30°, перемешивают 2 часа при 30° и после вышеописанной обработки получают I (R = циклогексил, R' = R'' = R''' =  $\text{C}_2\text{H}_5$ , Y =  $\text{C}_2\text{H}_4$ , X = O) (Ib), выход 87%. Аналогично получают другие I (перечисляются R, R', R'' = R''', Y, X, время нагревания реакционной среды в час., т-ра смеси в °C, выход в %, т. кип. в °C/мм):  $\text{C}_2\text{H}_5\text{OCH}=\text{CH}$ ,  $\text{C}_2\text{H}_5$ ,  $\text{C}_2\text{H}_5$ ,  $\text{C}_2\text{H}_5$ , S, 1, 30, 88, —;  $\text{C}_6\text{H}_5$ ,  $\text{C}_2\text{H}_5$ ,  $\text{C}_2\text{H}_5$ ,  $\text{C}_2\text{H}_5$ , S, 2, 50–60, 88, —;  $\text{C}_6\text{H}_5$ ,  $\text{CH}_3$ ,  $\text{C}_2\text{H}_5$ ,  $\text{C}_2\text{H}_5$ , S, 2, 50–60, 65, —;  $\text{CH}_3$ , *изо*- $\text{C}_4\text{H}_7$ ,  $\text{C}_2\text{H}_5$ ,  $\text{C}_2\text{H}_5$ , O (Iv), 1, 50, 63, 120–121/2;  $\text{C}_6\text{H}_5\text{CH}=\text{CH}$ ,  $\text{C}_2\text{H}_5$ ,  $\text{C}_2\text{H}_5$ ,  $\text{C}_2\text{H}_5$ , S, (Iv), 1, 30, 87, —;  $(\text{CH}_3)_2\text{C}=\text{CH}$ ,  $\text{C}_2\text{H}_5$ ,  $\text{C}_2\text{H}_5$ , S (Iv), 1, 30, 62, 103/0,01;  $(\text{CH}_3)_2\text{C}=\text{CH}(\text{CH}_3)_2$ ,  $\text{C}_2\text{H}_5$ ,  $\text{C}_2\text{H}_5$ ,  $\text{C}_2\text{H}_5$ , S (Iv), 1, 30–40, 78, —. К суспензии 6 г Na в 100 мл  $\text{C}_6\text{H}_6$  добавляют бензольный р-р 40 г II и затем 50 г  $\text{CH}_3\text{P(S)(OC}_2\text{H}_5)_2\text{Cl}$  при 20–30°, нагревают 30 мин. при 50°, после обычной обработки получают Ia, выход 83%. I могут применяться как инсектициды. При испытании инсектицидной активности получены следующие результаты (приведены I, вредитель, конц-ия, вызывающая смертность насекомого на 100%, токсичность для крыс в мг/кг): а, яйца красных клещей, 0,001, — [LD<sub>50</sub> 5 мг/кг]; б, листовая тля, 0,1, 100; в, —, —, — (токсичность для мышей 50 мг/кг); г, паутиный клещик, 0,001, —; д, —, —, 10; е, паутиный клещик, 0,01, —.

И. Мильштейн  
6Л509. Способ получения эфиров арилтиофосфорной кислоты. Schrader Gerhard. Verfahren zur Herstellung von Arylthionophosphorsäureestern. (Farbenfabriken Bayer A.-G.) Пат. ФРГ 1064510, 25.02.60.—Эфиры арилтиофосфорной к-ты общей ф-лы  $\text{YP(S)(OR)OR'NR''}$  (I) (Y—арил, R—алкил, аралкил или арил, R'—алкилен и R'' и R'''—низший алкил) полу-



(см. РНЗ)  
6 меш. и  
в Ni-тру-  
вные 6 ч  
11 сек. п  
(рах) при  
лящие и  
скруббер  
органич.  
скруббер  
в ловушк  
скруббер  
сушки т  
денсат  
т. кип.  
т. кип. 8  
за 3 час  
деляют  
6J1516  
и веще  
Emulsifi  
agents т  
2898267,  
(НЗ) дл  
колевых  
леновых  
(10), ст  
дов жи  
эмульта  
Ag — ар  
ккл, по  
липроп  
сифени  
содерж  
NH-групп  
АПА, с  
лены 2  
эмульг  
соль до  
1 2,5, 10  
Ca<sub>3</sub>N<sub>2</sub>OH  
6,9; Са  
При с  
норция  
полиам  
дов со  
став в  
пропи  
ты (II)  
(IV)  
сним 37  
6J1515  
тоно  
4850,  
с кри  
50:50  
распл  
тектив  
6J1515  
тов, о  
мājuo  
лямн  
рий  
Япон  
или с  
или с  
добав  
го яви  
произ  
коля,  
эфир  
нопл

CH<sub>3</sub>, CH<sub>3</sub>O  
ивностью  
е с тар-

Шлюссва  
ными сво  
ringwald  
chemical Co.)  
акарицид  
тешом, при  
ния общей  
ли Br, n =  
ондозаме  
ни щел. к  
в 250 мл  
гидроксид  
а за 1 час  
льдом сна  
сь вышав  
нок, получа  
(1), т. п.  
CH<sub>2</sub>=CHCN,  
затем смесь  
и и добав  
хлорфенил  
орцией, по  
обалепнем  
эмульсия  
s telarius  
е 1 недели  
ть.

индлерма  
ных карба  
α-Naphthol  
mic acids  
09.59.—Co  
(R—изу  
ются при  
эфира, по  
ре от —30  
ть его Na  
нагревают  
300 ч. то  
ают 1 час  
ют, полу  
—100°/2 мл  
водн. р-ра  
ют 1 час  
N-метил  
ламина и  
R, переме  
няют р-ри  
ют водой.  
ексилкар  
ие I (пе  
пл. в °C):  
C<sub>12</sub>H<sub>25</sub>, C<sub>14</sub>H<sub>29</sub>  
т. п. 260;  
инсектици  
vestis, Ar  
a, Sitophi  
mericana.  
ла.

ильштейн  
у. Сип  
nufacture  
gr.). Пат.  
произва  
=CF<sub>2</sub> (I)  
CCl=CCl,  
300—450°  
ебольном  
CIF (III).  
способ

(см. РЖХим, 1956, № 6, 17088) с размером частиц 6 меш. с размером кристаллитов < 200 Å, загружают в Ni-трубку, снабженную электр. обогревом. В течение 6 час. в реактор при 400° и времени контакта (1 сек. пропускают 193 г безводн. HF и 1370 г II (в парах) при молярном соотношении HF: II = 1,4 : 1. Выходящие из реактора HCl и HF адсорбируются водой в скруббере, в котором частично конденсируются также органич. продукты р-ции. Несконденсировавшиеся в скруббере продукты сушат над CaCl<sub>2</sub> и конденсируют в ловушке, охлаждаемой сухим льдом. Органич. слой из скруббера после отделения от воды. слоя декантацией, сушки и фильтрации присоединяют к конденсату. Конденсат (1205 г) перегоняют и получают 0,97 моля I, т. кип. 48—49°, и 3,89 моля непрореагировавшего II, т. кип. 88°. Аналогично при 375° из 105 г HF и 456 г II за 5 час. получают 371 г конденсата, из которого выделяют 0,31 моля I.

В. Липиц  
6Л516. Эмульгирующие пестицидные препараты и вещества, эмульгирующие их. Lindner Paul L. Emulsifiable toxicant compositions and emulsifying agents therefor. [Witco Chemical Co., Inc.] Пат. США 2898267, 4.08.59.—В качестве неионных эмульгаторов (НЭ) для пестицидов можно применять полиэтиленгликолевые эфиры (в скобках указывается число оксэтиленовых групп) нонилфенола (10—20), додецилфенола (10), стеариновой к-ты (9), додецилафтола (20), амидов жирных к-т (20—30) и т. д.; в качестве анионных эмульгаторов в-ва общей ф-лы (R')<sup>2</sup>(R<sup>3</sup>)ArSO<sub>3</sub>H, Ar—ароматич. радикал с числом колец ≤ 2, R'—алкил, полалкил, алкилфенил, алкокси-, алкилтио- и полипропеноксифирная группа, R<sup>2</sup> = H, алкил, фенил, оксифенил, фенилокси, бензил, галоид (R<sup>1</sup> + R<sup>2</sup> должны содержать от 8 до 30 атомов C); R<sup>3</sup> = H, гидроксил, NH<sub>2</sub>-группа алкиленполиаминов (АПА), оксизамещ. АПА, содержащих ≤ 16 атомов C (NH<sub>2</sub>-группы разделены 2—4 атомами C) гетероциклич. аминов. Примеры эмульгаторов (ЭМ) (состав в %): пропилендиаминовая соль додецилбензолсульфокислоты (I к-та) 23, Са-соль I 2,5, Na-соль нефтяных сульфокислот (II) 2, НЭ 50,6; C<sub>12</sub>H<sub>25</sub>ОН 15, высококипящий ароматич. р-ритель (ВАР) 6,9; Са-соль I 29,5, II 1,8, НЭ 47,8, C<sub>12</sub>H<sub>25</sub>ОН 16, ВАР 4,9. При смешении этих двух составов в различных пропорциях получают ЭМ с различным содержанием полиаминовой соли I. Концентраты эмульсий пестицидов содержат 3—5% ЭМ. Примеры концентратов (состав в %): бутиловый эфир 2,4-Д 40, керосин 57, смесь пропилендиаминовой соли додецилбензолсульфокислоты (III) и нонилфенилсульфокислоты (IV) (12 оксэтиленовых групп) 3; токсафен 60, керосин 37, смесь III и IV 3.

И. Мильштейн  
6Л517. Получение инсектицидного аэрозоля. Мотона Акира. [Санкё кабусики кайся]. Японск. пат. 4850, 11.06.59.—Смесь кристаллич. ортофенилфенола с кристаллич. гексаметилентетрамином в пропорции 50:50 нагревают до ~300°. Когда смесь полностью расплавится, ее охлаждают, в результате получают эвтектич. смесь с температурой плавления 146°.

В. Зломанов  
6Л518. Получение твердых пестицидных препаратов, обладающих эмульгирующей способностью и занимающих промежуточное положение между смачивателями и эмульгаторами. Судзуки Сай итиро, Морий Кэндзо. [Тохоку какаку когё кабусики кайся]. Японск. пат. 2049, 9.04.59.—К жидкому инсектициду или фунгициду или же к р-ру твердого инсектицида или фунгицида в соответствующем органич. р-рителе добавляют эмульгатор, основным компонентом которого является неионогенное поверхностно-активное в-во, производное полиэтиленгликоля или полипропиленгликоля, а также CO(NH<sub>2</sub>)<sub>2</sub>. Примеры: 1) К 50 ч. паратона добавляют 50 ч. эмульгатора (смесь лаурилового эфира полиэтиленгликоля 40%, эфира парафенилфенолполиэтиленгликоля 40%, Са-соли алкилнафталин-

сульфокислоты 20%). К смеси, все время хорошо перемешивая ее, добавляют 70 ч. порошка CO(NH<sub>2</sub>)<sub>2</sub> до получения однородной пастообразной массы, которая при стоянии (~10 час.) затвердевает. При помещении препарата в воду он без всякого перемешивания образует устойчивую эмульсию; 2) 20 ч. ГХЦГ растворяют в 58 ч. ксилола, добавляют 22 ч. эмульгатора (содержит лауриловый эфир полиэтиленгликоля 35%, полиэтиленгликолевый эфир олеиновой к-ты 20%, полиэтиленгликолевый эфир таллового масла 15%, соль алкиларилсульфокислоты 30%). Смесь хорошо перемешивают до получения однородного р-ра и добавляют 40 ч. порошка CO(NH<sub>2</sub>)<sub>2</sub>, все это хорошо перемешивают еще в течение 10 мин. до получения однородной пастообразной массы, которая после выдержки ~3 суток затвердевает.

В. Зломанов  
6Л519. Метод получения фунгицидов. Junghans Helmut. Verfahren zur Herstellung eines Schädlingsbekämpfungsmittels. [Duisburger Kupferhütte]. Пат. ФРГ 1061122, 17.12.59.—Для получения фунгицидных препаратов, содержащих основные соли Cu, 100 ч. влажной 3Cu(OH)<sub>2</sub>·CuCl<sub>2</sub> перемалывают 5 час. с 20 ч. глинозема, полученную пасту сушат в вакуумном шкафу при 70° и размалывают, полученный препарат А содержит 46—47% Cu. В другом примере 100 ч. 4Cu(OH)<sub>2</sub>·CaCl<sub>2</sub>, 100 ч. воды, 10 ч. глинозема, 10 ч. BaCl<sub>2</sub> и 8 ч. кварцевой муки перемешивают 8 час. в шаровой мельнице, пасту сушат в распылительной сушилке при < 120° и получают препарат Б, содержащий 35% Cu. Оба препарата самопроизвольно дают водн. суспензии. 0,3%-ная суспензия препарата А и 0,5%-ная суспензия препарата Б устойчивы в течение 1 часа.

А. Гранов  
6Л520. Комплекс гидроокиси меди с фосфатом и способ его получения. Page Edward C., Jr, Erling Roland W. Copper hydrate-phosphorus complex and process for making same. [Henry Bower Chemical Manufacturing Co.]. Пат. США, 2924505, 9.02.60.—Смешивают водн., предпочтительно насыщ. р-ры Na<sub>3</sub>PO<sub>4</sub> (1 моль) и CuSO<sub>4</sub> (1—1,5 моля), к полученной пульве добавляют водн. р-р NaOH (28,5 моля), а затем водн. р-р CuSO<sub>4</sub> (14,25 моля), пропускают CO<sub>2</sub> до pH 10 и получают осадок, который промывают и сушат. Продукт содержит 72,6—75,2% Cu, считая на CuO, в виде стабильной Cu(OH)<sub>2</sub> (не переходит в CuO) и ≥ 3,5% PO<sub>4</sub>. Применяется в качестве фунгицида и в качестве добавки к необрастающим краскам для морских судов.

Г. Рабинович  
6Л521. Способ получения фунгицидов, бактерицидов, инсектицидов и микробицидов. Nash Lawrence Herbert. Process for the preparation of fungicides, bactericides, insecticides and microbicides. Пат. США 2900293, 18.08.59.—При взаимодействии CS<sub>2</sub> со спиртами, щелочами и NH<sub>4</sub>OH образуются смешанные соли алкилксантогеновых к-т (САКК), которые при обработке водорастворимыми солями тяжелых металлов заменяют атом щел. металла на соответствующий атом тяжелого металла. Вместо САКК можно применять различные серусодержащие соединения (дитиокарбаматы, 2-меркаптобензотиазол, тиурамдисульфиды), а также известково-серный отвар. К 1000 ч. безводн. CH<sub>3</sub>ОН добавляют 1150 ч. CS<sub>2</sub>, перемешивают 1 мин., прибавляют 300 ч. 97%-ного NaOH, перемешивают 3 мин. и добавляют 1000 ч. 28%-ного водн. р-ра NH<sub>4</sub>ОН, перемешивание продолжают до образования прозрачного красного р-ра натрийаммонийметилксантогената. Аналогично получают натрий- и калийаммонийэтилксантогенат. Полученные САКК обрабатывают безводн. водорастворимыми солями тяжелых металлов [ZnCl<sub>2</sub>, ZnSO<sub>4</sub>, FeCl<sub>2</sub>, MnCl<sub>2</sub>, Mn<sub>2</sub>(SO<sub>4</sub>)<sub>3</sub>]. Образующиеся при этом соли могут применяться как пестициды. Напр., смесь, содержащую 5 ч. марганецаммонийметилксантогената (I), 5 ч. ДДТ и 90 ч. инертного наполнителя, можно применять для протравливания семян сахарной кукурузы для защиты растений от *Helminthosporium*

и *Chloridea obsoleta*. I в конц-ии 0,18% эффективен также в борьбе с ранней и поздней пятнистостью картофеля и томатов; с *Cercospora* и *Septoria* на сельдерее; с мучнистой росой и *Cercospora* на капусте; коричневой гнилью и паршей персиков.

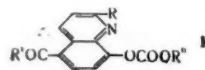
И. Мильштейн  
6Л522. 2,2'-тио-бис-(3-хлор-N,N'-диалкил-2-бутен-1,4-диамин). Johnston H. A. 2,2'-thiobis (3-chloro-N,N'-dialkyl-2-butene-1,4-diamine). [The Dow Chemical Co.]. Пат. США 2915556, 1.12.59.—Вещества с общей ф-лой  $[RHNCH_2CCl=C(CH_2NHR)]_2S$  (I) ( $R = C_{10} - C_{14}$  алкил) получают при взаимодействии 4 молей алкиламина с 1 молей  $[XCH_2CCl=C(CH_2X)]_2S$  ( $X = Cl$  или  $Br$ ) в инертном р-ителе (гексан) при 15–50°. Р-р 44,5 г додециламина в 100 мл  $C_6H_{14}$  смешивают с р-ром 10,3 г 2,3-дихлор-1-(хлорметил)-пропенилсульфида в 50 мл  $C_6H_{14}$ , оставляют на 24 часа при ~20°, отфильтровывают, выдерживают при 40°/3 мм и выделяют 2,2'-тио-бис-(3-хлор-N,N'-дидодецил-2-бутен-1,4-диамин) (Ia), красноватый, воскоподобный продукт, т. пл. 35°. Аналогично получены I, где R = тетрадецил, тридецил, децил, ундецил. I обладают бактерицидными, фунгицидными, инсектицидными и нематоцидными свойствами. Ia убивает *Alternaria solani* в конц-ии 0,3 г/л.

К. Швецова-Шилова  
6Л523. Производные аридитиокарбазиновой кислоты. Gaertner Van R. Aryldithiocarbazic acid derivatives. [Monsanto Chemical Co.]. Пат. США 2914547, 24.11.59.—В качестве нефитотоксичных фунгицидов применяют фенилдитиокарбазинаты. Для получения  $C_6H_5NHNHC(S)SK$  (I) к смеси, состоящей из 54 г  $C_6H_5NH-NH_2$ , 28 г KOH и 280 г  $C_2H_5OH$ , прибавляют по каплям (т-ра < 5°) 38 г  $CS_2$ , смесь оставляют на ~12 час. (т-ра < 10°) и получают I в виде кристаллич. в-ва, полностью растворимого в воде. При взаимодействии с соответствующими сульфатами металлов I дает следующие соли:  $Zn^{2+}$  (II), выход 89%, т. разл. 134–136°;  $Cu^{2+}$ , выход 100%, т. разл. 140–145°;  $Hg^{2+}$  (III), выход 93,6%, т. разл. 115–120°. К 80 г I прибавляют по каплям при 25° р-р 7,7 г  $CH_2=CHCH_2Cl$  в 40 мл спирта, смесь оставляют на ~12 час, кипятят 2 часа, охлаждают до ~20°, приливают 400 мл воды, масляный слой экстрагируют эфиром, промывают, сушат, р-ритель отгоняют и выделяют с выходом 70,5%  $C_6H_5NHNHC(S)SCH_2CH=CH_2$  (IV). Аналогично получают  $C_6H_5NHNHC(S)SCH_2CH=CHCl$  (V), выход 92%, т. пл. 102–106°. К 24 г суспензии, содержащей 0,03 моля I, прибавляют по каплям при перемешивании и охлаждении до ~0° р-р 4,1 г пропансульфата в 10 мл  $C_6H_6$ . К выделившемуся твердому продукту прибавляют 30 мл холодного спирта и смесь перемешивают 1 час, пока ее т-ра не поднимается до ~20°. После фильтрации и высушивания при 55° получают 8,2 г  $C_6H_5NHNHC(S)SCH_2CH_2SO_3K$ . II–V эффективны против ржавчины пшеницы (*Puccinia rubigovora tritici*), в то время как I не эффективен. II эффективен в борьбе с *Aspergillus niger*, *Stemphylium sarcinaeforme* и *Monilinia fructicola*. IV и V также уничтожают споры *M. fructicola*. II оказался системным фунгицидом, предохраняющим томаты от увядания, вызываемого *Fusarium oxysporum f. lycopersici*.

В. Л.  
6Л524. Пестицидные препараты и метод их применения. Dietz Harry F. Compositions and methods. [E. I. du Pont de Nemours and Co.]. Пат. США 2898262, 04.08.59.—Алкилртутные соли полиаминуксусных к-т, в которых полиаминная группировка имеет общую ф-лу  $>NR'N<$ , где  $R'$  — двухвалентный насыщ. радикал, содержащий от 2 до 12 атомов C и от 1 до 5 атомов N,  $\geq 1$  валентность полиаминного азота (ПА) насыщена группировкой  $CR^2R^3COOHgR^4$ , где  $R^2$  и  $R^3 = H$ , алкил,  $R^4 =$  алкил; оставшиеся валентности ПА могут быть насыщены водородом, алкилом, оксипалкилом или группировкой  $CR^2R^3COOY$ , где  $R^2$  и  $R^3$  то же, что выше,  $Y = H$ , катион щел. металла,  $NH_4$  или замещ. амин. Вышеописанные соединения образуются при р-ции полиаминполиуксусной к-ты (ПАПК) с алкилртутной

солью или гидроокисью меркуралкила или при р-ции Hg-соли ПАПК (из HgO и ПАПК) с диалкилртутной. В зависимости от условий р-ции и соотношения реагентов можно получить моно-, ди-, три- и тетрапроп-водные. К пасте, приготовленной из 50 г этилендиаминтетрауксусной к-ты (I) и воды, прибавляют 37,05 г HgO, нагревают несколько часов при ~100° до исчезновения осадка HgO, добавляют 300 мл  $CH_3OH$  и затем 44,2 г  $(C_2H_5)_2Hg$ , добавляют еще  $CH_3OH$  для разбавления образовавшейся густой массы, нагревают несколько часов при ~100°, отгоняют р-ритель досуха, выход бисэтилртутной соли этилендиаминтетрауксусной к-ты (II) ~100%, т. разл. 141°. 15 г этилмеркурацетата растворяют в 200 мл воды и добавляют 7,6 г I при ~100°, нагревают некоторое время при ~100° для окончания р-ции, упаривают реакционную массу до объема 100 мл, отделяют белые кристаллы II, выход 17,5 г. К 10 г I прибавляют 14,8 г HgO и затем немного воды до образования пасты, нагревают при ~100° до растворения HgO, добавляют 17,7 г  $(C_2H_5)_2Hg$ , нагревают 1 час при 60° и затем при 80° до постоянного веса, выход тетраэтилртутной соли I 41 г. Полученные соединения в виде дустов, эмульсий или смачивающихся порошков могут применяться для защиты зеленых растений, семян или органич. материалов от грибковых заболеваний. При протравливании семян полученные соли применяют в дозе 0,4–0,8 г на 1 л зерна, а при обработке яблонов для защиты от *Venturia inaequalis* в конц-ии 0,02–0,03%.

И. Мильштейн  
6Л525. Фунгицидный препарат и метод его применения. Hodel Ernst, Gysin Hans. Verfahren und Mittel zur Pilzbekämpfung. [J. R. Geigy A.-G.]. Швейц. пат. 341155, 14.11.59.—Соединения общей ф-лы (I) ( $R = H$  или  $CH_3$ ,  $R'$  и  $R'' =$  углеводородные остатки, в которых  $CH_2$ -группы могут быть замещены на O или S и могут содержать галогид или  $NO_2$ -группы) применяют в качестве фунгицидов в виде дустов, водн. дисперсий, р-ров и аэрозолей. 2–5%-ный дуст этилового эфира 5-ацетоксицинол-8-карбоновой к-ты (II, III к-ты) применяют для дезинфекции почвы и для обработки зеленых растений. 15–20%-ный дуст II с добавкой небольшого кол-ва мочевины употребляют для сухом



протравливания семян. Для опрыскивания зеленых растений применяют водн. суспензию из 10 ч. метилового эфира III, 82 ч. каолина или мела и 8 ч. сульфитного щелока (СЩ), водн. эмульсии из 20 ч. аллилового эфира III, 40 ч. щелока и 30 ч. оксипалированных алкилфенолов или 25 ч. n-гексилового эфира III, 67 ч. щелока и 8 ч. полиоксипалилового эфира рицинолевой к-ты. 0,2–0,5%-ная суспензия из 50 ч. n-крезинового эфира III, 10–15 ч. СЩ, 5–10 ч. прилипателей и растекателей и 30–35 ч. наполнителей (каолина, мела или бентонита) применяется для борьбы с мучнистой росой яблонов. 50 ч. n-хлорфенилового эфира III с 10–20 ч. СЩ и 30–40 ч. воды перемалывают в шаровой мельнице до величины частиц < 3 м. 0,1–0,2%-ная суспензия, полученная из этой пасты, применяется как фунгицид в плодородии.

А. Гранов  
6Л526. Фунгициды. Feichtinger Hans, Rischhof Siegfried. Fungicide Mittel. [Ruhchemie A.-G.]. Пат. ФРГ 1060658, 17.12.59.—Активные в качестве фунгицидов в-ва получают хлорированием солей первичных алифатич. и алициклич. аминов. 64,6 г  $C_6H_{17}NH_2$  в 1 л  $CCl_4$  обрабатывают 12 л HCl-газа, полученную суспензию хлорируют 4 часа 14 л  $Cl_2$  при 60° и облучении ртутной лампой и получают в виде порошка в-во состава  $HCl \cdot NH_2C_6H_{13}Cl_3$  (I). Аналогично синтезируют (указаны в-во, кол-во  $Cl_2$  в л, помещенное на хлорирование 0,5 моля амина, время хлорирования

в час.): H  
2; HCl · NH  
(III). 12,  
 $C_6H_{13}NH_2$  ·  $Cl_3$   
аминметил  
(VI) (из  
·  $NH_2C_6H_{13}$   
10, 16;  $\frac{1}{2}$  л  
си 9%  $Cl_2$   
других ам  
приводит 12  
и выделя  
А). 1–VII  
роста  $Alu$   
0,018, 0,00  
давляет р  
ме и *Sele*  
и 0,15 мкг  
ты соот  
0,007 мкг  
6Л527.  
Dale N.  
Col. Пат.  
общей ф  
алкилфен  
ствующе  
n-бутила  
кол-ве и  
шнующе  
гексан).  
на. 71,6  
нагрева  
избыт  
(X = 4-и  
но на 14  
получаю  
тодике  
4-и- $C_6H_5$   
2; 4-n- $C_6H_5$   
фунгици  
ностью  
лезны т  
стимуля  
эмульга  
6Л528  
рмиди  
gen zur  
A.-G.).

цей ф  
ший ал  
рамети  
ное кол  
дом п  
галонд  
X = ги  
К 29 ч  
оксипи  
метил-  
пятят  
на лед  
от фи  
2-трих  
римид  
чество  
6Л529  
W., D  
Chem  
алкил  
замещ  
ше S  
мов C  
у и з  
соли



при р-ции гидратации пенициллина р-ра экстракта бензиламина (III) и 0,5 моля 25%-ного водн. р-ра NaOH, нагревают 5 час. при 50—60°, охлаждают до 25°, экстрагируют 500 мл эфира, промывают экстракт водой, сушат, отгоняют р-ритель в вакууме 1—2 мм и получают 2-(2'-диметиламиноэтилтио)-бензтиазол (Ia) в виде неперегоняющегося масла. Аналогично получают бензтиазолы (перечисляются заместители, т. пл. в °C I, его ХГ и оксалата): 2-(1'-метил-2'-диметиламиноэтилтио) (Ib), —, —, —; 2-(2'-диэтиламиноэтилтио) (Ic), —, 186 (из CH<sub>3</sub>OH), 140—142 (гидрат с 2H<sub>2</sub>O); 2-(3'-диметиламинопропилтио) (Id), —, —, —; 5-хлор-2-(2'-диэтиламиноэтилтио) (Ie), —, 237—238 (из CH<sub>3</sub>OH), 144—146 (гидрат с 1H<sub>2</sub>O); 6-этокси-2-(1'-метил-2'-диметиламиноэтилтио) (If), —, —, —; 6-этокси-2-(2'-диэтиламиноэтилтио) (Ig), —, —, —; 6-этокси-2-(2'-диэтиламиноэтилтио) (Ih), —, 145—146, 68—70 (гидрат с 2H<sub>2</sub>O); 4-метил-2-(2'-диметиламиноэтилтио) (Ii), —, —, —; 5-хлор-2-(2'-диизопропил), 72—73, —, —; 5-хлор-2-(2'-ди-трет-бутиламиноэтилтио), 194—195, —, —; а также 2-N,N-диметиламиноэтилтио-6,7-дигидро-4,5-бензобензотиазол и 2-(2'-диэтиламиноэтилтио)-нафто-2,3'-тиазол (Ik). Смесь, содержащую 0,1 моля 2,2'-димеркапто-6,6'-дибензтиазола, 0,4 моля 25%-ного водн. р-ра NaOH и 0,2 моля III в 500 мл воды, нагревают 4 часа при 50—60°, охлаждают до 25° и отделяют осадок 2,2'-бис-(2'-диметиламиноэтилтио)-6,6'-дибензтиазола (Ia), т. пл. 126—128°. Аналогично получают бензтиазолы (указаны заместители, т. пл. в °C): 5-хлор-2-(1'-метил-2'-диметиламиноэтилтио) (Ia), 65—66; 5-хлор-2-(2'-морфолиноэтилтио) (Ib), 76—77; 5-хлор-2-(2'-дибутиламиноэтилтио) (Ic), 32—33; 2-(2'-диметиламиноэтилтио)-6-фенил (Id), 41—43, а также 2,2-(имино-диэтилен)-дифенил-бис-(бензтиазол) (Ie), 47—50. Смесь 0,2 моля 17,6%-ного р-ра II, 0,2 моля бромгидрата 2-бромэтиламина (IV) и 0,2 моля 25%-ного водн. р-ра NaOH перемешивают 24 часа при 25—30°, добавляют 200 мл эфира и перемешивают 30 мин., осадок отделяют и промывают водой, получают 2-(2'-аминоэтилтио)-бензтиазол, т. пл. 175—177° (из CH<sub>3</sub>OH). Аналогично получают бензтиазолы; 2-(2'-аминоэтилтио) (Ia), т. пл. 173—175° (из сн.), 2-(3'-диметиламинопропилтио)-5-хлор (Ib) и 6-этокси-3-(3'-диметиламинопропилтио) (Ic). 0,4 моля 2-оксибензтиазола (V) растворяют в 500 мл воды, содержащей 0,8 моля 25%-ного водн. р-ра NaOH и 0,4 моля 2-хлор-N,N-диэтиламина, нагревают 18 час. при 70—80°, удаляют воду при 60°, фильтрат выдерживают 3 час. при 80—90°/1—2 мм и получают 2-(2'-диметиламиноэтилтио)-бензтиазол (If) в виде масла. 0,2 моля V растворяют в 250 мл спирта SD-1, содержащего 0,4 моля 85%-ного водн. р-ра KOH, 40 мл воды, 0,2 моля ХГ γ-диметиламинопропилхлорида, нагревают 24 часа при 75—80°, охлаждают до 25° и добавляют 500 мл воды, перемешивают 30 мин., экстрагируют СНСl<sub>3</sub>, экстракт промывают водой и сушат, после отгонки р-рителя в вакууме при 80—90° получают 2-(3'-диметиламинопропилтио)-бензтиазол (Ih). Аналогично при нагревании реакционной смеси в течение 5—6 час. при 50—60° в присутствии водн. р-ра NaOH получают бензтиазолы: 2-(3'-аминопропил), т. пл. 135°, 6-этокси-(2-либутиламиноэтилтио) (Ii) и 2-(3'-аминопропилтио)-6-этокси (Ij). Смесь 0,2 моля 2-меркапто-бензтиазола в 200 ч. воды и 0,4 моля 25%-ного водн. р-ра NaOH и 0,2 моля IV нагревают 24 часа при 70—80°, охлаждают до ~20°, добавляют 300 мл эфира, перемешивают 30 мин. и отделяют осадок, промывают водой и сушат, получают 6-этокси-2-(2'-аминоэтилтио)-бензтиазол, т. пл. 138—140°. Полученные соединения обладают гермицидной и фунгицидной активностью. Ia—к, Im—д, It—у и Ix—ц подавляют развитие спор *Puccinia rubigo-vera-tritici* в конц-ях 0,1—0,5%. При испытании активности синтезированных соединений

в час.): HCl·NH<sub>2</sub>C<sub>8</sub>H<sub>15</sub>Cl<sub>2</sub>, 7, 2; HCl·NH<sub>2</sub>C<sub>10</sub>H<sub>17</sub>Cl<sub>3,6</sub>, 22, 2; HCl·NH<sub>2</sub>C<sub>10</sub>H<sub>15,2</sub>Cl<sub>5,8</sub> (II), 44, 4; HCl·NH<sub>2</sub>C<sub>12</sub>H<sub>17,6</sub>Cl<sub>7,4</sub> (III), 12, 8; HCl·NH<sub>2</sub>C<sub>12</sub>H<sub>23,8</sub>Cl<sub>1,2</sub>, 1,875, 1,25; HCl·NH<sub>2</sub>C<sub>14</sub>H<sub>20,6</sub>Cl<sub>3,4</sub> (IV), 12, 8; HCl·NH<sub>2</sub>C<sub>11</sub>H<sub>10,3</sub>Cl<sub>6,2</sub> (V) (из аминотетрагидропиримидина), 8, 16; HCl·NH<sub>2</sub>C<sub>9</sub>H<sub>15,7</sub>Cl<sub>3,3</sub> (VI) (из 1-амино-3,5,5-триметилгексана), 10, 6; HCl·NH<sub>2</sub>C<sub>9</sub>H<sub>17,5</sub>Cl<sub>7,5</sub> (VII) (из смеси изомеров C<sub>12</sub>H<sub>25</sub>NH<sub>2</sub>), 10, 16; 1/2 H<sub>2</sub>SO<sub>4</sub>·NH<sub>2</sub>C<sub>12</sub>H<sub>19,7</sub>Cl<sub>5,3</sub> (VIII), 12,5, 7, 100 с смеси 9% C<sub>10</sub>H<sub>21</sub>NH<sub>2</sub> + 47% C<sub>12</sub>H<sub>25</sub>NH<sub>2</sub> + 18% C<sub>14</sub>H<sub>29</sub>NH<sub>2</sub> и 26% других аминов в 1 л ССl<sub>4</sub> нейтрализуют HCl-газом, хлорируют 12 л Cl<sub>2</sub> 16 час. при облучении ртутной лампой и выделяют продукт, содержащий 53,1% Cl (продукт А). I—VIII и продукт А вызывают 50%-ное подавление роста *Alternaria tenuis* соответственно в конц-ях 0,33, 0,018, 0,009, 0,12, 0,37—0,005, 0,06 и 0,01 ммоль/л. Их подавляет рост *Botrytis cinerea*, *Macrosporium sarcinaeforme* и *Sclerotinia fructicola* на 50% в конц-ях 0,004, 0,035 и 0,15 ммоль/л соответственно. III дает те же результаты соответственно в конц-ях 0,0023, 0,009 и 0,007 ммоль/л. А. Грапов

61527. Азотсодержащие соединения. Robertson Dale N. Nitrogenous compounds. [The Dow Chemical Co.] Пат. США 2914560, 24.11.59.—Шиффы основаны общей ф-лы XCH=N(CH<sub>2</sub>)<sub>n</sub>CH<sub>3</sub> (I), где X = C<sub>6</sub>H<sub>11</sub>-алкилфенил, n = 2 или 3, получают р-цией соответствующего ароматич. альдегида с n-пропил-(II) или n-бутиламино (III), взятыми в равномолекулярном кол-ве или небольшим избытке в присутствии несмешивающегося с водой р-рителя (C<sub>6</sub>H<sub>6</sub>, ксиол, циклогексан). Образующуюся воду отгоняют в виде азеотропа. 71,6 г 4-изо-C<sub>8</sub>H<sub>7</sub>C<sub>6</sub>H<sub>4</sub>CHO и 39 г III в 150 мл C<sub>6</sub>H<sub>6</sub> нагревают до прекращения выделения воды. р-ритель и избыток амина отгоняют и в остатке получают I (X = 4-изо-C<sub>8</sub>H<sub>7</sub>C<sub>6</sub>H<sub>4</sub>; n = 3) (Ia), n<sup>2</sup>D 1,5199. Аналогично из 14,8 г 2,4,6-(CH<sub>3</sub>)<sub>3</sub>C<sub>6</sub>H<sub>2</sub>CHO и 10 мл (0,1 моля) III получают I [X = 2,4,6-(CH<sub>3</sub>)<sub>3</sub>C<sub>6</sub>H<sub>2</sub>; n = 3]. По той же методике получены следующие I (приведены X, n): 4-изо-C<sub>8</sub>H<sub>7</sub>C<sub>6</sub>H<sub>4</sub>, 2; 2,4,5-(CH<sub>3</sub>)<sub>3</sub>C<sub>6</sub>H<sub>3</sub>, 2; 3-C<sub>2</sub>H<sub>5</sub>-4-CH<sub>3</sub>C<sub>6</sub>H<sub>3</sub>, 2; 4-н-C<sub>3</sub>H<sub>7</sub>C<sub>6</sub>H<sub>4</sub>, 2. I активны в качестве бактерицидов, фунгицидов и гермицидов. Так, Ia в конц-и 0,5% полностью задерживает рост *Staphylococcus aureus*. I полезны также как промежуточные продукты в синтезе стимуляторов роста, лекарственных препаратов и эмульгаторов. В. Лившиц

61528. Способ получения новых производных пиридина. Margot Alfred, Gysin Hans. Verfahren zur Herstellung neuer Pyrimidinderivate. [J. R. Geigy A.-G.] Швейц. пат. 344062, 15.03.60.—Соединения общей ф-лы (X)C=NC(X)=C(R')C(R)=N (II) (R-низший алкил, R' = H, R или вместе с R' — три- или тетраметиленовый остаток и конденсированное бензольное кольцо, один из X группа SCCl<sub>3</sub>, связанная с кольцом пиридина через атом O или S, а другой галоген) образуются при р-ции I, в которых один из X = гидроксил, с хлоранидридами неорганич. к-т. К 29 ч. 2-трихлорметансульфенилмеркапто-4-метил-6-оксипиридина (получен из CCl<sub>3</sub>SCl и 2-меркапто-4-метил-6-оксипиридина) прибавляют 80 ч. POCl<sub>3</sub>, кипятят несколько часов, выливают реакционную смесь на лед, осадок отделяют, сушат, растворяют в СНСl<sub>3</sub>, от фильтрата отгоняют р-ритель, получая в остатке 2-трихлорметансульфенилмеркапто-4-метил-6-хлорпиридин, т. пл. 63° (из изо-C<sub>3</sub>H<sub>7</sub>OH). I активны в качестве фунгицидов. И. Мильштейн

61529. Аминоалкилтиазолы. Hartman Marion W., D'Amico John J. Aminoalkylthiazoles. [Monsanto Chemical Co.] Пат. США 2912357, 10.11.59.—Аминоалкилтиазолы общей ф-лы [(R<sub>1</sub>X)<sub>2</sub>NR'<sub>2</sub>] (I) (R-замещ. или незамещ. бензтиазолил-2, X = O или S, лучше S, R-алкиленовая группа, содержащая ≤ 2 атома C, R' — аминная группа, лучше диалкиламинная, u и z = 1 или 2) образуются при взаимодействии Na-соли 2-меркаптобензтиазола (II) или соответствующего замещ. в бензольном кольце производного с хлорзамещ. аминами. К 0,5 моля I в виде 38,7%-ного водн. р-ра добавляют 0,5 моля хлоргидрата (ХГ) 2-хлор-N,N'-диметиламина (III) и 0,5 моля 25%-ного водн. р-ра NaOH, нагревают 5 час. при 50—60°, охлаждают до 25°, экстрагируют 500 мл эфира, промывают экстракт водой, сушат, отгоняют р-ритель в вакууме 1—2 мм и получают 2-(2'-диметиламиноэтилтио)-бензтиазол (Ia) в виде неперегоняющегося масла. Аналогично получают бензтиазолы (перечисляются заместители, т. пл. в °C I, его ХГ и оксалата): 2-(1'-метил-2'-диметиламиноэтилтио) (Ib), —, —, —; 2-(2'-диэтиламиноэтилтио) (Ic), —, 186 (из CH<sub>3</sub>OH), 140—142 (гидрат с 2H<sub>2</sub>O); 2-(3'-диметиламинопропилтио) (Id), —, —, —; 5-хлор-2-(2'-диэтиламиноэтилтио) (Ie), —, 237—238 (из CH<sub>3</sub>OH), 144—146 (гидрат с 1H<sub>2</sub>O); 6-этокси-2-(1'-метил-2'-диметиламиноэтилтио) (If), —, —, —; 6-этокси-2-(2'-диэтиламиноэтилтио) (Ig), —, —, —; 6-этокси-2-(2'-диэтиламиноэтилтио) (Ih), —, 145—146, 68—70 (гидрат с 2H<sub>2</sub>O); 4-метил-2-(2'-диметиламиноэтилтио) (Ii), —, —, —; 5-хлор-2-(2'-диизопропил), 72—73, —, —; 5-хлор-2-(2'-ди-трет-бутиламиноэтилтио), 194—195, —, —; а также 2-N,N-диметиламиноэтилтио-6,7-дигидро-4,5-бензобензотиазол и 2-(2'-диэтиламиноэтилтио)-нафто-2,3'-тиазол (Ik). Смесь, содержащую 0,1 моля 2,2'-димеркапто-6,6'-дибензтиазола, 0,4 моля 25%-ного водн. р-ра NaOH и 0,2 моля III в 500 мл воды, нагревают 4 часа при 50—60°, охлаждают до 25° и отделяют осадок 2,2'-бис-(2'-диметиламиноэтилтио)-6,6'-дибензтиазола (Ia), т. пл. 126—128°. Аналогично получают бензтиазолы (указаны заместители, т. пл. в °C): 5-хлор-2-(1'-метил-2'-диметиламиноэтилтио) (Ia), 65—66; 5-хлор-2-(2'-морфолиноэтилтио) (Ib), 76—77; 5-хлор-2-(2'-дибутиламиноэтилтио) (Ic), 32—33; 2-(2'-диметиламиноэтилтио)-6-фенил (Id), 41—43, а также 2,2-(имино-диэтилен)-дифенил-бис-(бензтиазол) (Ie), 47—50. Смесь 0,2 моля 17,6%-ного р-ра II, 0,2 моля бромгидрата 2-бромэтиламина (IV) и 0,2 моля 25%-ного водн. р-ра NaOH перемешивают 24 часа при 25—30°, добавляют 200 мл эфира и перемешивают 30 мин., осадок отделяют и промывают водой, получают 2-(2'-аминоэтилтио)-бензтиазол, т. пл. 175—177° (из CH<sub>3</sub>OH). Аналогично получают бензтиазолы; 2-(2'-аминоэтилтио) (Ia), т. пл. 173—175° (из сн.), 2-(3'-диметиламинопропилтио)-5-хлор (Ib) и 6-этокси-3-(3'-диметиламинопропилтио) (Ic). 0,4 моля 2-оксибензтиазола (V) растворяют в 500 мл воды, содержащей 0,8 моля 25%-ного водн. р-ра NaOH и 0,4 моля 2-хлор-N,N-диэтиламина, нагревают 18 час. при 70—80°, удаляют воду при 60°, фильтрат выдерживают 3 час. при 80—90°/1—2 мм и получают 2-(2'-диметиламиноэтилтио)-бензтиазол (If) в виде масла. 0,2 моля V растворяют в 250 мл спирта SD-1, содержащего 0,4 моля 85%-ного водн. р-ра KOH, 40 мл воды, 0,2 моля ХГ γ-диметиламинопропилхлорида, нагревают 24 часа при 75—80°, охлаждают до 25° и добавляют 500 мл воды, перемешивают 30 мин., экстрагируют СНСl<sub>3</sub>, экстракт промывают водой и сушат, после отгонки р-рителя в вакууме при 80—90° получают 2-(3'-диметиламинопропилтио)-бензтиазол (Ih). Аналогично при нагревании реакционной смеси в течение 5—6 час. при 50—60° в присутствии водн. р-ра NaOH получают бензтиазолы: 2-(3'-аминопропил), т. пл. 135°, 6-этокси-(2-либутиламиноэтилтио) (Ii) и 2-(3'-аминопропилтио)-6-этокси (Ij). Смесь 0,2 моля 2-меркапто-бензтиазола в 200 ч. воды и 0,4 моля 25%-ного водн. р-ра NaOH и 0,2 моля IV нагревают 24 часа при 70—80°, охлаждают до ~20°, добавляют 300 мл эфира, перемешивают 30 мин. и отделяют осадок, промывают водой и сушат, получают 6-этокси-2-(2'-аминоэтилтио)-бензтиазол, т. пл. 138—140°. Полученные соединения обладают гермицидной и фунгицидной активностью. Ia—к, Im—д, It—у и Ix—ц подавляют развитие спор *Puccinia rubigo-vera-tritici* в конц-ях 0,1—0,5%. При испытании активности синтезированных соединений



alkyl ethyl  
solubility  
ПА 28720  
в полярных  
соединениях  
ены р-ры  
ловых эф  
винилаля  
и малети  
кислотны  
ного спир  
метилово  
гают доба  
N-трихлор  
20 мм  
р II, из ко  
ь, 15%-ный  
ученного и  
и ем 45 мм  
6,5, добав  
на водном  
можно при  
дловавша  
ниленмет  
Valter H  
thiopseudo  
Пат. США  
в, гербици  
л-фенилен  
(NH<sub>2</sub>)SCN<sub>2</sub>  
(II) полу  
с бис-(с  
присутстви  
в 2250 мл  
ют до 78°  
(NH<sub>2</sub>)C(S)  
е кипении  
5° (разл.)  
ем эквивал  
ей к-ты в  
р-ра 29,2  
г Na-соли  
с, смеси  
ксенил)-2-  
Аналогич  
ана т. пл.  
ОН, 167,5-  
193-194;  
141; соли  
о-формаль  
вая, 156-  
158-160.  
-ин 29,2  
mestia в  
и и  
ver Да  
С. На  
tical Co.  
роколист-  
курузы  
оранжия  
оранжия  
на (III)  
тешивают  
ра, смесь  
омывают  
1,4-157,8  
в спирт  
конд-ин  
широко-  
В. Л.  
динения.  
ам Ge

orge. Improvements in or relating to aroxyaliphatic compounds. [May & Baker Ltd]. Англ. пат. 827372, 8.02.60.—В качестве гербицидов активны соединения общей ф-лы 2-X-4-Cl-5-YC<sub>6</sub>H<sub>2</sub>ORON (I) (X = H, Cl или CH<sub>3</sub>, Y = H или Cl, R = C<sub>4</sub>-алкилен или алкенилен, лучше тетраметилен), а также их эфиры с органич. и неорганич. к-тами (CH<sub>3</sub>COOH, H<sub>2</sub>SO<sub>4</sub>). I получают гидролизом эфиров I и органич. к-т или восстановлением γ-(арилокси)-масляной к-ты или ее эфира LiAlH<sub>4</sub>. 47 г КОН добавляют в р-р 4-хлор-2-метилфенола (II) в CH<sub>3</sub>OH (107 г в 350 мл CH<sub>3</sub>OH) и полученный р-р прибавляют к 650 г Br(CH<sub>2</sub>)<sub>4</sub>Br в 570 мл CH<sub>3</sub>OH, смесь кипятят 3 часа и выделяют 4-Cl-2-CH<sub>3</sub>-C<sub>6</sub>H<sub>3</sub>O(CH<sub>2</sub>)<sub>4</sub>Br (III), т. кип. 193—197°/16 мм. Аналогично получают 2,4-Cl<sub>2</sub>-C<sub>6</sub>H<sub>3</sub>O(CH<sub>2</sub>)<sub>4</sub>Br, т. кип. 178—182°/10 мм, и 2,4,5-Cl<sub>3</sub>-C<sub>6</sub>H<sub>2</sub>O(CH<sub>2</sub>)<sub>4</sub>Br, т. кип. 150—155°/0,04 мм. 138 г III растворяют в равном объеме лед. CH<sub>3</sub>COOH, добавляют такое же кол-во безводн. CH<sub>3</sub>COOK и смесь кипятят 16 час., CH<sub>3</sub>COOH отгоняют на паровой бане в вакууме и получают 2-CH<sub>3</sub>-4-ClC<sub>6</sub>H<sub>3</sub>O(CH<sub>2</sub>)<sub>4</sub>OC(O)CH<sub>3</sub> (IV), т. кип. 147—149°/1 мм. Аналогично получают 2,4-Cl<sub>2</sub>-C<sub>6</sub>H<sub>3</sub>O(CH<sub>2</sub>)<sub>4</sub>OC(O)CH<sub>3</sub> (V), т. кип. 143—145°/0,05 мм, и 2,4,5-Cl<sub>3</sub>-C<sub>6</sub>H<sub>2</sub>O(CH<sub>2</sub>)<sub>4</sub>OC(O)CH<sub>3</sub>, т. пл. 64—65° (из петр. эф.). 49 г IV кипятят 45 мин. с 32 г КОН в 100 мл CH<sub>3</sub>OH и 200 мл воды, CH<sub>3</sub>OH удаляют упариванием и обычной обработкой, получают I [X = CH<sub>3</sub>, Y = H, R = (CH<sub>2</sub>)<sub>4</sub>] (Ia), т. кип. 127—129°/0,1 мм. Аналогично получают I (указаны X, Y, R, т. кип. в °C/мм): Cl, H, (CH<sub>2</sub>)<sub>4</sub> (Ib), 136—139°/0,2; Cl, Cl, (CH<sub>2</sub>)<sub>4</sub> (Iv), 159—161°/1. Р-р 14 г C<sub>6</sub>H<sub>5</sub>COCl в 20 мл CCl<sub>4</sub> прибавляют за 15 мин. при перемешивании к смеси из 23,5 г Iб, 8,5 г C<sub>6</sub>H<sub>5</sub>N и 30 мл CCl<sub>4</sub>, после окончания прибавления смесь кипятят 30 мин., охлаждают, обрабатывают водой и экстрагируют эфиром. Экстракты промывают разб. HCl (к-той), водой, сушат над MgSO<sub>4</sub> и выделяют с выходом 75% 2,4-Cl<sub>2</sub>-C<sub>6</sub>H<sub>3</sub>O(CH<sub>2</sub>)<sub>4</sub>OC(O)C<sub>6</sub>H<sub>5</sub>, т. кип. 178—180°/0,1 мм. 12,5 г ClSO<sub>3</sub>H в 25 мл Cl<sub>2</sub>C=CHCl (VI) прибавляют к р-ру 23,5 г V в 100 мл VI при охлаждении до 0—5°, смесь перемешивают при 10° 2 часа, добавляют 50 мл 2 н. р-ра Na<sub>2</sub>CO<sub>3</sub>, затем 150 мл воды и доводят pH воды. слоя до 7 прибавлением Na<sub>2</sub>CO<sub>3</sub>, экстрагируют эфиром, экстракт концентрируют при 40°/15 мм и получают 2,4-Cl<sub>2</sub>-C<sub>6</sub>H<sub>3</sub>O(CH<sub>2</sub>)<sub>4</sub>OSO<sub>3</sub>Na, выход 41%, т. пл. 217° (разл.). 23,5 г 2,4,5-Cl<sub>3</sub>-C<sub>6</sub>H<sub>2</sub>OCH(CH<sub>3</sub>)(CH<sub>2</sub>)<sub>3</sub>COOH (получена из γ-валеролактона и 2,4,5-Cl<sub>3</sub>-C<sub>6</sub>H<sub>2</sub>ONa) в 50 мл сухого эфира прибавляют за 15 мин. к суспензии 3,8 г LiAlH<sub>4</sub> в 50 мл эфира, смесь перемешивают еще 30 мин. и обычной обработкой выделяют с выходом 84% 2,4,5-Cl<sub>3</sub>-C<sub>6</sub>H<sub>2</sub>OCH(CH<sub>3</sub>)(CH<sub>2</sub>)<sub>3</sub>OH, т. кип. 132—135°/0,1 мм. 49 г 2,4-дихлорфенола и 139 г 1,4-дихлорбути-на-2 прибавляют к р-ру CH<sub>3</sub>ONa (из 7 г Na и 150 мл сухого CH<sub>3</sub>OH), смесь выдерживают 4 дня при ~20°, добавляют 0,5 л воды, экстрагируют эфиром, эфирные экстракты обрабатывают как обычно и получают 1-Cl-4-(2,4'-дихлорфенокси)-бути-2 (VII), т. кип. 135°/0,25 мм, т. пл. 38°. Смесь 12,5 г VII, 10 г безводн. CH<sub>3</sub>COOK и 40 мл лед. CH<sub>3</sub>COOH кипятят 25 час., охлаждают и фильтруют, фильтрат концентрируют на паровой бане и обычной обработкой получают 2,4-Cl<sub>2</sub>-C<sub>6</sub>H<sub>3</sub>O-CH<sub>2</sub>C≡CCNOC(O)CH<sub>3</sub> (VIII), т. пл. 51—52° (из петр. эф.). К 10 г неочищ. VIII в 30 мл CH<sub>3</sub>OH прибавляют р-р 2,5 г КОН в 4 мл воды, смесь выдерживают 48 час. при 20°, добавляют воды, CH<sub>3</sub>OH отгоняют в вакууме (т-ра ≤ 40°), оставшееся масло экстрагируют эфиром и из экстрактов выделяют 4,7 г I (X = Cl, Y = H, R = CH<sub>2</sub>C≡CCN) (Iг), т. кип. 148—152°/0,4 мм, т. пл. 53—54°. 23,1 г Iг в 230 мл CH<sub>3</sub>OH гидрируют со скелетным Ni до присоединения 1 моля H<sub>2</sub> на 1 моль Iг, катализатор отфильтровывают, фильтрат разбавляют водой, CH<sub>3</sub>OH отгоняют в вакууме, остаток экстрагируют эфиром и выделяют 18 г I (X = Cl, Y = H, R = CH<sub>2</sub>-CH=CHCN) (Id), т. кип. 134—136°/0,25 мм. 3,5-динитробензоат Id (т. пл. 114—115°) дает депрессию в смешанной пробе плавления с 3,5-динитробензоатами Iг (т. пл.

114—115° и Iб (т. пл. 113—114°). В дозе 2,24 кг/га V и Iв вызывали сильное искривление растений мокрицы и куропатки. Ia—б и IV в дозе 2,24 кг/га не влияли на прорастание семян льна, моркови и бобовых растений. В дозе 1,12 кг/га Ia—б и IV на 4—40% повышали урожай льна и моркови. В. Л.

61536. Гербицид. Fischer Adolf. Unkrautbekämpfungsmittel. [Badische Anilin- & Soda-Fabrik A.-G.]. Пат. ФРГ 1057382, 12.11.59.—Гербицидные препараты содержат соли хлорированных алифатич., феноксиалифатич. и ароматич. к-т с третичными алифатич. или алициклич. аминами. Напр., додецилгексаметиламиновая соль 2М-4ХП, смесь диметилдоксиламиновых солей 2М-4ХП и 2,3,5,6-тетрахлорбензойной к-ты, а также дилипролидиновые соли CH<sub>3</sub>CCl<sub>2</sub>COOH и CH<sub>3</sub>CH<sub>2</sub>CCl<sub>2</sub>COOH превосходят по гербицидному действию Na-соли соответствующих к-т при равных нормах расхода. А. Гранов

61537. Новые α-(галоидфенокси)-пропионовые кислоты и гербицидные препараты, содержащие их. Stevenson Herbert Aubrey, Brookes Robert Frederick, Lush Gerald Bertram. New alpha-(halophenoxy)-propionic acids and herbicidal compositions thereof. [Boots Pure Drug Co. Ltd.]. Англ. пат. 826995, 27.01.60.—В качестве гербицидов активны в-ва общей ф-лы ROCH(CH<sub>3</sub>)COOH (Ia—в, где а R = 3,4-дихлор-5-метилфенил, б R = 3,4,5-трихлорфенил, в R = 4-бром-3,5-диметилфенил), а также соли и эфиры этих к-т. I получают конденсацией соответствующего фенола или его соли с эфиром α-галоидпропионовой к-ты. 20,1 г 4-бром-3,5-диметилфенола, 15 г K<sub>2</sub>CO<sub>3</sub>, 18,1 г этил-α-бромпропионата и 100 мл ацетона кипятят 3 часа, ацетон отгоняют и остаток кипятят с 70 мл 2,5 н. NaOH до получения прозрачного р-ра, из которого подкислением выделяют Iв, т. пл. 151,5—152,5° (из C<sub>2</sub>H<sub>4</sub>Cl<sub>2</sub> петр. эф.). Аналогично получают Ia, т. пл. 138,5—140°, и Iб, т. пл. 136—137°. I применяют в виде водн. р-ров, дисперсий и эмульсий для борьбы с *Chenopodium album*, *Stellaria media*, *Sinapis arvensis* и особенно с *Avena fatua* и *Avena ludoviciana*. В. Лявский

61538. Гербицидный препарат. Morris Francis Norman. Improvements in herbicidal compositions. [Leek Chemicals Ltd.]. Англ. пат. 841735, 20.07.60.—K 34 г 2-метил-4-хлорфенокси-α-пропионовой к-ты (I) при 60—80° и перемешивании добавляют 66 г 4,2%-ного водн. NH<sub>3</sub>, р-р выпаривают 1 час при pH смеси 8—9 (устанавливается водн. р-ром NH<sub>3</sub>), затем охлаждают несколько часов и сушат. Полученная NH<sub>4</sub>-соль I (меконпрол) обладает сильным гербицидным свойством и применяется в посевах пшеницы против лишайника, вьюнка полевого и некоторых настбийных сорняков. В смеси с 2,3,6-трихлорбензойной к-той новый гербицид используют против ромашки (*Matricaria* sp.), *Polygonum persicaria* и *P. aviculare*. А. Рышка

61539. Метод уничтожения растительности. D'Amico John J. Method of destroying vegetation. [Monsanto Chemical Co.]. Пат. США 2914392, 24.11.59.—Для получения активных в качестве гербицидов 5-хлор-N-алкил (или арил)-2-бензизазолсульфенамидов (I), в кислотоустойчивый реактор загружают 50,4 г 5-хлор-2-меркаптобензизазола (II), 170 г воды и 40 г 25%-ного водн. р-ра NaOH. К смеси при перемешивании добавляют 99 г циклогексилана, 49,7 г 25%-ной H<sub>2</sub>SO<sub>4</sub> (т-ра смеси 30—35°) и при 35—40° 30 г NaOCl в 200 мл воды. Перемешивание продолжают 30 мин., избыток окислителя нейтрализуют добавлением 1 г Na<sub>2</sub>SO<sub>3</sub> и в осадке получают 5-хлор-N-циклогексил-2-бензизазолсульфенамид (Ia), т. пл. 93—94°. Аналогично из 46 г 2,2'-дитиобис-(5-хлорбензизазола) и 101,2 г (изо-C<sub>3</sub>H<sub>7</sub>)<sub>2</sub>NH получают соответствующий диизопротил-амид (Iб), т. пл. 61°. К смеси из 50,4 г II, 80 г 25%-ного р-ра NaOH, 147,8 г изо-C<sub>3</sub>H<sub>7</sub>NH<sub>2</sub> и 1 л воды прибавляют за 2 часа при перемешивании 64 г J<sub>2</sub> в 850 г воды, содержащей 69 г KJ, перемешивание продолжают еще



1 час, смесь охлаждают до 10° и выделяют из нее 5-хлор-N-изопропил-2-бензтиазолилсульфенамид (Ib), т. пл. 65—66°. I применяют в качестве гербицидов (предпочтительно предсходных) в дозе 28—56 кг/га. Ia в конц-ии 1% повреждает кукурузу, не оказывая влияния на бобовые растения. Ib в конц-ии 0,3% сильно повреждает кукурузу и бобы, а в конц-ии 1% уничтожает кукурузу. In (1%) вызывал 80%-ную дефолиацию бобовых растений и сильное повреждение широколиственных растений.

В. Лившиц  
6Л1540. Пропил-N,N-диэтилтиолкарбамат и его применение в качестве гербицида. Tilles Harry, Lindquist August B. Propyl-N,N-diethylthiolcarbamate and use as herbicide. [Stauffer Chemical Co.]. Пат. США 2913326, 17.11.59.—Пропил-N,N-диэтилтиолкарбамат (I) получают р-цией пропилмеркаптана Na (II) с диэтилкарбамилхлоридом (III). К дисперсии 23 г Na (размер частиц 5—200 м) в ксилоле с добавлением олеиновой к-ты в качестве стабилизирующего агента в реакторе, предварительно продутом аргоном (или N<sub>2</sub>), постепенно при 25—36° (за 30 мин.) прибавляют р-р 85 г CH<sub>3</sub>CH<sub>2</sub>CH<sub>2</sub>SH в 86 г ксилола. Смесь нагревают до кипения, после чего нагрев прекращают и к кипящей смеси прибавляют за 17 мин. 135,6 г III. Затем смесь кипятят еще 3 часа, охлаждают, NaCl отфильтровывают, р-ритель удаляют в вакууме, остаток перегоняют и получают с выходом 87,5% I, т. кип. 112,2—116,6°/18 мм, n<sub>D</sub><sup>20</sup> 1,4788. I применяют в качестве предсходного гербицида в дозе 0,56—22,4 кг/га. Через 16 дней после предсходовой обработки посевов кукурузы I в дозах 1,12—11,2 кг/га наблюдалась гибель ржи, овсяга и крапивы, а кукуруза не повреждалась.

В. Лившиц  
6Л1541. Органические комплексы ртути. Heininger Samuel Allen. Organic complexes of mercury. [Monsanto Chemical Co.]. Пат. США 2913470, 17.11.59.—Твердые комплексы общей ф-лы Hg(RNCH<sub>2</sub>CH<sub>2</sub>CN)<sub>2</sub> (R = C<sub>6</sub>—C<sub>12</sub>-арил), активные в качестве предсходных гербицидов и стабилизаторов каучука, получают р-цией ариламинов с CH<sub>2</sub>=CHCN (I) и теоретич. солью Hg. Так, смесь из 186 г C<sub>6</sub>H<sub>5</sub>NH<sub>2</sub>, 106 г I и 10,2 г CH<sub>3</sub>COONH<sub>4</sub> (II) кипятят 165 мин. и после добавления 5 г II еще 15 мин., смесь оставляют на несколько дней и получают с выходом 92,5% Hg(C<sub>6</sub>H<sub>5</sub>NHCH<sub>2</sub>CH<sub>2</sub>CN)<sub>2</sub> (III), т. пл. 208—210° (из сп.). В конц-ии 0,0001 г/мл III задерживает рост *M. pyogenes* var. *aureus*, а при дозе 28 кг/га задерживает прорастание семян лисохвоста и костра ржаного, не оказывая при этом влияния на прорастание семян редиса, сахарной свеклы и хлопчатника.

В. Лившиц  
6Л1542. Применение комплекса бис-(2-метил-5-этилпиридина) и двуххлористой меди в качестве гербицида. Samuel Margaret D. Herbicidal method and composition employing bis(2-methyl-5-ethylpyridine) copper (II) chloride. [Monsanto Chemical Co.]. Пат. США 2913323, 17.11.59.—Комплексное соединение бис-(2-метил-5-этилпиридина) с двуххлористой медью (комплекс А), активное в качестве контактного гербицида, получают растворением CuCl<sub>2</sub> в пиридиновом соединении при нагревании. 17 г CuCl<sub>2</sub>·2H<sub>2</sub>O растворяют в 50 мл горячего 2-метил-5-этилпиридина, осадок отфильтровывают, фильтрат упаривают и сухой остаток присоединяют к осадку, из которого после перекристаллизации из воды. C<sub>2</sub>H<sub>5</sub>OH получают 21 г комплекса А, 0,2%-ный р-р которого полностью уничтожал все широколиственные растения, за исключением хлопчатника. Комплекс А применяют также в качестве пигмента, питательного в-ва и фунгицида. Так, 0,01—0,1%-ные р-ры комплекса полностью защищают томаты от *Fusarium oxysporum* f. *lycopersici*; в более низких конц-иях комплекса А защищают томаты и огурцы от *Stemphylium solani* и *Colletotrichum lagenarium*, а в конц-ии 5% защищает пшеницу от *Puccinia rubigo-vera tritici*.

В. Лившиц

См. также: Инсектициды: синтез 6Ж167; пром-ны 6Л187, 6Л194, 6Л197. Бактерициды и фунгициды: синтез 6Ж109, 6Ж141, 6Ж152; пром-во 6Л72, 6Л111; защита древесины 6М15—6М20, 6М32. Регуляторы роста: синтез 6Ж110; содержание в растениях 6С695, 6С696, 6С700; действие 6С692—6С694, 6С699, 6С702, 6С703

## ФОТОГРАФИЧЕСКИЕ МАТЕРИАЛЫ

Редактор В. С. Чельцов

6Л1543. Замечания по поводу статьи А. Л. Карповой о физико-химическом методе анализа активных присоединений к природе фотографической активности желатины. Зимкин Е. А.—Дополнительные сообщения о природе фотографической активности желатины. Карпова А. Л., Чибисов К. В. «Ж. научн. и прикл. фотогр. и кинематогр.», 1960, 5, № 4, 290—308.—Дискуссионные статьи см. РЖХим, 1959, № 20, 72513.

6Л1544. Светочувствительные материалы для фотографической репродукции. Miyamoto G. «Сясин корё. Photogr. Inds.», 1960, 16, № 5, 86—89 (японск.).

6Л1545. Светочувствительные материалы и некоторые вопросы изготовления негатива. Nakamura T. Sensitized material and development some problems about negative making. «Сясин корё. Photogr. Inds.», 1960, 16, № 3, 30—33 (японск.).

6Л1546. Зависимость фотометрического эквивалента от среднего размера непрозрачных эмульсионных зерен. Пясецкая О. В., Вендровский К. В. «Ж. научн. и прикл. фотогр. и кинематогр.», 1960, 5, № 4, 368—369

6Л1547. Зернистость фотографических изображений. Romer Witold. Ziarnistość obrazów fotograficznych. «Chem. stosow.», 1960, 4, № 2, 183—230 (польск.; русск., англ.).—Обзор. Библ. 51 назв.

6Л1548. О влиянии грунта и толщины эмульсионного слоя на ореол и разрешающую способность фотоматериалов. Новиков И. А. «Техника кино и телевидения», 1960, № 8, 69—70

6Л1549. О применении в промышленности киноплёнок с дубителем в слое. Заборский Б. А., Тихонович С. Е., Леви С. М. «Техника кино и телевидения», 1960, № 11, 44—46.—Описаны результаты исследования влияния дубления α-дихлорформилакриловой (мукохлорной) к-ты на физ.-мех. и фотографические свойства светочувствительных слоев.

В. Чельцов  
6Л1550. Определение практической светочувствительности черно-белых плёнок, проявляемых с обработкой. Модестов Б. Н. «Техника кино и телевидения», 1960, № 11, 47—52

6Л1551. Исследование обработки киноплёнки в струях растворов. Блюмберг И. Б., Иванова В. Г., Карпова Л. И., Новацкая Т. А., Новиков Г. Г. «Техника кино и телевидения», 1960, № 11, 49—49.—Изложены результаты исследования проявления, фиксирования и промывки киноплёнки в струях обрабатывающих р-ров. Отмечена необходимость охлаждения р-ров и герметизации душевой камеры для предотвращения окисления проявителя.

В. Чельцов  
6Л1552. Репродуцирование. Яно Тэцуо. «Kagaku Chemistry» (Japan), 1960, 15, № 4, 298—303 (японск.).

6Л1553. Химия фотографических процессов проявления и фиксирования. Кикучи Синъити. «Kagaku Chemistry» (Japan), 1960, 15, № 4, 275—280 (японск.).

6Л1554. Характеристика цветных плёнок негативных и с обращением. Sasaki A. Features of color negative and color reversal films. «Сясин корё. Photogr. Inds.», 1960, 16, № 6, 47—50 (японск.).

6Л1555. Светочувствительные материалы для цветной фотографии и процесс проявления эктахром. Носано М. «Сясин корё. Photogr. Inds.», 1960, 16, № 4, 34—35 (японск.).

6Л1556. Гаку, Ш (японск.) описан м дена сп дессов ч фич. мат 6Л1557. троллизом катану Res., 19 светокон феррици и желез этот пр чаемый бихрома 6Л1558. гаку, Ш (японск) 6Л1559. ческих Грен и «Электр 251—255 6Л1560. ехн. сл буц Ю «Электр 211—21 6Л1561. Мицу 8, № 12 6Л1562. а элект корё, (японск) 6Л1563. ческие Гран phic е Пат. С (где Р дикло мы ко дикли 5- или 2-алки янжн. заний суств лента

метил в ин CH<sub>3</sub>C II (D родат 30 м. дают выхо чают мовы лени

6Л556. Цветная фотография. Фуруя Ити. «Kagaku, Chemistry» (Japan), 1960, 15, № 4, 280—290 (японск.).—Изложена история цветной фотографии, описан механизм р-ций цветного проявления и приведена сравнительная характеристика различных процессов цветной фотографии на трехслойных фотографиях. материалы. Библ. 62 назв. В. Чельцов

6Л557. Проявление цианотипных отпечатков электролизом. Takeshita Hiroshi, Kubo Keiji. «Рикагаку кэнкюсё хококу, Repts Inst. Phys. and Chem. Res.», 1959, 35, № 6, 424—425 (японск.).—Цианотипную светокопировальную бумагу, покрытую водн. р-ром феррицианида калия и щавелевоуксусной соли аммония и железа, проявляют электролизом. Установлено, что этот процесс дает более высокий контраст, чем полу-чаемый при обычном проявлении 2—3%-ным р-ром бихромата калия. Т. Ткаченко

6Л558. Электрофотография. Оба Сэйити. «Kagaku, Chemistry (Japan)», 1960, 15, № 4, 290—298 (японск.).—Обзор. Библ. 69 назв.

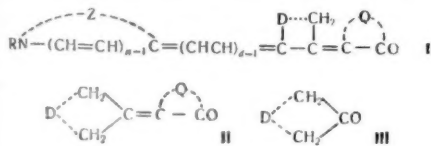
6Л559. Электрические свойства электрофотографических слоев из аморфного селена и окиси цинка. Грейниш С. Г., Подвигагалкин П. М. В сб. «Электрофотограф. и магнитография», Вильнюс, 1959, 251—259 (рез. лит.)

6Л560. Некоторые свойства электрофотографических слоев. Вишакас Ю. К., Жилевич И. И., Зибунц Ю. А., Ньюнокс Л. И., Плавина И. З. В сб. «Электрофотограф. и магнитография», Вильнюс, 1959, 211—219 (рез. лит.)

6Л561. Электролитическая электрофотография. Мидзу Кэнъюти. «Данси когё, Electronician», 1959, 8, № 12, 1075—1080 (японск.)

6Л562. Фотопроводящие материалы, применяемые в электрофотографии. Вада Масанобу. «Данси когё, Electronician», 1959, 8, № 12, 1068—1074 (японск.).—Обзорная статья. Библ. 35 назв.

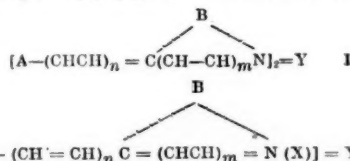
6Л563. Мероцианины и содержание их фотофизические эмульсии. Brooker Leslie G. S., White Frank L. Merocyanine sensitizing dyes and photographic emulsions containing them. [Eastman Kodak Co.] Пат. США 2882159, 14.04.59.—Мероцианины ф-лы (I) (где R—алкил с 1—4 атомами С; D—атомы кольца циклопентана или циклогексана; Q—неметаллич. атомы кольца индандиона или 5- или 6-членного гетероциклич. кольца; Z—неметаллич. атом, замыкающий 5- или 6-членное гетероциклич. кольцо; d и n=1 или 2) получают конденсацией четвертичных солей 2-алкил- или арилмеркапто- или 2-β-ациланилинови-льных производных азотистых гетероциклич. оснований с п-вами ф-лы (II) в инертном р-рителе в присутствии оснований. II получают конденсацией циклопентанов или циклогексанов ф-лы (III) с кето-



метиленовыми соединениями в присутствии оснований в инертном р-рителе или в  $\text{CH}_3\text{COOH}$  в присутствии  $\text{CH}_3\text{COONa}$  (см. пат. США 2213986). Описано получение II [D =  $\text{CH}_2\text{CH}_2$ , Q =  $\text{SC}(\text{S})\text{NC}_2\text{H}_5$ ] (IIa). 32,2 г 3-этилроданина, 33,6 г (100% избытка) циклопентанона, 30 мл  $\text{C}_2\text{H}_5\text{OH}$  и 2 мл  $\text{C}_5\text{H}_5\text{N}$  нагревают 75 мин., осаждают водой, после 2-кратной кристаллизации из  $\text{CH}_3\text{OH}$  выход IIa 89%, т. пл. 100,5—101,5°. Аналогично получают циклопентилиденовые производные кетометиленовых соединений (приведены кетометиленовые соединения, выход в %, т. пл. в °C): 1,3-диэтилбарбитуровая

к-та (IV), 50, 74—75; 1,3-диэтилтиобарбитуровая к-та (V), 72, 88,5—90; 1,3-ди-(β-метоксиэтил)-барбитуровая к-та (VI), —, 60—62; 3-фенилизоксазолон (VII), 22, 158—159; 1-фенил-3-метилпразолон-5 (VIII), 41, 124—125; 1,1-диокс.с тионафенона-3 (IX), 43, 192—193; 1-фенил-3-этилмидазолондинтион-2-он-4 (X), 63, 126—127; 1,3-диэтил-5-циклогексиденбарбитуровая к-та, 23, 230—232; 3-этил-5-циклогексидендиазолидинтион-2-он-4 (XI), 72, 93—94. Описаны I (приведены R, Z, D, Q, n, d, условия получения, выход в %, т. пл. в °C, граница и максимум сенсibilизации в мμ):  $\text{CH}_3$ , S,  $\text{CH}_2\text{CH}_2$ ,  $\text{SC}(\text{S})\text{NC}_2\text{H}_5$ , 4,2 [5,68 г IIa, 9,18 г метил-п-толу-сульфоната 2-метилмеркаптобензтиазола (XII), 100 мл абс.  $\text{C}_2\text{H}_5\text{OH}$ , 2,75 г триэтиламина (ТЭА) кипятят 30 мин., разбавляют водой, охлаждают, фильтруют, 2-кратно переосаждают  $\text{CH}_3\text{OH}$  из  $\text{C}_5\text{H}_5\text{N}$ , 51, 220—221 (разл.), 630, 570;  $\text{C}_2\text{H}_5$ , S,  $\text{CH}_2\text{CH}_2\text{CH}_2$ ,  $\text{SC}(\text{S})\text{NC}_2\text{H}_5$ , 6,2 [из 8,02 г XI, 13,3 г этилэтилсульфата 2-этилмеркапто-β-нафтотиазола (XIII) в 35 мл абс.  $\text{C}_2\text{H}_5\text{OH}$  с 3,54 г ТЭА], 18, 189—191 (разл.), 610, —;  $\text{C}_2\text{H}_5$ , S,  $\text{CH}_2\text{CH}_2$ ,  $\text{C}(\text{CH}_3)=\text{N}-\text{NC}_6\text{H}_5$ , 4,2 (из 3,09 г VIII, 4,36 г этилэтил-сульфата 2-этилмеркаптобензтиазола в 10 мл абс.  $\text{C}_2\text{H}_5\text{OH}$  с 1,38 г ТЭА). 38, 212—213 (разл.), —;  $\text{C}_2\text{H}_5$ , S,  $\text{CH}_2\text{CH}_2$ ,  $\text{N}(\text{C}_6\text{H}_5)\text{C}(\text{S})\text{NC}_2\text{H}_5$ , 4, 2 (из 7,16 г X, 9,18 XII в 35 мл абс.  $\text{C}_2\text{H}_5\text{OH}$  с 2,77 г ТЭА), 4, 256—257 (разл.), 610, 560;  $\text{C}_2\text{H}_5$ , S,  $\text{CH}_2\text{CH}_2$ , O—C(S)— $\text{NC}_2\text{H}_5$ , 4, 2 [8,4 г циклопентанона, 7,25 г 3-этилоксазолидинтион-2-она-4, 5 мл  $\text{C}_5\text{H}_5\text{N}$  нагревают при 106—110° 30 мин., разбавляют ледяной водой, остаток по отделению воды растворяют в  $\text{CH}_3\text{OH}$ , осаждают водой, отфильтровывают, к осадку прибавляют 18,35 г XII, 35 мл абс.  $\text{C}_2\text{H}_5\text{OH}$  и 5,56 г ТЭА, кипятят 45 мин., промывают водой и лигроином (т. кип. 100—110°) и через несколько дней фильтруют], 1,02 г, 182—183 (разл.; из сп.), —;  $\text{CH}_3$ , O,  $\text{CH}_2\text{CH}_2$ ,  $\text{N}(\text{C}_6\text{H}_5)\text{C}(\text{S})\text{NC}_2\text{H}_5$ , 4, 2 (4,9 г 2-метилмеркаптобензоксазола и 5,58 г метилового эфира п-толуолсульфокислоты нагревают на открытом огне до появления пузырьков, по охлаждении прибавляют 6,66 г V, 30 мл абс.  $\text{C}_2\text{H}_5\text{OH}$ , 3,02 г ТЭА и кипятят 30 мин.), 20, 230—232 (разл.; из  $\text{CH}_3\text{OH}$ ), —; аналогичное производное 1,3-диэтилбарбитуровой к-ты, 30, 255—257 (разл.);  $\text{CH}_3$ , S,  $\text{CH}_2\text{CH}_2$ ,  $\text{N}(\text{C}_2\text{H}_5)-\text{C}(\text{O})-\text{N}(\text{C}_2\text{H}_5)-\text{C}(\text{O})$ , 4, 2 (из 6,25 г IV и 9,17 г XII в 25 мл абс.  $\text{C}_2\text{H}_5\text{OH}$  с 2,75 г ТЭА), 52, 274—275 (разл.), —; аналог с остатком 3-этилбензтиазола, 53, 260—261 (разл.), —;  $\text{C}_2\text{H}_5$ , S,  $\text{CH}_2\text{CH}_2$ ,  $\text{N}(\text{C}_2\text{H}_5)\text{C}(\text{O})-\text{N}(\text{C}_2\text{H}_5)-\text{C}(\text{O})$ , 6,2 (из 6,25 г IV и 9,18 г XII в 50 мл абс.  $\text{C}_2\text{H}_5\text{OH}$  с 2,75 г ТЭА), 49, 250—251 (разл.), —; аналог с тиобарбитуровой к-той, 64, 234—235, —;  $\text{CH}_3$ , S,  $\text{CH}_2\text{CH}_2$ ,  $\text{N}(\text{CH}_2\text{CH}_2\text{OCH}_3)\text{C}(\text{O})\text{N}(\text{CH}_2\text{CH}_2\text{OCH}_3)\text{C}(\text{O})$ , 6, 2 (из 6,2 г V и 7,15 г XII в 20 мл абс.  $\text{C}_2\text{H}_5\text{OH}$  с 2,22 г ТЭА), 60, 243—245 (разл.), —;  $\text{CH}_3$ , S,  $\text{CH}_2\text{CH}_2$ ,  $\text{C}(\text{C}_6\text{H}_5)=\text{N}-\text{O}$ , 6,2 (из 4,54 г VII и 7,15 г XII в 35 мл абс.  $\text{C}_2\text{H}_5\text{OH}$  с 2,22 г ТЭА), 26, 260—261 (разл., переосажденный из крезолоа с  $\text{CH}_3\text{OH}$ ), 540, 520;  $\text{C}_2\text{H}_5$ , S,  $\text{CH}_2\text{CH}_2$ , остаток 1,1-диокс.с тионафенона-3, 6, 2 (из 4,96 г IX и 7,98 г XIII в 50 мл абс.  $\text{C}_2\text{H}_5\text{OH}$  с 2,22 г ТЭА), 66, 274—275 (разл.; из  $\text{C}_5\text{H}_5\text{N}$ ), 530, —. М. Дейчмейстер

6Л564. Новые оптические сенсibilизаторы. Magson Maurice Sugden. New optical sensitizers. [Imperial Chemical Industries Ltd.] Англ. пат. 804670, 19.11.58.—Устойчивы к диффузии фотография, сенсibilизаторы ф-лы (I) (где A—кетометиленовый оста-



ток; B—атомы, замыкающие 5- или 6-членное гетероциклич. кольцо; Y—2-валентный полиметиленовый или

ксиленовый радикал;  $n = 0, 1$  или  $2$ ;  $m = 0$  или  $1$ ) получают конденсацией кетометиленовых соединений с четвертичными солями ф-лы (II, где  $B, Y, m$  и  $n$  указаны выше;  $D$  — арилмеркаптогруппа (при  $n = 0$ ) или ацилариламиногруппа (при  $n = 1$  или  $2$ );  $X = Br$  или  $J$ ; II, являющиеся 2-алкилмеркаптопроизводными, получают нагреванием 2-алкилмеркаптозамещ. гетероциклич. оснований с полиметилendisгалогенопроизводными (III), а соли, являющиеся 2-β-анилино- или 2-β-ацетанилиноалкильными производными — нагреванием 2-метилзамещ. гетероциклич. оснований с III и последующей конденсацией продукта с дифенилформамидом (IV) или анилиноакролеинанилом. Смесь  $10 \text{ г}$  2,5-диметилтиодиазола-1,3,4,  $10 \text{ г}$   $(CH_2)_5Br$  и  $50 \text{ г}$  сухого  $C_6H_5NO_2$  нагревают 1 час при  $160^\circ$ , к  $46 \text{ г}$  полученного бромиды 3,3-пентаметилди-(2,5-диметилтиодиазола-1,3,4) (т. пл.  $210-212^\circ$ ) прибавляют  $60 \text{ г}$  IV и  $33 \text{ г}$   $(CH_3CO)_2O$ , нагревают 30 мин. при  $120^\circ$ , разбавляют  $CH_3OH$ , затем эфиром, через 24 часа жидкость декантируют, остаток кипятят с  $CH_3OH$ , отфильтровывают и промывают эфиром, получают Па [B =  $SC(CH_3)_2$ , N, Y =  $(CH_2)_5$ , D =  $N(COCH_3)C_6H_5$ , X = Br,  $m = 0$ ,  $n = 1$ , т. пл.  $210-212^\circ$ ]. Аналогично получают другие II (приведены B, Y, D, X,  $m, n$ , т. пл. в  $^\circ C$ ):  $SC_2H_5CH_2$ ,  $(CH_2)_4$ ,  $N(COCH_3)C_6H_5$ , Br, 0, 1 (116),  $259-260$ ;  $C_6H_5O$ ,  $(CH_2)_4$ ,  $N(COCH_3)C_6H_5$ , Br, 0, 2 (116) [из бромиды 3,3-тетраметилди-ди-2- (2-β-ацетанилинобутиденилбензоксазола) (т. пл.  $253,5-254^\circ$ ) и хлоргидрата анилиноакролеина-анила],  $178-184$ ;  $C_6H_5S$ ,  $(CH_2)_2$ ,  $C_6H_5S$ , Br, 0, 0, (117) [из 2-этилмеркаптобензотиазола и  $C_6H_5Br_2$ ],  $256-257$ ;  $C_6H_5$ ,  $(CH_2)_3$ ,  $N(COCH_3)C_6H_5$ , Br, 1, 1,  $231-232$ . Описаны I [приведены последовательно A, B, Y,  $m, n$ , (способ получения), т. пл. в  $^\circ C$ ,  $\lambda$  (макс.) в мμ]: 1-фенил-3-этил-имидазолидинтион-2-он-4,  $SC(CH_3)_2$ , N,  $(CH_2)_5$ , 0, 1 [кипением (2 часа) смеси  $75 \text{ г}$  Па и  $44 \text{ г}$  1-фенил-3-этил-2-тиогидантоина в  $C_6H_5N$ ],  $218-220$ ,  $503$  (в  $CH_3OH$ ), 3-этилоланин,  $SC_2H_5CH_2$ ,  $(CH_2)_4$ , 0, 1 [из  $129 \text{ г}$  3-этилоланина (V) и  $354 \text{ г}$  116],  $314-315$ ,  $482$  (в β-этоксипанол), 3-этилоланин,  $C_6H_5O$ ,  $(CH_2)_4$ , 0, 2 [из  $206 \text{ г}$  Па и  $81 \text{ г}$  V в абс.  $C_2H_5OH$  с  $(C_2H_5)_3N$ ],  $294-295$ ,  $577$  (в  $C_6H_5N$ ), 3-этилоланин,  $C_6H_5S$ ,  $(CH_2)_2$ , 0, 0 [из  $277 \text{ г}$  117 и  $161 \text{ г}$  V в  $C_6H_5N$  с  $C_6H_5N$ ],  $233$ ,  $424$  (в β-этоксипанол); 3-аллилоланин,  $C_6H_5$ ,  $(CH_2)_3$ , 1, 1,  $215-216$ ,  $620$  (в β-этоксипанол); аналогичный краситель с 1-фенил-3-метилпиразолоном-5, т. пл.  $290^\circ$ ,  $\lambda$  (макс.)  $590 \text{ мμ}$ . М. Д. 6Л565. Карбоксиметилмеркаптопроизводные гетероциклических азотсодержащих оснований в качестве стабилизаторов для фотографических эмульсий, Murgay Thomas F., Reynolds George A., Van Allan James A. Carboxymethylmercapto compounds as stabilizers for photographic emulsions. [Eastman Kodak Co.], Пат. США 2819965, 14.01.58. — Соединения ф-лы



(I, где  $R = H$ , алкил;  $M = H$  или щел. металл;  $Z$  — неметаллич. атомы для замыкания гетероциклич. кольца) получают взаимодействием соответствующих меркаптопроизводных с щел. р-ром  $CH_2ClCOONa$  (II). Получены I (приведены последовательно R, M, Z, т. пл. в  $^\circ C$ ):  $H, H, N=C(NH_2CH=CH(NH_2))$ ,  $270-273$  (смесь  $15 \text{ г}$  4,6-диамино-2-меркаптопиримидина,  $15 \text{ г}$  II,  $10 \text{ г}$   $NaHCO_3$  и  $100 \text{ мл}$  воды нагревают  $1,5$  часа на водяной бане, очищают углем и выделяют продукт  $CH_3COOH$ ; вес  $17 \text{ г}$ ; аналогично получают 4,5,6-триаминопиримидиновое производное);  $H, H, N=C(NH_2)CH=CH(OH)$ ,  $241-242$  (из воды);  $H, H, N=CHCH=CH$ ,  $198-200$  (из воды);  $H, H, N=C(OH)CH=CH_2$ ,  $213-214$  (из воды);  $H, H, N(NH_2)-C(C_6H_5)=N$ ,  $184-186$  (смесь  $20 \text{ г}$  4-амино-3-фенил-5-меркаптопиримидина-1,2,4,  $15 \text{ г}$  II и  $200 \text{ мл}$  воды кипятят 18 час. и выделяют продукт  $HCl$ );  $H, H, N(NH_2)-C(NH_2)=N$ ,  $240-243$ ;  $H, H, C(NH_2)=N-C(NH_2)=N$ ,  $250$  (разл.; из  $NaOH + HCl$ ) (к р-ру  $4,29 \text{ г}$  4,6-диамино-2-меркаптопиримидина и  $2,64 \text{ г}$   $NaOH$  в

$75 \text{ мл}$  воды прибавляют при перемешивании  $2,84 \text{ г}$   $CH_2ClCOOH$ , продолжают р-цию еще 21 час, очищают углем и нейтрализуют разб.  $CH_3COOH$ , выход  $94,5\%$ ;  $C_6H_{15}$ ,  $H, C(NH_2)=N-C(NH_2)=N$ , — ( $4,74 \text{ г}$  α-бромоларгоновой к-ты,  $2,86 \text{ г}$  4,6-диамино-2-меркаптопиримидина и  $1,76 \text{ г}$   $NaOH$  в  $50 \text{ мл}$  воды перемешивают 20 час, очищают углем и нейтрализуют  $CH_3COOH$ , выход  $83,5\%$ );  $H, H, NHCH(CH_3)-CH_2$ , —;  $H, H, NHCH_2CH_2$ , —;  $H, H, N=NC(CH_3)=C(OH)$ ,  $176-178$  (из водн. метилформамида) (смесь  $5 \text{ г}$  5-окси-3-меркапто-6-метилтриазабензола-1,2,4,  $4,1 \text{ г}$  II,  $30 \text{ мл}$  воды и  $30 \text{ мл}$   $C_2H_5OH$  кипятят 15 мин. и подкисляют  $HCl$ ; аналогично получают 6-метил-5-фенилпроизводное);  $H, H, C_6H_5O$ ,  $164-165$  (к горячей суспензии  $15,1 \text{ г}$  2-меркаптобензотиазола и  $13 \text{ г}$  II в  $125 \text{ мл}$  воды медленно прибавляют разб. р-р  $NaHCO_3$  до полного растворения в-в, кипятят 10 мин. и подкисляют  $CH_3COOH$ ; аналогично получают бензотиазольное производное, т. пл.  $162-163^\circ$ );  $H, H, N(C_6H_5)-CH=CH$ ,  $148-150$  (смесь  $3,5 \text{ г}$  1-фенил-2-меркаптоимидазола,  $3 \text{ г}$  II и  $15 \text{ мл}$  воды нагревают 15 мин. на водяной бане, прибавляют  $2 \text{ г}$   $Na_2CO_3$ , кипятят 30 мин. и нейтрализуют  $CH_3COOH$ );  $H, C_6H_5, NH(-HCl)-CH_2CH_2$ ,  $142-143$  (из  $изо-C_3H_7OH$ ) (смесь  $10,2 \text{ г}$  этилентимочевины,  $13 \text{ г}$   $CH_2ClCOOC_2H_5$  и  $30 \text{ мл}$  абс.  $C_2H_5OH$  кипятят 3 часа и продукт ( $21 \text{ г}$ ) выделяют ацетоном;  $H, H, N(-HCl)(CH_2COOH)-CH_2CH_2$ ,  $134$  (из воды) (из  $4 \text{ г}$  2-меркаптоимидазолина и  $6 \text{ г}$  II). Смесь  $10,2 \text{ г}$  этилентимочевины и  $9,3 \text{ г}$  хлорацетамида в  $50 \text{ мл}$   $C_2H_5OH$  кипятят 5 час., получают хлоргидрат 2-карбамилметилмеркаптоимидазолина, выход  $18 \text{ г}$ , т. пл.  $138-140^\circ$ .

М. Дейчмейстер 6Л566. Высокоскоростные проявители, Dickerson Malon H. High speed developers. [The United States of America as represented by the Secretary of the Air Force]. Пат. США 2882152, 14.04.59. — Для повышения активности метологидрохиноновых и пирогаллолазидных проявителей в них вводят  $10\%$  р-ра гидразина в триэтаноламине в кол-ве  $0,5-5,0 \text{ мл}$  на  $1 \text{ л}$  проявителя. Применение таких проявителей позволяет заметно сократить продолжительность проявления без потери контраста и без увеличения зернистости изображения в сравнении с получаемыми при обычном составе проявителя. Примеры.  $Na_2SO_3$ ,  $12,6 \text{ г}$ , пирогаллол  $25,2 \text{ г}$ , амидол  $2 \text{ г}$ ,  $Na_2CO_3 \cdot 2H_2O$ ,  $49,6 \text{ г}$ ,  $KBr$   $3 \text{ г}$ , вода  $1 \text{ л}$  (проявитель А). Метол  $2 \text{ г}$ ,  $Na_2SO_3$   $100 \text{ г}$ , гидрохинон  $5 \text{ г}$ ,  $Na_2Br_2O_7$ ,  $0,5 \text{ г}$ , вода до  $1 \text{ л}$  (проявитель Б). В проявитель А или Б вводят от  $0,5$  до  $5,0 \text{ мл}$   $10\%$ -ного р-ра гидразина в триэтаноламине.

К. Мерти 6Л567. Щелочи для приготовления проявителей в одном порошке, Baxendale Ralph. Alkalies for single powder photographic developers. [Eastman Kodak Co.], Пат. США 2843484, 15.07.58. — Для снижения гигроскопичности едких щелочей, вводимых в сухие проявители, их обрабатывают в порошкообразном состоянии амидами (мочевина, амиды муральной, уксусной, пропионовой, бензойной или фталевой к-ты, оксамид) во вращающемся смесителе при  $90-140^\circ$ . На поверхности зерен едкой щелочи образуется защитное покрытие из соответствующей щел. соли. При этом выделяется легко удаляемый  $NH_3$ , что представляет преимущество перед известными способами, при которых выделяются спирт или вода, остающиеся в реакционной смеси. Обработанные по предлагаемому способу едкие щелочи устойчивы к действию атмосферной влаги и компонентов смеси в сухом проявителе. Возможна последовательная 2- или 3-кратная обработка едкой щелочи одним из различными амидами. Пример.  $1 \text{ г}$  порошкообразного  $NaOH$  в смеси с  $7,5 \text{ г}$  мочевины выдерживают 60 мин. во вращающемся смесителе при  $90-108^\circ$ , затем вводят еще  $7,5 \text{ г}$  мочевины и повторяют обработку в смесителе. Получающийся продукт не пылит и хорошо хранится. При введении его в сухой проявитель, содержащий  $2,5 \text{ г}$  метода,  $5 \text{ г}$



и 2,84 г  $\text{C}_2\text{H}_5\text{Br}$  и 1,3 г  $\text{B}_2\text{O}_3$ , и выдерживании сухой смеси в течение 6 месяцев при 50° не наблюдается слияния или окрасивания. К. Мерцц 61568. Уменьшение скручивания фотографических бумаг. Gray Glen G. Reduced curl in photographic paper. [Eastman Kodak Co.]. Пат. США 2865792, 23.12.58.—Для предотвращения или уменьшения скручивания и изменения размеров фотографич. бумаг под влиянием влажности среды и других факторов проводят предварительную обработку подложки 10–20% раствором  $\text{H}_2\text{O}(\text{CH}_2\text{CH}_2\text{O})_n\text{R}'$  ( $\text{R}$  и  $\text{R}'$  — алкил,  $n = 2–13$ ). Рабочую конц-ию эфира можно изменять в пределах 5–50% в зависимости от требуемой степени уменьшения скручиваемости и свойств фотографич. эмульсии, которую затем наносят на подложку. Примеры подобного рода в-в: диэтиловый эфир диэтиленгликоля, диметиловый эфир тетраэтиленгликоля, диэтиловый эфир тетраэтиленгликоля, диметокси- и диэтоксиполиэтиленгликоля, диметокси- и диэтоксипропиленгликоля. К. Мерцц 61569. Окрашивающий раствор для фотографических бумаг. Bloom Roy C., Fassbender Henry J. Tinting bath for photographic paper. [Eastman Kodak Co.]. Пат. США 2865746, 23.12.58.—Для окрашивания белой подложки фотоотпечатков после их обработки применяют р-ры производных лигнина, в частности  $\text{Na}$ -соль сульфопроизводного лигнина. Щелочность р-ра можно регулировать введением в него небольших кол-в соды или метабората натрия. В зависимости от длительности обработки, конц-ии р-ра, его истощения и других условий интенсивность окрашивания можно изменять и контролировать. Отпечатки можно окрашивать в кремовый цвет, различные оттенки цвета слоновой кости и т. п. Примеры.  $\text{Na}$ -соль сульфолитина 2–4 ч., сода 0,71 ч., вода 1000 ч. или  $\text{Na}$ -соль сульфолитина 8 ч., метаборат натрия 12,5 ч., вода 1000 ч. Продолжительность окрашивания ~60 сек. К. Мерцц 61570. Способ компенсационной цветной печати на трехслойных фотографических материалах. Romer Witold, Zalewski Adam. Sposób korygowania barw kompensatywów przy użyciu materiałów trójwarstwowych integralnych. [Zakład Kartograficzny. Przedsiębiorstwo Państwowe]. Польш. пат. 38887, 10.11.56.—Предложено применить вместо цветных компенсационных светофильтров при печати на трехслойных фотографиях материалы нейтрально-серые (серебряные) компенсационные светофильтры. Печать проводят аддитивным методом. Отдельные компенсационные светофильтры вводят только при освещении через соответствующий зональный светофильтр. Д. Якеш 61571. Способ ксерографии с переносом изображения. Walkup Lewis E. Xerographic transfer process. [Haloid Xerox Inc.]. Пат. США 2892708, 30.06.59.—Для получения ксерографии изображения на гибкой подложке переносом его с пластинки необходимо, чтобы приемный слой был сухой, а воздух имел низкую влажность. Для проведения переноса изображения при высокой относительной влажности воздуха (85%) и повышенной т-ре (~30°) ксерографич. пластинку до придания ей электростатич. заряда покрывают порошком полистирола, стекла или слюды толщиной в несколько микрон. При проявлении изображения противоположно заряженным порошком одни частицы первого порошка частично могут быть закрыты проявляющим порошком, другие же остаются свободными. Вследствие наличия частиц порошка гибкая подложка и ее приемный слой не имеют непосредственного контакта с ксерографич. изображением. При сообщении приемной поверхности заряда противоположного знака по сравнению с зарядом порошка изображения последний количественно переносится на эту поверхность без ухудшения качества изображения. Частицы слюды,

стекла или полистирола имеют более высокую т-ру плавления, чем т-ра фиксирования изображения, и легко могут быть удалены. Г. Сенников 61572. Чувствительные к нагреванию копировальные бумаги. Van Dam Max. Heat-sensitive copying paper. [Anken Chemical & Film Corp.]. Пат. США 2897090, 23.07.59.—Слой копировальной бумаги, без проявления и фиксирования воспроизводящий печатный текст и графич. материалы под действием лучистой энергии, содержит: висмутовые соли неорганич. или органич. к-т; восстановители (неорганич. или органич. соединения олова); органич. основания, способствующие восстановлению солей висмута до металлич. висмута и дающие видное изображение (производные семикарбазида и гетероциклич. оснований); вязкие в-ва (ацетилцеллюлоза, ацетилбутираты целлюлозы, нитроцеллюлозы, этилцеллюлозы, каучуки и др.); регуляторы скорости р-ции (бензилпикрилат, хлорфенолы, дифениламин и др.). Пример. Слой бумаги содержит смесь: 269 ч. бора висмута, 250 ч. семикарбазида, 215 ч. безводн. сульфата олова, 120 ч. этаноламина, 20 ч. ацетилцеллюлозы, 30 ч. метанола, 120 ч. ацетона и 50 ч. дихлорэтана. Смеси, наносимые на поверхность бумаги, получают смешиванием при размоле на шаровой мельнице указанных составных в-в. Способ дает возможность получить копии с черным изображением на белом фоне. Контрастность отпечатков не изменяется при вариировании дозы облучения в широких пределах. А. Закощиков 61573. Подготовка поверхности перед осаждением на ней сульфида свинца. Sugarman Meyer L., Jr. Preparation of surfaces for receiving lead sulfide coatings. [Eastman Kodak Co.]. Пат. США 2917403, 15.12.59.—Для осаждения на поверхности стекла кристаллов  $\text{PbS}$ , чувствительных к ИК-лучам, стекло тщательно очищают от загрязнений и погружают на 0,5–36 час. (2 часа) в водн. колл. р-р  $\text{PbS}$ . Р-р готовят насыщением водн. р-ра нитрата, ацетата, хлората или перхлората  $\text{H}_2\text{S}$  (газ), причем кол-во последнего в 5–10 раз превышает стехиометрическое, требуемое для осаждения всего  $\text{Pb}$ . Колл. р-р содержит также стабилизатор — поливинилловый спирт — в кол-ве 0,01–0,5 вес.%. Кол-во  $\text{PbS}$  в р-ре составляет 0,02–0,001 вес.%; общая конц-ия сульфида, включая избыток  $\text{H}_2\text{S}$ , 0,002 и. Перед употреблением р-р выдерживают 30–60 мин. После образования на поверхности стекл. пластинки первичного слоя кристаллов ее вынимают из р-ра, снимают с нее крупные, слабо связанные с поверхностью, кристаллы и затем погружают в сильнощел. р-р нитрата, ацетата или хлората  $\text{Pb}$ , к которому прибавляют небольшое кол-во тиомочевин. Пластинку помещают в р-р в наклонном положении и так, чтобы на предварительно обработанную поверхность не оседали крупные кристаллы, выпадающие из р-ра под действием силы тяжести. Пример. К р-ру, содержащему в 225 мл воды 25 мл 0,5%-ного р-ра поливинилового спирта и 0,035 г  $\text{Pb}(\text{NO}_3)_2$ , прибавляют такое кол-во  $\text{H}_2\text{S}$ , чтобы конц-ия сульфида в р-ре была равна 0,002 и. Р-р созревает 1 час, после чего в него на 2 часа погружают стекл. пластинку, которую затем помещают в р-р  $\text{Pb}(\text{NO}_3)_2$  с небольшим кол-вом тиомочевин. В. Герцовский 61574. Производство высокочувствительного сульфида свинца. Hammar Gustaf W., Bennett Frank C., Jr. Highly sensitive lead sulfide surfaces and the method of manufacture. [Eastman Kodak Company]. Пат. США 2917413, 15.12.59.—Водный 0,05–0,06 М р-р  $\text{Pb}(\text{NO}_3)_2$  смешивают с водн.  $5 \cdot 10^{-4}$ – $5 \cdot 10^{-6}$  М р-ром соли меди (нитрат или ацетат, хлорид, хлорат или перхлорат) и 0,55–0,75 М  $\text{NaOH}$ , доводят т-ру до 5–40° (23°) и смешивают с р-ром, содержащим такое кол-во тиомочевин, чтобы ее конц-ия в смеси составляла 0,15–0,30 М. Вместе с тиомочевинной прибавляют небольшое кол-во  $\text{Na}_2\text{SO}_4$ , конц-ия которого в смеси со-

ставляет 0—0,05 М. После смешения желтая окраска р-ра темнеет. Через 5—30 мин., перед тем как р-р окончательно станет совершенно черным, в него помещают в наклонном положении пластинку, которая до этого была обработана известными методами (см. реф. 6Л1573). Через 10—100 (40—50) мин. пластинку извлекают, промывают водой из-под крана и высушивают. Полученный слой PbS может быть использован в высокочувствительном к ИК-лучам фотозаписывающем. Пример. Смесь из 120 мл воды, 120 мл 0,0013 М водн. р-ра  $\text{Cu}(\text{NO}_3)_2$  и 100 мл водн. р-ра, содержащего 140 г/л NaOH, приливают к 100 мл водн. р-ра, содержащего 100 г/л  $\text{Pb}(\text{NO}_3)_2$ , т-ру смеси доводят до 23° и прибавляют 100 мл водн. р-ра, содержащего 10 г тиомочевин и 1 г безводн.  $\text{Na}_2\text{SO}_3$ . После достижения р-ром оптич. плотности 0,5 на 1 см толщины столба р-ра (через 10—15 мин. после сливания р-ров, когда цвет р-ра меняется от темно-коричневого к черному) в него помещают вышеупомянутую пластинку.

В. Герцовский

См. также: Десенсибилизация 6Б593. Желатина 6Б720. Проявление цветное 6Ж30. Проявители 6Л117, 6Л171. Основа пленки 6П103

#### ВЗРЫВЧАТЫЕ ВЕЩЕСТВА. ПИРОТЕХНИЧЕСКИЕ СОСТАВЫ. СРЕДСТВА ХИМИЧЕСКОЙ ЗАЩИТЫ

Редактор А. И. Гольбиндер

6Л1575. Взаимодействие  $\alpha$ -,  $\beta$ - и  $\gamma$ -тринитротолуолов с сульфитом натрия. Smoleński Dionizy, Pluciński Janusz. Siarczynywanie  $\alpha$ -,  $\beta$ - i  $\gamma$ -trójnitrótoluenu. «Zeszyty nauk. Politechn. wrocławsk.», 1959, № 31, 15—38 (польск.; рез. русск., англ.).—Исследовано влияние различных факторов на взаимодействие  $\alpha$ -,  $\beta$ - и  $\gamma$ -тринитротолуолов (ТНТ) с водн. р-рами сульфита натрия (СН). Показано, что влияние времени и т-ры р-ции, а также конц-ии СН взаимосвязано; последствия, вызванные изменением одного фактора, можно устранить, изменяя соответствующим образом другой. Несимметричные изомеры ТНТ взаимодействуют с СН с значительно большей скоростью, чем  $\alpha$ -ТНТ; существенного различия между  $\beta$ - и  $\gamma$ -ТНТ не наблюдается. Повышение т-ры вызывает резкое ускорение р-ции как в случае несимметричных изомеров, так и в случае  $\alpha$ -ТНТ. Однако для последнего это влияние начинает заметно сказываться лишь по достижении т-ры 50—60°, а при т-рах ниже 50° растворяется лишь незначительное кол-во  $\alpha$ -ТНТ. При низких т-рах (до 55°) кол-во састворившегося  $\alpha$ -ТНТ почти пропорционально конц-ии СН, а при высоких обратно пропорционально. В случае несимметричных изомеров наблюдается противоположная зависимость: при низких т-рах с возрастанием конц-ии СН кол-во растворявшихся изомеров уменьшается, а при высоких (> 50°) увеличивается; при этом избыток СН не оказывает существенного влияния. Исследовано влияние условий

р-ции и степени разбавления сульфитных маточных р-ров на кол-во регенерируемого из них  $\alpha$ -ТНТ. Установлено, что с повышением т-ры р-ции кол-во регенерируемого  $\alpha$ -ТНТ резко уменьшается, а при т-рах выше 60° продукт вообще не регенерируется. Чем выше конц-ия сульфитного р-ра, тем больше получается продукта при разбавлении. Для выделения  $\alpha$ -ТНТ из маточного р-ра, полученного при использовании 8%-ного р-ра СН, оказалось достаточно пятикратного разбавления.

Г. Ш

6Л1576. Анализ взрывчатых веществ с применением инфракрасной спектроскопии. Pristera Frank, Nalik Michael, Castelli Alexander, Fredericks Walter. Analysis of explosives using infrared spectroscopy. «Analyst. Chem.», 1960, 32, № 4, 495—500 (англ.).—Для качеств. и колич. анализа взрывчатых в-в (ВВ) метод инфракрасной спектроскопии (МИС) обеспечивает большую быстроту и надежность по сравнению с хим. методами. МИС позволяет также определять структуру новых ВВ и особенно эффективен в сочетании с функциональным хим. анализом. Исследуемые ВВ лучше использовать в виде жидкостей или р-ров, при этом получают спектрограммы (СГ) с резкими линиями почти без фона (р-ритель не должен давать спектра в рабочем интервале частот). В случае необходимости можно применить и твердые в-ва (метод истирания и использование таблеток с бромистым калием), однако при этом получают СГ с размазанными линиями и сильным фоном. Спектры одного и того же в-ва в разных агрегатных состояниях резко отличаются друг от друга числом, интенсивностью и расположением линий. При анализе смесей необходимо обеспечивать условия, при которых все компоненты находились бы в одинаковом агрегатном состоянии. Смесей рекомендуется последовательно экстрагировать четыреххлористым углеродом, бензолом, водой и ацетоном с последующим анализом каждого р-ра. Расшифровку СГ анализируемых ВВ производят путем сравнения с набором стандартных СГ (НСС); структуру впервые синтезированных в-в устанавливают по характерным линиям групп и связей. Идентификация исследуемых в-в значительно упрощается, если НСС предварительно разделить на группы, соответствующие определенным классам соединений. Расшифровку СГ при качеств. анализе ВВ и их смесей можно автоматизировать, применяя электронные счетно-решающие устройства (методы позитивного и негативного отбора). Для колич. анализа смесей используют предварительно найденную зависимость интенсивности линий от конц-ии соответствующих компонентов. Для каждого компонента выбирают линию в той области спектра, где отсутствуют линии других в-в. Метод рекомендуется применять лишь в случаях, когда хим. анализ невозможен (напр., смесь изомеров) или занимает очень много времени. Приведены СГ 68 наиболее важных ВВ и промежуточных продуктов в интервале 2—15  $\mu$ , которые могут быть использованы в качестве НСС. Обнаружены две новые характерные линии: 9,25  $\mu$  для симметричных тринитроароматич. соединений и 11,0  $\mu$  для м-динитроароматич. соединений.

В. Жилин

Рефера

Л  
Г  
Ред

6М1.  
рий для  
риалов. I  
Planung  
Holz und  
№ 8, 31  
древесин  
предусм  
чению  
теплопр  
логич. л  
ки, пров  
перераб  
тапей, о  
6М2.  
области  
rti D. C  
wood. «  
(англ.).  
6М3.  
енны в  
«Вопр.  
1980, 19  
оилки  
ных пл  
пород д  
нера им  
бильны  
получе  
эфирны  
ни осаж  
концент  
взляют  
ных П  
зующих  
также  
«работ  
продук  
6М4.  
ной. I.  
G. N. K  
I. The  
1960, 11

# РЕФЕРАТИВНЫЙ ЖУРНАЛ ХИМИЯ

## VII

Рефераты 6M1—6M364

№ 6

25 марта 1961 г.

### М. ХИМИЯ И ПЕРЕРАБОТКА ДРЕВЕСИНЫ, ТВЕРДЫХ ГОРЮЧИХ ИСКОПАЕМЫХ, ПРИРОДНЫХ ГАЗОВ И НЕФТИ

#### ЛЕСОХИМИЧЕСКИЕ ПРОИЗВОДСТВА. ГИДРОЛИЗНАЯ ПРОМЫШЛЕННОСТЬ

Редакторы А. П. Хованская, Ю. С. Чельцова

**6M1.** Соображения при проектировании лабораторий для исследования древесины и древесных материалов. Kühn H. Grundsätzliche Erwägungen bei der Planung von Laboratorien für die Untersuchung von Holz und Holzwerkstoffen. «Materialprüfung», 1960, 2, № 8, 311—312 (нем.).—Для всестороннего изучения древесины и древесных материалов рекомендуется предусматривать отделы: физ.-мех. испытаний по изменению влажности, сорбции, набухания, диффузии, теплопроводности и звукопроницаемости; хим. и биол. лаборатории, ползузаводские установки для сушки, проклейки, консервирования, измельчения и хим. переработки древесины, площадки для полевых испытаний, опытные складские помещения и т. д.

**6M2.** Направления современных исследований в области использования древесины. Narayanamurti D. Current trends in research into the utilisation of wood. «Indian Forester», 1959, 85, № 12, 695—698 (англ.).—Обзор. Библ. 25 назв. В. Высотская

**6M3.** Новые способы использования отходов древесины в Латвийской ССР. Калинин А. И. В сб. «Вопр. рациональн. использования древесины». М., 1960, 197—204.—Тонкие ветви, щепу, стружку и даже опилки используют для получения древесно-стружечных плит (П), а кору деревьев некоторых древесных пород для получения теплоизоляционных П, для замены импортной натуральной пробки, для получения дубильных в-в и пластич. масс. Хвою используют для получения муки, разных витаминных препаратов, эфирных масел и других материалов; древесные опилки осаживают для получения дешевых кормовых концентратов, глюкозы и др. Особенно интересными являются новые способы получения древесно-стружечных П с применением недефицитных и дешевых связующих (сапрпель болот и зарастающих озер), а также нового метода гидролиза, заключающегося в обработке их конц.  $H_2SO_4$ ; получения фурфурола и продуктов на его основе. А. Х.

**6M4.** Кинетика сорбции водяных паров древесиной. I. Влияние толщины образцов. Christensen G. N. Kinetics of sorption of water vapour by wood. I. The effect of sample thickness. «Austral. J. Appl. Sci.», 1960, 11, № 2, 295—304 (англ.).—На образцах эвкалипта

(*Eucalyptus regnans* F. Muell.) толщиной от 20 до 3 мм изучали при помощи кварцевых весов скорость сорбции водяных паров в безвоздушном пространстве при относительной упругости паров от 0 до 0,90. При низких относительных влажностях (примерно до 0,5) сорбция протекает значительно быстрее у более тонких образцов и зависит главным образом от диффузии. При относительной упругости водяных паров от 0,5 до 0,9 скорость сорбции не изменяется с толщиной образцов и связана не только с диффузией, но и с ослаблением внутри мол. силы набухания, сопровождающей процесс сорбции. Равновесная влажность для образцов в 20 мм, при любой упругости пара, выше, чем у более толстых образцов. При использовании полученных данных для определения скорости сорбции водяных паров древесиной в практич. условиях, необходимо вводить ряд поправок (напр., на присутствие воздуха). Н. Рудакова

**6M5.** Влияние лигнина при деструкции древесины под действием  $\gamma$ -облучения. Smith D. Morison, Mixer R. Y. The effects of lignin on the degradation of wood by gamma irradiation. «Radiation Res.», 1959, 11, № 6, 776—780 (англ.).—Приведены результаты исследования защитного действия ароматич. ядра лигнина (Л) и экстрактивных в-в, присутствующих в древесине (Д), при деструкции целлюлозы (Ц) под влиянием  $\gamma$ -облучения Д  $Co^{60}$ . О деструкции Д красного дерева судили по изменению степени полимеризации (СП) хлоритной холоцеллюлозы, выделенной после  $\gamma$ -облучения Д. СП подсчитывали по ф-ле Добо и Кобо:  $598 \cdot (1/c + 0,3) / (1/g \eta_r) - 0,5$ , где  $c$  — конц-ция в г сухого полимера в 100 г куприэтилендиамина;  $\eta_r$  — относительная вязкость системы в сузу. Подсчитывали также среднее число разрывов мол. цепи по Ц по ф-ле: средняя СП исходной мол. цепи Ц/средняя СП фрагментов Ц — 1. Присутствие Л и экстрактивных в-в снижает число разрывов мол. цепи Ц под действием  $\gamma$ -облучения. На аналитич. состав Д облучение  $Co^{60}$  не влияет. В. Высотская

**6M6.** Выделение глюкоманнанов из древесины лиственных пород. Timell Tore E. Isolation of hardwood glucomannans. «Svensk papperstidn.», 1960, 63, № 15, 472—476 (англ.; рез. шведск., нем.).—В качестве исходного материала применяли холоцеллюлозу (ХЦ), полученные хлоритным методом, а в случае березовой древесины (Д) также и по хлорозтанол-аминному способу. 4-О-метилглюкуронооксиан из ХЦ удаляли экстракцией 24%-ным водн. р-ром КОН. Оста-





твёрдые  
свойств  
автор  
парога  
в В. А.  
ть», 1960.  
укусной  
условия  
ей ретор  
15%-ной  
эфиро-  
пре-  
делели  
й фазы  
рости па  
орбера.  
автор  
плацета  
в Б. Н.  
15-16-  
еи-  
эти  
тропный  
ко после  
(метал-  
этанол  
алить в  
суши  
отвечает  
А. Х.  
рифика-  
и лесо-  
на схе-  
Горько-  
а преду-  
еи (II),  
обочные  
еобходи-  
оборота  
III в  
милиторе  
кол-вом  
избав-  
с 50-  
фикатор.  
130% от  
фикатор  
ой смеси  
H<sub>2</sub>SO<sub>4</sub> и  
96%-ной  
ать от  
Средняя  
ко 168,5.  
на 1 г. 1  
ты с 47%  
кислени  
сел) со-  
также в  
ованская  
галлового  
N. Ka-  
J. Jara-  
юиск.)—

роматографии использовали смоляные к-ты, растворимые в петр. эфире в соотношении 1:300. Хроматографию проводили по несколько изменённому методу Рамзаля и Паттерсона. В результате применённого метода анализа в составе живицы сосны найдены палустровая, декстропимаровая, изодекстропимаровая, левопимаровая, абнетиновая, необнетиновая, дегидроабнетиновая, дигидроабнетиновая смоляные к-ты в по меньшей мере три к-ты с неустановленным ещё хим. строением.

А. Хованская  
6М15. Фиксация антисептиков лесоматериалами из древесины разных пород. Tewari M. C. Effect of species on the fixation of wood preservative chemicals in timber. «J. Timber Dryers and Preservers» Assoc. India, 1960, 6, № 2, 28—32 (англ.).—В образцах древесины (Д) длиннохвойной сосны, кедра ливанского, манговы, тисса и др., пропитанных 3,0%-ным водн. р-ром CuSO<sub>4</sub> (I), 3,2% ZnCl<sub>2</sub> (II) и 5,7% смеси Na<sub>2</sub>Cr<sub>2</sub>O<sub>7</sub> + ZnCl<sub>2</sub> (III), определяли кол-во выщелачиваемого водой антисептика через 1 и 3 недели после обработки. Антисептики лучше удерживались манго-вой Д, наибольшее выщелачивание — в Д сосны. Наибольшая фиксирующая способность отмечена при пропитке составом III. Напр., из образцов Д манго через 1 неделю выщелачивалось р-ра (в %) I 28, через 3 недели — 22, II соответственно 23 и 18, III — 4,23 и 2,72.

Н. Рудакова  
6М16. Дополнения к технике консервирования древесины. Сообщение 8. Исследования влияния тепловой обработки на пропитку строительных материалов в условиях, близких к практике. Willeither Hubert. Beiträge zur Holzschutztechnik. 8. Mitt. Praxisnahe Untersuchungen über den Einfluß einer Hitzebehandlung auf die Tränkfähigkeit von Bauholz. «Holz Roh- und Werkstoffe», 1960, 18, № 7, 250—260 (нем., рез. англ.).—Образцы сосновой и еловой древесины (Д) нагревали в лабор. условиях до 60—150°. После тепловой обработки, через 1 и 24 суток, Д обрабатывали антисептиками (водн. р-ры, содержащие соединения F; масляные препараты, содержащие креозот и хлорнафталин) путем погружения на 5 сек. или выдерживания в р-ре в течение 24 час. Вследствие значительно уменьшения влажности Д после нагревания, напр. до 12—14%, кол-во водн. антисептиков, поглощаемых при кратковременном погружении, уменьшалось. При длительном погружении в р-р, а также при пропитке образцов, хранившихся после нагревания на воздухе и адсорбированных водяные пары, предварительный нагрев мало влиял на поглощение антисептика. При предварительном нагревании Д до 100—150° несколько увеличивалось кол-во поглощаемых масляных антисептиков. Глубина проникания всех исследованных антисептиков изменялась в зависимости от влажности Д. Выделение смолы на поверхности Д, наблюдаемое при нагревании до 100—150°, не служит надежной защитой от вредителей, так как они могут откладывать яйца в имеющихся на поверхности мельчайших трещинках. В производственных условиях обработанную горячим воздухом Д рекомендуется обрабатывать (окрашивать) масляными консервирующими препаратами сразу после теплового воздействия. При антисептировании нагретой Д водн. р-рами предпочтительно предварительно увлажнять ее или наносить антисептик не ранее, чем через 4 недели во влажном и через 6 месяцев в сухом климате. Сообщение 7 см. РЖХИМ, 1961, 2М11.

Н. Рудакова  
6М17. Дополнения к технике консервирования древесины. Сообщение 9. Исследования в области консервирования древесины при помощи окраски и пропитки в баках в условиях, близких к практике. Barendam W., Seehann G. Beiträge zur Holzschutztechnik. 9. Mitt. Praxisnahe Untersuchungen über die Imprägnierung von Buchenholz durch Streichen und Trogränkung. «Holzforsch. und Holzverwert.», 1960, 12,

№ 3, 50—54 (нем., рез. англ.).—Определяли кол-во антисептика, поглощаемого воздушно-сухой и сырой древесиной (Д) бука (*Fagus sylvatica* L.), при окрашивании и пропитке в баках (в течение 8 и 24 час.) масляными препаратами креозота и хлорнафталина, а также водн. 5—20%-ными р-рами соединений фтора. Воздушно-сухая, не содержащая ядровой части Д поглощала при 2-кратном окрашивании 150—350 г/м<sup>2</sup> масляных антисептиков; при 24-часовом погружении ~430 г/м<sup>2</sup>; образцы, содержащие ядровую Д, поглощали на 45% меньше; глубина проникания 0,1—1 мм. При обработке водн. р-рами фторосиликатов, бифторидов и NaF, образцы сырой Д поглощали больше антисептика, чем сухие. Кол-во поглощаемых солей увеличивалось с конц-ией р-ра; глубина проникания 1—10 мм. При окраске поглощалось 5—50 г/м<sup>2</sup>, при погружении на 24 часа — до 117 г/м<sup>2</sup>. Рекомендуется в производственных условиях при консервировании сырой Д применять водн. 15—20%-ные р-ры солей (предпочтительно бифторидов), нанося их путем 2-кратного окрашивания или пропитывая в баках в продолжении ≥ 8 час. При обработке сухой Д требуется более продолжительная обработка. См. реф. 6М16.

Н. Рудакова  
6М18. Лабораторные опыты по определению продолжительности защитного действия масляных антисептиков на древесину, находящуюся в морской воде. Becker Günther, Kampf Wolfgang-Dietrich. Versuche zur Laboratoriumsprüfung der Wirkungsdauer öliger Schutzmittel für Holz im Meerwasser. «Materialprüfung», 1960, 2, № 8, 301—307 (нем.; рез. англ., франц.).—В лабор. условиях установлено, что потеря антисептич. активности древесины, пропитанной препаратами креозота, при хранении в пресной и морской воде, а также на воздухе, вызывается испарением и выщелачиванием легких компонентов, главным образом содержащих фенолы. Для ускорения испытания защитного действия креозота и других масляных препаратов на древесину, находящуюся в морской воде, рекомендуется образцы сосновой заболони (25·10·5 мм), пропитанные под давлением испытываемым составом, выдерживать после обработки 1 неделю в закрытом и 1 неделю в открытом сосуде при 20°, затем, после вакуумирования при 100 мм рт. ст., поместить на 2 недели в водопроводную воду (в 20-кратное кол-во от веса образца), т-ра которой каждые 16 час. поддерживается ~40° и следующие 8 час. 20°, затем на 12 недель в аэродинамич. трубу (скорость воздуха 1 м/сек) при изменении т-ры в пределах 40—20°. После вакуумирования образцы помещают на 1 неделю в пресную и на 2 недели в морскую воду. Биологич. испытания с *Limnoria tripunctata* Menzies показали, что сохранение жизнеспособности насекомых в антисептированных образцах более чем в течение 40 дней, является признаком недостаточности консервирующей обработки.

Н. Рудакова  
6М19. Исследования каменноугольного креозота, применяемого для пропитки древесины. Часть 3. Sweeney T. R., Price T. R., Miller S. M. Coal tar creosote studies. Part 3. Distillation residue studies. «Corrosion», 1960, 16, № 7, 111—114 (англ.).—Исследования древесины, пропитанной различными продуктами перегонки креозота с целью защиты ее от воздействия морских древоточцев видов *Teredinidae* и *Limnoria*, показало, что все виды пропитки кроме парафина оказались эффективными. Фракции, кипящие ниже 160°, при 15 мм рт. ст., дают худшие результаты. Изменение кол-ва кубовых остатков от 0 до 50% не оказывает существенного влияния. Разрушительное действие вида *Limnoria* значительно выше, чем *Teredinidae*.

Ю. Аронсон  
6М20. Биостойкость древесины, высушенной или пропитанной парафинообразными веществами. Панфилова А. Л. В сб. «Вопр. применения дерева и пласт. масс в стр-ве». М., Госстройиздат, 1960,

75—85.—Приведены результаты испытания биостойкости древесины (Д), пропитанной петролатумом (П), петролатумом с органич. р-рителями, церезином, парафином и озокеритом. П, церезин, парафин, озокерит в смеси П с церезином или канифолью не являются токсикантами по отношению гриба *Coniofora cerebrela*. На поверхности пропитанной Д независимо от ряда пропиточных в-в одинаково хорошо развивается мицелий гриба. Защиту от гниения Д дает ее пропитка П лишь в том случае, когда в Д вводится достаточно большое кол-во П ~60—70% от веса сухой Д. Однако такое кол-во П может быть введено в Д лишь путем глубокой пропитки. Защита Д от гниения пропиткой ее П и другими подобными в-вами при отсутствии в них токсич. компонентов достигается, по-видимому, вследствие заполнения клеток Д пропиточным в-вом. Это в-во, заполняя полости клеток Д, вытесняет из них воздух. В отсутствие воздуха в клетках Д развитие грибов приостанавливается.

Из выводов автора  
6M21. Окраска — эффективное средство для древесины, обработанной огнезащитными солями. Davies D. L. Paint — an effective sealer for fire-retardant treatments. «Fire Engng», 1960, 113, № 5, 390—391, 438—439 (англ.).—Соли, применяемые для огнезащитной обработки древесины (Д), уменьшают способность Д воспламеняться и гореть при нахождении ее в закрытых помещениях, под действием влаги на поверхность Д соли быстро удаляются из Д и огнезащитное действие Д резко снижается. Приведены результаты 10-летних опытов, в которых поверхность пропитанной солями Д покрывалась погодостойчивой краской, которая предотвращала вымывание солей. Д с таким покрытием выдерживала 4000-часовую обработку проточной водой и после этого обладала огнезащитными свойствами. А. 3.

6M22. Воспламеняемость древесины. Akita Kazuo. «Мокудзай когё, Mokuzai kogyo, Wood Ind.», 1960, 15, № 4, 169—172 (японск.).

6M23. Сравнительные испытания огнезащитных покрытий для древесных материалов при помощи весовых приборов с дымовым каналом и без него. Seckamp H. Vergleichende Prüfung von Feuer-schutzmitteln für Holzwerkstoffe mit der Plattenbrandwaage und dem Plattenschlotverfahren. «Materialprüfung», 1960, 2, № 5, 178—180 (нем.).—Сравниваются результаты испытания огнезащитных средств для древесных материалов на приборе (П) DIN № 4102, снабженном дымовым каналом и конструированном для испытания деревянных брусков или для пластинок, и на П без дымового канала для досочек. Приведено описание этих П. Работа всех П построена на принципе весового определения потерь при сгорании. Рекомендованы П для более точных определений и для приближенных. При работе с последним толщина испытуемых деревянных пластинок, или плиток из стружек, должна быть 8 мм, а звукоизоляционных плит 10 мм; максим. потеря веса за время испытания не должна превышать 10% на образцах длиной в 1 м. Длина измененной огнем части образца при испытании не должна превышать 40 см; при более сильном действии огня результаты получаются ненадежные.

М. Нагорский  
6M24. Новый разгрузчик опилок. Морозов Е. Ф., Тютюко Н. А. «Гидролиз. и лесохим. пром-сть», 1960, № 7, 24—25.—Приведены схема и описание речного разгрузчика автомашин с опилками, установленного на тракторе С-80. Разгрузчик приспособлен для работы на гидролизных з-дах в любых условиях. А. Х.

6M25. Внедрение режима гидролиза с пережимом хвостовой фракции. Борисевич С. Ф. «Гидролиз. и лесохим. пром-сть», 1960, № 6, 19—20.—Проведены опыты по испытанию режима гидролиза с возвратом хвостовой фракции на загрузку для проведения по-

следующих варок. Показано, что общая кислотность хвостовой фракции колеблется в пределах 0,25—0,5%, содержание редуцирующих в-в в 1,2—2%. По старому режиму на загрузку подавали 30 л к-ты и на переливную 70—80 л. По новому режиму на загрузку стали подавать 20 л к-ты с хвостовой фракцией, а на переливную 80—90 л при скорости подачи воды 26 м³/час. вместо 20 м³/час, т. е. фактически гидролизное отделение з-да перешло на длинномодульный режим. В результате работы по новому режиму повысились выходы редуцирующих в-в и спирта с варки, а также количества их в нейтральном и в бражке. А. 1.

6M26. Получение ванилина из древесных опилок хвойных пород и гидролизного лигнина с помощью окисл. Григорьев А. Д., Пушкарёва З. И. «Тр. Уральского политех. ин-та», 1960, сб. № 8—18.—Приведены методика окисления материалов, содержащих лигнин (Л), с использованием окисл. меди (I) в качестве окислителя, регенерирования окислителя и результаты получения ванилина (П). Показано, что при окислении с применением I получены выходы П, близкие к выходам II при нитробензольном методе, а именно из сосновых опилок 14—16%, из еловых опилок 18—20%, из гидролизного Л 2—3%, считая на Л. В последнем случае получается значительно большее кол-во так называемого «вторичного» щел. т. е. Л, полученного при подкислении окисленного щел. р-ра. Показана возможность значительного сокращения кол-ва щелочи в сравнении с обычным купоросным методом. Оптимальные выходы П получены при использовании больших кол-в окислителя (180—200% по отношению к весу абсолютно сухой древесины) при 160—180° и 2—2,5 час. р-ции. Разработан метод в проект установки для получения П из древесных опилок хвойных пород и гидролизного лигнина с применением I. Приведена схема получения сырого П в разработанном методу. А. Хованский

6M27. Сравнительное изучение методов получения ванилина из гидролизного лигнина и древесных опилок хвойных пород. Григорьев А. Д. «Тр. Уральского политех. ин-та», 1960, сб. № 4—7.—Опыты по получению ванилина (I) из указанного сырья проводили в лабор. автоклаве емк. 0,6 л с мешалкой с применением в качестве окислителя нитробензола (II) и гидроокиси меди (III) в щел. среде. Результаты опытов показывают, что II как окислитель имеет преимущество перед III. При окислении древесных опилок был получен I с выходом до 18%, а с III до 14%. Замена II другими нитросоединениями приводит к резкому снижению выходов I. Выход I из лигнина (Л) древесных опилок выше, чем из гидролизного Л, но последний вполне пригоден для произ-ва I, вследствие своей дешевизны. Отмечено, что процесс окисления чрезвычайно чувствителен к изменению таких факторов, как мол. соотношение реагентов, т-ра, время р-ции и др. Истинный выход I необходимо определять путем его непосредственного выделения. А. Хованский

6M28. Адсорбционная очистка фурфурола от продуктов его осмоления. Холькин Ю. И. «Изв. высш. учебн. заведений. Лесн. ж.», 1960, № 4, 131—133.—Приведены результаты опытов по адсорбционной очистке фурфурола (I) от продуктов его осмоления. Методика исследования. Взятый для исследования технич. I хранился в течение 10 месяцев, имел темн. бурый цвет; содержание его в исследованных образцах составляло 95,6% (по бромид-броматному методу);  $d_{20}^{20}$  1,150;  $n_D^{20}$  1,5214; величины оптич. плотности исходных образцов с использованием синевеленого светофильтра ( $\lambda_{\text{макс}}$  485 мμ) при длине кюветы 10 мм были в пределах 1,04—1,90. В качестве адсорбентов использовали  $Al_2O_3$ ,  $CaO$ ,  $MgO$  и сульф. уголь. Наиболее подходящим адсорбентом оказалась  $Al_2O_3$ , так как очищала I от смолистых в-в, снижала его кислотность до нейтр. р-ции, устраняя таким образом вред-

деструкции  $Al_2O_3$  по оптич. от оптич. сырья. А. 1.

6M29. Част. рола. Н. А. 1. р-рах, в и гидролиз. 30,6 ч. в до кипения. 33,3%—на фильтру в-в. Сод. ра — 11—ацетатом. тистом. крашаю. ратах с. жидкост. воду и. твердом. 100 и 185. I достиг. меняем. ведена I. свойств. в виде т. 33,4 ± 0, новлено. рапа. I 38°. Част.

6M30. Борд. хим. пр. и опис. Установ. опытной. т-рой ка. до техн. распыле. окружн. 70 м/сек. опыта. 1000 кка. сушильн. жет был. жет был. дисков.

6M31. древесн. la Agn. podobnyc. 15.10.59. ности др.



деструкцию I. В результате адсорбционной очистки I  $Al_2O_3$  получается I, имеющий слабо-желтую окраску; оптич. плотность очищ. I практически не отличается от оптич. плотности неосмолившегося технич. I и I-сырца. Автор отмечает, что при адсорбционной очистке получается I примерно такого же качества, что и I, получаемый путем вакуум-перегонки. А. Хованская

6М29. Химическое превращение отходов древесины. Часть III. Получение и свойства оксиметилфурфурола. Harris J. F., Saeman J. F., Zoch L. L. Chemical conversion of wood residues. Part III. Preparation and properties of hydroxymethylfurfural. «Forest Prod. J.», 1960, 10, № 2, 125—128 (англ.).—Оксиметилфурфурол (I) и его производные образуются при действии разб. р-ров минер. к-т на глюкозу и содержатся в р-рах, в варочных щелоках, гидролизатах древесины и гидролизатах крахмала. I получается в значительных кол-вах в качестве побочного продукта при произ-ве фурфурола и леулиновой к-ты. Новый способ получения чистого I состоит в следующем: р-р 30,6 ч. воды, 30,6 ч. сахара и 9,2 ч. NaCl нагревается до кипения (107°). После начала кипения осторожно добавляют HCl (110 мл к-ты на 1 кг р-ра), при этом хорошо размешивают реакционный р-р. Через 25 мин. после добавления к-ты к р-ру добавляют лед (100 г льда на 1 кг р-ра) и р-р охлаждают при работающей мешалке, затем его осторожно нейтрализуют 33,3%-ным едким натром, точно до pH 7. Нейтр. р-р фильтруют для удаления гуминовых и углеводных в-в. Содержание I в р-ре ~0,4—0,5%, выход от сахара ~11—12%. I извлекают из р-ра экстракцией этилацетатом при  $t \leq 50^\circ$  и выделяют из экстракта в тистом виде перегонкой в высоком вакууме в спец. вращающихся перегонных аппаратах или же в аппаратах с интенсивным перемешиванием перегоняемой жидкости. При 90°/12—15 мм рт. ст. сначала отгоняют воду и этилацетат, затем отгоняется и получается в твердом виде оксинацетилфуран, при остаточном давл. 400  $\mu$  перегоняется I. При первой дистилляции чистота I 85—95%, при повторной дистилляции содержание I достигает 99,0%. Приведены снимки и описание применяемых аппаратов для перегонки в вакууме. Приведена методика очистки I для изучения физ.-хим. свойств и применения для аналитич. целей. I получен в виде тонких игольчатой формы кристаллов с т. пл.  $33,4 \pm 0,15^\circ$ . Сняты ИК-спектры сырого и очищ. I. Установлено наличие в качестве примеси 2-оксинацетилфурана. I устойчив при хранении в темноте даже при 38°. Часть II см. РЖХим, 1960, № 19, 78871.

А. Закощиков

6М30. Сушка кормовых дрожжей распылением. Борде И. И., Бирюков В. И. «Гидролиз. и лесохим. пром-сть», 1960, № 6, 10—11.—Приведена схема и описание опытной распылительной установки (РУ). Установлено, что при сушке кормовых дрожжей в опытной РУ дымовыми газами с высокой начальной т-рой качество сухого продукта вполне соответствовало технич. условиям. Удовлетворительные результаты распыления дрожжевой суспензии получаются при окружных скоростях центробежных дисков 60—70 м/сек. Влажостем с 1 м³ сушильной камеры в час в опытах составили 16—20 кг, расход тепла 800—1000 ккал на 1 кг испаренной влаги. Начальная т-ра сушильного агента 400° не является предельной и может быть повышена. Производительность сушилки может быть увеличена путем применения многоресных дисков.

Из выводов авторов

6М31. Способ сухой перегонки несортированной древесины и подобных органических материалов. Loula Arnošt. Zprůsob suché destilace netříděného dřeva a podobných organických hmot. Чехосл. пат. 92446, 15.10.59.—При перегонке различного размера и влажности древесины (Д) сырую Д или отходы Д обугли-

вают в угольной куче, в печах или в ретортах ускоренным способом при  $\sim 300^\circ$ , экзотермич. р-ция при этом протекает за 1,5—3 часа после начала нагрева. При таком способе перегонки можно перегонять Д любой влажности, брать смеси разных видов Д, самых различных размеров и разной влажности. Ф. Нарива

6М32. Водная композиция, состоящая из аммиака и фенолятов тяжелых металлов смеси полихлорфенолов. Hager Bror Oluf. Aqueous composition consisting of ammonia and a heavy metal salt of mixed polychlorophenols. Пат. США 2908607, 13.10.59.—Для консервирования древесины и волокнистых материалов органич. происхождения предложен состав, в который входят водн. аммиачный р-р фенолятов Cu (или Zn, Cd, Co, Ag), не менее двух различных полихлорфенолов, напр. три-, тетра-, или пентахлорфенола. При применении фенолятов Cu кол-во металла в 2—20 раз больше стехиометрического. Пример состава (в %): Cu 0,2—0,3, смеси полихлорфенолов 0,15—0,3 (до 1,5),  $NH_3$  0,45,  $CO_2$  0,4. Н. Рудакова

6М33. Способ производства препаратов богатых метакрезолом или чистого крезолом из технических смесей фенолов. Busch Heinz, Prinz Helmut. Zprůsob získání výrobků bohatých m-kresolem nebo čistého m-kresolu z technických směsí fenolů. Чехосл. пат. 92950, 15.12.59.—Для произ-ва м-кресоло (I) или препаратов, богатых им, смесь, содержащую  $<60\%$  I, обрабатывают безводн. ацетатом натрия и к реакционной смеси сразу после образования продукта р-ции прибавляют разбавитель. Кол-во добавляемого разбавителя должно снижать скорость р-ции настолько, чтобы масса все время оставалась в состоянии, при котором возможно перекачивание насосом; затем массу центрифугируют и из полученного соединения выделяют I разложением водой или бензином. В качестве разбавителя применяют углеводороды с 5—10 атомами C или хлорированные углеводороды. Пример: 5 кг технич. смеси крезолов с содержанием 37% I смешивают с 4,5 кг регенерированного безводн. ацетата натрия при 15° до тех пор, пока смесь при повышении т-ры не загустеет. После добавления бензина 1,9 кг марки 90 с т. кип. 140° сразу центрифугируют и трижды промывают всегда по 1,9 кг такого же бензина. Из 5,07 кг продукта получают после его разложения водой 1,02 кг 99%-ного I. Ф. Нарива

6М34. Способ придания древесине огнестойкости. Goldstein Irving S., Dreher William A. Method of imparting flame retardance to wood. [Koppers Co., Inc.]. Пат. США 2917408, 15.12.59.—Древесину (Д) пропитывают водн. р-ром, содержащим 10—25 (оптимально 17,5—25) вес. % дициандиамида (I) и фосфорной к-ты (II); мол. отношение I:II должно быть 1:1—2:1. Растворяют I в нагретой до 50—60° воде и медленно добавляют II. Перед пропиткой Д вакуумируют (550—660 мм рт. ст.) в течение 15 мин.—1 часа, после чего в аппарат заливают р-р, нагревают до 25—100°, поднимают давление до 8,8—14 кг/см² и выдерживают в этих условиях ~1,5—3 часа. После пропитки Д сушат при 40—70° для закрепления I и II на Д и образования соединений невыщелачиваемых водой Д выдерживают 15—25 час. при 70° и затем 4—12 час. при 90°. Огнестойкости Д обеспечивается при содержании в ней в-в, адсорбированных из р-ра I+II,  $\geq 17,5\%$ . Кроме огнестойкости Д после обработки приобретает свойство сохранять свои размеры при увлажнении и сушке. Для предохранения Д от поражения грибами в водн. пропитывающий р-р вводят в кол-ве 2—5 вес. % фунгицид (напр., соль Болидена, Эрдалита и CZC, представляющих физ. смеси соответственно соединений Cr, Zn и As; Cr, Cu и As; Cr и ZnCl₂).

А. Попов

6М35. Способ гидролиза растительных материалов. Шнайдер Е. Е., Чепиго С. В., Шпунтова М. Е. Авт. св. СССР, 123890, 9.11.59.—С целью предо-

преждевения обугливания полисахаридов при гидролизе растительных материалов (РМ) газообразным  $\text{SO}_2$  предложено обрабатывать влажный (влажность  $\leq 5-20\%$ ) РМ смесью  $\text{SO}_2$  и воздуха при соотношении  $\leq 1:10$  по объему. Относительно небольшая ( $\sim 10\%$ ) конц-ия  $\text{SO}_2$  в газовой смеси регулирует скорость образования  $\text{H}_2\text{SO}_4$  и равномерное распределение  $\text{SO}_2$ , а следовательно, и  $\text{H}_2\text{SO}_4$  в РМ. Тепло экзотермич. р-ции отводится большим кол-вом воздуха, исключая обугливание РМ из-за повышения т-ры. Режим т-ры регулируется изменением конц-ии  $\text{SO}_2$  в газовой смеси. Обработку проводят в аппаратах для проведения р-ции во взвешенном или в «кипящем» слое или во вращающихся аппаратах.

Ю. Чельцова

6М36. Способ ректификаций сырого спирта из сульфитных отработанных щелоков или гидролизного спирта в одну стадию. Michalič Gabriel. Spôsob rafinácie surového sulfidového alebo hydrolyzného liehu v jednom chode. Чехосл. пат. 90019, 15.05.59.—Указанный спирт-сырец содержит обычно 2–7% метанола, удаление которого при ректификации этого типа спиртов в старой аппаратуре и при старой технологии весьма затруднительно. По предлагаемому способу из загрязнений этих спиртов прежде всего удаляют метанол; для его полного удаления (перед удалением остальных загрязнений) применяют нормальной конструкции эвaporатор или колонку с малым числом (20–30) тарелок. Остальные примеси отгоняют после удаления метанола, применяя ректификационную колонку нормальной конструкции.

Ф. Нарина

См. также: Терпены и их превращения: восстановление Na в водном аммиаке 6ЖК315; р-ция норборнеола и норборнилена с  $\text{HNO}_2$  и  $\text{H}_2\text{SO}_4$  6ЖК316; фотохимия вербенона 6ЖК318. Достижения в химии секвитерпенов 6ЖК321. Исследования в области смоляных к-т: 6ЖК324, 6ЖК325, 6ЖК326, 6ЖК327. Пропитка древесины 6П112. Скорость кислотного гидролиза целлюлозы 6Р107

## ПЕРЕРАБОТКА

### ТВЕРДЫХ ГОРЮЧИХ ИСКОПАЕМЫХ

Редакторы И. Ф. Богданов, М. О. Хайкин

6М37. О возможных путях переработки бурого угля в Польше. Rosiński Stefan. O możliwościach przeróbki węgla brunatnego w Polsce. «Chemik», 1960, 13, № 7-8, 279–282 (польск.).—Показано, что по запасам бурых углей ( $\sim 1,7$  млрд. т), масштабам их годовой добычи и технико-экономич. соображениям целесообразно в ближайшие годы развивать только газификацию этих углей на паро-кислородном дутье под давлением.

К. З.

6М38. Бурые угли Майкобеновского бассейна и пути их рационального использования. Азербайев И. Н., Соломин А. В., Молчанова Т. Х. В сб. «Произволит, силы Центр. Казахстана». Т. 4. Алма-Ата, АН КазССР, 1959, 279–289. Дискус., 306.—Общие запасы бурых углей в Майкобеновском бассейне составляют 13 млрд. т. Это в основном малозольные (10–15%) низкосернистые (0,2–0,8%) бурые угли с высокой степенью метаморфизма, которые рекомендуется рассматривать как химико-энергетич. сырье; полукочк из этих углей может быть использован в качестве отощающей добавки к карагандинским углям при произ-ве металлургич. кокса.

Д. Цикарев

6М39. Химико-петрографическая характеристика углей нижнего карбона северо-востока Татарии и Южной Удмуртии. Шубаков Г. Н. В сб. «Материалы 1-й конференции молодых научн. работн. г. Казани». [№ 1]. Секц. геол. Казани, 1959, 21–25.—Исследованные угли характеризуются средними значениями (в %) зольности 15–17, влажности 4–5, содержания

S 3–4 и выхода летучих 40–45. По данным анализа угли относятся к гумусовым, каменным и длиннопламенным.

И. Богданов

6М40. Изучение газа угольных шахт. III–IV. О состоянии газа, содержащегося в угольных пластах 2–3. Araki Naumi. «Кюсю кодзан гаккайси, J. Mining Inst. Kyushu», 1959, 27, № 11, 463–473; № 12, 528–531 (японск.).—Сообщение II см. РЖХим, 1960, № 17, 70858.

6М41. Детальные исследования взрыва угольной пыли. Сообщение 3. О нижнем пределе взрываемости взвесей пыли угля и породы в рудничном газе. Ishihama Wataru, Okada Toshinori, Yoshida Yoshikazu. «Хоккайдо кодзан гаккайси, J. Mining Inst. Hokkaido», 1959, 15, № 5, 147–158 (японск.; реангл.).—Сообщение об эксперим. работе по определению в описанной ранее камере нижнего предела воспламенения смесей угольной пыли, пыли горной породы, метана и воздуха. Опыты показали, что угольная пыль благоприятствует, а пыль, горной породы тормозит воспламенение рудничного газа. Сообщение 2 см. РЖХим, 1960, № 5, 19279.

И. Б.

6М42. О метанообразовании в углях в связи с внезапными выбросами угля и газа в шахтах. Мюллер Р. Л., Попов В. С. «Тр. Ин-та горн. дела, Сиб. отд. АН СССР», 1960, вып. 3, 204–224.—Явление внезапных выбросов угля и газа рассматривается как результат хим. процессов разложения угля, происходящих внутри участков пласта с уплотненной газонепроницаемой оболочкой и сопровождающихся образованием  $\text{CH}_4$  и резким увеличением объема, обуславливающим взрывной характер процесса.

Д. Цикарев

6М43. Роль сульфирования в процессе самовозгорания углей. Bylo Z. The role of sulphonation in the spontaneous ignition of coals, «Bull. Acad. polon. sci. Sér. sci. techn.», 1960, 8, № 2, 107–114 (англ.; реангл.).—Несклонные к самовозгоранию угли после сульфирования конц.  $\text{H}_2\text{SO}_4$  при 100° легко самовозгораются на воздухе. После удаления сульфогрупп это свойство исчезает. На основании этого автор склонен считать, что самовозгоранию приписывает наличие сульфогрупп, образующихся за счет окисления  $\text{FeS}_2$  в  $\text{FeSO}_4$  и  $\text{H}_2\text{SO}_4$  и последующего сульфирования органич. в-ва углей.

Н. Гаврилов

6М44. Об изменении теплотворной способности угля бассейна Дзэбан (Япония) под влиянием выветривания. Кавахаси Нобору. «Нэцу канри, Heat Engng», 1959, 11, № 89, 29–41 (японск.).

6М45. Химический состав пунгита, его свойства и применение. Сиверцев А. П. «Тр. Всес. п.-и. ин-та переработки и использования топлива», 1959, вып. 8, 14–20.—Найден следующий хим. состав пунгита (Ш) Шуньского месторождения (в вес. %): влажность 4,1; зольность 36,79–38,76; выход летучих 3,94–3,95; S общ. 3,77–3,78; C 56,21–58,06; содержание V 0,13; теплотворности 4587–4596 ккал/кг. Окисление Ш воздухом или  $\text{O}_2$  начинается при т-рах  $>400^\circ$ . Плавление Ш близко к области средней интенсивности плакообразования. Реакционная способность кокса Ш по  $\text{CO}_2$  при 900° 62%, при 1200° 98,3%.

И. Богданов

6М46. Направления в технике обогащения углей. Имаидзуми Т. В сб. «Обогащение и брикетир. углей», Вып. 10. М., Госгортехиздат, 1959, 93–97.—Приведены различные статистич. материалы по вопросу обогащения угля в Японии.

И. Богданов

6М47. Современное состояние и направления развития углеобогащения. Ushio Hiroe «Кору тару Coal Targ», 1959, 11, № 12, 761–768 (японск.).

6М48. Расширение сырьевой базы коксования за счет высокозольных углей. Правдухин В. А. В сб. «Производ. силы Центр. Казахстана», Т. 4. Алма-Ата, АН КазССР, 1959, 47–59. Дискус., 115–128.—Показана возможность расширения сырьевой базы кок-

сования  
ния обог  
сокозоль  
и гидроп  
6М49.  
бастуэск  
силы Пе  
1959, 38  
за резул  
лан выв  
ния куу  
междуэт  
ватора-ст  
газифика

6М50.

Бурт о

Вып. 12.

6М51.

Кр и й г

углей».

6М52.

Г. А. В

М. Госг

6М53.

Зах ком

Тр. 1-ой

добыче

6М54.

углей н

Рубан

6М55.

дочной

обогатит

ткова

следова

ных ма

концент

водилос

9,7 м<sup>2</sup>,

ций 45

регулят

продукт

реть до

рудкой

нями

нагуоук

6М56.

обогащ

Помо

Вып. 11

ние ф-н

щения

6М57.

для кол

dek O.

провоиз

215 (че

деления

помощи

тит, вес

соб дв

в соле

только

опред

0–40 л

указан

произ-н

6М58.

фа э л

рентия

Испыт

УЦМ-1

успешн

сования в Карагандинском бассейне за счет применения обогащения мелких классов труднообогатимых высокозольных и высокосернистых углей в центрифугах и гидроциклонах. Д. Цикарев

6M49. Изучение обогатимости куу-чекинских и экибастузских углей. Краузе Ю. О. В сб. «Производство сил Центр. Казахстана». Т. 4. Алма-Ата. АН КазССР, 1959, 38—46. Дискус., 115—128.—На основании анализа результатов исследований различных авторов сделан вывод о необходимости применения для обогащения куу-чекинских углей пневматич. способа. Рекомендуется селективная выемка углей с помощью экскаватора-струта в Экибастузском месторождении и их газификация в необогащенном виде в районе добычи. Д. Цикарев

6M50. Обогащение угля в Бельгии. Вантер Ж., Бюртон Г. В сб. «Обогащение и брикетир. углей». Вып. 12. М., Госгортехиздат, 1959, 51—61

6M51. Развитие углеобогащения в Голландии. Крийгсман С. В сб. «Обогащение и брикетир. углей». Вып. 13. М., Госгортехиздат, 1960, 64—73

6M52. Развитие углеобогащения в ФРГ. Мейер Г. А. В сб. «Обогащение и брикетир. углей». Вып. 12. М., Госгортехиздат, 1959, 62—65

6M53. Обогащение разубоженного угля на разрезах комбината Челябинскуголь. Берменсон Б. В. Тр. 1-ой Всес. научно-техн. конференции по гидравл. добыче угля. М., 1959, 641—644

6M54. Совершенствование процессов обогащения углей на Карагандинских обогатительных фабриках. Рубан В. А. «Уголь», 1960, № 7, 35—36

6M55. Опробование постели противоточной отсадочной машины мелкого зерна на Череповецкой углеобогатительной фабрике. Давыдов Н. И., Чертова А. К. «Жокс и химия», 1960, № 8, 12—16.—Исследования показали, что на противоточных отсадочных машинах можно получить сравнительно чистые концентрат, породу и промпродукт. Опробование проводилось на машине площадью отсадочного сита 9,7 м<sup>2</sup>, с размером отверстий 8 мм, при числе пульсаций 45 в 1 мин.; продукт разгружался автоматически регулятором типа «Гипрокс». Для получения промпродукта без фракции породы необходимо предусмотреть дополнительное удаление породы перед перегородкой между породными и промпродуктовыми отделениями и подачу этого продукта как циркуляционной нагрузки в голову отсадочной машины. В. Ермолова

6M56. Обогатительная фабрика Шимизова для обогащения неклассифицированных углей. Арига П., Йомо И. В сб. «Обогащение и брикетир. углей». Вып. 11. М., Госгортехиздат, 1959, 56—59.—Даны описания ф-ки, схема обогащения, баланс продуктов обогащения и их зольность. И. Богданов

6M57. Гидростатические весы и их использование для контроля работы углеобогатительных фабрик. Radek O. Hydrostatické váhy a jejich použití při kontrole provozu uhelných prádel. «Paliva», 1960, 40, № 7, 212—215 (чешск.; рез. нем., русск.).—Описан способ определения зольности углей и продуктов их обогащения с помощью гидростатич. весов, в частности полуавтоматич. весов венгерской конструкции; описан также способ двойного взвешивания на этих весах — в воде и в солевом р-ре уд. в. 1,2 — позволяющий определять не только зольность, но и влажность угля. Требуемая для определения навеска угля 3 кг (с размером зерна 0—10 мм); время анализа 2—6 мин. Даны практич. указания по применению этого способа для контроля прои-ва на углеобогатительных фабриках. К. З.

6M58. Центрифугальная машина УЦМ-3. Рафаэльян С. Д. «Тр. 1-ой Всес. научно-техн. конференции по гидравл. добыче угля». М., 1959, 699—704.—Испытание горизонтально-шексовых центрифуг (Ц) УЦМ-1 при гидравлич. добыче угля показало, что они успешно проводят обезвоживание мелких концентрата

и промпродукта, плама, флотоконцентрата и хвостов флотации. Сочетание принципов отстойной Ц с фильтрацией в одном роторе позволяет снизить влажность осадка в Ц УЦМ-3 на 2—3% по сравнению с Ц УЦМ-1, имеющей чисто отстойный ротор. И. Богданов

6M59. Термическая сушка угля в сушилках конвейерного типа. Бирюков А. И. «Тр. 1-ой Всес. научно-техн. конференции по гидравл. добыче угля». М., 1959, 716—719.—Приведены результаты испытания сушилки-конвейера СУ-1 на угле крупностью 0—100 мм. При соотношении мелкого угля до 50—60%, влажности исходного продукта 15% и т-ре дымового газа 500° производительность сушильной установки составила 40 т/час. При влажности > 15% наблюдалось залипание сетки конвейера. И. Богданов

6M60. Уменьшение влажности обогащенного угля. Холл Д. А., Макферсон Х. В сб. «Обогащение и брикетир. углей». Вып. 11. М., Госгортехиздат, 1959, 60—65.—В лабор. и полупромышленных условиях изучено влияние на содержание влаги в кеке добавки во флотационный концентрат некоторых реагентов (крахмал, известь, масло и др.). Наибольшее снижение влаги в концентрате составило 2—3%.

И. Богданов

6M61. Технико-экономические показатели работы сушильных установок для обезвоживания обогащенных углей в Донецком бассейне. Сект П. Е., Тесленко Ф. Ф., Ткачев С. Ф., Левин С. А., Кузнецов Е. Г. «Жокс и химия», 1960, № 9, 47—50.—Сушильные установки углеобогатительных ф-к Донбасса, оборудованные трубами-сушилками, работают с низкими показателями и не обеспечивают требуемых кондиций отгружаемого концентрата по содержанию влаги. По всем технико-экономич. показателям они уступают показателям установок барабанного типа. Малая загрузка труб-сушилок, сжигание в топках спекающихся углей, сезонная работа, несовершенство оборудования и неудовлетворительный технологич. режим определяют неэффективную работу сушилок этого типа. Коренное улучшение работы таких сушилок может быть достигнуто после их технич. реконструкции. В. Ермолова

6M62. Некоторые данные по центрифугам для обезвоживания углей. Kmošťák J., Klega V. Některé poznatky z OKR s odvodňováním koksařenského uhlí v odstředivkách. «Paliva», 1960, 40, № 7, 207—212 (чешск.; рез. русск., нем.).—Дана сравнительная (технич. и экономич.) оценка центрифуг систем Summu, Humboldt и Wedag для обезвоживания местных коксующихся углей. Сделан вывод о предпочтительности центрифуги системы Humboldt. К. З.

6M63. Обогащение новыми центробежными методами. Основы центробежных процессов. Голосов С. И. «Тр. 1-ой Всес. научно-техн. конференции по гидравл. добыче угля». М., 1959, 754—759.—Приведены ф-лы для расчета потребных затрат энергии и скорости частиц и краткие итоги испытания модели центрифуги с внутренним диам. 200 мм и длиной барабана ~130 мм. Барабану сообщалось 2900 об/мин, а разгружаемому диску 2300 об/мин, что обеспечивало давл. в 1,5 ат. И. Богданов

6M64. Сушка углей в «кипящем» слое. Бейлин М. И. «Жокс и химия», 1960, № 9, 10—15.—Опыты, проведенные на лабор. установке, показали, что при указанном методе сушки снижается уд. расход топлива и энергии, повышается равномерность сушки и снижаются эксплуатационные затраты, так как процесс поддается полной механизации и автоматизации. В. Ермолова

6M65. Флотация угля в аэролитных машинах. Рожнов В. Е. В сб. «Обогащение и брикетир. углей». Вып. 11. М., Госгортехиздат, 1959, 28—33.—Предложена конструкция нового типа аэратора (АЭ), обеспечивающего хорошее диспергирование воздуха и перемешивание



вание пульпы. Рекомендуются следующие параметры для проектирования пневматич. флотационной машины с новым типом АЭ: diam. АЭ 18—20 мм, угол при вершине конич. вкладыша АЭ 75°, миним. расстояние между АЭ 200 мм, расстояние от выходной щели АЭ до дна ванны 50—60 мм, рабочее давление в коллекторе 0,8—1,0 атм, расход воздуха на 1 м длины ванны 1,5—2,0 м³/мин при крупности угля 0—1 мм.

И. Богданов  
6М66. О методе оценки и сравнения флотируемости углей разной степени углефикации. Шебанов В. А. «Изв. вып. учеб. заведений. Горн. ж.», 1959, № 3, 152—159.—Приводятся доказательства того, что угли высокой степени углефикации могут флотироваться также успешно, как и коксовые. Оценку флотируемости рекомендуется проводить по результатам реального флотационного процесса.

И. Богданов  
6М67. Исследование ряда продуктов лесохимической промышленности в качестве реагентов для флотации угля. Оффенгенден М. Е. «Тр. Донецк. индустр. ин-та», 1959, 29, 33—44.—Лабораторные исследования показали возможность применения в качестве вспенивателей при флотации углей скипидаров, выделенных при сухой перегонке пневого осмола и других видов смолистой сосновой древесины, а также ряда других продуктов лесохимии (фракция до 150° при получении галлипота, смесь фракций кубовых остатков очистки скипидаров).

Д. Цикарев  
6М68. Методы улучшения флотации карагандинских углей. Класен В. И. В сб. «Производит. силы Центр. Казахстана». Т. 4. Алма-Ата, АН КазССР, 1959, 32—37. Дискус., 115—128.—Промышленные опыты показали возможность повышения эффективности обогащения мелких классов коксующихся углей за счет применения в качестве флотореагентов смеси кубовых остатков (отходы произ-ва сульфатного скипидарсырца) с керосином или полимером (остаток от произ-ва изоктилена), а также путем замены механич. флотомашин аэролифтными и применения орошения пены водой.

Д. Цикарев  
6М69. Внедрение рациональной схемы флотации на обогатительной фабрике Щербиновского коксохимического завода. Ельяшович М. Г., Зозуля И. И., Одинцов Н. В., Наумов Н. Г. «Кокс и химия», 1960, № 9, 6—10.—Показано, что в ряде случаев при флотации труднофлотируемых углей, содержащих большое кол-во сростков и свободных минер. примесей, рациональным является применение схемы с пересисткой части (40—50%) основного флотоконцентрата. Пересистка осуществляется в одной 6—8-камерной флотомашине. Использование в качестве собирателя и вспенивателя сульфированного керосина и синтетич. спирта с 6—7 атомами С в молекуле позволяет при данной схеме одновременно повысить производительность флотомашин на 40%, снизить зольность концентрата с 9,5 до 8,2—8,5% и повысить зольность хвостов до 60—70%. Получение высокозольных хвостов позволяет осуществить замкнутую водношламовую схему по воде и твердому и значительно сократить потери горючей массы.

В. Ермолова  
6М70. Новая схема подготовки шлама для флотации. Ситало М. В., Еленский Ф. З. «Кокс и химия», 1960, № 3, 16—17.—По новой схеме, принятой в углеобогатительном цехе Запорожского коксохим. з-да, ступенчатый продукт из радиальных сгустителей самотеком направляется в общий сборник, откуда насосом подается в коллектор, распределяющий пульпу по сгустительным воронкам. В сборнике осуществляется усреднение пульпы, что позволяет стабилизировать питание всех флотомашин сгущенным шламом постоянного гранулометрич. состава и одинаковой зольности. В результате выход хвостов флотации несколько уменьшился и повысилась их зольность. Улучшилась работа шламовых отстойников, снизилось содержание

твердого в воде, сбрасываемой из отстойников, выделялась часть дорогостоящего и быстрознашающегося оборудования.

В. Ермолова  
6М71. Переработка и использование топлива. Сообщение 4. Исследование по брикетированию углей с применением сульфитных щелоков. Ledent P., Marcourt M. Utilisation et valorisation. 4-e commun. Contribution a l'etude de l'agglomeration par la lessive sulfiteuse. «Bull. techn. houille et dérivés», 1960, № 18, p. 547—560, ill. (франц.).—Приведены результаты лабор. опытов по брикетированию смесей шлама, жирного, длиннопламенного и тощего углей с сульфитным щелоком в качестве связующего. Изучено влияние влажности, кол-ва связующего, давления прессования и гранулометрич. состава. Описана лабор. сушилка для сушки брикетов в псевдооживленном слое с применением подогретого песка в качестве твердого теплоносителя. Сообщение 3 РИХИм, 1960, № 15, 62780.

Б. Мокрицкий  
6М72. Вопросы рентабельности брикетирования бурых углей Днепровского бассейна. Крохин В. Н. В сб. «Обогащение и брикетир. углей». Вып. 12. М. Госгортехиздат, 1959, 30—35

6М73. Разогрев, бертинирование и низкотемпературное горение в псевдооживленном слое типичных марок углей Западной Сибири. Яворский И. А. В сб. «Вопр. энерготехнол. использования топлив Сибири». Новосибирск, Сиб. отд. АН СССР, 1960, 5—22.—Разогрев углей в среде топочных газов при высоких т-рах может привести к самовоспламенению. Поэтому для обеспечения качества бертинирования необходимо устанавливать для каждого топлива четкие предельные т-ры теплоносителя и время выдержки при них.

И. Богданов  
6М74. Терминология коксохимического производства. Дмитриев М. М. «Кокс и химия», 1960, № 9, 55—57.—Учитывая предстоящий пересмотр и переиздание Правил технич. эксплуатации коксохим. з-дов и издание Справочника коксохимика, автор считает целесообразным обсуждение вопроса терминологии коксохим. произ-ва на страницах журнала «Кокс и химия».

В. Ермолова  
6М75. Симпозиум по коксованию углей.—Symposium on Coal Carbonization. Fuel Res. Inst., Jalgarna, India, March, 1957, «J. Mines, Metals and Fuels», 1957, 7, Spec. number, 1—377 (англ.).—Перечень докладов, представленных на симпозиуме по коксованию углей, проходившем в марте 1957 г. в Центральном Ин-те исследования топлив (Индия).

Д. Цикарев  
6М76. Получение металлургического кокса из углей Иркутского бассейна и отходов полукokesового производства. Анненкова В. З. «Изв. Сибирск. отд. АН СССР», 1960, № 7, 53—60.—При ящичных коксованиях (по методике автора) на коксохим. з-де получен металлургич. кокс из смеси иркутских газовых и длиннопламенных углей с добавкой 20% полукokesа и 8% пека. Исследовано влияние на качество кокса помола пихты, степени ее уплотнения и кол-ва добавляемого пека и полукokesа.

Д. Цикарев  
6М77. Термическая обработка углей в «кипящем» слое перед коксованием. Старке Э. П. В сб. «Материалы 3-й Научно-техн. конференции молодых ученых, 1957». Новосибирск, Сиб. отд. АН СССР, 1960, 149—157.—Опытами на лабор. установке показано, что термообработка углей в псевдооживленном слое в среде N<sub>2</sub> при т-рах 220—400° улучшает их коксуюемость.

Д. Цикарев  
6М78. Перспективы производства металлургического кокса из углей Центрального Казахстана. Сиченко В. К. В сб. «Производит. силы Центр. Казахстана». Т. 4. Алма-Ата, АН КазССР, 1959, 272—278. Дискус., 306.—Приведены характеристика сырьевой базы углей для коксования, а также перспектива развития добычи и обогащения углей и произ-ва кокса

к 1965 г. Отмечается высокая экономич. эффективность использования обогащенных карагандинских углей для произ-ва кокса в Центральном Казахстане и на Южном Урале. Д. Цикарев

6М79. Влияние скорости коксования и насыпного веса на качество кокса. Kunc J., Charvát V. Vliv rychlosti koksování a sypné váhy na jakost koksu. «Pali», 1960, 40, № 6, 181—186 (чешск.; реза. русск., нем.).—Считают, что как трещиноватость, так и мелочь кокса зависят от кол-ва тепла, затраченного на коксование шихты. Оно пропорционально произведению насыпного веса и скорости коксования. Это правило иллюстрировано эксперим. данными.

Из резюме авторов 6М80. О методе определения реакционной способности кокса. Петренко И. Г. Кокс и химия, 1960, № 9, 27—29.—Отметив существенные недостатки современных методов определения реакционной способности кокса автор дает рекомендации, касающиеся параметров и условий, которые должны быть учтены при разработке нового метода оценки хим. активности кокса на основе результатов проведенных за последние 20 лет исследований в области механизма топочим. р-ций, протекающих при взаимодействии газов с твердым топливом. Библ. 13 назв. В. Ермолова

6М81. О обжиге кокса. Burden F. A., Rose D. G. Coke in a changing market. «Publ. Instn Gas Engrs», 1960, № 571, 31 pp., ill. (англ.)

6М82. Исследования оснований каменноугольной смолы. Гомологи пиридина, содержащиеся в техническом коллоидном масле. Chikaki H., Ishizu K., Yamamoto Y., Uyeda I., Kawakami H., Yamada K., Honda Y., Okamoto I., Morita F., Nishimura M., Hatanoto M., Suko M., Nagahisa Y. «Koryu taru, Coal Tar», 1959, 11, № 8, 481—483 (японск.)

6М83. Анализ компонентов каменноугольной смолы в УФ-спектре. Части 6, 7, 8. Takeuchi Tsugio, Tanaka Shigeo. «Koryu taru, Coal Tar», 1959, 11, № 1, 27—30; № 2, 89—94; № 3, 135—139 (японск.).—Часть 5 см. РЖХим, 1961, 4М56.

6М84. Приведение вязкости смолы в соответствие с внешней температурой при поверхностной обработке дорог. Berneis K. Die Aequiviskositätstemperatur und die Anpassung der Teerviskosität an die Aussentemperatur bei Oberflächenbehandlungen. «Strasse und Verkehr», 1960, 46, № 1, 17—19 (нем.).—Для характеристики смолы как материала для дорожных покрытий применено определение т-ры эквивалентной вязкости (ТЭВ), т. е. р-ры, при которой данная смола вытекает за 50 сек. из вискозиметра. При обработке эксперим. результатов в координатах ТЭВ — внешней т-ра, для поверхностной обработки подбирают смолы, соответствующие по вязкости данным климатич. условиям. При т-ре воздуха 30° применяют смолы с ТЭВ 40,5—44°, что соответствует вязкости от 300 до 500 сек. по стандартному дорожному вискозиметру при 30°.

А. Агроскин 6М85. К статье М. И. Люкимсона «Получение фенола из фенолятов натрия продвинутой доменной газом или продуктами горения доменного газа». Радиковский А. А. «Кокс и химия», 1960, № 8, 52—53.—В дополнение к предложению М. И. Люкимсона (РЖХим, 1960, № 7, 28072) рекомендуется применить каустификацию щел. содового р-ра по известковому способу с использованием слабого каустич. р-ра на месте в процессе получения фенолятов натрия. Д. Цикарев

6М86. К вопросу получения сульфата аммония из аммиака коксового газа. Чертков В. А. «Кокс и химия», 1960, № 9, 44—46.—Предлагается использовать конц. аммиачную воду коксохим. з-да для улавливания SO<sub>2</sub> из отходящих газов какого-либо соседнего произ-ва с целью получения р-ра сульфит-бисульфита аммония, который может быть переработан в сульфат аммония и элементарную S путем разложения при по-

вышенной т-ре. Показана схема движения материальных потоков и последовательность отдельных операций в предлагаемом способе. В. Ермолова

6М87. Использование этилена коксового газа. Бродович А. И. «Ж. Всес. хим. о-ва» (бывш. «Хим. наука и пром-сть»), 1960, 5, № 1, 42—48.—Обзор методов использования этилена коксового газа. На з-дах с улавливанием продуктов при обычном давлении рекомендуется получать дихлорэтан или этиленхлоргидрин. На з-дах, где применяется передача коксового газа на дальнее расстояние под давлением, целесообразно получать этанол сернокислотной гидратацией или адсорбционным методом выделять конц. этиленовую фракцию для органич. синтезов. И. Богданов

6М88. Распределение коксового газа по простенкам печей при двоянной газоподводящей аппаратуре. Вольфовский Г. М., Иванов А. И. «Кокс и химия», 1960, № 8, 21—24.—Отмечается, что применение двоянной газоподводящей аппаратуры на коксовых печах системы ПВР затрудняет регулировку подачи газа в простенки. Д. Цикарев

6М89. Общий обзор методов извлечения бензола из каменноугольного газа. Scott Thornton. Recovery of benzole from coal gas—a general review of methods. «Gas J.», 1960, 303, № 5061, 300, 303—307 (англ.).—Библ. 12 назв.

6М90. Бесфорсуночный абсорбер Вентури для поглощения аммиака из коксового газа. Семенов П. А., Туманов Ю. В., Чехов О. С. «Кокс и химия», 1960, № 8, 34—37.—Отмечено, что для поглощения NH<sub>3</sub> из коксового газа серной к-той целесообразно применять бесфорсуночный абсорбер Вентури, в котором жидкость инжектируется самим газовым потоком. В результате исследования влияния угла конусности диффузора на сопротивление и массопередачу в абсорбере Вентури установлено, что чем больше орошение и скорость газа, тем значительно снижение потерь напора с увеличением угла конусности; для всех конструкций абсорберов Вентури, работающих при плотностях орошения > 3—4 л/м<sup>3</sup>, рекомендуется применять угол конусности 30°. Для поглощения NH<sub>3</sub> из коксового газа предлагается применять двухступенчатый абсорбер. При скорости газа в горловине трубы 40 м/сек и орошении 6—7 л/м<sup>3</sup> к-ты на каждой ступени к.п.д. всего аппарата составит 99—99,5% при общем сопротивлении 350—400 мм вод. ст. Размеры аппарата при производительности 40 000—45 000 м<sup>3</sup>/час следующие: высота 6,0—6,5 м; diam. корпуса 2,0—2,2 м; угол конусности диффузора 30°. В. Ермолова

6М91. Использование газов доменных и коксовых печей на металлургических заводах Японии. Kitagawa Yoji. «Юки госэй кагаку кёкайси, J. Soc. Organ. Synth. Chem., Japan», 1960, 18, № 7, 453—474 (японск.)

6М92. Вопросы экономической эффективности использования коксового газа в промышленности и в быту. Введенский П. И., Гавев Л. П., Ахтырченко А. М., Аленина М. Т. В сб. «Комплекс. использование горючих газов Украины. Природн. и пром. газы». Киев, АН УССР, 1960, 249—257

6М93. О структуре каменноугольного пека и его фракций. Greenhow E. J., Smith J. W. The structure of coal-tar pitch. I. Acidic and basic compounds in pitch and pitch fractions. «Austral. J. Appl. Sci.», 1960, 11, № 1, 169—179 (англ.).—Изучению подвергнуты пеки из смол коксовых и ретортных печей и полукоксования бурого угля. Из образцов пеков выделены фракции: растворимая в петр. эфире (кристаллоиды), нерастворимая в петр. эфире, но растворимая в бензоле (резиноиды), растворимая и нерастворимая в пиридине (I). В пеке и во фракциях потенциометрич. титрованием р-ра или суспензии образца (0,1 г) в I (20 мл) 0,2 н. р-ром Na-аминотоксида в этилендиамине определено

содержание фенольных ОН. Аналогичным образом методом обратного титрования избытка 0,1 н. р-ра  $\text{HClO}_4$  в лед.  $\text{CH}_3\text{COOH}$ , добавленного к р-ру или суспензии образца в смеси 2 ч.  $\text{CH}_3\text{COOH}$  и 1 ч. диоксана, определено содержание N-оснований. Мол. веса определены абдуктометрически в р-ре I. Найдено, что 40—68% кислорода растворимой в бензоле и 28—63% растворимой в I фракции приходится на фенольные ОН. На основании исследований пек рассматривается как р-р полярных соединений среднего мол. веса, преимущественно фенольного или основного характера, в неполярной фракции, идентичной с фракцией кристаллоидов. С. Розенфельд

6M94. Сооружение и ввод в эксплуатацию коксовых печей. Goto H. «Нихон гасу кёкайси, J. Japan Gas Assoc.», 1959, 12, № 12, 24—30 (японск.)

6M95. Автоматизация контроля гидравлического режима коксовых печей. Коган Л. А., Топчий М. П. «Кокс и химия», 1960, № 8, 25—28.—Приведены принципиальная схема и описание основных узлов успешно проверенной в промышленных условиях схемы автоматизации контроля гидравлич. режима коксовых печей типа ПК. Д. Цикарев

6M96. Контроль равномерности работы коксовых батарей. Medický Zdeněk. Kontrola rovnoměrnosti provozu na koksárenských bateriích. «Paliva», 1960, 40, № 7, 216—217 (чешск.).—Краткое сообщение об успешно внедряемом автоматизированном контроле процессов выдачи кокса из печных камер и его тушения. Получаемые диаграммы позволяют судить о равномерности проведения этих процессов и соответствия их установленным графикам. К. З.

6M97. Автоматическое регулирование режима обогрева коксовых печей. Никитин Ю. К. «Кокс и химия», 1960, № 9, 19—21.—Описаны работы, выполненные для составления поправочных таблиц в дополнение к схеме автоматич. регулирования гидравлич. и тепловых режимов с помощью вращающихся пластин в отверстиях клапанов для воздуха. Приведены ф-лы, по которым подсчитываются объемы влажных газов при фактич. условиях эксплуатации, расход коксового газа, а также поправочный коэф., вводимый в ур-ние для перехода от объемов, приведенных к нормальным условиям, к объемам, которые должны быть зафиксированы при помощи измерительных шайб. В. Ермолова

6M98. Расход тепла на коксование. Вирозуб И. В., Волошин А. И., Лгалов К. И. «Кокс и химия», 1960, № 5, 23—29.—Приведены методы расчета и данные по расходу тепла на коксование по 3-дам Украины. Приведенный к влажности 10% расход тепла для печей ПВР при обогреве коксовым газом составляет в среднем 548 ккал/кг, для печей ПК-2К 576 ккал/кг. Соответственно при обогреве доменным газом 593 и 639 ккал/кг. В. Ермолова

6M99. Взаимная блокировка коксовиталкивателя и направляющего вагона коксовых печей. Häberle Albert. Die gegenseitige Verriegelung von Koksandruckmaschinen und Koks-kuchenführungswagen im Kokereibetrieb. «Gas- und Wasserfach», 1960, 101, № 23, 589—593 (нем.).—Описаны применяющиеся устройства для блокировки коксовиталкивателя и направляющего вагона и отмечена непригодность большинства устройств к тяжелым условиям работы коксовой печи. Описано свободное от этого новое устройство, осуществляющее блокировку при помощи  $\gamma$ -лучей с  $\text{Co}^{60}$  в алюминиевой гильзе, заключенной в железном цилиндре, укрепленном на конструкции направляющего вагона. Б. Мокршанский

6M100. Изучение процесса полукоксования в малогабаритной квадратной печи с внутренним обогревом газом. Xue Jing-yun, Sia Si-zheng. «Жаньляо сюэбао, Ránliào xuebaó, Acta focalia sinica», 1960, 5, № 2, 174—177 (кит.).—Приведены материалы и теп-

ловой балансы полукоксования, а также экспериментальные данные, характеризующие происходящие в камере печи процессы при изучении условий сухой перегонки угля с зольностью 12,65 и выходом летучих 46,24% в печи с пропускной способностью 15 т/сутки. Время нахождения шихты в печи 9,32 часа. Сделан вывод, что при увеличении высоты печи с 5 м до 6 м можно повысить ее производительность до 20 т/сутки. А. Зонштедт

6M101. Дифференциальный термический анализ смесей малометаморфизованного угля с минеральными веществами. Gaines A. F., Partington R. G. Differential thermal analyses of mixtures of a low rank coal and various inorganic compounds. «Fuel», 1960, 39, № 3, 193—216 (англ.).—Исследования с помощью дифференциального термич. анализа (ДТА) показали, что при нагревании до 600° малометаморфизованных углей с  $\text{Fe}_2\text{O}_3$ ,  $(\text{NH}_4)_2\text{SO}_4$  и  $\text{NaOH}$  наблюдается эндотермич. р-ция взаимодействия. ДТА в отсутствие добавок показывает эндотермич. течение процессов до т-р 650°. После внесения поправок на теплоты испарения смолы и другие процессы установлено, что процесс карбонизации угля до 400° слабо эндотермичен и резко экзотермичен между 400 и 500°. В целом до 500° выделяется 10—20 кал/г угля. Испытанные угли при нагревании не реагировали с присадками  $\text{SiO}_2$ ,  $\text{Al}_2\text{O}_3$ ,  $\text{MgO}$ ,  $\text{CaO}$ ,  $\text{Fe}$  и  $\text{Fe}_2\text{O}_3$ . Д. Цикарев

6M102. Исследование процесса термического разложения пыли подмосковного угля при высокоскоростном нагревании. Кашуричев А. П. В сб. «Энерготехнол. использ. топлива». Вып. I. М., АН СССР, 1960, 82—120.—Обзор. Библи. 26 назв. И. Б.

6M103. Хроматографический метод разделения плотного остатка подземной воды термического разложения торфа. Милькаманович К. А., Вернер В. С. «Докл. АН БССР», 1960, 4, № 8, 337—339.—Хроматографическое разделение плотного остатка, содержащегося в подземной газогенераторной воде, производилось в колонке с активированным углем марки КАД. Отдельные фракции извлекались из колонны  $\text{H}_2\text{O}$ ,  $\text{CH}_3\text{OH}$ ,  $\text{C}_2\text{H}_5\text{OH}$ , спирто-бензолом (1:1) и 2,5%-ным водн. р-ром щелочи. С помощью УФ-спектроскопии показано присутствие в отдельных фракциях и в исходном материале низкомолекулярных к-т жирного ряда, углеводов и N-содержащих соединений, а также предполагается наличие фенолов. Д. Цикарев

6M104. К совершенствованию технологии термической переработки кускового сланца. Губергриц М. Я. В сб. «Горючие сланцы». Вып. 3. Таллин, 1959, 88—95 (рез. эст., англ.).—Изложена критика существующих способов термич. переработки сланца и дано в общих чертах описание предложенной комбинированной схемы переработки, включающей полукоксование кускового сланца, дробление горячего полукокса в ту-гунной дробилке и сжигание его в топке с «кипящим» слоем или аэрофонтанной. Газообразные продукты горения используются либо для обогрева, либо в качестве газового теплоносителя. И. Богданов

6M105. К теории теплового расчета некоторых систем термической переработки сланца—кукерита. Губергриц М. Я., Куй в К. А. В сб. «Горючие сланцы». Вып. 3. Таллин, 1959, 153—164 (рез. эст., англ.).—Дан приближенный тепловой расчет процессов подвода тепла к слою топлива и поверхности отдельных его кусков и непосредственного прогрева материала в куске. Расчет базируется на применении ур-ния теплопроводности при нестационарном тепловом режиме с постановкой в него коэф. эффективной температуропроводности. И. Богданов

6M106. Термомеханическая стабильность сланца-кукерита. Кылья А. Т., Губергриц М. Я., Ахерма X. А. В сб. «Горючие сланцы». Вып. 3. Таллин, 1959, 57—68 (рез. эст., англ.).—Испытания в барабанах определена термомеханич. устойчивость твердых остат-

ков термич. грева 380—начиналось чих. Механич. локс, пол-450°.

6M107. цинком. Ф-ручие сла-эст., нем.).-щесия авт-гревания в-следующий-лы: бензин-газа 8:0: н-(нагревани-были: 31,0-6M108. делении н-ных печей-lüthn. ins-1959, А, №-мич. полс-родов (УП-тивном уг-реработка-пильзабел-значитель-6M109. водства з-П. Р. «Те-политехн-стоимост-камерной-дорогов-что проп-использо-чени ст-6M110. става см-сланца э-в р-х-Вып. 3. ведены 60—200°-перераб-промыш-

6M111. ператор-imetised-№ 165, ного с-сейся в-времени-на при-ШП с-совани-смести-6M112. ций ка-«Tallin-техн. и-ния п-воздух-V<sub>2</sub>O<sub>5</sub> (с-тали-емная-38—40-на Ф-22% с-Выхо-откры-



ков термич. переработки сланца с конечной т-рой нагрева 380—820°. Резкое снижение прочности материала началось на стадии интенсивного выделения летучих. Механически наименее устойчивым оказался полужелезо, полученный при изотермич. нагреве сланца до 450°.

И. Богданов  
6M107. Крекинг генераторной смолы с хлористым цинком. Файнгольд С. И., Валлас К. Р. В сб. «Горючие сланцы». Вып. 3. Таллин, 1959, 312—324 (рез. зст., нем.).—Опыты крекинга проводили во вращающемся автоклаве. В присутствии 10%  $ZnCl_2$  после нагревания в течение 55 мин. при т-ре 400—450° получен следующий выход продуктов (в %) от веса сырой смолы: бензина 30,4; керосина 29,5; топочного мазута 15,1; газа 8,0; кокса 17,0. С предварительно очищ. смолой (нагревание с  $ZnCl_2$  при 120°) выходы соответственно были: 31,0; 36,1; 19,1; 6,3; 7,5.

И. Богданов  
6M108. Технич.-экономические соображения о выделении непредельных углеводородов из газа камерных печей. Аарна А. Я., Лагеда П. Р. «Tallina polüteh. inst. toimetised, Tr. Tallinsk. politehn. in-ta», 1959, A, № 165, 225—234.—На основании технико-экономич. подсчетов для выделения непредельных углеводородов (УН) рекомендуется метод гиперсorption на активном угле под дав. 5 ат. Наиболее перспективна переработка этилена в полиэтилен и пропилен в изопропиленбензол. Себестоимость УН из газа камерных печей значительно выше, чем УН из нефтяного сырья. И. Б.

И. Б.  
6M109. Технич.-экономические соображения производства аммиака из газа камерных печей. Лагеда П. Р. «Tallina polüteh. inst. toimetised, Tr. Tallinsk. politehn. in-ta», 1959, A, № 165, 235—244.—Дан расчет стоимости отдельных операций процесса переработки камерного газа (КГ), включающих конверсию углеводородов в СО, очистку от  $CO_2$  и СО и синтез. Показано, что произ-во может быть рентабельным при условии использования КГ на месте его получения при исключении стадии компрессии.

И. Богданов  
6M110. Результаты исследования химического состава смолы термической переработки дикинономового сланца с твердым теплоносителем. Эйзен О. Г., Кивирах С. В., Лаус Т. Н. В сб. «Горючие сланцы». Вып. 3. Таллин, 1959, 205—212 (рез. зст., англ.).—Приведены подробные характеристики состава фракций 60—200°, 200—300° и > 300°, полученных при термич. переработке при 505° дикинономового сланца на полупромышленной установке.

И. Богданов  
6M111. О смоляном режиме сланцеперегонных генераторов. Ефимов В. М. «Tallina polüteh. inst. toimetised, Tr. Tallinsk. politehn. in-ta», 1959, A, № 165, 3—17.—Освещен опыт работ реконструированного сланцеперегонного генератора (Г), заключавшейся в сужении шахты полужелезирования (ШП) с одновременным ее увеличением по высоте и переводом Г на принудительное паро-воздушное дутье. Снижение ШП способствовало интенсификации процесса полужелезирования, увеличению скорости эвакуации паро-газовой смеси из Г, равномерному распределению теплоносителя в слое топлива ШП и пр.

И. Богданов  
6M112. Каталитическое окисление широких фракций камерной смолы. Аарна А. Я., Мадиссон Э. А. «Tallina polüteh. inst. toimetised, Tr. Tallinsk. politehn. in-ta», 1959, A, № 165, 112—119.—Изучены условия получения фталевого ангидрида (ФА) окислением воздухом фракции смолы 180—268° с катализатором  $V_2O_5$  (4%) на кирпичном носителе. В опытах с обесфеноленной фракцией 202—236°, содержавшей 45% нафталина, в оптимальных условиях (т-ра 450—455°, объемная скорость 470—518  $м^3/м^3$  в 1 час, кол-во воздуха 38—40 л/г смолы) выход кислых продуктов в пересчете на ФА составлял 46—51 вес.%. При этом с выходом 22% от веса фракции получался малевый ангидрид. Выход ФА на фракцию смолы 210—320° ~ 13,5%, что открывает перспективу произ-ва ФА из камерной смо-

лы в промышленном масштабе. Отмечено участие в образовании ФА также и алкилпроизводных нафталина.

И. Богданов  
6M113. Переработка сланцевой смолы шахтных генераторов на моторные топлива методом двухступенчатой гидрогенизации и каталитического крекинга. Лозовой А. В., Степанова Г. Г. В сб. «Горючие сланцы». Вып. 3. Таллин, 1959, 299—311 (рез. зст., англ.).

И. Богданов  
6M114. Испытание ГГС на газосланцевом заводе в г. Сланцы. Вайнштейн Я. И. «Тр. Всес. п.-и. ин-та переработки и использования топлива», 1959, вып. 8, 52—65.—Приводятся эксперим. материал, подтверждающий преимущество газогенератора с центральным вводом теплоносителя.

И. Богданов  
6M115. О повышении производительности газогенераторных печей.—«Шию лянчжи», «Shiyou lianzhi», 1960, № 4, 19, 25 (кит.).—Приведены рекомендации по оптимальному эксплуатационному режиму принятых в КНР кирпичных квадратных печей для сухой перегонки мелкозернистых сланцев, состоящие в том, что для переработки берут просеянные, практически однородные по размеру частицы сланцы и проводят сухую перегонку в следующих условиях: общее кол-во дутья 24 000  $м^3/час$ , уд. дутье 220  $м^3/т$ , давление дутья 350—370 мм рт. ст. и нагрев циркулирующего газа до 600—660°.

А. Зонитар  
6M116. Из истории развития газификации твердого топлива. Озеров Г. В. «Tallina polüteh. inst. toimetised, Tr. Tallinsk. politehn. in-ta», 1959, A, № 165, 55—64.

И. Богданов  
6M117. Справочный выпуск по газу. «American Gas Journal», 1960, 187, № 9, Gas Handbook Issue, 226 pp., ill. (англ.).—В выпуске AGJ помещены материалы по следующим разделам: 1) чертежи, конструкции и материалы по трубопроводному транспорту газов; 2) коррозия трубопроводов и защита от нее; 3) регулирование и измерение газовых потоков; 4) одоризация газов; 5) свойства газов; 6) взаимозаменяемость газов и промышленное использование сжиженных газов; 7) промышленная утилизация газов; 8) общий раздел.

К. З.  
6M118. О реорганизации газовой промышленности Японии. Цукада Санэнори. «Син нихон кэйдай, Shinnippon keizai», 1960, 24, № 5, 60—61 (японск.).

И. Богданов  
6M119. Использование углей Восточной Сибири для газификации в полумеханизированных газогенераторах. Маликов К. В., Моисеева П. Ф. В сб. «Развитие производств сил Вост. Сибири. Топливо и топливно-пром-сть». М., АН СССР, 1960, 266—272. Дискус., 273—274.—Опытами в пп-те металлургич. теплотехники показано, что опробованные каменные угли Восточной Сибири за исключением отдельных пластов Черногорского и Букачинского месторождений требуют для осуществления нормального газогенераторного процесса применения газогенераторов с механич. устройством для предотвращения спекания.

Н. Гаврилов  
6M120. «Диффузионное число» технических газов. Keunen I. Die Diffusionszahl von technischen Gasen, insbesondere von Ferngas. «Gaswärme», 1960, 9, № 5, 153—155 (нем.).—Дана трактовка «диффузионного числа» (ДЧ) как физ. параметра газов, идентичного параметрам — кинематич. вязкость и температуропроводность. Приведены данные по ДЧ бинарных газовых смесей и способы расчетного определения ДЧ многокомпонентных газовых смесей. Показано, что ДЧ городского газа, диффундирующего в воздухе, подсчитанное по кинематич. вязкости газа, равно 0,213  $см^2/сек$ . Измерения, произведенные при вводе в эксплуатацию сферич. газгольдеров, дали в среднем значение для ДЧ, равное 0,206  $м^2/сек$ .

Б. Энглин  
6M121. О кинетике взаимодействия водяного пара с углеродом. Федосеев С. Д. «Тр. Моск. хим.-технол. ин-та им. Д. И. Менделеева», 1959, вып. 28, 96—101.—На лабор. установке изучено изменение скорости про-

процесса взаимодействия водяного пара с сажей и полукоксом от степени выжигания. Установлено, что скорость процесса изменяется пропорционально не геометрич., а реакционной поверхности топлива. Предложено теоретич. ур-ние для определения константы скорости процесса, отнесенной к единице веса угля. И. Б. Богданов

6M122. Завод по газификации угля под давлением в Вестфилде (Англия). Ricketts T. S. The Westfield high-pressure coalgasification plant. Publ. Instn Gas Engrs, 1960, № 567, 66 pp., ill. (англ.)

6M123. Дискуссия по докладу: Н. G. Cousins «Новый газовый завод в Гарстоне (Англия)».—The North Western Gas Board's new coal carbonising plant at Garston by N. G. Cousins. Discussion. «Struct. Engr», 1960, 38, № 4, 138—140 (англ.).—К РЖХим, 1960, № 15, 62826

6M124. Исследование процесса электросбойки на опытной панели БПЗ-3. Бродская Б. X., В сб. «Горючие сланцы». Вып. 3. Таллин, 1959, 137—152 (рез. эст., нем.).—Освещены опытные работы по подготовке сланцевых пластов электр. током к последующей подземной газификации. Уд. расход энергии на переработанную горючую массу на малогабаритной панели достигал 350—44 кат-час/г. При подаче воздушного дутья происходило выгорание кокса, что свидетельствует о возможности розжига сланцевого пласта после подготовки его электр. током. И. Богданов

6M125. Развитие химической переработки каменного угля. Хигути Кодзо. «Никкакё гаппо, Nikkakyo gerpo», 1959, 12, № 9, 500—506, 538 (японск.).—Описываются процессы гидрогенизации угля и синтеза  $\text{NH}_3$  на базе коксового газа. И. Богданов

6M126. Техника гидрогенизации угля. Murata T. «Karaku kogē, Chem. Ind. (Japan)», 1959, 10, № 9, 808—814 (японск.).—Обзор. Библ. 26 назв.

6M127. Опыты по окислению и гидрогенизации каменного угля. Татикава Сёитиро. «Никкакё гаппо, Nikkakyo gerpo», 1959, 12, № 9, 507—515 (японск.)

6M128. Графит. Sonoda Susumu. «Kogē karaku dzasshi, Kogyo kagaku zasshi, J. Chem. Soc. Japan. Industr. Chem. Sec.», 1960, 63, № 1, 30—31 (японск.).—Приведены данные о содержании в графите Gd, V, Sm, Eu, Cd, Li и Dy. Библ. 5 назв. И. Богданов

6M129. О связи теплофизических и механических свойств высокоуглеродистых полимерных материалов. Замолуев В. K., Муханова Л. H., Тайц Е. M. «Докл. АН СССР», 1960, 133, № 5, 1143—1145.—Изменения теплофиз. и механич. свойств бурого, газового угля и антрацита при прокалке от 750 до 2300° рассматриваются в связи с ростом плоских слоев углеродных атомов и изменением межсеточной упорядоченности. Д. Цикарев

6M130. Методы очистки графитных материалов. Yamaguchi Tetsuo «Kogē karaku dzasshi, Kogyo kagaku zasshi, J. Chem. Soc. Japan. Industr. Chem. Sec.», 1960, 63, № 1, 7—11 (японск.)

6M131. Исследования зернистого углерода для микрофонов. Образование и свойства полимерного углерода. Kubota Seiji. «Тансо, Carbons», 1959, 7, № 3, 92—97 (японск.; рез. англ.).—Полимерный углерод (УП) получается путем эмульсионной полимеризации смеси дивинилбензола и поливинилового спирта при 75—85° в течение 10 час. при pH среды 3—7 и скорости размешивания 300—400 об/мин. Зерна полученного полимера подвергаются затем термич. обработке 20 час. при 250° и далее при t-ре 400—900°. Термич. обработку целесообразнее вести в вакууме. Испытания полученного УП показали, что он обладает низкой гигроскопичностью и по всем характеристикам более пригоден для телефонных микрофонов, чем антрацитовый углерод. И. Богданов

6M132. Резервы промышленного использования грубчатых электрофильтров MBT-35-11. Орехов М. С. «Кокс и химия», 1960, № 6, 45—46.—Резервом увеличения эффективности улавливания в электрофильтрах

является правильное газораспределение. Для этого необходимы замена газораспределительной решетки ячейками, выложенными из кислотостойкого кирпича, поддержание силы тока и напряжения в пределах максимума. И. Богданов

6M133. Определение  $\text{SO}_2$ ,  $\text{SO}_3$  и  $\text{H}_2\text{S}$  в горючих газах. Wickert K. Die Bestimmung von  $\text{SO}_2$ ,  $\text{SO}_3$  und  $\text{H}_2\text{S}$  in Feuerungsgasen. «Brennstoff-Wärme-Kraft», 1960, 12, № 10, 449—451 (нем.; рез. франц., англ.).— $\text{SO}_2$  и  $\text{SO}_3$  определяли двумя методами. По первому методу для абсорбции применяли 20%-ный р-р NaOH, содержащий формальдегид, по второму — р-р крахмала — йод и 0,5 н. р-р NaOH, причем с последним получены более точные результаты.  $\text{H}_2\text{S}$  определялся р-ром ацетата Cd в  $\text{CH}_3\text{COOH}$ , содержащим формальдегид. И. Берляев

6M134. Использование отстоя сточных вод конвеерного завода. Scharf H. B. Decanter sludge recovery process at Sparrows Point. «Blast Furnace and Steel Plant», 1960, 48, № 5, 439—442 (англ.).—На з-де Sparrows Point (США) применяется сжигание отстоя пемольных и других отходов в топке после размола их в шаровой мельнице до 325 меш. По данным з-да стоимость расходов окупается за 3,2 года. И. Берляев

6M135. Сжигание антрацита как средство снижения дымообразования. Curtin Norman C. Burning anthracite for better efficiency and smoke abatement. «Power Engng», 1960, 64, № 6, 92—93 (англ.).—Подмешивание антрацита к каменному углю при сжигании угля в топках с нижним подводом и неподвижной плитой при недостаточной высоте топочной камеры позволяет уничтожить сажеобразование и устранить загрязнение сажей поверхности нагрева с одновременным снижением дымообразования. Б. Мокршанский

6M136. Определение теплотворности угольных смесей в калориметрической бомбе. Кита Нобуки, Фуэса Йоситоси. «Тондзо гидзюцу кэнкыо сирё, J. Railway Engng Res.», 1959, 16, № 9, 455—456 (японск.)

6M137. Автоматический контроль при помощи высокоскоростной хроматографии. Новый прибор для контроля работы фракционирующих колонн и абсорберов. Fourgoux M. M., Karasek F. M., Wightman R. E. Automatic control with high-speed chromatography. New control instrument suited for fractional and absorber control. «Oil and Gas J.», 1960, 58, № 12, 96—99 (англ.).—Некоторые изменения, внесенные в конструкцию обычных хроматографич. анализаторов (пневматич. клапаны, смесительные колонки, детектор), позволяют производить четкое разделение смесей метана, этана, пропана, изобутана и n-бутана в течение 50 сек. в присутствии пентана и более тяжелых углеводородов. Определение отдельных компонентов (этан в пропане) производится за 20 сек. Прибор особенно удобен для непрерывного контроля работы установок депранизации конденсатного бензина и фурфурольных абсорберов в процессе извлечения бутана. А. Шахов

6M138. Экспресс-метод определения зольности угля по рассеянному  $\beta$ -излучению. Горбатов Н. B., Борухович Г. З., Пархоменко В. B., Чашников А. B. «Заводск. лаборатория», 1960, 26, № 9, 1094—1096.—Исследована зависимость интенсивности рассеянного  $\beta$ -излучения  $\text{Ti}^{204}$  и  $\text{Sr}^{90}$  от содержания зольных примесей в углях с целью разработки экспресс-метода определения зольности. Измерения производились с помощью дифференциальной ионизационной камеры и прибора типа «Кактус». Установлено, что характер зависимости интенсивности рассеянного  $\beta$ -излучения от содержания зольных примесей в аналитич. пробах позволяет определять зольность концентрата со средней ошибкой 0,25% по золе, а рядового угля 0,7% (для  $\text{Sr}^{90}$ ) и 1% (для  $\text{Ti}^{204}$ ) по золе. И. Богданов

Влажность...  
...оказыва...  
...тельность...  
6M139.

6M140.

в обратном...  
...тания», 19...  
...графич. оп...  
...газе, опрот...  
...ключается...  
...ем и пол...  
...лены фел...  
...картном р...  
...внесенного...  
...тельность...  
...нафталина

6M141.

кипильниц...  
...гу, Kojij...  
...и, № 10, ...  
...6M142.

...и, А. м с...  
...и химия»...  
...факторов...  
...оптималь...  
...ооигител...  
...чески вед...  
...ния. Коэ...  
...тов горел...  
...ицей сис...  
...дается...  
...действи...  
...регенерат...  
...ные стен...  
...иной тру...

6M143.

...влажность...  
...Journées...  
...25—27 ju...  
...Paris, 19...  
...конферен...  
...зия, исп...  
...абсорбци...  
...фия и м...  
...4. Метод...  
...термалов...  
...5. Вопрос...  
...6M144.

Stott...  
Gas. Eng...  
технолог...  
...ательны...  
...мы расп...

6M145.

Riese...  
London, ...  
(англ.)

6M146.

обмена...  
...нанд. то...  
...6M147...  
...углевод...  
...ле Ю. ...  
...Таллин...

6M148.

ральны...  
berg

Влажность проб угля в пределах 0—5% практически не оказывает влияния на результаты измерения. Длительность определения  $\leq 1$  мин. М. Х. Богданов

6M139. Применение газовой хроматографии при анализе каменноугольной смолы. Takeuchi Tsugio. «Coal Tar», 1959, 11, № 12, 752—760 (японск.).—Обзор. Библ. 27 назв.

6M140. Полярографическое определение нафталина в обратном коксовом газе. Поздеева А. Г. «Кокс и химия», 1960, № 9, 42—43.—Описана методика полярографич. определения нафталина в обратном коксовом газе, опробованная на ряде коксохим. з-дов. Метод заключается в улавливании нафталина из газа р-рителем и полярографировании полученного р-ра. Приведены ф-лы для расчета конц-ии нафталина в стандартном р-ре, определения объема р-рителя, кол-ва внесенного со стандартным р-ром нафталина и содержания нафталина в газе. Дана таблица определения нафталина в обратном коксовом газе на заводах.

В. Ермолова

6M141. Анализ методом хроматографии высококипящих пикелиновых фракций. Funasaka Wataru, Kojima Tsugio. «Kory taru, Coal Tar», 1959, 11, № 10, 618—622 (японск.)

6M142. Выбор места отбора проб продуктов горения. Амстиславский Д. М., Чайка И. И. «Кокс и химия», 1960, № 9, 21—24.—Одним из решающих факторов в обогреве коксовых печей является подбор оптимального коэф. избытка воздуха для сгорания отопительного газа. Контроль кол-ва воздуха практически ведется путем анализа состава продуктов горения. Коэф. избытка воздуха, а также анализ продуктов горения, отобранных из газовых подовых каналов печей систем ППР и ПК, несколько различны. Предлагается отбор проб для анализа, с целью получения действительных значений  $\alpha$ , производить из газков регенераторов, так как подсосы через разделительные стенки гораздо меньше, и осуществлять его кварцевой трубкой длиной 1200 мм.

В. Ермолова

6M143. Международная конференция по вопросам влажности и осушки газов в Париже в июне 1959 г. Journées internationales des gaz et matériaux humides. 25—27 juin 1959 (Inst. franç. combustibles et l'énergie). Paris, 1960, 545 p., ill., carte (франц.).—Доклады на конференции распределены по 6 разделам. 1. Диффузия, испарение и конденсация в газах. 2. Диффузия, абсорбция и десорбция в твердых телах. 3. Номография и методы графич. записи влажности воздуха. 4. Методы измерения влажности газов и твердых материалов. 5. Аппаратура для осушки и контроля. 6. Вопросы прикладного характера.

И. Богданов

6M144. Производство газа на острове Грейн. Stott C. Gasification at the Isle of Grain. Publ. Instn Gas. Engrs, 1960, № 568, 55 pp., ill. (англ.).—Описание технологии произ-ва газа, методов его очистки, измерительного и вспомогательного оборудования и системы распределения газа.

Б. Мокршанский

6M145. Очистка газов. Kohl Arthur Lionel, Riesenfeld Fred C. Gas purification. «New York»—London, McGraw Hill Book Co., 1960, xi, 556 pp., ill. (англ.)

6M146. Исследование внутреннего тепло- и влагообмена в торфя. Гамаюнов Н. И. Автореф. дисс. канд. техн. н., Калининск. торф. ин-т, М., 1960

6M147. Получение легких газовых непредельных углеводородов путем пиролиза сланцевой смолы. Лиде Ю. Э. Автореф. дисс. канд. техн. н., АН ЭстССР, Таллин, 1960

6M148. Метод и аппарат для обогащения минеральных веществ в тяжелых жидкостях. Teutenberg Rudolf. Verfahren und Vorrichtung zum Auf-

bereiten von Mineralien, insbesondere Steinkohle, in Schwerflüssigkeit. [Schüchtermann & Kremer-Baum A.-G. für Aufbereitung]. Пат. ФРГ 971643, 5.03.59.—Доп. к пат. 944121 (РГХИм, 1957, № 12, 43(82)) характеризуется тем, что обогащаемый в центрифуге материал, взвешенный в потоке транспортирующей жидкости, подводится к вращающемуся полю тяжелой жидкости тангенциально к наружной окружности сосуда в направлении вращения поля и в его плоскости, а затем, пройдя возможно большую часть окружности, также тангенциально выходит из аппарата. Одновременно в осевом направлении сосуда через полый вал подается промывочная жидкость, напр. вода, поступающая в центральную часть вращающегося поля, откуда она уносит с собой легкие частицы. Скорость транспортирующей жидкости при поступлении в область вращающегося поля тяжелой жидкости может быть примерно равной окружной скорости этого поля.

Б. Мокршанский

6M149. Способ разделения фенолов путем селективной экстракции на основе различной кислотности. Kubička Rudolf. Způsob dělení fenolů selektivní extrakcí na základě jejich rozdílné kyselosti. Чехосл. пат. 86908, 15.08.57.—Смесь фенолов (Ф) растворяют в водн. р-ре NaOH с конц-ией 2—30%, лучше всего 8%, таким образом, чтобы в феноляты перешла только часть Ф, а несвязанные Ф извлекают органич. р-рителями. Разделение проводят при 0—90°. Способ дает возможность оперировать с высокими конц-иями разделяемых Ф и применим на предприятиях, получающих Ф щел. методом. Пример. 211,5 г крезолятов, полученных добавкой 145,3 г 8%-ного р-ра NaOH к смеси 33,1 г м-крезола (I) и 33,1 г п-крезола (II), экстрагировали при 20° 800 мл обезфеноленной фракции 70—225° каменноугольной смолы, содержащей (в %): ароматич. углеводородов 22,2; олефиновых 13,8; нафеновых 29,4; парафиновых 34,6. Из верхнего углеводородного слоя выделено 28,5 г смеси Ф состава (в %): I 46,5 и II 49,9. Из водн. р-ра после подкисления получено 32,6 г смеси Ф, содержавшей I 53,3 и II 44,9%.

З. Рачинский

6M150. Очистка нафталина. Kemp Woodrow E., Charlton Francis R., Waldron Margaret J. Purification of naphthalene. [Koppers Co., Inc. a corporation of Delaware]. Пат. США 2916533, 8.12.59.—Очистка сырого нафталина из высокотемпературной смолы от примесей тионафена и метилкумарона (т. пл. > 74°) производится путем контакта сырого нафталина в паровой фазе при 450—850° в течение 0,1 сек.—1,0 мин. с катализатором, содержащим 5—25% окисла металла VI группы и 95—75%  $Al_2O_3$ . Для уменьшения отложений на катализаторе С добавляют щел. металлы (KOH). Тионафены и метилкумарон превращаются в продукты более низкого мол. веса и отделяются при последующей перегонке нафталина.

Д. Цикарев

6M151. Способ и устройство для получения и очистки кристаллической массы из органических жидкостей, нагретых выше точки помутнения. Schweym Erich, Geller Julius. Verfahren und Vorrichtung zur Erzeugung und Reinigung von Kristallgut aus kristallbildenden, oberhalb ihres Klarpunktes erhitzten, organischen Flüssigkeiten. [Rütgerswerke A.-G.]. Пат. ФРГ 972539, 13.08.59.—Способ заключается в распылении нагретой более т-ры кристаллизации кристаллизующейся жидкости внутри фильтрующей центрифуги и одновременном вводе в область распыления также тонкораспределенного разбавляющего и соответственно растворяющего средства, действующего в качестве охлаждающего агента. Пример. Нафталиновая фракция с т. заст. 73° подавалась форсункой при 100° в фильтрующую центрифугу при 3000 об/мин. В область распыления этой фракции одновременно подавался форсункой метанол в отношении к распыленной наф-



талиновой фракции 2:1 при нормальной т-ре. По заполнении центрифуги кристаллич. массой, последняя отжимается центрифугированием при 5500 об/мин и выгружается из аппарата. При этом получают нафталин с т. пл. 79°.

Н. Гаврилов

**6M152. Способ гидрогенизации многоатомных фенолов и продуктов их полимеризации.** Svaigl Oldřich, Kubička Rudolf. Způsob hydrogenace vícemocných fenolů a jejich polymerovaných produktů. Чехосл. пат. 91962, 15.10.59.—Многоатомные фенолы смешиваются с углеводородами или кислородными соединениями, предпочтительно маслами, образующимися при гидрогенизации смол и нефтей, в отношении 4:1 до 1:4, и подвергаются гидрогенизации при давл. 200—400 ат и т-ре 400—500° в присутствии высокодиспергированных катализаторов, применяемых для гидрогенизации смол в жидкой фазе.

Я. Сатуновский

**6M153. Способ и аппаратура для извлечения аммиака из коксового газа.** Procédé et installation de récupération de l'ammoniac d'un gaz et en particulier d'un gaz de four à coke. [Soc. Métallurgique de Normandie]. Франц. пат. 1204416, 26.01.60.—Для извлечения  $\text{NH}_3$  коксовый газ направляется в низ scrubбера, орошаемого насыщ. р-ром  $\text{NH}_4\text{HCO}_3$ . Выходящий из низа scrubбера р-р, содержащий  $\text{NH}_3$ ,  $(\text{NH}_4)_2\text{CO}_3$  и  $\text{NH}_4\text{HCO}_3$ , поступает во второй scrubбер для контактирования с  $\text{CO}_2$ ; в результате этой обработки р-р становится пересыщенным относительно бикарбоната, который выпадает и удаляется, как целевой продукт, а насыщ. р-р возвращается в первый scrubбер.

С. Розенфельд

**6M154. Способ разделения коксового газа методом глубокого охлаждения.** Vinš Luděk. Způsob dělení koksárenského plynu metodou hlubokého chlazení. Чехосл. пат. 92028, 15.10.59.—Предложен способ разделения коксового газа методом глубокого охлаждения, отличающийся тем, что в качестве холодильных агентов при каскадном охлаждении наряду с  $\text{NH}_3$  и  $\text{N}_2$  применяют содержащиеся в коксовом газе  $\text{C}_2\text{H}_4$  и  $\text{C}_2\text{H}_6$ . Как коксовый газ, так и этиленовая фракция после отделения в жидком состоянии подвергаются разделению в одной и той же установке.

Я. Сатуновский

**6M155. Способ извлечения индола.** Anderson John R., Peck David W. Indole recovery process. [Union Carbide Corp.]. Пат. США 2916496, 8.12.59.—Содержащее индол (I) и ароматич. соединения углеводородное масло экстрагируют эфиром угольной к-ты и полученный экстракт обогащают I путем последовательного экстрагирования селективными р-рителями. Пример. Легкое нейтр. масло с т. кип. 400—260°, полученное при гидрогенизации угля и содержащее ~1% I и ~1% фенолов, экстрагировали этиленкарбонатом при отношении р-рителя к сырью 1—2,5:1 в 12-ступенчатой колонне с внутренним diam. 50,8 мм. Полученный экстракт снова экстрагировали n-гептаном при отношении его к сырью 2:1. Рафинат 2-й экстракции экстрагировали изопропиловым эфиром в отношении 1:1. Из экстракта 3-й экстракции отгоняли эфир и промывали его водн. р-ром NaOH для удаления остатков карбоната и фенолов. Конечный продукт представлял собой смесь ароматич. углеводородов, содержащую 32 вес.% I.

А. Шахов

**6M156. Способ получения 99%-ного дурола путем пропускания инертным газом сырого дурола, отмытого растворителем до чистоты 90—98%.** Walker Russell W. Process for producing durenol of at least ninety-nine percent purity comprising passing inert gas through a durenol cake after solvent washing said cake to ninety to ninety-eight percent purity. [Sinclair Refining Co.]. Пат. США 2914583, 24.11.59.—Фракция ароматич. углеводородов, содержащая дурол (II), с т. кип. 177—218° охлаждается до кристаллизации I.

Кристаллы I отделяются, промываются неароматич. органич. р-рителем (изопропанол, метанол, изопентан) до содержания 90—98 вес.% I; р-ритель отделяется, а через кристаллы I для очистки его от примесей пропускается инертный газ (воздух) в течение времени, необходимого для получения I со степенью чистоты 99%.

Д. Цикарев

**6M157. Усовершенствования конструкции стенок коксовых печей.** Perfectionnements dans la construction des pieds droits de fours à coke. [Cie Générale de Construction de Fours]. Франц. пат. 1204761, 28.01.60.—Для обеспечения прочности и непроницаемости стенок коксовых печей в условиях эксплуатации предложен способ кладки с применением 6 типов фасонных кирпичей и приведены чертежи кладки.

Б. Мокришанский

**6M158. Способ и аппаратура для переработки пылевидных или зернистых, в том числе углеродистых материалов.** Schuller Pierre-Nicolas. Procédé de traitement de matières pulvérulentes ou granuleuses et notamment de produits carbonifères et dispositif permettant la mise en oeuvre de ce procédé. [Houillères du Bassin de Lorraine]. Франц. пат. 1209260, 1.03.60.—Предметом патента является способ переработки главным образом, хотя и не исключительно, углей, лигнитов и сланцев коксованием в пылевидном, зернистом или агломерированном состоянии. Обрабатываемый материал, совершая лавирующее движение в камере, находящейся вокруг горизонтальный или слегка наклонной оси, перемещается за счет силы тяжести от места входа в камеру к выходу из нее. Аппарат для осуществления этого процесса представляет собой герметизированную камеру, укрепленную на каркасе, приводимом в качающееся движение. Генератор колебаний может создавать движение камеры с переменной амплитудой и с остановками и постепенным замедлением к концу процесса. Обогрев камеры может производиться непосредственным соприкосновением материала с дымовыми газами, нагретом через стенки камеры, либо при помощи электронагревателей. Аппарат может применяться также для сушки и перемешивания как твердых, так и жидких материалов.

Б. Мокришанский

**6M159. Использование низкотемпературных смол.** McNamara James H. Utilization of low-temperature tars. [Aluminium Co. of America]. Пат. США 2916432, 8.12.59.—Низкотемпературная смола после отгонки фенольных фракций крекируется на движущейся коксовой насадке, нагретой до 700—900°; при этом образуется газ, термолитич. смола и электролитич. кокс. Соотношение кокса к сырью 6—10:1. Из конденсата смолы путем дистилляции выделяют агломерированную смолу и пек; пек используется в качестве связующего углеродных материалов в производстве электродного кокса.

Д. Цикарев

**6M160. Способ очистки продуктов химической переработки угля от оснований и тиофенолов.** Važaný Vladimír, Kochloefl Karel, Kraus Miloš. Způsob čištění produktů chemického zpracování uhlí od basi a thiofenolů. Чехосл. пат. 91880, 15.09.59.—Предложен способ очистки от оснований и тиофенолов (ТФ) продуктов переработки углей, напр. полукоксования, гидрогенизации и пр. Очищаемые продукты в паровой фазе пропускаются через кислотную очистную массу, представляющую собой, напр., искусств. или естественные алюмосиликаты. При этом основания и ТФ связываются очистной массой или разлагаются, а фенолы практически не изменяются. Пример. Смесь м- и п-крезолов (35% м-крезола, содержащая 0,28% оснований (преимущественно пиридин) и 0,9% ТФ, пропускалась через 50 мл синтетич. алюмосиликата (11%  $\text{Al}_2\text{O}_3$ ) при 350° и нормальном давлении со скоростью 1,2 кг/час на 1 л объема камеры. После пропускания 400 мл смеси очистная масса была регенерирована в токе воздуха при 500°. В продукте не было

обнаружены

лостности

6M161

рода и

ваного

a zařizení

pro výrobu

92045, 1

руемого

весу ген

посудать

время в

димом д

углеродо

да горят

для бы

следую

дат миз

ричный

KB сво

его про

6M162

фита. I

Walte

the pro

Lid]. An

зумеж

нижен

их пов

и обра

После

криста

тате че

поверх

6M16

зов. Р

Nation

27.01.60

рекоме

досите

тернал

обяжи

или по

бегт м

в газе

ния р

См.

пземы

лаемы

ископ

6M196

6M1350

ПЕИ

МО

6M1

ленно

в обл

вуз. с

1960,

6M1

блени

logica

№ 3.

топли

зоре

неароматич.  
изопентади  
делается, а  
тесей пропу  
времени, пе  
истоты 99%,  
Д. Цикарев  
кция стен  
la construc  
rale de Con  
0.01.60.—Д  
и стен по  
дложен сло  
ных карбо  
кошанский  
работки ш  
леродисты  
a.s. Procédé  
granuleuses  
spositif per  
ouillères du  
3.60.—Пред  
ки главным  
лигнитов и  
истом или  
мый мате  
камере, на  
тка наклон  
ти от места  
т для осу  
бой герме  
ркесе, при  
тор колебе  
переменно  
м замедле  
жет произ  
матем  
стенки паз  
й. Аппарат  
еремешив  
лов.  
крипанский  
рных смол.  
во-темпера  
Пат. США  
а после от  
на движу  
—900°; при  
электрод—  
10:1. Но  
деляют аро  
уется в ка  
в произв  
Д. Цикарев  
ческой пе  
r. Bažani  
s Miloš  
ání uhlí od  
9.—Предло  
олов (ТФ)  
токсования  
в паровой  
ую массу,  
или естес  
ния и ТФ  
отся, а фе  
Смесь  
щая 0,28%  
0,9% ТФ,  
моксидката  
ии со сло  
После пре  
ла регене  
те не был

обнаружено оснований и ТФ. После ряда циклов кислотность очистительной массы не изменилась.

Я. Сатуновский

6M161. Способ и устройство для выжигания углерода в карбюраторах при производстве карбюрированного водяного газа. Wagner Othmar. Způsob a zařízení k odstraňování zbytků uhlíku z karburátorů pro výrobu karburowaného vodního plynu. Чехосл. пат. 62045, 15.10.59.—Предложено в течение точно регулируемого периода горячего хода газогенератора (Г) весь генераторный газ или его большую часть пропускать мимо карбюратора (КБ), в который в это время вводится вторичный воздух в кол-ве, необходимом для полного выжигания отложившегося в нем углерода. По варианту патента в течение 1-го периода горячего хода Г весь газ из Г проходит через КБ для быстрого понижения в нем т-ры, а в течение следующего периода часть генераторного газа проходит мимо КБ, в который в это время вводится вторичный воздух для выжигания углерода; затем через КБ снова пропускается весь генераторный газ для его продувки. Дана схема.

Я. Сатуновский

6M162. Усовершенствования в производстве графита. Davidson Hugh Wilson, Ryde John Walter. Improvements in or relating to processes for the production of graphite. [The General Electric Co. Ltd.] Англ. пат. 830662, 16.03.60.—Для получения используемых в атомных реакторах изделий из графита со сниженной проницаемостью для газов и жидкостей их поверхность нагревают индукционно до 200—500° и обрабатывают парами карбонила Ni в смеси с H<sub>2</sub>. После отложения на поверхности изделий слоя мелкокристаллич. Ni их нагревают до 1200—1400°, в результате чего Ni расплавляется, покрывает тонким слоем поверхность изделия и делает ее непроницаемой.

А. Шахов

6M163. Способ обессеривания промышленных газов. Procédé de désulfuration des gaz industriels [Soc. Nationale des Péroles d'Aquitaine]. Франц. пат. 1204569, 27.01.60.—При очистке промышленных газов от SO<sub>2</sub> рекомендуется применять MnO<sub>2</sub> на инертном пористом носителе, напр. пемзе, Al<sub>2</sub>O<sub>3</sub>, силикагеле. Пористый материал пропитывают р-рами MnSO<sub>4</sub> или Mn(NO<sub>3</sub>)<sub>2</sub> и обжигают. Процесс очистки ведется в стационарном или псевдооживленном слое при т-ре 100—400°. Абсорбент может применяться в смеси с окисями Fe, если в газе содержится также и H<sub>2</sub>S. Масса после истощения регенерируется обжигом при 850—1100°.

С. Розенфельд

См. также: Происхождение твердых горючих ископаемых 6Г94. Хим. переработка твердых горючих ископаемых 6Л119, 6Л121, 6А42. Горение твердых горючих ископаемых 6Б507. КИП на коксохим. установках 6И96. Коррозия 6И170. Техника безопасности 6И356, 6И359, 6И360

## ПЕРЕРАБОТКА ПРИРОДНЫХ ГАЗОВ И НЕФТИ. МОТОРНОЕ И РАКЕТНОЕ ТОПЛИВО. СМАЗКИ

Редактор М. О. Хайкин

6M164. Современное состояние нефтяной промышленности и задачи научно-исследовательской работы в области химии нефти. Федоров В. С. «Сб. тр. Междуз. совещания по химии нефти, 1956». М., Моск. ун-т, 1960, 5—24

6M165. Топливо и энергия. Технологические проблемы. Hutchison W. K. Fuel and power: a technological approach. «Trans. Instn Chem. Engrs», 1960, 38, № 3, 100—106 (англ.).—Освещена государственная топливная политика Англии. В кратком историч. обзоре показано, что к настоящему времени после топ-

ливного кризиса 1946—1947 гг. роль угля в топливном балансе страны ослаблена наряду с ростом импорта нефти и широким развитием строительства нефтезаводов, причем будущее развитие применения угля зависит от успешности превращения его во вторичные виды топлива, более удобные для использования. Приведены показатели эффективности современных крупных нефтезаводов при годовой мощности 5 млн. т и сопоставлены с тепловым к.п.д. ТЭЦ, а также к.п.д. процесса газификации угля по методу Лурги. Приведен график сравнительной стоимости транспорта пропанбутановой смеси и газа, а также подачи электроэнергии.

Б. Мокришанский

6M166. Изотопы в нефтяной промышленности. Guinn Vincent P. Isotopes in the petroleum industry. «Nucl. Energy», 1960, Sept., 438—439 (англ.).—Обзор современного состояния в области применения радиоактивных изотопов в н.и. работах и в процессах нефтепереработки. Библи. 38 назв. И. Берлин

6M167. Применение числовых систем регистрации и расчета в химической и нефтяной промышленности. Auricoste J. Utilisation des systèmes numériques d'enregistrement et de calcul dans l'industrie chimique et pétrolière. «Bull. Assoc. franç. techniciens pétrole», 1960, № 140, 311—317 (франц.; рез. англ., нем., итал.).—Описаны две полупроводниковые системы автоматич. управления для регистрации и контроля продукции на различных этапах технологич. переработки, применяемых на нефтехим. предприятиях Франции. Указанная аппаратура разработана в США, где она применяется на аналогичных предприятиях, начиная с 1954—1956 гг.

У. Андрес

6M168. Применение счетно-решающих машин на заводах фирмы Aurora Gasoline Co. Sheets R. W. How digital computer works for Aurora. «Oil and Gas J.», 1960, 58, № 19, 170—172 (англ.).—Описано применение счетно-решающих машин Bendix G-15, используемых на нефтеперерабатывающих з-дах в Детройте и Маскегоне (США) для контроля материальных балансов, регулирования процессов алкилирования, полимеризации и др.

И. Руденская

6M169. Нефтеперерабатывающая промышленность Канады. Vermeij C. De canadese petroleum-industrie. «Schip en werf», 1960, 27, № 20, 569—570, 591 (гол.).

6M170. Развитие нефтепереработки во Франции с 1950 г. Laurent Pierre A. Evolution du raffinage en France depuis 1950. «Rev. franç. énergie», 1960, 11, № 117, 217—227 (франц.).—Краткий обзор развития нефтеперерабатывающей пром-сти во Франции с 1950 по 1959 г. Производительность за этот период увеличилась более чем вдвое, улучшилось качество нефтепродуктов. Благодаря развитию катализич. риформинга октановые числа бензинов повысились с 70 до 86 и с 82 до 95—100 (по исследовательскому методу); содержание серы в моторных бензинах и коммунальных топливах снизилось с 1,3 до 1%. Улучшились качества смазочных масел за счет добавления присадок. Значительное развитие получило произ-во олефинов (бутиленов, пропилена, этилена) для нефтехим. пром-сти. Производительность нефтеперерабатывающих з-дов во Франции повысилась с 625 000 т/г в 1939 г. до 2 090 000 т/г в 1955 г. и 2 700 000 т/г в 1959 г., число з-дов возросло с 13 до 14.

Г. Марголина

6M171. Новый нефтеперерабатывающий завод в Дуйсбурге (ФРГ). Kimmerle Herbert J. Das neue Werk der Purfina Mineralölraffinerie Aktiengesellschaft in Duisburg. «Erdöl und Kohle», 1960, 13, № 8, 561—563 (нем.).—Описание нефтеперерабатывающего з-да акционерного общества «Пурфина» (складское хозяйство, погрузочно-разгрузочные средства, пути обеспечения з-да сырьем, водой, энергией, а также мероприятия по очистке сточных вод и воздуха). В. Щекин

6M172. Нефтеперерабатывающий завод в Эскомбре-рас (Испания).— La refinería de petróleos de Escomb-

geras, «Dyna», 1960, 35, № 8, 295—300 (исп.).—Описание построенного в 1949 г. нефтеперерабатывающего з-да в Эскомберас, производительностью по сыру 4 млн. т/год. В. Шекин

6M173. Нефтеперерабатывающий завод фирмы BP Benzol und Petroleum A-G в Руэре (ФРГ). Nadelmann Heinz. Die BP — Ruhr — Raffinerie. «Erdöl und Kohle», 1960, 13, № 10, 749—752 (нем.)

6M174. Нефтеперерабатывающий завод фирмы British Petroleum Co. в Руэре (ФРГ). Hill E. R. The BP Ruhr refinery. «Petrol. Times», 1960, 64, № 1649, 717—722 (англ.)

6M175. Нефтеперерабатывающий завод в Бордо (Франция). Desjazeur D. La raffinerie de Bordeaux. «Giraud-Bull. Assoc. franc. techniciens petrole», 1960, № 142, 659—677 (франц.; рез. англ., нем., итал.)

6M176. Строительство нефтеперерабатывающего завода Австрийской нефтяной компании в Швехате. Orlicek A. Raffinerieneubau der Österreichischen Mineralölverwaltung AG. in Schwechat. «Österr. Ingr.-Zs.», 1960, 3, № 6, 189—195 (нем.).—На новом нефтеперерабатывающем з-де сырую нефть вначале подвергают перегонке, затем легкую фракцию направляют на каталитич. крекинг, более тяжелые фракции от вакуумной перегонки служат для произ-ва смазочных масел. Последние подвергают очистке и депарафинизации селективными р-рентами. Для улучшения качества светлых продуктов применяют процессы каталитич. реформинга, гидрофайнинга, платформинга. Заводские газы используют, как сырье для нефтехим. промышленности. Г. Марголина

6M177. Новый нефтеперерабатывающий завод в Швехате (Австрия) как источник сырья для нефтехимической промышленности. Orlicek A. F. Die neue Raffinerie in Schwechat als eine Rohstoffquelle für die Petrochemie. «Österr. Chem.-Ztg.», 1960, 61, № 8, 213—217 (нем.).—См. реф. 6M176.

6M178. Нефтехимия в США. Shepard D. A. La pétrochimie aux États-Unis. «Chimie et industries», 1960, 84, № 4, 461—470 (франц.)

6M179. Развитие нефтехимии в Западной Европе. Часть 1. Holzrichter Hermann, Krönig Walter. Die Entwicklung der Petrochemie in Westeuropa. Teil 1. «Nederl. chem. ind.», 1960, 2, № 16, 273—277 (нем.).—Рассматриваются источники и пути получения сырья для нефтехим. синтеза. В. Шекин

6M180. Современное состояние нефтехимической промышленности Японии. Yoshida Masaki. Present status of the petrochemical industry. «Bull. Japan Petrol. Inst.», 1960, 2, 117—121 (англ.).—Кратко рассмотрены основные направления и перспективы развития нефтехим. пром-сти Японии. В. Шекин

6M181. Состояние и перспективы развития нефтехимической промышленности Великобритании. Кирьянова З. В. «Химия и технол. топлив и масел», 1960, № 9, 68—71

6M182. Подготовка эмульсионной нефти к переработке.—Шию лянчжи, Shiyou lianzhi, 1959, № 22, 23—24 (кит.).—Описание процесса подготовки к переработке эмульсионной нефти с высоким содержанием воды (50—60%) и механич. примесей. Нефть дезмульгируют путем нагрева паром до 98—100° и затем фильтруют под давлением в горячем состоянии. А. Зонянт

6M183. Разогрев вязких нефтепродуктов струйным смешением. Киршенбаум Я. С. «Нефтяник», 1960, № 9, 15—16.—На Одесском нефтеперерабатывающем з-де испытан способ струйного разогрева вязкого мазута. Мазут из резервуара насосом низкого давления перекачивается через теплообменник типа «Бакинский рабочий» с поверхностью нагрева 56 м<sup>2</sup>, а затем насосом высокого давления подается через сопло снова в резервуар со скоростью 40—60 м/сек. Для интенсивного перемешивания разработана конструкция сопла,

позволяющая произвести замену его и в случае засорения прочистку при помощи иглы. При струйном методе с начальной т-рой греющего мазута 100—110° и давления перед соплом 10—20 кг/см<sup>2</sup>, разогрев с 15—20° до 80—82° потребовал времени в 9—14 раз меньше (в зависимости от давления), чем при работе эмульсионного подогревателя. Уд. расход тепла при струйном разогреве сокращается в 2,1—2,4 раза по сравнению со смесевым. И. Руденский

6M184. Новая система дозирования потоков, обеспечивающая непрерывное смешение нефтепродуктов в трубопроводах.—New digital system permits continuous in-line stock blending. «Oil and Gas J.», 1960, 58, № 29, 104—106 (англ.).—Описана система контрольно-измерительных приборов для дозирования и смешения в трубопроводах потоков нефтепродуктов. Система дает точность при смешении  $\pm 0,5$  об. % и предотвращает выпуск смесей некондиционного качества. А. Равилов

6M185. О реакциях углеводородов в металлических расплавах. Сообщение I. Ускорение и торможение крекинга *n*-гептана в расплавленном алюминии и натрии. Топчиев А. В., Паушкин Я. М., Неприхина А. В., Ананьев П. Г., Дмитриевский Н. Н. «Изв. АН СССР. Отд. хим. н.», 1960, № 10, 1838—1843.—Найдено, что пирогенетич. превращение *n*-C<sub>7</sub>H<sub>16</sub> в расплавленных Al и Na протекает по-разному. Al углубляет термич. распад *n*-C<sub>7</sub>H<sub>16</sub>, причем конверсия при контакте с ним почти вдвое больше, чем при термич. пиролизе (97 и 57%); Na тормозит термич. превращение *n*-C<sub>7</sub>H<sub>16</sub>; конверсия при 600—800° достигает всего 5—6%. Газ, полученный при пиролизе *n*-C<sub>7</sub>H<sub>16</sub> в расплавленном Al, содержит 40—44% олефинов и 12,22% H<sub>2</sub>, а при пиролизе в расплавленном Na образуется 75—85% H<sub>2</sub> и практически не получается олефинов. И. Берлин

6M186. Реакции между керосином и водяным паром на многокомпонентном катализаторе. Yamamoto Ken-ichi, Morita Yoshiro, Kawakami Ryosaku, Ozawa Toru. «Korô karaku dassai. Kogyo kagaku zasshi. J. Chem. Soc. Japan, Industr. Chem. Sec.», 1960, 63, № 8, 1372—1376, A 76 (японск.; рез. англ.).—Исследовано превращение керосина на составном катализаторе, содержащем 10% NiO, 10% V<sub>2</sub>O<sub>5</sub>, 80% Al<sub>2</sub>O<sub>3</sub> в оптимальных условиях: объемная скорость 0,5—1, отношение H<sub>2</sub>O:керосин 1—2, т-ра > 850°. Показано, что в зоне предварительного нагрева керосин подвергается термич. крекингу, за которым следует р-ция с паром на катализаторе. И. Берлин

6M187. Технологические проблемы в области химической переработки нефти. Könnicke Hans-Günther. Verfahrenstechnische Probleme der Petrochemie. «Freiberger Forschungsh.», 1960, A, № 164, 11—12 (нем.).—Рассматриваются различные системы термич. и каталитич. крекинга нефтяного сырья. В. Шекин

6M188. Термическое и каталитическое разложение углеводородов. De Rosset A. J., Berger C. V. Thermal and catalytic decomposition of hydrocarbons. «Industr. and Engng Chem.», 1960, 52, № 8, 711—716 (англ.).—Обзор. Библ. 100 назв.

6M189. Перспективы промышленного использования радиационно-термического крекинга нормальных углеводородов. Топчиев А. В., Полак Л. С., Черняк Н. Я., Глушнев В. Е., Верещинский И. В., Глазунов П. Я. «Large Radiat. Sources. Ind. Vol. 2», Vienna, 1960, 131—137. Discuss., 137—138 (рез. англ., франц., исп.).—Показано, что в радиационном термич. крекинге (РТК) излучение создает центры, инициирующие р-ция, а т-ра (на 200—300° ниже нормальных т-р термич. крекинга) снимает активационные барьеры, препятствующие развитию цепи. При соответствующем выборе мощности дозы, интервала дозы и

т-ры можн  
выхода не  
цесса РТК  
CH<sub>4</sub> и др.  
при соот  
в течение  
лекул на  
составе ц  
ные прои  
зоне обл  
радиацион  
указанны  
ходного  
РТК сме  
крекинга,  
но возмо

6M190.  
Folk in  
look at th  
№ 23, 12  
новки из  
новая ха  
зованны

6M191.  
углеводо  
Н. И. Г  
бенты».

опыты с  
(II), «д  
сью окт  
нения в  
ленным  
лизатор  
1—3 мм  
скорост  
ствлен  
опке в  
торе (7  
аломос  
ние газ  
мосили  
ния I о  
агентов  
правлен  
распре  
опке и  
при 220  
не наб  
присут  
ризац  
назад  
нию ви  
по изо  
рилин  
собност  
снятет  
200, 25  
превра  
зависит  
активн  
мич. к  
ской о  
одного  
волим  
ный п  
вым д  
опко  
тивны  
не, а  
бензи  
годна  
худши



случае а-и струйной га 100—110° греев с 15-раз меньше те змеяв-и струйной сравнении Руденский токов, обес-епроductio-mits соиз-а J., 1901, а контро-и и сме-ктруктов. С-и % и пред-качества Равикович аллгическ-орможение-ни и п-а. Не пр-а евск-е 10, 1838-ие н-С<sub>2</sub>H<sub>4</sub> аному. Al-конверси-и при тер-мич. пре-достигает-е н-С<sub>2</sub>H<sub>4</sub> нефти по-и м. На об-аеется озе-И. Берлин-иям па-а та мо-а ка ми-асся. Ко-str. Chem-иск.; реа-на состав-0% V<sub>2</sub>O<sub>5</sub> иная сно-2, т-ри-го нагр-е за кото-И. Берлин-асти х-и На п-er Petro-№ 164, системы-рия. Шекни-ложение V. Ther-ops. «In-711—716-ользова-мальных С. Чер-й И. В. Vol. 2a, англ. термич-иници-иальны-е барье-соответ-дози и

тры можно контролировать процесс для повышения выхода непредельных соединений. В результате процесса РТК наблюдается образование заметного кол-ва СН<sub>4</sub> в других алканов низкого мол. веса. Показано, что при соответствующих условиях при облучении алкана в течение 2—4 мин. получается выход порядка 10<sup>3</sup> молекул на 100 эв. При более длительной экспозиции на составе продуктов РТК наблюдаются не только вторичные процессы, связанные с р-циями находящихся в зоне облучения продуктов РТК, но и с их защитным радиационным хим. действием. В линейной области указанные экспозиции дают 10—20% превращения исходного в-ва. С повышением т-ры состав продуктов РТК смещается в сторону состава обычного термич. крекинга. Даны предварительные подсчеты и обсуждение возможное промышленное применение РТК.

И. Руденская

6M190. Новые данные о процессе изомеризации. Folkins Hollis O., Hennig Harvey. A fresh look at the isomerate process. «Oil and Gas J.», 1960, 58, № 23, 120—123 (англ.).—Опыт работы опытной установки изомеризации фракции н-С<sub>5</sub>H<sub>12</sub> и н-С<sub>6</sub>H<sub>14</sub>. Октавоновая характеристика бензинов, содержащих изомеризованные компоненты, в рабочих условиях.

А. Равикович

6M191. Контактные превращения непредельных углеводородов на опоках Поволжья. Кувшинова Н. И., Грязев Н. Н. В сб. «Природн. минеральн. сорбенты». Киев, АН УССР, 1960, 273—282.—Проведены опыты с 2,4-диметилпентадиеном-1,3 (I), диаллилом (II), «динобутиленом» (III), смесью гетенов и смесью октенов в присутствии вольской опоки. Для сравнения в тех же условиях ставились опыты с промышленным алюмосиликатным катализатором. Оба катализатора применяли в виде кружки с диаметром зерен 1—3 мм. Опыты с I проводили при 220° и объемной скорости 0,5 в 1 час. Основная масса катализатора представлена полимерными фракциями, выход которых на опоке выше (84%), чем на промышленном катализаторе (73%). Глубина полимеризации на синтетич. алюмосиликате значительно выше, чем на опоке. Содержание газа в опытах с опокой составляло 1,5%, а с алюмосиликатом 2,2% (на сырье). В процессе превращения I опока является более избирательнодействующим агентом, чем синтетич. алюмосиликат. Основные направления ее влияния — димеризация и р-ция перераспределения водорода. Опыты с II проводились на опоке при 220° и 250°, на синтетич. алюмосиликате — при 220° объемной скорости 0,5 в час. Выделения газа не наблюдалось. Основным направлением процесса в присутствии опоки являлись изомеризация и полимеризация II. Повышение т-ры способствовало увеличению выхода полимеров от 29 до 41%. Показано, что по изомеризующему действию опока не уступает флюоридну и окиси алюминия, а по полимеризующей способности намного превосходит их и приближается к синтетич. алюмосиликату. Опыт с III проводили при 200, 250, 300, 345 и 400°. Основными направлениями превращения III является деполимеризация. Показана зависимость между характером пористости опок и их активностью в процессе очистки прецистилята термич. крекинга. Вольская опока и два образца привольской опоки, имея эффективный диаметр пор примерно одного порядка, дают одинаковое увеличение выхода полимеров по отношению к исходному бензину, равный прирост октанового числа по сравнению с таковым для прецистилята, очищенного над зикеевской опокой. Саратовская опока № 108, обладающая эффективным диаметром пор, близким к зикеевской опоке, аналогично проявляет себя и в процессе очистки бензина. Более мелкопористая опока № 1 малоприменна для парофазной очистки, давая намного худшие результаты, чем зикеевская опока.

И. Руденская

6M192. Разработка новых методов испытания механической прочности алюмосиликатного шарикового катализатора. Масагутов Р. М. «Тр. Башкирск. н.-и. ин-т по переработке нефти», 1960, вып. 3, 158—165.—Для определения прочности катализатора (КТ) при ударной нагрузке изготовлены и испытаны два прибора. Первый прибор состоит из металлич. трубки с соплом и воронкой, ударной плиты и кожуха. Воздух подают через сопло в трубку с внутренним диам. 6 мм и длиной 300 мм. Расстояние от конца направляющей трубки до стальной плиты 50 мм. Цилиндрич. кожух диам. 100 мм и длиной 300 мм имеет на своей поверхности большое кол-во отверстий диам. 1 мм для выхода воздуха. Предварительно устанавливают необходимый расход воздуха по реометру. Затем пробу КТ постепенно сыплют в воронку, так чтобы КТ поступал из воронки в направляющую трубку по одному шарiku. После прохождения через прибор всей навески прекращают подачу воздуха, вынимают ударную пластинку, высыплют смесь крошки и целых шариков через сито с отверстиями 2,5 мм. Вес КТ, оставшегося на сите после испытания, в процентах от взятой навески пробы является индексом прочности на ударную нагрузку. КТ до испытания прокалывают при 250° в течение 1 часа, длительность испытания 5 мин., кол-во пробы КТ составляет 5—10 г. Второй метод испытания прочности КТ под действием центробежной силы на приборе, предложенном Грозинии в 1951 г. Для испытания КТ в этом аппарате навеску КТ помещают на конусную тарелку, которую приводят во вращение. Под действием центробежной силы частицы КТ отбрасываются к стенкам неподвижного цилиндра, ударяются о стенку или о неподвижные лопасти и падают на вращающуюся тарелку, где под ударами подвижных лопаток снова отбрасываются к стенкам цилиндра и т. д. После испытания крошку отсеивают, кол-во КТ, оставшееся на сите в процентах на взятую навеску, является индексом прочности при испытании и по центробежному методу. Навеска КТ 50 г; перед испытанием КТ прокалывают при 250°; число оборотов мотора 1500 об/мин.

И. Руденская

6M193. Работа установок каталитического крекинга. Александрян А. П. «Нефтяник», 1960, № 11, 17—18

6M194. Кинетика деструктивной гидрогенизации гудрона ромашкинской нефти под давлением водорода 30 атм. Капобашвили Я. Р., Голосов С. А. «Ж. прикл. химии», 1960, 33, № 6, 1369—1374.—Деструктивной гидрогенизации подвергался гудрон ( $d_{420}^{20} 1,0468$ , фракций до 500° 7%, S 3,22%) в смеси с разбавляющей фракцией (т. кип. 135—235°) (в кол-ве 30 вес. ч. на 70 вес. ч. гудрона) на проточной установке с реактором емк. 0,4 л в присутствии катализаторов: 1) 14% MoO<sub>3</sub> на Al<sub>2</sub>O<sub>3</sub>; 2) 8,2% MoO<sub>3</sub> на Al<sub>2</sub>O<sub>3</sub>; 3) 11,6% NiO на Al<sub>2</sub>O<sub>3</sub>. Условия гидрогенизации: 30 атм, 430—475°, объемная скорость подачи гудрона 0,7—1,96 кг/л·час, подача H<sub>2</sub> 1000 л/кг сырья. Степень расщепления гудрона определялась по выходу фракций, выкипающих до 500°. Найдено, что расщепление и обессеривание гудрона при деструктивной гидрогенизации описывается ур-нием Фроста:  $v_0 \ln [1/(1-y)] = \alpha + \beta v_0$ , где  $v_0$  — объемная скорость подачи гудрона,  $y$  — степень превращения в долях от единицы (0,387—0,994),  $\alpha$  — константа скорости р-ции,  $\beta$  — коэф. торможения. Наиболее активным в р-циях расщепления и обессеривания оказался 2-й катализатор, наименее активным — 3-й катализатор. Вычислены кажущиеся энергии активации р-ции расщепления в присутствии каждого катализатора.

А. Равикович

6M195. Ввод в эксплуатацию установки для полимеризации. «Шию лянзхи, Shiyou lianzhi», 1960, № 5, 25—26 (кит.).—Приведена схема и краткое описание введенной в эксплуатацию на нефтеперерабатывающем з-де № 5 (КНР) установки для полимеризации.

А. Зонитар

6M196. Исследования в области синтеза и превращений углеводородов. (О деятельности лабораторий мономеров института нефтехимических процессов Академии наук Азербайджанской ССР). Мехтиев С. Д. «Азерб. хим. ж., Азерб. хим. ж.», 1960, № 2, 35—45 (рез. азерб.).—Начиная с 1950 г., лаборатория проводит обширные исследования хим. превращений углеводородов (У) нефти и природного газа с целью разработки методов получения на их основе продуктов органич. синтеза для народного хоз-ва. Изучался ряд вопросов, связанных с выяснением механизма каталитич. превращения У, галоидированием и гидрогалогидированием У, синтезом алкановых и циклановых У, нитро- и аминированием циклич. У, выделением циклановых У из бензиновых фракций, окислением У, высокоскоростным пиролизом индивидуальных У и нефтяных фракций и др. Сообщаются основные результаты проведенных работ.

А. Нагаткина

6M197. Некоторые технико-экономические проблемы в германской химической промышленности в связи с переходом производства на нефтяное сырье. Gram H. Heinrich. Ein Gegenwartsproblem der deutschen Chemiewirtschaft. Die Umstellung auf den Rohstoff Erdöl. «Erdöl und Kohle», 1960, 13, № 5, 331—340 (нем.).—Приводятся данные о мировом произ-ве хим. продуктов, в том числе из нефтяного сырья с 1950 г. по 1960 г. и плановые данные на 1965 г. Краткое описание технологии процессов нефтехим. произ-ва с получением первичных продуктов синтеза. Библ. 21 назв. С. Г.

6M198. Получение кокса с низким содержанием серы и золы из кислых гудронов и мазута. Gerassimow M. M., Rustschew D. D., Slawomir G. K. Gewinnung von Koks mit niedrigem Schwefel- und Aschengehalt aus Raffinations-Abfallsäuren und Masut. «Erdöl und Kohle», 1960, 13, № 1, 32—34 (нем.).—Проведены лабор. опыты по получению кокса из кислых гудронов (КГ) и промывных нейтрализованных. Выход кокса соответственно 12,5 и 18,8%, дистиллята 18,2 и 13,5 вес.%. Основная часть дистиллята — бензин с октановым числом 76, фракция 225—320° соответствует нормам на дизельное топливо. При коксовании 62—86% сернистых соединений переходит в газ. Кокс из КГ нельзя применять в качестве электродного, вследствие высокого содержания золы и серы (золы 8,06; 9,83%; S 1,15; 1,32 вес.%). Электродный кокс получен из смесей промывного КГ и мазута из Тюленово (золы 0,02; S 0,03%) в соотношениях от 1:10 до 1:1. Выход продуктов (в вес.%) соответственно: кокса 9—12,5; бензина с т. кип. до 200° 10—14; котельного топлива 65—72; газа и потерь 10—15. Качество кокса: зольность 0,8—4,0; S 0,5—1,5; летучих 5—12; W 0,5—0,6 вес.%. Качество дистиллята:  $d_{40}^{20}$  0,950; вязкость по Энглера 3,85°, при 50°, золы 0,005 вес.%, S 0,45 вес.%, кокса по Конрадсону 0,35 вес.%; т-ра начала кипения 135°, выкипает до 200°—12,5; до 250°—22,5; до 300°—41,2 об.%. Состав газа в об.%.: 9,5 (H<sub>2</sub>S + CO<sub>2</sub>); 1,2% O<sub>2</sub>; 4,8% N<sub>2</sub>; 6,2% C<sub>2</sub>H<sub>4</sub>; 78,3% (H<sub>2</sub> + CH<sub>4</sub> + C<sub>2</sub>H<sub>6</sub> + 2). Разработана схема промышленной установки, включающая блоки обессеривания КГ, примесивания мазута, коксования и дистилляции.

Н. Кельцев

6M199. Кинетика гидрогенизации этилена. Wanning L. A., Smith J. M. Kinetics of the hydrogenation of ethylene. «Chem. weekbl.», 1960, 56, № 19, 273—277, Discuss. 277 (англ.).—В проточном реакторе диам. 6,25 мм была изучена кинетика гидрогенизации этилена на Ni-катализаторе, нанесенном на Al<sub>2</sub>O<sub>3</sub> при давл. 1—5 атм и содержании H<sub>2</sub> в 40—90 мол.%. Измерения, проведенные при 30 и 80°, показали, что кажущаяся энергия активации составляет 11 600 ккал/г-моль. Активность катализатора при взаимодействии с этиленом падает в связи с образованием ацетиленовых остатков. Предполагаемый механизм р-ции включает в частичную адсорбцию H<sub>2</sub> на поверхности ката-

лизатора и его взаимодействия с этиленом в газовой фазе.

6M200. Установка для получения синтез-газа. «Texaco Development Corp. Коацу газу кэкайси, J. Soc. High Pressure Gas Ind.», 1960, 24, № 3, 141—144.—Кратко описаны технологич. схема получения синтез-газа газификацией нефтяного сырья по процессу Texaco Development Corp. и применяемое для этого оборудование. Приведены состав и свойства получаемого газа.

Ю. Ермаков

6M201. Методы газификации нефтяного сырья. FRG. Cronier G. Flera oljeföringsmetoder! «Svenska gasverksfören. månadsbl.», 1960, 27, № 5, 45—52 (шведск.).—Сообщается, что на газовом заводе в Вергейме на Майне в вертикальных камерных печах помещено по 4 трубы из жароупорной стали, в которые подается смесь сжиженного газа, воздуха и перегретого пара в соотношении 1:2:7, которая предварительно подогревается до 400° в теплообменниках теплом отходящего газа; трубы заполнены Ni-катализатором. Получаемый газ имеет теплоту сгорания 2350 ккал/м<sup>3</sup>, которая путем карбюризации сжиженным газом доводится до 3810 ккал/м<sup>3</sup>. Выход газа 2640 м<sup>3</sup>/т сжиженного газа. К. п. д. процесса 80—85%. В Лихтенфельсе городской газ получают из сжиженного в керамич. камерах шириной 200 мм, заполненных Ni-катализатором; обогрев камер сжиженным газом. В камеры поступает смесь сжиженного газа, воздуха и перегретого пара в соотношении 1:2:5, подогревается в теплообменниках до 500°. Газ выходит из камер при 700°. Газ получается с теплотой горения 2550 ккал/м<sup>3</sup> и карбюрируется сжиженным газом до 3880 ккал/м<sup>3</sup>. Выход газа 2610 м<sup>3</sup>/т сжиженного газа. К. п. д. 86%. Фирмой Копперс построена в Рейнпрейссен опытная установка для получения бытового газа из сжиженного газа, легкого бензина или природного газа. Процесс непрерывный, каталитич. Пиролиз смеси топлива, воздуха и водяного пара происходит в трубах из жароупорной стали, заполненных катализатором и помещенных в печи. Из легкого бензина получается газ с теплотой горения 3900 ккал/м<sup>3</sup>; выход его 2360 м<sup>3</sup>/т; к. п. д. 80%. Фирма Silamit-Indugas в Дюссельдорфе строит периодические действующие установки системы Р-3 для получения бытового газа из сжиженного газа или легкого бензина. Воздух и водяной пар, подаваемые на пиролиз и в смеси с топливом, предварительно подогреваются до 400°. Катализатор никелевый. Установки автоматизированы; импульс для переключения фаз дает т-ра катализатора. Из сжиженного газа получается газ с теплотой горения 2500 ккал/м<sup>3</sup>, который затем карбюрируется; из легкого бензина газ получается с теплотой горения 3900 ккал/м<sup>3</sup>. Выход газа, его состав и к. п. д. процесса такие же, как и при других периодич. процессах.

Н. Богданов

6M202. Об экономичности установок по производству метана. Joppich W. Grenzwinnbetrachtungen für Methangasanlagen. «Gesundh.-Ingr.», 1960, 81, № 5, 142—145 (нем.).—Сопоставляется экономичность установок по произ-ву метана биохимич. путем из различных отбросов с экономичностью других методов получения метана.

Б. Энгельс

6M203. Сероуглерод из нефтяного сырья.—CS<sub>2</sub> from liquid petroleum. «Chem. Process. (Engl.)», 1960, 6, № 9, 44—45, 65 (англ.).—Предлагаемый промышленный метод произ-ва CS<sub>2</sub> с использованием в качестве сырья котельного топлива и тяжелых нефтяных остатков, как показывают экономич. расчеты, имеет значительные преимущества по сравнению с обычным методом получения из CH<sub>4</sub>.

А. Некрасов

6M204. Теплопередача в нефтяной трубчатой печи. Thorneycroft W. T., Thring M. W. Heat transfer in a petroleum heater. «J. Inst. Fuel», 1960, 33, № 232, 214—222 (англ.).—Дан краткий обзор предше-

512(18)

вующих эксперим. работ по изучению теплопередачи в трубчатых печах. Приведены описания эксперим. печи и новой аппаратуры, примененной для определения локальных тепловых потоков, а также условия опытов, сводная таблица тепловых балансов, данные потерь через стены кладки с указанием распределения т-р по наружной поверхности печи. Размеры излучения светящегося факела дали приблизительно значения эмиссионной способности 0,6 и средней т-ры факела 1430°. Приведены гистограммы средних тепловых нагрузок на группы из четырех труб, расположенных на боковой стене и на потолке камеры. Установлено, что распределение локальных тепловых потоков по вертикальным боковым стенам при сжигании газа более равномерно, чем при сжигании нефти. Библи. 27 назв.

Б. Мокршацкий  
6M205. Насосы центробежные нефтяные малой мощности. Айзенштейн М. Д. «Хим. машиностроение», 1960, № 5, 7—9

6M206. К вопросу о механизме процессов адсорбционной очистки минеральных масел природными сорбентами. Раховская С. М., Грязев Н. Н. В сб. «Природн. минеральн. сорбенты». Киев, АН УССР, 1960, 262—272. — На основе изучения адсорбируемости индивидуальных органич. к-т и их смесей выяснялась последовательность их адсорбции из масел в условиях очистки, а также выявлялись величины «доступной» поверхности сорб., участвующей в этих процессах. Условия проведения опытов были максимально приближены к разработанным ранее режимам очистки масел местными опоками. В качестве среды использовалось тщательно очищенное силикагелем трансформаторное масло ( $n_{D20}^{20}$  1,4889,  $d_4^{20}$  0,884, мол. в. 310). Опыты адсорбции проводили при 60°. Изучали адсорбцию из масел низкомолекулярных к-т: уксусной, пропионовой, *n*- и *изо*-масляных к-т, а также салициловой, пальмитиновой и нафтеновых к-т. Конц-ию к-т в масле устанавливали титрованием 0,05 н. спиртом КОН в присутствии  $\alpha$ -нафтолфталеина. Адсорбентами служили два образца опок (№ 12 из с. Каменный Яр, Сталинградской области и № 108 из г. Сафонова). Установлена следующая последовательность сорбции в ряду изученных к-т: легче всего удаляются из низкомолекулярные жирные к-ты, затем — ароматич., высокомолекулярные к-ты жирного ряда и труднее всего нафтеновые к-ты. Последние очевидно и обуславливают некоторую величину остаточной кислотности, имеющейся даже у свежих масел. Изучение сорбции некоторых бинарных смесей показало, что известная последовательность адсорбции соблюдается при наличии двух к-т. Наиболее активной явилась опок из Каменного Яра, превосходящая зикеевскую опок. Значения кинетич. параметров показывают, что очистка турбинного масла природными сорбентами представляет собой сложный процесс; при регенерации турбинных масел природными сорбентами наряду с значительным развитием поверхностных явлений имеет место также низкотемпературный гетерог. катализ. Авторы считают, что в условиях очистки масел природными сорбентами катализ преимущественно проявляется в их полимеризующем действии на смолистые в-ва, содержащиеся в маслах. И. Руденская

6M207. Установки для обессеривания на нефтеперерабатывающем заводе Итимицу — Токуяма (Япония). Ямако Кацу, Асао Кэнъитиро, Такака Такэси. «Дорёку», Power, 1959, 9, № 51, 379—382 (японск.)

6M208. Опыт работы установки гидроочистки. Жадаоновский Н. Б. «Химия и технол. топлив и масел», 1960, № 8, 57—63. — Изложен опыт работы установки, запроектированной Гипронефтезаподом на основе технологич. показателей, полученных ВНИИ НП и ВНИИ Нефтехим. Приведено описание изменений, внесенных в схему, и режим работы, принятый на

з-де. Рекомендован следующий график работы установки (дней в году): работа 290, простой 70—75, в том числе: регенерация и прокалка катализатора 10—15, выгрузка и загрузка катализатора 10—15, капитальный ремонт 20—25, текущий ремонт 15—20, остановка установки 5, пуск установки 10.

И. Руденская  
6M209. Сопоставление пористой структуры и отбеливающей способности природных сорбентов. Быков В. Т., Залевский Н. И. «Тр. Дальневост. фил. Сиб. отд. АН СССР. Сер. хим.», 1960, вып. 4, 109—112.

В лабор. условиях изучены отбеливающие свойства некоторых природных сорбентов (ПС) Дальнего Востока по трансформаторному маслу. Смесью масла с ПС в кол-ве 10 вес. % от очищаемого продукта перемешивалась 30 мин. при 20° и затем отстаивалась в течение 2 суток. Изменение цветности масла определялось колориметром КОЛ-1М, причем одновременно изучалось влияние измельчения на процесс отбеливания масла. Установлено, что пепловый и агломератный туфы по отбеливающей способности стоят почти на одном уровне с зикеевской землей и активированным гильеби, а охинский диатомит значительно превосходит сравниваемые сорбенты. Измельчение от размеров 2—3 мм до крупности < 0,15 мм для большинства диатомитов, пепловых и агломератных туфов лишь незначительно изменяет их отбеливающую способность. Отбеливающие свойства сорбентов, не имеющих макропор, при измельчении резко повышаются, причем возрастание фактора отбеливания наивысшее у охинского диатомита и достигает ~3-кратного увеличения.

А. Нагаткич  
6M210. Возникновение производства минеральных смазочных масел в России. Екимов А. А. «Изв. высш. учебн. заведений. Нефть и газ», 1960, № 8, 131—135

6M211. Влияние глубины фенольной очистки на химический состав и физико-химические свойства трансформаторных масел из сернистых нефтей. Гольдберг Д. О., Садчикова М. Ф., Фаткуллина Н. С. «Тр. Башкирск. н.-и. ин-т по переработке нефти», 1960, вып. 3, 82—90. — Результаты исследования образцов масел, полученных при очистке маловязкого сернистого дистиллята фенолом, взятым в кол-ве от 100 до 600%, показали, что фенол из данного сырья извлекает предпочтительно полициклич. ароматич. и сернистые соединения. Глубина обессеривания при очистке 600% фенола достигает 84%, а степень удаления полициклич. ароматич. компонентов 85%. Глубокое извлечение полициклич. ароматич. компонентов и сернистых соединений из туймазинского маловязкого дистиллята ухудшает его стабильность против окисления по ГОСТ — 981-55. Фенол очень энергично извлекает полициклич. ароматич. компоненты. По этой причине повышение кол-ва фенола до 300% и выше приводит к резкому снижению содержания полициклич. и сернистых компонентов, что вызывает явление переочистки масел. В отличие от масел из бакинско-грозненского сырья при очистке фенолом от 100 до 600% не удалось получить из сернистого сырья трансформаторного масла, кондиционного по общей стабильности в соответствии с существующим ГОСТ.

И. Руденская  
6M212. Выделение низкозастывающих фракций из легких смазочных масел способами адсорбции и термической диффузии. Юй Юн-чжун, Сун Цзюань-линь Yu Yung-zhong, Sung Chuen-lin. «Жаньяло сюэбао, Ranzhao xuebao, Acta facalia sinica», 1960, 5, № 1, 16—20 (кит.; рез. англ.). — Исследовано выделение низкозастывающих фракций юньинского легкого смазочного масла способом адсорбции на силикагеле,  $Al_2O_3$ , активированной глине и активированном угле и способом термич. диффузии. При адсорбции силикагелем,  $Al_2O_3$  и активированной глиной было получено лишь небольшое кол-во низкозастыва-



ющего масла, при этом т-ра застывания большей части масла повысилась по сравнению с исходной. Установлено, что эффективным адсорбентом для выделения низкозастывающих фракций является активированный уголь, особенно фушуньский, при помощи которого была выделена фракция с т. заст.  $< -35^\circ$  (т-ра застывания исходного масла  $-35^\circ$ ) в кол-ве 40% и может быть выделена фракция с т. заст.  $-63^\circ$ . Термич. диффузия также является эффективным способом выделения низкозастывающих фракций, позволяющим получить фракцию с т. заст.  $\geq -55^\circ$ .

Э. Левина

**6M213. Адсорбция смолистых веществ мунайлинской нефти на парафине.** Яценко Э. А., Гуцаляк В. Г. «КазССР Ғылым Акад. хабарлары. Изв. АН КазССР. Сер. хим.», 1960, вып. 1 (17), 100—104 (рез. каз.).—Смолистые в-ва из мунайлинской нефти выделяли адсорбцией на силикагеле марки АСК (30—40 меш). Суммарные смолы десорбировали из силикагеля спирто-бензольной смесью состава 1:1. Спирто-бензол отгоняли, затем смолы освобождали от асфальтенов обработкой 40-кратным объемом петр. эфира, эфир отгоняли, смолы сушили в вакууме при  $50-60^\circ$ . Часть смолистых в-в разделяли на силикагеле на более узкие фракции, причем десорбенты применялись в следующей последовательности:  $\text{CCl}_4$ , бензол, ацетон и спирто-бензол. В опытах по изучению адсорбции смол в качестве адсорбента применяли парафин оксо-синтеза, содержащий 98% нормальных углеводородов и 4% изо-парафинов. Р-рителем смол служил эталонный гептан, насыщенный парафином при  $18^\circ$ . Показано, что поглощение смолистых в-в мунайлинской нефти на твердом парафине имеет адсорбционный характер. Наибольшей адсорбционной способностью по отношению к парафину обладают компоненты, входящие в состав бензольной фракции смол указанной нефти.

И. Руденская

**6M214. О технологии производства бензола из газобензина камерных печей.** Спйрде Э. К., Раукас М. М., Уус Э. Г. «Tallina polütehn. inst. toimetised, Tr. Tallinsk. politehn. in-ta», 1959, A, № 165, 140—147.—Разработана технология и предложена схема процесса получения чистого  $\text{C}_6\text{H}_6$  из газового бензина камерных печей газосланцевых з-дов. Процесс состоит из трех фаз: выделение бензольной фракции ректификацией, обработка выделенной фракции 92%-ной  $\text{H}_2\text{SO}_4$  и очистка  $\text{C}_6\text{H}_6$  кристаллизацией.

Из резюме авторов

**6M215. Методика выделения и исследования озокеритов.** Бондарева М. М. «Тр. Всес. нефтегаз. н.-и. ин-та», 1960, вып. 27, 59—64.—По описанной методике озокерит экстрагируют из руды бензиновой фракцией  $75-95^\circ$ , после чего из руды извлекают оставшиеся смолы экстракцией смесью 4 ч. бензола и 1 ч. этанола. Экстрагированный озокерит разделяют на смолы (адсорбцией силикагелем), масла (из фильтра после отфильтрования твердых углеводородов из р-ра обессмоленного озокерита в 30-кратном объеме смеси 65 ч. бензола и 35 ч. ацетона при  $-21^\circ$ ) и 3 фракции твердых углеводородов (перекристаллизацией из смесей бензола и ацетона).

А. Равикович

**6M216. Исследование старых озокеритовых отвалов.** Сухарев М. Ф., Малянец Н. В. «Тр. Всес. нефтегаз. н.-и. ин-та», 1960, вып. 27, 40—46.—Исследованы озокериты, содержащиеся в отвалах после извлечения озокерита из руд месторождений Борислав и Давинячи путем обработки водой. Установлено, что озокериты из отвалов по фракционному составу, микроструктурам и т-рам плавления мало отличаются от озокеритов из руд, при этом среднее содержание озокерита в бориславских отвалах 0,4—0,8% и в давинячских 0,8—2,6, при содержании в рудах соответственно 1,6—2 и 1,4—3,3%. Рекомендуется промыш-

ленное извлечение озокерита из отвалов путем трагирования.

**6M217. Обогащение озокеритовых руд.** Трухманов З. И. «Тр. Всес. нефтегаз. н.-и. ин-та», 1960, вып. 27, 11—18.—Описан центробежный промыочно-проточный аппарат (А) для получения обогащенного озокеритом концентрата из руды. При испытании А из мелочной руды месторождения Аймен-Мешед с содержанием 2% озокерита (размер частиц  $50-100 \mu$ ) получено 0,7% концентрата с содержанием 85% озокерита. Дана схема обогащения руды месторождения Аймен-Мешед с применением А и схема обогащения флотационным способом руды бориславского месторождения с получением концентрата, содержащего 14—15% озокерита.

**6M218. Вязкость битумов.** Нарва О. Bitumviskositeetista. «Tekn. kem. aikakauslehti», 1960, № 8, 259—261 (финск.; рез. англ.).—Найдено, что для различных битумов (дистиллятных и остаточных) зависимость кинематич. вязкости ( $\nu$ ) от т-ры в  $^\circ\text{K}$  подчиняется уравнению Корнелиссена — Ватерманса  $\lg \nu = A/T^x + B$ , где  $x = 3$ ,  $A$  и  $B$  — константы для данного битума.

**6M219. Повышение температуры размягчения битума окислением.** Чжан Шун-пэй. «Цзяньчжун гуань гуньшэ, Jianzhu cailiao gongye», 1960, № 1, 1 (кит.).—На пекинском рубероидном з-де для повышения т-ры размягчения битумов, имеющих низкую т-ру размягчения, их окисляют с целью применения в производстве рубероида высокого качества. Окисление производят посредством непрерывной продувки воздуха ( $15 \text{ м}^3$  воздуха на 1 т битума в час) через нагретый до  $250^\circ$  битум в течение 4 час. В этих условиях т-ра размягчения битумов повышается примерно с 60 до  $90,25^\circ$ , что соответствует стандартам КНР.

**6M220. Примеры улучшения качества битумов в процессе их производства.** Berger C. W. How producers have solved some asphalt problems. «Oil and Gas J.», 1960, 58, № 22, 97 (англ.).

**6M221. Битумные эмульсии.** Bradshaw L. C. Bitumen emulsions. «Paint Technol.», 1960, 24, № 27, 19—23 (англ.).—Приведены общие сведения о способах получения битумных эмульсий и их свойствах. Уделено внимание вязкости эмульсий.

**6M222. Современное состояние использования природного газа в химической промышленности Японии.** Enomoto Ryuichiro. Present status of the natural gas chemical industry. «Bull. Japan Petrol. Inst.», 1960, 2, 110—116 (англ.).—Приведены данные по использованию природного газа для нужд хим. промышленности, главным образом для синтеза метанола и производства удобрений.

**6M223. Определение вязкости жидкого n-пентана.** Tans A. M. P. Find viscosity of liquid n-pentane. «Petrol. Refiner», 1960, 39, № 7, 167 (англ.).—Предложена номограмма для определения вязкости  $n\text{-C}_5\text{H}_{12}$  (в какой фазе) как функции т-ры и давления.

**6M224. Соотношение между низшими пределами воспламенения и отношением C:A для парафиновых углеводородов.** Mochizuki Masashi. Verhältnisse Zwischen den Unter-verbrennungsgrenzen und C: A-Verhältnissen von Paraffinischen Kohlenwasserstoffen. «Hokokyo kōkai», J. Industr. Explos. Soc., Japan, 1960, № 5, 361—362 (нем.).—Дано теоретич. обоснование соотношения между низшими пределами воспламенения ( $L$ ) для смесей парафиновых углеводородов с воздухом и отношением C:A, где C — уменьшение объема после воспламенения пробы газа с избытком воздуха, а A — объем образовавшейся  $\text{CO}_2$ .  $C:A = \frac{1}{2} + \frac{1}{2}n$ , где n — число атомов углерода в молекуле углеводорода.  $L = K(C:A - \frac{1}{2})$ . При  $K = 4$  получается прямая линия, хорошо совпадающая с линией, построенной по данным Говарда с соавторами.

6M225. Конверсия природного газа с водяным паром на железо-никелевых катализаторах. Ибрагимов Ю. И., Гребенщикова Н. П., Алиев Я. Ю., Сигов С. А. «Узб. химия ж., Узб. хим. ж.», 1960, № 4, 49—54 (рез. узб.).—Сообщаются результаты лабораторных опытов по конверсии природного газа Бухарского месторождения с целью получения обогащенного водородом газа. Опыты вели на окисном Al-Fe-Cr-катализаторе, а также с введением в него Ni; соотношение водяной пар: газ составляло 5:1; температурный режим 600—900°. Показано, что Al-Fe-Cr-катализатор оказался малоактивным, но его активность значительно повышается с добавлением Ni (максим. активность достигнута при 10—15%-ном содержании Ni). Предложенный способ термич. обработки исключил усадку катализатора, который сохранял начальную активность при т-рах конверсии 900—600°.

6M226. Низкотемпературная ректификация природных газов.—Refrigeration boosts LPG recovery. A. Ravikovich, 1960, 67, № 19, 96, 98, 100 (англ.).—Для выделения  $C_3H_8$ ,  $C_4H_{10}$  и высших углеводородов из природного газа месторождения Лак (Франция) применяют специально спроектированные теплообменники, каскадную систему охлаждения, что улучшает селективную конденсацию углеводородов из тощего газа. Приведены схемы предлагаемого оборудования.

6M227. Изучение реакций сероокиси углерода в процессе обработки природного газа. Arnold J. L., Hall C. K., Pearce R. L. A study of carbonyl sulfide in natural gas processing. «Oil Canada», 1960, 12, № 38, 33—38 (англ.).—Описаны продукты и скорости реакции при взаимодействии COS (I) и воды, алканолов, аминов, а также I и  $K_2CO_3$ . Показано, что 99% I, присутствующего в газообразных углеводородах, можно удалить водн. диэтанолом (II), отработанный р-р регенерируется обработкой с паром. С помощью ИК-лучей, масс-спектрографии и газовой хроматографии изучались системы II—I, диэтанол-амин — I,  $K_2CO_3$  — I, II —  $CS_2$ . Показано, что при обработке газов, содержащих I и  $CS_2$ , имеют место потери, благодаря взаимодействию II и I. Библ. 7 назв.

6M228. Переработка природного газа в Хилверсуме (Нидерланды) Hellendoorn G. H., Baars J. H. F. Het omzetten van aardgas te Hilversum, «Gas» (Nederl.), 1960, 80, № 9, 147—156 (гол.; рез. англ.).

6M229. Использование углеводородных газов для нефтехимических производств. Борисович Г. Ф., Хохлаков П. А. «Вестн. техн. и экон. информ. Н.и.и.т. техн.-экон. исслед. Гос. ком-та Сов. Мин. СССР по химии», 1959, № 2 (14), 7—11.—Приведены обобщенные колич. и качеств. характеристики углеводородных газов (природных, попутных нефтяных, коксовых и других) с оценкой их как сырьевых источников для произ-ва хим. продуктов в СССР в ближайшие годы (до 1965 г.).

6M230. Расчетный метод определения давления однофазного состояния газоконденсатных систем. Фарзанае Н. Г. «Изв. высш. учебн. заведений. Нефть и газ», 1960, № 6, 71—76. Для расчетного определения давления однофазного состояния многокомпонентной системы  $P_{oc}$  предложена ф-ла  $P_{oc} = f(\mu, \mu_v, t)$ , где  $\mu = \sum \mu_i$  — средний мол. вес;  $\mu_i$  и  $\mu_v$  — соответственно молярные доли и мол. веса компонентов смеси;  $\mu_v$  — сумма произведений вес. кон-ций компонентов, входящих в смесь, на их мол. веса и  $t$  — т-ра. Был построен изотермич. график в координатах  $P, \mu_v$  и рабочие графики, представляющие собою семейство кривых  $\mu_v$  в координатах  $P, t$  при определенном значении  $\mu$ . Приведены примеры расчета.

6M231. Проект газо-бензинового завода фирмы Texas Eastern Transmission Co. в Rayne (Texas, США).

Bozeman H. C., 12,600 bbl. of liquids daily from 169 M. M. c. f. of wet gas. «Oil and Gas J.», 1960, 58, № 31, 131—132 (англ.).—Основные положения проекта, предусматривающего получение 2000 м<sup>3</sup> жидких конденсатов (стабилизированного газаolina и пропан-бутановой смеси) при переработке 4 700 000 м<sup>3</sup> природного газа, богатого бензином.

6M232. Из опыта эксплуатации газобензиновых заводов. Чуракаев А. «Нефтяник», 1960, № 11, 14—15

6M233. Подземное хранение сжиженного нефтяного газа района Анвера (Бельгия). Dorzee M. P. Le stockage souterrain de gaz de pétrole liquéfiés d'Anvers. «Rev. pétrol.», 1960, № 1026, 41—43 (франц.).

6M234. Искусственные подземные хранилища для сжиженных нефтяных газов. Scisson S. E. Planning for mined underground storage. «Gas Age», 1960, 125, № 12, 24, 28—30 (англ.).

6M235. Кондиционирование газа путем увлажнения и распыления масла. Asselineau P., Herve R. Prove di condizionamento del gas mediante iridificazione e nebulizzazione d'olio. «Gas (Ital.)», 1959, 9, № 10, 301—309 (итал.).—Приведены результаты опытов, проведенных на распределительной сети в Крейле (Франция) по кондиционированию газа путем его увлажнения и распыления в нем масла (как из каменноугольной смолы, так и нефтяного происхождения) с целью испытания нового аппарата для распыления и для изучения влияния кондиционирования газа на эксплуатацию сети. Для проведения опытов был использован сухой коксовый газ, газ, насыщенный водяным паром, и газ, одновременно насыщенный водой и распыленным в нем маслом. Сравнение результатов показало, что наибольшее кол-во нарушений работы сети (утечки газа) имело место при работе с сухим газом, а затем с влажным газом. Газ с распыленным маслом дает наиболее удовлетворительные результаты. Поскольку испытывавшийся участок сети является типичным для газораспределительной сети Франции, то считается, что подобные же удовлетворительные результаты этот способ даст и в любом другом случае. Примененный распылитель масла обеспечивал автоматически постоянное содержание масла в газе и достаточную стабильность получаемого тумана. Приведена схема аппарата.

6M236. Передача газов на дальние расстояния. Krüger Wolfgang. Die Fortleitung realer Gase. «Neue DELIWA-Z.», 1960, № 1, 22—24 (нем.).—Показано, что при передаче реальных газов по трубопроводу, особенно при небольшом соотношении между начальным и конечным давлением и высоким давлением газа в трубопроводе, получаются значительно большие потери давления, чем при передаче идеальных газов. На основе ур-ния состояния Scatchard'a выведено ур-ние падения давления газа в газопроводе для реальных газов.

6M237. Производство ацетилена в США. Siecke W. F. Gesicherter Absatz für US-Acetylen. «Chem. Ind.», 1960, 12, № 9, 461—464, 700 (нем.; рез. англ.).

6M238. Применение обращенного диффузного пламени для получения ацетилена и этилена из предельных углеводородов. Arthur J. R., Napier D. H. The use of reversed diffusion flames for the production of acetylene and ethylene from paraffin hydrocarbons. «Combustion and Flame», 1960, 4, № 1, 19—28 (англ.).—С применением горелки оригинальной конструкции изучен состав продуктов неполного сгорания в обращенном диффузном пламени метана и пропана (I) со смесями  $O_2 + N_2$  различного состава, а также со смесями  $O_2 + N_2$  с добавкой водяного пара. Исследовано влияние соотношения скоростей подачи окислителя и углеводорода ( $V/v$ ), линейной скорости подачи окислителя ( $V$ ) и предварительного подогрева газов на состав получаемых продуктов. Влияние  $V/v$  зависит от соотношения между сечением горелки и сече-

нием сопла, подающего воздух ( $R/r$ ), и для каждого  $R/r$  существует оптимальное, с точки зрения выхода ацетиленов ( $II$ ), значение  $V/v$ . При малых величинах  $R/r$  и при больших величинах  $V/v$  характер пламени и состав продуктов сгорания приближаются к получаемому с обычным необработанным пламенем. При изменении соотношения  $N_2/O_2$  в пределах 1,5—3,0 степень превращения  $CH_4$  в  $II$  варьирует в интервале 15,6—17%. Изменение  $V$  в пределах 50—100 см/сек не сказывается на составе продуктов сгорания и не приводит к образованию турбулентного пламени. При использовании  $I$ , также как и с метаном, разбавление  $O_2$  азотом в интервале  $N_2/O_2 = 0,9—3$  мало сказывается на степени конверсии в  $II$  (19—20%) и выходе этилена (5,2—6,4%). Применение чистого  $O_2$  резко снижает конверсию в  $II$ , несколько повышая выход этилена. В продуктах сгорания при этом резко возрастает кол-во  $CO_2$ . Предполагается, что этилен частично получается из  $I$ , образующего закалочную оболочку вокруг пламени. Это подтверждается тем, что при уменьшении подачи  $I$  выход этилена резко падает и, наоборот, резко возрастает при предварительном подогреве  $I$  до  $t$ -ры, близкой к  $t$ -ре его крекинга. Попытки дополнительной закалилки продуктов  $r$ -ции введением водяного охлаждения (путем впрыска воды или применения водяной наружной рубашки) не дали положительных результатов. Предварительный подогрев реагирующих газов — воздуха до 200° и  $I$  до 450—600° несколько увеличивает выход  $II$ . Применение пара в качестве разбавителя приводит к увеличению содержания  $CO_2$  и некоторому возрастанию кол-ва  $II$ , однако меньшему, чем этого следовало ожидать в том случае, если бы пар являлся только разбавителем, а не взаимодействовал также и химически. Значительно увеличивается при этом содержание водорода в газе. Максим. выход  $II$  (7%) и этилена (14,5%) получен из  $I$ . Рассматривается вероятный механизм процесса, приводится конструкция горелки и эксперим. материал в виде графиков и таблиц.

В. Щекин  
6М239. О составе и термодинамических функциях вступающего в химические реакции горючего газа в углеводородо-воздушных смесях. Kaerppeler H. J., Baumann G. Zusammensetzung und thermodynamische Funktionen chemisch reagierender Feuergase von Kohlenwasserstoff—Luftgemischen. «Mitt. Forschungsinst. Phys. Strahlantriebe», 1957, № 9, 221 S. (нем.)

6М240. Дорожная детонационная стойкость бензинов, используемых японским автотранспортом. Uchinuma Kazuo, Nakajima Kiyoshi. Road antiknock qualities of gasolines by Japanese automobiles. «Bull. Japan Petrol. Inst.», 1960, 2, 41—49 (англ.). Требуемое октановое число для машин автотранспорта в Японии лежит между ~70 и 80 при степенях сжатия 7:1—8:1 соответственно. Для автобусов и грузовых машин требования несколько повышаются. Приведены дорожные детонационные характеристики товарных бензинов и соотношения между дорожными и лабор. октановыми числами.

А. Некрасов  
6М241. Изомеризация и получение высокооктановых компонентов моторных топлив. Isomerization for the sensitiveminded, «Canad. Chem. Process.», 1960, 44, № 8, 36—37 (англ.). Кратко описаны основные черты современных процессов изомеризации и рассмотрены преимущества и перспективы применения получаемых продуктов в качестве компонентов моторных топлив, мало чувствительных к методу определения октанового числа (исследовательскому и моторному).

В. Щекин  
6М242. Повышение дорожного октанового числа (бензинов). McGrath H. G., Knaus J. A., Lockertie T. E., Buerstetta F. D., Warren T. W. Amélioration de l'indice d'octaneroute. Base d'évaluation du procédé. «Chimie et industries», 1960, 83, № 5,

685—696 (франц.; рез. англ., нем., исп.).—Приводятся результаты исследования фирмами Kellogg Co. and Ethyl gasdine Corp. (США) экономичности различных методов повышения дорожного октанового числа (ОЧ) бензинов каталитич. крекинга. В качестве примера был взят типовой з-д, перерабатывающий 7950 м<sup>3</sup> мексиканской нефти в сутки и выпускающий 40% «премиального» этилированного бензина с ОЧ по дорожному методу 101—103 и 60% этилированного бензина «регулярного» сорта с ОЧ по исследовательскому методу на 7 пунктов ниже дорожного ОЧ «премиального» бензина (исходным сырьем для получения «премиального» бензина служила фракция  $C_5—C_6$ ). На 4 автодвигателях с высокой степенью сжатия испытывались 11 топливных смесей бензина каталитич. крекинга  $C_5—C_6$ , продукта каталитич. реформинга фракции  $C_7+$ , продукта умеренной и глубокой изомеризации  $C_5—C_6$ , а также алкилатов, полученных при алкилировании пропиленом и бутиленом и взятых в разных соотношениях. Все «премиальные» бензины состояли из 40% фракции  $C_5—C_6$ , 40% продукта каталитич. реформинга  $C_7+$ , 20% алкилата, 0,52—0,78 мТЭС/л и  $n$ -бутана для обеспечения упругости паров во Рейду 0,7 кг/см<sup>2</sup>. Установлено, что для производства «премиального» бензина с ОЧ ~102 наиболее выгодно применять фракцию  $C_5—C_6$  каталитич. крекинга; для достижения более высокого ОЧ целесообразнее использовать изомеризованную фракцию  $C_5—C_6$ , так как при этом не требуется такого глубокого реформинга. Экономичность повышения дорожного ОЧ бензина с 101 до 102 в обоих случаях равноценна, но дальнейшее его повышение до 103 с бензином каталитич. крекинга недостижимо и для этой цели необходимо применять продукты изомеризации.

З. Левашин  
6М243. О наличии 3,4-бензпирена в выхлопных газах дизелей. Pichlen Helmut, Deschner E. Abgas eines Diesel motors. «Brennstoff-Chemie», 1960, 41, № 9, 276—279 (нем.). На одноцилиндровом дизеле при различных нагрузках исследовалось содержание 3,4-бензпирена в саже и выхлопных газах, освобожденных от сажи, в условиях работы двигателя на товарном дизельном топливе (ДТ) и казанине (КГ); сажа из газа извлекалась с помощью электростатич. фильтра. Определение 3,4-бензпирена в саже приводилось спектроскопич. методом после экстрагирования фильтра бензолом (приводится методика определения 3,4-бензпирена). Показано, что освобожденный от сажи выхлопной газ не содержит 3,4-бензпирена. Наибольшее кол-во сажи образуется на малых числах оборотов при большой нагрузке, причем дает заметно меньше сажи, чем ДТ. При работе на ДТ содержание 3,4-бензпирена достигает  $56 \cdot 10^{-8}$  г/м<sup>3</sup> выхлопного газа, а при работе на КГ  $7 \cdot 10^{-8}$  г/м<sup>3</sup>.

Б. Энгелин  
6М244. Кинетика синтеза углеводородов из окисей углерода и водяного пара на кобальтовых катализаторах. Лавров Н. В., Мосин А. М., Богданов И. Ф. «Узб. химия ж., Узб. хим. ж.», 1960, № 4, 62—66 (рез. узб.).—При исследовании кинетики каталитич. синтеза углеводородов из  $CO$  и водяного пара предложен расчетный метод. В основу расчета положены р-ции  $CO + H_2O = CO_2 + H_2$ ;  $CO + 2H_2 = \frac{1}{n}(CH_n <) + H_2O$ . Опыты вели в стальном автоклаве на 600 мл с внутренним диам. 27 мм. Параметры опыта меняли, допуская стабильность катализатора при синтезе из  $CO$  и  $H_2O$ . Для обработки эксперим. данных использовалось выведенное ур-ние:  $dx/dt/v_0 = r$ , где  $x$  — содержание компонента в исходной смеси,  $r$  — степень превращения компонента в долях 1,  $r$  — скорость р-ции в л/газ-образного или парового превращения компонента на л/катализатора/час;  $v_0$  — объемная скорость пропускания паро-газовой смеси л/л катализатора/час. Обнаружено, что в условиях синтеза вначале протекает первичная, медленная р-ция водяного газа, а за



Приводятся данные о различных числах (ОЧ) для примера 950 м<sup>3</sup> мид-пусковой на с ОЧ и прованского следователя ОЧ «при получении С<sub>2</sub>-С<sub>4</sub>» сжигания катализатора, реформинга, окислительной изомеризации и взятых в «бензин» продукта на 52—0,78 м<sup>3</sup> паров из-за «превышения» выгоды для разное ис-С<sub>2</sub>, так как реформинга, зина с 101 дальнейше, и. крекин-Э. Левина, хлопных г-н-гет Е-пзруген im-1960, вом дизеле, содержание, свободен на товар (КГ); сажатич. филь-приводило-ания филь-еления 3,4-й от саж. Наиболь-оборотом, но меньше 3,4-бен-газа, а при Б. Энгле-из окис-катализато-нов И. Ф. 2—66 (рез-ич. синтез-пожен рас-ных р-ции (<))<sub>л</sub> + Н<sub>2</sub>О. м. с внут-ляди, допу-из СО в-льзовало-одержание, превраще-и в газо-го компо-скорост-затора/час-але проте-газа, а за-

том — вторичная быстрая р-ция синтеза из окиси угле-рода Н<sub>2</sub>, с образованием воды. Выведено дифференци-альное ур-ние скорости конверсии, определена энергия активации реакции. А. Некрасов

6M245. Современные направления в синтезе Фишера — Тропша. Утида Хириси. «Никкакё гэнпо, Nikkakuo gerpo», 1959, 12, № 7, 403—407 (японск.). — Популярная статья о методах синтеза из СО и Н<sub>2</sub>: синтез при нормальном давлении на Со-катализаторах, синтез во взвешенном слое (в жидкой и газовой фазе), синтез в стационарном слое по способу Ruhrchemie — Lurgi. Ю. Ермаков

6M246. Об устранении запаха продуктов, получаемых путем синтеза Фишера — Тропша, с помощью экстракции растворителями. Kowalski, Georg, Tysko Maria. Beitrag zur Geruchsbeseitigung von Produkten der Fischer-Tropsch-Synthese durch Lösungsmittel-extraktion. «Brennstoff-Chemie», 1960, 41, № 8, 229—230 (нем.). — На основе опытов по устранению запаха когазина, получаемого по методу Фишера — Тропша, экстракцией различными р-рителями установле-но, что наиболее подходящим для этой цели являет-ся водн. р-р фенола. Фенол с содержанием 5% воды смешивается при 4—5-кратном встряхивании с кога-зином в соотношении от 1:3 до 1:5, с последующей промывкой р-ром NaOH или лучше водн. р-ром ацета-та аммония. При этом достигается полное удаление запаха когазина. Ю. Ветопкин

6M247. Влияние неравновесного состава продуктов сгорания водорода на удельный импульс ракетного двигателя при низких давлениях. Hall J. Gordon, Eschenroeder A. Q., Klein J. J. Chemical nonequilibrium effects on hydrogen rocket impulse at low pressures. «ARS Journals», 1960, 30, № 2, 188—190 (англ.). — На основании термодим. расчетов изменения параметров газового потока неравновесного состава в ракетном двигателе, работающем на водороде, при низких давлениях, в широком диапазоне изменения т-р в камере сгорания от 3000 до 4500° К и различных формах выходного сопла показано, что максим. воз-можный уд. импульс ( $I_{\text{уд}}$ ) значительно снижается при переходе от равновесного к неравновесному составу продуктов истечения из сопла при постоянной его кон-фигурации. При равновесном составе продуктов исте-чения снижение давления в камере сгорания от 100 до 0,1 атм вызывает резкое увеличение  $I_{\text{уд}}$ , причем это увеличение будет тем больше, чем больше т-ра в каме-ре сгорания. Для неравновесного потока при сни-жении давления кривая изменения  $I_{\text{уд}}$  имеет макси-мум, который с повышением т-ры смещается в сторо-пу более высоких давлений. Практически возможный уд. импульс в условиях равновесного потока значи-тельно ниже  $I_{\text{уд}}$ , однако для неравновесного потока эта разница составляет < 3%. В. Зрелов

6M248. Угледородные реактивные топлива США. (По лат. данным). Чертков Я. Б. «Химия и технол. топлив и масел», 1960, № 10, 64—68. — Обзор. Библ. 18 назв.

6M249. Производство двухкомпонентного твердого ракетного топлива. Holmes Jay. Double-base solids still standard despite inroads by polyurethane. «Missiles and Rockets», 1959, 5, № 37, 16 (англ.). — Несмотря на использование для ракет «Полярис» нового твердого ракетного топлива (ТРТ) на основе полиуретана, за последнее время усовершенствована технология произ-ва ранее разработанного двухкомпонентного ТРТ на основе нитроцеллюлозы и нитроглицерина. При полу-чении зарядов ТРТ весом до 1200 кг для ракет боль-шой мощности гранулированная нитроцеллюлоза в чистом виде или с примесью нитроглицерина загружается в пластмассовый кожух необходимой формы и вна-чале сушится от избытка влаги и летучих компонен-

тов под вакуумом в течение 12 час. Затем спрессован-ная масса нитроцеллюлозы полностью пропитывается нитроглицеринном, который с добавкой пластификатора и стабилизатора подается при 20° под давлением воз-духа. Отверждение заряда ТРТ осуществляется при 38—93° в течение нескольких суток. После этого он охлаждается 24 часа до ~20°. В настоящее время ТРТ получается по данной технологии на опытной установ-ке и проходит испытания. В. Зрелов

6M250. Соединения бора — высокоэффективные ра-кетные топлива. Krause Karl Heinz. Borverbindungen — energiereiche Kraftstoffe. «Z. Flugwiss.», 1960, 8, № 6, 172—176 (нем.; рез. англ., франц.). — Описание «экзотических» однокомпонентных ракетных топлив, выпускаемых американской фирмой Callery Chemical Co. под общим наименованием HiCal, обладающих большим запасом энергии на единицу веса, в состав которых входят элементы В, С и Н. Приведены важ-нейшие физ.-хим. свойства 15 наименований топлив. Помимо основного назначения упоминаются области применения отдельных типов соединений. А. Некрасов

6M251. Сжигание тяжелой нефти. Clarke J. S., Hudson G. J. Heavy oil burning. «Trans. Inst. Marine Engrs», 1959, 71, № 5, 135—157. Discuss., 157—172 (англ.). — Охарактеризовано 2 основных типа оборудо-вания при сжигании тяжелой нефти: камеры дожига-ния (комбасторы), в которых заканчивается горение, прежде чем газы поступят в топку и «регистра», не имеющие факела и служащие для ввода в топку то-плива и воздуха. Перечислены основные физ.-хим. свой-ства промышленных жидких топлив (Т), приведены физ. параметры, от которых зависит распыление. В ка-честве основного критерия для определения тонкости распыления принят средний диаметр Саутера (S. M. D.), удовлетворяющий ур-нию:  $S. M. D. = 335 P^{-0.348} F^{0.208} \cdot v^{0.215}$ , где  $P$  — перепад давления в распылителе в фунтах/кв. дюйм,  $F = Q/\sqrt{P}$ , причем  $Q$  — расход Т в галлонах/час;  $v$  — кинематич. вязкость Т сст. Описаны главные типы распылителей. Даны ф-ла и графики для определения продолжительности испарения и го-рения капли Т, показана зависимость отложения кокса от содержания в Т ароматич. углеводородов и от толщины воздушной пленки, от условий перемешива-ния Т с воздухом и стабилизации факела при разных типах форсуночных устройств. Показана возможность, исходя из ур-ний движения и испарения, определить путь капли разных размеров в топке. Приведена ф-ла для определения уд. тепловыделения в единицу вре-мени на единицу давления и единицу объема топоч-ной камеры. Перечислены главные мероприятия для борьбы с коррозией металла комбасторов вслед-ствие наличия S и V и отмечена роль т-ры, а также отдельных элементов, входящих в состав славов. Б. Мокршанский

6M252. Исследование прокачиваемости нефтетоп-лив на лабораторной установке. Wyllie D., Jones J. T. The study of fuel oil pumpability using a labora-tory pumping rig. «J. Inst. Petrol.», 1960, 46, № 437, 161—176. Discuss., 177—182 (англ.). — С целью выясне-ния условий разгрузки танкеров исследованы скоро-сти течения, напряжения сдвига и кажущиеся вязко-сти застывшего нефтетоплива в змеевиковом трубо-проводе (внутренний диам. 10 см, длина 40 м), при-соединенном к всасывающей стороне насоса, в зави-симости от условий предшествовавшего охлаждения нефтетоплива. Найдено соответствие между вязкостя-ми, измеренными в трубопроводе и в ротационном вискозиметре при одинаковых скоростях сдвига.

А. Равикович  
6M253. О значительной экономии макузта за счет использования отжаты на прессе древесной коры на бумажной фабрике. Barker Ernest F. Huge bark press at Scott saves large quantities of fuel oil. «Paper

Trade J., 1960, 144, № 19, 46—47 (англ.).—Описан пресс для обезвоживания древесной коры от  $W = 73\%$  до  $W = 53\%$ . Отжатая кора с добавлением мазута служит топливом для 5 котлов общей паропроизводительностью 100 т/час; расход мазута минимален.

Б. Мокршанский

6M254. Новые моторные масла для карбюраторных двигателей, не образующие углеродистых отложений. Brunner M. Huiles de graissage «sans dépôts». Une remarquable réalisation nouvelle dans le domaine des lubrifiants pour moteurs à essence. «Rev. automob.», 1960, 55, № 31, 13, 15 (франц.).—Рассмотрены осложнения в работе карбюраторных двигателей, вызываемые углеродистыми отложениями в камерах сгорания и других частях двигателя, влияние на образование этих отложений наличия зольных присадок в топливе и масле и применение новых универсальных масел «Shell X-100 Multigrade», содержащих беззольные присадки, не дающие углеродистых отложений. В состав указанных масел входят полиметакрилат мол. в. ~100 000, содержащий органич. основание, в качестве детергентной и вязкостной присадки, и беззольная фосфорсодержащая присадка.

А. Равикович

6M255. Электрохимическое хлорирование твердого парафина. Blum Lazar Lva. Die elektrochemische Chlorierung von Paraffinwachs. «Bul. Inst. politehn. Bucuresti», 1958, 20, № 2, 109—111 (нем.; рез. русск., англ., франц.).

6M256. Производство синтетических смазочных материалов в Испании. Rodriguez G. Lubrifiants synthétiques en Espagne. «Techn. pétrole», 1960, 15, № 175—176, 7563—7564, 7558 (франц.).

6M257. Синтетические смазочные масла и смазки, их применение. Scheel Wilhelm-Sibrand. Synthetische Schmierstoffe in der schmiertechnischen Praxis. «Erdöl und Kohle», 1959, 12, № 12, 980—983 (нем.).—Краткий обзор способов получения, свойств и применения эфирных масел, полиэтиленовых масел и консистентных смазок на окисленном парафине.

Е. Покровская

6M258. Применение синтетических смазочных масел в авиационных газовых турбинах. Perry J. P. An appraisal of synthetic lubricants in aircraft gas turbines. «Canad. Aeronaut. J.», 1960, 6, № 5, 156—163 (англ.).—Повышение требований к качеству смазочных масел для авиационных газовых турбин, начиная с 1933 г., и удовлетворение этих требований при применении дизельных масел. Библ. 4 назв. А. Равикович

6M259. Применение фторуглеродных жидкостей. Riley Malcolm W. Fluorocarbon fluids — premium materials for tough jobs. «Mater. Design Engng.», 1960, 51, № 3, 14—16 (англ.).—Описаны свойства и применения полимеров хлортрифторэтилена и бромтрифторэтилена в качестве смазочных масел, различных жидкостей (гидравлич., амортизирующих, электроизоляционных и др.), восков и консистентных смазок. Высокая стоимость ограничивает применение фторуглеродных полимеров теми областями, где необходимы их специфич. свойства: высокая хим. и термич. стабильность (до 260—315°), подвижность при низких т-рах (до -68°), негорючесть, смазочная способность и высокий уд. вес.

А. Равикович

6M260. Двусернистый молибден. Vineall G. J. C. Molybdenum disulphide and the mechanical engineer. «N. Z. Electr. J.», 1960, 33, № 2, 35—38 (англ.).—Описание свойств  $MoS_2$  и важнейших областей его применения в частности и особенно в смазочной технике.

М. Х.

6M261. Масла для обработки деталей, применяемые в точной механике. Dohnal J., Spička V. Rezné oleje pro jemnou mechaniku. «Ropa a uhlie», 1960, 2, № 8, 246—248 (чешск.; рез. русск., англ.).—При обработке деталей в точной механике рекомендуется применять для режущего инструмента смазоч-

но-охлаждающее масло, содержащее 7% хлорированного парафина (40—42% Cl) и 3% дибензилдисульфида.

6M262. Нафтенновые кислоты и нафтенаты. Maass W. F., Buchspieß-Paulentz E., Stinsky P. Naphthensäuren und Naphthenate, «Seifen-Öle-Fette-Wachse», 1960, 86, № 8, 249—253; № 9, 282—284 (нем.).—Получение очищ. нафтенновых к-т. Анализ.

А. Равикович

6M263. Рационализация и автоматизация в лаборатории нефтеперерабатывающего завода. II. Стандартные автоматические лабораторные приборы. III. Полностью автоматизированная производственная лаборатория. Voß Gerhard, Eger Norbert. Rationalisierung und Automatisierung im Betriebslaboratorium einer Mineralöl-Raffinerie. II. Normgerechte automatische Laboratoriumsgeräte. III. Das vollautomatische Betriebslaboratorium. «Erdöl und Kohle», 1960, 13, № 3, 178—183; № 4, 268—269 (нем.).—Описаны стандартные автоматич. прибор. для определения плотности, фракционного состава, т-ры вспышки по Мартенсу-Пенскому, вязкости по Гомпелю, т-р помутнения и застывания и фильтруемости по Хагеманну и Хамершу. Приведены план и описание полностью автоматизированной производственной лаборатории, осуществляющей контроль качества продуктов, выпускаемых нефтеперерабатывающим з-дом. Часть I см. РИХим, 1960, № 24, 98238.

Б. Энгль

6M264. Приборы лаборатории «La Régie Autonome des Pétroles» для определения термодинамических параметров нефти и газа. Alba P., Perronnet J. C., Savelli J. Réalisation d'un laboratoire P. V. T. à la régie autonome des pétroles. «Rev. Inst. franç. pétrole», 1960, 15, № 3, 496—513 (франц.; рез. англ., исп.).

6M265. Вторичная добыча нефти путем закачивания в пласт газа. Casanova J. Récupération secondaire par injection de gaz. «Rev. Inst. franç. pétrole», 1960, 15, № 9, 1261—1293 (франц.; рез. англ., исп.).—Литературный обзор. Библ. 29 назв.

6M266. Применение эмиссионного спектрального анализа в нефтяной промышленности. Хара А. «Бюко кэнкю, Bunko kenkyu, J. Spectroscop. Soc. Japan», 1960, 8, № 4, 169—183 (японск.).

6M267. Масс-спектрографический анализ нефтяных углеводородов. Dan Toyosaburo, Oshima Sho. Analysis of petroleum hydrocarbons by mass spectra. «Bull. Japan Petrol. Inst.», 1960, 2, 25—32 (англ.).—Разработан качеств. метод определения парафиновых, нафтенных и ароматич. углеводородов. Анализируемая смесь углеводородов вначале разделяется на компоненты путем газовой хроматографии, которые затем подвергаются масс-спектрометрии. Приведена экспресс-методика и графич. материалы. Библ. 8 назв.

А. Некрасов

6M268. Радиоактивные элементы в нефтяной промышленности. Thiéry J. Les radio-éléments dans l'industrie du pétrole. «Rev. Inst. franç. pétrole», 1960, 15, № 7-8, 1181—1196 (франц.; рез. англ., исп.).—Описание применения современных радиоактивных методов исследования в нефтяной промышленности: при поисках и бурении на нефть, добыче и транспорте нефти, нефтепереработке и в химии нефти. Библ. 74 назв.

А. Некрасов

6M269. Возбуждение спектра серы в нефти и мазуте. Малкова О. П., Рудневский Н. К., Якимов Г. И. «Тр. по химии и хим. технол. (Горький)», 1960, вып. 1, 56—57.—Указано, что достаточно интенсивный спектр серы, содержащейся в нефти и мазуте, можно получить, если для возбуждения спектра серы применить низковольтную искру (генератор ДГ-2) с приключенной к ней приставкой Абрамсона. Индуктивность при этом была сведена к минимуму. Оптимальная добавочная емкость в основном контуре равнялась 60 мкф, величина межэлектродного промежут-

1,5 мм, промежутков в разряднике 1 мм, сила тока 1 а. Для фотографирования спектров применяли спектрограф ИСП-22 и спектрографич. пластинки типа II, чувствительностью 16 ед. Ширина щели спектрографа составляла 0,01 мм. В пробах нефти и мазута возбуждались концентрационно-чувствительные линии серы 2863,6 А и S 2855,9 А. Концентрационная чувствительность линий серы проверялась фотографированием спектров эталонов. Сравнение показало, что спектральный метод анализа дает систематически заниженные результаты.

И. Руденская  
6M270. Полный анализ газообразных углеводородов при помощи газо-адсорбционной распределительной хроматографии. Hara Nobuyoshi, Shimada Hiroshi, Ishikawa Akira, Dohi Kunio. Complete analysis of gaseous hydrocarbons by gas adsorption-partition chromatography. «Bull. Japan Petrol. Inst.», 1960, 33—40 (англ.).—Описание техники хроматографического разделения на 4-метровой диметилформамидной колонке с твердым носителем — активированной  $\gamma$ - $Al_2O_3$ . Достигнуто хорошее разделение бутена-1 и изобутена, пропилена и изобутана. Время анализа значительно меньше, чем на широко используемой в практике колонке с диметилсульфолоном.

А. Некрасов  
6M271. Химическая технология нефти. Изд. 3-е. Gruse William Arthur, Stevens Donald Raymond. Chemical technology of petroleum. 3rd. ed. New York—London, McGraw-Hill Book Co., 1960, XVII, 75 pp., ill., £ 5 16 sh. 6 d. (англ.)

6M272. Несложная аппаратура для облучения органических веществ электронами и исследование влияния электронов со средними скоростями на жидкие углеводороды. Brühwiler Hans. Eine einfache Apparatur zur Bestrahlung organischer Stoffe mit Elektronen und Untersuchungen über die Einwirkung mittelnhoher Elektronen auf flüssige Kohlenwasserstoffe. Wiss., Dokt. techn. Wiss., Techn. Hochschule Zürich. Zürich, Leemann AG, 1960, 88 S., ill. (нем.)

6M273. Парофазный крекинг димера циклопентадиена. Hillard George Oliver, Jr, Kenyon Leon Clifford, Jr. Vapor phase cracking of cyclopentadiene dimer. [Esso Research and Engineering Co.] Pat. США 2913504, 17.11.59.—Концентрат, содержащий > 70% димеров циклопентадиена и метилциклопентадиена, испаряют при 65—150° и пары пропускают через несколько параллельных змеевиков трубчатой печи, равномерно подогреваемых горелками, при т-ре в пределах 260—288°, давл. 0,4—8,5 атм и перепаде давл. < 7 ат; из продукта р-ции фракционировкой выделяют циклопентадиен и метилциклопентадиен. Т-ру в змеевиках держат на высшем указанном пределе при наименьшем содержании димеров в конденрате, снижая эту т-ру при увеличении содержания димеров в концентрате. Указанный режим крекинга и равномерный подогрев змеевиков позволяют иметь длительные пробеги (напр., > 500 час.) без значительного коксования змеевиков.

С. Розенфельд  
6M274. Трубчатая печь для крекинга. Pollock Lyle W. Hydrocarbon cracking furnace and its operation. [Phillips Petroleum Co.] Pat. США 2917564, 16.12.59.—Печь для высокотемпературного крекинга углеводородного сырья, напр., для крекинга  $C_3H_8$  в присутствии водяного пара с получением  $C_2H_4$  и  $C_2H_6$ , имеет змеевик радиантных труб, состоящий из нескольких секций, через которые поток углеводородов проходит последовательно, каждая секция состоит из нескольких труб, через которые поток проходит параллельно; в каждой последующей по ходу потока секции диаметр труб уменьшается, при этом число труб в секции увеличивается настолько, чтобы сохра-

нилась примерно постоянная скорость потока во всех секциях. Так как нагрев труб лимитируется т-рой их внешней поверхности и в трубах меньшего диаметра имеет место меньшая разность т-р между наружной поверхностью трубы и нагреваемым продуктом, то при максим. наружной т-ре труб (~1870° для труб из нержавеющей стали) в трубах меньшего диаметра можно нагреть поток до более высокой т-ры. Пример. Через змеевик печи пропускали смесь 58 мол.%  $C_3H_8$  и 42 мол.%  $H_2O$  при давл. 3,5 атм и поддержании т-ры ~1870° на внешней поверхности труб. В 1-м случае змеевик состоял из 4 последовательных труб диам. 152 мм; во 2-м случае 1-я труба осталась прежней, вместо 2-й трубы диам. 152 мм были установлены 2 параллельных трубы диам. 102 мм, вместо 3-й трубы диам. 152 мм — 4 параллельных трубы диам. 76 мм и вместо 4-й трубы диам. 152 мм — 8 параллельных труб диам. 51 мм. В 1-м и 2-м случаях соответственно: т-ра потока на выходе змеевика 775 и 825°, конверсия  $C_3H_8$  40,2 и 57,5%.

А. Равикович  
6M275. Получение бензина термическим и каталитическим крекингом. Kunreuther Frederick, Meerbott William K. Process for the production of gasoline through thermal and catalytic cracking. [Shell Development Co.] Pat. США 2895899, 21.07.59.—Нефтяной дистиллят с т-рой кипения выше бензина превращается в высококачественный бензин путем термич. крекинга с последующей обработкой образующегося неопределенного бензина над свежерегенерированным обычным катализатором каталитич. крекинга в «кипящем» слое, при отношении катализатор: сырье = 2—8:1, времени контакта 0,2—0,6 сек., т-ре 510—600°.

В. Щекин  
6M276. Каталитический крекинг углеводородов. Crosby Ralph H. Catalytic cracking of hydrocarbons with recycling of the stripping vapors. [Shell Development Co.] Pat. США 2895907, 21.07.59.—Для уменьшения роли термич. р-ций при каталитич. крекинге с псевдооживленным катализатором (КТ), протекающих в свободном от КТ пространстве (СП) над зоной крекинга, обеспечивающей оседание суспендированного КТ из восходящего потока углеводородных паров, поступающих далее в циклоновые сепараторы (ЦС), предлагается вводить пар после отпарки отработанного КТ, содержащий суспендированный КТ, из зоны отпарки в СП реактора в точку, расположенную выше входа в ЦС, где пар, частично освобождаясь от суспендированного в нем КТ, совместно с парами крекированных продуктов проходит через ЦС и выходит из реактора. Цель усовершенствования — заполнение паром верхней части СП в реакторе над входом в ЦС для уменьшения влияния р-ций термич. распада и для улучшения условий сепарации. Приводится и поясняется схема реактора, в котором зоны отпарки КТ расположены в виде отдельных сегментов по бокам цилиндрич. реактора, а ЦС находятся внутри верхней части реактора.

В. Щекин  
6M277. Метод и аппаратура для гидроизомеризации. Starnes William C., Zabor Robert C. Hydroisomerization process and apparatus. [Gulf Research & Development Co.] Pat. США 2906798, 29.09.59.—При гидроизомеризации, углеводородную фракцию  $C_7$ , содержащую ≥ 90% алифатич. углеводородов, контактируют в реакторе со стационарным слоем  $Pt-Al_2O_3$  катализатора при 315—540°, > 1 ат и скорости ≥ 5 объемов фракции на 1 объем катализатора в 1 час; фракцию подают в реактор в смеси с  $H_2$  при кол-ве  $H_2$  < 0,7 молей на 1 моль фракции, но выше той конц-ии, при которой происходит быстрая дезактивация катализатора. Усовершенствование заключается в дополнительной подаче  $H_2$  в промежуточную часть слоя катализатора (между входом и выходом потока) в кол-ве, восполняющем понижение конц-ии  $H_2$  во время р-ции, при этом конц-ия  $H_2$  в любой части слоя катализатора



не должна превышать 0,7 молей  $H_2$  на 1 моль углеводородов. Дополнительная подача  $H_2$  предотвращает дезактивацию катализатора вследствие падения концентрации  $H_2$  в слое катализатора при р-ции. Регулирование кол-ва  $H_2$ , вводимого в промежуточную часть слоя катализатора, осуществляется регулирующим газоанализатором по концентрации  $H_2$  в слое катализатора до места ввода  $H_2$ . М. Павловский

**6M278. Усовершенствование каталитического реформинга углеводородов.** Moy John Arthur Edgar, Leather John. Improvements relating to the catalytic reforming of hydrocarbons. [The British Petroleum Co. Ltd]. Англ. пат. 830790, 23.03.60.—Дегидрирование или дегидроциклизацию сырья, содержащего неароматич. углеводороды (фракцию  $C_8$ — $C_{10}$ , прямогонный дистиллят, продукт каталитич. реформинга на Pt-катализаторе), производят путем контактирования сырья с катализатором, содержащим 5—25%  $Cr_2O_3$  на носителе (предпочтительно  $Al_2O_3$ ) и 0,1—5% соединения германия (считая на окись); катализатор может также содержать небольшое кол-во соединения щел. металла, предпочтительно K. Процесс проводят при давл.  $< 3,5$  ат, 450—580°, объемной скорости 0,1—1 час<sup>-1</sup> без добавления  $H_2$ . Пример. Приготовление катализатора: 2 г  $GeO_2$  суспендируют в р-ре 1326 г  $Al(NO_3)_3 \cdot 9H_2O$  в 1500 мл воды, добавляют 675 мл водн.  $NH_3$  (уд. в. 0,880), осадок отфильтровывают, промывают водой, сушат при 50° и обжигают при 550°; затем катализатор пропитывают р-ром 50 г  $Cr_2O_3$  в 90 мл воды, высушивают и обжигают при 550° в течение 2 час. При реформинге лигроинов с октановым числом 76,1 (по исследовательскому методу) на катализаторе, состоящем из 10%  $Cr_2O_3$ , 1%  $GeO_2$  и 89%  $Al_2O_3$ , при 475° и 530° получены соответственно продукты с октановыми числами 95,2 и 104,2 при выходе 78 и 53 вес. %.

Г. Марголина

**6M279. Крекинг на цеолитовом катализаторе.** Silbert George R. Cracking process with a zeolite catalyst. [Esso Research and Engineering Co.]. Пат. США 2916437, 8.12.59.—Для получения бензина и газойля, выкипающего в пределах 220—345° и имеющего низкое содержание серы, углеводородное сырье (газойль) крекируют при т-ре  $> 455^\circ$  на катализаторе, полученном прокаливанием синтетич. цеолитового геля (Налюмосиликат, состоящий из 12—13%  $Na_2O$ , 22%  $Al_2O_3$  и 65%  $SiO_2$ ) при  $\sim 455^\circ$  в течение 3 час. При крекинге западно-техасского газойля 345—510°, содержащего 1,66% S, на указанном катализаторе и обычном  $SiO_2$ - $Al_2O_3$ , содержащем 13%  $Al_2O_3$ , при 510° получено соответственно бензина (вес. %) 27,5 и 35,3, газойля 21,7 (0,20% S) и 18,2 (0,26% S).

Г. Марголина

**6M280. Извлечение катализатора, увлеченного в процессе конверсии углеводородов парами продуктов реакции и газами регенерации.** Nathan Marvin F. Recovery of catalyst fines entrained in the reaction effluent and regeneration effluent gases from a hydrocarbon conversion process. [The M. W. Kellogg Co.]. Пат. США 2918424, 22.12.59.—С целью снижения потерь ценных катализаторов (КТ), напр. платинового, при гидроформинге или другом процессе конверсии, пары продуктов р-ции на реактора направляют в 1-й скруббер с ректификационной секцией в верхней части, где образуется высококипящая фракция конденсата (полимеры), увлекающая с собой вниз скруббера унос КТ, и пары легкой фракции (бензина), свободные от КТ; легкую фракцию после конденсации частично выводят как целевой продукт и частично направляют во 2-й скруббер для промывки от КТ газов, образующихся в регенераторе, конденсат 2-го скруббера совместно с отмытым КТ направляют на орошение 1-го скруббера, конденсат 1-го скруббера, в котором концентрируется унос КТ из паров продуктов реакции и газов регенерации, возвращают в реактор. С. Розенфельд

**6M281. Каталитический крекинг углеводородов.** Fear James Van Dyck, Shuman Frank L. Hydrocarbon conversion process. [Sun Oil Co.]. Пат. США 2918423, 22.12.59.—Продукт каталитич. крекинга газойля фракционируют (под атмосферным давлением и в вакууме) с получением головной фракции, имеющей 95%-ную выкипаемость при  $\leq 380^\circ$ , промежуточной фракции, выкипающей в пределах 345—405°, и остаточной фракции, 95% которой кипит при  $> 380^\circ$ . Головную фракцию рециркулируют на каталитич. крекинг совместно с сырьем, остаточную фракцию можно использовать для получения смазочных масел путем селективной очистки, промежуточную фракцию подвергают селективной экстракции (напр., фурфуролом), получая рафинат, направляемый на каталитич. крекинг совместно с сырьем, и ароматич. экстракт. Для повторного каталитич. крекинга головная фракция пригодна непосредственно, а промежуточная фракция должна быть селективно очищена от коксообразующих компонентов. Дана технологич. схема. А. Равкин

**6M282. Комбинированный процесс каталитического крекинга и дегидрогенизации.** Donaldson George R. Combination catalytic reforming—catalytic dehydrogenation process. [Universal Oil Products Co.]. Пат. США 2915455, 1.12.59.—Смесь сырья—бензиновой фракции и рециркулирующей тяжелой парафинистой фракции (см. ниже) подвергают реформингу в присутствии  $H_2$  на Pt- $Al_2O_3$ -катализаторе, содержащем галогид (при 315—540°), жидкий продукт реформинга разделяют путем экстракции селективным р-рителем (напр., диэтиленгликоль + 4% воды) на ароматич. экстракт, парафинистый рафинат, последний разделяют перегонкой на легкую парафинистую фракцию с конц. кипения  $\sim 120^\circ$  (107—163°) и тяжелую парафинистую фракцию, выкипающую в пределах 120—205°, рециркулирующую на реформинг. Легкую парафинистую фракцию подвергают каталитич. дегидрогенизации (напр., на  $Cr_2O_3$ - $Al_2O_3$ -катализаторе) при 95—540°, 3—140 ат и объемно-весовой скорости 0,5—20. Жидкий продукт дегидрогенизации смешивают с ароматич. экстрактом продукта реформинга, получая высокооктановый бензин. Дегидрогенизация парафиновых углеводородов, выделенных экстракцией в описанном процессе, проходит лучше, чем дегидрогенизация всего жидкого продукта реформинга, так как содержащееся в этом продукте ароматич. углеводороды при дегидрогенизации частично разрушаются и загрязняют катализатор. А. Равкин

**6M283. Изомеризация углеводородов и катализаторы для этого процесса.** Folkins Hillis O., Geertl Marcellus J. Isomerization catalysts and process. [The Pure Oil Co.]. Пат. США 2926207, 23.02.60.—Катализатор для изомеризации насыщ. углеводородов 4—8 атомами C в молекуле состоит из огнеупорных окислов, содержащих 50—87 вес. %  $SiO_2$  и 50—13 вес. % окислов Al, Zr, характеризующихся кислотными свойствами и крекирующей активностью, 0,5—8 вес. % соединения Ni, содержащего 1—15 вес. % фосфата металла (Al, Be, Ca, Mg, Zr и Sr). Сырье—нефтяные дистилляты, состоящие в основном из нормальных парафиновых углеводородов с 5—8 атомами C, подвергают изомеризации для получения высокооктановых бензинов при т-ре 315—400°, давл. 12—70 ат, объемно-весовой скорости 0,1—10,0 и мол. отношения  $H_2$ : углеводород 0,1—4,5, в присутствии описанного катализатора. Пример. 86,3 г  $Al(NO_3)_3 \cdot 9H_2O$  растворяют в 425 мл дистил. воды, прибавляют при перемешивании 250 г микроф. алюмосиликатного катализатора крекинга (25%  $Al_2O_3$ ), перемешивают 30 мин., прибавляют водн. р-р 30,3 г  $(NH_4)_2HPO_4$  в 250 мл дистил. воды, полученную смесь перемешивают 30 мин., оставляют на 1 час., фильтруют, высушивают  $\sim 16$  час. при 110°, обжигают, постепенно повышая т-ру до 620°, и выдерживают 6 час. при этой т-ре

190 г полученного катализатора суспендируют в р-ре 40,5 г  $\text{Ni}(\text{NO}_3)_2 \cdot 6\text{H}_2\text{O}$  в 250 мл дистил. воды, прибавляют при перемешивании р-р 27 г  $(\text{NH}_4)_2\text{CO}_3 \cdot \text{H}_2\text{O}$  в 250 мл воды, перемешивают 15 мин., жидкость отфильтровывают, осадок сушат 16 час. при  $110^\circ$ , таблетируют и активируют медленным нагреванием в токе  $\text{H}_2$  в течение 5 час. при  $520^\circ$ .

И. Берлин

6M284. Каталитический крекинг. Нерр Harold J., Drehman Lewis E. Catalytic cracking process. [Phillips Petroleum Co.]. Пат. США 2926131, 23.02.60. — Улучшенный процесс каталитич. крекинга заключается в том, что газойль, кипящий в пределах  $200\text{--}590^\circ$ , смешивают с 0,001—1 (0,4) вес.%  $\text{HCl}$  (газ), контактируют при  $450\text{--}560^\circ$  ( $470\text{--}520^\circ$ ) с алюмоцирконий-силикатным катализатором, полученный продукт фракционируют и получают бензиновую фракцию с повышенным содержанием ароматич. углеводородов. Пример. Цетан пропускают над алюмосиликатным катализатором (84%  $\text{SiO}_2$ , 10%  $\text{ZrO}_2$ , 4%  $\text{Al}_2\text{O}_3$  и 2% воды) при 1 ат, т-ре  $490\text{--}500^\circ$  и объемно-весовой скоростью  $\sim 2$ . Катализатор периодически регенерируют. В последнем периоде к сырью прибавляют 0,38%  $\text{HCl}$ , благодаря чему выход бензина увеличивается на 1,2%, а содержание в нем ароматич. углеводородов увеличивается вдвое по сравнению с содержанием ароматич. в первом периоде. Приведена схема технологич. процесса.

И. Берлин

6M285. Процесс изомеризации фракции  $\text{C}_6$ -углеводородов. Carter Norman D., Hess Howard V. Isomerizing a  $\text{C}_6$  hydrocarbon fraction. [Texaco Inc.]. Пат. США 2918511, 22.12.59. — Поток фракции  $\text{C}_6$ -углеводородов подвергают изомеризации на Pt-катализаторе, изомат фракционируют с получением погона, содержащего в основном 2,2- и 2,3-диметилбутаны, выводимого как компонент целевого высокооктанового продукта, и остатка. Последний контактируют с алюмосиликатным адсорбентом типа мол. сита, адсорбирующим  $n$ -гексан. Неадсорбированный остаток фракционируют с получением погона, содержащего в основном 2- и 3-метилпентан, используемого для десорбции  $n$ -гексана, и остатка, содержащего в основном метилциклопентан, бензол и циклогексан, выводимого как компонент целевого высокооктанового продукта. Десорбированный  $n$ -гексан вместе с 2- и 3-метилпентаном направляют на изомеризацию совместно с потоком исходной фракции  $\text{C}_6$ -углеводородов. Приведены также варианты процесса.

С. Розенфельд

6M286. Катализатор гидроформинга, содержащий окись цинка. Hunter Edward A., Segura M., Nell A. Hydroforming catalyst containing zinc oxide. [Esso Research and Engineering Co.]. Пат. США 2906713, 29.09.59. — Катализатор гидроформинга, обладающий повышенными активностью и селективностью, состоит из 5—20 вес.%  $\text{MoO}_3$  и 1—15 вес.%  $\text{ZnO}$  на носителе, осажденном смешением в воде, среде алюмината  $\text{Na}$ , сульфата  $\text{Al}$  и силиката  $\text{Na}$  при pH смеси 9—10. По варианту в высушенный носитель вводят сначала 10—15 вес.%  $\text{Cr}_2\text{O}_3$  и затем остальные компоненты. Пример. 1090 л 32%-ного р-ра алюмината  $\text{Na}$  (содержащего 8%-ный избыток  $\text{NaOH}$ ) и 22,7 л р-ра силиката  $\text{Na}$  ( $\text{Na}_2\text{O} \cdot 3,25 \text{ SiO}_2$ ) с уд. в. 1,4 разбавляют 8700 л, добавляют р-р 561 л 25%-ного р-ра сульфата  $\text{Al}$  и 665 л  $\text{H}_2\text{SO}_4$ , уд. в. 1,26, в 1890 л водопроводной воды, добавление продолжают до pH смеси 9,5, поддерживая т-ру  $\sim 27^\circ$ , полученную взвесь нагревают приблизительно до  $49^\circ$  и отфильтровывают. Лепешку повторно несколько раз смешивают с водой и отфильтровывают, полученную смесь  $\text{Al}_2\text{O}_3$  +  $\text{SiO}_2$  сушат распыливанием и выдерживают 16 час. при  $343^\circ$ . 900 г сухого носителя пропитывают р-ром 148 г  $\text{Zn}(\text{OCOCH}_3)_2 \cdot 2\text{H}_2\text{O}$  и 122,5 г  $(\text{NH}_4)_2\text{MoO}_4$  в  $\sim 700$  мл воды, высушивают при  $\sim 120^\circ$ , таблетируют и нагревают 6 час. при  $760^\circ$ , получают катализатор, содержащий 10%  $\text{MoO}_3$  и 5%  $\text{ZnO}$ .

М. Павловский

6M287. Дегидрирование углеводородов. Goerrig Dieter. Verfahren zur Dehydrierung von Kohlenwasserstoffen. [Farbenfabriken Bayer A.-G.]. Пат. ФРГ 1064496, 25.02.60. — Предложен метод дегидроенизации парафиновых углеводородов при нагревании в проточной системе до  $\sim 500^\circ$  в присутствии металла, образующего гидрид, напр. одного из щел.-зем. металлов:  $2\text{CH}_4 + \text{Ca} \rightarrow \text{C}_2\text{H}_6 + \text{CaH}_2$ ;  $\text{C}_2\text{H}_6 + \text{Ca} \rightarrow \text{C}_2\text{H}_4 + \text{CaH}_2$ . В примере 96%-ный этан (остаток  $\text{CH}_4$  и  $\text{H}_2$ ) подвергался дегидроенизации в присутствии металлич.  $\text{Ca}$ , при повышенных т-рах и меняющихся скоростях газового потока. При  $500\text{--}600^\circ$  1—3 л этана превращается в этилен без возникновения побочных р-ций. При меньших скоростях потока (50 л/час) и т-рах  $>600^\circ$  наблюдалось также образование ацетилена и сажи. Почти полная конверсия в этилен достигнута при  $750^\circ$  и скорости потока 200 мл/час.

А. Некрасов

6M288. Алкилирование. Roebuck Alan K., Evening Bernard L. Alkylation. [Standard Oil Co.]. Пат. США 2897248, 28.07.59. — Способ алкилирования изобутана (I) одним или несколькими олефинами (II): пропиленом, бутиленом-2, изобутиленом. I и II вводят в реакционную зону (P3) при мол. отношении  $\text{I}:\text{II} \geq 3:1$ . В P3 происходит тщательное смешение в жидкой фазе (в условиях алкилирования) I и II с  $\text{AlCl}_3$ -эфирным катализатором (III), в присутствии полиалкилбензола (IV). III получают путем растворения  $\text{AlCl}_3$  в диметилеволе или в диэтиловом эфире, либо в их смеси, с образованием эквимолекулярного жидкого комплекса  $\text{AlCl}_3$ -эфир, насыщенного  $\text{AlCl}_3$  (III содержит 1—2 молей  $\text{AlCl}_3$  на 1 моль эфира). Объемное отношение углеводородов к III составляет 10:1 до 100:1. IV берется в кол-ве от 0,001—1,5 (0,1—1,0) % от веса I + II в P3. В P3 поддерживается т-ра  $10\text{--}48^\circ$ . Продукты р-ции выводятся из P3, из них выделяется алкилат с пределами кипения бензина, октановое число которого выше по сравнению с алкилатом, полученным в отсутствие IV. В качестве IV может быть также применен скипол.

С. Розенор

6M289. Двухступенчатый процесс гидрогенизации для получения смазочных масел, устойчивых против окисления. Fear James Van Dyck. Two-stage hydrogenation process for producing oxidation resistant lubricants. [Sun Oil Co.]. Пат. США 2915452, 1.12.59. — Патентуется двухступенчатый процесс гидрогенизации минер. масел, повышающий их приемистость к антиокислительным присадкам. В 1-й ступени гидрогенизация проводится при  $230\text{--}400^\circ$  и 10,5—210 ат, скорости 0,5—10 объемов масла на 1 объем катализатора в 1 час, при этом предпочтительно применяют перколяцию масла в жидкой фазе через слой катализатора. В 1-й ступени происходит превращение в нафтеновые кольца некоторых ароматич. колец, которые при одноступенчатом, более жестком процессе могут превращаться в кокс. 2-я ступень проводится в более жестких условиях:  $345\text{--}455^\circ$ , 7—175 ат, объемная скорость 0,25—5 час $^{-1}$ . Можно проводить еще 3-ю ступень в более мягких условиях при  $315\text{--}340^\circ$ . Катализаторы можно применять обычные, предпочтительно содержащие  $\text{CoMoO}_4$ . Пример. Гидрогенизировали депарафинизированный дистиллат парафино-нафтеновой нефти, очищенной фурфуролом, имевший  $d_{40}^{20}$  0,86, т. кип.  $315\text{--}438^\circ$ , вязкость 4 сст при  $99^\circ$ , S 0,1%, ароматич. углеводородов 12%. 1-я ступень:  $315^\circ$ , 105 ат, объемная скорость 1 час $^{-1}$ , катализатор 12,5%  $\text{CoMoO}_4$  на боксите. 2-я ступень:  $358^\circ$ , 35 ат, объемная скорость 1 час $^{-1}$ , катализатор 12,5%  $\text{CoMoO}_4$  на глиноземе. Испытания по Сляну при  $95^\circ$  в присутствии меди образцов масла с 0,4% 2,6-ди-трет-бутил- $n$ -крезола показали, что стабильность масла повышалась после каждой ступени гидрогенизации.

П. Кандав

6M290. Гидрирование и перегонка смазочных масел. Beuther Harold, Henke Alfred M., Peterson Rodney E. Hydrogenation and distillation

of lubricating oils. [Gulf Research & Development Co.]. Пат. США 2917447, 15.12.59.—Для получения смазочного масла улучшенного качества из сырья, содержащего асфальтовые в-ва и парафин, сырье перегоняют под вакуумом с получением непрессуемого дистиллята и остатка, последний деасфальтируют (напр., пропаном), дистиллят и деасфальтированный остаток совместно гидрируют на катализаторе, состоящем из сульфида металла группы VIA (периодической системы) или смеси сульфида металла группы VIA и сульфида металла группы Fe (напр., смесь сульфидов Ni и W), при 365–400°, 140–280 ат и объемной скорости 0,25–2, выбранные в указанных пределах условия гидрирования должны обеспечивать превращение большей части ароматич. в нафтеновые углеводороды; гидрированный продукт депарафинизируют и затем перегоняют под вакуумом, получая требуемые по вязкости фракции, и каждую из которых вторично гидрируют на катализаторе, состоящем из  $\text{Co}_2\text{O}_3$  и  $\text{MoO}_3$  (или из сульфида металла VIA группы, или из смеси сульфида металла группы VIA и сульфида металла группы Fe, или из окиси металла группы VIA, или из окиси металла группы Fe, или из смеси окиси металла группы VIA и окиси металла группы Fe), при 260–315°, 35–70 ат, объемной скорости 0,5–4. Второе гидрирование должно обеспечить практически полную гидрогенизацию олефинов, диолефинов и окрашивающих в-в, без образования при этом низкокипящих продуктов крекинга.

С. Розенфельд  
6M291. Коксование углеводородных фракций в псевдооживленном слое. Ploeg Alfred R. Vander, Crawley Carroll L., Ballard Wiley P. Fluid contact coking of hydrocarbon oils. [Texasco, Inc.]. Пат. США 2920032, 5.01.60.—В процессе непрерывного крекинга и коксования тяжелых нефтяных фракций сырье подвергают контакту с частицами кокса в плотном псевдооживленном слое в зоне р-ции (ЗР), поддерживаемой при 480–540°. Сырье вводят в ЗР на промежуточном уровне, причем оно распределяется над частицами кокса. В ЗР вводят пар для псевдооживления. Кокс удаляют из ЗР и сжигают, после чего нагретый кокс рециркулируют в ЗР. Контролем т-ры в первой точке, смежной с точкой ввода масла в ЗР, и во второй точке, удаленной от первой, создаются условия, предупреждающие агломерацию до тех пор, пока т-ра в обеих точках поддерживается примерно одинаковой и не отличается более, чем на 5°.

Г. Марголина  
6M292. Прокаливание порошкообразного кокса. Reintjes Harold. Process for heat treating particulate solid materials. [Godfrey L. Cabot, Inc.]. Пат. США 2914448, 24.11.59.—Для прокаливания порошкообразного или гранулированного кокса (или другого твердого в-ва) применяют парные вертикальные регенеративные печи, содержащие огнеупорную кладку с вертикальными каналами. Кладку 1-й печи нагревают (до ~1430°) пропуская через каналы горячих дымовых газов, затем через каналы пропускают кокс (вниз или вверх) вместе с инертным газом (может двигаться в противоположном или одном направлении с коксом), при этом кокс прокаливается; когда т-ра кокса на выходе из печи снижается до нижнего предела (до ~1370°), поток кокса переключают на 2-ю предварительно нагретую печь, а 1-ю переключают на нагрев. Горячий кокс после печи охлаждают в 1-й колонне путем контактирования с холодным инертным газом, который при этом нагревается и затем поступает в печь вместе с коксом. Поток холодного кокса, идущий в печь, нагревают во 2-й колонне путем контактирования с нагретым инертным газом после печи. Дана схема установки.

А. Равикович  
6M293. Приспособление к приборам в процессе коксования тяжелого нефтяного сырья в псевдооживленном слое и аналогичных процессах. Segura Mar-

nell A. Instrumentation for fluid coking of heavy hydrocarbon oils and the like. [Esso Research and Engineering Co.]. Пат. США 2856346, 14.10.58.—Во избежание заивки импульсных трубок (ИТ) приборов, автоматически регулирующих режим реактора при коксовании тяжелых нефтяных остатков в псевдооживленном слое, к ИТ подводится воздух, продувающий ИТ со скоростью 0,3–6 м/сек.

С. Розенор  
6M294. Коксование остаточных фракций в псевдооживленном слое. Moser John F., Jr., Johnson Frank B. Fluid coking residual oil. [Esso Research and Engineering Co.]. Пат. США 2927073, 1.03.60.—Для предупреждения ухудшения текучести сырья в процессе коксования нефтяных остатков в псевдооживленном слое твердых частиц при т-ре 480–650° предлагается определять максимально возможную скорость подачи сырья — в зависимости от коксуемости по Конрадсону — константой, находящейся, в свою очередь, в прямой зависимости от вязкости. С этой целью непрерывно определяется вязкость сырья, поступающего в зону коксования, причем в зависимости от значения вязкости изменяются условия коксования. Максим. скорость подачи сырья для одной из исследованных нефтей составила 0,74 вес. ч. на 1 вес. ч. твердых частиц в 1 час. Приведена номограмма зависимости вязкости от коксуемости по Конрадсону для остатков различных исследованных нефтей.

И. Берлин  
6M295. Производство городского газа из нефтяного сырья. Haney Roy E. D. Fluidized solids town gas manufacturing process. [Esso Research and Engineering Co.]. Пат. США 2912315, 10.11.59.—Конверсия тяжелых нефтяных остатков в горючий газ, содержащий CO и  $\text{H}_2$ , с калорийностью ~4000–4900 ккал/м³, осуществляется в реакторе (производительностью >280 000 м³/сутки), в нижней расширенной части которого поддерживается, путем непрерывной подачи нагретого до 930–1040° инертного теплоносителя (Т) и перегретого до >120° водяного пара, «кипящий» слой, в котором скорость газа 0,15–1,5 м/сек, т-ра 815–980° и плотность равна 20–40% истинной плотности применяемого Т; вниз этой зоны подается тяжелая смола, которая там крекируется до кокса; на уровне верхней границы «кипящего» слоя вводится исходное сырье со скоростью 1,6–6,5 кг/мин/м³ Т, которое с добавкой катализатора смешивается с поднимающимися из «кипящего» слоя в верхнюю суженную часть реактора газами, водяным паром и твердым Т, подвергается глубокому крекингу и частичному реформингу; образовавшаяся суспензия этих компонентов с плотностью, равной 5–15% плотности «кипящего» слоя, поднимается по указанной суженной части со скоростью 7,6–18 м/сек, пребывает в этой зоне ≤0,7 сек, и затем направляется в сепаратор, откуда часть Т возвращается вниз реактора (в зону «кипящего» слоя), а часть направляется в зону подогрева. Газообразные продукты, после резкого охлаждения водой до <120° и отделения смеси конденсата и тонкодисперсных частиц Т, поступают в скруббер для улавливания летучих в-в; смесь конденсата с Т (содержащая вышеупомянутую тяжелую смолу) частично направляется в зону «кипящего» слоя для коксования, частично в зону подогрева для сжигания. Предусмотрено использование в качестве Т не только инертных материалов, но и катализаторов, напр.  $\text{CaO}$ ,  $\text{Ca}(\text{OH})_2$ ,  $\text{K}_2\text{CO}_3$ ,  $\text{Na}_2\text{CO}_3$ , KOH, NaOH, а также Ni-, Co-, Mo-катализаторов. Дана схема установки.

С. Розенфельд  
6M296. Способ газификации твердого или жидкого топлива. Procédé de gazéification des combustibles solides ou liquides. [Office Central de Chauffage Rationnelle]. Франц. пат. 1217836, 5.05.60.—С целью снижения потерь при газификации топлива, обусловленных выносом из газогенератора (Г) вместе с газом негазифицированных углеродистых частиц (сажи), предложено подаваемый в Г воздух предварительно подогре-

вать и о  
го генер  
подогре  
Г, или в  
топлива  
сжигани  
ходящий  
охлажда  
пыление  
теплооб

6M297.  
газа из  
tion con  
nes Jans  
16.03.60.

ри шам  
рения, с  
же две  
ные в  
жения;  
ыми г  
перегор  
регул  
ника, у  
предста  
горизон  
сти мон  
газифи  
фита, и  
рую мон  
концам  
Регули  
может  
ставлен  
конец  
мешает  
вертика  
ляющие  
протек  
фикатор  
рез не  
дымов  
ходит  
превае  
затор,  
паралл  
на уст  
некого

6M298.  
лучен  
сортно  
God  
bons.  
289385  
конве  
паром  
замен  
ратор  
жени  
кой.  
огнеу  
имеет  
огнеу  
топли  
содер  
ла —  
ваго  
в РГ;  
РГ, ч  
ПТ, э  
долж  
точку



вать и обогащать путем сжигания выделенной из этого генераторного газа сажи. Воздух может быть подогрет путем теплообмена с газом, выходящим из Г, или в спец. нагревателе. При газификации жидкого топлива воздух с добавлением  $\text{CO}_2$ , полученной при сжигании сажи, вводится в Г с т-рой 900—1000°. Выходящий из Г газ для улавливания из него сажи охлаждается двумя приемами: непосредственным распылением воды и последующим охлаждением путем теплообмена. Приложена схема установки.

Н. Гаврилов

6M297. Аппаратура для непрерывного производства газа из нефтяных остатков. Dispositif pour la production continue de gaz d'huile de rebut. [Hendrikus Johannes Jansen, Pieter van der Zee]. Франц. пат. 1211526, 16.03.60.—В вертикальном корпусе, футерованном внутри шамотом, укреплены вертикальные реторты испарения, соединенные внизу камерой газификации, а также две вертикальные реторты разложения, соединенные в нижнем конце горизонтальной камерой разложения; реторты обогреваются омывающими их дымовыми газами. Обе группы реторт разделены особой перегородкой, в которой устроен канал, снабженный регулировочным шибером, управляемым от термодатчика, укрепленного в этом канале; этот канал может представлять собой камеру, разделенную на 2 части горизонтальной перегородкой, причем в каждой части монтируется термодатчик. Горизонтальная камера газификации, снабженная устройством для сбора графита, и горизонтальная камера разложения, в которую может быть вставлен желоб для чистки, своими концами выведены наружу и закрыты заглушками. Регулировка потоков обогревательных дымовых газов может производиться с помощью термостата, представляющего собой металлич. стержень, подвижный конец которого через посредство рычагов и троса перемещает шибер. Для улучшения теплопередачи внутри вертикальных реторт монтируются пластины, направляющие поток по спирали. Процесс произ-ва газа протекает так: масло из резервуара подается в газификатор; образовавшийся масляный пар проходит через несколько обогреваемых снаружи противотоком дымовых газов трубчатых вертикальных реторт, проходит затем последовательно через интенсивно обогреваемую камеру разложения, содержащую катализатор, и через реторту разложения, обогреваемую параллельным током дымовых газов, после чего выходит на установку. В камеру газификации может вводиться некоторое кол-во воды. Приведены схемы аппаратуры.

Б. Мокршанский

6M298. Циклический каталитический процесс получения высококалорийного газа конверсией низкосортного жидкого топлива. Milbourne Charles Gordon. Method for catalytic conversion hydrocarbons. [The United Gas Improvement Co.]. Пат. США 2893853, 7.07.59.—Описан циклич. каталитич. процесс конверсии низкосортного жидкого топлива с водяным паром с целью получения высококалорийного газа для замены природного газа. Конверсию проводят в генераторе, состоящем из двух последовательно расположенных сообщающихся камер с огнеупорной футеровкой. В 1-й камере — регенераторе (РГ) находится огнеупорная насадка, а во 2-й — реакторе (РК) внизу имеется слой беспорядочно расположенных кусков огнеупора для отделения золы из продуктов сгорания топлива, и в верхней части слой катализатора (КТ), содержащего никель. Процесс проводят в два цикла — разогрева и собственно конверсии. В период разогрева перичное топливо (ПТ) и воздух сжигают в РГ; дымовые газы проходят через слой огнеупора в РГ, через золотуделяющую насадку в РК и через слой КТ. Затем подачу ПТ уменьшают ~ на 75% при продолжающейся подаче воздуха. Вслед за этим в РК, в точку, расположенную между золотуделяющей насад-

кой и слоем КТ, вводят и сжигают вторичное топливо (ВТ), не содержащее золы, а дымовые газы пропускают через слой КТ. Скорость подачи воздуха, ПТ и ВТ в течение цикла поддерживают такой, чтобы т-ра в слое КТ лежала в интервале 700—1000°, а т-ра в РГ и насадки в РК в интервале 540—930°. В цикле конверсии в РГ испаряют жидкое топливо и пропускают его в смеси с паром через огнеупор в РГ и насадку в РК. Смесь при этом нагревается до т-ры р-ции без заметного термич. разложения и затем поступает на КТ. Образующийся газ с теплотворностью 7200 ккал/м³ поступает в хранилище. Процесс особенно рекомендуется для газификации тяжелого остаточного топлива, склонного при конверсии к смоло- и коксообразованию. Приведена схема генератора.

В. Шекин

6M299. Извлечение и использование газообразных олефинов. Ballard Wiley P., Gibson James R., Fort Ben F., Jr. Recovery and utilization of normally gaseous olefins. [Texaco Inc.]. Пат. США 2906795, 29.09.59.—Газ, полученный на установке каталитич. крекинга с псевдоожиженным слоем, содержащий небольшие кол-ва  $\text{C}_2\text{H}_4$  и  $\text{C}_3\text{H}_6$  в смеси с  $\text{N}_2$ ,  $\text{CO}$ ,  $\text{H}_2$ ,  $\text{CH}_4$ ,  $\text{C}_2\text{H}_6$  и  $\text{C}_3\text{H}_8$  контактируют с гранулированным алюмосиликатным адсорбентом, имеющим поры размером 4А, преимущественно адсорбирующим  $\text{C}_2\text{H}_4$  и  $\text{C}_3\text{H}_6$ ; адсорбированные  $\text{C}_2\text{H}_4$  и  $\text{C}_3\text{H}_6$  десорбируют путем контактирования адсорбента с  $\text{iso-C}_4\text{H}_{10}$  при повышенной т-ре; полученную смесь, состоящую в основном из  $\text{C}_2\text{H}_4$ ,  $\text{C}_3\text{H}_6$  и  $\text{iso-C}_4\text{H}_{10}$ , контактируют с фосфорнокислым катализатором для получения жидкого полимера  $\text{C}_3\text{H}_6$ , отделяют полимер и оставшуюся смесь  $\text{C}_2\text{H}_4$  и  $\text{iso-C}_4\text{H}_{10}$  фракционировкой разделяют на  $\text{C}_2\text{H}_4$  и  $\text{iso-C}_4\text{H}_{10}$ . Часть  $\text{C}_2\text{H}_4$  полимеризуют в присутствии катализатора, содержащего металлалкил [напр.,  $\text{Al}(\text{C}_2\text{H}_5)_3$ ] и соединение металла IV—VIII-групп [напр.,  $\text{TiCl}_4$ ], получая полиэтилен. Часть  $\text{iso-C}_4\text{H}_{10}$  алкилируют  $\text{C}_2\text{H}_4$  в присутствии катализатора, получая жидкий алкилат (компонент бензина).

М. Павловский

6M300. Получение газа, богатого водородом. Grisenthwaite Arthur Turner. Improvements in or relating to the production of synthesis gas rich in hydrogen. [The Power Gas Corp. Ltd.]. Англ. пат. 831263, 23.03.60.—Угледородное сырье в смеси с водяным паром контактируют с Ni-содержащим катализатором при <8 ат (<900°) для получения газовой смеси, содержащей  $\text{H}_2$  и  $\text{CO}$ ; поток газовой смеси охлаждают, компримируют и вновь нагревают путем теплообмена с потоком горячей газовой смеси после р-ции; нагревшую газую смесь в смеси с добавленным водяным паром подвергают конверсии на  $\text{Fe}_2\text{O}_3$ -содержащем катализаторе при 10—30 ат (380—440°), при этом  $\text{CO}$  переходит в  $\text{CO}_2$ ; из конвертированного газа удаляют  $\text{CO}_2$  (напр., промывкой горячим р-ром  $\text{K}_2\text{CO}_3$ ), получая газ, богатый  $\text{H}_2$ .

Г. Марголина

6M301. Получение непредельных углеводородов термическим разложением насыщенных углеводородов в двигателе внутреннего сгорания. Pietsch Herbert. Verfahren zur Herstellung von ungesättigten Kohlenwasserstoffen durch thermische Spaltung von gesättigten Kohlenwasserstoffen unter gleichzeitiger Gewinnung von mechanischer Energie in einem Verbrennungsmotor. [Deutsche Erdöl-A.G.]. Пат. DFG 1061317, 24.12.58.—Для получения непредельных углеводородов в выхлопных газах двигателя внутреннего сгорания в цилиндр двигателя при работе его на бедной смеси (топливо-воздушная или топливо-кислородная смесь) во время или после сгорания топливного заряда вводят углеводород или смесь углеводородов. Т-ру разложения можно изменять введением кислорода или водяного пара. Пример. В одноцилиндровый двигатель (CFR), работающий на бедной смеси (15:1), при степени сжатия 6:1 и 900 об/мин., с опережением зажигания 24° от в.м.т. вводят в головку цилиндра при положении поршня в в.м.т. легкий бензин. В выхлопе

содержится 6—12 об. % этилена. Сажеобразование незначительно.

**6М302. Выделение олефинов из газовой смеси.** Dye Robert F. Recovery of olefins from hydrocarbon mixtures. [Phillips Petroleum Co.]. Пат. США 2921053, 12.01.60.—Способ выделения этилена и пропилена из газовой смеси, содержащей, кроме указанных углеводородов, также и пропан, и их последующего разделения путем сочетания процессов ректификации и абсорбции. Способ применен к разделению газовой смеси, получаемой после сополимеризации указанных олефинов. Приводится поточная схема и описание процесса.

**6М303. Способ очистки газов термического расщепления углеводородов.** Haberl Karl, Hilgert Richard. Verfahren zur Reinigung von Spaltgasen. [Chemische Werke Hüls A.-G.]. Пат. ФРГ 1065558, 10.03.60.—При очистке газов, получаемых при термич. расщеплении углеводородов, от сажи и других загрязняющих примесей с помощью матерчатых фильтров (после предварительной промывки газа водой), предложено очищаемый газ до поступления его в матерчатый фильтр пропускать через насадочный скруббер, орошаемый промысловым маслом. На примере показано, что введением масляной промывки срок службы матерчатого фильтра повысился с 880 до 2200 час. Приведены схемы.

**6М304. Метод окисления меркаптанов в дисульфиды.** Meguerian Garbis H. Process for oxidation of mercaptans to disulfides [Standard Oil Co.]. Пат. США 2927137, 1.03.60.—Неочищенный нефтепродукт, содержащий меркаптаны (М), контактируют с водн. р-ром едкой щелочи, содержащим (вес. %) 4—8 щелочи, 0,001—0,1 гидрохинона (I) и 0,003 Fe в виде растворимой в воде соли. Получают дистиллятную фазу с заметно пониженным содержанием М и насыщ. р-р, содержащий водн. щелочь и М (в виде меркаптидов). Этот насыщ. р-р контактируют при 16—55° со свободным кислородом в кол-ве, достаточном для значительного снижения содержания М, но недостаточном, чтобы окислить заметные кол-ва I. Отделяют образовавшиеся дисульфиды из отогретого р-ра, содержащего водн. щелочь, и неокислившиеся М и рециркулируют этот р-р в контактную зону с неочищенным дистиллятом. Было проведено несколько опытов для сравнения эффективности I, FeCl<sub>3</sub> и их комбинации. Водн. метанол содержал 0,4 вес. % NaOH. В комбинации (вес. %) 0,0027 I и 0,0125 FeCl<sub>3</sub> и 0,0027 I и 0,065 FeCl<sub>3</sub> 75% содержащихся в продукте М превращается в сульфиды через 27 и 5 мин. соответственно.

**6М305. Процесс обессеривания нефтяных дистиллятов воздухом.** Niehaus Edward J., Jr., Gay William H. Air sweetening process for naphthas. [Esso Research and Engineering Co.]. Пат. США 2916442, 8.12.59.—При обессеривании нефтяного дистиллята, содержащего меркаптаны, окислением последних в дисульфиды к дистилляту добавляют 0,006—0,12 г/л ингибитора (антиокислителя типа амина, амида, фенола), после чего контактируют в отсутствие добавленной свободной серы с щел. р-ром, предварительно использованным для обработки керосиновой фракции и продутом воздухом; после отделения щел. р-ра от дистиллята его хранят в течение нескольких часов в резервуаре для завершения обессеривания; после добавления ингибитора в дистиллят можно вводить O<sub>2</sub>. При обессеривании крекинг-дистиллята (иногда смешанного с ~50% прямогонного дистиллята) его обрабатывают щел. р-ром для удаления растворимых в щелочи компонентов, включая H<sub>2</sub>S и тиофенолы, затем добавляют 0,006—0,12 г/л фенилендиамина или N,N'-ди-втор-бутил-п-фенилен-диамина и обрабатывают дистиллят в отсутствие добавленной свободной серы 5—20 об. % щел. р-ра с уд. в. 0,93—0,81, предварительно применявшегося для обработки сырой керосиновой

фракции, после чего отделяют дистиллят от щел. р-ра; хранят его в течение нескольких часов в резервуаре для завершения обессеривания; после добавления ингибитора можно вводить O<sub>2</sub> при хранении дистиллята. Библ. 4 назв.

**6М306. Усовершенствование очистки нефтяных фракций.** Geach Charles John. Improvements relating to the refining of petroleum hydrocarbons. [The British Petroleum hydrocarbons]. Англ. пат. 840246, 6.07.60.—Бензин каталитич. крекинга для улучшения стабильности против окисления гидрируют в псевдооживленном или стационарном слое катализатора CoO-MoO<sub>3</sub>-Al<sub>2</sub>O<sub>3</sub> (2—25 вес. % MoO<sub>3</sub> и 1,5—5 вес. % CoO) при т-ре 160—315°, парц. давлений H<sub>2</sub> 1—18 атм, объемной скорости 1—4, скорости пропускания H<sub>2</sub> 35—540 м<sup>3</sup>/м<sup>2</sup> и кол-ве его 18—45 (27—45) м<sup>3</sup>/м<sup>3</sup>. Время пребывания катализатора в реакционной зоне 20—150 час. Пример. Нефтяной дистиллят уд. в. 0,7090 при 15° пределами кипения по ASTM 45—175° подвергают термич. крекингу в присутствии водяного пара при 730°, полученную бензиновую фракцию гидрируют, применяя катализатор, состоящий из 14,7 вес. % MoO<sub>3</sub>, 3,05 вес. % CoO на Al<sub>2</sub>O<sub>3</sub> при т-ре 260°, давл. 3,5 атм, объемной скорости 2,0, кол-ве рециркулирующего газа 350 м<sup>3</sup>/м<sup>3</sup>, кол-ве H<sub>2</sub> 4 м<sup>3</sup>/м<sup>3</sup> и содержании его в рециркулирующем газе 87,5 мол. %. По сравнению с исходным сырьем полученный продукт отличается значительно меньшим смолообразованием, но при этом октановое число по исследовательскому методу также превышает некоторое снижение.

**6М307. Очистка топливных и масляных фракций водородом.** Pichler Helmut R. Oil refining with hydrogen. [Hydrocarbon Research, Inc.]. Пат. США 2910433, 27.10.59.—Поток топливной или масляной фракции с т. кип. >205° (>350°), содержащей сернисты соединения, совместно с уже очищ. фракцией в кол-ве ≥ 2 (≥ 6) объемов на 1 объем исходной фракции, пропускают вместе с H<sub>2</sub> сверху вниз через один или несколько вертикальных цилиндрич. реакторов, заполненных неподвижными слоями катализатора гидрогенизации, активного в присутствии S (напр., CoMoO<sub>4</sub> на Al<sub>2</sub>O<sub>3</sub>), при 345—455° и 35—210 атм, при этом часть очищаемого продукта должна оставаться в жидкой фазе и просачиваться через слой катализатора. В результате очистки происходит обессеривание и улучшение цвета и стабильности фракции. Применение части очищ. фракции для разбавления исходной при гидроочистке и промывание катализатора во время работы значительно удлиняет срок действия катализатора до регенерации.

**6М308. Комбинирование теплообмена и гидроочистки.** Weikart John. Combination heat exchange and hydrofining process. [Esso Research and Engineering Co.]. Пат. США 2927691, 8.03.60.—В комбинированном процессе гидроочистки легкий нефтяной дистиллят подвергают каталитич. гидроочистке в 1-й зоне при т-ре 290—370°, а тяжелый дистиллят направляют во 2-ю зону, где гидроочистку производят при т-ре 340—400°. Предлагаемое улучшение процесса заключается в нагревании тяжелого сырья до т-ры выше т-ры, поддерживаемой во 2-й зоне, и непрямым теплообменом тяжелого дистиллята с легким для нагревания последнего. Легкий и тяжелый дистилляты предварительно нагревают путем непрямого теплообмена с продуктами соответственно 1-й и 2-й зон. Приведена схема установки.

**6М309. Обессеривание нефтяных дистиллятов на отработанных платиновых катализаторах реформинга.** Riordan Michael D., Vermillion Herbert E. Process for desulfurizing petroleum distillates using a spent platinum reforming catalyst. [Texaco Inc.]. Пат. США 2916443, 8.12.59.—Гидроочистку керосина или газойля осуществляют без крекирования и дегидрирования на Pt-Al<sub>2</sub>O<sub>3</sub>-катализаторе, отработанном при

реформинга 28) ат и 0,1—10 (анилино катализатор Al<sub>2</sub>O<sub>3</sub>, получено 0,009%.

**6М310. Ненорм. Kimb process e so Resea 22.12.59. 65—205°, водородо рования ≥1,5 ато объемной ствствия, атом H<sub>2</sub> кол-во S, жающего кол-ва, H<sub>2</sub>) = 2, тализато углеводо 205°, соды ых и а 315°), 1- фракции лизаторе обессери ые и а нения, 6М311. Kimb Clark idual f Пат. СШ вышени жащих работке 0,1—5 ч 0,1—10 в молен кол-ве результ гулирую виде ш пылеви 330°, в материа схема у**

**6М312. Кипатан глиной, fan-bea clay. [S 80.12.58. содерж емульс мом щел, в гидрост са в та ся око от вод держк сия ра дукта, данны ~0,4%**

реформинга, при 260–425° (260–400°), 14–70 (17–28) ат и объемной скорости подачи жидкого сырья 0,4–10 (0,5–1) в 1 час. При гидроочистке керосина (анилиновая точка 58°, S 0,49%) на отработанном катализаторе, содержащем 0,3% Pt, 0,6%  $AlF_3 \cdot 0,5H_2O$  на  $Al_2O_3$ , при 316° 18 ат и объемной скорости 0,5 час.<sup>-1</sup> получают очищ. керосин с анилиновой точкой 57° и S 0,009%.

С. Розенфельд

**6M310. Обессеривание нефтяных фракций на осеренном платиновом катализаторе.** Adams Clark E., Kimberlin Charles N., Jr. Hydrodesulfurization process employing a presulfided platinum catalyst. [Esso Research and Engineering Co.]. Пат. США 2918427, 22.12.59.—Нефтяную фракцию, кипящую в пределах 65–205°, содержащую олефиновые и ароматич. углеводороды и 0,01–2% S, обессеривают путем контактирования с катализатором, содержащим 0,05–2% Pt и  $\geq 1,5$  атома S на атом Pt, при 170–505°  $\leq 42$  ат и объемной скорости жидкого сырья 0,1–20 час.<sup>-1</sup> в присутствии 18–1800 м<sup>3</sup>  $H_2$  на 1 м<sup>3</sup> жидкого сырья, при этом  $H_2$  должен присутствовать в таком кол-ве, чтобы кол-во S, присутствующее в потоке сырья и  $H_2$ -содержащего газа, было не меньше и не много больше кол-ва, определяемого ур-нием  $Ig$  (2-атомы S/моли  $H_2$ ) = 2,733–5464/T, где T — т-ра зоны р-ции в °K. Катализатор осеряют путем контактирования его с углеводородной фракцией, кипящей в пределах 65–205°, содержащей  $\geq 1\%$  S и не содержащей олефиновых и ароматич. углеводородов, при 205–540° (260–315°), 1–42 (4–21) ат и объемной скорости жидкой фракции 1–10 час.<sup>-1</sup>. Применение осеренного катализатора и указанного отношения S к  $H_2$  позволяет обессеривать сырье, не превращая при этом олефиновые и ароматич. углеводороды в менее ценные соединения, что имеет место при обычном способе.

А. Равикович

**6M311. Способ обеззоливания остаточных фракций.** Kimberlin Charles Newton, Jr., Adams Clark Edward, Taff Wilfred O. Deashing of residual fractions. [Esso Research and Engineering Co.]. Пат. США 2926129, 23.02.60.—Улучшенный способ повышения качества нефтяных фракций ( $>510^\circ$ ), содержащих металлич. примеси, заключается в термич. обработке фракции при 315–480° (340–450°) в течение 0,1–5 час. и контактировании ее в зоне осаждения с 0,1–10 об/об легких углеводородов с 5–10 атомами S в молекуле кислым газом, напр. HCl, и жидким в кол-ве 0,1–3,0 об/об при т-ре 1–148° и  $\sim 2$ –35 ат, в результате чего металлич. примеси осаждаются, коагулируются и отделяются от тяжелого дистиллята в виде шлама. Шлам контактируют в зоне коксования с пылевидным углистым материалом, нагретым до 40–330°, в результате чего образуются твердый углистый материал, газообразная  $SO_2$  и углеводороды. Приведена схема установок.

И. Берлин

**6M312. Очистка нефтепродуктов, содержащих меркаптаны, щелочной водой, воздухом и бентонитовой глиной.** Shapiro Abraham. Sweetening of mercaptan-bearing oil with alkaline water, air, and bentonite clay. [Socony Mobil Oil Co., Inc.]. Пат. США 2866749, 30.12.58.—Способ очистки углеводородных продуктов, содержащих меркаптаны, при котором образуется эмульсия 3–4 объемов очищаемой жидкости с 1 объемом щел. воды, содержащей небольшое кол-во неорганич. эмульгатора (бентонита, гидроокиси железа, или гидроокиси марганца). Окисляющий газ диспергируется в такой эмульсии. Эмульсия с газом выдерживается около часа, после чего очищ. продукт отделяется от воды. В случае применения бентонита время выдержки должно быть не менее часа, после чего эмульсия разрушается добавлением углеводородного продукта, очищенного предварительно от меркаптанов данным способом. Кол-во бентонита в щел. воде  $\sim 0,4\%$ .

С. Розенор

**6M313. Способ обессеривания дистиллятов каталитического крекинга.** Moy John Arthur Edgar, Mather John. Process for desulphurising catalytically cracked distillate oils. [The British Petroleum Co. Ltd.]. Англ. пат. 840124, 6.07.60.—Дебутанизированный легкий бензин каталитич. крекинга с т-рой конца кипения по ASTM  $\leq 103^\circ$  подвергают экстрактивной перегонке с фурфуролом (коэф. орошения 0,5:1–5:1; объемное отношение фурфурол:сырье 1:1–10:1), получают фурфурольную фракцию, содержащую S-соединения и верхний погон — фракцию, практически очищенную от S-соединений. В результате очистки фурфуролом бензина каталитич. крекинга с октановым числом (ОЧ) по исследовательскому методу 95,1 получают продукт с ОЧ 96,0 (100,3 с 1,5 мл ТЭС).

И. Берлин

**6M314. Извлечение ароматических углеводородов при помощи фтористого водорода и фторида меди.** McCaulay David A., Lien Arthur P. Aromatic recovery using hydrogen fluoride and copper fluoride. [Standard Oil Co.]. Пат. США 2914584, 24.11.59.—Смесь ароматич. углеводородов (АУ) с насыщ. неароматич. (напр., бензин каталитич. реформинга) контактируют, при отсутствии влаги, олефиновых углеводородов и сераорганич. соединений, со смесью фторида меди ( $Cu_2F_2$  или  $CuF_2$ ) и жидкого HF при т-ре от –40 до 150° (10–35°) и давлении, достаточном для поддержания HF в жидком состоянии, при этом берут  $\geq 3$  молей HF на 1 моль АУ и  $\geq 0,5$  молей  $Cu_2F_2$  или  $\geq 1$  моля  $CuF_2$  на 1 моль АУ, затем отделяют рафинатную фазу, в основном свободную от АУ, от кислой экстракционной, содержащей HF и растворенный в HF комплекс, состоящий из фторида меди и АУ. Из экстракционной фазы отгоняют при 20–125° (25–100°) и давлении от 1 мм рт. ст. до 1 ат сначала HF и затем АУ, получая в остатке твердый фторид. При наличии в сырье сераорганич. соединений к указанным кол-вам HF и фторида меди, требующимся для экстракции АУ, добавляют кол-ва HF и фторида меди, требующиеся для образования комплекса с сераорганич. соединениями.

Г. Марголина

**6M315. Способ изготовления катализатора для гидрообессеривания углеводородов.** Reitmeier Ronald E. Catalyst manufacture. [Chemetron Corp.]. Пат. США 2913422, 17.11.59.—Для изготовления  $CoMoO_4$ -катализатора повышенной активности для гидрообессеривания и гидроочистки нефтепродуктов смесь  $CoMoO_4$  и  $Al_2O_3 \cdot 3H_2O$  таблеттируют, обжигают для удаления гидратной воды и частичной активации  $Al_2O_3$ , охлаждают, таблетки обрабатывают водн.  $NH_3$  или смачивают водой и обрабатывают газообразным  $NH_3$ , затем вновь обжигают для удаления воды и  $NH_3$ . В катализатор до таблеттирования рекомендуется также добавить  $MoO_3$ . Готовый катализатор должен содержать 1–5% Co, 2–20% Mo и 25–97%  $Al_2O_3$ . Пример. Смесь (г) 56,7  $CoMoO_4 \cdot H_2O$ , 68  $MoO_3$ , 1200  $Al_2O_3 \cdot 3H_2O$  и 40 графита таблеттируют, обжигают на воздухе 16 час. при 480°, при этом весь графит выгорает, обожженные таблетки выдерживают 20 мин. в водн.  $NH_3$ , содержащем 3 моля  $NH_3$  в 1 л, затем повторно обжигают 16 час. при 480°, получают катализатор, содержащий 1,2% Co и 8,4%  $MoO_3$ ; приведены результаты его испытания при гидрообессеривании дизельного топлива.

С. Розенфельд

**6M316. Усовершенствованный процесс термической диффузии.** Nathan Wilfred Samuel. Improved thermal diffusion process. [The British Petroleum Co. Ltd.]. Англ. пат. 831821, 30.03.60.—Для выделения из нефтяных фракций вязких или твердых компонентов, находящихся в смеси с менее вязкими, сырье разбавляют р-рителями (галоидированные углеводороды) с т-рой кипения выше т-ры процесса и пропускают между негоризонтальными, неодинаково нагретыми стенками. При этом около одной из стенок смесь углево-



дородов будет обогащаться вязкими или твердыми компонентами. В случаях выделения компонентов, характеризующихся высоким или низким значением коэф. Соре (отношение коэф. термич. диффузии к коэф. нормальной концентрационной диффузии), применяют р-рители, имеющие, соответственно, низкое или высокое значение коэф. Соре и высокую или низкую плотность. Пример. Гидрированный остаток Кувейтской нефти (уд. в. 0,913, кинематич. вязкость 80,5 сст при 37,8°, содержание твердых и мягких асфальтовых в-в 1,1 и 1,0%) разбавляли 20 об. % хлорбензола и разделяли термич. диффузией на 5 фракций. Первая фракция, полученная с низу колонны с выходом 24% от сырья, содержала после отгонки р-рителя 31,9% твердого (хрупких асфальтовых в-в) и 1,8% мягких асфальтовых в-в; вторая фракция (выход 24%) соответствовало 2,96 и 1,72%; третья (выход 24%) — следы. В последующих двух фракциях асфальтовые в-ва отсутствовали.

**6М317. Автоматический контроль состава пропановых растворов при депарафинизации масел.** Moore Joe F., Thomas Benjamin W. Automatic control of chilled solutions. [Esso Research and Engineering Co.]. Пат. США 2905616, 22.09.59.—Для автоматич. регулирования отношения пропан: масло в пределах 3:1—7:1 при депарафинизации масел вымораживанием в р-рах пропана предлагается подавать часть р-ра в емкостной датчик, работающий в интервале значений диэлектрических констант (D) 1,675—1,5806. Сигналы датчика поступают в соответствующую аппаратуру, регулиющую либо поступление масла в р-р, либо давление в системе, либо т-ру р-ра. Приведена схема установки и график зависимости D от соотношения пропан: масло.

**6М318. Выделение нормальных парафинов при помощи цеолитовых «молекулярных сит».** Haensel Vladimir. Separation of normal paraffins from hydrocarbon mixtures using zeolitic molecular sieves. [Universal Oil Products Co.]. Пат. США 2920037, 5.01.60.—Для выделения *n*-парафина из углеводородной смеси, кипящей в пределах бензина, содержащей *n*-парафин (*n*-пентан или *n*-гексан), углеводород с разветвленной цепью (изопентан или изогексан) и циклич. углеводороды, смесь контактируют при 80—150° под давлением, достаточным для поддержания смеси в жидкой фазе, с дегидратированным кристаллич. алюмосиликатным сорбентом (кальций-алюмосиликатом), содержащим поры diam. 5А и способным селективно сорбировать *n*-парафины (*n*-пентан, *n*-гексан) и отделять углеводороды с разветвленной цепью (изопентан, изогексан) и циклич. углеводороды. Поток жидких несорбированных углеводородов с уменьшенным содержанием *n*-парафина (*n*-пентана, *n*-гексана) отделяют от сорбента, содержащего сорбированный *n*-парафин (*n*-пентан, *n*-гексан), и контактируют этот сорбент при 50—150° с десорбентом, содержащим  $\geq 4$  атомов С в молекуле (напр. с *n*-бутаном) и имеющим более низкий мол. вес, чем сорбированный *n*-парафин (*n*-пентан, *n*-гексан) под давлением, при котором десорбент (*n*-бутан) поддерживается в жидкой фазе. Затем из сорбента удаляют жидкую смесь из *n*-парафина (*n*-пентана, *n*-гексана) и десорбента (*n*-бутана).

**6М319. Экстрактивный метод выделения ароматических углеводородов, с применением карбаматных растворителей.** Hutchings Le Roi E. Extraction process for recovery of aromatics utilizing carbamate solvents. [The Pure Oil Co.]. Пат. США 2915569, 1.12.59.—Метод очистки смесей ароматич. углеводородов (АУ) и их алкилгомологов состоит в контактировании жидкого нефтепродукта, содержащего смесь значительно кол-ва АУ с р-рителем, напр., 2-оксизтил-*N*-метилкарбаматом, *N*-метилкарбаматом, *N*-этилкарбаматом, *N,N'*-диметилкарбаматом, диметил-*NH*-диметилкарбаматом и др. Смесь экстрагируют в присутствии 8—

15 вес. % воды, с последующим отделением 1-й экстракционной фазы (ЭФ), содержащей р-ритель и АУ, и 1-й рафинатной фазы (РФ). Эта ЭФ контактируется с высококипящим парафиновым углеводородом (I) или алкилатом, с пределами выкипания выше отделяемых углеводородов. Образуется 2-я РФ, состоящая преимущественно из 2-й ЭФ, содержащей АУ и I. 2-я РФ отделяется от 2-й ЭФ. 1-ю РФ контактируют с водой, удаляя из нее р-ритель и получая свободный от р-рителя рафинат и 3-ю ЭФ, содержащую воду и р-ритель. 2-я РФ контактируется с частью свободного от р-рителя рафината. Образуется обогащенная р-рителем фаза и фаза, обогащенная рафинатом, содержащая АУ и 2-го рафината. Рециркулируют обогащенную р-рителем фазу и свободный от р-рителя рафинат в 1-ю контактную ступень. Контактуют 2-ю ЭФ с водой, получая 4-ю ЭФ, содержащую воду и р-ритель и свободную от р-рителя фазу, в которой находятся I и АУ. 3-я и 4-я ЭФ соединяются и перегоняются для выделения воды и рециркуляции во 2-ю ЭФ стадии обработки и в 1-ю РФ стадии обработки. Отбирают р-ритель как отдельную фракцию, возвращают его в богатую р-рителем фазу, переводя в упомянутую 1-ю контактную стадию. Свободную от р-рителя фазу перегоняют, отбирая в виде отдельных фракций I и АУ. Возвращают I на контактирование с упомянутой 1-й ЭФ и выделяют АУ в достаточно чистом состоянии. Переработке могут подвергаться продукты каталитич. реформинга, напр. платформинта.

**6М320. Гидроформинг.** Adlington Dennis George, Holmes Peter Desmond. Improvements relating to the hydroforming process. [The British Petroleum Co. Ltd.]. Англ. пат. 847728, 14.09.60.—Нефтяной дистиллят, кипящий в пределах, характерных для бензина и лигроина (35—200°), подвергают двухступенчатому гидроформингу при *t*-ре 450—550°, давл. 20—70 атм, объемной скорости 1—5 и мол. отношения  $H_2$ : сырье 1:15 в присутствии Pt-катализатора на  $Al_2O_3$ , содержащей 0,01—5 (0,5—5) вес. % Na, и получают бензин с октановым числом 95 (без ТЭС) по исследовательскому методу.

**6М321. Выделение различных соединений из растворов в органических растворителях.** Courtel Salomon. Procédé de séparation de composés en solution dans un liquide organique. [Institut Français du Pétrole, des Carburants et Lubrifiants]. Франц. пат. 1217626, 4.05.60.—Выделение в-ва, содержащегося в растворенном виде в органич. р-рителе, производится в 2 стадии: 1) растворенное в-во первоначально переводят в нерастворимое состояние (твердое тело или жидкость) путем изменения *t*-ры р-ра, давления в системе, или же прибавления осаждающего агента (жидкого или газообразного), и 2) образовавшееся нерастворимое соединение, находящееся в диспергированном виде в указанной жидкости, отделяют, смешивая ее со стабильной эмульсией типа масло в воде, после чего декантируют, фильтруют или центрифугируют смесь. В примерах описано применение метода к деасфальтизации масел, к удалению продуктов неполного сгорания из обработанных масел, извлечению кислых гудронов и нафеновых к-т из смазочных масел и к другим процессам очистки нефтепродуктов.

**6М322. Пленка для предотвращения прилипания битума к материалу.** Dunbar Alver, Hausmann George J., Johnson Bayard S. Composition for deposition of a parting surface film. [Franklin Research Co.]. Пат. США 2907681, 6.10.59.—Для предотвращения прилипания битума к поверхности материала между ними помещают пленку, образующуюся при высыхании (при нагревании) композиции, состоящей из воды, р-ра соли (хлорид, бромат, формиат или ацетат Al, Zn или Zr) и воды, эмульсии твердого парафина или карбовакса, при этом весовое отношение соли к парафину от 1 до 4. Композицию наносят на поверхность мате-

1-й экз-  
и АУ, из  
ируется с  
(I) или  
цельными  
преиму-  
я РФ от  
с водой,  
й от р-ра  
р-ритель  
от р-рите-  
лем фаза  
и АУ из  
от р-рите-  
в 1-ю кон-  
дой, по-  
и свобод-  
I и АУ.  
ля выде-  
и обра-  
р-ритель  
богатую  
контакт-  
егоняют,  
Возра-  
й ЭФ и  
и. Пере-  
тич, ре-  
Некрасов  
nis Ge-  
vements  
Sh Petro-  
ефтной  
для бен-  
туенача-  
л. 20—  
ишении  
ора на  
и полу-  
ГЭС) по  
Берлин  
из их  
ourtel,  
en solu-  
du Pét-  
1217626,  
створен-  
в 2 ста-  
ведут в  
идкость)  
ме, или  
ого или  
воримое  
виде в  
со ста-  
чего де-  
смесь  
фальти-  
о сгора-  
ых гуд-  
к дру-  
Щекин  
ипания  
та п  
tion for  
research  
ащения  
между  
сысхл-  
из вод-  
Al, Zn  
ля кар-  
графию  
мате-

рила или поверхность битума. Напр., композицией служит смесь (ч.) 240  $(CH_3COO)_2AlOH$ , растворенных в небольшом кол-ве воды, и 960 эмульсии, состоящей из 180 парафина, 20 окисленного микрокристаллич. парафина (Crown 36), 40 эмульгатора и 720 воды; эмульгатором является смесь равных кол-в полиокси-этиленового эфира олиновой к-ты (Atlas G-3920) и моностеарата сорбитана (Span 60). М. Павловский

**6M323.** Способ смещения дорожного битума с наполнителем. Csanyi Ladis H. Method for combining a bituminous binder with an aggregate material. [Iowa State College Research Foundation, Inc.]. Пат. США 2917395, 15.12.59.—Расплавленный дорожный битум прокачивают через форсунку, в которой при давл.  $> 1$  ат и  $< 9$  ат его распыливают насыщ. водяным паром с образованием пены. Струю битумной пены направляют на перемешиваемый в смесителе измельченный твердый материал (гравий, песок), который может содержать 20—30% минер. муки и иметь 4—24% влажности (на сухое в-во). Битум в виде пены по сравнению с обычно расплавленным покрывает поверхность наполнителя более равномерным слоем, лучше проникает в поры наполнителя и обладает повышенной липкостью, благодаря чему улучшается адгезия между частями смеси. Приведены примеры, показывающие, что асфальтированные дороги, изготовленные с применением битумной пены, хорошо противостоят колебаниям т-ры и износу. Даны схемы форсунки и смесителя. А. Равикович

**6M324.** Состав битумного покрытия для труб и способ его нанесения. Carr Donald E. Asphaltic coating composition and method of application. [Phillips Petroleum Co.]. Пат. США 2918940, 29.12.59.—Указанный состав, обладающий высокой прочностью и хорошо защищающий трубы от коррозии, является смесью 100—300 вес. ч. минер. наполнителя и 100 вес. ч. сплава, состоящего из (вес.%) 50—85 битума, 10—30 НК или СК и 25—30 хлорированного или нехлорированного высококристаллич. полиэтилена, полиэтилен должен иметь кристалличность  $\geq 70\%$  при 25°,  $d_{25} \geq 0,94$  и т. размягч.  $> 115^\circ$ , хлорированный парафин содержит 25—30% Cl. Трубу покрывают полиэтиленовой пленкой, на которую наносят состав. Пример состава (вес. ч.), 200 баритового наполнителя смешивают со 100 расплавленного сплава, состоящего из 70 битума с т. размягч.  $59^\circ$  и пенетрацией 17 при 25°, 10 бутадистирольного каучука, 10 полиэтилена (мол. в. 50 000, кристалличность 95% при 25° и  $d_{25}$  0,96) и 40 хлорированного полиэтилена (30% Cl, хлорируют указанный полиэтилен). Дана схема устройства для нанесения состава на трубы. А. Равикович

**6M325.** Получение газового бензина фракционированием. Strickland Thomas G. Recovery of natural gasoline by fractionation [The Stearns-Roger Manufacturing Co.]. Пат. США 2895909, 21.07.59.—Смесь углеводородов, полученная масляной абсорбцией, подвергается разделению на установке, состоящей из десорбера высокого давления и 2 последовательно расположенных ректификационных колонн высокого и низкого давления; тепло легких компонентов углеводородной смеси используется для обогрева колонны низкого давления. Способ дает значительную экономию в энергетич. затратах. Приводится и поясняется поточная схема процесса. В. Щекин

**6M326.** Производство сажи из жидких углеводородов. Eastman Du Bois. Manufacture of carbon black from liquid hydrocarbons. [Texaco Inc.]. Пат. США 2914418, 24.11.59.—В качестве товарного продукта патентуется сажа, получаемая как отход при произ-ве CO и  $H_2$  путем р-ции в полной камере остаточного нефте топлива с  $O_2$  и  $H_2O$  (напр., при  $1370-1590^\circ$  и  $7-42$  атм). Сажа имеет низкий насыпной уд. в. 5—16 г/д, рН  $\sim 4$ , содержание Fe, Ni и V 0,5—10 вес.% при преобладании V, содержание летучих 5—6%, сред-

ний диаметр частиц порядка 40 м, осаждается из водн. суспензии под действием силы тяжести до конца 0,5—1 вес.%. По сравнению с обычной сажой, патентуемая сажа обладает значительно большей гидрофильностью и необычно высокой абсорбционной способностью и рекомендуется для изготовления чернил и красок и других применений, где требуется чернота и не требуется блеск, а также для очистки масел, вин и других целей, где требуется высокая абсорбционная способность. С. Розенфельд

**6M327.** Аппарат для производства сажи. Robinson Philip W., Smith Ralph E., Jr. Apparatus for making carbon black. Пат. США 2926073, 23.02.60.—Аппарат для непрерывного процесса произ-ва сажи из углеводородного, в частности из природного газа, и для отделения от него водорода, представляет собой печь с камерой сгорания, нагревательной камерой с пучком труб, нижние концы которых соединены с бункерами для сбора сажи, а верхние концы соединены с газовым коллектором. Приведена схема установки. И. Берлин

**6M328.** Способ производства сажи. Edminster James W., Beck Curt B., Friauf George F. Process for the production of carbon black. [Godfrey L. Cabot, Inc.]. Пат. США, 2917370, 15.12.59.—Для получения высококачественной сажи, пригодной для резиновых смесей, струю тонкораспыленного углеводородного сырья ( $d_{10}^{16} < 1$ , вязкость  $> 1$  сст при  $99^\circ$ , коксуетость по Конрадсону  $> 1,5$ , средний мол. в. 225—550, отношение атомов H : C 0,75—1,25) впрыскивают через форсунку по оси удлиненного реактора, одновременно в реактор впрыскивают через ряд сопел (3—24), расположенных вокруг форсунки, горячий газ, благодаря чему образуется турбулентная зона горения, воздух вводится с относительно небольшой скоростью через канал, окружающий форсунку и сопла, в кол-ве 25—50% от требующегося для полного сгорания. Приведены схемы камеры, форсунки и сопел. С. Розенфельд

**6M329.** Регулирование температуры сырья в процессе получения сажи. Wood James Q., Andrews Alvin J. Controlling feedstock temperature in combustion process. [Phillips Petroleum Co.]. Пат. США 2895805, 21.07.59.—В процессе получения сажи неполным сжиганием предварительно подогретого до заданной т-ры жидкого сырья предлагается регулировать т-ру подогрева, при временном выключении реактора, путем пропуска сырья через обходную линию и холодильник обратно в сырьевую емкость. Приведена схема. В. Щекин

**6M330.** Выделение ацетилена. Thrower Ronald David. Separation of acetylene. [British Oxygen Research and Development Ltd]. Англ. пат. 833940, 4.05.60.—Метод выделения чистого ацетилена (I) из газов состоит из трех ступеней (СТ): в 1-й сухой газ контактируется под давлением не менее 4 ата (4—13 ата) при т-ре  $< 0^\circ$  ( $-20$ )—( $-50^\circ$ ) с органич. р-рителем (ацетоном), в котором I хорошо растворим; во 2-й СТ р-р, полученный в 1-й СТ, контактируется с газом, обогащенным I, под давлением более низким, чем в 1-й СТ, при этом газы, менее растворимые, чем I, вытесняются из р-ра и рециркулируются в 1-ю СТ; в 3-й СТ повышают т-ру р-ра, чтобы удалить почти все растворенные газы, которые затем контактируются с потоком органич. р-рителя, охлажденного до ( $-20$ )—( $-50^\circ$ ). Остаточный неабсорбированный газ представляет собой чистый I. 3-я СТ проводится в колонке, состоящей из секций отпаривания и абсорбции; из последней отбирается боковой поток богатого I газа и направляется во 2-ю СТ. Г. Марголина

**6M331.** Катализатор для селективной гидрогенизации ацетилена. Cohn Johann G. E., Haley Alfred J., Jr. Catalyst for the selective hydrogenation of acetylene. [Engelhard Industries, Inc.]. Пат. США 2927141, 1.03.60.—Для селективной гидрогенизации аце-

тилена (I) предложен катализатор (КТ), состоящий в основном из Pd и промотора — Rd, Ag, Fe, Cu и др. на носителе — активированной  $Al_2O_3$ . Pd берут в кол-вах 0,001—0,035% по весу от КТ. Смесь (об.%) 15  $H_2$ , 40  $C_2H_4$ , 37  $C_2H_6$ , 8  $C_3H_8$  и 0,5 I пропускали со скоростью 75 л/час над 15 г КТ, содержащего (в %) 0,01 Pd и 0,01 Cu, нанесенных на таблетированную  $Al_2O_3$ . КТ предварительно окисляли, нагревали на воздухе при 400° 17 час. При рабочем давл. 8,5 атм, т-ре КТ 115° в отходящем газе содержалось 12,1%  $H_2$  и 3,31% I. А. Некрасов

**6М332. Композиция бензина.** Durr Albert M., Jr., Meador William R. Gasoline compositions. [Continental Oil Co.]. Пат. США 2922706, 26.01.60.—Предложены моющие и противозносные (при низких т-рах) добавки к бензинам, вводимые в кол-вах 0,001—0,2 об. % и представляющие собою диэфиры алифатич. диалкилов общего вида  $ROOC(C_nH_{2n})COOR'$  с мол. в. 328—524, где R, R' — насыщ. углеводородные группы с 2—18 атомами C и насыщ. замещ. алкоксигруппы, в которых n варьирует от 2 до 8, напр., ди-2-этилгексилсукцинат, дибутоксизетиладинат, диизооктилсебакат и др. В примере в бензин вводилось (в %) 0,0018 смеси 95 диизооктилсебаката и 5 диизооктилсебаката. При испытании на двигателе Шевроле на премиальном бензине и премиальном масле установлено, что коэф. износа снижается на 45—50%. А. Некрасов

**6М333. Композиция жидкого топлива.** Vitalis Emil A., Andrew Frederick L. Liquid fuel compositions. [American Cyanamid Co.]. Пат. США, 2917378, 15.12.59.—К нефтетопливу, выкипающему в пределах 38—330°, с целью улучшения его низкотемпературных свойств (т-ры застывания и др.), добавляют 0,01—5 вес. % одной из следующих смесей: 1) 1—4 ч. На-диоктилсульфосукцината (I) + 1—4 ч. алифатич. насыщ. спирта  $C_2$ — $C_3$  (напр., этанол, изопропанол); 2) 1—2 ч. гуанидиновой соли к-т таллового масла + 1—2 ч. 2-алкоксиэтанола, в котором алкоксигруппа  $C_1$ — $C_4$  (напр., метокси-, этокси- или буюксигруппа). Так, прибавление к турбореактивному топливу (керосину) 0,125% I + 0,375% этанола понизило т-ру застывания с —54 до —62°, т-ру помутнения с —46 до —62°, т-ру появления кристаллов льда с —38 до —48° и т-ру исчезновения кристаллов льда с 0° до —32°; отдельное прибавление I или этанола в кол-ве 0,5% не вызвало заметного изменения указанных низкотемпературных свойств исходного топлива. С. Розенфельд

**6М334. Метод гидрирования окиси углерода при повышенном давлении и при экстракционной регенерации катализатора в печах синтеза.** Rottig Walter, Wischermann Walter. Verfahren zur Kohlenoxydhydrierung unter erhöhtem Druck und unter Extraktion des Katalysators im Synthesofen. [Ruhchemie A.-G.]. Пат. ФРГ 1025409, 4.12.58.—В доп. к пат. ФРГ 1017151 и 1025408 (см. РЖХим, 1959, № 23, 83645; 1960, № 22, 89574) предлагается экстракционную жидкость, после обработки щелочью, промывать водой до снижения числа нейтр-ции до 1, предпочтительно до < 0,1, а содержание золы до < 0,01%. С. Розенфельд

**6М335. Способ получения высококалорийных бензинов из первичных продуктов каталитического гидрирования окиси углерода.** Rottig Walter. Verfahren zur Gewinnung von hochklopfesten Benzin aus Primärprodukten der katalytischen Kohlenoxydhydrierung. [Ruhchemie A.-G.]. Пат. ФРГ 1041935, 16.04.59.—Предлагается улучшение способа получения высококалорийных бензинов из первичных продуктов (ПП) каталитич. гидрирования СО (согласно пат. ФРГ 923127, 959911) (см. РЖХим, 1957, № 20, 67149; 1959, № 8, 28458), в которые входит > 30% кислородсодержащих соединений (КС) в самом продукте или миним. 50% КС во фракции 100—180°. ПП перед пропуском при т-ре > 230° через естественные или искусств. смеси или соединения, состоящие из  $SiO_2$  и  $Al_2O_3$  (I), обрабаты-

ваются при 200—500° (300—450°) синтетич. I. Как в процессе предварительной обработки I, так и в процессе последующей обработки в-вами, содержащими  $SiO_2$  и I, добавляется водяной пар. Обе ступени обработки проводятся при одинаковых т-рах. Процесс проводится при избыточном давл. до 20 ат, вакууме до 0,1 ат, предпочтительно при нормальном давлении. Пример. Сырье ПП каталитич. гидрирования СО, с  $d_{20}$  0,781, йодным числом (ИЧ) 83, гидроксильным числом (ГЧ) 287, карбонильным числом (КБЧ) 33, кислотным числом (КЧ) 18,1 и числом омыления (ЧО) 68,4, при 360° пропускается через прокаленную I и затем по пат. ФРГ 1036838 (см. РЖХим 1960, № 9, 36428) над алюмосиликатом. Нагрузка катализатора в обеих ступенях составляет 1,4 об/об катализатора/час. Перед 2-й ступенью охлаждением удаляется реакционная вода. Хорошие результаты могут быть достигнуты без этой операции. Полученный продукт имеет:  $d_{20}$  0,724, ИЧ 207, ГЧ 2; КБЧ 3, КЧ 1, ЧО 2,9. I получают из 5%-ного р-ра  $Na_2AlO_3$  осаждением  $CO_2$  при 40°, отстаиванием и промывкой осадка с последующей его сушкой при 120° и часовым прокаливанием при 600°. Величина зерен 2—4 мм. Содержание щелочи 0,2%. При применении I, содержащего 2,0% щелочи, получается конечный продукт с ГЧ < 1 и ЧО 1,5. Б. Энглин

**6М336. Способ испарения жидкого топлива.** Chapman Everett. Method of vaporizing a fuel. [Nordberg Manufacturing Co.]. Пат. США 2907648, 6.10.59.—Слой жидкого топлива пропускают по поверхности ультразвукового механич. вибратора, колебания которого распространяются под прямым углом к слою топлива, в результате происходит испарение топлива с образованием воздушно-топливной смеси (тумана), используемой для двигателей внутреннего сгорания, или других целей. Приведено несколько конструкций вибраторов. С. Гордоя

**6М337. Дезодоризация выхлопных газов моторов внутреннего сгорания.** Procédé de désodorisation des gaz d'échappement de moteurs et combustibles donnant des produits de combustion inodores. [Soc. des Usines Chimiques Rhône-Poulenc]. Франц. пат. 1206228, 8.02.60.—Дезодоризация выхлопных газов от моторов, работающих на нефтяных углеводородах, достигается прибавлением к топливу 0,0015—0,0025% 4,6-динитро-2-ацетил-5-трет-бутил-м-ксилола. С. Розенфельд

**6М338. Пропилнитратное однокомпонентное топливо и метод его применения с солями никеля.** King Charles H., Jr. Propyl nitrate monofuel and method of use with nickel salts. [United Aircraft Corp.]. Пат. США 2914910, 1.12.59.—Предложен состав однокомпонентного ракетного топлива, состоящего в основном из пропилнитрата и 0,02—1, предпочтительно 0,1—0,25 вес. % в-ва, катализирующего его разложение — растворимой в пропилнитрате соли Ni в расчете на металл. Ni, напр. карбонил, ацетилацетоната, диэтилопропидиокарбамата или ди-н-пропидиокарбамата Ni. Э. Левина

**6М339. Метод производства высококалорийных топлив.** Plummer Donald Pescott. Process for producing high calorific value aviation fuels. [Shell Research Ltd.]. Англ. пат. 842544, 27.07.60.—Предложен метод получения топлив для реактивных авиадвигателей путем платформинга нефтяной фракции с началом кипения (НК) > 60° и концом кипения (КК) > 160°. Тяжелую фракцию с НК 80° удаляют из полученного реформата, экстрагируют селективным р-рителем и получают рафинат в основном без ароматич. углеводородов. Смешивают его с небольшими кол-вами бутана или пентана. В примере прямогонный лигроин с НК 80° и КК 135° загружают в реактор с Pt-катализатором (75 вес. % Pt на  $Al_2O_3$ ), обладающий кислотными свойствами, для поддержания которых в реактор вместе с загрузкой инжектируют дихлорэтилен. Сырье



И. Как в и в про- ждающимися обра- цесс про- жуе ме авления а CO, с ным чис- кислот- (10) 68,4 и затем (428) над еих сту- Перед ционная гнуты и еет: да олучают 40°, от- цей его ри 600°, и 0,2%, а, полу- 5. Энглин S. Char- ordberg. —Слой ультра- оторого оллина, образо- исполь- ли дру- вибра- Гордон оторого es gas ant des Chi- 02.60.— обота- приба- ацетил- нфельд топли- King method. Пат. компо- ном из 0,1— ение — на ме- диизо- рбама- левина их тог- оль Ре- ложен игате- нача- (КК) полу- ритате- матия. —нама- троия- тали- льным- актор- Сырь

поступает со скоростью 2,6 т на т катализатора в час. Водород подают в мол. отношении к лигнрину 5/1 при т-ре катализатора на выходе 505°. По выходе из реактора дебутанизированный продукт (87 вес.%) фракционируют, получая тяжелый платформат (72 вес.%) с НК 95°, содержащий (%) 65 ароматич. и 35 парафиновых углеводородов. Его экстрагируют при отношении 11:1 смесью (вес.%) 65 диэтиленгликоля, 36 пропиленгликоля и 8 воды при 140° и давл. 0,56—0,65 ати. Верхний продукт из системы содержит рафинат и некоторое кол-во р-рителя, который отпаривают при 143° и давл. 0—35 ати и промывают водой. Конечный продукт содержит 1,5—2 вес.% ароматич. углеводородов, имеет НК 95°, КК 144°, упругость паров по Рейду 0,3 и теплопроизводительность 10 680 ккал. 92,5 вес. ч. этого рафината смешивают с 75 вес. ч. пентана, получая реактивное топливо с НК 50°, КК 140°, т. заст. —60°, упругостью пара по Рейду 0,5 и теплопроизводительностью 10 710 ккал. А. Некрасов

6M340. Метод повышения интенсивности сгорания топлива в жидкотопливных ракетных двигателях. *Cogneau Jean. Procédé pour augmenter l'intensité de combustion des propulseurs-fusées. [Etat Français représenté par le Ministre des Armées (Direction des Etudes et Fabrications d'Armements)].* Франц. пат. 1249374, 17.05.60.—Для повышения интенсивности сгорания топлива в жидкотопливном ракетном двигателе предлагается максим. уменьшение диаметра сопла при одновременном уменьшении веса камеры сгорания и применение спец. инжекторов для распыления топлива. А. Некрасов

6M341. Способ и устройство для уменьшения испарения летучих веществ при очистке тяжелых нефтепродуктов центрифугированием. *Hemfort Heinrich. Verfahren und Vorrichtung zur Verhinderung des Verdampfens leichtflüchtiger Stoffe bei der Reinigung schwerer Heizöle. [Westfalia Separator A.-G.].* Пат. ФРГ 972744, 17.09.59.—Доп. к пат. ФРГ 971862 (см. РЖХим, 1960, № 13, 54434). При центрифугировании тяжелого нефтепродукта при > 100°, с целью его очистки, свежее топливо для уменьшения испарения летучих компонентов подают в центрифугу в слой центрифугируемой жидкости на такую глубину, что давление столба жидкости над вводом топлива выше давления паров летучих компонентов. Кроме того, очист. топливо на выходе центрифуги охлаждают смешением с охлажд. очист. топливом или другим нефтепродуктом. Приведена схема устройства. Б. Энглин

6M342. Композиции смазочного масла. *Vierk Ernest R., Karg Theodore J. Lubricating compositions. [Sinclair Refining Co.].* Пат. США 2916449 8.12.59.—Композиция смазочного масла, пригодная для циркуляционных систем бумагоделательных машин, обладающая высокой прочностью пленки, способностью защищать от ржавления, окислительной устойчивостью, эмульгирующими свойствами, позволяющими маслу удерживать влагу при протекании по линиям и в то же время быстро деэмульгироваться в отстойниках, состоит из минер. масла и 3 присадок: 1) 0,3—5% маслостойчивого нефтяного Са- или Ва-сульфоната (может быть основным карбонатным, получаемым обработкой CO<sub>2</sub> основного Ва-сульфоната); 2) 0,5—1,8% Zn-диалкилтиофосфата, в котором алкил C<sub>2</sub>—C<sub>18</sub>; 3) 0,3—3,5% алкилфенилфосфата, в котором алкил C<sub>2</sub>—C<sub>18</sub>, напр. (диамилфенил)фосфат (получают р-цией P<sub>2</sub>O<sub>5</sub> с алкилфенолом при ~135°). Композиция имеет вязкость 140—215 сст при 38° и индекс вязкости ≥ 85 (≥ 95). Пример. Композиция получена смешением 6,8 кг концентрата Ва-сульфоната, 635 г Zn-диалкилтиофосфата (полученного обработкой ZnO продукта р-ции P<sub>2</sub>S<sub>5</sub> со смесью гексанола и гептанола), 454 г диамилфенилфосфата и 37,5 кг смеси из 24 об. % селективноочищ. дистиллята с вязкостью 43 сст при 38° и 76% селективноочищ. брайстона с

вязкостью 25 сст при 99°. Композиция имела вязкость 15 сст при 99°, индекс вязкости 96. Композиция показала преимущества перед товарными маслами для циркуляционных систем бумагоделательных машин при испытаниях на отстой эмульсии, на машине трения Тимкена и в камере влажности. П. Какдан

6M343. Смазочные композиции с добавкой углеводородного беззольного детергента. *De Vault Albert N. Chlorinated hydrocarbon ashless detergent and lubricating oil compositions containing same. [Phillips Petroleum Co.].* Пат. США 2926140, 23.02.60.—Для получения беззольной добавки к смазочным маслам с целью придания им моющих и антикоррозионных свойств нефтяной дистиллят с вязкостью 40—50 сст при 99° галоидируют с помощью Cl<sub>2</sub>, Br<sub>2</sub>, CCl<sub>4</sub>, CBr<sub>4</sub>, CHCl<sub>3</sub> или CBrBr<sub>3</sub> при т-ре 190—370° (200—315°) (в результате чего вязкость дистиллята повышается) и нагревают до т-ры ≥ 260° для удаления HCl и нестабильных галоидсодержащих соединений. Смазочные композиции содержат 0,3—10 вес. % указанной добавки с 1—5 вес. % хлора. Пример. 9 кг сырья с вязкостью 43 сст при 99° нагревают до 210—215°, пропускают 3,5 кг Cl<sub>2</sub> со скоростью ≤ 0,1 кг/час, полученный дистиллят с вязкостью 130 сст при 100° нагревают до 270°, пропускают природный газ в течение 6—8 час. для удаления всех нестабильных соединений, после чего полученный продукт с вязкостью 160 сст при 99° деасфальтируют пропаном (соотношение пропан: продукт 7:1). Выход продукта составляет 30,8 вес. %. И. Берлин

6M344. Композиция смазочного масла. *Lemmon Norman E., Fields Ellis K. Lubricating oil composition. [Standard Oil Co.].* Пат. США 2907713, 6.10.59.—Композиция смазочного масла, обладающая противоржавляющими и детергентными свойствами, состоит из смазочного масла и 0,001—10 вес. % продукта р-ции при т-ре 80—135° между 1) 80—99 ч. нейтрализованного металлосодержащего продукта р-ции P<sub>2</sub>S<sub>5</sub> и олефинового углеводорода и 2) 1—20 ч. органич. амина (А), напр. алифатич. углеводородного А (или полиамин), ароматич. углеводородного А или гетероциклич. А с 4—9 атомами С в гетероциклич. кольце. Пример. К маслу SAE10 добавляют 2,50% Ва-содержащего нейтрализованного продукта р-ции P<sub>2</sub>S<sub>5</sub> и полибутена среднего мол. в. ~940 и 0,25% перв-октадециламина, композицию нагревают при 110° в течение 15 мин. Пластины из малоуглеродистой стали после окунания в приготовленную композицию масла выдерживали до появления ржавчины, при подвешивании в дистил. воде при 43°, в течение 24 час., тогда как после окунания в композицию масла, содержащую тот же нейтрализованный продукт р-ции P<sub>2</sub>S<sub>5</sub> с полибутиеном и другие присадки, кроме А, выдерживали только 0,25 часа. М. Павловский

6M345. Новая композиция с улучшенными смазочными свойствами, состоящая из фторхлорсодержащих полимеров. *Neunherz Dickson E. Novel composition of improved lubricating properties comprising a fluorochloro polymer [Minnesota Mining and Manufacturing Co.].* Пат. США 2927895, 8.03.60.—Новая смазочная композиция состоит из теломера трифторхлорэтилена с открытой цепью, содержащего несколько мономеров трифторхлорэтилена и концевых Cl-групп, с мол. в. 300—2300 (500—940) и вязкостью 3—40 сст при 98° минер. масла парафинового или нафтового основания с вязкостью 850 сст при —17° и 25 (6—25) сст при 98°; весовое отношение теломер: минер. масло 0,01:1—0,2:1. И. Берлин

6M346. Улучшенные смазочные композиции. *Marter André, Tirtiaux Robert. Compositions lubrifiantes améliorées. [Esso Standard (Soc. an. française)].* Франц. пат. 1209762, 3.03.60.—Для повышения стабильности минер. или синтетич. масел при высоких нагрузках предложено добавлять 0,5—10 (1—5) вес. % (на композицию) агента, полученного при обработке нит-

рующей смесью продукта алкилирования бензола олефином  $C_6 - C_{30}$ , напр. тетрамером пропилена, перегоняющегося в интервале  $t-p$  285—400°. Пример. Фракция алкилата, с  $d$  0,880 и  $V_{24}$  25 сст в кол-ве 320 г обработана при  $t-p$  < 50° смесью из 250 мл  $HNO_3$  (40° Bé) и 300 мл 94%-ной  $H_2SO_4$ ; после чего нагрета на водяной бане 30 мин. Минер. масло парафинового основания с  $V_{33}$  30 сст и индексом вязкости 113 с добавкой 5 вес.% указанного продукта при испытании на четырехшариковой машине трения выдерживало нагрузку в течение 1 мин. > 800 кг. Е. Покровская

**6М347. Трансмиссионные смазочные композиции.** Trowbridge Harvey M., Woods Harold A. Lubricating compositions. [Shell Developments Co.]. Пат. США 2901431, 25.08.59.—Трансмиссионная смазка для работы при сверхвысоких давлениях и высоких  $t-p$ х, обладающая большой адгезией и водоустойчивостью, особенно пригодная для открытых зубчатых передач, состоит из базового масла, являющегося смесью 30—40% минер. масла с вязкостью 40—320 сст при 99° и 70—60% битума с т. размягч. 38—65°, и 3 присадок: 1) 6—10% (на смазку) маслорастворимого нафтената Pb; 2) 6—8% маслорастворимого полихлорлгиринксантогената (I), содержащего 25—45% Cl и 7—15% S; 3) 1—2% бутилстеарата. I получают р-цией между 1 молекул хлорированного лгирина (хлорированного р-рителя Стодларда), содержащего ~50 Cl, и <1 моля щел. или щел.-зем. металл. ксантогената (напр., метили амилксантогената). Пример состава смазки (вес.%): 7 нафтената Pb, 6 I («Santopoid S»: S 10—15%, Cl 30—35%) и 1 бутилстеарата, 86 смеси из 40 ч. дистиллятного масла с вязкостью 16 сст при 99° и 60 ч. битума. При испытании на машине Тимкена на продолжительность работы указанная смазка выдерживала в 30 раз больше времени, чем состав, в котором отсутствовал бутилстеарат. Е. Покровская

**6М348. Присадка к моторным маслам.** Cragg John Coles. Improvements in or relating to lubricant additives. [C. C. Wakefield & Co. Ltd.]. Англ. пат. 822655, 28.10.59.—В качестве присадки к смазочным маслам, обладающей антиокислительным, антикоррозийным и противоизносным действием, применимой для снижения износа толкателей клапанов карбюраторных двигателей, применяют Zn-диалкилтиолинофосфат (прежнее название Zn-диалкилдитиофосфат), получаемый обработкой ZnO смеси двух диалкилтиолинофосфорных к-т, из которых одна содержит алкилы  $C_3 - C_4$ , другая — алкилы  $C_6 - C_{18}$ , при этом содержание в смеси более высокомолекулярной к-ты > 60 (70) вес.%. Каждую из указанных к-т получают отдельной р-цией  $P_2S_5$  с соответствующим спиртом, благодаря чему для каждой р-ции можно подобрать оптимальные температурные и другие условия. Присадку добавляют к моторным маслам в кол-ве 0,05—2 вес.% и обычно совместно с детергентной присадкой (основной Со- или Ва-сульфонат) и вязкостной. Пример. Диизопропилтиолинофосфорную к-ту получают добавлением (кг) 299  $P_2S_5$  к 323 изопропанола при 65—70° и перемешивании, небольшими порциями в течение 4,5 часа с применением наружного охлаждения, после чего продукт р-ции быстро охлаждают до 40°, получают к-ту с выходом 81%, теоретич. Дигексилтиолинофосфорную к-ту получают аналогично добавлением 203  $P_2S_5$  к 407 метилизобутилкарбинолу, но при  $t-p$  80—86° и времени р-ции 3 часа, выход к-ты 99%, теоретич. К перемешиваемой смеси 251 диизопропилтиолинофосфорной к-ты, 586 дигексилтиолинофосфорной к-ты, 206 селективноочищ. масла с вязкостью 14 сст при 60° и небольшого кол-ва воды добавляют 140 ZnO при 55—60° и применяют наружного охлаждения перемешивание продолжают до исчезновения  $H_2S$ , сушат под вакуумом и фильтруют в присутствии фильтровальной земли, получают ~80%-ный концентрат присадки, содержащий ~8% Р. Е. П.

**6М349. Мышьяк содержащая присадка к смазочным маслам.** Millikan Allen F., Crosby Gifford W. Lubricating oil composition. [The Pure Oil Co.]. Пат. США 2916455, 8.12.59.—Присадка к смазочным маслам, повышающая прочность масляной пленки, противоизносная и противокоррозийная, особенно пригодная для моторных масел, является соединением ф-лы  $(RS)_3As$ , где R — алкил, арил, ариалкил или алкиларил  $C_3 - C_{18}$ . Три R в молекуле могут быть разными или одинаковыми. Присадку, напр. трифенилтритоарсенит (I), добавляют к маслам в кол-ве 0,1—2%, считая на As. Пример. 0,45 моля тиофенола растворяют в 200 мл абс. этанола, добавляют 0,45 моля NaOH и несколько мл воды и нагревают для образования Na-тиофенолята, когда смесь почти полностью превратится в р-р, добавляют 0,165 моля  $AsCl_3$ , сразу образуется белый осадок, который отфильтровывают, промывают водой и перекристаллизуют из бензол-метанола (1:3), получают I с выходом ~75% теоретич. Масло, состоявшее из дистиллятного масла (вязкость 36,5 сст при 38°), 5,3% основного Ва-сульфоната, 0,65% осерненного терпена (ингибитор коррозии) и 2,1% I, при испытании на 4-шариковой машине трения показало лучшие противозадирные и противоизносные свойства, чем состав масла, содержащий 2,6% товарного Zn-диалкилдитиофосфата вместо I и те же остальные компоненты. П. Каждан

**6М350. Композиция присадок к смазочным маслам.** Cantrell Troy L., Peters John G. Compounded lubricant compositions and composite addition agents therefor. [Gulf Oil Corp.]. Пат. США 2915464, 1.12.59.—Композиция присадок для минер. масел, применяемых при сверхвысоких давлениях, напр. в зубчатых трансмиссиях, состоит из 3 присадок: 1) осерненный эфир алифатич. одноатомного спирта  $C_{14} - C_{20}$  с  $\geq 1$  этиленовой связью и алифатич. одноосновной к-ты  $C_{10} - C_{20}$  с  $\geq 1$  этиленовой связью (напр., осерненное спермацетовое масло); 2) соль циклоалифатич. моноамины  $C_5 - C_{12}$  и диалкил-о-фосфорной к-ты, в которой один алкил  $C_3 - C_{12}$ , а другой  $C_5 - C_8$ , напр., соль циклогексиламина и 3-метилбутил-2-этилгексил-о-фосфорной к-ты); 3) соль алифатич. моноамины  $C_8 - C_{18}$  и N-алкиламидфталевой к-ты, в которой алкил  $C_3 - C_{18}$  (напр., соль амина, полученного из к-т кокосового масла, и N-алкиламидфталевой к-ты, в которой алкил получен из к-т кокосового масла). В масло добавляют  $\geq 0,02\%$  (вес.% на смесь с маслом) всех 3 присадок, в том числе  $\geq 0,003\%$  1-й присадки,  $\geq 0,0125\%$  2-й и  $\geq 0,005\%$  3-й. Пример состава масла (вес.%): 3,4 осерненного олеилгексадецената (11,2% S), 12,5 соли циклопентиламина и ди-(этилгексил)-о-фосфорной к-ты, 5,4 соли трет-октиламина и  $C_{12} - C_{15}$ -алкиламидфталевой к-ты, 78,7 селективноочищ. масла с вязкостью 97 сст при 38°. П. Каждан

**6М351. Способ изготовления присадок к минеральным маслам.** Tejcka Milan, Mašek Ján, Netik Miroslav, Truchlík Štefan. Spôsob prípravy zúšlachuťuých prisad pre minerálne oleje. Чехосл. пат. 89690, 15.04.59.—Антиокислительную присадку к минер. маслам получают смешением 1 моля дициклопентадиена с 1 молекул диэфира дитиофосфорной к-ты, при этом образуется продукт присоединения, являющийся присадкой. Пример. К 132,2 г дициклопентадиена медленно при перемешивании добавляют 270,4 г диазоамидитиофосфорной к-ты, поддерживая  $t-p$  смеси  $\leq 80^\circ$  путем наружного охлаждения, затем перемешивают еще 2 часа, разбавляют 500 мл бензола, бензольный р-р промывают 5%-ным р-ром соды, водой и отгоняют бензол и оставшуюся воду, получают в остатке 322,4 г присадки в виде желто-бурого вязкого масла, содержащего 8,2% Р и 16,1% S.

**6М352. Антиокислительная и детергентная присадка к моторным маслам.** Verley Guy M. Oxidation inhibitor-detergent additive for motor oils. Пат. США 2916455, 8.12.59.—Присадка к моторным маслам, повышающая прочность масляной пленки, противоизносная и противокоррозийная, особенно пригодная для моторных масел, является соединением ф-лы  $(RS)_3As$ , где R — алкил, арил, ариалкил или алкиларил  $C_3 - C_{18}$ . Три R в молекуле могут быть разными или одинаковыми. Присадку, напр. трифенилтритоарсенит (I), добавляют к маслам в кол-ве 0,1—2%, считая на As. Пример. 0,45 моля тиофенола растворяют в 200 мл абс. этанола, добавляют 0,45 моля NaOH и несколько мл воды и нагревают для образования Na-тиофенолята, когда смесь почти полностью превратится в р-р, добавляют 0,165 моля  $AsCl_3$ , сразу образуется белый осадок, который отфильтровывают, промывают водой и перекристаллизуют из бензол-метанола (1:3), получают I с выходом ~75% теоретич. Масло, состоявшее из дистиллятного масла (вязкость 36,5 сст при 38°), 5,3% основного Ва-сульфоната, 0,65% осерненного терпена (ингибитор коррозии) и 2,1% I, при испытании на 4-шариковой машине трения показало лучшие противозадирные и противоизносные свойства, чем состав масла, содержащий 2,6% товарного Zn-диалкилдитиофосфата вместо I и те же остальные компоненты. П. Каждан

inhibitor-detergent additive for motor oils. Пат. США 2916455, 8.12.59.—Присадка к моторным маслам, повышающая прочность масляной пленки, противоизносная и противокоррозийная, особенно пригодная для моторных масел, является соединением ф-лы  $(RS)_3As$ , где R — алкил, арил, ариалкил или алкиларил  $C_3 - C_{18}$ . Три R в молекуле могут быть разными или одинаковыми. Присадку, напр. трифенилтритоарсенит (I), добавляют к маслам в кол-ве 0,1—2%, считая на As. Пример. 0,45 моля тиофенола растворяют в 200 мл абс. этанола, добавляют 0,45 моля NaOH и несколько мл воды и нагревают для образования Na-тиофенолята, когда смесь почти полностью превратится в р-р, добавляют 0,165 моля  $AsCl_3$ , сразу образуется белый осадок, который отфильтровывают, промывают водой и перекристаллизуют из бензол-метанола (1:3), получают I с выходом ~75% теоретич. Масло, состоявшее из дистиллятного масла (вязкость 36,5 сст при 38°), 5,3% основного Ва-сульфоната, 0,65% осерненного терпена (ингибитор коррозии) и 2,1% I, при испытании на 4-шариковой машине трения показало лучшие противозадирные и противоизносные свойства, чем состав масла, содержащий 2,6% товарного Zn-диалкилдитиофосфата вместо I и те же остальные компоненты. П. Каждан

inhibitor-detergent material. [Sinclair Refining Co.]. Пат. США 2916448, 8.12.59.—Указанную присадку получают нагреванием в р-ре минер. масла смеси основного нефтяного сульфоната шел-зем. металла и Zn, Cd или Ba-диалкилдитиофосфата (алкил  $C_4—C_{20}$ ). В смеси отношение 1 экв металла сульфоната к 1 экв фосфора диалкилдитиофосфата от 2 до 10. Нагревание ведут при 180—225° в течение времени (~1 часа), достаточного для отщепления 0,45—1,75 спирта. Групп диалкилдитиофосфата на 1 атом Р. Пример. Для получения присадки смесь концентрата (р-ра в масле) основного нефтяного Ва-сульфоната (в концентрате 3,6% Ва) и Zn-дигексилдитиофосфата, при соотношении 1 экв Ва:1 экв Р в смеси 5:1, нагревали при 200° в течение 0,25, 1 и 3 час., найдено: потеря спирт. групп на 1 атом Р соответственно 0,5, 1,4 и 1,7; потери содержания S в атомах Р—0,1, 0,08 и 0,12. Моторное масло 10W-30 было получено смешением минер. селективноочищ. масла (вязкость 34 сст при 38°), 0,95% (считая на Ва) основного нефтяного Ва-сульфоната, 0,06% (считая на Р) Zn-дигексилдитиофосфата, 0,05% (считая на Ni) Ni-ди-(2-этилгексил)-дитиофосфата (противоизносная присадка), 5,3% полиметакрилата и 0,0005% противопоенной полиметилсилоксановой присадки. Масло 10W-30 окисляли по способу, применяемому на ж.-д. транспорте (при 140° в течение 144 час., при продувании 5 л  $O_2$  в час на 300 мл масла, в присутствии Cu и Pb): в 1-м опыте сульфонат и дигексилдитиофосфат были даны в масло без предварительного нагрева их смеси, во 2-м опыте их смесь предварительно нагревали 1 час при 200°. Свойства масла после окисления в 1-м и 2-м опытах соответственно: кислотные числа 7,4 и 4,0, повышение вязкости при 38° 22 и 6%, нерастворимых в пентане 4,4 и 0,007%.

6M353. Присадка к смазочным маслам против ржавления, обладающая противозадирным действием, не усиливающая эмульгируемости масел. Dryver Robert de, Signouret Jean-Baptiste, Tirtiaux Robert. Produit d'addition anti-rouille et non-émulsionnant pour huiles lubrifiantes. [Esso Standard (Soc. An. française)]. Франц. пат. 1203095, 15.01.60.—Как указанную присадку, добавляемую в кол-ве 0,01—10 вес. % к минер. маслу, особенно пригодную для турбинных масел, применяют соединение ф-лы (I)  $ROC(S)SCH_2COOH$ , где R—алкил  $C_4—C_{20}$ . I получают р-цией ксантогената с солью галойдуксусной (монохлоруксусной) к-ты и металла I или II группы периодической системы, с последующим вытеснением металла из полученной соли I при действии сильной к-ты. В качестве присадки также применяют соединения, получаемые аналогично I, но с заменой галойдуксусной к-ты на галойдипропионовую или галойдмасляную. Пример (г). 62 спирта  $C_{10}$  оксо-синтеза, 18  $CS_2$  и 8 NaOH нагревают при 45° и перемешивания, после р-ции отфильтровывают осадок Na-ксантогената и промывают его. Получение 48 Na-ксантогената растворяют в 10 вод и постепенно добавляют при перемешивании 22 Na-монохлорацетата. Получают Na-соль I, которую разлагают водой. HCl, смесь экстрагируют эфиром, эфирный слой промывают водой, высушивают и перегоняют, получая 51 I (R—алкил  $C_{10}$ ). Добавление 0,05% полученного I к минер. маслу (вязкость 87 сст при 38°), содержащему 0,4% 2,6-ди-трет-бутил-4-метилфенола, устранило ржавление стального образца при испытаниях по методу ASTM665-49T в присутствии дистил. и морской воды и не ухудшило окисляемости масла и его эмульгируемости. Добавление 2% аналогичной присадки (полученной при применении амиллового спирта взамен спирта  $C_{10}$ ) к минер. маслу повысило его нагрузку задира при испытаниях на 4-шариковой машине трения со 110 до 250 кг.

6M354. Парофазное осернение олефиновых углеводородов. Daniels Roy P. Vapour phase sulfuration

of olefinic hydrocarbons. [Gulf Oil corp.]. Пат. США 2917503, 15.12.59.—Для получения осерненного олефина, пригодного в качестве присадки к смазочным маслам для сверхвысоких давлений и к маслам, применяемым при резании металлов, поток олефинового углеводорода  $C_4—C_{30}$  (напр., диизобутилен, гептен) совместно с  $H_2S$  и  $SO_2$  (1—2 моля  $H_2S$  на 1 моль  $SO_2$ ) пропускают в паровой фазе при 150—425° (288—380°) через катализатор из группы, состоящей из боксита, окислов и сульфидов Fe, Cu, Ni, Al и Mn, тех же окислов и сульфидов на носителе—активированном  $Al_2O_3$ , силикагеле или алюмосиликате, при этом  $H_2S$  и  $SO_2$  должны быть взяты в таких кол-вах, чтобы при р-ции  $H_2S$  с  $SO_2$  образовалось > 1 атом S на 1 моль олефина. Пример. Гептеную фракцию 84—93°, содержащую 96% олефинов, совместно с  $H_2S$  и  $SO_2$  (2 моля  $H_2S$  на 1 моль  $SO_2$ ) подогревают до 288° и пропускают при атмосферном давлении через реактор, наполненный гранулированным бокситом, имеющим т-ру ~345°; скорость подачи на 1 объем катализатора в час: жидкой гептеновой фракции 4,  $H_2S$  1000 и  $SO_2$  480 объемов; из потока, выходящего из реактора, после охлаждения получают 73,4 об. % конденсата (считая на исходный олефин). Перегонкой конденсата получают 78% дистиллата, являющегося в основном исходной фракцией, который рециркулируют в реактор, и 22% остатка—осерненного продукта в виде темно-красной жидкости: S 19,6%,  $d_{16}^{16}$  0,932, т. заст. < -51°.

6M355. Способ подготовки труднорастворимых добавок—эмульсий высокомолекулярных соединений. Дорнейко В. И., Пивоваров А. Н., Невинная О. А. Авт. св. СССР 131508, 10.09.60.—Для получения устойчивых эмульсий керосина, веретенного и трансформаторного масел, применяемых в процессе электролитич. осаждения металлов, исходные смеси нефтепродуктов с водой подвергают ультразвуковой обработке в эмульгаторе при частоте 10—30 кГц.

И. Берлин  
6M356. Полимеризация пропилена с применением трехкомпонентного катализатора, содержащего твердые галлоиды металлов и алюминий. Kennedy Robert M., Jezl James L. Polymerization of propylene using a three component catalyst containing solid metal halides and aluminum. [Sun Oil Co.]. Пат. США 2918507, 22.12.59.—Смазочное масло с индексом вязкости > 100 получают путем полимеризации пропилена на катализаторе, состоящем из порошкообразной смеси: 1) галлоидов металла группы IVa, Va или VIa периодической системы (напр.,  $ZnCl_2$ ,  $VCl_3$ ,  $CrCl_3$ ,  $MoCl_3$ , соответствующий бромид или фторид, предпочтительно  $TiCl_3$ ), 2) галлоида Al, предпочтительно  $AlCl_3$  и 3) порошкообразного Al. Катализатор применяют в виде суспензии в жидкой углеводородной среде (гептан, октан, декан, декагидронафталин или их смеси); на 1 ч. катализатора берут > 10 ч. среды. Т-ра полимеризации 80—130° и давл. < 21 атм. Пример. В суспензию 1 ч.  $AlCl_3$ , 1,75 ч.  $TiCl_3$  и 1,51 ч. порошкообразного Al в 53 ч. гептановой фракции при 108° вводят пропилен под давл. 10 атм, перемешивают 9 час. при том же давлении, периодически вводя пропилен, отделив жидкую фазу смеси от твердой, отгоняют гептановую фракцию, оставшийся продукт полимеризации промывают водой и сушат, получают 43 ч. смазочного масла:  $d_{16}^{20}$  0,8198, вязкость 18 сст при 38° индексе вязкости 116, средний мол. в. 365, броминое число 39,5. Масло можно гидрировать для повышения его стабильности.

А. Шахов  
6M357. Силоксано-полиэфирные смазочные масла. Kerschner Paul M., Greenwald Bertrand W. Carbon functional siloxane polyesters. [Cities Service Research and Development Co.]. Пат. США 2916507, 8.12.59.—В качестве смазочного масла применяют силоксановый полиэфир, полученный р-цией 1—2 молей полисилоксановой дикарбоновой к-ты ф-лы  $HOOC-$



$(\text{CH}_2)_x\text{Si}(\text{CH}_3)_2[\text{OSi}(\text{CH}_3)_2]_n(\text{CH}_2)_x\text{COOH}$  ( $n = 1-6$ ,  $x = 2-7$ ) с 1 молем двухатомного спирта  $\text{C}_2-\text{C}_{15}$  (напр., этилен-, диэтилен- и пропиленгликоль) и затем с избыточным кол-вом алифатич. одноатомного спирта (напр., *n*-бутанол, пентанол, 2-этилгексанол); для стабилизации полученного полиэфира его можно обработать низкомолекулярной монокарбоновой к-той  $\text{C}_1-\text{C}_8$  с целью удаления остатка высокомолекулярных оксисоединений. Пример. 19,5 г 4,4,6,6-тетраметил-4,6-дисула-5-окса-нонадикарбоновой к-ты, 2,2 г этиленгликоля, 118 г толуола (*p*-риитель) и 0,05 г *n*-толуолсульфокислоты (катализатор) нагревают с обратным холодильником до выделения теоретич. кол-ва воды (~10,3 г), добавляют 100%-ный избыток *n*-бутанола, нагревают с обратным холодильником до кислотного числа смеси < 4, удаляют избыток бутанола и толуол перегонкой под вакуумом, остаток перегонки промывают водой, 10%-ным водн.  $\text{Na}_2\text{CO}_3$  и вновь водой и перегоняют при *t*-ре жидкости ~173° и давл. 160 м рт. ст. Свойства полиэфира: число омыления 278, вязкость 2400 сст при -54° и 2,98 сст при 99°, индекс вязкости 180.

Г. Марголина

**6М358.** Получение полнорганосилоксанового масла. Минки Эйити, Тамура Такадзи. [Нихон кэйсё дзюси кабусики кайся]. Японск. пат. 4891, 12.07.57.— Смесь 10,7 г  $[(\text{CH}_3)_2\text{SiCH}_2\text{Si}(\text{CH}_3)_2]_n\text{O}$ , уд. в. 0,831, т. кип. 124—128°/20 мм и 740 г  $[(\text{CH}_3)_2\text{SiO}]_m$  перемешивают с 12 г  $\text{SO}_2$  и оставляют на 10 час. при ~20°. Встряхиванием полученного продукта с водн.  $\text{Na}_2\text{CO}_3$  и экстрагированием эфиром получают 728 г полимера, применимого в качестве смазочного масла.

Э. Т.

**6М359.** Жидкость для гидравлических систем. Miller Paul C., Beers Clifford E., Stoner George G. Viscosity hydraulic fluid. [General Aniline & Film Corp.]. Пат. США 2905642, 22.09.59.— Жидкость для гидравлич. систем (для тормозной системы автомобиля) состоит из ≥ 80 вес.% смеси полиметоксиспиртов ф-лы  $\text{CH}_3(\text{CH}(\text{OCH}_3)\text{CH}_2)_n\text{CH}_2\text{OH}$  ( $n = 1-10$ ) и < 20 вес.% в-ва, понижающего вязкость, из числа 1,1,3,5-тетраметоксигексана и этиловых эфиров этиленгликоля и диэтиленгликоля. Смесь полиметоксиспиртов содержит (в вес.%): 3-метоксипропанол-1 20—40; 3,5-диметоксигексанол-1 25—35; 3,5,7-триметоксидеканол-1 15—30; 3,5,7,9-тетраметоксидеканол-1 5—20; 3,5,7,9,11-пентаметоксидеканол-1 2,5—10; 3,5,7,9,11,13-и высших гомологов этих спиртов 0,5—3,5. Для повышения вязкости в состав жидкости вводят небольшое кол-во полиметилвинилового эфира.

М. Павловский

**6М360.** Смазочно-охлаждающие жидкости для прокатки металлов. Lloyd Kenneth Alan, David Vernon Warner. Method and lubricant compositions for metal rolling. [Shell Research Ltd.]. Англ. пат. 818758, 19.08.59.— В качестве композиции смазочно-охлаждающей жидкости, применяемой при прокатке Al, сплавов Al, стали и других металлов, патентуется смесь 80—98% воды и 20—2% полиоксиэтиленовой жидкости ф-лы  $\text{R}'\text{O}[\text{R}''\text{O}]_n\text{R}''$  (I), где  $\text{R}'$  и  $\text{R}'' = \text{H}$ , углеводородный радикал или ацил,  $\text{R}'' = 2$ -валентный этиленовый или пропиленовый радикал, или их смесь, мол. вес I 350—10 000 (400—2000), I должен выделяться из водн. р-ра при 35—99° (40—70°), имея обратный коэф. растворимости, т. е. полностью растворяться в воде при *t*-рах < 35° (при хранении композиции в емкостях) и выделяться в виде эмульсии при более высоких *t*-рах (при которой находятся обрабатываемые поверхности металлов). К композиции можно добавить поверхностноактивное в-во (напр., 0,05—0,5%, сульфата Na или Ca), антикоррозийную добавку [напр.,  $\text{NaNO}_2$  (< 0,2%), фосфат щел. металла (< 0,4%) или триэтилоламин] и антипенной силиконовой присадки. Как I, напр., применяют алкиловые моноэфиры полиэтиленгликолей, содержащих смеси оксиэтиленовых и оксипропиленовых групп (торговая марка «Ucon»), и алкилфениловые моноэфиры полиэтилен-

гликолей (торговая марка «Igepal»). Пример композиция (%): 3,5 «Ucon 50-HB-860», 0,22 триэтилоламина, 0,22  $\text{NaNO}_2$ , 0,22  $\text{Na}_2\text{HPO}_4 \cdot 12\text{H}_2\text{O}$ , остальное водопроводная вода.

Е. Покровская

**6М361.** Прибор для непрерывного измерения соотношения C : H в ароматических углеводородах при помощи бета-лучей. Bertold Rudolf. Einrichtung zur kontinuierlichen Messung des C/H-Verhältnisses in aromatischen Kohlenwasserstoffen mit Hilfe von Betastrahlen. [Laboratorium Prof. Dr. Berthold]. Пат. ФРГ 1056392, 12.11.59.— Прибор основан на измерении интенсивности пучка β-лучей, прошедшего через слой ароматич. углеводородов, так как уменьшение интенсивности пучка β-лучей определяется соотношением C : H в углеводородах. Чтобы при измерении интенсивности проходящего пучка β-лучей устранить влияние изменений уд. веса потока углеводородов, проходящего через прибор, толщину слоя углеводородов, через который проходит β-лучи, изменяют соответственно уд. веса потока углеводородов путем прикрепления источника β-лучей к круговому полюму поплавку.

А. Равинович

**6М362.** Эмульсионное масло. Fisher Earl E. Soluble oil. [Gulf Oil Corp.]. Пат. США 2913410, 17.11.59.— Эмульсионное масло, применимое в виде эффективной смазочно-охлаждающей водн. эмульсии при резании металлов, состоит из 80—95% минер. масла, 3—7% К-соли смоляных к-т, таллового масла или канифоли, 4—7% нефтяного Na-сульфоната со средним мол. в. 425—430 и связующего *p*-риителя (напр., диэтиленгликоль) в кол-ве, достаточном для хорошей эмульсифицируемости состава. Примерный состав эмульсионного масла: (ч.) 85 минер. масла, 10,5 концентрата нефтяного Na-сульфоната, содержащего 62—63% сульфоната со средним мол. в. 425—430, 3,5 мыла смоляных к-т, содержащего 87—89% К-соли светлой канифоли и 13—11% воды, 0,4 диэтиленгликоля, 0,15 монобутилового эфира диэтиленгликоля и 0,45 воды.

С. Розенфельд

**6М363.** Автоматический контроль температуры регенератора в процессе гидроформинга с пылевидным катализатором и твердым теплоносителем. Nicolai Lloyd Arthur, Tyson Charles W., Gornowski Edward J. Automatic control of hydroforming and related operations. [Esso Research and Engineering Co.]. Пат. США 2905630, 22.09.59.— Надлежащий температурный режим в регенераторе (Р), где производится выжиг кокса с катализатора и нагрев твердого теплоносителя, предлагается поддерживать непрерывно, подавая в Р необходимое кол-во кислорода, определяя избыток его в отходящих газах и регулируя поступление пылевидного катализатора в Р таким образом, чтобы полностью использовать избыточный кислород. Кроме того, замеряется *t*-ра в Р и регулируется поступление в него теплоносителя. Применяемая для указанных целей аппаратура не указывается. Приведены схемы реактора и Р.

В. Щекин

**6М364.** Аппарат для смешения и гомогенизации, пригодный для получения водо-масляных эмульсий. Flottmann Friedrich Heinrich, Heinrich Otho. Vorrichtung zum Mischen und Homogenisieren, insbesondere zur Herstellung von Öl-Wasser-Emulsionen. [Ingenieurbüro Friedrich Heinrich Flottmann]. Пат. ФРГ 1058977, 10.12.59.— Аппарат для смешения и гомогенизации, использующий принцип инжектора. В. Щекин

**См. также:** Происхождение нефти и природных газов 6Г95, 6Г96, 6Г97. Природные газы 6Б461, 6Б465, 6Б466, 6Б508, 6А41. Нефтехим. синтез 6ЛЗ. Крекинг катализич. 6Б565, 6Б566. Нефтезаводское оборудование 6И35, 6И36, 6И37, 6И49, 6И63, 6И85, КИП 6И96. Коррозия 6И167, 6И256. Сточные воды нефтеперерабат. з-дов 6И258, 6И291, 6И292. Техника безопасности 6И353, 6И354, 6И356, 6И359, 6И365, 6И373. Методы анализа и испытания нефтей и нефтепродуктов 6Д200, 6Б525, 6Б532, 6Б533, 6Б250.

# РЕФЕРАТИВНЫЙ ЖУРНАЛ

## ХИМИЯ

### VIII

Рефераты 6Н1—6Н523

№ 6

25 марта 1961 г.

#### Н. ХИМИЯ И ТЕХНОЛОГИЯ ПИЩЕВЫХ ПРОИЗВОДСТВ, ЖИРОВ, МОЮЩИХ СРЕДСТВ, ФЛОТОРЕАГЕНТОВ И ДУШИСТЫХ ВЕЩЕСТВ

##### ПИЩЕВАЯ ПРОМЫШЛЕННОСТЬ

Редакторы Б. А. Николаев, Г. А. Новоселова,  
А. Л. Прохорович

**6Н1. Консервирование некоторых пищевых продуктов антибиотиками.** Montefredine Antonio. Conservazione degli alimenti con antibiotici. «Boll. lab. chim. provinc.», 1960, 11, № 2, 205—215 (итал.; рез. франц., англ., нем.).—Приведены результаты опытов по консервированию рыбы и птицы препаратами антибиотиков на основе хлортетрациклина, окситетрациклина и тетрациклина. Отмечено изменение остаточного кол-ва антибиотика в зависимости от условий опытов.

**6Н2. Разрушение витамина С и предупреждение его потерь в производстве пищевых продуктов, в особенности при применении новых методов консервирования.** III. Balla Ferenc, Kiszal Józsefné. A C-vitamin bomlása és a bomlás meggátlása élelmiszerek gyártásánál, különös tekintettel az új tartósítási eljárásokra. III. «Elelm. ipar», 1960, 14, № 4, 100—107 (венг.; рез. русск., нем., англ.).—Исследовали изменения содержания аскорбиновой к-ты (I) в продуктах (ВНР) с высоким ее содержанием под влиянием ионизирующих излучений и УФ- и ИК-лучей. При практических дозах  $\gamma$ -лучей не наблюдается значительного разрушения I, если предварительно инактивированы ферменты. Однако под влиянием ионизирующих излучений соотношение кол-в I и дегидро-I меняется в пользу последней. УФ-лучи, даже при максим. дозе, не вызывают значительного разрушения I. Замечено защитное действие акцепторов и коллоидов. Сушка ИК-лучами более благоприятна в отношении сохранения I, чем обычные способы сушки. Часть II см. РЖХим, 1960, № 18, 75166.

**6Н3. Быстрая подготовка и надлежащее охлаждение необходимы для обеспечения наилучшего качества продуктов.** Watson E. L. Prompt handling plus proper cooling for better quality. «Canad. Food Inds.», 1960, 31, № 6, 33—35 (англ.).—Должные условия хранения овощей перед консервированием и замораживанием позволяют улучшить качество продуктов и уменьшить потери от плесневения.

**6Н4. Общая функциональная зависимость между энтальпией, содержанием влаги и температурой при замораживании пищевых продуктов.** Фикин А. Г. Общая функциональная зависимость между энтальпией,

влажность и температурой при замораживании на хранительные продукты. «Научни тр. Висп. ин-т хранит. и вкус. пром-ст—Пловдив, 1960, 74, 217—229 (болг.; рез. русск., франц.).—Выведена общая функциональная зависимость между изменением энтальпии ( $\Delta i$  — в ккал/кг), содержанием влаги в продукте ( $\varphi$  — в кг/кг) и т-рой  $t_H$  — начальная т-ра,  $t_{зам}$  — т-ра замораживания,  $t_K$  — конечная т-ра, выражаемая следующей ф-лой:

$$\Delta i = (0,67 \varphi + 0,33) (t_H + t_{зам}) + (53,8 \varphi - 3,13)$$

$$(t_K - t_{зам})^{(0,046/\varphi + 0,122)} \text{ ккал/кг.}$$

Во время отдельных фаз процесса: охлаждение, замораживание и домораживание, а также во время дефростации — зависимость между этими 3 параметрами выражается: а) при охлаждении в температурном интервале выше точки замораживания продукта от  $t_1$  до  $t_2$ :  $\Delta i = (0,67 \varphi + 0,33) (t_1 - t_2)$  ккал/кг; б) при замораживании с начальной т-рой, равной т-ре замораживания:

$$\Delta i = (53,8 \varphi - 3,13) (t_K - t_{зам})^{(0,046/\varphi + 0,122)} \text{ ккал/кг;}$$

в) при домораживании — в температурном интервале ниже точки замораживания продукта, от  $t'_K$  до  $t''_K$ :

$$\Delta i = (53,8 \varphi - 3,13) [(t''_K - t_{зам})^{(0,046/\varphi + 0,122)} - (t'_K - t_{зам})^{(0,046/\varphi + 0,122)}] \text{ ккал/кг.}$$

Можно вычислить с большой точностью расход холода при замораживании пищевых продуктов. Полученные результаты для каждого конкретного случая вполне совпадают с эксперим. данными. Резюме автора

**6Н5. Перспективы применения жидкого азота для замораживания пищевых продуктов.** Sherwood Peter W. Liquid nitrogen for tomorrow's frozen foods? «Food Manufacture», 1960, 35, № 10, 430—431, 434 (англ.).—Технические возможности применения жидкого азота для замораживания пищевых продуктов подтверждены опытами с разнообразными продуктами и не вызывают сомнений. Спорна экономичность его применения в сравнении с другими методами замораживания: подлежат уточнению также вопросы теплоизоляции замороженных жидким азотом продуктов при их транспортировании.

**6Н6. Визуальный индикатор температуры замороженных продуктов.** Nicol D. L. A visual indicator of

the temperature of frozen food. «Chemistry and Industry», 1960, № 41, 1261—1262 (англ.).—Для определения фактич. максим. минусовой т-ры хранения продуктов разработан маленький удобный индикатор. В стеклянную пробирку наливаются два водно-глицеролевых р-ра солей, разделенные посредине пробирки небольшим слоем неводн. не смешивающейся с ними жидкости с определенной т-рой замерзания. Оба водн. р-ра порознь бесцветны или почти бесцветны, а при смешивании дают яркоокрашенный осадок. В качестве р-ров рекомендованы: 1%-ный р-р сульфата никеля и 0,5%-ный р-р диметилглицерина — красный осадок; 1%-ный р-р уксуснокислого свинца и 1%-ный р-р йодистого калия — желтый осадок; 1%-ный р-р  $\text{CuSO}_4$  и 0,5%-ный р-р бензоин- $\alpha$ -оксима — зеленый осадок, 1%-ный р-р азотнокислого кобальта и смесь 0,5%-ных р-ров  $\text{Na}_2\text{CO}_3$  и  $\text{NaOH}$  — голубой осадок. Для разделительного слоя предложены: метилгексилкетон (т. пл. —21°), *n*-децилацетат (т. пл. —15°), *n*-додекан (т. пл. —12°) и *l*-нонанол (т. пл. —5°). Индикаторы помещаются в футляры из молибдилхлорида и вместе с ними в контейнеры с замороженными пищевыми продуктами. При повышении температуры продукта до точки плавления вещества разделительного слоя и смешивании разделенных им растворов образуется окрашенный осадок.

А. Наместников

**6Н7.** Получение белков экстрагированием из листьев растений. Davys M. N. G., Pirie N. W. Protein from leaves by bulk extraction, «Engineering», 1960, 190, № 4923, 274—275 (англ.).—Описано оборудование для превращения листьев в раздробленную мягкую массу и последующего выпрессовывания из нее сока. Применяются специально сконструированные молотковую дробилку и эксцентриковый пресс, можно извлекать из листьев растений до 75% первоначально содержащихся в них пищевых белков. Оборудование приспособлено для переработки листьев различной структуры, влажности и т. п.

С. Светов

**6Н8.** Ароматы, образующиеся при простом взаимодействии аминокислот с сахаром. Herz W. J., Shallenberger R. S. Some aromas produced by simple amino acid, sugar reactions, «Food Res.», 1960, 25, № 4, 491—494 (англ.).—При р-циях аминокислот с глюкозой в простой двухфазной системе наблюдается возникновение запахов, причем часть из них приятна. Напр., лейцин, глутамин и треонин, реагируя с глюкозой при 100°, развивают шоколадный аромат, фенилаланин — фиалковый. При изменении т-ры среды изменяется и запах, что дает возможность установить, как аромат может быть изменен или улучшен в процессе обработки продуктов, содержащих аминокислоты. Приведены данные, характеризующие запах при р-ции глюкозы с различными аминокислотами и изменения запаха в зависимости от температуры.

В. Корякова

**6Н9.** Разрушение антиоксидантов в масле при нагревании. Kajimoto Goro. «Эйё то сёкурё», J. Japan. Soc. Food and Nutr., 1960, 13, № 2, 82—86 (японск.; рез. англ.).—Пищевые продукты обжаривали в соевом масле с добавлением антиоксидантов при 170° в течение 5 мин. Установлено, что эффективность антиоксидантов в процессе нагревания постепенно снижается, что указывает на их разрушение. При помощи выделения на колонке с силикагелем (с извлечением этилацетатом) и хроматографии на бумаге показано, что пропиленгаллат разрушается за 30 мин., бутилированный оксанизол, гидрохинон и изомилгаллат — за 60 мин., а бутилированный окситолуол — за 120 мин.

Из резюме автора

**6Н10.** Применение морской воды для варки сухих продуктов. Harries J. M., Jamieson Marie M., Robertson Jean. Use of sea water for cooking dehydrated food. «Nutrition», 1960, 14, № 3, 119—125 (англ.).—Установлено, что из 12 видов исследованных сухих продуктов только высушенная после отваривания баранина может быть сварена в 100%-ной морской воде (МВ) без ущерба для вкуса. Применение МВ для варки не влияло на цвет продуктов, за исключением отварной сушеной говядины, и сравнительно мало влияло на мягкость, за исключением сушеного картофеля, который был несколько более твердым при варке с добавлением МВ. Вкус всех продуктов, за исключением баранины, заметно изменялся при варке в неразбавленной МВ, но только вкус капусты значительно ухудшался при варке в смеси дистил. воды и МВ (2:1). Установлено, что за исключением сушеной капусты и сушеного картофеля большинство продуктов может быть подвергнуто варке при таком содержании МВ.

Г. Новоселова

**6Н11.** Применение хроматографических методов для определения компонентов пищевых продуктов. Calzolari Claudio, Furlani Anita. Applicazioni dei metodi cromatografici nell'analisi dei prodotti alimentari. «Rassegna chim.», 1960, 12, № 4, 15—26 (итал.).—Обзор хроматографич. методов определения в-в, являющихся естественными компонентами пищевых продуктов и добавленных к ним. Библ. 310 назв.

Г. Н.

**6Н12.** Лабораторный и производственный контроль витаминов, минеральных веществ и микрорезультатов. Farrer K. T. H. The laboratory and factory control of vitamins, minerals and trace substances. «Food Technol. Austral.», 1960, 12, № 4, 198, 201, 203, 205 (англ.).—Во избежание потери витаминов в процессе произ-ва пищевых продуктов рекомендовано предупреждать: их чрезмерную утрату при механич. обработке (помол зерна на муку, полировка риса и связанный с этим отход витаминов с отрубями); загрязнение металлами (медь, катализирует окисление витамина С); окисление (сильное других окисляется витамином С, затем витамином А, а также витамином В<sub>1</sub>); фотолиз (расщепление витамина В<sub>2</sub> молока и зерновых продуктов на свету); термич. распад (высокая т-ра ускоряет окисление витаминов С и А, а также распад витамина В<sub>2</sub>, фолиевой и никотиновой к-т). Особенно чувствителен к высокой т-ре витамин В<sub>1</sub>, который встречается в пищевых продуктах в 3 формах: в виде свободного витамина, в виде карбоксилазы (фосфорилированная форма) и связанного с белками. Наиболее термостабильна третья, наименее — вторая формы. Приведена математич. ф-ла для расчета убыли витамина В<sub>1</sub> при различных т-рах обработки пищевых продуктов.

В. Гурин

**6Н13.** Определение ванилина и этилванилина в пищевых продуктах при помощи хроматографии на бумаге и осциллополюграфии. Woggon H., Köhler U. Die papierchromato-oscillographische Bestimmung von Vanillin und Äthylvanillin in Lebensmitteln. «Ernährungsforschung», 1960, 5, № 4, 402—409 (нем.).—Навеску продукта (5 г) помещают в колбу Эрленмейера (с прилифованной пробкой), заливают 10 мл спирта (не содержащего альдегидов) и выдерживают 30 мин. при 45°. Колбу встряхивают (не открывая) и, после охлаждения, часть р-ра декантируют и при помощи микропипетки наносят на бумагу. В качестве подвижного р-р-теля применяют смесь изобутанол-аммиак (10:6). R<sub>f</sub> ванилина 0,33—0,40, этилванилина 0,51—0,58 (в УФ-свете). Участки хроматограммы, соответствующие пятнам определяемых в-в, обрабатывают 25 мл р-ра хлоридрата семикарбазида (55,6 г в 500 мл воды, 100 мл 1 н. HCl и воды до 1000 мл). 10 мл элюата помещают в ячейку поляроскопа Р 576 и проводят измерения, пользуясь калибровочной кривой.

Г. Новоселова

**6Н14.** Методы полярографии и их применение для анализа пищевых продуктов. Woggon H. Methoden der Polarographie und ihre Anwendung in der Lebensmittelanalytik. «Ernährungsforschung», 1960, 5, № 2, 119—123 (нем.).—Рассмотрены принципы полярографии и практич. применение ее для анализа пищевых продуктов. Полярографич. методом определяют: Са в кон-

сервах и присутствии Fe (при Sn, Pb сорп в в ном масле пчелиного вают пр методом определя дуктах, витамин в фарма в плодох ния в сд ляроград ния ряд прокси) в молек хромато фии (мн ных к-т для оир сахаре.

6Н15.

и река

мощно

Besimm

mins p

Forsch.

опред

глицер

shall (

ляется

M. V.,

1408).

мендук

осадок

этой т

ся воз

Точны

высущ

вакуум

6Н16.

металл

образ

свинц

eljárás

plexke

«Elekt

руск.

делен

ни о

го сое

зона).

содер

ально

98527.

6Н17.

риоло

дукт

rin g

quali

1959,

ния

прод

(П)

оспо

прод

клас

до 1

боле

с вр



сервах и томатопродуктах; Fe в мясных продуктах в присутствии фосфатов; Cu в томатопродуктах, Cu и Fe (при совместном присутствии) в патоке; Cu, Zn, Sn, Pb совместно с Fe в кондитерских изделиях; сахарин в ряде пищевых продуктов, нитробензол в эфирном масле горького миндаля; проверяют натуральность пчелиного меда, чистоту сахара-рафинада, устанавливают происхождение пищевого уксуса (получение методом брожения или из синтетич. уксусной к-ты); определяют пектин, витамины B<sub>1</sub> и B<sub>2</sub> в пищевых продуктах, никотиновую к-ту — в биологич. материале, витамины B<sub>12</sub>, E, K, фолиевую к-ту и провитамины A — в фармацевтич. препаратах, определяют витамин C в плодовоовощных продуктах (наблюдаются затруднения в случае картофеля и репы). Использование полярографии сыграло положительную роль в разрушении ряда проблем: порча жиров и действие анти- и прооксидантов; установление пероксидных связей в молекулах жиров. Успешно применена комбинация хроматографии на бумаге (разделение) и полярографии (микроанализ) для определения абс. кол-в жирных к-т в жирах и осциллография. полярография — для определения ванилина и бурбонала в ванильном сахаре. Библ. 22 назв.

В. Гурни

6Н15. Весовой метод определения формальдегида и гексаметилентетрамина в пищевых продуктах с помощью димедона. Slusanshi H. Zur gravimetrischen Bestimmung des Formaldehyds und Hexamethylentetramins mit Dimedon. «Z. Lebensmittel-Untersuch. und Forsch.», 1960, 112, № 5, 390—391 (нем.).—Метод колич. определения HCON с помощью димедона (5,5-диметилциклогексан-1,3-дион), предложенный Spencer Henshall (см. РЖХим, 1955, № 12, 24026), по существу является модификацией метода, разработанного (Ionescu M. V., Bodea C. Bull. Soc. chim. France, 1930, 4, 47, 1408). Оба эти метода имеют тот недостаток, что рекомендуют слишком высокую т-ру для высушивания осадка формальдегида (105—115°). Довести при этой т-ре осадок до постоянного веса не представляется возможным, так как он сублимируется при 103°. Точные результаты определения получают лишь при высушивании осадка при ≤ 100°, для чего используют вакуумсушильный аппарат.

В. Гурни

6Н16. Экспресс-метод определения содержания металлов в пищевых продуктах с помощью комплексобразующих веществ. II. Определение содержания свинца. Spányár Pál, Kevei Jánosné. Gyors. eljárások fémek meghatározására élelmiszerékekben komplexképző anyagokkal. II. Olomtartalom meghatározása. «Élelmiszervizsg. közl.», 1960, 6, № 1-2, 4—11 (венг.; рез. русск., нем., англ., франц.).—Разработан метод определения свинца, основанный на фотометрич. определении окраски, получаемой при образовании комплексного соединения свинца с дитизоном (при избытке дитизона). Определено кол-во свинца в 10 продуктах, содержащих его 0—20 γ. Ошибка 1 γ. Возможно визуальное определение. Часть I см. РЖХим, 1960, № 24, 98527.

Из резюме авторов

6Н17. Резазуриновая проба, как показатель бактериологического качества замороженных пищевых продуктов. Kereluk Karl, Gunderson M. F. Resazurin reduction test as an index of the bacteriological quality of frozen foods. «J. Milk and Food Technol.», 1959, 22, № 10, 299—303 (англ.).—Проведены определения бактериальной обсемененности 123 замороженных продуктов чашечным методом и резазуриновой пробой (РП). Полученные результаты показывают, что на основании общего кол-ва бактерий и показаний РП продукты могут быть разделены на 4 класса: 1-й класс — продукты с бактериальной обсемененностью до 10 000 бактерий в 1 г и с временем РП 8 час. и более; 2-й класс — 10 000—100 000 бактерий в 1 г и с временем РП 6—8 час.; 3-й класс — 100 000—1 000 000

в 1 г и временем РП 3—6 час.; 4-й класс — 1 000 000—500 000 000 бактерий в 1 г и временем РП < 3 час.

В. Богданов

6Н18. Различное восприятие вкуса бензоата натрия. Peryam David R. The variable taste perception of sodium benzoate. «Food Technol.», 1960, 14, № 8, 383—386 (англ.).—Для исследования отмеченного в последнее время явления «вкусовой слепоты» в отношении вкуса бензоата натрия (I) проведены органолептич. испытания вкуса его р-ров. Установлено, что вкусовые р-ции дегустаторов среди других причин обуславливаются и конц-ией р-ров. Результаты не объясняют вариаций во вкусовых ощущениях при испытаниях I: по-видимому, разнообразие их зависит от многих причин и нельзя сводить их только к физиологич. особенностям дегустаторов.

С. Светов

6Н19. Натуральность пищевых продуктов и научные и технологические достижения. La Rotonda Carlo. La genuinità degli alimenti rispetto al progresso della scienza e della tecnica. «Ind. conserve», 1960, 35, № 2, 95—103 (итал.; рез. франц., англ., нем.).—Рассмотрена проблема вредности для человеческого организма пищевых продуктов, содержащих остатки пестицидов (использованных для борьбы с вредителями растений) и в-в, добавляемых к пищевым продуктам в процессе их произ-ва (консервантов, антибиотиков, синтетич. красителей, сладких в-в, антиоксидантов, эмульгаторов, загустителей и др.). Указано, что пища должна состоять только из одних натуральных продуктов и в последние нельзя вносить извне дополнительные хим. вещества.

В. Гурни

6Н20. Современные данные о составе пищевых продуктов. II. Аминокислотный состав и биологическая ценность белков некоторых пищевых продуктов Венгрии. Lindner Karoly, Jaschik Sandor, Korpáczy István. Élelmiszereink összetételének legújabb adatai. II. Egyes hazai élelmiszerfélék aminosav, összetétele és biológiai értéke. II. «Élelmiszervizsg. közl.», 1960, 6, № 3, 59—67 (венг.; рез. русск., нем., франц., англ.).—При оценке методом Oser'a (J. Amer. Diet. Assoc., 1951, 27, 396) наибольшей признана пищевая ценность казенна, белков картофеля, мяса карпа, каштанов, сои, мака, семян подсолнечника (расположены в порядке снижения пищевой ценности). Наименьшей пищевой ценностью обладают белки арахиса, lupulina и пшеницы, которые необходимо смешивать с белками, имеющими лучший аминокислотный состав. Часть I см. РЖХим, 1960, № 24, 98536.

Из резюме авторов

6Н21. Пищевые продукты и радиоактивные осадки. Shewfelt A. L. Food and fallout: implications for food processing and storage. «Agric. Inst. Rev.», 1960, 15, № 3, 13—16 (англ.).—В результате выпадения радиоактивных осадков пищевые продукты загрязняются Sr<sup>90</sup> и Cs<sup>137</sup>. Разработаны методы защиты людей в случае ядерной войны, но предложено мало мер для защиты продуктов питания. Необходимы: изучение методов определения кол-ва Sr<sup>90</sup> и путей его попадания в различные пищевые продукты, разработка методов обработки и удобрения почвы, которые могли бы ограничивать повышение содержания Sr<sup>90</sup>; исследование влияния различных диет на содержание радиоактивных в-в в человеческом организме; выяснение различий между отдельными растениями и животными по проницаемости для Sr<sup>90</sup>, разработка способов произ-ва пищевых продуктов с низким содержанием радиоактивных в-в и методов поверхностной очистки продуктов от радиоактивных загрязнений. Э. Барская

6Н22. Окисление жиров в модельных системах, соответствующих сушеным пищевым продуктам. Bishop S. J., Henick A. S., Koch R. B. Oxidation of fat in model systems related to dehydrated foods. «Food Res.», 1960, 25, № 2, 174—182 (англ.).—Высушенные жировые эмульсии (ЖЭ), распределенные в инертном

материале — карбоксиметилцеллюлозе, были применены для оценки роли белков, фосфолипидов и соединений, содержащих железо, в окислении жиров при повышенной т-ре. Установлено, что фосфолипиды в кол-ве 0,5—5,0% от сухого веса жира предотвращают окисление. ЖЭ, содержащие белок, более стойки, чем ЖЭ без белка. Каталитич. действие гемоглобина приводит к быстрому окислению (в течение нескольких минут) ЖЭ, высушенных при 85°. В присутствии порфиринов окисление идет быстрее в высушенных системах, чем в жидких.  $\text{Fe}_2(\text{C}_5\text{H}_7\text{O}_2)_2$  в сравнении с порфинами в очень малой степени усиливает окисление. Фосфолипиды, являющиеся естественными компонентами пищевых продуктов, в отдельности или в сочетании с белками, заметно тормозят окисление высушенных ЖЭ, содержащих порфирины, а фенольные антиоксиданты, бутилированный оксанизол и нордигидрогваяретовая к-та, в конц-ии до 0,03% от сухого веса жира, мало эффективны.

Из резюме авторов  
6Н23. Личинки пчел, как пищевой продукт. Но-king B., Matsumura F. Bee brood as food. «Bee World», 1960, 41, № 5, 113—120 (англ.).—Изложены соображения об экономич. целесообразности использования в качестве пищевого продукта личинок пчел, ежегодно умерщвляемых осенью (напр., в Канаде в кол-ве ~130 т). Они содержат до 18% белка и витаминов А и Д соответственно 119 и 7000 м. е. в 1 г. Описаны возможные способы удаления их из сот и обработки для получения готового к потреблению продукта. Специально организованная дегустация различным образом приготовленных из них пищевых продуктов показала, что первоначальное отвращение к потреблению таких продуктов может быть довольно легко преодолено, и органолептич. оценка некоторых из таких продуктов оказалась высокой.

С. Светов  
6Н24. Опасность попадания болезнетворных микроорганизмов на предприятия пищевой промышленности. Ruys A. Charlotte. De gevaren van ziekteverwekkende micro-organismen in levensmiddelenbedrijven. «Conserva», 1960, 9, № 2, 28—33. Discuss., 33 (гол.).—Рассмотрена возможность попадания и распространения болезнетворных микроорганизмов и меры их предупреждения при переработке пищевых продуктов.

К. Герцфельд  
6Н25. Уход за машинами и содержание в чистоте здания на предприятиях пищевой промышленности. Podbrežnik Fran. Neki problemi održavanja mašinske i gradevinske opreme u prehranbenoj industriji. «Tehnika», 1960, 15, № 7: «Prehran. ind.», 14, № 7, 108—112 (серб.-хорв.; рез. нем.).

6Н26. Санитарно-гигиенические соображения при проектировании пищевых предприятий. Johnson W. Blois. Hygienic considerations in food plant design. «Chemistry and Industry», 1960, № 39, 1203—1205 (англ.).—Современные механизированные пищевые предприятия с большой производительностью и автоматич. контролем вызывают затруднения при их проектировании с точки зрения санитарного обслуживания. Представлены соображения, обеспечивающие чистоту аппаратуры и санитарное состояние предприятия. Описаны преимущества автоматич. мойки оборудования на месте без демонтажа. Дан цикл операций мойки оборудования детергентами с последующей обработкой стерилизующими средствами. Рассмотрены системы трубопроводов для моющих и стерилизующих средств и спец. устройство, предотвращающее смешивание продукта с детергентом. Автоматич. чистка аппаратуры может быть приспособлена к существующей производственной линии, но еще лучше, когда они проектируются вместе.

Г. Павлова  
6Н27. Роторный полуавтоматический блочно-плотный агрегат для замораживания пищевых продуктов. Ниточкин А., Мекеницкий С. «Сб. докл. от СССР на Моск. конференции Междунар. ин-та холода».

М., 1959, 179—184.—Приведено описание устройства и технич. характеристика роторного блочно-морозильного полуавтоматич. агрегата для замораживания блоков пищевых продуктов и удаления их из агрегата без оттаивания. Производительность агрегата до 20 т замороженных блоков в сутки; единовременная емк. 102 блока. Приведены также схемы устройства агрегата, клинкового механизма разгрузочного устройства и устройства для фиксации замороженного блока.

Г. Джилавдарова  
6Н28. Частичная автоматизация процесса стерилизации консервов в стеклянной таре с водяным противодавлением. Быстров В. П. «Консерв. и овощесуш. пром-сть», 1960, № 8, 24—25.—Описана схема автоматич. установки для стерилизации плодовоовощных консервов в стеклянной таре с водяным противодавлением, предложенная трестом «Оргпроекттехмонтаж». Применен прибор ПРС (программный регулятор стерилизации), дополненный 2 блокирующими соплами и выключателем сигнализации с перенастройкой в режиме времени блокирующего механизма сопла продувки. Установка обеспечивает медленный подъем противодавления при повышении т-ры во время нагрева и медленное понижение противодавления при охлаждении продукции; при этом устраняется нарушение рельефа крышек стерилизуемых банок. С 1959 г. по данной схеме работают установки на ф-ке Ленгортплодовоща (Ленинград), с 1960 г.—на Кобринском з-де (БССР).

В. Гурин  
6Н29. Оборудование для внутризаводского транспорта. Slade Frank H. Handling equipment. «Food Process. and Packag.», 1960, 29, № 348, 336—339 (англ.).—Изложены экономич. преимущества механизации внутризаводского транспорта и общие соображения о выборе наиболее удовлетворительной системы перемещения грузов на предприятиях пищевой пром-сти. Приведены практич. указания по установке, обслуживанию и безопасности работы транспортных устройств и расчеты для определения потребных мощностей и тяговых усилий.

С. Светов  
6Н30. Содержание тиаминна (витамина В<sub>1</sub>) в итальянских сортах пшеницы. Filajdić Mirko, Mikuličić Višnja. Prilog određivanju sadržaja tiamina u talijanskim sortama pšenice. «Kemija u industriji», 1960, 9, № 3, 57—58 (серб.-хорв.; рез. англ., нем.).—Проведено определение в 11 сортах пшеницы урожая 1958 г. тioxромовым методом. Значения, полученные из трех параллельных анализов, изменяются в пределах от 0,399 до 0,547 мг тиаминна в 100 г пшеницы с влажностью 12%. Среднее значение 0,470 мг.

Из резюме авторов  
6Н31. Автоматизированная линия послеуборочной обработки зерна и его хранение. Новак М., Заруба И. «Международ. с.-х. ж.», 1960, № 4, 104—110.—Приведено описание современной технологии послеуборочной обработки зерна и анализ ее недостатков. Описана новая технология пневмоочистки, воздушной сушки в силосах и последующего хранения с применением автоматич. регулирования т-ры зерна и влажности воздуха. Приведены результаты опытов досушки зерна в зернохранилищах, расход энергии и стоимости обработки на 1 т, пониженная на 10% сравнительно с существующими способами.

Б. Н.  
6Н32. Определение оптимального режима пневмогазовых сушилок с асцилирующим (переменным) режимом. Лью бошиц И. Л. «Инж.-физ. ж.», 1960, 3, № 9, 91—98 (рез. англ.).—Изучается оптимальный режим сушки зерна в условиях последовательного нагрева — охлаждения. В частности, рассматриваются вопросы: зависимость коэф. нагрева от т-ры папара, выбор числа проходов зерна по сушильной системе (равный 3—4), уд. расход тепла, объем зоны промежуточного охлаждения, сопротивление сушильной трубы. В таблице приведены результаты расчета зерносушил-

ки для различных данных, преимущественно в качестве зернохранилища, энергии, у

6Н33. Нологический и нов Д. И. Технологический. Всп. ин-т, 7, 435—444. мигацией риса влажной непригодности. ганта. По зерна рисовых усиление хане зер

6Н34. ботки зерноautomatizybož.mlytechnol. 51—55 (пния о воззерна в проция про20 лет.

6Н35. и медиMirko, fosfora.«Kemija rez. анг.методов ниде и сортах. позволяю

6Н36. ровки цс II и I. н. ин. (1960), для испПроведен ЦСП уз

продукт(мера). Качествонной скозамеменяобразнесево.

6Н37. алаковvon H.Mühle резульна зероисходном исне влаизмен

кой для различных т-р сушильного агента и определенных данных (производительности и др.). Приводятся преимущества данной конструкции, сравнительно с шахтными сушилками, заключающиеся в лучшем качестве зерна, возможности использования более высоких т-р теплоносителя, снижения расхода тепла и энергии, уменьшении высоты трубы и ее диаметра. Б. Н.

**6Н33.** Исследование влияния сероуглерода на технологические качества риса. Радоев А., Шинкеев Д. Исследовано влияние на сероводородную верху технологические качества на ориза. «Научни тр. Висп. ин-т хранит. и вкус. пром-ст — Пловдив», 1960, 7, 435—441 (болг.; рез. русск., франц.). — Опытной фумигацией  $CS_2$  конц-ией 100, 200, 250, 300 и 800 г/м<sup>3</sup> риса влажностью 13,7% в течение 72 час. установлена непригодность  $CS_2$  для применения в качестве фумиганта. Под действием  $CS_2$  погибли все вредители, но зерна риса приобрели желто-зеленую окраску. В условиях повышенной влажности (20,3%) наблюдалось усиление окраски, растрескивание, ломкость и набухание зерен риса. Г. Джиладжарова

**6Н34.** Проблемы автоматизации в области переработки зерна. Reński Antoni. Współczesne problemy automatyzacji w przetwórstwie zbożowym. «Przegl. zboż.-młynarski», 1960, 4, № 7, Biul. inform. Centr. Lab. technol. przetw. i przechowaln. zbóż w Warszawie, № 3, 51—55 (польск.; рез. русск., нем., франц.). — Соображения о возможности автоматизации процессов хранения зерна в настоящее время и перспективах автоматизации процессов переработки зерна в Польше на 15—20 лет. Г. Д.

**6Н35.** Дополнение к определению фосфора, железа и меди в итальянских сортах пшеницы. Filajdić Mirko, Desaty Darko. Prilog određivanju sadržaja fosfora, željeza i bakra u talijanskim sortama pšenice. «Kemija u industriji», 1960, 9, № 4, 83—86 (сербо-хорв.; рез. англ., нем.). — Приведен краткий обзор аналитич. методов определения фосфора, железа и меди в пшенице и рабочий метод, испытанный на итальянских сортах. Статистич. обработка полученных результатов позволяет определить точность этих методов. По резюме авторов

**6Н36.** Исследование работы пневматической сортировки центробежного типа при обработке продуктов с II и III драных систем. Федотов Н. Г. «Тр. Всес. н.-и. ин-та зерна и продуктов его переработки», 1959 (1960), вып. 37, 145—183. — Приведена схема установок для испытания и конструкция сортировки ЦСП-11. Проведенным исследованием установлено, что работа ЦСП ухудшается по мере роста извлечения (кол-ва продукта в % прохода через сита определенного номера), и кол-ва продукта, поступающего в машину. Качество работы ЦСП улучшается увеличением входной скорости воздуха. Показано, что применение ЦСП заменяет работу 1/3 сходовых сит и позволяет целесообразнее использовать просеивающую поверхность рассевов. 7 табл. Библ. 6 назв. Б. Н.

**6Н37.** Об установлении поврежденности хлебных злаков при высушивании. Staudt E. Zur Feststellung von Hitzeschäden bei der Trocknung von Brotgetreide. «Mühle», 1960, 97, № 1, 2 (нем.). — Дискуссия по поводу возможности применения метода с применением тетразола для установления поврежденности зерна при сушке. По мнению автора, в опытах Вейта (см. РЖХим, 1961, 1Н20) не было получено положительных результатов вследствие того, что методика проверялась на зерне, которое сушилось в условиях, отличающихся от обычных производственных, а именно при малой исходной влажности зерна (12—14%) и слишком быстром испарении влаги при сушке. Спец. опыты по сушке влажного зерна (19%) в условиях быстрой отдачи влаги показали, что в первом случае свойства зерна изменяются мало. Нагрев же влажного зерна в закры-

том сосуде резко изменяет его показатели, определяемые с тетразолом. Н. Смолина

**6Н38.** О высокой электропроводности сухого зерна. Суворов С. С. «Тр. Всес. н.-и. ин-та зерна и продуктов его переработки», 1959 (1960), вып. 37, 31—40. — Проведены исследования зависимостей электрич. сопротивления  $R$  массы зерна в виде брикета конц-ией 1,324 г/см<sup>3</sup> от т-ры и влажности четырех типов пшениц. Найдена величина температурного коэф. в ф-ле зависимости лог. электропроводности зерновой массы от влагосодержания и т-ры. Показано, что величина коэф. имеет обратную зависимость от влагосодержания зерновой массы. Приведена электрич. схема измерений сопротивлений брикета зерна. Рассмотрены характерные условия проводимости зерна пшеницы: появления максимума  $R$ ,  $R$ , равного 1 ом, появления бесконечно малого сопротивления. Б. Н.

**6Н39.** Влияние влажности на твердость зерна пшеницы. Duma Zdzisław. Wpływ wilgotności na twardość ziarna pszenicy. «Przegl. zboż.-młynarski», 1960, 4, № 7, 196—197 (польск.). — Приведена график. зависимости твердости (в единицах Брабендера) от влажности пшениц Аргентины, Канады, Германии. Приведены также две серии исследований изменений твердости отечественного и импортного зерна при его измельчении в зависимости от влажности. Максим. твердость установлена при 11—12% влажности зерна. Миним. — при влажности 15,5—16,1%. Дальнейшее повышение влажности незначительно увеличивало усилия измельчения зерна. Т. Будкевич

**6Н40.** Изменение химического состава африканского риса в процессе его обработки. Toury J., Busson F., Lunven P., Lanza J., Carbiener R. Variations dans la composition chimique d'un riz africain au cours de l'usinage. «Ann. nutr. et aliment.», 1960, 14, № 3, mém. origin., 219—224 (франц.). — Изучался хим. состав африканского риса Bintouba до и после обрушивания и на отдельных стадиях обработки крупы на конусных шлифовальных машинах. Установлено, что в процессе обработки снижается кол-во минер. в-в (8,5% необрушенный рис, 7,13% — крупа после 3 конуса), при этом кол-во Са падает незначительно (в мг на 100 г) с 11,0 (рис-сырец) до 8,6 (крупа после 3 конуса), кол-во Р резко снижается с 249 до 76 (соответственно). В процессе обработки на 1—3 конусах снижается кол-во витамина  $B_1$  (тиамина), белков (8,56—7,13%) и жиров (0,61—0,13%) и возрастает кол-во крахмала с 90,20 до 92,4%. Показано, что процентный состав отдельных (18) аминокислот при обработке риса почти не изменяется. В. Гурни

**6Н41.** Оценка крахмальных зерен риса по отношению к нагреванию в воде. Little Ruby R., Hilder Grace B. Differential response of rice starch granules to heating in water at 62°C. «Cereal Chem.», 1960, 37, № 4, 456—463 (англ.). — Предложен способ оценки развариваемости риса (образования связной массы рисовой каши) по визуальной характеристике крахмальных зерен, прогретых в воде при 62° в течение 30 мин. Суспензия крахмальных зерен после прогревания исследовалась в фазоконтрастном микроскопе. По результатам наблюдения эти зерна разделялись на 4 категории, в зависимости от степени их изменения. К 1-й категории относились зерна, не изменившиеся по размеру, в основной своей массе просвечивающие, часто с небольшим потемнением в центре; зерна четвертой категории были сильно увеличены (увеличение диаметра до 4-кратного), форма их была неправильной, они мало просвечивали, а некоторые были совсем темные. Остальные зерна относились ко 2-й и 3-й категориям, в зависимости от степени изменений. Степень изменений выражалась численно путем статистич. обработки. Показано, что развариваемость риса обратно пропорциональна степени изменений, наблюдаемой визуально. Коэф. корреляции равен —0,76. С. П.



6Н42. Материалы для гигиенической оценки пищевых продуктов, зараженных амбарными клещами. V. Химические исследования пшеничной и ржаной муки, пораженной амбарными клещами. III. Młodecki Henryk. Materiały do oceny higienicznej artykułów żywności porażonych roztocznymi magazynowymi. V. Badania chemiczne mąki pszennej i żytniej porażonej przez roztoczce magazynowe. III. «Roczn. Państw. zakł. hig.», 1960, 11, № 1, 1–21 (польск.; рез. русск., англ.).—Исследование содержания воды, белка, жира, растворимых углеводов, целлюлозы и зола, кальция, фосфора, железа, тиамин, рибофлавина, никотиновой к-ты в десяти типах муки и четырех типах отрубей одного образца ржи. 7 табл. 3 рис. Библ. 36 назв. Часть IV см. РЖХим, 1961, 3Н23.

6Н43. Влияние излишнего измельчения на качество муки. Atkinson F. M., Fuehrer Fred. Effects of overgrinding on flour characteristics. «Baker's Digest», 1960, 34, № 3, 49, 51–52, 80–81 (англ.).—Приводятся результаты многолетних исследований по определению влияния излишнего измельчения и распределения размеров частиц муки (при промышленных и спец. помолах) на ее хлебопекарное достоинство. Установлено, что для каждой пшеницы имеется optimum степени измельчения, независимо от применяемых методов — ударного измельчения зерна, истирания или стандартного валцового помола. Опыты оценки качества хлеба лаборатор. и промышленных выпечек по 10-балльной шкале показали, что хлеб плохого качества, непригодный к употреблению, из муки чрезмерного помола имел от 7 баллов до 0. Описываются основные характеристики муки и хлеба, изменяющиеся в зависимости от степени помола и измельчения, определяемые хлебопекарным испытанием и с помощью различных показателей и приборов, как-то: объем хлеба, структура мякиша, р-ция муки на добавку  $K_2CO_3$ , качество клейковины, длительность замеса теста и брожения, устойчивость теста, газообразующая, амилотич. водопоглотительная способности. Указывается, что наилучшим способом определения качества муки является лаборатор. выпечка. Отмечаются ряд факторов, способствующих чрезмерному измельчению зерна при помоле, и методы их устранения.

6Н44. Определение цвета муки. Schieder Die Farbwertmessung von Mehlen. Ergänzung von Tschiersch. «Mühle», 1959, 96, № 52-53, 713–714 (нем.).—Для определения цвета муки предложено использовать колориметр Ланге, модель VI дает лучшие результаты. Для усиления освещения рекомендована лампа автомобильных фар. Для измерения цвета приготавливают суспензии муки с водой. Прибор регулируют с помощью эталона. При определении цвета муки отсчет ведут по гальванометру. Метод удобен для определения чистоты муки и при установлении цвета, обусловленного крупностью помола (определение можно вести и с сухой пробой). См. также РЖХим, 1961, 1Н32.

6Н45. Практический метод измерения размера частиц муки. Croteau J. L. A practical method of measuring flour particle size. «Milling Product», 1960, 25, № 5, 1, 10, 12, 18 (англ.).—В связи с распространением в последнее время аэросепарирования муки, приводится краткое изложение методов анализа ее частиц (Ч), основанных на: а) измерении размеров и подсчете кол-ва Ч в различных фракциях с помощью микроскопа; б) определении веса или объема Ч в различных фракциях седиментационными методами; в) определении уд. (на единицу веса или объема Ч) поверхности — устанавливаемой измерением кол-ва в-ва, абсорбированного из р-ра, абсорбированного при низких т-рах газа или измерением теплоты абсорбции, выделяемой известным кол-вом Ч. Размер Ч влияет на уд. поверхность и проницаемость слоя Ч. Описывается прибор Фишера, калиброванный для определения поверхности Ч среднего диаметра при продувании воздуха через трубку, содержащую испытуемый образец. Скорость протекания воздуха зависит от среднего размера Ч и давления воздуха, протекшего через образец. Скорость устанавливается в течение ~2 мин. По величине давления в соответствующей таблице определяется значение величины поверхности среднего диаметра образца. Прибор рекомендуется для предварительной оценки продуктов помола, имеющих обычные характеристики распределения Ч по размерам, и в качестве дополнительного к сложным методам исследования. Приводятся графики распределения Ч муки по данным различных методов и схема прибора Фишера. Библ. 13 назв.

6Н46. Фракционирование муки из озимой мягкой низкоклейковинной пшеницы путем аэросепарирования. Gracza Rezszo. The subsieve size fractions of a soft wheat flour produced by air classification. «Cereal Chem.», 1959, 36, № 6, 465–487 (англ.).—Фракционирование муки 56,2% выхода с содержанием белка 7,8% осуществлялось в промышленной установке на 7 фракций. В каждой проводилось определение содержания белка, влажности, зола, тиамин, жира, диастатич. активности, также контролировали величину pH, степень поглощения цел. воды, уд. вес и цветность муки. Сделаны микрофотографии частиц белка и зерен крахмала. Содержание белка в выделенных фракциях с самым небольшим размером частицы составило 22,2%, во фракциях среднего размера до 2,5%. По мере увеличения содержания белка во фракциях повышалась зольность, диастатич. активность, способность поглощать целоч., вязкость, содержание жира и тиамин; понижались уд. вес, насыпной вес, pH. Водопоглотительная способность и механич. свойства теста, определяемые на фаринографе и экстенсографе, также увеличивались. Показано, что отдельные фракции отличаются между собой по аэро- и гидродинамич. свойствам, зависящим от размера, формы и плотности частиц.

6Н47. О шероховатости макаронных изделий. Калугина В. П. «Хлебопек. и кондитерск. пром-ст», 1960, 10, 39–40.—Отмечается значение внешнего вида и состояния поверхности макаронных изделий при оценке их качества. Приводятся данные измерений шероховатости объективными методами при помощи микроскопа МИР-1 с винтовым окулярным микрометром и часовым проектором, позволившие классифицировать макаронные изделия на пять групп по высоте неровностей в микронах. Установлено, что гладкую поверхность дают матрицы со вставками из полиэтилена и фторопласта, слабошероховатую — бронзовые, хорошо обработанные матрицы.

6Н48. Микрофлора сухих хлебопекарных дрожжей. I. Грибы-сахаромидеты. Бешков М. Н., Попова В. С., Купцов Л. Микрофлора на сухата хлебна мая. I. Захаромидетия гъбички. «Научни тр. Висп. ин-т хранит. и вкус. пром-ст — Пловдив», 1960, 7, 271–293 (болг.; рез. русск., франц.).—Исследовано 180 штаммов дрожжей рода *Saccharomyces*, выделенных из 221 пробы сухих хлебных заквасок, приготавливаемых и используемых населением. Установлено, что из них 95 штаммов принадлежит к виду *Sacch. steineri*, 57 к *Sacch. uvarum*, 17 к *Sacch. cerevisiae*, 10 к *Sacch. chodati* и 1 к *Sacch. prostoserdowi*. В связи с широким распространением первых двух и четвертого перечисленных видов поставлен вопрос об использовании их в хлебопекарном произ-ве. Библ. 28 назв.

6Н49. Производство сухих хлебопекарных дрожжей. Тодорова Н. Производство на суха мая за хлеб. «Хранит. пром-ст», 1960, 9, № 2, 22–24 (болг.).—Проведено исследование по получению сухих дрожжей из трех штаммов дрожжей: В, С и Д. Сушку проводи-

ли 3–5 час сушке и дрожжи и силой не сушки В, ма С, выс

6Н50. Изатель их и кондтер улучшения следована работана метрич. пр (10 мл водг глюкозы и дакт выдеи выделс козы или иности и по продолжит мьлазанои ных услои мьлазанои данни по

6Н51. Thorn J. growth in 121 (англ. дрожжей компонент живного г 1,5 мин. в по охлажд приба Rhо переходил пола и эфмента. Сус тивались на — Хаус дрожжей как опари нанных и в случае с на 50–60 а 35%.

6Н52. сте react стие елюи рна. Z o que en sique de la franc. meu на 0,1–0,0, муке улуч а даже по ста из по 10% зерп 0,5–0,6 и диастич. сивкой 1,4

6Н53. для хлеб Радев Е значение 1960, 9, М куки (М) ного и свт и до 36 (П) устан рращаетс ется ста

определяли 3—5 час. при  $t$ -ре 35—42° ИК-лучами, в вакуум-сушилке и воздушной сушилке. Полученные сухие дрожжи исследовали по содержанию влаги и подъемной силе на 1-й и 15-й день, и через 1 и 2 месяца после сушки. Наиболее стойкими оказались дрожжи штамма В, высушенные ИК-лучами, и дрожжи штамма С, высушенные в вакуум-сушилке.

Г. Джилавадарова  
6Н50. Мальтазная активность дрожжей как показатель их качества. Семихатова Н. И. «Хлебопек. и кондитерск. пром-сть», 1960, № 9, 15—17.—В целях улучшения качества хлебопекарных дрожжей (ХД) исследована их зимозная и мальтазная активности. Разработана методика контроля в жидкой среде на газометрич. приборе: в навеску 0,5 ХД, разведенных в 10 мл воды  $t$ -рой 30°, добавляют 10 мл 10%-ного р-ра глюкозы или мальтозы, ставят в термостат и наблюдают выделение  $\text{CO}_2$ . Активность определяют как время выделения 10 мл  $\text{CO}_2$  при сбраживании 1 г глюкозы или мальтозы. Испытанием ХД различной активности и подъемной силы показана зависимость общей продолжительности трех подъемов брожения теста от мальтазной активности. Выпечками в производственных условиях показано сокращение продолжительности брожения опары при использовании ХД высокой мальтазной активности. Предложено контролировать данный показатель качества ХД.

Б. Н.  
6Н51. Определение прироста дрожжей в тесте. Thörn J. A., Ross J. W. Determination of yeast growth in doughs. «Cereal Chem.», 1960, 37, № 4, 415—421 (англ.).—Для возможности визуального подсчета дрожжей в тесте удалялись основные непрозрачные компоненты теста (белки, углеводы) путем ферментативного гидролиза. Суспензия теста прогревалась 1,5 мин. в кипящей воде (клейстеризация крахмала), по охлаждению прибавлялся р-р фермента плесневого гриба *Rhorym A-4*; основная часть белков и крахмал переходили в р-р. Липиды извлекались смесью этилола и эфира, к остатку вновь прибавлялся р-р фермента. Суспензия центрифугировалась и в ней подсчитывались дрожжевые клетки в счетной камере Петрова—Хауссера. Случаи наблюдавшегося почкования дрожжей входили в счет прироста. Тесто готовилось как опарным, так и безопарным способом на прессованных и на сухих активных дрожжах. Показано, что в случае опарного способа кол-во дрожжей возрастало на 50—60%, в безопарном способе — приблизительно на 35%.

С. Пронин  
6Н52. Применение монокальцийфосфата в качестве реагента, уничтожающего диастатическое действие слюны клопа-черепашки при повреждении им зерна. Zoubowsky P. Emploi du phosphate monocalcique en tant qu'agent d'annihilation de l'action diastatique de la sécrétion salivaire des punaises. «Bull. Ecole franc. meunerie», 1960, № 176, 71—85 (франц.).—Добавка 0,1—0,6% монокальцийфосфата (I) к нормальной муке улучшила ее свойства по альвеографу, улучшила и даже полностью восстановила пластич. свойства теста на пораженного зерна. В случае поражения 5 и 10% зерна к муке из него достаточно было добавить 0,5—0,6 и 0,75% I; при поражении 20 и 40% зерна пластич. свойства теста удалось лишь улучшить добавкой 1,2% I.

К. Герцфельд  
6Н53. Выдержка муки после помола и ее значение для хлебопекарного производства. Генадиев А., Радев Вл. Отлежаването на брашната и неговото значение за хлебопроизводството. «Хранит. пром-ст», 1960, 9, № 2, 13—17 (болг.).—Проведено исследование муки (М) (выход 6—85%), полученной из выдержанного и свежесобранного зерна, выдержанной в течение от 1 до 364 дней. Полученными фаринограммами теста (У) установлено, что с увеличением выдержки М сокращается продолжительность замешивания, увеличивается стабильность Т, улучшаются хлебопекарные ка-

чества, возрастает на 0,5—1,5% водопоглотительная способность М. Наиболее существенные результаты получены после двухмесячной выдержки М. Установлено, что выдержка М увеличивает также сопротивление при растягивании и уменьшает величину растяжимости Т на экстенсографе, снижает потери сухого в-ва. Отмечены экономич. преимущества приготовления Т из выдержанной М.

Г. Джилавадаров  
6Н54. Опыты по ускорению созревания муки (Вёрнлейн). Wörnlein Konrad. Erfahrungen mit der Oxydationsschleuder für Mehl. «Mühle», 1960, 97, № 22, 286 (нем.).—В результате запрещения применять бромат калия при выработке хлеба возникает необходимость заменить его другим улучшителем окислительного действия. Для этой цели был использован кислород воздуха, который подавался в смеситель, распылявший муку. Увеличение поверхности соприкосновения муки с воздухом в этих условиях способствует ускорению ее созревания. Мука поддерживается во взвешенном состоянии с помощью спец. вентилятора, забирающего воздух из мельничного помещения через спец. трубопровод; воздух транспортирует муку в силосы, выводится через фильтр и затем используется для охлаждения мотора. В силосах для хранения не образуется мучных «свофов». Внешних различий между мукой, прошедшей обработку воздухом, и без обработки, не отмечается. При проведении на предприятиях хлебопекарной оценки установлено, что у муки, насыщенной воздухом, повышается водопоглотительная способность, возрастает выход теста и хлеба. Тесто обладает большей устойчивостью к брожению. Состояние мякиша также улучшается.

Н. Смолина  
6Н55. Нативная пшеничная клейковина, высушенная на барабанной сушилке. II. Исследования на опытном заводе и подсчет себестоимости. Vojnovich Charles, Pfeifer V. F., Anderson R. A., Griffin E. L., Jr. Vital wheat gluten by drum drying. II. Pilot-plant studies and cost estimates. «Cereal Chem.», 1960, 37, № 4, 422—435 (англ.).—Сырая клейковина, полученная из различных сортов пшеничной муки, диспергировалась в кол-ве 12—20% в разб. уксусной к-те, pH 4,3—5,1 (5,1—7,5% лед.  $\text{CH}_3\text{COOH}$  от веса сухой клейковины) и высушивалась на барабанной сушилке (при атмосферном давлении и 127°). Сухая клейковина считалась с вальцов и размалывалась на дисковой или молотковой мельнице. Даются описание (марки машин, производительность, затраты энергии и т. д.) и оптимальные условия процесса. Подсчитана себестоимость продукции при производительности 3-да 2721,6 т в год. Часть I см. РЖХимБх, 1959, № 16, 21838.

С. Пронин  
6Н56. Влияние добавок фосфатидов и масел, экстрагированных из пшеничных и рисовых отрубей, кукурузных зародышей и семян подсолнечника, на свойства теста и качество полученного хлеба. Радоев А. Влияние на извлечение от пшеница, ориз, царевича и слънчоглед липиди и фосфатида върху свойствата на тестото и качеството на получения хлеб. «Научни тр. Висш. ин-т хранит. и вкус. пром-ст—Пловдив», 1960, 7, 185—189 (болг.; рез. русск., франц.).—Указанные добавки вносили в тесто в виде водн. эмульсий. Лучшие результаты получены добавлением фосфатидов в кол-ве 400—500 г на 100 кг муки. Ускорялся процесс брожения теста (в среднем на 10—30 мин.), слегка увеличивался объемный выход хлеба; улучшались: структура и пористость, внешний вид, аромат и вкус хлеба; цвет его не изменялся. Аналогичные результаты получены при добавлении в тесто масел из пшеничных и рисовых отрубей, кукурузных зародышей, а также нерафинированного подсолнечного масла.

Г. Джилавадарова  
6Н57. Проблемы непрерывного приготовления теста. Cworthfiguer M. J. Practical production problems of continuous doughmaking. «Baker's Digest»,

1960, 34, № 3, 56—60 (англ.).—Анализируются причины и описываются приемы исправления дефектов качества теста (Т) и хлеба (Х), наблюдающихся при введении в пром-сть процесса непрерывного приготовления Т на жидкой опаре (ферменте). В случаях преждевременного потребления дрожжами сахаров и недостатка их в период расстойки и выпечки рекомендуется перераспределять подачу сахарного сиропа; при вытекании из Т расплавленного шортенинга, влияющего на характер и равномерность окраски корок Х, следует вносить шортенинг с т. пл. 36—37°, вместо 34°; при добавках обезжиренного сухого молока (ОСМ) в опару рекомендуется также добавление 7,09 г кислого фосфата кальция на каждый процент ОСМ к весу муки; при дозировке по рецептуре ОСМ > 3% добавляют препараты диастатич. ферментов, улучшающих качество Т и Х. Приводится таблица регулирования процесса при использовании ОСМ и фотографии выпеченного Х. Отмечается необходимость строгого контроля качества вносимых ингредиентов, соблюдения рецептуры и условий производства. В. Базарнова

6Н58. Проблемы брожения, стоящие перед современным хлебопечением. Merritt Paul P. Fermentation problems confronting the baker today. «Amer. Baker», 1960, 28, № 5, 34—36; «Baker's Digest», 1960, 34, № 2, 68—69 (англ.).—Описываются изменения способов приготовления дрожжевого теста, происшедшие за последние 35 лет. Отмечается, что сущность процесса брожения остается та же — разрыхление дрожжами теста и накопление ароматообразующих в-в; однако стремление сократить длительность приготовления хлеба, а также изменение свойств и силы муки выдвигают новые требования по регулированию технологии процесса и интенсификации брожения для обеспечения надлежащей структуры, вкуса и аромата хлеба. В. Базарнова

6Н59. Новый ускоренный метод приготовления теста. Henika Richard G., Zenner Sylvester F. Baking with the new instant dough development process. «Baker's Digest», 1960, 34, № 3, 36—37, 40—42 (англ.).—Рассмотрено влияние добавок: L-цистеина (I), KBrO<sub>3</sub> и обезжиренной сыворотки (II) на продолжительность расстойки и консистенцию теста. Показателями готовности теста служили: данные фаринограммы и растяжимости на экстенсографе. Найдено, что добавки I в тесто дают через 2 мин. брожения такую же фаринограмму, какую оно имеет через 6 час. без I. Растяжимости его увеличивается. KBrO<sub>3</sub> в обычном кол-ве приводит к увеличению газодерживающей способности; особенно хорошие результаты получаются при совместном использовании I и KBrO<sub>3</sub>; II также улучшает консистенцию, кроме того, при этом колебания в кол-ве KBrO<sub>3</sub> менее влияют на структуру мякиша. Объем хлеба весом 453,6 г составил (в см<sup>3</sup>): без добавок 2250, с I 2310, с I + KBrO<sub>3</sub> 2530, с I + KBr + II 2600. Весь безопарный процесс приготовления хлеба с I + KBrO<sub>3</sub> + II требует только 2—2,5 часа. Г. Егоров

6Н60. Приготовление обойных сортов хлеба на жидких заквасках. Гагарская Р. К. «Хлебопек. и кондитерск. пром-сть», 1960, № 10, 36.—Сообщение о применении на предприятиях Кировской области жидких заквасок без заваривания муки, в целях улучшения качества изделий и облегчения труда рабочих, улучшения санитарного состояния предприятий. Б. Н.

6Н61. Автоматическое регулирование дозирования ингредиентов при непрерывном приготовлении теста. Доин Б. С., Лейчик В. Я., Прокопенко Н. Ф. «Хлебопек. и кондитерск. пром-сть», 1960, № 10, 1—4.—Приведены графики зависимости точности работы дозаторов муки, жидких дрожжей, воды и опары от времени на агрегатах ХТР Дарицкого и Кишневского хлебозаводов. Представлены две схемы регулирования, построенные на основе использования пневматич. при-

боров и регуляторов МАУС: первая предусматривает автономное регулирование расхода каждого ингредиента, во второй схеме это производится в зависимости от расхода муки, что в перспективе позволяет перейти к регулированию по показателям качества теста. Б. Н.

6Н62. Некоторые факторы, способствующие стабильности жира в охлажденном тесте. Weir C. Editor. Slover Audrey D., Parsons Jean D., Dugan L. R. Some factors contributing to the stability of fat in chilled doughs. «Food Res.», 1960, 25, № 1, 120—124 (англ.).—Исследовано влияние добавок различных антиоксидантов (АО) на стойкость лярда высшего качества (Л) и гидрогенизованного растительного шортенинга (Ш) в тесте сдобного печенья (СТ) и в самом печенье (П), хранящихся при отрицательных т-рах. Используются АО (в % по весу): 0,01 бутилгидроксианизол (I), 0,01 бутилгидроксианизол окситолуол (II), 0,003 лимонная к-та (III), 0,003 пропилгаллат (IV), 0,05 p-p (V) (20% I, 6% IV, 4% III, 70% пропилгалактоля), 0,05 p-p (VI) (20% II, 20% I, 30% олеомаргарина, 30% арахисового масла), 0,05 VI + 0,003 IV. Изучено также влияние кол-ва Л и т-ры. Разделенное тесто с различными АО упаковывали в водо- и кислородонепроницаемые целлофановые пакеты и выдерживали при т-ре —6,7, —17,8, —23,3° в течение 3 недель; из СТ выпекали П и охлаждали. Стойкость определяли по времени прогоркания в печи Шаала и аналитич. методами. Найдено, что Л сохраняется лучше в СТ, чем в П: 36 и 31 суток с V, 161 и 150 суток с VI, соответственно. Образцы с VI оказались более стойкими, чем с I. Сохранность Л зависит от его кол-ва. Т-ра хранения не оказывает существенного влияния. Стойкость Л и Ш зависит от длительности хранения. Г. Егоров

6Н63. Влияние витаминов на технологические свойства теста и качество хлеба. Радов А. В. Витаминизация хлеба — влияние на витамините вверху технологичные свойства на тестото и качество на хлеба «Научн. тр. Висп. ин-т хранит. и вкус. пром-ст — Пловдив», 1960, 7, 177—184 (болг.; рез. русск., франц.).—Исследовано влияние добавок витаминов В<sub>1</sub>, В<sub>2</sub>, РР, В<sub>12</sub>, К, Е и фоллиевой к-ты, а также смесей витаминов В<sub>1</sub>, С и РР на физ.-хим. и механич. свойства теста и качество полученного хлеба из различных видов муки. Введение до 100 мг витаминов на 1 кг муки не ухудшило технологич. свойства теста и качество хлеба. Только при введении витамина В<sub>2</sub> появилась желтоватая окраска хлебного мякиша. В большинстве случаев отмечено ускорение брожения теста и незначительное увеличение объемного выхода хлеба. По резюме автора

6Н64. Сохранение хлеба замораживанием. Радов А., Фикири А. Запазване на типов хляб посредством замразяване. «Научн. тр. Висп. ин-т хранит. и вкус. пром-ст — Пловдив», 1960, 7, 191—196 (болг.; рез. русск., франц.).—Опыты по сохранению хлеба (Х) в пищевой печи (выход 78%) показали, что замораживание не оказывает отрицательного влияния на качество Х. После 3 и 18 дней хранения замороженного при —18° Х по качеству почти не отличается от Х, хранящегося 1 день при ~20°. После размораживания Х черствеет при ~20° несколько медленнее, чем свежий незамороженный. Лучшие результаты получены при замораживании при —18° через 1—2 часа после выпечки. Упаковка Х перед замораживанием в пакеты из полиэтилена снижает его качество. Г. Д.

6Н65. Влияние обминки на структурную релаксацию небродящего теста. Bloksma A. H., Hlynka J. The effect of remixing on the structural relaxation of unleavened dough. «Cereal Chem.», 1960, 37, № 3, 352—362 (англ.).—Установлено, что при увеличении продолжительности обминки напряжение структуры теста при растяжении (H) уменьшается. Этот эффект ниже



усматривается при увеличении времени выдержки теста после обминки и ее длительности от 3 до 20 мин.; заминивание в  $O_2$  усиливает влияние обминки. Длительность замеса не имеет существенного значения. Восстановление структуры достигает максимума через 6-10 мин. после обминки. При добавках в тесто 35 мг/кг  $\alpha$ -тилмалеинида (I) или 12,5 мг/кг  $KJO_3$  оно становится мало чувствительным к обминке,  $KBrO_3$  влияет значительно. При добавках I и  $KJO_3$  имеет место хорошее восстановление величины  $H$ , при  $KBrO_3$  — плохое с I — полное восстановление, если обминка продолжается  $\leq 60$  мин.).

6Н66. Микрофотографическое изучение механических повреждений пшеничного крахмала. Sandschmidt R. M., Schroeder Helen. A photomicrographic study of mechanically damaged wheat starch. «Food Technol.», 1960, 14, № 6, 257—265 (англ.). — С помощью микрофотографий исследовались характеристики зерен крахмала в зависимости от степени их повреждения, в сухом и влажном состоянии. Показано, что степень повреждения структуры крахмального зерна широко варьирует и соответственно изменяются водопоглощательная способность, степень набухания, растворимость и податливость ферментативному воздействию  $\alpha$ -и  $\beta$ -амилаз.

В. Базарнова  
6Н67. Влияние заварок из различных видов муки на физико-механические свойства теста и клейковины. Радовец А. Влияние на запарки от различных брашна зеру физико-механичните свойства на пшениченото тесто и глутен. «Науци тр. Висш. ин-т хранит. и вкус. пром-ст — Пловдив», 1960, 7, 239—244 (болг.; рез. русск., франц.). — Исследовано влияние заварок из пшеничной, ржаной, кукурузной, ячменной и рисовой муки, а также муки из фасоли, чечевицы, гороха и тыквы в кол-ве 5% на физ.-механ. свойства теста и клейковины. Заварки из пшеничной, ржаной, рисовой муки и муки из фасоли увеличивали вязкость теста, а из ячменной муки уменьшали ее. Распываемость теста уменьшалась. Под действием заварок из муки кукурузы, фасоли, гороха, чечевицы и тыквы снижался выход сырой и сухой клейковины. Уменьшалась распываемость и растяжимость клейковины. Сделано предположение, что указанные изменения наступают под действием частичной тепловой денатурации белковых и других высокомолекулярных в-в заварок, имеющих различную гидрофильность.

Г. Джилавдарова  
6Н68. Совершенствовать методы оценки зерна, муки и хлеба. Николаев Б. А. «Стандартизация», 1960, № 9, 38—40. — Вносится предложение по оценке качества зерна — муки реологич. методом измерения упруго-эластично-вязкостных свойств теста. Излагаются преимущества данного метода, заключающиеся в возможности разработки технологич. требований к муке. Предлагается улучшить стандартные методы оценки качества хлеба путем замены показателя влажности мякиша, влажностью целого хлеба, определяемой анализом и расчетом (по выходу теста и технологич. затратам произ-ва), показателя пористости, уд. объема хлеба, определения кислотности косвенным методом (по кислотности готового теста).

Б. Н.  
6Н69. Рецептура вафель специальных сортов. Allard E. Quelques formules de gaufrettes spéciales. «Rev. fabricants confis., chocolat., confit., biscuit.», 1960, 35, mai, 41—42 (франц.). — Приведены рецептуры вафельных листов с добавкой миндаля в порошок, какао-порошка и мансового крахмала. Процесс приготовления обычный. Для изготовления прохладительной прослойки рекомендуют 50% сахара заменять кристаллич. глюкозой.

В. Реутов  
6Н70. Изготовление кексов с плодами. Ruillier Jean. Sur la fabrication des cakes aux fruits. «Rev. fabricants confis., chocolat., confit., biscuit.», 1960, 35, avr., 44, 46; mai, 35—40 (франц.). — Даны практич. указания по качеству и подготовке сырья, описаны обычные спо-

собы приготовления теста. Нарезанные цукаты кладут в тесто в конце замешивания. Во избежание образования грубой корки выпечка должна производиться немедленно после укладки теста в формы. Даны примерные рецептуры.

В. Реутов  
6Н71. Кумарин и его определение в пряниках. Eeckhaut R. G. La coumarine et sa recherche dans le pain d'épice. «Fermentation», 1960, № 3, 102—115 (франц.). — Дан обзор методов колич. определения кумарина (K). Предложен метод определения K в пряниках, являющийся модификацией метода Wichmann (U. S. Dept. Agr. Bur. of Chem. Bull, 1912, circ 95). Навеску пряника 50 г обливают в стакане 200 мл дистил. воды (50°) и выдерживают 1 час. При перемешивании добавляют 50 мл 0,1 M p-ра  $K_4Fe(CN)_6$  и 50 мл 0,2 M p-ра  $ZnSO_4$ , осадок отфильтровывают через складчатый фильтр и промывают 75 мл воды. Фильтрат (~400 мл) подщелачивают  $NH_4OH$  и экстрагируют 15—30 мл  $CHCl_3$ . Вытяжку сушат, фильтруют и р-ритель отгоняют выпариванием. К остатку добавляют 2 мл воды и нагревают до 70°. Р-р переносят в фарфоровый тигель (50 мл), добавляют 1 г NaOH и нагревают на водяной бане 1 час. Помещают тигель в холодную печь, поднимают т-ру печи до 240—260° и в этих условиях выдерживают содержимое тигля 20 мин., чтобы сполна перевести K в салициловую к-ту. После охлаждения вносят в тигель 10 мл воды, кипятят, р-р переносят в декалационный сосуд и споласкивают тигель 40 мл воды. Подкисляют 30 мл р-ра по метиловому оранжевому разб.  $H_2SO_4$  (25%-ной по объему) и экстрагируют 30 мл эфира. Удаляют эфир выпариванием, остаток обрабатывают 10 мл теплой воды, охлаждают и добавляют 2 капли 1%-ного р-ра  $FeCl_3$ . В присутствии K появляются фиолетовое окрашивание. Присутствующие салициловая к-та, сахарин (переходящий в салициловую к-ту при получении щел. вытяжки) и ванилин не мешают р-ции, так как они остаются в водн. фазе при экстрагировании. При определении K в 20 образцах пряников в 11 случаях получен отрицательный результат (отсутствие в рецептуре K), в 2 случаях — резко положительный, в 7 случаях — слабо положительный. Последнее объясняется присутствием в рецептуре китайской корицы, содержащей в своем составе незначительное кол-во свободного K. Определение K в корнице для проверки проводили с помощью метода хроматографии на бумаге.

В. Гурни  
6Н72. Сахар: его технология и применение в кондитерском производстве. Kane Gerald J. Sugar: its technology and application in confectionery manufacturing. «Manufact. Confectioner», 1960, 40, № 7, 18—19 (англ.). — Перечислены сорта сахара, применяемые в произ-ве различных кондитерских изделий. Для произ-ва «твердой» карамели применяют гранулированный сахар с миним. содержанием красящих в-в, инверта и зола. Указывается на применение: сахарных сиропов различной степени очистки, коричневого сахара, обладающего вкусом и цветом тростниковой мелассы и употребляемого при изготовлении фуджи, молочной карамели и других изделий. «Кондитерский» сахар представляет собой мелко измельченный сахарный песок, содержащий 3% кукурузного крахмала и применяемый для изготовления прессованных кондитерских изделий и обсыпки конфет.

Е. Журавлева  
6Н73. Сахарные сиропы. Их применение в кондитерской, консервной и других отраслях пищевой промышленности. Schweisheimer W. Flüssiger Zucker. Seine Verwendung in Konditorei, Süßwarenindustrie, Konservierung und anderen Zweigen der Lebensmittelindustrie. «Rev. internat. chocolat.», 1960, 15, № 7, 328—332 (нем.). — Фирма Refined Symps and Sugars вырабатывает сахарные сиропы (CC) крепостью 67—77° Бр. из сахара-сырца при контролируемом (т-ра, pH, зольность, Fe, прозрачность), автоматизированном процессе рафинирования. CC выпускают 8 типов, раз-

личающихся по содержанию сахарозы (3—67%), инвертного сахара (0,2—68%), по цветности (от бесцветных до золотистых) и по зольности (0,005—2,5%). Описаны преимущества использования СС. Дан расчет экономии.

Е. Журавлева

**6Н74. Значение и поведение низкосахаренной кукурузной патоки в карамели.** Kooreman John A. The function and behavior of low conversion corn syrup in hard candies. «Manufact. Confectioner», 1960, 40, № 5, 33, 35, 37, 39 (англ.).—Проведены опыты изготовления карамели (К) с применением низкосахаренной кукурузной патоки (НОП) и обычной патоки (ОП). НОП и ОП имели соответственно плотность 43 и 43° Вё, вязкость — 230 и 125 пуаз, глюкозный эквивалент — 34 и 43 и содержали (в %): сухих в-в 79,6—80,3, высших сахаридов 38,0 и 24,0. К готовилась огневым методом варки до т. кип. 155°. Приготовлены 3 различных сорта К, каждый в трех вариантах. В опытах с ОП соотношение кол-в патоки и сахара соответствовало стандартным рецептурам. С НОП проведены также опыты и с увеличенным кол-вом патоки. Содержание редуцирующих сахаров в образцах К, приготовленной по стандартной рецептуре на ОП и на НОП соответственно (в %): 23,2 и 18,7; 13,9 и 9,4; 9,1 и 7,8. Определяли гигроскопичность К, храня образцы в эксикаторах при относительной влажности воздуха (ОВВ) 40, 60 и 80%. Через 55 суток при ОВВ 40% все образцы сохранились в первоначальном состоянии. При ОВВ 60% наблюдался прирост веса всех образцов, но меньший при применении НОП. Все образцы сохранили товарное качество, кроме одного, приготовленного с ОП и содержащего 13,9% редуцирующего сахара. При ОВВ 80% наблюдалось усиленное разрушение К, но образцы, содержащие пониженное кол-во редуцирующих сахаров, были в несколько лучшем состоянии. Определена скорость растворения К. Сделано заключение, что НОП, примененная по стандартной рецептуре, выполняет те же функции, что и ОП, образуя смешанную углеводную систему, придающую стойкость стекловидному состоянию К. Из-за более низкой конц-ии в НОП редуцирующих в-в поглощается меньше влаги при более высокой ОВВ, создается дополнительная защита против изменений, обусловленных ОВВ. Предполагают возможность хранения и транспортирования К при менее строго контролируемых атмосферных условиях, что имеет большое экономическое значение. Ненормально высокое содержание НОП по отношению к сахару может вызвать кристаллизацию сахара на поверхности К даже при идеальных условиях хранения. Применением НОП можно повысить вязкость К, снизить ее хрупкость и уменьшить лом изделий в процессе произ-ва. Предпочтительная величина глюкозного эквивалента не была установлена.

Е. Журавлева

**6Н75. Влияние состава патоки на качество карамели.** Bosioagă Viorica, Popa Mariana. Influența compoziției siropului de glucoză asupra calității bomboanelor — lor sticloase. «Lucrările inst. cercetări aliment.», 1959, 3, 59—67 (рум.; рез. русск., франц.).—Проведены заводские опыты приготовления карамели (К) из 26 образцов патоки (П) 5 з-дов. Характеристика П: влага 13,6—18,8%; редуцирующего сахара 32,1—52,3% (по сухому в-ву); pH 3,5—5,5; т-ра карамельной пробы 123—142°. Наблюдали за качеством и стойкостью К при хранении. Внесены предложения для пересмотра ГОСТ на П.

Е. Журавлева

**6Н76. Олигосахариды сырого какао, орехов и миндаля.** Thaler H. Die Oligosaccharide von Rohkakao, Nüssen und Mandeln. «Fette, Seifen, Anstrichmittel», 1960, 62, № 8, 701—705 (нем.; рез. франц., англ., русск.).—С помощью хроматографии на бумаге исследовали содержание моно- и олигосахаридов в различных сортах сырых бобов какао (БК), в лесных и грецких орехах, миндале, арахисе. Приведены хроматограммы сахаров 2 сортов БК, арахиса и кокосового

ореха. Установлено, что почти все 10 сортов БК содержат стахиозу, реже присутствуют раффиноза и сахароза, значительно реже фруктоза и глюкоза. Олигосахариды в сырых БК и в орехах содержатся в незначительных кол-вах и не оказывают никакого влияния на определение сахарозы в какао-продуктах. Г. Паванов

**6Н77. Определение содержания фтора в какао.** Candeli A., Mariotti G., Giannantonio D. Ricerche sul contenuto in fluoro sul cacao. «Chimica», 1960, 36, № 7, 359—361 (итал.; рез. англ.).—Использован усовершенствованный метод Вилларда и Винтера: гидролиз какао 30%-ным р-ром NaOH при кипячении 10 час. озоление цел. вытяжки, отделение F дистилляцией паром, определение F микротитрованием нитратом тория. Получено: какаовелла содержит 38 мг, высушенные бобы какао без оболочки (обезжиренные) 64 мг, тертое какао (обезжиренное) 92 мг в 100 г. F в какао присутствует как органич. соединение и способ может быть рекомендован для определения F во всех пищевых продуктах.

Б. Каффа

**6Н78. Масло какао и седеление жира.** Vaesck S., Victor. Carao butter and fat bloom. «Manufact. Confectioner», 1960, 40, № 6, 35—46, 71—74 (англ.).—Изучали полиморфизм масла какао (МК). Приведены результаты микроскопич. наблюдений за изменением различных полиморфных форм (ПФ) в МК. Указаны точки плавления ПФ. На основании калориметрич. и дилатометрич. исследований, изучения кристаллизации и скорости преобразования метастабильных форм в стабильные сделаны практич. выводы о влиянии полиморфизма МК на поседение шоколада (Ш). Поседение Ш происходит, если не был закончен переход кристаллов МК в стабильную β-форму или часть жира во время хранения была расплавлена. Некоторое плавление β-формы в Ш простым и с увеличенным содержанием сахара происходит при всех т-рах выше 20°, а для молочного выше 10°. При правильном темперировании Ш достигается образование достаточного кол-ва кристаллов β-формы. Зародыши кристаллов β-формы могут попасть от добавляемых обрезков Ш или вновь возникнуть в жидком Ш. Скорость образования кристаллов зависит от т-ры и скорости перемешивания. Т-ру при темперировании необходимо применять в зависимости от характера жира и его содержания в смеси. В зависимости от т-ры плавления МК возможно изменение т-ры темперирования на 1°. Молочный Ш темперируют при т-ре на 2° ниже, чем Ш с увеличенным содержанием сахара. Ш, к которому добавляют жир Борне или твердый жир, требует более высокой т-ры темперирования, чем обычный. При охлаждении отформованного Ш, правильно темперированного, МК застывает вначале в β'-форме и немедленно переходит в β-форму.

После прохождения через тоннель с т-рой воздуха т-ра внутри плитки Ш падает ниже 15° в течение полчаса. МК становится твердым, содержащим 50% кристаллов β-формы и остальные β'-формы. Переход в β-форму заканчивается через полчаса после выхода из тоннеля. В Ш нетемперированном МК кристаллизуются в α-форме и при охлаждении частично переходит в β'-форму, при выходе из тоннеля переход в β'-форму быстро заканчивается. Переход в β-форму продолжается несколько дней, развивается поседение. При правильно темперированном Ш скорость охлаждения не влияет на качество Ш, если достигнута т-ра < 20°. Корпуса, покрытые тонким слоем глазури, могут охлаждаться при 18°, плитки Ш — при более низкой т-ре. Т-ра корпусов должна быть 28°. Посторонние жиры, понижающие т-ру плавления МК, способствуют образованию жирового поседения, а повышающие т-ру плавления МК снижают его тенденцию к поседению.

Е. Журавлева

**6Н79. Технология кондитерского производства. Жиры в шоколаде и кондитерских изделиях.** Donk A. B. Handleiding bij de fabricage van suikerwerk. Vet in che

а БК содержит сахарозу и олигосахариды в незначительных количествах. Г. Павлов.

6Н80. Новое приспособление для определения пластичности темперирования шоколада. Gardner James. A new device for determining chocolate temper. «Manufact. Confectionery», 1960, 40, № 5, 21—22 (англ.).—Применен прибор (П) Грира, состоящий из бани с лед. водой в стандартном термосе, трубки для испытываемых образцов, термистора, усилителя, ртутной батареи и записывающего устройства. Трубку заполняют 10 г шоколада (Ш) и выдерживают в термосе. Термистор устанавливают в определенное положение, выбирают шкалу записей и производят запись. Степень темперирования определяют по форме полученной кривой охлаждения (КО) и особенно по величине показаний П, при котором КО меняет наклон. Потребное время для одного испытания 3 мин. Приведены КО различных глазури. Все глазури имеют одинаковый характер КО; горько-сладкие глазури выделяют больше теплоты кристаллизации и имеют более высокие значения показаний П, чем молочные глазури. Хорошо темперированные горько-сладкие глазури меняют наклон между показателями П 14 и 15, а молочные — 7. Рекомендовано применять П для контроля работы охлаждающих тоннелей. Для характеристики работы тоннеля снимают КО, помещая датчик П внутрь глазури, нанесенной на корпус конфет, проходящих через тоннель. По скорости движения транспортера и КО определяют зону начала выделения теплоты кристаллизации. В следующей зоне тоннеля т-ра может быть резко понижена (до 3—4°) без ухудшения качества глазури. Достигается ускорение охлаждения и увеличение производительности. Е. Журавлева.

6Н81. Как изготавливается молочный шоколад особого качества. Либиг А. Валтер. Как се получава особено добър млечен шоколад. «Хранит. пром-ст», 1960, 9, № 4, 47—49 (болг.).—Кратко описаны способы произ-ва молочных продуктов, применяемых при изготовлении молочного шоколада. Кроме молока (М) сухого распылительного, рекомендовано применение «блокового» М (в 1 л в %: вода 9—16; жир 12—14, сахар 43,5—44,0). Блоки крошат машинной, перемешивают в меланжере с какао-массой, сахарной пудрой и маслом какао. Целесообразнее перемешивать в вакуумных мешалках; «блоковое» М смешивают с сахаром до получения однородной массы и добавляют какао-массу и масло какао (общее содержание жира 22—23%). Т-ра ≤ 60°. Вальцевание — 2-кратное на 3- или 5-вальцовках. А. Марин.

6Н82. Сравнительное изучение охлаждения шоколада излучением и конвекцией. Görling P., Becker K., Heiss R. Vergleichende Untersuchungen über die Kühlung von Schokolade durch Strahlung und durch Konvektion. «Gordian», 1960, 59, № 1421, 14—19 (нем.).—Опыты проведены в лабораторных условиях. Состав (%) шоколадной массы (Ш) 44,8 сахара; 17,2 обезжиренного какао тертого; 37,75 жира и 0,25 лецитина. Часть Ш темперировали с добавкой 1% прививки. Ш с т-рой 32° отливали в медную форму высотой 44 мм. Регистрируя интенсивность тепловых лучей (термоэлементом Ланге), выделяемых Ш, установили, что во время кристаллизации (К) масла какао происходит усиленное их выделение. Охлаждение Ш излучением (И) изучали в особую устроенной, изолированной камере (600 × 300 × 300 мм), излучающими поверхностями в ней служили 2 медные пластины, окрашенные в черный цвет. Обратная сторона их охлаждалась холодильными трубами. Действие конвекции изучали в той же камере, но без применения пластин. Температурные показатели непрерывно автоматически записывались. Основные выводы работы следующие. Усиленное излучение тепла во время К не зависит от способа охлаждения, но оно лучше поглощается при И. Охлаждение воздухом с т-рой 10° при свободной конвекции равноценно дей-

ствию И при 12°. Для ускоренного охлаждения Ш, имеющего малую разницу т-ры слоев, следует применять мягкое И в комбинации с охлаждением воздухом. Практически скорость «поседения» Ш не зависит от способа охлаждения. Медленное охлаждение всегда способствует «поседению». Выбор способа охлаждения является чисто техническим вопросом. В. Реутов.

6Н83. Реология какао масла. I. Влияние содержания кристаллов жира на текучесть. Sterling Clarence, Wuhrmann J. J. Rheology of cocoa butter. I. Effect of contained fat crystals on flow properties. «Food Res.», 1960, 25, № 4, 460—463 (англ.).—Применялся вискозиметр Убеллоде с капилляром длиной 30 см и диам. 0,5 мм; масло какао (МК) подвергалось предварительно тщательной очистке. Вязкость (В) МК при 30° 72 спуаз (по Финке 70—73). В определяли при т-тах 30—24° в зависимости от давления (10—60 см рт. ст.) и времени выстойки (1—13 час.). Установлено, что чистое МК характеризуется слабой структурной В даже при отсутствии взвешенных частиц. При образовании кристаллов жира структурная В масла увеличивается. При выстойке МК до появления кристаллов жира В увеличивается (при 30° с 72,2 до 75,4 спуаз), что видно связано с агрегацией молекул. Б. Кафка.

6Н84. Санитарно-микробиологическое исследование процесса производства шоколада и готового шоколада. Димитров. Санитарно микробиологично проучване на шоколадовото производство и готовия шоколад. «Хранит. пром-ст», 1960, 9, № 6, 21—23 (болг.).—Исследованы 254 пробы (сырья 97, готового продукта 78, внешней среды — смывки, мазки — 79) по показателям: микробное число, кол-во и титр бактерий группы *coli aerogenes*; титр *Bakt. proteus* и гемолитичные стафилококки. Установлено, что содержание бактерий в сырье и в готовом продукте варьирует в широких пределах и в основном зависит от санитарно-гигиенич. режима производственного процесса. Для санитарной оценки готового шоколада предлагаются показатели: микробное число ≤ 100 000 бактерий и коли-титр не ниже 1 г. А. Марин.

6Н85. Пралине с лецитином. Parlow R. Lecithin-haltige Pralinen. «Gordian», 1960, 59, № 1429, 28—29 (нем.).—Потребность организма человека в лецитине (Л) 2 г в день. Рекомендуют изготовлять массу, подобную пралине (П), богатую Л, состоящую из равных частей лецитина — альбумина (или яичного желтка), «нурупана» («Nurupan» — средство для эмульгирования) и какао-порошка с добавкой малого кол-ва разведенного спирта. Эти в-ва смешивают с сырыми яйцами до консистенции пасты. После формовки отсадкой корпуса глазируют шоколадом. 50 г П содержат дневную норму Л. Масса П не содержит сахара и может быть использована для диабетиков. В. Реутов.

6Н86. Кондитерские формовочные крахмалы. Wardrip E. K. Confectioners' moulding and casting starches. «Confect. Manufact.», 1960, 6, № 3, 112—114, 116 (англ.).—Применяется кукурузный крахмал (К) с добавлением минер. масла. Разрешено добавление в формовочный К глицерола моноолеата и подобных материалов. Для уменьшения опасности взрыва от распыливания в К добавляли 20—50% CaCO<sub>3</sub>, при этом снижалась его водопоглощательная способность. Перед формовкой К сушат до влажности 5%, т-ра К при формовке 21—65°, в зависимости от вида изделий и процесса произ-ва. К при выставивании в сушильных камерах отлитых изделий может поглотить из них 2% влаги (по весу К). Приведена кривая зависимости равновесной влажности кукурузного К от относительной влажности воздуха. Равновесная влажность К меняется на 2% на каждые 10% относительной влажности воздуха в пределах относительной влажности 20—90%. Е. Журавлева.

6Н87. Усовершенствование помато-сбивных корпусов, формуемых раскатыванием. Janssen Fred. The



development of rolled cream centers. Manufact. Confectioner, 1960, 40, № 2, 25—28; Confect. Manufact., 1960, 6, № 2, 68, 70—71, 73 (англ.).—Даны практич. указания. Рекомендовано в помадо-сбивные корпуса, формуемые раскатыванием, добавлять инвертазу. Приведены рецептуры таких помадо-сбивных корпусов и помады с пенообразователем, применяемой при их изготовлении.

Е. Журавлева

6Н88. Глазировка конфет «салон-цукор». Maczeka László. A szalonsukor kandirozása. «Edesipar», 1960, jan.-febr., 6—12 (венг.).—Рассмотрена теория оптимальной глазировки (с постоянной скоростью и при постоянной т-ре), при которой отсутствуют потери сахара; сравнены оптимальные и фактич. заводские условия; перечислены технологич. и организационные мероприятия, позволяющие приблизиться к оптимальным условиям.

А. Ермакова

6Н89. О подкрашивании кондитерских изделий. Liebig A. Walter. Färbung von Füllungen bei Süßwaren-Verwertung gefärbter Abfälle aus Fabrikation und Retouren. Rev. internat. chocolat., 1960, 15, № 3, 110—112 (нем.).—Разбираются официальные, общеизвестные постановления в ФРГ. Указывается на необходимость дополнить их разрешением окраски корпусов, глазированных шоколадом.

В. Реутов

6Н90. Вязкоэластичность пищевых продуктов, не обладающих ньютоновской вязкостью. Charm S. Viscometry of non-newtonian food materials. «Food Res.», 1960, 25, № 3, 351—362 (англ.).—Приводятся ф-лы для вычисления вязкости и описывается методика определения констант текучести пищевых продуктов, с ньютоновской вязкостью. Приведены константы текучести фруктовых пюре, меда, р-ров альгината аммония, человеческой крови.

Б. Кафка

6Н91. Антоцианы плодов. Herrmann K. Die Anthocyane der Früchte — eine Übersicht. «Fruchtsaft-Ind.», 1960, 5, № 7, 296—309 (нем.; рез. англ.).—Обзор. Библ. 97 назв.

Г. Н.

6Н92. Консервирование плодов при температурах, близких к обычным, посредством упаковки в синтетические пленки. Marcellin P. La conservation des fruits à des températures voisines de la température ordinaire au moyen d'emballages de matière plastique. «Rev. gén. froid», 1960, 37, № 5, 415—423 (франц.; рез. англ., исп.).—Отдельные экземпляры яблок и груш заключали в пакеты из полиэтилена и этилцеллюлозы, герметизировали и хранили при 15°. Упаковка задерживала протекание физиологич. процессов плодов, в частности — дозревание, по этой причине ее стали называть «физиологической упаковкой». Пленки создавали вокруг плодов атмосферу, обогащенную  $\text{CO}_2$  и обедненную  $\text{O}_2$  (последний фактор является основным при торможении дозревания), а также задерживали испарение воды (что сохраняет свежесть плодов). Установлено, что внутри упаковок оптимальным давлением нужно считать для  $\text{O}_2 \geq 0,01$  и для  $\text{CO}_2 \leq 4,1$  ат; давление водяных паров должно быть высоким, но не достигать насыщения (во избежание конденсации влаги), и не должны присутствовать летучие окисляющие в-ва (ароматич. в-ва и  $\text{C}_2\text{H}_4$ ). Упаковочные пленки должны быть слабо проницаемы для газов ( $\text{CO}_2$  и  $\text{O}_2$ ) и паров воды и достаточно проницаемы для ароматич. в-в и  $\text{C}_2\text{H}_4$ . Этим условиям удовлетворяют полиэтилен толщиной 50—80 м и этилцеллюлоза толщиной 76 м. Практика хранения плодов в полиэтилене (упаковка по 6 экземпляров в виде четок, общий вес 1000—1200 г) и этилцеллюлозе (упаковка по 6 ящиков прямоугольной формы, каждый размером  $1,20 \times 1,15 \times 0,37$  м, где плоды располагали в 5 рядов и перекладывали той же пленкой, общий вес упаковки 100—150 кг) показала, что груши Вильямс могут сохраняться без изменения качества при 7° (в холодильной камере) до 7 недель, при 10—14° (в подвале) 3 недели, яблоки Золотой Делишес до 4—5 месяцев.

В. Гурни

6Н93. Использование углекислого газа при транспортировании и хранении плодов и овощей. Potěšil Bohumil. Použití kyslíčnicku uhlíčitého při dopravě a skladování ovoce a zeleniny. «Průmysl potravin», 1960, 11, № 9, 484—485 (чешск.).—В Англии при хранении и перевозке плодов и овощей, в особенности скоропортящихся, успешно применяют сочетание охлаждения и атмосферы с 20—30%  $\text{CO}_2$ . Под действием  $\text{CO}_2$  замедляется развитие микроорганизмов. Для каждого вида плодов следует подбирать наиболее эффективные условия. Применение  $\text{CO}_2$  увеличивает сроки хранения продуктов, повышает их качество и позволяет продлить сезон работы перерабатывающих предприятий.

З. Смедли

6Н94. Способ регулирования состава атмосферы упаковки с плодами в процессе хранения. Eaves C. A modified-atmosphere system for packages of stored fruit. «J. Hort. Sci.», 1960, 35, № 2, 110—117 (англ.).—В мешки (емк. по 25 кг яблок) из водо- и газонепроницаемого полиэтиленотерефталата помещали по 13,6 кг яблок, оставляя незаполненное пространство. Для поглощения  $\text{CO}_2$  в каждый мешок вкладывали перфорированный пакет (из пластика) с 0,454 кг смеси гашеной извести, а для поглощения влаги такой же пакет с  $\text{CaCl}_2$ . Поступление  $\text{O}_2$  воздуха обеспечивалось наличием отверстий над незаполненным пространством. Показана возможность удлинения допустимого срока хранения яблок созданием наружных концентраций  $\text{CO}_2$ ,  $\text{O}_2$  и влаги, при 0, 3—5 и 21°, путем регулирования количества отверстий в мешке и пакетах.

Г. Новоселов

6Н95. Хранение плодов и овощей в атмосфере с низким содержанием кислорода. Serini G., Ripamonti A. La conservazione della frutta e degli ortaggi in atmosfera confinata a bassa percentuale di ossigeno. «Riv. ortoflorofrutticoltura ital.», 1960, 44, № 5-6, 231—242 (итал.; рез. англ.).—Проведены опыты по хранению винограда, лимонов, персиков, а также цветной капусты, салата-латука, шпината и других листовых овощей (при 6—13°) в атмосфере азота с небольшим кол-вом  $\text{O}_2$  (до 11%) и в присутствии  $\text{Ca}(\text{OH})_2$  для поглощения  $\text{CO}_2$ . Показана эффективность способа. Описано оборудование для осуществления хранения плодов и овощей в атмосфере регулируемого состава.

Г. Новоселов

6Н96. Хранение яблок и груш в упаковках из синтетических пленок. Leblond C. La conservation en emballage plastique des pommes et des poires. «Penseplast.», 1960, 7, № 195, 25—28 (франц.).—На основе опытов по хранению яблок и груш в пленках рекомендуют: упаковывать плоды в мешках их будущего хранения (подвалах, хранилищах) и только после того, как они примут т-ру окружающей среды; для упаковки применять слабо газо- и паропроницаемые и достаточно проницаемые для летучих ароматич. в-в пленки, этим условиям удовлетворяют некоторые виды целлофана, этилцеллюлозы и крупнопористый полиэтилен; плоды можно хранить или упаковывать по 4—8 шт. в виде четок (главным образом в полиэтилене) на полках хранилищ или в стандартных по размерам ящиках из пластмассовых планок, уложенных в штабели на металлич. каркасы, обтянутых и тщательно заклеенных пленкой (главным образом этилцеллюлозой), общий вес такой упаковки 200—1000 кг. В обоих видах упаковок груши разных сортов сохранялись от 2 (при 15°) до 7 (при 7°) недель, яблоки разных сортов 4—5 месяцев (12—7°), кроме канадского ренета, который не выдерживал хранения в пленках (развивалась бурая гниль).

В. Гурни

6Н97. Замораживание плодов в США. Borgstrom Georg. Fruit freezing in the United States. «Food Technol. Austral.», 1960, 12, № 4, 207, 209—210, 213, 215 (англ.).—Из приведенных данных о потреблении в США замороженных плодов на душу населе-

ния, делается консер. Это объясняет плодотворность методов с перед. за.

6Н98.

Связь между турой. M. Dietrich foods. XX temperature.

(англ.).—

щей (гор. т-ре от в-вах раз. однако з. тельном вает раз. исходного пения — 1° за 1 продукт. происход. По-видим. XXI см.

6Н99.

дуктов.

your food

38, 73, 9

ния Al-f-

продукт

живании

тов (—3

примене

зинунок

какого

Ф испо.

згнопнос

рие мо

женные

хранит

нику, г

в спец.

надеж

случае

ностью

и тома

промы

6Н100

продук

е орга

N. S. S.

mechan

1960, 9

гравир

pH p-p

лонжиз

кол-ва

вается

кол-ву

получе

любой

масс

нагре

потем

копч-

не по

УФ-св

образ

рый

в-во

35 За

при транс-  
Potéi  
Doravé  
vin», 1960,  
хране  
скороп  
хлажде  
СО<sub>2</sub> заме  
кого вид  
вные усл  
хране  
оляют пр  
предприя  
З. Смед  
мофери  
ves C. A.  
of store  
(англ.).  
газопр  
по 13,6  
тво. Д  
ли перф  
кой све  
же п  
еичаво  
простр  
пустимо  
концент  
регулир  
етах.  
Говосел  
мофере  
Rip  
gli ortage  
ossigeno  
231—24  
хране  
ной капу  
овых ово  
ебольши  
2 для по  
оба. Оп  
ения пло  
става.  
опосел  
х из сн  
vation es  
Pense  
а осно  
тах реко  
будущего  
ко после  
еды; для  
ничаемые  
атич. в  
ые виды  
ый поли  
ным по  
полнот  
к по раз  
ожены к  
и тже  
ом этил  
—1000 к  
ов сохра  
яблоко  
е канал  
нения в  
В. Гурн  
Borg  
d States  
209—210  
потреб  
паселе

ния, делается вывод, что большим успехом пользуются консервированные плоды и замороженные соки. Это объясняется неудовлетворительным качеством плодов после дефростации. Необходимо разработка методов стабилизации ферментной системы плодов перед замораживанием.

З. Барская  
6Н98. Влияние температуры и продолжительности хранения на качество замороженных продуктов. XXII. Связь между бактериальным обсеменением и температурой. Michener H. David, Thompson P. A., Dietrich W. C. Time-temperature tolerance of frozen foods. XXII. Relationship of bacterial population to temperature. «Food Technol.», 1960, 14, № 6, 290—294 (англ.).—Опыты хранения 18 образцов различных овощей (гороха, фасоли, цветной капусты и шпината) при  $t$ -ре от  $-23$  до  $-7^{\circ}$  показали, что при данных условиях развития микроорганизмов (М) не происходит; однако значительная часть выживает при продолжительном хранении. Кол-во остаточной микрофлоры бывает различным, но чаще всего оно составляет  $\sim 50\%$  исходного. Размножение М наблюдается при  $t$ -ре хранения  $-4^{\circ}$  и выше. Кол-во М удваивается при  $-4^{\circ}$  и  $-1^{\circ}$  за 1—8 недель, а при  $4^{\circ}$  за  $< 1$  недели. Качество продукта обычно начинает ухудшаться раньше, чем происходит значительное увеличение кол-ва бактерий. По-видимому, оно не связано с ростом М. Сообщение XXI см. РЖХим, 1961, 51170.

В. Богданов  
6Н99. Коррозия не должна портить упаковку продуктов. Goerig Helen M. Corrosion need not mar your food package. «Package Engng», 1960, 5, № 5, 35—38, 73, 92 (англ.).—Изучена возможность использования Al-фольги (Ф) для упаковки различных пищевых продуктов. Испытания проводились при  $t$ -ре замораживания и хранения плодов, овощей и других продуктов ( $-32$  и  $-13^{\circ}$ ). Лучшие результаты получены при применении чистого Al, добавки Cu снижают коррозионную стойкость; легирование Mn и Mg не дает никакого эффекта. Для увеличения стойкости обычной Ф использовалось покрытие последней более коррозионностойким сплавом. Определены продукты, которые можно хранить в обычной и в спец. Ф. Замороженные яблоки, бобы, лук и др. при  $-32^{\circ}$  можно хранить в обычной Ф. Грибы, ананасы, малину, клубнику, груши, горох и т. п. необходимо упаковывать в спец. Ф без заметного содержания Cu. Стойкость Ф падает с уменьшением pH фруктов и овощей. В общем случае pH может колебаться 2,7—7,4. Особой агрессивностью по отношению к Ф обладают майонезы, кремы и томаты, а также плоды, которые перед упаковкой помещают в соленой воде.

И. Маршаков  
6Н100. Неферментативное потемнение пищевых продуктов — механизм образования соединений сахара с органической кислотой. Iyengar J. R., Kapur N. S. Studies in non-enzymatic browning in foods — the mechanism of sugar-organic acid system. «Food Sci.», 1960, 9, № 4, 124—126 (англ.).—Показано, что при нагревании в течение 10 час. с обратным холодильником pH  $p$ -ра с 0,1 М конц-иями сахара и лимонной к-ты понижается с 2,68 до 2,5. При увеличении отношения кол-ва к-ты к кол-ву сахара снижение pH увеличивается, а при увеличении отношения кол-ва сахара к кол-ву к-ты снижение pH уменьшается. С 1 М  $p$ -рами получены подобные результаты. Оптика. плотность при любой длине волны и всех конц-иях возрастала до максимума за 8 час. нагревания и падала после 10 час. нагревания (вследствие выпадения осадка). Максим. потемнение наблюдалось при экзимолекулярных конц-иях сахара и к-ты. 0,1 М  $p$ -ры сахара и к-ты не показывают потемнения. На основе исследования УФ-спектров поглощения предполагают, что вначале образуется предшественник темного пигмента, который превращается в темноокрашенное растворимое в-во п, наконец, в коричневый пигмент.

Г. Новоселова

6Н101. Сушка яблок. Majstorović Гвоздей. Сушене јабука. «Польопривреда», 1960, 8, № 4, 34—37 (сербо-хорв.).—Приведены данные, характеризующие рост произ-ва сушеных яблок в разных странах мира. Перспективные планы развития садоводства и произ-ва значительных кол-в яблок ставят перед народным хозяйством Югославии вопрос о создании современных мощных сушилок для яблок. Описан технологич. процесс сушки яблок и принятый в Калифорнии способ классификации готовой продукции по сортам. Указаны способы упаковки.

З. Лебедева

6Н102. Упрощенный способ упаковки в атмосфере инертного газа. Heagne J. F., Thomas R. Gas packing with simple equipment. «Food Manufacture», 1960, 35, № 10, 420—421 (англ.).—В лаборатории испытан способ упаковки нарезанного сушеного картофеля в большие банки ( $\sim 18$  л) в атмосфере  $N_2$  путем нагнетания сжатого газа из баллона через тонкую стальную трубку с отверстиями на конце, вставляемую в заполненную продуктом тару до дна. Способ дал положительные результаты в отношении скорости и полноты удаления воздуха из обрабатываемого продукта и может заменить обычно принятый способ, требующий применения дорогостоящего и сложного оборудования; трубопровод, подводящий газ, может быть применен для одновременной обработки большого числа контейнеров, содержащих различные гранулированные продукты.

С. Светов

6Н103. Изделия из бананов. Watson Vernon K. Banana products. «Food Technol. Austral.», 1960, 12, № 6, 341, 343, 345—346 (англ.).—Кратко описаны способы произ-ва из бананов пюре, хлопьев и пудры, отмечена возможность консервирования плодов при добавлении сахара и лимонной к-ты. Бананы, замороженные целыми или нарезанными, после дефростации быстро темнеют и теряют структуру. Пудра очень гигроскопична, слипается и темнеет.

З. Барская

6Н104. Некоторые изменения в технологии производства соленого виноградного листа. Атанасов Георги, Златова Павлина. Якои изменения в технологията за производство на туршия лозов лист. «Хранит. пром-ста», 1960, 9, № 8, 33 (болг.).—Проведены опыты по произ-ву соленого виноградного листа без предварительного ошпаривания его. Нанизанный веерообразно лист сорта «Памид» помещали в бочки с рассолом, содержащим 12% NaCl, и выдерживали 48 и 72 часа под грузом. В процессе молочнокислого брожения в течение 48, и особенно 72 час., листья приобретали светло-желтый цвет. Затем листья вынимали и после 1—2 час. стекания рассола укладывали, пересыпая солью (3% NaCl на бочку), в парафинированные бочки со спец. приспособлением для равномерного распределения 10%-ного рассола в сильно уплотненной массе виноградного листа. Получали более эластичный виноградный лист с более приятным солено-кислым вкусом и ароматом свежего листа и меньшей себестоимостью, чем при старой технологии.

Г. Джилавдарова

6Н105. Кислотообразующие бактерии как консерванты растительных продуктов. Theumann Jacques. Les micro organismes acidifiants, agents de conservation de produits végétaux. «Inds aliment. et agric.», 1960, 77, № 3, 191—194 (франц.).—Изложены теоретич. основы сбраживания углеводов растительных продуктов уксусно- и молочнокислыми бактериями, перечислены виды микроорганизмов, вызывающие эти 2 вида брожения. Применительно к консервированию засолом маслин, огурцов (корнишонов) и капусты описаны факторы, вредящие брожению и стимулирующие его, и условия нормального брожения (аэрация, физ. состояние и хм. состав сбраживаемого субстрата, внесение в бродящую среду сахаров и чистых культур бактерий). Указаны практич. меры предупреждения

побочных брожений при засоле овощей (санитарная обработка сырья и инвентаря, контроль т-ры, соответствующее качество соли и пр.). В. Гурни

6Н106. Каменные клетки груш, как показатель пригодности сорта для консервирования. Zalewski W. Zawartość komórek kamiennych w miąższu gruszek jako kryterium ich przydatności do produkcji kompotów. «Prace Inst. sadown. w Skiern.», 1959, 4, 376—387 (польск.; рез. русск., англ.).—Определение каменных клеток и мякоти груш различных сортов проведено органолептически и модифицированным микроскопич. методом Говарда. Органолепт. оценки груш определенного сорта не совпадали с данными, полученными для того же сорта по методу Говарда. Предложен весовой метод определения каменных клеток груш, заключающийся в растворении оболочек клеток в реактиве Швейцера, сборе каменных клеток на стеклянном фильтре и взвешивании. Полученные данные показали небольшое расхождение между двумя параллельными определениями в трех сортах груш.

Г. Павлова  
6Н107. Консервирование сахарной кукурузы. Vagunda J. Konzervujeme cukrovou kukurici. «Výživní», 1960, 15, № 8, 125—126 (чешск.).—Приведены данные, характеризующие содержание питательных в-в в консервированной сахарной кукурузе (К) и зеленом горошке. Данные указывают на ценность К, убранный в молочной зрелости. Наилучший момент для уборки наступает при содержании в К 24% сухого в-ва и 17% нерастворимых в спирте в-в. Приведена зависимость содержания растворимых сахаров от продолжительности хранения до консервирования. Хранение больше 6 час. не допускается стандартом. Консервированная сахарная К пригодна для изготовления вкусных и питательных блюд. В Чехословакии в ближайшее время появится большое кол-во кукурузных консервов, что связано с разрешением проблемы автоматизации срезаания зерен с початков. З. Смелый

6Н108. Факторы, оказывающие влияние на процесс бланширования овощной фасоли. Mundt J. Orvin, McCarty. Factors affecting the blanching of green beans. «Food Technol.», 1960, 14, № 6, 309—311 (англ.).—Установлено, что длительность бланширования овощной фасоли (ОФ) несколько колеблется в зависимости от ее сорта. Она составляет 4,30—5,95 мин. при 88° и 2,52—3,23 мин. при 93°. Малое влияние оказывают климатич. условия выращивания ОФ, т-ра охлаждающей воды, содержание солей в воде для бланширования и степень зрелости ОФ. Из резюме авторов

6Н109. Песок в консервированной садовой землянике. Dickinson D., Raven T. W. Sand in canned strawberries. «Analyst», 1960, 85, № 1012, 521—523 (англ.).—Показана возможность удовлетворительного удаления песка мойкой ягод в воде. Установлено, что присутствие в консервированной землянике песка в кол-ве 100 мг/кг в среднем и 100—200 мг/кг в 10% образцов не ощущается потребителем.

Г. Новоселова  
6Н110. Применение метода парных сравнений при изучении различий во вкусе парных овощей. Gordon Ioan, Noble Isabel. Application of the paired comparison method to the study of flavor differences in cooked vegetables. «Food Res.», 1960, 25, № 2, 257—262 (англ.).—Органолептический метод парных сравнений исследуемых образцов после предварительного изучения некоторых вопросов методологич. характера (степень однородности оценок разницы вкуса партей дегустаторов, чувствительность партия к вкусу испытуемых объектов, отклонения при повторных испытаниях) применен при изучении различий во вкусе вареной в кипящей воде или на пару капусты — брокочанной, цветной и спаржевой. Установлено, что образцы всех видов капусты, сваренные на пару, обладают более «острым» вкусом, сравнительно с теми

же образцами, сваренными в кипящей воде, способ обработки паром практически не оказывает влияния.

С. Светов  
6Н111. Поведение электролитически луженой белой жести в качестве материала тары для консервов растительного происхождения, богатых белками, содержащими серу (особенно для консервов из горошка). Barbieri Giulio, Milanese Giovanni, Rosso Silvio. Comportamento della banda stagnata elettrolitica come contenitore per conserve vegetali contenenti composti solforproteici (con particolare riguardo al piselli) «Ind. conserve», 1960, 35, № 2, 104—106 (итал.; рез. англ., франц., нем.).—Установлено, что сернистые соединения (в тех случаях, когда они образуются) располагаются исключительно на расширительных кольцах крышек. При изготовлении банок для консервов растительного происхождения с белками, содержащими серу, необходимо применять крышки с малым кол-вом расширительных колец или без них. Следует избегать обозначений путем вытравливания. Для указанных продуктов вполне пригодна белая жель типа Ferrogastan № 75 (слой олова 17 г/м<sup>2</sup>) в случае защиты лаком, устойчивым к воздействию соединений, содержащих серу, и отсутствию механич. повреждений слоя лака.

Н. Мяздрикова  
6Н112. Механизированная печь для обжарки на предприятии «Раковский». Чучев М. Механизация пельмени печь в ЛПИ «Раковский». «Хранит. пром-сть», 1960, 9, № 8, 23—24 (болг.).—Описана механизированная печь (приведена схема поперечного разреза печи), работающая на жидком или полужидком топливе. Производительность печи 400—600 кг ломтиков баклажанов в 1 час. Принцип действия печи: камера, наполненная ломтиками баклажанов, полается в наполненную растительным маслом ванну (400 л) при т-ре 150—160°. Обжаривание продолжается 3 мин., а весь процесс 7—8 мин.

Г. Джиллава  
6Н113. Концентрированные соки западноиндийской вишни. Benk E. Konzentrierte Säfte der Acerola Westindische Kirsche. «Indust. Obst- und Gemüseverwert.», 1960, 45, № 12, 283—285 (нем.).—Приведены хим. состав сока и концентратов западноиндийской вишни. Установлено высокое содержание аскорбиновой к-ты и незначительное других витаминов. Отмечено, что вследствие высокой цены и недостаточно хорошего вкуса применение этих концентратов в пищевой пром-сти очень ограничено.

Н. Мяздрикова  
6Н114. Испытания плодоягодных соков и концентратов. Kardos Ernő. Gyümölcslevek és sűrítőmélvek vizsgálati adatai. «Konzerv-és paprikainar», 1960, márc. ápr., 47—54 (венг.; рез. нем., русск.).—Консервная пром-сть ВНР в 1959 г. вырабатывала яблочный, виноградный, персиковый, абрикосовый соки, плодоягодные нектары (квашенные плодовые соки с мякотью) и томатный сок, которые по составу, вкусовым качествам и внешнему виду пригодны для продажи в больших размерах.

М. Мяздрикова  
6Н115. Задачи молочной промышленности в предстоящем семилетии. Зотов В., Молоч. пром-сть, 1959, № 1, 1—5

6Н116. Развитие и размещение молочной промышленности Белоруссии. Фещенко Ф. С. В сб. «Вопр. геогр. Белоруссии». Вып. I. Минск, 1960, 93—112.—Обзорная статья. Библи. 12 назв.

А. П.  
6Н117. Молочный завод в Бергене. Hansen Robert. Bergensmeieriet. «Nord. mejeri-tidsskr.», 1960, 26, № 8, 152—158 (датск.)

6Н118. Стафилококки в молочной промышленности. McCoy Elizabeth. Staphylococcal problems in the dairy industry. «Milk Prod. J.», 1959, 50, № 12, 14, 16 (англ.).—Популярная статья о роли в молочной пром-сти стафилококков, вызывающих пищевые отравления. Они могут вызывать воспаление вымени у коров, что связано с уменьшением удоев и даже вы-

браковой отравлении ризованном. Отм. тия стафи стеризации

6Н119. Хруль к 29.—Иаломаммококо родельны лавшем с я в молок сыржност стешной а

6Н120. ние качес

monas k

Gyllen

Matti,

deteriorat

monads a

1960, 10,

мость сто

образуюи

но-лакта

вается в

и они ок

ка. Сред

ном ага

Pseudom

наиболее

молока.

ка, они с

своем ра

щего ро

см. РЖК

6Н121.

аппарат

кл моло

численн

steatithe

Willia

Harris

perform

plant. I

sporidic

philus»

Разрабо

идный ра

при вы

произве

лабор. с

При ср

прямых

ний. Ч.

6Н122

Law r

standa

134—13

пиемая

сей в м

250 мл

мешине

мешат

диском

дам. 1

вания

станда

сыр до

тре 50

ном р

баде д



е, способ  
влияния.  
С. Светов  
енной бе  
консерво  
ками, со  
из горш  
овании,  
stagnata  
etali con  
ricardo  
104—106  
ено, что  
они обра  
расширя  
анок для  
белками,  
решки с  
без них  
ливания.  
а белая  
2) в слу  
соедине  
нич. по  
адрикова  
арки на  
низирана  
пром-сть,  
зигуван  
на печи),  
топливе,  
он бакте  
сета, на  
в напол  
при т-ре  
а весь  
автарова  
лийской  
la West  
erwert),  
хим. со  
випни.  
й к-ты и  
го вслед  
го вкуса  
ном-сти  
адрикова  
концеп  
tménvek  
, máre-  
сервная  
й, вино  
олягод  
с мя-  
вкусом  
адрикова  
в пред  
ром-сть.

браковкой животных; могут быть причиной пищевых отравлений при потреблении молока (сырого, пастеризованного и сухого) и молочных продуктов (сыров). Отмечено, что образующиеся в молоке при развитии стафилококков токсины не разрушаются при пастеризации.

В. Богданов

6Н119. Определение маммококков в сыром молоке. Хрулькевич А. «Молочн. пром-сть», 1960, № 10, 29.—Изложены результаты определения содержания маммококков, вызывающих горький вкус сыра, на сыродельных заводах Северного Кавказа в молоке, поступавшем с молочно-товарных ферм, в сборном молоке и в молоке, взятом из сырных ванн перед внесением сычужного фермента. Больше всего маммококков содержалось в жаркое время в молоке, полученном в степной зоне.

Г. Джиладдарова

6Н120. Бактериальная обсемененность и ухудшение качества рыночного молока. II. Значение *Pseudomonas* как бактерий, вызывающих порчу молока. Gyllenberg Helge, Eklund Eva, Antila Matti, Vartiomaara Unto. Contamination and deterioration of market milk. II. Significance of pseudomonads as deteriorating bacteria. «Acta agric. scand.», 1960, 10, № 1, 50—64 (англ.).—Установлена зависимость стойкости охлажден. молока от наличия бактерий, образующих к-ту, и бактерий, растущих на аммонийно-лактатном агаре. Вторая группа бактерий развивается в охлажден. молоке (4—8°) значительно быстрее и они оказывают большее влияние на стойкость молока. Среди бактерий, растущих на аммонийно-лактатном агаре, в охлажден. молоке сильнее развиваются *Pseudomonas*; поэтому эта группа бактерий играет наиболее важную роль в ухудшении качества охлажден. молока. Помимо прямого влияния на стойкость молока, они оказывают и косвенное влияние, создавая при своем развитии благоприятные условия для последующего роста бактерий, образующих к-ту. Сообщение I см. РЖХим, 1961, 5Н107.

В. Богданов

6Н121. Исследование действия пластинчатого аппарата для ультравысокой температурной обработки молока. IV. Сравнение экспериментальной и вычисленной эффективности уничтожения спор *Bacillus stearothermophilus*. Burton H., Franklin J. G., Williams D. J., Chapman Helen R., Jean A., Harrison W., Clegg L. F. L. An analysis of the performance of an ultra-high-temperature milk sterilizing plant. IV. Comparison of experimental and calculated sporicidal effects for a strain of *Bacillus stearothermophilus*. «J. Dairy Res.», 1959, 26, № 3, 221—226 (англ.).—Разработан метод, позволяющий рассчитать бактерицидный эффект установок для стерилизации молока при высокой т-ре. Вычисление действия установки произведено на основании данных, полученных при лабор. опытах с *Bac. subtilis* и *Bac. stearothermophilus*. При сравнении вычисленных данных с результатами прямых опытов не наблюдалось больших расхождений. Ч. III см. РЖХим, 1959, № 24, 88308.

В. В.

6Н122. Методы определения посторонних веществ. Lawrence A. J. Extraneous matter—methods and standards. «Austral. J. Dairy Technol.», 1959, 14, № 3, 134—136 (англ.).—Описана методика, широко применяемая в Австралии для определения механич. примесей в молочных продуктах. К 15 г образца прибавляют 250 мл 10%-ного р-ра Na-цитрата при т-ре 75°, перемешивают в течение 2 мин. при скорости вращения мешалки 6000 об/мин, фильтруют через воронку с диском, фильтрующая поверхность которого имеет диам. 1,25 см, промывают ацетоном и после подсушивания определяют класс загрязненности сравнением со стандартными дисками. Трудно растворимый сухой сыр до фильтрации выдерживают в водяной бане при т-ре 50°. Казеин смачивают водой, растворяют в 10%-ном р-ре буры и выдерживают в кипящей водяной бане до растворения.

Н. Брно

6Н123. Нейтральный реактив для производственного определения жира в сепарированном молоке и продуктах с низким содержанием жира. Macdonald F. J. A neutral reagent for the routine determination of fat in separated milk and low-fat products. «Analyst», 1959, 84, № 1005, 747—749 (англ.).—Для определения применяют бутирометр для обезжиренного молока. В состав реактива входят (в %) тринатрийцитрат (I) 5, Na-салицилат (II) 5, динатрий-этилендиаминотетраацетат (III) 1, Твин-21 (Т) 0,5 и технич. денатурированный метанолом спирт 25. Для приготовления реактива Т растворяют в спирте и переносят в мерный сосуд. Растворяют III в горячей воде, нейтрализуют по фенолфталеину. В этом р-ре растворяют I и II, сливают в тот же мерный сосуд и доводят водой до метки, pH реактива 7,8. В бутирометр вносят 10 мл реактива и 10,94 мл исследуемого продукта, далее поступают так же, как при определении с применением  $H_2SO_4$ . Центрифугирование, подогревание повторяют до получения совпадающих результатов. При показании < 0,1% жира поправка + 0,05, 0,1—0,2% жира + 0,02, > 0,25% жира — поправка не вносится. Среднее отклонение не превышало 0,036%.

Н. Брно

6Н124. Приготовление стандарта для анализов лимонной кислоты. Marier J. R., Boulet M. Preparation of a standard for citric acid analysis. «J. Dairy Sci.», 1959, 42, № 11, 1885—1886 (англ.).—При определении лимонной к-ты в молоке пользуются стандартным р-ром лимонной к-ты, приготовление которого представляет значительную трудность. Исследована возможность приготовления стандартного р-ра из  $C_6H_5O_7Na_3 \cdot 2H_2O$ , так как безводная и моногидратная форма кристаллич. лимонной к-ты неустойчивы. Соль получена перекристаллизацией при регулировании т-ры и давления. Состав соли проверен анализом двух образцов. На основании анализов установлено, что для приготовления стандартного р-ра лимонной к-ты необходимо брать 76,4712 г  $C_6H_5O_7Na_3 \cdot 2H_2O$  на 1 л воды.

Л. Нагорнова

6Н125. Поправка к формуле Флейшмана для расчета сухого вещества коровьего молока в Польше. Laskowski Kazimierz. Poprawka do wzoru Fleischmanna dla obliczania zawartości suchej masy mleka krowiego w Polsce. «Prace Inst. przem. mleczarsk.», 1959, 6, № 3, 42—46 (польск.; рез. русск., англ.).—В 1760 образцах молока определено содержание сухого в-ва методом высушивания. Сравнение полученных данных с расчетными данными, полученными по ф-ле Флейшмана, показало, что последние являются несколько завышенными в среднем на 4,5%. В связи с этим в ф-ле коэф. 2,665 заменен на 2,5 и получена следующая ф-ла:  $r = 1,2 f + 2,5(100 d - 100)/d$ . Статистически вычисленное отклонение при расчете сухого в-ва молока по предложенной видоизмененной ф-ле Флейшмана от данных, полученных методом высушивания, составляет  $\pm 2,8\%$ . Проверка расчетных данных содержания сухого остатка в молоке по ф-лам Зайковского и Рёдера, показала, что ф-ла Зайковского дает завышенные результаты на 4,5%, ф-ла Рёдера на 8,0%.

По резюме автора

6Н126. Различные молочные продукты, производимые в восточных странах и требующие улучшения технологии с применением современного оборудования. Khurody D. N. A description of various eastern dairy products, the manufacture of which could be improved by modern equipment. 15th Internat. Dairy Congr. Vol. 4. Sec. 4—6. London, 1959, 2146—2149 (англ.; рез. франц., нем.).—Характеристика произв. в восточных молочных продуктов [типа топленого масла (гхи), сгущенного молока (с содержанием в %: 30 молочного жира, 20 лактозы, 20 белков, 5 соевых в-в и 25 влаги) (кхоа), восточных сладостей на сыровотке (шириханд) и сметаны (рабри)].

Е. Праведная

6Н127. Ускорение процесса производства нежирного творога. Геймур С. «Молоч. пром-сть», 1960, № 11, 28.—Изложена новая технология произ-ва нежирного творога, разработанная Винницкой п.-н. лабораторией молочной промышленности.

6Н128. Контроль качества бактериальной закваски. Маненкова А., Залашко Л., Дерябина Е. «Молоч. пром-сть», 1960, № 10, 10—12.—Разработаны простые методы быстрого и точного определения в закваске ароматообразующих бактерий по продуктам их жизнедеятельности — углекислоте и ацетону с диацетилом. Для определения углекислоты 20 мл производственной закваски в пробирке (диам. 15 мм) помещают в кружку с холодной водой и нагревают до 90°, отмечая уровень поднятия сгустка. При содержании в закваске углекислоты, что свидетельствует о наличии *Str. diacetylactis* и *Str. paracitrovorus*, сгусток становится губчатым и поднимается над сывоткой с 0,6 до 2—3 см и более. При отсутствии углекислоты сгусток или не поднимается или поднимается незначительно (на 0,3—0,5 см), не имеет ясно выраженной губчатости. Для определения ацетона и диацетила 3 капли фильтрата закваски смешивают с 3 каплями 40%-ного р-ра КОН. При наличии в закваске ацетона и диацетила через 10—15 мин. появляется ясно выраженное розовое окрашивание. Вместо фильтрата можно использовать сывотку при определении углекислоты. Методы применимы к закваске, не содержащей кишечной палочки и дрожжей, также образующих углекислый газ и ацетон. Г. Джизавдарова

6Н129. К микробиологическому определению витамина В<sub>12</sub> с *Ochromonas malhamensis* в свежем и сухом молоке. Antener Ilse. Zur mikrobiologischen Vitamin-B<sub>12</sub>-Bestimmung in Frischmilch und Milchpulvern mit *Ochromonas malhamensis*. «Internat. Z. Vitaminforsch.», 1959, 29, № 4, 357—369 (нем.).—Описано применение культур *Ochromonas malhamensis*. Приведен состав питательных сред и описан аппарат для культивирования *Ochromonas malhamensis* при определенных условиях освещения. Для экстракции витамина к смеси 25 мл свежего или восстановленного молока с 25 мл буферного р-ра (6,8 г CH<sub>3</sub>COONa · 3H<sub>2</sub>O + 500 мл воды) и 25 каплями 1%-ного р-ра NaCN при т-ре 60° добавляют суспензию 0,5 г папанна в 10 мл воды и выдерживают при этой т-ре 1 час, стерилизуют в текущем пару 10 мин. После охлаждения доводят pH до 4,6, доводят объем до 200 мл и фильтруют. 17,5 мл фильтрата при pH 5,5 доводят водой до 50 мл, отмеривают в пробирку по 0,1; 0,25; 0,5; 1,0; 1,2; 3,0; 4,0 мл, прибавляют до 4 мл воды, вносят в каждую 1 мл питательной среды и после 10 мин. стерилизации при 0,5 атм вносят культуру *Ochr. malhamensis* при 28° и инкубируют 63—72 час. при этой же т-ре. Измерение мутности производят в спектрофотометре Бекмана при 580 мμ. Стандартом служит р-р витамина В<sub>12</sub>. В свежем молоке содержание витамина В<sub>12</sub>, определенное этим методом, составляло 5,2 γ ± 0,6 в 1 л, в сухом молоке 2,2—3,5 γ в 100 г; таким образом, при произ-ве сухого молока витамин В<sub>12</sub> не разрушается, потери составляли всего 2—5%.

6Н130. Соотношение между содержанием молочной кислоты и микроскопическим подсчетом количества бактерий в сухом обезжиренном молоке. Velasco James, Moats W. A. Relation between lactic acid and direct microscopic counts for bacteria in nonfat dry milk. «J. Dairy Sci.», 1959, 42, № 11, 1785—1791 (англ.).—В результате исследования 50 проб сухого обезжиренного молока (СОМ) распылительной сушки и обработки полученных данных установлены следующие коэф. корреляции между содержанием молочной к-ты (I) и бактериальной обсемененностью СОМ: при определении кот-ва I ионообменным методом 0,828, методом Ling 0,838, методом Davidson 0,810 и методом Golden State 0,844. Первый способ определения кот-ва I

оказался наиболее точным, но длительным, второй — более быстрым. Полученные результаты подтверждают, что при повышенном содержании I бактериальная обсемененность СОМ выше.

6Н131. Характеристики тугоплавких триглицеридных фракций оболочек жировых шариков и молочного жира коровьего молока. Thompson M. P., Brainer J. R., Stine C. M. Characteristics of high-melting triglyceride fractions from the fat-globule membrane and butter oil of bovine milk. «J. Dairy Sci.», 1958, 42, № 10, 1651—1658 (англ.).—Фракция триглицеридов с высокой т-рой плавления (ФТГ) выделена из спирто-эфирного экстракта оболочек жировых шариков из спирт. экстракта молочного жира, ФТГ характеризовалась йодным числом в пределах 4,8—5,0; числом омыления 200—202, т. пл. 50,0—52,5° и спектральной кривой в УФ-области, в области, близкой к ИК-области, и в ИК-области на участках 220—340 мμ, 1,6—3,1 мμ и 2—14 мμ. Состав жирных к-т ФТГ определен методом газовой хроматографии их метиловых эфиров (в мол.%): C<sub>10</sub> 0,1; C<sub>12</sub> 0,9; C<sub>14</sub> 11,0; C<sub>16</sub> 59,6; C<sub>18</sub> 16,5; C<sub>18</sub> с 1 двойной связью 5,6; C<sub>18</sub> с 2 двойными связями 0,4; C<sub>18</sub> с 3 двойными связями 0,2 и неидентифицированных к-т 5,8. Сравнением с хроматограммами известных жирных к-т было установлено, что состав ФТГ жира и оболочек жировых шариков одного и того же молока одинаков.

6Н132. Фильтрование сливок. Grittall G. C., Gunis L. F., Pickhaver G. S., Howey I., Hills G. Loftus. Filtration of cream. «Austral. J. Dairy Technol.», 1959, 14, № 3, 129—134 (англ.).—Фильтрование сливок до пастеризации имеет значительные преимущества по сравнению с проведением этого процесса после пастеризации, хотя для этого требуется предварительное нагревание их. Это позволяет избежать забивания пор фильтра белковыми в-вами и связанными с этим трудностей по удалению их, а также устраняет возможность вторичного бактериального загрязнения продукта. Т-ра нагревания сливок перед фильтрованием должна быть достаточной для перевода жира в расплавленное состояние. Удовлетворительные результаты получают при 40,5°. Для фильтра рекомендуется найлоновая ткань типа парашютной с отверстиями в 50—100 мμ. Приводятся детали подходящих типов фильтров и даются указания по обращению с ними и мойке. Обсуждаются требования к фильтрующей ткани для фильтрации сливок после пастеризации.

6Н133. Получение сливок и изготовление масла. Gebhardt Hermann. Rahmgewinnung und Butterherstellung einst und jetzt. «Molk.-Ztg.», 1960, 14, № 38, 1181—1185 (нем.).—Исторический обзор развития методов и машин для сепарирования молока и произ-ва сливочного масла.

6Н134. Изучение характера движения продукта в маслообразователе. Никуличев П. «Молоч. пром-сть», 1960, № 8, 9—11.—Изучение движения продукта в маслообразователе при помощи р-ра красителя (метиленового синего), вводимого в кол-ве 50 мл во второй цилиндр аппарата при его работе, показало, что наилучшая термомеханич. обработка кристаллизующегося масла достигается при установке ножей под углом 35° и ширине продуктовой щели при производительности (в кг/час) 450—15 мм, 650—22 мм и 850—29 мм. Снятый с поверхности цилиндра охлажденный слой быстро и равномерно распределяется по всей массе продукта, что приводит к интенсивной кристаллизации глицеридов и получению масла однородной консистенции. Лучшая обработка масла получается при частоте перемешивания кристаллизующейся массы 5—7 раз в 1 сек., что достигается при применении указанных барабанов при 100 об/мин.

6Н135. Хлорирование воды для промывки масла и влияние на качество кисломолочного масла, проми-

того до р. J. A., Le ter in rel Austral.

Г. Титов (англ.).— для проми для повыс В настоя нения та ла. К при ма добав туры Str. изводили 50 мл/л. М делил дом, под кой. Уста на содер и на аль стелу и

6Н136. изводили 50 мл/л. М делил дом, под кой. Уста на содер и на аль стелу и

6Н137. изводили 50 мл/л. М делил дом, под кой. Уста на содер и на аль стелу и

6Н138. изводили 50 мл/л. М делил дом, под кой. Уста на содер и на аль стелу и

6Н139. изводили 50 мл/л. М делил дом, под кой. Уста на содер и на аль стелу и

6Н140. изводили 50 мл/л. М делил дом, под кой. Уста на содер и на аль стелу и

6Н141. изводили 50 мл/л. М делил дом, под кой. Уста на содер и на аль стелу и

6Н142. изводили 50 мл/л. М делил дом, под кой. Уста на содер и на аль стелу и

6Н143. изводили 50 мл/л. М делил дом, под кой. Уста на содер и на аль стелу и

6Н144. изводили 50 мл/л. М делил дом, под кой. Уста на содер и на аль стелу и

6Н145. изводили 50 мл/л. М делил дом, под кой. Уста на содер и на аль стелу и

6Н146. изводили 50 мл/л. М делил дом, под кой. Уста на содер и на аль стелу и

6Н147. изводили 50 мл/л. М делил дом, под кой. Уста на содер и на аль стелу и

6Н148. изводили 50 мл/л. М делил дом, под кой. Уста на содер и на аль стелу и

6Н149. изводили 50 мл/л. М делил дом, под кой. Уста на содер и на аль стелу и

6Н150. изводили 50 мл/л. М делил дом, под кой. Уста на содер и на аль стелу и

6Н151. изводили 50 мл/л. М делил дом, под кой. Уста на содер и на аль стелу и

6Н152. изводили 50 мл/л. М делил дом, под кой. Уста на содер и на аль стелу и

второй на-  
подтвержда-  
стернальни  
Г. Титов  
и глициди-  
молочного  
P. Brui-  
f high-mel-  
le membra-  
Sci., 1959,  
глициди-  
из сир-  
шариков  
характер-  
5,0; число  
экстрак-  
ИК-обла-  
мн, 1,8-  
определя-  
ых эфиро-  
6, Сис 16,5;  
и связям  
тифициро-  
ммами на-  
его состав-  
того и того  
А. Годель  
G., G. и  
Hills G.  
J. Dairy  
Фильтров-  
ные пре-  
его процес-  
еся пред-  
избегать  
связанных  
устраняет  
грозения  
филтрово-  
да жира в  
ые ре-  
рекоме-  
с отвер-  
дхующих  
оценку с  
филтрую-  
пастериза-  
А. Годель  
не масла.  
und But-  
1960, 14,  
развития  
олока в  
А. Титов  
одукта в  
«Молоч-  
ния про-  
ве 50 м  
показа-  
кристал-  
е ножей  
л произ-  
22 мн и  
охлажд.  
сей мас-  
сталлизо-  
кой кон-  
еся при  
массы  
ния ука-  
огоршья  
масла и  
проми-

того до pH 6,6—6,8. McDowall F. H., Singleton J. A., Le Heron B. S. Chlorination of butter wash water in relation to quality of sweet cream starter butter. «Austral. J. Dairy Technol.», 1959, 14, № 3, 137—140 (англ.).—В практике маслодельной пром-сти для промывки масла применяется вода с содержанием активного хлора  $> 5$  мг/л. Вторым ранее установлено, что для промывки сладкосливочного масла можно без вреда повысить содержание активного хлора до 50 мг/л. В настоящей работе исследована возможность применения такой воды при промывке кисломолочного масла. К пропущенным через вакреатор и охлажд. сливкам добавляли 1—5% обычной закваски и 1—5% культуры *Str. diacetylactis*. Промывку масляного зерна производили водой с содержанием активного хлора 20—50 мг/л. Масло хранили 4—8 месяцев при  $-10^\circ$  и определяли изменение его качества в сравнении с маслом, подвергавшимся промывке нехлорированной водой. Установлено, что хлорированная вода не влияла на содержание диацитила в масле до и после хранения и на альдегидное и перекисное число жира (по Шибстеду и Ли).

А. Годель  
6Н136. Некоторые соображения о стойкости сливочного масла. Jęsiak Henryk, Nabaj Bronisław. Niektóre uwagi na temat trwałości masła. «Zprz. mleczarski», 1958, № 12, 8—11 (польск.).

6Н137. Качество и стойкость непромытого несоленого масла. McDowall F. H., Singleton J. A., Le Heron B. S. Quality and keeping quality of non-washed unsalted butter. «Austral. J. Dairy Technol.», 1959, 14, № 3, 125—128 (англ.).—В опытных производственных условиях из одной партии сливок проведены 3 обойки масла: непромытого соленого (НСМ), промытого несоленого (ПНМ) и непромытого несоленого (ННМ). В органолептич. оценке этих видов масла не имелось заметной разницы при экспертизе в свежем состоянии и после 4 месяцев хранения при  $-10^\circ$ . После 8 месяцев хранения оценка масла соответственно была 93,58; 93,25 и 93,13 баллов. ННМ имело сладковатый молочный привкус, обусловленный более высоким содержанием обезжиренного молочного остатка. Установлено, что ННМ эквивалентно по качеству и стойкости ПНМ, а НСМ является наиболее стойким.

А. Годель  
6Н138. Методы регулирования консистенции масла. Dolby R. M. Methods of controlling the consistency of butter. «Austral. J. Dairy Technol.», 1959, 14, № 3, 103—109 (англ.).—Применение шведского метода температурной обработки сливок после пастеризации (предварительное охлаждение до  $8^\circ$  в течение 1—2 час, нагревание до  $19^\circ$  в течение 4—6 час. и охлаждение до т-ры сбивания) в условиях Новой Зеландии, где максим. твердость масла бывает летом, а миним.—весной, значительно улучшает консистенцию масла при нормальной потере жира. Вполне удовлетворительные результаты достигнуты при сокращении продолжительности предварительного охлаждения до 8 сек. при  $4-4,5^\circ$ , что позволило охлаждение и нагревание осуществлять при одном пропускании сливок через пластинчатый теплообменник. Для максим. снижения твердости масла оказалось достаточным нагревание 30—60 мин. Процесс может быть полунепрерывным при проведении темперирования в небольших ваннах, откуда сливки перекачивают через пластинчатый холодильник в сливкосозревательные ванны. А. Годель

6Н139. Синтез и свойства различных производных жиров и молочной кислоты. Génin G. Préparation et propriétés de différents composés dérivés de corps gras et de l'acide lactique. «Lait», 1959, 39, № 389—390, 616—620 (франц.).—Описание синтеза шести новых глицеридов молочной к-ты. Молочную к-ту вводили в эфир в виде производного о-бензилмолочной к-ты. Свойства синтезированных препаратов сравнивались со свойствами уже известных соединений, выделен-

ных из жиров. Полученные соединения могут найти применение в качестве добавок к различным пищевым продуктам.

А. Годель  
6Н140. Некоторые наблюдения над слабыми и энергичными кислотообразующими вариантами *Streptococcus cremoris* и *Streptococcus lactis*, используемыми в качестве заквасок для сыров. Carvie Ellen I. Some observations on slow and fast acid-producing variants of strains of *Streptococcus cremoris* and *Str. lactis* used as cheese starters. «J. Dairy Res.», 1959, 26, № 3, 227—237 (англ.).—При ежедневном пересеве смеси слабых и энергичных штаммов *Str. cremoris* 924 установлено, что клетки обоих штаммов энергично образуют молочную к-ту, независимо от начального соотношения между штаммами. Наличие углекислоты улучшает рост *Str. cremoris*. При правильном отборе чистые культуры *Str. lactis* и *Str. cremoris* могут поддерживаться при ежедневных пересевах длительное время. Сублиминационный метод сушки вполне пригоден для сохранения первоначальных свойств чистых культур молочнокислых бактерий, входящих в состав заквасок.

В. Богданов  
6Н141. Действие Hibitane (хлоргексидина) на культуры заквасок для сыров. Keagh Barbara P. Effect of «Hibitane» (chlorhexidine) on cheese starter cultures. «Austral. J. Dairy Technol.», 1959, 14, № 3, 143 (англ.).—При соблюдении условий применения дезинфицирующего в-ва Hibitane при обмывании вымени коров перед доением оно не вызывает ослабления заквасок для сыров. Однако более высокие дозы вызывают подавление развития микрофлоры заквасок.

В. Богданов  
6Н142. Зависимость между термической обработкой молока, содержанием сухого обезжиренного остатка, а также содержанием хлористого кальция и плотностью сычужного сгустка обезжиренного молока. Dill C. W., Roberts W. M. Relationships of heat treatment, solids-not-fat, and calcium chloride to the curd tension of skimmilk. «J. Dairy Sci.», 1959, 42, № 11, 1792—1799 (англ.).—Ухудшение плотности сычужного сгустка в результате нагревания молока 30 мин. при  $62^\circ$ , а также низкого содержания сухого обезжиренного остатка можно исправить или добавлением сухого обезжиренного молока, или внесением  $\text{CaCl}_2$ . Указано, что добавление  $\text{CaCl}_2$  до конц-и  $> 0,08\%$  не вызвало горьковатого привкуса в молоке.

Г. Титов  
6Н143. Исследование созревания сыров при смазывании их поверхности. Olšanský Čestmír, Mařa Vladimír. Studium zrání sýrů pod nátěry. «Průmysl potravin», 1959, 10, № 10, 515—525 (чешск.).—Сравнена экономич. эффективность ухода за сыром при различных способах обработки их поверхности на период созревания (обычная обмывка, парафинирование, смазывание, завертка в синтетич. пленки). Установлено, что для получения максим. эффективности с точки зрения производительности труда, снижения потерь и трудовых затрат голландские сыры после выдерживания в бродильном помещении следует смазывать вазелином, моравский крутый и эментальский сыры — льняным маслом. Рекомендуются внедрение созревания сыров в пленке из поливинилацетата. Различные способы обработки поверхности не влияли на качество сыров.

Г. Титов  
6Н144. Стерилизация вкусовых добавок для плавленых сыров. Miláček Pravoslav. Sterilizace chut' ových přísad k taveným sýrům. «Průmysl potravin», 1959, 10, № 10, 541—542 (чешск.).—Для стерилизации тмин промывают чистой проточной водой, заливают 3%-ным р-ром  $\text{H}_2\text{O}_2$ , выдерживают при периодич. помешивании 15—30 мин., отделяют зерна от р-ра процеживанием через ткань и сушат их при  $30-90^\circ$ . Тот же эффект достигается при нагревании сухим жаром тмина 2 часа при  $140^\circ$ . При выдерживании тмина с  $\text{H}_2\text{O}_2 > 30$  мин. или нагревании сухим жаром  $> 140^\circ$  его ароматич.



в-ва разлагаются. Стерилизация молотого перца и лука возможна лишь первым способом или паром в автоклаве, так как при  $t\text{-ре} \geq 140^\circ$  их ароматич. в-ва разлагаются. При указанных режимах микроорганизмы и их споры погибают.

Г. Титов  
6Н145. Внедрение поточных линий в сыроделии. Розанов А., Остроумов З. «Молочн. пром-сть», 1960, № 10, 4—7.—Изложены технологич. особенности поточного произ-ва сыра: резервирование и созревание молока, нормализация начального уровня молочнокислого брожения, ускорение процессов сычужного свертывания молока, обезвоживания сырной массы, прессования и посола сыра, формование сыра переливным способом. Указаны условия эксплуатации нового оборудования: сыроизготовителей, формовочных аппаратов и пневматич. прессов с автоматич. регулированием подачи сжатого воздуха. Даны рекомендации по монтажу сыроизготовителей и работе на них, а также по формованию сыра в передвижной формовочной ванне. Приведены график работы поточной линии при переработке 14 т молока в смену с распределением обязанностей между рабочим персоналом цеха и схема размещения сыроизготовителей и оборудования в цехе.

А. Розанов  
6Н146. Исследование кристаллических образований в сыре качкавал. Гиргинов Т., Кондратенко. Научн. тр. Висп. ин-т хранит. и вкус. пром-ст. Пловдив, 1960, 7, 495—503 (болг.; рез. русск., франц.).—Приведены результаты исследования состава кристаллич. образований, возникающих после 3 месяцев созревания и хранения сыра качкавал вначале в подкорковом слое, а затем во всей сырной массе. Состав кристаллов (в %): сухое в-во 77,6—82,4; вода 17,5—22,4; общий белок в сухом в-ве 29,3—42,6; растворимый белок 16,5—39,4. Содержание Са в кристаллах в 29—42 раза превышало содержание Р. Состав и содержание свободных аминокислот в кристаллич. образованиях тождественны составу и содержанию аминокислот в сыре.

Г. Джилавадарова  
6Н147. Использование окислительно-восстановительных индикаторов при сравнении на кислородопроницаемость пленок, применяемых для упаковки сыра. Dolby R. M. The use of an oxidation-reduction indicator to compare the oxygen permeabilities of films for rindless cheese. «J. Dairy Res.», 1959, 26, № 3, 281—283 (англ.).—Сравнивалась степень обесцвечивания поверхности бескоркового сыра (цельного куска или нарезанного ломтиками), окрашенной 0,25%-ным водн. р-ром метиленового синего, при хранении в различных пленках. Наблюдения показали: с увеличением проницаемости кислорода через пленку окраска поверхности сыра сохраняется дольше; с уменьшением проницаемости восстановление метиленового синего, сопровождаемое обесцвечиванием, происходит скорее. Указывается на возможность ложных выводов при негерметичности упаковки и проницаемости кислорода через швы.

Г. Титов  
6Н148. Об оборудовании для холодильных камер. Burley H., Perry E. J. Cold store design. «Dairy Engng.», 1960, 77, № 1, 10—11, 24 (англ.).—Обсуждаются возможности использования оборудования холодильных камер кратковременного хранения бутылочного молока для длительного хранения масла и сыра.

Г. Титов  
6Н149. О применении ультрафиолетового света в качестве способа определения свежести охлажденных потрошенных цыплят. Shrimpton D. H., Stevens B. T. H. Observations on the use of ultra violet light as a method of determining freshness in refrigerated eviscerated broilers. «World's Poultry Sci.», 1959, 15, № 4, 362—367 (англ.).—Проведены исследования явления синевато-зеленой флуоресценции (Ф), возбуждаемой УФ-светом на внутренней полости потрошенных тушек цыплят, обработанных хлортетра-

циклином, при их хранении в охлажд. состоянии. Ф обнаруживается за несколько дней до того, когда порча мяса может быть определена по неприятному запаху тушек; интенсивность Ф после появления вначале возрастает, затем по достижении максимума (в условиях проведенных опытов после 8—10 дней хранения) постепенно снижается и, наконец, совершенно исчезает (в опытах в 4 случаях из 6 к 15 дню хранения). Причиной Ф является появление и развитие на мясе дрожжей *Candida zeylanoides* и *Rhodotorula mucilaginosa* и, особенно, несовершенных грибов *Pullularia pullulans*. Дальнейшие исследования по инкубации чистых культур этих микроорганизмов показали, что присутствие их не всегда сопровождается Ф; изучение специфич. условий появления Ф не производилось, поскольку признано, что Ф на мясе появляется еще на ранних стадиях его хранения и не может служить полезным показателем, предупреждающим о близкой порче обработанного антибиотиками мяса бройлерной птицы.

С. Светов  
6Н150. Мясо буйволиц. Нешев Илия. Биволът и биволското месо. «Хранит. пром-ст.», 1960, 9, № 8, 29—30, 55, 56 (болг.; рез. русск., франц., англ., нем.).—О преимуществах применения мяса буйволиц (особенно специально откормленных) при произ-ве ряда мясных продуктов, в частности сырокопченых и вяленых колбас. Мясо отличается большей жирностью, причем жир белого цвета, со специфич. вкусом и ароматом. Обсуждается вопрос об увеличении поголовья буйволиц.

Г. Джилавадарова  
6Н151. Влияние введения гексаметафосфата натрия перед посмертным окоченением мяса на его нежность и некоторые химические свойства. Kamstra L. D., Saffle R. L. The effects of a pre-rigor infusion of sodium hexametaphosphate on tenderness and certain chemical characteristics of meat. «Food Technol.», 1959, 13, № 11, 652—655 (англ.).—Для изучения влияния Na-гексаметафосфата (I) на pH, цвет и нежность мяса в свиные окорока, отделенные от туш сразу после убоя, в беденную артерию вводили 23,3%-ный водн. р-р I с pH 7,65, при  $t\text{-ре } 38^\circ$  или р-р I с различным кол-вом молочной к-ты до увеличения первоначального веса окорока на 5%. В контрольные окорока от той же туши вводили воду. Окорока хранили при  $2^\circ$  в течение 72 час. Наблюдалась значительная разница в нежности окороков, не обработанных и обработанных I или смесью I с молочной к-той. В окороках после введения I отмечалось массивное уплотнение мышечной ткани, а затем размягчение, в контрольных окороках — непрерывное уплотнение по всему окороку. В обработанных и необработанных окороках содержание гликогена после хранения было значительно меньше, чем при закладке на хранение. В окороках, в которые вводили I, отмечался более высокий pH, большее содержание гликогена и более темная окраска. Добавление к I молочной к-ты улучшало вкус мяса.

Н. Покидов  
6Н152. О возможности регулирования процесса созревания некоторых мясных продуктов. Ionescu T. Cu privire la dirijarea procesului de maturare a unor preparate de carne. «Ind. aliment. Prod. anim.», 1960, 8, № 3, 71—73 (рум.; рез. русск., англ., франц., нем.).—О применении некоторых бактериальных препаратов при созревании колбас. Введение их в колбасный фарш усиливает действие молочных и денитрифицирующих бактерий, снижает кол-во сахара и таким образом обеспечивает оптимальные условия для созревания, особенно сырокопченых колбас. В результате продукт приобретает приятный вкус и специфич. красный цвет. Применение указанных препаратов обеспечивает постоянно хорошее качество продуктов. Библиограф. 10 назв.

По резюме автора  
6Н153. Изменение содержания коллагена при таком способе тепловой обработки мяса из двух разных

частей туш. Cover S. on the use of Technol.», 1959, 13, № 11, 652—655 (англ.).—Для изучения влияния Na-гексаметафосфата (I) на pH, цвет и нежность мяса в свиные окорока, отделенные от туш сразу после убоя, в беденную артерию вводили 23,3%-ный водн. р-р I с pH 7,65, при  $t\text{-ре } 38^\circ$  или р-р I с различным кол-вом молочной к-ты до увеличения первоначального веса окорока на 5%. В контрольные окорока от той же туши вводили воду. Окорока хранили при  $2^\circ$  в течение 72 час. Наблюдалась значительная разница в нежности окороков, не обработанных и обработанных I или смесью I с молочной к-той. В окороках после введения I отмечалось массивное уплотнение мышечной ткани, а затем размягчение, в контрольных окороках — непрерывное уплотнение по всему окороку. В обработанных и необработанных окороках содержание гликогена после хранения было значительно меньше, чем при закладке на хранение. В окороках, в которые вводили I, отмечался более высокий pH, большее содержание гликогена и более темная окраска. Добавление к I молочной к-ты улучшало вкус мяса.

С. Светов  
6Н154. Мясо буйволиц. Нешев Илия. Биволът и биволското месо. «Хранит. пром-ст.», 1960, 9, № 8, 29—30, 55, 56 (болг.; рез. русск., франц., англ., нем.).—О преимуществах применения мяса буйволиц (особенно специально откормленных) при произ-ве ряда мясных продуктов, в частности сырокопченых и вяленых колбас. Мясо отличается большей жирностью, причем жир белого цвета, со специфич. вкусом и ароматом. Обсуждается вопрос об увеличении поголовья буйволиц.

Г. Джилавадарова  
6Н155. Влияние введения гексаметафосфата натрия перед посмертным окоченением мяса на его нежность и некоторые химические свойства. Kamstra L. D., Saffle R. L. The effects of a pre-rigor infusion of sodium hexametaphosphate on tenderness and certain chemical characteristics of meat. «Food Technol.», 1959, 13, № 11, 652—655 (англ.).—Для изучения влияния Na-гексаметафосфата (I) на pH, цвет и нежность мяса в свиные окорока, отделенные от туш сразу после убоя, в беденную артерию вводили 23,3%-ный водн. р-р I с pH 7,65, при  $t\text{-ре } 38^\circ$  или р-р I с различным кол-вом молочной к-ты до увеличения первоначального веса окорока на 5%. В контрольные окорока от той же туши вводили воду. Окорока хранили при  $2^\circ$  в течение 72 час. Наблюдалась значительная разница в нежности окороков, не обработанных и обработанных I или смесью I с молочной к-той. В окороках после введения I отмечалось массивное уплотнение мышечной ткани, а затем размягчение, в контрольных окороках — непрерывное уплотнение по всему окороку. В обработанных и необработанных окороках содержание гликогена после хранения было значительно меньше, чем при закладке на хранение. В окороках, в которые вводили I, отмечался более высокий pH, большее содержание гликогена и более темная окраска. Добавление к I молочной к-ты улучшало вкус мяса.

Н. Покидов  
6Н156. Влияние введения гексаметафосфата натрия перед посмертным окоченением мяса на его нежность и некоторые химические свойства. Kamstra L. D., Saffle R. L. The effects of a pre-rigor infusion of sodium hexametaphosphate on tenderness and certain chemical characteristics of meat. «Food Technol.», 1959, 13, № 11, 652—655 (англ.).—Для изучения влияния Na-гексаметафосфата (I) на pH, цвет и нежность мяса в свиные окорока, отделенные от туш сразу после убоя, в беденную артерию вводили 23,3%-ный водн. р-р I с pH 7,65, при  $t\text{-ре } 38^\circ$  или р-р I с различным кол-вом молочной к-ты до увеличения первоначального веса окорока на 5%. В контрольные окорока от той же туши вводили воду. Окорока хранили при  $2^\circ$  в течение 72 час. Наблюдалась значительная разница в нежности окороков, не обработанных и обработанных I или смесью I с молочной к-той. В окороках после введения I отмечалось массивное уплотнение мышечной ткани, а затем размягчение, в контрольных окороках — непрерывное уплотнение по всему окороку. В обработанных и необработанных окороках содержание гликогена после хранения было значительно меньше, чем при закладке на хранение. В окороках, в которые вводили I, отмечался более высокий pH, большее содержание гликогена и более темная окраска. Добавление к I молочной к-ты улучшало вкус мяса.

Н. Покидов  
6Н157. Влияние введения гексаметафосфата натрия перед посмертным окоченением мяса на его нежность и некоторые химические свойства. Kamstra L. D., Saffle R. L. The effects of a pre-rigor infusion of sodium hexametaphosphate on tenderness and certain chemical characteristics of meat. «Food Technol.», 1959, 13, № 11, 652—655 (англ.).—Для изучения влияния Na-гексаметафосфата (I) на pH, цвет и нежность мяса в свиные окорока, отделенные от туш сразу после убоя, в беденную артерию вводили 23,3%-ный водн. р-р I с pH 7,65, при  $t\text{-ре } 38^\circ$  или р-р I с различным кол-вом молочной к-ты до увеличения первоначального веса окорока на 5%. В контрольные окорока от той же туши вводили воду. Окорока хранили при  $2^\circ$  в течение 72 час. Наблюдалась значительная разница в нежности окороков, не обработанных и обработанных I или смесью I с молочной к-той. В окороках после введения I отмечалось массивное уплотнение мышечной ткани, а затем размягчение, в контрольных окороках — непрерывное уплотнение по всему окороку. В обработанных и необработанных окороках содержание гликогена после хранения было значительно меньше, чем при закладке на хранение. В окороках, в которые вводили I, отмечался более высокий pH, большее содержание гликогена и более темная окраска. Добавление к I молочной к-ты улучшало вкус мяса.

Н. Покидов  
6Н158. Влияние введения гексаметафосфата натрия перед посмертным окоченением мяса на его нежность и некоторые химические свойства. Kamstra L. D., Saffle R. L. The effects of a pre-rigor infusion of sodium hexametaphosphate on tenderness and certain chemical characteristics of meat. «Food Technol.», 1959, 13, № 11, 652—655 (англ.).—Для изучения влияния Na-гексаметафосфата (I) на pH, цвет и нежность мяса в свиные окорока, отделенные от туш сразу после убоя, в беденную артерию вводили 23,3%-ный водн. р-р I с pH 7,65, при  $t\text{-ре } 38^\circ$  или р-р I с различным кол-вом молочной к-ты до увеличения первоначального веса окорока на 5%. В контрольные окорока от той же туши вводили воду. Окорока хранили при  $2^\circ$  в течение 72 час. Наблюдалась значительная разница в нежности окороков, не обработанных и обработанных I или смесью I с молочной к-той. В окороках после введения I отмечалось массивное уплотнение мышечной ткани, а затем размягчение, в контрольных окороках — непрерывное уплотнение по всему окороку. В обработанных и необработанных окороках содержание гликогена после хранения было значительно меньше, чем при закладке на хранение. В окороках, в которые вводили I, отмечался более высокий pH, большее содержание гликогена и более темная окраска. Добавление к I молочной к-ты улучшало вкус мяса.

частей туш крупного рогатого скота. Irvin Lanell, Cover Sylvia. Effect of dry heat method of cooking on the collagen content of two beef muscles. «Food Technol.», 1959, 13, № 11, 655—658 (англ.).—Определялось содержание азота в коллагеновых волокнах двух мускулов — longissimus dorsi (LD) и biceps femoris (BF), вырезанных из 26 туш животных; результаты сопоставлялись с ранее полученными органолептическими оценками нежности соединительной ткани тех же мускулов. Содержание азота в коллагеновых волокнах LD в сыром и жареном виде значительно ниже, чем в BF; содержание его в поджаренных образцах LD и BF на 25% ниже кол-ва, содержащегося в соответствующих сырых образцах, вследствие перехода части коллагена в желатину. Органолептические оценки нежности соединительной ткани BF были ниже оценок LD, это указывает на существование обратной зависимости между кол-вом коллагена, определяемым в условиях данного исследования, и нежностью соединительной ткани мяса.

С. Светов  
6Н154. Введение однофазного метода замораживания мяса. Серебряный И. «Мясн. индустрия СССР», 1960, № 5, 8.—Рассмотрены вопросы переоборудования сооружающихся крупных мясокомбинатов с холодильниками емк. 4 тыс. т и морозилками производительностью 84 т в сутки в связи с переводом морозилок с двухфазного на однофазное замораживание продуктов. При переводе морозилок на однофазный метод замораживания мощность их увеличивается на 36 т и высвобождаются 4 камеры охлаждения (с т-рой 0°) емк. 60 т.

Г. Джиладарова  
6Н155. Исследование микрофлоры мяса свиней в зависимости от продолжительности процессов убоя и обработки. Енчев Стр. Прочувстване на микрофлората на закланите свине в зависимост от времетраенето на заклането. «Научни тр. Н.-п. ветеринарнотехн. и контролен ин-т живот. продукти», 1959, 1, 97—101 (болг.; рез. русск., нем.).—Исследована микрофлора мяса свиней (весом > 100 кг), продолжительность первичной обработки которых (от электроошуживания до разделки включительно) составляла 30, 50 и 67 мин. При продолжительности обработки 67 мин. кол-во проникшей в мясо микрофлоры из желудочно-кишечного тракта и извне было значительно больше, чем при обработке 30 мин. Из проникших в мясо микроорганизмов преобладали *Micrococcaceae* и *Enterobacteriaceae*. Кол-во *Enterobacteriaceae*, бацилл и кластридий, и главным образом условно патогенных *E. coli* и *B. proteus*, возрастает в мясе пропорционально увеличению продолжительности первичной обработки. Рекомендуются сократить продолжительность обработки туш до 30 мин. путем механизации процессов шпакри, зачистки и опалки туш.

Из резюме автора  
6Н156. Влияние некоторых дезинфицирующих средств на бактериальную обсемененность и продолжительность хранения мяса. Делчев Хр., Йорданов Ив., Ванцарова М., Славков Ил., Савов Д., Станоев Ст. Влияние на някои дезинфекционни средства върху бактериалното замърсяване и трайността на месото. «Научни тр. Н.-п. ветеринарнотехн. и контролен ин-т живот. продукти», 1959, 1, 110—118 (болг.; рез. русск., нем.).—Изучали эффективность действия р-ров 1,5%-ного хлорной извести, 0,02%-ного аммаргена и 10%-ного  $\text{CH}_3\text{COOH}$ , а также холодной воды при мокрым туалете туш. Лучшие результаты получены при обработке туш 0,02%-ным р-ром аммаргена и 10%-ным р-ром  $\text{CH}_3\text{COOH}$ . Отмечена более слабая эффективность 1,5%-ного р-ра хлорной извести; после 8 дней хранения кол-во микроорганизмов на поверхности туш увеличивается. Промывка туш струей холодной воды не увеличивает срок хранения туш.

Г. Джиладарова  
6Н157. Холодильная камера для хранения свиных и говядины. Korgaard A., Larsen H. C. Strå-

lekølerum til svin og kreaturer. «Kulde», 1960, 14, № 4, 39—41, 45 (датск.; рез. англ.).—См. РЖХим, 1960, № 11, 44695.

6Н158. О ветеринарно-санитарной экспертизе солонины и шпига. Мирзоев Я. Б. «Тр. Моск. вет. акад.», 1959, 25, 217—226 (рез. англ.).—Для определения качества солонины рекомендуются следующие методы: определение содержания аминокислотного азота, концентрации водородных ионов, летучих жирных к-т, флуоресценция вытяжек, цветная окислительная р-ция (ЦОР) и бактериоскопия. Рассол наиболее полно характеризуют следующие показатели: величина рН, окислительно-восстановительный потенциал, ЦОР. При исследовании солонины в небольших лабораториях можно ограничиться определением аминокислотного азота в предельных градусах, р-цией с 5%-ной сернистой медью в бульоне, ЦОР и бактериоскопией. Для оценки санитарного качества соленого шпига рекомендуется определение кислотного числа, перекисного числа и р-ции на альдегиды. Окончательное заключение об условиях использования солонины и шпига дается на основе всестороннего анализа показаний лабор. и органолептических методов исследования.

Резюме автора  
6Н159. Исследование различных модификаций мяса, высушенного методом сублимации. Hamdy M. K., Cahill V. R., Deatherage F. E. Some observations on the modification of freeze dehydrated meat. «Food Res.», 1959, 24, № 1, 79—90 (англ.).

6Н160. Новый способ вакуумной сушки мяса. Grau R., Schultheiß A. Ein neues Vakuumverfahren zur Herstellung von Trockenfleisch. «Fleischwirtschaft», 1960, 12, № 10, 827—828, 831—832 (нем.; рез. англ., франц., исп., итал.).—Описан способ сушки (в лабор. условиях) сырого или вареного мяса в вакууме при 36° при непрерывном удалении испаряющейся влаги с применением силикагеля для дополнительной адсорбции паров. Высушенное таким способом мясо пригодно для приготовления супа, а также блюд из вареного или жареного мяса. Рекомендовано также использование для супов жидкости, остающейся после восстановления сухого мяса, содержащей водорастворимые в-ва мяса. Продолжительность процесса восстановления сушеного предварительно сваренного мяса значительно меньше, чем сушеного сырого мяса. Сушеное мясо, упакованное в вакууме или в атмосфере  $\text{N}_2$ , хорошо сохраняется. Библ. 22 назв.

Г. Джиладарова  
6Н161. Созреватель непрерывного действия. Бобылев С. «Мясн. индустрия СССР», 1960, № 2, 14—17.—Описание установки непрерывного действия для созревания измельченного и посоленного мяса. По спец. разработанному методу созревания жилованное мясо (охлажд. или дефростированная говядина или свинина) измельчают в волчке с диаметром отверстий решетки 2—3 мм. Измельченное мясо смешивают с NaCl, селитрой или водн. р-ром нитрита в мешалке с добавлением чешуйчатого льда, если т-ра мяса > 6°. Перемешанный фарш поступает в созреватель. Продолжительность посола мяса и непрерывность процесса зависят от емкости созревателя. Емкость определяют по ф-ле  $V = Q t_p / t_c$ , где  $V$  — емкость в л;  $Q$  — вес жилованного мяса в кг;  $t_c$  — принятое технологией время выдержки мяса в посоле в часах;  $t_p$  — время работы созревателя в смену в часах. Уд вес мяса условно принят за единицу. Установка обеспечивает за две смены посол и выдержку > 13 т мяса. Приведена схема устройства созревателя. Г. Джиладарова

6Н162. Содержание соли в копченых изделиях. Barvíř Josef. Stanost uzenářských výrobků. Funfálek Augustin. «Průmysl potravin», 1959, 10, № 10, 533—535 (чешск.).—Приведены результаты серии контрольных анализов копченых мясных продуктов. Обсуждены причины отклонений содержания соли от нормы

(обычно в сторону завывшения) и приведены конкретные рекомендации для улучшения технологии.

Т. Зварова

**6Н163.** Контроль плотности дыма и температуры продукта в обжарочно-копильных камерах. Мизикин С., Чаматов С. «Мясн. индустрия СССР», 1960, № 5, 13—15.—Краткое описание дистанционного малоинерционного термометра для контроля т-ры непосредственно в продукте в процессе его обработки и подробное описание дымомера ДМ-2 для определения плотности дыма в копильных камерах при термич. обработке колбасных изделий и свинокоченостей. Действие дымомера основано на измерении ослабления интенсивности светового потока при прохождении его через слой дыма и сравнении с оптич. плотностью стандартных нейтр. светофильтров. Приведены рисунок и схема устройства дымомера. А. Прогорович

**6Н164.** О рецептуре колбасных изделий. Осипов В., Федорова Л. «Мясн. индустрия СССР», 1960, № 5, 31.—О пересмотре существующих рецептур колбасных изделий с учетом следующих положений: уменьшение закладки шпига в колбасу высшего и I сорта и замене его по возможности свиным и говяжьим топленым жиром; измельчение шпига, особенно для вареных колбасных изделий, на салорезках или куттерах; использование сырья, не находящего сбыта (печень, мозги, птичье мясо, свиная шкурка, говяжьи головы и т. д.). Г. Джиладварова

**6Н165.** К быстрому определению влажности в колбасах при помощи индикаторной бумаги. Сообщение I. Lochmann E.-H. Zum Schenellnachweis des Wassergehaltes in Würsten (besonders in Brühwürsten) mit Hilfe von Indikator-Papier. I. Mitt. «Arch. Lebensmittelhyg.», 1959, 10, № 11, 250—251 (нем.).—Разработана объективный метод быстрого определения влажности колбасы с применением мелкопористой фильтровальной бумаги, предварительно высушенной и пропитанной индикатором. Бумагу прикладывают вплотную к поверхности разреза колбасы, в местах соприкосновения с влагой она окрашивается в другой цвет. По кол-ву и размеру пятен определяют влажность колбасы. Проведены испытания двух видов индикаторной бумаги для быстрого определения влажности охотничьей колбасы и мортаделлы: 1) бумага Presto (фирма Hansens Laboratorium, Любек, ФРГ), индикатором является бромфеноловый синий; в сухом виде бумага светло-желтая, при увлажнении покрывается пятнами темно-синего цвета; 2) бумага INDIPA (Firma Bactostrip A. G., Швейцария), в качестве индикатора применяется смесь продуктов конденсации замещ. сульфобензоксисоединений; под действием влаги ярко-красная бумага покрывается светло-желтыми пятнами. Установлено, что индикаторная бумага обоих видов пригодна для быстрого определения влажности колбасы с подозрением на превышение стандартного содержания влаги. И. Шахуняц

**6Н166.** Некоторые эпидемиологические факторы и этиология массового пищевого отравления колбасой метвурут. Славков Ил., Делчев Хр., Йорданов Ив., Савов Д., Крушев Б. Някои епидемиологични фактори и етиология на масово хранително отравнение чрез метвурут. «Научни тр. Н.-и. ветеринар. и контролен ил.-т живот. продукти», 1959, 1, 89—92 (болг.; рез. русск., нем.).—Из сырых колбас лука, наденца и метвурут, вызвавших массовое пищевое отравление, выделены три типа салмонеллы: 23 штамма *S. brandenburg*, 3 штамма *S. muenster* и 3 штамма *S. enteritidis*. Установлено, что инфицирование колбас явилось результатом нарушения санитарно-гигиенич. условий произ-ва (с оборудования колбасных цехов были выделены 4 штамма *S. brandenburg*, 1 штамм *S. muenster* и 1 штамм *S. enteritidis*). Г. Джиладварова

**6Н167.** Новое в технологии мяса. Morse Roy E. What's new in meat technology. «Meat», 1959, 51, 104—107 (англ.).—Краткий обзор новых машин, главным образом для произ-ва колбасных изделий, демонстрировавшихся на немецкой выставке оборудования для мясной пром-сти во Франкфурте в июне 1959 г. Предыдущее сообщение см. РЖХим, 1961, 5Н124. С. С.

**6Н168.** Ингредиенты посолочной смеси в мясных консервах. Kefford J. F. Curing ingredients in cured meats. «Food Preserv. Quart.», 1959, 19, № 3, 55—58 (англ.).—Изложены методы определения содержания в готовых мясных консервах поваренной соли, нитратов, нитритов и способных ображивать сахара. Библи. 19 назв. С. С.

**6Н169.** Влияние металлического железа на порчу закусовых консервов из свинины. Kempe L. L., Graikoski J. T. Effect of metallic iron on the spoilage of canned pork luncheon meat. «Food Technol.», 1959, 13, № 11, 650—651 (англ.).—Исследовано влияние добавления в мясные консервы порошка железа (3,3 г на 100 г мяса) на ускорение их порчи [рецептура консервов (в %): свинина 90,9; соль 3,6; сахар 2,7; Натрит 0,014; нитрит 0,007; специи 0,008; вода 2,7]. Опыты показали, что добавление железа значительно ускоряет порчу консервов, проявляющуюся в микробиологич. бомбаже банок: признаки порчи появлялись через 3—6 дней хранения при 29°. При инокуляции консервов спорами *Clostridium botulinum* и последующей инкубации при 29° микробиологич. бомбаж банок в результате жизнедеятельности оставшихся после стерилизации микробов наступает ранее, чем в продукте образуются токсины ботулизма, предупреждая таким образом возможность отравления без явно выраженной микробиологич. порчи консервов. С. Светов

**6Н170.** Лекции по консервированию пищевых продуктов. Мясные продукты. Консервирование мяса термической обработкой. Groeving A. B. G. Leergang in het verduurzamen van voedingsmiddelen. Vleesprodukten. Het verduurzamen van vleesprodukten door verhitten. «Conserva», 1960, 8, № 12, 308—313 (гол.).—Обзор изменений мяса при консервировании нагреванием и при хранении консервов. Предыдущее сообщение см. РЖХим, 1960, № 24, 98626. К. Герцфельд

**6Н171.** Ускоренный метод определения содержания влаги в мясопродуктах и медпрепаратах. Сухарев Н., Булычева О., Шибанова П. «Мясн. индустрия СССР», 1960, № 5, 16—18.—Исследована возможность применения прибора ВЧ для определения содержания влаги в мясопродуктах (альбумин пищевой и технич., костная и мясокостная мука, регулятор травления КС) и медпрепарата (ронидзада, пепсин сыровоточный, панкреатин, холезим в порошке и таблетках). Оптимальная т-ра высушивания большинства продуктов (навеска 2—3 г) 150°, за исключением пепсина и мясокостной муки; наилучшие результаты обезвоживания последних получены при т-ре 120 и 140° соответственно. Отклонения полученных данных от данных стандартного метода (высушивание при 105° до постоянного веса)  $\pm 0,1-0,4\%$ . Продолжительность определения (считая время подготовки средней пробы) 15—20 мин. А. П.

**6Н172.** Приспособления для упаковки мясопродуктов в полимерные пленки. Пенкин В. «Мясн. индустрия СССР», 1960, № 5, 9—11.—Описание устройства (с приведением рисунков) и принципа действия ручного термомоментного ролика с электронагревателем для сварки полимерных пленок для получения фигурного или неограниченного по длине шва; вакуум-упаковочной машины для штучных мясных продуктов (мясных хлебов, корейки, окороков, отрубов мяса, тушек птицы и т. д.) по методу крайовак и термомоментного аппарата для сварки пленок. Приведена схема устройства реле регулирования длительности импульса. Г. Джиладварова

**6Н173.** П. рыбных претв. kach rybacki (польск.).—И. мом перепр. производств. на рыболов. в. линии и. многопла.

**6Н174.** I. ры. IV. При. Tsuchiya. rase Mas. pan. Soc. S. (японск.; перекладыв. (I) в кол-в. лас. водой, хранили в з. тельной до. рошего кач- ности), и с. тучных осн. 0,3 мг%. Н. лдом, на 8. ее показат. 0,2. Спустя ~0,02 г/г. В большин. вали в бол. сравнении. РЖХим. 19.

**6Н175.** своего льда. cescu V. losirea gh. in stare p. 1959, 3, 24. ны резуль. дением ра. для увели. экспортир. бавлении. недостатк. тары. Опи. щей стат. стию Са. 2% Na<sub>2</sub>S. устранил. лаком п.

**6Н176.** жего ры. 1960, №. ственные. обработки. на). Луч. ле р-ром. нения ох. за). При. (50 мг/л). При хра. ся сниж. ки хран. жакое о. биологич.

**6Н177.** чения. рыбного.



Рой Е. 1, 104—105. Опытная конструкция для Предп. С. С. мясных и cured 55—58 ржанки итра-ахарова, С. С. порчу L. L. the spoilschnoi, алияна (3,3 а кон-На-ни-Опыты о усно-обильно-е чей-и кон-ующей-к в ре-стери-продукте-таким-гражен-Светов-их про-леа Bergang eesproor ver-). Об-агрева-осуще-цфельд-держа-Суха-он. ин-ва воз-еления-пище-улятор-на сы-и таб-ниства-м пеп-латы-120 и-тапных-е при-итель-редней-А. П. родук-инду-оиства-я руч-ателем-фигур-м-упа-ктов-са, ту-моном-ведена-ности-арова

6Н173. Некоторые проблемы обработки рыбы на рыболовных судах. Swięcicki Jerzy. Niektóre problemy przetwórstwa rybnego na uprzemysłowionych statkach rybackich. «Budown. okręt.», 1960, 5, № 5, 133—135 (польск.).—Рассмотрены вопросы, связанные с объемом переработки, механизацией и автоматизацией производственного процесса и замораживанием рыбы на рыболовных судах. Приведены схемы механизированной линии филетирования, морозильного туннеля и многопластинчатой холодильной установки.

Г. Джиладдарова  
6Н174. Исследование влияния первичной обработки рыбы сразу после вылова на качество мяса рыбы. IV. Применение льда с добавкой хлортетрациклина для консервирования сайды, *Cololabis saira brevort*. Tsuchiya Yasuhiko, Nomura Tadashi, Murase Masahiko. «Нихон суйсан гаккайси, Bull. Japan. Soc. Scient. Fish.», 1959, 25, № 7—9, 569—572 (японск.; рез. англ.).—Сайду (С) тотчас после вылова перекладывали льдом с добавкой хлортетрациклина (I) в кол-ве 5 мг/кг таким образом, чтобы С обмылась водой, образующейся при таянии льда. Далее С хранили в лаборатории в течение 17 дней без дополнительной добавки льда. К концу этого срока С была хорошего качества (свежий запах, желтоватая поверхность), а ее мясо имело pH 5,8, содержание азота летучих оснований 17,6 мг%, азота триметиламина 0,3 мг%. Контрольная С, хранившаяся с обычным льдом, на 8-е сутки приобрела легкий рыбный запах и ее показатели качества соответственно были 5,6; 9,1; 0,2. Спустя 2 дня хранения, в мясе С обнаружено I ~0,02 %/г ткани, к концу хранения 0,16—0,34 %/г. В большинстве случаев большее кол-во I обнаруживали в более крупной С и в хвостовой части тела по сравнению с анальной и брюшной. Часть III см. РЖХим, 1960, № 19, 79218.

А. Юликая  
6Н175. Изготовление и применение антисептического льда для транспортирования свежей рыбы. Bergescu Vasile, Cristea Silvia. Prepararea și folosirea gheții antiseptice pentru transportul peștelui în stare proaspătă. «Lucrările inst. cercetări aliment.», 1959, 3, 249—260 (рум.; рез. русск., франц.).—Приведены результаты опытов по изготовлению льда с добавлением различных антисептиков ( $\text{CaOCl}_2$ ,  $\text{CH}_3\text{O}$ ,  $\text{NaNO}_2$ ) для увеличения стойкости рыбы при хранении и транспортировании. Лучшие результаты получены при добавлении  $\text{CaOCl}_2$  (30—35 мг активного хлора на 1 л), недостатком такого льда является коррозия металлических тары. Опытами установлено, что тара из нержавеющей стали наиболее стойкая к корродирующему действию  $\text{CaOCl}_2$  особенно в р-ре с примесью от 2% до 2%  $\text{Na}_2\text{SiO}_3$ . Корродирующее действие  $\text{CaOCl}_2$  можно устранить путем покрытия металлических частей лаком на основе поливинилхлорида.

По резюме авторов  
6Н176. Применение биомицина для обработки свежего рыбного филе. Сахарова Т. Н. «Рыбн. х-во», 1960, № 7, 74—77.—Проведены лабор. и полупроизводственные опыты по использованию биомицина (I) для обработки свежего рыбного филе (карпа, леща, трески). Лучшие результаты получены при обработке филе р-ром I конц-ией 50 мг/л (продолжительность хранения охлажд. филе увеличивается более чем в 2 раза). При обработке филе из карпа и леща р-ром I (50 мг/л) конц-ия его в мышечной ткани 4,6—5,1 %/г. При хранении обработанного филе на льду наблюдается снижение антибиотич. активности I (на 20—22 сут-ки хранения при 0° кол-во I 1—1,5 %/г). При варке и жарке обработанного филе I разрушается, переходя в биологически неактивное соединение.

Г. Джиладдарова  
6Н177. Применение хлортетрациклина для увеличения продолжительности хранения охлажденного рыбного филе. Бабин Ф., Сахарова Т. «Холо-

дильн. техника», 1960, № 4, 35—37 (рез. англ.).—Изучено бактерицидное действие левомицетина, гриземина, экомолена и биомицина [хлортетрациклина (I)] при хранении филе из карпа, леща и трески. Лучшие результаты получены при обработке филе 2 мин. р-ром I конц-ией 50 мг/л. Обработанное филе содержит I 4—5 мг/кг и сохраняется до 24 суток при 0°. В процессе хранения обработанного филе активность I значительно снижается, а после тепловой обработки I полностью разрушается.

Г. Джиладдарова  
6Н178. Опыты по применению антиокислителей при посоле сельдей. Maciejczyk Jerzy. Próby zastosowania antyutleniaczy przy soleniu śledzi. «Przem. spożywczy», 1960, 14, № 1, 38—40 (польск.).—В качестве антиокислителя при посоле сельдей применяли копильную жидкость в кол-ве 1—2%. Копильную жидкость получали при сухой перегонке дерева при т-ре 150—260°. Установлено, что копильная жидкость тормозит процесс прогоркания рыбьего жира; привкус копчености не ухудшает вкусовые качества продукта.

З. Фабинский  
6Н179. Опыты по применению копильной жидкости в качестве антиокислителя при посоле сельдей. Maciejczyk Jerzy. Próby zastosowania «płynnego dymu» jako antyutleniacza przy soleniu śledzi. «Gospod. rybna», 1960, 12, № 1, 13—16 (польск.).—См. реф. 6Н178.

6Н180. Химическое исследование сельди *Clupea harengus*. III. Низкомолекулярные жирные кислоты. Hughes R. B. Chemical studies on the herring (*Clupea harengus*). III.—The lower fatty acids. «J. Sci. Food and Agric.», 1960, 11, № 1, 47—53 (англ.).—Исследованы природа летучих к-т сельди *Clupea harengus* и изменения, происходящие с индивидуальными к-тами при тепловой обработке их и при посмертных изменениях сельди. К-ты экстрагировали из мяса сельди и подготавливали образцы для анализа по схеме: мацерация фарша (20 г) в гомогенизаторе с 4 порциями 80%-ного этанола (по 50 мл каждая) → доведение объема до 250 мл добавлением 80%-ного этанола → фильтрация → хранение при -30° (до использования) → очистка аликвотной части фильтрата (50 мл) в колонке с ионообменной смолой дауекс-2 → промывка колонки небольшим кол-вом дистил. воды → вымывание оставшихся в колонке к-т с 15 мл 1 н.  $\text{H}_2\text{SO}_4$  → дистилляция к-т в приборе, применяемом при анализе по микромодификации метода Кьельдаля (Markham R., Biochem. J., 1942, 36, 793) → нейтр-ция дистил. к-т с 0,01 н. NaOH (индикатор — фенолфталеин) → упаривание до ~5 мл под давлением → замораживание. Газовой хроматографией и хроматографией на бумаге показано, что: 1) в 100 г свежей сельди, замороженной с твердой  $\text{CO}_2$ , содержится (в мг):  $\text{HCOOH}$  (I) ~1,  $\text{CH}_3\text{COOH}$  (II) ~10,  $\text{C}_2\text{H}_5\text{COOH}$  (III) ~0,4 и (иногда)  $\text{n-C}_3\text{H}_7\text{COOH}$  (IV) — следы (<0,08); 2) посмертные изменения в содержании указанных к-т сначала (первые 36 час.) незначительны, а затем кол-во этих к-т резко возрастает; после 72 час. отмечается присутствие небольшого кол-ва *изо-C}\_4\text{H}\_9\text{COOH} 0,1 мг/100 г сельди; 3) хранение во льду без антибиотиков (А), а также в присутствии окситетрациклина или хлортетрациклина (по 5 ч. на 1 млн.) показано, что А не оказывает существенного влияния на кол-ва I и II, а содержание III и IV соответственно увеличивается (в мг/100 г сельди) от 0,3 до 0,7 и от 0 до 0,3. В то же время по органолептич. показателям установлен ингибирующий эффект А; следовательно, изменения кол-в летучих к-т могут служить более надежным показателем длительности посмертного хранения сельди; 4) тепловая обработка (при 115,6°, де 5 час.) обезглавленной сельди в покрытых лаком закрытых банках из белой жести не влечет за собой существенных изменений в содержании I, II и III (наличие IV при этом не обнаружено). Сообщение II см. РЖХим, 1960, № 18, 75346.*

Г. Фрид



3 методов заводской Ф: по методу Бобье-Ленигра в вакууме в течение 48 час. с применением  $(\text{CH}_2)_2\text{O}$  и кислорода; обычной заводской Ф при  $50^\circ$  режиме в течение 10—12 суток; разработанного авторами метода Ф в вакууме в течение 48—60 час. с применением пара. Испытания проводили на 6 ботанич. сортах местных Т (Джебел, Маловата, Гимпаты, Ялоница, Бараган и Драгашани). Вакуум доводили до снижения давления на 725 мм рт. ст. Качество ферментированных Т проверяли органолептически по кислородному показателю, по снижению содержания микроорганизмов и по хим. показателям (изменение содержания никотина, общего азота, белков и водорастворимых углеводов). Опыты показали, что метод авторов дает во всех отношениях результаты, не уступающие методу Бобье-Ленигра, и что при высоком вакууме изменения в Т происходят под влиянием высокой т-ры и водяных паров, а не под влиянием  $(\text{CH}_2)_2\text{O}$ . Поэтому для сокращения сроков Ф до 48—60 час. вместо 10—12 суток при р-бной заводской Ф следует применять метод, предложенный авторами, который исключает опасность взрывов и пожаров, а также возможность отравления рабочих при использовании  $(\text{CH}_2)_2\text{O}$  по методу Бобье-Ленигра.

6Н190. Применение паропреобразователя для придания табаку эластичности. Makra Imre. Göstranszformátor alkalmazása a dohányanyagok phitására. «Dohányipar», 1960, marc., 63—64 (венг.).—Описан простой паропреобразователь (ПП), сконструированный по типу паровых аккумуляторов (ресивер) Рутса; первичный пар (из котла) поступает в ПП по давл.  $\sim 7$  ат ( $\sim 164^\circ$ ) и выходит, напр., при 1,3 ат ( $\sim 106^\circ$ ). Пар с такими параметрами обеспечивает оптимальные условия для придания эластичности высушенному табаку. Обработанный таким образом табак равномерно эластичен и при выгрузке из сушилки практически не подвергается излому. Описанный ПП рекомендуется применять не только в сушилках, но также при ферментационных, кондиционирующих установках и на складах с кондиционированным воздухом ( $\sim 25^\circ$ ).

6Н191. Восстановление качества табаков, пораженных плесенью. Gheikint A., Bergaru M. Corectarea tutunurilor mucegăite. «Lucrările inst. cercetări aliment.», 1959, 4, 73—79 (рум.; рез. русск., франц.).—Ссылаясь на работы, проведенные в СССР, авторы указывают, что порча табака (Т) вызывается развитием трех видов плесней: *Rhizopus nigricans*, *Penicillium glaucum* и *Aspergillus flavus*. Рекомендуют, как наиболее дешевый и эффективный, способ обработки Т паром при дав. 2 ат в течение 15—30 мин. (в зависимости от степени поражения плесенью). При движении в массе Т т-ры  $100^\circ$  обработанные Т пригодны для произ-ва; плесени в них полностью инактивируются, неприятный запах затхлости исчезает, листья Т теряют зеленые оттенки и краснеют, что повышает их товарный сорт. Приведены данные по повышению влажности Т при такой обработке и изменению хим. состава Т (содержания никотина, водорастворимых углеводов и общего азота) в зависимости от длительности обработки Т паром.

6Н192. Определение кислородного показателя табака. Бодуров Димитър. За определянето на кислородния показател при тютюна. «Бълг. тютюна», 1960, № 8, 367—372 (болг.).—Имеется ряд органолептических показателей, характеризующих ферментированность табака (Т), но все определения по этим показателям субъективны и слабо заметны на теплых Т. Определение ферментированности Т по степени поглощения кислорода тонко размолотым и смоченным водой Т из окружающего воздуха (кислородный показатель) дает объективные и точные показатели, позволяющие характеризовать степень ферментированности Т. Описаны сосудики Смирнова для таких опре-

делений. Этот манометрич. метод требует принятия ряда мер (особенно по выравниванию т-р сосудов) для исключения ошибок, искажающих результаты определений. Приведена инструкция по контролю ферментированности Т по кислородному показателю, рассмотрены причины ошибок и способы их предотвращения.

6Н193. Табачный дым и его фильтрование. Определение эффективности фильтрования. Colombo Alicia Liria. Humo de tabaco, Su filtración. La determinación de eficiencias filtrantes. «Cienc. e investig.», 1950, 15, № 4—5, 132—137 (исп.).—Исследована поглощательная способность в отношении смол и никотина применяемых фильтров, а также табака. Установлено, что табак сорбирует никотин и потому не следует выкуривать  $> \frac{2}{3}$  сигареты.

6Н194. Определение остаточного количества растворителей в эфирных маслах пряностей. Todd Paul H., Jr. The estimation of residual solvents in spice oleoresins. Food Technol., 1960, 14, № 6, 301—305 (англ.).—Разработан метод определения остатка применяемых для извлечения эфирных масел из пряностей органич. р-рителей: метилхлорида, этиленхлорида, трихлорэтилена, гексана, метанола, изопропанола и ацетона в отдельности и в смесях с другими р-рителями. Р-ритель сменяли с известным кол-вом толуола, содержащего бензола 2500  $\mu\text{g}$ . Эту смесь анализировали методом газовой хроматографии и выход р-рителя сравнивали с теоретич. кол-вом. Во избежание осложнений из-за присутствия летучих масел (входящих в состав эфирного масла) вместо эфирного масла брали хлопковое масло и 1 мл каждого р-ра анализировали согласно примеру А для внесения поправок. Смеси р-рителей приготавливали в известных пропорциях и анализировали их как отдельные р-рители. Пример А. 50 г эфирного масла и 1 мл толуола (с бзд.) помещали в колбу на 250 мл. Добавляли 10 г  $\text{Na}_2\text{SO}_4$ , 50 мл воды, 2—3 г детергента, 3 капли пеногасителя и по методу Клевенджера отгоняли масла сначала тяжелее, а затем легче воды. В колбу, содержащую 15 мл дистиллята и толуола, добавляли 15 г безводн.  $\text{K}_2\text{CO}_3$ , встряхивали, охлаждали и снова встряхивали для полного экстрагирования изопропилового спирта и ацетона и перевода их из водн. в масляный слой. Слой масла осветляли и анализировали методом газовой хроматографии (кроме метанола). Для определения метанола содержимое колбы помещали в маленькую делительную воронку и сливали водн. слой в колбочку емк. 50 мл. Добавляли 1 мл 0,63%-ного водн. р-ра ацетона до кон-ции 100  $\mu\text{g}$ , отгоняли 1 мл по Клевенджеру и проводили анализ с помощью газовой хроматографии в приборе Burrell Kromo-Tog, модель K-1. Приведены результаты определения остаточного кол-ва р-рителей в перце, сельдерее, мускатном орехе, аннато и куркуме.

6Н195. Исследование свойств натто. VI. Влияние веществ, добавленных в воду для замачивания соевых бобов, на качество натто. Hayashi Uichi. «Хакко когаку дзасси, J. Ferment. Technol.», 1959, 37, № 9, 360—368, 35—36 (японск.; рез. англ.).—Приготавливали образцы натто (Н) (ферментированные соевые бобы), добавляя в воду для замачивания соевых бобов р-ры 44 различных в-в: к-т, аммониевых солей, солей щел. щел.-зем. и других металлов, неорганич. к-т, и исследовали качество образцов, сравнивая его с таковым Н, приготовленного путем замачивания соевых бобов в воде без добавления хим. в-в. Установлено, что в-ва, стимулирующие образование слизи в Н, являются:  $(\text{NH}_4)_2\text{SO}_4$ ,  $(\text{NH}_4)_2\text{HPO}_4$ , пентон,  $(\text{NH}_4)_2\text{MoO}_4$ ,  $\text{MnSO}_4$ ,  $\text{CuSO}_4$ ,  $\text{KH}_2\text{PO}_4$ ,  $\text{K}_2\text{HPO}_4$ ,  $\text{Ca}(\text{NO}_3)_2$  и  $\text{HNO}_3$ . Наблюдала тенденцию к увеличению аминокислот в 5 образцах Н, полученных при добавлении к замоченной воде  $(\text{NH}_4)_2\text{SO}_4$ ,  $\text{NH}_4\text{NO}_3$ ,  $(\text{NH}_4)_2\text{HPO}_4$ ,  $\text{MnSO}_4$  и  $\text{CuSO}_4$ .



Р-ры  $\text{CaCl}_2$  и  $\text{NaCl}$  в конц-ях до 1% не тормозили разлития *Bacillus natto*.

В. Гурни  
6Н196. Исследование коззи для производства соуса тамари. III. О мисодаме (твердой закваске) (2). Inoue Takashi, Tsuge Yoshimi. «Хакко когаку дзасси, J. Ferment. Technol.», 1960, 38, № 2, 64—68. 5 (японск.; рез. англ.).—Исследовано влияние воды при варке обезжиренной соевой муки на расщепление белков протеазой плесневых грибов, используемых для приготовления коззи. Муку варили, добавляя различные объемы воды, после чего подвергали воздействию культурной плесени коззи, а также ферментного препарата такадиастаза. Установлено, что чем больше добавлено воды при варке муки, тем легче проходило расщепление белков плесенью и такадиастазом. Однако при изготовлении коззи для соевого соуса тамари этой закономерности не наблюдали. Мисодама (закваска, отформованная в виде цилиндриков), которую получали из муки с большим содержанием влаги, имела более плотную консистенцию, чем приготовленная из муки с низкой влажностью. Вследствие слабого проникновения в муку миселлия, расщепление белков в первом случае проходило хуже, во втором — лучше. Некоторое подсушивание мисодамы в процессе приготовления еще более облегало проникновение миселлия. При работе с мисодамой для лучшего расщепления белков следует подвергать тепловой обработке муку с низкой влажностью и подсушивать мисодаму в процессе изготовления. Часть II см. РЖХим, 1960, № 9, 36840.

В. Гурни  
6Н197. Микродиффузионный метод определения общего азота в ферментированном соевом соусе. Сравнительное изучение этого метода и метода Кьельдаля применительно к данному объекту. Kume Yuzuru, Imura Yoichi, Yamashita Sadatoshi, Shimatsu Toshitake. «Няхон нодэй кагаку кайси, Nippon noei kagaku kaishi, J. Agric. Chem. Soc. Japan», 1959, 33, № 10, 862—866 (японск.).—Для ферментированного соевого соуса проведено сравнительное изучение пригодности, воспроизводимости и точности методов определения общего азота: микродиффузионного (Conwey) и стандартного по Кьельдалю, последний был предложен для данного продукта японским технич. о-вом по ферментации соев. Установлено, что метод Кьельдаля дает заниженные результаты, причем анализ ошибок показал, что последние зависят от не точности предписания для выполнения основных процедур метода. Дана пропись определения общего азота в ферментированном соевом соусе, являющаяся модификацией официального метода США. При соблюдении всех условий прописи отклонения между параллельными определениями  $\pm 0,057\%$ .

В. Гурни  
6Н198. Причина изменения цвета соли под действием ионизирующих излучений. Ladenburg Kurt, Bloomberg, Arthur. Why A-rays discolor salt. «Food Engng», 1960, 32, № 6, 55, 61 (англ.).—Пробы соли при облучении 9,3 млн. рад приобретали цвет от коричневого до темно-пурпурного в зависимости от размера и формы кристаллов. Изменение цвета обусловлено фазовыми превращениями, происходящими в кристаллах, а не присутствием добавок и загрязнений.

Г. Новоселова  
6Н199. Причины потери йодистого калия в поваренной соли и возможность его стабилизации. Svábenský Oldřich, Picková, Jaroslava. Příčiny ztrát jodidu draselného v kuchyňské soli a možnost jeho stabilizace. «Průmysl potravin», 1960, 11, № 9, 494—496 (чешск.).—В ряде стран КJ добавляют к соли как средство, предотвращающее заболевание цитовойды желез. При хранении соли наблюдаются значительные потери КJ. Исследованы причины, вызывающие эти потери, показано, что потери частично обусловлены миграцией КJ в направлении движения влаги в соли, наблюдающейся при относительной влажности

соли  $>0,2\%$  и воздуха  $\sim 75\%$  и частично приростом в природной каменной соли окислителей. Миграция не прекращается при добавлении других хим. в-в, ее можно исключить применением влагонепроницаемой тары. Потери, вызванные окислением, устраняются добавлением к поваренной соли  $0,025\%$  соды. Потери от действия света не играют роли.

З. Смелый  
6Н200. Вещества, добавляемые в пищевые продукты. Gee A. Halbane. Food additives. «Chem. Week», 1960, 87, № 2, 77—83, 86, 88 (англ.).—Рассмотрены вопросы, связанные с применением хим. реагентов при произ-ве сырья растительного и животного происхождения в процессе его переработки и при упаковке готовых продуктов. Освещена деятельность Управления по контролю за качеством пищевых продуктов, медикаментов и косметич. средств (США) в отношении обеспечения безвредности добавок.

Г. Н.  
6Н201. Новые законодательные постановления в ФРГ о веществах, добавляемых в пищевые продукты. Часть 3. Эссенции и вкусовые композиции; облучение; мясо и мясопродукты; плоды и продукты их переработки. Hinton C. L. The new additives regulations for Western Germany. Part 3. Essences and bases; irradiation; meat and meat products; fruit and fruit products. «Food», 1960, 29, № 344, 168—170, 172 (англ.).—Приведены перечни в-в, не разрешенных и разрешенных для применения в качестве добавок к эссенциям, и продуктов, где могут быть использованы такие эссенции. Описаны способы упаковки и маркировки эссенций согласно требованиям стандартов. Приведено краткое содержание постановления об использовании в пищевой пром-сти УФ-,  $\beta$ -,  $\gamma$ - и рентгеновских лучей. Перечислены в-ва, которые разрешено добавлять при переработке мяса и для обработки поверхности, бланширования и консервирования плодов и продуктов их переработки (молоч. джема, соков и др.). Часть 2 см. РЖХим, 1960, № 24, 98654.

В. Гурни  
6Н202. Химические реагенты для пищевой промышленности, являющиеся производными сахара. Matheus B. R. B. Chemicals for the food industry derived from sugar. «Food Technol. Austral.», 1960, 12, № 5, 267, 269—270, 273, 275 (англ.).—Рассмотрена роль производных сахаров, применяемых в качестве в-в, обладающих питательной ценностью, а также в качестве подкисляющих в-в, консервантов, эмульгаторов, смазывающих в-в, антиоксидантов, растворителей.

Г. Н.  
6Н203. Получение каротина из люцерны и возможности использования его в пищевой промышленности. Marinescu I. P., Cotuțiu M. Obținerea carotenului din lucernă și posibilități de utilizare în industria alimentară. «Lucrările inst. cercetări aliment.», 1959, 3, 125—135 (рум.; рез. русск., франц.).—В лаборатории изучали условия получения  $\beta$ -каротина из люцерны. Разработаны оптимальные условия сбора и подготовки сырья, технология, режим экстракции и очистки  $\beta$ -каротина. Определяли изменения аскорбиновой к-ты в люцерне при сборе и ее переработке.

Е. Журавлева  
6Н204. Реакция глутатиона и цистеина с синтетическими красителями. Piekariski L., Krauze S. O reakcji glutoninu i cysteiny z barwnikami syntetycznymi. «Roczn. Państw. zakł. hig.», 1960, 11, № 3, 199—202 (польск.; рез. русск., англ.).—Установлено наличие р-ций метилового фиолетового и оранжевого I с глутатионом и хризоидина с цистеином.

Из резюме автора  
6Н205. Полярографическое определение красителей, допущенных для подкрашивания пищевых продуктов. Cerma Enrica. Sulla determinazione polarografica dei coloranti ammessi nella colorazione degli alimenti. «Rassegna chim.», 1960, 12, № 1, 13—20 (итал.).—Описан опыт полярографич. определения пищевых красителей при помощи полярографа АМЕ

при 25 ±  
электрודה  
6Н206.  
го произе  
packung.  
Sicht de  
№ 9, 320-  
на упаков  
ко, колба  
упаковкин  
нять при  
можно ср  
саца про  
6Н207.  
gen C.  
mi», 1963  
суждений  
(основны  
стве ста  
мых для  
тары (ст  
еюй вол  
циалист  
просам.  
лен к и  
пользова  
6Н208.  
ковочны  
Bogda  
torgzuw  
zów. «O  
(польск.  
ПНР для  
жидких

6Н209.  
ды в пи  
zenie ап  
«Roczn.  
(польск.  
соблюде  
емально  
во мень  
6Н210.  
для тар  
женной  
Influen  
balajelo  
gelate ş  
1950, 3.  
упаковк  
зависим  
ренной  
тич. из  
буквой  
лись то  
пассени  
на упа  
ванных

6Н211.  
ном со  
2881, 28  
из син  
шту ем  
выполн  
увелич  
водят  
шается  
до 103-  
(стери  
дукты  
аремев

при 25 ± 1° с ртутным каплевым и каломельным электродом.

А. Марин  
6Н206. Об упаковке пищевых продуктов животного происхождения. Sens H. Ein Beitrag zur Verpackung von Tieren stammender Lebensmittel aus der Sicht der Praxis. «Schlacht- und Viehhof-Ztg», 1960, 60, № 9, 320—322 (нем.); 322—323 (франц.).—Предложено на упаковке расфасованных пищевых продуктах (мясо, колбаса, сосиски, рыба и т. д.) указывать дату упаковки продукта в условиях вакуума или применять при упаковке цветные ленты, по цвету которых можно сразу определить, в течение какой декады месяца продукт упакован.

Г. Джилавадарова  
6Н207. О токсичности пластиков. Hansen Søren C. Om plasts giftighed. «Arch. pharmaci og chemi», 1960, 67, № 11, 553—561 (датск.; рез. англ.).—Обсуждены причины возможной токсичности пластиков (основные ингредиенты и в-ва, добавляемые в качестве стабилизаторов и пластификаторов), применяемых для изготовления упаковочных пленок, твердой тары (стаканов, бутылок) и трубопроводов (для питьевой воды, молока). Рассмотрены соображения специалистов США, Англии, Франции, ФРГ по этим вопросам. Органами здравоохранения Дании подготовлен к изданию перечень в-в, допускаемых для использования при синтезе пластика.

В. Гурни  
6Н208. Методы определения проницаемости упаковочных материалов для жиров. Czerniawski Bogdan, Nassalski Andrzej. Metody badania tworzyw opakowaniowych na przepuszczalność tłuszczów. «Opakowanie», 1960, 6, № 3, 9—10, 2 (обл.) (польск.; рез. англ.).—Описан метод, применяемый в ПНР для определения проницаемости пергамента для жидких масел, содержащихся в пищевых продуктах.

Э. Барская  
6Н209. Попадание сурьмы из эмалированной посуды в пищевые продукты. Mazur Halina. Przechodzenie antymonu z naczyń emaliowanych do żywności. «Roczn. Państw. zakł. hig.», 1960, 11, № 3, 217—226 (польск.; рез. русск., англ.).—Установлено, что при соблюдении технологии произ-ва посуды, покрытой эмалью с Sb<sub>2</sub>O<sub>3</sub>, в пищу переходит кол-ва, значительно меньшие токсичных.

Из резюме автора  
6Н210. Влияние буковой древесины, используемой для тары, на качество масла, топленого жира, замороженной птицы и сахара. Ciobanu A., Cristea S. Influența lemnului de fag utilizat la confecționarea ambalajelor, asupra calității untului, unturii, pâsărilor congelate și zahărului. «Laurările inst. cercetări aliment.», 1959, 3, 241—248 (рум.; рез. русск., франц.).—Для упаковки использовали ящики различных размеров, в зависимости от продукта, из пропаренной и непропаренной буковой древесины. Не отмечено органолепич. изменений упакованных продуктов под влиянием буковой древесины. Микологич. изменения наблюдались только при упаковке топленого жира, причем плесень развивалась в ограниченном размере и только на упаковочной бумаге. Физ.-хим. изменений упакованных продуктов не наблюдалось.

По резюме авторов

6Н211. Хранение пищевых продуктов в стерильном состоянии. Канаки Сэйсабуро. Японск. пат. 2881, 29.03.60.—Пищевой продукт помещают в емкость из синтетич. материала и отключают воздух, затем эту емкость помещают в другую, наполненную водой, выходящую из материала, который выдерживает увеличенное давление, и герметизируют, затем производят нагревание, в результате чего давление повышается от 0,453 до 4,536 кг/см<sup>2</sup>, а т-ра водяной бани до 103—116°. При этой т-ре производят пастеризацию (стерилизацию, длящуюся от 40 мин. до 1 часа). Продукты могут храниться в течение такого же долгого времени, как и в консервных банках. Преимущества

способа: легкость, экономичность, эластичность и прозрачность применяемых материалов.

Ю. Жмакин  
6Н212. Способ тепловой обработки баночных консервов под давлением. Ingham Dudley H. Method for pressure cooking canned goods. Пат. США 2969436, 20.10.59.—Патентуются способ и аппарат большой производительности (8000—10 000 банок в час) для непрерывной стерилизации консервов (К). Герметически закупоренные банки с К поступают в вертикальную колонну, наполненную жидкостью, в которой банки тонут; с нижним концом этой колонны сообщается горизонтально расположенная труба, наполненная горячей жидкостью, нагретой до т-ры, необходимой для тепловой обработки К; в этой трубе банки перемещаются конвейером по направлению ко второй горизонтальной трубе, наполненной охлажд. жидкостью, не сообщаемой с жидкостью в первой трубе и имеющей уд. вес, при котором банки в ней всплывают (такой жидкостью может быть, напр., охлажд. водн. р-р CaCl<sub>2</sub>). В этой трубе банки перемещаются ко второй вертикальной колонне, наполненной той же охлажд. жидкостью; банки, всплывшие в верхнюю часть колонны, удаляются из аппарата. В промежутке между 2 горизонтальными трубами создают воздушную пробку, разбивающуюся находящиеся в них жидкости, с давлением воздуха, уравненным с давлением, создаваемым столбами жидкостей в вертикальных колоннах.

С. Светов  
6Н213. Устройство для копчения пищевых продуктов. Ум и ути Рёкити. Японск. пат. 8396, 17.09.59.—Патентуется камера для копчения продуктов, на задней стенке которой смонтированы дымогенератор и вентилятор, подающий дым в верхнюю часть камеры по двум переменного сечения каналам, откуда он через отверстия у стен поступает в копильное отделение. Камера имеет дымоотводящую трубу с регулируемой заслонкой. Под имеет уклон со сборником для отвода конденсата.

Ю. Жмакин  
6Н214. Аппарат для стерилизации пищевых продуктов. Abrams Victor R. Food sterilizer. [W. F. and John Barnes. Co.]. Пат. США 2909985, 27.10.59.—Патентуется аппарат для непрерывной стерилизации жидких и полужидких продуктов (напр., молока, супов, соков, пюре и др. до их укупорки в стерильную тару) путем смешивания со стерилизующей средой (предпочтительно с насыщ. паром). Продукт под давлением поступает снизу через отверстие в дне вертикального цилиндра и, ударяясь о горизонтальную отражательную пластину, разбрасывается по радиусам. В это же время через ряд отверстий в нижней части боковой поверхности цилиндра поступают тангенциально направляемые струи насыщ. пара, который перемешивается с продуктом, образуя турбулентную движущуюся равномерно подогреваемую конденсирующуюся паром смесь, направляемую расположенными здесь вертикальными перегородками в верхнюю часть цилиндра. По оси цилиндра возвратно-поступательно движется стержень, снабженный расположенными на определенном расстоянии (по вертикали) друг от друга лопастями с искривленной поверхностью, предназначенными для местного перемешивания и направления по извилистому пути поднимающейся по цилиндру смеси; с лопастями соединены кольцеобразные скребки для очистки при их движении внутренней поверхности цилиндра. К нижнему концу стержня прикреплены упомянутые выше вертикальные перегородки, предупреждающие круговое движение смеси и направляющие ее вверх: внизу к этим перегородкам присоединен кольцевой скребок для очистки стенок смесительной части цилиндра, высота скребка рассчитана так, чтобы он при его возвратно-поступательном движении не закрывал одновременно все входные отверстия для пара. В верхней части цилиндра находится выпускное отверстие с клапаном, регулирующим

давление внутри цилиндра. Смесь продукта и пара по выходе из цилиндра через трубу с насадкой поступает в резервуар с пониженным давлением; на дно его осаждаются стерилизованный материал, а конденсированный пар из смеси удаляется вследствие испарения через трубопровод, соединенный с источником, создающим в резервуаре вакуум. В аппарате предупреждается расслоение стерилизуемого продукта, сопровождаемое обычно неравномерным прогревом всех слоев продукта и пригоранием к стенкам. С. Светов

6Н215. Продукт для удаления накипи и коррозии нагревательной аппаратуры. Camille Césaire Delvigne J. Produit pour l'élimination et la protection du tartre et de la corrosion des appareils thermiques. Франц. пат. 1201836, 6.01.60.—Аппаратуру обрабатывают составом: дистил. воды 75 л, сахарозы 30 кг, Набикарбоната 10 кг, декстрина светлого 1 кг и порошка цинкория 500 г. В. Реутов

6Н216. Способ непрерывного охлаждения риса после паровой варки. Йонэкава Эйтаро. Окимасамунэ сюдзо кабусики кайся. Японск. пат. 8893, 2.10.59.—Для непрерывного охлаждения риса применяется сетчатая бесконечная лента с длиной в рабочей части 2,5 м при ширине 1 м, на которую сваренный рис поступает слоем в 4 см. Охлаждение производится подаваемой форсунками водой, которая одновременно промывает его для снижения липкости зерен. Цикл прохождения по ленте равен 30 м и дает 2,8 м³ охлад. риса. Ю. Жмакин

6Н217. Производство искусственного риса с содержанием аминокислот. Хори Масатака, Такинака Акира. [Такада якухин когэ кабусики кайся, Нисей сэйдун кабусики кайся]. Японск. пат. 8885, 2.10.59.—Смесь (в %) из 90 пшеничной муки, 10 крахмала, 35 воды и 5 р-ра лизина (от веса теста) замешивают, производят выпаривание в течение 5 мин. при 108°. Из полученного теста на машине типа Макароны изготавливают зерна искусств. риса. При изготовлении блюд рекомендуется искусств. рис применять к натуральному в кол-ве 2,5%, что способствует увеличению содержания лизина в рисе. Ю. Жмакин

6Н218. Полировка и хранение риса. Като Такудзи. Японск. пат. 3811, 18.04.60.—Неочищенный рис разной твердости, предварительно отсортированный, загружается в склад, оборудованный перфорированными трубчатыми змеевиками, установленными через 30—50 см, в которые подают воздух заданной т-ры и влажности. По достижении влажности ~15% рис подвергают очистке и протравке, после чего он поступает на дальнейшее длительное хранение в тот же склад. При этих условиях не образуется плесень и не происходит разрушение зерна. Указывается, что предлагаемый метод хранения риса отличается простотой, экономичностью и не требует капитальных затрат. Ю. Жмакин

6Н219. Очистка бобов. Сиракава Умэеси. Японск. пат. 478, 7.02.59.—Бобы предварительно погружают в слабый водн. р-р щелочи. Затем их пропускают через зазор между двумя вращающимися шероховатыми поверхностями из пластмассы, где с бобов снимается кожура. Очищ. бобы промывают водой, нейтрализуют к-той и сушат. Ю. Жмакин

6Н220. Производство вермишели. Судзуки Рюити. Японск. пат. 3833, 18.04.60.—К пшеничной муке или смеси ее с гречневой мукой в нужном кол-ве добавляют воду, пищевую соль для получения теста, которые раскатывают на доске и при помощи спец. формовочной планки с круглыми жалами режут вручную, затем сушат. Предлагаемый способ упрощает процесс изготовления вермишели, позволяет сократить необходимые затраты труда, уменьшает отходы. Ю. Жмакин

6Н221. Получение водно-жировой эмульсии для добавления в тесто. Накаока Каокори, Мицу-

нага Синдзи, Аран Сюдзи, Симада Тэцуо, Каваи Дзюн, Умэдзава Мицугу. [Нихон юси кабусики кайся]. Японск. пат. 8886, 2.10.59.—В 30—70 вес. ч. животного или растительного жира эмульгируют 0,05—0,5% лецитина, 0,5—2% моголигидрата жирной к-ты, 0,1—2% эфира жирной к-ты и сорбита (к общему весу) (состав I). Отдельно к 70—30 воды добавляют 0,05—0,5% (в % к 100 вес. ч. полученного продукта) соли щел. металла и жирной к-ты, 0,01—0,1% дегидроуксусной, 0,01—0,1% глутаминовой, 0,01—0,005% лимонной к-ты, растворимый в воде эмульгатор, консервант, буферный р-р (состав II). Полученные составы (I, II) смешивают и эмульгируют при 40—80°, получая эмульсию типа М:В, добавляемую в тесто. Полученная эмульсия отличается большой стабильностью. Применение эмульсии позволяет упростить дозировку ингредиентов и достигнуть равномерного распределения жира в тесте. Ю. Жмакин

6Н222. Сушеные порошкообразные дрожжи и способы их производства. Parker Richard B. Powdered yeast product and method of making same. [Carnation Co.]. Пат. США 2921854, 19.01.60.—Для получения свободно текущих порошкообразных дрожжей с высокой смачиваемостью и дисперсностью в воде, сухие дрожжи подходящие рас (напр., видов *Saccharomyces cerevisiae* или *Torulopsis utilis*) в мелко раздробленном виде (порядка 4—20 м) опрыскивают из сопы водой. Отдельные частицы дрожжей склеиваются друг с другом, образуя агрегаты по размеру значительно больше первоначальных частиц с влажностью 16—35% (предпочтительно 23—27%). Их обезвоживают, не нарушая приобретенную структуру, до влажности ~8,5%; в результате получают гранулированный, свободно текущий продукт, который может быть использован для обогащения других пищевых продуктов или как корм для скота в виде водн. дисперсий или в прессованном виде. К дрожжам до их влажной обработки может быть призмешено в кол-ве 5—20% сухое молоко. Приведены схематич. чертеж и описание аппарата для произ-ва патентуемого продукта. С. Светов

6Н223. Смесь для «воздушных» мучных изделий. Johnson Ernest W. Puffed goods mix. [General Mills, Inc.]. Пат. США 2919986, 5.01.60.—Для изготовления мучного кондитерского теста (типа эскер) предлагается вместо заваривания муки во время изготовления применять заранее приготовленные смеси, основными компонентами которых являются: клейстеризованные крахмал (напр., пшеничный или кукурузный) или мука; неклеистеризованный легко текучий окисленный крахмал с инактивированными ферментами; шортенинг. Кол-ва первого и второго компонентов берут в пределах 25—45% (предпочтительно 30%) каждого, кол-во шортенинга 15—50% (предпочтительно 40%) от веса смеси. Кроме указанных компонентов, смесь может содержать также сухой яичный порошок. Клейстеризованный крахмал может быть, напр., в виде измельченных до прохода через сито № 170 (по стандартной США классификации) хлопьев. Сравнения свойств готовых изделий были проведены с применением смесей из различных крахмалов или муки при соотношении основных компонентов 30:30:40 с добавкой малых кол-в соли. К сухим смесям были добавлены вода и свежие яйца для образования теста. Измерения объема и органолептика, оценка полученных продуктов (симметричность формы, цвет корки, размеры и характер образованной пористости и т. п.) показали, что продукты, в которых клейстеризованной и неклеистеризованной фракциями были крахмалы, оказались лучшими сравнительно с продуктами, в которых частично или полностью была применена мука. Изделия, приготовленные по обычному применяемому методу и с заваркой пшеничной муки, оказались наихудшими по качеству. С. Светов

6Н224. Perfection Alphonsie. Сущность: состав закваски, боленария, что остается не выше 0,1 рочкой и 1 6Н225.

на закваску Stédron robu kvasu. Сущность: имеет мест, кваски с г, жения зак, жена уста, статор. За, принудите, щную в, еор между, диатрич. рается для 6Н226.

ного веса, pâteuse (meau). Фр, дения по, ажной е, массу на, поступает, ков слуск, положени, весов, для, теста в ш, помощи э, электр.ч. редуциру, вперед) и, дится на, перемеще, являет ко, тем уси, механич. весов не, Электрор, стве, что, из фетра, рованной, вие. При, подним, отягания 6Н227.

рнито». 22.04.59.— печь, обо, печь за, ликах не, по накл, ровке, в 6Н228.

ских изд, Вант], ие жел, нет в я, циями, р, и собо, тельно, щему о, молоку), ния крс, желатин



**6Н224. Улучшение заквасок для хлебопечения.**

Perfectionnement aux levains utilisés en boulangerie. [Alphonse Barthlen]. Франц. пат. 1220436, 25.05.60.—Сущность изобретения заключается в изменении состава заквасок. В состав заквасок входят жидкие хлебопекарные дрожжи, соль, мед и уксус. Качество теста остается хорошим и когда оно хранится при  $t$ -ре не выше  $0^{\circ}$ . Хлеб приятного вкуса, с хрустящей корочкой и не черствеет несколько дней. Л. Лютик

**6Н225. Устройство для непрерывного производства закваски и теста.** Křiž Antonín, Vlk Jiří, Štědrónský Václav. Zařízení pro nepřetržitou výrobu kvasu a těsta. Чехосл. пат. 91599, 15.09.59.—При существующих способах получения закваски и теста имеет место нежелательное смешивание неготовой закваски с готовой, что вызвано неравномерностью движения закваски у стенок и в центре сосудов. Предложена установка, позволяющая устранить этот недостаток. Закваска в вертикальном цилиндрич. сосуде принудительно продвигается вверх, обтекает помещенную в центре сосуда конич. воронку и через зазор между краем воронки и внутренней стенкой цилиндрич. сосуда перепадает в воронку, откуда отбирается для дальнейшей обработки. Л. Смелый

**6Н226. Автомат для деления теста на куски равного веса.**—Machine automatique à débiter de la matière pâteuse en quantités de même poids. [André Delhommeau]. Франц. пат. 1191998, 22.10.59.—Автомат для деления по весу теста состоит из бункера с вальками (в нижней его части), которые захватывают и передают массу на нижерасположенный желоб, откуда тесто поступает на диск весов, к ножу для отрезания кусков спускающейся с желоба массы и эжектору, расположенному под ножом; немного выше уровня диска весов, для сбрасывания с диска взвешенных кусков теста в приемник. Качающееся коромысло весов при помощи передаточного механизма соединено с фотоэлектрич. системой и посредством нее управляет чередующимся перемещением по прямой линии (взад—вперед) ножа, горизонтального лезвия которого находится на уровне нижней части желоба. Нож совершает перемещение в два такта; первое положение ограничивает кол-во спускающейся с желоба массы теста и тем усиливает чувствительность взвешивания. Особое механич. устройство предусматривает арретирование весов непосредственно после отрезания и сброса куска. Эжектор, закрепленный на том же подлинном устройстве, что и нож, покрыт с передней стороны полоской из фетра. Верхний край полоски закреплен в фиксированной точке, нижний — имеет эластичное крепление. При поступательном движении кусков полоска поднимается перед эжектором снизу вверх, облегчая отпадание теста от диска. В. Гурин

**6Н227. Устройство для производства печенья «каригато».** Тада Кумэсабуро. Японск. пат. 2844, 22.04.59.—Для произ-ва печенья применена камерная печь, обогреваемая двумя форсунками. Продукцию в печь загружают в сетчатых корзинах. Корзины на роликах перемещаются к выходному отверстию, где они по наклонной плоскости скатываются к приемной воронке, в которую сыпается готовый продукт. Ю. Жмакин

**6Н228. Метод изготовления бисквитных кондитерских изделий.** Сирагами Кадзумару [Итисути Ваити]. Японск. пат. 1791, 5.03.60.—Смешивают просеяное желе (в вес. ч.) (110) и сахар (100), дают закипеть в небольшом кол-ве воды (40) и небольшими порциями, растирая, добавляют к взбитому с медом (100) и солью (по вкусу) яичному белку (8—12); после тщательного перемешивания добавляют к массе содержащему основному продукту (маслу, сыру, шоколаду, молоку) и выдерживают при  $t$ -ре  $\sim 80^{\circ}$  до образования кремобразной массы, затем добавляют воду (20), желатину (7), перемешивают и взбивают до образова-

ния пенообразной массы, после чего заполняют в формы. Получаемый продукт отличается большим содержанием жира, не затвердевает и не изменяет своего качества при хранении в течение длительного времени. Ю. Жмакин

**6Н229. Получение порошкового лецитина из бобов для булочных и кондитерских изделий.** Токунага Тосиити, Йоситоми Кадзухико, Акиока Акихико. [Ниссей сэйю кабусики кайся]. Японск. пат. 8884, 2.10.59.—К соевому молоку, полученному из бобов, обезжиренных методом экстракции при низкой  $t$ -ре, примешивают пищевой жир, в который добавлено небольшое кол-во бобового лецитина и неионное поверхностно-активное в-во типа моноглицерида, эмульгируют, сушат распылением, в результате чего получают порошковый лецитин из бобов, применяемый при изготовлении булочных, кондитерских изделий, лапши. Пример. Порошок из обезжиренных методом экстрагирования бобов насыпают в воду, взятую в 10-кратном кол-ве, и дают закипеть, отфильтровывают, отделяют твердый остаток, получают 8 кг соевого молока (с содержанием твердого остатка 7,5%), добавляют 2 кг соевого лецитина (содержание воды 80—85%, нерастворимого в ацетоне остатка 13—17%, растворимого в ацетоне остатка 2—3%), 100 г рафинированного масла кокосовых орехов, 10 г олеино-моноглицерида, и выдерживают при перемешивании при 25—30° до получения эмульсии с однородной структурой. После сушки в распылительном аппарате получают  $\sim 1$  кг готового порошкообразного продукта. Приводится его состав: вода 5,8%, содержание компонентов, растворимых в эфире, 43,5% (фосфатидов 29,9%), сухого обезжиренного в-ва 50,7% (белка 30,2%). Рекомендуется для лучшей диффузии соевого порошка в воде регулировать pH соевого порошка путем экстракции р-ром щелочи, благодаря чему получают р-р натриевой соли казеина бобов. Ю. Жмакин

**6Н230. Способ обжарки бобов какао и других подобных веществ.** Paul Jeanson. Procédé de torréfaction du cacao et autres denrées. Франц. пат. 1203950, 22.04.60.—Бобы какао (БК) на конвейере из резиной хлопчатобумажной материи пропускают между верхним и нижним электродами ВЧ-тока (10—60 мГц). В результате быстрого прогревания БК теряют большую часть влаги и других летучих в-в. Плоские сетчатые электроды установлены на воронках с трубами, из которых нижняя соединена с аспиратором. Теплый воздух, предварительно используемый для охлаждения генератора, просасывают через обжариваемые ядра, и удаляют выделяемые газообразные продукты. Указаны преимущества обжарки ядер ВЧ-током. Дана схема установки. В. Реутов

**6Н231. Улучшение заменителя масла какао.** Best Ronald Lobley, Crossley Antony, Paul Stanley, Pardun Hermann, Soeters Cornelis Johannes. Improvements in or relating to cocoa-hutter substitutes. [Unilever Ltd]. Англ. пат. 827172, 3.02.60.—В изделия вместо масла какао (МК) вводят фракции пальмоядрового масла (ФПМ) с йодным числом  $\leq 45$  (предпочтительно  $\leq 42$ ), с точкой размягчения 30—45° (предпочтительно 30—40°). Фракционной кристаллизацией из ФПМ улачивают 50% (предпочтительно 60%) низкоплавких фракций (Ф) глицеридов. Желательно улачивать также Ф с высокой  $t$ -рой плавления, т. е. Ф, содержащие полностью насыщ. глицериды (5—15% от веса ФПМ). Для улачивания низкоплавких Ф достаточно одной кристаллизации (но лучше 2), для высокоплавких  $\geq 2$ . Р-ритель — безводн. ацетон (I) (влаги  $\leq 1\%$ ); возможно применять другие р-рители, напр., безводный эфир. Для улачивания низкоплавких Ф при 1-й кристаллизации кот-во I должно быть 3—10 мл на 1 г масла,  $t$ -ра 3—6°. Кол-во I может быть уменьшено при увеличении числа кристаллизаций или числа промывок. Кристаллизацию



сахарин, и получают сухую начинку. Пример. Смешивают (в кг): свежих соевых бобов 100,70%-ного р-ра сорбита 50, поваренной соли 2, карбоксиметилцеллюлозы 1, нагревают до кипения при одновременном перемешивании и перетирании, после чего сушат при 100—150° в барабанной сушилке, измельчают, смешивают с 1,5 Na-соли циклогексилсульфаминовой к-ты и получают готовый продукт.

Ю. Жмакин  
6Н240. Производство крема для кондитерских изделий. Минами Мантаро. [Хария сэйка к. к.] Японск. пат. 3839, 18.04.60.—При изготовлении крема, главными компонентами которого являются сахар и ароматное желе, их смешивают с белком яйца, К-тарtratoм, сорбитом и агаром и нагревают при перемешивании. Пример. Предварительно, в течение 2 час. растворяют 15 г агара, затем добавляют 1,312 кг сахара и 225 г просеянного желе и в течение некоторого времени нагревают при 125°, затем добавляют 1,1 г яичного белка и перемешивают при 67—70°, после чего добавляют смесь 5,6 г К-тарtrato, 45 г сорбита и 1,8 г ароматич. в-ва, перемешивают, дают остыть и получают стойкий крем. Крем не вызывает большого увеличения вязкости кондитерских изделий и позволяет получить продукт со значительно более долгим сроком хранения, чем при применявшихся ранее способах.

Ю. Жмакин  
6Н241. Способ изготовления жмыха из арахисовых семян. G. Calil, M. Guernier. Procédé de fabrication d'un tourteau pour l'alimentation humaine à partir de graines d'arachide. Бельг. пат., 536283, 2.01.59.—Хорошо подсушенные семена арахиса, освобожденные от скорлупы и красной оболочкой, прессуют для отделения большей части масла. Жмых тем или иным способом измельчают в тонкий порошок и нагревают несколько минут при 80—120°. Порошок, напр. в виде таблеток, рекомендуется в качестве пищевого белкового продукта. Для повышения пищевой ценности можно добавлять к нему азотсодержащие продукты животного происхождения, минер. соли, витамины.

В. Реутов  
6Н242. Метод получения состава, содержащего ацетоглицерид для покрытия пищевых продуктов. Юки Эцудзид, Канэкуни Сэйсиро, Хата Юта. Японск. пат. 2882, 29.03.60.—Для изготовления в-ва, предохраняющего пищевые продукты от порчи в результате проникновения в них влаги, к дицетостеари-ну, дицетональмиту, ацетоглицериду с т. пл. 20—45°, или к их смеси с парафином, темным воском (микрорекристаллическим) или другими водоотталкивающими в-вами, добавляют поливинилхлорид, поливинил-ацетат, поливиниловый спирт, винилиденхлорид, поли-этилен, полиэтилен или другие синтетич. смолы и расплавляют или дополнительно добавляют р-ритель и эмульгатор, растворяют и эмульгируют до получения однородной смеси. Пример. На моностеарин (со степенью чистоты 91,5) действуют безводной уксусной к-той и получают ацетостеарин со следующими свойствами: т. пл. 30—31,5°, т-ра размягчения 28°, кислотное число 1,5, йодное число (по методу Виса) 0,8; число омыления 368,6 гидроксильное число 10,3, влагопроницаемость (В) 88,2. При определении В применялся метод Кашпа, при котором учитывается: отношение веса проникающей воды, умноженного на толщину пленки в см, к площади пленки в см<sup>2</sup>. Полученный продукт в виде пасты в качестве главного компонента содержит дицетостеарин и в небольшом кол-ве дицетональмиту. Смешивают (в вес. ч.): полученный продукт 100, парафина 10 (т. плавл. 50°), микрорекристаллич. воска (т. пл. 75—80°) 5, поливинилхлорида 2, нагревают до 150° и растворяют при перемешивании, в результате получают пастообразный продукт белого цвета с т. пл. 34,5° и влагопроницаемостью 3,4. Конфеты-тянучки, покрытые этим в-вом, не растекаются при хранении в течение недели при 25° и относитель-

ной влажности воздуха 81%, в бобовой пастиле не развивалась плесень при хранении в течение 10 суток при 28° и 90% относительной влажности. Способ очень эффективен.

Ю. Жмакин  
6Н243. Обработка паром плодов с тонкой кожичей. Нохара Сабуро. Японск. пат. 8388, 17.09.59.—Свежие плоды помещают в герметич. емкость и нагревают паром, т-ру которого постепенно повышают от 50—70 до 120°. После прогревания всей массы плодов, т-ру медленно понижают. Пример. Яблоки помещают в емкость, вместе со сладкими приправами и герметизируют. В емкость первоначально подают пар при 50—70°. Примерно через 7 мин., когда размягчатся кожура и внешний слой яблока, т-ру повышают и продолжают нагревание в течение 5 мин. при т-ре ~120° до прогревания сердцевины яблока, после чего в течение ~8 мин. т-ру понижают до ~80° и вынимают готовый продукт. Обработанные плоды сохраняют высокое содержание витаминов и питательных в-в. Прогревание должно производиться обязательно в герметич. емкости и т-ра не должна превышать 120°.

Ю. Жмакин  
6Н244. Способ производства плодовых соков. P. J. James D. Preparation of fruit juices. [United States of America as represented by the Secretary of Agriculture]. Пат. США 2928744, 15.03.60.—Для произ-ва яблочного сока, обладающего естественным цветом и вкусом яблок, свежие плоды измельчают в присутствии добавленной чистой яблочной к-ты (I), извлекают сок, а затем освобождают его от избытка I осаждением Са (ОН)<sub>2</sub> или СаСО<sub>3</sub> или при помощи анионообменника. Пример. Измельчают 1000 вес. ч. яблок и 1 вес. ч. I. Из полученной мякоти извлекают сок (отжимая через ткань), добавляют к нему Са(ОН)<sub>2</sub> до рН 3,8 и фильтруют для удаления яблочнокислого кальция.

Г. Новоселова  
6Н245. Метод концентрирования плодовых соков. Toulmin Harry A., Jr. Method of concentrating fruit juices. [Union Carbide Corp.]. Пат. США 2916386, 8.12.59.—Водные теплоустойчивые жидкости, содержащие жидкую и твердую фазу, после стерилизации быстро охлаждают до -3,9°. Постепенно снижая т-ру, доводят ее до -23° и удаляют воду в виде кристаллов льда. Для вымораживания остатков воды т-ру резко снижают до -37,2°, удаляют вновь образовавшийся лед. Вслед за этим проводят быстрое нагревание и досушивание.

Э. Барская  
6Н246. Деминерализация растворов. Block Richard J., Wingerd Winston H. Demineralization of solutions. [The Borden Co.]. Пат. США 2830905, 15.04.58.—Патентуется процесс деминерализации колл. р-ров, в частности, получение молока с низким содержанием натрия и калия при сохранении большей части естественного содержания кальция в молоке. Молоко подвергают электродиализу с применением ионопроницаемых селективных мембран и абсорбирующего к-ту ионообменника, находящегося в контакте с молоком. рН молока в процессе электродиализа поддерживают ~7, чтобы избежать выпадения белка. При патентуемом процессе удаляется 99% К, 95% Na и 33—50% Са.

Н. Брю  
6Н247. Метод определения содержания жира в молоке. Roeder Georg. Verfahren zur Bestimmung des Fettgehaltes von Milch u. dgl. Пат. ФРГ, 1046373, 4.06.59.—Патентуется новый метод определения жирности молока, основанный на измерении его светопрозрачности. Для устранения влияния различной величины жировых шариков и колл. частиц белка на светопрозрачность молока предлагается пробы молока перед определением в них жира гомогенизировать ультра-звуковыми волнами и обрабатывать аммиаком. Измерительный прибор соединен с регистрирующим приспособлением, показывающим жирность молока в процентах.

Е. Богданова



6Н248. Метод и реактивы для определения жира. Schain Philip. Method and reagents for fat determination. Пат. США 2863734, 09.12.58.—Жир, содержащийся в эмульсиях исследуемых продуктов, дестабилизируют и отделяют в виде слоя при помощи поверхностно-активных в-в, относящихся к неионитам и анионитам: полиоксиэтиленсорбитанмонолаурат (Tween) (I) и диоктил-натрий-фосфат (Tergitol) (II). Метод может быть стандартизован для каждого вида исследуемого продукта по сравнению с абс. методами (напр., метод Розе-Готтлиба). 17,5 мл молока, содержащего 2—5% жира смешивают в колбе Беккока с 8 мл р-ра I в  $\text{CH}_3\text{OH}$  (100:60). Затем 18 мл II добавляют, не перемешивая, в колбу, которую держат наклонно под углом 45°, погружая на 4 мин. в водяную баню (80°) так, чтобы уровень воды в бане доходил до половины уровня содержимого колбы. Добавляют в колбу теплой воды для заполнения градуированной трубки и через 5 мин. измеряют выделившийся слой жира. Добавление 0,2 мл насыщ. р-ра красителя красного О (Oil Red O) облегчает определение объема слоя жира.

Н. Брюн  
6Н249. Приготовление кефира с медом. С. ирива Бимпаку. Японск. пат. 8893, 2.10.59.—К цельному или обезжиренному коровьему молоку прибавляют мед с уд. в. 1,2—1,5 в кол-ве 1—5 вес.% и обрабатывают бактериями *Lactobacillus parabifidus*. После получения плотного молочного сгустка и образования молочной к-ты и летучих к-т добавляют р-р пектина, и мед перемешивают. Пример. К 5 л цельного коровьего молока добавляют 150 г меда, пастеризуют при 85° в течение 30 мин., охлаждают до 37° и обрабатывают бактериями *Lactobacillus parabifidus* в течение 15 час. при 37°. Получают продукт с содержанием 2,2% молочной к-ты, после чего одновременно добавляют 40 г пектина в 400 мл воды и 500 г меда, перемешивают и добавляют 10 мл смеси лимонной и апельсиновой эссенций в отношении 2:1, после чего получают готовый к употреблению напиток.

Ю. Жмакина  
6Н250. Способ упаковки и кондиционирования готовых к употреблению пищевых продуктов кремообразной консистенции. — Systeme d'emballage ou de conditionnement pour la consommation sans cuiller des produits alimentaires à consistance crémeuse. [G.-Robert Siegler]. Франц. пат. 1223345, 16.06.60.—Продукты (йогурт, крем, мусс) упаковывают в квадратные, прямоугольные или круглые тубы из парафинированного картона или любого другого гибкого материала. При употреблении крышка, находящаяся на одном конце тубы, удаляется и продукт постепенно выдавливается.

Г. Джиладарова  
6Н251. Улучшение способов приготовления молочных консервов. — Perfectionnements apportés aux préparations lactées conservées [Rouyer Guillet & Cie]. Франц. пат. 1173709, 2.03.59.—Для улучшения вкуса, аромата и стойкости молочных консервов, вырабатываемых из стерилизованного молока, добавляют в молоко перед гомогенизацией плодовые настойки, напр. вишневку или коньяк, или ром, предпочтительно коньяк в кол-ве 0,5—8% из расчета на содержание спирта. Молоко применяется полужирное; стерилизация молока проводится при 130—150°.

А. Годель  
6Н252. Способ производства сгущенного стерилизованного молока. Wilcox Donald F. Process of preparing evaporated milk. [Foremost Dairies, Inc.]. Пат. США 2860057, 11.11.57.—Патентуется поточный способ произ-ва сгущенного стерилизованного молока без сахара с миним. изменениями цвета и вкуса, не загущивающего при длительном хранении. Карамелизация молочного сахара и вызываемые ею при обычной длительной стерилизации в автоклаве побурение и привкус топленого молока значительно ослабляются высокотемпературной кратковременной стерилизацией, а имеющаяся при такой стерилизации тенденция к за-

густеванию при хранении предупреждается физ. хим. изменениями белков и солей, обусловленными трехстадийным нагревом до и после сгущения. Молоко подогревают до 115,5° в течение 2 мин., сгущают в вакуум-аппарате до 16—35% сухого в-ва (оптимум для сгущенного цельного молока 26%), сгущенный продукт нагревают в пределах от 82° в течение 10 мин. до 121° в течение 1 мин. (оптимум для цельного молока 93° в течение 5 мин.), охлаждают ниже 65° (оптимум 45°), стерилизуют в быстром потоке с выдержкой  $\geq 1$  мин. и  $\leq 3$  мин. при т-ре, обеспечивающей коэф. эффективности стерилизации  $F_0 > 5$  (оптимум для цельного молока 129° в течение 2 мин.). Перед стерилизацией охлажд. сгущенное молоко нормализуют (для стандартного сгущенного цельного молока до содержания жира 7,9% и сухого в-ва 25,9%). При произ-ве сгущенных диетич. молочных продуктов, напр. сгущенного молока с низким содержанием солей натрия или с заменой молочного жира растительным одновременно с нормализацией производят соответствующие изменения хим. состава молока. После нормализации молоко в потоке подогревают до 82°, стерилизуют, охлаждают в стерильном трубчатом охладителе до 65,5°, гомогенизируют при 280 атм, доохлаждают во втором трубчатом охладителе до 24° и направляют на асептич. розлив в жестяные банки и асептич. укупорку. Для молока с низкой теплостойкостью рекомендуется нагревать сгущенное молоко при 85° в течение 10 мин. и стерилизовать при 127° в течение 3 мин.; для высокостойкого молока эти т-ры увеличивают соответственно до 121° и 132°, а длительность сокращают до 1 мин. Патентуемый способ применим для сгущенных диетич. молочных продуктов, в которых жир, в том числе растительное масло, составляет 1—50% сухого в-ва. Он также применим для стерилизации гомогенизированного молока в жестяных банках. Результатами предложенной тепловой обработки являются: незначительная карамелизация лактозы, благодаря чему побурение и привкус топленого молока в 4—6 раз слабее, чем в обычном сгущенном стерилизованном молоке без сахара; расщепление казеинового комплекса со снижением поверхностного натяжения сгустка до 5—2 г и ниже, предупреждающие загустевание продукта при хранении в нормальных условиях в течение 9 месяцев; денатурация 90% лактоальбумина и лактоглобулина с переходом в тирофиобную форму; более высокая степень кон-ции ионизации и магия, что способствует стабильности казеинового комплекса и предупреждению загустевания.

М. Бенсон  
6Н253. Способ производства быстрорастворимого сухого молока. Louder Earl A., Hodson Adrian Z. Instantly soluble milk powder and process for making same. [Pet Milk Co.]. Пат. США 2832686, 29.04.58.—Патентуется непрерывный способ произ-ва полностью и быстро растворимого сухого обезжиренного молока (инстант) с крупными частицами пористой структуры путем увлажнения и сушки сухого обезжиренного молока обычной распылительной шпунки. Сухое молоко влажностью  $< 4\%$  подается из питательного бункера через желоб в камеру. Непосредственно под желобом и немного позади него из сопел в камеру поступают струи пара давл.  $\sim 8$  атм. Осушающийся сплошным потоком частицы сухого молока увлажняются до влагосодержания 5,5% и слипаются в более крупные агломераты размером  $> 100 \mu$ , причем значительная часть лактозы переходит в хорошо растворимую  $\beta$ -форму и располагается на или близ поверхности частиц. Ниже ввода пара в камеру поступает нагретый калорифером до 107—154° воздух, смешивающийся с увлажненным продуктом и снижающий его влагосодержание до 2—3%. Сухой продукт опускается на пол камеры, а увлажненный воздух проходит из камеры в воздухоотделитель, откуда после отделения

мелких частиц продукта удаляется в атмосферу. По сравнению с исходным сухим молоком в сухом молоке инстант общее содержание лактозы увеличивается с 50,8 и 55,8% соответственно до 52,7 и 56,7%, а  $\beta$ -лактозы — с 64,6 и 63,1% до 73,5 и 69,2%. Патентуемый способ улучшает растворимость других сухих молочных продуктов; сухое цельное молоко инстант растворяется быстро лишь в теплой воде. М. Бенсон

6Н254. Процесс и аппаратура для сушки распылительным способом. Coulter Samuel T., Townley Verne H. Method and apparatus for spray drying. [Regents of the University of Minnesota]. Пат. США 2887390, 19.05.59. — Патентуется видоизменение способа распылительной сушки молока, молочных продуктов, фруктовых соков и т. п., заключающееся в том, что, напр., молоко подается из резервуара при низкой скорости потока (0,6—30 м/сек), а нагретый газ при очень высокой (135—450 м/сек). Молоко вводится в камеру путем эжектирования горячим воздухом, чем одновременно достигается и распыление молока. Для улучшения пудривизации эжектор может иметь форму трубки Вентури; после отделения сухого продукта и осушки использованного горячего газа последний из камеры вновь направляется к эжектору. Г. Титов

6Н255. Состав смесей для диетического мороженого. Bludius Irene D., Rockwell Norman P., Jucattis Pranss. Dietetic frozen food composition. [E. I. du Pont de Nemours and Co.]. Пат. США 2876104, 3.03.59. — Патентуется состав низкокалорийных диетических смесей для мороженого, шербета и фруктового льда, отличающийся тем, что понижение точки замерзания, соответствующая вязкость и сладкий вкус готового продукта обеспечиваются заменой сахарозы продуктами гидролиза крахмала, сахарином и цикламом. Примерная рецептура (в %): 1) молочный жир (МЖ) 12, сухой обезжиренный молочный остаток (СОМО) 10, полизола (П) 15, натрийкарбонилметилцеллюлоза 0,3, Са-цикламат 0,2, вода 62,3 и ваниль 0,2; 2) МЖ 6, СОМО 12, П 5, сорбит 5, глицерин 2, гуммиарабик 0,128, На-алгinate 0,128, Са-цикламат 0,06, сахарин 0,004, вода 65,68 и вкусовые в-ва 4,0; 3) МЖ 4, СОМО 13, П 16, стабилизатор 0,26, эмульсификатор 0,40, Са-цикламат 0,33, вода 66,06 и ваниль 0,25; 4) МЖ 15, СОМО 3,0, П 34,0, желатина 0,5, Са-цикламат 0,05, вода 58,37, апельсиновый сок 2,58; 5) П 25,0 глюкоза 7,0, трагант 0,4, Са-цикламат 0,5, вода 64,52 и апельсиновый сок 2,58. Г. Титов

6Н256. Получение сухой смеси для производства мороженого. Ниннума Хатио. Японск. пат. 6239, 17.07.59. — Сахар растворяют в воде, нагревают до кипения, добавляют крахмал и выдерживают ~30 мин. при ~100°, затем тщательно перемешивают при -3° до получения вязкой эмульгированной массы белого цвета с большим кол-вом мельчайших пузырьков, затем сушат при распылении и получают белый порошок, применяемый при изготовлении мороженого. Пример. 562 г сахара растворяют в 3,6 л воды, кипятят в течение 20 мин., затем добавляют 94 л крахмала и, тщательно перемешивая, нагревают в течение 20—30 мин. при 90—105°, после чего охлаждают и тщательно перемешивают при -3° в течение 20—30 мин., в результате чего получают вспененную вязкую эмульсию белого цвета. Эту эмульсию сушат методом распыления и получают готовый к употреблению порошок. Ю. Жмакин

6Н257. Получение сухой смеси мороженого. Отани Синсиро. Японск. пат. 9344, 17.10.59. — Камедь и сорбит, полученные экстрагированием из соевых бобов, растворяют в воде при перемешивании, эмульгируют и сушат распылением. Полученный порошкообразный продукт смешивают с пищевым жиром, сахаром, ароматич. в-вами, кофе, шоколадом, а также фруктовыми смесями в порошке. Полученный продукт применяют для изготовления мороженого. Пример

В 150 л воды растворяют 45 кг камеди и 35 кг сорбита, содержащихся в соевых бобах, эмульгируют в колл. мельнице до содержания воздушных пузырьков ~25% от объема смеси. Полученную эмульгированную смесь сушат в распылительной сушилке в струе воздуха, получают порошок, частицы которого содержат в большем или меньшем кол-ве пузырьки воздуха. Рецепт смеси мороженого (в вес. ч.): полученный продукт 8, жир в порошке 20, тростниковый сахар 42, глюкоза 30, экстракт кофе 2. Перед употреблением рекомендуется 1 вес. ч. смеси разводить в 2 вес. ч. воды. Патентуемую смесь можно хранить в течение длительного времени. Ю. Жмакин

6Н258. Метод производства фруктового мороженого. Хигава Такэси. Японск. пат. 9986, 11.11.59. — Напиток, содержащий кофе и какао, каплями подают сверху в рефрижераторную установку; в воздухе капли застывают в виде зерен. Полученные зерна смешивают с основной смесью мороженого, находящейся в жидком состоянии, и подвергают замораживанию. Патентуется также другой вариант, по которому дно рефрижератора делают неровным с множеством выступов. Такой способ позволяет получить зерна желаемой конфигурации, имитирующей фрукты. Ю. Жмакин

6Н259. Способ и оборудование для автоматической стабилизации биологического созревания сливок. Mašek Jaroslav, Haškovec Josef, Vedlich Miloslav. Způsob a zařízení k automatické stabilizaci biologického zrání smetany. Чехосл. пат. 88369, 15.01.59. — Патентуется способ стабилизации созревших для выработки масла сливок на оптимальном уровне кислотности, заключающийся в автоматич. регулировании их т-ры в сливкосозревательной ванне. Ванна оснащается охлаждающей мешалкой, приборами для определения кислотности (кондуктометром или рН-метром) и контактным регистрирующим термометром. При контакте указателей приборов на соответствующем уровне кислотности со вторым полюсом цепи охлаждающая мешалка автоматически выключается. Последняя при понижении т-ры выключается, а в случае повышения вновь включается в результате действия контактного термометра. Г. Титов

6Н260. Способ сохранения свежего натурального вкуса и аромата в молочном жире и в жиродержащих продуктах. Turnbow Grover D. Processes for preserving the fresh natural flavor of butterfat and products produced therefrom. [Foremost Dairies, Inc.]. Пат. США 2847310, 12.08.58. — Сухие продукты из различных компонентов молока после восстановления водой обладают специфич. вкусом, отличающимся от вкуса продуктов из свежего молока. Этот привкус зависит от тепловой обработки и присутствия серосодержащих в-в и носит различные названия (пригорелый, несвежий и др.). Патентуется способ обработки молока, позволяющий свежий молочный продукт разделить на составные компоненты в сухом или конц. виде. Эти продукты могут сохраняться длительное время и затем быть восстановленными с получением нормального шоколадного молока, сливок, мороженого и других молочных продуктов без каких-либо привкусов, несвойственных продуктам из свежего молока. Для устранения горелого привкуса к молочному жиру добавляют перед температурной обработкой ингибитор в виде конц. р-ра лактозы или других сахаров. Холодное или подогретое до 46—51,5° молоко сепарируют и получают сливки жирностью 40 или 80%. Сливки пастеризуют предпочтительно при т-рах 60—88,5° в зависимости от пастеризатора, а стерилизуют при 122—149,5°. Для предохранения от пригорелого привкуса в сливки перед нагреванием добавляют в качестве ингибитора конц. р-р лактозы в кол-ве, обеспечивающем 12% сахара в водн. фазе сливок. Остальные процессы сгущения или сушки сливок проводят обычным путем. Обезжиренное молоко пастеризу-

ют, сгущают до содержания 50—60% воды и сушат. Содержание воды в сухом обезжиренном молоке не должно превышать 3%.

А. Годель  
6Н261. Способ витаминизации пищевых жиров. главным образом масла, маргарина, молока, а также молочных продуктов. Lempka Aleksander, Ryba Tadeusz, Sujak Stefan. Sposób witaminizacji tłuszczów jadalnych, zwłaszcza masła, margaryny, mleka oraz przetworów mleczarskich. [Skarb Państwa (Ministerstwo Przemysłu Mięsnego i Mleczarskiego) — Centralny Zarząd Przemysłu Mleczarskiego]. Польш. пат. 39871, 15.05.57.—Для обогащения пищевых жиров каротином и одновременно для их подкрашивания применяют каротин, выделенный из растения *Hippophae Shamnoide* экстракцией очищ. маслом (арахисовое, подсолнечное, маковое). Конц-ию каротина в экстрактах определяют колориметрически.

Т. Будкевич  
6Н262. Способ и устройство для регулирования содержания воды в масле при непрерывно-поточном способе выработки. Mašek Jaroslav, Vedlich Miloslav, Mašek Antonín, Malik Zdeněk, Ječmen Jiří. Způsob a zařízení k úpravě obsahu vody v másle, získaném nepřetržitou výrobou. Чехосл. пат. 88333, 15.01.59.—Смесь масляного зерна с частью пахты после сбивания в потоке подвергается дополнительному охлаждению. Степень охлаждения регулируется в зависимости от требуемого содержания воды в масле. Для этого цилиндр маслоизготовителя непрерывного действия имеет дополнительную надставку с охлаждающей рубашкой, разделенной на две самостоятельные секции: верхняя для ледяной воды, нижняя для рассола. Регулированием притока хладагентов содержание воды в масле, по желанию, может быть снижено до 14%.

Г. Титов  
6Н263. Способ осаждения сырной массы и приспособление для этого способа. Sujak Stefan. Sposób osadzania masy serowej albumin względnie kazeiny oraz urządzenie do wykonywania tego sposobu. [Skarb Państwa (Ministerstwo Przemysłu Mięsnego i Mleczarskiego) — Centralny Zarząd Przemysłu Mleczarskiego]. Польш. пат. 38848, 30.06.56.—Сырную массу подвергают вибрации с достаточной амплитудой и частотой во время ее естественного осаждения и распределяют в формы, устанавливаемые на вибрационную плиту с помощью спец. приспособления, обеспечивающего равномерное распределение массы во все формы. Приведены чертежи оборудования.

Т. Будкевич  
6Н264. Выпарная установка для сгущения пенящихся жидких молочных продуктов, например сыворотки. Sujak Stefan. Urządzenie wyparowe, zwłaszcza do celów mleczarskich do zagęszczania pieniących się cieczy, np. przy produkcji serwatki. [Skarb Państwa (Ministerstwo Przemysłu Mięsnego i Mleczarskiego) — Centralny Zarząd Przemysłu Mleczarskiego]. Польш. пат. 38524, 27.08.57.—Установка представляет собой закрытую камеру с находящейся в ней системой обогреваемых паром труб с возможно большей поверхностью нагрева, расположенных горизонтально одна над другой. Над трубами находится питатель в виде горизонтальной трубы с отверстиями, из которых подтекает сгущению жидкость стекает по поверхности обогреваемых труб в расположенный под ними лоток, а отсюда по молокопроводу поступает в сборный бак. По другому молокопроводу, снабженному клапаном, сгущенный продукт из сборного бака может подаваться всасывающе-нагнетательным насосом обратно в питатель для повторного сгущения до желаемой конц-ии. Через камеру проходит ток воздуха, скорость прохождения которого усиливается спец. воздуховодом с вытяжным вентилятором. Внутренние стенки камеры покрыты составом из цемента и жидкого стекла, плитками или эмалью для придания им гладкой поверхности. Вместо закрытой камеры система труб с лотком может быть размещена на открытом воздухе

под навесом. В этом случае она служит для предварительного подсушивания продукта, которое заканчивается в закрытой камере. В закрытой камере и под навесом может быть установлено несколько указанных систем, соединенных таким образом, что пар проходит через них последовательно, и питатель каждой системы соединен насосом с лотком для сбора концентрата предшествующей системы. Приведены схемы закрытой установки в продольном и поперечном сечении и установки под навесом.

В. Новиков  
6Н265. Сушка сыворотки от производства швейцарского сыра. Hull Maurice E., Lucas James F., Hoback Dale. Drying of swiss whey [Armour and Co.]. Пат. США 2897083, 28.07.59.—Сыворотку швейцарского сыра нельзя сушить на вальцевой сушилке, так как продукт образует густой сироп, прилипающий к поверхности вальцев и высыхающий в виде тягучих волокон. Патентуется способ приготовления сыворотки, обеспечивающий ее нормальную сушку на вальцевых сушилках. Перед сушкой сыворотку в ванне или в потоке добавляют формальдегид в кол-ве, достаточном для предупреждения развития остаточной молочнокислой микрофлоры и понижения титруемой кислотности выше ее уровня в момент отделения сыворотки от сгустка и для установления кислотности в пределах 0,09—0,18%. Перед подачей на сушку сыворотку нагревают до 49—60°, при этом конц-ию сыворотки над вальцами выше 20% сухого в-ва. Для предупреждения бурного вспенивания продукта над вальцами в сыворотку перед сушкой добавляли уксусную к-ту. Пример. В каждую из 7 ванн с 1816 кг сыворотки от швейцарского сыра с содержанием 5,5—6,07% сухого в-ва и 0,10—0,12% молочной к-ты добавляли 170 г формальдегида. Сыворотку сушили на двухвальцевой сушилке. Через 7,5 час. получено ~72 кг сухой сыворотки нормального качества. Выход ~5,6%. Конц-ия сыворотки над вальцами была в пределах 9,54—14,4%. При повышенной скорости вальцев целесообразно для лучшего контроля сушки предварительно подогреть сыворотку до 49—60°. В случае особо активной остаточной микрофлоры удваивают дозу формальдегида для 1-й ванны. Для контроля чрезмерно бурного кипения сыворотки с нормальной или повышенной активностью микрофлоры достаточно внести в 1-ю ванну 170 г уксусной к-ты при пониженной активности микрофлоры эту дозу вносят в каждую ванну, что увеличивает титруемую кислотность лишь на 0,01%.

М. Бенсон  
6Н266. Способ производства разжимных колец для сепараторов. Batson Arnold F., Mestdagh Jerome J. Process of manufacturing expandable seal rings. [International Harvester Co.]. Пат. США 282828, 25.03.58.—Патентуется конструкция и способ изготовления разжимных колец для самоочищающихся молочных сепараторов. Кольцо предназначено для открывания и открывания горизонтальных отверстий для моющей жидкости, расположенных по окружности корпуса барабана сепаратора, приспособленного для автоматич. мойки. Формуют пустотелое резиновое кольцо круглого сечения с радиальным разрезом по всей окружности кольца для вставления пружины. Обе поверхности разреза делают шероховатыми, покрывают их резиновым клеем, которому дают высохнуть, не сближая поверхности. После высыхания клею вставляют металлич. пружину, смачивают клей, сближают и спрессовывают поверхности разреза и вулканизуют при 121—135° в течение 20—30 мин.

М. Бенсон  
6Н267. Препарат для улучшения консистенции мяса и способ его производства. York Floyd Ralph. Meat tenderizing composition and method of making. Пат. США 2857284, 21.10.58.—Патентуется новый состав и способ приготовления препарата протеолитич. ферментов, сообщающего мясу нежную консистенцию, длительно сохраняющего активность и равномерно

распределе...  
приготовле...  
(в вес. %)...  
менты, нап...  
на конц-ию...  
мяса, соде...  
соль 5—14...  
которая сме...  
назначена...  
4 вес. ч. л...  
сахарозы...  
могут быть...  
борот, она...  
ного экстр...  
соедине...  
соем тогко...  
(в %): чес...  
37, аромат...  
экстракт...  
кристалли...  
соль 29,1...  
2,2 Mg-ка...  
ременива...  
ие компо...  
должны б...  
ли. Перву...  
перемени...  
кой поверх...  
тельно пр...  
лонятся с...  
на длител...  
После вы...  
до получе...  
виде упак...  
6Н268...  
т.и. [Кис...  
24.05.56.—П...  
куств. к...  
рида с ви...  
ки, поме...  
шпирине...  
не форм...  
30 мин. ...  
отделени...  
нает влас...  
6Н269...  
поверхно...  
Wilke...  
ing same...  
Пшенице...  
алати (н...  
для удли...  
камение...  
тери в в...  
мой на в...  
води. ди...  
70—85%...  
наших...  
метиллак...  
якт 20—...  
ищной О...  
при т-ре...  
содостим...  
мещени...  
ют колб...  
лозы; п...  
обычной...  
покрыти...  
танных...  
тальной...  
парпро...  
0,0018—...  
парпро...  
шихся



для приготовления составляют две смеси: первая включает (в вес. %) жидкость, содержащую протеолитич. ферменты, напр. водно-глицериново-спиртовой р-р папаина конц-ией 65—97 мг папаина на 1,8 г р-ра, 3—10; конц. мясной экстракт 2—4; кристаллич. поваренную соль 5—14, абсорбирующую первые два компонента; вторая смесь в кол-ве, не достигающем до 100%, предназначена для разбавления первой и состоит из 2—4 вес. ч. поваренной соли и 1 вес. ч. декстрозы или сахарозы. Кроме мясного экстракта, к первой смеси могут быть присоединены другие вкусовые в-ва и, наоборот, она может быть составлена без включения мясного экстракта. Тщательно перемешанные 1-ю и 2-ю смеси соединяют вместе и медленно высушивают, затем тонко измельчают. Пример. Состав 1-й смеси (в г): чеснок 128, черный перец 191, красный перец 737, ароматизирующая эссенция 1106, конц. мясной экстракт 1700; жидкий препарат папаина 1700; соль кристаллич. 2043. Состав 2-й смеси (в кг): поваренная соль 29,1, сахарный песок 8,6, кукурузный крахмал 2,2, Mg-карбонат 0,26. Компоненты 1-й и 2-й смеси перемешивают раздельно в механич. смесителях, жидкие компоненты 1-й смеси, в особенности ферменты, должны быть полностью поглощены кристаллами соли. Первую и вторую смесь соединяют вместе, снова перемешивают, распределяют тонким слоем на гладкой поверхности и медленно высушивают предпочтительно при  $t$ -ре  $\sim 38^\circ$ ; при этом в кристаллах соли откладываются ферменты и вкусовые в-ва в твердом виде и на длительное время будет сохранена их активность. После высушивания полученный продукт измельчают до получения тонкого сыпучего порошка и в таком виде упаковывают. С. Светов

6Н268. Способ производства сосисок. Хори Сэй итти. [Кибун кабусики кайся]. Японск. пат. 8891, 2.10.59.—Патентуется процесс произ-ва сосисок в искусств. колбасной оболочке из сополимера винилхлорида с винилиденхлоридом. Фарш шприцуют в оболочки, помещаемые в спец. формы, где происходит расширение оболочки до определенного предела. В этой же форме сосиски варят при  $100\text{--}420^\circ$  в течение 30 мин. Этот способ произ-ва сосисок предупреждает отделение жира от белка и разрывы оболочки и сохраняет эластичные свойства продукта. Ю. Жмакин

6Н269. Пищевые продукты с защитным слоем на поверхности и способ их производства. Tebbens Wilke G. Coated food product and method of producing same. [Tee-Pak, Inc.]. Пат. США 2864708, 16.12.58.—Пищевые продукты, содержащие значительные кол-ва влаги (напр., колбасные изделия, плоды, овощи и др.), для удлинения сроков их хранения без существенных изменений вкусовых качеств, внешнего вида и без потерь в весе предлагается покрывать пленкой, образуемой на их поверхности в результате обработки их водн. дисперсией сополимера винилиденхлорида (I) 70—85% с винилхлоридом (II) 10—25% и одним из низших алкильных эфиров акриловой к-ты [обычно метилакрилат (III)] 5—15%. Водн. дисперсия содержит 20—60% сухих в-в для образования пленки толщиной 0,013—0,051 мм; обработанные продукты сушат при  $t$ -ре  $\sim 20^\circ$ . Пример. В 51%-ную водн. дисперсию сополимера, содержащего (в %) I 78, II 16 и III 6, помещенную в глубокий сосуд, при  $t$ -ре  $\sim 20^\circ$  погружают колбасы в оболочках из регенерированной целлюлозы; по удалении из дисперсии колбасы сушат при обычной  $t$ -ре; при этом на поверхности их образуется покрытие толщиной 0,038 мм. При хранении обработанных колбас в течение 7 дней при  $t$ -ре  $5,5^\circ$  и относительной влажности 92% в открытом ящике величина паропроницаемости колбас колебалась в пределах 0,0018—0,0029 г/см<sup>2</sup> в открытой поверхности 24 часа; паропроницаемость контрольных образцов, хранящихся в тех же условиях 0,027 г/см<sup>2</sup> в 24 часа; внеш-

ний вид обработанных образцов был значительно лучше необработанных. С. Светов

6Н270. Способ упаковки пищевых продуктов. Ямамото Масадзи. [Нагахана гому когэ кабусики кайся]. Японск. пат. 1084, 15.02.57.—Патентуется способ упаковки колбас, сосисок и других подобных изделий. С этой целью трубку из виниловых смол с внутренним диаметром, меньшим, чем максим. внешний диаметр изделия, закладывают в форму с внутренним диаметром, большим, чем максим. внешний диаметр изделия, нагревают до  $t$ -ры выше точки размягчения, но ниже точки текучести, одновременно (или после) с нагреванием нагнетают внутрь воздух, благодаря чему трубка расширяется до гранич. формы, после чего ее охлаждают и отверждают. Трубку обрезают до требуемых размеров, упаковывают в нее пищевой продукт, снова нагревают до вышеуказанной  $t$ -ры до плотного облегания изделия и запечатывают оба конца. Из смол применяют поливинилхлорид или сополимер винилхлорида с винилацетатом или винилиденхлоридом. В качестве пластификаторов применяют дибутилфталат, диоктиладипат, бутилфталилбутилглицеролят. При необходимости добавляют краситель. Пример. 100 ч. винилхлоридной смолы, 30 ч. дибутилфталата, 3 ч. Са-стеарата, 2 ч. лисосол 2R. Патентуемый способ применим также для упаковки ветчины, сыра, рыбы, копченостей. А. Фрадкий

6Н271. Способ консервирования цыплят в возрасте одной недели. Миямото Сонхати, Адума Дзэндиэро. Японск. пат. 8890, 2.10.59.—Для консервирования цыплят в возрасте не более одной недели их предварительно вымачивают в водн. р-ре спирта сахара и соли, варят в конц. курином бульоне с добавлением вкусовых приправ и укладывают в консервные банки. Ю. Жмакин

6Н272. Способ и приспособление для изготовления вискозных колбасных оболочек. Szczotarski Czesław, Gałach Stanisław, Wysocki Andrzej, Alama Jan, Stadniczak Jerzy, Wojtkowski Edward, Rutyna Rajmund, Walisiewicz Stefan, Sekiewicz Stanisław, Kisielek Grzegorz. Sposób i urządzenie do przedzenia sztucznych jelit viskozowych. [Chodakowski Zakłady Włókien Sztucznych]. Польск. пат. 41802, 2.02.59.—Прядильный р-р для получения колбасной оболочки подается внутри трубки, где он движется под действием гидростатич. давления столба р-ра. Образующиеся газы в результате р-ции между вискозной пленкой и коагуляционным р-ром растягивают оболочку в поперечном направлении. Приведены схемы. З. Фабийский

6Н273. Предотвращение образования кристаллов фосфата магния и аммония в рыбных консервах. Мацумото Хироёси. Японск. пат. 6229, 17.07.59.—Для предотвращения образования кристаллов солей фосфорной к-ты в рыбные консервы из кеты, горбуши, или других рыб добавляют при укладке в банки катионообменные смолы. Пример. Трекку варят 15 мин., охлаждают 7 мин., разрезают на куски и укладывают в консервные банки  $\sim 227$  г. Между банкой и бумажной обкладкой помещают 0,9 г катионообменной смолы даяон SK натриевой формы, закатывают банки и стерилизуют. При хранении в течение 250—285 дней образования кристаллов не наблюдалось. Ю. Жмакин

6Н274. Стерилизация и промывка устриц. Ивада Киндзиэро. Японск. пат. 4143, 27.05.59.—К 3%-ному р-ру поваренной соли добавляют хлорноватистокислый натрий в таком кол-ве, чтобы содержание хлора составило 150 мг/л. В р-р помещают устрицы без раковин, в течение 10 мин. медленно перемешивают и выдерживают  $\sim 2$  часа. Р-р сливают и устрицы помещают во 2-й р-р, содержащий 10% поваренной соли с добавлением хлорноватистокислого натрия до содержания хлора 15 мг/л, медленно перемешивают, после чего устриц вынимают. Далее их небольшими порциями по-

мешают в 15%-ный р-р поваренной соли и перемешивают до прекращения помутнения р-ра. Патентуемый способ обработки уничтожает микроорганизмы, вызывающие кишечные заболевания. Обработка устриц способствует длительному хранению устриц в свежем виде. Замороженные после промывки устрицы можно перевозить на большие расстояния.

Ю. Жмакин  
6Н275. Способ получения водорастворимого концентрата кофе. *Petech Ramon. Method of producing a water soluble coffee concentrate.* Англ. пат. 836464, 1.06.60.—Зерна кофе механич. путем очищают от плодовой мякоти и интенсивно промывают водой для удаления прилипших ее остатков. Неферментированные зерна с неотделенными роговой и серебристой оболочками измельчают до помола. Массы и экстрагируют горячей водой или паром. Экстракт, освобожденный от нерастворенных в-в, окисляют  $O_2$  воздуха в присутствии неорганич. катализатора, обычно  $KMnO_4$ , в кол-ве 0,01—0,3% от сухого веса полифенольных соединений, нагревая 1 час при т-ре на 15—20° ниже т-ры кипения воды (но не ниже, чем на 30°). При этом, одновременно с окислением полифенольных соединений, происходит коагуляция белков и конденсация их с другими в-вами. Окисленную вытяжку отфильтровывают от белкового осадка, центрифугируют, упаривают под вакуумом и концентрат высушивают на распылительных сушилках. Сушку осуществляют при возможно более низкой т-ре (т-ра отходящего воздуха  $\leq 60^\circ$ ). Полученный порошкообразный продукт охлаждают атмосферным или кондиционированным воздухом в сушильной камере и подвергают нагреванию до т-ры, близкой к т-ре обжарки кофе. Способ дает возможность получить концентрат растворимого кофе, почти полностью сохраняющий аромат и вкус свежесобранного кофе. Минер. в-ва сырых зерен кофе (3,5—4,42%) содержат 58,48%  $K_2O$  и 1,45%  $Mn_2O_3$ , и добавка катализатора  $KMnO_4$  не вносит посторонних в-в в зольную часть продукта. По другому варианту способа экстракт освобождают от нерастворенных в-в, деаэрируют, упаривают под вакуумом, окисляют  $O_2$  воздуха в присутствии  $KMnO_4$ , нагревая ~1 час при т-ре на 15—20° ниже т-ры кипения воды. В дальнейшем осуществляют сушку по 1 варианту. По 3 варианту окисление экстракта в присутствии  $KMnO_4$  проводят до отделения нерастворенных в-в, остальные процессы осуществляют по варианту 1.

В. Гурни  
6Н276. Новый курительный продукт.—*Nouveau produit à fumer.* [L. Van de Wiele]. Бельг. пат. 564851, 15.07.60.—Патентуется новый вид продукции для курения, изготовленный из солодки (*Glycyrrhiza glabra*) различных ботанич. сортов, путем измельчения стеблей или корня растения или обработки, аналогичной обработке табака. В состав этих изделий может частично входить табак. Применением ароматизации можно создать виды продукции, разнообразные по вкусу и цвету. Новый вид продукции безвреден и смягчает дыхательные пути.

Г. Джикер  
6Н277. Способ изготовления искусственного листового табака.—*Procédé de fabrication de feuilles artificielles de tabac.* [J. de Langhe, M. van Liefferinge, P. Coolens]. Бельг. пат. 566422, 29.07.60.—Патентуется способ произ-ва из табачной пыли материала в виде листов или вырезанных из них листьев, напоминающих табачные и по физ. и дегустационным свойствам аналогичных натуральному табаку. Табачные отходы и пыль, а при желании и нормальные табачные листья, или смесь их с табачными отходами тщательно измельчают, а затем превращают в равномерную вязкую суспензию, смешивая с колл. водн. р-ром белков и виниловых полимеров. Для этого используют колл. водн. р-р желатины или поливинилового спирта. Кроме того, можно добавлять в-ва, образующие связи между макромолекулярными цепями (глиоксаль, буру, борную к-ту и подобные); регулирующие величину pH;

пластификаторы (глицерин, сорбит); гидроколлоиды, повышающие вязкость р-ра (метилцеллюлозу, Na-карб-оксиметилцеллюлозу и подобные); повышающие поверхностное натяжение смеси (сапони, алкилсульфонаты); повышающие горючесть (напр., нитраты); окрашивающие, ароматизирующие, отбеливающие пепел и другие в-ва. Из такой смеси путем вылавливания или размазывания образуют пленки, которые затем подсушивают, опудривают табачной пылью, чтобы получить матовую поверхность, увлажняют, при желании каландрируют, чтобы создать на поверхности пленок жилкование, напоминающее табачные листья, и свертывают готовый продукт в рулоны или вырезают из него подобие табачных листьев.

Г. Джикер  
6Н278. Усовершенствования методов очистки дыма табака, а также способов изготовления сигарет и других подобных изделий.—*Perfectionnements apportés aux procédés pour l'épuration de la fumée du tabac et aux cigarettes ou autres articles appliquant ces procédés.* [Antoun Sfer]. Франц. пат. 1223594, 17.06.60.—Патентуется способ повышения задерживающей способности фильтрующих мундштуков сигарет и одновременно исключения возможности увлажнения и разбухания фильтрующего мундштука при курении. Двойной фильтр состоит из обычного по составу, но укороченного по длине фильтрующего мундштука, углубленного в рубашку сигареты, и короткого жгута табачных волокон, расположенного на конце сигареты, который берут в рот. В результате происходит двойная фильтрация дыма через мундштук и слой табака; кроме того, курительщик получает привычные ощущения от соприкосновения табака на торце сигареты с губами. Изготовление сигарет с такими фильтрующими мундштуками может быть осуществлено обычным вставочным методом или путем выработки спец. патронов (из мундштука и табака) с последующим их соединением с сигаретами с помощью ободка. Табак, помещаемый в фильтре на конце сигареты, может по качеству отличаться от содержащегося в сигарете.

Г. Джикер  
6Н279. Способ и устройство для изготовления многослойных фильтрующих мундштуков при изготовлении штрангов из фильтрующих материалов. *Mülle Paul Adolf. Verfahren und Vorrichtung zur Erzeugung eines zu Mehrschichtfilterstäpseln verarbeitbaren Filterstranges.* Швейц. пат. 341106, 31.10.59.—Для повышения поглощательной способности фильтрующих мундштуков сигарет комбинируют в них различные направления крепирования, перфорируют бумажные материалы и создают на них бугорки. Патентуется конструкция машины, на которой бесконечная лента бумажного материала проходит через парные ролики, образующие на ленте складки, затем через вторую пару роликов, создающих на ленте отверстия и бугорки. После этого лента накладывается на вторую гладкую бесконечную ленту, проходит вместе с ней через третью пару перфорирующих роликов и четвертую пару роликов с измененным направлением крепирования. На этой же паре роликов могут быть установлены дисковые ножи для разрезания ленты в продольном направлении на несколько узких лент. Затем обе ленты или ряд продольных двухслойных лент проходят через аппарат для свертывания в жгут, после чего жгут поступает в механизмы для заклеивания на ход жгута в рубашку. Материалом для нижней ленты служит, напр., непроклеенная бумага, а для верхней — волокна древесной ваты или целлюлозы. В заклеенном штранге по его продольной оси будут чередоваться участки с различным крепированием и перфорацией. Разрезание штранга на фильтрующие мундштуки 6-кратной длины, а затем 2-кратной осуществляют так, чтобы в фильтрующем мундштуке каждой сигареты по его длине было не менее двух различно обработанных участков лент двухслойного фильтрующего

материал  
пается  
главной  
намотки  
кошмич  
6Н280  
баси С  
уделени  
табак  
(напр.,  
Вреднос  
мата.  
6Н281.  
на м  
1137, 25  
ниаде  
взвеш  
бака, до  
клеяко  
ность сн  
лих в-  
шмиски  
6Н282.  
ния. М  
May C  
their pr  
9.06.60.  
4 часа)  
дистан  
≥ 3 дру  
гации,  
при, из  
ли, сло  
полене  
еминко  
ридов и  
зу. При  
моносж  
≤ 25 раз  
Соотно  
0,4:1 д  
Смешив  
8-лани  
глицин  
ном на  
~20° и  
2 суток  
нориче  
щая ва  
лимади  
6Н283.  
бов пу  
Така о  
кайся].  
отжима  
совых  
превас  
чавет  
Отжима  
совых  
сов.  
6Н284.  
щества  
ра Си  
засува  
29.03.60.  
спирта  
роаби  
аромат  
лейки  
вают т  
вой к-  
ремени

материала. В результате поглощение никотина повышается до 24%, а смол до 28% от их содержания в главной струе дыма по сравнению с 6% поглощения никотина и 11% поглощения смол обычными фильтрующими мундштуками.

**Г. Диккер**  
**6H280.** Удаление окиси углерода из табака. Маэбаси Сюнъити. Японск. пат. 2900, 29.03.60.—Для удаления СО при курении и превращения ее в СО<sub>2</sub> в табак в электростатич. поле вводят катализаторы (напр., Al<sub>2</sub>O<sub>3</sub>, Au, Ni, Cu, NiO, CuO) в виде аэрогеля. Вредность табака понижается без ухудшения его аромата.

**Ю. Жмакин**  
**6H281.** Связующие вещества для табака. Мориками Сидзуо. [Нихон сэмбаи кося]. Японск. пат. 1137, 25.02.60.—К смеси 5,2–11,3%-ного р-ра поливинилпирролидона и 4,0–6,4%-ного поливинилового спирта, ватой в кол-ве 11,2–15,7% по отношению к весу табака, добавляют пенообразователь и небольшое кол-во клеевого р-ра кремниевой к-ты. Метод дает возможность снизить расходы, связанные с применением клеевых в-в на 30–44% по сравнению с ранее применявшимися препаратами.

**Ю. Жмакин**  
**6H282.** Вкусовой препарат и способ его изготовления. Morton Ian Douglas, Akroyd Philip, May Charles Gerard. Flavouring substances and their preparation. [Unilever Ltd]. Англ. пат. 836694, 9.06.60.—Патентуется способ изготовления препарата с вкусом и запахом вареного мяса нагреванием (0,25–4 часа) с обратным холодильником моносахаридов с цистеином. Р-цию осуществляют в присутствии > 3 других аминокислот. Пригодны глутаминовая к-та, глицин, α-, β-аланин, треонин, гистидин, лизин, лейцин, изо-лейцин, серин, валин, цистин, а также их соли, сложные эфиры, оксисоединения или ди-, три- и полипептиды (глютамин) или белки, освобождающие аминокислоты в условиях р-ции. В качестве моносахаридов используют рибозу, арабинозу, ксилузу, глюкозу. Пригодны также ди-, три- и полисахариды, дающие моносахариды в условиях р-ции. Кол-во воды в < 25 раз (по весу) превышает кол-во моносахарида. Соотношение вес. кол-в цистеина и моносахарида от 0,4:1 до 2:1. Р-цию проводят при pH 3–6. Пример. Смешивают в (г): воды 360, D-рибозы 15, D-глюкозы 18, β-аланина 7, L-цистеина 10, L-глутаминовой к-ты 15, глицина 5. Нагревают 2 часа с обратным холодильником на масляной бане при 130°. После охлаждения при ~20° и выдерживания в закрытом сосуде в течение 2 суток добавляют щелочь до pH 6,6–6,8. Полученная коричневая жидкость, по вкусу и запаху, напоминающая вареную говядину, может быть высушена сублимацией.

**Г. Новоселова**  
**6H283.** Способ изготовления приправ из соевых бобов путем прессования. Сасаки Хисанити, Андо Такао, Тамура Китидзо. [Нода ию кабусики кайся]. Японск. пат. 200, 18.01.57.—Патентуется способ отжима при постоянном давлении сока и масла из соевых бобов, смешанных с ароматич. в-вами и подопреваемых при помощи электрич. устройства. Обеспечивается равномерный прогрев и размягчение массы. Отжимаемые при 30–40° сок и масло не меняют вкусовых качеств. Процесс отжима длится несколько часов.

**Ю. Жмакин**  
**6H284.** Получение эмульгированного вкусового вещества для добавления в пищевые продукты. Кацура Сигэо, Мороз Тацуо, Йосида Тосио. [Такасуна корё когё кабусики кайся]. Японск. пат. 2888, 29.03.60.—В эфире одноатомного или многоатомного спирта и жирной к-ты, напр., абетиновой или дигидробетиновой, растворяют натуральные или синтетич. ароматич. препарат и эмульгируют для сохранения клейких свойств полученного р-ра. Пример. Смешивают при 70° (в вес. ч.): метилового эфира абетиновой к-ты 7 и апельсинового масла 3, выдерживают, перемешивая, при этой т-ре в течение 30 мин., после чего

добавляют 20%-ного р-ра гуммиарабика 40 и после перемешивания эмульгируют в спец. аппарате до получения однородной структуры. Применение этого состава позволяет избежать нежелательного увеличения содержания галенов в пищевых продуктах, что наблюдалось при применявшихся ранее способах. Кроме того, новый способ отличается большей эффективностью.

**Ю. Жмакин**  
**6H285.** Применение жирорастворимого витамина при производстве вкусовых веществ и пищевых продуктов. Мима Хироюки. [Такада якухин когё кабусики кайся]. Японск. пат. 8384, 17.09.59.—Водный р-р вкусового препарата смешивают с р-ром эфира жирной к-ты и дисахарида и жирорастворимого витамина. Смесь добавляют к пищевому продукту, содержащему соль, для усиления его вкуса и питательности. Пример. Смешивают 1 г р-ра витамина А (2 000 000 м. е./г) в этаноле и 12 г эфира лауриновой к-ты и дисахарида. Полученную смесь растворяют в ацетоне, после чего ацетон отгоняют, добавляют 200 мл воды до получения однородного водн. р-ра и 2 л соевого масла и получают готовый продукт, который может быть также использован при изготовлении консервов.

**Ю. Ж.**  
**6H286.** Производство майонеза из белков молока. Вакаяма Харунари, Тонамура Тацудзо, Морикава Тадаюбу. Японск. пат. 2887, 29.03.60.—К сухому обезжиренному или цельному молоку добавляют пектин или смесь пектина и Na-карбоксиметилцеллюлозы (I), добавляют воду и перемешивают до образования вязкого колл. р-ра. Полученный р-р вакуумируют, добавляют прованское масло и эмульгируют. В эмульсию при перемешивании добавляют пищевую к-ту, горчицу или другие острые приправы и получают полуфабрикат майонеза, после чего добавляют питательные в-ва или вкусовые приправы и, в случае необходимости, полученный готовый продукт нагревают. Пример. Смешивают 8 г обезжиренного (или цельного) сухого молока, 1 г горчицы в порошок, 0,5 г цитрусового пектина или 0,8 г смеси пектина и I. К полученному колл. р-ру медленно прибавляют 60 г прованского масла при перемешивании и получают эмульгированный продукт, почти лишенный текучести, после чего при перемешивании добавляют 3 г уксусной к-ты, молочной к-ты или смеси молочной и уксусной к-т, к которой предварительно добавлена горчица и другие приправы. К полученному продукту добавляют витамин А (в прованском масле), а также по вкусу соль, сахар, Na-глутамат и ароматич. в-ва. После созревания в условиях вакуума в течение ~1 месяца, исчезает резкий запах к-ты и майонез готов к употреблению. Полученный продукт более стабилен, чем обычный майонез.

**Ю. Жмакин**  
**См. также раздел Техническая биохимия** (выпуск Биологическая химия) и **рефераты**: Использование хлореллы, как пищевого продукта 6C1376Bx. Аминокислоты в морских водорослях Бомбея 6C601Bx. Содержание цистина в белках, пищевых продуктах и кормах 6C1373Bx. Канцерогенное действие инородных в-в в пищевых продуктах 6C1361Bx. Определение малых кол-в ДДТ в муке и других пищевых продуктах 6J471. Микрометод определения андрина 6J472. Роль пшеницы в питании 6C1360Bx. Структура и строение гелей желатиниз 6B720. Флавоноиды цитрусовых плодов 6C245Bx. Ферментный синтез и разрушение каротиноидов экстракта манго 6C249. Аскорбинген и другие нидольные производные в савайской капусте 6C290. Определение остатков О,О-диметил-S-(N-метилкабамидометил)-дитиофосфата в обработанных с/х продуктах 6J473. Определение фосфорорганич. висектинида M-81 в яблоках, виноградном соке и вине 6J474. О содержании метионина в белках молока 6C1363Bx. Об определении сухого в-ва в молоке, а также содержания воды в коровьем масле и в винных экстрактах с помощью безводн. суль-



фата натрия или инфузорной земли 6C1369Bx. Определение лактопероксидазы 6C2225Bx. Микробиологич. определение *E. coli* и кишечных бактерий в молоке 6C356Bx. Влияние низких доз гентхлора на вкус и запах молока 6J1477. Влияние высоких доз свинца на вкус и запах молока 6J1479. Идентификация летучих монокарбонильных соединений из молочного жира, подвергнутого самоокислению 6C1370Bx. О кислой фосфатазе мяса 6C2144Bx. Содержание белка, витамина А и каротинов в сыворотке крови свиней 6C257Bx. Накопление витамина А у рыб 6C258Bx. Витамин В<sub>6</sub> в рыбе и рыбных продуктах Норвегии 6C279Bx. Определение холестерина в красных мышцах рыб с помощью сапонина 6C747Bx. Факторы, влияющие на качество белков рыбной муки 6C1397. Получение глутаминовой к-ты 6J1324, 6J1325, 6J1249. Синтетич. сладкие в-ва 6J1279. Содержание кансацина в различных сортах перца 6C805Bx. Фенольные в-ва пряного перца 6C674Bx. Непрерывная очистка поваренной соли от примесей 6K65. Получение поваренной соли из морской воды с использованием ионитов 6K141. Синтетич. красители и вопросы их токсичности 6J1244

## БРОДИЛЬНАЯ ПРОМЫШЛЕННОСТЬ

Редактор Ю. С. Чельцова

6H287. Первый международный симпозиум по бродительным процессам. *Began K. I. mezinárodní symposium o fermentaci*, 1960, v Rimě, «Kvasný průmysl», 1960, 6, № 8, 186—187 (чешск.).—Симпозиум состоялся 9—12 мая 1960 г. в Риме. Большое число докладов относилось к процессам непрерывного ведения брожений, к вопросам потребления микроорганизмами O<sub>2</sub> и методике его определения, к произ-ву антибиотиков. Освещались вопросы генетики в связи с повышением активности штаммов организмов, образующих антибиотик.

Н. Баканов  
6H288. Моно-, олиго- и полисахариды пекарских и пивоваренных дрожжей. *Täufel K., Steinbach K. J., Meinert G. Mono-, Oligo- und Polysaccharide von Preß- und Brauereihefe. «Nahrung»*, 1960, 4, № 4, 295—309 (нем.; рез. англ., русск.).—Приведена сравнительная оценка методов определения состава сахаров в прессованных пекарских и в пивоваренных дрожжах (Д) и разработан метод для выделения и идентификации моносахаридов, олигосахаридов и полисахаридов. В двух образцах Д, полученных с дрожжевого з-да, и чистой культуры с пивоваренного з-да, обнаружены (в %): гликоген 20—18,8, галактаны 6,6—9,1, маннаны 12,4—10,8, ксиланы 1,9—2,3. В отличие от пивоваренных, прессованные пекарские Д содержали 12,2% трегалозы. В пивоваренных Д обнаружено 11,4% олигосахаридов: трисахарида, состоящего из 2 молекул глюкозы и 1 молекулы фруктозы; в пекарских Д таких олигосахаридов не обнаружено. Е. Плевако

6H289. Метод микроопределения спирта в водной среде. *Bessot Lucien, Scemata Maurice. Sur une technique de microdosage de l'alcool dans les milieux aqueux. «C. r. Acad. sci.»*, 1960, 250, № 23, 3897—3899 (франц.).—Описан модифицированный метод (Nicolau C. R. Soc. Biol., 1931, 2, p. 71), по которому избыток K<sub>2</sub>Cr<sub>2</sub>O<sub>7</sub> (I) определяется спектрофотометрически в УФ-свете при 350 мμ. Реактивы: K<sub>2</sub>Cr<sub>2</sub>O<sub>7</sub> 4,904 г; H<sub>2</sub>SO<sub>4</sub> (d = 1,84) 550 мл и дистил. воды до 1000 мл. 5 мл хромовой смеси вносят в стеклянный сосуд диам. 50 мм с притертой крышечкой. В стеклянную чашечку на треножнике, помещенную внутри сосуда, вводят исследуемую пробу, растворенную в 1 мл дистил. воды и 1 мл 1 н. H<sub>2</sub>SO<sub>4</sub>. Сосуд закрывают и ставят на водяную баню при t-ре 85° точно на 3 часа. По охлаждению сифонируют хромовую смесь в мерную склянку на 250 мл, споласкивают и доводят до метки. После раз-

мешивания измеряют спектрофотометром коэф. абсорбции I при 350 мμ. Параллельно проводят слепой опыт и по разности вычисляют потребленное кол-во I и содержание спирта в образце. 1 мл 0,1 н. р-ра I соответствует 1,15 мг этанола или 0,534 мг метанола. Метод пригоден для определения 1—3 мг спирта. Т. Лунин

6H290. Биохимическое определение сахаров в смеси, с применением прессованных дрожжей. Сообщение 1. Обзор литературы и обоснование для анализа сахаров в отдельности и в смеси. *Täufel K., Rüttloff H., Przyborowski E. Zur biochemischen Differenzierung von Saccharidgemischen unter Einsatz von Preßhefe. 1. Mitt. Literaturüberblick und Grundlagen zur analytischen Erfassung von Sacchariden einzeln und im Gemisch. «Ernährungsforschung»*, 1960, 5, № 4, 417—440 (нем.).—Приведен критич. обзор литературы по определению сахаров хим., физ. и биохим. методами. Приведены опыты сбраживания глюкозы, мальтозы (I), сахарозы, лактозы, раффинозы и лактозы с применением прессованных пекарских дрожжей и с определением остаточных сахаров хим. методом и методом хроматографии на бумаге. Степень сбраживания сахаров была обратно пропорциональна их конц-ии. При pH 5,2 I сбраживалась значительно быстрее, чем при pH 7,0. Активная кислотность среды не влияла на скорость потребления лактозы и раффинозы. В присутствии глюкозы, фруктозы, сахарозы — в условиях опытов I полностью сбраживалась за 15—20 мин.; в тех же условиях без добавки других сахаров дрожжи начинают использовать I только через 35—40 мин. Е. Плевако

6H291. Изменение размеров клеток дрожжей *Saccharomyces cerevisiae* при аэробном выращивании. *Pelc Antal, Vámosné Vigyázó Lilly. Saccharomyces cerevisiae élesztők sejtjének méretének változása az aerob tenyésztésben. «Szeszipar»*, 1959, nov.—dec., 181—183, 196, 3 str. obl. (венг.; рез. нем., франц.).—Проведены наблюдения над изменением размера дрожжевых клеток при их выращивании в аэробных и анаэробных условиях. Наблюдалось уменьшение размеров клеток в пробах, взятых на 3-де из аппаратов 3-й, 4-й и 5-й генераций. Дрожжи 4-й генерации выращивали в лабораторной в сахарной среде в анаэробных условиях спиртового брожения. Диаметр этих дрожжевых клеток составлял 5,8 м, в анаэробных условиях на 3-де диаметр не превышал 5,2—5,0 м. В 1 г дрожжей в анаэробных условиях насчитывалось 10,4 млрд., а в аэробных условиях получали дрожжи более мелкие; в 1 г их было 13,9—15,6 млрд. клеток. Уменьшение размеров клеток обусловлено тем, что последние (в заводских условиях) находятся в состоянии голодания, так как при этом имеет место активация аэробных ферментов и увеличение уд. поверхности дрожжевых клеток, что способствует также интенсификации дыхания клеток и потребления питательных веществ. С. Розенфельд

6H292. Сбраживание сахаров дрожжами расы *Hakken № 1*. V. Применение данной расы дрожжей для производства пекарских дрожжей. *Morita Masahide, Asada Kazuo, Yamamoto Tatsuo. «Хакко когаку даасэн, J. Ferment. Technol.»*, 1959, 37, № 10, 407—410, 39 (японск.; рез. англ.).—Выход дрожжей расы *Hakken № 1*, выращенных при аэрации, составлял ~80% по сравнению с обычными пекарскими дрожжами. При брожении теста с нормальной конц-ией сахара (100 г муки, 4 г сахара) дрожжи *Hakken № 1* выращенные при аэрации, могут применяться наравне с товарными пекарскими дрожжами. Однако, при высокой конц-ии сахара (100 г муки, 30 г сахара) скорость брожения этих дрожжей очень замедлена. Часть IV см. РЖХим, 1961, 5H222. Из резюме авторов

6H293. Совместная культура дрожжевых штаммов. *Ecsedi Sándor, Gánti Tibor. Élesztőtörzsek együttes tenyésztése. «Szeszipar»*, 1960, máj.—jún., 55, 78, 79 (венг.; рез. нем., франц.).—В процессе выращи-

вания дрожжевых культур в-ва, обмен веществ, обмен одних культур на другие, могут развиваться различные процессы, влияющие на качество и количество дрожжей. В процессе выращивания дрожжей в-ва, обмен веществ, обмен одних культур на другие, могут развиваться различные процессы, влияющие на качество и количество дрожжей. В процессе выращивания дрожжей в-ва, обмен веществ, обмен одних культур на другие, могут развиваться различные процессы, влияющие на качество и количество дрожжей.

В процессе выращивания дрожжей в-ва, обмен веществ, обмен одних культур на другие, могут развиваться различные процессы, влияющие на качество и количество дрожжей. В процессе выращивания дрожжей в-ва, обмен веществ, обмен одних культур на другие, могут развиваться различные процессы, влияющие на качество и количество дрожжей. В процессе выращивания дрожжей в-ва, обмен веществ, обмен одних культур на другие, могут развиваться различные процессы, влияющие на качество и количество дрожжей.

В процессе выращивания дрожжей в-ва, обмен веществ, обмен одних культур на другие, могут развиваться различные процессы, влияющие на качество и количество дрожжей. В процессе выращивания дрожжей в-ва, обмен веществ, обмен одних культур на другие, могут развиваться различные процессы, влияющие на качество и количество дрожжей. В процессе выращивания дрожжей в-ва, обмен веществ, обмен одних культур на другие, могут развиваться различные процессы, влияющие на качество и количество дрожжей.

В процессе выращивания дрожжей в-ва, обмен веществ, обмен одних культур на другие, могут развиваться различные процессы, влияющие на качество и количество дрожжей. В процессе выращивания дрожжей в-ва, обмен веществ, обмен одних культур на другие, могут развиваться различные процессы, влияющие на качество и количество дрожжей. В процессе выращивания дрожжей в-ва, обмен веществ, обмен одних культур на другие, могут развиваться различные процессы, влияющие на качество и количество дрожжей.

В процессе выращивания дрожжей в-ва, обмен веществ, обмен одних культур на другие, могут развиваться различные процессы, влияющие на качество и количество дрожжей. В процессе выращивания дрожжей в-ва, обмен веществ, обмен одних культур на другие, могут развиваться различные процессы, влияющие на качество и количество дрожжей. В процессе выращивания дрожжей в-ва, обмен веществ, обмен одних культур на другие, могут развиваться различные процессы, влияющие на качество и количество дрожжей.

В процессе выращивания дрожжей в-ва, обмен веществ, обмен одних культур на другие, могут развиваться различные процессы, влияющие на качество и количество дрожжей. В процессе выращивания дрожжей в-ва, обмен веществ, обмен одних культур на другие, могут развиваться различные процессы, влияющие на качество и количество дрожжей. В процессе выращивания дрожжей в-ва, обмен веществ, обмен одних культур на другие, могут развиваться различные процессы, влияющие на качество и количество дрожжей.

влияния дрожжевых грибов выделяются продукты обмена в-в, аминокислоты, пептиды. При этом продукты обмена одного штамма могут служить питанием для других штаммов. Некоторые в-ва, напр. пиридоксин, могут поддерживать рост одного штамма и задерживать развитие другого. При совместной культуре правильно отобранных штаммов может быть достигнут повышенный выход дрожжей и снижение уд. расхода мелассы. При хранении прессованных дрожжей выделенные в процессе обмена азотистые соединения могут стимулировать рост посторонних организмов и являться причиной быстрой порчи дрожжей; при подходе к подборе смешанных культур один штамм может ассимилировать продукты обмена в-в другого штамма и тем самым значительно уменьшить опасность порчи.

С. Розенфельд  
6H294. Режим выращивания дрожжей улучшен по качеству с высокой мальтазной активностью. Плевако Е. А., Семяхатова Н. М. «Хлебопек. и кондитерск. пром-сть», 1960, № 10, 17—19. — Посредством газометрич. метода установлено, что из испытанных культур дрожжей (Д), хранящихся в музее, наибольшей мальтазной активностью (МА) обладает культура № 14, рекомендуемая для произ-ва активных мальтазных Д на з-дах. Для активирования МА следует выращивать Д при замене части сахарозы мелассы (М) эквивалентным кол-вом мальтозы (I) в виде солодового сусла или мальтозной патоки. В лаборатор. и производственных условиях (на советском дрожжевом з-де) был разработан режим выращивания Д с высокой МА. Рекомендуется подавать I в дрожжерастительный час: при работе без отборов в кол-ве 10% к сахару М в течение 4-го, 5-го и 6-го часа или 7-го, 8-го и 9-го часа от начала выращивания; при работе с отборами в кол-ве 15% к сахару М (из них 10% в течение 3 час. до отборов и 5% с последним притоком М в процессе отбора). Д с высокой МА расходуются при хлебопечении в меньшем кол-ве, чем обычные Д, и дрожжевым з-дам рекомендуется освоение их выращивания.

Ю. Чельцова  
6H295. Поведение сухих хлебопекарных дрожжей под давлением. Péterffy Éva. Szárított sőtőlesztő viselkedése nyomás hatására. «Szeszipar», 1960, máj., jún., 59—60, 78, 79 (венг.; рез. нем., франц.). — При изготовлении таблетированных сухих дрожжей под давлением в 1—2 атм обнаружено отрицание дрожжевых клеток вследствие местного перегрева препарата. Для защиты клеток от инактивации достаточно применять к сухим дрожжам перед прессованием ~2% в-ва с высокой уд. теплоемкостью, напр. пищевое масло или глицерина.

С. Розенфельд  
6H296. Современные вопросы организации (спиртовой) промышленности. Kékesz Lajos. Időszerű iparszervezési kérdések. «Szeszipar», 1960, máj., 45—49 (венг.). — Рассмотрено значение и методы организации процессов в отдельных отраслях и узлах спиртовой пром-сти, напр. организация межзаводского и внутризаводского движения сырья; проблемы произ-ва дрожжей, крахмала, спиртовых напитков и т. д.

С. Розенфельд  
6H297. Потребление спиртных напитков во Франции до 1959 года. Marigaire M. Consommation des spiritueux en France au cours de l'année 1959. «Inds aliment. et agric.», 1960, 77, № 6, 457—460 (франц.). — Приведено потребление всех типов спиртных напитков населением во Франции с 1952 по 1959 гг., а также разными отраслями пром-сти (парфюмерия, фармацевтика, вкусное произ-во, хим. пром-сть и другие); указаны изменения в налоговой системе в связи со снижением потребления спирта населением. А. Нечаева

6H298. Сравнительный анализ рентабельности производства спирта из различного сырья с учетом возможности использования этого сырья для других целей. Kuźba J. Analiza porównawcza opłacalności pro-

dukcji spirytusu przy zastosowaniu różnych surowców oraz przy uwzględnieniu możliwości zużycia tych surowców na inne cele. «Przem. rolny», 1960, № 5, 10—15 (польск.). — Приведены сопоставимые расчеты рентабельности использования мелассы, картофеля и кукурузы в качестве корма, для выработки спирта (с использованием полученной барды в качестве корма) или для произ-ва крахмала. Расчеты сделаны с учетом местных и экспортных цен, действующих в ПНР.

Г. Ошмян  
6H299. Использование различных видов сырья для производства спирта. Simek Ferenc. Különleges nyersanyagok felhasználása a szesziparban. «Szeszipar», 1960, márc.-ápr., 29—30, 43, 44 (венг.; рез. нем., франц.). — Проведены лабор. опыты по сбраживанию ряда с-х продуктов или отходов для расширения сырьевой базы спиртовой пром-сти. При сбраживании кукуля (Agrostemma githago), содержащего 46—48% крахмала, 5—5,5% пентоз, по обычной технологии выход спирта не превышал 45% от теоретич. (13,8—14,7 л/100 кг); при брожении кукуля в смеси (1:1) с мелассой или кукурузой (для уменьшения бактерицидного действия алкалоида сапонина) выход не повышался. Выход (25,5—27 л/100 кг) был получен при предварительном кислотном гидролизе кукуля (0,5% HCl; 2,5 атм; 2 часа). В опытах с *Sophora japonica* L. выход спирта не превышал 4 л/100 кг, с турнепсом после 1-часовой варки при давл. 2 атм получен выход 4—5 л/100 кг.

С. Розенфельд  
6H300. Новый метод определения глюкозы в смеси, содержащей мальтозу, посредством избирательного брожения пекарскими дрожжами, выращенными при недостатке азота. Matsuo Yoshiyuki, Nanba Akira. «Хакко когаку дзасси, J. Ferment. Technol.», 1959, 37, № 11, 461—466, 43 (японск.; рез. англ.). — Дрожжи, выращенные при недостатке N, при культивировании (4 час.) в синтетич. среде без N, теряли способность сбраживать мальтозу (I) и сбраживали глюкозу (II) избирательно в присутствии I без добавления щел. буфера. На этой основе разработан метод для колич. определения II в присутствии I. Характерным для метода является отсутствие необходимости учитывать тип и кол-во щел. буфера, как это при случае методу Somoqi и Pan. С применением данного метода к определению ферментативных и кислотных гидролизатов крахмала получены хорошие результаты.

Из резюме авторов  
6H301. Сжигание паточной барды. Nergan Alojzy. Spalanie wywaru melaszowego. «Przem. fermentacyjny», 1960, 4, № 1, 9—11 (польск.). — В соответствии с рекомендациями конференции по утилизации па очной барды (ПБ) (ПНР, г. Лешно, май, 1960) о целесообразности сжигания ПБ после предварительного всестороннего использования ее (выращивание дрожжей, получение беттина и глутаминовой к-ты и т. п.) обсуждены современные способы осуществления сжигания ПБ. Рассмотрены системы печей для сжигания ПБ, сгущенной до 30° Бр., и котлов для сжигания ПБ, сгущенной до 75° Бр. Расчетным путем выявлена экономичность сжигания ПБ в котлах. Предполагается испытание конструкции приставки к котлам любой марки, обеспечивающей сжигание ПБ. Приведены схемы печи и котла для сжигания ПБ.

Г. Ошмян  
6H302. Об оснащении ректификационных аппаратов спиртовых заводов контрольно-измерительными приборами. Konics Miklós. Szeszfinomító készülék műszerezésének fejlesztési lehetőségeiről. «Szeszipar», 1959, nov.-dec., 175—180, 196, 3 str. obl. (венг.; рез. нем., франц.). — Рекомендуется оборудовать ректификационные аппараты следующими контрольно-измерительными приборами: нижними и верхними дистанционными термометрами на бражной колонне (К); ротаметром для контроля питания бражкой; дистанцион-

ным термометром для контроля нагрева бражки; регистрирующим расходомером пара для эспорационной К; регистрирующими термометрами в выварной части эспорационной К, в зоне сивушного масла ректификационной К, в центральной секции сивушной К и на конденсаторах; усовершенствованными регуляторами давления пара. Приведена схема ректификационного аппарата с приборами.

С. Розенфельд

6Н303. О точности измерения количества спирта. Павловский А. Н. «Спирт. пром-сть», 1960, № 6, 16—18.—Рассмотрены источники погрешностей при определении кол-ва спирта технич. мерниками 1 и 2-го класса, зависимость точности определения от точности измерения объема, т-ры и крепости спирта и методы устранения различных источников погрешностей при определении.

Г. Ошмян

6Н304. Калорические свойства 96-процентного (по объему) раствора этилового спирта в воде. Вукалович М. П., Зубарев В. Н., Дзампов Б. В. «Теплоэнергетика», 1960, № 10, 63—67.—Рассчитаны калорич. свойства 96 об. %-ного этанола (I) при т-рах от 0 до 248,2° с интервалами в 10° и соответствующие показатели среднего давления насыщения от 0,012 до 69,9 кг/см<sup>2</sup>; таблицы энтальпии I в тех же интервалах т-ры и давления в пределах от 1 до 350 кг/см<sup>2</sup> и соответствующие теплоемкости I в области жидкости и пара. Построен график зависимости теплоемкости I от т-ры. Приведено подробное описание способов расчета и сопоставление полученных и литературных данных. См. также РЖХим, 1960, № 14, 59088.

Г. Ошмян

6Н305. Результаты исследований в области перегонки спирта. Melichar Bohuslav. Splněné vývojové úkoly z oboru destilace lihu. «Kvasný průmysl», 1960, 6, № 5, 107—109 (чешск.; рез. русск., нем., англ.).—Приведены результаты исследований работы кипятильника (К) с наклонными трубками и эмалированной перегонной колонны. К диам. 690 мм с наклонными трубками длиной 1200—1500 мм и диам. 34/30 мм, установленными под углом в 30°, был присоединен к колонне диам. 600 мм. При давлении греющего пара в 3,25 атм т-ра в нижней части колонны была 134°. Поверхность нагрева кипятильника 6,35 м<sup>2</sup>; расход греющего пара 62,04 кг/м<sup>2</sup> час; теплопередача 31 562 ккал/м<sup>2</sup> час; коэф. теплопередачи аппарата 2854 ккал/м<sup>2</sup> час град. Выявлены преимущества К в отношении потери давления, легкости очистки трубок, теплоиспользования, потребности в площади для установки и стоимости изготовления по сравнению с К, оборудованными вертикальными трубками. Описана конструкция эмалированной колонны, успешно работавшей 1 сезон на з-де в Черновице. Колонна изготовлена сварочным способом из стального листа толщиной 4 мм, что обеспечивает значительную экономию меди.

Н. Баканов

6Н306. Исследование спиртов периодической перегонки. 5. О кислотности и органических кислотах спиртов периодической перегонки. Като Хякуити, Си-мада Тобаки, Накао Тосиюки, Усидзима Дзюро, Сигаки Кунно, Сасаки Садаму, Каясима Сёдзи. «Нихон дзёдо кёкай дзасси», J. Soc. Brew., Japan, 1959, 54, № 8, 594—586 (японск.).—Сообщение 4 см. РЖХим, 1960, № 17, 71223

6Н307. Об изменении денатурата при отклонении температуры. Андрейча Н. И., Волкова О. А. «Спирт. пром-сть», 1960, № 6, 14—15.—Экспериментально выявлена поправка на термич. расширение и сжатие объема денатурированного спирта крепостью 82 об. % при розливе в 0,5-л посуду в пределах от 0,47 до 0,5 мл и в среднем 0,49 мл на каждый градус отклонения от т-ры 20°. Опытные определения проводились при т-рах от 1 до 31,5° и рецептуре денатурирования (в об. % на 100 л безводного спирта): спирта 99,15, керосина 0,5, пиридинового основания 0,25, р-ра краски 0,1. В примечании редакции указано, что по-

правка является приближенной и приемлемой только в отмеченных авторами условиях испытания. Г. Ошмян

6Н308. Ароматные воды. Hartmann G. Aromatische Wässer. «Riechstoffe und Aromen», 1960, 10, № 1, 277—279; «Alkohol-Ind.», 1960, 73, № 18, 473—474 (нем.).—Описаны получение померанцевой и розовой воды и методы их испытания для оценки качества. Указано на возможность применения этих вод в качестве добавок к ряду спиртных напитков.

Е. Шепеленко

6Н309. Топливное хозяйство в производстве шотландского виски. II. Webb Wm. H. A. Fuel economy in the highland malt whisky distillery. II. «Industr. Chemist», 1960, 36, № 426, 381—385 (англ.).—Рассмотрены наиболее рациональные способы расходования топлива на стадии перегонки. Обобщены материалы и рекомендации по лучшему использованию источников топлива при произ-ве виски. Сообщение I см. РЖХим, 1960, № 20, 82675.

Г. Ошмян

6Н310. Исследование применения глюкозо-оксидазы в сакэ. Suzuki M., Nunokawa Y., Kikuchi T., Shimatani. «Нихон дзёдо кёкай дзасси», J. Soc. Brew., Japan, 1959, 54, № 1, 62—58 (японск.).—Исследовано влияние глюкозо-оксидазы (I) при ее добавлении к сакэ при его хранении. Термич. устойчивость I быстро понижается в р-ре спирта или при знаком рН и остается в виде следов при обработке I 15 мин. при 60°. Активность I в сакэ более устойчива и сохраняется почти без изменения при нагревании до 55°. В условиях хранения сакэ I сохраняет активность. При 3-месячном хранении сакэ, содержавшего некоторые кол-ва I, найдено, что добавление I ~ 5 мг/л предотвращало сакэ от разрушения его органолепич. качества.

Из резюме автора

6Н311. Изучение влияния неорганических солей при производстве очищенного сакэ. 5. О влиянии неорганических солей на извлечение ферментов из рисового козди и о поглощении ферментов рисовым крахмалом. Ито Кёгоро, Кидо Йосиэцу. 6. Активность ферментов козди при добавлении неорганических солей и явление окрашивания. Ито Кёгоро, Сасаки Хиротами, Тиба Сигэру. «Нихон дзёдо кёкай дзасси», J. Soc. Brew., Japan, 1959, 54, № 8, 598—594 (японск.).—Сообщение 4 см. РЖХим, 1960, № 7, 71227

6Н312. Аромат очищенного сакэ. 1—2. Ямада Масакадзу. «Нихон дзёдо кёкай дзасси», J. Soc. Brew., Japan, 1959, 54, № 9, 612—616; № 10, 706—712 (японск.).

6Н313. Изучение солода и пива из кафрекого сорго. IV. Экстрагирование и природа нерастворимых амилаз солода из сорго. Novellie L. Kaffircorn malting and brewing studies. IV. The extraction and nature of the insoluble amylases of kaffircorn malts. «J. Sci. Food and Agric.», 1960, 11, № 7, 408—421 (англ.).—Получаемые при проращивании южноафриканских сортов сорго  $\alpha$ - и  $\beta$ -амилазы могут быть растворимыми или нерастворимыми в зависимости от применяемых разновидностей сорго. Исследованы нерастворимые амилазы сахарного сорго и его разновидностей («birdproof»), которые в отличие от связанных амилаз в солоде в ячменя являются активными в нерастворенном состоянии. Установлено, что белки, пептоны, этилендиамин, гистидин и соединения, содержащие группу —NC(X)N— (X не O), в наибольшем кол-ве выделяют амилазы из связанного состояния. Частичное освобождение их достигается солями, поверхностноактивными в-вами и соединениями основного характера — моноаминами, аминокислотами, обладающими основными свойствами, и NaOH. Воздействие этих в-в на соли из сорго значительно отличается от воздействия их на ячменный солод. Освобождение нерастворимых амилаз солода из сорго не является протеолитич. процессом: по-видимому происходит десорбция амилаз из в-в, адсорбирующих амилазы с такой прочностью, что экстра-

гирования  
Сообщени  
6Н314.  
V.  $\beta$ -ам  
lie L. K  
tence of  $\beta$   
Agric.», 1  
тально п  
кафрекого  
амилазы  
образуюш  
лазой в т  
I достигн  
лучения  
ность (Д  
ного и я  
Сообщени  
6Н315.  
для пив  
Gärtne  
nyersany  
198 (вен  
тов озим  
их чисто  
образов  
~95%.  
ные сорт  
балось м  
посева, а  
ячменя,  
рен как  
нем 75-  
частью б  
вывод, ч  
деди Бет  
ми и бл  
ным сор  
6Н316.  
риода п  
ности. M  
dy of th  
ley and  
1960, 93  
низкой  
связана  
ностных  
перикар  
зависит  
обладаю  
дения п  
сти сост  
попенто  
O<sub>2</sub> В от  
ботка ф  
рая уве  
контрол  
(0,0025  
контрол  
валась  
6Н317  
да в во  
Lemb  
in steep  
(англ.).  
водах:  
чаных  
14 час.  
на про  
с течен  
у два  
жение  
нием  
к поте



гирование водой не может привести к их выделению. Сообщение III см. РЖХим, 1960, № 14, 59100. С. Светов

6Н314. Изучение солода и пива из кафрского сорго V.  $\beta$ -амилаза в солоде из кафрского сорго. Novel L. Kaffircorn malting and brewing studies. V. Occurrence of  $\beta$ -amylase in kaffircorn malts. «J. Sci. Food and Agric.», 1960, 11, № 8 457—463 (англ.).—Экспериментально показано, что солод из южноафриканского кафрского сорго содержит значительные кол-ва  $\beta$ -амилазы (I), отсутствующей в несоложенном зерне и образующейся при соложении одновременно с  $\alpha$ -амилазой в постоянном с ней соотношении. При очистке I достигнута такая же степень чистоты, как и при получении других растительных I. Диагностич. способность (ДС) солода из сорго отличается от ДС пшеничного и ячменного различным соотношением амилаз. Сообщение IV см. 6Н313. В. Платонова

6Н315. Шестирядный озимый ячмень как сырье для пивоваренной промышленности. Сообщение 2. Gärtner Károly. Hatosoros őszirapra mint söripari nyersanyag. 2. közl. «Sörpar», 1959, szept.—okt., 192—198 (венг.; рез. нем.).—Исследованы 5 венгерских сортов озимого ячменя из 14 зон посева для выяснения их чистоты и годности для пивоварения. Всхожесть образцов (после 4-месячного хранения) оказалась ~95%. По данным хим. и механич. анализов изученные сорта различались мало; содержание белков колебалось между 10 и 16% и зависело в основном от места посева, а не от сорта; процент ползвощенного пивного ячменя, как правило, был мал при таком же весе зерен как у яровых сортов; ожидаемый экстракт в среднем 75—80%; органолептич. показатели большей частью были низкими. По полученным данным сделан вывод, что из 5 исследованных сортов 2 сорта («Леденци Бета» и «Мезёхедьеш» 68) можно считать чистыми и близкими по качеству к хорошим яровым пивным сортам. С. Розенфельд

6Н316. Исследование возможности сокращения периода покоя ячменя и снижения его водочувствительности. Mástovsky Jiri, Karel Vladimír. A study of the possibility of shortening the dormancy of barley and reducing its water sensitivity. «Amer. Brewer», 1960, 93, № 8, 30, 32, 34 (англ.).—Основная причина низкой проращаемости (II) свежеубранного ячменя связана с пониженной проницаемостью для  $O_2$  поверхностных слоев зерна, обусловленной присутствием в перикарпии полиглюкозидов, а водочувствительность зависит от присутствия особого рода полиглюкозидов, обладающих высокой гигроскопичностью. Для переведения пивоваренного ячменя в нормальное во всхожести состояние требуется разрушение некоторых компонентов перикарпия для облегчения проникновения  $O_2$ . В опытах лучшие результаты дали: газовая обработка формальдегидом (0,06% по весу ячменя), которая увеличивала II до 72% (за 3—5 суток) при II в контроле 27—28%; замачивание в водн. р-ре  $NH_4HF_2$  (0,0025%) увеличивало II до 96—97% против 54% в контроле; при замочке в водн. р-ре  $CaCl_2$  II увеличивалась до 92—95%. В. Платонова

6Н317. Концентрации углекислого газа и кислорода в воде при замочке ячменя. Chambers A. R., Lemble A. D. F. Carbon dioxide and oxygen tensions in steep water. «J. Inst. Brew.», 1960, 66, № 2, 159—162 (англ.).—Показано, что содержание  $CO_2$  в замочных водах в нормальных производственных условиях (в чанах с конич. дном при 3-разовой замочке 16, 12 и 14 час. с предварительной аэрацией замоченного ячменя продуванием воздуха каждый раз в течение 0,5 час.) с течением времени быстро возрастает и оно больше у дна чана, чем у его верха. В лаб. условиях соложение ячменя, замоченного с повышенным содержанием в воде  $O_2$ , значительно ускоряется и приводит к потерям в весе ячменя в ~2 раза большим в срав-

нении с наблюдающимися при нормальных условиях замочки. При замочке при повышенном содержании в воде  $CO_2$  (до 0,14—0,18%) после соложения получен солод удовлетворительного качества. Высказано мнение, что наличие в замочной воде некоторого кол-ва  $CO_2$  полезно в том отношении, что оно задерживает преждевременное прорастание и делает его более равномерным. С. Светов

6Н318. Значение опытного соложения для проведения соложения и пивоварения в заводском масштабе. Kretschmer Karl Fr. The significance of pilot malting to commercial malting and brewing. «Brewers Digest», 1960, 35, № 4, 53—57 (англ.).—Очерчены вопросы по объему и значению задачи, стоящие перед опытным соложением в связи с наметившейся в настоящее время тенденцией к проведению процессов соложения и пивоварения на отдельных специализированных предприятиях. Описаны некоторые системы и оборудование, применяемые для лаб. исследований ячменя и его поведения в производственных процессах. С. С.

6Н319. Усовершенствование в обработке солода на пивоваренном заводе. Ziemba John V. Newest handling success story. «Food Engng», 1960, 32, № 8, 66—68 (англ.).—Описана схема новой автоматич. системы транспортирования, дробления и взвешивания солода и риса, осуществленной на пивоваренном з-де американской фирмы Anheuser-Busch, Inc. (г. Тампа, шт. Флорида, США). С. С.

6Н320. Новая установка для чистых культур дрожжей. Curtis N. S., Clark A. G. New yeast culture plant. «J. Inst. Brew.», 1960, 66, № 4, 287—292 (англ.).—Установка для произ-ва чистых культур дрожжей (Д) для пивоварения состоит из двух аппаратов (А) из нержавеющей стали по 24 м<sup>3</sup> полезной емкости каждый и одного стерилизатора. Сусло предварительно стерилизуют при 115°. В каждый А засевают 10 л 24-часовой культуры Д, полученной в лаборатории в алюминиевых сосудах и содержащей по 90 г прессованных Д. Через 18 час. начинают периодич. аэрацию с расходом 4 м<sup>3</sup> воздуха в 1 час на 24 м<sup>3</sup> среды; аэрируют в течение 1 мин. через каждые 5 мин. После 36 час. выращивания при 22° в двух А, содержащих 48 м<sup>3</sup> сусла, получают 125 кг Д. Морфологич. изменения Д, полученных в условиях аэрации, не имеют значения для оценки качества Д при произ-ве пива. Е. Плевако

6Н321. Изучение небиологической мути пива. X. Перспективы применения обработки пива нейлоном. Harris G., Ricketts R. W. Studies on non-biological hazes of beers. X. Wider aspects of the nylon treatment of beers. «J. Inst. Brew.», 1960, 66, № 4, 313—318 (англ.).—Помимо применения нейлона 66 (Н) для устранения постоянной мути пива проведены опыты по выяснению влияния Н на степень помутнения пива при охлаждении. Установлено, что Н увеличивает устойчивость пива против холодного помутнения. Хранение пива (до его розлива в бутылки) при t-ре 0—1° (для повышения его стабильности) может быть заменено обработкой пива Н, не оказывающим влияния на другие качества пива. По сравнению с другими полиамидными смолами Н обладает наибольшей способностью адсорбирования создающих мути антоцианогенов; полиакролатам («капрола») в виде тонкого порошка адсорбирует антоцианогены ~80% от кол-ва их, адсорбируемого Н, но его применение вызывает опасения из-за возможной его токсичности. Сообщение IX см. РЖХим, 1960, № 11, 44526. С. Светов

6Н322. Применение непрерывного брожения в пивоваренной промышленности. Stewart Earl D., Laufer Stephen. Continuous fermentation in the brewing industry. «Amer. Brewer», 1960, 93, № 9, 40—46 (англ.).—Обзорная статья (возникновение и развитие непрерывного процесса брожения в пивоварении и других отраслях бродильных произ-в, запатентован-

ные системы и аппараты и практика их применения в производственном и лабор. масштабе; проблемы, возникающие при переходе на непрерывное брожение; основные требования, предъявляемые к непрерывной системе брожения). Библ. 18 назв. С. С.

6Н323. Механизация на пивоваренных заводах. Са-ска Josef. Mechanizace pivovaru. «Kvasný průmysl», 1960, 6, № 9, 197—198 (чешск.; рез. русск., нем., англ.).—Машиностроительный з-д «Имени победоносного февраля» в Градце Кралоуе (бывший Шкода) изготавливает новые типы оборудования для реконструкции и строительства пивоваренных з-дов. Создана механизированная солододробильная линия, исключающая образование пыли. Для варочных котлов сконструировано секционное паровое кипяtilное днище, состоящее из 4-гранных трубок, что обеспечивает экономно металлу до 40%. Созданы 6- и 4-блоковые варочные аппараты производительностью до 300—400 тыс. гл пива в год. Создана полунепрерывная поточная линия для охлаждения и сбраживания сусла, на которой возможна 10—12-кратная генерация дрожжей. В лагерьных подвалах наблюдение за танками выносятся в отепленное помещение для рабочих. Сконструированы новые типы кизельгуровых фильтров для пива, в которых сита заменены текстильными подложками из искусств. волокна. Созданы новые модели насосов центробежных и винтовых. Н. Баканов

6Н324. Обследование методов определения жизнеспособности дрожжей. Weinfurter F. Unsere Erfahrungen mit den Bestimmungsmethoden der Lebensfähigkeit der Hefe (viability of yeast). «Brauwissenschaft», 1960, 13, № 7, 211—213 (нем.; рез. англ.).—При определении жизнеспособных клеток в пивных прессованных дрожжах (Д), хранившихся в холодильнике 6 недель, посредством окрашивания Д метиленовой синью (МС) и путем подсчета процента проросших клеток (в микрокультуре) получены различные результаты: окрасилось МС 32% клеток, в том же образце Д не проросло 62% клеток. После кратковременного (20 мин) пребывания в неохмеленном сусле окрасилось МС 5% клеток, в микрокультуре не проросло 39%. После 2-часового пребывания Д в сусле число клеток, окрашивающихся МС, не уменьшилось, кол-во непроросших составило всего 13,5%. При воздействии дезинфекционных в-в гаплоидные Д отмирают быстрее, чем диплоидные и тетраплоидные. При обработке пивоваренных Д одним и тем же дезинфекционным р-ром при наличии в суспензии 10 млрд. клеток в 1 мл через 5 мин. погибает 50% Д, а для отмирания остальных 5 млрд. требуется 165 мин. (по определению жизнеспособных клеток методом посева в микрокультуре). Е. Плевако

6Н325. Кондуктометрический анализ горьких веществ хмеля. Hudson J. R., Cooper A. H. Conductometric analysis of hop bitter substances. «J. Inst. Brew.», 1960, 66, № 4, 298—301 (англ.).—Приведен критич. обзор методов определения горьких в-в в пиве и отдельных исследований свойств  $\alpha$ -кислот. Описан собственный кондуктометрич. метод определения изогумулонов, основанный на их способности соединяться с ионами металлов: дегазированное пиво (100 мл) обрабатывают HCl (6 я., 15 мл) и пепсином (1:2500, ~0,2 г) и через 30 мин. экстрагируют 50 мл петр. эфира; эфирную фазу промывают водой и подкисленным метанол. м. После высушивания р-р сгущают в вакууме до 5 мл и растворяют в 50 мл метанола. Титруют р-ром (1/500 М) ацетата Ni в метаноле кондуктометрически. Содержание горьких в-в рассчитывают по ур-нию:  $C = (\text{мл ацетата Ni} \times 710 \times 10) / 500$ , где C — конц-ия горьких в-в в пиве в мг/л; 710 — удвоенный средний мол. вес изогумулонов (так как 1 моль Ni соединяется с 2 молями изогумулонов). Результаты определения близки полученным по спектрофотометрич. методу

Rigby и Bethune. Метод пригоден для практич. применения к анализу пива. А. Нечаев

6Н326. Определение дубильных веществ при производстве пива. Krauß G., Egner H. Orientierende Gerbstoffbestimmungen im Verlauf des Brauprozesses. «Brauwissenschaft», 1960, 13, № 6, 178—180 (нем.; рез. англ.).—Проведена проверка двух методов определения дубильных в-в в сусле и пиве: метод Owades, Rubin и Brenner) спектрофотометрич. определение таннина (Т) в видоизменении Клебера и метод Harris и Hacketts — определение лейкоантоцианина (Л). Установлено, что большая часть Т и Л попадает в сусло и пиво из солода. При слабом охмелении из хмеля переходит 17% Т, при сильном охмелении 21%. Значительная часть Л часто выпадает с белковым осадком. По этому слабоохмеленное готовое сусло иногда содержит этих в-в на 4% меньше, чем отфильтрованное сусло до охмеления. В сильно охмеленном сусле кол-во Л растворенных при охмелении, превышает кол-во Л, выпавшего в осадок. При промывании дробины из нее выщелачивается значительное кол-во дубильных и белковых в-в. Вероятно этому способствует повышение рН. При брожении содержание Т не изменяется, а содержание Л в период главного брожения уменьшается, но остается постоянным при дображивании. Р. Залманзон

6Н327. Спектрофотометрическое определение цвета пива. Krauß G., Egner H., Rebmann A. Über die Messung der Bierfarbe mittels Spektrofotometer. «Brauwissenschaft», 1960, 13, № 6, 181—183 (нем.; рез. англ.).—Предложен спектрофотометрич. метод определения цвета пива, как более точный по сравнению с принятым в Германии определением цвета универсальным компаратором (УК). Определение проводили УК Хеллинге и спектрофотометром Цейсса на 28 образцах пива различных з-дов. Экстинкцию (Э) определяли при 430 мμ (для цвета) и 700 мμ (для мутн). Установлено соотношение между Э и единицами ЕВС; данные, полученные спектрофотометром могут быть выражены в единицах ЕВС. Для этого в полученные Э при 430 мμ вносили поправку в тех случаях, когда Э при 700 мμ превышала определенную величину. Для перевода Э в единицы ЕВС приведены две ф-лы в зависимости от того, принята ли стандартная ошибка за 0,36 (ф-ла I) или 0,39 (ф-ла II). ЕВС-единицы =  $0,724 + 22,7766 \times Э$  при 430 мμ (ф-ла I); ЕВС-единицы =  $24,527 \times Э$  при 700 мμ (ф-ла II). Р. Залманзон

6Н328. Оценка пенности пива. Comrie A. A. D. Evaluation of beer foam. «Brewers' Digest», 1960, 35, № 8, 67—70 (англ.).—Обзор применяемых в настоящее время объективных методов оценки способности пива образовывать и удерживать пену; среди других методов кратко охарактеризован метод, предложенный русскими авторами Арбузовым и Гребенщиковым (Ж. физ. хим. 1937, 10, 32). Библ. 22 назв. С. Светов

6Н329. Прибор для нанесения условных обозначений на банки с пивом. Hanna Gordon. Data-line can coder. «Brewers' Digest», 1960, 35, № 7, 34—36, 52 (англ.).—Рассмотрены недостатки общепринятого в настоящее время способа кодирования банок с пивом путем печатания необходимых данных на нижней стороне донышка банок при их движении на конвейере с одновременным их переворачиванием. Описан новый прибор с использованием нескольких (15—27) пластинок из высокопрочных карбидов, несущих условные знаки на донышках банок при их прохождении над пластинами. С. Светов

6Н330. Полиэтиленовые прокладки для кропен-пробок. Spirhanzl J., Kadečka L. Polyetylenové vložky do korunkových uzávěrů. «Kvasný průmysl», 1960, 6, № 8, 188—189 (чешск.).—Показаны преимущества полиэтиленовых прокладок перед корковыми при укупорке бутылок кропен-пробками в пивоваренной

пром-сти.  
не измене

6Н331.

(Чехослов.  
р. «Ква  
В 1959  
з-д в Сми  
в год. Кра  
6Н332.

мыслени  
вита. У

КавССР).

6Н333.

мар М. С.

«Грдиня»

1960, № 5

и виноде

В 1958—

зрвания

ду Корот

«Червоны

меннее

гликозы

1

ления са

сортот

только н

сахаров

методом

тор счита

водимое

напр. 10

зрвания

(в %): д

Муската

тели 22,

6Н334.

Саверан

рии). Д

ване на

тели в Т

9, № 3,

Саверан

к загни

стостью

ные из

довано

ные кач

анализ

6Н335

градаре

Varela

la zona

14, №

16 обра

антисеп

Boe on

Hansen

der, S.

ronae I

Castelli

guillier

apicala

Windis

S. ellip

более

Часто

ния) и

терных

ckera

етане

ronae

всех п

пром-сти. Прокладки хорошо герметизируют бутылки, не изменяют вкусовых качеств и аромата пива.

Д. Филиппенко  
6НЗ31. О реконструкции пивоваренных заводов (Чехословакия). Suchý. K rekonstrukci našich pivovarnů. «Kvasný průmysl», 1960, 6, № 8, 189—190 (чешск.).— В 1959 г. реконструирован Пражский пивоваренный завод в Смхове, производительность завода 300 000 гл пива в год. Кратко описано оборудование завода. Н. Баканов

6НЗ32. Винодельческая и плодоконсервная промышленность юга Казахстана и перспективы ее развития. Храмичева З. А. «Тр. Ин-та экон. АН КазССР», 1960, 5, 141—168

6НЗ33. Определение зрелости винограда. Кричмар М. С. Детерминация гравидул де коачере а поамей. «Градinaritul, vieritul ши vinaritul Moldovei», 1960, № 5, 40—42 (молд.); «Садоводство, виноградарство и виноделие Молдавии», 1960, № 5, 39—41 (русс.).— В 1958—1959 гг. проведены наблюдения над ходом созревания ряда сортов винограда в учебном хозяйстве «Червоний хутор» Одесского района. Определяли изменение сахаристости винограда, отношения кол-ва глюкозы и фруктозы (Г:Ф) и веса 100 г ягод по методу Короткевича (ж. «Виноделие и виноградарство Молдавии», 1950, № 4). Подтверждено, что степень накопления сахаристости винограда различна для разных сортов винограда. Отношение Г:Ф = 1 наблюдалось только в начале созревания, в дальнейшем в составе сахаров преобладает глюкоза. Наиболее достоверным методом установления полной зрелости винограда автор считает периодич. определение веса 100 г ягод, выводимое методом пересчета из веса большего их кол-ва, напр. 1000 г. В условиях опыта время полного созревания установлено при относительной сахаристости (%): для Алиготе 21,5, Шардоне 23, Пино серого 23,3, Муската белого 21,7, Муската гамбургского 22, Ркацители 22,6, Каберне 20,6, Лидия 20,4.

Ю. Чельцова  
6НЗ34. Исследование советских сортов винограда Саперави и Ркацители в Тарновском районе (Болгария). Даскалов Л. Ив., Неделчев Н. Й. Проучване на съветските сортове грозда Саперави и Ркацители в Търновски окръг. «Лозарство и винарство», 1960, 9, № 3, 31—41 (болг.).—Грузинские сорта винограда Саперави и Ркацители в условиях Болгарии устойчивы к загниванию ягод, дают сусло с высокой сахаристостью и нормальной кислотностью; вина, полученные из них, отличаются высоким качеством. Рекомендовано их добавление к местным винам для улучшения качества последних. Приведен подробный механич. анализ обоих сортов винограда.

И. Скурихин  
6НЗ35. Агенты винного брожения в районе виноградарства Moriles-Montilla. Iñigo Leal B., Arroyo Varela V. Los agentes de la fermentación vinica en la zona de Moriles-Montilla. «Rev. cienc. apl.», 1960, 14, № 1, 18—29 (исп.).—В районе Moriles-Montilla из 16 образцов бродящего сусла (без добавления SO<sub>2</sub> и антисептиков) выделено 240 чистых культур дрожжей. Все они принадлежат к *Saccharomyces ellipsoideus* Hansen, *S. manginii* Guilliermond, *S. oviformis* Osterwaller, *S. chevalieri* Guilliermond, *S. italicus* Castell, *S. veronae* Lodder-K., van Rij, *Zygosaccharomyces florentinus* Castell, *Torulopsis rosei* Guilliermond, *Hanseniaspora guilliermondii* Pijper, *Torulopsis bacillaris*, *Kloeckera apiculata* (Rees.) Janke, *Candida pulcherrima* (Lindner) Windisch (приведена характеристика каждой расы). *S. ellipsoideus*, *S. manginii* и *S. oviformis* являются наиболее общими для состава дрожжевой микрофлоры. Часто встречается *S. veronae* (в средней фазе брожения) и *Kloeckera apiculata* (в начальной фазе). Характерным для указанного района является частота *Kloeckera apiculata* и *Candida pulcherrima*, появление в составе микрофлоры *Hanseniaspora guilliermondii* и *S. veronae* и отсутствие *Saccharomyces pastorianus*. 95% всех штаммов относятся к спорообразующим видам.

Во всех анализируемых образцах после завершения брожения на поверхности появляется пленка, придающая вину специфич. аромат.

В. Ингерман  
6НЗ36. Определение ассимиляции сахаров винными дрожжами посредством хроматографии на бумаге. Minarik Erich, Laho Ladislav, Navara Anton. Beitrag zur Bestimmung der Zuckerassimilation von Weinhefen mittels Papierchromatographie. «Mitt. Klosterneburg», 1960, A10, № 1-2, 23—27 (нем.; реф. англ., франц., исп.).—Хроматографически исследована ассимиляция глюкозы, сахарозы, мальтозы, галактозы и лактозы винными дрожжами при развитии их в синтетич. среде. Р-ритель бутанол:уксусная к-та:вода (4:1:5). Проявитель:смесь из 5 ч. 2%-ного р-ра дифениламина в этаноле, 5 ч. 2%-ного р-ра анилина в этаноле и 1 ч. 85%-ной H<sub>3</sub>PO<sub>4</sub>.

И. Скурихин  
6НЗ37. Исследование образующих пленку дрожжей, изолированных из больных вин. Бешков М. Н. Проучване на образуващите пленка дрожди, изолирани от болни вина. «Научни тр. Висш. ин-т хранит. и вкус. пром-ст-Пловдив», 1960, 7, 31—60 (болг.; реф. русск., франц.).—Приведены результаты микробиол. исследования 67 вин, на поверхности которых образовались пленки. Из 35 проб изолированы 76 штаммов дрожжей, из которых 48 штаммов отнесены к *Pichia alcoholophila*, 24 — к *Candida mycoderma* Lodder и Kreger, 1 — к *Hansenula anomala*, 1 — к *Torulopsis famata* и 2 — к *Zygosaccharomyces Bailii* var. *galactosus* n. sp. Kudriavzev. Подробно исследованы культуральные морфол. и биохимич. свойства выделенных дрожжей.

Из резюме автора  
6НЗ38. Стабилизация сладких вин физическими, химическими и биологическими методами. Böhringer P. Stabilisation des vins doux par tous procédés physiques, chimiques et biologiques Allemagne. «Bull. O. I. V.», 1960, 33, № 352, 23—33; № 353, 22—42 (франц.).—Доклад на IX Международном Конгрессе по винограду и вину (Алжир, 8—15 октября 1959 г.). Приведена классификация сладких вин ФРГ и районов произ-ва этих вин. Дан обзор применяемых методов стабилизации. Для прекращения размножения дрожжей необходима конц-ия CO<sub>2</sub> в вине 15 г/л, достигаемая при 0° при давл. 2,75 атм, а при 20° при 6,25 атм. Для полной остановки брожения необходима конц-ия CO<sub>2</sub> > 20 г/л. Это свойство высоких конц-ий CO<sub>2</sub> угнетает дрожжи используется для регулирования хода брожения в так называемом «брожении под давлением».

Г. Валушко  
6НЗ39. Действие сорбиновой кислоты на пленкообразующие дрожжи. Garrido J. M., Iñigo B., Bravo F. Acción del ácido sórbico sobre las levaduras de «flor». «Agricultura (Esp.)», 1960, 29, № 336, 193—195 (исп.).—Приведен краткий обзор свойств, получения в промышленном масштабе, токсичности, применения при хранении вин и разных других продуктов сорбиновой к-ты (I). Среди разных рас дрожжей наиболее чувствительны к I *Candida mycoderma*, *Candida pulcherrima* и *Kloeckera apiculata* (I в дозе 0,10—0,25 г/л), наиболее устойчивы *Saccharomyces chevalieri* (I в дозе 0,50 г/л). Библ. 23 назв.

В. Ингерман  
6НЗ40. Опыты по стабилизации сладких вин сорбиновой кислотой и ее солями.—Essais de conservation des vins doux par l'acide sorbique ou les sorbates. «Vignes et vins», 1960, № 89, 35—37 (франц.).—Приведены опыты по замене SO<sub>2</sub> сорбиновой к-той (I). I применяется в сочетании с SO<sub>2</sub>, доза которой снижается до 50 мг/л и ниже. SO<sub>2</sub> действует против бактерий более эффективно, чем I. При 30 мг/л SO<sub>2</sub> доза I в 200 мг/л обеспечивает сохранение сладких вин на 2—3 года, а при 50 мг/л SO<sub>2</sub> от 4 до 8 лет. Необходимо добавлять I к винам, уже осветленным, за 12 дней до последней переливки и фильтрации перед розливом. Применение K- или Na-соли I более удобно, так как они более растворимы, чем I.

Г. Валушко





примые их соли для увеличения выхода Д. Так в синтез. среде с содержанием (в %): пептона 0,1—1, глюкозы или сахарозы 1—10,  $\text{KNO}_3$  0,01—0,2,  $\text{K}_2\text{HPO}_4$  0,05—0,4,  $\text{KH}_2\text{PO}_4$  0,05—0,4,  $\text{MgSO}_4$  0,001—0,1,  $\text{NaCl}$  0,01—0,5 и от 25 до 5000 (в среднем 200)  $\gamma$  Na- или К-хлорофиллина или хлорофилла на 1 мл с добавлением 0,05—0,1 % засевных Д — выращивали Д с расходом 1/4 объема воздуха на 1 объем среды в 1 мин. При этом при прибавлении 50  $\gamma$  I на 1 мл кол-во Д, полученных в среде, составило (в г сухого в-ва в 100 мл) 0,30 г, при прибавлении 200  $\gamma$  I — 0,53; без добавления I кол-во Д составляло 0,28 г. С. Розенфельд

6Н354. Получение и хранение «моисы» (пророщенные бобы) в виде пачек. Икэда Макото. Японск. пат. 8858, 2.10.59.—Предложен способ проращивания и хранения моисы (пророщенных бобов для приготовления соевода). Бобы помещают в ящики (с пористыми стенками и дном), устанавливаемые в спец. герметич. шкафу, где поддерживается определенная т-ра и влажность. В процессе проращивания бобы «срастаются» в массу, сохраняющую форму ящика. Эти сросшиеся массы целиком перекладывают в спец. стерильные мешки для длительного хранения и транспортировки. Предложенный способ уменьшает затраты труда и исключает или уменьшает возникновение инфекции плесневыми грибами.

Ю. Жмакин

6Н355. Способ приготовления ликера и получаемые продукты.—Procédé de fabrication de liqueur et produits obtenus. [Albert Moufauad]. Франц. пат. 1216707, 27.04.60.—Запатентован способ приготовления слабоградусного ликера высокого качества, пригодного к непосредственному потреблению в качестве напитка и для ароматизации кондитерских изделий; остающиеся сырье также представляет собой высококачественный товарный продукт. Пример. Смешивают 1 кг засахаренной вишни совместно с сиропом, 750 мл рома и 2 г ванили в стручках и выдерживают смесь в герметически закрытой посуде 40—50 дней при т-ре 5—15°. Из выдержанной смеси отделяют ликер фильтрацией, а остающиеся ягоды, сохранившие свою форму, используют в кондитерских изделиях.

Г. Ошмян

6Н356. Приготовление вкусовых композиций для искусственного сака. Мунаори Икуо. [Дайго зэй какусико кабусики кайся]. Японск. пат. 3034, 21.05.57.—К 500 г промытой водой желатины добавляют 4 л воды, нагревают до растворения. При 40° вводят 5 г препарата бычьей поджелудочной железы, прибавлением  $\text{Ca}(\text{OH})_2$  регулируют pH в пределах 7,2—7,5, и при 40° при добавлении толуола (антисептик) расщепляют желатину. Через 5 суток вводят жидкий экстракт из 100 г дрожжей (или конц. диализат), добавляют воды до 5 л и оставляют при 40°. Когда кол-во азотистого N достигнет 50% от общего кол-ва N, прекращают расщепление нагреванием. Удаляют Ca в виде щавелево-кислого, фильтрат концентрируют до 2 л. Конц. жидкость диализируют в средней камере электрич. диализатора (3-камерного) 2 часа. Жидкость в катодной камере выпаривают в вакууме до 1/2—1/3 объема, удаляют  $\text{NH}_3$  и смешивают с жидкостями из средней и анодной камер, после чего добавляют эмульсии гидроокиси Pb. Из фильтрата удаляют избыток Pb  $\text{CO}_2$  и  $\text{H}_2\text{S}$ . После удаления  $\text{H}_2\text{S}$  жидкость обезвечивают утесом, фильтруют, фильтрат концентрируют, сушат и получают 300 г порошка, содержащего вкусовые в-ва для искусств. сака. Препарат свободен от неприятного запаха, горечи, имеет бледно-желтый цвет, содержит почти все аминокислоты, входящие в состав натурального сака и способствующие приготовлению высококачественного напитка.

А. Фрадкий

6Н357. Получение итаконовой кислоты. Кобаяси Тацукити, Табути Такэо. Японск. пат. 4100, 15.02.57.—Патентуется способ получения итако-

новой к-ты из сахароз с применением глубинного культивирования *Aspergillus itaconicus*. В среду с конц-ней  $\text{SO}_4^{2-}$  0—0,002% и ионов  $\text{Ca}^{2+}$  0,3—0,03% вносят большое кол-во спор гриба. При проращивании и в начале брожения поддерживают т-ру 30° и pH > 2,8. Пример. В среду, содержащую (в %): моногидрата глюкозы 12,  $\text{NaNO}_3$  0,5,  $\text{KH}_2\text{PO}_4$  0,025,  $\text{MgCl}_2$  0,005, настоя муки 0,4, при pH 3,5, вносят проросшие споры 50 000 мл. Выращивают (7 суток) при 30° во вращающемся барабане (200 об/мин, радиус 25 мм) и получают 6% итаконовой к-ты (~50% к сахару). Удаляют мицелий, концентрируют p-р и легко выделяют итаконовую кислоту.

А. Фрадкий

6Н358. Способ экстрагирования хмеля и приготовления пива. Procédé d'extraction du houblon et bières obtenues. [S. A. L. Rosier, C. B. J. M.—T. Rosier]. Бельг. пат. 565628, 15.07.60.—При кипячении пивного сусла с хмелем происходит превращение малорастворимого гумуллона (I) в изогумуллон, обладающий большей растворимостью и более сильной горечью. При обычном приготовлении в пиве переходит мало продуктов изомеризации I, кол-во их < 30%. Предложен способ, значительно повышающий степень использования горьких в-в хмеля обработкой его после измельчения водой, суслом или другими p-рами, имеющими кислую р-цию и низкий окислительно-восстановительный потенциал. Экстрагирование хмеля проводят 1/2 часа при т-ре 90—100°; экстракт прибавляют к кипящему суслу или после кипячения. Полезно сусло предварительно отфильтровать с кизельгуром для уменьшения кол-ва азотистых в-в, способных увлечь горькие в-ва хмеля. Приготовленное с хмелевым экстрактом пиво имеет высокое качество, себестоимость его более низкая, чем при обычном способе.

В. Платонова

6Н359. Способ получения из хмеля сухого продукта с оптимальным содержанием изогумуллона.—Procédé d'obtention d'un produit de conserve sec de houblon contenant des quantités optima d'isohumulone. [W. Heyer, F. W. Schick]. Бельг. пат. 558105, 25.03.60.—Для получения продукта с максим. содержанием изогумуллона (ИГ) измельченный хмель помещают в сусло плотностью 4—6%, устанавливают pH сусления (путем подщелачивания) в пределах 8—8,3 и в присутствии фосфатного буфера смесь кипятят 1—2 часа при норм. давлении или 30 мин. при 0,3 атм. P-р отфильтровывают и высушивают распылением, причем коллоиды сусла действуют благоприятно в качестве стабилизаторов. Получается порошок, содержащий горькие в-ва и углеводы в соотношении 1:1, обладающий хорошей растворимостью в теплой воде и сусле, значительно отличающийся по составу и растворимости от хмелевых экстрактов, приготовляемых с применением органич. p-рителей. Продукт содержит горькие в-ва, состоящие на 75% из ИГ, и обеспечивает при произ-ве пива экономии хмеля на 50%. Горькие в-ва, обогащенные ИГ, обладают бактериостатич. действием по отношению к туберкулезной палочке и могут применяться для терапевтич. целей.

В. Платонова

6Н360. Способ регулирования фильтрации сусла. Hlaváček František. Způsob scezování sladinu a výstřelku. Чехосл. пат. 90893, 15.07.59.—Автоматическая установка для получения прозрачных сусла и промоек состоит из фильтрационного чана (ФЧ), сборника фильтрата и насоса для перекачки чистого продукта. На сборном резервуаре установлен контролируемый давлением жидкостный прибор, автоматически связанный с вентилем, регулирующим откачку насосом осветленного сусла. При достижении в сборном резервуаре предельного давления контрольный прибор частично перекрывает вентиль и замедляет откачку сусла; регулировка откачивания сусла обеспечивает хорошую проницаемость и целостность слоя пивной дро-

бины в ФЧ. На нагнетательном трубопроводе насоса установлен проточный фотометр, автоматически связанный с 3-ходовым краном. В случае прорыва мутного сусла из ФЧ импульсом, посылаемым фотометром, 3-ходовой кран будет перекрыт и мутное сусло возвратится в ФЧ. Одновременно с этим включается звуковой сигнал, указывающий на нарушение процесса фильтрации. Патентуемая установка увеличивает скорость фильтрации сусла на 30%. Дана схема коммуникаций автоматич. контрольных и сигнальных приборов.

**6Н361. Устройство для непрерывного брожения сахаросодержащих растворов.** Нидов В. И., Преображенский А. А., Белогуров Д. М., Валушко Г. Г. Авт. св. СССР, 130466, 5.08.60.—Устройство состоит из нескольких горизонтальных бродильных цилиндров (БЦ), расположенных в одной плоскости (или же в 2 яруса) и соединенных между собой спец. патрубками. БЦ снабжены люками, в крышке которых смонтированы отводящие газы и пену трубы. БЦ имеют также (для автоматич. регулирования т-ры) электромагнитные контактные термометры, связанные через реле и магнитный пускатель с электродвигателем вентилятора оросительно-воздушной системы охлаждения. Устройство обеспечивает уменьшение нежелательного смещения поступающего сусла с узке выбродившим и создание оптимальных температурных условий для брожения. Приведена схема.

**6Н362. Приготовление газированного напитка.** Ямада Сёити, Отакэяма Ацуюки, Уэно Юсэй. [Начальник налогового управления]. Японск. пат. 5038, 16.07.57.—Для изготовления пенящегося напитка безвредные триптерпеновые глюкозиды (ТТГ), содержащиеся в *Platyodon grandiflorum*, алоэ, некоторых сортах моркови, *Fatsia japonica*. Небольшое кол-во ТТГ способно образовать долго сохраняющуюся пену, не оказывая влияния на запах и вкус напитка. Для получения ТТГ корни перечисленных растений (1 кг) несколько раз настаивают в горячей воде (5 л), настой выпаривают и сушат, растворяют в крепком метаноле или этаноле (3 л), добавляют эфир (4 л) и выделяют препарат ТТГ. ТТГ усиливают выделение пищеварительных соков, стимулируют всасывание стенками пищеварительного канала и совершенно безвредны. ТТГ применяют и в алкогольных напитках. Пример. В воде растворяют виноградный сахар, вносят экстракт проса, янтарную к-ту, молочную к-ту, аминокислоты, вводят препарат горьких в-в, приготовленный из хмеля, нагревают, фильтруют, охлаждают и добавляют спирт. На 180 л полученной смеси вводят 19 г препарата ТТГ, сатируют  $\text{CO}_2$  и разливают в бутылки.

**6Н363. Получение пенящего газированного напитка.** Ямадзак Сяёси, Никамэ Такао. [Ямадзаки сюдо кабусики кайся]. Японск. пат. 8392, 17.09.59.—Предлагается состав, содержащий смесь триптерпеновых глюкозидов, получаемый экстрагированием соевых бобов водой, разб. к-той, щелочью или разб. спиртом с последующим концентрированием. Полученный состав добавляют в безалкогольный или содержащий алкоголь напиток непосредственно перед употреблением. Пример. В воде растворяют при нагревании виноградный сахар, желеобразный экстракт проса, янтарную, молочную к-ты, аминокислоты, минер. соли, фильтруют и после охлаждения добавляют этиловый спирт. К полученному напитку добавляют 0,06% указанного состава триптерпенового глюкозида. Напиток может быть подвергнут сбраживанию дрожжами или же напиток (без его сбраживания) газифицируют  $\text{CO}_2$  и упаковывают в герметич. емкости. Добавление указанного состава позволяет получать в напитке густую пену, не уступающую по качеству пивной пене.

Ю. Жмакин

**6Н364. Насыщение жидкостей газами.** Miller Francis Justin. Impregnating liquids with gas. Пат. США 2927028, 1.03.60.—Шипучие напитки приготавливают искусств. насыщением жидкостей газом (напр.,  $\text{CO}_2$ ), подаваемым извне под давлением выше атмосферного. Насыщаемую жидкость в открытых бутылках или других контейнерах, с оставленным сверху их частично незаполненным жидкостью пространством, помещают в закрытый резервуар (Р), имеющий отверстие, закрывающееся пробкой. В этот Р через открытое отверстие нагнетают газ под давлением, превышающим окончательное давление газа, которое будет установлено в жидкости; подачу газа прекращают, закрывая отверстие Р. При насыщении газом жидкость поддерживают в спокойном состоянии так, чтобы газ проникал в нее лишь через верхнюю поверхность жидкости; насыщение заканчивают до наступления равновесия между давлениями газа внутри жидкости и вне ее, после чего давление газа в Р снижают, открывая отверстие в Р, до давления, не превышающего установившееся давление в жидкости; затем отверстие снова закрывают. Пример получения шипучего вина типа шампанского. Белое вино после освобождения его в вакууме от растворенного в нем воздуха, избегая аэрации, разливают по 770 мл в бутылки вместимостью 800 мл. Незакрепленные бутылки с вином на соответствующей подставке, в вертикальном положении помещают в Р, поддерживаемый на горизонтальной оси и сообщаемый с вакуум-насосом и источником сжатого  $\text{CO}_2$ . Для увеличения площади соприкосновения вина с газом Р после помещения в него бутылки наклоняют под углом  $\sim 70^\circ$  к вертикали. Из Р сначала удаляют воздух, затем его присоединяют к источнику  $\text{CO}_2$  и выпускают газ, устанавливая его давление в Р 8,8 атм; под таким давлением вино при т-ре  $15-18^\circ$  выдерживают 12 час., затем Р осторожно приводят в вертикальное положение, сообщение с газом прекращают. Р открывают и удаляют из него бутылки, которые немедленно укупоривают.

**6Н365. Устройство для стерилизации емкостей, предназначенных для хранения жидкости.** Dispositif pour la stérilisation d'un récipient destiné à contenir un liquide [Pierre Geoffroy]. Франц. пат. 1218641, 11.05.60.—Описано устройство для стерилизации сосудов и емкостей, предназначенных для налива вина, посредством УФ-облучения. Так как УФ-лучи при воздействии на пищевые продукты могут вызывать образование токсичных для человека в-в и способствовать искусств. старению вин, предлагается контрольное устройство, которое автоматически отключает УФ-лампу, если в стерилизуемом сосуде находится вино или другой пищевой продукт. Приведены схемы устройства на 7 рисунках.

**6Н366. Устройство для стерилизации воздуха, поступающего в резервуары с вином и другими жидкостями.** Dispositif pour la stérilisation de l'air destiné à un récipient contenant du vin ou autre liquide [Pierre Geoffroy]. Франц. пат., 1217848, 5.05.60.—Описано устройство для стерилизации УФ-лучами воздуха, поступающего в резервуары с хранящимся вином при изменении уровня жидкости при перекачке или при снижении т-ры и уменьшении объема. При снижении уровня жидкости в резервуаре спец. электр. реле включает УФ-лампу, установленную внутри трубы, по которой в резервуар поступает воздух.

**6Н367. Установка для пастеризации жидкостей, в частности, напитков в бутылках.** Installation de pasteurisation de liquides, notamment de boissons en bouteilles [Paul Rabussier]. Франц. пат. 1215036, 13.04.60.—Бутылки с жидкостью продвигаются транспортером (Т) через тоннельную установку, имеющую закрытый остоу, снабженный смотровыми оконцами, входным и выходным отверстиями, с загрузочным устройством,

577(45)

обеспечива-  
баках нахо-  
емой в со-  
баков наг-  
амонтиро-  
торых про-  
Благодаря  
и стекающ-  
в движени-  
ния. При-  
дельных ч-

См. так-  
ляция др.  
6С385Бх.  
6С413Бх.  
релизате-  
голки спи-  
дрожжей,  
Изучение  
6С352Бх.  
путем бр-  
ненности  
дуктов из  
Анаэробн-  
из-ва 6ИЗ  
регионы к  
из выжи-

Ре

6Н368.

гических

Heinrich

skertech

10, № 3,

гается р-

буквенны

таться п-

Начало с

6Н369.

перспект

Ил-та эк

6Н370.

Львовско

М. М. «

6Н371.

ым мет

Versuche

Z. Zuck

англ., ф-

свеклы в

ной цир-

хозяйств

уложенн

менялас

продолж

была ул

щи гидр

также с

ность хп

нем на

примене

потерь

в сутки.

тор, кан

графий,

6Н372

таром

pouer J



обеспечивающим размещение бутылок на Т. В спец. баках находится вода с различной т-рой, контролируемой в соответствии с циклом пастеризации. Воду из баков нагнетают через фильтры в трубопроводы с амонтированными в них форсунками, посредством которых производят орошение бутылок с жидкостью. Благодаря спец. устройству вода, орошающая бутылки и стекающая с них, не попадает на цепи, приводящие в движение Т, чем устраняется опасность их окисления. Приведены чертежи установки с описанием отдельных частей. В. Платонова

См. также: Систематика дрожжей 6С346Бх. Ассимиляция дрожжами к-т цикла трикарбоновых к-т 6С385Бх. Влияние  $\text{Cu}^{2+}$  и  $\text{Zn}^{2+}$  на рост дрожжей 6С43Бх. Содержание аминокислот и витаминов в гидролизате дрожжей, содержащихся в осадке после отгонки спирта в спиртовом произ-ве 6С419. Изучение дрожжей, устойчивых к бензойной кислоте 6С429Бх. Изучение бактерий, образующих молочную к-ту 6С352Бх. Образование глутаминовой к-ты из глюкозы путем брожения 6С365, 6С366Бх. Снижение загрязненности рук в результате выделения побочных продуктов из сточных вод бродежной пром-сти 6И316. Аварийное обрабатывание сточных вод спиртового произ-ва 6И317. Очистка сточных вод установок для перегонки вин 6И318. Сточные воды от произ-ва водки из выжимок 6И319

## УГЛЕВОДЫ И ИХ ПЕРЕРАБОТКА

Редакторы И. Н. Казанов, Ю. С. Чельцова

6Н368. Обозначения и их применение в технологических расчетах сахарного производства. Haucke Heinrich. Bezeichnungen- und Arbeitsweise in zuckertechnologischen Rechnungen. «Z. Zuckerind.», 1960, 10, № 3, 117—123 (нем.; рез. англ., франц.).—Предлагается рациональная терминология и сокращенные буквенные обозначения ряда величин, могущих встретиться при технологич. расчетах сахарного произ-ва. Начало см. РЖХим, 1960, № 24, 98418. А. Карташов

6Н369. Сахарная промышленность Казахстана и перспективы ее развития. Земнухова Н. В. «Тр. Ин-та экон. АН КазССР», 1960, 5, 124—140

6Н370. Из истории сахарной промышленности Львовского экономического района. Паламарчук М. М. «Сахарн. пром-сть», 1960, № 10, 15—18

6Н371. Полузаводские опыты хранения свеклы новым методом. Vajna S. Ergebnisse halbtechnischer Versuche mit einer neuen Rübenlagerungsmethode. «Z. Zuckerind.», 1960, 10, № 8, 401—410 (нем.; рез. англ., франц.).—Приводятся результаты хранения свеклы в катаках, укрытых брезентом, с принудительной циркуляцией воздуха, охлаждаемого при помощи холодильной установки на двух з-дах. На з-де Soest уложено 65 т свеклы. Для охлаждения воздуха применялась холодильная установка 3600 ккал/час; общая продолжительность хранения 135 дней. На хранение была уложена мокрая свекла, выгруженная при помощи гидравлич. установки «Эльфа». На з-де Waghäusel также было уложено 65 т свеклы; продолжительность хранения 30 дней. Т-ра в катаках была в среднем на 2—6° ниже наружного воздуха. В результате применения метода получено уменьшение суточных потерь сахара до 0,008—0,006% при потере веса 0,03% в сутки. Свекла в конце хранения имела такой же тургор, как и при укладке. Приведены 6 таблиц, 8 фотографий, 5 схем установок и 8 диаграмм. А. Карташов

6Н372. Новый «j»-диффузионный аппарат на сахарном заводе Sarkad. Leelőssy K., Vukov K. Ein neuer J-Diffusionsapparat in der Zuckerfabrik Sarkad.

«Z. Zuckerind.», 1960, 10, № 6, 298—299 (нем.).—Сообщаются производственные результаты, полученные в 1959/60 гг. на «j»-диффузионном аппарате, производительностью 700—750 т/сутки на з-де Sarkad. Потери сахара в среднем за сезон при переработке 700 т/сутки и откачке 122,6% составили 0,29% по весу свеклы. Работа проводилась с возвратом и без возврата жомо-прессовых вод. Сообщаются сравнительные данные по содержанию редуцирующих в-в молочной и летучих к-т в соке из диффузии Роберта и из «j»-аппарата. Сравнение технологич. достоинства диффузионных соков из обоих аппаратов показало, что соки практически одинаковы. При вычислении выхода патоки по методу проф. П. М. Силина на основании анализа сока II сатурации получены совпадающие результаты. Работа «j»-диффузии протекала без затруднений.

А. Карташов  
6Н373. О работе диффузионной батареи с дополнительной циркуляцией на Ново-Троицком сахарном заводе. Добронравов Ф. Н., Журавлева З. Д., Герасимова А. М. «Тр. групповых лабор. Центр. н.-и. ин-т сахарн. пром-сти». Киев, 1959, 43—47.—Для увеличения производительности диффузионной батареи Лозинским Р. Б. было предложено применить дополнительную циркуляцию, заключающуюся в том, что через 5—6 диффузоров хвостовой части батареи вода — сок прокачивается насосом барометрич. воды, а затем специально установленным циркуляционным насосом сок подается во вторую часть батареи. Деление батареи на две ступени производится автоматически, при помощи золотников, кинематически связанных с винтом сокового вентиля и сервомоторами, управляющими клапанами дополнительно смонтированных 14 вентилярных коробок. Заводские наблюдения показали, что производительность диффузионной батареи с применением дополнительной циркуляции увеличивается по сравнению с обычным методом работы на 3—10,5% при тех же потерях сахара. К недостаткам работы с дополнительной циркуляцией относятся частичное пропускание сока через неплотности клапанов в отдельных диффузорах и несколько большее забивание стружкой нижних сит диффузоров, с которых сок направляется на циркуляционный насос. Г. Бенин

6Н374. О влиянии инвертного сахара на скорость седиментации и фильтрации нефильтрованного сока после I сатурации. Osvald R. Über den Einfluß des Invertzuckers auf die Sedimentations- und Filtrationsgeschwindigkeit des Schlammsaftes nach der I. Saturation. «Zuckerzeugung», 1960, 4, № 6, 180—182 (нем.).—Проведены лабор. опыты очистки диффузионного сока с добавлением к нему различных кол-в (от 0,25% до 2,0%) чистого инвертного сахара (ИС). Очистка производилась по трем вариантам А, В и С. В вариантах А и В к подогретому до 80° диффузионному соку добавляли в один прием 1,5% СаО, дефековали 5 мин. и сатурировали. В варианте С, подогретый до 80° диффузионный сок, прогрессивно обрабатывали 0,25% СаО, в течение 12 мин., добавляли остальное кол-во извести (1,25%), дефековали и сатурировали. В сатурационном соке определяли фильтрационный коэф.  $F_k$  по методике Бригель — Мюллера, скорость осаждения осадка  $S$  в см/мин и объем осадка  $V$  через 12 мин. после начала осаждения. При работе без преддефекации (варианты А и В) уже содержание 0,5% ИС в диффузионном соке увеличивает на 70%  $F_k$ , уменьшает на 50%  $S$  и увеличивает  $V$  на 20%. В варианте С, добавление 0,5% ИС также дает заметное ухудшение фильтрационных и седиментационных показателей:  $F_k$  увеличивается на 50%,  $S$  уменьшается также на 50%, а  $V$  увеличивается на 15%.

А. Карташов  
6Н375. Оптимальная реакция сока 2-й сатурации. Карташов А. К., Жижина Р. Г., Максимо-

ва Н. А. «Тр. Центр. н.-и. ин-т сахарн. пром-сти», 1960, вып. 7, 25—49.—Дан обзор современной литературы, посвященной работе II сатурации, и приведены результаты лабор. опытов установления оптимального значения pH сока II сатурации, по влиянию отклонения от оптимального pH на II сатурации на выпадение Са при выпаривании, по выделению из сока II сатурации  $\text{CaCO}_3$ , находящегося в соке в виде пересыщенного р-ра, по значению т-ры во время II сатурации и суммарной щелочности. Опыты показали, что оптимальная р-ция на II сатурации, соответствующая миним. содержанию Са-солей, колеблется в широких пределах pH от 8,8 до 10,0, в зависимости от состава сока; при строгом соблюдении оптимальной р-ции и удалении  $\text{CaCO}_3$  не наблюдается при выпаривании сока заметного уменьшения содержания Са; аппаратура, автоматизирующая работу II сатурации, должна обеспечивать поддержание оптимального pH с точностью  $\pm 0,1$ ;  $\text{CaCO}_3$ , находящийся в р-ре в пересыщенном состоянии, почти полностью удаляется при фильтрации сока II сатурации через набранный грязью фильтрпресс; рекомендуется устанавливать после котла II сатурации, перед фильтрацией, выравнивающий сборник. Библ. 22 назв.

Г. Бенин  
6Н376. Некоторые замечания о «карбонатном способе». Vajna S. Einige Bemerkungen über das «Carbonatverfahren». «Z. Zuckerind.», 1960, 10, № 7, 354—356 (нем.).—На основании ряда критич. замечаний (см. РЖХим, 1961, 2Н292) по «карбонатному способу» обессоливания соков ионитами (трудность установления конечной точки сатурации в присутствии большого кол-ва аммиака, сложность обслуживания, высокая стоимость удаления 1 т несахаров, недостаточный процент удаления их и по технологич. деталям), автор считает, что этот способ не имеет тех преимуществ, какие ему приписывает изобретатель.

А. Карташов  
6Н377. Изучение фильтрации экстракционной жидкости в слое свекольной стружки применительно к ротационным диффузорам. Коваль Е. Т., Загоруйко А. Я., Липец А. А. «Тр. Центр. н.-и. ин-т сахарн. пром-сти», 1960, вып. 7, 103—123.—В результате исследований неустойчившейся фильтрации жидкости в слое нагретой свекольной стружки установлено, что слой свекольной стружки под действием гидродинамич. сил фильтрационного потока сжимается, причем это сжатие растёт в направлении потока и на участке слоя, непосредственно примыкающем к ситам, оно принимает максим. значение; деформация слоя зависит от высоты его, от длины свекольной стружки и с ростом этих показателей увеличивается; продолжительность фильтрации увеличивается с увеличением уд. нагрузки на единицу площади фильтрующей поверхности и длины свекольной стружки. Неустойчившийся фильтрационный поток нагретой стружки имеет турбулентный характер и описывается критериальным уравнением  $Eu = Re \cdot \text{No}^{0,45}$ , где  $Eu$ ,  $Re$  и  $No$  — соответственно критерий Эйлера, Рейнольдса и гомохронности. На основе полученных эксперим. данных предложен расчет поверхности фильтрующих сит в камерах ротационных диффузоров.

Г. Бенин  
6Н378. Эффект очистки диффузионного сока при разной продолжительности сатурирования. Гоняк А. К., Пустоход А. П. «Тр. групповых лабор. Центр. н.-и. ин-т сахарн. пром-сти». Киев, 1959, 63—64.—При лабор. опытах очистки диффузионного сока (2,5% СаО к весу свеклы), полученного на Шполянском з-де в марте при переработке низкокачественной свеклы было установлено, что при медленной сатурации (20—25 мин.) эффект очистки составил 22,5%, в то время как при быстрой сатурации (7—10 мин.) 28,8%, причем цветность сока II сатурации в

первом случае была 23,6° Штаммера, а во втором — 17,8° Штаммера.

Г. Бенин  
6Н379. Затраты материалов и рабочего времени при работе вакуум-фильтрационной установки. Ewers W. Aufwand an Material und Arbeitszeit bei der Filtration mit Drehfiltern. «Zuckerzeugung», 1960, 4, № 6, 184—185 (нем.).—Установка на э-де Haldensleben производительностью 1600 т/сутка состоит из 2 отстойников системы Passos diam. 4,4 м и трех бескамерных вакуум-фильтров с поверхностью фильтрации 20 м<sup>2</sup>, из которых два находятся в работе и один в резерве. Приведены данные за 3 сезона о расходе электроэнергии рабочей силы на обслуживание фильтров и контрольной фильтрации и транспортировке грязи резиновым транспортером. Хлопчатобумажная ткань на фильтрах менялась каждые 25 дней. Резина для уплотнения камеры отдувки служила без замены в течение всего произ-ва. Приведены также данные о затрате рабочей силы на ремонт оборудования во внепроизводственный период.

А. Карташов  
6Н380. Обессахаривание мелассы по способу Ассалини на ползаводской опытной установке. Schiweck Hubert. Die Melasseentzuckerung nach dem Assalini-B-Prozess in einer halbtechnischen Versuchsanlage. «Z. Zuckerind.», 1960, 10, № 7, 342—349 (нем.; реангл., франц.).—Кратко описано обессахаривание мелассы по способу Ассалини путем параллельного пропуска разбавленной ранее полученным электролитом мелассы через колонны с катионитом и анионитом. После смешения электролитов из обеих реакторов получается сироп с доброкачественностью 80 ед. Теоретич. основы процесса и результаты лабор. эксперим. данных опубликованы ранее (РЖХим, 1960, № 13, 54592). Приведены результаты испытания способа Ассалини на ползаводской установке, состоящей из двух ионитовых реакторов (diam. 620 мм и высотой 2800 мм), заполненных 500 л ионита и необходимого вспомогательного оборудования, насосов, сборников, контрольных приборов. Опыты на ползаводской установке в основном подтвердили данные лабор. исследований. Результаты опытов представлены в 7 таблицах, в которых приведены кол-ва получающихся продуктов, их состав (полиризация, доброкачественность, pH, золы, редуцирующие в-ва), расход реактивов на регенерацию и стоимость переработки 100 т мелассы в сутки.

А. Карташов  
6Н381. Влияние доброкачественности мелассы на потери сахара в мелассе. Hrubýšek Josef. Vliv čistoty melasy na ztráty cukru v melase. «Listy cukrovarn. Inform. služba», 22—23 (чешск.).

6Н382. Новое в барабанных сушильных установках сахарной промышленности. Schwieter Arthur. Neuerungen an Trommeltrocknungsanlagen in der Zuckerindustrie. «Z. Zuckerind.», 1960, 10, № 8, 410—411 (нем.; реангл., франц.).—Перечисляется ряд практич. мероприятий, способствующих повышению производительности жомосушильных барабанов и улучшению коэф. использования топлива. Дано 5 диаграмм и 6 чертежей.

А. Карташов  
6Н383. О применении фильтров типа ФВ для удаления сахарной пыли. Кожемякин С. Т. «Сахарн. пром-сть», 1960, № 10, 25.—Испытания, проведенные в 1959 г. на Кобелянском сахарном з-де, подтвердили полную непригодность этого фильтра для сахарных сушильных установок.

М. Г.  
6Н384. Приборы, применяемые на сахарных заводах английской сахарной корпорации. Withen R. M. T. Instrumentation in the British Sugar Corporation. 3. «Instrum. Practice», 1960, 14, № 4, 355—358 (англ.).—Описаны типы вентилей с различным устройством клапанов и дана характеристика применяемых для автоматич. контроля. Рассмотрены различные системы вариаторов скоростей (электрич. и гидравлич.).

применя  
ла оборуд  
паратов.  
Часть 2  
6Н385  
за валом  
Selig  
chung f  
№ 8, 48  
риодиче  
при не  
стигнут  
безопас  
матичес  
когда б  
Предлаг  
тушек  
обоих с  
схеме п  
частот  
усилен  
пующее  
6Н386  
примен  
Matsu  
когаку  
188—19  
что при  
нагрето  
козы, д  
зультат  
створен  
лее ни  
быть о  
гликозо  
6Н387  
пен к  
сахарн  
опыты  
но сох  
дом го  
полярн  
щие ре  
дители  
зультат  
дение  
метода  
ле, дос  
(1) мо  
и кач  
6Н388  
ки ди  
хара н  
«Тр.  
пром-с  
показ  
свекле  
тра 7  
что п  
дигест  
иват  
нчат  
6Н389  
для о  
дукта  
Центр  
74—86  
собра  
источ  
оптич  
макс  
К 768  
Са и  
лия —

применяемых в схемах автоматики для изменения числа оборотов свеклопрессов, шнеков, диффузионных аппаратов, сушилок жома и прочего оборудования. Часть 2 см. РЖХим, 1960, № 24, 98420. Г. Бенин

6Н385. Самодействующий прибор для наблюдения за валам сахарных центрифуг. Kirchner Walther, Seligmann Heinrich. Selbsttätige Pendelüberwachung für Zuckerzentrifugen, «Siemens-Z.», 1960, 34, № 8, 489—490 (нем.).—При автоматизированных, непрерывно работающих центрифугах, колебание вала при неравномерном заполнении утфелем могут достигнуть недопустимой величины. Для обеспечения безопасности работы необходимо приспособление, автоматически воздействующее на привод центрифуги, когда биения вала угрожают безопасности работы. Предлагается прибор, состоящий из индуктивных катушек с железным сердечником, установленных с обеих сторон вала. Катушки включены по мостовой схеме и питаются переменным током промышленной частоты. Поступающий от мостовой схемы ток после усиления и выпрямления поступает на реле, воздействующее на привод центрифуги. А. Карташов

6Н386. Колориметрическое определение сахаров с применением раствора камфары в серной кислоте. Matsuo Yoshiyuki, Nanba Akira. «Хакко когаку дзасси, J. Ferment. Technol.», 1960, 38, № 4, 188—192, 18 (японск.; рез. англ.).—Опыты показали, что применение 1%-ного р-ра камфары в конц.  $H_2SO_4$ , нагретого до 100° для колориметрич. определения глюкозы, дает мало чувствительную р-цию. Лучшие результаты получены при использовании камфары, растворенной в менее конц.  $H_2SO_4$ , и при нагреве до более низкой т-ры — при этих условиях хорошо может быть определена фруктоза или ксилоза в присутствии глюкозы. Г. Бенин

6Н387. Определение сахарозы в свекле. Остапенко В. Н. «Тр. групповых лабор. Центр. н.-и. ин-та сахарн. пром-сти». Киев, 1959, 74—77.—Сравнительные опыты по определению сахарозы в свежей и нормально сохраненной (в течение <100 суток) свекле методом горячей воды. Дигестией (1) и методом тройной поляризации с двумя ферментами (2) дали совпадающие результаты, в то время как при анализе свежеснятого длительного хранения по методу (1) получаются результаты на 0,92% выше, чем по методу (2). Расхождение между содержанием сахарозы, определенным методами (1) и (2) в замороженной и оттаявшей свекле, достигает 3,04%; делается вывод о том, что метод (1) может быть применен только для анализа свежей и качественно сохраненной свеклы. Г. Бенин

6Н388. Влияние температуры и длительности варки дигестии на результаты показаний содержания сахара в свекле. Остапенко В. Н., Зозуля В. Г. «Тр. групповых лабор. Центр. н.-и. ин-та сахарн. пром-сти». Киев, 1959, 78—80.—Лабораторные опыты показали, что при определении содержания сахара в свекле методом горячей дигестии вполне достаточно т-ра 75° при длительности дигерирования 30 мин., и что при условии хорошего взбалтывания содержимого дигестивного сосуда нет необходимости отфильтровывать всю жидкость; для поляризации можно ограничиться получением 50—60 мл фильтрата. Г. Бенин

6Н389. Применение метода пламенной фотометрии для определения содержания калия и натрия в продуктах сахарного производства. Цируль В. А. «Тр. Центр. н.-и. ин-та сахарн. пром-сти», 1960, вып. 7, 74—86.—Описан пламенный фотометр, который был собран по схеме, включающей следующие элементы: источник света — пламя метано-воздушной смеси; оптич. система — интерференционные светофильтры с максимумом пропускания для Na 5890 Å ± 30, для K 7680 Å ± 30 и для Ca 6220 Å ± 30; фотоэлементы для Ca и Na — селеновые с максимумом 6000 Å и для калия — сернисто-серебряный с максимумом 7000—

9000 Å, регистрирующее устройство — зеркальный гальванометр ГЗС-47 чувствительностью  $5,7 \cdot 10^{-10}$  а/мм с логарифмич. шкалой. Опыты показали, что пламенным фотометром можно определять K и Na в мелассе в течение 2—3 мин., не превращая ее в золу, фотометрируя в пламени р-р мелассы в дистилл. воде конц-ей 10 г/л; методом пламенной фотометрии оказалось возможным определять в течение 5—8 мин. содержание K и Na в золе мелассы и в золе свеклы, фотометрируя в пламени р-р золы в разб. HCl (0,02 н.), применяя для устранения влияния кальция метод компенсации. Г. Бенин

6Н390. Процесс производства сахара из сахарного тростника с растворителем, при котором исключается образование мелассы и достигается максимальный выход сахара. Rau Kanchi Seshagiri. The solvent process for the manufacture of sugar. A process that eliminates the formation of molasses and enables maximum recovery of sucrose from sugar cane and similar materials. «Indian Sugar», 1960, 10, № 3, 205—210, 213—214 (англ.).—На основе более чем 500 лабор. опытов предлагается схема получения сахара из тростниково-сахарного сока. К сырому соку, полученному из тростника обычным, пресовым способом, добавляют 5—10% (по объему сока) р-рителя (нормального или вторичного бутылочного спирта), перемешивают, нагревают до 80° на водяной бане в течение 7—10 мин. и затем смесь охлаждают; при стоянии смеси образуются 3 четко ограниченные слоя: нижний — чистый, бесцветный или почти бесцветный слой сока; верхний — чистый, зеленого цвета слой, представляющий собой р-ритель с экстрагированным из сока хлорофиллом и воском в небольшом количестве; средний — плотный, полутвердый, коричнево-черный слой, в состав которого входят несахаристые в-ва сока и часть воска. После разделения слоев из верхнего слоя путем паровой дистилляции регенерируют р-ритель, с одновременным получением хлорофилла и воска; нижний слой, являющийся очищ. соком, подвергают обработке ацетоном, в результате чего вновь образуются два слоя — верхний слой, состоящий из ацетона и инвертного сахара, и нижний слой, представляющий собой конц. р-р сахарозы, из которого, при дальнейшем добавлении ацетона, может быть получена сахароза в аморфном, а при известных условиях, и в кристаллич. состоянии. Расход ацетона (8—15 объемов на 1 объем сока) зависит от плотности сока — чем ниже плотность сока, полученного после обработки бутылочным спиртом, тем больший расход ацетона и наоборот. При отгонке ацетона получается пищевой сироп. В качестве р-рителей был испытан ряд спиртов, кетонов, эфиров и других соединений; предпочтение автор отдает бутылочным спиртам. В качестве преимуществ нового способа получения сахара отмечаются простота, быстрота и дешевизна его; к недостаткам отнесены — горючесть р-рителей и необходимость иметь большие кол-ва ацетона. Приводятся соображения о преодолении выявившихся недостатков; в частности, высказано предположение, что предварительное сгущение сока на выпарке многократного действия перед обработкой его ацетоном может резко уменьшить потребность в последнем; применение вакуум-аппаратов для кристаллизации сахара позволит получать сахарозу из сиропа в нормальной кристаллической форме. Г. Бенин

6Н391. Удаление взвешенных частиц из соков перед их очисткой осветлением [в тростниково-сахарном производстве]. Payne John H., Sloane George E. Eliminación de materias suspendidas en los jugos, antes de ser clarificados. «Bol. azuc. mexic.», 1960, № 127, 28—33 (исп.).—Описаны центрифуги, сепараторы и другое оборудование. Также рекомендуется нагревание соков и добавление растворимых в воде полиакрилатов синтетич. полимеров. И. Скурихин



6Н392. О нормировании расхода воды на пробеливание сахара в центрифугах 1-го продукта. Твердохлебов Л. С., Горбань Д. В. «Тр. групповых лабор. Центр. и-и. ин-т сахарн. пром-сти». Киев, 1959, 65—71.—Заводские опыты показали, что расход воды на пробеливание сахара при фуговке утфеля 1 продукта составляет 6,22% к весу утфеля с колебаниями от 5,2 до 7,9%. Составлен график, показывающий зависимость между расходом воды на пробеливание сахара, выходом кристаллич. сахара и цветностью его. Подсчитано, что увеличение расхода воды на 1% вызывает уменьшение выхода кристаллич. сахара на 2,5% к весу утфеля 1 продукта или на 0,75% к весу свеклы и при этом уменьшается мощность вакуум-аппаратов и центрифуг на 5%. Для учета расхода воды на пробеливание рекомендуется устанавливать счетчики дискового типа «ДБ».

Г. Бенин

6Н393. Порча сахара во время хранения. Dubourg T., Devillers P. Avaries survenues à des sucres cuits en cours de stockage. «Sucrerie franç.», 1960, 101, № 7, 163—165 (франц.).—Определяли потери сахара при хранении сахара-сырца насыпью на складе при  $t$ -ре 40—50°. В центре кучи, где  $t$ -ра была почти постоянной, сахар изменялся, увеличивалось кол-во редуцирующих в-в, понижался pH; появлялась коричневая окраска. Из сахара было отобрано 2 пробы и проведено 3 серии анализов: микробиологич., хим. и ионообменный анализы. Результаты показали, что при хранении значительно уменьшается число бактерий, увеличивается содержание редуцирующих в-в с 0,073 до 2,17 и понижается pH с 6,35 до 4,3. В сильно поврежденном сахаре исчезли аминокислоты, вступившие в р-цию с редуцирующими в-вами. Проведен лабор. опыт хранения в течение 75 дней сахара в закрытом сосуде при 60°. Получены результаты, аналогичные результатам заводского хранения. Проба сахара, подвергнутая разб. щелочью до pH 7,3, при хранении в течение 2 месяцев при  $t$ -ре 60° сохранилась хорошо.

А. Карташов

6Н394. Изучение применения ионообменников в рафинадном производстве. VIII. Обесцвечивающая способность и пористость в сильноосновных ионообменниках, применяемых в хлор-цикле. IX. Продолжительность работы сильноосновных ионообменников, применяемых в хлор-цикле. Iwashina Susumu. «Нихон ногэй кагаку кайси, Nippon nogei kagaku kaishi, J. Agric. Chem. Soc. Japan», 1959, 33, № 6, 433—437; 437—444 (японск.).—Сообщение VII см. РЖХим, 1961, 5Н315

6Н395. Результаты применения автоматического прибора для анализов на сахаро-рафинадном заводе Sucrest. Chang James K. T. Results of auto analysis at Sucrest refinery. «Sugar u Azucar», 1960, 55, № 6, 25—26, 41 (англ.). 47—48, 82 (исп.).—Сообщается об успешном применении автоматич. анализатора для непрерывного определения содержания сахара в конденсационных, барометрич., промойных и других водах и в жидкой фильтрированной грязи на з-де Sucrest (США). Исследование вод 26 точек рафинадного з-да установило, что наибольшие потери сахара имеются в барометрич. воде и в жидкой фильтрированной грязи. Отмечается, что при содержании в барометрич. воде, кол-во которой в сутки 26 000 м<sup>3</sup>, всего лишь 0,003% сахара за год (300 суток) з-д теряет 233,5 т сахара.

Г. Бенин

6Н396. Естественная убыль сахара — рафинада при его хранении в складских помещениях Ходоровского сахарзавода. Кохан М. А., Симанова Е. Т. «Тр. групповых лабор. Центр. и-и. ин-т сахарн. пром-сти». Киев, 1959, 147—153.—Заводские опыты, проводившиеся в 1951 и 1952 гг., показали, что при хранении сахара-рафинада в складах в течение 9 (1951 г.) и 13 месяцев (1952 г.) имеет место общая потеря веса на один мешок (70 кг) в размере 192,3 г

(1951 г.) и 144,7 г (1952 г.); 72,3% потерь веса приходится на механич. потери при перебороске мешков, 15,5% составляют потери веса из-за уменьшения содержания влаги в сахаро-рафинаде и 11,6% потерь веса обусловлены усыханием тары (для опытов 1951 г.). Опыты также показали, что потери веса сахара-рафинада, затаренного в мешки тем больше, чем выше первоначальное содержание влаги в сахаре и  $t$ -ра при упаковке. Рекомендуется взвешивание производств. через сутки после упаковки и охлаждения мешков с рафинадом в спец. помещении.

Г. Бенин

6Н397. Сахароза как сырье для химической промышленности. Hirsch Eberhard. A szaccharoz mint vegyipari nyersanyag. «Magyar kém. lapja», 1960, 15, № 8, 343—346 (венг.).—См. РЖХим, 1960, № 2, 6787

6Н398. Кристалличность картофельного крахмала. Sterling C. Crystallinity of potato starch. «Stärke», 1960, 12, № 6, 182—185 (англ.; рез. нем., франц.).—Путем измерения дифракции рентгеновских лучей при прохождении через анализируемые образцы проведено определение кол-ва кристаллизованного в-ва в крахмале (К). Исследованы нативный картофельный К и растворимый К Линтнера, как воздушно-сухие, так и увлажненные влажным воздухом. Описана и обоснована выбранная методика. Степень кристалличности воздушно-сухого картофельного К составила 21%, увлажненного 28%, воздушно-сухого К Линтнера 27%, увлажненного — 34%. Около 7% аморфного К при увлажнении приобретает упорядоченную структуру. Сопоставление полученных результатов с аналогичными данными, найденными другими способами, показало, что они близки друг к другу.

А. Жущман

6Н399. Облучение  $\gamma$ -лучами прокипяченного импортного риса. I. Действие  $\gamma$ -облучения на импортный рисовый крахмал. Такаока Кен'ичи, Кавазу Соноко, Нishimura Akemi, Mishina Aki-ga. «Хакко когану дзасси, J. Ferment. Technol.», 1960, 38, № 2, 88—91, 7 (японск., рез. англ.).—Изучено действие  $\gamma$ -лучей на импортный рисовый крахмал (К). Установлено, что в результате обработки снижается вязкость клейстера К, увеличивается его редуцирующая способность, уменьшается степень окраски К-йодного комплекса, растет щел. лабильность. После облучения происходило изменение кривой вязкости и увеличение усвояемости К. Под действием  $\gamma$ -лучей значительно разрушаются прямые цепочки компонентов К и ослабевает прочность структуры мицеллы.

А. Жущман

6Н400. Модифицированный крахмал I. Физико-химические свойства. Инфракрасный абсорбционный спектр пленок нативного и модифицированного крахмалов. Horitsu Keisuke. Modified starch. I. Physicochemical properties: On infrared absorption spectra of native starch and modified starch using film. «Bull. Agric. Chem. Soc. Japan», 1960, 24, № 1, 44—51 (англ.).—Путем тщательной обработки из картофеля приготовлены образцы нативного крахмала (НК), часть которых была подвергнута модификации, размешивая 30 г НК в 300 г формамида, выдерживая смесь 6¼ часа при 140°, отфильтровывая и осаждая в метаноле. Образцы крахмала были использованы для приготвления пленок весом 1 мм<sup>2</sup> 0,027 мг (из НК) и 0,019 мг из модифицированного крахмала (МК). Пленки подвергнуты гидратации или обработке парами тяжелой воды и затем проанализированы в сухом и увлажненном виде с помощью спектрофотометра. Проведено сравнение ИК-спектров, полученных для различно обработанных пленок НК и МК. Установлено, что длина волн, характерная для отдельных полос спектра, изменялась при обработке незначительно или оставалась неизменной. При анализе пленок МК в спектрах были обнаружены новые полосы. Результаты опытов обсуждены с точки зрения возникновения изменений в строении молекул НК после его обработки. Абсорбционные по-

лосы, обнаруженные только в спектрах МК, по-видимому, следует отнести к группам СО, возникновение которых обуславливает отличие МК от НК. А. Жупман

**6Н401.** Очистка сока сахарного сорго при помощи понообменников. II. Содержание сахаров в различных частях сахарного сорго. Ivančenko D., Zajac P. Cistenie širokovej šlavy vyměňovacími ionov. II. Rozmístění obsahu cukrov v rozličných částech cukrového sírku. «Chem. zvesti», 1960, 14, № 4, 298—300 (словацк., реф. русск., нем.).—Приведены анализы соков, полученных из различных частей стебля сахарного сорго. Стебли длиной 216 см, содержащие 8—9 междоузлий, рассекли на 8—9 частей. Из полученных проб на прессе отжимали сок. В соках определяли: сухие в-ва, сахарозу, глюкозу, фруктозу, прямую и инверсионную полиризацію, доброкачественность, углекислотную золь. Установлено, что максим. кол-во углеводов (сахарозы 13,8, фруктозы 1,2, глюкозы 0,5%) и миним. кол-во соды содержится в четвертом междоузлии снизу, что согласуется с теоретич. предположениями. Сообщение 1 см. РЖХим, 1960, № 10, 40501.

**6Н402.** Определение свободной кислотности меда. Raugaud, M. m. e. Dosage de l'acidité libre d'un miel. «Bull. apic. inform. et docum. scient. et techn.», 1959, 2, № 2, 11—14 (франц.; реф. англ., нем.).—При определении кислотности меда титрованием с фенолфталеином до pH 8,3 получаются ошибки в 66% для цветочного и 32% для лесного меда. Для точного определения кислотности меда рекомендовано строить кривую его нейтр-ции, т. е. отмечать pH после каждого прибавления р-ра NaOH. Показано, что цветочный мед следует титровать до pH 6, лесной — до pH 7. М. Ш.

**6Н403.** Вязкость пектиновых растворов. Miura Hiroshi, Mizuta Takashi. «Сбукрб кэнкюсё кэнкю хококу, Rept Food Res. Inst.», 1959, № 14, 6—8 (японск.)

**6Н404.** Получение клеевых материалов. Касава Ра Фумио, Накаяма Хиротаро, Куроива Носимори, Осуми Сёдзи, Икэно Кацудзи. Японск. пат. 2022, 30.03.57.—Приведена рецептура клеевых материалов на основе алгиновых кислоты. К. Т.

См. также: Синтез дисахаридов с α-биозидными связями 6Ж307. Эфиры сахарозы 6Ж308. Колич. определение углеводов методом распределительной хроматографии на бумаге 6Д232. Определение тяжелых металлов в мелассе из сахарного тростника и свеклы 6Д90. Очистка транспортерномоечных вод сахарных р-дов 6И315. Хроматография. определение растворенных органич. в-в в отстоянных сточных водах сахарных р-дов 6И314

## ЖИРЫ И МАСЛА. ВОСКИ.

### МЫЛА. МОЮЩИЕ СРЕДСТВА. ФЛОТОРЕАГЕНТЫ

Редакторы А. А. Зиновьев, А. П. Хованская

**6Н405.** Пятнадцать лет развития жировой промышленности. Solníčková Zdeňka. Patnáct let rozvoje tukového průmyslu. «Průmysl potravin», 1960, 11, № 7, 337—340 (чешск.)

**6Н406.** Развитие производства и потребления жиров. Brdek Miroslav, Daniel Vladimír. Vývoj světové výroby a spotřeby tuků. «Průmysl potravin», 1960, 11, № 8, 414—418 (чешск.)

**6Н407.** Современная технология жиров и жировых продуктов. LXIV—LXV. Основы извлечения масел и жиров из сырья. Kaufmann H. P., Grothues B. Neuezeitliche Technologie der Fette und Fettprodukte LXIV—LXV. Die Grundlagen der Gewinnung der Öle und Fette aus den Rohstoffen. «Fette, Seifen, Anstrichmittel», 1960, 62, № 1, 42—50; № 2, 118—123 (нем.).—

LXIV. Описаны типы тарелочных центрифуг для разделения и осветления жидкостей, для непрерывного и периодич. удаления шлама и различные модификации их.

LXV. Описаны центрифуги-экстракторы (ЦЭ) для экстракции жидкости из смеси ее с другими: контактор — для вымывания мыла из переэтерифицированного свиного смальца, «лювоста» — одно-, двух- и трехступенчатые ЦЭ, шнековые ЦЭ. Даны фотоснимки, чертежи. Указаны фирмы изготовители, фотоснимки, чертежи. Ч. LXIII см. РЖХим, 1961, 5Н334. Г. Ш.

**6Н408.** Новые данные, касающиеся получения оливкового масла. Demay J. Matériel nouveau de préparation et de traitement des pâtes d'olive dénoyautées. «Oléagineux», 1960, 15, № 7, 565—568 (франц.).—Описаны установка и процесс выделения масла из оливок. Процесс состоит из следующих стадий: промывание оливок, разминание их и отделение косточек от мякоти. Далее, следует механич. обработка мякоти в спец. новой конструкции аппарате слив отделившегося масла, из которого затем в турбодекантаторе отделяют фюз. Частично обезжиренную мякоть подвергают прессованию. В выжимках остается ~18% воды и ~20% масла, которое выделяют экстракцией. Из 100 кг оливок получают до 22 кг косточек, из которых выделяют 3—4 кг ядер, дающих 0,6—0,7 кг масла. Приведены аппаратурная и схема произ-ва масла, а также описание новой конструкции аппаратов. Е. С.

**6Н409.** Опыт получения масла из виноградных косточек. Шухгалтер М. Я. «Маслоб.-жир. пром-сть», 1960, № 1, 8.—Указано, что из виноградных косточек, отобранных из виноградных выжимок до начала процесса брожения, прессованием получено виноградное масло темного цвета с зеленоватым оттенком, кислотное число 6,16 уд. вес 0,919, перекисное число 0,210. Указано, что при промышленной переработке можно добиться выхода масла до 10%. Подробно описан процесс получения масла. Н. Любопыт

**6Н410.** Исследование жирных кислот масла *Pongamia Glabra* путем образования аддуктов с мочевиной. Mehta T. N., Meshramkar P. M. Extractive crystallisation of the component fatty acids of *Karanja (Pongamia Glabra)* oil with urea. «Indian J. Appl. Chem.», 1960, 23, № 1, 23—30 (англ.).—Даны результаты изучения состава жирных к-т масла, выделенных через аддукты с мочевиной, а также и методом Твитчелля (через Pb-соли). Установлен следующий состав к-т (в %): пальмитиновая 3,66; стеариновая 7,10; арахисовая 3,8; бегеновая 4,75; лигнодеривовая 3,47; перотиновая 1,39; олеиновая 44,54; линолевая 18,28 и эйкозеновая 12,41.

Из резюме авторов **6Н411.** Очистка кислых масел с целью получения из них стойких дистиллированных кислот. Uzzan A., Lauchard Y. Epuration des huiles acides en vue d'obtenir des acides gras distillés stables. «Rev. franc. corps gras», 1960, 7, № 5, 267—274 (франц.).—Описаны способы очистки арахисового масла (АМ) и рапсового масла (РМ), дающие возможность получать из этих масел стойкие дистил. жирные к-ты. Отмечается, что примеси соединений железа, окисленные жирные к-ты, пигменты (каротиноиды, хлорофилл, ксантофилл), продукты разложения (образующиеся при нагревании семян и масла), слизистые в-ва, окисленные органич. в-ва и азотсодержащие в-ва благоприятствуют процессам окисления и образования окраски, как масел, так и жирных к-т, выделенных из них. Показано, что наилучший метод удаления соединений железа заключается в обработке жиров при 70° в течение 30 мин. 50%-ной H<sub>2</sub>PO<sub>4</sub>, взятой в кол-ве 15% от масла. Этим путем из РМ было удалено 96% Fe, а из АМ 91%. Окисленные к-ты и пигменты следует удалять обработкой адсорбентами (напр., нагреванием при 90° в течение 30 мин. с активированным углем), при этом содержание окисленных к-т снижается, напр. с 2,25

до 0,28%. Омыление жиров и последующее выделение жирных к-т полностью освобождает их от слизистых в-в и частично от окисленных жирных к-т. Вакуум-перегонка при т-ре не выше 200°/0,5—1 мм выделенных жирных к-т из очищ. тем или иным путем РМ и АМ не дала фракций полностью свободных от Fe и от окисленных к-т (оставалось Fe 0,0001%, окисленных к-т 0,3—0,4%). Отмечается, что пизиние к-ты, альдегиды, кетоны и продукты разложения белков отгоняются вместе с жирными к-тами. Для получения стойких по отношению к окислительным процессам дистил. жирных к-т предлагается следующий метод очистки АМ: обработка 50%-ной  $H_2PO_4$ , затем омыление при 20° Бё NaOH и выделение жирных к-т 50%-ной  $H_2SO_4$ . Высказано предположение, что окисленные в-ва жиров делятся на три группы: 1) продукты расщепления карбоновых и гидроксильных соединений, попадающие при перегонке в головные фракции; 2) гидроксильные производные в кол-ве 0,2—0,3%, имеющие мол. вес и т. кип., близкие к жирным к-там; 3) ди- и тримерные окисленные производные, остающиеся в остатке от перегонки. Роль лимонной к-ты при перегонке жирных к-т острым паром точно не установлена, по-видимому, лимонная к-та связывает металлы, смеси и возможно какие-то органич. соединения, что возможно исключает прохождение окислительных процессов при перегонке.

Е. Смольянинова  
6H412. Получение чистого госсипола из дианилингоссипола. Smith F. H. Preparation of pure gossypol from dianilnogossypol. «J. Amer. Oil Chemists' Soc.», 1960, 37, № 6, 286—288 (англ.).—Чистый госсипол (I) получают из дианилингоссипола (II) путем обработки посредством  $CH_3COOH$  с последующей перекристаллизацией образовавшегося соединения I с  $CH_3COOH$  (III) и, после удаления из II к-ты, перекристаллизацией I из смеси: эфир-петр. эфир или смеси: эфир-спирт-вода. К суспензии 50 г II в смеси 750 мл эфира и 750 мл лед.  $CH_3COOH$  добавляют при перемешивании и охлаждении (18—20°) 90 мл конц.  $H_2SO_4$ , затем 200 мл дистил. воды. Отфильтровывают соединение III промывают, сушат и дважды перекристаллизуют следующим образом: добавляют к осадку 1200 мл дистил. воды, содержащей 0,3—0,4 г  $NaHSO_3$  и 600 мл свободного от перекисей эфира, размешивают до растворения I, отделяют эфирный слой, пормывают его водой (400 мл, содержащей 0,1 г  $NaHSO_3$ ), отфильтровывают небольшой остаток негидролизованного II, добавляют равный объем лед.  $CH_3COOH$  и через 10 мин. отфильтровывают осадок III, промывают эфиром и низкокипящим петр. эфиром или гексаном. Получение I из соединения III ведут следующим образом: обрабатывают 50 г соединения III 600 мл эфира и 1200 мл воды, содержащей 0,3—0,4 г  $NaHSO_3$ , отделяют и промывают дважды эфирный слой водой (400 мл), сушат безводным  $Na_2SO_4$  и упаривают в вакууме до 200 мл. Добавляют 400 мл 95%-ного спирта, охлаждают льдом до 15—20° и смешивают с 300 г измельченного льда (полученного из дистил. воды), затем при перемешивании добавляют 100 мл лед. воды и через 10—15 мин. отфильтровывают осадок, промывают его водн. спиртом (1:1), смесью спирт-гексан (1:3) и гексаном. Сушат осадок при ~20°, затем 16 час. в вакууме при 70°. Выход I из II составляет 75%.

Г. Молдованская  
6H413. О применении животных жиров. Uz z a n A. Les problèmes de l'utilisation des suifs. «Rev. franç. corps gras», 1960, 7, № 6, 329—335 (франц.).—Перечислены виды пром-сти во Франции, применяющие животные жиры с указанием потребляемых кол-в. Отмечается, что потребление жиров в пищевой пром-сти уменьшается, но увеличивается расход жиров, вводимых в кормовые рационы животных. Больше всего увеличивается расход жиров для мыловарения, в том числе и для произ-ва мыл нещел. металлов (с 21%

в 1949 г. до 62,7% в 1959 г.). Мыла (Zn, Pb, Ca, Mg и др.) применяются в различных отраслях пром-сти (косметич. текстильной, нефтяной, резиновой и др.). Жиры идут также для произ-ва детергентов, поверхностноактивных в-в, стеарина и производных жирных к-т, выделенных из жиров (спиртов, амидов, нитрилов, дикарбоновых к-т, различных сложных эфиров и др.), находящихся применение в различных отраслях пром-сти.

Е. Смольянинова  
6H414. О происхождении кислорода, участвующего в процессе автоокисления жиров. Naudet M., Perrot M. J., Desnuelle P. Sur l'origine de l'oxygène responsable de l'autoxydation des corps gras. «Rev. franç. corps gras», 1960, 7, № 6, 336—338 (франц.).—Опыты проводились: в открытых пробирках, в запаянных заполненных на 9/10 объема, в полностью заполненных, в полностью заполненных и плотно закрытых корковыми пробками и в заполненных менее чем на половину, тоже закрытых корковыми пробками. Автоокисление проводили как при 35° и небольшом облучении УФ-светом, так и при ~20° на рассеянном дневном свете. В качестве исходных в-в применяли метиловы эфиры жирных к-т арахисового масла, освобожденные от естественных антиокислителей и от окисленных продуктов вакуум-перегонкой или же нейтрализованные и очищ. адсорбцией на глиноземе арахисовое масло. Развитие автоокисления характеризовали перекисными числами. В результате опытов с метиловыми эфирами жирных к-т арахисового масла найдено, что в открытой пробирке автоокисление проходит очень быстро, в образцах, находившихся в запаянной пробирке и в закрытой пробкой полностью заполненной пробирке проходит только незначительное автоокисление за счет растворенного в эфире воздуха и находящегося в незаполненной части запаянной пробирки. Предварительное пропускание воздуха через образцы перед их закрытием на полученных результатах не отразилось. В полностью заполненной пробирке автоокисление проходило медленно, не останавливаясь на каком-либо пределе, последнее можно приписать диффузии воздуха через корковую пробку. Опыты, проведенные с глицеридами, подтвердили полученные результаты. Автоокисление глицеридов в открытых пробирках, за счет не полностью удаленных антиокислителей, проходит несколько медленнее. Сделан вывод, что для уменьшения порчи жиров за счет автоокисления следует их хранить в целиком заполненной, герметически закрытой таре.

Е. Смольянинова  
6H415. Окисление эфиров насыщенных жирных кислот. Kameoka Hiromu. «Korô kagaku zasshi, Kogyo kagaku zasshi, J. Chem. Soc. Japan. Industr. Chem. Sec.», 1960, 63, № 5, 744—747, A39 (японск.; реангл.).—Изучено окисление метиловых эфиров пальмитиновой, лауриновой, каприновой, каприловой, капроновой, валериановой и масляной к-т 30%-ного р-ра  $H_2O_2$  (I). Окисление проводят в стальном автоклаве с электромагнитной мешалкой и при повышенной т-ре. Метилловый эфир каприновой к-ты (или других высших к-т) и I берут в молярном соотношении 1:9, т-ра р-ции 130—170°, давл. 100—145 кг/см<sup>2</sup>, р-ция заканчивается через 6 час. Метилловый эфир каприловой к-ты (и других низших к-т) и I берут в соотношении 1:5, т-ра р-ции 130—160°, давл. 75—115 кг/см<sup>2</sup>, р-ция заканчивается через 4 часа. Эфиры низших к-т окисляются скорее, чем высшие их гомологи. В качестве продуктов окисления выделяют моно- и дикарбоновые к-ты, напр. янтарная и адипиновая к-ты получаются с хорошими выходами из эфиров низших к-т. При более высоких молярных соотношениях (20:1) I к эфирам высших жирных к-т последние окисляются до низших жирных к-т.

Резюме авторов  
6H416. Окисление метилолеата. Kameoka Hiromu, «Korô kagaku zasshi, Kogyo kagaku zasshi,

J. Chem. № 5, 741—метилолеат автоклаве 110—170°, при эфир-метил. Пр. дуальдет. Сог. Сиг. Сог. Сог. нения и были. Пр. 1:20, т-мин. с двухосно. 6H417. пицевых инц. пре. действ. к-ты и е. телей б. в качес. получен. и пицев. этерифи. монной. нечому. цессе в. кол-ве. подосл. ного са. В свин. лителей.

6H418. моющие Joseb «Prüfung» русск., галлат. делени. компл. пирока. оранж. бует м. весовы. 6H419. ной м. Cha. Stigati. es: us. 1959, ния и. ла (у. Прив. ного. завис. масл. лект. грам. и на. зави. держ. в ж. <50°. изок. ~67°. скол. пла. при. вис. что. жел.



J. Chem. Soc. Japan. Industr. Chem. Sec., 1960, 63, № 5, 741—744, A39 (японск.; рез. англ.).—Окисление метилолеата 30%-ным водн. р-ром  $H_2O_2$  в стальном автоклаве с электромагнитной мешалкой при т-ре 110—170°, давл. 65—165  $kg/cm^2$  и молярном соотношении эфира и  $H_2O_2$  1:10 заканчивается через 30—60 мин. При этом получают: пеларгоновый альдегид, подальдегид азелановой к-ты,  $C_7$ ,  $C_8$ ,  $C_9$ ,  $C_{10}$ ,  $C_{11}$ ,  $C_{12}$  моноосновные жирные к-ты и  $C_7$ ,  $C_8$ ,  $C_9$ ,  $C_{10}$  двухосновные жирные к-ты; эпоксиэфиры и 9,10-диоксистеариновая к-та обнаружены не были. При молярных соотношениях эфира и  $H_2O_2$  1:20, т-ре р-ции 140—150, давл. 105—120  $kg/cm^2$  и 30 мин. с хорошим выходом получают  $C_9$ -альдегид и двухосновные жирные к-ты.

**6N417.** Новые антиокислители и эмульгаторы для пищевых жиров. Аснина Ф. И. «Тр. Укр. н.-и. ин-та хим. пром-сти», 1959, вып. 2, 113—119.—Исследовалось действие различных антиокислителей (малоновой к-ты и ее метиловых и этиловых эфиров; антиокислителей биологич. происхождения и др.) и синергистов, в качестве которых были взяты кислые эфиры (КЭ), полученные путем перэтерификации говяжьего жира и пищевого саломаса с последующей дополнительной этерификацией полученных моно- и диацилглицеридов лимонной и яблочной к-тами. КЭ добавлялись к подсолнечному маслу, говяжьему и свиному жирам. В процессе наблюдений выяснилось, что добавление КЭ в кол-ве 0,2—0,6% от веса жиров повышало стойкость подсолнечного масла почти в 3 раза, недозодорированного саломаса в 10—13 раз, говяжьего жира — на 30%. В свином жире, лишенном естественных антиокислителей, действие КЭ было неэффективным.

**6N418.** Метод определения пропилгаллатов с помощью комплексона. Malkus Zdeněk, Horáček Josef. Komplexometrické slavení propropylgalát. «Průmysl potravin», 1960, 11, № 1, 43—45 (чешск.; рез. русск., англ., нем.).—Метод основан на осаждении галлатов р-ром нитрата висмута с последующим определением избытка ионов висмута (после фильтрации) комплексоном III. В качестве индикаторов применяют пирокатионовый фиолетовый или кисленильный оранжевый. Описанный метод достаточно точен и требует меньше времени, чем применяемые до сих пор весовые методы.

**6N419.** Мало изученные масла в гидрогенизационной промышленности. Применение табачного масла. Chakrabarty M. K., Chakrabarty M. M. Investigation of less-known oils in hydrogenation industries: use of tobacco seed oil. «J. Scient. and Industr. Res.», 1959, A18, № 11, 530—533 (англ.).—Результаты изучения гидрогенизации рафинированного табачного масла (условия рафинации и гидрогенизации описаны). Приведены графики, показывающие зависимость йодного числа от продолжительности гидрогенизации и зависимости кислотного состава гидрогенизируемого масла от его йодного числа. Дана характеристика селективности процесса посредством треугольной диаграммы, в вершинах которой олеиновая, линолевая и насыщ. к-ты. Дана также диаграмма, показывающая зависимость т-ры начала подвижности жира от содержания насыщ. к-т (один график) и от содержания в жире изоолеиновых к-т (другой график). При <50° оба графика идут близко, а при >50° график изокислот идет резко вниз, пересекая ось абсцисс ~67°, а график насыщ. к-т уходит резко вверх. Поскольку наличие насыщ. к-т обеспечивает лучшие пластич. свойства жиров, а содержание изокислот при данной т-ре плавления находится в обратной зависимости от содержания насыщ. к-т; сделан вывод, что изокислоты следует рассматривать в качестве нежелательной составной части пищевых саломасов.

К. Беляева

**6N420.** О влиянии некоторых факторов на селективность при гидрировании жиров. Тютюников Б. Н., Высоцкий С., «Маслоб.-жир. пром-сть», 1960, № 5, 12—14.—Исследованиями гидрогенизации подсолнечного масла в циркуляционной установке установлено, что суммарная радикальная селективность (С) выше при проведении гидрирования при 220°, чем при 185 и 120°. С уменьшается в течение проведения процесса. Предложено фиксировать зависимость С: йодное число.

К. Склобовский

**6N421.** О роли и значении никелевых мыл при гидрогенизации жиров. Голендеев В. П., «Тр. Горьковск. политех. ин-та», 1959, 15, № 5, 15—20.—Изучались свойства никелевых мыл (НМ), образующихся при гидрогенизации жиров с медно-никелевым карбонатным катализатором. НМ являются нежелательными побочными продуктами, так как адсорбируясь на поверхности катализатора, они понижают его активность и затрудняют повторное его использование. Проходя через фильтры, НМ попадают в готовый продукт (содержание Ni в фильтрованном саломасе 60—120  $mg/kg$ , что превышает норму стандарта в 3—5 раз). Установлено, что образование НМ ускоряется присутствием  $Ca$ -,  $Mg$ - и  $Na$ -мыл за счет обменной р-ции  $(RCOO)_2Ca + NiCO_3 \rightarrow (RCOO)_2Ni + CaCO_3$ . При прибавлении 1%  $Na$ -мыла к гидрируемому жиру содержание Ni в фильтрованном саломасе возрастает с 102 до 342  $mg/kg$ .

Н. Близняк

**6N422.** Изучение механизма образования никелевых мыл при термическом разложении карбонатов никеля и меди в хлопковом масле. Голендеев В. П., Сорокин А. М. «Тр. Горьковск. политех. ин-та», 1959, 15, № 5, 21—27.—Результаты изучения механизма образования Ni-мыл (НМ) и влияния т-ры процесса, кислотности жира, присутствия карбоната  $Cu$  и  $Ca$ -солей на образование НМ при гидрогенизации жиров с медно-никелевым катализатором. Показано, что образование НМ происходит только за счет р-ции  $NiCO_3 + 2RCOOH \rightarrow Ni(RCOO)_2 + CO_2 + H_2O$ . Кол-во НМ резко возрастает с повышением т-ры от 250—280° и кислотности, которая при этой т-ре повышается. Разложение карбонатов Ni,  $Cu$  и смеси этих карбонатов происходит соответственно при 210, 270, 230°.  $Cu(CO_3)_2$  увеличивает скорость разложения  $NiCO_3$  и сдвигает в область низких т-р. Описана методика термич. разложения карбонатов Ni и  $Cu$ .

Н. Близняк

**6N423.** Хроматографический метод количественного определения никелевых мыл в отработанном катализаторе при гидрогенизации жиров. Голендеев В. П., Фролова Т. М. «Тр. Горьковск. политех. ин-та», 1959, 15, № 5, 28—30.—Описана видоизмененная методика (см. РЖХим, 1959, № 2, 6161) хроматографич. метода определения никелевых мыл (НМ) в отработанном катализаторе. Из 2 г отработанного катализатора извлекают НМ просасыванием 8 г нагретого до 165—170° саломаса через фильтр № 4, два бумажных и слой силикагеля (0,5 г). К полученному фильтрату прибавляют 6 капель пергидроля, размешивают до образования пены и ставят на 30 мин. в сушильный шкаф при 80—85°. Далее добавляют еще 4 капли пергидроля и сушат еще 2—3 часа. Обесцвеченный указанным образом фильтрат помещают в вакуум-эксикатор и определяют НМ, как ранее описано. Приведена схема прибора.

Н. Близняк

**6N424.** Перэтерификация жиров. IV. Изменение точки каплепадения в результате перэтерификации жиров. Kaufmann H. P., Grothues B. Umesterungen auf dem Fettgebiet. IV. Tropfpunktsänderungen bei der Ein- und Mehrfett-Umesterung. «Fette, Seifen, Anstrichmittel», 1960, 62, № 6, 489—495 (нем.; рез. франц., англ., русск.).—Исследовалось изменение точки каплепадения (ТК) при однофазной (1ФП) и направленной (НП) перэтерификации одного или смеси жиров.

1ФП производилась нагреванием при 100—150° в течение 1,5 часа высушенного под вакуумом жира с катализатором (металат натрия или сплав Na-K), вводимых в один прием. НП производилась при более низкой t-ре с теми же катализаторами, добавляемыми каждый раз после возникновения зародышевых кристаллов твердых глицеридов. Приведены соотношения между содержанием в жирах высших насыщ. к-т и ТК при 1ФП, а также изменения ТК при 1ФП и НП для одного и смеси жиров (даны таблицы). Жиры, полученные после НП, имели более высокую ТК и пастообразную, но не текучую консистенцию. Твердые глицериды имели форму мелких кристаллов. 1ФП смеси жиров рогатого скота с растительными маслами показала возможность применения переэтерифицированных жиров для произ-ва маргарина. Кол-во животного жира в масле может достигать при этом 40—58 вес.% в зависимости от рода масла. Опыты показали, что Ni-катализаторы переэтерификации не форсируют. Библ. 10 названий. Часть III см. РЖХим, 1960, № 11, 44425. Г. Шураев

6Н425. Фракционирование жирных кислот масла семян индийского кенафа с помощью мочевины. Mehta T. N., Lokras S. S. Fractionation of fatty acids of Indian Kenaf seed oil with urea. «Indian J. Appl. Chem.», 1960, 23, № 1, 28—22 (англ.).—Экстракцией гексаном семян кенафа выделено 18,5% масла (M) ( $n_D^{20}$  1,4679,  $d_{20}^{20}$  0,9210, йодное число 99,5, число омыления 198, содержание неомыляемых 0,77%). Противоточным распределением жирных к-т с мочевиной установлен состав к-т M. Состав насыщ. к-т подтвержден фракционированием с мочевиной твердых к-т, выделенных по Твитчелло. Найдено (в %): стеариновой 8,22, пальмитиновой 15,38, олеиновой 32,5, линолевой 38,3, 12,13-эпоксидолинолевой 5,6. Указано, что M сходно с M хлопковых семян. Г. Молдованская

6Н426. Различные применения понитов в технологии жиров и их производных. Ollero A., Soto A. Diversas aplicaciones de las resinas cambiadoras de iones en la química de las grasas y derivados. «Grasas y aceites», 1960, 11, № 2, 94—96 (исп.; рез. нем., франц., англ.).—Обзор применения: при разделении или рекуперации жирных к-т из р-ров, отделении глицерина и др. Библ. 16 назв. Л. Песин

6Н427. Оксид- и аминопроизводные жирных кислот. Naudet M. Dérivés hydroxylés ou aminés des acides gras. «Rev. ferment. et inds. aliment.», 1960, 15, № 1, 7—14 (франц.).—Приведен обзор существующих методов получения оксистерариновой и  $\alpha,\alpha'$ -дioxистерариновой к-ты из олеиновой к-ты, ненасыщ. оксикислот из линолевой к-ты и аминокислот из стеариновой и олеиновой к-т. Приведены схемы получения перечисленных производных жирных к-т. Библ. 14 назв. Е. С.

6Н428. О точности методов анализа в различных лабораториях. Rohloff A. C., Houle R. J. An inter-laboratory study of test methods. «J. Amer. Oil Chemists' Soc.», 1960, 37, № 5, 219—222 (англ.).—Проведено сравнительное исследование точности результатов 14 различных лабораторий по анализу содержания чистого глицерина (I) в сыром I из подмыльного щелока, сапонификате, дистил. и синтетич. I периодатным методом. Показаны приемы использования статистич. методов для обработки указанных результатов. Описана разработанная система балльной оценки для отбора лучших (по точности) лабораторий, по которой каждому из анализируемых показателей I отводится максимум кол-во баллов, в пределах которого он оценивается в соответствии с особой таблицей (в % от указанного максимума) в зависимости от величины отклонения среднего значения данного показателя (по анализам данной лаборатории) от среднего значения этого же показателя по всем лабораториям. Г. Фрид

6Н429. К вопросу об анализе моноглицеридов и свободного глицерина. Hartman L. Beitrag zur Ana-

lyse von Monoglyceriden und freiem Glycerin. «Fette, Seifen, Anstrichmittel», 1960, 62, № 4, 271—274 (нем.; рез. франц., англ., русск.).—Навеску, содержащую ~0,6 г  $\alpha$ -моноглицеридов, растворяют в 100 мл  $\text{CHCl}_3$  и затем встряхивают 1—2 мин. со 100 мл воды или 5%-ного водн. р-ра  $\text{CH}_3\text{COOH}$ . К 25 мл отделенного хлороформного р-ра добавляют 25 мл уксуснокислого р-ра йодной к-ты (5,5 г йодной к-ты, растворенной в 50 мл воды и разбавленной до 1 л посредством  $\text{CH}_3\text{COOH}$ ). После 30 мин. выстаивания в темноте в реакционную смесь добавляют 100 мл буферного р-ра (150 г NaOH и 100 г Na-бората разбавляют до 1 л дистил. воды) и после охлаждения 20 мл 15%-ного KI. Спустя 3—4 мин. выделившийся йод оттитровывают 0,1 н. р-ром  $\text{Na}_2\text{S}_2\text{O}_3$ . Параллельно ставят глухой опыт так, чтобы на титрование в нем пошло 10—12 мл р-ра  $\text{Na}_2\text{S}_2\text{O}_3$ , а в рабочем 2—5 мл. Аналогично определяют свободный глицерин из 25 мл водн. слоя. Установлено, что торговые моноглицериды содержат 5—9%  $\beta$ -моноглицерида. Библ. 17 назв. А. Зеленецкая

6Н430. Труды Германского общества по исследованию жиров. Сообщение 40. Новые разработки «Единые методы исследования жиров и восков. XXIX. Анализ технических жирных кислот. Seher A. Gemeinschaftsarbeiten der DGF, 40. Mitt. Neubearbeitung der «Einheitlichen Untersuchungsmethoden für die Fett- und Wachindustrie». XXIX. Analyse technischer Fettsäuren. II. «Fette, Seifen, Anstrichmittel», 1959, 61, № 12, 1211—1216 (нем.).—Обзор методов анализа жирных к-т и восков, и приборов для проведения анализов. Обсуждены определение цветности, склонности к саморазогреванию, кислотного и гидроксильного чисел, числа омыления и хроматографич. метод. Сообщение XXVIII см. РЖХим, 1960, № 23, 94139. А. Зеленецкая

6Н431. Спектрофотометрическое определение линолевой и линоленовой кислот в кукурузном и сорговом маслах. Денисенко Я. И., Волкова И. Н. «Изв. высш. учебн. заведений. Пищ. технол.», 1960, № 3, 28—30.—В статье приведены результаты колич. определения линолевой и линоленовой к-т в 3 образцах кукурузного и 2 образцах соргового масла методом УФ-спектроскопии. Описана методика работ, приведенные кривые пропускания масел в области 225—300 м $\mu$ . Проведено сравнение полученных результатов с результатами роданометрического анализа. А. Кохманский

6Н432. Йодное число конъюгированной ненасыщенной жирной кислоты, определенное изменением пиридинсульфатдиглобидным методом. Tsuchiya Tomotaro, Tanaka Akio. «Tokai kōgō sikkansō shokoku, Repts Govt Chem. Industr. Res. Inst., Tokyo», 1959, 54, № 10, 329—331, XXXV (японск.; рез. англ.).—Определяли йодное число к-ты  $\text{C}_{18}\text{H}_{30}\text{O}_2$ , изомера элестеариновой к-ты, измененным пиридинсульфатдиглобидным методом (модификация метода Розенмунда — Купенга, предложенная Клем и Бенханом). Определение вела при 20°, варьируя время р-ции и кол-во избытка реагента от 94—321%. Найдено: 1) йодное число повышается с увеличением времени р-ции кон-ции и избытка реагента. 2) Полученное йодное число больше найденного по Розенмунду — Купенгу и равно теоретич., если р-цию проводить при 30° в 100%-ном избытке реагента. Э. Симановский

6Н433. Классификация восков. Finck E. Zur Klassifikation der Wachse. «Fette, Seifen, Anstrichmittel», 1960, 62, № 6, 502—506 (нем.; рез. франц., англ., русск.).—Приведены основные требования, которым должна удовлетворять классификация восков (KV). Дана KV, предложенная автором, а также обзор KV, ранее предложенных другими авторами. Г. Шураев

6Н434.  $\delta$ -Оксикислоты шерстяного жира. Barnes C. S. The  $\delta$ -hydroxyacids of wool grease. «Austral. J. Chem.», 1960, 13, № 1, 184—186 (англ.).—В согласии с ранее полученными данными (см. РЖХим, 1955,

№ 18, 40288 содержат  $\delta$ - и  $\delta$ -лактоны 6Н435. Сырь для В. И. Иго № 8, 16—18 на парафин отделения (т-ре > 450° ных к-т (Ж окисления воздуха на катализаторе сырь); кол- при кислот Р-цию вели образца сл произ-ва И то при ок трудная д тельность I при преда же кол-ве, лленно возр постоянн тельность ЖК 29,5% тем при н вях. Полу омыления чаются вк При окисл последуюи с добавлен чем при л жательнос мало отли выше, а (1,5 вес.% выкипающ то П, про тельность чаях — 6,2, медленно, вается, п накоплен при испо. (3,4%). Р (198) и б при окис кислот (1 6Н436. с целью у ч же в 1960, № 8 отистики леновой д рафина) тем прои при 140 достигают оксидату в вакуу произ-ва ты полу ценого м 6Н437. нлю с о натов. В Н. В. Ш масел), фваты карбами

№ 18, 40288) показано, что к-ты шерстяного жира не содержат  $\delta$ -оксикислот. Установлено отсутствие также и  $\delta$ -лактонов.

Г. Молдованская 6H435. Исследование восточного парафина как сырья для производства жирных кислот. Завидов В. И., Игонин П. Г. «Маслоб.-жир. пром-сть», 1960, № 8, 16—18.—Изучено влияние сернокислотной очистки парафина (П) из восточных сернистых нефтей и отделения от него углеводородов, выкипающих при  $t > 450^\circ$ , на скорость образования и качество жирных к-т (ЖКК), получаемых при окислении П. Условия окисления в лабор. установке: загрузка П 50 г, расход воздуха на загрузку 0,2 л/мин,  $t$ -ра р-ции 116—117°, катализатор 10%-ный водн. р-р  $KMnO_4$  (0,2% от веса сырья); конец индукционного периода (ИП) считали при кислотном числе (КЧ) оксидата 0,5—1,5 мг КОН. Р-цию вели до КЧ П 60 мг КОН, в качестве эталонного образца служил грозненский П, используемый для произ-ва ЖКК для мыловаренной пром-сти. Показано, что при окислении неочищ. П (т. пл. 54°) наблюдается трудная диспергируемость в нем  $KMnO_4$ ; продолжительность ИП  $> 20$  час., но она сокращается до 1 часа при предварительном вводе стеариновой к-ты в таком же кол-ве, как и катализатор. КЧ окисляемого П медленно возрастает после ИП до 15 мг КОН и далее с постоянной, но незначительной скоростью; продолжительность р-ции 10 час., кол-во образующихся при этом ЖКК 29,5%, скорость их образования на 30% меньше, чем при использовании грозненского П в тех же условиях. Полученные ЖКК имеют более низкие КЧ и число окисления (ЧО), чем ЖКК из грозненского П и отличаются высоким содержанием (до 6,1%) оксикислот. При окислении белого очист. П (очистка с 4% олеума, последующей нейтр-цией щелочью и промывкой водой) с добавлением стеариновой к-ты ИП (0,2 часа) короче, чем при использовании неочищ. П (1,0 часа), продолжительность р-ции 8 час., КЧ выделенных ЖКК (175) мало отличаются от КЧ неочищ. П (170), но ЧО (217) выше, а содержание оксикислот меньше в 4 раза (1,5 вес.%). При окислении фракции углеводородов, выкипающей до 450° и составляющей 84% от исходного П, продолжительность ИП 0,67 часа и продолжительность р-ции короче, чем в обоих предыдущих случаях — 6,2 часа. КЧ оксидата до 15 мг КОН возрастает медленно, а затем скорость его возрастания увеличивается, причем интенсивнее, чем у очист. П; скорость накопления ЖКК равна 4,3% в час, т. е. больше, чем при использовании неочищ. П (2,95%) или очист. П (3,4%). Выделенные ЖКК имеют более высокие КЧ (198) и более высокие ЧО (244), чем ЖКК, полученные при окислении очист. П, но содержание в них оксикислот (1,2%) примерно такое же.

Г. Фрид 6H436. Окисление сланцевого мягкого парафина с целью получения жирных кислот. Гу Бо-э, У Чжен-сяо. «Химия и технол. топлив и масел», 1960, № 8, 21—24.—Сланцевый мягкий парафин после очистки и потения окисляют до жирных к-т с постепенной добавкой катализатора (2% окисленного парафина) при 130° и подаче воздуха 2 л/300 г мин, затем производят термич. толчок при 150° и окисляют при 140 ± 2° и подаче воздуха 1 л/300 г мин. За 20 час. достигают кислотного числа 70, выход жирных к-т по оксидату 30%. Оксидат промывают водой и разгоняют в вакууме, используя продукт для флотации или произ-ва мыла. Приведен материальный баланс работы полупромышленной установки для окисления сланцевого мягкого парафина.

В. Шнер 6H437. Подготовка жидких парафинов к окислению с одновременным получением алкиларилсульфонатов. Веселов В. В., Оречкин Д. Б., Попова Н. В., Шенотко О. Ф. «Химия и технол. топлив и масел», 1960, № 8, 11—15.—Получены алкиларилсульфонаты из жидких парафинов (П), выделенных при карбамидной очистке дизельного топлива. П подвер-

гают гидроочистке над катализатором  $WS_2-NiS-Al_2O_3$  при 340°, объемной скорости 0,5—1,5 часа<sup>-1</sup> и давлением водорода 35 атм, удаляя серу и смолистые примеси, а затем сульфуруют 8%-ным олеумом (10-кратный избыток) при 27—30°, при этом содержание ароматики падает с ~8 до 1%. Нейтр. парафиновый слой окисляют с выходом 89% за 10 час. до кислотного числа 81. Кислый слой нейтрализуют NaOH, вводят активные добавки моющей композиции и высушивают распылением. Предложенная схема может быть применена к фракциям деструктивного гидрирования нефтяного сырья.

В. Шнер 6H438. Убатол U-3101 и U-4001. Два новых убатола со специальными свойствами. Kselik Georg. Ubatole U-3101 und U-4001. Erweiterung der Ubatol-Serien um zwei Neuentwicklungen mit Sondereigenschaften. «Seifen-Öle-Fette-Wachse», 1960, 86, № 8, 245—249 (нем.; реф. англ., франц., исп.).—Описаны свойства двух новых убатолов — U-3101 (полиакрилат) и U-4001 (сополимер типа полистиролполиакрилат). См. также РЖХим, 1960, № 13, 54539.

Н. Л. 6H439. Налеты на концентрированных прозрачных мылах, изучение этого явления газовой хроматографией. Prevot A., Cabeza F., Mlle. Efflorescences des savons concentrés translucides. Etude du phénomène par chromatographie en phase gazeuse. «Rev. franc. corps gras», 1960, 7, № 5, 262—266 (франц.).—Даны результаты изучения налетов, образующихся на штампованных кусках 80%-ного прозрачного мыла в виде белоснежного пуха в углублениях поверхности мыла. Это явление не наблюдается для нештампованных кусков мыла или у менее конц. мыла. Выделенные из налета жирные к-ты имели более низкую т. пл., чем к-ты, выделенные из основной массы мыла. Состав этих жирных к-т был определен газовой хроматографией, проведенной в аппарате типа «Бретания» при следующих условиях: объем образца 1 мл; колонка высотой 4 м наполнена силикагелем  $C_{22}$  (сито 246/290  $\mu$  меш), пропитанным диэтиленгликолем эфиром янтарной к-ты; (25% к силикагелю)  $t$ -ра 225°; кол-во пропускаемого гелия 2,8 л в 1 час, давление газа при входе 1,2 атм, при выходе 0; чувствительность детектора 2; напряжение на мостике 150  $\mu$ а; скорость разрывания бумаги 7,5  $\times$  40 мм/час. Площади под пиками измерялись планиметром ОТТ типа Parag. Исследовались образцы метиловых эфиров, полученных из жирных к-т, выделенных из налетов мыла, из к-т поверхностного слоя, и к-т слоя, отстоящего на 2 мм от поверхности мыла и к-т сердцевины мыла. Газовая хроматография показала, что жирные к-ты, выделенные из налетов мыла, содержат повышенное кол-во непредельных и низкомолекулярных жирных к-т. Разницы в составе к-т сердцевины мыла, среднего слоя и поверхностного слоя почти не обнаружено, за исключением немного более высокого содержания непредельных жирных к-т в последнем. Отмечается, что образование налетов ускоряется при содержании мыла под вакуумом и введением в мыло отдушек, что особенно относится к терпенам и другим ненасыщ. душистым в-вам. Отмечается, что при правильном проведении процесса образования налетов на мыле не наблюдается.

Е. Смольянинова 6H440. Обертка для туалетного мыла. Rainier Hans. Wrappings for toilet soap. «Chem. Prod.», 1960, 23, № 8, 364—366 (англ.).—Указано, что обертка для туалетного мыла (М) должна выполнять следующие функции: 1) защищать от механич. воздействий; 2) предохранять М от увлажнения, поэтому обертка должна быть водонепроницаемой, так как проникновение влаги приводит к набуханию М. Это способствует прогорканию М, что отрицательно сказывается на отдушке. 3) сохранять отдушку в М, поэтому обертка не должна быть пористой; 4) защищать от действия УФ-лучей; 5) текст на оберточной бумаге



соприкасающийся с М должен быть напечатан щелочностойчивыми красками. В качестве оберточных материалов наиболее часто применяется целлофан, он непроницаем для пыли, жиров, алифатич. нефтяных продуктов, бензола, спирта и ароматич. в-в. Однако, через него проходят водяные пары, но влагопроницаемость может быть понижена покрытием лака. На целлофановую пленку легко наносится печать. Толщина целлофановой пленки  $\sim 0,02$  мм. Применяются также пленки из ацетатцеллюлозы, полиэтилена, целлофана с полиэтиленом.

Ф. Неволин  
6Н441. Некоторые задачи расширения производства синтетических моющих средств (дискуссионная статья). Hopfinger Alfred. Niektóre zagadnienia rozbudowy przemysłu syntetycznych środków piorących. (Artykuł dyskusyjny). «Przem. chem.», 1960, 39, № 8, 475—478 (польск.).

6Н442. Ионные поверхностноактивные вещества. Meguro Kenjiro, Kondo Tamotsu. «Абура какаку», J. Japan Oil Chemists Soc., 1960, 9, № 7, 346—350 (японск.).

6Н443. Ламепоны. Получение, свойства и применение. Sabetay Sébastien. Les lamépons (téphals). Leurs préparations, leurs propriétés et leurs utilisations. «Oleagineux», 1959, 14, № 3, 179—181 (франц.); «Parfüm. und Kosmetik», 1959, 40, № 2, 80—82 (нем.; рез. англ., франц.).—Обзор смачивающих в-в, получаемых конденсацией хлорангидридов алифатич. к-т с аминокислотами.

К. Т.  
6Н444. О производстве сульфатированных таллов и других масел. Frederick Walter. How to make sulfated oils and tallow. «Text. World», 1959, 109, № 7M, 117—118 (англ.).—Приведена схема сравнительно простой установки для сульфатирования таллового и др. масел. Описаны процессы и аппаратура сульфатирования таллового масла и получения готового продукта, сульфатирования кастрового, оливкового масел или смесей последнего с соевыми или арахисовыми маслами. Процесс может быть применен для смесей растительных масел с минер. маслом; в этом случае необходимое кол-во  $H_2SO_4$  должно быть рассчитано только от веса первых.

Б. Шемякин  
6Н445. Сульфирование серным ангидридом этеноксилированных высших алкилфенолов. Gilbert Everett E., Veldhuis Benjamin. Sulfation with sulfur trioxide: ethenoxyated long-chain alkylphenols. «J. Amer. Oil Chemists' Soc.», 1960, 37, № 6, 298—300 (англ.).—Сравнение сульфатирующих агентов сульфаминовой к-ты (I) и паробразного  $SO_3$  на примере сульфирования нонилфенол-4-этиленоксида (II) показало, что  $SO_3$  в 7 раз дешевле дает менее окрашенные продукты, в 6 раз быстрее сульфатирует II, в отличие от I не образует солей  $NH_4$ , которые с трудом превращаются в другие соли (напр., Na). Однако при сульфировании с помощью  $SO_3$  наблюдается вспенивание и происходит частичное сульфирование ядра II, для введения в р-цию  $SO_3$  должен быть переведен в паробразное состояние. Моющие и пенящие свойства продукта сульфирования с помощью I или  $SO_3$  равновалены.

Г. Молдованская  
6Н446. Получение поверхностно-активных веществ из конденсата шебелинского газа. Белов К. А., Волкова О. Б., Максимова М. И. «Химия и технол. топлив и масел», 1960, № 8, 34—37.—Получены алкилсульфонатные поверхностно-активные в-ва (АС) из газоконденсата Шебелинского месторождения [т. кип. 200—300°, мол. в. 182; йодное число по Кауфману 4,1 (% йода)]. Конденсат промывают олеумом, сульфохлорируют ( $Cl_2: SO_2$ , 1:1,1) при 25—30° с УФ-облучением до 30 или 80% превращения, обрабатывают 10%-ным р-ром NaOH при 90°, удаляют углеводороды экстракцией петр. эфиром, а водн. р-р АС упаривают досуха. Определены поверхностное натяжение и пенообразующая способность р-ров АС.

В. Шнер

6Н447. Эмульсии. Теория, техника, применение. методы анализа и исследования, изучение свойств. Maggesi Luigi. Emulsioni: teoria, tecnica, applicazioni, metodi di analisi e ricerche. Studi di mercato. «Riv. ital. essenze, profumi, piante offic. olii veget. saponi», 1960, 42, № 7, 346—357 (итал.).—Предыдущее сообщение см. РЖХим, 1960, № 10, 40455.

6Н448. О процессе химической чистки. II. Моющее действие в присутствии усилителей чистки. Mönch Rudolf. Zur Kenntnis der Chemischreinigung. II. Waschkraft und Schmutztragevermögen der Reinigungsverstärker. «Faserforsch. und Textiltech.», 1960, 11, № 5, 228—233 (нем.; рез. русск., англ.).—Обоснована расширена теория хим. чистки (ХЧ) Швердтнера согласно которой повышение гидрофильности усилителей ХЧ создает условия, аналогичные процессу стирки в водн. среде. Эта теория легко объясняет явления описанные в литературе, так и собственные наблюдения автора. Значение этой теории заключается в выяснении влияния воды в волокнах ткани и в усилителях на эффект ХЧ. Библи. 25 назв. Часть I см. РЖХим 1959, № 23, 83731.

Г. Шураев  
6Н449. Ускоренное определение содержания сульфанола в растороках. Парамонов Н. П. «Текстиль пром-сть», 1960, № 8, 41—43.—Предложен улучшенный метод определения сульфанола в р-рах. От партии технич. сульфанола берут пробу  $\sim 1000$  г. Из нее отбирают навеску  $\sim 10$  г с точностью до 10 мг, растворяют ее в небольшом объеме воды при нагревании, после чего объем доводят водой точно до 1 л. 25 мл р-ра переносят в делительную воронку объемом 150—200 мл, туда же добавляют 5 мл р-ра солинокислоты соли *n*-толуидина (53 г кристаллич. *n*-толуидина растворяют в 250 мл дистил. воды при нагревании охлаждают и добавляют небольшими порциями 47 г HCl с уд. в. 1,19, перемешивают, охлаждая водопроводной водой, добавляют еще 250 мл дистил. воды и снова перемешивают), кристаллич. поваренную соль до полного насыщения р-ра и 50 мл спирто-эфирной смеси (1:3). Содержимое воронки интенсивно встряхивают в течение полминуты, дают р-ру отстояться в течение 1 мин., нижний водн. слой спускают, а верхний помещают в конич. колбу и титруют 0,1 н. едкой щелочью из микробюретки в присутствии 1%-ного спирт. р-ра крезола красного или лакмуса. Содержание (в %) сульфанола рассчитывают по формуле  $A = 14,24(a - b)$ , где *a* — кол-во 0,1 н. NaOH, израсходованного на титрование, в мл; *b* — кол-во 0,1 н. NaOH, израсходованного на титрование в глухом опыте, где вместо р-ра сульфанола применяют такое же кол-во воды. При определении конц-ны сульфанола в р-рах в моющих барках расчет производят в г/л сульфанола приобретает следующий вид:  $A = 1,424(a - b)$ . Грязные рабочие р-ры и более крепкие р-ры сульфанола предварительно разбавляют водой, учитывая в расчете коэф. разбавления.

Н. Любошицкий  
6Н450. Колориметрическое определение анионно-активных моющих средств. Beníšek Ladislav, Galle Arno šť. Kolorimetrické stanovení aniontů saponátů. «Chem. průmysl», 1960, 10, № 3, 139—140 (чешск.; рез. русск., англ.).—Предложен простой колориметрич. метод быстрого определения небольшого кол-ва анионно-активных моющих средств в торговых препаратах. Метод основан на образовании окрашенного комплекса анионно-активных моющих средств с метиловым синим. Указано, что метод пригоден для определения различных анионно-активных моющих средств в сточных водах. Определение длится 20—30 мин. При применении метода непосредственно в произ-ве фотометр Пульфриха можно заменить предварительно приготовленной цветной шкалой стандартных р-ров.

По резюме авторов  
6Н451. Получение вторичных изосирилов — пенообразователей для флотации руд. Иванова Л. А.

применение  
не обмы  
са, аппа  
gato. «H  
st., зарп  
ее сообщ  
А. В.  
И. Моше  
и. Möb  
nigung. H  
Reinigung  
1960, H  
основана  
твердств  
сти уска  
процесс  
исняет на  
е наблю  
ется в на  
в усилит  
м. РИХХ  
Г. Шур  
ания сул  
Текстиль  
ученный  
От парт  
Из нее о  
из, расте  
граванн  
1 м. 25 л  
мом 150-  
яноксид  
идина рас  
аграванн  
иями 47  
и водопо  
д. води  
ную сод  
о-эфирн  
но встр  
стоятся  
т, а вер  
н. едой  
1% вод  
Содерж  
по ф-л  
и, зарас  
н. NaOH  
пыте, п  
ке кол  
а в раз  
т в 2/1  
24(a-0)  
е сульф  
итывала  
Любош  
анное  
dislat  
nionakti  
139-14  
той ко  
еобли  
овых пр  
ашенно  
с метил  
для опре  
средств  
ми. Пр  
ве фото  
тно при  
ров.  
е автор  
в — пен  
а Л. А.

Кружалов Б. Д. «Хим. пром-сть», 1960, № 2, 95—102. — Разработан метод получения вторичных изоспиртов из олефинов с 6—7 атомами С — низших полимеров пропилена. Олефины окисляют при 20 атм и 75—80° в присутствии гидроперекисных инициаторов: за 14 час. при подаче воздуха 100 л/час на 1 кг исходного получают 80% непредельных гидроперекисей и окисей при конверсии 30%. Оксидат разлагают 30%-ным NaOH при 45°, удаляют олефины ректификацией, разбавляют продуктом гидрирования (1:1) и гидрируют на хромоникелевом катализаторе при 130—140° и 1 атм, подавая 8 молей  $H_2$  на 1 моль спирто-окисной смеси и 400 мл/час негидрированного продукта на 1 л катализатора. Отгоняют парафины и негидрированные окиси, а спирто-глицерольную смесь (спирты 80%, эфиры 3—5%, карбонильные соединения 3—5%, глицерол 10—12%) используют как пенообразователь. Испытания при флотации свинцово-цинковых и медно-молибденовых руд показали более высокие результаты, чем с крезолом и сосновым маслом. В. Шнер

6H452. Жиры и масла. Общие сведения по химии и технологии. Изд. 2-е. Kirschenbauer H. G. *Fats and oils: an outline of their chemistry and technology*. 2nd ed. New York, Reinhold Publ. Corp.; London, Chapman and Hall, 1960, VI, 240 pp., ill., 56 sh. (англ.)

6H453. Методы анализа и контроля синтетических детергентов. Brunello Franco. *Metodi di analisi e di controllo dei detergenti sintetici*. Roma-Biella, E. L. S. A., Vicenza, Tip. G. Consonni, 1959, 194 p., ill., 1200 L. (итал.)

6H454. Применение силиконов. — Application de silicone ou équivalent pour fractionner sélectivement par détergence différents produits. [Louis Gilles, Recherches Techniques et Applications Industrielles]. Франц. пат. 1181409, 16.06.59. — Водные эмульсии силиконов применяют для разделения смесей благодаря переносу примесей из гидрофобной фазы в воду, эмульсию. Затем эмульсию разделяют действием подходящих реагентов для выделения примесей в виде осадка или воды. дисперсии другой степени дисперсности. К 100 кг масла, полученного прессованием оливок и содержащего 10% жирных к-т, прибавляют 3,7 л р-ра соды и 30 г силикона, затем водн. эмульсию (100 л) перемешивают при 80°. Нейтр. масло декантируют, затем отделив слой, содержащий мыла и пигменты, а потом слой свободный от нейтр. масел. При повышении pH этой дисперсии почти бесцветное мыло всплывает над дисперсией пигментов, содержащей хлорофилл. Метод дает хорошие результаты при нейтр-ции пищевых масел, содержащих слизи, а также при нейтр-ции касторового масла водн. р-рами щелочей. В. Красева

6H455. Автоматическое устройство для непрерывной очистки бобовых жмыхов. Бэссё Митио, Масуда Сигэру. [Нода ито кабусики кайся]. Японск. пат. 198, 18.01.57. — Для непрерывной очистки от шелухи бобовых жмыхов, выходящих из-под пресса, предложена машина, состоящая из серии ведущих и ведомых валков, между которыми натянуты бесконечные канаты. Очистка жмыхов производится спец. роликами и очищенная масса в этой же машине продвигается через фильтры. Ю. Жмакин

6H456. Котел для выгонки китового жира. Мураками Торао. [Нихон суйсан кабусики кайся]. Японск. пат. 3120, 27.05.57. — Запатентована конструкция котла для переработки китового жирсырья. Котел отличается вращающимся внутри него счетчатым барабаном, куда через два загрузочных люка в торцах котла вводят сырье. При помощи червячного механизма сырье подается в центральную (осевую) часть барабана, а выделившийся жир вытекает через его сетчатую поверхность. Выгонка производится острым паром заданных параметров. Приведены два чертежа

котла. Указано, что вся установка требует значительно меньшей площади по сравнению с существующими установками. Ю. Жмакин

6H457. Неселективная гидрогенизация жиров и масел. Merker Dwight R. *Non-selective hydrogenation of fats and oils*. [Swift & Co.]. Пат. США 2862941, 2.12.58. — Запатентован процесс гидрогенизации, отличающийся предварительным введением минер. к-т (серная, фосфорная) или органич. к-т (лимонная, винная) для обеспечения неселективной гидрогенизации жиров и масел. Указанные к-ты берут в кол-ве ~0,1% от веса исходного жира. Пример. К 3 кг смеси соевого (80%) и хлопкового (20%) масел прибавляют 2 мл 10%-ного водн. р-ра лимонной к-ты, смесь перемешивают, после чего прибавляют адсорбент и нагревают до 135°. Смесь переносит в автоклав и гидрируют при t-ре 180—200° и дав. 1,4 атм в присутствии 0,1% Ni-катализатора. Н. Близняк

6H458. Способ непрерывной этерификации жиров растительного и животного происхождения. Такеи Тосиро, Яманэ Ивами, Сэкигута Хадзимэ. Японск. пат. 2270, 15.3.60. — Запатентован процесс получения сложных эфиров жирных к-т и одноатомных спиртов, характеризующийся тем, что указанный процесс осуществляют проводя смесь жира и спирта через колонку с катионообменной смолой, обработанной щелочью. Пример. Катионообменную смолу, изготовленную фирмой Dow Chemical Co. Dowex, обрабатывают р-ром NaOH, промывают метанолом, сушат в вакууме при t-ре 20°, после чего смолу вносят в колонку. Затем через колонку проводят смесь, состоящую из 100 вес. ч. кокосового масла (содержание свободных жирных к-т 0,4%) и 150 вес. ч. метанола. Выходящая из колонки смесь состоит из почти бесцветных метилового эфира жирных к-т и глицерина. Смолу может быть регенерирована NaOH и возвращена в процесс для повторного применения. Ю. Жмакин

6H459. Получение искусственного сливочного масла из арахиса. Йосимура Эйкити. [Мирукумарин кабусики кайся]. Японск. пат. 8892, 2.10.59. — Запатентован способ получения искусств. сливочного масла с применением арахиса. Берут (в вес. ч.) 27 смеси кокосового и хлопкового масел, расплавляют, добавляют 40 размоленного арахиса и нагревают при 70—100° до превращения смеси в жидкое состояние, удаляют крупные частички, добавляют 2,0 моноглицеридов и дополнительный эмульгатор, состоящий из 0,5 лецитина, 0,5 сорбитанолеата, а также 0,3 карбоксиметилцеллюлозы. Полученную смесь эмульгируют расплавом 13 сахара в 17 воды, после чего охлаждают и получают продукт, в который добавляют соль, витамины, желатин, мед, натриевую соль, глютаминовую к-ту. Ю. Жмакин

6H460. Пластичные жировые эмульсии, содержащие физиологически необходимые жирные кислоты, и метод их приготовления. Phillips Robert A. *Emulsified oleaginous spread containing essential fatty acids and process of making same*. [Allied Labs, Inc.]. Пат. США 2890959, 16.06.59. — Запатентован метод получения твердых эмульгированных пищевых жиров типа сливочного масла (М) (маргарина) с содержанием 73—90% жировой основы, которая включает 75—92% растительных М, богатых линолевой и линоленовой к-тами, 8—25% гидрированного растительного М с т. пл. 44—62° и 0,1—2% эмульгатора (моностеарата, лецитина или их смеси). Нежировая фаза состоит из молока или воды, соли, ароматизаторов (диацил-глицерина и других кетонов, масляной к-ты и других к-т, этилбутирата и других эфиров) и антиокислителей. Эмульгирование производят выше t-ры плавления жиров с последующим быстрым охлаждением. Указанный продукт в отличие от сливочного М не содержит холестерина. Пример. 20 г гидрированного кокосового М с т. пл. 44° расплавляли при давлении 60 г М пшеничных зародышей, 0,5 г моностеарата, 0,1 г

лецитина и одной капли ароматизатора. При  $t$ -ре 57° вводили 16 г обезжиренного молока и 3 г соли. После эмульгирования производили охлаждение сухим льдом.

**6Н461. Метод производства шортенингов.** Steffen Albert H. Method of producing shortening. [Swift & Co.]. Пат. США 2855310, 7.10.58.—В котел с мешалкой вводят 2160 кг жировой основы, состоящей (в %) из 50 лярда, 34 говяжьего жира и ~16 хлопкового масла. При 70° добавляют 7,5 кг алкоголя Na и перемешивают 15 мин. Переводя переэтерифицированный продукт в другую емкость, добавляют 1,5% воды, нагревают, отделяют осадок центрифугированием и сушат под вакуумом. Кексы на жире, подвергнувшись переэтерификации, были по объему больше на 24%.

**6Н462. Масла для жарения.** Melnick Daniel, Gooding Chester M. Frying oils. [The Best Foods, Inc.]. Пат. США 2874055, 17.02.59.—Известно, что при длительном жарении в маслах (М), содержащих линолеовую и линоленовую к-ты, происходит образование мономерных и димерных циклич. соединений, являющихся до известной степени токсичными. При обжаривании с применением сильно гидрированных М продукция обладает худшим вкусом и при охлаждении покрывается белым налетом жира, который однако является более устойчивым к окислению. Запатентован способ получения М для жарения, обладающих совокупными преимуществами, как жидких М, так и гидрированных М, без свойственных им недостатков. М, содержащие повышенные кол-ва линолевой и линоленовой к-т, подвергают гидрированию при  $t$ -рах  $>126^\circ$  в условиях, способствующих селективности процесса. Гидрированные М должны иметь йодное число в пределах 75—94, т. пл. 26—35°, т. заст. 12—18°, кол-во полиненасыщ. жирных к-т на 50—90% меньше, чем в исходном М. Пример. 9 т растительного М вводили в автоклав, добавляли катализатор, приготовленный по пат. США 2424811, в кол-ве ~0,1% в пересчете на никель. Поддерживали  $t$ -ру 130—150°, при введении водорода давление доводили до 1,4 кг/см<sup>2</sup> и поднимали  $t$ -ру до 150—175°. Процесс проводили при перемешивании, пока показатели гидрируемого М по  $t$ -рам плавления и застывания и йодному числу не соответствовали требуемым. Установлено, что после 225-часового обжаривания при применении М, подвергнутого селективной гидрогенизации, не произошло образования полимеров.

**6Н463. Способ получения эфироподобных продуктов, снижающих твердость или точку затвердевания восковых паст и суспензий.** Kaupp Josef, Rosenberg Guido von, Koenig Günther. Verfahren zur Herstellung von die Härte bzw. den Stockpunkt von Wachspasten bzw. — suspensionen erniedrigenden esterartigen Produkten. [Farbwerke Hoechst A.-G. vormals Meister Lucius & Brüning]. Пат. ФРГ 1038028, 19.02.59.—Способ получения указанных продуктов отличается тем, что одну или несколько гидроксильных групп трех- или многовалентного спирта этерифицируют спиртами с алкильными остатками, содержащими 12—20 атомов С, и две гидроксильные группы этерифицируют алифатич. или ароматич. поликарбонатовыми к-тами, взятыми в избытке. Свободные карбоксильные группы частично или полностью нейтрализуют триэтаноловым, морфолином, этиламино или Ca(OH)<sub>2</sub>, Zn(OH)<sub>2</sub>, NH<sub>4</sub>OH. Примеры: 1) 195 г пентилглицеринового эфира (полученного по пат. 1011872) приводят во взаимодействие при 150° в присутствии катализит. кол-ва H<sub>2</sub>SO<sub>4</sub> с 96 г безводной лимонной к-ты в течение двух часов. Получают желто-коричневый воск со следующими показателями: точка текучести/точка каплепадения = 39,5/42,5°; кислотное число 157, число омыления 340. Смешивая 1 ч. этого воска, 6 ч. обжаренного горного воска и 13 ч. парафина

(область плавления 52—54°) и 80 ч. чистого бензина при легком нагревании, получают массу для натирки полов, обладающую точкой затвердевания  $<0^\circ$ . 2) 374 смеси простых эфиров, приготовленных из глицерина и технич. смеси жир-спирт со средней длинной цепи 18 атомов С, полученных по пат. 1011872 (см. РЖХИМ 1959, № 16, 59266), нагревают с 141 г лимонной к-ты при 150° в течение двух часов. Затем добавляют при сильном перемешивании (1500 об/мин) 18,5 г гидроксида Ca. По истечении часа восковой расплав отделяют от незначительного кол-ва нерастворимых примесей на фильтре под давлением. Получают воск со следующими показателями: точка текучести/точка каплепадения = 47/53°, кислотное число 67,5, число омыления 272. Растворением 1 ч. этого воска, 6 ч. обжаренного горного воска, 12 ч. парафина (область плавления 50—52°) и 1 ч. озокерита в 80 ч. чистого бензина в теплоте, получают восковую суспензию однородной и стабильной структуры с  $t$ . затв. 10°.

Н. Фрумкина

**6Н464. Способ получения двухосновных к-т путем окисления парафина.** Patterson John A, Pier Stanley M. Process for producing dibasic acids. [Texaco Inc.]. Пат. США 2918487, 22.12.59.—Для получения двухосновных к-т твердый парафин окисляют в две ступени. В 1-й ступени парафин окисляют воздухом в присутствии металлосодержащего катализатора до получения оксидата с числом омыления  $>20$  (450—600); во 2-й ступени оксидат 1-й ступени, после удаления катализатора, окисляют HNO<sub>3</sub> (60—100% ной) при интенсивном перемешивании,  $t$ -ре 95—105° и атмосферном давлении в течение  $>1$  мин.; во 2-й ступени оксидат 1-й ступени можно также окислить 5—40%-ной HNO<sub>3</sub> при 120—205° и давл. 14—56 атм. продукт окисления разделяют на водн. и масляный слой, последний возвращают на окисление; из водн. слоя выделяют двухосновные к-ты путем концентрирования кристаллизацией. Пример. К 300 ч. оксидата, полученного окислением парафина с  $t$ . пл. 52—53° до кислотного числа 324 и числа омыления 473, добавляли по каплям при 91—97° в течение 4 час. 200 ч. 70%-ной HNO<sub>3</sub>; продукт р-ции смешивают с 200 ч. метилэтаном, отделяют органич. слой и из водн. слоя порционной концентрат и кристаллизацией выделяют 130 ч. кристаллов, которые по данным хроматографии, анализа содержат (в %) 35,3 ятарной к-ты; 15,7 глутаровой к-ты; 19,1 адипиновой к-ты; 9,3 пимелиновой к-ты и 19,7 более высокомолекулярных двухосновных к-т; из органич. слоя после отгона р-рителя получают 137 ч. парафинистого продукта.

С. Розенфельд

**6Н465. Воски для жидкой обезвоженной мастики для натирки полов.** Kolling Helmut, Rappert Friedrich. Wachse für flüssige, wasserfreie Bohlenmassen. [Ruhrchemie A.-G.]. Пат. ФРГ 1052020, 27.08.59.—Воски для жидкой обезвоженной мастики для полов состоят из смеси восковой к-та-парафина, содержащего молекулы с 28—35 атомами С, кислотность которых частично нейтрализуется окисями или гидроокисями щел. или щел.-зем. металлов; к воскам добавляли также твердый парафин с  $t$ . пл.  $>70^\circ$  или полиэтилен с мол. в.  $<10000$ . Листовой парафин, полученный из нефти с  $t$ . затв. 53°, хлорируют при освещении до содержания Cl 6,3%. В хлорированную смесь дают при перемешивании 1% активированного угля, пропускают в течение 6 час. небольшое кол-во N<sub>2</sub> и нагревают до 300°; отфильтровывают твердую часть и получают продукт с йодным числом 38 и содержанием Cl 0,2%. Смесь олефиновых углеводородов обрабатывают азотсодержащим газом в автоклаве с мешалкой в течение 1 часа при  $t$ -ре 140—160° и давл. 180—200 кг/см<sup>2</sup>, в присутствии катализатора Со. Полученные при этом алдегиды в течение 1 часа гидрируют H<sub>2</sub> при  $t$ -ре 180—200° и давл. 140—150 кг/см<sup>2</sup> в присутствии того же катализатора. После удаления катализатора пол-



ого бензина получают светло-желтый продукт, содержащий 50% спирта. Полученную таким путем смесь спирт-парафина перемешивают со 130% (от ее веса) едкой щелочи, а затем выдерживают в течение 6 час. при 350°. Продукт р-ции разлагают разбавл. HCl и кипятят для удаления остатков минер. к-т. После высушивания остается светло-желтая смесь, содержащая 50% восковых к-т, которую затем перемешивают при 100—140° в присутствии небольшого кол-ва воды и Ca(OH)<sub>2</sub>. Конечный продукт содержит 50% парафина, 25% свободной восковой к-ты и 25% кальциевых мыл. Смешивают равные весовые ч. смеси с полиэтиленом мол. в. 3000; получают воск с т. затв. 92° и числом пенетрации 4,8. Или расплавляют 7,5 вес. ч. конечного продукта и 7,5 вес. ч. листового парафина с т. затв. 53°, смешивают с 85 вес. ч. бензина (т. кип. 130—190°) и охлаждают при перемешивании до ~20°. Получают однородную текучую мастику для натирки полов, не расслаивающуюся после 10-дневного хранения при ~20°, имеющую т. затв. —5° и весьма температуростойчивую — после 24-часового хранения при 40° мастика сохраняет свою однородность. Н. Фрумкина

6Н466. Средство ухода за обувью в виде эмульсии. Sapper Wolfgang, Thaler Erwin, Schulz Maria. Schuhpflegemittel in Emulsionsform. [Nigra-Werke Carl Gentner]. Пат. FRG 1049997, 30.07.59.— Средством ухода за обувью является эмульсия, содержащая воду, дисперсии полистирола или полиакриловой к-ты, воска и органич. р-рителя. Расплавляют 16 ч. омыленного твердого воска, напр. остаток карнаубского воска, с 4 ч. неомогенного эмульгатора. Полученную горячую смесь смешивают с 16 ч. бензина, и при дальнейшем перемешивании с 96 ч. кипящей воды. Р-р охлаждают, добавляют в него 132 вес. ч. 40%-ой дисперсии полимеризата сложного эфира акриловой к-ты. Эмульсия наносится на обувь шерстяным тампоном и дает пленку, устойчивую к воздействию различной погоды и придающую обуви глянец; пленка занимает промежуточное положение между восковой и блестящей лаковой пленкой. Обработку обуви достаточно проводить раз в неделю. Н. Фрумкина

6Н467. Получение доброткачественного мыла из низкосортного сырья. Цутия Кодзиро, Абэ Масахиро. Японск. пат. 5578, 29.06.59.— Запатентован способ получения указанного мыла из низкосортных жиров. Способ отличается тем, что к подлежащему омылению жиру добавляют высшие жирные спирты, кремневую к-ту и Al<sub>2</sub>O<sub>3</sub>, после чего омыляют р-ром щелочи при нагревании в струе перегретого пара для удаления неприятно пахнущих примесей жира и образовавшегося глицерина. Пример. К 1089 кг низкосортного рыбьего жира добавляют 600 кг высших жирных спиртов и омыляют в присутствии р-ра 170 кг NaOH в 680 кг воды; добавляют 5 кг смеси, состоящей из 90% кремневой к-ты и 10% Al<sub>2</sub>O<sub>3</sub>, пропускают перегретый пар, удаляя глицерин, растворенный спирт и другие спиртовые примеси. Перегретый пар наиболее эффективен при 250—450°. Получают 1207 кг безводного мыла почти белого цвета. Ю. Жмакин

6Н468. Бактерицидные мыльные составы, содержащие серебристую соль ароматической сульфинового кислоты. Lutz Garson A., Sharpe Robert E. Germicidally active soap containing silver salt of aromatic sulfonic acid [Permachem Corp.]. Пат. США 2864769, 26.12.58.— Новые мыльные составы, содержащие незначительные кол-ва серебряных солей ароматич. сульфиновок к-т (бензолсульфинат серебра (I), о-толуолсульфинат серебра (II) и др.), обладают бактерицидным и противогрибковым действием. 8,2 г бензолсульфината Na растворяют в 400 мл воды, добавляют р-р 8 г AgNO<sub>3</sub> в ~20 мл воды, осадок I отфильтровывают, промывают водой и высушивают при 60—70°. 100 г мыльного гранулята и 230 мг I смешивают с смесителем, добавляют еще 100 г мыла и снова тща-

тельно смешивают, добавляют 250 мл воды и смесь превращают в тонкую пасту, из которой формуют брикеты 3,75 × 5 × 1,25 см и высушивают при ~20°. Аналогично получают мыльный состав, содержащий II. Полученные составы оказались эффективными против *Bacillus subtilis*, *Escherichia coli*, *Micrococcus pyogenes*, *Rhizopus nigricans*, *Aspergillus niger*, *Penicillium luteum*, *Alternaria oleracea*. Л. Стокольников

6Н469. Стабилизация мыла. Kleyn John G. Soap stabilization. [Monsanto Chemical Co.]. Пат. США 2921907, 19.01.60.— Для улучшения светостойкости моющих составов, в том числе мыла, к ним добавляют фенольный антисептик (ФА) типа тино-бис-(хлорфенола), 2,2'-тино-бис-п-крезола, 2,2'-тино-бис-(4,6-дихлорфенола) и др., и 12,5—500 вес. % (от веса ФА) мягкого восстановителя, напр. Na<sub>2</sub>SO<sub>3</sub>, NaHSO<sub>3</sub> и Na<sub>2</sub>S<sub>2</sub>O<sub>4</sub> с небольшим кол-вом (2—50 вес. % от веса ФА) 2-окси-4-метоксифенона, 2-окси-4,4'-диметоксифенона, изобутил-п-аминобензоата или п-бутил-п-аминобензоата. Г. Молдованская

6Н470. Способ получения моно- и дистеарата алюминия. Arató Györgyné, Kalocsai György. Eljárás aluminium mono és disztéarát előállítására. Венг. пат. 144674, 15.03.59.— Новый способ получения моно- и дистеарата алюминия характеризуется тем, что свежеприготовленный гель Al(OH)<sub>3</sub> при pH 6,5—9 и 45—75° реагирует с эквивалентным кол-вом аммонийного мыла, содержащего 10% жирной к-ты. Для получения Al(OH)<sub>3</sub> используется 12—18%-ный р-р Al<sub>2</sub>(SO<sub>4</sub>)<sub>3</sub> и р-р NH<sub>4</sub>OH уд. вес 0,902—0,915. Применяемая технич. жирная кислота должна содержать ≥ 80% насыщ. жирной к-ты с 18 атомами С. Д. Пюштики

6Н471. Способы получения поверхностноактивных производных N-ациламинокарбоновых кислот. Dohr Manfred, Krause Horst-Jürgen, Wulff Carl. Verfahren zur Herstellung von kapillaraktiven Derivaten von N-Acylaminocarbonsäuren. [Henkel & Cie C. m. b. H.]. Пат. FRG 1061326, 7.01.60.— Моющие средства для жесткой воды получают взаимодействием солей N-ациламинокарбоновых к-т общей ф-лы RCO[NH(CH<sub>2</sub>)<sub>n</sub>CO]OMe, [R — высший алкил, n = 3—7, x = 1—10 и Me — ион одновалентного основания] и 3—10 молей окиси этилена (I) при нормальном давлении и 150—250° или в автоклаве при 100—150° в присутствии основных катализаторов, взятых в кол-ве 0,1—10%. В автоклаве с мешалкой при 120—130° и давл. N<sub>2</sub> 3 атм 196 г (0,5 моля) Na-соли пальмитоил-аминокарбоновой к-ты обрабатывают 132 г (3 моля) I, подаваемой периодически по мере спада давления; получают 316 г бесцветной массы. Или через расплав 210 г Na-соли стеароиламинокарбоновой к-ты, продукт N<sub>2</sub> при 210° пропускают I до поглощения 88 г (2 моля) I; после перекристаллизации из метанола получают 285 г продукта. Полученные моющие в-ва используют в качестве беспенных средств мокрого отбеливания. В. Шнер

6Н472. Химические соединения и их получение. Barnhart William S., Wade Robert H., Wujciak Donald W., Zollinger Joseph L. Chemical compounds and methods for the preparation thereof. [Minnesota Mining and Manufacturing Co.]. Пат. США 2920086, 5.01.60.— Органические азотсодержащие соли Cl(CF<sub>2</sub>CFCl)<sub>n</sub>CF<sub>2</sub>COOH (I) (n = 1—5) и др. надхлорфторкарбоновых к-т обладают поверхностно-активными свойствами и могут служить ингибиторами ржавчины, коррозии и окисления. Эти соли можно получить взаимодействием надхлорфтормоно- и поликарбоновых к-т, содержащих 4—20 атомов С, с фенилгидразинном, семикарбазидом, иминоэфиром, мочевиной, тиомочевинной, ароматич., алифатич., алициклич., гетероциклич. аминами и прочими азотсодержащими органич. соединениями при ~40—40° в течение 5—16 час. К р-ру 0,05 молей циклогексилamina в 15 мл эфира добавляют при нагревании р-р 0,05 молей

I ( $n = 3$ ) в 25 мл эфира, после удаления р-рителя выделяют соответствующую соль, выход 48%, т. пл. 119—121° (из циклогексана). При добавлении в течение 30 мин. при 30° р-ра триоктиламина в разб. HCl к водн. р-ру I ( $n = 3$ ) получают твердый осадок соли.

Г. Молдованская  
6Н473. Получение третичных фосфорнокислых эфиров многоатомных спиртов, частично этерифицированных карбоновыми кислотами. Bretschneider Horst. Verfahren zur Herstellung tertiärer Phosphorsäureester partillier Carbonsäureester mehrwertiger Alkohole. [Farbwerke Hoechst A.-G. vormalig Meister Lucius & Brüning]. Пат. ФРГ 974212, 24.12.58.—Третичные фосфорнокислые эфиры частично этерифицированных многоатомных эфирспиртов с мол. в.  $\geq 150$  обрабатывают при  $t = 100^\circ$  (120—200°) карбоновыми к-тами или их ангидридами. Продукты р-ции обладают поверхностноактивными свойствами. Смесь (в вес. ч.) 895 третичного полигликольфосфата, полученного взаимодействием полиэтиленгликоля (среднего мол. веса 240) и  $\text{POCl}_3$  в мол. соотношении 3 : 1, и 350 стеарина нагревают до 180—200° и смесь продувают воздухом или  $\text{CO}_2$  для удаления реакционной воды. Спустя 1—2 часа, процесс этерификации заканчивается, кислотное число (КЧ) продукта  $< 1.5$ . Аналогично получают продукт с КЧ 1,2 из 1545 третичного фосфата полиэтиленгликоля мол. в. 500, 270 стеариновой и 580 олеиновой к-т. Этот продукт применим, в частности, в качестве непенящего диспергирующего средства при очистке металлов в очищающих и обезжиривающих ваннах. Приведены и другие примеры.

Я. Кантор  
6Н474. Органические тиосульфаты. Gaertner Van R. Organic thiosulfates. [Monsanto Chemical Co.]. Пат. США 2924083, 12.01.60.—Соединения общей ф-лы  $\text{RCH}(\text{OH})\text{CH}(\text{R}')\text{S}_2\text{O}_3\text{M}$ , где R—алифатич. радикал из 6—20 атомов C, R'—H или алифатич. радикал из 18 атомов C и M—N или солеобразующий катион ( $\text{NH}_4$ , щел. металл и пр.) обладают поверхностноактивными свойствами и пригодны для применения в моющих и очищающих составах. Для получения 2-оксип-алкилтиосульфатов нагревают при 50—100° алкил-1,2-эпоксиды, содержащие 8—20 атомов C, со стехиометрич. избытком  $\text{Na}_2\text{S}_2\text{O}_3$  в р-ре водн. спирта с добавлением HCl-к-ты для поддержания слабощелочной р-ции (по фенолфталеину), получают их также нагреванием жирных к-т или жирных спиртов из 12—20 атомов C с эпихлоргидрином (I) и основанием с последующим взаимодействием образующегося глицидного соединения с щел. тиосульфатом. Нагревают при перемешивании 0,2 моля смеси 1,2-эпоксидов олефинов из 16—18 атомов C с 62 г  $\text{Na}_2\text{S}_2\text{O}_3 \cdot 5\text{H}_2\text{O}$  и 200 мл водн. спирта (1 : 1). Образующуюся NaOH нейтрализуют водн. р-ром конц. HCl (1 : 1), поддерживая pH 6—8. Т-ра при этом поднимается до 80°, выдерживают смесь при этой т-ре 2 часа, отделяют спиртовой слой и сушат его добавлением и аспирацией  $\text{изо-C}_3\text{H}_7\text{OH}$ . Горячий р-р фильтруют и после охлаждения отфильтровывают Na-соли 2-оксип-1-гексадецил- и -октадецилтиосульфатов, промывают их  $\text{изо-C}_3\text{H}_7\text{OH}$ , сушат в вакууме при  $\sim 45^\circ$ , выход 71,3%. Продукт слабо растворим в холодной воде, хорошо в горячей, не имеет неприятного запаха, благодаря чему может применяться в зубных порошках и пр. Добавляют 0,6 моля I к 0,5 моля нонилфенола в 500 мл воды, содержащей 0,1 моля KOH, нагревают смесь 1 час до 90—100°, добавляют  $> 0,5$  моля KOH и нагревают еще  $\sim 1$  час. Охлаждают смесь, отделяют органич. слой, промывают его водой, сушат и перегоняют нонилфенилглицидный эфир, т. кип. 155—174°/0,2 мм. Нагревают при 80° 38,7 г последнего с  $\text{Na}_2\text{S}_2\text{O}_3$  в водно-спиртовом растворе, добавляя HCl-кислоту, органический слой экстрагируют гексаном, сушат с помощью  $\text{изо-C}_3\text{H}_7\text{OH}$  и выделяют Na-соль 2-оксип-3-нонилфенокси-1-

пропилтиосульфата (выход 75,2%), дающую хорошую пенящийся раствор в воде.

Г. Молдованская  
6Н475. Способ получения поверхностноактивных высокомолекулярных веществ. Dohr Manfred Krause Horst-Jürgen, Wulff Carl. Verfahren zur Herstellung von oberflächenaktiven, hochmolekularen Stoffen. [Henkel & Cie. G. m. b. H.]. Пат. ФРГ 1060593, 10.12.59.—Предложен метод получения указанных в-в, основанный на взаимодействии в атмосфере инертного газа и в индифферентном р-рителе [безводные диоксан (I), бензол, толуол,  $\text{CCl}_4$ ] 1 моля диалкилоамида монокарбоновой к-ты с 2 молями диизоцианата (II) и последующем нагревании продукта конденсации с полигликолевым эфиром (ПЭ). Дальнейшее нагревание нежелательно, т. к. может привести к образованию водонерастворимых продуктов. Применялись диэтанол- и диизопропанол-амиды лауриновой, миристиновой, пальмитиновой (III), арахиновой, стеариновой (IV) и бегеновой к-т; из II использовались 1,6-гексаметилен-, толуилен-, 1,5-нафтилен-, 1,4-фенилен-, метилфенилен-, 4,4-дифенилметан- и др. ПЭ с мол. в. 400—1600 получены полимеризацией окиси этилена. Р-р 1 моля гексаметилендиизоцианата (V) в 5-кратном кол-ве I смешивают в атмосфере  $\text{N}_2$  с р-ром 0,5 моля диэтаноламида III в 5-кратном кол-ве I, нагревают час, охлаждают и медленно добавляют ПЭ с мол. в. 4000; из расчета 1 моль на 1 моль продукта присоединения; затем смесь кипятят еще 2 часа (проба показывает хорошую растворимость продукта в воде) и отгоняют I. Р-р-у III, 6 вес. ч. V в 100 мл I при перемешивании медленно добавляют р-р 114 вес. ч. диэтаноламида III в 600 мл I, смесь нагревают час, затем добавляют 514,4 вес. ч. ПЭ с мол. в. 1550 и вновь нагревают, I отгоняют в вакууме. Получают продукт, р-р которого 0,1 г/мл имеет поверхностное натяжение 49,8 дин/см при 20°, а р-р 1 г/мл — 44,2 дин/см. Из 37,2 вес. ч. диэтаноламида IV и 33,7 вес. ч. V в I при добавлении ПЭ с мол. в. 1000 получают продукт, 0,1%-ный водн. р-р которого имеет поверхностное натяжение 39,3 дин/см при 20°. Полученные в-ва могут применяться в текстильной промышленности, в качестве добавок к моющим средствам и к эмульгаторам.

Н. Кологривов  
6Н476. Полимеризация этилена.—, Procédé de polymérisation de l'éthylène. [«SINNOVA», «SADICs»]. Франц. пат. 1156496, 16.05.58.—Этилен и его гомологи полимеризуют в присутствии  $\text{Na}_2\text{O}_2$  или его аналогов в виде тонкой дисперсии в безводн. р-рителе типа аллилатов, насыщ. или ненасыщ. углеводородов, спиртов и т. д. катализатор активируют введением гидридов (напр. Mg или Al), органич. перекисей, пересульфатов, солей Hg или Ti; кол-во катализатора составляет  $< 1\%$  для высокомолекулярных продуктов и несколько процентов для смесей, богатых  $\alpha$ -олефинами; непрерывный или периодич. процесс осуществляют под давл. 1—500 атм (100—150 атм) и т-ре 50—250° (150—180°). Смесью (в вес. ч.) 200 спирта, 5  $\text{Na}_2\text{O}_2$  и 200 гексаметана нагревают до 150° и вводят под давл. 150 атм этилен, 60 которого абсорбируется в процессе р-ции. Перегоняют смесь (маслянистую жидкость над нижним гомог. слоем) сначала под нормальным давлением, собирая  $\sim 300$  смеси гексан-гептан-спирт. Затем перегонкой под вакуумом и при 150—250° получают 6 фракции, содержащей  $\frac{1}{3}$  олефинов (Br-числом 30—40)  $\frac{1}{3}$  спиртов с  $\sim 12$  атомами C и  $\frac{1}{3}$  насыщ. углеводородов со средним мол. весом для  $\text{C}_{10}$ . Смесью подвергают дальнейшему разделению или используют непосредственно для сульфирования с целью получения моющих средств.

Ю. Васильев  
6Н477. Процесс изготовления алкиларилсульфонатов в виде кусков. Duperray Jean-Noël. Procédé de préparation de pains d'arylalkyls sulfonates [Chimitechnic]. Франц. пат. 1161674, 3.09.58.—По способу, описанному во франц. пат. 1052533 (РЖХИ

1957, № 2, деминерализацией и сульфатацией, фракцию которой 30% воды, полученные методами, прессован.

6Н478. Японск. пат. получения ставших эфир- и ал- в-ва, с высокомолекулярного по- диаминте- ее произ- предлагае- (предмет- лагаемое- удаления- сте с доз-

6Н479. Parke ton. Imp. [Unilever] моющие 30% ани- мой соли- ляются- жирных- шна, ста- натриев- пальмо- На-амин- к-тами- пальмо- солей ка- 6,3% п-

6Н480. амиды. Substitu- Grace & ские мо-

общей  $\text{C}_n\text{H}_m$ , г- раствор- 15—25% соли щ- (в %)  $\text{Na}_2\text{SiO}_3$  N-мочет- лилозы- стояния- содержа- на сост- в твер- обрабо- шиваю- 1,5 мол- ного эф- оттоны- лажда- подкис- бутано- р-ром и упав- ния; в- при —

хорошо  
дован  
Manfred  
Verfahren  
Schmelz  
Пат. ФРГ  
нения у  
ии в атм  
р-пите  
[SiCl<sub>4</sub>] 1 м  
молями  
и продук  
). Длитель  
т привест  
гов. Примо  
ауриновой  
арахиновой  
использов  
агилен, -  
и др. При  
зацией ок  
озантат  
мосфере N  
ном коэф-  
добавляе  
моль про  
еще 2 час  
V в 100 л  
являют  
месь нагр  
с мол. в  
кууме. По  
поверхн  
р 1 el-  
и 33,7 ед  
получаю  
ет поверх  
полученн  
милешине  
вам и на  
рогизован  
dé de poly-  
СЭ]. Фран  
ги полиме  
гов в виде  
алифати  
ов и т. д.  
гов (напр.  
тов, соот  
< 1% для  
ко процен  
ктерный  
дьяв. 1-  
150-180°  
секан-ге  
60 атм  
р-ции. Пе  
д нижам  
давления  
тем пер  
считают  
ом 30-40  
ведов  
одвегра  
еосредств  
и молюш  
Василь  
исульф  
oël. Ph  
sulfonates  
По  
(РЖХИ

обшей ф-лы NH<sub>2</sub>C(=O)NHCH(CN)<sub>n</sub>C(=O)NH(CH<sub>2</sub>)<sub>m</sub>OСОСН<sub>2</sub>, где n = 7–23, а m = 2n – 3 до 2n + 1, 40–80% растворимых в воде фосфатов, 5–15% силикатов и 15–25% сульфатов щел. металлов и небольшое кол-во соли щел. металла карбоксиметилцеллюлозы. Смесь (% ) из 40 Na-триполифосфата, 10 Na<sub>2</sub>P<sub>2</sub>O<sub>7</sub>, 10 Na<sub>2</sub>SiO<sub>3</sub> · 5H<sub>2</sub>O, 19,5 Na<sub>2</sub>SO<sub>4</sub>, 20 мристонового эфира N-мочевинноглюкозида (I) и 0,5 На-карбоксиметилцеллюлозы энергично перемешивают при 60° до гомог. состояния, затем сушат горячим воздухом при 180° до содержания влаги ~40%. Полученный в виде порошка состав обладает мощными и ненящими свойствами в твердой и мягкой форме; его можно применять для обработки грязного хлопка. Для получения I перемешивают 15 час. при 90°/15 мм., смесь 1,5 л (CH<sub>3</sub>)<sub>2</sub>SO, 1,5 моля N-мочевинноглюкозида (II), 0,5 моля метилового эфира мристинной к-ты и 7 г K<sub>2</sub>CO<sub>3</sub>, при этом отгоняется 600 мл CH<sub>3</sub>OH и (CH<sub>3</sub>)<sub>2</sub>SO, затем смесь охлаждают, отстаивают, фильтруют на непрореагировавший II, подкисляют фильтрат 6,2 г СН<sub>3</sub>COОН, экстрагируют бутанолом (1 л), промывают органич. слой насыщенн. р-ром NaCl, обезвреживают его активированным углем и упаривают в вакууме до сиропообразного состояния; кристаллизацией из спирта, затем из этеогона при -10° выделяют 102 г I. После очистки абсорби-

6Н483. Усовершенствование моющих композиций. Hill John Arthur, Shepherd Eric Louis. Improvements in and relating to detergent compositions. [Shell] Research Ltd. Англ. пат. 830864, 23.03.60.—Патентуются моющие композиции на основе неионых поверхностно-активных в-в с добавками поверхностно-активных четвертичных аммониевых оснований для повышения т-ры осаждения указанных в-в из р-ра. К 0,2% р-ру продукта конденсации 8—10 молей окиси этилена с 1 молею октилфенола марки «Nonidet» P42 (т-ра осаждения 45°) добавляют различные основания в таком кол-ве, чтобы повысить т-ру осаждения до 100°.



Для этого требуется (в % от веса «Nonidet» P42): лауридиметилбензиламмонийхлорида-21, диметилбензиламмонийхлорида из жирных к-т кокосового масла-4, миристилтриметиламмонийбромид-15, миристилдиметилбензиламмонийхлорида-5,5, алкилметиламмонийхлорида марки «Arquard 16-50»-4.

**6H484. Моющие композиции.** Auchincloss Thomas Ralph, Parker Joseph Pieczka. Detergent compositions. [Domestos Ltd]. Англ. пат. 833201, 21.04.60.—Патентуются моющие композиции на основе неионных поверхностноактивных в-в с добавкой оптич. отбеливающих агентов, можно добавлять анионные поверхностноактивные в-ва. Напр., композиция (в г): продукт конденсации октифенола с 5—20 молями окиси этилена 25, «Calcofluor SD» 0,1—2, вода до 100; в виде 0,16—0,3% р-ра применима для белковых, полиамидных и ацетилцеллюлозных волокон. Или композиция (в г): продукт конденсации л-изооктилфенола с 8,5 молями окиси этилена 6, соль первичного алкилсульфата с 12—14 атомами С 8, Na-соль дитриазинового производного диаминостильбендисульфокислоты 0,3, вода до 100; применима для целлюлозных волокон.

**6H485. Поверхностноактивные препараты из сухих веществ молока.** Langworthy Martin F. Milk solids compositions and method of making. Пат. США 2844481, 22.07.58.—Продукты, обладающие высокими поверхностноактивными свойствами и способностью давать пленкообразующие соединения, получают при прибавлении щелочи к молоку; осадок отделяют, р-р подкисляют к-той до pH 0—4, осадок вторично отделяют и смешивают с водн. р-ром щелочи, получают однородную пасту. Напр., 1 чайную ложку  $\text{Na}_2\text{CO}_3$  растворяют в 0,95 л обезжиренного молока, подкисляют HCl до pH 3,0; образующуюся пену отделяют и формируют в пасту конц. р-ром  $\text{Na}_2\text{CO}_3$ . Прибавление 1 ч. этой пасты к 150 ч. инсектицидной жидкости улучшает распыление этой жидкости. После высушивания остается тонкая липкая пленка, которая содержит токсичные ингредиенты. Жидкость, оставшуюся после снятия пены, упаривают до образования коричневого сиропообразного в-ва, применяемого для получения защитных покрытий для срезаемых цветов. Продукты также применяются в качестве эмульгаторов для льяного масла в лаках для автомобилей и огнестойких красках.

**6H486. Смачивающее вещество, практически не пенящееся в водном растворе.** Ratti Roger. In wäßriger Lösung praktisch nicht schäumendes Netzmittel. [Durand & Huguenin A.-G.]. Швейц. пат. 340476, 15.10.59.—Смачивающее в-во, практически не пенящееся в водн. р-ре, отличается тем, что наряду с растворимой в воде солью N,N-дибензиламинобензол метали парамосульфокислоты (I) оно содержит 15—70% (по отношению к I) по меньшей мере одного, практически не растворимого в воде нейтр. фосфорнокислого триэфира, напр. триалкилфосфат с алкилом из 4—8 атомов С или триалкоксиалкилфосфат с алкоксил из 3—7 атомов С. В качестве разбавителя берут воду или смешивающуюся с ней нелетучую органич. жидкость. В смесь из 70 ч. воды и 40 ч. три-*n*-бутилфосфата (II), находящуюся в подходящем смесителе, вносят 70 ч. натриевой соли *n*-I и перемешивают 2 часа до образования густой тягучей пасты. Растворяют 2 ч. этой пасты в 1 л воды и получают р-р, который при комнатной т-ре быстро смачивают шерстяную или хлопчатобумажную ткань и при этом практически не пенится, испытание смачивающего действия производится по методу погружения полосы ткани размером 15 × 35 мм. Измеряется время между смачиванием и погружением ткани, в этом примере оно равно 10 сек. С равным успехом можно заменить II три-*n*-бутоксипентилфосфатом, а *n*-I-метанпроизводным I.

С. Вирезуб

**6H487. Усовершенствование композиций против запотевания поверхностей.** Druker Samuel, Druker Sadie. Improvements in or relating to anti-misting compositions. Англ. пат. 831882, 6.04.60.—Композиции против запотевания стеклянных и других поверхностей содержат немывное моющее в-во, 2—3% тонкоизмельченных мыльных орехов и летучий разбавитель, напр., 60 ч. моющего в-ва смешивают с 20 ч. воды при 5—60°, добавляют 20 ч. денатурата, 1 ч. мыльных орехов и перемешивают до кремообразной консистенции.

**6H488. Патновыводитель.** — *Produit détacheur*. [Mexico]. Франц. пат. 1174524, 12.03.59.—Патентуется средство для выведения пятен с тканей, одежды и т. д., которое не оставляет следов вокруг пятна после очистки. Очищающим продуктом является хорошо перемешанная смесь деревянных опилок с р-рителем, природа которого может меняться смотря по надобности. Напр., опилки «Д 80» 100, уайт-спирит 75, перхлорэтилен 25; опилки белого дерева 100, уайт-спирит 50, «супантол» 5, вода 45; опилки тополя 80, перхлорэтилен 113, твин 80 7. Перемешивают в аппарате до полного впитывания р-рителя опилками, после чего избыток р-рителя удаляют при помощи центрифугирования и регенерируют. К предлагаемому средству можно прибавлять поверхностноактивные в-ва для образования эмульсии, что облегчает его применение и повышает силу действия.

**6H489. Диспергирующее или эмульгирующее средство, средство для пенообразования и защитного коллоида.** Fikentscher Hans, Wilhelm Hans, Wirth Heinrich, Dachs Karl. Dispergier-oder Emulgiermittel, Mittel zur Schaumerzeugung und Schutzkolloide. [Badische Anilin- & Soda-Fabrik Akt.-Ges.]. Пат. FRG 1046630, 18.06.59.—Диспергирующим или эмульгирующим средством, а также средством для пенообразования и получения защитных коллоидов являются водорорастворимые (после нагревания), смешанные полимеризаты амидов  $\alpha, \beta$ -ненасыщ. карбоновых к-т. Область применения новых средств распространяется на получение всевозможных суспензий и эмульсий, напр. водонерастворимых твердых в-в или несмешивающихся с водой жидкостей (масло, воски, жиры, углеводороды, нитроцеллюлоза, продукты конденсации дикарбоновых к-т и многовалентных спиртов, фенольные смолы, кумароновые смолы, полиамиды из дикарбоновых к-т и диамидов и др.). Получение грубых и колл. эмульсий, которые могут быть разбавлены водой, производится обычным путем в аппарате для взбалтывания эмульгатора или в установке с ультразвуком; можно также диспергируемое в-во растворить в органич. р-рителе и, смешав с водн. р-ром предлагаемого средства, отогнать р-ритель. Диспергирующие средства можно употреблять в фармацевтич. пром-сти при получении мазей, паст и эмульсий, содержащих дезинфекционные средства; в текстильной и лаковой пром-сти для диспергирования органич. и неорганич. красящих в-в и пигментов; для приготовления моющих, протитывающих средств, аппаратуры, лаковых эмульсий и получения инсектофунгицидов; они имеют применение как защитные коллоиды в р-рителях, содержащих воду, среду. Новые диспергирующие средства употребляют как вспомогательные средства при хим. р-циях, проводимых в гетерог. фазе, напр. при полимеризации нерастворимых в воде мономеров до водонерастворимых полимеров. 100 ч. продукта конденсации фталевой к-ты, глицерина и жирных к-т льяного масла перемешивают при 60° со 100 ч. 5%-ного р-ра смешанного полимера из 80% амида метакриловой к-ты и 20% амида акриловой к-ты, полученного нагреванием в 15%-ном водн. р-ре в течение 40 час. при 95°; получают жирную текучую эмульсию. 500 ч. парафина (т. затв. 68—72°) перемешивают с 500 ч. 1%-ного водн. р-ра смешанного полимера из 70 ч. амида метакриловой

к-ты и 30  
нием в 20  
получают  
употребля  
средств для  
получения  
6H490.  
Clem A  
duction th  
2859234,  
глины с о  
глины ф-т  
родный р-р  
Z — Н ил  
атомами С  
связан с  
ганич. ани  
двал сод  
ные гели  
органич.,  
ганич. ам  
аминны пе  
аемые в  
следние п  
Все N-сол  
перигирую  
статочну  
мыл жирн  
тарной к  
5—10 ато  
тором ал  
Z — Н ил  
доч. мета  
набухше  
одни СЭ  
радикал  
дается р-  
ме. К су  
мония. I  
октилам  
та отдел  
тирают в  
дировани  
мают об  
6H491.  
Pretze  
Reinigung  
уаре на  
полом в  
дый вал  
в отверс  
уара и  
кой в  
ные дис  
диски с  
дисками  
филтрово  
втулкам  
ным дис  
двумя л  
правляю  
несколь  
втулок.  
6 мм. О  
венно д  
рый пог  
вальной  
вальной  
См. т  
бумаге  
трич. о  
р-ции и  
38 Зан.

к-ты и 30 ч. винилпирролидона, полученного нагреванием в 20%-ном водн. р-ре в течение 42 час. при 95°; получают жирную стабильную эмульсию, которую употребляют для приготовления гидрофобизирующих средств для текстиля. Приведено несколько примеров получения предлагаемых средств.

Н. Фрумкина  
6Н490. Химические соединения и их получение. Clem Arthur G. Chemical compounds and the production thereof. [American Colloid Co.]. Пат. США 2859234, 4.11.58.—Катионообменные органофильные глины с обменной способностью 25—125 мэкв на 100 г

глины ф-лы  $RNX(Y)(Z)$  (где R — органич. углеводородный радикал, содержащий 5—9 атомов C, а X, Y и Z — H или органич. углеводородные радикалы с  $\leq 9$  атомами C), аммонийный ион в которых может быть связан с 1—2,5 стехиометрич. эквивалентами (СЭ) органич. аниона, в котором органич. углеводородный радикал содержит 10—30 атомов C, могут дать устойчивые гели в результате набухания как в неполярном органич., так и в неорганич. р-рителе. Применяют органич. аммонийные соли и алифатич. и алициклич. амины первичные, вторичные или третичные, используемые в виде оснований или четвертичных солей: последние предпочтительнее как более влагоустойчивые. Все Na-содержащие соединения растворяются или диспергируются в воде, в результате чего получают их достаточную конц-ию. Органич. анионы получают из мыл жирных к-т, из диалкилового эфира Na-сульфогтарной к-ты, в которой алкильная группа содержит 3—10 атомов C, из Na-алкилнафталинесульфата, в котором алкильный радикал содержит 8—12 атомов C и др.; эти соединения диссоциируют в воде на ион щел. металла и органофильный анион. Напр., к 50 ч. набухшего бентонита Na в 1500 ч. воды добавляют один СЭ Na-алкилнафталинесульфата (алкильный радикал содержит 10 атомов C), при этом не наблюдается р-ции, т. к. оба в-ва находятся в анионной форме. К суспензии добавляют два СЭ ацетата октиламмония. Выпавший катионообменный органофильный октиламмонийный бентонит алкилнафталинесульфата отделяют, хорошо промывают водой, сушат и растирают в тонкий порошок. 2 г этого продукта, суспендированного в 100 мл нитробензола, набухают и занимают объем >500 мл.

В. Волков  
6Н491. Фильтр для установок химической чистки. Pretzer Albert. Anschwemmfilter für chemische Reinigungsanlagen. Пат. ФРГ 1057576, 5.11.59.—В резервуаре на небольшом расстоянии один от другого на полог валу расположены фильтровальные диски. Полый вал с одного конца открыт и входит этим концом в отверстие втулки, которая приварена к стенке резервуара и соединена со спускной трубой. Между втулкой и полым валом имеется уплотнение. Фильтровальные диски разделены направляющими втулками. Все диски свинчиваются гайкой. Между фильтровальными дисками находятся пружины, которые при сборке фильтровальных дисков смещаются направляющими втулками, они имеют цель прижимать к фильтровальным дискам перемещающийся вместе с ними нож с двумя лезвиями. С этой целью ножи снабжены направляющими кольцами, внутренний диаметр которых несколько больше внешнего диаметра направляющих втулок. Фильтровальные диски имеют толщину 5—6 мм. Они состоят из основного корпуса преимущественно деревянного с несколькими отверстиями, который покрыт с обеих сторон грубой металлич. фильтровальной тканью, а сверху ее тонкой металлич. фильтровальной тканью.

Ф. Невольян

См. также: Применение метода хроматографии на бумаге для анализа жиров 6С47Бх, 6С48Бх. Фотометрич. определение эфиров жирных к-т при помощи Р-ции гидроксидом к-та —  $Fe^{3+}$  6С49Бх. Маслостой-

ные з-ды 6И366. Способ получения антиоксидантов 6И447. Различие между электропроводностью анионных и катионных поверхностноактивных в-в 6Б713. Некоторые свойства катионных поверхностноактивных в-в, полученных из высших глицидиловых эфиров 6Б718. Диспергирующая способность водных р-ров неионогенных поверхностноактивных в-в 6Б719

## ДУШИСТЫЕ ВЕЩЕСТВА. ЭФИРНЫЕ МАСЛА. ПАРФЮМЕРИЯ И КОСМЕТИКА

Редакторы В. Н. Белов, Н. Ю. Любошиц,  
А. П. Хованская

6Н492. Новые потенциальные источники эфирных масел в Индии. Sadgopal. Newer potential sources of indian essential oils. [Ind. chim. belge], 1959, 24, № 11, 1345—1348 (англ.; рец. флам., франц., нем.).—Приведены свойства эфирных масел (ЭМ) 12 видов растений, произрастающих в Индии, которые могут служить источниками получения ЭМ в промышленных масштабах. Жидкое масло, полученное из семян *Hibiscus abelmoschus*, имеет  $n_D^{25}$  1,4752—1,480,  $d_4^{25}$  0,9158—0,9246,  $[a]_D^{20}$  0°10'—1°45', кислотное число (КЧ) 3, эфирное число (ЭЧ) 165—190, ЭЧ после ацетилирования (ЭЧА) 210—218, растворимость в 90%-ном спирте 1:0,5, ЭМ из листьев и цветов *Ocimum basilicum* L. (Labiatae) имеет  $n_D^{25}$  1,5130—1,5264,  $d_4^{25}$  0,9678—0,9898,  $[a]_D^{20}$  (—5°)—(—10°), КЧ 5, растворимость в 80%-ном спирте 1:1, содержит (в %): метилциннамат 45—75, линалоол 25—35, метилхавикол 10—25, оцимен 4—6, камфора отсутствует. Цветы *Anthocephalus cadamba* Miq. (Rubiaceae), содержат 0,0075—0,009% ЭМ и 0,15—0,22% конкрета. ЭМ имеет  $n_D^{30}$  1,4846,  $d_4^{30}$  0,9615,  $[a]_D^{20}$  —4,4°, КЧ 10, ЭЧ 90, ЭЧА 178, растворимость в 90%-ном спирте 1:1. Конкрет имеет т. пл. 56—58°, т. заст. 52—53°, КЧ 8, ЭЧ 110—115. Из конкрета, полученного из цветов михелии с выходом 0,18%, получают 54% абс. масла с  $n_D^{30}$  1,4930—1,4960,  $d_4^{30}$  0,9620—0,9838,  $[a]_D^{20}$  7—10°, КЧ 5,0, ЭЧ 70—80, ЭЧА 125—130, растворимость в 90%-ном спирте 1:1. ЭМ *Cyperus scariosus*, полученное с выходом 0,5—1,0%, имеет  $n_D^{30}$  1,5086—1,5150,  $d_4^{30}$  0,9830—1,0125,  $[a]_D^{20}$  (—6°)—(—12°), КЧ 10, ЭЧ 10—25, ЭЧА 90—130, растворимость в 90%-ном спирте 1:2, содержит 60—70% бициклич. сесквитерпенового кетона,  $\alpha$ -циперона. Из конкрета цветов *Nyctanthes arboristris* (выход 0,06—0,085%, т. пл. 33—34°, т. заст. 30—31° КЧ 24,0, ЭЧ 38—40) получают 18—20% абс. масла. ЭМ (выход 0,0045—0,006%) имеет  $n_D^{30}$  1,4840,  $d_4^{30}$  0,9254,  $[a]_D^{20}$  2,3°, КЧ 8,0, ЭЧ 65,0, ЭЧА 148,0, растворимость в 90%-ном спирте 1:1. Перегонкой с паром цветов *Cestrum nocturnum* получают 0,014—0,025% ЭМ с  $n_D^{30}$  1,490,  $d_4^{30}$  0,9598,  $[a]_D^{20}$  —1,5°, КЧ 8,5, ЭЧ 72,0, ЭЧА 145,0, растворимость в 90%-ном спирте 1:1. Конкрет (выход 0,3—0,5%) имеет т. пл. 49—50°, т. заст. 44—45°, КЧ 45—50, ЭЧ 108—110. ЭЧ, полученное из зеленой массы и семян *Anethum sowa* с выходом 0,5—0,7 и 3—3,5% соответственно, имеет  $n_D^{30}$  1,4860—1,4868, 1,4905—1,5280,  $d_4^{30}$  0,8725—0,922, 0,938—0,9825,  $[a]_D^{20}$  70—85°, 50—65°, КЧ 2, 2, ЭЧ 40—45, 35—42, ЭЧА 85—95, 50—65, содержание карвона 10—15%, 40—45%. ЭМ из зеленой массы содержит также 75% d- $\alpha$ -фелландрена, а ЭМ из семян — 9% d-лимонена, 40 диллапиола, следы анетолы, эвгенола, тимолола и др. ЭМ *Tagetes glandulifera*, полученное с выходом 0,3—0,7%, имеет  $n_D^{30}$  1,4970—1,5100,  $d_4^{30}$  0,9234—0,9540,  $[a]_D^{20}$  —8°—2°15', КЧ 12,0, ЭЧ 18—45, ЭЧА 70—20 и содержит (в %) оцимен 20—30, d-лимонен 3—4, тагетон 45—55 и др. Кетон  $C_{16}H_{32}O$  6Н493. ЭМ цветов *Mimosa elengi* L., полученное с выходом 0,015—0,025%, имеет  $n_D^{30}$  1,4938,  $d_4^{30}$  0,9612,  $[a]_D^{20}$  4,5°, КЧ 8, ЭЧ 155,0, ЭЧА 235,0, растворимость в 90%-ном спирте 1:1. Приведены также свойства масел, полученных из

различных частей *Cedrus deodrata* и *Bursera delpeyriana*.

Н. Любошиц  
6N493. Краткое сообщение о валериановом масле из кашмирского валерианового корня. Singh Het, Handa K. L. A short note on valeriana oil from Kashmir valeriana roots. «Indian Oil and Soap J.», 1959, 25, № 5, 178—180 (англ.).—Путем экстракции петр. эфиром, бензолом и спиртом из корней валерианы, произрастающей в Кашмире, получены соответствующие экстракты. Повторной экстракцией спиртом, а спирт. экстракта петр. эфиром получены растворимые в спирте масла (А, В и Г, соответственно), а перегонкой в вакууме из А, В и Г — масла Д, Е и Ж, соответственно, также растворимые в спирте. Перечисляются: выход, кислотное число (КЧ), эфирное масло (ЭЧ), выход масла при перегонке в вакууме  $d^{15}$ ,  $n_D^{20}$ ,  $[\alpha]^{25}_D$  для петролейного экстракта 14,92%, 14,4, 431,11, 1,5%, 0,9537, 1,4228, +20°; для бензольного экстракта 3,55%, 15,9, 436,6, 2,2%, 0,9567, 1,4389, +2,0°; для спирт. экстракта 16,8%, 34,4, 328,6, 0,5%, 0,9546, 1,4274, +2,0°. Выход при перегонке в вакууме, КЧ, ЭЧ,  $d^{15}$ ,  $n_D^{20}$ ,  $[\alpha]^{25}_D$  для А 1,1%, 433,9, 20,7, 0,9438, 1,4231, +2,0; В 1,5%, 366,7, 41,8, 0,9513, 1,4362, +2,0; Г 0,14%, 359,2, 94,4, 0,9463, 1,4315, +2,0. КЧ, ЭЧ для Д 458,3, 14,7; Е 329,0, 32,7; Ж 375, 30,3.

С. Кустова  
6N494. Прогресс в области терпенов и сесквитерпенов. Treibs Wilhelm. Progrès dans le domaine des terpènes et des sesquiterpènes. «Parfum, cosmét., savons», 1960, 3, № 8, 315—318 (франц.; рез. англ., нем., исп.).—Обзор работ по физ.-хим. методам выделения и установления строения терпеновых и сесквитерпеновых углеводородов, определению строения в-в, неподчиняющихся изопреновому правилу, а также по биохимии политерпенов. Библ. 23 назв.

С. Кустова  
6N495. Определение содержания гераниола в цитронелловом масле. Os F. H. L. van, Sissing J. De bepaling van het geraniolgehalte in oleum citronellae. «Pharmaz. weekbl.», 1960, 95, № 21, 686—690 (гол., рез. англ.).—Показано, что наилучшие результаты дает метод определения свободных спиртов в цитронелловом масле путем ацетилирования смесью  $(CH_3CO)_2O$  и пиридина (1:2).

С. Кустова  
6N496. Рефрактометрический способ определения концентрации мисцеллы. Драновская Л. М., Силаева И. Г. «Маслоб.-жир. пром-сть», 1960, № 9, 40.—Установлена возможность применения рефрактометрич. метода определения конц-ии мисцеллы розового абс. масла и шалфейного конкмата в качестве экспресс-метода анализа. Оптимальная т-ра определения 16°. Результаты опытов приведены в виде графиков. Указано, что перед сезоном в каждой заводской лаборатории следует составить графики зависимости «конц-ия — коэф. рефракции», так как на з-дах используется разное сырье и применяются различные методы его переработки.

Н. Любошиц  
6N497. Поведение эфирных масел в электрическом поле. Важное значение диэлектрической постоянной, коэффициента рефракции и удельного веса. Lüdtke K. H. Elektrisches Verhalten ätherischer Öle (unter besonderer Berücksichtigung der Dielektrizitätskonstanten und der refraktodensimetrischen Konstanten). «Riechstoffe und Aromen», 1960, 10, № 6, 193—194, 196; № 7, 234—238 (нем.).—I. Отмечается важное значение определения  $n_D$  и  $d$  эфирных масел (ЭМ) и их взаимосвязь с диэлектрич. постоянной ( $\epsilon$ ) последних.  $n_D$ ,  $d$  и  $\epsilon$  определяют поведение ЭМ в электр. поле. Приведены  $\epsilon$ ,  $n_D^{20}$ ,  $n_D$ ,  $d$ , уд. рефракция ( $r$ ) и показания барабана компенсатора ( $T$ ) (РЖХим, 1960, № 2, 6326) воды,  $CH_3OH$ ,  $C_2H_5OH$ ,  $iso-C_3H_7OH$ ,  $n-C_3H_7OH$ , додецилового спирта, додекана, безола, коричного альдегида, монохлора, монобром- и монохлорбензолов,  $CCl_4$ ,  $CHCl_3$ ,  $CHBr_3$ ,  $C_6H_5CH_2OH$ ,  $C_6H_5CHO$ ,  $n$ -кумола,  $\alpha$ - и  $\beta$ -пинена, а также величины  $\epsilon$   $n-C_4H_9OH$ ,  $втор-C_4H_9OH$ ,  $трет-C_4H_9OH$ , гликоля, 1,4-бутандиола, глицерина, циклогек-

санола,  $C_6H_5OH$ , тимола,  $C_6H_{14}$ , этиленхлорида,  $CH_3CO$ ,  $CH_3CHO$ , параформа, пропионового альдегида,  $(CH_3)_2CO$ , диэтилкетона, диэтилового эфира,  $iso$ -пропилового эфира, салицилового альдегида, ментола,  $C_7H_{16}$ ,  $C_6H_5CN$ , этиленбромид,  $HCOOH$ ,  $CH_3COOH$ , пропионовой, масляной, стеариновой, винной, молочной к-ты, ацетальдегида, этиловых эфиров салициловой и коричной к-ты,  $C_8H_{18}$ , октилена,  $\alpha$ -,  $m$ - и  $p$ -ксилолов, метилового эфира салициловой к-ты. II. Приведены литературные и определенные автором величины  $\epsilon$ ,  $n_D^{20}$ ,  $n_D$ ,  $T$  и тепловая дисперсия  $dn/dt$   $10^{-4}$  (ТД) акациевого, анисового, бергамотного, эвкалиптового, фенхелевого, гераниевого, айрного, ромашкового, кориандрового, тминного, лавандового, мелиссового, гвоздичного, петрушкового, мятного, пигментового, искусств. розового, розмаринного, шалфейного, сандалового, итальянского лаванды, тимьянового, можжевельного, коричного (свежого и облученного УФ-светом), цитронеллового и лимонного ЭМ (свежого и облученного УФ-светом), эвкалиптового и скипидара. Приведены значения уд. преломления ( $n$ ) пентана, гексана, октана, декана, додекана, тридекан, пентена, гептена, нонена, диолефинов (в том числе сопряженными двойными связями), нефтяных углеводородов, ненасыщ. циклич. углеводородов, ароматич. углеводородов, би- и трициклич. углеводородов. Отмечено, что  $\epsilon$  может применяться для определения идентичности и свежести ЭМ, а также фальсификации ЭМ. Т служит указанием присутствия ненасыщ. и ароматич. соединений, величина  $r$  указывает на кол-во кислородсодержащих в-в, а величина  $J$  характеризует степень ненасыщенности компонентов ЭМ. Приведены данные по изменению  $n_D$ ,  $d$ ,  $r$ ,  $T$  и  $J$  коричного и лимонного масел при их хранении от 6 час. до 6 месяцев, графики изменения  $\epsilon$  анисового и гвоздичного масел и скипидара при хранении до 3 месяцев и октолового альдегида при хранении до 80 дней, а также ряда ЭМ при хранении от нескольких дней до нескольких месяцев.

С. Кустова  
6N498. Химическое строение и запах. II. Гомологические ряды и их запах. Kluuwer M. H. Chemische Konstitution und Geruch II. Homologe Reihen und ihre Gerüche. «Parfum. und Kosmetik», 1960, 41, № 5, 178—179 (нем.; рез. англ., франц.).—Указано, что направление запаха душистых в-в связано со стeric. условиями молекулы. Чем меньше молекула, тем острее ее группы более эффективны. В гомологич. ряду интенсивность запаха увеличивается до максим. величины, затем уменьшается. Важным фактором является положение гидроксильной группы. Похожие запахи дают лактонные, кето- и др. группы, связанные с определенными атомами С. Часть I см. РЖХим, 1960, № 15, 62712.

Из выводов автора  
6N499. Изобутираты и их применение в промышленности душистых и ароматизирующих веществ и в производстве парфюмерии и мыла. Hoffmann W. L. Die Isobutyrate und ihre Verwendung in der Riechstoff-, Aromen- und Parfümerie- sowie Seifenindustrie. Riechstoffe und Aromen, 1960, 10, № 2, 38—40 (нем.).—Описаны свойства и применение 21 эфира изомасляной к-ты. Начало см. РЖХим, 1961, 1N328.

С. Корса  
6N500. Измерение и контроль в парфюмерной промышленности. Хирота Хироси. «Кэйрэй кэпри, I. Instrum. Control Assoc., Japan», 1959, 8, № 10, 376—381 (японск.).—Обзор методов, применяемых в парфюмерной пром-сти для определения качества продукции. Рассмотрено определение цвета, запаха, физ.-хим. свойств, а также применение спец. приборов для определения указанных элементов.

Ю. Жмакин  
6N501. Применение парфюмерных композиций. Bergwein Karl. Der Duft als Geruchsmodifikator und als Faktor der Werbung. «Parfum. und Kosmetik», 1960, 41, № 2, 47—48 (нем.; рез. англ., франц.).—Указано на применение парфюмерных композиций и душе-



ых в-в в различных отраслях пром-сти (напр., для отдушивания текстиля, моющих средств, лаков, красок и др.) с целью увеличения сбыта товаров. Указан новый способ отдушивания печатного материала (газет, марманных календарей, каталогов, программ, реклам и др.). Отмечено, что при отдушивании помещений следует учитывать фармакологич. свойства душистых в-в и эфирных масел. Перечислены эфирные масла, обладающие обеззараживающими и жаропонижающими свойствами и благоприятно действующие на органы дыхания.

С. Корэ

**6Н502.** Современные направления в косметических рецептурах. Myddleton W. W. Modern trends in cosmetic formulation. «J. Soc. Cosmetic Chemists», 1960, 11, № 4, 192—204. Discuss., 204 (англ.)

**6Н503.** Вещества, защищающие от солнечных лучей. Их физическая оценка и клиническое применение. Stjepanović Danilo V. Sun screening substances. Their physical evaluation and clinical application. «Brit. J. Dermatol.», 1960, 72, № 7, 271—278 (англ.).—Приводятся данные о спектрах поглощения в-в, применяемых для защиты от инсоляции, в пределах  $\lambda$ : 2900—5000 Å и величины пропускания света для слоев кремов или масел, содержащих эти в-ва, толщиной в 0,05 мм. Наименьшее пропускание света было найдено у акулиновых масел; за ними следуют (в порядке нарастающего пропускания для 10—15%-ных р-ров): саод, пирибензамин, *n*-аминобензойная к-та, танин, сульфаниламиды, антипирин, никотиновая к-та и ретинол.

К. Герцфельд

**6Н504.** Косметические препараты и неорганические пигменты. Takimoto Yocho. «Сикидзай кёкайси, J. Japan Soc. Colour Mater.», 1960, 33, № 5, 237—239 (японск.).—Обзор способов получения и физ.-хим. свойств  $\text{CaCO}_3$ , каолина,  $\text{MgCO}_3$ ,  $\text{Zn}$ -стеарата, талька, окиси титана, окиси цинка, а также пигментов, содержащих Si и Zr, и применения этих в-в для изготовления косметич. препаратов.

Ю. Жмакин

**6Н505.** Молекулярные силы в перманентной завивке. Bogaty Herman A. Molecular forces in permanent waving. «J. Soc. Cosmetic Chemists», 1960, 11, № 6, 333—342 (англ.).—Обсуждается роль водородных связей кератина волос при перманентной завивке.

И. В.

**6Н506.** Реология паст, суспензий и эмульсий. Scott Blair G. W. The rheology of pastes, suspensions and emulsions. «J. Soc. Cosmetic Chemists», 1960, 11, № 4, 181—190. Discuss., 190—191 (англ.).—Изложены основные положения реологии и применение их для изучения деформационных свойств паст, суспензий и эмульсий. Дана классификация различных видов деформации. Отмечено, что некоторые системы при механич. обработке становятся мягкими, но в дальнейшем либо медленно упрочняются (системы тиксотропные), либо не восстанавливаются (необратимое разрушение). Некоторые системы при механич. обработке твердеют.

И. Вольфензон

**6Н507.** Оценка величины гидрофильно-липофильного баланса. Namoto Yoshio. «Нагоя-си когё кэнсэ кэкио хококу, Res. Repts Nagoya Munic. Industr. Res. Inst.», 1959, № 23, 15—16 (японск.).—Рассмотрен предложенный фирмой «Атлас» способ классификации поверхностноактивных в-в, основанный на определении силы натяжения поверхностной пленки. В особенности рекомендуется применять указанный метод в экспериментах по эмульгированию и растворению.

Ю. Жмакин

**6Н508.** Стекло-универсальный упаковочный материал. Jaszewski Artur. Szkło-nowoczesne tworzywo opakowaniowe. «Opakowanie», 1960, 6, № 2, 21—22 (польск.; рез. англ.).—Обсуждается применение стекла в качестве упаковочного материала, в частности для аэрозолей.

Г. Меленкина

**6Н509.** Эфирные масла. Т. 2. Изд. 4-е перераб. и доп. Gildemeister E., Hoffmann Fr. Die ätherischen Öle. Bd. 2. 4. völlig neu bearb. Aufl. Hrsg. Treibts Wilhelm. Berlin, Akad.-Verl., 1960, XX, 429 S., ill. (нем.)

**6Н510.** Способ обработки масла *Mentha arvensis*. Ито Масааки. Японск. пат. 6119, 31.05.60.—K 150 г масла *Mentha arvensis* ( $n_D^{20}$  1,4673,  $d_4^{20}$  0,8960,  $[\alpha]_D^{20}$  —37,58, содержание ментола 48,97%) при —25° добавляют 300 мл нитрометана, перемешивают и дают отстояться. Выделившийся из р-ра ментол (63 г, т. пл. 42,5°) отделяют при помощи центрифуги. Жидкость при этом разделяется на два слоя: верхний (35,5 г,  $n_D^{20}$  1,4593,  $d_4^{15}$  0,906,  $[\alpha]_D^{15}$  —36,37), из которого выделяют 18 г терпеновых углеводородов с т. кип. 170—180°, и нижний (43,0 г,  $n_D^{15}$  1,4588,  $d_4^{20}$  0,917,  $n_D^{15}$  27,13), из которого перегонкой получают 20 г ментона, т. кип. 73—78°/7 мм. УФ-спектр углеводородной части указывает на присутствие в ней лимонена. Содержащийся в ней в незначительном кол-ве ментол можно отделить дистилляцией.

Ю. Жмакин

**6Н511.** Гигиеническое дезодорирующее средство.—Produit d'hygiène désodorisant. [Fernand Gaillot]. Франц. пат. 1187607, 14.09.59.—Для получения гигиенич. дезодорирующего средства смешивают 30 ч.  $\text{NaBO}_3 \cdot 4\text{H}_2\text{O}$  и 70 ч. талька и применяют в виде пудры. Под действием тепла и влаги тела человека перборат медленно разлагается, образуя воду и борат, который и является дезинфицирующим средством. Можно применять это средство в виде р-ра, напр. для мытья ног и пр. Для этого растворяют в теплой воде 50 ч. пербората Na, 40 ч.  $\text{Na}_2\text{CO}_3$  и 10 ч.  $\text{NaHCO}_3$ . Е. К.

**6Н512.** Способ уменьшения потерь от уноса легколетучих веществ при перегонке под вакуумом. Rakcsányi László, Köllő Andrásné. Eljárás illóanyagok párologtató veszteségének csökkentésére vákuumleparlással. Венг. пат. 144735, 15.03.59.—Для уменьшения потерь спирта при перегонке под вакуумом его водн. р-ров перед вакуумным насосом предлагается ставить защитную колонку с кварцевым песком или другим инертным в-вом (длина слоя 5—50 см, диаметр зерен 0,5—3,0 мм). Приведены данные перегонки с защитной колонкой и без нее. Напр., при 20—80%-ных водн. р-рах спирта потери без колонки составляли 9,38—20%, с колонкой 0,8—2,25%.

М. Коловертнова

**6Н513.** Усовершенствованный способ перманентной завивки волос.—Procédé perfectionné pour l'ondulation permanente des cheveux. [Labs Capilo]. Франц. пат. 1173723, 2.03.59.—Предлагается усовершенствованный способ продолжительной хим. завивки волос, который, в отличие от общеизвестного, предотвращает окисление кислородом воздуха активных сульфидрильных групп действующего в-ва, благодаря применению нагревательного аппарата новой конструкции. Последний смонтирован без отверстий для воздуха с нагревательным устройством, выполненным либо в виде обыкновенной лампы слабой силы, либо в виде ИК-лампы, либо в виде электр. сопротивлений, позволяющих обеспечить в аппарате  $t$ -ру  $\geq 50^\circ$ . В качестве активного агента рекомендуется смесь тиогликолевой и тиомолочной кислот.

М. Боярская

**6Н514.** Способ обработки лепестков *Carthamus tinctorius* L. Вада Мидзу. Японск. пат. 2383, 17.03.60.—Предложен способ обработки лепестков, при котором достигается получение как красного, так и желтого пигментов. 1 кг измельченной массы лепестков подвергают прессованию. При этом получают 700 мл сока и 300 г твердого в-ва. Желтый пигмент выделяют из сока экстракцией многоатомным фенолом и получают 1,0 г сафранола, а из твердого в-ва экстрагируют бензолом или эфиром 0,5 г картамина. Полученные в-ва применяются в качестве красителей в косметике.

Ю. Жмакин

**6Н515. Красители для волос.** Кимото Норико. [Исигуро Цунэси]. Японск. пат. 5600, 26.07.57.—Предлагаются следующие составы для окраски волос (в вес. ч.) 1) 7 едкого натра, 10 тиогликолевой к-ты, 20 глицерина, 2 карбоксиметилцеллюлозы, 100 воды и 2) 2 пирогаллола, 2 экстракта синего сандала (кампешевого дерева) (с включением 50% гематоксилина), 10  $\text{FeSO}_4$ , 1 виноградного сахара. Составом 1 смачивают волосы. Через 30 мин. смачивают волосы составом 2 и через 30—40 мин. промывают водой. Предлагаемые составы и способ окраски волос исключают воспаление корней волос и обеспечивают прочность окраски за счет образования химических связей с кератином волоса.

О. Жмакин

**6Н516. Получение зубного порошка в таблетках.** Сайто Хироси, Сака Такабэси. Японск. пат. 3900, 18.04.60.—По предложенному способу кислотный компонент зубного порошка эмульгируют в вязком водн. р-ре высокомолекулярного в-ва для набухания, сушат распылением, после чего получают порошкообразный кислотный компонент, покрытый пленкой высокомолекулярного в-ва. К полученному продукту добавляют шлюфующий, щелочной и поверхностноактивный компоненты, ароматич. в-во и медицинские добавки. Пример. Изготавливают отдельно составы (в ч.) кислотный: 25,0 поливинилового спирта, 5,0 винной к-ты, 70,0 воды (I); щел.: 24,4 поливинилового спирта, 5,6 бикарбоната Na, 70,0 воды (II); основной состав: 30,0 поливинилового спирта, 20,0  $\text{CaCO}_3$ , 5,0 — сорбита, 0,3 р-ра сахарина, 0,05 N-лаурилсаркозината Na, 3,0 Na-соли лаурилсульфокислоты, 0,01 пигмента, 1,0 — ароматич. в-ва, 40,64 воды (III). Полученные смеси сушат методом распыления, после чего смешивают в отношении I : II : III = 1 : 1 : 5 и изготавливают таблетки.

Ю. Жмакин

**6Н517. Крипнокристаллический пирофосфат кальция и содержащий его зубной порошок.** Thomas Fritts William. Cryptocrystalline calcium pyrophosphate and dentifrice composition comprising the same. [Monsanto Chemical Co.]. Пат. США 2901400, 25.08.59.—Патентуется применение  $\text{Ca}_2\text{P}_2\text{O}_7$  (I) в крипнокристаллич. виде с размером частиц  $< 5 \mu$  в зубных порошках, содержащих водорастворимые фториды. I получают медленной мол. дегидратацией безводн.  $\text{CaHPO}_4$  (II). Пример. II измельчают до размера частиц 2—38  $\mu$  (в среднем 4,1  $\mu$ ) и помещают в лотках из нержавеющей стали в сушильную печь, т-ру в которой повышают от  $\sim 20^\circ$  до  $550^\circ$  в течение 4 час. и выдерживают при этой т-ре еще 16 час. Примерная рецептура (в %): I 45,0, 50%-ный водн. р-р глицерина 50,8, Na-лаурилсульфат 2,0, эфирные масла 0,5, трагакант 1,4, сахарин 0,1, фтористый натрий 0,2.

Ю. Зеликсон

**6Н518. Экстракты для приготовления средств по уходу за волосами и кожей лица.**—Extract composé pour préparations capillaires et produits de beauté. [Ets Sabor]. Франц. пат. 1190278, 12.10.59.—Патентуются указанные косметич. средства, содержащие глицеро-вые экстракты личинок муравьев и экстракты цветочной пыльцы, оказывающие положительное влияние на кожу и волосы благодаря наличию биологически-активных в-в. Рекомендуется добавлять в препараты черепаховое масло, масло зародышей хлебных злаков. В средства по уходу за волосами могут быть добавлены пенообразующие и моющие добавки. Пример. Смесь (в г) 6 экстракта пыльцы, полученного экстракцией жиром, 0,50 глицеро-вого экстракта пыльцы, 1 глицеро-вого экстракта личинок муравьев, 3 черепахового масла и 30 масла зародышей хлебных злаков добавляют к 1020 шампуня.

М. Боярская

**6Н519. Средства для мытья волос и ухода за волосами и кожей головы.**—Agents pour le lavage et l'entretien de la chevelure et du cuir chevelu. [Mme Denise Bernet, femme divorcée]. Франц. пат. 1180932, 10.06.59.—Патентуются средства для мытья волос, име-

ющие pH 7—8, что способствует быстрому набуханию и размягчению волос и делает их податливыми при укладке. Указанные средства содержат экстракт мозгового мозга животных, кедровое масло, моющее и в-ва. Примерная рецептура (в г): лаурилсульфат имидазолина 40,  $\beta$ -[N-(лауроил)-амино]-этанол 20, экстракт костного мозга животных 2,0, кедровое масло 0,1, дистил. вода до 100. Указано на возможность создания на основе названных продуктов (а также ланолина, пчелиного воска и вазелина) комплексного средства для ухода за волосами, вводя в него краситель. Во всех случаях корректировку pH р-ров рекомендуется проводить разб. аммонийными р-рами или слабыми р-рами лауриновой, винной или молочной кислоты. М. Боярская

**6Н520. Новые поверхностноактивные препараты для волос.**—Nouveaux produits capillaires. [Theobald Schaedeli]. Франц. пат. 1193389, 2.11.59.—Патентуются препараты для длительной заправки волос, содержащие продукты конденсации кислых или нейтр. сульфитов с нейтр. или щел. солями алюминия в сочетании со стабилизирующими добавками (напр., со стилиндиаминотетрауксусной к-ты). Указанные продукты вводят в спирт, водные или водно-спирт. р-ры с добавкой щелочей, щел. солей, полиспиртов или эфиров, производных высших жирных спиртов и красителей и т. д. Указано на возможность применения патентуемого средства для выпрямления волнистых волос.

М. Боярская

**6Н521. Новые поверхностноактивные препараты для волос.** Zviak Charles. Nouvelle composition capillaire. [Soc. Monsavon'Oréal]. Франц. пат. 1200822, 22.12.59.—Патентуются средства для ухода за волосами и массажа кожи головы, исключаящие возможность раздражения кожи даже при повышенной чувствительности и себорее. Средство включает провиз. нем., водные тиюдигликолевой к-ты типа  $\text{S}(\text{CH}_2\text{COX})_2$ , где X = OH,  $\text{NH}_2$  и др. Рекомендуется вводить названные продукты в анионные, катионные или неионогенные смолы шампуня. Примерные рецептуры (в %): 1) диамиды, поли-тиюдигликолевой к-ты 0,5, этиловый спирт 96%—до 60,0, вода дистил. до 100; 2) лаурилсульфат аммония 6,  $\text{S}(\text{CH}_2\text{COOC}_2\text{H}_5)_2$  4, вода до 100.

М. Боярская

**6Н522. Средство для роста волос.**—Formule pour la fabrication propre à activer la repousse des cheveux. [R. Barreaux]. Бельг. пат. 560745, 22.04.60.—Заливное средство 200 г таволи (лабазника) 2 л дождевой воды, настаивают 25 час. и фильтруют. К фильтрату (998 г) добавляют 1 г формалина и 1 г сулемы. Препарат применяется в корни волос, которые при этом очитаются. Препарат не оказывает вредного действия и усиливает рост волос.

И. Вольфганг

**6Н523. Дезодорирующие препараты.** Zahradnik Miroslav. Desodorační přípravky. Чехосл. пат. 88057, 15.12.58.—Патентуются дезодорирующие препараты в виде пудры, эмульсии и др., содержащие растительное производное хлорофилла с органическим связанной медью в кол-ве 0,1—1,5%, которое применяется в комбинации с 0,1—0,5% 5,7-дихлор-8-оксифинолина, тетраметилтиурамдисульфида или их смеси (1:1). Примерная рецептура дезодорирующего крема (в %): эмульгатор (продукт конденсации окси-этилена с высшей жирной к-той) 4, цетиловый спирт 8, стеариновая к-та 1, парафиновое масло 3, глицерин 5, вода 77, производное хлорофилла 0,1—0,5, 5,7-дихлор-8-оксифинолин 0,1—0,5, тетраметилтиурамдисульфид 0,1—0,5, отдушка.

Т. Заварова

См. также: Ванилин и его производные 6Ж1409. Достижения в химии эфирных масел 6Ж1348. Терпены и их превращения 6Ж1345, 6Ж1348, 6Ж1349. Переносимость органич. соединений при использовании при кислой холодной хим. заправке новой пасты для мытья рук 6И350

# РЕФЕРАТИВНЫЙ ЖУРНАЛ ХИМИЯ

## IX

Рефераты 6П1—6Р131

№ 6

25 марта 1961 г.

### П. ТЕХНОЛОГИЯ ВЫСОКОМОЛЕКУЛЯРНЫХ СОЕДИНЕНИЙ

#### СИНТЕТИЧЕСКИЕ ПОЛИМЕРЫ. ПЛАСТМАССЫ

Редакторы А. А. Жданов, П. С. Левкина,  
В. И. Пазомов, П. Я. Френкель

6П1. Производство пластмасс в Аргентине. Comette J.-L., Field R. Les plastiques en Argentine. *Ind. plast. mod.*, 1960, 12, № 4, 13—17, V, VI (франц.; нем., англ.).—Производство смол для пластмасс в Аргентине организовано в 1942 г. В 1959 г. в Аргентине выпускали фенопласты, мочевиноформальдегидные смолы, ацетицеллюлозу, полистирол, полиакрилаты, полиэфир и полиамиды; с 1960 г. начали выпускать также меламиновые смолы, поливинилхлорид и аммонополимеры винилхлорида; проектируется строительство завода по производству полиэтилена. Объем производства пластмасс в 1957 г. составлял 18 000 т (0,8 кг на человека в год). Указаны аргентинские фирмы, выпускающие различные виды пластмасс.

6П2. Перспективы использования хлорированных полимеров. Rugar George F. Chlorinated xylenes show promising future. *Chem. Process.*, (USA), 1960, № 2, 37—38, 40 (англ.).—Фирма «Diamond Alkali» с 1956 г. осуществляет опытное производство терефталхлорида, изофталхлорида,  $\alpha$ -хлор- $n$ -кислота, 2,4-дихлор- $n$ -кислота,  $\alpha,\alpha$ -дихлор- $n$ -кислота, 2,4-дихлор- $n$ -кислота, 2,5-дихлор- $n$ -кислота, 2,3,5,6-тетрахлор- $n$ -кислота. Описаны свойства, методы синтеза и возможности использования этих соединений для получения полимеров, пластификаторов, красителей, фунгицидов и т. д.

6П3. Влияние излучений на пластические массы. Corant M. Effects of radiation on plastic. *Kunststoff-Plast.*, 1960, 7, № 1, 38 (англ.).—В Стэнфордском университете (Калифорния) проводятся работы по изучению влияния  $\gamma$ -излучения на различные материалы. Источниками излучения являются ускоритель Ван-де-Граафа на 2 млн. эв и кобальтовый источник. Установка предназначена для исследования действия излучений на пластич. массы и иницирование хим. реакций.

6П4. Старение пластмасс. Vieux Maurice. La corrosion des plastiques. *Inds et trav. outre-mer*, 1960, № 76, 195—196 (франц.).—Приведены примеры старения изделий из полистирола (появление микротрещин после нескольких циклов экспозиции во влажной и жаркой атмосфере, сменяемой холодной и влажной атмосферой) и разрушения различных типов пластмасс под воздействием света. Отмечается значи-

тельно большая стойкость к световой деградации фенопластов по сравнению с полиамидами в условиях пустыни Сахары: за период экспозиции, в течение которого полиамиды становятся хрупкими, механич. прочность фенопластов практически не уменьшается.

6П5. Новейшее применение газожиждкостной хроматографии для изучения пластиков. Parriss W. H., Holland P. D. New uses for gas-liquid chromatography in plastics. *Brit. Plast.*, 1960, 33, № 8, 372—375 (англ.).—С помощью газожиждкостной хроматографии изучены хим. состав и структура различных пластиков (фенолформальдегидные и крезолформальдегидные смолы, поликарбонаты, полиэтилен, натуральный и синтетич. каучуки). Анализ проводили в хроматографич. колонке длиной 122 см и диам. 4 мм, имеющей аргоновый детектор и спец. устройство для пиролиза анализируемого в-ва. В качестве стационарного слоя применяли силиконовое масло на диатомитовой земле (100—120 меш). Пиролиз вели при 450, 600 и 800°. Оптимальные условия:  $t_{\text{ра}}$  800°, время 12 мин. Приведены схема и описание прибора, а также пираммы исследованных веществ.

6П6. Влияние низших фторуглеродов и хлористого метилена на различные пластики. Brown James A. Effect of fluorocarbon propellants and methylene chloride on various plastics. *Paint and Varnish Product.*, 1960, 50, № 3, 86—90 (англ.).—Исследовали устойчивость (изменение в весе и набухание при погружении на 7 дней при 23—25°) пластмасс, применяемых в контейнерах для аэрозолей, к действию фторированных углеводородов ( $\text{CF}_3\text{Cl}$ ,  $\text{CF}_2\text{Cl}$ — $\text{CFCl}_2$ ,  $\text{CF}_2\text{Cl}_2$ ,  $\text{CCl}_2\text{F}$ ,  $\text{CHCl}_2\text{F}$ ) и хлористого метилена. Наибольшее набухание и изменение в весе вызывают водородсодержащие соединения. С увеличением содержания фтора разрушающее действие р-рителей уменьшается. Наиболее устойчивы бакелит, нейлон 6, нейлон 66, саран и тефлон. Полиэтилен дает ~10% прироста во всех р-рителях кроме  $\text{CF}_3$ — $\text{CCl}_2\text{F}$ . Полистирол полностью разрушается во всех р-рителях кроме  $\text{CF}_3\text{Cl}$ — $\text{CFCl}_2$  и  $\text{CF}_3$ — $\text{CCl}_2\text{F}$ , а поливинилхлорид и поливинилпиридин спирт неустойчивы только к действию  $\text{CHCl}_2\text{F}$  и  $\text{CH}_2\text{Cl}_2$ .

6П7. Новый метод изучения полимеризации твердого реактивного топлива и связующих для него. Warfield R. W. New method for studying polymerization of solid propellants and propellant binders. *ARS Journal*, 1960, 30, № 4, 427—428 (англ.).—Метод основан на измерении уд. объемного электрич. сопротив-



ления ( $\rho_p$ ) топлива или связующего в процессе полимеризации. Изменение  $Q_p$  регистрируется прибором постоянного тока, состоящим из электрометра, декадного шунта и измерительной ячейки, представляющей собой два концентрич. цилиндра, между которыми помещают около 13 г исследуемого в-ва. Ячейку помещают в термостат с точностью регулировки  $\pm 0,5^\circ$ . Зависимость  $Q_p$  от  $t$ -ры определяли при нагревании образца со скоростью  $15^\circ$  в 1 час. На основании полученных данных можно вычислить скорость полимеризации топлива или связующего, энергию активации, определить влияние окислителей, оптимальные условия полимеризации и изменения, происходящие при хранении топлива. В. Гельперина

**6П8. Автоматический метод определения температурной зависимости реологических свойств пластизолов.** Alter Harvey. The gelation of plastisols: an automatic method for the determination of plastisol temperature-rheology characteristics. (J. Appl. Polymer Sci., 1959, 2, № 6, 312—317 (англ.; рез. франц., нем.).— Описан метод определения вязкости в зависимости от  $t$ -ры с использованием вискозиметра «Bendix Ultra-Viscoson». Действие прибора основано на вязком деформировании образца, подвергнутого магнитострикции с частотой колебаний 28 кГц/сек. Приведены результаты исследования желатинизации пластизолов поливинилхлорида (влияние скорости нагрева и зависимость вязкости от  $t$ -ры для различных рецептов пластизолов). Показана схема прибора и описана техника измерений. М. Гурарий

**6П9. Замечания об анализе алкидных смол.** Zuberbühler H. Einige Bemerkungen zur Analyse von Alkydharzen. (Schweiz. Arch. angew. Wiss. und Techn., 1960, 26, № 2, 66—69 (нем.; рез. франц.).— Разработаны некоторые модификации анализа алкидных смол по методу Капшльмейера. Общий ход анализа алкидных смол заключается в следующем: 2 г смолы растворяют в 75 мл бензола, к  $p$ -ру добавляют 50 мл 1 н. спирт. КОН и кипятят смесь в течение 90 мин. на водяной бане с обратным холодильником. Затем после добавления 17 мл абс. эфира смесь фильтруют; осадок промывают смесью равных кол-в спирта, бензола и эфира. Дикарбоновые к-ты выпадают в виде калиевых солей. Фталат калия кристаллизуется с 1 мол. спирта, количественно удаляемого при нагревании до  $120^\circ$  в течение нескольких часов. На этом основано определение фталата. Малениновую и фумаровую к-ты определяют по восстановлению щел.  $p$ -ра перманганата калия. Идентификацию дикарбоновых к-т в алкидных смолах, не содержащих стирола и смоляных к-т, производят по коэф. рефракции и, в отдельных случаях, по  $t$ -ре плавления. Стиролизированные жирные к-ты образуют растворимые и нерастворимые в воде соли калия. Последние отделяют, высушивают и прокаливают; по зольности рассчитывают кол-во к-т и стирола. Содержание стирола в водорастворимых солях жирных к-т оценивают по кислотным числам соответствующих к-т. Гликоли идентифицируют по коэф. рефракции, пентаэритрит — по характерной микроструктуре и  $t$ -ре плавления в-ва, очищенного многократной перекристаллизацией из горячего абс. спирта. Освещены также особенности анализа многоатомных спиртов в присутствии водорастворимых к-т кокосового масла. Л. Седов

**6П10. Определение теплостойкости пластических масс методом кручения с использованием малых образцов.** Witnauer Lee P., Palm William E. Heat distortion temperatures of plastic compositions by means of a torsional test using small quantities of material. (J. Appl. Polymer Sci., 1959, 2, № 6, 371—372 (англ.).— Сообщается об успешном использовании метода кручения (ASTM D 1043-51) для определения теплостойкости пластмасс; при этом вместо образцов размером  $127 \times 12,7 \times (2,5—12,7)$  мм и весом до 15 г,

применяемых в соответствии со стандартом ASTM D 648-56, используют образцы размера  $63 \times 6,3 \times (0,15—0,25)$  мм весом  $\sim 1$  г. Проведены испытания теплостойкости 18 различных пластиков при нагрузках 18,5 и 4,6 кг/см<sup>2</sup> и вычислены модули упругости при  $t$ -рах перехода; оказалось, что модули колеблются в узких пределах от  $2,45 \cdot 10^8$  до  $1,68 \cdot 10^8$  кг/см<sup>2</sup> для первой нагрузки и от  $2,8 \cdot 10^8$  до  $5,25 \cdot 10^8$  кг/см<sup>2</sup> для второй нагрузки. Средние значения этих показателей а именно  $7 \cdot 10^8$  и  $2,1 \cdot 10^8$  кг/см<sup>2</sup> соответственно для первой и второй нагрузок, были произвольно приняты в качестве критерия при определении теплостойкости по методу кручения. Полученные при этом значения хорошо совпадают со значениями, полученными стандартным методом. М. Гурарий

**6П11. Предварительный расчет величин ударной прочности на основе данных о прочности при растяжении.** Evans Robert M., Nara Harry R., Babalek Edward G. Prediction of impact resistance from tensile data. (SPE Journals, 1960, 16, № 1, 76—81 (англ.).— Сопоставлены ударопрочность и прочность при растяжении ряда пластиков. Энергия разрушения материала, рассчитанная графически по данным разрывных испытаний при обычных скоростях деформации, не соответствует энергии при ударе. При скоростях деформации растяжения, превышающих обычные в 10—100 раз, получены сопоставимые результаты. М. Гурарий

**6П12. Радиация улучшает свойства дерева и полимеров.** Karpov Vladimir L., Malinsky Yuri M., Serenkov Vasili I., Klimanova Raisa S., Freidin Anatoli S. Radiation makes better wood and copolymers. (Nucleonics, 1960, 18, № 3, 88—91 (англ.).— Пропитка древесины ненасыщ. мономерами (стирол, метилметакрилат, метилакрилат, акрилонитрил) с последующей полимеризацией этих мономеров под действием  $\gamma$ -лучей значительно повышает прочность, водостойкость, хим. стойкость и устойчивость к гниению древесины. Сосновая древесина с прочностью на сжатие вдоль волокон  $325$  кг/см<sup>2</sup> после пропитки стиролом (120% от веса древесины) и облучения дозами радиации  $15,5 \cdot 10^6$  и  $50 \cdot 10^6$  рентгенов (интенсивность радиации 80 000 рентгенов в 1 час) имела прочность на сжатие соответственно 920 и 1050 кг/см<sup>2</sup>. Прочность при статич. изгибе соответственно 845, 140 и 1050 кг/см<sup>2</sup>. Водопоглощение после 30 дней в воде  $\leq 25\%$ . Оптимальная доза облучения  $1,5 \cdot 10^7$  рентгенов. Полученный материал используют для изготовления моделей в литейном произ-ве, в строительстве, авиатро- и радиотехнике. Получены также сополимеры полиэтилена и полистирола путем облучения пресованных смесей при нормальной  $t$ -ре. Они обладают более высокой теплостойкостью ( $250^\circ$ ) и более высоким модулем эластичности, чем полиэтилен. Получен сополимер при облучении расплавленной смеси полистирола и полиэтилена ( $t$ -ра  $130^\circ$ ); не удалось, так как происходит газовыделение и получается малопрочный пористый материал. Следовательно, предложенный метод пригоден только для улучшения качества предварительно отформованного изделия. В. Гельперина

**6П13. Каталитическое окисление полиэтилена в присутствии солей металлов.** Alter Harvey. Metal catalyzed oxidation of polyethylene. (Indust. and Engng Chem., 1960, 52, № 2, 121—124 (англ.).— Проведены опыты по окислению полиэтилена высоким давлением (индекс расплава 2,84) при 25 и  $60^\circ$  в присутствии стеарата Mn, нафтенатов Co и Mn,  $\text{NiO}$ ,  $\text{FeCl}_2$ ,  $\text{MnO}_2$ ,  $\text{KMnO}_4$  и др. в атмосфере кислорода (давление  $\text{O}_2$  70 кг/см<sup>2</sup>) и озона. Анализ продуктов окисления и частичной денополимеризации методом ИК-спектроскопии показал, что они содержат гидроксильные, карбонильные, эфирные и перекисные группы. Наиболее эффективными катализаторами являются  $\text{KMnO}_4$  и нафтенат Со. Ускоряющее воздействие

артом АСТ  
а 63 × 63  
ы испытан  
при нагру  
и упругос  
и колебл  
кг/см<sup>2</sup> д  
кг/см<sup>2</sup> д  
показате  
ственно д  
льно прин  
плотност  
гом значе  
нными ста  
М. Гурар  
чины удар  
и при ра  
ггу R. В  
ст resist  
№ 1, 76-  
и прочнос  
разрушен  
данным ра  
ях деформ  
При скор  
дих обыч  
улаты.

М. Гурар  
рева и со  
nky U  
a Raisa  
better wo  
№ 3, 88-  
мономер  
акрилон  
х мономер  
пшает про  
стойност  
на с про  
2 после пр  
(и) и обуч  
ттенгов (в  
час) име  
1050 кг/с  
но 845, 14  
дней в мо  
7 рентген  
зготовлен  
естве, эле  
сополимер  
ния прево  
и облада  
более вы  
и. Получ  
смеси пол  
сь, так  
алопрочн  
кенный м  
тва пред  
Гельберн  
этилен и  
e. Meib  
distr. в  
(англ.).—Пр  
а высов  
и 60° пр  
Mn, Ni  
орода (ди  
ктов окис  
подом Н  
гидроксид  
не груш  
являютс  
ействие

окисление оказывают озон и пленка неизвестного состава, имеющаяся на поверхности полиэтилена. Рассмотрен возможный механизм р-ции окисления. Вибл. 18 назв. В. Гельберн  
6П14. Улучшение свойств полимеров посредством ультрафиолетового облучения. Уэмацу Итиро. «Нихон гому кёкайси, J. Soc. Rubber Ind., Japan», 1959, 32, № 11, 902—907 (японск.).—Изучено влияние облучения УФ-лучами с длиной волны 200—300 мμ на свойства полиэтилена (1). Образцы I марки Марлекс-50 (мол. в. 50 000) подвергали облучению с помощью ртутной лампы мощностью 15 вт. Без добавления инициатора образования поперечных связей после 18-часового облучения ≤ 30% полимера имело спитую структуру. Для введения инициатора образования поперечных связей I растворяли (напр., в ксилоле), к р-ру добавляли от 0,25 до 2,0 вес.% инициатора, затем I пересаждали, сушили, вальцевали и получали пленку толщиной 0,03—0,08 мм. В качестве инициаторов применяли бензофенон, 4-хлорбензофенон, 2-окси-4-метоксибензофенон, 4,4'-диметилбензофенон и др. Установлено, что при введении инициатора образование спитых структур при УФ-облучении происходило в течение 15—60 сек., при этом разрывная прочность пленок повышалась в 2 раза, удлинение — на 30%. Изменения т-ры плавления I не было отмечено. Аналогичным путем можно получать привитые полимеры метилметакрилата, пропилена или акриламида. Описанный метод облучения является весьма эффективным, поскольку при помощи одной лампы можно облучать до 5 м<sup>2</sup> пленки I в 1 мин.

В. Иоффе  
6П15. Практика применения труб из пластмасс в Голландии. Часть II. W. J. Brans F. W. R. Praktische ervaringen in Nederland met plastic buizen. Deel II. «Plastica», 1960, 13, № 3, 191—194 (гол.).—Рассмотрены некоторые санитарно-гигиенич. вопросы эксплуатации пластмассовых трубопроводов (Т), предназначенных для транспортировки питьевой воды (газопроводность, появление в воде нежелательного привкуса и запаха, токсичность стабилизаторов, условия для развития бактерий, соображения о канцерогенности и т.д.). Обсуждаются преимущества и недостатки Т из полиэтилена и поливинилхлорида по сравнению со стальными Т. Отмечено применение полиэтиленовых труб для магистральных водопроводов длиной 1000 и 500 м и diam. 90 × 70 мм, уложенных по дну реки, и для холодильного рассола на катках искусств. льда (общая протяженность Т 18 000 м). Последнее мероприятие позволило значительно удешевить стоимость сети по сравнению со стоимостью металлич. Т и на 10% сократить расход энергии. Часть I см. РЖХим, 1960, № 23, 94554.

Л. Песин  
6П16. Сополимеры полиэтилена. Химия, свойства, особенности переработки и предполагаемые области применения этих новых олефиновых смол. Jones D. A. Polyethylene copolymers. Chemistry, properties, processing traits, and suggested fields of application for these new olefin resins. «Plast. Technol.», 1960, 6, № 4, 39—42 (англ.).—Дана сравнительная характеристика полиэтилена высокой плотности, «фортифлекса А», и сополимеров этилена с другими олефинами, «фортифлекса В». Сополимеры обладают большей устойчивостью к расклевыванию, меньшей жесткостью и значительно большей устойчивостью к крипу, чем полиэтилен (разрушение наступает при 7% относительного удлинения после 800 час. под нагрузкой 1708 кг/см<sup>2</sup>, тогда как полиэтилен разрушается при удлинении 17% после 8 час. под той же нагрузкой). Сополимеры применяются для покрытия проводов и кабелей, изготовления бутылок, нитей и т. д.  
В. Гельберн  
6П17. Полимеризация стирола в присутствии *n*-амиллита или *n*-амиллитрия. Tanaka Takehide, Higashi Hiromi. «Kōrō kagaku daisei, Kogyo kagaku zasshi, J. Chem. Soc. Japan. Industr. Chem. Sec.»,

1960, 63, № 1, 191—194, А 10 (японск.; рез. англ.).—Проведена полимеризация стирола в присутствии *n*-амиллита и *n*-амиллитрия (I) в *n*-гептане (II), диэтиловом эфире (III) и тетрагидрофуране. При этом получены полимеры, сильно отличающиеся по вязкости и дифракции X-лучей. Отмечено малое влияние т-ры в гомог. р-рах. Полистирол, полученный в II в присутствии *n*-амиллита при —40°, дает четкую рентгенограмму. Скорость полимеризации в III в присутствии I повышается пропорционально квадрату конц-ии стирола, но не зависит от кол-ва I. Если ввести небольшое кол-во III в II, скорость полимеризации повышается пропорционально конц-ии диэтилового эфира. Е. Замбровская

6П18. Свойства и конструкции крышек из полистирола. Pfister R. E., Mighon J. W. Properties and design of polystyrene closures. «Plast. and Paints», 1960, 4, № 4, 43, 45—46 (англ.).—Рассматриваются вопросы конструирования, изготовления и основные свойства (прочность, хим. стойкость, стабильность размеров, теплостойкость, токсичность) крышек из полистирола различных марок. Полистирол общего назначения удовлетворяет большинству требований при условии выбора оптимальных конструкций и метода изготовления. В. Гельберн

6П19. Крышки из полистирола. Pfister R. E., Mighon J. W. Polystyrene closures: properties and design. «Pract. Plast.», 1960, 11, № 3, 15—19 (англ.).—При подборе типа полистирола для изготовления крышек с резьбой необходимо учитывать такие показатели как ударопрочность, удлинение, жесткость и предел прочности при растяжении. С этой точки зрения для изготовления крышек с резьбой наиболее подходит полистирол «средней ударопрочности». Во избежание появления ушеницы, находящейся в таре из полистирола, постороннего запаха и привкуса следует применять низкие т-ры литья материала. В конструкции крышки важно предусмотреть равномерную толщину для избежания «утяжки» в толстых местах и слабых спаев в тонких сечениях. Важным моментом в конструкции формы является расположение литника, выпуск которого должен иметь миним. размеры. В. Лапшин

6П20. Фторсодержащие полимеры. Stacey M. Fluorine containing polymers. «Engng Mater. and Design», 1960, 3, № 9, 552—553 (англ.).—Приведены свойства и области применения политетрафторэтилена и политрифторхлорэтилена. Описан ряд фторсодержащих сополимеров: Kel-F—сополимер монохлортрифторэтилена и винилиденфторида (полупрозрачный пластик с мол. в. 500 000—1 000 000 и высокой ударопрочностью в широком интервале т-р); полиэфиры фторсодержащих гликолей и дикарбоновых к-т (каучуки, стойкие в интервале т-р от —70 до 200°); полимеры акрилового эфира гентафторбутанола (маслостойкие каучуки); Вайтон А—сополимер перфторпропилен и винилиденфторида (каучук, стойкий до 300°); Silastic LS 53—фторсиликон, сочетающий высокую температурную стойкость силикона с отличной стойкостью к р-рителям. Синтезированы новые полимеры типа  $[-C_6F_5-]_n$  и  $[-C_6F_4O-]_n$ , способные обеспечить высокую температурную стойкость. Л. Носова

6П21. Метод скручивания для определения кристалличности и наличия пустот в политетрафторэтилене. McCrum N. G. Torsion pendulum method for determining crystallinity and void content of tetrafluoroethylene resins. «ASTM Bull.», 1959, № 242, 80—82 (англ.).—Качество деталей, изготовленных из политетрафторэтилена (I), в значительной степени определяется степенью кристалличности полимера и наличием пустот. Предложен метод оценки кристалличности I путем определения модуля скручивания, который зависит только от степени кристалличности. Пользуясь этим методом, можно определить фактич.

плотность I, т. е. плотность без учета пустот. Сравнением фактич. и кажущейся плотности I находят содержание пустот. Описана аппаратура и представлено соотношение между модулем скручивания и степенью кристалличности образцов политетрафторэтилена.

**6П22.** Проблема износа и возможности политетрафторэтилена. Barbas Félix. Le problème de l'usure et les possibilités du polytetrafluorethylene. «Usine nouvelle». Ed. suppl. mens., 1960, mars, 65, 67, 69, 71—72 (франц.).—Обзор. Рассмотрены современные теории трения и износа, свойства политетрафторэтилена (ПТФЭ) и применение его в конструкциях различных изделий для снижения трения и износа как в виде пленок и покрытий из чистого ПТФЭ, так и в виде антифрикционных деталей (втулок и др.) из комбинаций ПТФЭ с различными порошкообразными металлами (Al, Fe, бронза и др.), MoS<sub>2</sub> и графитом.

**6П23.** Полимеризация винилхлорида в массе на заводе Сен-Гобен. Walter Leo. St. Gobain mass polymerisation of vinyl chloride. «Rubber and Plast. Age», 1960, 41, № 6, 665, 541, 543 (англ.; рез. франц., нем.).—Полвинилхлорид «Гобинил С 1», получаемый во Франции методом полимеризации в массе во вращающихся автоклавах объемом до 12 м<sup>3</sup> без применения эмульгаторов, стабилизаторов и т. п., отличается высокой чистотой и прозрачностью.

**6П24.** Получение поливинилхлорида, устойчивого к гамма-излучению. Wells H., Williamson I. Formulation of gamma-radiation-resistant PVC. «Chem. and Process Engng», 1960, 41, № 5, 191, 193 (англ.).—Изучали изменение механич. свойств поливинилхлорида (ПВХ), пластифицированного пятью пластификаторами: трифосфатом (ТТФ), ди-2-этилгексилфталатом (ДОФ), 2-этилгексилсебадином (ДОС), пропиленсебадином (Реолекс 100) и модифицированным полипропиленсебадином (Реолекс 110) под действием  $\gamma$ -излучения (источник излучения Co<sup>60</sup>, доза радиации 5·10<sup>5</sup>—4,0·10<sup>6</sup> рентгенов). Композиции состояли (в вес. ч.) из 60 ПВХ, 40 пластификатора и 5 пасты PbO в ДОФ (7:1). После облучения измеряли прочность на растяжение и удлинение образцов и вычисляли модуль растяжения и «произведение растяжения» — произведение прочности на удлинение. Для всех пластификаторов наблюдается снижение произведения растяжения; по изменению модуля пластификаторы делятся на две группы: ТТФ, Реолекс 100 и Реолекс 110 дают увеличение модуля, ДОФ и ДОС — снижение. Наибольшей устойчивостью к радиации и экстракции обладают композиции с ТТФ, ДОС наиболее устойчив к потемнению и потере эластичности. Полимерные пластификаторы дают наименьшую остаточную радиоактивность, причем с увеличением дозы облучения эта величина снижается благодаря полимеризации пластификатора.

**6П25.** Скорость диффузии нитробензола в поливинилхлорид. Uriu Toshizo, Han-yo Akira. «Koré kagaku zasshi, J. Chem. Soc. Japan. Industr. Chem. Sec.», 1960, 63, № 6, 1075—1079, A 59 (японск.; рез. англ.).—Для выяснения механизма диффузии смол изучен процесс диффузии нитробензола в поливинилхлорид. Нитробензол выбран вместо обычных пластификаторов из-за его адекватной скорости диффузии при ~20°. За единицу скорости принимали время превращения половины общего числа частичек смолы, наблюдаемых под микроскопом, из непрозрачных в прозрачные. Оно зависит от т-ры, мол. веса и размера частичек смолы. Было выяснено, что логарифм скорости диффузии обратно пропорционален мол. весу смолы.

**6П26.** Свойства поливинилхлорида, пластифицированного пластификаторами типа эфиров циклогексанола и дикарбоновых кислот. Matsuda Sumio,

Kikkawa Shoichi. «Koré kagaku zasshi, J. Chem. Soc. Japan. Industr. Chem. Sec.», 1959, 62, № 12, 1838—1841 (японск.).—Пластификаторы (ПЛ), полученные гидрированием продуктов взаимодействия различных ароматич. дикарбоновых и-т и двухатомных спиртов, придают поливинилхлориду (ПВХ) хорошую морозостойкость. Синтезированы ПЛ типа гексагидроизофталата (I) и 3,6-эндометилгексагидрофталата (II). Для приготовления образцов пластика к 100 вес. ч. ПВХ добавляли 50 вес. ч. П и 3 вес. ч. стабилизатора (стеарат бария), после чего вальцевали смесь в течение 10 мин. при 150° и получали пленку толщиной 0,5 мм. Три листа такой пленки складывали и прессовали 2 мин. при 150° для получения листа толщиной 0,7—1,0 мм. При использовании I состав рецептуры (в вес. ч.): ПВХ 100 (мол. в. 1300), I 40, 50 или 60, стабилизатора 3 (стеарата кадмия и 1 стеарата бария). При использовании ПЛ типа II пластикат характеризовался следующими показателями (для сравнения приведены аналогичные показатели при пластификации диоктилфталатом): удлинение 279—280% (247%), прочность при растяжении 183—224 кг/см<sup>2</sup> (159 кг/см<sup>2</sup>), модуль при 100%-ном удлинении 130—190 кг/см<sup>2</sup> (134 кг/см<sup>2</sup>), морозостойкость от -35 до -55° (-55°). Существенных различий в твердости пластика (по Шору) не было отмечено. При использовании ПЛ типа I морозостойкость пластикатов составляла от -60 до -70°, потери в весе при термообработке 0,20—0,70%. Установлено также, что при пластификации ПЛ типа I и II пластикат не уступал по своим свойствам ПВХ, пластифицированному диоктилсебадином или диоктилсебадином.

**6П27.** Оценка технологических свойств пластифицированного поливинилхлорида. Cittadini A., Paolillo R. Valutazione delle caratteristiche di lavorabilità del PVC in presenza di plastificanti. «Materie plast.», 1960, 26, № 3, 219—222 (итал.).—Методы определения скорости и равномерности абсорбции пластификаторов поливинилхлоридом и их значение для оценки технологич. свойств исходных материалов и пластифицированного поливинилхлорида. Л. Песин

**6П28.** Деклорирование поливинилхлорида. Takemoto Kiichi, Mizobata Yoshimi. «Koré kagaku zasshi, J. Chem. Soc. Japan. Industr. Chem. Sec.», 1960, 63, № 2, 347—350, A 19 (японск.; рез. англ.).—Деклорирование поливинилхлорида проводили при 65° в тетрагидрофуране в присутствии металлов. Zn. Установлено, что процесс протекает как р-ция 2-го порядка. По мере протекания р-ции вязкость р-ра постепенно снижается. Максимально деклорирование осуществляется на 75,9%. Результаты элементарного анализа и ИК-спектры указывают на образование циклопропановых колец в главной цепи, стойких к действию тиофенола, но легко раскрывающихся при действии HNO<sub>3</sub>. Деклорирование деклорированных продуктов при 170° в токе N<sub>2</sub> протекает легче, чем поливинилхлорида.

**6П29.** Реакция дегидрохлорированного поливинилхлорида с тиофенолом. Takemoto Kiichi. «Koré kagaku zasshi, J. Chem. Soc. Japan. Industr. Chem. Sec.», 1959, 62, № 12, 1934—1936 (японск.).—Реакцию дегидрохлорированного поливинилхлорида с тиофенолом проводили в среде р-рителя (тетрагидрофуран, нитробензол, четыреххлористый углерод или циклогексанон) при т-ре 20—150°; продолжительность р-ции составляла до 7 час. Пример: 0,5 г дегидрохлорированного поливинилхлорида растворяли в 50 мл тетрагидрофурана, затем добавляли 0,18 г тиофенола и смесь кипятили при 65°. Через 20—30 мин. окраска исчезала; через 60 мин. реакционную смесь выливали в 150 мл CH<sub>3</sub>OH. Полученный бесцветный продукт вновь растворяли в тетрагидро-

фуране, и выпадившая бензоле, С ние хлоре влияния продукты р-цию, в азонабуот триваемо ствием об

6П30. воздействие lo R. Me vinile sot plast., 1 основнх является циируемо 1 с поли окраски

6П31. винилхлорид modegrad 291—293, довано и нестабил хлориди шение и окраски и следстви моокисл

6П32. рактерис Peuker Thermop Anwendu (нем.).— ного по, образном диаграмм: растежени: рида при граммы мер вини стифици акрилат ия, вап в област эструзи стоянии жить ха менения

6П33. лимеры и их пр l coroli con acio plast) смотрен рида с мера ви соотно зависн винилаг содержа стифиц свойств фумаро штабе Часть V



фуране, пересаждали с помощью  $\text{CH}_3\text{OH}$  и тщательно высушивали. Продукт хорошо растворяется в нитробензоле,  $\text{CCl}_4$  и циклогексане. Выход 91%, содержание хлора 55,70%, серы 0,66%. Р-ритель не оказывал влияния на течение р-ции. Установлено, что по мере повышения т-ры р-ции выход возрастает. Ионогенные продукты не оказывали иницирующего влияния на р-цию, в то время как перекись бензоила или бис-азонизобутиронитрил являются инициаторами рассматриваемого процесса. Сильным ингибирующим действием обладает гидрохинон.

В. Юффе

**6П30.** Механизм старения поливинилхлорида под воздействием света и тепла. Cittadini A., Paolillo R. *Meccanismi di invecchiamento del cloruro di polivinile sotto l'azione della luce e del calore*. «Materie plast.», 1960, 26, № 4, 314—318 (итал.).—Одним из основных факторов светостарения поливинилхлорида является образование в нем хромофорных групп, иницируемое выделением  $\text{HCl}$ . Потеря 1  $\mu\text{моля}$   $\text{HCl}$  на 1 г полимера с мол. в. 50 000 (т. е. 1/20 моля  $\text{HCl}$  на 1 моль полимера) приводит к появлению розовой окраски поливинилхлорида.

Л. Песин

**6П31.** О механизме термической деструкции поливинилхлорида. Novak J. *Zum Mechanismus der Thermodegradation von PVC*. «Kunststoffe», 1960, 50, № 5, 291—293, 3, 4 (нем.; рез. англ., франц., исп.).—Исследовано изменение уд. электропроводности и окраски нестабилизированного и стабилизированного поливинилхлорида в процессе его выдержки при 180°. Повышение проводимости и увеличение интенсивности окраски при нагревании полимера рассматривается как следствие образования коллоидного углерода при термоокислительной деструкции поливинилхлорида.

Л. Седов

**6П32.** Диаграмма состояния термопластов как характеристика условий их переработки и применения. Peukert H., Zöhren J. *Das Zustandsdiagramm der Thermoplaste als Kennzeichen ihrer Verarbeitung und Anwendung*. «Techn. Mitt.», 1960, 53, № 3, 101—104 (нем.).—Обсуждается поведение непластифицированного поливинилхлорида в трех состояниях: стеклообразном, высокоэластич. и вязкотекучем; приведены диаграммы, характеризующие предел прочности при растяжении и относительное удлинение поливинилхлорида при т-рах от 20 до 93°. Представлены также диаграммы состояния некоторых термопластов (сополимер винилхлорида, сополимер акрилонитрила, непластифицированный поливинилхлорид и полиметилметакрилат). Переработка термопластов методом вытяжки, напр. вакуумным формованием, осуществляется в области эластич. состояния, а литьем под давлением, экструзией и сваркой — в области вязкотекучего состояния. Диаграммы состояния полимеров могут служить характеристикой условий их переработки и применения.

И. Беркович

**6П33.** Соплимеры винилхлорида. Часть VI. Соплимеры с ненасыщенными многоосновными кислотами и их производными. Sbrolli P. L., Lucchetti L. *I copolimeri del cloruro di vinile. Parte VI. Copolimeri con acidi insaturi policarbossilici e loro derivati*. «Materie plast.», 1960, 26, № 3, 236—242 (итал.).—Обзор. Рассмотрены некоторые свойства сополимеров винилхлорида с ненасыщ. к-тами (зависимость состава сополимера винилхлорида (I) и малеинового ангидрида от соотношения этих компонентов в реакционной смеси; зависимость между адгезией тройного сополимера I — винилацетат — малеиновый ангидрид к целлюлозе и содержанием  $\text{COOH}$ -групп; паропроницаемость пластифицированных пленок из тройного сополимера; свойства сополимеров I с моноэфиром малеиновой и фумаровой к-т, выпускаемых в ФРГ в опытно-машштабе под марками «Лювималь»). Библ. 46 назв. Часть V см. РЖХим, 1960, № 12, 50601.

Л. Песин

**6П34.** Поливиниловые спирты. Получение, свойства, применение. Ремои (Alcools polyvinylques. Leur préparation, leurs propriétés, leurs emplois. Remond J.). *Rev. prod. chim.*, 1960, 63, № 1269, 15—18 (франц.).—Обзор. Получение водн. р-ров, пеногасящие добавки, хранение и консервация р-ров, пластификация природными высокомолекулярными в-вами и синтетич. смолами, инсолюбилизация и повышение водостойкости, коагулянты и осадители; применение для формования изделий (пленки, трубки и т. д.), в качестве клеев и ашпретур для бумаги и тканей. Библ. 21 назв. Начало см. РЖХим, 1961, 4П24.

Т. Ренард

**6П35.** Новые термопластичные материалы. Briskin J., Schramm C. H. *A new thermoplastic material*. «SPE Journal», 1960, 16, № 2, 209—211 (англ.).—Фирма Baker начала выпускать новый термопластичный материал PL-11, являющийся сополимером метилметакрилата и  $\alpha$ -метилстирола. PL-11 может применяться при 120°. Показано изменение модуля упругости и диэлектрич. свойств PL-11 с т-рой. По светостойкости PL-11 незначительно уступает полиметилметакрилату. PL-11 имеет высокую водостойкость (даже при 100° и под давлением), растворим в обычных р-рителях исходных мономеров, но стоек к эфирным маслам и горячему конц. р-ру  $\text{NaOH}$ . PL-11 деполмеризуется на 0,02% в 1 мин. при 227° и на 0,12% в 1 мин. при 249°; перерабатывается методом литья под давлением при 176—246° и давл. 1410 атм. PL-11 найдет широкое применение в различных отраслях промышленности.

Е. Замбровская

**6П36.** Полиметилметакрилат повышенной твердости. Choudhury P. K. *Scratch-resistant polymethylmethacrylate*. «Sci. and Cult.», 1960, 26, № 1, 44—45 (англ.).—Краткое сообщение. Получен сополимер метилметакрилата с винилацетатом, метилакрилатом, стиролом и  $\alpha$ -метилстиролом, обладающий твердостью, близкой к твердости силикатного стекла (6 по шкале Мооса) и устойчивый к царапанию.

В. Гельперина

**6П37.** Вспомогательные добавки, вводимые в полиметилметакрилат. Perotti T. *Prodotti ausiliari per polimetacrilato di metile*. «Materie plast.», 1960, 26, № 4, 326—332 (итал.).—Для снятия статич. электричества с полиметилметакрилата (I) применяют антистатич. агенты (A) — гидрофильные в-ва, добавляемые к гранулам I перед переработкой в изделия или используемые для обработки поверхности изделий (эффективность A сохраняется 6—8 месяцев). При переработке I литьем под давлением в качестве смазки рекомендуют стearат  $\text{Zn}$  в дозировке 0,005% (такая добавка не влияет на цветность и прозрачность). Для поверхностной обработки I может быть применена композиция следующего состава (в вес. ч.): I, 10, р-ритель (смесь толуола, хлороформа и амилового спирта) 90.

Л. Песин

**6П38.** Соплимеры метилметакрилата и стирола для литья под давлением и экструзии. Davies T. E. *Copolymers of methylmethacrylate and styrene for moulding and extrusion*. «Brit. Plast.», 1960, 33, № 5, 195—198 (англ.).—Соплимер метилметакрилата (60—65 вес. ч.) и стирола (35—40 вес. ч.) подобен полиметилметакрилату по хим. стойкости, твердости, прочности и теплостойкости. Стойкость сополимера к растрескиванию значительно лучше, чем у полистирола. Материал имеет хорошую светостабильность. В противоположность полиметилметакрилату сополимер хорошо перерабатывается на литевых машинах и экструдерах.

В. Лапшин

**6П39.** Изготовление фурановых смол из фурилового спирта и их применение. Kaesmacher Herbert. *Die Herstellung und Anwendung von Furanharzen aus Furfurylalkohol*. «Kunststoff-Rundschau», 1960, 7, № 2, 77—82 (нем.).—Фурановые смолы, получаемые из фурилового спирта (I), обладают высокой хим. стойкостью в широком интервале pH и могут применяться

для антикоррозийных лаковых покрытий, эксплуатируемых как в кислой, так и в щел. среде. Приведены условия получения I катализатором гидрированием фурфурола в жидкой и газовой фазе. Подробно описаны р-ции конденсации I в кислой среде с отщеплением воды и образованием линейного полимера; освещены вопросы отверждения фурановых смол к-тами, фенольными или эпоксидными смолами.

**И. Беркович**  
**6П40. Метод получения полиформальдегида.** Мияка Ясухико. «Кагаку гидзюцу, Chem. Techn. and Engng», 1959, 3, № 11, 10—16 (японск.).—Первой стадией получения полиформальдегида является приготовление чистого формальдегида (I). Имеется несколько методов приготовления I с высокой степенью чистоты: термич. деструкция параформальдегида или α-полиоксиметилена с последующей очисткой либо через систему ловушек при t-ре от -15 до -30°, либо при t-ре от -70 до -80° в присутствии небольших кол-в P<sub>2</sub>O<sub>5</sub> (в последнем случае существует опасность преждевременной полимеризации I); термич. деструкция циклич. соединений I типа триоксана и тетраоксиметилена, обеспечивающая возможность получения I с очень высокой степенью чистоты. Для полимеризации I применяют различные инициаторы: алифатич. трет-амины (напр., три-n-бутиламин, N,N-диэтиламиноэтанол, октадецилдиметиламин), металлоорганич. соединения (диметилкадмий, дифенилзолово и др.), различные органич. и неорганич. соединения (трифенилфосфин, трифенилсурьму, HF, AlF<sub>3</sub>, кремнийорганич. масла, полиэтиленгликолей и др.). Полимеризацию ведут в р-рителе (декагидронафталин, бzl., циклогексан, пентан, CCl<sub>4</sub>) при t-ре от 30 до -80°. После стадии аэтилирования уксусным ангидридом в состав полиформальдегида вводят стабилизаторы, повышающие теплостойкость, стойкость к окислению, а также стабильность полимера, напр. 4,4'-бутилен-бис-(3-метил-6-трет-бутилфенол), 2,2'-бутилен-бис-(4,6-диметилфенол), 3,3'-этилен-бис-(4-метил-6-трет-бутилфенол), 4,4'-метил-бис-(2,6-ди-трет-бутилфенол), 2,2'-изопропилен-бис-(4-метил-6-трет-бутилфенол). Применяют также систему стабилизаторов на основе полиамидных смол, напр.: полигексаметиленсебацамида + 0,05% стеарата меди; 38% капролактама + 35% полигексаметиленадипамида + 27% полигексаметиленсебацамида; N-метоксиметилполигексаметиленадипамида.

**В. Иоффе**  
**6П41. Полиацеталь — дельрин.** Dolder Fred. Delrin Acetalharz. «Schweiz. Verkehrs- und Ind.-Rev.», 1960, 32, Febr., 50—53 (нем.).—Фирма Дюпон (США) разработала новый высококристаллич. термопласт дельрин (Д), являющийся полимером формальдегида и выпускаемый в двух разновидностях: Д 500 для переработки литьем под давлением и Д 150 для переработки экструзией. Д обладает высоким модулем при изгибе (28 827 кГ/см<sup>2</sup> при 22,7°), незначительно уменьшающимся при повышенных t-рах и влажности. Хладотекучесть Д меньше, чем других кристаллич. термопластов (полиэтилен, полиамиды), но больше хладотекучести аморфных материалов, напр., полистирола и полиметилметакрилата. Д имеет более высокий предел усталости по сравнению с другими термопластами, высокую стойкость к истиранию, хорошие электроизоляционные свойства (диэлектрич. проицаемость при 10<sup>2</sup>—10<sup>6</sup> гц 3,7 и тангенс угла диэлектрич. потерь 0,004) и отличную стойкость к действию органич. р-рителей, в том числе бензина, жиров и масел. При длительной выдержке материала в воде при 70° не замечено ухудшения его свойств. Под действием конц. н-т и щелочей Д медленно разлагается. Д может применяться для изготовления сосудов сантехоборудования, вентилях, подшипников, шестерен, труб и т. д. Д перерабатывают при t-ре 190—220°; повышение t-ры сверх 220° не оказывает существенного влияния на текучесть материала. Д перерабатывают практически

на любых литейных машинах. Показатель вязкости расплава Д 500 подобен соответствующему показателю полиэтилена с индексом расплава 1,8 и плотностью 0,914; вязкость расплава экструзионного типа Д 150 несколько выше. При формировании изделий из Д рекомендуют пользоваться обогащаемыми формами.

**Л. Седов**  
**6П42. Новый термопласт — дельрин.** Paton John B. Acetal resin: a new thermoplastic. «Pract. Plast.», 1960, 11, № 2, 12—13, 15—16 (англ.).—Новая термопластичная смола дельрин (Д), производимая компанией Du Pont de Nemours, обладает высокими показателями прочности при растяжении (700 кГ/см<sup>2</sup>), изгибе (987 кГ/см<sup>2</sup>) и сжатии (364 кГ/см<sup>2</sup>), низким водопоглощением (водопоглощение в течение 24 час. составляет 0,4%) и малой ползучестью. Д сохраняет эти свойства в широком температурном интервале. Он является одним из наиболее кислотостойких полимерных соединений с хорошими фрикционными и электроизоляционными свойствами. Д легко перерабатывается литьем и экструзией на обычных машинах и хорошо поддается механич. обработке. Области применения Д: изготовление конвейерных цепей, дверных ручек, предметов домашнего обихода и т. п. В целом ряде отраслей Д может успешно заменять металлы.

**И. Блохина**  
**6П43. Эпоксидирование.** Mellecker John. Keep your eye on epoxidation. «Chem. Process. (USA)», 1960, 23, № 7, 28—29, 103—104 (англ.).—Краткий обзор. Рассмотрены методы получения эпоксидных смол, пластификаторов, полиоксидных смол на основе полибутиадена, новейшие методы промышленного прои-ва H<sub>2</sub>O<sub>2</sub> и CH<sub>3</sub>COOH.

**В. Гельперин**  
**6П44. Эпоксидные смолы. Часть II.** Rivat Lamousse A. Les résines éthyloxyliques. II. «Ind. franç. achats et entret. mater. industr.», 1960, 9, № 96, 109, 111, 113, 115, 117—118 (франц.; рез. англ.).—Хорошая адгезия эпоксидной смолы к стекловолокну позволяет использовать ее в качестве связующего для изготовления слоистых пластиков. Полученные изделия обладают высокими физ.-мех. и диэлектрич. показателями. Отмечено, что лучшие показатели механич. прочности получают при использовании наполнителя из малочел. или бесчел. стекла. Рассмотрены электроизоляционные свойства слоистых пластиков, а также стойкость к воздействию агрессивных сред. Приведены сравнительные характеристики физ.-мех. свойств эпоксидных стеклопластиков и металлов; рассмотрены типы наполнителей и их влияние на физ.-мех. свойства изделий из слоистых материалов на основе эпоксидных смол. Часть I см. РЖХим, 1960, № 16, 67519.

**И. Блохина**  
**6П45. Отвердители для эпоксидных смол.** Ilardo C. S., Schoepfle B. O. Hardeners for epoxy resins. «SPE Journal», 1960, 16, № 8, 953—957 (англ.).—Приведены свойства и методы применения ангидридов в качестве отвердителей для эпоксидных смол. Применение ангидридов вместо отвердителей типа аминов обеспечивает получение более температуростойких отвержденных продуктов, причем наилучшими свойствами обладают смеси хлоранодового и гексагидрофталового ангидридов в различных соотношениях. Описаны свойства отвержденных эпоксидных композиций и области их применения.

**Л. Носов**  
**6П46. Новый отвердитель для эпоксидных смол.** Tawn A. H. New curing agent for epoxide resins. «Plast. and Paint.», 1960, 4, № 4, 47—48, 50 (англ.).—Высший алкилазещ. гетероциклич. полиамин «сайнолайд 960» дает с эпоксидными смолами композиции, обладающие низкой вязкостью (10—150 пуаз), низкой экзотермой при отверждении, малой усадкой, хорошими диэлектрич. и механич. свойствами. Композиция из 100 ч. эпоксидной смолы «эпикот 828» (эпоксиактивент 200) и 55—65 ч. «сайнолайда 960» имеет теплостойкость (после 7 дней при 23° и после 4 час. при 50°

соответс-  
448—468  
прочнос-  
0,008, и  
тивленн  
100°. С  
в 5 раз  
амин).  
лями и  
вания,  
водстве  
аэродур  
6П47.  
сидных  
cal prop  
№ 12,  
исследо-  
смог в  
приборе

6П48.  
эпиртот-  
ноку, R  
429—433  
феноло-  
средах,  
34,8%-  
300 г  
данных  
ханизм  
6П49.  
Хаси  
ran)»,  
мощью  
спектр-  
ние ол-  
терефт-  
концев-  
диольн-  
ные (с-  
содерж-  
Т-ра пл-  
в осно-  
в осно-  
т. пл.  
Т-ра п-  
наличн-  
281°, т-  
ветстве  
концев-  
при на-  
цети т-  
220°, л-  
а такж-  
уретан-  
6П50.  
цирова-  
кация.  
fisage  
«Rev.»,  
русс.,  
переве-  
смог  
пром-с-  
жирны-  
ванно-  
и мон-  
1 20,0,  
2,75, 9  
масло  
ная к-  
6П51.  
Free  
dungs

соответственно) 56 и 66°, прочность на растяжение 448—469  $\text{кг/см}^2$ , прочность на изгиб 812—868  $\text{кг/см}^2$ , прочность на сжатие 1232—2156  $\text{кг/см}^2$ ,  $\text{tg } \delta$  при 50 гц 0,008, при 1000 гц 0,011,  $\epsilon = 3,02$ , уд. объемное сопротивление  $1,5 \cdot 10^{14}$  ом·см при 20° и  $2,4 \cdot 10^9$  ом·см при 100°. Скорость отверждения может быть увеличена в 5 раз прибавлением ускорителя (алифатич. полиамин). Композицию в чистом виде и с наполнителями используют для герметизации электрооборудования, изготовления отливок, моделей, шолов в производственных помещениях, посадочных дорожек на аэродромах и т. д.

**6П47. Динамические механические свойства эпоксидных смол.** Kaelble D. H. The dynamic mechanical properties of epoxy resins. «SPE Journal», 1959, 15, № 12, 1071—1077 (англ.).—Рассмотрены результаты исследования динамич. механич. свойств эпоксидных смол в стекловидном и переходном состояниях на приборе Максвелла в широком интервале частот.

**6П48. Механизм реакции конденсации фенолоспиртов.** Kawabe Hiroshi. «Рикагаку кэнкюсё коку», Repts Inst. Phys. and Chem. Res., 1959, 35, № 6, 429—433 (японск.).—Исследована р-ция конденсации фенолоспиртов, полученных в нейтр., щел. и кислой средах, напр. при взаимодействии 90 г  $\text{C}_6\text{H}_5\text{OH}$  со 180 г 34,8%-ного формалина в присутствии 50 г NaOH и 200 г  $\text{H}_2\text{O}$ . На основании эксперим. и литературных данных изложены некоторые вопросы кинетики и механизма р-ции конденсации фенолоспиртов. В. Иоффе

**6П49. Полиэфирные олигомеры и их производные.** Хасимото Сидзунобу. «Кагаку, Chemistry (Japan)», 1959, 14, № 12, 1036—1039 (японск.).—С помощью рентгеноструктурного анализа, а также по спектру поглощения в ИК-области изучали образование олигомеров (ОМ) при синтезе полиэтиленгликоль-терефталата (I) и полиуретанов. В зависимости от концевых групп, ОМ I можно разделить на 3 вида: диольные (содержащие две OH-группы), карбоксильные (содержащие две COOH-группы) и смешанные (содержащие одну OH-группу и одну COOH-группу). Т-ра плавления I зависит от числа мономерных звеньев в основной цепи ОМ. Так диольные ОМ I при наличии в основной цепи одного мономерного звена имеют т. пл. 106°, двух звеньев 170°, трех 200°, четырех 220°. Т-ра плавления карбоксильных ОМ составляет при наличии одного мономерного звена >360, двух звеньев 381°, трех 270°; т-ры плавления смешанных ОМ соответственно равны 175, 230 и 254°. ОМ I, содержащие концевые бензильные и карбонильные группы, имеют при наличии одного мономерного звена в основной цепи т. пл. 141°, двух звеньев 176°, трех 202°, четырех 220°, пяти 235°. Описан синтез ОМ различного типа, а также приведена краткая характеристика ОМ полиуретанового типа.

**6П50. Обратимость гелей алкидных смол, модифицированных жирными кислотами путем их этерификации.** Grigorescu A. Reversibilitatea prin reesterificare a gelurilor de alchidali modificate cu acizi grași. «Rev. chim. (RPR)», 1960, 11, № 6, 329—332 (рум.; русск., нем., франц., англ.).—Показана возможность перевода в растворимое состояние гелей алкидных смол на примере двух выпускаемых румынской пром-стью видов смол — «ромалкид 150» (I) с 48% жирных к-т и «ромалкид RD 65» с 60% дегидрированного касторового масла с помощью жирных к-т и моноглицеридов к-т. Примеры рецептов (в вес. ч.): I 20,0, моноглицерид 12, масло 7,6, фталевый ангидрид 2,75, 94%-ный глицерин 0,25; другая рецептура: I 400, масло 133, фталевый ангидрид 54, глицерин 58, жирная к-та 200.

**6П51. Синтез и области применения силиконов.** Freeman G. G. Einführung in die Chemie und Anwendungsgebiete der Silicone. «Kunststoffe-Plast», 1960, 7,

№ 2, 139—147; «Chem. Rundschau», 1960, 13, № 16, 405—408 (нем.).—Обзор способов получения мономерных кремнийорганич. соединений и полимеров на их основе. Описаны методы переработки и области применения силиконов.

**6П52. Обработка поверхностей силиконами.** K. G. W. Oberflächenbehandlung durch Silicone. (Eigenschaften und Anwendungen). «Ind.-Anz.», 1960, 82, № 73, 1231—1233 (нем.).—Силиконовые смолы и жидкости как таковые, а также в смеси с пигментами или модифицированные другими смолами могут быть применены в качестве лаков для покрытия поверхности изделий, эксплуатируемых при т-рах до 230°: форм для выпечки хлеба, электронагревателей, паропроводов высокого давления, плит и печей и т. д. Смешивая силиконы со спец. наполнителями (Zn, Al, графит, слюда и др.), увеличивают их температуростойкость до 500—600°, что позволяет применять их в качестве покрытий для выхлопных труб, вращающихся печей, огнезащитных дверей, деталей моторов и др. Силиконовые смолы в виде лаков, масел или жиров применяются как смазочные средства в хлебопекарной пром-сти, для смазки форм в пром-сти пластмасс и резиновой пром-сти, для выпарных аппаратов и сушильных валков. Пористые строительные материалы, пропитанные силиконовыми маслами, приобретают гидрофобные свойства и погодоустойчивость.

**6П53. Особенности текучести термопластов.** Ryder L. B. Sr. Significant flow properties of thermoplastics. «Plast. Technol.», 1960, 6, № 2, 35—39 (англ.).—Исследована зависимость вязкости от скорости сдвига и т-ры для ацетиленцеллюлозного и пропионатцеллюлозного этролов и полиэтилена низкого давления. Исследования проводили на экструзионном пластометре, с помощью которого измеряли скорость истечения (в г/сек) при различных условиях проведения опыта (диаметр сопла, давление и т-ра). Найдено, что вязкость ацетиленцеллюлозы при всех т-рах быстро снижается с увеличением скорости сдвига. При скоростях сдвига >800 сек<sup>-1</sup> материал совершенно нечувствителен к изменению скорости сдвига; при повышении т-ры полимер его вязкость зависит от скорости сдвига в меньшей степени. Подчеркивается, что стандартные испытания текучести термопластов обычно недостаточны для предсказания поведения материала при условиях его переработки.

**6П54. О пластмассах, содержащих неорганические компоненты.** Waeser Bruno. Kunststoffe mit neuen anorganischen Bestandteilen. «Kunststoff-Rundschau» 1960, 7, № 3, 121—126 (нем.).—Подробный обзор новейших достижений в области пластмасс и каучуков, содержащих неорганич. компоненты в виде порошкообразных и волокнистых наполнителей, пигментов, стабилизаторов, поверхностноактивных в-в типа Aerosil (высокодисперсная двуокись кремния), ОМУА (спец. образом обработанный карбонат кальция) и других; металлич. и металлсрганич. катализаторов. Описаны также полимеры, содержащие в макромолекулах атомы хлора, фтора, азота, серы, бора, босфора, кремния, алюминия, магния, титана, хрома, вольфрама, железа, марганца, никеля и т. д., в частности, полимеры с внутрикомплексными группировками. Освещена роль неорганич. компонентов, входящих в состав некоторых пластмасс и каучуков (влияние на электро- и теплопроводность, термостойкость, механич. и другие свойства). Библ. 52 назв.

**6П55. Приготовление и применение пресекомпозиций на основе полиэфиров.** Schick Jacques. Préparation et utilisation des compounds de moulage à base de polyesters. «Pensez-plast.», 1960, 7, № 198—199, 14—16, 42 (франц.).—Пресекомпозиции на основе полиэфирных смол отличаются низкой стоимостью и дают возможность изготавливать сложные детали. Одну из таких



композиций приготавливали, смешивая в течение 20—25 мин. в смесителе (в вес. %) полиэфирные смолы Straty A 29 и A 28 по 18,5 каждой, стекловолокно (12,5 мм) 18,5, сыпучий наполнитель (карбонат кальция или силикат алюминия) 44,5 и катализатор (перекись бензоила) 1—2. Композицию прессуют при 20—100 кг/см<sup>2</sup> и т-ре 100—150°. Время прессования зависит от т-ры прессования и толщины изделия и изменяется от 30 сек. до 5 мин. Чтобы изделие хорошо извлекалось из формы, ее следует смазывать силиконами или хромировать; можно также вводить в композицию стеараты. Приведены данные по усадке, уд. весу, прочности при растяжении, сжатии и изгибе, водопоглощению и диэлектрич. свойствам материала. Пресскомпозиции на основе полиэфирных смол можно применять для изготовления сложных деталей (напр. ротор вентилятора, изоляторы и т. д.).

В. Толстогузов

**6П56. Пластики на основе бумаги.** Piper V. R. Formable paper-plastics. «Mod. Packagings», 1960, 33, № 7, 212, 214, 306, 308 (англ.).—Новый дешевый вид пластик. материала (ПМ) изготавливают из крепированной в поперечном направлении крафт-бумаги, на которую наносят (напр., методом экструзии) слой синтетич. смолы, содержащий те или иные наполнители, пигменты и т. д. Полученный ПМ термопластичен и пригоден для изготовления различных изделий методом прессования, а также в качестве изняного упаковочного материала. Растяжение ПМ составляет 60—65% во всех направлениях. Для покрытия бумаги можно применять полистирол, полиэтилен, полиэфирные смолы, сополимеры бутадиена с акрилонитрилом и стиролом. Толщина ПМ на основе бумаги колеблется в пределах 0,25—6,3 мм. Весовое соотношение бумаги и смолы находится в пределах от 2,5:1 до 6,7:1. А. З.

**6П57. Свойства, методы переработки и области применения армированных пластиков.** Hagedorn M. x. Eigenschaften, Verarbeitung und Anwendungsgebiete verstärkter Kunststoffe. «Kunststoffe», 1960, 50, № 3, 168—173, 3, 4 (нем.; рез. англ., франц., исп.).—Изложение некоторых сообщений на технич. конференции British Plastics Federation по армированным пластикам (октябрь 1958 г.), в частности, сообщений о повышении разрывной прочности стеклянного волокна после выдержки его в воде при 90°; о зависимости свойств стеклопластиков (СП) от плотности основы и утка стеклоткани, числа волокон в нити, степени крутки, типа переплетения и вида замасливателя; об ускоренном старении СП под действием УФ-лучей, влаги и переменных т-р; о влиянии водн. среды при 25 и 100° на прочность СП при изгибе; о ползучести и усталостной прочности СП; о переработке СП (прессование полиэфирных «премиксов» и предварительное пропитанных смолы тканей, напыление); о некоторых областях применения СП (контейнеры, спасательные лодки, плоский и рифленый листовой материал, автомобильные кузова, формы и инструменты). Л. Седов

**6П58. К вопросу о массовом производстве изделий из полиэфирных стеклопластиков.** Смолы «Polyleit», предназначенная для предварительной пропитки стеклотканей, ее применение и рациональная переработка. Laue E. W. Zur Massenproduktion von Polyester-Formteilen. «Polyleit» — Vorimprägnierharze und ihre Anwendung in der Praxis-Rationellere Verarbeitung. «Plastverarbeiter», 1960, 11, № 3, 115—120 (нем.).—Фирмой Reichhold Chemie AG разработаны полиэфирные смолы (ПС) «Polyleit PE 177 и PE 290», предназначенные для предварительной пропитки стеклоткани (СТ). ПС представляют собой 75%-ные р-ры полиэфиров в ацетоне; они содержат перекисный инициатор и сохраняют жизнеспособность в течение 6 месяцев (минимум) при хранении в прохладном помещении в отсутствие солнечного света. Для пропитки СТ весом 200—400 г/м<sup>2</sup> ПС разбавляют ацетоном до 60%-ной конц-ии,

а в случае более тяжелых СТ — до 45%-ной конц-ии с целью достижения оптимального содержания ПС в стеклопластике (СП) (~20 вес. %) и максим. прочности готового изделия. Рекомендуют использовать СТ из бесцел. волокна с малой круткой. Пропитку осуществляют в ванне; после отжима избыточного жидк. ПС материал сушат при 70—80° в тоннельной сушилке. При толщине пропитанного материала 0,5—1 мм и длине сушки ~1 м скорость движения материала должна составлять 12—15 см/мин. Повышение т-ры до 80° может вызвать распад перекиси и желатинизацию смолы. После охлаждения пропитанной СТ ее разрезают, собирают в «пакеты» и прессуют на гидравлич. прессах с верхней подачей и автоматич. или полуавтоматич. программным управлением. Материал легко формируется при нагревании (ПС имеет т. пл. ~50°); прессование производят при 150° и уд. давл. 20—30 кг/см<sup>2</sup>; для изделий толщиной <5 мм время выдержки под прессом 5 мин., толщиной 5—10 мм — 10—15 мин. Для облегчения съема изделий используют восковые и парафиновые смазки; с той же целью целесообразно поддерживать разницу т-р пуансона и матрицы порядка 5° и пользоваться формами с конусностью вертикальных стенок 2—5°. Превышение оптимальной т-ры прессования может вызвать деструкцию ПС и возникновение внутренних напряжений в изделии. Полученные при оптимальных условиях СП имеют высокую механ. прочность (предел прочности при растяжении СП на основе «PE 177» 2288, на основе «PE 290» 3051 кг/см<sup>2</sup>; соответственно предел прочности при изгибе 2250 и 2892 кг/см<sup>2</sup> и при сжатии 5000 кг/см<sup>2</sup>), высокую теплоустойчивость по ASTM (соответственно >200 и >250°), удовлетворительные электроизоляционные свойства (пробивное напряжение 176 и 248 кВ/см, диэлектрич. проницаемость при 800 гц 4,30 и 4,35) и хорошую стойкость к действию воды, разб. к-т, стирольных р-ров, солей, бензина, жиров и минер. масел. СП предназначены для изготовления деталей автомобильных корпусов и самолетов, малых судов, холодильников, ванн, профильных изделий и т. д.

Л. Седов

**6П59. Исследование усталостной прочности стеклопластика на основе полиэфирной смолы и стеклянного мата в интервале т-р от 30 до —30°.** Shimamura Shoji. «Дзайрё сикэн, J. Japan Soc. Test. Mater.», 1959, 8, № 74, 868—872 (японск.; рез. англ.).—Предел усталости при изгибе возрастает при отрицательных т-рах. Соотношение между пределом усталости и т-рой может быть выражено эмпирич. ур-нием  $S_f = kT^{-4}$ , где  $S_f$  — предел усталости при определенном числе циклов до разрушения (кг/мм<sup>2</sup>),  $T$  — абс. т-ра окружающей среды,  $k$  и  $g$  — константы. Из резюме авторов

**6П60. Листовая сталь, покрытая пластиком.** Carlisle S. S. Plastic coated steel. «New Scientist», 1960, 7, № 171, 471—474 (англ.).—В последние годы развивается новое направление в области создания материалов, в которых используются преимущества листовой стали и пластик. масс. Процесс получения таких материалов заключается в том, что стальной лист очищают, подвергают спец. обработке и затем наносят на него слой клея толщиной ~0,05—0,07 мм; после удаления р-рителя лист нагревают в течение одной или нескольких минут до той или иной т-ры (максимум 200°), характерной для каждого типа клея. Затем на стальной лист наносят при помощи вальков поливинилхлоридную пленку. Различные фирмы выпускают такие материалы под марками «Marvinol», «Sullyvne», «Stelvetite» (отличаются, главным образом, составом клея). Основное требование к качеству склейки заключается в том, чтобы при любых деформациях листов не происходило отслаивания пленки; это требование в ряде случаев должно соблюдаться и при повышенных т-рах. Указанным требованиям отвечают смеси некоторых термопластич. и термореактивных

клеев. Описаны методы испытания клеев и процесс прокатки листов.

М. Гурарий  
6П61. Новейшие достижения в области жестких пенополиуретанов. LeBras L. R. Recent developments in rigid urethane foams. «SPE Journal», 1960, 16, № 4, 420—422 (англ.).—Краткий обзор. Применение трифторхлорметана вместо  $\text{CO}_2$  для вспенивания полиуретанов (ПУ) дает материалы с очень низкой теплопроводностью ( $0,1364 \text{ кал/см} \cdot \text{час} \cdot \text{град}$  при плотности  $0,0336 \text{ г/см}^3$  по сравнению с  $0,31 \text{ кал/см} \cdot \text{час} \cdot \text{град}$  при плотности  $0,0398 \text{ г/см}^3$  для ПУ, вспененного  $\text{CO}_2$ ) и высокой устойчивостью к старению ( $0,194 \text{ кал/см} \cdot \text{час} \cdot \text{град}$  после 250 дней при  $66^\circ$  и  $0,145 \text{ кал/см} \cdot \text{час} \cdot \text{град}$  после 1 года при  $20^\circ$ ). Приведены также свойства ПУ, вспениваемого в конструкциях, и ПУ на основе простых полиэфиров. В. Г.

6П62. Применение оловоорганических соединений в одностадийном процессе получения полиуретановых пенопластов из простых полиэфиров. Mack Gerry P. One-shot urethane foams of polyethers—new use for versatile organotin compounds. «Chem. Process. (USA)», 1960, 23, № 4, 30—32, 34—35 (англ.).—Оловоорганические соединения (ОС) являются наиболее активными катализаторами отверждения полиуретанов на основе простых полиэфиров, что позволяет получать пенопласт в одну стадию. Катализ. активность ОС снижается в ряду:  $\text{R}_2\text{SnX}_2 > \text{R}_2\text{SnO} > \text{R}_2\text{SnX} > \text{R}_3\text{SnX} > \text{R}_3\text{SnOH} > \text{R}_4\text{Sn}$  ( $\text{R} = \text{CH}_3, \text{C}_4\text{H}_9$  или  $\text{C}_6\text{H}_5$ ). Если принять относительную активность (ОА) полиуретана, не содержащего катализатора, за 1, то ОА при добавлении 1 мол. % различных катализаторов составит: для N-метилморфолина 4, триэтиламина 8, триэтилендиамина 120, тетрафенилолова 9, ацетата три-н-бутилолова 31 000, диацетата ди-н-бутилолова 35 000, дилаурата ди-н-бутилолова 57 000, дитиолаурата ди-н-бутилолова 71 000,  $(\text{CH}_3)_2\text{SnCl}_2$  78 000. ОА увеличивается еще в 2—5 раз при добавлении третичных аминов. Рекомендуемый состав композиции (в вес. %): полиэфир 100, толуилендиизоцианат 38, силиконовое масло 0,5, триэтилендиамин 0,075, N-метилморфолин 0,2, ди-2-этилгексоат дибутилолова 0,2, вода 2,9. ОС вызывают сильное окисление полиуретана при  $t$ -рах  $> 100^\circ$ , поэтому их кол-во должно быть минимальным. В качестве антиоксидантов применяют полифенолы. В. Гельперина

6П63. Газонаполненная теплоизоляция. Газы с высоким молекулярным весом и пористый полиуретан. Hocking C. S. Gas filled thermal insulation. High molecular weight gases and cellular polyurethane. «Kyltekn. tidskr.», 1960, 19, № 2, 21—23 (англ.).—Теплоизоляция из пенополиуретана, поры которого заполнены  $\text{CF}_3\text{Cl}$ , обладает очень низкой теплопроводностью ( $\lambda = 0,015 \text{ ккал/м}^2 \cdot \text{час} \cdot \text{град}$ ), высокой газонепроницаемостью и стабильностью и значительно превосходит по качеству все существующие виды теплоизоляции, в том числе и пенополистирол, заполненный  $\text{CF}_3\text{Cl}$ . Миним. теплопроводность имеет пенопласт с плотностью  $40\text{—}50 \text{ кг/м}^3$ . В. Гельперина

6П64. Литые под давлением полиэтилены высокой плотности. Часть 1. Принципы конструирования форм. Часть 2. Техника литья. Briers D. G., Burgess D. The injection moulding of high density polythene. Part 1. Principles of mould design. Part 2. Moulding techniques. Brit. Plast., 1960, 33, № 3, 100—103; № 4, 154—158 (англ.).—1. Для получения изделий из полиэтилена (П) высокой плотности с миним. внутренними напряжениями, хорошей поверхностью и без искривлений, при конструировании форм необходимо обеспечить точную регулировку т-ры формы. С целью предотвращения быстрого охлаждения П предусматривают подачу холодной воды в зону литника и теплоид — в зону, наиболее удаленную от литника. Литники должны быть круглого сечения с диаметром несколько большим, чем при литье полистирола. Боль-

шую роль при искривлении деталей играет место расположения литника, так как усадка П больше в направлении течения и меньше в перпендикулярном направлении. Для больших плоских деталей применяют многовпускной литник, с помощью которого создают «уравновешенное» течение материала. Усадка П зависит от скорости охлаждения; в связи с этим толстенные детали дают большую усадку, чем тонкие. Наибольшее влияние на усадку П имеет т-ра формы.

2. Для лучшей стабильности размеров и получения хорошей поверхности деталей рекомендуется применение высоких т-р цилиндра. При показателе индекса расплава 5,0 т-ра литья  $200\text{—}250^\circ$ , при индексе 1,5 т-ра  $240\text{—}280^\circ$ . Ударопрочность изделий из П выше в том случае, когда при литье используют высокие т-ры цилиндра. Выдержка под давлением должна быть миним. с целью уменьшения внутренних напряжений. Т-ра формы обычно находится в пределах  $50\text{—}80^\circ$ . Для П с низким показателем индекса расплава необходимы высокие т-ры формы для получения хорошей поверхности деталей. Повышение ударопрочности деталей из П достигается путем соответствующей регулировки охлаждения формы, уменьшения времени выдержки под давлением, а также рациональной конструкции детали в зоне литника. В. Лапшин

6П65. Явление спиралеобразного течения при экструзии полиэтилена через капилляр. Matsuda Yoshiro, Marusawa Hiroshi, Hayashi Minoru, Ishii Kiyoshi. «Koré karaku daasai, Kogyo kagaku zasshi, J. Chem. Soc. Japan. Industr. Chem. Sec.», 1960, 63, № 3, 455—459, A23 (японск.; рез. англ.).—При экструзии расплавов высокомолекулярных соединений через капилляр (КП) у выхода наблюдается явление спиралеобразного течения. Для разработки эффективных способов устранения этого явления исследованы перечисленные ниже факторы, обуславливающие критич. скорость сдвига, при которой течение искажается: форма и размеры входного отверстия КП, его диаметр, т-ра расплава полимера, вес некоторых марок полиэтилена низкого давления, кол-во полимера. М. Гурарий

6П66. «Эффект входа» и «эффект Баруса». Arai Teikichi, Aoyama Hiroshi, Suzuki Isao. «Koré karaku daasai, Kogyo kagaku zasshi, J. Chem. Soc. Japan. Industr. Chem. Sec.», 1960, 63, № 3, 418—427, A21 (японск.; рез. англ.).—Исследована зависимость эффекта изменения объема полимеров при плавлении и выходе из экструдера от скорости сдвига и т-ры при использовании мундштуков разных размеров. М. Гурарий

6П67. Окисление полиэтилена при экструзии. Phelps R. C., Kowal R. F. Oxidation in extrusion. «Plast. Technol.», 1960, 6, № 3, 31—33 (англ.).—На окисление полиэтилена при экструзии влияют различные факторы, связанные как с конструкцией машины, так и с режимом экструзии. Конструкция червяка обуславливает кол-во воздуха, захватываемого материалом. Возможность захвата воздуха зависит от коэф. сжатия червяка, его шага и глубины канала в зоне нагнетания, причем наибольшее влияние оказывает коэф. сжатия, который следует принимать равным минимально  $3,5:1$ . 75% тепла, требующегося для нагревания полимера при экструзии, следует создавать за счет механич. энергии червяка. В этом случае наблюдается миним. перегрев полиэтилена от внешних нагревателей в цилиндре экструдера. Зазор между цилиндром и червяком должен быть минимальным. В конструкции головок и решеток перед червяком не должно быть «мертвых» зон, где материал может задерживаться и разлагаться. Тщательный контроль т-ры головки и цилиндра позволяет в значительной степени уменьшать окисление полиэтилена. В экструдерах с диаметром червяка 63, 89 и 114 мм

целесообразно иметь на цилиндре 4 зоны контроля, а при диаметре червяка  $>114$  мм 5 зон контроля. С увеличением степени окисления уменьшается удлинение полиэтилена и увеличивается прочность при растяжении, уменьшается показатель индекса распада. Миним. окисление полиэтилена достигается при применении в зоне питания инертной среды (напр., азота).

**6П68.** Штамповка отверстий в фенольных слоистых пластиках на основе бумаги. *Hojo Hidetsune, Kinoshita Kenji.* «Саймицу кикай, J. Soc. Precis. Mech. Japan», 1960, 26, № 5, 262—269 (японск.; рез. англ.).—Рассмотрен способ получения круглых отверстий диам. 32, 6, 3 и 1,5 мм в фенольных слоистых пластиках на ударных прессах. При помощи регистрирующего осциллографа изучены возникающие при этом сопротивления срезу и сдвигу, сила удара пуансона и др. Выяснено влияние различных факторов на получение точных отверстий без кромок.

**6П69.** Расчет двумерного неуставившегося температурного поля при контактной термической сварке пленок из термопластов. *Frielingdorf Hans.* *Berechnung des zweidimensionalen instationären Temperaturfeldes beim Wärmekontaktsiegeln thermoplastischer Kunststoff-Folien.* «Kunststoffe», 1960, 50, № 3, 154—156, 1, 2 (нем.; рез. англ., франц., исп.).—Для исследования прочности соединительных швов, полученных при сварке пленок (ПЛ) с помощью нагретых плит, необходимо знать, как распределяется температура по всей площади ПЛ в процессе их соединения. Приведен математич. метод, позволяющий с достаточной точностью рассчитать температуру ПЛ в любой точке нагреваемой и прилегающей к ней поверхности через любой промежуток времени после начала разогрева (контактирования). Показано, что расчет может быть произведен с помощью электронной счетной машины с программным управлением. Приведены результаты расчета температурного поля при контактной сварке двух ПЛ из полиэтилена толщиной 0,1 мм и представлена модель распределения температуры через 0,5 и 1,0 сек. после начала разогрева.

**6П70.** Металлизация пластмасс в вакууме. *Vum H. N.* *Metallisieren von Kunststoffen im Hochvakuum.* «Techn. Mitt.», 1960, 53, № 3, 111—117 (нем.).—Кратко изложены методы нанесения металлопокрытий на пластмассы: гальванопокрытие на предварительно графитированную поверхность, металлизация распылением, хим. металлизация, катодное распыление в вакууме и испарение в вакууме. Подробно рассмотрена методика нанесения металлопокрытий испарением в вакууме. Описаны физ. основы, аппаратура, применяемая для создания металлопокрытий, измерительные приборы и т. д. При вакууме  $10^{-4}$  мм рт. ст. можно металлизировать пластмассы, металлы, стекло и керамику. Для защиты от истирания и коррозионного воздействия рекомендуется покрывать металлизированный слой лаком.

**6П71.** Скользящий разряд как возможная причина взрывов. *Richter E.-F., Knittel W.* *Der Kriechstrom als mögliche Ursache von Explosionen.* «Kunststoffe», 1960, 50, № 5, 267—276, 1, 2 (нем.; рез. англ., франц., исп.).—Кратко описаны стандартизованные методы определения стойкости твердых диэлектриков (Д) к действию скользящего разряда (поверхностная проводимость). По отношению к поверхностной проводимости все твердые Д подразделены на 4 группы. Приведены осциллограммы разрядов, наблюдаемых на поверхности фенопластов и политетрафторэтилена. Рассмотрены вопросы защиты обслуживающего персонала от действия разрядов и защиты от взрывов (во взрывоопасных помещениях). Описаны результаты исследования воспламеняемости толуол-воздушной смеси под действием скользящих разрядов на твердых Д.

Исследование большого числа Д показало несоответствие между результатами стандартных испытаний Д к действию скользящих разрядов и способностью последних вызывать воспламенение толуол-воздушной смеси.

**6П72.** Влияние химической среды на полимерные изоляционные покрытия проводов и кабелей. *Watanabe Shigetaka, Kawawada Shichiro.* «Хитати хёрон, Hitachi hyoron», 1959, спец. вып. № 31, 50—57 (японск.).—Изучено влияние неорганич. соединений, органич. р-рителей и масел на полимерные изоляционные покрытия (ИК) проводов и кабелей. Установлено, что под влиянием некоторых неорганич. соединений происходит изменение хим. свойств ИК, главным образом в результате окисления, причем диэлектрич. свойства ИК резко ухудшаются. В среде органич. р-рителей и масел ухудшение физ. и мех. свойств ИК происходит главным образом под влиянием набухания. Приведены физ.-мех., электрич. и другие свойства, а также данные о влиянии неорганич. соединений (к-ты, щелочи), органич. р-рителей и масел на ПЛ из полиэтилена, нитрильного каучука, бутилкаучука, неопрена, фторкаучука, поливинилхлорида, фторопластов и др.

**6П73.** Применение химически сшитого полиэтилена для проводов и кабелей. *Suba Michael M., Imhof L. G., Tarbox A. E., Crimi F. J.* *Chemically cross-linked polyethylene for wire and cable.* (Progress report). «Wire and Wire Prod.», 1960, 35, № 2, 195—197, 246 (англ.).—Для повышения стабильности размеров, стойкости к растрескиванию, механич. прочности и стойкости к р-рителям полиэтилена (П), применяемого для изоляции и защитных оболочек проводов и кабелей, разработан способ сшивания П под действием органич. перекисей, напр. перекиси дикумила. Для сшивания особенно пригоден П низкого давления, имеющий значительное кол-во боковых цепей с лабильными атомами водорода при третичном С, при удалении которых под действием свободных радикалов образуются связи между макромолекулами П. Высокой плотности из-за малой разветвленности менее пригоден для сшивания. Определяли зависимость механич. прочности, удлинения, уд. веса, морозостойкости, растворимости и набухаемости в толуоле образцов сшитого П (без наполнителя и наполненного сажей) от кол-ва сшивающего агента. Введение сажи значительно ухудшает электрич. свойства П, но придает высокую стойкость к УФ-лучам и повышенную стойкость к озону.

**6П74.** Применение «сшитого» полиэтилена, наполненного сажей, в производстве проводов и кабелей. *Boonstra B. B. S. T., Bluestein Allen C.* *Carbon black loaded, cross-linked polyethylene in wire and cable.* «Rubber Age», 1959, 86, № 3, 450—459 (англ.).—Полиэтилен, наполненный сажей и «сшитый» с помощью перекиси дикумила при 175—200°, имеет высокую стойкость к действию УФ-лучей и к растрескиванию, малые ползучесть и усадку и хорошую водостойкость. Варьируя кол-во сажи в полимере, можно в широких пределах изменять его электрич. и механич. свойства, напр. получать материалы от полупроводящих до изоляционных с низкими диэлектрич. потерями. Сопоставлены свойства «сшитого» полиэтилена, полиэтилена низкого и высокого давления, поливинилхлорида и неопрена.

**6П75.** Радиационное облучение полиэтилена и применение облученного материала для изготовления изоляции кабелей и проводов. *Kawawada Shichiro, Tsunematsu Koshiro, Umei Jun, Kikkawa Michio.* «Хитати хёрон, Hitachi hyoron», 1959, 41, № 12, 1645—1651 (японск.).—Различные виды полиэтилена (П) (высокого давления с плотностью 0,923, низкого давления с плотностью 0,935, полученного по методу фирмы «Филлипс», и с плотностью 0,947, по-

лученно на с пл. лучении ставлял. перечисл. Установи зованию то врем этилен. Под влия средней стойкости влияния ползуче некоторых удлинени показав случаем изготове изоляци 6П76. позици dung vo «Plaste Разрабо поливини изоляци ведены тов: К- ползуче и с тора (основе стифици эмульг роизолю мость. носным кабелей изготоб оболочк изоляци 6П77. ции д. Mel resin s fact.», англ.иде сидны чения вами физ. с ки. П. зволюе свойст ления содеривый гидри новогых п до 85° при 18 при 2- ность что к купно имеют при в при с вому ет суз собно



несоответ-  
пытаний Д  
ностью по  
воздушной  
Беркович  
олимерные  
И. Wata-  
iro, «Хи-  
м. № 31,  
санч. со-  
олимерные  
кабелей.  
неогранич.  
ойств ПК,  
ричем ди-  
В. в среде  
з. и мех.  
под влия-  
электрич.  
и неорга-  
р-рителей  
каучука,  
винилхлор-  
В. Иоффе  
олиэтилен-  
I. M. Im-  
chemically  
(Progress  
195—197,  
размеров,  
чности и  
меняемо-  
дов и ка-  
действием  
ла. Для  
давления,  
ей с при-  
С, при  
радика-  
и I. Вы-  
ги менее  
ость ме-  
розостой-  
уле об-  
ленного  
ие сажи  
но при-  
шенную  
Шипкин  
на, на-  
и кабе-  
llen C.  
in wire  
450—459  
и «спи-  
75—200°,  
чей и к  
и хоро-  
в поли-  
эле-  
матери-  
низкими  
а «спи-  
ысокого  
Шипкин  
а и при-  
изо-  
chig, G.  
skawa  
959, 41,  
и поли-  
0.923,  
ного по  
947, по-

лученного по методу Циглера) и сополимеры этилена с плотностью 0,945 подвергали радиационному облучению (РО) с помощью  $\text{Co}^{60}$ . Доза облучения составляла 10 000 кюри. Исследовано образование поперечных связей, а также свойства облученного I. Установлено, что РО приводит к интенсивному образованию поперечных связей в I низкого давления, в то время как у I высокого давления и сополимеров этилена этот процесс идет значительно медленнее. Под влиянием РО теплостойкость по Вика I низкой и средней плотности повышалась на  $\sim 10^\circ$ . На теплостойкость I с высокой плотностью РО не оказывало влияния. В то же время повышалась устойчивость I к ползучести, увеличивалась разрывная прочность (в некоторых случаях вдвое) и снижались показатели по удлинению при разрыве. Результаты исследований показали, что I целесообразно подвергать РО в тех случаях, когда предполагается его использование для изготовления кабельной изоляции и других электроизоляционных покрытий.

В. Иоффе  
6П76. Применение кабельных экструзионных композиций «экалит» для изоляции. Koscchek. Anwendung von Ekalit-Kabelspritzmassen in der Vollisolation. «Plaste und Kautschuk», 1960, 7, № 4, 175—176 (нем.). — Разработаны новые рецепты пластифицированного поливинилхлорида, перерабатываемого экструзией в изоляционные и шланговые оболочки кабелей. Приведены электроизоляционные свойства трех пластификаторов: K-30/SP, K-25/SP и K-26. Массы K-30/SP и K-25/SP получены на основе суспензионного поливинилхлорида и содержат соответственно 30 и 25% пластификатора (диоктилфталата); масса K-26 изготовлена на основе эмульсионного полимера и содержит 26% пластификатора. Вследствие отсутствия электролитов и эмульгаторов K-30/SP и K-25/SP имеют лучшие электроизоляционные свойства и меньшую водопоглощаемость. Эти массы рекомендуются для изоляции переносных проводов, ВЧ-кабелей и высококачественных кабельных оболочек, K-26 — для изоляции жил, для изготовления промежуточных и наружных кабельных оболочек. Новые пластикаты могут применяться для изоляции кабелей с напряжением до 10 кв.

С. Шипкин  
6П77. Усовершенствованные эпоксидные композиции для герметизации электронного оборудования. Mueller B. H., Harper C. A. An improved epoxu-resin system for electronic embedments. «Electr. Manufacture», 1960, 65, № 2, 119—122 (англ.). — Известно, что ангидриды к-т являются отвердителями (ОТ) эпоксидных смол, обеспечивающими возможность получения продуктов с хорошими электрич. и физ. свойствами при высоких т-рах; при т-рах  $< 0^\circ$  показатели физ. свойств таких продуктов сравнительно невысоки. Применение ангидридов, жидких при  $\sim 20^\circ$ , позволяет получать компаунды с хорошими физ.-мех. свойствами при высоких и низких т-рах. Для выявления лучшего ОТ был изготовлен ряд композиций, содержащих различные ОТ: пиперидин, хлоранодный ангидрид, эндометилентетрагидрофталиевый ангидрид и аддукт (I) алетилциклопентадиена и малеинового ангидрида. Определяли стойкость отвержденных продуктов к тепловому удару при т-рах от  $-65$  до  $85^\circ$ , потери в весе при прогреве в течение 1000 час. при 180, 200 и  $220^\circ$ ; 2000 час. при  $180^\circ$  и 1300 час. при  $220^\circ$ , уд. объемное сопротивление, электрич. прочность и прочность при изгибе. Испытания показали, что композиции с I являются наилучшими по совокупности показателей. При кол-ве I 83% композиции имеют наибольшую теплостойкость, миним. потери веса при высокой т-ре и высокое объемное сопротивление, при содержании I 25% — высокую стойкость к тепловому удару и меньшую стойкость. Применение I имеет существенно технологич. преимущества: жизнеспособность композиции с ОТ и промотором при  $70^\circ$  со-

ставляет до 90 мин.; без промотора смесь не желатинизируется при этой т-ре 4—6 недель. Т-ра отверждения может меняться в широких пределах. Низкая экзотермичность процесса отверждения достигается при т-ре  $55^\circ$ ; при этом отверждение длится 12—16 час.; при  $90^\circ$  процесс можно сократить до 4 час. Отвержденный материал имеет гладкую стеклообразную поверхность.

С. Шипкин  
6П78. Материалы, устойчивые к высоким температурам. Megson N. J. L. High-temperature-resistant materials. «Plast. Inst. Trans. and J.», 1960, 28, № 75, 125—129. Discuss., 129—131 (англ.). — Обзор. Рассмотрены связь между хим. составом, структурой и теплостойкостью полимеров (ПМ), различные методы определения теплостойкости, применение различных ПМ в качестве теплостойких материалов, перспективы в области синтеза органич. и неорганич. ПМ с высокой теплостойкостью. Основным требованием, предъявляемым современной авиацией к теплостойким материалам, является длительное сохранение свойств в интервале от  $-60$  до  $270^\circ$ . Автор считает наиболее перспективными теплостойкими материалами ПМ с гетероорганическими и неорганическими цепями молекул.

В. Гельперина  
6П79. Пластмассы в ракетостроении. Grenseman Manfred G. Kunststoffe im Flugkörperbau. «Flugkörper», 1960, 2, № 8, 236—242 (нем.; рез. англ., франц.). — Широкое применение в ракетостроении находят термостойкие армированные материалы. При этом в качестве связующих применяют полимеры фенолсиланов, теплостойкость которых выше теплостойкости фенольных смол на  $95^\circ$ ; эпоксидно-новолачные смолы; диэпоксиды на основе производных циклогексана и др. В качестве термостойких армирующих материалов применяют «Refrasil» — волокно из силикатного стекла, содержащего 96—99%  $\text{SiO}_2$ ; волокно из кварцевого стекла, асбест и недавно разработанный в США стекловолокнистый наполнитель, содержащий окись бериллия и обладающий более высоким модулем упругости по сравнению с обычным бесщел. стеклянн. волокном ( $1,27 \cdot 10^6$  кг/см<sup>2</sup> против  $0,7 \cdot 10^6$  кг/см<sup>2</sup>). Указано на применение в космич. ракетах фторопласта, особенно для резервуаров с жидкими горючими (кислород, фтор, водород), прокладок, набивок и т. п., работающих при очень низких т-рах. Обсуждены вопросы применения армированных пластиков в деталях ракет (сопла, корпус двигателя). Приведены данные, иллюстрирующие изменение степени осадания при т-рах от 2000 до 7000° армированных пластиков на основе фенольной смолы (содержание смолы 27, 41 и 65%) и различных наполнителей («Refrasil», нейлон и т. д.), а также данные по поглощению тепла материалами. Приведена сравнительная оценка стойкости различных армирующих материалов к оплавлению. В США разработан стеклопластик Astrolit на основе волокна «Refrasil» и термостойкого связующего, применяемый для изготовления деталей корпуса ракетного двигателя. Подчеркивается влияние расположения армирующих волокон в изделии на его качество: волокна в изделии следует располагать под некоторым углом (от 20 до  $90^\circ$ ) к газовому потоку. Приведены иллюстрации расположения волокон в изделии, устройства ракетного сопла и внешнего вида сопел после кратковременного испытания при 2600 и 3000°.

И. Беркович  
6П80. Применение армированных пластиков в ракетах и управляемых снарядах. Mobilia J. J., Rosato D. V. Reinforced plastics in missiles and rockets. «SPE Journal», 1960, 16, № 8, 949—952 (англ.). — Армированные пластики применяют для изоляции корпусов ракет и управляемых снарядов, в качестве конструктивных деталей, рефлекторов, диэлектриков, прокладок и т. д., работающих при различных условиях и отличающихся высокой теплостойкостью, хим.

стойкостью, прочностью и малым уд. весом. Кратко перечислены методы получения изделий из армированных пластиков. Наибольшее распространение получили стеклопластики на основе фенольных, кремнийорганич., эпоксидных, полиэфирных и других смол. Новые работы по применению керамики и смол, содержащих неорганич. компоненты в качестве связующих, позволяют значительно повысить температуростойкость композиций. Разработано стекловолноко с большой жесткостью и прочностью и модулем упругости  $1,4 \cdot 10^5$  кг/см<sup>2</sup>. Широкое применение находят и другие волокна, напр. на основе асбеста, бесщелочного и кварцевого стекла, найлона и графита. В некоторых случаях применяют даже целлюлозные волокна. Выяснено, что некоторые наполнители нетканой структуры типа войлока увеличивают прочность композиции в 3 раза по сравнению с теми же наполнителями тканой структуры. В последнее время в армированных пластиках нашли применение борсодержащие соединения, полиоксиметилен, хлорированные полиэфир, акриловые смолы, полиэтилен и др. Л. Носова

6П81. Применение пенопластов в качестве изоляционного материала в холодильной технике. Stasthy F. Zur Verwendung von Schaumkunststoffen, insbesondere aus STYROPOR, als Kälteisoliernmaterial. Kältetechnik, 1960, 12, № 3, 75—80 (нем.; рез. англ., франц.).—Приведены свойства нескольких марок пенопластов на основе полистирола («стиропор»), полиэтилена и полиуретанов. Дан краткий обзор областей применения пенопластов, главным образом пенополистирола, в качестве изоляционного материала в различных отраслях холодильной техники: изоляция холодильников и холодильных установок, вагонов-ледников, судов-рефрижераторов, емкостей и др. Отмечено применение в строительном деле (перегородки, потолки) цементных р-ров с добавкой в них измелченного «стиропора». Приведены свойства этого материала в зависимости от соотношения исходных компонентов. Библ. 24 назв. И. Беркович

6П82. Упаковочные пленки из пластика. Swift G. Packaging films reviewed. «Plastics», 1960, 25, № 271, 174—176, 195, 197 (англ.; рез. нем., франц.).—Кратко рассмотрены виды полимерных упаковочных пленок (пленки из полиэтилена низкой, средней и высокой плотности, полипропилена, обычного и ударопрочного полистирола, поливинилхлорида, поливинилиденхлорида, хлоркаучука и др.); их основные характеристики (уд. вес, прочность при растяжении, удлинение, уд. теплоемкость, т-ра размягчения, водопоглощение, газопроницаемость, прозрачность, окрашиваемость, стойкость к воздействию солнечного света, к-т, щелочей, органич. р-рителей и др.); методы их получения (экструзия, каландрование, литье из р-ра); важнейшие области применения (упаковка продуктов питания, одежды, медикаментов и т. д.). Т. Репард

6П83. О применении полимеров в практике естественно-научных музеев. Части 1, 2. Lérissel André. Quelques aspects des apports de la chimie de synthèse à la muséologie scientifique moderne. 1-e part. 2me part. «Inform. scient.», 1960, 15, № 1, 14—28; № 2, 62—67 (франц.).—Рассмотрены вопросы применения пластмасс для консервации и изготовления музейных экспонатов животного и растительного происхождения. Описана технология предварительной обработки различных образцов и заливки их смолами для консервации. С. Иофе

6П84. Применение высокомолекулярных комплексных соединений в качестве анионообменных смол. Nopogaki Saburo. «Хитати хёрон, Hitachi hyoron», 1959, 41, № 6, 842—845 (японск.).—Исследовали возможность получения анионообменных смол на основе комплексных соединений, полученных из высокомолекулярных аминов (ВА) и солей металлов. ВА получали, напр., путем конденсации при высоких

т-рах полиэтиленimina и дихлорэтана. При взаимодействии продукта конденсации и воды. р-ра сульфата меди получали соответствующий комплекс, который применяли в качестве сильноосновной анионообменной смолы. Были приготовлены также комплексы на основе ВА и солей кобальта. В этом случае в качестве ВА применяли 1,4-бис-(2-аминоэтил)аминометил-бензол. Установлено, что получаемые высокомолекулярные комплексные соединения являются весьма эффективными сильноосновными анионитами. В. Иофе

6П85. Синтетические иониты. Часть V. Синтез карбоксилсодержащего катионита из салициловой кислоты. Rabek Tadeusz I, Zieliński Witold. Syntetyczne wymienniacze jonowe. V. Synteza kationitu karboksylowego z kwasu salicylowego. «Zeszyty nauk Politechn. wrocławskie», 1959, № 31, 3—10 (польск.; рез. русск., англ.).—Карбоксилсодержащий катионит получают в 2 стадии поликонденсацией салициловой к-ты и СН<sub>2</sub>О с добавкой фенола. Смесь 0,5 моля к-ты, 1 моля СН<sub>2</sub>О и 0,006 моля НСl (к-ты) нагревают в течение 2 час. при 98—100°, охлаждают до 40—50°, осторожно нейтрализуют 40%-ным р-ром NaOH и подщелачивают до pH 9,6—10, добавляют 0,35 моля фенола и 0,5 моля СН<sub>2</sub>О и нагревают при 99—100° до образования геля (45—90 мин.). Гель разрезают на крупные куски, сушат в течение ~5 час. при 100° и затем ~20 час. при 120—150°, после чего измелчают, отсеивают фракцию зерен в 0,4—1 мм, промывают ед. дистил. водой, подкисляют разб. HCl, отмыывают водой, обрабатывают разб. NaOH, вновь промывают водой и сушат на воздухе. Полученный катионит имеет насыпной вес 0,605 кг/л, статич. обменную емкость по отношению к 1 н. р-ру NaOH 4,22 мгэкв/г и к 1 н. р-ру СН<sub>3</sub>COONa 2,14 мгэкв/г, зольность (для Н-формы) 0,003%. Приведены кривые скорости ионного обмена в зависимости степени набухания от температуры сушки. Часть III см. РЖХим, 1959, № 20, 73206. А. Мышкин

6П86. Синтетические иониты. Часть VI. Синтез карбоксилсодержащего катионита из п-оксibenзойной кислоты. Rabek Tadeusz I, Schwartz Kazimierz. Syntetyczne wymienniacze jonowe. VI. Synteza kationitu karboksylowego z kwasu p-hydroksybenzoesowego. «Zeszyty nauk. Politechn. wrocławskie», 1959, № 31, 11—14 (польск.; рез. русск., англ.).—Карбоксилсодержащий катионит получают в 2 стадии поликонденсацией п-оксibenзойной к-ты и фенола с СН<sub>2</sub>О. Смесь 1 моля к-ты, 2 молей 30%-ного СН<sub>2</sub>О и 0,01 моля HCl (уд. в. 1,19) кипятят в течение 2 час., охлаждают до ~50°, нейтрализуют 40%-ным NaOH и доводят pH до 9,6—10; добавляют 0,7 моля фенола и 1 моль 30%-ного СН<sub>2</sub>О и кипятят до образования геля (20—35 мин.), который затем сушат 10—15 час. при 110—115° и измелчают. Полученный катионит имеет обменную емкость по отношению к 1 н. NaOH 3,52 мгэкв/г и к 1 н. СН<sub>3</sub>COONa 1,04 мгэкв/г (описаны методы определения), набухаемость 20%. Часть V см. РЖХим, 1961, 6П85. А. Мышкин

6П87. Новые клеи и связующие. Кирияма Сигэру. «Соттяку, Adhesion and Adhesives», 1959, 3, № 4, 181—185 (японск.).—В последние годы были разработаны новые клеевые композиции на основе α-цианэтилакрилата, полиэфирных, эпоксидных и полиуретановых смол. Исследован вопрос об адгезионных свойствах клеевого пива. Кратко рассмотрены особенности клеевых швов при склеивании фенольными и эпоксидными смолами, α-цианэтилакрилатом и диаллилфталатом. В. Иофе

6П88. Применение ионизирующей радиации для придания фторуглеродам способности к склеиванию. Stern Howard S. Ionizing radiation used in making fluorocarbons adhesionable. «Adhesives Age», 1960, 3, № 4, 26—27 (англ.).—Разработан метод придания политетрафторэтилену способности к склеиванию пу-

тем созданным диоксидом пр. Сополимер кислот. диоксид. на тефлон. ботки теф. чуюм хол. 24 цикла с использован. ной, поли.

6П89. Синтетические клеи. S. hesives. «Adhesives Age» (англ.).—Результаты исследований клеев. Отмечено, что клеи на основе смол.

6П90. Исследования по склеиванию. J. A. F. «Adhesives Age» (англ.).—Исследования по склеиванию. Назначение, применение, свойства.

6П91. Синтетические клеи. K. F. The «Adhesives Age» (англ.).—Исследования по склеиванию. Назначение, применение, свойства.

6П92. Синтетические клеи. K. F. The «Adhesives Age» (англ.).—Исследования по склеиванию. Назначение, применение, свойства.

6П93. Синтетические клеи. K. F. The «Adhesives Age» (англ.).—Исследования по склеиванию. Назначение, применение, свойства.

6П94. Синтетические клеи. K. F. The «Adhesives Age» (англ.).—Исследования по склеиванию. Назначение, применение, свойства.

6П95. Синтетические клеи. K. F. The «Adhesives Age» (англ.).—Исследования по склеиванию. Назначение, применение, свойства.

ри взаимна сульфата с, который ионообмен. В качестве метил)-бен-молекуляр-ма эффе-В. Гоффе Синтез кар-вой кие- Witold a kationi- zyty nauk (польск. катиониз-лицированной моля к-ты, евают вте-—50°, ост-и подде-до фенола до обра-а крупные и затем бчают, от-ывають е-ають водой, от водой и-еет насыт-ть по 0-1 н. р-р-н-формы-го обмена-тературы 3206. Мышкин I. Синте бензойной z Kaz- VI. Synte- droksyben-ysk.», 1959, —Карбо-ции поли-а с  $\text{CH}_2\text{O}$ , и 0,01 мо-е, охла-ОН и де-фенола и-ания геля-час. при-ит имеет-и. NaOH (описан-Часть V Мышкин ма Ся-1959, 3, были раз-свое с-х и по-адгезион-ные ос-ольными ом и ди-Гоффе-ии для-иванию- in ma-е», 1960, ридания-анию пу-

тем создания на его поверхности под действием радиации привитого сополимера (состав не указан). Сополимеризация идет в атмосфере, не содержащей кислорода. Сконструирована установка для обработки тефлоновой изоляции для проводов. После обработки тефлон хорошо склеивается с силиконовым каучуком холодной вулканизации (склейка выдерживает 24 цикла от  $-65$  до  $100^\circ$ ). Этот же метод может быть использован для улучшения склеивания полиамидной, полиэтиленовой и полиэфирной пленок.

В. Гельперина  
6П89. Полисульфидные цементирующие вещества и клеи. Stevens W. H. Polysulphide cements and adhesives. «Adhesives and Resins», 1960, 8, № 1-2, 11—14 (англ.).—Рассмотрены характеристики и приведены рецептуры полисульфидных цементирующих в-в и клеев. Описано большое число двухкомпонентных клеев на основе полисульфидов (тиоколов) и эпокси-дных смол.

В. Лапшин  
6П90. Успехи в области склеивания стекол. Fou- lon A. Fortschritte in der Verklebung von Gläsern. «Sprechsaal Keramik, Glas, Email», 1960, 93, № 4, 69—70 (нем.).—Краткая характеристика нового двух-компонентного клея на основе эпоксидной смолы, пред-назначенного для склеивания стекла со стеклом, фос-фором, пластмассами и другими материалами.

В. Мейтина  
6П91. Влияние растворимых солей на желатинизацию танинноформальдегидных смол. Plomley K. F. The effect of soluble salts on the gelation of tan- nin-formaldehyde. «Austral. J. Appl. Sci.», 1959, 10, № 4, 494—497 (англ.).—Растворимые соли Na, Ba, Ca, Mg, Cl, Mn, Pb, Co, Zn, Cr, Cu, Al, Fe уменьшают время желатинизации танинноформальдегидных смол. Напр., время желатинизации чистой смолы при  $90^\circ$  и pH 5 составляет 665 сек., а в присутствии добавок  $\text{CuSO}_4$ ,  $\text{Zn}(\text{CH}_3\text{COO})_2$ ,  $\text{Mn}(\text{CH}_3\text{COO})_2$  и  $\text{Na}(\text{CH}_3\text{COO})_2$  в кол-ве 10% от веса танина — соответственно 117, 160, 296 и 340 сек. Скорость желатинизации зависит от pH и достигает максимума при различных pH в зависимости от природы соли. Добавление 5%  $\text{Mn}(\text{CH}_3\text{COO})_2$  значительно увеличивает прочность склейки древес-ны танинноформальдегидным клеем в сухом и мок-ром состоянии.

В. Гельперина  
6П92. Применение окиси цинка в клеевых композициях. Baldyga H., Jones H. C. Zinkoxyd in Klebstoffen. «Adhäsion», 1960, 4, № 3, 124—128 (нем.).— $\text{ZnO}$  (I) часто используют в качестве существенной составной части клеев на основе каучуков, казеина, казеино-мочевинноформальдегидных и эпоксидных смол. Показано, что  $\text{ZnO}$  повышает когезию и жизне-способность клеевого шва, нейтрализует кислые про-дукты распада и улучшает смачивающую способность клеев за счет образования цинковых мыл при взаимо-действии со смолами. Описаны способы получения, со-став и свойства технич.  $\text{ZnO}$ . Приведены некоторые рецептуры клеевых композиций, содержащих  $\text{ZnO}$ , напр. (вес. ч.): креп-каучук 100, канифоль 100,  $\text{ZnO}$  100 и гептан 400—600.

Л. Седов  
6П93. Техника непрерывного нанесения клея. Higgins Dale G. Continuous adhesive application techniques. «Adhesives Age», 1960, 3, № 6, 37—40 (англ.).—Кратко описаны методы и аппаратура для непрерывного нанесения клеящих составов на по-верхность пленки, хлопчатобумажной и стеклянной тканей, бумаги и т. п.

В. Гельперина  
6П94. Влияние концевых групп на свойства пла-стификаторов. Maesima Toshihisa. «Сикидзай кё-кайси, J. Japan Soc. Colour Mater.», 1959, 32, № 9, 334—355 (японск.).—На свойства пластификаторов (ПЛ), применяемых, в частности, для пластификации поливинилхлорида, большое влияние оказывают ха-рактер концевых групп и структура ПЛ. Эфиры себа-циновой к-ты, имеющие линейную структуру, обес-

печивают высокие показатели разрывной прочности, удлинения и хорошую совместимость с пластифици-руемым полимером. Эфиры фталевой ангидрида спо-собствуют повышению теплостойкости полимера и стойкости к действию р-рителей и характеризуются малой миграцией. Эфиры фосфорной к-ты способст-вуют негорючести полимера, в то время как показа-тели разрывной прочности, удлинения, стойкости к действию р-рителей оказываются низкими. Фосфаты плохо совмещаются со многими полимерами. Нали-чие концевых групп OH, CN,  $\text{NO}_2$  и CNS обуславливает большие потери веса при нагревании, тогда как в слу-чае групп Cl,  $\text{NH}_2$  и SH потери веса незначительны. Наличие OH- и  $\text{NH}_2$ -групп ухудшает совместимость ПЛ с полимерами; однако это не относится к себацина-там, которые хорошо совмещаются, независимо от концевых групп. Показатели разрывной прочности и удлинения ухудшаются вне зависимости от концевых групп в следующем ряду: себацинаты — фталаты — фосфаты. ПЛ, содержащие Cl-, CN-, CNS- и SH-груп-пы, повышают огнестойкость полимера, в то время как наличие  $\text{NO}_2$ -групп ухудшает огнестойкость. В. И.

6П95. Полимерные пластификаторы. Solé Nol- la G. Plastificantes poliméricos. «Rev. plast.», 1960, 11, № 61, 20—23 (исп.).—Полимерные пластификаторы, выпускаемые пром-стью, представляют собой преимущ-ественно полимеры на основе адипиновой и себаци-новой к-т (значительно реже янтарной, азелаиновой, фталевой, изосебациновой) и этилен-, пропилен- и бу-тиленгликоля. В ряде случаев концевые функцио-нальные COOH- и OH-группы этерифицируют соответ-ственно одноатомными спиртами и одноосновными к-тами. В качестве нелетучих пластификаторов, обла-дающих одновременно и стабилизирующим дейст-вием, применяют также эпоксидированные триглицериды ненасыщ. жирных к-т (Т). Так как во влажной ат-мосфере Т частично переходит в продукты, не совме-стимые с поливинилхлоридом, и вылетают из него, обычно используют Т в малой дозировке; в тех слу-чаях, когда требуются большие добавки Т, одновре-менно с ними вводят 0,25%  $\text{MgO}$ . Т используют также в качестве стабилизаторов в сочетании с солями Ва и Cd и со Sn-органич. соединениями. Л. Песин

6П96. Пластификаторы на основе тетрагидрофу-рфулового спирта. Brown L. H., Hill J. W. Plasticizers from tetrahydrofurfuryl alcohol. «J. Chem. and Engng Data», 1960, 5, № 1, 56—58 (англ.).—Синтезиро-ваны эфиры тетрагидрофурулового спирта (I) и адипиновой, азелаиновой, дигликолевой, фталевой и себациновой к-т взаимодействием I с указанными к-тами в эквимолекулярных кол-вах при  $100\text{--}130^\circ$  в присутствии 1% конц.  $\text{H}_2\text{SO}_4$ . Образующаяся при этерификации воду отгоняли в виде азеотропа с бензо-лом. Продукты р-ции перегоняли на колонке Вигро-высотой 380 мм. Получены также эфир I и жирных к-т таллового масла (при  $180\text{--}205^\circ$  в присутствии фос-форной к-ты) и смешанные эфиры I, изооктлового и децилового спирта с теми же к-тами. Определена эффективность некоторых полученных соединений при использовании их в качестве пластификаторов для поливинилхлорида и триацетата целлюлозы. Ди-(тетрагидрофурурил)себацинат и (тетрагидрофурурил)-децисебацинат являются более эффективными пла-стификаторами, чем ди-(2-этилгексил)фталат. Эфиры I и фталевой, адипиновой, азелаиновой и дигликолевой к-т, а также 1,2,5-триацетоксипентан (получающийся взаимодействием I с уксусным ангидридом) являются лучшими пластификаторами для триацетата целлюло-зы, чем дибутилфталат. В. Гельперина

6П97. Применение эфиров этиленгликоля в каче-стве пластификаторов. Сообщение 1. Maesima Toshihisa. «Koré kakaku zasshi, Kogyo kakaku zasshi, J. Chem. Soc. Japan. Industr. Chem. Sec.», 1959, 62, № 12, 1842—1845 (японск.).—Изучали возможности



применения эфиров, полученных на основе моно-, ди-, три- и полиэтиленгликоля и леулиновой (I), абетиновой к-ты и окисленных парафинов, в качестве пластификаторов (ПЛ) для поливинилхлорида. При использовании ПЛ на основе I и гликоля с мол. в. ~400 водостойкость пластика оказалась низкой, в то время как показатели маслостойкости, стойкости к действию р-рителей, теплостойкости, механич. прочности и удлинению были высокими. При мол. весе ПЛ от 600 до 1000 поливинилхлоридный пластикат не уступал по многим показателям материалу, пластифицированному диоктилфталатом. ПЛ на основе I приготавливали в четырехгорлой колбе с вводным и выводным отверстиями для  $\text{CO}_2$ , снабженной термометром и мешалкой. Гликоль и I загружали в мол. соотношении 1:2. Р-цию проводили ~20 час. при 160–170°. Получены эфиры, характеризующиеся следующими показателями: эфиры на основе этиленгликоля —  $d_4^{25}$  1,561,  $n_D^{25}$  1,4578, кислотное число 3,1, число омыления 438,3, эфирное число 435,2, мол. в. 260; на основе диэтиленгликоля (аналогичные показатели) — 1,1551, 1,4575, 6,0, 366,4 360,4, 308; на основе триэтиленгликоля — 1,1411, 1,4577, 4,9, 332,9, 32,8, 340; на основе полиэтиленгликоля с мол. в. 600 — 1,1608, 1,4615, 3,6, 139,9, 136,3, 823; на основе полиэтиленгликоля с мол. в. 1000 — 1,1647, 1,4675, 4,2, 99,4, 95,2, 1191. Поскольку эфиры I с мол. в. 600 — 1000 плохо совмещаются с поливинилхлоридом, целесообразно применять эти ПЛ вместе с диоктилфталатом в соотношении 1:1. Приведена краткая характеристика свойств ПЛ, полученных из различных гликолей и абетиновой к-ты, а также окисленных парафинов. Пластифицирующие свойства эфиров двух последних типов весьма близки. В. Иоффе

6П98. Определение давления паров пластификаторов и их отвод из воздуха. Mauch H. Bestimmung des Dampfdruckes von Weichmachungsmitteln und Isolierung von Weichmacherdämpfen aus der Luft. «Techn. Mitt. PTT», 1960, 38, № 4, 143–148 (нем.; рез. франц.). Для определения давления паров пластификаторов (ПЛ) при различных т-рах предложено использовать графич. метод (определение показателей давления паров при обычных т-рах с экстраполяцией на область значений при повышенных т-рах) и новый гравиметрич. метод, основанный на колич. поглощении паров ПЛ активированным углем. Сравнение значений давления паров некоторых ПЛ, определенных гравиметрически, со значениями, найденными графически, показывают их удовлетворительное совпадение. Приводятся описание прибора и методика гравиметрич. определения давления паров ПЛ, которая рекомендуется также для исследования состава атмосферы в помещениях телефонных станций. П. Валецкий

6П99. Новый стабилизатор для придания погодостойкости поливинилхлориду. Coover H. W., Jr, McConnell R. L., Newland G. C., Tamblin J. W. A new weathering stabilizer for poly (vinyl chloride) plastic. «Plast. Technol.», 1960, 6, № 8, 45–47, 56 (англ.). Исследовали влияние различных стабилизаторов на погодостойкость поливинилхлорида, пластифицированного диоктилфталатом (100:30). Наилучшие результаты по светостойкости (отсутствие потемнения в течение семи лет) показал гексаметилофосфотриамид (I) в кол-ве 2 вес. ч. По стабилизирующему эффекту I значительно превосходит производные 2-оксibenзофенона. Для повышения теплостойкости в процессе переработки и старения к композиции, содержащей I, добавляют  $(\text{C}_4\text{H}_9)_2\text{Sn}(\text{OCOCN}_3)_2$ , лаурат, Ва-Сд, эпоксидные стабилизаторы и др. Оптимальные свойства имеет композиция, содержащая (в вес. ч.) I, 1 эпоксидного стабилизатора «эпон 812» и 1 Sn-органич. соединения. Механизм стабилизирующего действия I точно не установлен, так как I не поглощает УФ-лучи и не обладает термостабилизи-

рующими свойствами, несмотря на большое сродство к HCl. Предполагают, что стабилизирующее действие I аналогично действию антирадов, применяемых для защиты пластиков от излучений высоких энергий.

В. Гельперин  
6П100. Стабилизаторы на основе эпоксидированных соединений. Осима Хадзима. «Пурасуитикусу, Japan Plast.», 1960, 11, № 1, 82–89 (японск.). Для стабилизации поливинилхлорида (I) применяют различные эпоксидированные соединения (ЭС). Установлено, что соединения с длинной цепью, у которых эпоксидгруппы (ЭГ) расположены в середине цепи, обладают лучшими пластифицирующими и стабилизирующими свойствами, чем ЭС с короткой цепью, у которых ЭГ являются концевыми. Полимеры винилпиррольного типа, содержащие двойные связи (напр., полиакрилаты), плохо совмещаются с ЭС. Установлено также, что ЭС, у которых ЭГ находятся в транс-положении, уступают как по пластифицирующим свойствам, так и по морозостойкости ЭС с ЭГ в цис-положении. В качестве стабилизаторов применяют различные ЭС, в частности, эпоксидированные эфиры гликолей и пентаэритрита (в кол-ве до 2 вес. ч. на 100 вес. ч. I); ЭС на основе окиси циклогексена, придающие I термостойкость и светостойкость; ЭС типа эпоксидциклогексанметилового эфира. Изооктиловый эфир 9,10-эпокси-стеариновой к-ты в 5–10 раз повышает светостойкость I. Эфиры 3,4-эпоксициклогексанкарбоновых кислот добавляют к I в кол-ве 3–8 вес. ч. Хорошее стабилизирующее действие (существенное улучшение показателей светостойкости и термостойкости полимера) имеет эфир 3-метил-1,5-пентадиол-бис-(3,4-эпоксициклогександиол)-бис-3,4-эпоксициклогексанкарбоновой к-ты. Исследования показали также, что для стабилизации I можно применять эпоксидные смолы типа «Эпикокс 812, 828, 834 и 1009 (в кол-ве ~2 вес. ч. на 100 вес. ч. I). Значительное повышение термостойкости, а также стойкости к действию УФ-лучей может быть достигнуто при использовании эпоксидированных пластификаторов на основе алифатич. к-т и одно- или двухатомных спиртов. Приведены результаты испытаний некоторых стабилизаторов.

В. Иоффе  
6П101. Прибор для определения твердости с применением коллоид. Pénétrateur à couronne de pression pour la mesure de la dureté. [Centre d'Etude des Matières Plastiques]. Франц. пат. 1152211, 10.09.58. — Предлагается конструктивное изменение аппарата типа Ровелла для определения твердости материалов средней или малой твердости, напр. пластмасс. Изменение позволяет уменьшить давление, оказываемое наименьшим элементом (шариком) на образец, до величины порядка 100 г, причем положение этого элемента по отношению к образцу фиксируется кольцеобразной огибающей деталью, принимающей на себя часть давления, передаваемого образцу. Конструкция прибора позволяет замерять глубину остаточной деформации после снятия нагрузки и дифференцировать пластич. и эластичную деформации образца. Даны схемы устройства. Ю. Васильев

6П102. Радиационная полимеризация. Perfectionnements aux procédés de polymérisation radiochimique [Soc. Nobel Française]. Франц. пат. 1171806, 30.01.58. — Для ускорения полимеризации ионизирующей радиацией в массу полимеризуемого мономера вводят гексагидро-1,3,5-триакрилил-сим-триазин (I) в кол-ве  $10^{-6}$ – $3 \cdot 10^{-3}$  ч. ( $10^{-6}$ – $10^{-3}$  ч.) на 1 ч. полимеризуемого в-ва. В реактор, пропускаемый для γ-лучей (источник  $\text{Co}^{60}$ ), помещают смесь 200 г этилцеллюлозы с 4% этоксильных групп, 100 г перегнанного винилацетата, 3 г алилфталата и 0,75 г I. Реактор вакуумируют и закупоривают так, чтобы для воздуха не оставалось свободного пространства над смесью. После облучения дозой 2 Мрентгена получают твердый, слегка желтый

продукт, формуемый при 150° с приобретением коричневатого оттенка. При отсутствии I требуется доза в 3 Мрентена.

Ю. Васильев  
 6П103. Стабильные эмульсии этиленовых мономеров. Emulsion de monomères éthyléniques. [Soc. An. Union Chimique Belge]. Бельг. пат. 541250, 14.08.59.— Для эмульсионной полимеризации готовят стабильную эмульсию мономера, содержащего этиленовую связь, напр. эфира органич. ненасыщ. к-ты (акриловой, метакриловой, кротоновой, винилуксусной, аллилуксусной) и насыщ. спирта, в растворимом акрилате (напр. акрилате щел. металла, или  $\text{NH}_4$ ). Напр., в колбу емкостью 2 л с термометром, мешалкой и обратным холодильником помещают 500 мл воды, 10 г акрилата Na и 5 г персульфата K и нагревают до 80°. Постепенно приливают 500 г винилацетата, поддерживая т-ру в пределах 85—90°. После введения всего мономера смесь нагревают до 95° до прекращения образования конденсата в холодильнике и охлаждают, не прекращая перемешивания. Длительность операции ~3 часа. Получают подвижную стабильную эмульсию, не пениющуюся и дающую бесцветную пленку с улучшенными механич. свойствами.

Ю. Васильев  
 6П104. Процесс фотополимеризации. Hiltz Arnold A., Londrat Edward G. Photopolymerization process. [American Viscose Corp.]. Пат. США 2880152, 31.03.59.—Полимеризацию винильных мономеров проводят в присутствии 2-валентного иона олова в качестве фотонизатора (0,01—1,0 вес. ч. от веса реакционной смеси) и небольшого кол-ва к-ты ( $\text{HCl}$ ,  $\text{H}_2\text{SO}_4$ ,  $\text{HBr}$ ,  $\text{HI}$  и  $\text{CH}_3\text{COOH}$ ) при облучении УФ-лучами с длиной волны 3400—5000 Å при т-ре ~20° в полнрр-рительях (вода, метанол, этанол, n-пропанол, изопропанол, лед, уксусная к-та, диоксан, ацетон, диметилформамид, диметилацетамид). Атмосферный кислород не мешает полимеризации. Напр., при т-ре ~20° растворяют 5 г акриламида в 5 мл воды в пробирке из стекла пайрекс, прибавляют 0,01 г хлористого олова и облучают вольфрамовой лампой с рефлектором в 1000 ат при расстоянии 1,8 м. Через 15 мин. р-р превращается в плотный гель. В темноте полимеризация подобной смеси не происходит в течение 24 час. Г. К.

6П105. Удаление летучих примесей из термопластичных полимеров. Amos James L., Roche Arthur F. Removal of volatile ingredients from thermoplastic polymers. [The Dow Chemical Co.]. Пат. США 2849430, 26.08.58.—Патентуется способ удаления из бесцветных термопластич. винильных полимеров (полиэтилен, поливинилтолуол, полиарилхлорстирол, полистилен, сополимеры стирола и акрилонитрила или стирол-бутадиеновый каучук) летучих органич. примесей, несвязанного мономера или других соединений для предотвращения образования окрашенных тел. Способ состоит в нагревании полимера при 200—270° в давл. < 0,5 ат в сосуде, в котором поверхность соприкосновения с полимером покрыта сплавом 70—95% Al, не содержащим металлов, стоящих выше Mg в ряду напряжений. Загруженный расплавленный полимер стекает непрерывной свободной струей и вытекает из нижней части сосуда. Удаление летучих примесей можно проводить в инертной атмосфере ( $\text{N}_2$ ,  $\text{CH}_4$ ,  $\text{CO}_2$ , водный пар). Напр., для отделения от летучих в-в в указанный сосуд вводят непосредственно из полимеризационной зоны (т-ра 80—140°) горячую смесь, содержащую ~50% полистирола и 50% мономера. Очищенный полимер может быть сразу использован для формирования изделий.

Ф. Псалты  
 6П106. Способ получения новых привитых сополимеров. Lumbruso Claudine, Sack Henri, Stroh Gaston. Procédé pour l'obtention de nouveaux copolymères greffés. [Éthylène-Plastique]. Франц. пат. 1170326, 13.01.59.—Привитые сополимеры с механич. свойствами, близкими к свойствам полиэтилена соответственно низкого или высокого давления, получают

прививкой на 5—95% полиэтилена какого-либо мономера или мономеров в кол-ве 95—5%. Полиэтилен подвергают набуханию в используемом мономере и затем осуществляют полимеризацию, причем выбирают такой мономер, чтобы величина модуля Юнга полученного гомополимера была выше или равна желаемой. Для понижения модуля Юнга в случае необходимости в полученный сополимер вводят пластификатор. Напр., полиэтилен низкого давления (характеристич. вязкость 0,6) подвергают облучению в присутствии воздуха γ-лучами от источника  $\text{Co}^{60}$ . Интенсивность облучения 400 000 рентгенов в день, общая доза 1 000 000 рентгенов. В реакторе, из которого током  $\text{N}_2$  удален кислород, смешивают 1 ч. полиэтилена с 5 ч. свежеперегнанного стирола. Смесь нагревают 2 часа при 90°, еще 2 часа при 100° и затем в течение 2 час. постепенно поднимают т-ру до 146°; при этом полимеризуют практически весь стирол. После охлаждения массу дробят и смешивают на нагретых вальцах в течение 10 мин. с дифенилпентахлоридом. Масса, полученная таким образом, по механич. свойствам подобна полиэтилену низкого давления. Т. пл. 120°. В. Толстогузов

6П107. Получение привитых сополимеров. Landler Yvan, Lebel Pierre. Procédé d'obtention de copolymères greffés et produits obtenus. [Polyplastic]. Франц. пат. 1166607, 13.11.58.—Для получения привитого сополимера подвергают полимер озонированию и помещают в измельченном виде в систему, состоящую из воды, диспергирующего агента (в-ва, предотвращающего агломерацию частиц полимера) и по крайней мере одного способного к радикальной полимеризации мономера. Суспензионную полимеризацию проводят при сильном перемешивании и нагревании при ионизирующей радиации или под действием окислительно-восстановительной системы. Напр., 40 г порошка полистирола, озонированного по известному способу и содержащего 1 группу озонидов на 50 стирольных групп, диспергируют при сильном перемешивании в 100 мл воды, содержащей 0,5% алюмината Na, 25 мл акрилонитрила и 1 мл диметиламина. Перемешивание продолжают еще 2,5 часа при т-ре 20° в атмосфере  $\text{N}_2$ . Получают гранулы размером 1,0—1,2 мм, содержащие 40% связанного акрилонитрила, из которых 70% растворимы в р-ре перхлората Na. Ю. Васильев

6П108. Получение привитых сополимеров. Landler Yvan, Lebel Pierre. Perfectionnement apporté à la préparation des copolymères greffés. [Polyplastic]. Франц. пат. 1166608, 13.11.58.—Для получения привитых сополимеров исходный полимер, диспергированный в не растворяющей его жидкости, в которой он набухает или не набухает, подвергают озонированию, удаляют непрореагировавший  $\text{O}_3$  и диспергируют в реакционной среде по крайней мере один мономер, способный к радикальной полимеризации. Напр., в смеситель загружают 6 л  $\text{CCl}_4$  и 600 г порошкообразного полиэтилена. Через дисперсию пропускают в течение 1 часа 200 л воздуха, содержащего 1%  $\text{O}_3$ , а затем удаляют растворенный  $\text{O}_3$  продуктовой воздушом. Дисперсию помещают в автоклав с мешалкой, в атмосфере  $\text{N}_2$  добавляют 1 л акрилонитрила и нагревают 6 час. до 115°. Получают 1350 г привитого сополимера.

Ю. Васильев  
 6П109. Прозрачные смешанные полимеры. Slocombe Robert J., Wesp George L. Clear terpolymers. [Monsanto Chemical Co.]. Пат. США 2854439, 30.09.58.—Прозрачный гомог. смешанный полимер с высоким мол. весом получают путем свободнорадикальной полимеризации в массе мономерной смеси, содержащей: а) метакрилонитрил (I), б) мономер, имеющий ненасыщ. этиленовую связь (напр., стирол (II), винилтолуол, винилхлорид, α-метилстирол, изопрен, бутадие и др.) и в) другой мономер из указанных в пункте (б). Смесь трех мономеров характеризуется такими пропорциями, при которых получается





6П114. Предотвращение отложения осадков на катализаторах. Lanning William C. Control of deposits on catalysts. [Phillips Petroleum Co.]. Пат. США 2891935, 23.06.59.—При полимеризации олефинов (этилена, пропилена) при  $t$ -рах 65—232° и контактировании со смешанным катализатором (КТ) (окиси хрома, содержащая  $Cr^{6+}$ , в смеси с, по крайней мере, одной из окисей Al, Zr, Th, Si) с целью уменьшения отложения на КТ его предварительно обрабатывают алифатич. олефином при  $t$ -ре 65—232° и давлении, достаточном, чтобы углеводороды оставались в жидкой фазе. Продолжительность контактирования 15 мин.—10 час. Применяемый для обработки КТ алифатич. олефин содержит по крайней мере 8 атомов углерода и не имеет разветвлений, расположенных ближе к двойной связи, чем в положении 4. Эффективность этих олефинов уменьшается в направлении гексен-2 > гексен-1 > бутен-1. Полимеризуемый олефин и алифатич. олефин для обработки КТ применяют в смеси с парафинами и натеинами, инертными в условиях процесса полимеризации. Напр., смесь (в вес. %) 2 этилена, 0,8 этана и 97,4 2,2,4-триметилпентана выдерживают при  $t$ -ре 165° и давл. 31,5 ат в контакте со стационарным слоем КТ, содержащего 2,5 вес. % Cr в виде окиси хрома, включая 6-валентный хром, отлагающийся на соосажденном геле, содержащем 90 вес. %  $SiO_2$  и 10 вес. %  $Al_2O_3$ , в течение 10 час. при часовой объемной скорости, равной 6 (6 объемов смеси на 1 объем КТ в час). Мгновенным испарением из полученного продукта удаляют изоктан. Часть полимера, осажденную на КТ, извлекают изоктаном при  $t$ -ре 176,7°. КТ после активирования при  $t$ -ре 482—510° в токе сухого воздуха или непосредственно перед полимеризацией этилена обрабатывают при  $t$ -ре ~150—165° и давлении, достаточном, чтобы реагенты (10%-ный  $p$ -р гексена-2 или гексена-1 в 2,2,4-триметилпентане, 5%-ный  $p$ -р бутена-1 в 2,2,4-триметилпентане) оставались в жидкой фазе. Отложения полимера на КТ, подвергнутом обработке, приблизительно в 2 раза меньше чем на необработанном КТ. Полимер при использовании для обработки КТ гексена-2 (гексена-1) характеризуется мол. в. 11 800 (10 500) (определен путем измерения истинной характеристики вязкости), плотностью при 20° 0,956 (0,959), т. пл. 418° (418°) (полимер слишком ломок для измерения гибкости). Перечислены  $p$ -рителы, применяемые вместо изоктана в качестве реакционной среды. Н. Удмиева

6П115. Полимеризация этилена. Anderson Arthur William, Bruce John MacMillan, Jr., Fallwell Ernest Lynwood. Polymerization of ethylene. [E. I. du Pont de Nemours and Co.]. Пат. США 2862917, 2.12.58.—Твердый полиэтилен (ПЭ) с индексом расплава от 0,005 до 10 получают полимеризацией этилена в  $p$ -ре неполимеризуемого инертного  $p$ -рителя в присутствии катализатора, получаемого смешением растворимого соединения титана (напр., соли или алкоксида Ti) с соединениями, имеющими по крайней мере одну металл-углеродную связь (напр., тетраалкилтитан-алюминий), причем одно из используемых соединений должно иметь по крайней мере одну металл-галогенную связь. Применяют катализаторы, полученные смешением  $TiCl_4$  и триизобутилалюминия, тетраизопропилтитана и бромистого диэтилалюминия, дихлорида диизопропоксититана и триизопропилалюминия и др. при отношении соединения Ti к другому компоненту 0,4:1—1,4:1. При соотношении 0,4:1 и  $t$ -ре 150° индекс расплава ПЭ равен 0,005, при  $t$ -ре 230° он достигает 1,5; при соотношении 1,4:1 и  $t$ -ре 150° индекс расплава составляет 0,008, а при 230° он равен 3. Полимеризация этилена в среде  $p$ -рителя (напр., циклогексана) протекает при давлении выше критич. давления этилена (напр.,  $\approx 150$  ат) при соотношении  $p$ -ритель:этилен = 5:1. Напр., в стеклянный сосуд, снабженный мешалкой, обратным холо-

дильником и двумя патрубками для ввода и вывода смеси, загружают 2 л циклогексана, содержащего продукт, полученный при смешении 7,5 ммоль  $TiCl_4$  и 2,5 ммоль тетраэцилтитан-алюминия. Реакционный сосуд нагревают до 50° и добавляют этилен, очищенный от воды и  $CO_2$ . Реакционную смесь перемешивают до тех пор, пока весь этилен не вступит в  $p$ -цию. Полученный осадок фильтруют и промывают метанолом, получая 200 г белого полимера (ПЭ I) со средним мол. в. 184 000. По другому варианту получают полимер, пропускающий в реактор пары жидкого  $C_2H_4$  и циклогексана со скоростью от 154 до 1000 г в час и четыреххлористый титан со скоростью 17,4 ммоль в час. Другим потоком пропускают тетраэцилтитан-алюминий, который минимально растворим в циклогексане, со скоростью 22,4 ммоль в час.  $T$ -ра в реакторе достигает 227°, а давл. 140  $кГ/см^2$ . Конверсия этилена составляет 48,8 вес.%; полимер (ПЭ II) со средним мол. в. 160 000 получают со скоростью 750 г в час. Образцы полимеров, полученные как первым, так и вторым способом, растворяют в кипящем ксилоле и фракционируют, используя диметилтерефталат в качестве фракционирующего агента. Средний мол. вес полимера и мол. вес каждой фракции подсчитывают, исходя из данных уд. вязкостей  $p$ -ров в  $\alpha$ -хлорнафталине ( $p$ -ритель). ПЭ I содержит 20 вес. % фракции с мол. весом от 750 000 до 1 000 000, 25 вес. % фракции с мол. весом от 50 000 до 150 000 и 25 вес. % фракции с низким мол. весом ( $\sim 10 000$ ), а ПЭ II содержит 10 вес. % фракции с мол. весом от 500 000 до 750 000, 37 вес. % фракции с мол. весом от 50 000 до 150 000 и 12 вес. % фракции с низким мол. весом ( $\sim 10 000$ ). В. Волков

6П116. Способ полимеризации. Hutchinson Henry Malcolm, Lachowicz Stefan Kazimierz. Polymerisation process. [The Distillers Co. Ltd.]. Англ. пат. 813905, 27.05.59.—Полимеризацию  $\alpha$ -олефинов проводят при  $t$ -ре  $< 150^\circ$  и давл. 3,5—35 ат с использованием в качестве катализатора смеси соединений Sn ф-лы  $SnY_4$ ,  $Y_3SnX$  или  $Y_3SnX_2$  ( $X$  — галоген,  $Y$  — алкил с числом атомов  $C \leq 6$ ) и галоген-содержащего соединения Ti, Zr или Va. Смешение компонентов катализирующей смеси производят непосредственно в присутствии мономера. Полимеризацию проводят в отсутствие сопряженных диенов и кислорода воздуха. Описываемым способом получают, напр., полиэтилен, а также сополимеры этилена. В качестве катализатора используют смесь тетраэтилола и  $TiCl_4$  и т. п. Напр., в автоклав емк. 300 мл помещают  $p$ -р 10 мл тетраэтилола в 150 мл петр. эфира и в запаянной стеклянной ампуле 1 мл  $TiCl_4$ . Из реактора (РА) откачивают воздух, нагнетают в него этилен, поднимая давление до  $\sim 42$  атм, и герметически закрывают РА. При встряхивании РА давление в нем падает до  $\sim 12,5$  ат за счет растворения мономера в  $p$ -рителе. Стеклообразную ампулу с  $TiCl_4$  разбивают спец. приспособлением и смесь встряхивают для равномерного распределения компонентов. Затем реакционную массу нагревают на масляной бане, поддерживая  $t$ -ру на уровне 95°. Давление в РА сначала резко повышается до 21 ат, а затем медленно падает, достигая через 14 час. атмосферного. Реакционную смесь красно-коричневого цвета выливают из РА в метанол; при этом отделяют белый порошкообразный полимер, который дважды промывают метанолом и дважды  $p$ -ром HCl в метаноле. Выход полиэтилена 6,5 г. Приведенная вязкость полимера, измеренная в  $\alpha$ -дихлорбензольном  $p$ -ре (конц-ия полимера 0,617 г в 100 мл  $p$ -ра), при 125° равна 2,2. А. П.

6П117. Изготовление твердых полиэтиленов. Procédé de préparation de polyéthylènes solides. [Soc. des Usines Chimiques Rhone-Poulenc]. Франц. пат. 1162418, 12.09.56.—Твердые полиэтилены получают при давл.  $< 100$  атм и  $t$ -рах 50—200°, применяя в качестве катализатора продукт  $p$ -ции Mn и  $TiCl_4$  в присутствии малых кол-в (до 3%) воды, спирта или HCl. Напр., в ав-

токлав емк. 500 мл со встряхивающей мешалкой загружают в атмосфере  $N_2$  3 г Mn, полученного электролитич. способом в виде тонкого порошка, предварительно смешанного в ступке с 0,1 мл воды и 3,4 г  $TiCl_4$ , добавляют 8 шаров из нержавеющей стали и нагревают смесь при перемешивании в течение 20 час. до 200°. Затем автоклав охлаждают, вводят под  $N_2$  100 мл циклогексана и 37 г этилена под давлением и смесь постепенно нагревают. Р-ция начинается при т-ре 150—175° и сопровождается уменьшением давления. Нагревание продолжают до 200° и при этой т-ре проводят полимеризацию. Давление за 50 мин. падает с 75 до 41 атм. Аппарат охлаждают, удаляют этилен и извлекают полимер в виде серозатой массы. После удаления р-рителя и очистки продукта, напр. промыской горячим метанолом с добавлением HCl или растворением в циклогексане с последующей фильтрацией и удалением р-рителя, получают 29 г сухого белого полимера (выход 78,5% от к-ва этилена). Ю. Васильев

**6П118. Изготовление твердых полиэтиленов.** Préparation de polyéthylènes solides. [Soc. des Usines Chimiques Rhône-Poulenc]. Франц. пат. 1162419, 2.09.58.—Твердые полиэтилены получают, применяя в качестве катализатора продукт р-ции, пригодный для нагревания металлич. Ti и  $TiCl_4$  в присутствии малых кол-в воды, спирта или HCl. Напр., в автоклав емк. 500 мл при перемешивании вводят в атмосфере  $N_2$  1,5 г порошкообразного металлич. Ti, содержащего 96% Ti, 1,7 г свежеперегнанного  $TiCl_4$  и 0,05 мл воды. Для улучшения перемешивания вводят 8 шаров из нержавеющей стали и нагревают смесь 1 час до 200°. Автоклав охлаждают и вводят под  $N_2$  100 мл циклогексана и 34 г этилена под давлением. Смесь постепенно нагревают до 200° и поддерживают эту т-ру 1 час. Давление, поднявшееся до 82 атм, медленно падает и через 1 час снижается до 72 атм. После охлаждения и дегазирования автоклава собирают 11 г белого сухого полиэтилена (32% от кол-ва введенного в р-цию). Ю. Васильев

**6П119. Способ получения полипропилена.** Procédé de préparation de polypropylène. [Soc. des Usines Chimiques Rhône-Poulenc]. Франц. пат. 1198773, 9.12.59.—Пропилен полимеризуют в присутствии катализатора, состоящего из  $TiCl_2$  и продукта р-ции какого-либо щел. металла и  $AlCl_3$ . Напр., во встряхиваемый автоклав из нержавеющей стали емк. 500 мл, тщательно продутый  $N_2$ , вводят 3,6 г  $AlCl_3$ , 2,20 г натрия, 1,2 г  $TiCl_2$ , 125 мл сухого толуола и 8 шаров из нержавеющей стали диам. 8 мм. Смесь нагревают 3 часа при 110°, затем автоклав охлаждают, вводят 60 г сухого пропилена и нагревают еще 16 час. при 100°; после охлаждения удаляют незаполимеризовавшийся пропилен. В автоклаве содержится полипропилен черного цвета. Полимер обрабатывают горячим метанолом, содержащим HCl, промывают водой и опять метанолом и сушат в вакууме при 80°. Вес продукта 18 г. Продукт пригоден для формования под давлением при 170°. Уд. вязкость 0,4%-ного р-ра полимера в тетралине при 130° равна 1,5. В. Толстогузов

**6П120. Стабилизация полипропилена.** Taylor Arthur William Charles. Improvements in and relating to stabilised polypropylene. [Imperial Chemical Industries Ltd]. Англ. пат. 820967, 30.09.59.—Для стабилизации изотактич. полипропилена (ИП) [содержащего 75% и более изотактич. (кристаллич.) полимера] используют до 5% (от веса полимера) *n*-фенилендиаминов, в которых один или более атомов H в аминогруппах замещены алкильными, арильными или циклоалкильными радикалами. Напр., в качестве стабилизаторов ИП применяют *N,N'*-ди-*о*-втор-бутил-, *N*-изопропил-*N'*-фенил-, *N*-втор-бутил-*N'*-фенил-, *N,N'*-дициклогексил-, *N,N'*-дифенил-, *N*-диметил-, *N'*-фенил-, *N*-циклогексил-*N'*-фенил-*n*-фенилендиамины в кол-ве 1% от

веса полимера. При испытаниях устойчивости изделий из ИП время достижения хрупкости листов толщиной ~0,5 мм при 150° увеличивалось более чем в 10 раз по сравнению с контрольными образцами, не содержащими антиоксиданта, а прочность волокон из указанного полимера не менялась в течение 100 час. при 100°. С. Басе

**6П121. Регулирование температуры полимеризации пропилена.** Schmit Jack, Blanchard Gérard. Procédé de réglage de la température de polymérisation du propylène. [Esso Standard (Soc. an. française)]. Франц. пат. 1168657, 12.12.58.—Полимеризацию пропилена (бутилена, изобутилена и т. п.) проводят с использованием для охлаждения реактора части исходного материала, который вводят в р-цию, минуя подогреватель, или промежуточного продукта, возвращаемого из колонки для фракционирования продуктов р-ции. Даны принципиальные схемы аппаратуры. Ю. Васильев

**6П122. Полистирольные прескомпозиции, модифицированные сополимером бутадиена и стирола.** Fordham James W. L. Butadiene-styrene copolymer-modified polystyrene molding compositions. [Monsanto Chemical Co.]. Пат. США 2863849, 9.12.58.—Прескомпозиция содержит 100 ч. полистирола с мол. в. 40 000—100 000 и 1—50 ч. сополимера, полученного из 30—90% (лучше 40—70%) бутадиена (I) и 70—10% (лучше 60—30%) стирола (II). Бутадиенстирольный сополимер применяют в виде латекса, полученного водно-эмульсионной полимеризацией следующим образом. I эмульгируют в воде, содержащей катализатор радикального типа, и к эмульсии добавляют 10—60% общего кол-ва II. К моменту введения II конверсия I не должна превышать 10%. Когда конверсия I достигнет 40—60%, в реакционную массу добавляют остальное кол-во II и процесс продолжают до полной конверсии мономеров. Для получения прескомпозиции полибутадиенстирольный латекс смешивают с половинным кол-вом полистирола также в латексной форме, смесь полимеров высущивают и к ней добавляют остальное кол-во полистирола (гранулированного). Напр. (в ч.), полибутадиенстирольный латекс получают полимеризацией 50 I и 50 II в 150 воды, содержащей 4,5 стеарата K, 0,4 трет-додецилмеркаптана и 0,3 персульфата K. В автоклав помещают все компоненты, кроме II, и при перемешивании нагревают реакционную смесь до 50°. Когда конверсия I достигнет 10%, в смесь добавляют 7 II, а затем еще 4 такие же порции, каждую из которых вводит, когда конверсия I составит 15, 25, 35 и 50%. Остальное кол-во II вводят в реакционную смесь, когда конверсия бутадиена достигнет 60%. 25 ч. полученного латекса с конц-ией 40% смешивают с 75 полистирольного латекса той же конц-ии (мол. вес полистирола 70 000 по Штаудингеру). Воду упаривают и полученный сухой полимер смешивают с гранулированным полистиролом с мол. в. 70 000 в кол-вах соответственно 40 и 60 ч. Содержание в композиции (КП) полистирола 90%, сополимера I и II 10%. Аналогично, из полистирольного латекса и гранулированного полистирола приготавливают КП, не содержащую сополимера I и II. Обе КП имеют одинаковые т-ру деформации и уд. ударную вязкость, однако твердость и прочность КП, модифицированной сополимером I и II, выше, чем у немодифицированной. А. Петратшко

**6П123. Сополимеры на основе трифторхлорэтилена.** Copolymères à base de chlorotrifluoréthylène. [Pechiney (Cie de Produits chimiques et électrometallurgiques)]. Франц. пат. 1169233, 24.12.58.—Соплимер (СП) трифторхлорэтилена с винильными мономерами получают, подвергая смесь жидких мономеров ионизирующему воздействию излучений высокой энергии:  $\alpha$ - и  $\beta$ -рентгеновских лучей, ускоренных электронов или нейтронов. Новый тип полимеров получают, осуществ-





ного белка, желатин, крови, соевого белка, казеина, белков кожи, птичьего пера) и акриловой или метакриловой к-ты. Полимеризацию проводят в воде, среде при  $t$ -ре 90—100° с использованием в качестве катализаторов органич. перекисей. Содержание белковых в-в в смеси исходных продуктов 40—60%. Напр., смесь 100 г воды, метакриловой к-ты (конц. 90%) и 110 г животного клея, содержащего 10% влаги, полимеризуют в 500 мл воды в присутствии 4 мл 37% р-ра  $H_2O_2$ . Смесь нагревают на водяной бане при 90—98° в течение 2 час., причем на дне реактора оседает нерастворимый продукт темного цвета, который отделяют фильтрованием и охлаждают, получая каучукообразный полимер. Последний растворяется в щел. р-рах и осаживается при их нейтр-ции. Содержание  $COOH$ -групп в полимере 31%. Из полученных полимеров при взаимодействии с мочевиной, тиомочевинной или дициандиамином получают смолы с хорошей адгезией.

А. Петрашко

6П132. Регулирование молекулярного веса линейных полимеров формальдегида. Knight Alan Campbell. Method for controlling the molecular weight of linear formaldehyde polymers. [E. I. Du Pont de Nemours and Co.]. Австрал. пат. 220153, 3.10.57.—Предложен способ получения высокомолекулярных линейных полимеров  $CH_2O$ , имеющих заранее заданный мол. вес. Обычно присутствующие в  $CH_2O$  загрязнения (вода, метанол и муравьиная к-та) являются активными регуляторами (агентами переноса цепи). Чем выше содержание этих в-в в  $CH_2O$ , тем ниже мол. вес полимера. Чтобы получить высокомолекулярные полиоксиметилены с заданным значением  $M_n$  (средний мол. вес), реакционная смесь должна содержать определенные кол-ва  $H_2O$ ,  $CH_3OH$  и  $HCOOH$ , удовлетворяющие ур-нию  $30/M_n = [(1,34 X'A')/M]_{H_2O} + [(0,66 X''A'')/M]_{CH_3OH} + [(28 X'''A''')/M]_{HCOOH}$ , где  $X$  — мол. конц-ия  $H_2O$ ,  $CH_3OH$  и  $HCOOH$ ,  $M$  — мол. конц-ия  $CH_2O$ , выраженная в тех же единицах, что и  $X$ ,  $A$  — поправки на непрореагировавшую часть  $H_2O$ ,  $CH_3OH$  и  $HCOOH$ , уносимую твердым полимером, вычисляемые по приведенной в спецификации патента ф-ле. Полимеризацию проводят в виде непрерывного процесса в жидкой среде (гептан и т. п.), содержащей инициатор (напр., четвертичная аммониевую соль) и рассчитанные кол-ва  $H_2O$ ,  $CH_3OH$  и  $HCOOH$ . Получают полимеры типа  $R(CH_2O)_nR'$ , где  $n > 300$ ,  $R$  — гидроксил, метоксил или формил, а  $R' = H$ . Напр.,  $CH_2O$ , содержащий в 89 мг  $H_2O$  в 1 кг и следы  $CH_3OH$  и  $HCOOH$ , полимеризуют в гептане при давл. 1 атм и  $t$ -ре 140° в течение 5 мин. Полученный полимер характеризуется мол. в. 14 000; рассчитанный по указанному ур-нию мол. вес полимера составляет 19 000. И. Орестов

6П133. Получение высокополимерного материала, состоящего в основном из ксилолформальдегидных смол. Ки Кэй ун. [Мапумото дэнко кабусики кайся]. Японск. пат. 6746, 26.08.57.—Нагреванием смеси (вес. ч.) ксилолформальдегидной смолы 30, ксилосульфокислоты 0,06 и фенола 30 при 180° в течение 55 мин. получают твердую смолу, электрич. сопротивление которой выше, чем у фенольной смолы. Э. Т.

6П134. Обработка отходов подсмольных вод. Booby Raymond G. Treatment of residual liquor. [American-Marietta Co.]. Пат. США 2851433, 9.09.58.—Для выделения тринатрийфосфата из отходов подсмольных вод в прои-ве фенолальдегидных смол подсмольную воду, содержащую  $Na$ -соли  $H_3PO_4$  и небольшие кол-ва фенола (I), формальдегида (II), фенольных спиртов и смолообразного продукта конденсации I и II, при pH 5—9 нагревают выше 70° и до кипения, причем образуются два жидких слоя. Водн. слой отделяют, добавляют  $NaOH$  и упаривают; II улетучивается, а  $Na_3PO_4$  выделяется в виде осадка. Ф. Псалти

6П135. Способ получения продуктов конденсации Müller Erwin, Bayer Otto. Verfahren zur Herstellung von Kondensationsprodukten. [Farbenfabriken Bayer A.-G.]. Пат. ФРГ 1060140, 17.12.59.—Доп. к пат. ФРГ 1048411 (РЖХим, 1961, 3П150). При получении продуктов конденсации ароматич. соединения частично или полностью заменяют такими, которые содержат в молекуле по крайней мере одну группу  $-NR-$ ,  $-(CH_2-CH-O)_n-H$ , где  $R = H$  или  $CH_3$ ,  $R'$  — алкил, циклоалкил, арил или аракил,  $n = 1-10$ . Полученные продукты конденсации лучше совмещаются с другими ароматич. в-вами и применяются в качестве исходных компонентов при изготовлении пластмасс. Напр., 604 г (4 моля)  $N$ -метилоксиэтиланилина и 140 г параформальдегида нагревают постепенно до 80—90° и добавляют 8 г  $H_3PO_4$ . Альдегид постепенно переходит в р-р. Через 1—2 часа прикладывают слабый вакуум, удаляют выделившуюся воду (28 мл) и получают вязкое темное масло с  $OH$ -числом 367. М. Альби

6П136. Получение полиэтилентерефталата. Нанакиси Посихару, Мияка Акихиса. [Тоё райо кабусики кайся]. Японск. пат. 4347, 28.06.57.—В качестве катализатора синтеза полиэтилентерефталата из диметилтерефталата (I) и этиленгликоля (II) применяют сплав, в состав которого могут входить по крайней мере два из следующих металлов: Pb, Sn, Sb, Bi, Zn, причем  $t$ -ра плавления сплава должна быть ниже  $t$ -ры р-ции. Пример (в ч.). 200 I и 200 II нагревают в токе  $N_2$  при 190° с 0,02 PbO (или без него), отняв  $CH_3OH$ .  $T$ -ру повышают до 265° для удаления избытка II; к реакционной смеси прибавляют 30 сплав 50% Sn и 50% Pb, после чего проводят полимеризацию (10 час. при 0,1—10 мм рт. ст. и 265°). Вязкость полученного полимера 1,54, в то время как вязкость полимера, полученного в присутствии только PbO, составляла 0,6. Э. Тукачика

6П137. Получение и использование термоустойчивых сополимеров винилиденных мономеров и ненасыщенных полиэфиров. Wilson Joseph F. Heat stabilized copolymerizate of a vinylidene monomer and an unsaturated polyester and method of preparing and using same. [Phillips Petroleum Co.]. Пат. США 285330, 21.10.58.—Термоустойчивые, пригодные для литья в изготовления слоев пластиком композиции готовят из (А) 10—90 вес.% ненасыщ. полиэфирной смолы с максим. мол. в. 8 000, получаемой этерификацией 15 вес.% гликоля, содержащего в молекуле до 15 атомов С (напр., этилен- или диэтиленгликоля) и  $\alpha$ - или  $\beta$ -этиленненасыщенных алифатич. дикарбоновых к-т (маленовой, фумаровой, итаконовой и т. п.) в кол-ве до 20 вес.% от общего кол-ва смолы, а также 0,5—5 вес.% полиоксиполикарбонкисзамещенных углеводородных соединений (бензольного, нафталинового, циклопентанового или циклогексанового ряда), содержащих в качестве заместителей по одинаковому числу ( $\leq 3$ ) гидроксильных и карбоксильных групп (напр., 4,5-диоксидициклогексан-1,2-дикарбоновой к-ты) и (Б) от 10—70 вес.% винилиденного мономера, сополимеризуемого с полиэфирной смолы (напр. стирала). Получают гомог. смесь, добавляют катализатор (органич. перекиси), расплавляют и подвергают отверждению при  $t$ -ре 25—200° в течение времени, необходимого для получения трехмерной структуры. Пример. При смешении 6 моль диэтиленгликоля, 5 моль маленового ангидрида, 1 моля адипиновой к-ты и 0,1 г гидрохинона (ингибитор) получают гомог. смесь, которую используют для сопоставления влияния добавляемых ингредиентов при получении четырех образцов полиэфиров. К первому образцу ничего не добавляют, ко второму добавляют 6,7 г (4 вес.%) фталевого ангидрида, к третьему 6,7 г фталевого ангидрида и 3,0 г диэтиленгликоля, к четвертому 6,7 г 4,5-диоксидициклогексан-1,2-дикарбоновой к-ты. Все ингредиенты добавляют на холоду в трехгорлые кол-

6П138. Смеси нагревают при постоянном пропускании  $N_2$  и удалении воды, образующейся в результате р-ции этерификации. Нагревание заканчивают, когда кислотные числа (КЧ) станут  $< 50$  мг КОН/г образца (за исключением второго случая, где КЧ значительно выше ввиду избытка добавленного фталевого ангидрида). После этерификации смесь охлаждают до  $130-140^\circ$  (ниже т-ры кипения стирола) и добавляют свежеперегнанный стирол. Полученные смеси перемешивают до однородности, сушат и аналитизируют, определяя кол-во связанного стирола в каждом случае (34—30 вес.%). Полимеризацию полученных смесей проводят в присутствии 2 вес.% перекиси бензоила, растворенной в 1—2 мл стирола. Образцы смолы нагревают 1 час при  $60^\circ$ , 2 часа при  $65^\circ$  и 3 часа при  $70^\circ$  или до начала отверждения. Затем продолжают отверждение при т-ре  $110^\circ$  в течение 24—48 час. Из полученных образцов полиэфира первый разрушается при  $140^\circ$ , второй при  $146^\circ$ , третий при  $160^\circ$ , а четвертый лишь при  $210^\circ$ . В. Волков

6П139. Получение смолоподобных материалов. Нагасава Фудзиро, Имада Сёдзо [Минубиси касей когё кабусики кайся]. Японск. пат. 2240, 11.04.57.—К смеси моноалкилового эфира малеиновой к-ты и алкилвинилильного эфира в атмосфере  $N_2$  при постоянном охлаждении прибавляют перекись бензоила (катализатор). По окончании экзотермич. р-ции полученную массу полимеризуют 24 часа при  $50-70^\circ$  и получают маловязкий смолоподобный материал, растворимый в воде и ацетоне. К смеси может быть прибавлена малеиновая кислота. Э. Тукачинская

6П140. Получение продуктов конденсации типа полиамидов. Procédé de fabrication de nouveaux produits de condensation du type polyamide. [Reichhold-Beckacite]. Франц. пат. 1164471, 9.10.58.—Продукт конденсации типа полиамидов получают р-цией ди- и полиаминов с жирными эпоксидами, образующими не насыщ. к-ты, (ЭК) их смесями или эфирами, образованными со спиртами, имеющими т-ру кипения ниже  $200^\circ$ . Напр. смешивают при охлаждении 1010 г жирной к-ты, выделенной из льняного масла, 79 г муравьиной к-ты (98%-ной) и 600 г  $H_2O_2$  и перемешивают массу в течение 48 час. при  $33^\circ$ . После обработки получают ЭК с содержанием эпоксидного  $O_2$  4,2%. 500 г ЭК смешивают с 211,5 г диэтилендиамина (получается некоторое разотверждение) и поднимают в течение часа т-ру до  $140^\circ$  с обратным холодильником (ХЛ), пропуская через реакционную смесь инертный газ и азот и поддерживают выход из ХЛ т-ру  $110^\circ$ . Затем смесь выдерживают при  $140^\circ$  еще 2 часа, после чего нагревают ее с циклонным ХЛ 1 час до  $200^\circ$ . После охлаждения под  $N_2$  получают 680 г мягкой смолы, растворимой в смеси толуол-изопропанол (4:1). Ю. Васильев

6П140. Облучение полиамидных материалов. La wton Elliott J., Bueche Arthur M. Electron irradiation of preformed polyamide resin. [General Electric Co.]. Пат. США 2858259, 28.10.58.—Облучением полиамидных материалов (напр., нейлона) потоком электронов высокой энергии ( $5 \cdot 10^4-20 \cdot 10^6$  эв) улучшают их стойкость по отношению ко многим р-рителям, увеличивают мол. вес и понижают способность к деформации пластик. течения при т-рах  $> 250^\circ$ . В связи с ограниченной глубиной проникновения электронов облучению подвергают материалы в виде тонких лент или тонкостенных изделий (применяют также двустороннюю обработку лент). Облучение осуществляют направленным потоком электронов с помощью высоковольтного ускорителя. Напр., при облучении нейлоновой ленты толщиной 0,095 мм установлено, что при дозе облучения  $5 \cdot 10^7$  рентгенов лента практически не растворяется в горячем н-крезоле (т-ра  $90^\circ$ ), но набухает в нем; при этом степень набухания заметно уменьшается с повышением дозы облучения. Необлученный образец способен к деформации пла-

стич. течения при т-ре  $250^\circ$ . Материал, облученный при дозе  $1 \cdot 10^8$  рентгенов, не способен к пластик. течению даже при т-ре  $390^\circ$ . Рекомендуется облучение полиамидов при дозах  $5 \cdot 10^7-5 \cdot 10^8$  рентгенов.

С. Вуколов

6П141. N-алкоксиметилзамещенные (полимерные) четвертичные аммониевые основания. Melamed Sidney. New quaternary ammonium compounds in which the nitrogen atom carries an alkoxymethyl group. [Rohm & Haas Co.]. Пат. США 2843573, 15.07.58.—Полимеры и сополимеры, содержащие четвертичный N, связанный с алкоксиметильной группой, получают путем перевода N в четвертичное состояние в полимерах и сополимерах или в мономере с последующей полимеризацией или сополимеризацией, причем N может быть только частично переведен в четвертичное состояние. Напр., 115 г диметиламиноэтилвинилового эфира и 17 г диметилазодинобутирата нагревают 24 часа при  $75^\circ$ , удаляют свободный мономер нагреванием в течение 12 час. при  $100^\circ$ , 0,1—0,2 мм рт. ст. и получают полимер. 67 г полимера в 200 мл  $CH_3OH$  медленно обрабатывают 41 г  $ClON_2OCH_3$ , нагревают 2 часа, р-ритель удаляют в вакууме и получают поливинилоксиэтилдиметилметоксиметиламмонийхлорид. Кроме того, получены: полиметакрилоксиэтилдиметилметоксиметиламмонийхлорид, полиметоксиметил-4-винилпиридинийхлорид и сополимеры полидиметилвиниламина и метилхлормет-илового эфира, а также полиметилакрилата и 3-димер ламинопропиламина. Продукты можно применять для отделки тканей, бумаги и др. А. Б.

6П142. Получение пластиков на основе сложного эфира целлюлозы. Мацубара Йосихару. [Сайсэй сёно кабусики кайся]. Японск. пат. 2993, 20.05.57.—Способ пластификации сложных эфиров целлюлозы, напр. нитро- или ацетилцеллюлозы, отличается тем, что в качестве пластификатора вместо циклич. гомокамфенилоацетата (I), (получение и применение которого описано в японск. пат. 2044, 30.03.57 и 3393, 6.06.57, см. РЖХим, № 23, 1960, реф. 94668, 94669) применяют еволацетат камфоры (II), представляющий собой прозрачный, бесцветный р-р с т. кип.  $80-82^\circ$  при давл.  $< 7$  мм рт. ст. с уд. в. 0,9987 при  $25^\circ$ ,  $n_D^{25}$  1,4623 и эфирным числом 287. II, как и I, обладает слабым приятным запахом, хорошо смешивается с различными р-рителями, а также со сложными эфирами целлюлозы и винильными смолами. При использовании II, подобно I, в качестве пластификатора для получения пластиков из сложных эфиров целлюлозы при необходимости к смеси могут быть добавлены красители. М. Кирпина

6П143. Пропионаты целлюлозы. Kinney Paul W., Prichard John H. Cellulose propionate compositions. [Celanese Corp. of America]. Пат. США 2883299, 21.04.59.—Патентуются композиции, содержащие пропионаты целлюлозы (ПЦ), пластифицированные триэтиленгликолядикакрилатом (I) с добавлением при необходимости пигментов, красителей, стабилизаторов, в-в, сообщающих опстечность и поглощающих ультрафиолетовые лучи и др.; композиции отличаются повышенным сопротивлением удару, хорошей твердостью и размероустойчивостью. Наилучшие свойства изделий получают при содержании в ПЦ свободных ОН-групп в кол-ве 0,1—0,5 (предпочтительно 0,15—0,35) на элементарное звено целлюлозы. Пластификатор вводится в ПЦ при прокатке между горячими вальцами или в смесителе Бенбери и т. п. I вводят в кол-ве 5—35 (предпочтительно 7,5—30) вес. ч. на 100 вес. ч. ПЦ. Вязкость р-ра 6 г ПЦ в 100 мл смеси 98 ч. ацетона с 2 ч. воды равна 40—250 (предпочтительно 70—120) спуз при т-ре  $25^\circ$ . При м. р. Порошок ПЦ с содержанием 0,25 свободной ОН-группы на элементарное звено целлюлозы с вязкостью 115 спуз смешивают с I в весовом соотношении 17,5:100 и доводят смесь до

однородной консистенции прокаткой в горячих вальцах. Полученный продукт характеризуется т. пл. 167°, сопротивлением удару (по Изоду) ~0,13 кгсм, твердостью (по Роквеллу) 65 и потерей веса при нагреве 0,7%. Продукт не теряет пластификатора после выдержки в течение 72 час. при т-ре 60° и относительной влажности (ОВ) 90%. Сформированные бруски размером  $3 \times 12,7 \times 127$  мм после выдержки в течение 48 час. при т-ре 16° и ОВ, 50% подвергли затем испытанию при следующих условиях: 16 час. при ~40°, ОВ 86%; 7 час. при ~70°, ОВ 50%; 1 час при 18° и ОВ 0%. После 5 циклов испытания в указанных условиях усадка брусков составляла только 0,7%; другие изменения размеров были незначительны. Г. Копчевский

**6П144.** Водорастворимые термоотверждаемые смолы и метод их получения. Goss Worth C. Water soluble thermo-setting resin and method for its manufacture. [Permanente Cement Co.]. Пат. США 2846431, 5.08.58.—Водорастворимые термоотверждаемые пластики, пригодные для изготовления картона и тары, получают из отработанной массы сульфитных щелоков (СПЩ), содержащей от 10 до 12 вес.% сухих в-в, путем обработки СПЩ паром при давл. ~7 кг/см<sup>2</sup> и избытком SO<sub>2</sub>, проводимой до тех пор, пока pH среды не достигнет 4,5, с добавлением на каждые 25 л СПЩ от 0,5 до 4 кг сухого безводн. аммиака при т-ре ~150°; через смесь пропускают воздух в течение 1 часа при давл. 7—14 кг/см<sup>2</sup> и отгоняют аммиак из окисленного СПЩ до тех пор, пока pH среды не станет равным 7—10, после чего СПЩ отделяют фильтрованием от нерастворимых несмолообразных материалов и подкисляют очищ. жидкостью до pH 4,7, причем выпадает полуотвержденная смола, большую часть которой выделяют из кислых р-ров путем концентрирования и сушки. При взаимодействии полученной смолы с формальдегидом получают твердый и нерастворимый продукт. При нагревании смолы до ~204° она частично отверждается. Если сухой порошкообразный пластик растворить в воде с добавлением 3—5% CH<sub>2</sub>O от веса сухих в-в смолы и пропитать этим р-ром бумагу или картон, а затем прогреть композицию при ~100°, то получится материал с повышенными механич. прочностью и гидрофобностью. В. Волков

**6П145.** Способ получения волокнистых панелей с покрытием и изделия из них. Asselin John D., Henrickson Russell M. Method of coating fibrous hardboard panels and resultant article. [Whirlpool Corp.]. Пат. США 2858236, 28.10.58.—Листовые панели для холодильников получают прессованием лигноцеллюлозного волокна, пропитанного не имеющей вкуса и запаха композицией из восков, содержащей ~85% микрокристаллич. воска (т. пл. 70—80°) и 15% смеси симметричных высокомолекулярных алифатич. кетонов, полученных из смеси 75% стеариновой, 22% пальмитиновой и 3% олеиновой к-т. Полученная композиция восков имеет т. пл. ~70°. Композицию наносят в расплавленном состоянии на листы волокнистого материала до получения слоя в 0,1—0,25 мм. С противоположной стороны панели покрывают слоем смолы. Полученный материал не размягчается и не имеет липкости при т-рах до 50°, сохраняет гибкость (не трескается при деформации) при ~30° и устойчив к влаге — вес его возрастает только на 1,5% при выдержке в течение 30 дней при 85° и относительной влажности 100%. С. Басс

**6П146.** Процесс изготовления емкостей из целлюлозных материалов, пропитанных смолой. Schneider Caspar C. Process for the manufacture of hollow articles from resin impregnated cellulosic materials. Пат. США 2877498, 17.03.59.—Целлюлозную массу (ЦМ) пропитывают водн. суспензией смолы или не-скольких смол, отверждаемых при нагревании, после чего подсушкой понижают содержание воды до кол-ва, необходимого для обеспечения достаточной пластич-

ности продукта. Изделия получают на прессах с подогревом пуансона и матрицы или одной из этих частей (приведено схематич. изображение прессформы). Напр., для изготовления кастрюль ЦМ пропитывают композицией (в вес. ч.): меламиноформальдегидной смолы (мол. соотношение меламина к формальдегиду ~1:2, мол. в. 350—400) 15, силикагеля (водн. суспензия, содержащая 30% SiO<sub>2</sub>) 35, полистирола с мол. в. ~200 000 (30%-ная водн. суспензия) 20, дистил. воды 30. Пропитанный материал слегка отжимают, доводя его вес до 140% от веса сухой массы, после чего подсушкой при 80° удаляют до 60% воды. Формованные изделия проводят при т-ре прессформ ~163° в течение 10 сек. С. Вуколов

**6П147.** Усовершенствования в формировании полиэфирных смол. Leader Denis Arthur. Improvements in or relating to the moulding of polyester resins. [Trylon Ltd]. Англ. пат. 813535, 21.05.59.—Патентуется способ изготовления армированных слоистых пластиков с применением неласщ. полиэфирной смолы. Армирующий материал из натурального или искусст. волокна, стекловолокна, бумаги и т. д. пропитывают р-ром или эмульсией, содержащей катализатор полимеризации [перекись бензоила (I) или лаурила] и связующее в-во [полистирол, полиметилметакрилат (II), поливинилацетат или диметилфталат (в форме пасты)], после чего наносят слой смолы с ускорителем C<sub>6</sub>H<sub>5</sub>N(CH<sub>3</sub>)<sub>2</sub> или n-C<sub>12</sub>H<sub>25</sub>N(CH<sub>3</sub>)<sub>2</sub> и оставляют для отверждения. Напр., материал из стекловолокна пропитывают р-ром из 100 ч. CHCl<sub>3</sub>, 9 ч. II и 3 ч. I; после сушки материал пропитывают полиэфирной смолой, полученной р-цией 2,1 моля α-пропиленгликоля с 1 молем малеинового ангидрида и 1 молем C<sub>6</sub>H<sub>5</sub>(CO)<sub>2</sub>O (кислотное число 30). К смоле добавляют 0,01% гидрохинона (ингибитор) и смешивают ее с 30% стирола и 1% C<sub>6</sub>H<sub>5</sub>N(CH<sub>3</sub>)<sub>2</sub>. Полученный материал пригоден для изготовления прочных формованных изделий, напр. автомобильных деталей. Ф. Пасальти

**6П148.** Способ обработки листовых материалов и получаемые изделия. Letteron Henry A. Process of treating sheet material and product resulting therefrom. [General Electric Co.]. Пат. США 2868299, 13.01.59.—Хрупкий листовый материал (в частности, изготовленный из чешуек слюды) накладывают на лист из прочного и гибкого материала (бумага, полиэфирная пленка, стеклоткань и др.), покрытый смолой или смолообразующей смесью, после чего лист скатывают в рулон. Смола постепенно диффундирует в слой слюды; в результате получается прочный слоистый материал. В качестве пропитки могут быть взяты полиэфир, шеллак, эпоксидные смолы, а также различные мономеры. Аналогично изготавливают многослойные материалы. Патентуемые изделия применяют в качестве электроизоляции, обладающей постоянными механическими и диэлектрическими свойствами. Э. Тукачинская

**6П149.** Изготовление слоистых пластиков. Fitt Harris Leo J. Lamination of thermoplastic polymers. [Minnesota Mining and Manufacturing Co.]. Пат. США 2867241, 6.01.59.—Для изготовления труб (Т) из пластмасс с внутренней футеровкой на термопластичную, цилиндрич. формы пленку из полиолефина [полиэтилена, политрифторхлорэтилена (I), поливинилденхлорида], надетую на металлич. каркас, наплавляют порошкообразный I и затем, после нанесения основного слоя термоактивной смолы [эпоксидный (ЭС) или фенолформальдегидной] или эластомера (НК, неопрена), проводят отверждение Т, в течение которого наплавленный I соединяется с эластомером. Способ применим также для футеровки металлич. Т. Напр., экструзионную Т из I, надетую на каркас и покрытую порошкообразным I, нагревают при 250° в течение 30 мин. После наплавления Т была покрыта ЭС «Эпон 828», содержащей 14% метафенилендиамина и



х с под-  
х частей  
сформы),  
итывают  
дегидро-  
альдегиду  
е. сущес-  
с мол. а.  
дистия  
мают, до-  
осле чего  
рмование  
течения  
Вуколов  
ни полн-  
Improve-  
resina,  
тентует-  
ых пла-  
е смолы,  
искусств-  
итывают  
ор полн-  
и с 1 мо-  
лат (II),  
орме па-  
риетелем  
ют для  
на про-  
I; после  
смолы,  
с 1 мо-  
4, (CO)<sub>2</sub>  
% гидро-  
ирола и  
ден для  
и, напр.,  
Псалты  
малов и  
Process  
g there-  
286829,  
стности,  
ают на  
а, поли-  
смолы и  
скают  
и слой  
топосты  
иты по-  
различ-  
ежные  
в каче-  
е ме-  
и.

качестве отвердителя. Отверждение проводилось при  $t = 60^\circ$  в течение 1 часа.

**6П150.** Получение полимерных материалов для производства влагопроницаемой бумаги. Хигаши-кара Горо, Сога Исукиса, Исия Кадазу. Тоа готэй кагаку кобэ кабусики кайся. Японск. пат. 2502, 1.06.57.—Смесь (в ч.) 35  $\text{CH}_2\text{CHCl}$ , 65  $\text{CH}_2\text{CCl}_2$ , 100 воды, 3 малеинового ангидрида, 1  $(\text{NH}_4)_2\text{S}_2\text{O}_8$ , 1 додецилсульфата и 2  $\text{CCl}_4$  полимеризуют в автоклаве при  $45^\circ$ . Твердый остаток растворяют в толуольно-бензольном р-ре для получения 20%-ного р-ра. Продукт, нанесенный на целлофан, придает ему высокую адгезию и водоотталкивающие свойства. Приведен также пример получения полимерных материалов и нанесения их на бумагу для уменьшения ее влагопроницаемости.

**И. Берлин**  
**6П151.** Сосуды для жидкостей. Jaraу Francis Ferdinand. Fluid-confining structures. Англ. пат. 10473, 18.03.59.—Патентуется способ изготовления хим. оборудования из многослойного материала, а именно из нескольких слоев синтетич. смол, причем один слой изготавливают из прессованных в форме частей, а оболочка, получаемая без применения формы, из армированной синтетич. смолы горячего или холодного отверждения служат формой для нанесения других армированных слоев смолы. Напр., для изготовления прямоугольного бака для хранения смеси  $\text{HCl}$  и  $\text{H}_2\text{SO}_4$  при  $115^\circ$  размером  $0,6 \times 1,2 \times 0,6$  м три слоя из кусков стеклоткани весом 28,4 г заполняют фурановой смолы холодного отверждения, содержащей 40% гранулированного угля. Отвержденные листы толщиной ~0,32 см склеивают фурановой цементующей смолы; полученную без применения формы оболочку подкрепляют с внешней стороны стеклотканью тяжелого типа, насыщенной термоустойчивой полиэфирной смолы, и нагревают для отверждения.

**Ф. Псалты**  
**6П152.** Листы из слоистого пластика. Feuille composite. [Pneumatiques & Caoutchouc Manufacturé Kléber—Colombes]. Франц. пат. 1174619, 28.01.59.—Листы, состоящие из картона и поливинилхлорида, — прочный и красивый материал, хорошо сопротивляющийся истиранию и удару, — применяют для изготовления мембран и других изделий. Склеивание картона с поливинилхлоридом производят любым способом. Для склеивания на холоду пригодны латексы синтетич. смол или бутадиенилтринилные латексы. Описана установка для непрерывного изготовления таких листов. На поливинилхлорид, разматывающийся из рулона, накладывают клей пропусканием его между двумя валами, один из которых погружен в клей. Затем на него поочередно один за другим листы картона, прокатывают их между роликками, производят тиснение и разрезают.

**Л. Крохина**  
**6П153.** Производство воздухопроницаемых листов из синтетических смол. Хорика Масая. Японск. пат. 4878, 12.07.57.—Листы из термопластичной смолы, напр. винилхлорида или винилиденхлорида, покрытые тканью (или без нее), подогревают до  $t$ -ры размягчения смолы и пропускают через каландры, которые проглаживают листы и выпрямляют складки на них. Непосредственно за каландрами расположены два барабана, один из которых (верхний) имеет многочисленные очень тонкие стальные иглы, а второй (нижний) обтянут каким-либо мягким эластичным материалом с высокой термич. стойкостью, напр. термостойкой резиной. На поверхности этого материала (резины) имеются многочисленные отверстия, совпадающие по диаметру и расположению с диаметром и расположением стальных игл верхнего барабана. Обрабатываемый лист из синтетич. смолы, проходя через эти барабаны, прокалывается иглами. В результате получают листы с многочисленными отверстиями, пропускающими воздух, но в то же время совершенно водонепроницаемые.

**М. Кирпша**

**6П154.** Улучшение адгезионных свойств пластмасс. McDonald Joseph F. Plastics-treating apparatus. Пат. США 2879396, 24.03.59.—Для повышения прочности сцепления типографских красок и клеев с поверхностью пленки (ПЛ) из полиэтилена предварительно улучшают адгезионные свойства последней путем озонирования поверхности ПЛ в сильном электростатич. поле. Такое поле создают между двумя электродами, одним из которых является заземленный вращающийся валик, по которому непрерывно проходит ПЛ. Второй электрод выполняют в виде вогнутой решетки из металлич. трубок, каждая из которых во избежание искрового разряда между электродами покрыта слоем диэлектрика (напр., стекла). Двустороннюю обработку ПЛ осуществляют с помощью двух таких устройств, установленных последовательно, при этом на валик второго устройства ПЛ подают необработанной стороной сверху.

**С. Вуколов**

**6П155.** Получение газонепроницаемых листов. Хорика Масака. Японск. пат. 3285, 1.06.57.—В патентуемом способе получения листов (Л) из термопластичной смолы (напр., винилхлорида), пропускающих воздух, но водонепроницаемых, в исходном Л, подвергнутом до  $t$ -ры размягчения ( $120$ — $160^\circ$  в случае винилхлорида) и расположенном на плоской обогреваемой упругой плите, пробивают отверстия иглами, вставленными в плоскую, также обогреваемую, плиту. Для облегчения удаления игл из Л поверхность его обдувают теплым воздухом. После удаления игл на обогреваемую плиту подается другой Л. Приведены кинематич. и электрич. схемы.

**Ю. Ермаков**

**6П156.** Производство пленок. Ивасаки Хиро-си, Ямамура Хиро-си. [Курэва касэй кабусики кайся]. Японск. пат. 5587, 26.07.57.—Для произ-ва пленок расплав сополимера винилиденхлорида ekstrудируют в охлаждающую ванну. При этом для сохранения формы в рукав при помощи спец. приспособления нагнетается воздух.

**Ю. Жмакин**

**6П157.** Получение литых тонких пленок из пластических материалов. Petriello John V. Method for casting thin plastic films. Пат. США 2852811, 23.09.58.—Тонкую изоляционную пленку (ПЛ) толщиной  $< 0,025$  мм с постоянными диэлектрич. свойствами и хорошей механ. прочностью получают из политетрафторэтиленов (политетрафторэтилена, политрифторхлорэтилена), а также из ацетата целлюлозы, нейлона, полистирола, полиэтилена и т. п. ПЛ получают непрерывным осаждением на полированную коррозионностойкой по отношению к воде и воздуху металлич. ленте (Л) диспергированных в воде мелких частиц политетрафторэтилена диаметром до  $1 \mu$  с непрерывной подсушкой и сплавлением осевших на Л частиц в тонкую ПЛ при  $t$ -ре около  $300^\circ$ . Л повторно погружают в ванну с дисперсией до получения ПЛ требуемой толщины, сплавляют осевшие частицы при  $t$ -ре  $350$ — $400^\circ$ , а затем охлаждают и сматывают ПЛ с обеих сторон Л на две бобины. Толщину ПЛ можно также регулировать изменением концентрации полимера в водн. дисперсии. Свойства получаемой ПЛ зависят от качества поверхности металлич. Л (носителя пленки). Напр., ПЛ из политетрафторэтилена толщиной  $6,35 \mu$ , полученная при шероховатости поверхности металлич. Л  $6,35 \mu$ , характеризуется натяжением  $178 \text{ г/см}$  ширины и электрич. прочностью  $\sim 120,5 \text{ кВ/мм}$  (отклонения  $\pm 18,9 \text{ кВ/мм}$ ); ПЛ снимается с трудом и разрывается при натяжении; при шероховатости Л  $0,4$ — $0,1 \mu$  ПЛ снимается легко, натяжение  $17,8 \text{ г/см}$  ширины, электрич. прочность  $\sim 154$ — $155 \text{ кВ/мм}$  (отклонения  $9,5$ — $10,3 \text{ кВ/мм}$ ).

**С. Вуколов**

**6П158.** Изготовление листов из полиэтилена. Ка-васакура Ким и о. Японск. пат. 3130, 27.05.57.—Полиэтиленовая труба по выходе из муфштукса ekstrудера движется по роликовому конвейеру. На пути движения трубы установлено приспособление для разреза-



много смеси. Затем т-ру Ф несколько повышают для сжигания всей находящейся в Ф смеси, после чего Ф охлаждают, размыкают и извлекают полученное полное изделие. Процесс ведут на роторном станке с применением нескольких однотипных форм.

С. Вуколов

6П166. Изготовление лентых вогнутых оптических линз из синтетических смол. Мацумото Акира, Имаока Така. Японск. пат. 3983, 20.06.57.—Патентуемая установка для изготовления вогнутых оптич. линз из синтетич. смол представляет собой цилиндрич. ванну, разделенную кольцевой перегородкой на две камеры: внешнюю (I) и внутреннюю (II). Камера II при помощи вогнутой перегородки также делится на две камеры: нижнюю (III) и верхнюю (IV). Сверху ванна герметически закрыта колпаком. В камеры III и I заливают предварительно полимеризованный р-р, напр. р-р сложного эфира метакриловой к-ты, удаляют пузырьки содержащегося в нем воздуха и проводят обычным методом полимеризацию этого р-ра (путем нагревания, при необходимости с добавлением ускорителя полимеризации). По мере полимеризации объем р-ра в камере III начинает уменьшаться, тогда из камеры I через отверстия в кольцевой перегородке, разделяющей камеры I и II, поступает свежий р-р и таким образом объем р-ра в III все время поддерживают на необходимом уровне и осуществляют постепенное формирование линзы. Патентуемая установка может быть использована также для формирования из синтетич. смол любых предметов, имеющих вогнутую поверхность. Приведена схема установки.

М. Кириша

6П167. Способ бисерной коагуляции латекса. Procédé de coagulation en perles des latex. [Solvay & Cie]. Бельг. пат. 553742, 29.01.60.—Поливинилхлорид или сополимеры винилхлорида (I) с винилиденхлоридом или акрилонитрилом (II) в форме латекса распыляют до состояния мелких капель в воздушной среде, содержащей ~5% газообразного HCl, или в неводн. жидкости, слабо или совсем не растворяющей латекс полимера. Коагуляцию осуществляют за счет нагревания, замораживания и/или действия электролита, напр. HCl,  $CaCl_2$  и др., растворенного в жидкости. Продукт в виде эфирич. частиц diam. 0,2—0,5 мм собирают в нагретом водн. р-ре HCl или  $CaCl_2$ , промывают водой и сушат при 80°. Для повышения механич. прочности частицы после коагуляции подвергают термич. обработке при т-ре, близкой к т-ре плавления или размягчения полимера. Пример. 34%-ный латекс сополимера 85% I и 15% II диспергируют путем механич. размешивания в невр. эфире, содержащем HCl, до состояния мелких капель; после коагуляции частицы полимера суспендируют в течение 8 мин. в воде при 115° под давлением, затем отжимают и сушат. Для придания продукту прозрачности его подвергают быстрому прогреву во вращающемся барабане при т-ре, близкой к т-ре плавления полимера.

Ю. Марголина

6П168. Метод сваривания пластин пенопласта между собой или с пластиной из другого пластика. Newman Victor. Method of welding together sheets of plastic foam or a sheet of plastic foam and a sheet of some other plastic. [Advance Plastics Pty Ltd]. Австрал. пат. 214947, 20.12.56.—Для сваривания пластин (ПЛ) из термопластич. пенопласта между собой или с ПЛ из какого-либо другого термопластич. материала (вдоль их узкой части) ПЛ укладывают на жесткое основание и прикладывают сваривающий электрод к ПЛ из пенопласта или к ПЛ из другого пластика под давлением, необходимым для того, чтобы полностью или по крайней мере в значительной степени удалить воздушные зазоры в пене, примыкающей к месту сварки; применяют ток высокой частоты и быстрого напряжения. Напр., на металл. плиту последовательно укладывают лист изоляционного материала,

ПЛ из термопластич. пенопласта и ПЛ из поливинилхлорида и покрывают теплоизоляционным материалом (льняное полотно). Применяемый электрод, имеющий форму лезвия ножа, монтируют на основе, которая прикреплена к головной части пресса. Электрод присоединяют к высокочастотной сети с потребляемой мощностью до 500 вт. Для сварки применяют высокочастотный ток (до 80 млн. периодов в секунду). Давление пресса (до 270 кг) передают через его головную часть на теплоизоляционное полотно. Подачу тока и давление поддерживают ~40 сек. В процессе сваривания электрод разрезает теплоизоляционный материал, ПЛ из поливинилхлорида и пенопласта и сваривает при этом кромки термопластич. материалов в месте разреза. Потребляемая мощность, давление и время сваривания зависят от площади свариваемой поверхности.

Ф. Абель

6П169. Сварка изделий из термопластических смол. Суда Кадзую. [Секисуй кагаку котэ кабусики кайся]. Японск. пат. 3127, 27.05.57.—Источник ИФ-лучей помещают в фокусе вогнутого отражательного зеркала. Лучи, отражаясь, проходят через линзу, установленную с другой стороны зеркала, и фокусируются в точке, в которой должны быть сварены детали из термопластич. смолы. Приведена схема технологич. процесса сварки деталей из термопластич. смол.

М. Кириша

6П170. Сварка полых изделий из синтетических смол. Нитино Масатэру. Японск. пат. 3129, 27.05.57.—При сварке (СВ) труб (Т) из синтетич. смол, напр. из полиэтилена, внутрь Т в месте их СВ друт с другим вставляют стержни диаметром, равным внутреннему диаметру Т, из какого-либо легко разрушаемого от удара или потоком воды материала. После СВ эти стержни разрушают, слегка постукивая по Т в месте СВ, и удаляют их из Т, затем пропускают по Т воду или водн. суспензию какого-либо абразива и вымывают из Т остатки стержней, причем одновременно полируют внутреннюю поверхность Т. Патентуемый метод СВ предотвращает деформацию Т в месте их СВ и сужение внутреннего диаметра Т, что может иметь место вследствие проникновения в Т расплавленной смолы в процессе СВ.

М. Кириша

6П171. Способ ремонта обивочного материала, изготовленного из винильного пластика. Mulkey Troy F. Method of mending vinyl plastic upholstered seats. Пат. США 2855338, 7.10.58.—Повреждения в обивке мягкой мебели, изготовленной из нанесенного на ткань слоя пластмассы на основе винильных смол, заделывают путем приваривания заплат из такой же, как и обивка, пластмассы с помощью электрич. нагревателя (в виде паяльника) мощностью 250 вт, имеющего заостренный широкий наконечник, нагреваемый до т-ры 175°. Ремонт осуществляют как с полным, так и с частичным снятием обивки с мебели. Перед наложением заплаты место разреза усиливают с внутренней стороны лишним пластмасс, после чего с лицевой стороны по разрезу в слое пластмасс наконечником прибора делают канавку правильной формы, в которую укладывают вырезанную по форме заплату. Затем с помощью того же прибора заплату сваривают с основным слоем пластмассы. В случае длинных разрезов последние перед наложением заплаты сшивают или стягивают скрепками.

С. Вуколов

6П172. Пробки из термопластичного материала. Darbellay Armand. Bouchon en matière thermoplastique. Швейц. пат. 333449, 15.12.58.—Предлагается конструкция пробок из термопластичного материала, напр. из полиэтилена, для закупоривания бутылок. Пробки состоят по крайней мере из трех круговых фланцев, связанных продольной арматурой, имеющей в поперечном сечении Т-образную форму. Приведены схематич. разрезы двух вариантов конструкции.

Ю. Васильев



6П173. Соединения для труб из синтетических материалов, напр. полиэтилена. *Raccord pour tuyau en matière synthétique, telle que polythène, etc.* [G. Pierard, travaillant sous la raison sociale «Les Moulleurs Associés»]. Бельг. пат. 535591, 5.12.58.—Для соединения труб из синтетич. материалов предлагается конструкция фитинга, имеющего корпус из чугуна, бронзы или другого металла и фланцы, прижимающие к уплотняющим прокладкам с помощью стягивающих болтов и рамок конич. муфты, посаженные на соединяемые концы труб. В качестве соединения может служить вентиль такой же конструкции. Приложены план и разрезы соединения для двух или трех отрезков труб.

Ю. Васильев

6П174. Приемники из пластмасс. *Récipient en matière plastique.* [Bertrand-Marie-Joseph-Charles de Lur-Saluces]. Франц. пат. 1167724, 28.11.58.—Приемник (ПР) для жидких, пастообразных или порошкообразных в-в изготовляют из пластика. материала литьем под давлением или вакуумным формованием. ПР имеет форму конуса, вершина которого, отрезанная ножницами, образует отверстие для выдавливания, разбрызгивания или распыления содержимого ПР. Заполнение ПР производят через его основание, после чего последнее закрывают плоским круглым донышком, приклеиваемым или привариваемым токами высокой частоты. Приведены схематич. рисунки.

Ю. Васильев

6П175. Изготовление продольно изогнутых изделий и заготовок для них из политетрафторэтиленовых композиций. Schuman Paul D., Chu Edward J. Production of preforms and longitudinally curved articles of polytetrafluoroethylene resin. [Resistoflex Corp.]. Пат. США 2863174, 9.12.58.—Заготовку (ЗГ) из пластмассы для экструзии изогнутых труб (Т), представляющую собой полый цилиндр (Ц), состоящий из 2—3 различных по составу сегментообразных частей (СЧ), получают формированием смесей пигментированного политетрафторэтилена [напр., тефлона TE-3086 (I)] и разбавителя (РБ) [масло высокой очистки (МО) с уд. в. 0,775—0,785 при 15° или смесь лигроина с полиизобутиленом с вязкостью 3—5 сантиу]. Кол-во РБ в смеси 14—22%. Смесью политетрафторэтилена и РБ формуют в виде полого цилиндра, из которого удаляют 1 или 2 СЧ. Недостающие СЧ формуют при добавлении РБ в указанную смесь. ЗГ получают, соединяя СЧ с цилиндром. Рецептуры смесей для СЧ: 1) 89,8 г I, 0,09 г сажи, 24,3 мл МО; 2) 90,8 г I, 0,09 г сажи, 23,1 мл МО; 3) 90,8 г I, 0,12 г сажи, 28,9 мл МО. Изогнутые Т с различным радиусом кривизны и постоянным поперечным сечением получают из ЗГ на прессе рамного типа. Скорость экструзии каждой ЗГ из-за отличия в составе образующих частей различна по окружности, вследствие чего происходит равномерное изгибание Т. Полученную Т нагревают сначала до 150—160° для удаления РБ и затем до 375—400° для отверждения.

А. Самохвалов

6П176. Изготовление труб. Deck Philip Ronald. Improvements in pipes. [Sharp, Jones & Co. Ltd]. Австрал. пат. 214874, 24.01.57.—Предлагаются аппарат и способ для изготовления армированных труб высокой механич. прочности. Труба состоит из наружного слоя волокнистого материала (асбест, стекло) в виде ровницы, ткани, мата, пропитанного терморезактивной или термопластичной смолой (напр., полиэфирной, аллилфенольной, силиконовой, меламиновой, оксидной или фурановой) и внутренней несущей трубы (ВТ) из жесткого материала, напр. портландцемента, устойчивого против сульфатов, или глиноземного цемента (также и армированного). Аппарат производит намотку требуемого числа слоев волокнистого материала на ВТ, изготовленную по одному из известных способов, после чего трубу с намоткой помещают для отверждения в печь. Приведены общие виды аппарата.

Ю. Васильев

6П177. Способ и оборудование для изготовления планов. Stahl Oscar Carl. Hose, and method and apparatus for manufacturing the same. Англ. пат. 820400, 23.09.59.—Для изготовления многослойных планов из пластмасс, армированных тканевой оплеткой, выходящей из экструдера чулок из термопластичного материала охлаждают в водяной ванне, затем оплетают хлопчатобумажным или нейлоновым кордом, после чего поддают в ванну с подогретым пластификатором. После выхода из ванны чулок с пропитанной пластификатором оплеткой пропускают через вакуумцилиндр (для деаэрации) и через подогреватель поддают в ванну с пластизолем, который по выходе чулка из ванны отлагается на его поверхности в виде наружного слоя. Далее с помощью мундштука калибруют план по наружному диаметру и путем обогрева при t-ре 165—180° сплавляют частицы пластизола. Применяют также подогрев чулка перед пропиткой пластификатором и деаэрацию — до сплавления наружного слоя. Приведено несколько вариантов аппаратурного оформления процесса.

С. Вуколович

6П178. Изолирующие оболочки из пластического материала для элементов электротехнических устройств. *Habillage en plastique pour pièces détachées électronique.* [Hermès Miquel]. Франц. пат. 1163098, 8.09.58.—Детали различных электротехнич., радио-, телевизионных и электронных устройств, главным образом конденсаторы, изготовляют, заключая деталь в цилиндр, изолированную герметичную оболочку из термопластичного материала, напр. из полиамидо (найлон или рильсан). Проводники выпускают через одно или оба донышка, закрывающие цилиндр. Требуемая герметичность создается заливкой предельно вязкой смеси того же термопластичного материала. Основу цилиндра может быть изготовлена также из металла с последующим покрытием слоем пластмассы. Приведены схемы деталей.

Ю. Васильев

6П179. Изготовление элементов покрытий из пластмасс. *Nouveaux modes d'obtention d'éléments plastiques de revêtements, et de leurs applications.* [Jacques Dupuis]. Франц. пат. 1162647, 16.09.58.—Патентуют способ изготовления элементов сборных облицовочных покрытий из пластмасс для стен, крыш и т. д. в виде квадратных, прямоугольных или иной формы пластика, соединяемых друг с другом с помощью выступов типа пазов или шпиров и соответствующих им пазов на присоединяемых поверхностях. Получают моющиеся, непроницаемое покрытие из заменяемых элементов.

Ю. Васильев

6П180. Изготовление герметических упаковок из пластмасс. *Perfectionnements aux emballages plastiques étanches, et méthode de fabrication de ces emballages.* [Jean Frechtmann, William Treu]. Франц. пат. 1167682, 27.11.58.—Герметическую упаковку из термопластичного материала, напр. полиэтилена или поливинилхлорида для летучих жидкостей изготовляют путем склеивания двух или более слоев пластика в виде концентрич. трубок. Для разделения трубки на отдельные секции по заполнения определенными дозами в-ва производится сварка с образованием двух параллельных швов по линии раздела, между которыми образуется зона ослабленной прочности, позволяющая осуществлять отрыв одной секции от другой без повреждения. Приведены конструкция и чертежи общих видов и узлов аппарата для изготовления упаковок.

Ю. Васильев

6П181. Остекление с помощью пластмасс. Wülfert Karl. Kunstverglasung. Пат. ФРГ 1041219, 2.04.59.—Стекла зажимают пружинящими профилированными элементами из пластмассы (ПЭ), закрепляемыми на несущей, преимущественно металлич., решетке, к которой ПЭ можно дополнительно приклеивать. Несущая решетка (НР) может иметь форму двутаврового профиля, на вертикальной балке которого имеет

ся треугольная насадка, профили со стреловидной насечкой или вертикального прямоугольника с круглыми или овальными утолщениями на обоих концах. Для создания дополнительного уплотнения стекла могут вставляться в полости из пенопласта, прикрепленные к ПЗ и снабженные посредине продольной прорезью. ПЗ по крайней мере в одном месте могут иметь уменьшенную толщину (паз), вследствие чего они пружинят при соединении с НР. Паз, после закрепления ПЗ, запечатывают жестким материалом — вставляют в него илилки соответствующей формы или заливают его отверждаемой пластмассой. Патентуемая конструкция позволяет производить замену стекол без разбора НР.

**М. Альбам**  
**6П182.** Формование пикстурированных изделий из пластмасс. Procédé de moulage à motifs incorporés d'objets en matière plastique. [Ateliers Charles Vauchier & Fils]. Франц. пат. 1463468, 26.09.58.—Для изготовления изделий из пластмасс с пикстурированными цифрами или рисунками получают заготовку в предварительной форме в виде шара или куба с выступами, предназначенными для рисунка, и окончательно формуют изделия с одновременным нагнетанием пластмассы другого цвета, образующей прочный, нестираемый рисунок. Приведены поясняющие иллюстрации. **Ю. Васильев**  
**6П183.** Очистка безосколочного стекла. Callahan William A. Safety glass cleaning. [Detrex Chemical Industries, Inc.]. Пат. США 2878188, 17.03.59.—Для очистки от масла безосколочного стекла (слоистого материала, содержащего лист из смолы или пластика между двумя слоями стекла) после термич. обработки в автоклаве с маслом, поверхность стекла обрабатывают сильной струей воды, р-ра, содержащего озоаммонийный фосфат Na и  $H_3PO_4$ , имеющего pH 3—7 (4—4,5), с добавлением малых кол-в поверхностно-активных в-в типа феноксиполиоксиэтиленэтанола, додецилбензолсульфоната Na, алкилбензолполиоксиэтиленэтанола, Na-соли этилендиаминотетрауксусной к-ты и алкиларилэфира полиэтиленгликоля. Напр., разбавляют водой в соотношении 1:130 смесь 80% озоаммонийного Na-фосфата, 4%  $Na_2SO_4$  (безводн.) и 7%  $H_3PO_4$  (технич. 75%-ная) и в виде струи направляют ее на поверхность стекла. Процесс особенно применим для очистки стекол с криволинейной поверхностью, напр. ветровых стекол автомашин.

**Ю. Васильев**  
**6П184.** Способ изготовления зубных протезов. Erdle Paul H., Feagin Roy C. Process of making dental parts. [Austenal, Inc.]. Пат. США 2850088, 4.11.58.—Для изготовления зубных протезов (ЗП) из жидких полимеризующихся органич. материалов (ПМ) получают термопластичную форму (Ф) из гелеобразующего гидрофильного коллоида (агар-агара, альгинатов, желатин, пектина и др.), размещают в Ф искусств. зубы, заливают в полученную Ф и частично полимеризуют ПМ при  $t$ -ре  $\sim 20^\circ$ ; извлекают затвердевший ЗП из Ф и окончательно отверждают его при нагревании. В качестве ПМ применяют стирол, метил- и этилметакрилаты, диметилметакрилат этиленгликоля, эпоксиэпидные смолы, винилтолуол, дивинилбензол, триаллилцианурат, диаллилфталат, р-ры алкидных смол в пересеченных соединениях или р-ры полимеров и сополимеров указанных соединений в стироле или метилметакрилате. При использовании эпоксиэпидной смолы Ф покрывают защитным слоем сополимера винилхлорида с винилацетатом. Можно применять композиции, содержащие ПМ и катализаторы (перекиси бензоила или метилэтилкетона), пигменты ( $TiO_2$ ) и наполнители (стекловолокно,  $SiO_2$  асбест). По предлагаемому способу устраняется влияние усадки материала на качество ЗП, исключаются полировка протезов, а также применение давления при формировании и возможность поломки при отделении ЗП от Ф. Напр., 100 ч. жидкой

эпоксиэпидной смолы, полученной конденсацией 4,4'-дигидроксидифенилдиметилметана с эпихлоргидрином, с вязкостью 500—1500 *спуз* смешивают с 10—12 ч. диэтилентриамина. Смесь заливают в Ф из гидрофильного коллоида, защищенную покрытием, и отверждают при  $t$ -ре  $\sim 20^\circ$  в течение 2 часов. **А. Самохвалов**

**6П185.** Укупорка из пробки, заключенной в оболочку. Joint en liège enrobé. [Pierre Gilardenghi]. Франц. пат. 1159418, 27.06.58.—Герметичную укупорку для бутылей и т. п. изготавливают из целой пробки или агломерата пробковой крошки, заключенной при  $140$ — $150^\circ$  в тонкую оболочку из полистилена. **Ю. Васильев**

**6П186.** Композиция, содержащая синтетический полимер, растворитель и неорганический наполнитель, применяемая в зубопротезной технике. Taub George. Dental composition comprising synthetic polymer, solvent therefor, and inorganic filler. Пат. США 2877499 10.03.59.—Препарат для футеровки и покрытия мякоти в полости зуба перед внесением зубного цемента и металла или другого наполнителя изготавливают из смеси, содержащей 3—30 вес.% полимеров метил- или этилметакрилата, их сополимеров, полимеров винилхлорида или винилацетата, их сополимеров или полистирола в 33—78% нераздражающего р-рителя, напр. метилэтилкетона или  $CHCl_3$ , 10—42,5%  $Ca(OH)_2$  и 0,2—2,75% тонко раздробленной бентонитной глины («Вентон 18»).

**Ф. Псалты**  
**6П187.** Производство имитаций жемчужных бус литьем пластического материала. Procédé de fabrication de perles fines nacrées imitation en matière plastique injectée. [Verna & Cie]. Франц. пат. 1157058, 27.05.58.—Гравулы для изготовления искусств. жемчуга получают литьем пластика, материала (напр., полистирола) в соответствующую форму; затем для устранения шва полученные бусы обрабатывают между двумя дисками diam. 35 см, вращающимися с разными скоростями в противоположные стороны. В начале процесса применяют диски, оклеенные наждачной бумагой, и в конце — фетром. Далее следует сухая полировка во вращающемся со скоростью 15—20 об/мин сосуде, куда засыпают 1 ч. бус и 3 ч. абрикосовых косточек. Перед покрытием перламутровым слоем бусы диаметром до 8 мм предварительно нанизывают на нить, а более крупные наклеивают на стельки; затем их последовательно погружают 1) в 6%-ный р-р коллодия в 96%-ном спирте, 2) троекратно с просушкой после каждого погружения, в р-р 60 г пастообразной «жемчужной» (восточной) эссенции (водн. экстракт рыбьей чешуи, обработанный амилацетатом) и 3 г касторового масла в 1 л коллодия и 3) в р-р 20 г указанной эссенции и 1% амилацетата в 1 л коллодия. **В. Васильев**

**6П188.** Композиция для формирования моделей для зубных протезов. Perfectionnements apportés aux substances pour la préparation de moules destinés à l'obtention de modèles servant à la fabrication des appareils de prothèse dentaire. [Soc. Pyramid]. Франц. пат. 1157059, 27.05.58.—Композицию для моделей зубных протезов готовят из 20—40% пищевой желатин, 10—50% глицерина и воды с добавлением в качестве консервирующего в-ва метил-п-оксибензоата и, если требуется, красителя. Модель легко извлекается из формы без повреждения, что допускает повторное ее использование. Напр., расплавляют на водяной бане смесь 330 г пищевой желатин, 220 г глицерина, 520 г воды, 5 г метил-п-оксибензоата (торговая марка «Презерваль») и 0,1 г красителя. Смесь с т. пл. 40—50° нагревают до  $t$ -ры не выше 70° и перед отливкой в форму охлаждают до 40°. Для компенсации потерь при испарении в этом случае на 425 г используемой массы добавляют 12 мл р-ра 5 г глицерина, 4 г воды, 1 г презерваля и 0,001 г красителя в 1 л воды. **Ю. Васильев**

**6П189.** Изготовление тубиков из пластмасс. Procédé de préparation de gaines en matière plastique et les moyens pour son exécution. [Valer Flax]. Франц. пат.

1465438, 24.10.58.—Трубка (Т) из пластич. материала, являющаяся полуфабрикатом при произ-ве упаковочных трубок, выйдя из фильеры, пропускается между двумя валиками, твердым и эластичным, находящимися на достаточном расстоянии от фильеры для предотвращения слияния стенок Т. В Т вводят стерилизованный газ или воздух и конец ее герметически закрывают (напр., запаиванием), после чего валики отжимают весь газ во вновь поступающие участки Т; Т выходит сплюсненной и освобожденной от газа, что позволяет наносить на ее поверхность требуемые надписи или орнамент. Печатание или тиснение производится одним или обоими отжимающими валиками. Даны поясняющие рисунки.

Ю. Васильев  
6П190. Изготовление футляров из листового синтетического материала. Procédé pour l'obtention d'un nouvel étui réalisé à partir de résine synthétique en feuilles, étui en résultant. [Jacques Senator]. Франц. пат. 1165319, 24.10.58.—Футляры, напр. для сигарет, готовят из куска раскроенного соответствующим образом термопластичного материала, который сваривают с применением различных электродов в зависимости от формы свариваемой поверхности. Приведены схемы. Ю. В.

6П191. Изготовление пуповиц из синтетических смол. Ясумото Такао, Ясумото Хидзо, Нимото Эйити [Нихон ботан когэ кабусики кайся]. Японск. пат. 3390, 6.06.57.—В форму (Ф) вводят порошок или таблетку из синтетич. смолы определенного цвета, поверх помещают порошок или вторую таблетку из синтетич. смолы другого цвета, все это слегка утрамбовывают, сверху накладывают штамп с выгравированным на его поверхности рисунком или узором, Ф помещают под пресс и в течение ~20 сек. прессуют в холодном виде или при нагревании. После этого Ф вынимают из-под пресса, снимают верхний штамп, поверх отштампованной пуповицы помещают в Ф новый слой порошка или новую таблетку из синтетич. смолы какого-либо цвета, отличного от цвета первых двух слоев, сверху вновь накладывают указанный штамп, Ф поддают под пресс и в течение ~30 сек. прессуют в холодном или горячем виде.

М. Кирпша  
6П192. Ионообменные смолы, обладающие селективностью по отношению к ионам калия. Накадзава Харуо, Оками Ясухару, Мидзутани Юкио. [Токуяма сода кабусики кайся]. Японск. пат. 3399, 3400, 6.06.57.—Пат. 3399. Смесь 10 г воды, 20,9 г  $n\text{-O}_2\text{NC}_6\text{H}_4\text{OH}$  и 17,4 г  $n\text{-HOC}_6\text{H}_4\text{SO}_3\text{Na}$  обрабатывают при 50° 6 г параформальдегида (I) и нагревают 20 час. при 80—100° с 2 мл конц.  $\text{H}_2\text{SO}_4$ . Через 5 г полученной твердой смолы (10—24 меш) пропускают 1 л воды, содержащей 5,85 г NaCl и 7,45 г KCl; при этом смола поглощает 0,0003 моля K и Na на 1 г, а кол-во поглощенного K составляет 0,00027 моля на 1 г смолы.

По пат. 3400. Смолу получают нагреванием смеси 9 г воды, 18,1 г  $n\text{-O}_2\text{NC}_6\text{H}_4\text{OH}$ , 17,4 г  $n\text{-O}_2\text{NC}_6\text{H}_4\text{SO}_3\text{Na}$  и 5,5 г I с 2 мл конц.  $\text{H}_2\text{SO}_4$  при 80—100° в течение 20 час. Поглощение полученной смолы K и Na происходит в соотношении 83,7:16,3.

Э. Тукачинская  
6П193. Мембраны из ионообменных смол. Цунода Йосио, Цугиёси Наооми, Ватанабэ Масааки, Эхара Рё, Мисуми Тэруюки (Асахи касэн когэ кабусики кайся). Японск. пат. №№ 4142, 4143, 4144, 4145, 4146, 24.06.57.—Пат. 4142. Мембраны с высокой избирательной проницаемостью получают сульфированием матриц, изготовленных блокной полимеризацией из полиолефиновых соединений и частично полимеризованного стирола. Напр. (в ч.) 80 стирола нагревают 3 часа при 80° в атмосфере  $\text{N}_2$  до полимеризации 2% исходного материала. K полученному р-ру прибавляют 20 бутадиена, 20 диметилфталата (пластификатор) и 0,8 перекиси бензоила (катализатор). Блок-полимеризацию р-ра проводят 96 час. при 80° и затем 72 часа при 95°. Из полу-

ченного продукта вырезают мембрану толщиной 0,2 мм и обрабатывают ее спиртом для извлечения пластификатора, а затем сульфатируют 72 часа при 25° в суспензии соли диоксана (I) в дихлорэтилене (II), содержащей  $\text{SO}_3$ . Указанную соль I получают, постепенно вводя 980  $\text{SO}_3$  в 3500 II и 1056 I при 0—4°; продукт промывают с помощью II и хранят в насыщен. р-ре NaCl. Число переноса  $\text{Na}^+$ -ионов в 1,5 л воды. р-ре NaCl при 15° составляет 0,81; уд. электропроводность в 0,5 н. р-ре при 25°  $4,6 \cdot 10^{-3} \text{ ом}^{-1} \text{ см}^{-1}$ . Пластификатор можно вводить в процессе частичной полимеризации стирола.

В пат. 4143 описано получение мембран, обладающих избирательной проницаемостью для анионов, и аминированных анионообменных смол. Вместо сульфирования мембраны нагревают в хлорметиловом эфире 1 час при 50°, охлаждают до ~20°, после чего прибавляют  $\text{ZnCl}_2$  и выдерживают 7 час. при 25° и 49 час. при ~20°. Затем мембраны промывают водой, сушат и аминируют, нагревая их в смеси диметилпропаноламина и воды. Число переноса  $\text{Cl}^-$ -ионов в 1,5 л воды. р-ре NaCl 0,85; уд. электропроводность в 0,5 н. р-ре  $25 \cdot 10^{-3} \text{ ом}^{-1} \text{ см}^{-1}$ .

Пат. 4144. Нерастрескивающиеся катионообменные мембраны большого размера получают сульфированием матриц, полученных из поливиниловых ароматич. и (или) полиолефиновых соединений и частично полимеризованных моновиниловых ароматич. и (или) моновиниловых алифатич. соединений. Напр. (в ч.) 400 стирола подвергают частичной полимеризации (12 час. при 100° в атмосфере  $\text{N}_2$ ); K полученному р-ру прибавляют 40 дивинилбензола, 60 этилстирола, 120 диметилфталата и 0,4 перекиси бензоила, после чего смесь тщательно перемешивают и полимеризуют в р-ре в атмосфере  $\text{N}_2$  (20 час. при 100°). Получают массивные блоки просвечивающего материала. Мембраны выдерживают 2 часа в II и сульфатируют так, как указано выше. Число переноса  $\text{Na}^+$ -ионов 0,80; уд. электропроводность  $30 \cdot 10^{-3} \text{ ом}^{-1} \text{ см}^{-1}$ .

Пат. 4145. Мембраны, вырезанные из массивных просвечивающих блоков, погружают в хлорметиловый эфир на 1 час при 50°, затем охлаждают до ~20°, прибавляют  $\text{ZnCl}_2$  и р-р перемешивают 17 час. при 25°. Мембраны оставляют на 50 час., промывают ацетоном и водой, аминируют, нагревая 7 час. в смеси диметиламиноэтанола и воды, промывают водой и затем 0,5 л воды. NaCl. Полученные мембраны имеют число переноса  $\text{Cl}^-$ -иона 0,85 и уд. электропроводность  $25 \cdot 10^{-3} \text{ ом}^{-1} \text{ см}^{-1}$ .

В пат. 4146 описаны мембраны из катионообменных смол в форме карбоновой к-ты. Напр. (в ч.), 400 этилакрилата подвергают частичной полимеризации (14 час. при 65°) в атмосфере  $\text{N}_2$ . K полученному р-ру прибавляют 80 технич. дивинилбензола (содержащего 60% этилстирола) и 140 ч. диэтилфталата и проводят блок-полимеризацию (19 час. при 70° и 6 час. при 100°). Мембрану, вырезанную из блока, обрабатывают спиртом в течение 24 час. для удаления пластификатора, сушат при 60° и обрабатывают 72 часа 2 н. спир. р-ром NaOH. Получают мембрану, характеризующуюся избирательной проницаемостью для катионов; число переноса  $\text{Na}^+$ -ионов 0,80; уд. электропроводность  $20 \cdot 10^{-3} \text{ ом}^{-1} \text{ см}^{-1}$ . В процессе частичной полимеризации этилакрилата может быть введен пластификатор.

Э. Тукачинская  
6П194. Мембраны из ионообменных смол. Кувада Цутому, Йосикава Садао. [Асахи гарасу кабусики кайся]. Японск. пат. 4590, 4591, 6.07.57.—Пат. 4590. Сополлимер ароматич. соединения, напр. стирола, винилтолуола, винилсилола, этилстирола, диэтилстирола или винилнафталина, с алифатич. соединением (бутадиеном или изопреном) сульфатируют и получают катионообменные мембраны. Напр., сополимер стирола и бутадиена (50:50) вальцуют при

40—70°; пол-  
ную сульф-  
водой и обр-  
по отношен-  
д. электр-  
73 ом.с.  
Пат. 4591.  
етилируют  
мембрану. I  
на 12 час. в  
при 20—25°  
погружае-  
мембранная е-  
0,9 н.  
6П195.  
цуки Т.  
Морио. (Т.  
596, 6.07.57.  
SO<sub>3</sub> в те-  
фенолсуль-  
иют 16 г  
ый жидки  
оматы и с-  
имеющую  
Na<sup>+</sup>-ионам  
6П196.  
и Маса  
кабусики  
(в молях)  
5%-ного (с  
иют 1,5 ч  
конденсат  
(200 меш)  
иют 1 час  
навертени  
ная мемб-  
переноса  
31,4 ом.с.  
6П197.  
содержащ-  
ка, На  
ски кай-  
6.07.57.—К-  
диоксана  
да (I), на-  
пшей по-  
пийся I  
очищают  
ная смол-  
ую емко-  
6П198.  
сава Ф  
русьи.  
Сукэ-  
кайя]. Я.  
да, 46 г  
(содерж-  
гают су-  
перекиси  
водн. р-р  
перемеш-  
лимер в  
при 50°.  
вводят в  
шей вод-  
ния смол-  
ывают  
еюсть

6П199.  
Rowla  
Method  
Atla. п-  
ннем ж-



обменные  
400 этил-  
еризации  
тому р-ру  
ержащего  
проводят  
при 100°).  
ют спир-  
фикатора,  
н. спирт.  
зующую  
нов; чис-  
водность  
имериза-  
фикатор.  
ачинская  
. Кува  
и гарасу  
6.07.57.—  
и, напр.,  
истирола,  
атич. со-  
ьфируют  
апр., со-  
уюют при

6П199. Синтетические клеи и их применение  
Rowland Jaffrey. Synthetic resin adhesives and  
method of using same. [E. M. Cromwell and Co. Ltd.  
Англ. пат. 849718, 9.09.59.—Клей приготавливают смешиванием жидких полиамидных смол (ПС) и эпоксида

6П201. Композиция для склеивания фанеры, содержащая мочевиноформальдегидную смолу, белки и диспергирующие агенты. Shelton Frederic James, Chervenka Charles H. Plywood adhesive comprising urea formaldehyde resin protein and dispersing agent and process for preparing same. [Reichhold Chemicals, Inc.]. Пат. США 2872421, 3.02.59.—Патентуется способ приготовления комбинированного клея из мочевиноформальдегидной смолы (МФС), животных или растительных белков (Б)—соевой муки, альбумина и их смеси — и диспергирующего агента (гидроокиси щел. и щел.-зем. металлов; последние действуют диспергированию и повышают водостойкость сухой пленки клея). В клеювую смесь вводят также силикат щел. металла (напр., натрия) и сообщают водостойкость гидрофобные в-ва (напр.,  $CS_2$ ,  $CCl_4$  или триэтоксикарбонат этилена). Смолу получают при мол. соотношении формальдегида и мочевины — 1,6–2,8. Вязкость 65%-ного водн. р-ра МФС — в пределах 10–500 *спуз* при  $t$ -ре 20°. Смолу смешивают с белком при соотношении 0,5–2 вес. ч. сухих в-в МФС на 100 вес. ч. Б. рН водн. суспензии смеси МФС и Б  $\leq 10$ . В водн. суспензию белка вводят  $Ca(OH)_2$ , добавляют последовательно NaOH, силикат щел. металла (предпочтительно натрия) и р-р  $CS_2$  (или другого гидрофобного в-ва). Водн. р-р МФС готовят отдельно и вводят в водн. р-р Б вместе с  $Ca(OH)_2$  или МФС и Б смешивают с водой одновременно. Время прессования при склеивании фанеры патентуемым клеем 1–4 мин. при  $\sim 20^\circ$  и давл. 5,25–24,5  $кг/см^2$  (предпочтительно 12,25–17,50  $кг/см^2$ ). Влажность шпона 3–12% (предпочтительно 3–7%). Напр., 188 г соевой муки (Prosoy L.), 6 г тринатрифосфата (гидрата) и 6 г дистиллированного паром скипидара из соснового масла перемешивают с 350 мл воды в течение 10 мин. при  $\sim 20^\circ$ , добавляют 260 мл водн. р-ра МФС (Plyamin

SW-1775) и перемешивают в течение 6 мин. Затем последовательно добавляют при размешивании 24 г  $\text{Ca}(\text{OH})_2$ , суспендированной в 48 г воды, 32 г 50%-ного  $\text{NaOH}$  и 50 г силиката натрия; в полученную смесь вводят 3 мл смеси  $\text{CS}_2$  (75 вес.%) и  $\text{CCl}_4$  и перемешивают в течение 5 мин. Расход жидкого клея при изготовлении фанеры толщиной  $\sim 20$  мм составляет  $\sim 70$  г/см<sup>2</sup> (для двойного клеевого слоя). Время сборки 15 мин. Время прессования 1—4 мин.

Г. Кончевский  
6П202. Покрытие лент липкими поливинилными смолами. Сасакисада Мицу. [Нитто дэнки когё кабусики кайся]. Японск. пат. 4131, 24.06.57.—Для покрытия лент липкими пленками (ПЛ) из винильных смол применяют систему из трех валков. Нужную толщину ПЛ получают путем прокатки заготовки между спаренными валками, имеющими т-ру 150—170°, при которой ПЛ становится липкой. ПЛ вдавливают в ткань ленты, которая подводится через третий валок. Для покрытия лент ПЛ из смол, которые становятся липкими при более низких т-рах, применяют аналогичную систему с т-рой валков 90—100°. Ю. Жмакин

6П203. Клей для скрепления оптических деталей и способ его приготовления. Carnall Edward, Jr., Lugert John J. Optical cement and method of making same. [Eastman Kodak Co.]. Пат. США 2856379, 14.10.58.—Эквимольные кол-ва 1,2-пропандиола (I) и бидиола (2,2,1)-5-гетен-2,3-дикарбоксильного ангидрида (II) смешивают с  $\sim 0,01\%$  гидрохинона (III); полученную смесь (СМ) нагревают до  $\sim 205$ — $210^\circ$  в течение 9—12 час. в атмосфере инертного газа, причем нагревание продолжают до тех пор, пока кислотное число (КЧ) образующегося ненасыщ. полиэфира (НП) будет равно 14—17. Далее смешивают равные кол-ва (напр., по 1 ч.) НП и диаллилбензофосфата (IV); в полученную СМ вводят  $\sim 3\%$  перекисного катализатора полимеризации (КТ), нагревают до гелеобразования и охлаждают до  $\sim 20^\circ$ ; затем перемешивают до гомог. состояния  $\sim 2$  ч. гелеобразной и  $\sim 3$  ч. негелеобразной полиэфиры СМ. Получаемый гелеобразный клей применяют в произ-ве оптич. приборов и др. С помощью клея можно фиксировать элементы стеклянных линз, подлежащих склеиванию, в нужном положении относительно друг друга без применения механич. вспомогательных средств (напр., зажимов). Вместо IV применяют: а) диаллилфталат (V) (смешивают примерно равные кол-ва гелеобразной и негелеобразной полиэфиры диаллилфталатной СМ) или б) 2 ч. IV и 1 ч. хлорированного бифенила (100% гелеобразной и 100—150% (100—1000%) негелеобразной СМ). Клей приготавливают также путем смешения равных кол-в *n*-бутилметакрилата (VI) и диаллилдигликолькарбоната (VII) в присутствии 3% КТ и 1,5% СМ, *n*-дивинилбензола и 1,4-этилвинилбензола в соотношении 3:1. В этом случае одну порцию СМ нагревают до образования твердого геля (Г), а другую — до образования рыхлого Г и гомогенизируют примерно равные порции обоих Г. Клей можно получать также из гомог. СМ, состоящей из а)  $\sim 40$ — $60\%$  диаллилового соединения (напр., IV, V, VII) и б)  $\sim 60$ — $40\%$  ненасыщ. полимеризуемого соединения (напр., НП), получаемым при взаимодействии II с двухатомным спиртом, или СМ VI с небольшим кол-вом дивинильного мономера и КТ. Нагревают СМ до образования рыхлого Г, охлаждают до  $\sim 20^\circ$ , затем добавляют  $\sim 25$ — $1000\%$  этой же СМ, не подвергнутой нагреванию, и СМ гомогенизируют. Напр., эквимольные кол-ва I и II смешивают с III; полученную СМ нагревают до  $205$ — $210^\circ$  в атмосфере  $\text{N}_2$  или  $\text{CO}_2$  в течение 9—12 час. до достижения КЧ 14—17. 1 ч. полученного НП смешивают с 1 ч. IV в присутствии 3% перекиси бензоила. 2 ч. полученного р-ра нагревают в масляной бане при  $70^\circ$  до гелеобразования. Г сразу же охлаждают до  $\sim 20^\circ$ . К нему добавляют 3 ч. первоначального р-ра и гомогенизируют

композицию до образования дисперсии, содержащей частицы Г очень малого размера. Захваченный дисперсией воздух удаляют вакуумированием (1—5 мм). Склеенные детали не смещаются с установленного положения. После установки детали помещают в печь (при  $70^\circ$ ) для завершения полимеризации. Д. Бронд

6П204. Клейкие ленты. Lavanchy Patricia, Bjerregaard, Sonnichsen Harold M., McGrooy John F. Adhesive tapes. [Johnson & Johnson]. Пат. США 2886467, 12.05.59.—Патентуется способ получения склеивающих лент путем нанесения на целлюлозный носитель грунтового слоя из смеси 1—50 ч. полифункционального изоцианата  $\text{R}(\text{NCO})_x$  (I), где  $x \geq 2$  и R — алифатич. или ароматич. радикал, и 100 ч. H или СК. Смесь наносят на пленку из регенерированной целлюлозы или целлофана в кол-ве 0,4—20 г/м<sup>2</sup> и выдерживают от 8 сек. до 8 дней при  $20$ — $150^\circ$  в зависимости от применяемого перекисного катализатора. Напр., 120 ч. НК в 480 ч. толуола смешивают с 24 ч. метилен-бис-4-фенилизоцианата и 6 ч. гидроперекиси кумола, смесь нагревают до  $95^\circ$  и охлаждают; тонким слоем смеси покрывают целлофан или ацетат целлюлозы и через 2—3 дня наносят слой клея. Ф. Псалты

6П205. Клейкий листовой материал. Ulrich Edwin W. Pressure-sensitive adhesive sheet material. [Minnesota Mining and Manufacturing Co.]. Пат. США 2884126, 28.04.59.—Для получения клейкого гибкого листового материала пленку из целлофана, ацетат целлюлозы или нейлона покрывают слоем клея, содержащего сополимер эфира акриловой к-ты с алиф. спиртом с 1—12 атомами С и 3—12% мономера типа акриловой, метакриловой, итаконовой к-ты, акриламида, метакриламида, акрилонитрила или метакрилонитрила. Для получения эфира применяют алифатич. спирты (кроме третичных): *n*-бутанол, *n*-пентанол, изопентанол, 3,5,5-триметилгексанол, гептанол-3, изоктанол и т. п. Напр., смесь (в ч.) 150 этилацетата, 96 изоктоата акрилата, 4 акриламида и 0,37 перекиси бензоила (I) продувают  $\text{N}_2$  и нагревают до  $55^\circ$ . Полимеризация начинается по истечении  $\sim 1$  часа. Через 3—4 часа и затем через 7—8 час. добавляют по 0,25 I и продолжают нагревание еще 6 час., затем продукт разбавляют гептаном до получения кремообразной вязкости. Нанесение на целлофан слоя сополимера получают после сушки клейкую ленту. Ф. Псалты

6П206. Приклеивание винипласта. Танака Тикара, Токусуми Тадаити. [Санкё кагаку когай кабусики кайся]. Японск. пат. 6891, 29.08.57.—Склеиваемые поверхности древесины и поливинилхлоридной пленки покрывают 45%-ной эмульсией сополимера  $\text{CH}_2=\text{CHCOOC}_2\text{H}_5$ ,  $\text{CH}_2=\text{CHCOOCH}_3$  и  $\text{CH}_2=\text{C}(\text{CN})\text{COONa}$  (50:50:7), соединяют и сушат при  $\sim 20^\circ$ . Прочность клеевого шва 760 г при ширине полосы 10 мм.

6П207. Липкая лента. Bande adhésive. [Les Rubans Sander (Soc. à responsabilité limitée)]. Франц. пат. 1170449, 14.01.59.—Липкую ленту, обладающую повышенной прочностью, изготавливают из пластик. материала, из бумаги или ткани, упрочненных с нелипкой стороны волокном, тесьмой и т. п. Армирующий материал скрепляют с основой склеиванием, вдавливанием и т. п. Приведены поясняющие рисунки. Ю. Васильев

6П208. Крепление пленок из винильной смолы к резине. Nakamura Gunji, Sugimoto Kikuo, Tansho Ichiro. Японск. пат. 4137, 24.06.57.—На поверхности соединяемых предметов — винильные пленки и резиновые изделия — наносят р-р 5 г стиретич. каучука и 2 г S в 100 г  $\text{CH}_3\text{COOC}_2\text{H}_5$ , 100 мл  $\text{CH}_3\text{COOC}_2\text{H}_5$  и 50 мл  $\text{CH}_3\text{COOCH}_2\text{COC}_2\text{H}_5$ . Клеевой шов нагревают при  $120^\circ$  под давл.  $\sim 5$  кг/см<sup>2</sup>.

Э. Тукачинский  
6П209. Диоксидэтилендиамин в качестве антистатического агента для винильных полимеров. Cole Myron A., Louis Arnold S. Polymers of vinylidene





**6П217.** Установка для непрерывного влажного формования. Отт. Тосинори. «Сумитомо кагаку когё кабусики кайся». Японск. пат. 5943, 6.08.57.—Для непрерывного процесса влажного формования изделий из пластич. материалов применено устройство типа шестерчатого насоса. Материал загружается в приемник, откуда под действием двух спаренных валков проталкивается на спаренные зубчатые валы и далее выжимается через форму.

**6П218.** Формы для производства полых изделий из листового термопластичного материала. Perfectionnements apportés aux moules pour conformer des objets creux à partir de feuilles en matière thermoplastique. [Plasticforming]. Франц. пат. 1165692, 28.10.58.—Патентуется конструкция штампа для произ-ва полых изделий (II) из листового термопластичного материала. Для предотвращения образования складок между отдельными II, вызывающих брак II, расположенных у края штампа или близко друг от друга, конструкция предусматривает устройство выступов, повторяющих очертания прилегающих к краю II, по краям формы, а также между отдельными II. Эти выступы создают в материале дополнительное напряжение и устраняют морщины и складки.

**6П219.** Автоматические прессы для литья пластических материалов. Dispositif de serrage automatique pour presses à injecter les matières plastiques. [Emile-Samuel Sorinel]. Франц. пат. 1159794, 2.07.58.—Предлагается конструкция прессы для формования изделий из пластмасс, обеспечивающая полное смыкание обеих частей формы, устраняющее образование кромки. Движение частей прессы автоматически связано с нагнетанием пластич. материала, причем можно регулировать момент включения механизма, закрывающего форму, по отношению к моменту нагнетания материала. Приведены чертежи общего вида и узлов конструкции прессы.

См. также раздел *Химия высокомолекулярных соединений и рефераты*: О задачах пром-сти пластмасс 6П307. Сырье 6Л4, 6Л6, 6Л23, 6Л45, 6Л52, 6Л63, 6Л90, 6Л117, 6Л118, 6Л121, 6Л126, 6Л149, 6Л165, 6Л185. Синтез стабилизаторов, пластификаторов и антиоксидантов для синтетич. смол 6Л123—6Л125, 6Л147, 6Л167, 6Л186, 6Л188. Порообразователи 6П358. Хроматография, фракционирование высокомолекулярных полистиролов 6Д234. Аэрозоль полистирольного латекса 6Л733. Образование тонких полимерных пленок в вакуумной аппаратуре под действием электронной бомбардировки 6Е80. Применение импульсной теории вязкости к псевдопластичным системам (полистирольный латекс в р-ре метилцеллюлозы) 6Б722. Применение синтетич. смол: в хим. анализе 6Д82; в фармации 6Л280; в пивоваренной пром-сти 6Н321; в жировой пром-сти 6Н454; в парфюмерии 6Н527; в лакокрасочной пром-сти 6П225, 6П226, 6П229, 6П232, 6П244, 6П245, 6П256, 6П263, 6П269, 6П270, 6П280, 6П285, 6П306; для синтетич. волокон 6П384, 6П385, 6П406, 6П407, 6П415—6П424; в бумажной пром-сти 6П472, 6П473, 6П482, 6П488, 6П501, 6П502, 6П505, 6П530, 6П536, 6П545; в текстильной пром-сти 6П630—6П632, 6П637, 6П642, 6П643, 6П646, 6П648, 6П654, 6П655, 6П677. Применение пластмасс: как коррозионноустойчивых материалов 6И217, 6И218, 6И224; для упаковок пищевых продуктов 6Н92, 6Н94, 6Н96, 6Н147, 6Н172, 6Н211, 6Н270, 6Н330. Фторопластовые изоляторы для низонапонных камер и счетчиков 6Е38. Насадки из полистирола и полиэтилена в биофильтрах 6И299. Исследование, свойства и применение ионообменных смол 6Б701—6Б707, 6Д50, 6Д233, 6Е69, 6И284, 6И285, 6И332, 6Л301, 6Н401. Вопросы промышленной гигиены при произ-ве пластиков и эластомеров 6И348. Дерматиты, вызываемые эпиксидными смолами 6И349. О токсичности пластиков 6Н207

## ЛАКИ. КРАСКИ. ЛАКОКРАСОЧНЫЕ ПОКРЫТИЯ

Редакторы М. В. Баркова, М. Ф. Сорокин

**6П220.** Структура полимера и пленкообразование. Bullett T. R., Rudram A. T. S. Polymer structure and film formation. «J. Oil and Colour Chemists' Assoc.» 1959, 42, № 11, 778—794. Discuss., 795—797 (англ.). Обзор. Рассмотрены процессы пленкообразования на примере таких традиционных пленкообразующих, как льняное масло, алкидные смолы, чистые и модифицированные маслом, и модифицированные нефтяными углеводородами высыхающие масла и алкидные смолы, зависимость свойств пленок (П) от структуры полимеров, механизм разрушения красочных П, образование П в результате испарения р-рителя, факторы, влияющие на адгезию П, и возможные перспективы развития декоративно-строительных и промышленных красок. Приведена дискуссия по затронутым вопросам. Библи. 9 назв.

**6П221.** Об анализе и очистке жидкости, содержащейся в скорлупе ореха кажу. Murthy B. G. K. Aggarwal J. S. Analysis and upgrading of cashewnut shell liquid. «Paintindia», 1959, 9, № 6, 26—29 (англ.). Жидкость в скорлупе ореха кажу содержится в количестве 32—34%, имеет темную, красовато-коричневую окраску и является ценным сырьем для получения фенолов. Описан ряд методов выделения жидкости из скорлупы ореха, в том числе эффективная обработка перегретым паром при 180—190°, обеспечивающая 95%-ный выход жидкости. Предложен метод очистки жидкости с помощью HCl и H<sub>2</sub>SO<sub>4</sub> в присутствии водяного пара.

**6П222.** Отверждение насыщенных полиэфирных лаковых смол. Akiyama Keiiti, Soma Kitao suke. «Сикидай кёкайси, J. Soc. Colour Mater.», 1959, 32, № 6, 227—230 (японск.; рез. англ.).—Отверждение термореактивных насыщ. полиэфирных лаковых смол, применяемых для эмалирования электропроводов и получения лакированной ткани, происходит вследствие р-ции перестерификации сложноэфирных и гидроксильных концевых групп полимерных молекул (с увеличением спирта), которая происходит при высоких т-рах и в течение продолжительного времени. Из алкильных и арильных дикарбоновых к-т были синтезированы сложные эфиры фенола, которые использовались для отверждения смол при пониженных т-рах. Р-ция перестерификации дифенил- и диметилфталата с глицерином была исследована при помощи ИК-спектра. Скорости р-ции различных эфиров фенола были сопоставлены путем смешивания каждого из них со смолой, имевшей известное гидроксильное число, и измерения времени желатинизации смеси в горячей плитке, при различных т-рах. Результаты исследований показали, что скорость р-ции отщепления фенола была значительно выше скорости отщепления спирта. Кроме того, дифенилфталат легче использовать для процесса горячего отверждения вследствие того, что он не сублимируется подобно диметилфталату.

**6П223.** Поведение гидроксильной группы при получении кислот при получении алкидных смол, модифицированных касторовым маслом. Ishii Yoshio, Mizuno Takayuki. «Абура кагаку, Yukaagaku J. Japan Oil Chemists Soc.», 1959, 8, № 5, 194—198 (японск.).—Исследовали поведение гидроксильных групп рицинолевой к-ты при получении алкидных смол (АС), модифицированных жирными к-тами касторового масла (I). При увеличении т-ры выше определенного значения степень дегидратации (СД) и образование сопряженных двойных связей несколько увеличиваются. При 190° СД возрастает пропорционально времени р-ции. Образование сопряженных двойных связей в начальный период р-ции несколько

возрастает, затем этот рост уменьшается. При изменении состава реагирующих в-в особых изменений не наблюдается. Установлено, что при получении АС, модифицированных I, гидроксильная группа рицинолевой к-ты довольно устойчива, СД менее 8%, сопряженных двойных связей  $\leq 2\%$ . Продукт с высокой СД получают, применяя при синтезе АС вместо I касторовое масло и проводя реакцию с катализатором дегидратации и обезвоженной фталевой кислотой. В. К. 6П224.

**Ненасыщенные полиэфирные лаки. Лаки на основе ненасыщенных полиэфиров для отделки дерева.** I. Weigel Kurt Wissenswertes über Lacke aus ungesättigten Polyesterharzen. В — Polyesterlacke für die Oberflächenbehandlung von Holz (I). «Industrie-Lackier-Betriebe», 1959, 27, № 11, 335—341 (нем.).—Обзор. Рассмотрено влияние органич. соединений, содержащихся в разных породах дерева, а также в-в, используемых для предварительной обработки дерева (мыл, отбеливающих средств, протрав и масел) на процесс отверждения лаков на основе ненасыщ. полиэфиров. Предыдущее сообщение см. РЖХим, 1960, № 18, 75562.

**6П225. «Резидроли» — новые водорастворимые синтетические смолы для лаков.** Hönel Herbert. Resydrol — neue wasserlösliche Lackkunstharze. «Beckacite-Nachr.», 1959, 18, № 2, 34—49 (нем.).—Описаны новые марки водорастворимых мыл — «резидролей» (Р), состоящих из фенольных (Р марки «Р-411») или меламиновых смол (Р марок «М-470» и «М-471») и азотсодержащих оснований. Р применяют в качестве пленкообразующих в-в при произ-ве лаков и красок горячей сушки, в процессе которой, под влиянием высоких т-р, происходит отщепление азотсодержащего компонента и образование прочного, твердого, эластичного и стойкого в условиях эксплуатации покрытия. Приведены данные о растворимости Р в воде и обычных р-рителях, вязкости полученных р-ров и их совместимости с различными пигментами и наполнителями. Даны подробные указания по технологии произ-ва и применению грунтов, лаков и красок на основе Р и рассмотрены экономич. и технич. преимущества полной или частичной замены в этих красках обычных р-рителей на воду. Приведены примерные рецепты некоторых красок этого типа. Н. Гарденин

**6П226. Водорастворимые синтетические смолы, новые марки эпоксидных смол и пигментов.** Kittel. Wasserlösliche Kunstharze. Neue Epoxydharztypen. Neue Pigmenttypen. «Dtsch. Farben-Z.», 1959, 13, № 9, 339—340 (нем.).—Сообщение о выпуске двух новых водорастворимых смол — фенольной (I) и меламиновой (II), мономерного эпоксидного соединения (эпоксид 3М) (III) и трех пигментов — хромовой зелени (IV). I и II практически нейтральны, хорошо разводятся дистил. или умягченной водой, низкомолекулярными спиртами и их простыми и сложными эфирами, дикетоспиртами и др., имеют хорошую адгезию, розлив и могут заменять многие обычные лаки горячей сушки. Время сушки при 170° 12—15 мин. Ускорителями сушки служат кислые катализаторы и сиккативы. I и II не совместимы с пигментами сильнощел. характера. III представляет собой 3,4-эпокси-6-метилциклогексилметил-3,4-эпокси-6-метилциклогексанкарбоксилат. III, даже в отсутствие р-рителей, имеет низкую вязкость, а покрытия на основе III цвето- и термостойки (начало разложения при  $\sim 240^\circ$ ). Процесс отверждения регулируют применением соответствующих катализаторов (поликарбоксильные к-ты, антидrides, амины и др.). IV, получаемые методом осаждения, отличаются мягкой текстурой и способностью хорошо диспергироваться в пленкообразующих в-вах. По цветопрочности IV равноценны обычным пигментам этого типа. Н. Гарденин

**6П227. Циклокаучук в защитных покрытиях. Часть II, III, IV.**—Cyclized rubber in protective coatings.

Part II, III, IV. «Paint and Varnish Product.», 1959, 49, № 2, 49—52, 91—92; № 3, 65—70; № 5, 45—47, 84 (англ.).—II. Рассмотрены стабильность при хранении, технологич. свойства (способность наноситься кистью, растекание), пленкообразование, высыхание и пигментирование композиций на основе циклокаучука.

III. Описаны свойства (в частности, хим. стойкость) пленок на основе циклокаучука.

IV. Рассмотрены теплостойкость, погодостойкость и устойчивость к действию влаги покрытий на основе циклокаучука. Указаны также основные области применения этих покрытий. Часть I см. РЖХим, 1959, № 20, 73318.

Э. Тукачинская

**6П228. Статистическое изучение одноупаковокных полиуретановых составов для покрытий.** Glasbrenner S. N., Golding Brage, Case L. C. Statistical studies on one-package polyurethane surface coatings. «Industr. and Engng Chem.», 1959, 51, № 11, 1382—1383 (англ.).—Проведено статистич. изучение полиуретановых составов для оценки влияния изменения состава на свойства пленки. После предварительных опытов были исследованы следующие два типа составов: 1) состав, отверждаемый на влажном воздухе (в комнатных условиях), представляющий собой продукт взаимодействия полимерного триола (I) с избытком изоцианата (II), и 2) состав на основе полимерного I, смешанного с аддуктом фенола, и трифункционально-го II (отверждение этого состава происходит при нагревании, с отщеплением и отгонкой фенола). В первом случае установлено, что твердость пленок очень сильно увеличивается с добавлением избытка II. Стабильность состава при хранении значительно возрастает при добавлении к нему диола, при постоянном избытке II, и не меняется при применении высокомолекулярного I. Все покрытия из этого состава были гибкими и могли без заметного повреждения подвергаться резкому изгибу на металлич. панелях. Во втором случае установлено, что на твердость пленок очень сильно влияли такие факторы, как мол. вес полимерного I и соотношение изоцианатного аддукта с ним; увеличение твердости наблюдалось при применении низкомолекулярного I и более низким соотношении I и II. По гибкости пленки из этого состава были сходны с пленками из первого состава. На основе расчета среднего мол. веса продуктов первого типа показано, что все группы II, которые не взаимодействовали с OH-группами, реагировали между собой при действии воды, что приводило к желатинизации, которая теоретически не должна была бы происходить.

Б. Шемякин

**6П229. Реактивные силиконовые смолы для декоративных покрытий.** Hedlund Robert C. Reactive silicone resins in architectural finishes. «Paint Ind. Mag.», 1959, 74, № 8, 10, 12, 14 (англ.).—Рассмотрены свойства двух новых кремнийорганич. соединений  $C_6H_5[CH_3Si(OCH_3O)(CH_3)Si(OCH_3)]_x C_6H_5$  (силкид 50) (I) и  $(-Si(CH_3)(R)-O-)_x$  (Z 6018) (II) и перспективы их применения для лакокрасочных покрытий. I и II используют для получения сополимеров с алкидными, эпоксидными и модифицированными маслами фенольными смолами. Эти сополимеры в настоящее время используют главным образом в декоративных эмалях. Силиконо-алкидные сополимеры отличаются прекрасной способностью смачивать пигменты и хорошо перетираться с ними, а эмалевые покрытия на их основе — улучшенной стойкостью к мелению. Применение силиконизированных масел (вместо обычных) для получения покрытий позволяет увеличить их срок службы. В случае модифицирования силиконами изофталевых алкидов с сильнополимеризованными маслами значительно повышается погодостойкость покрытий. Предварительные испытания I и II в смеси с другими смолами показали возможность улучшения водо- и кислотостойкостей эпоксидных и фенольных

сидных и фенольных смол и целесообразность введения I и II в нитролаки, алкидные и эпоксидные эмали.

**6П230.** Акрилоацетобутиратные лаки для мебели. Lemaire G. A. Acrylic-butylate lacquer for wood furniture. «Industr. Finish.», 1959, 35, № 8, 42—44 (англ.).—Рекомендуется использование в качестве мебельных лаков светлых цветов композиций (КП), содержащих ацетобутират целлюлозы и акриловые смолы. Такие КП, в отличие от обычных мебельных нитролаков, образуют светлые и не желтеющие на свету покрытия (II). КП также рекомендуются в качестве II по винильным пленкам (по синтетич. коже), причем достоинством таких II является то, что они препятствуют миграции пластификатора из винильной пленки.

**6П231.** Применение эмульсий. Thorstad C. K. Emulsions—why and how they are used. «Mod. Plast.», 1959, 36, № 11, 83—84 (англ.).—При введении в эмульсии синтетич. смол (акриловых, бутадиенстирольных и поливинилацетатных) эмульсий эпоксидных эфиров, получают более атмосферостойкие покрытия. Совместное использование водорастворимых мочевино- и меламиноформальдегидных смол с эпоксидными эмульсиями дает возможность получать покрытия, менее чувствительные к воде и щелочам, с повышенными физ.-мех. показателями, теплостойкостью и адгезией.

**6П232.** Водные краски на основе эмульсионных смол. Обзор наиболее пригодных типовых связующих. —Le idropitture a base di resine emulsionate. Considerazioni sulle caratteristiche dei leganti più appropriati. «Ind. vernice», 1959, 13, № 9, 249—253 (итал.; рез. франц.).—Рассмотрены основные типы пленкообразующих в-в, применяющихся в настоящее время для получения водн. красок, методы нанесения последних на различные субстраты и способы обработки поверхностей этих субстратов. В результате сравнительного изучения различных пленкообразующих в-в установлено, что для окраски штукатурной поверхности лучшими являются водн. краски на основе поливинилацетатных суспензий. Предложены некоторые способы обработки штукатурной поверхности перед нанесением на нее поливинилацетатных красок.

**6П233.** Исследование высоковязких пластифицированных дисперсий. Rautenbach R. Untersuchungen an schweren dispersplastischen Massen. «Fette, Seifen, Anstrichmittel», 1959, 61, № 7, 571—575 (нем.; рез. исп., англ., франц., русск.).—На модельной системе мел—вода (с содержанием воды 43—45%), имитирующей пигментные пасты, установлена зависимость между реологич. свойствами пасты (текучесть, сопротивление сдвигу) и условиями работы краскотерочной машины (длина валцов, скорость вращения, величина зазора и давление).

**6П234.** Выбор пигментов для промышленных покрытий. Moll I. S. La selección de los pigmentes para acabados industriales. «Matices», 1959, 2, № 5, 25—35 (исп.).—Приведены хим. состав, основные свойства пигментов (цвет, способность избирательного поглощения и отражения волн определенной длины, диспергируемость, способность абсорбировать среду, стойкость к изменению оттенка при хранении, стойкость к действию р-телей, влияние содержания свинца, цветостойкость при повышенных т-рах, стойкость к действию мыл, щелочей, к-т, жиров, масел, светостойкость и атмосферостойкость) и описаны методы их определения. Отмечено, что свойства пигментов следует учитывать при составлении рецептов красок, так как они влияют на процесс нанесения, внешний вид, качество и срок службы покрытий. Даны рекомендации по применению отдельных пигментов для различных целей.

С. Логинова

**6П235.** Об анализе дисперсионного состава двуокиси титана. Becker Heinz, Rechmann Heinz, Tillmann Peter. Zur Kornverteilungsanalyse von Titandioxyd—Pigmenten. «Dtsch. Farben-Z.», 1959, 11, 431—437 (нем.).—Дан критич. разбор современных методов анализа фракционного состава порошковых продуктов. Описаны принципы действия и конструкция новых высокочувствительных седиментационных весов (Becker — Rechmann), позволяющих анализировать суспензию  $TiO_2$  с размером частиц 0,1—2 м. В отличие от обычных конструкций этого типа, весы имеют вместо чаши цилиндрич. сосуд, в полость которого заливается жидкость для регулирования его веса в соответствии с уд. весом жидкой фазы исследуемой суспензии. Запись кривой ведется автоматически. Приведены результаты проведенных исследований  $TiO_2$  различных марок, суспендированных в различных жидкостях и с применением различных диспергирующих средств. Библ. 22 назв. Н. Гарденин

**6П236.** Крона чисто-алый FMS. A. Azam S. A. El escarlata de sromo puro FMS. «Color. y pint.», 1959, 8, № 44, 67—68 (исп.).—Описаны свойства и области применения недавно выпущенного пигмента крона чисто-алого FMS (I). I обладает повышенной непрозрачностью, нерастворимостью в органич. р-телях, хорошей атмосферостойкостью, повышенной светостойкостью и содержит <5% растворимого свинца. Особенно ценен I для красок горячей сушки. I может применяться один или в смеси с органич. пигментами, улучшая их непрозрачность. I рекомендуют применять в случаях, когда необходимо получить высокую светостойкость и непрозрачность, напр. для окраски линолеума, пластмасс, в частности поливинилхлорида, полистирола и полиэтилена, в композициях для покрытий клеенок, кожи и т. д.

**6П237.** Получение хромового желтого типа  $PbCrO_4 \cdot PbSO_4$  методом центрифугирования. Kranz Maksymilian. Otrzymywanie żółcieni chromowej typu  $PbCrO_4 \cdot PbSO_4$  na drodze wirwania. «Przem. chem.», 1959, 38, № 9, 549—550 (польск.; рез. русск., англ.).—Установлено, что хромовый желтый типа  $PbCrO_4 \cdot PbSO_4$  можно получать центрифугированием (Ц) осадка, полученного при одновременном осаждении  $PbCrO_4$  (I) и  $PbSO_4$  (II) из р-ров их ионов, Ц одного из компонентов (I или II) в среде иона  $Pb^{2+}$  при одновременном добавлении равновесного (по отношению к иону  $Pb^{2+}$ ) кол-ва анионов второго компонента ( $SO_4^{2-}$  или  $CrO_4^{2-}$ ), а также Ц смеси отдельно приготовленных I и II. Во всех случаях полученный продукт обладает большой прочностью и красивым желтым цветом. Ц проводили в ультрацентрифуге лабор. типа. При увеличении числа оборотов (от 1500 до 3500 об/мин) и времени Ц (10—20 мин.) наблюдалось улучшение дисперсности продукта.

**6П238.** Замена перекиси водорода на гипохлорит натрия в производстве желтых железистых пигментов. Krause Alfons, Kranz Maksymilian, Fijałkowska Janina. Zastąpienie wody utlenionej podchlorynem sodowym w preparacie żółci żelazowych. «Przem. chem.», 1959, 38, № 5, 290—292 (польск.; рез. русск., англ.).—Описана технология получения желтых железистых пигментов, отличающаяся использованием в качестве окислителя вместо р-ра  $H_2O_2$  разб. р-ра  $NaOCl$ , содержащего 20% активного хлора. Колориметрич. измерениями и определением колл. структуры доказана идентичность пигментов, получаемых с использованием как  $H_2O_2$ , так и  $NaOCl$ . Отмечается, что необходимыми условиями, обеспечивающими хорошие результаты, являются медленная дозировка (по каплям) р-ра  $NaOCl$ , охлаждение р-ра  $NaOCl$  и  $FeSO_4$  до  $\sim 20^\circ$ , соответствующее разбавление водой и введение несколько больших ( $\sim 0,05$  г/г Fe), чем в случае применения р-ра  $H_2O_2$ , кол-в регулирующих добавок ( $CdBr_2$ ,  $CdJ_2$ ,  $CdSO_4$ ,  $KBr$  и  $KJ$ ).

В. Левинсон

**6П239.** способ и Fijałkowski chromowy «Przem. chem.», англ. ченных в зависимости медленном  $Cr_2(SO_4)_3$  чего ос получают исходя из дующей г зеленого и при медле кипения. вода р-ди роста доз Быстрое щая дека менее «ст при т-ре дит к об

**6П240.** ениями. Heinz V. Casson be terialprüf (франц.)- пензий (ты, полу урия д

лия разл помощи с точки з пластиче ное изме лировани с теорети ной оиди щения а Краски кону Ка

**6П241.** нап Р. «Paintin зийные ного су с цинк свинцов ства: ме ность, в ления и ные св составл

грунта грунта техноло дьяныи получен

**6П242.** ых бе: Walk of iron 139—14 недоста условия цовых матери меров их та лезных



6П239. Зависимость свойств гидроокисей хрома от способа их получения. Krawz Maksymilian, Fijałkowska Janina. Właściwości wodorotlenków chromowych w zależności od sposobu ich otrzymywania. «Przem. chem.», 1959, 38, № 9, 550—551 (польск.; рез. русск., англ.).—На 14 препаратах  $\text{Cr}(\text{OH})_3$  (I), полученных в различных эксперим. условиях, установлена зависимость свойств I от условий ее получения. При медленном добавлении стехиометрич. кол-в  $\text{NaOH}$  к  $\text{Cr}_2(\text{SO}_4)_3$  при комнатной т-ре с промывкой образующегося осадка дистил. водой непрерывным способом получают I голубого цвета. В этих же условиях, но исходя из разб. р-ров и быстро их смешивая, с последующей промывкой осадка декантацией, получают I зеленого цвета. I наиболее чистых оттенков получают при медленном добавлении  $\text{NaOH}$  к  $\text{Cr}_2(\text{SO}_4)_3$  при т-ре кипения. Наиболее тонкодисперсную I получают, проводя р-цию при т-ре кипения, вне зависимости от скорости дозирования исходных в-в и способа промывки. Быстрое осаждение из конц. (3 н.) р-ров и последующая декантация осадка приводят к образованию наименее «старееющих» образцов I. Медленное осаждение при т-ре кипения с последующей декантацией приводит к образованию наиболее «старееющих» образцов.

В. Левинсон

6П240. Приложение закона текучести Касона к суспензиям, используемым в лакокрасочной технологии. Heinz Werner. Zur Gültigkeit des Fließgesetzes nach Casson bei Suspensionen der Anstrichmitteltechnik. «Materialprüfung», 1959, 1, № 9, 311—316 (нем.; рез. англ., франц.).—Приведено ур-ние Касона для текучести суспензий (предложено в 1957 г.) и объяснены результаты, полученные Стейнером при применении этого ур-ния для ротационного вискозиметра. Кривые течения различных красочных суспензий, измеренные при помощи ротационного вискозиметра, показывают, что с точки зрения реологии последние представляют собой пластичные и структурно-вязкие в-ва. Непосредственное измерение пределов текучести при помощи профилированных цилиндров дает результаты, совпадающие с теоретически вычисленными. Краски на основе льняной олифы не удовлетворяют ур-нию Касона. Для объяснения этого ур-ния вводится показатель степени  $\alpha$ . Краски на основе льняной олифы удовлетворяют закону Касона при  $\alpha = 0,67$ .

Б. Дуброва

6П241. Алюминиевые грунты для стали. Ramalan P. G. V. Composite aluminium primers for steel. «Paintindia», 1959, 9, № 1, 73—74 (англ.).—Антикоррозионные грунты, содержащие смесь алюминия и основного сульфата свинца (I) или смесь алюминия и окиси цинка (II), по сравнению с грунтами на основе свинцового сурика (III) имеют следующие преимущества: меньшее содержание свинца, большую стабильность, возможность нанесения грунтов методом распыления и главным образом значительно лучшие защитные свойства. В то время как срок службы грунта I составляет более 7 лет, II—6,4 года, срок службы грунта III составляет 5,3 года. Приведена рецептура грунта II, нашедшего применение в Индии, и описан технологич. процесс изготовления модифицированной льняным маслом алкидной смолы, используемой при получении грунта.

Б. Дуброва

6П242. Применение свинцового сурика и свинцовых белил для защиты от коррозии железа и стали. Walker A. G. Red lead and white lead for protection of iron and steel. «Corros. Technol.», 1960, 7, № 5, 139—141, 162 (англ.).—Описываются достоинства и недостатки изготавливаемых по Британским технич. условиям различных марок свинцового сурика и свинцовых белил, а также грунтово-окисных и лакокрасочных материалов, пигментированных ими. В качестве примеров приведены составы наиболее часто применяемых таких материалов для защиты от коррозии железных и стальных изделий.

Ю. Маркин

6П243. Люминесцентная краска, выпускаемая в КНР. Ду Тоу-чан. «Хуасюэ шицзе, Huaxue shijie», 1959, 14, № 6, 305—306 (кит.).—Описаны свойства и процесс получения люминофора, представляющего собой кристаллич. сернистый цинк, получение которого ведется в присутствии следов меди и некоторых других металлов и который применяют для покрытий экранов, приборов, циферблатов часов и для приготовления люминесцирующих красок на основе смол.

А. Зоннгат

6П244. Последние достижения в области поливинилацетатных покрытий. Tompkins Norman G. Developments in polyvinyl acetate coatings. «Paint and Varnish Product», 1959, 49, № 10, 41—48, 99 (англ.).—Дан краткий обзор общих свойств поливинилацетатных смол (ПВА) и эмульсионных красок на их основе, предназначенных для наружных покрытий (II) по камню, наружных и внутренних порозаполнителей и внутренних матовых II. Отмечено, что основными направлениями работ по улучшению дисперсий ПВА являются снижение содержания водорастворимых в-в в ПВА и уменьшение размеров частиц дисперсной фазы. Приведены составы матовых красок для внутренних II на основе дисперсий ПВА как обычных, так и с микрочастицами; в последнем случае состав обладает лучшими пленкообразующими свойствами и способствует получению лучших и более надежных результатов при окраске извест-содержащих поверхностей. Приведены состав на основе дисперсий ПВА с микрочастицами, обеспечивающий получение погодостойчивых II, состав для внутренних глянцевых II, прочный состав для внешних II по дереву и другие составы.

Б. Шемякин

6П245. Эмульсионные краски. McLean A. Emulsion paints. «Paint Manufact.», 1959, 29, № 8, 265—268, 270 (англ.).—Обзор эмульсионных красок (ЭК). Рассмотрены свойства поливинилацетатных эмульсий, стабилизированных поливиниловым спиртом, влияние типа и кол-ва литвеых мыл на размеры частиц эмульсий и их однородность, метод определения атмосферостойчивости ЭК с помощью радиоактивных изотопов, влияние типа связующего на свойства ЭК, укрывистость, меление и микробиологич. разрушение покрытий из ЭК. Библи. 25 назв.

Б. Дуброва

6П246. Антикоррозионные краски для судовых днищ. Menon M. C., Aggarwal J. S. Anticorrosive paints for ship bottoms. «Paintindia», 1959, 9, № 1, 77—81 (англ.).—Изучалась возможность использования сырьевых ресурсов Индии для получения антикоррозионных красок для судовых днищ. Приведены данные о составах и свойствах (кислотное число, скорость высыхания, твердость, водонепроницаемость, водо- и химстойкости) 15 наиболее перспективных связующих, испытанных в соответствии с индийским стандартом, о составах и стабильности при хранении 33 красок, приготовленных с использованием различных связующих и пигментов (II) (инертных II, основных II, взаимодействующих с льняным маслом с образованием мыл, растворимых и металлич. II), а также о свойствах (скорость высыхания, твердость, водо- и химстойкости) 16 отобранных из них красок, большинство из которых было приготовлено на связующем, состоящем из канифоли и льняного масла. Несмотря на сравнительно высокую кислотность этого связующего, большинство красок на его основе отличалось стабильностью и отсутствием тенденции к загустеванию. Краски со связующим, содержащим малеиновые смолы, имели удовлетворительные свойства, но, вследствие недостаточной стабильности, испытаниям в атмосферных условиях не подвергались. Удовлетворительные результаты по всем показателям (за исключением некоторого начального загустевания) были получены при испытании краски, содержащей в качестве связующего смесь малеинового ангидрида, насто-

рового масла и канифоли, а в качестве пигментов свинцовые белила, свинцовый сурик, хромат цинка, синтетич. окись железа и тяжелый шпат (наполнитель).

**6П247. Принципы составления современных лакокрасочных красок.** Riese W. A. Ein Beitrag zur Formulierung moderner Latices. «Fette, Seifen, Anstrichmittel», 1959, 61, № 7, 565—571 (нем.; рец. франц., англ., исп., русск.).—Рассмотрены основные виды пленкообразующих в-в (сополимеры бутадиена со стиролом, сополимеры акриловой к-ты, полимеры и сополимеры винилацетата), используемых при получении эмульсионных красок (ЭК), рецептуры и технология получения ЭК на их основе, механизм образования пленок из ЭК, пути предотвращения пенообразования при работе с ЭК, повышения стойкости покрытий на основе ЭК к действию микроорганизмов, влияние различных добавок на розлив, морозостойкость и стабильность ЭК.

Б. Дуброва

**6П248. Полимеризация льняного масла в электрическом разряде.** Boelhouwer C., Hoekstra T., Waterman H. I., Westerdijk J. B., Dam J. van, Kruidenier A. J. Polymerization of linseed oil in an electric discharge. «J. Amer. Oil Chemists' Soc.», 1960, 37, № 7, 373—376 (англ.).—В лабор. условиях исследован процесс вольтолиза (В) льняного масла (ЛМ), т. е. обработки его посредством электрич. разрядов в атмосфере  $N_2$  во вращающемся реакторе (10 об/мин, давл. 8 см.  $Hg$ , разность потенциалов между электродами 6,000 в, эффективная сила тока 24 ма, частота 500 гц). Для поддержания постоянства давления в реакторе в условиях имеющей место некоторой гидрогенизации ЛМ в ходе опытов в него вводили дополнительное кол-во  $H_2$ . Процесс заканчивали до нарушения гомогенизации образующимися полимерами, не растворимыми в ЛМ. Вольтолизированное ЛМ подвергли сравнительному анализу с термически полимеризованным ЛМ. Методика анализа: гидрогенизация испытуемого полимеризованного ЛМ при 150°, давл. 100° атм, 5% катализатора (Ni на кизельгуре) → колич. разделение мономерных и полимерных глицеридов посредством молекулярной дистилляции и последующее омыление их → перевод жирных к-т в метиловые эфиры (МЭ) и фракционирование в вакууме, при этом мономерные эфиры дистиллируются при 150—200° и давл. 1 мм рт. ст., а димерные остаются в остатке (т. кип. > 250° при 1 мм рт. ст.). Степень внутримолекулярной полимеризации (П) устанавливается по кол-ву остатка МЭ, полученного при дистилляции мономерных глицеридов. Для определения наличия циклич. структуры фракции МЭ переводят в смесь насыщ. углеводородов гидрогенизацией при 300—350°, 300 атм и 20% катализаторе (Ni—Cu на кизельгуре) и среднее число колец в молекуле смеси углеводородов устанавливают по их физ. свойствам в соответствии с анализом циклич. соединений (Waterman H. I. Correlation between physical constants and chemical structure, Amsterdam, 1958) или же непосредственным вычислением на основе полного элементарного анализа и мол. веса. Показано, что 1) в процессе В происходит значительная полимеризация ЛМ: мол. вес повышается с 900 до 1050 (при В в течение 4,4 час.) и до 1490 (при В в течение 17,8 час.); кинематич. вязкость при 20° повышается соответственно от 64 до 112 и 776 сст, при 40° — от 30 до 50 и 281 сст, а при 70° — от 14 до 21 и 93 сст; 2) понижается йодное число (соответственно от 182 до 167 и 143); число омыления практически не изменяется; 3) р-ция жирнокислотных цепочек в процессе В имеет почти исключительно межмолекулярный характер, что отличает этот процесс от термич. П, при которой происходит значительная, хотя и не превалирующая, внутримолекулярная П; 4) в начальной стадии П образуются только димеры, а затем и полимеры (кол-во тех и других

примерно одинаково); 5) ЛМ, подвергнутое В, сохраняет лишь небольшое кол-во циклич. соединений; вязкость сравнительно низкая, даже при высокой степени П, и значительно ниже, чем у ЛМ, подвергнутого такой же степени термич. П; 6) атомарный водород играет существенную роль в процессе В: единение жирнокислотных цепей происходит через посредство радикалов, образуемых первоначально под действием атомов H. Отмечается возможность использования процесса В для П также других высыхающих масел.

**6П249. Достижения в области синтетических высыхающих масел.** Marumo Hideo. «Сикидзай кёкайси, J. Japan Soc. Colour Mater.», 1959, 32, № 307—312 (японск.).—Обзор. Библ. 52 назв.

**6П250. Обработка высыхающих масел.** III. Зависимость между составом ненасыщенных масел и скоростью высыхания продуктов реакции масел с 2,6-диметил-*n*-крезолом. Misonou Akira, Ogata Ikue, Kuwata Tsutomu. «Абура кагаку, Yukagaku, Japan Oil Chemists Soc.», 1959, 8, № 4, 157—161 (японск.).—При обработке высыхающих масел (ВМ) 2,6-диметил-*n*-крезолом (I) способность к высыханию ВМ в начальный период несколько понижается, что связано с понижением степени ненасыщенности жирных к-т, входящих в состав ВМ, и присутствия в обработанном ВМ микроколичеств непрореагировавшего I, являющегося ингибитором окислительных процессов. Обработка высококачественных ВМ не ухудшает их способности к высыханию. Однако скорость отверждения обработанных ВМ и свойства полученных из них пленок выше, чем таковые у необработанных ВМ. Часть II см. РЖХим, 1961, 5П235. Ю. Якимович

**6П251. Обработка металлов реакционноспособными грунтовками.** Nédey Georges. Le traitement des métaux par wash-priming. «Trav. peint.», 1959, 14, № 190—194 (франц.).—Обзор реакционноспособных грунтовок (РГ). Рассмотрены свойства, назначения, применение для металлич. поверхностей, условия нанесения и преимущества РГ. Приведены составы, описаны способы получения РГ типа WP-1 и новой фосфорхромовой РГ, не содержащей тетраоксихромата цинка. Библ. 11 назв.

**6П252. Защита металлов окраской.** Nijvel W. J. Bescherming van ijzer met verf. «Verfkroniek», 1960, 33, № 9, 349—355 (гол.).—Обзорная лекция. Библ. 14 назв.

**6П253. Новые области применения водных красок.** Томиама Тадаси. «Кандзоку, Kinzoku, Metab», 1960, 30, № 9, 30—32 (японск.).

**6П254. Электростатическая окраска изделий из древесины.** Gottberg Horst von. Elektrostatische Lackieren von Holzteilen. «Industrie — Lackier — Betrieb», 1959, 27, № 11, 331—334 (нем.).—Изложены принципы действия и конструктивное оформление основных деталей электростатич. установок с воздушным краскораспылением в электростатич. поле и распылением краски вращающимися электродами. Сопоставлены экономич. показатели и рассмотрены особенности технологич. процесса при окраске древесины нитроцеллюлозными и полиэфирными составами и, в частности, регулирование электропроводности лаков путем добавки полярных компонентов.

**6П255. Распыление краски в электростатическом поле.** Hagihara Masao. Atomization of paint in electrostatic painting. «Сикидзай кёкайси, J. Japan Soc. Colour Mater.», 1960, 33, № 7, 330—335, 301 (японск.).

**6П256. Новый вид виниловых покрытий.** Montgomery J. C. Applying new vinyl system at «Canad. Paint and Varnish», 1959, 33, № 5, 26—27, 46—47 (англ.).—Лакокрасочный материал на основе виниловых смол, предназначенный для окраски различного мелкого инвентаря, применяемого в быту и на про-

прития  
лей, пр  
жанием  
зается  
эмалей  
костью  
ли и

6П257  
лакопр  
of wood  
9, № 2,  
окраски  
декорат  
является  
тщатель  
этой де  
выбору  
зывающ  
покрыт  
род др  
сти со

6П258  
len H.  
«Verfkr  
ная ст

6П259  
Daw e  
finishi  
22, 24  
автомат  
валя ли  
новых  
одной  
критиче  
ная от  
отдело  
изделе  
позвол  
антите  
дот. О  
подгот  
ска, с  
трали  
ения к

6П260  
Ande  
nep.  
(нем.)

ли пр  
сел с  
талло  
может  
чей.

окисл  
защит  
способ

6П261  
ских  
ния и  
Diet  
Eigen  
prakti  
1959,  
следо  
загме  
подлос  
рыны  
ствян  
(исп  
ность

приятных, а также для внутренней отделки автомобилей, представляет собой органозоль с высоким содержанием твердого в-ва. В процессе отверждения образуется пленка, аналогичная пленкам морщинистых эмалей, обладающая высокой абразивной и хим. стойкостью, а также хорошей адгезией к поверхности стали и Al, подготовленной обычными методами.

М. Ваньян

**6П257.** Влияние сорта древесины на долговечность лакокрасочных покрытий. Laughnan D. F. Effects of wood on durability of finishes. «Forest Prod. J.», 1959, 9, № 2, 19A—21A (англ.).—Основной целью наружной окраски деревянных зданий и сооружений является декоративное оформление их, так как сама древесина является достаточно атмосферостойкой. Наряду с тщательным выбором лакокрасочного материала для этой цели, такое же внимание должно быть уделено и выбору древесины. Отмечены пороки в древесине, оказывающие существенное влияние на долговечность покрытий. Приведена классификация различных пород древесины на пять групп, позволяющая произвести соответствующий выбор при нанесении покрытий.

М. Ваньян

**6П258.** Лакокрасочные покрытия по дереву. Telen H. W. Bescherming van hout met verf en vernis, «Verfkronek», 1960, 33, № 9, 342—348 (гол.).—Обзорная статья.

Э. Т.

**6П259.** Новая автоматическая линия окраски. Dawe Allen S. IBM installs new automatic paint finishing line. «Paint Ind. Mag.», 1959, 74, № 8, 20, 22, 24 (англ.).—Сообщается о пуске на одном из заводов автоматич. линии нового технологич. процесса окраски различного производственного оборудования. Новая линия разработана для нанесения сравнительно новых текстурных виниловых покрытий и является одной из первых крупных линий для нанесения покрытий этого типа. На всех стадиях процесса, начиная от фосфатирования и кончая нанесением двух отделочных покрытий, передвижение окрашиваемых изделий полностью механизировано. Новая линия позволяет сократить расход рабочего времени приблизительно на 10% и имеет более низкий процент отходов. Описаны отдельные стадии процесса: очистка и подготовка для окраски металлич. поверхностей, окраска, сушка и рассмотрены вопросы вентиляции, централизованного контроля т-ры печей и воздуха, хранения красок и их смешения.

Б. Шемякин

**6П260.** Очистка металлических изделий обжигом. Anders H. Reinigen von Metallteilen durch Abbrennen. «Industrie-Lackier-Betriebe», 1959, 27, № 8, 239 (нем.).—Приведены основные технологич. показатели процесса удаления обжигом жиров и минер. масел с поверхности изделий из черных и цветных металлов. Перечислены случаи, когда этот метод не может быть применен. Кратко рассмотрены типы печей. Отмечено, что образующийся при обжиге слой окислов, в большинстве случаев, является хорошей защитой металла от коррозии, а при окраске изделий способствует повышению адгезии покрытия.

Н. Гарденин

**6П261.** Исследование деформационно-механических свойств лакокрасочных покрытий с точки зрения их поведения в условиях эксплуатации. Warper Dietrich. Die Prüfung der deformationsmechanischen Eigenschaften von Anstrichfilmen im Hinblick auf das praktische Verhalten der Anstriche. «Materialprüfung», 1959, 1, № 9, 317—323 (нем.; рез. англ.; франц.).—Исследованием эластичности образцов различных не пигментированных лаковых пленок (свободных и на подложке) растяжением свободных пленок на разрывной машине, статич. (вдавливанием шарика в жесткую подложку с обратной стороны) и динамич. (испытание падающим шариком на ударную прочность) методами, установлено, что по результатам

определения механич. свойств пленки в свободном виде нельзя сделать заключение о ее поведении на подложке.

Н. Гарденин

**6П262.** Изготовление пленочных сопротивлений с сажевым наполнителем. Shimamune Masaji «Рикатаку кэнкюсё хококу, Repts Inst. Phys. and Chem. Res.», 1959, 35, № 3, 229—234 (японск.).—Для получения пленочных электросопротивлений применяли различные сорта сажи, диспергированной в масляном лаке. Пленку полученной краски наносили на поверхность керамич. цилиндров и высушивали. В процессе сушки измеряли сопротивление пленки краски, которое вначале резко уменьшалось, а потом постепенно достигало определенной величины. Величина сопротивления зависит только от соотношения кол-ва сажи и лака в краске, но не зависит от сушки пленки. Температурный коэф. полученного сопротивления отрицательный, что можно объяснить изменением плотности контакта между частицами сажи в пленке при колебаниях т-ры. При умеренной т-ре сушки можно получить сопротивление с небольшим температурным коэффициентом, возможно, близким к нулю.

М. С.

**6П263.** Изучение процесса формирования пленок политрифторхлорэтилена. Сыгина Л. А., Каргин В. А. «Хим. пром-сть», 1959, № 4, 298—301.—Изучали напряжения ( $\sigma$ ) в пленке (П) политрифторхлорэтилена (I), возникающие в процессе ее формирования, а также условия релаксации этих  $\sigma$ . Напряжения определяли динамометром Поляни на полосках стеклоткани редкого переплетения (вырубленных под углом 45° к направлению волокон), которые покрывали (кистью) спирто-кислотной суспензией I (70:30), с последующей сушкой и прогревом. Установлено, что в процессе сушки (при 100°, 10 мин.) и затем прогрева 265—270°, 25 мин.)  $\sigma$  не возникает; при быстром охлаждении возникают  $\sigma$ , величина которых зависит от скорости этого охлаждения (через час после быстрого охлаждения на воздухе 0,23 кг/мм<sup>2</sup> и после закалки водой 0,35 кг/мм<sup>2</sup>); при медленном охлаждении (в обогревательном устройстве) возникающие  $\sigma$  ничтожны или отсутствуют вовсе. Одновременно изучали (по методу концентрич. окружностей) напряжения в П, нанесенных на алюминиевые полоски (толщиной 0,02 мм). Полученные результаты качественно согласуются с данными испытаний на динамометре Поляни. Релаксацию  $\sigma$  изучали также в свободных подложках П, полученных растворением в 4%-ном р-ре NaOH (при ~20°) алюминиевой подложки окрашенных I алюминиевых фольг. Релаксацию проводили нагреванием П, зажатых в клеммы динамометра Поляни. Установлено, что при прогреве растянутой на 170% П при 100—200°  $\sigma$  резко падает и переходит в область отрицательных значений; при прогреве нерастянутой П также происходит самопроизвольное удлинение образца, что доказывает наличие ориентационной кристаллизации полимера и невозможность поэтому, при прогреве при 100—220°, получить аморфные П, лишенные  $\sigma$ . Для получения аморфных П без внутренних  $\sigma$  готовые П помещали на тефлоновую подложку, прогревали (при 270°) 10—30 мин., закаляли и снимали с подложки. Исследование отрелаксированных П на приборе Поляни при 170—200° показало отсутствие  $\sigma$  и вторичного удлинения образца, хотя эти П кристаллизировались (по данным рентгенологич. наблюдений) так же, как и неотрелаксированные. Результаты проведенных испытаний показали, что в П из I при формировании их на твердой подложке, возникают  $\sigma$ , причем П, полученные при условиях, затрудняющих протекание релаксационных процессов, имеют большие  $\sigma$ , а П, полученные в благоприятных условиях, лишены  $\sigma$ , но в противоположность первым имеют низкую адгезию и высокую степень кристалличности.

Н. Гарденин



**6П264. Бензостойкие лакокрасочные материалы.** Раскин Я. Л., Уранов С. А., Татарникова Т. Л. «Лакокрасочн. материалы и их применение», 1960, № 3, 13—19.—Описан ряд бензостойких покрытий, удовлетворяющих спец. требованиям. На основе мочевиноформальдегидной смолы в сочетании с алкидными смолами получены покрытия горячей сушки (грунт УБГ-1 и эмаль УБЭ-1), стойкие к действию бензино-бензольных сред, обладающие высокими физ.-мех. характеристиками и малярными свойствами. Эти покрытия, однако, недостаточно устойчивы к действию горячей воды и насыщ. пара. УБЭ-1 и УБГ-1 широко применяются для внутренней окраски канистров. На основе модифицированной маслом фенолформальдегидной смолы в сочетании с глифталевой смолой и тунгвовым маслом разработано бензостойкое покрытие (грунт и эмаль), отличающееся наряду с хорошими физ.-мех. свойствами высокой водо- и паростойкостью, а также спиртостойкостью и успешно применяемое для окраски автобензобаков. Разработана бензостойкая эмаль на основе бутадиен-акрилонитрильного каучука и крезолформальдегидной смолы резольного типа, обладающая высокой бензостойкостью, эластичностью и стойкостью к ударным нагрузкам. Для внутренней окраски крупногабаритных бензохранилищ разработана бензостойкая эмаль 60 Т на основе поливинилбутирала и крезолформальдегидной смолы резольного типа. Э. Т.

**6П265. Электроизоляционные лаки высокой термостойкости.** Weinberger Karl. Elektroisolerlacke mit hoher thermischer Beständigkeit. «Maschinenwelt und Elektrotechnik», 1959, 14, № 11-12, 267—268 (нем.).—Приведены данные механич., термич. и электрич. испытаний лака (Л) на основе эфиров терефталевой к-ты и пропиточного Л марки RL 393, состав которого не указан. Кратко охарактеризованы Л на основе силиконовых смол. Отмечено, что эффект внедрения первых двух типов Л в электромашиностроительную пром-сть во всех случаях окупает их высокую стоимость, применение же силиконовых Л rentabelno лишь в случаях спец. требований к качеству изоляции. Н. Гарденин

**6П266. Последние достижения в области электроизоляционных лаков для окраски проволоки.** Fuchs H.-G. Die letzten Entwicklungen auf dem Lackdrahtsektor. «Maschinenwelt und Elektrotechnik», 1959, 14, № 11-12, 263—266 (нем.).—Приведены краткие характеристики современных электроизоляционных лаков на основе полиамидов, эпоксидных и силиконовых смол, предназначенных для окраски проволоки. Сопоставлены физ.-хим. и электрич. показатели и приведены графики старения при высоких т-рах покрытий из лаков на основе поливинилацетата и эфиров терефталевой к-ты. Обсуждена целесообразность применения лаков последнего типа для изоляции электромашин различного назначения. Н. Гарденин

**6П267. Исследование лакокрасочных покрытий.** Сакаи Ясугаро. «Дзоси како, Resin Finish. and Applic.», 1959, 8, № 1, 15—21 (японск.).—Обзор. Рассмотрены действие р-рителей на покрытия, растворимость синтетич. смол, используемых для покрытий, скорость испарения р-рителей и др. В. К.

**6П268. Лаки и краски, устойчивые при низких температурах.** Rabate J. L. Las pinturas a los bariques resistentes a las bajas temperaturas. «Téc. frío», 1958, 6, № 63, 4, 6, 8, 10, 12, 14 (исп.).—Описано 2 вида разрушений (растрескивание и отслаивание) лакокрасочных пленок, вследствие их деформации под действием изменения т-ры, средства их предотвращения и меры борьбы с ними. Для предупреждения повреждений пленок необходимо обеспечить их макс. эластичность, что достигается применением жирных продуктов для покрытий (лаки и краски на основе высыхающих масел) или сильно пластифицирован-

ных (лаки и краски на основе жирных глифталевых смол). При эксплуатации в суровых атмосферных условиях очень важен правильный и систематич. уход за покрытиями, предотвращающий распространение начавшегося повреждения. При поверхностном (неглубоком) растрескивании необходимо осторожно снять верхний слой и нанести 1 или 2 дополнительных слоя. При глубоком растрескивании нужно полностью удалить старое покрытие и нанести новое. Частично облупившуюся пленку также следует полностью удалить на глубину повреждения (чаще всего до субстрата) и нанести новое покрытие. На прочность наружного покрытия влияют также климатич. условия в момент нанесения покрытия. Лучшими условиями являются сухая погода без резких колебаний т-ры и т-ра 5—25°. Спец. покрытия для холодильных камер и холодильников должны обладать стойкостью к резким колебаниям т-ры, вибрации и щелочам, применяемым для мойки. Это требует от пленок эластичности, водонепроницаемости, хорошей адгезии к субстрату и большой прочности. Даны рекомендации по составу лаков и красок для внутренней отделки стальных и цинковых поверхностей холодильников. Г. Логинова

**6П269. Высококачественная эпоксидная смола для покрытий.** Somerville G. R. High build epoxy resin maintenance finishes. «Paint Ind. Mag.», 1959, 74, № 8, 6—8, 31 (англ.).—Кратко рассмотрены эпоксидные смолы (I), отверждаемые полиамидами, мастичного холодного отверждения на основе I, мастички для химстойких покрытий на основе смеси каменноугольного пека и I, отверждаемые диэтилентриамином и обеспечивающие при нанесении кистью или распылением получение однородных (за один проход) покрытий толщиной 0,25 мм; обсуждены свойства этих покрытий. Исключительно химстойкие покрытия получают на основе I, наносимых лопаткой, с толщиной пленки до 6,3 мм; однако их недостатком является использование ручного способа нанесения. Рассмотрены новые покрытия, получаемые распылением I, не содержащих в своем составе р-ритель или какие-либо другие летучие компоненты. Отмечено, что эти покрытия в отношении стойкости к р-рителям и каустикам подобны покрытиям на обычных I, содержащих р-ритель, а по адгезии занимают промежуточное положение между покрытиями на основе I полиэфиров. Приведены рекомендации по применению покрытий на основе I, не содержащих летучих компонентов. Б. Шемякин

**6П270. Исследование отвержденных полиэфирных смол.** Funke W. Untersuchungen über gehärtete Polyesterharze. «Farbe und Lack», 1959, 65, № 10, 560—564 (нем.).—Для выяснения состава отвержденных полиэфирных смол исследовали выделенные фракционированным осаждением продукты гидролиза и аммонолиза этих смол методом ИК-спектроскопии и определением содержания в этих продуктах O и N. Гидролиз проводили КОН, растворенным в бензиловом спирте, а аммонолиз — бензиламином и ZnCl<sub>2</sub>. Степень отверждения полимеров изучали по их набухаемости в различных полярных р-рителях. Приведены графики зависимости состава и выхода продуктов гидролиза от соотношения между стиролом и фумаровой к-той в полимере, а также графики зависимости конечного состава полимера от условий отверждения (чисто термическая полимеризация, полимеризация с различным содержанием перекиси, а также с различным содержанием стирола). Н. Гарденин

**6П271. Определение эластичности пленок поливинилацетатных эмульсий.** Edbrooke P. C., Grimshaw F. P., Pateman R. A. W. The measurement of the flexibility of polyvinyl acetate emulsion films. «J. Oil and Colour Chemists' Assoc.», 1959, 42, № 8, 543—547 (англ.).—Для определения эластичности пленок из эмульсий смол предложен эластометр, который дает

возможность быстро определить эластичность литых пленок эмульсий на основе поливинилацетата и сополимеров винилацетата, измерить угловой изгиб образца при постоянном скручивающем усилии при т-рах от  $-70^\circ$  до  $+40^\circ$ . Испытуемую пленку помещают в зажим, нижний конец которого закреплен, а верхний — свободный может вращаться под действием постоянного скручивающего усилия, получаемого при помощи грузов, находящихся на блоке с калибровочной шкалой. Испытуемые пленки получают из эмульсий литые в формы размером  $20 \times 1,875$  см с разъемными стенками, покрытыми тонким слоем силиконовой жидкости. Литые следует проводить так, чтобы в пленке не образовывались пузырьки воздуха и другие дефекты. Полученную таким образом пленку разрезают на полоски размером  $6,625 \times 1,063$  см, которые перед испытанием высушивают в течение 3 дней над  $P_2O_5$ . Результаты определений эластичности при разных т-рах изображают в виде кривых в координатах «эластичность — т-ра». Предлагаемым аппаратом можно определять т-ру стеклования полимеров, коэф. рефракции или уд. объем при различных т-рах. Приводятся эксперим. данные о т-рах перехода, полученных при применении различных пластификаторов. А. Л.

6П272. Исследование лакокрасочных материалов на их длительную термостойкость. Oelsner E. Untersuchungen über die Dauerwärmebeständigkeit von Anstrichstoffen. «Farbe und Lack», 1959, 65, № 11, 625—635 (нем.). — Изучали влияние т-ры и времени термообработки на свойства (изменение веса, толщины, блеска, эластичности и цвета) 14 различных лакокрасочных покрытий (II). Термообработку II проводили при 150, 200 и  $250^\circ$  в течение 32 дней. В качестве объектов исследования были выбраны главным образом непигментированные II на основе различных синтетич. смол и их смесей, натуральной олифы и циклокаучука. Приведены результаты исследований и описаны методики испытаний. Установлено, что значительное число органич. пленкообразующих в-в достаточно хорошо выдерживает длительное воздействие т-ры порядка  $150^\circ$ , но быстро разрушается при  $200^\circ$ ; модифицированные силиконовые смолы и высокофторированные пленкообразующие в-ва выдерживают длительное время термообработку при  $200^\circ$ ; хорошей термостойкостью при  $250^\circ$  обладают только немодифицированные силиконовые смолы. Отмечается, что длительная термостойкость II зависит не только от их состава, но также и от факторов, воздействующих на II в назве, и практически не может быть предсказана без предварительных испытаний; правильную оценку термостойкости II можно дать только по совокупности данных о скорости его деструкции, потери эластичности изменении цвета в процессе термообработки в заданных условиях. Н. Гарденин

6П273. Аппарат для определения времени высыхания защитных покрытий при повышенных температурах. Schwab A. W., Teeter H. M., Cowan J. C. Device to establish drying conditions for protective coatings at elevated temperatures. «J. Amer. Oil Chemists' Soc.», 1959, 36, № 7, 275—277 (англ.). — Описан аппарат, в основном подобный аппарату Сандерсона, но меньше его, сконструированный в виде термостата, в котором может поддерживаться т-ра до  $260^\circ$ , и допускающий одновременное испытание трех образцов пленок, помещаемых на трех дисках, вращающихся со скоростью 1 об/15 мин. Исследованы покрытия, приготовлявшиеся при помощи центробежного диска при регулируемой толщине пленки  $\sim 0,004$  мм. Время отслаивания определяли обычным способом удаления с диска песка. Установлено, что материал подложки (алюминий, черное листовое железо) влияет на время высыхания покрытий на основе полимеров простых виниловых эфиров — на железе покрытия высыхали быстрее. Б. Шемякин

6П274. Покрытия по стали горячей прокатки. Bosch Wouter. Coatings for hot rolled steel. «Canad. Paint and Varnish», 1959, 33, № 7, 51—52, 84—85 (англ.). — Сообщаются результаты исследований по определению минимально необходимой толщины защитных покрытий по стали горячей прокатки. Отмечено, что обычная концепция, предусматривающая необходимость защиты стали покрытием толщиной  $\geq 0,13$  мм, не может считаться действительной. Уже предварительные испытания показали, что миним. толщина лакокрасочных покрытий определяется не только типом покрытия, но и способом подготовки поверхности к окраске. Б. Шемякин

6П275. Методы контрастной окраски микротомных срезов проклеенной или окрашенной древесины. Plath Erich, Plath Lore. Färbemethoden für Mikrotomschnitte aus verleimten und oberflächenbehandelten Holzwerkstoffen. «Holz Roh- und Werkstoffe», 1959, 17, № 6, 245—249 (нем.; рез. англ.). — Рассмотрена способность микротомных срезов (МС) проклеенной или окрашенной древесины воспринимать контрастную окраску, определяемую поведением различных видов клеев и покрытий по отношению к различным красителям. На отдельных примерах показана возможность, изучением окрашенных МС, выявлять причины дефектов изделий из древесины, связанных с несоответствующей своему назначению склейкой или окраской. Даны общие указания по изготовлению МС и выбору красителей для их обработки. Н. Гарденин

6П276. Аналитический метод определения меления окрашенных подложек после их экспозиции в естественных условиях. Garmsen Werner, Kajüter Irmgard. Eine analytische Methode zur Bestimmung der Abkreibung auf bewitterten Tafeln. «Farbe und Lack», 1959, 65, № 7, 373—375 (нем.). — Подложку укрепляют окрашенной стороной вверх на подставке с уклоном к горизонту. После удаления пыли кисточкой, многократным орошением покрытия дистил. водой и проглаживанием резиновой пластиной, воду, вместе с отделенными от покрытия выветрившимися частичками пленки и пигментом, переводят в расположенную под подложкой и предварительно взвешенную чашу. После выпаривания воды на водяной бане и сушки при  $105-110^\circ$  в течение 0,5 час. взвешиванием чаши определяют кол-во смывых компонентов краски. Результат выражают в г смывой части на  $1 м^2$  подложки. Метод не учитывает выветрившейся части краски и удаленной с ее поверхности в процессе экспозиции на крыше. Приведены цифровые данные эксперим. проверки метода, которые показывают, что удовлетворительная сходимость результатов параллельных определений получается лишь при условии  $\geq 10$ -кратного орошения и проглаживания покрытия, а также показывают несовершенство органолептич. оценки меления. Н. Гарденин

6П277. О стойкости лакокрасочных покрытий к химическому воздействию защитного состава упаковочной бумаги. Göbel J. Verträglichkeit von Lacken mit VPI-Papier. «Farbe und Lack», 1959, 65, № 9, 510—511 (нем.). — Упаковочную бумагу (В), предназначенную для обертки изделий из стали, Ni, Cr, Co и чистого Al, получают обработкой одной стороны бумажной ленты защитным составом, содержащим дициклогексиламмонийнитрит. Состав выделяет пары, которые, конденсируясь на поверхности изделия, защищают металл от действия  $O_2$ ,  $CO_2$  и влаги воздуха. Для выявления возможности применения этой В для упаковки окрашенных изделий рекомендован упрощенный метод испытания покрытий на их стойкость к действию паров, выделяющихся из состава. Дано описание этого метода и перечислены основные типы лакокрасочных покрытий, стойких и нестойких к воздействию состава. Н. Гарденин

**6П278.** Ручной электростатический краскораспылитель. Roth W. Die elektrostatische Handspritzpistole nach Ransburg. «Technica (Suisse)», 1959, 8, № 20, 1124 (нем.).—Установка для распыления состоит из ручного распылителя с вращающимся колоколом (600 об/мин), электромотора и преобразователя тока (постоянный ток 90 кВ). Краска подается в колокол насосом или из приемника под давлением. Испытания установки на различных предприятиях США и с красками различного типа выявили, что при окраске изделий небольших габаритов производительность этой установки, по сравнению с ручным воздушным распылением, составляет ~200%, а при окраске больших площадей примерно равноценна последнему. Электростатич. метод снижает расход краски, может проводиться персоналом невысокой квалификации и в отдельных случаях (при окраске штанг, сеток и др.) не требует поворота изделия для окраски его противоположной стороны.

**6П279.** Прозрачная белая краска в качестве наполнителя для типографской краски и окисл алюминия как сырье для указанного наполнителя. I.2. Van Sigeo, Hatano Syogo. «Сикидзай кёкайси, J. Japan Soc. Colour Mater.», 1960, 33, № 7, 316—325; № 8, 363—372 (японск.).

**6П280.** Способ структурирования синтетических смол. Weigel Fritz. Verfahren zur Vernetzung von Kunstharzen. [Siemens-Schuckertwerke A.-G.]. Пат. ФРГ 1046323, 4.06.59.—Синтетические смолы, содержащие полимерные цепи с реакционноспособными атомами Н, обрабатывают ароматич. сложными эфирами ортокремневой к-ты, перэтерифицированными диоксидифенилметаном или диоксидифенилпропаном. Пример (в вес. ч.), 1825 крезилортосиликата смешивают с 1370 о-оксидифенила и нагревают в перегонном сосуде в атмосфере  $\text{CO}_2$  3 часа при 350° (при этом отгоняется 780 крезоло), затем охлаждают, добавляют к полученной вязкой темно-коричневой жидкости 690 диоксидифенилпропана, нагревают 10 час. при 350° (отгоняется еще 650 крезоло) и получают густовязкую массу со средним мол. в. 2400, содержащую 2,4% Si. 10 этой смолы растворяют в 10 моностилового эфира этиленгликоля (I) и смешивают с 180 50%-ного р-ра в I жирной алкидной смолы (жирной к-ты 23%, гидроксильное число 274, кислотное число 8,8%). При отверждении в течение 6 час. при 175° получают твердую лаковую пленку с хорошей термостойкостью, в то время как алкидная смола без добавления вышеуказанного продукта перэтерификации после нагрева в течение 6 час. при 175° имеет такую же вязкость, как и до нагрева.

**6П281.** Состав, содержащий раствор глицидного полиэфира и глицидного эфира одноатомного фенола. Wasserman David. Composition comprising a solution of a glycidyl polyether and a glycidyl ether of a monohydric phenol. [Minnesota Mining and Manufacturing Co.]. Пат. США 2891026, 16.06.59.—Пленкообразующие в-ва представляет собой продукт (II) р-ции глицидного полиэфира многоатомного фенола (I) с глицидным эфиром одноатомного фенола (II), отверждающийся под влиянием аминов, дикарбоновых к-т или их ангидридов. Отвердитель (III) может вводиться непосредственно в I или II. В качестве I используют глицидный полиэфир 2,2-бис-(*n*-оксифенил)-пропана (IV) или многоатомного алифатич. спирта, с 1,2-эпоксисвязэквивалентом > 1, жидкий при т-ре 149°, в качестве II — глицидный эфир карданола (V), имеющего в ядре ненасыщ. углеводородный заместитель с 40—28 атомами Е. Максим. весовое соотношение I:II = 300:100. В состав входят металлич. сиккативы. Пример. 5 ч. IV и 6 ч. V смешивают до получения однородного р-ра, добавляют 0,9 ч. триэтилтетрамина (VI) и оставляют на 3 часа при обычной т-ре, а затем II отверж-

дают в течение 16 час. при 120°. П пригоден также в качестве заливочного компаунда. Такой же П можно получать смешением 6 ч. V с 0,9 ч. VI, нагреванием смеси в течение 2 час. при 120° и последующим смешением с 5 ч. III и отверждением в течение 16 час. при 120°. Вместо V можно применять другие II, реагирующие с III, с получением во всех случаях П, жидкого при т-ре 149° и способного смешиваться с I и отверждаться.

**6П282.** Оксизамещенные алиловые эфиры и их производные. Shokal Edward C., Tess Roy W. H. Hydroxy-substituted allylic ethers and derivatives. [Shell Development Co.]. Пат. США 2864804, 16.12.58.—Указанные соединения, применяемые для получения алкидных смол, а также в качестве пластификаторов и стабилизаторов для пластификов, получают из полиэпоксидного простого эфира или глицидного эфира моноатомного спирта или фенола [напр., 2,2-бис-(4-оксифенил)-пропана] с алиловым спиртом. Глицидные полиэфиры могут быть получены четырьмя методами. (Примеры 2—4 даны в вес. ч.). 1) 2 моля бисфенола растворяют в 10 молях эпихлоргидрина (I) и прибавляют 1—2% воды; к указанной смеси при 80° в течение 1 часа прибавляют 4 моля NaOH, поддерживая т-ру в пределах 90—110°. I отгоняют, остаток разбавляют приблизительно равным кол-вом бензола, фильтруют, удаляют бензол и получают полиэфир А (ПА) с вязкостью ~150 пуаз при 25°, мол. в. 350, эпосвязэквивалентом 1,75. 2) К р-ру, содержащему 117 воды, 1,22 NaOH и 13,38 бисфенола, прибавляют при 46° 14,06 I. Через 25 мин. добавляют 11,7 воды; через 30 мин. начинают промывать продукт водой (4,4 часа), после чего сушат его при 140°. Полученный полиэфир (з. пл. 27°, мол. в. 483) имеет эпосвязэквивалент 1,3. 3) К 276 глицерина и 832 I прибавляют 10 4%-ного р-ра  $\text{BF}_3$  в эфире, в течение 3 час. поддерживают т-ру в пределах 50—75°, после чего 370 полученного продукта растворяют в 900 диоксана, содержащего ~300 алюмината Na и кипятят 9 час. Смесь фильтруют, фильтрат перегоняют при 150°/200 мм и получают 261 полиэфира с эпосвязэквивалентом 2,13 и мол. в. 324. 4) К 228 бисфенола и 84 10%-ного водн. NaOH прибавляют при 45° 176 I, нагревают 80 мин. при 95°, отделив воду. Слой, смолу промывают и сушат при 130°. Мол. вес смолы 710, т. пл. 52°. К 1065 ПА прибавляют 1732 алилового спирта, нагревают при 65° и прибавляют 0,5  $\text{BF}_3$ , после чего перемешивают 6 час. при 65°. Отгоняя избыток спирта, получают продукт (II), представляющий собой в основном 2,2-бис-(3'-алилокси-2'-оксипропокси-4'-фенил)-пропан. Для получения моноалилового эфира нагревают несколько часов при 65° 1050 ПА, 174 алилового спирта, 200 ксилола и 1  $\text{BF}_3$ ; продукт состоит в основном из 2-эпоксипропоксифенил-2-(3'-алилокси-2'-оксипропокси-4'-фенил)-пропана. 50 указанного моноалилового эфира сополимеризуют при 90° с 60 стирола в присутствии перекиси бензоила или при 65° с 50 ПА в присутствии 5 2,4,6-три-(диметиламинометил)-фенола. В том и другом случае получают твердую смолу. Этерификацией II (52,8) жирными к-тами дегидратированного касторового масла (47,2) в 100 ксилола (и несколько часов при 250°) получают мягкую смолу, к которой обладает пленкообразующими свойствами. Для получения алкидной смолы нагревают 175,3 II, 43,8 адипиновой к-ты в ксилоле при 230° в течение нескольких часов. Другие алкидные смолы были получены из II (175,3 или 116,8), адипиновой к-ты (35,1 или 29,2) и *n*-трет-бутилбензойной к-ты (21,4 или 17,8 соответственно); или из 142 II и 36 фталевого ангидрида. Аналогично получают алиловые эфиры других полиэфиров и алкидные смолы на их основе. Может быть взят металиловый спирт или другие замещенные алиловые спирты. Нагревая 80 сложного эфира алипиновой к-ты в 80 ксилола с р-ром 0,2 перекиси



трет-бутила в 10 стирола (55 мин. при 140°), получают полимер, образующий при нанесении на стекло прозрачную пленку. 75 полиэфира с мол. в. 1400 кипятят несколько суток с 80 аллилового спирта и 0,5 SnCl<sub>4</sub>; получают смолу, кислотные р-ры которой быстро высыхают на воздухе, образуя твердое, прочное покрытие. Э. Тукачинская.

**6П283.** Лак на основе фенольной смолы и метод его получения. Straka Cyril J., Weltman William C. Phenolic resin varnish and method of making the same. [Westinghouse Electric Corp.]. Пат. США 2885386, 5.05.59.—Предложен способ произ-ва лаковой фенольной смолы, согласно которому фенол (I) реагирует с формальдегидом (II) в две стадии, благодаря чему достигается более высокий выход смолы, содержащей незначительные кол-ва непрореагировавших ингредиентов и полимерных в-в низкого мол. веса. Процесс проводят в реакторе с обратным холодильником. В первой стадии 0,4–0,85 моль II конденсируются с 1 молем I в присутствии 0,1–0,4% (от веса I) кислотного катализатора (напр., HCl, H<sub>2</sub>SO<sub>4</sub> или H<sub>3</sub>PO<sub>4</sub>) в течение 15–60 мин., при 85–115°. Во второй стадии процесса к реакционной массе добавляют II в кол-ве, необходимом для доведения мол. соотношения I:II до 1:1–1,25, и 0,25–1% (от веса I) щел. катализатора (напр., окиси или гидрата окиси щел. или щел.-зем. металла или аммиака). Процесс продолжают еще 30–90 мин., после чего проводят дегидратацию продукта р-ции перегонкой в вакууме  $\geq 660$  мм рт. ст. и добавляют р-ритель для получения жидкой лаковой смолы. Пример (в вес. ч.): 600 I, 400 37%-ного II и 1 H<sub>2</sub>SO<sub>4</sub> нагревают с обратным холодильником 45 мин. при ~100°, вводят 170 37%-ного II и 41 гидрата окиси кальция, продолжают нагревание еще 45 мин. и после этого из смеси удаляют воду при нагревании в вакууме 660–685 мм рт. ст. Смолу, загущающуюся при повышении т-ры до 77°, разбавляют 170 95%-ного этилового спирта. Выход смолы 93,8%, ее уд. в. 1,109, вязкость 1110 спуаз при 25°, время желатинирования при 153° 11,3 мин., содержание твердых в-в 64,4%.

**6П284.** Алкидные гели и содержащие их составы. Rinse Jacobus. Alkyd gels and compositions containing the same. [J. W. Ayers & Co.]. Пат. США 2892780, 30.06.59.—Способ получения желатинирующих пленкообразующих в-в для покрытых лакокрасочных материалов состоит во взаимодействии при 100–250° (предпочтительно при 150–200°) р-ра алкидных смол (АС), содержащих свободные оксигруппы, с 0,05–2,0% (от веса твердых в-в) органич. производных алюминия типа Al(OAcyl)(a)(b), где a и b могут быть одновременно Acyl O, RO (R — алкил насыщ. или ненасыщ., нормальный или изо-, арил, алкилазамещенный арил) или b может быть гидроксил при условии, что a будет RO. АС может быть модифицирована насыщ. или ненасыщ. жирными к-тами. Вместо АС может быть использована эпоксиалкидная смола, модифицированная высыхающими маслами. Смесь нагревают до образования геля. Пример (в вес. ч.). К 100 глифталевого АС, модифицированной 30% соевого масла (в виде 50% р-ра в уайт-спирите), нагретой до 160°, добавляют 5 триолеата алюминия (в виде 50%-ного р-ра в уайт-спирите). Реакционную массу нагревают при 170° 1 час, при этом АС желатинирует. Получаемый состав пригоден в качестве связующего для быстро высыхающих тиксотропных красок и может быть смешан с обычными пигментами, р-рителями и сиккативами. Б. Шемякин

**6П285.** Сополимеры алкидных смол, винилалогенидов и виниловых сложных эфиров. Christenson Roger M. Interpolymers of alkyd resins, vinyl halides and vinyl esters. [Pittsburgh Plante Glass Co.]. Пат. США 2865874, 23.12.58.—Растворимый в ароматич. углеводородах сополимер (СП), образующий на поверх-

ности твердых тел прочные, химически стойкие пленки, получают сополимеризацией 10–50% (предпочтительно 25–40) алкидной смолы (I), и 90–50% смеси мономеров, содержащей 20–80% (предпочтительно 25–75) (от веса смеси) винилхлорида (II) и остальное винилацетат (III). В состав смеси может также входить инициатор свободнорадикальной полимеризации. I получают этерификацией многоатомного спирта смесью дикарбоновой к-ты типа фталевой и ненасыщ. жирной к-ты (напр., смесью фталевой ангидрида и к-т соевого масла). Вместо III могут быть использованы метилакрилат, этилакрилат, метилметакрилат, аллилацетат, метилаллилацетат или аллилпропионат. Пигментированный р-р СП после сушки образует декоративные пленочные покрытия. Пример (в вес. ч.): 375 I, состоящей из 60% полиэфира пентаэритрита и соевого масла и 40% полиэфира пентаэритрита и фталевой к-ты, 625 II, 625 III, 50 перекиси бензоила и 875 кислоты нагревают 8 час. при 75°. После удаления избытка мономеров дистилляцией получают 1000 СП с содержанием 62,5 вес.% II и III. 48,3%-ный р-р СП в ксилоле имеет вязкость 8,84 пуаз, цвет по Гарднеру 5–6. Р-р СП высыхает на воздухе с образованием твердых химически стойких защитных покрытий. Д. Брондз

**6П286.** Усовершенствование способа производства циклопентадиеновых соединений. Mundy Cecil Walter Andre, Malyan Cyril Rixton. Improvements in and relating to the production of cyclopentadiene compounds. [Younghusband, Barnes & Co. Ltd]. Австрал. пат. 220806, 11.04.57.—Улучшенный способ произ-ва продуктов взаимодействия циклопентадиена (I) с высыхающим или полувсыхающим маслом (II) состоит в нагревании II до 149–260° и введении в нагретое II тока паробразного I в кол-ве 1–400% (от веса II); при введении I сохраняются атмосферное давление и т-ра в указанных пределах, далее продукт р-ции нагревают в пределах 232–315°. I получают нагреванием дидициклопентадиена при 180° в зоне, отделенной от реакционной зоны II; паробразный I в виде струи подается непосредственно из зоны получения в II, нагретое приблизительно до т-ры паров I. Продолжительность введения I в паровой фазе в II может составлять 1–400 час. В качестве II применяют льняное (предпочтительно), перилловое, табачное, соевое, дегидратированное касторовое, тунговое, ойтисковое и другие масла, а также комбинации II с копаолом, стиролом, алкидной и фенольной смолами. Пример. 100 ч. льняного масла нагревают до 232° и вводят 20 ч. газообразного I непрерывной струей в течение > 10 час.; т-ру поддерживают на уровне 232°. Полученный сополимер может быть подвергнут тепловой обработке при 221–315° для получения стандартного масла. Приведены схема и описание простого аппарата лабор. типа для получения I нагреванием дидициклопентадиена. Б. Шемякин

**6П287.** Высокоплавкие стабилизированные этилцеллюлозные составы. Krajewski Richard M., Kelly Harold C. Stabilized ethyl cellulose hot melt compositions. [The Dow Chemical Co.]. Пат. США 2887396, 19.05.59.—Высокоплавкие этилцеллюлозные составы, предназначенные для получения прочных, но легко удаляемых защитных покрытий (по металлу), стабилизируют небольшими кол-вами различных в-в, в частности 0,005–5% (предпочтительно 0,5–4) (от веса состава) 2,2'-метил-бис-(4-метил-6-трет-бутилфенолом), 0,1–10% (предпочтительно 2–8) кислотного-эпоксидного соединения и 0,1–2% (предпочтительно 0,1–5) нейтр. органич. фосфитного соединения типа алкил-, арил-, галоидзамещ. алкил- и арилфосфитов и их смесей. Приведены примеры нейтр. органич. фосфитных соединений. В качестве кислотного-эпоксидного соединения может быть диглицидный эфир полигликоля или бисфенола А или эпоксициклогексана

эфир ненасыщ. жирной к-ты (напр., октил- или бутил-эпоксистерат), эпоксидированный глицерид натуральных ненасыщ. жирных к-т, содержащих 12—22 атома С, в частности эпоксидированное соевое масло. Приведены примеры составов, характеристика цвета, кривые удлинения, а также изменения физ. свойств пленок, подвергавшихся различным тепловым воздействиям.

Б. Шемякин  
6П288. Эмалевые композиции для покрытия электрических проводов. Charlton Malcolm. Enamel composition and electrical conductor coated therewith. [American-Marietta Co.]. Пат. США 2864785, 16.12.58.—Эмалевые композиции (ЭК) для покрытия электрич. проводов представляют собой р-ры поливинилацетатевой (I) и фенолальдегидной (II) смол. II получают конденсацией 0,1—0,6 моля формальдегида (III) с 1 молем м- или смеси м- и л-крезолов. Весовое соотношение I и II 2:0,5—2,25. Покрытие из указанной композиции обеспечивает твердую, эластичную, устойчивую к действию истирания и фреона электрич. изоляцию провода. Пример (в вес. ч.). 100 поливинилацетата растворяли в 185 лед. уксусной к-ты и к р-ру добавляли 83,37,5% р-ра III и 6,8 конц.  $H_2SO_4$ . Композицию нагревали при перемешивании в течение 20 час. при 70°. 13 р-ра  $NH_4OH$  добавляли для нейтрализации р-ра, при этом I высасывалась. I промывали и сушили в токе теплого воздуха при 60°. Содержание в I OH-групп 6%, ацетатных групп — 81%. Отдельно приготавливали II конденсацией 750 смеси крезолов и 448,4 37,2% р-ра III в присутствии 23,9 триэтанолamina. Конденсацию проводили при 94—98° в течение 2 час. Продукт р-ции охлаждали до 30° и дегидратировали при пониженном давлении, получая прозрачную вязкую отверждающуюся при нагревании II. ЭК получали из 5,33 II и 10,67 I, используя в качестве р-рителей 25,2 смеси крезолов и 58,8 сольвент-нафты. Изоляционную пленку получали 6-кратной окраской провода при скорости его движения 3,66—4,88 м/мин. Отверждение покрытия проводили в печи при 275° в течение 1 мин. Покрытие выдерживает действие спирто-толуольной смеси (5 мин. при соотношении р-рителей 70:30 и 15 мин. при соотношении 50:50), а также кипящего толуола, но разрушается в кипящем спирте.

А. Петрашко  
6П289. Водные композиции для покрытий, способы их получения и методы нанесения на изделия. Toothill Frederick W., Jr, Stieber Joseph A., Natton Harold L. Aqueous coating compositions, articles coated therewith, and methods for producing them [Rohm & Haas]. Пат. США 2865878, 23.12.58.—Водные дисперсии пленкообразующих в-в (ПВ), содержащие или не содержащие водонерастворимые пигменты, отличающиеся способностью хорошо смачивать субстраты и высокой текучестью, высыхающие с образованием твердого прочного покрытия, содержат в качестве ПВ водорастворимую соль (I) линейного сополимера малеинового ангидрида (1 моль) и ненасыщ. углеводорода (1 моль), содержащего 4—10 атомов С (изобутилена, изоамилена, диизобутилена, дициклопентадиена или дигиптена) и водонерастворимый оксигетилированный алкилфенол (II), содержащий в цепи 1—5 оксигетиленовых звеньев, а в алкильной группе 8—18 атомов С (трет-октилфеноксиэтанол, трет-октилфеноксиполиэтоксиэтанол, имеющий в среднем 3—5 оксигетиленовых звена, трет-октилфеноксиэтоксиэтанол или додецилфеноксиэтоксиэтанол). Весовое соотношение I:II от 1:2 до 5:2. Конц-ия ПВ в водн. дисперсии 5—55%. I с мол. в. 500—5000 получают при добавлении к водн. дисперсии сополимера гидрата окиси аммония и летучего водорастворимого аммиака до нейтр-ции кислотных звеньев сополимера. Однородную пигментную дисперсию получают при смешении и перетире пигмента со связующим в весовом соотношении соответственно от 1:3,5 до 4:1.

Для облегчения удаления дисперсии из аппарата и повышения ее текучести добавляют 0,5—5% (от веса дисперсии) водорастворимого спирта, напр. метанола, этанола, изопропанола или 2-этокси-этанола. Пример (в вес. ч.). Р-р сополимера малеинового ангидрида с диизобутиленом (мол. соотношение 1:1) нейтрализуют гидратом окиси аммония и к 221 полученного 30,5%-ного р-ра II при непрерывном перемешивании добавляют 22 трет-октилфеноксиэтанола. Состав разбавляют до 15%-ной конц-ии, наносят распылением на кожу и высушивают в нагретом до 99° воздухе в течение 5 мин. после отверждения получают блестящее водоотталкивающее покрытие. Пигментированную дисперсию получают смешением и перетиром в шаровой мельнице в течение 48 час. 22,1 30,5%-ного р-ра II, 10,1 трет-октилфеноксиэтанола, 1 триэтанолamina, 21,8 воды и 45 оранжевого молибдата хрома. Полученная дисперсия отличается однородностью и стабильностью и обладает хорошей адгезией к дереву, бумаге, стеклу и многим другим пористым и непористым поверхностям.

Б. Шемякин  
6П290. Процесс получения свободного от зерен полистирольного латекса. Sutton Ernest Alexander, Basdekis Costas H. Process for obtaining grain-free polystyrene latices. [Monsanto Chemical Co.]. Пат. США 2842511, 8.07.58.—Получаемый высокопрочный твердый полистирольный латекс (I) обычно содержит небольшое кол-во крупных зерен (КЗ) размером  $> 0,5 \mu$ , которые мешают применению I в качестве пленкообразующего в-ва. Для удаления КЗ 0,5 ч. кизельгура (II) прибавляют к 100 ч. 50% I, содержащего 1% КЗ, и фильтруют со скоростью 5000  $л/м^2$  в час, причем физ. свойства I не изменяются. Кизельгур должен содержать 50% частиц размером 30  $\mu$  (в диаметре) и 45% частиц размером 10—30  $\mu$ , что обеспечивает максим. скорость фильтрации. Фильтрование в отсутствие II или с применением ных добавок приводит к забиванию фильтра. Оптимальный эффект дает применение II (в котором  $\geq 70\%$  частиц имеют размер  $> 10 \mu$ ) в кол-ве 0,1—1 ч. (предпочтительно 0,5—1) на 100 ч. 45—60% водн. I.

П. Гринберг  
6П291. Термостойкие покрытия для изоляции электрических проводов. Посидзук Куньо. [Сумитомо данки когэ кабусики кайся]. Японск. пат. 10583, 8.12.59.—Способ получения состава для термостойких покрытий, рекомендуемых для изоляции электрич. проводов, основным компонентом которого является хлорированный парафин. Другие составные части — монтан-воск и  $Sb_2O_3$ . Покрытия из такого состава обладают значительно более высокой термостойкостью, погодостойкостью и более высокой механич. прочностью, чем применяемые в настоящее время покрытия из хлорнафталина.

М. Кириша  
6П292. Улучшенные водоотталкивающие отделочные покрытия. Evans John Gwynant, Meale William Salkeld. Improved water-repellent finishes. [The Bradford Dyels' Association Ltd]. Англ. пат. 814899, 17.06.59.—Предложен способ придания непористым поверхностям пластиков водоотталкивающих свойств путем незначительного, не дающего отслаивания отложения на них в-в при применении не менее одного органосиликонового соединения (ОС), содержащего алкил-, и(или) арил-, и(или) аралкилрадикалы, непосредственно связанные с атомом кремния; одновременно или последовательно применяется титановое соединение, способное в очень разб. р-ре подвергаться гидролизу или разложению до окиси или гидроокиси титана. Отношение числа углеводородных радикалов к числу атомов кремния в ОС  $> 1$ , но  $< 2$ . ОС может быть силаном или смесью метилсилана с ОС, содержащим метильные группы, непосредственно связанные с атомом кремния или быть смесью 20—70% метилполисилоксана, содержащего 2—2,1 метильных радика-

парата и (от веса метанола, тале. При-ого анги-1:1) ней-получен-перемеша-на. Состав пылением воздухе в т блестя-рованную и в шаро-го р-ра поламна. Получен-стабиль-реву, бу-пористым Шемякин от зерен st Ale-for obla- Chemi-мый вы-тек (I) х зерен имену-удаления ч. 50% I. коростью измен-и раз-размером фильтра-нением ра. Опти-котором в кол-ве 100 ч. Гринберг-ти элект- (Сумато-ти. 10583, стойких электр. является части-ава обла-йкостью, ч. проч-покры-Кириша отде-loc. Meals ent fini-гл. пат. неопри-вающих отшла ее одно-жающего ды, непо-дновре-тановое ергаться роокиси диалков С может одержи-заннне метил-радика-

лов на атом кремния, имеющего вязкость  $> 1000$ , но  $< 100\,000$  сст при  $25^\circ$  и  $80\text{--}30\%$  полиметилсилана, содержащего  $1\text{--}1,5$  метильных радикалов и  $0,75\text{--}1,25$  атомов водорода, связанных с атомом кремния; общее содержание метильных радикалов и атомов водорода на атом кремния составляет  $2\text{--}2,25$ . В качестве титанового соединения может применяться тетраалкильный или арильный эфир ортотитановой к-ты. После нанесения покрытия непористой поверхности дают выскобнуть без нагревания или нагревают до  $100\text{--}200^\circ$  в течение времени от нескольких секунд до 30 мин. В качестве непористых поверхностей могут применяться пластики из НК и СК, полиэтиленетерефталата, полиамидов, полиакрилата и полиметакрилата, поливинилов и их сополимеров, полистирола, полиэтилена, синтетич. смол, получаемых конденсацией формальдегида с такими соединениями, как фенол, мочевины или меламин, алкидных смол, продуктов взаимодействия казеина с формальдегидом, эфиров целлюлозы и регенерированной целлюлозы, окисленного или полимеризованного льняного масла. Пример. Лист из полиметилметакрилата очищают этиловым спиртом и часть его поверхности промазывают при помощи бумажной ткани, смоченной р-ром, содержащим (в вес. ч.)  $1,875$  силикона и  $0,125$  бутилтитаната в  $98$  лакового бензина (Б). Другую часть поверхности того же листа подобным образом промазывают р-ром, содержащим  $2$  силикона в  $98$  Б, а третью часть — р-ром, содержащим  $2$  бутилтитаната в  $98$  Б; после этого лист высушивают на воздухе. Выдерживание листа в воде проточной воды показало, что все три испытываемых участка его поверхности имели водоотталкивающие свойства, но участок, промазанный силиконбутилтитанатной смесью, показал лучшие результаты. Б. Ш.

6П293. Покрытия для строительных блоков и методов их получения. Asbeck Hans J., Jordan Lloyd J. Coated building blocks and method of producing same. [The Sherwin-Williams Co.]. Пат. США 2861011, 18.11.58.—При нанесении декоративных покрытий на пористые цементированные или силикатные строительные блоки предварительно заполняют поры до образования ровной поверхности вязкой смолистой смесью полиглицидиного полиэфира многоатомного фенола (Э) с  $1\text{--}10\%$  от веса Э органич. полиамин (ПА) в качестве отвердителя, содержащей диспергированный в ней инертный наполнитель, а затем наносит на неотвержденное порозаполняющее покрытие второй и последующие слои краски, содержащей то же связующее, но пигментированной укрывистым пигментом, и отверждают их. Порозаполняющая смесь может состоять из  $6\text{--}60$  ч. ПА,  $\sim 600$  ч. полиглицидиного полиэфира ди-(*n*-оксифенил)-диметилметана,  $190$  ч. ароматич. р-рителя и  $380$  ч. наполнителя. Верхние покрытия имеют тот же состав связующего, но содержат в качестве наполнителя  $46\text{--}90$  ч. коллоидального каолина, а в качестве пигмента  $125\text{--}250$  ч.  $\text{TiO}_2$ . Пример порозаполнителя (в вес. ч.):  $172,4$  осажденного углекислого кальция,  $2,3$  дистеарата алюминия,  $267,6$  Э и  $84,4$  кислоты (I). Примеры составов для покрытий (в вес. ч.): 1)  $113,4$  рутильной  $\text{TiO}_2$ ,  $1,8$  красного кадмия ( $\text{CdS} + \text{CdSe}$  на  $\text{BaSO}_4$ ),  $20,9$  каолина (или бентонита),  $272$  Э,  $84,8$  I и  $16,3$  5%-ного р-ра I парафина (II). Пигменты,  $1/3$  Э и  $1/2$  р-рителя перетирают на вальцовой мельнице и затем добавляют остальное кол-во компонентов; 2)  $91$  рутильной  $\text{TiO}_2$ ,  $0,41$  зеленого фталоцианина меди,  $0,22$  желтой окиси железа,  $40,8$  каолина,  $279$  Э,  $86,2$  I и  $16,3$  II; 3)  $56,7$  рутильной  $\text{TiO}_2$ ,  $45,3$  окиси хрома,  $1,4$  желтой окиси железа,  $0,91$  синего фталоцианина меди,  $32,2$  каолина,  $279$  Э,  $86,2$  I и  $16,3$  II. Для отверждения Э при  $20\text{--}25^\circ$  рекомендуется применение этилендиамина в кол-ве  $1\text{--}10\%$  от веса Э, смешиваемого с составом непосредственно перед его применением на пористых поверхностях. Б. Шемякин

6П294. Получение покрытий, содержащих порошок окислов металлов и в том числе магнитный порошок окиси железа. Мидзуки Эйити, Акама Горо. [Фудзи сясин фирму кабусики кайся]. Японск. пат. 15, 5.01.60.—Порошок окисла металла вначале обрабатывают в вакууме, а затем либо сохраняя вакуум, добавляют все остальные компоненты и хорошо перемешивают, либо сохраняя вакуум, добавляют часть компонентов, после чего хорошо перемешав, повышают давление до нормального, добавляют остальные компоненты и вновь все хорошо перемешивают. Полученной смесью покрывают поверхности ленты для магнитной записи. Пример. (в кг). В резервуар загружают  $20 \gamma\text{-Fe}_2\text{O}_3$ , при помощи вакуум-насоса выкачивают воздух и в течение 1 часа выдерживают порошок  $\gamma\text{-Fe}_2\text{O}_3$  в вакууме  $1$  мм рт. ст. Затем, поддерживая вакуум и все время строго следя за тем, чтобы в резервуар не попал воздух, загружают смесь, состоящую из  $20$  бутилацетата и  $1$  касторового масла в виде аэрозоля. Когда смесь хорошо перемешается, повышают давление до нормального и загружают путем распыления лак из  $8$  нитроцеллюлозы, растворенной в смешанном р-рителе ( $30$  бутилацетата,  $10$  этилацетата и  $20$  толуола), и все тщательно перемешивают. Полученным р-ром покрывают ленту для магнитной записи слоем толщиной  $20 \mu$  (из расчета толщины сухой пленки покрытия). Изготовленная таким методом лента для магнитной записи обладает по сравнению с ныне применяемыми лентами высоким сопротивлением истиранию, ее механич. прочность возрастает более чем в  $2$  раза. М. Кириша

6П295. Краски, пигментированные железным порошком. Bird Charles Ernest Paints pigmented with iron powder. [National Research Development Corp.]. Англ. пат. 821133, 30.09.59.—Предложены краски, пригодные для непосредственного нанесения в качестве подслоя (II) на железные или стальные, в том числе кородированные поверхности, на которые затем можно наносить покрытия без предварительной очистки таких поверхностей. Краски содержат  $\geq 75\%$  (от веса сухой краски) пигмента [напр., железного порошка (I)] и пленкообразующее в-во [напр., эпоксидные смолы (II) или пластифицированный полистирол (III)], растворенные в органич. р-рителе. Примеры. В качестве II для покрытий на основе цинковой краски рекомендуется состав, образующий после высыхания пленки, содержащие  $95\%$  I (порошок проходит через сито  $90\text{--}120$  меш) и  $5\%$  III. I смешивают с р-ром III в ксилоле или сольвент-нафте, получаемую пасту тщательно перетирают на вальцах и по мере необходимости добавляют ксилол. II для красок на основе Al-Zn-сплава может содержать после высыхания  $\geq 75\%$  I и остальное — главным образом II. Более предпочтительным для этих красок является состав II, приготовляемый из  $10$  ч. I,  $2$  ч. отверждаемых на холоду II и  $0,4$  ч. отвердителя для последних, но можно применять и состав, содержащий  $90\%$  (от веса сухой краски) I и остальное главным образом III. В качестве пигмента для последующего грунтовочного покрытия может быть применен пигмент из алюминиевого сплава и небольшого кол-ва ( $0,5\%$ ) цинка, с добавлением  $2,5\text{--}5\%$  окиси магния, которую следует вводить небольшими порциями во избежание разрыва электр. контакта между железными частями в высохшей красочной пленке, способствующего превращению ржавчины в магнетит в результате хим. или электрохим. взаимодействия с металлик. частицами краски. Б. Шемякин

6П296. Получение желтого крона. Миямото Кийотоси. [Кикутти сёбус когё кабусики кайся]. Японск. пат. 2962, 24.04.59.—Из растворимой Рб-соли осаждают основной хлористый свинец, к осадку добавляют кислый осадитель, напр. смесь бихромата щел. металла с  $\text{H}_2\text{SO}_4$  или смесь бихромата щел. ме-



талла с  $H_2SO_4$  и какой-либо растворимой солью  $H_2SO_4$ . В результате р-ции получают желтый крон, основным компонентом которого являются хромат свинца или смешанные кристаллы хромата и сульфата свинца. Пример. К 3000 мл водн. р-ра нитрата свинца, содержащего 331 г нитрата свинца, добавляют 600 мл водн. р-ра хлористого натрия, содержащего 59 г NaCl и 500 мл водн. р-ра едкого натра, содержащего 40 г NaOH; поддерживают pH смеси в жидкой фазе на уровне ~7 и осаждают из р-ра основной хлористый свинец. К осадку небольшими дозами добавляют 1500 мл смешанного р-ра, содержащего 104,3 г бихромата натрия ( $Na_2Cr_2O_7 \cdot 2H_2O$ ) и 30 г 100%-ной  $H_2SO_4$ . Когда смесь полностью прореагирует, ее нейтрализуют  $Na_2CO_3$  и доводят pH смеси до 5–6,2. Осадок промывают водой и просушивают, в результате получают 314 г мелкозернистого порошка желтого крона. Полученный крон совершенно не обладает дихроизмом.

М. Кирпша

**6П297. Восстановление целостности полиамидных покрытий.** Канада Сигару. [Фурукава дэкии когэ кабусики кайся]. Японск. пат. 9584, 9.11.56.—Способ устранения трещин или отверстий, возникающих в процессе покрытия полиамидом изделий (напр., проводов), ранее покрытых полиэтиленом или поливинилхлоридом, состоит в том, что в поврежденных местах снимают полиамидную пленку, наносят на эти места полиамидный пластырь, состоящий из 20–30 ч. полиамида, 40–60 ч. фенола или м-крезола (их смеси) и 40–60 ч. разбавителя, обладающего идентичными свойствами с р-рителем, и высушивают при нагревании. Производят эту операцию 7–8 раз, можно достигнуть толщины первичного полиамидного покрытия, что позволяет сохранить внешний вид изделия. Процесс сушки пластыря осуществляют при 50–60° и заканчивают при 100–120°. Необходимо, чтобы процент содержания полиамида в пластыре был высок, чтобы его вязкость не превышала при 20° 30 000 сст и чтобы он высыхал быстро, не допуская растворения полиэтилена или поливинилхлорида. Пример. Поврежденное место на двухжильном плетеном кабеле связи, покрытом полиэтиленовой пленкой толщиной 0,4 мм и полиамидной пленкой толщиной 0,15 мм, обнажают до полиэтилена и покрывают пластырем, состоящим из (вес. ч.) 25 полиамида (поликапролактама), 55 фенола, 45 дихлорэтана (при 20° 4700 сст). С помощью сушильного пистолета обработанную поверхность нагревают в течение 10 сек. до 60°, постепенно повышают т-ру до 110° и сушат (общая продолжительность 1 мин.). Эту операцию производят 8 раз. Используемый здесь полиамид получают путем конденсации двусосновых к-т и диамина, полимеризации лактамов или конденсации диизоцианата и диамина.

А. Фрадкин

**6П298. Нанесение лучеобразных инкрустаций на лакированную поверхность.** Мацутани Хидэдзиро. Японск. пат. 334, 23.01.57.—Изделие из дерева, напр. поднос, крышку обеденного стола, подставку для зеркала, покрывают лаком. Не ожидая полного высыхания лака, на лакированную поверхность в направлении от центра к внешнему краю наносят кисточкой цветной порошок (П), напр. П золота или серебра, после этого инкрустируемое изделие начинают вращать вокруг своей оси в течение 2 мин. со скоростью 350–500 об/мин. Под воздействием центробежной силы П начинает сползать по лакированной поверхности в радиальном направлении от центра к внешнему краю изделия. Когда П более или менее равномерно распределится по всей поверхности инкрустируемого изделия, последнее устанавливают на горизонтальной вращающейся вокруг своей оси подставке лакированной поверхностью вверх. Перпендикулярно к инкрустируемой поверхности устанавливают вращающийся вокруг своей оси в вертикальном направлении диск, покрытый с одной или обеих сторон смесью лака с П

для инкрустации, отличной по цвету от поверхности инкрустируемого изделия. Оправка с инкрустируемым изделием вращается со скоростью 3–5 об/мин, а диск со скоростью 250–300 об/мин, под воздействием центробежной силы смесь разбрызгивается с поверхности диска на поверхность инкрустируемого предмета. Завершающий процесс инкрустирования продолжается 2–4 мин. Патентуемый метод нанесения инкрустаций дает возможность получить многоцветную (5 и более цветов) инкрустированную поверхность с радиальным расположением узоров.

М. Кирпша

**6П299. Пластмассовые покрытия по металлу, наносимые в псевдоожоженном слое или пластмассовым напылением.** Becker Helmut, Carlowitz Bodo, Gärtner Claus. Nach dem Wirbelsinter- oder Flammgespritzverfahren auf Metalloberflächen aufzubringende Kunststoffüberzüge. [Farbwerke Hoechst A.G. vormals Meister Lucius & Brüning]. Пат. ФРГ 1046807, 11.06.59.—Для повышения прочности сцепления пластмассовых покрытий с металлом, на котором их получают нанесением в псевдоожоженном слое или пластмассовым напылением порошка полимера, в последний вводят S или ее соединения. Напр., прочность сцепления покрытия из полиэтилена низкого давления с металлом повышается от 130 до 160 кг/см<sup>2</sup> при введении в порошок полиэтилена 0,1% S.

М. Альбом

**6П300. Окрашивание древесины.** Ониси Ясучиро. Японск. пат. 6293, 15.08.57.—Парафин, масло плодов сумаха (*Rhus succedanea*), карнаубский воск подогревают до их полного расплавления. В расплаве одного из указанных продуктов растворяют масляную краску, после чего загружают древесину и выдерживают ее в расплаве с т-рой 200–250° до тех пор, пока древесина не пропитается этим расплавом. Затем древесину вынимают из расплава и охлаждают. В результате получают древесину, не боящуюся влаги и не выцветающую на солнце. Способ рекомендуется для обработки древесины, предназначенной для изготовления мебели.

М. Кирпша

**6П301. Способ уменьшения кратерообразования на покрытиях.** Dannenberg Hans. Method for minimizing the formation of craters in surface coatings [Shell Development Co.]. Пат. США 2884339, 28.04.59.—Высокоэффективный способ предотвращения или уменьшения кратерообразования или образования точечных отверстий в покрытиях на основе полиэфиров многоатомного фенола или 2,2-бис-(4-оксифенил)-пропана (I), имеющих оксидэквивалент 1–2, содержащих в качестве отверждающего агента фенолальдегидные смолы, состоит в образовании между металлом, деревянной, пластм., стеклянной, оштукатуренной или текстильной подложкой и покрытием тонкого слоя из линейного полимера, представляющего собой сополимер (мол. в. 4000–50 000) сложного эфира ненасыщ. спирта и насыщ. монокарбоновой к-ты и этиленового мономера, имеющего основную углеводородную цепь, к которой присоединено множество длинных алкильных боковых цепей, содержащих 16–32 атомов C и множество полярных групп (эфирных, карбоксильных или гидроксильных). В качестве сополимера могут быть использованы гидролизованный сополимер сложного винилового эфира жирной к-ты, содержащей до 6 атомов C, и  $\alpha$ -олефина (II), содержащего > 16 атомов C, сополимер аллилового эфира жирной к-ты и II, сополимер акриловой к-ты и II и др. Соплимер вводится в лак для покрытия в кол-ве 0,01–1% (от веса сухого в-ва лака). Пример. Состав для покрытия был приготовлен смешением 210 ч. 1-311 ч. ксилота и 417 ч. изофторана. К нему было добавлено 0,1% (от веса твердых в-ва лака) сополимера винилацетата и смеси II, содержащих 16–18 атомов C (мол. соотношение компонентов 5:1, мол. в. 15 000). Состав наносили на пластинку из белой жести

отвержда-  
покрытия  
как то же  
тех же у  
значения  
теров >  
6П302  
Plate pol  
зальны  
да, 141,5  
ного сп  
141,5 бен  
6П303.  
составо  
ресениа  
compositi  
salt and  
США 286  
ные пигм  
пигменто  
с повыше  
жат крас  
нами и с  
бром-3,6  
(I), смеш  
дегидро-  
морлами  
красител  
виолами  
тетрабром  
(II), 2,4,  
на и др.  
дучения  
графеску  
пленкооб  
углеводо  
олифой.  
состояще  
15 Na-сол  
После ти  
(~26°),  
670 терм  
368 пент  
числом (с  
315° до о  
лучают с  
12,5 кан  
с КЧ 20  
стоющей  
с КЧ 18,  
миния. I  
и отверж  
щим эфр  
ность ту  
ым с п  
и Na-сол  
6П304.  
песени  
сокой те  
да Милу  
основой  
добавля  
при нор  
того пол  
основе  
верхност  
и термос  
и получ  
носятся  
спекани  
лого по  
В<sub>2</sub>O<sub>5</sub> 5%  
янных  
вующего

поверхности  
стируемым  
тин, а диск  
твием цен  
поверхности  
едмета. За  
одоляется  
акрустаий  
(5 и более  
радиальны  
М. Кирши  
сталу, на  
иенный п  
tz Bodo  
inter-ode  
aufzubrin  
schst A-G  
PG 1046907,  
ния пласт  
их полу  
или пла  
последни  
ность спец  
давления  
при введе  
М. Альба  
и Ясу  
масло  
ский воск  
В распла  
масляную  
выдержив  
пор, пока  
Затем дре  
В резуль  
лаги и на  
дуется для  
изгот  
М. Кирши  
завозани  
d for mini  
e coatings.  
28.04.59.  
или ма  
и образ  
нове пол  
глициды  
ис- (4-ок  
алент 1-2  
нта фено  
между ме  
и, ошту  
покрыти  
авляюще  
ного эфи  
ой к-ты  
о углево  
множеств  
кациях 16-  
(эфирны  
естве со  
ованный  
срной к-ты  
(II), соде  
вого эфи  
и II и др  
од-ве 0,01-  
Состав д  
210 ч. I  
было доба  
лимера  
3 атомов  
в. 15000  
и жести

отверждали при 204° в течение 10 мин. Полученное покрытие совершенно не имело воронок, в то время как то же покрытие без добавления сополимера в тех же условиях нанесения и отверждения показало наличие craterобразования, равное 5 (кол-во craterов > 100).

Б. Шемякин

6П302. Полировальный состав. Shiells Arthur. Plate polish. Австрал. пат. 220362, 1.05.58.—Полировальный состав состоит (в г) из 4500 воды, 170 аммиака, 141,5 «Proxide», 283 скипидара, 226 метилированного спирта, 1360 мела для побелки, 450 охры, 141,5 бентонита (порошка) и 170 мыла. Б. Шемякин

6П303. Получение стойких против бронзирования составов, содержащих свинцовую соль тетрабромфлуоресцеина. Thompson James F. Bronze-resistant compositions comprising tetrabromofluorescein lead salt and preparation thereof. [Sterling Drug Inc.]. Пат. США 2865771, 23.12.58.—Предложены новые, улучшенные пигментные составы (ПС), на основе органических пигментов для получения типографских красок (КР) с повышенной бронзирующей способностью. ПС содержит красный пигмент с антибронзирующими свойствами и состоит по существу из Рb-соли 2,4,5,7-тетрабром-3,6-диоксифлуорана (тетрабромфлуоресцеина) (I), смешанного с 1—10% аминоканифили или смесью дегидро-, тетрагидро- и дигидроабетила- и декстропириламином канифили и 1—10% красного кислотного красителя типа кислотного красного ализаринового Б, виоламина Б, гало-3,6-диоксифлуорана, напр. 2,4,5,7-тетрабром-, 12,13,14,15-тетрахлор-3,6-диоксифлуорана (II), 2,4,5,7-тетрабром-12,13,14,15-тетрахлорфлуоресцеина и др. Пигментную пасту (ПП), пригодную для получения КР, содержащей термоотверждаемую типографскую олифу или модифицированное канифолью пленкообразующее в-во и высококипящий алифатич. углеводородный р-ритель, получают смешением ПС с олифой. Пример. (в вес. ч.). К 1200 водн. пульпы, состоящей из 300 Рb-соли I и 900 воды, добавляют 15 Na-соли II, перемешивают и добавляют 15 смеси. После тщательного перемешивания при обычной т-ре (—24°), 330 полученного красного ПС вводят в 670 термоотверждаемого связующего, состоящего из 368 пентаэритритового эфира канифили с кислотным числом (КЧ) 16 и 302 керосина (III) с т. кип. 280—315° до образования красной печатной ПП. Краску получают смешением 50 ПП с 25 олифы, состоящей из 12,5 канифили, модифицированной малеиновой к-той, с КЧ 20 и 12,5 III с т. кип. 243—260° и 25 олифы, состоящей из 12 канифили, модифицированной фенолом, с КЧ 18, 12 III с т. кип. 243—260° и I октаоата алюминия. Полученная КР после применения для печати и отверждения дает отпечатки с низким бронзирующим эффектом и высоким глянцем, в противоположность тусклым, бронзирующим отпечаткам, получаемым с подобной же КР, но приготовленной без смеси Na-соли II.

Б. Шемякин

6П304. Получение типографских чернил для нанесения на поверхность стеклянных изделий при высокой температуре. Миянага Хацугаро. [Масуда Мицугу]. Японск. пат. 4976, 13.06.59.—К фракции сосновой смолы, кипящей при 260—280°/3 мм рт. ст., добавляют 1—2% NaOH или Al(OH)<sub>3</sub>, смесь нагревают при нормальном давлении до т-ры ~270°, в результате чего получают твердую массу. К последней добавляют основное масло, парфюмерное растительное масло, поверхностьоактивное в-во, порошок свинцового стекла и термостойкий пигмент. Смесь хорошо перемешивают и получают пасту, которую типографским путем наносят на стекло. Пример. Получение белил с т-рой спекания со стеклом 580—600° (в вес. ч.). К 27 ч. сухого порошка стекла (РbO 60%, Na<sub>2</sub>O 10%, SiO<sub>2</sub> 25%, В<sub>2</sub>O<sub>5</sub> 5%) с размером частиц 10 м добавляют 3 обезвоженных прокаливанием титановых белил и 6,3 связующего, все хорошо перемешивают и типографским

путем наносят на поверхность стекла. Стекло прокаливают при 580—600° и получают на поверхности стекла прочный необходимый рисунок или необходимую надпись. Для получения связующего сосновую смолу подвергают фракционированной перегонке в вакууме (3 мм рт. ст.), отбрасывают продукт первичной перегонки и отбирают фракцию, перегоняющуюся при 260—280°. К указанной фракции добавляют 1% NaOH, смесь при нормальном давлении подогревают до 270° и охлаждают. К 40 образовавшейся твердой массы добавляют 45 основного масла, 10 гвоздичного масла и 1 неионогенного поверхностьоактивного в-ва, все хорошо перемешивают и полученную смесь используют как связующее.

М. Кирша

6П305. Лаковая эмульсия для литографских плит. Hodgins George R., Leonard Robert F. Lacquer emulsion for lithographic plates. [Litho Chemical and Supply Co., Inc.]. Пат. США 2865873, 23.12.58.—Лаковые эмульсии (Э) для предварительно сенсибилизированных литографских плит содержат в качестве светочувствительного компонента продукт конденсации л-диазодифениламина и формальдегида, а в качестве пленкообразующего в-ва сополимер (СП) винилхлорида (I) с винилацетатом (II). Новые Э сочетают прекрасную адгезию с высокой стойкостью к к-там. Пленки, получаемые из этих Э, очень восприимчивы к типографским краскам. Состав Э (в %): 3,53 частично гидролизованного СП, 6,95 диизобутилкетона, 10,24 ксилола, 0,8 полиоксиэтиленсорбитмоностеарата, 0,09 сорбитмоностеарата, 1,13 сорбитмоностеарата, 3,5 пигмента (II), 15,51 100%-ной арабской камеди (гуммиарабика), 4,09 85%-ной фосфорной к-ты, 0,11 100%-ного фенола и 54,05 воды. В качестве П может быть Са-соль 1-окси-1',2'-азонафталин-5-сульфокислоты. Составы СП (в %): 1) 91 I, 3 II и остальное — виниловый спирт или 2) 86 I, 13 II и 1 малеиновой кислоты.

Б. Шемякин

6П306. Нанесение виниловых пленок на поверхность оттиска географических карт. Тамагами Тоитиро. Японск. пат. 2984, 24.04.59.—На железную или какую-либо другую металлич. плиту размером 78,75 × 157,5 см и толщиной ~1,5 мм наносят ровным слоем хромовое покрытие (ХП) толщиной ~2 мм с таким расчетом, чтобы поверхность плиты не имела совершенно игольчатых раковин. Затем плиту нагревают до ~90° и промывают ХП ксилолом для удаления грязи. После этого на ХП накладывают виниловую пленку толщиной 0,004—0,007 мм и пропускают плиту через резиновые вальцы. Когда виниловая пленка плотно пристанет к поверхности ХП и не будет иметь складок, на нее накладывают оттиск географич. карты изображением к поверхности пленки, поверх карты накладывают какую-либо ткань того же размера, что и виниловая пленка, и металлич. лист того же размера и толщины, что и первый нижний металлич. лист, все это помещают под пресс и в течение 15—20 мин. прессуют при 100—150° под давл. 70—105 кг/см<sup>2</sup>, затем все вынимают из-под пресса и на ~5 мин. оставляют остывать в покое при ~20°. После этого осторожно снимают верхний металлич. лист, затем ткань и, наконец, осторожно отделяют виниловую пленку вместе с прилипшей к ее поверхности картой от поверхности нижнего металлич. листа.

М. Кирша

См. также раздел: Химия высокомолекулярных соединений и рефераты: Синтетические смолы для лаков и покрытий 6П150, 6П157, 6П311, 6Л52, 6Л165. Новый отвердитель для эпоксидных смол 6П146. Красители для печатных материалов 6Л169. Произ-во аморфной SiO<sub>2</sub> 6П322. Защита от коррозии лакокрасочными покрытиями 6И133, 6И171, 6И198, 6И203, 6И205, 6И208, 6И213, 6И217, 6И218, 6И224, 6И240, 6И250, 6И253, 6И255. Подготовка металлич. поверхности и применение сва-

рочных красок 6И215. Методы обработки поверхности алюминия 6И193. Обработка поверхностей силиконами 6П52. Целлюлозные покрытия для винильных сополимеров 6П125. Пленки для перевязочных целей из р-ров синтетич. материалов 6П130. Образование тонких полимерных пленок под действием электронной бомбардировки 6Е80. Окраска строительных конструкций 6И216. Нанесение огнезащитных покрытий на поверхность изделий 6И367. Окраска древесины, обработанной огнезащитными солями 6М21. Автоматич. метод определения температурной зависимости реологич. свойств пластизолов 6П8. Анализ алкидных смол 6П19. Вопросы промышленной гигиены 6И348. О дерматитах, вызываемых эпоксидными смолами, и защите от них 6И349.

## КАУЧУК НАТУРАЛЬНЫЙ И СИНТЕТИЧЕСКИЙ. РЕЗИНА

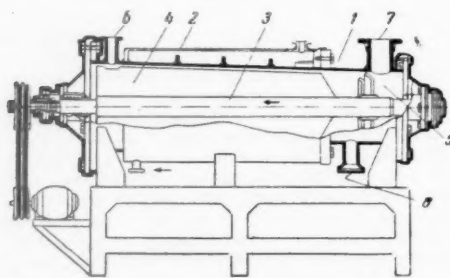
Редактор Д. М. Сандомирский

6П307. Задачи резиновой и перерабатывающей пластмассы промышленности. Ганев Г. Задачи на каучуковата и прерабатващата пластмаса промишленост. «Химия и индустрия (Бълг.)», 1960, 32, № 2, 35—37 (болг.).—Рассмотрены задачи резиновой и пластмассовой пром-сти Болгарии в связи с решением VII съезда БКП и последующих Пленумов ЦК БКП по ускоренному экономич. развитию Болгарии.

6П308. Эластомеры и пластмассы. Massakazu Ota. Elastómeros e plastómeros. «Rev. politéc.», 1959, № 174, 33—38 (порт.).—Обзор. Библ. 40 назв.

6П309. Латекс. Veen J. S. Latex. «Chemie en techniek», 1960, 15, № 6, 298—300 (гол.).—Обзор свойств и областей применения натурального латекса.

6П310. Непрерывные автоматизированные концентрирование и отгонки мономеров из латекса. Gudheim Arne R. Continuous automatic concentration and stripping of latices. «Rubber Age», 1960, 87, № 3, 466—469 (англ.).—Аппарат для одновременного концентрирования и отгонки состоит из усеченного конуса 1, окруженного рубашкой 2, в которую подают теплоноситель (пар, горячая вода). Внутри 1 находится вращающийся вал 3 с лопастями 4, почти касающимися стенок 1. На конце 3 расположен сепара-



тор 5, гасящий пену и препятствующий попаданию латекса (Л) в линию для выхода газов. В смесителе создают вакуум 685—735 мм, благодаря чему Л конц-ней < 20% из системы засасывается в 1 через штуцер 6. При этом выделяющиеся газы (воздух, стирол) уходят через патрубок 7, а Л под действием центробежных сил попадает на нагретые стенки 1, достигая за 20 сек. конц-ии 60—65%. Концентрат удаляется через патрубок 8. В пространстве между концами 4

и стенкой 1 центробежные силы уравнивают силу тяжести, благодаря чему Л полностью смачивает стенки. Требуемая конц-ия достигается автоматич. регулированием подачи Л и пара. Испаренная влага через 5 попадает в конденсатор. Для окистки сменок 1 устанавливают 3 так, чтобы 4 едва касались стенок, и медленно поворачивают его. Кроме того, в стенках 1 имеются патрубки для чистки паром. Кол-во отгоняемого стирола (по логарифмич. шкале) прямо пропорционально кол-ву испаренной воды. Поэтому, если содержание стирола в исходном Л высоко, в Л предельно вводят рассчитанное кол-во воды. При содержании стирола > 2% необходим вторичный пропуск предварительно разб. концентрата через аппарат. Описываемый способ отгонки экономичнее известных ранее.

6П311. Новая каучуковая смола.—Nytt kautschukarts. «Kemikaliefacket», 1960, 19, № 4, 83, 98, 101, 102 (шведск.).—Продукты изомеризации каучука (ИК) (сюркоплены) применяют в виде р-ра в углеводородах. ИК обладают низкой вязкостью, кипят при 260—290°, плавятся между 110 и 130°; кислотное число < 4. ИК легко совмещаются с ароматич. углеводородами, минер. маслами, скинпидаром, различными лаками, смолами и красками. ИК применяют в качестве связующего в грунтовках и теплоустойчивых покрытиях, ингредиентов в целостойких красках для полов и резиновых смесях, а также в полиграфии. Л. Антонио

6П312. Завод неопрена в Лондондерри.—Neoprene production plant at Londonderry. «Engineer», 1960, 240, № 5454, 244—245 (англ.).—Новый з-д фирмы Дюпон (США) пущен в ход в Северной Ирландии (Англия) летом 1960 г.; рассчитан на ~22 000 т/год различных сортов неопрена (в том числе латекса). Приведена схема основных непрерывных процессов произ-ва и ряд характерных производственных данных. Вместо вымораживания полимер выделяют из латекса на барабанных сушилках в виде пленки толщиной ~0,2 мм. Последнюю дублируют и свертывают в жгуты на спец. машинах.

6П313. Завод для производства бутылкаучука в Европе. Curran J. Albert. How and why butyl moved to Europe. «Petrol. Refiner», 1959, 38, № 12, 113—114 (англ.).—История создания и технич. характеристики з-да для получения бутылкаучука, построенного в Франции и вступившего в строй в апреле 1959 г. Производительность его достаточна для удовлетворения потребности в бутылкаучуке Западной Европы.

6П314. Во Франции пущен 1-й в Европе завод бутылкаучука. Gattegno R. La France met en oeuvre la première usine européenne de caoutchouc Butyl. «Ind. pétrole», 1960, 28, № 7-8, 43—46 (франц.).—Краткое описание пущенного в Порт-Жероме в 1959 г. з-да бутылкаучука на 20 000 т в год. Фирменное название каучука — сокобутил.

6П315. Промоторы термического взаимодействия бутылкаучука с белой сажей, не изменяющие цвет резины. Wolf Ralph F. Non-discoloring promoters of butyl rubber-reinforcing silica thermal interaction. «Rubber World», 1960, 142, № 2, 81—86 (англ.).—Для выбора не изменяющих цвета резины промоторов (II) термообработки смесей бутылкаучука марок Enjo Butyl 268(БК-I) и 365(БК-II) и хайсила исследовали > 24 в-в различных классов и их комбинаций. Термообработку смесей состава (вес. ч.): БК 100, хайсил 233 50, глицирин 3, II 1 проводили 10 мин. в резинном смесителе с начальной т-рой 149°. При обработке т-ра не превышала 193°. Эффективность II оценивали по введению в смесь обычных вулканизующих агентов и вулканизации по изменению цвета резины и физ.-мех. свойствам. Их сравнивали с контрольными термообработанными образцами без II. Наиболее эффективными II, не меняющими цвета резины и придающими ре-



высокие физ.-мех. свойства, оказались морфологически (I) для БК-I и БК-II и двухатомные фенолоспирты (эмберол ST-137) (II) для БК-I. II больше влияет на сопротивление разрыву и раздиру, I — на модуль. Вулканизаты смесей БК-I, подвергнутые термообработке без II и в присутствии I или II, имеют, соответственно, сопротивление разрыву 202, 191, 220  $\text{кг/см}^2$ , сопротивление раздиру 70, 50, 95  $\text{кг/см}^2$ , модуль (500%) 69, 150, 102  $\text{кг/см}^2$ . Следующими по эффективности являются мочевины (III) и гидроперекись кумола. Сравнивали резины из БК-II, содержащие II, из смесей предварительно термообработанных и смешанных на холоду. При одном II модуль первых всегда выше, а относительное удлинение ниже, чем вторых, что указывает, по мнению авторов, на взаимодействие между БК и наполнителем в процессе термообработки. Усиливающее действие II, не вызывающих изменения цвета, не меньше, чем у II, окрашивающих смеси: *n*-хинондиоксида, дибензо-*n*-хинондиоксида (IV) или *n*-нитроазобензола (V). Напр., при термообработке в V модуль (500%) возрастает с 69 до 164  $\text{кг/см}^2$ . В смесях бутаденистирольного каучука (SBR-1500) I, II, III не обладают заметной активностью при термообработке, активным II является IV, но в его присутствии резина окрашивается в черный цвет.

**6П316.** Влияние бромбутилкаучука в смесях из бутилаучука. Bluestein A. C., Grossman R. F. Effects of brominated butyl in butyl rubber compounds. «Rubber Worlds», 1960, 142, № 1, 98—102 (англ.). — Исследовали физ.-мех. и электрич. свойства, гигроскопичность и старение резины, содержащей помимо бутилаучука (БК) различные кол-ва бромированного БК (ББК). Для заметной вулканизации за счет р-ции окислов металлов со связанным Br необходимо ввести > 25% ББК и достаточное кол-во окислов. При введении 13% ZnO скорость вулканизации не меняется, модуль (200%) растет с 18,2 до 22  $\text{кг/см}^2$ , сопротивление разрыву и относительное удлинение изменяются мало (соответственно, 105 и 99  $\text{кг/см}^2$  и 720 и 710%). Введение только 5 вес. ч. ZnO уменьшает модуль до 20  $\text{кг/см}^2$ . При применении  $\text{Pb}_2\text{O}_4$  высокие (12 вес. ч.) и низкие ( $\leq 5$  вес. ч.) его дозировки не приводят к вулканизации, при оптимальной дозировке (7 вес. ч.) физ.-мех. свойства вулканизатов хуже, чем полученных с ZnO. Применение  $\text{PbSiO}_3$  еще больше уменьшает модуль. Все образцы обладают повышенной гигроскопичностью, большей при образовании растворов (ZnBr<sub>2</sub>) и меньшей — нерастворимых (PbBr<sub>2</sub>) бромидов, но во всех случаях превосходящей гигроскопичность исходного БК. Поэтому, хотя по электрич. свойствам до увлажнения образцы не уступают вулканизатам БК, их не рекомендуют применять в изделиях, где требуется высокое постоянное электрич. свойств. Вулканизаты, содержащие ББК, обладают повышенным, по сравнению с вулканизатами БК, сопротивлением старению при повышенных т-рах (120—150°). Это справедливо для вулканизатов с S, фенолформальдегидной смолой и хинонами. Их инсультация возможна при т-рах  $\leq 120^\circ$ . А. Донцов

**6П317.** Процесс производства силиконового каучука. Flexible process makes silicone rubber. «Chem. Engng.», 1960, 67, № 14, 102—105 (англ.). — Описано произ-во ~50 промышленных и ряда опытных типов силиконового каучука (I), силиконовых смол и жидкостей на з-де фирмы General Electric в Уотерфорде (США). Процесс начинается с получения смеси продуктов р-ции Si с хлористым метилом и выделения диметилдихлорсилана (II) фракционной перегонкой; остальные компоненты смеси — триметилхлорсилан и метилтрихлорсилан — используются для произ-ва смол и жидкостей. Гидролиз II ведут при 30—52° в реакторе емк. ~900 л, со стенками, покрытыми стеклом. Водн. фазу, содержащую HCl и силосаны (III), раз-

деляют в реакторе, HCl удаляют, а III переводят в аналогичный реактор, где следы HCl нейтрализуют  $\text{Na}_2\text{CO}_3$ . Затем III подают на плоские фильтры для отделения солей, образовавшихся при нейтр-ции. Продукты гидролиза II — силосаны начинают полимеризоваться в реакторе. Во время предварительной полимеризации в первом реакторе частично образуется структурированный продукт, его отделяют перегонкой под атмосферным давлением. При этом пространственный полимер отделяется в виде донных остатков, фракции с линейным строением конденсируются и подаются в сосуд из нержавеющей стали одновременно с кислотным или щел. катализатором. Сюда вводится также триметилсилосан, служащий агентом обрыва цепи. Для придания конечному продукту необходимых свойств могут быть добавлены и другие III. Полимеризацию ведут с перемешиванием ~8 час. при 100—200°, после чего продукт стабилизируют при более низкой т-ре агентами, нейтрализующими действие катализаторов. Стабилизированный I поставляют в виде каучука или маточных смесей, содержащих усилители, разбавители, красители и другие ингредиенты. Крупные бечи обычно изготавливают в червячном смесителе, сильно наполненные смеси — в смесителе типа Бенбери. Для удаления загрязнений все смеси стрейнируют. Готовую продукцию выпускают в виде блоков, жидких низкомолекулярных продуктов, кислотных или толуольных р-ров (клеев). Блоки упаковываются в пластмассовые мешки, жидкие каучуки или клеи — в барабаны после фильтрования.

Ю. Дубинкер  
**6П318.** Борсилоксановые эластомеры. Wick M. Bor-Siloxan-Elastomere. «Kunststoffe», 1960, 50, № 8, 433—436, 1, 2 (нем.; рез. англ., франц., исп.). — Органические полисилоксаны (I) совместной конденсации с гетероатомами приобретают все возрастающее значение в пром.-сти. Содержащие > 0,5 мол. % В диметил-I, имеющие связи Si—O—B, гидролизуются и не вулканизуются. Гетероконденсаты органич. I с В или В-органич. к-тами мол. в. 10 000—60 000 вулканизуются, если содержат В < 0,5 мол.%. Они свариваются при ~20°, даже будучи полностью структурированными, не гидролизуются, имеют высокие диэлектрич. свойства, даже после хранения под водой; нашли применение в качестве изоляционных лент.

По резюме автора  
**6П319.** Химия вулканизации фторуглеродного эластомера Вайтона А. (Докл. на Вашингтонск. конференции, ноябрь 1959 г.). Смит Дж. Ф. «Каучук и резина», 1960, № 6, 58—63; «Rubber World», 1960, 142, № 3, 102—107 (англ.). — Исследовали вулканизацию Вайтона А (В). Эластичность В, определенная по остаточному сжатию и модулям растяжения, с увеличением степени вулканизации диаминами при ~20° уменьшается, при 100° увеличивается. Такое поведение нетипично для эластомеров, образующих поперечные связи простой комбинацией бифункциональных сшивающих агентов с соседними цепями, поэтому предположение об образовании поперечных связей замещением аминогрупп на атомы F неверно. Для исследования механизма вулканизации изучали действие на р-ры В в тетрагидрофуране в течение нескольких недель при ~20° первичных, вторичных и третичных аминов и действие ионизирующего излучения на пленки В. Во всех случаях (в том числе в присутствии третичных аминов) обнаружено выделение HF и образование двойных связей (ИК-спектры, полосы 5,80, 5,95  $\mu$ ). Обработка третичными аминами вызывает деструкцию, в остальных случаях преобладает структурирование. Прогрев облученных образцов 10—24 часа при 200° приводит к появлению термостабильных поперечных связей и одновременно в ИК-спектрах — полосы поглощения 6,10—6,20  $\mu$ , которую приписали ароматич. кольцу. В присутствии MgO или ZnO эти полосы по-

являются у облученных образцов без дополнительного нагревания при 200°. Существование ароматич. поперечных связей подтверждено методом ЭПР. По-видимому, под действием аминов и ионизирующего излучения в молекулах В образуются двойные связи, частично взаимодействующие друг с другом, при 200° вызывающие отщепление HF от соседнего мономерного звена и р-цию образовавшейся системы двойных связей с двойной связью другой молекулы по типу р-ции Дильса — Альдера. Связь приобретает ароматич. характер после отщепления HF из замещ. фторированного циклогексена. В системах, содержащих бифункциональные агенты (диамины, дитиолы), образуются дополнительные поперечные связи за счет р-ции функциональных групп вулканизирующего агента с двойной связью, образованной действием оснований, а также за счет замещения атомов F (вулканизация в прессе при 150°). Дополнительное нагревание при 200° необходимо для превращения оставшихся после вулканизации в прессе активных центров в молекуле полимера в термостабильные ароматич. поперечные связи. Роль окислов металлов при вулканизации В неясна, но без них с любым вулканизирующим агентом нельзя получить полноценных вулканизатов. Перекисы действуют подобно радиации, включая выделение HF и образование неясных связей, способных образовывать поперечные связи в дополнение к непосредственному сшиванию через свободные радикалы. А. Донцов

6П320. Вайтон — фторсодержащий каучук. Carlo F. S. «Нихон гому кёкайси, J. Soc. Rubber Ind., Japan», 1959, 32, № 7, 539—544 (японск.)

6П321. Метод определения газопроницаемости каучуков. Chiang Chia-Chi, Cheng Chung-Han, Teng Chi-Ching. «Чжунго кэсюэюань нинюн хуахуэ яньцзюсю цзикань. Тр. Ин-та прикл. химии АН Китая, Collect. Papers Inst. Appl. Chem.», 1960, № 4, 150—153 (кит.). — Определяли газопроницаемость по  $H_2$  вулканизатов НК и СК. С увеличением дозировки наполнителя уменьшается газопроницаемость резин из полихлоропренового каучука, особенно при применении слюды или графита. Пластификаторы (хлопковое масло, трикрезилфосфат и др.) увеличивают газопроницаемость этих резин. Приведена схема прибора. А. Зоннтаг

6П322. Производство нового типа наполнителя для резины. Simić Zvonimir. *Proizvodnja novog tipa punila za kaučuke. «Nafta (Jugosl.)»*, 1960, 11, № 3, 84—86 (сербо-хорв.). — Обзор произ-ва и применения кремнеземных наполнителей. Объем их произ-ва на з-де «Метан» в г. Кутине (Югославия) достигнет 3000 т/год. Аморфная  $SiO_2$  находит применение также в произ-ве пластмасс, косметич. средств, красок и лаков. З. Лебедева

6П323. Процессы перетирания и их влияние на свойства сажи. Gessler A. M. *The attrition process and its effect on carbon blacks. «Rubber Age»*, 1960, 86, № 6, 1017—1024 (англ.). — Свойства сажи в значительной степени можно изменить путем перетирания ее в жестких условиях на шаровой мельнице или на вальцах при очень малом зазоре (~0,10—0,15 мм). Сажу обрабатывали 24 часа при ~20° в шаровой мельнице емк. 4,7 л (загрузка сажи 350 г, 16-мм стальных шаров — 10 кг). Изучали несколько различных типов сажи: термич., ацетиленовую, печную и канальную газовую, сажи типа HAF, ISAF, SAF. Определяли уд. поверхность (УП), содержание О, рН, «масляное число» (так называемый «структурный индекс»). УП определяли по адсорбции  $N_2$ . Содержание О определяли прямым способом: пиролиз сажи при 650° в  $N_2$  с последующим окислением С при 1120° до  $CO_2$ , количество которого определяли волюмометрически. Перед определением содержания О сажи высушивали 2 часа при 135°. Сажу сушили также перед обработкой в мельнице (24 часа при 135°). Обработка сажи в шаро-

вой мельнице значительно увеличивает УП в тем большей степени, чем меньше исходная УП. Для усиливающей печной сажи УП растет с 26 до 104 м<sup>2</sup>/г для сажи типа SAF со 142 до 179 м<sup>2</sup>/г. Содержание О увеличивается в 13—14 раза, рН уменьшается до 5,9—3,5. Структурный индекс при этом снижается, особенно резко для ацетиленовой сажи, обладающей высокой структурностью. Поглощение масла для исходной ацетиленовой сажи 2,9, для обработанной 0,7 мл/г. Увеличение УП сажи после обработки объясняется не только разрушением вторичных структур и в связи с этим образованием новой поверхности, но также за счет пористости. Изменение скорости вращения мельницы с 66 до 96 об/мин и т-ры до 170—200° не оказывает заметного влияния на эффективность процесса обработки. Увеличение диаметра шаров (при переходе к мельницам большего размера) приводит к сокращению времени обработки. Жесткое перетирание сажевых частиц может быть достигнуто и на обычных вальцах. Опыты проводили на вальцах размером 6 × 12 дюймов (152 × 305 мм), зазор 0,10—0,12 мм, т-ра вальцов 150°, загрузка 300 г. Испытывали термич. сажу FT и сажу типа HAF. Изменения свойств саж, обработанных 200 сек., эквивалентны обработке в 66-л шаровой мельнице в течение 6,75 часа или 5-л в течение 46,5 часа.

6П324. Новая технология изготовления резиновых смесей. Hale Andrew. *New rubber processing techniques for the sixties. «Rubber Worlds»*, 1960, 141, № 4, 815—819 (англ.). — В качестве смесительного оборудования в 60-х годах найдут широкое применение снорстные автоматич. вальцы и смесители непрерывного действия (типа Ротомилл). Описаны технологии, снмы периодич. и непрерывного процесса смешения. Г. Бродский

6П325. Изучение вулканизации путем полярного физического исследования резины, содержащих каптан и полученных из них регенератов. Mosker Friedrich. *Polarographische Untersuchungen an mit 2-Mercaptobenzothiazol beschleunigten Vulkanisaten und deren Regeneraten als analytischer Beitrag zur Klärung des Vulkanisations-Verlaufes. «Kautschuk und Gummi»*, 1960, 13, № 7, WT 187—194 (нем.; рез. англ., франц.). — Каптакс (I) определяли в экстракте  $CH_3OH$  из смесей смесей, вулканизатов и регенератов НК прямым полярнографированием с фоновым р-ром (100 мл 2 л NaOH, 500 мл 4 н.  $NH_4OH$ , 320 мл 0,63%-ного р-ра латинки, 888 мл  $CH_3OH$ ). 20 мл экстракта смешивали с 50 мл фонового р-ра и полярнографировали 10 мл смеси. В отсутствие ZnO в смесях и вулканизатах НК с S и I последний определялся полностью. В присутствии ZnO I определяется полностью после разложения Zn-соли I  $CH_3COOH$ . Результаты подтверждены балансом N. Наличие в смесях дифенилгуанидина, уротропина,  $BaSO_4$ ,  $TiO_2$ , MgO, сажи, стеариновой к-ты и стеарата Zn не оказывает влияния на результаты. При наличии в смесях сульфенамида с альтаксом содержание I возрастает на кол-во, отщепляющееся сульфенамида. При наличии стеариновой к-ты и ZnO Zn-соль I переходит в стеарат Zn в процессе вальцевания. В регенератах, полученных из исследованных резин нагреванием при 250°, I или его Zn-соль определяли полностью. Полученные результаты подтверждаются физ. свойствами, степенью набухания и поддержанием свободной S. Г. Щербачев

6П326. Некоторые особенности высокотемпературной вулканизации. Bielestein G. *Some aspects of high temperature vulcanisation. «Trans. and Proc. Instn Rubber Ind.»*, 1960, 36/7, № 2, Transactions, 29—44 (англ.). Изучали высокотемпературную вулканизацию (на неполноценных резин из полихлоропренового и НК) различными вулканизирующими системами. В присутствии насыщ. паром. Степень вулканизации по модулю (100%) ( $M_{100}$ ). При В смесей из полихлоропрено-

(вулканизаторы) ускоритель, температура, наблюдения, т-ры В, сажа, константы, дисперсность, <170° 10, сей из НК, при 197,5°, сей реверсивную кинетику, изменения, Предполож., ния связи, неаполнен, и в случае + Pb-сурс, шение ст, в серных, 6П327. Сообщение, нерения Shimozono, J. Soc. Rubber Ind. (японск.), и замедл., рия кол-во, резинового, щий р-р, метилти, гуанидин, безотна, (III) > д, смеси с, выраже, тогда ка, нения и, I, под, Zn-соль, с I, что, лает Ск, вынался, рю при, заключа, нием по, ние ди, сульфид, чего де, медлите, и N-хло, H.S. Co

6П328. на темп, вулкани, Einfluß von Schmelztemperatur, 1960, 13, Серные, заты (J, нием т, ной S, наибо, Введен, против, добаво, тиллен, 6П329. Ande, nucleus

УП в тем. П. Для полу- до 104 °C. Одержанье О ныхается до снжается, обладающей сла для в- обрабатанной работки об-ных струк-поверхности, не скорости и т-ры на эффек- диаметра (его размера) ки. Жестко- достигнута на валцы, зазор 0,10- Испытыва- ния свойст- обработки часа пд- Г. Бродский резинотех- nishing techni- 0, 141, № 1- го оборудо- ение спе- непрерывно- ологич. сме- шения. Г. Бродский поларопо- нх капита- er Frie- mit 2-Me- isaten un- zur Klärung- and Gummi- (франц.).- I из сырь- примым по- 00 мл 2 л- го р-ра же- смешивали вали 10 мл- низатах Н- В прису- те разлож- тверждении гуанидин- ной к-ты- результаты альтаксо- ющееся с- т-ты и Zn- есе валцы- едования- соль опир- подтврде- ния и с- Шербаче- емперату- racts of h- Instn R- (англ.).- ацию (и- го и НК- В осущ- и по мод- хлорпро-

(вулканизующие агенты: ZnO 5 вес. ч. и MgO 4 вес. ч., ускоритель вулканизации — продукт конденсации альдегида с амином 2 вес. ч.) при 200° реверсии В не наблюдалось. Степень В этих смесей не зависит от т-ры В (при 140—200°). С ростом т-ры В увеличивается константа скорости. Зависимость логарифма константы скорости от  $1/T$  выражается двумя прямыми, пересекающимися ~170°. Энергия активации для т-р <170° 10 ккал/моль, >170° 30 ккал/моль. При В смесей из НК с S и без S с тетраэтилтиурамдисульфидом при 197,5° наблюдается реверсия В. В тиурамной смеси реверсия отсутствует при т-рах <150°. Изучали кинетику процессов В и реверсии. Оба процесса подчиняются кинетич. у-рниям р-ций первого порядка. Предложено две схемы р-ций образования и разрушения связей при В смесей из НК. Наличие реверсии В ненасыщенных смесей из НК при 197,5° наблюдается и в случае В системами: дибензоил-п-хинондиоксим + Рb-сурки и перекиси дикумила + Са(ОН)<sub>2</sub>. Уменьшение степени В в обоих этих случаях меньше, чем в серных и тиурамных вулканизатах. Г. Бродский 6П327. Исследование ускорителей вулканизации. Сообщение 9. Исследование скоринга посредством измерения количества сероводорода и сернистого цинка. Shimozato J., Nakata S. «Нихон гому кёкайси, J. Soc. Rubber Ind., Japan», 1959, 32, № 8, 587—594, 662 (японск.; реэ. англ.).—Изучали влияние ускорителей и замедлителей вулканизации на скоринг (Ск), измерения кол-ва H<sub>2</sub>S и ZnS, образующихся при нагревании резиновой смеси. Ускорители располагаются в следующий ряд по уменьшению их влияния на Ск: тетраэтилтиурамдисульфид (I) > комбинация дифенилгуанидина с дибензотиазилдисульфидом > меркаптобензотиазол (II) > Zn-соль меркаптобензотиазола (III) > дибензотиазилдисульфид (IV). Ск резиновой смеси с тетраэтилтиураммоносульфидом (V) при 90° выражена значительно меньше, чем в присутствии I, тогда как при т-ре >100° значительной разницы в поведении смесей с I и V не обнаружено. В так же, как и I, под действием ZnS или ZnO и S превращается в Zn-соль (VI), однако р-ция с V протекает труднее, чем с I, что и отражается на степени Ск смесей. IV замедляет Ск смесей с I, III и VI и образование H<sub>2</sub>S. Основываясь на изменении цвета реакционного р-ра, авторы пришли к выводу, что замедляющее действие IV заключается в присоединении активной S с образованием полисульфида красного цвета. Другие испытанные дисульфиды (дибензилдисульфид, дибензоилдисульфид и бис-метилбензоилдисульфид) задерживающего действия на подвулканизацию не оказывают. Замедлители подвулканизации — N-нитрозодифениламин и N-хлорсукцинимид также замедляют образование H<sub>2</sub>S. Сообщение 8 см. РЖХим, 1961, 1П287.

О. Беляцкая 6П328. О влиянии высокоактивной кремнекислоты на тепловое старение бессерных тиурамных латексных вулканизаторов. Andresen Andrasch. Über den Einfluss hochaktiver Kieselsäure auf die Wärme-Aterung von Schwefel-freien, durch Thiuram-Verbindungen vernetzten Latex-Vulkanisaten. «Kautschuk und Gummi», 1960, 13, № 1, WT 1—12 (нем.; реэ. англ., франц.).—Серные и бессерные (тиурамные) латексные вулканизаты (ЛВ) характеризуются повышенным сопротивлением тепловому старению в присутствии высокоактивной SiO<sub>2</sub>. Из антиоксидантов для бессерных ЛВ наиболее эффективен бензимидазолилмеркаптан Zn. Введение небольших кол-в SiO<sub>2</sub> еще увеличивает сопротивление старению. Приведены данные о влиянии добавок SiO<sub>2</sub> и других на изменение модулей и сопротивления разрыву в процессе старения.

По резюме автора 6П329. Изготовление шин с высокой точностью. Anderson M. G. Precision tire manufacturing through «nuclear eyes» and «electronic brains». «Rubber Age»,

1960, 86, № 4, 656—658 (англ.).—Для создания плавной и бесшумной езды автомобиля при высоких скоростях необходимо изготавливать шины (Ш) с высокой точностью. При скорости движения автомобиля 96 км/час по гладкой дороге и нагрузке на Ш 400 кг отклонение от радиуса Ш даже на 0,25 мм приведет к ударным нагрузкам в 4,5 кг с частотой 120 пер./сек. Подобные биения с различной частотой и являющиеся причиной характерного шума при движении автомобиля. Приведенные осциллограммы изменения сил (радиальных, боковых, тангенциальных) и толщины по окружности Ш показывают, что кривые для прецизионной Ш идут более плавно, чем для обычной Ш. Изготовление Ш с высокой точностью невозможно без строжайшего контроля сырья и полуфабрикатов и всего технологич. процесса с помощью современных электронных и радиометрич. приборов. Контроль качества корда (К) начинается на текстильной ф-ке, где в производственных помещениях поддерживается строго постоянная т-ра и влажность воздуха. При последующей обработке К (пропитка, тепловая обработка, вытяжка) для контроля и регулирования скорости, величины натяжения, влажности и т. д. применяют высокочувствительные приборы. Для непрерывного контроля и автоматич. регулирования толщины обрезиненного К применяют спец. радиометрич. приборы — β-лучевые калибромеры. В качестве β-источника используют Sr<sup>90</sup>. Шпирцевание протекторов ведут при малых скоростях для удобства контроля усадки. Скорость передвижения протектора в охлаждающей камере и на усадочных транспортерах регулируют при помощи электронных приборов. Спец. автоматич. ножи производят косой срез протектора по длине с точностью ≤ 0,1%. При сборке Ш применяют новые автоматич. сборочные станки. Нормы допусков при сборке сокращены вдвое. Формование и вулканизацию осуществляют на обычном оборудовании, но допуски на изготовление прессформ сведены к минимуму. При разбраковке Ш применяют также электронные приборы, определяющие радиальные и боковые вибрации, динамич. дисбаланс, изменения в толщине и т. д. Г. Бродский

6П330. Современное состояние производства шин из бутилкаучука. Mineo R. M., Wallace A. J., Zapp R. L. Butyl tyres to-day. «Rubber and Plast. Age», 1960, 41, № 8, 925, 927, 929—930, 861, 863, 864 (англ.; реэ. франц., нем., русск.).—Приведены данные, дополняющие работу Баки (см. РЖХим, 1959, № 8, 29717), по изучению технологии произ-ва шин целиком из бутилкаучука (БК) и их свойств при эксплуатационных испытаниях: поведение при низких т-рах, сопротивление износу летом и зимой, вид рисунка беговой дорожки с повышенной эластичностью, эксплуатационные характеристики на больших и малых скоростях, комфортабельность, путь торможения и расход топлива. Шины из БК превосходят шины из GR-S по комфортабельности и скорости торможения на сухих и влажных дорогах и не уступают по другим показателям. Приведены рецепты каркасной и протекторной смесей из БК и состав нового клея, дающего возможность время сборки шин из БК сократить до времени сборки шин из GR-S или НК. А. Донцов

6П331. Влияние тепла на шинный корд. Wood J. O., Goy R. S., Daruwalla F. S. Thermal effects in tire cord materials. «Text. Res. J.», 1959, 29, № 9, 669—678 (англ.).—Исследовали влияние тепла на прочность и на стабильность размеров типовых текстильных материалов, применяемых в произ-ве шин. Изменение размеров вытянутого в нагретом состоянии найлонового корда складывается из двух компонентов: изменения длины волокон и упаковки волокон в поперечном сечении. Изменения размера связаны также с упругими свойствами, напряжением при усадке и ползучестью корда. Обнаруженные закономерности носят общий характер. Э. Т.



6П332. Новые армирующие материалы для шин. Litzler C. A. New tire-reinforcing materials. «Mech. Engng», 1960, 82, № 2, 76—81 (англ.).—Обзорная статья. Новые материалы для изготовления корда для шин: группа перлона (наилон 6), амиды капроланов (ε-поликапроамид), группа полэфиров (дакрон, терилон, диолон, теторон), стекловолокно, группа полиуретанов, металлокорд. В качестве волокон будущего рассмотрены полипропиленовое, из винилиденхлорида, из продукта взаимодействия мочевины и амидных полимеров [урилон (Япония)]. Рассмотрена бескордная шина, каркас которой отлит из полиуретанового каучука, а полость шины заполнена полиуретановой пеной.

Г. Бродский  
6П333. Конструкция и материал уплотнений. N. besky U. Dichtungen nach Bauart und Stoff. II. Fortsetz. «Gummi und Asbest», 1960, 13, № 10, 824, 826, 828 (нем.).—Обзор. Библ. 47 назв. Предыдущее сообщение РЖХим, 1960, № 18, 75658.

6П334. О специальных клиновидных ремнях для ременной бесступенчатой коробки передач. 1. 2. Способ сохранения на постоянном уровне натяжения ремня и его контакта с конусами, независимо от изменения отношения передачи. 3. Динамика ремня. Амидзима Садао. «Нихон гому кёкайси, J. Soc. Rubber Ind., Japan», 1959, 32, № 4, 277—291; № 6, 467—476; № 7, 545—558 (японск.).—В вводной части кратко описаны коробки передач с обычными, спец. клиновидными ремнями (КР), с цепными ремнями и сами ремни; приведен расчет натяжения КР, максим. усилия на поперечном сечении ремня, боковое давление конусов на широкий КР; результаты опытов на выносливость ряда широких японских КР (аппаратура для опытов, результаты опытов и выводы из них), испытания КР, разработанных на основании результатов предыдущих опытов на выносливость, измерение коэф. трения, опыты по истиранию КР. Рассмотрены способы сохранения натяжения КР на постоянном уровне с использованием и без использования конусов с кривой поверхностью, недостатки конусов с кривой поверхностью, форма поверхности конусов, рассчитанная с учетом контакта КР с конусами и постоянства натяжения КР, расчет КР, вибрация движущегося КР, ударные натяжения, изгиб по ширине движущегося КР, напряжение на изгиб у КР, изготовленного из ≥ 2 видов материалов, распределение усилий в поперечном направлении при изгибе или натяжении.

Г. Мельников  
6П335. Пористые резиновые материалы как наилучший заменитель для низа обуви. Radwański Roman. Materiały gumowe porowate jako najlepsze materiały zastępcze na spody obuwi. «Przegl. skórzan», 1960, 15, № 5, 126—129 (польск.).—Обзор. свойств и способов изготовления.

В. Лепетов  
6П336. Качественные реакции на определение ускорителей в сырых резиновых смесях и вулканизатах для изданий санитарии и гигиены. Черноморская Ф. Я. В сб. «Методы анализа сырья и материалов, применяемых в резин. пром-сти». М., 1959, 80—92.—Описаны качеств. р-ции для определения тиурама (I), каптакса (II), дифенилгуанидина (III), и их смесей: I + II; II + III; I + III. Из сырых резиновых смесей и вулканизатов ускорители экстрагировали кипящим этиловым спиртом 1 час, а из резин, содержащих пигмент оранжевый, II и III экстрагировали водой. Указаны минимальные определяемые кол-ва ускорителей.

В. Шерпнев  
6П337. Полярографический метод анализа в контроле шинного производства. Калачева А. В. В сб. «Методы анализа сырья и материалов, применяемых в резин. пром-сти». М., 1959, 123—143.—Описано полярографич. определение ускорителей (альтакс, тиурам, сульфенамид БТ) и S в пастах и резинах. Анализируемые навески растворяют кипячением в дихлорэтаноле и

полярографируют на визуальном полярографе, применяя ацетатный или метанольный фон. Приведены результаты анализов и показано преимущество метода по сравнению с существующими.

В. Шерпнев  
6П338. Флуоресцентный метод анализа в резиновой промышленности. Проворов В. Н., Зайцева В. Д. В сб. «Методы анализа сырья и материалов, применяемых в резин. пром-сти». М., 1959, 149—153.—Опробовано применение флуоресцентного метода для качеств. анализа ускорителей, противостарителей, мягчителей, наполнителей и других ингредиентов резиновых смесей. Метод может заменить хим. методы.

В. Шерпнев  
6П339. Определение содержания сажи в вулканизатах на основе бутилкаучука. Богина Л. Л., Ершкова Л. П., Мартюхина И. П., «Каучук и резина», 1960, № 5, 54—55.—Резину разлагают кипячением в керосине (3—4 часа) и обрабатывают полученный продукт HNO<sub>3</sub>. Приведена подробная методика работы.

А. Дощик  
6П340. Колориметрическое определение суммы окисного и закисного железа в каучуках и вулканизатах при помощи сульфосалициловой кислоты на фотоэлектроколориметре ФЭК-М. Богина Л. Л., Мартюхина И. П., В сб. «Методы анализа сырья и материалов, применяемых в резин. пром-сти». М., 1959, 76—79.—Описано фотоколориметрич. определение Fe, образующего желтоокрашенную соль сульфосалициловой к-ты (Fe<sup>3+</sup>). Fe<sup>2+</sup> в щел. среде легко переходит в Fe<sup>3+</sup> и определяется сумма Fe<sup>2+</sup> и Fe<sup>3+</sup>. Определению мешают ионы Cu. Приведены результаты анализа Fe в бутаденистирольных каучуках и вулканизатах. Метод дает результаты, совпадающие с полученными объемным методом Циммермана-Рейнгарда.

В. Шерпнев  
6П341. Фотоколориметрическое определение нитрозо-Р-солю в резинах. Богина Л. Л., Мартюхина И. П., «Каучук и резина», 1959, № 4, 58—59.—Содержание Со в резинах определяют фотоколориметрированием водорастворимого красного комплексного соединения, образующегося с 1-нитрозо-2-нафтол-3,6-дисульфоноватом Na при pH 7—8. Другие металлы не мешают определению. Описана методика анализа расчета и приведены результаты определения Со в солях и сажевой резине из НК. Ошибка ≤ 0,008 абс. %.

В. Шерпнев  
6П342. Полярографическое определение меди в индийских сортах каолина. Ghag A. S., Desai A. G., Modak K. V., Kabad M. B. Polarographic determination of copper in Indian rubber-grade China-clays. «Sci. and Cult.», 1960, 25, № 12, 686—687 (англ.).—Невеску каолина (1 г) экстрагировали 14 г NH<sub>4</sub>OH (уд. в. 0,88), объединяли фильтрат и промывные воды, добавляли 15 г NH<sub>4</sub>Cl, затем 10 мл 0,125%-ного р-ра желатина, разбавляли водой до 250 мл и вносили аликвотную часть в полярограф. Стандартный р-р готовили растворением 0,25 г электролитич. Cu в смеси HNO<sub>3</sub> и H<sub>2</sub>SO<sub>4</sub>, добавляли щепотку мочевины и упаривали досуха с удалением избытка H<sub>2</sub>SO<sub>4</sub>, экстрагировали дистил. водой и разбавляли до 250 мл. Для сравнения брали 1 мл этого р-ра. Исследованные образцы каолина содержали следы Cu (0,033—0,167 г/100 г каолина).

Г. Щербачев  
6П343. Основы современной технологии автоматизированных шин. Изд. 2-е, переработ. и доп. Салтыков А. В. М., Госхимиздат, 1960, 484 стр., илл., 17 р. 50 к.

6П344. Улучшенный латекс. Pinner Solomon Harris. Improvements relating to latex. [T. I. (Growth Services) Ltd]. Англ. пат. 831197, 23.03.60.—Способ приготовления самовулканизирующегося натурального или синтетич. латекса (Л). В Л вводят полифункциональ-

афе, приме-  
ведены ре-  
ство мето-  
в. Шершев  
а в резино-  
Зайцева  
иалов, при-  
149—153—  
метода для  
ителей, ма-  
тов резино-  
методы.  
З. Шершев  
в вулкани-  
а Л. Л.  
«Каучук и  
ют кипче-  
получе-  
методы  
А. Донцов  
е сумки  
вулканиза-  
на фото-  
Марти-  
матери-  
1959, 76—  
е Fe, обра-  
алицило-  
адит в Fe-  
елению ме-  
нализ Fe  
затах. Ме-  
лучеными  
а.  
Шершев  
ление  
на Л. Л.  
1959, № 11,  
яют фото-  
красного  
4-нитро-  
8. Други  
методы  
предели-  
и. Опши-  
Шершев  
медиа в  
sai A. G.  
ic deter-  
China-clay  
ngl.).—He-  
ОН (уд  
ады, доба-  
ра желат-  
ликовту-  
ли раство-  
а и H<sub>2</sub>SO<sub>4</sub>  
досука  
дистил. во-  
брали 1 мл  
содерж-

Шершев

и автомо-

лты 100

17 p. 50

олош

I. (Смо-

тоско при-

тоско для

кциона-

ний олефиновый мономер, способный к полимеризации (дивинил, тривинилбензол, полиаллильный эфир органич. к-ты и др.) в кол-ве не больше веса каучука в латексе, затем смесь подвергают действию ионизирующей радиации высокой энергии (0,5—20 Мрад).

И. Пильменштейн

6П345. Применение пенопластов для упругих опор. Nickel Heinrich. Cushion support of foam material. [Dunlop Rubber Australia Ltd]. Австрал. пат. 211798, 21.06.56.—Упругая опора из синтетич. губчатого материала характеризуется тем, что все кромки или части ее укреплены при помощи профилированного борта из твердой латексной пены.

Ф. Абель

6П346. Способ вулканизации латексных смесей. Бабицкий В. Л. Авт. св. СССР 128603; 15.05.60.—В качестве активатора ускорителей вулканизации в латексных смесях вместо ZnO применяют р-ры сульфата Zn в водн. аммиаке.

О. Беляцкая

6П347. Усовершенствование способа наложения синтетич. резиновых покрытий. Cant Sydney Bertram. Improvements in or relating to methods of applying resilient rubbery backings. [Lintaform Ltd.]. Англ. пат. 833476, 27.04.60.—2—4 вес. ч. резиновой крошки, непрерывно подаваемой из контейнера, смешивают с 1 вес. ч. неустойчивой вспененной латексной смеси, также непрерывно подаваемой из аппарата для вспенивания. Смесь — перевернутый конус с дозированной мешалкой с регулируемым числом оборотов. Смесь из отверстия, находящегося в вершине конуса, непрерывно поддают на транспортер в виде тонкого слоя. Обладываемая ткань либо находится на транспортере или ее накладывают на слой смеси. Пену гасят при не очень высокой т-ре, латекс желатинируют и вулканизуют. Рецет латексной смеси подбирают так, чтобы гашение пены происходило через ~2 мин. после ее подачи на транспортер. Пример. Латексная смесь имеет состав (в вес. ч.): латекс 70, дисперсия регенерата 30, S 3, диметилдитиокарбамат Zn 1, каптес 0,2, олеат K 1,5, антиоксидант 1, ZnO 6, Na<sub>2</sub>SiF<sub>6</sub> 1.

И. Шмурак

6П348. Способ полимеризации синтетических каучуков в эмульсиях, стабилизированных канфиловыми мылами. Лаазарян Э. Г., Громова В. А., Емельянов Д. П., Космодемьянский Л. В., Радоман О. П., Преображенская Н. М., Романов Р. Г., Румянцев З. М., Смирнов Ю. В., Соболев В. М., Цайлингольд В. Л., Чернякова К. А., Шадричева В. А., Шихалова К. П., Шушгина Е. Н., Щербакowa Н. В., Костин Д. Л. Авт. св. СССР 125679, 15.01.60.—Для ускорения и повышения воспроизводимости процесса эмульсионной полимеризации в качестве эмульгатора взамен пемалы применяют товарную живичную канфоль, предварительно нагретую до 200—250° и выдержанную при этой т-ре ≥ 10 мин.

В. Шершев

6П349. Способ введения масла в эмульсионные каучуки, изготовленные с применением канфиловых или жирнокислотных мыл или их смесей. Громова В. А., Емельянов Д. П., Костин Д. Л., Лаазарян Э. Г., Смирнов Ю. В., Соболев В. М., Цайлингольд В. Л., Щербакowa Н. В., Шихалова К. П. Авт. св. СССР 125672, 15.01.60.—Масляные бутадиенстирольные каучуки получают введением масла в латекс без предварительного эмульгирования. Латекс непрерывно смешивается с р-ром NaCl и маслом, причем образуется однородная смесь масла с флокулированным латексом.

В. Шершев

6П350. Получение синтетического каучука на основе сополимера изобутилена с изопреном. Moris Bertrand, Wattelez Paul. Produit de caoutchouc synthétique à base de copolymère isobutylène-isoprène. [Jean Wattelez, Paul Wattelez faisant commerce sous la dénomination: Anciens Ets Gabriel Wattelez]. Франц. пат. 1219602, 18.05.60.—В сополимер изобути-

на с изопреном вводят значительное кол-во высокодисперсной кремнекислоты, небольшое кол-во пластификатора (триэтанолламин или диэтилентглицоль), S и ускорителей (тиурам, диэтилдитиокарбамат Zn), определенное кол-во ZnO и красители (каолин, TiO<sub>2</sub>, ультрамарин), а также другие ингредиенты (хлорсульфированный полиэтилен, полиэтилен, лауриновая к-та, парафин, минер. масла). Изделия имеют белый цвет, непроницаемы для жидкостей и газов, стойки к действию атмосферных агентов, растительных масел и животных жиров. Пример. Трубка из смеси состава (вес. ч.): бутылкаучук 100, высокодисперсная SiO<sub>2</sub> 50, ZnO 5, парафин 3, минер. масло 5, тиурам 1, диэтилдитиокарбамат Zn 0,5, S 2 за 8 час. пропускает 34,1 мл газообразного бутана, обычная трубка 90 мл.

Г. Щербачев

6П351. Стабилизация бутылкаучука фосфоритоатами. Hill Rutherford B., Merrifield Dudley B. Butyl rubber and phosphorothioates. [Monsanto Chemical Co.]. Пат. США 2906731, 29.09.59.—Для увеличения срока хранения бутылкаучука без изменения цвета и свойств и повышения сопротивления вулканизации старению в него вводят 0,01—5% фосфоритоатов общей ф-лы: (RO, R'O)P(=X)XM, где R и R' — алкил, аларкил, алкенил или аллицил, радикал с < 19 атомов C; X — O или S, причем ≥ 1 X — S; M — H, NH<sub>4</sub> или металл. Наиболее эффективны соли O,O-диалкилфосфоритоатов, содержащие 2—6 атомов C в алкиле, с NH<sub>4</sub> и металлами, главным образом, тяжелыми, напр. NH<sub>4</sub>O,O-дициклогексил-, Cd,O,O-диизопропил (I)-, NH<sub>4</sub>O,O-диизопропил (II)-, Zn,O,O-бис-(1,3-диметилбутил) фосфоритоат. Пример. После обработки 1 час на вальцах при 150° пластичность по Муни нестабилизированного бутылкаучука составляет 15 ед., защищенного 0,1% фенил-β-нафтиламина 55 ед. и 0,1% I или II 65 ед.

А. Донцов

6П352. Новый ускоритель вулканизации бутылкаучука. Roberts Kenneth Charles, Oakes Vincent. Improvements relating to the vulcanisation of butyl rubber. [The Anchor Chemical Co. Ltd.]. Англ. пат. 835469, 18.05.60.—В качестве ускорителя вулканизации бутылкаучука применяют тиурамтрисульфиды, предпочтительно тетраэтил-(I) или тетраметилтиурамтрисульфиды, а также тетраизопропил- и тетрабутилтиурамтрисульфиды. Они дешевле соединений Те и Se, обычно применяемых в качестве ускорителей, дают смеси с примерно одинаковыми физ.-мех. свойствами и сопротивлением старению, но с меньшими сжорчиги и остаточным сжатием. Пример. Для получения I суспензию 52 г диэтилдитиокарбамата Na в 100 мл петр. эфира обрабатывают при 15° р-ром 13 г SCl<sub>2</sub> в 10 мл петр. эфира. Смесь перемешивают 1 час, отфильтровывают осадок и промывают водой до полного отсутствия хлорида. Продукт — кремневый порошок с т. пл. 49—50°.

А. Донцов

6П353. Вулканизация бутылкаучука 2,2'-метиленис-(4-хлор-6-метилфенолом). Viohl Paul. Vulkanization of butyl rubber with 2,2'-methylene-bis-(4-chloro-6-methylphenol). [United States Rubber Co.]. Пат. США 2918448, 22.12.59.—Бутылкаучук (БК) быстро и без спец. ускорителей вулканизуют с помощью 0,25—15, предпочтительно 4—12 вес. ч., 2,2'-метиленис-(4-хлор-6-метилфенола) (I) при 125—200° за 480—2 мин. Для получения «подвулканизованных» смесей, применяемых для облегчения совмещения БК с SiO<sub>2</sub>, сажей и другими каучуками и получения пластичного материала, заполняющего прокол в бескамерных шинах, вводят на 100 вес. ч. БК 0,25—1,9 вес. ч. I. Смеси применяют для обкладки борда. Последний в этом случае после вулканизации обладает повышенным сопротивлением тепловому старению. Пример. В саженополненную смесь БК (150 вес. ч.) вводят 12 вес. ч. I или 6 вес. ч. Super Beckacite 1001 (продукт частичной конденсации 2,6-диметил-4-трет-бутилфенола) и 2 вес. ч.

$\text{SnCl}_4 \cdot 2\text{H}_2\text{O}$ . После оптимальной вулканизации при 153° смеси имеют, соответственно, сопротивление разрыву 116 и 113  $\text{кг/см}^2$ , относительное удлинение 350 и 430%, модуль (300%) 88 и 67  $\text{кг/см}^2$ . Для получения I проводят р-цию 2,2'-метилен-бис-(4-хлорфенола), известного как «дихлорофен», с  $\text{HCOOH}$  в присутствии  $\text{NaOH}$ , осаждают продукт  $\text{NaCl}$ , промывают водой и выделяют I при подкислении.

**6П354.** Вулканизация модифицированного ароматическими нитрозосоединениями бутилкаучука диизоцианатами. Serniuk George E., Baldwin Francis P. Rubber composition containing aromatic nitroso compound and diisocyanates and process of vulcanizing same. [Esso Research and Engineering Co.]. Пат. США 2918446, 22.12.59.—Раствор бутилкаучука (БК) в инертном р-рителе обрабатывают при 0—200° 0,1—10 вес.% (от БК) ароматич. нитрозосоединения, содержащего < 1 нитрозогруппы, присоединенной непосредственно к С ароматич. кольца, напр. нитрозобензола (I), и вулканизуют модифицированный БК (МБК) непосредственно в р-ре или в твердом состоянии с помощью 0,1—20 вес.% алифатич. или ароматич. диизо- или диизотиоцианата, напр., гексаметилендиизоцианата (II), л-фенилендиизоцианата, продукта р-ции фенола и дифенилметандиизоцианата, при 20—200°, предпочтительно 50—150°. При вулканизации МБК в отсутствие р-рителя добавляют 20—150 вес. ч. сажи (на 100 вес. ч. МБК). Композиции, содержащие 1—10 вес. ч. МБК на 5—50 вес. ч. р-рителя, напр. бензола, применяют в качестве клея. Пример. В р-р 150 г GR-I-25 в 1500 мл бензола при ~25° и перемешивании по каплям вводят за 1,75—3,5 часа 2,8; 5,6; 11,2; 16,8 г I в виде 10%-ного бензольного р-ра. После переосаждения и высушивания образцы растворяют в бензоле (2 г МБК в 25 мл бензола) и добавляют 5 капель II. Вулканизация при ~25° наступает, соответственно, через 5, 6, 14 дней.

**6П355.** Структурирование жидких, карбоксилсодержащих сополимеров диолефинов. Cooper Wilfrid. Improvements in cross-linking liquid copolymers of diolefines. [Dunlop Rubber Co. Ltd.]. Англ. пат. 831061, 23.03.60.—Жидкие сополимеры сопряженных диолефинов, напр. бутадиена, и ненасыщ. карбоксильных к-т, содержащих 1 двойную связь и 1 группу  $\text{COOH}$  в  $\alpha, \beta$ -положении к двойной связи, структурируют при нагревании с окислами поливалентных, главным образом двухвалентных металлов, напр. 10—100 вес.% (от сополимера)  $\text{ZnO}$ . Сополимер содержит 4—20, предпочтительно 4—13%, карбоксилсодержащего мономера и имеет в бензоле при 32°  $[\eta]$  0,05—0,25. Вулканизаты обнаруживают вязкое течение при медленном нагревании и эластичность при резком ударе, превосходящую в одинаковых условиях испытания эластичность сополимеров, вулканизованных S и ускорителем и даже вулканизованного НК.

**6П356.** Улучшение свойств резиновых смесей. Hickson Roy. Improvements in and relating to rubber compositions. [Dunlop Rubber Australia Ltd.]. Австрал. пат. 218695, 23.01.58.—Смеси из НК или СК, содержащие (считая на каучук) 5—75 вес.% сажи, 0,1—10 (предпочтительно 1—2) вес.%  $\text{HCOOH}$  и 0,1—0,5 вес.% катализатора конденсации, подвергают тепловой обработке в течение 2,5—40 мин. при 100—200°, после чего в них вводят остальные ингредиенты, в том числе и ускорители. Тепловую обработку можно производить на смешительном оборудовании 10—25 мин. при 140—160°. Вместо  $\text{HCOOH}$  можно применять в-ва, выделяющие его при нагревании, напр. паральдегид, метальдегид или гексаметилентетрамин. В качестве катализатора применяют  $\text{AlCl}_3$ . При применении гексаметилентетрамина дополнительное введение катализатора не требуется. Получаемые вулканизаты обладают повышенными физико-механическими свойствами.

Б. Каменский

**6П357.** Способ усиления неполярных каучуков. Динзбург Б. Н., Сафрай Б. А., Ланда И. М., Журко В. А. Авт. св. СССР 125673, 15.01.60.—В дополнение к авт. св. СССР 116654 (см. РЖХим, 1959, № 23, 84248) для интенсификации усиления неполярных каучуков путем введения в резиновую смесь фенолформальдегидных смол вводят гексаметилентетрамин (I) или  $\text{MgO}$ . Пример. Оптимальное время изготовления смеси при введении I сокращается с 25 до 10 мин. Сопротивление разрыву увеличивается с 112,3 до 135,6  $\text{кг/см}^2$ , относительное удлинение — с 695 до 560%, остаточное удлинение уменьшается с 14 до 6%.

**6П358.** Порообразователь для производства пористых изделий и пенопластов. Пыхов В. Т. Авт. св. СССР 125369, 8.01.60.—В качестве порообразователя применяют динитрат уротропина.

**6П359.** Способ бессерной вулканизации резиновых смесей на основе неперелых синтетических каучуков с применением солей аммония. Кузьминский А. С., Фельдштейн Л. С., Ханин С. Е., Френкель Р. Ш. Авт. св. СССР 126611, 1.03.60.—Для получения теплостойких резин смеси из неперелых СК (бутадиенстирольные, бутадиеннитрильные или Na-бутадиеновые) вулканизуют без S каптаком в присутствии аммонийных солей жирных кислот. В. Шершев

**6П360.** Стабилизация растворов дитиокарбамата. Brooks Lester A., Gibbs Irving. Stabilized solutions of a dithiocarbamate. [R. T. Vanderbilt Co., Inc.]. Пат. США 2920104, 5.01.60.—Водный 25—50%-ный р-диптилдитиокарбамата Na стабилизируют гидразинном (0,25—0,5 вес.% на дитиокарбамат).

**6П361.** 5-карбалкокси-4-алкил-2-тиазолсульфенамиды. D'Amico John J. 5-carbalcoxy-4-alkyl-2-thiazole-sulfenamides. [Monsanto Chemical Co.]. Пат. США 2914535, 24.11.59.—В качестве эффективного ускорителя вулканизации со значительным индукционным периодом применяют 5-карбалкокси-4-алкил-2-тиазолсульфенамиды, где алкил и алкоксигруппы — низшие углеводородные остатки, напр. 5-карбалкокси-4-метил-2-тиазолсульфенамиды. Ускорители отличаются высокой стабильностью.

**6П362.** Новый сульфенамидный ускоритель. Franke Walter, Ziegenhein Willi. Verfahren zur Herstellung von Pyrimidyl-2-sulfenmorpholiden. [Chemische Werke Hüls A.-G.]. Пат. ФРГ 1051859, 3.09.59.—Для получения пириимидил-2-сульфенморфолидов (I) цел. р-р 2-меркаптопириимидина постепенно вносит N-галогенморфоли. Применение I вместо бензотиазил-2-сульфенморфолидов в качестве ускорителей вулканизации удлиняет индукционный период, не ухудшая свойств вулканизатов и несколько увеличивая сопротивление истиранию.

**6П363.** Способ быстрого нагрева до высоких температур длинномерных изделий или образцов при движении или в покое. Дубинкер Ю. Б. Авт. св. СССР 125669, 15.01.60.—ИК-лучи концентрируют на нагреваемом теле обращенными друг к другу вогнутыми зеркалами. Расположение зеркал таково, что они имеют общие сопряженные точки или, если зеркала цилиндрич., сопряженные оси; на одной из осей находится пучатель — раскаленная спираль, стержень или сплетенная лампа, а на другой — обогреваемое тело, которое может быть неподвижным или двигаться вдоль оси. При таком расположении зеркал лучи от светящегося источника отражаются от зеркал так, что падают на обогреваемое тело со всех сторон.

**6П364.** Способ получения изделий с ориентированным расположением молекул. Dufour Pierre, Francois Joseph. Process and apparatus for the production of molecularly oriented natural or synthetic resins or compositions comprising same and articles produced by such process. Австрал. пат. 217501, 21.02.57.—При изготовлении изделий из натуральных и синтетич.



каучуков. И. М. — В доп. 1959, № 23, непонятно, фенолформальдегидные смолы (I) изготовлены до 10 мм, 112,3 до 95 до 560%, 6%.

Г. Бродский — Т. Авт. с. вателя при. Дублинер резиновых смол каучуков. Минский Е., Фрей. Для получ. ельных смол или Na-бу. в присут. Шерпиев окислитель. Utilized solut. Co., Inc. %-ный р-р гидразина. В. Быстров. Ульфе-на-2-thiazole-лат. США. Ускоряет. ным перо. олсульфиде. угле. 2-thiazole-сокой ст. Беляш. ь. Г. ав. erfahren. iden. (С. 3,09.58-лидов (I) вносят. бензотиа. зотелей п. не ух. ичивая с. А. Донцов. ких тем. при дви. св. СССР. нагрева. ыми зер. имеют об. илндр. ится из. иля сп. е тело, я. ься вдоль. т светяще. то пада. Дублинер. нтрониз. Pierre. s for the synthet. articles pro. 21.02.57-синтетич.

смол и композиций, в состав которых входят высокомолекулярные соединения (в частности, каучук), пластикации сырья осуществляют не энергоёмким процессом дробления молекул вальцеванием, а путем упорядочения их расположения. Ориентацию молекул полимера осуществляют многократной прокаткой сырья с одновременным сжатием и изгибом, при этом деформации сдвига, приводящих к дроблению молекул, не происходит. В частности, при изготовлении резиновых колец в форме тора пластикацию материала с одновременным формованием его в кольцо ведут в кольцевой полости, образованной двумя фасонными гильзами, вращающимися вокруг общей оси и соприкасающимися друг с другом, возвращая поступательное движение. Материал нагревают в течение всего процесса, что улучшает пластикацию и обеспечивает отверждение изделия (если композиция термореактивная). Дана схема приспособления для проведения процесса.

С. Вуколов  
6П365. Герметизирующая композиция из бромбутилкаучука, полиизобутилена и сажи. Van Erp J. A. Sealing composition comprising a mixture of brominated butyl rubber, polyisobutylene and carbon black, and method of making same. [E. I. du Pont de Nemours and Co.] Пат. США 2903437, 8.09.59. — Герметизирующая самовулканизирующаяся при  $\sim 20^\circ$  композиция (К) состоит (на 100 вес. ч. полимера) из 10–90, лучше 50–75 вес. ч. бромбутилкаучука (ББК), представляющего собой сополимер 70–99 (предпочтительно 95–98) вес. ч. изобутилена и 30–1 (предпочтительно 5–2) вес. ч. изопрена, содержащего 0,5–50 (предпочтительно 1–8%) связанного Вг, 90–10, лучше 50–25 вес. ч. полиизобутилена (ПИБ), 50–100 вес. ч. активной или аморфной сажи и вулканизирующей группы, достаточной для вулканизации ББК. Добавляя  $\leq 150$ , лучше 10–25 вес. ч. эпоксидной смолы и необходимое кол-во структурирующих агентов, увеличивают жесткость К и получают ее в виде пасты. Для получения К в 50–75 вес. ч. обработанного на горячих вальцах ББК вводят при повышенной  $t$ -ре 49–5 вес. ч. ПИБ и сажу. Эпоксидную смолу вводят после охлаждения смеси в клеменшальке. Отдельно готовят смесь из 1–20 вес. ч. ПИБ и вулканизирующей группы. Обе смеси соединяют непосредственно перед применением. Пример. При 150° вальцуют 75 вес. ч. ББК до полного удаления пузырьков воздуха и вводят на горячих вальцах 15 вес. ч. ПИБ и 75 вес. ч. сажи фиблблэк А. Смесь охлаждают, измельчают и в клеменшальке добавляют толуюл и дитиокарбаматный ускоритель. Готовый продукт имеет консистенцию хлебного теста. Вулканизирующую смесь состава (вес. ч.): ПИБ 10,  $Pb_2O_4$  4,  $n$ -хинондиоксид 2, 1,3-дихлор-5,5-диметилгидантоин 0,25 готовят на холодных вальцах. Обе смеси соединяют вручную перед использованием и применяют для крепления обкладки из бутилкаучука в резервуарах. Через 5 дней при  $\sim 20^\circ$  герметик представлял собой плотную, хим. стойкую пленку, прочно прилипшую к бутилкаучуку.

А. Донцов  
6П366. Способ получения регенерата. Moravcs Jan. Zrúsob výroby regenerátu. Чехосл. пат. 920466, 15.10.59. — Термически обработанную по известным способам старую резину пропускают через вальцы с зазором  $> 1$  мм, но меньше размера исходных кусков вулканизата. Крошку смешивают с твердым (при  $\sim 20^\circ$ ) магнезитом и пластицируют при зазоре 1–5 мм, до получения сплошной ленты. После нескольких пропусков и охлаждения получают однородный регенерат, обладающий хорошими механич. свойствами. Пример. 1000 кг старой протекторной резины нагревали 4 часа острым паром 16 атм, затем раскрошили на вальцах, и на каждые 5 кг крошки добавили 3 кг канифоли. Затем охлажденную смесь 2–3 раза пропускали через вальцы с зазором 3–5 мм. Полученную более однородную ленту регенерата снова охлаждали. Про-

цесс повторяли 5 раз. Вулканизат регенерата имел сопротивление разрыву  $120 \text{ кг/см}^2$ , относительное удлинение 420%, истирание — 130% от истирания исходной резины. З. Смелый

См. также: Синтетич. латексы 6П122, 6П152, 6П247, в произ-ве ковров 6П637, нетканых материалов 6П642, обработка фетра 6П668. Хлоркаучук 6П82. Циклокаучук 6П227, 6П272. Полибутадиен 6Н527. Полихлоропрен, фракционирование 6Р24. Удаление летучих примесей из бутадиенстирольного каучука 6П105. Силиконовый каучук 6Л185. Эластомерный полиалкадиеновый эфир 6Л152. Полиуретаны 6Р26, 6Р27, 6Р56, 6Р122. Сополимер этилена и пропилена 6Р41. Фторкаучуки 6П20. Теплоустойчивые каучуки 6П78. Полиизобутилен 6Р11. Состав каучуков, хроматографич. исследование 6П15. НК, р-р 6Р14. Клей 6П89, 6П92. Крепление к смолам 6П208. Неорганич. наполнители 6П54. Сажа 6М326, 6М327, 6М328. Очистка каучука 6Л92. Антиоксиданты 6Л147, 6Л186, 6Л188. Лишние ленты 6П204. Техника безопасности 6Н348

## ИСКУССТВЕННЫЕ И СИНТЕТИЧЕСКИЕ ВОЛОКНА

Редактор А. А. Конки

6П367. Химические волокна сегодня и завтра. Hanlon Edward J. Manmade fibers big today, bigger tomorrow. «Mod. Text. Mag.», 1960, 41, № 9, 63–66 (англ.). — Технико-экономический обзор произ-ва химич., преимущественно синтетич. волокон в США. А. К.

6П368. Производство химических волокон. Hayes S. L., Jr. Production of man-made fibers. «Amer. Dyestuff Reporter», 1960, 49, № 10, 77–82 (англ.). — Схемы произ-ва вискозного, полиамидного, полиакрилонитрильного и полиэфирного волокон. Х. Виллемсон

6П369. Полиамиды и полиэфиры. Hearle J. W. S. Polyamides and polyesters. «Text. Manufacturers», 1960, 86, № 1026, 217–222 (англ.). — Кратко описаны методы получения полиамидных (найлон) и полиэфирных (терилон, дакрон) волокон, их свойства, выпуск в различных странах, области применения. Приведены также методы получения модифицированных филаментных нитей и объемной пряжи. К. Перепелкин

6П370. Прогресс современных способов отделки синтетических волокон. Schmidlin H. U. Ontwikkelingen en moderne werkmethode bij de veredeling van synthetische vezelstoffen. «Tex», 1960, 19, № 5, 261–270 (гол.). — Обзор. К. Герцфельд

6П371. Переработка жгута из химических волокон. Jehle Kurt. Verarbeitung von Chemiefaserkabeln. «Chemiefasern», 1960, 10, № 4, 226–227 (нем.). — Популярная статья о современных методах текстильной переработки волокон, в особенности синтетич. волокон. В. Дюрибаум

6П372. Рентгенографическое изучение процесса вытяжки поливинилспиртовых волокон. II, III. Mochizuki Takani. «Нихон какаку даэси, Nippon kagaku zasshi, J. Chem. Soc. Japan. Pure Chem. Sec.», 1960, 81, № 1, 39–49, A3 (японск.; рез. англ.). — II. Изучена дифракция рентгеновских лучей в плоскости (020) на образцах поливинилспиртовых волокон (ПВС), вытянутых в различной степени и при разных  $t$ -рах. Максимум наблюдается при отражении  $74^\circ 59'$  и не зависит от степени и  $t$ -ры вытяжки. Период идентичности вдоль оси ПВС волокна равен 2,533 Å. С повышением степени вытяжки ПВС волокна интенсивность рефлекса (020) увеличивается, а ширина уменьшается. Ширина рефлекса также уменьшается с повышением  $t$ -ры вытяжки. Произведено сравнение с волокнами из полиэтилена низкого давления. Предложен метод определения ориентации кристаллитов.



капиллярах. Супер-корд поглощает при набухании 65% воды, из них 3,7% воды связывается внутри кристаллитов, 21% воды связывается адсорбционно и 40% в капиллярах. В вискозном шелке из 100% поглощенной воды имеется 4% связанной в кристаллитах, 21% адсорбционной и 75% связанной в капиллярах.

**А. Пахшвер**  
**6П1377.** Свойства растянутых поверхностных пленок производных целлюлозы. Edelmann Kurt, Wulf Karl. Das Verhalten gespreiteter Oberflächenfilme von Cellulosederivaten. «Faserforsch. und Textiltech.», 1960, 11, № 3, 144—145 (нем.). — Получены изотермы, характеризующие изменения усилий сдвига в зависимости от размера поверхности, занятой растянутой пленкой из производных целлюлозы на воде. Усилия сдвига измерялись с помощью весов Лангмюра. Точки перегиба на изотермах «усилие сдвига — площадь пленки на воде» являются характерной константой и зависят от добавок нерастворителя к ацетону, в котором растворялись производные целлюлозы, применявшиеся для создания пленок на поверхности воды. Форма кривых для этилцеллюлозы резко отличается от формы кривых для ацетилцеллюлозы и других сложных эфиров целлюлозы. Взяты для создания пленок растворитель (этилацетат, ацетон, ацетобутират и др.) также изменяет форму изотермы.

**А. Пахшвер**  
**6П1378.** Изучение процесса получения волокон из смесей поливинилового спирта и полиакриловой кислоты. 1. Некоторые свойства концентрированных водных растворов смесей поливинилового спирта и полиакриловой кислоты. Kawakami Hiroshi, Kawashima Kenji. «Кобунсикагаку, Chem. High Polym.», 1960, 17, № 180, 273—278 (японск.; рез. англ.). — Изучены свойства конц. р-ров смесей поливинилового спирта (I) и полиакриловой к-ты (II). Р-ры I и II смешиваются во всех соотношениях, но добавка NaOH приводит к тому, что они смешиваются только в определенных пропорциях. Вязкость р-ров смесей I и II во времени растет быстрее, чем р-ров отдельных компонентов. В присутствии HCl и при повышенных т-рах происходит желатинирование р-ров в течение нескольких часов после смешения. Полученный гель нерастворим в воде даже при 160°. Желатинирование и сгущение р-ров могут быть объяснены образованием эфирных связей между гидроксильными группами I и карбоксильными группами II.

**К. Перепелкин**  
**6П1379.** Обработка поливинилспиртового волокна акриламидом. Ito Heihachi. «Сэнъи гаккайси, Sen-i gakkaiishi, J. Soc. Text. and Cellulose Inds, Japan», 1960, 16, № 5, 381—387 (японск.; рез. англ.). — Изучено поливинилспиртовое волокно (I), обработанное акриламидом (II) с применением двух методов: в водн. р-ре или путем импрегнирования. Условия р-ции следующие: при обработке водн. р-ром мол. соотношение II/I 0,6, конц-ия II 30 г/л, Na<sub>2</sub>SO<sub>4</sub> 25%, Na<sub>3</sub>PO<sub>4</sub> 2%, т-ра 60°, время 4 часа; при обработке методом импрегнирования состав р-ра: II 35%, NaOH 7%, т-ра 120°, время 5 мин. В обоих случаях степень замещения составил 2—4 мол.% как для термообработанного, так и нетермообработанного волокна. Повышение эластичности волокна при формализации частично карбоксиметилированного волокна показывает, что образуется некоторое количество поперечных сшивок. При обработке аммиаком частично карбоксиметилированного волокна происходит р-ция Манниха (Mannish). Сродство волокна после обработки к некоторым красителям повышается, особенно хорошие результаты получаются при обработке диметиламином с последующей формализацией.

**К. Перепелкин**  
**6П1380.** О некоторых проблемах производства волокна из поливинилового спирта. Lupu Alexandru, Ciobanu Virgil, Maritan Ekart, Butacu Florica, Ciocanel Alecu. Über einige Probleme

der Herstellung von Polyvinylalkoholfasern. «Faserforsch. und Textiltech.», 1960, 11, № 5, 213—218 (нем.; рез. русск., англ.). — Рассматриваются основные стадии технологии процесса произ-ва волокон из поливинилового спирта (I). Изучение зависимости вязкости 15%-ного р-ра I при 70° от конц-ии показывает сильное структурирование р-ра, напр. вязкость 12%-ного р-ра составляет ~5 пуаз, а 20%-ного р-ра ~70 пуаз. Одновременно с повышением конц-ии падает скорость фильтрации р-ров. Изучена также зависимость вязкости 15%-ного прядильного р-ра от т-ры; в интервале от 20 до 90° вязкость падает приблизительно с 90 пуаз до 6 пуаз. Коагуляция р-ра I возможна как в р-рах электролитов, так и органич. соединений. Число коагуляций (величина обратная кол-ву осадителя в 1 см<sup>3</sup>, прибавленного к 1 г 15%-ного р-ра I для коагуляции последнего) увеличивается в следующей последовательности: р-р сульфата цинка (400 г/л) 8; р-р сульфата аммония (400 г/л) 11; р-р сульфата натрия (400 г/л) 13. Для коагуляции органич. в-в им требуется добавлять в следующем кол-ве: ацетон 22 см<sup>3</sup>, циклогексанол 50 см<sup>3</sup>; этиловый спирт 76 см<sup>3</sup>; метиловый спирт 88 см<sup>3</sup>; этилацетат 198 см<sup>3</sup>; циклогексанол > 400 см<sup>3</sup>. Оптимальная т-ра осадительной ванны 40—45°. Важной проблемой произ-ва волокон из I является растворимость их в р-рах солей после прядения. Эта зависимость в работе подробно представлена для разных т-р и продолжительностей опытов. Применение стадии предварительной промывки волокна разб. р-ром сульфата натрия или водой при 3—4° уменьшает содержание солей на волокне примерно в 3 раза и облегчает проведение дальнейших стадий процесса. Большое влияние на свойства волокна оказывает степень его вытяжки. Увеличение вытяжки со 100 до 600% изменяет титр волокна, одновременно в 2 раза снижает удлинение волокна и почти в 10 раз повышает его прочность. Следующей важной операцией является процесс кристаллизации (термообработки) волокна. Степень кристалличности его в течение процесса сильно увеличивается. Рентгенография. Изучение дает следующие цифры кристалличности: полимер 25%; свежеспряденное волокно 30%; вытянутое в 2—3 раза волокно 35—50%; термообработанное волокно 70—75%; ацеталированное волокно 60—70%. Последней сложной операцией при произ-ве волокна является ацеталирование, которое обычно проводится формальдегидом. Этот процесс захватывает, очевидно, в основном аморфные части волокна, так как степень ацеталирования образцов падает одновременно с повышением их кристалличности. Одновременно падает и усадка волокна. Напр., при кристалличности 30% степень ацеталирования составляет 63,5%, а усадка 82%; при кристалличности 65—75% степень ацеталирования составляет 37%, а усадка 0—2,5%.

**К. Перепелкин**  
**6П1381.** Изучение вискозного волокна, содержащего поливинилового спирта или его ацетата. I. Kuriyama Sutezo, Korematsu Mikio. «Сэнъи гаккайси, Sen-i gakkaiishi, J. Soc. Text. and Cellulose Inds, Japan», 1960, 16, № 3, 163—171 (японск.; рез. англ.). — I. Ксантогенирование поливинилового спирта (I) и поливинилформала (II), а также их смесей с вискозой. I и II ксантогенируются при действии CS<sub>2</sub> в водн. р-ре едкого натра. Продукт ксантогенирования II не стабилен и его  $\eta$ -число < 1. Изучено расслоение вискозы, содержащей ксантогенаты I и II; найдено, что смеси могут быть гомог. в течение времени достаточного для фильтрации и обезвоздушивания р-ров. Скорость созреваания смесей больше, чем вискозы.

**II.** Способность к прядению смесей вискозы и ксантогенатов I и II и свойства полученных из них волокон. Прядильная способность смесей вискозы и водн. р-ров едкого натра, содержащих ксантогенаты I и II, изучалась с помощью спец. прибора. Найдено, что способность к прядению через 20—30 час. после смешения



ния незначительно отличается от таковой для вискозы, а затем сильно уменьшается. Волокно, содержащее I и II, изучено различными методами: обработкой медно-аммиачным р-ром; подвергнуто гидролизу к-той для определения кристаллич. областей; изучено рентгенографич. методом и сорбционным методом. Найденно, что I и II, содержащиеся в волокне, спряденном из гомог. смеси, повышают эластичность и сопротивляемость к действию торчатей воды и р-ров едкого натра (последнее сильнее для волокон, содержащих II).

К. Перепелкин

**6П382. Модификация волокон путем получения привитых полимеров действием радиации.** Shinohara Yasuo. «Кобунши Kagaku, Chem. High Polym.», 1960, 17, № 180, 197—201 (японск.; рез. англ.).—Изучен процесс прививки виниловых мономеров к обычным типам волокон и ряд свойств модифицированных волокон: прочность на разрыв, влагопоглощение и др. При проведении прививки к целлюлозе или найлону лучшие результаты получаются при применении смеси винилового мономера и воды или метанола. Жесткость и модуль упругости привитого полимера выше, когда привитой виниловый полимер имеет высокую т-ру стеклования (напр., стирол, метилметакрилат и акрилонитрил), и ниже, когда привитой полимер имеет низкую т-ру стеклования (напр., метилакрилат и этилакрилат).

К. Перепелкин

**6П383. О некоторых закономерностях межфазной поликонденсации хлорангидридов дикарбоновых кислот и диаминов в процессе формирования волокна.** Михайлов Н. В., Майборода В. И., Николаева С. С. В сб. «Международ. симпозиум по макромолек. химии», Москва, 1960. Секц. 1. М., 1960, 237—244 (рез. англ., франц.).—На примере межфазной поликонденсации хлорангидрида себаценовой к-ты и гексаметилендиамина изучены закономерности этой р-ции. Найденно, что при поликонденсации на границе движущихся слоев р-ров мономеров в процессе нитеобразования выход и уд. вязкость полимера больше, чем при р-ции на неподвижных поверхностях слоев мономеров. Это происходит вследствие постоянного обновления диффузионного слоя в случае формирования нити на границе движущихся потоков мономеров и более высокого градиента конц-ий в этом случае. При уменьшении величины отверстия в фильере выход полимера и его уд. вязкость также увеличиваются, что объясняется увеличением поверхности соприкосновения мономеров. При повышении т-ры р-ции от 20 до 50° мол. вес полимера не изменяется, но при этом резко уменьшается выход полимера. Изменение скоростей истечения мономеров в 2—3 раза не влияет на свойства образующегося полимера, что также указывает на очень большую скорость реакции.

А. Воложина

**6П384. Блок-конденсация полиэтилентерефталата с полиэфирами.** Kresse Peter. Über die Blockkondensation des Polyäthylenterephthalats mit Polyestern. «Faserforsch. und Textiltechn.», 1960, 11, № 8, 353—359 (нем.; рез. русск., англ.).—Исследованы обменные р-ции в расплаве между полиэтилентерефталатом и различными полиэфиром и рассмотрены факторы, определяющие скорость р-ции. Путем кратковременной совместной конденсации возможно получение блокполиэфиров, волокна из которых обладают лучшей окрашиваемостью. В качестве одного из компонентов наилучшим является полиэтиленгексагидротерефталат.

Из резюме автора

**6П385. Прибор для определения вязкости расплава полиамидных смол.** Корецкая А. И., Константинов А. А., Виноградов Г. В. «Хим. волокна», 1960, № 2, 36—39.—Описание и схема прибора (П) для определения вязкости расплава полиамидных смол при разных напряжениях сдвига и градиентах скорости истечения. П представляет собой реконструированный вискозиметр АКВ-2. Принцип действия П основан на

продавливании расплава через концентрич. щель.

К. Беляев

**6П386. Исследования деструкции целлюлозы при ксантогенировании.** Philipp Burkart, Fichte Christa. Kinetische Untersuchungen zur Zersetzung von Xanthogenaten. «Faserforsch. und Textiltechn.», 1960, 11, № 8, 374—382 (нем.; рез. русск., англ.).—Изучалась деструкция макромолекул целлюлозы при ксантогенировании, при этом определяли влияние парц. давления кислорода, вида целлюлозы, условий предсозревания и т-ры р-ции, а также влияние различных добавок (полигидроксильных и сернистых соединений) и определяли взаимосвязь между содержанием сульфидов и скоростью деструкции целлюлозы. Приведены результаты исследования деструкции целлюлозы при эмульсионном ксантогенировании.

Из резюме автора

**6П387. Кинетические исследования разложения ксантогенатов.** Philipp Burkart, Fichte Christa. Kinetische Untersuchungen zur Zersetzung von Xanthogenaten. «Faserforsch. und Textiltechn.», 1960, 11, № 4, 172—179 (нем.).—Исследовался процесс разложения во времени ксантогенатов низкомолекулярных многовалентных спиртов и простых сахаров в вод. р-ре NaOH 0,1—10 мольярной конц-ии при т-ре 20 и 30°. Изучена кинетика разложения ксантогенатов следующих соединений: 1,4-бутандиола, 1,3-бутандиола, этиленгликоля, глицерина, глюкозы и ксилиты. Для сравнения изучался процесс разложения чистых ксантогенатов целлюлозы в тех же условиях. Конц-ия ксантогенатов в р-ре NaOH составляла 0,01—0,1 моль/л.

Н. Николаев

**6П388. Кинетические исследования разложения ксантогенатов.** Philipp Burkart, Fichte Christa. Kinetische Untersuchungen zur Zersetzung von Xanthogenaten. «Faserforsch. und Textiltechn.», 1960, 11, № 3, 118—124 (нем.; рез. русск., англ.).—Исследовался процесс разложения во времени ксантогенатов одновалентных спиртов в вод. р-ре NaOH 0,1—10 мольярной конц-ии при т-ре 20 и 30°. Изучена кинетика разложения этилксантата и этилмонотиокарбоната. Для сравнения изучался процесс разложения чистых ксантогенатов целлюлозы в тех же условиях. Конц-ия ксантогенатов спиртов и целлюлозы в р-ре NaOH составляла 0,01—0,1 моль/л.

Н. Николаев

**6П389. Исследование процессов взаимодействия натрий-ксантогената целлюлозы с ионами цинка в модельных нитях.** Процесс образования структуры оболочки и ядра в вискозных волокнах. Größe Anneliese, Klare Hermann, Jost Hartmut. Untersuchungen über die Umsetzung von Natriumcellulosexanthogenat mit Zink-Ionen in Modellfäden. Beitrag zur Frage der Mantel-Kern-Struktur von Viskosefasern. «Faserforsch. und Textiltechn.», 1960, 11, № 5, 209—213 (нем.; рез. русск., англ.).—Были получены модельные волокна, состоящие только из Na-ксантогената целлюлозы и волокна из Zn-Na-ксантогената. В обоих случаях помощью микрофотографий измерялась скорость диффузии красителей в глубь поперечных и продольных сечений волокна, т. е. структура волокна и наличие ориентационного слоя (оболочки). Оказалось, что в производственных условиях получают волокна, состоящие из Na-Zn-ксантогената целлюлозы, который при обработке разб. к-тами превращаются в гели ратцеллюлозы, состоящие из оболочки и ядра. Одновременно измерялись уд. вес и кристаллич. строение оболочки и ядра. Эти измерения подтвердили, что в производственных условиях получается структурно-неоднородное волокно, с различной структурой оболочки и ядра. Структурные изменения гидратцеллюлозы вызываются действием Zn-иона на Na-ксантогенатцеллюлозный гель.

А. Пашкевич

**6П390. Реакция натриевой соли ксантогената целлюлозы с многовалентными катионами.** Механизм

вискозных капиллярных нитей. Gröbe A. P. Kiese, Klare Hermann, Riedel Erhard. Die Herstellung von Natriumcellulosexanthogenat mit mehreren Kationen. Beitrag zum Fadenbildungsmechanismus von Viskosekapillarfäden. «Faserforsch. und Textiltech.», 1960, 11, № 3, 113—117 (нем.; рез. русск., англ.).—Свободные от побочных продуктов нити из Натриксантогената целлюлозы в виде гелей, полученные в результате последующего удаления побочных продуктов промыванием — тем же р-ром, обрабатывались солями 2-валентных металлов. Найдено, что коллоиды  $\text{Cu}$  и ионов металла в обработанных ксантогенатных нитях являются стехиометрическими. Устойчивость солей различных металлов и ксантогената целлюлозы к действию 1 н. р-ра  $\text{H}_2\text{SO}_4$  при 20° изменяется в ряду:  $\text{Cu} > \text{Cd} > \text{Ni} > \text{Co} > \text{Zn} > \text{Fe}^{II} > \text{Na}$ . X. Виллемсон

6П391. Влияние электролитов на свойства растворов ксантогенатов различной степени замещения. Абрамова Е. А. «Научн. тр. Ленингр. лесотехн. акад.», 1960, вып. 91, ч. 1, 123—134.—Добавление электролитов, химически не взаимодействующих с основными компонентами вискозного р-ра в кол-вах далеких до предела растворимости, вызывает значительное уменьшение вязкости, увеличивает зрелость и вязкости вискозных р-ров. Чем меньше степень замещения ксантогената в вискозном р-ре, тем большее изменение свойств наблюдается при добавлении электролитов. Коагулирующая сила различных электролитов возрастает с увеличением степени замещения ксантогенатов. Полученные результаты позволяют сделать ориентировочный вывод о том, что с изменением степени замещения ксантогената агрегатное состояние молекул ксантогената в р-ре меняется. Р-ры ксантогенатов со степенью замещения  $\gamma$  порядка 15—17 нельзя считать истинными.

6П392. Вискозное штапельное волокно, окрашенное в массе. Weber Paul. Spinngefärbte Viskose-Zellulose, «Text-Prax.», 1960, 15, № 4, 410—416, 10 (нем.; рез. англ., исп., франц.).—Обзор. X. Виллемсон

6П393. Метод определения элементарной серы в вискозных волокнах. Benšek Ladislav. Pokusná standardní metoda pro stanovení elementární síry a aviváž na viskóznové střížky. «Textil (CSR)», 1960, 15, № 4, 151—152 (чешск.).—Так как на разных з-дах искусств. волокна до сих пор были различные методы определения, то эта методика приводится как государственная стандартная для всех з-дов Чехословакии. Самым подходящим методом определения серы является восстановление всех соединений серы до сероводорода и комбинесометрич. определение сероводорода. Но так как этим методом определялась бы и сера из авиважных препаратов, метод был отвергнут. Поэтому пришли к выводу, что наиболее приемлемым является метод, предложенный Хургиной и Николаевой (см. РЖХим, 1957, № 1, 2732).

6П394. Влияние термообработки на свойства поливинилхлоридных волокон, подвергнутых облучению  $\gamma$ -лучами. II. Aramaki Tetsuo, Hayanami Hiroshi, Takayanagi Motoo. «Связи гаккайси, Sen-i Gakkaishi, J. Soc. Text. and Cellulose Inds. Japan», 1960, 16, № 3, 203—208 (японск.; рез. англ.).—Термообработка облученных поливинилхлоридных волокон проводится при постоянной длине (в натянутах состоянии) в области т-р от 100 до 200°. При т-ре опыта, выше 140°, устойчивыми являются волокна, облученные дозой, превышающей  $3 \times 10^6$  рентген. В этом случае образуется достаточно большое число поперечных связей, препятствующих течению мол. цепей. Рентгенографич. методом установлено некоторое понижение кристалличности и степени ориентации облученных волокон после их прогрева при высоких т-рах. Заметно повышается термостойкость облученных поливинилхлоридных волокон, прогретых при высоких т-рах в натяну-

том состоянии. С другой стороны, определенные при комнатной т-ре значения разрывной прочности и модуля Юнга понижаются, а разрывного удлинения повышаются. Механизм образования поперечных связей в облученных волокнах, подвергнутых термообработке, был проверен с колич. точки зрения при помощи снятия ИК-спектров поглощения и определения степени набухания в горячем нитробензоле. Сообщение I см. РЖХим, 1960, № 14, 59733.

6П395. Механизм взаимодействия найлона с фенолом и м-крезолом. Hayama Shigeru, Takahashi Masanobu, Tokunaga Kunio. «Kogyo kagaku zasshi, J. Chem. Soc. Japan. Industr. Chem. Sec.», 1960, 63, № 2, 342—346, A18—A19 (японск.; рез. англ.).—Изучено взаимодействие найлона (I) с фенолом (II); крезолом (III) и р-рами II в метаноле и воде с применением методов микроскопии и снятия наружных слоев волокна. 60%-ный р-р II в метаноле при ~20° вызывает послойное набухание найлонового волокна толщиной 1100 денье. При этом внешние слои набухают сильнее и легко удаляются при промывке в метаноле, однако тонкая поверхностная пленка остается ненабухшей, создавая эффект периодич. набухания на разных участках. Поперечные срезы образцов (с удалением внешним слоем при т-ре >30°), обработанные прямыми красителями, оказываются окрашенными, хотя у исходного волокна они не окрашены. Р-ция найлона с 75%-ным р-ром III в воде, III при различных т-рах и расплавленным II при 50° дает те же результаты. При действии 5%-ного водн. р-ра II и р-ра II в водно-метанольной смеси различного состава р-ция происходит в незначительной степени и прокрашивается только тонкий кольцевой слой волокна. К. П.

6П396. О лабораторном испытании химически обработанного поликапролактанного штапельного волокна. Fritzsche Ehrhard, Wicklein Albert. Über die labormäßige Prüfung von chemisch nachbehandelten Polycaprolactam-Stapelfasern. «Faserforsch. und Textiltech.», 1960, 11, № 4, 180—189 (нем.; рез. русск., англ.).—Исследованы изменения текстильных свойств и хим. структура полиамидного штапельного волокна при хим. обработке водн. р-рами 10—40% едкого кали, 2—4% фенола, 26,2—27,1%  $\text{H}_2\text{SO}_4$ , 25—45%  $\text{ZnCl}_2$ , 65% лактама, хлоркарбонными к-тами. Кол-во в-ва, поглощаемого волокном, составляет от  $1/4$ — $1/5$  моля, рассчитанного на мономерное звено полиамида. Показано, что хим. обработка приводит к росту усадки волокна на 20—35%, существенному падению прочности от 2 до 40% (при действии  $\text{ZnCl}_2$ ) и возрастанию удлинения от 30 до 50%. В результате увеличения расстояния между макромолекулами значительно возрастает способность к окрашиванию прямыми и кислотными красителями (напр., при обработке  $\text{H}_2\text{SO}_4$  окрашиваемость увеличивается в 3 раза) и влагопоглощение. Блеск и цвет волокна обычно не изменяются, только обработка р-рами  $\text{ZnCl}_2$  уменьшает блеск волокна; незначительно падает светостойкость, которую можно повысить обработкой бисульфитом натрия и хромовыми солями. Хим. обработка приводит к получению волокна с устойчивой извитостью, улучшается эластичность, что приводит к повышению перерабатывающей способности штапельного волокна и уменьшению «пиллинг» эффекта. Наибольшее улучшение текстильных свойств достигается при комбинации метода механ. извитости с хим. обработкой волокна. Т. Шейн

6П397. Свойства полинозной волокна Z-54. Swilens P. De eigenschappen van de polynoze vezel Z. 54. «Rev. textillis», 1960, 16, № 4, 33—35 (флам.).—Волокно Z-54 из целлюлозы со степенью полимеризации 520, названной полинозой, с правильным круглым сечением, набухает в воде до привеса ~60%, имеет разрывную длину в сухом состоянии 3,4 г/денье, в мокром 2,7 г/денье, удлинение, соответственно, 40 и 12%; при нагрузке 0,3 г/денье удлиняется в мокром состоянии

3%, упругое восстановление волокна после нагрузки 0,5 г/дене достигает 95%.

К. Герфельд  
6П398. Полинозное волокно. Atlung Else. Poly-nosefibre, «Tidsskr. textilt.», 1960, 18, № 4, 59—60 (датск.; рез. англ.).—Обзор свойств волокна. Библ. 5 назв.

К. Герфельд  
6П399. Исследование трения между волокнами. III. Влияние скорости вытягивания на усилие, требуемое для выдергивания единичного волокна из пучка параллельно расположенных волокон. Kinoshita Shigetake, Takizawa Toshiharu. «Сэнъя гаккай-си, Sen-i gakkai-shi, J. Soc. Text. and Cellulose Inds. Japan», 1960, 16, № 2, 100—104 (японск.; рез. англ.).—На основании эксперим. значений, полученных на вискозном штапельном волокне, выведена зависимость между силой ( $f_m$ ), необходимой для выдергивания волокна, и скоростью вытягивания ( $v$ )  $f_m = A \lg Bv$ , где параметры  $A$  и  $B$  являются функциями приложенной нагрузки  $R$ . Выведенные авторами ур-ние рассматривается с теоретич. точки зрения. Сообщение II см. РЖХим, 1960, № 18, 75719.

Из резюме авторов  
6П400. О прочности на истирание щетины из поликапролактама с различной степенью ориентации. Urbanczyk Gregor W. Über die Scheuerfestigkeit von unterschiedlich orientierten Polycaprolactamborsten. «Faserforsch. und Textiltech.», 1960, 11, № 3, 129—135 (нем.; рез. русск., англ.).—Прочность на истирание щетины из поликапролактама с различной степенью ориентации, зависящей от степени вытяжки, определялась на приборах роликового (трение абразивного материала и волокна) и петлевого (трение волокна о волокно) устройств. При помощи прибора роликового устройства найдено, что прочность волокна на истирание зависит от направления истирающего усилия по отношению к оси волокна. Она уменьшается в направлении оси волокна с увеличением степени ориентации волокна и понижается при увеличении вытяжки волокна с 282 до 425% для щетины, не подвергнутой термификации, на 69%, а для щетины, подвергнутой нагреванию в воде при  $t$ -ре 98° в течение 2 час., на 46%. При истирании под углом 35° к направлению оси волокна потеря прочности на истирание для этих образцов составляет ~16% и ~9%, соответственно. Итак, прочность к истиранию щетины перпендикулярно к оси волокна возрастает с увеличением степени ориентации. Это согласуется с результатами, полученными на приборе петлевого устройства. X. Виллемсон

6П401. Контактная электризация и поляризация нейлоновых нитей. Arridge R. G. C. Contact electrification and polarization of nylon threads. «Brit. J. Appl. Phys.», 1960, 11, № 5, 202—205 (англ.).—При thirtyex значениях относительной влажности (ОВ) (30, 42, 50 и 65%) изучен процесс снятия электрич. зарядов с нейлоновой нити. Для ОВ <35% заряды локализованы и скорость снятия зарядов приближается к экспоненциальному закону. Для ОВ >35% заряды распределены вдоль нити и разрядка максим. заряда в зависимости от времени лучше подчиняется закону  $t^{-1/2}$ , чем экспоненциальному. Если к последним результатам применить диффузионное ур-ние  $p = At^{-1/2} \exp(-x^2/4Dt)$ , то величина константы диффузии  $D$  в пределах точности эксперимента не зависит от знака заряда и от того, является ли заряд контактным или поляризационным.  $D$  изменяется экспоненциально с изменением ОВ.

Резюме автора  
6П402. Анализ смесей волокон. Szentpály Tibor, Szentpály Rosa, Stark Alis. Analyse von Fasermischungen. «Faserforsch. und Textiltech.», 1960, 11, № 4, 189—195 (нем.; рез. русск., англ.).—Из описанных в литературе методов анализа смесей волокон отобраны, опробованы и видоизменены наилучшие, в результате чего даны надежные методы качеств. и колич. анализа смесей, содержащих до четырех из числа следующих волокон: хлопок, вискозное волокно,

шерсть, полиамиды, полиакрилонитрил, ардаль и меринова. Библ. 10 назв.

В. Штудер  
6П403. Применение синтетических волокон в качестве электроизоляционных материалов. Мидзутани Кюити. «Когё дайпрё, Engng Mater.», 1959, 7, № 12, 68—71 (японск.).

6П404. Рабочая одежда из акрилового волокна. Lovell H. Acrylic work clothes for industry, «Skinner's Silk and Rayon Rec.», 1960, 34, № 5, 442—443 (англ.).—Акриловое волокно куртель с успехом применяется для изготовления защитной одежды, используемой в хим. пром-сти. Приводится таблица сравнительной устойчивости этого волокна по отношению к обработке в течение 24 час. при  $t$ -ре ~20° до 50—60° пятидесятью различными хим. агентами.

А. Волохитин  
6П405. Филтры из органических волокон с диаметром меньше микрона. Cadle Richard D., Thuman William C. Filters from submicron-diameter organic fibers. «Industr. and Engng Chem.», 1960, 52, № 4, 315—316 (англ.).—Тонкие волокна с diam. <1 м получают пульверизацией воздушной струей р-ров ацетицеллюлозы, нитроцеллюлозы, полиметилметакрилата, полистирола, поливинилхлорида и поливинилформала в различных р-рителях—ацетоне, метилэтиленовом, хлороформе, этилацетате, метилхлориде и метилметакрилате. Лучшие волокна получены из р-ра полистирола в метилхлориде. Филтровальные материалы из этих волокон (в виде матов) пригодны для филтрования мелких твердых частиц (diam. 0,01—1 м) стратосферы и тропосферы. Обсуждается эффективность полученных филтров в сравнении с асбестовым филтром № 6.

А. Волохитин  
6П406. Получение линейных полимеров на основе мочевины или ее производных. Инаба Яносукэ, Кимото Кодзи, Миякэ Ясукихидэ, Хаматаши Сиро. [Тоё коапу когё кабусики кайся]. Японск. пат. 4744, 9.07.57.—Смесь 34 ч.  $H_2NHNOC(CH_2)_6CONHNH_2$  в 20 ч. мочевины в 3 объемах м-крезола нагревают 10 час. при 180—200°, р-ритель удаляют и получают полимер, который можно выпрять в волокна. Э.Т.

6П407. Метод изменения физических свойств линейных конденсационных полимеров с помощью безводного газообразного хлористого водорода. Reyer son Lloyd H., Peterson Lowell E. Method of altering the physical characteristics of linear condensation polymers with anhydrous hydrogen halide gas. [Regents of The University of Minnesota]. Пат. США 2876524, 10.03.59.—Для улучшения физ. свойств линейных полиамидов подвергают полимер на воздухе воздействию сухого газообразного хлористого водорода (I) и затем десорбируют его из полимера. Т-ра обработки I может колебаться от 20 до —80° и давления от 1 мм до 100 мм рт. ст. Десорбцию осуществляют в вакууме при 50—110°. Время воздействия I колеблется от 2 мин. до 2 час., в течение которого полимер сорбирует от 1/2 до 2 1/2 молей/моль амидных звеньев в полимере. Благодаря указанной обработке, свежензавитый нейлоновый пряжа получает более устойчивую извитость. Пример. Сорбцию образцами нейлона I осуществляли при 20° и изменении давления от 0 до 81,4 см рт. ст. Получены следующие результаты (давление см рт. ст.,  $\mu$  HCl/г нейлона): 0,135, 142; 0,390, 254; 1,06, 316; 3,65, 360; 10,8, 393; 25,1, 416; 50,3, 442; 81,7, 466. Т. Шейн

6П408. Установка для растворения вискозы. Конэ Такэо. [Дайки гому когё кабусики кайся]. Японск. пат. 9897, 26.11.57.—Для растворения кантогената целлюлозы применен вертикальный цилиндр, баг. наружные стенки которого обогреваются. В крышке бака имеются два загрузочных отверстия для целлюлозы и кантогената целлюлозы. В баке расположен конусный стакан, внутри которого на разных уровнях расположены эксцентрично расположенные крыльчатки, которые измельчают кантогенат целлюлозы и интенсивно



цель и ме-  
В. Штупер  
кон в каче-  
дзутана  
7, № 12.

лока. Lo-  
«Skinner»  
(англ.)—  
именяется  
изуемой в  
ельной ус-  
обработке  
0° пятиде-  
Волохине  
кон с диа-  
D. Thun-  
diameter of  
0,52, № 4,  
11 и полу-  
ов ацетила-  
такрилата,  
илформаль-  
тилгеном,  
и метилме-  
а полиста-  
риалы из  
фильмова-  
(и) стро-  
вность по-  
ным филь-  
Волохина

на основе  
носую, ма-  
матана  
тонск, пат.  
NHNH, а  
нагревают  
получают  
на. Э.Т.  
ойств из-  
люцию бе-  
Reyer  
thod of al-  
ndensation  
(Regents  
A 2876524,  
ных поли-  
действит-  
(и) и затем  
и I может  
до 100 мм  
при 50—  
2 мин. до  
т от 1/2 до  
Благода-  
айлоновой  
сть. Прв-  
влял при  
ст. Полу-  
рт. ст., №  
316; 316.  
Т. Шейн  
ы. Ково  
И. Яновс  
нтогената  
рич. бак.  
В крыше  
я целлю-  
ген кону-  
влях вра-  
ратки, по-  
интенсив-

но перемешивают его для быстрого растворения. Нормальчатка приводится во вращение от мотора, размещенного на крышке бака. Как цилиндрич. бак, так и конусный стакан внутри бака имеют обогревающие рубашки.

**6П409.** Процесс для размешивания, растворения, эмульгирования, гомогенизирования и т. п. труднорастворимых твердых веществ в жидкостях (например, для растворения ксантогената в разбавленной щелочи) и соответствующий аппарат. Kürchner Otto, Teichfischer Bernhard. Verfahren und Vorrichtung zum Lösen, Mischen, Emulgieren, Homogenisieren u. dgl. von Stoffgemischen, die aus schwerlöslichen festen und flüssigen Komponenten bestehen, beispielsweise aus Xanthogenat und verdünnter Natronlauge. Пат. ГДР 19091, 7.01.60.—Патентуется способ для избежания трудностей, возникающих при перекачивании легко расслаивающихся смесей твердых в-в с жидкостями из предельного смесителя (ПС) в эмульгатор. В зависимости от величины уд. весов жидкостей и твердых частей, последние в ПС будут скапливаться либо в его нижней, либо в его верхней части, несмотря на интенсивное действие мешалки. Поэтому, согласно новому принципу, ПС снабжается двумя отводящими трубопроводами, один из которых берет начало в его верхней, а другой в его нижней части. Оба трубопровода идут вниз и соединяются у смешивающего и проталкивающего устройства (СПУ). В СПУ жидкая (напр., щелочная) часть смеси идет из смесителя по соответствующему трубопроводу самотеком, а более густая часть смеси засасывается из смесителя принудительно. В СПУ эти части смешиваются и проталкиваются в эмульгатор, из которого могут быть либо возвращены в смеситель, либо, когда растворение закончилось, выведены из аппарата в виде р-ра. Конструкция СПУ может быть различной. В одном из вариантов это шнек, наподобие шнека мясорубки, засасывающий густую часть смеси, в которой, по выходе из шнека, самотеком присоединяется жидкая часть смеси. В другом варианте СПУ содержит вращающийся барабан с неровной поверхностью, примыкающий к наклонным лопастям, который действует наподобие крыльчатки центробежного насоса и засасывает густую часть смеси, к которой самотеком присоединяется жидкая. Возможен и комбинированный вариант устройства СПУ.

**6П410.** Усовершенствованная аппаратура для обработки частиц твердого материала, в частности для предозревания измельченной щелочной целлюлозы. Glauber Emil, Morse Reginald Arthur, Costa Joseph Louis, Politzer Alfred, Sixthor Frank. Improved apparatus for the treatment of particulate solid material, in particular for ageing comminuted alkali cellulose. Англ. пат. 830985, 23.03.60.—Аппарат для обработки частиц твердого материала, в частности для предозревания измельченной щел. целлюлозы, состоит из горизонтальных труб, снабженных системой обогрева или охлаждения (>3 секций на трубу), имеющих внутри вращающиеся приспособления, в частности шнековые транспортеры, для перемешивания и перемещения вдоль оси трубы щел. целлюлозы. Трубы могут быть расположены одна над другой или связаны между собой транспортной лентой и/или лентоном для передачи щел. целлюлозы из одной трубы в другую. Приводятся схемы и описание агрегатов.

**6П411.** Усовершенствование в производстве гидратцеллюлозных волокон. Smith John Oliver. Improvements in and relating to the production of regenerated cellulose filaments. [Courtaulds Ltd]. Англ. пат. 829869, 30.03.60.—Процесс произ-ва извитых гидратцеллюлозных волокон с метрич. номером элементарного волокна >1000 включает прядение вискозного р-ра в осадительную ванну, содержащую  $H_2SO_4$ , >16%  $Na_2SO_4$  и

$ZnSO_4$ . Длина пути нити в ванне должна обеспечить щел. или нейтр. р-цию жидкости, абсорбированной нитью на выходе из ванны. Далее нить отжимается и вытягивается на > 35% в горячей воде. ванне, содержащей компоненты осадительной ванны, но в меньшей конц-ии. Пример. Вискозный р-р, содержащий 7,5% целлюлозы и 7,0% NaOH, прядется при зрелости по NaCl 5,5 через фильеру с диаметром отверстия 0,25 мм в осадительную ванну, содержащую 9,5%  $H_2SO_4$ , 24,0%  $Na_2SO_4$  и 1,0%  $ZnSO_4$ , при т-ре ванны 50°. Скорость отвода нитей из осадительной ванны составляет 45 м/мин при длине пути нити в осадительной ванне 254 см. Вытяжка нити на 60% производится при т-ре 90° в воде. ванне, содержащей 10%  $H_2SO_4$ , 12%  $Na_2SO_4$  и небольшие ков-ва  $ZnSO_4$ , при длине пути нити в ванне 85 см. Затем нить подвергается усадке в горячей воде и резке. Полученное волокно с метрич. номером 260 имеет хорошую извитость. X. Виллемсон

**6П412.** Улучшение способа получения пленок и волокон из вискозы. Toms Brian Atkinson. Improvements in and relating to the manufacture of threads, fibres, filaments and the like from viscose. [Courtaulds Ltd]. Англ. пат. 831065, 23.03.60.—Описывается способ формирования пленок и волокон из устойчивых производных целлюлозы, полученных формированием вискозы с гамма-числом 15—45 в бикарбонатную ванну и обработкой пленок и волокон в-вами, превращающими ксантогенат целлюлозы в устойчивые производные (ксантоацетаты, тиоуретаны, метилксантогенаты целлюлозы). Пример. К 100 кг обычной щел. целлюлозы, подвергавшейся предозреванию в течение 38 час. при нормальной т-ре, добавляется 10,2 кг сероуглерода. Ксантогенат превращается обычным путем в вискозу (7,5% целлюлозы, 7,0% NaOH), которая подвергается созреванию 2 суток при 20° до гамма-числа 38. Вискоза формируется через фильеру с 28 отверстиями и диаметром отверстия 0,087 мм в ванну, содержащую насыщ. р-р бикарбоната натрия при 40°. Путь нити в ванне равен 800—900 мм. Свежеформованная нить промывается сначала теплым насыщ. р-ром бикарбоната, затем водн. р-ром ацетона 2:1, потом чистым ацетоном, после чего сушится на воздухе. Полученные нити почти прозрачны, имеют зелено-желтый цвет и круглый поперечный срез. Нити, сформованные из вискоз, подвергавшихся созреванию в течение 3—9 суток, полностью растворяются в воде, нити из вискоз, созревавших 10—11 суток, растворяются только в разб. щелочи. Прочность на разрыв нитей, растворяющихся в воде, равна 4,5—9,0 ркм, растворяющихся только в щелочи — 9,0—13,5 ркм. Нити, подвергавшиеся во время прядения или после промывки вытягиванию, имеют прочность на 50% выше. Водорастворимые нити после нескольких дней хранения теряют растворимость в воде. Для превращения в устойчивые производные ксантогената целлюлозы полученные нити подвергаются обработке в течение 30 мин. при 20° 100 мл йодистого метила в смеси 3 л ацетона и 1 л воды. Образующиеся при этом нити метил-ксантогената целлюлозы далее обрабатываются при 20° в течение 12 час. 15%-ным р-ром аммиака и превращаются в тиоуретан целлюлозы, стойкий при хранении и переработке. Можно также ксантогенатные нити обрабатывать р-ром монохлорацетата натрия, превращающего ксантогенат в ксантоацетат целлюлозы, также стойкий при хранении и переработке. Обработывая ксантоацетат целлюлозы 15%-ным аммиаком, можно его также превратить в тиоуретан целлюлозы.

**6П413.** Способ получения триацетатного волокна. Роговни З. А., Крайнов А. П., Нитицкий А. И., Давыдов А. Н., Иванова З. С. Авт. св. СССР 129785, 1.07.60.—Описан способ получения триацетатного волокна из р-ров триацетилцеллюлозы в смеси метилхлорида и этилового спирта с подачей

А. Пакшвер

нагретого воздуха в шахту в направлении хода нити, отличающийся тем, что в целях повышения экономичности процесса и улучшения условий труда, формование волокон осуществляют при т-ре подаваемого в шахту воздуха  $+30^\circ (\pm 2)$  при т-ре, выходящей из шахты паровоздушной смеси  $+48^\circ (\pm 2)$  при конц-ии последней в шахте  $\sim 30$  мг/л.

Д. Кантер  
6П414. Усовершенствования процесса производства триацетатного волокна. Groombridge Denis William, Downing John. Improvements in the manufacture of cellulose triacetate filamentary materials. [British Celanese Ltd]. Англ. пат. 834884, 11.05.60.—Процесс произ-ва триацетатного волокна включает формование волокна из р-ра триацетилцеллюлозы с ацетиловым числом 61% в уксусной к-те (I) в водн. осадительную ванну, содержащую  $< 65\%$  I (оптимально 12—25%) при отношении скорости отвода нити из осадительной ванны к скорости истечения р-ра из отверстия фильеры  $< 0,9$  (оптимально 0,3—0,8) и вытяжку полученного волокна в мокром состоянии на  $> 10\%$  (оптимально 10—30%). В качестве прядильного р-ра может быть использован р-р, полученный при ацетилировании целлюлозы с последующей нейтр-цией катализатора процесса ацетилирования и доведением до нужной для прядения конц-ии. Вязкость р-ра 6 г триацетата целлюлозы в 100 мл смеси 90 объемов метилхлорида и 10 объемов метанола при  $20^\circ$ , измеренная вискозиметром Оствальда № 3,  $> 150$  спуаз. Пример. 15%-ный р-р триацетилцеллюлозы с ацетиловым числом 61,2% и вязкостью 156 спуаз в I формуют через фильеру с 216 отверстиями диам. 0,040 мм в осадительную ванну, представляющую собой 18%-ный водн. р-р I и имеющую т-ру  $20^\circ$ . Путь нити в ванне 70 см; по выходе из ванны пучок нитей поступает на ролик, скорость вращения которого обеспечивает нити отношение вытяжки 0,54, и вытягивается на 12%. Вытянутая нить промывается от I и сушится в свободном состоянии. Полученное волокно 734 денье имеет прочность 1,33 г/дене, удлинение 26,6%.

А. Воложина  
6П415. Растворы полиакрилонитрила или сополимеров акрилонитрила. Фудзисаки Йосисато, Кобаяси Хидэхико. [Асаки касэй когэ кабусики кайся]. Японск. пат. 984, 985, 13.2.57.—Пат. 984. Полиакрилонитрил (ПА) или сополимер акрилонитрила (I), содержащий  $> 85\%$  I, растворяют в водн. р-ре нитрата, содержащем  $\text{HNO}_3$ . Пример. 10 ч. I прибавляют к 90 ч. р-ра, состоящего из  $\text{HNO}_3$  (50%),  $\text{Zn}(\text{NO}_3)_2$  (20%) и воды (30%), и перемешивают 2 часа при  $25^\circ$ . Получают стабильный гомог. р-р, который формуют в насыщ. водн. р-р  $\text{Na}_2\text{SO}_4$  при  $20^\circ$ , затем вытягивают в оливковом масле при  $120^\circ$ . Содержание азота в полученном волокне почти не изменяется. Пат. 985. Применяют водн. р-р  $\text{HNO}_3$ , содержащий 0,18% перекисей азота. Пример. ПА растворяют в 70%-ной водн.  $\text{HNO}_3$ , содержащей 0,26% перекисей N, и перемешивают 4 часа при  $5^\circ$ . Полученный р-р имеет вязкость 700 спуаз. В случае, когда водн. р-р  $\text{HNO}_3$  содержит 0,002% перекисей N (что достигается продуванием через р-р кислорода в течение 5 час.), вязкость его составляет 1100 спуаз.

Э. Т.  
6П416. Усовершенствования в области получения полиакрилонитриловых растворов. Starkey Ronald James, Sheppard Ronald Frederick. Improvements in and relating to polyacrylonitrile solutions. [Courtaulds Ltd]. Англ. пат. 830830, 23.03.60.—Описан процесс радикальной полимеризации акрилонитрила в чистом виде или с добавкой до 20% других мономеров в присутствии в-в, регулирующих этот процесс. В качестве регулирующих в-в предлагается добавлять акрилбензилсульфонилгидразид или окси-бис-бензилсульфонилгидразид. Благодаря добавке регуляторов можно легко получить заданную величину характеристик, вязкости полимера. Напр., 1 ч. азо-бис-изобутиронитрила и 0,5 ч. бензилсульфонилгидразида раство-

ряются в 100 ч. смеси 92% акрилонитрила и 8% метилакрилата. 10 ч. смеси растворяется в 90 ч. 50% водн. р-ра роданистого натрия. При нагревании в течение 100 мин. при  $75^\circ$  получается готовый прядильный р-р с конц-ией 8,5% полимера, имеющего характеристич. вязкость 1,63. В тех же условиях, но без добавки бензилсульфонилгидразида получается полимер с характеристич. вязкостью 2,5.

К. Перепелкин  
6П417. Усовершенствования процесса получения полиакрилонитриловых растворов. Schmidt Wilhelm Georg. Improvements in and relating to polyacrylonitrile solutions. [Courtaulds Ltd]. Англ. пат. 831049, 23.03.60.—Описывается процесс полимеризации акрилонитрила в чистом виде или с добавкой до 20% других мономеров в водн. или водно-спирт. р-ре роданистых солей. В качестве инициаторов применяются в-ва, образующие свободные радикалы. Полученные р-ры часто окрашены и для уменьшения окраски рекомендуется добавлять (0,1—1,0 мол % от веса мономера) восстановители, не мешающие процессу полимеризации, в частности соединения типа  $\text{RNNHNR}'$ , где R и R' алкильные радикалы, которые могут содержать заместители (карбоксильные группы). Приводятся два примера рецептов.

К. Перепелкин  
6П418. Усовершенствования при получении растворов полиакрилонитрила. Wilson Donald Leonard. Improvements in and relating to polyacrylonitrile solutions. [Courtaulds Ltd]. Англ. пат. 830750, 16.03.60.—Процесс приготовления р-ров полиакрилонитрила, отличающийся тем, что чистый акрилонитрил (АН) или вместе с другим мономером, применяемым для сополимеризации, растворяют в конц. водн. или спирт. р-ре тиоцианата. Полимеризация проводится в присутствии ароматич. диазофторбората, как катализатора (напр., л-хлорбензолдиазофторбората или л-анилидиндиазофторбората (I)) и 0,1—0,3% от веса полимеризуемой смеси гидросульфита натрия. Полученный в результате полимеризации р-р полимеров или сополимеров АН пригоден для прядения волокон. Пример. 0,8%-ный р-р I в акрилонитриле добавляют к 50%-ной водн. р-р тиоцианата Na из расчета получения смеси, содержащей 43,1% тиоцианата натрия, 43,7% воды, 12,5% АН и 0,1% I, и имеющей pH 7—8. Смесь нагревают до  $80^\circ$  и перемешивают при этой т-ре в течение 2 час. Характеристич. вязкость полимера в р-ре диметилформамида составляет 1,7. Прядение производится в водн. ванну. Цвет прядильного р-ра может быть улучшен добавлением 0,1—0,3 вес. % гидросульфита натрия. Приводится рецепт получения I.

Х. Виллемсон  
6П419. Производство нитей из полиакрилонитрила. Cresswell Arthur. Production of polyacrylonitrile filaments. [American Cyanamid Co.]. Пат. США 2916348, 8.12.59.—Описывается процесс получения нитей из полиакрилонитрила или его сополимера с винилпиридином (2—20%); метилвинилпиридином (2—20%); 2-метил-5-винилпиридином (2—10%) и винилацетатом (2—10%); 2-метил-5-винилпиридином (2—20%) и каки-либо другим ненасыщ. соединением (2—10%). Полимер растворяется в солевых р-рах, напр., роданистого натрия, калия или лития, конц-ией  $> 40\%$ . Прядение ведется в водн. ванну, содержащую 3—25% солей, иногда с добавкой водорастворимых спиртов (метилового, этилового, этиленгликоля и др.) в кол-ве 5—15% при т-рах от  $-9$  до  $+10^\circ$ . Нить подвергается вытяжке при обычной т-ре, промывается водой, затем водн. р-ром аммиака с pH 8—11, снова промывается, подвергается вытяжке при повышенной т-ре и сушится. Тщательная промывка аммиаком от связанного роданистого иона необходима, так как в присутствии следов железа (от корродирующегося оборудования) появляется розовое окрашивание волокон. Приводятся пять различных режимов получения волокон.

К. Перепелкин

и 8% мо-  
50% водн.  
в течение  
ильный р-р  
актеристич.  
обавки бен-  
ер с харак-  
Перепелкин

получения  
idt Will-  
ing to poly-  
Англ. пат.  
имеризации  
кой до 20%  
р-ре родо-  
именяются  
Полученные  
окраски ре-  
веса моно-  
дессу полне-  
RNHNR'  
тотут содер-  
Приводят  
Перепелкин

ни раство-  
ald Leo-  
acrylonitril-  
830750  
полнакрило-  
рилонитрил  
именяемы  
водн. или  
оводится  
как катали-  
или п-ан-  
веса пол-  
Полученный  
или сопо-  
кон. Пр-  
обавляют  
ета полу-  
та натрия  
ей pH 7-8  
этой т-ре  
полимера  
идение про-  
о р-ра мо-  
с. гидро-  
нения I.  
Виллемсон

лонитрила  
acrylonitril  
ПА 291634  
тей из по-  
ниллириды  
20%); 2-ме-  
етатом (2-  
и каки-  
%). Пол-  
оданисто-  
Прядени  
25% солей  
в (метил-  
ве 5-15%  
я вытяжи-  
атем водн.  
ся, подвер-  
тис. Тис-  
роданисто-  
следов же-  
появляется  
пять р-р-  
Перепелкин

6П420. Процесс получения модифицированных акрилонитрильных полимеров. Coover Harry W., Jr., Shields Donald J. Polymerization process for preparing modified acrylonitrile polymers. [Eastman Kodak Co.]. Пат. США 2883360, 21.04.59.—Для получения графтополимеров акрилонитрила в реактор непрерывно подается из мерников смесь, содержащая воду 60—95 вес. ч. мономерной смеси 85—99,5% акрилонитрила, и 15—0,5% ненасыщ. мономера с группой  $-\text{CH}=\text{C}<$ , перекисный катализатор и 40—5 ч. предварительно полученного полимера из соединения общей формулы  $\text{CH}_2=\text{C}(\text{R}')\text{CONRR}'$ , где R — водород или алкильная группа с 1—4 атомами C, R' — алкильная группа с 1—4 атомами C и R'' — водород или метильная группа. Смесь нагревают до степени превращения 70% и выводят с такой же скоростью, с какой вводят исходные компоненты. Полученный графтополимер может использоваться для дальнейшей переработки в виде р-ра или предварительно выделяться из р-ра. В качестве активатора применяют сульфиты, бисульфиты, или метабисульфиты щел. металлов, регулятора — алкилмеркаптан, pH регулируется добавлением фосфорной к-ты. Пример 1. В мернике в токе азота помещают: в первый — 100 ч. акрилонитрила, содержащего 1% додецилмеркаптана, во второй — р-р 2 ч. метабисульфита натрия в 20 ч. воды, в третий — смесь 980 ч. воды, 5 ч. 100% фосфорной к-ты, 1 ч. персульфата калия и 35 ч. сополимера из 70% N-метилметакриламида и 30% акрилонитрила. Реагенты подпадают непрерывно, при соотношении скоростей 1:10,1:0,218 (4,58:46,4:1,0) соответственно. Компоненты из мерников 1 и 3 смешивают при 25°, добавляют р-р из мерника 2 и вводят в реактор с т-рой 35°. Полимеризация начинается сразу, после окончания р-ции суспензия полимера выводит. Время р-ции может колебаться от 0,5 до 3 час. при 35°. Полученный графтополимер имеет т. размягч. > 200°, растворим в обычных для полиакрилонитрила р-рителях с образованием легко фильтрующихся прядильных р-ров. Волокна имеют хорошие физ.-мех. свойства и прекрасную способность окрашиваться обычными красителями. Пример 2. Получение сополимеров с модификацией в основной цепи, содержащих 60—95% связанного акрилонитрила, для чего в условиях примера 1 полимеризуют смесь 100 ч. акрилонитрила, 5,6 ч. 30% водн. р-ра N-метилметакриламида, 1 ч. додецилмеркаптана, 307 ч. 10% р-ра сополимера в исходной смеси, содержащего 70% N-метилметакриламида и 30% акрилонитрила, 5,8 ч. 85% фосфорной к-ты, 1 ч. персульфата калия, 1140 ч. воды и р-р 2 ч. метабисульфита натрия в 20 ч. воды. Модифицированный сополимер (выход 96%) размягчается > 200°, легко растворим в р-рителях для полиакрилонитрила и дает бесцветные прядильные р-ры до вязк-ти 20—40% без желатинизации волокна и волокна прекрасно окрашиваются, гидрофильны и имеют удлинение 40—50%.

В. Дурibaум

6П421. Усовершенствование при получении моноволокон из виниальных полимеров. Perfectionnement des monofilaments en polymères vinyliques. [Soc. Rhodulf]. Франц. пат. 1205696, 4.02.60.—Новые виды моноволокон на основе поливинилхлорида (I) или сополимеров винилхлорида (II) получают при прядении из расплава, содержащего > 50% I или II и другой термопластич. полимер, находящийся в расплавленном состоянии при т-ре прядения I или II. Пример. Смесь состоящая из 80% I с значением  $K = 70,2\%$ , стабилизатора типа дибутилмалеата и 18% полистилена с т. пл. 140°, прядется из расплава при т-ре 185°. Моноволокно по выходе из отверстий фильеры вытягивается в 4 раза в водн. ванне при 90°. Полученные моноволокна хорошо разделяются.

Х. Виллемсон

6П422. Способ получения щетины из поливинилхлорида. Kinzinger Emil. Verfahren zur Herstellung schitzbarer Borsten aus Polyvinylchlorid. [Farbwer-

ke Hoechst A.-G. vormals Meister Lucius & Brüning]. Пат. ФРГ 1055749, 1.10.59.—Поливинилхлорид в виде порошка или гранул смешивают до переработки с 0,5—15% (на поливинилхлорид) полиамида ω-аминоундекановой к-ты, после чего из этой смеси формуют щетину и вытягивают ее. Получают щетину, концы которой способны разделяться на множество тонких волосинок, приобретающих при трении сильный электростатич. заряд и применяемых для изготовления щеток. Напр., 100 вес. ч. поливинилхлорида ( $K_{\text{в}}$  60) смешивают с 1 вес. ч. 2-этилгексидового эфира дибутилод-бис-тиогликолевой к-ты (стабилизатор) и 1 вес. ч. моноолеата глицерина, вальцуют 10 мин. при 100° и гранулируют (размер гранул 3 мм). 100 вес. ч. гранулята смешивают с 8 вес. ч. гранулированного полиамида ω-аминоундекановой к-ты, расплавляют в червячном прессе в атмосфере  $\text{N}_2$  и формуют в щетину, которую затем вытягивают в воде при 95° в 2,5 раза и разрезают на размеры требуемой длины. Изготовленные из них щетки при трении приобретают сильный электростатический заряд и хорошо связывают пыль и грязь.

М. Альбам

6П423. Способ полимеризации лактамов. Wichterle Oto, Sebenda Jan. Způsob polymerisace laktamů, zvláště 6-kaprolaktamu. Чехосл. пат. 87163, 15.09.57.—Лактамы полимеризуют в присутствии карбонатов или бикарбонатов щел. металлов, взятых в кол-ве  $\geq 0,003\%$  от веса лактама. К 3 г ε-капролактама добавляют 0,08 г тонкодисперсного безводн.  $\text{NaHCO}_3$  и смесь нагревают в инертной атмосфере до 275—277°. Через 10 мин. смесь превращается в очень вязкую массу, способную образовывать волокна. Такие же результаты получают, применяя 0,083 г  $\text{Na}_2\text{CO}_3$  и 0,037 г  $\text{NaHCO}_3$  (через 5 мин.). Применяя 0,05 г  $\text{NaHCO}_3$  в виде 20%-ной суспензии в кислоте получают полимер, имеющий пониженные т-ру плавления и вязкость, что улучшает процесс формирования волокна.

А. Мышкин

6П424. Усовершенствования в производстве полиамидов. Baker Peter Arthur, Costain Winston. Improvements in or relating to the manufacture of polyamides. Англ. пат. 828264, 17.02.60.—Предлагаются полиамидные композиции, состоящие по крайней мере из двух полиамидов, один из которых получен при избытке к-ты, другой — при избытке амина. Смесь содержит эквивалентное кол-во конечных амидных и карбоксильных групп. Вязкость расплава полиамидов 350—2500 пуаз при 278°. Пример. Три полиамида, приготовленных из адипиновой к-ты (I) и гексаметилендиамина (II) при избытке 0,8 мол.% I, смешаны в виде стружки с тремя полиамидами, полученными при избытке 1,8—2,3 мол.% II. Из смеси получено волокно путем формирования из расплава.

В Дюрбаум

6П425. Процесс фильтрации при прядении из расплава. McGeorge Arthur, Jr. Process for filtration during melt spinning. [E. I. du Pont de Nemours and Co.]. Пат. США 2883261, 21.04.59.—Улучшение процесса прядения синтетич. волокон, в частности нейлона, происходит в том случае, если расплавленное волокнообразующее соединение фильтруют перед поступлением в фильеры. Процесс заключается в продавливании с помощью насоса расплава через первый фильтровальный слой, включающий инертные частички, сетку, затем через ограниченное пространство между первым и вторым фильтровальным слоем, второй фильтровальный слой, пространство между этим слоем и фильерой и, наконец, фильеру для образования волокна. Глубина пространства между слоями не превышает 0,75—2 мм. Дано описание и размеры фильерного комплекта для прядения нейлона.

Т. Шейн

6П426. Растворы модифицированных полиэфиров в углезамещенных жирных кислотах. Cox Paul R., Jr.



Solutions of modified polyesters in thiol-substituted fatty acids. [The Chemstrand Corp.]. Пат. США 2912405, 10.11.59.—Растворы модифицированных полиэфиров — продуктов поликонденсации ароматич. дикарбоновых к-т или диалкиловых эфиров этих к-т (90—70%), диалкиловых эфиров алифатич. дикарбоновых к-т общей ф-лы  $\text{ROCOC}_n\text{H}_{2n}\text{COOR}'$ , где R и R' — алкильные радикалы с 1—20 атомами C (10—30%) и гликолей общей ф-лы  $\text{HO}(\text{CH}_2)_n\text{OH}$ , где  $n = 1-10$ , в тиолзамещ. жирных к-тах, пригодные для сухого и мокрого прядения полиэфирных волокон. Конц-ия р-ра 5—15%, т-ра растворения 100—125°. Пример. 5%-ный р-р волокнообразующего модифицированного полиэфира получают легко и быстро при растворении модифицированного полиэфира в тиогликолевой к-те при т-ре 100°. Немодифицированный полиэфир (полиэтилентерефталат) не растворяется в тиогликолевой к-те даже при т-ре 180°. Более конц. придильные р-ры получают при повышенной т-ре под давлением. Так, напр., 15%-ный р-р модифицированного полиэфира был получен при т-ре 165° под давлением. Свойства полученных волокон аналогичны со свойствами волокон, полученных формованием из р-ров модифицированных полиэфиров в тиофеноле. Х. Виллемсон

6П427. Способ сушки волокнообразующих полиэфиров. Markes Rudolf, Cech Svatoopluk. Způsob sušení vláknotvorných polyesterů. Чехосл. пат. 90102, 15.05.59.—Способ сушки полиэфиров при атмосферном или пониженном давлении или в токе газа характерен тем, что т-ра полимера повышается таким образом, что в течение 1/6 части сушки не превышает 145°, и к концу сушки минимально на 15° выше. Сушку ведут в стационарных вертикальных сушильках. Для нагрева полиэфира применяют инертный газ. Направление потока газа с осью сушилки составляет угол 90°. Пример. Крошка полиэтилентерефталата с предельной вязкостью 0,742, измеренной при 30° в смеси фенол-тетрахлоратан 1:3, сушится в вертикальной сушилке, снабженной системой подогрева компенсирующей теплопотери при давл. 200 мм рт. ст. Сушка осуществляется током азота, протекающего со скоростью в сушилке 0,2 м/сек в радиальном направлении. Скорость подвода и отвода азота по всей высоте сушилки постоянна. Путь потока газа в сушилке составляет минимально 100, максимально 150 мм. Начальная т-ра входящего в сушилку азота 105°, т-ру постепенно повышают до 140° в течение 4 час. При 140° выдерживают в течение 1 часа, затем в течение 2 час. повышают до 200° и выдерживают при 200° в течение 3 час. Предельная вязкость высушенного полиэтилентерефталата > 0,737 и после повторного плавления она равняется 0,730 или выше. Ф. Нарина

6П428. Способ изготовления полиэфира этиленгликоля. Lukeš Rudolf, Janda Miroslav. Způsob přípravu polyesteru ethylenglykolu. Чехосл. пат. 87340, 15.07.59.—Этиленгликоль конденсируют с 2,5-фурандикарбоновой к-той; сначала производят переэтерификацию диметилового эфира дегидрослизевой к-ты и затем поликонденсацию. В качестве катализаторов применяют металлы и щел. металлы. Переэтерификацию осуществляют при 160—200°, поликонденсацию — при 240—300°. Пример. Реакционная смесь состоит из 1 моля диметилового эфира дегидрослизевой к-ты, 2,5 моля этиленгликоля и 0,1 г цинка, промытого сначала 3%-ным р-ром HCl, затем в этаноле. Вначале отгоняют метанол и часть этиленгликоля, затем т-ра смеси повышается от 160 до 197°. После отгонки 8,1 м этиленгликоля прибавляют к смеси такое кол-во метилалкоголята натрия, чтобы его содержание в смеси достигло 0,01%. Поликонденсацию проводят при 290° в атмосфере азота в вакууме 1—3 мм рт. ст. в течение 3 час. Т-ра плавления полимера 197°. Его можно применять для произ-ва волокна и пленки в чистом виде или в смеси с другими полимерами. Ф. Нарина

6П429. Способ улучшения придильной способности химических волокон. Fritzsche Ehrhard, Wicklein Albert. Verfahren zur Verbesserung des Spinnfähigkeit von Chemiefasern. Пат. ГДР 18025, 15.12.58.—Для улучшения придильной способности, особенно в кардочесании, хим. волокон, преимущественно полиамидных на последней стадии отделки при обработке р-рами или эмульсиями дубильных в-в, шликтовыми средствами или в-в образующих пленки, в препарационную ванну добавляют порошкообразные, в воде нерастворимые органич. или неорганич. в-ва. В качестве таких добавок можно применять полиамидные, поливинилхлоридные смолы, аминопласты, карбонат магния, гипс, двуокись титана, окись алюминия, кварцевую или стеклянную пудру, тальк и др. Эти в-ва неоднородно распределяются в пленке, образующейся на поверхности волокна и в дальнейшем вымываются вместе с ней. Пример. Полиамидное штапельное волокно титром 1,4 дене и длиной 36 мм обрабатывают двухфазным способом, вначале водн. взвесью двуокиси титана с величиной частиц ~1 м и конц-ией 0,2 г/л и затем в препарационной ванне, содержащей 25 г/л продукта конденсации β-нафталенсульфоновой к-ты и формальдегида и 0,1 г/л минер. масла. Волокно центрифугируют и сушат. Перерабатывающая способность таких волокон по хлопчатобумажной системе не вызвала никаких затруднений. Переработка полиамидных волокон, не подвергнутых такой обработке, оказалась невозможной и не привела к получению пригодного холста. Т. Шейн

6П430. Способ производства волокна для шпифальных и полировальных щеток. Vondrážka Bedřich. Způsob výroby vláken pro brusné a leštičí kartě. Чехосл. пат. 86335, 15.03.57.—Особенностью патента является то, что к полимеру, напр. полиамиду, прибавляют шлифующие или полирующие в-ва. Конц-ия шлифующих или полирующих средств составляет 20—50%. При применении щеток, изготовленных из волокна, получаемого согласно патенту и содержащего патентные указанные средства, не надо давать пасты для шлифования и полирования, чем достигается чистота при работе этими щетками. Ф. Нарина

6П431. Структура канатов из синтетических волокон и метод их изготовления. Murdock Silas Marshall. Synthetic rope structure and method of making same. [Columbian Rope Co.]. Пат. США 291789, 22.12.59.—Описывается метод получения нерастрепывающихся канатов с устойчивой структурой из найлонового волокна. 5—25% стренг пропитывается в водный спирт. р-ре найлона, затем скручивается с остальными, в результате чего при высушивании стренги скрепляются друг с другом, мало меняя гибкость каната. К. Перепелкин

6П432. Усовершенствование в производстве волокнистых материалов. Larman William Thomas, Downing John, Hawtin Selwyn George. Improvements in or relating to fibrous materials. [British Celanese Ltd]. Англ. пат. 830805, 23.03.60.—Усовершенствование процесса произ-ва волокнистых материалов (ВМ), напр. из диацетицеллюлозы, гидратцеллюлозы, триацетицеллюлозы, пригодных в качестве фильтров для сигарет, включает прокатку в целях уплотнения или придания гладкой поверхности, стержней из ВМ между двумя параллельными или суживающимися выходами поверхностями, напр. между вогнутой поверхностью цилиндрич. поверхностью и поверхностью вращающегося барабана (цилиндра). Радиус цилиндра несколько меньше радиуса кривизны цилиндрич. поверхности, причем ось цилиндра несколько смещена по отношению к оси кривизны из расчета уменьшения расстояния между цилиндром и цилиндрич. поверхностью на ~20%. Эти поверхности могут нагреваться, смазываться р-рителем или в-вом, вызывающим сильное набухание ВМ. Пример. 26%-ный р-р ацетицеллюлозы в ацетоне, содержащем 5% воды, прядется в водн. ос

способности  
ard, Wick  
des Spinn-  
5, 15, 12, 58.  
особенно  
венно поли  
их обработки  
препарацион  
воде не рас  
качестве та  
ные, полиам  
нат магния,  
арцевую или  
неодородно  
на поверхно  
месте с ней  
окно титро  
двухвалент  
титана с не  
затем в пре  
продукта ко  
формальдег  
фугируют в  
ких волокон  
ла никак не  
волокон, не  
возможной  
ста. Т. Шей  
для шифро  
ляка Веде  
leştici karlı  
тью патент  
амиду, пра  
ва. Конца  
главляет 20-  
ых из воло  
жающего вы  
ты для шиф  
чистота при  
Ф. Нарти  
еских воло  
ilas Man  
d of making  
A 291789.  
растрепан  
из найлон  
ся в водно  
е остальные  
енги скреп  
сть каната  
Перепелки  
стве воло  
Thomas  
George. In  
als. [British  
Усовершен  
материале  
целлюлозы  
е фильеры  
уплотнени  
ней из ВМ  
ожились в  
уютой пол  
вращающ  
на несколь  
поверхност  
по отноше  
ния расте  
хностью в  
смазываю  
е важное  
целлюлозы  
в водн. ос

См. также: Способ получения полипропилена 6П119. Стабилизация полипропилена 6П120. Получение полиэтилентерефталата 6П128, 6П136. Из области гетероцепных полиамидов 6П119, 6П120. Облучение полиамидных материалов 6П140. Влияние воды на молекулярную подвижность полиамидов 6Р55. Прививка некоторых мономеров к натуральному шелку и капрону при помощи  $\gamma$ -лучей 6Р102. Влияние тепла на шпанный корд 6П334. О фазовом состоянии целлюлозы 6Р45. Гемипеллюлозы в вискозной целлюлозе 6П446. Исследование ротационной дисперсии полисахаридов 6Р20. Получение волокнистой диацетилцеллюлозы 6П462. Способность жидкостей к образованию питей 6Р32. Коррозия прилипных насосиков 6И187. Устройство для выработки штапельного волокна 6К332

## ЦЕЛЛЮЛОЗА И ЕЕ ПРОИЗВОДНЫЕ. БУМАГА.

Редактор А. П. Хованская

6П433. О производстве целлюлозы. Murto Jaakko O. Piirteittä selluloosan valmistuksen kehityksestä. «Päperi ja puu», 1960, 42, № 5, 351—354 (финск.).— Обзор о развитии произ-ва целлюлозы в Финляндии и других странах. В настоящее время в Финляндии заметно расширяется использование мелкомерной хвойной древесины и лиственных пород для произ-ва целлюлозы, а также лесных отходов для произ-ва древесно-стружечных плит. Отмечено применение для отбеливания  $\text{SiO}_2$ , натриевого и магниевого основания при сульфитных варках, грубой фракции древесных опилок для произ-ва древесной массы и необходимость проведения исследовательских работ по использованию смолистых в-в мелочи и ее самой. М. Тойкка

6П434. Подготовка молодых специалистов для целлюлозно-бумажной промышленности в Западной и Восточной Европе и в Северной Америке. Vocational training of young papermakers in Western Europe, Eastern Europe, and North America. «Tappi», 1960, 43, № 6, A14, A16, A18, A20, A24 (англ.)

6П435. Производство целлюлозы и бумаги на предприятиях небольшой мощности. Podder V. Manufacture of pulp and paper on small scale. «Indian Pulp and Paper», 1960, 15, № 1, 51—52, 54—55 (англ.).—Автор показывает, что применительно к современным условиям Индии целесообразно сооружение целлюлозно-бумажных ф-к малой мощности для использования запасов сырья по месту его скопления, напр. для переработки рисовой соломы и других видов соломы. При сахарных з-дах, перерабатывающих ~1500 т сахарного тростника, целесообразно строить целлюлозные з-ды производительностью ~5 т целлюлозы в сутки. Рекомендуется постройка бумажных ф-к, рассчитанных на переработку в сутки ~2 т макулатуры, и аналогичных предприятий для переработки тряпья, отходов коколла и джута. При выборе места рекомендуется учитывать обеспеченность их сырьем, хим. реагентами, энергией, водой и возможность спуска отработанных вод без загрязнения водоемов. Приведена спецификация оборудования и технологич. расчеты для предприятий, предназначенных для выработки 2,5 и 10 т целлюлозы или бумаги в сутки. А. З.

6П436. Объективное определение стоимости технологического пара и электроэнергии на предприятиях целлюлозно-бумажной промышленности. Faggar Glenn D. Equitable allocation of costs for process steam and electric power in pulp and paper mills. «Tappi», 1960, 43, № 7, A233—A238 (англ.).—Описан простой способ выяснения экономичности получения электроэнергии целлюлозно-бумажным комбинатом со стороны или на самом предприятии. А. Попов

6П437. Завод полуцеллюлозы из соломы «палас». Новое современное предприятие целлюлозной промышленности PHP. Hodivoianu V., Moscu V. O nouă unitate modernă a industriei de celuloză din R.P.R.—fabrica de semiceluloză din paie «Palas». «Celul. și hîrtie», 1960, 9, № 7, 234—236 (рум.)

6П438. Использование соломы в бумажной промышленности. Michaud J. Folosirea paielor în industria papetară. «Celul. și hîrtie», 1960, 9, № 7, 219—221 (рум.; рез. русск., франц., нем., англ.).—Обзор по использованию целлюлозы из соломы в бумажной пром-сти. Приведены способы переработки соломы в волокнистую массу и превращение ее в бумагу, а также технич. и экономич. соображения о возможности использования небеленой и беленой массы из соломы. Из резюме автора

6П439. Тростник «Chusquea culeou E. Desvauх» — сырье для бумаги. Valente Hilda Mabel. Caña «coligue» (Chusquea culeou E. Desvauх). «Notas tecnol. forest.», 1960, № 2, 1—4 (исп.).—Тростник Chusquea culeou E. Desvauх достигает высоты в 10 м при толщине до 5 см; содержит (в %): ~40 альфа-целлюлозы, 24 пентозанов и 19 лигнина; пригоден для произ-ва целлюлозы и получения фурфурола. М. Нагорский

6П440. Получение целлюлозы из закоростренных волокнистых отходов льнозаводов. Дарбеницау Ф. Ф., Шышко А. М., Дарбеницава Н. А. Атрыманне целюлозы з закоростренных валакністых адходаў льнозаводаў. «Весті АН БССР. Сер. фіз.-тэхн. н., Изв. АН БССР. Сер. физ.-техн. н.», 1960, № 3, 51—60 (белорусск.)

6П441. Очистка белой древесной массы в центрифугах. Дымшиц М. М. «Бум. пром-сть», 1960, № 6, 24—25.—В композицию пшечей, цветной и обложечной бумаги для книг и др. входит небеленая сульфитная целлюлоза и белая древесная масса (ДМ). При использовании плохо отсортированной ДМ внешний вид такой бумаги неудовлетворителен. Для улучшения качества ДМ в комбинате осуществлено горячее жидкое дефибрирование с автоматич. регулированием т-ры в 4 (из 6) ваннах дефибраторов. После трехступенчатого сортирования получают ДМ следующих показателей: степень помола 74—76 °ШР; разрывная длина 3200—3500 м; фракционный состав (в %) первой фракции (грубое волокно, 38,5; четвертой фракции (мелочка) 31,5; число соринков на 1 м<sup>2</sup> 900—1000, в том числе кистринок 240—260; зольность ~1. Для дополнительной очистки ДМ используют батарею центрифуг, состоящую из 9 трубок № 623 на первой ступени и 2 трубок № 622 — на второй. Приведены схема произ-ва и сортирования ДМ, схема установок центрифуг и режим работы центрифуг. При очистке в центрифугах сорность и зольность ДМ снижаются более чем в 2 раза, а содержание кистры более, чем в 4 раза. Механич. показатели очнц. ДМ на 8—12% выше, чем неочищенной. А. Хованская

6П442. Изучение реакций углеводной части древесины при сульфитной варке. Непенин Н. Н., Косилова Е. И. «Тр. Ленингр. лесотехн. акад.», 1960, Вып. 85, 21—30.—Исследовано влияние условий варки на поведение углеводов (У) при сульфитной варке и проведены опыты по выделению углеводсульфоновых к-т из целюла (Щ). Для разделения углеводсульфоновых и альдоновых к-т были применены: 1) катионообменная смола вофатит KS и 2) анионообменная смола марки ЭДЗ-10П. Сульфирование У при сульфитной

варке протекает в процессе всей варки параллельно с сульфированием лигнина (Л), при 120° варке в Ц обнаружены уже значительные кол-ва S, прочно связанной с У. В принятых условиях варки продукты окисления и сульфирования У составили 5–12% к весу древесины. По ходу варки с увеличением времени и т-ры кол-во производных У непрерывно возрастает; при повышении т-ры от 120 до 150° содержание их в Ц увеличилось с 5 до 9,75%; процент прочно связанной с ними S увеличился с 10 до 13,85% (к органич. в-ву); расход S на сульфирование У возрос с 0,5 до 1,36% к древесине. С течением варки сульфирование Л начинает преобладать над сульфированием У. При изменении состава варочной к-ты образование продуктов окисления и сульфирования У изменяется. С повышением процента CaO в к-те от 0,75 до 1,25% (при равном проценте SO<sub>2</sub>) кол-во производных У увеличилось с 9 до 11,75% (к весу древесины); содержание S повысилось с 10 до 14,0%; таким образом расход S на сульфирование У возрос примерно в 1,8 раза. С повышением содержания в варочной к-те SO<sub>2</sub> от 4 до 10% (при равном проценте CaO) кол-во производных У изменилось от 7,5 до 8,5% (к древесине), расход S на сульфирование их возрос с 0,65 до 0,99% к весу древесины. Сульфирование Л с увеличением содержания в р-ре SO<sub>2</sub> изменяется незначительно. На основании результатов разделения углеводсульфоновых и альдольных к-т высказано предположение, что при помощи ионообменной хроматографии продукты сульфирования и окисления У могут быть разделены и определены количественно.

А. Хованская

6П443. О сульфитной варке вискозной целлюлозы (Х). Влияние фурфурола на разложение варочной кислоты при сульфитной варке. Slávik Ivan. O sulfitolovom varení viskózej celulózy. X. O posobení furfuralu na rozklad varnej kyseliny pri sulfitolovej várke. «Chem. zvesti», 1959, 13, № 10, 621–627 (словацк.; рез. русск., нем.).—При исследовании влияния фурфурола (I) на разложение SO<sub>2</sub> (II) при нагревании в течение 3,5 час. при 150° в р-рах с буфером (БР) и в р-рах без БР установлено, что в первом случае I очень незначительно ускоряет разложение II, а во втором действие очень значительно и сам он разлагается, образуя продукты темного цвета. На основании соотношения выделившейся S (в виде элементарной S и S из тиосульфатов и политионатов) и образовавшейся H<sub>2</sub>SO<sub>4</sub>, а также на основании элементарного состава темных продуктов конденсации высказано предположение об окислительном действии I на II. При сульфитной варке I действует главным образом в последней стадии, поэтому он является менее предным, чем восстановители, ускоряющие разложение II и в БР. По этой же причине I не может накапливаться в больших кол-вах. В-ва, способствующие темному окрашиванию сульфитного целлюлоза, могут состоять частично из продуктов конденсации I. Часть IX см. РЖХИ, 1960, № 23, 94864.

В. Высотская

6П444. О сульфитной варке вискозной целлюлозы. XI. Скорость разложения варочной кислоты при добавлении глюкозы. Slávik Ivan. O sulfitolovom varení viskózej celulózy. XI. Casový priebeh rozkladu varnej kyseliny s prísadou glukózy. «Chem. zvesti», 1960, 14, № 2, 129–136 (словацк.; рез. русск., нем.).—Исследована скорость разложения варочных р-ров с SO<sub>2</sub> с добавкой глюкозы при 150° без введения буфера и двух р-ров с введением буфера — NaOH с разным содержанием в р-рах общего содержания SO<sub>2</sub>. При варке в течение короткого времени в р-рах с буфером и без него при высоком содержании в них SO<sub>2</sub>, содержание SO<sub>2</sub> понижалось, образовывалось большое кол-во H<sub>2</sub>SO<sub>4</sub>, тиосульфатов и элементарной S. В р-рах с буфером при меньшем содержании SO<sub>2</sub> в течение опыта автокатализ, ускорения не наблюдалось. Содержание тиосульфатов в р-рах с буфером было значительно выше,

чем в р-рах без буфера. Рассмотрен вопрос зависимости между ускорением разложения р-ра SO<sub>2</sub> и образованием тиосульфатов в р-ре, а также кислотности р-ра возникающей как из присутствующего SO<sub>2</sub>, так и из-за получающейся H<sub>2</sub>SO<sub>4</sub>. Принятое время стадии доварки вискозной целлюлозы достаточно для ускоренного разложения варочной к-ты. Часть X см. реф. 6П443.

Из выводов автора

6П445. О сульфитной варке вискозной целлюлозы. XII. Зависимость разложения варочной кислоты от температуры. Slávik Ivan. O sulfitolovom varení viskózej celulózy. XII. Závislosť priebehu rozkladu varnej kyseliny od teploty. «Chem. zvesti», 1960, 14, № 3, 215–224 (словацк.; рез. русск., нем.).—Исследована скорость разложения р-ров с SO<sub>2</sub> с добавками глюкозы, муравьиной к-ты, фурфурола, элементарной серы и тиосульфата в присутствии буфера и без него при 110, 125, 140 и 150°. Нагревание производили в течение 2 час. в запаянных стеклянных трубках. Установлено, что глюкоза и фурфурол при низких т-рах не ускоряют разложение варочной к-ты; при высоких т-рах в течение указанного времени разложение от присутствия глюкозы и фурфурола незначительно. Наоборот муравьиная к-та и тиосульфаты сильно разлагают к-ту и сильнее в р-рах с буфером, чем без него. Действие элементарной S подобно действию тиосульфатов, но значительно слабее, вследствие ее малой поверхности и медленного перехода в р-р в форме тиосульфата. Сделан вывод, что для сульфитной варки присутствие муравьиной к-ты и тиосульфатов в варочном р-ре очень вредно, так как они значительно ускоряют разложение SO<sub>2</sub> в условиях начальной варки (низкие т-ры). Наименее вредным из исследуемых в-в является фурфурол. Часть XI см. реф. 6П444.

Из резюме автора

6П446. Гемичеселлюлозы в вискозных целлюлозах. Matsuzaki Kei, Moriya Masao, Sobue Hiroshi. «Korô kagaku zasshi, Kogyo kagaku zasshi, J. Chem. Soc. Japan. Industr. Chem. Sec.», 1960, 63, № 2, 334–337, A18 (японск.; рез. англ.).—В 11 образцах вискозных целлюлоз (Ц) было определено содержание в-в неглюкозного строения и уроновая к-та. На основании результатов анализа сделана попытка установить зависимость содержания указанных в-в от условий варки и породы древесины. Элементарные звенья манноса содержались в незначительном кол-ве в Ц из древесины твердых пород и в значительно больших кол-вах в Ц из хвойных пород древесины, в особенности в американских Ц. Определенной зависимости между содержанием уроновой к-ты, породой древесины и способом варки не наблюдалось. Общее содержание гемичеселлюлоз (глюкоманнан + ксилан) находилось в пропорциональной зависимости с содержанием у-Ц. Гемичеселлюлозы вискозной Ц при помощи р-ра Фелинга были разделены на глюкоманнан и ксилан. Приведены сравнительные данные о содержании α-, β- и γ-Ц в сульфитной и сульфатной Ц.

Из резюме авторов

6П447. Усовершенствование скорости реакции варочного процесса в производстве крафт-целлюлозы. Carroll Charles W. Development of a rate expression for kraft pulping reactions. «Tappi», 1960, 43, № 6, 573–579 (англ.).—Дан исчерпывающий экономич. баланс предположительного процесса произ-ва крафт-целлюлозы. Усовершенствована методика колич. учета снижения конц-ии щелочи в процессе варки, как функции исходной т-ры, времени подъема т-ры, макс. т-ры, исходной конц-ии, соотношения хим. реагентов и древесины, жесткости и выхода крафт-целлюлозы. Ур-ние Аррениуса в расчетах для выражения р-ций варочного процесса было применено при изменении перманганатного числа крафт-целлюлозы в пределах 23–27,5. Показано, что сульфидность в щелочи в процессе варки должна быть достаточной для обеспечения быстроты регулирования хода р-ции процесса.



Подробно описан расчет баланса с приведением эксперим. и вычисленных данных, характеризующих варочный процесс.

М. Белецкая

6П448. Технология производства целлюлозы марки КН. Хурумов С. Д. В сб. «Вопр. произ-ва конденсатор. бумаги». М.—Л., Гослесбумиздат, 1959, 110—116.—Для улучшения качества целлюлозы (Ц) марки КН разработан и внедрен в произ-во более прогрессивный технологич. режим варки с принудительной циркуляцией, по которому оборот варочного котла доведен до 6 час. При варке по этому режиму расход активной щелочи ( $\text{Na}_2\text{O}$ ) составляет 360 кг/г Ц, т. е. значительно меньше, чем расходовалось при ранее применяемых режимах; выход Ц с 1 м<sup>3</sup> котла 80 кг, объем белого и черного щелока составляет 6,23 м<sup>3</sup> на 1 т Ц. Качеств. показатели Ц, полученной по прогрессивному режиму, значительно лучше, чем по прежним. Кислование Ц в роллах при повышенных т-рах (30—35°) уменьшило зольность Ц до 0,2—0,25%. Приведены температурный график варки Ц марки КН при 6-часовом обороте котла, схема процесса варки Ц из предварительно пропитанной щелы с применением вакуумизации и гидравлич. давления и перечень мероприятий по реконструкции з-да.

А. Х.

6П449. Исследования по получению нейтральной моносульфитной полуцеллюлозы из пшеничной соломы из добуриж непрерывным способом. Eşanu F., Neşeu O., Fischgold S. Contribuții la studiul obținerii din paie de grâu dobrogene a pastelor semichimice sulfat neutre de sodiu (SNS) în condițiile fierbirii continue. «Celul. și hârtie», 1960, 9, № 7, 225—228 (рум.; русск., франц., нем., англ.).—Непрерывная скоростная варка велась при 160—170° в течение 25—35 мин. В различных опытах исследовано влияние степени сульфитности р-ра от добавки  $\text{Na}_2\text{SO}_3$ , гидромодуля и указанных выше т-ры и продолжительности варки на выход, хим. состав и физ.-мех. характеристики целлюлозы, получаемой этим способом. Из резюме авторов

6П450. Влияние условий гипохлоритной отбелки на свойства сульфатной целлюлозы, полученной из лиственной древесины варкой с предгидролизом. Smith J. W., Thornburg W. L. The effect of the hypochlorite bleaching variables on prehydrolyzed sulfate hardwood pulp properties. «Tappi», 1960, 43, № 6, 596—599 (англ.).—Исследовано влияние т-ры, времени, процента активного хлора, исходного рН при гипохлоритной отбелке на свойства (вязкость, растворимость, цвет) лиственной сульфатной целлюлозы (Ц), полученной при варке с предгидролизом. При помощи статистич. обработки полученные результаты представлены в форме ур-ний. Установлено, что исходное рН является наиболее важным фактором при гипохлоритной отбелке. Влияние т-ры и процента активного хлора на свойства Ц близки между собой по характеру. Время является переменной величиной, оказывающей значительно меньшее влияние на Ц, чем три вышеперечисленные фактора. Растворимость Ц (цебеленой), по-видимому, достигает максимума, когда содержание активной щелочи в варочном р-ре составляет ~19,5%, растворимость Ц мало изменяется в процессе гипохлоритной отбелки.

М. Белецкая

6П451. Контрольно-регулирующие приборы в непрерывном производстве гипохлорита. Вгавасос J. G. Instrumentation of continuous hypochlorite manufacture. «Tappi», 1960, 43, № 8, A173—A174 (англ.).—Непрерывный метод произ-ва гипохлорита (ГХ) натрия или кальция по сравнению со старым периодич. способ. экономит реагентов, получению доброкачественных, сохраняющих постоянный состав в течение длительного времени р-ров, устраняет необходимость создания больших запасов ГХ. Для приготовления ГХ натрия применяется 4%-ный р-р NaOH (контроль по электропроводности р-ра, при помощи электронного прибора, автоматически регулирующего подачу

конц. р-ра щелочи). Готовый р-р ГХ содержит 30 г/л активного хлора и ~4 г/л NaOH. Для контроля расхода хлора применяется измерение окислительно-восстановительного потенциала при помощи милливольтметра от 200 до 800 мВ. Прибор имеет платиновый и серебряный электроды, помещаемые в трубопровод, по которому подается р-р ГХ. Прибор автоматически управляется вентилем, подающим хлор в р-р NaOH. Запас ГХ не превышает 10-часовой, бак для хранения ГХ имеет прибор для определения уровня жидкости и автоматич. регулирования кол-ва вырабатываемого р-ра ГХ. Аналогично построена система автоматич. управления процессом изготовления р-ров ГХ кальция.

А. З.

6П452. Вопросы хранения отбеленных растворов. Крюкова З. М. В сб. «Вопр. новой технол. в произ-ве сульфит. целлюлозы». 7. М.—Л., Гослесбумиздат, 1959, 33—43.—Белящие р-ры, полученные по способу, разработанному на кафедре физ. и колл. химии Ленинградского технологич. ин-та, содержат обычно 80%  $\text{ClO}_2$  и 20%  $\text{Cl}_2$  (по окислительным эквивалентам) и имеют рН 2. Для решения вопроса о хранении отбеленных р-ров изучено влияние рН 2, 3 и 4 на скорость разложения р-ров; определено влияние т-ры (10, 25 и 60°) и исследовано влияние света. Результаты исследования показали, что для отбеливания целлюлозы целесообразно применение свежеприготовленных р-ров, так как наиболее быстрое разложение  $\text{ClO}_2$  происходит в первые часы после получения р-ра, что приводит к потере активного хлора. Длительное хранение отбеленных р-ров без заметных потерь активного хлора возможно при значениях рН меньше 2 и при т-ре ниже 25°. Если для отбелки необходимы р-ры с рН выше 2, то забуферивание при этом следует производить либо перед подачей р-ров на отбелку, либо в самом процессе отбелки. Хранение кислых р-ров с рН < 3 более 2 час. требует защиты от действия света. Поскольку процесс доделки целлюлозы  $\text{ClO}_2$  длится обычно не более 2 час., его можно проводить, не предпринимая спец. защитных мер от действия света.

Д. Горин

6П453. Технология и оборудование для получения белящих растворов двуокиси хлора и активированного хлората. Качалов А. И. В сб. «Вопр. новой технол. в произ-ве сульфит. целлюлозы». 7. М.—Л., Гослесбумиздат, 1959, 3—21.—Приведено описание существующих методов получения белящих р-ров  $\text{ClO}_2$  [Холста, И. Г. Фарбениндусти, Персон-Анжела, Матиссона, Ражона, Сольва, Кестинга и метода И. Е. Флиса и М. К. Быняевой (ЖТИ)] и применяемого оборудования. Указаны свойства  $\text{ClO}_2$ , применяемые антикоррозийные покрытия для реакторов, коммуникаций, прокладок, мембран и т. д. Технологич. рецепт для отбелки целлюлозы активированным хлоратом заключается в отбелке целлюлозы хлорной водой (при 20° в течение 45 мин. при рН 2,2 и конц-ии массы 4%), обработке активированным хлоратом натрия (при 50—55° в течение 5 и 10 час., при рН 1,9—2 и конц-ии массы 4 и 7%) и умеренной доделке гипохлоритом. Приведена подробная методика отбелки целлюлозы, которая позволяет получить белизну (по фотометру) 81—84 и более единиц при вязкости целлюлозы 700—720 мПа·с без существенного дооборудования действующих цехов и с небольшими затратами на хим. реагенты.

Д. Г.

6П454. Обзор по вопросам непрерывного изготовления гипохлорита в бумажной промышленности. Macgugan I. C., Ericson R. S. A review of the continuous production of hypochlorites in the paper industry. «Tappi», 1960, 43, № 8, A183—A191 (англ.).—Подробно описана система автоматич. регулирования процесса изготовления р-ров гипохлорита натрия и гипохлорита кальция; при изготовлении первого т-ра держится на уровне 30° и при изготовлении второго не должна превышать 40°. Электрометрич. автоматич.

контроль осуществляется датчиком, измеряющим или величину pH, которая изменяется в процессе получения гипохлорита, или величину окислительно-восстановительного потенциала пары «платиновый — серебряный электроды», опущенных в р-р гипохлорита. При автоматич. регулировании непрерывного изготовления отбеленных р-ров уменьшается площадь, занимаемая установкой, сокращаются затраты труда, достигается экономия щелочи и хлора, получаются однородные по составу отбеленные растворы. А. Закощиков

6П455. О режимах химического способа получения хлоратов. Флис И. Е., Быняева М. К., Блоштейн И. И. «Ж. прикл. химии», 1960, 33, № 4, 779—788. На основе термодинамич. расчетов и кинетич. исследований, а также опытов в лабор. и ползаводских условиях показано, что получение хлоратов хим. путем (хлорирование извести) наиболее целесообразно проводить в слабощел. и нейтр. среде при pH 8,5—7 и 35—40°. Разработана технология получения конц. р-ров хлоратов и хлоридов кальция, предназначенных для получения  $\text{ClO}_2$ . Установлено, что при получении хлоратов расход хлора и извести на 1 кг хлората кальция составляет соответственно 2,2 и 1,8 кг. Получаемые р-ры содержат ~170 г/л  $\text{Ca}(\text{ClO}_3)_2$ . Потери хлора составляют  $\leq 5-7\%$ .

Из резюме авторов  
6П456. Экономическое обоснование применения двуокиси хлора. Блоштейн И. И. В сб. «Вопр. новой техн. в произ-ве сульфит. целлюлозы». 7. М.—Л., Гослесбумиздат, 1959, 43—48. Приведена сравнительная оценка методов получения  $\text{ClO}_2$  и отбелки гипохлоритом и  $\text{ClO}_2$ . Отбелка  $\text{ClO}_2$  при значительном повышении качества целлюлозы и экономии древесины не увеличивает себестоимости продукции. Д. Горин

6П457. Об определении содержания воды, удерживаемой целлюлозой. Роньер Р. Х. «Научн. тр. Ленингр. лесотехн. акад.», 1960, вып. 91, ч. 1, 21—26. Определено содержание влаги после 16 час. набухания в воде мелочи неотбеленной бисульфитной целлюлозы (Ц) (садкость 54° ШР) еловой древесины (Д), неотбеленной бисульфитной еловой Ц (измельчение в течение 5 мин. и 15 мин., садкость 13° ШР), отбеленной бисульфитной Ц из еловой Д (время измельчения 5 и 15 мин.; садкость 13,5° ШР); беленой сульфитной Ц из осинового и березового Д (садкость соответственно 14 и 13° ШР, время измельчения — 5 и 15 мин.). Содержание воды (в %): в мелочи 254, в неотбеленной бисульфитной еловой Ц 125, той же Ц после отбелки 116,5, в отбеленной сульфитной Ц из осинового Д 113, такой же Ц, но из березового Д 114. Таким образом мелкая фракция бисульфитной Ц, представляющая собой по существу гемичеселлюлозу и обладающая значительным кол-вом кислотных групп, отличается наибольшей способностью абсорбировать воду. Сульфитная Ц из хвойной Д поглощает относительно большое кол-во воды в неотбеленном состоянии. После отбелки это свойство ослабевает.

А. Х.  
6П458. Теплота смачивания и сорбция водяных паров целлюлозными материалами. Думанский А. В., Некрасов Е. Ф. «Научн. тр. Ленингр. лесотехн. акад.», 1960, вып. 91, ч. 1, 3—10. Установлена общая количеств. закономерность процесса взаимодействия гидрофильных в-в в разн. природы с водой, состоящая в постоянстве отношения интегральной теплоты смачивания к кол-ву связанной воды:  $q_i/x_c \approx 80$  ( $q_i$  — теплота, выделяющаяся при смачивании водой;  $x_c$  — кол-во связанной воды). Проверка этого ур-ния на многочисленном эксперим. материале показала полную его применимость к системам, где имеет место образование водородных связей.

Из выводов авторов  
6П459. К вопросу о действии ионизирующих излучений на волокна древесной целлюлозы. Корчемкин Ф. И., Малинский Ю. М., Сухов Г. В. «Научн. тр. Ленингр. лесотехн. акад.», 1960, вып. 91, ч. 1, 101—104. При облучении на воздухе  $\gamma$ -лучами  $\text{Co}^{60}$

сульфатной беленой целлюлозы с хорошо сохранившимися наружными слоями вторичных стенок волокон деполимеризуется основная масса целлюлозы и разрушаются наружные слои вторичных стенок волокон, доза 1 Мрентген вызвала незначительные изменения наружных слоев вторичных стенок, доза 5 Мрентген значительно ослабила их; при дозе 10 Мрентген это действие излучения было выражено еще ярче.

Из выводов авторов  
6П460. Влияние pH на поглощение железа из растворов препаратов целлюлозы, содержащих карбоксильные группы. Ярмоленко И. М., Жбанко Р. Г., Розенберг А. Я. Уплыв pH на поглощение железа с растворами препаратами целлюлозы, являющимися карбоксильными группами. «Вестн. АН БССР. Сер. физ.-техн. н., Изв. АН БССР. Сер. физ.-техн. н.», 1960, № 3, 25—28 (белорусск.; рез. русск.). — Различные марки технич. целлюлоз (Ц), применяемых для произ-ва искусств. волокон, содержат различные и иногда достаточно высокие кол-ва железа и карбоксильных групп. Ц с наибольшим кол-вом карбоксильных групп содержат наибольшие кол-ва железа, на основании чего сделано предположение, что железо связано в Ц главным образом этими группами. Ц с высоким содержанием окисленных групп и железа и близкие по свойствам к оксидцеллюлозам наиболее трудно перерабатываются. Спектральное изучение сорбции железа оксидцеллюлозой из р-ров различной кислотности показало, что сорбция протекает активно уже в весьма кислых р-рах (начиная с pH 1,2 и выше). Наибольшие изменения в спектрах продуктов по мере сорбции железа при различных pH наблюдаются в области полос поглощения групп  $\text{COOH}$  и  $\text{COO}^-$ . Сделан вывод, что механизм сорбции железа окисленными Ц в широкой области pH включает взаимодействие катионов железа с карбоксилатами. Из резюме авторов

6П461. О свойствах, способах производства и применении в промышленности карбоксиметилцеллюлозы патрия. Fischer Béla, Nemes László. A karboximetilcellulóz-nátrium tulajdonságairól, előállításáról és ipari alkalmazhatóságáról. «Magyar kém. lapja», 1960, 15, № 3, 112—116 (англ.). — Приведены физ., хим. и физ.-хим. свойства карбоксиметилцеллюлозы. На в зависимости от способа произ-ва, степени замещения и качества исходных продуктов, а также общие технологич. принципы ее произ-ва и применения (произ-во моющих средств, мыл; текстильная пром-сть, бурение нефтяных скважин, бумажная пром-сть, керамика, произ-во клеев, в-в, фармацевтич. пром-сть, пищевая пром-сть). Отмечено, что применение ее в пищевой пром-сти во Франции и Австрии запрещено.

С. Розенфельд  
6П462. Получение волокнистой диацетилцеллюлозы. Димов К., Луканов Т., Минкова Р. Произ-ване върху получаването на влакнеста диацетилцелюлоза, «Химия и индустрия» (Бълг.), 1960, 32, № 4, 99—102 (болг.; рез. русск., нем.). — Исследована возможность получения растворимой в ацетоне диацетилцеллюлозы (I) волокнистой структуры. I получали из сульфитной целлюлозы хвойных пород древесины. В полученной I определяли среднюю степень этерификации, среднюю степень полимеризации и растворимость в ацетоне. В условиях проведенных опытов I не отличалась полной растворимостью в ацетоне, вследствие недостаточной однородности продуктов в отношении микроструктуры и степени этерификации.

Из резюме авторов  
6П463. Работа печей вращающегося и форсуночного типа для сжигания сульфитных щелоков. Stech J. F. Operation of a rotary and spray burner in parallel. «Canad. Pulp and Paper Ind.», 1960, 13, № 2, 22, 24, 28 (англ.). — По опыту фирмы Rayonier Ltd. (Канада) печи вышеуказанных двух типов одинаково пригодны для регенерации хим. реагентов из сульфитных варочных щелоков и в равной мере обеспечивают получение

хранящихся волокон и разложения волокон, изменения Мрентген рентген это

авторов из раче карбо бачко аглупание кия зтящ ССР. Сер. н.), 1960, нные мар- произ-ва иногда до- оксильных ых групп основания изано в Ц им содержи- зкие по перера- и железа ности по- в весьма Наболь- ере сорб- в обла- . Сделан нными Ц ствие ка- авторов на и при- целлюлозы karboxi- isárol és 1960, 15, и фиа- ависимо- качества ч. приа- моющих рефных во клеа- ром-сть). м-сти во енфельд целлюло- Проуч- тилцелу- 4, 99— возмож- етилцеа- чали из несинте- терифи- раствори- натов I е, вслед- в отно- . авторы реуноч- Stech parallel. 24, 28 (канада). игодин вароч- лчение

необходимого кол-ва варочных к-т с высоким содержанием общей  $SO_2$ . А. З.

6П464. Химикотехнологические направления в использовании отработанных варочных щелоков. Whitey Roy P. Chemical engineering applications in handling spent pulping liquors. «Indian Pulp and Paper», 1960, 15, № 2, 179—182 (англ.).—Обзор по вопросам использования отработанных варочных щелоков, полученных при различных методах получения целлюлозы. Библ. 9 назв. А. З.

6П465. Полное использование побочных продуктов сульфатно-целлюлозного производства. Ваньян М. Л. «Бум. пром-сть», 1960, № 10, 12—14.—Основным побочным продуктом сульфатно-целлюлозного произ-ва является талловое масло (ТМ). Существующие методы очистки и разделение ТМ с целью его практич. использования не обеспечивают достаточно полного разделения ТМ на компоненты. Метод, основанный на способности мочевины образовывать твердые кристаллич. комплексы с соединениями алифатич. ряда, был применен автором для разделения жирных (ЖК) и смоляных к-т ТМ. Доказана полная целесообразность этого метода для разделения ЖК и смоляных к-т ТМ. Определены условия фракционирования в среде  $CH_3OH$ , спирта и воды. Найдены оптимальные соотношения ЖК и мочевины в р-ре, обеспечивающие в условиях принятой методики максим. выход, непридельность и степень чистоты фракций. Из выводов автора

6П466. Новый метод определения целлюлозы в целлюлозных материалах. Alexa V., Alexa Maria. O nouă metodă pentru determinarea celulozei în materiale celulozice. «Studies Univ. Babeş — Bolyai. Chem.», 1958, 3, № 4, 197—205 (рум.; рез. русск., франц.).—Для определения применяют  $HNO_3$  уд. веса 1,13—1,135. Навеску измельченного материала (1,5—2,5 г), содержащего целлюлозу, переносят в колбу Кельдаля, заливают в нее  $HNO_3$  и в течение 5—10 мин. нагревают колбу на кипящей водяной бане. После нагревания фильтруют через стеклянный тигель № 2, остаток на фильтре промывают горячей водой. Затем тигель ставят в широкий стакан и заливают 1%  $NaOH$ , нагревая до кипения. Продолжительность нагревания — 50 мин. Осадок в фильтре промывают горячей водой до нейтр. р-ции, ставят в стакан, в который добавляют р-р хлорной извести, содержащий ~1% активного хлора, и выдерживают в течение 10 мин. После отсасывания р-ра из тигля при помощи вакуум-насоса, его опять помещают в стакан и заливают 10%-ной  $HCl$ , выдерживая 10 мин. Промывают содержимое тигля горячей водой до нейтр. р-ции и сушат до постоянного веса. Метод отличается быстротой; все процессы проводятся в одной колбе, поэтому потери минимальны.

Из резюме авторов 6П467. Новый метод отделения гемипеллюлозы от целлюлозы в среде, не вызывающей деструкции. Va r d heim S. V. En ny metode for isolering av hemicellulose fra cellulose i ikke-degraderende miljø. «Svensk papperstidn.», 1960, 63, № 16, 517—523 (норв.; рез. англ., нем.).—Описан ряд существующих способов нитрации целлюлозы (Ц) и выделения из них гемипеллюлозы и особо подробно метод нитрации, разработанный автором. Относительно жесткую белевую сульфитную Ц обрабатывали в течение 2 час. 98%-ной  $HNO_3$ , растворенной в 100 мл уксусного ангидрида из расчета 20 мл указанной смеси на 1 г Ц. В процессе нитрования часть материала растворялась в нитрующей смеси, из которой осаждалась водой. Операция нитрования повторяли. Нерастворившийся при первой нитрации остаток содержал 2,5% N. После второй нитрации нерастворимый остаток содержал 13,4% N. При третьей нитрации в р-р не переходит ничего. Установлено, что две фракции, выделенные методами хроматографии и рентгенографии из р-ров от первого и второго нитрования, являются гемипеллюлозами, нерастворимый

остаток оказывается практически освобожденным от них. М. Нагорский

6П468. Поглощение хлора целлюлозой. Пересмотр стандарта T 202m-45 Tappi.—Chlorine consumption of pulp. «Tappi», 1960, 43, № 7, A133—A135 (англ.).—Предлагаемый метод определения хлорного числа является видоизменением известного метода РОЭ. По сравнению с методом, описанным в стандарте T 202m-45, меняется величина сосуда для хлорирования целлюлозы, применяется почти насыщ. р-р  $CaCl_2$ , предусматривается изменение величины навески анализируемой целлюлозы и величины множителя при расчете результатов анализа. А. З.

6П469. Быстрый метод определения степени карбоксиметилирования в частично карбоксиметилированных целлюлозах. Ghosh K. G., Raman M. R., Dey A. N., Balakrishna K. J. A rapid method for the estimation of the degree of carboxymethylation of partially carboxymethylated cellulose. «J. Scient. and Industr. Res.», 1960, BC19, № 8, B323—B324 (англ.).—Метод основан на определении кол-ва J, выделяющегося из йодад-йодидного р-ра, при обработке им карбоксиметилированных целлюлоз. Предварительно образец обрабатывают в течение 5 мин. дистил. водой и затем 10%-ным р-ром  $HCl$  в течение 20 мин.; затем дистил. водой до нейтр. р-ции промывных вод, и сушат при 100—105°. Навеску сухого образца обрабатывают йодат-йодидным р-ром, кол-во выделяющегося йода определяют титрованием р-ром гипосульфита; параллельно проводят слепой опыт. По результатам анализа рассчитывают степень замещения эфира целлюлозы. А. З.

6П470. Будущее целлюлозной и бумажной промышленности. Wilson Albert W. The future of the pulp and paper industry. «Indian Pulp and Paper», 1960, 15, № 1, 37, 39—40 (англ.).—Потребление бумаги увеличилось к 1975 г. более чем в 2 раза против существующего. Запасы хвойной древесины (Д) основного сырья целлюлозно-бумажной пром-сти значительно сократились и все большее использование находит Д лиственных пород и другие виды волокнистого сырья. Сокращение площади лесонасаждений (передача части этой площади под засев хлебных культур, расширение городов, строительство плотин и т. д.) обязывает изыскивать средства по интенсификации роста Д (применение удобрений, гибберелловой к-ты). Кратко изложены существующие в настоящее время в США законоположения по использованию лесонасаждений.

А. Попов 6П471. Нанесение покровного слоя. (Обзор и усовершенствования.) Schmidt S. Coating. (Review and developments). «Pulp and Paper Internat.», 1960, 2, № 8, 45—47 (англ.).—При нанесении покровного слоя на бумагу (Б) или картон (К) различают три рабочих операции: подачу покровной краски, нанесение ее на поверхность материала и выравнивание нанесенного покровного материала на поверхности Б или К. Рассмотрены следующие методы нанесения покровного слоя на Б или К: при помощи щеток, валиков, скользящего гибкого шабера, кленных прессов, воздушного шабера, а также методы сушки Б и К с покровным слоем. Отмечена важность для качества Б процесса сушки Б с покровным слоем. Указаны новые виды связующих и рассмотрены вопросы, связанные с получением однородного продукта. Библ. 8 назв. С. Иванов

6П472. Обзор методов нанесения покрытий на бумагу. Ashley Warren C. Coatings on review. «Paper, Film and Foil Converter», 1960, 34, № 7, 29—31, 61 (англ.).—В настоящее время для упаковки применяют бумагу (Б) с различными покрытиями (лак, парафин, модифицированный парафин, полиэтилен и другие полимеры, а также фольга, пленки). Рассмотрено нанесение на поверхность Б гибких и эластичных пленок.



В зависимости от типа покрытия и применяемого материала наносят покрытия из неводн. р-ров, в виде водн. эмульсии, в виде суспензии в жидком пластификаторе и в виде горячего расплава. Рассмотрены особенности этих методов покрытия Б. С. Иванов

6П473. Новый процесс нанесения полиэтиленового раствора на бумагу. Mullen William. New process applies polyethylene solution to paper. «Paper Trade J.», 1960, 144, № 32, 35 (англ.).—Новый процесс, известный под наименованием «контурного», состоит из растворения полиэтилена (ПЭ) в р-рителе и нанесения этого р-ра на поверхность бумаги или картона. После нанесения на бумагу р-ритель полностью удаляется, а ПЭ остается на поверхности материала в виде однородной пленки. По сравнению с методом нанесения покрытия ПЭ из расплава этот метод обладает следующими преимуществами: отсутствием точечных отверстий, хорошей связью покрытия ПЭ с бумагой, однородностью покрытия, лучшей жиронепроницаемостью и возможностью снижения толщины покровной пленки.

С. Иванов

6П474. Регулирование процессов на бумагоделательной машине. Traxler Roger L. Process control as related to fourdrinier operations. «Tappi», 1960, 43, № 7, A224—A226 (англ.).—Рассмотрено регулирование процессов бумажного произ-ва, практикуемое на бумажной ф-ке фирмы Scott Paper Co., в частности контроль дозирования волокнистых компонентов, хим. реагентов и использования оборотных вод. Приведены примеры лабор. контроля. Отмечено, что постановка надежного контроля способствует повышению качества продукции.

С. Иванов

6П475. Экспериментальное исследование обрывов и надрывов влажного полотна бумаги на бумагоделательной машине. Mardon J., Meadley C. K., Duchesne J. P., Howe B. I. An experimental investigation of the problem of breaking and tearing of the wet web on the fourdrinier paper machine. «Pulp and Paper Mag. Canada», 1960, 61, № 7, T341—T355 (англ.).—Явление обрыва полотна бумаги (ПБ), происходящее в процессе отделения ПБ от сушка и прохождения его через гауч-вал, пресса и сушильные цилиндры, происходит в результате точечной адгезии между ПБ и поверхностью оборудования и расслоения ПБ. При увеличении угла съема  $> 90^\circ$  вероятность точечной адгезии уменьшается. При увеличении угла съема в пределах  $120^\circ$ — $140^\circ$  имеет место явление самопрерывающегося обрыва. Приведены методики теоретич. и практич. исследований процесса обрыва и описание приборов для испытания. Теоретич. итоги теорий обрыва и надрыва однозначны с эксперим. данными.

А. Соколова

6П476. Практическое применение испытаний в прессовой части для улучшения работы бумагоделательной машины. Chin G. P. The practical application of press testing for improved paper machine performance. «Pulp and Paper Mag. Canada», 1960, 61, № 5, T289—T293 (англ.).—Испытанием влажности бумажного полотна и его абсолютно сухого веса в поперечном направлении машины после гауча, каждого пресса и сушильной части устанавливается эффективность обезвоживания на каждой из этих стадий произ-ва, что дает возможность с максим. эффективностью строить процесс и своевременно предупреждать и устранять помехи, как то неправильная бомбировка прессовых валов, загрязнение прессовых суконов и самих прессовых валов, неправильный прижим валов, ненормальные условия сушки и др. Применение подобного контроля позволяет выпускать однородную бумагу и улучшать ее качества. Такая бумага меньше рвется на машине и при печатании позволяет улучшить работу типографской машины.

С. Иванов

6П477. Изучения процессов удаления воды и распределения влаги на прессовой части бумагоделательной машины, производящей газетную бумагу. Wahle

ström B. A long term study of water removal and moisture distribution on a newsprint machine press section. Part 1. «Pulp and Paper Mag. Canada», 1960, 61, № 8, T379—T401 (англ.).—Показано, что процесс удаления воды (В) в прессовой части (ПЧ) бумагоделательной машины с рабочей скоростью 366 м/мин для выработки газетной бумаги определяется в основном качеством и износом прессовых суконов (С). После недельной эксплуатации С его толщина уменьшается на 40—30%, ухудшается сжимаемость и впитывающие свойства С, плотность С повышается и процесс обезвоживания замедляется. Сформулирована новая теория прессования, согласно которой на входе в ПЧ удаление В из полотна бумаги (ПБ) в С происходит за счет сжатия, а на выходе из ПЧ происходит передача В из С в ПБ за счет капиллярного действия. Исследована капиллярная микроструктура С и ПБ. Приведена методика исследований.

6П478. Исследование бумажных масс из смеси сульфатной целлюлозы из соломы и сульфатной еловой целлюлозы. Iliescu G. H. Cercetări asupra pastelor de hirtie din amestecuri de culoză sulfat de paie cu celuloză sulfat de molid. «Celul. și hirtie», 1960, 9, № 7, 229—234 (рум.; рез. русск., франц., нем., англ.).—Приведены результаты опытов по исследованию характеристик бумаги, полученной из бумажной массы из смеси соломенной целлюлозы (Ц) и еловой при раздельном их размоле и размолотых вместе. В противоположность поведению смеси сульфатной Ц из тростника и еловой древесины, смесь сульфатной Ц из соломы и еловой древесины отличается большим механич. сопротивлением, если помол Ц из соломы и еловой древесины производится вместе. При увеличении в смеси соломенной Ц снижается число двойных перетбов и сопротивление разрыву.

Из резюме автора

6П479. Исследование фибриллированных частей целлюлозы (crill). Часть 1. Суспендированные фибриллы в тонкой фракции бумажной массы. Steenberg Børje, Sandgren Bertil, Wahren Douglas. Studies on pulp crill. Part 1. Suspended fibrils in paper pulp fines. «Svensk papperstidn.», 1960, 63, № 12, 395—397 (англ.; рез. шведск., нем.).—Установлено, что мелочь — фракция бумажной массы состоит в основном из свободных, очень тонких частиц фибрилл (crill), которые не участвуют в процессе свайлаживания при формировании бумаги. Для более точного микроскопич. исследования элементов фибриллярной структуры волокон бумажной массы рекомендуется следующая методика: некоторое, небольшое кол-во исследуемой, непрямой бумажной массы помещают на предметное стекло и подсушивают без покровного стекла (на воздухе), затем препарат закрывают покровным стеклом и исследуют при помощи фазового контрастного микроскопа. Для морфологич. исследования волокна этот метод подготовки препарата не пригоден. В этом случае необходимо брать массу стандартной влажности, не допуская ее осушивания при помощи фильтровальной бумаги. Даны микрофотоснимки, характеризующие форму и величину частиц тонкой фракции.

6П480. Влияние наполнителей на печатные свойства бумаги. Wulfsch F., Schubert K. Ueber die Wirkung von Füllstoffen im Hinblick auf die Bedruckbarkeit von Papieren. «Wochenbl. Papierfabr.», 1960, 88, № 17, 747—750 (нем.).—Печатные свойства бумаги (Б) зависят от гибкости, гладкости, мягкости, впитывающей способности, непрозрачности Б, сопротивляемости выщипыванию, пылимости, стабильности размера, смачиваемости и сродства к печатной краске. Рассмотрено значение всех этих свойств Б для различных видов печати. Большое значение имеет нескручивание Б, т. е. способность Б удерживать плоскую форму, прочность, кислотность и электрич. заряд. Эти свойства Б уменьшают кол-во брака при печатании. Печатные свойства Б оцениваются различными аппаратами, кото-

ные имеют... Приведен... Б при по... вышении... мые осн... ные зол... и талько... Б с као... способн... олинго... прибора... ности к... улучшен... ные с

6П481. Газетной... Pulp qu... «Pulp an... Discuss... аетной С... обеспеч... ность и... менных... (БМ); в... делого... бования... ный экс... должна... ответст... не др... сульфат... бленой... ности, б... бования... на, не... хороше... ста С... ными и... С дикт... скорост... 600 м/с... ке так... полотно... Для п... ных п... фекти...

6П482. Lidi... 1960, 4... виды... гич. с... ее по... синтез... бам, к... ных С... 6П483. длины... prösv... (чепи... гофри... и пос... 6П484. своей... Ко п... учебн... 6П... Ка т... and... 6П... слов... №

имитируют промышленный печатный процесс. Приведены результаты исследования печатных свойств Б при помощи печатного аппарата ФОГРА с целью выяснения влияния наполнителей на перечисленные выше основные показатели Б, определяющие ее печатные свойства. Сравнение Б лабор. изготовления с 20%-ной зольностью показали, что гладкость Б с каолином и тальком практически одинакова, тогда как гибкость Б с каолином лучше, чем с тальком. Впитывающая способность Б с тальком несколько выше, чем Б с каолином. Проведенные исследования с применением прибора ФОГРА показали, что наполнители и в особенности каолин, улучшают печатные свойства Б. Это улучшение печатных свойств Б возрастает, но не линейно с увеличением содержания наполнителя в Б.

С. Иванов

6П481. Требования, предъявляемые производством газетной бумаги к качеству целлюлозы. Sanku C. A. Pulp quality requirements of the newsprint industry. «Pulp and Paper Mag. Canada», 1960, 61, № 5, 103—105. Discuss., 105—106 (англ.).—В комплекс требований в газетной бумаге (ГБ) входят стоимость целлюлозы (Ц), обеспечивающая экономичность произ-ва ГБ; возможность использования Ц в ГБ, изготавливаемых на современных скоростных бумагоделательных машинах (БМ); возможность обеспечения ГБ качества, приемлемого для издательств и, наконец, обеспечение требований таможни США, гарантирующих беспрепятственный экспорт ГБ в США. ГБ, изготавливаемая в Канаде, должна соответствовать качеству «стандартной ГБ», соответствующему требованиям таможни США (содержание древесной массы  $\geq 70\%$ , остальное небеленая сульфатная Ц, допускается частичное использование белевой сульфатной Ц; показатели веса  $1 \text{ м}^2$  ГБ, зольности, отделимости, цвета и размер рулонов). Основные требования издательств-заказчиков: хорошие цвет, белизна, непрозрачность, отсутствие внешних дефектов, хорошее качество поверхности и эти показатели качества Ц должны регулироваться способами, общеизвестными в произ-ве ГБ. Требования к механич. прочности Ц диктуются использованием при произ-ве ГБ высокоскоростных бумагоделательных машин ( $\sim 300\text{—}600 \text{ м/мин}$ ). Соотношение волокон: вода в массе на сетке таких машин составляет 1:200. Сухость бумажного полотна после сетки  $\sim 18\%$  и после прессов  $\sim 33\%$ . Для произ-ва Ц предпочтительно использование плотных пород древесины, чтобы повысить экономич. эффективность ее применения в произ-ве ГБ.

М. Белецкая

6П482. Химически обработанные бумаги. Kóbor Lidia. Vegyileg kezelt papírok. «Csomagolástechnika», 1960, 5, № 2, 35—41 (венг.). Рассмотрены различные виды и методы повышения физ.-мех. и химико-биол. свойств упаковочных бумаг путем нанесения на ее поверхность покрытий (Al-фольга, парафин, битум, синтетич. смолы и т. д.), придания устойчивости к грибам, насекомым. Описаны машинные способы указанных обработок.

С. Розенфельд

6П483. Гифрирование бумаги и искусственные водные знаки. Másló Oldfich. Raženi papír a umělé prísivky. «Papír a celula», 1960, 15, № 6, 128—129 (чешск.; рез. русск., нем., англ.).—Описана технология гифрирования бумаги на каландрах для гифрирования и посредством штампов.

Из резюме автора

6П484. Гигротермические и электрофизические свойства кабельной [поверхности бумажной] изоляции. Коптелов Ю. К., Сорокин А. Ф. «Изв. высш. учеб. заведений. Энергетика», 1960, № 5, 80—89

6П485. Характеристика бумаги сорта Сакисю. Като Сэйдзи. «Камаи обби парупу. J. Japan Paper and Pulp Assoc.», 1960, 11, № 2, 121—124 (японск.).

6П486. Производство толстого пергамента в Чехословакии. Федотова М. С. «Бум. пром-сть», 1960, № 10, 27—23.—Приведены описание технологии

произ-ва толстого пергамента ( $200\text{—}350 \text{ г/м}^2$ ), используемого в текстильной пром-сти для оклейки валиков прядильной машины, и схема раскатных устройств пергаментной машины.

А. Х.

6П487. Катионные крахмалы в качестве связующих для покровных материалов. Greif Donald S. Cationic starches as paper coating binders. «Tappi», 1960, 43, № 3, 254—260 (англ.).—Рассмотрено применение катионных крахмалов (КК) в качестве связующего для покрытий (П) и произведено сравнение со стандартными крахмальными связующими для этих же целей. В лабор. условиях изучены свойства этих П в отношении вязкости, удержания воды, реологич. свойств и сопротивления выщипыванию. Показано, что КК и поверхностноактивные в-ва могут быть использованы для регулирования вязкости покровной краски и что эти покровные материалы могут быть приготовлены пониженной конц-ии, но обладать реологич. свойствами покровной краски с высоким содержанием твердых в-в, принятой при стандартном процессе. КК особенно пригоден для использования в П с более тонким слоем покровного слоя. Отмечены его преимущества для увеличения сопротивления выщипыванию покровного слоя. Приведена рецептура покровных красок с применением КК.

С. Иванов

6П488. Влияние покрытий из органических веществ, пропитки и поверхностной проклейки на свойства бумаг и картонов. Lamle S., Miss. Organic coating, impregnating and surface sizing agents' influence on paper and board properties. «World's Paper Trade Rev.», 1960, 154, № 9, 757—758, 760, 762, 764, 769, 772, 776 (англ.).—Различные высокополимерные в-ва, применяемые для обработки бумаг (Б) и картонов (К), придают им устойчивость к действию масел и жиров, воды и водяных паров, различных кислот и щел. реагентов, улучшают оптич. свойства и прочность Б и К. Перечислены основные в-ва, применяемые для проклейки и покрытия Б и К, и свойства, которые они придают Б и К. Отмечено применение нитроцеллюлозы, ацетилцеллюлозы и смешанных эфиров, напр. ацетобутиратов целлюлозы, как наиболее широко используемых для покрытий. Описано применение этилцеллюлозы, поливинилпирролидона, поливинилхлорида, поливинилформала. Полистирол мало подходит для обработки Б, так как он не дает достаточно прочных пленок. Хорошие результаты дает применение акриловых смол и сополимеров бутадиена и акрилонитрила. Полиамидные смолы применяют главным образом в р-рах изопропилового спирта. Особо хорошие результаты дает применение полиамидных и эпоксидных смол. Рассмотрено также применение фенольных, мочевино- и меламиноформальдегидных смол. Растворимые в воде, жидкие меламиновые смолы эмульсионного типа применяются совместно с эмульсиями парафина, с фенолформальдегидными смолами.

А. З.

6П489. Применение и влияние ролевых добавок. Растительные камеди типа манногалактана. Wulfsch F., Schubert K. Application and effect of beater additives. With special reference to vegetable mucilages of the mannogalactan type. «Paper-Maker (Engl.)», 1960, 139, № 4, 50, 52—55 (англ.).—Приведены результаты исследования клея Дайколл, применяемого в качестве ролевой добавки при размоле. Клей Дайколл представляет собой манногалактан (МГ), получаемый из растений семейства бобовых, напр. *Robinia pseudacacia* L. МГ, получаемый из растительной камеди, бывает в двух модификациях: нерастворимый в холодной воде, но растворимый при нагреве до  $90^\circ$  и переходящий в гель при охлаждении р-ра  $< 50^\circ$ , и растворимый в холодной воде. В Европе применяют второй вид МГ. Опыты проводили с применением обоих видов МГ при размоле сульфитной белевой целлюлозы, при этом МГ вводили в бумажную массу до и после размол. Уста-

новлено, что оптимальные результаты достигнуты при применении 1% МГ от веса волокна; дальнейшее увеличение кол-ва МГ неэффективно. Было обнаружено, что при введении МГ после размола степень помола массы повышается, а при введении МГ до размола степень помола массы по ШР понижается. Этот результат объясняется тем, что введение гидрофильного в-ва, повышающего пластичность и гибкость волокон, увеличивает их сопротивление при размоле, вследствие чего действие размалывающей гарнитуры снижается. Повышение же жирности массы при введении МГ после размола объясняется повышением сопротивления волокон обезвоживанию за счет закрытия пор гидрофильным в-вом МГ. Добавка МГ значительно повышает прочность бумаги (Б) на разрыв особенно в начальных областях размола и позволяет достичь той же прочности при меньшем времени размола примерно на 30%. Несмотря на некоторое снижение степени помола по ШР, прочность Б увеличивается больше, если МГ дается до размола. Лабор. опыты, проведенные на мельнице Иокро, были повторены на лабор. установке непрерывного действия, состоящей из лабор. рола Эшер-Висс, работающей по схеме с циркуляцией на бассейне и с последующим домолом массы в мельнице Штреккера. Эта установка по своему действию приближается к ползаводской и ее работа соответствует промышленной установке. Опыты размола массы на этой установке с добавкой перед размолом МГ показали, что степень помола массы почти не изменяется или имеет небольшую тенденцию к снижению по сравнению с размолом массы без добавки МГ. Разрывная длина Б при этом повысилась на 7—25%, а сопротивление продавливанию повысилось больше. Сделан вывод, что применение МГ может дать значительную экономию энергии при размоле бумажной массы.

С. Иванов

6П490. Манногалактановые камеди и камедь *Gleditsia amorphoides*. Riqué Thomás. Las gomas galactomananos y la goma de espina corona en la industria papeleria. «Folleto tecn. forest.», 1960, № 4, 16 p., il. (исп.).—Приведено описание ряда растений сем. бобовых, в частности *Gleditsia amorphoides*, из семян которых добываются манногалактановые камеди, используемые для проклейки бумаги (Б). Камедь *G. amorphoides* состоит из 30% галактозы и 60% маннозы. Эта камедь при введении в бумажную массу в кол-ве 0,5% снижает время размола на 20%. При обработке волокнистого материала р-рами камеди при малых pH или в нейтр. средах получается хорошо проклеенная Б. При такой же обработке при высоких pH получается темноокрашенная Б. С увеличением кол-ва этой камеди в Б увеличиваются и улучшаются механич. свойства Б. Действие данной камеди на свойства Б сходно с действием применяемых в бумажном произ-ве камедей из семян *Ceratonia siliqua* или *Cyatopsis tataranoloba*.

М. Нагорский

6П491. Влияние кислорода воздуха на вязкость растительной камеди *Abelmoschus manihot* Medic. Inokawa Saburo, Goto Ryozo, Fujimoto Einosuke. «Nihon kagaku daishi, J. Chem. Soc. Japan. Pure Chem. Sec.», 1960, 81, № 4, 678, A47 (японск.; рез. англ.).—При нагревании или длительном хранении указанной камеди наблюдается заметное уменьшение ее вязкости и она становится непригодной для произ-ва японской бумаги. Спец. опытами с нагреванием камеди, освобожденной от кислорода в глубоком вакууме, установлено, что быстрое падение вязкости камеди зависит от присутствия в ней кислорода.

Из резюме авторов

6П492. Клей для производства гофрированного картона. Michalik Karel. Lepidla pro výrobu vlnité lepenky. «Papír. a celul.», 1960, 15, № 9, 202—205 (чешск.; рез. русск., нем., англ.).—Рассмотрены требования,

предъявляемые к клеям, и указаны способы измерения их вязкости.

6П493. О проблеме анализа клеящих веществ. Murphy Charles. Adhesive problem analysis. «Tappi», 1960, 43, № 3, A164—A165 (англ.).—Отмечается, что поставщики клеящих в-в (КВ) для того, чтобы рекомендовать наиболее подходящее для каждого конкретного случая КВ, должны располагать по возможности полной характеристикой бумажной ф-ки и требованиями, предъявляемыми ею к КВ.

А. Попов

6П494. Базальты для целлюлозно-бумажной промышленности. Ацагорцян З. А. «Бум. пром-сть», 1960, № 10, 14—16.—Приведены петрографич. характеристика, хим. состав и физ.-мех. свойства отдельных пород базальтов Армении. Отмечено, что утвержденных технич. условий на базальт для размалывающей гарнитуры до сих пор нет. Приведен ряд показателей физ.-мех. свойств каменной породы для размалывающей гарнитуры, которые могли бы быть приняты за основу для технич. условий на базальт. Отмечено, что эти показатели нуждаются в уточнении путем технологич. испытаний в производственных условиях размалывающей гарнитуры из базальтов с различными показателями истощаемости.

А. Х.

6П495. Новое в технологии отделки картона. Хлыстов П. И., Шаренков В. В. «Бум. пром-сть», 1960, № 6, 25—26.—Существующий способ отделки картона (К) нерационален. Проведены с положительными результатами опытные сушки К в роликовой сушилке СУР-4, предназначенной для сушки фанерного шпона. Приведены технологич. схема произ-ва с применением сушилки СУР-4, схема последней и их описание. Циркуляция воздуха в сушилке поперечная. Во время сушки К продвигается между двумя вращающимися валиками, нагревающимися до 130—140°, и поэтому К не коробится. Производительность сушилки СУР-4 можно варьировать в широких пределах за счет изменения скорости и т-ры, поэтому ее можно применять для сушки всех видов листового К, в том числе и магричного. При сушке К в указанной сушилке резко улучшается качество выпускаемой продукции, снижается кол-во оборотных отходов, повышается производительность труда.

А. Х.

6П496. Современное производство твердых картонов. Часть I. Anglik Wiesław. Nowoczesna produkcja tektur twardech. Cz. I. «Przegl. papiern.», 1960, 16, № 6, 168—176 (польск.; рез. русск., англ.).—Приведены схемы и фото современных папмашин и прессов, принципы работы самосъемочных папмашин с автоматич. резкой картона на форматном валике и автоматич. сьемом листов. Рассмотрено оборудование для резки мокрых листов на малые форматы, принципы работы вальцевых и листовых прессов непрерывного действия и способ их соединения с папмашинной при помощи приемочной площадки.

Из резюме автора

6П497. Использование способа офсетной печати с рулона при запечатывании картона. Snyder Clark. Web-offset application to board printing. «Tappi», 1960, 43, № 4, A162 (англ.).—При скорости печатной машины 365,75 м/мин, при указанном способе возможно получение 30 000 оттисков в час. Печатная машина имеет счетчик-разметчик оттисков и приспособления для резки и сгибания картона (К). Печать можно наносить с одной или двух сторон К по желанию. При запечатывании мягкого пористого К можно использовать любое кол-во красок без опасности получения отмарки при резании или перемотке К. При сильно каландрированных К или К с бумажным поверхностным покрытием имеются некоторые затруднения по быстрому закреплению краски. Описаны мероприятия, исключающие эти затруднения. Описанный способ не пригоден для запечатывания гофрированного К.

М. Белецкая



ы измере-  
Д. Г.  
вещества.  
«Тарпи»,  
мечается,  
чтобы ред-  
ского кон-  
возмож-  
Ф-ки и  
А. Попов  
ной про-  
пром-сть,  
характе-  
отдельных  
твержден-  
ывающей  
казателей  
малываю-  
инянты за-  
чено, что  
ем техно-  
виях раз-  
личными  
А. Х.  
на. Хлы-  
сть, 1960,  
и картона  
ными ре-  
сушилке  
го шпона.  
менением  
ние. Цир-  
Во время  
юмился  
позтому К  
и СУР-4  
чет изме-  
рименять  
ле и мате-  
ке резко  
ции, спис-  
ает произ-  
А. Х.  
их карто-  
а produk-  
1960, 16,  
приведены  
ов, при-  
работы  
томатич.  
автоматич.  
для резки  
работы  
действия  
помощи  
е автора  
печати с  
Clark  
ri», 1960,  
машин  
но полу-  
на имеет  
для раз-  
но нано-  
При за-  
ользовать  
отмарки-  
аладри-  
м покры-  
быстро-  
исклю-  
не при-  
Белецкая

6П1498. Пути снижения потерь. Lawler C. B. Waste improvements through engineering. «Tappi», 1960, № 3, A213—A218 (англ.).—На основании опыта фирмы Union Bag-Campa Paper Co., изготовляющей машины на гофрированного картона, сообщается, что для эффективного снижения потерь необходимы: систематич. технико-экономич. изучение произ-ва, предупредительный ремонт оборудования, обучение рабочих, контроль качества продукции, пневматич. удаление отходов, спец. обследование отдельных участков произ-ва; наиболее тщательная регулировка и постоянное наблюдение за работой гофрировальной машины. Приведен пример определения потерь на отдельных стадиях производства. А. Попов

6П1499. Зависимость между свойствами волокна, волокнистых суспензий и свойствами строительного волокнистого картона. Jones Edward J. The relation of fiber and pulp properties to the properties of structural fiberboard products. «Tappi», 1960, 43, № 6, 600—602 (англ.).—Обзор работ по исследованию и оценке свойств целлюлозного волокна (механич. прочност., гибкость, сопротивление обезвоживанию, внешняя поверхность, степень набухания и прочность связанности). Определена степень влияния этих показателей волокна на свойства строительного волокнистого картона. Библ. 13 назв. М. Белецкая

6П1500. Сопоставление свойств плит из древесного волокна, стружек и многослойная фанера. Lundgren S. Ake. Fiberskivor, spånskivor och plywood jämförelser. «Svensk papperstidn.», 1960, 63, № 16, 510—516 (шведск.; реза. англ., нем.).—Анализируются сопротивление вышеуказанных материалов изгибу в связи с толщиной, их механич. прочност., набухае- в воде и во влажном воздухе, доступность механиз. обработке и сохранение поверхности при эксплуатации. Приведены показатели прочности на разрыв, модуля эластичности, сопротивления изгибу и данные о влиянии влажности на физ.-мех. свойства этих материалов. Сделан вывод, что эксплуатацион- ные свойства всех рассматриваемых материалов очень различны, выбор их для строительства определяется требованиями, предъявляемыми условиями эксплуата- ции. При выборе материалов немаловажную роль играет их стоимость. М. Нагорский

6П1501. Биостойкость древесно-волокнистых и древе- сно-стружечных плит. Панфилова А. Л. В сб. «Физ. применения дерева и пласт. масс в стр-ве». М., Постройиздат, 1960, 119—135.—Приведены результаты исследования поражаемости грибами твердых древе- сно-волокнистых и древесно-стружечных плит, не содер- жащих антисептиков и содержащих их, биостойкость их и других, а также результаты воздействия влаги и температуры на указанные плиты. Полученные результаты показывают, что древесина плит разного вида и объ- емного веса без введения антисептиков разрушается. Биостойкость древесно-волокнистых и древесно-стру- жечных плит может быть обеспечена введением анти- септика в процессе их приготовления в массу или добавкой антисептика в смолы, применяемые в каче- стве связующего. Из резюме автора

6П1502. Производство древесностружечных плит и их применение в гражданском строительстве. Джа- манова З. К., Масленникова В. З., Тере- гов В. С. В сб. «Строит. материалы и конструкции». Сталин, 1959, 29—30.—Приведено описание двух раз- работанных промышленных методов. По первому ме- тоду древесные отходы (стружки или опилки) пред- варительно обрабатывают р-ром к-ты с последующим введением 3—5% синтетич. смол. По второму методу (получение бессмольных плит) древесные отходы об- рабатывают подкисленным р-ром фенола с последую- щим введением 0.5% извести. Горячее прессование производят при 130—140° и уд. давл. 70—80 кг/см<sup>2</sup>. Вследствие ряда недостатков технологии горячего прес-

сования разработана технология произ-ва плит холод- ным прессованием с последующей термообработкой при 130—140° в течение 3—4 час. Д. Г.

6П1503. Испытание древесно-стружечных плит в исследовательских и производственных лабораториях. Neußer Herbert. Spanplattenprüfung in Ver- suchsanstalt und Betriebslaboratorium. «Materialprü- fung», 1960, 2, № 8, 295—300 (нем.; реза. англ., франц.).—Контроль и испытание качества в произ-ве древесно-стружечных плит являются совершенно необ- ходимыми, в отличие от изготовления изделий из при- родной древесины, где для определения качества до- статочно внешнего осмотра. Перечислены методы испытания плит в заводских лабораториях и при более подробном их изучении в спец. исследовательских учреждениях. Приведено краткое описание методов. А. З.

6П1504. Технология производства плит из льяной костры. Swiderski Józef. Zur Technologie der Flachspanplatten-Erzeugung. «Holz Roh- und Werk- stoff», 1960, 18, № 7, 242—250 (нем.; реза. англ.).—При строительстве в Польше з-да по произ-ву плит из льяной костры (ЛКП) была принята технология бель- гийского способа «Linex-Verkor». Приведена техноло- гич. схема произ-ва и краткое ее описание. Льяные стебли очищают от посторонних примесей, подвергают декорткации и отделяют костру от волокон. Волокно используют в произ-ве целлюлозы для бумаги. Костру дробят и перерабатывают на плиты с применением ~7% от веса сухих плит мочевиноформальдегидной смолы. Смолу применяют в виде 60% р-ра, с добавле- нием отверждающих добавок. Приведены сравнитель- ные данные по произ-ву ЛКП и древесно-стружечных плит (ДСП). При произ-ве ЛКП отпадает необходи- мость механич. измельчения на рубильных машинах, сырье имеет малую (11—14%) и равномерную влаж- ность (в отличие от 30—50%-ной влажности древеси- ны). Влажность льяной костры при переработке должна быть постоянной и колебания допустимы не более, чем на 0,5%, в связи с чем необходимо конди- ционирование многодневного запаса. Давление при предварительном прессовании ЛКП влече выше, чем при выработке ДСП и составляет 20 кг/см<sup>2</sup>. ЛКП более тверды, чем ДСП. Мощность пресса для ЛКП должна быть большей, чем для ДСП. Приведены данные о ка- честве плит, вырабатываемых из льяной костры, их формате, расходе клея, тепла, электроэнергии, рабочей силы. А. Закощиков

6П1505. Производство жестких древесно-волокни- стых плит с применением плифена. Kühn R. Plyor- bene in der Hartfaserplatten-Industrie. «Beckacite- Nachr.», 1960, 19, № 1, 9—11 (нем.).—Кратко описаны мокрый, сухой и полусухой способы произ-ва древе- сно-волокнистых плит (ДВП) и рекомендованы для ука- занных способов следующие водные фенольные смолы соответственно марок «Плиофен» 6502, 6500 и 6503. Указана степень разбавления композиции водой, соот- ношение смолы и сухого волокна, кол-ва добавляемой в композицию парафиновой эмульсии (для снижения водопоглощения ДВП), содержания влаги и т. д., а также режим прессования ДВП (т-ра, давление и про- должительность). ДВП, получаемые по мокрому или полусухому способу, имеют гладкую поверхность толь- ко с одной стороны, так как прессование их для луч- шего удаления воды производят на сетке. И. Беркович

6П1506. Контрольно-измерительные приборы в цел- лuloзно-бумажной промышленности. Сурга Тору. «Кэйрз кэпри, J. Instrum. Control. Assoc., Japan», 1959, 8, № 6, 4—5 (японск.).

6П1507. Новый регистрирующий прибор для измере- ния веса 1 м<sup>2</sup> бумаги и толщины бумажной ленты. Schnabl Willy, Soldner Franz. Un nou aparat inregistrator pentru măsurarea gramajului și a grosimii

benzii de hirtie. «Celul. și hirtie», 1960, 9, № 6, 196—199 (рум.).—Для определения веса 1 м<sup>2</sup> бумаги предложен новый радиоактивный метод. Приведено описание прибора, дана его схема, система техники безопасности при работе с радиоактивными изотопами. Описаны различные узлы этого прибора. В качестве радиоактивных изотопов применяют  $Ti^{204}$  и  $Sr^{90}$ . Этим прибором можно определять вес листов в пределах 50—5000 г/м<sup>2</sup>. Прибор пригоден в бумажной пром-сти, для измерения пленок тканей и других ленточных изделий.

Ф. Нарина

6П508. Новый аппарат для непрерывной варки. Carlsmith L. Allan, Rasch Royal H., Dhus Elmer F. New continuous digester. «Pulp and Paper», 1959, 33, № 9, 77—85 (англ.).—Описан варочный аппарат (ВА), работающий на предприятии Hammermill Paper Co., и спец. сконструированные механизмы для подачи в нижнюю часть ВА замоченной в щелоке (Щ) щепы и выдувки сваренной массы из верхней части ВА в циклон. Подача Щ осуществлена таким образом, что он может двигаться или параллельно ходу щепы или против него; скорость подачи Щ может быть выше или ниже скорости движения щепы. ВА рассчитан на суточный выпуск 125 т абс. сухой бленовой нейтр. сульфитной (на Na-основании) полуцеллюлозы; вся остальная аппаратура рассчитана на суточное произ-во 250 т с учетом того, что при повышении т-ры варки ее продолжительность (в настоящее время 150 мин.) может быть сокращена. ВА рассчитан на давл. 17,5 кг/см<sup>2</sup>. Полуцеллюлоза используется для произ-ва высших сортов бумаги. Приведены схемы и фотоустановки.

А. Попов

6П509. Опытная ползаводская установка для получения отдельных растворов двуокиси хлора и ее освоение. Потравнова Р. Ф. В сб. «Вопр. новой техн. в произ-ве сульфитн. целлюлозы». 7. М.—Л., Гослесбумиздат, 1959, 29—33.—Приведена схема опытной установки, построенной на Призерском з-де для получения белящих р-ров двуокиси хлора и отбелки целлюлозы; указана технология и оборудование для проведения процессов.

Д. Г.

6П510. Первоначальное дефибрирование целлюлозы с высоким выходом и полуцеллюлоз. Keyes J. F. Primary defibering of high yield and semichemical pulps. «Tappi», 1960, 43, № 6, A178—A180 (англ.).—Для дефибрирования применен дефибратор (Д) IMPCO Solvo вертикального типа с винтовой перфорированной мешалкой на вертикальной оси мотора. После ряда испытаний и изменений величины отверстий в винтовых полостях мешалки и числа оборотов мотора установлен оптимальный режим работы Д. Использование Д обеспечивает снижение расхода энергии, улучшает качество целлюлозы и в эксплуатации выгоднее обычных дисковых рафинеров.

А. З.

6П511. Уравнение прогиба при неравномерной нагрузке. Gardiner D. M. Deflection equation for non uniform loadings. «Pulp and Paper Mag. Canada», 1960, 61, № 7, T356—T357 (англ.).—При стандартном методе расчета прогиба вала с целью выбора нужной бомбировки не учитывается скалывающее (срезающее) усилие, действующее на прогиб вала, что может дать ошибку в определении прогиба до 10%. Дано уравнение для расчета прогиба вала, учитывающее скалывающее усилие.

С. Иванов

6П512. Применение дискового рафинера Мида для размола небеленой крафт-целлюлозы. Mahoney W. A. The adaptation of the mead disc refiner on unbleached Kraft pulp. «Canad. Pulp and Paper Ind.», 1960, 13, № 7, 22, 24, 26, 30—32 (англ.).—Дисковый рафинер Мида (ДР) был использован для лабор. размола небеленой крафт-целлюлозы взамен ролла Валлея с целью ускорения анализа целлюлозы (Ц) и выявления воспроизводимости и точности результатов. Описаны усовершенствования ДР Мида с целью лучшего

приспособления для исследования свойств прочности Ц и ее размалываемости. На основании сравнительных испытаний ДР и ролла Валлея сделано заключение, что ДР Мида пригоден для оценки Ц и даже имеет преимущества перед другими лабор. размалывающими аппаратами: он требует в два раза меньше времени для проведения размола, чем ролл Валлея и дает результаты лучшей воспроизводимости.

С. Иванов

6П513. Критерии оценки работы дисковых мельниц. Nieruchlewski T., Pustelnik C. Z. Badania nad ustaleniem kryteriów oceny pracy młynów tarczowych. «Przegl. papiern.», 1960, 16, № 7, 193—196 (польск.; реж. русск., англ.).—Исследовано влияние кон-ии размалываемого сырья и расстояния между дисками мельницы на качество получаемой массы и на уд. расход энергии. В дисковой мельнице Спрут-Уолдрон с дисками диам. 300 мм размалывали березовую полуцеллюлозу, полученную нейтр. сульфитным способом с выходом 70%. Расстояние между дисками изменяли в пределах 0,4—0,8 мм, производительность мельницы 9,0; 14,5 и 27 кг/час, кон-ия дисков, суспензия целлюлозы — 3,5 и 7%. Для полуцеллюлозы в неравном состоянии замечено увеличение сопротивления разрыву, продавливанию, а сопротивление раздирному уменьшается с увеличением кон-ии волоконистой суспензии и пропускной способности мельницы. Установлено, что механич. свойства полуцеллюлозы и расход энергии на размол не являются единственными критериями для установления параметров работы мельницы. Состав отдельных волокнистых фракций размалываемого сырья, определяемый ситовым анализом, имеет также очень большое значение. Процесс размола надо регулировать таким образом, чтобы получить продукт, содержащий самое малое кол-во фракции, которая проходит через сито с 6400 отверстиями на 1 см<sup>2</sup> и «крупной» фракция, остающейся на сите с 1-мичной щелей 0,3 мм.

Из резюме авторов

6П514. Повышение производительности сушильных цилиндров бумагоделательной машины применением двухстороннего воздухоотвода. «Цаочжи гунга Zaozhi gongye», 1960, № 1, 9 (кит.).—Введена дополнительная установка вытяжной вентиляции к сушильному цилиндру, позволяющая полностью выводить пар, возникающий при подогреве влажной бумаги. Усовершенствован колпак цилиндра. Этими мероприятиями повышена производительность сушильных цилиндров от 48 кг/м<sup>2</sup>/час до 69,5 кг/м<sup>2</sup>/час. Сопоставлены условия произ-ва бумаги до и после отмеченных реконструкций. Отмечены преимущества двухстороннего воздухоотвода.

По резюме

6П515. Сушко сушильного цилиндра бумагоделательной машины. Одава Масао. «Сэйсй когэ, I Pulp and Paper Ind.», 1960, 9, № 3, 234—237 (японск.).

6П516. Регулирование скорости приводов на бумажной фабрике. Massallum I. M. M. Speed control of drives in the papermill. «Paper Technol.», 1960, 1, № 3, 278—285. Discuss., 286—287 (англ.).—Обсуждены причины колебаний в скорости привода, наиболее часто применяемой теперь системы Вард-Леонарда. Основные причины этих колебаний заключаются в изменениях нагрузки, т-ры и в условиях снабжения энергией. Обсуждена основная идея регулирования скорости привода по системе замкнутого контура, а также детально описана типовая система регулирования скорости привода, использующая средства электротехники. Описано применение системы регулирования с использованием замкнутого контура для привода суперкаландра и предельно-реактивного станка с применением высокоусиливающих возбудителей. Приведены электр. сх. системы приводов.

С. Иванов

6П517. Практический подход к проектированию каландра. Perkins Joseph E. A practical approach to

прочности сравнительно заключен. Ц и даде. р. размалываза меньше ил Вадана сти.

С. Иванов. С. z. Badań. 7, 193—198. По влиянию массы и в це. Спротуали безеульфитны ду дисками дительность сусензани в пераэспротивляе раздирунистой суы. Установи и расходными крботы медьций размаанализок. Сесс размоу получуи фракции. стиями в. сите с в. ме автори. и сущны. и приме. яки гула. а дополн. к сущны. выводит. и бумаки. меропри. ных пр. оспавлен. ных рек. сторонне. То реак. умагодел. и ког. I. японск.). ов на б. eed control. 1960, 1, №3. сены при. олее части. та. Осно. в изме. энергие. рости при. деталям. рости при. Описан. зование. тра и про. высото. трич. сис. С. Иванов. ванию к. orgoach в

open side calender design. «Tappi», 1960, 43, № 7, A241—A242 (англ.)

6П518. Определение сопротивления бумаги двойным перегибам при помощи аппарата Брехта-Веспла. Krawiec Irena, Nierychlewski Tadeusz, Winczakiewicz Andrzej. Próby oznaczania odporności papieru na podwójne zginanie za pomocą aparatu Brechta-Wespla. «Przegl. papiern.», 1960, 16, № 8, 231—234 (польск.; рез.-русс., англ.).—Определено сопротивление излому (число двойных перегибов) различных бумаг, еловой сульфитной беленой и сосновой сульфатной небеленой целлюлоз на приборе Брехта-Веспла, сконструированном в целлюлозно-бумажном ин-те ПНР. Сопротивление излому (F) выражается формулой:  $F = (P_r/P_0) \cdot 100$ , где  $P_r$  — сопротивление бумаги на разрыв после совершения определенного числа двойных перегибов;  $P_0$  — начальное сопротивление бумаги на разрыв. По сравнению с прибором Шоппера и Келер-Моллина сконструированный прибор дает более точные результаты, требует меньшей затраты времени и определения на нем легко выполняются.

6П519. Степень белизны, точность и время. Steenius Ake S. son, Van den Akker J. A. Brightness, precision and time. «Tappi», 1960, 43, № 6, A153—A154 (англ.).—Подтверждается большая точность определения степени белизны бумаги и картона при помощи рефлектометра системы Цейсс-Элрефо, распространенного в скандинавских странах, по сравнению с результатами определения по прибору General Electric (GE), применяемого в стандартном методе Tappi. На определение по рефлектометру Цейсс-Элрефо требуется меньше времени. Отмечается возможность внесения изменений в стандартный метод «Tappi» с заменой прибора «GE» более совершенным системы Цейсс-Элрефо.

6П520. Сопротивление бумаги и бумажного картона разрыву при растяжении. Пересмотр метода Tappi T 404 m-50. Tensile breaking strength of paper and paperboard. Proposed revision of Tappi method T 404 m-50. «Tappi», 1960, 43, № 6, A137—A138 (англ.).—При пересмотре данного метода предусматривается замена требований по скорости нагрузки при испытании различных сортов бумаги. Приведено описание метода и прибора для определения сопротивления бумаги и бумажного картона разрыву при растяжении, с указанием ряда необходимых его уточнений.

6П521. Испытание абразивных свойств пигментов и наполнителей для бумаги. Fraik R. D., Schmutz F. C. A proposed test for abrasiveness of pigments and paper fillers. «Tappi», 1960, 43, № 7, A230—A233 (англ.).—Износ сеток бумагоделательных машин, печатных форм, ножей резательных станков и др. обуславливается в основном абразивным действием минер. наполнителей бумаги. Для изучения износа оборудования в результате абразивного трения предложены метод и прибор для определения абразивных свойств минер. наполнителей. Принцип метода заключается в определении потерь в весе металлич. образца от абразивного трения, выполняемого в стандартных условиях. Металлич. образец в форме плоского кольца закрепляют в аппарате и подвергают вращению. К нему с определенным давлением прижимается кусок металла, покрытый сукном. Трение поверхности сукна о металлич. кольцо производится в присутствии суспензии минер. наполнителя, циркулирующей в аппарате при помощи циркуляционного насоса. Для испытания применяют металлич. образцы из разного металла: латуни, меди и стали. Приведены результаты испытания на абразивное трение 6 различных образцов наполнителей: каолина, талька, карбоната кальция и двуокиси титана, а также данные о влиянии некоторых факторов на абразивный износ оборудования, включая действие сернистого глинозема. Отмечено, что предло-

женная конструкция прибора требует еще доработки и стандартизации, но она является полезной.

6П522. Измерение поверхностного натяжения и удлинения поверхностных пленок. Davidson P. B. A measure of surface tension and surface film elongation. «Tappi», 1960, 43, № 7, 665—667 (англ.).—Применение прибора Instron-tester позволило измерять не только поверхностное натяжение клея (K), но и эластичность поверхностных пленок, образуемых животными K. По форме кривых можно судить о пригодности данного K для использования при проклейке бумаг. На форму кривых оказывает влияние присутствие продуктов распада, солей ( $ZnCl_2$ ), добавляемых в качестве антисептиков и антиокислителей. Предлагаемые методы исследования клеев не заменяют, а только дополняют обычные методы определения прочности геля и вязкости. Испытания проводятся на 2,0; 5,0 и 7% р-рах животных клеев.

6П523. Методы испытания картона. Аоки Мацудзо. «Сипа гикёси, J. Japan. Techn. Assoc. Pulp and Paper Ind.», 1959, 13, № 11, 776—782 (японск.).—Обзор. Библ. 54 назв.

6П524. Контроль за качеством среднего слоя гофры и наружного слоя картона в процессе производства и методы испытания готовой продукции. Illing Peter A. Mill testing of corrugating medium and liner for the fabrication and end usage. «Tappi», 1960, 43, № 7, A162—A163 (англ.)

6П525. Абсорбция воды бумажным картоном. Новый предлагаемый метод T 492 sm. Water absorption of paperboard. New suggested method T 492 sm. «Tappi», 1960, 43, № 6, A136—A137 (англ.).—Описан метод, рекомендуемый для определения способности неклееного и слабосклееного картона (K) абсорбировать воду и для предварительного установления способности K к склеиванию. Метод пригоден для испытания K толщиной 0,2 мм и более.

6П526. Способ производства пригодной для получения вискозного волокна маловязкой предварительно гидролизованной сульфатной целлюлозы с высоким содержанием альфа-целлюлозы. Gajdoš Ján, Kottler Vojtech, Křižan Vojtech, Hurtík Emil, Janšák Milan. Způsob výroby nízkoviskózné předhydrolyzovanéj sulfátové buničiny o vysokom obsahu alfa-celulózy vhodnéj pre prípravu viskózy. Чехосл. пат. 92573, 15.11.59.—Запатентованный способ [без предварительного созревания цел. целлюлозы (Ц)] характерен тем, что предварительно гидролизованную Ц с высоким содержанием  $\alpha$ -Ц с вязкостью 10—40 *спуаз* деполмеризуют путем прибавления активного хлора в кол-ве превышающем обычную потребность Ц в хлоре в стадиях предварительной отбелки до вязкости ниже 10 *спуаз*, которая в дальнейшей отбелке доводится до 5—7 *спуаз*, содержание  $\alpha$ -Ц должно быть равно 92—95%; отбеленная активная Ц пригодна для переработки сухим или мокрым одностадийным способом в вискозное волокно. Физ.-мех. свойства при такой обработке вискозного волокна улучшаются. Пример. Буковую щепу предварительно гидролизуют водой с гидромодулем 1:3,5. Продолжительность варки 120 + 20 мин. Максим. т-ра доваривания с варочным р-ром (NaOH и  $Na_2S$ ) при гидромодуле 1:3,5 173° и избыток щелочи в 19%  $Na_2O$  на 1 кг сухого остатка, продолжительность варки 120 + 180 мин., максим. т-ра 167°, гидромодуль 1:3,4. Вязкость сваренной Ц 33 *спуаз* и число Кюнга 1,6. Необходимыми условиями хлорирования (4%-ная конц-я, 300% активного хлора по числу Кюнга, конц-я образовавшейся HCl = 0,3 г/л) является кол-во активного хлора, значительно превышающее емкость Ц и щел. экстракция (напр., 0,7% NaOH на сухой остаток, продолжительность 2 часа при 80°). В этих условиях получается



предварительно отбеленная Ц с вязкостью 10 *спуз*, которая при умеренной двухстадийной гипохлоритной отбелке pH 9—10 (кол-во активного хлора в обеих стадиях 35% по числу Кюнга) доводится до 6,5 *спуз*, содержание α-Ц 95% и белизна 80% по пластинке MgP. Отбеленная Ц частично отжатая от воды пригодна для переработки в одну стадию в вискозу. Ф. Нарина

6П527. Получение производных карбоксилалкилцеллюлозы. Leonard Richard A., Reasor George A. Preparation of carboxyalkyl cellulose derivatives. [Hercules Powder Co.]. Пат. США 2912431, 10.11.59.—Патентуется способ одновременной отбелки, уменьшения вязкости и уплотнения производных карбоксилалкилцеллюлозы, напр. Na-карбоксиметилцеллюлозы (I). К рыхлой волокнистой массе, содержащей карбоксилалкилцеллюлозу, увлажненной спиртом и водой (отношение воды и спирта таковы, что после высущивания масса превращается в обычный рыхлый волокнистый продукт), прибавляют при размешивании белящий и понижающий вязкость агент — щел., щел.-зем. или  $\text{NH}_4$ -гипогаллоид, перекись или перйодат; в массу при размешивании вводят распыленный ток воды. Жидкости (в качестве уплотняющей жидкости) в кол-ве достаточном для желирования поверхности волокон, причем содержание жидкости в массе должно быть < 4 ч. на 1 ч. сухой карбоксилалкилцеллюлозы. Размешивают до полного разрушения структуры волокна и высущивают, получая легко текучий зернистый порошок, свободный от пыли и быстро растворяющийся в воде. Весь порошок должен проходить через сито № 12 и 20% порошка через сито № 100 (стандартные сита США). В качестве исходных материалов можно применять хлопковый пух или его смеси с древесной целлюлозой; в качестве воды, жидкости для желирования применяют смешивающиеся с водой спирты:  $\text{CH}_3\text{OH}$ , спирт, пропанол, изопропанол и бутанол. Примеры. а) I с степенью замещения ~0,7 получают обработкой очищ. волокнистой древесной целлюлозы 50%-ным NaOH, волн. изопропанолом с ~13% воды и безводн. монохлоруксусной к-той. Массу, содержащую ~15% побочных продуктов (NaCl и гликолат Na), в виде суспензии в 87%-ном изопропанол-центрифугируют и получают влажный продукт, содержащий 60 ч. 87%-ного изопропанола на 100 ч. сухой неочищ. I. Массу помещают в смеситель, образгивают водой и р-ром NaOCl, содержащим 6% активного Cl, в течение 3 мин. при размешивании. Размешивают еще ~5 мин. до разрушения волокнистой структуры и образования раздробленных частиц геля. Массу выгружают в большой объем 85%-ного  $\text{CH}_3\text{OH}$ , взятого с расчетом на понижение содержания воды во всей жидкости до ~25%, причем гель дегидратируется и съезживается. Центрифугируют, сушат при 70° до содержания летучих в-в ~5% и получают легко текучий зернистый порошок с низкой вязкостью и хорошей окраской. Приведены результаты ряда опытов (указаны кол-во летучих в-в в % в I после центрифугирования, отношение активного Cl к I, отношение воды к I при уплотнении I, продолжительность отбелки в сек., вязкость 2%-ного р-ра при 25° в *спузах* небеленой I, тоже беленой, цвет беленой I, плотность готового продукта в  $\text{г/см}^3$ ): 39,0; 0,020; 1,6; 90; 5200; 460; 1,0; 0,68; 38,4; 0,022; 1,8; 90; 3500; 385; 1,0; 0,68; 43,8; 0,019; 1,3; 65; 7200; 1,250; 1,0; 0,57; 44,7; 0,019; 0,8; 65; 5200; 458; 1,0; 0,57; 41,1; 0,017; 1,5; 90; 6360; 185; 1,0; 0,59; 41,5; 0,018; 1,6; 90; 6,200; 245; 1,0; 0,59; 36,8; 0,029; 2,1; 90; 5800; 41; 1,0; 0,64; 36,5; 0,031; 2,3; 90; 5800; 63; 1,0; 0,64; —, 0,014; 1,9; 45; 4400; 236; 1,0; —; —, 0,014; 1,9; 45; 5300; 342; 1,0; —. В условиях приведенного примера приведены опыты с разными отбеливающими агентами.

Ю. Вендельштейн

6П528. Способ обеззоливания простых эфиров целлюлозы. McAndrew John F. Process of deashing cellulose ethers. McAndrew John F. [Hercules Powder

Co.]. Пат. США 2915520, 1.12.59.—Для обеззоливания простых эфиров целлюлозы (Ц) — алкил и оксикалалкилцеллюлозы, растворимых в органич. р-рителях, обрабатывают эти эфиры при  $t$ -ре  $\leq 80^\circ$  при атмосферном давлении подкисленными водн. р-рами, смешивающимися с водой органич. р-рителем для эфиров целлюлозы (напр., этилцеллюлозы) в присутствии ионогенных или неионогенных поверхностноактивных (ПАВ) в-в. В качестве смешивающихся с водой р-рителей для простых эфиров Ц применяют низшие алифатич. спирты, кетоны, простые и сложные эфиры. Подкисленный р-р органич. р-рителя имеет pH ~1,5, кол-во органич. р-рителя в р-ре 10—50% по весу, ПАВ содержится в р-ре 0,05—1,00% от веса р-ра. При предлагаемом способе достигается более полное удаление золы из простых эфиров Ц при меньшем расходе органич. р-рителя. Пример. Этилцеллюлоза, содержащая 46,2% этоксильных групп, с вязкостью 62 *спуз* в 5%-ном р-ре из смеси 80 ч. толуола и 20 ч. этанола. Этилцеллюлозу обрабатывают таким кол-вом 20%-ного водн. р-ра изопропанола, чтобы конция этилцеллюлозы в суспензии была 12—15%; pH р-ра 2,0 устанавливается добавлением конц. соляной к-ты. Подкисленную р-ром обрабатывают суспензию 60 мин. По окончании обработки этилцеллюлозу отделяют от р-ра, промывают дистил. водой до pH промывной воды. Содержимое золы снижается до 0,03—0,20% в зависимости от ПАВ, примененного для обработки. А. Закошкис

6П529. Способ сжигания отработанных щелочей. Hochmuth Frank W. Method of burning waste liqours. [Combustion Engineering, Inc.]. Пат. США 2911284, 3.11.59.—Способ сжигания варочных щелочей (ВЩ) отличается тем, что ВЩ, подаваемый в вертикальную печь (РП) для регенерации хим. реагента в расплавленном состоянии, сжигается во взвешенном состоянии в токе восходящих газов, находящихся в вихревом движении. Негорючие составные части ВЩ, расплавленные под действием высокой  $t$ -ры, в газ. действии центробежной силы отбрасываются на стенки РП и стекают по ним на дно РП. Воздух для сжигания ВЩ подается в РП в двух местах — первичный — непосредственно у дна РП, направленный вверх. В токе первичного воздуха сгорают составные части ВЩ, способные сгорать, и сплавляются минер. остаток. Вторичный воздух вводится дополнительно через сопла в стенке РП, таким образом, что струи направлены в тангенциальном направлении к стенкам РП на уровне, расположенном выше уровня введения в РП ВЩ, подлежащего регенерации, но ниже верхнего края слоя расплавленных солей, стекающего вниз по стенкам РП. Струи вторичного воздуха приводят во вращательное вихревое движение поднимающийся вверх ток воздуха со взвешенными в нем каплями в-в, остающихся после сгорания ВЩ. Таким образом в процессе регенерации ВЩ почти не соприкасается со стенками РП, по которым стекают расплавленные минер. составные части ВЩ. Тепло газов используется для подогрева воды в теплообменнике, расположенном в верхней части РП. Проведены четыре схемы, конструкции и принципа действия РП и метода сжигания ВЩ.

А. Закошкис

6П530. Процесс стабилизации целлюлозы и водные составы, применяемые для этого. Ericks Walter P. Process for dimensionally stabilizing cellulose and aqueous composition used therefor. [The Upson Co.]. Пат. США 2891019, 16.06.59.—Для стабилизации размеров, т. е. уменьшения усадки и набухания целлюлозных материалов (ЦМ) при изменении относительной влажности воздуха их пропитывают водн. р-рами солей, образующих аммиак или низкомолекулярными алифатич. аминами с т. кип.  $> 100^\circ$  и органич. соединениями, имеющими несколько гидроксильных групп у разных углеродных атомов, причем по крайней мере одной из гидроксильных групп должен быть гидроксил карбо-

кислотной группы. Органич. соединениями, образующими такие соли, являются: а) поликарбоновые к-ты (себадиновая к-та); б) оксимонокрбоновые к-ты (диоксистерариновая), в) кислые эфиры, образующиеся при умеренной т-ре из эквимолекулярных кол-в многоатомного спирта и многоосновной к-ты и содержащие не менее одного свободного ОН и не менее одного ОН, входящего в  $\text{COOH}$ -группу. Такие кислые эфиры могут образоваться полиэтиленгликолем с мол. в. 200 и адипиновой или себадиновой к-тами; г) кислые эфиры, образующиеся из 1 моля многоатомного спирта и 2 молей многоосновной к-ты и содержащие не менее двух  $\text{COOH}$ -групп, напр. кислый эфир, образуемый этиленгликолем с 2 молекулами адипиновой к-ты. Пропитанный р-ом солей ЦМ сумат и после сушки в нем находится 2—50% органич. соединения, примененного для пропитки. В р-р соли, применяемый для пропитки, можно дополнительно вносить водорастворимые термореактивные смолы (мочевинформальдегидные, меламиноформальдегидные и фенольноформальдегидные) из расчета содержания органич. соединений после сушки 5—50% по весу этих смол. Пропитку лучше производить погружением ЦМ в р-р солей на 1—3 мин., сушить его при 108—122° (часто при 130—135°). Для придания несмачиваемости ЦМ водой к пропитываемому р-ру можно добавлять 50% суспензию микрокристаллич. парафина или латексы СК или НК и в качестве эмульгаторов ионогенные в-ва. Пример 1. Тонкие листы бумаги (Б) пропитывают водн. р-рами, содержащими 7, 14 и 21% диаммониевой соли адипиновой к-ты, 3,2 и 1% (соответственно) парафина в эмульгированном состоянии. После сушки и нагревания в течение 1 часа при 108° в листах содержится 25, 14 и 9% (соответственно) соли и парафина. При изменении относительной влажности воздуха от 0 до 90% изменение размеров Б уменьшается по сравнению с таковыми необработанной Б на 72, 42 и 23% (соответственно). Резко уменьшается кол-во адсорбируемой влаги, напр. с 125 до 35%. Пример 2. 98 ч. малеинового ангидрида, 148 ч. фталевого ангидрида и 148 ч. адипиновой к-ты растворяют при внесении небольших порций в 600 ч. полиэтиленгликоля с мол. в. 200 (мол. отношения указанных выше в-в 1:1:1:3) и размешивания при 80—100°; размешивание продолжают при постепенном повышении т-ры до 150° до уменьшения первоначальной кислотности на половину (титрование). Прозрачный водн. р-р с содержанием 30% полученного смешанного моноэфира готовят растворением 300 ч. продукта р-ции в 600 ч. воды. При разбавлении р-ра водой до содержания 15% эфира р-р становится мутным; при добавлении 6,5 мл конц. аммиака р-р опять становится прозрачным. При дальнейшем разбавлении до содержания 7,5% растворенного в-ва р-р снова мутнеет и становится прозрачным после добавления 1 мл аммиака. Полученным р-ром смачивают образцы Б. После сушки и нагревания образцов Б при 108° в течение 1 часа они содержат 28, 23 и 14% соединений из р-ра; усадка и изменения в размерах при изменении относительной влажности в пределах 0—90% по сравнению с необработанной Б уменьшается соответственно на 51, 37 и 22%. А. Закощиков

6П531. Способ удаления печатной краски из бумажных отходов. Altmann Norman A., Bureau William H. Method of deinking waste paper. [Bulter Col. Пат. США 2916412, 8.12.59.—Бумажные отходы (БО) замачивают в холодной воде и пропускают массу хотя бы один раз в течение нескольких секунд через дисковый рафинер. При этой обработке начальная т-ра 21° и по выходе из рафинера не превышает 45°. Окружная скорость диска составляет несколько сотен метров в 1 сек (напр., 5500 м/сек), частички печатной краски при этом отстают от поверхности волокна, пучки волокон разделяются на отдельные волокна.

Степень разработки волокна суспензии в конце рафинирования 335 по канадскому прибору. После рафинера массу подвергают сильному действию струй воды через систему погруженных в воду sprays, при этом заканчивается полное отделение частиц краски с поверхности волокон БО. Предлагаемый способ назван авторами физико-гидравлич. Он является универсальным, так как пригоден для очистки волокна любых видов БО, содержащих синтетич. смолы, новые нерастворимые красители и т. д. Применение способа требует сравнительно небольших переделок в существующей аппаратуре для промывки, основное же оборудование (дисковые рафинеры Бауэра, также описанные в пат. США 1744226 от 21.1.1930 г. и 2668783 от 25.1X.1951) при использовании его очистки БО не нуждается ни в каких переделках. А. Закощиков

6П532. Бумага с наполнителем. Paquin Leon J. Filled paper. [The National Cash Register Co.] Пат. США 2902399, 1.09.59.—При введении в бумажную массу наполнителя, содержащего  $\text{NaAlO}_2$  (I),  $\text{Na}_2\text{O} \cdot 3,2\text{SiO}_2$  (II) или продуктов их взаимодействия с  $\text{Al}_2(\text{SO}_4)_3$  (III), полученная из такой массы бумага приобретает способность давать при соприкосновении с некоторыми бесцветными органич. в-вами в процессе печатания или другого способа обработки окрашенные отпечатки букв или анаков. При применении сульфитной целлюлозы (Ц) соотношение I : II должно быть 1 : 1, а кол-во I или II от веса абс. сухого волокна 15%; III берут в таком кол-ве, чтобы pH бумажной массы снизилось с 10—12 до 5—6. В качестве бесцветных органич. в-в применяют 3,3-бис-(*n*-диметиламинофенил)-фталид или 3,3-бис-(*n*-диметиламинофенил)-6-диметиламинофталид. Неорганич. соединения вводят в последовательности: I, II, III. Пример. К 500 мл 5,5%-ной водн. суспензии белой сульфитной Ц (с салкостью 340—350 по канадскому прибору) при т-ре ~20° при размешивании добавляют 41 мл свежеприготовленного 10%-ного р-ра I и затем 41 мл 10%-ного р-ра II и объем доводят до 2 л; добавлением 10%-ного р-ра III доводят pH до 6,0—6,2. 50 мл полученной суспензии вносят в черпальную форму площадью ~200 см<sup>2</sup> и емк. 4 л, в которую предварительно наливают достаточное кол-во воды; доводят pH до 6,0 добавлением 0,08%-ного р-ра III и формируют бумажный лист. Если такой лист, содержащий 18—20% глинозем-силикатного наполнителя, запечатать вместе с другим листом, на который нанесена эмульсия одного из названных фталидов, в регистрирующий или счетный аппарат или пишущую машинку, то при печатании появятся интенсивно окрашенные буквы. При замене сульфитной Ц на сульфатную или при введении в бумажную композицию белой древесной массы, а также при изменении степени помола кол-ва добавляемых I и II должны быть изменены. См. также РЖХим, 1958, № 13, 45386. А. Попов

6П533. Листы повышенной прочности из суспензий волокон, подвергнутых размолу и пропитке. Feigley David A., Jr. Beater saturated sheets having increased strength. [Armstrong Cork Co.] Пат. США 2868641, 13.01.59.—Приготавливают водн. суспензию 0,5—3,0%-ной конц-ии, предпечтительно 1%-ную, волокон (В) крафт-целлюлозы, сульфитной целлюлозы, хлопкового пуха, асбеста, размолотых до желаемого градуса помола, прибавляют латекс СК, содержащий 25—40% твердых в-в (напр., бутдиенстирольный или акрилонитрильный), осаждают его на В, вводят 0,5—2 вес. %, считая на В, водорастворимой, (напр., Na-соли полиакриловой к-ты мол. в. ~10 000), а также стабилизаторы и диспергаторы и при помощи ионов polyvalentного металла, напр. Al, осаждают соль на В, покрытые каучуком. Из полученной массы формируют листы. Приведены примеры составов композиций массы для отлива и формования листов повышенной прочности. И. Шмурак

**6П534.** Способ изготовления бумаги и бумажная композиция. Miller Aaron, Magnuson Adolph L. Method of making paper and papermaking composition. [Kelco Co.] Пат. США 2913364, 17.11.59.—В бумажную массу после помола вводят в виде воды, р-ров или в сухом виде добавки (Д) манногалактана из растительных камедей (РК), водорастворимого альгината (А) и водорастворимой соли многовалентного металла (ММ). Общее кол-во РК и А составляет 0,09—10,9 кг на 1 т сухого волокна, причем кол-во РК должно быть больше кол-ва А, напр. на 1—4 ч. А должно приходиться 9—6 ч. РК; соль ММ берут в таком кол-ве, чтобы образовался водонерастворимый гель А поливалентного металла; для глинозема это кол-во составляет ~0,05—5,5 кг на 1 т волокна. В качестве РК применяют камедь бобов белой акации, из растений *Cyatopsis psoraloides*, сем. бобовых; в качестве А —  $\text{NH}_4$ ,  $\text{Mg}$ ,  $\text{K}$ ,  $\text{Na}$  или другие щел. соли альгиновой к-ты, а также ее водорастворимые соли, образованные органич. основаниями, напр. моно-, ди- или триэтаноламин; в качестве соли ММ — соли  $\text{Ba}$ ,  $\text{Ca}$ ,  $\text{Zn}$ ,  $\text{Fe}$ ,  $\text{Cu}$ ,  $\text{Al}$ , предпочтительно соли  $\text{Al}$ , в частности глинозем. При взаимодействии этих Д образуется водонерастворимый гель А поливалентного металла, абсорбируемый волокном. Присутствие Д в указанных кол-вах не замедляет обезвоживания бумажного полотна на сетке бумагоделательной машины и повышает сопротивляемость готовой бумаги продавливанию. Пример. К бумажной массе, предназначенной для произ-ва наружного слоя картона, добавлены камедь бобов белой акации и А в кол-ве 8 кг на 1 т сухого волокна, причем на 3 ч. А приходилось 5 ч. камедей; глинозем добавлен в таком кол-ве, чтобы образовался нерастворимый гель А алюминия. Сопротивление продавливанию выросло на 16%. А. П.

**6П535.** Волокнистый материал, содержащий ланолин, и метод его изготовления. Wemyss James C., Jr., Schumacher Robert A. Fibrous material product containing lanolin and method for making same. [Vanity Fair Paper Mills, Inc.] Пат. США 2877115, 10.03.59.—Для некоторых видов санитарно-гигиенич. бумаг (Б) (туалетная, для носовых платков и др.) желательно иметь достаточно прочную и вместе с тем очень тонкую Б с хорошей впитывающей способностью, мягкую и шелковистую на ощупь, с однородной текстурой крепка, не ворсящуюся, на которой не накапливается статич. электричество. Для придания Б таких свойств предлагается при размоле при  $t \geq 49^\circ$  вводить в волокнистый материал состав, содержащий до 20 вес. % ланолина диспергированного в воде, 2 вес. % диспергирующего агента и 2 вес. % смачивающего агента с последующим отливом Б из этого волокнистого материала при  $t$ -ре бумажной массы  $\geq 49^\circ$ . Введение расплавленного ланолина можно производить и в процессе изготовления Б на самосъемочной машине типа Янки при прохождении бумажного полотна через большой сушильный цилиндр, для чего устанавливаются спец. распылители. Пример 1. Для выработки 7—8 т Б для носовых платков в смену нужно: ланолина 3,6 кг, воды 56 л, кальцинированной соды 170 г и тритона X-100 170 г (смачивающее в-во). Материал загружают в смесительный чан, нагревают до  $t$ -ры  $\sim 65^\circ$  и перемешивают при помощи циркуляционного насоса. Полученную эмульсию распыляют при помощи распылительного устройства при прохождении бумажного полотна через сушильный цилиндр самосъемочной машины (имеется схематич. чертеж). Пример 2. Ланолин вводят в волокнистую массу в процессе ее размола. Для этого на 1 т воздушно-сухого волокна требуется: ланолина 2,25 кг, кальцинированной соды 0,45 кг, тритон X-100 0,9 кг. Волокнистую массу вместе со смесью указанных выше хим. реагентов нагревают при  $49^\circ$ , или выше, размалывают и далее направляют для выработки Б на самосъемочную машину при  $t$ -ре массы  $\geq 49^\circ$ . С. Иванов

**6П536.** Стойкая к действию смазок бумага с покрытием на основе линейного анионного термопластичного полимера этилакрилата, акрилонитрила и метакриловой кислоты, содержащим гидрофильный неорганический наполнитель. Ritson Daniel D. Grease resistant cellulosic webs coated with a linear anionic thermoplastic ethyl acrylate-acrylonitrile-methacrylic acid polymer containing a hydrophilic inorganic pigment as extender and composition for manufacture thereof. [American Cyanamid Co.] Пат. США 2889290, 2.06.59.—Для придания бумаге стойкости к маслам, жирам, смазкам покрывают бумажное полотно во влажном состоянии составом, представляющим собой водн. эмульсию анионного полимера (преимущественно в  $\text{NH}_4$ -форме), полученного из этилакрилата, акрилонитрила и метакриловой к-ты, взятых в мол. соотношении 70:29:1. В качестве наполнителя в указанную эмульсию вводят  $\sim 10$ —37 вес. % гидрофильного неорганич. материала (слюда,  $\text{SiO}_2$ , каолин, тальк,  $\text{TiO}_2$  или  $\text{CaCO}_3$ ). Э. Т.

**6П537.** Способ производства глянцевого парафинированной бумаги. Yezek Milton, Utschig Walter C. Process of producing glossy waxcoated paper. [General Foods Corp.] Пат. США 2912347, 10.11.59.—На обе стороны бумажного или картонного полотна (П) весом 25—485 г/м<sup>2</sup> наносят при помощи валиков расплавленный состав, содержащий  $\sim 50$  вес. ч. парафина с т. пл.  $60$ — $63^\circ$  и  $\sim 50$  вес. ч. мелкокристаллич. воска с т. пл.  $63$ — $64^\circ$  с добавкой небольшого кол-ва полиэтилена с мол. в. 2000—21000. Для равномерного распределения состава по ширине П его пропускают под обогреваемым стальным валиком, затем через резиновый нагреваемый до  $65$ — $120^\circ$  валик, который прижимает П к барабану, охлаждаемому изнутри циркулирующим рассолом до  $t$ -ры от  $-34$  до  $0^\circ$  (обычно  $\sim 0^\circ$ ) и погруженному в ванну с холодной водой; резкое снижение  $t$ -ры, а также зеркальная поверхность покрытого парафинизированного П по выходе из ванны и схода с барабана и отжимного валика пропускают над серией обычных охлаждающих валов. Резиновый прижимной валик должен иметь твердость 60—100 ед. по Шору и прижиматься к барабану с силой 9—36 кг/см. Приведена схема установки. А. Попов

**6П538.** Способ изготовления пигментной бумаги. Лапатухин В. С., Протопопов С. Н., Сопова О. И., Соркин М. Ф., Уарова С. П. Авт. св. СССР 130911, 20.08.60.—Пигментную бумагу для последующего изготовления форм глубокой печати изготавливают путем нанесения на бумажную подложку желатинового колл. р-ра с суспензированным в нем красителем. В качестве красителя, вводимого в желатиновый колл. р-р, применяют синтетич. органич. пигменты (пигмент оранжевый, пигмент коричневый), которые вводят в р-р в виде разб. пасты, получаемой непосредственно при синтезе пигментов, минуя стадию сушки. В состав суспензии красителя в колл. р-ре вводят также смачиватель (напр., смачиватель СВ-133). А. Х.

**6П539.** Электротехническая изоляционная бумага, содержащая полиоксиметилфенолы. Pattiloch Donald K. Electrical insulating paper containing poly-methylol phenol. [Michigan Research Lab., Inc., Electrochem Fiber Seal Corp.] Пат. США 2917425, 15.12.59.—К водн. суспензии целлюлозного (предпочтительно небеленого крафт-целлюлозного) волокна в ролле прибавляют 2—5% (по весу волокна) кол-во указываемое в % от веса волокна) водорастворимого многоатомного альдегида [напр., глиоксаль (I),  $\alpha$ -оксидипиновый, глутаровый, янтарный, 2-этилглутаровый, 3-метилглутаровый и др.] и 5—10% водорастворимого полиоксиметилфенола, после чего обычным способом получают обладающую хорошими изоляционными свойствами бумагу (Б), пригодную для использования при



ма с по-термопла-нитрила и рофильный Daniel D. h a linear rile-methac inorganic naplasture A 2889290. Асалам, жи-во влаж-ной воды. ственно в акрилов-отношении ую эмуль-неогранич.  $\text{TiO}_2$  или Э. Т. парадигм-ig Wated paper. 11.59.—На-лотна (П) иков рас-парафина-лич. воска и ползат-распреде-под обо-резинный-жикмет П-ирующим) и погу-снижение-ытого в-ние на П-ания на-ны и сло-кают над-ый прав-100 ед. по-36 кг/с. А. Попов бумага. Сопова св. СССР-ующе-готовляют-келатива-асителей-ый кола- (пигмент-вносят в-осредст-ро сушка-одят та-А. Х. бумага, tilloch ing poly- Electro-5.12.59.—тительно-оле пре-зывается-атомном-пиновый, метилглу-полиоксе-ом полу-свойст-ния при

применя-электромоторов и для обмотки электрокабе-лей; Б обладает также высокой механич. прочностью. Пример. К небеленой крафт-целлюлозе в ролле до-малево 3% I, помол продолжен 15 мин. (садочек мас-сы 328 по канадскому прибору); введено 5% 2,4,6-три-метилфенола и помол продолжен 0,5 час. Конечный пп 4,8. Листы ручной вычерпки сушили 3 мин. на поверхности сушильного цилиндра при  $\sim 115^\circ$ ; пробив-ное напряжение Б толщиной 0,15 мм оказалось 1860 в. Приведены величины пробивного напряжения в зави-симости от кол-в взятых альдегидов и полиоксимети-лафенолов.

А. Попов 6П540. Бумага для батарейных сепараторов. Schenck William Allan, Borden George Centennial, Jr. Battery separator paper. [Geoffrey Sty] Австрал. пат. 215080, 6.09.56.—Высшего качества бумагу (Б) для батарейных сепараторов изготовляют из волокон толщиной  $< 20 \mu$ , в частности из хлопко-вого пуха. Получаемая Б имеет прочность  $< 4$  сек. или 11 сек. (по денсометру Gurley). Такие батарейные сепараторы, имея толщину 30—50 условных единиц, ха-рактеризуются низким сопротивлением. Целлюлозные волокна, предварительно подвергнутые слабому размо-му, формируют на бумагоделательной машине, насыщают еще влажный лист водн. р-ром водорастворимой фенол-формальдегидной смолы (ФФС), сушат лист, разреза-ют на полосы нужного формата и отверждают смолу. Такой метод имеет преимущество перед прежним ме-тодом, когда Б сначала высушивали, а затем пропита-вали смолой, так как при пропитке влажного листа смола более полно покрывает волокна даже в местах их перекрещивания. Кол-во ФФС может изменяться в пределах 20—55%, в большинстве случаев кол-во 30—44% обеспечивает удовлетворительные результаты. Высокое содержание ФФС обеспечивает прочность Б и ее устойчивость к действию батарейной к-ты. При-мер. Б толщиной 0,8 мм из крафт-целлюлозы южной лосы после пропитки ФФС сухой бумаги по старому способу имела пористость 9,1 и сопротивление 0,64  $\Omega$ ; та же Б, пропитанная ФФС во влажном состоянии, имела пористость 4,2 и сопротивление 0,041  $\Omega$ . В дру-гих примерах, в которых для пропитки применяли Б различной толщины, получены аналогичные резуль-таты.

Ю. Чельцова 6П541. Канифоль с улучшенными свойствами для проклейки и смоляной состав для проклейки, пригото-вленный из нее. Watkins Spencer H. Rosin having improved characteristics for use in size and rosin sizing compositions prepared therefrom. [Hercules Powder Co.] Пат. США 2887475, 19.05.59.—Канифоль (К) из-за при-сутствия в ней значительных кол-в абетиновой к-ты (П) сильно окисляется. У окисленной К снижается ее склеивающая способность. Для улучшения свойств К (экстракционная, живичная или из таллового масла) диспропорционировали путем нагревания в пределах 200—300° (продолжительность нагревания от 15 мин. до 6 час.) в присутствии катализатора (никель Ренея, мед, сера, Pd, Pt, Ni — носитель активированный уголь, гранулированный алюминий, асбестовое волокно). Диспропорционированную К перегоняли в колонном аппа-рате в вакууме для удаления в кол-ве 3—15% от веса К в-в, кипящих ниже т-ры кипения смоляных к-т; не-перегоняющийся остаток, содержащий  $< 5\%$  I, пред-почтительно  $< 1\%$  и  $\geq 20\%$  дигидрабетиновой к-ты, использовался для приготовления клеящего состава обычным путем. Пример. 60 000—65 000 г К марки N нагревали в атмосфере инертного газа при 200—300° в течение 4—6 час. в присутствии 20 ч. катализатора 5% Pd/на угле. После некоторого охлаждения К отфильт-ровывали от катализатора. Для удаления в-в, кипя-щих ниже смоляных к-т, диспропорционированную К нагревали в колонном аппарате с насадкой соответст-вующей 1/1 теоретич. тарелкам при 1 мм рт. ст. т-ра  $\sim 200^\circ$ . Из диспропорционированной К после отгонки

низкокипящих в-в и из канифоли марки N были обыч-ным способом приготовлены клеящие составы. Для оценки клеящих свойств состава его водн. дисперсией, содержащей 3% К, обрабатывали суспензию беленой сульфитной целлюлозы при 2,5%-ной конц-ии. Листы отливали на машине Нобль-Вуд при 0,025%-ной конц-ии массы, используя оборотную воду для послед-него разбавления, затем прессовали, высушивали, кон-диционировали в течение 48 час. при 70° и 50%-ной от-носительной влажности и испытывали. Диспропорцио-нированная К (нагрев с Pd/на угле) в зависимости от кол-ва удаленных низкокипящих в-в и необработанная К содержали соответственно I  $< 1\%$  и 50%; дегидро-абетиновой к-ты 57—60 и 10; бромное число 46—47 и 110—125; относительный объем пены 4 и 10; белзнаа проклеенных листов, не подвергнутых старению 83,2—83,0 и 81,9; после старения 75,4—75,3 и 70,7.

А. Хованская 6П542. Усовершенствованный способ получения фильтров табачного дыма. Crane Amos W., Col- lins Henry W. Improved method of extruding a to- bacco smoke filter. [Eastman Kodak Co.] Пат. США, 2916777, 15.12.59.—Массу в кол-ве 200 г, полученную ацетилизированием целлюлозы (Ц) и содержащую 13% ацетата Ц с 32—39% ацетила, смешивают с 11 ч. хлоп-кового пуха, предварительно смоченного 60%-ной  $\text{CH}_3\text{COOH}$ , прибавляют  $\sim 0,5$  объема воды, смесь вы-давливают в воду через стеклянную трубку, сечение которой соответствует поперечному сечению папиросы, полученный фильтр промывают и сушат. Патентуемый способ позволяет получать фильтры, поглощающие влагу значительно меньше обычных и поглощающие нежелательные примеси из дыма. Примеры: а) смесь 200 г массы с содержанием 13% твердого аце-тата Ц (39% ацетила) и 11 г хлопкового пуха, смочен-ного 60%-ной  $\text{CH}_3\text{COOH}$ , разбавляют 0,5 объема воды и выдавливают через стеклянную трубку в воду. Полу-ченный стержень промывают водой, сушат, нарезают на отрезки 12,5 мм и присоединяют к папиросам. Ана-логично получают фильтры из ацетата Ц с 32% аце-тила разбавлением  $\frac{3}{4}$  объема 10%-ной  $\text{CH}_3\text{COOH}$ ; б) 100 г ацетата Ц с 38% ацетила растворяют в 500 мл ацетона, смешивают с 30 г хлопкового пуха, разбав-ляют водой до точки, близкой к образованию геля, и поступают далее аналогично примеру (а).

Ю. Вендельштейн 6П543. Способ получения влагопрочных обоев. Пробер П. В. Авт. св. СССР 125538, 15.01.60.—Для упрощения технологич. процесса получения влаго-прочных обоев предлагаются для грунтовки и печата-ния рисунка краски на синтетич. латексе, напр. на латексе СКР. Пример. Состав краски (в вес. ч.): ла-текса СКР 15—30, силиката натрия (жидкого) 0,3—0,5; пирофосфата натрия 0,04—0,05, пигмента или лака в виде 35—40%-ной водн. суспензии 100. К водн. суспензии пигмента или лака требуемого цвета на-чала добавляют силикат натрия и водн. р-р пирофос-фата натрия. После хорошего перемешивания к полу-ченной смеси добавляют при перемешивании латекс СКР-30 (можно применять также латексы СКР-50 или СКР-65). Полученными таким образом красками бума-гу грунтуют и печатают методами, принятыми в обо-йном произ-ве. Грунтовые обои являются влагопрочны-ми, матовыми и воздухопроницаемыми.

А. Х. 6П544. Способ изготовления фигурных, или пря-мых липких этикеток, состоящих из основы для нане-сения продолжительно сохраняющегося клея и из под-ложки, покрывающей клей. Verfahren zum Herstellen von Ausoder Abschnittsgruppen aus einer Trägerschicht für einen Dauerklebstoff und einer diesen abdeckenden Unterlage, wie Selbstklebeetiketten. [Heinrich Hermann Papierwarenfabrik] Пат. ФРГ 1043556, 23.04.59.—На бумагу-основу с покрывающим ее слоем клея накла-дывают прямые или фигурные детали подложки так,

чтобы между краями этих деталей оставались небольшие расстояния. На края деталей подложки наносят печатные знаки в виде линий или стрелок, направленных острыми к краям деталей, показывающих линии краев деталей. Печать наносят на детали подложки и одновременно вырезают детали подложки. К патенту приложены изображения описываемых этикеток.

М. Нагорский

**6П545. Слоистые изделия, способ их производства и применяемое для этих целей оборудование.** Schmidt Pierre, Schmidt Jacques. Articles stratifiés, leur procédé de fabrication et installation de mise en oeuvre de ce procédé. [Papeteries de la Robert-sau (Soc. An.)]. Франц. пат. 1156501, 19.05.58.—Панели и другие твердые или гибкие слоистые изделия производят на основе подложки и облицовочного слоя, в качестве которого используют креповую бумагу (Б) или предпочтительно целлюлозную вату. Возможно произ-во изделий из одного из этих элементов (путем наслоения) или из их комбинаций. Креповую Б применяют весом 1 м<sup>2</sup> от 10 до 30 г. Ее обрабатывают синтетич. смолой путем пропускания через смоляную ванну, высушивания и запрессовывания при нагреве. Целлюлозную вату получают размолом беленой целлюлозы; к полученной массе добавляют синтетич. смолу, подвергая ее затем сушке и прессовке при нагреве. Для произ-ва слоистых облицовочных панелей и других изделий применяют два вида машин, а именно: машина для нанесения синтетич. смолы на креповую Б и горячий пресс, на котором производят наслоение креповых Б на носитель (подкладку).

Д. Белый

**6П546. Усовершенствования процессов пропитки.** Thornton Jesse. Improvements in or relating to impregnation processes. [Hickson's Timber Impregnation Co. (G. R.) Ltd]. Англ. пат. 832933, 21.04.60.—Для пропитки картона применяют составы, содержащие водн. р-ры антипиренов и один или несколько антисептиков, а также смолы (одна или более), сообщающие стабильность изделиям. Применяют водн. р-ры конц-ей 5—30% (предпочтительно 10—20%). Картон в автоклаве предварительно подвергают давлению 3 кг/см<sup>2</sup> в течение 5—20 мин., затем выпускают консервирующий р-р и увеличивают давление до 7 кг/см<sup>2</sup>. По окончании пропитки, продолжаясь 10—60 мин., уменьшают на 5—60 мин. давление до 254—735 мм рт. ст. для удаления избытка р-ра. Пример 1. При пропитке изоляционного картона толщиной 1,27 см его подвергают в течение 10 мин. давл. 2,12 кг/см<sup>2</sup>, затем выпускают пропиточный р-р (15%-ный), содержащий NH<sub>4</sub>H<sub>2</sub>PO<sub>4</sub>, (NH<sub>4</sub>)<sub>2</sub>SO<sub>4</sub> и Na<sub>2</sub>B<sub>4</sub>O<sub>7</sub>, при давл. 3,18 кг/см<sup>2</sup> в течение 30 мин., после чего снижают на 15 мин. давление до 625 мм рт. ст. Абсорбируется 190 л/м<sup>2</sup> р-ра (40,0 кг/м<sup>2</sup> сухой соли). Пример 2. Изоляционные плиты толщиной 1,82 см с начальным давл. 2,82 кг/см<sup>2</sup> (10 мин.) пропитывают составом, аналогичным приведенному в примере 1, при давл. 4,23 кг/см<sup>2</sup> в течение 35 мин. с последующим разряжением (600 мм рт. ст.) в течение 12 мин. Поглощается 330 л/м<sup>2</sup> р-ра (сухой соли 48,0 кг/м<sup>2</sup>). Пример 3. При пропитке изоляционного картона толщиной 1,27 см с начальным давл. 2,12 кг/см<sup>2</sup> (10 мин.) 4%-ным р-ром Na<sub>2</sub>HAsO<sub>4</sub>NaF, Na<sub>2</sub>Cr<sub>2</sub>O<sub>7</sub>, при 282 кг/см<sup>2</sup> в течение 30 мин. поглощается 145 л/м<sup>2</sup> р-ра или 8,0 кг/м<sup>2</sup> сухой соли.

Н. Рудакова

**6П547. Способ увлажнения твердого картона.** Story Charles F. Process for humidifying hard-board. [Masonite Corp.]. Пат. США 2919492, 5.01.60.—Картон (К) плотностью 1—1,3 и толщиной 2—8 мм, полученный прессованием при высокой т-ре, помещают в камеру с двойными стенками так, чтобы листы не соприкасались друг с другом, и подвергают нагреванию при 60—93° в атмосфере с относительной влажностью ≥ 50%. Продолжительность обработки от 30 мин. до 12 час. (в зависимости от т-ры и влажно-

сти); в течение этого периода К увлажняется до содержания воды 2—6%. Т-ра К перед загрузкой в камеру должна быть не более чем на 5,5° ниже т-ры камеры. По окончании обработки К складывают в горизонтальном положении и дают охладиться до 20°. Скорость увлажнения прямо пропорциональна повышению т-ры. Приведен график зависимости процента поглощенной влаги от продолжительности обработки при разных т-рах для К различной толщины. Патентуемый способ, сравнительно с известными, сокращает продолжительность обработки с 20 час. до максимум 12 час., причем увлажненный К не теряет формы структуры поверхности, а волокна не подвергаются набуханию и деформации. Ю. Вендельштейн

**6П548. Установка для непрерывной варки соломы и производства целлюлозы для бумаги.**—Installation de cuisson en continu de paille pour la fabrication du papier. [Henri-Joseph-Eugène Coll]. Франц. пат. 1209431, 1.03.60.—Соломенную сечку пропитывают варочным р-ром в 2 приема: предварительная при 60—80° конц-ии 15—20% и окончательная в избытке целлюлозы при 80° в течение 3—4 час. Массу (М) сгущают в шнекпрессе до 40%-ного содержания сухого в-ва и через питатель подают в варочный аппарат, состоящий из нескольких горизонтальных труб, перемещение по которым осуществляется при помощи шнеков; продолжительность пребывания М в варочном аппарате ~30 мин., давление в нем 4—6 кг/см<sup>2</sup>. Через шнек задвижку М выдувается в циклон, откуда после разбавления до 4%-ной конц-ии при т-ре ~50° поступает на дальнейшую переработку. Предусматривается повторное использование варочного р-ра после ступени М. Установка может быть использована для переработки некоторых других целлюлозосодержащих материалов и макулатуры. Приведены схема и описание установки. А. Пономарев

**6П549. Установка для сдувок из варочного котла.** Ehrisman Henry O., Drinker Henry S. Dregster relief system. [The Foxboro Co.]. Пат. США 2896709, 28.07.59.—Установка, оборудованная автоматич. приборами, отрегулированными для определенной скорости варки, контролирует и регулирует работу сдувочной линии, предупреждает выброс через нее парочной жидкости и массы и в случае надобности осуществляет продувку решетки верхней горловины котла. Приведены схемы и описания различных вариантов установок. А. Пономарев

**См. также:** Целлюлоза, ее производные, свойства: применение: 6П142, 6П143, 6П386, 6П553, 6П554, 6П555, 6Р20, 6Р25, 6Р40, 6Р45, 6Р103, 6Р107, 6Р130, 6С707. Коррозия оборудования 6И161, 6И163, 6И184, 6И212. Очистка сточных вод 6И310, 6И311. Очистка сульфатных щелоков 6И312. Техника безопасности 6И309, 6И340

## КРАШЕНИЕ И ХИМИЧЕСКАЯ ОБРАБОТКА ТЕКСТИЛЬНЫХ МАТЕРИАЛОВ

Редакторы А. Р. Болденко, К. М. Маркузе, А. И. Матейский, Е. С. Шагрова

**6П550. Некоторые вопросы радиационной химии текстильной промышленности.** Okamura Seiji. «Сэнги гаккайси, Sen-i gakkaiishi, J. Soc. Text. and Cellulose Inds. Japan», 1959, 15, № 8, 611—615 (японск.)

**6П551. Действие света и погоды на свойства текстильных волокон.** I. Lünenschloss J., Steghert H. Der Einfluss der Bewitterung auf die Eigenschaften der verschiedenen textilen Faserstoffe. I. «Text.—Prakt.», 1960, 15, № 9, 931—939 (нем.; рез. англ., исп., франц.). Проведены последовательные испытания механических свойств ряда образцов пряжи из природных и искусственных волокон, подвергнутых экспозиции на крыше в течение 1 года.

те 1 года. Установлено, что по снижению разрывной прочности худшие результаты из целлюлозных природных волокон обнаруживают джут и рами и лучшие — лен и хлопок. Шерсть в отличие от шелка претерпевает лишь незначительное ослабление. Волокна из регенерированной целлюлозы подвергаются значительному разрушению. Полиамидные волокна сохраняют исходную прочность в течение 1 года экспозиции на 54—77%, причем более устойчивыми оказались полиамиды, при выработке которых были нанесены спец. защитные от действия света в-ва. Аналогичные показатели для полиэфирных волокон составляют 40—53%. Полиакрилонитрильные волокна (за исключением образца, подвергнувшегося матированию) не обнаруживают изменений. Поливинилхлоридные волокна сохраняют практически исходную прочность, а волокна из поливинилового спирта, наоборот, разрушаются полностью уже в течение 11 месяцев. Что касается удлинения, то для природных целлюлозных волокон изменения его происходят параллельно изменению прочности; для шерсти, а также для хим. целлюлозных и полиамидных волокон снижение удлинения проявляется более интенсивно сравнительно с падением потери прочности; полиакрилонитрильные волокна не обнаруживают снижения удлинения; для поливинилхлоридных волокон (при отсутствии изменений прочности) характерно заметное снижение удлинения.

А. Матецкий  
6П1552. Некоторые структурные и технологические свойства волокон и нитей. Juilfs J. Über einige Struktur- und technologische Merkmale von Fasern, Fäden und Garnen. «Melliand Textilber.», 1960, 41, № 5, 521—535 (нем.; рез. англ., франц., исп.).—Сопоставление проведенных динамометрич. испытаний волокон (В) с данными об их строении указывает, что кривые зависимости удлинения от нагрузки позволяют получить значительно более точное представление о свойствах текстильных В и пряжи, чем обычно определяемые показатели только конечной разрывающей нагрузки. Это связано с тем, что первоначально приложенные к отдельным В или нитям нагрузки даже незначительной величины и возникающие при этом внутренние напряжения сказываются в дальнейшем в соответствующих участках изделий, подвергаемых действию более значительных нагрузок, напр. в процессах крашения, ткачества и отделки. Это объясняется отличиями в проявлениях механич. свойств В, испытанных и не испытанных предварительное действие нагрузок. Подобное действие, осуществляемое по отношению к окончному В, приводит также к изменениям исходных свойств В, но отличным от проявляемых В, подвергавшимся нагрузке в сухом состоянии. Рекомендуется использование приборов, позволяющих определять изменения зависимости удлинения от нагрузки В и нитей, а также отличия в их поведении под действием определенной нагрузки, соответствующей практически применяемой в изучаемых процессах обработке.

А. Матецкий  
6П1553. Получение перфторалкановых эфиров целлюлозы и скорости их гидролиза. Venerito Ruth R., Berni Ralph J., Fagley Thomas F. Preparation and rates of hydrolysis of perfluoro-esters of cellulose. «Text. Res. J.», 1960, 30, № 5, 393—399 (англ.).—Для придания хлопчатобумажной ткани высоких масло- и водоотталкивающих свойств, устойчивых к стирке и хим. чистке, проводили реакцию получения частичных перфторалкановых эфиров целлюлозы. Для этого 1,2 г промытой и белой ткани смачивали 5 мл диметилформамида при 25°, после чего добавляли, напр., 2 мл перфтороктанойлхлорида (или иного перфторалканойлхлорида) и 1 мл пиридина или иного третичного ароматич. амина (в качестве катализатора и для связывания к-т). После сушки при 90° образец промывали водой, метанолом и водой. Этери-

фикация затрагивает преимущественно поверхность волокон, так что высокий эффект обработки достигается даже при низких степенях замещения целлюлозы (0,02—0,58). Механич. свойства волокон изменяются мало, но их поверхность становится гладкой. Изучена скорость гидролиза образующихся эфиров, протекающего как псевдомомолекулярная реакция с энергией активации 3,7 ккал/моль (особенно быстро в щел. среде).

В. Штупер  
6П1554. Влияние  $\gamma$ -облучения на целлюлозу хлопка. Arthur Jett C., Jr, Blouin Florine A., Demint Robert J. The effects of gamma radiation on cotton cellulose. «Amer. Dyestuff Reporter», 1960, 49, № 41, 21—26 (англ.).—Начиная с доз  $10^6$  рентген,  $\gamma$ -облучение вызывает деструкцию целлюлозы хлопка (Ц), и при дозе в  $10^8$  рентген стень полимеризации Ц падает до 39—56, содержание СО- и СООН-групп возрастает до 2,66—3,04 и 0,139—0,155 мМ/г. Оптически доказывается, что большинство СО-групп находится в форме полуацеталей. При этом, находясь в атмосфере кислорода, Ц поглощает его, и лишь при высоких дозах облучения выделение кислорода при деструкции Ц начинает превышать поглощаемое кол-во. При разрушении хлопка выделяются также  $H_2$ , СО и  $CO_2$ . Эта деструкция ведет к появлению у Ц растворимости в щелочах и к снижению ее прочности. Отмечается наличие линейной зависимости между значениями lg показателя любого свойства ткани и величины дозы облучения, что лучше всего видно на соответствующих логарифмич. графиках. Дано математич. объяснение этой зависимости, основанное на представлении, что первичное облучение высокой энергии мало взаимодействует с в-вом, так что каждая разновидность деструкции Ц вызывается определенной разновидностью вторичного облучения, возникающего за счет первичного.

В. Штупер  
6П1555. Изменения молекулярного строения и механических свойств целлюлозных групп, происходящие при цианоэтировании хлопчатобумажной пряжи. Часть I. Обработка без натяжения. Conrad Carl M., Stancovich D. J., Harbrink Pieter, Creely J. J. Changes in fine structure and mechanical properties induced by cyanoethylation of cotton yarns. Part I. Treated without tension. «Text. Res. J.», 1960, 30, № 5, 339—348 (англ.).—Обработка хлопчатобумажной пряжи, пропитанной 6%-ным р-ром NaOH, акрилонитрилом при 60°, приводит при достижении степени замещения (СЗ)  $\leq 1,1$  к расположению цианоэтильных групп только в аморфных областях целлюлозы (Ц), что сопровождается лишь незначительными изменениями физ. свойств. При увеличении СЗ от 1,1 до 2 наблюдается проникновение цианоэтильных групп и в кристаллич. зоны волокон, что вызывает последовательное снижение исходной степени кристалличности, выявляемое по изменениям рентгенограмм, увеличение усадки, снижение прочности и повышение удлинения. Кривые релаксации указывают на существование при 120—140° точки перехода Ц из стеклообразного состояния в резиноподобное. При СЗ  $> 2,0$  Ц вполне аморфна, причем и т-ра ее перехода в резиноподобное состояние снижается до 70°. Механич. свойства такой Ц резко ухудшены, но при ее нагревании до 180° наблюдается вновь кристаллизация, сопровождаемая резким изменением рентгенограммы и повышением прочности.

В. Штупер  
6П1556. Колебания веса шерсти в условиях равновесия при нулевой относительной влажности. Watt I. C., Kennett R. H. Variations in the equilibrium weight of wool at zero humidity. «Text. Res. J.», 1960, 30, № 7, 489—494 (англ.).—Вес образца шерсти в условиях равновесия при десорбции в вакууме зависит от предварительной обработки его водой или водяным паром. Экспозиция образца при низких (<5%) и высоких (~100%) значениях относительной влажности



(ОВ) не оказывает влияния на значение веса в условиях вакуума, но экспозиция при промежуточных значениях ОВ дает увеличение веса в вакууме при последующей десорбции, причем максим. увеличение наблюдается при ~50% ОВ. Так, после 283 ч. экспозиции при 50% ОВ и т-ре 19° увеличение веса составляло 2%. При более длительной экспозиции оно может быть еще выше; так, через 75 дней экспозиции при различных значениях т-ры наблюдалось увеличение веса до 3,4%, причем менее выражено оно при повышенной т-ре (> 65°). Устранение этого увеличения и получение воспроизводимого значения веса может быть достигнуто путем насыщения шерсти водой или водяным паром за некоторое время до начала десорбции. Это указывает, что шерстяное волокно не претерпевает необратимых изменений, а отмеченные колебания его веса отражают изменение содержания в нем воды.

О. Славина

6П557. Данные микроскопического, микрохимического и физикохимического исследования внешней и внутренней структуры шерсти. Часть II. Ritter Robert, Reumuth Horst. Mikroskopische, mikrochemische und physikalische Beiträge zur äußeren und inneren Struktur der Wolle. Teil II. Experimentelle Untersuchungen zur bilateralen Struktur und deren Zusammenhang mit Faser-Veränderungen und -Schädigungen. «Z. ges. Textilind.», 1960, 62, № 9, 342—350 (нем.; рез. англ., франц.).—Выявлены простые способы распознавания орто и паракортеса коровьего слоя волокон шерсти в результате дифференцированной окраски при использовании различных красителей (в том числе прочных). Аналогичные опыты проводились и с волокнами шерсти, подвергнутыми предварительно хлорированию и обработке  $H_2O_2$ , а также действию LiBr. Установлено, что перечисленные воздействия способствуют более резкому проявлению двухстворчатой структуры волокон. Полученные результаты указывают на возможность использования степени проявления двусторонней структуры как критерия оценки наличия или отсутствия повреждения шерсти. Часть I см. РЖХим, 1960, № 20, 83405. Т. Будкевич

6П558. Химические изменения волокон южно-африканской меринской шерсти, вызываемые действием света и погоды. Louw D. F. Weathering and the resulting chemical changes in some South African merino wools. «Text. Res. J.», 1960, 30, № 6, 462—468 (англ.).—Химическое исследование корневых, средних и верхушечных участков волокон ряда образцов южно-африканской шерсти нормальной (I) и произрастающей в условиях недостатка в пищевом рационе меди (II) показало, что при общей близости аминокислотного состава обоих разновидностей шерсть II содержит несколько больше серина, тирозина и глутаминовой к-ты, а также больше α-аминогрупп (что отражает относительно меньшую длину ее полипептидных цепей). Действие света и погоды на шерсть I вызывает разрушение цистина, образование цистеиновой к-ты, цистеина и лантиона и сопровождается повышением способности к восприимчивости красителей и чувствительности к щелочам, уменьшением растворимости в мочевино-бисульфитном р-ре, уменьшением содержания триптофана и глицина (на ~20%), увеличением содержания тирозина и треонина (на ~10%), увеличением содержания α-аминогрупп (за счет гидролиза полипептидных цепей). Шерсть II содержит меньше цистина и больше цистеина сравнительно с шерстью I в связи с меньшей степенью кератинизации. В процессе роста волокон шерсти II может происходить дальнейшая кератинизация при образовании дополнительных дисульфидных поперечных связей и приближении к свойствам шерсти I в части способности окрашиваться и чувствительности к щелочам. А. Матецкий

6П559. Рентгенограммы йодированной шерсти. Haly A. R., Feughelman M. The X-ray diffraction

pattern of iodinated wools. «Text. Res. J.», 1960, 30, № 6, 622—623 (англ.).—Проведенные рентгенографические исследования и колич. определения содержания тирозина в образцах шерсти, обработанных р-рами J в этаноле и в пропаноле, подтвердили наличие выявленного Гаррисоном и Спикменом (См. РЖХим, 1959, № 17, 63105) отличий между этими образцами. Обнаруживаемые отличия объясняются, по-видимому, тем, что действие р-ров J в пропаноле распространяется на остатки тирозина только в межклеточном в-ве, р-ры же в этаноле затрагивают тирозин, не только межклеточного в-ва, но и микрофибрил.

А. Матецкий

6П560. Двухстворчатое строение извитых волокон нормальной шерсти и распрямленных волокон шерсти с овей, получавших питание с недостаточным содержанием меди, а также причины образования извитости волокон. Louw D. E. The bilateral structure of crimped and steely wools and the origin of fiber crimp. «Text. Res. J.», 1960, 30, № 8, 606—612 (англ.).—Полуризонно-микроскопические и хим. исследования волокон шерсти (ВШ) двух названных разновидностей (корневых, средних и верхушечных участков) отделились до и после обработки 0,1 н. NaOH при т-ре 50° в течение 10 мин. подтвердили наличие двухстворчатого строения ВШ обоих видов. Повреждения вызываемые действием света и погоды, сглаживали отличия в устойчивости к щел. обработкам, выраженные в процессе в относительно большей сопротивляемости к повреждению экспозиции участков ВШ, произрастающей в условиях недостатка меди в питательном рационе, сравнительно с аналогичными участками нормальных ВШ. Различия в скорости (но не в конечной степени) кератинизации двух сегментов коровьего слоя (орто и паракортеса) и приводят к образованию извитости нормальных меринских ВШ. При произрастании в условиях недостатка меди ВШ второй разновидности процесс кератинизации замедляется вообще, следствием чего является отсутствие у этих ВШ заметной выраженной извитости.

А. Матецкий

6П561. Химическая активность морфологически составных частей строения волокон шерсти, претерпеющей термическое разрушение. Daveloose C. L., Mlle Mazingue G., Van Overbèke M. Réactivité des composants morphologiques de la fibre de laine dégradée thermiquement. «Bull. Inst. text. France», 1960, № 88, 61—75 (франц.; рез. англ.).—Для выявления сути изменений, обнаруживаемых шерстью в результате термич. разрушения и проявляющихся в снижении растворимости в ряде реагентов, к ряду образцов шерсти исходной и обработанной водяным паром в течение 8 час. при 105, 130 и 160° были применены наиболее четко выявляющие асимметричное строение коровьего слоя р-ции: набухание в р-ре КОН и  $NH_4OH$ , р-ция Алльвердена, солибилизация в куприлизиде, аммиачном р-ре, солибилизация в р-ре  $Na_2S$ . Установлено, что термич. действие на шерсть приводит к упрочнению строения ортокортеса, выражающемуся в последовательном снижении его растворимости в примененных реагентах, что связано с различными р-циями образования новых поперечных «мостиков» в этой менее «организованной» сравнительно с паракортесом части коровьего слоя. Наоборот, в паракортесе происходит разрыв цистиновых связей и полипептидных цепей, что делает его более чувствительным к гидролизу в кислот и в щел. средах. В итоге исходная асимметрия коровьего слоя значительно уменьшается, что происходит не только при термич. но и при фотохим. разрушениях шерсти. А. Матецкий

6П562. Введение меркаптогрупп в кератин шерсти при действии полиотиогликолида. Schöberl A., Wagner D. Einführung von Mercapto-Gruppen in Wolle mit Hilfe von Polythioglykolid. «Text.—Prax.», 1960, 15, № 9, 948—952 (нем.).—Проведено замещение кератина шерсти в условиях pH 5,2 полиотиогликолидом (I), по-

ученным из ангидрида S-карбокситиогликолевой кислоты, при ацилировании свободных  $\text{NH}_2$ -групп тиогликолевыми остатками. Появление новых SH-групп подтверждено качественными реакциями с нитропруссидом натрия и йодизмом. Определения содержания S и цистина указывают на то, что число образовавшихся меркапто-тиогликолевых групп очень невелико. С помощью динитрофенилирования, гидролиза и хроматографии, анализом установлено, что увеличение кол-ва присоединенных тиогликолевых остатков протекает параллельно уменьшению содержания  $\epsilon\text{-NH}_2$  групп лизина, причем максимум может быть замещен  $\sim 20\%$  этих групп. Степень амальгирования I оказывает на протекание реакции более заметное влияние, чем конц-ия I в растворе. А. Матецкий

6П563. Устойчивость лантанина, образующегося при разрушительном действии щелочей на шерсть. Desroix Frl. G., Mazingue G., Overbøke M. v.n. Stabilität des während des alkalischen Angriffes auf Wolle entstehenden Lanthionins. «Melliand Textiltech.», 1960, 41, № 8, 1010—1013 (нем.).—В результате обработки образцов предварительно очищ. шерсти р-рами  $\text{Na}_2\text{CO}_3$  (5 г/л; 80°; pH 10,2; модуль ванны 70:1) в течение 0,5—144 час. и последующих определений содержания серы цистина (Ц), цистина и лантанина установлено, что в шерсти содержится две фракции Ц, отличающиеся по устойчивости к действию щелочей. В примененных условиях щел. обработки разрушение более устойчивой фракции Ц начинается после 4-часового действия р-ра  $\text{Na}_2\text{CO}_3$ . Разрушение обеих фракций Ц происходит, по-видимому, по одной и той же р-ции:  $\text{R}-\text{CH}_2-\text{S}-\text{S}-\text{CH}_2-\text{R} \rightarrow \text{R}-\text{CH}_2-\text{S}-\text{CH}_2-\text{R} + \text{S}$ , но при различных значениях ее скорости. Требующиеся для разрушения более устойчивой фракции Ц более интенсивные воздействия щелочи одновременно вызывают последовательно возрастающее разрушение и образовавшегося лантанина по р-ции  $\text{R}-\text{CH}=\text{CH}_2-\text{S}-\text{CH}_2-\text{CH}=\text{R} \rightarrow \text{R}-\text{C}=\text{CH}_2 + \text{CH}_2=\text{CH}=\text{R} + \text{H}_2\text{S}$ . А. Матецкий

6П564. Проявления сверхсокращения и постоянного фиксирования волокнами модифицированной шерсти. Haly A. R., Feughelman M. Supercontracting and setting behavior of modified wool fibers. «Text. Res. J.», 1960, 30, № 5, 365—372 (англ.).—Действие УФ-лучей на волокна шерсти повышает скорость сверхсокращения в незабуференных р-рах LiBr, а также постоянного фиксирования в кипящей воде. УФ-облучение вызывает вместе с тем последовательно возрастающее уменьшение степени сокращения при равновесии. Обработки тиогликолевой или надуксусной кислотами также повышают, а действие йода или реагента Ван-Слайка понижают скорость сверхсокращения и постоянного фиксирования. При длительности облучения, соответствующей максим. влиянию на скорость сверхсокращения, не наблюдается заметного уменьшения содержания в шерсти тирозина и цистина. А. Матецкий

6П565. Возможность промышленного использования результатов исследований шерстяного волокна. Franck Erling. Kan industrien udnytte uldforskningens resultater? «Tidsskr. tekstiltekn.», 1960, 18, № 7—8, 100—112 (датск.; рез. англ.).—Обзор промышленных процессов обработки волокна шерсти хим. реагентами. Хлорирование, окисление, действие  $\text{NaOH}$ ,  $\text{NaOCl}$  и пашанина, отделка искусств. смолами. К. Герцфельд

6П566. Влияние термической обработки полиэфирых волокон на процессы отделки. Petzold H. Ueber das thermische Verhalten von Polyesterfasern und dessen Einflüsse auf die Veredlung. «SVF Fachorgan Textilveredlung», 1960, 15, № 7, 451—452 (нем.).—Приведены результаты работы, проведенной по выявлению оптимальных условий фиксирования полиэфирых волокон (т-ра, время). Разработан метод определения оптимальных условий по кол-ву поглощенного волокном

йода. Отмечена зависимость между степенью кристалличности и ориентацией макромолекул и способностью волокон к накрашиванию, щел. гидролизу, термич. устойчивости, способностью к усадке. Н. Приткова

6П567. Влияние мокрых обработок на прочность современных рубашечных тканей. Yokoya Shikano. «Sen-i gakkai, Sen-i gakkaiishi, J. Soc. Text. and Cellulose Inds», Japan, 1959, 15, № 6, 437—439 (японск.).

6П568. Предварительное исследование обработки и применения волокна из полевого растения (*Juncus effusus* L.). «Fangzhi tongbao, Fangzhi tongbao», 1960, № 3, 25—27 (кит.).—Предварительные исследования показали возможность применения подвергнутого первичной обработке волокна из лубяного слоя стебля многолетнего полевого растения *Juncus effusus* L. в качестве хорошего заменителя джута. Определены условия проведения первичной обработки, отличающиеся тем, что отсортированное сырье кипятят 2 часа в 2%-ном р-ре  $\text{Na}_2\text{CO}_3$  при модуле (М) 15. Затем после разбивки проводят отварку в 8%-ном р-ре  $\text{NaOH}$   $\sim 4$  час. при М 1,5 с последующей промывкой холодной водой и обработкой 0,5%-ным р-ром  $\text{H}_2\text{SO}_4$  в течение 15 мин. при М10, окончательной промывкой и сушкой. После отбелки и заключительной отделки волокно может быть использовано в смесях с овечьей шерстью при произ-ве ковров и т. п. Рекомендуют следующие условия облагораживания подвергнутого первичной обработке волокна: отбелка при конц-ии активного хлора  $1^\circ \text{Be}$  и М10 в течение 30 мин.; деклорирование в р-ре, содержащем 0,5%  $\text{Na}_2\text{SO}_3$ , при М10 в течение 20 мин., обработка 15—20%-ным р-ром  $\text{NaOH}$ , при М20 в течение 20—30 мин., обработка 1,5%-ным нейтр. р-ром мыла при кипячении в течение 10 мин. при М20. После промывки горячей и холодной водой проводят мягчение 5%-ным сульфированным маслом при 80° в течение 30 мин. и М10. А. Зоннтаг

6П569. Обесцвечивание темной природноокрашенной шерсти. Подгорная Н. И., Григорьева А. А. «Текстильн. пром-сть», 1960, № 8, 60—61.—На Арженской суконной ф-ке разработан и внедрен в произ-во способ обесцвечивания темной помесной и грубой шерсти. Процесс ведут в пропеллерных аппаратах из нержавеющей стали, либо в других аппаратах, для крашения волокон. Состав ванны 30 г 30%-ной  $\text{H}_2\text{O}_2$ , 5 г  $\text{Na}_2\text{CO}_3$ , 5 г  $\text{Na}_2\text{SiO}_3$  на 100 г сухой шерсти. Модуль ванны 15 или 10. Шерсть загружают в аппарат, 10 мин. смачивают водой, затем вводят разбавленный 1:3 р-р 30%-ной  $\text{H}_2\text{O}_2$ . После 10-минутной обработки без нагревания добавляют разб.  $\text{Na}_2\text{SiO}_3$  и  $\text{Na}_2\text{CO}_3$  и обрабатывают еще 10 мин. В течение 15—20 мин. р-р нагревают до 55—60° и обрабатывают шерсть 1 час, затем т-ру поднимают до 70° в течение 5 мин. и продолжают обработку 1 час. Далее шерсть промывают 15 мин. водой и обрабатывают 10 мин.  $\text{CH}_3\text{COOH}$  (расход 0,5% от веса шерсти). Продолжительность процесса 3,5 час. Потери прочности волокна 10—12%. Непосредственно после обесцвечивания шерсть окрашивают в ванне, не содержащей кислоты. Д. Горин

6П570. Усовершенствования в хлоритном белии. Parkinson R. H. Improvements in chlorite bleaching. «J. Soc. Dyers and Colourists», 1960, 76, № 9, 552 (англ.).—Использование в хлоритном белии в качестве буферных в-в фосфатов:  $\text{NH}_4\text{H}_2\text{PO}_4$ ,  $\text{Mg}(\text{H}_2\text{PO}_4)_2$ , обеспечивает сокращение потерь  $\text{NaClO}_2$  на разложение и уменьшение коррозии оборудования. Кол-ва добавок фосфатов варьируют в зависимости от т-ры, времени и других условий процесса белии.  $\text{Mg}(\text{H}_2\text{PO}_4)_2$  готовят непосредственно перед использованием, смешивая р-ры  $\text{H}_3\text{PO}_4$  и  $\text{Mg}(\text{OH})_2$  при обычной т-ре, затем добавляют необходимое кол-во воды и  $\text{NaClO}_2$ . А. Болденко

6П571. Контроль и автоматизация в процессе отбели хлопчатобумажных тканей. Часть I. Keszegh Géza, Fazekas Ferenc. *Mérés és automatizálás pamutfehérítésnél. I. rész.* «Magyar textiltechn.», 1960, 12, № 7, 249—253 (венг.).—С введением непрерывного процесса отбели становится первоочередной задачей оснащения оборудования контрольно-измерительной аппаратурой. Описаны устройство и принцип работы приборов автоматич. контроля и регулирования параметров технологич. процесса: пневматич. регуляторов конц-ии щелочи, автоматич. титрометров оригинальной конструкции для измерения конц-ии  $\text{NaOCl}$ , приборов для определения конц-ии  $\text{HCl}$  кондуктометрич. методом, электровлагомеров, принцип работы которых основан на измерении электропроводности или емкости, расходуемых.

6П572. Замасливатель, повышающий прочность пряжи. Mauri Luis. El ensimaje de resistencia. «Ingeniería textil.», 1960, 27, № 144, 215—217, 219, 223 (исп.).—Введение в эмульсию коллоидальной  $\text{SiO}_2$  — Noughtosil 1745 и 1730 повышает коэф. трения волокон; действие  $\text{SiO}_2$  возрастает с уменьшением содержания масла в эмульсии. Прочность шерстяной пряжи при увеличении содержания  $\text{SiO}_2$  в эмульсии от 0 до 3% возрастает по утку до 55%, по основе до 38%; после обезжиривания замасленной шерсти максим. прочность пряжи, обработанной эмульсией, содержащей 2%  $\text{SiO}_2$ , увеличилась по утку на 43%, по основе — на 25%. Содержание  $\text{SiO}_2$  в эмульсии, применяемой для замасливания хлопка, не должно превышать 1%. Оптимальное кол-во 0,4—0,6%.

6П573. Электронно-микроскопическое исследование обесклеивания шелка. Minagawa Motoi. «Сэнтя гаккайси, Sen-i gakkaiishi, J. Soc. Text. and Cellulose Inds. Japan», 1960, 16, № 6, 507—513 (японск.; рез. англ.).—Предложено проводить обесклеивание шелка (О) по ферментативному методу с применением культур бактерий при оптимальных рН 6—8, т-ре 40—45° в течение 1 часа. Электронно-микроскопич. исследования поверхности шелка для определения степени О подтвердили более равномерное и полное О по рекомендуемому методу по сравнению с О папаином и трипсином. Ферменты избирательно разрушают серицины, не затрагивая фиброины. На снимках показано, что ферментативное О отличается от О марсельским мылом,  $\text{Na}_2\text{CO}_3$  и  $\text{NH}_4\text{OH}$ .

6П574. Новые методы обработки шерсти хинонами. Heidler Karel. Nové metody chinonizace vlny. «Textil (CSR)», 1960, 15, № 6, 220—224 (чешск.).—При модифицировании кератина шерсти действием хинонов в связи с высокой активностью р-ции следует начинать процесс при пониженной т-ре и обеспечивать тщательное перемешивание для достижения равномерности получаемого эффекта. В противном случае (особенно для такой высокой плотности) обработка охватывает только поверхностные участки ткани. Установлено, что повышение т-ры вызывает ускорение р-ции. Так, оптимальный эффект достигается при обработке в условиях т-ры: 20° в течение 25—30 час.; 35° — в течение 14—20 час.; 50° — в течение 7,5 час.; 70° — в течение 4 час. 20 мин. Лучшее всего обработку проводить при т-ре кипячения р-ра. Получаемая модифицированная шерсть при сохранении прочности обнаруживает снижение гигроскопичности и кислотной емкости, а также повышение валентности и устойчивости к микроорганизмам. Вместо обычно применяемого п-бензохинона могут быть использованы о-хиноны, а также хлоранил, дающие заметно лучшие результаты.

Т. Будевич

6П575. Действие ультрафиолетовых лучей и электропроводность кератина. Algie J. E., Haly A. R. Ultraviolet light and conduction in keratin. «Text. Res. J.», 1960, 30, № 8, 627 (англ.).—Проведенные опыты не подтвердили данных Нивена (Can. J. Phys., 1953, 31,

1095) о повышении электропроводности кератина в результате действия УФ-лучей. По-видимому, обнаруженные Нивеном изменения были вызваны повышением т-ры в процессе абсорбции УФ-лучей.

А. Матецкий

6П576. Влияние количества содержащегося жира на процессы прядения шерсти. Nitschke G. Bedeutung des Fettgehaltes für die Verspinnung der Wolle. «Text.-Prax.», 1960, 15, № 8, 784—787 (6) (нем.; рез. англ., исп., франц.).—Производственные и лаб. опыты переработки параллельных партий шерсти (Ш) с различным содержанием шерстяного воска (ШВ) (0,5—обычно принятое; 0,2% — достигнутое экстрагированием бензином; 1% — полученное в результате дополнительного нанесения ШВ из его р-ра в  $\text{CCl}_4$ ; 1% — состоящее из 0,5% исходного ШВ и 0,5% жировых в-в, нанесенных при замасливании смеси) показали, что повышенное содержание ШВ в Ш приводит к значительному улучшению технологич. свойств Ш и пряжи, в вместе с тем оказывает отрицательное влияние в связи с липкостью и клеящими свойствами ШВ (увеличение числа «мушек», затрудненное высывание «мушек» и остатков репы). Допустимое содержание остаточного ШВ в мытой Ш целесообразно установить ~1%. Для обеспечения оптимальных условий переработки на всех стадиях прядильного процесса рекомендуется: применять методы мойки Ш, обеспечивающие разрыхленность и пушистость волокон, в частности, используя органич. р-рители; снижать содержание ШВ до ~0,5%, проводя процесс глажения перед гребением; повышать скольжение волокон до степени, необходимой при прядении, за счет нанесения на ленты соответствующих замасливателей.

А. Матецкий

6П577. Химическое разрушение текстильных волокон. Часть II. Протенновые волокна. В) Фиброин шелка. Howatt F. O. Chemical attack of textile fibres. Part II. Protein fibres: (B) silk fibroin. «J. Text. Inst. Proc.», 1960, 51, № 5, 238—248 (англ.).—Обзор. (Аминокислотный состав фиброина; строение и хим. свойства шелка; действие на шелк к-т, щелочей, восстановителей, солей, окислителей, органич. р-рителей, галлоидов, альдегидов; этерификация, алкилирование, ацетилирование). Часть II (А) см. РЖХим, 1960, № 21, 87066.

В. Шугур

6П578. Механические свойства хлопчатобумажной пряжи, пергаментизированной действием серной кислоты. Chitale A. G., Gokhale S. V., Mehta P. C. Mechanical properties of cotton yarns parchmentized with sulphuric acid. «J. Scient. and Industr. Res.», 1960, A19, № 3, 138—144 (англ.).—В целях пергаментизации хлопчатобумажную пряжу (П) обрабатывали без натяжения 70%-ным р-ром  $\text{H}_2\text{SO}_4$  (с добавкой в ряде случаев 0,5%  $\text{CH}_2\text{O}$ ), после чего промывали р-ром  $\text{NH}_4\text{OH}$  и водой. При продолжительности обработки >13 сек. наблюдалось быстрое снижение прочности П, но при коротких обработках П с низкой круткой обнаруживалась даже некоторое увеличение прочности, что объясняется слипанием волокон друг с другом. Даже слабое натяжение П при обработке недопустимо.  $\text{CH}_2\text{O}$ , быстро образуя мостики между макромолекулами целлюлозы, сдерживает разрушающее действие  $\text{H}_2\text{SO}_4$ , что позволяет увеличивать длительность обработки  $\text{H}_2\text{SO}_4$  в присутствии  $\text{CH}_2\text{O}$  без снижения прочности П даже до 51 сек. Мерсеризованная П низкой крутки после надлежащей обработки особенно заметно повышает свою прочность и связывает особенно много  $\text{CH}_2\text{O}$ .

В. Шугур

6П579. Водорастворимые шпакты и их преимущества. Krause Hermann. Wasserlösliche Schlichte und ihre Vorteile. «Text.-Prax.», 1960, 15, № 9, 922—923 (нем.).—Применение водорастворимых составов шпактования создает ряд преимуществ в части улучшения протекания процессов ткачества, а также промывки и крашения. В частности, создаются возмож-



кератина в му, оборудовании повыше-  
н. Матеевский  
егося жире  
G. Beden-  
der Wole  
(нем.; ре-  
бор. опыты  
(Ш) с раз-  
ШВ) (0,5  
гировании  
риолител-  
% — состо-  
к в-в, на-  
ны, что по-  
начальна  
прядка, ш-  
ние в свя-  
3 (увеличе-  
вание мю-  
канье ост-  
установит  
перерыв  
а рекоме-  
ндающие  
частности  
канье ШВ  
д греноче-  
тепоя, же-  
на ленты  
Матеевский  
ных воле-  
рных ма-  
fibres. Pat-  
ent. Procs.  
инск. состо-  
ства шва-  
новителей  
галлоидов  
цетилпро-  
, 87086.  
3. Штуде  
бумажной  
рой шва-  
та Р. С.  
hmentized  
es., 1960.  
ентизации  
и без ин-  
ряде су-  
м  $\text{NH}_4\text{OH}$   
13 сек.  
1, но при  
аружает  
то слабе-  
е  $\text{CaSO}_4$ , бы-  
сцеллюло-  
 $\text{SO}_4$ , что  
к  $\text{H}_2\text{SO}_4$   
II до  
ны после  
овышает  
Штуде  
реимущ-  
schlicht  
922-93  
став  
ти улуч-  
же про-  
возмо-

проведения промывки по непрерывным методам и обеспечивается получение более ярких и равномерных окрасок. Из значительного ассортимента шпигульных препаратов рекомендуются: для пряжи хлопчатобумажной и из штапельных целлюлозных волокон — карбоксиметилцеллюлозы, напр., типа «горисол» DFL и Z 25; «стайзол» COMGCL 2000; для филламентарных целлюлозных искусств. нитей — святетич. смолы, напр., типа «виаролой», «рогатекса», а также эфиры целлюлозы; для пряжи из синтетич. волокон — карбоксиметилцеллюлозы. А. Матецкий

41580. О сушке шпихтованных основ в воздушных сушилках. Dirks Kurt. Über das Trocknen von Schlichketten mit Lufttrocknern. «Text-Prax», 1960, 15, № 7, 715—719 (8) (нем.; рез. англ., исп., франц.).—В целях устранения недоразумений, возникающих при эксплуатации шпихтовальных машин, следует при их заказе составлять обоснованные технич. требования и проверять в процессе спец. испытаний соответствие поставленного оборудования данным заказам.

В. Алипов  
61581. Проблемы белиenia в текстильной промышленности. Easton Bernard K. Bleaching problems in the textile industry. «Canad. Text. J.», 1960, 77, № 6, 30—42 (англ.).—Обзор. Разрушение хлопка при белиении из-за присутствия остатков металлов; белиение действием  $H_2O_2$  без подогрева и с запариванием; освобождение сорочечных тканей, обработанных смолами, от запаха аминов пропиткой после термич. обработки паром, содержащим  $MgSO_4 \cdot 7H_2O$  0,05%,  $Na_2CO_3$  0,25% и  $H_2O_2$  (35%-ной) 0,65%, с последующим запариванием в зрельнике с т-рой 75—97° в течение 15 сек. в атмосфере влажного пара; предотвращение пожелтения белой ткани при обработке смолами добавлением к т-р-у предконденсата 0,4—0,5%  $H_2O_2$  (35%-ной).

6П582. Новый непрерывный способ обработки тка-  
нсправку, включающий отбелку хлоритом. Ma-  
ty W. Neuentwicklung in der kontinuierlichen Breitbe-  
handlung von Textilien mit Einschluß der Chloritbleiche.  
«Text-Rundschau», 1960, 15, № 4, 202—207 (нем.).  
Машиностроительная фирма Беннингер сконструиро-  
вала новый аппарат типа TFA из спец. нержавеющей  
стали для расклихтовки, отварки и отбели тканей из  
хлопка, синтетик, волокон и их смесей, отличающийся  
принципиально новой конструкцией горизонтального  
компенсатора, в котором протекает основная часть  
процесса белины. Ткань в компенсаторе передвигается  
с помощью роликовой транспортной ленты в виде  
сладков, без натяжения. Аппарат состоит из заправоч-  
ного устройства, двухвальной плюсовки, герметически  
закрытой замачивающей коробки (ЗК), запарной ка-  
меры и компенсатора. Аппарат может быть саргепиро-  
ван с промывным аппаратом типа LAA той же фирмы,  
пропитывающая коробка которого для интенсифика-  
ции процесса отварки оснащена турбинатором, а к  
верхним направляющим роликам которого прижима-  
ются ролики из мягкой резины. Герметичность ЗК,  
позволяющая вести обработку ткани кипящими р-рами,  
достигается установкой на входе и выходе ткани за-  
поров спец. конструкции. Ткань после запарной каме-  
ры попадает в компенсатор через самоклад, скорость  
работы которого автоматически регулируется в зави-  
сности от скорости аппарата, достигающей 120 м/мин.  
Компенсатор имеет три зоны нагрева, т-ра в которых  
регулируется приборами. Запарная камера и зоны на-  
грева компенсатора имеют окна для возможности на-  
блюдения за движением ткани. Г. К.

СП583. 15 лет экспериментальных исследований в области мойки и карбонизации шерсти, глажения горячей денты и запаривания шерстяной пряжи. Van Overboken M. 15 ans d'évolution et de recherche expérimentale, le dans le lavage et le carbonisage des laines en laine, le lissage du ruban peigné et le vaporisation des

филés de laine. «Bull. Inst. text. France», 1960, № 87, 35—59 (франц.; пер. англ.).—Обзор. Усовершенствованные конструкции агрегатов для мойки шерсти (Ш); режимы мойки с применением мыльно-щел. р-ров, а также синтетич. моющих в-в; мойка Ш с использованием органич. р-рителей; сушка на перфорированных барабанах с просасыванием нагретого воздуха через волокно; оборудование и режимы обработки для глажения гребенной лентой; установка для карбонизации Ш по непрерывному методу; добавка смачивателей в р-ры к-ты; увлажнение пряжи разбрызгиванием воды и запаривание. А. Матешкин

6П1584. Эмульсии, их свойства и применение. Часть I. Эмульсии в текстильной промышленности. Nowitt F. O. Emulsions: their properties and uses. Part I. Emulsions in the textile industry. «Lab. Pract.», 1960, 9, № 6, 417—426 (англ.).—Обзор. Теоретич. основы приготовления эмульсий (Э); применение Э для замасливания джута, трикотажной пряжи, шерсти, шелка; образование Э в процессах мойки шерсти; методы анализа и оценки свойств Э. Библ. 18 назв.

6П1585. Замасливание шерстяных смесей. Jedrażczyk Henryk. Natluszczenie włókien wełnianych. «Techn. włókienn.», 1960, 9, № 5, 132—136 (польск.). — Замасливание является одним из важнейших процессов, влияющих на производительность труда и качество изделий. Разработан в лабор. условиях замасливающий состав, содержащий в качестве добавок ~5% техн. шерстяного воска и <10% неомоленного эмульгатора. Приведена методика определения склонности замасливателей к самовозгоранию, а также их вымываемости. Т. И.

6П586. Исследования условий фиксирования шерстяных тканей. Lejeune J. Recherche des conditions de fixation des tissus de laine. «Rev. textilis», 1960, 16, № 6, 33—36, 39—42 (франц.).—Исследовано влияние факторов, вызывающих усадку и фиксирование шерстяных тканей. Выявлено, что на величину усадки, достигаемой при обработке водой, оказывают влияние: более высокая т-ра воды, увеличение длительности и числа повторных обработок. И. Козлов

6П587. Теория и практика хлоритного белия. Skelly J. K. The theory and practice of sodium chlorite bleaching. «J. Soc. Dyers and Colourists», 1960, 76, № 8, 469—479 (англ.).—Оптимальные условия белия хлоритом Na, обеспечивающие наибольшее использование его белищей способности, предполагают миним. потерю активного Cl на образование  $\text{ClO}_2$  и  $\text{NaClO}_2$  и максим. образование NaCl. Найдено, что при  $80^\circ\text{C}$  эти условия достигаются при pH 4—7; при pH  $< 4$  происходит значительное выделение  $\text{ClO}_2$ . При повышении т-ры до 96 и  $121^\circ\text{C}$  разложение  $\text{NaClO}_2$  ускоряется. При  $121^\circ\text{C}$  белизна ткани достигается в нейтр. среде, но повышается текучесть текстильного материала. В интервале pH 4—7 р-ры  $\text{NaClO}_2$  имеют более низкий окислительный потенциал, чем щел. р-ры NaOCl (pH 10—11), что указывает на меньшую опасность хим. разрушения. Хим. разрушение волокон происходит лишь при обработке в течение  $\geq 20$  час. при очень высокой конц-ии  $\text{NaClO}_2$  (напр., 60 г/л, pH 5 и  $80^\circ\text{C}$ ). Для активации процесса белия применяют к-ты, натриевые и аммонийные соли, гидролизующиеся органич. и перекисные соединения, NaOCl и др. Примеси льна и хлопка также активизируют разложение хлорита. При высокотемпературной отбелке  $\text{NaClO}_2$  достигается быстрое обезбачивание трудноотбачиваемых окрашенных примесей льна и хлопка. Удаления жиров и восков достигают повышением т-ры отбелки выше т-ры плавления восков ( $63\text{--}66^\circ\text{C}$ ), добавкой эмульгаторов, или короткой щел. обработкой до или после отбелки. Лучшими коррозионноустойчивыми свойствами обладает некалеяная сталь, содержащая 18% Cr, 8% Ni и 2—5%

Мо (напр., марки V4A супра, содержащая 2,8% Мо) при условии поддержания pH 3,8,  $t$ -ры  $\leq 80^\circ$  в присутствии  $\text{NaNO}_3$  или  $\text{HNO}_3$  в качестве ингибитора коррозии. О. Славина

6П588. Влияние температуры и добавок соли на процесс крашения. Theissen H. Über den Einfluß der Salzzusätze und der Temperatur im Färbebad. «Rev. chem. Reining. Färb.», 1960, № 9, 566—567 (нем.).— Обзор (влияние  $t$ -ры и роль добавок электролитов в процессах крашения изделий из целлюлозных и белковых волокон, а также их смесей кислотными, прямыми и «полуперстанными» красителями). Г. К.

6П589. Почему субстантивные красители субстантивны? Часть II. Поведение красителей в растворах, не содержащих электролитов. Schaeffer A. Warum sind substantive Farbstoffe substantiv? II. Teil. Das Verhalten der Farbstoffe in elektrolytfreien Lösungen. «Melliand Textilber.», 1960, 41, № 8, 988—992 (нем.).— Исследованы зависимости между хим. строением и поведением красителей (К) в р-рах, не содержащих электролитов, форма существования К в р-рах и способность их окрашивать целлюлозные волокна. Были использованы тщательно очищ. прямые К трех групп: содержащие только кислотные группы, содержащие равное кол-во  $-\text{NH}_2$  и  $-\text{SO}_3\text{H}$  групп и имеющие большее число  $-\text{SO}_3\text{H}$  групп сравнительно с числом  $-\text{NH}_2$  групп. В качестве объекта крашения брали очищ. американский хлопок. Крашение проводили в стандартных условиях: 2% К от веса волокна, длительность 1 час,  $t$ -ра  $85^\circ$ , модуль ванны 20:1. Установлено, что из р-ров, не содержащих электролитов, выбираются целлюлозным волокном в заметных кол-вах только те К, которые по своему хим. строению способны образовывать изоэлектрич. ионы, соединяющиеся в ионные мицеллы. Часть I см. РЖХим, 1959, № 18, 66727.

Г. К.

6П590.  $\zeta$ -потенциал волокна тетрон в растворах красителей. Suzawa Toshiro. «Kogei kagaku daesai, Kogyo kagaku zasshi, J. Chem. Soc. Japan. Industr. Chem. Sec.», 1960, 63, № 6, 1069—1072, A 59 (японск.; реф. англ.).—Измерения  $\zeta$ -потенциала волокна тетрон в водн. р-рах красителей показали, что  $\zeta$ -потенциал отрицателен и возрастает с повышением pH р-ра; при повышении конц-ии красителя  $\zeta$ -потенциал не изменяется;  $\zeta$ -потенциал (отрицательный) уменьшается с повышением  $t$ -ры. Изучали влияние добавок соли на величину  $\zeta$ -потенциала и производных фенола на степень набухания тетрона и  $\zeta$ -потенциал.

Из резюме авторов

6П591.  $\zeta$ -потенциал шерсти в растворах кислотных красителей. Suzawa Toshiro. «Kogei kagaku daesai, Kogyo kagaku zasshi, J. Chem. Soc. Japan. Industr. Chem. Sec.», 1960, 63, № 6, 1066—1068, A 59 (японск.; реф. англ.).—Измеряли  $\zeta$ -потенциал шерсти в водн. р-рах при различных значениях pH. Установлено, что изоэлектрич. точка шерсти находится при pH 3,4. Исходя из зависимости  $\zeta$ -потенциала от pH, можно предполагать, что красители (К) электростатически связываются с волокном  $\zeta$ -потенциал (отрицательный) по абсолютной величине выше в р-ре оранжевого II, являющегося моносulfофосфатом, чем в р-ре оранжевого 2 R, являющегося дисulfофосфатом, предполагается, что кол-во поглощенного волокном последнего К составляет  $\frac{1}{2}$  кол-ва первого К. С повышением конц-ии К  $\zeta$ -потенциал (отрицательный) возрастает в р-ре оранжевого II и уменьшается в р-ре оранжевого 2 R. Изучалось также влияние на значения  $\zeta$ -потенциала  $t$ -ры и добавок электролита. Из резюме авторов

6П592. Связь между химическим строением и красящими свойствами цибакроновых красителей. Wegmann J. Beziehungen zwischen der chemischen Konstitution und den färberischen Eigenschaften von Cibacron-Farbstoffen. «Text.-Prax.», 1960, 15, № 8, 829—841, 10 (нем.).—В структуре цибакронового красителя (К)

содержатся: триазинное кольцо, реактивная группа, промежуточное звено между триазинным кольцом и молекулой К, заместитель в триазинном кольце и собственно молекула К. Помимо триазинного кольца в качестве носителя реактивной группы могут применяться фталазиновые, хинолизиновые, пиримидиновые кольца и остаток гидразиддихлормелановой к-ты, но реакционная способность таких К снижается. Замена реакционного хлора на другие галогены, сульфогруппу или пиридинийгалоид также приводит к ухудшению красящих свойств К. Природа звена, соединяющего молекулу К с триазинным кольцом, оказывает влияние как на стабильность этой связи, так и на реакционную способность К. Применение в качестве соединительного звена  $-\text{S}-$  и  $-\text{O}-$  дает К с повышенной устойчивостью к щел. гидролизу, а  $-\text{NH}-$  группы — упрощает синтез. Алкилирование  $-\text{NH}-$  группы приводит к повышению стабильности связи, но при одновременном снижении реакционной способности К. Выявлено снижение реакционной способности К с ростом основности заместителя в триазинном кольце, что обусловлено повышенной тенденцией таких К к переходу в малоактивное таутомерное форму. Если заместитель в триазинном кольце сам имеет хромофорное строение, то это приводит к снижению прочности окраски к свету, особенно при симметричном расположении относительно триазинного кольца двух одинаковых хромофорных частей К. В качестве основной хромофорной части К используют антрахиноновые и фталоцианиновые К. Относительно лучшие результаты дают моноазокрасители, так как дисазокрасители отличаются повышенной чувствительностью к восстановителям и значительной субстантивностью. Расположение реактивной группы в диазоккомпоненте (а не в азокомпоненте) азокрасителя обеспечивает лучшую вытравляемость окраски, так как во втором случае окрашенная компонента разрушенного К остается химически связанной с волокном. В первом же случае большую роль играет положение цианурированной  $-\text{NH}-$  группы, а именно, наблюдается сильный гипсохромный сдвиг от пара- к слабо основному мета-положению  $-\text{NH}-$  группы по отношению к азогруппе К. Варьирование заместителей в азокомпоненте К, построенных по этому типу, не приводит практически к изменению в оттенке; для них характерна относительно высокая субстантивность, которая может быть снижена за счет введения в молекулу дополнительного кол-ва сульфогрупп. Однако введение сульфогрупп в орто-положении к цианурированной  $-\text{NH}-$  группе нежелательно, так как это снижает основность, а следовательно и стабильность К за счет внутримолекулярного солеобразования с  $-\text{NH}-$  группой. На светопрочность окрасок, полученных с помощью подобных К, большое влияние оказывает выбор диазоккомпоненты. Если в качестве хромофорной части цибакронового К применить метный или никельевый комплекс азокрасителя, то одновременно со снижением яркости окраски происходит повышение ее прочности к свету и к условиям обработки синтетич. смолами. Субстантивность метал-содержащих К относительно высокая. Цибакроновые К — производные антрахинона отличаются низкой субстантивностью и высокой прочностью к свету и к условиям обработки смолами. Г. К.

6П593. Реактор Монфорте — новая машина для крашения по непрерывным методам. Roehl Joseph C. The Monforts Reactor a new continuous dyeing machine. «Amer. Dyestuff Reporter», 1960, 49, № 71—73, 82 (англ.).—Реактор Монфорте предназначен для обработок тканей по непрерывным методам в условиях высокой  $t$ -ры, в частности для расклихивки и особенно для крашения. Реактор состоит из двох с 2—3 горизонтально расположенными валками (отжим до остаточного содержания р-ра 50—100%)

и запарного цилиндра (ЗЦ). ЗЦ — полый барабан диаметром ~2,5 м и шириной до 2,7 м, обогреваемый изнутри паром при доведении т-ры до ~160°. Ткань, вышедшая из плюсовки, обходит вокруг большей части окружности барабана и в же время прижимается к ней бесконечной лентой (Л). В узком пространстве между поверхностью ЗЦ и Л ткань находится в атмосфере пара. Л отводится затем от ЗЦ и, возвращаясь снова к нему, обходит небольшой обогревающий вал, поддерживающий ее т-ру на нужном уровне. ЗЦ покрыт тефлоном, а Л хим. устойчивым полимером с очень гладкой полированной поверхностью, что облегчает их отмычку и очистку. Очистка Л производится вращающейся щеткой, погруженной в горячую воду. Поскольку по выходе из плюсовки ткань, обходя ЗЦ, подвергается действию высокой т-ры, реактор Монфорста пригоден для осуществления различных методов высокотемпературного крашения (напр., крашения тканей из синтетич. волокон дисперсными красителями), крашения, требующего запаривания (напр., крашения кубовыми, прямыми, нерастворимыми азокрасителями) и расклихтовки. В последнем случае ткань, пропитанную р-ром соответствующего фермента, пропускают вокруг ЗЦ при т-ре 127°, в течение 4,5—7 сек., после чего промывают.

**В. Штутцер**  
6П594. Усовершенствование способа «Стендаст» непрерывного крашения кубовыми красителями с пропуском ткани через расплавленный металл. O g d e n A. Development of the standfast patent continuous molten metal vat dyeing processes. «Amer. Dyestuff Reporter», 1960, 49, № 13, 32—37 (англ.).—При крашении тканей из целлюлозных волокон кубовыми красителями (К) в аппарате «Стендаст», оборудованном рядом автоматов, устройств для поддержания постоянной т-ры расплавленного металла, конции К и солей в красильной ванне, постоянного уровня жидкостей и т. п., приспособлениями для дозирования и подачи питающих р-ров в аппарат, по схеме обычного восстановительного способа создаются условия отжима, не обеспечивающие достаточного пропитывания красильным р-ром плотных тканей из крученой пряжи. Для этих тканей следует проводить крашение по другой схеме, предусматривающей пропуск ткани через плюсовку с суспензией кубового К при отжиме, доводящем остаточное содержание р-ра в ткани до 70%. Оплосованную ткань проводят через нагретый р-р восстановителя и далее через расплавленный металл. По мере прохождения через расплав происходит восстановление кубового К внутри волокон. При таком способе отпадает необходимость сушки ткани после плюсовки суспензией. Дальнейшая обработка (окисление, промывка, обработка р-ром мыла и др.) производится так же, как и в предыдущем случае. Разработаны конструкции аппаратуры для крашения по описанным методам также пряжи и тканей малой ширины (напр., лент, тесьмы и др.).

**О. Славина**  
6П595. Техника крашения по плюсовочно-роlikовому способу. R e n g g l i J. Zur Technik der Pad-Roll-Färberei. «Text.-Rundschau», 1960, 15, № 4, 184—190 (нем.).—Установка для крашения тканей по плюсовочно-роlikовому способу состоит из двухвалковой плюсовки, зоны ИК-обогрева и передвижной термокамеры для фиксации красителя. Большое значение для результатов крашения по этому способу имеет степень набухания волокон ткани при плюсовании ее р-ром красителя. Скорость и величина максим. набухания определяются природой волокна, типом ткани, т-рой и составом плюсовочного р-ра, а также условиями предварительной обработки ткани. Точное равномерное поддержание т-ры во всех участках накачанной в ролик ткани невозможно без предварительного подогрева ее до необходимой т-ры фиксации в зоне с ИК-обогревом. Т-ра зоны регулируется включе-

нием различного числа ИК-элементов. Изоляция и герметичность термокамеры, а также наличие спец. приспособления для подачи внутрь камеры пара позволяют поддерживать постоянно т-ру и влажности ткани в течение всего процесса фиксации. Термокамера оснащена психрометром для измерения относительной влажности внутри нее.

**Г. К**  
6П596. Крашение шерсти. Hulme William. A general review of wool dyeing. «Canad. Text. J.», 1960, 77, № 13, 50—52, 55—56 (англ.).—Обзор (применяемые красители; крашение в волокне, ленте, пряже, полотне; пороки крашения).

**А. Матецкий**  
6П597. Равномерное крашение шерсти. Часть I. Schmitt C. H. A. Level wool dyeing. Part 1. «Mod. Text. Mag.», 1960, 41, № 6, 31—32 (англ.).—Обзор (влияние на результаты крашения дефектов прядения, подготовки к ткачеству и ткачества; пороки, возникающие в процессах заварки, карбонизации, нейтр-ции, валки, промывки).

**А. Матецкий**  
6П598. Крашение извитой пряжи. Dittich Heinz. Über das Färben von Kräuselgarnen. «Dtsch. Textiltechn.», 1960, 10, № 9, 471—473 (нем.).—Новый способ обработки извитой пряжи из полиамидных волокон предусматривает совмещение операций промывки, фиксации и крашения. Извитая пряжа наматывается на шпули спец. конструкции, загружаемые в аппарат периодич. действия, работающий при т-ре > 100°. Шпуля представляет собой полый цилиндр с вертикальными прорезями, способствующими прокрасу пряжи по всей толщине намотки и придающим шпуле эластичность, обеспечивающую равномерность усадки пряжи в процессе наматывания и крашения, а следовательно и устойчивость ее извитков. Процесс крашения начинают при т-ре 20°, затем в течение 40 мин. поднимают т-ру до 125° и красят при этой т-ре 10 мин. Одновременно происходит фиксация извитой пряжи. Затем охлаждают до т-ры 85° в течение 10—15 мин., далее промывают холодной водой, отжимают и сушат при т-ре 60° в течение 20 мин. Новый способ крашения с одновременной фиксацией исключает механич. повреждения волокон, характерные для старого способа, предусматривающего фиксацию насыщ. водяным паром при т-ре 125° в течение 20 мин. и последующее крашение пряжи в мотках. Сравнение этих двух методов крашения извитой пряжи из полиамидного волокна № 200 показало, что усадка пряжи в процессе фиксации одинакова в обоих случаях, но пряжа, окрашенная по новому способу, имеет более плотную структуру. Стабильность извитков и прочность пряжи в обоих случаях практически одинаковы, но разрывная длина пряжи, окрашенной по новому способу, несколько выше, а степень ее извитости выше на 80%. По характеру поверхности трикотажные изделия, полученные из пряжи обоих видов, не отличаются друг от друга, но эластич. свойства изделий из пряжи, окрашенной по новому способу, несколько выше. Новый способ крашения с одновременной промывкой и фиксацией позволяет исключить целый ряд промежуточных технологич. операций, благодаря чему затраты рабочего времени и заработной платы на единицу продукции снижаются соответственно на 43 и 48%. Цикл обращения продукта в произ-ве сокращается на 30%, что позволяет снизить затраты на оборотные средства на ~44%.

**Г. К**  
6П599. Исследование крашения акрилонитрильных волокон. Части I—II; III—IV. Takase Yoshimi. «Сэнтя гаккайси, Sen-i gakkaiishi, J. Soc. Text. and Cellulose Inds, Japan», 1960, 16, № 1, 51—60; № 4, 315—322 (японск.; рез. англ.).—I. В результате исследования процесса взаимодействия р-ров свободных ароматич. сульфокислот [к-т красителей (К)] с ионообменными смолами типа полиаминов установлено, что все к-ты в течение начальных нескольких минут адсорбируются смолой быстро, но в дальнейшем наблюдается за-



медленнее сорбции, степень которого возрастает с увеличением длины молекулы растворенной к-ты. Согласно этому, при пропуске через смолу р-ра К с величиной молекулы  $> 15$  А возможно освобождение К от примесей и загрязнений и получение р-ров, пригодных для дальнейших исследований.

II. При крашении полиакрилонитрильных волокон кислотными К по способу с применением ионов  $\text{Cu}^{+}$  основными факторами процесса являются значение восстановительно-окислительного потенциала, применяемого для восстановления  $\text{CuSO}_4$ , восстановителя, а также скорость образования ионов  $\text{Cu}^{+}$  и их общее кол-во. Лучшие результаты дает сульфат гидроксиламина, обеспечивающий медленное восстановление  $\text{CuSO}_4$ , и достижение почти теоретич. значения восстановительно-окислительного потенциала.

III. Наиболее эффективные условия обработки (при 5%  $\text{CuSO}_4$ ): общее кол-во сульфата гидроксиламина 3% (сначала 1,5%; через 15 мин. 1%; через 30 мин. 0,5%); pH 3; разность потенциалов  $207 \pm 10$  мВ.

IV. Эффективность применения высокой т-ры подтверждается следующими показателями: энергия активации 20—27 ккал/моль при 105°; длительность крашения при 105° сравнительно с наблюдаемой при 100° и 95° уменьшается соответственно в 2—3 и в 4—5 раз.

А. Матедкий  
6П600. К крашению синтетических волокон. Сообщение 7. К вопросу о повышении окрашиваемости волокна нитрон путем предварительной обработки его водными растворами хлористого кальция и хлористого цинка. Роскин Е. С., Хархаров А. А., Фель В. С. «Изв. высш. учеб. заведений. Технол. текстиль. пром-сти», 1959, № 6, 104—106. В целях повышения способности нитрона (Н) к окрашиванию была проведена работа по изысканию метода повышения набухания волокон и изучению колич. присоединения красителей. Для повышения набухания Н применена смесь насыщ. р-ров  $\text{CaCl}_2$  (6 ч.) и  $\text{ZnCl}_2$  (4 ч.) при 80° в течение 30 мин. при модуле 1:75. Эта обработка увеличивает окрашиваемость Н при последующем крашении растворами азокрасителей в присутствии 25% (от веса Н)  $\text{NaCl}$  в 15—20 раз. По этому способу можно получать светлые и средние цвета на Н, применяя ряд прямых и кислотных красителей. Предыдущее сообщение см. РЖХим, 1960, № 22, 90932.

И. Козлов  
6П601. Крашение регенерированных волокон, полученных из лоскута с содержанием синтетических волокон. Stöckigt Horst, Müller Heinz. Färben von Reißspinnstoffen mit Synthesefaseranteilen. (Dtsch. Textiltechn., 1960, 10, № 8, 424—428 (нем.).) — Крашение регенерированных волокон (РВ), представляющих собою смеси шерстяных, вискозных и полиамидных (дидерон) волокон, проводят по однованному способу, применяя совместно кислотные и прямые красители (К) с добавкой препаратов, затрудняющих взаимодействие прямых К с шерстью и дидероном. Возможность однотоного окрашивания смесей, содержащих шерстяное, вискозное и полиакрилонитрильное (волькрилон II) волокна зависит в значительной мере от способности к восприятию К данной разновидности полиакрилонитрильного волокна. Получение ярких окрасок на подобных смесях исключено, так как применяемые металлосодержащие К типа комплексов 2:1 дают лишь притушенные оттенки. При крашении в светлые и средние тона подобных смесей получают окраски с показателями прочности, отвечающими требованиям суконной пром-сти. Крашение по однованному способу ведут из нейтр. р-ра, содержащего, кроме металлосодержащего, еще и прямой К (для окрашивания вискозного волокна). Крашение РВ, содержащих шерстяное, вискозное и полиэфирное (ланон III) волокна, проводят по однованному или двухванному способам. Полиэфирное волокно окрашивают дисперс-

ными К в присутствии интенсификаторов при т-ре кипения в течение 60—90 мин. Для шерстяного и вискозного волокон применяют прямые К, в частности упрочняемые соединениями  $\text{Cu}$ , напр. типа препарата «вовафикс». Крашение по однованному способу ведут из нейтр. р-ра, так как в щел. р-ре при т-ре кипения шерсть повреждается, а в кислой среде трудно достигнуть однородного распределения прямого К на вискозном и шерстяном волокнах. Выбор дисперсных К должен производиться из числа минимально закрашивающих шерсть. Для повышения прочности окраски РВ необходимо обеспечить наиболее полное удаление с шерсти дисперсных К путем интенсивной промывки при использовании неионогенных препаратов (2 г/л). При необходимости получения темных расцветок крашение ведут по двухванному способу: окрашивают полиэфирное волокно, проводят обработку восстановителем для снятия К с шерсти, а затем окрашивают во второй ванне одновременно шерстяное и вискозное волокно.

Г. К.  
6П602. Крашение тесьмы для застежек «молий». Weber R. Die Reißverschlusband-Färberei. «Z. ges. Textilind.», 1960, 62, № 16, 644—647 (нем.). — Крашение хлопчатобумажной тесьмы (Т), предназначенной для застежек «молий», проводят в аппаратах периодич. и непрерывного действия. Из периодич. методов наиболее рентабельным является крашение в аппаратах при загрузке Т на спец. ковках при предварительном промывании промывки и белины в том же аппарате. Сушку Т производят на спец. барабанной сушилке. На промывку, белину и крашение одной партии Т прямыми красителями затрачивается 3 часа, а сернистыми, нерастворимыми азо- и кубовыми красителями — 5 час. Повышение т-ры  $> 100^\circ$  позволяет несколько сократить длительность крашения. Для непрерывного крашения применяют спец. аппарат из двух коробок. Т, проходя по направляющим роликам, многократно погружается в красильный р-р и отжимается, что обеспечивает необходимую глубину окраски. Скорость движения Т достигает 3000—4000 м/час. Хорошие результаты при этом дают прямые, нерастворимые азо- и сернистые красители, тогда как кубовые красители могут применяться лишь ограниченно. Перед крашением Т подвергают промывке и отварке. Перед плюсованием р-ром красителя Т проходит через подпаривающий стол, что повышает восприимчивость ее к красителю. Промывку и закрепление красителя проводят во 2-й коробке аппарата.

Г. К.  
6П603. Новый метод крашения диазосоединениями тканей из частично ацетоацетилюрованного вискозного волокна. Iida Hirotsada, Kuwabara Nitaro, Fukuya Naomichi. «Koré kagaku zasshi, Kogyo kagaku zasshi, J. Chem. Soc. Japan. Indust. Chem. Sec.», 1960, 63, № 5, 863—864, A44—A45 (японск.; рез. англ.). — Ароматические диазосоединения химически связываются с частично ацетоацетилюрованными хлопковым волокном. Этот новый метод крашения наиболее успешно был применен на вискозном шелке, содержащем 2—5 вес. % связанного дикетена. Прочность к мокрым обработкам вискозного волокна, окрашенного прямыми диазотипированными красителями, значительно увеличивается после обработки его в р-ре  $\text{NaNO}_2$ , подкисленном  $\text{CH}_3\text{COOH}$ . Поэтому предполагается, что молекулы этих красителей связываются с ацетоацетиловыми группами волокна. Окраски, полученные с образованием металл. комплексов формазановых красителей путем р-ции производных о-аминофенола с частично ацетоацетилюрованным вискозным волокном, обладают хорошей прочностью к свету и к мокрым обработкам.

Из резюме авторов  
6П604. Стерические эффекты в спектрах поглощения красителей. Naiki Ko. «Сэнъи гаккайши, Sen-i gakkaiishi, J. Soc. Text. and Cellulose Inds. Japan», 1959, 15, № 9, 771—778 (японск.)

6П605.   
6П606.   
6П607.   
6П608.   
6П609.   
6П610.   
6П611.   
6П612.   
6П613.   
6П614.   
6П615.   
6П616.   
6П617.   
6П618.   
6П619.   
6П620.   
6П621.   
6П622.   
6П623.   
6П624.   
6П625.   
6П626.   
6П627.   
6П628.   
6П629.   
6П630.   
6П631.   
6П632.   
6П633.   
6П634.   
6П635.   
6П636.   
6П637.   
6П638.   
6П639.   
6П640.   
6П641.   
6П642.   
6П643.   
6П644.   
6П645.   
6П646.   
6П647.   
6П648.   
6П649.   
6П650.   
6П651.   
6П652.   
6П653.   
6П654.   
6П655.   
6П656.   
6П657.   
6П658.   
6П659.   
6П660.   
6П661.   
6П662.   
6П663.   
6П664.   
6П665.   
6П666.   
6П667.   
6П668.   
6П669.   
6П670.   
6П671.   
6П672.   
6П673.   
6П674.   
6П675.   
6П676.   
6П677.   
6П678.   
6П679.   
6П680.   
6П681.   
6П682.   
6П683.   
6П684.   
6П685.   
6П686.   
6П687.   
6П688.   
6П689.   
6П690.   
6П691.   
6П692.   
6П693.   
6П694.   
6П695.   
6П696.   
6П697.   
6П698.   
6П699.   
6П700.   
6П701.   
6П702.   
6П703.   
6П704.   
6П705.   
6П706.   
6П707.   
6П708.   
6П709.   
6П710.   
6П711.   
6П712.   
6П713.   
6П714.   
6П715.   
6П716.   
6П717.   
6П718.   
6П719.   
6П720.   
6П721.   
6П722.   
6П723.   
6П724.   
6П725.   
6П726.   
6П727.   
6П728.   
6П729.   
6П730.   
6П731.   
6П732.   
6П733.   
6П734.   
6П735.   
6П736.   
6П737.   
6П738.   
6П739.   
6П740.   
6П741.   
6П742.   
6П743.   
6П744.   
6П745.   
6П746.   
6П747.   
6П748.   
6П749.   
6П750.   
6П751.   
6П752.   
6П753.   
6П754.   
6П755.   
6П756.   
6П757.   
6П758.   
6П759.   
6П760.   
6П761.   
6П762.   
6П763.   
6П764.   
6П765.   
6П766.   
6П767.   
6П768.   
6П769.   
6П770.   
6П771.   
6П772.   
6П773.   
6П774.   
6П775.   
6П776.   
6П777.   
6П778.   
6П779.   
6П780.   
6П781.   
6П782.   
6П783.   
6П784.   
6П785.   
6П786.   
6П787.   
6П788.   
6П789.   
6П790.   
6П791.   
6П792.   
6П793.   
6П794.   
6П795.   
6П796.   
6П797.   
6П798.   
6П799.   
6П800.   
6П801.   
6П802.   
6П803.   
6П804.   
6П805.   
6П806.   
6П807.   
6П808.   
6П809.   
6П810.   
6П811.   
6П812.   
6П813.   
6П814.   
6П815.   
6П816.   
6П817.   
6П818.   
6П819.   
6П820.   
6П821.   
6П822.   
6П823.   
6П824.   
6П825.   
6П826.   
6П827.   
6П828.   
6П829.   
6П830.   
6П831.   
6П832.   
6П833.   
6П834.   
6П835.   
6П836.   
6П837.   
6П838.   
6П839.   
6П840.   
6П841.   
6П842.   
6П843.   
6П844.   
6П845.   
6П846.   
6П847.   
6П848.   
6П849.   
6П850.   
6П851.   
6П852.   
6П853.   
6П854.   
6П855.   
6П856.   
6П857.   
6П858.   
6П859.   
6П860.   
6П861.   
6П862.   
6П863.   
6П864.   
6П865.   
6П866.   
6П867.   
6П868.   
6П869.   
6П870.   
6П871.   
6П872.   
6П873.   
6П874.   
6П875.   
6П876.   
6П877.   
6П878.   
6П879.   
6П880.   
6П881.   
6П882.   
6П883.   
6П884.   
6П885.   
6П886.   
6П887.   
6П888.   
6П889.   
6П890.   
6П891.   
6П892.   
6П893.   
6П894.   
6П895.   
6П896.   
6П897.   
6П898.   
6П899.   
6П900.   
6П901.   
6П902.   
6П903.   
6П904.   
6П905.   
6П906.   
6П907.   
6П908.   
6П909.   
6П910.   
6П911.   
6П912.   
6П913.   
6П914.   
6П915.   
6П916.   
6П917.   
6П918.   
6П919.   
6П920.   
6П921.   
6П922.   
6П923.   
6П924.   
6П925.   
6П926.   
6П927.   
6П928.   
6П929.   
6П930.   
6П931.   
6П932.   
6П933.   
6П934.   
6П935.   
6П936.   
6П937.   
6П938.   
6П939.   
6П940.   
6П941.   
6П942.   
6П943.   
6П944.   
6П945.   
6П946.   
6П947.   
6П948.   
6П949.   
6П950.   
6П951.   
6П952.   
6П953.   
6П954.   
6П955.   
6П956.   
6П957.   
6П958.   
6П959.   
6П960.   
6П961.   
6П962.   
6П963.   
6П964.   
6П965.   
6П966.   
6П967.   
6П968.   
6П969.   
6П970.   
6П971.   
6П972.   
6П973.   
6П974.   
6П975.   
6П976.   
6П977.   
6П978.   
6П979.   
6П980.   
6П981.   
6П982.   
6П983.   
6П984.   
6П985.   
6П986.   
6П987.   
6П988.   
6П989.   
6П990.   
6П991.   
6П992.   
6П993.   
6П994.   
6П995.   
6П996.   
6П997.   
6П998.   
6П999.   
6П1000.

6P605. Изучение крашения тканей из смесей синтетических волокон. Кониси Юкио. «Кобун», 1959, 8, № 7, 401—405 (японск.).

6P606. Крашение ткани из волокна эклан «S» красителями для шерсти.—«Boshokukai, Boshokukai, Text. Rev.», 1960, 51, № 5, 347—350 (японск.).—Волокно типа акрила — эклан S (I) окрашивают кислотными (K). Дается список применяемых K. I быстро окрашивается кислотными K при pH  $\leq 3$  и т-ре 80—100° в присутствии  $\text{CH}_3\text{COOH}$ ,  $\text{HCOOH}$  или  $\text{H}_2\text{SO}_4$  и  $\text{HCOOH}$ . Для повышения светостойкости окрасок рекомендуется проводить нейтрацию после крашения в р-ре, содержащем 2 г/л  $\text{Na}_2\text{CO}_3$  и 1 г/л поверхностно-активного в-ва при M-20 в течение 15 мин. при 50°. Окраски кислотными K по прочности к свету и к мокрым обработкам не уступают получаемым на шерсти кислотно-протравными и прочными к валке K. Приведены данные, характеризующие прочность окрасок к свету, мокрым обработкам, поту, трению. Для отбеливания I обрабатывают оптически-активными препаратами типа лейкофора WS в кол-ве 0,1—0,5% в присутствии 2% лед.  $\text{CH}_3\text{COOH}$  при 70—80° в течение 45 мин.

6P607. Однотонное крашение шпал из смеси искусственных белковых волокон с кроличьим волосом, а также с шерстью. Winkler M. Tongleiche Färbungen auf Hüten aus künstlichen Eiweissfasern und Kaninhaar bzw. Wolle. «SVF Fachorgan Textilveredlung», 1960, 15, № 8, 525—526 (нем.).—При крашении смесей из шерсти и искусств. волокон (фибрлан BX, мериноса, кашемира, виллопа) искусств. волокна окрашиваются более интенсивно, чем шерсть. Для выравнивания равномерности применяются различные способы. Разработан новый способ, позволяющий кратковременной обработкой перед крашением с применением различных кислотных красителей получать однотонные окраски смешанных изделий из кроличьей шерсти и искусств. белковых волокон. Изделие обрабатывают в р-е, содержащем 1—3 г/л Сандазол KB либо Сандазол NE, в течение ~20 мин. при 80—95° и pH 4—4,5. Затем в р-р добавляют холодную воду, снижая т-ру до 40—50°. Красители по эгализиционной способности разделены на 2 группы. При крашении красителями первой группы можно применять красители второй группы для подцветки искусств. белковых волокон, так как они преимущественно окрашивают только эти волокна. Приведены замечания по практич. применению красителей.

6P608. Крашение волокна рилсан в черный цвет. Borsten St. F. Das Färben von Schwarznancen auf Rilsan. «SVF Fachorgan Textilveredlung», 1960, 15, № 8, 512—514 (нем.).—Исследовали крашение волокна рилсан дисперсными, металлосодержащими и кислотно-протравными красителями. Дисперсные красители применяют при крашении в светлые цвета, но окраски недостаточно прочны к свету и к мокрым обработкам. В результате исследований разработаны режим и рецептура крашения трикотажа и пряжи в куличах в черный цвет. Крашение ведут 8,6% красителя хромового черного прочного FW (Ciba) и 1,4% нафтохромового зеленого G (Ciba) в присутствии 8%  $\text{H}_2\text{SO}_4$  в течение 1 часа при т-ре кипения до полного истощения ванны, ванну охлаждают до 70°, и обрабатывают изделие 6%  $\text{K}_2\text{Cr}_2\text{O}_7$ , затем промывают и мылуют с добавлением 1 мл/л  $\text{NH}_4\text{OH}$ .

6P609. Новое в крашении штучных изделий из целлюлозных волокон кубовыми красителями. Bernert F. Neuere Erkenntnisse und Erfahrungen beim Färben von Stückwaren aus Zellulosefasern und Küpenfarbstoffen. «Z. ges. Textilind.», 1960, 62, № 9, 351—357 (нем.; рез. англ., франц.).—Рассматривается крашение тканей и трикотажных изделий из хлопка, шелка и вискозного волокна. Даны рецепты и режимы крашения различ-

ными способами с применением различного оборудования.

6P610. Новые черные красители для целлюлозных волокон. Емельянов А. Г. «Текстиль. пром-сть», 1960, № 8, 38—41.—Разработано несколько новых черных красителей, из которых диазол черный С, сернистый черный водорастворимый в порошке и диазол черный К уже освоены пром-стью. Приведены свойства, назначение рецептуры, методики крашения и результаты производственных испытаний вышеуказанных красителей.

6P611. Крашение и отделка ацетатных и акриловых волокон — дигель, трицель и куртель. Boulton John. Tintura y acabado del acetato de celulosa y fibras acrilicas, con referencia particular al dicel, trichel y courtelle. «Ingenieria text.», 1960, 27, № 144, 200—201, 203, 205, 207, 209—211, 213 (исп.).—В дисперсионном крашении при 98°, напр., дуранолом голубым брильянт BN 300, волокно дигель выбирало из ванны 70% красителя (K) за 30 мин., трицель — за 60 мин., акриловое волокно куртель за 2 часа выбирало только 40% K; изменением модуля ванны от 10:1 до 100:1 выбираемость K дигелем и трицелем падала на 10—20%, волокном куртель — от 70 до 20%, последнее требует для крашения миним. т-ры 90°. Прочность окрасок к мокрым обработкам находится в обратной зависимости от скорости выбирания красителя волокном.

6P612. Сравнительное рассмотрение добавок волькрилона или ланона в смеси при изготовлении тканей, применяемых для платьев-джемпер. Heine Gerhard, Edelmann Günther. Vergleichende Betrachtungen über den Einsatz von Wolcrylon bzw. Lanon für Jersey-Kleider. «Dtsch. Textiltechn.», 1960, 10, № 8, 407—410 (нем.).—Исследовано влияние добавок к вискозному волокну волькрилона или ланона при получении пряжи для полотна-джемпера. Введение в смесь 60% волькрилона дает хороший результат. Отмечены трудности в крашении волькрилона, вынуждающие прибегать к двухванному способу крашения ткани или к крашению в пряже. Изделия с высоким содержанием волькрилона обладают туше подобным шерсти.

6P613. Крашение акриловых волокон в смесях. Aldridge A., Jordan P. V. Dyeing acrylics in blends. «Man-Made Text.», 1960, 37, № 434, 53—54 (англ.).—Обзор методов крашения смесей акриловых волокон (орлона 42, куртеля, акрила и др.) с шерстью или хлопком.

6P614. Крашение полиамидного волокна ремазол-ми.—La tintura delle fibre poliammidiche con i coloranti (R) Remazol. «Fibre e colori», 1960, 10, № 8, 433—436 (итал.).—Ремазоли адсорбируются и фиксируются концевыми  $\text{NH}_2$ -группами полиамидного волокна как кислотные красители. Для получения чистого черного цвета при крашении ремазолом черным В в ванну вводят 6—8% красителя и 2 г/л  $\text{Na}_2\text{NO}_4$ , обрабатывают окрашиваемый материал при 40°, 10 мин. нейтрализуют 0,3 мл/л  $\text{H}_2\text{SO}_4$  (66° Bé), добавляют 4—6%  $\text{H}_2\text{SO}_4$  и 2—3% ремола GE и красят при кипячении 1 час; приведена таблица совместимых ремазолов. К. Герцфельд

6P615. Крашение активными красителями. Стойков В. В. Ватрене с реактивом батрила. «Текстиль. пром-сть», 1960, 9, № 5, 34—36 (болг.).—Обзор крашения целлюлозных волокон в виде пряжи или тканей активными красителями: ремазолами (фирмы «Hoechst», FRG), проционами (фирмы «ICI», Англия) и триакронами (фирмы «Ciba», Швейцария).

6P616. Идентификация красителей, применяемых для крашения и печатания полиамидных волокон. Ludovici Renato. Identificazione dei coloranti usati per la produzione di tinte e stampe su fibre poliammidiche. «Fibre e colori», 1960, 10, № 8, 421—424

З. Лебедева

(итал.).—Разработаны методы определения принадлежности красителей к той или иной группе по технич. классификации, предусматривающие извлечение красителей с окрашенных или напечатанных изделий из волокон полиамидных, полиакрилонитрильных и полиэфирных и проведение для получаемых экстрактов соответствующих качеств. реакций. К. Герцфельд

6П617. Печатание кубовыми красителями с ронгалитом С, ронгалем А и гидросульфитом. K. Küppers Wilh. Mededelingen over R Rongalit C, R Rongal A en hydrosulfiet bij het drukken met kuipkleurstoffen. «Тех», 1960, 19, № 7, 428—434 (гол.).—В связи с более высоким относительным значением окислительно-восстановительного потенциала проявление окраски при печатании кубовыми красителями по двухфазному способу с ронгалем А в качестве восстановителя происходит значительно скорее, чем при использовании ронгалита С. Облегчается также промывка после печатания; достигается возможность промывки ткани в жгутах (отмывка от щелочи на 90% за 12—15 мин. при полном окислении красителя). К. Герцфельд

6П618. Последние достижения в крашении и печатании. Dorset B. C. M. Recent developments in dyeing and printing. «Text. Manufacturer», 1960, 86, № 1029, 367—371, 375 (англ.).—Обзор. Новые выравниватели, восстановители, методы крашения изделий из полиамидных и полиэфирных волокон и их смесей, крашение синтетич. волокон под давлением, методы непрерывного крашения. А. Болденко

6П619. Новые возможности применения эмульсионных загустителей в печатании тканей. Heinze Wolfgang. Neue Einsatzmöglichkeiten von Emulsionsverdickungen im Textildruck. «Dtsch. Textiltechn.», 1960, 10, № 8, 417—423 (нем.).—Изучено поведение прямых красителей (К) в печатании тканей с применением эмульсионных загусток типа «масло в воде» и обычных загустителей (крахмально-трагантовой и др.). В качестве К были использованы купрофиксовые, купрофениловые и бензокупроловые К при последующем закреплении и плосовании р-ром комплексного, металлосодержащего препарата «вовафикс S». Выявлено, что печатные краски на основе эмульсионной загустки обеспечивают более высокие прочность к свету и мокрый обработкам и скорость фиксации прямых К сравнительно с печатными красками на других загустителях. При этом длительность запаривания, соответствующая оптимальному выходу К для К купрофиксового голубого для печати 2GL и купрофенилового чисто голубого 2BL, составляет 8 мин. Выход К, определенный как функция коэф. отражения света от поверхности окрашенного образца при облучении его на спец. приборе с подбором соответствующих световых фильтров, при печатании красками, составленными на основе эмульсионной загустки, выше, чем для красок с другими загустителями. Особенно значительна разница в фиксации в начальной стадии запаривания; с увеличением длительности запаривания разница сглаживается, так что эмульсионные загустители наиболее эффективны при кратковременном запаривании. Миграционная способность прямых К в процессе запаривания, зависящая в сильной степени от природы загустителя, т. е. от его способности образовывать на поверхности волокон устойчивые пленки и препятствовать миграции К в глубь волокон, исследована хроматографич. методом (определение высоты подъема р-ра К на полоске фильтровальной бумаги после нанесения печатной краски, высупивания и погружения нижнего конца в смесь 90% метанола и 10% воды). Скорость фиксации К купрофенилового чисто голубого 2BL из печатной краски, составленной на основе эмульсионной загустки, вплоть до 50 мин. запаривания остается выше скорости миграции К из печатных красок, составленных на основе других загустителей. С увеличением длительности запаривания

скорость миграции для всех видов загустителей несколько выравнивается. Опыт практич. применения эмульсионных загусток в произ-ве при печатании прямыми К подтвердил эффективность этого метода (возможность использования более дешевых К, усвоение сушки и всего процесса, повышение «выхода» К и др.). Эмульсионные загустки могут быть успешно применены при печатании и другими К (активными, нерастворимыми азо, кубозолевыми, фталоцианиновыми). Г. К.

6П620. Новый состав печатной краски для печатания нерастворимыми азокрасителями. Сюй Му-цзи. «Фанчжи тунбао, Fangzhi tongbao», 1959, № 12, 32—33 (кит.).—Разработана и с успехом опробована состав устойчивой печатной краски, содержащей диазосоставляющую, для нанесения на оплосованную азотом А ткань. В этот состав вводят в качестве реагента, нейтрализующего и связывающего содержащийся на ткани NaOH, молочную к-ту и  $Al_2(SO_4)_3$ . Применение данного состава позволяет исключить из процесса лед, HCl,  $CH_3COOH$  и  $CH_3COONH_4$ , что значительно снижает себестоимость. А. Зонянт

6П621. Печатание и отделка тканей, содержащих акриловые волокна. Aldridge A., Jordan P. V. Printing and finishing acrylics. «Man-Made Text.», 1960, 37, № 435, 73—74 (англ.).—Ткань промывают водой при 40°, подвергают расщепловке ферментами, кипятят в слабощелочном или нейтр. р-ре анионоактивного в-ва, промывают, отжимают, сушат, ширят, накатывают на ролик без натяжения. Для печатания применяют катионные и кубовые красители (К). В состав печатной краски при печатании катионными К входят: К, дилогексанол,  $CH_3COOH$ , загустка, ускоритель фиксации красителя. При печатании кубовыми К печатная краска содержит: К, диэтиленгликоль, поташ, ронгалит, загустку, воду. После печатания ткани сушат, запаривают при атмосферном давлении, промывают и проводят окисление в р-ре, содержащем  $H_2O_2$ ,  $CH_3COOH$ , анионоактивное в-во. Для повышения светостойкости окрасок полезно проводить двухкратную мыловку. Приведены рецептура приготовления печатных красок и режимы печатания сетчатыми шаблонами и машинным способом. В качестве загустителей применяют камедь, декстрин, трагант, эфиры крахмала, устойчивые к щелочи альгинаты. Обработку смягчающими в-вами проводят перед ширением в присутствии HCOON при pH 5, затем ткань накатывают на ролик без натяжения. Во всех операциях отделки рекомендуется избегать натяжения ткани. А. Болденко

6П622. Новое в применении глицерина и его производных. Machell G. Novel applications of glycerine and its compounds. «Text. Manufacturer», 1960, 86, № 1030, 412—415 (англ.).—Обзор. Применение глицерина в процессах крашения и печатания тканей и различных волокон для придания тканям несминаемости, водоупорности, огнестойкости, антистатич. свойств, а также в прядении хим. волокон. Библиография 30 назв. А. Болденко

6П623. Резервная бели и расцветка нитяными тканями. Батюков А. И., Мигачева И. Б. «Текстиль. пром-сть», 1960, № 8, 14—15.—Предлагается способ резервной печати по тканям из вискозного шпального волокна нерастворимыми азокрасителями под кубовое крашение. В лабор. условиях опробована резервная бели, содержащая (в г/л): 18 метанитробензолсульфонилсоединения натрия, 8 50%-ного ализаринового масла заданное кол-во трагантовой загустки и воды, 50 г ОП-10 и 60 г  $NH_4Cl$  на 1 кг бели. После печати ткань запаривали и окрашивали кубовым красителем. Печатание резервной бели вели по чистой или азотированной ткани с конц-ей азотола 9 г/л. Испытывали кубовые красители: голубой К, ярко-фиолетовый, ярко-зеленый, золотисто-желтый, тиюидиго-розовый. Печатная краска содержала (г/л): красителя 4%

Na<sub>2</sub>S<sub>2</sub>O<sub>4</sub> превали Na<sub>2</sub>S<sub>2</sub>O<sub>4</sub> при 50-зрельных мыльных Предлож печат п резервн аористи сокраща включа окраски 6П624. шириной зе Arbei (нем.).—новов) пользова ных тип нами (д стороны водител мым обл положен сверху и обслужи возможе но, испо стабили 6П625. использ Kar1-ler in № 8, 51 ведения делий, ч менени меняют вместо отходяи ки с та ся в р цесс и ричего. 6П626. «эским der Esk 749—75 дов от «эским ментац 6П627. крашен Appret lind.», следую ровье, чатой и варите: варка, жим, с на, ст ровка, 6П628. стияных eines S (8) (не товы волокну ая чи совка стрижки са на



$\text{Na}_2\text{S}_2\text{O}_4$  7,5, 35%-ного  $\text{NaOH}$  15 и лейканола 10. Ее нагревали до 40—60° и разбавляли р-ром, содержащим  $\text{Na}_2\text{S}_2\text{O}_4$  1 г/л и 35%-ного  $\text{NaOH}$  3 г/л. Крашение вели при 50—60°, ткань выдерживали 30 сек. в воздушном зрельнике, промывали холодной и горячей водой, мыльным р-ром при 75—80°, горячей и холодной водой. Предложенный способ позволяет заменить вытравную печать по тканям, окрашенным прямыми красителями, резервной печатью, в результате чего улучшается колористич. эффект, повышается прочность окраски, сокращается длительность обработки, поскольку исключаются операции вызревания и закрепления окраски ДЦУ и ДЦМ.

6П624. Барабанная сушилка с большой рабочей шириной. Hiele Peter. Trommeltrockner für große Arbeitsbreiten. «Text-Prax.», 1960, 15, № 6, 626—627 (нем.).—Для сушки изделий большой ширины (напр., ковров) сконструированы установки, в которых использованы перфорированные барабаны, двух основных типов: 1) с расположенными в один ряд барабанами (диам. от 1880 мм) и вентиляторами с каждой стороны барабана; обеспечивающие высокую производительность и удобство в обслуживании; 2) с прямыми обдуванием и коротким воздухооборотом при расположении вентиляторов рядами по рабочей ширине сверху и снизу барабанов, характеризующиеся легкостью обслуживания, относительно небольшими габаритами, возможностью повышения т-ры до 200° и, следовательно, использования и для термич. обработки, а также стабилизации изделий из синтетич. волокон. В. Алипов

6П625. Нагреватели воздуха с непосредственным использованием горящего газа и масла. Müller Karl-Günter. Direkt gas- und ölbefeuerte Lufterhitzer in der Textil-Industrie. «Chemiefasern», 1960, 10, № 8, 514, 516—520, 522 (нем.).—Для обеспечения проведения ряда технологич. обработок текстильных изделий, особенно из синтетич. волокон, требуется применение нагрева при т-ре >100°. Для этой цели применяют спец. нагреватели, в которых используются вместо обычно применяемых пара или горячей воды отходящие газы от сгорания газа или масла. Установки с таким обогревом воздуха очень быстро приводятся в рабочее состояние, значительно ускоряют процесс и обеспечивают более полное использование горючего.

6П626. Отделка суконных пальтовых тканей типа «эскимо». Seidel A. Die Naß- und Trockenappretur der Eskimostoffe. «Melliand Textilber.», 1960, 41, № 6, 749—753 (нем.).—Обзор (технологич. планы переходов отделки различных разновидностей сукон типа «эскимо» при крашении в волокне и в полотно; рекомендации по режимам процессов).

6П627. Отделка шерстяных тканей типа фуле, крашенных в полотно. Vonberg Heinrich. Die Appretur eines stückfarbigen Foules. «Z. ges. Textilind.», 1960, 62, № 16, 651—652 (нем.).—Рекомендуется следующий тип переходов отделки: промывка в сузове, заварка, предварительное ворсование на игольчатой машине, сушка, чистка с подпариванием, предварительная стрижка, валка, промывка, отжим, заварка, сушка, прессование, декатировка, крашение, отжим, сушка, стрижка, прессование, мокрая декатировка, стрижка, прессование, заключительная декатировка, гидравлич. прессование (без нагрева).

6П628. Отделка меланжевых ворсованных шерстяных тканей. Vonberg Heinrich. Die Appretur eines Strichlodens. «Text-Prax.», 1960, 15, № 7, 724—725, (8) (нем.; рез. англ., исп., франц.).—При отделке пальтовых ворсованных шерстяных тканей, окрашенных в волокне, применяют следующий план переходов: ручная чистка и штопка, валка, промывка, заварка, ворсовка на игольчато-ворсовальной машине, сушка, стрижка, повторная ворсовка, стрижка, поднятие ворса на машине с вращающимися игольчатыми шипка-

ми, ратинирование, очистка на щеточной машине, заключительная декатировка.

6П629. Причины возникновения дефектов, пятен, порок, наблюдаемых в крашении, печатании и аппретировании; их распространение и способы предотвращения и исправления. Colomb P. Origine des défauts, taches, tares, constatés en teinture, impression et aux apprêts. Leur détection: moyens mis en oeuvre pour les éviter et les corriger. «Teintex», 1960, 25, № 1, 26, 29, 31—32, 35 (франц.).—Для придания водоупорности тканям из различных волокон, включая синтетич., применяют препараты на базе: парафиновых эмульсий и солей Al; циркониевых мыл; типа хромо-лана, веланов и силиконов. Некоторые из этих препаратов при определенных условиях можно комбинировать с термореактивными смолами. Описаны рекомендуемые режимы обработок и методы оценки их эффективности. См. также РИХХим, 1960, № 24, 99189.

6П630. Несминаемость текстильных изделий. Rao B. S. Venkatasubba. Crease resisting property of textile fabrics. «Altech», 1959—1960, 9, 69—81 (англ.).—Обзор (факторы, влияющие на сминаемость изделия: строение волокон, степень кристалличности, наличие поперечных связей, растяжимость и упругость, длина, форма поперечного сечения, структура пряжи, переплетение и толщина ткани, условия влажности и т-ры; обработки синтетич. смолами, повышающие несминаемость; методы испытаний). Библ. 4 назв.

6П631. Успехи в области придания целлюлозным тканям несминаемости и выработки тканей, не требующих глажения после стирки. Cronin T. J., Jr. Progress in «wash-wear» finishing of cellulosic fabrics. «Amer. Dyestuff Reporter», 1960, 49, № 11, 27—29, 36 (англ.).—Обработки для придания несминаемости, основанные на применении немодифицированных мочевиноформальдегидных и меламиноформальдегидных смол (С), не обеспечивали устойчивости достигаемого эффекта в стирке и создавали условия разрушения целлюлозы при стирке с применением моющих препаратов, содержащих хлор, вследствие чего их применение значительно сократилось. Лучшие результаты дают С на основе диметилолэтиленмочевины (I), но и их значение заметно снизилось после опробования триазоновых С. Важнейшие триазоны отличаются от I заменой группы  $-\text{CH}_2-\text{CH}_2-$  на группы  $-\text{CH}_2-\text{N}(\text{C}_2\text{H}_5)-\text{CH}_2-$  (этилтриазон) и  $-\text{CH}_2-\text{N}(\text{C}_2\text{H}_4\text{OH})-\text{CH}_2-$  (этилокситриазон). Недостатками тканей, обработанных триазоновыми С, являются их малая стойкость к стиркам с подкислением, после которых они склонны желтеть при глажении, и трудность их первоначальной промывки до удаления присущего им запаха. Ткани, обработанные эпоксидными С, не имеют запаха, очень прочны к хлору, стирке и трению, но проявляют относительно худшую несминаемость и дороги. Недостаточно используемая пока окись трис-(1-азиридинил)-фосфина интересна тем, что, помимо несминаемости, придает также и огнестойкость. Особое значение получают комбинированные обработки смесями эпоксидов с I или триазонами. Рекомендуется также перед обработкой С проводить мерсеризацию, что способствует повышению их прочности, или проводить последующую мерсеризацию, также повышающую прочность и сопротивление истиранию, но при некотором снижении несминаемости.

6П632. Повышение потребительских свойств тканей. Угрюмов П. С., «Текстиль. пром-сть», 1960, № 7, 45—48.—Обзор. (Обработка производными мочевины, этиленмина и др.). Библ. 2 назв.

6П633. Отделка тканей, содержащих полиэфирные волокна. Pajgert Oldfich. Úprava tkanin s obsahem polyesterových vláken. «Textil (CSR)», 1960, 15,

№ 5, 185—190 (чешск.).—Описано влияние основных операций отделки на качество тканей из полиэфирных волокон и указаны основные ошибки, встречающиеся в процессах отделки. Обсуждается вопрос о влиянии процессов мокрой и сухой отделки на безусадочность тканей и способность к закатыванию ворса, а также на их физ.-мех. свойства. Разбирается влияние спец. видов обработок (антистатич., смягчающего волокно, придающего гидрофобность) на свойства тканей. Приведены рецептура и режимы указанных обработок. Ф. Нарина

6П634. Применение дихлорофена в текстильной промышленности. Collins R. J., Purkiss B. E. The applications of dichlorophen in the textile industry. «Text. Manufacturers», 1960, 86, № 1026, 239—245 (англ.).—Дихлорофен (I) (2,2'-диокси-5,5'-дихлордифенилметан) выпускают в Англии и в США под названиями, соответственно, «Фенацид» и «С-4». I принадлежит к числу наиболее эффективных бактерицидных и фунгицидных в-в и по широте своего действия на микроорганизмы различных видов не имеет равных. Как антисептик для текстильной промышленности I важен потому, что почти безвреден для человека, животных и рыб, не раздражает кожи, бесцветен, не влияет на красители и лишен запаха. Растворимость в воде 30 мг/л, упругость пара даже при 100° 10<sup>-4</sup> мм рт. ст. Из всех применяемых фунгицидов является наименее токсичным для человека, 0,25% I на ткани делают ее стерильной, препятствуя развитию любых микроорганизмов. Никакой другой антисептик не придает тканям таких высоких противогнилостных свойств, как I. I пригоден также для консервирования шпихты, для борьбы с илообразующими микробами в водоемах и др. I проявляет определенное сродство к белковым волокнам, что облегчает его применение в этих случаях. На целлюлозные волокна I наносят из р-ров его водорастворимых солей (с последующей кислотой), либо из водн. эмульсии р-ра I в скипидаре, либо из р-ров в органич. растворителях. В. Шугер

6П635. Новые обработки шерстяных тканей, придающие им улучшенные свойства. Lundgren Harold P. New finishes for easy-care wool fabrics. «Mod. Text. Mag.», 1960, 41, № 6, 53—55. Discuss., 55—56 (англ.).—Намечен к проведению ряд исследований по изучению строения и свойств отдельных видов шерсти, а также по изысканию новых хим. обработок, придающих шерстяным тканям улучшенные свойства (мягкость, устойчивость линейных размеров, предупреждение закатывания поверхностных волокон и др.). Разработан и опробован с положительными результатами способ предупреждения усадки и свойлачивания тканей в процессе промывки, основанный на применении эпоксиаминополиамидных смол.

А. Матецкий  
6П636. Огнезащитная пропитка джутовых тканей. Часть II. Относительная горючесть изделий из джута в зависимости от их структуры. Sen Gupta S. R. Fireproofing of jute fabrics. Part II. Relative flammability of jute fabrics and effect of fabric construction. «Jute and Gunny Rev.», 1960, 12, № 4, 129—131 (англ.).—Изделия из джута характеризуются меньшей горючестью сравнительно с изделиями из других волокон. Огнестойкость изделий повышается с увеличением их веса и плотности, а также в результате удаления в промывке масел, шпихты и других примесей и загрязнений. Для повышения огнестойкости джутовых изделий применяют спец. обработки, напр. бурой и борной к-той, (NH<sub>4</sub>)<sub>2</sub>SO<sub>4</sub> и др. Но при этом значительно труднее достигнуть уменьшения проявления типичного для джута последующего тления. Часть I. см. РЖХим, 1961, 51573.

А. Матецкий  
6П637. Химические составы для нанесения на ткань ковров и их применение. III. Brawnner George. Chemistry and application of rugbacking com-

pounds. III. «Text. World», 1960, 110, № 4, 69—71 (англ.).—Нанесение аппретирующих составов на ткань ковров проводится большей частью после крашения. В применяемых рецептах основное значение имеют различные синтетич. смолы в виде латексов (напр., смесь бутадиенакрилонитриловых и поливинилхлоридного латексов). Иногда к наносимым составам предъявляются особые требования в части придания изделиям некоторых спец. свойств, напр. огнестойкости, способности рассеивать статич. заряды и др. Часть II. см. РЖХим, 1960, № 24, 99181.

В. Шугер  
6П638. Основа для прошивных ковров. Sneyd H. Background to tufting. «Skinner's Silk and Rayon Rec.», 1960, 34, № 5, 493, 495—498 (англ.).—Обзор. Оборудование, способы качества и закрепления ворса, использование новых волокон.

Н. Абрамов  
6П639. Придание трикотажным изделиям способности сохранять линейные размеры в условиях машинной стирки. Maurer C. Herstellung von waschmaschinenfester Wirkware. «Melliand Textilber.», 1960, 41, № 7, 880—885 (нем.).—Проведены лабор. исследования влияния обработки в разных условиях с применением KMnO<sub>4</sub> и NaClO (раздельно и совместно) на усадку шерстяных трикотажных изделий в стирке, а также и на другие физ.-хим. свойства (прочность, удлинение, растворимость в щелочах, к-тах, мочевино-бисульфитном р-ре, содержание триптофана и цистеиновой к-ты; скорость и ровноту окрашивания кислотными красителями). Установлено, что обработка в кислой среде, особенно при раздельном применении KMnO<sub>4</sub> и NaClO, дает лучший эффект безусадочности, но при этом проявляются более значительные повреждения шерсти. Большая сохранность шерсти и большая равномерность волокон достигаются при обработках в щел. среде, в частности при совместном использовании KMnO<sub>4</sub> и NaClO. Наиболее эффективным оказался способ, предусматривающий предварительную обработку 1—5%-ной дисперсией синтетич. смолы (20°, 1 час) с последующим отжимом и затем обработкой р-ром NaClO с содержанием ≤2,5% активного хлора при pH 8,5. При таком способе достигается возможность достижения требуемого снижения способности к усадке при значительном относительном снижении конц-ии р-ров NaClO и при уменьшении повреждений шерсти. И. Коалов

И. Коалов  
6П640. Хлорирование шерсти. Доминик. Дискуссия о методах испытания шерстяных изделий на усадку при машинной стирке. Lang Adolf. Über das Chlorieren von Wolle. Dominik M.—Diskussion: Zum Waschmaschinen- und Kugel-«Bojen»-Test. «Melliand Textilber.», 1960, 41, № 7, 875—879 (нем.).—Сравнительные лабор. опыты обработки образцов шерстяного трикотажа р-рами NaClO (2%, 4% и 8% активного хлора) при длительности 0,5—3 часа и значениях pH 8, 9, 10, а также 2, 4, 6 с последующими определениями изменений физ.-мех. и хим. свойств показали, что наиболее эффективной в части достигаемого безусадочности и отсутствия чрезмерных повреждений шерсти является обработка р-ром NaClO с содержанием 3—4% активного хлора при pH 8. При необходимости обеспечения большей равномерности действия следует прибегать к охлаждению р-ра и увеличению модуля валны.

А. Матецкий  
6П641. Свойлачивание и усадка шерсти в процессе промывки. Dorset B. C. M. Felting and shrinkage of wool during washing. «Text. Manufacturers», 1960, 86, № 1028, 322—326 (англ.).—Обзор (снижение способности шерсти к свойлачиванию и усадке: действием синтетич. смол антропокарбоксиглицина и других N-карбоксангидридов, 2-тио-5-оксазолидона, тиазолид-2-тиона, винилипиридиновых производных и др.; применением в промывке вместо воды р-ров моющих в-в их р-ров в неполярных органич. р-рителях; введенных

в водн. моющие р-ры добавок электролитов и к-т, напр. NaCl, KCl, CaCl<sub>2</sub>, LiBr, ZnSO<sub>4</sub>, HCOOH, HCl, H<sub>2</sub>SO<sub>4</sub>; крашением). Библ. 11 назв. А. Матецкий

**6П642.** Производство нетканых материалов. Сакурада Итиро. «Дзюси како, Resin Finish. and Appls.», 1959, 8, № 10, 548—549 (японск.).—Методы произ-ва нетканых материалов. В качестве связующих рекомендуются применять эмульсии: бутадиенакрилонитрила, бутадиенстирола, акрилонитрила, поливинилхлорида, поливинилацетата, полихлоропрена, натурального латекса. Ю. Жмакин

**6П643.** Применение полиэтиленовых эмульсий в текстильной промышленности. Rosenbaum R. *Uso de emulsões de polietileno em aplicações têxteis.* «Brasil Text.», 1960, 7, № 3, 16—20 (порт.).—Полиэтиленовые эмульсии применяют совместно с карбамидными смолами, придающими тканям безусадочность. Они улучшают гриф ткани. К. Герцфельд

**6П644.** Настоящее и будущее огнестойкой отделки тканей. Hrbotický J. *Nehořlavá úprava mofos a její problematika.* «Textil (CSR)», 1960, 15, № 6, 228—230 (чешск.).—В результате обработки фосфатом аммония в присутствии мочевины достигается повышение огнестойкости ткани, но снижается ее прочность на 20—35% в результате разрушения под действием света. Однако способ является экономически выгодным. Описан химизм процесса, сущность которого в образовании эфиров целлюлозы с производными фосфорной к-ты. Даны условия р-ции и свойства полученных эфиров. Под влиянием этой обработки окраска ткани не изменяется. Способ применим для отделки тканей из хлопка, вискозного шелка, льна, конопли. Метод обработки заключается в следующем: ткань обрабатывают при 50° в р-ре, содержащем 20 кг фосфата аммония, 40 кг мочевины, 1 кг некаля в 100 л водн. р-ра. Затем следует сушка ткани и обработка при 145° в течение 15 мин., либо при 160° в течение 12 мин. Т. Будкевич

**6П645.** Реакция диметилмочевин с хлопком. Mehta P. C., Mehta R. D. *Reaction of dimethyl urea with cotton.* Text. Res. J., 1960, 30, № 7, 524—532 (англ.).—На основании изучения свойств и поведения ткани, обработанной диметилмочевинной (ДММ) в различных условиях, и определения в ней N, NCH<sub>2</sub>OH и N—CH<sub>2</sub>—N установлено, что в присутствии кислотных катализаторов (К) солей органич. к-т и аммонийных солей) образуются поперечные полимерные цепи; в присутствии нейтр. и щел. K (MgCl<sub>2</sub>, NaHCO<sub>3</sub>) — линейные полимеры, причем отношение кол-в CH<sub>2</sub>O и CO—(NH<sub>2</sub>)<sub>2</sub> в смоле тем выше, чем выше кислотность К. Степень несминаемости мало зависит от вида К в широких пределах рН, однако в присутствии щел. К, получают меньшую несминаемость. Разрывная прочность изменяется соответственно несминаемости. В присутствии кислотного К полимер химически связывается с целлюлозой в процессе сушки ткани при 110°. Об этом свидетельствует нерастворимость ткани в медно-аммиачном р-ре, сохраняющаяся после стирки. При обработке ДММ без К ткань растворима в медно-аммиачном р-ре после сушки при 110° и становится нерастворимой после термич. обработки при 150°. О. Славина

**6П646.** Полимеризация и конденсация N-метилолакриламида при обработке хлопчатобумажных тканей. Kamogata Hiroyoshi, Murase Ryoichi, Sekiya Toshii. «Сэнги гаккайси, Sen-i gakkaiishi, J. Soc. Text. and Cellulose Inds, Japan», 1960, 16, № 7, 549—555 (японск.; рез. англ.).—Исследовали процессы, происходящие при несминаемой отделке хлопчатобумажных тканей N-метилолакриламидом в присутствии катализаторов (К) полимеризации KPS, APS, H<sub>2</sub>O<sub>2</sub> и К конденсации NH<sub>4</sub> и (NH<sub>4</sub>)<sub>2</sub>HP0<sub>4</sub>. Установлено, что процесс сушки можно исключить, поскольку полученные аналогичные результаты в случае термич. обра-

ботки без предварительной сушки; несминаемость и устойчивость к истиранию возрастают при увеличении содержания смолы в ткани, прочность на разрыв, наоборот, снижается. Содержание смолы в ткани и несминаемость возрастают пропорционально кол-ву К, оказывающего двойное действие — инициирующего полимеризацию и индуцирующего р-цию конденсации. Введение добавок кислотного К—(NH<sub>4</sub>Cl) оказывает значительное влияние на несминаемость, применение одного нейтр. К. KPS также дает улучшение несминаемости. Несминаемость обладает высокой устойчивостью к промывке в кипящем щел. растворе. Из резюме

**6П647.** Палладий SP — препарат, придающий волокнам гигроскопические свойства, водонепроницаемость и мягкость.—«Сэнсёку когё, Dyeing Ind.», 1959, 7, № 8, 683—685 (японск.).—Препарат палладий SP (I) применяется для придания тканям мягкости, водонепроницаемости, несминаемости в стирке при сохранении гигроскопичности. Подобно смолам он реагирует с целлюлозой, но обладает преимуществами перед смолами: будучи неионогенным в-вом I смешивается с катионными, анионными и неионогенными в-вами, не выделяет CH<sub>2</sub>O, не окрашивает ткань, не оставляет пятен; обработанная I ткань с трудом загрязняется и легко промывается. I применяется самостоятельно или в сочетании со смолами. В последнем случае его применяют без катализатора. Катализаторами служат NH<sub>4</sub>Cl, фосфорные производные или органич. амины в кол-ве 2—10% от веса I. Конц-ия I варьирует 3—15 г/л при обработке для смягчения ткани, 8—40 г/л для придания водоупорности 50—10 г/л для придания водоупорности. Приведены методики обработки. Полученные эффекты устойчивы к 10 стиркам в р-ре, содержащем 0,5% мыла при t-ре 40 ± 2° в течение 15 мин. Приведены цифровые данные, характеризующие степень водоотталкивания, физ.-мех. свойства тканей после обработки I. Ю. Жмакин

**6П648.** Обработка стетических материалов кремнийорганической смолой. Попова С. Л., Гриневич К. П., Волков А. Н., Зотов Ю. П. «Рыб. х-во», 1960, № 7, 68—72.—Исследованы полиамидные смолы и клеи, р-ры полиэтилена, полиизобутилена, полистирола, парафин и канфоль, кремнийорганич. мономерные и полимерные жидкости и смолы. Наилучшие результаты получены при обработке всех видов сетей, изготовленных из синтетич. волокон, кремнийорганич. смолы Ф-9. Д. Горин

**6П649.** Пропитка джутовых тканей органическими соединениями меди. Bomar Miroslav. *Impregnace jutové tkaniny organomédnatými sloučeninami.* «Obaly», 1960, 6, № 4, 111—114 (чешск.; рез. русск., нем., англ.).—Рассмотрены вопросы, касающиеся защиты ткани от действия микроорганизмов. Ткань обрабатывали пентахлорфенолятом меди, который обеспечивает устойчивость ткани к действию микроорганизмов в условиях повышенной относительной влажности, т-ры, оптимальной для роста микроорганизмов, а также после продолжительного действия насыщен. р-ра NaCl. Обработка ткани нафтенатом меди не дала положительных результатов, особенно при испытании закапыванием в почву. Из резюме автора

**6П650.** Определение содержания влаги в шерсти при применении реагента Карла Фишера. Wilson John R., Sandomire M. M. *The determination of moisture in wool with Karl Fischer reagent.* «Text. Res. J.», 1960, 30, № 8, 587—591 (англ.).—Сравнительные определения содержания влаги в ряде образцов шерсти (волокна, ленты и ткани) по методам: высушивания в сушильном шкафу в условиях, предусмотренных стандартом; высушивания под вакуумом (70°, 40 мин., давл. 5 мм рт. ст.); Карла Фишера с применением формамида в качестве извлекающего воду р-рителя показали, что последний метод имеет опре-



деленные преимущества в части точности и скорости проведения. При массовом выполнении длительность испытания 1 образца не превышает 10–15 мин. Достижимая точность составляет при испытании 2 и 7 образцов соответственно  $\pm 0,1\%$  и  $\pm 0,05\%$ . Использование формамида обеспечивает полноту извлечения влаги при миним. длительности нагревания ( $70^\circ$ , 15 мин.). Для тканей более устойчивые результаты получаются при испытаниях образцов как таковых, без измельчения.

А. Матецкий

**6П651. Хроматография (на бумаге) красителей для текстильных волокон.** Jungbeck J. Die Papierchromatographie textiler Farbstoffe. «SVF Fachorgan Textilveredlung», 1960, 15, № 6, 417–429 (нем.).—Лучшим способом получения пригодных для хроматографирования р-ров красителей (К) без неорганич. примесей является окрашивание текстильных материалов с последующим экстрагированием К с волокна. В качестве р-рителя для кислотных и прямых К рекомендуется диметилформамид (I) с добавкой 5%  $\text{NH}_4\text{OH}$ . Для окрасок кислотно-хромовыми и металлосодержащими К необходимо перед обработкой I короткое нагревание в лед.  $\text{CH}_3\text{COOH}$ . Дисперсные К легко растворимы в I, но следует учитывать, что I хорошо растворяет также некоторые синтетич. волокна. Не найдено подходящих р-рителей для окрасок кубовыми, сернистыми К и комбинациями с нафталами AS. Изучена зависимость величины  $R_f$  от строения К и состава подвижной фазы. Метод имеет преимущества перед другими методами идентификации К—пробой на распыл, фракционированным растворением или фракционированным крашением. Целесообразно обычно приводимые в проспектах, справочниках и др. данные о красителях дополнять соответствующими значениями показателей  $R_f$ .

О. Славина

**6П652. Разработка стандартной методики испытания прочности окрасок текстильных изделий.** Călin C. Situația standardizării metodelor de determinare a rezistenței vopsirilor de materiale textile. «Standardizarea», 1960, 12, № 3, 114–117, 155–156 (рум.; русск., франц., нем., англ.).—Обзор. Библ. 21 назв.

Л. П.

**6П653. Приготовление трехмерных реплик со смятых образцов ткани и их использование в качестве эталонов при оценке сминаемости рубашек и рубашечных тканей после стирки и сушки.** Sudnik Z. M. Preparation of three-dimensional replicas of wrinkled specimens of fabrics; their use as standards for assessing wrinkling of shirts and shirting fabrics after washing and drying. «J. Text. Inst. Trans.», 1960, 51, № 6, 227–239 (англ.).—Оценка сминаемости тканей после стирки и сушки облегчается при применении в качестве эталонов не фотографий смятых образцов, а соответствующих трехмерных реплик (Р). Для изготовления таких Р в ванну из алюминиевого сплава, смазанную силиконовым составом и охлаждаемую водой, наливают слой жидкой синтетич. полиэфирной смолы, накладывают на него исследуемый смятый образец ткани размером  $212 \times 212$  мм и заливают сверху вторым слоем смолы. После ее отверждения полученный блок вынимают, обрезают по краям и отделяют образец вместе с верхним слоем блока от нижнего слоя. Установлено, что оценка сминаемости путем сравнения смятых образцов с эталонными Р, образующими соответствующую шкалу из 5 Р с переходами от несминаемости до сильно заметной сминаемости, значительно облегчается и обеспечивает получение надежных воспроизводимых результатов.

В. Штудер

**6П654. Определение содержания смолы и ее удаленности из тканей, обработанных по способу термост.** Koldinský Otta, Kačerovský Radomil. Stanovení obsahu pryskyfice a její vypratelnosti na tkaninách upravených termoset. Textil (CSR), 1960, 15, № 5, 182–185 (чешск.).—Для определения содер-

жания смолы существуют 2 способа: определение ее по содержанию азота, удаление смолы из обработанной ткани и определение ее по разности весов ткани. Описаны методы определения N по Кьельдалю и новый метод титрования. Удаление смолы из ткани осуществляется путем гидролиза ее  $0,1$  н. р-ром  $\text{HCl}$  или  $10\%$ -ной  $\text{HCOOH}$ . Описаны причины возможных ошибок в определениях и даны таблицы результатов. Приведено сравнение методов и даны рекомендации к применению каждого из них.

Ф. Нарива

**6П655. Способ обработки пряжи.** Scott Milton J. Process of treating textile yarns. [Monsanto Chemical Co.]. Пат. США 2909447, 20.10.59.—Разработан способ шпиктования пряжи из природных и синтетич. волокон, при котором пряжу обрабатывают водн. р-ром соли щел. металла сополимера винилацетата (90–98 мол. %) с ненасыщ. органич. соединением (10–2 мол. %), содержащим 3–9 атомов C и  $\geq 1$   $\text{COOH}$  группы. pH указанного р-ра  $> 7$ . Мол. р-р применяемого сополимера в смеси 99,5% этанола и 0,5% бензола при  $20^\circ$  имеет вязкость в пределах 7–18  $\text{сПз}$ . После обработки пряжу высушивают. В качестве сополимера применяют, напр., сополимер винилацетата и кротовой к-ты или частичного эфира малеиновой к-ты. Иногда в состав вводят также добавки таких в-в, как казеин, зеин, желатина, крахмал, полиакриловая к-та и др. Пример. 600 мл воды, 0,25 г поливинилового спирта средней вязкости и 0,5 мл 5%-ного водн. р-ра Na-соли диоктилового эфира сульфосукциновой к-ты нагревали до  $65^\circ$  при энергичном размешивании, затем постепенно, в течение 3 час., добавляли смесь, состоящую из 194 г мономерного винилацетата, 6 г кротовой к-ты и 4 г перекиси бензоила. После этого давали смеси разогреться до  $80^\circ$  и пропускали воздух для удаления непрореагировавшего винилацетата. Смесь выливали в равный объем воды для осаждения образовавшегося сополимера. Затем фильтровали, тщательно промывали осадок холодной водой и высушивали под  $30^\circ$  под вакуумом. Сополимер растворяли в р-ре щелочи. pH готового р-ра 8. Пленки, приготовленные из данного р-ра, высушенные и подвергнутые термич. обработке в течение 30 мин. при  $120^\circ$ , растворяются в избытке воды при  $40^\circ$  в пределах 30 сек. Применение шпикты описанного состава обеспечивает улучшение технологич. свойств пряжи и подготовку ее к процессу ткачества, а также легкость вымывания.

Н. Абрамов

**6П656. Оптические белители.** Siegel Edgaj, Gold Heinrich. Optische Aufhellungsmittel. [Farbenfabriken Bayer A.-G.]. Пат. ФРГ 1051784, 20.08.59.—Разработан способ применения в качестве оптич. белителей флуоресцирующих синим светом соединений стилибенового ряда общей ф-лы  $\text{Y}-\text{C}_6\text{H}_3(\text{X}')-\text{CH}=\text{CH}-\text{C}_6\text{H}_3(\text{X}'')$

$=\text{CH}-\text{C}_6\text{H}_3(\text{X}'')-\text{N}-\text{C}(\text{R})=\text{N}-\text{N}=\text{N}$ , где R—водород, алкильный, арилалкильный или арильный остаток, X' и X''—одинаковые или неодинаковые группы, придающие растворимость соединению, напр. сульфонамидные, алкильные или арилсульфоновые, карбонамидные или нитрильные; Y—водород, галогид, нитрил, ациламин или замещ. триазинное, триазоловое или тетразоловое кольцо. При применении этих соединений (обработка в течение  $\sim 20$  мин. при модуле ванны 20:1 в водн. р-ре с содержанием 0,04 г/л оптич. белителя) достигаются лучшие результаты белиения изделий из природных и хим. волокон сравнительно с получаемыми при применении ранее известных препаратов. Даны также методы синтеза препаратов.

Ф. Н.

**6П657. Способ валки и промывки шерстяных тканей.** La Fleur Kermit S. Method of fulling and scouring wool. [Deering Milliken Research Corp.]. Пат. США 2925639, 23.02.60.—Разработан способ валки и промывки шерстяных тканей, основанный на приме-

нения с (ПАВ), свойств, ялящегося, рофильн, немоном, 0)H)H, 10–20 а, —0—, —N—; л, приче 9–20. В активны, ные сое, условия, залиши, при щел, валку н, нате до, переход, (4 мест, обработ, шения 1, 6П658, ция выс, на осно, Verfahr, hochgez, rolaclat, 31.03.60., пряжи, нием пр, мости р, фикса, на. Пр, роланта, пряжи, ландр д, термет, мивке, ров, в т, фикса, экстра, ставляе, в проти, том аш, лание, лишь ч, оказыв, буетс, чение 6, 6П659, сополи, Ludw, der M, schafter, Polyme, vormal, 21.05.59, кополи, этилен, значит, соедин, полиме, шлорбе, зойную, линка, глянкол, в виде, дают у, водяны, издели, работк, нитрев, 44 Зан

деление ее  
обработано  
тканью  
дально и по-  
тканью осу-  
м HCl или  
кислых окис-  
ляющих. При-  
надлежит к  
Ф. Нарина

Милтон  
Chemical  
способ  
тич. воло-  
ди. р-ром  
дана (90—  
иет (10—  
XOON груп-  
меняемого  
бензола при  
После обра-  
ополимера  
к протоно-  
вой к-ты.  
х-в, как  
ловая к-та  
инилового  
води. р-ра  
овой к-ты  
ания, эли-  
и смесь  
тата, в  
осле этого  
ли возду-  
лацетата.  
саждения  
вали, тип-  
высуши-  
воряли в  
готовлен-  
путые тер-  
створяют.  
К приме-  
кает улуч-  
вку ее к  
вания.

Абрамов  
Edgar  
tel. [Far-  
20.08.59.  
тич. бе-  
единений  
(X')—CH=

водород  
атом, X' и  
придаю-  
фонамид-  
амидные  
ил, аци-  
или тетра-  
ний (об-  
ны 20:1  
елители)  
целий из  
получе-  
апаратов.  
Ф. Н.

ных тка-  
lling and  
r]. Пат.  
валки и  
а приме-

вении смеси водн. р-ров поверхностноактивных в-в (ПАВ), отличающихся преобладанием гидрофильных свойств над липофильными, и пластификатора, проявляющего в большей степени липофильные (а не гидрофильные) свойства. В качестве ПАВ используют немоногенные препараты, отвечающие ф-ле  $RY(C_2H_4)_m$ , где R — липофильный радикал с содержанием 10—20 атомов C; Y — соединительная группа, напр. —O—, —S—, —COO—, —CONH—, —CON=, —NH—, —N=; n — целое число в пределах 8—20; m = 1 или 2, причем произведение  $m \cdot n$  заключено в пределах 8—20. В качестве пластификатора применяют катион-активные ПАВ, в частности, четвертичные аммониевые соединения. Процесс может быть осуществлен в условиях нейтр. или кислой среды, что устраняет возможные повреждения шерсти, обычно возникающие при щел. обработке, а также позволяет проводить мылку непосредственно после карбонизации. В результате достигается возможность сокращения числа переходов на стадии подготовки тканей к крашению (4 вместо 8) при одновременном повышении качества обработки (мягкость, прочность тканей, ровнота крашения и др.). А. Матецкий

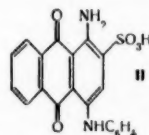
6П658. Способ одновременной промывки и фиксации высококрученных нитей и пряжи из полимеров на основе  $\epsilon$ -капролактама. Friederich Alfred. Verfahren zum gleichzeitigen Waschen und Fixieren hochgezogener Fäden und Garne aus polymeren  $\epsilon$ -Caprolactam. [Phrix-Werke A.-G.]. Пат. ФРГ 1066704, 31.08.60. —Способ заключается в обработке нитей или пряжи с кручением > 600 на 1 м водой под давлением при  $t$ -ре 100—110°, что освобождает от необходимости раздельного проведения процессов промывки и фиксации и сокращает общую длительность обработки. Пример. Скручивают вместе 10 нитей из  $\epsilon$ -капролактама (1250 кручений на 1 м) и затем 250 г этой пряжи наматывают на полый перфорированный цилиндр диам. 130 мм. Цилиндры с пряжей загружают в герметически закрытую камеру и подвергают промывке горячей водой, пропускаемой изнутри цилиндра, в течение 2,5 час. при  $t$ -ре 105° с одновременной фиксацией кручения. По окончании промывки кол-во экстрагированных низкомолекулярных примесей составляет 0,9% при полной фиксации крутки пряжи. В противоположность этому, при промывке в открытом аппарате при  $t$ -ре 90° такое же остаточное содержание низкомолекулярных примесей достигается лишь через 3,5 часа, причем фиксация крутки пряжи оказывается недостаточной и для ее завершения требуется дополнительная обработка горячей водой в течение 6 час. Г. К.

6П659. Способ изменения свойств изделий из высокополимерных полиметилтерефталатов. Orthner Ludwig, Horst Karl, Lademann Rudolf, Sander Manfred. Verfahren zur Veränderung der Eigenschaften von geformten Gebilden aus hochpolymeren Polymethylterephthalaten. [Farbwerke Hoechst A.-G. vormals Meister Lucius & Brüning]. Пат. ФРГ 1044756, 21.05.59. —На изделия (волокно или пленку) из высокополимерных полиметилтерефталатов, а также этилтерефталата наносят без нагрева (или при незначительном нагреве) вызывающие их набухание соединения, не реагирующие в условиях обработки с полиметилтерефталатами (напр., дифенил, тетралин, хлорбензол, бензиловый спирт, дифениловый эфир, бензиловую к-ту, 4-хлор-2-оксисбензойную к-ту, хлорнафталикарбонные к-ты, формальдегидфенилацеталь, гликольбутиловый эфир и др.) в исходном виде или в виде их р-ров в органич. р-рителях, после чего создают условия (повышенная  $t$ -ра, иногда атмосфера водяных паров), способствующие диффузии внутрь изделий. Нанесение в-ва и последующую термич. обработку можно проводить в одной операции путем нагрева изделия в вызывающем набухание в-ве или в

его неводн. р-ре. Обработка обеспечивает повышение способности изделия к восприятию красителей и влаги при сохранении исходных физ. свойств. Напр., 100 ч. стабилизированного при 130° волокна из полиэтилтерефталата пропитывают 1500 ч. 3%-ного р-ра формальдегидфенилацетата в  $CH_3OH$  в течение 3 мин. при 60°, после чего волокно отжимают и сушат. Затем волокно помещают в закрытый сосуд, в котором сначала вакуумируют, а затем обрабатывают водяным паром при 3 атм в течение 15 мин., после чего сушат. Обработанное таким образом волокно можно окрашивать в глубокие тона с помощью дисперсных красителей без применения давления и переносчиков, напр. путем обработки в 4000 ч. водн. р-ра, содержащего 2 ч.  $n$ -нитро- $o'$ -метил- $n'$ -ди-( $\beta$ -оксэтил)-аминоазобензола и 4 ч. мыла, в течение 90 мин. при 95—100°. М. Альбам

6П660. Способ крашения изделий из полиэфигов гликолей и терефталевой кислоты. Kruckenberg Winfried. Verfahren zum Färben von Gebilden aus Polyterephthalsäureglykolester. [Farbenfabrik Bayer A.-G.]. Пат. ФРГ 1061284, 31.12.59. —Разработан способ крашения изделий из полиэфигов гликолей и терефталевой к-ты красителями бензолазобензольного, бензолазонафталинового или бензолазопразолонового ряда не содержащими металлов, а также сульф- и карбоксильных групп, но имеющими в ядре или в боковой цепи >1 сульфониламиногруппы. Крашение протекает без затруднений; получаемые окраски отличаются хорошими показателями прочности и в частности устойчивы к возгонке. Пример. Краситель получают обычным сочетанием диазотированного 1-амино-2,5-дицианбензола с  $N$ -этил- $N'$ -(метилсульфониламино) этиламинобензолом. К нему добавляют диспергатор, размешивают с теплой водой, тщательно растирают и затем вводят в красильную ванну. Ткань загружают в красильный р-р при 50°, постепенно повышают  $t$ -ру до 120° и красят в течение 1 часа при этой  $t$ -ре. После промывки и сушки получают оранжевую окраску с хорошими показателями прочности. Т. Будкевич

6П661. Способ крашения кислотными красителями сформованных изделий из полиэфигов, содержащих шестичленные карбоциклические кольца. Lademann Rudolf, Orthner Ludwig, Horst Karl. Verfahren zum Färben von geformten Gebilden aus sechsgliedrige carbocyclische Ringe enthaltenden Polyester mit sauren Farbstoffen. [Farbwerke Hoechst A.-G. vormals Meister Lucius & Brüning]. Пат. ФРГ 1054058, 1.10.59. —Полиэфиры обрабатывают 0,25%-ной водн.



эмульсионной метилбензиламиноэтилбензоата (I) при 95—100° и модуле ванны 1:40 в течение 1 часа, обеспечивая присоединение 3,8% I, после чего проводят крашение кислотными красителями, характеризуемыми соотношением числа кислотных групп к сумме числа ароматич. и/или гетероциклич. колец — 1: > 1, в кислой среде в присутствии водонерастворимых или трудно растворимых органич. оснований. Способ позволяет окрашивать смеси этих волокон с шерстью. Пример. Обработанный по пат. ФРГ 1044756 (см. реф. 6П659) в течение 1 мин. при 125° диметилформамидом образец нитей из полиэтилентерфталата красят при модуле ванны 1:40 в р-ре, содержащем (в % от веса волокна): 2 красителя, отвечающего ф-ле (II); 3 HCOOH (85%-ной), 5 I; 0,5 продукта конденсации фенола с 20 молями окиси этилена и 6 бензилового эфира бензойной к-ты. Волокно загружают при 50°, нагре-

вают до кипения и красят в течение 1 часа при т-ре кипения.

**6П662.** Способ повышения качества окрашенных тканей. Hadfield Harry Rose, Sokol Wladyslaw Meiczyslaw. Improvements in or relating to dyed textile materials. [Imperial Chemical Industries Ltd]. Англ. пат. 835649, 25.05.60.—Патентуется способ повышения прочности окраски к мокрым обработкам тканей из волокон на основе полиакрилонитрида окрашенных анионными красителями, заключающийся в том, что в конце крашения в той же ванне или в отдельной ванне, ткань обрабатывают танином, или тиопроизводным фенола, содержащим сульфогруппы при т-ре 70—120°, в течение 3—180 мин. в кислом или нейтр. р-ре. Обработку проводят в р-ре, содержащем 0,5—2% танина от веса ткани (до 10%) в присутствии  $H_2SO_4$ ,  $H_3PO_4$ ,  $HCOOH$ ,  $CH_3COOH$ , или кислых солей в кол-ве до 10% от веса ткани и солей, содержащих ион металла, способный к комплексообразованию (фтористый хром, уксуснокислый кобальт, хлористый никель, сернокислая медь, сурьмянокислый калий), добавляемых в кол-ве, равном кол-ву танина. Пример. 8 ч. кислотного зеленого № 35 растворяют в 100 ч. кипящей воды и разбавляют до 4000 ч. водой, содержащей 3 ч.  $H_2SO_4$ . Вносят в р-р 100 ч. акрилана при 50°, ванну нагревают до 98°, поддерживают эту т-ру 20 мин., затем добавляют 50 ч. 10%-ного р-ра  $H_2SO_4$ . Крашение продолжается 90 мин. при 98°. Затем материал промывают водой и обрабатывают 30 мин. при 95° в ванне, содержащей в 4000 ч. воды 4 ч. 85%-ной  $HCOOH$  и 1 ч. синтетич. закрепителя. После обработки ткань промывают и высушивают. Синтетич. закрепитель получают нагреванием фенола с полисульфидом натрия с последующим переводением его в р-римую форму обработкой воды. р-ром  $Na_2SO_3$  в присутствии кислорода воздуха. Для повышения прочности окраски в конце обработки ткани закрепителем в ванну добавляют 1 ч. антимония калия и продолжают нагревание в течение 20 мин. при 95°.

**6П663.** Способ крашения шерсти, натурального шелка, полиамидных или полиуретановых волокон. Dietrich Roland. Verfahren zum Färben von Wolle, Naturseide, Polyamid- oder Polyurethanfasern. [Farbenfabriken Bayer A.-G.]. Пат. ФРГ 1063113, 28.01.60.—Патентуется способ крашения волокна 2:1 металлосодержащими красителями, не содержащими  $-SO_3Na$ -групп в присутствии в качестве агализатора полимера N-винилпирролидона, гексаметилентетрамина или его производных. 30 кг чистошерстяного габардина окрашивают при модуле ванны 1:40. В ванну при 80° последовательно вводят 6 кг кристаллич.  $Na_2SO_4$ , 1,8 кг 30%-ной  $CH_3COOH$ , смесь из 72 г полимера N-винилпирролидона и 360 г гексаметилентетрамина и 60 г 2:1 хромового комплекса моноазокрасителя 1-амино-2-оксисбензол-5-этилсульфон → 1-метилсульфонилимино-7-оксинафталина; 60 г 2:1 комплекса хрома моноазокрасителя 1-амино-2-оксисбензол-5-сульфодиазиламид → 1,4-нафтидгидрохинонметилсульфоновый эфир и 120 г 2:1 комплекса хрома моноазокрасителя орто-аминобензойная к-та → 1-фенил-3-метил-5-ширазолов, поднимают т-ру до кипения в течение 20 мин. и красят при кипячении в течение 2 час. Получают ткань оливкового цвета.

**6П664.** Способ крашения волокнистых материалов на основе полиэфилов и полиамидов. Neff Rütger. Verfahren zum Färben von Fasermaterialien, die im wesentlichen aus Polyester und/oder Polyamiden bestehen. [Farbenfabriken Bayer A.-G.]. Пат. ФРГ 1061737, 28.01.60.—Для крашения применяют замещ. оксантахиноновые красители, содержащие ариламиногруппы, у которых алкоксигруппы замещены карбалкоксигруппами. Применяемые антрахиноновые красители могут содержать OH-группы и другие заместители — нитро-

группы или атомы галогенов. Крашение ведут обычным способом. Окраски обладают очень хорошей прочностью, особенно к мокрым обработкам, к свету и к обработкам при высокой т-ре. Пример. К смеси 8 вес. ч. 1,4-диоксинантрахинона, 2,5 вес. ч. лейкооксидирования 1,4-диоксинантрахинона и 6 вес. ч. борной к-ты в 50 объемн. ч. кипящего этанола добавляют по каплям в течение ~8 час. р-р 8 вес. ч. гликолевого эфира метано-аминобензойной к-ты в 15 объемн. ч. этанола. Смесь кипятят с обратным холодильником и окисляют лейкооксидирование обычным путем, напр., добавлением пербората или щел. р-ра  $H_2O_2$ . После фильтрования или промывки спиртом краситель для отделения незначит. 1,4-диоксинантрахинона, смешивают при 50° в 200 объемн. ч. 0,5 н. р-ра NaOH, фильтруют и промывают горячей водой. Высушенный краситель переводят в мелкодисперсное состояние обработкой 80%-ной  $H_2SO_4$ , затем обрабатывают отмытую до нейтр. р-ра часть сульфитцеллюлозным щелоком и алкилнафталинсульфокислотой и суют. Красильную ванну, содержащую дисперсию 1 вес. ч. вышеуказанного красителя и 20 вес. ч. метилового эфира окситолуидовой к-ты в 4000 ч. воды готовят добавлением  $H_2SO_4$  до pH 4,5, помещают 100 вес. ч. полиэфирного волокна при 50°, нагревают в течение 20—30 мин. до 100° и выдерживают при этой т-ре в течение 1,5 час. После промывки и сушки получают волокно фиолетового цвета. Окраска устойчива к стиркам, к свету и к действию высоких т-р. При отсутствии метилового эфира окситолуидовой к-ты красят в течение 1—1,5 час. при 125°. Если берут 16 вес. ч. гликолевого эфира метано-аминобензойной к-ты при получении красителя, то получают синие-фиолетовый краситель.

**6П665.** Войлокоподобные изделия. Lauterbach Herbert G. Felt-like products. [E. I. du Pont de Nemours and Co.]. Пат. США 2910763, 3.11.59.—Разработанный способ изготовления нетканых изделий типа войлочных из хим. штапельных волокон (полиэтилентерефталатных, акриловых, полиамидных, политетрафторэтиленовых и гидратцеллюлозных), характеризующийся формированием холста с горизонтальными параллельными расположением налагаемых друг на друга слоев волокон, >50% которых не подвергнуто термич. стабилизации и сохраняют способность к усадке, механич. обработкой холста на спец. иглошальной машине для протаскивания ряда волокон через отдельные слои вдоль толщи холста и уплотнением путем нагревания до т-ры, не вызывающей плавления волокон. Пример. Холст весом 192 г/м<sup>2</sup> получают из штапельных полиэтилентерефталатных волокон длиной 63 мм, при этом 60% волокон толщиной 12 денье способны к усадке в кипящей воде на 50%, а 40% волокон — толщиной 3 денье проявляют в этих условиях лишь незначительную усадку. 4 слоя этого холста прошиваются вместе на иглошальной машине (150 проколов на 1 см<sup>2</sup>). Полученный холст погружают в кипящую воду, в результате чего происходит усадка на 52,5% по площади и образуется войлок толщиной 4 мм, весом 775 г/м<sup>2</sup>. Прочность его 60 кг/см<sup>2</sup>, удлинение 150%. Войлок из шерсти сравнимой плотности имеет прочность лишь 28,5 кг/см<sup>2</sup>. По описанному способу можно изготавливать разнообразные технич. изделия: технич. сумки для бумагоделательных машин, фильтрующие войлоки, прокладки, рукава, шорные войлоки, ковры и др.

**6П666.** Новые методы нанесения узоров на текстильные и пленочные материалы. Wojtowicz Boleslaw Robert Antoni. New methods of textile or film ornamentation. [The Bradford Dyeing Association Ltd]. Англ. пат. 828947, 24.02.60.—Предлагается усовершенствованный способ получения декоративных эффектов на тканях из ацетатных волокон или их смесей с хлопком и вискозным волокном. Способ состоит в том, что сначала ткань обрабатывают агентом не-

бухания (содержащим вбухиваемую соль) и в местах тиснения отсушивают путем погружения в водный раствор поваренной соли (15%). После крашения в 99 ч. водно-красильной смеси (15%). После крашения в 99 ч. водно-красильной смеси (15%).

**6П667.** Преждене (Nicolas) ботан сплетич., волнистости, неменяли водое расходуе волокон. Почти все коренном смолы, флюид затова обра 2,4-диокс промывае сле 150 метстнеи а для не

**6П668.** придания сти форм (forseme) (Cie Fr (C. O. R. лагается спитых на в-в, ваться, став в эмульсии носят в бодном фетра и разом, ку меня способс (сушина) делая стабилн крашенн свойстс меняем лиг, сои нийго

**6П669.** технич ного в роур th synth ces fil



ут обычных  
тей прочно-  
вету и об-  
К смеси  
лейкосод-  
ерной и-ти  
по каплям  
о эфира ме-  
нола. Смесь  
исляют дей-  
ствием пер-  
ования или  
и неамерик-  
и 50° с  
т и проми-  
ель шеро-  
той 80%-ной  
ойтр. р-ции  
ликинафта-  
вану, со-  
нного кра-  
толуловой  
и H<sub>2</sub>SO<sub>4</sub> до  
го волокон  
до 100° в  
час. После  
отогов про-  
к действию  
эфира окса-  
с. при 125°  
етаминобе-  
получают  
Будинет  
interbas  
Pont de Ne  
Разработа  
на волокон  
ентеррефе-  
фторотел-  
емый фор-  
мальной  
слоев в  
рмич. сте-  
е, метал-  
ашине для  
ые сло-  
нагрева-  
кон. При  
тапельны  
63 мм, при  
ны к уст-  
— тонкой  
ь незначи-  
аются вы-  
на 1 см,  
воду, в ре-  
по плочам  
м 775 г/м<sup>2</sup>  
Войлок из  
истотав-  
ич. сушка  
е войло-  
овры и др.  
Волокна  
на те-  
wicz Be  
of textile  
Associat

бухания (напр., диацетатом диэтиленгликоля) с последующим удалением его промывкой водой; затем в требуемом состоянии ткань подвергают горячему тиснению и окрашивают любым способом, при этом в местах тиснения окраска получается более светлой или вовсе отсутствует. Двухцветный эффект можно получить путем предварительного крашения ткани и повторного прессования. Пример. Ткань из триацетилацетата диэтиленгликоля в 50 ч. воды и выдерживают на воздухе в течение 30 мин. Затем ее промывают холодной водой и без сушки пропускают через каландр, верхний вал которого представляет собой стальной цилиндр с выгравированным рисунком, а нижний — наборный суконный вал. Верхний вал нагревается до 115°. После тиснения ткань окрашивают в ванне, содержащей 1 ч. дисперсола прочного темно-красного В в 99 ч. воды при 70° в течение 10 мин. Получают светло-красный рисунок на темно-красном фоне. О. Славина

61667. Способ защиты текстильных волокон от повреждений. — Procédé de préservation de fibres textiles. (Nicolas Salkin). Франц. пат. 1213033, 28.03.60. — Разработан способ защиты текстильных, в частности синтетических, волокон от разрушающего действия света ирионизацией в области УФ-лучей, основанный на применении производных бензофенона (I) в водн. р-рах или водн. дисперсиях их р-ров в р-рителях. Кол-во расходуемого I составляет обычно 0,01—5% от веса волокон. Обработку проводят при высокой т-ре, предпочтительно под давлением. Иногда I вводят в растворенном или диспергированном виде в р-р синтетич. смолы, фиксирование которой на волокнах осуществляют затем обычным способом. Пример. Нити найлона обрабатывают при 130° в течение 1 часа р-ром 2,4-диоксibenзофенона (2% от веса нитей), после чего промывают дважды водой. Прочность и удлинение после 150 час. облучения на фотометре снижаются соответственно для обработанных нитей на 10,5% и 13,1%, а для необработанных — на 54,4—62,1% и 46,5—50,8%. Т. Анцифрова

61668. Способ обработки фетровых изделий для придания им водоупорности, прочности и стабильности формы. — Procédé pour l'imperméabilisation, le renforcement et l'indéformabilité d'un article en feutre. (Soc. Française des Industries de la Chapellerie (S. O. F. I. C.)). Франц. пат. 1220604, 25.05.60. — Предлагается способ обработки фетровых изделий (не шитых), предусматривающий покрытие их составом из в-в, способных полимеризоваться или вулканизоваться, типа натурального или синтетич. каучука. Состав в виде бесцветной или окрашенной пигментом эмульсии, или в смеси с соответствующими в-вами наносит на фетровые изделия на формах или в свободном виде. В двуслойных изделиях из фетра или из фетра и других материалов состав наносят таким образом, что он образует как бы внутреннюю прокладку между обоими слоями. Затем создают условия, способствующие полимеризации (термич. обработка, сушка). Описанная обработка позволяет получать изделия с улучшенными свойствами (водоупорность, стабильность формы, повышенная прочность) при сохранении теплоизолирующих и абсорбирующих свойств, делает излишним в случаях введения в применяемый состав пигментов отдельное крашение изделий, создает возможность использования сырья более низкого качества, а также снижения веса изделий. Т. Анцифрова

61669. Способ обработки тканей из виниловых синтетических нитей, обеспечивающий придание улучшенного внешнего вида и повышенной мягкости. — Procédé pour transformer l'aspect et le toucher des fils continus synthétiques vinyliques dans les tissus fabriqués avec ces fils. [Maurice-Marie-Stéphane Joly]. Франц. пат.

1219028, 13.05.60. — Для улучшения свойств синтетич. виниловых нитей и изделий из них нитям предвари-тельно придают добавочную крутку и перематывают их на паковки, не поддающиеся деформации, после чего стабилизируют при т-ре 78° в течение ~45 мин. Затем нити раскручивают до расщепления на элементарные нити и перерабатывают в ткань рыхлой структуры, подвергаемую термич. обработке при 70°. При этом элементарные нити приобретают навитость (эффект крепирования) и устойчивый улучшенный внешний вид и мягкость. Кроме того, такую ткань можно дополнительно подвергнуть белиению в красильной ванне при т-ре 70° с последующим отжимом и сушкой при т-ре 50°. А. Матецкий

61670. Способ аппретирования одежды. Hatcher R o y A. Process for sizing garments. Пат. США 2907676, 6.10.59. — Разработан способ аппретирования одежды при хим. чистке, при котором аппретирующие в-ва (патока, спирт) добавляют к применяемому органич. р-рителю. В процессе обычной обработки одежда сорбирует введенные в-ва, освобождая от них р-ритель, направляемый на рекуперацию. Одежду выкружат, отжимают и кладут на паровых прессах. Пример аппретирующего состава (AC): 40 ч. воды добавляют к 1 ч. х. ч. глицерина, 2 ч. хлопьев Карбонакса (в-во, состоящее из полиэтиленгликоля и воска с мол. в. 500—600), 7 ч. патоки и 60 ч. денатурированного спирта. Аппретирование по описанному методу способствует значительному улучшению внешнего вида одежды (плотность, блеск, отсутствие складок и др.).

61671. Способ склеивания отдельных слоев текстильных изделий, не покрытых синтетическими смолами, путем «сварки». — Procédé pour la réunion par soudure d'étoffes textiles, non enduites de matières plastiques et/ou synthétiques avec des matières analogues ou différentes, et produits obtenus par l'application de ce procédé. (Roger Richter). Франц. пат. 1160038, 7.01.59. — Разработан способ склеивания текстильных тканей, не покрытых синтетич. смолами, основанный на применении «сварки» расплавленной синтетич. смолы, напр. хлорвиниловой при помещении между электродом электрич. паяльника и тканью изолирующей прокладки из неплавящегося материала (напр., из бумаги или ткани, пропитанной соответствующей синтетич. смолой, в частности бакелитовой). Описанные условия «сварки» обеспечивают сохранность ткани в условиях действия создающейся высокой т-ры. Получаемые изделия находят применение в качестве сидений для мебели, автомобилей и др. Д. Кантер

61672. Усовершенствованный способ нанесения волокон ворса (Флока). — Procédé et dispositif de floccage perfectionné. [Félix Kauer]. Франц. пат. 1199007, 11.12.59. — Разработан способ нанесения длинных волокон ворса на ткани, пленки, кожу и др. состоящий в том, что на материал, покрытый клеем в-вом, насыпают волокна, заряженные статич. электричеством, осуществляя этот процесс в несколько стадий. Напр., волокна, образующие ворс, помещают на периодически встряхиваемую сетку, через которую они свободно падают на движущееся бесконечное полотно, подвергаясь по пути действию электрич. поля, образованного рядом брусков, находящихся под высоким напряжением. Заряженные волокна ориентируются вдоль силовых линий электрич. поля. На бесконечном полотне заряд снимается, и волокна ложатся слоем. С бесконечного полотна волокна падают, проходя второе электрич. поле, дающее волокнам ориентацию, на полотно, поверхность которого покрыта клеем в-вом. По другому варианту волокна из разрыхлителя падают на вращающиеся валики, придающие им предвари-тельную ориентацию. Затем волокна, проходя по предыдущему электрич. полю, попадают на вращающийся валик, который снимает заряд, образует слой и на-

правляет волокна через второе электр. поле на обрабатываемое изделие. В. Алипов

**6П673. Нетканые волокнистые изделия.** Wolfgram Robert E. Non-woven fibrous products. [Rohm & Haas Co.]. Пат. США 2915418, 1.12.59.—Разработан способ изготовления нетканых волокнистых изделий, отличающийся тем, что в качестве связующего в-ва для закрепления волокон применяют неплавящееся соединение типа соли, получаемое в результате частичной нейтр-ции аммиаком, летучими аминами или четвертичными аммониевыми соединениями продукта конденсации 40–60 вес. ч. растворимых в органич. р-телях алкилированных мочевино-, тиомочевино-, меламино- и других аналогичных формальдегидных смол и 40–60 вес. ч. полиэфира со средним мол. в. 800–1500, содержащего —ОН и —COOH группы. Полиэфир является продуктом конденсации ароматич. к-ты, напр., алкил-о-фталевой (или ее ангидрида), с продуктом конденсации (ПК) смеси одной (или большего числа) алифатич. дикарбоновой к-ты с 5–10 атомами С в молекуле и полиатомного спирта, содержащего  $\geq 3$  ОН-группы в молекуле, в соотношении 1,2–1,8 моля полиатомного спирта на 1 моль к-ты. ПК могут быть также модифицированы конденсацией с жирной к-той с 8–30 атомами С при соотношении 2–3,5 моля ароматич. соединения на 3 моля спирта. Преимущество применения названного связующего соединения заключается в том, что оно не окрашивает нетканый материал, исключает применение кислых катализаторов при нанесении на волокно, устойчиво к стирке и хим. чистке. А. Волохина

**6П674. Усовершенствования в области придания огнестойкости изделиям из целлюлозных волокон.** Ward Frank. Improvements in the flame-proofing of cellulose textile materials. [Courtaulds Ltd.]. Англ. пат. 835581, 25.05.60.—Для придания огнестойкости изделиям из хлопка, льна, искусств. целлюлозных волокон или смеси их с ацетатным волокном, шерстью и др. предлагается обрабатывать их в водн. р-ре предконденсата аминсолов и фосфорноамидного эфира с последующей сушкой и термич. обработкой. В качестве катализаторов конденсации применяют фосфат аммония и хлористый магний. Используют следующие смолы: мочевиноформальдегидную, тиомочевиноформальдегидную, меламиноформальдегидную или их смеси и следующие эфиры: ди-2-хлорэтиламинофосфонат или ди-2-хлорэтиловый эфир амида фосфорной к-ты, а также хлорметилловый и хлорпропиловый эфиры. Пример. Смесь из 20 г меламина, 110 г ди-2-хлорэтиламинофосфоната, 80 мл 40%-ного  $\text{CH}_3\text{O}$ , 120 мл воды нагревают до 70°, затем охлаждают. Вискозную штапельную ткань плюсуют этим р-ром, высушивают при 65–75° и нагревают при 150° в течение 5 мин., затем ткань промывают в холодной воде и высушивают. Она содержала 2,5% связанного фосфора и обладала хорошей огнестойкостью. После стирки в 1/2%-ном р-ре мыла при 60° в течение 20 мин., промывки и сушки, на ткани сохранилось 2,1% связанного фосфора. Н. Пряткова

**6П675. Оптические белители.** Dann Otto. Optische Aufhellungsmittel. Пат. ФРГ 1063571, 28.01.60.—Запатентовано применение 1,1-диокси-2-арил-4,5-бензотрифена для оптич. белиения изделий из шерсти, целлюлозных, ацетатных, полиэфирных, полиамидных и полиакрилонитрильных волокон. Пример. 10 ч. 0,1%-ного р-ра 1,1-диокси-2-фенил-4,5-бензотрифена в диоксане вводят в 400 ч. воды, содержащей 1 ч. диспергатора, к полученной суспензии добавляют 3 ч. 10%-ной  $\text{HCOOH}$ . В полученную дисперсию помещают 10 ч. пряжи из полиэфирного волокна и нагревают в течение 1 часа до кипения, затем прополаскивают и сушат. Получают пряжу с устойчивой белизной. Т. Будкевич

**6П676. Фильтровальный материал.** Painter Eric V., Jr, Strickel William R. Filter media. [Johnson & Johnson]. Пат. США 2834730, 13.05.58.—Патентуется состав и способ произ-ва двухслойного фильтровального материала (ФМ) для молока, состоящего из смеси искусств. волокна и хлопка. Пример: Верхний слой составляет 2/3 общего веса ФМ и состоит на 50% из вискозного штапельного волокна длиной 4 см при толщине 5,5 денье с 2, 4–6 витками на 1 см, с амплитудой ~0,8 мм и длиной волны ~1,6–6,3 мм, и на 50% из хлопчатобумажной пряжи со средней длиной волокна 2 см и средним диам. 9,9–1,4 м. Нижний слой состоит из хлопчатобумажной пряжи и служит каркасом для ФМ. Холст пропускают между валами машины, которая покрывает и пропитывает его для склеивания волокон 0,7%-ным водн. р-ром поливинилового спирта. После сушки горячим воздухом листы разрезают на фильтры. Пропитанная клеем наружная часть фильтра содержит 16–33% волокна и ~0,9% поливинилового спирта от общего веса волокна. Вес 1 м<sup>2</sup> фильтра ~67,7 г. М. Бенсон

**6П677. Способы склеивания, покрытия пленками и пропитки.** Ford Allan Raymond, Kennedy John Robert Arthur, Munro Neil, Standing Norman. Bonding, coating and impregnating process. [Imperial Chemical Industries Ltd.]. Англ. пат. 828922, 24.02.60.—Для склеивания волокон и тканей из полиэтилентерефталата, а также нанесения пленок на ткани и пропитывания их для придания жесткости и водоотталкивающих свойств, их обрабатывают ароматич. полиэфирами (ПЭ) и сополиэфирами (СПЭ) с т. размягч. 140–230°, производными гликолей ряда  $\text{HO}(\text{CX})_n\text{OH}$ , где X = Н или  $\text{CH}_2$ , n = 2–10, и терефталевой к-той (I), иногда в присутствии других дикарбоновых к-т. ПЭ могут быть получены из: 1,4-бутандиола и I; гексаметиленгликоля и I; 2,2-диметил-1,3-пропандиола и I; СПЭ из этиленгликоля, 1,4-бутандиола и I; этиленгликоля, изофталевой к-ты и I. Эти продукты могут применяться либо в виде р-ров, напр. в хлороформе, либо в виде порошков. Склеивание волокон можно производить, применяя ПЭ и СПЭ в виде порошка, путем контакта их с волокном под давлением в течение 1 мин. при т-ре, на ~10° превышающей т-ру размягчения ПЭ и СПЭ. Для придания тканям водоотталкивающих свойств их погружают в р-р СПЭ в хлороформе и затем подвергают термич. обработке при 200° в течение 5 мин. Допускается применение катализаторов отверждения смол, напр., гидроокисей щел. металлов, алкоксидов, минер. к-т, окисей металлов и солей. Пример получения политетраметилентерефталата с т. размягч. 228°: 100 ч. диметилтерефталата вводят в р-цию со 120 ч. 1,4-бутандиола при 150–220° в присутствии 0,15 ч. катализатора —  $\text{PbO}$  и выдерживают при этой т-ре в течение 3 час. Полученные продукты подвергают поликонденсации при 250° и давл. 0,5 мм рт. ст. в течение 2 час. О. Славина

См. также: см. разделы «Промышленный синтез красителей», «Искусственные и синтетические волокна» и рефераты: Исследование энтропийных напряжений у различных текстильных волокон 6Р54. Теплота смачивания и сорбция паров целлюлозой 6П458. Новый метод определения целлюлозы 6П466. Определение содержания воды в целлюлозе 6П457. Определение альдегидных групп в целлюлозе окислением  $\text{KMnO}_4$  6Д235. Р-ция бромной воды с кератином шерсти 6С150. Реакционная способность дисульфидных связей шерсти 6С160. Влияние отбели  $\text{NaOCl}$  на свойства целлюлозы 6П450. Хранение отбеленных р-ров 6П452. Определение связей между красителем и целлюлозой 6Р67. Метод очистки пирона 6С13. Хроматографич. разделение тиазиновых красителей 6С12. Влияние кислорода на вязкость камеда 6П491

6П678. Химическое...  
6П680. Серниро...

# КОЖА. МЕХ. ЖЕЛАТИНА. ДУБИТЕЛИ. ТЕХНИЧЕСКИЕ БЕЛКИ

Редактор О. В. Матеева

6П678. Применение электрофореза на бумаге и химического анализа для исследования экстрактов из дермы и шкуры быка. Deasy C. Paper electrophoresis and chemical analysis of extracts of steerhide corium and of whole steerhide. «J. Amer. Leather Chemists Assoc.», 1960, 55, № 5, 258—271 (англ.).—Изучали растворимые в воде р-рах солей белки, представляющие практич. интерес для кожевников, так как степень удержания их из шкуры влияет на качество кожи. В экстрактах, полученных при последовательных экстрагированиях дермы рогатого скота 5% NaCl, 0,1 M  $\text{Na}_2\text{HPO}_4$  и 0,1 M цитратным буфером (pH 3,6), определяли общее кол-во белков и кол-во оксипролина. Для определения белков сыворотки был применен электрофорез на бумаге с использованием метода опрашивания спирт. р-ром бромфенолсинего. Так как окраска полос очень слаба, то для колич. определения был использован метод элюирования. Проводили элюирование с помощью 0,5%-ного р-ра  $\text{Na}_2\text{CO}_3$  и определяли оптич. плотность элюата на спектрофотометре Бекмана при 590 мμ. Содержание альбумина в сыворотке определяли аналитически по методу Varley. Глюкопротеины также определяли электрофоретически, но этот метод для глюкопротеинов не дает хороших результатов. До сих пор нет удовлетворительного метода элюирования этих белков для колич. оценки цвета с помощью спектрофотометра. Помимо экстрагирования дермы проводили также экстракцию шкуры быка. Экстрагирование проводили 5%-ным NaCl, 0,1 M цитратным буфером (pH 3,6), 0,1 M  $\text{Na}_2\text{HPO}_4$ , а также полунасыщенным р-ром  $\text{Ca}(\text{OH})_2$  и 10% р-ром  $\text{CaCl}_2$ . Эти экстракты также исследовали электрофоретически. Цитратный буфер является очень хорошим р-рителем для оксипролина, а полунасыщенный р-р  $\text{Ca}(\text{OH})_2$  — лучшим для определения общего кол-ва белков и глюкопротеинов. С. Бреслер

6П679. Влияние температуры кристаллизации на температуру сваривания коллагена. Ghosh S. The influence of the temperature of crystallisation on the shrinkage temperature of collagen. «Bull. Central Leather Res. Inst.», 1960, 6, № 8, 377—379 (англ.).—В настоящее время считают, что сваривание коллагена обусловлено плавлением его кристаллитов. На примере некоторых полукристаллич. высокополимерных соединений установлено, что т-ра начала быстрого плавления связана с т-рой кристаллизации, которая колеблется в зависимости от порядка расположения образующихся кристаллитов. Проверили правильность этой теории в отношении коллагена, а также влияние т-ры среды, в которой живут рыбы, на т-ру сваривания ( $T_c$ ) рыбных шкур. Опыты, проведенные на образцах сухожилия крысиного хвоста, подтвердили большую разницу в  $T_c$ , зависящую от т-ры кристаллизации коллагена этих образцов. На основании полученных результатов сделан вывод, что т-ра воды, в которой живут рыбы, оказывает большое влияние на  $T_c$  коллагена их шкур. Вместе с тем нельзя также отрицать влияние содержания оксипролина на  $T_c$ , так как с его увеличением уменьшается кол-во некристаллич. части, что приводит к повышению т-ры плавления. Кроме того, увеличение числа OH-групп также может обусловить более высокую точку плавления коллагена. М. Люксембург

6П680. Добавление антибиотиков к соли при консервировании кожевенного сырья. Sommer S. Dodanie antybiotyków do soli przy konserwacji skór surowych. [Wg referatu Z. Bayera]. «Przegl. skórzan.», 1960, 15, № 5, 123—126 (польск.).—В результате работ, исследований на образцах шкур ошойка с различными

антибиотиками в разных кол-вах от веса применяемой соли был выбран антибиотик, который дал наилучшие результаты. Проводили засолку 7 партий по 40 шкур ошойка. Контрольную партию шкур хранили при 23,3° и относительной влажности 67,6% в течение 70 дней до начала отмоки. Остальные партии сырья подвергали засолке с применением различных кол-в соли, антибиотиков и с изменением условий хранения. Результаты исследования (потеря влаги шкурами, т-ра шкур, содержание влаги через 14 дней после засолки, содержание соли в шкурах, кол-во бактерий и др.) подтвердили, что применение антибиотиков позволяет снизить кол-во соли на 50% без ущерба для качества сырья и готовой кожи, причем уменьшается кол-во бактерий. Наилучшие результаты дало применение 20% соли и двойного кол-ва антибиотика. Т. Будкевич

6П681. Потери коллагена в кожевенном производстве. Stefanović N. N., Michajlov A. N. Ztráty kolagenu v koželužké výrobě. «Kozařství», 1960, 10, № 7, 198—199 (чешск.; рез. русск., нем., англ.).—Результаты проведенных исследований способствовали уточнению вопроса о влиянии подготовительных операций на коллаген. Указано, что собственно коллаген заметному нарушению во время проведения отмоки и зольения не подвергается. В подготовительных процессах происходит очистка коллагена от всевозможных примесей и подготовка его к последующему дублению.

Из резюме авторов  
6П682. К вопросу дубления козлины экстрактами, полученными с применением в качестве восстановителя сульфокислот нафталина. Сообщение 1. Жила Г. В., Пасько С. П., Котов М. П. «Изв. высш. учебн. заведений. Техн. и техн. пром.-сти», 1960, № 3, 96—103.—Исследовали зависимость длительности дубления козлины р-рами хромовых солей, полученных восстановлением хромпика сульфокислотами нафталина, равномерности распределения солей Cr по толщине и величины предела прочности кож при растяжении от основности хромовых солей, т-ры и жидкостного коэф. при дублении. Окончательное формирование волокнистой структуры кожи зависит не только от природы дубильных соков, параметров никелевания или солевания, но в значительной степени и от последующих обработок. При пролежке кожи происходит дальнейшее связывание и изменение солей Cr, однако этот процесс можно в значительной степени ускорить, применяя соответствующие обработки при дублении и после его окончания. Применение хромнафталинового экстракта при дублении не только сокращает длительность дубления, но способствует более равномерному распределению солей Cr по слоям кожи. Воздушно-сухие образцы, выдубленные хромнафталиновым экстрактом (как с пролежкой после дубления так и без нее), имеют наибольший предел прочности при растяжении. Д. Горин

6П683. Влияние различных маскирующих веществ в хромовом дублении. Oono Y., Fukui Y. «Нихон хикаку гидзюцу кёкайси, Bull. Japan. Assoc. Leather Technol.», 1960, 6, № 1, 15—22 (японск.; рез. англ.).—Изучено влияние маскирующих в-в, таких, как формилат, ацетат, тартрат, цитрат, оксалат, фталат, сульфогаллат, сульфит, нитрит, сукцинат и адипинат натрия, в кол-вах 0,5, 1, 3, 5 экв на атом Cr. Сначала изучали влияние времени старения р-ров на дубящие свойства соли хрома. Маскирующие в-ва, которые сильно увеличивают адстингентность хромовых комплексов к коже, имеют склонность увеличивать свою реакционную способность при старении. Проводили титрование р-ров хромовых солей с маскирующими в-вами щелочью, чтобы определить кол-ва щелочи, необходимые для нейтр-ции. Так как степень маскировки увеличивается во времени, то кол-во щелочи, требуемое для нейтр-ции, уменьшается, но при применении сульфита и нитрата натрия кривая титрова-



ния не меняется. Значения pH сильно маскированных хромовых р-ров сначала постепенно падают при старении, а затем начинают увеличиваться. Если же применены маскирующие в-ва с большой адстрингентностью, pH непрерывно падает. По поглощению солей хрома изучали также эффект дубления. Продолжительность дубления 1, 2 и 4 дня. При дублении были прибавлены маскирующие в-ва в кол-вах 0,5, 1,0, 3,0 и 5,0 экв на атом Cr. По данным этих исследований установлено, что маскирующие в-ва могут быть разделены на две группы: 1) маскирующие в-ва, которые способствуют увеличению адстрингентности комплексов хрома к коже (сульфит, нитрит, адипинат, фталат натрия и др.); При применении этих маскирующих в-в в хромовом дублении, кол-во  $Cr_2O_3$  в коже увеличивается, 2) маскирующие в-ва, которые обладают способностью к быстрому проникновению в комплекс: формиат, ацетат, тартрат, цитрат, оксалат натрия и др. Дубящая способность р-ров хромовых солей, к которым эти в-ва прибавлены, снижается с увеличением стабильности комплекса при старении.

С. Бреслер  
6П684. Изучение дубления солями железа. I. Дубящие свойства комплексов железа с органическими кислотами. Inoue Y., Nihiro H. «Нихон хикаку гидзюу кёкайси», Bull. Japan. Assoc. Leather Technol., 1960, 6, № 1, 8—14 (японск.; рез. англ.).—Исследовали дубящие свойства комплексов  $Fe^{3+}$  и структуру комплексов, образованных с органич. к-той. Для приготовления дубящих р-ров различные кол-ва муравьиной, щавелевой, малоновой, янтарной, адипиновой, гликолевой, молочной и лимонной к-т прибавляли к р-рам сульфата железа. Эти р-ры выдерживали некоторое время, чтобы кислотные радикалы координировались в комплексе. Основность солей и pH р-ров подвели 2 н. р-ром NaOH. Определяли кол-во различных органич. к-т, необходимое для предотвращения выпадения соединений железа из р-ра при значениях pH 3, 5 и 6,0. Это кол-во рассматривали как меру комплексной активности к-ты. Дубящие свойства этих р-ров определяли путем погружения в них небольших кусочков непикированного голя. О дубящем эффекте судили по кол-ву поглощенной соли железа, по т-ре сваривания кожи ( $T_c$ ) и органолептически. Муравьиная и уксусная к-ты обладают меньшей комплексной активностью, но кожи, выдубленные этими комплексами, были лучшими по мягкости и полноте. Щавелевая и малоновая к-ты образуют анионные комплексы с внутрикомплексной связью с одним атомом железа; они слишком устойчивы и не могут взаимодействовать с коллагеном. Поливалентные радикалы, образуя мостики между двумя или более атомами железа, дают основные многоядерные комплексы, которые увеличивают  $T_c$  кожи. Максим.  $T_c$  кожи, выдубленной сульфатом железа, равна 68°. При дублении янтарными или адипиновыми комплексами железа  $T_c$  кожи достигает 75° при pH 2,7.  $T_c$  этой кожи не меняется при повышении ее pH с 2,7 до 5,5. Оксиполикарбоновые к-ты, напр., малеиновая, винная и лимонная, и полноксиполикарбоновые к-ты, напр., глюконовая, образуют основные комплексы железа, которые устойчивы в областях pH, необходимых для дубления. Кожи имеют значительно более высокую  $T_c$ , они довольно полные и мягкие, но все же непригодны для практич. целей. Как только повышается pH кожи  $T_c$  сильно падает и происходит раздубление. С лимонной к-той максим.  $T_c$  была равна 95° при pH 3,5, 90° при pH 4,0, 85° при pH 5,0 и 78° при pH 6,0.

С. Бреслер  
6П685. Влияние букета дубителей на показатели износостойчивости жестких кож. Павлов Л. П., Рубахин В. Н. «Кожевенно-обув. пром-сть», 1960, № 6, 23—25.—Приведены результаты изучения влияния дубителей на сопротивление сухому истиранию,

гигротермич. устойчивости, т-ру сваривания и влагоемкость подошвенных кож. В полупроизводственных условиях проводили опыты дубления смесями различных дубителей (дубовый, ивовый и еловый экстракты и синтаны № 4, СПС, НК). Выдубленные и отделанные кожи подвергали хим. анализу и физ.-мех. испытаниям. Растительные дубители по положительному влиянию на сопротивление сухому истиранию располагаются в ряд: ива — дуб — ель. По влиянию на показатель гигротермич. устойчивости растительные дубители располагаются: в той же последовательности ива > дуб > ель. По влиянию на влагоемкость они располагаются в последовательности: ива > дуб > ель. Для получения износостойчивой кожи следует ограничить применение сухого елового экстракта (< 15—20%). Наиболее положительное влияние на износостойчивость оказывает применение жидкого корывого ивового экстракта; сухой дубовый экстракт дает несколько худшие результаты. Синтан НК отрицательно влияет на качество кожи, снижая гигротермич. устойчивость и увеличивая влагоемкость кожи. Применение его должно быть строго ограничено. Повышение содержания жира положительно сказывается на гигротермич. устойчивости и влагоемкости кожи.

Д. Горш  
6П686. Применение экстракта сумаха при обработке свиных кож. Gložic Berislav. Primjena gubvog ekstrakta kod prerade svinjskih koža. «Koža i obuća», 1960, 9, № 3, 73—77 (серб.-хорв.; рез. англ., франц., нем.).—Приведена характеристика свиного сырья и указана возможность его применения для прошивки кожи. Рассмотрена технология прошивки и даны методики обработки свиной кожи в Югославии. Обращено внимание на дубление этих кож экстрактом сумаха.

Т. Б.  
6П687. О химических показателях процесса образования замшевой кожи. Петров И. С., Воронцов П. Н. «Изв. высш. учебн. заведений. Технол. лек. пром-сти», 1960, № 3, 104—113.—Для того, чтобы найти показатель, который мог бы характеризовать степень продубленности замши, было изучено дубление производственных партий замши из овчины и оленьих шкур. В голяе определяли влажность, жир и т-ру сваривания, в полуфабрикате и готовой коже — влагу, т-ру сваривания, свободный и связанный жир, свободные и связанные оксикислоты. Пробы для анализа отбирали каждые 24 часа. В конце дубления т-ра сваривания замши снижается, особенно в тех случаях, когда полуфабрикат подвергается продолжительной тепловой обработке с низкой влажностью в конце дубления. Т-ра сваривания не может служить показателем продубленности замши. Линейная усадка образцов при сваривании в результате замшевания уменьшается. Содержание связанного жира и оксикислот не может служить достоверным показателем процесса дубления. Суммарное содержание жира и оксикислот в полуфабрикате в течение процесса дубления остается приблизительно равным исходному кол-ву заданного жира. Показателем нормального хода дубления может служить отношение кол-ва оксикислот к кол-ву жира. На основании осмотра и органолептич. оценки образцов кожи установлено, что в процессе дубления замши по новому методу в барабане существует известный интервал времени, ~ 24 час., когда дерма претерпевает резкое качеств. изменение, превращаясь из голя в кожу. Формируясь в процессе дубления, эта кожа лишь постепенно улучшает свои свойства.

Д. Горш  
6П688. Жировые смолообразные пятна и опыты окисления. Gastellu Ch., Durande-Ayme R. Repousses grasses résinoïdes et essai d'oxydabilité. «Bull. Assoc. franç. chimistes inds cuir», 1960, 22, № 4, 47—59 (франц.).—Изучали образование жирных на-

ия и влаго-  
водостойкости  
и различных  
экстрактов  
и отделан-  
-мех. и хими-  
чески обработан-  
ию распы-  
ию на по-  
испытатель-  
довательно-  
е они  
дуб > ед-  
едует от-  
та (< 15-  
на износ-  
ого корье-  
экстракт да-  
ИК отрица-  
протермич-  
кожи. При-  
ено. Пони-  
казывается  
ости кожи.  
Д. Горин

и обрабо-  
ежена гу-  
кожа i об-  
л., франц.  
сырья в  
и произ-  
аны мето-  
Обраще-  
м суматра.  
Т. Б.

са обра-  
Воропо-  
нол. лег-  
обы най-  
шь степе-  
ие про-  
олевы  
тру свя-  
— влагу,  
р, свобо-  
анализа  
ия три  
случае  
ительной  
в конце  
е показ-  
ка обра-  
а умень-  
еявляют  
процесса  
еявляют

и остане-  
ую зада-  
дублен-  
к ко-  
оценки  
дублен-  
дублен-  
еует в-  
ома пре-  
дана в  
ия, эти  
ва.  
Д. Горин

опыт  
ме в  
dability  
2, № 3  
х на-  
е

то на юфти хром-растительного дубления, вырабаты-  
ваемой в заводских условиях. Жирование производили  
погружением образцов кожи на 20 мин. в жироваль-  
ную смесь при 35—40° с последующей ручной разбив-  
кой до полного проникания жира в кожу. Прожиро-  
ванные кожи выдерживали для сушки в темном шка-  
фу при t-ре ~20° без обмена воздуха. Жировальную  
смесь готовили а) из медицинского трескового жира  
с точно установленной аналитич. характеристикой,  
б) из технич. трескового жира со стандартной анали-  
тич. характеристикой, в) из технич. рыбьего жира.  
Смеси составляли с прибавлением дегтя и сала. На-  
блюдения за кожей показали уже через 1,5 месяца  
хранения образование пятен в виде белых капелек,  
более сильно выраженных на кожах хром-раститель-  
ного дубления по сравнению с кожами чистораститель-  
ного дубления. Через 4,5 месяца кожи, имевшие  
незначительный налет, мало изменились, но на кожах,  
имевших более значительные пятна, образовались  
крупные жировые пятна. Жирование одной дегрой  
не вызывает появления пятен, а рыбий жир технич.  
(любое число 116) дает небольшие пятна. Медицин-  
ский и технич. тресковые жиры в равной степени  
способствуют образованию пятен. Учитывая возмож-  
ную корреляцию между образованием смолоподобных  
жирных пятен и способностью жиров к зампеванию,  
определяли окисляемость жиров с помощью модифи-  
цированного аппарата Maskey. Наиболее окисляемые  
жиры дают самые большие жировые налеты, в то  
время как слабо окисляемая дегра налетов не дает.  
Установлено также, что прибавление минер. масла к  
дегре, начиная с дозировок 7,5% и выше, снижает  
окисляемость жировой смеси и ее способность давать  
жировые налеты. Такое же действие оказывают анти-  
оксиданты (напр., фенил-β-нафтиламин). Применение  
антиоксидантов для предохранения кожи от жировых  
налетов рекомендовать нельзя, так как они со време-  
нем легко разрушаются. Прибавление к жировальной  
смеси минер. масла дает хороший эффект даже при  
очень длительном хранении кожи. М. Люксембург

6П689. О механизме формирующего действия токов  
высокой частоты на кожу. Шейнис Е. С., Василь-  
ев С. С. «Научн. тр. Моск. технол. ин-т легкой  
пром-сти», 1960, сб. 16, 85—88.—Приведены результаты  
опытов, поставленных для изучения явлений, проис-  
ходящих внутри кожи при интенсивном генерировании  
в ней тепла в результате действия токов высокой  
частоты (ТВЧ). Высказана гипотеза о том, что в  
увлажненной коже, подвергнутой действию тепла,  
особенно «ударному» тепловому воздействию ТВЧ,  
происходит экстракция тех в-в, которые после удале-  
ния влаги склеивают кожные волокна. Поэтому де-  
формированная кожа, подвергнутая действию ТВЧ,  
сохраняясь в деформированном состоянии, не теряет  
своих качеств, что подтверждается исследованием ее  
физ.-мех. показателей до и после облужения ТВЧ.

Д. Горин

6П690. Характеристика качества свиной хромовой  
кожи и полуфабриката по объемному выходу. Джа-  
нашья Г. И., Чернов Н. В. «Изв. высш. учебн.  
заведений. Технол. легк. пром-сти», 1960, № 3, 89—95.—  
Предложено применять показатель объемного выхода  
(ОВ) для объективной характеристики качества кожи.  
Установлено, что величина ОВ изменяется во всех  
процессах произ-ва и неравномерна по топографич.  
участкам кожи. Величина ОВ приобретает максим.  
значение в процессе зольения. Повышение t-ры золье-  
ния (до 28—30°) и предварительная намазь повышают  
уровень максим. значения ОВ. Характеристику зольно-  
го голья по ОВ можно применять для установления  
правильности подготовки голья в процессе зольения.  
Установлена зависимость между важнейшими физ.-  
мех. показателями и ОВ кожи. С повышением ОВ  
кожи предел прочности и жесткость ее при растяже-

нии понижаются, а относительное удлинение возра-  
стает.

Из резюме авторов

6П691. Современные требования обувщиков и по-  
требителей к стелечной и верхней коже. Huggett  
L. P. Some present-day requirements of shoe manufac-  
turers and wearers for insole and upper leathers. «J. Soc.  
Leather Trades' Chemists», 1960, 44, № 6, 271—285  
(англ.).—Как обувщики, так и потребители предъяв-  
ляют к стелечной и верхней коже ряд требований,  
причем требования потребителей и обувщиков не  
всегда совпадают. Подробно рассмотрены эти требо-  
вания. Качество готовой кожи тесно связано с ее хим.  
и физ. свойствами, поэтому рассмотрены методы опре-  
деления этих свойств. С. Бреслер

6П692. Возникновение отдушистости в верхней  
обувной коже при действии клея, растяжения (затяж-  
ка заготовок) и приклеивания подкладки. Ackermann  
W. Die Entstehung von Losnarbigkeit bei Schuh-  
oberleder durch Zusammenwirkung von Dehnung  
(Zwicken), Unterklebung mit Futterleder und Klebstoff.  
[Vorschlag einer Prüfmethode]. «Leder», 1960, 11, № 6,  
152—153 (нем.).—Отдушистость кожи может появлять-  
ся не только в процессах кожаного произ-ва, но  
также и на обувной ф-ке. Бывают случаи, когда из  
кожи с плотным лицевым слоем получают детали,  
которые в местах сгибания при ходьбе становятся  
отдушистыми и даже расслаиваются. Причиной этой  
отдушистости является клей или способ его приме-  
нения на обувной ф-ке. Такая порча особенно харак-  
терна для тонких мягких кож (шевро, тонкий бокс)  
и чаще всего для лаковой кожи. Влияние клеев опре-  
деляют обычно склеиванием кожи с подкладкой и  
сушкой, после которой проверяют отдушистость кожи.  
Если даже склеенная с подкладкой кожа при сгибе  
не дает морщин, то в обуви она может стать сильно  
отдушистой после операции затяжки. В подтвержде-  
ние этого приведено описание опытов с лаковой ко-  
жей, которую испытывали после склеивания с под-  
кладкой, после нанесения клея на бахтарму или же  
без подкладки и без нанесения клея. Отдушистость  
кожи появляется в результате одновременного дей-  
ствия трех факторов — необратимого удлинения, утол-  
щения кожи при приклеивании подкладки и затверде-  
вания бахтармы от клея. Клеи, сохраняющие при  
сушке свою эластичность, вызывают меньшую отду-  
шистость. Для выбора подходящих клеев или способа  
их нанесения рекомендуется производить следующие  
испытания. К полоскам кожи длиной 15 см и шири-  
ной 3 см подклеивают подкладку по принятому на  
ф-ке методу. После сушки полоску растягивают на  
динамометре Шоппера в течение 5 мин. до удлинения  
20%. После того как полоска приходит в равновесное  
состояние ее испытывают на отдушистость обычным  
способом. М. Люксембург

6П693. Сопротивление истиранию подошвенной  
кожи из свиных шкур. Тертерян Э. А. «Кожевенно-  
обувн. пром-сть», 1960, № 6, 21—23.—Исследовали из-  
готовленные по единой методике подошвенные кожи  
из тяжелых свиных шкур. Кожи готовили в виде  
половинок; разрез проводили в поперечном направле-  
нии, разделяя на воротковую и огузочную части.  
В каждой из этих частей вырубали по одному образ-  
цу, расположенному около края разреза. Образцы  
испытывали на сопротивление истиранию на машине  
МИНХ. Результаты исследования показали, что сопро-  
тивление истиранию огузочной части кожи из тяже-  
лых свиных шкур несколько ниже, чем у подошвен-  
ной кожи из шкур крупного рогатого скота. Это свой-  
ство кожи из свиных шкур в значительной степени  
зависит от топографич. участка: в воротковой части  
сопротивление истиранию значительно ниже, чем в  
огузочной. Рекомендуется перерабатывать на подо-  
швенный товар лишь огузочную часть шкуры с уточ-  
нением размера ее путем более подробного дополни-

тельного исследования сопротивления истиранию топографич. участков кожи. Характер сопротивления истиранию подошвенной кожи из свиных шкур такой же, как из шкур рогатого скота: с увеличением числа циклов истирания сопротивление истиранию 1 мм толщины кожи растет. Из резюме автора

6П694. Электронный прибор для определения влажности жестких кож. Щукин А. И., Якобишвили А. З. «Кожевенно-обув. пром-сть», 1960, № 6, 33—35.—Приведено описание работы и схема прибора ВК-02, с помощью которого можно за 1—2 мин. определять без вырезки образцов влажность кожи и полуфабриката в интервале 10—30%. Для повышения точности прибора весь интервал измерений разбит на 3 диапазона (в %): 10—15, 15—20 и 20—30. Шкала прибора отградуирована в процентах влажности. Принцип действия прибора основан на зависимости между содержанием влаги в коже и ее электрич. сопротивлением, измераемым с помощью игольчатого датчика по электронной ламповой схеме. Д. Г.

6П695. Практическое определение некоторых конденсированных танинов в коже методами хроматографии и фотометрии. Roux D. G. The practical identification of some condensed tannins in leather by chromatographic and photometric methods. «J. Amer. Leather Chemists Assoc.», 1960, 55, № 5, 272—284 (англ.).—Описаны методы определения некоторых конденсированных танинов (Т), имеющих в подошвенной, хромрастворимой и «протравленной» хромовой верхней коже. Методы основаны на применении обычной хроматографии на бумаге в сочетании с селективным проявлением и выделением антоцианидинов из конденсированных Т. Применяемая для идентификации Т в коже техника исследования зависит от конц-ии Т в коже, их предварительной хим. обработки (бисульфитирование) и присутствия солей в коже. В подошвенных кожах содержание Т велико, причем большое их кол-во сорбировано на волокнах. Т легко экстрагируются метанолом, смесью метанола с водой или ацетона с водой. Экстрагируемые в-ва можно исследовать методом двумерной хроматографии. Присутствие солей как правило не препятствует миграции экстракта при хроматографировании на бумаге, но при избытке солей они должны быть отделены. Для этого экстракт сушат при 105° в течение 2 час. и экстрагируют абс. спиртом (этиловым или метиловым). Сульфитирование экстрактов меняет обычно наблюдаемое на хроматограмме распределение. В таких экстрактах присутствует соединение, не передвигающееся в спирт. р-рителе и перемещающееся с фронтом р-рителя в направлении воды. Оно представляет собой продукт присоединения бисульфита к дубителю. Для квебрахо наблюдается широкая зеленовато-желтая полоса флавонолов. Они легко могут быть обнаружены с помощью двумерных хроматограмм. Дополнительным подтверждением является образование антоцианидиновых пигментов, когда в Т находится лейкоантоцианидины. В хромовой коже с растительным дублением конц-ия Т невелика и их сродство к обработанному солями хрома коллагену обычно затрудняет экстракцию. В этих случаях дробная экстракция не меняет характера образованных антоцианидинов, однако распределение компонентов Т на двумерной хроматограмме обычно плохо выражено. Сродство танинов к хромовой коже настолько велико, что в слабо «протравленной» хромовой коже они кажутся необратимо связанными. В этих случаях полный гидролиз коллагена в условиях, используемых для лейкоантоцианидиновых р-ций, приводит к образованию прозрачного р-ра, в котором определяются образованные антоцианидины. Экстракты мимозы и квебрахо дают при обработке спиртом с HCl в соответствующих условиях легко распознаваемые пятна антоцианидинов. Экстракт каштана не дает лейкоантоцианидио-

вой р-ции и трудно поддается определению. Экстракты мангрове и дуба дают лейкоантоцианидиновую реакцию. С. Бреслер

6П696. Исследование ивовых экстрактов с применением метода хроматографического распределения на бумаге. Мионов В. В., Шестакова И. С. «Научн. тр. Моск. технол. ин-т легкой пром-сти», 1960, сб. 16, 48—61.—Исследовали: экстракт из свежего корья ивы и его фракции, экстракт из лежалого корья без гнили и плесени, полученный при 110—112° в хвостовом диффузоре и сульфитированный с увеличенным расходом сульфита и его фракции, а также экстракт из корья с гнилью и плесенью, полученный при 110—112° в хвостовом диффузоре и его фракции. Экстракты показали значительное различие по ряду показателей (вязкости, растворимости в этаноле, этилацетате и т. д.) и кожевенно-технологич. свойствам. Приведены данные по исследованию этих экстрактов методом хроматографии на бумаге с применением в качестве р-рителя *n*-бутилового спирта, уксусной и-ты и воды (40:12:29), а в качестве проявителя солянокислого ванилина. Экстракт из свежего корья дает на хроматограммах лучшее разделение компонентов, чем экстракты из лежалого корья. Между степенью разделения на хроматограммах и кожевенно-технологич. свойствами экстракта имеется определенная зависимость. Снижение степени разделения сопровождается ухудшением кожевенно-технологич. свойств. В составе ивового экстракта обнаружен *d,l*-галлокатехин. Основная причина снижения кожевенно-технологич. свойств экстрактов из лежалого сырья заключается, видимо, в том, что большинство входящих в экстракты в-в подвергается действию ферментов и окислению, как при гниении корья, так и при экстрагировании при повышенных т-рах хвостового диффузора. Д. Горин

6П697. Экстракты из еловой коры, свойства и структура веществ, содержащихся в этих экстрактах. Kotásek Zdeněk, Kolar Jaroslav. Extrakt smrčové kůry a vlastnosti i struktura jejich složek. «Kožářství», 1960, 10, № 7, 203—204; № 8, 235—237 (чешск.).—Добыча еловой коры имеет большое значение ввиду отсутствия иного сырья для экстрактивной пром-сти. В связи с развитием кожевенной пром-сти возрастает потребность в дубителях. Рассмотрен процесс экстракции еловой коры. Дана краткая характеристика сульфитной экстракции с добавлением сульфита натрия. Такие экстракты имеют преимущество перед обычными еловыми экстрактами, так как их диффузия в кожу происходит быстрее. Приведены данные по технологии сбора и хранения коры. Указано, что на свойства коры и экстрактов в гораздо большей степени влияет способ добычи и хранения коры, чем ее происхождение. Рассмотрены данные о строении наиболее важных полифенольных составляющих и танинов еловой коры. Указано на необходимость дальнейшего исследования в области растительных дубителей, особенно еловой коры. Ф. Нарва

6П698. Изучение ароматических сульфонов как синтетических дубителей. Otsuka Yoshiji. «Kobō seisā дайгаку кий. Дайнириу. Rev. Kobe Univ. Mercant. Marine. Part 2», 1960, № 7, 131—136 (японск.; рез. англ.).—Результаты опытов по применению ароматич. сульфонов в качестве синтетич. дубителей показали, что наиболее эффективными из таких дубителей являются продукты конденсации формальдегида с сульфокислотами фенола и *m*- или *p*-крезола типа диоксидифенилметансульфокислоты. Комплексное соединение сульфоталевой к-ты и железа дает кожу глубокого красно-коричневого цвета, стойкую, хорошего качества, подобную коже растительного дубления. Комплексное соединение сульфоталевой к-ты и хрома улучшает полноту кожи и дает гладкий и мягкий лицевой слой. С. Бреслер



Экстракты  
новую реак-  
С. Бреслер  
в приме-  
предела  
ова И. С.  
-сти», 1960,  
из свежего  
алого коры  
-112° в хо-  
увеличен-  
а, также  
полученный  
е фракции.  
е по ряду  
ноле, этил-  
свойствам.  
экстрактов  
енением в  
усной к-ты  
ли солено-  
дает на  
ентов, чем  
енно раз-  
е технологи-  
зависа-  
еждается  
В. В. соста-  
доктехн.  
е технологи-  
ключается,  
экстракты  
кислению,  
гирования  
ора.

6П699. Полностью использовать резервы промыш-  
ленности искусственной кожи. Алексеев В. И.,  
Копыл А. Н. «Кожевенно-обувн. пром-сть», 1960,  
№ 8, 4-7

6П700. Способ изготовления и применения жиру-  
ющих веществ, не придающих запаха коже. Pógány  
János. Eljárás szagmentes hatást biztosító bőrszírozó  
anyagok előállítására és felhasználására. [Lardoline  
Kőolajipari Vállalat, Fehér István, Vágó György, Réti  
János]. Венг. пат. 145918, 31.12.59.—Исходным сырьем  
являются перезин, содержащий 20-40% масла, с  
пл. т.  $> 58^\circ$  ( $65^\circ$ ) и мол. в.  $> 400$ . Вначале перезин  
подвергают очистке серной к-той при  $50-60^\circ$ . Кол-во  
ион.  $H_2SO_4$  или моногидрата 5-45%; это кол-во до-  
бавляют 3-8 порциями, выпуская каждый раз кис-  
лотный гудрон; кислый продукт обрабатывают при  $130-140^\circ$   
отбеливающей землей и нейтрализуют щелочью,  
лучше  $Ca(OH)_2$ ; очищ. перезин окисляют воздухом  
при  $135^\circ$  в присутствии 0,2%  $KMnO_4$  до кислотности  
30-50 мКОН на 1 г; окисленный продукт сульфиро-  
вуют при  $50-70^\circ$  15-30% (23%) конц.  $H_2SO_4$  и, после  
повторной промывки, нейтрализуют NaOH или KOH  
или (лучше) их смесью. Можно также смешивать  
части полученного продукта окисления с «обычным»,  
очищ. продуктом окисления и их смесь сульфиро-  
вать с последующей полной или частичной нейтр-цией.  
По другому варианту продукт сульфирования очищ.  
перезина смешивают с нейтрализованным продуктом  
окисления маслосодержащего перезина и смесь при-  
меняют в таком виде или после частичного или пол-  
ного ее превращения в Al-соли. С. Розенфельд

6П701. Способ получения хромового экстракта для  
дубления кожи. Sentek Antoni. Sposób otrzymu-  
wania brzezczi chromowej do garbowania skór. Польск.  
пат. 40496, 10.12.57.—В дополнение к польск. пат. 33690  
описан способ получения хромового экстракта  
в виде порошка распылением сваренного жидкого  
экстракта в спец. сушильной камере, через которую  
одновременно пропускают нагретый воздух.

Т. Будкевич  
6П702. Способ отделки хромовых кож. Pektor  
Vladimír, Hula Lumír. Způsob úpravy chromo-  
vých usn. Чехосл. пат. 89150, 15.03.59.—Полнота хро-  
мовых кож в первую очередь зависит от свойств сы-  
рой шкуры и лишь в небольшой степени от применяе-  
мых в дублении соков. Наполнение хромовых кож  
метилмочевинной обуславливает их жесткообразную  
структуру, которую не удается устранить жированием  
натуральными или сульфированными маслами. При  
экспериментировании кожи дициандиамидными смолами,  
которые пропитывают кожу через всю ее толщину, на-  
блюдается чрезмерная мягкость, доходящая до губча-  
тости. Вышеуказанные недостатки устраняются пред-  
ложенным способом отделки хромовой кожи, который  
заключается в том, что кожу отделывают сначала  
катионной дициандиамидной смолой, а затем метилмо-  
чевинной смолой в комбинации с эмульгатором,  
напр. с сульфированным маслом. Пример. Красиль-  
ная ванна 150%, т-ра  $55^\circ$ ; катионного жирующего в-ва  
44%, вращение 45 мин.; дициандиамидной смолы  
2,0%, вращение еще 20 мин.; метилмочевинной смолы  
5%, сульфированного жира 1% и вращение 20 мин.  
В первой фазе катионная дициандиамидная смола на-  
полняет хромовую кожу по всей ее толщине. Во вто-  
рой фазе происходит осаждение этого наполнителя  
метилмочевинной смолой, которая одновременно  
смягчается дициандиамидной смолой и сульфирован-  
ным маслом. Последнее осаждается катионной смолой.  
Важным осаждением этих в-в в межфибриллярных  
промежутках достигается требуемая степень уплотне-  
ния волокон кожи. Кожа получается не жесткой, уме-  
ренно упругой и сохраняет характер хромовой кожи.  
Этим методом отделки достигают набирательного на-

полнения рыхлых участков кожи, причем ее физ.  
свойства, особенно паро- и воздухопроницаемость,  
не изменяются. М. Люксембург

6П703. Способ очистки мехов после их крашения  
окислительными красителями. Brugger Frigyes,  
Páris László, Fehér István. Eljárás oxidációs  
színezékekkel festett szőrméknek színezés utáni tisztítá-  
sára. [Bőr-, Cipő-, Szőrméipari Kutató Intézet]. Венг.  
пат. 145709, 15.12.59.—Предлагается очищать окра-  
шенный мех от прилипающих к нему (в результате  
крашения) пылевидных красящих в-в промывкой в  
разб. (0,05-0,5%-ном) р-ре органич. или минер. к-ты  
( $H_2SO_4$ , HCl, HCOOH и т. д.), константа диссоциации  
которой  $> 10^{-5}$ ; за кислотной промывкой следует  
промывка слабым щел. р-ром. Напр., после промывки  
овчины, окрашенной в коричневый цвет, ~0,2%-ной  
 $H_2SO_4$  в течение ~10 мин. ее промывают в течение  
такого же отрезка времени водой, содержащей в 1 л  
2 мл 25%-ного  $NH_4OH$ , и сушат; после такой обра-  
ботки мех не окрашивал белую бумагу; обработка с  
той же целью в барабане с опилками длится  $> 5$  час-  
ов. С. Розенфельд

6П704. Способ получения синтетических дубите-  
лей. Усачев А. А., Метрик Г. Л., Зимникова  
Н. И., Яковенко Г. З. Авт. св. СССР, 129782,  
1.07.60.—Для получения дубителей, пригодных для  
дубления белых обувных и галантерейных кож, пред-  
ложено конденсировать ксилит и фенол с формальде-  
гидом в присутствии синтетич. жирных к-т  $C_7-C_9$   
(или без них) и катализаторов—ортофосфорной или  
борной к-ты или их смеси. Выдубленные этими ду-  
бителями кожи имеют белый цвет, который не изме-  
няется при отделке и хранении. Дубители можно  
применять для выработки окрашиваемых обувных и  
галантерейных кож, а также в смеси с растительны-  
ми и другими синтетич. дубителями при произ-ве  
юфты и кож для низа обуви. Пример. 2 моля кси-  
лита, 1 моль фенола, 2,9 моля формальдегида, 0,75 мо-  
ля синтетич. жирных к-т  $C_7-C_9$ , 10 г ортофосфорной  
к-ты и 4 г борной к-ты загружают в реактор, снаб-  
женный мешалкой, нагревательным устройством и  
вакуум-насосом для удаления воды, образующейся в  
процессе конденсации. Смесь нагревают до  $70-80^\circ$ ,  
затем пускают в ход мешалку и вакуум-насос. Через  
8-10 час. процесс конденсации заканчивают. Полу-  
ченный продукт должен содержать  $\leq 0,5\%$  свобод-  
ного фенола или формальдегида и смешиваться с  
водой в любых отношениях. Можно получать дуби-  
тель и без применения синтетич. жирных к-т. При  
этом на 1 моль ксилита берут 1,4 моля фенола и  
1,33 моля формальдегида, а также 5 г ортофосфорной  
к-ты. Голье дубят в 50-60% воды при  $20-25^\circ$  в те-  
чение 8-12 час.; дубитель дают в разбавленном виде  
(1:2) через поющую ось в барабан при pH 4-4,5; кор-  
ректирование pH проводят при помощи  $Na_2CO_3$  или  
NaOH. Расход дубителя 15-20% от веса голье. Т-ра  
сваривания кож после дубления  $\geq 78^\circ$ . Д. Горин

6П705. Метод производства казеина, практически  
не содержащего витамина  $B_{12}$ . Kissel George.  
Method of producing casein substantially free of vita-  
min  $B_{12}$ . [National Dairy Products Corp.]. Пат. США  
2853479, 23.09.58.—Новый способ произ-ва казеина,  
почти не содержащего витамина  $B_{12}$ , состоит в том,  
что витамин  $B_{12}$  отделяют от казеина в процессе осаж-  
дения из р-ра. Щел. р-р, содержащий 1-10% белка  
(предпочтительно  $< 5\%$ ), нагревают 3 часа при т-ре  
 $90-100^\circ$  (лучше  $90-92^\circ$ ), добавляют воду в кол-ве,  
достаточном для снижения конц-ии казеина до 2,0-  
2,5%, затем добавляют к-ту при т-ре  $38-52^\circ$ , снижая  
pH до 4,4-4,7 (точнее 4,49-4,51). Осадок промывают  
холодной водой и высушивают. Пример. 200 г ка-  
зеина заливают 4 л воды и при т-ре  $92^\circ$  добавляют  
NaOH до получения р-ра казеината с pH 6,5. Р-р вы-  
держивают при этой т-ре 10 мин. и добавляют р-р

HCl до установления pH 4,5 и осаждения казеина. Жидкость, содержащую почти весь витамин B<sub>12</sub>, декантируют. Осадок охлаждают 3 л холодной воды, промывают и высушивают. Содержание витамина B<sub>12</sub> снижается с 0,032 до 0,002 мкг на 1 г белка. Видоизменением способа является осаждение казеина из аммиачного р-ра, нагревание в течение 1 часа и осаждение уксусной кислотой. А. Годель

6П706. Способ получения глобулина, применяемого в текстильной промышленности. Földes Pál, Dévényi Tibor, Sajgó Mihály, Lakner Kálmán. Eljárás textilglobulin előállítására. [Textilipari Kutató Intézet]. Венг. пат. 145799, 15.12.59.— Предложен способ получения глобулина (Г) с пространственной структурой, отвечающей требованиям произв-ва искусств. волокна. Коагулирование Г из экстракта исходного материала осуществляют 9–10%-ным р-ром H<sub>2</sub>SO<sub>4</sub> при pH 3–3,5 с повышением pH после осаждения Г до 4–5 добавлением разб. р-ра NaOH или KOH; размол Г рекомендуется вести после фильтрования, промывки водой и повторного фильтрова-

ния во влажном состоянии (влажность 30–40%); можно высушить Г и измельчать его в виде водн. суспензии при 50–80° в распылительной башне. Пример. 1 кг зерен подсолнечника (в размолотом виде) дважды перемешивают с 5 л 10%-ного р-ра NaCl и прессуют; к полученным ~7 л 2,5%-ного р-ра Г прибавляют ~42 мл 10%-ной H<sub>2</sub>SO<sub>4</sub> до pH 3–3,5, после коагуляции Г, разб. р-р KOH до pH 4,5–5; после фильтрования, промывки и повторного фильтрования Г сушат горячим воздухом до влажности 40%, измельчают до тонкого порошка и сушат до влажности 16%; при этом получают 200 г Г. С. Розенфельд

См. также: Строение и свойства белков: коллагена 6С129, 6С130, 6С131, 6С132, 6С134; желатины 6В720; кератина 6С159, 6С160. Красители для крашения кожи 6Л226. Полимеры для отделки кожи 6П141, 6П150, 6П162. Методы анализа 6Д153. Природные дубильные в-ва 6С672. Переработка белков 6П131. Сточные воды кожевенной пром-сти 6И268

## Р. ХИМИЯ ВЫСОКОМОЛЕКУЛЯРНЫХ СОЕДИНЕНИЙ

Редакторы Х. С. Багдасарьян, М. М. Котон, Ю. С. Липатов

6Р1. Прогресс в изучении высокополимеров. Обзор международного симпозиума IUPAC по макромолекулярной химии. Goodman I. Steady progress with high polymers. Review of I. U. P. A. C. s international symposium on macromolecular chemistry. «Chem. Age», 1960, 84, № 2147, 351–352 (англ.).— Обзор докладов на международном симпозиуме по макромолекулярной химии в 1960 г. Автор особо отмечает большое развитие работ в Советском Союзе в области создания полимеров с полупроводниковыми свойствами и полимеров, устойчивых при весьма высоких т-рах, а также широкое применение метода электронного парамагнитного резонанса. И. Слоним

6Р2. Прогресс в области химии и структуры макромолекулярных соединений. Champetier G. Récents progrès sur la chimie et la structure des macromolécules organiques. «Silicates industr.», 1960, 25, № 7-8, 327–334, А, В (франц.; рез. англ., нем.).— Обзор.

6Р3. Энергетический спектр в нулевом силовом поле для полимерной модели. Langebartel R. G. Energy spectrum in a zero force field for a polymer model. «J. Phys. Chem.», 1960, 64, № 6, 773–777 (англ.).— Путем решения ур-ния типа ур-ния Шредингера найден энергетич. спектр для полимерной цепи, находящейся в нулевом внешнем поле, в одно-, двух- и трехмерном случаях. Рассматривается свободно сочлененная цепь, состоящая из несвязанных звеньев постоянной длины, соединяющих частицы одинаковой массы. О. Птицын

6Р4. Взаимодействие крахмал — йод — йодид. Часть I. Спектрофотометрические исследования. Thoma John A., French Dexter. The starch — iodine — iodide interaction. Part I. Spectrophotometric investigations. «J. Amer. Chem. Soc.», 1960, 82, № 16, 4144–4147 (англ.).— Исследовали взаимодействие мальтодекстринов и полиамальтозидов с йодом в р-ре KI. Показано, что декстрины с  $G$  (кол-во глюкозных звеньев)  $\geq 6$  образуют в этих условиях фотометрически регистрируемые комплексы. Спектры поглощения трийодидных комплексов идентичны спектрам свободного иона I<sup>-</sup> и поэтому не могут регистрироваться визуально. Декстрины с  $G \geq 9$  образуют полийодидные комплексы с усиливающимся поглощением и смещением максимума в сторону видимого спектра.

Видимые окрашенные комплексы возникают при  $G \geq 15$  и выше. При указанном  $G$  комплексы приобретают пурпурную окраску, постепенно переходящую в обычную синюю «йод-крахмальную». Наличие ионы I<sup>-</sup> необходимо для образования таких комплексов в р-рах гликогена и амилозы. Сравнение поведения 6-членного циклодекстрина Шардингера и нативной амилозы показывает, что предсуществование 6-членных циклов необходимо для образования йодного комплекса. Очевидно, ионы I<sup>-</sup> или I<sup>3-</sup> способствуют переходу амилозы в спиральную конфигурацию, после чего лишь образуется синий комплекс. В р-рах I<sub>2</sub> (60 К) эта р-ция не идет, из чего следует, что нативная амилоза имеет конфигурацию статистич. клубка. С. Ф.

6Р5. Спектры электронного парамагнитного резонанса некоторых полимеров, облученных при 77° K. Libby D., Ormerod M. G., Charlesby A. Electron spin resonance spectra of some polymers irradiated at 77° K. «Polymer», 1960, 1, № 2, 212–216 (англ.).— Образцы ряда полимеров облучали в вакууме при 77° K жесткими электронами на ускорителе Ван де Граафа (2 Мэв, 0,5 кэв) и при этой т-ре снимали спектры ЭПР. Предполагают, что при этих т-рах молекулы полимеров и модельных в-в достаточно неподвижны, чтобы можно было уловить первичные продукты облучения. Исследованы растянутый и нерастянутый полиэтилен, изотактич. полипропилен, тетраэтиленоктан C<sub>24</sub>H<sub>40</sub>, 17-пентаэтиленоктан C<sub>34</sub>H<sub>54</sub>, гексаметилентетраоксан C<sub>30</sub>H<sub>62</sub>, цис-1,4-полибутадиен и транс-1,4-полибутадиен. Во всех случаях идентификация радикалов осуществлялась сравнением их спектров ЭПР с рассчитанными теоретич. кривыми поглощения. Путем сравнения полученных спектров с спектрами ЭПР определенных модельных в-в и теоретич. расчетами было установлено, что спектры ЭПР мало зависят от длины цепей или их ненасыщенности, но в сильной степени зависят от присутствия и-тильных боковых групп. Ю. Липатов

6Р6. Определение «микротаكتичности» в цепях полипропилена методом поляризованных инфракрасных спектров. Волчек Б. З., Роберман Ж. Н. «Высокомолекуляр. соединения», 1960, 2, № 8, 1157–1161 (рез. англ.). С целью определения микротаكتичности цепей полипропилена (I) исследованы поляризованные ИК спектры в области 3000–2800 см<sup>-1</sup> образцов I. Ис-

30–40%);  
виде вод-  
ной башн.  
размолотом  
го р-ра NaCl  
ого р-ра I  
H 3–3,5 и  
4,5–5; по-  
го фильтро-  
ности 40%  
т до влаж-  
Розенфельд

коллагена  
ины 6572;  
ения кожи  
(141, 6П150,  
дубильные  
отные воды

икают при  
сы приобре-  
сходящую  
ичие нонн  
мплексов  
поведения  
натиной  
не 6-член-  
ия йодной  
пособству-  
ацию, после  
р-рах J<sub>2</sub> бо-  
о натиной  
убка. С.Ф.  
ного ре-  
при 77 К  
у А. Еле-  
ers irradi-  
2, 212–20  
и в ваку-  
ускорител-  
й т-ре сис-  
этих т-ри  
гачно не  
первично  
утый и не-  
пропилен  
ан C<sub>2</sub>H<sub>4</sub>  
либутиде  
идентифи-  
ем их спе-  
нвыми э-  
спектров в-  
в и те-  
ектры ЭПР  
асыщенно-  
ствия не-  
О. Липа-  
енях пав-  
сных сис-  
«Высоко-  
-1161 (ре-  
сти цепи  
анные ИК-  
I. Иссл-

делали пленки I, полученные из р-ров I в кипящем декалине и растянутые при 150–160°, а также пленки I, полученные из р-ров I в гексане при 20° и растянутые при ~20°. Максим. растяжение достигало 1000–1200%. Неполаризованные ИК-спектры образца I, приготовленного на катализаторе  $\text{TiCl}_3 + \text{Al}(\text{C}_2\text{H}_5)_3$  и полученного из р-ра в гексане, и образца I, приготовленного на  $\text{TiCl}_4 + \text{Al}(\text{C}_2\text{H}_5)_3$  и полученного из р-ра в кипящем декалине, практически совпадают, но поларизованные ИК-спектры заметно отличаются. Для образца, полученного из р-ра в кипящем декалине (степень кристалличности, определенная рентгеновским методом, ~65%), полосы 2845 и 2970  $\text{cm}^{-1}$  имеют параллельный дихроизм  $D_{\parallel} > D_{\perp}$ , а полосы 2926, 2950 и 2875  $\text{cm}^{-1}$  — перпендикулярный  $D_{\perp} > D_{\parallel}$ . Полоса 2970  $\text{cm}^{-1}$  в растянутом образце расщепляется на две взаимно перпендикулярные компоненты. Отношение дихроизма полосы 2926  $\text{cm}^{-1}$   $M_1 = D_{\perp}/D_{\parallel}$  к дихроизму полосы 2845  $\text{cm}^{-1}$   $M_2 = D_{\parallel}/D_{\perp}$  не зависит от растяжения образца и равно 1,24. При этом рассматриваемые полосы не являются «полосами кристалличности», так как отношение их оптич. плотностей не меняется при нагревании образца от 18 до 195° (т-ра плавления (175°). Для аморфного образца I, полученного из р-ра в гексане,  $M_1/M_2 \approx 1$ . Для других кристаллич. образцов I, полученных на  $\text{TiCl}_3 + \text{Al}(\text{C}_2\text{H}_5)_3$  и  $\text{TiCl}_4 + \text{Al}(\text{C}_2\text{H}_5)_3$  (степень кристалличности 45–57%),  $M_1/M_2 = 1,28–1,63$ , так что это отношение чувствительно к микротаكتичности. На трех образцах показано, что отношение оптич. плотностей полос 2926 и 2845  $\text{cm}^{-1}$  (с учетом эффекта ориентации) уменьшается в ~4,5 раза при растяжении, что может быть объяснено увеличением содержания поворотных изомеров, соответствующих более вытянутой цепи. О. Птицын

6Р7 К вопросу о конформации растягиваемой полимерной цепочки. Колбовский Ю. Я. «Высокомолекуляр. соединения», 1960, 2, № 8, 1144–1147 (рез. англ.).

Общий метод Маркова решения задачи о случайных блужданиях частицы с большим числом шагов и одинаковым для всех шагов распределением по длине и направлениям применен к получению функции распределения  $W(h)$  для расстояния  $h$  между концами полимерной цепи, растягиваемой внешней механич. силой. На основании  $W(h)$  получены следующие ур-ния для средних квадратичных проекций  $\bar{h}_x^2$  на направление силы:  $\bar{h}_x^2 = Nb^2[L(a)/a][a/L(a) - 2] + N^2b^2L^2(a)$  и на перпендикулярные направления:  $\bar{h}_x^2 = \bar{h}_y^2 = Nb^2L(a)/a$  ( $N$  — число сегментов в цепи,  $b$  — длина сегмента,  $a = fb/kT$ ,  $f$  — внешняя сила,  $L(a)$  — функция Ланжевена). Для цепи в электр. поле ( $a = pe/kT \ll 1$ ,  $p$  — дипольный момент мономерной единицы,  $E$  — напряженность поля, направленной вдоль оси  $z$ ):  $W(h) = 4\pi h^2 (3/2\pi Nb^2)^{3/2} \exp(-3h^2/2Nb^2) \exp \times \times (-a/2b) \text{Sh}(ah/b)/(ah/b)$ . О. Птицын

6Р8. Взаимодействия соседних групп и внутреннее вращение в полимерных молекулах. IV. Влияние растворителя на внутренние вращения. Lifson S., Shaefer O., Oppenheim Irwin. Neighbor interactions and internal rotations in polymer molecules. IV. Solvent effect on internal rotations. «J. Chem. Phys.», 1960, 33, № 1, 109–115 (англ.). — Рассмотрено влияние взаимодействия сегментов полимерной цепи с молекулами р-рителя на распределение вероятностей углов внутреннего вращения в цепи. Потенциальная энергия внутреннего вращения цепи представляет собой потенциал среднего крутящего момента вокруг единичной связи (усредненный по всем состояниям молекул р-рителя). Этот потенциал определяется как внутримолекулярными взаимодействиями, так и взаимодействием с р-рителем, сводящимся к влия-

нию вращения вокруг единичной связи на сольватацию макромолекулы вблизи данной связи. Количественно это влияние сводится к изменению распределения молекул р-рителя вблизи одной из ветвей макромолекулы, обусловленному взаимодействием с другой ветвью (по другую сторону от звена, вокруг которого происходит вращение). Указанный эффект может быть выражен через корреляционные функции распределения сегментов цепи и молекул р-рителя. Полученные авторами общие ур-ния конкретизированы для случая, когда вращение вокруг каждого звена цепи определяется взаимодействиями нескольких соседних звеньев. Указывается, что взаимодействие с р-рителем рассматриваемого типа может влиять на длину статистич. элемента цепи, т. е. «невозмущенные размеры» цепи могут зависеть от р-рителя. Сообщение III см. РЖХим, 1959, № 23, 84542. О. Птицын

6Р9. Свойства сверхразбавленных растворов высокополимеров. Миякаэ Ясуюхиро. «Кобунси», 1960, 9, № 3, 188–196 (японск.). — Обзор. Библ. 58 назв.

6Р10. Теория разбавленных растворов полимеров. III. Полидисперсные полимеры. Yamakawa Hiromi, Kurata Michio. Theory of dilute polymer solution. III. Heterogeneous polymer. J. Chem. Phys., 1960, 32, № 6, 1852–1860 (англ.). Развита в предыдущих сообщениях теория объемных эффектов в линейных полимерных цепях вблизи  $\theta$ -точки распространена на случай полидисперсного полимера. Получены аналитич. выражения для вторых вириальных коэф.  $A_2^{(i)}$  в ур-ниях для осмотич. давления ( $i = 1$ ) и интенсивности светорассеяния ( $i = 2$ ) р-ра полимера, а также характеристич. вязкости  $[\eta]$  и показателя  $n(X)$  в ур-нии  $[\eta] = [\eta]_0 \cdot \alpha_s^{n(X)}$ , где  $\alpha$  — коэф. раздувания макромолекулы в хорошем р-рителе, а  $X$  — параметр, характеризующий ее гидродинамич. проницаемость для р-рителя. Определены зависимости  $A_2^{(i)}$  от параметра  $h$ , характеризующего ширину мол.-вес. распределения Шульца (Schulz G. V., Z. phys. Chem., 1939, V43, 25). Учет полидисперсности понижает  $n(X)$ , улучшая согласие с эксперим. данными Кригбаума и Карпентера (РЖХим, 1956, № 21, 68522). Показано, что начальный наклон кривой  $[\eta]/[\eta]_0 - 1$  от  $A_2M_w/[\eta]_0$  ( $M$  — мол. вес.) нечувствителен к полидисперсности при  $h_w > 10$ , а начальная кривизна ее положительна при  $h > 1$ ; последний вывод подтверждается экспериментом. Сообщение II см. РЖХим, 1959, № 4, 14065.

Ю. Эйзнер

6Р11. Эффект исключенного объема и линейных полимерных молекулах. Kurata Michio, Stockmayer Walter H., Roig Antonio. Excluded volume effect of linear polymer molecules. «J. Chem. Phys.», 1960, 33, № 1, 151–155 (англ.). Предложена новая теория объемных эффектов в линейных полимерных цепях. Авторы исходят из предложенной Фиксманом (РЖХим, 1956, № 13, 39738) функции распределения для расстояния  $L$  между концами цепи с объемными эффектами, отличающейся от гауссовой на фактор  $\exp[-\frac{1}{2}\beta \int_{r_L}(\vec{r})d\vec{r}]$ . ( $\beta$  — эффективный исключенный объем,  $r_L(\vec{r})$  — численная плотность сегментов на расстоянии  $\vec{r}$  от центра тяжести цепи с расстоянием между концами  $L$ ), но вместо рассматривавшегося ранее сферически симметричного распределения сегментов считают, что сегменты равномерно распределены в эллипсоиде вращения, главные радиусы инерции которого совпадают с главными радиусами инерции цепи. Для цепи с фиксированным  $L$  средние квадраты главных радиусов инерции  $\bar{S}_x^2 = (Na^2/36)(1 + 3L^2/Na^2)$ ,  $\bar{S}_y^2 = \bar{S}_z^2 = Na^2/36$  ( $N$  — число



сегментов,  $a$  — длина сегмента), откуда  $(1/2)\beta \int r_L^2 \times \times (\vec{r}) d\vec{r} = \text{const} (\beta N^{1/2}/a^3) [(Na^2/L^2)/(1 + Na^2/3L^2)]^{1/2}$ . Приближенное вычисление  $\bar{L}^2$  с этой функцией распределения дает для  $\alpha^2 = \bar{L}^2/Na^2$  ур-ние  $\alpha^2 - \alpha = Cz/[1 + 1/3\alpha^2]^{1/2}$  (1), где  $z = (3/2\pi)^{1/2} \beta N^{1/2}/a^3$ , а  $C$  — константа, которая на условия соответствия с точной теорией равна  $(4/3)^{1/2}$ . В отличие от ур-ния Флори  $\alpha^2 - \alpha^2 = \text{const} \cdot N^{1/2}$ , согласно предложенной теории  $(\alpha^2 - \alpha^2)/\sqrt{N}$  растет с ростом  $N$ , что подтверждается результатами вычислений  $\alpha(N)$  для тетраэдрич. решеткой методом Монте Карло. (РЖХим, 1959, № 21, 77174). Предложенная теория согласуется с результатами этих вычислений, если считать, что сегмент содержит два звена цепи, при  $\beta = 1,43$  что близко к значению  $\beta = 1,53$  для тетраэдрич. решетки, полученному из геометрич. рассмотрения. Показано, что ур-ние  $z\alpha (d\alpha/dz) = 1 - \alpha^2 + 2z/\alpha$ , предложенное ранее Фиксманом, также согласуется с результатами вычислений методом Монте Карло. Значения  $\alpha$  для молекул полистирола в бензоле и полиизобутилене, в циклогексане и диизобутилене, полученные из характеристик. вязкости этих р-ров по ур-нию  $[\eta]/[\eta]_0 = \alpha^{2,43}$  (2) (РЖХим, 1959, № 4, 14065), также удовлетворяют предложенному ур-нию. Указано, что из ур-ний (1) и (2) следует, что в ур-нии  $[\eta] \approx M^v$  ( $M$  — мол. вес)  $0,5 \leq v \leq 0,9$  (по Флори  $0,5 \leq v \leq 0,8$ ). О. Птицын

6Р12. Угловое распределение критической опалесценции и измерение молекулярного взаимодействия. Debye P. Die Winkelverteilung der kritischen Opaleszenz und die Messung molekularer Wechselwirkung. «Makromolekul. Chem.», 1960, 35A, 1—11 (нем.; рез. англ.).—Обзор работ автора. Ю. Эйзнер

6Р13. Рассеяние света растворами разветвленных макромолекул с одной точкой ветвления. Колбровский Ю. Я. «Высокомолекул. соединения», 1960, 2, № 9, 1375—1377 (рез. англ.).—При использовании общего ур-ния Бенуа (РЖХим, 1954, № 22, 47924) для углового распределения  $P(\theta)$  интенсивности света, рассеянного разветвленными макромолекулами, получено ур-ние для  $P(\theta)$  для макромолекул с одной точкой ветвления и  $q$  ветвями. В частном случае, когда все ветви содержат одинаковое число звеньев  $N/qP(\theta) = 2/Nu + (q/N^2u^2)[(q-3)-2(q-2)\exp(-uN/q) + (q-1)\exp(-2u/q)]$ , где  $u = 8\pi^2b^2\sin^2(\theta/2)/\lambda^2$ ,  $b$  — длина сегмента цепи,  $\lambda'$  — длина световой волны в р-ре. Для случая, когда длины ветвей распределены случайным образом,  $P(\theta) = (2/uN)[1-2F(1, q+1, -uN) + F(1, q+1, -2uN)] + F^2(1, q+1, -uN)$ , где  $F$  — вырожденные гипергеометрич. функции. О. Птицын

6Р14. Данные по рассеянию рентгеновских лучей под малыми углами при определении размеров и строения макромолекул в растворе. Kratky O. Ergebnisse der Röntgenkleinwinkelstreuung bei der Bestimmung der Größe und Gestalt von Makromolekülen in Lösung. «Makromolekul. Chem.», 1960, 35A, 12—48 (нем.; рез. англ.).—Приведено определение рассеяния рентгеновских лучей под малыми углами и изложены принципиальные основы концепций электронного радиуса вращения ( $R_g$ ) и корреляционной («перзистентной») длины  $L$  для анализа эксперим. данных. В терминах  $R_g$  может быть описано рассеяние от коллоидов и жестких сплошных макромолекул типа глобулярных белков. Экстраполяция углового распределения интенсивности рассеяния к нулевому углу позволяет определить также мол. вес ( $M$ ) макромолекул. Подобные абс. определения интенсивности требуют знания интенсивности исходного пучка; описаны две эксперим. процедуры для точного определения этой величины. Сопоставление  $M$  и  $R_g$  позволяет опреде-

лить анизотропию (осевое отношение) частиц независимо от их сольватации. При наличии внутренней сольватации она также может быть определена с помощью так называемого инварианта Порода. Для точного определения формы макромолекул необходим детальный анализ кривой рассеяния. Концепция длины  $L$  применительно к цепным макромолекулам позволяет непосредственно определить длину статистич. элемента цепи. Приводятся соответствующие данные для р-ров нитроцеллюлозы в ацетоне и НК в гексане. С. Френкель

6Р15. Асимметрия критической опалесценции в растворах полистирола в циклогексане. Эскин В. Е. «Высокомолекул. соединения», 1960, 2, № 7, 1049—1055 (рез. англ.).—С целью проверки теории Дебая (РЖХим, 1960, № 13, 55447), предсказывающей наличие асимметрии критич. опалесценции в жидких смесях, исследована асимметрия критич. опалесценции в р-рах полистирола (I) в циклогексане. Измерения интенсивности рассеянного света  $I_\theta$  проводили на фотоэлектрич. нефелометре при углах рассеяния  $\theta = 25-150^\circ$ ; исследовали 3 весьма узких фракции I с мол. весами  $M = 240, 90$  и  $23 \cdot 10^3$  при конц-ях  $c = 0,25-1,38$  г/дл и т-рах  $T$ , превышающих критич. т-ру смещения  $T_k$  на  $1,1-4,1^\circ$ . Асимметрия критич. опалесценции действительно наблюдается, но, в противоречии с теорией Дебая, кривые зависимости  $1/I_\theta$  от  $\sin^2(\theta/2)$  не линейны, а заглубаются вниз. При этом величина кривых не связана с полидисперсностью исследуемых образцов. Величины  $T_k$  определены с помощью теории Дебая путем экстраполяции зависимости  $I_{180^\circ}/I_{0^\circ}$  от  $T$  к  $I_{180^\circ}/I_{0^\circ} = 0$ , совпадают с измеренными по помутнению р-ров. Начальные наклоны кривых зависимости  $1/I_\theta$  от  $\sin^2(\theta/2)$  заметно возрастают с уменьшением  $T - T_k$ . По теории Дебая из начальных наклонов определены средние квадратичные расстояния между концами молекул I для трех фракций, равные (в среднем для различных с  $T - T_k$ ) соответственно  $370 \pm 30, 280 \pm 30$  и  $170 \pm 20$  Å; вычисленные значения размеров молекул I в  $\theta$ -точке равны для этих фракций соответственно 340, 210 и 110 Å; вблизи  $T_k$  (т. е. ниже  $\theta$ -точки) они должны быть еще меньше. Тем не менее, качественно размеры, полученные методом асимметрии критич. опалесценции, совпадают с размерами, вычисленными по  $M$ , хотя различие увеличивается с уменьшением  $M$ . О. Птицын

6Р16. Константа вращательной диффузии цилиндрической частицы. Broersma S. Rotational diffusion constant of a cylindrical particle. «J. Chem. Phys.», 1960, 32, № 6, 1626—1631 (англ.)

6Р17. Коэффициент поступательного трения закрытого цилиндра. Broersma S. Viscous force constant for a closed cylinder. «J. Chem. Phys.», 1960, 32, № 6, 1632—1635 (англ.)

6Р18. Гидродинамические параметры, размеры, форма и жесткость макромолекул. Frénkel S. A makromolekulák hidrodinamikai sajátágai, méretei, alakja és merevsége. «Magyar tud. akad. Kém. tud. oszt. közl.», 1960, 14, № 1, 63—123 (венг.).—Обзор с использованием некоторых собственных эксперим. данных автора. Сделана попытка единого описания гидродинамич. поведения жестких сплошных и цепных макромолекул. Содержание: 1. Введение. Законы Стокса и Эйнштейна для идеальных жестких частиц. 2. Гидродинамич. параметры идеальных жестких частиц. 3. Идеальные клубки в р-ре. 4. Реальные клубки (размеры и их связь с жесткостью и разветвленностью). 5. Реальные жесткие макромолекулы и конфигурационные превращения (в этой главе рассмотрены также проблемы «внутримолекулярной кристаллизации»

стиц неза-  
туренней  
лена с по-  
рода. Для  
необходи-  
мости для  
кулум по-  
ну стату-  
ствующие  
оне и НК  
Френкель  
в рас-  
и В. Е.  
7, 1049—  
и Дебан  
шей нали-  
дких сме-  
сесценции  
Измерения  
одили на  
яния  $\theta$  =  
фракции I  
конц-д-  
их критич.  
и критич.  
но, в про-  
цности 1/1,  
и. При этом  
ерсность  
еделенные  
ции зави-  
падают с  
льные на-  
2) замети-  
и Дебан  
е квадра-  
ул I для  
ичных с  
70  $\pm$  20 Å,  
в  $\theta$ -точ-  
40, 210 и  
и должны  
и размер,  
палесцен-  
и по M,  
и M.  
и. Птички  
и цилин-  
и diffusion  
ys., 1961,  
ия закре-  
e constan-  
32, № 6  
размер,  
el S. Ia  
méreité,  
tud. ost.  
с исполь-  
данни  
гидро-  
ных ма-  
е Стокс  
д. 2. Гир-  
части,  
бки (ра-  
иность),  
ируване-  
ны тако-  
изация 1

«в биополимерах и аналоги этих процес-  
сов в некоторых синтетич. полимерах». 6. Дополнения  
и заключения. (а) об «эквивалентных частях», б) се-  
лительная растворимость блок- и привитых полиме-  
ров, в) некоторые практич. рекомендации, г) о сред-  
нем радиусе вращения. Библ. 82 назв. С. Ф.  
6P19. Ультрацентрифуга Сведберга, прибор для ис-  
следований в области макромолекулярной химии.  
Meyerhoff G. Die Svedbergsche Ultrazentrifuge, For-  
schungsinstrument der makromolekularen Chemie. «An-  
gew. Chem.», 1960, 72, № 18, 699—707, III, IV (нем.; ре-  
з. англ., франц., итал., исп.).—Обзор, содержащий описа-  
тельную и теоретич. части. Библ. 53 назв. С. Френкель  
6P20. Исследования ротационной дисперсии поли-  
сахаридов. II. Конформация частично метилированной  
целлюлозы в растворе. Neely W. Brock. Optical rota-  
ry dispersion studies on polysaccharides. II. Confor-  
mation of partially methylated cellulose in solution. «J.  
Amer. Chem. Soc.», 1960, 82, № 16, 4354—4357 (англ.).—  
Измерили дисперсию уд. оптич. вращения водн. р-ров  
образца метилцеллюлозы (МЦ) с содержанием мето-  
ксильных групп 29,5% и средним мол. весом 35 000.  
При повышенных т-рах и длительном стоянии р-ров  
происходит медленная агрегация МЦ, регистрируемая  
также по падению эффективного уд. вращения. Одно-  
временно возникает аномальная дисперсия, не подчи-  
няющаяся обычному ур-нию Друде и свидетель-  
ствующая о конформационном превращении МЦ при  
переходе в ассоциированное состояние. Ассоциация  
МЦ максимальна при 100°; она может быть предотвра-  
щена при т-рах < 10° и обычным образом зависит от  
конц-ии. Очевидно, в сольubilизованном состоянии  
блика 0° макромолекулы МЦ полностью гидратирова-  
ны. Повышение т-ры постепенно разрушает гидратную  
оболочку, и появляющиеся межмолекулярные контак-  
ты приводят к образованию медленно выпадающих из  
р-ра плоских агрегатов. При полной дегидратации  
(100°) МЦ сразу выпадает из р-ра. Сообщение I см.  
РЖХим., 1960, № 18, 76001. С. Френкель  
6P21. Фазовое расслаивание в системе полимер —  
растворитель. Объемы слоев и молекуляр-  
ные веса полимеров. Липатова С. М. «Коллоид. ж.»,  
1960, 22, № 5, 639—640 (рез. англ.).—Изучено расслаи-  
вание (РС) смесей двух полимеров (ПМ) в общем  
р-рителе. Показано, что смешиваемость р-ров полиме-  
ров не обозначает смешиваемости самих ПМ. РС обус-  
ловлено различием в мол. структуре ПМ. В жидкостях,  
в которых оба ПМ насыщают свои силовые поля, РС  
не происходит, как оно не происходит и при смешении  
двух ПМ в бинарной смеси жидкостей, из которых  
одна является хорошим р-рителем для одного, а дру-  
гой — для другого ПМ. Показано, что осмотич. давле-  
ние равновесных слоев ПМ одинаково, что дает воз-  
можность определить их мол. вес по объему слоев  
и их весовой конц-ии. Из резюме автора  
6P22. Исследование несмешиваемости разбавлен-  
ных растворов высокомолекулярных соединений.  
I. Влияние степени полимеризации на границу несме-  
шиваемости и на поведение несмешивающихся систем  
в градиенте скорости. Пример системы бензол — поли-  
стирол — этилцеллюлоза. Burkhardt F., Majer H.,  
Kuhn W. Untersuchungen über die Entmischung verdün-  
nter Lösungen makromolekularer Substanzen. I. Einfluss  
des Polymerisationsgrades auf die Grenze der Entmis-  
chung und auf das Verhalten der entmischten Systeme  
in einem Strömungsfälle, Beispiel des Systems Ben-  
zol — Polystyrol — Äthylcellulose. «Helv. chim. acta»,  
1960, 43, № 5, 1192—1208 (нем.).—Рассматривается за-  
висимость наблюдавшегося и ранее при различных  
условиях явления несмешиваемости р-ров полимеров  
от степени полимеризации. Р-ры приобретают свой-  
ство не смешиваться уже при небольших конц-ях.  
Общая конц-ия полимера, при которой происходит рас-  
слоение, тем меньше, чем больше мол. вес. При рас-

слоении одна из фаз находится в виде мелких капель  
в среде другой. В градиенте скорости эти капли под-  
вергаются деформации и ориентации и разрываются.  
Вызываемое наличием капель рассеяние света, прохо-  
дящего через систему, дает возможность изучать яв-  
ление несмешиваемости оптич. методом. Установлено,  
что геометр. картина рассеяния исчезает при опре-  
деленном критич. градиенте скорости  $q(\text{кр.}) \cdot q(\text{кр.}) =$   
 $= \alpha \cdot \Delta T$ , где  $\alpha = 3,6 \cdot 10^6 \cdot M^{-1}$ ,  $\Delta T$  — разность критич.  
т-ры несмешиваемости и т-ры опыта, а  $M$  — средний  
мол. вес обоих полимеров. Ю. Панов  
6P23. Растворимость некоторых привитых сополи-  
меров. Козлов П. В., Иовлева М. М., Хакимо-  
ва А. Х., Зезин А., Клущина А. «Высокомолекул.  
соединения», 1960, 2, № 10, 1580—1585 (рез. англ.).—  
Изучены диаграммы состояния привитых сополиме-  
ров (ПС) дифильного типа [на основе крахмала и сти-  
рола (исходное соотношение 1:15) и на основе поли-  
этилтерефталата и акриловой к-ты] и ПС, исходные  
компоненты которых близки по растворимости [поли-  
стирол (I) — винилацетат и полиизобутилен — стирол].  
Установлено, что прививка как правило ухудшает  
истинную растворимость ПС по сравнению с раство-  
римостью исходных гомополимеров. Изучение диаграмм  
состояния позволяет охарактеризовать растворимость  
величиной области гомогенного р-ра: чем больше эта  
область, тем лучшей растворяющей способностью об-  
ладает р-ритель по отношению к полимеру. Для ПС  
поливинилацетата и I определены интегральные те-  
плоты набухания в бензоле и в смеси гидрированных  
мономеров (этилбензол — этилацетат) и полученные  
данные сравнены с результатами для механич. смеси  
I — поливинилацетат. Показано, что значение энерге-  
тич. составляющей изобарного изотермич. потенциала  
возрастает по абс. величине при растворении ПС, что  
обусловлено разрушением структуры I в результате  
прививки. Рост отрицательного значения энтропийной  
составляющей изобарного изотермич. потенциала так-  
же объясняет резкое уменьшение растворимости ПС.  
Полученные данные сопоставлены с результатами, по-  
лученными для ПС из I и полиакриловой к-ты, и сде-  
лано заключение, что прививка может вызвать су-  
щественные изменения как в энергетич., так и в эн-  
тропийном эффекте взаимодействия р-рителя с ПС по  
сравнению с исходным гомополимером. Резкое ухуд-  
шение растворимости ПС объясняется в одних случа-  
ях неблагоприятными изменениями энергетической,  
а в других случаях энтропийной составляющей в про-  
цессах набухания и растворения таких сополимеров.  
Л. Золотаревская  
6P24. Термодиффузионное распределение полихло-  
ропрена. Kössler Ivo, Stölka Milan. Thermodif-  
fusion distribution curve of polychloroprene. «J. Polymer  
Sci.», 1960, 44, № 143, 213—222 (англ.; рез. франц.,  
нем.).—Проведено исследование кривых термодиффу-  
зионного распределения нефракционированного поли-  
хлоропрена с характеристич. вязкостью 1,14. Приме-  
няемый градиент т-р составлял 600° на 1 см. Исследо-  
вание велось как с системой, имеющей несколько ре-  
зервуаров, так и с безрезервуарной системой. В послед-  
нем случае были получены более однородные фрак-  
ции. Дополнительное разделение высокомолекулярных  
фракций экстракцией полимера позволило получить  
хорошее распределение. Кривые термодиффузионного  
распределения имеют две точки перегиба и подобны  
кривым, полученным фракционированием. Ю. Панов  
6P25. Изучение полидисперсности некоторых обла-  
гороженных целлюлоз. Mašura V., Slávik I. Stá-  
dium polymolekularity niektorých zošľachtených buni-  
tín. «Chem. zvesti», 1960, 14, № 3, 225—233 (словацк.;  
рез. русск., нем.).—Сравнивали молекулярно-весовые  
распределения (МВР) ряда целлюлоз in situ и после  
тщательного делигнирования и обработки щелочью  
(время предварительной пропитки 48 час.). Во всех





характеризующая способность жидкостей к образованию гелей, увеличивается со следующим изменением концентрации р-ра: 21,1, 10,0, 17,1%. Этот порядок совпадает с порядком, определенным из данных по структурной вязкости времени релаксации. Сделано заключение, что СОН р-ра с большим временем релаксации ( $5 \cdot 10^{-3}$  сек.) мало зависит от вязкого течения жидкостей, но зависит от релаксационных явлений в вязкоупругом материале.

VII. Изучена СОН и определена структурная вязкость для 15, 20, 21, 24 и 25%-ных водно-ацетоновых р-ров ацетилицеллюлозы. Так же как и в предыдущем случае, установлено, что СОН 20, 21, 24 и 25%-ных р-ров зависит главным образом от вязкоупругой релаксации р-ров, а СОН 15%-ного р-ра зависит также и от вязкого течения, так как время релаксации 15% р-ра ( $10^{-2} - 10^{-3}$  сек.) меньше по сравнению с временем релаксации других р-ров ( $10^{-1} - 10^{-2}$  сек.). Проведенные исследования показывают, что начало процесса прядения имеет характеристич. период  $10^{-2}$  сек., который меньше, чем фактич. время прядения (длина нити/скорость прядения  $\approx 1$  сек.). Сообщение В см. РЖХим, 1960, № 11, 45360.

6Р33. Вязкости концентрированных растворов полимеров. V. Два полиэлектролита. Heckler George E., Newlin Thomas E., Stern Donald M., Stratton Robert A., Witt Jerry R., Ferry John D. Viscosities of concentrated polymer solutions. V. Two polyelectrolytes, *J. Colloid Sci.*, 1960, 15, № 4, 394—396 (англ.).—Исследовано влияние нейтрализации, конц-ии и т-ры на вязкость конц. р-ров полиакриловой к-ты (I) и сополимера стирола с малеиновой к-той в соотношении 1:1 (II). Полимеры исследовали в водн. р-рах при т-рах  $15-40^\circ$  и конц-иях от 16 до 9 г на 100 мл р-ра. Вязкости измеряли методом падающей шарика. Установлено, что для I зависимость вязкости от т-ры при различных конц-иях при степенях нейтрализации (СН) от 0 до 97% аналогична соответствующим зависимостям для неполярных полимеров в азотсодержащих р-рителях. При этом вязкость возрастает примерно в 20 раз при увеличении СН от 0 до 97%. Для р-ра II с увеличением СН до 60% вязкость заметно уменьшается, а зависимость ее от т-ры делается более резкой с уменьшением СН. Оценка энергии активации вязкого течения II при разных СН показала, что при СН 60% и конц-ии 14% эта величина имеет нормальное значение, но резко падает с уменьшением СН. Это уменьшение наблюдается и при большей СН в случае более высокой конц-ии или более низкой т-ры. При обсуждении результатов авторы исходят из того, что в конц. р-рах вследствие взаимного проникновения клубков и более равномерного распределения противоионов эффекты электростатич. отталкивания будут выражены менее заметно. Сложность вязкостного поведения II определяется возможностью ассоциации фенильных групп, приводящей к свертыванию цепочек. Резкое изменение энергии активации течения связано с изменением степени ассоциации. Для р-ра II с конц-ией 31% на приборе с коаксиальными цилиндрами определены вязкоупругие свойства и вычислен релаксационный спектр, характеризующийся наличием плато протяженностью на 8 порядков времен релаксации. Сделан вывод, что аномальное поведение II связано не столько с его полиэлектролитной природой, сколько с комбинацией ионных и гидрофобных групп в водн. среде. Сообщение IV см. РЖХим, 1958, № 10, 34887.

Ю. Липатов  
6Р34. Влияние ионизирующего гамма-излучения на структурно-механические свойства студий крахмала. Орешко В. Ф., Черненко Л. Е., Шахова И. Г. Докл. АН СССР, 1960, 134, № 3, 636—638.—Прочность студий крахмала в зависимости от дозы ионизирующего гамма-излучения измерялась по предельному напряжению сдвига  $P_m$  методом конич. пласто-

мера. Дозы облучения (источник  $Co^{60}$ ) составляли  $1 \cdot 10^6 - 18,2 \cdot 10^6$  рентгенов. При увеличении дозы облучения вначале наблюдается возрастание  $P_m$ , а затем спад до нуля. Это связано с тем, что в области интегральных доз  $4 \cdot 10^6$  рентгенов изменение  $P_m$  облученных крахмалов обусловлено изменением числа гидроксильных, способных образовывать водородные связи, которые высвобождаются вследствие дезорганизации при деструкции. При увеличении дозы на  $P_m$  значительно влияет образование структурной сетки при взаимодействии концевых групп макромолекул, что приводит к замедленному нарастанию пластич. прочности, которая в этом случае не достигает своего предельного значения за время опыта (80 час.). Дальнейшее увеличение дозы приводит к такой сильной деструкции, что получающиеся молекулы теряют способность образовывать студии.

Ю. Панов  
6Р35. Структура растворов F-актина. Kasai Michiki, Kawashima Hirotsuka, Oosawa Fumio. Structure of F-actin solutions. *Polymer Sci.*, 1960, 44, № 143, 51—69 (англ.; рез. франц., нем.).—Исследования механич. свойства (жесткость и вязкость) и двойное лучепреломление в потоке р-ров F-актина, одного из протеинов мышц, с целью определения структуры этих р-ров и влияния внешних механич. факторов на структуру. Проводили измерения с комбинированным механич. воздействием: вращение внешнего цилиндра вискозиметра и колебания внутреннего при малых скоростях сдвига при колебании  $< 1$  сек $^{-1}$  и для вращения  $< 6$  сек $^{-1}$ . Р-ры F-актина были получены из исходных р-ров G-актина при добавлении небольших кол-в  $MgCl_2$  при pH 8. При повышении конц-ии ионов  $Mg$  выше критич. наступает динамич. равновесие между молекулами G-актина и F-актина, причем последние представляют собой рыхлую сетку из полужестких нитей, образованных из молекул G-актина. Образование сетки приводит к увеличению жесткости р-ров F-актина и возникновению структурной вязкости, зависящей от скорости сдвига; при этом жесткость, вязкость и двойное лучепреломление возрастают с конц-ией F-актина. Возможность образования и разрыва узлов сетки обуславливает ряд механич. свойств, отличных от свойств обычных эластомеров. Оценка расстояния между соседними узлами сетки приводит к значениям, составляющим  $1/4 - 1/7$  от полной длины цепи, что соответствует  $\sim 30$  статистич. эффективных свободносочлененным сегментам в цепи, каждый из которых содержит по 10 молекул G-актина. Составление с данными по светорассеянию указывает на то, что значение мол. веса кинетич. единиц F-актина примерно равно  $3-8 \cdot 10^6$ , т. е. что каждая кинетич. единица содержит по 50—130 молекул G-актина или 5—13 статистич. сегментов в каждой кинетич. единице. Поскольку при конц-иях ионов  $Mg < 1$  ммоль/л конц-ия узлов не зависит от конц-ии ионов  $Mg$ , а определяется лишь конц-ией F-актина, сделан вывод о том, что узлы образованы путем перепутывания длинных цепей F-актина, хотя при больших конц-иях ионов  $Mg$  возможна агрегация цепей «бок к боку». Сравнены аномальные механич. свойства р-ров F-актина и р-ров других протеинов мышц.

Ю. Готлиб  
6Р36. Получение мезоморфных гелей в смесях блокполимеров стирола и окиси этилена с различными растворителями. Skoulios Antoine, Finaz Gilles, Parrod Jacques. Obtention de gels mésomorphes dans les mélanges de copolymères séquencés styrolène-oxyde d'éthylène avec différents solvants. *C. r. Acad. sci.*, 1960, 251, № 5, 739—741 (франц.).—Исследования полученных методом живых цепей блокполимер (БП) стирола (В) и оксиэтилена (А) типа АВА, содержащей 44% А и 50% В, с  $M_w$  центрального полистирольного блока 7900. В системе БП—вода (р-ритель А и осадитель В)—этилбензол БП в больших конц-иях образует мезоморфные гели, напоминающие нематич.

структуры в системах вода — низкомолекулярное мыло. Подобные двулучепреломляющие структуры были хорошо видны в поляризационном микроскопе. В комбинации с рентгенографич. измерениями эти данные позволяют сделать следующие заключения: гидрофобные (В) блоки БП в смеси с этилбензолом локализованы в параллельно ориентированных цилиндрич. областях, образующих гексагональную (жидко-кристаллич.) решетку; пространство между этими цилиндрами заполнено смесью гидрофильных (А) блоков с водой. Каждый из отдельно взятых блоков имеет конфигурацию статистич. клубка. Диаметры «цилиндров» и расстояния между осями определяются содержанием соответственно этилбензола и воды в системе и равны в среднем 150 и 200 Å. На фазовой диаграмме отчетливо видна зона расслоения, в которой гель находится в равновесии с изотропной жидкостью; при малых концентрациях БП также происходит разделение фаз, причем центрифугированием удается разделить воду и этилбензольные экстракты БП. Мезоморфные гели образуются и в бинарных системах, если р-ритель является хорошим для В и плохим для А или наоборот. В зависимости от характера р-рителя гели могут быть нематич. или смектич. типа; во всех случаях они чрезвычайно стабильны. С. Френкель

6Р37. Изучение неорганических полиэлектролитов. Часть III. Проводимость водных растворов конденсированных фосфатов. Chatterji A. C., Bhargava. Studies in inorganic polyelectrolytes. Part III. Conductivity behaviour of the aqueous solutions of condensed phosphates. «Kolloid-Z.», 1960, 170, № 2, 116—123 (англ.; реф. нем.).—Изучали проводимость водн. р-ров 30 образцов соли Grahams. Кривая зависимости эквивалентной проводимости  $\lambda$  от корня квадратного из эквивалентной концентрации ( $C^{1/2}$ ) имеет сильную кривизну при малых конц-ях, подобно кривой для слабых полиэлектролитов. Это объясняется ассоциацией противоионов с полиионами. Возрастание  $\lambda$  с уменьшением  $C$  особенно сильно выражено для низкомолекулярных образцов. С увеличением  $M$  ( $M$  — мол. вес)  $\lambda$  уменьшается сначала быстро, а потом медленнее. В логарифмич. масштабе зависимость  $\lambda$  от  $C^{1/2}$  имеет линейный характер, зависимость  $\lg[\eta]$  от  $\lg C^{1/2}$  также линейна. Вычислена величина «кажущейся основности», которая лежит между 2 и 3 и уменьшается с увеличением  $M$ . Часть II см. РЖХим, 1959, № 5, 14868.

6Р38. Электрофоретическая подвижность и вязкость полиакриловой кислоты и полиметакриловой кислоты. Mathieson A. R., McLaren J. V. The electrophoretic mobility and viscosity of poly(acrylic acid) and poly(methacrylic acid). «J. Chem. Soc.», 1960, Sept., 3581—3588 (англ.).—Измерены электрофоретич. подвижность ( $\mu$ ) и вязкость ( $\eta$ ) р-ров полиакриловой к-ты (I) с мол. весом  $2,5 \cdot 10^5$  в водн. буферных р-рах с pH 3—12. Определение  $\mu$  производилось в приборе Тизеллуса при  $t$ -ре 4°; электродной жидкостью служил р-ритель, диализованный до равновесия. Показано, что при постоянном pH величина  $\mu$  возрастает при увеличении ионной силы р-ра (I), достигает максимума при  $I = 0,07$ — $0,08$ , а затем уменьшается. При постоянной величине  $I = 0,02$ — $0,06$   $\mu$  растет при увеличении pH до 7—9 и уменьшается в щел. среде; при  $I = 0,11$ — $0,20$  наблюдается лишь небольшой рост  $\mu$  с ростом pH буферного р-ра. Увеличение конц-ии полимера ( $c$ ) от 0,04 до 0,3% вызывает незначительное увеличение  $\mu$ . Вязкость нейтр. р-ра I быстро растет с конц-ией; при pH 10 наблюдается линейное возрастание приведенной вязкости  $\eta(уд.) / c$  с конц-ией и уменьшение этой величины с повышением ионной силы. Постоянная  $k'$  в ур-нии Хаггинса  $\eta(уд.) / c = [\eta] + k'[\eta]c$  для I в буферном р-ре при pH 10 минимальна при  $I = 0,11$ . По величине  $[\eta]$  с помощью теории Флори — Фокса рассчитаны размеры мол. клубка I в р-ре. Сред-

нее квадратичное расстояние между концами молекул увеличивается с ростом pH и уменьшением ионной силы; при pH 8—12 и  $I = 0,02$  оно втрое больше, чем для цепи со свободным вращением. По кривым потенциометрич. титрования I в соответствии с теорией Качальского (РЖХим, 1956, № 9, 25351) рассчитана величина константы диссоциации:  $pK'_0 = 4,86$  при  $I = 0,02$  и  $pK'_0 = 4,45$  при  $I = 0,20$ . Для полиметакриловой к-ты ( $M = 2,71 \cdot 10^5$ )  $\mu$  уменьшается с ростом  $c$  и  $I$  и растет с увеличением pH; среднее значение  $pK'_0 = 4,86$ .

6Р39. Рентгеновское рассеяние поливинилхлорида. I. Новые отражения, найденные в диаграмме дифракции. Asahina Mitsuo, Okuda Kensuke. «Kobunshi Kagaku, Chem. High Polym.», 1960, 17, № 183, 441—444 (японск.; реф. англ.).—Однородно ориентированные образцы поливинилхлорида (ПВХ) дают в основном два новых отражения  $M_1(d = 5,15 \text{ Å})$  и  $L_1(d = 4,69 \text{ Å})$  на меридиане рентгеновской диаграммы. Для правильной интерпретации этих отражений исследованы образцы ПВХ, заподлимеризованные в области  $t$  от 50 до  $-78^\circ$ . Отражение  $M_1$  может быть объяснено как меридиальное, возникающее от ряда плоскостей перпендикулярных оси волокна, а отражение  $L_1$  — от слоев. Интенсивность и ширина этих отражений увеличиваются с уменьшением  $t$ -ры полимеризации. По резюме авторов.

6Р40. Тонкая структура нативных целлюлозных волокон. II. Различия между тонкой структурой древесной и лиственной пульпы. Nishimura Hiroshi, Nakao Osakazu, Migita Nobuhiko. «Sangakkaishi, Sen-i gakkaiishi, J. Soc. Text. and Cellulose Inds, Japan», 1960, 16, № 4, 289—295 (японск.; реф. англ.).—Для выяснения различий в тонкой структуре образцы древесной и лиственной пульпы были подвергнуты действию 4—18%-ного NaOH при  $20^\circ$ , а затем гидролизированы. Получены кривые распределения бокового порядка на основе изменений кол-ва микелл, результаты определения выравнивания степени полимеризации и константы скорости гидролиза. Дополнительно получены микрофотометрич. кривые рентгенограмм исследованных образцов. Древесная пульпа обладает значительным кол-вом промежуточных областей с широким интервалом бокового порядка во всех направлениях, тогда как лиственная пульпа содержит таких областей гораздо меньше. Рентгенографически удается показать наличие в пульпе небольшого кол-ва целлюлозы-II, которое увеличивается при обработке целюлозы в результате перегруппировки цепей при набухании. См. обобщение I см. РЖХим, 1959, № 22, 80789.

6Р41. Исследование структуры и свойств сополимеров этилена и пропилена. Каргин В. А., Марквас Г. С., Ковалева В. П. «Высокомолекул. соединения», 1960, 2, № 10, 1531—1534 (реф. англ.).—Электрографическими, спектроскопич., механич. и термомеханич. методами исследована структура регулярных полиэтилена и полипропилена и сополимеров (СП) этилена (I) и пропилена (II) с содержанием II в исходной смеси 4, 8, 10, 20, 54 и 76,6 вес.%. Установлено, что СП I—II имеют кристаллич. структуру, но с увеличением нерегулярности в цепи степень совершенства кристаллич. областей снижается. Картины дифракций от кристаллич. участков структурно аналогичны картинам рассеяния от полипропилена. Неупорядоченность пропиленовых и этиленовых звеньев в цепи СП не вызывает напряжений в образующихся кристаллах. Показано, что в спектрах СП по мере увеличения числа пропиленовых звеньев в цепи при повышении процента II в исходной смеси относительная интенсивность полосы  $1372 \text{ см}^{-1}$ , характерной для  $\text{CH}_3$ -группы, увеличивается приблизительно пропорционально увеличению процента вводимого в смесь II. С увеличением нерегулярности в цепи СП I—II напряжение, не-

необходимое для разрушения кристаллов, падает. Термодинамические исследования установили, что увеличение регулярности в цепи сопровождается падением  $T_g$  при переходе из стеклообразного состояния в высокоэластическое.

6Р42. Исследование дважды ориентированных полимеров в поляризованном инфракрасном свете. Siewierska Stefania. Badania podwójnie zorientowanych polimerów w świetle podczerwonym spolaryzowanym. «Prace Inst. włókienn.», 1960, 10, № 2, 44—51 (польск.; рез. англ., франц., нем., русск.). Описана стандартная процедура для анализа структуры волоконобразующих полимеров, основанная на использовании плеохроизма при интерпретации ИК-спектров. Таким путем удается установить ориентацию валентных связей  $C=O$ ,  $N-H$  и  $O-H$  связей в кристаллических и аморфных участках полимера. Большая часть статьи представляет собой изложение теории метода. Библ. 5 назв.

6Р43. Переходы и кристаллизация. Такаэ и г-н Когэ какаку даэси, Kogyo Kagaku Zasshi, J. Chem. Soc. Japan. Industr. Chem. Sec., 1960, 63, № 9, 1492—1499 (японск.). Обзор. Библ. 64 назв.

6Р44. Изофазные переходы в политрифторхлорэтилене. Baccaredda M., Butta E. Isophase transitions in polytrifluorochloroethylene. «J. Polymer Sci.», 1960, 44, № 144, 421—427 (англ.; рез. франц., нем.). Исследована зависимость скорости звука  $V$  и коэф. поглощения (КП) в политрифторхлорэтилене от  $T$  в интервале от  $-160$  до  $200^\circ$  в области частот от 4 до 60 кГц. На кривой  $V(T)$  при общем убывании  $V$  с  $T$  обнаружены три характерист.  $T_g = -58^\circ$ ,  $T_1 = -48^\circ$  и  $T_2 = -130^\circ$ , причем при  $T_g$  и  $T_2$  происходит резкое изменение наклона кривой  $V(T)$ , а при  $T_1$  — более плавное. При  $T$ -рах  $< T_g$  КП мал и почти не зависит от  $T$ -ра; при  $T$ -рах несколько выше  $T_g$  механич. потери растут с ростом  $T$ -ра, проходят через плато (со слабо выраженным максимумом при  $\sim 50^\circ$ ) и затем снова быстро растут, образуя второй резкое выраженный максимум при  $140^\circ$ . Предполагают, что при  $T_g = -58^\circ$  начинается движение наиболее свободно расположенных сегментов полимерной цепи, находящихся вблизи дефектов полимерной сетки в аморфных областях полимера. Движение (вращение) большинства элементов начинается осуществляться при  $T \sim 50^\circ$ , а при  $140^\circ$  происходит полное возбуждение всех молекулярных движений. Таким образом, переход из стеклообразного состояния ( $-58^\circ$ ) в высокоэластическое происходит в широком интервале  $T$ -р с постепенным включением в движение сегментов различных типов.

Ю. Готтлиб  
6Р45. О фазовом состоянии целлюлозы. (Дискуссия). Роговин З. А. «Высокомолекул. соединения», 1960, 2, № 10, 1588—1592. — Продолжение дискуссии о фазовом состоянии (ФС) целлюлозы (Ц) (см. РЖХим, 1960, № 21, 87268). Автор считает, что для однозначного решения вопроса о ФС полимеров нет достаточно однозначных эксперим. методов и приводит данные, подтверждающие, по его мнению, наличие кристаллич. фазы в Ц.

Б. Геллер  
6Р46. Скорость роста сферолитов в полиэтиленоксиде. Hirai Nishio, Satoh Tadaaki. The rate of spherulite growth of polyethylene oxides. «Repts Res. Lab. Surface Sci., Fac. Sci., Akayama Univ.», 1960, 1, № 1, 143—150 (англ.). Исследована температурная зависимость (в области  $0-60^\circ$ ) линейной скорости роста сферолитов (СФ) в полиэтиленоксиде с мол. весом (600, 1000, 1540, 4000 и 6000). С увеличением  $T$ -ра меняется морфология растущих СФ. При низких  $T$ -рах ( $\sim 10^\circ$ ) соседние СФ разделены резкими границами; имеется упорядоченность ориентации в радиальном направлении. При более высоких  $T$ -рах ( $\sim 40^\circ$ ) эти свойства отсутствуют. Величина  $G$  имеет небольшой максимум в области комнатных  $T$ -р, а затем быстро

падает с ростом  $T$ -ра. Максим.  $G$  превышает  $10^3$  м/мин, что больше наблюдаемой для других полимеров; это обусловлено, по-видимому, малой вязкостью при низких  $T$ -рах. С ростом  $M$  кривые зависимости  $G$  от  $T$ -ра сдвигаются в сторону более высоких  $T$ -р, значение  $G$  (макс.) при этом уменьшается. Уменьшение  $G$  с ростом  $M$  в области низких  $T$ -р объясняется тем, что скорость роста СФ в этой области определяется скоростью диффузии. На основании ранее найденных значений для теплоты плавления в регулярном кристалле и известной структуры цепей полиэтиленоксида в кристалле авторы нашли, что длина сегмента 5,60 Å и его мол. вес 113.

Т. Бирштейн  
6Р47. Рекристаллизация полиэтилена во время отжига. Statton W. O., Geil P. H. Recrystallization of polyethylene during annealing. «J. Appl. Polymer Sci.», 1960, 3, № 9, 357—361 (англ.; рез. нем., франц.). Показано, что толщина пластинчатых монокристаллов полиэтилена, полученных кристаллизацией из р-ра, может быть значительно увеличена посредством отжига при  $T$ -рах выше  $110^\circ$ . Эти изменения удается фиксировать методом рассеяния рентгеновских лучей под малыми углами и непосредственно в электронном микроскопе. Увеличение толщины пластинок происходит за счет их поперечной упорядоченности. Аналогичный рост монокристаллов происходит и при отжиге образцов, полученных кристаллизацией из расплава. Представляется достаточно очевидным, что подобная рекристаллизация связана с увеличением размеров складок цепочек без утраты последними конформации плоского зигзага. Хотя точный механизм этого процесса неясен, он должен включать движения цепочек в целом, при которых увеличение складок происходит за счет сближения концов одной и той же цепи.

С. Френкель  
6Р48. Температурная зависимость скорости кристаллизации полиэтилена низкого давления. Majer Josef. Temperaturabhängigkeit der Kristallisationsgeschwindigkeit von Niederdruckpolyäthylen. «Kunststoff-Rundschau», 1960, 7, № 8, 373—375 (нем.). — Полученные автором ранее (РЖХим, 1960, № 23, 95087) данные по общей скорости кристаллизации циглеровского полиэтилена использованы для проверки теорий кристаллизации полимеров Манделькерна (РЖХим, 1957, № 21, 69044) и Кале — Стюарта (РЖХим, 1958, № 7, 23677). Подчеркивается, что теории могут быть проверены при условии подстановки в соответствующие кинетич. ур-ния очень точного значения  $T$ -ра плавления  $T_m$  данного полимера. Показано, что  $T_m$  следует определять посредством линейной экстраполяции кривой  $\theta_\infty^{-1} = f(T^{-1})$  к  $1/\theta_\infty = 1$ , где  $T$  — абс.  $T$ -ра, а  $\theta_\infty$  — весовая доля аморфной фазы в полимере. Эксперим. данные лучше согласуются с теорией Кале — Стюарта, предполагающей нуклеацию (кристаллизацию) на пачковидных зародках с последующим ростом, контролируемым образованием вторичных ядер.

С. Френкель  
6Р49. Интерпретация зависимости вязкостных и вязкоупругих времен релаксации от концентрации, давления и напряжения с помощью свободного объема. Ferry John D., Statton Robert A. The free volume interpretation of the dependence of viscosities and viscoelastic relaxation times on concentration, pressure, and tensile strain. «Kolloid — Z.», 1960, 171, № 2, 107—111 (англ.; рез. нем.). — Предложенная ранее (РЖХим, 1958, № 11, 32678) концепция, связывающая времена релаксации жидкостей  $\tau$  со свободным объемом, применена к описанию уменьшения  $\tau$  в полимерах с уменьшением конц-ии полимера  $c$  и давления  $P_i$  и с увеличением напряжения  $\epsilon$ . Показано, что влияние  $c$ ,  $P_i$  и  $\epsilon$  на  $\tau$  описывается ур-ниями, аналогичными полученному в цитированной работе ур-нию  $\lg a_T = -(1/2, 303 f_g) \cdot (T_i - T_g) / (f_g / a_f +$



+  $T_i - T_g$ ], описывающему зависимость  $\tau$  от  $t$ -ры  $a_T = \tau(T_i) / \tau(T_g)$  ( $T_g$  —  $t$ -ра стеклования,  $T_i$  —  $t$ -ра опыта,  $f_g$  — свободный объем в  $T_g$ ,  $\alpha_f$  — относительный коэф. расширения свободного объема). В ур-нии, описывающем влияние  $c$ ,  $a_T$  заменяется на  $a_c = \tau(c) / \tau(p_2)$  ( $p_2$  — плотность чистого полимера),  $f_g$  на  $f_2$  (свободный объем чистого полимера),  $\alpha_f$  на  $\alpha_1$  (свободный объем  $p$ -рителя) и  $T_i - T_g$  на  $1 - c / p_2$ . Отсюда ( $d \lg a_c / dc$ ) $_{c \rightarrow p_2} = f v_2 / 2,303 f_2^2$ , т. е. понижение времени релаксации больше в  $p$ -рителях с большим свободным объемом и резко возрастает с приближением к  $T_g$  (из-за убывания  $f_2$ ). В ур-нии, описывающем влияние  $P$ ,  $a_T$  заменяется на  $a_P = \tau(P_i) / \tau(P_0)$ ,  $f_g$  на  $f_0$  (свободный объем при давлении  $P_0$ ),  $\alpha_f$  на  $\beta_f$  (относительная сжимаемость свободного объема),  $T_i - T_g$  на  $(P_i - P_0)$ . Эксперим. данные по зависимости вязкости ряда в-в от  $P_i$  действительно удовлетворяют линейной зависимости между  $(P_i - P_0) / \lg a_T$  и  $P_i - P_0$  с разумными значениями  $f_0 = 0,06 - 0,10$  и  $\beta_f = (0,5 - 2,1) \cdot 10^{-11}$ , хотя для ряда других в-в  $a_P$  экспоненциально зависит от  $P_i$ , что может означать уменьшение  $\beta_f$  с ростом  $P_i$ . В ур-нии, описывающем влияние  $\epsilon$ ,  $a_T$  заменяется на  $a_\epsilon = \tau(\epsilon) / \tau(0)$ ,  $f_g$  на  $f_0$  (свободный объем при  $\epsilon = 0$ ),  $\alpha_f$  на  $(\beta_f / \beta) (1 - 2\mu)$  ( $\beta$  — макроскопич. относительная сжимаемость,  $\mu$  — коэф. Пуассона)  $T_i - T_g$  на  $\epsilon$ . Указанные ур-ния справедливы, если доля свободного объема  $f \geq 0,08$ . О. Птицын

**6P50. Вязкоупругость и жидкостная структура полимеров.** Mason P. Polymer viscoelasticity and liquid structure. «Research», 1960, 13, № 6, 234—240 (англ.).—Обзор и обсуждение основных эксперим. и теоретич. работ по вязкоупругим свойствам полимеров, главным образом в переходной области от вязкоупругого к стеклообразному состоянию, за последние 15—18 лет.

Ю. Готлиб

**6P51. Динамические механические свойства полиэтилена в интервале температур 25—150°.** Fitzgerald Edwin R., Watson M. T. Dynamic mechanical properties of polyethylene from 25° to 150° C. «J. Acoust. Soc. America», 1960, 32, № 5, 584—593 (англ.).—Проведены исследования комплексной податливости ( $J^* = J' - iJ''$ ) для трех полиэтиленовых образцов с увеличивающимся отношением  $M_w/M_n = 19$  (A), 70 (B) и 100 (C) в интервале  $t$ -р 80—150° и в интервале частот от 25 до 2500 гц. Внезапное увеличение податливости происходит при всех частотах в точке плавления для всех образцов. Выше точки плавления  $J'$  одинакова для всех полиэтиленов, но  $J''$  не одинакова. При частоте 210 гц  $J''$  увеличивается последовательно от A к B и C, при частоте 1300 гц это соотношение нарушается с ростом  $t$ -ры. Величина тангенса механич. потерь ( $J''/J'$ ) также дает внезапный скачок в точке плавления, но максимум при этой  $t$ -ре не наблюдается. Попытка наложения данных для образцов B и C в точке плавления не удалась, хотя  $J'$  хорошо налагается, что свидетельствует о наличии второго максимума  $J''$ , зависящего от частотной характеристики материала.

Ю. Панов

**6P52. Исследование динамических механических свойств некоторых полиамидов.** Woodward A. E., Crissman J. M., Sauer J. A. Investigations of the dynamic mechanical properties of some polyamides. «J. Polymer Sci.», 1960, 44, № 143, 23—34 (англ.; рез. франц., нем.).—Исследуются динамические механич. свойства [механич. потери (МП), резонансная частота (РЧ) и динамич. модуль (ДМ)] для политексаметиленадиамида (I) с различным содержанием воды (0, 0,9, 3,3 и 6,4 вес.%) в интервале резонансных частот от 100

до 2000 гц при  $t$ -рах 100—450° К. Максимум МП и дисперсия ДМ при 170° К уменьшаются по мере высушивания образцов; пик МП и дисперсия ДМ при 370° К смещаются до 280° К при 6,4% воды. Третий пик МП появляется при 240—250° К, а для соответствующего ДМ наблюдается рост в интервале 150—250° К. Исследованы также образцы I, содержащие 10,5 вес.% метанола, у которых обнаружен широкий пик при 255—260° К, и сухие образцы политексаметиленадиамида, полидекаметиленсебаамида, 17 и 58%-ного N-метилированного полидекаметиленсебаамида. У трех последних образцов главный пик МП смещается от 340 до 285° К, а низкотемпературный максимум при 160—170° К почти не смещается. 17%-ный N-метилированный полидекаметиленсебаамид обладает по сравнению с другими полимерами наивысшим кажущимся модулем в интервале 110—160° К, при всех  $t$ -рах ниже  $t$ -ры главного аморфного перехода этот образец имеет больший модуль, чем исходный неметилированный полимер. Обсуждается природа переходов, определяющих наблюдаемые максимумы МП.

**6P53. Ориентация в потоке и сопротивление разрыву модельного линейного полимерного твердого тела.** Hsiao C. C. Flow orientation and fracture strength of a model linear hard polymer solid. «J. Polymer Sci.», 1960, 44, № 143, 71—79 (англ.; рез. франц., нем.).—Рассмотрено влияние предварительной ориентации в потоке на сопротивление разрыву для модельного линейного полимерного твердого тела. Поскольку механич. разрыв полимера обуславливается наличием слабых мест, можно предполагать, что сопротивление на разрыв определяется лишь числом, а не направлением линейных элементов, пересекающих единицу поверхности разрыва. Сопротивление на разрыв для ориентированного образца в любом направлении  $\sigma_f^* = 1/2\pi \cdot \lambda F l_0 f_0 \int_0^{\pi/2} S_f^* \sin \theta d\theta d\phi$ , где  $\lambda$  — число линейных элементов на единицу объема в единичном телесном угле,  $l_0$  — длина индивидуального элемента,  $f_0$  — плотность функции распределения элементов в ориентированном образце,  $f_0$  — доля неразрывных элементов,  $F$  — сила, требуемая для разрыва цепей элементарных элементов,  $S_f^*$  — единичный вектор, нормальный к поверхности разрыва. Рассматривая положение произвольного ориентированного вектора после трехмерного растяжения ( $e_x, e_y, e_z$ ) и производя интегрирование, автор находит выражение  $\sigma_f^*$  как функцию  $e_x, e_y, e_z$ . Теоретич. кривые хорошо согласуются с эксперим. данными для аморфного полистирола при  $\epsilon$  от 0 до 6 и, частично, для кристаллич. полиэтилена при  $\epsilon$  от 100° при  $\epsilon$  от 0 до 35.

**6P54. Исследование энтропийных напряжений различных текстильных волокон.** Darg S. Leonard. An entropy stress study of various textile fibers. «Text. Res. J.», 1960, 30, № 5, 372—380 (англ.).—В целях пространственной кинетич. теории упругости на текстильные волокна (ВЛ) произведено разложение общего растягивающего напряжения  $Z$ , приложенного к ВЛ на а) напряжение  $Z_u$ , зависящее от изменения внутренней энергии ВЛ и б) на энтропийное напряжение  $Z_s$ , связанное с изменением конфигурации молекул. Экспериментально определено из угла наклона кривой характеризующей температурную зависимость напряжения в растянутом ВЛ с фиксированной длиной. Описан прецизионный прибор для этих измерений в интервале  $t$ -р, близких к  $\sim 20^\circ$ . Найдено, что у найлоновых и полиэфирных ВЛ, в отличие от резинных при растяжении мало меняется  $Z_s$  и почти линейно возрастает  $Z_u$ , т. е. что их упругость связана с деформацией хим. связей.  $Z_s$  неориентированного вискозного ВЛ при растяжении последнего меняется мало, а у ориентированных ВЛ, напротив, очень сильно. Вызывающие набухание ВЛ, снижают в них энергетич. силы и увеличивают энтропийные, что объясняется разъединением макромолекул. В случае волос раз-

и МП и дисперсии при 370° К. В. Штудер

Влияние воды на молекулярную подвижность полиамидов. Polyamiden. Illers Karl-Heinz. Einfluß von Wasser auf die molekularen Beweglichkeit von «Makromolek. Chem.», 1960, 38, № 168—183 (нем.; рез. англ.).—Исследовали динамич. механ. свойства 6,12-полиамида методом вращательных свободных колебаний при изменении частоты колебаний от 340 до 160  $\text{cm}^{-1}$  в интервале  $t$ -р от  $-180$  до  $60^\circ$  в функции от содержания воды. Наблюдение велось за  $\alpha$ -,  $\beta$ -релаксационными процессами. Образцы имели степень кристалличности до 28% и различное содержание воды.  $\beta$ -Релаксационный процесс при частоте 1  $\text{cm}^{-1}$  и  $-75^\circ$  интерпретируется вращательным движением молекул воды, связанных водородными связями с амидными группами основной цепи, поскольку у образцов, полностью высушенных с помощью  $\text{CaCl}_2$ , этот процесс не наблюдается. Определены спектры временной релаксации и кажущаяся энергия активации этого процесса; последние изменяются от 11 до 22  $\text{kcal./mole}$  в  $t$ -р  $-73^\circ$ .

Ю. Панов

Улучшение основных свойств отлитых уретановых эластомеров. Pigott K. A., Frye B. F., Allen R., Steingiser S., Darr W. C., Saunders J. H., Ardy E. E. Development of cast urethane elastomers of ultimate properties. «J. Chem. and Engng Data», 1960, № 3, 391—395 (англ.).—Рассматривается изменение свойств уретановых эластомеров с изменением их структуры при варьировании полиэфиров, диизоцианата (I), пластификаторов и поперечной сшивки. Полимеры с более высокой твердостью и прочностью получаются в случае большей симметрии и жесткости молекулы I, в то время как гибкость молекул I и специф. разделение боковых метильных групп обуславливает эластичность полимера. Изменение структуры полиэфиров показывает, что чем больше разделены эфирные группы, тем выше гибкость при низких  $t$ -рах и выше прочность при разрыве. Увеличение пространственных размеров эфирных групп уменьшает гибкость при низких  $t$ -рах и обеспечивает при  $\sim 20^\circ$  большую твердость, модуль упругости и остаточное удлинение. Применение алифатич. гликолей в качестве пластификаторов приводит к уменьшению предела прочности при разрыве и увеличению прочности при разрыве, модуля упругости и твердости. Увеличение степени сшивки полимера приводит к ухудшению его свойств и сдвигает область стеклования в сторону более высоких  $t$ -р.

Ю. Панов

Макромолекулярные системы как источники механической энергии. Kuhn W. Systèmes macromoléculaires producteurs d'énergie mécanique. «Ind. chim. (Paris)», 1960, 25, № 7, 791—800 (франц.; рез. флам., нем.).—Исследуется вопрос о возможности преобразования различных форм хим. энергии в механическую в макромолекулярных системах. В качестве таковых выбраны: 1) искусственный рН-мускул, 2) окислительно-восстановительный мускул и 3) мускул, в котором образуется нерастворимая соль. Подробно исследован переход хим. энергии в механическую на примере искусственного рН-мускула, который представляет собой пленку, приоткрытую из 50% полиакриловой кислоты и 50% поливинилового спирта, помещенную в слегка подкисленную воду. При изменении рН среды, например при добавлении  $\text{NaOH}$ , пленка вытягивается, а при дальнейшем добавлении  $\text{HCl}$  пленка сокращается до первоначальной длины. Рассмотрены закономерности перехода хим. форм энергии в механическую.

С. Любина

Кристалличность подвергнутых вытяжке волокон полиэтилентерефталата. Faggow G. Crystallinity in drawn fibers of polyethylene terephthalate. «J. Appl. Polymer Sci.», 1960, 3, № 9, 365 (англ.).—Определены плотность  $\rho$  и снимали рентгенограммы аморфных и умеренно ориентированных растяжением образцов пряжи из полиэтилентерефталата и полиэтиленметилтерефталата. Кристалличность подвергнутых вытяжке образцов была практически равна нулю, а рентгенограммы обоих типов волокон были совершенно тождественны. Тем не менее  $\rho$  возрастала при вытяжке с 1,335 до 1,355  $\text{g/cm}^3$ . Из этого следует, что между «рентгенография» степенью кристалличности и  $\rho$  подвергнутых вытяжке волокон полиэтилентерефталата нет никакой корреляции, поскольку  $\rho$  аморфного материала не является постоянной величиной.

С. Френкель

Влияние веществ, вызывающих набухание, на связывание водородными связями и эластическое поведение полиамидов и полиуретанов. Illers Karl-Heinz, Jacobs Herbert. Der Einfluß von Quellungsmitteln auf die Wasserstoffbrücken-Bindung und das elastische Verhalten von Polyamiden und Polyurethanen. «Makromolek. Chem.», 1960, 39, № 3, 234—237 (нем.).—Введение в-в, разрушающих водородные связи в полиамидах и полиуретанах, должно приводить к уменьшению расстояний между отрезками цепей, состоящими из  $\text{CH}_2$ -групп в аморфных областях, что следует из данных по увеличению плотности с ростом содержания поглощенной воды (РЖХим, 1960, № 18, 76006). Такое повышение плотности должно приводить к росту модуля. В связи с этим исследован сдвиговый модуль нейлонов 6 и 612 и полиуретана из 1,6-гександриндиизоцианата и 1,4-бутадиола в области  $t$ -р от  $-180$  до  $60^\circ$  методом свободных вращательных колебаний на частоте 1  $\text{cm}^{-1}$  при различных содержаниях в полимерах сорбированных воды и спиртов (метилового, этилового, пропилового и бутилового). Установлено, что в области  $t$ -р ниже  $t$ -ры стеклования величина модуля сдвига тем выше, чем больше содержание спирта при содержании последнего до 28 мол.%; при более высоких  $t$ -рах спирт оказывает уже пластифицирующее действие и модуль снижается. Для полиамидов модуль измерен во всех областях дисперсии  $\alpha$ ,  $\beta$  и  $\gamma$ , и найдено, что во всех случаях наблюдается рост модуля с увеличением концентрации спирта. В ряде случаев модуль проходит через максимум при определенной концентрации спирта. Результаты объяснены, исходя из того, что разрушение водородных связей, удерживающих цепи на определенных расстояниях, приводит к более плотной упаковке аморфных областей и увеличению влияния дисперсионных сил между  $\text{CH}_2$ -группами на величину модуля. Это явление сопоставлено с изменениями плотностей в бинарных смесях неэлектролитов.

Ю. Липатов

Межмолекулярные связи нитрата целлюлозы с различными растворителями и пластификаторами. Chérubin Gilbert. Liaisons intermoléculaires du nitrate de cellulose avec divers solvant et plastifiants. «J. chim. phys. et phys.-chim. biol.», 1960, 57, № 5, 361—373 (франц.).—Взаимодействие нитроцеллюлозы с ацетоном, камфорой и диэтилфенилмочевой (I) исследовали различными оптич. методами в  $p$ -ре и на пластифицированных пленках. ИК-спектроскопия выявляет наличие во всех случаях водородных связей. Во всех случаях мол. отношение иммобилизованный пластификатор/мономерное (глюкозное) звено в среднем приблизительно равно 1. Выше этого отношения пластификаторы действуют уже скорее как обычные  $r$ -ители, а цепочки нитроцеллюлозы приобретают некоторую подвижность. Водородные связи во всех трех системах образуются между свободными гидроксильными нитроцеллюлозы и карбоилами пластификаторов. В случае камфоры и I отношение 1:1 обусловлено просто стерич. несовместимостью глюкозных звеньев и молекул пластификатора в иных пропорциях. Ацетон

может обратимо связываться и в бблльших кол-вах, особенно тринитроцеллюлозой.

С. Френкель

**6Р61.** Поляризационно-оптическое исследование процессов пластической деформации при помощи растворов и гелей этилцеллюлозы. Осокина Д. Н., Гаовский М. В., Виноградов Г. В., Павлов В. П. «Коллоидн. ж.», 1960, 22, № 4, 434—442 (рез. англ.).—Изучены процессы пластич. деформации р-ров и гелей этилцеллюлозы (ЭЦ) поляризационно-опт. методом, позволяющим визуализировать и моделировать процессы течения дисперсных систем и высокополимеров. В качестве хорошего р-рителя применяли бензиловый спирт (I), а в качестве плохого — дибутилфталат (II). Диапазон исследованных конц-ий 10—35% ЭЦ при 10—50°. Содержание этоксиальных групп в полимере 46,25%, мол. вес. ЭЦ 77 000. Измерения проводили с применением фотопластовискозиметра. Р-ры и гели ЭЦ являются весьма активными фотоэластичными материалами с модулем сдвига  $\tau_m = 0,01—1,0$  кг/см<sup>2</sup> и вязкостью  $\eta = 10^2—10^7$  пуаз. В I р-ры характеризуются малой степенью структурирования и обладают почти линейной зависимостью двойного лучепреломления от  $\tau_m$  и скорости деформации  $D$ . В смесях I и II при увеличении содержания II р-ры ЭЦ превращаются в пластичные структурированные тела с нелинейной зависимостью оптич. активности от  $\tau_m$  и  $D$ . Авторы рассматривают деформацию р-ров и гелей ЭЦ как релаксационный процесс и констатируют зависимость фотоэластич. свойств от времени релаксации системы.

В. Геллер

**6Р62.** Вязкость политетрафторэтилена выше температуры плавления. Case L. C. Viscosity of polytetrafluoroethylene above the melting point. «J. Appl. Polymer Sci.», 1960, 3, № 8, 254 (англ.).—Пользуясь литературными данными (РЖХим, 1957, № 24, 77266) по вязкости расплавов политетрафторэтилена (I) автор показывает, что график зависимости логарифма вязкости от обратной величины абсолютной т-ры состоит из двух отрезков прямых, пересекающихся при  $\sim 365^\circ$ . Ниже и выше этой т-ры значения энергии активации течения равны соответственно 25 и 52 ккал/моль. Автор считает, что истинная величина энергии активации процесса молекулярного движения в расплаве I близка к 25 ккал/моль. Она выше, чем у других полимеров вследствие жесткости цепи I. Выше  $365^\circ$  начинается термич. деградация I. Длина канетич. цепи деградации меньше, чем средняя длина молекулы I; энергия активации разрыва цепи  $I \approx 80$  ккал/моль. При течения расплава I при температуре выше  $365^\circ$  кажущаяся энергия активации велика, так как включает в себя энергию разрыва некоторого числа молекул I.

И. Слоним

**6Р63.** Исследование фотоэластичности полимеров. Кавада Кодзо. «Кобунси», 1960, 9, № 3, 184—187 (японск.).

**6Р64.** Определение коэффициента диффузии новым приближенным методом. Ito Yukio. «Koré kagaku zasshi, Kogyo kagaku zasshi, J. Chem. Soc. Japan. Industr. Chem. Sec.», 1960, 63, № 5, 855—859, A44 (японск.; рез. англ.).—Показана непригодность метода Баррера (Trans. Faraday, Soc., 1936, 35, 628) для определения коэф. диффузии  $D$  и коэф. растворимости  $S$  газов в пленках полимера ниже т-ры стеклования. Получена ф-ла, позволяющая определять  $D$  и  $S$  при скорости выравнивания конц-и с газа по обе стороны пленки, разделяющей два объема с разными исходными с. Определены  $D$  и  $S$  разных газов в полиэтилене низкого давления. Показано, что  $D$  падает с ростом размеров молекул газа и что растворимость линейно зависит от критич. т-ры или т-ры кипения газов.

Из резюме автора

**6Р65.** Последовательная дифференциальная абсорбция паров стеклообразными полимерами. Kishimoto Akira, Fujita Hiroshi, Odani Hisashi,

Kurata Michio, Tamura Mikio. Successive differential absorptions of vapors by glassy polymers. «J. Phys. Chem.», 1960, 64, № 5, 594—598 (англ.).—Исследовано влияние структурных полимеров (ПМ) на их сорбционные свойства на системах: полиметилметакрилат — метилацетат, атактич. полистирол — бензол, атроцеллюлоза — ацетон, ацетатцеллюлоза — метилацетат, изотактич. полистирол низкой кристалличности — бензол, изотактич. полистирол высокой кристалличности — бензол. Исследования проводились при т-рах ниже т-ры стеклования. Для систем с аморфным ПМ процесс последовательной дифференциальной абсорбции начинается подчиняться закону Фика только при достижении некоторой конц-ии, когда смесь ПМ — жидкость переходит в каучукоподобное состояние. Кристалл. полимеры во всем интервале исследованных конц-ий не подчиняются закону Фика. При этом наблюдаются 3 типа отклонений: сигмоидный, двухстадийный и псевдо-Фиковский. Последовательность чередования этих типов отклонений при абсорбции зависит от выбранной пары ПМ — жидкость. Изучена концентрационная зависимость 2-й стадии для двухстадийного процесса, и показано, что она смещается в область меньшего времени с увеличением исходной конц-ии. Для аморфных ПМ скорость смещения гораздо больше, чем для кристаллических.

Г. Никонов

**6Р66.** Растворимость и диффузионная способность азота в полиэтилене. Lundberg J. L., Wilk M. H., Huyett M. J. Solubilities and diffusivities of nitrogen in polyethylene. «J. Appl. Phys.», 1960, 31, № 6, 1131—1132 (англ.).—Описана методика исследования сорбции азота полиэтиленом (I) при давлениях до 650—680 атм. Параметры ур-ния диффузии — коэф. диффузии и начальное значение числа свободных молекул — определяли по эксперим. кривой зависимости числа молекул от времени с помощью ур-ния диффузии. Затем определяли растворимость на единицу  $-\text{CH}_2-$  как функцию давления и т-ры. Коэф. диффузии  $N_2$  в I составляет  $2,8 \cdot 10^{-5}$  см<sup>2</sup> сек<sup>-1</sup> при  $1/T = 2,0 \cdot 10^{-3}/^\circ\text{K}$ , возрастает до  $4,5 \cdot 10^{-5}$  см<sup>2</sup> сек<sup>-1</sup> при  $1/T = 2,2 \cdot 10^{-3}/^\circ\text{K}$ , после чего вновь уменьшается до  $2,9 \cdot 10^{-5}$  при  $1/T = 2,3 \cdot 10^{-3}/^\circ\text{K}$ . Авторы полагают, что наличие максимумов коэф. диффузии может являться следствием техники эксперимента. Энергия активации для диффузии  $N_2$  в I называется равной  $\sim 4$  ккал/моль при  $125,8^\circ$  и убывает с ростом т-ры.

Т. Бирштейн

**6Р67.** Определение связей между кристаллитом целлюлозой методом сорбции йода. Сообщение X. О внедрении йода в упорядоченные области решетчатой структуры целлюлозы и об их учете при определении степени кристалличности с помощью сорбции йода. Schwetassek Karl. Der Nachweis von Bindungen zwischen Farbstoffen und Cellulose mit der Jodadsorptionsmethode. 15. Mitt. Über den Zusammenhang von Jodadsorption und dem Kristallisationszustand von Cellulosefasern. «Faserforsch. und Textiltech.», 1960, 11, № 4, 159—164 (немецк.; русск., англ.).—Увеличение степени кристалличности, обуславливающее падение сорбции йода целлюлозным волокном при крашении кубовыми красителями, связано только с рекристаллизацией целлюлозы в процессе обработки горячей водой. Сам крашение включает в волокно чисто механически. В случае с-антинных и реактивных красителей образуются хим. или адсорбционные связи между красителем и целлюлозой, что также приводит к уменьшению сорбции йода. Степень влияния красителя на величину сорбции йода определяется из разности сорбций неокрашенными и окрашенными образцами. Уменьшение сорбции связано в данном случае с уменьшением дефектов решетки и частичным замещением свободных групп целлюлозы красителем. Указанный эффект наиболее четко проявляется для вязкозных



и в меньшей степени для хлопкового волокна. Сообщение XIV см. РЖХим, 1959, № 23, 84552.

Г. Никонов

6Р68. Исследование равновесия в системе крахмал-спирто-водная смесь. Куриленко О. Д., Яковкина Е. А. «Коллоидн. ж.», 1960, 22, № 3, 282—287 (рез. англ.).—Определена зависимость сорбции воды и спирта (СП) крахмалом (КР) от состава водно-спирт. смеси (ВСС), а также от теплоты смачивания. Выведены ур-ния для расчета кол-ва воды и СП, поглощенных 1 г КР. Составы равновесных смесей определены рефрактометрически. Максимум кол-ва СП, адсорбированное 1 г КР, соответствует конц-ии СП в равновесной ВСС, равной 75—80%. Предполагают, что СП адсорбируется только на гидратированном КР или что адсорбируются гидраты СП. Кол-во воды, поглощенной КР, уменьшается с увеличением конц-ии СП. Построены кривые зависимости кол-ва сорбированных воды и СП от конц-ии СП.

Г. Никонов

6Р69. Исследование адгезии пленок высокополимеров. Meffroy-Biget A.-M., Nicco A. Contributions à l'étude de l'adhérence des films de macromolécules. «J. chim. phys. et phys.-chim. biol.», 1960, 57, № 5, 388—408 (франц.).—Исследована адгезия пленок нитроцеллюлозы на поверхности полированного и матового стекла. Для получения пленок использована целлюлоза с содержанием азота 11,6% (фракция различной гомогенности с молекулярным весом от 2500 до 40 тыс.) в виде 20%-ных р-ров в ацетоне, амилцетате и этиленгликоле. Изучено влияние толщины пленки, степени полимеризации (СП), кривой распределения, природы р-рителя и содержания пластификатора (бутилфталат). Оценка адгезии производилась по времени отслаивания пленок от подложки (Т) при погружении их в воду. Зависимость Т от характеристик вязкости имеет вид убывающей экспоненциальной функции с точкой разрыва для СП, соответствующей появлению пленкообразующих свойств. Порог образования точек разрыва варьирует в зависимости от природы р-рителя, применяемого для получения пленок. Влияние толщины пленки на адгезию различно и зависит от СП образца, поэтому для сопоставления результаты следует экстраполировать к стандартной величине пленки. Максимум адгезии соответствует появлению пленкообразующих свойств; при этом область проявления максим. адгезии очень ограничена и адгезия в этом интервале является возрастающей функцией гомогенности образца. Это обстоятельство объясняет различия в пленкообразующих свойствах и в адгезии у образцов с одинаковой СП. Следы р-рителя в присутствии пластификатора понижают адгезию, и их влияние аналогично действию понижения гомогенности образца. Результаты, получаемые на матовом и на полированном стекле, сходны друг с другом.

В. Щекин

6Р70. Средний квадрат дипольного момента полярных полимеров. Оку Тацуо. «Буссайрон кэнкю», 1960, 7, № 3, 260—272 (японск.; рез. англ.).—Рассмотрено поведение цепи полярного полимера вида  $(-CH-CHR-)_n$  в неполярных р-рителях. С учетом эффекта исключенного объема и параметра  $z$ , характеризующего взаимодействия между группами  $CH_2$  и  $CHR$ , получена следующая формула среднего квадрата дипольного момента:  $\langle \mu^2 \rangle = \frac{3}{4} \mu_0^2 [1 + \frac{1}{2} (\frac{3}{2} \mu_0^2)^2 / z + 0,349 (\frac{3}{2} \mu_0^2)^3 / N z^2 + \dots]$ , где  $N$  — степень полимеризации,  $\mu_0$  — значение дипольного момента мономера,  $z$  — длина C—C-связи.

Из резюме авторов

6Р71. Электрические свойства макромолекул. V. Теория ионной поляризации в полиэлектролитах. O'Konski Chester T. Electric properties of macromolecules. V. Theory of ionic polarization in polyelectrolytes. «J. Phys. Chem.», 1960, 64, № 5, 605—619 (англ.).—Показано, что явление переноса ионов влияет на величину диэлектрич. постоянной. Эффект возник-

новения избыточной проводимости описывается с помощью двухмерной поверхностной проводимости, диэлектрич. постоянной и объемной проводимости, а также анизотропии двух последних величин. Детально рассмотрены изотропные сферы с целью выяснения влияния поверхностной проводимости на внутреннее поле, наведенную поляризацию, диэлектрич. постоянную, дисперсию и проводимость системы. Найдено приближенное решение для эллипсоидов, цилиндров и дисков. Показано, что несимметричные частицы с однородной поверхностной проводимостью электрически эквивалентны частицам анизотропной объемной проводимости. Получены ур-ния для комплексной диэлектрич. проницаемости, времен релаксации, высокочастотных и низкочастотных диэлектрич. инкрементов и проводимости для разбавленных систем эллипсоидальных частиц. В ориентированных системах перенос противоположных зарядов вызывает сильную анизотропию проводимости, усиливаемую анизотропией коэф. трения полиионов. Внутреннее поле зависит от ориентации, и подвижность полиионов может сильно повыситься коэф. трения. Поляризация противоположной атмосферы уменьшает внутреннее поле, уменьшая таким образом постоянную дипольную поляризацию. Библ. 72 назв. Сообщение IV см. РЖХим, 1960, № 13, 55506.

Из резюме автора

6Р72. Исследование диэлектрических потерь простых полиэфилов. Михайлов Г. П., Эйдельмант М. П. «Высокомолекул. соединения», 1960, 2, № 10, 1552—1556 (рез. англ.).—Исследовали зависимость  $\lg \delta = \varphi(T)$  для полисилиленоксида (I) и полиоксиметилена (II). Установлено, что на частоте 400 гц в интервале  $t$ -р от —160 до 40° I имеет три максимума потерь: первый (при —112°) связан с дипольно-радикальными потерями (ДРП) и обусловлен релаксацией полярных сложно-эфирных групп в аморфной области; второй (при —60°) связан также с ДРП и, возможно, обусловлен концевыми —ОН-группами, способными образовывать водородные связи, или релаксацией эфирных групп в кристаллич. областях полимера, причем последнее более вероятно; третий (при 10°) связан с дипольно-эластич. потерями (ДЭП). Для II обнаружена несимметричная область максимума  $\lg \delta$  при  $t$ -ре —60° на частоте 400 гц, которую связывают с наложением ДРП на ДЭП. Установлено, что для простых и сложных полиэфилов введение в цепь ароматич. ядер повышает  $t$ -ры областей максимумов ДРП и что время релаксации у простых эфиров меньше, чем у сложных, имеющих то же кол-во ароматич. ядер в цепи. Сделан вывод, что ДРП в случае простых полиэфилов обусловлены —О-группой, а в случае сложных полиэфилов —СОО-группой.

В. Битюков

6Р73. О влиянии строения полиэфилов на температуры областей максимумов диэлектрических потерь. Михайлов Г. П., Эйдельмант М. П. «Высокомолекул. соединения», 1960, 2, № 10, 1548—1551 (рез. англ.).—Исследована зависимость  $\lg \delta = \varphi(T)$  для гексаметилентерефталата (6 МТ) и декаметилентерефталата (10 МТ) на частоте 1 кц. Обнаружено два максимума потерь: дипольно-радикальные и дипольно-эластич. потери (ДРП и ДЭП соответственно), зависящие от кристалличности образцов. Из зависимости  $\lg f_m = \varphi(1/T)$  получены энергии активации ДРП, равные 12 и 11,5 ккал/моль и энергии активации ДЭП, равные 60 и 65 ккал/моль для 6 МТ и 10 МТ соответственно. Установлено, что  $t$ -ра максимума ДРП понижается с ростом числа метиленовых групп в меньшей степени для полиэфилов ароматич. к-т, чем для полиэфилов ароматич. спиртов, в то время как  $t$ -ра максимума ДЭП увеличивается с ростом числа ароматич. ядер.

В. Битюков

6Р74. Изменение диэлектрических свойств полиэтилентерефталата при термической деструкции и в процессе кристаллизации. Hellwege K. H., Lang-

bein G. Veränderung der dielektrischen Daten von Polyäthylenterephthalat beim thermischen Abbau und während der Kristallisation. «Kolloid-Z.», 1960, 172, № 1, 44—50 (нем.).—Проведено исследование зависимости  $\epsilon$  и  $\tan \delta$  полиэтилентерефталата в интервале  $t$ -р 20—320° от времени обжига образцов при  $t$ -ре выше  $t$ -ры плавления, равной 280°. В процессе деструкции в полимере образуется дополнительное число групп —ОН, которые обуславливают изменение величин  $\epsilon$  и  $\tan \delta$  при заданных  $t$ -ре и частоте измерения. По мере увеличения времени обжига изменяется диэлектрич. поведение образцов в процессе кристаллизации. Анализ этих данных позволил установить зависимость времени кристаллизации от  $t$ -ры. Наиболее быстро кристаллизация протекает приблизительно при 200°. Предлагается феноменологич. описание этой зависимости. Библ. 8 назв.

6Р75. Замечание по поводу механизма диэлектрического поглощения в поливинилхлориде. Ishida Yoichi. A note on the mechanism of the dielectric absorption of polyvinyl chloride. «Kolloid-Z.», 1960, 171, № 1, 71—72 (англ.).—С целью выяснения механизма низкотемпературного максимума диэлектрич. потерь (3-поглощение) в поливинилхлориде проведены измерения диэлектрич. проницаемости ( $\epsilon_0 - \epsilon_\infty$ ) в данной области поглощения для образцов с различной степенью полимеризации (200, 1000 и 1400). Поскольку низкотемпературное 3-поглощение не связано со значительным диффузионным перемещением сегментов, возможны две причины, обуславливающие это перемещение: 1) движение более подвижных конечных групп цепей и 2) малые смещения диполей вблизи «замороженных» положений сегментов в стеклообразном поливинилхлориде. В случае механизма (1) должна наблюдаться сильная зависимость (убывание)  $(\epsilon_0 - \epsilon_\infty)_\beta$  от степени полимеризации при данной  $t$ -ре. Экспериментальные данные показывают, что  $(\epsilon_0 - \epsilon_\infty)_\beta$  при  $t$ -ре 45,5° практически не зависит от степени полимеризации (соответствующие значения  $\epsilon_0 - \epsilon_\infty$ :  $0,71 \pm 0,02$ ,  $0,64 \pm 0,02$  и  $0,69 \pm 0,02$ ), откуда следует, что 3-поглощение связано с мол. механизмом типа (2).

6Р76. Влияние сорбционной формы связи воды на электрические свойства органических диэлектриков. Родионова Н. А. В сб. «Физика диэлектриков». М. Изд. СССР, 1960, 194—202. Дискус., 215—219.—Измерен  $\tan \delta$  (в диапазоне частот 400  $\mu$ с — 100 мс) ряда полимеров, у которых поглощение влаги осуществляется по механизму активированной диффузии, — полиэтилена, полистирола, политетрафторэтилена, политрифторхлорэтилена, поликапролактама (I), полигексаметиленадипамида (II), полигексаметиленсебаамида (III) и полиуретана (IV). Установлено, что для аморфного полистирола или частично закристаллизованного полиэтилена появляется новый максимум потерь при 10°  $\mu$ с, связанный с сорбцией воды. Для высококристаллич. образцов политрифторхлорэтилена и политетрафторэтилена влияние сорбции воды не обнаружено. Для II, III и IV обнаружены увеличение и смещение максимума потерь в сторону низких частот с увеличением кол-ва сорбированной воды; для I обнаружен только рост  $\tan \delta$ . Для I, II, III и IV наблюдали также повышение электропроводности. Изменение диэлектрич. свойств связывают с плотностью упаковки полимера.

6Р77. Исследование электропроводности полимеров. I. Сажин В. И., Скурихина В. С. К методике измерения удельных объемных сопротивлений порядка  $10^{17}$ — $10^{19}$  ом · см. II. Сажин В. И., Стафеева Н. П. Политрифторхлорэтилен. «Высокомолекул. соединения», 1960, 2, № 10, 1535—1540; 1541—1547 (рез. англ.).

6Р78. Влияние фазового состояния полиэтилена при облучении на характер образующейся сетки.

Ушаков Г. П., Гуцко Ю. А., Лазуркин Ю. С., Казаков В. С. «Высокомолекул. соединения», 1960, 2, № 10, 1512—1520 (рез. англ.).—Полиэтилен низкого давления в аморфном состоянии (расплав при 130—160°) и в кристаллич. состоянии (45—50°) облучался дозами от 150 до 1625 Мрад в реакторе. Из температурных зависимостей модуля упругости  $E$  и высокочастот. модуля  $E_\infty$ , а также из термомеханич. кривых облученного полиэтилена установлено, что при облучении аморфного полимера наблюдаются снижение  $t$ -ры плавления ( $T$ (пл.)) с увеличением густоты сетки и падение кристалличности, а при облучении в кристаллич. состоянии — также уменьшение кристалличности и меньшее, чем в первом случае, снижение  $T$ (пл.), а затем постоянство ее и рост. Обнаруженные эффекты объясняют тем, что в аморфном полимере возникающая сетка фиксирует неупорядоченность цепей и снижает кристалличность, в то время как в кристаллич. полимере сшивки, снижая кристалличность и  $T$ (пл.), одновременно фиксируют локальную упорядоченность цепей и повышают  $T$ (пл.) оставшихся кристаллов.

6Р79. Ультрафиолетовое облучение полиэтилената в вакууме. I. Набухание, растворимость и вязкость. II. Механизм реакции. Jacobs Harvey Steele Richard. Ultraviolet irradiation of poly(ethyl acrylate) in vacuum. I. Swelling solubility, and viscosity. II. Mechanism of the reaction. «J. Appl. Polymer Sci.», 1960, 3, № 8, 239—244; 245—250 (англ.; франц., нем.).—I. Исследовано изменение способности к набуханию, растворимости и  $[\eta]$  пленок полиэтиленакрилата (I) после облучения (ОБ) их в вакууме светом (254 м). Из кривых зависимости содержания растворимой фракции в полимере, а также степени набухания от времени ОБ видно, что после короткого периода содержания нерастворимой фракции и степени набухания уменьшаются, указывая на увеличение содержания поперечных связей. После продолжительного ОБ часть полимера остается растворимой с увеличением времени ОБ значение  $[\eta]$  растворимой фракции падает. По данным растворимости на основе теории Чарлсби для случая конизирующего ОБ («РЖХим», 1956, № 18, 5893) оценено соотношение процессов поперечного сшивания и деградации (Д), протекающих при ОБ, и показано, что сшивание двух мономерных единиц сопровождается одним актом Д. Данные о содержании поперечных связей, оцененные на основании теории Чарлсби, а также из опытов по набуханию, применены для вычисления  $\chi_1$ -параметра взаимодействия полимера с  $r$ -рителем в теории Флори — Ренера. Установлено, что значение  $\chi_1$  не является постоянным для данного  $r$ -рителя (ацетон) и изменяется с конц.цией полимера. Содержание поперечных связей, вычисленное из данных по набуханию при использовании среднего значения  $\chi_1 = 0,6$  в теории Флори — Ренера, хорошо согласуется с результатами, найденными из данных по содержанию гелевой фракции в образцах (до значения  $10^{-5}$  мол. сшитых единиц на см<sup>3</sup>).

II. Изучено влияние различных факторов на процессы поперечного связывания и Д цепей, протекающие при ОБ пленок I в отсутствие кислорода. Показано, что степень поперечного сшивания пропорциональна кол-ву поглощенного пленкой света. С увеличением толщины пленки I степени поперечного связывания уменьшается. Кривые, характеризующие изменение кол-ва растворимой фракции при  $t$ -рах 30 и 50°, совпадают. Исходя из предположения, что поперечное связывание происходит вследствие взаимодействия полимерных свободных радикалов (образованных в начале ОБ), подвижность которых при низких  $t$ -рах снижается, авторы исследовали влияние ОБ в области  $t$ -р от 26 до —20° ( $t$ -ра стеклования

—17°). В этом случае показано, что время ОБ, необходимое для образования нерастворимой фракции, заметно растет с понижением т-ры. При —20° образования нерастворимой фракции не наблюдали даже при ОБ в течение 7,5 час. Отмечено, что скорость уменьшения вязкости при ОБ, т. е. скорость деградации, мало зависит от т-ры. Исследован состав летучих продуктов, выделяющихся при ОБ пленок. На основании полученных опытных данных предложено механизм р-ции Д I при его ОБ. В начале ОБ происходит отщепление от основной полимерной цепи боковых афирных групп. Образующиеся при этом полимерные радикалы при взаимодействии друг с другом могут образовывать поперечные связи или деградировать.

Л. Золотаревская  
6P80. Классификация радиоактивных излучений по их действию на состояние л-электронов в цепи полимеров. Синагава Йосио, Огура Мицуо. «Буссейрон кэнкю», 1960, 8, № 1, 1—7 (японск.).

6P81. Новые исследования в области полимеризации. Furukawa Junji. «Karaku to kōgō, Chem. and Chem. Ind.», 1960, 13, № 8, 731—740 (японск.).—Обзор. Библ. 29 назв.

6P82. Механизм обрыва при полимеризации акрилонитрила. Bailey B. E., Jenkins A. D. The mechanism of termination in the polymerization of acrylonitrile. «Trans. Faraday Soc.», 1960, 56, № 6, 903—906 (англ.).—Путем сопоставления кинетич. длины цепи  $\nu$  со степенью полимеризации установлено, что при полимеризации акрилонитрила при 60° в р-ре N,N-диметилформамида обрыв цепей происходит почти исключительно путем соединения полимерных радикалов. Величина  $\nu$  определена при помощи динитрила азотомасляной к-ты, меченной C<sup>14</sup>. Х. Багдасарьян

6P83. Исследования в области механохимии полимеров. Х. Иницирование полимеризации радикалами, образующимися при ультразвуковой деструкции макромолекул. Берлин А. А., Дубинская А. М. «Высокомолекул. соединения», 1960, 2, № 9, 1426—1431 (рез. англ.).—На описанной ранее ультразвуковой аппаратуре (см. РЖХим, 1959, № 10, 34117; 1960, № 4, 16168) при частоте ультразвука (УЗ) 1500 кс/см и интенсивности 2—50 вт/см<sup>2</sup> в среде очищенного от кислорода аргона исследована деструкция и блок-привитая сополимеризация в невод. средах (свободные от влаги р-ры полиметилметакрилата (I) в акрилонитриле (II), метилметакрилате и стироле). При действии УЗ на 1—2%-ные р-ры I во всех случаях наблюдали полимеризацию (ПМ) за счет макрорадикалов, образующихся при деструкции I, причем скорость ПМ падала в ряду II — метилметакрилат — стирол. Система I — II исследована подробно. При озвучивании р-ров I в II наблюдался индукционный период. При интенсивности 2 вт/см<sup>2</sup> скорость образования радикалов мала и не вызывает ПМ II, при 48 вт/см<sup>2</sup> деструкция протекает гораздо интенсивнее, чем при 7 вт/см<sup>2</sup> и скорость ПМ значительно выше. Для блок-сополимера, содержащего I-полиакрилонитрил в соотношении 30:70 снятый ИК-спектр содержит линии, характерные как для нитрильной группы (2233 см<sup>-1</sup>), так и для афирной (1720 см<sup>-1</sup>). Термомеханич. кривые, снятые для блок-сополимера I — полиакрилонитрил (47:53), свидетельствуют об образовании очень разветвленной или частично сшитой структуры. При озвучивании р-ров I в II наблюдали пост-полимеризацию, как и при гетерогенной полимеризации II под влиянием  $\gamma$ -лучей. При комн. т-ре скорость пост-полимеризации мала, но с повышением т-ры заметно возрастает. Установлено, что в отсутствие полимера тщательно высушенные мономеры не полимеризуются под действием УЗ. Л. Золотаревская

6P84. Об активности катализатора Циглера, приготовленного из тетрахлорида титана и триэтилалюминия. Kambara Shu, Yamazaki Noboru, Suzuki Nobuo. «Kōgō kagaku dзасси, Kogyo kagaku zasshi, J. Chem. Soc. Japan. Industr. Chem. Sec.», 1960, 63, № 6, 1082—1084, A 60 (японск.; рез. англ.).—Исследована полимеризация (ПМ) изопрена в *n*-гексане в присутствии катализатора Циглера [TiCl<sub>4</sub>—Al(C<sub>2</sub>H<sub>5</sub>)<sub>3</sub>]. Активность катализатора изучена в зависимости от условий его приготовления, а также от условий р-ции ПМ. В области исследованных т-р (0—60°) макс. выход имеет место при 30°. Мол. вес образующегося полимера уменьшается с ростом т-ры р-ции. При ПМ в *n*-гексане достигнуты большие выходы по сравнению с ПМ в ароматич. углеводородах. Активность катализатора быстро уменьшается даже при 0° в отсутствие мономера, поэтому желательно получать катализатор при пониженных т-рах или в присутствии мономера.

Резюме автора  
6P85. Полимеризация окиси пропилена и винильных соединений с помощью диэтилцинка в присутствии сокатализаторов. Sakata Ryoza, Tsuruta Teiji, Saegusa Takeo, Furukawa Junji. Polymerization of propylene oxide and vinyl compounds by diethylzinc in the presence of cocatalysts. «Makromolekul. Chem.», 1960, 40, № 1-2, 64—78 (англ.; рез. нем.).—Исследована полимеризация (ПМ) окиси пропилена (I) в присутствии металлоорганич. соединений, а также бинарных систем, включающих диэтилцинк (II) и кислород, II и спирт (метанол, этанол), II и воду. Из ряда изученных металлоорганич. соединений (II, диэтилкадмий, триэтилбор, триэтилалюминий и тетраэтилолово) только в присутствии II образуется твердый полимер с высоким выходом. При использовании систем, включающих метанол или этанол, установлено образование при ~20° высокомолекулярных полимеров. Полимер, полученный в присутствии II и воды, включает 15,9% фракции, нерастворимой в холодном ацетоне (0°). На каталитич. активность бинарных систем, содержащих кислород, метанол или этанол, большое влияние оказывают алкоксиды цинка. При взаимодействии воды и II в гексане с последующим удалением р-рителя образуется твердое в-во желтого цвета (A), являющееся очень активным катализатором. В-во A включает растворимую и нерастворимую в гексане фракции, причем компоненты, определяющие его каталитич. активность, характеризуются структурами C<sub>2</sub>H<sub>5</sub>—Zn—O—Zn— и C<sub>2</sub>H<sub>5</sub>O—Zn—O—Zn—. В присутствии систем II — вода и II — метанол проведена также ПМ винильных соединений (акрилонитрила, метилметакрилата, метилакрилата, винилакрилата, винилхлорида, стирола, *n*-бутилвинилового эфира), и показано, что в этом случае каталитич. активность систем II — метанол выше по сравнению с активностью системы II — вода. Образующийся при ПМ эквимольной смеси, содержащей акрилонитрил и I в присутствии системы II — метанол, полимер (выход 14,8%) включает 0,7% фракции, растворимой в бензоле, и 14,1% фракции, нерастворимой в нем. Сделан вывод, что в присутствии указанного катализатора ПМ винильных соединений протекает по радикальному механизму, а полимеризация I по ионному. Предыдущие сообщения см. РЖХим, 1960, № 2, 7609; № 10, 41393, 41394; № 12, 50613.

6P86. Полимеризация на окисных катализаторах. Тончиев А. В. «Вестн. АН СССР», 1960, № 9, 41—47.—Рассмотрены факторы, влияющие на активность и стабильность окисно-хромовых катализаторов в полимеризации олефинов.

А. Литманович  
6P87. Исследование активности хромалоумогогний-силикатных катализаторов в реакции полимеризации этилена в полиэтилен. Зильфугаров З. Г., Зильфугарова Л. Ш., Мурадова С. А., Ширипова Э. Б., Агдаский Т. А., Алиев А. С. «Азерб. хим. ж., Азерб. хим. ж.», 1960, № 2, 107—115 (рез. азерб.).—Изучены новые типы хромалоумогогний-силикатных катализаторов (КТ) в р-ции полимеризации этилена в полиэтилен и зависимость активности КТ от метода



введения их в окисл хрома. Показано, что активность КТ зависит в основном от метода синтеза, при этом хим. состав носителей существенного влияния на активность не оказывает. Оптимальное соотношение окислов  $\text{Cr}^{6+}$  и  $\text{Cr}^{3+}$  в составе исследованных хром-метасиликатных КТ составляет 40—55:45—60, а максим. выходы полимеров на 2 КТ равны 92 и 114 г соответственно. Связи между каталитич. активностью КТ и их термограммами, пористостью, уд. объемом пор и насыщенным весом не наблюдается. Показано, что все полученные полимеры имеют высококристаллич. структуру. Авторы полагают, что активной частью хромовых КТ являются соли хромистой к-ты или же кислые соли хромовой к-ты. Л. Золотаревский

6Р88. Полимеризация  $\alpha$ -метилстирола, катализируемая йодом. Hirota Kozo, Meshitsuka Gisuke, Takemura Fukuo, Tanaka Tatsuto. The polymerization of  $\alpha$ -methylstyrene by iodine catalyst. «Bull. Chem. Soc. Japan», 1960, 33, № 9, 1316 (англ.).—Установлено, что  $\text{I}_2$  инициирует полимеризацию (ПМ)  $\alpha$ -метилстирола при 25°. Степень ПМ полимера за неделю достигала максим. значения при конц-ии  $\text{I}_2$  0,1—0,3%. Изучена зависимость конверсии мономера от времени при различных конц-иях  $\text{I}_2$ . Показано, что начальная скорость ПМ при повышенной конц-ии  $\text{I}_2$  (0,2%) больше, чем при пониженной (0,1%), но в первом случае конверсия не превышает 25%, в то время как в последнем она >50% (при ПМ в течение 160 час.).  $[\eta]$  полимеров не зависит от времени ПМ и незначительно увеличивается в случае низких конц-ий  $\text{I}_2$ . На основании аналогии между ИК-спектрами полимеров, полученных при ПМ смеси  $\alpha$ -метилстирола и метилметакрилата (объемное соотношение 1:1) в присутствии  $\text{I}_2$  и в присутствии  $\text{SnCl}_4$  сделан вывод о том, что изученная р-ция ПМ протекает по катионному механизму. Л. Золотаревская

6Р89. Молекулярно-весовое распределение в свободно-радикальной полимеризации, включающей неустойчивые связи. Tálal-Erben M., Emin Altan M. Molecular weight distribution in free-radical polymerizations involving transient linkages. В сб. «Международный симпозиум по макромолекулярной химии», Москва, 1960, Секц. 2. М., 1960, 534—543 (англ.; рез. русск., франц.).—Выведены ур-ния для среднечисленной и средневесовой степени полимеризации и получена функция распределения по мол. весам при свободно-радикальной полимеризации, когда конкурируют процессы полимеризации и деструкции, как при постоянной конц-ии, так и с учетом изменения конц-ии во времени. Изменение в распределении, обусловленное наличием неустойчивых связей, происходит в большей степени в области длинных цепей, в то время как изменение в конц-ии более коротких цепей компенсируется новыми цепями, образующимися в процессе деструкции. Ю. Панов

6Р90. Радикальная полимеризация стирола в жидкой двуокиси серы. Tokura Niichiro, Matsuda Minoru. Radical polymerization of styrene in liquid sulfur dioxide. «Sci. Repts. Res. Insts. Tohoku Univ.», 1960, A12, № 3, 280—290 (англ.).—Описана полимеризация (ПМ) стирола (I) в жидкой  $\text{SO}_2$  в присутствии динитрила азонизомасляной к-ты (II) в атмосфере  $\text{N}_2$ . Полученный полимер имеет строение  $[-\text{CH}_2\text{CH}(\text{C}_6\text{H}_5)-\text{SO}_2\text{CH}_2\text{CH}(\text{C}_6\text{H}_5)-]_n$  с молярным соотношением  $\text{I}:\text{SO}_2=2:1$ . Изучали влияние на состав полимера т-ры ПМ (40—60°), начальной конц-ии II, состава исходной смеси I и  $\text{SO}_2$  и глубины ПМ. Состав остается постоянным и не зависит от перечисленных факторов. На основании этого сделан вывод, что процесс представляет собой не сополимеризацию I и  $\text{SO}_2$ , а радикальную ПМ комплекса, состоящего из 2 молей I и 1 моля  $\text{SO}_2$  и образующегося до начала инициирования р-ции ПМ. Оставшаяся часть  $\text{SO}_2$  является р-ри-

телем. Скорость ПМ  $R_p = \text{const} \cdot [\text{II}]_0^{1/2} [\text{I} + 1/2 \text{SO}_2]$ . Вычисленная энергия активации ПМ 14,7 ккал/моль.

6Р91. Полимеризация акриламида, протекающая через перегруппировку молекул. II. О механизме реакции. Ogata Naoya. The transition polymerization of acrylamide. Part II. On the reaction mechanism. «Makromolekul. Chem.», 1960, 40, № 1-2, 55—63 (англ.; рез. нем.).—Исследован механизм полимеризации акриламида (I) в поли- $\beta$ -аланин, катализируемый алколюлятом щел. металла. На начальной стадии алколюлят присоединяется к I с образованием анионной амидогруппы  $(\text{ROCH}_2\text{CH}_2\text{CONH}-\text{Na}^+)$ , у которой и протекает р-ция роста цепи. Предполагают, что обрыв обусловлен примесью воды. Энергия активации полимеризации I составляет 9,2 ккал/моль. Исследование ИК-спектров полимеров I подтверждает предлагаемую схему р-ции полимеризации. Сообщение I см. РЖХим, 1961, ЗР80.

6Р92. Полимеризация октаметилциклотетрасилоксана в присутствии хлорного олова. Андрианов К. А., Якушкина С. Е. «Высокомолекуляр. соединения», 1960, 2, № 10, 1508—1511 (рез. англ.).—Противодействию октаметилциклотетрасилоксана (I) с  $\text{SnCl}_4$  при т-рах >100° имеет место раскрытие циклов и их полимеризация в линейные полимеры (ПМ) с высоким мол. весом (~350 000).  $\text{SnCl}_4$  легко удаляется из полимера превращением в неактивный гидрат. Путем исследования термомеханич. свойств ПМ показано, что все ПМ в растворимой форме имеют те же показатели, что и ПМ I, полученный в присутствии  $\text{H}_2\text{SO}_4$ . Т-ра стеклования образца с мол. весом 350 000 равна -52°, т-ра разложения 350°. Установлено, что скорости раскрытия циклов и полимеризации увеличиваются с повышением конц-ии катализатора и т-ры.



Высказано предположение, что полимеризация I под влиянием  $\text{SnCl}_4$  протекает через образование переходного комплекса (А). Л. Золотаревская

6Р93. О полимеризации дивинилбензола. Арбузова И. А., Костиков Р. Р., Пропп Л. Н. «Высокомолекуляр. соединения», 1960, 2, № 9, 1402—1404 (рез. англ.).—Полимеризацией в присутствии инициатора радикального типа получен линейный полимер дивинилбензола (см. РЖХим, 1961, ЗР106). На основании аналитич. данных по ненасыщенности полимера, а также его растворимости сделан вывод о циклич. механизме полимеризации. В. Якубович

6Р94. Распределение длин последовательностей в сополимерах виниленакарбоната с винилацетатом. Marder Herman L., Schuerch Conrad. Sequence length distributions in vinylene carbonate-vinyl acetate copolymers. «J. Polymer Sci.», 1960, 44, № 143, 129—142 (англ.; рез. франц., нем.).—Для определения средней длины последовательностей одинаковых мономерных единиц в сополимере виниленакарбоната ( $m_1$ ) с винилацетатом ( $m_2$ ) использовано то обстоятельство, что окисление получаемого после гидролиза сополимера  $-\text{CHON}-\text{CHON}-$  с  $-\text{CH}_2-\text{CHON}-$  периодатом (I) осуществляется лишь в том случае, когда  $\text{OH}$ -группы присоединены к соседним атомам углерода цепи. При этом на моль  $m_1$  расходуются два моля I и образуется  $(2n_1 - 1)/n_1$  молей муравьиной к-ты ( $\text{P}$ ).  $n_1 = 1/P_{12}$  — средняя длина последовательности  $m_1$ , а  $P_{12}$  — вероятность присоединения  $m_2$  к цепи, оканчивающейся  $m_1$ . Сополимеризация проводилась при 55° при этом константы сополимеризации  $r_1 = 0,05$ ,  $r_2 = 3,71$ . Получено 11 образцов с  $m_1$  от 1 до 0; в точка плавления выше чем у чистого  $m_2$  (125°). Для определения  $n_1$  необходимо также учесть, что гомо-

П +  $\frac{1}{2}$ SO<sub>2</sub> — 3 ккал/моль. Якубович, протекающая в низком давлении, механизм — 63 (англ.). Инициатор — перекись бензоила. Исследования — предположение, что активация — процесс, идущий параллельно с полимеризацией. В присутствии перекиси бензоила (I) и перекиси бензоила (II) — стирол — акрилонитрил. Оба эти сополимера обладают высокими технич. характеристиками и могут быть получены в промышленном масштабе. Напротив, в силу ряда особенностей протекания процесса (медленная полимеризация с низкой конверсией) и малого мол. веса получаемого сополимера система I — акрилонитрил не перспективна. С. Френкель

6Р96. Полиэфиры. II. Сополимеризация окиси пропилена с эпихлоргидрином. Yshida Sh. Polyethers. II. Copolymerisations of propylene oxide with epichlorohydrins. «Bull. Chem. Soc. Japan», 1960, 33, № 6, 731—733 (англ.). — Сополимеризация окиси пропилена с эпихлоргидрином проведена в присутствии комплексного катализатора FeCl<sub>3</sub> — окись пропилена (РЖХим, 1957, № 11, 37888; 1960, № 2, 7608). Полученный сополимер разделяли на 3 фракции (Ф): I, нерастворимую (при 20°) в ацетоне; II, растворимую в ацетоне и нерастворимую в метаноле; III, растворимую в метаноле. Ф I — твердое в-во, II и III — пастообразные или жидкие в-ва. Установлено, что продукт, оставшийся после удаления кристаллич. полимера пропиленоксида из Ф I путем обработки ее в кипящем эфире, является сополимером. Из опытных данных, показывающих зависимость состава сополимера от состава исходной смеси мономеров, оценены константы сopolimerизации:  $r_1$  (эпихлоргидрин) =  $1,8 \pm 0,3$ ,  $r_2$  (окись пропилена) =  $0,6 \pm 0,5$ . При полимеризации эквимолярной смеси, включающей окись пропилена и эпифторгидрин, в присутствии упомянутого катализатора образуется твердый растворимый в ацетоне продукт. Из указанного продукта выделена нерастворимая в метаноле Ф — белый порошкообразный неклеякий материал, который, по-видимому, является смесью кристаллич. гомополимеров из взятых для составления исходной смеси мономеров. Сополимеризация эпихлоргидрина с окисью 1,4-диметилена в присутствии катализатора Al(C<sub>2</sub>H<sub>5</sub>)<sub>3</sub> приводит к образованию только смеси гомополимеров (но не сополимера). Сообщение 1 см. РЖХим, 1961, 4Р67).

6Р97. Сополимеризация высших алкилвиниловых эфиров. II. Вязкая сopolimerизация с винилацетатом. III. Сополимеризация с акрилонитрилом и свойства сополимеров. Akazome Giichi, Sakai Shizuo, Oishi, Murai Koichi. «Kobunshi Kagaku, Chem. High Polym.», 1960, 17, № 183, 449—452; 452—455 (японск.; рез. англ.). — II. Константы сopolimerизации винилацетата (II) с высшими алкилвиниловыми эфирами в присутствии перекиси лаурила при 50° имеют следующие значения: для систем I — винилоктыловый эфир  $r_1 = 3,47 \pm 0,51$ ,  $r_2 = 0 \pm 0,31$ ; I — додециловый эфир  $r_1 = 3,67 \pm 0,45$ ,  $r_2 = 0 \pm 0,23$ ; I — винилооктадециловый эфир  $r_1 = 4,50 \pm 0,58$ ,  $r_2 = 0 \pm 0,35$ . С увеличением содержания винилового эфира в смеси мономеров скорость конверсии и мол. веса получаемых сополимеров (СП) уменьшаются. С увеличением степени конверсии моно-

меров содержание винилового эфира в СП увеличивается, а мол. вес СП уменьшается.

III. Сополимеризация акрилонитрила (II) с высшими алкилвиниловыми эфирами проведена в блоке и в эмульсии при 50° в присутствии перекиси бензоила. Константы сopolimerизации систем II — винилоктыловый эфир, II — винилододециловый эфир и II — винилооктадециловый эфир соответственно составляют  $r_1 = 0,81 \pm 0,05$ ,  $r_2 = 0,0 \pm 0,2$ ;  $r_1 = 0,82 \pm 0,05$ ,  $r_2 = 0,0 \pm 0,2$ ;  $r_1 = 0,85 \pm 0,05$ ,  $r_2 = 0,0 \pm 0,2$ . С увеличением содержания винилового эфира в мономерной смеси скорость сopolimerизации и приведенная вязкость получаемого СП уменьшаются, а СП из жесткого состояния переходят в мягкое и пластичное и становятся растворимыми в обычных органич. р-рителях. Сообщение 1 см. РЖХим, 1960, № 10, 41402.

Резюме авторов

6Р98. Металлоорганические соединения и стереоспецифическая полимеризация. Lefebvre G. Composés organométalliques et polymérisation stéréospécifique. «Rev. Inst. franç. pétrole», 1960, 15, № 4, 730—751 (франц.; рез. англ., исп.). — Обзор. Библ. 124 назв. X. Багдасарьян

6Р99. Анионно-координированная сopolimerизация пропилена с бутеном-1. Mazzanti G., Valvasori A., Sartori G., Pajaro G. Copolimerizzazione anionica coordinata del propilene con il butene-1. «Chimica e industria», 1960, 42, № 5, 468—474 (итал.; рез. франц., англ., нем.). — Описано получение сополимеров (СП) пропилена (I) с бутеном-1 (II) в присутствии катализаторов на основе галогенидов V и Al(C<sub>6</sub>H<sub>13</sub>)<sub>3</sub> (III). Найдено, что сopolimerизация I + II в присутствии III + VCl<sub>4</sub>  $r_1 = 4,39$  и  $r_2 = 0,227$ , а в присутствии III + VCl<sub>3</sub>  $r_1 = 4,04$  и  $r_2 = 0,252$ . Проведены опыты сopolimerизации смесей I + II различного состава в *n*-гептане (с II, меченным C<sup>14</sup>). Получено удовлетворительное совпадение между расчетными и экспериментально найденными величинами. Образовавшиеся высокополимеры обладали характеристич. вязкостью в тетралине при 135° 1,5—4,0, почти полностью экстрагировались кипящим *n*-гексаном и были рентгеноаморфны. ИК-спектры различных фракций СП полностью отличны от спектров соответствующих фракций гомополимеров I и II. Удовлетворительное совпадение опытных величин  $r_1$  и  $r_2$  с величинами, теоретич., рассчитанными из сopolimerизации C<sub>2</sub>H<sub>4</sub> + I и C<sub>2</sub>H<sub>4</sub> + II, подтверждает, что эти константы практически не зависят от природы конечной группы растущей цепи. Из опытов гомополимеризации I и II в присутствии III + VCl<sub>4</sub> установлено, что скорость гомополимеризации этих мономеров 1-го порядка относительно катализатора и олефина в жидкой фазе. Соотношение между скоростями гомополимеризации I и II равно 4,75, что очень близко к величине  $r_1$ , полученной для сopolimerизации I + II. Сделан вывод, что константы скорости присоединения обоих мономеров к растущей цепи не зависят от природы концевой группы.

В. Щекня

6Р100. Предельная температура для полимеризации некоторых замещенных стиролов. Mathieson A. R. Polymerisation ceiling temperatures of some substituted styrenes. «J. Chem. Soc.», 1960, June, 2778—2779 (англ.). — Предельная *т-ра* T<sub>c</sub>, соответствующая равновесию полимеризация — деполимеризация, для ионной полимеризации с бимолекулярным ростом и мономолекулярным обрывом может быть определена из ур-ния  $\ln(1/n) = E/RT + \ln(1/[M]) + \text{const}$ , где  $n$  — степень полимеризации,  $E$  — разность энергий активации для роста и обрыва цепи,  $[M]$  — конц-ия мономера. При  $[M] = 1$  *т-ре* T<sub>c</sub> соответствует  $n = 1$ . Показано (по литературным данным), что отношение  $\ln n$  от  $1/T$  не зависит от катализатора и р-рителя. Для пара-замещенных  $\alpha$ -фенилстиролов T<sub>c</sub> возрастает с увеличением электронодонорных свойств заместителя.

X. Багдасарьян

**6P101.** О получении некоторых привитых сополимеров методом озонирования. Козлов П. В., Ивлева М. М., Хакимова А. Х., Зеин А. «Высокомолекул. соединения», 1960, 2, № 10, 1575—1579 (рез. англ.).—По описанной ранее методике (см. РЖХим, 1960, № 8, 33506) осуществляли прививку (ПР) винилацетата на цепи озонированного полистирола (мол. вес 200 000). При соотношении исходных компонентов 1:1 содержание привитого винилацетата составляло 6—7 вес. %. Значительные изменения в соотношении исходных компонентов приводят к сравнительно малому изменению кол-ва привитого винилацетата, причем максим. кол-во ПР составляет 20%. Мол. вес боковых ветвей поливинилацетата для 11—20% ПР составляет 8000—12 000. Полученные привитые сополимеры (ПС) хорошо набухают в бензоле и метилэтилкетоне. В бензиловом, а также в  $\beta$ -фенилэтиловом спиртах при нагревании получают 3—4%-ные р-ры ПС.  $[\eta]$  ПС несколько уменьшается по сравнению с  $[\eta]$  исходного полистирола. В условиях термич. инициирования при 110° в течение 3—4 час. проводили ПР стирола к активированному озоном полиизобутилену (мол. вес 331 000). При соотношении полиизобутилена и стирола 1:10 процент ПР равен 30. Установлено также, что акриловая к-та сравнительно легко прививается на молекулах полиэтилентерефталата, причем процент ПР в этом случае достигает 53.

Л. Золотаревская

**6P102.** Прививка некоторых мономеров к натуральному шелку и капрому при помощи  $\gamma$ -лучей. Азимов С. А., Усманов Х. У., Кордуб Н. В., Слепакова С. И. «Высокомолекул. соединения», 1960, 2, № 10, 1459—1462 (рез. англ.).—Прививка (ПР) акрилонитрила (I) и стирола к натуральному шелку и капрому осуществлена путем погружения волокна в р-р мономера и последующего облучения его  $\gamma$ -лучами ( $^{60}\text{Co}$ , активность 1350 кюри). Установлено, что лучшим р-рителем для I в цепях ПР его к шелку является вода. Для ПР к капрому хорошим р-рителем для I являются вода и этиловый спирт (привес в этом случае равен 24%). Установлено, что оптимальная доза облучения составляет 10<sup>6</sup> рентгенов. Для доказательства процесса ПР исследованы ИК-спектры полученных образцов. Показано, что вследствие ПР в макромолекулы натурального шелка и капрона вводятся  $\text{C}\equiv\text{N}$ -группы (полоса 2270  $\text{cm}^{-1}$ ). В спектре необлученного шелка обнаружены полосы 3080 и 3300  $\text{cm}^{-1}$ , отвечающие водородным связям в *цис*- и *транс*-положениях у пептидных групп; при облучении шелка большими дозами  $\gamma$ -лучей водородные связи сохраняются.

Л. Золотаревская

**6P103.** Прививка на целлюлозные макромолекулы посредством передачи цепи в боковые меркаптоэтильные цепи. I. Экспериментальный метод и полученные результаты. Ray Chaudhuri D. K., Hermans J. G. Grafting onto cellulosic macromolecules through chain transfer to mercapto ethyl side-chains. I. Experimental procedure and results. В сб. «Международ. симпозиум по макромолек. химии», Москва, 1960. Секц. 1. М., 1960, 316—322 (англ.).—Описан метод получения этиленсульфида и меркаптопроизводных целлюлозы. Для меркаптоэтилирования использовались пленки целлюлозы, освобожденные от  $\text{O}_2$ . Для прививки мономер, очищенный от ингибитора, высушивали и перегоняли в вакууме. Реакционную смесь вымораживали жидким воздухом, а затем нагревали до 65°. Гомополимер удаляли экстракцией и определяли увеличение образца в весе. Полученный продукт при обработке ацетоном дает мутный р-р и твердый осадок, нерастворимый в бензоле, что доказывает факт прививки. В качестве мономеров взяты стирол и метилметакрилат. Определено влияние времени, конц-ии мономера и катализатора на степень прививки. Максим. увеличение в весе достигает 380%. Скорость прививки при-

мерно пропорциональна конц-ии мономера и конц-ии катализатора в степени 1/2. Рассмотрены свойства привитого полимера.

Г. Николович

**6P104.** Прививка сополимеров винилпирролидона на декстран. Shen K. P., Eirich F. R. Graft copolymers of vinyl pyrrolidone on dextran. В сб. «Международ. симпозиум по макромолек. химии», Москва, 1960. Секц. 1. М., 1960, 323—327 (англ.).—Для прививки использованы методы передачи цепи, активирования  $\gamma$ -излучением и УФ-светом в присутствии сенсibilизатора. Образование привитого полимера было подтверждено турбидиметрич. титрованием. Весовая фракция привитого мономера достигает 90%. Принимая во внимание, что мол. вес привитой ветви достигает 700 000, можно считать, что последняя входит в цепь в виде одной длинной молекулы, т. е. что имеет место образование блок-полимера. Прививка под действием  $\gamma$ -излучения очень незначительна. Для прививки при помощи УФ-света применен метод предварительного облучения декстрана, содержащего сенсibilизатор. Определена константа передачи цепи на декстран, равная  $5 \cdot 10^{-4}$ .

Г. Николович

**6P105.** Влияние кислорода на радиолитическое окисление. Pierre L. E. St., Dewhurst H. A. The effect of oxygen on the radiolysis of silicones. *J. Phys. Chem.*, 1960, 64, № 8, 1060—1062 (англ.).—Изучали влияние  $\text{O}_2$  под давлением 10 атм на радиолитическое окисление (I). Последний облучали электронами с энергией 800 кэв до дозы  $2,9 \cdot 10^{21}$  эв/г. Качественный и количественный анализы проведены химическими методами и методами газовой хроматографии и ИК-спектроскопией. Продуктами окисления являются:  $\text{R}-\text{COOH}$ ,  $\text{R}-\text{CH}_2\text{OOSi}(\text{CH}_3)_2$  и  $\text{R}-\text{COOH}_2$ , где  $\text{R} = (\text{CH}_3)_3\text{Si}-$  или  $-\text{Si}(\text{CH}_3)_2-$ . Рассмотрено влияние этих продуктов на процессы сшивания полидиметилсилоксанов.

В. Якубович

**6P106.** Органосиликоновые полимеры. III. О сополимере диметилдиметоксисилана и дифенилдиметоксисилана. Matui Masao. Organosilicon polymers. III. On the co-polymer of dimethyl-dimethoxysilane and diphenyl-dimethoxysilane. *Scient. Papers Inst. Phys. and Chem. Res.*, 1960, 54, № 1, 141—145 (англ.).—С целью выяснения условий получения продуктов гидролиза с максимальной возможной вязкостью исследован сополимер диметилдиметоксисилана с дифенилдиметоксисиланом. Гидролиз проводили с применением 0,6, 0,2 и 0,1 н. р-ров  $\text{NaOH}$ . С увеличением содержания дифенилсилокси-групп в образующемся масле наблюдали уменьшение значений  $[\eta]$ . В отличие от продукта гидролиза диметилдиметоксисилана, содержащего небольшое кол-во линейного диметилполисилоксана с метоксильными концевыми группами, дифенилполисилоксан состоит только из циклич. полимеров — тримера и тетрамера. Для полученных продуктов определены содержание Si, а также т-ра плавления, уд. вес и показатель преломления. Структура продукта гидролиза зависит от различия в скорости полимеризации диметил- и дифенилдиэтилоксилов. Сообщение II см. РЖХим, 1960, № 24, 99352.

Н. Мотовилов

**6P107.** Слабые связи в цепях полисахаридов и их отношение к индуктивным эффектам. Ranby B. G. Weak links in polysaccharide chains as related to inductive effects. (Summary). В сб. «Международ. симпозиум по макромолек. химии», Москва, 1960. Секц. 3. М., 1960, 319—320 (англ.; русск., франц.).—Считают, что зависимость скорости кислотного гидролиза целлюлозы от их происхождения обусловлена индуктивным влиянием карбоксильных и карбонильных групп цепей. Эти группы могут присутствовать в исходном объекте или образовываться в процессе его переработки. Обсуждается механизм индуктивного эффекта в связи с общей концепцией р-ций полисахаридов.

Г. Николович

**6P108.** Скорость реакции эпоксиэпоксиэтиленов с аминами. Kakurai Toshio, Noguchi Tatsuya



«Ожи гоей какаку кёкайси, J. Soc. Organ. Synth. Chem., Japan», 1960, 18, № 7, 485—495 (японск.; рез. англ.).— Для изучения механизма р-ции вулканизации эпокси-дицидных смол исследовано влияние р-рителей, амина и эпокси-соединения на скорость р-ции монофункциональных эпокси-соединений и вторичных аминов. Показано, что скорость р-ции в полярном р-рителе выше, чем в неполярном. Отмечено высокое ускоряющее действие спирт. гидроксидов. С увеличением стерич. препятствий, связанных с присутствием аминов, константа скорости р-ции уменьшается. В присутствии фенил- и изопропилглицидилового эфиров константа скорости р-ции имеет большее значение, чем в присутствии окисл. стирола и пропилена. При взаимодействии *n*-бутиламина (бифункциональный первичный амин) с фенилглицидиловым эфиром константа скорости в начальной стадии в 2—2,5 раза больше, чем во второй стадии. Энергия активации изученных р-ций составляет 13—14 ккал/моль.

По резюме авторов  
6P109. Изучение высокополимерных акриловых производных. Сообщение 8. Schutz J., Skoda W., Bayzer H. Untersuchungen an hochpolymeren Acryl-derivaten. 8. Mitt. Pyrolyse von Vinyon N. «Monatsh. Chem.», 1960, 91, № 2, 263—269 (нем.).—Изучена термич. деградация смешанного полимера из 40% полиакрилонитрила (I) и 60% поливинилхлорида (II) — «винилона N» (III) — при *t*-ре 160°. Показано, что нагревание III в течение 22 час. приводит к получению темно-коричневых продуктов, устойчивых к действию HCl и похожих на продукты термич. деградации II. При нагревании III содержание хлора в нем уменьшается линейно со временем, а содержание азота остается неизменным. Растворимость в диметилформамиде падает сначала медленно, а затем быстро, и после 10—22 час. нагревания растворимая доля не превышает 5—10%. В ИК-спектре продукта деградации III сильно ослаблены полосы, соответствующие валентным колебаниям C—Cl (11,40  $\mu$ ) и C≡N (4,46  $\mu$ ), но появляются полосы валентных колебаний N—H (3  $\mu$ ) и конъюгированных связей C=C (6,20  $\mu$ ) и деформационных колебаний CN=CN. Авторы полагают, что при термич. деградации первичной р-цели является отщепление HCl от II с образованием полиеновых структур. Затем эти системы сопряженных двойных связей окисляются кислородом воздуха. Отщепляющийся HCl катализирует разложение I, идущее с образованием вторичных амидных связей и поперечным сшиванием молекул. Сообщение 7 см. РЖХим, 1960, № 1, 3447.

И. Слоним  
6P110. Фотодеградация полиакрилонитрила в растворе. Jellinek H. H. G., Schlueter W. A. Photodegradation of polyacrylonitrile in solution. «J. Appl. Polymer Sci.», 1960, 3, № 8, 206—212 (англ.; рез. франц. нем.).—Исследована фотодеградация полиакрилонитрила (I) под действием УФ-облучения (ОБ) (2537 Å) при 25°. Путем измерения вязкости р-ров I до и после ОБ показано, что в присутствии кислорода доминирующей является р-ция деградации (Д) полимерной цепи, в то время как в отсутствие кислорода происходят Д цепи и некоторое поперечное связывание или комбинация образованных в процессе Д полимерных радикалов. Установлено, что после прекращения ОБ в течение длительного периода времени наблюдается эффект последовательности. Процесс Д облученного в вакууме при 25° в растворе в смеси 80% этиленкарбоната и 20% пропиленкарбоната, изучен путем определения  $[\eta]$  как функции времени при разных значениях интенсивности света. Установлено, что на каждый поглощенный световой квант Д подвергаются  $7,7 \cdot 10^{-4}$  связей полимерной цепи. Показано также, что ИК-спектры облученных и необлученных образцов I не имеют различий. Полученные результаты рассмотрены в свете теории беспорядочной Д с учетом того, что скорость разрыва связей пропорциональна числу C—C-связей в основной

полимерной цепи в момент времени *t* и интенсивности УФ-света. Опытные значения констант скоростей, полученные при использовании теории беспорядочной Д, находятся в линейной зависимости от интенсивности света. Изложены предполагаемые схемы р-ции Д.

Л. Золотаревская

6P111. Механо-химические превращения и блок-сополимеризация при замораживании растворов крахмала. Берлин А. А., Пенская Е. А., Волкова Г. И. В сб. «Международ. симпозиум по макромолекулам», Москва, 1960. Секц. 3. М., 1960, 334—343 (рез. англ., франц.).—Изучены продукты криолитич. деградации (КД) крахмала (КР), полученные в результате последовательного замораживания и оттаивания (от —195 до —4°) его водн. р-ров. Они характеризуются заметным увеличением йодного числа и редуцирующей способности, а также скорости гидролиза минер. к-тами. В то же время уд. вязкость р-ров сильно уменьшается. Это связано с разрушением макромолекул и уменьшением степени полидисперсности в результате КД. Хранение продуктов КД при *t*-ре 20° приводит к уменьшению редуцирующей способности и увеличению уд. вязкости, что указывает на радикальный характер превращений КР. Наличие радикалов показано методом ЭПР. Аналогично ведет себя продукт, полученный путем механич. деградации КР. Продолжительное нагревание продуктов КД на воздухе приводит к увеличению скорости гидролиза, что является результатом образования перекисей. Добавка 0,15—0,25%-ных р-ров этих продуктов способна вызвать деградацию КР и ряда других полимеров. Радикальная теория КД позволяет объяснить возможность образования блок-сополимеров при совместном замораживании двух полимеров.

Г. Никонович

6P112. Регулируемое термическое разрушение нитрата целлюлозы. VII. Карбонильные соединения. Wolfrom M. L., Arsenault G. P. The controlled thermal decomposition of cellulose nitrate. VII. Carbonyl compounds. «J. Amer. Chem. Soc.», 1960, 82, № 11, 2819—2823 (англ.).—Исследованы продукты сгорания нитроцеллюлозы с целью выяснения характера карбонильсодержащих соединений (КС) в жидкой смеси продуктов сгорания. Большую часть КС составляют формальдегид (I) и глиоксаль (II). Со временем содержание карбонила в смеси уменьшается за счет старения и удаления летучих продуктов. Остаток после удаления I обрабатывали 2,4-динитрофенилгидразином (III). Полученный продукт фракционировали экстракцией 96%-ным спиртом. Растворимую фракцию разделяли хроматографически на 6 зон, из которых были выделены III ацетона, ацетальдегида и I, а также ряд других продуктов. Из нерастворимой фракции выделен глиоксаль-2,4-динитрофенилгидразон. Выделение ацетальдегида и ацетона из жидкости подтверждает, что продукты сгорания могут содержать ряд других соединений. Для анализа свежеприготовленной смеси продуктов сгорания был также использован метод газовой хроматографии. Удалось показать наличие акролеина и этилацетата (не считая уже известных продуктов). Приводятся детальные описание эксперим. методов. Сообщение VI см. РЖХим, 1960, № 6, 25226.

Г. Никонович

6P113. Исследование сшивания полимеров. I. Дегградация виниловой цепи при смешивании виниловых полимеров с каучуками на вальцах в воздушной среде. Fujii Hidemaro, Kira Tsuneo, Goto Kunio, Koide Masaki. «Кобунси какаку, Chem. High Polym.», 1960, 17, № 183, 385—390 (яп.; рез. англ.).—Смеси виниловых полимеров (поливинилхлорида, полистирола, полиметилметакрилата и полиэтилена) и каучуков получены путем вальцевания в воздушной среде. Полученную смесь фракционировали, выделяя каучук и виниловый полимер. Механич. деградацию виниловой цепи при смешивании определяли из вискозиметрич. данных.

По резюме авторов

6Р114. Новое в развитии синтеза высокомолекулярных соединений. I. Линь И. Гаофэнцзун тунсюнь, 1859, 3, № 5, 269—277 (кит.).—Обзор, посвященный синтезу высокомолекулярных соединений за 4 года (1956—1959). Библ. 30 назв.

6Р115. Обзор современных направлений в работе по облучению полимеров. Charlesby A. Survey of recent trends in polymer radiation work. «Large Radiat. Sources Ind. Vol. 2.» Vienna, 1960, 399—408. Discuss., 408 (англ.; рез. франц., русск., исп.).—Кратко рассмотрены современные направления в области радиационного воздействия на полимеры, а также радиационной полимеризации, в частности полимеризации при низких  $t$ -рах. Обсуждаются вопросы экономики технологии радиационного модифицирования полимеров.

А. Литманович  
6Р116. Полимеризация под влиянием радиоактивного излучения. Табата Йонзо. «Кобунси», 1960, 9, № 4, 212—216 (японск.).

6Р117. Механизм облучения поливинилхлорида. Wippler Constant. Irradiation mechanism in polyvinyl chloride. «Nucleonics», 1960, 18, № 8, 68—72 (англ.).—Обзор данных по облучению поливинилхлорида как такового и в  $r$ -рах (главным образом в тетрагидрофуране и циклогексаноне). Рассмотрены изменения свойств полимера в результате облучения, влияние добавок и механизм сшивания. Библ. 23 назв.

А. Литманович  
6Р118. О структуре пространственных полимеров, получаемых поликонденсацией 2,4,6-три(гидроксиметил)-фенола. Kämmerer H., Grossmann M., Umsonst G. Über die Struktur eines räumlich gebauten, aus 2,4,6-Tri-(hydroxymethyl)-phenol erhaltenen Polykondensates. «Makromolek. Chem.», 1960, 39, № 1-2, 39—51 (нем.; рез. англ.).—Установлено, что при поликонденсации в расплаве 2,4,6-три(гидроксиметил)-фенола образуется полимер пространственного строения, в котором фенольные ядра соединены друг с другом метиленэфирными связями. Этот вывод сделан на основании данных анализа продуктов расщепления полимера. На основании данных о возможных межмолекулярных расстояниях и валентных углах рассмотрена пространственная структура получающегося полимера и сделан вывод, что возможно существование кольчатых структур, образованных тремя, четырьмя, пятью, шестью и большим числом фенольных ядер.

Ю. Липатов  
6Р119. Из области гетероцепных полиамидов. XXIII. О поликонденсации дихлорангидрида окиси бис-( $n$ -карбоксифенил)-фенилфосфина с гексаметилендиамин на границе раздела фаз. Коршак В. В., Фрунзе Т. М., Курашев В. В. «Высокомолекул. соединения», 1960, 2, № 5, 633—635 (рез. англ.).—Изучена  $r$ -ция получения фосфоросодержащих полиамидов методом неравновесной поликонденсации. Исходными компонентами в  $r$ -ции служили дихлорангидрид окиси бис-( $n$ -карбоксифенил)-фенилфосфина (I) и гексаметилендиамин (II). I был получен из окиси бис-( $n$ -карбоксифенил)фенилфосфина и хлористого тинола. При перемешивании в воде.  $r$ -ру II, содержащему рассчитанное кол-во едкого кали, добавляли равный объем бензольного  $r$ -ра I той же конц-ии.  $R$ -ция проходила в течение 10 мин. Полученный полимер промывали и сушили при 100° в вакууме. Выход полиамида составил 72—92% от теоретич. Приведенная вязкость 0,5%-ных  $r$ -ров в трикрезоле при 20° составляла 0,42—0,88. Исследование влияния конц-ии исходных реагентов на мол. вес полиамида показало, что вязкость изменяется по кривой с максимумом в точке, соответствующей конц-ии 0,01 моль/л. Характер кривой вязкости — конц-ия соответствует данным предыдущих работ по исследованию неравновесной поликонденсации (РЖХим, 1960, № 5, 20730). Отмечено, что при неравновесной поликонденсации полиамид, полученный из I и II, имеет больший мол. вес и лучшие механич. свойства,

чем при равновесной поликонденсации. При этом в случае неравновесного процесса не предъявляется особых требований к чистоте исходных продуктов. Сообщение XXII см. РЖХим, 1960, № 16, 68212. П. Алиевский

6Р120. Из области гетероцепных полиамидов. XXIV. О получении смешанных полиамидов на границе раздела фаз. Коршак В. В., Фрунзе Т. М., Козлов Л. В., Алыбина А. Ю. «Высокомолекул. соединения», 1960, 2, № 5, 673—678 (рез. англ.).—Исследована возможность получения смешанных полиамидов методом неравновесной поликонденсации. Исходными компонентами были смеси хлорангидридов адипиновой и изофталево-к-т, взятых в различных соотношениях, и гексаметилендиамина.  $R$ -ция проводилась при перемешивании (мешалка, 1000 об/мин.). Полученные полимеры представляли собой смешанные полиамиды, обладавшие, в зависимости от молярного соотношения исходных хлорангидридов, различными свойствами. При увеличении содержания в исходной смеси хлорангидрида изофталево-к-ты до 60 мол.% растворимость сополимера в муравьиной к-те начинает уменьшаться. Степень кристалличности полученных сополимеров была меньше, чем в случае равновесной поликонденсации, а  $t$ -ра течения соответственно ниже. Это объясняется тем, что неравновесная поликонденсация протекает, в отличие от равновесной, при  $t$ -рах ниже  $t$ -стеклования. Нагревание сополимеров в течение 20 мин. при 250° в атмосфере  $N_2$  приводит к повышению  $t$ -ра течения. Различия в реакционной способности исходных хлорангидридов в данных условиях не оказывают влияния на состав и свойства сополимеров.

П. Алиевский  
6Р121. Окислительно-восстановительные полимеры пирогаллола. Gregor H. P., Beltzer M. Pyrogallol redox polymers. В сб. «Международ. симпозиум по макромолеку. химии», Москва, 1960. Секц. 1. М., 1960, 194—201 (англ.; рез. русск., франц.).—Изучали получение обменных смол конденсацией пирогаллола с формальдегидом в кислой и щел. средах в присутствии натр. соли о-бензальдегидсульфоновой к-ты, увеличивающей пористость смолы. В качестве катализаторов применяли NaOH. Полученные смолы отличались высокой стабильностью и практически не окрашивались проходящими через них  $r$ -ры. Для их характеристики определяли скорость, с которой суспензия частиц смолы (диам. ~0,4 мк) восстанавливала 0,8 М  $r$ -р FeCl<sub>3</sub> и 0,25 N. H<sub>2</sub>SO<sub>4</sub> при 25°. Скорость  $r$ -ции определяли основным диффузией в частицы смолы. Изучали также восстановление хинона, скорость диффузии которого значительно выше, чем скорость диффузии Fe<sup>3+</sup>; коэф. диффузии в этом случае был примерно в 100 раз выше. Были определены стандартные потенциалы смолы путем ее встряхивания с растворимой окислительно-восстановительной системой. Ионнообменная способность была испытана по отношению к различным окислительным агентам, причем было показано, что потери при повторных циклах незначительны; смола может быть регенерирована  $r$ -ром гидросульфита натрия NaOH. Применяли также хиноидную форму смолы. Указанные смолы могут найти применение в различных областях металлургии, фотографии и др.

Н. Мотовилов  
6Р122. Полиуретаны. I. Полимеризация в растворе диизоцианатов с этиленгликолем. Lyman Donald. Polyurethanes. I. The solution polymerization of diisocyanates with ethylene glycol. «J. Polymer Sci.», 1960, 45, № 145, 49—59 (англ.; рез. франц., нем.).—При взаимодействии различных диизоцианатов ( $m$ -фенилен- $n$ -фенилен-2,4-толуолдиизоцианатов, метилен-бис-(4-фенилдиизоцианата) (I), дурол, дифенилендиизоцианата, бис-(4-изоцианатофенил)-сульфона, 4,4'-диизоцианатодифенилового эфира 3,3'-диметил-4,4'-дифенилен-4,5-нафталиндиизоцианата) с этиленгликолем (II) в  $r$ -р получены соответствующие полиуретаны. При изу-

При этом в  
является осн  
уков. Сооб  
А. Ллевский  
идов. XXIV  
ранице раз  
Козлов  
единения  
дована вод  
ов методо  
и компонен  
вой и изо  
ошениях, и  
при переме  
ые полиме  
иды, облас  
ошения п  
тами. При  
хлорангид  
имости со  
еньшаться  
ополимер  
онденсаци  
Это облас  
и защиты  
ниже т  
а течени  
на повыш  
поспособ  
ях не о  
имиров.  
Алевский  
полимер  
Ryugah  
по макро  
0, 194—20  
ение моле  
формаль  
улиц  
сализатор  
ались к  
трашивал  
теристик  
астиц смо  
р-р FeCl<sub>3</sub>  
сделали  
или тако  
которо  
и FeCl<sub>3</sub>  
в 100 рр  
налы см  
ислитель  
способ  
ным окис  
то потери  
ла может  
натрия  
а смолы  
разнооб  
др.  
отоплен  
раствор  
onald  
of diis  
e, 1960  
При из  
фенилде  
ис-с-ф  
оцианат  
илен-4-  
I) в р-р  
и изуч

ния влияния различных факторов на ход р-ции уста  
новлено, что при использовании в качестве р-рителей  
диметилсульфоксида и тетраметилсульфоксида и диметил  
сульфоксида (4-метилпентанона-2) (50:50) кол-во по  
бочных р-ций минимально. Установлены оптимальные  
условия р-ции для получения высокомолекулярных по  
лиуретанов: время 1—2 часа, т-ра 110—140°; при этом  
реагирующие в-ва должны вводиться в реакционную  
смесь в эквимолярных кол-вах. Отмечено, что для полу  
чения полиуретанов из I и II введение диметилсульф  
оксидного р-ра последнего необходимо проводить при  
быстром перемешивании суспензии I в 4-метилпента  
ноне-2; время р-ции в этом случае 1—1,5 часа, т-ра  
140—120°. Полимер, полученный из I и II, выделен из  
р-ра в виде белого порошка. Методами светорассеяния  
и осмотич. измерениями показано, что указанный по  
лимер имеет линейную структуру и высокий мол. вес,  
причем из него могут быть получены волокна и плен  
ки, физ.-мех. свойства которых сравнимы с аналого  
выми товарами полимеров (Милара). Л. 3.  
6P123. Синтез и свойства комплексобразующих  
смола, содержащих ди-(карбоксиметил)-аминовые груп  
пы. Okawara Makoto, Komeda Yoshiaki,  
Imoto Eiji. «Кобунсикагаку, Chem. High Polym.»,  
1960, 17, № 177, 30—36 (японск.; рез. англ.).—На основе  
хлорметилированного полистирола приготовлена новая  
комплексобразующая смола (СМ). 25 г измельченного  
полистирола (включающего 0, 2, 4, 6 или 7,5% дивинил  
бензола) (I) перемешивают 1 час со 110 мл хлормети  
лового эфира при 30°, добавляют 6,3 г ZnCl<sub>2</sub> в тече  
ние 30 мин., перемешивают 3 часа, на другой день до  
бавляют 30 мл воды и получают хлорметилированный по  
листирол (II), который промывают водой, спиртом,  
эфиром, сушат в вакууме; II содержит от 12,7 до 19,2%  
Cl и имеет обменную емкость для Cu<sup>2+</sup> при pH 5,1 от  
0,046 до 1,24 мэкв. Смесь 15 г II и 70 мл пиридина пе  
ремешивают 40 мин. при 80°, добавляют 9,2 г иминодиа  
цетонитрила (III), перемешивают 4 часа при 80°, филь  
руют, промывают последовательно водой, разб. HCl, во  
дой, спиртом, эфиром и получают N-ди-(цианометил)  
аминометилполистирол (IV). 7 г IV тщательно разме  
шивают с 200 мл воды, добавляют 12%-ный KOH и ки  
пятят 3 часа (или 75 г IV кипятят 4 часа с 750 мл  
конц. HCl), полученные реакционные смеси нейтрали  
зуют (приведены кривые нейтр-ции) и получают СМ,  
характеризующиеся содержанием ди-(карбоксиметил)  
аминометилных групп. 6 г II нагревают (50—60°,  
1 час) с 20 мл CHCl<sub>3</sub>, добавляют р-р 6 г гексилamina  
в 40 мл CHCl<sub>3</sub> и кипятят 3 часа; полученную смолу ки  
пятят 3 часа с 16 мл конц. HCl и 150 мл спирта; 3,8 г  
образовавшегося хлоргидрата аминометилполистирола  
(V) в 30 мл спирта добавляют к р-ру 8,4 г ClCH<sub>2</sub>COOH,  
нейтрализованному NaOH, слабо подщелачивают р-ром  
NaOH, нагревают 6 час. при 80°, поддерживая щел. сре  
ду добавками р-ра NaOH, и получают СМ, который про  
мывают разб. HCl, водой и спиртом. К смеси 1,9 г V,  
20 мл воды, 0,4 г NaOH и 2,4 г NaCN добавляют тремя  
равными порциями (каждую в течение 20 мин. при  
т-ре соответственно 80, 90 и 95°) смесь 4 г 31%-ного  
формалина и 25 мл воды, удаляют выделяющийся NH<sub>3</sub>  
в вакууме и смесь подкисляют HCl; полученная СМ,  
включающая 7,5% I, не образует внутримолекулярных  
соединений с Fe<sup>2+</sup>, Fe<sup>3+</sup>, Ni<sup>2+</sup> и Ba<sup>2+</sup>; ее обменная  
емкость к Cu<sup>2+</sup> и Hg<sup>2+</sup> равна соответственно 0,8 и  
2,9 мэкв в одинаковых условиях; сродство СМ к Cu<sup>2+</sup>  
изменяется в зависимости от pH и достигает максиму  
ма при pH 5,1. При pH 0,7 на колонке со СМ (1 ×  
10 см) удается разделить смесь 0,05 н. р-ров Cu<sup>2+</sup> и  
Hg<sup>2+</sup> при пропускании р-ра со скоростью 0,45 мл/см<sup>2</sup>/  
мин. СМ, не включающая I, растворима в воде. На осно  
ве изучения УФ-спектров очищенных водорастворимых  
образцов СМ без добавок и с добавкой Cu<sup>2+</sup> в отноше  
нии 2:1 сделано заключение, что в комплексобразова  
нии принимает участие только одна из карбоксиль

ных групп N(CH<sub>2</sub>COOH)<sub>2</sub>. 16 г поливинилового спирта  
(мол. вес 2210) и 25 г диэтилацетата бромацетальдеги  
да нагревают 12 час. при 80°; 1 г полученного полиме

ра (VI) [OCHCH<sub>2</sub>CH<sub>2</sub>NOCHCH<sub>2</sub>Br]<sub>n</sub> (содержание Br 31,5%)  
кипятят 2 часа с 40 мл пиридина и 7,6 г III, р-рителе  
отгоняют в вакууме, полимер растворяют в разб. HCl,  
фильтруют и осаждают ацетоном; в полученном про  
дукте омыляют нитрильные группы и получают поли  
мер (VII) [OCHCH<sub>2</sub>CH<sub>2</sub>NOCHCH<sub>2</sub>N(CH<sub>2</sub>COOH)<sub>2</sub>]<sub>n</sub>. Анало  
гично, из 4 г VI, 4,5 г иминодиуксусной к-ты (VIII) в  
120 мл пиридина также получают VII. Смесь 24 г без  
водн. полиметакрилата, 40 мл толуола и 45 г PCl<sub>3</sub> наг  
ревают 7 час. при 80°; полученный полихлорангидрид  
(1 г) нагревают (6 час., 80°) с 1,5 г VIII в абс. пириди  
не и диметилформамиде в присутствии небольших

кол-в NaOH и получают полимер (IX) [—CH<sub>2</sub>C(CH<sub>3</sub>)—  
CON(CH<sub>2</sub>COO)<sub>2</sub>]<sub>n</sub>. Полимеры VII и IX являются комп  
лексобразующими смолами; обменная емкость для  
Cu<sup>2+</sup> (при pH 5) составляет для VII и IX соответственно  
0,295 и 1,56 мэкв.

Л. Яновская

6P124. Сополимеризация диэтиленамидов кислот  
фосфора с бифункциональными органическими соеди  
нениями. Гречкин Н. П. «Докл. АН СССР», 1960, 133,  
№ 3, 592—593.—Показано, что диэтиленамиды к-т фос  
фора (I) взаимодействуют с дифункциональными органи  
ч. соединениями (ДОС) с образованием линейных со  
полимеров. Свойство I присоединяться к ДОС может  
быть использовано для сшивания полиамидных и поли  
эфирных цепей. При нагревании эквимолярных кол-в  
диэтиленамида изопропилтиофосфорной к-ты с себа  
циповой к-той (II) до 110—120° образуется каучукопо  
добное в-во с большим коэффициентом растяжения. При  
нагревании эквимолярных кол-в диэтиленамида  
этилфосфорной к-ты (III) с бензином (IV) до 125—  
130° образуется твердый прозрачный полимер, высо  
коэластичный в интервале т-р 150—220°. 1 моль II,  
0,9 моля тетраметилэтиленгликоля и 0,1 моля III при 180  
или при 230° (вакуум) образуют воскообразный поли  
мер, т. пл. ~60°. 1 моль II, 0,9 моля IV и 0,1 моля III в  
токе N<sub>2</sub> при 220° образуют твердый роговидный поли  
мер.

С. Рейтбулд

6P125. Получение полимерного бис-перфторметил  
фосфонитрила. Tesi G., Haber C. P., Douglas C. M.  
The preparation of a polymeric bisperfluoromethylphosph  
onitritile. «Proc. Chem. Soc.», 1960, June, 219—220  
(англ.).—Синтезирован [(CF<sub>3</sub>)<sub>2</sub>PN]<sub>n</sub> путем медленного  
разложения азида бис-перфторметилфосфиновой к-ты  
(50—60°/37 мм). Полученный аморфный воскообразный  
продукт с т. пл. 90—94° нерастворим в обычных органи  
ч. р-рителях и не изменяется при кипячении с H<sub>2</sub>SO<sub>4</sub>,  
HNO<sub>3</sub> и HClO<sub>4</sub>. 10%-ный р-р NaOH вызывает частичный  
гидролиз, сопровождающийся выделением одного моля  
CHF<sub>3</sub> на аверо (CF<sub>3</sub>)<sub>2</sub>PN.

О. Ин

6P126. Синтез модельных веществ для полиакрило  
нитрила и его сополимеров. I. Синтез модельных ве  
ществ для полиакрилонитрила. (I). Takata Toshi  
hiro, Taniyama Masakazu. «Кобунсикагаку, Chem. High Polym.», 1959, 16, № 173, 693—698 (японск.;  
рез. англ.).—Синтезированы 2,4-дицианопентан (I),  
1,3-дицианобутан (II) и глутаронитрил (III), 2,4,6-три  
цианогептан (IV), 1,3,5-трицианогексан (V) и 2,4,6,8-  
тетрацианонан (VI) как модели димеров, тримеров и,  
соответственно, тетрамера полиакрилонитрила (VII).  
Сравнены ИК-спектры (даны кривые) изобутиронитрила,  
I, IV, V и VII. Смесь эквивалентных кол-в C<sub>2</sub>H<sub>5</sub>ONa,  
этилового эфира циануксусной к-ты (VIII) и метакри  
лонитрила в абс. спирте нагревают 4 часа при 75—78°,  
нейтрализуют CH<sub>3</sub>COOH, упаривают, обрабатывают во  
дой, извлекают эфиром и получают α-карботокс-α'-ме  
тилглутаронитрил (IX), выход 70%, т. кип. 120—  
122°/1 мм, n<sub>D</sub><sup>20</sup> 1,4441, d<sub>4</sub><sup>20</sup> 1,0612. Смесь эквимолярных



кол-в  $C_2H_5ONa$ , IX и  $CH_3I$  в абс. спирте нагревают 2 часа при  $80^\circ$ , упаривают, извлекают эфиром и получают  $\alpha$ -карботоксиг- $\alpha,\alpha'$ -диметилглутаронитрил (X), выход 76,4%, т. кип.  $129^\circ/4$  мм,  $n_D^{20}$  1,4382,  $d_4^{20}$  1,0197. К р-ру 50 г 85%-ного КОН в 580 мл абс. спирта при охлаждении добавляют по каплям 142 г X; кристаллы отделяют, промывают спиртом, сушат при  $\sim 20^\circ$  в вакууме, обрабатывают при охлаждении конц. HCl (до кислот р-ции на конго), извлекают эфиром и получают  $\alpha$ -карбокси- $\alpha,\alpha'$ -диметилглутаронитрил (XI), выход 74,5%, т. пл.  $63-65^\circ$ . 29 г XI и 20 г Si перегоняют при  $200^\circ/3$  мм; дистилят растворяют в толуоле, промывают 10%-ным  $K_2CO_3$  и получают I, выход 83,8%, т. кип.  $92^\circ/1,5$  мм,  $n_D^{20}$  1,4311,  $d_4^{20}$  0,9269. 14 г I перегоняют при 3 мм (в бане при  $150-200^\circ$ ) и получают  $\alpha$ -циано- $\alpha,\alpha'$ -диметилглутаримид, выход 78,6%, т. пл.  $131-132,5^\circ$  (из сп.). Омыление IX, подобно омылению X, дало  $\alpha$ -карбокси- $\alpha'$ -метилглутаронитрил (XII), выход 74,2%, порошок. Аналогично получению I из 53 г XII получают II, выход 66,5%, т. кип.  $103^\circ/3$  мм,  $n_D^{20}$  1,4325,  $d_4^{20}$  0,9535, и 0,5 г  $\alpha$ -метил- $\alpha'$ -цианоглутаронимида, т. пл.  $179-180^\circ$  (из водн. сп.). К смеси р-ра 138 г Na в 3 л абс. спирта и 678 г VIII при  $40^\circ$  за 23 мин. добавляют 318 г акрилонитрила и аналогично IX выделяют  $\alpha$ -карботоксиглутаронитрил, выход 30,9%, т. кип.  $157-159^\circ/4$  мм,  $n_D^{20}$  1,4478,  $d_4^{20}$  1,0954; полученный продукт омыляют подобно X и получают  $\alpha$ -карбоксиглутаронитрил (XIII), выход 78,5%. Из 78 г XIII аналогично I получают III, выход 75,5%,  $n_D^{20}$  1,4347,  $d_4^{20}$  0,9983, и 0,3 г  $\alpha$ -цианоглутароимида, т. пл.  $215^\circ$  (из сп.); последний получен также из XIII при его перегонке ( $200^\circ/2$  мм), выход 35,7%. К смеси р-ра 4,6 г Na в 200 мл абс. спирта и 36 г IX (перемешивание 1 час при  $20^\circ$ ) за 3 мин. при  $70-75^\circ$  добавляют р-р 21 г  $\alpha$ -хлоризобутиронитрила в 21 мл абс. спирта, перемешивают 30 мин., нейтрализуют по лакмусу, упаривают в вакууме, обрабатывают водой, извлекают эфиром и получают 2,4,6-трициано-4-карботоксигептан (XIV), выход 73,5%, т. кип.  $200-205^\circ/2$  мм, т. пл.  $72-74^\circ$  (из сп.). К 1,1 н. спирт. КОН при  $\sim 20^\circ$  добавляют по каплям 12,3 г XIV в 150 мл абс. спирта, упаривают в вакууме при  $\sim 20^\circ$ , обрабатывают небольшим кол-вом воды и промывают эфиром; цел. р-р подкисляют конц. HCl, извлекают эфиром и получают 2,4,6-трициано-4-карбоксигептан, выход 64%, т. пл.  $130^\circ$  (из этилацетата); полученный продукт декарбоксилируют нагреванием ( $200^\circ/5$  мм) и получают IV, выход 84,5%, т. кип.  $178-182^\circ/3$  мм,  $n_D^{20}$  1,4606,  $d_4^{20}$  1,01116. Аналогично получению XIV из IX и  $\alpha$ -хлорпропионитрила получают 1,3,5-трициано-3-карботоксигексан, выход 65,1%, т. кип.  $196-198^\circ/2$  мм,  $n_D^{20}$  1,4620,  $d_4^{20}$  1,0962; его омылением, подобным омылению XIV, получают 1,3,5-трициано-3-карбоксигексан, выход 88,7%, который декарбоксилируют и подобно IV получают V, выход 70%, т. кип.  $195-196^\circ/2,5$  мм,  $n_D^{20}$  1,4609,  $d_4^{20}$  1,0278. Смесь р-ра 4,6 г Na в 90 мл абс. спирта, 36 г IX, и 17,4 г метилебромда нагревают 4 часа при  $87-97^\circ$ , оставляют на ночь, нейтрализуют  $CH_3COOH$ , выливают в 1 л воды, извлекают этилацетатом, после удаления р-рителя выдерживают 10 час. при 2 мм ( $20^\circ$ ) и получают 2,4,6,8-тетрациано-4,6-дикарботоксинонан, выход 75,2%; к 50 г полученного продукта (без очистки) в 200 мл абс. спирта при  $\sim 20^\circ$  добавляют за 20 мин. р-р 18 г 85%-ного КОН в 270 мл абс. спирта, перемешивают 7 час., оставляют на ночь и получают К-соль 2,4,6,8-тетрациано-4,6-дикарбоксинонана, выход 76%, ее обрабатывают при охлаждении 35%-ной HCl (по конго), извлекают этилацетатом и получают 2,4,6-трициано-4,6-дикарбоксинонан, выход 91%, т. пл.  $90-93^\circ$ , его декарбоксилируют нагреванием ( $200^\circ/1$  мм) и получают VI, выход 50%, т. пл.  $62-63^\circ$ .

Л. Яновская

6P127. Кристаллические полимеры диметилкетена. Natta Giulio, Mazzanti Giorgio, Pregaglia Gianfranco, Binaghi Marco, Peraldo Mario. Crystalline polymers of dimethylketene. «J. Amer. Chem.

Сос., 1960, 82, № 17, 4742—4743 (англ.).— Путем полимеризации диметилкетена в толуоле при  $-60^\circ$  в присутствии триборана  $\text{Al}$  (молярное соотношение мономер: катализатор  $\approx 1500$ ) приготовлен кристаллический полимер (ПМ) с регулярной структурой.  $[\eta]$  фракции ПМ, не экстрагируемой кипящим бензолом, составляет 0,7 (в нитробензоле при  $135^\circ$ ), т. пл.  $250-255^\circ$ . ИК-анализ указывает на наличие в ПМ карбоксильных и метильных групп. Исследование хим. свойств ПМ позволяет сделать заключение, что его макромолекулы образованы путем присоединения «голова к хвосту» мономерных единиц  $-\text{C}(\text{CH}_3)_2\text{CO}-$ . При полимеризации диметилкетена в присутствии триэтилолалюминия образуется полимер, содержащий экстрагируемую на  $70\%$  в кипящем бензоле (но не в кипящем ацетоне) высококристаллич. фракцию (Ф), для которой  $[\eta]$  (в тетралине при  $135^\circ$ ) равна 0,4. ИК-анализ Ф указывает на наличие в ней эфирных групп. Хим. исследование Ф (обработка тетрагидрофуранового р-ра  $\text{F}$   $\text{LiAlH}_4$ , а также ее озонлиз) указывает на то, что макромолекулярные цепи Ф включают мономерные участки, характеризующие Ф, а также группы  $(\text{CH}_3)_2\text{C}=\text{CO}-$ .

6Р128. Полимирцен. Marvel C. S., Hwa Charles C. L. Polymyrscene. «J. Polymer Sci.», 1960, 45, № 145, 25—34 (англ.; рез. франц., нем.).—Изучена полимеризация мирдена (I) (2-замещенного бутадиена-1,3) с помощью катализаторов Циглера (*изо*-C<sub>4</sub>H<sub>9</sub>)<sub>3</sub>Al (II) — TiCl<sub>4</sub> (III) и II — VCl<sub>3</sub> (IV), а также в эмульсии в присутствии свободно-радикальных инициаторов полимеризации. В присутствии II—III (мол. соотношение Al/Ti = 2—2,5) полимеризация I протекает с высокой скоростью, причем полимер (ПМ) с наименьшим мол. весом образуется при 0°. Конверсия равна 80%. ПМ почти полностью растворимы в органич. р-рителях. При полимеризации I в присутствии II—IV в гептане при 25° образуется каучукоподобный продукт со значительно большим, чем в предыдущем случае, мол. весом и высоким колич. выходом, но 15—20% ПМ нерастворимы в органич. р-рителях. Наилучшее мол. соотношение II/IV в этом случае составляет 5—8,5. Установлено, что в указанных выше ПМ, а также в ПМ, полученных в присутствии свободно-радикальных инициаторов, диеновые участки в полимерной цепи соединены в положении 1,4. Мол. цепь полимирцена, приготовленного в присутствии эфира BF<sub>3</sub>, не содержит винильных, винилидиновых или изопропилидиновых групп. Структура указанного полимирцена аналогична структуре ПМ β-пинена, полученного путем каталитической полимеризации. Л. Золотаревская

6Р129. О неисследованных природных высокополимерах. Симода Исао. «Кобунси», 1960, 9, № 3, 173-175, 167 (японск.)

6Р130. О связи между твердостью и химическим составом трехмерных полиэфирных смол. Roth Heinz. Über die Beziehung zwischen Härtung und chemischer Konstitution dreidimensionaler vernetzter Polyesterharze. Diss. Dokt. Naturwiss., Techn. Hochschule Stuttgart, 1960, 78 S., ил. (нем.)

6P131. О полимеризации аллиловых эфиров. Schulthess Alex von. Über die Polymerisation von Allylestern. Diss. Dokt. techn. Wiss., Techn. Hochschule Zürich. Zürich, Juris-Verl., 1960. 57 S., ill. (нем.)

**См. также:** Физика полимеров. Оптич. активность 6Б171. Структура 6П15, 6П220. Динамич. механич. свойства 6П47. Текучесть 6П53. Вытяжка волокон 6П372. Рентгенографич. исследования 6П373, 6П375. Структура волокон 6П374. Набухание 6П376. Белки 6С120, 6С151. Химия полимеров. Полимеризация 6П7, 6П17. Действие облучения 6П14. Отверждение 6П222. Поликонденсация 6П48, 6П383, 6П384, 6П386. Деструкция 6П13, 6П30, 6П31. Реакция полимеров 6П395. Белки 6С135, 6С143, 6С153, 6С160

С 1961 г.  
Каждый ра-  
стоятельно  
реферата у  
индекс дан  
сов см. Со  
Отдельны  
индекс С.

[illegible]

# СИСТЕМА НУМЕРАЦИИ РЕФЕРАТОВ

С 1961 г. изменена система нумерации рефератов. Каждый раздел в каждом номере журнала имеет самостоятельную нумерацию. Перед порядковым номером реферата указывается номер журнала и буквенный индекс данного раздела (значения буквенных индексов см. Содержание на 2-й странице обложки). Отдельному выпуску Биологическая химия присвоен индекс С.

## Примеры:

Номер 1A12 означает, что реферат находится в 1-м номере журнала, в разделе А (Общий раздел) и имеет порядковый номер 12.

Номер 12B125 означает, что реферат находится в 12-м номере журнала в разделе В (Физическая химия) и имеет порядковый номер 125.

Номер 4C1276 означает, что реферат находится в 4-м номере выпуска Биологическая химия (индекс С) и имеет порядковый номер 1276.

## АВТОРСКИЙ УКАЗАТЕЛЬ

### А

Аарпа А. Я. 6M108, 6M112  
Абдрахманов М. И. 6H102  
Абдуллаев Р. Н. 6I755  
Абдуллаев Х. М. 6I765  
Абдуразаков А. А. 6B38  
Аблов А. В. 6B389  
Абрамова Е. А. 6I1391  
Абросимова Е. К. 6I126  
Аб Т. 6H467  
Аб Т. 6K60  
Аванян С. Н. 6B38  
Авербух Е. Д. 6B264  
Адамский Т. А. 6P87  
Адрианов В. Н. 6E15  
Авербаев И. Н. 6M38  
Алибеков Ш. А. 6I755  
Алимов С. А. 6P102  
Алиевштейн М. Д. 6M205  
Алибери С. 6I159  
Алиев Г. 6I294  
Алимов Г. 6I245  
Алифиев Л. И. 6I229  
Алимова А. 6H229  
Алишин П. А. 6B94  
Алиханов С. Т. 6I354  
Алиев В. Н. 6I229  
Алишадлова Н. А. 6B637  
Алишинов С. М. 6K388  
Алишадлов И. В. 6B290  
Алишадлов М. С. 6I285  
Алишадлов Ю. А. 6I273  
Алишадлова Г. В. 6K428  
Алишадлова Л. М. 6K228  
Алишадлова Т. А. 6K248  
Алишадлов А. П. 6M193  
Алишадлов А. Н. 6K248  
Алишадлов О. Н. 6I268  
Алишадлов В. И. 6I1699  
Алишадлов М. Т. 6M92  
Алиев А. И. 6K313  
Алиев С. 6P87  
Алиев Ю. 6M225  
Алимарин И. П. 6I45  
Алиханов А. И. 6B42  
Алибина А. Ю. 6P120  
Алишадлов А. В. 6B235  
Алишадлов С. И. 6B28

### Амидзима С. 6I1334

Амистиславский Д. М. 6M142  
Анашев П. Г. 6M185  
Ангеницкий Р. В. 6E70  
Андо М. 6I1197  
Андо Т. 6H283  
Андреев В. В. 6H348  
Андреев Д. Н. 6B670  
Андреев П. Ф. 6I795  
Андреев С. В. 6I187  
Андреев С. Н. 6B165  
Андреева С. М. 6I265, 6I266  
Андреев Е. А. 6K222  
Андрейко О. В. 6K143  
Андрейча Н. Н. 6H307  
Андринанов К. А. 6P92  
Андринановская Т. Л. 6B392  
Анишев В. А. 6K52  
Анишеева Н. Ф. 6I40  
Анишкова В. З. 6M76  
Анохин В. Л. 6B359  
Антонов Р. М. 6E9  
Антонов И. С. 6I399  
Антуфьев Ю. И. 6B18  
Анеляваум Л. О. 6B557  
Аран С. 6H221  
Арани Б. 6K126  
Арбузов В. А. 6K42  
Арбузова И. А. 6P93  
Арен А. 6K158  
Арига П. 6M56  
Арига Т. 6I329  
Арита Д. 6I328  
Аришани Ю. 6I180  
Аронович В. В. 6I151  
Асао К. 6M207  
Асахара 6P29  
Асланов Г. А. 6D185  
Асмаев П. Г. 6H187  
Асинова Ф. И. 6H417  
Атанасов А. Н. 6I787  
Атанасов Г. 6H104  
Атрашенко Л. Я. 6I729  
Афанасьев Г. Д. 6I70  
Афонский Н. С. 6B83  
Ахмедов Х. А. 6M106  
Ахтирченко А. М. 6M92  
Адагория З. А. 6I1494  
Акули Т. 6I1195  
Акуми Д. 6H271  
Азров М. Э. 6H117

### Б

Баба Т. 6I187  
Бабеев К. Л. 6I768  
Бабачев Г. Н. 6K359  
Бабан Г. Г. 6B7  
Бабиевский К. К. 6K63  
Бабин Ф. 6H177  
Бабицкий В. Л. 6I346  
Бабно А. К. 6B49  
Байков Ю. В. 6B86  
Базилевская Г. И. 6K56, 6K57  
Байдал К. П. 6K269  
Бак М. А. 6B13  
Бакаев В. А. 6E40  
Баканин В. В. 6B689  
Бакунская Е. Л. 6B430  
Балабанова В. П. 6I729  
Баличева Т. Г. 6B165  
Балон С. Т. 6K244  
Бан С. 6H279  
Баньковский А. И. 6I255  
Баранов В. И. 6B361  
Баранов С. А. 6B40  
Баранова Л. И. 6B68  
Баратов Р. В. 6I754  
Барбарина Т. М. 6K315  
Бардагов Г. Т. 6K233  
Бардина В. П. 6H227  
Бардышев И. И. 6H14  
Баринян Х. Г. 6I347  
Баркан А. С. 6K351  
Барони Е. В. 6K222  
Барсунов В. Л. 6I773  
Басалова Г. К. 6K241  
Басила А. С. 6B23  
Басманова В. М. 6B483  
Басиле И. П. 6K247  
Баталов А. В. 6I764  
Батнов А. И. 6I1623  
Бейдин М. И. 6M64  
Беланова Т. С. 6B47  
Белинов В. М. 6K191  
Белон К. А. 6H446  
Белогуров Д. М. 6H361  
Белогуров И. Г. 6K189  
Белоусов В. М. 6B558  
Белоусова Г. А. 6H181  
Белых Е. 6I467  
Белиев В. Ф. 6K107  
Белиева Л. В. 6E25  
Бердесон Л. Д. 6K58  
Бергер А. С. 6K361  
Бергман А. Г. 6B430  
Бердинский И. С. 6K121

Бердинов Е. А. 6E45  
Берлин А. А. 6P83, 6P111  
Берлинер М. А. 6H110  
Берменсон В. В. 6M53  
Берштейн В. П. 6A22  
Бешков М. П. 6H148, 6H337  
Белинов В. В. 6I317  
Бирюков А. И. 6M59  
Бирюков В. И. 6M30  
Благолюдова Ю. А. 6I293  
Бланк А. В. 6D37, 6D132  
Блинов Л. К. 6I720  
Блюштейн И. И. 6H1455, 6H456  
Блох К. И. 6K313  
Блюмберг П. В. 6I1551  
Бобок Т. В. 6I268  
Бобров В. С. 6K342  
Боброва В. Н. 6B615  
Бобылев С. 6H161  
Богданов И. Ф. 6M244  
Богданова И. П. 6B57  
Богина Л. Л. 6H339—6H341  
Богородицкий Н. П. 6K225, 6K226  
Богуславский Л. И. 6B623  
Бодуров Д. 6H192  
Бонсенов Е. А. 6D96  
Болотников С. М. 6I317  
Большухин А. И. 6K124  
Бондарева К. Г. 6A38  
Бондарева М. М. 6M215  
Бондаренко А. 6I7438  
Бончева Б. 6A43, 6A44  
Борде Н. И. 6M30  
Борисов А. Е. 6K279  
Борисова Т. И. 6B636  
Борисович Г. Ф. 6M229  
Борисович С. Ф. 6M25  
Боровский В. Р. 6K347  
Борода Т. А. 6K45  
Бородавская М. В. 6I59  
Бородин Г. М. 6B207  
Бородин Г. С. 6B421  
Бородин В. И. 6H12  
Ворон М. Т. 6K28  
Ворухович Г. З. 6M138  
Вражильская М. М. 6K12  
Брадваров А. 6H191

Бранкин М. И. 6B235  
Бресковина В. В. 6I787  
Бриллиант Т. Г. 6K273  
Бродский Г. Г. 6K238  
Бродович А. И. 6M87  
Броденан В. Х. 6M124  
Броденан Г. А. 6B328  
Броденан А. И. 6B404  
Броденан А. М. 6B463  
Брунс В. П. 6B703  
Брусилосский П. И. 6E48  
Будинков Н. П. 6K356, 6K363, 6K395  
Будова Г. П. 6B29  
Буданова А. М. 6D132  
Будачева О. 6H171  
Бунаков А. Г. 6K399  
Буранов М. И. 6I742  
Буев А. И. 6D19, 6D101, 6D128  
Бушнев П. Ф. 6K235  
Бушев И. Г. 6E70  
Бушков С. Ф. 6K121  
Бушков В. Т. 6K122, 6M209  
Бушнев М. К. 6H455  
Бушнев П. И. 6H28  
Васев М. 6H455  
Вюртон Г. 6M50  
Бурханов В. А. 6B30

### В

Ваграмин А. Т. 6B627  
Вада М. 6I1562  
Вада М. 6H1514  
Вайваде М. 6H135  
Вайштейн Ф. М. 6K13  
Вайштейн И. И. 6M114  
Вайчунайте В. К. 6K16  
Ваканма Х. 6H286  
Ваксман А. 6D208  
Вакс С. 6B304  
Валаханович А. И. 6K56  
Валетдинова Р. К. 6H112, 6H113  
Валишева К. А. 6H112, 6H113  
Валлас К. Р. 6M167  
Валуйко Г. Г. 6H361  
Вальков Ф. А. 6A40  
Вальтер А. К. 6B18  
Валишино М. Г. 6A6  
Ванаг Г. 6K157, 6K158, 6K269





- II. 6П348, Семухова Н. В. 6Н369  
 X. 6Б371, Семикова Е. И. 6Е59  
 155, Семин Н. О. 6Г128  
 II. 6К360, Себун Ю. А. 6Л1560  
 II. 6Н372, Себун К. К. 6Б384  
 В. 6Н314, Себун Е. Н. 6Ж97,  
 II. 6П339, 6Н122  
 6Н224, Семикова Н. И. 6П704  
 Н. 6П192, Семикова Е. А. 6Л1543  
 II. 6Н341, Семикова А. А. 6В14  
 II. 6М111, Семикова Ю. М. 6Н276  
 Ф. 6Л441, Савина П. 6Н104  
 Д. 6Н115, Савинский Н. Д. 6Г67  
 Завеч Ю. Е. 6И227  
 Завуч В. Г. 6Н388  
 Завуч И. И. 6М69  
 Завотухин В. К. 6В45  
 Завотухин К. Д. 6Б678  
 Зотов В. 6Н115  
 Зотин Н. В. 6Ж53  
 Зубарев В. Н. 6Н304  
 Зубова В. Т. 6П126  
 Зубова Н. А. 6Ж269  
 Зубовгаров З. Г. 6Р87  
 Зубовгарова Л. И. 6Р87  
 Зутер Л. 6Ж157  
 Зучан Хан 6К100  
 Зынов Д. А. 6Ж115  
 II  
 Ибрагимов Ю. И. 6М225  
 Ивда К. 6Н274  
 Иванкин П. Г. 6Г57  
 Иванов А. И. 6М88  
 Иванов В. М. 6Д128  
 Иванова В. Г. 6Л1551  
 Иванова Е. Ф. 6Б600  
 Иванова З. С. 6П413  
 Иванова Л. А. 6Н451  
 Иванова Н. С. 6К289  
 Иванов-Зинин В. Н. 6В24  
 Ивасютин М. И. 6Д119  
 Ивасин Г. 6П156  
 Ивасю Э. 6К4  
 Ивонин П. Г. 6Н435  
 Идельсон Е. М. 6Д213  
 Идельсон И. Е. 6И25  
 Ивонин С. У. 6Б636  
 Ивонин Н. А. 6Б600  
 Ивонин Л. Г. 6Ж101  
 Ивонин Т. 6К65  
 Ивонин Л. Т. 6Д137  
 Ивонин М. 6Н354  
 Ивонин К. 6Н404  
 Ивонин Р. 6К108  
 Ивонин П. 6Н51  
 Ивонин С. 6П127, 6П138  
 Ивонин Т. 6М46  
 Ивонин Т. 6П166  
 Ивонин Я. 6П406  
 Ивонин Я. 6К284  
 Ивонин Г. 6К274  
 Ивонин Ж. 6Н123  
 Ивонин С. Т. 6Ж1  
 Ивонин Н. И. 6И33  
 Ивонин Г. Я. 6Л174  
 Ивонин Р. Г. 6П126  
 Ивонин Е. П. 6Б393  
 Ивонин К. 6П150  
 Ивонин С. 6Ж157  
 Исинава К. 6К60, 6К61  
 Исмаилов Х. 6К115  
 Истомина Н. А. 6Л291  
 Итхаси Т. 6К61  
 Итикава К. 6Л148  
 Итикава М. 6П195  
 Ито К. 6Н311  
 Ито М. 6Н510  
 Ито С. 6К195  
 Ито Т. 6К110  
 II  
 Йоното Н. 6К70  
 Йомо И. 6М56  
 Йонкава Э. 6Н216  
 Йорданов Ив. 6Н156,  
 6Н166  
 Йорданов Н. 6Д103  
 Йосида Д. 6Л365  
 Йосида Т. 6Н282  
 Йосидауна К. 6П291  
 Йосинава С. 6П194  
 Йосимото С. 6К375  
 Йосимура Э. 6Н459  
 Йосиона С. 6П129  
 Йоситоми К. 6Н229  
 K  
 Кабачник М. И. 6Ж1,  
 6Л144  
 Кавада К. 6Р63  
 Каван Д. 6Н221  
 Каван И. 6Л167  
 Кавамура К. 6П158  
 Кавамура М. 6К69  
 Кавамура Х. 6И254  
 Кавахара К. 6Л345  
 Кавахаси Н. 6М44  
 Каган Д. Я. 6И139  
 Каган М. Я. 6Л1442  
 Кагитани Ц. 6Л66  
 Кадзи К. 6К108  
 Кадовани Х. 6К193,  
 6К194  
 Казанов С. 6Р78  
 Казанов Г. А. 6Г9  
 Казанова Е. А. 6И43  
 Казанова Е. Б. 6Л99  
 Казанский М. Ф. 6И72  
 Казимирчук И. И. 6П126  
 Кашев Р. 6Б449, 6Б550  
 Каковский И. А. 6К42  
 Калачева А. В. 6П337  
 Калинин А. М. 6Г63  
 Калинин А. А. 6Б422  
 Калинин А. М. 6Б444  
 Калинин Е. И. 6Б634  
 Калининченко И. И. 6Д138  
 Калмановский В. И.  
 6Б65, 6Б74  
 Калинин А. И. 6М3  
 Калугина В. П. 6Н47  
 Канада С. 6П297  
 Канани С. 6Н211  
 Каневский Е. А. 6Б655  
 Канено И. 6К375  
 Канекуни С. 6Н242  
 Каннин В. Т. 6Д220  
 Капустин Д. М. 6К313  
 Каракишшева Т. И.  
 6Л271  
 Карапетян Ш. А. 6Ж263  
 Каралыш В. В. 6Б613  
 Карашарли К. А. 6Б383  
 Каргин В. А. 6П263,  
 6Р41  
 Каргин Ю. М. 6Е45  
 Карнауков А. С. 6Д87  
 Карпова А. Л. 6Л1543  
 Карпова Л. И. 6Л1551  
 Карпухин О. Н. 6Б573  
 Карташев А. И. 6Е16  
 Карташов А. К. 6Н375  
 Карпушинская А. И.  
 6Б654  
 Касавара Д. 6К60,  
 6К63  
 Касавара Ф. 6Н404  
 Катанская Г. А. 6Л264  
 Като С. 6П485  
 Като Т. 6Л327  
 Като Т. 6Н218  
 Като Х. 6Н306  
 Кауч Э. 6Г60  
 Каюбашвили Я. Р.  
 6К114, 6М194  
 Кацура С. 6Н284  
 Качалов А. И. 6П453  
 Качина Р. И. 6Л262,  
 6Л263, 6Л267, 6Л269  
 Кашнай М. Л. 6Г55  
 Кашковская Е. А. 6Д16  
 Кашурчич А. П. 6М102  
 Каютенко Л. А. 6Ж268  
 Касима С. 6Н306  
 Келер Ф. 6К93  
 Ки К. 6П133  
 Киврихис С. В. 6М110  
 Кидо И. 6Н311  
 Кийс В. И. 6Е4  
 Кинас В. Х. 6К370—  
 6К372  
 Кикути С. 6Л1553  
 Кильман Я. И. 6К97  
 Ким Бен Лин 6К40  
 Кимото К. 6П406  
 Кимото Н. 6Н515  
 Кимура Я. 6Л211  
 Ким Хен Нам 6Д71  
 Кирченко В. М. 6К413  
 Кирьяма С. 6П87  
 Киршенбаум Я. С. 6М183  
 Кирьянов З. В. 6М181  
 Киселев А. В. 6Б694  
 Киселев В. А. 6Б555  
 Киселев Д. П. 6К402  
 Кисель П. С. 6Б232  
 Кисова Д. 6А29  
 Кита Н. 6М136  
 Китамура С. 6Л195  
 Китахара С. 6К85  
 Кишко С. М. 6Б97,  
 6Б100  
 Классен В. И. 6М68  
 Клевие В. А. 6К97  
 Климасенко Н. Л. 6Б627  
 Клочихина А. 6Б166  
 Клущин Д. Н. 6Б394  
 Клущина А. 6Р23  
 Клыгин А. Е. 6Б50  
 Ключарев А. П. 6К49  
 Ключко Б. И. 6П168  
 Ключко Ю. А. 6Д186  
 Кляшторный М. И. 6К32  
 Кнежев М. Б. 6К257  
 Кнуляк И. Л. 6Ж285,  
 6Ж286, 6Ж366, 6Л90  
 Князева А. А. 6Д138  
 Кобаяси К. 6И330  
 Кобаяси Т. 6Н357  
 Кобаяси Х. 6П145  
 Кобаяси Э. 6Л201  
 Кобезский И. А. 6К424  
 Ковалев О. В. 6Б178  
 Ковалев Ф. В. 6Б431  
 Ковалева В. П. 6Р41  
 Коваль Е. Т. 6Н377  
 Ковальчук Д. С. 6Б123  
 Ковтуненко Г. А. 6К293  
 Ковтуненко З. Ю. 6М14  
 Ковырина К. А. 6Ж222  
 Коган Л. А. 6М95  
 Коган Л. М. 6Л1452  
 Когерман Э. Э. 6К373  
 Кодама П. 6К197  
 Кодама С. 6Л66  
 Кодама К. 6И66  
 Кожевников Г. Н.  
 6К116  
 Кожевников С. П. 6Б406  
 Кожемякин С. Т. 6Н383  
 Кокина Т. К. 6Г10  
 Козарев Г. 6К157  
 Козлов Г. С. 6Е43  
 Козлов Л. В. 6Р120  
 Козлов Н. С. 6Ж142  
 Козлов П. В. 6Р23,  
 6Р101  
 Козлова А. В. 6Д116  
 Колбовский Ю. Я. 6Р7,  
 6Р13  
 Колесников И. М. 6Ж93  
 Колобихин В. А. 6Л5  
 Коломиец Б. Т. 6Б333  
 Колпакова А. А. 6Б432  
 Колпакова И. Д. 6Д11  
 Комаров Н. 6И213  
 Комарь Н. П. 6Б78  
 Комару А. 6К77  
 Комлев Л. В. 6Г15  
 Кондратенко М. 6Н146  
 Кондрашев Ю. Д. 6В20  
 Конев А. А. 6Г41  
 Кониси Ю. 6П605  
 Коно Т. 6П408  
 Кононов В. Н. 6К422  
 Константинов А. А.  
 6П385  
 Константинова Е. В.  
 6И141  
 Константинова-Шле-  
 зингер М. А. 6Д39  
 Конторович А. Э. 6Е9  
 Конунова-Фрид Ц. Б.  
 6Б389  
 Копанец Е. Г. 6Б18  
 Коптелов Ю. К. 6П484  
 Копчин В. А. 6Б280  
 Копыл А. Н. 6П699  
 Кордуб Н. В. 6Р102  
 Корель В. Г. 6Г75  
 Коренман И. М. 6Б616,  
 6В43, 6В44, 6Д40  
 Коренман Я. И. 6Д81  
 Корещая А. И. 6П385  
 Корнер В. А. 6Ж46  
 Корнер С. Б. 6Б235  
 Корнеев В. И. 6К355  
 Корнеева И. В. 6Б549  
 Корниенко Т. П. 6Б466  
 Корнилов И. И. 6Б386  
 Корняков В. С. 6Б57  
 Коровицкий А. А. 6И268  
 Короткова Н. Н. 6Л261  
 Коротов С. Я. 6М10  
 Корсакова И. С. 6Ж63  
 Корст Н. Н. 6Б290  
 Корчемнин Ф. И. 6П459  
 Коршак В. В. 6Р119,  
 6Р120  
 Коршунов И. А. 6В13,  
 6Д54  
 Косилов Е. И. 6П442  
 Космодемьянский Л. В.  
 6П348  
 Кост А. И. 6Ж225  
 Кост М. Е. 6В22  
 Костандов Л. А. 6Л1  
 Костин Р. Р. 6Р93  
 Костин Д. Л. 6П348,  
 6П349  
 Костоусова Т. И. 6Б639  
 Кострикин Ю. М. 6И324  
 Косаченко Л. А. 6Б421  
 Котляр И. Б. 6Ж83  
 Котов М. П. 6П682  
 Кохан М. А. 6Н396  
 Коханская Ж. Ф. 6М14  
 Кочелав В. И. 6Б84  
 Кочетков Н. К. 6Ж107,  
 6Ж353  
 Кошелева Г. Н. 6Е48  
 Коля К. 6К394  
 Краченко В. М. 6Ж188  
 Крайнов А. П. 6П413  
 Крайц З. С. 6Ж275  
 Краснов К. С. 6Б104  
 Красноярский В. В.  
 6И238  
 Красный Л. И. 6Г16  
 Краузе Ю. О. 6М49  
 Крафт М. Я. 6Б207,  
 6Ж60  
 Крейн О. Е. 6Б16  
 Крейнтер Г. 6Г25  
 Кремнев О. А. 6К347  
 Кретов А. Е. 6Ж62  
 Криноглаз М. О. 6Б265  
 Крицков Н. В. 6В14  
 Кричман С. 6М51  
 Кричевский И. Р. 6Б453  
 Кричмар М. С. 6И333  
 Кропачев В. А. 6Ж246  
 Крохин В. И. 6М72  
 Кружалов Б. Д. 6Н451  
 Круссер О. В. 6Л261—  
 6Л263, 6Л267—6Л269,  
 6Л271  
 Крушев В. 6Н166  
 Крылов А. Я. 6Г14,  
 6Г39  
 Крылов В. П. 6Д154  
 Крылова Е. Я. 6Б417  
 Крюкова В. И. 6В91  
 Крюкова З. М. 6П452  
 Крюкова В. Г. 6Ж98  
 Кувада Ц. 6П194  
 Кувшинова Н. И. 6М191  
 Кугатова Г. П. 6Ж100  
 Кугита Х. 6Л339  
 Кудра О. К. 6Б608—  
 6Б610  
 Кудрявцева Н. А. 6Е59  
 Кудряшев Л. И. 6И20  
 Кузнецов А. А. 6Б278  
 Кузнецов А. М. 6К345

- Кузнецов В. С. 6И227  
Кузнецов Е. В. 6П112  
Кузнецов Е. Г. 6М61  
Кузнецов С. Г. 6Ж66, 6Ж105  
Кузнецова А. И. 6Ж78  
Кузнецова М. Я. 6Б336  
Кузьмин М. Г. 6Ж61  
Кузьмин Р. Н. 6Б194  
Кузьмина К. К. 6Ж69  
Кузьмина Л. А. 6К246  
Кузьминский А. С. 6П359  
Куйв К. А. 6М105  
Кунушкина Е. С. 6К350  
Куликова А. Е. 6Ж122  
Кумада М. 6П101  
Кунос Г. 6К343  
Кушенов Л. 6Н48  
Куприянова К. П. 6Б36  
Куралова А. В. 6Б56  
Курати М. 6К197  
Курашев В. В. 6Р119  
Куриленко О. Д. 6Р68  
Курицина Г. А. 6Г81  
Курияма К. 6К18  
Куронна И. 6Н404  
Курокава С. 6Л80  
Кусанов М. М. 6Б677  
Кутепов Д. Ф. 6Ж143, 6Ж144  
Кутневичус С. И. 6Ж212  
Кухтин В. А. 6Ж278  
Кушинкова В. Г. 6Б691  
Кыль А. Т. 6М106
- Л  
Лабзовский Л. Н. 6Б76  
Лавров Н. В. 6М244  
Лавровский К. П. 6Б463  
Лагада П. Р. 6М108, 6М109  
Лазарев К. Ф. 6Г11  
Лаваряц Э. Г. 6П348, 6П349  
Лазерно Г. А. 6Б110  
Лаворенко-Маневич Р. М. 6Б637  
Лавурин Ю. С. 6Р78  
Лайнер Д. И. 6К112  
Лавда И. М. 6П357  
Лавде П. А. 6К238  
Ланцева Е. Н. 6Б634  
Лаватухин В. С. 6П538  
Лавенно В. Л. 6Ж300  
Лавтев Ю. Е. 6П126  
Ларин Н. А. 6Ж108  
Ласло М. 6Л13  
Ластинков М. Д. 6К270  
Ластовский Р. П. 6Д11  
Лаус Т. Н. 6М110  
Лгалов К. И. 6М98  
Левашов Н. П. 6И82  
Левенберг И. Ю. 6Б336  
Левин С. М. 6Л549  
Левин С. А. 6М61  
Левина Р. Я. 6Ж61, 6Ж79, 6Ж198  
Левитман Х. Я. 6Д74  
Лейбельман Ф. Я. 6Ж341  
Лейчин В. Я. 6Н61  
Леонтьев А. К. 6Б686  
Лепеса А. М. 6К247  
Лепинь Л. 6И135
- Ли А. В. 6Г123  
Либиг А. В. 6Н81  
Либмансон Г. С. 6Б703  
Либман Н. М. 6Ж66  
Ли Гын Хван 6К40  
Лилев И. С. 6Б80, 6К361  
Лилле Ю. Э. 6М147  
Лиманов В. Е. 6Ж127  
Лим Хен Гюн 6К35  
Линде Х. 6Б52  
Линденберг В. 6К343  
Линь И. 6Р114  
Линонова Р. З. 6Д228  
Линатов С. М. 6Р21  
Липец А. А. 6Н377  
Липис Л. В. 6Б70  
Липкинд Б. А. 6К122  
Лисиченко К. И. 6П126  
Литвиненко Н. М. 6К242  
Ли Хен Ду 6К40  
Ли Хен Нам 6Д71  
Лихтерстов А. М. 6Ж353  
Лихтман В. И. 6Б674  
Ли Шан-юань 6К44  
Лозовой А. В. 6М113  
Ломоносов С. А. 6Д161  
Лопатин В. В. 6И212  
Лопатин Я. М. 6К365  
Лопатникова Л. Я. 6К356  
Лопушанская А. И. 6Б628  
Луанов Т. 6П462  
Лукашевич В. О. 6Ж145  
Лукашин В. И. 6К187  
Лукина А. Г. 6Б626  
Лукинов В. Ф. 6Д116  
Лукиanova И. Г. 6Ж290  
Лукиanova Л. И. 6Б557  
Лулова Н. И. 6Е59  
Лундина И. Б. 6Ж241  
Лутнова В. И. 6Ж166  
Лущенко В. Н. 6Б526  
Лущенко И. Ф. 6Ж275  
Лудя Р. В. 6В4  
Львов А. Н. 6Б18  
Льбан А. П. 6К52  
Льбович В. А. 6Б42  
Львошин И. Л. 6И32  
Лю Го-шань 6Д131  
Льшеченко А. Г. 6Л293  
Лю Ю-фен 6Д131  
Лялюшко К. А. 6Ж24
- М  
Магакьян И. Г. 6Г53  
Мадиссон Э. А. 6М112  
Мазелев Л. Я. 6К297  
Мазин А. И. 6Б47  
Майланд Н. В. 6М216  
Майборода В. И. 6П383  
Майер Н. А. 6Б577  
Майер В. И. 6Б421  
Маймонд В. И. 6Ж16  
Майстренко Е. Е. 6Б418  
Майстрович Г. 6Н101  
Макаревич Г. 6П126  
Макаров И. А. 6Л10  
Макаров С. З. 6Б6  
Макаров С. П. 6Ж282, 6Ж283  
Макашвили Р. И. 6Г76  
Маногинов В. Е. 6Б296
- Мансимова М. И. 6Н446  
Мансимова Н. А. 6Н375  
Мансимова Н. П. 6К405  
Манферсон Х. 6М60  
Малинов К. В. 6М119  
Малинский Ю. М. 6П459  
Малкова О. П. 6Д189, 6М269  
Малтабар В. М. 6Н348  
Малцева З. 6А29, 6А45  
Малышева Е. А. 6Е25  
Малышова Л. А. 6К112  
Малышкова М. А. 6Л262, 6Л263, 6Л267, 6Л269  
Мамвелян М. Г. 6В7  
Маненкова А. 6Н128  
Маячинский В. Г. 6К52  
Маякина Н. И. 6И324  
Марголис Л. Я. 6Б271, 6Б555  
Маргулис Е. В. 6Б569  
Маргулис О. М. 6К241  
Маринков Н. 6К157  
Маркевич Г. С. 6В20  
Маркина В. Ю. 6В41  
Марков Т. 6К396  
Марнова Г. С. 6Р41  
Маркова Ю. В. 6Ж69  
Марковский Л. Я. 6В20, 6В85  
Марслен Б. 6А2  
Мартинова В. А. 6Л285  
Мартьякина И. П. 6П339—6П341  
Марфунин А. С. 6Г31  
Масагутов Р. М. 6М192  
Масленникова В. З. 6П502  
Мастронова Т. А. 6Ж1  
Масуда С. 6Н455  
Масуо Ф. 6Л211  
Матвеев И. С. 6Ж62  
Матвеев Л. О. 6Д16, 6Д80  
Матвеева Е. Н. 6Ж108  
Матвеева Н. М. 6Б386  
Матвеева Э. М. 6Ж269  
Матвеев И. И. 6В28  
Материнов М. П. 6Г66  
Маурит М. Е. 6Ж56, 6Ж57  
Махнамов С. М. 6Л295  
Мацубара А. 6К87  
Мацубара П. 6П142  
Мацуда С. 6Л147  
Мацумото А. 6П166  
Мацумото К. 6Л50  
Мацумото Х. 6Н273  
Мацумура С. 6К59, 6К63  
Мацуцани Х. 6П298  
Мапухаси 6Р29  
Мапуяма Х. 6К259  
Машкина А. В. 6Ж33  
Машуков А. Я. 6Д164  
Маебаси С. 6Н280  
Меерсон Г. А. 6В16  
Мейер Г. А. 6М52  
Мейкляр М. В. 6И168  
Мекеницкий С. 6Н27  
Мельников Н. Н. 6Л442  
Меньшикова А. К. 6Л451  
Мерц В. 6Б281
- Матривели Л. И. 6Л274  
Метрин Г. Л. 6П704  
Мехтиев С. Д. 6М196  
Мигачева И. В. 6П623  
Мидзуки Э. 6П294  
Мидзуцани К. 6П403  
Мидзуцани Т. 6Л320  
Мидзуцани Ю. 6И192  
Мизера М. 6Д87  
Мизикин С. 6Н163  
Мини Т. 6Л331  
Мини Э. 6М358  
Минулинский А. С. 6К34  
Мильманович К. А. 6М103  
Мильский В. И. 6Ж188  
Милаянская П. Ф. 6Л451  
Мима Х. 6Н285  
Минагава Р. 6Л91  
Минами М. 6Н240  
Миненко В. И. 6К289  
Минин В. И. 6Ж216  
Минкова Р. 6П462  
Мин Пан-жун 6К358  
Мирзоев Я. В. 6Н158  
Мирзоян Н. А. 6Д183  
Миронов В. Ф. 6Ж264, 6Ж265  
Миронов Н. Н. 6В47  
Миронов Ф. В. 6П696  
Мисун Т. 6П193  
Митнов И. 6А36  
Митрофанов С. И. 6Б691
- Михайлов Б. М. 6Ж258  
Михайлов В. А. 6В3  
Михайлов Г. И. 6Ж213, 6Ж220, 6Л203  
Михайлов Г. П. 6Р72, 6Р73  
Михайлов Н. В. 6П383  
Михайлов Н. Н. 6К345  
Михайлов Ю. Ф. 6К238  
Михайлова Т. М. 6И139  
Михантьев Б. И. 6Ж300  
Михеева В. И. 6В22, 6В41  
Михельсон М. Л. 6Б735  
Михина А. С. 6Л262, 6Л263, 6Л267, 6Л269  
Мицу К. 6Л561  
Мицунага С. 6Н221  
Мицусима Т. 6К102  
Мищенко К. С. 6Б213  
Мияне А. 6П128, 6П136  
Мияне Я. 6П40  
Мияне Я. 6П406  
Мияне Я. 6Р9  
Миямото К. 6П296  
Миямото С. 6Н271  
Миянага Х. 6П304  
Мисака Т. 6Л422  
Миятаки И. 6К204  
Миртчан С. 6Г53  
Мнох Ю. В. 6Б175  
Мовсумзаде М. М. 6Ж47, 6И1  
Модестов Б. Н. 6Л550  
Монейно Л. Н. 6М8, 6М9  
Моисеева П. Ф. 6М119  
Молодцова В. А. 6Д47  
Молоканов Ю. К. 6И24
- Молотковский Ю. Г. 6Ж58  
Морачевский Н. И. 6Б70  
Мори 6Ж308  
Мори К. 6Л365  
Мори Т. 6К199  
Морина К. 6Л518  
Моринава Т. 6Н286  
Мориками С. 6Н281  
Морисита Х. 6Л365  
Морозов В. А. 6Б23, 6Б32  
Морозов В. П. 6Б123  
Морозов Е. Ф. 6М24  
Морозов Н. М. 6Б557  
Морозова М. П. 6В416  
Морозовская Л. М. 6Ж341  
Мороз Т. 6Н284  
Мосин А. М. 6М244  
Мотоно А. 6Л517  
Мохначев И. Г. 6Н187  
Музыка И. Д. 6Д47  
Муноори И. 6Н356  
Муравьев В. М. 6П126  
Муравьева В. И. 6Л255  
Мурадова С. А. 6Р87  
Мураками Т. 6Н456  
Мураноси С. 6К86  
Мурама К. 6К110  
Мурин А. Н. 6Б351  
Мурин Г. А. 6Г9  
Мустафабейли М. А. 6Г55  
Мустафабекова А. С. 6И354  
Мустафин И. С. 6Д16, 6Д80  
Мутафчиев Б. 6Б449, 6Б550  
Муфтахов А. Г. 6Б62  
Муханова Л. И. 6М129  
Мэски Р. 6К18  
Мюллер Р. Л. 6М42  
Мясников И. А. 6Б702  
Мясникова Г. А. 6Г35, 6К49
- Н  
Набиев М. Н. 6К101  
Набоно С. И. 6Г83  
Нагасава Ф. 6П138, 6П198  
Нагата М. 6К65  
Нагиев А. М. 6И354  
Надежин В. М. 6Г119  
Назаров И. Н. 6Ж70  
Назарова З. Н. 6Ж169  
Назарова Т. Ф. 6Б331  
Наиске Н. 6Н368  
Найштейн С. Я. 6И264  
Накагава М. 6Л319  
Накагава М. 6Л321  
Накадзава Н. 6К394  
Накадзава Х. 6П192  
Накадзима К. 6Л201  
Накан Р. 6К110  
Намура Г. 6П208  
Намура Д. 6К102  
Намиси Д. 6П128, 6П136  
Накан С. 6Л365  
Нанао Т. 6Н306  
Нанаока Н. 6Н221  
Нанама Х. 6Н404

Юл. Г.  
И. И. 6Б701365  
199  
1518  
6Н286  
6Н281  
6Л1365  
А. 6Б23,П. 6Б123  
Ф. 6М24  
М. 6Б557  
П. 6Б416  
П. М. 6Н341  
12846М244  
Л1517  
Д. 6Н187  
Д. 6Д47Г. 6Н356  
М. 6П126  
И. 6Л1255  
А. 6Р876Н456  
6К86  
6К110И. 6Б351  
А. 6Г9  
М. А.А. С.  
С. 6Д16,

С. 6Б449,

Г. 6Б60  
И. 6Н129  
6К18П. 6М42  
А. 6Б702  
А. 6Г35,Н. 6К101  
И. 6Г83  
6П138,6К65  
М. 6П354  
М. 6Г119  
Н. 6Ж70  
Н. 6Ж169  
Ф. 6Б333Н368  
Я. 6П280  
6Л319  
6Л321  
6Л394  
6К394  
6П192  
6Л201  
6К110  
6П208  
6К102  
6П128,Л365  
1306  
6Н221  
6Н404Намикин К. 6П197  
Наумов Н. Г. 6М69  
Наумкина О. А. 6М355  
Нагусев В. Ф. 6Н205  
Надальцев Н. П. 6Н334  
Надальцев М. Е. 6К12  
Навер Л. К. 6Б338  
Назаров Д. Н. 6Б677  
Назаров М. М. 6Б428  
Назарова В. А. 6Б564  
Назаров В. Ф. 6П458  
Назаровский В. Д.Назаровский В. Д.  
6Н46  
Назаровский Я. М. 6Б433  
Наренкин Н. Н. 6П442  
Нарыхина А. В. 6М185  
Насеменов А. Н.Насеменов А. Н.  
6Б393  
Насеменов А. Н. 6Ж36,  
6Н263, 6Ж279, 6Ж288,  
6Б289Насеменова О. А. 6Ж290  
Настеренко Л. А. 6А40  
Настеров О. В. 6Б573  
Настеров В. Д. 6Б347,  
6Б351, 6Б352Настев И. 6Н150  
Настуша К. 6М256  
Настуша Т. 6Н363  
Наститин Ю. К. 6М97  
Наститина В. И. 6Ж42  
Наститина Е. А. 6Б437  
Наститина Н. И. 6Н17  
Наститин Г. И. 6Ж92  
Настовлев В. А. 6Н68  
Настолева С. С. 6П383  
Настолова Р. 6А39  
Настольский В. Д.Настольский В. Д.  
6Б602  
Настолова Л. А. 6Ж289  
Настуличев П. 6Н134  
Настов В. И. 6Н361  
Настольский Л. А. 6Б24,  
6Б87Наст Т. 6Д50  
Настаган И. 6К136  
Настада Т. 6Л166  
Настадава И. 6Л195,  
6Л319—6Л321  
Настада М. 6Л181  
Настава Я. 6К109  
Настаха К. 6Л201  
Настаха К. 6К197  
Настаха М. 6П170  
Настипинский А. Н.Настипинский А. Н.  
6П413  
Настичкин А. 6Н27  
Настичов И. Ф. 6Б86  
Настов М. 6Н31  
Настовская Т. А. 6Л1551  
Настов И. А. 6Л1548  
Настов М. М. 6Б105  
Настов С. С. 6Ж63,  
6Ж64, 6Ж191, 6Ж251  
Настова Г. Г. 6Л1551  
Настова Н. В. 6Ж279Настовская А. П. 6Б361  
Настолова А. В. 6Б549  
Наста С. 6Л1427  
Настовская К. 6Л1340  
Настов Ю. В. 6Б38  
Настаха С. 6Н243  
Настаха У. Х. 6Е4Намет Л. 6Б338  
Ньюно Л. И. 6Л1560

## О

Оба С. 6Л1558  
Оболенцев Р. Д. 6Ж33  
Обваренко И. Е. 6Б106  
Обваренко Ф. Д. 6К121  
Обвинников Л. Н. 6Г17,  
6Г67Огава И. 6К86  
Огата 6Ж40  
Огино С. 6Л1369  
Огура М. 6Р80  
Огурцов А. Н. 6К269  
Одабашян Г. В. 6Ж32  
Одзава М. 6П1515  
Одзава Н. 6К63  
Одидадае Г. Л. 6Г70  
Одинцов А. И. 6Б61  
Одинцов Н. В. 6М69  
Ожерельева М. Н. 6П295  
Озеров Г. В. 6М116  
Озол Я. 6Ж158  
Она Х. 6Л1495  
Онама Я. 6П192  
Онамо К. 6Л340  
Онарт Е. В. 6Ж54  
Онороков С. Д. 6К349,  
6К350, 6К355, 6К358Ону Т. 6Р70  
Онуи С. 6Л150  
Ольдекон Ю. А. 6Б577  
Омори Н. 6Н37  
Омиси Т. 6Н239  
Омиси Я. 6П1300  
Оно Т. 6К59  
Онодэра Н. 6Л181  
Ордонов Н. 6К156  
Орентлихер Л. П. 6К390  
Орехов М. С. 6М132  
Орехова К. М. 6Ж278  
Оречкин Д. Е. 6Н437  
Орешко В. Ф. 6Р34  
Орлов С. Н. 6Ж139  
Орлова А. Н. 6Ж124  
Орлова Э. К. 6Ж115  
Осима Х. 6П100  
Осинов В. 6Н164  
Осокина Д. Н. 6Р61  
Осонов Х. 6П159  
Остапенко В. Н. 6Н387,  
6Н388  
Островская Г. А. 6Г85  
Остроумов Л. 6Н145  
Осуми С. 6Н404  
Отани С. 6Н257  
Отанэма А. 6Н362  
Отани М. 6К172  
Отани С. 6Л1408  
Оти Т. 6П1217  
Отман Р. Э. 6К416  
Оути К. 6Л148  
Оффенден М. Е. 6М67  
Опуна Х. 6Л1427  
Очеретный В. А. 6Б405  
Ошмарин А. П. 6П126  
Ощадковский В. В. 6Б45

## П

Павлов В. П. 6Р61  
Павлов Л. П. 6П685  
Павлов Ю. А. 6Б551Павлова В. К. 6Б50  
Павловская Г. Р. 6Б655  
Павловская Н. Г. 6Б398  
Павловский А. Н. 6Н303  
Павлюченко М. М. 6Б110,  
6Б545  
Падерно Ю. В. 6Б11  
Пайкин Д. М. 6Л1441  
Пак В. Д. 6Ж142  
Паламарчук М. М. 6Н370  
Палауш Р. 6Д87  
Палкин В. А. 6Б389  
Памфилов А. В. 6Б628  
Панасенко И. М. 6И88  
Панасюк В. Г. 6М7  
Панасюк Л. В. 6МГ  
Панин В. Е. 6Б384  
Пантелеева Е. П. 6Б432  
Панфилова А. Л. 6М20,  
6П501  
Панченко Г. М. 6Б329,  
6Б456, 6Б554, 6Ж93  
Парамонов Н. П. 6Н449  
Парфенова А. И. 6Л1271  
Пархоменко В. В. 6М138  
Паско С. П. 6П682  
Патрунов В. Г. 6Л1560  
Паушин Я. М. 6М185  
Пахомов А. М. 6Ж57  
Пашковский М. В. 6Б4  
Паэ А. Я. 6Е4  
Певзнер Е. С. 6Д161  
Пенева Н. 6А32  
Пенкин Б. 6Н172  
Пенская Е. А. 6Р111  
Пенчев П. С. 6К359  
Перевалова Э. Г. 6Ж288,  
6Ж290  
Перельман Ф. М. 6Б469,  
6К56  
Перепелица Е. М. 6Н82  
Перлина Т. В. 6Д1235  
Пермякова Т. В. 6Б90  
Персиянова Э. 6Ж56  
Петеркоп Р. К. 6Б62  
Петренко И. Г. 6М80  
Петриак К. А. 6Б13  
Петров А. Д. 6Ж32,  
6Ж92  
Петров А. М. 6Д54  
Петров В. П. 6Г27,  
6Г62  
Петров П. С. 6П687  
Петров С. М. 6К289  
Петров Ю. Н. 6Б730  
Петров Ю. Л. 6И268  
Петрова Р. Г. 6Ж70  
Петрович П. И. 6Ж249  
Петров Е. П. 6Г11  
Пивоваров А. Н. 6М355  
Пивенский И. М. 6К347  
Пилат И. М. 6Б421  
Пилотин Г. Т. 6Ж217  
Пирогов А. А. 6К245  
Пидуэль Л. Н. 6К428  
Плавина И. З. 6Л1560  
Плаксенко Н. А. 6Г78  
Пласкин И. Н. 6Г35,  
6К49  
Плате А. Ф. 6Ж89  
Плацинский Н. Т. 6К225  
Плевако Е. А. 6Н294  
Плетенева Н. Б. 6К47  
Плешанов А. С. 6Б381Плющев В. Е. 6Б431,  
6Б82  
Победина Л. И. 6Д183  
Поварова К. В. 6Б413  
Погосия Т. А. 6Б694  
Подвигалин П. М.  
6Л1559  
Подгорная Н. И. 6П569  
Подкопаев Ю. Н. 6Б36  
Подчайнова В. Н. 6Д17  
Понарская М. Е. 6Б602  
Поняровский Б. Г. 6Б602,  
6Б70  
Поздеева А. Г. 6М140  
Покровский И. И. 6Б545  
Полан Л. С. 6М189  
Полева Н. И. 6Г9,  
6Г16  
Полевой Р. М. 6Б40  
Полканов А. А. 6Г12,  
6Г13  
Полосин В. С. 6А37  
Полотный О. Я. 6И75  
Полузантов Н. С. 6Д33  
Поляков И. М. 6Л147  
Поляков М. В. 6Б466  
Полякова С. В. 6К365  
Померанцев В. В. 6Б686  
Пономаренко А. И. 6Б17  
Пономаренко В. А. 6Ж32  
Попков А. П. 6Б627  
Поплавко Ю. М. 6Б428  
Попов А. А. 6К114  
Попов В. С. 6М42  
Попов Г. 6А30  
Попов Н. А. 6К402  
Попова В. С. 6Н48  
Попова Е. Г. 6Ж60  
Попова Н. В. 6Н437  
Попова С. В. 6Д133  
Попова С. Л. 6П648  
Попова Т. Н. 6Б96  
Поповский Ю. М. 6Б382  
Постников В. П. 6И46  
Постовский И. Я. 6Ж241  
Потапов В. И. 6Б270  
Потапов В. Н. 6К50  
Поташник А. А. 6Ж144  
Потемкин А. Я. 6Б270  
Потурянский И. В.  
6Л1274  
Потравнова Р. Ф. 6П509  
Поткене Р. А. 6Ж100  
Правдунин В. А. 6М48  
Преображенская Н. М.  
6П348  
Преображенский А. А.  
6Н361  
Преображенский Н. А.  
6Ж53, 6Ж54, 6Ж56,  
6Ж57  
Привалова М. М. 6Б440  
Привезенцева Н. Ф.  
6Ж282, 6Ж283  
Прилежаева Е. Н. 6Ж71  
Принц Я. И. 6Л1452  
Пругула В. А. 6И228  
Пругула В. В. 6П228  
Пробер П. В. 6П543  
Проворов В. Н. 6П338  
Проконенко Н. Ф.  
6Н61  
Прокофьев М. А. 6Ж372  
Пропи Л. Н. 6Р93Протопопов С. Н. 6П538  
Пршибил Р. 6Д9  
Прыткова Е. В. 6Б437  
Птыцына О. А. 6Ж139  
Пустовалов В. В. 6К234  
Пустоход А. П. 6Н378  
Пушкарева З. В. 6М26  
Пыжев В. М. 6Б557  
Пыхов В. Т. 6П358  
Пэймент Д. А. 6И109  
Пясецкая О. В. 6Л546

## Р

Рабинович А. В. 6Г45  
Рабинович И. В. 6Б380  
Рабин М. И. 6Г43  
Раковский В. Г. 6К41,  
6К50  
Радев В. 6Н53  
Радзиновская С. В. 6В10  
Радиволев Ж. М. 6Д57  
Радилковский А. А. 6М85  
Радневич Е. А. 6Г19,  
6Г47  
Радоев А. 6П33, 6Н56,  
6Н63, 6Н64, 6Н67  
Радоман О. П. 6П348  
Райский П. И. 6Г26  
Ракина В. П. 6К245  
Рамбиди Н. Г. 6Б94  
Раскин Я. Л. 6П264  
Раскина Л. С. 6Л19  
Распопин С. П. 6Б86  
Ратапова В. 6Л1467  
Раукас М. М. 6М214  
Рафаэлини С. Д. 6М58  
Раханов В. П. 6Г92  
Раховская С. М. 6М206  
Резниченко В. А. 6К187  
Реутов О. А. 6Ж139  
Рейбен В. А. 6Е4  
Рейберман Ж. Н. 6Р6  
Рогинский С. З. 6Б271  
Роговин З. А. 6П413,  
6Р45  
Родионов К. П. 6Н15  
Родионов Ю. Ф. 6Б40  
Родионова Н. А. 6Б279,  
6Р76  
Родионова Н. П. 6Ж282,  
6Ж283  
Роджественский И. Е.  
6Б381Ромков В. Е. 6М65  
Розанов А. 6Н145  
Розенберг А. Я. 6П460  
Розенкоп З. П. 6К17  
Розенфельд И. Л. 6Б634  
Романенко Л. И. 6Б51  
Романов В. В. 6К134  
Романов Ю. Ф. 6Б38  
Романова Р. Г. 6П348  
Ромбро С. Я. 6И87  
Ромм Р. Ф. 6Л1439  
Роскин Е. С. 6П600  
Российская П. А. 6Л1441  
Роштер Р. Х. 6П457  
Ронк С. М. 6К356  
Руб М. Г. 6Г50  
Рубан В. А. 6М54  
Рубан Н. Н. 6К117  
Рубанин М. Я. 6Б558  
Рубанин В. Н. 6П685



C

T

y

Уарова С. П. 6П39  
У Вн-ду 6Д3  
Угрюмов П. С. 6П62  
Ульянов А. И. 6В45  
Уманский З. М. 6Л28  
Умаров Г. Я. 6Б38  
Умути Р. 6Н213  
Умодзана М. 6Н221  
Умуэмура К. 6Л433  
Уно О. 6Л67  
Уолл Р. А. 6И107  
Уранов С. А. 6П246  
Урицкий З. И. 6Б241  
Усачев А. А. 6П704  
Усидзима Д. 6Н306  
Усыяма А. 6Л422  
Усманов Х. У. 6Д226  
6Р102  
Устынян Ю. А. 6П222  
Усуда Н. 6И247  
Утда Х. 6М245  
Утми Г. 6Л787  
Уус Э. Г. 6М214  
Уханев В. П. 6К26  
У Чиев-сго 6Н436  
Ушаков Г. Н. 6Б5

Е. С. 6Л13  
Г. Г. 6Л101  
А. С. 6Б679  
А. 6Ж78  
Я. 6Е57  
6Л323  
О. О. 6Б265  
С. Е. 6Л349  
Ф. 6М61  
Г. 6Н49  
6Л327  
6Н229  
Г. 6П206  
Г. А. 6Б392  
Н. А. 6Н371  
6К111  
6Н478  
6П253  
6К211  
6Н286  
В. 6М185,  
86  
П. 6М95  
Г. 6Б328  
А. С. 6Б332  
С. С. 6Н17  
6Д61  
С. Ч. 6Д46  
С. Г. 6К240  
М. Р.  
А. 6Л474  
И. 6М217  
В. Л. 6Ж143  
6Б616,  
В. 6М90  
Н. 6Б105,  
Н. М.  
А. 6Б413,  
А. 6М21  
Б. Н. 6Н420  
6Д57  
П. 6П53  
З. С. 6П62  
Н. 6Б45  
М. 6Л289  
Г. 6Б38  
6Н213  
6Н221  
6Л143  
6Н107  
А. 6П25  
И. 6Б31  
6П704  
6Н306  
6Л21  
У. 6Д34  
А. 6Ж28  
247  
М245  
87  
М214  
6К26  
6Н436  
Н. 6Б3

Г. П. 6Р78  
Н. Н. 6Д45  
Т. 6Л327  
Н. 6П14  
Ю. 6Н362

Ф

Федосина М. А. 6Г49  
Федоткин С. Н. 6М107  
Фильм Чунь-мин 6Д106  
Филипп Н. Г. 6М230  
Филиппина Н. С. 6М211  
Филиппов В. С. 6М164  
Филиппова Л. 6Н164  
Филиппов С. Д. 6М121  
Филиппов Н. Г. 6Н36  
Филиппова М. С. 6П486  
Фильм В. С. 6П600  
Филиппов Л. С. 6П359  
Филиппов Н. Г. 6Д220  
Филиппов Ф. С. 6Н116  
Филиппов Ю. А. 6Ж119  
Филиппов Ю. Я. 6В89  
Филиппов А. Г. 6Н4,  
6Б64  
Фильм М. М. 6Е65  
Филиппов И. С. 6К227  
Филиппова Е. Д. 6Б463  
Филиппов Ф. М. 6Б432  
Филиппов Б. Н. 6М11  
Филиппов Г. П. 6П123  
Филиппов С. М.  
6Л103  
Филиппова Л. П. 6Б393  
Фильм Р. М. 6Б474  
Фильм Н. Е. 6П455  
Филиппов В. С. 6В11  
Фильм В. В. 6В70  
Фильм Г. В. 6К43  
Фильматов С. П. 6А22  
Фильм Р. С. 6Л199  
Фильмина Р. Х. 6Ж36,  
6Н70, 6Ж263  
Фильм И. 6Л467  
Фильм А. С. 6К244  
Фильм Р. Ш. 6П359  
Фильм В. Д. 6К274  
Фильм Т. М. 6Н423  
Фильм Т. М. 6Р119,  
6Р120  
Фильм И. 6Д50  
Фильм И. П. 6П415  
Фильм Г. 6И8  
Фильм Г. Н. 6Б715  
Фильм И. 6Л148  
Фильм А. Н. 6Б235  
Фильм М. З. 6Г91  
Фильм 6Р81  
Фильм И. 6Л1556  
Фильм И. 6М136  
Фильм К. 6К69  
Фильм Ю. 6Л1495

Х

Хавраев С. 6Н106  
Хаврова Н. Е. 6Б453  
Хаврова А. Х. 6Р23,  
6Р101  
Халкин В. А. 6Б336  
Халмаган С. 6П406  
Хал Дон Ган 6К35  
Халма С. Е. 6П359  
Халма Р. З. 6П126

Хара А. 6М266  
Харниев Д. С. 6Г18  
Хархаров А. А. 6П600  
Хасимото С. 6П49  
Хата Т. 6Н242  
Хата Х. 6Л80  
Хатакюма М. 6К141  
Хатано С. 6П279  
Хаттори С. 6Л91  
Хаяси Э. 6Л329  
Хаяси 6Ж175  
Хед Ф. Е. 6Н107  
Хигава Т. 6Н258  
Хигасихара Г. 6П150  
Хигероич М. И. 6К390  
Хигути К. 6М125  
Хирапука К. 6К59,  
6К63  
Хирота Х. 6Н500  
Хлыстов П. И. 6П495  
Хованова Р. Ф. 6Д161  
Ходаков Г. С. 6К215  
Ходанов Ю. В. 6А27  
Холл Д. А. 6М60  
Холодов В. Н. 6Г97  
Хольнин Ю. И. 6М28  
Хольнов Ю. В. 6Б31  
Хори М. 6Н217  
Хори С. 6Н268  
Хорин Д. 6Л349  
Хориона М. 6П153  
Хориона М. 6П155  
Хорутуи М. 6Л364  
Хорлина М. Я. 6Ж36  
Хори Х. 6К409,  
6К410  
Хоси И. 6Л345  
Хосода К. 6К394  
Хотянович А. В. 6Л487  
Хотун Д. О. 6И107  
Хохлов Д. Н. 6Ж143  
Хохлова М. М. 6Ж283  
Хохлова Л. А. 6Л21  
Хохряков П. А. 6М229  
Храмичева З. А. 6Н332  
Христофоров Б. С.  
6Д176  
Хромов А. Д. 6К187  
Хрулевич А. 6Н119  
Хрушев Н. С. 6А  
Хурумов С. Д. 6П448

Ц

Цайлигольд В. Л. 6П348,  
6П349  
Цатурова Н. А. 6И88  
Цекун Н. 6Н225  
Цефт А. Л. 6В91  
Цеханская Ю. В. 6Б453  
Цесерин В. А. 6И20  
Цзя Ця-вэнь 6К36  
Цин Мао-цин 6К414  
Цирельников В. И. 6Б83  
Цируль В. А. 6Н389  
Цуда А. 6К201  
Цуда К. 6И327  
Цудан Т. 6Л327  
Цукада С. 6М118  
Цунамото Т. 6Л495  
Цунода И. 6П193  
Цутихара Т. 6К193,  
6К194  
Цутя К. 6Н467

Цуцун С. 6Б47  
Цуцун С. 6Л162  
Цыганова И. А. 6Б414  
Цымбал Л. В. 6Ж71  
Цытко С. П. 6Б18  
Цой Сун-шэн 6Б649  
Цюй Чан-чунь 6Д106

Ч

Чайна И. И. 6М142  
Чанабаев С. Е. 6Г123  
Чаклин Т. О. 6Л492  
Чашинков А. В. 6М138  
Чебуриков Ю. А. 6Ж366  
Челпанова Л. Ф. 6Ж46  
Чепиго С. В. 6М35  
Черненко Л. Е. 6Р34  
Черников Ю. А. 6Д61,  
6Д116  
Чернов Н. В. 6П690  
Черноморская Ф. Я.  
6П336  
Черных В. Я. 6Б394  
Черняк И. А. 6А42  
Черняк М. Г. 6К313  
Черняк Н. Я. 6М189  
Черняковский К. А.  
6П348  
Чертков Б. А. 6М86  
Чертков Я. Б. 6М248  
Чертова А. К. 6М55  
Черчес Х. А. 6М14  
Чехов О. С. 6М90  
Чжан Бин 6Л253  
Чжан Вань-хуэй 6К44  
Чжан Цзинь-тан 6Л253  
Чжан Шу-пэй 6М219  
Чибисов К. В. 6Л543  
Чинников Д. М. 6К115  
Членова Р. С. 6Ж145  
Чопоров Я. П. 6Л8  
Чуковская Е. П. 6Ж263  
Чуманова Е. А. 6Е70  
Чумин В. Г. 6Б38  
Чуракаев А. 6М232  
Чучев М. 6Н112  
Чэнь Тя-мэй 6Б13

Ш

Шабанова М. П. 6Л441  
Шабаров Ю. С. 6Ж61  
Шадряева В. А. 6П348  
Шамрай Ф. И. 6Б417,  
6Б422  
Шапиро М. М. 6Д186  
Шаповал В. Л. 6Б668  
Шаранова И. Е. 6Л192  
Шаренов В. В. 6П495  
Шаров Л. 6А2  
Шаталина Г. А. 6Д38  
Шатенштейн А. И. 6Б483  
Шатыршивили М. И.  
6П126  
Шафиев А. И. 6В13  
Шахова Н. Г. 6Р34  
Шахтахтинский Г. Б.  
6Д85  
Швайна О. П. 6Б120  
Шварцберг М. С. 6Ж299  
Шварцберг Б. Х. 6К118  
Швачкин Ю. П. 6Ж372  
Швентославски Е. 6И2  
Швехгеймер Г. А. 6Ж64

Швцова-Шилова

К. Д. 6Л442  
Шебанов В. А. 6М66  
Шевелев В. А. 6Л255  
Шевелева Б. И. 6К364  
Шевченко В. Б. 6Б442  
Шевченко В. И. 6Ж274  
Шевченко О. И. 6Ж119  
Шедогоубов Д. Ф. 6К342  
Шейна З. Г. 6К120  
Шейнис Е. С. 6П689  
Шелудко А. 6Б680  
Шелудяков Н. А. 6К315  
Шемякин М. М. 6Ж16,  
6Ж58  
Шенотко О. Ф. 6Н437  
Шестакова И. С. 6П696  
Шейнова Ф. Р. 6Д40,  
6Д109  
Шибанова П. 6Н171  
Ширенов Д. 6Н33  
Шилин Е. В. 6Б442  
Шилов Е. А. 6Ж13  
Шилова Л. С. 6Ж288  
Шинин Г. 6К429  
Ширянова Э. В. 6Р87  
Шихалибеи Э. Ш.  
6Г55  
Шихалова К. П. 6П348,  
6П349  
Шихзаманова С. Г. 6Ж47  
Шинкин Г. В. 6Б40  
Шинкина О. В. 6Г98  
Шкурина Т. Н. 6Ж71  
Шляпникох В. Я. 6Б573  
Шмагина Н. Н. 6Ж166  
Шмидт В. В. 6Б21  
Шмидт Ю. А. 6К292  
Шмуклер К. М. 6К244  
Шнайдер Е. Е. 6М35  
Шостановский М. Ф.  
6Ж71, 6Ж268  
Шпанский В. А. 6Ж283  
Шпинель В. С. 6Б30  
Шприцман Е. М. 6Н348  
Шпунтова М. Е. 6М35  
Шрайбер М. С. 6Л317  
Штанников Е. В. 6И284  
Штернберг Р. П. 6Ж57  
Шубаков Г. Н. 6М39  
Шубко В. М. 6Б40  
Шукакидзе Н. Д. 6Б714  
Шульман М. С. 6Л51  
Шухгалтер М. Я. 6Н409  
Шутерина Н. П. 6Ж198  
Шушнина Е. Н. 6П348  
Шушунов В. А. 6Ж273  
Шышко А. М. 6П440

Щ

Щеголь Ш. С. 6К41,  
6К50  
Щербанова З. Ф. 6Д40  
Щербанова Н. В. 6П348,  
6П349  
Щербинин В. А. 6А46  
Щербов Д. П. 6Е17  
Щунарев С. А. 6Б165,  
6Б416  
Щукин А. И. 6П694  
Щукин Е. Д. 6Б674  
Щукина М. Н. 6Ж69  
Щуковская Л. Л. 6Ж265

Э

Эдельмант М. П. 6Р72,  
6Р73  
Эйзен О. Г. 6М110  
Эйриш М. В. 6Б688  
Эльманович М. М. 6Ж56  
Эмото С. 6П197  
Энгельс Г. 6Б573  
Эпельбаум В. А. 6В21  
Эснин В. Е. 6Р15  
Эфрос Г. М. 6К411  
Эхара Р. 6П193

Ю

Юань Ци-хуа 6К44  
Юй Пэн-сян 6К91  
Юки Э. 6Н242  
Юнусов С. Ю. 6Ж354  
Юрвичус Р. 6П118  
Юханов Д. М. 6К47

Я

Яворский И. А. 6М73  
Ягупольский Л. М.  
6Ж119  
Якимов П. А. 6Л260—  
6Л263, 6Л267—6Л269,  
6Л271  
Якобишвили А. З. 6П694  
Яковенко Г. З. 6П704  
Яковина Е. А. 6Р68  
Яковлев К. И. 6Б32  
Яковлева Н. А. 6К417  
Якубович А. Я. 6Ж282,  
6Ж283  
Якутин В. И. 6Б106  
Якушина С. Е. 6Р92  
Якшин М. М. 6Б68  
Ялман Г. Н. 6М269  
Ямада М. 6П312  
Ямада М. 6П195  
Ямада С. 6К77  
Ямада С. 6Л323  
Ямада С. 6П362  
Ямада Т. 6К336  
Ямада Я. 6Л127  
Ямадаки С. 6Н363  
Ямамото М. 6Н270  
Ямамото С. 6К105  
Ямамота Х. 6К88  
Ямамура Х. 6П156  
Яманэ И. 6Н458  
Ямато К. 6М207  
Ямаура М. 6К195  
Ямаути С. 6Л421  
Янаева В. Я. 6В43  
Яншевская В. М. 6Д96  
Янков А. 6Н341  
Яно Т. 6К77  
Яно Т. 6Л152  
Яновский В. С. 6Е57  
Яо Вэнь-у 6К36  
Яроменна Г. М. 6П460  
Ярош П. Я. 6Г69  
Ясумото Т. 6П191  
Ясумото Х. 6П191  
Яунзеис В. Р. 6М9  
Яценко С. П. 6В9  
Яценко Э. А. 6М213  
Яцмирский К. 6А10  
Яшин Я. И. 6Б65





- R. A. 6J156  
E. W. 6K19  
F. C. 6J1336  
H. 6J148  
L. 6K190  
M. 6K122  
N. 6J117  
O. 6J117  
P. 6J117  
Q. 6J117  
R. 6J117  
S. 6J117  
T. 6J117  
U. 6J117  
V. 6J117  
W. 6J117  
X. 6J117  
Y. 6J117  
Z. 6J117
- Boonstra B. B. S. T. 6J174  
Booty R. G. 6J1134  
Bopp J. 6J154  
Borden G. C. 6J1540  
Borecky J. 6J1205  
Borelius G. 6J1372  
Borelli S. 6J1347  
Borgstrom G. 6H97  
Born J. H. 6J152  
Borri M. 6J1249, 6J1259  
Borsten S. F. 6J1608  
Boruff C. S. 6J1316  
Bosch W. 6J1274  
Bose A. 6J1282  
Bose A. K. 6K190  
Bose B. P. 6J1212  
Bose S. 6E62  
Bose S. K. 6B706, 6B708  
Boško K. 6J1311  
Bothner — By A. A. 6K138  
Bots G. J. 5B374  
Bottari F. 6K1328  
Botton M. 6K1317  
Botwinik M. M. 6K1371  
Boucher A. 6H77  
Bouchet R. 6E504  
Bouchez R. 6J15, 6E33  
Boulet M. 6H124  
Boulle A. 6E539  
Boulton J. 6J1611  
Bourbon P. 6K1206  
Bourguignon P. 6J1235  
Bourrat J. 6H178  
Bouzyk J. 6J169  
Bower H. C. 6K421  
Bowering W. D. E. 6K1305  
Bowers A. 6K1339  
Bowles J. S. 6E307  
Bowsher H. F. 6E50  
Boyer W. P. 6J1186  
Bozeman H. C. 6M231  
Brace N. O. 6J1169  
Bradley D. 6K12  
Bradshaw L. C. 6M221  
Braman R. S. 6E76  
Brandenstein M. 6J147  
Brandt W. W. 6J125  
Bransford J. W. 6B155  
Braun H. 6H184  
Braun H. A. 6K1242  
Braun R. A. 6J1189  
Bräuniger H. 6K1365  
Bravacos J. G. 6J1451  
Bravo P. 6H1339  
Bray D. P. 6J1456  
Brazzel J. R. 6J1450  
Breck M. 6H406  
Brehon G. 6H312  
Brendel R. R. 6J1357  
Brenet J. P. 6E33  
Brennan D. 6E682  
Brennan M. H. 6E20  
Brenner M. 6K1371  
Breslow R. 6K123, 6K125, 6K175  
Bretschneider H. 6H473  
Bretsznajder S. 6H158  
Brettie R. 6K1379  
Brháček L. 6J178  
Brices E. 6K1369  
Brice L. K. 6E476
- Briers D. G. 6J164  
Briggs L. H. 6E132  
Brin A. 6E326  
Brinkley S. R. 6E527  
Brinton R. K. 6B457  
Briskin J. 6J135  
Briston J. H. 6J1247  
Britton D. 6E226  
Broadbent H. 6E561  
Brockmann H. 6J1415  
Brodrick C. I. 6J1370  
Brocrasma S. 6P16, 6P17  
Brogan J. C. 6J186  
Bromley D. A. 6B41  
Brook R. 6B446  
Brooker L. G. S. 6J1563  
Brookes R. F. 6J1537  
Brooks L. A. 6J1360  
Brooks P. 6B40  
Brossel J. 6E64  
Broussay G. 6J1307  
Brown A. W. A. 6J1455, 6J1466  
Brown C. W. 6E77  
Brown D. J. 6K1227  
Brown J. A. 6J116  
Brown J. E. 6J173  
Brown J. M. 6H1320  
Brown L. H. 6J196  
Brown L. S. 6K1366  
Brown P. L. 6J1104  
Brown R. J. C. 6B148  
Brown R. W. 6K1239  
Brown T. L. 6A50  
Brown W. L. 6B204  
Brownell H. R. 6K159  
Brownier G. 6J1637  
Brownley F. I. 6J1168  
Brownstein S. 6J145  
Bruce J. M. 6J1116  
Bruce W. F. 6J1341  
Brugger F. 6J1703  
Brugger G. 6J182  
Brühwiler H. 6M272  
Brunello F. 6H453  
Brunin R. 6H185  
Brunings K. J. 6J1467  
Brunner J. R. 6H1131  
Brunner M. 6M254  
Brustler V. 6J1297  
Bryant B. 6J180  
Bryant P. M. 6K1370  
Brzostowska M. 6E622  
Brzozowski Z. 6K1245, 6J1267  
Buchanan M. A. 6K1391  
Büchel K. H. 6K1184  
Buchsaple—Paulentz E. 6M262  
Buda L. 6J1314  
Budavari O. 6E563  
Buddáinák B. 6J1216  
Bueche A. M. 6J1140  
Buerstet F. D. 6M242  
Bühler M. F. 6K115  
Bukowiecki A. 6J142  
Bukowska A. 6J195  
Bukowski C. 6E560  
Buliček J. 6J1303  
Bullett T. R. 6J1220  
Bulloff J. J. 6H243  
Bumm H. 6J179  
Bune N. J. 6E432
- Bunton C. A. 6B477, 6K17, 6K19  
Buras B. 6J1299  
Burekel J. 6B248  
Burden F. A. 6M81  
Bureau W. H. 6J1531  
Burg A. B. 6J114  
Burger K. 6J1153  
Burgess D. 6J164  
Burgess D. S. 6E515  
Burkhard C. A. 6J173  
Burkhardt F. 6P22  
Burkhardt W. 6K183  
Burley H. 6H148  
Burr A. C. 6J145  
Burroughs E. O. 6U335  
Burton H. 6H121  
Buscarons P. 6J1215  
Busch A. 6E46  
Busch H. 6M33  
Bush J. A. 6J1423  
Bussan F. 6H140  
Butaciu P. 6H1380  
Butcher K. L. 6J19  
Butenandt A. 6K1394  
Butler R. W. 6H1235  
Butta E. 6P44  
Butter G. N. 6H253  
Bylo Z. 6M43
- Cabeza F. 6H439  
Cabicar J. 6E699  
Cacace F. 6E357  
Cadle R. D. 6H405  
Cahill V. R. 6H1159  
Caillere S. 6J121  
Caini V. 6J115  
Caldwell V. E. 6J1130  
Califano S. 6E131  
Cálin C. 6H52  
Callahan W. A. 6H1163  
Cálugaru A. 6K186  
Calzolari C. 6H11  
Cambal A. 6J1252, 6J1294  
Cameron M. D. 6J1542  
Campbell G. 6K280  
Campbell G. C. 6E561  
Campbell J. T. 6J178  
Campigillo A. 6J1278  
Candell A. 6H77  
Cannon P. 6E601  
Cant S. B. 6H1347  
Cantacuzene J. 6E147  
Cantrell T. L. 6M350  
Capart J. J. 6E1  
Čapek R. 6E665  
Čapková J. 6J1428  
Caprara G. 6J120  
Carassiti V. 6J171  
Carbieri R. 6H40  
Carboni S. 6K1328  
Carhart H. W. 6H493  
Carlsale S. 6H60  
Carlo F. S. 6H1320  
Carlowitz B. 6J1299  
Carlsmith L. A. 6H1598  
Carnali E. 6H1203  
Carotti A. A. 6K1255  
Carr D. E. 6M324  
Carrière G. 6K116  
Carroll C. W. 6J1447
- Carson A. W. 6B643  
Carter N. D. 6M285  
Carwardine A. J. 6K1275  
Casanova J. 6M265  
Case L. C. 6U292, 6H1228, 6P27, 6P62  
Caselli P. 6J1484  
Caska J. 6H1323  
Cassebaum H. 6J1250  
Castellan G. W. 6B646  
Castelli A. 6J1576  
Castelli T. 6H1351  
Castoldi A. 6J1211  
Castroillon J. P. A. 6K115  
Cathart J. V. 6B542  
Catiche Ellis S. 6B181  
Cattaneo C. 6J1312  
Catterall J. A. 6J1230  
Cauzzo G. 6B482  
Cavé A. 6K1346  
Cavelli E. A. S. 6K110  
Čech J. 6J188  
Čech S. 6J1427  
Čejka M. 6M351  
Čekan Z. 6J1419  
Čelíkovský A. 6B254  
Cerna E. 6H1205  
Černohorák M. 6H101  
Cesarano C. 6J1231  
Chakravarty A. S. 6B282  
Chakrabarty M. K. 6H1419  
Chakrabarty M. M. 6H1419  
Chamberlain W. F. 6J1460  
Chamberlin E. M. 6J1391  
Chambers A. R. 6H1317  
Chambers V. C. 6B503  
Chambolle A. 6K1317  
Champelx L. 6J146  
Champetier G. 6P2  
Chandrasekharan V. 6B236  
Chang A. T. C. 6H19  
Chang C. J. 6H496  
Chang J. K. T. 6H395  
Chang Y. W. 6H475  
Chang Lin-yang 6K113  
Chang Shu-sing M. 6B158  
Chan Hing Hong 6H153  
Chantry G. W. 6E87  
Chao G. Y. 6B210  
Chapman E. 6M336  
Chapman H. R. 6H1121  
Chapman M. V. A. 6J1434  
Chapman N. B. 6H10  
Charlesby A. 6P5, 6P115  
Charlton F. R. 6M150  
Charlton M. 6H1288  
Charm S. 6H190  
Charrin V. 6J120  
Charvát V. 6M79  
Chassevent F. 6H185  
Chateau H. 6B181  
Chatel J. 6E32  
Chatt J. 6B31  
Chatterjee A. 6B707  
Chatterjee B. G. 6H190  
Chatterjee S. K. 6J134  
Chatterji A. C. 6P37  
Chatterji A. K. 6K265  
Chaturvedi R. K. 6B604  
Chaudhan J. S. 6H126  
Chauvin G. 6K167  
Chemenda J. M. 6J1391  
Chen H. H. 6J1447

- Chen T. H. 6B590  
Cheng Chung—Han 6П321  
Chérubin G. 6P60  
Chervenka C. H. 6П201  
Chesner L. 6H242  
Chevallier P. 6E25  
Cheyne G. A. 6E6  
Chiang Chia—Chi 6П321  
Chi Chin-shu 6K113  
Chikaki H. 6M82  
Childs C. E. 6Д192  
Chilwell E. D. 6П473  
Chinn G. P. 6П476  
Chiodi L. 6E327  
Chiostrì E. 6U165  
Chipman D. 6K75  
Chiriac C. 6П272  
Chiesel H. 6H352  
Chitale A. G. 6П578  
Chjurdoglu G. 6K7  
Chmátal V. 6П218  
Chmelář V. 6П297  
Chmielewska I. 6K176  
Chodkowski E. 6П164  
Chojnacki W. 6П240  
Chomiakow A. 6K94  
Chong C. W. 6E723  
Chopra S. K. 6K340  
Choudhury A. P. R. 6E516  
Choudhury P. K. 6П36  
Choughuley A. S. U. 6K135  
Chowdhury M. 6B415  
Christensen G. N. 6M4  
Christenson R. M. 6П285  
Christian C. M. 6K181  
Christy R. W. 6E80  
Chromček R. 6П142  
Chu E. J. 6П175  
Chupa J. C. 6П165  
Church H. F. 6E672  
Churchill S. W. 6U40, 6U42  
Cianchi A. L. 6K335  
Ciborowski S. 6П17  
Ciccarello I. S. 6E592  
Cieslak J. 6K176  
Ciferri R. 6П485  
Cignarella G. 6K244  
Cimino A. 6B458  
Ciobanu A. 6H210  
Ciobanu V. 6П380  
Ciocanel A. 6П380  
Ciochina I. N. 6K144  
Cittadini A. 6П27, 6П30  
Ciureanu N. 6K144  
Claassen H. H. 6E122  
Clark A. G. 6H320  
Clark E. 6M311  
Clark L. C. 6K196  
Clark W. D. 6H152  
Clarke E. G. C. 6E82  
Clarke J. S. 6M251  
Clarke S. G. 6H119  
Cleave A. G. D. 6K309  
Clegg L. F. L. 6H121  
Clem A. G. 6H490  
Clementi E. 6E77  
Cleveland F. F. 6E379  
Clever H. L. 6E675  
Clezy P. S. 6K357  
Clinton R. O. 6П351  
Coale F. S. 6E88  
Coblence G. 6Д146  
Coe F. R. 6Д144  
Coffin L. 6K261  
Cognée M. 6П488  
Cogswell R. V. 6E728  
Cohen M. M. 6Д164  
Cohen M. S. 6H131  
Cohen S. 6E54  
Cohn J. G. E. 6M331  
Cola M. 6E201  
Colebrook L. D. 6E132  
Coler M. A. 6П209  
Colli L. 6E2, 6E10  
Collins H. W. 6П542  
Collins R. J. 6П634  
Colomb P. 6П629  
Colombo A. L. 6H193  
Colonge J. 6K86  
Colton F. B. 6П384, 6П385  
Colwell R. E. 6П161  
Combette J. L. 6П1  
Comes F. J. 6E13  
Commons C. H. 6K295  
Compton D. M. J. 6B315—6E317  
Comrie A. A. D. 6H328  
Condo F. E. 6П174  
Condorelli E. 6P95  
Coney C. H. 5П125  
Conger N. L. 6H233  
Connolly B. J. 6H182  
Conrad C. M. 6П555  
Constantinescu O. 6E705, 6Д51  
Conti J. J. 6E51  
Cook A. E. 6A25  
Cook G. B. 6E345, 6K175  
Cooper A. H. 6H325  
Cooper G. D. 6K272  
Cooper J. A. 6Д118  
Cooper W. 6K123, 6П355  
Coover H. W. 6П99, 6П420  
Copp F. C. 6П346  
Corbeau J. 6M340  
Corbin J. L. 6K95  
Coremans M. J. F. J. 6E377  
Corliou H. 6H130, 6K167  
Corliss L. M. 6E288  
Corse J. 6Д199  
Corsini A. 6П147  
Cort L. A. 6K185  
Corwin A. H. 6K392  
Corwin J. P. 6П200  
Cosma G. 6K131  
Costa J. L. 6П410  
Costain W. 6П424  
Cotton F. A. 6B74  
Cotutiu M. 6H203  
Coulter S. T. 6H254  
Courtet 6M321  
Courtoisier A. J. 6Д210  
Cousemant F. 6П33  
Coustenoble A. 6K139  
Coutenberg G. H. M. 6Д175  
Covell D. F. 6E37  
Cover S. 6H153  
Cowan J. C. 6П273  
Cox B. 6H122, 6H123  
Cox H. L. 6B149  
Cox N. R. 6П54  
Cox P. R. 6П426  
Cragg J. C. 6M348  
Craiu V. 6K186  
Cramer R. 6K162  
Crane A. W. 6П542  
Crawford J. H. 6E256  
Crawley C. L. 6M291  
Creely J. J. 6П555  
Creitz E. E. 6Д68  
Cresswell A. 6П419  
Crimi F. J. 6П73  
Crissman J. M. 6P52  
Cristea S. 6H175, 6H210  
Critchfield F. E. 6Д67  
Crittall G. G. 6H132  
Croall I. F. 6E46  
Cronier G. 6M201  
Cronin T. J. 6П631  
Crosby G. W. 6П204, 6M349  
Crosby R. H. 6M276  
Cross B. E. 6K384  
Cross W. R. 6B65  
Crossley A. 6H231  
Croteau J. L. 6H45  
Crowder J. A. 6П139  
Cruikshank D. W. J. 6E179  
Crutchley D. J. 6K393  
Csanyi L. H. 6M323  
Csányi L. J. 6E620  
Csépai L. 6H309  
Cugnac A. 6E318  
Culling P. 6D447  
Cullis C. F. 6Д202  
Cullum D. C. 6Д65  
Cunningham R. M. W. 6П244  
Cunningham W. J. 6П515  
Curea E. 6B92  
Curie G. 6E242  
Curran J. A. 6П313  
Curson G. A. 6H194  
Curtin N. C. 6M135  
Curtis H. S. 6П498  
Curtis N. S. 6H320  
Cyranowicz K. 6K223  
Czarnecki R. 6E299  
Czedik — Eysenberg F. 6E19  
Czermann J. J. 6H63  
Czerniawski B. 6H208  
Czerski L. 6E544  
Czerwinska H. 6П61  
Czerwinski J. 6П325  
  
**D**  
Dabora E. K. 6E522  
Dabrowska D. 6П144  
Dachs K. 6H489  
Daacke H. 6B80  
Dahlgren S. E. 6Д34  
Dahlgr W. 6K248, 6П57  
Dam J. 6П248  
D'Amico J. J. 6П529, 6П539, 6П361  
Dan T. 6M267  
Dana G. 6K84  
Danes V. 6E553  
Daniel V. 6H406  
Daniels R. P. 6M354  
Dann O. 6П675  
Dannenberg H. 6П301  
D'Aquila C. 6K198  
Darbellay A. 6П172  
Da Re P. 6K178, 6K183  
Darling S. D. 6K9  
Daróczy L. 6П360  
Darr W. C. 6P56  
Darras R. 6Д146  
Dart S. L. 6P54  
Daruwalla F. S. 6П331  
Datta D. K. 6K324  
Daunis H. 6K86  
Dautzenberg H. 6П386  
Dauv — Pedersen E. 6П282  
Daveloose C. 6П561  
David V. W. 6M360  
Davidson A. W. 6E630  
Davidson H. W. 6M162  
Davidson N. 6B39, 6B40  
Davidson P. B. 6П522  
Davies D. L. 6M21  
Davies J. A. 6E360  
Davies T. E. 6П38  
Davis D. S. 6H78  
Davis R. B. 6K123  
Davis W. F. 6Д181  
Dakys M. N. G. 6H7  
Dawe A. S. 6П259  
Dawson J. B. 6E312  
Dawson J. K. 6K6  
Dawson J. W. 6H56  
Dawson T. P. 6П512  
Dayal B. 6E223  
Dazzi J. 6П124  
Dean S. J. 6П305  
Deasy C. 6П678  
Deatherage F. E. 6H159  
Debras — Guédon J. 6Д191  
Debye P. 6П12  
Deck P. R. 6П176  
Decomps B. 6E64  
Decroix F. G. 6П563  
Deyate — Duchateau G. 6K327  
DeFord D. D. 6E76  
Dejak C. 6E471  
Dejmek J. 6E83  
Del Grande S. 6П291  
Delhez R. 6B8, 6Д36  
Dell G. F. 6E50  
Delorme C. 6E5  
Del Re G. 6E69  
Del Turco A. M. 6E710  
Deluca P. 6П299  
Delvaux E. 6E271  
Dema I. 6Д51, 6Д77  
Demay J. 6H408  
Demint R. J. 6П554  
Demuyneck J. 6E335  
Depommier P. 6E33  
Deptula C. 6E443  
DePuy C. H. 6K18  
Dereppe J. M. 6E2  
Derevyankin V. A. 6E452  
Derkosch J. 6K2  
DeRosset A. J. 6M188  
Derrick J. C. 6E725  
Desai A. G. 6П342  
Desai M. N. 6H157  
Desaty D. 6H35  
Deschner E. 6M243  
Deshpande D. D. 6E3  
Desnuelle P. 6H414  
Dessens H. 6K127  
Deul H. 6Д233  
De Vault A. N. 6M3  
Dévényi T. 6П706  
Devillers P. 6H393  
DeVries R. C. 6E309  
Dewald W. 6K74  
Dewhurst H. A. 6P105  
Dey A. N. 6П469  
Dharyal K. D. 6K265  
Dhus E. P. 6П508  
Dickerson M. H. 6П540  
Dickey E. E. 6K391  
Dickey F. P. 6E534  
Dickinson D. 6H109  
Dickinson P. H. G. 6E579  
Diefenderfer A. J. 6E60  
Diehl H. W. 6K302  
Dietrich R. 6П663  
Dietrich W. C. 6H98  
Dietz H. F. 6П524  
Dill C. W. 6H142  
Di Paco G. F. 6K240  
Diprose G. 6K82  
Dirks K. 6П580  
Dissinger K. 6П83  
Ditman L. P. 6П456  
Dittrich H. 6П598  
Dixon — Lewis G. 6E501  
Dlabač A. 6E665  
Doali J. O. 6E487  
Dobás J. 6П208  
Dobinson F. 6K35  
Dobis O. 6E617  
Dobrowski J. 6K280  
Dodd G. M. 6K393  
Dodson R. M. 6K336  
Dodson R. M. 6П395  
Doe T. 6E219  
Doehaert D. 6K7  
Doerr I. L. 6K373  
Dohi K. 6M270  
Dohnal J. 6M261  
Dohr M. 6H471, 6H48  
Doi K. 6K88  
Dolby R. M. 6H100, 6H147  
Dolder F. 6П141  
Dominik M. 6П640  
Donaldson G. R. 6M2  
Donaldson T. W. 6П7  
Donk A. B. 6H79  
Donoghue E. 6K197  
Dorabalska A. 6A8  
Dorémieux J. L. 6E5  
Dorn W. S. 6E371  
Dornbush A. C. 6П333  
Dornow A. 6K49, 6K5  
Dorset B. C. M. 6П1  
Dorze M. P. 6M233  
Doskočil J. 6П147  
Doubek C. 6E58  
Douglas C. M. 6П125  
Douglas D. C. 6E151  
Downing J. 6П144, 6П432  
Dows D. A. 6E125  
Doyle W. M. 6K200

- 6M243  
 D. D. 6E52  
 6H414  
 6K127  
 6J233  
 A. N. 6M34  
 6J706  
 6H393  
 C. 6E309  
 6K74  
 A. 6P105  
 6J469  
 D. 6K265  
 6H508  
 K. H. 6J546  
 6H391  
 P. 6E534  
 6H109  
 P. H. G.  
 A. J. 6E64  
 6J302  
 6J663  
 C. 6H08  
 6J524  
 6H142  
 F. 6K240  
 6K82  
 6H580  
 K. 6J783  
 P. 6J456  
 6H598  
 wls G.  
 6E665  
 6E487  
 6J208  
 P. 6K335  
 6E617  
 6J. 6K280  
 6H393  
 M. 6K336  
 6H195  
 6J219  
 6K7  
 6K373  
 6J270  
 6M261  
 6H471, 6H488  
 M. 6H111  
 6H141  
 6H1640  
 G. R. 6M28  
 T. W. 6H179  
 E. 6K197  
 A. 6A8  
 J. L. 6E58  
 6E371  
 C. 6H333  
 6K49, 6M28  
 C. M. 6H111  
 P. 6M233  
 6J447  
 6E58  
 M. 6P125  
 C. 6E151  
 J. 6P144  
 6E125  
 M. 6K200
- Edbrooke P. C. 6H271  
 Edeline F. 6H314  
 Edelmann G. 6H612  
 Edelmann K. 6P377  
 Edgerton W. H. 6J338  
 Edlin M. 6H321  
 Edminster J. W. 6M328  
 Edse R. 6E492  
 Edwards J. W. 6K79  
 Edwards O. E. 6K73  
 Eeckhaut R. G. 6H71  
 Egan J. T. 6H299  
 Eger N. 6M263  
 Egner H. 6H326, 6H327  
 Ehrisman H. O. 6H549  
 Eichen M. S. 6E37  
 Eldebenz E. 6J160  
 Elrich F. R. 6P104  
 Eisenhuth W. 6A34  
 Eisenlohr D. H. 6J441  
 Elstert B. 6K77  
 Eklund E. 6H120  
 Elberg S. 6E330  
 Elbinger G. 6E301, 6E302  
 Elmmark J. 6H374  
 Eliáš M. 6K433  
 Eliassaf J. 6P30  
 Elliott N. 6E288  
 Elliott S. B. 6P211  
 Ellis B. 6J386  
 Ellis S. R. M. 6H64  
 Eloy P. 6K243  
 Elworthy P. H. 6E54  
 Emelcus H. J. 6K281  
 Emerson T. 6E138  
 Emerson O. H. 6J368  
 Emerson W. S. 6J197  
 Emin Altan M. 6P89  
 Enders E. 6J225  
 Endo K. 6H136  
 Endo Y. 6J111  
 Endt P. M. 6E16  
 Engelhard H. 6K111  
 Engelhardt E. L. 6J361  
 Engell H. J. 6H126  
 Engelmann E. 6E459  
 English R. A. 6H53  
 Enke C. G. 6E635  
 Enomoto R. 6M222  
 Enos H. I. 6J143  
 Entwistle A. R. 6E446  
 Erdey L. 6D7  
 Erdle P. H. 6H184  
 Erhardt A. 6J322  
 Ericks W. P. 6H530  
 Erickson R. E. 6K34  
 Erickson R. S. 6P1454  
 Eriksen S. P. 6E723  
 Erikson T. A. 6K84  
 Erlich A. 6H302  
 Erling R. W. 6J520  
 Ernst W. 6J222  
 Errede L. A. 6E89, 6M61  
 Erwall L. G. 6H235  
 Esanu F. 6H449  
 Eschenroeder A. Q. 6M247  
 Esenwein P. 6K400  
 Estrada H. 6K323  
 Euler J. 6K130  
 Evans J. G. 6P292  
 Evans R. M. 6P11  
 Evered D. F. 6J316
- Evering B. L. 6M288  
 Ewan G. T. 6E37  
 Ewers W. 6H379  
 Ewles J. 6E312
- F
- Faber H. B. 6K109  
 Fagley T. F. 6H553  
 Falkai B. 6J163  
 Fallon R. J. 6E99  
 Fallwell E. L. 6H115  
 Fan H. Y. 6E272  
 Farkas I. 6J382  
 Farley T. A. 6E340  
 Farmer V. C. 6E169  
 Farnham A. G. 6J149  
 Farrar G. D. 6H436  
 Farrar W. V. 6K153, 6K239  
 Farrer K. T. H. 6H12  
 Farrier M. J. 6E571  
 Farrow G. 6P58  
 Fassbender H. J. 6J569  
 Fauconnier P. 6D75  
 Faurote P. D. 6J177  
 Faust G. 6K368  
 Fawzia Fahim 6K161  
 Fazekas P. 6P571  
 Feagin R. C. 6H184  
 Fear J. V. D. 6M281, 6M289  
 Feduchi Mariño E. 6H345  
 Fehér I. 6H703  
 Fehér M. 6D153  
 Fehr H. 6J157  
 Fehr K. 6J157  
 Feichtinger C. A. 6H76  
 Feichtinger H. 6H526  
 Feigley D. A. 6P533  
 Fekecz J. 6K223  
 Feller — Kniepmeier M. 6E411  
 Fenske M. R. 6J153  
 Ferguson A. T. G. 6E19  
 Ferrari G. 6K132  
 Ferry J. D. 6P33, 6P49  
 Fertig S. N. 6J474, 6J479  
 Fetting F. 6E516  
 Feughelman M. 6P1559, 6P1564  
 Fewlass M. W. 6J159  
 Fiala Z. 6J273  
 Fichte C. 6H387, 6H388  
 Ficht F. J. 6H356  
 Field R. 6P11  
 Fields E. K. 6J111, 6J113, 6J130, 6M344  
 Fieser L. F. 6K331  
 Figdor S. K. 6J389  
 Fijalkowska J. 6P238, 6P239  
 Filakentscher H. 6H489  
 Filadjic M. 6H30, 6H35  
 Filbey A. H. 6M52  
 Filimon I. 6K367  
 Filotti G. 6H352  
 Finaz G. 6P36  
 Finch W. I. 6P89  
 Finck E. 6H433  
 Fingerland A. 6E183  
 Finiel A. 6H30  
 Finnegan W. G. 6K238
- Fiquet — Fayard F. 6E585, 6E586  
 Fischer A. 6J536  
 Fischer B. 6H461  
 Fischer D. P. 6E540  
 Fischer E. 6E572  
 Fischer E. O. 6E52, 6J184  
 Fischer H. 6E625  
 Fischer O. 6E652  
 Fischer R. B. 6E246  
 Fischer W. A. 6E425  
 Fischeroova E. 6E652  
 Fischgold S. 6H449  
 Fisel S. 6E66  
 Fish V. B. 6K137  
 Fisher E. E. 6M362  
 Fisher L. 6E63  
 Fitzgerald E. R. 6P51  
 FitzHarris L. J. 6H149  
 Flanagan T. B. 6E643  
 Fleischmann R. 6K160  
 Fletcher H. G. 6K302  
 Fletcher T. L. 6K287  
 Fleury J. 6E5  
 Flock F. H. 6K106  
 Florence T. M. 6D126  
 Flores H. 6J396  
 Flottmann F. H. 6M364  
 Foffani A. 6E482  
 Foglino M. L. 6J162  
 Földes P. 6P706  
 Folkins H. O. 6M190, 6M283  
 Forbes E. J. 6E576  
 Ford A. 6P677  
 Fordea C. 6E566  
 Fordham J. W. L. 6P122  
 Forgrieve J. 6H65  
 Forneseri M. 6J188  
 Forner H. G. 6E5  
 Förster T. 6E107, 6E109  
 Fort B. F. 6M299  
 Fortina L. 6K189  
 Forward F. A. 6K55  
 Foster M. D. 6H80  
 Fotis P. 6P111  
 Foucaud A. 6K116  
 Foulon A. 6P90  
 Fournier R. 6H130  
 Fourroux M. M. 6M137  
 Fox F. H. 6J477, 6J479  
 Fox J. J. 6K373  
 Fraenkel G. 6E142  
 Fraik R. D. 6P1521  
 Franc J. 6E700, 7D229  
 Franchevici H. E. E. 6E66  
 Franchi G. 6J303  
 Franck E. 6P1565  
 Franconi C. 6E142  
 Franke E. A. 6K320  
 Franke W. 6P1362  
 Franklin J. G. 6H121  
 Franzen V. 6E575, 6K247  
 Fraser R. P. 6E525  
 Frechtmann J. 6P180  
 Frederick W. 6H444  
 Fredericks W. 6J576  
 Freegarde M. 6D182  
 Freeman A. G. 6K222  
 Freeman D. B. 6U209  
 6H244
- Freeman G. G. 6H51  
 Freeman G. R. 6E589  
 Freeman L. D. 6J423  
 Freiberg L. A. 6K6  
 Freidin A. S. 6H12  
 Fremuth W. J. 6K72  
 French D. 6P4  
 French R. J. 6E24  
 Frenkel S. J. 6P18  
 Freytag K. H. 6J227  
 Friauf G. F. 6M328  
 Fricke G. 6J506  
 Fried J. 6J405  
 Fried F. H. 6K284  
 Friederich A. 6P658  
 Friedman R. 6E489  
 Frielinsdorf H. 6H69  
 Friesen J. 6E360  
 Frind H. 6E46  
 Frisch N. W. 6H285  
 Frisgue A. J. 6D30  
 Fritzsche E. 6P396, 6P429  
 Fritzsche K. 6K435  
 Frye B. F. 6P56  
 Frye C. G. 6H85  
 Fuchs H. G. 6H266  
 Fudge A. J. 6D105  
 Fuehrer F. 6H43  
 Fuha T. 6H71  
 Fujii H. 6P113  
 Fujii T. 6E402  
 Fujii Y. 6K258  
 Fujimoto E. 6H491  
 Fujita H. 6P65  
 Fujita T. 6K87  
 Fukui K. 6E71  
 Fukui T. 6K305  
 Fukui Y. 6P683  
 Fukunaga T. 6K48  
 Fukushima H. 6E116  
 Fukuya N. 6P603  
 Füllöp E. 6D155  
 Funasaka W. 6M141  
 Funfalek A. 6H162  
 Funk H. 6K261  
 Funke W. 6P270  
 Furlani A. 6H111  
 Furlani C. 6J226  
 Fürst H. 6J493  
 Furth B. 6K84  
 Furukawa J. 6P85  
 Fyfe W. S. 6P37
- G
- Gaál G. 6J372  
 Gabor T. 6E565  
 Gaede K. 6K426  
 Gaertner V. R. 6U523, 6H474  
 Gafnar E. 6D24, 6D51  
 Gainar I. 6D24  
 Gaines A. F. 6M101  
 Gajdos J. 6P1526  
 Galach S. 6H272  
 Galle A. 6H450  
 Gallinger C. T. 6K209  
 Galt R. H. B. 6K381  
 Ganti T. 6H293  
 Gardiner D. M. 6H511  
 Gardner J. 6H80  
 Gardner J. E. 6J305  
 Gardy M. H. 6A17  
 Garmsen W. 6P276



Garrido J. M. 6H339  
Gärtner C. 6H299  
Gärtner K. 6H315  
Garton C. G. 6B672  
Garvie E. I. 6H140  
Gasparic J. 6H205  
Gasparin M. 6H29  
Gassier J. 6B147  
Gast T. 6E71  
Gastellu C. 6H688  
Gattegno R. 6H314  
Gatterdam P. E. 6H1460  
Gaul R. J. 6H72  
Gautier J. A. 6H210  
Gay W. H. 6M305  
Gazo J. 6B35  
Geach C. J. 6M306  
Gealer R. L. 6E522  
Gebhardt E. 6E423  
Gebhardt H. 6H133  
Gebler J. 6H315  
Geddes J. C. 6K317  
Gee A. H. 6H200  
Gehrke K. 6B77  
Geiersberger K. 6K104  
Geiger J. S. 6B37  
Geil P. H. 6P47  
Geleji F. 6H163  
Gell P. A. M. 6K325  
Geller J. 6M151  
Gellert H. G. 6H198  
Geneix 6H511  
Genin G. 6H139  
Genung W. G. 6H1449  
Gerassimov M. M. 6M198  
Germain J. E. 6H80  
Gerstenberg H. 6H69  
Gerster J. A. 6H58  
Gessler A. M. 6H323  
Geyer L. C. 6H306, 6H307  
Ghag A. S. 6H342  
El — Ghandour M. F. M. 6K169  
Ghanem N. A. 6B354  
Ghatak U. R. 6H324  
Gheikling A. 6H188, 6H191  
Ghillini C. A. 6H186  
Ghosh K. G. 6H469  
Ghosh S. 6H679  
Ghosh — Mazumdar B. N. 6H190  
Giannantoni D. 6H77  
Gibberellin A. 6H381  
Gibbs I. 6H360  
Gibson A. R. 6K6  
Gibson F. W. 6K38  
Gibson J. R. 6M299  
Giesselmann G. 6H205  
Gilladi J. 6H104  
Gillardenghi P. 6H185  
Gil — Av E. 6H18  
Gilbert E. E. 6H139, 6H445  
Gilbert G. R. 6M279  
Gildemeister E. 6H509  
Gill J. B. 6B65  
Gillespie R. J. 6B141  
Gillespie T. 6B722  
Gillis J. 6A4  
Gilmont R. 6E51, 6H80  
ilmore W. H. 6H273  
Gindt R. 6B292

Giraud — Desjuzeur D. 6M175  
Gird E. 6D51  
Gluffre L. 6H211  
GIVEN T. 6B111  
Gland R. 6B300  
Glarm S. H. 6B153  
Glasbrenner S. N. 6H1228  
Glauber E. 6H410  
Glavaš A. 6H32  
Glemser O. 6B391  
Glesmann M. C. 6H330  
Glick R. E. 6B81  
Glozić B. 6H686  
Göbel J. 6H277  
Gobell G. W. 6B272  
Goble P. H. 6H81  
Goddard R. E. 6H55  
Goerig H. M. 6H99  
Goering H. L. 6B420  
Goerner G. L. 6H95  
Goerrig D. 6M287  
Goggl G. 6K353  
Goia I. 6H125  
Gokhale S. V. 6H578  
Gold H. 6H656  
Goldberg S. I. 6H291  
Goldenberg C. 6H7  
Goldenberg S. A. 6B511  
Golding B. 6H228  
Goldman L. 6B5  
Goldschmidt S. 6H371  
Goldstein I. S. 6M34  
Goldstein J. H. 6B144  
Goldwhite H. 6H284  
Golowska A. 6D94  
Goll R. J. 6B473  
Golonka A. 6H178  
Goodhue J. D. 6H469  
Gooding C. M. 6H462  
Goodman I. 6P1  
Goodman M. 6B171  
Gora H. Z. 6H216  
Gordon A. F. 6H108  
Gordon G. E. 6H258  
Gordon J. 6H110  
Gordon S. M. 6H403  
Gordon W. E. 6B520  
Gordy W. 6B134  
Görlich E. 6B32  
Görling P. 6H82  
Gornowski E. J. 6M363  
Gorodetzky S. 6B21, 6E25  
Gorski A. 6A8  
Gorter C. J. 6B157  
Goss W. C. 6H144  
Goto H. 6H180  
Goto H. 6M94  
Goto K. 6H237  
Goto K. 6P113  
Goto R. 6H491  
Goto S. 6H336  
Goto T. 6H329, 6H334, 6H332  
Gotthberg H. 6H254  
Gottfried J. 6H72  
Götz A. 6B61  
Götz H. 6B605  
Götzl F. 6H201  
Goubeau J. 6H253, 6H267  
Gough A. R. S. 6K8  
Gough L. J. 6H325

Gould D. H. 6H402  
Gould G. E. 6H453  
Goutarel R. 6H346  
Govindachari T. R. 6K358  
Goy S. S. 6H331  
Gräbner H. 6H253  
Gracza R. 6H46  
Graham R. L. 6B37  
Graham R. P. 6H117  
Graikoski J. T. 6H169  
Grall L. 6H130, 6H151  
Grandi L. 6H88  
Grandy G. L. 6D56  
Grau R. 6H160  
Graven W. M. 6B249  
Gray G. G. 6H568  
Gray G. W. 6B447  
Gray P. 6B495  
Gray T. J. 6B684  
Greco I. 6B92  
Green M. 6B673  
Green M. 6E14  
Greenberg S. 6H129  
Greenhow E. J. 6M93  
Greenlee S. O. 6H165  
Greenwald B. W. 6M357  
Greenwood N. N. 6B390  
Gregor H. P. 6P121  
Greif D. S. 6H487  
Grendene R. 6H279  
Grensemann M. C. 6H79  
Grever A. B. G. 6H170  
Griffin C. E. 6B127  
Griffin E. L. 6H55  
Griffin J. B. 6B575  
Griffiths J. H. E. 6B283  
Grigg P. E. 6K321  
Grigorescu A. 6P50  
Grimshaw F. P. 6H271  
Grisenthwaite A. T. 6M300  
Gröbe A. 6H389, 6H390  
Groenier W. S. 6K27  
Gronowska J. 6H96  
Grönroos G. 6H129  
Grönwall S. 6H165  
Groombridge D. W. 6H414  
Gross K. A. 6B415  
Gross S. 6H94  
Grosskinsky O. 6K103  
Grossman R. F. 6H316  
Grossmann M. 6P118  
Groszkowski S. 6H230, 6K231  
Grothues B. 6H407, 6H424  
Group U. K. 6K1  
Grubner O. 6B699  
Gruen D. M. 6B614  
Gruener J. 6B508, 6B515  
Grün W. 6K391  
Grüne A. 6D23  
Grüneberg R. 6A3  
Gruntova Z. 6H292  
Grunwald E. 6B138  
Gruse W. A. 6M271  
Gualtieri J. G. 6B321  
Guasco G. 6K128  
Guczalski R. 6K221  
Gudheim A. R. 6H310  
Guenbaut H. 6B103  
Guerdjikov D. C. 6B225

Guerrero Abella M. 6H90  
Guest H. R. 6H193  
Gugel E. 6E19  
Guinn V. P. 6M166  
Gulbransen E. A. 6B541  
Gullans O. 6H275  
Gunderson M. F. 6H17  
Gunnis L. F. 6H132  
Günther W. H. H. 6H360  
Gupta A. K. S. 6B27  
Gupta J. G. S. 6H143  
Gupta R. C. 6B277  
Gürtler R. 6K348  
Gustafson D. H. 6H156  
Gustafson R. L. 6B58  
Gustafsson L. 6H163  
Gutjahr H. 6B273  
Gutowahy H. S. 6B150  
Gutsche C. D. 6B603  
Gwoździ R. 6B439  
Gyimesi J. 6H141  
Gyllenberg H. 6H120  
Gyökegyi L. S. 6H63  
Gyriaco G. G. 6H1477, 6H1479  
Gysin H. 6H1525, 6H1528

# H

Haller W. 6K291  
Halling H. H. 6K271  
Halls G. A. 6B517  
Halmann M. 6B343  
Halsey G. D. 6B612  
Haly A. R. 6H559, 6H564, 6H575  
Hamada M. 6H167  
Hamashima M. 6B34  
Hamdy M. K. 6H159  
Hamilton D. R. 6B20  
Hamm P. C. 6H534  
Hammar G. W. 6H1574  
Hanasawa T. 6B12  
Handa K. L. 6H493  
Handelsman V. 6B92  
Handley R. 6H470  
Handa C. H. G. 6H46  
Haneman D. 6B683  
Haney R. E. D. 6M295  
Hanf W. 6A35  
Hanlon E. J. 6H367  
Hanna G. 6H329  
Hanneman W. W. 6H11  
Hanousek V. 6H198  
Hanselman R. B. 6H11  
Hansen R. 6H117  
Hansen S. C. 6H207  
Hanslick R. S. 6H341  
Hanson J. R. 6H341  
Hanuška L. 6H270  
Han-ya A. 6H25  
Hara N. 6M270  
Harbrink P. 6H555  
Harding H. 6H272  
Hardy E. 6H182  
Hardy E. E. 6P56  
Hargreaves K. G. 6H213  
Harkort D. 6K218  
Harman M. W. 6H329  
Harnish J. R. 6H55  
Harper C. A. 6H77  
Harper J. L. 6H221  
Harper M. J. 6B495  
Harper S. A. 6B520  
Harrah L. A. 6B162  
Harries J. M. 6H110  
Harris G. 6H321  
Harris G. H. 6H156  
Harris J. F. 6M29  
Harris J. O. 6H230  
Harrison W. 6H121  
Harrison W. A. 6B275  
Harrison R. J. 6H23  
Hart F. A. 6B31  
Hart H. R. 6B332  
Harthoorn P. A. 6H14  
Hartman L. 6H429  
Hartmann A. 6H371  
Hartmann G. 6H308  
Harva O. 6M218  
Harvey R. L. 6H279  
Harwood J. H. 6B245  
Hasenclever D. 6H356  
Hashitani H. 6B651  
Haškovec J. 6H259  
Hastings J. M. 6B284  
Haszeldine R. N. 6H347  
Hatano M. 6M82  
Hatano S. 6H279  
Hatch L. P. 6K9  
Hatcher R. A. 6H70  
Hathaway J. 6H90

- 6K291  
H. 6K271  
A. 6B517  
M. 6B343  
D. 6E612  
R. 6P559  
6P575  
I. 6K167  
A. M. 6K34  
K. 6H159  
D. R. 6E520  
C. 6J534  
W. 6J574  
T. 6B12  
L. 6H493  
N. V. 6B92  
R. 6J470  
H. G. 6K46  
D. 6E683  
E. D. 6M295  
6A35  
J. 6P367  
6H329  
W. W. 6J416  
V. 6J198  
R. B. 6J21  
H. 6H417  
C. 6H267  
S. 6J341  
R. 6K334  
L. 6H270  
6P25  
M270  
P. 6P555  
6H272  
6H182  
E. 6P56  
K. G. 6J213  
6K218  
W. 6J529  
R. 6H55  
A. 6P77  
L. 6J221  
J. 6E495  
A. 6E520  
A. 6B162  
M. 6H10  
6H321  
H. 6J156  
F. 6M29  
D. 6M230  
V. 6H121  
V. A. 6E275  
R. J. 6H22  
6B31  
6E332  
P. A. 6J416  
6H429  
A. 6K371  
G. 6H308  
6M218  
L. 6K279  
H. 6E245  
D. 6H350  
H. 6E651  
6H259  
M. 6E284  
R. N. 6J344  
6M82  
6P279  
P. 6K9  
A. 6P167  
J. 6T90
- H. L. 6P289  
S. G. 6P432  
H. 6H368  
F. 6T406  
W. E. 6E648  
C. R. 6K20,  
6K138  
H. J. 6E50  
G. J. 6M322  
W. W. 6E44  
A. E. 6E82  
A. T. 6J171  
W. G. 6J148  
J. 6K51  
M. F. 6B42,  
6E256  
J. J. 6H63  
S. 6P395  
H. 6P394  
A. 6E219  
H. 6J32  
M. 6P65  
T. 6K256  
U. 6H195  
S. L. 6P368  
R. G. 6B31  
D. O. 6E682  
J. W. S. 6P369  
J. F. 6H102  
R. L. 6E24  
D. 6H242  
J. 6J371  
F. 6J127  
G. E. 6P33  
D. R. C. 6P229  
J. 6E346  
P. M. 6E53  
K. 6H95  
W. 6J145  
K. S. 6P74  
T. C. 6K421  
G. 6P612  
H. 6K125,  
6J34  
S. A. 6J136,  
6J541  
O. 6M364  
W. 6P240  
W. 6P169  
U. 6M231  
R. 6H82  
E. 6H346  
F. M. 6E507  
G. H.  
W. 6E1  
M. 6J133  
K. H. 6P74  
M. 6M341  
E. R. 6M340  
A. S. 6H22  
R. G. 6H59  
M. S. 6T21  
A. M. 6M290  
E. B. 6J192  
M. 6M190  
R. M. 6P145  
R. A. 6K238  
R. H. 6K347  
A. L. 6J167  
H. J. 6M284  
R. 6K182  
W. 6T111
- Herczegh J. 6J1360  
Herczyk J. 6J161  
Herenguel J. 6H128  
Herman A. 6H301  
Hermans J. J. 6P103  
Heřmanský M. 6J1428  
Herold M. 6J1417, 6J1428  
Herout V. 6J1418  
Herrmann K. 6H91  
Herscu O. 6P449  
Hertog H. J. 6K201  
Herve R. 6M235  
Herz W. J. 6H8  
Herzog E. 6H159  
Heshmat O. 6K356  
Hess H. V. 6M285  
Hess L. G. 6J54, 6J169  
Hetnarska K. 6J14  
Hetnarski B. 6K248  
Heuer R. P. 6K281  
Heumann T. 6E411  
Heyding R. D. 6T33  
Heyligers A. 6E16  
Heyrovský A. 6J14  
Heywood B. J. 6J535  
Heywood D. L. 6K204  
Hibbitts J. O. 6J181  
Hibi T. 6E220  
Hickson R. 6P356  
Hieber W. 6E154  
Hiele P. 6P624  
Higashi H. 6J256  
Higashi H. 6P117  
Higgins D. G. 6H93  
Higgs R. W. 6E331  
Hijikata K. 6E72  
Hilder G. B. 6H41  
Hilgert R. 6M303  
Hill B. E. 6J1386  
Hill E. R. 6M174  
Hill J. A. 6J44, 6H483  
Hill J. S. 6K96  
Hill J. W. 6P96  
Hill R. B. 6P351  
Hillard G. O. 6M273  
Hille J. 6K124  
Hills G. L. 6H132  
Hilmer W. 6E200  
Hiltz A. A. 6P104  
Himes R. C. 6E420  
Hindes L. W. 6J1498  
Hinds S. 6E4, 6E6  
Hinton C. L. 6H201  
Hinzpeter M. 6T413  
Hirai N. 6P46  
Hirano S. 6K301  
Hirose K. 6H280  
Hirota K. 6P88  
Hirsch E. 6H397  
Hirschleber A. 6H95  
Hirsh D. H. 6J52  
Hitchcock S. W. 6J444  
Hitomi H. 6K363  
Hiyama H. 6J215  
Hlaváček F. 6H360  
Hlynska I. 6H65  
Hoare J. P. 6E644  
Hockack D. 6H265  
Hoch L. 6H288  
Hochmuth F. W. 6P529  
Hocking B. 6H23  
Hocking C. S. 6P63  
Hodel E. 6J525  
Hodgins G. R. 6P305
- Hodinar F. 6J1410  
Hodivolanu V. 6P437  
Hodson A. Z. 6H253  
Hoehne K. 6T94  
Hoekstra T. 6P248  
Hoff M. C. 6J111  
Hoffman J. 6J1428  
Hoffman J. M. 6E534  
Hoffman M. Z. 6E570  
Hoffman R. W. 6E295  
Hoffmann A. 6E425  
Hoffmann C. 6J1406  
Hoffmann F. 6H509  
Hoffmann H. 6T94  
Hoffmann H. 6J187  
Hoffmann W. L. 6H499  
Hofmaster R. N. 6J1456  
Hofmeister H. K. 6E391  
Höger J. 6E18  
Hogg J. A. 6J398  
Hojo H. 6P68  
Hoke E. 6H332  
Holden J. 6E308  
Holderness F. H. 6E532  
Holkeboer P. 6J125  
Holland L. 6K311  
Holland P. D. 6P5  
Holland R. F. 6J1477,  
6J1479  
Holleman A. F. 6K39  
Holliday A. K. 6K252  
Holman W. C. 6K109  
Holmes E. L. 6E448  
Holmes J. 6M249  
Holmes L. G. 6J234  
Holmes P. D. 6M320  
Holmes R. R. 6K131  
Holmquist H. E. 6J196  
Holt P. F. 6K229  
Holzrichter H. 6M179  
Honda Y. 6M82  
Hondros E. D. 6E319  
Honel H. 6P225  
Honeycutt J. B. 6K254  
Honig J. M. 6E681,  
6B23  
Honold E. 6J234  
Hoogenboom A. M. 6E335  
Hooker W. J. 6E536  
Hopfield J. J. 6E262  
Hopfinger A. 6H441  
Hopkins D. E. 6J460  
Hopwood S. L. 6J161  
Horáček J. 6H418  
Horák P. 6J181  
Horák J. 6E254  
Horioka M. 6H280  
Horitsu K. 6H400  
Horman J. 6J398  
Horn F. 6H73  
Horn K. 6H35  
Horn O. 6J168  
Horner L. 6K159,  
6J187  
Hornung H. 6E273  
Horscroft R. C. 6E481  
Horski J. 6E84  
Horst K. 6H659, 6P661  
Horton G. R. 6J225  
Horváth T. 6J185  
Horváth V. 6E87  
Horwatsch H. 6J197  
Hoshida H. 6J227  
Hosono M. 6J556
- Houle R. J. 6H428  
Houlnick C. 6K387  
Hövermann G. 6J20  
Hovorka V. 6K223,  
6K224  
Howe B. I. 6P475  
Howe H. A. 6E34  
Howell D. E. 6J469  
Howey I. 6H132  
Howitt P. O. 6P577,  
6P584  
Howle C. W. 6J168  
Hoyt S. C. 6J1463  
Hrbotický J. 6P644  
Hrivnak L. 6E263  
Hrubeš P. 6K95  
Hrubíšek J. 6H381  
Hsiao C. C. 6P53  
Huang Wei-yuan 6K331,  
6K332  
Huang Yao-tseng 6K364  
Hubáček M. 6H374  
Hubacher M. H. 6K182  
Hubbard E. L. 6E48  
Huber H. 6K67, 6K73 —  
6K75  
Hubicki W. 6B2, 6J186  
Huck G. 6K103  
Huckaba C. E. 6K317  
Hüchel W. 6K162  
Huddleston E. W.  
6J1477, 6J1479  
Hudry C. 6K103  
Hudson G. J. 6M251  
Hudson J. R. 6H325  
Huebner C. F. 6K197  
Huggett L. P. 6P691  
Hughes A. N. 6K229  
Hughes R. B. 6H180  
Hughes W. H. 6E734  
Huisgen R. 6K160  
Hula L. 6P702  
Hulka A. 6K152  
Hull D. 6E313  
Hull M. E. 6H265  
Hulme W. 6P596  
Hume Rothery W. 6E412  
Hummel H. 6K22  
Humoller F. L. 6E10  
Hunt J. C. 6J138  
Hunt J. P. 6E468  
Hunter E. A. 6M286  
Hurd C. D. 6J163  
Hurdia E. C. 6J146  
Hure J. 6H130, 6K167  
Hurle D. T. J. 6E266  
Hurst J. J. 6K318  
Hurt V. 6P374  
Hurtilk E. 6P526  
Husain I. 6K134  
Hussein A. F. 6K161  
Hussey A. S. 6K82  
Hutchings L. R. E.  
6M319  
Hutchinson H. M. 6P116  
Hutchison M. 6H233  
Hutchison W. K. 6M165  
Hutton S. P. 6H263  
Huyett M. J. 6P66  
Hwa C. C. L. 6P128  
Hwa J. C. H. 6K41  
Hyde J. F. 6J104  
Hyman M. L. 6K5  
Hyvärinen L. P. 6E186

- Ibrahim E. F. 6E446  
Ichikawa K. 6E479  
Idol J. D. 6J500  
Iida H. 6P603  
Iida Y. 6E237  
Ikari A. 6E400  
Ikari S. 6K136—6K138  
Ikeda K. 6J283  
Ikeda S. 6J180  
Ikehara M. 6K303, 6K376,  
6K377  
Ikekawa N. 6K351  
Ilardo C. S. 6P145  
Iliescu G. 6P478  
Illers K. H. 6P55, 6P59  
Illing P. A. 6P524  
Imanaga H. 6K170  
Imhof L. G. 6P173  
Imoto E. 6P123  
Imura Y. 6H197  
Inamoto Y. 6J124  
Ineson E. 6H176  
Inghram D. H. 6H212  
Iñigo B. 6H339  
Iñigo Leal B. 6H335  
Inkinen O. 6E197  
Inokawa S. 6P1491  
Inoue S. 6K29  
Inoue T. 6H196  
Inouye Y. 6K301  
Inouye Y. 6P684  
Ionesco M. 6K231  
Ionescu M. 6K125,  
6K310  
Ionescu S. 6E705, 6J151  
Ionescu T. 6H152  
Iredale P. 6J19  
Iritani N. 6J227  
Ironsides R. 6T33  
Irvin L. 6H153  
Irving H. 6B65, 6K37  
Isaac A. 6H185  
Isabín H. S. 6H44  
Isaki S. 6J256  
Ishibashi S. 6K54  
Ishida S. 6K165  
Ishida Y. 6P75  
Ishiguro T. 6E399  
Ishiguro Y. 6J113  
Ishihama W. 6M41  
Ishii K. 6P165  
Ishii Y. 6J24, 6P223  
Ishikawa A. 6M270  
Ishikawa F. 6K303  
Ishimori T. 6E349  
Ishizu K. 6M82  
Isler O. 6J119  
Isles G. L. 6E501  
Ito H. 6J379  
Itsuki K. 6E651  
Ito K. 6P212  
Ito Y. 6P32  
Ito Y. 6P64  
Iuchi T. 6K188  
Ivanečko D. 6H401  
Ivanoff N. 6E591  
Ivancanu S. 6K144  
Iwasaki K. 6E719  
Iwasina S. 6H394  
Iwata Y. 6J6  
Iyengar J. R. 6H100  
Izawa K. 6J124

Izawa Y. 6D236  
Izumitani T. 6K303

J

Jache A. W. 6B155  
Jachymczyk W. 6K176  
Jackson F. H. 6K382  
Jackwerth E. 6D20  
Jacob K. D. 6K99  
Jacobi T. H. 6B34  
Jacobs H. 6P59  
Jacobs H. 6P79  
Jacques J. 6K335  
Jadot J. 6K99  
Jaffe A. A. 6B7  
Jaffe H. 6K330  
Jain B. D. 6D114  
Jakubowicz L. 6J167  
Jambrich M. 6P374  
James D. H. 6K17  
James T. C. 6B98  
Jamieson M. M. 6H10  
Jamrack W. D. 6K7  
Jancovsky J. 6D76  
Janczewski M. 6K149, 6K163  
Janda I. 6D147  
Janda M. 6P428  
Janić T. 6H204  
Janko A. 6B647  
Janot M. M. 6K346  
Janšák M. 6P526  
Janssen F. 6H87  
Jaray F. F. 6P151  
Jaschik S. 6H20  
Jaskólski S. 6G86  
Jastram P. S. 6B27  
Jaszewski A. 6H508  
Jaupain M. 6K243  
Javorek M. 6P374  
Jaworska I. 6J174, 6J175  
Jean A. 6H121  
Jean M. 6B3  
Ječmen J. 6H262  
Jędraszczyk H. 6P585  
Jeger O. 6K338  
Jehle K. 6P371  
Jellinek F. 6B206  
Jellinek H. H. G. 6P110  
Jenkins A. D. 6P82  
Jenkins G. I. 6B478  
Jenkins H. A. H. 6H244  
Jenssen S. K. 6H112  
Jermanowska Z. 6K164  
Jęsiak H. 6H136  
Jessen F. W. 6B724  
Jewers K. 6K352  
Jezl J. L. 6M356  
Jilek J. 6L332  
Jilek J. O. 6K334  
Jinno H. 6B535  
Johar J. S. 6B806  
Johes J. P. 6J121  
Johns W. F. 6J1404  
Johnson B. S. 6M322  
Johnson E. W. 6H223  
Johnson F. B. 6M294  
Johnson F. L. 6D144  
Johnson F. S. 6G102  
Johnson G. R. A. 6B580  
Johnson J. B. 6D67  
Johnson J. E. 6B493

Johnson J. F. 6D193, 6D194  
Johnson J. H. 6B561, 6P113  
Johnson L. F. 6B136  
Johnson M. D. 6K10  
Johnson N. H. 6P125  
Johnson P. R. 6J17  
Johnson R. J. 6H166  
Johnson T. E. 6H160  
Johnson W. B. 6H26  
Johnston F. J. 6B590  
Johnston H. 6J1522  
Johnston R. G. 6J1374  
Johnston T. N. 6E76  
Jolly J. 6J1375  
Joly R. 6J1375, 6J1388  
Jones D. A. 6P116  
Jones D. T. 6H226  
Jones E. J. 6P1499  
Jones G. D. G. 6J1464  
Jones G. E. 6K168  
Jones J. H. 6J153  
Jones J. T. 6M252  
Jones M. L. 6H52  
Jones R. A. Y. 6B146  
Jones W. J. 6B73  
Jones W. M. 6K31  
Joppich W. 6M202  
Jordan L. J. 6P293  
Jordan P. V. 6P1613, 6P621  
Jorgensen M. H. 6B337  
Joseph R. I. 6B377  
Jost H. 6P389  
Jost J. M. 6K331  
Jotwani M. G. 6J1458  
Joung G. T. 6K370  
Jouravsky G. 6G44  
Józefowicz K. 6D69  
Józefowicz W. 6J1325  
Jucaitis P. 6H255  
Judd D. M. 6K337  
Juilis J. 6P552  
Julean I. 6B18, 6B30  
Julien R. 6B594  
Jullietti F. J. 6K52  
Jumar A. 6K207  
Jungbeck J. 6P651  
Jungers J. C. 6B486  
Junghans H. 6J1519  
Junie Z. 6D158  
Jurd L. 6K180  
Jursik F. 6H294  
Just J. 6H259

K

Kabadi M. B. 6P342  
Kačerovalský R. 6P654  
Kacjan M. 6K220  
Kacprzak F. 6J1240  
Kaczmarek J. 6K164  
Kádárné Pauncz J. 6D185  
Kadečka L. 6H330  
Kadlec K. 6K383  
Kadoya S. 6H280  
Kaelble D. H. 6P147  
Kaeppler H. J. 6M239  
Kaesmacher H. 6P139  
Kahl W. 6J128  
Kaifu Y. 6B255  
Kainz G. 6D197  
Kajimoto G. 6H9  
Kajüter I. 6P276

Kakemi K. 6J1311  
Kakural T. 6P108  
Kalinowska Z. 6H183  
Kallina D. 6D204  
Kallmann S. 6D181  
Kalinis M. V. 6K390  
Kalocsai G. 6H470  
Kambara S. 6B129, 6P84  
Kameoka H. 6H415, 6H416  
Kamiyama S. 6D142  
Kammel D. 6H86  
Kammerer H. 6P118  
Kamogama H. 6P164  
Kampf W. D. 6M18  
Kamstra L. D. 6H151  
Kan R. O. 6K150  
Kane G. J. 6H72  
Kaneko T. 6J1256  
Kanert E. 6K282  
Kanis M. 6H302  
Kanie T. 6B704  
Kann H. 6H183  
Kape J. M. 6K200  
Kapitańczyk K. 6D133, 6H305  
Kaplan J. I. 6B291  
Kaplan L. 6K373  
Kappenberger H. 6J1501  
Kapur N. S. 6H100  
Kapuy E. 6B67  
Karabatsos P. J. 6B138  
Karasek F. W. 6M137  
Karbe K. 6K106  
Kardos E. 6H114  
Karel V. 6H316  
Karl W. J. 6K421  
Karlovitz B. 6B513  
Karplus M. 6B135  
Karpov V. L. 6P112  
Karr T. J. 6M342  
Karrer P. 6K356  
Kasai M. 6P35  
Kaspar E. 6K342  
Kašpárek F. 6B662  
Kassahn H. G. 6K292  
Kassner B. 6B711, 6E60  
Kassner J. L. 6D168  
Kasszán B. 6J1411  
Kästner G. 6E41  
Kasturi T. R. 6K330  
Katagiri S. 6B219  
Kataoka N. 6K290  
Katayama M. 6K271  
Kates D. F. 6E81  
Katiyar S. S. 6B170  
Kato A. 6G22  
Kato N. 6B185  
Kato T. 6K211  
Kato T. 6J130  
Kato Y. 6H199  
Katritzky A. R. 6B146  
Katsuyama K. 6B651  
Katz M. J. 6E321  
Katz W. 6H179  
Kaufman J. J. 6B88  
Kaufmann H. P. 6H407, 6H424  
Kaupp J. 6H463  
Kawabe H. 6P148  
Kawakami H. 6M82  
Kawakami H. 6P375, 6P378

Kawakami R. 6M186  
Kawamoto T. 6K290  
Kawarada A. 6K382, 6K383  
Kawashima H. 6P35  
Kawashima K. 6P378  
Kawawada S. 6P172, 6P175  
Kawazu S. 6H399  
Kazinczy F. 6B410  
Kaźmierowicz W. 6J174  
Keck G. 6G106  
Keeling C. D. 6G103  
Keeling P. S. 6K214  
Kefford J. F. 6H168  
Keith C. H. 6B725  
Kejha J. 6J1371  
Kékedy E. 6B61  
Kekesz L. 6H296  
Keller H. 6H127  
Keller H. 6K773, 6K775  
Kelly H. C. 6P287  
Kelly R. 6B467  
Kemeny G. 6B258  
Kemp W. E. 6M150  
Kempe L. L. 6H169  
Kemsley D. S. 6B293  
Kemula W. 6B114, 6B657, 6B48, 6D151  
Kennedy G. C. 6G30  
Kennedy J. R. A. 6P677  
Kennedy R. M. 6M356  
Kennett R. H. 6H556  
Kent T. B. 6D200  
Kenyon L. C. 6M273  
Keogh B. P. 6H141  
Kereluk K. 6H17  
Kerényi I. 6E73  
Kern E. 6J1230  
Kern R. 6B292  
Kerschner P. M. 6M357  
Kestenholz E. 6H198  
Keszegh G. 6P1571  
Kettenes D. K. 6K200  
Keunen I. 6M120  
Kevel J. 6H16  
Keyes J. P. 6P1510  
Khitrin L. N. 6B500  
Khrumstov V. A. 6B514  
Khurody D. N. 6H126  
Kida S. 6B67  
Kieffer R. 6H172, 6H184  
Kienitz H. 6D143  
Kienze P. 6J1235  
Kiessig H. 6P376  
Kiff B. W. 6J1193  
Kikkawa M. 6P175  
Kikkawa S. 6P126  
Kikuchi T. 6H310  
Kilpady S. 6G36  
Kimberlin C. N. 6M310, 6M311  
Kimmerle H. J. 6M171  
Kimura W. 6D236  
Kinell P. O. 6B578  
King C. H. 6M338  
Kingly W. D. 6B451  
Kinney P. W. 6P1143  
Kinoshita K. 6P168  
Kinoshita S. 6P399  
Kinoshita M. 6K336  
Kinsky I. 6K357

Kinugasa J. 6K113  
Kinzinger E. 6P122  
Kippenhan B. W. 6H248  
Kira T. 6P113  
Kirchner W. 6H385  
Kirkendall W. E. 6B24  
Kirkland J. J. 6J121  
Kirkwood J. G. 6B24  
Kirman L. 6K378  
Kirschenbauer H. G. 6H452  
Kirtschig K. 6K126  
Kis J. 6D170  
Kisfaludu L. 6J114  
Kishi T. 6K306  
Kishimoto A. 6P45  
Kislolek G. 6H272  
Kissel G. 6P1705  
Kistiakowsky G. 6B102  
Kissel J. 6H2  
Kita D. A. 6J1397  
Kitagawa Y. 6M91  
Kitamura H. 6K382, 6K383  
Kitani S. 6B726  
Kitaoka S. 6K301  
Kittel K. 6J1166  
Kittel 6P226  
Kitzler W. 6K357  
Kjelberg A. 6B29  
Klahr L. 6J161, 6J171  
Klare H. 6H1399, 6H1400  
Klega V. 6M62  
Klein J. J. 6M247  
Klein K. H. 6H325  
Kleinberg J. 6B630  
Kleinová L. 6K95  
Kleinspehn G. 6B392  
Klempt W. 6K103  
Kleyn J. G. 6H469  
Klikorka J. 6B254  
Klima B. B. 6H78  
Klimanova R. S. 6H141  
Klingsberg E. 6J1204  
Klouwen M. H. 6H470  
Klumb H. 6H175  
Kluz T. 6K381  
Kmošták J. 6M62  
Knapp F. W. 6J1461  
Knapp O. 6K312  
Knappwost A. 6B280  
Knaus J. A. 6M242  
Knaust W. 6H412  
Knight A. C. 6P132  
Knipper A. 6B21  
Knittel W. 6P171  
Kobar J. 6E712  
Koblitz W. 6P376  
Kóbor L. 6H482  
Koch H. 6K91  
Koch H. J. 6K261  
Koch R. B. 6D22  
Koch R. C. 6D56  
Kochendörfer A. 6B146  
Kochloefl K. 6M140  
Kodama K. 6B704  
Koenig G. 6H463  
Koepp H. M. 6B621  
Kogan S. M. 6B53  
Kohl A. L. 6M145  
Köhler E. 6K67  
Köhler U. 6H13



(5)

asa J. 6K13  
ger E. 6H122  
han B. W. 6K113  
W. 6H385  
dall W. E. 6K113  
and J. J. 6J121  
od J. G. 6K113  
L. 6K378  
nbauer H. G. 6K113  
2  
ig K. 6K126  
6D170  
du L. 6J148  
G. 6K306  
oto A. 6P65  
k G. 6H22  
G. 6P1705  
owsky G. 6K113  
2  
G. 6H2  
A. 6J1397  
ya Y. 5M01  
ra H. 6H385  
3  
S. 6B726  
S. 6K301  
G. 6J166  
6P1226  
W. 6H357  
G. A. 6E29  
6J161, 6J173  
6P1389, 6P1397  
V. 6M62  
J. 6M247  
H. 6H325  
G. 6E630  
L. 6K95  
hn G. 6K113  
W. 6K103  
G. 6H469  
J. 6E254  
B. 6H78  
va R. S. 6K113  
rg B. 6J1234  
M. H. 6H40  
H. 6H175  
6K381  
J. 6M62  
W. 6J140  
D. 6K312  
ost A. 6E289  
A. 6M242  
W. 6K412  
A. C. 6H132  
A. 6E21  
W. 6P171  
6B712  
W. 6P376  
6H182  
6K91  
J. 6K261  
B. 6H22  
C. 6J56  
rfer A. 6K113  
K. 6M140  
K. 6E704  
H. 6H463  
M. 6E621  
M. 6E53  
M. 6M145  
L. 6K67  
G. 6H13  
Kraus E. 6J1229  
Kraus M. 6M160  
Krause A. 6E559, 6E562  
Krause A. 6P1238  
Krause H. 6P1579  
Krause H. J. 6H471, 6H475  
Krause K. H. 6M250  
Krause W. 6H360  
Krause W. 6J168  
Krauß G. 6H326, 6H327  
Krauß W. 6P152  
Kraut A. 6E51  
Krauze S. 6H204  
Krawiec I. 6P158  
Krell M. W. 6J1223  
Kremky E. 6J1179  
Kremel W. C. 6H481  
Kfeneck Z. 6K436  
Kresse P. 6P1384  
Kretschmer K. F. 6H318  
Krevets G. 6H365  
Kreyenbuhl A. 6E67  
Krijn G. C. 6J173  
Kring E. V. 6E478  
Krinov E. L. 6P130  
Krishnamurti D. 6E245  
Krisnan R. S. 6E236  
Kristián P. 6K152  
Kristiansen A. 6K307  
Kříž A. 6H225  
Križan V. 6P1526  
Krofta J. 6K263  
Kroll H. 6H239  
Kroll W. 6E567  
Kromárek U. 6K415  
Kromhout R. A. 6B138  
Krönig W. 6M179  
Kröplin P. 6E3  
Kruckenberg W. 6P1660  
Krüger G. 6K213  
Krüger W. 6M236  
Kruidentier A. J. 6P248  
Krupkowski A. 6E370  
Kselik G. 6H438  
Kubeš J. 6K133  
Kubiček R. 6E664  
Kubička R. 6M149, 6M152  
Kubiczek K. 6K264  
Kubitzek H. 6K21, 6K205  
Kubo K. 6J1557  
Kubo T. 6B12  
Kuboszek R. 6K65  
Kubota H. 6K14  
Kubota S. 6M131  
Kubota Y. 6K135  
Kučera J. 6K295  
Kuehner J. A. 6B41  
Kuellmer G. M. 6P46  
Kuffner P. 6J1204  
Kuhn I. 6J189  
Kuhn L. P. 6E487  
Kuhn W. 6P22, 6P57  
Kuhn W. E. 6H124  
Köhne H. 6K242  
Kühne H. 6M1  
Kuhns L. J. 6E76  
Kühr H. 6P1505  
Kuksis A. 6K333  
Kumada M. 6K266  
Kume T. 6E611  
Kume Y. 6H197  
Kunc J. 6M79  
Kunil D. 6J16  
Kunin R. 6H285, 6J1432  
Kunkle A. C. 6E155  
Kunreuther F. 6M275  
Kunugi M. 6E535  
Kunze C. 6E274  
Kupchan S. M. 6K347—6K350  
Küppers W. 6P1617  
Kurashi T. 6K228  
Kurata M. 6P10, 6P11, 6P65  
Kuriyama S. 6P1381  
Kürschner O. 6P1409  
Kurz J. L. 6E603  
Kurzuwa Z. 6D133, 6D214, 6H305  
Kurzová K. 6J178  
Kusaka Y. 6D100  
Kuschner M. 6H341  
Küssner A. 6E646  
Kusabara N. 6P1603  
Kuwanura T. 6E718  
Kuwata T. 6P1250  
Kužba J. 6H298  
Kuznetsov S. I. 6E452  
Kyl Rutao 6E286

L

Laar J. A. 6H133  
Labno C. 6K425  
Lachowicz S. K. 6P116  
Lachmann R. 6E224  
Lacroix R. 6E284  
Ladd M. F. C. 6D26  
Ladell J. 6E20  
Lademann R. 6P1659, 6P1661  
Ladenburg K. 6H198  
Ladik J. 6E70  
Laffitte P. 6E504  
La Fleur K. S. 6P1657  
Lafontaine C. 6K210  
Lagière R. 6J1488  
Laho L. 6H336  
Laitinen H. A. 6E635  
Lakner K. 6P1706  
La Manna F. J. 6K171  
Lamathe J. 6K387  
Lamb V. A. 6K178  
Lambie A. D. 6H317  
Lambiris S. 6E502  
Lamborn I. R. 6E415  
Lambrecht J. A. 6J1514  
Lam Cham Binh 6K335  
Lammle S. 6P1488  
Lampert B. B. 6J190  
Lancelot M. 6J191  
Landi M. F. 6J197  
Landis E. R. 6P116  
Landier Y. 6P1107, 6P1108, 6P1163  
Lang A. 6P1640  
Lang H. 6A12  
Langbein G. 6P74  
Lange E. 6E631  
Lange H. 6K368  
Langebartel R. G. 6P3  
Langer G. 6E733  
Langlykke A. 6J1405  
Langmyhr P. J. 6D165  
Langworthy M. F. 6H485  
Lanning W. C. 6P1114  
Lanza J. 6H40  
Lanzl G. 6E327  
Laplane J. 6E591  
LaQue F. L. 6H118  
Larman W. T. 6H1432  
La Rotonda C. 6H19  
Larsen H. C. 6H157  
Laskin S. 6H341  
Laskowski K. 6H125  
Laslo R. 6K296  
Laubach G. D. 6J1387, 6J1389, 6J1407  
Lauchard Y. 6H411  
Laue E. W. 6H158  
Laufer S. 6H322  
Laumann R. 6J1257  
Laughnan D. F. 6P1257  
Laurent P. A. 6M170  
Lauterbach H. G. 6P1665  
Lauzau W. R. 6K72  
Lavanchy P. B. 6P204  
La Vecchia A. 6E641  
Lavie D. 6K322  
Laviron E. 6E666  
Lawendel H. W. 6K283  
Lawesson S. O. 6K165  
Lawler C. B. 6P1498  
Lawrence A. J. 6H122  
Lawrence R. V. 6P1128  
Lawton E. J. 6J1140  
Lázár A. 6J185  
Leader D. A. 6P1147  
Leandri G. 6K250  
Leather J. 6M278  
LeBel N. A. 6K4  
Lebel P. 6P1107, 6P1108  
Leblond C. 6H96  
Lebolt J. M. 6H252  
LeBras L. R. 6P161  
Lecher H. Z. 6J1224  
Leclerc E. 6H314  
Leczna P. 6K381  
Ledent P. 6M71  
Ledvina M. 6J1304  
Lee J. C. 6H22  
Lee W. G. 6K8  
Lee W. H. 6D26  
Leeds W. G. 6J1535  
Leelösy K. 6H372  
Lefaux R. 6H348  
Lefebvre A. H. 6E517  
Lefebvre G. 6P98  
Lefever R. A. 6E238  
Le Févre R. J. W. 6E158  
Le Goff P. 6H29  
Legvold S. 6E164  
Le Heron B. S. 6H135, 6H137  
Lehmann H. A. 6E429  
Lehmann W. J. 6E126, 6E395  
Leisen G. 6H231  
Lejeune J. 6P1586  
Lelong P. 6H128  
Lemal P. 6H117  
Lemberger A. P. 6E721  
Lemetre G. 6J120  
Lemmon N. E. 6M344  
Lempka A. 6H261  
Lenaux G. A. 6P230  
Lenartowicz J. 6J1214  
Lendrat E. G. 6P1104  
Lendrel P. O. 6J155  
Lengyel B. 6J1102  
Lenk W. 6J1415  
Lennarz W. J. 6K257, 6K259  
Leonard R. A. 6P1527  
Leonard R. F. 6P1305  
Le Page J. 6E486  
Lepscky C. 6D1231  
Lérissel A. 6H183  
Lerner M. 6J1306  
Lesage M. 6K73  
Lescroel Y. 6K278  
Letteron H. A. 6H148  
Lettre H. 6K375  
Leusden C. O. P. 6K266  
Leussing D. L. 6E473  
Level P. 6P1163  
Levine R. 6K22  
Lew H. Y. 6H482  
Lewis B. 6E527  
Lewis D. 6E447  
Lewis F. A. 6E643  
Lewis G. K. 6H345  
Lewis H. M. 6E728  
Lewis J. D. 6E537  
Lhemann C. 6K11  
Lhermitte Y. 6E147  
Libby D. 6P5  
Liberles A. 6K193  
Lichten W. L. 6E59  
Lidmanowski W. 6K223  
L

Lorant M. 6E26  
Lorant M. 6I13  
Lorenz W. 6J1503  
Lorking K. P. 6H219  
Loudier E. A. 6H253  
Louis A. S. 6H209  
Loula A. 6M31  
Lourdin M. R. 6H200  
Loup D. F. 6H558  
6H560  
Lovall H. L. 6D102  
Love S. K. 6I121  
Lovejoy B. R. 6J1512  
Lovell H. 6H404  
Loveridge D. J. 6E712  
Löwdin P. O. 6E66  
Lowe J. L. 6J370  
Lowe W. E. 6E208  
Lowitzsch K. 6E20  
Lu D. C. 6E22  
Lucas E. G. 6H287  
Lucasey J. F. 6H265  
Luccetti L. 6H133  
Lucchesi P. J. 6E582  
Luce S. B. 6H131  
Lucht F. 6H261  
Lücke K. H. 6K408  
Lüdde K. H. 6H497  
Lüdering H. 6E320  
Ludovici R. 6H616  
Luft G. 6H171  
Lugert J. J. 6H203  
Łukasiewicz A. 6K141  
Lukeš R. 6H428  
Lumbroso C. 6H106  
Lund E. W. 6E209  
Lund H. 6K118  
Lund L. G. 6B26  
Lundberg J. L. 6P66  
Lundgren H. P. 6H635  
Lundgren S. A. 6H500  
Lünenschloss J. 6H551  
Lunsford C. D. 6H353  
Lunven P. 6H40  
Lupu A. 6H380  
Lush G. B. 6J1537  
Lutz P. 6H193  
Lutz G. 6E173, 6E174  
Lutz G. A. 6H468  
Lyman D. J. 6P122  
Lynch D. W. 6E234

M

Maass W. F. 6M262  
McAndrew J. P. 6H528  
Macarovic C. G. 6B73  
McBee E. T. 6H500  
McCall D. W. 6E150  
McCallum G. J. 6E19  
Maccallum I. M. M.  
6H516  
McCarty I. E. 6H108  
McCauley D. A. 6M314  
McCauley R. F. 6H274  
McClure G. R. 6E144  
McConnell R. L. 6H99  
McCormick J. R. D.  
6H413  
McCoy E. 6H118  
McCoy E. F. 6E484  
McCoy E. F. 6J1416  
McCoy G. C. 6E63  
cCrea P. A. 6J1434

McCrum N. G. 6H121  
McCullough J. D. 6E210  
McCune H. W. 6H251  
McDaniels J. C. 6K18  
McDermott M. N. 6E59  
Macdonald F. J. 6H123  
McDonald J. F. 6H154  
McDowall F. H. 6H135,  
6H137  
Macefield B. E. F. 6E17  
McElroy J. F. 6H204  
McEntee H. R. 6J107  
Macfarlane J. J. 6E532  
McGeorge A. 6H425  
McGhie J. F. 6K52  
McGrath H. G. 6M242  
Macgugan I. C. 6H454  
Macháček C. 6K436  
Machacek M. 6E53  
Macháček V. 6H264  
Machell G. 6H622  
Machovičová F. 6J308,  
6J309  
Machowski S. 6J325  
Machu W. 6H169  
Maciejczyk J. 6H178,  
6H179  
McIntyre J. D. 6E360  
Macintyre W. M. 6E184  
Mack G. P. 6H62  
McKay H. A. 6K6  
McKenna J. 6K352  
McKnight W. E. 6E491  
MacLachlan A. 6E589  
McLaren J. V. 6P38  
McLean A. 6H245  
Macleod N. 6H59  
McMullen J. C. 6K285  
McNamara J. H. 6M159  
McNaughtan T. J.  
6H141  
McNelis E. 6K23  
Macphie M. 6K76  
McRae E. G. 6E253  
McWilliam J. A. 6H163  
Maczelka L. 6H88  
Mader P. M. 6E472  
Maeker H. J. 6J1176  
Maeda K. 6H71  
Maejima K. 6K162  
Maes S. 6E121  
Maeshima T. 6H97  
Maesima T. 6H94  
Magara K. 6J1219  
Magee E. M. 6E465  
Magee R. J. 6E111  
Mager S. 6K310  
Maggies L. 6H447  
Magnuson A. L. 6H534  
Magson M. S. 6J1564  
Mahler D. J. 6E10  
Mahoney W. A. 6H512  
Main R. V. 6E48  
Malsch W. G. 6E78  
Maisei D. S. 6J138  
Majer H. 6P22  
Majer J. 6P48  
Majima J. 6H155  
Majumdar A. K. 6H59  
Maker P. I. 6H21  
Makiguchi T. 6K256  
Makino S. 6H336  
Makowski J. 6H14  
Makra I. 6H190

Malbosc R. 6K206  
Málek P. 6J1428  
Malesińska B. 6E403  
Malesiński W. 6E403  
Malik Z. 6H262  
Malinsky Y. M. 6H12  
Malkus Z. 6H418  
Malyan C. R. 6H286  
Malyusov V. A. 6H60  
Mamiya M. 6D63  
Mampka M. 6J1224  
Mancy K. H. 6H300  
Mandell A. A. 6H308  
Maneval D. R. 6D102  
Mangham J. R. 6J1186  
Mani G. S. 6E19  
Manley D. M. 6E56  
Manovicu I. 6J123  
Manquenouille R. 6E21  
Mantsch H. 6K125  
Mao I. I. 6K306  
Marcassan M. G. 6E10  
Marcelin B. 6A3  
Marcellin P. 6H92  
March R. B. 6J1462  
Marchello J. M. 6H57  
Marcaert M. 6M71  
Marcu G. 6E56  
Marcu M. 6K144  
Marcus R. J. 6E50  
Marczenko Z. 6D15  
Marder H. L. 6P94  
Mardon J. 6H475  
Mareček V. 6J324  
Margot A. 6J1528  
Marhan J. 6J1217  
Marier J. R. 6H124  
Marinescu I. P. 6H203  
Mariotti G. 6H77  
Maritan E. 6H380  
Mark A. 6E298  
Markes R. 6H427  
Markó L. 6E563  
Marks R. E. 6K316  
Maros L. 6D207  
Marras P. 6J1482  
Marshall P. G. 6J1434  
Marsili A. 6K328  
Martell A. E. 6E58  
Marter A. 6M346  
Martin E. C. 6H256  
Martin F. J. 6E530  
Martin G. J. 6J1357  
Martin H. 6E459  
Martin M. 6E147  
Martin R. W. 6J1174  
Martin T. 6K90  
Martinek K. 6J172  
Martines Burges L.  
6H346  
Martini W. R. 6H42  
Martraire M. 6H297  
Marty W. 6H582  
Marumo H. 6D249  
Marusawa H. 6H65  
Marval E. J. 6E233  
Marvel C. S. 6K270,  
6P128  
Masamune T. 6K347  
Mašek A. 6H262  
Mašek J. 6E653  
Mašek J. 6M351  
Mašek J. 6H259, 6H262  
Mašek O. 6J1254

Mashio F. 6E480  
Maslen V. W. 6H68  
Másló O. 6H483  
Mason B. 6I1  
Mason E. A. 6E78, 6E99  
Mason J. L. 6K154  
Mason P. 6P50  
Mason R. G. 6J194  
Massakazu Outa 6H308  
Massey A. G. 6K252  
Mástovsky J. 6H316  
Mašura V. 6P25  
Matašić M. 6K39  
Mather J. 6M313  
Mathews B. R. B. 6H202  
Mathieson A. R. 6P38,  
6P100  
Mathieu J. 6J1388  
Mathis H. M. 6H49  
Matida Y. 6J1476  
Matouš J. 6E396  
Matouschek F. 6K377  
Matsuda H. 6E659  
Matsuda M. 6P90  
Matsuda S. 6H26  
Matsuda Y. 6H65  
Matsui K. 6K237  
Matsumae T. 6D113  
Matsumoto T. 6K13  
Matsumura F. 6H23  
Matsumura T. 6E719  
Matsuo Y. 6H300,  
6H386  
Matsushima T. 6K188  
Matsuzaki K. 6H446  
Matui M. 6P106  
Matuo A. 6H336  
Maubeuge P. L. 6G3  
Mauch H. 6H98  
Maurer C. 6H639  
Mauri L. 6H572  
Maurice M. J. 6D2  
Mautner H. G. 6K360  
Mauve W. 6H111  
Maxa J. 6K274  
Maxa V. 6H143  
May C. G. 6H282  
May R. 6H108  
Maynard J. E. 6J1446  
Mayne D. E. O. 6H219  
Mayo D. W. 6E162  
Mazingue G. 6H561,  
6H563  
Mazumder B. R. 6E229  
Mazur H. 6H209  
Mazzanti G. 6P99, 6P127  
Mazzei I. 6E471  
Mazzucato U. 6E482  
Meadley C. K. 6H475  
Meador W. R. 6M332  
Meals W. S. 6H292  
Mecarelli E. 6K300  
Medlock N. A. 6K25  
Medfick Z. 6M96  
Medzilhradský K. 6K371  
Meek J. S. 6K68  
Meel D. A. 6H98  
Meerhoff W. K. 6M275  
Meirhoff Biget 6P69  
Megson N. J. L. 6H78  
Meguerian G. H. 6M304  
Meguro K. 6E713, 6H442  
Mehmel M. 6K216  
Mehta M. D. 6J1352

Mehta N. C. 6H233  
Mehta P. C. 6H15  
6H645  
Mehta R. D. 6H1  
Mehta T. N. 6H1  
6H425  
Melli J. E. 6H190  
Melnert G. 6H288  
Meinhold T. F. 6H  
6H308  
Meise W. 6E459  
Melamed S. 6H141  
Melichar B. 6H305  
Melkonian E. 6E44  
Mellecker J. 6H43  
Mellish C. E. 6K175  
Mellor D. P. 6A7  
Mellors G. W. 6E619  
Melnick D. 6H462  
Meloan C. E. 6D125  
Melville P. L. 6K81  
Mendelsohn H. 6H413  
Mengerling S. 6K305  
Menke M. R. 6H181  
Menon M. C. 6H244  
Menon P. G. 6H119  
Menzies A. C. 6E5  
Merchant J. R. 6H113  
Mergler H. 6H107  
Mérigoux R. 6E326  
Merkel H. 6J1230  
Merker D. R. 6H457  
Merlin J. C. 6B15  
Merrick R. H. 6H43  
Merrifield D. B. 6H1  
Merrington A. C. 6E  
Merritt P. P. 6H54  
Mertz C. 6H247  
Merzari V. 6E10  
Meshitsuka G. 6P86  
Meshramkar P. M. 6H  
Mesnard P. 6H314  
Mestdagh J. J. 6H3  
Mézáros Z. 6J1372  
Metzger A. 6H266  
Metzger H. 6J179  
Meybaum Z. 6J1214  
Meyer H. 6E152  
Meyer N. J. 6E324  
Meyer R. B. 6K20  
Meyerhoff G. 6P19  
Meynis de Paulin I.  
6K152  
Mhala M. M. 6K19  
Michajlov A. N. 6H  
Michalič G. 6M36  
Michalik K. 6H492  
Michalski J. 6J1202  
Michalský J. 6K143  
Michaud J. 6H438  
Micheener H. D. 6E  
Micucci D. D. 6H257  
Middlemas N. 6E11  
Middleton R. 6E4  
Midgley H. G. 6E3  
Miesch A. T. 6H9  
Mighton J. W. 6H  
6H119  
Migita N. 6P40  
Mihăilescu G. 6J1257  
Mihailovici I. 6H19  
Mikes J. 6J1411  
Mikhailova N. S. 6H  
Mikulić V. 6H30

- N. C. 6J233  
P. C. 6J233  
R. D. 6J233  
T. N. 6J233  
E. 6J190  
G. 6H288  
I. T. F. 6H  
6B459  
S. 6J141  
B. 6H305  
n E. 6B44  
J. 6J143  
C. E. 6K175  
P. 6A7  
W. 6B619  
D. 6H462  
E. 6J125  
L. 6K881  
n H. 6J143  
S. 6K365  
R. 6J181  
C. 6J246  
G. 6J119  
C. 6E5  
J. R. 6H119  
6J107  
R. 6B326  
6J230  
R. 6H467  
C. 6B15  
H. 6H50  
D. B. 6J230  
A. C. 6H  
P. 6H31  
6K247  
6B10  
G. 6P88  
P. M. 6H  
6K314  
J. 6H314  
6J372  
6K266  
6J79  
6J214  
6B152  
6B324  
6K20  
G. 6P19  
Paulin J.  
6K19  
N. 6H  
6M36  
6J142  
6J262  
6K133  
6J143  
D. 6H  
D. 6J257  
6B11  
6B4  
G. 6H30  
6J79  
W. 6H  
40  
6J257  
6H19  
11  
S. 6H  
6H30
- Mikulski J. 6B547,  
6B548  
Milanšek P. 6H144  
Milanese G. 6H111  
Milbourne C. G. 6M298  
Milewski B. 6H93  
Milford S. N. 6B63  
Milledge H. J. 6B211  
Miller A. 6P134  
Miller F. J. 6H364  
Miller H. K. 6B132  
Miller J. 6H342  
Miller J. F. 6B420  
Miller J. W. 6J15  
Miller L. C. 6B45  
Miller M. M. 6K68  
Miller P. C. 6M359  
Miller R. E. 6B494  
Miller R. G. 6K140  
Miller S. I. 6K8  
Miller S. M. 6M19  
Miller W. T. 6K284,  
6J145  
Millikan A. F. 6J1204,  
6M340  
Milliken T. H. 6J133  
Millman A. P. 6J790  
Mills E. C. 6K200  
Mills R. 6J155  
Mioque M. 6K210  
Mima H. 6J1276  
Minagawa M. 6P1573  
Minarik E. 6H336  
Minařík F. 6J1243  
Minato H. 6B203  
Mino S. 6B622  
Minczewski J. 6J115,  
6J18  
Minea R. M. 6P1330  
Minkowitz S. 6K68  
Minomura S. 6B257  
Minow L. I. 6H252  
Minto W. L. 6J1436  
Mirimanoff A. 6J1313  
Mirnik K. 6H344  
Mirso O. 6K367  
Miař Z. 6J74  
Mishina A. 6H399  
Misan J. P. 6B473  
Misonou A. 6J250  
Misa S. B. 6J232  
Misa V. S. 6K134  
Mistretta A. G. 6B697  
Mitchell P. C. H.  
6B128  
Mitchell W. A. 6J28  
Mitta A. E. A. 6K15  
Mura H. 6H403  
Miwa T. 6K48  
Mixer R. Y. 6M5  
Miyamoto G. 6J1544  
Miyao Y. 6H136  
Miyashiro J. J. 6J197  
Miyasuchi T. 6H62  
Miyoshi A. 6P1375  
Mizobata Y. 6P128  
Mizuno T. 6H265  
Mizuno T. 6P1223  
Mizuno Y. 6K303  
Mizuta T. 6H403  
Mizono R. H. 6J1358,  
6J1359  
Mlodecki H. 6H42  
Moats W. A. 6H130
- Mobilis J. J. 6P180  
Mochizuki M. 6M224  
Mochizuki T. 6J1372,  
6P1373  
Mochnačka K. 6J86  
Mock R. A. 6J1175  
Mocker F. 6P1325  
Modak K. V. 6P1342  
Modrzejewski A. 6B299  
Moffitt W. 6B108  
Mohan M. S. 6B25  
Mohan Rao V. K. 6J232  
Mohan Rao V. K. 6J148  
Mohelská O. 6J1308,  
6J1309  
Möhl F. 6E8  
Mohr E. 6J184  
Moisan J. 6H128  
Moldvai R. 6K268  
Molinari E. 6B458  
Moll I. S. 6P1234  
Mollin J. 6B662  
Molnár-Perl I. 6J207  
Monaco G. 6K250  
Mönch R. 6H448  
Monot P. L. V. 6J1431  
Monson P. R. 6B101  
Montagna A. E. 6J152  
Montaudon G. 6K189  
Montavon M. 6J119  
Montefredine A. 6H1  
Montgomery J. C. 6P1256  
Montgomery R. S. 6J1138  
Mooradian A. J. 6B520  
Moore A. J. 6B319  
Moore B. 6J1459  
Moore J. F. 6M317  
Moore J. W. 6K62  
Moore M. B. 6J1362  
Moore M. S. 6B45  
Moore R. H. 6K370  
Moore R. N. 6J1128  
Moore W. E. 6J1284  
Moore W. R. 6P31  
Moorefield H. H. 6J1465  
Moraveo J. 6P1366  
Morávek J. 6K297  
Moreau J. 6E32  
Moreland W. T. 6J1393  
Morgell E. 6J1234  
Mori N. 6P1375  
Morin R. D. 6K196  
Morinaga H. 6B12  
Morinaga T. 6H153,  
6H199  
Morioka H. 6H336  
Morita F. 6M82  
Morita M. 6H292  
Morita Y. 6M186  
Moriya M. 6P1446  
Morokuma K. 6B71  
Morpurgo G. 6J226  
Morris F. N. 6J1538  
Morris L. R. 6J1175  
Morrison J. A. 6B376  
Morse N. L. 6K129  
Morse R. A. 6P1410  
Morse R. E. 6H167  
Morton F. 6H11  
Morton I. D. 6H282  
Moscu V. 6P1437  
Moser H. 6B247  
Moser J. F. 6M294  
Mosettig E. 6K351
- Mosher W. A. 6J1189  
Motogima K. 6J124  
Mottlau A. Y. 6B355  
Motz H. 6B556  
Moy J. A. E. 6M278,  
6M313  
Mráček J. 6H246  
Mrowec S. 6B544, 6B547,  
6B548  
Muelder W. W. 6J1491  
Mueller B. H. 6P177  
Mueller M. H. 6B49  
Mukai M. 6H221  
Mukherjee S. 6E62  
Mulkey T. F. 6P1171  
Mulla M. S. 6J1454,  
6J1478  
Mullen W. 6P1473  
Müller A. 6K49, 6K85  
Müller B. 6K219  
Müller E. 6P1135  
Muller G. 6J1376—6J1378,  
6J1399  
Müller H. 6H189  
Müller H. 6P601  
Müller H. L. 6K95  
Müller K. 6K177  
Müller K. 6K418  
Müller K. G. 6P1625  
Müller M. 6J233  
Müller P. A. 6H279  
Muller S. A. 6J1413  
Mundt J. O. 6H108  
Mundy C. W. A. 6P1286  
Mungan N. 6B724  
Munro F. J. L. 6J155  
Munro N. 6P1677  
Münze R. 6B98  
Murai K. 6P97  
Murase M. 6H174  
Murase R. 6P1646  
Murata K. 6H184  
Murata T. 6M126  
Murdock S. M. 6P431  
Murphy C. 6P1493  
Murphy C. B. 6J44  
Murray H. C. 6J1392  
Murray J. R. 6B419  
Murray T. F. 6J1565  
Murthy A. R. V. 6B54  
Murthy B. G. K. 6P1221  
Murto J. O. 6P433  
Musher J. I. 6B137  
Musil J. 6J1412  
Muta K. 6H84  
Muto J. 6E7  
Mužik P. 6J1241  
Myddleton W. V. 6H502  
Myhre P. C. 6K11  
Myszkowski J. 6J111
- N  
Naboko I. M. 6B529  
Nadal T. 6J1311  
Nagabisa Y. 6M82  
Nagata C. 6B71  
Nagy B. 6J7  
Nagy F. 6E617  
Naiki K. 6P1604  
Nair M. D. 6H355  
Naka S. 6J32  
Nakagaki M. 6J1219  
Nakagawa A. 6K161  
Nakajima J. 6K10  
Nakajima K. 6M240  
Nakajima S. 6B268  
Nakamura E. 6B349,  
6J4  
Nakamura T. 6J1545  
Nakano K. 6H185  
Nakao O. 6P40  
Nakasato S. 6M13  
Nakatani S. 6H221  
Nakayama T. 6H125  
Nakazaki M. 6K195  
Namkung M. J. 6K287  
Nánási P. 6K312  
Nanba A. 6H300, 6H386  
Nanu I. 6J123  
Napier D. H. 6M238  
Nara H. R. 6P111  
Nara K. 6K211  
Narayanamurti D. 6M2  
Näsinen R. 6B72  
Nash L. H. 6J1521  
Nassalaki A. 6H208  
Nathan M. F. 6M280  
Nathan W. S. 6M316  
Natta G. 6P127  
Naudet M. 6H414, 6H427  
Naudin P. 6B334  
Naumann P. K. 6B320  
Navara A. 6H336  
Navellier P. 6H185  
Naves Y. R. 6K313  
Nebesky W. 6P1333  
Nedelmann H. 6M173  
Nédey G. 6P1251  
Neff R. 6P1664  
Neely W. B. 6P20  
Neeman M. 6K347  
Nees H. 6K104  
Neff H. 6J42  
Negulescu L. 6H323  
Nehring D. 6B436  
Neier R. 6J1222  
Neil D. J. 6J145  
Neild A. B. 6H146  
Nejedly Z. 6K297  
Nell E. 6H201  
Nelson H. H. 6J139  
Nelson J. A. 6K197  
Nelson N. 6H341  
Nelson S. J. 6K137  
Nelson W. M. 6H148  
Nemec P. 6K152  
Nemes L. 6P1461  
Németh A. 6B538  
Nemoto Y. 6H507  
Nenitzescu C. D. 6K74  
Nestler H. 6J1493  
Netik M. 6M351  
Nettleton H. R. 6K194  
Netz H. 6H363  
Neumann G. 6J302  
Neunherz D. E. 6M345  
Neunhoeffer O. 6K43  
Neuray M. 6K99  
Neußer H. 6P1503  
Neville R. G. 6K262  
Newell I. L. 6K147  
Newland G. C. 6P199  
Newlin T. E. 6P33  
Newman M. S. 6K48,  
6K81  
Newman V. 6P168  
Newman W. L. 6J789  
Nguen—Knac U. 6B33
- Nicco A. 6P1212  
Nico A. 6P69  
Nicholls C. E. C. 6H4  
Nicholls J. A. 6B522  
Nicholls J. H. 6H218  
Nicholson J. S. 6J1370  
Nickel H. 6P1345  
Nickless G. 6J230  
Nickson G. M. 6J19  
Nicoară E. 6K359  
Nicol D. L. 6H6  
Nicolai L. A. 6M363  
Nicolaisen B. H. 6J1406  
Nicolescu I. V. 6B566  
Nicot—Gutton C. 6K369  
Niehaus E. J. 6M305  
Nilsen O. B. 6B337  
Nierychlewski T. 6P1513,  
6P1518  
Nihiro H. 6P684  
Nijveldt W. J. 6P1252  
Nikittine S. 6B248  
Nikolaitski E. 6B543  
Niles W. W. 6J78  
Nimmo C. C. 6J199  
Niraz S. 6J170  
Nishide M. 6P26  
Nishihara K. 6K10  
Nishikara K. 6H45  
Nishikawa Y. 6K254  
Nishimura A. 6H399  
Nishimura H. 6P40  
Nishimura M. 6M82  
Nitschke G. 6P1576  
Noble I. 6H110  
Noble L. A. 6E31  
Noguchi T. 6P108  
Noike Y. 6K211  
Nokata S. 6P1327  
Nomura A. 6K303  
Nomura T. 6H174  
Nonogaki S. 6P184  
Noorjen B. 6B35  
Nordling W. D. 6J123  
Nordman C. E. 6B208  
Nordon P. 6B373  
Normant H. 6J96  
Norris A. R. 6J33  
Norton D. R. 6B542  
Norton P. H. 6J122  
Norton W. T. 6J140  
Nosek J. 6H313  
Nosek J. 6J1297  
Notari B. 6K203  
Noth H. 6K64, 6K71  
Novak A. 6B167  
Novak J. 6B396  
Novak J. 6P131  
Novelli G. 6J312  
Novelle L. 6H313,  
6H314  
Novotny L. 6J188  
Novotný R. 6H374  
Nowotny H. 6B172  
Nugent R. G. 6B489  
Nunokawa Y. 6H310
- O  
Oakes V. 6P352  
Oberhänsli P. 6K298  
Obloj J. 6J167  
Ochialini E. 6J1248  
Ochs G. 6J1480  
O'Connor D. J. 6H297



- O'Connor M. N. 6K72  
 Oda R. 6J12  
 Odani H. 6P65  
 Oe T. 6H137  
 Oehme F. 6E27  
 Oelsner E. 6P272  
 Oettel H. 6J179  
 Ogata I. 6H250  
 Ogata N. 6P91  
 Ogawa I. A. 6K18  
 Ogden A. 6H594  
 Ohba Y. 6H180  
 Ohishi T. 6K211  
 Ohki S. 6K211  
 Ohno M. 6K167  
 Oishi K. 6H184  
 Okada S. 6K137, 6K138  
 Okada T. 6M41  
 Okamoto G. 6E633  
 Okamoto I. 6M82  
 Okamura S. 6H550  
 Okawara M. 6P123  
 Okawara R. 6K271  
 Okkerae B. 6E297  
 Okon K. 6K155  
 O'Konski C. T. 6P71  
 Okuda K. 6P39  
 Okun D. A. 6H300  
 Okusa H. 6H337  
 Okushima K. 6K258  
 Oláh G. 6J189  
 Olariu G. 6H352  
 Oldham K. G. 6K19  
 Olivari L. 6H257  
 Oliveto E. P. 6J402  
 Ollero A. 6H426  
 Olmstead J. L. 6J126  
 Olshansky C. 6H143  
 Omori G. 6H199  
 Omori K. 6E243  
 Ono K. 6K188  
 Ono Y. 6H683  
 Onnen O. 6J335  
 Onodera K. 6K301  
 Osawa F. 6P35  
 Oosting M. 6J21  
 Opitz W. 6J158  
 Oppenheim A. K. 6E528  
 Oppenheim I. 6P8  
 Örbom B. 6K420  
 Ördög M. 6D166  
 Ordway F. 6E404  
 O'Rear J. G. 6J177  
 O'Reilly E. J. 6K221  
 Orford H. E. 6H297  
 Orgel L. E. 6E86  
 Orli S. 6K54  
 Orlick A. F. 6M176, 6M177  
 Orłowski J. 6J161  
 Ormerod M. G. 6P5  
 Örnheim R. M. R. 6K66  
 Oroz P. 6J424  
 Országh S. 6J170, 6J380  
 Orthner L. 6H659, 6H661  
 Orton J. W. 6E283  
 Orville-Thomas W. J. 6E73  
 Orylaski Z. 6D160  
 Os F. H. L. 6H495  
 Osborn D. A. 6E68  
 O'Shaughnessy J. M. 6J110  
 Oshima S. 6M267  
 Osipov L. I. 6H480  
 Ostrowski Z. 6E638  
 Osvald R. 6H374  
 Ota A. K. 6J468  
 Ota T. 6K254  
 Othmer D. F. 6E51  
 Otsubo Y. 6E407  
 Otsuka E. 6J149, 6K29  
 Otsuka S. 6D187  
 Otsuka Y. 6H698  
 Ottendorfer L. 6D172  
 Otto K. 6E58  
 Ouchi H. 6E479  
 Overbeke M. 6H563  
 Owen V. J. 6K217  
 Ozaki S. 6E237  
 Ozawa K. 6D227  
 Ozawa T. 6M186
- P**
- Pace E. L. 6E685  
 Pacini C. 6J303  
 Paddock N. L. 6E26  
 Padhye M. R. 6E113  
 Paetsch D. 6K218  
 Paetzold R. 6E124  
 Page E. C. 6J520  
 Pal B. R. 6K358  
 Paine C. 6J1210  
 Painter E. V. 6H176  
 Páls L. 6H703  
 Pajaro G. 6P99  
 Pajrät O. 6H633  
 Palacios Repáraz J. M. 6K251  
 Palen V. W. 6K299  
 Palm W. E. 6H10  
 Palma M. U. 6E592  
 Palmer D. R. 6K393  
 Palmer K. N. 6E503  
 Palmes E. D. 6H341  
 Palmo-Vittorelli M. B. 6E592  
 Paluszynski P. 6H352  
 Pangaud 6H402  
 Pan Hsi-Lung 6K287  
 Pannettier G. 6E103  
 Panseri C. 6H171  
 Panýr M. 6H374  
 Paoletti G. 6K294  
 Paolillo R. 6P27, 6H30  
 Papia A. 6E566  
 Papoff P. 6E482  
 Pappalardo R. 6E239  
 Pappert R. A. 6E261  
 Pappo R. 6J1394  
 Paquin L. J. 6P532  
 Paquin R. 6K163  
 Parcell R. F. 6J356  
 Pardun H. 6H231  
 Parekh M. D. 6H5  
 Parfitt S. S. G. 6E484  
 Parke J. P. 6H479  
 Parker J. P. 6H484  
 Parker R. B. 6H222  
 Parkinson R. H. 6H570  
 Parlow R. 6H85  
 Parr R. G. 6E80  
 Parrák V. 6J308, 6J309  
 Parrish W. 6E188  
 Parriss W. H. 6P5  
 Parrod J. 6P36  
 Parsons J. D. 6H62  
 Parsons I. L. 6J17  
 Parsons R. 6E642  
 Parthé E. 6E222  
 Partington R. G. 6M101  
 Pasiuk W. 6H158  
 Pasynkiewicz S. 6K248, 6J158  
 Patel C. C. 6E25  
 Patel J. C. 6E79  
 Pateman R. A. W. 6P271  
 Paton J. B. 6P42  
 Patschky A. 6H344  
 Patterson A. L. 6E208  
 Patterson D. A. 6E252  
 Patterson J. A. 6H464  
 Pattilloch D. K. 6H539  
 Patton R. G. 6K123  
 Patzold H. 6P566  
 Pauk W. F. 6H223  
 Paul 6K361  
 Paul R. C. 6E606  
 Paul S. 6H231  
 Paulin D. 6K267  
 Pauling G. 6D222  
 Pauncz R. 6E52  
 Pawlikowski S. 6K94  
 Pawlitschek W. 6E55  
 Payer A. 6H249  
 Payerová V. 6H249  
 Payne J. A. 6K175  
 Payne J. H. 6H195  
 Payne J. H. 6H391  
 Paz Castro M. 6D90  
 Peachey C. G. 6H31  
 Peak D. A. 6J370  
 Pearce R. L. 6M227  
 Pearl I. A. 6K109  
 Pealstein F. 6H208  
 Pearson G. R. 6H82, 6P31  
 Pebay-Peyroula J. C. 6E64  
 Peck D. W. 6M155  
 Peddicord H. J. 6H481  
 Pedersen C. 6K302  
 Pektor V. 6P702  
 Pelc A. 6H291  
 Pelcaek E. J. 6H333  
 Pelevin V. S. 6E511  
 Pell E. M. 6E233  
 Pelletier S. 6B64  
 Penketh D. D. 6H479  
 Pepe R. O. 6K113  
 Pepperhoff W. 6E408  
 Peraldo M. 6P127  
 Peraldo Bicelli L. 6E641  
 Percival I. C. 6E75  
 Perech R. 6H275  
 Perkins J. E. 6P517  
 Perkins P. G. 6E390  
 Perlman D. 6J383, 6J405  
 Periné Molnár I. 6D207  
 Pernot R. 6J223  
 Perotti T. 6P37  
 Perrin P. 6E5  
 Perronnet J. C. 6M264  
 Perrot M. J. 6H414  
 Perry E. J. 6H148  
 Perry J. P. 6M258  
 Perry S. G. 6E477  
 Person F. 6P200  
 Person W. B. 6E244  
 Peryam D. R. 6H18  
 Peschke W. 6J335  
 Pester R. 6K186  
 Peter S. 6E401  
 Peter S. 6E23  
 Pétterffy E. 6H295  
 Peters J. G. 6M350  
 Petersen E. E. 6H39  
 Peterson D. H. 6J392  
 Peterson D. T. 6E231  
 Peterson L. E. 6H407  
 Peterson M. H. 6H232  
 Peterson M. L. 6K202  
 Peterson R. E. 6M290  
 Peterson W. H. 6J416  
 Petras J. F. 6J146  
 Petriello J. V. 6H157  
 Petrow V. 6J386  
 Petter H. 6K180, 6K181  
 Petterson R. C. 6K59  
 Pettit G. R. 6K112, 6K330, 6K389, 6K390  
 Petzold H. 6K272  
 Petzow G. 6E423  
 Peukert H. 6P32  
 Pexa L. 6H129  
 Pfeifer V. 6J127  
 Pfeifer V. F. 6H55  
 Pfister R. E. 6P18, 6P19  
 Phelps R. C. 6P67  
 Philipp B. 6P386—6P388  
 Phillips B. 6J123—6J125  
 Phillips N. E. 6E378  
 Phillips R. A. 6H460  
 Piatak D. M. 6K112  
 Piazza G. 6E482  
 Picasso G. 6D156  
 Pichanick P. M. 6E60  
 Pichlen H. 6M243, 6M307  
 Pick J. 6E396  
 Pickering H. L. 6H85  
 Pickhaver G. S. 6H132  
 Picková J. 6H199  
 Pièce G. 6K400  
 Piekarski L. 6H204  
 Pier S. M. 6H464  
 Pierre L. E. 6P105  
 Pierrot A. 6K278  
 Pietra R. 6E710  
 Pietsch H. 6M301  
 Pigott K. A. 6P56  
 Pikoň J. 6H28  
 Pilleri R. 6J218  
 Pimentel E. S. 6H319  
 Pimlott P. J. 6K370  
 Pimper R. 6J506  
 Pinajian J. J. 6E9  
 Pines H. 6K203  
 Pines R. M. 6H239  
 Pinner S. H. 6P344  
 Piontelli R. 6E641  
 Piotrowski S. 6J114  
 Piper V. R. 6P156  
 Pirie N. W. 6H7  
 Pirk J. 6J208  
 Pistorius C. W. F. T. 6P30  
 Piták O. 6K294  
 Pittelkau K. 6A20  
 Pizzini L. C. 6K123  
 Placer Z. 6J381  
 Plane R. A. 6E87  
 Plank R. 6H16  
 Plath E. 6P275  
 Plath L. 6P275  
 Platzner N. 6P161  
 Pleasance C. L. 6E36  
 Plebański T. 6E375  
 Plesske K. 6E52  
 Plisnier J. 6K385  
 Ploeg A. R. V. 6M291  
 Plomley K. F. 6P91  
 Plowman R. A. 6K221  
 Pluciński J. 6J575  
 Plumat E. 6K243  
 Plummer D. P. 6M339  
 Poblth H. 6J37  
 Podall H. E. 6E59  
 Poddrežnik F. 6H25  
 Podder V. 6P435  
 Podnek A. K. 6E690  
 Pogány J. 6P700  
 Pohlemann H. 6J504  
 Pohlit W. 6E35  
 Poindefert A. 6K387  
 Polak H. L. 6D6  
 Polak P. 6E346  
 Polgar N. 6K379  
 Politzer A. 6P140  
 Pollanz A. 6H183  
 Pollard F. H. 6D230  
 Pollock J. R. A. 6A52  
 Pollock L. W. 6M274  
 Pólos L. 6D7  
 Pomilla F. R. 6E63  
 Poncet J. 6E488  
 Ponce V. 6E553  
 Ponting J. D. 6H244  
 Pontoni A. 6K346  
 Popa L. 6D158  
 Popa M. 6H75  
 Popescu A. 6E566  
 Poplawski J. 6K149  
 Popper E. 6D158  
 Popper L. 6H343  
 Porowska N. 6J57  
 Porte H. A. 6E540  
 Porter R. S. 6J194  
 Porthault M. 6B15  
 Possidoni de Albinati J. F. 6D49  
 Potocka—Michajluk U. 6K147  
 Potter A. E. 6D490  
 Potůček B. 6H93  
 Pötzelberger T. 6E339  
 Poundstone A. B. 6H97  
 Powers R. M. 6D221  
 Pradhan B. P. 6E27  
 Pradhan S. 6J458  
 Prager M. J. 6E727  
 Prasad S. 6E75  
 Pratt G. L. 6E61  
 Pravda Z. 6J326  
 Predvoditeljev A. S. 6E521, 6E523, 6E524  
 Pregaglia G. 6P127  
 Pretzer A. 6H491  
 Prévot A. 6P96  
 Prevot A. 6H439  
 Příbil R. 6D136  
 Price T. R. 6M19  
 Prichard J. H. 6P143  
 Priede T. 6E497  
 Prijs B. 6K242  
 Prinz H. 6M33

- H16  
 P275  
 1275  
 6П161  
 L. 6E36  
 6E375  
 6B52  
 6K385  
 V. 6M291  
 F. 6П191  
 A. 6K221  
 6J575  
 6K243  
 P. 6M339  
 6J137  
 E. 6B59  
 F. 6H25  
 П435  
 K. 6B690  
 П700  
 I. 6J504  
 E35  
 6K387  
 6D6  
 346  
 K379  
 6П410  
 H183  
 6J230  
 A. 6A52  
 V. 6M274  
 E. 6E63  
 E488  
 53  
 6H244  
 K346  
 58  
 5  
 3566  
 6K149  
 158  
 343  
 J157  
 6B540  
 6J194  
 B15  
 Albinatti  
 ajluk U.  
 6J490  
 H93  
 6B339  
 B. 6H97  
 6J221  
 6B277  
 I458  
 6B727  
 5  
 E61  
 26  
 A. S.  
 6E524  
 P127  
 91  
 39  
 19  
 6П143
- Rappen F. 6H465  
 Rasch R. H. 6H508  
 Rasmussen S. E. 6E205  
 Ratcliffe E. H. 6K301  
 Ratti R. 6H486  
 Rau K. S. 6H390  
 Rauch H. W. 6K295  
 Rautenbach R. 6H233  
 Raven T. W. 6H109  
 Ray C. D. K. 6P103  
 Ray S. C. 6K324  
 Reynolds S. 6K222  
 Reasor G. A. 6H527  
 Rebling R. 6J1322  
 Rebmann A. 6H327  
 Rechmann H. 6H235  
 Rees C. W. 6K233, 6K234  
 Regula S. 6J497  
 Reichardt H. 6K282  
 Reichel I. 6J127  
 Reichen L. E. 6G23  
 Reid D. H. 6K177  
 Reid R. W. 6K37  
 Reifferscheid H. 6G112  
 Reimer L. 6B215, 6B218  
 Reinehart K. L. 6K156  
 Reinhartz K. 6B401  
 Reininger H. 6H367  
 Reinsch H. H. 6H90  
 Reinsdorf S. 6K404  
 Reintjes H. 6M292  
 Reiss R. 6B248  
 Reitmeyer R. E. 6M315  
 Rektofik Z. 6J289  
 Remond J. 6P134  
 Renggli J. 6P595  
 Renski A. 6H34  
 Reppert R. L. 6K20  
 Res Garrini E. 6B199  
 Ress D. I. 6D41  
 Reumuth H. 6H557  
 Reusser R. E. 6J200  
 Rey Mendoza R. 6D90  
 Reyerson L. H. 6H407  
 Reynolds A. H. 6H252  
 Reynolds G. A. 6J565  
 Reynolds J. M. 6B374  
 Reynolds W. B. 6J200  
 Reynolds W. E. 6K154  
 Richard C. 6B58  
 Richards J. L. 6B305  
 Richardson E. A. 6B597  
 Richardson G. A. 6J409  
 Richardson J. R. 6B34  
 Richert R. 6E21  
 Richerzhagen M. 6E81  
 Richmond J. K. 6B515  
 Richter E. F. 6P171  
 Richter G. 6E260  
 Richter P. 6J1425  
 Richter S. B. 6J1511  
 Richter V. J. 6J1430  
 Ríćica J. 6J318  
 Rickert E. 6B228  
 Ricketts R. W. 6H324  
 Ricketts T. S. 6M122  
 Riddle J. M. 6K254  
 Riebel A. H. 6B34  
 Riedel E. 6H390  
 Riemschneider R. 6J222, 6K76, 6K292  
 Riese W. A. 6H247  
 Riesenfeld F. C. 6M145  
 Ries-Lešić B. 6K378
- Riesz H. C. 6K84  
 Rigamonti A. 6E327  
 Riganti V. 6B199  
 Riggs L. K. 6H216  
 Riggs O. L. 6H233  
 Riley M. W. 6M259  
 Ringwald E. L. 6J513  
 Rinse J. 6J100, 6H284  
 Riordan M. D. 6M309  
 Ripamonti A. 6H95  
 Ripan R. 6B56  
 Ripley R. A. 6B576  
 Riqué T. 6H490  
 Ritson D. D. 6H536  
 Ritter H. 6J231, 6J232  
 Ritter R. 6H557  
 Ritter Z. 6B52  
 Ritzmann H. 6K352  
 Rivat Lamousse A. 6P44  
 Roan C. C. 6J461  
 Robben F. 6B101  
 Robertson W. E. 6J223  
 Roberts C. W. 6J500  
 Roberts G. P. 6K307  
 Roberts J. B. 6J17  
 Roberts J. M. 6H277  
 Roberts K. C. 6H352  
 Roberts W. M. 6H142  
 Robertson D. N. 6J172, 6J127  
 Robertson J. 6H10  
 Robins R. G. 6B310  
 Robinson E. A. 6D201  
 Robinson F. P. A. 6H143  
 Robinson G. 6J532  
 Robinson P. W. 6M327  
 Rocchi B. 6K300  
 Roche A. F. 6H105  
 Rockwell N. P. 6H255  
 Roddy C. P. 6E277  
 Rodewald H. J. 6K260  
 Rodriguez G. 6M256  
 Rodriguez J. G. 6J446, 6J447  
 Rodriguez-Roda C. 6D215  
 Roebuck A. K. 6M288  
 Roeder G. 6H247  
 Roehl J. C. 6P593  
 Rogers E. F. 6J437  
 Rogers H. M. 6K316  
 Rogers L. B. 6B660, 6D28  
 Rohlf H. A. 6K73  
 Rohloff A. C. 6H428  
 Rohrbach G. H. 6H132  
 Roig A. 6P11  
 Rojek L. 6J128  
 Rollin M. 6B618  
 Roller D. 6H132  
 Roman L. 6D158  
 Romer W. 6J547, 6J570  
 Ropuszynski S. 6K28  
 Rorabaugh M. I. 6H269  
 Rosato D. V. 6H80  
 Rościszewski P. 6J16  
 Rose D. G. 6M81  
 Rose H. E. 6B497  
 Rosen G. 6E368  
 Rosen J. L. 6E44  
 Rosenbaum R. 6P643  
 Rosenberg D. S. 6J143  
 Rosenberg G. 6H463  
 Rosenberg S. D. 6J103
- Rosenberger H. M. 6K173  
 Rosinski S. 6M37  
 Rösler U. 6E302  
 Rosolowski S. 6B114, 6B48, 6D151  
 Ross I. G. 6E484  
 Ross J. W. 6H51  
 Ross W. A. 6K52  
 Rossa E. 6A26  
 Rossi P. F. 6K128  
 Rossi S. 6K199  
 Rosso S. 6H111  
 Roth H. 6P130  
 Roth W. 6H278  
 Rothe M. 6K371  
 Rothfus R. R. 6H18  
 Röttger 6H238  
 Rottig W. 6M335  
 Rottig W. 6M334  
 Roubal Z. 6J381  
 Roubineau L. 6B141  
 Rouleau J. B. 6M7  
 Rouws C. J. J. 6D73  
 Roux D. G. 6P695  
 Rowland J. 6H199  
 Roy S. K. 6J1212  
 Royer R. 6K103, 6K172  
 Rozgaj S. 6K220  
 Rudinger J. 6K371  
 Rudjord A. 6K339  
 Rudner B. 6J199  
 Rudnicki A. 6J354  
 Rudram A. T. S. 6P220  
 Rudziński B. 6H281  
 Ruëgg R. 6H119  
 Ruff J. K. 6B42  
 Rugar G. F. 6P12  
 Ruillier J. 6H70  
 Rundel W. 6K46  
 Runti C. 6J246, 6J288  
 Ruppert W. 6H202  
 Rusi A. 6D51  
 Rustaschew D. D. 6M198  
 Ruther W. E. 6H129  
 Rutkówna E. 6E716  
 Rutledge T. F. 6J49  
 Rutloff H. 6H290  
 Rutyna R. 6H272  
 Ruys A. C. 6H24  
 Růžicka O. 6H262  
 Ružicka V. 6B552  
 Ryba T. 6H261  
 Rybáček L. 6J1289  
 Ryde J. W. 6M162  
 Ryder L. B. 6H53  
 Ryvolová A. 6B663
- S  
 Sabatini A. 6B131  
 Sabau C. 6D51  
 Sabetay S. 6H443  
 Sacchi F. 6K148  
 Sack H. 6H106  
 Sadgopal 6H492  
 Saegbarth K. A. 6K260  
 Saegusa T. 6P85  
 Saeman J. F. 6M29  
 Saffie R. L. 6H151  
 Sage J. A. 6E499  
 Sai H. 6K165  
 Sain W. H. 6E31  
 Sainfort G. 6H121  
 Saito H. 6H222  
 Sajgó M. 6H706
- Saji T. 6H221  
 Sakai S. 6D104  
 Sakai S. 6P97  
 Sakamoto I. 6K237  
 Sakamoto M. 6E72  
 Sakata R. 6P85  
 Sakurai Y. 6D122  
 Sakuyama S. 6J112, 6J113  
 Salam E. M. A. 6H50  
 Salamandra G. D. 6B529  
 Salazar Montoya R. 6H298  
 Salerno M. 6J483  
 Salmon J. E. 6E69  
 Salomon 6M321  
 Salomon R. E. 6E249  
 Salvetti O. 6E68, 6E74  
 Sanders P. G. H. 6E58, 6E60  
 Sandberg W. A. 6K84  
 Sander M. 6H659  
 Sanderson T. F. 6K325, 6J191  
 Sandgren B. 6H479  
 Sandomire M. M. 6E37  
 Sandomire M. M. 6H650  
 Sandoval Puerta J. A. 6H345  
 Sandrinelli R. 6H138  
 Sandstedt R. M. 6H66  
 Sankey C. A. 6H481  
 Sansone L. F. 6H217  
 Šantavý F. 6B664  
 Santholzer V. 6B362, 6H114  
 Sapper W. 6H466  
 Sarma K. G. 6K388  
 Sarojini V. 6B598, 6B599  
 Sartori G. 6J251  
 Sartori G. 6P99  
 Sarup P. 6J458  
 Sasadi B. 6J360  
 Sasal A. 6J554  
 Sasaki W. 6J281  
 Sastre Garcia F. 6K376  
 Sastri B. S. R. 6B671  
 Sasvári G. 6H48  
 Sathe T. R. 6H6  
 Sato H. 6P375  
 Sato K. 6D183  
 Sato M. 6B485  
 Sato N. 6B633  
 Sato Y. 6B132  
 Sato Y. 6K351  
 Satoh T. 6P46  
 Saturno A. F. 6B80  
 Sauer J. A. 6P52  
 Saunders J. H. 6P56  
 Saunders R. A. 6B91  
 Savage S. D. 6B684  
 Savariar C. P. 6D59  
 Savelli J. 6M264  
 Savoia F. 6D25  
 Savolainen J. E. 6K5  
 Savolanti A. O. M. 6E86  
 Savu H. 6T2  
 Saxena M. C. 6B46  
 Sayers J. 6E579  
 Scabroli P. L. 6P33  
 Scaglioni O. 6K300  
 Scardavi A. 6J1485  
 Scemama M. 6H289  
 Schaaflhausen J. 6K107

- Schaarwächter W. 6B320  
 Schacher G. P. 6D44  
 Schade H. 6J177  
 Schaefer Z. 6K304  
 Schaeffer A. 6P1589  
 Schaeffer W. D. 6J1135, 6J1136  
 Schaege W. 6B37  
 Schätt F. 6K272  
 Schäfer W. 6K394  
 Schäffler A. 6J183  
 Schaffner K. 6K338  
 Schain P. 6H248  
 Schapo L. 6K431  
 Scharf H. B. 6M134  
 Schechter R. S. 6H44, 6H74  
 Scheffer F. 6B567  
 Schegk E. 6J508  
 Scheibling F. 6B25  
 Scheidt P. 6B387  
 Scheller K. 6B491  
 Schemjakin M. M. 6K371  
 Schenck W. A. 6P1540  
 Scherhauser A. M. 6E75  
 Scherr C. W. 6B53  
 Scherzer M. 6A28  
 Schick J. 6P155  
 Schlemenz G. P. 6K111  
 Schillmoller C. M. 6H118  
 Schimmelschmidt K. 6J1501  
 Schindler M. 6K104  
 Schiweck H. 6H380  
 Schlag E. W. 6E13  
 Schlesinger A. 6J1403  
 Schlögl A. 6K415  
 Schlör H. 6J508  
 Schlueter W. A. 6P110  
 Schmelzer H. G. 6K159  
 Schmerzier L. J. 6H331  
 Schmid H. 6K12, 6K356  
 Schmid O. 6K235  
 Schmid O. 6J342  
 Schmidlin H. U. 6P370  
 Schmidt G. 6B73  
 Schmidt J. 6H355  
 Schmidt J. 6H545  
 Schmidt K. G. 6B351  
 Schmidt K. H. 6B216  
 Schmidt P. 6P1545  
 Schmidt R. J. 6K421  
 Schmidt S. 6H471  
 Schmidt U. 6K21, 6K205  
 Schmidt W. 6D70  
 Schmidt W. G. 6P1417  
 Schmieder 6H44  
 Schmit J. 6P121  
 Schmitt C. H. A. 6P1597  
 Schmitt E. E. 6B171  
 Schmitz W. 6K103  
 Schmitz W. R. 6J171  
 Schmutz F. C. 6P1521  
 Schnabl W. 6P1507  
 Schneel W. S. 6M257  
 Schneer A. 6D166  
 Schneider F. 6B37  
 Schneider G. 6J275  
 Schneider H. 6T108  
 Schneider N. S. 6D234  
 Schneider W. 6K219  
 Schneider Caspar C. 6P146  
 Schnellenkamp M. 6K145  
 Schnepf O. 6B250, 6B251  
 Schnitzlein J. G. 6B540  
 Schöberl A. 6P1562  
 Schoeter E. A. 6H164  
 Schoeneck H. 6E28, 6H13  
 Schoepfle B. O. 6P45  
 Scholl F. 6K267  
 Schönaich F. 6H326  
 Schrader G. 6J502, 6J505, 6J507—6J509  
 Schramm C. H. 6P135  
 Schreiber K. 6K362  
 Schroeder H. 6J1504  
 Schroeder H. 6H66  
 Schroll E. 6J147, 6J174  
 Schubert E. 6B445  
 Schubert H. 6K226  
 Schubert H. 6K310  
 Schubert K. 6P480, 6P489  
 Schuerch C. 6P94  
 Schulek E. 6D153, 6D207  
 Schuller P. N. 6M158  
 Schultheis A. 6K338  
 Schultheis P. 6K338  
 Schultheiß A. 6H160  
 Schulthess A. 6P131  
 Schulz H. D. 6T109  
 Schulz H. E. 6K397  
 Schulz H. W. 6J169  
 Schulz M. 6H466  
 Schulze W. 6K418  
 Schulzen H. 6H350  
 Schumacher R. A. 6H535  
 Schuman P. D. 6P1175  
 Schupbach V. E. 6B85  
 Schurig W. F. 6K151  
 Schurz J. 6P109  
 Schütz H. 6H361  
 Schwab A. W. 6P273  
 Schwartz K. 6P186  
 Schwarzbach J. 6B276  
 Schwetsheimer W. 6H73  
 Schweppe J. L. 6H49  
 Schwertassek K. 6P67  
 Schweym E. 6M151  
 Schwiete H. E. 6B695  
 Schwietler A. 6H382  
 Scipioni A. 6J29  
 Scisson S. E. 6M234  
 Scott C. B. 6J1135  
 Scott G. S. 6B502  
 Scott M. J. 6P1655  
 Scott R. R. 6E66  
 Scott T. 6M89  
 Scott T. A. 6B152  
 Scott W. E. 6B727  
 Scott Blair G. W. 6H506  
 Searle H. T. 6B26  
 Sebenda J. 6P1423  
 Sebestová L. 6J417  
 Sedlatschek K. 6H172, 6H184  
 Seehann G. 6M17  
 Seekamp H. 6M23  
 Segart O. J. 6B335  
 Segel K. H. 6K344  
 Segura M. A. 6M286, 6M293  
 Šeha Z. 6J176  
 Seher A. 6H430  
 Seidel A. 6P1626  
 Seifert E. 6J1409  
 Šejbl J. 6H338, 6H342  
 Šejblová S. 6H342  
 Seki T. 6B243  
 Seklewicz S. 6H272  
 Sekiya T. 6P646  
 Sękowski S. 6B348  
 Seliger H. H. 6E11  
 Seligmann H. 6H385  
 Sen S. K. 6B112  
 Senderoff S. 6B619  
 Senear A. E. 6K262  
 Sengupta A. K. 6B19  
 Sen Gupta A. K. 6J1212  
 Sen Gupta S. R. 6P1636  
 Senlor J. B. 6K117  
 Senkariuk V. 6J1411  
 Sens H. 6H206  
 Sentek A. 6P1701  
 Sera M. 6P26  
 Serátor 6B35  
 Serátorová K. 6B35  
 Serenkov V. I. 6P112  
 Sergehev I. 6H352  
 Serini G. 6H95  
 Seris G. 6E30  
 Serniuk G. E. 6P1354  
 Serota L. 6K155  
 Serper A. 6K231  
 Serres A. 6B426  
 Seshadri T. R. 6K388  
 Sesso D. C. 6K96  
 Seta Y. 6K382, 6K383  
 Setnikar I. 6K178  
 Severa Z. 6J1417  
 Seyb E. 6H190  
 Seyffert K. 6H238  
 Shabtai J. 6J118  
 Shadmi Y. 6B55  
 Shah M. J. 6H39  
 Shalagosky H. I. 6D78  
 Shalit H. 6K125  
 Shallenberger R. S. 6H8  
 Shapiro A. 6M312  
 Shapiro H. 6B59  
 Shapiro I. 6B126, 6B395  
 Shapiro I. 6J1132  
 Shapiro M. A. 6A24  
 Sharada K. 6B54  
 Sharkey E. S. 6E12  
 Sharma J. N. 6E62  
 Sharpe R. E. 6H468  
 Shaw D. M. 6F82  
 Sheets R. W. 6M168  
 Shelton P. J. 6P201  
 Shelton J. T. 6H64  
 Shelton R. D. 6J141  
 Shen K. P. 6P104  
 Sheng Hual-yu 6K364  
 Shepard D. A. 6M178  
 Shepherd E. L. 6H483  
 Sheppard N. 6B140  
 Sheppard R. F. 6P1416  
 Sherwood P. W. 6H167, 6H165  
 Shetnikov E. S. 6B510  
 Shewfelt A. L. 6H21  
 Shibata S. 6D99, 6D113  
 Shibuya G. 6B322  
 Shields D. J. 6P1420  
 Shiells A. 6P1302  
 Shigemitsu M. 6J131  
 Shiina K. 6K266  
 Shimada H. 6M270  
 Shimada K. 6B237  
 Shimamune M. 6P262  
 Shimamura S. 6P159  
 Shimatani 6H310  
 Shimatsu T. 6H197  
 Shimizu H. 6K368  
 Shimizu S. 6K315  
 Shimose T. 6H185  
 Shimoza T. J. 6P1327  
 Shino D. 6K232  
 Shinohara Y. 6P1382  
 Shinriki K. 6B12  
 Shirai H. 6B556, 6B558  
 Shirley D. A. 6K384  
 Shishido S. 6P32  
 Shito N. 6K230  
 Shoemaker C. J. 6K173  
 Shoemaker E. M. 6T89  
 Shokal E. C. 6P282  
 Shoolery J. N. 6B136  
 Shotton E. 6J1277  
 Shrimpton D. H. 6H149  
 Shull C. G. 6B49  
 Shull G. M. 6J1397  
 Shuman P. R. 6M281  
 Sia Si-zheng 6M100  
 Sieba M. 6D152  
 Sideman S. 6H104  
 Siebert A. R. 6B685  
 Siebrecht F. 6H99  
 Siecke W. F. 6M237  
 Siedlewski J. 6B560  
 Siegel E. 6P656  
 Siegel S. M. 6B568  
 Seigmann H. C. 6H358  
 Siekierski S. 6B439  
 Siemoniet J. R. 6J1498  
 Sienko M. J. 6B229  
 Sierocka M. 6B716  
 Sierro J. 6B284  
 Siewierska S. 6P42  
 Signouret J. B. 6M353  
 Sikhi K. G. 6H18  
 Sikkema C. P. 6B15  
 Silverman A. 6K295  
 Simek F. 6H299  
 Simić Z. 6P1322  
 Simmons H. E. 6J1194  
 Simms P. C. 6B39  
 Simon A. 6B124  
 Simpson E. A. 6K128  
 Simpson O. D. 6B45  
 Sims H. J. 6K41  
 Šimuněk V. 6H369  
 Sinclair D. A. 6E12  
 Singer J. M. 6B508, 6B645  
 Singh A. 6J1443  
 Singh G. 6B606  
 Singh H. 6H493  
 Singhal S. P. 6D114  
 Singleton J. A. 6H135, 6H137  
 Singleton V. L. 6H343  
 Sipos Z. 6J165  
 Sising J. 6H495  
 Sitkus A. 6T110  
 Sixthor P. 6P1410  
 Sjövall J. 6E63  
 Skaar O. B. 6D165  
 Skelly J. K. 6P1587  
 Skerrett E. J. 6J1472  
 Skilbreid O. 6B337  
 Skinner G. B. 6B461  
 Škoda J. 6J1417  
 Skoda W. 6P109  
 Skoulios A. 6P36  
 Skulski L. 6K130  
 Slabochová Z. 6J381  
 Slade F. H. 6H29  
 Sláma S. 6K438  
 Slater J. D. 6K96  
 Slater W. M. 6K393  
 Slávik I. 6P1443—6P1445, 6P25  
 Slawomirów G. K. 6M198  
 Slepianu I. 6H352  
 Sloane G. E. 6H391  
 Slocombe R. J. 6P109  
 Sloof G. W. 6H215  
 Slota P. J. 6J114  
 Slover A. D. 6H62  
 Služanski H. 6H15  
 Smallwood M. 6K15  
 Smeyers R. 6J300  
 Smeykal K. 6J182  
 Smiley W. 6M150  
 Smith A. 6A51  
 Smith C. M. 6J230  
 Smith D. M. 6M5  
 Smith E. D. 6D209  
 Smith F. H. 6H412  
 Smith G. N. 6J1491  
 Smith H. G. 6A7  
 Smith H. J. 6J1475  
 Smith J. F. 6P1319  
 Smith J. M. 6M199  
 Smith J. O. 6P1411  
 Smith J. W. 6M99, 6P1450  
 Smith P. A. S. 6K159  
 Smith R. 6B307  
 Smith R. A. 6B268  
 Smith R. E. 6M327  
 Smith R. P. 6B160  
 Smith W. 6K379  
 Smith W. T. 6J144, 6J1447  
 Smolek K. 6J1410  
 Smoleński D. 6J175  
 Smoliński S. 6K173  
 Smrž M. 6K133  
 Smrž R. 6J1497  
 Sneyd H. 6P1638  
 Snyder C. 6P1497  
 Snyder H. R. 6H259, 6K259  
 Snyder J. P. 6J164  
 Sonue H. 6P1446  
 Socrurek J. 6K438  
 Soeiro J. S. 6K318  
 Soeters C. J. 6H231  
 Sokol W. M. 6P1682  
 Solbakken A. 6B454  
 Soldner F. 6P1507  
 Solé Nolla G. 6P195  
 Sollich R. 6H236  
 Sollman P. B. 6J198  
 Solničková Z. 6H465  
 Soloukhin R. I. 6B50  
 Soma K. 6P1222  
 Someno M. 6B550  
 Somerville G. R. 6B50  
 Sommer S. 6P1680  
 Somogyi T. 6J185

Somoška  
 Sona P.  
 Sanderli  
 Sonnet  
 Sonnich  
 Sonoda  
 Sorensen  
 Sorm F.  
 6J1417  
 Soto A.  
 Souder  
 Souil F.  
 Soukup  
 Sowden  
 Spaldin  
 Spalink  
 Spange  
 Spano  
 Spanya  
 Sparato  
 Sparkes  
 Specker  
 Spencer  
 6J121  
 Spencer  
 Spengler  
 6B54  
 Sperlin  
 Špička  
 Špidla  
 Spiegel  
 Spieß  
 Spinell  
 Spinolo  
 Špirhar  
 Spirido  
 Spivack  
 Špihač  
 Sproste  
 Stacey  
 Stadin  
 Staffel  
 Stahl  
 Stamm  
 Stande  
 Standr  
 Stanko  
 Stann  
 Stanon  
 Stanto  
 Staple  
 Starch  
 6J11  
 Stark  
 Starke  
 Starke  
 Starn  
 Starý  
 Stastr  
 Statto  
 Staud  
 Stech  
 Steck  
 Steck  
 Steck  
 Stedm  
 Stedr  
 Steele  
 Steen  
 Stefan  
 Stefan  
 Steff  
 Steff



- B. 6B461  
 6P109  
 6P36  
 6K130  
 Z. 6J1381  
 6H29  
 6K438  
 6K96  
 M. 6K393  
 6P443-6P445  
 G. K.  
 6H352  
 6H391  
 J. 6P109  
 V. 6H215  
 6J114  
 6H62  
 H. 6H15  
 M. 6K115  
 6J1300  
 6J182  
 6H150  
 A51  
 6J1239  
 M. 6M5  
 6J1209  
 6H412  
 N. 6J1491  
 6A7  
 6J1475  
 6P1319  
 6M199  
 6P411  
 W. 6M393  
 S. 6K150  
 6E307  
 6E260  
 6E327  
 P. 6B160  
 6K379  
 T. 6J144  
 6J1410  
 6J1575  
 6K173  
 6K133  
 6A97  
 6P638  
 6P497  
 R. 6H252  
 6J164  
 6P446  
 6K438  
 6H318  
 6H231  
 6P663  
 6B454  
 6P1507  
 G. 6P195  
 H236  
 B. 6J138  
 6H405  
 I. 6E58  
 1222  
 6E550  
 R. 6H2  
 6P680  
 6J185
- Somoskeby G. 6J1292  
 Sona P. G. 6B10  
 Sonderling H. H. 6H359  
 Sonneck H. J. 6K349  
 Sonnichsen H. M. 6P1204  
 Sonoda S. 6M128  
 Sorensen L. T. 6E630  
 Sorm F. 6K321, 6J178,  
 6J1417, 6J1418  
 Soto A. 6H426  
 Souder J. C. 6J1299  
 Soull F. 6K26  
 Soukup J. 6B552  
 Sowden J. C. 6K306  
 Spalding D. B. 6E512  
 Spalink F. 6K77  
 Spange A. 6K43  
 Spano L. 6P95  
 Spanyar P. 6H16  
 Sparatore E. 6B82  
 Sparkes J. J. 6J1203  
 Specker H. 6J120  
 Spencer C. F. 6J103,  
 6J1219  
 Spencer E. A. 6H263  
 Spencer K.E.V. 6J1374  
 Spengler H. 6B424,  
 6B546  
 Sperling W. 6J177  
 Špička V. 6M261  
 Špidla J. 6E79  
 Spiegelberg U. 6H339  
 Spieš E. 6K403  
 Spinelli D. 6K250  
 Spinola Costa A. C. 6J12  
 Spiranhan J. 6H330  
 Spiridon G. 6J151  
 Spivack J. D. 6H239  
 Špiháček R. 6J1497  
 Sproston R. G. 6H100  
 Stacey M. 6P120  
 Stadnicki J. 6H272  
 Stafiej S. F. 6J183  
 Stanton W. E. 6H196  
 Stapleton H. J. 6B286  
 Starcher P. S. 6J1118,  
 6J1123-6J1125  
 Stark A. 6P1402  
 Starke K. 6B71  
 Starkey R. J. 6P1416  
 Starnes W. C. 6M277  
 Starý J. 6B57  
 Stastny P. 6P181  
 Statton W. O. 6P47  
 Staudt E. 6H37  
 Stech J. F. 6P1463  
 Steck E. A. 6J1363  
 Steckel F. 6J118  
 Stedman G. 6K29  
 Stedronský V. 6H225  
 Steele R. 6P79  
 Steenberg B. 6P479  
 Stefanović N. N. 6P1681  
 Stefanye D. 6K387  
 Steffen A. H. 6H461  
 Steffen R. M. 6B39  
 Stegherr H. 6P551
- Stehlik B. 6B196  
 Stehr E. 6E78  
 Steidl H. 6B732  
 Stein H. D. 6E289  
 Steinbach K. J. 6H288  
 Steiner R. D. 6H482  
 Steingiser S. 6P56  
 Stenberg V. I. 6K325  
 Stenius A. S. 6P159  
 Stephen W. I. 6J141,  
 6J173  
 Stephens E. R. 6E727  
 Stephenson W. E. 6J150  
 Sterling C. 6H83, 6H398  
 Stern D. M. 6P33  
 Stern D. R. 6J1115  
 Stern H. S. 6P188  
 Stern K. H. 6E597  
 Stern R. A. 6B528  
 Stevanović D. V. 6H503  
 Stevens J. M. 6K288  
 Stevens B. J. H. 6H149  
 Stevens D. R. 6M271  
 Stevens R. E. 6P8  
 Stevens W. H. 6P189  
 Stevenson D. H. 6J134  
 Stevenson H. A. 6J1537  
 Stewart E. D. 6H322  
 Stewart G. 6H59  
 Stewart M. G. 6E22  
 Stewart R. 6B119  
 Stewart R. D. 6J1115  
 Steyn J. 6B341  
 Stieber J. A. 6P289  
 Stieler D. 6B247  
 Stier E. 6J1231, 6J1232  
 Stiles M. 6K140  
 Stillinger F. H. 6B369  
 Stine C. 6H131  
 Stinsky F. 6M262  
 Stirling C. J. M. 6K148  
 Stock G. 6K427  
 Stöckigt H. 6P1601  
 Stockman L. 6H161,  
 6H162  
 Stockmayer W. H. 6P11  
 Stoffel P. J. 6J1534  
 Štolka M. 6P24  
 Stoll N. 6J134  
 Stoner G. G. 6M359  
 Storey C. 6K252  
 Stork G. 6K9  
 Story C. F. 6P1547  
 Story P. R. 6K320  
 Stott C. 6M144  
 Štráfelida F. 6B669  
 Straka C. J. 6P283  
 Stratton R. A. 6P33,  
 6P49  
 Straumanis M. E. 6B190  
 Strauss S. W. 6K159  
 Strauss W. A. 6B492  
 Strehlow H. 6B621  
 Strelow F. W. E. 6B341  
 Strickel W. R. 6P1676  
 Strickland T. G. 6M325  
 Stroh G. 6P1106  
 Stroh R. 6J1171  
 Stromberg V. L. 6J1206  
 Stroński I. 6E548  
 Studniarski K. 6J202  
 Stummeyer H. 6J1504  
 Suba M. M. 6P173  
 Subbanna V. V. 6J110
- Subluskey L. A. 6J1191  
 Sucetti G. 6K437  
 Šucka L. 6K223, 6K224  
 Suchý 6H331  
 Sudnik Z. M. 6P1653  
 Sudo E. 6J180  
 Sugarman M. L. 6J1573  
 Sugeno T. 6E587  
 Sugihara T. 6J125  
 Sugli K. 6J1256  
 Sugiyama M. 6H125  
 Sujak S. 6H261, 6H263  
 Suko M. 6M82  
 Sulikowski J. 6K425  
 Sumiki Y. 6K382, 6K383  
 Sundaram S. 6B379  
 Sundararajan J. 6H220  
 Sung Chuen-lin 6M212  
 Superti E. 6J132  
 Sureau R. 6J1223  
 Surový J. 6E64  
 Sury E. 6K197  
 Sutter G. 6E25  
 Sutton E. A. 6P1290  
 Sutton G. J. 6B63  
 Sutton G. W. 6B505  
 Suzawa T. 6P1590, 6P1591  
 Suzuki I. 6P166  
 Suzuki M. 6J184  
 Suzuki M. 6J139  
 Suzuki M. 6H310  
 Suzuki N. 6P84  
 Švábenský O. 6H199  
 Švajl O. 6M152  
 Svanheden A. 6B337  
 Svensson I. 6J169  
 Svieżyński T. 6H349  
 Svoboda B. 6J1419  
 Svoboda V. 6J1228  
 Swaminathan S. 6K386  
 Sweeney R. F. 6J144  
 Sweeney T. R. 6M19  
 Sweeney W. M. 6J1116  
 Swenson C. A. 6B244  
 Swiderski J. 6P1504  
 Swięcki J. 6H173  
 Świętosławski W. 6A8  
 Świeżyński T. 6H350  
 Swift G. 6P182  
 Swillens P. 6P397  
 Swinarski A. 6B560  
 Swintosky J. V. 6E723  
 Switzer G. 6P23  
 Swoboda J. 6K2  
 Swoboda P. A. T. 6J1203  
 Swortfiguer M. J. 6H57  
 Sýkora V. 6A16  
 Sympson R. F. 6P130  
 Synowiec J. 6K51  
 Syputa R. 6J150  
 Syrový V. 6K438  
 Szabó S. 6J1372  
 Szabó V. 6J1382  
 Szabó Z. 6B84  
 Száva J. 6B84  
 Szczerbiński J. 6J1325  
 Szczołarski C. 6H272  
 Szcucki E. 6K155  
 Szejtli J. 6H362  
 Székely T. 6J1102  
 Széki P. 6H188  
 Széll T. 6K171  
 Szentpály R. 6P1402
- Szentpály T. 6P1402  
 Sznajder J. 6J1120  
 Szpilewska B. 6K96  
 Szpunar K. 6E370  
 Szymańska I. 6H283  
 Szymonik S. 6K94
- T  
 Tabor C. D. 6J129  
 Taborek J. J. 6H10  
 Tachi I. 6E650  
 Taff W. O. 6M311  
 Tagami S. 6K232  
 Taguchi K. 6B76  
 Tai Li-hsin 6K364  
 Tajima S. 6H155  
 Takagi H. 6J111  
 Takagi K. 6B399  
 Takahara H. 6K167  
 Takahara Y. 6J1216  
 Takahashi M. 6P395  
 Takahashi N. 6K382,  
 6K383  
 Takahashi S. 6B220  
 Takahashi T. 6B556  
 Takahashi T. 6B558  
 Takahashi T. 6J149  
 Takahashi T. 6H199  
 Takahashi T. 6J115  
 Takahashi T. 6J1290  
 Takahashi M. 6B462  
 Takano T. 6K385  
 Takao S. 6H185  
 Takaoka K. 6H399  
 Takasaka N. 6B397  
 Takase Y. 6P1599  
 Takata T. 6P126  
 Takauchi K. 6J183  
 Takayanagi M. 6P394  
 Takehara N. 6K243  
 Takehisa M. 6E34  
 Takemi M. 6H155  
 Takemoto K. 6P128,  
 6P129  
 Takemura F. 6P88  
 Takeshita H. 6J1557  
 Takeuchi T. 6J139,  
 6M83, 6M139  
 Taki S. 6B306  
 Takimoto Y. 6H504  
 Takizawa T. 6P399  
 Talajka J. 6K362  
 Tälät-Erben M. 6P89  
 Talen H. W. 6P1258  
 Tamás F. 6K229  
 Tamás F. D. 6K344  
 Tamblын J. W. 6P199  
 Tamura H. 6K255  
 Tamura M. 6P65  
 Tamura Y. 6H184  
 Tanabe O. 6J1216  
 Tanaka A. 6H432  
 Tanaka J. 6K319  
 Tanaka M. 6E611  
 Tanaka S. 6M83  
 Tanaka T. 6P117  
 Tanaka T. 6P88  
 Tanaka Y. G. 6E356  
 Tanăsescu I. 6K310  
 Tandon S. P. 6K126  
 Taniguchi H. 6E29  
 Taniyama H. 6K243  
 Taniyama M. 6P126  
 Tanner N. W. 6E8
- Tans A. M. P. 6M223  
 Tansen A. 6H162  
 Taplin W. H. 6J156  
 Tarbox A. E. 6P173  
 Tarkan S. E. 6K283  
 Tassel J. H. 6J1225  
 Taub W. 6J1337  
 Taube C. 6J1227  
 Täufel K. 6H288, 6H290  
 Tauscher H. 6H206  
 Tawn A. H. 6P146  
 Tax U. T. 6K169  
 Taylor A. W. C. 6P120  
 Taylor C. 6K2  
 Taylor H. M. 6H136  
 Taylor H. W. F. 6K222  
 Taylor W. I. 6J1366  
 Teare P. W. 6E187  
 Tebbens W. G. 6H269  
 Teeter H. M. 6P1273  
 Tefft E. R. 6J1465  
 Teichfischer B. 6P1409  
 Templeton D. H. 6B180  
 Teng Chi-Ching 6P321  
 Tengler S. 6J122  
 Tennant C. B. 6P5  
 Teotino U. 6K244  
 Terai R. 6K303  
 Teranishi R. 6J199  
 Terhaar C. J. 6J1461  
 Terrosi U. 6J1457  
 Terzjska D. 6J1228  
 Tesl G. 6P125  
 Tesner P. A. 6B506  
 Tess R. W. H. 6P282  
 Teuteberg R. 6M148  
 Tewari M. C. 6M15  
 Thaler E. 6H466  
 Thaler H. 6H76  
 Theimer W. 6E720  
 Theissen H. 6P1588  
 Theumann J. 6H105  
 Thiele K. 6J1168, 6J1424  
 Thilmans Y. 6J1300  
 Thilo E. 6K212, 6K213  
 Thodos G. 6K27  
 Thoma J. A. 6P4  
 Thomaes G. 6E39  
 Thomas B. W. 6M317  
 Thomas D. B. 6J165  
 Thomas D. G. 6E262  
 Thomas F. W. 6H517  
 Thomas G. C. 6B8  
 Thomas J. 6E285  
 Thomas R. 6H102  
 Thomasson C. V. 6K298  
 Thompson A. L. 6B496  
 Thompson B. 6K159  
 Thompson G. E. K.  
 6P124  
 Thompson J. F. 6P1303  
 Thompson M. P. 6H131  
 Thompson P. A. 6H98  
 Thomson G. 6B184  
 Thomson R. H. 6B169  
 Thorn J. A. 6H51  
 Thornburg W. L. 6P1450  
 Thornycroft W. T.  
 6M204  
 Thornton J. 6P1546  
 Thorstad C. K. 6P231  
 Thring M. W. 6E518,  
 6M204  
 Thrower R. D. 6M330

- Thuman W. C. 6П405  
Thurmon F. M. 6П432  
Thylefors H. W. 6Н113  
Tien J. M. 6П169  
Tilles H. 6П1540  
Tillmann P. 6П235  
Timell T. E. 6Н305,  
6Н341  
Timell T. E. 6М6  
Tirtiaux R. 6М346,  
6М353  
Titsworth H. R. 6Н256  
Titus E. O. 6П1405  
Tiware S. S. 6П1443  
Tjepkema J. J. 6П162  
Tobin M. C. 6Б161  
Todd A. 6Н374  
Todd P. H. 6Н194  
Todhunter H. A. 6Н154  
Toel R. 6Н71  
Tokuhira A. 6Н280  
Tokunaga K. 6П395  
Tokura N. 6П90  
Toland W. G. 6Н120,  
6П154, 6П155  
Tollefson E. 6Н85  
Tomassi W. 6П142  
Tomino K. 6Н117  
Tommila E. 6А23  
Tomoda Y. 6Б34  
Tompkins N. G. 6П244  
Toms B. A. 6П142  
Tomura M. 6Б255  
Tong L. K. J. 6Н30  
Tonolini F. 6Б10  
Toone B. 6Б533  
Toor H. L. 6Н57  
Toothill F. W. 6П289  
Torgerson R. S. 6Н341  
Török T. 6П29  
Tóth I. 6Б617, 6П425  
Tóth K. S. 6Б337  
Toubiana R. 6Н380  
Toulmin H. A. 6Н245  
Tourey J. 6Н40  
Towle J. H. 6Б17  
Townley V. H. 6Н254  
Trägarth U. 6Н154  
Traiter M. 6П301  
Trahm H. 6М197  
Trankla J. E. 6Н150  
Trapnell B. M. W. 6Б682  
Trapp W. B. 6П533  
Trawinski H. P. 6Н32  
Traxler R. L. 6П474  
Treibs W. 6Н186  
Treibs W. 6Н494  
Treaszcanowicz E. 6П74,  
6П75, 6П120  
Triebe H. 6Б667  
Trifu I. 6Н186, 6Н189  
Triggle A. M. 6Н209  
Trimberger G. W. 6П1477,  
6П1479  
Trimborn F. 6Б195  
Tristram E. W. 6П391  
Trivedi A. M. 6Н157  
Trottenier U. 6Н73  
Troshin Y. K. 6Б526  
Trowbridge H. M. 6М347  
Truchlik S. 6М351  
Trumbore C. N. 6Б584  
Trzebiatowski W. 6Б427  
Tsuchiya T. 6Н432  
Tsuchiya Y. 6Н174  
Tsuze Y. 6Н196  
Tsuiji H. 6П100  
Tsunematsu K. 6П75  
Tsunoda Y. 6Б397, 6П30  
Tsuruta T. 6П85  
Tsutsui T. 6П26  
Tsutsumi N. 6Н253  
Tuček A. 6Н313  
Tukamoto Tyo-taro  
6П298  
Tulecki J. 6Н147  
Turbanti L. 6Н240  
Turnbow G. D. 6Н260  
Turnbull J. M. 6Н156  
Turner J. J. 6Б140  
Turobinski T. J. 6Н330  
Turuizumi A. 6Б696  
Tutegđić V. 6Н401  
Tu Tung-yuan 6Н364  
Tyminski A. 6Н311  
Tyni M. H. 6Б86  
Tysko M. 6М246  
Tyson C. W. 6М363
- U
- Uchida H. 6Н243  
Uchinuma K. 6М240  
Ueda H. 6Н315  
Ueda T. 6Н303  
Uemura N. 6П187  
Ueta Y. 6Н137  
Uhlenbroek J. H. 6Н200  
Uhlhorn U. 6Б363—  
6Б367  
Ulbricht T. L. V. 6Н374  
Ulm P. 6Н131  
Ulrich E. W. 6П205  
Ulrych F. 6П140  
Umei J. 6П75  
Umsonst G. 6П118  
Unterman W. 6П272  
Urahata T. 6П1215  
Urban J. 6Н293  
Urbafczyk G. W. 6П400  
Urbafski T. 6Б350,  
6Н130  
Urbanski W. 6П158  
Uriu T. 6П25  
Ushio H. 6М47  
Utschig W. C. 6П537  
Utsunomiya M. 6П1215  
Uyeda I. 6М82  
Uzzan A. 6Н411, 6Н413
- V
- Vacik J. 6Б699  
Vadkerty T. 6П141  
Vaček S. V. 6Н78  
Vaghani K. D. 6Н135  
Vagunda J. 6Н107  
Vajna S. 6Н371, 6Н376  
Valenta P. 6Б661  
Valente H. M. 6П439  
Valvassori A. 6П99  
Valvo C. 6Н199  
Vámosné Vigyázó L.  
6Н291  
Van Allan J. A. 6П565  
Van Dam M. 6П572  
Van den Akker J. A.  
6П519  
Vandenhoeck P. 6Н98  
Vandepierre L. J. 6Н385  
Vanderslice J. T. 6Б78,  
6Б99  
Van Epp J. E. 6П365  
Vaničková E. V. 6П216  
Van Landingham J. W.  
6П8  
Van Meerse M. 6Б1,  
6Б2  
Van Overbeke M. 6П561,  
6П583  
Vanpée M. 6Б498  
Van Steenwinkel R.  
6Б39  
Van Tiggelen A. 6Б488  
Van Vleck J. H. 6Б377  
Varadarajan T. S. 6Б113  
Vardheim S. V. 6П1467  
Vargha J. 6Н367  
Várhelyi C. 6Б61  
Varnat P. 6Н19  
Vartiovaara U. 6Н120  
Vedlich M. 6Н259, 6Н262  
Veen J. M. 6Н38  
Veen J. S. 6П309  
Vegors S. H. 6Б24  
Velasco J. 6Н130  
Veldhuis B. 6Н445  
Velluz L. 6П376—6П378,  
6П388  
Venturella P. 6Н174—  
6Н179  
Vergnaud H. J. 6Н89  
Verley G. M. 6М352  
Verlicchi L. 6Н178,  
6Н183  
Verney C. 6М169  
Vermillion H. E. 6М309  
Vernon C. A. 6Н19  
Vernon M. J. 6П55,  
6П118  
Vernotte P. 6Б30  
Verstelle J. C. 6Б157  
Veseli M. 6П92  
Vessiere M. 6Н55  
Vetterlein R. 6Н316  
Vierk E. R. 6М342  
Vierling K. 6П79  
Vieux M. 6П4  
Vilceanu R. 6П127  
Vilim J. 6Н288  
Vilim O. 6Н262  
Vincent D. 6П307  
Vincent J. P. 6Б434  
Vincent W. R. 6Н206  
Vineall G. J. C. 6М260  
Vinot N. 6Н218  
Vinš L. 6М154  
Violi O. 6П353  
Vischer E. 6П390  
Viswanathan K. 6Н386  
Viswanathan N. 6Н358  
Vitalis E. A. 6М333  
Vlach J. 6Б196  
Vlannes P. N. 6Н159  
Vlatković M. 6Б344  
Vlček J. 6Б732  
Vlk J. 6Н225  
Vodrážka B. 6П430  
Vogel R. C. 6Б540  
Voigtlander W. 6Н51  
Voina N. 6Н367  
Voinovitch I. A. 6П191  
Vojnovich C. 6Н55  
Völcker H. 6Б323  
Volke J. 6Б664  
Volpi G. G. 6Б458  
Vomberg H. 6П627,  
6П628  
Vondráček M. 6П428  
Voß G. 6М263  
Vratny F. 6Б246, 6Б23  
Vřešťál J. 6Б55  
Vrzgula D. 6П497  
Vřelenský J. 6П6  
Vucht J. H. N. 6Б692  
Vukov K. 6Н372  
Vydra F. 6П136
- W
- Wachtel A. 6Б259  
Wada K. 6Н71  
Wada R. H. 6Н472  
Wadsö I. 6Б388  
Waeser G. 6П54  
Wagner A. 6П134  
Wagner D. 6П562  
Wagner J. 6Б665  
Wagner O. 6М161  
Wahl J. J. 6Б63  
Wahlstrom B. 6П1477  
Wahren D. 6П479  
Waits R. K. 6Б31  
Wakamatsu S. 6П153,  
6П121  
Walasek O. F. 6П144  
Waldron L. J. 6Н232  
Waldrow M. J. 6М150  
Walisiwicz S. 6Н272  
Walker A. G. 6П242  
Walker H. A. 6Н7  
Walker R. W. 6М156  
Walkup L. E. 6П571  
Wallace A. J. 6П330  
Wallace R. M. 6П35  
Walter J. L. 6Б314  
Walter L. 6П23  
Walz K. 6Н389, 6Н406  
Wanninger L. A. 6М199  
Wanninger W. 6Б28  
Wanninger W. 6Н13  
Wapler D. 6П261  
Wapstra A. H. 6Б35  
Ward F. 6П674  
Wardrip E. K. 6Н86  
Warfield R. W. 6П17  
Warnant J. 6П388  
Warren I. H. 6Н55  
Warren T. W. 6М242  
Warsop P. A. 6Б7  
Wasserman D. 6П281  
Wasserman H. H. 6Н114,  
6Н193, 6Н194  
Wassermann A. 6Б141  
Watanabe A. 6Н44  
Watanabe K. 6Б349  
Watanabe S. 6П72  
Waterman H. I. 6П248  
Watkins S. H. 6П541  
Watkins T. I. 6П370  
Watson E. L. 6Н3  
Watson M. T. 6П51  
Watson R. W. 6П111  
Watson V. K. 6Н103  
Watt I. C. 6Б373, 6П556  
Wawrzyczek W. 6А9,  
6П93  
Webb F. E. 6П445  
Webb W. H. A. 6Н309  
Webber W. C. 6П499  
Weber L. E. 6Н301  
Weber M. 6Н374  
Weber P. 6П392  
Weber R. 6П602  
Wegmann J. 6П592  
Weidinger H. 6Б631  
Weigel F. 6П280  
Weigel K. 6П224  
Weikart J. 6М308  
Weil R. 6Н163  
Weill M. J. 6Б438  
Weinberg F. J. 6Б499  
Weinberger K. 6П265  
Weiner R. 6Н146  
Weinfurter F. 6Н324  
Weinstock B. 6Б122  
Weintraub S. 6Б266  
Weir C. E. 6Н62  
Weisberg E. 6А24  
Weiss H. G. 6П132  
Weisskopf E. 6Б614  
Weissmann C. 6Н356  
Weltzel G. 6Б37  
Weldes F. 6Н80  
Weldon A. S. 6Б208  
Weller A. 6Б574  
Wellman C. 6Б487  
Wells H. 6П24  
Weltman W. C. 6П283  
Welton D. E. 6П142  
Wempen I. 6Н373  
Wemyss J. C. 6П535  
Wendel G. 6Б260  
Wendlandt W. W. 6П225  
Wendt H. 6Б621  
Wenk P. 6Н197  
Wenkert E. 6Н325  
Wentorf R. H. 6Б303  
Werber T. 6Б544, 6Б547,  
6Б548  
Werner S. 6Н276  
Weroński E. 6Б657  
Wertz J. E. 6Б283  
Wesp G. L. 6П109  
Wessely P. 6Н2  
West J. M. 6Н140  
West R. 6Н261  
West T. S. 6П172  
Westerdijk J. B. 6П248  
Westermarck T. 6Б353,  
6Б354  
Westheimer F. H. 6Б475  
Westlake D. G. 6Б231  
Wettstein A. 6П399  
Wetzel H. 6Б60  
Wetzel W. H. 6Н287  
Weyermuller G. 6Н150  
Weyl P. K. 6П93  
Wharton P. S. 6Н114  
Wheatley J. C. 6Б332  
Whelan W. J. 6Н309  
Whetzel K. B. 6П223  
Whipple E. B. 6Б144  
White D. R. 6Б530  
White F. L. 6П563  
White M. L. 6П5  
White R. F. M. 6Б141  
Whitehouse K. C. 6П226  
Whitham G. H. 6Н318  
Whitmore D. H. 6Н38  
Whitney R. P. 6Н166  
Whitt F. R. 6Н16

- Whittaker E. J. W. 6B176  
Wiecek K. 6B2  
Wibaut J. P. 6K39, 6K200  
Wibaut—Van Gastel A. J. P. 6K39  
Wibberley K. 6J1277  
Wichterle O. 6J1423  
Wick M. 6P1318  
Wicke E. 6B646  
Wickersheim K. A. 6B238  
Wickert K. 6M133  
Wicklein A. 6P396, 6J1429  
Wiechert R. 6K342  
Wiedemann H. G. 6B436  
Wiedemann O. 6J1205  
Wiegand H. 6H202  
Wieland T. 6K371  
Wielgus J. 6K224  
Weimann J. 6K84  
Wierzbowski R. 6J1325  
Wierzbowski J. 6H183  
Wightman R. E. 6M137  
Wilg E. O. 6K129  
Wilbrans F. W. R. 6H15  
Wilburn F. W. 6K298  
Wilcox D. F. 6H252  
Wilhelm G. 6J179  
Wilhelm H. 6H489  
Wilhelm R. H. 6B516  
Wilk M. B. 6P66  
Wilke H. 6H364  
Wilkins M. 6B192  
Wilkinson M. K. 6B49  
Willeitner H. 6M16  
Williams A. E. 6B91, 6K231  
Williams D. 6B149  
Williams D. J. 6H121  
Williams K. G. 6B493  
Williams R. J. P. 6B128  
Williamson C. E. 6J1512  
Williamson D. M. 6J1386  
Williamson I. 6P124  
Willner D. J. 6K322  
Wilson A. W. 6H470  
Wilson C. L. 6B111  
Wilson C. O. 6B126, 6B395  
Wilson D. J. 6B455  
Wilson D. L. 6P1418  
Wilson J. F. 6P137  
Wilson J. R. 6P1650  
Wimpress R. N. 6H49  
Winczakiewicz A. 6P1518  
Windholz T. 6J1182  
Winegard W. C. 6B448  
Winegartner E. C. 6H236  
Wingerd W. H. 6H246  
Winkle W. V. 6J1296  
Winkler E. 6J1481  
Winkler M. 6P1607  
Winship R. D. 6B496  
Winterbottom R. 6J1413  
Winternitz P. F. 6K255  
Winthorpe S. O. 6J1348  
Wippel H. G. 6J1187  
Wippler C. 6P117  
Wirth H. 6H489  
Wirth J. 6K262  
Wirthgen W. 6A21  
Wirz W. W. 6H101  
Wischemann W. 6M334  
Wise H. 6B556  
Wissler E. H. 6H74  
Wisznowski K. 6J122  
Withers R. M. J. 6H384  
Witkowski A. 6B108  
Witnauer L. P. 6H10  
Witt J. R. 6P33  
Witten B. 6J1512  
Wittig F. E. 6B387  
Wittum M. 6H186  
Wöckel H. 6B429  
Woerth L. 6J1235  
Wogeck W. 6H210  
Woggon H. 6H13, 6H14  
Wohlens H. C. 6E50  
Wohlens H. C. 6J137  
Wójcik J. 6K221  
Wojtkowski E. 6H272  
Wojtowicz B. R. A. 6P666  
Wojtowski R. 6K168  
Wolf A. P. 6B342  
Wolf F. 6K22, 6K352  
Wolf R. F. 6P1315  
Wolff B. 6J1166  
Wolff G. A. 6B321  
Wolff P. M. 6B182  
Wolffgang H. 6E55  
Wolfhard H. G. 6B498  
Wolfrom M. L. 6P112  
Wolfrom R. E. 6P1673  
Wolski W. 6B60  
Wong K. Y. 6B590  
Wood A. J. 6J105  
Wood D. W. 6J138  
Wood J. 6J1496  
Wood J. O. 6P1331  
Wood J. Q. 6M329  
Woodgate G. K. 6B58, 6B60  
Woolde R. A. 6J1134  
Woods H. A. 6M347  
Woodward A. E. 6P52  
Woolf C. 6J144, 6J1515  
Woolfolk E. O. 6K154  
Worden E. C. 6K277  
Wormser Y. 6B79  
Wormwell F. 6H114  
Wörnlein K. 6H54  
Worrall W. E. 6K217  
Wright H. B. 6J1362  
Wronski M. 6J158, 6J162, 6J166, 6J171  
Wührer K. 6P181  
Wuhrmann J. J. 6H83  
Wujciak D. W. 6H472  
Wulf K. 6P1377  
Wulff C. 6H471, 6H475  
Wultsch F. 6P1480, 6P1489  
Wünsch E. 6K371  
Wurst M. 6B700, 6J1229  
Wyllie D. 6M252  
Wynberg H. 6K187  
Wypych W. 6J1325  
Wysocka J. 6B2  
Wysocki A. 6H272  
X  
Xue Jing-yun 6M100  
Y  
Yaffe L. 6B29  
Yagi S. 6J16  
Yagyu M. 6B399  
Yakabe M. 6K29  
Yamada A. 6K343  
Yamada K. 6M82  
Yamaguchi T. 6M130  
Yamakawa H. 6P10  
Yamakawa T. 6J1256  
Yamamasu M. 6H34  
Yamamoto A. 6B129  
Yamamoto H. 6H71  
Yamamoto K. 6M186  
Yamamoto R. 6J1290  
Yamamoto S. 6K165  
Yamamoto T. 6B704  
Yamamoto T. 6H292  
Yamamoto Y. 6M82  
Yamane T. 6B39  
Yamashita I. 6K319  
Yamashita S. 6H197  
Yamauchi T. 6H71  
Yamauchi T. 6K368  
Yamazaki N. 6P84  
Yamazoe F. 6J1157  
Yang J. Y. 6B342  
Yang K. 6B581  
Yaroslavsky S. 6B156  
Yasuda S. 6B397  
Yasui B. 6K243  
Yates K. 6B119  
Yates P. 6K90  
Yelon A. 6B295  
Yerek M. 6P1537  
Yokogawa K. 6B587  
Yokota T. 6J1311  
Yokoya S. 6P1567  
Yokoyama H. 6K54  
Yonezawa T. 6B71  
York F. R. 6H267  
York W. C. 6H480  
Yoshida H. 6J1124  
Yoshida M. 6M180  
Yoshida S. 6H180  
Yoshida Y. 6M41  
Yoshimura S. 6J149, 6K29  
Yoshizawa S. 6K137, 6K138  
Young F. W. 6B256  
Young G. T. 6K371  
Young J. A. 6A48  
Youngdale G. A. 6K236  
Yphantis D. 6B171  
Yshida S. 6P96  
Yuan Ching 6K332  
Yunker W. H. 6B612  
Yuta H. 6B12  
Yu Yung—zhong 6M212  
Z  
Zabetakis M. G. 6B502  
Zabor R. C. 6M277  
Zagorski Z. P. 6B583  
Zahradnik M. 6H523  
Zaima S. 6H153  
Zajac P. 6H401  
Zajiček J. 6J1417  
Zajiček R. 6J1289  
Zakheim M. 6J1531  
Zaki M. R. 6J1474  
Zaelwski A. 6J1570  
Zalewski W. 6H106  
Zalkow V. 6K5  
Zalwert S. 6K221  
Zapletal V. 6B552  
Zapp R. L. 6P1330  
Zarzycki J. 6B334  
Zathurecký L. 6J1292  
Zaugg H. E. 6J1379  
Zaerick J. A. 6K339  
Zech J. D. 6J192  
Zeggeren P. 6B168  
Zellinger K. 6H89  
Zell H. 6J1361  
Zeller I. 6J1372  
Zeller P. 6J1119  
Zemánek J. 6J1489  
Zemany P. D. 6J1479  
Zenner S. P. 6H59  
Zerweck W. 6J1231, 6J1232, 6J1234  
Želj S. 6H3  
Zhavoronkov N. N. 6H60  
Ziabicki A. 6J148  
Zickendraht C. 6J1226  
Ziegenbein W. 6P1362  
Ziegler E. 6J1242  
Ziegler K. 6J198  
Ziegler M. 6K68  
Zieleniewski W. 6K142  
Zieliński A. 6J170  
Zieliński M. 6B460  
Zieliński W. 6P185  
Ziemba J. V. 6H319  
Zieminska S. 6H259  
Zikmund J. 6K294  
Zimmer K. 6J129  
Zimmerman J. 6P28  
Zimmermann H. 6B77  
Zitter H. 6H173, 6H177  
Zlotowski I. 6B460  
Zmijewska W. 6J118  
Zoch L. L. 6M29  
Zöhren J. 6P132  
Zollinger J. L. 6H472  
Zoubowsky P. 6H52  
Zsakó J. 6J1155  
Zuberbühler H. 6P19  
Zukale W. 6J183  
Zviak C. 6H521

## УКАЗАТЕЛЬ АВТОРСКИХ СВИДЕТЕЛЬСТВ СССР

| №<br>свидет.  | Номер<br>реф. | №<br>свидет.  | Номер<br>реф. | №<br>свидет.  | Номер<br>реф. | №<br>свидет.  | Номер<br>реф. | №<br>свидет. | Номер<br>реф. |
|---------------|---------------|---------------|---------------|---------------|---------------|---------------|---------------|--------------|---------------|
| 110579—6J199  |               | 125554—6J190  |               | 125673—6P1357 |               | 129206—6J1569 |               | 131508—6M355 |               |
| 122747—6J192  |               | 125560—6J1112 |               | 125679—6P1348 |               | 129782—6P704  |               | 131669—6K432 |               |
| 123750—6J151  |               | 125561—6J1113 |               | 126011—6P1359 |               | 129785—6P1413 |               |              |               |
| 123946—6J1203 |               | 125660—6P1363 |               | 128275—6K287  |               | 130466—6H361  |               |              |               |
| 125369—6P1358 |               | 125672—6P1349 |               | 128603—6P1346 |               | 130911—6P1538 |               |              |               |



## УКАЗАТЕЛЬ ДЕРЖАТЕЛЕЙ ПАТЕНТОВ

## A

Abbott Labs 6J1362, 6J1379, 6J1414  
Advance Plastics Pty Ltd. 6H168  
Air Reduction Co. 6J149  
Alkaloida Vegyészeti Gyár. 6J1372, 6J1382  
Allied Chemical Corp. 6J144, 6J1137, 6J1139, 6J1515  
Allied Labs, Inc. 6H460  
Aluminum Co. of America 6M159  
Amchem Products, Inc. 6H240  
American Colloid Co. 6H490  
American Cyanamid Co. 6H333, 6J1183, 6J1224, 6J1236, 6J1413, 6M333, 6H419, 6H536  
American Home Products Corp. 6J1341, 6J1348  
American — Marietta Co. 6H134, 6H288  
American Oil Co. 6H256  
American Potash & Chemical Corp. 6J1144, 6J1115  
American Viscose Corp. 6H1104  
Anchor Chemical Co. Ltd. 6H352  
Andreas F. 6J1145  
Andreas Z. 6K276  
Anken Chemical & Film Corp. 6J1572  
Application de Materiel Electrique, Soc. 6K207  
Arató G. 6H470  
Armour and Co. 6H265  
Armstrong Cork Co. 6H533  
Arnold Z. 6J178  
Ateliers Charles Vauchier & Fils 6H182  
Atlas Powder Co. 6J192  
Asta—Werke Akt. Ges. Chemische Farbk 6J1322  
Austenal, Inc. 6H184  
Ayers J. W. & Co. 6J1100, 6H284

## B

Badische Anilin & Soda—Fabrik Akt. Ges. 6K124, 6J179, 6J1184, 6J1230, 6J1504, 6J1536, 6H489  
Baglietto V. V., Baglietto B., Picchiotti N., J. P. S. A. de Chanaz 6H164  
Bähr E. E., geb. Schnadt 6K23, 6K24  
Baker P. A. 6H244  
Balajka B. 6K33  
Barnes W. F. and John Co. 6H214  
Barr Rubber Products Co. 6H165  
Barthlen A. 6H224  
Bas J. F. & Cie (Soc. Anon) 6H214, 6H215  
Bataafsche Petroleum Maatschappij N. V. 6J182  
Bauer S. 6J170  
Bažant V. 6M160

Beecham Research Labs Ltd. 6J1352  
Benckiser J. A. G. m. b. H. Chemische Fabrik 6H326  
Bergwerksverband G. m. b. H. 6K103  
Bernet D., mme, Femme Divorcee 6H519  
Bernzott H. 6J1173  
Best Foods, Inc. 6H462  
Binko I. 6J156  
Bittner K. 6J1233  
Blauhut W. 6J137  
Boehringer C. F. & Soehne G. m. b. H. 6J1335  
Boots Pure Drug Co. Ltd. 6J1370, 6J1537  
Borden Co. 6H246  
Bower H. Chemical Manufacturing Co. 6J1520  
Bradford Dyes Assoc. Ltd. 6H292, 6H666  
Brichard E. 6K326  
Britisch Petroleum Hydrocarbons 6M306  
Britisch Celanese Ltd. 6H414, 6H432  
Britisch Drug Houses Ltd. 6J1386  
British oxygen Research and Development Ltd. 6M330  
British Petroleum Co. Ltd. 6M278, 6M313, 6M316, 6M320  
British Schering Ltd. 6J1434  
Brugger F. 6H703  
Buck L. J., Inc. 6K81  
Bulter Co. 6H531  
Burstlein E. M., Soc. des Aciéries de Longwy, Soc. Anon. 6H84

## C

Cabot G. L., Inc. 6M292, 6M328  
California Research Corp. 6J1154, 6J1155, 6H482  
Calil G., Guernier M. 6H241  
Carborundum Co. 6K285  
Carl Fenimore Cooper 6K203  
Carnation Co. 6H222  
Cassella Farbwerte Mainkur Akt. Ges. 6J1231, 6J1232, 6J1234  
Čejka M. 6M351  
Celanese Corp. of America 6H143  
Cellophane Soc. Anon. 6H213  
Centre d'Etude des Matières Plastiques 6H101  
Centre National de la Recherche Scientifique 6K127  
Chassende-Baroz N. J. M. P. F. 6H375  
Chemetron Corp. 6M315  
Chemische Fabrik Kalk G. m. b. H. 6K104  
Chemische Werke Albert 6K67, 6K73—6K75, 6J1160  
Chemische Werke Hüls Akt. Ges. 6M303, 6H362

Chemstrand Corp. 6H426  
Chimiotechnic 6H477  
Chinoin gyógyszer és vegyészeti termékek gyára 6J1360  
Chodakowskie Zakłady Włókien Sztucznych 6H272  
Chodkowski E. 6J1164  
Chromeček R. I  
Chrysler Corp. 6K198  
Cianchi A. L. 6K335  
CIBA Akt. Ges. 6J1226, 6J1234, 6J1390  
Ciba Pharmaceutica Products, Inc. 6J1358, 6J1359, 6J1366  
Cie Française des Industries de la Chapellerie 6H668  
Cie Française des Matières Colorantes 6J1223, 6J1235  
Cie Générale de Construction de Tours 6M157  
Cie de Produits Chimiques et Electrometallurgiques 6H112, 6H123  
Cities Service Research and Development Co. 6M357  
Clevite Corp. 6K330, 6K331  
Col H. J. E. 6H548  
Coler M. A. 6H209  
Colgate—Palmolive Co. 6J1430  
Collard P. 6K333  
Columbian Rope Co. 6H431  
Columbia—Southern Chemical Corp. 6K62, 6J141, 6J163  
Combustion Engineering, Inc. 6H529  
Commercial Solvents Corp. 6H253  
Commonwealth Engineering Co. of Ohio 6H243  
Continental Oil Co. 6M332  
Corning Glass Works 6K324  
Courtaulds Ltd. 6H411, 6H412, 6H416—6H418, 6H674  
Cromwell E. M. and Co. Ltd. 6H199  
Cromwell Paper Co. 6H252

## D

Dąbrowska D. 6J144  
Dann O. 6H675  
Darbellay A. 6H172  
Dawson T. P. 6J1512  
Deering Milliken Research Corp. 6H657  
Delhommeau A. 6H226  
Delvigne C. C. 6H215  
Detrex Chemical Industries, Inc. 6H183  
Deutsche Erdöl Akt. Ges. 6M301  
Dexico 6H488  
Diamond Alkali Co. 6J1498  
Didier — Werke Akt. Ges. 6K434  
Diffusion Industrielle Soc. Anon. 6J1420  
Distillers Co. Ltd. 6J159, 6H116  
Domestos Ltd. 6H484  
Dow Chemical Co. 6J172, 6J1222, 6J1138, 6J1140, 6J1156, 6J1175, 6J1522, 6J1527, 6J1533, 6H105, 6H287

Dow Corning Corp. 6J1104, 6J1108  
Druker S. 6H487  
Ducamp A. J., Gache C. P. 6J193  
Duiburger Kupferhütte 6J1519  
Dunlop Rubber Australia Ltd. 6H345, 6H356  
Dunlop Rubber Co. Ltd. 6K123, 6H355  
Du Pont de Nemours E. I. and Co. 6K209, 6J140, 6J142, 6J160, 6J171, 6J1109, 6J1117, 6J1194, 6J1196, 6J1524, 6H255, 6H115, 6H1132, 6H365, 6H425, 6H665  
Dupuis J. 6H179  
Durand & Huguenin Akt. Ges. 6H486

## E

Eagle—Picher Co. 6H216  
Eastman Kodak Co. 6J1563, 6J1565, 6J1567—6J1569, 6J1573, 6J1574, 6H125, 6H203  
Eclair 6H542  
Elemelt Ltd. 6K325  
Eliáš M. 6K433  
Endo Labs, Inc. 6J1403  
Engelhard Industries, Inc. 6J136, 6M331  
Englisch Electric Co. Ltd. 6K208, 6K275  
Esso Research and Engineering Co. 6J138, 6J153, 6M273, 6M279, 6M286, 6M293—6M295, 6M305, 6M308, 6M310, 6M311, 6M317, 6M363, 6H354  
Esso Standard (Soc. Anon française) 6M346, 6M353, 6H121  
Etat Français, Ministre des Armées 6M340  
Ethyl Corp. 6J152  
Éthylène—Plastique 6H106  
Ets Sabor 6H518

## F

Farbenfabrik Bayep Akt. Ges. 6J1171, 6J1225, 6J127, 6J1238, 6J1415, 6J1502, 6J1503, 6J1505, 6J1507—6J1509, 6M287, 6H1135, 6H656, 6H660, 6H663  
Farbenfabrik Wolfen 6K22  
Farbwerke Hoechst Akt. Ges. vormals Meister Lucius & Brüning 6K107, 6J168, 6J1187, 6J1220, 6J1502, 6H463, 6H473, 6H299, 6H492, 6H659, 6H661  
Fehr H. 6J1157  
Ferro Corp. 6K337, 6H211  
Flax V. 6H189  
Foremost Dairies, Inc. 6H252, 6H260  
Foxboro Co. 6H549  
Franklin Research Co. 6M322  
Fricke G. 6J1506  
Fritzsche E. 6H429  
Fritzsche K. 6K435

## G

Gaillet F. 6H525  
 Gedeon R. Végyszeti Gyár Rt. 6H168  
 Jeffroy P. 6H365, 6H366  
 Joly J. R. Akt. Ges. 6H239, 6H242, 6H525, 6H528  
 Kell P. A. M. 6K328  
 General Aniline & Film Corp. 6H239, 6H532, 6M359  
 General Electric Co. 6H173, 6H105-6H107, 6H129, 6H185, 6M162, 6H140, 6H148  
 General Foods Corp. 6H537  
 General Mills, Inc. 6H223  
 General Motors Corp. 6K206  
 Gewerkschaft Victor 6K106  
 Ghysen C. P. 6H232  
 Gilles L., Recherches Tech-  
 niques et Applications In-  
 dustrielles 6H454  
 Glauber E. 6H140  
 Grace W. R. & Co. 6K128, 6H199, 6H480  
 Guillet R. & Cie 6H251  
 Guinet H. M. 6H378  
 Gulf Oil Corp. 6M350, 6M354, 6M362  
 Gulf Research & Development  
 Co. 6M277, 6M290  
 Gyógyszeripari Kutató Intézet  
 6H85, 6H150, 6H182, 6H411  
 H  
 Haloid Xerox Inc. 6H571  
 Hann C. G. 6K327  
 Hanousek V. 6H198  
 Hasseldine R. N. 6H146  
 Hatcher R. A. 6H670  
 Hehky J. 6H371  
 Henkel & Cie G. m. b. H. 6K80, 6H471, 6H475  
 Hercules Powder Co. 6H143, 6H191, 6H235, 6H527, 6H528, 6H541  
 Hermann H. Papierwarenfab-  
 rik 6H544  
 Herold M. 6H428  
 Hervey S. 6H233  
 Heuer R. P. 6K281  
 Heyer W., Schick F. W. 6H359  
 Hickson's Timber Impregna-  
 tion Co. (G. B.) Ltd 6H548  
 High Duty Alloys Ltd 6K200  
 Hlaváček P. 6H360  
 Hoffman-La Roche F. & Co.  
 Akt. Ges. 6H119  
 Hooker Chemical Corp. 6H143, 6H128  
 Houdry Process Corp. 6K125, 6H34  
 Houllères du Bassin de Lor-  
 raine 6M158  
 Hubicki W. 6H186  
 Humán Oléumgyártó és  
 Kutató Intézet 6H425  
 Hydrocarbon Research, Inc.  
 6M307  
 I  
 IBC Research Lab., Inc. 6H436  
 Imperial Chemical Industries

Ltd 6K84, 6K71, 6K82,  
 6H555, 6H221, 6H564, 6H120,  
 6H662  
 Ingenieurbüro Flottmann F. H.  
 6M364  
 Inghram D. H. 6H212  
 Institut Français du Pétrole,  
 des Carburants et Lubrifi-  
 cants 6H333, 6M321  
 Instytut Barwnikow i Polpro-  
 duktów 6H161, 6H178, 6H179  
 Instytut Chemii Ogólnej 6H74,  
 6H75, 6H120  
 International Harvester Co.  
 6H266  
 Iowa State College Research  
 Foundation, Inc. 6M323

## J

Jacob, dit Jacques, Glayman  
 6K205  
 Jansen H. J., Pieter van der  
 Zee 6M297  
 Jeanson P. 6H230  
 Johnson & Johnson 6H160,  
 6H204, 6H120, 6H678  
 Johnson & Son, Inc. 6H165  
 Joly M. M. S. 6H669

## K

Kanert E. 6K282  
 Kauer F. 6H162, 6H672  
 Kelco Co. 6H534  
 Kellogg M. W. Co. 6M280  
 Knapsack-Griesheim Akt. Ges.  
 6H58  
 Konsanszky A. 6H353  
 Koopers Co., Inc. 6M150,  
 6H200  
 Körbl J. 6H180, 6H229  
 Körösi J. 6H184  
 Koudela Z. 6H181  
 Kovarik B. 6H335  
 Kříž A. 6H225  
 Kubička R. 6M149  
 Kirschner O. 6H409  
 Kymin O/Y 6K66

## L

Lab. Berthold 6M361  
 Labs Capilo 6H513  
 Labs Français de Chimiothé-  
 rapie 6H375-6H378, 6H388,  
 6H399, 6H406  
 Labs Rolland A. 6H400  
 Lacour G. m-me, née Bouffet-  
 te M. 6H83  
 Langhe J., van Lieferinge M.,  
 Coolens P. 6H277  
 Langworthy M. F. 6H485  
 Lannacher Heilmittel G. m.  
 b. H. 6H153  
 Laporte Chemical Ltd 6H242  
 Lardoline Kőolajipari Vállal-  
 lat, István F., György V.,  
 János R. 6H1700  
 Lautrich R. 6H334  
 Ledent J. 6K329  
 Leek Chemicals Ltd 6H538  
 Lengyel B. 6H102  
 LICENTIA Patent-Verwaltungs  
 G. m. b. H. 6H111  
 Lignes Télégraphiques et Té-  
 léphoniques 6K278

Lintafoam Ltd 6H347  
 Litho Chemical & Supply Co.,  
 Inc. 6H305  
 Lukeš R. 6H428  
 Lur-Saluces B. M. J. C. 6H174

## M

McDonald J. F. 6H154  
 Macháček Č. 6K436  
 Maecker H. J. 6H176  
 Magimel-Pellonier R., Etche-  
 verry L. 6K21  
 Mareček V. 6H324  
 Markes R. 6H427  
 Martin A. 6H234  
 Maschinenbau Akt. Ges. Bal-  
 cke 6H332  
 Mašek J. 6H259, 6H262  
 Masonite Corp. 6H547  
 May and Baker Ltd 6H367,  
 6H535  
 Merck & Co., Inc. 6H361,  
 6H391, 6H437  
 Metallges. Akt. Ges. 6K30  
 Métallurgique de Normandie  
 Soc. 6M153  
 Metal & Thermit Corp. 6H103,  
 6H188  
 Michalski J. 6H202  
 Michel R. 6H255  
 Michigan Research Lab., Inc.,  
 Electrochem Fiber Seal Corp.  
 6H539  
 Miller F. J. 6H364  
 Miller W. T. 6H45  
 Minnesota Mining and Manu-  
 facturing Co. 6H161, 6M345,  
 6H472, 6H149, 6H205,  
 6H281  
 Miquel H. 6H178  
 Monet T. L. V. 6H431  
 Monsanto Chemical Co. 6K79,  
 6H39, 6H197, 6H336, 6H409,  
 6H513, 6H523, 6H529,  
 6H534, 6H539, 6H541, 6H542,  
 6H469, 6H471, 6H517,  
 6H109, 6H113, 6H122,  
 6H124, 6H161, 6H290, 6H351  
 6H361, 6H655  
 Moravec J. 6H366  
 Morton Chemical Co. 6H197  
 Moufaouad A. 6H355  
 Mráček J. 6H246  
 Müanyagipari Kutató Intézet  
 jogutódja 6H163  
 Mulkey T. F. 6H171  
 Müller P. A. 6H279  
 Musil J. 6H412  
 Mužik F. 6H241

## N

Nash L. H. 6H521  
 National Cash Register Co.  
 6H532  
 National Dairy Products Corp.  
 6H1705  
 National Drug Co. 6H357  
 National Lead Co. 6H110  
 National Research Development  
 Corp. 6H295  
 Nease Chemical Co., Inc. 6H189  
 Neef R. 6H664

Newnham I. E. 6K78  
 Nicolas P. 6K333  
 Nigrin-Werke Carl Gentner  
 6H466  
 Nitrokémia Ipartelep 6H365  
 Nobel Française Soc. 6H102  
 Nordberg Manufacturing Co.  
 6M336  
 Normande de Matiers Plasti-  
 ques Soc. 6H212  
 Novotný L. 6H188

## O

Office Central de Chauffe Ra-  
 tionnelle 6M296  
 Olán G. 6H189  
 Olin Mathieson Chemical Corp.  
 6H132, 6H383, 6H105,  
 6H496  
 Omnium de Produits Chim-  
 iques pour l'Industrie et  
 l'Agriculture (OPCIA) 6H510  
 Országh S. 6H380  
 Österreichische Stickstoffwerke  
 Akt. Ges. 6H342  
 Otto M. 6H130

## P

Pan American Petroleum Corp.  
 6H85  
 Papeteries de la Robertsau  
 (Soc. Anon.) 6H545  
 Parke, Davis & Co. 6H338,  
 6H356  
 Pechiney (Cie de Produits chi-  
 miques et électrométallur-  
 giques) 6K210  
 Pektor V. 6H1702  
 Pennsalt Chemical Corp. 6H531  
 Perech R. 6H275  
 Perfogit S. p. a. 6H110  
 Permachem Corp. 6H468  
 Permanente Cement Co. 6H144  
 Pet Milk Co. 6H253  
 Petriello J. V. 6H157  
 Petrolite Corp. 6H206  
 Pfizer C. & Co., Inc. 6H387,  
 6H389, 6H393, 6H397, 6H407  
 Phillips Petroleum Co. 6H121,  
 6H200, 6M274, 6M284,  
 6M302, 6M324, 6M329,  
 6M343, 6H114, 6H137  
 Phrix-Werke Akt. Ges. 6H658  
 Pierrard G. «Les Moteurs As-  
 soies» 6H173  
 Plette E. L. M. 6H435  
 Pintsch Bamag Akt. Ges. 6K31  
 Pirkil J. 6H208  
 Pittsburgh Plate Glass Co.  
 6H285  
 Plasticforming 6H218  
 Plessey Co. Ltd. 6K280  
 Pneumatiques & Caoutchouc  
 Manufacturé Kléber-Colom-  
 bes 6H152  
 Politechnika Szczecińska 6H170  
 Politechnika Warszawska (Zak-  
 ład Technologi Organicz-  
 nej I.) 6H57  
 Politechnika Wroclawska (Zak-  
 ład Technologi Tworzyw  
 Sztucznych 6H148

Polyplastic 6II107, 6II108, 6II163  
Power Gas Corp. Ltd. 6M300  
Pravda Z. 6J1326  
Pretzer A. 6H491  
Procter & Gamble Co. 6H251, 6H481  
Protiva M. 6J1332, 6J1344  
Purdue Research Foundation 6J1500  
Pure Oil Co. 6J1204, 6M283, 6M319, 6M349  
Puustusmaa J. 6K334  
Pyramid Soc. 6II188  
Pyrene Co. Ltd. 6H244

## R

Rabussier P. 6H367  
Radio Corp. of America 6K279  
Raffineries de Soufre Réunies 6K19  
Rakosányi L. 6H512  
Rapoš P. 6J1158  
Regents of the University of Minnesota 6H254, 6II407  
Reichhold-Beckacite 6II139  
Reichhold Chemicals, Inc. 6II201  
Reppert R. L. von 6K20  
Resistoflex Corp. 6II175  
Richter R. 6II671  
Richter Gedeon Vegyészeti Gyár Rt. 6J1424  
Roberts A. B. and Co. Ltd. 6J194  
Robins A. H. Co., Inc. 6J1353  
Robinson P. W. 6M327  
Roeder G. 6H247  
Rohm & Haas Co. 6J1432, 6II141, 6II289, 6II673  
Rosenblads Patenter AB 6II112  
Rostler S. A. L., C. B. J. M.-T. Rostler 6H358  
Roubal Z. 6J1381  
Rubans Sander's a. rl. 6II207  
Ruhchemie Akt. Ges. 6J1151, 6J1526, 6M334, 6M335, 6H465  
Rütgerswerke Akt. Ges. 6M151  
Ruthner O. 6H241

## S

Salkin N. 6II667  
Sandoz Akt. Ges. 6J1222  
Schade H. 6J177  
Schadell T. 6H520  
Schäffler A. 6J183  
Schain P. 6H248  
Schapo L. 6K431  
Schenectady Varnish Co., Inc. 6J1141  
Schering Corp. 6J1402  
Schmerzler L. J. 6H331

Schnitz-Scholl W. Fa 6H238  
Schüchtermann Kremer-Baum Akt. Ges. für Aufbereitung 6M148  
Schultheis & Söhne Chemisch-Keramische Fabrik 6K338  
Searle G. D. & Co. 6J1350, 6J1384, 6J1385, 6J1394—6J1396, 6J1401, 6J1404  
Šeha Z. 6J176  
Senator J. 6II190  
Sentek A. 6II701  
Separator AB 6H113  
Severa Z. 6J1417  
Sfer A. 6H278  
Sharp, Jones & Co. Ltd. 6II176  
Shell Development Co. 6J1174, 6M275, 6M276, 6M347, 6II282, 6II301  
«Shell» Research Ltd 6J1499, 6J1530, 6M339, 6M360, 6H483  
Sherwin-Williams Co. 6II293  
Shiells A. 6II302  
Siegler G. R. 6H250  
Siemens-Schuckertwerke Akt. Ges. 6II280  
Sinclair Refining Co. 6M156, 6M342, 6M352  
«SINNOVA», «SADIC» 6H476  
Sintercast Corp. of America 6K283  
Skolnik A., Fa 6K202  
Skrab Państwa (Ministerstwo Przemysłu Mięsnego i Mleczarskiego-Centralny Zarząd Przemysłu Mleczarskiego 6H261, 6H263, 6H264  
Smeykal K. 6J182  
Smith H. & T. Ltd 6J1374  
Smolek K. 6J1410  
Smrč R. 6J1497  
Snyder J. P. 6J164  
Sochurek J. 6K438  
Soc. Monsavon-l'Oréal 6H521  
Soc. Nationale des Pétroles d'Aquitaine 6M163  
Socony Mobil Oil Co., Inc. 6M312  
Soc. Rhovyl 6II421  
Sollich R. 6H236  
Solvay & Cie 6II167  
Sorine E. S. 6II219  
Šorm F. 6J1418  
Southern California Gland Co. 6J1423  
Spółdzielnia Pracy Chemików «Xenon» 6J1325  
Stahl O. C. 6II177  
Standard Oil Co. 6J1111, 6J1130, 6M288, 6M304, 6M314, 6M344, 6II111

Standard Telephones and Cables Ltd 6K76  
Starogardzkie Zakłady Farmaceutyczne, Przedsiębiorstwo Państwowe 6J1207, 6J1354  
Stauffer Chemical Co. 6J1540  
Stearns-Roger Manufacturing Co. 6M325  
Stedt T. P. G., Dolph A. A. H. 6H250  
Sterling Drug Inc. 6J1351, 6J1363, 6J1373, 6II303  
Studiengesellschaft Kohle m. b. H. 6J195  
Succetti G. 6K437  
Sulzer Gebr. Akt. Ges. 6H328  
Sun Oil Co. 6M281, 6M289, 6M356  
Švajgl O. 6M152  
Svoboda B. 6J1419  
Swift & Co. 6H457, 6H461, 6II131  
Synthetic Mica Corp. 6K277

## T

Taub G. 6II186  
Taub W. 6J1337  
Tee-Pak, Inc. 6H269  
Terzijská D. 6J1228  
Texaco Inc. 6J1116, 6M285, 6M291, 6M299, 6M309, 6M326, 6H464  
Textilipari Kutató Intézet 6II706  
Tien J. M. 6J1169  
T. I. (Group Services) Ltd 6II344  
Trylon Ltd 6II147

## U

Unilever Ltd 6H231, 6H282, 6H479  
Union Carbide Corp. 6K72, 6J152, 6J154, 6J169, 6J1118, 6J1123—6J1125, 6J1149, 6J1190, 6J1193, 6J1514, 6M155, 6H245  
Union Chimique Belge Soc. Anon. 6II103  
Union Oil Co. of California 6J1135, 6J1136  
United Aircraft Corp. 6M338  
United Gas Improvement Co. 6M298  
United Kingdom Atomic Energy Authority 6K6—6K8  
Universal Oil Products Co. 6J1131, 6J1133, 6M282, 6M318  
Upjohn Co. 6J1392, 6J1398  
Upson Co. 6II530  
USA, Secretary of Agriculture 6J1128, 6J1368, 6H244

USA, Secretary of the Air Force 6J1566  
USA, Secretary of the Navy 6K84, 6J1177  
USA, Secretary of War 6K120  
USA, U. S. Atomic Energy Commission 6K5, 6K9  
Usines Chimiques Rhône-Poulenc Soc. 6J196, 6J1330, 6J1343, 6J1355, 6M237, 6II117—6II119  
U. S. Rubber Co. 6J1144, 6II353

## V

Vanderbilt R. T. Co., Inc. 6II360  
Van de Wiele L. 6H276  
Vanity Fair Paper Mills, Inc. 6II535  
Velsicol Chemical Corp. 6J1511  
Verna & Cie 6II187  
Vinš L. 6M154  
Virginia-Carolina Chemical Corp. 6J1186  
Vodrazka B. 6II430

## W

Wagner O. 6M161  
Wakefield CC & Co. Ltd 6M344  
Wattelez J., Wattelez P., Anciens Ets Wattelez G. 6II334  
Welcome Foundation Ltd 6J1346, 6J1347  
Westfalia Separator Akt. Ges. 6M341  
Westinghouse Electric Corp. 6II283  
Whirlpool Corp. 6II145  
Wichterle O. 6II423  
Wiedemann O. 6J1205  
Wisconsin Alumni Research Foundation 6J1416  
Witco Chemical Co. Inc. 6J1511  
Wretling K. A. J. 6J1429

## Y

York F. R. 6H267  
Younghusband, Barnes & Co. Ltd 6II286

## Z

Zahradnik M. 6H523  
Zakłady Kartograficzne Państwowe 6J1570  
Zakłady Przemysłu Azotowego Kędzierzyn. 6J1166, 6J1167  
Zakłady Przemysłu Barwników «Boruta» Przedsiębiorstwo Państwowe 6J1240  
Ziegler K. 6J198  
Ziegler M. 6K68



of the Air

of the Navy

of War 6K12

Atomic Energy

K5, 6K9

es Rhône-Po-

I96, 6J130,

, 6M337,

Co. 6J146,

T. Co., Inc.

6H276

er Mills, Inc.

Corp. 6J151

187

Chemical

430

Ltd 6M34

elez P., As

ez G. 6J130

ation Ltd

r Akt. Ges.

ctric Corp.

II145

23

6J1205

Research

6

Inc. 6J151

6J1429

7

rnes &amp; Co.

23

czne Przed

siębiorstw

Azotowy

6, 6J1167

Barwa-

zedsiębior-

6J1240

744(28)

de Ab

Nary

6K120

Energy

9

de-Pow

IT330,

M337,

3.TI40

Inc.

Inc.

6.T311

rmica

M311

Ab-

IT330

Lit

Gen

Corp

earch

IT511

Co.

zed-

re

vego

67

xmi-

for-

**РЕФЕРАТИВНЫЙ ЖУРНАЛ**  
**ИНСТИТУТ НАУЧНОЙ ИНФОРМАЦИИ АКАДЕМИИ НАУК СССР**

ДИРЕКТОР ИНСТИТУТА — профессор А. И. Михайлов

Реферативный журнал издается в следующих сериях:

- АВТОМАТИКА И РАДИОЭЛЕКТРОНИКА — Главный редактор канд. техн. наук А. С. Бучинский  
АСТРОНОМИЯ И ГЕОДЕЗИЯ — Главный редактор профессор К. Ф. Огородников  
БИОЛОГИЯ — Главный редактор канд. биол. наук В. П. Доброхвалов  
ГЕОГРАФИЯ — Главный редактор доктор геогр. наук А. А. Насимович  
ГЕОЛОГИЯ — Главный редактор профессор Е. Е. Захаров  
ГЕОФИЗИКА — Главный редактор профессор И. А. Хвостиков  
ГОРНОЕ ДЕЛО — Главный редактор доктор техн. наук Е. М. Фаерман  
МАТЕМАТИКА — Главный редактор канд. физ.-мат. наук Р. В. Гамкрелидзе  
МАШИНОСТРОЕНИЕ — Главный редактор канд. техн. наук В. З. Фрейдберг  
МЕТАЛЛУРГИЯ — Главный редактор член-корр. АН СССР Н. В. Агеев  
МЕХАНИКА — Главный редактор академик Л. И. Седов  
ТРАНСПОРТ — Главный редактор канд. техн. наук В. Т. Осипов  
ФИЗИКА — Главный редактор профессор Э. В. Шпольский  
ХИМИЯ (с Биохимией) — Зав. отделом профессор В. В. Кафаров, гл. редактор В. В. Серпинский  
ЭКОНОМИКА ПРОМЫШЛЕННОСТИ — Главный редактор профессор С. М. Лисичкин  
ЭЛЕКТРОТЕХНИКА И ЭНЕРГЕТИКА — Главный редактор профессор Б. М. Тареев

**REFERATIVNYI ZHURNAL**  
**INSTITUTE OF SCIENTIFIC INFORMATION, ACADEMY OF SCIENCES OF THE USSR**

DIRECTOR OF THE INSTITUTE Professor A. I. Mikhailov

The Referativnyi Zhurnal is published in the following series:

- AUTOMATION AND RADIOELECTRONICS — Chief editor Candidate of Technical Sciences A. S. Buchinsky  
ASTRONOMY AND GEODESY — Chief editor Professor K. F. Ogorodnikov  
BIOLOGY — Chief editor Candidate of Biological Sciences V. P. Dobrokhvalov  
GEOGRAPHY — Chief editor Doctor of Geographical Sciences A. A. Nasimovich  
GEOLOGY — Chief editor Professor E. E. Zakharov  
GEOPHYSICS — Chief editor Professor I. A. Khvostikov  
MINING — Chief editor Doctor of Technical Sciences E. M. Feerman  
MATHEMATICS — Chief editor Candidate of Physical and Mathematical Sciences R. V. Gamkrelidze  
MECHANICAL ENGINEERING — Chief editor Candidate of Technical Sciences V. Z. Freidberg  
METALLURGY — Chief editor Corresponding member of the USSR Academy of Sciences N. V. Ageev  
MECHANICS — Chief editor Academician L. I. Sedov  
TRANSPORT — Chief editor Candidate of Technical Sciences V. T. Osipov  
PHYSICS — Chief editor Professor E. V. Shpolsky  
CHEMISTRY (with Biochemistry) — Chief of Department Professor V. V. Kafarov, Chief editor V. V. Serpinsky  
ECONOMICS OF INDUSTRY — Chief editor Professor S. M. Lisichkin  
ELECTRICAL ENGINEERING AND ENERGETICS — Chief editor Professor B. M. Tareev

Editorial Office: Moscow D-219, Baltijskaja ulitsa, 14

Технический редактор С. А. Литеак

|                                   |               |   |
|-----------------------------------|---------------|---|
| Подписано к печати 14/III-1961 г. | Тираж 2975    | Формат бумаги 84×108 <sup>1</sup> / <sub>16</sub> |
| Зак. 1461                         | Печ. л. 76,26 | Бум. л. 23 <sup>3</sup> / <sub>4</sub>            |
|                                   |               | Уч.-изд. л. 143,0                                 |

2-я тип. Издательства Академии наук СССР. Москва, Шубинский пер., д. 10



Цена 4 р. 05 к.

194  
2

197  
2